

АКАДЕМИЯ НАУК СССР  
ИНСТИТУТ НАУЧНОЙ ИНФОРМАЦИИ

# РЕФЕРАТИВНЫЙ ЖУРНАЛ

ХИМИЯ

РЕФЕРАТЫ

1—3386

\*

№ 1

1957

ИЗДАТЕЛЬСТВО АКАДЕМИИ НАУК СССР

МОСКВА



ГЛАВНАЯ РЕДАКЦИОННАЯ КОЛЛЕГИЯ  
РЕФЕРАТИВНОГО ЖУРНАЛА

*Н. В. Алексеев, В. В. Алпатов, Г. Д. Афанасьев, В. Ю. Домоусов,  
А. Н. Михайлов (председатель), С. Н. Никольский, К. Ф. Огородников, В. В. Пономиневский,  
Л. Н. Седов, В. В. Серпинский, С. А. Шиканов (зам. председателя), Э. В. Шпильонский*

СОДЕРЖАНИЕ

ОБЩИЕ ВОПРОСЫ . . . . .	1	Удобрения . . . . .	256
Методология. История. Научные учреждения и конференции. Преподавание. Вопросы библиографии и научной документации . . . . .	1	Пестициды . . . . .	257
Новые журналы . . . . .	2	Электрохимические производств. Электросинтезы . . . . .	258
ФИЗИЧЕСКАЯ ХИМИЯ . . . . .	3	Химические источники тока . . . . .	259
Общие вопросы . . . . .	3	Керамика. Стекло. Строительные материалы . . . . .	260
Атомное ядро . . . . .	3	Общие вопросы . . . . .	260
Атом . . . . .	4	Стекло . . . . .	260
Молекула. Химическая связь . . . . .	6	Керамика . . . . .	260
Кристаллы . . . . .	21	Вязкие материалы, бетон и другие строительные материалы . . . . .	261
Жидкости и аморфные тела. Газы . . . . .	38	Получение и разделение газов . . . . .	262
Изотопы . . . . .	41	Подготовка воды. Сточные воды . . . . .	262
Термодинамика. Термохимия. Равновесия. Физико-химический анализ. Фазовые переходы . . . . .	42	Переработка твердых горючих ископаемых . . . . .	262
Кинетика. Горение. Взрывы. Топохимия. Катализ . . . . .	52	Переработка природных газов и нефти. Моторное топливо Смазки . . . . .	262
Фотохимия. Радиационная химия. Теория фотографического процесса . . . . .	63	Промышленный органический синтез . . . . .	267
Растворы. Теория кислот и оснований . . . . .	66	Промышленный синтез красителей . . . . .	267
Электродхимия . . . . .	70	Крашение и химическая обработка текстильных материалов . . . . .	267
Поверхностные явления. Адсорбция. Хроматография. Ионный обмен . . . . .	75	Взрывчатые вещества. Пиротехнические составы. Средства химической защиты . . . . .	267
Химия коллоидов. Дисперсные системы . . . . .	84	Лекарственные вещества. Витамины. Антибиотики . . . . .	267
НЕОРГАНИЧЕСКАЯ ХИМИЯ. КОМПЛЕКСНЫЕ СОЕДИНЕНИЯ . . . . .	88	Фотографические материалы . . . . .	267
КОСМОХИМИЯ. ГЕОХИМИЯ. ГИДРОХИМИЯ . . . . .	96	Душистые вещества. Эфирные масла. Парфюмерия и косметика . . . . .	267
ОРГАНИЧЕСКАЯ ХИМИЯ . . . . .	103	Каучук натуральный и синтетический. Резина . . . . .	267
Теоретические и общие вопросы органической химии . . . . .	103	Синтетические полимеры. Пластмассы . . . . .	267
Синтетическая органическая химия . . . . .	114	Лакс. Краски. Эмали. Опилы. Спириты . . . . .	267
Природные вещества и их синтетические аналоги . . . . .	172	Лесохимические продукты. Целлюлоза и ее производные. Бумага . . . . .	267
ХИМИЯ ВЫСОКОМОЛЕКУЛЯРНЫХ ВЕЩЕСТВ . . . . .	205	Искусственные и синтетические волокна . . . . .	267
АНАЛИТИЧЕСКАЯ ХИМИЯ . . . . .	218	Жиры и масла. Воск. Мыла. Моющие средства. Фото-реактивы . . . . .	267
Общие вопросы . . . . .	218	Углеводы и их переработка . . . . .	267
Анализ неорганических веществ . . . . .	224	Бродильная промышленность . . . . .	267
Анализ органических веществ . . . . .	233	Пищевая промышленность . . . . .	267
ОБОРУДОВАНИЕ ЛАБОРАТОРИЙ. ПРИВОРЫ, ИХ ТЕОРИЯ, КОНСТРУКЦИЯ, ПРИМЕНЕНИЕ . . . . .	240	Кожа. Желатина. Дубители. Технические белки . . . . .	267
ХИМИЧЕСКАЯ ТЕХНОЛОГИЯ. ХИМИЧЕСКИЕ ПРОДУКТЫ И ИХ ПРИМЕНЕНИЕ . . . . .	247	Прочие производств . . . . .	267
Общие вопросы . . . . .	247	КОРРОЗИЯ. ЗАЩИТА ОТ КОРРОЗИИ . . . . .	267
Химико-технологические вопросы ядерной техники . . . . .	247	ПРОЦЕССЫ И ОБОРУДОВАНИЕ ХИМИЧЕСКИХ ПРОИЗВОДСТВ . . . . .	267
Серная кислота, сера и ее соединения . . . . .	248	Процессы и аппараты химической технологии . . . . .	267
Азотная промышленность . . . . .	249	Контрольно-измерительные приборы. Автоматическое регулирование . . . . .	267
Содовая промышленность . . . . .	250	ТЕХНИКА БЕЗОПАСНОСТИ. САНИТАРНАЯ ТЕХНИКА . . . . .	267
Минеральные соли. Окислы. Кислоты. Основания . . . . .	250	НОВЫЕ КНИГИ, ПОСТУПИВШИЕ В РЕДАКЦИЮ . . . . .	267
Люминесцентные материалы . . . . .	255	АВТОРСКИЙ УКАЗАТЕЛЬ . . . . .	267
Производство катализаторов и сорбентов . . . . .	256	УКАЗАТЕЛЬ ДЕРЖАТЕЛЕЙ ПАТЕНТОВ . . . . .	267

Адрес редакции: Москва Д-219, Балтийский пос., д. 42 Б

0  
1  
2  
3  
4  
5  
6  
7  
8  
9  
10  
11  
12  
13  
14  
15  
16  
17  
18  
19  
20  
21  
22  
23  
24  
25  
26  
27  
28  
29  
30  
31  
32  
33  
34  
35  
36  
37  
38  
39  
40  
41  
42  
43  
44  
45  
46  
47  
48  
49  
50  
51  
52  
53  
54  
55  
56  
57  
58  
59  
60  
61  
62  
63  
64  
65  
66  
67  
68  
69  
70  
71  
72  
73  
74  
75  
76  
77  
78  
79  
80  
81  
82  
83  
84  
85  
86  
87  
88  
89  
90  
91  
92  
93  
94  
95  
96  
97  
98  
99

**Рес**

1. cer  
21  
2. ma  
Ne  
К  
гани

3. по  
В  
пр  
V  
28  
И  
союз  
спис

4. (1  
С

5. ле  
Н

6. м  
Н

7. к  
S  
k  
g  
(P  
P

ых  
ру

В  
П  
b  
u  
2

н  
e  
c  
d  
n

# РЕФЕРАТИВНЫЙ ЖУРНАЛ ХИМИЯ

главный редактор В. В. Серпинский. Ученый секретарь Е. А. Терентьева  
руководители секторов: Д. А. Бочвар, В. В. Кафаров, В. Л. Крестович,  
Д. Н. Курсанов, К. С. Топчиев

Рефераты 1—3386

№ 1

10 января 1957 г.

## ОБЩИЕ ВОПРОСЫ

МЕТОДОЛОГИЯ. ИСТОРИЯ. НАУЧНЫЕ УЧРЕЖДЕНИЯ И КОНФЕРЕНЦИИ. ПРЕПОДАВАНИЕ.  
ВОПРОСЫ БИБЛИОГРАФИИ И НАУЧНОЙ ДОКУМЕНТАЦИИ

Редактор Д. И. Тумаркин

1. Столетие мовенина. Сак (La «mauvéine» est centenaire. Sack Ernest A.), Teintex, 1956, 21, № 9, 715—716, 719, 217 (франц.)

2. От мовенина к макромолекулам. Сайке (From mauve to macromolecules. Sykes Peter), Sci. News, 1956, № 41, 7—26 (англ.)

Краткий популярный историч. очерк развития органич. синтеза за 100 лет. Д. Т.

3. Чествование памяти Амедео Авогадро в связи с исполнением столетия со дня его смерти. Таленти, Витоло (Celebrazione di Amedeo Avogadro nel primo centenario della sua morte. Talenti Mario, Vitolo Antonio E.), Chimica, 1956, 32, № 7, 281—289 (итал.)

Изложение доклада на собрании Национального союза итальянских химиков 31 мая 1956 г. Приведен список трудов Авогадро. Библ. 22 назв. Д. Т.

4. Сто лет со дня смерти Амедео Авогадро. Галло (100 rokov od smrti Amedea Avogadra. Gallo Ján), Chem. zvesti, 1956, 10, № 6, 341—342 (словац.)

5. Памяти А. Ф. Тюшина. Шконде Э. И., Коллонд. ж., 1956, 18, № 4, 494—495  
Некролог. См. также РЖХим, 1956, 74002.

6. Алексей Михайлович Васильев.—Ж. аналит. химии, 1956, 11, № 4, 517—518  
Некролог. См. также РЖХим, 1956, 70791.

7. 60-летие профессора Рудольфа Шольдера. Ринекер, Клемм, Шварц (Professor Dr. Rudolf Scholder zum sechzigsten Geburtstage. Rinek G., Klemm W., Schwarz R.), Z. anorg. und allgem. Chem., 1956, 285, № 3—6, 113 (нем.)

Р. Шольдер — исследователь в области комплексных соединений, проф. Высшего технич. уч-ща в Карлсруэ. Д. Т.

8. Десять лет научного строительства в Исследовательском институте питания [Рейбрюкке, ГДР] Шейнерт (Zehn Jahre wissenschaftliche Aufbauarbeit im Institut für Ernährungsforschung. Scheiner A.), Ernährungsforschung, 1956, 1, № 2, 203—215 (нем.)

Химия пищевых продуктов как самостоятельная научная дисциплина и подготовка химиков по этой специальности. Тейфель (Die Lebensmittelchemie als selbständige Wissenschaft und die Ausbildung der Lebensmittelchemiker. Täufel K.), Ernährungsforschung, 1956, 1, № 2, 231—238 (нем.)

Дана характеристика дисциплины и приведены сведения об учебных планах, действующих в ГДР с 1954 г. Д. Т.

10. О методике изложения процессов окисления-восстановления в курсе химии в высшей школе. Цукун (高校の化学教育で廣義の酸化・還元をいかに扱うべきか. 筑井俊平), 化学, Chemistry (Japan) Kagaku, 1956, 11, № 4, 33—35 (япон.)

Методическая статья. А. Стругацкий  
11. Объемно-аналитические расчеты на основе молярности. Боттомли (Volumetric calculations on the molar basis. Bottomley G. A.), J. N. Z. Inst. Chem., 1956, 20, № 3, 76—81 (англ.)

Отметив конкретно неполноценность метода расчета на основе грамм-эквивалентов и нормальности, автор настоятельно рекомендует перейти в педагогич. практике на расчеты, основанные на молярности. Д. Т.  
12. К вопросу о связи курсов физики и химии в средней школе. Михайлов Б. Г., Уч. зап. Елабужск. пед. ин-та, 1956, 1, 85—138

Сравнительный анализ действующих программ и учебников по физике и химии, а также данные обследования преподавания этих предметов в школах г. Кустаная и знаний учащихся. Д. Т.

13. Пробный урок по теме «Молекулярное строение вещества» в неполной средней школе. Чэнь Ван, Ван Нюй-синь (初中化學“物質由分子構成”一節的試教. 陳瀾. 王女馨), 化學通報, Хуасюэ тунбао, 1956, № 1, 50—52 (кит.)

О пробном уроке, проведенном студентами пед. ин-та, С. Ситнюк

14. Химическая лаборатория в школе. Колмаков А. И. (Мактабнинг химия лабораторияси. Колмаков А. И.), Совет Мактаби, 1956, № 8, 22—29 (узб.)

15. О письменных работах по химии. Гюргадзе Е. М. (წერითი მუშაობის შესახებ პირველი გამოცემა), Комунისტური აგარდისათვის, 1956, № 6, 44—48 (груз.)

Рассматривается значение письменных работ в школьном преподавании химии и даются методич. указания. И. Кикнадзе

16. Как дать учащимся систематические и прочные знания по основам химии. У Сун-цяо (如何教給學生系統的、鞏固的化學基礎知識. 吳松喬), Хуасюэ тунбао, 1956, № 1, 38—40 (кит.)  
Методическая статья. С. Ситнюк



17. О наглядности в преподавании химии. Ян Дзэнь (化學教學中掌握直觀原則的一些體會. 楊德壬), 學化通報, Хуасюэ тунбао, 1956, № 1, 43—45 (кит.).
18. Опыт пользования карточками при преподавании периодической системы элементов. Чжэн-Сянь-си (使用卡片來教元素週期表的初步嘗試. 鄭成熙), 化學通報, Хуасюэ тунбао, 1956, № 1, 40—41 (кит.).
19. О подготовке к уроку химии в неполной средней школе. Ми Хуай-си (我怎樣進行初中化學的略課工作. 米淮興), 化學通報, Хуасюэ тунбао, 1956, № 1, 47—49 (кит.).
20. Некоторые предложения по отбору материала и объяснению нового урока. Ху Най-жун (我在組織教材和講解新課方面的點滴體會. 胡乃榮), 化學通報, Хуасюэ тунбао, 1956, № 1, 41—43 (кит.).
21. Методика преподавания темы «Щелочные металлы» в средней школе. Цянь Гун-да (高中化學「碱金屬」的教學法. 錢公達), 化學通報, Хуасюэ тунбао, 1956, № 1, 25—27 (кит.).  
Приведены методики четырех уроков. С. Ситнюк
22. Некоторые вопросы методики преподавания темы «Щелочные металлы» в средней школе. — (高中化學碱金屬一章的幾個教學問題), 化學通報, Хуасюэ тунбао, 1956, № 1, 27—29 (кит.).
23. Статьи организации школьных преподавателей химии г. Сучжоу (КНР). С. Ситнюк
23. О методике преподавания темы «Хлористый водород и соляная кислота» в средней школе. Чжан-Юй-пу (關於氯化氫, 鹽酸教學的一些意見. 張玉璞), 化學通報, Хуасюэ тунбао, 1956, № 1, 35—36 (кит.).
24. Подготовка к экзаменам по химии. Игнатьев Г. (Тайёри ба имтихоноти химия. Игнатьев Г.), Бюл. Инст. респ. тахмили ихтисоси муаллимон, 1956, № 1, 66—71 (тадж.).
- 25 К. Химия и товароведение химических товаров. Часть органическая. Изд. 2-е, расш. и испр. Шенк (Chemie mit Chemikalienkunde. Organ. Teil. 2. erw. und verb. Aufl. Schenk Daniel. Braunschweig, Vieweg & Sohn, 1955, VII, 176 S., 6,50 DM) (нем.).
- 26 К. Общая химия. Для 1 и 2 сем. Изд. 2-е. Раутенштраух (Chemia ogólna. Sem. 1 i 2. Wyd. 2. Rautenstrauch Stanisław. Warszawa, Państw. Wydawn. Szkol. Zawod., 1956, 87, 1 nlb. s., 3,20 zł.) (польск.).
- 27 К. Общая химия. Т. 2. Неорганическая химия. Изд. 2-е, дополн. и испр. Клешицкий (Chemia ogólna. T. 2. Chemia nieorganiczna. Wyd. 2. uzupełn. i popr. Kleśczycki Antoni. Warszawa, Państw. Wydawn. Nauk., 1956, 266 s., il., 13,15 zł.) (польск.).
- 28 К. Химия для VIII класса восьмилетней школы и IV класса гимназии. Милич (Kimija për klasën e VIII të shkollave tetëvjetecare. Miliq Milenka. Prishtinë, «Mustafa Bakija», 1956, 134 str., ill.) (алб.).
- 29 К. Химия для VIII класса общеобразовательной школы. Изд. 3-е. Тртилек (Chemie pro osmý postupný ročník všeobecně vzdělávacích škol 3. vyd. Trtílek Josef. Praha, SPN, 1956, 145, [26] s., il., 5,50 Kčs) (чеш.).
- 30 К. Химия для VIII класса. Тртилек. Переп. с чеш. (Chemia dla klasy ósmej. Trtílek Josef. (Z česk.). Praha, SPN, 1956, 167, (25) s., il., 5, 50 Kčs) (польск.).
- 31 К. Химия для X класса общеобразовательной школы. Изд. 3-е. Бухар, Шорм (Chemie pro desátý postupný ročník všeobecně vzdělávacích škol. 3 vyd. Buchar Evžen, Šorm František), Praha, SPN, 1956, 155, (21) s., il., 8,80 Kčs) (чеш.).
- 32 К. Органическая химия. Учебник для II класса четырехгодичных хозяйственных школ. Изд. 2-е. Марушка, Вокáлек (Organická chemie. Učební text pro 2. ročník hospodářských škol se čtyřletým studiem. Vyd. 2. Maruška Josef, Vokálek Josef. Praha, SPN, 1956, 171, [1] s., il., 6,20 Kčs) (чеш.).
- 33 К. Каталог диссертаций и академических изданий (Catalogue des thèses et écrits académiques. 1954, 15, № 71. Paris. Cercle libr., 1956, 383 p.) (франц.).
- 34 К. История естествознания. Литература, опубликованная в СССР (1948—1950). Сост. Старосельская-Никитина О. А., Красноухова О. В., Макарова В. И., Каминер Л. В., Пильщикова П. В., М., АН СССР, 1955, 395 стр., 20 р. 90 к.
- См. также: Новые хим. элементы, обзор 640. Строение силикатов, правильные формулы 651. Терминология: ионный обмен 599. Номенклатура пестицидов 1453. История: вяжущие в-ва 1656; синтет. волокна 2703; учение о коррозии 3201; открытие канцерог. действия хим. соед. 3350; антикоагулянты 1048Бх. Институты: физ.-хим. константы 38; рез. пром-сть 2388; аминокислоты 2Бх. Конференции: кристаллография 287; реакции в тв. фазах 442; изотопы в катализе 448; электрохимия 508; макромолек. химия 1101; удобрения 1443; гербициды 1497; глины и технология глин 1562; битумы и каменноуг. дегти 1944; смазочн. материалы 1953; пластики 2497; лакокрас. произ-во 2630; анализ кож 3181; биохимия 1Бх; фармакология 1Бх, антибиотики 426Бх; эндокринология 947Бх. Стандартизация 1369. Организация лабораторий 1178, 3243. Уч. оборудование 1333. Уч. лит-ра: физ. химия 40; коллоид. химия 40; неорганич. химия 684—689; аналит. химия 1208, 1211; технич. неорганич. химия 1367; физ. химия силикатов 1560; произ-во кислорода 1763; хим. технол. текст. материалов 2236; синтет. каучук 2420; бум. произ-во 2697; пивовар. произ-во 2931; технология перераб. плодов и овощей 3129; проц. и аппар. хим. технологии 3138, 3291, 3292; зерноведение 3140; биологич. химия 1856Бх; физиологич. химия 1868Бх. Справ. лит-ра: углеводороды 791.

## НОВЫЕ ЖУРНАЛЫ

35. Časopis pro mineralogii a geologii (Журнал минералогии и геологии) Českosl. společnost mineralogii a geol. ČSAV, Praha (чеш.).  
Орган Чехословацкого о-ва минералогов и геологов при Чехословацкой АН. Выходит с 1956 г. (Сокращ. название в РЖ Casop. mineral. a geol.) Д. Т.

## ФИЗИЧЕСКАЯ ХИМИЯ

## ОБЩИЕ ВОПРОСЫ

Редактор А. Е. Нейдинг

36. Динамика диффузионных процессов. Доброхотов Н. Н. В сб.: *Вопр. произ-ва стали*. Вып. 3. Киев. АН УССР, 1956, 3—53

Обзор. Библ. 60 назв. Е. Бабенков

37. Развитие реологии. Хираи (レオロジーの成長, 平井西夫), *化学と工業*, Kagaku to kōgō, Chem. and Chem. Ind., 1956, 9, № 5, 209—215 (япон.)

Обзор. Библ. 47 назв. В. Штерн

38. Отчет за 1955 г. Центрального института физико-химических констант. Смиттенберг (Verslag over 1955 van de Strichting «Centraal Instituut voor Fysisch Chemische Constanten». Smittenberg J.), *Chem. weekbl.*, 1956, 52, № 28, 541—543 (голл.)

- 39 К. Итоги точных естественных наук. Том 29. Ред. Флюгге, Тренделенбург (Ergebnisse der exakten Naturwissenschaften. Bd. 29, Hrsg. Flügge S., Trendelenburg F., Berlin-Göttingen-Heidelberg, Springer, 1956, 397 S., ill.) (нем.)

Сборник содержит, в частности, статьи: Нейерт (Neuert) — Ионизация и диссоциация газов и паров при электронном ударе и Крёгер (Kröger) — Неорганич. кристаллич. фосфоры. В. Штерн

- 40 К. Основы физической и коллоидной химии. [Учебник для пед. ин-тов]. Балеши С. А., Парфенов Г. С. М., Учпедгиз, 1956, 368 стр., илл., 8 р. 5 к.

## АТОМНОЕ ЯДРО

Редактор Г. А. Соколик

41. Изотопический сдвиг и распределение заряда в ядре. Рейнер (Isotope shifts and nuclear charge distributions. Reiner A. S.), *Physica*, 1955, 21, № 10, 783—795 (англ.)

Дано общее выражение для изотопич. сдвига. Исследовано влияние неоднородности распределения ядерного заряда на изотопич. сдвиг. В сравнении с прежними трактовками получено уменьшение объемного смещения для равномерного распределения заряда. Приведены форм-факторы для различных классов распределения заряда, для смещения, зависящего от объема ядра, и смещения, вызванного изменением формы. Рассмотрен эффект сжимаемости ядра. Исследован случай Рb; сравнение с опытом приводит к равномерному распределению заряда с небольшими отклонениями плотности вблизи поверхности.

42. Ядерный магнитный момент Ho<sup>165</sup>. Бейкер, Блинн (The nuclear magnetic moment of holmium 165. Baker J. M., Bleaney B.), *Proc. Phys. Soc.*, 1955, A68, № 11, 1090—1091 (англ.)

Исследовался парамагнитный резонансный спектр иона Ho<sup>3+</sup> при  $t \approx 13^\circ \text{K}$  в кристалле этилсульфата этилтриа, содержащего около 1% этилсульфата гольмия. Когда ориентация кристалла соответствовала условию параллельности оси кристалла радиочастотному полю, наблюдалась сверхтонкая структура из восьми линий. Это подтверждает, что ядерный спин Ho<sup>165</sup> равен  $7/2$ . Найдено, что ядерный магнитный момент Ho<sup>165</sup> равен  $3,2 \pm 0,17$  яд. магнетона. А. А.

43. Простая модель ядра Li<sup>6</sup> и реакции, идущие под действием нейтронов. Домбровский, Савицкий (Simple model of the <sup>6</sup>Li nucleus and the neutron induced reactions on <sup>6</sup>Li. Dąbrowski Janusz, Sawicki Jerzy), *Acta phys. polon.*, 1955, 14, № 4, 323—335 (англ.; рез. русс.)

Р-ции Li<sup>6</sup>( $n,t$ ) He<sup>4</sup> и Li<sup>6</sup>( $n,d$ ) He рассматриваются с помощью простой модели Li<sup>6</sup>, с точки зрения которой Li<sup>6</sup> состоит из  $\alpha$ -частицы и дейтрона. Предполагается, что обе р-ции имеют характер «срыва». На правдоподобие этой модели указывают как энергетич. соотношения, так и то, что значение магнитного момента Li<sup>6</sup>  $\mu \approx$  магнитному моменту дейтрона. Сечения вычисляются для обеих р-ций в борновском приближении.

Перевод резюме автора

44. Исследование  $\gamma$ -излучения и рентгеновского излучения, испускаемого Ac. Буше, Михайлович, Рну, Тейак (Étude des rayonnements  $\gamma$  et X émis par l'actinium. Bouche R., Michalowiec A., Riou M., Teillac J.), *J. phys. et radium*, 1955, 16, № 4, 344—345 (франц.)

Электромагнитное излучение, испускаемое Ac, изучалось с помощью люминесцентного спектрометра. Показано, что излучение с  $E \ 35,3 \pm 2,2$  кэв следует приписать К-захвату La, присутствовавшего в источнике. Единственное излучение Ac имеет  $E \ 13$  кэв. Приведена схема распада Ac<sup>227</sup>  $\rightarrow$  RaC<sup>227</sup>. Л. Г.

45. Электрические мультипольные моменты в схеме  $j-j$ -связи. Лосон (Electric multipole moments in  $j-j$  coupling. Lawson R. D.), *Phys. Rev.*, 1955, 100, № 3, 845—846 (англ.)

Приводится метод, позволяющий без знания волновой функции данного состояния системы протонов вычислять квадрупольный момент этой системы. А. В.

46. Магнитные моменты легких ядер. Вишневский (Moments magnétiques des noyaux légers. Wiśniewski F. J.), *Nuovo cimento*, 1955, 2, № 2, 323—326 (франц.)

В основу расчета магнитных моментов легких ядер положено представление о ядре как о твердом теле с фиксированной осью вращения и четыре гипотезы: 1) полный магнитный момент ядра равен сумме моментов нуклонов, входящих в состав ядра, и магнитного ядра, 2) все эти моменты лежат на одной оси, 3) полный магнитный момент четного числа нуклонов одной природы равен нулю; 4) полный магнитный момент нечетного числа нуклонов одной природы равен магнитному моменту одного нуклона. На основании этих гипотез вычисляются значения моментов для ряда ядер, хорошо совпадающие с эксперим. значениями. По мнению автора, по этим же ф-лам можно вычислять моменты и для более тяжелых ядер. Л. Соболев

47. Ядерные спины и магнитные моменты Dy<sup>161</sup>, Dy<sup>163</sup>, Yb<sup>171</sup>, Yb<sup>173</sup>. Кук, Парк (Nuclear spins and magnetic moments of <sup>161</sup>Dy, <sup>163</sup>Dy, <sup>171</sup>Yb, and <sup>173</sup>Yb. Cooke A. N., Park J. G.), *Proc. Phys. Soc.*, 1956, A69, № 3, 282—283 (англ.)

Изучался парамагнитный резонанс Dy и Yb. Найдены сверхтонкие структуры, связанные с ядерными моментами нечетных изотопов, и соответствующие ядерные спины. Для Dy<sup>161</sup> и Dy<sup>163</sup> ядерные моменты найдены равными соответственно:  $0,38 \pm 0,05$  и  $0,53 \pm 0,05$  яд. Спектры Dy<sup>161</sup> и Dy<sup>163</sup> состояли из трех линий, соответствующих спинам  $5/2$ . Спектры Yb<sup>171</sup> и Yb<sup>173</sup> соответствовали спинам  $1/2$  и  $5/2$ . Магнитные моменты для Yb<sup>171</sup> и Yb<sup>173</sup> равны  $0,43 \pm 0,05$  и  $0,06 \pm 0,05$  яд. соответственно. Г. Соколик

48. Z-зависимость для тормозного излучения. Барбер, Берман, Браун, Джордж (Z-depend-

dence of bremsstrahlung. Barber W. C., Bergman A. I., Brown K. L., George W. D.), Phys. Rev., 1955, 99, № 1, 59—61 (англ.)

Проверялось наличие отклонения от теории тормозного излучения Бете, Гейтлера для элементов с большим  $Z$ . Измерена относительная интенсивность тормозного излучения, образуемого электронами 24 и 34  $Mev$  Cu, Ta, Pb и U. Результаты согласуются с отклонением от теоретич. значений для сечений тормозного излучения на  $(1,54 \pm 0,2) \cdot 10^{-3} Z^2$  и  $(1,38 \pm 0,14) \cdot 10^{-3} Z^2\%$  для электронов с  $E$  24 и 34  $Mev$  соответственно. В. Х.

См. также: Радиоактивные изотопы 300, 303, 304, 316, 307, 319.

## АТОМ

Редактор Н. М. Яшин

49. **Определение оператора Шредингера  $H$  для атома водорода. Кольме** (Définition de l'opérateur  $H$  de Schrödinger pour l'atome d'hydrogène. Colmez Jean), Ann. scient. Ecole norm. supér., 1955, 72, № 2, 111—149 (франц.)

Рассмотрен вопрос об определении оператора Шредингера  $H = \Delta + 1/r$ . В первой части работы исследовано и строго решено ур-ние Шредингера  $(\Delta + 1/r)\Psi = \lambda\Psi$  (1) при условии, что  $H$  определяется на множество функций, обладающих непрерывными вторыми производными во всем пространстве  $R^3$  (за исключением, может быть, начала координат). В результате исследования оказалось, что оператор  $H$  в этом определении (обычно приводимых в физ. литературе) не является эрмитовским. Во второй части работы дается новое определение оператора  $H$ , обеспечивающее ему эрмитовость. Оператор  $H$  определяется на множество функций  $\Psi \in H^2$ , если  $\Delta\Psi + \Psi/r$  является функцией квадратично интегрируемой. Собственные функции и собственные значения так определенного оператора остаются обычными, хорошо известными в квантовой механике. Р. Ф.

50. **Расчет основного уровня атома с тремя электронами методом теории возмущений. Кесслер** (Calcul du niveau fondamental de l'atome à trois électrons par la méthode des perturbations. Kessler Paul), C. r. Acad. sci., 1956, 242, № 3, 350—352 (франц.)

Вычислены основной энергетич. уровень трехэлектронного атома методом возмущений. В качестве возмущения взят потенциал взаимодействия между отдельными электронами  $V = 1/r_{12} + 1/r_{13} + 1/r_{23}$  (в ат. ед.), а в качестве функций нулевого приближения использованы линейные комбинации тройных произведений водородоподобных функций. Расчет производится во втором приближении, причем учитывается возмущающее действие лишь первых пяти возбужденных уровней:  $1s^2ns$  ( $n = 3, 4, 5, 6, 7$ ). Рассчитаны основные уровни Li, Be<sup>+</sup>, B<sup>2+</sup>, C<sup>3+</sup>. Сравнение полученных результатов с эксперим. показывает удовлетворительное совпадение. Р. Ф.

51. **Расчет уровня атома с четырьмя электронами методом теории возмущений. Кесслер** (Calcul du niveau fondamental de l'atome à quatre électrons par la méthode des perturbations. Kessler Paul), C. r. Acad. sci., 1956, 242, № 6, 742—744 (франц.)

Производится расчет основного уровня, принадлежащего электронной конфигурации  $1s^2 2s^2$ , с учетом возмущающего влияния электростатич. взаимодействия электронов  $V = \sum_{i=1}^4 \sum_{j>i}^4 1/r_{ij}$  (в атомных единицах). Трудности в расчете возникают вследствие того, что возбужденный уровень  $1s^2 2p^2 1S$  взаимодействует с основным, и это взаимодействие приводит к расходимости поправок второго приближения. Поэтому автор разлагает функцию  $V$  в ряд по полиномам Лежандра:

$V = \sum_{\lambda=0}^{\infty} \sum_{i=1}^4 \sum_{j>i}^4 [(r_{ij}^{\lambda})^{\lambda} / (r_{ij}^{\lambda})^{\lambda+1}] P_{\lambda}(\cos \phi_{ij})$ , и отбрасывает член с  $\lambda = 1$ , приводящий к вышеуказанной расходимости, считая, что он мал по сравнению с остальными. Найдены численные значения энергетич. поправок во втором приближении для основного термина конфигурации  $1s^2 2s^2$  в случае атомов Be, B<sup>+</sup>, C<sup>2+</sup>, удовлетворительно согласующиеся с опытными данными. Р. Ф.

52. **Применение метода неполного разделения переменных к атомам типа гелия. Батарюнас, Кавецкис, Юцис** (Nepilno kintamųjų atskyrimo metodo taikymas helio tipo atomų atveju. Batarūnas J., Kavėckis V., Jučys A.), Darbai Fizikos-techn. inst. Lietuvos TSR Mokslų Akad., Tr. Fiz.-техн. ин-та АН ЛитССР, 1955, 1, 25—33 (лит.; рез. русс.)

Работа посвящена применению метода неполного разделения переменных, теория которого дана В. А. Фоком, М. П. Веселовым и М. И. Петрашвили (Ж. эксперим. и теор. физики, 1940, 10, 723), к основной конфигурации атомов типа гелия при помощи численных волновых функций самосогласованного поля. Численные вычисления проведены при помощи решений уравнения самосогласованного поля. Результаты для шести атомов (ионов) типа гелия, начиная с H<sup>-</sup> и кончая C<sup>4+</sup>, приводятся в таблице. Из резюме авторов

53. **Терм  $1s^2 2s 2p 3s \ ^4P^o$  первого спектра бора. Берк, Мак** (The term  $1s^2 2s 2p 3s \ ^4P^o$  in first spectrum of boron. Burke Edward W., Jr., Mack J. E.), J. Opt. Soc. America, 1956, 46, № 2, 100 (англ.)

Исследованы спектры В I и В III. Показано, что три из четырех линий дугового спектра бора в области 48365  $\text{cm}^{-1}$ , возникающих при переходе  $1s^2 2s^2 2p^2 \ ^4P - 1s^2 2s 2p 3s \ ^4P^o$ , являются сложными и промерены обе компоненты пары 48364  $\text{cm}^{-1}$ . Отнесение линий к указанному переходу было проверено экстраполяцией по изолэктронному ряду от FV через СИ до В I. Значения длин волн получены при помощи сравнения с линиями спектра В III, установленными по стандартам в спектре железа. Идентифицированы следующие новые уровни В I:  $1s^2 2s 2p 3s \ ^4P^o_{1/2} = 77168 + x$ ;  $1s^2 2s 2p 3s \ ^4P^o_{3/2} = 77175 + x$  и  $1s^2 2s 2p 3s \ ^4P^o_{5/2} = 77187 + x - 1$ , где  $x$  указывает, что место четвертых термов не определено по отношению к дублетам. Э. Терри

54. **Двухконфигурационное приближение в случае атомов типа азота. Левинсон И. Б., Болотин А. Б., Левин Л. И.** (Mokslu darbai. Vilniaus valst. univ. Mat., fiz. ir chem. mokslų ser.; Уч. зап. Вильнюсск. ун-та. Сер. матем., физ. и хим. н., 1956, 5, 49—55 (рез. лит.))

Приведены значения параметров аналитич. одноэлектронных волновых функций для атомов N, O<sup>+</sup>, F<sup>2+</sup>, Ne<sup>+</sup> в конфигурациях  $1s^2 2s^2 2p^3$ ,  $1s^2 2s 2p^4$ ,  $1s^2 2p^5$ . Определена поправка к энергии на двухконфигурационное приближение  $1s^2 2s^2 2p^3 - 1s^2 2p^5$  для всех вышеупомянутых атомов. Полученные теоретич. значения энергии сравнены с опытными данными. Определены полные силы диполей и вероятности переходов  $1s^2 2s 2p^4 - 1s^2 2s^2 2p^3$  как в одно-, так и двухконфигурационном приближениях. Получено общее выражение для полной силы диполя в двухконфигурационном приближении через радиальные интегралы в случае переходов между  $s$ - и  $p$ -оболочками. Резюме автора

55. **Собственные функции и энергия электронов атома Ag с учетом обмена электронами. Гашпар, Молнар-Иванечко** (Die Eigenfunktionen und Energieeigenwerte der Elektronen des Ag-Atoms mit Elektronenaustausch. Gáspár R., Molnár-Ivanečko K.), Acta phys. Acad. sci. hung., 1956, 6, № 1, 105—118 (нем.; рез. русс.)



Определяются собственные функции и энергии электронов атома Ag при помощи универсальной потенциальной функции. Так как универсальная потенциальная функция, взятая за основу, содержит в себе и энергию обмена, следовательно, собственные функции очень удобны для определения атомных свойств. С применением этого потенциала вычислялась диамагнитная восприимчивость иона  $Ag^+$  ( $-30,721 \cdot 10^{-6} \text{ см}^3 \text{ моль}^{-1}$ ). Получено довольно хорошее совпадение с эмпирич. значениями ( $-24,10 \cdot 10^{-6} \text{ см}^3 \text{ моль}^{-1}$ ). Резюме автора

56. **Замечания о современном состоянии теории электронно-ионной оболочки.** Додель (Note sur l'état actuel de la théorie du cortège électronique. D a u d e l R.), J. phys. et radium, 1955, 16, № 7, 503—508 (франц.; рез. англ.)

Кратко описываются методы расчета атомных волновых функций и энергетич. уровней. На примере атома поясняется смысл предложенной ранее (Lennard Jones, J. Chem. Phys., 1952, 20, 1024) функции, введение которой позволяет приписать обменным членам смысл энергии корреляции положения электронов. Подчеркивая неоднозначность величины обменной энергии, автор предпочитает называть ее энергией корреляции Паули. Излагая свои прежние работы, автор из соображений, что в сложной системе волновые функции одноэлектронных состояний  $\psi_k$  нельзя приписывать отдельным частицам, предлагает, во избежание недоразумений, называть  $\psi_k$  орбиталями; разъясняет введенное им понятие «ложи» — объема, в котором вероятность встретить один, и только один электрон максимальна; приводит вычисленные для He размеры и энергию таких лож. По мнению автора, понятие лож (вместо K, L и т. д. оболочек) дает лучшее, более наглядное, более четкое физическое понимание явлений без нарушения точного и строгого смысла принципов квантовой механики. Р. Ф.

57. **Замечания о строении оболочки и ядра атомов.** Додель, Одье, Брион (Remarques sur l'organisation du cortège et du noyau des atomes. D a u d e l R., Odier S., Brion H.), J. phys. et radium, 1954, 15, № 12, 804—809 (франц.)

Обсуждаются недостатки, имеющиеся в обычном квантовомеханич. определении понятия слоя как для электронной оболочки атома, так и для протонно-нейтронной системы ядра. К главнейшим из них, по мнению автора, относятся: использование при определении приближенной (а не точной) волновой функции, противоречивость одновременного введения индивидуальных квантовых чисел и принципа неразличимости частиц, пренебрежение корреляцией между положениями частиц, связанной с их кулоновским (или ядерным) взаимодействием. Приводится новое, более строгое определение понятия слоя, свободное от вышеупомянутых недостатков. Получены некоторые данные о локализации частиц в оболочках атомов и ядрах, позволяющие представить, исходя из геометрич. моделей, результаты квантовой механики без ущерба для ее принципов. Р. Ф.

58. **Эмиссионная спектроскопия при температуре жидкого гелия.** Хершберг (Emission spectroscopy at liquid helium temperature. Hirschberg Joseph G.), Phys. Rev., 1955, 99, № 6, 1898—1899 (англ.)

Для исследования спектра гелия использовалась разрядная трубка с полным катодом, изготовленная из стекла и ковары, погруженная в жидкий гелий. Спектр, полученный с помощью интерферометра Фабри-Перо и 7,4-м дифракционной решетки, регистрировался фотоумножителем. Обнаружено, что в этом случае дополнительное уширение линий He II 4686 Å заметно меньше, чем при охлаждении разрядной трубки жидким возду-

хом. Удалось почти полностью разрешить пару  $3s_{1/2} - 4p_{1/2}$  и  $3p_{1/2} - 4s_{1/2}$ , и частично разрешить пару  $3s_{1/2} - 4p_{3/2}$  и  $3p_{1/2} - 4d_{3/2}$ . Предполагается, что при использовании гелия в качестве газа-носителя разряда в этих условиях могут быть получены и спектры других элементов. Э. Тетерин

59. **Роль внешней среды при возбуждении атомных спектров в дуговом разряде.** Мочалов К. Н., Раффе Е. Л., Ж. техн. физики, 1956, 26, № 3, 505—510

В связи с зависимостью т-ры столба дуги от величины эффективного ионизационного потенциала среды, заполняющей разрядный промежуток, а также сравнительно малой конц-ией паров в-ва электродов в газе дуги указывается на большое значение внешней атмосферы на процессы, приводящие к возбуждению спектра электродов. Исследованы изменения в спектрах Al, Be, V, Fe, Ca, Co, Si, Li, Mg, Mn, Cu, Ni, Ti, Cr, Zn при замене воздуха гелием. При этом усиливаются ионные и ослабевают атомные линии в спектрах этих элементов. Указано, что замена воздуха другими газами с более низкими ионизационными потенциалами должна сопровождаться усилением атомных и ослаблением ионных линий. Это предположение подтверждено исследованием спектра дуги между железным и графитовым электродами в токе аргона и в парах пода. Указано, что внешняя среда также специфически изменяет летучесть в-ва электродов, что может изменить соотношение конц-ий компонентов пробы в зоне разряда. Э. Тетерин

60. **Интерференционные измерения длин волн линий неона в инфракрасной области спектра.** Салливан (Interference measurements in the infrared spectrum of neon. Sullivan Seraphin A.), J. Opt. Soc. America, 1955, 45, № 12, 1031—1032 (англ.)  
Вновь измерены длины волн 23 линий спектра Ne в области 7059—8865 Å. Длины волн установлены сравнением со стандартными длинами волн Ne в желто-красной области спектра. Измерения проводились при помощи интерферометра Фабри-Перо с прокладками шириной 3,75; 7,45; 10; 15 и 25 мм, скрещенного с большим кварцевым спектрографом Литтрова. Данные получены на основании 43 спектрограмм. Сравнение с ранее опубликованными величинами (Meggers W., Humphreys C., J. Res. Nat. Bur. Standards, 1934, 13, 303; Burns, Adams, Longwell, J. Opt. Soc., America, 1950, 40, 439) показывает хорошее согласие трех независимых серий измерений. Точность измерений при рассмотрении всех данных составляет одну пятнадцатимиллионную. Благодаря весьма хорошей воспроизводимости спектра неона в указанной области, его можно использовать в качестве вторичных стандартов длин волн. Э. Тетерин

61. **Новые линии в спектре стронция.** Певцов Г. А., Тр. Всес. н.-п. ин-та хим. реактивов, 1956, вып. 21, 66

В полученных с помощью автоколлимационного кварцевого спектрографа Е-492 спектрах солей стронция, возбуждавшихся в дуге переменного тока, обнаружены две новые линии  $\lambda$  2756,7 и  $\lambda$  2680,0 Å. Проверка (стемка спектров солей стронция после нескольких последовательных перекристаллизаций), а также исследование спектров различных образцов целестина ( $SrSO_4$ ) показала, что эти линии, по-видимому, принадлежат спектру стронция. Линия Sr 2756,7 Å была использована как линия сравнения для определения магния (по линии Mg II 2802,695 Å) в солях стронция. Э. Тетерин

62. **Ультрафиолетовый спектр молибдена в крайнем ультрафиолете.** Основные квинтеты Мо III. Рико (El espectro de chispa del molibdeno en el extremo ultravioleta. Los quintetos fundamentales del Mo III.



Rico F. R.), An. Real soc. española fis. y quim., 1954, A50, № 9—10, 185—200 (исп.; рез. англ.)

В области 2200—3200 Å сфотографирован искровой спектр молибдена при напряжении искры 15 000 в. Вид спектральных линий, относящихся к высшим ионизированным состояниям Mo (III, IV и т. д.), специфич.: линии уширены от центра к электродам. Пользуясь этим критерием, опознана серия из 37 линий Mo III, а также соответствующие им электронные конфигурации:  $4d^{35}s$  и  $4d^{35}p$ . Приводятся таблицы длин волн, интенсивностей и переходов линий Mo III.

А. Мицкевич

63. Структура спектра Nb II в крайнем ультрафиолете. Иглесиас (Estructura del espectro del NbII en el ultravioleta extremo. Iglesias Laura), An. Real soc. española fis. y quim., 1954, A50, № 7—8, 135—144 (исп.; рез. англ.)

В области 1579—2211 Å сфотографирован искровой спектр ниобия. Измерены 330 новых линий NbII, большинство из которых относятся к электронной конфигурации  $4d^{35}s5p$ . Приводится таблица длин волн, интенсивностей и переходов для линий NbII.

А. Мицкевич

См. также: Расчет многоэлектронных систем 66. Изотопия 41.

## МОЛЕКУЛА. ХИМИЧЕСКАЯ СВЯЗЬ

Редактор М. Е. Дяткина

64. Успехи структурной химии. Симанути (構造化学. 島内武彦), 化学の領域, Караку-но рёнки, J. Japan. Chem., 1956, 10, № 4, 6—10 (япон.) Обзор. Библ. 47 назв.

65. Неравенства для молекулярных интегралов. Уайнманн (Inequalities for molecular integrals. Weinmann A.), Proc. Phys. Soc., 1955, A68, № 12, 1197—1199 (англ.)

Установлены верхние границы для интегралов  $I = \int \Phi(r_1) (1/r_{12}) d\tau_1$  и  $J = \int \Phi(r_1) (1/r_{12}) \Psi(r_2) d\tau_1 d\tau_2$ .

В случае, когда волновая функция строится из одноэлектронных орбит, функции  $\Phi$  и  $\Psi$  имеют вид:  $\Phi(r) = \varphi_1(r) \varphi_2(r)$ ;  $\Psi(r) = \psi_1(r) \psi_2(r)$ , где функции  $\varphi_1, \varphi_2, \psi_1$  и  $\psi_2$  относятся к четырем центрам A, B, C и D, среди которых могут быть совпадающие. Доказаны неравенства:  $|I| \leq [2\pi \text{Max} |\Phi| + \int |\Phi(r)| d\tau] (1)$ ,  $|J| \leq [2\pi \text{Max} |\Phi| + \int |\Phi(r)| d\tau] \cdot \int |\Psi(r)| d\tau (2)$ . Отсюда следует неравенство:  $|I|$  и  $|J| \leq [2\pi \text{Max} |\varphi_1| \text{Max} |\varphi_2| + 1] (3)$ . При использовании (2) вычислена верхняя граница двухцентрового обменного интеграла с водородными  $1s$ -функциями. В широком интервале межъядерных расстояний, вычисленная граница в среднем в 3—4 раза превышает точное значение интеграла. Т. Ребане

66. Выражение электронных волновых функций молекул через волновые функции «объединенного атома» Чжэнь Дянь-цзи (Expansion of electronic wave functions of molecules in terms of «united-atom» wave functions. Tien Chi Chen), J. Chem. Phys., 1955, 23, № 11, 2200—2201 (англ.)

Излагается схема приближенного метода расчета электронного состояния двухатомных молекул, основанная на разложении электронной волновой функции молекулы в ряд по волновым функциям «объединенного атома». Считая невозможным гамильтоновым гамильтоном «объединенного атома», можно собственные значения его положить равными спектроскопич. значениям термов соотв. атома (или иона). Число электронов в «объединенном атоме» равняется

числу электронов в молекуле, а заряд ядра «объединенного атома» не обязан равняться сумме зарядов ядер в молекуле. Так, для  $H_2$  наилучшим гамильтоновым нулевого приближения является гамильтоном иона  $H^-$ , а не атома He. Однако свобода выбора «наилучшего» заряда ядра «объединенного атома» органичена имеющимися эксперим. данными. Матричные элементы возмущения (возмущение = гамильтоном молекулы минус гамильтоном объединенного атома) следует вычислять с соответств. приближенными атомными волновыми функциями (Хартри — Фока, Морзе — Юнга — Гурвица или Слейтера). Т. Ребане

67. Статистический метод и химическая связь в молекулах. Колос (Statistical method and molecular binding. Kolos Włodzimierz), Phys. Rev., 1956, 102, № 4, 1052 (англ.) Поправка Вейцекера на неоднородность в статистической модели молекулы. Колос (Die Weizsäcker'sche Inhomogenitätskorrektur in dem statistischen Molekülmodell. Kolos W.), Acta phys. Acad. sci. hung., 1956, 6, № 1, 133—141 (нем.; рез. русс.) О поправке Вейцекера в статистической теории строения молекулы. Колос В., Бюлл. Польской АН, 1956, Отд. III, 4, № 3, 143—145

Изучается влияние поправки Вейцекера (Weizsäcker S. F., Z. Phys., 1935, 96, 431) на энергию взаимодействия двух атомов азота, вычисленную по статистич. методу. Для нахождения электронной плотности используется пробная функция с двумя варьируемыми параметрами. Расчет приводит к отталкиванию между атомами азота, однако учет поправки Вейцекера уменьшает энергию отталкивания с 12,0 до 4,4 ат. ед. Поэтому можно ожидать, что в случае более точной электронной плотности (в высших приближениях) расчет приводит к хим. связи между атомами азота. В этой связи следует проверить утверждение Шелдона (РЖХим, 1956, 45989) о невозможности описания хим. связи по статистич. методу (это утверждение делалось без учета поправки Вейцекера). Т. Ребане

68. Теория химической валентности по методу молекулярных орбит. XIX. Функция плотности заряда. XX. Энергия в высших приближениях. Маннинг (The molecular orbital theory of chemical valency. XIX. The charge density function. XX. The energy in higher approximations. Manning P. P.), Proc. Roy. Soc., 1955, A230, № 1182, 415—423, 424—428 (англ.)

XIX. Исследуются трансформационные свойства плотности электронного заряда по отношению к унитарным преобразованиям молекулярных орбит. Дано приложение к сопряженным молекулам, в частности к объяснению соотношения между длиной и порядком связи. Показано, что диагональные элементы матрицы плотности электронного заряда колеблются вокруг некоторого среднего значения. Отклонения от этого среднего значения представляют собой разность числа электронов с различным спином и переход заряда с одних орбит на другие.

XX. Выводятся ур-ния, которыми удовлетворяют оптимальные одноэлектронные орбиты в случае, когда волновая функция строится в виде линейной комбинации нескольких определителей. Получено и исследовано соответствующее выражение для электронной энергии молекулы. Показано, что энергия связи в случае не сильно полярных несопряженных молекул приблизительно аддитивна и что в случае сопряженных молекул аддитивность отсутствует. Сообщение XVIII см. РЖХим, 1956, 74122

Т. Ребане

69. Анализ электронной плотности молекулярных волновых функций в методе ЛКАО — МО. IV. Связь и разрыхление в теориях ЛКАО и валентных связей. Маликен (Electronic population analysis on

ЛКАО — MO molecular wave functions. IV. Bonding and antibonding in LCAO and valence — bond theories. Mulliken R. S., J. Chem. Phys., 1955, 23, № 12, 2343—2346 (англ.)

Показывается, что существует практически однозначное соответствие между положительной (связывающей) или отрицательной (разрыхляющей) заселенностью связи в теории ЛКАО и обменным притяжением или отталкиванием в теории валентных схем. Отталкивание несвязанных атомов в теории валентных схем соответствует отрицательной заселенности между теми же атомами в теории валентных схем. Рассматриваются примеры, в частности молекула  $N_2$ , с учетом и без учета  $sp$ -гибридизации атомных орбит. Составлены заселенности связей в 1,3-бутадиене, вычисленные по методу ЛКАО с учетом и без учета сопряжения. Проводится качеств. сравнение с теорией валентных схем. Сообщение III см. РЖХим, 1956, 70888. Т. Ребане

70. Дипольный момент молекулы  $NF_3$ . Машима (Dipole moment of  $NF_3$ . Mashima M.), J. Chem. Phys., 1956, 24, № 2, 489 (англ.)

В приближении метода валентных схем, при пренебрежении полярным характером связи  $N-F$ , произведен расчет дипольного момента  $\mu$  молекулы  $NF_3$  со слейтеровскими атомными функциями. Степень  $sp$ -гибридизации атома N определена из геометрии молекулы в 17,4%  $s$ -характера. Для вычисления используется упрощенное  $\mu = \mu_1 + 3\cos\beta(\mu'_1 + \mu_{N-F})$ , где  $\mu_1$  и  $\mu'_1$  — моменты, обусловленные неподеленными парами N и F. Найдена зависимость  $\mu$  от параметра  $a$ , характеризующего степень  $sp$ -гибридизации связывающей орбиты атома F:  $\Psi_F = a\Phi(2s) + (1-a^2)^{1/2}\Phi(2p\sigma)$ . Для чистой  $p$ -орбиты ( $a=0$ ),  $\mu = 2,08 D(N-F^+)$ . Наблюдаемое значение  $\mu = 0,234 D(N-F^+)$  близко к максим. вычисленному значению дипольного момента с тем же направлением.  $\mu = 0,236 D(N-F^+)$ . Последнее соответствует значению  $a = 0,732$ . Таким образом, для вычисления дипольного момента  $NF_3$  можно пользоваться простым представлением о гибрилизации атомных орбит, определяя состояние гибридации центрального атома из геометрии молекулы.

Т. Ребане

71. Вращательный магнитный момент и диамагнитная восприимчивость метана. Уэлтнер (Rotational magnetic moment and diamagnetic susceptibility of methane. Weltner William, Jr., J. Chem. Phys., 1956, 24, № 4, 918 (англ.))

Вычислен вклад высокочастотного члена (ВЧЧ) в диамагнитную восприимчивость молекулы метана. Используется выражение ВЧЧ через вращательный магнитный момент молекулы (Eshbach J. R., Strandberg M. W. P., Phys. Rev., 1952, 85, 24). Диагональный член гирамагнитного тензора молекулы метана определяется по радиоспектроскопич. данным для молекулы  $CH_3-C \equiv C-D$ . Вычисленное значение ВЧЧ составляет  $9,3 \cdot 10^{-6}$  CGSM. Эксперим. значение полной диамагнитной восприимчивости молекулы метана равно  $\sim 12,2 \cdot 10^{-6}$  CGSM. Таким образом, «экспериментальное» значение прелессонного диамагнетизма  $CH_4$  составляет  $-21,5 \cdot 10^{-6}$  CGSM. ВЧЧ составляет  $\sim 40\%$  от прелессонного диамагнетизма. Значения прелессонного диамагнетизма, вычисленные ранее ( $-33,2 \cdot 10^{-6}$  CGSM по методу самосогласованного поля;  $-26,6 \cdot 10^{-6}$  CGSM по методу ЛКАО;  $-27,7 \cdot 10^{-6}$  CGSM по методу валентных связей), являются более точными, чем считалось до сего времени.

Т. Ребане

72. Исправление к статье. Расчет дипольного момента связи  $C-H$  в метане методом Томаса — Ферми. Глейзер, Рейс (Erratum. Glazer Herbert, Reiss Howard), J. Chem. Phys., 1956, 24, № 1, 174 (англ.)

См. РЖХим, 1956, 121.

73. Молекулярные диаграммы изомерных молекул гексатриена. Фернандес-Алонсо (Diagramas moleculares de los isómeros del hexatrieno. Fernández Alonso J. I., An. Real. soc. española fis. y quim., 1954, B50, № 12, 949—956 (исп.; реэ. англ.))

Для шести конфигураций гексатриена методом МО вычислена энергия основного состояния и получены молекулярные диаграммы в предположении копланарности молекул и величины угла  $\angle CCC 124^\circ$ . Для *транс-цис-цис*-конфигурации (I) заряды атомов C равны (от конца молекулы): 1,0515, 0,9631, 0,9872; индексы связей  $C-C$  имеют значения: 0,8975, 0,4309, 0,8281 (*транс*-конфигурация по отношению к центральной двойной связи и *цис*-конфигурация по отношению к ординарным связям). Для *транс-транс-транс*-конфигурации (II) найдены заряды: 1,0562, 0,9575, 0,9862 и индексы связей: 0,8940, 0,4389, 0,8205; для *транс-транс-цис* III соответственно: 1,0359, 0,9654, 0,9914, 0,9941, 0,9606, 1,0527 и 0,8939, 0,4400, 0,8249, 0,4283, 0,8991; для *цис-транс-транс* (IV): 1,0371, 0,9645, 0,9983 и 0,8968, 0,4361, 0,8243; для *цис-цис-цис* (V): 1,0305, 0,9757, 0,9938 и 0,8465, 0,4999, 0,7883; для *цис-цис-транс* (VI): 1,0625, 0,9497, 0,9768, 1,0162, 0,9711, 1,0238 и 0,9013, 0,3973, 0,8322, 0,4593, 0,8954. Две конфигурации VI и V не могут быть копланарными в силу отталкивания атомов H. Найдены следующие значения полных обменных энергий  $\pi$  электронов и энергий  $N-V$ , переходов ( $\beta$ ): I 6,5915 и 0,9034; II 6,6358 и 0,9558; III 6,6123,—; IV 6,6301, 0,9588; V 6,7808 и 1,2235; VI 6,6081.

Е. Никитин

74. Применение метода молекулярных орбит к изучению ряда свойств термохромных пираноспиронов. Блок-Шоде, Массе (Application de la méthode des orbitales moléculaires à l'étude de quelques propriétés des pyranospires thermochromes. Bloch-Chaudé Odile, m-me, Masse Jean-Léon), Bull. Soc. chim. France, 1955, № 5, 625—628 (франц.)

Более подробное изложение опубликованной ранее работы (РЖХим, 1954, 49386). Сдвиг полосы поглощения, соответствующей переходу I—II в коротковолновую часть спектра, с ростом полярности р-рителя, объясняется тем, что понижение энергетич. уровней при растворении молекулы в полярном р-рителе в состоянии I сильнее, чем в II. Поскольку при переходе от I к II уменьшаются заряды атомов 6 и 15, переход от  $X=O$  к  $X=N(CH_3)$  увеличивает устойчивость формы I спирановой молекулы, так как N является более сильным донором электронов. Последнее обстоятельство играет большую роль в стабилизации формы I и несущественно для I, в которой две части молекулы находятся во взаимно перпендикулярных плоскостях и практически независимы друг от друга. Этим объясняется усиление интенсивности окраски р-ра при переходе от  $X=O$  к  $X=N(CH_3)$ , поскольку за окраску ответственны молекулы I. Отношение длин волн, соответствующих первому электронному переходу соединений CO и  $NCH_3$ :  $\lambda_0/\lambda_N = 1,05$ . Действительно, при переходе от O к  $CH_3$  полоса поглощения красителя сдвигается в коротковолновую область.

Э. Бютнер

75. О поглощении соединений ряда трифенилметана. Миясакэ (トリフェニルメタン系色素の吸収について. 宮坂亂吉), 小林理學研究所報告, Kobayasi rigaku kankosё хохоку, Bull. Kobayasi Inst. Phys. Res., 1955, 5, № 3, 144—150 (япон.; реэ. англ.)

Методы расчета энергии больших молекул красителей обсуждаются с полумпирич. точки зрения. Полученные результаты показывают, что изменения кулоновского ( $\Delta\alpha$ ) и резонансного ( $\Delta\beta$ ) интегралов различных атомов C изменяют величину поглощаемой энергии менее чем на 4 ккал, т. е. 10%, в то время как измене-

ния кулоновских интегралов гетероатомов по сравнению с атомами С вызывают изменение на 40—50% от общей величины поглощаемой энергии, т. е. на 23—27 ккал.

Резюме автора

76. Металлическая модель молекулы. Фронковский (Model metaliczny drobiny. Frąckowskiak Danuta), *Postępy fiz.*, 1956, 7, № 3, 155—181 (польск.)

Обзор. Библ. 33 назв.

77. Индуктивный эффект. Су Ци-сюнь (誘導效應. 蘇企洵), *化學通報*, Хуасюэ тунбао, 196, № 6, 25—33 (кит.)

Обзор.

78. Применение масс-спектрометрических потенциалов появления для термохимических расчетов. I. Соотношения соответствия для метана и его замещенных и теплота образования  $\text{CH}_3\text{F}$ . II. Хлорфторметаны и энергия диссоциации  $\text{F}_2$ . Маргрейв (Use of mass spectrometric appearance potentials in thermochemical calculations. I. Consistency relationships for methane and substituted methanes, and the heat of formation of  $\text{CH}_3\text{F}$ . II. Chlorofluoromethanes and the dissociation energy of fluorine. Margrave John L.), *J. Chem. Phys.*, 1956, 24, № 2, 475—476, 476—477 (англ.)

I. Предложен новый метод использования данных по потенциалам появления  $\Delta$  для термохимич. расчетов. Сущность его заключается в сравнении  $A_i$  одного и того же иона, образующегося из двух родственных соединений, напр.  $\text{CH}_3^+$  из  $\text{CH}_3\text{X}'$  и  $\text{CH}_3\text{X}''$ , где  $\text{X}'$  и  $\text{X}''$  — произвольные замещающие группы. Поскольку  $A'(\text{CH}_3^+) \geq \Delta H_{\text{обр.}}(\text{CH}_3) + I(\text{CH}_3) + \Delta H_{\text{обр.}}(\text{X}') - \Delta H_{\text{обр.}}(\text{CH}_3\text{X}')$ , то для  $\text{CH}_3\text{X}'$  и  $\text{CH}_3\text{X}''$  имеет место соотношение:  $\Delta A = A' - A'' \leq \Delta H_{\text{обр.}}(\text{CH}_3\text{X}'') + \Delta H_{\text{обр.}}(\text{X}') - \Delta H_{\text{обр.}}(\text{X}'') - \Delta H_{\text{обр.}}(\text{CH}_3\text{X}')$ , характеризующее р-цию  $\text{CH}_3\text{X}' + \text{X}'' \rightarrow \text{CH}_3\text{X}'' + \text{X}'$ . Данный метод, названный автором методом разностей, позволяет исключить систематич. ошибки в данных по потенциалам появления, которые для родственных молекул имеют одинаковый порядок. Проверка метода по имеющимся в литературе данным для термохимич. р-ций типа  $\text{CH}_3\text{X}' + \text{X}'' \rightarrow \text{CH}_3\text{X}'' + \text{X}'$  дала удовлетворительные результаты.

II. Предложенный выше метод разностей применен для оценки энергии диссоциации  $\text{F}_2$  из масс-спектрометрических потенциалов появления различных ионов из молекул хлорфторметанов, напр., по соотношению  $\Delta A = A_1 - A_2 \leq \Delta H = \Delta H_{\text{обр.}}(\text{CF}_3\text{Cl}) + \Delta H_{\text{обр.}}(\text{F}) - \Delta H_{\text{обр.}}(\text{CF}_3\text{F}) - \Delta H_{\text{обр.}}(\text{Cl})$ , с использованием известных значений  $D(\text{Cl}_2) = 58,02$  ккал/моль и теплот образования различных хлорфторметанов. Вычисленные значения  $D(\text{F}_2)$  из разных пар молекул колеблются в значительных пределах (от 34 до 180 ккал/моль), большинство которых превышает значение  $D(\text{F}_2) = 37$  ккал/моль, полученное ранее. Указывается на целый ряд причин, объясняющих разброс полученных данных.

В. Александия

79. Термохимия органических соединений фосфора. Часть II. Образование эфиров и амидов из галогидных соединений и сжигание амидов. Нил, Вильямс, Мур (The thermochemistry of organic phosphorus compounds. Part II. Ester and amide formation from halides, and combustion of the anilides. Neale E., Williams L. T. D., Moores V. T.), *J. Chem. Soc.*, 1956, Febr., 422—427 (англ.)

Описанным ранее методом (Сообщение I см. РЖХИМ, 1956, 74343) определены при 22—23° тепловые эффекты следующих р-ций (в ккал/моль):  $\text{PCl}_3$  (жидк.)  $(I) + 3\text{RON} \rightarrow (\text{p-p}) + 3\text{C}_6\text{H}_5\text{N}(\text{CH}_3)_2(\text{II})$ ;  $(\text{p-p}) = \text{P}(\text{OR})_3(\text{p-p})$

$+ 3\text{C}_6\text{H}_5\text{N}(\text{CH}_3)_2$ ,  $\text{HCl}$  (тв) (III) р-ритель циклогексан (IV),  $\Delta H$  равно —90,4 и —90,8, если R соответственно  $\text{C}_2\text{H}_5$  (V) и *изо*- $\text{C}_3\text{H}_7$  (VI); III (тв.) + NaOH (0,2 н. р-р) = II (жидк.) + NaCl (р-р) +  $\text{H}_2\text{O}$  (жидк.);  $\Delta H = -5,8$ . Определены также  $\Delta H$  растворения в IV: II + 1,7; ROH + 4,7 и + 4,2, а P(OR)<sub>3</sub> + 1,5 и + 0,8, если R = V и VI соответственно. Для р-ции  $\text{RPOCl}_2 + 2\text{R}'\text{OH} \rightarrow (\text{p-p}) + 2(\text{C}_2\text{H}_5)_3\text{N}(\text{VII})$  (р-р) =  $\text{RPO}(\text{OR}')_2$  (р-р) + 2( $\text{C}_2\text{H}_5$ )<sub>3</sub>N, HCl (VIII) (тв.) в диоксане (IX)  $\Delta H = -89,3$  и —93,5, если R =  $\text{CH}_3$  (X), а R' = V или R = V, а R' = VI соответственно.  $\Delta H$  растворения в IX: VII + 1,0; ROH + 1,5 и + 1,6, если R = V и VI и  $\text{RPO}(\text{OR}')_2 + 0,6$  и + 0,4, если R = X и V, а R' = V и VI соответственно.  $\Delta H$  р-ции  $\text{RPOCl}_2 + 4\text{C}_6\text{H}_5\text{NH}_2$  (XI) (р-р) =  $\text{RPO}(\text{NC}_6\text{H}_5)_2$  (тв.) + 2( $\text{C}_6\text{H}_5\text{NH}_2$ ), HCl (тв.) (XII), р-ритель IV, составляет —71,8 и —72,7 при R = X и V; для XII + NaOH (0,2 н. р-р) = XI + NaCl (р-р) +  $\text{H}_2\text{O}$  (жидк.).  $\Delta H = -3,2$ ,  $\Delta H$  растворения  $\text{CH}_3\text{POCl}_2$  в бензоле и XI в IV равны + 3,6 и + 3,8. Определены  $\Delta H$  сгорания  $\text{RPO}(\text{NH}(\text{C}_6\text{H}_5)_2)$ , равные —1855 и 2014,3, при R = X и V соответственно. Из приведенных данных вычислены следующие  $\Delta H_{\text{обр.}}^0$ : P(OR)<sub>3</sub> (жидк.) —203,5 ± 2,0 и 235,0 ± 2,0 при R = V и VI;  $\text{RPO}(\text{NH}(\text{C}_6\text{H}_5)_2)$  (крист.) —86,6 и —89,6 при  $\text{RPOCl}_2$  (крист.) —148,8 и —147,3 при R = X и V, а также  $\Delta H_{\text{обр.}}^0 \text{CH}_3\text{POCl}_2$  (крист.) —  $\Delta H_{\text{обр.}}^0 \text{CH}_3\text{PO}(\text{OC}_2\text{H}_5)_2$  (жидк.) = +97,1 ± 2,0 и  $\Delta H_{\text{обр.}}^0 \text{C}_2\text{H}_5\text{POCl}_2$  (жидк.) —  $\Delta H_{\text{обр.}}^0 \text{C}_2\text{H}_5\text{PO}(\text{OC}_2\text{H}_5)_2$  = +121,1 ± 2,0. Вычислены средние энергии связи  $\bar{D}(\text{P}-\text{OR})$  в эфирах 3-валентного P 91,9 и 92,3, если в P(OR)<sub>3</sub> R = V и VI и 5-валентного P 102,9 и 102,4, если в  $\text{R}'\text{PO}(\text{OR})_2$  R' = X и V, а R = V и VI соответственно.  $\bar{D}(\text{C}-\text{P})$  при  $\bar{D}(\text{P}=\text{O}) = 115,0$  для  $\text{RPOCl}_2$  составляет 80,0 и 80,9, если R = X и V. Кажущееся увеличение энергии связи P—OR в эфирах 5-валентного P авторы объясняют резонансом групп P=O и P—OR, увеличивающим общую стабильность молекулы.

В. Колесов

80. Полосы излучения Хопфильда молекулы  $\text{O}_2$  в области 1900—2350 Å. Танака, Джерес, Ле-Бланк (Hopfield's emission bands of  $\text{O}_2$  in the region 1900—2350 Å. Tanaka Y., Jurs A. S., Le Blanc F. J.), *J. Chem. Phys.*, 1956, 24, № 4, 915—916 (англ.)

Получен спектр излучения  $\text{O}_2$  в конденсир. разряде в смеси He +  $\text{O}_2$  в области 1900—2350 Å. Кроме 5 полос, обнаруженных ранее (Hopfield J. J., *Phys. Rev.*, 1930, 36, 789) в участке 2032—2218 Å, найдены еще 5 полос той же прогрессии, причем две из них — более коротковолновые (1940,3 и 1985,0 Å). Все полосы имеют одну голову, отнесенную в коротковолновую сторону. Q-ветвь в них не наблюдается. Полосы возбуждаются только в конденсированном разряде и несколько менее интенсивны, чем вторая положительная система  $\text{O}_2^+$  ( $A^2\Pi_u - X^2\Pi_g$ ), расположенная в этой же области. Полосы Хопфильда могут наблюдаться без существенных помех со стороны полос  $\text{O}_2^+$ , если напр. давление кислорода меньше 5% общего (1—20 мм рт. ст.). Из структуры полос можно предположить, что они относятся к переходу типа  $\Sigma - \Sigma$  и поэтому низшее состояние не может быть «H», как это предположил Герцберг. В предположении, что полоса 1940,3 Å является 0,0-уровнем, найденные колебательные постоянные низшего состояния:  $\omega_0 = 1180 \text{ см}^{-1}$ ,  $\omega_0^* = 17,2 \text{ см}^{-1}$ . Из сравнения со спектрами поглощения (Tanaka J., Takamine T., *Sci. Papers Inst. Phys. Chem. Research, Tokyo*, 1942, 39, 437) можно предположить, что энергия возбужде-



ния верхнего состояния составляет 20,58 эв, что близко к энергии метастабильного атома He ( $1s2s'S_0$ ) 20,61 эв. При замене в смеси He на Ar полосы не наблюдаются. Авторы предполагают, что возбуждение обусловлено столкновениями с метастабильными He. Близость энергии возбуждения к потенциалу ионизации (20,21 эв) может быть связана с преприонизацией в верхнем состоянии.

В. Дианов-Клоков  
81. Ротационный анализ полос  $\text{NO}^+$ . Мишер (Rotationsanalyse der  $\text{NO}^+$ -Banden. Miescher E.), Helv. phys. acta, 1956, 29, № 2, 135—144 (нем.; рез. англ.)

Получены новые спектры излучения  $\text{NO}^+$ , возбужденные в разряде в голом катоде в области 1350—1650 А с дисперсией 0,62 А/мм при разрешающей силе  $\sim 100\,000$ . Вращательный анализ проведен для полос 1283,0 (1,1); 1413,5 (0,1); 1428,7 (1,2); 1461,2 (0,2); 1511,5 (0,3); 1564,5 (0,4); 1620,8 (0,5) А. Анализ показывает, что рассматриваемый спектр  $\text{NO}^+$  действительно принадлежит переходу  $A''P - X'\Sigma^+$ , что подтверждается интенсивностями и числом линий в ветвях  $P, Q, R$ . Найдено  $X'\Sigma B_e$  2,002 см<sup>-1</sup>,  $r_e$  1,0619 А,  $\omega_e$  2377,1 см<sup>-1</sup>,  $A''PB_e$  1,587;  $r_e$  1,1926,  $\omega_e$  1608,9. Расстояние между ядрами на 8% меньше, чем для нейтр. молекулы NO, и практически совпадает со значением для возбужденного  $A^2\Sigma$  состояния NO, но несколько меньше ( $\sim 3\%$ ), чем у изоэлектронной молекулы  $\text{N}_2$ . В состоянии  $\Pi$  наблюдаются возмущения (возмущающее состояние  $\Sigma^+$ ).

В. Дианов-Клоков  
82. О предполагаемой преддиссоциации в спектре AlO. Лажерквист, Нильссон, Барроу (On a supposed predissociation in the spectrum of AlO. Lagerqvist A., Nilsson N. E. Lennart, Barrow R. F.), Proc. Phys. Soc., 1956, A69, № 4, 356—357 (англ.)

Для проверки предположения (Rosen B., Bull. Soc. Sci. Liège, 1944, 13, 176; Phys. Rev., 1945, 68, 124; Physica, 1946, 12, 184) о преддиссоциации низшего состояния  $\Sigma^2$  молекулы AlO заново сфотографирован спектр AlO, с дисперсией 3,3 мм/А и 0,8 мм/А и разрешающей силой 300 000 и 100 000. Исследование полосы 0,0 показывает, что преддиссоциация в ней не наблюдается. Распределение интенсивностей линии  $P$ -ветви соответствует болъмановскому для равновесной  $T$  4000°К. Если же фотометрирование производить с широкой щелью и с пластинки, снятой на приборе меньшей разрешающей силы, то интенсивности линии  $P$ -ветви оказываются на микрофотограммах аномально малыми. Таким образом, якобы наблюдаемая преддиссоциация появляется вследствие использования прибором недостаточной разрешающей силы.

В. Дианов-Клоков  
83. Ротационный анализ синглетной системы А окиси циркония. Улер, Окерлинд (The rotational analysis of the singlet system A of zirconium oxide. Uhler Ulla, Akerlind Lars), Arkiv fys., 1956, 10, № 5, 431—446 (англ.)

Более подробное изложение опубликованной ранее работы. Приведены значения расстояний  $r_e$  1,711 А;  $r_e$  1,772 А, а также  $\omega'$  843,27 см<sup>-1</sup>,  $\omega_e'$  3,04 см<sup>-1</sup>. РЖХим, 1956, 18495.

В. Дианов-Клоков  
84. Спектры поглощения свободных радикалов  $\text{CH}_3$  и  $\text{CD}_3$ . Герцберг, Шумит (Absorption spectrum of free  $\text{CH}_3$  and  $\text{CD}_3$  radicals. Herzberg G., Shoomith J.), Canad. J. Phys., 1956, 34, № 5, 523—525 (англ.)

Исследованы УФ-спектры поглощения продуктов, образующихся при разложении  $\text{Hg}(\text{CH}_3)_2$  и  $\text{Hg}(\text{CD}_3)_2$  методом светового удара. В сфотографированных (с устья 50—250 мк. после вспышки) спектрах наблюдаются две системы полос в области 1510—1300 А и 2160

$\text{Hg}(\text{CH}_3)_2$  или 2140 А  $\text{Hg}(\text{CD}_3)_2$ . В спектрах поглощения, полученных спустя 2 минуты после вспышки, эти полосы не наблюдаются. Такие же полосы, частично перекрытые другими, наблюдаются в полученных, в описанных условиях, спектрах поглощения  $\text{CH}_3\text{CHO}$ ,  $(\text{CH}_3)_2\text{N}_2$ ,  $(\text{CH}_3)_2\text{CO}$ ,  $\text{CH}_3\text{J}$  и  $\text{CH}_3\text{Br}$ . Полосы поглощения в вакуумной области являются членами ридберговских серий, объединяемых ф-лами  $\nu = 79380 - R/(n - 0,077)^2$ ,  $n = 3, 4, 5, 6, 7, \dots (1)$ ,  $\text{Hg}(\text{CH}_3)_2$  и  $\nu = 79305 - R/(n - 0,077)^2$ ,  $n = 3, 4, 5, 6, \dots (2)$   $\text{Hg}(\text{CD}_3)_2$ . Они очень диффузные, что объясняется возможной преддиссоциацией в верхнем электронном состоянии. Наблюдаемые полосы авторы относят к радикалам  $\text{CH}_3$  и  $\text{CD}_3$ . В пользу этого предположения свидетельствует тот факт, что первые члены в выражениях (1) и (2), являющиеся потенциалами ионизации, почти точно совпадают со значениями потенциалов ионизации  $\text{CH}_3$  и  $\text{CD}_3$ , полученными масс-спектрометрич. методом. Кроме того, при исследовании продуктов разложения ацетона, содержащего 25, 50 и 75% дейтерия, между полосами поглощения 2160 А ( $\text{CH}_3$ ) и 2140 А ( $\text{CD}_3$ ) были найдены две новые полосы, по-видимому, относящиеся к  $\text{CH}_2\text{D}$  и  $\text{CHD}_2$ .

В. Александрия  
85. О спектре поглощения паров воды и тяжелой воды в крайней ультрафиолетовой области. Астуэн (Sur le spectre d'absorption de la vapeur d'eau et d'eau lourde dans l'ultraviolet extrême. Astoin Nicole), C. r. Acad. sci., 1956, 242, № 19, 2327—2329 (франц.)

Исследован спектр поглощения паров  $\text{H}_2\text{O}$  и  $\text{D}_2\text{O}$  в области 170—1100 А при давлении паров воды 0,01—0,03 мм рт. ст. Спектры состоят из большого числа диффузных полос, накладывающихся на континуум, максимумы которого находятся на 280000, 230000, 160000 и 125000 см<sup>-1</sup>. Наиболее глубокий минимум континуума наблюдается при 195 000 см<sup>-1</sup> (512 А); небольшой разрыв при 270 000 см<sup>-1</sup> (33,4 эв), возможно, связан с четвертым потенциалом ионизации  $\text{H}_2\text{O}$  ( $2a_1$  электрон О). Наблюдаемые особенности спектра трактуются с учетом высших потенциалов ионизации. В спектре паров  $\text{D}_2\text{O}$ , за исключением небольшого смещения разрыва 270 000 см<sup>-1</sup> на  $\sim 2000$  см<sup>-1</sup> в сторону коротких волн, никаких отличий в расположении полос или в их интенсивностях не наблюдается.

В. Дианов-Клоков  
86. Природа сплошного спектра испускания ацетона. Фори (Origine du spectre continu d'émission de l'acétone. Fauris Marc), C. r. Acad. sci., 1955, 241, № 2, 190—192 (франц.)

Фотометрическим методом измерено распределение интенсивности в спектре испускания ацетона, полученного в электрич. разряде в области 2500—5000 А. Этот сплошной спектр похож на спектр флуоресценции ацетона, имеющего широкую непрерывную полосу с максимумом 4300 А. Совпадение спектра испускания и поглощения указывает на наличие только двух электронных уровней, как это и предполагал Шюлер (Schüler H., Phys. Z., 1940, 41, 381). Ход кривой поглощения в области 2000—3500 А можно передать теоретической кривой, рассчитанной методом Табури (Taboury F. J., J. Chim. Phys., 1950, 47, 740), при следующих значениях молекулярных постоянных:  $\omega_e' = 1710$  см<sup>-1</sup>,  $r_e' = 1,225$  А — для нижнего уровня и  $\omega_e'' = 1220$  см<sup>-1</sup>,  $r_e'' = 1,455$  А — для верхнего уровня. Расчет с помощью таблиц Бейтса приводит к кривой, хуже согласующейся с опытом. Автор считает, что полученные спектры поглощения и испускания обусловлены переходом между двумя электронными состояниями группы  $>\text{C}=\text{O}$ .

О. Юрьева  
87. Электронный спектр поглощения молекулы тиофосгена. Бюрнелль (Electronic absorption spe-



etrum for the thiophosgene molecule. Burnelle L. o u i s, J. Chem. Phys., 1956, 24, № 3, 620 (англ.)

Получен спектр поглощения паров  $\text{CSCl}_2$  с большим разрешением и обсуждается происхождение четырех систем полос, расположенных в видимой и УФ-областях. Первая система слабых полос, расположенная в области 5300—7000 Å, интерпретируется как переходы на вращательные уровни возбужденного состояния  $^3A_2'$  с большими квантовыми числами  $^1A_1 \rightarrow ^3A_2'$ ,  $n \rightarrow ^3\pi^*$  с  $\nu_{0-0} \sim 15\,000\text{ см}^{-1}$ . Вторая, главная система (5750—3900 Å), соответствует  $n \rightarrow \pi^*$  переходу, что подтверждается смещением коротковолновой стороны на  $300\text{ см}^{-1}$  при растворении в гексане. Малая сила осциллятора ( $1,26 \cdot 10^{-4}$ ) указывает на запрещенность этого перехода. Третья система (2970—2690 Å) рассматривается как  $n \rightarrow \sigma$  переход локализованный в группе CS. Четвертая, наиболее интенсивная система (2770—2390 Å), сила осциллятора ( $\sim 10^{-1}$ ) соответствует  $n \rightarrow \sigma^*$  переходу,  $A_1 \rightarrow A_1'$  локализованному в группе  $\text{CCl}_2$ . Установлены следующие частоты возбужденных состояний  $^1A_2'$  ( $\text{см}^{-1}$ )  $\nu_1$  914,  $\nu_2$  423,  $\nu_3$  240,  $\nu_4$  610,  $\nu_5$  365;  $^3A_2'$  300 (неотесненная),  $\nu_2$  400;  $^1B_2'$   $\nu_2$  468,  $\nu_3$  310;  $^1A_1'$   $\nu_2$  442,  $\nu_3$  208. О. Пахомова

88. Полосы *n*-дихлорбензола в ближней ультрафиолетовой области. А с у н д и, Дж о ш и (The near ultraviolet bands of *para*-dichlorobenzene. A s u n d i R. K., J o s h i B. D.), Nature, 1956, 177, № 4497, 36 (англ.)

Обсуждается интерпретация электронного спектра паров *n*-дихлорбензола. Авторы считают, что наблюдаемые колебательные частоты возбужденного состояния 1061 и  $1051\text{ см}^{-1}$  следует сопоставлять с частотами основного состояния 1084 и  $1071\text{ см}^{-1}$ , обнаруженными в спектре флуоресценции; колебательной частоте основного состояния  $248\text{ см}^{-1}$ , наблюдаемой в спектре поглощения, соответствует частота  $251\text{ см}^{-1}$  в спектре флуоресценции; частотный интервал в  $244\text{ см}^{-1}$  в полосе поглощения, наблюдаемый в спектре поглощения, следует рассматривать не как колебание ( $331\text{ см}^{-1}$  в основном состоянии), а как спутник колебательной частоты  $329\text{ см}^{-1}$  верхнего состояния. В. Броуде

89. Спектры поглощения *n*-бром- и *o*-оксанизолов. С у р я н а р а я н а, Р а м а к р и ш н а - Р а о (The absorption spectra of *p*-bromo anisole and *o*-hydroxy anisole. S u r y a n a r a y a n a V., R a m a k r i s h n a R a o V.), J. Scient. and Industr. Res., 1956, (B—C)15, № 5, B260—B262 (англ.)

Исследованы спектры поглощения в ближней УФ-области *n*-бром-анизола (I) при  $t$ -рах от  $-15$  до  $80^\circ$  и *o*-оксанизола (II) при  $t$ -рах от  $-15$  до  $90^\circ$ . Для I обнаружена область дискретного поглощения (2940—2500 Å), в которой измерено  $> 70$  полос; полоса при 2868,6 Å принята за переход  $0 \rightarrow 0$ . Большая часть полос интерпретирована на основе следующих 5 частот возбужденного (первая цифра) и 2 частот основного состояний (вторая цифра): 253, 332 ( $\epsilon_g^+$ -компонента  $\text{C}_6\text{H}_6$ ); 771, 808; 989,—; 1277,—; 1311,— (деф. кол.  $\text{CH}_3$ ); 1549,—. Для II область дискретного поглощения обнаружена при 2850—2600 Å. Измеренные 55 полос в этом случае более резкие, чем для I, интерпретированы на основе 4 частот возбужденного (первая цифра) и 3 частот основного (вторая цифра) состояний: 518, 579 ( $\epsilon_g^+$ -компонента  $\text{C}_6\text{H}_6$ ); 721, 760 ( $\text{C}=\text{OCH}_3$ ); 946,— ( $\text{C}=\text{C}$ ); 1245,— (деф. кол.  $\text{CH}_3$ ). М. Полтева

90. Ультрафиолетовый спектр поглощения  $\alpha$ -фторнафталина. Р а м а м у р т и, Р а м а к р и ш н а - Р а о (The ultraviolet absorption of  $\alpha$ -fluoro naphthalene.

R a m a m u r t y S., R a m a k r i s h n a R a o V.), J. Scient. and Industr. Res., 1956, (B—C)15, № 5, B262—B263 (англ.)

Исследован спектр поглощения в ближней УФ-области насыщ. паров 3-фторнафталина при  $t$ -ре от  $-10$  до  $190^\circ$ . Так же как и для 3-фторнафталина (РЖХим, 1956, 46023) в случае  $\alpha$ -фторнафталина обнаружены две области дискретного поглощения: область 3160—2900 Å (48 полос, затененных с длинноволновой стороны) и область 2900—2600 Å, содержащая 11 диффузных полос. Полоса 3136 Å в первой области принята за переход  $0 \rightarrow 0$ ; большинство полос интерпретировано на основе 4 частот основного состояния: 409, 673, 838 и  $1435\text{ см}^{-1}$ . У полос второй области наблюдается повторяющееся смещение в  $430\text{ см}^{-1}$ , которое согласуется с значением смещения в  $409\text{ см}^{-1}$  для первой области. М. Полтева

91. По поводу статьи Мак-Клора и Шенппа. Б р о у д е В. Л., Прихотью А. Ф., Оптика и спектроскопия, 1956, 1, № 1, 102—103

Обсуждаются причины расхождений данных Мак-Клора и Шенппа (РЖХим, 1956, 60739) и Прихотью А. Ф. (Ж. эксперим. и теор. физики, 1949, 19, 383) по положению полос поглощения монокристалла нафталина. Проведенные авторами аналогичные исследования кристаллов нафталина и его дейтерозамещенных выявили существенное отличие спектров свободно подвешенных кристаллов, использовавшихся Прихотью, от спектров кристаллов, полученных из расплава между двумя кварцевыми стеклами. Последние состоят из значительно более широких полос, несколько сдвинуты относительно спектра свободного кристалла в УФ-область. Микрофотограмма спектра такого кристалла полностью совпадает с приведенной в статье Мак-Клора. Авторы связывают наблюдаемое изменение спектра с большими напряжениями, возникающими при охлаждении кристалла за счет разницы коэфф. расширения нафталина ( $2 \cdot 10^{-4}\text{ град}^{-1}$ ) и кварца ( $2 \cdot 10^{-7}\text{ град}^{-1}$ ). Интерпретация электронных спектров нафталина должна проводиться по спектрам свободного кристалла или учитывать описанные выше искажения спектра внешним воздействием. О. Пахомова

92. О спектрах поглощения в средней ультрафиолетовой области некоторых ацетиленовых и этиленовых ароматических кетонов. Г р а м м а т и к а к и с, Ш о в е л ь (Remarques sur l'absorption dans l'ultraviolet moyen de quelques cétones acétyléniques et éthyliéniques aromatiques. G r a m m a t i c a k i s P a n o s, C h a u v e l i e r J a n i n e), C. r. Acad. sci., 1956, 242, № 9, 1189—1191 (франц.)

Получены УФ-спектры соединений типа  $\text{Ar}-\text{C}\equiv\text{C}-\text{CO}-\text{R}$  и  $\text{Ar}-\text{CH}=\text{CH}-\text{CO}-\text{R}$  с  $\text{Ar}=\text{C}_6\text{H}_5$ ,  $\text{o}-\text{CH}_3-\text{C}_6\text{H}_4-$ ,  $n-\text{CH}_3\text{C}_6\text{H}_4-$ ,  $\text{o},\text{o}',n-(\text{CH}_3)_3\text{C}_6\text{H}_2-$ ,  $\text{R}=\text{CH}_3$  и  $\text{C}_6\text{H}_5$ . Найдено, что переход от ацетиленовых к этиленовым соединениям сопровождается смещением спектра в сторону длинных волн, такой же эффект вызывает замещение групп  $\text{CH}_3$  на  $\text{C}_6\text{H}_5$  с одновременным увеличением поглощения. Метилирование бензольного ядра дает слабый эффект, наблюдаемое смещение возрастает в порядке  $\text{o} < n \leq \text{o},\text{o}',n$ . Ю. Егоров

93. Исследование ультрафиолетовых спектров оксантирахинонов. И к э д а, Я м а м о т о, Ц у к и д а, К а н а т о м о (Оксиантрахинон類の紫外外部吸収スペクトルに就いて. 池田鐵太郎, 山本謙, 月田潔, 金友昭—), 薬學雜誌, Якугаку дзаси, J. Pharm. Soc. Japan, 1956, 76, № 2, 217—220 (япон.; рез. англ.)

В УФ-спектрах производных оксантирахинона весьма существенно пренебрегаемое обычно поглощение в области  $< 250\text{ мμ}$ . В случае, когда антрахиноны имеют 1, 2, 3 и 4 гидроксильных группы,  $\lambda_{(\text{макс})}$  лежит при 222,5, 225,  $230 \pm 2,5$  и  $236\text{ мμ}$  соответственно.

Положение этих максимумов не зависит от положения гидроксильной группы ( $\alpha$  или  $\beta$ ), но интенсивность их зависит, в основном, от числа групп OH в  $\alpha$ -положении. Интенсивность максимума поглощения при 270 м $\mu$  определяется числом групп OH в  $\beta$ -положении; значение  $I_{\epsilon} > 4,1$  указывает на наличие группы OH в  $\beta$ ; значение  $I_{\epsilon} < 4,1$  — на отсутствие группы OH в  $\beta$ . Следовательно, по кривым УФ-поглощения возможно предсказание кол-ва групп OH и отношения числа групп в  $\alpha$  и  $\beta$  положениях. Для оксиантрахиона с группами OH в положениях 1 и 4 наблюдается смещение поглощения в видимую область с максимумом поглощения при 480 м $\mu$ . Резюме автора

94. Непрерывный связь между положением полос поглощения бензола и его производных в ультрафиолетовой области. Приложение к некоторым тризамещенным производным. Дауб, Ванденбелт (The continuity of the ultraviolet bands of benzene with those of its derivatives. Application to certain trisubstituted derivatives. Doub Leonard, Vandenbelt J. M.), J. Amer. Chem. Soc., 1955, 77, № 17, 4535—4540 (англ.)

Получены кривые поглощения р-ров ди- и тризамещ. бензола с сильно полярными радикалами Cl, Br, COOH, NH<sub>2</sub>, OH, O<sup>-</sup>, OCH<sub>3</sub>, NO<sub>2</sub>, CO<sub>2</sub><sup>-</sup>, NHCH<sub>3</sub>, N(CH<sub>3</sub>)<sub>2</sub>, COSH<sub>3</sub>, CHO в различных р-рителях. Кривые поглощения 1, 2, 4-тризамещ. производных бензола, в которых содержится один мета- и два орто-пара-ориентирующих заместителя, можно с некоторым приближением рассматривать как наложение определенных полос трех «составляющих» диамещ. производных бензола: орто XZ + пара XY + орто ZY. Ранее (Doub L., Vandenbelt J. M., J. Amer. Chem. Soc., 1947, 69, 2714; 1949, 71, 2414) было показано, что в спектрах диамещ. бензола можно выделить полосы, являющиеся смещенными полосами спектра бензола. Проведенный в настоящей работе анализ большого числа кривых показывает, что наиболее сдвинутые (по сравнению со спектром бензола) полосы «составляющих» диамещ. производных наблюдаются в спектрах тризамещ. бензолов, причем эти полосы либо слабо сдвинуты, либо совсем не сдвинуты в них. Если в спектрах соответствующих соединений присутствуют какие-либо другие полосы, то указанная корреляция, по мнению авторов, позволяет различить, чему соответствует каждая полоса в действительности. В. Броуде

95. Ультрафиолетовые спектры некоторых фенилселениновых кислот. Кьеричи, Пассерини (Spettri U. V. di alcuni acidi fenil-seleninici. Chierici L., Passerini R.), Boll. scient. Fac. chim. industr. Bologna, 1954, 12, № 3, 138—140 (итал.) Изучены УФ-спектры XC<sub>6</sub>H<sub>4</sub>SeO<sub>2</sub>N с X = H, CH<sub>3</sub>, Cl, Br (n), NO<sub>2</sub> (o, m, p), растворенных в отношении 1:100 000 в 95%-ном этаноле. Все в-ва имеют два отчетливо выраженных максимума поглощения:  $214 \text{ м}\mu \geq \lambda_1 (\text{макс.}) \geq 232 \text{ м}\mu$  и  $256 \text{ м}\mu \geq \lambda_2 (\text{макс.}) \geq 270 \text{ м}\mu$ . Введение CH<sub>3</sub>, Cl, Br в пара-положение вызывает последовательный bathochromный сдвиг первого максимума поглощения с одновременным незначительным увеличением интенсивности полосы. При этом положение второго максимума практически не изменяется. Введение нитрогруппы NO<sub>2</sub> в орто- и пара-положения вызывает перемещение второго максимума в интервале 260—270 м $\mu$ , обусловленное стерич. влиянием на группу SeO<sub>2</sub>H. А. Мицкевич

96. Спектры поглощения гетероциклов. Милаццо (Spettri di assorbimento di eterocicli. Milazzo Giulio), Rend. Inst. super. sanitá, 1954, 17, № 9, 806 (итал.)

Сообщается об ошибках в значениях интенсивностей полос поглощения гетероциклов в предыдущих рабо-

тах (Rend. Inst. super. sanitá, 1948, 11, 372; Gazz. chim. ital., 1944, 74, 452).

А. Мицкевич  
97. Кремнийорганические соединения. Часть. XIII. Координация с кремнием. Иборн (Organosilicon compounds. Part XIII. Co-ordination to silicon. Eaborн C.), J. Chem. Soc., 1955, June, 2047—2048 (англ.)

Исследованы УФ-спектры поглощения *n*-толуидина (I) и пиридина (II) в *n*-гексане (III), Si(CH<sub>3</sub>)<sub>2</sub>(C<sub>2</sub>H<sub>5</sub>)<sub>2</sub>, Si(C<sub>2</sub>H<sub>5</sub>)<sub>3</sub>F, C<sub>6</sub>H<sub>11</sub>SiH<sub>3</sub>, Si(OC<sub>2</sub>H<sub>5</sub>)<sub>4</sub> и (Si(CH<sub>3</sub>)<sub>3</sub>)<sub>2</sub>O. Поскольку оба основания сильные и без стерич. напряжений, предполагалась возможность координации N→Si, что должно было бы привести к различному влиянию перехода от III к Si-содержащим р-рителям. Однако и для I и для II спектр при замене III на органосиланы не изменялся. Поэтому автор считает координацию с Si маловероятной. Часть XII см. РЖХим, 1956, 61591.

И. Белецкая

98. Спектроскопическое исследование взаимодействия простых анионов солей с катионами металлов переходных групп. II. Ассоциация бис-этилендиаминного комплекса меди с некоторыми анионами. Йонедэ (Spectrochemical investigations of the interaction between simple salt anions and transition metal cations. II. Association between bisethylenediamine cupric complex and several anions. Yonedэ H a y a m i), Bull. Chem. Soc. Japan, 1956, 29, № 1, 68—71 (англ.)

Исследованы спектры поглощения в видимой и ближней УФ-области р-ров [CuEn<sub>2</sub>](ClO<sub>4</sub>)<sub>4</sub> (En — этилендиамин) в воде в присутствии анионов SO<sub>3</sub><sup>2-</sup>, J<sup>-</sup> и S<sub>2</sub>O<sub>3</sub><sup>2-</sup>. Найдено, что с перечисленными анионами комплекс меди образует продукты ассоциации в соотношении 1:1 с константами ассоциации, соответственно равными 25, 100 и 190. Показано, что образование ассоциатов не связано с перестройкой координационной сферы, поскольку положение полосы поглощения иона [CuEn<sub>2</sub>]<sup>2+</sup> и ее интенсивность остаются неизменными. Усиление прочности ассоциатов в ряду анионов SO<sub>3</sub><sup>2-</sup> <

< J<sup>-</sup> < S<sub>2</sub>O<sub>3</sub><sup>2-</sup> показывает, что связь между комплексным ионом и анионом обусловлена поляризующим действием центрального атома комплексного иона и упрочняется с увеличением поляризуемости аниона. Предложен новый способ определения константы ассоциации в р-рах из данных по оптич. плотностям. Сообщение I см. РЖХим, 1956, 3163. В. Алексанян

99. О зависимости спектров поглощения комплексных ионов от растворителя. Бьеррум, Адамсон, Боstrup (On the solvent dependence of the spectra of complex ions. Bjerrum Jannik, Adamson A. W., Bostrup Ole), Acta Chem. Scand., 1956, 10, № 2, 329—331 (англ.)

Спектры поглощения комплексных ионов переходных групп рассматриваются как переходы в *d*-оболочке центрального атома, возмущенные полем аддендов внутренней координационной сферы. Для проверки этого положения авторы исследовали спектры поглощения р-ров [Fe(o-phen)<sub>3</sub>]Br<sub>3</sub> (o-phen-o-фенантролин), [Fe(o-phen)<sub>2</sub>(CN)<sub>2</sub>], K[Cr(NH<sub>3</sub>)<sub>4</sub>(SCN)<sub>2</sub>], (NH<sub>4</sub>)<sub>3</sub>[Cr(SCN)<sub>6</sub>], [Co(en)<sub>2</sub>(Cl<sub>2</sub>)]Cl, *trans*-[Co(en)(Cl<sub>2</sub>)]Cl, *trans*-[Co(en)<sub>2</sub>·(Br)<sub>2</sub>]Br, *cis*-[Co(en)<sub>2</sub>(SCN)<sub>2</sub>]SCN, *cis*-[Co(en)<sub>2</sub>(NO<sub>2</sub>)<sub>2</sub>]NO<sub>2</sub>, *trans*-[Co(en)<sub>2</sub>(NO<sub>2</sub>)<sub>2</sub>]NO<sub>2</sub> и [Co(NH<sub>3</sub>)<sub>5</sub>(NO<sub>2</sub>)<sub>2</sub>] в H<sub>2</sub>O, CHCl<sub>3</sub>, CH<sub>3</sub>OH, C<sub>2</sub>H<sub>5</sub>OH, петр. эфире, CCl<sub>4</sub>, CH<sub>3</sub>NO<sub>2</sub>, CH<sub>3</sub>COCH<sub>3</sub> и их смесях. В большинстве случаев  $\lambda$  (макс.) полос поглощения не зависит от природы р-рителя. Заметное смещение наблюдается для полосы миграционных переходов в спектре *cis*-[Co(en)<sub>2</sub>(SCN)<sub>2</sub>]SCN, что объясняется более сильным влиянием р-рителя на адденды. В случае [Fe(o-phen)<sub>2</sub>(CN)<sub>2</sub>] смещение еще больше. Авторы полагают, что в этом случае имеет место

сдвигающееся при перемене р-рителя равновесие между двумя формами комплексного иона. В. Александрия

100. Спектр длин волн, возбуждающих флуоресценцию антрацена. Райт (Fluorescence excitation spectrum of anthracene. Wright G. T.), Phys. Rev., 1955, 100, № 2, 587—588 (англ.)

Исследовалась зависимость интенсивности флуоресценции поверхности кристаллич. пластинки антрацена от длины волны возбуждающего света ( $\lambda$ ), падающего на противоположную поверхность пластинки. Показано, что благодаря большому самопоглощению в этом кристалле интенсивность флуоресценции убывает с уменьшением глубины проникновения возбуждающего света внутрь образца, т. е. с увеличением коэфф. поглощения. Полученный график указанной зависимости интенсивности флуоресценции от  $\lambda$  в интервале 2000—4000 Å повторил обращенную кривую поглощения, и его минимумы хорошо совпали с максимумами поглощения (3960, 3740, 3540, 3370, 3220 Å). Автор предлагает использовать изложенный простой метод для получения данных по кривым поглощения в сильнопоглощающих кристаллах или в труднодоступных областях спектра. В. Броуде

101. Неплоские деформационные колебания плоских молекул. Симпсон (Out of the plane bending vibrations of planar molecules. Simpson C. J. S. M.), J. Chem. Phys., 1956, 24, № 5, 1108—1109 (англ.)

При рассмотрении неплоских деф. кол. обычно вводится силовая постоянная угла между связью и равновесной плоскостью молекулы. Вместо этого предлагается ввести в потенциальную функцию линейный член  $V = \sum c \Delta \alpha_{ij}$ , где  $\alpha_{ij}$  — углы между связями. Если эти углы ненапряженные, то коэфф.  $c$  равны нулю. Однако в молекулах типа  $BF_3$  силы отталкивания делают углы  $120^\circ$  напряженными, и  $c \neq 0$ . Метод применен к молекуле  $B_3H_6$ , для которой вычисленная частота неплоских колебаний равна  $266 \text{ см}^{-1}$ , а наблюдаемая  $262 \text{ см}^{-1}$ . М. Ковнер

102. Инфракрасные спектры поглощения нитропарафинов и алкилнитратов. Корнблум, Унгнаде, Смайли (The infrared absorption spectra of nitroparaffins and alkyl nitrates. Kornblum Nathan, Ungnade Herbert E., Smiley Robert A.), J. Organ. Chem., 1956, 21, № 3, 377—379 (англ.)

Получены ИК-спектры поглощения 1-нитропроизводных бутана, пентана, гексана, гептана, октана и декана; 2-метил-1-нитропропана, 3-метил-1-нитробутана, циклогексилнитрометана, фенилнитрометана, 2-фенил-1-нитроэтана, 3-фенил-1-нитропропана, этилнитроацетата; 2-нитрозамещенных пропана, бутана, гептана, октана и 5-метилоктана; 3-нитрогептана, 4-нитрогептана, нитроциклопентана, нитроциклогексана, 1-фенил-2-нитропропана; этиловых эфиров  $\alpha$ -нитропроизводных пропионовой, масляной, изомасляной, изовалериановой, капроновой и  $\alpha$ -фенилуксусной к-т; 2-метил-2-нитрозамещенных пропана, бутана и октана; 2,4-диметил-2-нитропентана, 2,2,4-триметил-4-нитропентана; 1-метил-1-нитрозамещенных циклопентана и циклогексана, а также нитратов: 1-октил-, циклопентилметил-, циклогексилметил-, 2-бутил-, 4-гептил-, 2-октил-, 5-метил-2-октил- и  $\alpha$ -фенилэтил-. На основании полученных результатов и литературных данных сделаны выводы, что в первичных и вторичных нитросоединениях полоса группы  $NO_2$  лежит при  $6,45 \pm 0,01 \text{ м}$ , в третичных нитросоединениях — при  $6,51 \pm 0,01 \text{ м}$ . В  $\alpha$ -нитроэфирах эта полоса смещается в сторону коротких волн на  $\sim 0,05 \text{ м}$ . Для группы  $NO_2$  первичных нитросоединений характерна полоса при  $7,25 \pm 0,02 \text{ м}$ , для вторичных  $7,37 \text{ м}$ , для нитроциклопентана  $7,30 \text{ м}$ , нитроциклогексана  $7,25 \text{ м}$ , для *tert*-нитропарафинов  $7,40$ — $7,44 \text{ м}$ .

Для идентификации группы  $NO_2$  наиболее удобна полоса в области  $6,4 \text{ м}$ . В ИК-спектрах алкилнитратов характерными являются полосы  $\sim 6,14$ ,  $7,84$  и  $11,5$ — $11,7 \text{ м}$ . А. Золотаревский

103. Инфракрасные спектры ароматических соединений. II. Подтверждение взаимодействия  $\pi$ -электронов с  $\sigma$ -электронами в неплоских деформационных колебаниях связей C—H. Кросс, Фассел, Маргошес (The infrared spectra of aromatic compounds. II. Evidence concerning the interaction of  $\pi$ -electrons and  $\sigma$ -bond orbitals in C—H out-of-plane bending vibrations. Cross R. D., Fassel V. A., Margoshes M.), J. Amer. Chem. Soc., 1956, 78, № 7, 1332—1335 (англ.)

Исследованы ИК-спектры поглощения кристаллов и р-ров в  $CS_2$  толуола, бензилового спирта, этилбензола, фенилацетата, фенола, бензолсульфоната натрия, анилина и его хлоргидрата, бензолсульфонилхлорида, анизола, трифенилметана, бензонитрила, ацетофенона, *trans*-стильбена, бензамида, хлористого бензоила, бензойного ангидрида, нитробензола, бензойной к-ты, этилбензоата, бензойнокислого натрия, *n*-ксилола, *n*-подтолуола, *n*-бромтолуола, *n*-хлортолуола, *n*-дибромбензола, *n*-хлордихлорбензола, *n*-диантолуола, *n*-хлорбромбензола, *n*-фтортолуола, *n*-дихлорбензола, гидрохинона, *n*-нитроанилина, *n*-нитробромбензола, *n*-нитрохлорбензола, *n*-аминобензойной к-ты, *n*-метилбензойной к-ты, *n*-хлорбензойной к-ты, *n*-бромбензойной к-ты, *n*-кисбензойной к-ты, *n*-динитробензола, *n*-нитробензойной к-ты, терефталевой к-ты и *n*-хинона. Найдено, что частота полос неплоских колебаний C—H групп растет в тех случаях, когда заместитель в бензольном кольце имеет электрофильный характер. Это свидетельствует о том, что в процессе неплоских колебаний связи C—H взаимодействуют с  $\pi$ -электронным облаком кольца. При наличии электрофильных заместителей кольцо несколько обеднено  $\pi$ -электронами, ввиду частичного удаления их к заместителям, и колебание C—H затруднено, что приводит к увеличению частоты колебания. В соответствии с предложенной интерпретацией наибольшее значение частоты рассматриваемого колебания наблюдается для *n*-хинона, у которого в бензольном кольце остается только четыре  $\pi$ -электрона. Удаление  $\pi$ -электронов из кольца уменьшает момент  $\pi$ -электронного облака, направленный перпендикулярно к плоскости кольца, что, в свою очередь, приводит к экспериментально наблюдаемому понижению интенсивности полос неплоских колебаний C—H в ИК-спектре поглощения. Сообщение I см. РЖХим, 1956, 53666. В. Александрия

104. Инфракрасные спектры и *trans*-влияние в комплексах палладия и платины. Пауэлл (Infrared spectra and the *trans* effect in palladium and platinum complexes. Powell D. B.), Chemistry and Industry, 1956, № 16, 314 (англ.)

Исследовано положение полос связей M—N в ИК-спектрах *cis*- и *trans*- $[Pt(NH_3)_2Cl_2]$  (I), *cis*- и *trans*- $[Pd(NH_3)_2Cl_2]$  (II), *cis*- и *trans*- $[Pd(NH_3)_2(NO_2)_2]$ ,  $[Pt(NH_3)_4]Cl_2$  (III) и  $[Pd(NH_3)_4]Cl_2$  (IV). В спектрах *cis*-соединений II, III и IV наблюдается по две полосы колебаний связей M—N (в спектре *cis*- $[Pt(NH_3)_2Cl_2]$  наблюдалась только одна полоса), в то время как у *trans*-соединений в соответствии с правилами отбора только одна, соответствующая антисимметричным колебаниям M—N. Авторы отмечают, что при переходе от *cis*-формы к *trans*-форме частота M—N не меняется заметным образом, т. е. *trans*-влияние, по-видимому, не сопровождается ослаблением связи M—N.

В. Александрия

105. О форме молекул цианидов щелочных металлов. Брюгелль, Даумиллер, Рюммель (Zur Molekelform der Alkalicyanide. Brügell W., Daumiller R.), Z. phys. Chem., 1956, 26, 111—114 (англ.)



Miller G., Rommel O.), Angew. Chem., 1956, 68, № 13, 440 (нем.)

Исследованы ИК-спектры в области 4—5  $\mu$  кристаллич. NaCN (I), полученного кристаллизацией после процесса спекания и плавления. Найдено, что в зависимости от температуры и длительности процесса спекания или плавления наблюдается исчезновение полосы при 2100  $\text{cm}^{-1}$  (отнесенной ранее к вал. кол. группы CN) и появление новой полосы при 2250  $\text{cm}^{-1}$ . Наблюдаемый эффект авторы объясняют наличием таутомерного превращения нитрил  $\rightarrow$  изонитрил. Новая таутомерная форма NaNC стабильна при растворении I в метиле и этиленгликоле. Р-рителли сдвигают полосу 2250  $\text{cm}^{-1}$  в коротковолновую сторону на 50  $\text{cm}^{-1}$ . М. Полтева

106. Исследование связанной воды в гидратах с помощью инфракрасных спектров поглощения. Луккези, Глассон (Infrared investigation of bound water in hydrates. Lucchesi Peter J., Glasson William A.), J. Amer. Chem. Soc., 1956, 78, № 7, 1347—1348 (англ.)

Исследованы ИК-спектры поглощения  $\text{LiI} \cdot 3\text{H}_2\text{O}$ ,  $\text{SrCl}_2 \cdot 6\text{H}_2\text{O}$ ,  $\text{SrBr}_2 \cdot 6\text{H}_2\text{O}$ ,  $\text{Na}_2\text{PO}_4 \cdot 12\text{H}_2\text{O}$ ,  $\text{AlCl}_3 \cdot 6\text{H}_2\text{O}$ ,  $\text{Al}(\text{NO}_3)_3 \cdot 9\text{H}_2\text{O}$ ,  $\text{SnCl}_2 \cdot 2\text{H}_2\text{O}$  и  $\text{SnCl}_4 \cdot 5\text{H}_2\text{O}$ , впрессованных в KBr в области 4000—800  $\text{cm}^{-1}$ . Измерены смещения полос  $\text{H}_2\text{O}$  3425, 2915 и 1616  $\text{cm}^{-1}$  в гидратах, составляющие для первой полосы от -40 до +18  $\text{cm}^{-1}$ , для третьей от -13 до +13  $\text{cm}^{-1}$ ; вторая полоса в большинстве гидратов не смещается, а в некоторых смещается в сторону коротких волн на 5—9  $\text{cm}^{-1}$ .

А. Золотаревский

107. Спектр комбинационного рассеяния  $\alpha$ -фторбромбензола. Кришнамачари (Raman spectrum of  $\alpha$ -fluoro bromobenzene. Krishnamachari S. L. N. G.), Current Sci., 1956, 25, № 6, 185 (англ.)

Исследован спектр комб. расс. жидкого  $\alpha$ -фторбромбензола. Приведены положения 36 линий комб. расс., их интенсивности и степени деполаризации. М. Полтева

108. Исследование некоторых алленовых углеводородов  $\text{R}-\text{CH}=\text{C}=\text{CH}_2$  (монозамещенных алленов) с помощью спектров комбинационного рассеяния и инфракрасных спектров поглощения. Пью, Годмар, Апри (Etude spectrographique raman et infrarouge de quelques hydrocarbures alléniques  $\text{R}-\text{CH}=\text{C}=\text{CH}_2$  (allènes monosubstitués). Piau Léon, Gaudemar Marcel, Henry Lucien), Bull. Soc. chim. France, 1956, № 5, 794—795 (франц.)

Получены спектры комб. расс. и ИК-спектры поглощения  $\text{R}-\text{CH}=\text{C}=\text{CH}_2$  с  $\text{R} = \text{C}_4\text{H}_9$ ,  $(\text{CH}_3)_2\text{CH}-\text{CH}_2$ ,  $\text{C}_5\text{H}_{11}$ ,  $\text{C}_2\text{H}_5$ ,  $\text{C}_6\text{H}_5$ . Обсуждается положение характеристик. частот группы  $\text{CH}=\text{C}=\text{CH}_2$ . К их числу, на основании опытного материала и литературных данных, относятся: две интенсивные линии в области 1103—1131  $\text{cm}^{-1}$  (1065—1080  $\text{cm}^{-1}$  для  $\text{R} = \text{C}_6\text{H}_5$ ), слабая линия — 1960  $\text{cm}^{-1}$  (интенсивная в ИК-спектре) и частоты 2990—3000, 3060—3072  $\text{cm}^{-1}$ .

109. Спектры комбинационного рассеяния неорганических соединений. Вудворд (Raman spectra of inorganic compounds. Woodward L. A.), Quart. Revs. London Chem. Soc., 1956, 10, № 2, 185—207 (англ.)

Обзор. Библ. 126 назв.

110. Определение структуры молекул из измерений вращательных спектров. Тернер, Хоу (Determination of molecular structures from rotational spectra measurements. Turner T. E., Howe J. A.), J. Chem. Phys., 1956, 24, № 4, 924—925 (англ.)

Предложен метод определения структурных параметров  $X_k$  асимметричных молекул из экспериментально измеренных моментов инерции изотопных молекул  $P_k$  ( $k$  — номер момента инерции изотопной молекулы

), основанный на решении системы линейных уравнений  $P_k$  (измер.) —  $P_k$  (рассчит.) =  $\sum_i (\Delta P_k^i / \Delta X_i) \Delta X_i$  отнесительно  $\Delta X_i$ . Коэфф.  $\Delta P_k^i / \Delta X_i$  определяются путем предварительного выбора значений  $X_i$  и определения  $\Delta P_k^i$  при изменении одного  $X_i$  на  $\Delta X_i$ . Процесс может быть применен несколько раз. В качестве примера по данным микроволновых измерений  $\text{C}_2\text{H}_4\text{O}$ ;  $\text{CCl}_3\text{H}_4\text{O}$  и  $\text{C}_2\text{D}_4\text{O}$  (Cunningham и др., J. Chem. Phys., 1951, 19, 676) определена структура молекул. Ур-ния решены с помощью машины ОРДВАК. Найдено  $\text{C}-\text{C}$  1,470  $\pm$  0,001 Å;  $\text{C}-\text{O}$  1,435  $\pm$  0,001 Å;  $\text{C}-\text{H}$  1,083  $\pm$  0,002 Å;  $\text{C}-\text{D}$  1,083  $\pm$  0,001 Å;  $\angle \text{H}_2\text{CC}$  158°  $\pm$  39';  $\angle \text{D}_2\text{CC}$  158°  $\pm$  22';  $\angle \text{HCH}$  116°  $\pm$  21';  $\angle \text{DCD}$  116°  $\pm$  12'. Т. Бирштейн

111. Влияние резонанса Ферми на постоянную центробежного растяжения линейной молекулы. Ама, Голдсмит, Нильсен (Influence of Fermi resonance on the centrifugal stretching constant of a linear molecule. Amat Gilbert, Goldsmith Mark, Nielsen Harald H.), J. Chem. Phys., 1956, 24, № 1, 44—47 (англ.); Исправление (Evata), J. Chem. Phys., 1956, 25, № 4, 800

Теоретически исследовано влияние резонанса Ферми на вращательные уровни энергии линейной молекулы, обладающей частотами колебаний  $\omega_1, \omega_2 \dots \omega_g$  ( $\omega_1 \approx 2\omega_2$  и соответствующие волновые функции принадлежат к одному классу симметрии, причем состояние  $\omega_1$  невырождено). Колебательно-вращательные уровни энергии определяются как корни  $X'$  векового ур-ния, в котором диагональные члены имеют вид  $E_{Vi} + E_{Ri} - X'$  ( $i = 1, 2, 3$ ) и, кроме того, отличны от нуля матричные элементы  $W_i, i \pm 1$ , где  $E_{Vi}$  и  $E_{Ri} = B_{Vi} J(J+1) - DJ^2(J+1)^2$  — невозмущенные колебательные и вращательные уровни энергии, соответствующие состоянию с заданным  $2V_1 + V_2$  ( $V_i$  — колебательные квантовые числа), а  $W_{i,i \pm 1}$  — матричные элементы  $V_1 V_2$ , ( $V_1 \pm 1$ ) ( $V_2 \pm 2$ ) кубического члена потенциальной энергии. Используя решение  $x_k$  векового ур-ния для колебательных уровней энергии, авторы находят приближенное выражение энергии возмущенного вращательного состояния линейной молекулы  $\Delta x_k = \delta'(x_k) J(J+1) - [D - \delta''(x_k)] J^2(J+1)^2 + \dots$ , где  $\delta'(x_k)$  — линейная комбинация величин  $B_0$  невозмущенных состояний, а  $\delta''(x_k)$  — квадратичная форма с членами вида  $[B_{V_1} - \delta'(x_k)] [B_{V_2} - \delta'(x_k)]$ . Полученные выражения  $\delta'(x_k)$  и  $\delta''(x_k)$  в случае дважды вырожденного уровня энергии, когда помимо резонанса Ферми имеет место также  $l$ -удвоение. Развита теория применена к  $\text{CO}_2$ . Т. Бирштейн

112. Асимметричный волчок. Сходимость разложения приведенной энергии в бесконечные дроби. Розенер (Asymmetric rotor. Convergence in the continued-fraction expansion of the reduced energies. Rosenner D. W.), J. Chem. Phys., 1956, 24, № 3, 546—547 (англ.)

При расчете уровней энергии асимметричного волчка для нахождения корней векового ур-ния часто пользуются разложением его в бесконечные дроби:  $y = A_m - B_m / \{A_{m-1} - y - [B_{m-1} / (A_{m-2} - y - \dots)]\} - B_{m+1} / \{A_{m+1} - y - [B_{m+2} / (A_{m+2} - y - \dots)]\} = ay$  (King и др., J. Chem. Phys., 1943, 11, 27). Приближенное решение обычно получается выбором  $y_0$  и подстановкой  $y_{n+1} = ay_n$ , вплоть до  $y_{r+1} = y_r$  с необходимой точностью. Разработан метод, ускоряющий определение  $y$  с требуемой точностью. Для сходимости



должно быть  $0,5 < k \leq 1$ , где  $k = (y - y_n) / (y_{n+1} - y_n) = 1/(1 + c)$ ;  $c \sim B_m / (A_{m-1} - y)^2 + B_{m+1} / (A_{m+1} - y)^2$ . Предложена следующая последовательность определения  $y$ :  $y_0 \xrightarrow{\alpha} y_1 \xrightarrow{\beta} y_2 (y_2 = (1 - k)y_0 + ky_1) \xrightarrow{\gamma} y_3 \xrightarrow{\delta} y_4$  ( $y_{n+1} = \beta y_n = y_n + \Delta y_n^{(1)}$ );  $\Delta y_n^{(1)} = (y_1 - y_n) / [1 + (y_1 - y_0) / (y_{n-1} - y_n)] \xrightarrow{\alpha} y_5 \xrightarrow{\beta} y_6 \xrightarrow{\gamma} y_7 (y_{m+2} = \gamma y_{m+1} = y_{m+1} + \Delta y_{m+1}^{(2)})$ ;  $\Delta y_{m+1}^{(2)} = (y_{n+1} - y_{m+1}) / [1 - \Delta y_n^{(1)} / \Delta y_m^{(1)}]$ . Т. Бирштейн

**113. Инфракрасное поглощение в жидком и твердом водороде с различным соотношением орто- и параводорода.** Хэ р, Алли н, Уэл ш (Infrared absorption of liquid and solid hydrogen with various orthopara ratios. Hare W. F. J., Allin Elizabeth J., Welsh H. L.), Phys. Rev., 1955, 99, № 6, 1887—1888 (англ.)

В развитие предыдущей работы (РЖХим, 1956, 12160) исследовано поглощение ИК-излучения ( $4000-5500 \text{ см}^{-1}$ ) в жидком и твердом водороде с различным соотношением *o*- и *n*-водорода в интервале  $10-22^\circ \text{ K}$ . В твердом водороде при  $13,6 \pm 0,2^\circ \text{ K}$  имеют место три основные группы максимумов поглощения: группа  $Q[Q_Q, Q_R]$  вблизи начала полосы, группа  $S(0)$  пара-переходов  $J=0 \rightarrow 2[S_1(0), S_2(0), S'(0)]$  и группа  $S(1)$ , орто-переходов  $J=1 \rightarrow 3[S_1(1), S_2(1), S'(1)]$ . Наблюдаются также переходы  $2S(0)S(0)$  и  $S(1), 2S(1)$ . Форма компонент  $Q_R, S'(0)$  и  $S'(1)$ , не зависит от отношения *o*-/*n*-, и соответствующие вероятности переходов линейно зависят от величины *o*/*n* и равны.  $Q_R(n) : Q_R(0) : S'(0) : S'(1) = 10 : 19 : 22 : 11$ . Эти компоненты являются суммами колебательных и вращательных частот молекул с частотами колебаний кристаллич. решеток. Компонента  $Q_Q$  отсутствует в 100% *n*-водорода, переход  $J=0 \rightarrow 0$  запрещен. Вероятности перехода, экстраполированные для *n*-водорода  $Q_Q : S_1(0) : S_1(1) = 6 : 5 : 9$ , что соответствует теоретически рассчитанным вероятностям для переходов обусловленных квадрупольным взаимодействием. Экстраполяция для *o*-водорода дает  $Q_Q : S_1(0) : S_1(1) = 6 : 32 : 9$ . Таким образом, квадрупольное взаимодействие зависит от состояния вращения соседних с поглощающей молекул. Т. Бирштейн

**114. Инфракрасный спектр и молекулярные константы двуокиси углерода. Часть II. Уровни  $10^\circ 0$  и  $02^\circ 0$ ,  $10^\circ 1$  и  $02^\circ 1$ , связанные резонансом Ферми.** Росман, Фране, Рао, Нильсен (Infrared spectrum and molecular constants of carbon dioxide. Part II. Levels  $10^\circ 0$  and  $02^\circ 0$ ,  $10^\circ 1$  and  $02^\circ 1$  coupled by Fermi resonance. Rossmann Kurt, Francis W. L., Rao K. Narahari, Nielsen H. H.), J. Chem. Phys., 1956, 24, № 5, 1007—1008 (англ.)

В продолжение предыдущей работы (Сообщение I, РЖХим, 1956, 57262) исследованы с высоким разрешением связанные резонансом Ферми пары уровней  $10^\circ 0$  и  $02^\circ 0$ ;  $10^\circ 1$  и  $02^\circ 1$  в  $\text{CO}_2$ . В полосе  $10^\circ 0-01^\circ 0$  структура разрешена до  $J=55$  в ветвях *P* и *R*; в полосе  $02^\circ 0-01^\circ 0$  ветвь *P* разрешена до  $J=51$ , ветвь *R* — только до  $J=21$ . Комбинируя результаты измерений с ранее полученными для  $(v_3 - 2v_2)$ ,  $(v_3 - v_1)$  и  $v_3$ , авторы нашли вращательные постоянные и для уровни  $02^\circ 0$ . Найдено  $D_{10^\circ 0} = 11,9 \cdot 10^{-8} \text{ см}^{-1}$ ,  $D_{02^\circ 0} = 16,1 \cdot 10^{-8} \text{ см}^{-1}$ , для основного состояния  $D_{00^\circ 0} = 14,0 \cdot 10^{-8} \text{ см}^{-1}$ , т. е. в пределах точности измерений среднее значение *D* для пары Ферми  $10^\circ 0$ ,  $02^\circ 0$  такое же, как для низшего колебательного состояния. Результаты, полученные для полос  $10^\circ 1$  и  $02^\circ 1$ , по-

казывают отчетливое влияние резонанса Ферми на центробежные постоянные. В. Дзанов-Клюков

**115. Инфракрасные спектры  $\text{T}_2\text{O}$ ,  $\text{TNO}$  и  $\text{TDO}$ .** Стате, Морган, Голдстейн (Infrared spectra of  $\text{T}_2\text{O}$ ,  $\text{TNO}$ , and  $\text{TDO}$ . Staats P. A., Morgan H. W., Goldstein J. H.), J. Chem. Phys., 1956, 24, № 4, 916—917 (англ.)

В диапазоне  $700-7000 \text{ см}^{-1}$  измерены ИК-спектры газообразных  $\text{T}_2\text{O}$ ,  $\text{TNO}$  и  $\text{TDO}$ . Обнаружены полосы  $v_2$ ,  $v_3$ ,  $v_2 + v_3$  и  $v_1 + v_3$  для  $\text{T}_2\text{O}$ ;  $v_2$  и  $v_3$  для  $\text{TNO}$  и  $v_3$  для  $\text{TDO}$ . Все полосы, кроме  $v_2$ , содержат *Q*-ветви. При введении поправки на ангармоничность с ранее найденными значениями (Libby W. F., J. Chem. Phys. 1943, 11, 101) найдено для  $\text{T}_2\text{O}$   $\omega_2 = 1017,2$ ;  $\omega_3 = 2438 \pm 5$ ; для  $\text{TNO}$   $\omega_2 = 1358,8$ ;  $\omega_3 = 3895 \pm 10$ ; для  $\text{TDO}$   $\omega_3 = 2829,5 \text{ см}^{-1}$ , в хорошем согласии со значениями, вычисленными исходя из потенциала и силовых постоянных  $\text{H}_2\text{O}$ , кроме значения  $\omega_2$   $\text{TNO}$  (расхождение  $16 \text{ см}^{-1}$ ). Т. Бирштейн

**116. Определение молекулярных постоянных  $\text{N}_2\text{O}$  из измерений  $v_2$  при  $17 \mu$ .** Лакшми, Рао, Нильсен (Molecular constants of nitrous oxide from measurements of  $v_2$  at  $17 \mu$ . Lakshmi K., Rao K. Narahari, Nielsen H. H.), J. Chem. Phys., 1956, 24, № 4, 811—813 (англ.)

Исследована колебательно-вращательная полоса  $v_2$   $\text{N}_2\text{O}$  при  $17 \mu$ , вплоть до  $J=64$ , с помощью решетки с 5000 штрихов на  $1 \text{ см}$ . Найдено (в  $\text{см}^{-1}$ ):  $v_0 = 588,78$ ;  $B_{00^\circ 0} = 0,4190$ ;  $D_{00^\circ 0} = 0,19 \cdot 10^{-6}$ ;  $B_{01^\circ 0}^{(4)} - B_{00^\circ 0} = 0,000164$ . Не обнаружено различия значений постоянных центробежного возмущения  $D_{00^\circ 0}$  и  $D_{01^\circ 0}$ . Т. Бирштейн

**117. Измерения полосы  $v_2$   $\text{NO}_2$  при  $200^\circ$  с помощью решетки.** Келлер, Нильсен (Grating measurements on  $v_2$  of  $\text{NO}_2$  at  $200^\circ$  C. Keller Fred L., Nielsen Alvin H.), J. Chem. Phys., 1956, 24, № 3, 636—637 (англ.)

Исследована колебательно-вращательная полоса  $v_2$   $\text{NO}_2$  в интервале  $647,42-916,76 \text{ см}^{-1}$  с помощью спектрографа с решеткой с 3000 штрихов на  $1 \text{ см}$  при  $200^\circ$ . Идентифицированы линии от  $P_{Q_0}$  до  $P_{Q_1}$  и от  $R_{Q_0}$  до  $R_{Q_2}$ . Интервалы между линиями монотонно возрастают от  $8,85 \text{ см}^{-1}$  для  $P_{Q_0} - P_{Q_1}$  до  $18,23 \text{ см}^{-1}$  для  $R_{Q_1} - R_{Q_2}$ , за исключением участка от  $P_{Q_2}$  до  $R_{Q_2}$ . Пренебрегая четырьмя центральными линиями и рассматривая  $\text{NO}_2$  как симметричный волчок, авторы нашли (в  $\text{см}^{-1}$ ):  $v_2 = 749,65$ ;  $A'' - B'' = 7,585$ ;  $A' - B' = 7,925$ ;  $\Delta(A - B) = 0,337 - 0,340$ ;  $D_{K''} = D_{K'} = 2,59 \cdot 10^{-3}$ . Т. Бирштейн

**118. Взаимодействие валентных колебаний и инверсии в аммиаке.** Бенедикт, Пайлер (Interaction of stretching vibrations and inversion in ammonia. Benedict W. S., Plyler Earle K.), J. Chem. Phys., 1956, 24, № 4, 904 (англ.)

Исследовано поглощение  $\text{NH}_3$  в диапазоне  $2,15-2,47 \mu$  ( $4050-4720 \text{ см}^{-1}$ ) с разрешением  $\sim 0,15 \text{ см}^{-1}$  и проанализировано  $\sim 1000$  линий, принадлежащих полосам  $v_3 + v_2$  с  $J$  до 11;  $v_1 + v_2$  с  $J$  до 10 и разрешенной *K*-структурой в ветвях *P* и *R*. Найденны значения  $B$ ,  $D_J$ ,  $D_{JK}$  и  $D_K$ , равные в основном состоянии  $0^0$   $9,9468$ ;  $8,00 \cdot 10^{-4}$ ;  $-14,18 \cdot 10^{-4}$  и  $7,36 \cdot 10^{-4} \text{ см}^{-1}$  и в основном состоянии  $0^+$   $9,9418$ ;  $7,83 \cdot 10^{-4}$ ;  $-13,72 \cdot 10^{-4}$  и  $7,04 \cdot 10^{-4} \text{ см}^{-1}$  соответственно. В состоянии  $v_3 + v_2$  постоянная расщепления  $\zeta$  различна в двух инверсионных состояниях:  $0,0388$  и  $0,0423 \text{ см}^{-1}$  и слегка зависит от  $K$  и  $J$ . Величина инверсионного удвоения при наличии валентных колебаний уменьшается, свидетельствуя о росте потенциального барьера. Так для  $J, K=0$  инверсионное удвоение равно  $35,9 \text{ см}^{-1}$

для  $\nu_1\nu_2\nu_3$  010; 25,51  $\text{см}^{-1}$  для 110 и 18,49  $\text{см}^{-1}$  для 011. Т. Бирштейн

119. Применение спектроскопического метода в органической химии. Чэнь Го-чжэнь (分子光谱法在有机化学上的应用. 陳國珍), 化學通報. Хуасюэ тунбао, 1956, № 1, 5—11 (кит.).  
Элементарное изложение. Библ. 8 назв.

120. Молекулярные спектры. У Чжэн-кай (分子光谱. 吳征鎧), 化學通報. Хуасюэ тунбао, 1956, № 7, 15—28 (кит.).  
Элементарное изложение.

121. Теория сверхтонкой структуры молекулы NO. II. Исправление ошибок и дополнительное обсуждение. Линь, Мидзуэма (Theory of the hyperfine structure of the NO molecule. II. Errata and some additional discussion. Lin Chun C., Mizushima Masatak a), Phys. Rev., 1955, 100, № 6, 1726—1730 (англ.).

Рассмотрен гамильтониан магнитного взаимодействия двухатомной молекулы NO в представлении, в котором диагональны  $\Omega$ ,  $\Sigma$ ,  $\Lambda$ ,  $J$ ,  $I$  и  $F$  (случай Гунда «а»). С учетом членов до второго порядка, включительно, найдено выражение для магнитной сверхтонкой структуры  $\Delta W_{c,d} = -(b\nu/8) \cdot [F(F+1) - I(I+1) - J(J+1)] \times \times [(2J+3)(2J-1)]^{1/2} J(J+1)$ , являющееся обобщением ранее найденного выражения (Сообщение I, РЖХим, 1955, 33851), в котором не учитывался фермиевский член. Отсюда вклад состояния  $J = 3/2$  в  $P \Delta P_{c,d}$  ( $J = 3/2$ ) =  $+0,20 \text{ Мгц}$  (опыт  $0,23 \text{ Мгц}$ ). Исправлена ошибка, допущенная при выводе выражения для электрич. квадрупольной сверхтонкой структуры и произведен расчет квадрупольной сверхтонкой структуры с учетом смещения состояний  $^2\Pi_{1/2}$  и  $^2\Pi_{3/2}$  и  $\Lambda$ -удвоения. Найдено  $(cJm|H_2|cJm) = A' + B'$ ,  $(dJm|H_2|dJm) = A' - B'$ ;  $A \sim W'_{c,d}$ , где  $H_2$  — гамильтониан квадрупольного взаимодействия,  $W'_{c,d}$  — обычное выражение квадрупольной энергии молекулы типа симметричного волчка, функция  $eQq$ , а  $B'$  — функция  $eQq'$ ,  $q' = 3e < (x^2 + y^2)/r^5 > n$  ( $\pi$  — нечетн.). (усреднение по нечетным  $\pi$ -электронам,  $n$  — число таких электронов). Сравнение с экспериментом дает  $eQq = -1,7 \text{ Мгц}$ ;  $eQq' = 22 \text{ Мгц}$  для состояния  $^2\Pi$ . Оценка  $q'$  для одного нечетного электрона в чистом  $p\pi$  состоянии дает  $Q = (0,008 - 0,012) \cdot 10^{-24} \text{ см}^2$ . Найденные значения  $eQq$  и  $eQq'$ , а также значения  $a = 23,14 \text{ Мгц}$ ,  $b = 14,065 \text{ Мгц}$  дают хорошее согласие теории с экспериментом как для переходов  $J = 1/2 \rightarrow 3/2$ , так и для переходов  $J = 3/2 \rightarrow 5/2$  в состоянии  $^2\Pi_{1/2}$ . Рассчитан магнитный резонансный спектр NO в состоянии  $^2\Pi_{3/2}$ , исходя из представления для случая Гунда «а», в котором  $\Sigma$ ,  $\Lambda$ ,  $\Omega$ ,  $J$  и  $M_J$  диагональны. Использован метод возмущений до третьего порядка. Малое квадрупольное взаимодействие учтено лишь в первом порядке. Найдено выражение уровней энергии через  $a$ ,  $b$ ,  $c$ ,  $M_J$ ,  $\nu_0$ ,  $H$ ,  $M_I$  и  $eQq$ . Рассчитанные значения частот переходов  $\Delta M_J = 0$ ,  $\Delta M_I = 0$  при учете швингеровской аномалии спинного момента оказались больше экспериментальных (РЖХим, 1955, 33851), что, возможно, обусловлено ошибкой в выбранной, постоянной спин-орбитального взаимодействия  $D = 124,2 \text{ см}^{-1}$ .

Т. Бирштейн

122. Микроволновый спектр и структура молекул  $(\text{CH}_3)_3\text{SiI}$ . Рекерд, Хаугейт, Гантон, Оллом (Microwave spectrum and molecular structure of  $(\text{CH}_3)_3\text{SiI}$ . Rexroad H. N., Howgate D. W., Guntton R. C., Olloom J. F.), J. Chem. Phys., 1956, 24, № 3, 625 (англ.).

При т-ре сухого льда в диапазоне 32,8—37,3  $\text{кМгц}$  обнаружено по 7—8 линий каждого вращательного перехода  $J = 14 \rightarrow 15$ ;  $15 \rightarrow 16$ ,  $16 \rightarrow 17$  в  $(\text{CH}_3)_3\text{Si}^{23}\text{J}$ . Предполагается, что линии обусловлены переходами в различных колебательных состояниях. Переходы в основном колебательном состоянии дают спектр симметричного волчка. Найдено  $I_B = 765,30 \cdot 10^{-40} \text{ г см}^2$ , что соответствует  $d_{\text{SiJ}} = 2,46 \pm 0,02 \text{ \AA}$  при предположении  $d_{\text{CH}} = 1,093 \text{ \AA}$ ;  $d_{\text{SiC}} = 1,81 \text{ \AA}$ ;  $< \text{HCH}$  и  $< \text{CSiC}$  = тетраэдрические.

Т. Бирштейн

123. Микроволновый спектр и структура молекул  $(\text{CH}_3)_3\text{SiBr}$ . Оллом, Синнесгалли, Рекерд, Гантон (Microwave spectrum and molecular structure of  $(\text{CH}_3)_3\text{SiBr}$ . Olloom J. F., Sinisgalli A. A., Rexroad H. N., Guntton R. C.), J. Chem. Phys., 1956, 24, № 2, 487—488 (англ.).

С помощью спектрометра со штарковской модуляцией в диапазоне 29—40,5  $\text{кМгц}$  при т-ре сухого льда измерены частоты переходов от  $J = 9 \rightarrow 10$  до  $J = 13 \rightarrow 14$  в  $(\text{CH}_3)_3\text{Si}^{25}\text{Br}^{79}\text{I}$  (I) и  $(\text{CH}_3)_3\text{Si}^{25}\text{Br}^{81}\text{I}$  (II). Обнаружено по несколько линий в каждом вращательном переходе с расщеплением 10—30  $\text{Мгц}$ , по-видимому, обусловленных переходами в различных колебательных состояниях. Линии, соответствующие основному колебательному состоянию, эквидистантны. Найдено  $I_B = 573,83 \cdot 10^{-40} \text{ г см}^2$  (I) и  $578,90 \cdot 10^{-40} \text{ г см}^2$  (II), откуда  $d_{\text{SiC}} = 1,81 \pm 0,02 \text{ \AA}$ ;  $d_{\text{SiBr}} = 2,24 \pm 0,02 \text{ \AA}$  при предположении  $d_{\text{CH}} = 1,093 \text{ \AA}$ ;  $< \text{HCH}$  и  $< \text{CSiC}$  = тетраэдрические.

Т. Бирштейн

124. Микроволновый спектр и дипольный момент циклопентадиена. Лорн (Microwave spectrum and dipole moment of cyclopentadiene. Laurie Victor W.), J. Chem. Phys., 1956, 24, № 3, 635—636 (англ.).

С помощью спектрометра со штарковской модуляцией в диапазоне 19,5—24 и 29—30  $\text{кМгц}$  исследован спектр молекулы циклопентадиена и идентифицировано 15 линий вращательного спектра асимметричного волчка. Из трех переходов  $J = 1 \rightarrow 2$  найдено  $I_a = 5,989(9)$ ;  $I_b = 61,452(5)$ ,  $I_c = 118,336(8)$  атомн. ед. массы  $\times \text{\AA}^2$ ;  $K = (2b - a - c/a - c) = 0,90346$ ; относительная интенсивность переходов свидетельствует о симметрии  $C_{2v}$ ; малое значение  $I_a + I_b - I_c$  подтверждает плоскую структуру кольца. Полученные значения  $I$  согласуются со структурой молекулы, определенной ранее методом дифракции электронов (Schomaker V., Pauling L., J. Amer. Chem. Soc., 1939, 61, 1769).  $\text{CH} - \text{CH}$  1,46;  $\text{C} = \text{C}$  1,34;  $\text{CH} - \text{CH}_2$  1,54  $\text{\AA}$ ;  $< \text{CH} - \text{CH} = \text{CH}$   $110^\circ$ ;  $< \text{CH} = \text{CH} - \text{CH}_2$   $109^\circ$ ;  $< \text{C} - \text{C} - \text{C}$   $101^\circ$ . Из эффекта Штарка переходов  $1 \rightarrow 2$  с помощью ранее разработанного метода (Golden S., Wilson E. B., Jr, J. Chem. Phys., 1948, 16, 669) найден дипольный момент  $0,416 \pm 0,010 \text{ D}$ , направленный по оси  $b$ . Т. Бирштейн

125. Спектр поглощения паров муравьиной кислоты при длинах волн от 2,5 до 4,5  $\text{мм}$ . Вертхеймер (Spectre d'absorption de la vapeur d'acide formique entre 4,5 et 2,5 mm de longueur d'onde. Wertheimer R.), Colloq. A. M. P. E. R. E., mars, 1956, Inst. Phys. Univ. Genève, 1956, 16—17 Arch. sci., 1956, 9, fasc. spécial, 47—48 (франц.).

Исследован спектр поглощения НСООН в диапазоне 2,5—4,5  $\text{мм}$  (67—116  $\text{кМгц}$ ). Идентифицированы переходы  $J = 2 \rightarrow 3$ ,  $3 \rightarrow 4$ ,  $4 \rightarrow 5$   $K_1 = 0$ ;  $K_{+1} = 1$ . Найдено  $B - C = 1638,4 \text{ Мгц}$  и  $1638,7 \text{ Мгц}$  для переходов  $J = 4 \rightarrow 5$  и  $3 \rightarrow 4$  соответственно.

Т. Бирштейн

126. Квадрупольное взаимодействие в характер химической связи в винилгалогенидах. Голдстейн (Quadrupole coupling and bond character in the vinyl halides. Goldstein J. H.), J. Chem. Phys., 1956, 24, № 1, 106—109 (англ.).

Анализ сверхтонкой структуры спектров молекул типа асимметричных вольфов позволяет получить диагональные элементы тензора  $\chi = eQq$  в системе главных осей инерции молекулы  $abc$ . Чтобы связать эксперим. результаты для плоских молекул типа винилгалогенидов  $C_2H_3X$  со свойствами хим. связи, содержащей ядро  $X$ , с квадрупольным моментом  $Q$ , необходимо преобразовать  $\chi$  к системе  $x, y, z$ , в которой ось  $z$  направлена по связи  $C_2 - X$ , а ось  $y$  перпендикулярна плоскости молекулы. Преобразование осуществляется при предположении  $\chi_{xz} = 0$ . Величина  $\chi_{zz}$  характеризует степень оттягивания электронов в направлении рассматриваемой связи; величина  $\Delta = \chi_{xx} - \chi_{yy}$  показывает отклонение от цилиндрич. симметрии в распределении заряда вблизи ядра галогена, т. е. отражает степень двосвязности. Расчет величины  $\Delta$  для молекул типа  $C_2H_3 - X$  исходя из приближения АО показывает, что основной вклад в  $\Delta$ , даваемый  $\pi$ -электронами ( $p_y$ ), обусловлен  $p_y$  электронами атома  $X$  и что пренебрежение членами, связанными с перекрыванием электронных волновых функций и с вкладом  $p_y$  электронов углерода, вносит ошибку не более  $\sim 15\%$ . Окончательно найдено, что  $\delta = (\Delta \text{ эксперим.} / \Delta \text{ атом.})$  характеризуется с точностью  $\sim 20\%$  недостатком  $p_y$ -электронов у ядра  $X$  из-за двосвязности связи  $C_2 - X$ . Метод применен к  $C_2H_3Cl^{35}$  (I) и  $C_2H_3J$  (II). В случае I из эксперим. значений  $\chi_{aa} = -57,4 \text{ Мгц}$ ,  $\chi_{bb} = 26,2 \text{ Мгц}$  (Goldstein J. H., Bragg J. K., Phys. Rev., 1949, 75, 1453) найдено  $\delta = 0,06 \pm 0,004$ ,  $\chi_{zz} = -72 \text{ Мгц}$ . Для II эксперим. значения  $\chi_{aa} = -1656 \text{ Мгц}$ ,  $\chi_{bb} = 770 \text{ Мгц}$  (РЖХим, 1955, 42404); найдено  $\delta = 0,03$ , так что двосвязность оценивается в 6% для I и 3% для II.

Т. Бирштейн

**127. Исследование фосфонитрилхлоридов с помощью чисто квадрупольных спектров. Нэгита, Сато** (Studies on phosphonitride chlorides by their pure quadrupole spectra, Negita Hisao, Satou Sumio), Bull. Chem. Soc. Japan, 1956, 29, № 3, 426—427 (англ.)

Исследованы квадрупольные спектры, обусловленные  $Cl^{35}$ , в  $(PNCl_2)_3$  (I) и  $(PNCl_2)_4$  (II). При  $287^\circ K$  в I и II имеет место поглощение при четырех различных частотах в интервале 27,6—27,9 и 27,2—28,6 Мгц соответственно. В случае тримера крайние линии более интенсивны, чем средние; у тетрамера интенсивности всех линий одинаковы. По-видимому, можно предположить следующее распределение атомов Cl разного типа:  $2+1+1+2 = 6$  для I и  $2+2+2+2 = 8$  для II. Ионный характер связи P—Cl может быть определен как  $\alpha = 1 - \nu/\nu_0$ , где  $\nu$  — частота поглощения, а  $\nu_0 = 54,87 \text{ Мгц}$  — постоянная связи в атомарном Cl. Сравнение показывает, что ионный характер связи P—Cl в случаях I и II близок к значению  $\alpha$  при  $POCl_3$ . Характер спектра I согласуется с тем фактом, что основным продуктом гидролиза I является  $P_3N_3(OH)_4Cl_4$ .

Т. Бирштейн

**128. Интенсивность ядерных квадрупольных спектров твердых растворов. Монфис, Грожан** (Intensité des spectres nucléaires quadripolaires des solutions solides. Monfils André, Grosjean Denise), Physica, 1956, 32, № 6, 541—544 (франц.). Предлагается следующий механизм обнаруженного ранее (РЖХим, 1956, 64255) влияния примесей на интенсивность квадрупольного резонанса (КР): молекулы примеси изменяют градиент поля электронов соседних атомов на их ядрах, что смещает частоту КР. В объеме, где смещение частоты больше полуширины линии, ядра не дают вклада в КР. Этот объем с центром на атоме примеси определяет эффективный объем (ЭО) примеси  $r$ . Интенсивность КР пропорциональна объему образца

без ЭО и примесей. Если интенсивность без примесей равна 1, то уменьшение ее  $d_a$ , обусловленное числом  $dn$  атомов примесей, равно  $(1 - \alpha) \nu V^{-1} dn$ , где  $V$  — общий объем; отсюда  $(1 - \alpha) = \exp(-\nu_r C)$ , где  $C$  — молярная конц-ия примеси,  $\nu_r$  — отношение ЭО примеси к объему единичной  $n$   $ClC_6H_4Br$  ячейки в-ва. Опыт показал, что интенсивность КР в  $n-C_6H_4Br$ ,  $n-BrC_6H_4J$ ,  $n$ -хлорфеноле,  $n$ -хлортолуоле,  $n$ -хлоранилине, нафталине хорошо описывается этой ф-лой; из кривых найдены значения  $\nu_r$  для этих в-в. Изменение частоты КР может быть обусловлено 1) механич. и 2) электрич. искажением решетки. В первых трех в-вах дипольные моменты связей  $C - Cl$  ( $\mu_{C-Cl}$ ) и  $C - X$  ( $\mu_{C-X}$ ) одинаковы, но различны атомные объемы  $\nu_X$ . Найдено, что  $\nu_r$  линейно возрастает с ростом  $(\nu_X - \nu_{Cl})$ . В остальных трех в-вах атомные объемы одинаковы, но различны  $\mu$ : тогда  $\nu_r$  возрастает линейно с  $(\mu_{C-X} - \mu_{C-Cl})^2$ . Из этих графиков найдено, что  $\nu_r = 41 (\nu_X - \nu_{Cl})$  и  $\nu_r = 48 (\mu_{C-X} - \mu_{C-Cl})^2$ .

К. Валиев

**129. Ядерный квадрупольный резонанс соединений брома и йода. Имаэда** (臭素及び碘素化合物の物四重極共鳴吸収. 今枝彬郎), 徳島大学工学部研究報告, Tokushima дайгаку когакубу кэнкю хококу, Scient. Papers Fac. Engng Tokushima Univ., 1955, № 6, 14—20 (япон.; реэ. англ.)

Исследованы спектры ядерного электрич. квадрупольного резонанса  $Br^{79}$  и  $J^{127}$  в  $LiBrO_3$ ,  $NaBrO_3$ ,  $KBrO_3$ ,  $AgBrO_3$ ,  $Ca(BrO_3)_2 \cdot H_2O$ ,  $Sr(BrO_3)_2 \cdot H_2O$ ,  $Cd(BrO_3)_2 \cdot H_2O$ ,  $Ba(BrO_3)_2 \cdot H_2O$ ,  $HgBrO_3$ ,  $Mg(BrO_3)_2$ ,  $Ni(BrO_3)_2 \cdot 6H_2O$ ,  $Zn(BrO_3)_2 \cdot 6H_2O$ ,  $Co(BrO_3)_2 \cdot 6H_2O$ ,  $Cu(BrO_3)_2 \cdot 5H_2O$ ,  $CH_3BrCOOH$ ,  $J_2O_5$  при комнатной  $t$  и  $t$  ре сухого льда. В некоторых группах периодич. системы частоты броматов металлов уменьшаются при увеличении атомного веса металла. Понижение частоты тем меньше, чем больше кристаллизационной воды содержится в соединении.

Резюме автора

**130. Электронный парамагнитный резонанс. Берте** (La résonance paramagnétique électronique. Berthet Ginette), Cahiers phys., 1956, № 67, 6—18 (франц.) Популярный обзор. Библ. 48 назв.

**131. Соотношения для ядерной магнитной дипольной и электрической квадрупольной энергии. Браун, Харкер** (Nuclear magnetic dipole and electric quadrupole energy relations. Brown L. Carlton, Parker Paul M.), Phys. Rev., 1955, 100, № 6, 1764—1767 (англ.)

Для сравнения экспериментально наблюдаемых частот переходов с ожидаемыми теоретически при наличии дипольного магнитного и квадрупольного электрич. взаимодействия предложен метод, состоящий в разложении теоретич. векового определителя по полиномам, коэфф. которых сравниваются с коэфф. идентичных полиномов, определенными по эксперим. частотам  $\nu_i$ . По частотам  $\nu_i$  могут быть построены выражения для уровней энергии  $F_i$   $\nu_i = F_{i+1} - F_i$  и построен вековой полином  $(F - F_1)(F - F_2) \dots (F - F_n) = F^n + a_1 F^{n-1} + \dots + a_n = 0$  ( $n = 2I + 1$ ). Гамильтониан  $H = -\mu H_0 - 1/2 Q \nabla E$  может быть записан в системе  $x, y, z$ , в которой тензор градиента электрич. поля  $\nabla E$  диагонален, через частоту ларморовой прецессии  $\nu_0 = \mu H_0 / \hbar$ , полярный  $\theta$  и азимутальный  $\varphi$ , углы вектора  $H_0$  в системе  $x, y, z$ , квадрупольное взаимодействие  $e^2 q Q$  и параметр асимметрии градиента электрич. поля  $\eta$ . В собственном представлении  $I^2$  и  $I_z$  отличны от нуля матричные элементы  $H_{mm'}$ ,  $H_{m, m \pm 1}$ ;  $H_{m, m \pm 2}$ . Вековое ур-ние  $|H_{mm'} - F \delta_{mm'}| = 0$  может быть разложено



в ряд по степеням  $F$ , и коэфф. при  $F^k$  сравниваются с эксперим. значениями. Рассмотрено применение метода в случае чисто квадрупольного перехода в кристалле, при специально выбранных ориентациях  $H_0$  относительно главных осей кристалла, при наличии как дипольного, так и квадрупольного взаимодействия, а также в случае молекулы типа асимметричного волчка.

Т. Бирштейн

**132. Спектры ядерного магнитного резонанса сопряженных ароматических углеводородов. Бернштейн, Шнейдер** (Nuclear magnetic resonance spectra of conjugated aromatic hydrocarbons. Bernstein H. J., Schneider W. G.), J. Chem. Phys., 1956, 24, № 2, 468—469 (англ.)

С целью установления магнитной эквивалентности или неэквивалентности атомов водорода в разных положениях колец исследован хим. сдвиг протонного резонанса в ряде сопряженных ароматич. углеводородов (по сравнению с циклогексаном) при частоте 40 Мгц. В случае линейно аниелированных аценов (нафталин, антрацен) тонкая структура спектра совпадает с предполагаемой на основании соображений симметрии (число атомов H разных типов, соответственно, 4(a), 4(β) и 4(α), 4(β), 2 (мезо). Имеется качественное согласие между спектральным положением сигнала и свободной валентностью атома углерода, с которым связан данный протон, сигнал наблюдается при тем большей частоте, чем больше свободная валентность. Столь простая связь отсутствует, однако, в случае нелинейно аниелированных фенов (пирен, фенантрен, бензофенантрен, перилен и др.), при этом соображения симметрии не могут объяснить наблюдаемые спектры. Спектр фенантрена может быть объяснен при предположении, что имеются две группы резонирующих атомов водорода, каждая из которых содержит эквивалентные атомы: атомы 4,5 и группа, включающая все остальные периферийные атомы. Аналогично могут быть объяснены спектры всех остальных фенов.

Т. Бирштейн

**133. Спектры ядерного магнитного резонанса  $SO_2F_2$ ,  $SOF_4$  и  $SOF_6$ . Дадли, Шулер, Кёйди** (Nuclear magnetic resonance spectra of fluorine fluorosulfonate, thionyl tetrafluoride and pentafluorosulfur hypofluorite. Dudley F. B., Shooley J. N., Caday G. H.), J. Amer. Chem. Soc., 1956, 78, № 3, 568 (англ.)

На частоте 30 Мгц изучался магнитный резонанс ядер  $F^{19}$  в полученных ранее (РЖХим, 1956, 71382) в-вах:  $SO_2F_2$  (I),  $SOF_4$  (II) и  $SOF_6$  (III). Измерялся хим. сдвиг (XC) резонанса по отношению к перфтороциклобутану (IV). Приводимые далее XC умножены на  $10^6$ . Спектр I состоит из двух линий равной интенсивности (XC — —369 и —169). При большом разрешении видно, что каждая из них — дублет. Этот спектр можно объяснить, если предположить для I структуру  $SO_2F \cdot OF$ . Спектр II (один пик с XC = —226) указывает, что все атомы F эквивалентны. Это отвечает структуре  $F_2S=O$  с четырьмя атомами F в углах основания 4-гранной пирамиды и атомом O в вершине, но не  $SF_5 \cdot OF$ . Спектр III состоит из двух линий (XC —312 и —130; при высоком разрешении они являются соответственно секстетом и дублетом; отношение интенсивностей  $\sim 1:5$ ). Ему может отвечать лишь структура  $SF_5 \cdot OF$ , причем группа OF дает секстет, а  $SF_5$  — дублет. Несимметричность мультиплетных линий, возможно, вызвана заторможенным вращением OF вокруг  $SF_5$ . Авторы считают наиболее вероятной структуру III в виде октаэдра, в которой атомы F, связанные с S, могут обмениваться между экваториальными и аксиальными положениями. Поскольку отрицательные XC указывают на отклонение характера связи в сторону ковалентности, а связь C—F в IV почти чисто ионная, то по возрастанию ковалентности связи

можно расположить в следующем порядке: C—F, S—F, O—F.

Л. Шекун

**134. Различные времена релаксации и перенос энергии ядерных спинов в жидкостях. Уэрри, Джейн, Батторф** (Multiple thermal relaxation times and nuclear spin energy transfer in liquids. Wertz John E., Jain P. L., Batdorf R. L.), Phys. Rev., 1956, 102, № 3, 920—921 (англ.)

Химически неэквивалентные протоны в молекулах жидкости не только дают различные резонансные линии, но могут обладать различными временами релаксации для перехода из возбужденного в основное спиновое состояние. Это ведет к различным оптимальным значениям поля  $H_1$  и к нарушению пропорциональности между интенсивностью линии и числом соответствующих протонов. При большом  $H_1$  в  $CH_3OH$  наблюдались линии H в  $CH_3$  и OH при росте  $H_0$ , при уменьшении  $H_0$  линия OH исчезает, а линия  $CH_3$  становится более интенсивной. При малых  $H_1$  нет зависимости спектра от направления изменения  $H_0$ . Эффект может быть объяснен переносом энергии между спинами неэквивалентных ядер, благодаря чему населенности основного и возбужденного уровней стремятся выравниваться.

Т. Бирштейн

**135. Эффект ядерной поляризации Оверхаузера и минимум возрастания энтропии. Клейн** (Overhauser nuclear polarization effect, and minimum entropy production. Klein Martin J.), Phys. Rev., 1955, 98, № 6, 1736—1739 (англ.)

Эффект Оверхаузера поляризации ядер в металлах (вызываемый переходами с изменением направления спинов при резонансном поглощении электронами квантов внешнего поля  $h\omega = 2\mu_e H$ , равных разности энергетич. уровней спинов во внешнем поле  $H$ ), рассматривается с термодинамич. точки зрения. Стационарное состояние устанавливается благодаря взаимодействию спинов ядер и электронов, с одной стороны, и электронов с колебаниями решетки (термостата), — с другой; ему соответствует отношение вероятностей состояний

спинов:  $p_b/p_a = (a_{ba} e^{-(\epsilon_b - \epsilon_a)/kT} + c) / (c + a_{ba})$  — для

электронов,  $p_2/p_1 = (p_b/p_a) e^{-(\epsilon_a - \epsilon_1)/kT} e^{-(\epsilon_b - \epsilon_a)/kT}$  для ядер, где (1, a), (2, b) относятся соответственно к двум спиновым ориентациям ядра и электрона, с и  $a_{ba}$  — вероятности перехода, обусловленные внешним полем и взаимодействием спинов. При отсутствии поля ( $c = 0$ ) равновесное состояние определяется бальцовским распределением. При полном насыщении ядерное распределение определяется в основном электронным бальцовским фактором (эффект Оверхаузера). Рассматриваются условия, при которых выполняется принцип наименьшей скорости возникновения энтропии. В общем случае эти условия содержат некоторые соотношения между вероятностями  $p_a$ ,  $p_b$ ,  $p_2$  и  $p_1$ . В стационарном состоянии этот принцип выполнен, причем  $(dS/dt)_{\min} = -[(\epsilon_b - \epsilon_a)/T] Nc(p_a - p_b)$ , первый множитель соответствует возрастанию энтропии при абсорбции микроволнового кванта внешнего поля и превращении его в тепловую энергию колебаний решетки, второй определяет число абсорбированных квантов в единицу времени.

А. Зимин

**136. Магнитооптическое изучение сульфоксидов и сульфонов. Галле, Фойгт** (Etude magnétooptique des sulfoxydes et des sulfones. Gallais Fernand, Voigt Daniel), C. r. Acad. sci., 1956, 242, № 10, 1292—1294 (франц.)

В магнитном поле напряженностью  $50 \cdot 10^3$  ес при  $\lambda 5780 \text{ Å}$  измерен эффект Фарадея у  $(CH_3)_2S$ ,  $(C_2H_5)_2S$ ,  $(C_3H_7)_2S$ ,  $(C_4H_9)_2S$ ,  $(CH_3)_2SO$ ,  $(C_2H_5)_2SO$ ,  $(C_3H_7)_2SO$ ,  $(C_4H_9)_2SO$ ,  $(CH_3)_2SO_2$ ,  $(C_2H_5)_2SO_2$ ,  $(C_3H_7)_2SO_2$ ,  $(C_4H_9)_2SO_2$ . Найдены значения молярной вращательной

способности  $\rho_m$  (в  $10^2$  мин.; в скобках  $t$ -ра, при которой производились измерения для перечисленных  $v$ -в): 135,0 (20°), 193,2 (18,3°), 241,0 (17,5°), 291,5 (19,8°), 155,8 (19°), 201,9 (22,1°), 253,7 (25,4°), 303,9 (35,2°), 112 (в  $p$ -ре) 159,8 (73,2°), 210,1 (34°), 261,3 (46,8°).  $\rho_m$   $R_2SO$  в среднем на  $\pm 13 \cdot 10^{-2}$  мин. больше  $\rho_m$   $R_2S$ . Эта величина равна вкладу атома O, образующего ковалентную связь с атомом S. У  $R_2SO_2$   $\rho_m$  в среднем на  $\sim 30 \cdot 10^2$  мин. ниже  $\rho_m$   $R_2S$ , так что вклад каждого атома O здесь отрицателен и равен  $\sim 15 \cdot 10^{-2}$  мин. Авторы полагают, что в  $R_2SO_2$  связь S—O семиполярная.

Э. Бютнер

**137. Анионы триарилбората. 1. Магнитное и криоскопическое исследование растворов одновалентного аниона триметилбората.** Чжу Дин-ли, Уэй-ман (Triarylboron anions. I. Magnetic and cryoscopic studies of monovalent trimethylboron anion solutions. Chu Ting Li, Weismann Theodore J., J. Amer. Chem. Soc., 1956, 78, № 1, 23—26 (англ.).

Получена моносодовая соль триметилбората (I) при взаимодействии последнего с Na или амальгамой Na в  $p$ -рах в тетрагидрофуране (II), эфире, бензоле (III) и циклогексане (IV). Магнитные и криоскопич. измерения показывают, что I в синем  $p$ -ре в II находится в виде мономера с неспаренным электроном, в III и IV в виде полимера (красного цвета) со средней степенью ассоциации, равной соответственно  $5,7 \pm 0,4$  и  $5,0 \pm 0,4$ . Из  $p$ -ра в II выделяются синие диамагнитные кристаллы, в которых ионные пары ассоциированы в рои ионов за счет кулоновских сил. При получении I в эфирном  $p$ -ре первоначально образующийся мономер переходит в ассоциированную форму. Показано, что устойчивость мономера I зависит от диэлектрич. постоянной  $p$ -рителя, увеличиваясь с ростом последней. В случае IV значительную роль играет стерич. фактор, препятствующий сольватации молекул I, что доказывалось спец. опытами.

В. Алексанян

**138. Дипольные моменты некоторых замещенных бензолов и пиридинов.** Мурти (Dipole moments of some substituted benzenes and pyridines. Murty C. H. Radhakrishna, J. Scient. and Industr. Res., 1956, (B—C)15, № 5, B260 (англ.).

Методом, описанным ранее (Le Fevre и др., J. Chem. Soc., 1950, 276), измерены в  $p$ -ре в  $C_6H_6$  при 30° дипольные моменты ряда замещ. бензолов и пиридинов. Получены следующие значения (в D):  $o$ -,  $m$ - и  $p$ -фтортолуолы 1,30; 1,78; 1,88 соответственно;  $m$ -фторхлор-,  $m$ -фторбром- и  $m$ -фторидобензолы 1,52; 1,40 и 1,38;  $o$ - и  $m$ -хлорэтилбензолы 1,57 и 1,81;  $o$ -,  $m$ - и  $p$ -бромэтилбензолы 2,06; 2,03 и 2,08; 2- и 3-ацетилпиридины 2,85 и 2,53; 2-амино-3-метил- и 2-амино-4-метилпиридины 4,23 и 2,94; 2-амино-6-метил- и 2-амино-4,6-диметилпиридины 1,77 и 2,20.

М. Полтева

**139. К химии полигалоциклогексанов. XII. Дипольные моменты некоторых тетра- и гекса(гетеро)галоциклогексанов с конфигурацией 1323445A, 13443A и 1342343A59.** Римшнейдер, Шеплер (Zur Chemie von Polyhalocyclohexanen. Mitteilung XII: Dipolmomente einiger Tetra- und Hexa(hetero)halocyclohexane der Konfiguration 1e2e4a5a, 1e4a4e и 1e4a2e4a5e. Kurze Mitteilung. Riemschneider R., Scheppler E., Monatsch. Chem., 1955, 86, № 3, 548—550 (нем.).

Определены дипольные моменты (при 25° в бензоле) в конфигурации следующих полигалоциклогексанов:  $\alpha$ -1,2-дибром-4,5-дихлорциклогексана, т. пл. 173°, 1323 (Br) 445A (Cl),  $\mu$  2,69 D;  $\alpha$ -1,2,4,5-тетрахлорциклогексана, т. пл. 174°, 1323445A (Cl),  $\mu$  2,45 D; 1-бром-2,4,5-трихлорциклогексана, т. пл. 173°, 13 (Br) 23445A (Cl),

$\mu$  2,66 D; 1-бром-1,4,4-трихлорциклогексана, т. пл. 118°, 13 (Br) 1443A (Cl),  $\mu$  0,2 D; 1,1,4,4-тетрахлорциклогексана, т. пл. 125—126°, 13443A (Cl),  $\mu$  0; 1-бром-1,2,4,4,5-пентахлорциклогексана, т. пл. 156°, 13 (Br) 142343A59 (Cl),  $\mu$  0,3 D; 1,2,4,5-тетрабром-1,4-дихлорциклогексана, т. пл. 200°, 13234359 (Br) 144A (Cl),  $\mu$  0,3 D;  $\alpha$ -1,1,2,4,4,5-гексахлорциклогексана, т. пл. 146°, 1342343A59 (Cl),  $\mu$  0,46 D.

А. Золотаревский

**140. Исследования строения молекул и дипольных моментов, проведенные Хигаси (удостоенные премии Японского химического общества).** — (學會賞 東健一・分子構造と双極子モーメントに関する研究), 化学と工業, Karaky to kogé, Chem. and Chem. Ind., 1956, 9, № 5, 191—193 (япон.).

Краткий обзор работ Кенити Хигаси. Библ. 41 назв.

**141. Молярные рефракции некоторых комплексных ионов в растворе.** Роджерс, Малик (The molar refractions of some complex ions in solution. Rogers Max T., Malik Jim G., J. Amer. Chem. Soc., 1955, 77, № 24, 6515—6517 (англ.).

Измерены показатели преломления при 20° разб. водн.  $p$ -ров различной концентрации при  $\lambda$  5461 Å и рассчитаны молярные рефракции в  $см^3/моль$   $NaCl$  9,40;  $KCl$  11,68;  $NH_4Cl$  12,86;  $NH_4BF_4$  11,08;  $Na_2SiF_6$  13,20;  $K_2SiF_6$  17,40;  $NaF$  2,60;  $HBF_4$  6,14;  $NaBF_4$  7,63;  $K_2TiF_6$  26,68;  $K_3Fe(CN)_6$  60,91 ( $\lambda$  5893 Å);  $K_4Fe(CN)_6$  69,06 ( $\lambda$  5893 Å). Найдены значения ионных рефракций (IP)  $см^3/моль$  (принято IP  $Cl^-$  8,26):  $BF_4^-$  (I) 6,45;  $SiF_6^{2-}$  (II) 10,8;  $TiF_6^{2-}$  (III) 20,0;  $Fe(CN)_6^{3-}$  (IV) 51,0;  $Fe(CN)_6^{4-}$  (V) 55,8;  $K^+$  3,32;  $Na^+$  1,20;  $NH_4^+$  4,60;  $H^+$  0,30;  $F^-$  1,40. Для I—III IP совпадают с суммой атомных рефракций. Авторы делают вывод, что для этих ионов отрицательный заряд компенсируется уменьшением поляризуемости центрального атома при увеличении координационного числа. Сравнение IP IV и V показывает, что увеличение отрицательного заряда на единицу соответствует в этом случае увеличению IP на 4,83  $см^3/моль$ .

С. Самойлов

**142. Дифракция электронов и ее применение для определения строения молекулы.** Лу Цзя-си (電子衍射法及其在測定分子構造方面的應用・盧嘉錫), 化学通報, Хуасюэ тунбао, 1956, № 2, 3—17 (кит.). Популярная лекция.

**143. Парахор и реохор монохлоруксусной кислоты.** Катаева Л. М., Уч. зап. Казанск. ун-та, 1956, 116, № 1, 171—174.

Измерен парахор монохлоруксусной к-ты (I) в интервале  $t$ -р 40—80°. Эксперим. значения парахора меньше теоретического, вычисленного в предположении отсутствия ассоциации, с применением групповых значений Гиббинга (171,3). Эффект упаковки равен 1,2—1,9%, что указывает на значительную ассоциацию I. Измерение реохора I,  $R = M \cdot \eta^{1/2} \cdot d^{-1}$  ( $\eta$  — вязкость,  $d$  — плотность) также показывает большое расхождение между эксперим. значениями и вычисленными теоретически по групповым и атомным R, уменьшающееся с ростом  $t$ -ры.

А. Золотаревский

**144. Теория взаимодействия внутреннего вращения с вращением молекулы как целого. II. Гамильтоном для нежесткого волчка с внутренним вращением. III. Нежесткие асимметричные волчки. Кайвельсон (Theory of internal over-all rotational interactions II. Hamiltonian for the nonrigid internal rotor. III. Nonrigid asymmetric rotors. Kivelson Daniel), J. Chem. Phys., 1955, 23, № 12, 2230—2235, 2236—2243 (англ.).**

II. В нежестком волчке с внутренним вращением возможны наряду с внутренним вращением частей молекулы колебания ядер, причем потенциальная

энергия нормальных колебаний и равновесные расстояния  $r_{0i}$  зависят от угла внутреннего вращения  $\Phi$ . Такая модель соответствует случаю, когда энергии связи внутри каждой из частей молекулы независимы, за исключением дополнительного электростатич. отталкивания частей. Потенциальная энергия молекулы может быть представлена суммой энергий «чисто» колебательного движения, не зависящей от  $\Phi$  (гармонический  $V_v$  и ангармонический  $V_{va}$  члены) — и энергии внутреннего вращения  $V_{\text{вр}}$ , обращаемой в нуль при  $\Phi = 0$ .  $V_{\text{вр}}$  может быть разложена в ряд Тейлора по смещениям ядер из положений равновесия  $\delta r_i = r_i - r_{0i}$  и в ряд Фурье по  $\Phi$ . С точностью до членов второго порядка  $V_v = V_0 + (1/2) \sum_{ij} K_{ij} \delta r_i \delta r_j$ ;  $V_{va} = (1/2) \sum_{ijk} K_{ijk} \delta r_i \delta r_j \delta r_k + (1/2) \sum_{ijkl} K_{ijkl} \delta r_i \delta r_j \delta r_k \delta r_l$ ;  $V_{\text{вр}} = (1/2) \sum_{ij} (V_{ij} + 2K_{ij} a_i \delta r_j + \beta_{ij} K_{ij} \delta r_i \delta r_j) (1 - \cos N\Phi) + (1/2) V_2 (1 - \cos 2N\Phi)$ . Равновесная конфигурация примерно соответствует значению  $r_i = r_{0i} + a_i (1 - \cos N\Phi)$ , где  $r_{0i}$  — равновесное значение  $r_i$  при  $\Phi = 0$ . Гамильтониан задачи имеет вид  $H(\Phi) = H_v + V_{va} + H_R + T + V_{\text{вр}}$ , где  $H_v$  и  $H_R$  — гамильтонианы гармонич. осциллятора и жесткого вольчка соответственно,  $T$  — кинетич. энергия внутреннего вращения, выражение которой через моменты кол-ва движения полного и внутреннего вращения определены ниже. Учитывая зависимость вращательных постоянных от  $\delta r$ ,  $H_R$  и  $T$  могут быть разложены в ряд по степеням  $\delta r$ . Путем преобразования гамильтониана, включающего члены не выше второго порядка, колебание и вращение разделяются, и гамильтониан может быть представлен в виде суммы 1) чисто колебательных членов, характеризующих жесткий вольчок с внутренним вращением с учетом несинусоидальной формы барьера, и зависимости барьера от колебаний, 2) члена, учитывающего центробежное возмущение и включающего моменты кол-ва движения полного и внутреннего вращения, и 3) членов, обусловленных взаимодействием полного и внутреннего вращения вследствие отталкивающих свойств барьера и вызывающих изменение равновесной конфигурации с  $\Phi$ . В случае симметричного вольчка члены отталкивания сводятся к одному виду  $2F_v(m | 1 - \cos 3\Phi | m)$ , где  $m$  — псевдоквантовое число внутреннего вращения,  $F_v = - \sum_i (B_{xx}^{(i)} + B_{yy}^{(i)}) a_i$ ,  $B_{xx}^{(i)} + B_{yy}^{(i)}$  — производные от вращательных постоянных по  $i$ -й координате симметрии.

III. Разработанная ранее для симметричного вольчка (сообщение I, РЖХим, 1956, 9082) теория взаимодействия заторможенного внутреннего вращения с вращением молекулы как целого развита для случая нежесткого асимметричного вольчка. Рассмотрены некоторые частные случаи. Для жесткой полусимметричной молекулы с внутренним вращением, т. е. молекулы, состоящей из одной асимметричной (1) и одной симметричной (2) группы, ось которой является главной осью инерции молекулы и осью внутреннего вращения (напр.,  $\text{CH}_3\text{NO}_2$ ), кинетич. энергия  $2T = I_x \omega_x^2 + I_y \omega_y^2 + I_z \omega_z^2 + I_{z2} \omega_{z2}^2$ , где  $I_i$  — тензор инерции,  $\omega_i$  — угловая скорость  $i$ -й группы ( $i = 1, 2$ ),  $\omega_{xi} = \omega_x$ ,  $\omega_{yi} = \omega_y$ ,  $I = I_1 + I_2$ ,  $x, y, z$  — главные оси инерции молекулы,  $z$  — ось внутреннего вращения. Гамильтониан  $2H = - [P_x^2/I_x + P_y^2/I_y + P_z^2/I_z] + \Pi^2/I_z I_{z2} = 2H_R (\gamma - \theta I_{z2}/I_z) + 2H_I$ , где  $\gamma = \gamma_1 I_{z1}/I_z + \gamma_2 I_{z2}/I_z$ ,  $\theta = \gamma_2 - \gamma_1$ ,  $\gamma_1$  и  $\gamma_2$  — углы внутреннего вращения групп 1 и 2,  $P_x, P_y, P_z = -i(\partial/\partial\gamma)_\theta$  — компоненты полного углового момента,  $\Pi = -i(\partial/\partial\theta)_\gamma$  — угловой момент внутрен-

него вращения,  $H_R$  — гамильтониан псевдожесткого вольчка, переходящий в гамильтониан жесткого вольчка  $H_R(\gamma)$  при  $\theta = 0$ ,  $H_I$  — гамильтониан внутреннего вращения. Матричные элементы гамильтониана ищутся с помощью функций  $\Psi_{\tau\tau} = (2\pi)^{-1/2} \exp[i(-P_z I_{z2}/I_z + \tau)\theta] \Phi_r$ , где  $\tau$  — целое квантовое число,  $z$  — компоненты углового момента группы 2, а  $\Phi_r$  — собственные функции  $H_R(\gamma)$  ( $r$  — соответствует квантовым числам  $J, K_{-1}, K_{+1}$ ). В таком представлении матрица  $H_R(\gamma - \theta I_{z2}/I_z)$  диагональна по  $\tau$  и  $r$ , матричные элементы не зависят от  $\theta$ .  $H_I$  диагональна по  $\tau$ , но не по  $r$ , однако при слабой асимметрии молекулы матричные элементы ( $r' | H_I | r$ ) малы. Потенциальная энергия  $1/2 V_1 (1 - \cos N\theta)$  диагональна по  $r$ , но не по  $\tau$ . При малой асимметрии молекулы и высоком барьере хорошим приближением к правильным волновым функциям является  $\chi_{\text{вр}} = \Rightarrow \Sigma a(m)_{\tau\tau} \Psi_{\tau\tau}$ , где  $m$  — псевдоквантовое число, замещающее  $\tau$ . Ур-ния для коэфф.  $a(m)_{\tau\tau}$  аналогичны выведенным ранее (Koehler J. S., Dennison D. M., Phys. Rev., 1940, 57, 1006), решения находятся методом бесконечных дробей. Для жесткой полусимметричной молекулы с внутренним вращением, т. е. молекулы, состоящей из асимметричной (1) и симметричной (2) групп, причем ось последней, являясь осью внутреннего вращения, не является главной осью инерции всей молекулы ( $\text{CH}_3\text{OH}$ ), система координат выбирается так, что ось  $z$  параллельна оси симметрии  $C_2$  и произведение инерции  $I_{xy} = 0$ ,  $H = \chi_R(\gamma - \theta I_{z2}/I_z) + \chi_I(\gamma - \theta I_{z2}/I_z)$ ,  $\chi_R = \Sigma a_{\alpha\beta} B_{\alpha\beta} P_{\alpha}^2 P_{\beta}^2$ ,  $\chi_I = \Sigma B_{\alpha} (P_{\alpha}^2 \Pi) + B_{\Pi} \Pi^2 + 1/2 V_1 \times (1 - \cos N\theta)$ , где  $\{ \}$  означает симметризованное произведение,  $B$  — не зависящие от вращательных координат коэфф. Приближенные волновые функции  $\chi_{\text{вр}}$  ищутся в виде суперпозиции функций  $\Psi_{\tau\tau}$ , отличающихся от  $\Psi_{\tau\tau}$  заменой  $P$  на  $P'$  и  $\Phi_r$  на  $\Phi_r'$  — собственные функции  $\chi_R(\gamma)$ . Определение коэфф. сводится к решению полученной ранее системы ур-ний (Burkhard D. G., Dennison D. M., Phys. Rev., 1951, 84, (408)). Для нежесткого полусимметричного вольчка с внутренним вращением использовано выведенное автором (см. выше) приближенное выражение гамильтониана. Энергия в первом приближении определяется как диагональные элементы гамильтониана, найденные с помощью функций  $\chi_{\text{вр}}$ , и представляется суммой следующих членов: 1) энергия полного и внутреннего вращения жесткого вольчка с синусоидальным барьером внутреннего вращения, этот член включает параметры  $I_x, I_y, I_z, I_{z2}, V_1$ ; 2) поправка на несинусоидальную форму барьера; 3) члены, обусловленные центробежным возмущением, связанным с внутренним вращением; параметры могут быть определены из нормальных колебаний, однако их расчет не тривиален, и в ряде случаев их следует рассматривать как эмпирические; 4) обычные члены, дающие центробежное возмущение и содержащие 7 параметров; 5) члены, зависящие от природы сил отталкивания, создающих барьер, и от характера зависимости равновесной конфигурации и потенциальных постоянных от  $\theta$ . Общее выражение для энергии содержит слишком много параметров, чтобы можно было производить сравнение с экспериментом, поэтому рассмотрен спец. случай перехода  $0_{00} \rightarrow 1_{01}$  в полусимметричной молекуле ( $\text{CH}_3\text{NO}_2$ ).  $v(0_{00} \rightarrow 1_{01}) = (1_{01} | \langle H_R \rangle | 1_{01}) \times [1 + F_1(m | 1 - \cos N\theta | m) + G_2(m | \Pi^2 | m)] + 2G_3 \times [m | \Pi^2 | m] + 2F_2(m | 1 - \cos N\theta | m)$ , где  $(1_{01} | \langle H_R \rangle | 1_{01})$  — энергия уровня  $1_{01}$  жесткого вольчка,  $m$  — определяет уровень внутреннего вращения,  $\Delta m = 0$ ,  $F$  и  $G$  — по-



стоянные, которые определяются по нормальным колебаниям молекулы и по характеру сил, образующих барьер внутреннего вращения.

Т. Бирштейн  
145. Ультрафиолетовый спектр поглощения паров оксалилхлорида; спектроскопическое доказательство существования поворотной изомерии. Сидман (The ultraviolet absorption spectrum of oxalyl chloride vapor; spectral evidence for rotational isomerism. Sidman Jerome W.), J. Amer. Chem. Soc., 1956, 78, № 8, 1527—1531 (англ.)

С целью изучения поворотной изомерии в  $(\text{ClCO})_2$  (I) исследован УФ-спектр газообразного I в длинноволновой области при 22—275°. В области 27000—33000  $\text{см}^{-1}$  наблюдается пять резких полос, которые по мере увеличения частоты все более маскируются сплошным поглощением. Разности частот этих полос составляют 1420—1460  $\text{см}^{-1}$ . Кроме того, наблюдаются полосы, частоты которых представляют собой комбинации частот основных полос с 397  $\text{см}^{-1}$ , от —494 до —509  $\text{см}^{-1}$ , 77  $\text{см}^{-1}$  и —85  $\text{см}^{-1}$ . С увеличением т-ры интенсивность полос обратимо уменьшается, а интенсивность сплошного фона увеличивается. В соответствии с результатами исследования температурной зависимости колебательного спектра I (Saksena B. D., Kagarise R. E., J. Chem. Phys., 1951, 19, 987) автор приписывает полосы *транс*-форме ( $C_{2v}$ ) молекулы I, а сплошное поглощение — *цис*-форме ( $C_{2v}$ ). Первая из пяти основных полос (27 189  $\text{см}^{-1}$ ) отнесена к полосе O—O перехода  $\text{PA}_u \leftarrow \text{A}_g$  *транс*-формы, а комбинационные частоты 1420—1460  $\text{см}^{-1}$  — полносим. вал. кол. C=O в состоянии  $\text{I A}_u$  *транс*-формы. Проведено также приближенное отнесение остальных комбинационных частот и сравнение спектра и структуры I со спектрами и структурами  $(\text{CHO})_2$  и  $(\text{CH}_3\text{CO})_2$ .

О. Птицын  
146. Микроволновый спектр и внутренний барьер в ацетальдегиде. Линь Чжун-цзя, Килб (Microwave spectrum and internal barrier of acetaldehyde. Lin Chun Chia, Kilb Ralph W.), J. Chem. Phys., 1956, 24, № 3, 631 (англ.)

В диапазоне 15—40  $\text{кМц}$  исследован спектр  $\text{CH}_3\text{CHO}$  (I) и  $\text{CD}_3\text{CDO}$  (II), соответствующий вращательным переходам в низшем невырожденном состоянии крутильных колебаний, описываемым гамильтонианом псевдожесткого волчка  $H_A = b'P_x^2 + cP_y^2 + a'P_z^2$  и в первом вырожденном состоянии крутильных колебаний, описываемым гамильтонианом нежесткого волчка. Найдено, что для соответствия с эксперим. данными барьер внутреннего вращения следует представить в виде  $V = \frac{1}{2}V_3(1 - \cos 3\alpha) + \frac{1}{2}V_6(1 - \cos 6\alpha)$ . Для I  $V_3 = 1140 \pm 40$ ;  $V_6 \approx 56$ ; для II  $V_3 = 1100 \pm 70$ ;  $V_6 \approx 89$  ккал. Определено (в  $\text{Мц}$ ) для I  $a' = 57160 \pm 1000$ ;  $b' = 10165,10 \pm 0,4$ ;  $c = 9100,0 \pm 0,4$ ; для II  $a' = 34475 \pm 700$ ;  $b' = 8577,9 \pm 0,6$ ;  $c = 7531,4 \pm 0,6$ . Для I вводилась поправка на центробежное возмущение с  $D_J = -0,003$ .

В предположении о размерах группы  $\text{CH}_3(\text{CH})$  равен 1,10 Å и  $\angle \text{HCN} = 109^\circ 28'$  найдены следующие параметры альдегидной группы:  $\text{CH}$  1,108 Å;  $\text{CO}$  1,226 Å;  $\text{CC}$  1,493 Å;  $\angle \text{CCN}$   $119^\circ 45'$ ;  $\angle \text{CCO}$   $124^\circ 5'$ ;  $\mu = 2,69$  D.

Т. Бирштейн  
147. Зависимость между частотами валентных колебаний в инфракрасной области и расстояниями для водородной связи в кристаллах. Пиментел, Содерхолм (Correlation of infrared stretching frequencies and hydrogen bond distances in crystals. Pimentel George C., Sederholm Charles H.), J. Chem. Phys., 1956, 24, № 4, 639—641 (англ.)

В развитие ранее опубликованных работ (РЖХим, 1953, 2738; 1956, 182) исследована зависимость между частотами вал. кол. в ИК-спектрах поглощения и рас-

стояниями  $R(A)$  для водородной связи в кристаллах. Эмпирически найдены линейные зависимости: для связи  $\text{O} \cdots \text{H} \cdots \text{O}$   $\Delta\nu (\text{см}^{-1}) = 4,43 \cdot 10^3 (2,84 - R)$ ,  $\text{N} \cdots \text{H} \cdots \text{O}$   $\Delta\nu = 0,548 \cdot 10^3 (3,21 - R)$ ,  $\text{N} \cdots \text{H} \cdots \text{N}$   $\Delta\nu = 1,05 \cdot 10^3 \times (3,38 - R)$ , где  $\Delta\nu = \nu_0 - \nu_{\text{H}}$ ,  $\nu_0$  — частота вал. кол. мономера  $\text{X}-\text{H}$  в газовой фазе или в разб. р-рах в  $\text{CCl}_4$  или в  $\text{CHCl}_3$ ,  $\nu_{\text{H}}$  — частота вал. кол.  $\text{X}-\text{H}$  в ИК-спектре твердого в-ва  $\Delta\nu \rightarrow 0$  при возрастании  $R$ .

А. Золотаревский  
148. Энергии межмолекулярных и внутримолекулярных водородных связей в ацетил-DL-норлейцин-N-метиламиде. Цубои (Аセチル-DL-ノルロイシン N-メチルアミドの分子間分子内水素結合とそのエネルギー. 坪井正道), 日本化学雑誌, 1956, 11, 1130—1131 (япон.)

Получены р-ры различных конц-ий ацетил-DL-норлейцин-N-метиламида (I) в  $\text{CCl}_4$  и  $\text{CHCl}_3$  и определены частоты и молярные коэфф. поглощения вал. кол. связи  $\text{N}-\text{H}$  при 30, 45 и  $60^\circ$ . Из изменений интенсивности частоты  $\text{N}-\text{H}$  п найдено, что в р-рах  $\text{CCl}_4$  с конц-ией  $< 0,0001$  моль/л все молекулы I находятся в мономерной форме, частично в цепочечной, частично в кольцеобразной с внутримолекулярной водородной связью. Энергия и энтропия цепочечной конфигурации соответственно выше на 1,6 ккал/моль и 5,4 энтр. ед., чем для кольцевой конфигурации. При высоких конц-ях имеет место ассоциация за счет образования межмолекулярных водородных связей, энергия которых равна 3,9 ккал/моль. В р-рах в  $\text{CHCl}_3$  различие в энергиях между указанными мономерными конфигурациями составляет 1,4 ккал/моль и энергия межмолекулярной водородной связи равна  $\sim 1,7$  ккал/моль.

Chem. Abstr., 1956, 50, № 7, 4641. Masaji Kubo  
149. Исследование ассоциации галоформов с основаниями методом инфракрасной спектроскопии. Глик (An infrared study of haloform-base association. Glick Richard E.), Chemistry and Industry, 1956, № 19, 413—414 (англ.)

Путем изучения смещения частот вал. кол. C—H в ИК-спектрах исследована способность к ассоциации с триэтиламином (I) у фтороформа (II), хлороформа (III), бромоформа (IV) и йодоформа (V) в тетрагидроэтане (VI) и в (I+VI) при  $25^\circ$  и конц-ии  $\text{CH}_3\text{I}$  5%. Частота вал. кол. CH в (I+VI) смещается по сравнению со значениями в VI: у III на 110, у IV на 180 и у V на 170  $\text{см}^{-1}$ . Пониженное значение  $\Delta\nu$  у V объясняется стерич. затруднениями. Значения  $\Delta\nu$  изменяются в порядке, соответствующем предположению о том, что существенную роль в образовании водородной связи играет анионное сверхсопряжение. Для I измерить  $\Delta\nu$  не удалось из-за малой растворимости. По способности к образованию водородной связи разные галоформы располагаются в следующем порядке:  $\text{IV} \approx \text{III} > \text{II} > \text{I}$ .

А. Золотаревский  
150. Метод определения способности органических веществ к образованию водородных связей. Сандель (Eine Methode zur Bestimmung des Wasserstoffbindungsvermögens von organischen Verbindungen. Sandell K. Bertil), Naturwissenschaften, 1955, 42, № 22, 605—606 (нем.)

Метод основан на зависимости величины коэфф. распределения ( $k$ ) органич. в-в между водой и органич. р-рителем от прочности водородных связей (BC). Мерой прочности BC служит отношение величины  $k_g/k_a$  двух р-рителей, один из которых обладает только донорными свойствами, а другой — акцепторными свойствами. Соединения, содержащие свободные группы OH-, образующие с эфиром прочные связи  $\text{O} \cdots \text{HO}$ , характеризуются высоким значением отношения  $k_{(\text{C}_2\text{H}_5)_2\text{O}}/k_{\text{CHCl}_3}$  (R) или  $k_{(\text{C}_2\text{H}_5)_2\text{O}}/k_{\text{C}_2\text{H}_5\text{Cl}}$  (R'). Так, для *n*-оксисбензойной

к-ты, резорцина, катехина, величины  $R'$  соответственно равны 1040, 146 и 47. В-ва, не содержащие свободных гидроксильных групп, образуют в основном связи типа  $O \dots HC$  (p-ритель) и  $N \dots HC$  (p-ритель). Так, для анилина, ацетона и ацетамида величина  $R$  соответственно равна 0,50; 0,12 и 0,25. Величины  $R$  (и  $R'$ ) для аммиака и амидов (I) имеют один и тот же порядок. На этом основании авторы считают, что в органич. p-рителях I находятся в кето-форме. Значительная ассоциация I, по-видимому, только частично связана с образованием ВС. Н. Полянский

151. Дипольные моменты некоторых молекулярных соединений *n*-бензохинона. Сарна, Трехан, Сингх (Dipole moments of some molecular compounds of *p*-benzoquinone. Sarna H. R., Trehan P. N., Singh Sarjant), Res. Bull. Panjab. Univ., 1956, № 83, 4 (англ.)

Из концентрационной зависимости диэлектрич. проницаемости и плотности найдены дипольные моменты молекулярных соединений в бензоле (в *D*) *n*-бензохинона с фенолом (1:2) 2,24, *n*-крезолом (1:2) 2,41, *n*-крезолом и фенолом (1:1:1) 2,31, *o*-крезолом и фенолом (1:1:1) 2,35, *o*-нитроанилином (1:2) 6,36, *n*-хлорфенолом (1:1) 2,57,  $\beta$ -нафтолом (1:1) 1,61, *o*-нитроанилином (1:1) 4,35 и *n*-нитроанилином (1:1) 6,05.

А. Золотаревский

152 К. Таблица интегралов для квантовой химии. Т. 1. Прейсс (Integraltafel zur Quantenchemie. Bd. 1. Preuss H. Berlin-Göttingen-Heidelberg, Springer, 1956, 162 S., 39.—DM) (нем.)

153 К. Прочность химических связей. Коттрелл Т. Л., Перев. с англ. М., Изд-во ин. лит., 1956, 282 стр., илл., 15 р. 30 к.

154 Д. Исследование инфракрасных спектров кристаллов со сложными понятиями. Шульц А. А., Автореф. дисс. канд. физ.-матем. н., ЛГУ, Л., 1956

155 Д. Исследование функций возбуждения спектральных линий криптона, ксенона, неона и молекулярного водорода. Син Сан-Гук. Автореф. дисс. канд. физ.-матем. н., МГУ, М., 1956

156 Д. Нулевые приближения и парциальные частоты задачи о колебаниях в молекуле и их применение к вычислению термодинамических функций галоидопроизводных метана. Свердлов А. С., Автореф. дисс. канд. физ.-матем. н., Ленингр. гос. пед. ин-т, Иваново, 1956

См. также: Структура молекул: неорганич. 646, 648, 669; органич. 751, 759, 810, 968; по рентген. данным 166, 172—177, 179, 184. Энергии связей 1156. Спектры 217, 412, 413, 645, 840, 874, 1024, 1037, 1039, 1062, 1075, 1107. Магнитные св-ва 326. Др. вопр. 631

## КРИСТАЛЛЫ

Редакторы Э. А. Гилинская, А. Е. Нейдинг, А. С. Хейнман

157. Могут ли существовать в природе такие кристаллы, которые по признакам симметрии относятся к одной сингонии, а по геометрическим константам — к другой? Шубников А. В., Зап. Всес. минералог. о-ва, 1956, 85, № 1, 108—109

Автор указывает, что при разделении кристаллич. в-в на сингонии в основе должны лежать, в первую очередь, соображения симметрии. Сингония кристалла,

определенная на основании симметрии, может не соответствовать сингонии, установленной по его геометрии. константам ( $a, b, c, \alpha, \beta, \gamma$ ). Наблюдаемые в природе явления псевдосимметрии являются одним из примеров указанного несоответствия. Ю. Пятенко

158. Симметрия обратного пространства. Мак-Ланлан (Symmetry in reciprocal space. McLachlan Dan, Jr), Acta crystallogr., 1956, 9, № 3, 318 (англ.)

Производится сопоставление симметрии прямого и обратного пространств. Ю. Пятенко

159. Определение пространственной группы монокристалла с одной установки на рентгеновском гониометре ЛИТМО-II. Снарский В. В., Яворский Н. В., Сб. статей Ленингр. ин-та точной механ. и оптики, 1955, вып. 18, 93—103

Проведено исследование с целью проверки возможности определения пространственной группы и размеров элементарной ячейки кристаллов при помощи рентгеновского гониометра ЛИТМО-II с одной установки кристалла. Данные, полученные для кристаллов с известной структурой ( $SiO_2$  и  $Sb(C_6H_5)_3Cl_2$ ), с достаточной точностью совпадают с ранее известными результатами, чем, по мнению авторов, подтверждается целесообразность описываемой методики. Г. Гольдер

160. К определению интегральной интенсивности отражений от монокристалла. Караццо, Барди (Contributo alla determinazione del potere integrale di riflessione dei monocristalli. Carazzo Gianalvise, Bardi Renato), Ricerca scient., 1955, 25, № 9, 2588—2592 (итал.; рез. англ., нем., франц.)

Предложен метод измерения интегральной интенсивности отражений от монокристаллов с помощью модифицированного интегрирующего гониометра Вейсенберга (Wiebenga E. H., Smits D. W., Acta Crystallogr., 1950, 3, 265), позволяющего сократить экспозицию по сравнению со старой моделью камеры. Для оценки интенсивностей применен интегрирующий микрофотометр. Принцип упрощения интегрирующего гониометра Вейсенберга (ГВ): превращение двумерной асимметрии пятна в одномерную, достигаемой устранением вращения камеры интегрирующего ГВ. Время, необходимое для получения рентгенограмм этого типа, в 2,5—3 раза меньше экспозиций на обычном ГВ. Для проведения одномерного интегрирования фотометру придается приспособление, способное осуществлять перемещение в двух взаимно перпендикулярных направлениях. Фотометрирование каждого пятна производится в течение 0,1 мин., точность измерений  $\pm 2\%$ . Т. Хойнова

161. О выделении основных комбинаций знаков. Гуд (On the substantialization of sign sequences. Good I. J.), Acta crystallogr., 1954, 7, № 8-9, 603—604 (англ.)

Вульфсон (РЖХим, 1954, 44350) описал метод определения знаков структурных факторов centrosymmetричных кристаллов, основанный на выделении из 128 возможных комбинаций из семи знаков 16 таких основных комбинаций, из которых все остальные можно получить изменением одного знака. Предлагается метод для получения основных комбинаций из  $2^m - 4$  знаков, из которых все возможные можно получить изменением одного знака. Частными случаями являются упомянутый  $m = 3$ , а также выделение из 32 768 возможных комбинаций из 15 знаков 2048 основных ( $m = 4$ ). Общую проблему можно сформулировать как выделение из всех возможных комбинаций  $n$  знаков основных комбинаций, из которых все остальные получались бы изменением  $r$  знаков. Общая проблема остается нерешенной. Д. Хейкер

162. Систематические погасания, обусловленные псевдосимметрией. Темплтон (Systematic absences corresponding to false symmetry. Templeton David H.), Acta crystallogr., 1956, 9, № 2, 199—200 (англ.)

Отмечается, что при некоторых особых положениях атомов в структуре наблюдаемые систематич. погасания определенных рефлексов  $hkl$  могут не отвечать истинной симметрии кристалла.

Ю. Пятенко  
163. Анизотропный фактор Дебая — Валлера в кубических кристаллах. Уэйсе, Де-Марко, Веремчук, Корлисс, Хастингс (An apparent anisotropic Debye-Waller factor in cubic crystals. Weiss R. J., De Marco J. J., Weremchuk G., Corliss L., Hastings J.), Acta crystallogr., 1956, 9, № 1, 42—44 (англ.)

При нейтронографии и рентгенографии исследовании порошков куб. кристаллов  $\alpha$ -латуни и Cu обнаружено, что эксперим. величина интегральной интенсивности рефлексов не соответствует теоретич. величинам, если считать  $B$  в температурном факторе Дебая — Валлера  $\exp[-2B(\sin\theta/\lambda)^2]$  зависящим только от характеристик. т-ры и  $T^\circ K$ . Это несоответствие достигает значительной величины при определении в области от комнатной т-ры до т-ры жидкого  $N_2$  интенсивности рефлексов (222) и (400); и в случае измерения их отношения и в случае изучения их температурной зависимости. Авторы полагают, что расхождение устранится, если считать  $B$  зависящим также и от кристаллографич. направления даже для куб. кристаллов.

Р. Озеров  
164. Прецизионные измерения изменений размеров в бериллии при облучении нейтронами. Бейсон, Вильсон (Precision measurement of dimensional changes in beryllia on neutron irradiation. Bacon G. E., Wilson S. A.), Acta crystallogr., 1955, 8, № 12, 844 (англ.)

Измерялись изменения параметров решетки BeO (I), графита (II) и металлич. Be (III). I. При облучении потоком  $1 \cdot 10^{20}$  нейтронов/см<sup>2</sup> изменений не обнаружено; при  $7 \cdot 10^{20}$  нейтронов/см<sup>2</sup> период  $a$  — возрастает на  $0,088 \pm 0,003\%$ , период  $a$  — на  $0,033 \pm 0,002\%$ . II. При облучении потоком  $7 \cdot 10^{20}$  нейтронов/см<sup>2</sup> период  $c$  возрастает на  $8\%$ , а  $a$  уменьшается на  $1\%$ . Измерение изменений периодов III проводилось рентгенографически несколькими методами: по линиям под углами  $6$  и  $81^\circ$  —  $84^\circ$  на различных излучениях и с введением стандарта. Установлено, что при том же потоке нейтронов  $\Delta c$   $0,0039A$  и  $\Delta a$   $0,0009A$ . Отмечается, что найденное анизотропное изменение периодов III отличается от почти изотропного температурного расширения (по рентгенографич. измерениям в интервале т-р  $(-195^\circ) - (+20^\circ)$ ,  $\alpha_c = 4,3 \cdot 10^{-6}$ ,  $\alpha_a = 4,0 \cdot 10^{-6}/^\circ C$ ). Искажения снимаются на  $20\%$  при 8-часовом отжиге при  $500^\circ$  и на  $95\%$  — при  $1100^\circ$ .

Р. Озеров  
165. Рентгенографическое исследование монокристаллов карбида бора, облученных нейтронами. I. Таккер, Сенио (X-ray scattering by neutron-irradiated single crystals of boron carbide. I. Tucker Charles W., Jr., Senio Peter), Acta crystallogr., 1955, 8, № 7, 371—378 (англ.)

Уточнены и интерпретированы эксперим. данные, кратко изложенные ранее (РЖХим, 1955, 42486). Исследование методами Лауэ, Вейсберга (и Дебая) монокристаллов (и порошков карбида бора, облученных нейтронами (интегральная доза до  $10^{20}$  тепловых нейтронов на 1 см<sup>2</sup>), показало наличие эффектов: а) сжатие решетки на  $1,38\%$  по оси  $c$  и расширение на  $0,89\%$  по оси  $a$ ; б) анизотропный температурный фактор (по направлению  $c$  в 6 раз больший, чем по направлению  $a$ ); в) значительное диффузное рассеяние вокруг многих узлов обратной решетки. Эффекты а) и б) обусловлены тем, что в цепи, со-

стоящей из трех атомов C, при нейтронной бомбардировке смещается средний атом; это приводит к сближению двух крайних атомов C друг с другом и к соответствующему смещению связанных с ними атомов B. При отжиге ( $700$ — $900^\circ$ ) смещенный атом C становится более подвижным и возвращается на свое обычное положение. При этом снимаются почти все наблюдаемые рентгеновские эффекты. Оставшееся диффузное рассеяние и небольшой анизотропный температурный фактор авторы приписывают наличию атомов He<sup>4</sup> и Li<sup>7</sup>, образующихся по р-ции  $B^{10}(n, \alpha) Li^7$ , и вакансий, возникающих в результате смещения атомов B. Качества интерпретации наблюдаемых эффектов дана на основе модели изотропных дефектов решетки (Huang K., Proc. Roy. Soc., 1947, A190, 102).

А. Бреггер  
166. Параметр решетки и коэффициент теплового расширения тория. Джеймс, Страуманис (Lattice parameter and coefficient of thermal expansion of thorium. James W. J., Straumanis M. E.), Acta crystallogr., 1956, 9, № 4, 376—379 (англ.)

Величина параметра решетки Th (чистоты 99,86%) определена асимметричным методом в интервале  $10$ — $60^\circ$  на излучении Cu-K $\alpha$ . Коэфф. линейного расширения  $\alpha$   $11,6 \cdot 10^{-6}$  град. в этом температурном интервале. При  $38,2^\circ$  на графике теплового расширения наблюдается излом; никаких предположений относительно его природы не делается. При  $25^\circ$   $\rho$  (рент.)  $11,724 \pm 0,004$ ,  $a$   $5,0843 \pm 0,0001 A$ , наименьшее межатомное расстояние Th—Th  $3,5952 A$ .

Р. Озеров  
167. Искажения кристаллической решетки в твердых растворах кобальта и палладия в железе. Ивернова В. П., Кацнельсон А. А., Докл. АН СССР, 1954, 99, № 3, 391—394

Изучены искажения кристаллич. решетки в сплавах Fe-Pd (4 ат. % Pd) и Fe-Co (5, 10, 20, 30, 35 и 50 ат. % Co). Существование искажений и их характер исследовались по ослаблению функции атомного рассеяния ( $f$ -кривой) указанных сплавов в сравнении с чистыми металлами при разных т-рах.  $f$ -кривая измерялась по рентгенограммам порошков, снятым со стандартом на излучении Fe-K $\alpha$  и Co-K $\alpha$ . Установлен рост искажений в сплавах Fe-Co при увеличении конц-ии Co до  $20\%$ , после чего наступает насыщение. Характер искажений при  $50\%$  Co объяснен процессами упорядочения. Проведено разделение искажений на статич. и динамич. Ослабление  $f$ -кривой в сплаве Fe-Co (20% Co) связано со статич. искажениями (неупорядоченные смещения атомов из положений равновесия вследствие различия атомных радиусов компонент). Ослабление  $f$ -кривой в сплаве Fe-Pd обусловлено частично статич., частично динамич. искажениями (изменением характеристик. т-ры). Тип искажений связан со строением диаграммы состояний.

А. Кацнельсон  
168. Структуры соединений Th<sub>2</sub>Cu, ThCu<sub>2</sub>, Th<sub>2</sub>Zn и ThHg<sub>3</sub>. Бензигер, Рандл, Сноу (Structures of the compounds Th<sub>2</sub>Cu, ThCu<sub>2</sub>, Th<sub>2</sub>Zn and ThHg<sub>3</sub>. Baenziger N. C., Rundle R. E., Snow A. I.), Acta crystallogr., 1956, 9, № 1, 93—94 (англ.)

Проведено рентгенографич. исследование кристаллич. структур Th<sub>2</sub>Cu (I), ThCu<sub>2</sub> (II), Th<sub>2</sub>Zn (III) и ThHg<sub>3</sub> (IV). При исследовании использовался метод порошка. Результаты: I — тетраг. с  $a$   $7,28$ ,  $c$   $5,74A$ , структурный тип CuAl<sub>2</sub>; Cu в  $4(a)$   $0,01/4$ , Th в  $8(h)$   $x$ ,  $1/2 + x$ ,  $0$ ,  $x = 1/6$ . II — тетраг. с  $a$   $4,35$ ,  $c$   $3,47A$ , структурный тип AlB<sub>2</sub>; Th в  $1(a)$   $0,0,0$ , Cu в  $2(d)$   $1/3$ ,  $2/3$ ,  $1/2$ . III — ромбический с  $a$   $7,60$ ,  $c$   $5,64A$ . IV — гексаг. с  $a$   $3,38$ ,  $c$   $4,72A$ ; структура сходна со структурой UHg<sub>3</sub> (Rundle R. E., Wilson A. J. C., Acta crystallogr., 1949, 2, 148).

Ю. Пятенко



169. Соединения со структурой типа  $\alpha\text{-U}_3\text{O}_8$ . Холсер (Compounds with the  $\alpha\text{-U}_3\text{O}_8$ -type structure. Holser William T.), Acta crystallogr., 1956, 9, № 2, 196 (англ.)

Установлена принадлежность структуры оксидов  $\gamma\text{-Nb}_2\text{O}_5$  (I) и  $\beta\text{-Ta}_2\text{O}_5$  (II) к структурному типу  $\alpha\text{-U}_3\text{O}_8$  (III). По мнению автора, все три соединения имеют не гексагональную (Milne J. H., Amer. Mineralogist., 1951, 36, 415), а ромбич. (псевдогексагональную) решетку с параметрами: I  $a$  6,71;  $b$  3,96,  $c$  4,15 Å; II 6,19, 3,65, 3,94 Å; III 6,20, 3,67, 3,90 Å. Отмечается наличие дополнительных линий, не поддающихся индифференцированию на основе указанной решетки. Предполагается, что причины возникновения этих линий — сверхструктура. Р. Озеров

170. Рентгенографическое исследование явлений распада в сплавах алюминий-цинк-магний при 7% цинка и 3% магния. Граф (Etude aux rayons X des phénomènes de précipitation dans l'alliage aluminium-zinc-magnésium à 7 % de zinc et 3% de magnésium. Graff R. en é), C. r. Acad. sci., 1956, 242, № 10, 1311—1313 (франц.)

Исследование явлений распада сплава Al-Zn-Mg проведено на монокристаллах в монохроматическом излучении. Образцы закалялись в воду, начиная с 460°, а затем старелись при различных  $t$ -рах в течение месяца. После старения при обыкновенной  $t$ -ре наблюдались следы диффузии, аналогичные получаемым для сплавов Al-Cu-Mg (Lambot H., Rev. Metallurg., 1950, 47, 709) и соответствующие состоянию предраспада. После закалки твердость, равная в среднем 59  $\text{кг/мм}^2$  повышается до 115  $\text{кг/мм}^2$ . Короткая обработка при 200° приводит к исчезновению следов диффузии, и твердость вновь падает к значению ее после закалки. При  $t$ -рах между 100 и 135° характер диффузии меняется, ее интенсивность возрастает и наблюдается постепенное выпадение фазы  $\text{MgZn}_2$ . Твердость достигает очень высоких значений (максимум 164  $\text{кг/мм}^2$  при 135° через 6 час.). При  $t$ -рах  $>175^\circ$  следы  $\text{MgZn}_2$  становятся отчетливыми с начала старения. Начиная с 200° фаза  $\text{MgZn}_2$  переходит в равновесную фазу  $\text{Al}_2\text{Mg}_3\text{Zn}_3$ . При 300° доля  $\text{MgZn}_2$  становится малой, и можно наблюдать непосредственное образование  $\text{Al}_2\text{Mg}_3\text{Zn}_3$ . На порошкограммах линии  $\text{MgZn}_2$  становятся видимыми при 135° через 48 час. При увеличении  $t$ -ры от 135 до 250°, при различной продолжительности обработки, величина частичек растет, соответственно, от 100 до 1500 Å. Параметр твердого  $p$ -ра мало меняется до 100°, но при 135° после выдержки в течение нескольких часов изменение параметра становится заметным. Г. Гольдер

171. Кристаллография двух соединений, содержащих окислы меди и молибдена. Томас, Херцог, Мак-Лаклан (The crystallography of two compounds containing the oxides of copper and molybdenum. Thomas Ivor D., Herzog Arno, McLachlan Dan, Jr), Acta crystallogr., 1956, 9, № 3, 316—317 (англ.)

Путем сплавления нитрата меди с молибдатом аммония получены 2 смешанных оксида:  $\text{Cu}_3\text{Mo}_2\text{O}_8$  (I) и  $\text{Cu}_2\text{Mo}_2\text{O}_8$  (II). При плавлении шихты наблюдается обратное выделение  $\text{O}_2$ , соответствующее переходу I в II. Игольчатые кристаллы I синего-черного цвета получаются при медленном охлаждении расплава смеси с 66 мол. %  $\text{CuO}$  в атмосфере  $\text{O}_2$ ; в отсутствие  $\text{O}_2$  получаются агломераты кристаллов II неправильной формы. Параметры решетки: I  $a$  7,78,  $b$  14,64,  $c$  6,90 Å,  $\beta$  (рент.) 4,454, ф. гр.  $Pna$ ; II 11,02, 17,58, 5,03 Å,  $\beta$  (рент.) 4,4802,  $P2_12_1$ . Р. Озеров

172. Кристаллическая структура дититаната бария,  $\text{BaO} \cdot 2\text{TiO}_2$ . Гаррисон (The crystal structure of

barium ditionate,  $\text{BaO} \cdot 2\text{TiO}_2$ . Harrison F. W.), Acta crystallogr., 1956, 9, № 6, 495—500 (англ.)

$\text{BaO} \cdot 2\text{TiO}_2$  (I), образующий игольчатые кристаллы, был изучен методами качения, вращения и Вейссенберга (излучение  $\text{Cu-K}_\alpha$ ). I принадлежит к моноклинной сингонии:  $a$  9,410 $\pm$ 0,004;  $b$  3,930 $\pm$ 0,001 (вдоль оси игольчатки),  $c$  16,892 $\pm$ 0,013 Å,  $\beta$  103°27'±3', ф. гр.  $A2/m$ ,  $z=6$ . Координаты атомов (определены из двумерных проекций Паттерсона и Фурье)  $\text{Ba}_{(2)}$  в 2( $a$ ) 000;  $\text{O}_{(5)}$  в 2( $d$ )  $\frac{1}{2}$   $\frac{1}{2}$  0. Остальные атомы в 4( $i$ )  $x$ 0 $z$  с параметрами:  $\text{Ba}_{(1)}$   $x=0,482$ ;  $z=0,130$ ;  $\text{Ti}_{(1)}$  0,195; 0,669;  $\text{O}_{(1)}$  0,195; 0,169;  $\text{Ti}_{(2)}$  0,127; 0,293;  $\text{O}_{(2)}$  0,127; 0,793;  $\text{Ti}_{(3)}$  0,286; 0,462;  $\text{O}_{(3)}$  0,286; 0,962;  $\text{O}_{(4)}$  0,416; 0,322;  $\text{O}_{(6)}$  0,209; 0,563;  $\text{O}_{(7)}$  0,072; 0,396;  $\text{O}_{(8)}$  0,374; 0,712. Атомы Ti окружены по вершинам октаэдра 6 атомами O, атомы Ba — 12 атомами O. Расположение атомов подобно найденному в  $\text{BaTiO}_3$ . Л. Ковба

173. Кристаллическая структура фосфорной кислоты. Фурберг (The crystal structure of phosphoric acid. Furberg Sven), Acta chem. scand., 1955, 9, № 10, 1557—1566 (англ.)

Предварительное сообщение о структуре  $\text{H}_3\text{PO}_4$  (РЖХим, 1955, 20643) было основано на Фурье-проекциях вдоль двух осей. Уточнение координат атомов произведено последовательными разностными синтезами и методом наименьших квадратов. На проекциях ( $F_o - F_c$ ) рядов разрешены атомы H. Группа  $\text{PO}_4$  представляет слегка искаженный тетраэдр (с сохранением тригональной симметрии). Три связи P—O (1,57 Å) автор считает близкими к двойным, однако промежуточными между двойными и одинарными, а четвертую — «чистой» двойной связью. Молекулы  $\text{H}_3\text{PO}_4$  соединены водородными связями, их длины:  $\text{O}_{(2,4)}\text{—H}_{(2,4)} \dots \text{O}_{(1)}$  2,53 Å (связь между гидроксильным и «кетокислородом»),  $\text{O}_{(3)}\text{—H}_{(3)} \dots \text{O}_{(2)}$  2,84 Å (связь между двумя гидроксильными). Полученные результаты сравниваются с независимо полученными данными (РЖХим, 1956, 15365). С. Бацанов

174. Структура дитионита. Дьюниц (Structure of dithionite. Dunitz J. D.), J. Amer. Chem. Soc., 1956, 78, № 4, 878—879 (англ.)

Приводится краткое сообщение о результатах рентгенографического исследования безвод. дитионита  $\text{Na}_2\text{S}_2\text{O}_4$ . Параметры решетки:  $a$  6,404,  $b$  6,559,  $c$  6,586 Å,  $\beta$  119°31',  $Z=2$ , ф. гр.  $P2_1/c$ . Детали структуры определены по разностным синтезам электронной плотности. Величины факторов достоверности:  $R_{hkl}$  0,098,  $R_{hol}$  0,063,  $R_{okl}$  0,106. Анион  $(\text{S}_2\text{O}_4)^{2-}$  имеет симметрию  $C_{2v}$  и образован двумя группами  $(\text{SO}_2)^-$ , соединенными слабой связью S—S. Межатомные расстояния: S—O 1,496 и 1,515, S—S 2,389 Å; валентные углы O—S—S 98°01' и 99°23'. Ю. Пятенко

175. Кристаллография и структура  $\text{BeSO}_4$ . Коккорос (Kristallographie und Struktur von  $\text{BeSO}_4$ . Kokkoros P.), Tschermaks mineral. und petrogr. Mitt., 1956, 6, № 1—2, 116—119 (нем.)

Монокристаллы  $\text{BeSO}_4$ , полученные медленным испарением  $p$ -ра  $\text{Be}(\text{OH})_2$  в  $\text{H}_2\text{SO}_4$ , исследованы методом Вейссенберга:  $a$  4,485,  $c$  6,90 Å,  $Z=2$ , ф. гр.  $I \bar{4}$ .



Координаты атомов: Be в  $0\frac{1}{2}\frac{1}{4}$ ; S в 000; O в общем положении (найденно методом проб) с  $x = 0,14$ ,  $y = 0,24$ ,  $z = 0,13$ . В структуре имеются тетраэдры  $[\text{BeO}_4]$  и  $[\text{SO}_4]$ . Межатомные расстояния (в Å): S—O 1,53; Be—O 1,56; O—O 2,49–2,51 (в  $\text{SO}_4$ -тетраэдре) и 2,50–2,65 (в  $\text{BeO}_4$ -тетраэдре). На воздухе кристаллы  $\text{BeSO}_4$  постепенно превращаются в мелкокристаллич.  $\text{BeSO}_4 \cdot 4\text{H}_2\text{O}$ .

Л. Ковба

**176. Кристаллическая структура моногидрата йодата церия. Айберс** (The crystal structure of ceric iodate monohydrate. Ibers James A.), Acta crystallogr., 1956, 9, № 3, 225–231 (англ.)

Проверка и уточнение данных по структуре  $\text{Ce}(\text{JO}_3)_4 \cdot \text{H}_2\text{O}$  (I) (Wells A. F., Acta crystallogr., 1949, 2, 128). Кристаллы I относятся к моноклинной сингонии,  $a\ 9,57 \pm 0,01$ ,  $b\ 14,92$ ,  $c\ 8,00 \pm 0,02$  Å,  $\beta\ 97^\circ 35' \pm 15'$ ,  $z = 4$ ,  $\rho\ 4,89 \pm 0,03$ ,  $\rho(\text{теор.})\ 5,03$ , ф. гр.  $P2_1/n$ . Особое внимание обращалось на возможно более точное определение интенсивности рефлексов. Кроме обычных факторов интенсивности, учитывалось поглощение (Evans H. T., Jr, Ekstein M. G., Acta crystallogr., 1952, 5, 540). Положение атомов определялось из трехмерной функции Паттерсона и уточнялось с помощью дифференциального синтеза. Структура состоит из отдельных тригональных йодатных групп; межатомные расстояния внутри этих групп: J—O 1,77–1,86 (среднее 1,82 Å), среднее O—O 2,74 Å. Средний угол O—J—O  $97^\circ 8'$ . Группы  $\text{JO}_3$  окружают атом Ce так, что с двумя различными атомами Ce соединены два атома O от каждой группы, третий атом O изолирован. Атом Ce имеет 7 соседних атомов O на расстояниях 2,18–2,41 Å и один на расстоянии 2,82 Å; при этом атомы O образуют сильно искаженную антипризму Архимеда. Атомы O окружают атомы J, образуя искаженный октаэдр (3 O на расстоянии 2,5–3,1 Å), причем в этом участвуют также атомы O молекул  $\text{H}_2\text{O}$ .

Р. Озеров

**177. Кристаллическая структура дигидрата дитионата Na. Мартинес, Гарсия-Бланко, Ривуар** (Crystal structure of sodium dithionate dihydrate. Martínez S., Miss, García-Blanco S., Rivoir L.), Acta crystallogr., 1956, 9, № 2, 145–150 (англ.)

Проведено рентгенографич. исследование кристаллич. структуры  $\text{Na}_2\text{S}_2\text{O}_6 \cdot 2\text{H}_2\text{O}$  (I). При исследовании использовались методы вращения и Вейсберга (излучение  $\text{Cu-K}_\alpha$ ). Параметры решетки:  $a\ 6,42$ ,  $b\ 10,75$ ,  $c\ 10,62$  Å,  $Z = 4$ , ф. гр.  $Pnma$ . Координаты атомов в структуре определены по проекциям Паттерсона и электронной плотности с последующим уточнением по разностным синтезам Фурье. Основу структуры I составляет построенный по каркаскому плану мотив из Na-октаэдров (4 O +  $2\text{H}_2\text{O}$ ), соединяющихся друг с другом как по вершинам, так и по ребрам. Расстояние Na—O внутри октаэдров колеблется в пределах 2,28–2,64 Å. Каждый атом S в структуре окружен по искаженному тетраэдру 1S+3O; расстояния в ионе  $(\text{S}_2\text{O}_6)^{2-}$  S—S 2,16, S—O 1,45–1,46 Å. Средняя величина угла S—S—O  $103^\circ$ .

Ю. Пятенко

**178. О дебагмах стромейерита и о синтезе этого минерала путем спекания. Пруво** (Remarque sur le spectre de Debye et Scherrer de la stromeyerite et sur la synthèse de ce minéral par frittage. Pruvost Jean), C. r. Acad. sci., 1955, 241, № 2, 217–219 (франц.)

Смесь порошка Ag с кусочками ковеллина подвергалась давл.  $7000\text{ кг/см}^2$ , а затем нагревалась до нескольких сот градусов в атмосфере инертного газа. При  $t \sim 430^\circ$  имеет место образование стромейерита, контролируемое появлением характерных оптич. свойств этого минерала (специальная окраска и сильная анизотропия). Дебаграмма полученного образца иден-

тична картине, даваемой стромейеритом тасманийского месторождения и искусств. минералом, синтезированным исходя из смеси S, Ag и Cu. Спекание ковеллина с Ag при  $t$ -рах выше  $430^\circ$  приводит к образованию твердых р-ров различного состава.

Т. Хоцянова

**179. Кристаллическая структура  $\text{K}[\text{Co}(\text{NH}_3)_2(\text{NO}_2)_4]$ . Комияма** (The crystal structure of potassium tetranitro-diammine-cobaltate (III),  $\text{K}[\text{Co}(\text{NH}_3)_2(\text{NO}_2)_4]$ . Komiyama Yoshimichi), Bull. Chem. Soc. Japan, 1956, 29, № 3, 300–304 (англ.)

Рентгенографически (развертки нулевых слоев) линии вдоль координатных осей,  $\lambda\text{ Fe}$ ) исследованы кристаллы  $\text{K}[\text{Co}(\text{NO}_2)_4(\text{NH}_3)_2]$ . Параметры решетки:  $a\ 11,38$ ,  $b\ 12,95$ ,  $c\ 6,76$ ,  $\rho\ 2,107$ ,  $Z = 4$ , ф. гр.  $P2_12_12_1$ . Положение всех атомов найдено по проекциям Паттерсона и Фурье ( $R$  равно соответственно 0,165, 0,185 и 0,235 для отражений  $h00$ ,  $0kl$  и  $h0l$ ). Межатомные расстояния и валентные углы внутри комплексного иона (в Å): Co— $\text{NH}_3$  2,00; Co—N 1,96;  $\text{N}_{(1)}$ —O 1,24, 1,23;  $\angle\text{ONO } 115^\circ$ ;  $\text{N}_{(2)}$ —O 1,21, 1,26;  $\angle\text{ONO } 116^\circ$ ;  $\text{N}_{(3)}$ —O 1,22, 1,20;  $\angle\text{ONO } 118^\circ$ ;  $\text{N}_{(4)}$ —O 1,23, 1,20;  $\angle\text{ONO } 124^\circ$ ; O—O (в группе  $\text{NO}_2$ ) 2,08; 2,10; 2,08; 2,14; расстояния 8 (K—O) 2,79–3,26. Комплексный ион имеет транс-строение; конфигурация комплекса аналогична найденной в  $\text{Ag}[\text{Co}(\text{NH}_3)_2(\text{NO}_2)_4]$  (Wells A. F., Z. Kristallogr., 1936, A95, 74; РЖХим, 1954, 14206). Плоскости групп  $\text{NO}_2$  наклонены к плоскости атомов N под углами  $58^\circ$ ,  $56^\circ$ ,  $42^\circ$  и  $86^\circ$ . Комплексные ионы образуют слои, перпендикулярные оси  $b$ , за счет  $\text{NH} \dots \text{O}$  (2,87 и 2,97 Å) связей между группами  $\text{NH}_3$  и атомами O соседних комплексов.

Э. Гилнскин

**180. Необычный комплекс монтмориллонита. Грин-Келли** (An unusual montmorillonite complex. Greene-Kelly R.), Clay Minerals Bull., 1955, 2, № 13, 226–232 (англ.)

Комплексы монтмориллонита с пиридином по своим физ.-хим. особенностям и структуре зависят от межслоевых обменных катионов. Na- и Li-монтмориллониты при насыщении пиридином дают комплекс с базальным межслоевым расстоянием 23,3 кХ. Существенное участие в образовании комплекса принимает вода. Миним. состав насыщающего элемента можно представить ф-лой  $[(\text{C}_5\text{H}_5\text{N})_2(\text{H}_2\text{O})_2]$  на каждый ион  $\text{Na}^+$ . От Na-монтмориллонита получено до двадцати порядков отражений 001, которые были использованы для построения одномерных синтезов. Они четко выделили силикатный слой и 5 пиков межслоевого пространства. Последние, однако, не могут быть интерпретированы как 5 слоев пиридина и лучше согласуются с предположением, что катионы  $\text{Na}^+$  окружены 4 атомами N из молекул пиридина и двумя молекулами воды. Плоскость  $[\text{Na}(\text{C}_5\text{H}_5\text{N})_2(\text{H}_2\text{O})_2]$  параллельна силикатному слою, две другие молекулы  $\text{C}_5\text{H}_5\text{N}$  перпендикулярны к нему.

Б. Звягина

**181. Эмпирическое определение состава элементарной ячейки минералов семейства фридделита. Хей** (The empirical unit-cell contents of the friedelite family. Hey Max H.), Amer. Mineralogist, 1956, 41, № 1-2, 134–138 (англ.)

Пересматриваются выведенные ранее ф-лы, характеризующие состав элементарных ячеек минералов семейства фридделита (РЖХим, 1956, 6201). Суммируя литературные данные по полному хим. анализу, определению плотности и размеров элементарной ячейки минералов этой группы, автор приходит к следующему выводу. 1. Элементарная ячейка пиро-малита и манганопиромалита содержит:  $2[(\text{Mn}, \text{Fe})_8\text{Si}_4\text{O}_{15}(\text{OH}, \text{Cl})_{10}]$ . 2. Для шаллерита ф-ла имеет вид:  $4[(\text{Mn}, \text{Fe})_8\text{As}_{2-x}\text{Si}_4(\text{O}, \text{OH}, \text{Cl})_{20}]$ , где:  $x \sim 0,6$ ; O: (OH, Cl) от 2,2 до 1,9. 3. Из 8 анализов фридделита следует, что содержание воды не постоянно, но вся вода является неотъемлемой

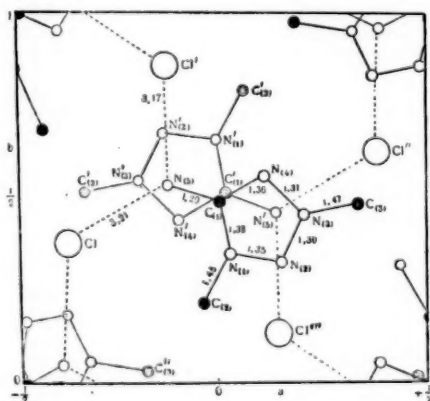
частью минерала; содержание элементарной ячейки фридита отражает ф-ла:  $6[(\text{Mn}, \text{Fe}, \text{Mg}, \text{Zn}, \text{Ca})_{8-x}\text{Si}_{6-y}\text{O}_{15}(\text{OH}, \text{Cl})_{10}]$ , где  $x$  и  $y$  могут достигать 0,3; дефицит валентности балансируется замещением O на OH, до 10 (OH) на элементарную ячейку. 4. Ферропаллерит автор рекомендует рассматривать как самостоятельный вид с ф-лой элементарной ячейки, близкой к  $6[(\text{Mn}, \text{Fe})_{8}\text{As}_{1,5}\text{Si}_6\text{O}_{18}(\text{OH}, \text{Cl}, \text{O})_8]$ . Правильное соотношение этих 4 видов остается неясным. Г. Сидоренко

182. Исследование кристаллической структуры антигорита. Зусман (Investigation of the crystal structure of antigorite. Zussman J.), Mineral. Mag., 1954, 30, № 227, 498—512 (англ.) См. РЖФиз, 1955, 19082.

183. Кристаллическая структура цонзита. Фесенко Е. Г., Руманова Н. М., Белов Н. В., Кристаллография, 1956, 1, № 2, 171—196 См. РЖХим, 1956, 6202

184. Кристаллическая структура хлористоводородной и бромистоводородной солей 1,3-диметил-5-иминотетразола. Брайден (The crystal structure of the hydrochloride and hydrobromide salts of 1,3-dimethyl-5-iminotetrazole. Bryden John H.), Acta crystallogr., 1955, 8, № 4, 211—217 (англ.)

Рентгенографически исследованы хлоргидрат (I) и бромгидрат (II) продукта метилирования 2-метил-1,5-аминотетразола, оказавшегося, как показало исследование, не 1,2-диметил-5-иминотетразолом, а 1,3-диметил-5-иминотетразолом. I и II образуют ромбич. кристаллы с параметрами: I  $a$  10,90,  $b$  9,60,  $c$  6,58 Å,  $\rho$  (изм.) 1,43,  $\rho$  (рент.) 1,443; II  $a$  11,21,  $b$  9,82,  $c$  6,71 Å,  $\rho$  1,69,



1,745,  $Z = 4$ , ф. гр.  $Pbmm$ . Структура определена с помощью трехмерных функций Паттерсона и Фурье. Определение длин связей показывает, что все связи (кроме N—CH<sub>3</sub>) в молекуле промежуточны между двойной и одинарной. Тетразольное кольцо представляет собой слегка искаженный плоский правильный пятиугольник. Ионы Cl<sup>-</sup> расположены в одной плоскости с тетразольным кольцом, образуя водородные связи с NH<sub>2</sub>-группой. Следовательно, атомы N NH<sub>2</sub><sup>+</sup>-группы лежат в той же плоскости. Некоторые расстояния CH<sub>3</sub>—Cl меньше суммы радиусов (3,47—3,67 вместо 3,80 Å). Контакт CH<sub>3</sub>—CH<sub>3</sub> дает обычное расстояние 4,02 Å. Основу структуры представляют колонки молекул вдоль оси  $z$  с ионами Cl<sup>-</sup> в промежутках между колонками. В. Пахомов

185. Новый рациональный метод измерения структурного фактора в нейтронографическом анализе.

Лауд (A new rationale of structure-factor measurement in neutron-diffraction analysis. Lowe R. D.), Acta crystallogr., 1956, 9, № 2, 151—155 (англ.)

Предлагается новый метод измерения интегральной интенсивности отражений нейтронов с использованием белого излучения (Лауд-метод) и с возможностью работы с пульсирующим источником. Автор считает предлагаемый метод более простым и быстрым по сравнению с обычно употребляемым методом вращения. Р. Озеров

186. Аномальное поглощение медленных нейтронов и рентгеновских лучей в почти совершенных монокристаллах. Ноулс (Anomalous absorption of slow neutrons and X-rays in nearly perfect single crystals. Knowles J. W.), Acta crystallogr., 1956, 9, № 1, 61—69 (англ.)

С помощью подробно описанного нейтронного спектрографа изучалось поглощение  $\gamma$ -лучей, получаемых в результате р-ции  $\text{Ca}(n, \gamma)$ , в почти совершенном кристалле  $\text{CaCO}_3$  ( $\sim 5$  см толщиной). Максим. изменение интенсивности  $\gamma$ -лучей в  $2,5 \pm 0,6\%$  обнаружено при углах  $\theta$ , близких к Лауд-отражению. С использованием динамич. теории поглощения построена дисперсионная кривая для  $\gamma$ -лучей, согласующаяся с эксперим. данными. Изучалось также поглощение нейтронов ( $\lambda$  1,30 Å) кристаллом  $3\text{CdSO}_4 \cdot 8\text{H}_2\text{O}$  (толщиной 2 мм); оно сравнивалось с поглощением рентгеновских лучей ( $\lambda$  0,708 Å). Вблизи Лауд-отражения наблюдалось заметное уменьшение поглощения рентгеновских лучей; у нейтронов оно отсутствовало. Найденный эффект объяснен на основе мозаичной структуры кристалла. Р. Озеров

187. Таммовские связанные состояния электронов на поверхности кристалла и поверхностные колебания атомов решетки. Лифшиц И. М., Пикар С. И. (Die Tammschen gebundenen Elektronenzustände an der Kristalloberfläche und die Oberflächenschwingungen der Gitteratome. Lifschitz I. M., Pekar S. I.), Fortschr. Phys., 1956, 4, № 3, 81—114 (нем.) См. РЖХим, 1956, 31780.

188. Влияние электромагнитного и корпускулярного излучений на свойства твердых тел. Хеллер (Einwirkung von elektromagnetischer Strahlung und Korpuskularstrahlung auf die Eigenschaften von Festkörpern. Höller Paul), Arch. Eisenhüttenwesen, 1956, 27, № 7, 459—468 (нем.)

Обзор, посвященный влиянию излучений на хим. и физ. свойства изоляторов, полупроводников и металлов. Библи. 21 назв. А. Хейнман

189. Тепловые колебания кристаллов и дифракция нейтронов. Мошинский. (Vibraciones térmicas de los cristales y la difracción de neutrones. Moshinsky Marcos), Rev. mexicana fis., 1954, 3, № 1, 1—23 (исп.; рез. англ.)

Продолжено теоретич. исследование (Rev. mexicana fis., 1953, 2, 137) дифракции нейтронов решеткой, атомы которой колеблются с определенной частотой. Анализ распространен на тепловые колебания и проведен на основе полуклассич. представлений, поскольку состояние нейтрона описывается волновой функцией, удовлетворяющей ур-нию Шредингера, а колебания решетки описываются на основе классич. представлений. Взаимодействие нейтронов с колеблющимися ядрами описывается функцией, зависящей от мгновенных положений ядер, а следовательно, и от времени. Путем решения ур-ния Шредингера, включающего время, получены упругие и неупругие дифференциальные поперечные сечения рассеяния и сравнены с данными, полученными ранее (Weinstock R., Phys. Rev., 1944, 65, 1). А. Хейнман

190. Об энергетическом спектре колебаний неупорядоченных кристаллов. Лифшиц И. М., Сте-

панова Г. И., Фіз збірник. Львівськ. ун-т, Фіз. сб. Львовск. ун-т, 1955, вып. 1 (6), 84—94

Предложен метод вычисления спектральной плотности колебаний атомов решетки, составленной из различных изотопов одного элемента. Рассмотрена идеализированная простая решетка, все колебания которой совершаются в одном направлении.

А. Хейман  
191. Адиабатическая форма теории возмущений в задаче о взаимодействии двух частиц с квантовым полем. Москаленко В. А., Уч. зап. Кишиневск. ун-та, 1955, 17, 103—114

По методу адиабатич. теории возмущений рассмотрена задача о взаимодействии двух частиц с квантовым полем. Рассмотрены задачи об экситоне в ионном кристалле и о биполяроне, причем исследование ведется в приближении метода эффективной массы. Для поляризующего экситона исследован энергетич. спектр системы и оценено, что эффективная масса экситона равна  $\sim 10^6 m$  для щелочногалогенных кристаллов и  $10 m$  для  $\text{Cu}_2\text{O}$  ( $m$  — масса электрона). Для биполярона рассмотрены случаи полного спина  $S = 0$  и  $S = 1$ . Для обоих случаев энергия основного состояния больше энергии двух поляронов, разведенных на бесконечность; что указывает на неустойчивость биполярона.

С. Тябликов  
192. Подвижность медленных электронов в полярных кристаллах. Лоу, Пайне (Mobility of slow electrons in polar crystals. Low Francis E., Pines David), Phys. Rev., 1955, 98, № 2, 414—418 (англ.)

Методом промежуточной связи исследовано взаимодействие электрона с фононным полем в полярном кристалле. При вычислении матричных элементов, соответствующих рассеянию электрона, в качестве полных функций начального и конечного состояний использованы функции полярона (РЖФиз, 1954, 2697). Найдено выражение для подвижности полярона, справедливое при  $T$ -рах во много раз меньших дебаевской:  $\mu = (2\alpha\omega)^{-1} (e/m) (1 + \alpha/6)^{-3/2} (\alpha) \exp(\hbar\omega/kT)$ , где  $\omega$  — частота оптич. колебаний,  $\alpha$  — константа взаимодействия электронов с фононами,  $f(\alpha)$  — медленно меняющаяся функция, значения которой близки к  $5/4$  при  $3 < \alpha < 6$ .

Ш. Коган  
193. Закон Фриделя в динамической теории дифракции. Мияке, Уеда (Friedel's law in the dynamical theory of diffraction. Miyake Shizuo, Ueda Ryozi), Acta crystallogr., 1955, 8, № 6, 335—342 (англ.)

См. РЖФиз, 1956, 25506.

194. Межслоевые связи в слоистых структурах. Холсер (Interlayer bonding in a layer structure. Holsen William T.), Z. Kristallogr., 1956, 107, № 1—2, 155—160 (англ.)

По ранее описанному методу (Höjendahl Kr., Kgl. danske Vidensk. Selsk., mat.-fysiske Medd., 1938, 16, № 2) подсчитана электростатич. энергия внутри слоя структуры  $\text{CdI}_2$ . Сопоставлением с полной энергией структуры (Pinsker Z. G., Acta Physicochim. URSS, 1943, 18, 311, 477; 1945, 20, 121) подсчитаны доли: электростатическая, ван-дер-ваальсова и энергия отталкивания, приходящиеся на межслоевую связь. Установлено, что истинные значения межслоевых энергий отталкивания и электростатич. взаимодействия меньше расчетных значений, и это указывает на то, что связь  $\text{Cd} - \text{I}$  в значительной степени имеет гомеополарный характер. Таким образом, взаимосвязь слоев в основном осуществляется ван-дер-ваальсовыми силами, а электростатич. силы вне слоев играют незначительную роль. Отмечается, что в гидроокислах, относящихся к тому же структурному типу, замещения диполей существенно не меняют электростатич. энергию; измене-

ния  $c/a$  связаны с соотношением размеров катионов, а не с изменением энергии связи слоев. Б. Звигиц  
195. Энергия решетки солей, образованных ионами с восьмиэлектронной внешней оболочкой. Капустинский А. Ф., Яцимирский К. Б., Ж. общ. химии, 1956, 26, № 4, 941—948

В ф-ле для подсчета энергии кристаллич. решетки  $U = 287,2 [\Sigma n Z_K Z_A / (r_K + r_A)] [1 - \rho / (r_K + r_A)]$  (Капустинский А. Ф., Ж. общ. химии, 1943, 13, 497) значение репульсивного коэфф.  $\rho$  зависит от суммы ионных радиусов  $\rho = 0,345 - 0,00870 (r_K + r_A)^2$ . С учетом этого эмпирич. выражения получено ур-ние:  $U = 287,2 \times [\Sigma n Z_K Z_A / (r_K + r_A)] [1 - 0,345 / (r_K + r_A) + 0,00870 \times (r_K + r_A)]$ , которое дает значения  $U$ , совпадающие с эксперим. данными с точностью до 2% для солей типа  $\text{MX}$  и  $\text{MX}_2$ . Ур-ние дает удовлетворительные результаты и для солей типа  $\text{MX}_3$ . Значительные отступления наблюдаются при расчетах для солей с резко выраженной поляризацией катионов. Вычислены  $U$  для оксидов, сульфидов и селенидов металлов I и II главных групп периодической системы Менделеева. Подсчитаны также значения электронного сродства атомов O, Se и S.

Л. Шамовский  
196. Энергия решетки фтористого водорода. Цицишвили Г. В., Сообщ. АН ГрузССР, 1955, 16, № 9, 687—690

Энергия решетки  $U$  фтористого водорода, равная теплоте сублимации при  $0^\circ\text{K}$ , представлена как сумма дипольного  $U(\text{дип.})$ , дисперсионного  $U(\text{дис.})$ , индукционного  $U(\text{инд.})$  и отталкивательного  $U(\text{от.})$  взаимодействий и изменения нулевой энергии  $\Delta U_0$  при переходе газ  $\rightarrow$  твердое тело:  $U = U(\text{дип.}) + U(\text{дис.}) + U(\text{инд.}) + U(\text{от.}) + \Delta U_0$ .  $U(\text{дип.})$  вычислено из эффективных зарядов химически связанных атомов H и F, а  $U(\text{дис.})$  — по модифицированной автором (Сообщения АН ГССР, 1946, XII, № 1—2, 11) ф-ле Лондона—Слейтера—Кирквуда.  $U(\text{инд.})$  определяли обычным путем,  $U(\text{от.})$  оценивали на основании электронографии данных, а  $\Delta U_0$  — на основании спектроскопич. данных. Получено  $U = 5,3 \text{ ккал/моль}$ . Расчет на основании термич. данных по закону Гесса дает  $U = 3,3 \text{ ккал/моль}$ .

А. Хейман  
197. Свойства графита. Смит (Properties of graphite. Smith E. A.), Nuclear Engineering, 1956, 1, № 3, 125—127 (англ.; рез. франц., нем., исп.)

Обсуждаются механич., термич. и электрич. свойства графита в связи с температурными изменениями, а также зависимость этих свойств от кристаллич. структуры.

А. Кацнельсон

198. Вычисление энтропий дефектов решетки. Хантингтон, Шерн, Вайда (Calculation of the entropies of lattice defects. Huntington H. B., Shirn G. A., Wajda E. S.), Phys. Rev., 1955, 99, № 4, 1085—1091 (англ.)

Изменение энтропии  $\Delta S$  кристалла при образовании дефектов (атомных вакансий, междоузельных атомов) вычислено для границированной решетки Си.  $\Delta S$  выражено через отношения собственных частот идеальной решетки  $\nu_{10}$  и решетки с дефектом  $\nu_f$ :  $\Delta S = kS \ln(\nu_{10}/\nu_f)$ . Ввиду сложности задачи отыскания  $\nu_f$  использован приближенный метод.  $\Delta S$  складывается из трех частей. Первая часть  $\Delta S_1$  обусловлена локальными колебаниями ближайших соседей дефекта. Частоты  $\nu_{1f}$  этих колебаний вычислены на основе эйнштейновской модели несвязанных осцилляторов в предположении, что между ионами решетки действуют силы отталкивания, убывающие по экспоненте. Изменение свободной энергии тех частей решетки, которые находятся сравнительно далеко от дефекта, вычислено с помощью теории упругости. Соответствующее  $\Delta S_2$  с



помощью ур-ния Гиббса — Гельмгольца выражено через производные от упругих постоянных кристалла по т-ре.  $\Delta S_3$  связана с наличием граничного условия — равенства нулю давления на поверхности кристалла. Во всех случаях  $\Delta S_3$  по абс. величины меньше и противоположна по знаку  $\Delta S_1$ . Суммарное  $\Delta S/K$  равно 0,8 для междузельного атома, 1,47 для атомной вакансии в узле и 0,93 для атомной вакансии в седловидной точке (при перескоке). Ш. Коган

199. Измерение беспорядочных нарушений решеток и электрического сопротивления в системе  $\text{ThO}_2 - \text{La}_2\text{O}_3$ . Хунд (Messungen der unregelmässigen Gitterstörung und des elektrischen Widerstandes im System  $\text{ThO}_2 - \text{La}_2\text{O}_3$ . Hund F., Z. anorg. und allgem. Chem., 1953, 274, № 1—3, 105—113 (нем.).

На основе измеренных (ионизационным методом) интенсивностей рентгеновских интерференций определены величины  $B = 8\pi^2 u^2$ , характеризующие нарушения (сдвиги атомов) в решетке смешанных кристаллов  $\text{ThO}_2 - \text{La}_2\text{O}_3$  с содержанием 25,0 и 46,6 мол. %  $\text{La}_2\text{O}_3$ , равные соответственно  $0,45 \pm 0,04$ ;  $0,75 \pm 0,03$  и  $1,52 \pm 0,03 \cdot 10^{-16} \text{ см}^2$ . По ф-ле Дебая — Валлера подсчитаны величины  $B$  с учетом только тепловых колебаний структурных единиц кристаллов. Они оказались равными для тех же составов 0,30; 0,33 и  $0,35 \cdot 10^{-16} \text{ см}^2$ . Сравнением обеих групп дифр. получены величины  $\Delta B$ , обусловленной увеличением дефицитов кислорода в решетке. На тех же образцах изучена температурная зависимость уд. электр. сопротивления, произведено сопоставление между уд. сопротивлением и измеренными величинами  $B$ . Электропроводность кристаллов объяснена электролитич. проводимостью за счет дефекта кислородных ионов. С. Бадавов

200. Фотохимическое и термическое образование центров окраски в кристаллах азиды калия. Томпкинс, Янг (The photochemical and thermal formation of colour centres in potassium azide crystals. Tompkins F. C., Young D. A.), Proc. Roy. Soc., 1956, A 236, № 1204, 10—23 (англ.).

Оптически прозрачные пластинчатые ( $8 \times 8 \times 1 \text{ мм}$ ) кристаллы  $\text{KN}_3$  (I) получали охлаждением насыщ. при  $45^\circ$  водн. р-ров до  $20^\circ$  со скоростью  $\sim 0,5 \text{ град/мин}$ . В результате облучения УФ-лучами с  $\lambda 253 \text{ мμ}$  (граница собственного поглощения лежит  $\sim 258 \text{ мμ}$ ) при  $-196^\circ$  кристаллы окрашиваются в сиреневый цвет и разлагаются с выделением  $\text{N}_2$  и осаждением K в решетке. Спектр поглощения окрашенных кристаллов исследован в области  $\lambda 350 - 1000 \text{ мμ}$  и интервале т-р от  $-196$  до  $+300^\circ$ . На основании аналогии со спектром поглощения аддитивно и радиационно окрашенного KCl произведена идентификация отдельных полос поглощения и дана детальная картина фотохим. и термич. процессов в I. При  $-196^\circ$  образуются F-центры (интенсивная полоса при  $550 \text{ мμ}$ ), V-центры (полоса при  $\sim 375 \text{ мμ}$ ) и агрегаты F-центров (R- и M-центры при  $725$  и  $760 \text{ мμ}$ ), расположенные на дислокациях и по границам субструктуры. При  $-78^\circ$  V-центры соединяются с частью F-центров, а при  $0^\circ$  оставшиеся F-центры агрегируют на дислокациях, образуя R'-центры. Последние при  $60^\circ$  превращаются в нити металлич. K толщиной в 2—3 атома, которые при  $276^\circ$  превращаются в колл. центры, идентичные зародышам, образующимся при термич. разложении азидов. Опыты на прессованных таблетках и сублимированных пленках подтверждают эти выводы. Способность I к окрашиванию сильно уменьшается с возрастом образцов, что приписано ассоциации изолированных анионных и катионных вакансий в нейтр. пары. А. Хейнман

201. V-центры в метафосфатном стекле. Басу (V-centers in metaphosphate glass. Basu S. a d h a n), Naturwissenschaften, 1956, 43, № 9, 196 (англ.).

Метафосфатное стекло, содержащее  $\sim 7\%$  S, обнаруживает широкую полосу поглощения в области  $570 - 600 \text{ мμ}$ , обусловленную молекулами  $\text{S}_2$  (Otley, Weyl, J. Appl. Phys., 1952, 23, 499). При рентгенизации эта полоса уменьшается и становится более диффузной в результате захвата электрона на  $\text{S}_2$ . Одновременно появляется слабая, но отчетливая полоса при  $340 \text{ мμ}$ , приписанная V-центрам (РЖХим, 1956, 31770). F-полоса не появляется вследствие захвата электронов на  $\text{S}_2$ . Метафосфатные стекла, содержащие  $\text{Fe}^{3+}$ ,  $\text{Cr}^{3+}$ ,  $\text{Cu}^{2+}$  и  $\text{Ni}^{2+}$ , после рентгенизации также обнаруживают V-полосу при  $340 \text{ мμ}$  до появления F-полосы, что приписано захвату электрона этими ионами. А. Хейнман

202. Дихроизм F- и M-полос поглощения в KCl. Дорн, Хейвен (Dichroism of the F and M absorption bands in KCl. Doorn C. Z., van, Haven Y.), Phys. Rev., 1955, 100, № 2, 753 (англ.).

Аддитивно окрашенный кристалл KCl, резко охлажд. до  $20^\circ\text{C}$  и выдержанный при этой т-ре в течение некоторого времени, облучался несколько минут при  $77^\circ\text{K}$  светом с  $\lambda 5461 \text{ Å}$ , падающим в направлении [100] и поляризованным в направлении [011]. В результате облучения поглощение в области M-полосы ( $\lambda 8100 \text{ Å}$ ) возрастает для света, поляризованного в направлении [011], и уменьшается для света, поляризованного в перпендикулярном направлении [011]. В области F-полосы ( $\lambda 5400 \text{ Å}$ ) дихроизм имеет обратный знак. При  $\sim 77^\circ\text{K}$  дихроизм сохраняется несколько часов, но исчезает при нагревании до  $200^\circ\text{K}$ . Облучение в области M-полосы дихроизма не вызывает. F-полоса в кристаллах, не подвергающихся выдерживанию при  $20^\circ\text{C}$ , не обнаруживает дихроизма. Сделан вывод, что анизотропные M-центры ориентируются вдоль осей симметрии 2-го порядка. Также ориентируются центры, ответственные за дихроизм в области F-полосы, и поэтому эти центры не могут быть отождествлены с F-центрами, обуславливающими F-полосу в кристаллах, не выдержанных при  $20^\circ\text{C}$ . А. Хейнман

203. Отжиг радиационных эффектов в хлориде натрия, облученном протонами большой энергии. Кобаяси (Annealing of irradiation effects in sodium chloride irradiated with high-energy protons. Kobayashi Koichi), Phys. Rev., 1956, 102, № 2, 348—355 (англ.).

Монокристаллы NaCl, отожженные при  $650^\circ$ , облучали в темноте при  $\sim 20^\circ$   $350\text{-Мэв}$  протонами (интегральная доза  $\sim 10^{12} - 10^{16} \text{ см}^{-2}$ ) и измеряли их сопротивление  $\rho$ , запасенную энергию  $E$  и оптич. поглощение. Кривая зависимости  $\rho$  (облуч.) /  $\rho$  (необлуч.) от т-ры при нагревании облученного образца со скоростью  $2 \text{ град/мин}$  имеет максимумы при  $150$  и  $250^\circ$ . При  $400^\circ$   $\rho$  (облуч.) падает до значения  $\rho$  (необлуч.). В том же интервале т-р измерено кол-во  $E$ , выделяющейся при отжиге. Обнаружены три стадии отжига:  $20 - 150^\circ$ ,  $150 - 250^\circ$  и  $250 - 400^\circ$ . Кривая  $dE/dT = f(T)$  имеет максимумы при  $100$ ,  $200$  и  $310^\circ$ . Рассмотрены механизмы отдельных стадий, особенно 2-й, при которой наблюдается значительное выделение энергии и изменение спектра поглощения. В спектре поглощения облученного кристалла имеются F-, M-,  $R_2$ - и  $V_2$ -полосы, а также полосы при  $840$  и  $925 \text{ мμ}$ . Оценено, что 1 протон на  $1 \text{ см}$  пути создает  $\sim 10^5$  катионных и анионных вакансий. Результат сравнивается с существующими теориями действия излучения на кристаллы. А. Хейнман

204. О природе тепловых всплесков. Таккер, Сенио (On the nature of thermal spikes. Tucker Charles W., Jr, Senio Peter), J. Appl. Phys., 1956, 27, № 3, 207—209 (англ.).

Слав U с 2 ат.% Cr закалывали от  $720^\circ$  для фиксации  $\beta$ -фазы или отжигали при  $470^\circ$  для получения мелкозернистой  $\alpha$ -фазы. Образцы обоих типов облучали тепловыми нейтронами в реакторе до интегральной



дозы  $1,4 \cdot 10^{18}$  нейтронов на  $1 \text{ см}^2$ . Рентгенографич. путем установлено, что облучение не вызывает превращений  $\alpha \rightarrow \beta$  или  $\beta \rightarrow \alpha$ . Это доказывает неприменимость терминов «нагревание» и «плавление» к процессам, происходящим в местах локализации тепловых всплесков. Это согласуется с теоретич. расчетами, которые показывают, что продолжительность ( $10^{-11}$  сек.) и протяженность (20 атомных диаметров) тепловых всплесков в металлах слишком малы, чтобы могло произойти зарождение и рост кристаллов новой фазы, даже если средняя «т-ра» всплески превышает т-ру плавления. Область тепловой вспышки рассматривается как зона сильного искажения решетки, в которой происходят перемещения атомов, но быстро восстанавливается структура и ориентация окружающего кристалла после того, как кинетич. энергия всплески будет передана окружающим атомам. А. Хейлман

205. К вопросу об определении энергии активации диффузионных процессов. Кристалл М. А., Физ. металлов и металловедение, 1956, 2, № 2, 303—308

Проведен анализ ур-ния для температурной зависимости скорости роста новой фазы при реакционной диффузии и показано, что значения энергии активации сложного процесса, рассчитанные из простой экспоненциальной ф-лы  $V = A \exp(-Q/RT)$ , могут быть использованы для определения лимитирующего звена процесса только в случае независимости от т-ры функции  $f(c) = \Delta c' / (\Delta c' / \rho + \Delta c' / 2)$ , где  $\Delta c$  — разность конц-ий в старой и новой фазах на поверхности их раздела, а  $\Delta c'$  — разность конц-ий в новой фазе на границе со старой и на наружной поверхности, т. е. градиент конц-ий, при котором происходит диффузия. Предложена методика расчета величин, позволяющих найти лимитирующее звено для случая  $F(c) = f(T)$ . А. Хейлман

206. Диффузия цинка в монокристаллы серебра. Заватский, Жомо (Diffusion of zinc in single crystals of silver. Sawatzky A., J. Aumont F. E., J. r), Phys. Rev., 1955, 100, № 6, 1627—1629 (англ.)

Коэффициенты диффузии  $D$  измеряли методом послойного радиометрич. анализа. Для устранения зависимости  $D$  от конц-ии диффундирующего элемента использован препарат, содержащий  $\text{Zn}^{65}$  высокой уд. активности. Использование монокристаллов высокой степени совершенства исключало диффузию по структурным неоднородностям. В интервале т-р  $640\text{--}925^\circ$   $D = 0,54 \exp(-41700/RT) \text{ см}^2/\text{сек}$ . Ошибка измерения  $D$  не  $> 2\%$ ,  $D_0 \pm 10\%$   $Q \pm 0,5\%$ . Анализируя свои результаты и сравнивая их с литературными данными (РЖХим, 1956, 3245) по диффузии Cd в Ag, авторы делают вывод, что различие атомных радиусов диффундирующих элементов не сказывается на энергии активации диффузии и незначительно влияет на  $D_0$ . С. Клоппман

207. Диффузия водорода через железо и бинарные железо-хромовые и железо-никелевые сплавы при высоких давлениях и температурах. Щербакowa A. A., Ж. прикл. химии, 1956, 29, № 6, 879—884

Установлено, что скорость диффузии  $\text{H}_2$  через пластинки сплавов Fe-Cr (0,97—41% Cr) и Fe-Ni (1,29—98,84% Ni) при давл. 100 ат и т-ре 200—600° описывается ур-нием  $v = K \exp(-E/RT)$ .  $E$  сплавов Fe-Cr не зависит от состава и равна 8000—9000 ккал на 1 г-атом водорода.  $E$  сплавов Fe-Ni с содержанием 1,29—20,05% Ni имеет такое же значение, т. е. практически не отличается от  $E$  для Fe-армо (9300); для сплавов с содержанием 73,86—90,76% Ni  $E \approx 12000$ . Для сплавов Fe-Cr  $v$  минимальна при 19% Cr. Для сплавов Fe-Ni  $v$  имеет максимум при  $\sim 6\%$  Ni и минимум при  $\sim 74\%$  Ni. А. Хейлман

208. Скорости поверхностной самодиффузии на основных гранях монокристалла меди. Хаккерман,

Симпсон (Rates of surface self-diffusion over the principal planes of a single crystal of copper. Hackerman Norman, Simpson Norman H.), Trans. Faraday Soc., 1956, 52, № 5, 628—633 (англ.)

Исследована поверхностная самодиффузия радиоактивных изотопов Cu вдоль граней (100), (110) и (111) крупных монокристаллов Cu. Коэфф. диффузии близок к  $\sim 10^{-5} \text{ см}^2/\text{сек}$ , но заметно различается для разных граней, а также для различных осей на грани (100). Такие же различия наблюдаются, по-видимому, для диффузии вдоль различных осей на грани (110), но не вдоль осей грани (111). Предложен механизм диффузии. А. Хейлман

209. Рентгенографическое исследование реакционной диффузии в бинарных системах, образованных медью с галогенами, с фосфором и кремнием. Архаров В. И., Мардешев С., Физ. металлов и металловедение, 1955, 1, № 3, 510—516

210. Рентгенографическое исследование реакционной диффузии в системе медь—цинк. Архаров В. И., Мардешев С., Физ. металлов и металловедение, 1955, 1, № 3, 517—522

211. Рентгенографическое исследование структуры сублимированных пленок меди в высоком вакууме. Кит (An X-ray study in high vacuum of the structure of evaporated copper films. Keith H. D.), Proc. Phys. Soc., 1956, B69, № 2, 180—192 (англ.)

Описана стеклянная камера для работы при низких т-рах в высоком вакууме. Пленки Cu толщиной 2000 Å, сублимированные в высоком вакууме на стеклянную подкладку, состоят из агрегатов беспорядочно ориентированных микрокристаллитов с номинальным размером  $\sim 40$  Å. Этот размер воспроизводим и почти не зависит от в-ва подкладки при  $-183^\circ$ . В результате отжига до комнатной т-ры в вакууме в отсутствие  $\text{O}_2$  и других активных газов происходит быстрое и необратимое увеличение размеров зерен до  $\geq 400$  Å. Хемосорбция насыщ. монослоя  $\text{O}_2$  при  $-183^\circ$  до отжига препятствует рекристаллизации, и размер зерен не превышает 60 Å. Меньшие кол-ва адсорбированного  $\text{O}_2$  сильно замедляют рекристаллизацию, однако в течение нескольких дней зерна достигают почти такого же размера, как в отсутствие  $\text{O}_2$ . Сделан вывод, что монослой  $\text{O}_2$  препятствует делокализации и поверхностной диффузии атомов Cu. Рассмотрены возможные механизмы рекристаллизации. А. Хейлман

212. Беспорядок в  $\alpha\text{-AgJ}$ . Пост, Нёльтинг (Die Fehlordnung im  $\alpha\text{-AgJ}$ . Jost W., Nöltting J.), Z. Phys. Chem. (BRD), 1956, 7, № 5-6, 383—385 (нем.)

Выше точки превращения  $\beta \rightarrow \alpha$  ( $144,6^\circ$  по Тубандту) происходит спекание кристаллитов  $\alpha\text{-AgJ}$ , что, по мнению авторов, нельзя объяснить только одной высокой подвижностью катионов. Во всей области устойчивости  $\alpha\text{-AgJ}$  наблюдается аномально высокая уд. теплоемкость ( $5\text{--}15 \text{ ккал/моль град}$ ). Коэфф. самодиффузии ионов ( $J$ ) $^{+1}$  в  $\alpha\text{-AgJ}$  при т-ре  $> 150^\circ$  дается ф-лой  $D = D_0 \exp(-Q/RT)$ ; в этой ф-ле  $Q = 16,2 \text{ ккал/моль}$ , а  $D_0 = 4,41 \cdot 10^{-4} \text{ см}^2/\text{сек}^{-1}$ . Хотя  $D$  ионов  $J$  на 4—6 порядков ниже  $D$  ионов  $\text{Ag}^+$ , он достаточно велик для объяснения наблюдаемых аномалий. Энергия образования дефекта  $E_f$ , вычисленная из добавочной уд. теплоемкости, равна  $14\text{--}20 \text{ ккал/моль}$ , что согласуется со значением  $E_f$ , вычисленным по ф-ле  $Q = E_f/2 + E_s$ , где  $E_s$  — высота энергетич. барьера для диффузии ионов  $J$ . А. Хейлман

213. Связь между количественным составом, фактором размера и стабильностью интерметаллических фаз. Крипкевич (Зв'язок між кількісним складом, фактором розміру і стабільністю інтер-

металлических фаз. Крип'якевич П. И., Наук. зап. Львівськ. ун-ту, 1955, 34, 79—83 (укр.; рез. русс.)

Колич. состав интерметаллич. фаз с сильно выраженным неметаллич. типом связи, никельарсенидных фаз, а также электронных соединений определяется валентностью компонентов. Колич. состав интерметаллич. фаз с плотнейшими упаковками атомов различного размера (типы  $W_6Fe_7$ ,  $MgZn_2$ ,  $MgCu_2$ ,  $MgNi_2$ ,  $CaZn_3$ ,  $NaZn_{13}$  и др.) определяется фактором размера атомов: содержание компонента с атомами меньшего размера (компонента X) возрастает с увеличением отношения атомных радиусов  $k = r_R/r_X$ . Если в системе имеются две или больше фаз с плотнейшей упаковкой атомов различного размера, то, как правило, они сильно различаются по своей термич. стабильности. Наиболее стабильной является фаза, состав которой более близок к составу, оптимальному для образования плотнейшей упаковки в данной системе (напр. в системе  $Mg - Zn$  с  $k = 1,17$  фаза  $MgZn_2$  более устойчива, чем  $MgZn$  и  $Mg_2Zn_{11}$ , а в системе  $Ce - Ni$  с  $k = 1,47$   $CeNi_5$  более устойчива, чем  $CeNi_2$ ); стабильность такой фазы ( $MgZn_2$ ,  $CeNi_5$ ) связана с отсутствием напряжений в структуре.

П. Крип'якевич

214. Внутреннее трение в металлах. Лёшнер (Innere Reibung bei Metallen. Löschner G.), Technik, 1956, 11, № 4, 289—300 (нем.)

215. Об объемной упругости некоторых простых кристаллов. Гладковский В. А., Родионов К. П., Физ. металлов и металловедение, 1956, 2, № 2, 222—224

216. Свободные атомы в твердом азоте, сконденсированном при 4,2°K из газового разряда. Бройда, Льюте (Abundance of free atoms in solid nitrogen condensed at 4.2° K from a gas discharge. Broida H. P., Lutes O. S.), J. Chem. Phys., 1956, 24, № 2, 484—485 (англ.)

Продолжены исследования (РЖХим, 1955, 31020) свойств твердого азота, полученного конденсацией продуктов газового разряда в  $N_2$  (газ) в коллекторе при 4,2° K. Установлено, что сильнее послесвечение, наблюдаемое при нагревании конденсата, происходит в интервале 28—35° K. Получены кривые изменения т-ры во времени в процессе нагревания конденсированных продуктов разряда и конденсированного молекулярного азота. Первая кривая обнаруживает резкий начальный скачок т-ры от ~10 до ~45° K, приписанный рекомбинации атомов N в конденсате. Из величины скачка относительно второй кривой ( $\Delta T \approx 20^\circ K$ ) вычислено, что конц-ция атомов N равна ~0,2%. Аналогичным методом установлено, что конц-ция атомов O в конденсате из продуктов разряда в  $O_2$  равна 1%.

А. Хейлман

217. Спектр комбинационного рассеяния кристаллизационной воды в кристалле  $AlCl_3 \cdot 6H_2O$  при низкой температуре. Вейль-Маршан (Spectre Raman de l'eau de cristallisation du chlorure d'aluminium hexahydraté, à basse température. Weil-Marchand Annette), C. r. Acad. sci., 1955, 241, № 21, 1456—1458 (франц.)

В естественном и поляризованном свете исследован спектр комб. расс. монокристалла  $AlCl_3 \cdot 6H_2O$  при —150°. Обнаружено 9 полос (часть которых вырождена): 1643 ( $A + E$ ), 3051 ( $A$ ), 3042 ( $E$ ), 3078 ( $E$ ), 3150 ( $A + E$ ), 3300 ( $A + E$ )  $cm^{-1}$ . Частоты полос плохо совпадают с измеренными в другой работе (РЖХим, 1953, 2759) при комнатной т-ре. Так как при охлаждении полосы резко сужаются, то можно полагать, что цитированные данные менее точны. Внесены коррективы в интерпретацию полос исследованного кристалла. Ученым связанным колебаниям каждой из молекул  $H_2O$ , а также возможности резонансного расщепления. В предполо-

жении, что каждая связь групп OH ориентирована по направлению к ближайшему атому Cl, вычислены коэфф. интенсивностей. Они плохо согласуются с результатами измерений. Невозможно найти ориентацию молекул  $H_2O$ , совместимую с опытными данными. Это приписано настолько сильной деформации молекул  $H_2O$  в кристалле, что они не сохраняют никаких элементов симметрии.

Я. Бобович

218. Оптическое поглощение меди и серебра при 4,2°K. Бьонди (Optical absorption of copper and silver at 4.2°K. Biondi Manfred A.), Phys. Rev., 1956, 102, № 4, 964—967 (англ.)

Поглощение Cu и Ag в интервале 0,3—3,3  $\mu$  измерено при 4,2° K, когда классич. свободный пробег электронов проводимости значительно больше глубины проникновения электромагнитного поля. В ИК-области ( $\lambda > 1,5 \mu$ ) поглощательная способность не зависит от  $\lambda$  и равна 0,0050 для Cu и 0,0044 для Ag, в хорошем согласии с теорией.

А. Хейлман

219. Спектр инфракрасного поглощения кристаллов сегнетовой соли при низких температурах (4400—7100  $cm^{-1}$ ). Бернар (Spectre d'absorption infrarouge à basse température du sel de seignette cristallisé (4400—7100  $cm^{-1}$ ). Bernard Michel Pierre), C. r. Acad. sci., 1956, 242, № 8, 1012—1013 (франц.)

С помощью спектрографа с решеткой (560 штрихов на 1 мм) изучен ИК-спектр пьезоэлектрич. монокристаллов сегнетовой соли толщиной 0,025—0,15 см в области 4400—7100  $cm^{-1}$  при т-ре жидкого азота. Электрич. вектор был параллелен осям  $ox$ ,  $oy$ ,  $oz$  кристалла. Произведено отнесение наблюдаемых полос к определенным колебаниям. При изменении направления электрич. вектора интенсивность многих полос заметно изменялась.

Л. Свердлов

220. Рекомбинационное излучение InSb. Моусс, Хоккинс (Recombination radiation from InSb. Moss T. S., Hawkins T. H.), Phys. Rev., 1956, 101, № 5, 1609—1610 (англ.)

Обнаружено излучение InSb, вызванное рекомбинацией оптически созданных избыточных носителей заряда. Тонкие (~10  $\mu$ ) образцы чистого InSb получали пильфовой и травлением маленьких монокристаллов, выколотых из слитка, выращенного методом зонной плавки. Возбуждение производилось коротковолновой частью излучения W-лампы. Полоса излучения простирается от ~5 до 11  $\mu$  с максимумом около края поглощения чистого InSb (~7,5  $\mu$ ). Из кривой излучения оценено, что доля излучательных рекомбинаций равна 0,8 от всех рекомбинаций.

А. Хейлман

221. Поглощение мягких рентгеновских лучей в тонких пленках железа и окиси железа. Картер, Гивенс (Soft X-ray absorption of thin films of iron and iron oxide. Carter D. E., Givens M. P.), Phys. Rev., 1956, 101, № 5, 1469—1472 (англ.)

Пленки Fe получали вакуумной сублимацией Fe (х. ч.) на целлулоидные пленки. Пленки  $Fe_2O_3$  получали продолжительным окислением пленок Fe на воздухе. Поглощение исследовано в области  $\lambda$  170—340 Å. Край поглощения Fe и  $Fe_2O_3$  лежит соответственно при 225 и 218 Å.

А. Хейлман

222. Влияние ядерных излучений на оптические свойства неорганических люминофоров. Бандов (Über die Wirkung von Kernstrahlen auf die optischen Eigenschaften von anorganischen Leuchtstoffen. Bandow F.), Optik, 1956, 13, № 6, 259—263 (нем.)

Обзор. Библ. 9 назв.

А. Хейлман

223. Инфракрасная вспышка и тушение фотопроводимости порошковых люминофоров. Кальман, Креймер, Перлмуттер (Infrared stimulation and quenching of photoconductivity in luminescent powders. Kallmann Hartmut, Кра-

mer Bernard, Perlmutter Arnold), Phys. Rev., 1955, 99 № 2 391—400 (англ.)

Измерено изменение полного сопротивления фосфора на основе (ZnCd)S, активированных Cu, Ag, Pb, при облучении ИК-лучами 1) одновременно с возбуждающими УФ-лучами и 2) через определенные промежутки времени после возбуждения УФ- или  $\gamma$ -лучами. В случае 1 в стационарном состоянии всегда наблюдается падение (тушение) проводимости  $\sigma$ , а в случае 2  $\sigma$  часто сильно возрастает (выскачка). Спектр тушения в случае 1 имеет максимумы при  $\sim 7500$  и  $\sim 12\,500$  Å, а в случае 2 выскачка уменьшается с увеличением  $\lambda$ . Выскачка и тушение перекрываются, причем тушение легко наблюдать при высокой концентрации электронов проводимости, а выскачку — через большой промежуток времени после прекращения возбуждения. В большинстве (ZnCd)S фосфоров выскачка  $\sigma$  хорошо наблюдается через несколько дней после возбуждения, причем световой выскачки почти не происходит, т. е. эти  $\sigma$ -ва относятся к выскачкам фосфора, дающим выскачку  $\sigma$ , но не света. Спектр фосфора ZnS-(Cu, Pb), дающий сильную оптич. выскачку света, имеет очень слабую выскачку  $\sigma$ . Предполагается, что выскачка  $\sigma$  всегда связана с переводом электронов с глубоких уровней локализации в зону проводимости. Тушение свечения  $\sigma$  ИК-лучами приписано переводу дырок в валентную зону с двух уровней, отвечающих двум максимумам тушения. Эти дырки быстро рекомбинируют со свободными электронами или с электронами на уровнях локализации или повторно локализуются. В фосфорах, дающих сильную выскачку света, предполагается наличие центров свечения, на которых локализуются дырки из валентной зоны во время ИК-облучения. Рекомбинация свободных электронов с локализованными дырками ответственна за выскачку света при одновременном тушении  $\sigma$ .

А. Хейнман

224. О природе эктра-отражений на лауэграммах алмазов с известной относительной эффективностью флуоресценции. Сиркар, Сен (On the nature of extra reflections in the Laue photographs of some diamonds of known relative fluorescence efficiencies. Sirkar S. C., Sen S. N.), Indian J. Phys., 1956, 30, № 1, 29—35 (англ.)

Определены положения и относительные интенсивности эктра-пятен, сопровождающих отражения {111} лауэграмм 11 алмазов. Изучены алмазы, оптич. свойства (относительная интенсивность флуоресценции, полоса 4156 Å и границы УФ-поглощения) которых исследованы ранее (Bishui, Ind. J. Phys., 1950, 24, 441; 1952, 26, 347). Рентгенограммы получены в цилиндрич. камере радиусом 51 мм, на фильтрованном Ni-фольгой излучении рентгеновской трубки с медным анодом, работающей при напряжении 30 кВ. Для точного определения направления эктра-отражений и учета толщины кристаллов поверхность кристаллов с двух сторон покрывали NaCl. Поэтому на лауэграмму алмаза накладывались дебаграммы NaCl. Иногда происходило разделение линий дебаграмм от передней и от задней поверхности кристалла. Расстояния между этими разделенными линиями связаны с толщиной кристалла. Результаты наблюдений показали, что интенсивность эктра-пятен (как типа {111}, так и других направлений) не может быть связана ни с интенсивностью флуоресценции, ни с загрязнениями кристалла. Отсутствует также связь и с толщиной образца. Толщина кристаллов менялась от 0,647 до 2 мм. Приведены таблицы толщины образцов, границ УФ-поглощения и характеристик (ширины и интенсивности пятен) рентгенограмм. Приведены репродукции ряда рентгенограмм.

М. Уманский

225. О новом эффекте сенсбилизации фосфоров к действию рентгеновских лучей электрическим полем.

Детрио (Sur un nouvel effet de sensibilisation à l'action des rayons X, par les champs électriques, de certaines substances luminescentes. Destriaux Michel), C. r. Acad. sci., 1954, 238, № 24, 2298—2300 (франц.)

В случае некоторых фосфоров (ZnCd)S-Mn наблюдается стабильное увеличение яркости свечения, возбуждаемого рентгеновскими лучами, в результате наложения электрич. поля порядка 100—200 в/см. Для некоторых образцов и полей достигается более чем 3-кратное усиление. При возбуждении этих же фосфоров УФ-лучами электрич. поле уменьшает яркость свечения. В отличие от эффекта тушения (РЖХим, 1955, 25685) волны яркости слабо деформируются при наложении поля.

А. Хейнман

226. Фосфоры на основе фторофосфата кадмия, активированного свинцом и марганцем. Уоллентин (Lead- and manganese-activated cadmium fluorophosphate phosphors. Wollentin Robert W.), J. Electrochem. Soc., 1956, 103, № 1, 17—23 (англ.)

Фосфоры на основе  $3\text{Cd}_3(\text{PO}_4)_2 \cdot 2,5\text{CdF}_2$  (I) получают спеканием  $\text{CdO}$ ,  $(\text{NH}_4)_2\text{HPO}_4$ ,  $\text{MnCl}_2$  или  $\text{MnCO}_3$ ,  $\text{Pb}(\text{NO}_3)_2$  и  $\text{CdF}_2$ . При возбуждении  $\lambda$  2537 Å они дают две полосы излучения. Полоса Pb при 4500 Å тушится при увеличении концентрации Pb или Mn. Полоса Mn имеет максимум при 5900 Å. При частичной замене  $\text{CdF}_2$  на фториды Al, Ca, Sr, Ba, Zn, Mg, K и Na яркость свечения уменьшается. Спектральный состав излучения не изменяется при введении Al, Sr, Ba и Ca. Введение Na, Mg, K и Zn смещает пик Mn к 6000—6200 Å. Спектры возбуждения I имеют максимумы при 2350 и 2500 Å, положение которых зависит от природы замещающего катиона. Структура фосфоров довольно сложна и изменяется от одного образца к другому, однако все фосфоры, кроме содержащих Na и K, имеют структуру типа апатита. При понижении  $t$ -ры до  $-196^\circ$  интенсивность оранжевой полосы I уменьшается, а последействие удлиняется. При 150° люминесценция тушится. Предполагается, что в I Pb сенсбилизует свечение Mn.

А. Хейнман

227. Два типа флуоресценции иодида кадмия. Мопон-Херцен (Sur deux fluorescences de l'iode de cadmium. Monod-Herzen Gabriel), C. r. Acad. sci., 1956, 242, № 24, 2830—2831 (франц.)

Продолжено исследование (РЖХим, 1955, 13502) желтой флуоресценции  $\text{CdI}_2$  (I) в присутствии изоморфного ему  $\text{PbI}_2$  (II). Из смешанных водн. р-ров I и II различных конц-ий выращены смешанные кристаллы трех типов: 1) кристаллы, не отличающиеся от чистого I; 2) кристаллы со слабой желтой флуоресценцией; они устойчивы и растворяются или рекристаллизуются при сублимации без разложения; 3) кристаллы с яркой желтой флуоресценцией; они разлагаются в холодной воде с выпадением осадка II. Эти кристаллы бесцветны и не содержат микроскопич. включений II, конц-ия которого достигает 5 вес. %. В одной и той же кристалл. массе можно получить кристаллы всех трех типов без промежуточных, но характеру флуоресценции, типов. Испарение р-ра с конц-ией II: I =  $10^{-6}$  на стеклянной пластинке дает отдельные флуоресцирующие участки. Это явление предложено использовать в качестве р-ции на II. Метод особенно пригоден для случаев, когда частицы малорастворимой соли Pb диспергированы в нерастворимой среде (горные породы): каждая частица вызывает яркое свечение большого участка.

А. Хейнман

228. Флуоресценция  $n$ -хлортолуола в твердом состоянии при низкой температуре. Бисвас (On the fluorescence of parachlorotoluene in the solid state at low temperature. Biswas D. C.), Indian J. Phys., 1956, 30, № 3, 143—150 (англ.)



Исследованы спектры флуоресценции чистого *n*-хлортолуола (I) в твердом состоянии при  $-30$  и  $-180^\circ$  и при возбуждении Hg-излучением с  $\lambda < 3600 \text{ \AA}$  и сравнены со спектрами флуоресценции замороженных *p*-ров I в бензоле (II), *n*-гептане (III), метилциклогексане (IV),  $\text{CH}_3\text{OH}$  (V),  $\text{CCl}_4$  (VI),  $\text{C}_2\text{Cl}_4$  (VII) и  $\text{CS}_2$  (VIII). Чистый I дает 8 полос излучения, интенсивность которых резко уменьшается при повышении *t*-ры от  $-180$  до  $-30^\circ$ . Эти же полосы и с той же интенсивностью сохраняются даже в 2%-ных *p*-рах I в II, VI и VII при  $-180^\circ$ . В спектре флуоресценции *p*-ров I в IV, III и V при  $-180^\circ$  появляются новые интенсивные полосы. Полосы чистого I сохраняются в его *p*-рах в VIII при  $-180^\circ$  при конц-ии  $\geq 15\%$ ; интенсивность полос быстро уменьшается при уменьшении конц-ии, они почти исчезают при конц-ии I, равной 5%. Результаты объясняются на основе предположения, что образование виртуальных связей между атомами Cl и H в молекуле I соответственно с атомами H и Cl соседних молекул в чистом I и его твердых *p*-рах создает метастабильные состояния, ответственные за флуоресценцию.

А. Хейнман

229. Сравнение теории люминесценции твердых тел с экспериментом. Кривоглаз М. А., Оптика и спектроскопия, 1956, 1, № 1, 54—65

Полученные в работах С. Н. Пекера и автора теоретич. выражения сравниваются с опытными данными по температурной зависимости формы спектральных кривых излучения фосфора  $\text{Zn}_2\text{SiO}_4\text{-Mn}_2\text{SiO}_4$  (0,1%), по соотношению между полушириной полос излучения и стоковым смещением для *M*-центров в LiF и для  $\text{Zn}_2\text{SiO}_4\text{-Mn}$  и по температурной зависимости вероятности безызлучательного теплового перехода (квантового выхода свечения) в фосфорах  $\text{CaWO}_4$ ,  $\text{PbWO}_4$ ,  $\text{MgWO}_4$  и  $\text{Zn}_2\text{SiO}_4\text{-Mn}$ . Наблюдается удовлетворительное согласие с опытом.

А. Хейнман

230. Влияние примесей на окрашивание, электронную эмиссию и люминесценцию рентгенизованных ионных кристаллов. Богун (Der Einfluss von Beimengungen auf die Verfärbung, Elektronenemission und Lumineszenz von röntgenbestrahlten Ionenkristallen. Bohun Antonin, Чехосл. физ. ж., 1956, 6, № 2, 141—151 (нем.; рец. русс.); Českosl. časop. fys., 1955, 5, № 6, 622—632 (чеш.))

Монокристаллы NaCl получают вытравливанием из расплава с примесями, содержание которых в готовых кристаллах определялось полиграфически и составляло: Ag  $6 \cdot 10^{-4}$ , Ca  $10^{-3}$ , Pd  $8 \cdot 10^{-4}$ . После рентгенизации при  $16\text{--}18^\circ\text{C}$  кристаллы равномерно нагревали от  $300$  до  $700^\circ\text{K}$  и одновременно регистрировали кривые термоэмиссии (ТЭ) и термолюминесценции (ТЛ). Природа и конц-ия примесей сильно влияют на образование длинноволновых полос поглощения (*O*- и *N*-центры с малой энергией ионизации). Пик ТЭ и ТЛ при  $\sim 350^\circ\text{K}$  обусловлен *M*-центрами и наблюдается во всех случаях, пик ТЭ и ТЛ при  $\sim 560^\circ\text{K}$  обусловлен *F*-центрами и сильно зависит от примеси. Пик ТЭ и ТЛ при  $350^\circ\text{K}$  исчезает при 20-часовом хранении кристалла в темноте при  $\sim 18^\circ\text{C}$ . В противоположность Хиллу и Шведлу (РЖХим, 1956, 18594) 10) сделан вывод, что, кроме *F*-центров, имеется еще целый ряд уровней локализации, лежащих вблизи зоны проводимости и дающих пики ТЭ. Оценено, что термич. энергия ионизации *F*-центра равна  $1,25 \text{ эв}$ , а не  $1,03 \text{ эв}$  (РЖХим, 1956, 18610). Указано, что ТЭ и ТЛ являются независимыми процессами, могущими протекать один в отсутствие другого. Природный флюорит, прокаленный в Fe-трубке на воздухе при  $940^\circ\text{C}$  и быстро охлажденный, окрашивается после рентгенизации в зеленый цвет и имеет яркую желтую ТЛ, тогда как после прокалки в кварцевой трубке флюорит окрашивается в фиолетовый цвет и имеет очень слабую ТЛ. Сделан

вывод, что ТЛ и зеленая окраска обусловлены не редкими землями, а другими примесями.

А. Хейнман

231. Окраска и люминесценция амазонита. Пш и б-рам (Über Farbe und Lumineszenz des Amazonits. Przibram Karl, Anz. Österr. Akad. Wiss. Math.-naturwiss. Kl., 1955, 92, № 1—15, 85—88 (нем.))

При интенсивной прокалке зеленая окраска амазонита (I) исчезает и минерал окрашивается в серый цвет с лиловым оттенком. Облучение рентгеновскими или  $\beta$ - и  $\gamma$ -лучами (от препарата Rn) восстанавливает зеленую окраску, но не той степени чистоты, как в исходном I. По мнению автора, высокая *t*-ра обесцвечивания указывает на ионную природу окраски, возникающей при захвате фотоэлектронов ионами, а не вакансиями. Окраска природного I приписана действию излучений на I, содержащий примесь Mn. I имеет зеленую флуоресценцию, исчезающую после прокалки и вновь появляющуюся после облучения (радиофотофлуоресценция). Фотографич. максимум флуоресценции лежит  $\sim 575 \text{ м\mu}$ ; кроме того, наблюдаются полосы при  $\sim 530$  и  $\sim 480 \text{ м\mu}$ . Флуоресценция приписана Mn. В отличие от виллемита и других фосфоров, активированных Mn, свечение I исчезает после прокалки и только облучение превращает ионы Mn в активатор.

А. Хейнман

232. Спектр люминесценции самария в титанате бария при фазовом переходе. Оси́ма, Хаякава, Нагано, Нагуса (Luminescence spectra of samarium in barium titanate at its transition. Oshima Keichi, Hayakawa Sohachiro, Nagano Hiroshi, Nagusa Mahoko, J. Chem. Phys., 1956, 24, № 4, 903—904 (англ.))

Фосфор получали прокалкой смеси люминесцентно чистых  $\text{TiO}_2$  и  $\text{BaCO}_3$  (молярное отношение 1:1) с 0,001 моля Sm (в виде нитрата) при  $1600^\circ$ . Фосфор возбуждали 10-кв катодными лучами. Спектр излучения состоит из 6 групп линий в видимой и ИК-областях. Приведен снимок двух групп линий  $\sim 17300$  и  $16300 \text{ см}^{-1}$  в видимой области. Главные линии каждой группы выше *t*-ры нижнего фазового перехода ( $-80^\circ$ ) расщепляются на дублеты с  $\Delta\nu 44\text{--}48 \text{ см}^{-1}$ , а ниже этой *t*-ры превращаются в синглеты. Характер изменения числа линий при фазовом переходе качественно согласуется с ожидаемым на основании соображений о симметрии кристалла, которая изменяется из ромбич. в ромбоэдрич. при  $-80^\circ$ .

А. Хейнман

233. Термолюминесценция, вызванная давлением и кристаллизацией. Зеллер, Рей, Даниэль (Thermoluminescence induced by pressure and by crystallization. Zeller Edward J., Wray John L., Daniels Farrington, J. Chem. Phys., 1955, 23, № 11, 2187 (англ.))

В ходе определения возраста коралловых известняков по интенсивности термолюминесценции (ТЛ) замечено, что молодые известняки обладают аномально яркой ТЛ и что свежеосажденный из  $\text{Ca}(\text{NO}_3)_2$ , промытый и высушенный  $\text{CaCO}_3$  обнаруживает слабую ТЛ, начиная с  $250^\circ$ . На кривой его термовысвечения имеется слабый пик около  $350^\circ$ . После воздействия высокого давления ( $\sim 8000 \text{ кг/см}^2$ ) пик значительно усиливается. После облучения  $\gamma$ -лучами наблюдается ряд интенсивных пиков, приписанных примесям Fe, Mn, Sr, Ba и Mg. В отсутствие примесей эти пики отсутствуют, но после воздействия давления ТЛ (без облучения) такая же, как описано выше. В старых известняках ( $>10^6$  лет) ТЛ, создаваемая  $\alpha$ -частицами U, уменьшается в результате приложения высоких давлений. Высказано предположение, что давление на поликристаллич. образец создает в результате трения и точечных контактов сильные локальные электрич. поля, достаточные для освобождения электронов. Наличие ТЛ у свежеосажденных кристаллов приписано возникновению локальных полей либо вследствие деформаций роста,



либо вследствие образования двойных ионных слоев на растущих поверхностях. Наблюдаемая ТЛ весьма слаба: оценено, что на  $10^9$  атомов освобождается и локализуется 1 электрон.

А. Хейнман  
234. Диэлектрические свойства электролюминесцирующего сульфида цинка. Леман (Dielectric behavior of electroluminescent zinc sulfides. Lehman W. J., J. Electrochem. Soc., 1956, 103, № 1, 24—29 (англ.))

Измерена зависимость комплексной диэлектрич. проницаемости фосфора  $ZnS-(Cu, Pb)$  от напряжения  $V$  (0—600 в) и частоты  $f$  (20—20 000 гц) на рабочей ячейке. Установлено, что как емкость, так и фазовый угол фосфора непрерывно возрастают при увеличении  $V$  и уменьшении  $f$ . Для умеренных  $f$  и  $V$  действительная и мнимая части диэлектрич. проницаемости  $k$  связаны с  $f$  и интенсивностью свечения  $L$  соотношением  $k = k_0 + c(L/f)^{1/2}$ , где  $k_0$  может зависеть от  $f$ , а  $c$  — константа, не зависящая от  $f$  и  $V$ .

А. Хейнман  
235. Электролюминесценция в разупорядоченном сульфиде цинка. Шорт, Стюарт, Томлинсон (Electroluminescence in disordered zinc sulphide. Short M. A., Steward E. G., Tomlinson T. B., Nature, 1956, 177, № 4501, 240—241 (англ.))

В игольчатых гексагональных монокристаллах  $ZnS$ , полученных из газовой фазы и активированных путем термич. диффузии  $Cu$  с поверхности кристалла, наблюдаются параллельные полосы голубой электролюминесценции. Эти полосы строго параллельны полосам интерференции, наблюдаемым под поляризационным микроскопом. По данным ретенгоструктурного анализа, они перпендикулярны оси  $c$  кристалла и обусловлены случайным одиомерным беспорядком в упаковке кристалла. Яркость свечения полос возрастает со степенью нарушения структуры как в моно-, так и в поликристаллич. образцах  $ZnS-Cu$ . Эти явления приписаны неравномерному распределению центров свечения или неравномерному электрич. полю. Обе неравномерности объяснены преимущественной диффузией активатора вдоль границ областей нарушения.

А. Хейнман  
236. Фотоэффект в металлах. Вонсовский С. В., Соколов А. В., Векслер А. З. (Der Photoeffekt in Metallen. Wonsowski S. W., Sokolow A. W., Wexler A. S.), Fortschr. Phys., 1956, 4, № 3, 115—148 (нем.)

См. РЖХим, 1956, 31781.  
237. Некоторые фотоэлектрические свойства трехсернистой и трехселенистой сурьмы. Браздзионас П. П., Микалькевичус М. П., Lietuvos TSR mokslo akad. darbai, Tr. AN LitCCP, 1956, B2, 31—40 (рез. лит.)

Исследованы фотопроводимость и спектры поглощения кристаллич. и аморфных слоев  $Sb_2S_3$  и  $Sb_2Se_3$ , спектральная и температурная зависимости фоточувствительности и коэфф. поглощения в области  $\gamma$  400—1200 мк и интервале т-р от  $-70$  до  $+235^\circ$ . На длинноволновом краю поглощения  $Sb_2S_3$  наблюдается дополнительная полоса поглощения, приписанная возбуждению экситонов. Уменьшение энергии оптич. активации  $Sb_2S_3$  и  $Sb_2Se_3$  при увеличении т-ры приписано уменьшению ширины запрещенной зоны, обусловленному изменением взаимодействия электронов с тепловыми колебаниями решетки.

А. Хейнман  
238. Некоторые фотоэлектрические свойства трехсернистой сурьмы ( $Sb_2S_3$ ). Браздзионас П., Микалькевичус М. (Kai kurios sibiio sulfido ( $Sb_2S_3$ ) fotoelektrinės savybės. Brazdžiūnas P., Mikalkevičius M.), Mokslo darbai, Vilniaus valst. univ. Mat. fiz. ir chem. mokslų ser. Уч. зап. Вильнюсск. ун-та. Сер. матем., физ. и хим. н. 1956, 5, 57—68 (лит.; рез. русс.)

Исследованы фотоэлектрич. свойства поликристаллич. слоев  $Sb_2S_3$ , полученных сублимацией в вакууме. Слои  $Sb_2S_3$  с избытком  $S$  получали сублимацией  $Sb_2S_3$  в вакууме по р-ции  $Sb_2S_3 \rightarrow Sb_2S_3 + 2S$ . Кривая зависимости фоточувствительности (ФЧ) от избытка  $S$  имеет резкий максимум. Исследована спектральная характеристика ФЧ. Ее максимум для различных образцов расположен при 6200—6900 Å, смещаясь в сторону длинных волн с увеличением избытка  $S$ . ФЧ растет с т-рой в области от  $-70$  до  $+60^\circ$ . Энергия активации темновой проводимости равна 1,4—1,6 эв и совпадает с ее значением для массивных образцов, что указывает на отсутствие переходных барьеров. Предложена схема энергетич. уровней.

А. Хейнман  
239. Дипольное дробавское поглощение неорганических и органических веществ. Фотодиэлектрический эффект. Фрейман (Absorption dipolaire Debye de composés minéraux et organiques. Effets photodiélectriques. Freymann René), Colloq. A. M. P. E. R. E., mars 1956. Inst. Phys. Univ. Geneva, 1956, 24—32 (франц.); Arch. sci., 1956, 9, fasc. spécial, 53—61 (франц.)

Чистый стехиометрич.  $ZnO$ , не прокаленный при высокой т-ре, не дает полос диэлектрич. поглощения (ПДП), а после прокали при  $1200^\circ$  и образования избытка  $Zn$  появляется одна или более ПДП (в координатах коэфф. поглощ.  $\epsilon''$  — т-ра  $T$  при частотах 0,1—100 кц).  $ZnO-Cu$  (0,01 ат. %), прокаленный при  $850^\circ$ , дает интенсивную ПДП в области  $\sim 150^\circ K$ , положение и высота которой зависят от конц-ии  $Cu$ , а энергия активации  $U$  равна  $\sim 0,2$  эв. Для  $ZnO-Al$ ,  $1200^\circ$ , ПДП растет с конц-ией  $Al$  до 0,6 ат. %, одновременно смещаясь в сторону низких т-р, и затем снова уменьшается, смещаясь в обратном направлении. В  $ZnO-Zn$  поглощение приписано диполям, состоящим из  $O^{2-}$ -вакансии рядом с двумя ионами  $Zn^{2+}$  (избыточные электроны не локализованы) или из  $O^{2-}$ -вакансии, захватившей один электрон, рядом с ионом  $Zn^{2+}$ . В  $ZnO-Al$  диполь состоит из иона  $Al^{3+}$  в узле рядом с ионом  $Zn^{2+}$ .  $ZnO-Cu$  ( $5 \cdot 10^{-4}$ ) в темноте не дает ПДП, а при освещении  $\lambda$  3650 Å дает интенсивную двойную ПДП с  $U \sim 0,27$  и 0,40 эв. Показано, что ПДП синтетич. камфоры обусловлена примесью изомерного фенхона. По мнению автора, диэлектрич. поглощение фенхона обусловлено не вращением полярных групп, а электронными переходами. Это подтверждается наличием ряда ПДП у тифена, где вращение групп невозможно.

А. Хейнман  
240. Фотосенсибилизация пленок  $PbS$ . Харада, Минден (Photosensitization of  $PbS$  films. Harada R. H., Minden H. T.), Phys. Rev., 1956, 102, № 5, 1258—1262 (англ.)

Темновая проводимость  $\sigma$  сублимированных и обезгаженных при  $250^\circ$  пленок  $PbS$  в результате обработки в  $O_2$  сначала уменьшается на несколько порядков, достигает минимума и снова возрастает. Термо-э. д. с. в минимуме  $\sigma$  из отрицательной становится положительной. Фотопроводимость  $\Delta\sigma$  и постоянная времени спада фотопроводимости  $\tau$  представлены как функции  $\sigma$ .  $\Delta\sigma$  уменьшается с увеличением степени окисления, достигает минимума вблизи минимума  $\sigma$  и далее возрастает одновременно с  $\sigma$  после того, как пленка становится р-проводником.  $\Delta\sigma/\sigma$  максимально вблизи минимума  $\sigma$ , т. монотонно возрастает при переходе пленки из  $n$ - в  $p$ -тип. Результаты объясняются, исходя из существования на поверхности микрокристаллов  $PbS$  адсорбированных атомов  $O$ . Каждый атом имеет два акцепторных уровня.  $O^-$ -уровень лежит в валентной зоне или ниже ее. Он всегда заполнен электронами валентной и свободной зон и понижает уровень Ферми исходной пленки  $n$ -типа.  $O^{2-}$ -уровень лежит в запрещенной зоне. Захватывая электроны, он повышает дырочную проводимость.

А. Хейнман

**241. Кинетика нарастания фототока и явление гашения фотопроводимости сернистого кадмия. Шнейдер А. Д., Ж. техн. физики, 1956, 26, № 7, 1428—1432**

На основании исследования кинетики нарастания и гашения фотопроводимости в возбужденных активирующим светом монокристаллах CdS сделан вывод о тесной связи между фотоактивацией и гашением. На основе схемы двойных оптич. переходов (Лашкарев В. Е., Федорус Г. А., Изв. АН СССР, сер. физ., 1952, 16, 81) предложен механизм гашения: переход электрона на локальный уровень приводит кристалл в возбужденное состояние, характеризующееся повышенным квантовым выходом при новом освещении. ИК-свет перебрасывает локализованные электроны в основную зону. В CdS имеются ловушки глубиной 0,8 и 1,5 эв.

А. Хейнман

**242. Зависимость фотоэмиссии алюминия от степени растяжения и величины зерна. Шмид, Линтнер (Abhängigkeit der Photoemission des Aluminiums von Reckgrad und Korngröße. Schmid Hans-Erich, Lintner Karl, Anz. Osterr. Akad. Wiss. Math.-naturwiss. Kl., 1955, 92, № 1-15, 158—164 (нем.))**

Образцы мелкозернистой поликристаллич. Al-жести получали прокаткой Al (чистота 99,7%) при 400°. Размеры зерен изменяли рекристаллизационным отжигом. Степень удлинения 5—30%. Спадание тока фотоэмиссии  $I$  во всех случаях описывается экспоненциальной функцией с постоянным показателем  $I$  при 30%-ном удлинении в ~40 раз больше, чем при 5%-ном.  $I$  быстро уменьшается с увеличением размера зерна. Для монокристалла, растянутого на 20%,  $I$  весьма мал (ниже, чем для образцов крупнозернистого Al). Не обнаружено зависимости  $I$  от ориентировки монокристалла. Для Al-жести длинноволновый порог фотоэмиссии смещается от 3600 Å при 5%-ном удлинении к ~3950 Å при 30%-ном. При хранении растянутого Al наблюдается коротковолновое смещение порога. Результаты обсуждаются в свете существующих теорий запаздывающей эмиссии.

А. Хейнман

**243. Сверхпроводимость в системе ниобий — азот. Лаун, Шрёдер (Zur Supraleitung im System Niob — Stickstoff. Lautz Günter, Schröder Erich, Z. Naturforsch., 1956, 11a, № 6, 517—519 (нем.))**

Исследована зависимость  $T_c$  перехода в сверхпроводящее состояние от кристаллич. структуры фаз различного состава в порошкообразных образцах системы Nb—N, полученных описанным ранее методом (Brauer G., Jander J., Z. anorgan. und allgem. Chem., 1952, 270, 160). Приведены составы, кристаллич. структуры и  $T_c$  начала перехода (°K): NbN<sub>0.94</sub> куб. NbN (NbN III), 13,1°; NbN<sub>0.92</sub> куб. NbN + тетра. NbN, 10,6°; NbN<sub>0.80</sub> тетра. NbN, 8,9°; NbN<sub>0.62</sub> тетра. NbN + гекс. Nb<sub>2</sub>N, 6,1°; NbN<sub>0.48</sub> гекс. Nb<sub>2</sub>N, < 5,5°; NbN<sub>0.19</sub> гекс. Nb<sub>2</sub>N + куб. Nb, 7,2°; Nb, куб., 9,4°; NbN<sub>1.00</sub> гекс. NbN (NbN I), < 5,1°. Все образцы, кроме чистого Nb и NbN<sub>0.19</sub>, обнаруживают сильный гистерезис (несовпадение кривых нагревания и охлаждения в области перехода в сверхпроводящее состояние).

А. Хейнман

**244. Эффект Холла в проволоках серого олова. Коппе, Юалд (Hall effect in gray tin filaments. Koppe E. E., Ewald A. W.), Phys. Rev., 1956, 102, № 6, 1481—1486 (англ.))**

Постоянная Холла  $R$  и проводимость  $\sigma$  проволок серого Sn измерены в интервале 70—270°K. Эксперим. результаты в интервале 160—270°K хорошо согласуются с теоретич. ур-ниями, если принять, что под-

вижности  $\mu_n = 3,02 \cdot 10^7 T^{-1.65} \text{ см}^2/\text{в сек}$  и  $\mu_p = 2,18 \cdot 10^8 T^{-2.0} \text{ см}^2/\text{в сек}$  и конц-ия примеси равна  $2,5 \cdot 10^{17} \text{ см}^{-3}$ . Собственная ширина запрещенной зоны при 0°K равна 0,094 эв, ее температурный коэфф. —  $5 \cdot 10^{-5} \text{ эв/град}$ .

А. Хейнман

**245. Постоянная Холла и термо-э. д. с. металлического тория. Бодин (Hall coefficient and thermoelectric power of thorium metal. Bodine Joseph H., Jr, Phys. Rev., 1956, 102, № 6, 1459 (англ.))**

Постоянная Холла  $R$  металлич. Th при комнатной  $T$ -ре измерена в магнитных полях ~4000 эс. Среднее значение  $R$  равно  $-1,2 \cdot 10^{-11} \text{ в.см/аба.гс}$ . Приведена кривая зависимости термо-э. д. с. пары Th—Pt от  $T$ -ры в интервале 400—1100° (холодный спай при 0°). А. Хейнман

**246. Эффект Холла в твердых растворах. Фланеган, Авербах (Hall effect in solid solutions. Flanagan W. F., Averbach B. L.), Phys. Rev., 1956, 101, № 5, 1441—1442 (англ.))**

Измерена постоянная Холла сплавов Au—Ni, Cu—Ni, Au—Ag и Au—Cu при 80 и 300°K в зависимости от состава (во всем интервале составов 0—100%). Эффективное число электронов проводимости нелинейно зависит от состава сплавов Au—Ag и Au—Cu. Это приписано тому, что в этих неупорядоченных сплавах имеется ближний порядок, создающий диффузность границ зоны Бриллюэна.

А. Хейнман

**247. Влияние строения на проводимость металлических сплавов. Мюллер (Über den Einfluß des Gefügestandes auf das elektrische Leitvermögen von Metall-Legierungen. Müller H. G.), Technik, 1956, 11, № 4, 275—287 (нем.))**

**248. Расчет пространственного заряда, электрического поля и концентрации свободных носителей у поверхности полупроводника. Кингстон, Нейштадтер (Calculation of the space charge, electric field, and free carrier concentration at the surface of a semiconductor. Kingston Robert H., Neustadter Siegfried F.), J. Appl. Phys., 1955, 26, № 6, 718—720 (англ.))**  
См. РЖФиз, 1956, 23107.

**249. Магнитная восприимчивость электронов и дырок, находящихся на примесных уровнях полупроводника. Мозер (Magnetic susceptibility of impurity-trapped electrons and holes in semiconductors. Mosser E.), Phys. Rev., 1955, 100, № 6, 1589—1592 (англ.))**

Показано, что важные сведения о примесной зоне проводимости, которая образуется в полупроводнике при достаточно высокой конц-ии примесей, могут быть получены путем исследования температурной зависимости магнитной восприимчивости  $\chi$ . При малой конц-ии примесей, когда электроны, находящиеся на примесном уровне, можно рассматривать как электроны водородоподобных атомов,  $\chi$  определяется обычным выражением. Если конц-ия примесных атомов настолько велика, что примесный уровень расширяется в зону и электроны, находящиеся в этой зоне, образуют фермиевский газ, то парамагнитная часть  $\chi$  определяется условиями соблюдения принципа Паули. При достаточно низких  $T$ -рах парамагнитная часть  $\chi$  электронов примесной (донорной) зоны определяется ф-лой:  $\chi(\text{пара.}) = 2\mu^2 D(\mu)$ , где  $D(\mu)$  — плотность состояний в примесной зоне на уровне Ферми. Диамагнитной частью восприимчивости можно пренебречь. Анализируя эксперим. результаты исследования магнитных свойств Si, содержащего  $1,5 \cdot 10^{18} \text{ см}^{-3}$  атомов P (РЖХим, 1954, 21336), автор приходит к выводу, что ширина примесной зоны в этом случае равна  $5 \cdot 10^{-3} \text{ эв}$ .

С. Шалыт

**250. Влияние примесей на время жизни избыточных носителей зарядов в германии. Ржанов А. В., Ж. техн. физики, 1956, 26, № 7, 1389—1393**

Для монокристаллов *n*-Ge с примесями Sb и Bi и *p*-Ge с примесями In время жизни носителей заряда обратно пропорционально концентрации примеси. Найдено, что в монокристаллах *p*- и *n*-Ge уровни рекомбинации расположены большей частью в разных половинах запрещенной зоны: в нижней половине в случае *n*-Ge и в верхней — в случае *p*-Ge. На основании величин энергии активации остаточных примесей в *n*- и *p*-Ge сделан вывод, что в ультрачистом Ge содержатся Ni и Au. А. Хейнман

**251. Теория эффектов переноса в полупроводниках: коэффициент Нернста и его связь с термо-э. д. с. Прайса** (Theory of transport effects in semiconductors: the Nernst coefficient, and its relation to thermoelectric power. Price P. J.), Phys. Rev., 1956, 102, № 5, 1245—1251 (англ.)

**252. Изучение полупроводниковых свойств закиси меди по ее магнитным свойствам между 80 и 1000°K. Перакис, Серр** (Etude de la semi-conductivité de l'oxyde cuivreux d'après son comportement magnétique entre 80 et 1000°K. Perakis N., Serres A., Mlle), J. phys. et radium, 1955, 16, № 5, 367—394 (франц.)  
См. РЖФиз, 1956, 23124.

**253. Радиационные процессы в полупроводниках. Бронштейн** (Radiative transitions in semiconductors. Braunstein R.), Phys. Rev., 1955, 99, № 6, 1892—1893 (англ.)

Для ряда полупроводников исследованы спектры рекомбинационного излучения (ПИ), возникающего при инжекции неосновных носителей. В GaSb максимум ПИ при комнатной *т-ре* соответствует 0,625 эв, что удовлетворительно согласуется с величиной ширины запрещенной зоны (0,67 эв), определенной по спектру поглощения (РЖХим, 1955, 42481). В GaAs при изменении *т-ры* от 77°K до комнатной максимум ПИ сдвигается от 1,19 до 1,10 эв; последнее значение существенно отличается от определенной ранее (РЖХим, 1956, 28330) ширины запрещенной зоны при комнатной *т-ре* (1,35 эв). Интенсивность излучения во всех случаях оказалась линейной функцией инжектирующего тока. Интегральная интенсивность ПИ возрастает при понижении *т-ры*.

**254. О температурном смещении края зоны в германии. Томура, Оцука** (Note on the shift of band edge of germanium with temperature. Tomura Masao, Otsuka Eizo), J. Phys. Soc. Japan, 1955, 10, № 4, 313—314 (англ.)  
См. РЖФиз, 1956, 32010.

**255. Электрические свойства InAs. III. Фольберт, Вейсс** (Über die elektrischen Eigenschaften von InAs. III. Folberth O. G., Weiss H.), Z. Naturforsch., 1956, 11a, № 6, 510—511 (нем.)

Поликристаллич. образцы *p*-InAs с низким содержанием примеси Zn обнаруживают аномалии в температурной зависимости постоянной Холла и проводимости. Часть II см. РЖХим, 1955, 54519. А. Хейнман

**256. Структура и электрические свойства тонких слоев InSb. Конозенько Н. Д., Михновский С. Д.** (Про структуру та електричні властивості тонких шарів InSb. Конозенько І. Д., Михновський С. Д.), Укр. фіз. ж., 1956, 1, № 2, 151—157 (укр.; рез. русс.)

Электронографическим методом установлено, что сублимированные пленки InSb толщиной 500—1000 Å имеют поликристаллич. строение и структуру типа сфалерита с параметром  $a$  6,465 Å. Проводимость  $\sigma$  исследована в интервале *т-р* от —80 до +300°, т. е. в области примесной проводимости. Исходный образец обладал *n*-проводимостью, пленки InSb — *p*-проводимостью. При нагревании пленок происходит рекристаллизация, и после прогрева при 150° пленки становятся

стабильными, а их электрич. свойства обратимыми. Исследован спектр пропускания слоя толщиной 1000 Å при 20°. В области  $\lambda$  2—15  $\mu$  он подобен спектру массивных образцов с небольшим смещением максимума поглощения в сторону коротких волн. А. Хейнман

**257. Электрические свойства смешанных кристаллов состава In(As<sub>y</sub>P<sub>1-y</sub>). Вейсс** (Über die elektrischen Eigenschaften von Mischkristallen der Form In(As<sub>y</sub>P<sub>1-y</sub>). Weiss H.), Z. Naturforsch., 1956, 11a, № 6, 430—434 (нем.)

Измерены постоянная Холла и проводимость поликристаллич. образцов смешанных кристаллов состава In(As<sub>y</sub>P<sub>1-y</sub>) ( $y = 0—1$ ) в интервале 20—500°C. Ширина запрещенной зоны при 0°K пропорциональна содержанию Р. Подвижности электронов  $\mu_n$  и дырок монотонно убывают от InAs к InP. В InAs и смешанных кристаллах  $\mu_n$  одинаково зависят от *т-ры*. Эффективные массы монотонно убывают от InAs к InP. Эти данные указывают на сохранение зонной структуры при переходе от InAs к InP. А. Хейнман

**258. Электрические свойства антимонида индия *p*-типа при низких температурах. Фрицше, Ларк-Хоровиц** (Electrical properties of *p*-type indium antimonide at low temperatures. Fritzsche H., Lark-Horowitz K.), Phys. Rev., 1955, 99, № 2, 400—405 (англ.)

Исследована температурная зависимость уд. сопротивления  $\rho$ , постоянной Холла  $R$  и поперечного магнито-резистивного отношения  $\Delta\rho/\rho$  для кристаллов InSb *p*-типа в интервале 1,5—370°K. На всех образцах обнаружены низкотемпературные аномалии в поведении  $\rho$  и  $R$ , аналогичные наблюдаемым в Ge. На кривой  $R(T)$  наблюдается низкотемпературный максимум; с повышением конц-ии примесей *т-ра* максимума  $T_m$  возрастает, а сам максимум понижается. Кривая  $\rho(T)$  при этой же *т-ре* имеет излом. В области  $T < T_m$  коэфф.  $\Delta\rho/\rho$  сильно зависит от *т-ры* и при *т-ре*  $< T_m$  меняет знак на отрицательный; его температурная зависимость в InSb резко отличается от наблюдающейся в Ge. Отрицательные значения  $\Delta\rho/\rho$  не могут быть интерпретированы в рамках обычной теории полупроводников и с точки зрения существования примесной зоны. Э. Рашба

**259. Сопротивление в магнитном поле антимонида индия. Мансфилд** (The magneto-resistance effect in indium antimonide. Mansfield R.), J. Electronics, 1955, 1, № 2, 175—177 (англ.)

**260. Электропроводность сублиматов CdJ<sub>2</sub>. Тимошик М. М.** (Електропровідність конденсатів CdJ<sub>2</sub>. Тимошик М. М.), Фіз. збірник. Львівськ. ун-т. Фіз. сб. Львовск. ун-т, 1955, 33 вып. 1 (6), 11—14 (укр.; рез. русс.)

Слой CdJ<sub>2</sub> (I), сублимированные на холодные подкладки, имеют мелкокристаллич. структуру и обладают полупроводниковыми свойствами. Слой I не меняет своей структуры и сопротивления на стекле, слюде, Al и Ni (пассивные подкладки), быстро реагирует с Ag- и особенно с Zn-подкладкой. При этом изменяются все свойства слоя и на несколько порядков падает его сопротивление. Продукт *р-ции* I с Zn имеет полную проводимость. Сублимат I на Al-подкладке с верхним Zn-электродом обладает униполярной ионной проводимостью с пропускным направлением от Zn к Al. А. Хейнман

**261. Тепловая и электрическая проводимости щелочных металлов при низких температурах. Мак-Дональд, Уайт, Вудс** (Thermal and electrical conductivities of the alkali metals at low temperatures. MacDonald D. K. C., White G. K., Woods S. B.), Proc. Roy. Soc., 1956, A235, № 1202, 358—374 (англ.)



Теплосоппротивление  $W$  и электросопротивление  $\rho$  весьма чистых Li, Na, K, Rb и Cs измерены вплоть до  $2^\circ\text{K}$ .  $W$  и  $\rho$  могут быть представлены в виде суммы прямого сопротивления ( $W_0$ ,  $\rho_0$ ) и так называемого «идеального» сопротивления ( $W_i$ ,  $\rho_i$ ), обусловленного рассеянием на тепловых колебаниях решетки.  $W_0 = A/T$  и  $W_i = BT^n$  для  $T \leq \theta/10$ , где  $n \approx 2$  и  $A = (\rho_0/2,45) \cdot 10^8 \text{ см град}^{-2} W^{-1}$ . Существующие теории предсказывают, что величина  $C \equiv B\theta^2/W_\infty N^{2/3}$  является константой ( $N$  — число свободных электронов на 1 атом, а  $W_\infty$  —  $W$  при высокой  $T$ -ре). Принимая  $N=1$ , найдено, что  $C \approx 18 \pm 4$ .  $\rho = \rho_0 + 3T^m$  для  $T < \theta/10$ , где  $m \approx 5$ , исключая Na, для которого ниже  $8^\circ\text{K}$   $m \approx 6$ . Существующие теории не согласуются с опытом. Предложено полумпирич. ур-ние для  $W_i$ . А. Хейнман.

262. Температурная зависимость электропроводности системы  $\text{Cu}_2\text{O} - \text{Ni}_2\text{O}_3$ . Андриевский А. И., Третьяк И. Д., Докл. Львовск. политех. ин-та, 1955, 1, № 2, 13—18.

Исследована температурная зависимость проводимости  $\sigma$  образцов, полученных спеканием смеси из 25%  $\text{Ni}_2\text{O}_3$  и 75%  $\text{Cu}_2\text{O}$ . Прямая  $\lg \sigma = f(1/T)$  имеет 2 излома — при 140 и  $230^\circ$ . Энергия активации в области до  $140^\circ$  равна 0,7 эв, в области  $140 - 230^\circ$  0,907 эв и в области  $230 - 300^\circ$  1,106 эв. Материал предложен для изготовления термистора. А. Хейнман.

263. Природа электропроводности очень тонких металлических пленок. Дармуа (Nature de la conductibilité électrique dans les couches métalliques très minces. Darmon G. Geneviève), J. phys. et radium, 1956, 17, № 3, 211—212 (франц.; рез. англ.).

Вычисляется сопротивление  $R$  тонких пленок на основе следующей модели: 1) пленка состоит из отдельных зерен металла, 2) между зернами находится двухмерный газ свободных электронов. Из условия равновесия этого газа на границах с металлами, зернами вычисляется его поверхностная плотность, а затем по ф-лам электронной теории металлов находится  $R$ :  $R = aT^{-1} \exp(\gamma/kT)$ , где постоянная  $a$  зависит от средней длины свободного пробега и средней скорости электронов, отношение которых автор определяет из сравнения полученной ф-лы с экспериментом. Ю. Ирхин.

264. Электропроводность тонких анизотропных пленок. Энглман, Сондхеймер (The electrical conductivity of anisotropic thin films. Engelman R., Sondheimer E. H.), Proc. Phys. Soc., 1956, B69, № 4, 449—458 (англ.).

Показано теор., что в случае большой длины свободного пробега электрона электропроводность монокристаллич. пленок обнаруживает анизотропию, аналогичную, но еще более сильную, чем при аномальном скин-эффекте в анизотропных металлах. Указано, что эксперим. исследование анизотропии тонких пленок представляет интерес для изучения электронной конфигурации металлов. А. Хейнман.

265. Об электропроводности искусственно выращенных монокристаллов закиси меди. Андриевский А. И., Карелин Н. Н., Сандулова А. В., Докл. Львовск. политех. ин-та, 1955, 1, № 2, 23—26. Монокристаллы и поликристаллич. образцы  $\text{Cu}_2\text{O}$  получали окислением Cu при  $1030^\circ$ . Для получения монокристаллов с поверхностью  $> 1 \text{ см}^2$  предварительно выдерживали в вакууме при  $1000^\circ$ . Проводимость  $\sigma$  описывается ф-лой  $\sigma = \sigma_0 \exp(-E/RT)$ , где  $\sigma$  и  $E$  для моно- и поликристаллов имеют близкие значения. Излом на прямых  $\lg \sigma = f(1/T)$  наблюдается только в том случае, если  $E < 0,14 \text{ эв}$ . А. Хейнман.

266. К вопросу о термоэмиссии у полупроводников. Богуи (Zur Frage der Thermoemission bei Halb-

leitern. Bohun Antonin), Чехосл. физ. ж., 1956, 6, № 2, 198—199 (нем.); Českosl. časop. fys., 1956, 6, № 2, 221 (англ.).

Исследована крамеровская термоэлектронная эмиссия кристаллов Ge двух типов: (1) со свежестравленной поверхностью и (2) с механически полированной и выдержанной несколько месяцев на воздухе поверхностью. Кристаллы обоих типов рентгенизовали и равномерно нагревали от 300 до  $650^\circ\text{K}$  перед окошком игольчатого Г.—М.-счетчика для получения кривой термоэмиссии. На кривой кристаллов типа (2) имеется интенсивный пик эмиссии при  $\sim 550 - 600^\circ\text{K}$ . На кривой кристаллов типа (1) этот пик сдвинут на  $100^\circ\text{K}$  в сторону более высоких  $T$ -р, и для наблюдения эмиссии требуется большая доза рентгеновских лучей. По аналогии с металлами эмиссия приписана поверхностному слою окиси Ge. А. Хейнман.

267. Измерение термо-э. д. с. сульфида свинца. Али Али Арафа, Ибрагим Саед Шафи, Фатхи Султан Ахмед Султан (Measurement of the thermoelectric power of lead sulphide. Ali Ali Arafa, Ibrahim Sayed Shafie, Fathi Sultan Ahmed Sultan), Z. angew. Math. und Phys., 1956, 7, № 3, 256—264 (англ.; рез. нем.).

Измерена термо-э. д. с.  $\alpha$  природных кристаллов PbS в интервале  $293 - 700^\circ\text{K}$ . Знак  $\alpha$  кристаллов  $n$ -типа не изменяется во всем интервале  $T$ -р. Знак  $\alpha$  кристаллов  $p$ -типа изменяется на обратный при высоких  $T$ -рах. Некоторые кристаллы  $p$ -типа необратимо превращались при нагревании в кристаллы  $n$ -типа. Один из кристаллов обладал металлич. проводимостью и весьма высоким значением  $\alpha$ . А. Хейнман.

268. Исследование термоэлектронной эмиссии при переходе из твердого в жидкое состояние. Болышов В. Г., Ж. техн. физики, 1956, 26, № 6, 1150—1162.

Измерен ток термоэмиссии  $i$  Cu, Ag у Ge в твердом и жидком состояниях. Установлено, что  $i$  в точке плавления не испытывает скачка, график же температурной зависимости  $i$  в точке плавления изменяет наклон. Это соответствует тому, что истинная работа выхода при переходе из одного агрегатного состояния в другое не изменяется, тогда как температурный коэфф. работы выхода изменяется скачком. Отсутствие скачка  $i$  в точке плавления объясняется постепенной перестройкой атомов на поверхности эмиттера при повышении  $T$ -ры и отсутствием «кризиса» в строении поверхности в самой точке плавления. Работа выхода Cu и Ag, определенная из полного  $i$ , удовлетворительно согласуется с таковой, найденной для этих объектов другими авторами. Работа выхода Ge существенно отличается от работы выхода, найденной другими авторами, и в области естественной проводимости сильно зависит от  $T$ -ры. Резюме автора.

269. Работа выхода свинца. Андерсон, Хант (Work function of lead. Anderson Paul A., Hunt Angus L.), Phys. Rev., 1956, 102, № 2, 367—368 (англ.).

Работа выхода  $\phi$  Pb определяла путем изменения контактной разности потенциалов поверхностей Pb — Ba ( $\phi_{\text{Ba}} = 2,52 \text{ эв}$ ). Поверхности Pb получали путем тщательного обезгаживания спектроскопич. свинца Хильтер с последующей 2-кратной фракционированной перегонкой и сублимацией на стекло. Поверхности Ba получали аналогичным методом, дающим воспроизводимость  $\phi \sim 0,01 \text{ эв}$ . Измерения проводили методом электронного луча через 5 сек. после сублимации. Измерено, что  $\Delta\phi$  для Ba — Pb равна  $1,48 \pm 0,01 \text{ эв}$ , откуда  $\phi_{\text{Pb}} = 4,00 \pm 0,02 \text{ эв}$ . При старении смещение  $\phi$  не превышает 0,01 эв. Поскольку миним. время адсорбции монослоя газа велико сравнительно со временем сублима-



ции и измерения, сделан вывод, что газовая пленка мала и не влияет на  $\phi$  и что измеренная  $\phi$  относится к чистому Pb.

**270.** Физика и техника запаздывающей электронной эмиссии (экзоэлектроны). Зегер (Physik und Technik der Nachemission von Elektronen (Exo-Elektronen). Seeger K.), Angew. Chem., 1956, 68, № 8, 285—291 (нем.; рез. англ., франц.)

Критический обзор. Указано, что термином «экзоэмиссия» следует обозначать процесс испускания отрицательных частиц при экзотермич. р-циях на поверхности, а термином «послеэмиссия» (запаздывающая эмиссия), по аналогии с «послесвечением», следует обозначать эмиссию электронов из поверхностных центров захвата. Рассмотрена роль послеэмиссии в каталитич. р-циях на поверхности окислов и ее использование для контроля хим. р-ций, процессов дробления кристаллов, а также для дозиметрии. Библ. 50 назв.

А. Хейнман

**271.** Диэлектрическая проницаемость и угол потерь некоторых твердых диэлектриков при длине волны 3 см и их зависимость от температуры и частоты. Сканаби Г. И., Липаева Г. А., Ж. эксперим. и теор. физики, 1956, 30, № 5, 824—832 (рез. англ.)

Измерены  $\epsilon$  и  $\text{tg}\delta$  титанатов Mg, Zn, Ca, Sr и Bi, тетрагидратов Ba и стеатита при  $\lambda$  3 см. Определены частотная и температурная зависимости  $\epsilon$  и  $\text{tg}\delta$ .

А. Хейнман

**272.** Влияние малых примесей ( $10^{-5}$  ат. % Cu) на дипольное дебаевского поглощение окиси цинка. А ж е н, Корнето, Бланшар (Influence du dopage par de faibles quantités d'impuretés ( $10^{-5}$  Cu) sur l'absorption Debye dipolaire de l'oxyde de zinc. Hagene Bernar, Corneteau Henri, Blanchard Marie-Louise m-lle), J. phys. et radium, 1956, 17, № 5, 450—451 (франц.)

Исследовано влияние примеси Cu ( $10^{-5}$ — $10^{-1}$  ат. %) на диэлектрич. поглощение  $\epsilon''$  (т. е. коэфф. потерь) ZnO в интервале частот  $\nu$   $0,1$ — $10^3$  кГц и интервале т-р 293—4°K. Cu вводили в ZnO в виде р-ра CuCl<sub>2</sub> с последующей прокалкой при 850°С. Образец ZnO без примеси Cu (Pb < 0,002%, Cd < 0,002%, Fe < 0,002%; Zn?) дает весьма слабую полосу поглощения в координатах  $\epsilon'' = f(T^\circ\text{K})$ . Полоса достигает максим. интенсивности при  $10^{-3}$  ат. % Cu (т. е. при конц-ии, используемой в фосфорах ZnS-Cu) и уменьшается при дальнейшем возрастании конц-ии Cu. Понижение т-ры прокалки до 650° уменьшает  $\epsilon''$  в 10 раз. При увеличении конц-ии Cu от  $10^{-5}$  до  $10^{-1}$  ат. % максимум полосы поглощения смещается от  $\sim 90$  к  $> 200^\circ\text{K}$ . Результаты не зависят от природы соли Cu (CuCl<sub>2</sub>, Cu(NO<sub>3</sub>)<sub>2</sub>, CuSO<sub>4</sub>, Cu(CH<sub>3</sub>COO)<sub>2</sub>). Полосы поглощения при конц-ии Cu  $10^{-3}$  ат. % слабо разрешаются на два компонента. Энергия активации (в эв), вычисленная из кривых  $\lg \nu(\text{макс}) = f(1/T)$ , равна: чистая ZnO 0,043 и 0,059;  $10^{-3}$  ат. % Cu 0,17 и 0,22;  $10^{-1}$  ат. % Cu 0,46.

А. Хейнман

**273.** Исследование дипольного дебаевского поглощения селена до, во время и после освещения. Меннел (Etude de l'absorption dipolaire Debye (A. D. D.) du sélénium avant, pendant et après éclaircissement. Meinneil J.), Colloq. A. M. P. E. R. E., mars 1956. Inst. Phys. Univ. Genève, 1956, 18—23; Arch. sci., 1956, 9, fasc. special, 62—67 (франц.)

Обнаружено влияние видимого света на положение и интенсивность полосы дипольного дебаевского (диэлектрического) поглощения  $\epsilon''$  порошков кристаллич. Se. При освещении полоса поглощения смещается в сторону высоких частот  $\nu$ , причем с понижением т-ры величина смещения возрастает. Следовательно, энергия активации  $U$ , определенная из ур-ния  $\nu(\text{макс}) =$

$= A \exp(-U/kT)$ , уменьшается при освещении. После прекращения освещения полоса поглощения медленно смещается к своему темновому положению и  $U$  восстанавливается. Примесь J<sub>2</sub> увеличивает проводимость Se и вызывает смещение полосы поглощения в сторону высоких частот. Освещение не влияет на диэлектрич. проницаемость и  $\epsilon''$  порошков Cu<sub>2</sub>O и AgI.

А. Хейнман

**274.** Поверхностная миграция атомов вольфрама в электрическом поле. Сокольская И. Л., Ж. техн. физики, 1956, 26, № 6, 1177—1184

В электронном проекторе исследована температурная зависимость процессов перестройки (перехода W-острия из скругленно-сглаженной в ограниченную форму) и сглаживания (обратный процесс). Эти процессы не зависят от знака поля, т. е. атомы W, мигрирующие по поверхности в электрич. поле, можно рассматривать как диполи, движущиеся в направлении градиента напряженности. Энергия активации перестройки и сглаживания равна соответственно 2,36 и 3,2 эв. На основе теоретич. представлений И. Странского и Л. И. Френкеля из эксперим. данных вычислено, что энергия взаимодействия двух ближайших соседей решетке W равна 1,57 эв в согласии с величинной, полученной из теплоты испарения W. Наблюдается рост несимметрич. выступов при перестройке в очень сильных полях.

А. Хейнман

**275.** О влиянии на емкость мндоэлектронных выпрямителей искусственно введенных примесей. Андреевский А. И., Саидулова А. В., Шевелев М. И., Докл. Львовск. политехн. ин-та, 1955, 1, № 2, 9—12

Исследовано влияние примесей Ag и O и предложен механизм этого процесса.

А. Хейнман

**276.** Изучение роста кристаллов с помощью фазово-контрастного микроскопа. Брандштеттер (Phasenkontrastmikroskopische Studien zum Kristallwachstum. Brandstätter M.), Mikrohchim. acta, 1956, № 1-3, 154—158 (нем.; рез. англ., франц.)

Указывается, что органич. в-ва являются удобными объектами для наблюдения спирального роста кристаллов из паров и для демонстрации ряда положений теории спирального роста Франка (Frank F. C. и др., Nature, 1949, 163, 398; Z. Elektrochem., 1952, 56, 429). Отмечается, что использование фазово-контрастного микроскопа позволяет проследить развитие очень тонких спиралей, едва заметных при обычном освещении.

Н. Глики

**277.** Получение монокристаллов InAs и GaAs. Гремельмайер (Herstellung von InAs- und GaAs-Einkristallen. Gremelmaier R.), Z. Naturforsch., 1956, 11a, № 6, 511—513 (нем.)

Описана аппаратура для выращивания по методу вытягивания из расплава монокристаллов соединений типа InAs (I), GaAs (II), InP и GaP, т. е. разлагающихся при плавлении с улетучиванием As или P. Графитовый тигель с расплавом и приспособление для вытягивания находятся в отпаянной кварцевой трубке, стенки которой имеют т-ру выше т-ры сублимации легколетучего компонента. Приспособление для вытягивания перемещается при помощи магнита. Совершенные и достаточно крупные монокристаллы I получают значительно легче, чем II. Последние часто имеют тонкую структуру из блоков, ориентированных под углом  $0,5$ — $2^\circ$  один к другому. После получения безупречной затравки можно получить совершенные кристаллы II. Кристаллы I и II вытягивались в направлении [111]. Их длина 4—6 см, diam. 8—10 мм. Некоторые кристаллы образуют двойники с двойниковой плоскостью (111). В II проводимость сильнее изменяется по длине кристалла, чем

в I. Уд. сопротивление  $\Pi \sim 10^7$  ом·см, фотопроводимость хорошая.

А. Хейман  
278. Исследование роста кристаллов сахарозы в присутствии несахаров. О поведении монокристаллов в присутствии красителей. Кавалларо, Мантовани (Ricerche sull'accrescimento di cristalli di saccarosio in presenza di non zuccheri. Sul comportamento di monocristalli in presenza di sostanze coloranti. Cavallaro Leo, Mantovani Giorgio), Ann. chimica, 1955, 45, № 6-7-8, 565—574 (итал.)

Исследованы случаи селективной адсорбции окрашенных в-в (конго красный, эозин, метиловый оранжевый, анилиновый синий, фуксин и др.) на некоторых определенных зонах кристаллов сахарозы (напр., на полярных гранях 110 и  $\bar{1}\bar{1}0$  тростникового сахара). Проведенные исследования аналогичны исследованиям (Eguchi T., Morita S., Aoto E., J. Soc. Chem. Ind. Japan, 1949, 46, 689; Jamane T., J. Scient. Res. Inst., 1951, 45, 87) с кристаллами тростникового сахара, выращенными из водн. маточных р-ров в присутствии красителей. Авторы пользовались аппаратурой, способной обеспечить правильный рост монокристаллов во времени и препятствующей влиянию соседних кристаллов. В некоторых случаях результаты совпадают с результатами опытов с тростниковым сахаром, а в других случаях селективная локализация красителей на определенных зонах не имеет места. Напр., только на некоторых поликристаллах сахара, выращенных из р-ра, содержащего 0,1% эозина (или метилового оранжевого), обнаруживаются зоны селективной локализации красителя. Другие кристаллы остаются совершенно бесцветными. Монокристаллы сахара, выращенные в тех же условиях, такой селективной локализации не обнаруживают. Попытки установления связи между хим. структурой красителя и структурой зон кристалла приводят к выводу, что эта локализация связана скорее с окклюзией, чем с селективной адсорбцией.

Т. Хоцянова

279. Разрушение поверхностей кристалла при испарении и связь процесса разрушения со структурой границ зерен. Вотава (Der Abbau von Kristalloberflächen durch Verdampfung und seine Beziehung zur Struktur von Korngrenzen. Votava Erwin), Z. Metallkunde, 1956, 47, № 5, 309—311 (нем.; рез. англ.)

280. Микроскопическое обнаружение элементарных областей в поликристаллическом титанате бария. Рюдигер (Übermikroskopischer Nachweis der Elementarbereichstruktur bei vielkristallinem Bariumtitanat. Rüdiger O.), Naturwissenschaften, 1955, 42, № 24, 644 (нем.)

281. Плеохроизм в синтетических рубинах. Деннинг, Мандарино (Pleochroism in synthetic ruby. Denning Reynolds M., Mandarino Joseph A.), Amer. Mineralogist, 1955, 40, № 11-12, 1055—1061 (англ.)

Описан метод и результаты измерений относительной абсорбции света  $\lambda$  486, 589 и 620 мμ в искусств. рубинах. Разница коэф. поглощения вдоль направлений колебаний электрич. вектора необыкновенного ( $K_e$ ) и обыкновенного ( $K_o$ ) лучей (двупоглощение) изменяется с изменением направления и длины волны: вдоль осей  $\Delta K = K_e - K_o \neq 0$  при  $\lambda = 486$  мμ и равно нулю при остальных длинах волн; в других направлениях  $\Delta K$  большей частью отрицательны; абс. величина двупоглощения в одних и тех же направлениях уменьшается по мере увеличения длины волны.

С. Бадаков

282. О тангенциальных скоростях роста элементарных слоев на поверхности кристалла. Чернов А. А., Кристаллография, 1956, 1, № 1, 119—122

Рассмотрена кинетика тангенциального нарастания элементарных слоев разной толщины на поверхности растущего кристалла. Автор исходит из представления о существовании адсорбционного слоя на грани кристалла. Скорость перемещения слоев рассматривается на основе теории Франка, Бартона и Кабрера (Phil. Trans., 1951, A243, № 866, 299), исходя из предположения, что диффузия молекул существует и на боковых поглощающих поверхностях ступеней. На основе представления о «ползающих» молекулах выведена ф-ла зависимости скорости перемещения фронта элементарного слоя от его толщины. Подсчитаны скорости роста элементарных слоев для кристалла *n*-толуидина и проведено сравнение теоретич. и эксперим. данных.

Е. Дукова

283. Влияние посторонних примесей на рост кристалла дигидрофосфата аммония. Алемайкин Ф. М., Доповіді та повідомлення. Львівськ. ун-т, 1955, вып. 6, часть 2, 130

Содержание примесей в р-ре и в растущем кристалле  $(\text{NH}_4)_2\text{HPO}_4$  (I) определяли спектрографически. Установлено, что примеси (Fe, Al, Mg, Ca, Cu, Si, Na, Mn, Pb, Cr, Mo, S и др.) входят в растущий кристалл, если их конц-ия в р-ре  $> 0,1-1\%$ . Примесь молибдата аммония позволяет выращивать ромбич. кристаллы, хотя I имеет тетрагональную сингонию. Фосфаты Na или K позволяют получать неискаженную основную призму кристалла I. Примеси хромата и сульфата аммония увеличивают скорость роста вдоль осей  $z$  и  $y$ , 3 раза и сужают кристалл в направлении осей  $x$  и  $u$ , так что основная призма переходит в пирамиду.

А. Хейман

284. Получение фигур травления с помощью ультразвуковых колебаний. Багдасаров Х. С., Капустин А. П., Кристаллография, 1956, 1, № 1, 139—140

Предложен метод получения фигур травления в ультразвуковом поле на кристаллах, помещенных в насыщ. маточный р-р. Получены фигуры травления на различ. гранях ряда кристаллов. Облучение велось с помощью магнитострикционного генератора мощностью 1 кет и с частотой колебаний 40 кГц в течение 2—3 мин.

М. Королева

285 К. Лекции по металлографии. Квадрат, Вастегиано (Prednášky z metalografie. Quadrát Otakar, Wastegianová Marie. Praha, SNTL, 1956, 132 s., il., 15,50 Kčs.) (чеш.)

286 К. Действие рентгеновского излучения большой энергии на твердые вещества. Кошуа, Фридель, Мотт, Эрпен, Блен, Эгрэн, Кюрбен, Майер, Перно, Турнари, Ганс, Ламбер, Гинье, Шапиро, Иберфельд (Action des rayonnements de grande énergie sur les solides. Cauchois Y., Friedel J., Mott N. F., Herpin A., Blin J., Aigrain P., Curien H., Mayer G., Perio P., Tournarie M., Gance M., Lambert M., Guinier A., Chapiro A., Uebbersfeld J. Paris, Gauthier-Villars, 1956, 141 p., ill.) (франц.)

287 К. 3-й Международный конгресс по кристаллографии. Каталог выставки. Париж, 19—30 июля, 1954. (3-e Congrès international de cristallographie. Catalogue de l'exposition, Paris, 19—30 juill. 1954. Mâcon, impr. de Protat frères, 1954, 116 p., ill.) (франц.)

288 К. Введение в геометрическую кристаллографию. Фишер (Einführung in die geometrische Kristallographie. Fischer Emil. Berlin, Akad. Verl., 1956, VIII, 162 S., ill., 23. DM) (нем.)

289 К. Кристаллы. Шаскольская М. П., М., Гостехиздат, 1956, 228 стр., илл., 6 р. 60 к.

290 К. Механика твердых тел. Детуш (La mécanique des solides. Destouches Jean-Louis. Paris, Presses univ. France, 1956, 128 p., ill., 153 fr.) (франц.)

291 К. Цвета, вызванные облучением, и люминесценция. Вклад в минералогическую физику. Пшибрам (Irradiation colours and luminescence. A contribution to mineral physics. Przibram Karl. Transl. from the Germ. London, Pergamon Press Ltd, 1956, 332 p., ill) (англ.)

292 Д. Исследования по микротехнике гомеополарных кристаллов типа алмаза. Машкевич В. С. Автореф. дисс. канд. физ.-матем. н., Ин-т физики АН УССР, Киев, 1956

293 П. Способ выращивания монокристаллов и их применение. Кох (Verfahren zum Herstellen von Einkristallen und deren Verwendung. Koch Werner) [Licentia Patent-Verwaltungs-G. m. b. H.]. Пат. ФРГ 928674, 6.06.55

Способ выращивания монокристаллов (особенно Ge), разделенных границей зерен на 2 части, отличается тем, что кристаллизация проводится в горизонтальной лодочке из чистого углерода, отличающейся от лодочек обычного типа тем, что ее конец, с которого начинается кристаллизация, снабжен перегородкой, делящей эту часть лодочки по длине на 2 части. Перегородка может быть съемной. Два монокристалла, образующиеся с обеих сторон перегородки, продолжают расти в остальной свободной части лодочки, соприкасаясь по поверхности раздела. Получаемые этим способом двойные монокристаллы могут применяться в выпрямителях и некоторых электрич. несимметрично проводящих системах, напр. кристаллич. усилителях.

В. Кольцов

См. также: Рентгеногр., электроногр. исслед. 142, 363, 647, 648, 650, 667, 709, 710, 1031, 1104, 1106, 1124, 1126, 1314, 1405, 1406, 1674, 3229, 199Бх. Магнитный резонанс 128, 129, 131. Термодинамика кристаллов 135, 324, 328. Магнитные св-ва кристаллов 326, 3607. Спектры и др. оптич. св-ва кристаллов 91, 100, 103, 105, 113, 147, 1134. Рост кристаллов 344, 345, 1426. Приборы и оборудование 1313, 1317, 1318. Др. вопр. 36, 39, 343, 369, 446, 564, 683, 703, 1105, 1315, 1432, 1541

## ЖИДКОСТИ И АМОРФНЫЕ ТЕЛА. ГАЗЫ

Редактор А. Б. Алмазов

294. Метод интегральных уравнений в теории жидкостей. Саролеа, Мейер (Integral equation method in the theory of liquids. Sarolea Lilliane, Mayer Joseph E.), Phys. Rev., 1956, 101, № 6, 1627—1640 (англ.)

С целью отыскания общего подхода к выводу ур-ний состояния рассматривается система тождественных сферических симметричных молекул без внутренних степеней свободы (жидкость). Вводится функция распределения  $F_n(r_1, r_2, \dots, r_n)$  такая, что величина  $\rho^n F_n$ , где  $\rho = N/V$ , равна плотности вероятности того, что  $n$  молекул имеют координаты  $r_1, r_2, \dots, r_n$  независимо от положения других молекул. Также, по определению,  $z = \exp[(\mu - \mu_0)/kT]$ , где  $\mu$  — хим. потенциал; постоянная  $\mu_0$  находится из требования, что в идеальном состоянии, когда  $\rho \rightarrow 0$ ,  $z \rightarrow 0$ , должно быть  $\rho/z = 1$ . Вводится функции  $G_0 = e^{PV/kT}$ ,  $G_n\{n\} = e^{PV/kT} (\rho/z)^n F_n\{n\}$ ,

зависящие от  $n$  координат  $\{n\} = r_1, r_2, \dots, r_n \dots \infty$ ; при  $z \rightarrow 0$ ,  $\rho \rightarrow 0$  в силу  $P = 0$  имеем  $G_0^{(0)} = 1$ ,  $G_n^{(0)} = F_n^{(0)}$ . Из рассмотрения большого канонич. ансамбля получаются ур-ния:  $G_n\{n\} = \Sigma_{N \geq 0} (z^N/N!) \int \dots \int_V G_{n+N}\{\{n\} + \{N\}\} \times \times d\{N\}$ ,  $G_n^{(0)}\{n\} = \Sigma_{N \geq 0} [(-z)^N/N!] \int \dots \int_V G_{n+N}\{\{n\} + \{N\}\} d\{N\}$  (1), являющиеся исходными. Некоторые операторы  $O$  определяются соотношениями  $OG_n = [\Sigma \{v\}_n \psi_v \{v\}_n] G_n$ ,  $OG_n^{(0)} = [\Sigma \{v\}_n \psi_v^{(0)} \{v\}_n] G_n^{(0)}$ , где символ  $\Sigma \{v\}_n$  означает суммирование по  $v$  до  $v = n$  для всех возможных  $n!/(n-v)!v!$  подпоследовательностей  $\{v\}_n$  из  $n$ . Вид функций  $\psi_v$  не специализируется, поскольку в окончательном результате они выпадают (впрочем, при спец. предположениях о виде потенциальной энергии функциям  $\psi_v^{(0)}$  можно, как показано, придать смысл возмущения первого порядка). Действуя на обе стороны ур-ния (1) оператором  $O$ , можно показать, что  $\psi_m = \Sigma_n L_{m,n} \psi_n^{(0)}$  и  $\psi_m^{(0)} = \Sigma_n L_{m,n}^{(0)} \psi_n^{(0)}$ , откуда  $\Sigma_k L_{m,k} L_{k,n}^{(0)} = \delta_{mn} E_{nn}$  (2). Это ур-ние является основным, из него видно, что задача нахождения ур-ния состояния сводится к отысканию матрицы, обратной некоторой заданной матрице, зависящей от  $\mu$  и потенциала взаимодействия, как от параметров. Ур-ние (2), как показано, значительно упрощается при учете парных взаимодействий; при этом ур-ния Кирквуда, Ивола и Борна—Грина оказываются частным случаем полученных общих соотношений. При использовании аппроксимации Кирквуда получаются ур-ния, из которых следует, что аппроксимация нуждается в уточнении. Простейший метод введения поправок к аппроксимации последовательными шагами приводит к расходимостям. Интегральное ур-ние, аналогичное ур-нию Кирквуда, указывает на существование фазовых переходов, мало сходных с реально наблюдающимися. На основе приближения, отличающегося от аппроксимации Кирквуда, получено несколько более сложное ур-ние.

В. Цукерман

295. Модели ячеек и групп ячеек для жидкостей. Грин (Cell and cell-cluster models for liquids. Green H. S.), J. Chem. Phys., 1956, 24, № 4, 732—737 (англ.)

Один из вариантов ячейечной теории, изложенный в другой работе автора (РЖХим, 1956, 71046), подробно рассмотрен для случаев, когда жидкость находится в состоянии равновесия. Принцип минимизации свободной энергии Кирквуда использован при получении функции распределения по ячейкам и термодинамич. функций. Рассчитаны поправки к изотермам Леннард-Джонса и Девошайра. Обобщение теории на «группы ячеек», как показано, приводит к незначительным поправкам.

Е. Бабенков

296. Второй виральный коэффициент вблизи абсолютного нуля. Блатт (The second virial coefficient near absolute zero. Blatt J. M.), Nuovo cimento, 1956, 4, № 2, 465—475 (англ.; рез. итал.)

Предложен новый, более корректный вывод квантовомеханич. выражения для второго вирального коэфф. Подробно обсуждается поведение коэфф. в предельном случае очень низких т-р. Результаты сопоставлены с расчетами других авторов.

В. Цукерман

297. Ядерная релаксация и молекулярная ассоциация в жидкостях. Джулотто, Ланци, Тоска (Nuclear relaxation and molecular association in liquids. Giulotto L., Lanzi G., Tosca L.), J. Chem. Phys., 1956, 24, № 3, 632—633 (англ.)

Указывается на возможность исследования молекулярной ассоциации в жидкостях путем анализа эксп-им. данных по ядерной термич. релаксации. Согласно



теории (Bloembergen, Purcell, Pound, Phys. Rev., 1948, 73, 679, Bloembergen N. Nuclear magnetic relaxation. The Hague, 1948), соотношение между временем термической релаксации  $T_1$ , временем релаксации  $T_1'$  и  $T_1''$ , относящимися соответственно к трансляциям и вращениям молекулы, имеет вид  $1/T_1 = 1/T_1' + 1/T_1''$ . В случае воды  $T_1'$  может быть связано со временем релаксации теории Дебая для поглощения и дисперсии в полярных жидкостях на радиочастотах. При  $\tau \ll (1/\nu_0)$  ( $\nu_0$  — ларморова частота)  $T_1'$  и  $\tau$  обратно пропорциональны этой частоте; с другой стороны, по Дебаю,  $\tau = 4\pi\eta a^3/kT = 3\eta V/kT$ , где  $\eta$  — вязкость жидкости,  $a$  и  $V$  — радиус и объем молекулы. Аналогичные высказывания о связи вязкости жидкости с  $T_1$  могут быть сделаны и в случае более сложных молекул. На аппаратуре, описанной ранее (РЖХим, 1956, 39929), измерены времена ядерной релаксации р-ров  $C_6H_5Cl$  в  $CCl_4$  и  $C_6H_5OH$  в  $CCl_4$  при различных конц-ях. Для р-ра  $C_6H_5Cl$  величина  $\tau_0/T_1\eta$ , где  $\tau_0$  — вязкость чистого  $CCl_4$ , а  $\eta$  — вязкость р-ра, линейно растет с конц-ей; отсюда сделан вывод, что в этом р-ре нет ассоциации. Та же величина для р-ра  $C_6H_5OH$  достигает максимума при 0,2 М, откуда следует, что ассоциация увеличивается с конц-ей, а при больших конц-ях ассоциаты теряют жесткость. Результаты согласуются с измерениями  $\tau$  (РЖХим, 1954, 21415).

Е. Бабенков  
298. Дальнейшие результаты уравнения состояния Монте-Карло. Розенблат, Розенблат (Further results on Monte Carlo equations of state. Rosenbluth Marshall N., Rosenbluth Arianna W.), J. Chem. Phys., 1954, 22, № 5, 881—884 (англ.)

Методом Монте-Карло (РЖХим, 1955, 36818) получено ур-ние состояния для случая жестких сфер. Даются некоторые качества. Результаты для системы двумерных молекул с взаимодействием Леннард-Джонса и обсуждаются границы применимости метода. Н. Афонский

299. Радиальная функция распределения для жидкости из жестких сфер, рассчитанная методом Монте-Карло. Олдер, Франкел, Левинсон (Radial distribution function calculated by the Monte-Carlo method for a hard sphere fluid. Alder B. J., Frankel S. P., Lewinson V. A.), J. Chem. Phys., 1955, 23, № 3, 417—419 (англ.)

Две процедуры, основанные на методе Монте-Карло, были применены для расчета радиальной функции распределения  $g(R)$  жидкости из жестких сфер при плотностях упаковки  $\leq 20\%$  и  $72,4\%$  (от наиболее плотной упаковки). В первом случае сферы диаметра  $d = (0,02)^{1/2}$  последовательно помещались в куб. «ящик» объема  $v = 1$  и координаты центра каждой сферы описывались 9-значным числом (первые три цифры определяли координату  $x$  и т. д.) «Произвольность» помещения каждой последующей сферы, необходимая для статистич. расчета, достигалась следующим образом: производилось последовательное возведение в квадрат ряда 9-значных чисел и за координаты следующего «произвольного» положения принималась группа из 9 цифр, образующих «середину» соответствующего квадратичного числа. Новая сфера сохранялась в объеме  $v$ , если она не попадала на уже занятое место. Этот расчет производился на электронной счетной машине. Операции сводились к табулированию для каждой новой частицы квадратов расстояний  $R^2$  до всех остальных частиц, и  $g(R)$  определялась по ф-ле  $g(R) = \Delta n \{ [N(N-1)/2] 4\pi R^2 \Delta R \}^{-1}$ , где  $\Delta n$  — кол-во пар частиц, разделенных расстояниями, заключенными в интервале  $R - R + \Delta R$ , а  $N$  — полное кол-во частиц в «ящике». Вторая процедура основана на известном принципе беспорядочного нарушения псевдокристаллической (в данном случае

гексагональной) упаковки частиц (см. пред. реф.). В обоих случаях были получены результаты, согласующиеся с расчетными данными других авторов. Существование, что при больших плотностях положение пика  $g(R)$  не совпадает с точкой контакта двух сфер. Библ. 6 назв.

С. Френкель  
300. Виральные коэффициенты и межмолекулярный потенциал малых неферрических молекул. Кихара, Мидзуно, Канеко (Virial coefficients and intermolecular potential for small nonspherical molecules. Kihara Taro, Midzuno Yukio, Kaneko Shobun), J. Phys. Soc. Japan, 1956, 11, № 4, 362—366 (англ.)

Рассматривается газ, состоящий из небольших молекул, форма которых незначительно отличается от сферической. Показано, что при потенциале взаимодействия вида  $U(r) = [U_0/(n-6)] \{ [6(r_0/r)^n - n(r_0/r)^6] \}$  поправки к виральным коэфф., обусловленные неферричностью, эквивалентны квантовым поправкам. Для водорода ( $U_0/k = 39,8^\circ K$ ,  $r_0 = 3,20A$ ) на основе литературных эксперим. данных подсчитан третий виральный коэфф., удовлетворительно согласующийся с наблюдениями при средних  $t$ -рах ( $150-300^\circ K$ ). Результаты использованы для расчета межмолекулярного потенциала при таких взаимных расположениях молекул, когда они находятся в одной плоскости и углы между их осями кратны  $\pi/2$ . В этом примере на эквивалентность неферричности и квантовых эффектов указывают сопоставление с квантовомеханич. расчетом. Аналогично рассмотрены смеси различных молекул (аргон-водород). Е. Бабенков

301. О превращении  $\lambda$ -перехода в гелии в присутствии теплового потока в особый переход первого рода. Пешков В. П., Ж. эксперим. и теор. физики, 1956, 30, № 3, 581—582

Наблюдалось превращение при помощи теплового потока  $\lambda$ -перехода в гелии в переход первого рода, характеризующийся не только разрывом на границе значений энтропии и объемов, но и  $t$ -р и, по-видимому, давлений. Автор предлагает назвать такой переход либо особым переходом первого рода, либо переходом нулевого рода. Е. Бабенков

302. К теории термодиффузии в жидкостях. В. Кинетическая теория самодиффузии и самотермодиффузии в воде. Александер (Zur Theorie der Thermomodiffusion in Flüssigkeiten. V. Kinetische Theorie der Selbstdiffusion und Selbstthermodiffusion in Wasser. Alexander Karl F.), Z. phys. Chem., 1954, 203, № 5/6, 357—368 (нем.)

Развивается модель элементарных перемещений в чистой воде, согласно которой элементарные процессы, определяющие скорость самодиффузии, дипольной ориентации и самотермодиффузии, заключаются в активированном вращении неассоциированных (в смысле Eucken A., Göttinger Nachr., Math.-physik. Kl., 1946, 38, Z. Elektrochem. angew. physik. Chem., 1948, 52, 255) молекул  $H_2O$ . Рассчитанные на основании этой модели из коэфф. самодиффузии частоты вращения хорошо согласуются с частотами рамановских спектров при заторможенном вращении. С использованием результатов предыдущих частей этой работы и результатов Эйкена (см. ссылку выше) относительно структуры ассоциатов воды рассчитана энергия активации самодиффузии воды. Ее температурный коэфф. хорошо согласуется с расчетами по эффекту Соре. Часть IV см. РЖХим, 1956, 57608.

В. Цукерман  
303. Обобщающие зависимости для теплопроводности газов при атмосферном давлении. Цедерберг Н. В., Теплоэнергетика, 1956, № 7, 7—11

Предложена ф-ла для теплопроводности  $\lambda$  газов:  $\lg(\lambda/\lambda_{(кр)}) = a \lg \tau + b(\lg \tau)^2 + c(\lg \tau)^3$ , где  $\tau = T/T_{(кр)}$ . Приведены следующие значения констант  $a, b, c$ , соот-



ветственно: 1) при  $\lg \tau < 0$  для двухатомных газов 1,000; 0; 0; трехатомных 1,325; -0,631; -1,540; восьмиатомных (этан) 1,764; 2,318; 4,787; семнадцатиатомных 2,298; 5,008; 13,106; 2) при  $\lg \tau > 0$  для двухатомных 0,9340; -0,0023; -0,0541; трехатомных 1,440; 0,0115; 0,2141. Максим. отклонение вычисленных  $\lambda$  от наблюдаемых  $\pm 11\%$ , среднее  $\pm 4,7\%$  (рассмотрено 15 в-в). Обзор. Библ. 6 назв.

В. Цукерман  
304. Коэффициент самодиффузии тетраметилолова. Бамбинек, Фрейзе (Der Selbstdiffusionskoeffizient des Zinntetramethyls. B a m b y n e k W., F r e i s e V.), Z. phys. Chem. (BRD), 1956, 7, № 5-6, 317-331 (нем.)

С использованием радиоактивного изотопа  $C^{14}$  измерен коэфф. самодиффузии тетраметилолова в интервале  $10-30^\circ$ . Уточнены также данные о плотности, вязкости и показателе преломления. При  $20^\circ$  коэфф. самодиффузии равен  $2,29 \cdot 10^{-5} \text{ см}^2/\text{сек}$  и энергия активации самодиффузии 1,87 ккал. Результаты обсуждаются в рамках различных предлагавшихся ранее теорий.

Е. Бабенков  
305. Вязкость бинарных газовых смесей метан-диоксида углерода и этилен-аргон. Джексон (Viscosities of the binary gas mixtures, methane-carbon dioxide and ethylene-argon. J a c k s o n W. (M o r r i s o n), J. Phys. Chem., 1956, 60, № 6, 789-791 (англ.))

На основании ранее (РЖХим, 1956, 16516) капиллярном вискозиметре получены для  $25^\circ$  следующие значения вязкости (в  $\mu\text{лазак}$ ) смеси метан-диоксида углерода (в скобках конц-ия метана в моль %): 151,0 (0); 150,9 (2,2); 149,4 (10,3); 147,7 (18,3); 145,3 (29,7); 141,4 (42,1); 137,3 (53,7); 132,8 (65,1); 129,1 (73,0); 124,8 (78,9); 122,6 (85,0); 119,2 (90,5); 117,4 (93,3); 111,4 (100) и смеси этилен-аргон (в скобках конц-ия этилена в моль %): 225,2 (0); 211,1 (10,0); 196,3 (20,0); 182,7 (30,0); 169,8 (40,0); 158,0 (50); 147,0 (60,0); 135,0 (70,0); 124,2 (80,0); 113,6 (90,0); 104,2 (100,0). Результаты хорошо согласуются с расчетами по известной ф-ле (J. Chem. Phys., 1950, 18, 517).

В. Цукерман  
306. О диэлектрической постоянной полярных жидкостей. Ясуми, Комоока (On the dielectric constant of polar liquid. Y a s u m i M a s a s i, K o m o o k a H i t o s h i.), Bull. Chem. Soc. Japan, 1956, 29, № 3, 407-412 (англ.)

Основываясь на классич. представлениях о распределении электричества в сплошной среде, авторы получили для полярных жидкостей следующее соотношение:

$$\epsilon - n^2 = (4\pi N \mu_0^2 / 3V kT) [(n^2 + 2)/3] \{1 + [(n^2 - 1)/3]^2\} + 8\pi N \mu_0^2 / 3 kTV [(n^2 + 2)/3] [(n^2 - 1)/3] L(y), \text{ где } L(y) -$$

функция Ланжевена,  $y = (n^2 + 2) \mu_0^2 / 3a^3 kT$ ,  $a$  — радиус молекулы, считаемой сферой. При  $y > 3$  она упрощается:  $\epsilon - (n^2 + 2)/3 = 4\pi N \mu_0^2 (n^2 + 2)^3 / 81 kTV$ . Вычисленные значения диэлектрич. постоянной бензонитрила, нитробензола, этилдидида и хлорбензола систематически выше, а этилбромид — ниже наблюдаемых. При этом вблизи точки кипения расчеты лучше согласуются с опытом, чем вблизи точки плавления.

В. Цукерман  
307. Движение ньютоновской жидкости между вращающимися коаксиальными цилиндрами при наличии внутренних тепловых процессов, влияющих на вязкие свойства. Гораздовский Т. Я., Регирер С. А., Ж., техн. физики, 1956, 26, № 7, 1532-1541

Указывается, что при исследовании в ротационном вискозиметре вязкости жидкости может происходить сильный разогрев, меняющий ее реологич. свойства. Исходя из основных дифференциальных ур-ний, описывающих движение вязкой жидкости, авторы полу-

чают общее решение задачи о течении и теплообмене в вязком слое между двумя вращающимися коаксиальными цилиндрами бесконечной длины с учетом диссипации энергии, теплопроводности и зависимости вязкости от т-ры для установившегося режима. Указан метод отыскания частных решений применительно к обработке вискозиметрич. эксперимента и определения вязкости и ее температурного хода в окрестности данной т-ры. Дано сравнение метода с изотермич. теорией. Указывается на целесообразность применения подобных методов в исследованиях вязкости, особенно структурированных систем.

О. Цукерман  
308. О протонной проводимости в воде. Крог-Му (On the proton conductivity in water. K r o g h - M o e J a n), Acta chem. scand., 1956, 10, № 2, 331-332 (англ.)

Принимая для объяснения большой подвижности ионов  $H_3O^+$  и  $OH^-$  в воде механизм переноса протона в водородных мостиках, автор пользуется ур-нием  $u = (C/T) \cdot f(T) \exp(-q/RT)$  (Gierer A., Wirtz K., J. Phys. Chem., 1952, 56, 914). При допущении, что  $f(T)$  пропорционально числу молекул воды, содержащих лишь одну установившуюся водородную связь, и что разрыв водородной связи с последующей реориентацией молекулы определяет скорость процесса, получено для  $H_3O^+$  значение энергии активации переноса  $q = 1,7 \text{ ккал/моль}$  для т-р до  $200^\circ$ , что соответствует энергии разрыва водородной связи в воде (РЖХим, 1956, 60971). Энергия активации переноса для  $OH^-$  выше на 0,6 ккал/моль (см. первую ссылку), повидимому, вследствие различия в окружении.

А. Золотаревский  
309. Вязкость жидких углеводородов. Гринберг (The viscosity of liquid hydrocarbons. G r u n b e r g L.), J. Inst. Petrol., 1955, 41, № 380, 249-262 (англ.)

Простое ур-ние  $\eta \propto \exp(\Delta E/RT)$ , выражающее отношение вязкости и т-ры, не применимо к углеводородным маслам, так как изменения т-ры сопровождаются изменениями в расположении и конфигурации молекул. Эти изменения изучались путем разделения свободной энергии ( $\Delta E$ ) на энергетич. фактор и энтропий форм. Для изучения изменений энтропии форм за начальное состояние была выбрана т-ра кипения при атмосферном давлении, так как она соответствует высшей степени дезориентации молекул, возможной в жидкости при атмосферном давлении. Для характеристики вязкостно-температурной зависимости углеводородных масел автор предлагает ур-ие, включающее три константы, требующие измерений при трех т-рах. В заключение приводится дискуссия по работе автора.

В. Шер  
310. Сжимаемость и термодинамические свойства газов и жидкостей. II. Коэффициент сжимаемости, упругость пара и энтропия испарения. Пизер, Липман, Керл, Хаггинс, Питерсен (The volumetric and thermodynamic properties of fluids. II. Compressibility factor, vapor pressure and entropy of vaporization. P i t z e r K e n n e t h S., L i p p m a n D a v i d Z., C u r l R. F., J r, H u g g i n s C h a r l e s M., P e t e r s e n D o n a l d E.), J. Amer. Chem. Soc., 1955, 77, № 13, 3433-3440 (англ.)

На основании соображений, изложенных в части I (РЖХим, 1956, 28393), в качестве параметров для расчета свойств в-ва в жидкой и газовой фазах выбраны приведенная т-ра  $T_r$ , приведенное давление  $P_r$  и ацентрический коэфф.  $\omega = -\lg P_r - 1,000$ , где  $P_r$  — приведенное давление пара при  $T_r = 0,7$ . На основании эксперим. данных для 14 различных в-в в области  $T_r$  от 0,8 до 4,0 и  $P_r$  от 0 до 9 составлены графики для зависимости коэфф. сжимаемости  $z = PV/RT$  от  $\omega$ . Эту зависимость с достаточной точностью можно считать линейной, т. е.

$Z = Z^{(0)} + \alpha Z^{(1)}$ . Исходя из этого, авторы рассчитали таблицы значений  $Z^{(0)}$  и  $Z^{(1)}$  в зависимости от  $T_r$  и  $P_r$  для указанной области. Рассчитана таблица для упругости пара, энтальпии испарения, а также объемов и сжимаемостей жидкости и пара вдоль линии сосуществования фаз. Отклонения от опыта для различных  $v$ -в лежат в пределах  $\pm 2\%$ .

А. Лихтер  
311. Твердость стекла по внедрению как закон, дающий шкалу энергии. Рoesler (Indentation hardness of glass as an energy scaling law. Roesler F. C.), Proc. Phys. Soc., 1956, B69, № 4, 55—60 (англ.)

Дана сводка полученных различными исследователями эксперим. ф-л, связывающих размеры круговых трещин, образующихся при действии шаровых инденторов на стекло с величиной силы, вызывающей эти трещины. Указывается, что все найденные ф-лы подтверждают закон Аuerбаха. Оценены предельные значения радиуса кривизны индентора, при котором закон Аuerбаха может иметь место.

П. Бокин  
312. Электрическая прочность газов. Вайда (Gázok villamos szilárdsága. Vajda György), Magyar tud. akad. műsz. tud. oszt. közl., 1956, 18, № 1-4, 277—295 (венг.)

Критический обзор. Библ. 21 назв. А. Алмазов

313 Д. К температурной зависимости ближнего порядка в простых жидкостях. Цветков В. П. Автореф. дисс. канд. физ.-матем. н., Львовск. ун-т, Львов, 1956

См. также: Термодинамика 331. Межмол. взаимодействия 70—72, 77, 138—141, 148, 150, 151, 153, 154. Строение и физ. характеристики 64. Др. вопр. 36, 37

## ИЗОТОПЫ

Редакторы В. П. Левин, В. В. Лосев, Г. А. Соколик

314. Стандартизация источников радиоактивного излучения. Манов (Standardization of radioactive sources. Manov George G.), Annual Rev. Nuclear Sci., Vol. 4, Stanford, Calif., 1954, 51—68 (англ.)

Обзор. Библ. 134 назв. М. Полтева  
315. Абсолютные измерения альфа-активности. Керрис, Хейд, Олт, Эйкелберджер (Absolute alpha counting. Curtis Mary Lou, Heyd J. W., Olt R. G., Eichelberger J. F.), Nucl. Sci., 1955, 13, № 5, 38—41 (англ.)

Для активностей меньше  $10^5$  распадов/мин. предложен абсорбционный метод определения абс.  $\alpha$ -активности, пробега  $\alpha$ -частиц, величины обратного рассеяния и самопоглощения. Устройство для абсорбционных измерений с телесным углом  $2\pi$  описано ранее (РЖХим, 1956, 53862). В этих условиях поглощение  $\alpha$ -излучения подчиняется линейному закону:  $I = I_0 - I_0(t/r)$  ( $I$  — активность, измеренная при толщине поглотителя, равной  $t$ ,  $I_0$  — абс. активность,  $r$  — пробег  $\alpha$ -частиц). Отрезок, отсекаемый прямой ( $I, t$ ) на оси  $I$ , равен  $I_0$ ; отрезок, отсекаемый на оси  $t$ , равен  $r$ . При измерении абс. активности толстых источников вносятся поправки на обратное рассеяние и самопоглощение. Абс. измерения высокой активности ( $10^5$ — $10^6$  распадов/мин.) производятся с помощью пропорционального счетчика и коллимирующего приспособления с низким геом. фактором. При этом использована конструкция, позволяющая точно вычислить геом. фактор и обеспечивающая его постоянство в пределах 0,1%. Измерения на счетчике этого типа дали результаты лишь на 0,06% ниже, чем полученные

абсорбционным методом, и на 0,17% выше, чем результаты калорим. измерений. Приведен ряд схем измерений.

В. Левин

316. Метод измерения активности двуокиси углерода-14 с применением жидкого сцинтиллятора. Пасман, Радин, Купер (Liquid scintillation technique for measuring carbon-14—dioxide activity. Pasmann John M., Radin Norman S., Cooper John A. D.), Analyt. Chem., 1956, 28, № 4, Part 1, 484—486 (англ.)

Активная  $\text{CO}_2$  растворяется в р-ре четвертичного аммонийного основания (АО) высокого мол. веса в смеси толуола (I) с метанолом (II), содержащей сцинтиллятор. АО готовится из  $n$ -дизобутилкрезоксиэтоксидил диметилбензиламмонийхлорида (гиамин) действием р-ра  $\text{Ag}_2\text{O}$  в I, 0,5 М р-ра АО в смеси равных объемов I и II помещают в колбу, соединенную трубкой со второй колбой, куда вносится в-во, содержащее  $\text{CO}_2$ . Затем добавляют  $\text{H}_2\text{SO}_4$  и колбы встряхивают  $\sim 90$  мин. для завершения диффузии  $\text{CO}_2$  в р-р АО. Затем последний переносят в цилиндр, измерительный сосуд, разбавляют I до 30 мл, добавляют 5 мл 2,1%-ного р-ра 2,5-дифенилоксазола (сцинтиллятор) в I, охлаждают до 5° и производят измерение активности. Эффективность измерения не зависит от кол-ва  $\text{CO}_2$  в пробе, поэтому нет необходимости точно определять это кол-во, а также применять реактивы, свободные от  $\text{CO}_2$ . Точность определения 0,34%. Можно измерить активность проб, содержащих до 5 ммоль  $\text{CO}_2$ . По предварительным данным в р-ре АО можно растворять также аминокислоты, слизевую к-ту,  $\text{H}_2\text{S}$  и  $\text{SO}_2$ .

В. Левин

317. Определение возраста при помощи радиоуглерода с применением пропорционального счетчика, наполненного двуокисью углерода. Де-Врис, Барендсен (Radio-carbon dating by a proportional counter filled with carbondioxide. De Vries H., Barndsen G. W.), Physica, 1953, 19, № 10, 987—1003 (англ.)

Описаны методика измерения и аппаратура, используемая для определения природной активности  $\text{C}^{14}$ . Эффективность счета в чувствительной области, обусловленная  $\text{C}^{14}$ , составляет 5,6 имп/мин при фоне 3,9 имп/мин;  $\text{CO}_2$ , наполняющая счетчик, находится при давл. 3 атм; показано, что давление может быть увеличено до 15 атм.

Л. Кузьмина

318. Получение хромата натрия- $\text{Cr}^{51}$  для определения объема эритроцитов. Нумеров (On the preparation of sodium chromate— $\text{Cr}^{51}$  for red cell volume determinations. Numerof Paul, J. Lab. and Clin. Med., 1955, 46, 484—485 (англ.)

Описано получение  $\text{Na}_2\text{Cr}^{51}\text{O}_4$  из  $\text{Cr}^{51}\text{Cl}_3$  действием  $\text{H}_2\text{O}_2$  в щел. среде.

Д. Лозовский

319. Химические эффекты ядерной реакции  $\text{N}^{14}(n, p)\text{C}^{14}$  Янквич (Chemical effects of the nuclear transformation  $\text{N}^{14}(n, p)\text{C}^{14}$ . Yankwich Peter E.), Canad. J. Chem., 1956, 34, № 3, 301—309 (англ.)

Рассматривается физ. и хим. поведение атомов углерода с высокой энергией в ионных кристаллич. решетках. Сравняются предложенные ранее механизмы процессов рассеяния энергии (Libby W. F., J. Amer. Chem. Soc., 1947, 69, 2523). Распределение радиоуглерода между продуктами нейтрального радиационного захвата в кристаллах, содержащих многоатомные ионы, лучше объясняется моделью, приписывающей горячему атому радиоуглерода свободный пробег порядка нескольких десятков А.

Б. Каплан

320. Применение изотопов в химии. Реберг (Die Anwendung von Isotopen in der Chemie. Reberg Heinrich), Atomkern-Energie, 1956, № 5, 170—171 (нем.)

Обзор.

М. Полтева

321. Тяжелая вода. Кун (Schweres Wasser. K u n W e g n e r), Phys. Bl., 1956, 12, № 6, 257—260 (нем.)  
Обзор. М. Полтева

См. также: Радиоактивн. св-ва 47. Введение в молекулу 752, 759, 773, 776, 778, 970, 971, 999, 1001, 1060. Изотопные эффекты 427, 428, 463, 793. Изотопный обмен 424—426, 677, 1005, 1157. Применения: в исслед. кинетики и механизма р-ций 391, 392, 775, 777; в физ. процессах 208, 592, 593, 614; в биохимии 12—15Бх, 190Бх, 220Бх, 351Бх, 366Бх, 407Бх, 408Бх, 419Бх, 429Бх, 433Бх, 478Бх, 505Бх, 524Бх, 525Бх, 555Бх, 565Бх, 577Бх, 583Бх, 596Бх, 597Бх, 611Бх, 621Бх, 626Бх, 661Бх, 662Бх, 664Бх, 670Бх, 671Бх, 681Бх, 689Бх, 693Бх, 697—699Бх, 709Бх, 715Бх, 744Бх, 745Бх, 805Бх, 806Бх, 821Бх, 846Бх, 851Бх, 866Бх, 876Бх, 920Бх, 923Бх, 926Бх, 934Бх, 935Бх, 942Бх, 993Бх, 1062Бх, 1122Бх; в пром-сти 1371, 1457, 1554, 1699, 1700, 1783, 2947, 3276; в аналит. химии 1193, 1205, 1234, 1282. Изотопы в геохимии 696, 698—702, 704, 706, 710. Др. вопр. 448, 461, 462, 464, 471, 474—476, 662, 1150, 1322—1324, 1839—1841, 3231

# ТЕРМОДИНАМИКА. ТЕРМОХИМИЯ. РАВНОВЕСИЯ. ФИЗИКО-ХИМИЧЕСКИЙ АНАЛИЗ. ФАЗОВЫЕ ПЕРЕХОДЫ

Редактор В. А. Соколов

322. Давление насыщенного пара этилена при низких температурах и величина разности термомолекулярного давления в трубках различных диаметров. Листер, Мак-Доналд (The saturated vapour pressure of ethylene at low temperatures and the magnitude of thermomolecular pressure differences in tubes of various diameters. Lister B. A. J., McDonald L. A., Miss), Repts Atomic Energy Res. Establ., 1955, N C/R 1122, 7 pp., ill. (англ.)  
При измерении малых давлений, в случае если измерительный прибор находится при т-ре, отличающейся от т-ры системы, давление в которой измеряется, необходимо вводить поправки на термомолекулярное течение. Давление насыщ. пара этилена было измерено при т-рах от  $-196$  до  $-183^\circ$ . При измерении давления ( $p_2$ ) от  $1 \cdot 10^{-6}$  до  $30 \cdot 10^{-6}$  мм рт. ст. в трубках с диам.  $R = 0,5$  мм, т. е. при  $R/\lambda < 1$  ( $\lambda = 3,5$  см — свободный пробег молекулы при  $0^\circ$  и  $1 \cdot 10^{-6}$  мм рт. ст.), истинное давление насыщ. пара ( $p_1$ ) с учетом поправки на разницу термомолекулярного давления вычислялось по ф-ле:  $\ln p_1/p_2 = 1/2 \ln T_1/T_2 + 1/2(1+n) \ln \{1 + [(1+n)/(1+2n)] \cdot 2l \cdot R/\lambda_1\} / \{1 + [(1+n)/(1+2n)] \cdot 2l \cdot R/\lambda_2\}$ , где эмпирич. константы  $n = 0,45$ ;  $l = 3$  (2). Зависимость полученных при расчетах величин  $p_1$  от т-ры выражена ур-нием:  $\lg p \text{ мм} = 1,5477 - 1038,1(1/T - 0,0110) + 16537(1/T - 0,0110)^2$ . Получены эксперим. кривые и вычислены поправки для трубок диам. 5,15 и 30 мм. Л. Бельх

323. Термодинамические функции фосфина и иона фосфония. Олшутлер (Thermodynamic functions for phosphine and the phosphonium ion. A l t s h u l l e r A u b r e y P.), J. Amer. Chem. Soc., 1955, 77, № 16, 4220—4221 (англ.)  
В предположении жесткого вращения и гармонич. колебаний вычислены термодинамич. функции фосфина (I) (ср. Stevenson D. P., Yost D. M., J. Chem. Phys. 1941, 9, 403) и иона фосфония (II) для идеального газообразного состояния. Использованы следующие литературные данные: для I —  $I_a = 7,16 \cdot 10^{-40}$ ,  $I_b = I_c = 6,285 \cdot 10^{-40}$ ;  $v_1(1) = 2322,9$ ,  $v_2(1) = 990$ ,  $v_3(2) = 2328$ ,

$v_4(2) = 1121$ ; для II —  $I = 9,00 \cdot 10^{-40}$  (расстояние P—H равно  $1,42 \pm 0,02$  А);  $v_1(1) = 2304$ ,  $v_2(2) = 1040$ ,  $v_3(3) = 2370$ ,  $v_4(3) = 930$ . Табулированы  $C_p^0$ ,  $(H^0 - H_0^0)/T$ ,  $-(F^0 - H_0^0)/T$  и  $S^0$  для I в интервале  $200-1500^\circ$  К и для II в интервале  $200-1000^\circ$  К (до  $400^\circ$  К через  $50^\circ$ , а затем через  $100^\circ$ ). Термодинамич. функции в указанном порядке при  $298,16^\circ$  К составляют (кал/град. · моль): для I 8,87; 8,16; 42,07; 50,23; для II 10,01; 8,42; 40,40; 48,82. По энтропиям I и II рассчитано  $\Delta S$  р-ции  $\text{PH}_3(\text{газ}) + \text{H}^+(\text{газ}) \rightarrow \text{PH}_4^+(\text{газ})$  при  $298,16^\circ$  К. Найденное значение  $\Delta S = -27,42$  энтр. ед. близко к  $\Delta S = -27,55$  энтр. ед. для аналогичной р-ции с  $\text{NH}_3$  (РЖХим, 1956, 15284). И. Годнев

324. Удельная теплоемкость и другие термодинамические функции ромбической и моноклинной серы и их приложение к кинетике и термодинамике фазового перехода. Брэдли (The specific heat and other thermodynamic functions of rhombic and monoclinic sulphur and their application to the kinetics and thermodynamics of phase transformation. B r a d l e y R. S.), Trans. Faraday Soc., 1954, 50, № 11, 1182—1187 (англ.)

Показана возможность расчета уд. теплоемкости ромбич. серы в интервале  $360-20^\circ$  К на основе двух дебаевских характеристик. т-р (для колебаний и вращений) и ряда эйнштейновских характеристик. т-р, полученных по спектроскопич. данным для молекулы  $S_8$ . На основе этих же данных показана возможность расчета энтропии, свободной энергии и давления пара ромбической серы. Сделана попытка расчета дебаевских характеристик. т-р моноклинной серы и произведен расчет ее теплоемкости в том же интервале т-р. Т. Резухина

325. Теплоемкость цейлонского графита при низкой температуре. Де-Сорбо (Low temperature heat capacity of seylon graphite. D e S o r b o W a r r e n), J. Amer. Chem. Soc., 1955, 77, № 18, 4713—4715 (англ.)

Для выяснения влияния размеров кристаллич. частиц графита на его теплоемкость  $c_p$  измерена  $c_p$  цейлонского натурального графита (I) в интервале т-р от  $17$  до  $300^\circ$  К в калориметре, описанном ранее (РЖХим, 1954, 39254). Точность измерения  $c_p$  между т-рой жидкого воздуха и  $0^\circ$  С составляла  $0,5\%$ , в области т-р жидкого воздуха от  $4$  до  $5^\circ$  и при комнатных т-рах  $\sim 2\%$ . Из плавных кривых  $c_p - T$ ,  $c_p - \lg T$  при использовании правила Симпсона получены значения термодинамич. функций I, которые отличаются от значений соответствующих термодинамич. функций графита сорта CS (II) (см. ссылку). Для (II):  $(H_0 - H_0^0)_{298,16^\circ \text{ К}} = 251 \pm 2$  кал/г-атом и  $S_{298,16^\circ \text{ К}}^0 = 1,372 \pm 0,005$  энтр. ед., тогда как для I  $(H_0 - H_0^0)_{298,16^\circ \text{ К}} = 230 \pm 4$  кал/г-атом,  $S_{298,16^\circ \text{ К}}^0 = 1,29 \pm 0,01$  энтр. ед. Поскольку это расхождение превышает ошибку опыта и не может быть объяснено малым различием в содержании золы ( $0,2\%$  для II и  $0,06\%$  для I), то несоответствие  $c_p$  I и II, по мнению автора, вызвано различными размерами кристаллич. частиц I и II (соответственно  $400$  и  $230$  А). Ю. Третьяков

326. Эффекты взаимодействия в некоторых парамагнитных солях. Бензи, Кук, Уитли (Interaction effects in some paramagnetic salts. B e n z i e R. J., C o o k e A. H., W h i t l e y S.), Proc. Roy. Soc., 1955, A 232, № 1189, 277—289 (англ.)

Методом парамагнитной релаксации (Casimir H. B. G., Du Pré F. K., Physica, 1938, 5, 507) измерена теплоемкость ряда парамагнитных солей:  $\text{CuSO}_4 \cdot x_2\text{SO}_4 \cdot 6\text{H}_2\text{O}$  ( $x$  — одновалентный ион), аналогичных солей кобальта,  $\text{CoSiF}_6$  и др., а также смешанных кристаллов (различного состава) этих солей с изоморфными диамагнит-



ными солями (соответствующие соли цинка) при  $t$ -рах от 1 до 4,2°K. Показано, что теплоемкость обусловлена расщеплением энергетич. уровня основного состояния магнитного иона за счет ядерного эффекта и эффекта Штарка, а также магнитным дипольным и обменным взаимодействиями ионов. В смешанных кристаллах парамагнитной соли с изоморфной диамагнитной солью доля теплоемкости, обусловленная взаимодействиями между ионами, уменьшается, а обусловленная ядерным эффектом и эффектом Штарка остается почти неизменной. Найдено, что величины, обусловленные расщеплением уровней, хорошо согласуются с величинами, рассчитанными из данных парамагнитного резонанса, тогда как доля теплоемкости, обусловленная взаимодействием ионов, иногда несколько превышает величину, рассчитанную на основе только магнитного дипольного взаимодействия. Сделан вывод, что обменное взаимодействие велико, даже если магнитные ионы находятся друг от друга на расстоянии 6—8 Å. Показано, что у некоторых солей эффект, обусловленный расщеплением уровней, очень чувствителен к небольшим искажениям кристаллич. решеток. Ю. Третьяков

**327. Изучение теплоемкости стекол в функции температуры. Прод'омм** (Etude de la chaleur spécifique des verres en fonction de la température. Prod'homme Micheline, m-lle), С. г. Acad. sci., 1955, 240, № 2, 180—181 (франц.)

Методом дифференциального термич. анализа изучена истинная теплоемкость стекол различного состава от 100° до  $t$ -ры размягчения взятого образца. В качестве эталона был использован кремнезем, для которого известны  $c_p = f(t)$ . Исходя из истинной теплоемкости кремнезема для усредненной  $t$ -ры  $\frac{1}{2}(t_1 + t_2)$ , определяли величину теплоемкости стекла. При условии достаточно близких значений  $t_1$  и  $t_2$  найденную величину  $c_p$  можно считать истинной теплоемкостью. Кривые  $c_p - t$  имеют аномальный ход в области  $t$ -р 450—650°, который автор объясняет превращением 2-го рода у  $\text{SiO}_2$ . И. Расовская

**328. Об удельной теплоемкости нормального твердого спирта с вероятным числом атомов углерода 32.**

**Спискира** (On the specific heat of normal solid alcohol of probable carbon number 32. Shishikura R. e n), J. Phys. Soc. Japan, 1955, 10, № 10, 903 (англ.)

Измерена удельная теплоемкость нормального твердого спирта (I) в интервале  $t$ -р 35—105°. I экстрагирован из карнаубского воска, очищен и перекристаллизован из бензола и лигроина. Хим. и рентгеноструктурный анализы показали, что число атомов C в I равно 32. Пики теплоемкости найдены при 86,4° (точка плавления) и при 73°. Последний из указанных, по мнению автора, обусловлен ротационным переходом, связанным с изменением симметрии решетки. Теплоты перехода и плавления равны соответственно 11,5 кал/г и 40,3 кал/г. В. Фирсов

**329. Термодимический закон постоянных разностей и теории сильных электролитов. Капустинский А. Ф.**, Уч. зап. Казанск. гос. ун-та, 1955, 115, № 10, 47—49

Подвергается обсуждению термодим. закон постоянных разностей. Автор обосновывает закон теоретич. выводом, построенным на теории сильных электролитов. При этом устанавливается, что для бесконечного разбавления разность теплот образования сильных электролитов с одинаковым анионом равна одной и той же постоянной величине — разности теплот образования катионов. Аналогичный вывод следует для любой пары электролитов с одинаковыми катионами, но с разными анионами. На примере щел. галогенидов в воде при бесконечном разбавлении доказывается применимость закона для всех сильных электролитов и непригодность

для слабых электролитов (пример с соединениями ртути). В заключение дается авторская формулировка закона: «для сильных электролитов при бесконечном разбавлении разности в теплотах образования электролитов с одинаковым ионом не зависят от природы одинаковых ионов, равняются разности теплот образования неодинаковых ионов и потому постоянны». В. Посыпайко

**330. Теплоемкость водных растворов хлорида и нитрата уранила и кажущаяся молярная теплоемкость иона уранила. Капустинский А. Ф., Липилина И. И.**, Докл. АН СССР, 1955, 104, № 2, 264—267

В калориметре, описанном ранее (Капустинский А. Ф., Клокман В. Р., Изв. АН СССР. Отд. хим. н., 1943, № 4), 259), определены теплоемкости водн. р-ров (от 0,1 до 0,9 M) хлорида и нитрата уранила при 25°. Кажущаяся молярная теплоемкость связана с молярной конц-ией ( $m$ ) ур-ниями вида  $\varphi_{c_{\text{ра}}} = -55,80 + 53,01 \sqrt{m}$ ;  $\varphi_{c_{\text{ра}}} =$

$= -30,94 + 55,01 \sqrt{m}$  для  $\text{UO}_2\text{Cl}_2$  и  $\text{UO}_2(\text{NO}_3)_2$  соответственно. На основании литературных данных (Мищенко К. П., Пономарева А. М., Ж. физ. химии, 1952, 26, 998) показано, что анионы  $\text{Cl}^-$  и  $\text{NO}_3^-$  оказывают аддитивное действие на теплоемкость р-ров при бесконечном разведении. Близкое совпадение значений  $\varphi_{c_{\text{ра}}}^0 \text{UO}_2^{2+} = -26,2 \pm 2,0$  кал/град-г-ион, вычисленных

из теплоемкостей р-ров  $\text{UO}_2\text{Cl}_2$  и  $\text{UO}_2(\text{NO}_3)_2$  по системе Капустинского (РЖХим, 1953, 6151), подтверждает, что соли уранила в водн. р-рах полностью диссоциированы. И. Соколова

**331. Новые таблицы опорных значений энтальпий и удельных объемов водяного пара. Кириллин В. А., Шейдлин А. Е., Шпильрайн Э. Э.**, Докл. АН СССР, 1955, 105, № 3, 472—475; Теплоэнергетика, 1956, № 1, 16—21

По результатам эксперим. исследований последних лет (главным образом по материалам Всесоюзного Тепло-технич. ин-та и Моск. Энергетич. ин-та) составлены таблицы опорных значений энтальпий и уд. объемов водяного пара до давлений в 500  $\text{ama}$  (с шагом 50  $\text{ama}$ ) и до  $t$ -р 650° (с шагом 50°); (существующие, принятые в 1934 г., скелетные таблицы включают соответствующие значения до 300  $\text{ama}$  и 550°, причем в области  $>450^\circ$  они получены экстраполяцией). Вычисления выполнены графич. и численными методами без привлечения каких-либо аналитич. ур-ний состояния. Область параметров, в которой энтальпия вычислялась одновременно по данным  $p$ ,  $v$ ,  $T$  и  $c_p$ -данным, охватывает интервал 300—500  $\text{ama}$ , 400—650°; в интервале 300—500  $\text{ama}$  и 200—400° имеются только данные по  $c_p$ , а в интервале 100—300  $\text{ama}$  и 400—650° — только данные  $p$ ,  $v$ ,  $T$ . Таблица уд. объемов составлена только на основании данных  $p$ ,  $v$ ,  $T$ , но согласованность вычисленных из этих данных значений энтальпии с вычисленными по  $c_p$ -данным значениями служит гарантией того, что и в последней таблице термич. и калорич. данные увязаны. В. Урбах

**332. Диссоциация ацетида натрия. Грин (The dissociation of sodium acetylide. Greene S. A.)**, J. Amer. Chem. Soc., 1955, 77, № 19, 5013—5014 (англ.)

Исследована р-ция разложения ацетида натрия в области  $t$ -р 100—183°. Давление измерялось с точностью  $\pm 0,05$  мм,  $t$ -ра — до  $\pm 0,05^\circ$ . Измерения производились под небольшим вакуумом. Показано существование гетерог. равновесия  $2\text{NaC}_2\text{H} \rightleftharpoons \text{Na}_2\text{C}_2 + \text{C}_2\text{H}_2$ . Давление диссоциации в зависимости от  $t$ -ры выражается ур-нием  $\lg P = 8,538 - 2749/T$ . Вычислена теплота диссоциации, равная 12,6 ккал. Л. Васильев

**333. Реакции в газообразной и жидкой фазе между двуокисью азота и водой.** Питерс, Холман (Vapor- and liquid-phase reactions between nitrogen dioxide and water. Peters M. S., Holman J. L., Industr. and Engng Chem., 1955, 47, № 12, 2536—2539 (англ.))

Р-ция между  $\text{NO}_2$  (I) и  $\text{H}_2\text{O}$  (II) изучалась методом поглощения I дистилл. II, 20%-ным р-ром NaOH и 24%-ным р-ром NaCl. При поглощении I р-ром щелочи в отходящих газах присутствовала NO (III), что указывает на р-цию между I и II в газовой фазе, так как в противном случае  $\text{HNO}_2$ , образующаяся по р-циям  $\text{N}_2\text{O}_4 + \text{H}_2\text{O} \rightleftharpoons \text{HNO}_2 + \text{HNO}_3$  и  $2\text{NO}_2 + \text{H}_2\text{O} \rightleftharpoons \text{HNO}_2 + \text{HNO}_3$ , находилась бы целиком в р-ре и, следовательно, не являлась бы поставщиком III, которая образуется по р-циям  $2\text{HNO}_2 \rightleftharpoons \text{NO} + \frac{1}{2}\text{N}_2\text{O}_4 + \text{H}_2\text{O}$  и  $2\text{HNO}_2 \rightleftharpoons \text{NO} + \text{NO}_2 + \text{H}_2\text{O}$ . Из кинетик. данных следует также, что скорость удаления I и III из разб. газообразной смеси (разбавитель воздух или азот) не является прямо пропорциональной парц. давлению II при постоянных т-ре, скорости потока газа и его составу, что является следствием жидкофазной р-ции на границе между двумя фазами.

Л. Резницкий

**334. О процессах осмотической дистилляции и растворения газовой фазы в силикатных системах.** Николаев В. А., Зап. Всес. минералог. о-ва, 1955, 34, № 4, 389—404

Даны общая характеристика и теоретич. обоснование равновесий расплав—газовая фаза в силикатных системах с летучими компонентами в условиях неравного давления на фазы. При возрастании давления на расплав в последнем происходит уменьшение конц-ии летучих компонентов за счет дистилляции их во вмещающие породы. Уменьшение давления на расплав и возрастание давления на газовую фазу вызывает увеличение конц-ии летучих компонентов за счет растворения газовой фазы, поступающей в расплав из окружающих пород. Дана оценка петрологич. значения этих процессов, которые автор предлагает называть соответственно осмотич. дистилляцией и осмотич. растворением. Термодинамич. сторона описанных явлений передается основным ур-нием для определения «осмотической» конц-ии  $\text{H}_2\text{O}$  в расплаве для заданных условий, которое выводится на примере нормального равновесия системы альбит—вода:  $N_0 = N_n p^G / p^L$  (1), где  $N_n$ —предельная конц-ия  $\text{H}_2\text{O}$  в расплаве,  $p^G$ —давление на газовую фазу,  $p^L$ —давление на расплав. Осмотич. равновесие многокомпонентных систем не отличается существенно от рассмотренного примера двойной системы и для определения «осмотич.» конц-ии  $N_{oi}$  компонента  $i$  ур-ние (1) берется в виде  $N_{oi} = N_n p_i / p^L$ , где  $p_i$ —парц. давление летучего компонента  $i$  в газовой расплаве. Дана новая диаграмма осмотич. равновесий в двойной системе вода—породообразующий силикат.

Ю. Счеслёв

**335. Теплоты возгонки неорганических веществ. Часть I. Теплота возгонки цинка.** Барроу, Додсуарт, Даун, Джефрис, Пью, Смит, Свинстед (The heats of sublimation of inorganic substances. Part I. The heat of sublimation of zinc. Barrow R. F., Dodsworth P. G., Downie A. R., Jeffries E. A. N. S., Pugh A. C. P., Smith E. J., Swinstead J. M.), Trans. Faraday Soc., 1955, 51, № 10, 1354—1362 (англ.)

Измерено давление насыщ. пара твердого цинка (I) в интервале т-р 512—649°K. Прибор состоит из кварцевой нити, на которой подвешен сосуд с малыми отверстиями для истечения паров I. Давление пара пропорционально углу закручивания нити. Повышенная т-ра во

время опыта создавалась медной печью с нихромовым нагревателем и поддерживалась постоянной с точностью до  $\pm 0,5^\circ$ . Из эксперим. данных вычислено значение скрытой теплоты возгонки  $I \Delta H_{298} = 31,17 \pm 0,11 \text{ ккал/г-атом}$ . Давление пара твердого Zn подчиняется ур-нию:  $\lg p(\text{мм}) = 9,8253 - 0,1923 \lg T - 0,2623 \cdot 10^{-3} T - 6862,5 T^{-1}$ ; жидкого Zn:  $\lg p(\text{мм}) = 12,4480 - 1,2742 \lg T - 6676,4 T^{-1}$ .

В. Фирсов

**336. Об изобаре равновесия жидкость—пар для двухкомпонентных систем.** Шапиро (O izobarze równowagi ciecz—para dla układów dwuskładnikowych. Szapiro Salomon), Zesz. nauk. Politechn. łódzkiej., 1954, № 2, 5—18 (польск.; рез. англ.)

Выведена ф-ла универсального ур-ния изобары равновесия пар—жидкость для двухкомпонентных систем:  $1 - y/y^* = \lambda p^{x-1} (1 - x/x^*) \gamma_2/\gamma_1^*$ , где  $x$  и  $y$ —молярные доли 1-го компонента соответственно в жидкости и паре;  $\gamma_1$  и  $\gamma_2$ —коэфф. активности соответственно 1-го и 2-го компонентов;  $p$ —давление;  $\lambda$  и  $x$ —константы ур-ния Киреева. Для  $\gamma_1$  и  $\gamma_2$  использовались значения, найденные из ур-ний Ван-Лаара и Маргулеса. Предложены два метода графически-аналитического решения ур-ния относительно  $y$ . Рассчитанные с помощью данного ур-ния кривые для систем бензол—толуол, ацетон—метилловый спирт,  $n$ -пропиловый спирт—вода, этиловый спирт—бензол, ацетон—хлороформ и вода— $n$ -бутиловый спирт находятся в согласии с эксперим. данными.

Н. Афонский

**337. Изобара равновесия жидкость—пар для двухкомпонентных систем. II. Аналитический метод решения для вычисления состава пара в уравнении изобары равновесия.** Шапиро (Równowaga izobaryczna pomiędzy cieczą a parą w układach dwuskładnikowych. II. Analityczna metoda rozwiązania równania izobary równowagi względem składu pary. Szapiro Salomon), Zesz. nauk. Politechn. łódzkiej., 1955, № 6, 29—32 (польск.; рез. русс., англ.)

Выведена ф-ла, позволяющая вычислять состав пара для равновесия двухкомпонентной системы жидкость—пар при постоянном давлении. Рассчитана изобара равновесия жидкость—пар для системы этилацетат—вода. Кривая, полученная графич. методом, совпадает с расчетом.

С. Рубинчик

**338. Влияние температуры на состав азеотропных смесей.** Кобаяси, Поридзанэ (沸組成に対する温度の影響. Kobayashi Riki, 賴實正弘), 化學工業, Kagaku kogyo, Chem. Engng (Tokyo), 1955, 19, № 12, 627—631 (япон.; рез. англ.)

Исходя из экспериментально обнаруженной закономерности, что логарифм азеотропного давления для бинарных смесей изменяется прямолинейно относительно  $1/T + 230$ , предложено ур-ние, которое связывает азеотропное давление и т-ру с теплотой испарения одного из компонентов и его коэфф. активности в жидкой фазе:  $d \ln P / d(1/T) = -\Delta H_A / R + d \ln \gamma_A / d(1/T)$ , а также и коэфф. активности в жидкой фазе и составы бинарных азеотропных смесей с их азеотропной т-рой. Из термодинамич. выводов следует, что коэфф. активности азеотропных смесей в жидкой фазе являются прямолинейной функцией  $1/T$ . Описан метод расчета составов азеотропных смесей при различных т-рах, исходя лишь из двух эксперим. азеотропных составов. Представлены цифровые данные и графики, иллюстрирующие применение термодинамич. анализа.

Ю. Третьяков

**339. Метод определения состава четырехкомпонентных азеотропов и положения гетероазеотропных линий.** Земболак К., Гальская А., Бюл. Польской АН, Отд. 3, 1955, 3, № 7, 379—383

На примере системы бензол (I) — циклогексан (II) — этанол (III) — вода (IV) разработан метод исследования состава четырехкомпонентных азеотропов, основанный на эбуллиометрии: определения положения гетероазеотропной линии, если известно отношение конц-ий двух компонентов, наиболее близких по физ.-хим. свойствам. В случае системы I—II—III—IV такими компонентами были I и II. Найден следующий состав азеотропов II—III—IV (в вес. %): 75,5 II, 19,7 III, 4,8 IV и I—II—III—IV: 54,3 II, 20,4 I, 19,2 III, 6,1 IV. Т-ры кипения равны соответственно  $62,6 \pm 0,05^\circ$  и  $62,14 \pm 0,05^\circ$ .

Г. Бабкин  
340. Термодинамические свойства системы метан — окись углерода при 90,67°K. Мато, Стейвли, Янг, Парсонидж (Thermodynamic properties of the system methane-carbon monoxide at 90.67°K. Mathot V., Staveley L. A. K., Young J. A., Parsonage N. G., J. Chem. Phys., 1955, 23, № 8, 1551 (англ.))

Изучены термодинамич. свойства конденсированной системы  $\text{CH}_4(\text{I}) - \text{CO}(\text{II})$ ; измерение общего давления пара, давления конденсации, изменения объема при смешении и виральных коэфф. газов произведено при 90,67°K (тройная точка I), в которой давление пара равно 87,85 мм рт. ст. для I и 1895,9 мм для II. Показано, что величины изменения свободной энергии и объема при смешении I и II не только качественно, но и количественно согласуются с выводами теории (Prigogine I., Mathot. V., J. Chem. Phys., 1952, 20, 49).

Ю. Третьяков

341. Соотношение между числом атомов в объеме, соответствующем одному грамму, коэффициентом линейного расширения и теплотой плавления металлов. Доброцветов (О вези између броја честица у специфичној запремини, коефицијента линеарног ширења и топлоте топљења метала. Доброцветов Екеакустођијан Н.), Гласник хем. друштва, 1955, 20, № 3, 181—185 (серб.; рез. англ.)

Соотношение между числом атомов ( $n$ ) в объеме ( $d^{-3}$ ), соответствующем одному грамму, термич. коэффициентом линейного расширения ( $\alpha$ ) и теплотой плавления ( $Q$ ) металла имеет вид:  $\alpha Q = K n$ , где  $n = [10^3 V_k / (A/a) \cdot \pi R^3] / d$  ( $V_k$  — доля объема, заполненного сферич. атомами при координационном числе  $k$ ;  $R$  — половина меж-атомного расстояния в А).

Н. Афонский

342. К определению плотности расплавов и о классификации твердых веществ на вещества со слабой и сильной упругостью при высоких температурах. Кнапповст, Рестле (Zur Bestimmung der Dichte von Schmelzen und zur Klassifizierung der Festkörper in raumschwache und raumstarke bei hohen Temperaturen. Knappwost A., Restle H.), Z. Elektrochem., 1954, 58, № 2, 112—118 (нем.)

Дано подробное описание нового способа определения плотности металлич. расплавов с применением керамич. dilatометра, позволяющего определять коэфф. термич. расширения на высоте жидкости в суженной части dilatометра. Рассмотрены случаи затвердевания расплавов с увеличением и уменьшением объема.

А. Золотаревский

343. Электрохимическое определение точки перехода между кубической и моноклинной модификациями трехокиси мышьяка. Киршнинг, Плиет (Elektrochemische Bestimmung des Umwandlungspunktes der kubischen und monoklinen Arsenikmodifikationen. Kirschning Hans-Joachim, Plieth Karl), Z. anorgan. und allgem. Chem., 1955, 280, № 5-6, 346—352 (нем.)

Измерены при 25—45° величины э.д.с. цепи, состоящей из электродов As— $\text{As}_2\text{O}_3$  (водородный электрод в качестве стандартного электрода) и р-рителя — насыщенного

$\text{As}_2\text{O}_3$  р-ра  $\text{HClO}_4$ . Для р-ции  $\text{As}_2\text{O}_3 + 3\text{H}_2 \rightleftharpoons 2\text{As} + 3\text{H}_2\text{O}$  вычислены  $\Delta G_{298}^{\circ}$  кал/моль,  $\Delta S_{298}^{\circ}$  энтр. ед. и  $\Delta H_{298}^{\circ}$  кал/моль. Для арсенолита (куб. модификация) соответственно: —32300 ± 31; —58,34; —4685; для клаудетита: —32120 ± 77; —61,45; —50342; для превращения арсенолит  $\rightleftharpoons$  клаудетит: —180; 3,11; 747. Точка превращения (выч.)  $240 \pm 30^\circ \text{K}$  при давл. 1 атм.

Б. Анвар

344. Влияние адсорбции посторонних веществ на рост кристаллов. И. Близнаков, Киркова (Влияние на адсорбция на чужди вещества върху растежа на кристалите I. Близнаков Г., Киркова Е.), Изв. Българ. АН. Отд. физ.-матем. и техн. н. Сер. физ., 1954 (1955), 4, 153—166 (болг.; рез. русс., нем.)

С помощью спец. аппаратуры, основанной на принципе циркулирующего р-ра, исследовано: 1) колич. влияние примеси  $\text{Na}_2\text{SO}_4$  на скорость роста граней (100) и (111)  $\text{NaClO}_3$  и 2) влияние добавления метиленовой соли на скорость роста граней (111) и (100)  $\text{Pb}(\text{NO}_3)_2$ . Результаты 1-й серии опытов по скорости роста удовлетворяют ф-ле  $V = V_0 - (V_0 - V_\infty) \cdot C_a / (C_a - B)$ , где  $V_0$  — скорость роста грани в чистом р-ре,  $V_\infty$  — скорость роста грани при максим. адсорбции на грани,  $C_a$  — конц-ия примеси в р-ре,  $B$  — константа. Во 2-й серии опытов при малых конц-иях имеет место рост скорости с переходом через максимум и последующим асимптотич. приближением ее к нулю.

В. Глазков

345. Образование кристаллов льда в камерах расширения и смешения. Мейсон (The appearance of ice crystals in expansion and mixing cloud chambers. Mason B. J.), Bull. Observ. Puy-de-Dome, 1955, № 3, 65—75 (англ.; рез. франц.)

На основе теории самопроизвольного образования зародышей в переохлажд. воде и опытов Моссона (РЖХим, 1956, 28460) рассчитаны конц-ии кристаллов льда, которые должны образоваться в полученных в камере переохлажд. облаках при различных т-рах. Показано, что при т-рах ниже —32° образование основной массы кристаллов происходит на самопроизвольно возникших из молекул воды зародышах, но при более высоких т-рах зародышами являются посторонние твердые, не растворимые в воде частицы (напр., силикаты). Приведенные в литературе различные «крит.» т-ры образования кристаллов льда (напр. —32° и —41°) обусловлены не только различными типами зародышей, но в известной мере являются также функцией размера камеры и условий опыта. В атмосфере миним. конц-ия кристаллов льда, вызывающая осаждение, равна  $\sim 1$  на 1 л. В облаке, содержащем  $0,5 \text{ е/м}^3$  переохлажд. воды ( $10^3$  капель на  $1 \text{ см}^3$  с diam.  $10 \mu$ ), такую конц-ию можно получить на самопроизвольно возникших зародышах при т-ре —33° и выдержке  $10^3$  сек.

И. Гуревич

346. Индуцированное испарение на поверхности ртути. Трик, Райдл (On induced evaporation at a mercury surface. Trick C. S., Rideal Eric), Trans. Faraday Soc., 1954, 50, № 3, 261—268 (англ.)

Изучено испарение в вакууме шариков (III) бензофенона (I), подвешенных на микровесах. В 1-й серии опытов III испарялся свободно, во 2-й серии он периодически приводился в соприкосновение (каждый раз на 5 мин.) с чистой поверхностью ртути. По данным опытов 1-й серии, поверхность III убывает по линейному закону Лэнгмюра. Коэфф. accommodation  $\alpha = 0,321$  при 25° медленно возрастает с понижением т-ры. В опытах 2-й серии скорость испарения больше, чем в 1-й. Вариация размеров III, диаметра зеркала Hg и изучение испарения в азоте привели к выводу о следующем механизме процесса. При контакте с поверхностью Hg I распространяется от III по поверхности в виде пленки



двумерного газа. Эта пленка испаряется и пополняется I из III. Отсутствие влияния величины зеркала Hg на скорость испарения показывает, что наиболее медленной составляющей процесса является переход I с III, а не удаление пленки с поверхности Hg. Вычислены значения энергии активации и найдено, что на долю медленной компоненты приходится  $\sim 17\,200$  кал. Так как энергия активации испарения I в вакууме равна  $20\,500$  кал, то влияние поверхности Hg связано с уменьшением на  $3\,300$  кал/моль энергии, необходимой на удаление I из III. Л. Радужкевич

**347. Фотографическое изучение кипения. Уэст-уотер, Сантанджело** (Photographic study of boiling. Westwater J. W., Santangelo J. G.), Industr. and Engng Chem., 1955, 47, № 8, 1605—1610 (англ.)

Процесс кипения метилового спирта изучался посредством фотографирования с выдержкой  $10^{-6}$  сек. и киносъемки (4000 кадров в сек.). Нагревание спирта производилось в стеклянном сосуде посредством медной трубки, через которую пропускался водяной пар (давл. 6 атм.). Особое внимание уделялось очистке поверхности трубки. Приведены кривые зависимости коэфф. теплопередачи от разности т-р между водяным паром и спиртом ( $\Delta T$  от 22 до  $155^\circ$ ). Приведены 6 фотографий приблизительно в 9-кратном увеличении, относящихся к различным формам процесса кипения: 1) ядерной, 2) критической, 3) переходной и 4) пленочной. При небольших разностях т-р ( $\sim 40^\circ$ ) происходит ядерное кипение, т. е. образование пузырьков из точечных источников. После того, как один пузырек лопается, другой начинает расти на том же месте. Частота выделения пузырьков 15—20 в сек. Диаметр пузырьков 2,5—5 мкм. Активные центры распределены по поверхности неравномерно, расстояние между ними колеблется от 1,5 до 11 мкм. Они возникают, когда имеются мельчайшие выступы на поверхности, следы загрязнений, углубления, содержащие адсорбированный инертный газ. Последнее объяснение наиболее вероятно. С ростом  $\Delta T$  растет число активных центров и пузырьки начинают соприкасаться между собой. Когда  $\Delta T$  достигает критич. значения, зависящего от характера жидкости и твердой поверхности и от давления, то все пузырьки соприкасаются между собой; при этом достигается максимум теплопередачи. Выше критич. значения  $\Delta T$  ( $\sim 55^\circ$ ) трубка полностью покрывается слоем пара; активных центров нет; пар образуется взрывами (переходное кипение); частота взрывов достигает 84 в сек. Продолжительность взрыва  $\sim 0,003$  сек. Окружающая жидкость отбрасывается на  $\sim 4$  мм. Уменьшение теплопередачи при этом объясняется изолирующим действием слоя пара. При дальнейшем росте  $\Delta T$  ( $>80^\circ$ ) пленка пара становится толще и устойчивее, пар уже не генерируется на поверхности и свойства поверхности играют малую роль. Б. Анвар

**348. Теория одномерных жидких двойных смесей. Кикучи** (Theory of one-dimensional fluid binary mixtures. Kikuchi Yuichi), J. Chem. Phys., 1955, 23, № 12, 2327—2332 (англ.)

Получено строгое решение задачи об одномерной жидкой двойной смеси с произвольными межчастичными потенциалами в предположении, что каждая частица взаимодействует только с ближайшими соседями и что система подчиняется классич. статистич. механике. Это решение позволяет дать интерпретацию параметров, используемых в решеточной модели двойных смесей. В. Урбах

**349. Об определении молекулярного веса ассоциированных веществ в растворе. Черкашин Е. Е., Приб О. А.**, Наук. зап. Львівськ. ун-ту, 1955, 34, 91—97

Для изучения молекулярного состава ассоциированных в-в при помощи криоскопии использовано уравнение зависимости молярной депрессии от конц-ли  $\theta = \Delta t/m = f(m)$ . Авторы утверждают, что экстраполирование  $\theta = f(m)$  до  $m \rightarrow 0$  для определения молекулярного состава ассоциатов имеет смысл только в случаях определенной хим. р-ции ассоциации с достаточно большой ее константой ( $K_n > 10^6$ ). В остальных случаях сдвиг равновесий значительно изменяет молекулярный состав с конц-ней и не дает возможности элиминировать взаимодействие полей экстраполяции до бесконечного разведения. Эксперим. данные последованных систем показывают, что р-ры в бензоле  $\text{CCl}_4$  и *o*-нитрофенола представляют собой системы, близкие к идеальным, *o*- и *n*-крезол в этих р-рах — не ассоциированы, спирты и  $\text{HCOOH}$  дают неопределенные ассоциаты, а  $\text{CH}_3\text{COOH}$  и  $\text{C}_2\text{H}_5\text{COOH}$  димеризованы. Ю. Счесленок

**350. Расчет активности в расплавах хлорида магния с хлоридами щелочных металлов на основе структурных моделей. Флад, Урнес** (Die Berechnung der Aktivitäten in Magnesiumchlorid-Alkalichlorid-Schmelzen aus Strukturmodellen. Flood H., Urnes S.), Z. Elektrochem., 1955, 50, № 9, 834—839 (нем.)

Сделана попытка рассчитать посредством простой структурной модели расплава изменения активности солевых компонентов с изменением состава расплава. Установлено, что кривые ликвидус бинарных систем  $\text{MgCl}_2 - \text{MCl}$ , где  $\text{M} = \text{Na}$ ,  $\text{K}$  или  $\text{Rb}$ , могут быть объяснены, если допустить возможность образования комплексов ионом  $\text{Mg}^{2+}$  в расплаве по одной из двух схем: а)  $2\text{M}^+ + 2\text{Cl}^- + \text{MgCl}_2 = 2\text{M}^+ + \text{MgCl}_4^{2-}$  (на стороне хлорида щел. металла) и б)  $\text{Mg}^{2+} + 2\text{Cl}^- + 2\text{MCl} = 2\text{M}^+ + \text{MgCl}_4^{2-}$  (на стороне  $\text{MgCl}_2$ ). Следует учитывать при этом значительную термич. диссоциацию  $\text{MgCl}_4^{2-}$  в расплавах  $\text{NaCl}$  при добавках  $\text{MgCl}_2 > 20$  мол. %. Показано, что форма кривой ликвидус расплава в равновесии с соединением  $\text{KMgCl}_3$  хорошо согласуется с теоретич. расчетом, основанным на предположении полного распада комплекса при плавлении по уравнению  $2\text{KMgCl}_3 = 2\text{K}^+ + \text{Mg}^{2+} + \text{MgCl}_4^{2-} + 2\text{Cl}^-$ . Ю. Третьяков

**351. Термографический анализ солей. Берг Л. Г., Лепешков И. Н., Рассоная И. С.**, Тр. 1-го совещания по термографии. Казань, 1953, М.—Л., Изд-во АН СССР, 1955, 171—181.

Изложены основные этапы развития термографии солей за последние годы. Приведена таблица т-р термич. эффектов, регистрируемых на кривых нагревания некоторых двойных солей и кристаллогидратов.

Ю. Заверяев

**352. Производные дифференциально-термических кривых. Фредериксон** (Derived differential thermal curves. Frederickson A. F.), Amer. Mineralogist, 1954, 39, № 11-12, 1023—1025 (англ.)

Применяемое измерение площадей для колич. определений по кривым дифференциального термич. анализа требует точного установления момента окончания процесса превращения и положения нулевой линии, от которой измеряется величина пика. Эти данные можно получить, построив для полученной кривой дифференциального термич. анализа производную кривую. Метод построения такой кривой заключается в наблюдении изменения т-ры ( $T-T'$ ) в процессе равномерного повышения т-ры. В выражении  $\Delta(T-T')/\Delta T$ ,  $\Delta T = 10^\circ$  при скорости нагрева  $10^\circ$  в мин. Найденные значения  $\Delta(T-T')$  наносятся на график при соответствующих т-ратурах. И. Рассоная

**353. Проблемы техники дифференциально-термического анализа. Галлителли, Кола, Альет-**

ти (Su alcuni problemi legati alla tecnica dell'analisi termica differenziale. Gallitelli P., Cola M., Alietti A.), Atti Accad. naz. Lincei. Mem. Cl. sci., fis., mat. e natur. Ser. 2, 1954, 4, № 3, 49—60 (итал.)

Сделаны попытки точно определить положение эндо- и экзотермич. пиков на термограммах и установить пропорциональность между массой образца и максим. разностью  $t$ -р, между инертным эталонным  $v$ -ом и образцом. Исследованы каолинит (I), боксит (II) и бентонит (III). В случае I и 2-го пика II  $t$ -ра, соответствующая пикам, являлась линейной функцией массы образца. У III и для 1-го пика II наблюдалось небольшое возрастание  $t$ -ры с ростом массы.

Chem. Abstr., 1954, 48, № 22, 13396. F. Kertesz 354. Термографический метод определения давления

пиров индивидуальных жидкостей, двойных смесей и водных растворов солей. Берг Л. Г., Сидорова Е. Е., Тр. 1-го совещания по термографии. Казань, 1953. М.—Л., Изд-во АН СССР, 1955, 101—107. Краткий обзор существующих способов определения давления насыщ. пара ( $P$ ). Предложен термографич. метод определения  $P$  жидкостей, являющийся вариантом изобарич. метода определения  $P$ . Метод сводится к записи на пирометре  $t$ -р кипения исследуемых образцов. Приведена схема установки для определения  $P$  индивидуальных жидкостей, двойных смесей и водн.  $p$ -ров солей. Перегрев устранялся введением в рабочий сосуд 1—2  $мг$  гранулированного Аг. Результаты испытаний, проведенных на ряде  $v$ -в, показали хорошее совпадение с литературными данными. Сняты термограммы некоторых двойных смесей при полном их выкипании; термограммы выкипания, полученные при различных давлениях, могут быть полезны при выборе условий, обеспечивающих оптимальную разгонку смеси. Описанный метод неприменим для определения низких давлений ( $\leq 10$  мм рт. ст.) из-за возрастающей у жидкостей тенденции к перегреву.

Ю. Заверняев 355. Исследования «гургофана» из Нижней Австрии методом дифференциального термического анализа. Виден (Differential-thermoanalytische Untersuchungen von «Gurhofian» aus Niederösterreich. Wieden P. A. U.), Tschermaks mineral. und petrogr. Mitt., 1954, 5, № 1-2, 99—101 (нем.)

«Гургофианом» разные исследователи называют различные магниево-кальциевые карбонаты в очень мелкокристаллич. состоянии. Автор провел дифференциальный термич. анализ некоторых образцов гургофана из различных месторождений и установил, что они представляют собой чистый доломит или доломит с примесью кальцита или кальцит с антитермитом.

И. Рассонская 356. Дифференциальный термический анализ порошков катализаторов. Часть V. Гель окиси железа. Рамачандран, Бхаттачария (Differential thermal analysis of catalyst powders: Part V—Ferric oxide gel. Ramachandran V. S., Bhattacharyya S. K.), J. Scient. and Industr. Res., 1954, B13, № 12, 882—884 (англ.)

С помощью дифференциального термич. анализа изучались структурные изменения геля гидратированной окиси железа в процессе старения. Гель получался из  $p$ -ра  $Fe(NO_3)_3$  (0,5  $M$   $Fe_2O_3$ ) путем осаждения 0,5  $M$   $p$ -ром  $NH_4OH$  или  $NaOH$ , промывался водой и высушивался на воздухе. Дифференциальные кривые снимались при скорости нагрева  $10 \pm 1$  град/мин для свежеприготовленного геля и для состаренного под водой в течение 7, 17 и 90 дней. Свежий гель, кроме эндотермич. эффекта при  $180^\circ$ , отвечающего дегидратации, имеет экзотермич. эффект при  $380^\circ$ , соответствующий переходу аморфного геля в гематит ( $\alpha$ - $Fe_2O_3$ ). В процессе старения образуются гетит ( $\alpha$ - $Fe_2O_3 \cdot H_2O$ ), так как состаренный гель

экзотермич. эффекта не дает и, кроме эндотермики при  $180^\circ$ , имеет еще эффект при  $260^\circ$ , отвечающий дегидратации гетита. Катализич. свойствами обладает гель окиси железа, дегидратированный только ниже  $350^\circ$ , т. е. до превращения аморфной окиси железа в гематит. Часть IV см. РЖХим, 1954, 26789. И. Рассонская

357. О применимости закона Хлопина к распределению в системах с близким соотношением количества компонентов. Чуйко В. Т., (Про застосовність закону В. Г. Хлопіна до розподілу в системах з близькими співвідношеннями кількостей компонентів. Чуйко В. Т.), Наук. зап. Черкаськ. держ. пед. ін-ту, 1954, № 6, 55—58 (укр.)

Показано, что ур-ние Кольцова (Jutzy H. C., Kolthoff I. M., J. Amer. Chem. Soc., 1937, 59, 916), которому подчиняется распределение двух электролитов между  $p$ -ром и осадком при одинаковых кол-вах компонентов идентично с ур-нием, выведенным ранее (Ратнер А. П., Тр. Гос. радиовещ. ин-та, 1937, т. 3), которое теоретически обосновывает закон распределения Хлопина. По мнению автора, можно считать доказанным, что закон Хлопина применим в широких пределах соотношения кол-в компонентов. Ур-ние Ратнера более точно описывает распределение двух электролитов, чем ур-ние Кольцова. А. Нейдинг

358. О возможности применения термического коэффициента молекулярной рефракции для физико-химического анализа. Предварительное сообщение. Фронтасьева В. П., Научн. ежегодник за 1954 г. Саратовск. ун-т, Саратов, 1955, 585—587

Изучено поведение термич. коэфф. молекулярной рефракции  $\alpha_R$  для трех двойных жидких систем. Для вычисления  $\alpha_R$  были определены плотности и показатели преломления испытуемой жидкости при двух  $t$ -рах:  $20$  и  $25^\circ$ . Плотности измерялись пикнометром — dilatометром с точностью  $\pm 1 \cdot 10^{-5}$ . Показатель преломления  $n_D$  определялся с точностью  $\pm 2 \cdot 10^{-5}$ . Термостатирование кюветы при обоих измерениях обеспечивало постоянство  $t$ -ры до  $0,01^\circ$ . Для системы анилин — уксусная  $k$ -та получен минимум  $\alpha_R$  в области 33,3 мол. % уксусной  $k$ -ты, что соответствует составу  $2C_6H_5NH_2 \cdot CH_3COOH$ , и второй минимум, близкий к ординате соединения  $2CH_3COOH \cdot C_6H_5NH_2$ . Кривая  $\alpha_R$  системы диоксан — вода обнаруживает минимумы, близкие 20, 33, 50 мол. % диоксана, что соответствует соединениям  $C_8H_{18}O_2 \cdot 4H_2O$ ,  $C_8H_{18}O_2 \cdot 2H_2O$ ,  $C_8H_{18}O_2 \cdot H_2O$ . В системе бензол — толуол отмечаются минимумы в области 25 и 75 мол. % бензола. Результаты показывают, что  $\alpha_R$  чувствителен к изменениям, происходящим в структуре жидкостей. Л. Васильев

359. Оптический метод определения теплопроводности жидкостей и его применение в области физико-химического анализа. Сообщение 1. Фронтасьева В. П., Науч. ежегодник за 1954 г. Саратовск. ун-т, Саратов, 1955, 579

Краткое сообщение об усовершенствовании метода.

Л. Васильев 360. Различные растворимости атомного или молекулярного водорода в ниобии. Вуканович, Милутинович, Маллич (Sur la différence des solubilités dans le niobium, de l'hydrogène à l'état atomique ou moléculaire. Vukanović Vladimir M., Milutinović Vukica M., Malčić Stjepan S.), C. r. Acad. sci., 1955, 241, № 19, 1298—1299 (франц.)

Проведено эксперим. доказательство зависимости растворимости газа от его состояния: атомарного или молекулярного. Это явление изучено для случая растворимости H в Nb. Растворение H в Nb сопровождается расширением решетки, а в случае высоких конц-ий

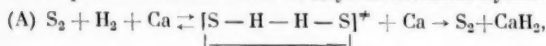
изменением решетки. Исследование проводилось при условиях, когда растворимость была достаточно мала, чтобы не изменять решетки, и ее расширение могло служить средством для измерения кон-ции атомов H, растворенных в металле. Степень диссоциации 15–20% от всего числа молекул. В каждом опыте бралось ~10 мг Nb с размером зерен 0,02 мм. Давление газа поддерживалось при 0,066 мм рт. ст. и контакт длился 2 часа. Периоды решеток измерялись порошковым методом в излучении Cu-K $\alpha$ . Для чистого Nb  $a=3,296$  Å.

Для случая растворения молекулярного H $_2$  среднее значение периода из ряда опытов  $a=3,300 \pm 0,001$  Å, для атомного  $a=3,306 \pm 0,002$  Å. Эти результаты показывают значительно большую растворимость атомного H в сравнении с молекулярным. Г. Гольдер

361. Исследование системы кальций — водород. II. Скорость абсорбции тяжелого водорода металлическим кальцием. Кавана. III. Теоретическое рассмотрение механизма роста зародышей, состоящих из гидрида или дейтерида кальция. Хигути, Кавана (Studies on calcium-hydrogen system. II. The rate of absorption of heavy hydrogen by metallic calcium. Kawana Yoshio. III. A theoretical consideration of mechanism for the growth of nucleus consisting of calcium hydride or deuteride. Higuti Izumi, Kawana Yoshio. 東北大学理科報告, Тохоку дайгаку рика хококу, Sci. Repts Tôhoku Univ., 1953, 37, 175–178; 179–184 (англ.))

II. Методом, аналогичным описанному ранее (Часть I см. РЖХим, 1956, 53889), при 304–340° и давл. 360–668 мм рт. ст. исследована растворимость тяжелого водорода в Ca. В начальной стадии абсорбции идет с малой скоростью с образованием  $\alpha$ -фазы (твердый р-р D в Ca); при этом абсорбция не связана с образованием ядер и составляет менее 1% от растворимости при насыщении. На второй стадии происходит образование и рост зародышей  $\beta$ -фазы (CaD $_2$ ). Скорость роста пропорциональна давлению D $_2$ . При постоянном давлении скорость роста экспоненциально зависит от т-ры (энергия активации 13,9 ккал/моль почти равна энергии активации в случае растворения H $_2$ , 13,8 ккал/моль). При равных давлениях и т-рах скорость роста зародышей  $\beta$ -фазы для H $_2$  на 18% выше, чем для D $_2$ .

III. Используя теорию абс. скоростей р-ции Эйринга (Eyring H., Glasstone S., Laidler K. J., J. Chem. Phys., 1940, 8, 659, 667) и собственные результаты по скорости растворения водорода и дейтерия в металлич. кальции, авторы рассматривают механизм роста зародышей CaH $_2$  или CaD $_2$  в металлич. Ca. Предполагается, что образование CaH $_2$  или CaD $_2$  происходит на границе Ca и CaH $_2$  (соответственно, CaD $_2$ ) около некоторого центра р-ции S (CaH $_2$  или иона Ca $^{2+}$ ) путем возникновения активированных комплексов по двум возможным путям:



Абс. скорость р-ции K $_a$  выражается следующим образом:

$$(A) K_a = (kT/h)(nC_s/2)C_g(f_+/f_g f_s) \exp^{-\varepsilon_0/kT},$$

$$(B) K_a = (kT/h)C_s C_g(f_+/f_g f_s) \exp^{-\varepsilon_0/kT},$$

где C $_s$  — кон-ция центров р-ции на поверхности (для Ca 0,75 · 10 $^{15}$  см $^{-2}$ ), C $_g$  — кон-ция молекул водорода (C $_g = p/kT$ ), n — число ближайших соседей вокруг центра р-ции (для Ca n = 6),  $\varepsilon_0$  — энергия активации при 0° K (13,8 ккал/моль для H $_2$  и 13,9 ккал/моль для D $_2$ ), f $_g$ , f $_s$  и f $_+$  — статистич. интегралы, соответственно, водорода, реакционных центров и активированных

комплексов. K $_a$ , рассчитанные по ф-ле (A) в предположении, что f $_+/f_s = 1$ , оказываются меньше наблюдаемых;  $\Delta = K_a(\text{набл.})/K_a(\text{расч.})$  меняется от 25 до 35 для H $_2$  и от 166 до 194 для D $_2$ .  $\Delta$  пропорциональна T $^{3/2}$ . Применяя к активированному комплексу концепцию Хилла (Hill T. H., J. Chem. Phys., 1948, 16, 181), показавшего, что в наиболее устойчивом положении ось двухатомной адсорбированной молекулы параллельна поверхности сорбента, и считая ось р-ции связь H—N, а колебания — классическими, авторы получают  $\Delta = f_+/f_s = (2V/2\pi^2 k^{3/2} f^{1/2}/h^3 \sigma^2) T^{3/2}$ , где l и  $\sigma$  — момент инерции и число симметрии молекулы водорода. Тогда K $_a$  (набл.)  $\approx 0,77 K_a$  (расч.) для H $_2$  и K $_a$  (набл.)  $\approx 0,87 K_a$  (расч.) для D $_2$ . Д. Белащенко

362. О соответствии физико-химических свойств карбидов. Гаев Н. С., Ж. неорганической химии, 1956, 1, № 2, 193–211

Рассмотрены процессы растворения карбидов и перераспределения элементов между фазами при нагреве стали и процессы выделения карбидов из р-ра при отжиге и отпуске стали с точки зрения соответствия их с некоторыми физ.-хим. свойствами самих карбидов и карбидообразующих элементов. Показано, что для образования двойных карбидов в стали необходимо, чтобы изменение свободной энергии (ккал/г-атом) при 1000° K для соответствующего монокарбида было меньше 10. Этому условию отвечают Cr, Mo, W, Mn. При  $\Delta F_{1000^\circ K}^0 > 10$  монокарбиды устойчивы и двойные карбиды не образуются. Обнаружена корреляция между т-рой плавления (диссоциации) карбидов, т-рой начала растворения их в стали и изменением свободной энергии образования  $\Delta F_{1000^\circ K}^0$ ; переход элементов при нагреве из карбидной фазы переменного состава в твердый р-р происходит фракционно в соответствии с ослаблением прочности хим. связи этих элементов с углеродом в монокарбидах. Установлено, что т-ра, необходимая для выделения элементов из твердого р-ра при отпуске, определяется не стойкостью карбидов, а соотношением диаметров атомов элементов. Линейная скорость роста карбидов соразмерна скорости диффузии атомов железа, освобождающих место для образования соответствующих карбидов. Д. Белащенко

363. Исследование системы Ni—S от 30,0 до 50,0 ат. % S. Соколова М. А., Докл. АН СССР, 1956, 106, № 2, 286–289

Изучена система Ni—S в интервале кон-ций 30–50 ат. % S методами: термич., микроструктуры, рентгенографич., давления истечения, электропроводности и уд. веса. Представлена диаграмма состояния системы, построенная с учетом всех полученных результатов. Подтверждено существование соединения NiS в двух модификациях с превращением  $\beta \rightarrow \alpha$  при 350°. Установлено наличие  $\beta$ -фазы (область гомогенности 36,2–43,6 ат. % S при 635°), образующейся при 805° по перетектич. р-ции NiS + расплав  $\rightleftharpoons \beta$ -фаза. Последнюю можно рассматривать как твердый р-р на основе Ni $_3$ S $_2$ . В результате распада  $\beta$ -твердого р-ра при 550° образуется фаза Ni $_3$ S $_2$ . При 575° возникает фаза Ni $_6$ S $_5$ ;  $\beta$ -фаза + NiS  $\rightleftharpoons$  Ni $_6$ S $_5$ . Эвтектичные распады:  $\beta$ -фаза  $\rightleftharpoons$  Ni + Ni $_3$ S $_2$  и  $\beta$ -фаза  $\rightleftharpoons$  Ni $_3$ S $_2$  + Ni $_6$ S $_5$  идут соответственно при 525 и 518°. Фаза Ni $_6$ S $_5$  получается при 400° по схеме: Ni $_6$ S $_5$  + NiS  $\rightleftharpoons$  Ni $_3$ S $_2$ . Отмечается, что богатые Ni сплавы имеют металлич. проводимость, а сплавы, богатые S, по величине электропроводности приближаются к полупроводникам. Ю. Заверняев

364. Жидкая металлическая система литий—натрий. Самон, Аман (The lithium—sodium liquid metal system. Salmon O. N., Ahmann D. H.), J. Phys. Chem., 1956, 60, № 1, 13–14 (англ.)



Изучена взаимная растворимость в жидкой системе Li—Na; прослежены кривая равновесия двух жидких фаз до 237° (78 вес. % Li в верхнем слое и 8,8 вес. % Li в нижнем слое). Определены точка плавления Li (179,4°) и т-ра эвтектики (93,4°). График экстраполяции кривой равновесия дает для крит. т-ры и крит. состава расслаивания ~350—450° и 28 ат. % Na; полуэмпирич. расчет дает 380° и 35 ат. % Na, что и принято как наиболее вероятное. Расчет теплот плавления Li и Na по полученным эксперим. данным дает завышенные в 2—3 раза значения; это расхождение может быть связано с наличием ограниченных областей твердых р-ров по обе стороны от фазовой диаграммы. В. Урбах

365. Исследование диаграммы состояния тройной системы Ni—Ni<sub>3</sub>Nb—Ni<sub>3</sub>Ta. Корнилов И. И., Пылаева Е. Н., Ж. неорганич. химии, 1956, 1, № 2, 308—316

Изучена диаграмма состояния тройной системы Ni(I)—Ni<sub>3</sub>Nb(II)—Ni<sub>3</sub>Ta(III). Построена диаграмма состояния двойной системы из металлч. соединений II—III и доказано, что она представляет непрерывный ряд твердых р-ров. Диаграмма состояния I—II—III исследована по 3лучевым разрезам—от никелевого угла до пересечения с квазибинарным разрезом II—III. На основе данных термич. анализа, изучения микро-структуры, твердости и электросопротивления сплавов установлено, что диаграмма состояния I—II—III характеризуется ограниченной растворимостью в твердом состоянии с непрерывным переходом двойной эвтектики I—II в двойную эвтектику системы I—III. Показано, что совместная растворимость Nb и Ta в Ni непрерывно уменьшается от т-р кристаллизации тройных сплавов до комнатной т-ры. Ю. Третьков

366. К вопросу о существовании границ химической стойкости в сплавах системы магний—кадмий. Деркач, Коленниченко, Кульбик (До питання про існування границі хімічної стійкості в сплавах системи магній — кадмій. Деркач Ф. А., Коленниченко Ю. М., Кульбик О. Г.), Наук. зап. Львівськ. ун-ту, 1955, 34, 72—78 (укр.; рез. русс.)

Исследована зависимость хим. активности сплавов Mg—Cd от их состава в области конц-ий от чистого Mg до 60 ат. % Cd в р-рах 0,1 н. H<sub>2</sub>SO<sub>4</sub> и уксуснокислой буферной смеси состава 0,25 н. CH<sub>3</sub>COOH+0,25 н. CH<sub>3</sub>COONa. Определены объем выделяющегося H<sub>2</sub> и р-ре H<sub>2</sub>SO<sub>4</sub> при 10°, в буферной смеси — при 25°. Показано, что хим. активность сплавов постепенно увеличивается от чистого Mg до области конц-ий 5—10 ат. % Cd, после чего довольно резко уменьшается и в области составов, богатых Cd, становится совершенно незначительной. Чистый Cd в изученных условиях не растворяется. Вопросы результатов прежних исследований (Скорчеллетти В. В., Шутин А. И. Химическое разрушение металлов, ОНТИ, 1934), ни одна из теоретически возможных границ хим. стойкости ничем себя не проявляет. Ю. Заверняев

367. О влиянии малых добавок серебра или цинка на растворимость меди в алюминии. Магат Л. М., Носкова Н. И., Физ. металлов и металловедение, 1955, 1, № 2, 307—310

Рентгенографически изучено влияние малых добавок (0,2 и 2,5 %) Ag или Zn на растворимость Cu в Al. Исследовались сплавы Al с содержанием Cu 1—9%. Образцы готовились из материалов высокой степени чистоты и рентгенографировались после предварительной закалки с т-р 380—550° в воду. Приведены кривые зависимости параметра решетки (ПР) твердого р-ра Si в Al от содержания Cu в присутствии добавок Ag или Zn и без них, значения ПР при насыщении для различных т-р и построенные по этим данным кривые растворимости Cu в Al в зависимости от т-ры. Примеси

в 0,2% Ag или Zn не изменяют в пределах точности измерений хода кривой растворимости. Добавки 2,5% Ag и, особенно, Zn заметно увеличивают растворимость Cu в Al. Ускоряющее влияние примесей Ag и Zn на старение сплавов объяснено авторами в свете соображений, развитых в работах В. И. Архарова и др. (РЖХим, 1954, 13556), гомофильностью (положительная поверхностная активность) этих элементов относительно Al. Ю. Заверняев

368. Ликвация в системе ZrO<sub>2</sub>—SiO<sub>2</sub>. Топоров Н. А., Галахов Ф. Я., Изв. АН СССР. Отд. хим. н., 1956, № 2, 158—161

Изучена система ZrO<sub>2</sub>—SiO<sub>2</sub> в интервале т-р 1800—2500°. Опыты проводились в атмосфере аргона в микропечи, сходящей с описанной ранее (Галахов Ф. Я., Завод. лаборатория, 1951, № 2, 254). На кривой, проведенной по точкам плавления, максимума для соединения ZrSiO<sub>4</sub> не оказалось. Установлено, что ZrSiO<sub>4</sub> плавится с разложением на ZrO<sub>2</sub> и жидкость. При высоких т-рах в системе наблюдается ликвация. Область ликвации располагается на участке 41—62 вес. % SiO<sub>2</sub>, начинается при 2250° и имеет крит. точку при 53% SiO<sub>2</sub> и 2430°. Построена высокотемпературная область диаграммы состояния изученной системы. Ю. Заверняев

369. Применение термографии для исследования влияния различных факторов на процессы кристаллизации окиси хрома. Роде Т. В., Тр. 1-го совещания по термографии. Казань, 1953. М.—Л., Изд-во АН СССР, 1955, 154—170.

Для распознавания аморфного и кристаллич. состояний в-ва применен метод термографии. Рассмотрено влияние различных факторов на т-ру кристаллизации (ТК) окиси хрома. Сделаны выводы: 1. Увеличение скорости нагревания повышает ТК. 2. Предварительное выдерживание при т-рах ниже ТК снижает последнюю. 3. Нагревание в вакууме и в токе водорода повышает ТК окиси хрома по сравнению с нагреванием в атмосфере воздуха. 4. Примеси ионов Na<sup>+</sup>, CO<sub>3</sub><sup>2-</sup>, NO<sub>3</sub><sup>-</sup>, CH<sub>3</sub>COO<sup>-</sup> повышают ТК окиси хрома и тем более, чем в большем кол-ве они в ней находятся. 5. Окись, полученная из темно-зеленой β-формы гидроокиси, кристаллизуется несколько выше, чем окись, полученная из голубой α-формы. 6. Уменьшение величины навески позволяет уловить эффекты окисления гидроокиси хрома и разложения образовавшегося кислородного соединения, перекрывающиеся на обычных термограммах эффектами обезвоживания и кристаллизации. Л. Васильев

370. Изучение систем сульфат натрия—сульфат кобальта и сульфат натрия—сульфат никеля. Большаков К. А., Федоров Н. И., Ж. общ. химии, 1956, 26, № 2, 348—350

Исследованы методом термич. анализа системы Na<sub>2</sub>SO<sub>4</sub>(I)—CoSO<sub>4</sub>(II) и I—NiSO<sub>4</sub>(III). В обеих системах наблюдается взаимная растворимость компонентов в жидком состоянии, образование широкой области твердых р-ров со стороны сульфата натрия и наличие трех двойных соединений: 3Na<sub>2</sub>SO<sub>4</sub>·SO<sub>4</sub>·Na<sub>2</sub>SO<sub>4</sub>·MSO<sub>4</sub> и Na<sub>2</sub>SO<sub>4</sub>·3MSO<sub>4</sub> (M=Ni, Co). Приведены диаграммы состояния изученных систем и характеристика обнаруженных соединений по данным кристаллооптич. исследования. В системе I—II эвтектика кристаллизуется при 565° и 49% II. В системе I—III найдены две эвтектич. точки: при 41 (671°) и 55% (700°) III. Полученные данные подтверждены изучением микроструктуры сплавов и кристаллооптич. исследованиями. Ю. Заверняев

371. Комплексообразование и обменное разложение во взаимной системе из фторидов и сульфатов свинца и калия. Гладуценко В. А., Бергман А. Г., Ж. общ. химии, 1956, 26, № 2, 339—347

Визуально-политермическим методом исследована взаимная система  $K, Pb||F, SO_4$  и составляющие ее двойные системы. Подтверждено существование соединений  $K_2F_2 \cdot 2K_2SO_4$  в системе  $K_2F_2(I) - K_2SO_4(II)$  с т. пл.  $880^\circ$  и эвтектич. точками  $E_1$ —при  $783^\circ$  и 27 мол. % II и  $E_2$ —при  $864^\circ$  и 73,5 мол. % II. В системе II— $PbSO_4(III)$  соединения  $K_2SO_4 \cdot 2PbSO_4$  с т. пл.  $946^\circ$  и эвтектич. точками  $E_1$   $805^\circ$  и 45 мол. % III и  $E_2$   $920^\circ$  и 75 мол. % III. В системе I— $PbF_2(IV)$  эвтектич. точка при т-ре  $460^\circ$  и 57,5 мол. % IV и в системе III—IV при т-ре  $520^\circ$  и 26,5 мол. % III. Эвтектич. точка стабильного диагонального разреза II—IV отвечает  $480^\circ$  и 22,5 мол. % II. Поверхность ликвидуса системы  $K, Pb||F, SO_4$  состоит из 7 полей кристаллизации. Одно из них отвечает соединению не установленного состава. Найдены шесть инвариантных точек:  $E_1$  при  $440^\circ$  (55,0% IV, 2,5% III и 42,5% I);  $E_2$  при  $440^\circ$  (63% IV, 12% III и 25% II);  $E_3$  при  $420^\circ$  (62% IV, 26% III и 12% II);  $P_1$  при  $470^\circ$  (53,5% IV, 7% III и 39,5% I);  $P_2$  при  $642^\circ$  (25% IV, 35% III и 40% II),  $P_3$  при  $594^\circ$  (40% IV, 40% III, 20% II). Авторы отмечают, что замена Cl-иона на F-ион приводит к увеличению числа соединений в системе. И. Верещетина

**372. Тройная взаимная система из хлоридов и сульфатов калия и кальция.** Голубева М. С., Бергман А. Г., Ж. общ. химии, 1956, 26, № 2, 328—338

Визуально-политермическим методом плавкости изучена взаимная система  $K, Ca||Cl, SO_4$ . Установлено, что поверхность кристаллизации системы состоит из восьми полей, сходящихся в семи кратных точках, и существенно расходящихся с данными, полученными ранее (Jänecke E., Z. anorgan. allgem. Chem., 1936, 228, 241). Обнаружены две переходные (при  $676^\circ$  и  $748^\circ$ ) и одна проходная точки (при  $653^\circ$ ). Из сопоставления двух диаграмм взаимной системы в водн. р-ре и в расплаве сделан вывод об ослаблении р-ции комплексобразования в водн. р-ре под влиянием агрессивного действия воды. Ю. Счеслёнок

**373. Химические процессы в системах  $HNO_3 - H_2SO_4 - nSO_3$  с  $n < 1$ .** Усольцева В. А., Ж. прикл. химии, 1956, 29, № 2, 302—306

С целью выяснения вопроса взаимосвязи между хим. процессами проведено исследование системы рядом методов. Приведены кривые двух систем: 17,1% олеум— $HNO_3$  и 28,2% олеум— $HNO_3$ . В зависимости от уд. веса, вязкости, показателя преломления и приращения уд. веса установлены области максим. накопления молекул  $NO_2HSO_4$ ,  $H_2NO_3HSO_4$ ,  $H_2OHSO_4$ ,  $NO_2HSO_4$ ,  $H_2NO_3HSO_4$  при различных соотношениях компонентов и приводится вероятная схема хим. процессов в системах  $HNO_3 - H_2SO_4 - nSO_3$  ( $n < 1$ ). Результаты исследований не подтверждают высказанные в литературе предположения о существовании в системе  $HNO_3 - H_2SO_4 - SO_3$  соединений:  $9H_2SO_4 \cdot HNO_3$ ,  $9H_2SO_4 \cdot 2NO_2$ ,  $3H_2SO_4 \cdot 22HNO_3$ ,  $3HNO_3 \cdot SO_3$ ,  $11SO_3 \cdot 2N_2O_5 \cdot 9H_2O$ ,  $10SO_3 \cdot N_2O_5 \cdot 2H_2O$ ,  $5SO_3 \cdot 2N_2O_5 \cdot 2H_2O$  и др. В. Посыпайко

**374. Кривые удельного веса систем  $HNO_3 - H_2SO_4 - nSO_3$  с  $n > 1$ .** Усольцева В. А., Ж. прикл. химии, 1956, 29, № 2, 306—308

Экспериментально изучена зависимость уд. веса при  $20^\circ$  в системах  $HNO_3 - H_2SO_4 - nSO_3$  ( $n > 1$ ) от содержания  $HNO_3$ . Исследовалось три ряда р-ров с содержанием олеума 71,5; 62,0 и 50,9 вес. %. Построенным кривым состав—уд. вес свойственна характерная точка, отсутствующая в системах с  $n < 1$  и проявляющаяся в виде все более рельефного максимума по мере увеличения конц-ии олеума. Высказано предположение, что указанный максимум отражает процесс образования гидротетрасульфата нитрония  $NO_2HSO_4$ . Вы-

делить последний в твердом состоянии автору не удалось. Ю. Заверняев

**375. Фазовый состав и удельный объем в бинарной системе азотная кислота — диоксид азота.** Коркоран, Ример, Сейдж (Volumetric and phase behavior of the nitric acid—nitrogen dioxide system. Corcoran W. H., Reamer H. H., Sage B. H.), Industr. and Engng Chem., 1954, 46, № 12, 2541—2546 (англ.)

Измерялся уд. объем и исследовались фазовые равновесия в системе  $HNO_3 - NO_2$  в зависимости от давления (до 350 атм) и состава (вес. доля  $NO_2$  0,1174, 0,2622, 0,4607 и 0,6045) в интервале от  $71-171^\circ$ . Результаты представлены в виде графиков и таблиц. Увеличение содержания  $NO_2$  в смеси понижает равновесное давление в точке кипения. Система значительно отклоняется от законов идеальных р-ров, ниже  $70^\circ$  в системе в широком диапазоне составов образуются два жидких слоя. Т. Резухина

**376. О растворимости вторичного и третичного фосфатов кальция в воде.** Кауко, Эйюби и (Über die Wasserlöslichkeit der Calcium-Di- und Triphosphate. Kauko Yrjö, Eyuubi Selmin), Chemiker-Ztg., 1956, 80, № 5, 130 (нем.)

Определена растворимость  $CaHPO_4 \cdot 2H_2O$  при  $25^\circ$  в воде с добавками  $Ca(OH)_2$ ,  $CaCl_2$  и без добавок. Производство растворимости и конц-ия твердого р-ра зависят от соотношения  $CaHPO_4 : H_2O$ . pH колеблется от 5,5 до 6,1;  $[Ca^{2+}] \cdot [HPO_4^{2-}]$  от  $0,8 \cdot 10^{-7}$  до  $2,4 \cdot 10^{-7}$ . Вычислено для бесконечного разбавления  $[Ca^{2+}]^3 [PO_4^{3-}]^2 = 10^{-20}$ .  $Ca_3(PO_4)_2$  встряхивался с водой и добавками  $Ca(OH)_2$  и  $CaCl_2$  в запаянных трубках в течение 6 месяцев при  $25^\circ$ . Найдено  $pH \sim 5,8$ ;  $[Ca^{2+}]^3 [PO_4^{3-}]^2 \sim 10^{-31}$  и  $[Ca^{2+}] \cdot [HPO_4^{2-}] \sim 10^{-7}$ . Следовательно, из  $CaHPO_4 \cdot 2H_2O$  и  $Ca_3(PO_4)_2$  получаются практически идентичные р-ры; предполагается, что имеются 2 твердые фазы:  $CaHPO_4$  и  $3Ca_3(PO_4)_2 \cdot Ca(OH)_2$ , но не  $Ca_3(PO_4)_2$ . Б. Анвар

**377. Двойная система вода — селеновая кислота.** Вьюйяр (Le système binaire eau—acide sélénique. Vuillaud G. G.), C. r. Acad. sci., 1956, 242, № 10, 1326—1329 (франц.)

Изучена кристаллизация водн. р-ров  $H_2SeO_4$  во всем интервале конц-ий. Диаграмма равновесия указывает на наличие двух неизвестных ранее гидратов  $H_2SeO_4 \cdot 6H_2O$  и  $H_2SeO_4 \cdot 2H_2O$  с точками инконгруэнтного плавления— $68,4$  и  $-24^\circ$ . Получены также данные о стекловании р-ров разных конц-ий (от  $-122^\circ$  при малых до  $-76^\circ$  для больших конц-ий). В. Урбах

**378. Тройная система ванадат калия—хлористый калий—вода.** Трухильо, Маchado (El sistema ternario vanadato potasico, cloruro potasico, agua. Trujillo R., Machado E. F.), An. Real soc. española fis. y quim., 1955, B51, № 12, 757—758 (исп.)

При т-ре  $25 \pm 0,1^\circ$  исследована тройная система  $KVO_3 - KCl - H_2O$ . Анализ изученных смесей производился после трехдневного перемешивания в термостате и однодневного отстаивания. Результаты работы представлены в виде таблицы (составы равновесных фаз) и графика. М. Карапетянц

**379. Равновесие в трехкомпонентной системе бихромат кальция—бихромат калия—вода.** Коночкина З. И., Ж. прикл. химии, 1956, 29, № 1, 22—27

Для решения вопроса о возможности получения  $CaCr_2O_7(I)$  по обменной р-ции между  $K_2Cr_2O_7(II)$  и  $CaCl_2$  изучено равновесие в системе I—II— $H_2O$  при т-рах 0, 25 и  $50^\circ (\pm 0,1^\circ)$ . В системе не происходит образования двойных солей или твердых р-ров.

Взаимное понижение растворимости I и II в воде неизвестно.

Ю. Заверняев  
380. Исследование системы  $\text{HF} - \text{ZrF}_4 - \text{H}_2\text{O}$  методом изотермической растворимости (изотерма  $0,5^\circ$ ). Танаев И. В., Николаев Н. С., Булаев Ю. А., Ж. неорганич. химии, 1956, 1, № 2, 274—281

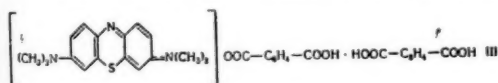
Изучена при  $0,5^\circ$  растворимость в системе  $\text{HF} - \text{ZrF}_4 - \text{H}_2\text{O}$  от 0 до 100%  $\text{HF}$ . В системе обнаружены твердые фазы  $\text{ZrOF}_2 \cdot 2\text{H}_2\text{O}$  (I),  $\text{ZrF}_4 \cdot 3\text{H}_2\text{O}$  (II),  $\text{H}_2\text{ZrF}_6 \cdot \text{H}_2\text{O}$  (III) и  $\text{ZrF}_4$ . По данным термографии, анализа установлены р-ции термич. разложения I, II, III и  $\text{ZrOF}_2$ . Разработана методика определения F и Zr при их совместном присутствии.

Ю. Заверняев  
381. Изучение систем с концентрированной перекисью водорода. Сообщение 10. Термическая устойчивость пергидрата мочевины. Макаров С. З., Лебедев Б. А., Изв. АН СССР. Отд. хим. н., 1955, № 5, 785—788

Кривые нагревания (от 20 до  $150^\circ$ ) пергидрата мочевины  $\text{CO}(\text{NH}_2)_2 \cdot \text{H}_2\text{O}_2$  (I), полученные на пирометре Курнакова с дифференциальной термпарой, характеризуются при  $67^\circ$  наличием резко выраженного экзотермич. эффекта, отвечающего разложению I (начало процесса отмечено при  $64^\circ$ ), и по своему характеру аналогичны ранее приведенным кривым термич. распада пергидратных соединений (сообщение 9 см. РЖХим, 1956, 35312). Изотермич. методом (несколько параллельных навесок выдерживали в течение 20—60 час. при заданной т-ре, определяя потери их веса в %) исследована термич. устойчивость I в интервале т-р  $40-70^\circ$  при давл. 760 и 20 мм рт. ст. Результаты табулированы и представлены графически. Процесс разложения I связан с отщеплением молекулы  $\text{H}_2\text{O}_2$  и ее распадом на  $\text{H}_2\text{O}$  и  $\text{O}_2$ . Ниже  $20-30^\circ$  I достаточно устойчив.

Ю. Заверняев  
382. О смешанной системе фталева кислота — метиленовый голубой. Линденберг (Über das Mischsystem Phthalsäure/Methylenblau. Lindenberger Werner), Naturwissenschaften, 1955, 42, № 21, 579 (нем.)

При изучении системы фталева к-та (I) — метиленовый голубой (II), вопреки сложившемуся мнению, пока-



зано, что образующиеся при кристаллизации I из водн. р-ров, содержащих хлорид II, смешанные кристаллы не содержат II. Результаты исследования указывают одновременно на включение в смешанные кристаллы фталаата II, который был до настоящего времени еще неизвестен. При кристаллизации р-ра с мол. отношением I:II от 1:1 до 2:1 автором получено соединение состава  $\text{C}_{32}\text{H}_{20}\text{O}_8\text{N}_8\text{S}$ , которому приписано строение (III). Возможно, что III и входит в кристаллы указанной смешанной системы, придавая им голубой цвет.

Ю. Заверняев  
383. Физико-химическое исследование систем с диоксаном. VIII. Система серная кислота — диоксан. Меженный Я. Ф., Ж. общ. химии, 1956, 26, № 2, 375—377

Исследована система диоксан (I) — серная к-та (II), построена кривая плавления системы до 69 мол. % II. Установлено наличие соединения  $\text{H}_2\text{SO}_4 \cdot \text{C}_8\text{H}_{18}\text{O}_6$  т. пл.  $\sim 100^\circ$ . Найдена эвтектич. точка на диаграмме, соответствующая 14 мол. % II с т-рой кристаллизации  $\sim 5^\circ$ . Уд. электропроводность системы незначительна при малых конц-иях II, растет с увеличением относительного кол-ва II и имеет максимум в области большой конц-ии

II. Измерение электропроводности и криоскопия. исследование указывают на отсутствие в р-ре простых ионов серной к-ты. Наблюдаемый по методу криоскопии мол. вес II в I превышает теоретически ожидаемый. Часть VII см. РЖХим, 1956, 3507.

Л. Васильев  
384. Исследование системы перекись водорода — уксусная кислота. Пунгор, Тромплер, Ремпорт, Шулек (Untersuchung des Systems Wasserstoffperoxyd—Essigsäure. Pungor E., Trompler J., Remport Zs., Frau, Schulek E.), Acta chim. Acad. sci., hung., 1956, 8, № 4, 321—333 (нем.; рез. русс., англ.)

Аналогичным методом, аналогичным описанному ранее (РЖХим, 1956, 57542), изучена система  $\text{CH}_3\text{COOH}$  (I) —  $\text{H}_2\text{O}_2$  при т-рах 50 и  $73^\circ$  и конц-иях 20 и 90% I. Измерена скорость образования перекиси  $\text{CH}_3\text{COOH}$  (II) в зависимости от т-ры и конц-ии I. При исследовании полученных данных рассмотрен механизм и найдено кинетич. ур-ние образования II:  $d[\text{CH}_3\text{COOH}]/dt = k [(\text{H}_2\text{O}_2)]^2 - k' [\text{CH}_3\text{COOH}]^2$ , где  $k = k_1 \cdot (\text{CH}_3\text{COOH})^2$ . С использованием найденных значений  $k$  рассчитаны энергия и энтропия активации, оказавшиеся соответственно равными 14,21 ккал и 19,92 ккал/град. На основании полученных данных авторы предполагают, что процесс образования II связан с наличием димерных молекул I. Рассмотрено влияние ассоциации дипольных молекул на кинетику р-ции в р-рах, содержащих II и  $\text{H}_2\text{O}_2$ . Показано, что кол-во соляватной  $\text{H}_2\text{O}_2$  не превышает некоторого максим. значения, даваемого ур-нием  $(\text{H}_2\text{O}_2 \text{ солят}) = \frac{2}{3} (\text{H}_2\text{O}_2) / (\text{CH}_3\text{COOH})$ . Установлено, что в противоположность соответствующей системе с  $\text{H}_2\text{SO}_4$  (см. ссылку), скорость как ассоциации, так и диссоциации дипольных молекул очень мала; указанное явление объясняется на основе закономерностей химии комплексных соединений.

Ю. Заверняев  
385. Исследование комплексообразования в системе хлористый алюминий — мочевины — вода методами физико-химического анализа. Рабинович Б. Я., Ж. общ. химии, 1956, 26, № 2, 377—379

С целью выяснения возможности комплексообразования хлористого алюминия (I) с мочевиной (II) определялась плотность, вязкость и уд. электропроводность водн. р-ров при 15 и  $25^\circ$ . Исследование вели по методу изомольных конц-ий Остроумовского, методика измерений описана ранее (РЖХим, 1955, 51474). Плотность находится в линейной зависимости от состава системы. Изотермы вязкости в области малых конц-ий II несколько выпуклы к оси состава, но, так же как и изотермы плотности, не дают никаких указаний на хим. взаимодействие компонентов в системе. Температурный коэфф. вязкости равен 0,021 и не зависит от конц-ии II в системе. Изотермы уд. электропроводности имеют излом при мольном соотношении I : II = 1 : 1. Температурный коэфф. электропроводности имеет в той же точке незначительный минимум. Это указывает на комплексообразование в системе. Отсутствие замечательных точек на изотермах вязкости объясняется незначительной конц-ией р-ров, в которых I и его комплекс в значительной степени диссоциированы. Автор предполагает, что у соединений Al и Cr характер связи комплексообразователя с аддендами одинаков, несмотря на различие электронных структур  $\text{Al}^{3+}$  и  $\text{Cr}^{3+}$ .

Л. Васильев  
386. Равновесие жидкость — жидкость. Системы вода — *n*-пропилформиат и муравьиная кислота — вода — *n*-пропилформиат. Риус, Альфонсо (Equilibrio liquido-liquido. Sistemas agua-formiato de propilo-n y ácido formico-agua-formiato de propilo-n. Riús A., Alfonso S. C.), An. Real. soc. española fis. y quim., 1955, B51, № 11, 649—658 (исп.; рез. англ.)



Изучена взаимная растворимость воды и *n*-пропилформата при 0,25, 40 и 60°. В тройной системе муравьиная к-та — *n*-пропилформат — вода изучена кривая растворимости (при малых конц-ях воды) и определены конноды. Система представляет интерес в связи с выделением муравьиной к-ты путем азеотропной дистилляции. С. Рубинчик

См. также: Фазовые переходы 204, 232, 564, 1189, 1541. Термохимия 79, 1111. Термодинамика: кристаллов 148, 196, 198, 1128; жидкостей и газов 308, 310, 494, 505, 509, 512, 513, 1127. Ур-ния состояния 294—296, 298—300, 389. Равновесия 170, 409, 503, 537, 1403. Физ.-хим. анализ систем: металлич. 1542—1544; неорганич. 674, 683, 732, 1118; органич. 3279. Приборы и методы 1308, 1327, 1328, 1330, 1331, 1549. Др. вопр. 1560, 1566, 3300

### КИНЕТИКА.

#### ГОРЕНИЕ. ВЗРЫВЫ. ТОПОХИМИЯ. КАТАЛИЗ

Редакторы: Х. С. Багдасарян, А. С. Соколик, А. В. Шехтер

**387. Программирование проблем химической кинетики для электронных вычислительных машин.** Уилер, Кинни (Programming chemical kinetics problems for electronic analogue computers. Wheeler R. C. H., Kinney G. F.), IRE Trans. Industr. Electronics, 1956, 3, March, 70—79 (англ.)

Рассматривается программирование ур-ний хим. кинетики, описывающих простые и последовательные мономолекулярные р-ции. Программирование основано на формальном сходстве линейных ур-ний кинетики с ур-ниями Кирхгофа. Монораспад отображается разрядкой конденсатора через сопротивление, величина которого подбирается соответствующим образом. Необратимости р-ции соответствует введение около каждого конденсатора выпрямителя. Конц-иям всех в-в соответствуют различные напряжения в различных блоках схемы. В качестве примеров рассмотрен чистый монораспад, р-ция типа  $X \rightarrow Y \rightarrow Z$  и  $A \rightleftharpoons B \rightleftharpoons C \rightarrow E$ .

Е. Никитин

**388. Порядок реакции.** Мачуорт, Куличи (Order of reaction. Machwart George M., Quilici Robert E.), Industr. and Engng Chem., 1956, 48, № 7, 1194—1195 (англ.)

Составлена номограмма для определения кинетич. порядка р-ций. Х. Б.

**389. Основные уравнения химически реагирующего потока газов.** Багдасарян С. С., Азэрб. девлет. пед. инст. азэрлери, Тр. Азэрб. гос. пед. ин-та, 1955, 2, 57—63

Для химически реагирующего многокомпонентного потока газов даны ур-ния 1-го и 2-го законов термодинамики, а также ур-ние непрерывности в функциях от конц-ий, мол. весов реагентов и констант скоростей. Е. Никитин

**390. О конкурирующих реакциях, протекающих при участии изомерных активных частиц.** Воеводский В. В., Кабачник М. И., Ж. физ. химии, 1956, 30, № 4, 945—948

На основании соотношения Поляны для одиотипных радикальных р-ций показано, что во всех случаях, когда в ходе хим. превращения возможно образование радикалов, достаточно быстро превращающихся друг в друга, преимущественное направление процесса будет связано с р-циями наиболее стабильного из этих радикалов. Его меньшая хим. активность компенсируется при этом значительно большей конц-ией. В. Воеводский

**391. Индуцированный кислородом обмен водорода с дейтерием.** Клейн, Шипр, Шейн (The oxygen-induced hydrogen-deuterium exchange. Klein Ralph, Scheer Milton D., Schoen Louis J.), J. Amer. Chem. Soc., 1956, 78, № 1, 48—49 (англ.)

Измерена скорость обмена  $H_2 + D_2 \rightleftharpoons 2HD$  при 537° в присутствии небольших добавок  $O_2$  (0,2—0,3%), стимулирующих обмен. Сопоставляя данные, полученные в кварцевых сосудах, обработанных различным образом, авторы полагают, что обмен происходит путем радикальных р-ций типа  $A \cdot + A_2 \rightarrow A_2 + A \cdot$  (где  $A$  может представлять собой  $H$  и  $D$ ), что радикалы зарождаются на поверхности реакционного сосуда по р-ции  $H_2 + O_2 \rightarrow 2OH$  и что уничтожение радикалов происходит по р-ции  $H + O_2 + M \rightarrow HO_2 + M$ . Оценено значение константы скорости этой р-ции  $1,34 \cdot 10^{13} \text{ см}^3 \text{ моль}^{-1} \text{ сек}^{-1}$ , что находится в удовлетворительном согласии со значением этой константы, определенной ранее (Lewis B. Elbe G. von. Combustion, flames and explosions of gases, New York, Acad. Press, Inc., 1951).

В. Воеводский

**392. Механизм гомогенной термической реакции между этаном и дейтерием.** Варнерин, Дулинг (The mechanism of the homogeneous thermal reaction between ethylene and deuterium. Varnerin Robert E., Dooling John S.), J. Amer. Chem. Soc., 1956, 78, № 6, 1119—1122 (англ.)

Изучена начальная скорость образования различных продуктов взаимодействия  $C_2H_4$  и  $D_2$  в статич. условиях в кварце при 570—660° и начальных давлениях  $P_{C_2H_4}^0 = P_{D_2}^0 = 100 \text{ мм рт. ст.}$  Анализ D-состава смеси проводился масс-спектрометрически. Авторы делают вывод о ничтожно малой вероятности молекулярного пути присоединения  $D$  и предлагают радикальный механизм р-ции, в котором участвуют атомы  $H$  и  $D$  и радикалы  $C_2H_3$ ,  $C_2H_5$  и  $C_2H_4O$ .

В. Воеводский

**393. Кинетика и механизм распада углеводородов. Сообщение 2. Кинетика и механизм распада этана при низких давлениях с добавками изобутилена.** Степухович А. Д., Деревенских Л. В., Ж. физ. химии, 1954, 28, № 2, 199—203

Наблюдается катализирующее действие стенок кварцевого реакционного сосуда, обработанного продуктами распада *изо*- $C_4H_{10}$ , на распад  $C_2H_6$  при 635° и давл. 10 мм рт. ст. Добавки *изо*- $C_4H_{10}$  тормозят некатализованный и катализованный распад  $C_2H_6$ . Кинетика р-ции описывается ур-нием Степуховича (Докл. АН СССР, 1952, 89, № 5, 889). Авторы предполагают, что торможение изобутиленом связано с заменой активных радикалов на менее активные, что приводит к уменьшению длины цепи. Сообщение 1 см. РЖХим, 1956, 74394.

Э. Блюмберг

**394. Типы распада *n*-пентана. III. Роль этана при низких давлениях.** Сполл, Стабс, Данби, Хиншелвуд (The modes of decomposition of *n*-pentane. III. Fate of ethane at low pressures. Spall B. C., Stubbs F. J., Danby C. J., Hinshelwood C. Y. I.), Proc. Roy. Soc., 1954, A225, № 1160, 64—70 (англ.)

При термич. распаде *n*- $C_5H_{12}$ , ингибированном  $NO$ , выход  $C_2H_4$  и  $H_2$  при понижении давления увеличивается, а выход  $C_2H_6$  уменьшается. Чтобы высказать, не являются ли  $C_2H_4$  и  $H_2$  продуктами разложения  $C_2H_6$ , были исследованы: термич. распад *n*- $C_5H_{12}$  при 530—580°, ингибированный  $C_2H_6$ , и влияние добавок  $C_2H_6$  на распад *n*- $C_5H_{12}$ . Замена  $NO$  на  $C_2H_6$  не изменяет хода р-ции как при низких, так и при высоких давлениях, хотя при использовании тот же ингибирующий эффект получается при более высоких конц-ях последнего. Добавки  $C_2H_6$  (при низких давлениях)

не изменяют скорости распада  $n\text{-C}_5\text{H}_{12}$ . Авторы считают, что увеличение выхода  $\text{C}_2\text{H}_4$  и  $\text{H}_2$  вызвано не разложением  $\text{C}_2\text{H}_6$ , а изменением механизма распада, обусловленным изменением характера активации молекул  $n\text{-C}_5\text{H}_{12}$ , при котором в большей степени возбуждаются атомы Н. В случае неингибированной р-ции предполагают также распад  $\text{C}_2\text{H}_6$  или радикалов  $\text{C}_2\text{H}_5$ . Сообщение П см. РЖХим, 1956, 57521. В. Басевич

395. Термическое разложение этилнитрита. Левин (The thermal decomposition of ethyl nitrite. Levy Joseph B.), J. Amer. Chem. Soc., 1956, 78, № 9, 1780—1783 (англ.)

Термическое разложение этилнитрита изучалось в газовой фазе при 10—50 мм рт. ст. в 161—201°. Продукты распада анализировались ИК-спектрометром. Обнаружены  $\text{CH}_3\text{CHO}$ ,  $\text{N}_2\text{O}$ ,  $\text{C}_2\text{H}_5\text{OH}$  и  $\text{NO}$ . В малых кол-вах найден  $\text{HCN}$ . До 50% превращения распад протекает по 1-му порядку с  $k = 6,1 \cdot 10^{13} \times \exp(-37500/RT)$  сек.<sup>-1</sup>. Добавление  $\text{NO}$  увеличивает выход  $\text{CH}_3\text{CHO}$  с 60 до 100%, а  $\text{N}_2\text{O}$  с ~20 до ~50%. При добавлении  $\text{CH}_3\text{CHO}$  скорость р-ции увеличивается, а в продуктах р-ции отсутствует  $\text{N}_2\text{O}$ . Для объяснения найденных закономерностей предложен радикально-цепной механизм распада с участием радикалов  $\text{C}_2\text{H}_5\text{O}$  и  $\text{NOH}$ . С. Поляк

396. Термический распад нитропарафинов. Грей, Иоффе, Розелар (Thermal decomposition of the nitroalkanes. Gray Peter, Yoffe A. D., Roselaar L.), Trans. Faraday Soc., 1955, 51, № 11, 1489—1497 (англ.)

Изучался термич. распад (ТР)  $\text{CH}_3\text{NO}_2$ ,  $\text{C}_2\text{H}_5\text{NO}_2$ ,  $\text{CH}_3\text{CH}_2\text{CH}_2\text{NO}_2$  и  $\text{CH}_3\text{CH}_2\text{CH}_2\text{CH}_2\text{NO}_2$  в струевых условиях при 430—800°. Методом металлик. зеркал установлено образование свободных радикалов в процессе ТР. Добавление радикалов  $\text{CH}_3$ , образующихся при ТР дитрет-бутилперекиси (смесь перекиси-нитропарафин 1 : 1 и 1 : 2), понижает миним. т-ру р-ции на 200°. Одним из основных продуктов ТР изученных нитропарафинов является  $\text{CH}_2\text{O}$ . В продуктах р-ции содержатся также:  $\text{NO}_2$  и небольшие кол-ва  $\text{HCN}$  в случае  $\text{CH}_3\text{NO}_2$ ,  $\text{C}_2\text{H}_5\text{NO}_2$ ,  $\text{CH}_4$ ,  $\text{CO}$ ,  $\text{CO}_2$ ,  $\text{H}_2\text{O}$ ,  $\text{N}_2$ ,  $\text{NO}$  и  $\text{NO}_2$  в случае  $\text{C}_2\text{H}_5\text{NO}_2$ . Авторы считают наиболее вероятным механизм р-ции, включающий разрыв  $\text{C}-\text{N}$  связи и последующие р-ции образовавшихся свободных радикалов. Экспериментально полученные значения энергии активации ТР (для  $\text{C}_2\text{H}_5\text{NO}_2$  9, для  $\text{C}_2\text{H}_5\text{CH}_2\text{NO}_2$  48,5 ккал/мол.) меньше величин энергий разрыва соответствующих  $\text{C}-\text{N}$  связей, что, по мнению авторов, свидетельствует о цепном пути р-ции. Не исключается также возможность параллельного протекания р-ции типа  $\text{C}_2\text{H}_5\text{NO}_2 \rightarrow \text{C}_2\text{H}_4 + \text{HONO}$ . См. также РЖХим, 1954, 12505. З. Майзус

397. Пиролиз органических бромидов. Часть III. Пиролиз изопропилбромида. Часть IV. Пиролиз *втор-бутил*бромида. Маккол, Томас. Часть V. Пиролиз циклогексилбромида. Грин, Маккол. Часть VI. Пиролиз *трет-бутил*бромида. Харден, Маккол (Studies in the pyrolysis of organic bromides. Part III. The pyrolysis of isopropyl bromide. Part IV. The pyrolysis of sec-butyl bromide. Maccoll Allan, Thomas P. J. Part V. The pyrolysis of cyclohexyl bromide. Green J. H. S. Maccoll Allan. Part VI. The pyrolysis of tert-butyl bromide. Harden G. D., Maccoll Allan), J. Chem. Soc., 1955, March, 979—986 July, 2445—2448, 2449—2454, 2454—2457 (англ.)

III. Скорость термич. (310—350°) разложения изопропилбромида (I) с образованием пропилена (II) и  $\text{HBr}$  сильно катализируется следами  $\text{O}_2$ . При полном отсутствии  $\text{O}_2$ , после обработки стенок сосуда I или бромистым аллилом, р-ция воспроизводима. Добавки II не влияют, добавки брома слабо катализируют р-цию.

Кинетика р-ции следует закону 1-го порядка до 30% превращения, что, по мнению авторов, связано с наличием равновесия  $\text{I} \rightleftharpoons \text{II} + \text{HBr}$ . Получено выражение  $k = 4,17 \cdot 10^{13} \exp(-47800/RT)$  сек.<sup>-1</sup>. Авторы приходят к выводу, что распад I идет как молекулярное отщепление  $\text{HBr}$ . А. Шиллов

IV. Кинетика распада *втор-С<sub>4</sub>Н<sub>9</sub>Вг* изучалась по росту давления и по кол-ву образующегося  $\text{HBr}$  при 300—350°. Р-ция гомогенна и до ~50% превращения следует первому порядку с константой скорости  $k_1 = 4,27 \cdot 10^{12} \exp(-43800/RT)$  сек.<sup>-1</sup>. Скорость р-ции не зависит от начального давления и не меняется при добавках циклогексана и пропилена. Авторы считают, что р-ция является не цепной, а представляет собой мономолекулярный распад молекулы *втор-С<sub>4</sub>Н<sub>9</sub>* на  $\text{HBr}$  и  $\text{C}_4\text{H}_8$ .

V. Циклогексилбромид (III) в газовой фазе при 300—350° распадается гомогенно по первому порядку с константой скорости  $k = 3,24 \cdot 10^{13} \exp[-46100/RT]$  сек.<sup>-1</sup>. Опыты проводились в сосудах с поверхностью, обработанной продуктами пиролиза аллилбромида. Добавки циклогексана не ингибируют, а добавки брома не ускоряют р-цию. Уменьшение начального давления III от 400 до 40 мм рт. ст. не влияет на  $k$ . Авторы считают, что имеет место мономолекулярная р-ция  $\text{C}_6\text{H}_{11}\text{Br} \rightarrow \text{C}_6\text{H}_{10} + \text{HBr}$ , протекающая через переходный четырехчленный комплекс.

VI. В согласии с исследованием, проведенным ранее (Kistiakowsky Stauffer, J. Amer. Chem. Soc., 1937, 59, 165), установлена гомогенность и первый порядок пиролиза *трет-бутил*бромида при 230—280° в сосудах с обработанной поверхностью. Циклогексен и циклопентадиен не оказывают ингибирующего действия на р-цию,  $\text{Br}_2$  и  $\text{C}_6\text{H}_{11}\text{Br}$  не стимулируют р-цию. Авторы предлагают мономолекулярный механизм распада *трет-бутил*бромида, аналогичный рассмотренному выше. Часть II см. РЖХим, 1956, 64502.

3. Майзус  
398. Низкотемпературное окисление изобутана и пропилена. Баттен, Ридж (On the low-temperature oxidation of isobutane and propylene. Batten J. J., Ridge M. J.) Austral. J. Chem., 1955, 8, № 3, 370—377 (англ.)

Изучалось влияние промежуточных и конечных продуктов р-ции на кинетику окисления изобутана при 291°. Добавки  $\text{CH}_2\text{O}$  и  $\text{HCOOH}$  увеличивают, а добавки  $\text{CH}_3\text{CHO}$ , *трет-бутил*гидроперекиси,  $\text{CH}_3\text{COSH}$  и  $\text{CH}_3\text{COOH}$  уменьшают период индукции окисления изобутана; максим. скорость р-ции при этом не меняется. Добавки воды немного увеличивают период индукции и максим. скорость. Удаление перекисей (в случае  $\text{C}_4\text{H}_{10}$  и  $\text{C}_3\text{H}_8$ ) путем перепуска реагирующей смеси в сосуд с парам  $\text{Hg}$  не сказывается на кинетике р-ции, протекающей после возвращения этой смеси в реакционный сосуд (См. также РЖХим, 1955, 48490). Небольшой период индукции (0,5 мин.), наблюдающийся при возвращении смеси, не зависит от степени отдачи реакционного сосуда. Авторы считают, что во время периода индукции образуется в-во, ответственное за вырожденные разветвления, причем этим в-вом являются, по-видимому, не перекиси.

3. Майзус  
399. Влияние растворителя на скорость реакций. Лейдлер, Ландскрәнер (The influence of the solvent on reaction rates. Laidler Keith J., Landskroener Peter A.), Trans. Faraday Soc., 1956, 52, № 2, 200—210 (англ.)  
На основании теории Кирквуда (Kirkwood, J. Chem. Phys., 1934, 2, 351; Kirkwood, Westheimer, J. Chem. Phys., 1938, 6, 506) рассматривается влияние р-теля на скорость р-ций, в которых важнейшим взаимодействием между реагирующими молекулами является электростатическое. Взаимодействие молекулы реагента с молекулами р-теля сводится к взаимодействию со-

вокуности зарядов  $e_i$ , расположенных в сфере радиуса  $b$ , причем эта сфера окружена средой с диэлектрич. проницаемостью  $D$ . Для диэлектрич. проницаемости внутри сферы взято значение 2. Коэфф. активности  $\gamma$  для исходных в-в или переходного комплекса дается выражением  $\ln \gamma = z^2 e^2 / 2kTb(1/D - 1) + 3G_i e^2 / 8kTb^3 \times [(1-D)/(1+D)]$ , в котором  $G_i^2$  зависит от детального распределения зарядов. Скорость р-ции  $k = k_0 \gamma_A \gamma_B / \gamma^*$ , а  $\ln k$  является линейной функцией от  $1/D$ . Развита теория прилагается к кинетике гидролизаэфиров, амидов и анилидов. Величина  $G_i$  для молекул реагентов вычисляется из геометрии молекул, а для активированного комплекса — из соображений о его строении. Эксперимент по гидролизу ацетамида и пропионамида, катализируемому щелочью и к-той, подтверждает линейную зависимость  $\ln k$  от  $1/D$ , причем скорость растет с ростом диэлектрич. константы. Из угла наклона прямой вычислены радиусы переходного комплекса (1,5—4 Å).

Е. Никитин

**400. Кинетика реакций молекулярного водорода с перхлоратом двухвалентной и одновалентной ртути в водном растворе.** Коринек, Халперн (Kinetics of the reaction of molecular hydrogen with mercuric and mercurous perchlorates in aqueous solution. Korinek G. J., Halpern J.), J. Phys. Chem., 1956, 60, № 3, 285—289 (англ.)

Изложены результаты кинетич. исследования р-ции восстановления  $Hg^{2+}$  и  $Hg_2^{2+}$  молекулярным  $H_2$  в водн. р-ре  $HClO_4$  при 74,8° и давлении  $H_2$  до 4 атм. Восстановление  $Hg^{2+}$  до  $Hg^{2+}$  и  $Hg_2^{2+}$  до  $Hg$  протекает в две последовательные стадии; общая скорость р-ции равна  $(k_1[Hg^{2+}] + k_2[Hg_2^{2+}])H_2$ , где  $k_1 = 4,2 \cdot 10^{10} \exp(-18400/RT)$  и  $k_2 = 1,2 \cdot 10^{11} \exp(-20400/RT)$  л моль<sup>-1</sup> сек<sup>-1</sup> представляют собой константы скорости гомог. внутримолекулярного взаимодействия  $H_2$  с  $Hg^{2+}$  и  $Hg_2^{2+}$ , приводящего к образованию активных промежуточных комплексов. Обсуждается детальный механизм активации.

Л. Обухова

**401. Об аналогичном действии света и ионов ртути на разложение ферроцианида и перекиси водорода.** Пинтер, Карас (Über die analoge Wirkung des Lichtes und der Mercuri-Ionen auf die Zersetzung des Ferrocyanides und des Wasserstoffsperoxydes. Pinter Tomislav, Karas Vinka), Kolloid-Z., 1955, 142, № 2/3, 107—109 (нем.)

Авторы подтверждают (Kistiakowsky Wl., Z. phys. Chem., 1900, 35, 431), что р-ция разложения  $H_2O_2$  под действием света в присутствии  $K_3FeCN_6$  и  $K_4FeCN_6$  мономолекулярна. Ионы  $Hg$  оказывают на разложение  $H_2O_2$  действие, аналогичное свету, которое сводится к образованию темного катализатора. Константа скорости р-ции пропорциональна конц-ии  $Hg^{2+}$ .

В. Пикаева

**402. Кинетическое изучение действия солей двухвалентной ртути на ферроцианиды в водных растворах. I. Стехиометрическая реакция.** Эмшвиллер (Etude cinétique de l'action des sels mercuriques sur les ferrocyanures en solutions aqueuses: I. La réaction stoechiométrique. Emshwiller Guy), C. r. Acad. sci., 1956, 242, № 12, 1610—1612 (франц.)

Р-ция  $2Fe(CN)_6^{4-} + Hg^{2+} + 2C_6H_5NO \rightarrow 2Fe[(CN)_6(C_6H_5NO)]^{3-} + Hg(CN)_2$  имеет первый порядок по  $Hg^{2+}$  и не зависит от  $[Fe(CN)_6^{4-}]$  и  $[C_6H_5NO]$ . При 0° псевдомономолекулярная константа скорости равна 0,055 мин<sup>-1</sup>. Скорость р-ции не зависит от pH в интервале 5—9. При pH < 5 скорость начинает падать и в некоторых

случаях наблюдается небольшой период индукции.

Д. Кнорре

**403. К кинетике реакции окисления щавелевой кислоты и оксалатов азотной кислотой в водном растворе.** Миркин И. А., Колтунов В. С., Ж. физ. химии, 1955, 29, № 12, 2163—2172

Кинетика окисления  $(COOH)_2$  (0,2—1 M) азотной к-той (0,1—12,7 M) в водн. р-рах при 97° является автокаталитической. Индукционный период, обусловленный накоплением  $HNO_2$ , зависит от конц-ии  $HNO_3$ . Скорость р-ции после окончания индукционного периода подчиняется ур-нию —  $d[H_2C_2O_4]/dt = 0,0029 [H_2C_2O_4] \times [HNO_3]/(0,7 + [H^+])^2$ . Конечными продуктами окисления являются  $CO_2$  и  $NO$  (стехиометрич. ур-ние:  $2HNO_3 + 3H_2C_2O_4 \rightarrow 6CO_2 + 2NO + 4H_2O$ ). Присутствие  $NO_2$ , содержание которой увеличивается с ростом конц-ии  $HNO_3$ , объясняется вторичным окислением  $NO$  азотистой кислотой. Ингибирующее действие ионов  $H^+$  проявляется также и в присутствии  $Mn(NO_3)_2$  (катализатор).

В. Пикаева

**404. Кинетика окисления красного фосфора сульфатом церия.** Суссела (Kinetics of the oxidation of red phosphorus by ceric sulphate. Suseela B.), Z. phys. Chem. (DDR), 1956, 205, № 4, 202—207 (англ.)

Кинетика р-ции окисления красного P сульфатом Ce в присутствии небольших кол-в  $H_3PO_4$  при 32—57° описывается бимолекулярным законом. Энергия активации равна при 32—42° 7404, 37—47° 7502, 47—57° 7765 кал/моль. Предполагаемый механизм р-ции:  $2Ce(SO_4)_2 + H_2O \rightarrow Ce_2(SO_4)_3 + H_2SO_4 + O$  (медленно);  $2P + 5O \rightarrow P_2O_5$ ,  $P_2O_5 + 3H_2O \rightarrow 2H_3PO_4$ .

В. Пикаева

**405. Окисление пероксидазы одноэлектронным окисляющим агентом.** Фергусон (On the oxidation of peroxidase by one-electron oxidizing agents. Ferguson R. R.), J. Amer. Chem. Soc., 1956, 78, № 4, 741—745 (англ.)

Изучена стехиометрия и кинетика действия  $K_2IrBr_6$  на пероксидазу хрена. Полюрографически измерены окислительные потенциалы  $K_2IrCl_6$  (—0,93 в) и  $K_2IrBr_6$  (—0,92 в). Пероксидаза дает при действии иридатов комплекс I и лишь затем из него образуется комплекс II. Комплекс I образуется по р-ции 1-го порядка по окислителю с константой скорости, сложным образом зависящей от pH и конц-ии энзима. При этом на атом Fe пероксидазы расходуется более 4 молекул окислителя. Это, вероятно, связано с расходом окислителя на р-ции с концевыми молекулами аминокислот белка — тирозином, триптофаном и гистидином, — способными к быстрой р-ции с  $K_2IrBr_6$  при достаточно высоких pH.

Д. Кнорре

**406. Ускоряющее влияние этилендиаминтетрауксусной кислоты на реакции взаимодействия бихромата с индиго и бихромата с подкисленным калием.** Састри, Кришнамурти, Срирамам (Accelerating effect of ethylene diaminetetraacetic acid on dichromate-indigo and dichromate-iodide reactions. Sastri M. N., Krishnamurty Ch. Radha, Sriramam K.), Naturwissenschaften, 1956, 43, № 7, 157—158 (англ.)

Этилендиаминтетрауксусная к-та (I) и  $H_2C_2O_4$  ускоряют окисление индиго и KJ бихроматом K в р-рах  $HCl$  или  $HClO_4$ . Введение добавок I или  $H_2C_2O_4$  на расходе  $K_2Cr_2O_7$  не сказывается. Поэтому авторы связывают ускоряющее влияние обоих в-в на р-ции окисления с образованием ими устойчивых комплексов с  $Cr(3+)$  — продуктом окислительно-восстановительного взаимодействия.

Н. Полянский

**407. Механизм некоторых реакций, протомированных ионами металлов.** Уэстхеймер (The mechanisms of some metal-ion-promoted reactions. West-



heimer Frank W.), Trans. N. Y. Acad. Sci., 1955, 18, № 1, 15—21 (англ.)

Рассмотрены возможные механизмы каталитич. действия ионов металлов на некоторые р-ции (декарбоксилирования павелевоуксусной кислоты, диметилпавелевоуксусной к-ты, взаимодействия  $\alpha$ -аминоглутаровой к-ты с пиридоксалем, гидролиза эфиров фосфорной к-ты), протекающие в живых организмах с участием энзимов. Высказывается предположение, что механизм энзиматич. процессов в случае рассматриваемых р-ций такой же, как и для р-ций, катализируемых ионами металлов. Д. Кнорре

408. Влияние комплексобразования на гомогенную каталитическую активацию водорода солями меди. Питерс, Халперн (Effect of complexing on the homogeneous catalytic activation of hydrogen by cupric salts. Peters E., Halpern J.), Canad. J. Chem., 1956, 34, № 4, 554—562 (англ.)

Исследовано каталитич. действие солей  $\text{Cu}^{2+}$  (бутират, пропионат, ацетат, сульфат, хлорид) и комплексов  $\text{Cu}^{2+}$  с глицином и этилендиамином на р-цию восстановления  $\text{Cr}_2\text{O}_7^{2-}$  молекулярным  $\text{H}_2$  в водн. р-рах при парц. давлении  $\text{H}_2$  20 атм и 80—120°. Во всех случаях для скорости р-ции в получено выражение:  $v = k [\text{Cu}(2+)] [\text{H}_2]$ , где  $[\text{Cu}(2+)]$  — общее содержание  $\text{Cu}(2+)$  в р-ре. Найдены следующий ряд каталитич. активности: бутират-пропионат > ацетат >  $\text{SO}_4^{2-}$  >  $\text{Cl}^-$  >  $\text{H}_2\text{O}$  (т. е. свободный  $\text{Cu}^{2+}$ ) > глицин, этилендиамин. Л. Обухова

409. Равновесие димеризации в семихинонах азинов. Курти, Локки, Ландини (Equilibrio di dimerizzazione nei semichinoni delle azine. Curti Renato, Locchi Stelio, Landini Umberto), Ricerca Scient., 1954, 24, № 10, 2053—2061 (итал.)

При восстановлении водн. сернокислых р-ров феназина и оксифеназина на деполаризованном Hg- или Pt-катоде при потенциалах от -90 до +75 мВ против насыщ. к. э. выпадает нерастворимый темно-зеленый осадок семихинона, представляющий собой смесь парамагнитных мономеров (I) и диамагнитных димеров (II).

Содержание в нем мономерных свободных радикалов определялось измерением магнитной восприимчивости. Константа диссоциации димера  $\gamma$  при pH 1,1 равна 0,331 (в мольных долях) и пропорциональна конц-ии  $\text{H}^+$  в исходном р-ре. Фиолетовый семихинон нафтофеназина (III) получен восстановлением водно-ацетонового сернокислого р-ра III при 120 мВ;  $\gamma = 0,755$  при pH 0,9. Д. Кнорре

410. О синтезе гидразина по Рашигу. Абель (Zur Raschig-Synthese von Hydrazin. Abel E.), Monatsh. Chem., 1956, 87, № 1, 164—175 (нем.)

На основании своих предыдущих работ по химии радикала  $\text{NH}_2$  (РЖХим, 1955, 25806; 54653) автор считает, что  $\text{NH}_2\text{Cl}$  может реагировать в трех молекулярных формах:  $\text{NH}_2^+\text{Cl}^-$ ,  $\text{NH}_2\text{Cl}^+$  и  $\text{H}-\text{NH}-\text{Cl}$ . С этой точки зрения обсуждается механизм р-ции с участием  $\text{NH}_2\text{Cl}$ : гидролиз  $\text{NH}_2\text{Cl}$ , самораспад в кислых р-рах, синтез гидразина по Рашигу  $\text{NH}_2\text{Cl} + \text{NH}_3 \rightarrow \text{N}_2\text{H}_4 + \text{HCl}$ , катализ ионами металлов р-ции  $\text{N}_2\text{H}_4$  с  $\text{NH}_4\text{Cl}$ , а также р-ции  $\text{NH}_2\text{Cl} \rightarrow \text{Cl}_2$ . А. Ревзин

411. Кинетика окисления ацетальдегида гидроперекисью ацетила. Васильев Р. Ф., Эмануэль Н. М., Изв. АН СССР. Отд. хим. н., 1956, № 4, 387—396

Рассмотрены два возможных механизма р-ции:  $\text{CH}_3\text{CHO} + \text{CH}_3\text{COOOH} \rightleftharpoons \text{Y} \rightarrow 2\text{CH}_3\text{COOH}$  (I) и  $\text{CH}_3\text{CHO} + \text{CH}_3\text{COOOH} \rightleftharpoons \text{Y}$ ;  $\text{CH}_3\text{CHO} + \text{CH}_3\text{COOOH} \rightarrow 2\text{CH}_3\text{COOH}$  (Y — перекисный продукт, образующийся в ходе р-ции). Кинетика расхождения  $\text{CH}_3\text{COOOH}$  и накопления  $\text{CH}_3\text{COOH}$ , изученная в толуольных р-рах при 18—40°, хорошо описывается ур-ниями стадийного механизма (I) в частности, к-та образуется с начальным ускорением; таким образом, Y является промежуточным, а не побочным продуктом. Для константы равновесия первой стадии (в области т-р от -20 до +30° получено выражение:  $1,6 \cdot 10^3 \exp(-5500/RT)$  моль/л. Отмечается, что (I) является грубто-механизмом; детальный механизм р-ции сложнее, на что указывает ряд особенностей р-ции (низкие значения предэкспонентов, малые энергии активации, чувствительность к примесям).

Р. Васильев

412. Спектроскопическое изучение промежуточного продукта и промежуточной стадии реакции окисления ацетальдегида гидроперекисью ацетила. Васильев Р. Ф., Теренин А. Н., Эмануэль Н. М., Изв. АН СССР. Отд. хим. н., 1956, № 4, 397—402

Промежуточный перекисный продукт (I) р-ции  $\text{CH}_3\text{COOOH}$  (II) с  $\text{CH}_3\text{CHO}$  (III) (см. пред. реф.) выкристаллизовывался из толуольного р-ра при -50° и растворялся в нитрометане. Р-р помещался в кювету с окантовкой из полиэтилена и спектр записывался на ИК-спектрометре. В спектре обнаружена средней интенсивности полоса 847  $\text{cm}^{-1}$ , обусловленная валентными колебаниями связи —O—O—. По полосе 847 и полосам 586 (II) и 947  $\text{cm}^{-1}$  (III) при т-рах от -20 до +20° качественно прослежена кинетика установления равновесия  $\text{II} + \text{III} \rightleftharpoons \text{I}$  и кинетика образования уксусной к-ты. Небольшой сдвиг полосы I 847  $\text{cm}^{-1}$  по сравнению с полосой II (856  $\text{cm}^{-1}$ ) указывает на то, что, по-видимому, и I имеет структуру гидроперекиси, напр.  $\text{CH}_3\text{CH}(\text{OONH})\text{O}(\text{O})\text{CH}_3$ . Р. Васильев

413. Влияние растворителей на скорость окисления ацетальдегида гидроперекисью ацетила с точки зрения образования межмолекулярной водородной связи. Васильев Р. Ф., Теренин А. Н., Эмануэль Н. М., Изв. АН СССР. Отд. хим. н., 1956, № 4, 403—407

Скорость первой стадии р-ции (см. пред. реф.) при т-ре 24,2° одинакова в  $\text{CCl}_4$ ,  $\text{C}_6\text{H}_5\text{CH}_3$ ,  $\text{C}_6\text{H}_6$  и  $\text{C}_2\text{H}_5\text{NO}_2$ , несколько выше в  $\text{SCl}_4$  и значительно ниже в  $\text{CH}_3\text{OH}$ ,  $\text{CH}_3\text{NO}_2$  и  $\text{CH}_3\text{COCH}_3$ . В ИК-спектрах поглощения р-ров  $\text{CH}_3\text{COOOH}$  в  $\text{CH}_3\text{NO}_2$  и  $\text{CH}_3\text{COCH}_3$ , кроме полосы внутримолекулярной водородной связи  $\text{CH}_3\text{COOOH}$  (3310  $\text{cm}^{-1}$ ), обнаружены широкие полосы с максимумом при 3385 и 3285  $\text{cm}^{-1}$ , приписанные межмолекулярным водородным связям (МВС) р-рителей с  $\text{CH}_3\text{COOOH}$ . В спектре р-ра  $\text{CH}_3\text{COOOH}$  в  $\text{C}_6\text{H}_5\text{NO}_2$  присутствует только полоса 3310  $\text{cm}^{-1}$  — МВС или отсутствует, или же очень слаба. В то же время можно предполагать, что МВС образуется в системе  $\text{CH}_3\text{COOOH} + \text{CH}_3\text{OH}$ . С остальными р-рами МВС невозможна. Авторы считают, что отмеченное замедление р-ции в ряде р-рителей вызвано блокирующим действием их молекул, соединенных МВС с молекулами  $\text{CH}_3\text{COOOH}$ .

Р. Васильев

414. Образование нитропропазиновых аминов в разбавленных водных растворах азотной кислоты. II. Окисление тетраметилбензида азотистой кислотой в среде разбавленной азотной кислоты. III. Окисление диметиланилина азотистой кислотой в среде разбавленной  $\text{HNO}_3$ . Ланг, Магдалена (Formation des dérivés nitrés des amines en solution nitrique aqueuse faible. II. Oxydation de la tétraméthylbenzidine par l'acide nitreux en milieu nitrique dilué. III. Oxydation de la diméthylaniline par l'acide nitreux en milieu nitrique dilué, Lang Francois-Mi-

chel, Magdalena Thérèse) Bull. Soc. chim. France, 1954, № 5, 621—626; № 9, 1043—1047 (франц.)

II. Окисление тетраметилбензидина (Т) азотной к-той до соответствующего двухзарядного иона хиноидного строения ( $Q^{2+}$ ) изучалось при 0° путем определения  $HNO_2$  и колориметрич. определения  $Q^{2+}$  по ходу р-ции. Р-ция не начинается, если в системе не имеется некоторого миним. кол-ва  $HNO_2$ . Накопление  $HNO_2$  при не слишком больших начальных конц-ях Т следует закону  $[HNO_2] = [HNO_2]_0 \exp \omega t$ . Предложена схема процесса, в которой медленными стадиями являются превращение промежуточного иона  $T^{2+} (NO)_2 \rightarrow Q^{2+} + 2NO$  (1) и превращение NO по схеме  $HNO_2 + NO \rightarrow H^+ \rightarrow H_2O + N_2O_4$  (медленно) (2);  $N_2O_4 + 2NO + 2H_2O \rightarrow 4HNO_2$  (быстро). Энергии активации р-ций (1) и (2) равны соответственно 11,7 и 13,5 ккал/моль. Найденные значения  $k_2$  хорошо согласуются с данными, полученными путем прямого изучения действия  $NO_2$  на разб. р-ры  $HNO_2$  (Abel E., Z. phys. Chem., 1928, 132, 55; 1930, 148, 337).

Д. Кнорре  
III. Взаимодействие диметиланилина с  $HNO_3$  в присутствии  $HNO_2$  при т-рах от -13 до +23,8° приводит к образованию  $HNO_2$  Т и при дальнейшем окислении окрашенного 2-зарядного катиона хиноидного строения ( $Q^{2+}$ ). За ходом р-ции наблюдали путем определения в пробах  $HNO_2$  и  $Q^{2+}$  (колориметрически). Образование продуктов вначале идет медленно, а затем вплоть до больших процентов превращения по закону  $X = S \exp(\omega t)$ . При конц-ях  $HNO_2$  ниже некоторой минимальной р-ция не идет. ПерIOD индукции уменьшается при добавлении  $HNO_2$  и в меньшей мере при добавлении Т;  $\omega$  при этом не меняется. Отношение  $\omega/[NO_2^-][H^+]$  не зависит от состава системы и при 0° равно  $25 \cdot 10^{-4}$ . Эффективная энергия активации процесса 13,5 ккал/моль. По мнению авторов, окисляющим агентом является  $N_2O_4$ , который при этом восстанавливается до NO, а NO с  $HNO_3$  снова дает  $HNO_2$ . Сообщение I см. РЖХим, 1955, 25818. Т. Кудрявцева

415. Применение уравнения Гаммета к системам замещенный тетразан — свободный гидразильный радикал. I. Константы равновесия. II. Константы скорости диссоциации и рекомбинации. Уилмарт, Шварц (Application of the Hammett equation to the substituted tetrazane-hydrazyl free radical system. I. Equilibrium constants. II. Dissociation and recombination rate constants. Wilmarth W. K., Schwartz Newton, J. Amer. Chem. Soc., 1955, 77, № 17, 4543—4557 (англ.))

I. Определены спектрофотометрически константы равновесия ( $K$ ) р-ции диссоциации 1,1,4,4-тетрафенил-, 2,3-дифенил-тетразана и его замещенных ( $n-CH_3$  и  $n-Br$ ) на два 1,1-дифенил-2-бензоилгидразильных радикала при т-рах от -10 до -60° в р-ре  $(CH_3)_2CO$ . Зависимость  $K$  от природы заместителя согласуется с ур-нием Гаммета ( $\rho = -1,52$ ). При  $T = 243^\circ K$  установлены следующие зависимости между разностью значений энтальпии  $\Delta H^\circ$  и энтропии  $\Delta S^\circ$  замещ. и незамещ. соединений:  $T\Delta S^\circ = 0,32\Delta H^\circ$ , и между энтропией, энтальпией и константой Гаммета  $\sigma: \Delta H^\circ = 3,2\sigma + 8,9$ ;  $\Delta S^\circ = 4,3\sigma + 21,2$ , где  $\sigma = 2(\sigma_1 + \sigma_2)$  ( $\sigma_1$  и  $\sigma_2$  константы  $\sigma$  для каждой пары заместителей).

II. Скорости диссоциации замещенных 1,1,4,4-тетрафенил-, 2,3-дифенилтетразанов (заместители:  $CH_3$ ,  $H$ ,  $Br$ ,  $NO_2$ ) на два 1,1-дифенил-2-бензоилгидразильных радикала в р-ре ацетона определены по поглощению NO в отсутствие воздуха при т-рах от 0 до -30°. Скорости рекомбинации этих радикалов вычислены с привлечением данных по константам равновесия. Энергии активации ( $\Delta H_1$ ) и энтропии активации  $\Delta S_1$  диссоциации лежат в пределах 15—21,6 ккал/моль и от -8,6 до

+1,1 энтр. ед. (увеличение при движении в вышеперечисленном ряду заместителей слева направо). Энергии активации  $\Delta H_{-1}$  и энтропии активации  $\Delta S_{-1}$  рекомбинации изменяются от 8,3 до 5,7 ккал/моль и от -26 до -31 энтр. ед. (уменьшение в ряду слева направо). Между разностями энергий и энтропий активации замещ. и незамещ. соединений для обеих р-ций установлены следующие зависимости ( $243^\circ K$ ):  $T\Delta\Delta S_1 = 0,34\Delta\Delta H_1$ ;  $T\Delta\Delta S_{-1} = 0,31\Delta\Delta H_{-1}$ . Изменение констант скорости данных р-ций в зависимости от природы заместителя согласуется с правилом Гаммета. Для р-ций диссоциации и рекомбинации  $\rho = -0,55$  и  $+0,97$  соответственно.

Р. Милютинская

416. Электронный обмен внутри комплекса энзим-металл-субстрат. Гудо (Echanges électroniques à l'intérieur du complexe enzyme-métal-substrat. Goudot André e, C. r. Acad. sci., 1956, 242, № 16, 2003—2005 (франц.))

417. Реакция между аминами и окисями алкенов. VI. Константы скорости присоединения пиридина к окиси пропилена. VII. Определение констант диссоциации некоторых смешанных третичных алифатических аминов. VIII. Константы скорости присоединения некоторых аминов к окиси пропилена. Ханссон (The reaction between amines and alkene oxides. VI. Velocity constants for the addition of pyridines to propylene oxide. VII. Determination of dissociation constants for some mixed tertiary aliphatic amines. VIII. Velocity constants for the addition of some amines to propylene oxide. Hansson Jan, Svensk kem. tidskr., 1955, 67, № 5, 246—255; 256—262; 263—268 (англ.))

VI. Кинетика р-ции присоединения к окиси пропилена в воде. р-ре при 20° пропозоводных пиридина изучалась путем титрования конечного продукта (Svensk. Kem. Tidskr., 1948, 60, 183) и измерения электропроводности р-ра в случае 4-аминопиридина. Константы скорости р-ции  $k \cdot 10^3$  (л/моль мин) равны для пиридина 6,4; 2-пиколина 1,2; 3-пиколина 9,7; 4-пиколина 8,9; 2,3-лутидина 1,1; 2,4-лутидина 1,5; 2,6-лутидина (I) 0,06; 2,4,6-коллидина (II) 1,1; 4-аминопиридина (III) 17.  $k$  для I и II уменьшаются по ходу р-ции. Вычислена «константа замещения»  $s$ , определяемая ур-нием вида  $\lg k - \lg k_0 = rs + t$  (часть V, РЖХим, 1956, 61375), где  $r$  и  $t$  — некоторые постоянные,  $k_0$  — константа скорости для некоторого в-ва. Найдена линейная зависимость  $s$  от  $pK_a$  и  $\lg k_c$  ( $K_a$  — константа диссоциации в-ва в воде при 20°,  $k_c$  — константа распада нитрамида в анизоле при 25° в присутствии соответствующего в-ва) для всех изученных в-в, кроме I, II и III. Отклонение в случае III объясняется значительным увеличением основности кольца в присутствии аминогруппы. В случае I и II имеют место стерич. затруднения; показано, что величина отклонения от линейной зависимости не может быть объяснена побочными р-циями, напр., метильных групп I или II с окисью.

VII. Методом электропроводности определены константы диссоциации  $K_B$  некоторых третичных аминов в воде при 20°. Найдены следующие величины  $K_B \cdot 10^6$ : триметиламин 5,7; диметилэтиламин 9,8; метилдиэтиламин 19,5; третиламин 45; диметил-*n*-пропиламин 9,7; диметил-*o*-пропиламин 20; диметил-*n*-бутиламин 10,5; диметил-*iso*-бутиламин 8,1; диметил-*тер*-бутиламин 25; диметил-*трет*-бутиламин 33; 4-аминопиридин 1,17. По влиянию на основность амина алкильные группы можно расположить в следующий ряд:  $CH_3 < C_2H_5 < n-C_3H_7 \approx n-C_4H_9 \approx iso-C_4H_9 < iso-C_3H_7 < тер-C_4H_9 < трет-C_3H_7$ .

VIII. Ход р-ции присоединения некоторых аминов к окиси пропилена при 10—30° определялся следующими методами: отгонкой в вакууме в присутствии серной к-ты непрореагировавших исходных в-в и титрованием

оставшихся аминов; измерением электропроводности р-ра в случае третичных аминов; непосредственным титрованием продукта присоединения пиридина с индикатором фенолфталеин-тимолфталеин. Константы скорости ( $d(\text{моль/мин})$ ) р-ции присоединения при 20° в водн. р-ре равны: метилдиэтиламин 0,0189; этиламин 0,024; *трет*-бутиламин 0,0060; диметил-*н*-пропиламин 0,0656; диметилпропиламин 0,0215; диметил-*етор*-бутиламин 0,0154; диметил-*трет*-бутиламин 0,0031; диметилэтанол-амин 0,047; три-*н*-пропиламин (в 49,8%-ном спирт. р-ре) 0,00081; диметилэтиламин (30°) 0,192; пиридин (30°) 0,0136.

А. Ревзин

418. Влияние  $\alpha$ -хлорзамещенных на реакционную способность связи C—Cl по типу  $S_N1$ . Бенсли, Констант (The effect of  $\alpha$ -chloro-substituents on the  $S_N1$  reactivity of the C—Cl linkage. B e n s l e y B., K o h n s t a m G.), J. Chem. Soc., 1956, Febr., 287—296 (англ.)

Изучена кинетика сольволиза бензилденхлорида (I) и бензотрихлорида в водн. ацетоне и этаноле, а также этаноли хлоридифенилметана и дихлоридифенилметана при разных т-рах. Все р-ции следуют первому порядку. Энергии активации  $E$ , определенные из данных для двух близких т-р  $T_1$  и  $T_2$ , подчиняются ур-нию:  $E = E_0 + c(T_1 + T_2)/2$  ( $c$  — постоянная, отрицательная во всех случаях величина). Результаты показывают, что замещение  $\alpha$ -H-атомом на Cl ускоряет ионизацию путем уменьшения  $E$ , тогда как изменения в энтропии активации значительно меньше. Это согласуется с теорией Хьюза (Hughes, Trans. Faraday Soc., 1941, 37, 603), что добавочный атом Cl действует в переходном состоянии как донор электронов. При переходе от начального к переходному состоянию теплосмкость активации уменьшается, по-видимому, благодаря увеличению сольватации, связанному с ростом электр. заряда. Ускорение ионизации связи C—Cl, вызываемое  $\alpha$ -Cl-атомом в I уменьшается в ряду р-рителей: 50%-ный ацетон > 50%-ный этанол > 80%-ный этанол. В том же порядке изменяются величины  $E$  и  $\Delta S^\ddagger$ . Авторы предполагают, что из-за стерич. препятствий  $\alpha$ -хлорирование затрудняет сольватацию ионов, образующихся при разрыве связи C—Cl, молекулами этанола в большей степени, чем молекулами воды.

А. Ревзин

419. Кинетика гидролиза пятивалентного гексахлорантимоната. Ньюман, Рейметт (Kinetics of the hydrolysis of hexachloroantimonate (V). N e u m a n n H. M., R a m e t t e R. W.), J. Amer. Chem. Soc., 1956, 78, № 9, 1848—1851 (англ.)

Количественные кинетич. закономерности р-ции гидролиза  $\text{SbCl}_6^-$  определены спектрофотометрически при 25°. Р-ция псевдомономолекулярна, при общей конц-ии хлорида 6М и 9М для константы скорости получены выражения:  $k = (3,9 + 0,8 [H^+]) \cdot 10^{-3} \text{ мин.}^{-1}$  и  $k = (5,3 + 1,6 [H^+]) \cdot 10^{-3} \text{ мин.}^{-1}$ .  $\text{SbCl}_3$  также ускоряет р-цию.

Л. Обухова

420. Механизм гидролиза хлорангидридов. Часть VI. Формулы пара-замещенных бензоилхлоридов. Гранден, Хадсон (The mechanism of hydrolysis of acid chlorides. Part VI. Formolysis of para-substituted benzoyl chlorides. G r a n d e n E. W., H u d s o n R. F.), J. Chem. Soc., 1956, March, 501—507 (англ.)

Кинетика сольволиза  $n\text{-XC}_6\text{H}_4\text{COCl}$ , где X=H (I),  $\text{CH}_3$  (II), Br (III),  $\text{NO}_2$  (IV), а также 2,4,6-( $\text{NO}_2$ ) $_3\text{C}_6\text{H}_2\text{COCl}$  (V) в смесях  $\text{HCO}_2\text{H}$ -вода, изучалась кондуктометрически. Увеличение конц-ий воды и ионов формиата почти не влияет на скорость р-ции I и II, но значительно увеличивает скорость для IV; для III бимолекулярная р-ция с водой становится заметной. Влияние воды на скорость р-ции возрастает с увеличением тенденции к образованию ковалентной связи при реакционном

атоме С. Реакционная способность в чистой  $\text{HCO}_2\text{H}$  увеличивается в ряду  $\text{IV} < \text{III} < \text{I} < \text{II}$ , т. е. с ростом конц-ии электронов около этого атома С. В 35%-ном ацетоне, обладающим одинаковой сольватирующей силой, но более нуклеофильном р-рителе, чем  $\text{HCO}_2\text{H}$ , скорость выше, а разница в скоростях увеличивается в ряду  $\text{II} < \text{I} < \text{III} < \text{IV}$  и обусловлена главным образом разницей в энергиях активации (на 2,5 ккал/моль для IV). Для IV и V скорость уменьшается с ростом диэлектрич. постоянной и сольватирующей силы р-рителя. Авторы считают, что р-ция идет одновременно по механизму  $S_N1$  (на 70% для II, 40% для I, 10% для III, 0 для IV и V) и  $S_N2$ ; стадией, лимитирующей скорость р-ции по типу  $S_N1$ , является электростатич. притяжение между молекулами р-рителя и хлорангидрида, дающее промежуточное  $\pi$ -во с увеличенной реакционной способностью по отношению к нуклеофильным реагентам. Уменьшение скорости по типу  $S_N2$  в р-рителях с высокой ионизирующей силой авторы объясняют увеличением энергии взаимодействия между молекулами р-рителя и нуклеофильным реагентом. Часть V см. РЖХим, 1956, 67899

А. Ревзин

421. Гидролиз производных  $\alpha$ -хлорацетиламиннокислот. Хансон (Hydrolyse des dérivés  $\alpha$  chloracyles d'acides aminés. H a n s o n G. A.), Bull. Soc., chim. belges, 1956, 65, № 3—4, 297—307 (франц.)

Изучено влияние строения производных  $\alpha$ -хлорацетиламиннокислот на скорость их гидролиза в смеси 10 н. HCl и лед. уксусной к-ты при 37°. Р-ция гидролиза псевдомономолекулярна. Скорость гидролиза уменьшается как при увеличении длины хлорацетиловой цепи от хлорацетила до  $\alpha$ -хлоризовалерила, так и при увеличении длины аминокислотной цепи от глицина до изолейцина. При достаточно длинных цепях гидролиз не происходит, напр. для  $\alpha$ -хлоризовалерилвалина скорость гидролиза равна нулю.

С. Поляк

422. Гидролиз некоторых N-замещенных эфиров уксусной кислоты и подида холина. Улеред (The hydrolysis of some N-substituted esters of acetic acid and choline iodide. O l e r e d R o b e r t), Svensk kem. tidskr., 1956, 68, № 2, 90—95 (англ.)

Кинетика гидролиза эфиров общей ф-лы  $[\text{RN}(\text{CH}_3)_2\text{-CH}_2\text{CH}_2\text{OCOCCH}_3]$ , где R =  $\text{C}_2\text{H}_5$ ,  $n\text{-C}_3\text{H}_7$  и  $iso\text{-C}_3\text{H}_7$  (R =  $\text{CH}_3$  см. РЖХим, 1955, 485(6)), изучалась при 20° в р-рах разной ионной силы. Скорость гидролиза подчиняется ур-нию Бренстеда—Гьюкеля:  $\lg k = \lg k'_0 - \frac{V}{\mu} + 0,6\mu$ , где  $k$  — константа скорости р-ции,  $k = k'_0$  при  $\mu = 0$ . При увеличении заместителя от  $\text{CH}_3$  до  $iso\text{-C}_3\text{H}_7$  уменьшается  $k'_0$  от 105 до 84. При кислотном гидролизе  $k$  прямо пропорционально конц-ии к-ты. Величина  $k(H^+)$  одинакова для всех R и составляет  $1,03 \cdot 10^{-3} \text{ л/моль мин.}$

А. Ревзин

423. Изучение электропроводности системы диэтиламин — бензойная кислота в органических растворителях. Атанесян Е., Саркисян А., Алексанян Р., Науч. тр. Ереванск. ун-т, 1956, 53, 111—126 (рез. арм.)

Для выяснения влияния различных р-рителей на ход р-ции перекиси бензоила с диэтиламином (Чалтыкян О. А. и др., Докл. АН Арм. ССР, 1952, 15, № 1, и № 2) исследована р-ция нейтр-ции диэтиламина бензойной к-той кондуктометрически при 20° в р-ре ацетона и в смесях ацетона с эфиром и бензолом (1 : 1). Нейтр-ция сопровождается частичным связыванием диэтиламина р-рителем (ацетоном), вследствие чего кривые титрования необратимы.

Л. Обухова



424. Обмен дейтерия между трихлорэтиленом и водой. Инфракрасные спектры трихлорэтилена-*d*. Хаусер, Бернштейн, Миекка, Ангус (Deuterium exchange between trichloroethylene and water. Infrared spectral data for trichloroethylene-*d*. Houser Thomas J., Bernstein Richard B., Miekka Richard G., Angus John C.), J. Amer. Chem. Soc., 1955, 77, № 23, 6201—6203 (англ.)

Изотопный обмен H—D между трихлорэтиленом (I) и воды. 6 н. NaOD при 81—84° имеет период полуобмена 50 час. Для  $C_2Cl_3D$  (II) с NaOH найдено, что период полуобмена равен 60 час. После 4 обменов с новыми порциями NaOD получено 91% D в I. Неполный обмен связан с разложением  $C_2Cl_3H + OH^- = C_2Cl_2 + Cl^- + H_2O$ ; во время опыта конц-ия NaOH уменьшалась до 3 н. Содержание D в II определялось по ИК-полосе 3085  $cm^{-1}$  с точностью 1%. Приведены частоты ИК- и комбинационного спектров I и II.

425. Реакции изотопного обмена в жидкой двуокиси серы. IV. Кинетика каталитического обмена  $S^{35}$  между хлористым тионилем и двуокисью серы. Мастерс, Норрис (Isotopic exchange reactions in liquid sulfur dioxide. IV. Kinetics of the catalyzed  $S^{35}$ -exchange between thionyl chloride and sulfur dioxide. Masters B. J., Norris T. H.), J. Amer. Chem. Soc., 1955, 77, № 5, 1346—1352 (англ.)

Изотопный обмен серы между жидкими  $SO_2$  и  $SOCl_2$  не идет без добавок, но имеет измеримую скорость в присутствии растворенных  $(NCH_3)_4Cl$  (I) или  $RbCl$ . Скорость обмена пропорциональна конц.  $SO_2$ ,  $SOCl_2$  и катализирующего хлорида. При 0° константа скорости имеет величину 0,06 и 0,03  $l^2/mol^2 \cdot час$  соответственно в присутствии I и  $RbCl$ . Энергия активации равна ~29 ккал/моль. Обмен идет в 2—3000 раз медленнее в присутствии  $AlCl_3$  и не идет в присутствии воды. HCl. Опыты велены с меченым  $S^{35}O_2$  или  $S^{35}OCl_2$ . Последний был получен обменом с  $S^{35}O_2$  в присутствии I. После обмена оба компонента отгонялись от катализатора и разделялись фракционной перегонкой. Обмен объяснен механизмом основного катализа, идущего 2 стадиями: быстрой  $S^*O_2 + Cl^- = S^*O_2Cl^-$  и медленной  $S^*O_2Cl^- + SOCl_2 = S^*OCl_2 + SO_2Cl^-$ . Результаты сравнены с ранее изученным обменом  $SOBr_2$  с жидким  $SO_2$ , катализируемым бромистыми солями. Часть III, см. РЖХим, 1956, 74416.

426. Изотопный обмен между треххлористым мышьяком и хлором. Оуэн, Джонсон (The isotopic exchange of arsenic trichloride and chlorine. Owen Harding J., Johnson Rowland E.), J. Inorg. and Nuclear Chem., 1956, 2, № 4, 260—262 (англ.)

Измерена скорость гомог. изотопного обмена между  $Cl_2$  и  $AsCl_3^{36}$  в *p*-ре  $CCl_4$  при 24,5°. Величины  $t_{1/2}$  порядка нескольких часов, добавка незначительных кол-в HCl сокращает  $t_{1/2}$  до нескольких минут.

427. Об отсутствии изотопного эффекта в реакции обмена между ионом карбоната и комплексным карбонатотетраамминкобальт-ионом. Сайто, Лазар (Sur l'absence d'effet isotopique dans la réaction d'échange entre l'ion carbonate et l'ion complexe cobalt-carbonato-tétrammine. Saito E., Lazard B.), J. Inorg. and Nuclear Chem., 1955, 1, № 3, 218—227 (франц.)

Р-ция между ионами  $CO_3^{2-}$  и комплексным ионом  $[Co(NH_3)_4CO_3]^+$  исследована с помощью  $C^{13}$  и  $C^{14}$  и с применением разных препаратов комплексного иона. Показано, что в этой р-ции нет изотопного эффекта. Обнаруженный ранее (Stranks D. R., Harris G. M., J. Chem. Phys., 1951, 19, 257) изотопный эффект является, по мнению авторов, кажущимся и может зависеть от

наличия в комплексном ионе примесей, не обменивающихся на ион  $CO_3^{2-}$ .

В. Розенгарт

428. Исследование изотопного эффекта при конденсации *o*-бензоилбензойной кислоты-карбоксила- $C^{14}$  в антрахинон-9- $C^{14}$ . Ропп (Examination of the isotope effect in the condensation of *o*-benzoylbenzoic acid-carboxyl- $C^{14}$  to anthraquinone-9- $C^{14}$ . Ropp G. S. A.), J. Chem. Phys., 1955, 23, № 11, 2196 (англ.)

Найденный ранее (РЖХим, 1955, 42614) отрицательный кинетич. изотопный эффект при конденсации *o*-бензоилбензойной к-ты с  $C^{14}$  в карбоксиле (I) в антрахинон с  $C^{14}$  в положении 9 объясняется методич. ошибкой: примесью *o*-бензилбензойной к-ты с  $C^{14}$  в карбоксиле, окислением которой был получен I. Тщательное исследование дало нормальный эффект  $k_{12}/k_{14} = 1,03 - 1,04$  при 80°.

А. Бродский

429. Физико-химические исследования аминокислот и их производных. Сообщение I. Термодинамические константы диссоциации пара- и орто-аминобензойных и парааминосалициловой кислот. Сообщение II. Кинетика декарбоксилирования парааминосалициловой кислоты. Ликюори, Рипамонти (Ricerche chimico-fisiche sugli acidi aminobenzoici e derivati. Nota I. Costanti termodinamiche di dissociazione degli acidi p-ammino-benzonico, o-ammino-benzonico e p-ammino-salicilico. Nota II. Cinetica di decarbossilazione dell'acido p-ammino salicilico. Liguori A. M., Ripamonti A.), Gazz. chim. ital., 1955, 85, № 5-6, 578—588, 589—606 (итал.)

I. Спектрофотометрически определены константы диссоциации аминной и карбоксильной групп орто- и парааминобензойных и парааминосалициловой кислот. Путем сравнения полученных констант определены для названных в-в относительные влияния сопряжения карбоксильной и аминной групп с бензольным кольцом на степень ионизации и обсуждена роль в ней внутримолекулярной водородной связи.

II. Кинетика декарбоксилирования парааминосалициловой к-ты исследовалась путем измерений скоростей этой р-ции в различных р-рителях (циклогексанол, метакрезол, резорцин) при разных pH (0,5—4) и различных *t*-рах (25—97°). В буферной среде р-ция подчиняется у-рию 1-го порядка, в то время как в среде органич. р-рителей наблюдаются отклонения от 1-го порядка. Это приписывается изменению pH среды в процессе декарбоксилирования. Кривые констант скоростей, измеренных при разных pH, имеют максимум при значениях pH, находящихся между  $pK_1$  и  $pK_2$  ( $pK_1$  — показатель диссоциации аминной группы,  $pK_2$  — карбоксильной группы). Таким образом, нейтр. молекула по сравнению с ионами отличается наибольшей скоростью декарбоксилирования.

430. Кислотный катализ изомеризации 5 $\alpha$ , 6 $\beta$ -дибромхолестана. Куорт, Уэйсфелд (Acid catalysis in the isomerization of 5 $\alpha$ , 6 $\beta$ -dibromcholestan. Kwart Harold, Weisfeld Lewis B.), J. Amer. Chem. Soc., 1956, 78, № 3, 635—639 (англ.)

Кинетика изомеризации 5 $\alpha$ , 6 $\beta$ -дибромхолестана 5 $\beta$ , 6 $\alpha$ -конфигурацию изучалась в *p*-ре  $C_6H_6$  при 44° с помощью поляриметра. Обнаружен общий кислотный катализ в присутствии к-т уксусной, бензойной, салициловой, хлор-дихлор- и трихлоруксусной, а также фенолов: *m*-крезола, фенола, *n*-хлорфенола и *o*-хлорфенола. Общий основной катализ отсутствует (опыты с добавками ацетона пиридиния). Данные по катализу карбоновыми к-тами хорошо согласуются с законом Бренстеда. Порядок каталитич. р-ции с карбоновыми к-тами приближается к 1, с фенольными к-тами — к 2. Авторы предполагают, что к-та может участвовать в стадии, лимитирующей скорость р-ции, что в акте кислотного катализа участвуют две молекулы к-ты.

Это подтверждается первым порядком р-ции по карбоновым к-там, которые димеризованы в р-ре  $C_6H_6$ , а также тем фактом, что смесь фенола и о-хлорфенола обладает в ~6 раз большим каталитич. эффектом, чем каждый реагент в отдельности. А. Ревзин

431. Катализ электролитами. I. Мутаротация глюкозы в пиридине. Истэм, Блэккалл, Латремуи. II. Мутаротация тетраметилглюкозы в нитрометане. Блэккалл, Истэм (Electrolyte catalysis. I. The mutarotation of glucose in pyridine. Eastham A. M., Blackall E. L., Latremouille G. A. II. The mutarotation of tetramethylglucose in nitromethane. Blackall E. L., Eastham A. M.), J. Amer. Chem. Soc., 1955, 77, № 8, 2182—2184; 2184—2187 (англ.)

I. Поляриметрически исследована скорость мутаротации (M) 2,3,4,6-тетраметил- $\alpha$ -D-глюкозы (I) и 2,3,4,6-тетраацетил- $\beta$ -D-глюкозы (II) в безводн. пиридине в присутствии различных электролитов (Э) при 25°. В отсутствие Э мономолекулярная M протекает с уд. скоростью  $k_1$  (мин.<sup>-1</sup>), равной в случае I ~ 0,0001, II 0,0019; константа скорости  $k_2$  (л моль<sup>-1</sup> мин.<sup>-1</sup>) бимолекулярной M (катализ молекулами глюкозы) составляет: I 0,003, II 0,0108. При добавлении Э в пределах 0,02—0,08 M значения  $k_1$  линейно возрастают при сохранении постоянства  $k_2$ . По эффективности действия катионы располагаются в следующий ряд:  $Li^+ > Na^+ > C_2H_5NH^+ > Ag^+$ ; анионы:  $ClO_4^- = J^- > Br^- > \text{пикрат-ион} > NO_3^- > Cl^-$ . M I более чувствительна к действию к-т, чем M II, что объясняется низким значением  $k_1$  для I.

II. Исследовано влияние карбоксильных к-т и некоторых оснований на мутаротацию (M) 2,3,4,6-тетраметил- $\alpha$ -D-глюкозы в р-ре нитрометана при 25°. Константы скорости k линейно возрастают с ростом конц-ии к-ты. Для салициловой, п-нитробензойной, ацетилсалициловой, бензойной, коричной, уксусной и лауриновой к-т справедливо ур-ние Бренстеда при  $\alpha = 0,5$ ; 2,4-динитрофенол и пентахлорфенол проявляют более низкую каталитич. активность (КА), чем ожидаемая по ур-нию. При катализе HCl скорость р-ции слишком велика для замеров ( $k \approx 100$  л моль<sup>-1</sup> мин.<sup>-1</sup>). В присутствии различных органич. солей тетраметиламмония (III) значения k возрастают пропорционально конц-ии соли, влияние соли тем больше, чем больше основность аниона, и достигает максимума в случае окиси III. Пиридин (IV) обладает низкой КА. Смесь IV и NaClO<sub>4</sub> обладает большей КА, чем каждый из компонентов в отдельности. Соли IV являются слабыми катализаторами. Предполагается, что в случае к-т катализирует недиссоциированная молекула к-ты. Переходное состояние представляется в виде циклич. комплекса, в котором осуществляется перенос протона без участия ионов. В случае нейтр. электролитов предполагается аналогичная схема активного комплекса с участием молекулы электролита и основания р-ителя. В случае солей III функции основания и электролита выполняются молекулой соли. И. Моисеев

432. Кинетика и механизм растворения алюмомагnezной шпинели, форстерита и хромита в растворе едкого натра. Кумолев Г. В., Симонович З. И., Ж. прикл. хим., 1955, 28, № 4, 353—362

Измельченные форстерит, алюмомагnezная шпинель, обожженный хромит и форстерито-шпинельная связка киялись с 35%-ным х.ч. NaOH в колбе из красной меди на песчаной бане с т-рой поверхности 200°. Кривая растворения в первом приближении представляет собой семейство парабол, подчиняющееся общему ур-нию  $x^2 = kt + b$  (x — кол-во растворенного в-ва, z — время, k, b — параметры). Для установления состава продуктов гидратации, происходящей при воздействии NaOH, изучался процесс дегидратации

форстерита и шпинели. Шпинель подвергалась также хим. анализу до и после кипячения в щел. р-ре. На основании сходства полученных эксперим. кривых и кривых Гребенщикова делается предположение об общности характера процессов, протекающих при воздействии воды на стекло и щел. р-ра на форстерит и шпинель. Физ.-хим. процесс, протекающий при воздействии водн. р-ра NaOH на основные структурные составляющие щелочестойчивой фильтрующей керамики, состоит в образовании защитной пленки из окиси и гидроокиси Mg на зернах форстерита и шпинели. Приблизительно рассчитана толщина защитной пленки. Распространение теории Гребенщикова на поведение в щел. р-рах ряда минералов, горных пород и керамич. материалов, содержащих MgO, дает возможность предвидеть щелочестойчивость других соединений по растворимости гидроокисей металлов, входящих в состав этих соединений. В. Пикаева

433. Распределение молекул CO по энергиям в пламенах смесей CO-O<sub>2</sub>. Силверман (Energy distribution of CO molecules in CO-O<sub>2</sub> flames. Silverman Shirleigh), Nat. Bur. Standards Circ., 1954, № 523, 51—56 (англ.)

По вероятностям переходов и интенсивностям полос испускания CO в области 4300 см<sup>-1</sup> определены вращательная (BT) и колебательная (КТ) т-ры. КТ приблизительно совпадает с т-рой, вычисленной термодинамически (ТТ). В более холодной части пламени (вблизи сопла) существует равновесие и равномерное распределение энергии между колебательными и вращательными состояниями. В более горячей части BT на сотни градусов выше ТТ; здесь отсутствует равномерное распределение или же не выполняется распределение Больцмана для вращательных состояний (перенаселение уровней с большими J), т. е. понятие о BT не имеет смысла. Возможное объяснение этого результата заключается в том, что часть молекул CO образуется путем диссоциации CO<sub>2</sub> и обладает избыточной энергией; число столкновений этих возбужденных молекул может быть достаточным, чтобы обеспечить избыток вращательной энергии. Р. Васильев

434. Подавление воспламенения метано-воздушных смесей тонкоизмельченными пылями. Долан, Демпстер (The suppression of methane-air ignitions by fine powders. Dolan J. E., Dempster P. B.), J. Appl. Chem., 1955, 5, № 9, 510—517 (англ.)

Исследовалось влияние тонкоизмельченных пылей на воспламенение от искры метано-воздушных смесей. По весовой конц-ии пыли и среднему размеру частиц определялась уд. поверхность (УП) в см<sup>2</sup>/см<sup>3</sup> газа, при которой не возникает пламя — точка подавления; и при которой становится возможным распространение пламени — точка гашения. Выбрав величину УП в качестве критерия эффективности пыли, определены УП для 19 солей, из которых наиболее эффективными оказались галоидные соли щел. металлов, в следующем порядке убывающей эффективности:  $KF > KJ > KCl > NaCl$ . Тушащее действие пылей объясняется охлаждением пламени до крит. т-ры распространения пламени <1400°. А. Соколик

435. Распространение пламени с малой скоростью при течи газа. Эрнст (Propagation a faible vitesse d'une flamme dans un écoulement compressible. Ernst G.) Techn. et sci., aéronaut., 1955, № 1, 1—12 (франц.)

Теоретический расчет применительно к реактивной камере. А. Соколик

436. Проблемы сгорания в прямоточных камерах. Лонгуэлл (Combustion problems in ramjets. Longwell J. P.), 5th Sympos. (Internat.), Com-

- bust. 1954, New York, Reihold Publ. Corp., 1955, 48—56 (англ.)  
Обзор. Библ. 22 назв. Э. Б.
437. Реакции в свободных турбулентных струях — турбулентно-диффузионные пламена. Барон (Reactions in turbulent free jets the turbulent diffusion flame. Baron Thomas), Chem. Engng Progr., 1954, 50, № 2, 73—76 (англ.)  
Теоретический расчет. А. Соколик
438. О мгновенном измерении температур светящихся пламен. Монно (Contribution à la mesure instantanée des températures des flammes éclairantes. Monnot George), Ann. Univ. Paris, 1953, 23, № 1, 150—151 (франц.)
439. Некоторые соображения о реакционной способности твердых тел. Хедвалль (Some aspects of the importance of knowledge about the reactivity of solids. Hedvall J. Arvid), Suomen kem., 1956, 29, № 2, A52—A55 (англ.)  
Обсуждается влияние электрич., магнитных и фотохим. свойств твердых тел, а также нарушений кристаллич. решетки и присутствия примесей на их реакционную способность; описаны новые физ.-хим. методы исследования в этой области. О. Крылов
440. Скорость реакции в твердой фазе в смесях двуокиси титана с карбонатом натрия или бария. Крепач, Готтарди (Velocità di reazione in fase solida nei sistemi fra biossido di titanio e carbonato sodico o baritico. Crepaz Enrico, Gottardi Vittorio), Atti Ist. veneto sci., lettere ed arti. Cl. sci. mat. e natur., 1954—1955 (1955), 113, 69—84 (итал.)  
При 807—908° изучены р-ции, происходящие в хорошо перемешанных смесях порошков  $\text{TiO}_2$  (рутила) с  $\text{Na}_2\text{CO}_3$  (в соотношениях 1:1; 2:1; 4:1) или с  $\text{BaCO}_3$  (в соотношениях 2:1; 4:1; 10:1; 20:1), спрессованных в таблетки весом ~2 г. Скорость разложения карбонатов и образования титанатов Na и Ba определялась по выделению  $\text{CO}_2$ . Вычисленные с помощью ф-лы Яндера константы скоростей р-ций экспоненциально зависят от т-ры. Энергии активации в смеси  $\text{TiO}_2$  с  $\text{Na}_2\text{CO}_3$   $44300 \pm 100$  кал/моль, в смеси  $\text{TiO}_2$  с  $\text{BaCO}_3$   $62500 \pm 100$  кал/моль. А. Шехтер
441. Получение активных твердых тел термическим разложением. Часть VII. Прокаливание а) свободной от ионов и б) загрязненной сульфатом, осажденной гидроокиси алюминия. Грегг, Уилли (The preparation of active solids by thermal decomposition, Part VII. The calcination of (a) ion-free and (b) sulphate-contaminated, precipitated alumina hydrates. Gregg S. J., Wheatley K. H.), J. Chem. Soc., 1955, Nov., 3804—3808 (англ.)  
Изучены плотность, уд. поверхность  $S$  (по адсорбции  $\text{N}_2$  при -183°) и рентгенографич. структура продуктов прокаливания двух образцов гидратированной  $\text{Al}_2\text{O}_3$ : (I), полученной гидролизом  $\text{Al}(\text{OC}_2\text{H}_5)_3$ , и (II), полученной осаждением аммиаком р-ра сульфата Al и содержащей 0,32%  $\text{SO}_4^{2-}$ . Исходный образец I содержит около 50% байерита и 50% бемита. С ростом т-ры прокаливания (ТП) до 300° происходит значительная потеря адсорбированной и части гидратной воды из I и увеличение  $S$  от 181 до 269 м<sup>2</sup>/г. С ростом ТП от 300 до 1100° происходит непрерывное падение  $S$  и дальнейшая дегидратация I с образованием  $\gamma\text{-Al}_2\text{O}_3$ , а при 1100°  $\alpha\text{-Al}_2\text{O}_3$ . Образец II состоит в основном из байерита. С ростом ТП до 300° происходит увеличение  $S$  от 36 до 386 м<sup>2</sup>/г. Основное кол-во  $\text{H}_2\text{O}$  теряется из II при 300—400° с образованием  $\gamma\text{-Al}_2\text{O}_3$ . С дальнейшим ростом ТП происходит падение  $S$ , более быстро, чем у образца I. При 800° начинается уменьшение %  $\text{SO}_4^{2-}$  в образце II. Предположено, что ионы  $\text{SO}_4^{2-}$  оказывают косвенное влияние на структуру активной  $\text{Al}_2\text{O}_3$ , действуя как коагулянты исходной гидроокиси. Часть VI см. РЖХим, 1956, 77631. О. Крылов
442. О дискуссии «Реакции в твердых фазах», Изв. АН КазССР, сер. горн. дела, металлургии и обогащения, стройматериалов, 1956, № 8, 129—142 (рез. казах.)  
Изложение выступлений на дискуссии, проведенной в Ин-те огнеупоров и стройматериалов АН КазССР. А. Шехтер
443. Стабилизация карбидов металлов металлоидами. Подгурский (Stabilization of metal carbides by nonmetallic elements. Podgurski Harry H.), Ann. N. Y. Acad. Sci., 1954, 58, Art 6, 959—970 (англ.)  
См. РЖФиз, 1955, 13932.
444. Изучение окисления сульфида железа. Вада, Сирансен, Ниwa (Studies on the oxidation of ferrous sulfide. Wada Tsuguyasu, Shiraishi Yutaka, Niwa Richizo.), Bull. Chem. Soc. Japan, 1956, 29, № 1, 100—104 (англ.)  
Весовым методом при помощи пружинных весов изучена кинетика окисления FeS воздухом при 504—700°. После имеющего место в первые минуты небольшого увеличения веса (~1,0—1,8%) наблюдается падение веса, связанное с выделением  $\text{SO}_2$ . Выше 600° р-ция протекает полностью до образования  $\text{Fe}_2\text{O}_3$  и  $\text{SO}_2$  и скорость ее не зависит от т-ры. Ниже 600° скорость р-ции пропорциональна весу FeS. По мнению авторов, выше 600° скорость процесса определяется диффузией в газовой фазе, а ниже 600° — диффузией через образец FeS. В начальной стадии рентгенографически обнаружено сжатие решетки FeS и образование  $\text{Fe}_3\text{O}_4$  предположительно по р-ции  $\text{FeS} + 2/3 \text{O}_2 = \text{Fe}_{1-x}\text{S} + x/3 \text{Fe}_3\text{O}_4$  с одновременным образованием свободных катионных узлов в решетке FeS. О. Крылов
445. К вопросу о структуре тонких окисных пленок на монокристаллических пленках железа. Хазе (Zur Struktur dünner Oxydschichten auf einkristallinen Eisenschichten. Haase Oswald), Z. Naturforsch., 1956, 11a, № 1, 46—54 (нем.)  
Электроннографическим методом изучены структуры монокристаллич. Fe-пленок, нанесенных испарением в вакууме на нагретые до 350° пластинки LiF, и исследовано окисление этих пленок при давл.  $10^{-5}$ —1 мм рт. ст. и т-рах от комнатной и выше. При окислении образуется монокристаллич. пленка шпинели  $\text{Fe}_3\text{O}_4$ , ориентированная под углом 45° к поверхности Fe, так что плоскости (001)  $\text{Fe}_3\text{O}_4$  и LiF параллельны плоскости (001) Fe, а направления [100] в шпинели и LiF параллельны направлению [110] в Fe. В интерференционной картине обнаружены запрещенные отражения и тройные точки, появление которых автор объясняет многократным рассеиванием или образованием двойников  $\text{Fe}_3\text{O}_4$ . При нагревании до 350° при  $10^{-5}$  мм рт. ст. пленка  $\text{Fe}_3\text{O}_4$  толщиной ~100 Å, переходит в FeO без изменения ориентации. В компактном материале такие превращения происходят при 570°. В очень тонких слоях окиси (~10 Å), полученных при 200°, наблюдаются отклонения от структуры шпинели. О. Крылов
446. Скорости окисления отдельных плоскостей монокристалла меди, определенные с помощью эллиптически поляризованного света. Янг, Качкарт, Гуотти (The rates of oxidation of several faces of a single crystal of copper as determined with elliptically polarized light. Young Fred W., Jr., Cathcart John V., Gwathmey Allan T.), Acta Metallurgica, 1956, 4, № 2, 145—152 (англ.; рез. франц., нем.)
447. О каталитических и электрических свойствах полупроводников. I. Основные сведения; применение уравнения Еловича. Декрю, Зусс (Etudes sur



les propriétés catalytiques et électriques des semi-conducteurs. I. Données générales, application de l'équation d'Elovich. Desrué Jean, Susz Bernard, Helv. chim. acta, 1956, 39, № 2, 619—636 (франц.)

Изучена адсорбция  $H_2$  на промышленных катализаторах  $2 ZnO \cdot Cr_2O_3$  при давл. 190—760 мм рт. ст. и  $t$ -рах  $0^\circ$ — $132^\circ$  и на  $WS_2$  при давл. 190—760 мм рт. ст. и  $t$ -рах  $0^\circ$ — $184^\circ$ . При повышении  $t$ -ры при постоянном давлении наблюдается увеличение скорости десорбции с последующим ее снижением, а при понижении  $t$ -ры — аналогичное увеличение скорости адсорбции. Эти изменения объяснены неоднородностью поверхности, как в аналогичных опытах Тейлора и Лианга (Taylor H. S., Liang S. C., J. Amer. Chem. Soc., 1947, 69, 1306). Кинетика адсорбции при постоянном давлении описывается ур-нием, названным авторами «ур-нием Еловича»:  $dq/dt = a \exp(-aq)$ , где  $q$  — адсорбированное кол-во,  $t$  — время,  $a$  и  $\alpha$  — константы (Зельдович Я. Е., Acta physicochim. URSS, 1934, 1, 449; Рогинский С. З., Зельдович Я. Е., Acta physicochim. URSS, 1935, 1, 554, 595). Константы ур-ния, вычисленные как алгебраически, так и графич. методом Тейлора и Тона, изменяются с изменением  $t$ -ры и давления в большинстве случаев так же, как в работе Тейлора и Тона (Taylor H. A., Thon N., J. Amer. Chem. Soc., 1952, 74, 4169). Наблюдаемая энергия активации адсорбции  $H_2$  на  $2ZnO \cdot Cr_2O_3$   $\sim 10$ — $15$  ккал/моль, на  $WS_2$   $\sim 8$ — $12$  ккал/моль. О. Крылов

448. Применение изотопов в катализе. Крылов О. В., Вестн. АН СССР, 1956, № 6, 128—130

Изложение докладов, прочитанных на первом Всес. совещании по применению изотопов в катализе, проведенном в Ин-те физ. химии АН СССР в Москве 31 марта — 5 апреля 1956 г. А. Шехтер

449. О каталитическом разложении перекиси водорода на металлической платине. Гершпер, Гершпер (Über die katalytische Zersetzung von Wasserstoff-superoxyd an metallischen Platin. Gerischer Renate, Gerischer Heinz), Z. phys. Chem. (DFR), 1956, 6, № 3/4, 178—200 (нем.)

На основании результатов электрохим. измерений и кинетич. исследований сделан вывод, что при каталитич. разложении  $H_2O_2$  действие Pt обусловлено переходом электронов между металлом и  $H_2O_2$ . Авторы предполагают, что наряду с р-циями  $HO_2^- \rightarrow HO_2 + e^-$ ,  $H_2O_2 + e^- \rightarrow OH + OH^-$  и  $OH + e^- \rightarrow OH^-$ , где  $e^-$  — электрон металла. (Weiss J., Trans. Faraday Soc., 1935, 31, 1547), параллельно протекают р-ции  $H_2O_2 \rightarrow HO_2 + H^+ + e^-$ ;  $H_2O_2 + H^+ + e^- \rightarrow OH + H_2O$  и  $OH + H^+ + e^- \rightarrow H_2O$ . Образующиеся при этом радикалы  $OH$  и  $HO_2$  остаются связанными с поверхностью металла и при  $pH < 5,5$  в основном превращаются в  $OH^-$  и  $O_2$  в результате вторичных электрохим. р-ций. При  $pH > 6$  основным источником выделения  $O_2$  становится цепная р-ция разложения  $H_2O_2$  с участием  $OH^-$  и  $HO_2$ -радикалов. Высказано предположение о наличии на Pt в условиях изученной р-ции поверхностного окисла. М. Сахаров

450. О действии малых добавок окислов азота при окислении метана в присутствии платинового катализатора. Высоцкий З. З., Поляков М. В., Укр. хим. ж., 1956, 22, № 2, 180—185

С помощью дифференциальной термпары изучено окисление  $CH_4$  воздухом в присутствии окислов азота при  $555^\circ$  в цилиндрич. реакционном сосуде, покрытом Pt, при 15%  $CH_4$  в смеси. Предварительная промывка реактора смесью окислов азота с воздухом повышает максим. разогрев ( $\Delta T$  макс.) и уменьшает время его достижения. При давлениях смеси 0—400 мм рт. ст.

$\Delta T$  (макс.) пропорционален проценту окислов азота в смеси (0,13—0,68%). С ростом давления выше 400 мм рт. ст. при 0,68% окислов азота в смеси  $\Delta T$  (макс.) начинает падать. При этих давлениях в присутствии окислов азота  $\Delta T$  (макс.) уменьшается. Авторы считают, что окислы азота, добавляемые в небольших кол-вах, ускоряют гомог. стадию окисления  $CH_4$ , участвуя в первичной гетерог. стадии зарождения объемных цепей на поверхности Pt. О. Крылов

451. Об иницировании реакции окисления метана твердой поверхностью. Корниченко Т. П., Поляков М. В., Укр. хим. ж., 1956, 22, № 2, 186—189

Методом раздельного калориметрирования (Богоявленская Л. М., Ковальский А. А., Ж. физ. химии, 1946, 20, 1325) с трехспайной термпарой изучено окисление  $CH_4$  воздухом в цилиндрич. реакторе, стенки которого покрыты  $Mg_3(PO_4)_2$ , при 500—600°, давления смеси 400—500 мм рт. ст. и содержании  $CH_4$  в смеси 15%. Добавка 0,2% окислов азота вызывает возрастание разогрева в центре сосуда, а, следовательно, и интенсивности гомог. р-ции окисления  $CH_4$ . Каталитич. действие добавки 1% газообразного  $HCl$  менее сильное. При длительной работе в сосудах, стенки которых покрыты  $Mg_3(PO_4)_2$ , в присутствии газообразного  $HCl$  достигается стационарное состояние, характеризирующееся очень малым разогревом; выход  $CH_4O$  падает от 0,5 до 0,1%, разогрева поверхности сосуда не наблюдается. Авторы объясняют падение скорости р-ции в этом случае образованием  $MgCl_2$ , снижающим интенсивность иницирования цепей поверхностью. Приведены также данные по разогреву поверхности при окислении  $CH_4$  в сосудах с покрытием из  $Ag$ . О. Крылов

452. Кинетика каталитического окисления этилена на серебре. Андрианова Т. П., Тодес О. М., Ж. физ. химии, 1956, 30, № 3, 522—531 (рез. англ.)

Изучена кинетика окисления  $C_2H_4$  (I) и  $C_2H_4O$  (II) воздухом и азотно-кислородными смесями на двух  $Ag$ -катализаторах при  $t$ -рах 250—300°. Установлено, что окисление II до  $CO_2$  и  $H_2O$  протекает медленно по кинетич. ур-нию  $-dC_{C_2H_4O}/dt = 4 \cdot 10^5 \exp(-21\,000/RT) \cdot C_{C_2H_4O} \cdot C_{O_2}$ , а окисление I в II идет сравнительно быстро, сопровождается диффузионными осложнениями и описывается кинетич. ур-нием  $-dC_{C_2H_4}/dt = 100 \times \exp(-43\,000/RT) \cdot \sqrt{u} \cdot C_{O_2}$ , где  $u$  — скорость потока. На основании соотношения скоростей окисления I и II и происхождения кон-ции II при окислении I до  $CO_2$  через максимум авторами сделан вывод о протекании окисления I в две последовательные стадии с образованием II на 1-й стадии и  $CO_2$  и  $H_2O$  из II на 2-й стадии р-ции. Проведен математич. анализ кинетики совместного протекания последовательных р-ций окисления I в II и II в  $CO_2$ . Закономерности для времени достижения и величины максим. кон-ции II в зависимости от состава исходного газа,  $t$ -ры и скорости потока, выведенные в предположении об указанной последовательности стадий окисления I, удовлетворительно подтверждены на опыте. М. Сахаров

453. Влияние закалки и отжига при приготовлении плавных железных катализаторов на их активность в реакции синтеза аммиака и на распределение окисл. кал. Утида, Тодо (Effects of quenching and annealing in manufacture of fused iron catalyst upon activity for ammonia synthesis and potash distribution. Uchida Hiroshi, Todor Naoyuki), Bull. Chem. Soc. Japan, 1956, 29, № 1, 20—27 (англ.)

Железные катализаторы (K), содержащие (в %):  $Al_2O_3$  5,  $K_2O$  1 (K-I);  $Al_2O_3$  4,  $K_2O$  1,  $CaO$  1 (K-II);  $Al_2O_3$  3,  $K_2O$  1,  $SiO_2$  2 (K-III);  $Al_2O_3$  3,  $K_2O$  2,5,  $SiO_2$  2,

CaO 1, MgO 1 (K-IV), подвергались после плавления нормальному охлаждению или закалке проточной водой, или отжигу при 1000° в течение 40 час. Наибольшую активность при синтезе  $\text{NH}_3$  при давл. 100 атм, т-рах 300—500° и объемной скорости 5000 час<sup>-1</sup> проявил K-IV, наименьшую — K-III, причем активности после охлаждения и после закалки были одинаковые, а активность после отжига была значительно ниже, так же как и после нагревания при 650°. Уд. поверхность после восстановления максимальна у нормально охлажденных K и минимальна у отожженных; конц-ии  $\text{K}_2\text{O} + \text{CaO}$  на поверхности почти всех K близки. Доля  $\text{K}_2\text{O}$ , нерастворимого в воде, максимальна в K-IV после закалки и минимальна в K-I после отжига; при растворении  $\text{K}_2\text{O}$  резко снижается его доля на поверхности. K-III и K-IV резко отличаются по микроструктуре от K-I и K-II, что, по мнению авторов, зависит от присутствия в них  $\text{SiO}_2$ . Отжиг изменяет микроструктуру в сторону увеличения размеров и однородности зерен, что обусловлено, по мнению авторов, образованием твердых р-ров промоторов или их соединений.

С. Киперман

454. Влияние водяного пара на дегидрогенизацию этилбензола. Вагала, Якубичек (Funkce vodní páry při dehydrogenaci ethylbenzenu. Váhalá Josef, Jakubiček Josef), Chem. listy, 1956, 50, № 1, 11—22 (чеш.).

Изучено влияние паров  $\text{H}_2\text{O}$  на дегидрогенизацию этилбензола (I) с образованием стирола, проводившуюся на цинк-окисном катализаторе или на дробном фарфоре при варьировании скорости струи I, т-ры р-ции 500—700°, а также соотношения скоростей подачи паров  $\text{H}_2\text{O}$  и I. Показано, что в присутствии паров  $\text{H}_2\text{O}$  каталитич. дегидрогенизация I при т-рах < 600° замедляется, а при более высоких т-рах — ускоряется. Процессы дезактивирования и крекинга в присутствии паров  $\text{H}_2\text{O}$  подавляются. Указано, что вследствие побочных р-ций не удалось экспериментально определить константу равновесия дегидрогенизации I.

Miloš Ryba

455. Дегидрирование изопентановой фракции газового бензина. Мамедалиев Ю. Г., Далин М. А., Мамедов Т. П., Ма'рузалер АзербССР элмлар академиясы, Докл. АН АзербССР, 1956, 12, № 1, 3—7 (рез. азерб.).

Показана возможность проводить на промышленном катализаторе марки K-5 дегидрирование изопентановой фракции с т. кип. 27—32°, выделенной из газового бензина. Опыты велись в струе с объемной скоростью 1,0 час<sup>-1</sup>, при 520°. Среди жидких продуктов р-ции, полученных с общим выходом 81,5%, обнаружена смесь изопентанов, состоящая из 3-метилбутена-1, 2-метилбутена-1 и 2-метилбутена-2. Выход изопентанов составляет 19,5% на катализат. С. Киперман

456. Влияние ионов щелочных металлов на активность катализаторов крекинга. Данфорт, Мартин (The effect of alkali metal ions on the activity of cracking catalysts. Danforth Joseph D., Martin Dean F.), J. Phys. Chem., 1956, 60, № 4, 422—424 (англ.).

Изучено влияние на активность катализаторов (K) при крекинге цетана при 485° предварительного введения LiOH, NaOH, KOH и CsOH в промышленный (K-I) и синтетический (K-II) алюмосиликатные K, содержащие 25%  $\text{Al}_2\text{O}_3$ , магневосиликатный (K-III) с 31% MgO и в окисный боралюминиевый (K-IV) с 11,8%  $\text{V}_2\text{O}_5$ . В результате введения щелочей степень превращения, после резкого начального падения, линейно уменьшается с ростом конц-ии щелочей до ~1,2 мг-экв на 1 г K; при введении более высоких конц-ий щелочей степень превращения изменяется незначительно. Активность K падает тем сильнее, чем больше размеры

ионов вводимых щел. металлов. K-III и K-IV более чувствительны к действию щелочей, чем K-I и K-II; после прокаливания K-I и K-II их активность снижается, но относительное падение активности за счет введения щелочей не изменяется. Авторы предполагают, что исчезновение части активных мест в K при прокаливании вызвано конденсацией групп  $>\text{Al}-\text{OH}$  с соседними гидроксильными группами, происходящей на определенной доле поверхности. О. Киперман

457 Д. Механизм реакций замещения различных комплексов трехвалентного кобальта. Бергман (Mechanism of substitution reactions of various cobalt (III) complexes. Bergman John Gregory. Doct. diss., Univ. Northwestern, 1955), Dissert. Abstrs, 1955, 15, № 9, 1495 (англ.).

На примере соединений типа *trans*-[Co(AA)<sub>2</sub>] аммин- $\text{ClCl}_2$  (где AA — этилен- или пропилендиамин) установлено, что скорость гидролиза не зависит от размера адденда, находящегося в *trans*-положении к замещаемому адденду. На основании этого сделан вывод, что замещение идет путем предварительной диссоциации комплекса. На примере соединений [Coen<sub>2</sub>XCl] $\text{Cl}_2$ , где X — замещ. пиридины различной основности установлено, что скорость замещения несколько возрастает с ростом основности X. Скорость р-ции [Coen<sub>2</sub>NO<sub>2</sub>Cl]<sup>+</sup> (I) с  $\text{NO}_2^-$ ,  $\text{CNS}^-$  и  $\text{N}_3^-$  не зависит от конц-ии замещающих ионов и равна скорости акватизации I. Это указывает, что замещение на эти ионы идет через промежуточную акватизацию. При р-ции *cis*-аквонитрокомплекса с  $\text{NO}_2^-$  образуется промежуточный *cis*-нитритонитрокомплекс, при р-ции *cis*-I с  $\text{NO}_2^-$  сразу образуется динитрокомплекс.

Д. Кнорре

458 Д. Кинетика омыления эфиров изомерных замещенных ятарных кислот и аналогичных структур. Воглер (The kinetics of saponification of esters of isomeric substituted succinic acids and related structures. Vogler Carl Edward. Doct. diss., Univ. Nebraska, 1955), Dissert. Abstrs, 1955, 15, № 11, 2036 (англ.).

Кинетика омыления моно- и диметилвых эфиров *dl*- и *meso*-2,3-диметилитарных к-т и *trans*-1,2-циклопентандикарбоновой к-ты изучалась при трех т-рах и разной ионной силе р-ра. Автор предполагает, что основной причиной большей реакционной способности *dl*-к-ты по сравнению с *meso*-к-той является расстояние между «центрами зарядов». *Trans*-1,2-циклопентандикарбоксилаты более реакционноспособны, чем изомерные 2,3-диметилсукцинаты.

А. Ревзия

459 Д. Кинетика и механизм каталитического крекинга кумола. Гарвер (The kinetics and mechanism of the catalytic cracking of cumene. Garver John Corman. Doct. diss., Univ. Wisconsin, 1955), Dissert. Abstrs, 1955, 15, № 12, 2497 (англ.).

См. также: Реакционная способность и строение 498, 754—756, 763, 765, 767, 774, 779, 792, 1143, 1144. Кинетика и механизмы р-ций 333, 384, 462, 464—467, 472, 485, 490, 525, 530, 531, 535, 759, 764, 768—773, 775, 777, 781—783, 786, 789, 793, 835, 836, 1139, 1141, 1145, 1148, 1151—1153, 1157, 1159. Гетерогенный неорганич. катализ 1420, 1428; Адсорбция 567. Катализаторы 356, 891, 1168, 1440—1442, 1898, 1928, 1930, 1937, 1946, 1966, 1974—1978, 1981—1983, 1988, 1999, 2000, 2007, 2010, 2013, 3266. Др. вопр. 1339

# ФОТОХИМИЯ. РАДИАЦИОННАЯ ХИМИЯ. ТЕОРИЯ ФОТОГРАФИЧЕСКОГО ПРОЦЕССА

Редактор Х. С. Багдасарьян

460. К вопросу о фотохимии озона; спектральная область, активная для получения озона. Бринер, Мюнцхубер (Contributions à la photochimie de l'ozone; le domaine spectral actif dans la production de l'ozone. Briner Émile, Münzhuber Albert), C. r. Acad. sci., 1956, 242, № 5, 590—593 (франц.)

Путем воздействия на газообразный и жидкий  $O_2$  светом Hg-ламп с применением спец. фильтров показано, что р-цию образования  $O_3$  вызывает излучение с  $\lambda$  1750—2100 Å. Если приняты меры к устранению сильного поглощения более коротких волн окружающей средой, то в образовании  $O_3$  начинают активно участвовать и более короткие длины волн, причем поглощение становится настолько сильным, что оно оказывается эффективным даже в случае сильно разреженного газа.

Д. Кнорре

461. Обнаружение свободных радикалов при высокоинтенсивном фотолизе азиды водорода. Траш (The detection of free radicals in the high intensity photolysis of hydrogen azide. Thrush B. A.), Proc. Roy. Soc., 1956, A235, № 1200, 143—147 (англ.)

Используя технику импульсного фотолиза (РЖХим, 1953, 1478), автор исследовал изменения в спектрах  $HN_3$  и  $DN_3$ , происходящие при действии световых вспышек мощи. 1120 дж и продолжительностью 100 мсек. Разбавляющим газом служили  $CO_2$ ,  $N_2$  или  $H_2$ . В спектре  $HN_3$  возникает сложная слегка диффузная система в области 36 702—38 470  $cm^{-1}$ . Замена  $HN_3$  на  $DN_3$  не приводит к заметному смещению спектра. Система значительно интенсивнее полос  $NH$  и  $NH_2$  и заметна через 2 мсек. после вспышки. Предположено, что образуется  $N_3$  по р-циям:  $HN_3 + h\nu \rightarrow HN + N_2$ ,  $HN + HN_3 \rightarrow NH_2 + N_3$ ,  $NH_2 + HN_3 \rightarrow NH_3 + N_3$ . Скорость исчезновения спектра, приписываемого  $N_3$ , описывается р-цией 2-го порядка  $2N_3 = 3N_2$ .

И. Верещинский

462. Фотосенсибилизированный ртутью распад окиси этилена. Цветанович (Mercury photosensitized decomposition of ethylene oxide. Cveticanovic R. J.), Canad. J. Chem., 1955, 33, № 11, 1684—1695 (англ.)

Продуктами фотосенсибилизированного Hg распада окиси этилена (I) при комнатной т-ре являются  $CO$ ,  $H_2$ , альдегиды (в основном  $CH_3CHO$  и его высшие гомологи),  $CH_4$ ,  $C_2H_6$ ,  $C_3H_8$ , в небольшом кол-ве  $CH_2CO$ . Добавки  $C_2H_4$  и бутилена-1 сильно ингибируют выход альдегидов. Этилен увеличивает выход  $C_3H_8$  и  $CH_2CO$ . Бутилена-1, напротив, почти полностью ингибирует образование  $C_3H_8$ , но индуцирует образование  $C_2H_4$  и высших парафинов (до октана). При совместном разложении  $C_2H_4O$  и  $C_2D_4O$  наряду с  $H_2$  и  $D_2$  образуется  $HD$ . В продуктах распада смеси  $C_2H_4O + C_2D_4O$ , ингибированном  $C_2H_4$ ,  $HD$  практически отсутствует, а кол-во  $D_2$  и  $H_2$  уменьшается до некоторого предела. Основным первичным актом, по мнению авторов, является распад возбужденной молекулы I на  $CH_2$  и  $HCO$ , причем далее  $HCO$  дает  $H$  и  $CO$ . Добавки олефинов связывают атомы  $H$ , а алкильные радикалы частично связывают  $HCO$ , образуя высшие альдегиды и  $CH_3$ , образуя парафины. Кроме того, необходимо допустить наличие менее значительного молекулярного распада I на  $H_2$  и кетен и, возможно, распада I на радикал  $C_2H_3O$  и атом  $H$ . А. Чайкин

463. Изотопные эффекты и дезактивация при соударении при распаде этилена, фотосенсибилизированном ртутью. Каллир, Цветанович (Iso-

topic effects and collisional deactivation in the mercury photosensitized decomposition of ethylene. Callear A. B., Cveticanovic R. J.), J. Chem. Phys., 1956, 24, № 4, 873—878 (англ.)

В развитие предыдущего исследования (РЖХим, 1956, 61103) изучен фотосенсибилизированный распад  $C_2H_4$ ,  $C_2D_4$  и  $cis-C_2D_2H_2$  при комнатной т-ре. Продукты р-ции определялись масс-спектрометрически и ИК-спектрофотометрически. Отношения кол-в  $D_2$ ,  $HD$  и  $H_2$ , образующихся при распаде  $cis-C_2D_2H_2$ , равны 1:6:2. Отклонение от статистич. распределения указывает на то, что вероятность отщепления водорода согласно р-ции  $C_2H_3^+ \rightarrow C_2H_2 + H$  для указанных разновидностей относится как 1:1,5:2. Скорость образования  $H$  водорода зависит от давления этилена  $P$  согласно ур-нию  $1/R^{1/2} = A(1 + BP)$  ( $A$  и  $B$  — константы). При дезактивации возбужденных молекул  $cis-C_2D_2H_2$  образуется не только  $trans$ -, но и  $anti$ -форма.

Х. Багдасарьян

464. Реакции свободного метиленового радикала; фотолиз кетена в присутствии других газов. Чанмьюгам, Бертон (Reactions of free methylene: photolysis of ketene in presence of other gases. Chanmugam J., Burton Milton), J. Amer. Chem. Soc., 1956, 78, № 3, 509—519 (англ.)

В интервале т-р 27—412° изучен фотолиз чистого кетена (I) с добавками  $H_2$ ,  $D_2$ ,  $CD_4$  и  $CH_3COCH_3$ . Продукты фотолиза (ПФ) анализировались масс-спектрометрически. При фотолизе смесей  $I$ :  $H_2$  :  $D_2$  = 2 : 1 : 1 обнаружено появление  $CH_4$  и  $CH_3D_2$  уже при 27° (причем выход  $CH_4$  в ~1,5 раза больше выхода  $CH_2D_2$ ), в то время как образование  $CH_3D$  начинается лишь при более высоких т-рах. Поскольку при электролизе в смесях  $CH_4 + D_2$  (РЖХим, 1955, 23374) образуется  $CH_2D_2$  при полном отсутствии  $CH_3D$  авторы считают, что в зоне разряда эффективная т-ра достаточно низка. Образование  $CH_4$  и  $CH_2D_2$  приписывается элементарным р-циям  $CH_2 + H_2 \rightarrow CH_4$  и  $CH_2 + D_2 \rightarrow CH_2D_2$ , протекающим с энергиями активации (Е), близкими к нулю. Выход  $C_2H_2$  при фотолизе смесей  $I + CH_3COCH_3$  оказался значительно ниже, чем выход, рассчитанный без учета взаимодействия реагентов и ПФ, что служит доводом против р-ции между  $CH_2$  и  $CH_3$  с образованием  $C_2H_2$ . По температурной зависимости выхода ПФ вычислена разность  $E_1 - 1/2 E_2$  для элементарных процессов  $CH_3 + CH_3COCH_3 \rightarrow CH_4 + CH_2COCH_3$  (1) и  $CH_3 + CH_3 \rightarrow C_2H_6$  (2), равная  $9,8 \pm 0,4$  ккал/моль, и отношение предэкспонентов  $a_1/a_2^{1/2} = 1,1 \cdot 10^{-7}$ . При фотолизе смесей  $I + CD_4$  при т-ре 27° обнаружен  $CH_2D_2$ , тогда как  $CH_3D$  появляется лишь при более высоких т-рах. Это подтверждает возможность протекания р-ции  $CH_2 + CD_4 \rightarrow CH_2D_2 + CD_2$  в один акт. Показано, что во всех случаях  $C_2H_4$  при комнатной т-ре образуется не только за счет рекомбинации радикалов  $CH_2$ , но и другими путями. Установлено, что возбужденные радикалы  $CH_2$  при фотолизе I практически не играют роли. Г. Королев

465. Диффузионная кинетика: фотолиз азо-бис-нитрила изомасляной кислоты. Рой, Нам, Вильямс, Хамилл (Diffusion kinetics: the photolysis of azo-bis-isobutyronitrile. Roy J.-C., Nash J. R., Williams R. R., J. r., Hamill W. H.), J. Amer. Chem. Soc., 1956, 78, № 3, 519—521 (англ.)

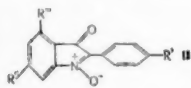
Скорость термич. распада азо-бис-нитрила изомасляной к-ты (I) не зависит от присутствия  $J_2$  (0,1 М). Константа скорости при 80° равна  $(1,50 - 1,55) \cdot 10^{-4} \text{сек}^{-1}$ . Выход органич. нитрида (RJ) равен ~0,6, независимо от конц-ии  $J_2$  (0,02—0,15 М). При фотораспаде I в присутствии  $J_2$  логарифм квантового выхода RJ линейно зависит от  $[J_2]^{1/2}$ . Полученный результат объясняется конкуренцией рекомбинации радикалов пары и р-ции



радикалов пары с  $J_2$  (РЖХим, 1956, 42653; 1956, 57533. При термич. распаде ~40% молекул I не образуют радикалов. Х. Багдасарьян

**466.** Фотохимическое поведение некоторых *o*-нитротилбенов. Сплиттер, Калвин (The photochemical behavior of some *o*-nitrostilbenes. Splitter Janet S., Calvin Melvin), J. Organ. Chem., 1955, 20, № 8, 1086—1115 (англ.)

При облучении УФ-светом ( $\lambda$  365 мμ) бензольных *o*-нитротилбенов (I), содержащих электронодонорную группу R', образуются изотомы (II) и ряд других продуктов. Цис-изомеры I не образуются.



Ниже указаны выходы II (в %) при различных заместителях: R' = N(CH<sub>3</sub>)<sub>2</sub>, R'' = NO<sub>2</sub>, R''' = NO<sub>2</sub> 38; R' = N(CH<sub>3</sub>)<sub>2</sub>, R'' = NO<sub>2</sub>, R''' = H 44; R' = N(CH<sub>3</sub>)<sub>2</sub>, R'' = H, R''' = H 24; R' = OH, R'' = NO<sub>2</sub>, R''' = H 40; R' = OCH<sub>3</sub>, R'' = NO<sub>2</sub>, R''' = H 22; R' = OCOCH<sub>3</sub>, R'' = NO<sub>2</sub>, R''' = H 3; R' = Cl, R'' = NO<sub>2</sub>, R''' = NO<sub>2</sub> 16; R' = H, R'' = NO<sub>2</sub>, R''' = NO<sub>2</sub> 16; R' = H, R'' = H, R''' = NO<sub>2</sub> 6; R' = R'' = R''' = NO<sub>2</sub>, соответствующий II не образуется. Квантовая эффективность разложения различных I составляет несколько процентов. Исследованы спектры поглощения исходных и образующихся продуктов в области 280—760 мμ. Р-ция протекает в две ступени: превращение I при поглощении света и последующая темновая термич. р-ция, в ходе которой образуются по крайней мере два промежуточных продукта. Предполагается, что перегруппировка под действием света и образование обоих промежуточных продуктов происходит по ионному механизму, в то время как превращение второго промежуточного продукта в II происходит по радикальному механизму.

**467.** Фотохимическое ускорение гидролиза нитрофенилфосфатов и нитрофенилсульфатов. Хавинга, Нонг, Дорст (Photochemical acceleration of the hydrolysis of nitrophenyl phosphates and nitrophenyl sulphates. Havinga E., Jongh R. O. de, Dorst W.), Recueil trav. chim., 1956, 75, № 4, 378—383 (англ.)

Нейтральные и щел. водн. р-ры *o*-, *m*- и *p*-изомеров нитрофенилфосфата (I) очень устойчивы в темноте, но быстро гидролизуются при освещении видимым или УФ-светом. В результате фотохим. р-ции, особенно отчетливо протекающей с *m*-изомером, образуются нитрофенол и фосфорная к-та. Скорость р-ции не зависит от pH в интервале 3—12, но сильно возрастает при больших значениях pH. Р-ция имеет нулевой порядок и не зависит от т-ры (25—40°). Приведен спектр поглощения 1,3·10<sup>-4</sup> M р-ра *m*-изомера I. Гидролиз р-ров нитрофенилсульфатов протекает аналогично, но скорость р-ции гидролиза не увеличивается при больших значениях pH. Различия в скорости протекания р-ции фотохим. гидролиза *p*-, *o*- и *m*-изомеров нитрофенилсульфатов (0,024; 0,021 и 7,08) больше, чем для соответствующих изомеров I (0,21; 0,18 и 6,14).

**468.** Некоторые вопросы фотокатализа. Красновский А. А., Пробл. кинетики и катализа, 1955, 8, 40—42

Краткое изложение результатов ранее опубликованных работ автора. А. Красновский

**469.** Фотосенсибилизированное хлорофиллом восстановление трифенилтетразолхлорида гидратом гидразина. Фудзимори (Chlorophyll-photosensitized reduction of triphenyltetrazolium chloride by hydrazine hydrate. Fujimori Eiji), J. Amer. Chem. Soc., 1955, 77, № 24, 6495—6498 (англ.)

Гидрат гидразина (I) активирует флуоресценцию метанольного р-ра хлорофилла *a* и *b*. Спектр поглощения смещается в область коротких длин волн и имеет максимумы поглощения при 636 и 413 мμ, интенсивность сине-фиолетового максимума при этом возрастает. Р-ция имеет 1-й порядок относительно концентрации хлорофилла. Зависимость интенсивности флуоресценции Ф от времени *t* выражается уравнением Ф (макс.) — Ф = (Ф (макс.) — Ф<sub>0</sub>) · exp [—*k* (I) *t*], где Ф<sub>0</sub> и Ф (макс.), соответственно, начальная и конечная интенсивности флуоресценции, *k* — константа скорости р-ции. В ходе р-ции образуется соединение хлорофиллгидразина, растворимое в воде. Окислители трифенилтетразолхлорид (II) или производное флуоресценции оксониевого типа эффективно тушат флуоресценцию хлорофилла, но тушение не сопровождается изменением спектра поглощения. Зависимость интенсивности флуоресценции от концентрации II имеет положительное отклонение от уравнения Штерна-Фольмера. В метанольном р-ре хлорофилла в присутствии воздуха II восстанавливается под действием I при освещении оранжево-красным светом быстрее, чем в темноте.

**470.** Ионизация и диссоциация некоторых галоидо-производных углеводов под действием электронов различной энергии. Тунццкий Н. Н., Куприянов С. Е., Тихомиров М. В. Сб. работ по радиационной химии. М., Изд-во АН СССР, 1955, 223—240

Исследование процессов ионизации и диссоциации галоидопроизводных углеводов производилось на масс-спектрометре МС-1, дополненном: 1) автоматич. разверткой спектра масс, 2) автоматич. регистрацией спектра масс и 3) системой напуска исследуемого в-ва в ионный источник. Сняты масс-спектры CH<sub>4</sub>, CH<sub>3</sub>Cl, CH<sub>2</sub>Cl<sub>2</sub>, CHCl<sub>3</sub>, CCl<sub>4</sub>, CH<sub>3</sub>Br, CH<sub>3</sub>I при энергиях электронов 100 эв. Показано, что по мере увеличения числа атомов галоида в молекуле, максимум интенсивности ионных токов смещается от молекулярных ионов к ионам, образующимся отрывом одного атома, т. е. диссоциация начинает преобладать над ионизацией. Исследованы аномальные ионы и некоторые вторичные процессы при ионизации и диссоциации; обнаружено образование H<sub>2</sub>X<sup>+</sup> в масс-спектрах некоторых галоидо-производных метана. Исследована зависимость характера ионизации и диссоциации молекул CH<sub>3</sub>J, C<sub>2</sub>H<sub>5</sub>Cl, CH<sub>3</sub>Br и CH<sub>3</sub>Cl от энергии электронов (до 1100 эв). Показано, что с увеличением энергии ионизирующих электронов масс-спектры объединяются осколочными ионами.

**471.** Химические аспекты разряда Гейгера — Мюллера. I. Счетчик этанол — аргон. Кайзер, Джонстон (Chemical aspects of the Geiger — Müller discharge. I. The ethanol-argon counter. Kaiser Robert W., Johnston W. H.), J. Amer. Chem. Soc., 1956, 78, № 4, 707—709 (англ.)

Смесь 10 мм рт. ст. абс. этанола и 115,5 мм рт. ст. аргона, заполняющая Г.—М.-счетчик, облучалась γ-лучами Co<sup>60</sup>. Интенсивность облучения составляла 3·10<sup>4</sup> отсчетов за 1 мин., за 1 импульс образовывалось (7,95 ± 0,46) · 10<sup>8</sup> электронов. При масс-спектрометрич. анализе обнаружено образование CH<sub>3</sub>OH, CO<sub>2</sub>, C<sub>2</sub>H<sub>4</sub>, CH<sub>4</sub> и H<sub>2</sub>O. Разложение этанола описывается р-цией 1-го порядка, константа разложения 8,55 · 10<sup>-9</sup> (на 1 импульс). Начальный выход разложения этанола составляет 359 молекул на 1 проходящий электрон, с возрастанием числа импульсов выход снижается. Значительная величина выхода разложения свидетельствует о том, что первичным механизмом являются электронные столкновения в газовой фазе.

**472.** О диффузии радикалов около траекторий ионизирующих частиц в жидкостях. Магин (Schéma de

diffusion des radicaux autour des trajectoires des particules ionisantes dans les liquides. M a g e e J o h n L., J. chim. phys. et phys.-chim. biol., 1955, 52, № 7-8, 528—538 (франц.)

В обсуждаемой системе устанавливается средняя по всей системе конц-ия у вторичных продуктов (радикалов), на фоне которой вдоль траекторий возникает повышенная конц-ия, исчезающая вследствие рекомбинации, диффузии и р-ции с акцептором. Для конц-ии радикалов с справедливо ур-ние диффузии с учетом рекомбинации  $\partial c/\partial t = D\Delta c - kc^2 - k_s c_s c$  ( $c_s$  — конц-ия акцептора), а для конц-ии радикалов фона  $dy/dt = -ky^2 - k_s c_s y$ . «Объем» траектории  $v$  изменяется со временем и зависит от энергии облучающих частиц. Для медленных частиц вдоль траекторий возникает при ионизации вытянутое эллипсоидальное облако радикалов, для которого  $v = 8\pi Dt [2\pi(z_0^2 + 4Dt)]^{1/2}$  с произвольной константой  $z_0$ . Для быстрых частиц вдоль траекторий возникают несколько ( $n$ ) центров, причем облака вокруг них сливаются через время  $t_1$ , принимаемая вытянутую форму. При этом  $v = n [8\pi Dt]^{1/2} (t_0 < t < t_1)$ ;  $v = 8\pi Dt [2\pi(n^2 - 1)4Dt + 4Dt]^{1/2} (t > t_1)$ . Для вычисления  $v$  необходима связь между  $n$  и  $t$ , которая получается экспериментально. Приводится зависимость  $t_1$  от  $n$  для случая облучения электронами и протонами, а также зависимость  $v$  от  $t_1$ . Для случая малой фоновой конц-ии получена скорость р-ции акцептора с радикалами в функции от  $n$  и  $k_s$  и приведены соответствующие графики. При высоких конц-иях фона при малом  $c - y$  возможно применение ф-л хим. кинетики для гомог. среды. Е. Никитин

473. Выходы перекиси водорода в водных растворах, облученных рентгеновскими лучами. Чувствительный метод, основанный на хемилюминесценции гидразида. Мейнорд, Андерсон, Эванс, Розен (Hydrogen peroxide yields in X-irradiated aqueous solutions. A sensitive method based on hydrazide chemiluminescence. Mayneord W. V., Anderson W., Evans H. D., Rosen D.), Radiation Res., 1955, 3, № 4, 379—392 (англ.)

Разработана чувствительная методика измерения хемилюминесценции, возникающей при некоторых р-циях циклич. гидразидов (I). С помощью фотоумножителей измерялось общее кол-во квантов, испускаемых с момента смешения щел. р-ра I, содержащего  $\text{CuSO}_4$ , с р-ром  $\text{H}_2\text{O}_2$ . Общее кол-во света пропорционально конц-ии  $\text{H}_2\text{O}_2$  в степени 1,7. Метод позволяет определить конц-ию  $\text{H}_2\text{O}_2$ , равную  $0,005 \text{ мг/мл}$  ( $\sim 10^{-7} \text{ M}$ ), и тем самым оценить кол-во  $\text{H}_2\text{O}_2$ , образующейся в воде при облучении рентгеновскими лучами, начиная от ин-



тегральной дозы 100 рентген. Кол-во образующейся  $\text{H}_2\text{O}_2$  (в  $\text{мг/мл}$ ) при облучении рентгеновскими лучами (140  $\text{кэ}$ ) для интегральной дозы 1000 рентген составляет в насыщ. воздухом чистой воде  $0,060 \pm 0,003$ ; воде, насыщ. бензолом,  $0,077 \pm 0,002$ ;  $0,5 \text{ M}$  р-ра  $\text{NaCl}$   $0,045 \pm 0,002$ ;  $\text{KCl}$   $0,036 \pm 0,002$ ;  $\text{KBr}$   $0,035 \pm 0,001$ ;  $\text{KF}$   $0,073 \pm 0,002$ ; в  $0,003 \text{ н.}$  нейтрализованном р-ре полиметакриловой к-ты  $0,010 \pm 0,001$ ; в  $0,1\%$ -ном р-ре дезоксирибонуклеиновой к-ты О. И. Верещинский

474. Индуцированное  $\gamma$ -лучами окисление аскорбиновой кислоты и иона двухвалентного железа. В а р р, К и н г (The  $\gamma$ -ray induced oxidation of ascorbic acid and ferrous iron. V a r r N. F., K i n g C. G.), J. Amer. Chem. Soc., 1956, 78, № 2, 303—305 (англ.)

Исследовано окисление  $\text{Fe}^{2+}$  в  $0,8 \text{ н.}$  р-ре  $\text{H}_2\text{SO}_4$  при действии  $\gamma$ -излучения  $\text{Co}^{60}$  (мощность дозы  $2,9 \cdot 10^{21}$  и  $1,2 \cdot 10^{22} \text{ эв/л час}$ ). Конц-ия  $\text{Fe}^{3+}$  определялась спектро-

фотометрически (3040А), кислород определялся полярографически. Отношение выходов  $\text{Fe}^{3+}$  в присутствии и в отсутствие  $\text{O}_2$  составляет  $1,89 \pm 0,04$ . Отношение скоростей окисления  $\text{Fe}^{2+}$  к поглощению  $\text{O}_2$  равно  $4,15 \pm 0,1$ . При облучении р-ров аскорбиновой к-ты ( $\text{AH}_2$ ) различной конц-ии в  $0,8 \text{ н.}$   $\text{H}_2\text{SO}_4$  в присутствии  $0,5$  или  $0,05 \text{ M}$   $(\text{COOH})_2$  радиационно-химический выход  $G$  разложения  $\text{AH}_2$  составляет 7,8, поглощения кислорода 7,49 (принимая  $G(\text{Fe}^{3+}) = 15,6$ ). Предложена схема механизма окисления  $\text{AH}_2$ :  $\text{AH}_2 + \text{OH} \rightarrow \text{H}_2\text{O} + \text{AH}$ ;  $\text{AH}_2 + \text{HNO}_2 \rightarrow \text{H}_2\text{O}_2 + \text{AH}$ ;  $\text{AH} + \text{O}_2 \rightarrow \text{ANO}_2$ ;  $\text{ANO}_2 + \text{AH} \rightarrow 2\text{A} + \text{H}_2\text{O}_2$ . И. Верещинский

475. Действие ионизирующих излучений на каталазу. Боне-Мари, Патти (Effets des rayonnements ionisants sur la catalase. Bonet-Maury R., Patti F.), J. chim. phys. et phys.-chim. biol., 1955, 52, № 9, 617—620 (франц.)

Изучалось действие рентгеновских лучей  $0,9 \text{ А}$  ( $10\,000$  рентген/мин) и  $\gamma$ -лучей  $\text{Co}^{60}$  на р-ры в фосфатном буфере при рН 7, каталазы технич. Armoig (I), каталазы чистой кристаллич. Pabst (II) и каталазы Pabst, очищ. электрофорезом (III). Показано, что III инактивируется значительно труднее, чем I и II. В отсутствие растворенного  $\text{O}_2$  степень инактивации I, II и III не изменяется. Во всех случаях наблюдается эффект последствия. УФ-спектры облученных I и II характеризуются уменьшением поглощения в области  $4050 \text{ А}$  и увеличением поглощения при  $2750 \text{ А}$ . Авторы предполагают, что в инактивации каталазы главную роль играют радикалы  $\text{OH}$  и  $\text{O}_2\text{H}$ .

Т. Павловская

476. Влияние йода на радиолиз бензола. Шулер (Effect of iodine on the radiolysis of benzene. Schuler Robert H.), J. Phys. Chem., 1956, 60, № 3, 381—382 (англ.)

При радиолизе  $\gamma$ -лучами  $\text{Co}^{60}$  жидкого  $\text{C}_6\text{H}_6$  радиационный выход  $\text{H}_2$  и газообразных продуктов, содержащих 2 атома С, составляет  $0,0378$  и  $0,0185$ . Добавка  $\text{J}_2$  ( $0,02$ — $0,2 \text{ M}$ ) в  $\text{C}_6\text{H}_6$  несколько снижает выход газов. При конц-ии  $\text{J}_2 \sim 0,2 \text{ M}$  выход  $\text{H}_2$  снижается на 23%. Авторы считают, что незначительное влияние  $\text{J}_2$  на выход  $\text{H}_2$  указывает на образование  $\text{H}_2$  сразу в молекулярном состоянии. Снижение выхода  $\text{H}_2$  в присутствии  $\text{J}_2$  связано, по мнению авторов, с передачей энергии от  $\text{C}_6\text{H}_6$  к  $\text{J}_2$ . В. Кронгауз

477. Кинетика гашения люминесценции в жидких сцинтилляторах. Фант, Непарко (Kinetics of luminescence quenching in liquid scintillators. Funt B. Lionel, Neparco Edward), J. Phys. Chem., 1956, 60, № 3, 267—269 (англ.)

Изучена зависимость люминесценции (I) р-ров  $n$ -ди-2,5-фенилосазилилбензола; фенилди-фенилосади-2,5-фенилосазила;  $n$ -терфенила и 2-нафтил-5-фенилосазила в ксилоле,  $n$ -килоле и толуоле от конц-ии  $\text{O}_2$  в системе. Источником излучения, индуцированного I, является  $\text{Cs}^{137}$ . Для всех изученных р-ров хорошо соблюдается соотношение  $F_0/F - 1 = K[\text{O}_2]$  ( $F_0$  — интенсивность I в вакууме,  $F$  — интенсивность I в присутствии  $\text{O}_2$ ,  $K$  — константа), полученное из предположения, что гашение I происходит при столкновении возбужденных молекул растворенного в-ва с молекулами  $\text{O}_2$ . Получая значение константы бимолекулярной р-ции гашения  $\sim 10^{11} \text{ л/моль сек}$ , авторы заключают, что почти каждое столкновение молекулы  $\text{O}_2$  с возбужденной молекулой растворенного в-ва приводит к дезактивации последней. В. Кронгауз

478. Ускорение химических реакций, вызываемых ультразвуком в растворах смесей кислород-инертный газ. Хенглейн (Die Beschleunigung chemischer Reaktionen des Ultraschalls in Lösungen von Sauerstoff-Edelgas-Gemischen. Henglein Arnim), Naturwissenschaften, 1956, 43, № 12, 277 (нем.)

Окислительное действие ультразвука в водн. р-рах  $O_2$  значительно усиливается при одновременном присутствии в р-ре инертных газов  $Kr$  или  $Ar$ . Присутствие  $He$  мало влияет на хим. действие ультразвука. Оптимально, в отношении окислительного действия, 25%-ное содержание  $O_2$ . В этом случае в присутствии  $Ar$  окисление происходит в 4 раза, а в присутствии  $Kr$  в 6 раз быстрее, чем в р-ре, насыщ.  $O_2$ , но не содержащем инертных газов. Окисление обусловлено свободными радикалами  $OH$  и  $H$ , возникающими при распаде молекул воды в кавитационных пузырьках, который облегчается в присутствии инертных газов. Добавка  $O_2$  приводит к возникновению р-ций:  $H + O_2 \rightarrow HO_2$ ;  $HO_2 + HO_2 \rightarrow H_2O_2 + O_2$  и к подавлению р-ции  $H + OH \rightarrow H_2O$ , что и усиливает окислительное действие.

Б. Кудрявцев

**479. Восстанавливающее действие ультразвука в растворах смесей аргона с водородом.** Хенглейн (Reduzierende Wirkungen des Ultraschalls in Lösungen von Argon-Wasserstoff-Gemischen. Henglein Arnim), Naturwissenschaften, 1956, 43, № 12, 277—278 (нем.)

В водных р-рах смесей газов  $Ar$  и  $H_2$  под легко восстанавливается под действием ультразвука, в то время как в р-ре, не содержащем  $Ar$ , восстанавливающее действие ультразвука или вовсе не наблюдается, или очень мало. Максим. восстановление наблюдается при содержании в смеси 20 об. %  $H_2$ . Восстановление обусловлено свободными атомами  $H$ , возникающими особенно легко в результате ионизации в содержащих  $Ar$  кавитационных пузырьках. Ионизация может вызывать диссоциацию молекул  $H_2$  и распад молекул воды с образованием  $H$ -атомов. Р-ция растворенного  $H_2$  с гидроксильным радикалом также приводит к возникновению  $H$ -атомов.

Б. Кудрявцев

**480. Химическое действие ультразвука.** Мёккель (Chemische Wirkungen des Ultraschalls. Möckel Peter), Chem. Technik, 1956, 8, № 2, 71—73 (нем.) Обзор. Библ. 17 назв.

Х. Б.

**481. Рост зерен бромида серебра в сильно разбавленных растворах в присутствии желатин.** Джонс (Kornwachstum von Silberbromid in hochdispersen Gelatinelösungen. Jones Viron V.), Z. wiss. Photogr., 1955, 50, Teil 1, № 1—12, 138—150 (нем.) Методом измерения мутности (Ammann-Brass H., Sci. et inds photogr., 1948, 19, 401; Kolloid-Z., 1948, 110, 4) последовала скорость роста ( $v$ ) частиц высокодисперсных золь  $AgBr$  из смеси разб. р-ров  $KBr$  и  $AgNO_3$  в присутствии желатин ( $I$ ) при 75°.  $I$  в определенной конц-ии, зависящей от ее типа, увеличивает  $v$ . Этот эффект является свойством самого  $v$ -а  $I$  и не зависит от ее промывки или «инертности». Кривые помутнения указывают на одновременное действие двух факторов: замедлителей физ. созревания и естественных ускоряющих компонентов  $I$ .  $v$  растет с увеличением  $pH$  р-ра.  $NH_3$ , многие амины и неосновные азотистые соединения увеличивают  $v$ . Сернистые сенсibilизаторы слабо влияют на  $v$  в промышленных фотографиях.  $I$ . Описанный метод пригоден для определения естественных замедлителей в фотографиях.  $I$  и для относительной оценки синтетич. замедлителей и ускорителей физ. созревания.

А. Хейнман

См. также: Фотохимия 401, 1146. Радиационная химия 662, 812, 1125, 1147, 1151, 1156.

## РАСТВОРЫ. ТЕОРИЯ КИСЛОТ И ОСНОВАНИЙ

Редактор М. Д. Сурога

**482. Скорость звука и сжимаемость концентрированных растворов сильных электролитов.** Михайлов И. Г., Ж. физ. химии, 1956, 30, № 2, 466—467

С помощью ультразвукового интерферометра измерены скорости звука в водн. р-рах  $NaCl$ ,  $NaNO_3$ ,  $NaBr$ ,  $Na_2SO_4$ ,  $KCl$ ,  $KJ$ ,  $KBr$ ,  $KNO_3$ ,  $Li_2SO_4$ ,  $Pb(NO_3)_2$ ,  $BaCl_2$ ,  $CdSO_4$  и  $CdJ_2$  разных конц-ий (от 0,001  $M$  до насыщенных) в интервале 0°—90°. Максимум скорости звука, наблюдаемый в чистой воде при  $\sim 70^\circ$ , смещается в р-рах электролитов в область более низких т-р. Это смещение объясняется уплотнением структуры воды под действием электр. поля ионов. Величина смещения зависит от природы иона. В изученных р-рах хорошо выполняется зависимость  $\beta = \beta_0 - A c - B c^{1/2}$ , где  $\beta$  — сжимаемость р-ра;  $\beta_0$  — сжимаемость чистого р-рителя;  $c$  — конц-ия электролита;  $A$  и  $B$  — константы, зависящие для различных солей. Концентрационная зависимость скорости звука ( $v$ ) связана с мол. весом ( $M$ ) растворенной соли. В р-рах солей с малым  $M$  увеличивается с конц-ией, а с большим  $M$  — уменьшается.

Б. Кудрявцев

**483. Физическая химия. Быстрые реакции.** П. Растворы. Кондазми (物理化学 超迅速反応. II. 溶液. 小泉正夫), 化学, Kagaku, 1955, 10, № 11, 8—11 (япон.) Обзор за 1954 г. Библ. 10 назв. Часть I см. РЖХим, 1956, 77571.

М. С.

**484. Из химии неводных растворов. Галогениды и оксигалогениды как ионизирующие растворители.** Гутман (Aus der Chemie nicht-wässriger Lösungen. Halogenide und Oxyhalogenide als ionisierende Lösungsmittel. Gutmann Viktor), Svensk kem. tidskr., 1956, 68, № 1, 1—25 (нем.)

Рассмотрены кислотно-основные р-ции в неводн. р-рах наряду с прототропными процессами (переход протона по Бренстеду), являющимися частным случаем явления ионотропии (Ebert L., Konopik N., Österr. Chem.-Ztg., 1949, 50, 184). Р-тель может реагировать как катиотроп или аниотроп, отдавая другому в-ву катион или анион. В катиотропной системе кислота — донор катиона, а основание — его акцептор. В аниотропной системе кислота — акцептор аниона, а основание — донор. Некоторые р-тели реагируют и как катиотроп, и как аниотроп. Напр., в жидкой  $HF$  осуществляются р-ции, связанные с переходом протона,  $HF + CH_3CO_2H \rightleftharpoons F^- + CH_3CO_2H_2^+$ , и анион-иона фтора,  $2HF + BF_3 \rightleftharpoons H_2F^+ + BF_4^-$ . В статье подробно рассматриваются аниотропные системы, в которых анионом является галогид. К фторотропным р-телям относятся:  $BrF_3$ ,  $JF_5$ ,  $AsF_3$ ,  $SeF_4$ ,  $NbF_5$ ,  $TaF_5$ . Р-ция собственной ионизации (автофторидолиза) выражается ур-нием  $BrF_3 + BrF_3 \rightleftharpoons BrF_2^+ + BrF_4^-$ . Рассмотрены р-ции с металлами, оксидами. Хлоротропные системы образуют  $JCl$ ,  $AsCl_3$ ,  $SbCl_3$ ,  $COCl_2$ ,  $NOCl$ ,  $POCl_3$ ,  $SOCl_2$ ,  $SO_2Cl_2$ ,  $SeOCl_2$ . Ионизация к-ты протекает следующим образом:  $AlCl_3 + COCl_2 \rightleftharpoons COCl^+ + AlCl_4^-$ . Отмечена высокая подвижность иона  $Cl^-$  в вышеприведенных р-телях. Приведена сводка сольватов, образующихся хлоротропными р-телями с хлоридами. Показано, что пиридин, хинолин, алкиламини обладают свойствами оснований, так как к атому азота присоединен ион  $Cl^-$ . Бромотропные системы следующие:  $JBr$ ,  $HgBr_2$ . А. Шатенштейн

**485. Функция кислотности системы  $H_2SO_4 - H_2O$  при различных температурах.** Гельбштейн А. И., Щеголова Г. Г., Темкин М. И., Ж. неорганич. химии, 1956, 1, № 3, 506—515

Измерена зависимость функции кислотности серной к-ты от конц-ий (4—100%  $H_2SO_4$ ) и т-ры (20, 40, 60 и 80°). Установлено, что в р-рах, содержащих < 30 вес. %  $H_2SO_4$ , кислотность растет с т-рой; кислотность р-ров, содержащих 30—50 вес. %  $H_2SO_4$ , практически не зависит от т-ры, в более конц. р-рах кислотность с повышением т-ры уменьшается. Выведено ур-ние для функции кислотности  $H_2SO_4: H_0 = -1,74 - \lg K_2 -$



$-\lg x_{\text{H}_2\text{SO}_4} / x_{\text{HSO}_4^-} - \lg f_{\text{H}_2\text{SO}_4} / f_{\text{HSO}_4^-} / \text{вн}^+$ , где  $K_2$  — константа равновесия р-ции  $\text{H}_2\text{SO}_4 + \text{H}_2\text{O} \rightleftharpoons \text{HSO}_4^- + \text{H}_3\text{O}^+$ ,  $x_i$  — молярные доли,  $f_i$  — коэфф. активности. Это ур-ие эквивалентно ур-нию, выведенному Брандом (Brand J. C. D., J. Chem. Soc., 1950, 997). Обсуждены методы теоретич. расчета кислотности в конц. р-рах  $\text{H}_2\text{SO}_4$ . Отмечено, что влияние температурной зависимости кислотности на скорость р-ции, катализируемой к-той, сравнима с влиянием температурной зависимости вероятности активации. Следовательно, учет изменения кислотности с т-рой приводит к правильному определению энергии активации при катализе крепкими к-тами.

А. Гельштейн  
486. К вопросу кислотно-основного взаимодействия в системе серная кислота — уксусная кислота. Ланшин Б. М., Гуськова Л. В., Тр. Ивановск. хим.-технол. ин-та, 1956, вып. 5, 23—24

Потенциометрич. методом с применением электрода из двуокиси свинца исследована система  $\text{H}_2\text{SO}_4$ — $\text{CH}_3\text{COOH}$ . Характер зависимости потенциала  $\text{PbO}_2$ -электрода от состава системы указывает на образование соединения  $\text{CH}_3\text{COOH}_2^+ \text{HSO}_4^-$ .

А. Гельштейн  
487. Функция кислотности системы  $\text{H}_2\text{SO}_4$ — $\text{HSO}_3\text{Cl}$ . Пальм В. А., Докл. АН СССР, 1956, 108, № 2, 270—273

Индикаторным спектрофотометрич. методом измерена функция кислотности  $H_0$  системы  $\text{H}_2\text{SO}_4$  (I) —  $\text{HSO}_3\text{Cl}$  (II) в интервале содержания II 0—100 мол. %. Использованы индикаторы *n*-нитрохлорбензол ( $pK = -11,49$ ), 2,4-динитротолуол ( $pK = -12,6$ ), *n*-нитротолуол ( $pK = -10,34$ ). За начало отсчета принято значение  $H_0$  для 100%  $\text{H}_2\text{SO}_4$ , равное  $-10,89$ . При переходе от 100% I до 100% II  $H_0$  меняется от  $-10,89$  до  $-12,78$ , т. е. кислотность II в 70 раз больше кислотности I.

А. Гельштейн  
488. Функция кислотности водных растворов  $\text{HCl}$  и системы  $\text{P}_2\text{O}_5$ — $\text{H}_2\text{O}$  при различных температурах. Гельштейн А. И., Щеглова Г. Г., Темкин М. И., Ж. неорган. химии, 1956, 1, № 2, 282—297

Индикаторным методом измерена зависимость функции кислотности  $H_0$  от т-ры и конц-ии для водн. р-ров  $\text{HCl}$  (до 6,44 *M*), водн. р-ров  $\text{H}_3\text{PO}_4$  (до 100%) и крепких фосфорных к-т, содержащих  $\text{P}_2\text{O}_5$  до 83,8 вес. %. Найдено, что в системе  $\text{P}_2\text{O}_5$ — $\text{H}_2\text{O}$  величина  $H_0$  проходит через максимум при содержании 79,7 вес. %  $\text{P}_2\text{O}_5$ , что соответствует ф-ле  $\text{H}_4\text{P}_2\text{O}_7$ . Дальнейшее увеличение содержания  $\text{P}_2\text{O}_5$  в системе приводит к уменьшению кислотности. Увеличение т-ры (20—80°) приводит к росту кислотности водн. р-ров  $\text{HCl}$ . Кислотность системы  $\text{P}_2\text{O}_5$ — $\text{H}_2\text{O}$  с увеличением т-ры (4—40°) уменьшается. В области крепких фосфорных к-т и конц. р-ров  $\text{HCl}$  производная функция кислотности по т-ре практически не зависит от конц-ии. Определены величины стандартного изменения теплосодержания  $\Delta H^\circ$  и энтропии  $\Delta S^\circ$  при ионизации различных оснований — индикаторов.

А. Гельштейн  
489. Функции кислотности водных растворов бромистоводородной и соляной кислот. Винник М. И., Круглов Р. Н., Чирков Н. М., Ж. физ. химии, 1956, 30, № 4, 827—836

Индикаторным методом измерены функции кислотности  $H_0$  водн. р-ров  $\text{HBr}$  (I) и  $\text{HCl}$  (II) в интервале конц-ии соответственно 0,275—56,52 вес. % и 8,9—40,47 вес. %. Из эксперим. величин  $H_0$  определены значения  $(f_{\text{H}_2\text{O}} \cdot f_{\text{вн}^+}) / (f_{\text{III}})$  и  $f_{\text{B}} / (f_{\text{A}} \cdot f_{\text{вн}^+})$  (IV). В качестве стандартного состояния выбрано такое, при котором константа ионизации кислоты  $[HA] K_4 = 1$ . Показано, что соотношение III возрастает с ростом конц-ии р-ров I и II, а соотно-

шение IV от конц-ии I и II практически не зависит и равно единице. Для водн. р-ров I и II вплоть до 16—17 *M* функции кислотности  $H_0$  численно равны  $-\lg (a_{\text{H}_2\text{O}}/e_{\text{A}})$ , где  $a_{\text{H}_2\text{O}}$  — активность к-ты, определяемая из э. д. с. или уязкости пара,  $e_{\text{A}}$  — конц-ия галогид-иона.

А. Гельштейн  
490. Константы кислотной диссоциации и скорости омыления 2-фуранкарбоновой и β-2-фурил-, β-2-тиофенил- и β-1-нафтилакриловой кислот. Прайс, Дадли (Acid dissociation constants and rates of saponification for 2-furoic and β-2-furyl-, β-2-thienyl- and β-1-naphthylacrylic acids. Price Charles C., Dudley Edward A.), J. Amer. Chem. Soc., 1956, 78, № 1, 68—69 (англ.)

В продолжение работы (РЖХим, 1955, 51505) определены константы кислотной диссоциации  $K_a$  в 78,1%-ном этаноле при 25° и константы  $k \times 10^3$  (л/моль сек) скорости омыления этиловых эфиров ряда к-т: 2-фуранкарбоновой (I) 5,38; 2,27; β-(2-фурил)-акриловой 6,49; 5,35; β-(2-тиофенил)-акриловой 6,45; 4,90; β-(1-нафтил)-акриловой 6,37; 8,40. Рассчитаны величины постоянных  $\sigma_p$  и  $\sigma_m$  в ур-нии Гаммета для р-ций диссоциации и омыления. Также, как для изученных ранее эфиров 1-нафталинкарбоновой и 2-тиофенкарбоновой к-т, скорость омыления этилового эфира I меньше, чем можно было бы ожидать из величин  $K_a$ . Для трех арилакриловых к-т этого не наблюдается. Авторы считают, что большая сила I и тиофенкарбоновой к-ты объясняется стереоспецифич. фактором — кл-шневидной водо-одной связью.

И. Слоним  
491. Константа диссоциации ионной пары  $\text{Co}(\text{NH}_3)_6^{3+} \text{OH}^-$ . Кейтон, Пру (The dissociation constant of the ion-pair  $\text{Co}(\text{NH}_3)_6^{3+} \text{OH}^-$ . Caton J. A., Prue J. E.), J. Chem. Soc., 1956, March, 671—673 (англ.)

Вычислена константа диссоциации для р-ции  $\text{Co}(\text{NH}_3)_6^{3+} \text{OH}^- \rightleftharpoons \text{Co}(\text{NH}_3)_6^{3+} + \text{OH}^-$  ( $K = 0,014$  *M*). Конц-ия  $\text{OH}^-$  определена dilatометрически, из скорости разложения диацетонного спирта в р-ре  $\text{Co}(\text{NH}_3)_6(\text{OH})_3$ . При этом процесс катализируется ионами  $\text{OH}^-$ . Величина константы диссоциации обсуждена с точки зрения теории Бьеррума.

Г. Королев  
492. Коэффициенты активности *p*-толуол-сульфокислоты и ее натриевой соли в смешанных растворах. Боннер, Холланд (Activity coefficients of *p*-toluenesulfonic acid and sodium-*p*-toluenesulfonate in mixed solutions. Bonner O. D., Holland V. F.), J. Amer. Chem. Soc., 1955, 77, № 22, 5828—5829 (англ.)

Изопиестический метод Мак-Кея (РЖХим, 1953, 6152) может быть несколько упрощен, если использовать выражение  $\ln (\gamma_1/\gamma_2) = \int_0^{m\varphi} (\partial/\partial X_1)_{m\varphi} d(m\varphi)$ , где индексы 1 и 2 относятся к двум солевым компонентам смешанного р-ра,  $m$  — молярность,  $\varphi$  — осмотич. коэфф.,  $X$  — молярная доля компонента в смеси. Система *p*-толуол-сульфокислоты и ее Na-соли представляют тот интерес, что значения  $\gamma$  р-ров чистых компонентов аномально изменяются с конц-ией. Полученный ряд эксперим. значений  $\gamma_1$  и  $\gamma_2$  показывает, что рассматриваемая система не подчиняется правилу линейности Харриса.

В. Анохин  
493. Отношения коэффициентов активности смешанных электролитов в водных растворах при 25°. I. Серная кислота и сульфат меди. II. Хлорная кислота и перхлорат меди. Холланд, Боннер (Activity coefficient ratios of mixed electrolytes in aqueous solutions at 25°. I. Sulfuric acid and cupric sulfate. II. Perchloric acid and cupric perchlorate. Holland V. F., Bonner O. D.), J. Amer. Chem. Soc., 1955, 77, № 22, 5833—5835 (англ.)

По величине э.д.с. ( $E$ ) цепи  $\text{Ag}$ ,  $\text{AgCl}$ ,  $\text{HCl}$  (0,2 н.) | (стекло) |  $\text{H}_2\text{SO}_4$  ( $m_1$ ),  $\text{CuSO}_4$  ( $m_2$ ) |  $\text{Cu}$  с помощью ур-ния  $E = (E_{\text{ст}}^0 - E_{\text{Cu, Cu}^{2+}}^0) - (RT/2F) \ln (4m_1^2/m_2) - (RT/2F) \ln (\gamma_{\text{H}_2\text{SO}_4}^0/\gamma_{\text{CuSO}_4}^0)$ , зная стандартные потенциалы стеклянного ( $E_{\text{ст}}^0$ ) и  $\text{Cu}$  ( $E_{\text{Cu, Cu}^{2+}}^0$ ) электродов, можно определить отношение  $\gamma_{\text{H}_2\text{SO}_4}^0/\gamma_{\text{CuSO}_4}^0$ . Аналогичным образом для перхлоратных р-ров  $\gamma_{\text{HClO}_4}^0/\gamma_{\text{Cu}(\text{ClO}_4)_2}^0$ . Полученные данные сведены в таблицу. В. Анохин

494. К вопросу о структуре ионных растворов. С. Р. Рикков Ю. П., Техн. информ. по результатам науч.-исслед. работ. Ленингр. лесотехн. акад., 1956, № 38, 65—70

Сольватация складывается из двух эффектов: образования устойчивой оболочки вокруг иона и изменения структуры «свободной» части р-рителя под влиянием электростатич. поля ионов. Если рассматривать воду, согласно представлениям Холла (Hall, Phys. Rev., 1948, 73, № 7), состоящей из двух типов структур, находящихся в динамич. равновесии, то может быть выведено ур-ние  $\Delta F = \Delta F_0 - \alpha^3 \sqrt{n^2}$ , где  $\Delta F$  и  $\Delta F_0$  — разности свободных энергий указанных структур при наличии и в отсутствие внешнего поля,  $n$  — молярная доля соли в р-ре,  $\alpha$  — константа, характеризующая данную соль. Данное ур-ние позволяет вычислить соотношение между двумя типами структур воды в р-ре соли; введение соли изменяет это соотношение в сторону увеличения числа молекул воды, связанных в структуру с большей свободной энергией. Вычисленные теоретически изменения объема воды в  $\text{ZnCl}_2$  и  $\text{NaI}$  согласуются с эксперим. данными. С. Дракин

495. О сольватации ионов меди в этиловом спирте с добавками метилового спирта. Поминков И. С., Уч. зап. Казанск. ун-та, 1956, 116, № 1, 112—113. На основании спектров поглощения р-ров  $\text{CuCl}_2$  в  $\text{C}_2\text{H}_5\text{OH} + \text{C}_2\text{H}_5\text{OH}$  установлено постоянно число молекул  $\text{C}_2\text{H}_5\text{OH}$  в составе смешанной сольватной оболочки иона  $\text{Cu}^{2+}$  при конц-ях  $\text{CuCl}_2$  от 0,0089 до 0,1 М. Постоянство числа молекул  $\text{C}_2\text{H}_5\text{OH}$  в составе смешанной сольватной оболочки  $\text{Cu}^{2+}$  для системы  $\text{C}_2\text{H}_5\text{OH} - \text{C}_2\text{H}_5\text{OH} - \text{CuCl}_2$  и небольшую их величину (1—1,2) автор объясняет близостью свойств обоих спиртов, вследствие чего  $\text{C}_2\text{H}_5\text{OH}$  слабо вытесняет молекулы  $\text{C}_2\text{H}_5\text{OH}$  из сольватных оболочек. Теплоты сольватации  $\text{Cu}^{2+}$  метиловым и этиловым спиртами, по мнению автора, или равны друг другу, или, возможно, теплота сольватации меди метиловым спиртом немного больше, чем этиловым. Н. Полянский

496. Жидкие гидраты в водных растворах. Увеберг (Liquid hydrates in aqueous solutions. Owe Berg T. G.), Acta chim. Acad. sci. hung., 1956, 8, № 4, 439—476 (англ.; рез. рус., нем.)

Сводка работ автора по исследованию физ. и хим. свойств конц. водн. р-ров  $\text{HNO}_3$ ,  $\text{H}_2\text{SO}_4$ ,  $\text{H}_3\text{PO}_4$ ,  $\text{HClO}_4$ ,  $\text{HCl}$  и  $\text{NaOH}$ . Изложена теория, согласно которой понятие «гидрат» отнесено к определенным структурным образованиям в р-ре, где распределение молекул р-рителя и растворенного в-ва нельзя считать равномерным. Автор отрицает определенный колич. состав гидратов, считая нереальным, напр., состав «гидратов»  $\text{HCl}$  с 26 молекулами воды или  $\text{NaOH}$  — с 60, как это вытекает из эксперим. результатов. Эти числа рассматриваются как средние величины, характеризующие непостоянный состав структурных элементов в жидких р-рах. В. Анохин

497. Об устойчивости ионов  $\text{H}_2^+$  и  $\text{OH}^+$  в водных растворах. Коулсон (The stability of  $\text{H}_2^+$  and  $\text{OH}^+$  in aqueous solutions. Coulson C. A.), J. Chem. Soc., 1956, March, 778—780 (англ.)

Обсуждается вопрос об относительной устойчивости ионов  $\text{OH}^+$  и  $\text{H}_2^+$  в водн. р-рах. Предполагается, что ионы  $\text{OH}^+$  и  $\text{H}_2^+$  образуются под действием ионизирующих частиц при р-циях  $\text{H}_2\text{O}^+ \rightarrow \text{OH}^+ + \text{H}$ ;  $\text{H}_2\text{O}^+ \rightarrow \text{H}_2^+ + \text{O}$ ;  $\text{H} + \text{H}^+ \rightleftharpoons \text{H}_2^+$ ;  $\text{H} + \text{H}_3\text{O}^+ \rightarrow \text{H}_4\text{O}^+$ . Автор считает, что в водн. среде  $\text{OH}^+$  менее устойчив по сравнению с  $\text{H}_2^+$  из-за возможных процессов  $\text{OH}^+ + \text{H}_2\text{O} \rightarrow \text{OH} + \text{H}_3\text{O}^+$  и  $\text{OH}^+ + \text{H}_2\text{O} \rightarrow \text{H}_3\text{O}^+ + \text{O}$ . Касаясь сравнительной координирующей способности ионов  $\text{OH}^+$  и  $\text{H}_2^+$ , автор показывает, что, хотя она одинакова для больших расстояний, вблизи ионов сказываются большая компактность и слабая экранированность протона в  $\text{H}_2^+$  и значительные силы отталкивания несвязывающих электронов атома  $\text{O}$  в  $\text{OH}^+$ , поэтому, в целом, координирующая способность  $\text{H}_2^+$  больше. Наконец, поскольку потенциал ионизации  $\text{H}_2\text{O}$  меньше, чем  $\text{OH}$ , то в сольватном комплексе  $\text{OH}^+$  произойдет перенос электрона в  $\text{H}_2\text{O}$  к  $\text{OH}^+$ . В. Александрия

498. Ряд соображений о влиянии растворителя на параметры уравнения Аррениуса. Попович (Citeva considerații despre influența solventului asupra parametrilor din ecuația lui Arrhenius. Popovici S. I.), Rev. chim., 1956, 7, № 1, 49—53 (рум.; рез. рус., нем.)

Рассмотрено влияние р-рителя на структуру молекулы и свойства ее электронной оболочки, вызывающее изменение величин энергии активации и констант скорости. Предложено выражение для константы скорости, учитывающее влияние р-рителя  $k = P_{\alpha 0} \exp[(a - 1/RT)A]$ , где  $P$  определяет изменение электронной оболочки,  $\alpha_0$  — предельная константа скорости для ионизированной молекулы,  $a$  — степень деформируемости молекулы во время хим. процесса. С. Шушуря

499. Влияние растворителей на ионизацию органических галондопроизводных. Часть 2. Ионизация органических галондопроизводных в уксусной и муравьиной кислотах. Часть 3. Коэффициенты поглощения ионов карбония. Часть 4. Ионизация в хлорпроизводных этана. Эванс, Прайс, Томас (The effect of solvents on the ionization of organic halides. Part 2. Ionization of organic halides in acetic and formic acids. Part 3. The extinction coefficients of carbonium ions. Part 4. Ionization in chlorinated ethanes. Evans A. L., Price A., Thomas J. H.), Trans. Faraday Soc., 1955, 51, № 4, 481—490; 1956, 52, № 3, 332—344; J. Chem. Soc., 1955, sept., 3098—3103 (англ.)

2. Изучена с помощью спектров поглощения ионизация трифенилметилхлорида и его  $n$ -метилазамещенных (моно- $n$ -толилдибензил-, ди- $n$ -толилдибензил- и три- $n$ -толилметилхлоридов) в уксусной и муравьиной к-тах. В согласии с прежними наблюдениями (часть 1, РЖХИМ, 1956, 57621), установлено наличие стадии образования ионной пары  $\text{RCl} \rightleftharpoons \text{R}^+ + \text{Cl}^-$  и определена соответствующая этому свободная энергия. В отличие от нитропроизводных в кислотных р-рах температурная зависимость конц-ии иона карбония ( $\text{R}^+$ ) определяется конц-ией  $\text{Cl}^-$ , что указывает на диссоциацию  $\text{RCl} \rightleftharpoons \text{R}^+ + \text{Cl}^-$ . Муравьиная к-та обладает большей ионизирующей способностью, чем уксусная, и чем ожидаемая на основании величины диэлектрической постоянной.

3. Произведена проверка высказанного в предыдущих сообщениях предположения, что катионы триарилметиллов ( $\text{R}^+$ ), так же как ионные пары  $\text{R}^+ + \text{Cl}^-$  и сольватированные ионы  $\text{R}_0^+$  и  $\text{Cl}_0^-$ , во всех р-рителях имеют те же величины коэфф. поглощения ( $D_\lambda$ ), как и в конц. р-рах  $\text{H}_2\text{SO}_4$ . Спектрофотометрич. измерения р-ров хлор-

ридов и бромидов трифенилметила и три-*n*-толилметила в сильно понижающем *p*-рителе (*m*-крезоле) показали, что площадь  $\int D_A d\lambda$  для  $R^+$  (при одинаковой конц-ии этих ионов в *p*-рах  $0,9-5,1 \cdot 10^{-5}$  *г-ион/л*) одинакова как в *m*-крезоле, так и в 98%-ной  $H_2SO_4$ . Определены степени диссоциации и вычислены константа диссоциации ( $K$ ), свободная энергия, теплота диссоциации и энтропия. Значения  $K = 0,56$  (хлорид) и  $2,12$  (бромид) трифенилметила в *m*-крезоле  $\sim 1000$  раз больше, чем в нитрометане.

4. Изучено равновесие ионизации тех же в-в, растворенных в хлорпропановых ( $CH_3CHCl_2$ ,  $CHCl_2CH_2Cl$ ,  $CHCl_2CHCl_2$ ,  $CCl_3CHCl_2$ ,  $CCl_2$  и  $Cl_3CCl_3$ ). В согласии с представлением о двухстадийной ионизации:  $RCI \rightleftharpoons R^+Cl^-$  (константа равновесия  $K_1$ ) и  $RCI \rightleftharpoons R^+ + Cl^-$  (константа  $K_2$ ), график зависимости величины  $\{[R^+] + [R^+Cl^-] / [RCI]\}$  от  $1/[RCI]^{1/2}$  строго линейен для вышеприведенных *p*-рителей, что дает возможность вычислить значения  $K_1$ ,  $K_2$  и  $K_3 = K_1K_2$  и соответствующие им значения свободной энергии  $\Delta G_1$ ,  $\Delta G_2$  и  $\Delta G_3$ . Из температурной зависимости величин  $K$  вычислена теплота ионизации. На основании полученных результатов авторы считают, что: 1) хлорпроизводные являются более сильно понижающими *p*-рителями, чем это можно ожидать из величины их диэлектрич. постоянной; 2) хлорпроизводные обладают способностью вызывать образование ионных пар  $R^+Cl^-$ ; 3) наибольшей понижающей способностью обладает производное симметричного строения; 4) введение в молекулу трифенилметилхлорида групп  $CH_3$  в пара-положение снижает  $\Delta G_1$  и  $\Delta G_2$ ; 5) величина приращения энтропии указывает, что связывание *p*-рителя свободными ионами сильнее, чем полными парами. В. Анохин

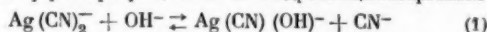
500. Растворители с высокой диэлектрической постоянной. IV. Электропроводность галогенидов аммония и их замещенных в *N*-метилацетамиде при  $40^\circ$ . Досон, Уилхойт, Серс (Solvents having high dielectric constants. IV. Conductances of ammonium and substituted ammonium halides in *N*-methylacetamide at  $40^\circ$ . Dawson Lyle R., Wilhoit Eugene D., Sears Paul G.), J. Amer. Chem. Soc., 1956, 78, № 8, 1569—1572 (англ.)

Измерена электропроводность ряда аммониевых и замещ. аммониевых галогенидных солей в *N*-метилацетамиде (*И*) при  $40^\circ$ . При изменениях конц-ии *C* в пределах  $2-80 \cdot 10^{-4}$  н. эквивалентная электропроводность  $\lambda$  меняется линейно с  $\sqrt{C}$ , однако наклон прямых  $\lambda$ ,  $\sqrt{C}$  на 2—23% больше, чем по ур-нию Онзагера. Величина  $\lambda_0$  — произведения  $\lambda$  на относительную вязкость *p*-ра

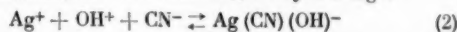
также линейно меняется с  $\sqrt{C}$ . В рядах солей идентичного строения  $\lambda_0$  уменьшается с увеличением алкильной группы; для диалкильных производных  $\lambda_0$  выше, чем для изомерных моноалкильных. Сравнение  $\lambda_0$  аммониевых солей и солей шел. металлов (РЖХим, 1956, 9438) показывает, что эффективные радиусы ионов шел. металлов примерно равны радиусам  $(C_2H_7)_4N^+$  и  $(C_4H_9)_4N^+$ . Авторы объясняют это сольватацией, которая в случае *p*-ров в *I* состоит не в образовании слоя связанных с ионом молекул, а во взаимодействии ионов с *p*-рителем, нарушающем квазикристаллич. структуру *p*-рителя и замедляющем движение иона в электрич. поле. Для *p*-ров в *I* хорошо соблюдается закон Колрауша о независимом движении ионов. Все изученные электролиты полностью диссоциированы в *I*.

И. Слоним  
501. Равновесие в щелочных растворах комплексных цианидов серебра. Колтгофф, Сток (Equilibria in alkaline argentocyanide solutions. Kolthoff I. M., Stock J. T.), J. Amer. Chem. Soc., 1956, 78, № 10, 2081—2085 (англ.)

Дидиапоаргентат калия увеличивает растворимость серебра в сильно щел. *p*-рах. Результаты титрования щел. *p*-ров  $KAg(CN)_2$  *p*-рами  $AgNO_3$  в отсутствие и при присутствии  $KBr$  показывают, что дидиапоаргентат-ион в щел. *p*-ре превращается в гидроксидиапоаргентат



а освобождающийся  $CN^-$  взаимодействует с  $Ag^+$ :



Суммарная *p*-ция  $Ag^+ + 2OH^- + Ag(CN)_2^- \rightleftharpoons 2Ag(CN)(OH)^-$  (3) объясняет наблюдаемую зависимость растворения  $Ag^+$  от конц-ии  $KAg(CN)_2$  и  $NaOH$ . Рассчитаны, без учета коэфф. активности, константы равновесия реакций (1) и (3) при  $25^\circ$ , которые соответственно равны:  $K_1 = 2 \cdot 10^{-7}$ ,  $K_3 = 3,4 \pm 0,8 \cdot 10^6$ . Получены значения для произведения растворимости  $S_{AgCN} = 2,3 \pm 1,4 \cdot 10^{-10}$ ,  $S_{AgOH} = 1,6 \pm 1,4 \cdot 10^{-8}$  при  $22-25^\circ$ .

И. Слоним  
502. Гидролиз солей алюминия и трехвалентного железа. Иванов А. Н., Алешин С. Н., Докл. Моск. с.-х. акад. им. К. А. Тимирязева, 1956, вып. 22, 386—392

Отрицательный логарифм константы диссоциации ( $pK$ ) продукта гидролиза  $AlCl_3$ , вычисленный из найденных значений  $pH$  и активности соли по ф-ле  $pK = -14 - 2pH - \lg a$ , сохраняет постоянство в широком интервале конц-ий  $AlCl_3$ . По мнению авторов, величина  $pK$  (8,14) определяет диссоциацию двух гидроксисионов алюминия  $Al(OH)_2^{2+}$  и  $Al(OH)_3^+$ . Для продукта гидролиза  $Al_2(SO_4)_3$   $pK$  изменяется от 8,93 для 0,001 н. *p*-ра до 11,14 для 1 н. *p*-ра. При этом рост конц-ии приводит к увеличению  $pK$  на 0,75, что авторы объясняют различной растворимостью образующихся основных сульфатов алюминия. Для  $3,3 \cdot 10^{-4}$  и  $6,66 \cdot 10^{-4}$  *M* *p*-ров  $FeCl_3$  конц-ия  $H^+$ -ионов превосходит молярную конц-ию соли, так как гидролиз не прекращается на образовании  $FeOH^{2+}$ , а приводит к частичному превращению моногидроксисиона в  $Fe(OH)_3^+$ . В условиях слабокислого почвенного *p*-ра ( $pH \leq 4,5$ ),  $Al(3+)$  и  $Fe(3+)$  находятся в виде зелей основных солей. Для устранения кислотности почв переводят ионы  $Al^{3+}$  и  $Fe^{3+}$  в труднорастворимые соли или устойчивые комплексы (силикаты, оксалаты, тартраты).

Н. Полянский  
503. О гидролизе иона  $Bi^{3+}$ . Предварительное сообщение. Гранер, Улин, Силлен (On the hydrolysis of the  $Bi^{3+}$  ion—a preliminary note. Graner Fredrik, Olin Ake, Sillén Lars Gunnar), Acta chem. scand., 1956, 10, № 3, 476 (англ.)  
Описанным ранее (Graner F., Sillén L., Acta chem. scand., 1947, 1, 631) методом изучен гидролиз  $Bi^{3+}$  в широком интервале конц-ий:  $0,1-50$  *мМ*. Показано, что при гидролизе образуются только два комплекса: одновалентный  $BiOH^{2+}$  и шестивалентный  $Bi_6(OH)_{12}^{6+}$ , число молекул воды в комплексах не установлено. *P*-лии образования комплексов и ориентировочные значения констант равновесия следующие:  $Bi^{3+} + H_2O \rightleftharpoons BiOH^{2+} + H^+$ ,  $K_{1,1} = 0,026$  *M*;  $6Bi^{3+} + 12H_2O \rightleftharpoons Bi_6(OH)_{12}^{6+} + 12H^+$ ,  $K_{12,6} = 2,14$  *M*<sup>7</sup>.

И. Слоним  
504. Влияние давления и температуры на вязкость водных растворов электролитов и пластовых вод. Жук Т. П., Сергеевич В. И., Изв. АН СССР, Отд. техн. н., 1956, № 5, 156—163  
В развитие работы (РЖХим, 1954, 25029) исследовалась вязкость ( $\eta$ ) в зависимости от давления (*p*) для 0,5 *M* *p*-ров различных электролитов при  $20^\circ$ , и обнаружена резкая зависимость характера кривой от природы соли. Так,  $\eta$  водн. *p*-ров  $NaCl$  и  $Na_2SO_4$  растет с *p*,  $KCl$  проходит через минимум при *p*  $\sim 100$  *атм*,  $KJ$  падает с ростом *p* до 500 *атм*, а водн. *p*-ры  $Na_2CO_3$ , как и



чистой воды, не зависит от  $p$ . Таким образом, различные ионы по-разному изменяют молекулярную структуру воды. Изучена  $\eta$  пластовой щел. воды, насыщ. газом ( $\text{CH}_4$  и  $\text{CO}_2$ ), и установлено, что для  $\text{CH}_4$  понижение  $\eta$  с  $p$  незначительно, а для  $\text{CO}_2$  наблюдается увеличение плотности и  $\eta$  при 220 атм. Найдено, что с увеличением конц-ии  $p$ -ра влияние  $p$  на  $\eta$  пластовых вод и  $p$ -ров при постоянной  $t$ -ре уменьшается.

М. Сурова  
505. Криометрия растворов хлористого бария в различных расплавленных нитратах. Дусе, Биэуар (La cryométrie des solutions de chlorure de baryum dans différents nitrates fondus. Doucet Yves, Bizouard Nichel), C. r. Acad. sci., 1956, 242, № 17, 2137—2140 (франц.)

$P$ -ры  $\text{BaCl}_2$  в расплавленных солях  $\text{LiNO}_3$  или  $\text{AgNO}_3$  сравнительно мало отличаются от идеальных. Значительно больше отличаются от идеальных  $p$ -ры  $\text{BaCl}_2$  в  $\text{KNO}_3$ . В этой последней системе коэфф. активности  $\text{BaCl}_2$  заметно быстрее уменьшается с изменением величины молярной доли, чем в двух других вышеприведенных нитратах. Эту особенность  $p$ -ра  $\text{BaCl}_2$  в расплавленных  $\text{KNO}_3$  авторы объясняют частичной диссоциацией.

Н. Полянский  
506. Взаимодействие растворенных веществ в жидких и твердых растворах в железе. Теркдоган (Interaction of solutes in liquid and solid solution in iron. Turkdogan E. T.), J. Iron and Steel Inst. London, 1956, 182, № 1, 66—73

507 К. Электрохимические методы в применении к изучению растворов. Кептан (Techniques électrochimiques appliquées à l'étude des solutions. Quintin Marguerite. Paris, Centre docum. univ. et E. D. F. S., 1955, 218 p., ill.) (франц.)

См. также: Растворимость 376, 380, 665. Диффузия 302. Структура  $p$ -ров 98, 137, 141, 330, 349. Кислотно-основные равновесия 415, 622. Твердые  $p$ -ры 128, 167, 370. Расплавы 342, 350. Др. вопр. 329, 478, 479

## ЭЛЕКТРОХИМИЯ

Редакторы О. А. Есин, В. В. Лосев

508. Электрохимия. (Сессия III Отд. Польской АН, Варшава, 15—19 ноября, 1955), Ж. Польской АН, 1956, 1, № 1, 49—50

509. Электрохимическая термодинамика Дж. Уиллара Гиббса и Стокгольмские соглашения. Электродный потенциал по Гиббсу и Стокгольмским соглашениям. Бетюн (The electrochemical thermodynamics of J. Willard Gibbs and the Stockholm Conventions. The Gibbs-Stockholm electrode potential. de Bethune Andre J.), J. Electrochem. Soc., 1955, 102, № 12, 288C—292C (англ.)

Рассмотрена связь электрохим. термодинамики Гиббса с понятиями «электродвижущая сила полуэлемента» и «электродный потенциал», принятыми на конференции по чистой и прикладной химии в 1953 г. в Стокгольме. Показано, что современное понятие «электродный потенциал» было термодинамически обосновано Гиббсом.

Н. Хомутов  
510. Полярность растворителя и электропроводность электролитов при бесконечном разбавлении. Эйми (The polar properties of solvent and the conductance of electrolytes at infinite dilution. Amis Edward S.), J. Phys. Chem., 1956, 60, № 4, 428—430 (англ.)

Проанализированы отступления от правила Вальдена, наблюдающиеся в смесях органич.  $p$ -ителей (ОР) с водой. Приблизительное постоянство эффективных радиусов ионов вплоть до 30—40 вес. % ОР указывает на селективную сольватацию ионов более полярными молекулами воды. Дальнейшее увеличение радиусов с ростом конц-ии ОР связано с сольватацией более крупными молекулами ОР. Практически постоянными оказываются эффективные радиусы ( $r_s$ ) взаимодействия

ион-диполь:  $r_s = (1800\pi\eta K\mu_0/DF)^{1/2}$  (1), где  $\eta$  — вязкость,  $\mu$  — дипольный момент,  $D$  — диэлектрич. постоянная,  $F$  — число Фарадея,  $K$  — постоянная. Из ур-ния (1) получается выражение  $(\Delta_0\eta\mu/D)^{1/2} = \text{const}$ , соответствующее правилу Вальдена.

Л. Крипталк  
511. Зависимость окислительно-восстановительного потенциала меди от концентрации аммиака в медно-аммиачном растворе. Архипов М. И., Харитонов В. П., Тр. Ивановск. хим.-технол. ин-та, 1956, вып. 5, 139—143

Измеренный  $Pt$ -электродом окислительно-восстановительный потенциал  $E$  аммиачного  $p$ -ра  $\text{Cu}(\text{OH})_2$  становится более положительным при увеличении конц-ии  $\text{NH}_3$ . Аналогичный эффект вызывает введение в  $p$ -р металлич.  $\text{Cu}$ . Добавка  $\text{NH}_4\text{ClO}_4$  приводит к уменьшению  $E$ .

А. Городецкая  
512. Электрохимическая методика определения термодинамических характеристик металлических систем. Ориани (Electrochemical techniques in the thermodynamics of metallic systems. Oriani R. A.), J. Electrochem. Soc., 1956, 103, № 3, 194—201 (англ.)

Описаны методика измерения э. д. с. гальванич. элементов с твердыми и жидкими электродами и способы вычисления  $\Delta G$ ,  $\Delta S$ ,  $\Delta H$ , а также поверхностного натяжения и фазового состава по найденным значениям э. д. с. Приведена сводная библиография, таблица исследований металлич. систем путем измерения э. д. с. гальванич. элементов. Б. Ленинских

513. Теоретические значения э. д. с. для элементов с одним твердым или расплавленным хлоридным электролитом. Хеймер, Малмберг, Рубин (Theoretical electromotive forces for cells containing a single solid or molten chloride electrolyte. Hamer Walter J., Malmberg Marjorie S., Rubin Bernard), J. Electrochem. Soc., 1956, 103, № 1, 8—16 (англ.)

По имеющимся термодинамич. данным вычислены э. д. с. обратимых гальванич. элементов  $M|\text{MCl}_2|\text{Cl}_2$  при 25—1500° для 96 различных хлоридов. По вычисленным значениям э. д. с. построен ряд напряжений для хлоридов (Делимарский Ю. К., Укр. хим. ж., 1950, 16, 414), который сопоставлен с таковым для водн.  $p$ -ров. Полученные результаты сопоставлены с литературными эксперим. данными по э. д. с. гальванич. элементов с расплавленными хлоридами и по напряжениям разложения расплавов. Б. Ленинских

514. Электродные потенциалы в расплавленных системах. II. Изучение системы  $\text{AgCl} - \text{KCl}$ . Штери (Electrode potentials in fused systems. II. A study of the  $\text{AgCl} - \text{KCl}$  system. Stern Kurt H.), J. Phys. Chem., 1955, 60, № 5, 679—681 (англ.)

Измерены э. д. с. цепи  $\text{Ag}|\text{AgCl}, \text{KCl}|\text{Cl}_2$  при составах расплава от индивид.  $\text{AgCl}$  до индивид.  $\text{KCl}$  при 500—900°. Получены воспроизводимые значения э. д. с. при значениях молярной доли  $\text{AgCl}$  не ниже 0,05. При более низких конц-иях  $\text{AgCl}$  э. д. с. невоспроизводимы. Э. д. с. цепи  $\text{Ag}|\text{KCl}|\text{Cl}_2$  при 890° непрерывно падает во времени; в расплаве появляется  $\text{AgCl}$ , конц-ия которого постепенно растет, и после 160 час. достигает 0,01 молярной доли. Показано, что  $\text{Ag}$ -фольга при 890°

взаимодействует с KCl с образованием AgCl. Сообщение I см. РЖХим, 1955, 20849. Б. Марков

515. Электростатическое толкование влияния диполей на разность вольта-потенциалов. Ланге (Elektrostatische Deutung des Dipoleinflusses auf die Voltaspannung. Lange E.), Z. phys. Chem. (DDR), 1956, 7, № 1-2, 96-100 (нем.)

На примере электрохим. системы, состоящей из двух химически однородных фаз, на одной из которых благодаря адсорбции поверхностноактивных в-в образуется поверхностный слой ориентированных диполей, разбирается влияние последнего на возникновение в этой системе разности вольта-потенциалов. На основании детального электростатич. анализа, построенного на аналогии исследуемой системы с соответствующими моделями шарового и плоского конденсаторов, автор приходит к выводу, что наблюдаемое в этой системе изменение вольта-потенциала обусловлено не только непосредственным влиянием внешних зарядов дипольного слоя, но, в первую очередь, влиянием вторично возникающих избыточных зарядов. М. Герович

516. О некоторых затруднениях новой теории электроосмоса. Колле (Sur quelques difficultés rencontrées dans l'expression de la nouvelle théorie de l'électrosmose. Collet Luc-Henry), C. r. Acad. sci., 1956, 242, № 19, 2350-2352 (франц.)

Приведены возражения против использования закона Пуассона в выводах теории эндосмотич. потока Дармуа (Darmois M. E., C. r. Acad. sci., 1948, 227, 339). Вамен предлагает новый вывод, основанный на существовании соотношения между эндосмотич. потоком  $\Phi_{\text{ЭО}}$ , потоком сольватированных ионов  $\Phi_{\text{С}}$  и гидродинамич. потоком  $\Phi_{\text{Г}}$ :  $\Phi_{\text{ЭО}} = \Phi_{\text{С}} - \Phi_{\text{Г}}$ . В то время как  $\Phi_{\text{С}}$  может быть вычислен из величин подвижностей ионов,  $\Phi_{\text{Г}}$  поддается расчету только для случая бесконечно разб. р-ра, для которого и приводится выражение эндосмотич. давления как функции эквивалентной электропроводности при бесконечном разбавлении и разности подвижностей катиона и аниона. В. Анохин

517. К вопросу о рассеивающей способности электролитов. Каданер Л. И., Ж. физ. химии, 1955, 29, № 5, 832-838

Обсуждены применяемые в настоящее время критерии оценки величины рассеивающей способности электролитов и эксперим. способы ее изучения. Описан предложенный автором упрощенный способ изучения распределения тока на наклонном катоде, требующий проведения кратковременного электролиза. Сделаны критич. замечания по поводу статьи А. В. Измайлова (РЖХим, 1954, 37492). См. также РЖХим, 1954, 31200; 1955, 52518. Н. Хомутов

518. Метод исследования процесса электровыделения и гальванокоррозии кадмия. Кудра О. К., Гордымский А. В., Изв. Киевск. политехн. ин-та, 1956, 17, 179-190

С целью выяснения возможности установления колич. связи между качеством электролитич. осадка и плотностью тока  $i$  при его образовании изучена закономерность сохранения потенциала Cd, осаждаемого на Pt, Ag, Cu и Fe из р-ра 0,1 н. CdSO<sub>4</sub>, в зависимости от  $i$  осаднения Cd. Метод исследования заключается в фиксировании времени, через которое весь Cd переходит в р-р, что определяется по скачку потенциала электрода. Показано, что чем выше  $i$ , при которой осаждается слой Cd на чужеродную поверхность, тем больше время сохранения потенциала Cd при одном и том же кол-ве осаждаемого металла, что, по мнению авторов, связано с большей компактностью осаждаемого металла. Высказывается мнение о возможности разработки нового метода исследования электродных

процессов и процессов коррозии по времени сохранения потенциала металлич. покрытия. З. Соловьева

519. К вопросу об анодной поляризации хрома. Агладзе Р. И., Ионатамшвили Т. В., Тр. Ин-та металла и горн. дела АН ГрузССР, 1956, 7, 157-174

Измерялись анодные поляризационные кривые (ПК) на Cr, Fe и феррохроме (F) в различных р-рах при плотностях тока ( $i$ ) до 30 а/дм<sup>2</sup> при 35°. В р-ре (NH<sub>4</sub>)<sub>2</sub>SO<sub>4</sub> (100 г/л) при pH 0,1-4,8 до некоторого предельного значения  $i(i_{\text{пр}})$  химически активированный Cr анодно растворяется с образованием ионов Cr низкой валентности. При дальнейшем увеличении  $i$  на ПК наблюдается резкий скачок  $\varphi$  и начинается растворение Cr с образованием ионов Cr (6+). Добавки Cl<sup>-</sup> и SO<sub>4</sub><sup>2-</sup> способствуют увеличению  $i(i_{\text{пр}})$ ;  $i(i_{\text{пр}})$  для Cr возрастает также при прибавлении  $\text{Sc}^{3+}$  к р-рам сульфата Cr или NH<sub>4</sub>Cl и при уменьшении pH в р-рах NH<sub>4</sub>Cl. Анодное растворение F в 1-5 н. Na<sub>2</sub>CO<sub>3</sub> приводит к образованию ионов Cr (6+) и Fe<sup>3+</sup> (3+). В 1-4 н. Na<sub>2</sub>CO<sub>3</sub> наблюдаются перегиб ПК и гистерезис прямого и обратного хода ПК, что авторы связывают с образованием на аноде пленки Fe(OH)<sub>3</sub>. При анодном растворении F в NaOH (10-70 г/л) на электроде также образуется пленка, характер которой зависит от концентрации (C) NaOH. При низких C образуются рыхлые пленки и на ПК наблюдаются перегибы; при высоких C - пленки плотные и на ПК нет перегибов. Измерение ПК на чистых Fe и Cr в Na<sub>2</sub>CO<sub>3</sub> и в NaOH показало, что в этих р-рах в исследованных условиях Fe является полностью пассивным, а Cr количественно переходит в р-р с образованием ионов Cr (6+).

Г. Флорианович  
520. Анодное поведение циркония при низких потенциалах. Скорости формирования, напряжение формирования, электролитические параметры и толщины очень тонких окисных пленок. Адамс, Ван-Рейсселберге, Марагини (Anodic polarization of zirconium at low potentials. Formation rates, formation field, electrolytic parameters, and film thicknesses of very thin oxide films. Adams George B., Jr., Van Rysselberghe Pierre, Maraghini Mario), J. Electrochem. Soc., 1955, 102, № 9, 502-511 (англ.)

В продолжение работы (РЖХим, 1955, 28586) исследовался рост очень тонких окисных пленок (ОП) на Zr-аноде в области поляризации, предшествующих выделению O<sub>2</sub>. Основываясь на допущении, что весь протекающий анодный ток расходуется на образование ОП и что линейное возрастание потенциала E со временем при поляризации электрода постоянной плотностью тока  $i$  вызвано образованием ОП, авторы пришли к выводу, что установленная ранее (РЖХим, 1955, 18418) экспоненциальная зависимость между скоростью роста ОП при высоких анодных поляризациях и падением напряжения внутри этой ОП описывает также рост ОП при низких поляризациях. Эксперим. проверка этого соотношения осуществлялась методом снятия кривых зарядки, наблюдением за изменением E при быстром повышении  $i$  и за изменением ионного тока при постоянном E. На основании полученных данных оценены величины скоростей формирования, а также толщины очень тонких ОП. Показано, что полученные данные хорошо согласуются с результатами, полученными ранее для высоких анодных поляризаций. Я. Колотыркин

521. Рост анодной пленки на гафнии в азотной кислоте. Миш, Фишер (Anodic film growth on hafnium in nitric acid. Misch R. D., Fisher E. S.), J. Electrochem. Soc., 1956, 103, № 3, 153-156 (англ.)

Исследовались толщина и характер образующейся пленки на кристаллах  $\text{Hf}$  в процессе анодной поляризации в 70%-ной  $\text{HNO}_3$  при 0,025 и 1,5  $\text{ма/см}^2$  при комнатной т-ре и при 0,025  $\text{ма/см}^2$  при 90°. Образцы диам. 3 см состояли из нескольких больших кристаллов, ориентация которых определялась рентгенографически. Установлена зависимость толщины образующейся при комнатной т-ре пленки на грани кристалла от величины угла между ней и гранью базиса. Пленки, полученные при 1,5  $\text{ма/см}^2$ , имели высокое сопротивление и получались при напряжении на ванне 170—185 в. При 0,025  $\text{ма/см}^2$  напряжение на ванне не превышало 1,5 в. При электрополировке  $\text{Hf}$  обнаружена зависимость характера электрополированной поверхности от ориентации кристаллов. Ю. Полукаров

522. Электролитическая полировка металлических оксидов. Адда, Коллонг (Pollissage électrolytique des oxydes métalliques. Adde Y., Collongues R.), Bull. Soc. franç. minéral. et cristallogr., 1954, 77, № 10—12, 1307—1314 (франц.)

Показано, что путем электрополировки можно на очень хрупких образцах, напр. на  $\text{FeO}$  и  $\text{Cu}_2\text{O}$ , получать вполне гладкие поверхности, не изменяя структуры образцов. Этот метод полировки использован для приготовления образцов окисленного при высоких т-рах  $\text{Fe}$  для оптич. и электроннооптич. исследований; на электрополированных образцах  $\text{FeO}$ , полученных путем окисления при т-рах  $< 500^\circ$ , в электронном микроскопе обнаружена тонкая перлитовая структура с толщиной отдельных пластинок  $< 0,1 \mu$ . Показано, что кристаллы  $\text{FeO}$  образуются путем ориентированного нарастания с сохранением контуров исходного металла.

И. Рогинский

523. Стехиометрическое число процесса выделения водорода на никелевом электроде; замечание по поводу статьи Бокриса и Парсонса. Хориути, Сугавара (Stoichiometric number of the hydrogen electrode process on nickel: comment on a paper of Bockris and Potter. Horiuti Juro, Sugawara Hiaso), 北海道大學腐蝕研究所紀要, Хоккайдо дайгаку сёкубай кэнкюсё кёи, J. Res. Inst. Catalysis, Hokkaido Univ., 1956, 4, № 1, 1—8. Discuss. 9—49 (англ.)

Дискуссионная статья (Bockris J. O'M., Potter E. C., J. Chem. Phys., 1952, 20, 614). В. Лосев

524. Стехиометрическое число реакции выделения водорода на никелевом электроде; ответ на замечания Хориути и Сугавара. Бокрис, Поттер (Stoichiometric number of hydrogen electrode reaction on nickel: reply to comment of Horiuti and Sugawara. Bockris J. O'M., Potter E. C.), 北海道大學腐蝕研究所紀要, Хоккайдо дайгаку сёкубай кэнкюсё кёи, J. Res. Inst. Catalysis, Hokkaido Univ., 1956, 4, № 1, 50—54 (англ.) См. пред. реф.

525. Каталитический механизм электролитического выделения водорода и теории скоростей реакций. Хориути (Catalytic mechanism of the hydrogen electrode process and the theory of reaction rate. Horiuti Juro), 北海道大學腐蝕研究所紀要, Хоккайдо дайгаку сёкубай кэнкюсё кёи, J. Res. Inst. Catalysis, Hokkaido Univ., 1956, 4, № 1, 55—85 (англ.)

Обзор и крит. обсуждение теоретич. исследований, посвященных механизму перенапряжения водорода. Подробно изложена развитая автором ранее теория перенапряжения водорода. Библ. 25 назв. В. Лосев

526. О механизме выделения кислорода из концентрированных растворов кислот. Каганович Р. И., Герович М. А., Еникеев Э. Х., Докл. АН СССР, 1956, 108, № 1, 107—110

Методом снятия поляризационных кривых исследована кинетика выделения  $\text{O}_2$  на  $\text{Pt}$ -аноде из конц. р-ров  $\text{H}_2\text{SO}_4$  (1—15 н.) и  $\text{HClO}_4$  (1,32—9,8 н.). Показано, что кривая ( $\eta$ ,  $\lg i$ ) ( $\eta$  — перенапряжение) имеет три ясно выраженных участка, характеризующихся различными коэфф. наклона. В случае  $\text{HClO}_4$  за прямолинейным участком в интервале значений  $\eta$  от 0,5 до 0,9 в (коэфф. наклона 0,16) следует резкий рост  $\eta$  в узком интервале  $i$ , достигающий 0,8 в для 1, 3 н.  $\text{HClO}_4$ . Дальнейшее повышение  $i$  приводит к верхнему прямолинейному участку с коэфф. наклона, близким к коэфф. наклона нижнего участка кривой. При заданных значениях  $i$  с повышением конц-ии к-ты  $\eta$  повышается в интервале поляризаций, соответствующих нижнему участку, и понижается при поляризациях, соответствующих верхнему участку. Сопоставление кривых, снятых в р-рах  $\text{HClO}_4$  и  $\text{H}_2\text{SO}_4$  с близкими значениями активности воды, показывает, что область резкого подъема  $\eta$  в случае  $\text{H}_2\text{SO}_4$  сдвинута в сторону больших  $i$ . Авторы пришли к выводу, что в области значений  $i$ , соответствующих нижнему участку кривой, наряду с другими медленными стадиями процесса, определяющими его кинетику, необходимо учитывать разряд молекул воды, на что указывает зависимость  $\eta$  от конц-ии к-ты или активности воды. Наступающий вслед за этим резкий рост  $\eta$  объясняется возрастанием степени окисления поверхности  $\text{Pt}$ -электрода. См. также РЖХим, 1953, 2875, 4405; 1956, 35509.

М. Герович

527. Поляризация при восстановлении алюминия.

Хаупин (Polarization in an aluminum reduction cell. Haupin Warren E.), J. Electrochem. Soc., 1956, 103, № 3, 174—178 (англ.)

При помощи новой методики, основанной на измерениях в переменном токе в сочетании с периодич. переключением направления постоянного тока, изучалась поляризация ( $\Pi$ ) при восстановлении  $\text{Al}$  из криолит-глиноземных расплавов при 980—1000°. Найдено, что суммарная  $\Pi$  складывается из  $\Pi$ , вызванной образованием газовой пленки на аноде и  $\Pi$ , обусловленной протеканием хим. р-ции или диффузией. Показано, что  $\Pi$  увеличивается с уменьшением отношения  $(\text{NaF}/\text{AlF}_3)$  и с увеличением плотности тока. Добавки  $\text{Al}_2\text{O}_3$  к расплаву  $\text{NaF} + \text{AlF}_3$  и перемешивание снижают оба типа  $\Pi$ , а добавки  $\text{MgF}_2$ ,  $\text{CaF}_2$  и  $\text{SrF}_2$  не оказывают существенного влияния на величину  $\Pi$ . Б. Лепинских

528. Об электрохимических основах электролиза сульфидно-свинцовых расплавов. Винтерхагер, Каммель (Über die elektrochemischen Grundlagen der Bleisulfid-Schmelzflusselektrolyse. Winterhager Helmut, Kammel Roland), Z. Erzbergbau und Metallhüttenwesen, 1956, 9, № 3, 97—105 (нем.)

Напряжение разложения ( $E_z$ ) в системе  $\text{PbS} - \text{PbCl}_2$  определялось термодинамич. расчетом, по поляризационным кривым и на основании измерения э. д. с. элемента  $\text{Pb}/\text{PbS}/\text{S}$ , причем получены близкие результаты. Для т-р 520, 550 и 580°  $E_z$  для  $\text{PbS}$  равны соответственно 401, 372 и 343 мв, а для  $\text{PbCl}_2$  1250, 1230 и 1220 мв. Электропроводность ( $\kappa$ ) системы  $\text{PbCl}_2 - \text{PbS}$  возрастает с т-рой и конц-ией  $\text{PbS}$  и достигает  $3,1 \text{ ом}^{-1} \text{ см}^{-1}$  при 580° и 20%  $\text{PbS}$ . В системе  $\text{PbCl}_2 - \text{PbS} - \text{NaCl}$ , начиная с 460° и выше, на изотермах  $\kappa$  имеется максимум при 2%  $\text{PbS}$ , который увеличивается с т-рой. Проводился электролиз расплава 85,5%  $\text{PbCl}_2 + 6,5\% \text{NaCl} + 8\% \text{PbS}$  с  $\text{Pb}$ -катодом и графитовым анодом при 480—495°. Выход по току при расчете на  $\text{Pb}$ , выделившийся на катоде, составил 97,5%, а на анодную  $\text{S} = 52,3\%$ . Б. Лепинских

529. Ускорение растворения железа в серной кислоте ионами трехвалентного железа. Гатое | Accetela-



tion of the dissolution of iron in sulfuric acid by ferric ions. Gatos Harry C.), J. Electrochem. Soc., 1956, 103, № 5, 286—291 (англ.)

Исследовалось влияние ионов  $\text{Fe}^{3+}$  на скорость растворения (СР) и стационарный потенциал ( $\varphi$ )  $\text{Fe}$  в 1 н.  $\text{H}_2\text{SO}_4$  в атмосфере  $\text{H}_2$  при 25° и определялась скорость выделения водорода (СВВ) как функции времени и концентрации  $\text{Fe}^{3+}$  (С). Показано, что ионы  $\text{Fe}^{3+}$  ускоряют растворение  $\text{Fe}$ , причем с ростом С до 0,47 н. это ускорение возрастает, а  $\varphi$  сдвигается в положительную сторону. При дальнейшем увеличении С  $\varphi$  сдвигается в отрицательную сторону, а СР несколько падает и при С = 4,00 н. становится равной СР в чистой  $\text{H}_2\text{SO}_4$ . СВВ при данной С уменьшается во времени до нуля, причем тем быстрее, чем выше С. Увеличение кислотности р-ра при С = const приводит к уменьшению СР и к росту СВВ. Полученные результаты объясняются протеканием наряду с р-цией разряда  $\text{H}^+$  также р-ции  $\text{Fe}^{3+} + e \rightarrow \text{Fe}^{2+}$ . Г. Флорьянович

530. Скорости растворения меди в водных растворах гидроксидов аммония. Лу, Грейдон (Rates of copper dissolution in aqueous ammonium hydroxide solutions. Lu Benjamin C.-Y., Graydon W. F.), J. Amer. Chem. Soc., 1955, 77, 23, 6136—6139 (англ.)

Установлено, что кинетика растворения поликристаллич. металлич.  $\text{Cu}$  в водн. р-рах  $\text{NH}_4\text{OH}$  в большой степени зависит от условий процесса. В большинстве случаев это р-ция автокаталитич., и эксперим. данные выражаются эмпирич. ур-нием дробного (половинного) порядка  $d[\text{Cu}(\text{NH}_3)_2^{2+}]/dt = 1,21 \cdot 10^{-5} (A/V) \cdot \exp(-2920/RT) v^{0.65} [\text{Cu}(\text{NH}_3)_2^{2+}]^{0.5}$ , где А — площадь образца, V — объем р-ра, v — линейная скорость вращения образца (1700—24600 см/мин). Предложен механизм р-ции, согласно которому ее скорость лимитируется удалением  $\text{Cu}^+$  от поверхности раздела путем диффузии. В р-рах  $\text{NH}_4\text{OH}$ , насыщенных  $\text{O}_2$ , р-ция растворения  $\text{Cu}$ , как и правило, нулевого порядка; лишь при высокой конц-ии  $\text{Cu}$  (2+) р-ция начинает становиться автокаталитической. В. Левинсон

531. Кинетика коррозии меди в кислых растворах. Уикс, Хилл (The kinetics of the corrosion of copper in acid solutions. Weeks John Randel, Hill George Richard), J. Electrochem. Soc., 1956, 103, № 4, 203—208 (англ.)

В продолжение работы (РЖХим, 1956, 49432) определялась скорость растворения (СР)  $\text{Cu}$  в р-рах  $\text{HCl}$  с добавками  $\text{KCl}$  (0,05—1 н.) при pH 0,8—2,8, т-рах 20—70° и при различных конц-иях (С)  $\text{O}_2$  в р-ре. Образцы  $\text{Cu}$  содержали ~0,01% радиоактивного  $\text{Cu}^{60}$  и СР определялась путем измерения радиоактивности р-ра. Начальная СР (в течение нескольких секунд) велика, затем она уменьшается и быстро достигает стационарного значения. С уменьшением pH и увеличением ССР возрастает, причем этот рост в достаточно кислых р-рах замедляется. На основании измерений при разных т-рах сделан вывод, что при т-рах до 52° СР, по-видимому, контролируется хим. р-цией, выше 52° — диффузией  $\text{O}_2$  к поверхности  $\text{Cu}$ . Предложен механизм растворения  $\text{Cu}$  в кислых р-рах. Г. Флорьянович

532. Реакция саморазряда в элементах с электродами из двуокиси марганца и металлическими электродами. Воеберг, Алленсон, Хилс (A self-discharge reaction of cells with manganese dioxide and metal electrodes. Vosburgh W. C., Allenson D. R., Hills Stanley), J. Electrochem. Soc., 1956, 103, № 2, 91—93 (англ.)

Исследовано поведение  $\text{MnO}_2$ -электрода в различных р-рах в присутствии металлич. электрода. В 2 М  $\text{NH}_4\text{Cl}$  (с добавкой  $\text{NH}_4\text{OH}$  до pH 7,3) в присутствии

$\text{Ag}$ , в 0,2 М  $\text{KCl}$  с добавкой 0,025 М фосфатного буфера (pH 6,7) в присутствии  $\text{Zn}$  и в 1 М  $(\text{NH}_4)_2\text{SO}_4$  в присутствии  $\text{Pb}$  наступает значительное падение потенциала  $\text{MnO}_2$ -электрода, являющееся результатом его восстановления перекисью водорода, образующейся при восстановлении  $\text{O}_2$  в процессе коррозии металла. Указанный процесс является одной из причин саморазряда гальванич. элементов. В течение месяца потенциал  $\text{MnO}_2$ -электрода в элементе  $\text{Ag}|\text{NH}_4\text{Cl}|\text{MnO}_2$  падает от 0,453 в до 0,237 в. В. Левинсон

533. Влияние растворителя на полярографическое восстановление катионов. Брасс, Де Врис (The effect of the solvent on the polarographic reduction of cations. Bruss Douglas B., De Vries Thomas), J. Amer. Chem. Soc., 1956, 78, № 4, 733—736 (англ.)

Изучено полярографич. поведение  $\text{Bi}$ ,  $\text{Cd}$ ,  $\text{Cr}(3+)$ ,  $\text{Cr}(2+)$ ,  $\text{Co}$ ,  $\text{Cu}$ ,  $\text{Fe}(2+)$ ,  $\text{Mn}$ ,  $\text{Ni}$  и  $\text{Zn}$  на фоне 0,2 М  $\text{LiCl}$  в формамиде, воде, этиленгликоле, диметилформамиде, метаноле, этаноле, пропаноле, изопропаноле, бутаноле, пентаноле и пиридине. В качестве электрода сравнения использовался  $\text{Ag}|\text{AgCl}$ -анод. Как и правило, получаются хорошие полярограммы. Максимумы подавались добавками этилцеллюлозы.  $E_{1/2}$  обычно становятся более положительными по мере уменьшения диэлектрич. постоянной (D) р-рителя, что указывает на меньшую прочность комплексов или сольватов.  $\Delta E_{1/2}/\Delta D$  минимально (0,2 мв) для  $\text{Zn}$  и максимально (6,58 мв) для  $\text{Fe}(2+)$ . График  $[(\Delta E_{1/2}/\Delta D), (\kappa/r)]$ , где  $\kappa$  — малютная восприимчивость, а r — радиус восстанавливающегося иона, представляет собой прямую линию. Для  $\text{Bi}$  и  $\text{Cu}$   $i_d$  пропорционален корню квадратному из текучести р-рителя. Для остальных ионов все р-рители по этому признаку подразделяются на две группы: спирты образуют одну группу, а остальные р-рители — другую. Из этих данных следует, что коэфф. диффузии  $\text{Bi}$  и  $\text{Cu}$  определяются главным образом вязкостью среды; данные для других ионов указывают на различный размер сольватированных ионов в различных р-рителях. Приведены величины  $i_d$ , определенные из наклона прямых  $[\lg i_d/(i_d - i)], E_1$ . С. Жданов

534. Полярография ароматических производных и межмолекулярные взаимодействия. I. Нитропроизводные. Приложение уравнения Гамметта к потенциалам полуголы. Тируфле (Polarographie des dérivés aromatiques et interactions intramoléculaires. I. Dérivés nitrés. Application de l'équation de Hammett en potential de demi-vague. Tirouflet Jean), Bull. Soc. chim. France, 1956, № 2, 274—281 (франц.)

Сняты полярограммы (водн. буферные р-ры) 2- (II), 3- (III) и 4-нитробензойной (III) к-т; 3- (IV), 4- (V), 5- (VI) и 6-нитро-2-метилбензойной (VII) к-т; 3- (VIII) и 4-нитрофталевой (IX) к-т; n-нитрофенилуксусной (X) и n-нитрокоричной (XI) к-т; o- (XII) и m-нитробензильного (XIII) спиртов; 4- (XIV), 5- (XV) и 6-нитрофталидов (XVI); o- (XVII), m- (XVIII) и n-нитробензальдегидов (XIX); o- (XX), m- (XXI) и n-нитроацетофенонов (XXII). I—VII в области pH < 4 или 5 дают две волны (первая — 4-электронная:  $\text{NO}_2 \rightarrow \text{NHONH}$ ; вторая:  $\text{NHOH} \rightarrow \text{NH}_2$ , но высоте примерно равна первой). В области  $4 < \text{pH} < 7$  I—VII образуют одну 4-электронную волну, которая в шел. среде разделяется на две; высота первой из них уменьшается, при pH 12 она исчезает; обсуждены возможные причины раздвоения 4-электронной волны.  $i_d$  для I—VII мало изменяется с pH,  $E_{1/2}$  изменяется с pH. VIII и IX восстанавливаются аналогично I—VII; в кислой среде появляется дополнительно третья волна; при pH 1,99

она сливается со второй волной восстановления  $\text{NO}_2$ -группы. У XI при pH 4,21 наблюдаются две волны за счет восстановления двойной связи; X восстанавливается труднее XI. Полярограммы XII и XIII очень похожи на полярограмму самого нитробензола; при всех pH XIII восстанавливается немного легче XII. Полярограммы XIV—XVI можно снять лишь в кислой среде; в щел. среде лактонная группа чрезвычайно быстро гидролизует. Результаты изучения XVII—XIX совпадают с описанными ранее (Коршунов А., Сазанова Л. Н., Ж. физ. химии, 1949, 23, 1299). XXI при pH 2 дает три волны; две из них отвечают восстановлению  $\text{NO}_2$ -группы (4 и 2 электрона), а третья — восстановлению CO-группы; при pH 2—5 вторая и третья волны сливаются, образуя 4-электронную волну; при pH > 6 наблюдаются две волны: 4-электронная и 2-электронная. XX и XXII отличаются от XXI по поведению в щел. среде, образуя при pH < 7 три волны: одну 4-электронную и две 2-электронные. На основании анализа полученных данных установлено, что ур-ние Гамметта хорошо выражает  $E_{1/2}$  (для 4-электронной волны) всех изученных нитропроизводных, однако в нейтр. или щел. среде неприменимо к соединениям, содержащим группу COOH.

535. Полярографические исследования в области химии жиров. IV. О третичных бутилгидроксидных изолах и их электрохимических свойствах. Бальтес (Polarographische Untersuchungen auf dem Fettgebiet. IV: Über tert. Butylhydroxyanisole und ihre elektrochemischen Eigenschaften. Balthes J.), Fette, Seifen, Anstrichmittel, 1955, 57, № 9, 656—660 (нем.; рез. англ., исп., франц.)

В результате р-ции монометилового эфира гидрохинона с изобутиленом в присутствии фосфорной к-ты наряду с 2-мет-бутил-4-метоксифенолом (I) и 3-мет-бутил-4-метоксифенолом (II) образуются также значительные кол-ва 2,5-ди-мет-бутил-4-метоксифенола (III). С помощью вращающегося Pt-электрода исследовано полярографич. поведение I—III на фоне  $\text{CH}_3\text{CO}_2\text{K}$ . При pH 5—7 в области  $E$  от +0,4 до +1,2 в (насыщ. к. э.) I и II дают две, а III — одну анодную волну; при меньших pH наблюдается только одна волна I—II, высота которой равна сумме высот двух волн при pH 5—7. Установлено, что в окислении I и II принимают участие 2 электрона, а в окислении III — 1 электрон.  $E_{1/2}$  I—III очень близки между собой. Предложен механизм окисления I—III с промежуточным образованием моно- и бирадикалов, возникающих также и при автоокислении жиров. Сообщение III см. РЖХим, 1956, 49061. С. Жданов

536. Об уравнении полярографической волны на твердых электродах в расплавленных солях. Паченко И. Д., Укр. хим. ж., 1956, 22, № 2, 153—155

Исходя из ранее описанной физ. картины выделения металлов из расплавленных солей при полярографировании на твердом электроде (РЖХим, 1953, 2881; 1954, 21433; 1955, 5357) более строго выведено ур-ние полярографич. волны для этих условий, исходя из предположения, что активность осаждаемого металла является функцией силы тока вследствие диффузии металла в твердый электрод. Полученное ур-ние идентично ур-нию Гейровского — Ильковича.

Ю. Делимарский

537. Исследование образования газообразного HCN при электрическом разряде. Н. Судзуки, Миядзак, Такахаши (放電による青酸ガスの生成に関する研究. 第2報. 鈴木桃太郎, 宮崎正蔵, 高橋サク), 日本化学雑誌, Нихон катсу дзасси, J. Chem. Soc. Japan. Pure Chem. Sec., 1955, 76, № 6, 639—642 (япон.)

Исследованы условия образования HCN из смеси  $\text{CH}_4 + \text{N}_2 + \text{NH}_3$ . Соотношение между выходом и составом смеси представлено в виде тройной диаграммы. Сообщение I см. РЖХим, 1956, 64623.

Chem. Abstrs, 1956, 50, № 5, 3121. M. J. Brabers 538. Образование озона при тихом разряде. Судзуки, Миядзак, Такахаши (無聲放電によるオゾンの生成について. 鈴木桃太郎, 宮崎正蔵, 高橋サク), 日本化学雑誌, Нихон катсу дзасси, J. Chem. Soc. Japan. Pure Chem. Sec., 1955, 76, № 7, 744—749 (япон.)

Исследован процесс образования  $\text{O}_3$  из  $\text{O}_2$  при тихом разряде.

Chem. Abstrs, 1956, 50, № 6, 3905. Т. Катураи

539. Зависимость Поши-эффекта от частоты приложенного напряжения. Дешмукх (Dependence of Joshi effect on the frequency of the applied voltage. Deshmukh M. B.), J. Chem. Phys., 1956, 24, № 2, 472—473 (англ.)

540. Уравнение Вернера для низкочастотного тихого разряда в водород. Джатар (Werner's equation for low-frequency silent electric discharge in hydrogen. Jatar D. P.), J. Chem. Phys., 1956, 24, № 6, 1273—1274 (англ.)

541. Стробоскопические исследования формирования во времени, оптической абсорбции и послесвечения управляемой искры. Калкер (Stroboskopische Untersuchungen über den zeitlichen Aufbau, die optische Absorption und das Nachleuchten gesteuerter Funkenentladungen. Calkers Jan van), Mikrochim. acta, 1955, № 2—3, 662—670 (нем.; рез. англ., франц.)

Процессы, происходящие в искре (И) в течение всего времени разряда, разделяются на три фазы: зажигания, дуговую и затухания, и изучаются раздельно с помощью стробоскопа. Исчезновение характеристик, линий поглощения в-ва электродов в спектре поглощения паров канала И объясняется окислением электродов атмосферным  $\text{O}_2$  с образованием плотного покрытия их поверхности пленкой окисла. Свечение, наблюдаемое в канале И после прекращения разряда, объясняется свечением паров активного  $\text{N}_2$ . Наблюдаемое после полного прекращения разряда быстрое движение в канале И большого кол-ва маленьких светящихся частичек указывает на наличие сильных газовых потоков в искровом промежутке. В. Лыгин

542. Периодические явления при вырывании металла с поверхности многокомпонентной системы. Эскер (Periodische Erscheinungen bei der Metallablösung an der Oberfläche von Mehrstoffsystemen. Ecker G.), Spectrochim. acta, 1955, 7, № 4, 219—230 (нем.; рез. англ.)

Развивается теория наблюдавшихся ранее (Kaisen H., Sohm M., Spectrochim. acta, 1942, 2, 258), периодических явлений при вырывании металла с электрода из сплава потоком ионов.

В. Урба

543 К. Электропроводность электролитов. Дармуа (Conductibilité des électrolytes. Darmon Eugène. Paris, Centre docum. univ., 1955, 144 pp., ill.) (франц.)

544 К. Электрохимические методы. Дармуа (Manipulations d'électrochimie. Darmon Eugène. Paris, Centre docum. univ., 1955, 66 p., ill.) (франц.)

545 Д. Стандартный электрод для ионов металлов. Ломан (An indicator electrode for metal ions. Lohman Fred H. Abstrs. doct. diss., Iowa State Coll., 1955), Iowa State Coll. J. Sci., 1956, 30, № 3, 405—406 (англ.)

546 Д. Измерение и значение чисел переноса в расплавах солей. Лейти (Measurement and significance of transport numbers in fused salts. Laity Richard W. Abstr. doct. diss., Iowa State Coll., 1955), Iowa State Coll. J. Sci., 1956, 30, № 3, 401 (англ.)

547 Д. Анодное растворение и электрополировка меди в фосфорной кислоте. Джайлс (Anodic dissolution and electropolishing of copper in phosphoric acid. Giles Frederick Harvey, Jr. Doct. diss., Univ. Illinois, 1955), Dissert. Abstrs, 1955, 15, № 12, 2549 (англ.)

548 Д. Исследование анодных осадков, образующихся при электролизе растворов некоторых солей таллия. Староверова В. И. Автореф. дисс. канд. хим. н., Моск. гор. пед. ин-т, М., 1956

549 Д. Влияние физико-химических факторов на электродные процессы на амальгамном капельном электроде в присутствии камфоры в растворе. Загайнова Л. С. Автореф. дисс. канд. хим. н., Уральский ун-т, Свердловск, 1956

550 Д. Полярграфическое поведение иона водорода в индифференциальных и смешанных растворителях. Бондаренко Н. И. Автореф. дисс. канд. хим. н., Кишиневск. ун-т, Кишинев, 1956

551 П. Ионные электрохимические реакции. Арнольд, Моне (Ionic electrochemical reactions. Arnold Harold Wilfred, Monet Gilbert P.) [E. I. du Pont de Nemours & Co.]. Пат. США 2721171, 18.10.55

Предлагается проводить ионные электрохим. р-ции путем пропускания тока через ряд водн. р-ров электролитов, разделенных попеременно мембранами, которые непроницаемы либо для анионов, либо для катионов. По крайней мере один промежуточный р-р представляет собой р-р соединения с мол. весом не менее 200. У этого соединения все ионы одного знака настолько велики, что мембраны для них непроницаемы, тогда как ионы противоположного знака достаточно малы и могут проходить через мембраны. Указанный р-р отделен от смежных р-ров с анодной стороны мембраной, непроницаемой для катионов, а с катодной стороны — мембраной, непроницаемой для анионов.

И. Ерусалимчик

См. также: Электроосаждение металлов 1515, 1516, 1536—1538. Коррозия 1512, 1526, 3201, 3204, 3205, 3215, 3227, 3232. Полярграфия 431, 1005, 1198, 1295, 1335, 2915, 3018; 45—49Бх, 55Бх, 209Бх, 683Бх, 684Бх, 903Бх. Хим. источники тока 1527, 1528. Электропроводность 363, 383, 385, 417, 423, 500. Методика электрохим. измерений 1334. Др. вопр. 329, 343, 507, 1212, 1234

## ПОВЕРХНОСТНЫЕ ЯВЛЕНИЯ. АДсорбция. ХРОМАТОГРАФИЯ. ИОННЫЙ ОБМЕН

Редактор Н. А. Фукс

552. Метод определения поверхностного натяжения твердых веществ по температуре плавления их в тонком клине. Силл, Скапский (Method for the determination of the surface tension of solids, from their melting points in thin wedges. Sill Richard C., Skapski Adam S.), J. Chem. Phys., 1956, 24, № 4, 644—651 (англ.)

Установлена связь между понижением  $\Delta T$  т-ры плавления в-ва в тонкой клиновидной щели и его свойствами, справедливая в тех случаях, когда краевой угол смачивания стенок щели жидкой фазой равен нулю:

$\Delta T = 2T_m(\sigma_S - \sigma_L)/\rho_S Q_l h$ , где  $T_m$  — нормальная т-ра плавления,  $\sigma_S$  и  $\sigma_L$  — поверхностное натяжение соответственно в твердом и жидком состояниях,  $Q_l$  — теплота плавления и  $\rho_S$  — плотность твердой фазы в-ва, а  $h$  — толщина клина у границы между твердой и жидкой фазами. По понижению т-ры плавления в такой щели, образованной оптически плоскими поверхностями стекла и стали, вычислено  $\sigma_S$  для мигристиновой к-ты:  $116 \pm 10$  эрг/см<sup>2</sup> и стеариновой к-ты:  $180 \pm 10$  или  $135 \pm 6$  эрг/см<sup>2</sup> в зависимости от ориентации ее кристаллов относительно поверхности раздела. Таким образом, показано, что разные грани кристаллов стеариновой к-ты обладают различным поверхностным натяжением. Дан анализ влияния примесей влаги и мылосов, образующихся на торцах клина, на точность результатов.

А. Кошевич

553. Влияние диэлектрической проницаемости на маслянистость смазочных веществ в присутствии углекислоты при разных давлениях. Воловик, Лазарр (Étude de l'ontuosité des lubrifiants en présence du gaz carbonique CO<sub>2</sub> en fonction des constantes diélectriques et à des pressions variées. Volovick Grégoire, Lazard Flavien), C. r. Acad. sci., 1956, 242, № 16, 1986—1988 (франц.)

В продолжение работ, опубликованных ранее (РЖХим, 1955, 42711; 1956, 18914), изучено влияние CO<sub>2</sub>, растворенной в смазочных маслах, при 25° и давлении  $p$  0—60 ат на диэлектрич. проницаемость и маслянистость ф нескольких образцов масел. Опыты велись в условиях равновесия между CO<sub>2</sub> и маслом. С повышением  $p$ ,  $\epsilon$  и  $\phi$  убывают. Так, для образца незамерзающего масла при повышении  $p$  от 0 до 60 атм  $\epsilon$  убывает от 2,302 до 2,208, а  $\phi$  — от 0,280 до 0,087.

Н. Фукс

554. Новый термодинамический метод определения сил сцепления между жидкостью и твердым телом. Андреев Ю. Н., Науч. тр. Моск. полиграф. ин-та, 1955, 3, 91—111

Рассматривая упрощенную схему взаимодействия жидкости с поверхностью нерастворимого в ней твердого тела, автор выводит ур-ние для равновесия растекания  $A_1 + A_2 = A_3 + A_4$  (1), где  $A_1$  — работа взаимодействия между молекулами жидкости и тела,  $A_2$  — работа понижения центра тяжести растекающейся капли,  $A_3$  — работа увеличения суммарной поверхности капли при растекании,  $A_4$  — работа сил трения при растекании. Для расчета  $A_4$  определяют коэфф. трения и опытами со скользящими по наклонной плоскости каплями. Для эксперим. проверки ур-ния (1) построен прибор, позволяющий определить предельный размер капли, не скатывающейся с пластинки из испытуемого материала при переворачивании ее на 180°. Статистич. методом, по результатам более чем тысячи опытов, рассчитаны величины адгезии  $A$  воды на поверхностях парафина, текстолита, стекла, мрамора разных сортов и ряда металлов, а также спирта, анилина, монобромнафталина и глицерина на парафине, дуралюмине и мраморе. В ряду жидкостей с ростом поверхностного натяжения  $\sigma_A$  растет, достигает максим. значения  $A_{\mu}$  при некотором  $\sigma_{\mu}$ , а затем уменьшается. Полученные результаты хорошо описываются эмпирич. ф-лой  $A = A_{\mu} \exp [-(1/A_{\mu} \sigma)(\sigma - \sigma_{\mu})^2]$  (2).

И. Слоним

555. Смачивание технического полиметилметакрилата; адсорбция ионизированных и неионизированных соединений с длинной цепью. Гуасталла (Mouillage du polyméthacrylate de méthyle commercial; adsorption de corps à longue chaîne ionisés et non ionisés. Guastalla Lina, m-me), C. r. Acad. sci., 1956, 242, № 26, 3074—3077 (франц.)



Изучено смачивание тщательно очищенных пластинок технического полиметилметакрилата (I) водой и водн. р-рами. Измерены величины поверхностного натяжения, натяжения «адгезии входа»  $\tau_e$  (т. е. работы, получаемой при смачивании  $1 \text{ см}^2$  поверхности) и натяжения «адгезии выхода»  $\tau_s$  (т. е. работы, затрачиваемой при удалении жидкости с  $1 \text{ см}^2$ ) при разной концентрации р-ров C. Вода плохо смачивает I, и результаты измерений недостаточно воспроизводимы; средние значения  $\tau_e = 17 \text{ дин/см}$ ,  $\tau_s = 54 \text{ дин/см}$ ; краевой угол при смачивании равен  $76^\circ$  при удалении жидкости  $42^\circ$ . Анализ кривых  $\tau = f(C)$  для  $0,05\text{--}1,5 \cdot 10^{-2} \text{ M}$  р-ров диссоциированных соединений с цепью  $\text{C}_{12}$  (анионного лаурилсульфата Na и катионного лаурилтриметиламмонийбромида) показывает, что адсорбция их происходит при погружении I в р-р, десорбция — при удалении жидкости. Неионизированные соединения — лауриновая к-та в  $0,01 \text{ н}$  HCl и спирты  $\text{C}_7$ ,  $\text{C}_{14}$ ,  $\text{C}_{18}$  — адсорбируются при вынимании пластинки I из р-ра и десорбируются при смачивании.

И. Слоним

**556. Новые данные о поверхностных свойствах карбоксиметилцеллюлозы. Штупель** (Neue Ergebnisse über das Grenzflächenverhalten von Carboxymethylcellulose. Stüpel H.), J. Polymer Sci., 1956, 19, № 93, 459—462 (нем.; рез. англ., франц.)

Исследован механизм действия карбоксиметилцеллюлозы (I) в процессах отмыкания загрязнений. С помощью флуоресцентного микроскопии (ФМ) в УФ-свете обнаружено, что в обычных условиях отмыкания, т. е. в нейтр. среде при концентрации  $I = 0,025\text{--}0,1 \text{ г/л}$  I адсорбируется не на текстильных волокнах, а только на частицах загрязнений: саже, пыли, жире, силикатах и их смесях. Отсутствие адсорбции I наблюдается как на целлюлозных, так и на протеиновых волокнах. Этот неожиданный и противоречащий общепринятым представлениям результат подтверждается тем фактом, что I не вытесняется поверхностно-активными соединениями с поверхности волокон, и опытами Штавитца с сотрудниками (РЖХим, 1956, 6539), доказавшими, что в условиях отмыкания I, содержащая радиоактивный изотоп  $\text{C}_{14}$ , не адсорбируется на волокнах целлюлозы. Исходя из представления об адсорбции I на загрязнениях, автором предложена рабочая гипотеза о механизме действия I. С помощью ФМ выяснено также, что адсорбция I на волокнах происходит и в нейтр. среде, но при очень высоких концентрациях  $c \geq 5 \text{ г/л}$ ; особенно же активно и полностью I адсорбируется на текстильных волокнах в кислой среде.

М. Лиец

**557. Выползание растворов солей. IV. Ингибирующее действие ионов алюминия и выползание электролитов. Хирано** (鹽類溶液のクリーピングに関する研究. 第4報. 共存  $\text{Al}^{3+}$  の妨害作用及び電解的クリーピングについて. 平野康一), 日本化学雑誌, Нихон катэку дзэсэи, J. Chem. Soc. Japan. Pure Chem. Sec., 1954, 75, № 8, 805—809 (япон.)

Выползание  $\text{KNO}_3$  на стеклянном стержне значительно замедляется в присутствии небольшого кол-ва ионов  $\text{Al}^{3+}$  и полностью прекращается, если кол-во (в молях)  $\text{Al}^{3+}$  превышает значение, удовлетворяющее соотношению:  $[\text{Al}^{3+}]/[\text{KNO}_3] = 5 \cdot 10^{-5}$ . Этот эффект обсужден с точки зрения избирательной адсорбции  $\text{Al}^{3+}$  на поверхности стекла. Сообщение III см. J. Chem. Soc. Japan. Pure Chem. Sec., 1952, 73, 522. Chem. Abstr., 1955, 49, № 9, 5925. Т. Katsurai

**558. Исследование аномальной дисперсии адсорбированных пленок методом эллипсометрии. Бартелл** (Observation of anomalous dispersion of adsorbed films by ellipsometry. Bartell L. S.), J. Chem. Phys., 1956, 24, № 5, 1108 (англ.)

По изменению фазы и амплитуды эллиптически поляризованного света после отражения его от не-

прозрачной поверхности (хромированное покрывное стекло), покрытой адсорбционной пленкой заведенного в коллоиди родамина В (I) с эквивалентной толщиной  $\sim 5 \text{ Å}$ , вычислен показатель преломления р-ра I, обнаруживший при  $\lambda \approx 556 \text{ мμ}$  аномальную дисперсию, величина которой указывает на незначительное отличие коэфф. экстинкции I в слое молекулярной толщины от объемного значения. На этом основании сделан вывод, что описанный метод может быть применен для изучения состояния адсорбированных молекул на непрозрачных в-вах, напр. на электродах и т. п., и расширен на УФ и ИК-область.

З. Высоцкий

**559. О влиянии окисных пленок на адсорбционный эффект облегчения пластических деформаций полукристаллического алюминия. Горюнов Ю. В., Ямпольский Б. Я.**, Докл. АН СССР, 1956, 107, № 6, 827—829

Исследовано влияние тонких естественных окисных пленок (ОП) (РЖМет, 1956, 2680; РЖХим, 1954, 22913), образующихся при выдерживании Al-проволоки во влажном воздухе, на ее деформационное поведение при растяжении в воде и в  $1 \text{ н}$  КОН с добавками (0,75%) бутанового спирта. Показано, что течение проволоки в р-ре КОН облегчается за счет растворения ОП, упрочняющих образец. В присутствии спирта имеет место адсорбционный эффект понижения прочности металла, причем в р-ре он проявляется сильнее, чем в воде. Это объясняется авторами тем, что в щел. р-ре действию адсорбционно-активной среды подвергается большое число поверхностных дефектов на металле, которые в воде частично блокированы ОП.

А. Таубман

**560. Статистика адсорбционного моноослоя с отталкивательным взаимодействием между адсорбированными частицами. Кастелейн** (The statistics of an adsorbed monolayer with repulsive interaction between the adsorbed particles. Kasteleijn P. W.), Physica, 1956, 22, № 5, 397—407 (англ.)

С помощью статистич. метода, используя некоторые приближения, автор теоретически исследовал свойства адсорбционного моноослоя (АМ). Предполагается, что адсорбирующая поверхность образована двухмерной решеткой адсорбционных центров, которая подразделяется на две подрешетки А и В таким образом, что ближайшими соседями любого центра А являются центры В и наоборот; между каждыми двумя соседними адсорбированными частицами существует отталкивательное взаимодействие, а взаимодействие более далеких соседей отсутствует; адсорбция протекает в моноослое, причем без диссоциации или ассоциации частиц; каждая частица занимает один центр, а каждый центр не может быть занят более чем одной частицей. Показано, что при достаточно низкой т-ре в АМ с ростом давления  $p$  газа над ним должны наблюдаться 2 фазовых перехода; по достижении нижнего предельного значения  $p = p_c$  неупорядоченный АМ превращается в упорядоченную фазу, в которой одна из подрешеток покрыта плотнее; далее при  $p = p_c$  вновь происходит разупорядочение и равномерное распределение адсорбата между А и В. Полная энергия  $E$  и степень покрытия  $\theta$  в обоих точках перехода непрерывны, но производные  $dE/d\theta$  и  $d\theta/dp$  испытывают здесь разрыв. Выявлено ур-ние изотермы адсорбции и выражение для теплоты адсорбции в зависимости от  $\theta$ .

З. Высоцкий

**561. Адсорбция натрия стеклянными стенками, нагретыми до  $120^\circ$ . Броссель, Моссе, Винтер** (Adsorption du sodium par des parois de verre chauffées à  $120^\circ \text{C}$ . Brossel Jean, Mosser Jean-Louis, Winter Monique, m-m e), J. phys. et radium, 1955, 16, № 10, 814—815 (франц.)

При возбуждении резонансного свечения Na-паров в сосудах из разных сортов стекла (пирекс, боросиликатного и свинцового) при 120° наблюдаются периоды запаздывания появления свечения, зависящие от материала сосудов. Это объясняется адсорбцией паров Na стеклом, что следует иметь в виду при колич. опытах с использованием резонансного свечения Na.

В. Анохин

562. Об истинной природе изображений отдельных молекул кислорода, описанных в работе Бекера и Брандеса. Третьяков Н. Н., Рогинский С. З., Докл. АН СССР, 1956, 107, № 6, 857—858. Показано, что двойные, четверные и более сложные пятна, появляющиеся на экране электронного проектора с монокристаллич. вольфрамовым острием (РЖХим, 1956, 22130), вызваны не адсорбированным кислородом или каким-либо другим 2-атомным газом, введенным в систему, а, по-видимому, связаны с загрязнениями, выделяющимися со стеклянных стенок прибора.

А. Золотаревский

563. Адсорбционные измерения при очень низких давлениях. Уагнер (Adsorption measurements at very low pressures. Wagner S.), J. Phys. Chem., 1956, 60, № 5, 567—573 (англ.).

Описанным ранее (РЖХим 1956, 61980) весьма чувствительным ( $\sim 10^{-5}$  мкг, т. е.  $\sim 10^{-2}$  монослоя на  $1 \text{ см}^2$ ) методом при давл.  $p < 10^{-6}$  мм рт. ст. и т-рах 78—580° К измерены скорости  $v$  адсорбции газов на тонких сублимированных пленках металлов. CO и CO<sub>2</sub> хемосорбируются на Ba, Sr и Ni с  $v \approx 5 \text{ л/сек} \cdot \text{см}^2$ , на Mg, Al очень слабо ( $v < 5 \text{ см}^3/\text{сек} \cdot \text{см}^2$ ), а на Ag совсем не сорбируются. Для O<sub>2</sub> на Ba  $v = 0,3 \text{ л/сек} \cdot \text{см}^2$ , для N<sub>2</sub>  $v = 50 \text{ см}^3/\text{сек} \cdot \text{см}^2$  и N<sub>2</sub>  $v = 1 \text{ см}^3/\text{сек} \cdot \text{см}^2$ . По измеренным начальным значениям  $v_0$  вычислены коэфф. accommodation на Ba, равные для CO, CO<sub>2</sub>, O<sub>2</sub>, N<sub>2</sub> и N<sub>2</sub> соответственно 0,4, 0,6, 0,02, 0,001 и 0,0003. Пленки металлов пористы и с увеличением их толщины  $d$  диффузионные затруднения сказываются сильнее, причем имеет место как киндсеновская, так и поверхностная диффузия. Адсорбция растет с  $d$  и т-рой. По температурной зависимости  $v_0$  вычислены энергии активации  $E$ ; для CO, CO<sub>2</sub> и O<sub>2</sub> на Ba  $E < 0,2$ , а для N<sub>2</sub>  $E = 4 \text{ ккал/моль}$ . В случае CO и CO<sub>2</sub> в значительном интервале не зависит от  $\theta$ , что согласуется с представлением (РЖХим, 1956, 28665, 71333) о том, что первой стадией хемосорбции является физ. адсорбция. Полученные результаты подтверждают точку зрения о том, что хемосорбция обусловлена вакантными местами в  $d$ -оболочках (Ba и Sr) и ее нет в случае заполненных  $d$ -оболочек (Mg).

З. Высоцкий

564. Ступенчатые изотермы адсорбции и влияние параметров кристаллической решетки адсорбента на эти изотермы. Бонте, Дюваль, Летор, Сунн (Isotherme d'adsorption «a marches» et influence des paramètres cristallins de l'adsorbant sur ses isothermes. Bonnetain Lucien, Duval Xavier, Letort Maurice, Soumy-Pierre), C. r. Acad. sci., 1956, 242, № 16, 1979—1981 (франц.).

Обнаружено, что изотермы адсорбции (ИА) CH<sub>4</sub> при  $-195^\circ$  на MoO<sub>3</sub>, CdBr<sub>2</sub>, MnBr<sub>2</sub>, NiBr<sub>2</sub>, CoJ<sub>2</sub> и PbJ<sub>2</sub> в области завершения 2-го монослоя ( $0,3 \leq p/p_s \leq 0,5$ ) имеют почти вертикальные ступеньки, как это ранее наблюдалось авторами (C. r. Acad. sci., 1952, 234, 1353) для природного и искусств. графита, MoS<sub>2</sub>, CdCl<sub>2</sub>, CdJ<sub>2</sub>, и MgBr<sub>2</sub>. Исходя из теории фазовых переходов в монослое Фаулера и Гуттенгейма, согласно которой силы, вызывающие фазовый переход, максимальны, когда расстояние между соседними центрами адсорбента ( $d_1$ ) наиболее близко к расстоянию между молекулами в кристаллич. решетке адсорбата ( $d_2$ ), авторы сопоставили  $d_1$  всех исследованных адсорбентов

с  $d_2$  CH<sub>4</sub> и нашли, что за исключением MoS<sub>2</sub>  $d_1$  отличается от  $d_2$  CH<sub>4</sub> не более чем на 10%; при этом чем отклонение больше, тем при большем  $p/p_s$  наблюдается вертикальный скачок на ИА. Все эти адсорбенты слоистой структуры, отчего их адсорбирующие поверхности кристаллографически (совпадение с плоскостями спайности) и химически (внешний слой — крупные анионы неметаллов, экранирующие катионы) однородны.

З. Высоцкий

565. Кислородные комплексы активных углей. Пурри, Майер, Шарма (Oxygen complexes of charcoals. Puri Balwant Rai, Myer Y. P., Sharma Lekh Raj), Chemistry and Industry, 1956, Apr., R30—R31 (англ.).

Образцы активных углей из скорлупы кокосовых орехов (I), сахарозы (II) и сосновой древесины (III) эвакуировались при различных т-рах и интервале 0—1200°. Выделяющийся газ анализировался, и измерялось поглощение NaOH и Ba(OH)<sub>2</sub> из 0,2 н. р-ров образцами I—III. При 1200° I теряет ~20% (по весу) O<sub>2</sub> в форме CO<sub>2</sub>, CO и H<sub>2</sub>O; II — несколько больше, а III — меньше. Показано, что уменьшение поглощения щелочи с ростом т-ры прокалывания I—III совпадает с кол-вом CO<sub>2</sub>, выделяющегося из них. Авторы предполагают, что активные угли содержат 2 типа кислородных комплексов: 1) реагирующих со щелочью и разлагающихся при 300—600° с выделением CO<sub>2</sub> (строение: молекула O<sub>2</sub> фиксирована на «активном» атоме C и 2) более стойких, разлагающихся при т-рах 600° с выделением CO (группы OH, фиксированные на «активном» атоме C и выделяющие при нагревании сначала H<sub>2</sub>O, а затем эквивалентное кол-во CO).

З. Высоцкий

566. Изучение хемосорбции кислорода на PbS с помощью измерений электропроводности при переменном токе. Силвер, Хоннолд (Alternating current conductivity study of oxygen chemisorption on PbS. Silver M., Honnold V. R.), J. Chem. Phys., 1956, 24, № 6, 1280—1281 (англ.).

Описанным ранее (Hintenberger H., Z. Naturforsch., 1946, 1, 13) методом изучено влияние O<sub>2</sub> на зависимость сопротивления слоя PbS от частоты переменного тока при давл.  $3 \cdot 10^{-7}$ —760 мм рт. ст. При каждом давлении O<sub>2</sub> слой выдерживали 30 мин. при 110° и после охлаждения и откачивания газа измеряли сопротивление при постоянном токе и переменном токе частотой до  $10^8 \text{ гц}$ . Анализ результатов указывает на неоднородность слоя (РЖФиз, 1955, 4969): хемосорбция O<sub>2</sub> происходит на центрах, обладающих различной активностью.

И. Слоним

567. Электростатическая десорбция. Мюллер (Field desorption. Müller Erwin W.), Phys. Rev., 1956, 102, № 3, 618—624 (англ.).

Исследована десорбция Ba, Th, O<sub>2</sub>, Li, Na, Te, N<sub>2</sub> и фталоцианина (I) под действием поля в электронном проекторе с обращенной полярностью, в зависимости от напряженности поля  $E$ , т-ры и степени покрытия. Десорбция Ba, Th и O<sub>2</sub> происходит соответственно при  $E = 1 \cdot 10^7$ ,  $2 \cdot 10^7$  и  $5 \cdot 10^7 \text{ в/см}$ . Хемосорбированный слой кислорода десорбируется с грани (011) W в интервале  $E$  480—500 Мв/см, второй слой кислорода десорбируется при  $E > 420 \text{ Мв/см}$ . Щел. металлы легко десорбируются при 60—80 Мв/см. Десорбция Te начинается при 280 Мв/см, второй слой N<sub>2</sub> десорбируется при 350 Мв/см, а хемосорбированный слой при ~500 Мв/см. Молекулы I десорбируются при 150 Мв/см. Колич. интерпретация измерений показывает, что десорбцию можно рассматривать как испарение ионов, при котором энергетич. барьер уменьшается эффектом Шоттки.

А. Хейман

**568. Изотермы, изобары и изостеры диборана на нитриде бора и на палладированном активном угле. Бичелл, Велорик** (Adsorption isotherms, isobars and isosteres of diborane on boron nitride and palladium on charcoal. Beachell Harold C., Valoric Harold S.), J. Phys. Chem., 1956, 60, № 1, 102—103 (англ.)

Объемным методом измерены изотермы (изобары, изостеры)  $B_2H_6$  на нитриде бора (I) при давл. 18—75 см рт. ст. в интервале  $t$ -р 180—315°K и на палладированном активном угле (II) при 30—70 см рт. ст. и 200—300°K. Все изотермы практически обратимы, причем на II они линейны, а на I становятся линейными при понижении  $t$ -ры. С ростом  $t$ -ры адсорбция непрерывно уменьшается, что свидетельствует о физ. адсорбции. Изостеры ( $\ln P$ ,  $1/T$ ) линейны, причем изостерич. теплота адсорбции  $q$  в случае II убывает с ростом степени заполнения  $\theta$ . В случае I  $q$  не зависит от  $\theta$  и отношение  $q$  к теплоте конденсации  $B_2H_6$  равно  $\sim 2,6$ . З. Высоцкий

**569. Сорбция соединений бора на палладин и активном угле. Бичелл, Ланг** (The sorption of boron compounds by palladium and charcoal. Beachell Harold C., Lange Klaus R.), J. Phys. Chem., 1956, 60, № 3, 307—308 (англ.)

Объемным методом в интервале от -61 до +70° и при давл. 10—75 см рт. ст. измерены изотермы адсорбции (A)  $B_2H_6$ ,  $B_2D_6$  и  $B(CN)_3$  на палладиевой черни (I) и активном угле из скорлупы кокосовых орехов (II). I ( $S = 5 \text{ м}^2/\text{г}$  по БЭТ) разлагает первые порции  $B_2H_6$ ; II (1130  $\text{м}^2/\text{г}$ ) не разлагает, но обнаруживает необратимую  $A$   $B_2H_6$ . Промывка I с помощью  $B_2H_6$  и восстановление II при 350°  $H_2$  устраняют необратимые явления. А на I лучше описывается ур-нием Фройндлиха, а на II — ур-нием Лангмюра. Вычисленные по изотермам изостерич. теплоты  $q$  равны для A  $B_2H_6$  на I 1—2, а на II 5—10 ккал/мол. Отсюда и из малого значения изотопного эффекта сделан вывод о физ. характере A даже на II, несмотря на большую  $q$ . З. Высоцкий

**570. К определению удельной поверхности дисперсных материалов методом адсорбции метиленовой сини из водных растворов. Бабин П. Н.**, Изв. АН КазССР. Сер. горн. дела, металлургии и обогащения, стройматериалов, 1956, № 8, 97—102 (рез. казах.)

Исследована пригодность метода адсорбции метиленовой сини из водн. р-ров для определения уд. поверхности измельченных карбонатных и силикатных пород. Конц-ия р-ров после адсорбции определялась сравнением со стандартным р-ром в колориметре Дюбоска. Средний размер частиц доломита, серпентинита, кальцита и полевого шпата изменялся от  $\leq 0,040$  до 1—2 мм. Для порошков, содержащих частицы размером  $> 0,2 \text{ мм}$ , получаются завышенные значения уд. поверхности, а при определении этой величины для порошков более тонкого помола необходимо центрифугирование или длительное (20—24 час.) отстаивание образующейся суспензии. А. Кошевник

**571. Определение поверхности дикальцийфосфата методом изотопного обмена. Каро, Хилл** (Determination of surface area of dicalcium phosphate by isotope exchange. Caro J. H., Hill W. L.), J. Agric. and Food Chem., 1956, 4, № 5, 436—438 (англ.)

Разработан метод определения уд. поверхности  $S$  тонкоизмельченного дикальцийфосфата (I), основанный на изотопном обмене испытуемого образца с р-ром, содержащим радиоактивный  $P^{32}$ . 2—10 г I встряхивают 3 мин. в полиэтиловом сосуде со 100 мл р-ра, содержащего 25  $\mu$  P в 1 мл и кол-во  $P^{32}$ , достаточное для получения активности в 100 отсчетов в 1 сек. на 25 мл. Отделяют 35 мл, центрифугируют 1,5 мин. при 10 000 g, фильтруют и определяют оставшуюся активность.

Определение повторяют несколько раз через 30—60 мин. и по кривой изменения активности р-ра рассчитывают кол-во  $\epsilon$  способного к обмену P. Определена  $S$  ряда образцов I методом БЭТ и показано, что одному  $\text{м}^2$  уд. поверхности соответствует  $145 \pm 5$   $\epsilon$  способного к обмену P. При определении  $S$  по  $\epsilon$ , если пользоваться этим пересчетным множителем, достигается точность порядка 20%. И. Слоним

**572. Капиллярная структура каменных углей. Бонд** (Capillary structure of coals. Bond R. L.), Nature, 1956, 178, № 4524, 104—105 (англ.)

На основании измерений теплоты смачивания, адсорбции и кажущейся плотности, проведенных с рядом органич. в-в и dilatометрич. жидкостей для антрацита, коксующегося и длиннопламенного углей, предложена модель капиллярной структуры углей. Ультратонкая структура состоит из системы плоских полостей размером 40—60 Å, соединенных лабиринтом капилляров-сужений. Распределение капилляров по ширине бимодально, с группами 10—20 и 15—30 Å. Ультратонкая структура обладает свойствами молекулярного сита; ее поверхность соответствует 95% всей внутренней поверхности, а объем — 50—80% всего внутреннего свободного объема. Остальной внутренний свободный объем связан микротрещинами значительно большего размера. И. Слоним

**573. Испарение жидкости из сообщающихся капилляров и основной закон перемещения влаги в капиллярно-пористом теле. Лебедева В. К.**, Ж. техн. физики, 1956, 26, № 5, 1064—1069

Исследовано испарение воды из горизонтальных и вертикальных одиночных и сообщающихся капилляров различного диаметра, моделирующих капиллярно-пористое тело (КПТ). Экспериментально показано, что в период постоянной скорости сушки влага перемещается к поверхности КПТ в основном в виде жидкости и испарение идет на поверхности, а в последующий период падающей скорости сушки — в виде пара, причем поверхность испарения углубляется в КПТ, но не фронтально, так как тонкие капилляры еще наполнены жидкостью, а широкие уже опустошены. С помощью ряда упрощающих предположений получено ур-ние, связывающее давление пара над КПТ с его влажностью и позволяющее вывести основной закон перемещения влаги в КПТ. Результаты теоретич. расчетов согласуются с опытными данными для коэфф. влагопроводности глины при различных  $t$ -рах. З. Высоцкий

**574. Адсорбционные свойства отбеливающих земель Саратовской области. Слисарево Ф. А., Тимофеева Е. М.**, Ж. прикл. химии, 1956, 29, № 6, 847—850

Изучена адсорбция метиленовой сини из водн. р-ра на различных образцах глин и опок Саратовской обл. При вазальвании суспензии с р-ром красителя адсорбционное равновесие наступает через 70 мин. Зависимость адсорбции от конц-ии подчиняется ур-нию изотермы Фройндлиха. Обработка глин р-рами 0,1—1 н. NaOH или HCl вызывает перезарядку частиц и значительно снижает степенность адсорбции. Также снижается адсорбционная способность после термич. обработки при  $t$ -рах  $> 400^\circ$ , по-видимому, из-за обезвоживания гидратов окислов. И. Слоним

**575. Сорбция фосфорной кислоты типичными составными частями почвы. Дёринг** (Untersuchungen über die Phosphorsäure-Sorption an typischen Bodenbestandteilen. Döring H.), Chem. Erde, 1956, 18, № 1—2, 31—46 (нем.)

В результате систематич. исследований установлено, что бентонит и каолинит сорбируют  $H_3PO_4$  в кол-вах, уменьшающихся с ростом конц-ии р-ра, но с возрастающей прочностью. При этом имеет значение присутствующий



щий катион: из Na-солей сорбируется больше ионов фосфата, чем из K-солей, вероятно, вследствие большего расклинивающего действия при внедрении сильных гидратированных ионов между слоями кристаллитов глины. Чистые гидраты полуторных оксидов обладают большей сорбционной емкостью, чем глины. Гидроокись Fe обладает большей сорбционной способностью, чем гидроокись Al. Глины с большим значением отношения  $Fe : SiO_2$  сорбируют больше фосфатов. Скорость адсорбции велика (в особенности на гидроокиси Fe): через 1 час достигается предельное насыщение. В сорбции  $P_2O_5$  глинами существенную роль играют, по-видимому, поверхностные корки гидроокиси Fe, образующиеся в природных условиях. Присутствие гуминовых к-т влияет на сорбцию фосфорной к-ты; по-видимому, происходит конкуренция обеих к-т за сорбционные места. В. Анохин

576. Адгезия амфипатических молекул на твердых поверхностях. Шульман, Уотерхаус, Спикк (Adhesion of amphipathic molecules to solid surfaces. Schulman J. H., Waterhouse R. B., Spink J. A.), Kolloid-Z., 1956, 146, № 1—3, 77—95 (англ.; рез. нем.)

Методами измерения коэфф. трения и краевых углов на поверхности раздела масло — вода и с помощью электронной микроскопии и микрофотографии изучена адсорбция поверхностно-активных в-в (ПАВ): додецилсульфата Na (I), додецилфосфата Na, бромистого додецилтриметиламмония, бромистого децилтриметиламмония и каприловой к-ты, из водн. р-ров на свежих электрополированных поверхностях Cu, Al и Fe. Показано, что свойства адсорбционных монослоев молекул ПАВ на поверхности раздела твердое тело — р-р аналогичны свойствам монослоев на поверхности раздела воздух — р-р, образующихся при р-ции между ПАВ и ионами металла из р-ра. В обоих случаях, в зависимости от pH р-ра, имеет место один из следующих процессов: 1) физ. адсорбция ПАВ; 2) хемосорбция ПАВ (улучшающая смазочное действие пленки); 3) флоккуляционная адсорбция, при которой на поверхности металла адсорбируется либо осадочный слой мыла, либо слой нерастворимого неорганич. соединения металла ( $Fe(OH)_3$  и т. п.) с последующей адсорбцией органич. ионов; 4) сенсibilизированная адсорбция двойной смеси ПАВ (напр., I с холестерином), при которой вначале хемосорбируется I, а затем адсорбируется холестерин, образующий прочный комплекс с I; в этом случае адсорбционная пленка значительно прочнее и обладает наибольшим смазочным и антикоррозионным действием. Предложен новый метод нанесения нерастворимых монослоев на поверхность металла. З. Высоцкий

577. К вопросу о поглощении красителей гелями поливинилпирролидона. Брейтенбах, Вольф (Zur Kenntnis der Farbstoffaufnahme durch Polyvinylpyrrolidongele. Breitenbach J. W., Wolf Elisabeth), Makromolekul. Chem., 1956, 18—19, 217—226 (нем.; рез. англ.)

Изучено равновесие в системах, образуемых гелем поливинилпирролидона (ПВП) с растворами красителей: метилового оранжевого (МО), прочного красного ВТ (ПК) и бензопурпурина 4В (БП). Поглощение гелем первых двух красителей происходит в соответствии с изотермой адсорбции Лангмюра. Адсорбционная способность геля очень невысока: порядка 0,01 моля красителя на основную молярную единицу цепи полимера, причем никакого стехиометрического соотношения не наблюдается. Степень набухания ПВП (при 20° ~ 24 ч, воды на 1 ч. ПВП) возрастает с адсорбцией одной молекулы красителя 1000 основными единицами молекулы ПВП на 4% для МО и на 5% для ПК, что авторы приписывают влиянию электрич. заряда, сообщаемого гелю

адсорбированными ионами красителя. В отношении БП не удалось достигнуть равновесия адсорбции, набухание ПВП при поглощении БП оказывается значительно более высоким, чем при поглощении МО и ПК.

С. Гликман

578. Исследование механизма растительного дубления в поверхностных слоях. Ланем, Панкхерст (Surface film studies of the mechanism of vegetable tanning. Lanham A. F., Pankhurst K. G. A.), Trans. Faraday Soc., 1956, 52, № 4, 521—528 (англ.)

С помощью ранее разработанной методики (РЖХим, 1956, 63778) исследованы поверхностные давления ( $\pi$ ), потенциал ( $V$ ) и вязкость ( $\eta$ ) монослоев коллагена (I) и *m*-метоксиметилнаилона (II) на разб. р-рах двух видов танинна (III) при pH 2—11. Показано, что взаимодействие I с III сопровождается конденсацией монослоев, сильным увеличением их  $\eta$  и одновременным снижением  $V$ , причем эти эффекты не зависят от концентрации III в подкладке. Эти изменения  $\pi$  и  $\eta$  характеризуют образование в монослое поперечных связей в результате его поверхностного дубления, аналогичного объемному дублению, вызываемому сшиванием полипептидных цепей белка молекулами III. Наиболее резко изменения  $\pi$  и  $\eta$  проявляются в области pH 3—7, изменение же  $V$  достигает максимума при pH 6,5 и при pH 3 падает до нуля. При pH < 3 и pH > 7, когда происходит ионизация функциональных групп III и I, их взаимодействие резко ослабляется, вследствие взаимного отталкивания этих групп. Из сказанного следует, что взаимодействие I и III осуществляется не кулоновскими силами, а через водородные связи между фенольными гидроксильными III и акцепторными (карбонильными, кетонидными и др.) группами I. Неионный характер сил, лежащих в основе поверхностного дубления, подтверждается тем, что аналогичные результаты изменения  $\pi$ ,  $\eta$  и  $V$  при взаимодействии с III дает и II, не содержащий ионных групп, а также I и II при взаимодействии с водорастворимой резорцин-формальдегидной смолой в подкладке (вместо III).

А. Таубман

579. Литература по флотации руд и углей в тяжелых жидкостях (1948—1954 гг.). Вада, Масима (重液選鉱・選炭に関する文献集 (1948—1954). 和田正美, 眞島安), 日本鉱業会誌, Нихон когэ кайси, J. Mining Inst. Japan, 1956, 72, № 813, 129—135 (япон.)

Обзор. Библ. 299 назв.

В. Анохин

580. Основные закономерности флотационного процесса. Белоглазов К. Ф. Современное состояние теории флотационного процесса. Митрофанов С. П. Обзор дискуссион по докладу профессора К. Ф. Белоглазова «Основные закономерности флотационного процесса». Зап. Ленингр. горн. ин-та, 1956, 32, № 3, 23—35; 37—54; 55—81

Доклады и дискуссия на семинаре в Ленинградском горном ин-те, происходившем в марте-апреле 1951 г.

В. Анохин

581. Изучение физико-химических свойств некоторых органических флотационных реагентов и их солей с ионами тяжелых цветных металлов. Какоский Н. А., Тр. Ин-та горн. дела АН СССР, 1956, 3, 255—289

Рассмотрены некоторые физ.-хим. и термодинамич. свойства серосодержащих флотореагентов и их солей, имеющие значение для процесса флотации. Значительная часть приведенного в статье материала опубликована автором ранее (Диссертация, Свердловск, 1949; Сб. «Роль газов и реагентов в процессах флотации», Изд.-во АН СССР, 1950, стр. 113; Тр. 2-й научно-технической сессии Ин-та «Механообр». Металлургияздат, 1952, стр. 293).

Н. Фуке

**582. Адсорбционные свойства углеводов. Киселев А. В.,** Успехи химии, 1956, 25, № 6, 705—747

Обзор литературных данных, относящихся главным образом к теоретич. обоснованию методов хроматографич. разделения смесей углеводов (нефтей и нефтепродуктов). Библ. 111 назв.

**583. Кислотные свойства кварца. Готс, Андерсон (Acidic properties of quartz. Goates J. Rex., Anderson Kenneth), Soil Sci., 1956, 81, № 4, 277—282 (англ.)**

Мелкоизмельченный кварц титровался р-ром  $\text{NaOC}_2\text{H}_5$  в абс. спирте (с целью уменьшения растворимости  $\text{SiO}_2$ ) и параллельно водн. р-ром  $\text{NaOH}$ . Титрование производилось в отдельных навесках для каждой точки кривой, путем прибавления к ним отмеренного объема титрованного р-ра, выдерживания 18 час. до наступления равновесия, центрифугирования и определения pH и активности  $\text{Na}^+$  в водн. р-рах с помощью глиняного мембранного электрода, или путем спектрального определения  $\text{Na}$  в равновесном неводн. р-ре. В согласии со структурными представлениями, обнаружено два типа кислотных групп: единичные группы  $\text{OH}$ , связанные с атомами  $\text{Si}$  на кристаллич. гранях, и парные группы  $\text{OH}$ , связанные с угловыми атомами  $\text{Si}$ . Результаты титрования водн. р-ром  $\text{NaOH}$  хорошо согласуются с ур-ниями Кука (РЖХим, 1953, 6269). Сравнение численных значений параметров, вычисленных по этим ур-ниям для  $\text{SiO}_2$ , со значениями для глинистых минералов приводит к выводу, что хотя природа анионных групп у  $\text{SiO}_2$  и у глины различна, в обоих случаях наблюдается одинаковый механизм поверхностной нейтр-ции.

**584. Силикагель, свойства, применение и методы его получения. Неймарк Н. Е.,** Успехи химии, 1956, 25, № 6, 748—769

Обзор. Библ. 175 назв.

**585. Интерламеллярная сорбция на минералах глин. Мак-Юан (Interlamellar sorption by clay minerals. MacEwan Douglas M. C.), Bull. Div. Mines. Dept. Natur. Resources State Calif., 1955, № 169, 78—85 (англ.)**

Обзор работ по интерламеллярному набуханию монтмориллонита и других минералов. Обсуждается применение рентгенографии и других методов изучения и механизма интерламеллярного набухания. Библ. 34 назв.

**586. Адсорбция и набухание в системе глина — вода. Баршад (Adsorptive and swelling properties of clay — water system. Barshad Isaac), Bull. Div. Mines. Dept. Natur. Resources State Calif., 1956, № 169, 70—77 (англ.)**

Обзор работ по адсорбции и набуханию глинистых минералов: монтмориллонита, каолинита и др. Рассмотрены системы: глина — пары воды и глина — жидкая вода. Обсуждается термодинамика процессов адсорбции и десорбции воды монтмориллонитом. Библ. 39 назв.

**587. Хроматографическое исследование пространственных затруднений у орто-замещенных алкилфенолов. Карлтон, Брадбери (Chromatographie study of steric hindrance in ortho-substituted alkyl phenols. Carlton Jack K., Bradbury Walter C.), J. Amer. Chem. Soc., 1956, 78, № 5, 1069—1071 (англ.)**

Произведено сравнительное определение значений  $R_f$  *o*- и *n*-изомеров метилфенола, этилфенола, изопропилфенола и *трет*-бутилфенола при хроматографии на колонке с силикагелем при проявлении бензолом. Только у *o*-изомеров наблюдается значительное уменьшение сорбируемости (возрастание  $R_f$  от 0,26 для фенола до 0,74 для *трет*-бутилфенола) по мере укруп-

нения радикала-заместителя; у *n*-изомеров  $R_f$  изменяется при тех же заместителях от 0,26 только до 0,31. Поскольку наблюдаемая закономерность не может быть объяснена индуктивным влиянием заместителей на ионизацию группы  $\text{OH}$  и гиперконъюгацией связей, следует заключить, что различие в сорбируемости *o*- и *n*-изомеров обусловлено наличием стерич. препятствий.

**588. Теоретические основания хроматографического анализа газообразных углеводородов. Граф, Тот, Генц (Szénhidrogéngázok kromatográfiás meghatározását befolyásoló tényezők vizsgálata. Gráf László, Tóth József, Göncz István), Magyar kém. folyóirat, 1956, 62, № 4, 113—118 (венг.; рез. нем.)**

Теоретически обосновано и экспериментально подтверждено существование зависимости между величинами  $V_{(\text{макс})}$  — объемом газа-разбавителя, при котором максим. конц-ия ( $C_{(\text{макс})}$ ) поглощаемого газа, выходящего из колонки, равна равновесной конц-ии  $C$ ;  $m_a$  — массой слоя адсорбента, через который газ проходит при постоянном значении  $C = C_{(\text{макс})}$ ;  $a'(C)$  — производной в данной точке изотермы и  $v$  — объемом свободного пространства между зернами в слое сорбента, выражаемой ур-нием  $U_g(C) = a'(C) + v$ , где  $U_g(C) = (V_{(\text{макс})}/m_a)C$ . Показано, кроме того, что и величина  $U_g = V_{(\text{макс})}/m_a$ , де  $m_a$  — масса всего сорбента в слое, подчиняется аналогичной зависимости. Величина  $U_g$  может служить удобной характеристикой адсорбционной способности адсорбентов.

**589. Исследования по кинетике хроматографии.**

Имре, Надь (Vizsgálatok a kromatográfia kinetikájáról. Imre Lajos, Nagy József), Acta Univ. debrecen., 1955, 2, 167—175 (венг.; рез. нем.)

Р-ры с бесконечно малой конц-ией радиоактивных катионов ( $\text{ThB}$ ,  $\text{Ra}$  и  $\text{MsTh}$ ) пропускались через колонки с кристаллич. порошком  $\text{BaSO}_4$ . Колонки разрезались затем на короткие отрезки и измерялась уд. радиоактивность каждого слоя. Послойное распределение активности хорошо согласуется с теоретич. ур-нием  $\lg(\delta x_i/\delta m) = \lg x_e^0 - 0,4343 i \delta m \cdot k'_0$ , где  $x_e^0$  — уд. активность верхнего слоя,  $i$  — порядковый номер слоя,  $k'_0$  — коэфф. распределения между сорбентом и р-ром. Это ур-ние применимо и в случае конечной скорости установления равновесия, если ввести дополнительно фактор времени  $q$ , численное значение которого может быть установлено теоретически. Выведено также ур-ние для элюирования. Константируется хорошее согласие теоретически вычисленных величин с опытными.

**590. Исследования в области хроматографии на бумаге. I. Факторы, влияющие на значения  $R_f$  и  $S$  на фильтровальной бумаге, пропитанной реагентами. Чаттерджи, Бхагван (Studies on paper chromatography. I. Factors affecting  $R_f$  and  $S$  values in the case of impregnated filter papers. Chatterji A. C., Bhagwan Hari), Z. analyt. Chem., 1956, 149, № 5, 339—345 (англ.)**

Исследование производилось на бумаге, пропитанной  $\text{KJ}$  или  $\text{K}_2\text{CrO}_4$  в качестве осаждающих реагентов и различными защитными коллоидами. Определялись значения  $R_f$  и  $S$  (отношение ширины хроматографич. зоны к ширине исходного пятна) для  $\text{Pb}^{2+}$ ,  $\text{Hg}^{2+}$  и  $\text{Ag}^+$  при промывании 60%-ным водн. этанолом. Для получения воспроизводимых результатов необходимо применять бумажные полоски шириной  $\geq 2,5$  см и наносить исходное пятно на непропитанный конец.

отступа не далее, чем на 1 см от границы пропитанной части. Чем выше конц-ия нанесенного р-ра нитрата металла, тем ниже значения  $R_f$  и  $S$ , и если не применяется защитный коллоид, лучшие результаты дают 10%-ные р-ры. На бумагах, пропитанных агар-агаром или желатиной, значения  $R_f$  и  $S$  ниже, чем на непропитанных, при прочих равных условиях. Такое же действие оказывает и повышение конц-ии пропитывающих р-ров осадителей. Образования ритмич. осадков не наблюдалось. В. Анохин

591. Об использовании кинолент для изучения хроматографии на бумаге. Дикемье, Дюпри, Кортц (Sur l'utilisation du cinéma pour une étude de chromatographie sur papier. Dictionnaire J., Dupuis P., Nortz M.), Chim. analyt., 1956, 38, № 4, 129—133 (франц.)

Предложен метод ультрамелкой киноленты, позволяющей регистрировать и наблюдать в очень короткое время (45 сек.) различные фазы развития хроматограммы, обычно протекающего в течение многих часов. Д. Коднер

592. Присоединение радиоактивных изотопов к изучению адсорбции и десорбции неорганических ионов на хроматографирующей окиси алюминия. Олша и нова К. М., Тр. Моск. технол. ин-та мяс. и молоч. пром-сти, 1956, вып. 6, 163—170

Уточнена установленная Швабом с сотр. (Schwab G. M. и др., Angew. Chemie, 1937, 50: 1938, 51; 1939, 52; 1940, 53) исследованность адсорбируемости неорганич. катионов при хроматографии на  $Al_2O_3$ ; в этой последовательности вновь установлены (с помощью радиоактивных изотопов) положения  $Sn^{2+}$ ,  $Ca^{2+}$  и  $K^+$ . Путем последовательного измерения радиоактивности вдоль колонки сорбента построены кривые относительного распределения ряда катионов при их совместном присутствии. Предлагается использовать хроматографию на  $Al_2O_3$  для качеств. анализа катионов, которые по относительной сорбируемости можно разделить на группы: 1)  $Na^+$ ,  $NH_4^+$ ,  $K^+$ ,  $Ca^{2+}$ ,  $Sr^{2+}$ ; 2)  $Mn^{2+}$ ,  $Ba^{2+}$ ,  $Cd^{2+}$ ,  $Ni^{2+}$ ,  $Co^{2+}$ ,  $Fe^{2+}$ ; 3)  $Zn^{2+}$ ,  $Mg^{2+}$ ,  $Ag^+$ ,  $Cu^{2+}$ ; 4)  $Pb^{2+}$ ,  $Al^{3+}$ ,  $Hg^{2+}$ ,  $Ce^{3+}$ ,  $Fe^{3+}$ ; 5)  $Hg_2^{2+}$ ,  $Bi^{3+}$ ,  $Sb^{3+}$ ,  $As^{3+}$ . Для

повышения разделяемости некоторых бесцветных катионов применялась инт-рекация, т. е. введение катионов  $Fe^{3+}$ ,  $Co^{2+}$  или  $Mn^{2+}$ , обладающих промежуточной адсорбируемостью. Четкости разделения катионов способствует промывание колонки сначала водой, причем отмываются все катионы, сорбируемые ниже  $Fe^{3+}$ , а затем 2 н.  $HNO_3$ , отмывающей все остальные катионы. В. Анохин

593. Радиохроматографический метод в изучении осадочных хроматограмм. Копылова В. Д., Тр. Моск. технол. ин-та мяс. и молоч. пром-сти, 1956, вып. 6, 170—179

Исследован метод хроматографич. разделения  $Pb^{2+}$  и  $Fe^{3+}$  из р-ров их солей, основанный на образовании осадков при проявлении хроматограммы фосфатным буферным р-ром на колонках с безводн.  $Al_2O_3$ , пермунитом, отбеливающей глиной или сульфоглем. Использованы радиоактивные индикаторы  $Pb^{210}$ ,  $Ca^{45}$  и  $Fe^{59}$ . Наилучшие результаты получены на колонке с  $Al_2O_3$ , но все же полного разделения зон получить не удалось. Делается вывод, что на формирование зон влияет целый ряд факторов: растворимость осадков, прилипание выпавших кристаллов, адсорбция, механич. фильтрация, соосаждение и т. п., сильно осложняющие ход процесса. Полностью отделить удается только ион, образующий наименее растворимый осадок. Длина хроматографич. зоны закономерно (но не линейно) зависит от конц-ии в-ва. В. Анохин

594. Электрофорез селено- и теллуриотрионов на бумаге. Вуд (Paper electrophoresis of seleno- and tellurothionates. Wood H. W.), Chemistry and Industry, 1956, № 21, 468—469 (англ.)

Описанным ранее методом (РЖХим, 1956, 44738) произведено сравнение электрофоретич. подвижностей анионов  $(SeS_2O_6)^{2-}$ ,  $(SeS_4O_6)^{2-}$  и  $(TeS_4O_6)^{2-}$  с анионами соответствующих полиотионов. Найдено, что замещение атома S атомом Se снижает подвижность анионов в меньшей степени, чем при замещении атомом Te. Каждое из в-в образует единичное пятно, что указывает на их хим. индивидуальность. В. Анохин

595. Противоточный электрофорез на бумаге. III. Продольный поток жидкости через бумагу при выключенном токе. Дворжак, Грубер (Protiproudová elektroforeza na papíre. III. Tečný proud tekoucí papírem za bezproudového stavu. Dvořák Jiří, Grubner Otto), Chem. listy, 1956, 50, № 1, 36—42 (чеш.)

При изучении факторов, влияющих на разделение в-в при методе противоточного электрофореза на бумаге, авторы исследовали скорость течения жидкости вдоль листа хроматографич. бумаги, т. е. так называемую «продольную» скорость фильтрования  $U$ , для которой они подтвердили справедливость уравнения Козени — Кармани. Авторы измеряли  $U$  при разных наклонах и при различной длине бумажных полос с учетом влияния испарения. Определено содержание жидкости в различных участках бумаги при помощи взвешивания полос, замороженных в жидком воздухе. Линейную скорость течения в отдельных местах бумаги измеряли по перемещению фронта радиоактивной  $H_3P^{32}O_4$ . Установлено, что эта скорость зависит главным образом от испарения. В таблице приведены численные характеристики влажной и сухой бумаги ватман № 4: толщина, общий объем, плотность, пористость, поверхность (установленная при помощи адсорбции азота), константа Козени, число и радиус пор. Сообщение II см. РЖХим, 1956, 75470. Z. Vaněček

596. Электрохроматография и движение комплексных ионов. Миллер, Пикеринг, Уорд (Electrochromatography and the movement of complex ions. Miller J., Pickering W. P., Ward F. L.), Analyt. chim. acta, 1956, 14, № 6, 538—544 (англ.; рез. нем., франц.)

Измерялась электрофоретич. подвижность катионов  $Ag^+$ ,  $Pb^{2+}$ ,  $Hg^{2+}$ ,  $Bi^{3+}$ ,  $Cd^{2+}$ ,  $Cu^{2+}$ ,  $Fe^{3+}$ ,  $Mn^{2+}$ ,  $Ni^{2+}$  и  $Co^{2+}$  на бумаге в 1, 0,1 и 0,01 н. р-рах  $KNO_3$ . Показано, что подвижность катионов повышается с разведением р-ра-носителя ( $KNO_3$ ), но вместе с тем усиливается и диффузное распыливание пятен. Пятна сильно сорбирующихся на бумаге катионов (напр.  $Bi^{3+}$  и  $Pb^{2+}$ ) затормаживаются в своем движении. На движении пятен комплексов (аммиачных, цианатных, тиоцианатных, со слабыми органич. к-тами и этилендиаминитетраацетатных) в том же нитратном р-ре ясно скаывается различие в стабильности комплекса: только тиоцианатный комплекс  $Hg^{2+}$  движется к аноду, некоторые образуют два пятна — анионное (комплекс) и катионное (чистый катион), но большая часть движется к катоду. Аммиачный  $Ag^+$  движется быстрее чистого катиона  $Ag^+$  вследствие меньшей адсорбируемости бумагой, остальные комплексы — несколько медленнее. Электролит-носитель не является инертной средой: он оказывает влияние на подвижность катионов тяжелых металлов как вследствие своего высаливающего действия, так и благодаря своему влиянию на адсорбцию ионов бумагой и на стабильность комплексов. В. Анохин

597. Ионный обмен. Кунин, Мак-Гарви, Фаррен (Ion exchange. Kunin, McGarvey Frances X., Farren Ann), Analyt. Chem., 1956, 28, № 4, Part 2, 729—735 (англ.)



Литературный обзор за период 1953—1955 гг. включительно. Библ.: общие обзоры 16 назв.; теоретич. вопросы 43 назв.; неорганич. системы 120 назв.; органич., биохим. системы и применения в медицине 71 назв.; исследования ионитов 16 назв.; прочие вопросы 10 назв.

В. Анохин  
598. Ионный обмен и ионообменники. Шульц (Ionenaustausch und Ionenaustauscher. Schultz Otto-Erich), Dtsch. Apoth.-Ztg, 1956, 96, № 20, 433—437 (нем.)

Популярная статья. Приводится список употребительных ионитов иностранных марок с краткой их характеристикой.

В. Анохин  
599. Терминология ионного обмена. Арден (Ion-exchange terminology. Arden T. V.), Chemistry and Industry, 1956, № 16, 320 (англ.)

В целях упорядочения терминологии, автор напоминает, что окончания «ент» или «ант» должны применяться для в-в, вводимых в процесс, а окончание «ат» — для результата процесса и предлагает пользоваться выражениями «адсорбат» — для поглощающего в-ва, «элюант» — для р-ра, предназначенного для промывания, «адсорбат» — для поглощенного в-ва, «элюат» — для р-ра, вытекающего из колонки, «регенерация» — для процесса возвращения колонки в состояние, идентичное с исходным в данном опыте, а не только для возобновления Н- или ОН-форм ионитов, как стало обычным в современной литературе. Термин «проявление» рекомендуется сохранить для процесса разделения хроматографич. зон при прохождении р-ра через колонку. «вытеснительное проявление» — для случая применения в элюанте иона с большей сорбируемостью, нежели адсорбат, и «элюционное проявление» — для случая с обратным соотношением сорбируемостей компонентов. Термин «элюирование» означает процесс, при котором разделенные зоны извлекаются из слоя адсорбента, и должен относиться к этому последнему («элюирование колонки») или к извлекаемому в-ву («элюирование иона из колонки»). В. Анохин

600. Технические применения ионного обмена. Бюхи (Technical applications of ion exchange. Büchi J.), J. Pharmacy and Pharmacol., 1956, 8, № 6, 369—381 (англ.)

Краткий очерк методов использования ионообменных смол в препаративной фармацевтич. практике для очистки в-в от посторонних ионов, извлечения алкалоидов, применения в качестве катализаторов р-ций гидролиза, омыления, конденсации, дегидрирования, алкоголиза, обмена радикалов в эфирах и т. п. Библ. 37 назв.

В. Анохин  
601. Влияние pH раствора на избирательную адсорбируемость ионов и на расположение зон в ионообменных хроматограммах. Олшанова К. М., Потапова М. А., Тр. Моск. технол. ин-та мяс. и молоч. пром-сти, 1956, вып. 6, 179—184

Исследовано влияние pH (в пределах 1—7,45) на относительное расположение зон при хроматографич. разделении бинарных смесей катионов  $K^+$  и  $Cr^{3+}$ ,  $Co^{2+}$  и  $Cu^{2+}$ ,  $Cr^{3+}$  и  $Ni^{2+}$ ,  $Hg^{2+}$  и  $Pb^{2+}$  на колонках с  $Al_2O_3$ . Найдено, что подкисление р-ров, производившееся добавлением  $HNO_3$ , не изменяет относительного порядка расположения зон, но способствует ускорению их прохода.

В. Анохин  
602. Хроматография при повышенной температуре. Хроматография с кипящими растворителями. Мейер, Флечингер (Heißchromatographie. Chromatographie mit siedenden Lösungsmitteln. Meier Richard, Fletschinger J.), Angew. Chemie, 1956, 68, № 11, 373—374 (нем.; рез. англ., франц.)

Предлагается конструкция стеклянного аппарата, сходная с экстрактором Сокслета: хроматографич.

колонка помещается в рубашку, по которой поднимаются пары кипящего р-рителя, конденсирующегося затем в обратном холодильнике и орошающего слой сорбента. Способ особенно рекомендуется для хроматографич. разделения смесей малорастворимых высококонденсированных циклич. углеводородов и их производных, напр. антрацена и антрахинона на колонках с  $Al_2O_3$ .

В. Анохин  
603. Разорванные связи в каолините. Чаттерджи, Рай (Broken bonds in kaolinite. Chatterjee B., Ray A.), Current Sci., 1956, 25, № 1, 12—13 (англ.)

Для подтверждения предполагаемого наличия разорванных связей в каолините, обуславливающих его ионообменную способность, необходимо установить факт поглощения не только катионов, но и анионов, что в среде водн. электролита может маскироваться поглощением неучитываемых анионов ( $OH^-$ ). Опыты по адсорбции каолинитом KJ из р-ра в ацетоне показали, что каолинит поглощает на 100 г в-ва 3,85 *мэкв* анионов J- и 3,90 *мэкв* катионов  $K^+$ , что согласуется со значением обменной емкости каолинита и подтверждает гипотезу о том, что именно разорванные связи служат амфотерными центрами ионного обмена.

Б. Зянгин  
604. Очистка глицерина путем удаления ионов. Ашер, Симпсон (Glycerol purification by ion exclusion. Asher D. R., Simpson D. W.), J. Phys. Chem., 1956, 60, № 5, 518—521 (англ.)

Описаны лабор. опыты хроматографич. очистки глицерина (Г) от электролитов ( $NaCl$ ) на колонке с катионитом дауэкс-50 в Na-форме. В колонку вводит порцию Г, содержащего р-р  $NaCl$ , и элюируют деионизированной водой. Г и  $NaCl$  образуют обособленные хроматографич. зоны, лишь частично перекрывающиеся друг друга. Рекомендуются следующие условия опыта, обеспечивающие наибольшую полноту разделения зон: 1) т-ра  $\sim 80^\circ$ , создаваемая при помощи обогревательной рубашки на колонке, 2) объем исходной смеси должен составлять 30—35% от объема слоя катионита, 3) исходная конц-я Г 30—35% при содержании  $NaCl \sim 10\%$ ; повышение конц-и  $NaCl$  способствует повышению максимумы полосы Г до значений выше исходной конц-и. Наилучшие результаты разделения достигнуты на образцах катионита со степенью поперечной связанности, отвечающей содержанию в них 4—12% дивинилбензола.

В. Анохин  
605. Ионообменные равновесия на катионитах с различной обменной емкостью. Сообщение 5. Хутшнекер, Дейель (Ionengleichgewichte an Kationenaustauschern verschiedener Austauschkapazität. 5. Mitteilung über Ionenaustauscher. Hutschneker K., Deuel H.), Helv. chim. acta, 1956, 39, № 4, 1038—1045 (нем.; рез. англ.)

В целях изучения механизма ионообменных процессов исследовано равновесие обмена катионов  $H^+$ ,  $Li^+$ ,  $Na^+$ ,  $Ca^{2+}$  и  $Ba^{2+}$  на катион  $NH_4^+$  на растворимых линейных, поперечно несшитых полистиролсульфоникс-латах и полиакриловых к-тах с различным содержанием ионогенных групп. Измерялось равновесное распределение катионов между внешним р-ром и ичейкой с растворенными полимерами («метод диализа»); результаты представлены в форме графиков зависимости коэфф. избирательности  $K$  от степени обмена. Порядок расположения катионов по величине относительного сродства тот же, как и на поперечно связанных катионитах. Величины  $K$  при обмене катионов щел. металлов на  $NH_4^+$  понижаются, а при обмене щел.-зем. катионов — повышаются с увеличением обменной емкости. Сообщение 4 см. РЖХим, 1956, 563.

В. Анохин  
606. Ионный обмен в неводной среде. I. Исследование равновесия некоторых катионов в метаноле. Гейбл,

**Стробел** (Non-aqueous ion exchange. I. Some cation equilibrium studies in methanol. Gable R. W., Strobel H. A.), J. Phys. Chem., 1956, 60, № 5, 513—517 (англ.)

С целью детального изучения факторов, определяющих значения коэфф. активности ионов в фазе набухшего ионита, подробно описанным статич. методом определены коэфф. избирательности  $K_2^1$  при обмене  $\text{Na}^+ - \text{H}^+$ ,  $\text{NH}_4^+ - \text{H}^+$  и  $\text{Ag}^+ - \text{Na}^+$  на катионите дауэкс-50 в безводн. метаноловых и водно-метаноловых р-рах — в среде с переменным значением диэлектрич. проницаемости  $\epsilon$ . Определялось и распределение воды между фазами ионита и р-ра. Анализ полученных результатов подтверждает предположения теории о том, что в метанол. степенях сольватации ионов меньше, а следовательно, силы межмолекулярного взаимодействия больше, чем в водн. р-рах. Эти представления и предположение об образовании ионных пар в среде с пониженной  $\epsilon$  успешно объясняют различия в ходе кривых зависимости  $K_2^1$  от степени обмена в случае метаноловых и водно-метаноловых р-ров. Это различие максимально при молярной доле воды во внешнем р-ре 0,25. Представление о меньшей степени сольватации ионов в метаноловых р-рах подтверждается и результатами измерения величины набухания различных солевых форм катионита в метаноловых р-рах с различным содержанием воды.

В. Анохин

**607. Анионообменная способность глинистых минералов.** Вейсс, Мелер, Кох, Гофман (Über das Anionenauustauschvermögen der Tonminerale. Weiss Armin, Mehler A., Koch G., Hofmann U.), Z. anorgan. und allgem. Chem., 1956, 284, № 4-6, 247—271 (нем.)

Исследовано влияние pH, времени контакта и конц-ии р-ра  $\text{NH}_4\text{F}$  на обменную сорбцию анионов  $\text{OH}^-$  и  $\text{F}^-$  на ряде образцов глинистых минералов. Исходя из рассмотрения моделей структур, опытные результаты истолковываются следующим образом: у минералов группы монтмориллонита, бейделита и вермикулита обменные центры располагаются на ребрах октаэдрич. граней, и поэтому обменная емкость зависит от размера кристаллов и от заряда катионов, расположенных на этих ребрах. Когда этими катионами являются Fe, становится возможным, путем окисления и восстановления, определить зависимость емкости от величины заряда. У минералов каолиновой группы обменными центрами служат группы  $\text{OH}$ , расположенные в базисной плоскости кристаллов, и обменная емкость зависит от толщины кристаллич. чешуек. Сверх обменной сорбции на этих минералах наблюдается и образование комплекса  $(\text{NH}_4)_2\text{AlF}_6$  с выделением аморфного  $\text{SiO}_2$ . В случае полностью или частично обезвоженного галлозита этот комплекс может занимать место воды в решетке. Колич. определение емкости при обмене  $\text{OH}^-$  на  $\text{F}^-$  сильно затрудняется наличием примесей, напр. кальцита, доломита, железного шпата, лимонита и др.

В. Анохин

**608. Адсорбционные исследования глинистых минералов. VI. Ионы щелочных металлов на аттапульгите.** Мерриам, Томас (Adsorption studies on clay minerals. VI. Alkali ions on attapulgite. Merriam C. Neale, Jr., Thomas Henry C.), J. Chem. Phys., 1956, 24, № 5, 993—995 (англ.)

В отличие от монтмориллонитов, поверхность кристаллов у которых образована слоем O-атомов и представляет один огромный анион с равномерно распределенным зарядом, фиксирующим противоионы, поверхность кристаллов аттапульгита представляется более сложной, образованной цепями тетраэдров крем-

незема и координационно связанными ионами Al и Mg. Центры ионного обмена оказываются в этом случае более локализованными, связанными с октаэдрич. комплексными анионами поверхностного слоя. С помощью радиоактивных индикаторов  $\text{Cs}^{137}$  и  $\text{Na}^{22}$  сняты изотермы обменной адсорбции ионных пар  $\text{Cs}^+ - \text{K}^+$ ,  $\text{Cs}^+ - \text{Na}^+$  и  $\text{Cs}^+ - \text{Li}^+$  на образцах аттапульгита при 30 и 75° методом насыщения слоя адсорбента до равновесия с пропускаемым р-ром при заданном соотношении компонентов. Ранее описанным методом (часть V см. РЖХим, 1956, 57694) вычислены коэфф. активности сорбционной фазы, термодинамич. константы равновесия ионного обмена, стандартная свободная энергия р-ций последовательного вытеснения  $\text{Cs} \rightarrow \text{K} \rightarrow \text{Na} \rightarrow \text{Li}$  (равная соответственно —1200, —700 и —200 ккал при 30° и —1000, —700 и —200 ккал при 75°), приращения энтальпии и энтропии. Последовательность прочности адсорбционных связей катионов та же, что и на монтмориллоните.

В. Анохин

**609. Сульфостирола. Приготовления сульфостирола катионообменных полимеров различной емкости из стирол-сульфамидстирольных кополимеров.** Уайли, Рид (Sulfostyrenes. Preparation of variable capacity sulfostyrene cation exchange polymers from styrene-sulfonamidostyrene copolymers. Wiley Richard H., Reed Samuel F.), J. Phys. Chem., 1956, 60, № 5, 533—536 (англ.)

По данным Бойда, Солдано и Боньера (РЖХим, 1955, 23417), коэфф. избирательности монообменной сорбции на сульфополистирольных катионитах зависит от числа ионогенных групп в сетке полимера, т. е. от обменной емкости. С целью подробного изучения этой зависимости авторы синтезировали ряд сульфостирол-стирольных кополимеров с различным содержанием сульфогрупп. Поскольку сульфостирол и стирол взаимно несовместимы, при синтезе применен следующий метод: совместно полимеризуют *n*-сульфамидстирол (САС) со стиролом (С) при соотношении САС : С в различных образцах от 100 : 0 до 25 : 75, при т-рах 85—136° под действием *n*, *n*-диметилформамида (0,5 мл на 1,56 г мономеров) и *tert*-бутиллацетата (0,01% от веса мономеров) или перекиси бензоила. Полученный кополимер подвергается гидролизу под действием азотистой к-ты для превращения сульфамидных групп в сульфогруппы. Оним, т-ра р-ции 15°. Структура полимера полностью сохраняется. Обменная емкость полученных катионитов лежит в пределах от 5,18 до 1,96 экв/г, составляя 94—100% от теоретич. величины, вычисляемой из соотношения компонентов.

В. Анохин

**610. Сенситизированные мембранные электроды для исследования лекарственных веществ.** Мах (Sensibilisierte Membranelektroden zur Arzneimittel-Untersuchung. Mach W. J.), Arch. Pharmazie, 1956, 289/61, № 5, 268—271 (нем.)

Потенциал ионитовых мембранных электродов в смешанных электролитах неспецифичен, но путем предварительного насыщения мембраны (сенситизации) каким-либо крупным органич. ионом, напр. алкалоидом, можно в значительной степени повысить чувствительность электрода к отдельным ионам за счет увеличения различия их нормальных потенциалов. Подбор подходящего для каждого данного случая сенситизатора приходится делать эмпирически, так как теория явления еще не разработана. Приводится пример сенситизации катионитовой мембраны, содержащей сульфогруппы, солинокислым дибензоилразинном, благодаря чему разность потенциалов между ионоканном и хинином достигает 59,5 мВ вместо 9 мВ на несенситизированной мембране. В некоторых случаях сенситизаторами могут служить и неорганич. ионы; приводится пример применения сенситизированной литием

мембраны для быстрой идентификации случайно перепутанных препаратов в фармацевтич. практике.

В. Анохин

611. Электроосмотический перенос воды через избирательно-проницаемые мембраны. Уингер, Фергусон, Кунин (The electroosmotic transport of water across permselective membranes. Winger Alvin G., Ferguson Ruth, Kunin Robert), J. Phys. Chem., 1956, 60, № 5, 556—558 (англ.)

Экспериментально определялся перенос воды через катионитовые и анионитовые мембраны (Мб) амберплекс С-1 сульфополости ольного типа и амберплекс А-1 типа четвертичного аммониевого основания) при электролизе р-ров NaOH, KOH, LiOH, хлоридов Na, K, Li, Rb, Cs, Co<sup>2+</sup>, Ni<sup>2+</sup> и р-ров (CH<sub>3</sub>)<sub>4</sub>NCl, (C<sub>6</sub>H<sub>5</sub>)<sub>3</sub>CH<sub>2</sub>(CH<sub>3</sub>)<sub>3</sub>NCl и HCl, в двухкамерных ячейках, при небольшой разности исходных конц-ий по обе стороны Мб, с изолирующимися Pt- и не изолирующимися Ag-AgCl-электродами. Результаты подтверждают правильность предположения о том, что измеряемое кол-во перенесенной воды ΔW есть разность двух противоположных потоков, связанных с переносом через Мб катионов (индекс с) и анионов (индекс а), согласно ур-нию ΔW =  $t_c n_c / z_c - t_a n_a / z_a$ , где  $t$  — подвижность ионов в Мб,  $z$  — их валентности,  $n$  — число молекул воды переносимых данным током, могущее служить мерой гидратации иона внутри Мб. Вычислены значения  $n_c$  для изученных солей и приведены данные о зависимости  $n_c$  от степени ионической связанности полимера ионита при различных связующих в-вах, применяемых при изготовлении Мб.

В. Анохин

- 612 Д. Скорость осаждения частиц ионообменной смолы и перенос массы при непрерывном противотоке в роторных колонках. Улин (Continuous counter-current ion exchange resin particle settling rates and mass transfer in spinner columns. Olin Julius Broer Erik. Doct. diss., Univ. Washington, 1955), Dissert. Abstrs, 1955, 15, № 12, 2497—2498 (англ.)

Излагается теоретич. анализ действия роторной ионообменной колонки, в которой поток жидкости в кольцевом промежутке между вращающимся ротором и стенками направлен навстречу движению оседающих частиц ионита. Приводятся полуэмпирич. ур-ния, определяющие перенос и распределение поглощаемого компонента. Разработан графич. метод построения траекторий и определения времени оседания частиц ионита. Преимуществом изучаемого процесса является возможность значительного уменьшения размеров производственных ионообменных колонок. В. Анохин

- 613 Д. Исследование процесса образования интерференционных пленок на стекле из растворов этиловых эфиров ортокремневой и ортотитановой кислот. Александров Г. А. Автореф. дисс. канд. хим. н., Гос. оптич. ин-т, 1956

- 614 Д. Исследование адсорбции и обмена в системе серебро — ион серебра с помощью радиоактивных индикаторов. Леви (Radioactive tracer study of adsorption and exchange in silver — silver ion systems. Levy Boris. Doct. diss., New York Univ., 1955), Dissert. Abstrs, 1955, 15, № 12, 2422 (англ.)

Сняты изотермы хим. и физ. адсорбции Ag<sub>2</sub>SO<sub>4</sub> (меченного изотопом S<sup>35</sup>) из водн. р-ров на металлич. Ag. Адсорбция как Ag<sup>+</sup>, так и SO<sub>4</sub><sup>2-</sup> зависит от времени: быстро (в течение 1 мин.) достигается максимум адсорбции, которая затем снижается и достигает постоянного значения более чем через 1 час. Найдено, кроме того,

что Na<sub>2</sub>SO<sub>4</sub> химически сорбируется на Ag. Опытами изотопного обмена в системах Ag — Ag<sup>+</sup>NO<sub>3</sub> и Ag — Ag<sup>+</sup>SO<sub>4</sub> установлено, что обмен адсорбированного иона Ag<sup>+</sup> с металлич. Ag происходит значительно быстрее, чем обмен Ag<sup>+</sup> между адсорбционным слоем и р-ром.

В. Анохин

См. также: Адсорбция 713. Исслед. поверхностей 1339. Хроматография 1190—1196, 1239, 1250, 1286, 1292, 1294, 1297, 1302, 1304, 1338; 71—99Бх, 102Бх, 177Бх, 204Бх. Ионный обмен 1213, 1236, 1245, 1332; 40Бх, 52Бх, 100Бх, 101Бх, 187Бх. Электрофорез 1197, 1212; 42Бх, 53—69Бх, 176Бх, 184Бх

## ХИМИЯ КОЛЛОИДОВ. ДИСПЕРСНЫЕ СИСТЕМЫ

Редактор Н. А. Фукс

615. Физическая химия. Устойчивость дисперсных систем. Исамура (物理化学・分散系の安定性. 伊勢村壽三), 化学, Какаю, Chemistry (Kyoto), 1955, 10, № 3, 7—9 (япон.)

Обзор за 1953 г. Библ. 12 назв.

В. Анохин

616. Коллоиды и их свойства. Райдиг (Colloids and their behaviour. Rideal Eric), Nature, 1956, 177, № 4515, 865—867 (англ.)

Лекция.

Н. Фукс

617. Сравнительное изучение денатурации пепсина в растворе и в поверхностном слое. I. Влияние pH на денатурацию в растворе. Дьё (Etude comparée de la dénaturation de la pepsine en solution et en surface. I. Influence du pH sur la dénaturation en solution. Dieu Hector A.), Bull. Soc. chim. belges, 1956, 65, № 5-6, 603—619 (франц.; рез. англ.)

Физ.-хим. свойства разб. р-ров пепсина (I) исследовались в интервале pH от 2,5 до 10. Как известно, ниже pH 5,5 I находится в нативном состоянии, а выше pH 7 он полностью денатурирован и утрачивает ферментативную активность. Для нативного и полностью денатурированного I определялись константы седimentации и диффузии,  $z$  и  $D$ , и характеристич. вязкость  $[\eta]$ . Рассчитанный по ф-ле Сведберга мол. вес  $M = 27\,000$ , как при pH 5,2, так и при pH 7,2—8,3. При этих pH седиментационные диаграммы вполне симметричны, свидетельствуя о том, что в обоих состояниях I монодисперсен. Измерения интенсивности светорассеяния дают  $M = 35\,000$ ; это завышенное значение  $M$  автор приписывает возможной агрегации или электростатич. эффектам. При pH > 5,5 агрегация становится очевидной ( $M \rightarrow 80\,000$  вблизи pH 8,6). Для денатурированного I  $[\eta]$  существенно возрастает, а  $z$  и  $D$  убывают. Анализ этих данных на основе существующих гидродинамич. теорий приводит к заключению, что морфологич. изменения глобул при денатурации носят характер простого набухания. В промежуточном интервале pH от 6,25 до 7 седиментационное поведение I свидетельствует о сильной полидисперсности; при анализе таких р-ров теряется ~8% в-ва. По-видимому, это обусловлено скачкообразным характером денатурации: в р-ре одновременно присутствуют нативные и денатурированные макромолекулы I, причем под действием первых последние претерпевают ферментативный гидролиз.

С. Френкель

618. Применение обобщенной теории течения Ри и Эйринга к суспензиям со сферическими частицами. Марон, Пирс (Application of Ree-Eyring generalized flow theory to suspensions of spherical particles. Maron Samuel H., Pierce Perry E.), J. Colloid Sci., 1956, 11, № 1, 80—95 (англ.)

Из теории текучести Ри и Эйринга (РЖХим, 1956, 68524, 75119) получена зависимость вязкости  $\eta$  латекса



(Л) от градиента скорости  $G$ , содержащая три параметра и согласующаяся с опытными данными при  $t = 20-100^\circ$  в широком интервале объемных концентраций  $v$ . Из температурной зависимости параметров рассчитаны энергии активации течения частиц воды и Л, не зависящие от  $v$ . Выведена эмпирич. зависимость параметров от  $v$ , что позволило определить их значения в области ньютоновского течения при  $v < 0,25$ . Рассчитанная на основании этого относительная вязкость хорошо согласуется с опытными данными. При экстраполяции  $V \rightarrow 0$ ,  $\eta_{sp}/v \approx 2,60$ , что близко к величине фактора формы Эйнштейна для сферич. частиц. Экстраполяция  $\eta \rightarrow \infty$  дает значение  $v$ , которое согласуется с комбинацией сплюсн. укладкой однод. сфер. Из комбинации той же эмпирич. ур-ний получены выражения для зависимости молекулярных параметров от  $v$  и от  $t$  в от  $G$ . При изменении  $v$  от нуля до конц-ии, соответствующей  $\eta = \infty$ , расстояния между равновесными положениями для молекул воды изменяются от 13 Å до нуля. Для частиц Л эти расстояния изменяются от  $\infty$  до нуля в том же интервале  $v$ .

Б. Шахмелев

619. Изменение вязкости суспензий с изменением концентрации. Харбард (An investigation into the variation of the viscosity of a suspension with its concentration. Harbard E. H.), Chemistry and Industry, 1956, № 22, 491—492 (англ.)

Вводя понятие об объеме «свободной» жидкости в суспензии, т. е. не связанной с поверхностью частиц, автор получает формулы, упрощающие расчеты вязкости суспензий  $\eta_R = [1 - c / (1 - V)]^{-R}$  (1), где  $\eta_R$  — относительная вязкость, экстраполированная на бесконечную скорость сдвига (пластич. вязкость);  $c$  — объемное содержание твердых частиц в суспензии;  $V$  — доля свободного объема, образующегося при плотной упаковке частиц суспензии;  $k$  — истинная, равная 2,4—2,6 для изученных автором суспензий. Определяют  $V$  по объему осадка после центрифугирования суспензии и рассчитывают  $k$  по  $\eta_R$ , измеренной при одной конц-ии. Зная  $V$  и  $k$ , можно затем по (1) рассчитать  $\eta_R$  в широком интервале конц-ий от чистой жидкости до густой пасты.

И. Слоним

620. Влияние давления и температуры на статическое напряжение сдвига и давления на структурную вязкость глинистых растворов. Шенченко Р. И., Аванесова А. М., Тр. Азерб. н.-и. ин-т по добыче нефти, 1955, вып. 2, 48—58

Сконструирован вискозиметр с концентрич. цилиндрами, позволяющий производить измерения при давлении до 400 атм и  $t$  до  $90^\circ$ . Для определения крутящего момента внутреннего цилиндра в герметично закрытом приборе применена магнитная система указателя поворота цилиндра. Изучено влияние давления и  $t$ -ры на реологич. свойства суспензий карачухурской и лобкатынской глины, натуральных и обработанных углекислотной вытяжкой или сульфит-спиртовой бардой. Статич. напряжение сдвига (СНС) суспензий растет с повышением давления до некоторого предела, а затем остается постоянным. Рост СНС с давлением больше у разб. суспензий, чем у конц., и замедляется с увеличением дисперсности и при хим. обработке. Колл.  $p$ -ры карачухурской глины после хим. обработки не меняют СНС с давлением. СНС растет с повышением  $t$ -ры; для химически обработанных  $p$ -ров рост наблюдается лишь до  $70^\circ$ , а при  $90^\circ$  СНС падает. Изменение СНС с  $t$ -рой объясняется развитием процессов коагуляционного структурообразования. С увеличением давления увеличивается структурная вязкость суспензий. Максим. увеличение составляет 10% при 400 атм для натуральных глины, а для химически обработанных

глин незначительно. Влияние давления на реологич. свойства сильнее для тех глинистых  $p$ -ров, частицы которых обладают менее плотными сольватными оболочками; когда силы адсорбции активны, внешнее давление не оказывает заметного влияния. И. Слоним

621. Коллоидные свойства пирофосфата никеля. Стоцкая Л. Л. В сб.: 10-ая науч.-техн. конференция, 1955 (Науч. студ. о-во. Моск. нефт. ин-т). Л., Гостоптехиздат, 1956, 129—136

Описаны тиксолабильные свойства пирофосфата никеля. Измерялась зависимость предельного напряжения сдвига системы ( $\theta$ ) от времени ( $\tau$ ). Показано, что кривая  $\theta = f(\tau)$  имеет максимум, величина и положение которого зависят от конц-ии сухого  $v$ -ва и pH среды. Механич. разрушение структуры, произведенное до наступления максимума  $\theta$ , резко ускоряет упрочнение системы; разрушение структуры после наступления максимума приводит к уменьшению способности восстанавливать разрушенную структуру. Отмечено явление синергизма и обратного поглощения синергич. жидкости. Заряд частиц пирофосфата никеля отрицательный.

Л. Эдельман

622. Исследование кислотно-основных свойств желатин. Комбе (Étude du comportement acido-basique de la gélatine. Combert Serge), J. chim. phys. et phys.-chim. biol., 1956, 53, № 5, 422—429 (франц.)

Сняты кривые потенциометрич. титрования 5%-ных золь желатин в 0,5 М  $p$ -рах  $KNO_3$ . Хотя молекулы желатин не обладают сферич. строением, тем не менее теория диссоциации полиэлектролитов, основанная на представлениях о статистич. распределении ионогенных групп в макромолекуле и на сферич. симметрии эквипотенциальных поверхностей, может с успехом быть использована для анализа кривых титрования и для определения (графически) величин константы диссоциации единичной ионогенной группы  $K_a$ , числа этих групп, эффективного заряда и потенциала на поверхности макромолекулы. Из сравнения результатов титрования при 25 и  $35^\circ$  вычислены величины истинной ионизации, близкие к полученным иными методами. Найдено, что в 1 г желатин содержится  $1,13 \cdot 10^{-3}$   $\epsilon$ -акс. карбоксильных,  $4,5 \cdot 10^{-5}$  имидазольных и  $3,9 \cdot 10^{-4}$   $\epsilon$ -аминогрупп. Значения их  $pK_a$  соответственно: 4,28; 6,90 и 9,82.

В. Анохин

623. Физико-химическое исследование взаимодействия глицерофосфорной и ортофосфорной кислот с изоэлектрической желатиной. Гидвани, Нарвани (Reaction of glycerophosphoric acid and orthophosphoric acid with isoelectric gelatin studied by physico-chemical methods. Gidwani Mira P., Narwani C. S.), J. Indian Chem. Soc., 1956, 33, № 4, 281—284 (англ.)

С помощью кондуктометрич. и потенциометрич. измерений, а также вязкости 1%-ных  $p$ -ров изоэлектрич. желатин ( $\eta$ ) определены кол-ва ( $Q$ ) глицерофосфорной (I) и ортофосфорной (II) к-т, связываемых 1 г Ж при различных pH. Показано, что в 0,01 М  $p$ -рах обеих к-т, имеющих pH 2,7—2,8,  $Q$  имеет одно и то же значение  $80,4 \cdot 10^{-5}$   $\epsilon$ -акс, тогда как кол-ва связанных  $H^+$ -ионов составляют  $76,38 \cdot 10^{-5}$  и  $65,15 \cdot 10^{-5}$   $\epsilon$ -акс для I и II соответственно. Отсюда следует, что взаимодействие Ж с I и II носит скорее молекулярный, чем ионный характер. После завершения хим. взаимодействия избыточные кол-ва к-т (в молекулярной форме) адсорбируются Ж, образуя с ней адсорбиционные комплексы. Кривые изменения электропроводности и вязкости  $p$ -ров приводят к значениям конц-ий к-т, при которых происходит полное взаимодействие их с Ж, идентичными с результатами потенциометрич. измерений.

А. Таубман

624. Деооксирибозо-нуклеиновые кислоты. IX. Электрофоретическая подвижность деооксирибонуклеиновой кислоты при различных значениях pH и ионной силы. Матисон, Мак-Ларен (Deoxyribose nucleic acids. Part IX. The electrophoretic mobility of sodium deoxyribonucleate at various pH values and ionic strengths. Mathieson A. R., McLaren J. V.), J. Chem. Soc., 1956, Febr., 303—307 (англ.)

Электрофоретическая подвижность Na-деооксирибонуклеиновой кислоты (I) измерялась в буферном р-ре с pH 3,5—7,0, при ионной силе  $I$  0,02—0,2, на аппарате Тизелюса для фронтального электрофореза. Из полученных данных вычислены значения отрицательного эффективного заряда аниона I и связанных с ним противоионов в функции pH. Путем сравнения с кривыми потенциометрич. титрования (часть VIII, РЖХим, 1956, 77684) определены числа противоионов  $\text{Na}^+$  и  $\text{Cl}^-$  при разных pH и  $I$  и вычислены значения эффективного положительного заряда I. Анализ результатов произведен с точки зрения теории слабых полиэлектролитов Качальского, Шавита и Эйзенберга (РЖХим, 1956, 25351).

В. Анохин

625. Стабилизация и коагуляция коллоидных растворов полиэлектролитами. Хеллер, Пью (Stabilization and coagulation of colloidal solutions with polyelectrolytes. Heller Wilfried, Pugh Thomas L.), J. Chem. Phys., 1956, 24, № 5, 1107—1108 (англ.)

Изучено влияние полиэлектролитов: анионного поли-*n*-стиролсульфоната натрия с мол. в. 111000 (I) и катионного поливинилбензилтриметиламмонийхлорида (II) — на положительно заряженный гидрозоль  $\text{FeOOH}$ -и отрицательно заряженный золь Au. Прибавление весьма малых (0,01—1,0  $\mu\text{моль/л}$ ) конц-ий I к золю  $\text{FeOOH}$  увеличивает чувствительность золя к действию электролитов. Максим. сенсibilизация наблюдается при конц-ии 0,05—0,5  $\mu\text{моль/л}$ . Несколько большие (1,0—10,0  $\mu\text{моль/л}$ ) конц-ии I вызывают перезарядку золя  $\text{FeOOH}$  и сильно стабилизируют его: необходимое для коагуляции кол-во  $\text{KCl}$  возрастает в 100—500 раз. Аналогичные соотношения наблюдаются и в системе II — золь Au. Взаимодействие полиэлектролитов с противоположно заряженными золями объясняется сильной адсорбцией ионов с длинной цепью. При одномоментном зареде иона полиэлектролита и частиц золя, как в системах I + золь Au и II + золь  $\text{FeOOH}$ , наблюдается лишь незначительная стабилизация, связанная с увеличением ионной силы р-ра.

И. Слоним

626. Проверка нового уравнения медленной коагуляции лиофобных золей с помощью различных методов. Бхаттачария, Бхаттачария (Verification of a new equation in the study of the slow coagulation of lyophobic sols by different techniques. Bhattacharya Amal K., Bhattacharya Abani K.), J. Colloid Sci., 1956, 11, № 2, 124—134 (англ.)

По литературным данным произведена проверка введенного ранее (Bhattacharya A. K., Kumar R., J. Indian Chem. Soc., 1951, 28, 179; 1952, 29, 687) ур-ния, связывающего время коагуляции ( $t$ ) лиофобных золей и конц-ию ( $C$ ) электролита:  $C = a + (m/t)/(n + 1/t)$  (1), где  $a$ ,  $m$  и  $n$  — кон-ты. Различными методами: измерением вязкости, абсо бции света, коэфф. затухания и методом подсчета частиц — показано, что полученные по каждому из этих методов значения  $t$  находятся в линейной зависимости от величин  $1/(C - a)$ , в согласии с ур-нием (1). Дается теоретич. интерпретация кон-стант  $a$ ,  $m$  и  $n$ . Указано, что константа  $n$  чувствительна ко всем факторам, обуславливающим стабильность золя.

М. Липец

627. Тиндаллиметрическое исследование связи между концентрацией электролита и временем коагуляции. Бхаттачария (A tyndallometric study connecting electrolyte concentration and time of coagulation. Bhattacharya Amal K.), J. Colloid Sci., 1956, 11, № 2, 171—176 (англ.)

Для проверки ур-ния, связывающего время коагуляции  $t$  с конц-ией электролита  $C$  (см. пред. реф.), были использованы тиндаллиметрич. данные для коагуляции золей  $\text{AgCl}$  в момент образования. Применяемая установка состояла из тиндаллиметра в сочетании с фотометром Пульфриха. Показано, что зависимость между  $t$  для одной и той же степени коагуляции и величиной  $1/(C - a)$  — линейная, что согласуется с проверяемым ур-нием.

М. Липец

628. О влиянии замораживания на пептизируемость золей. Бузаг (Über den Einfluß des Gefrierens auf die Peptisierbarkeit der Gele. Buzagh A.), Kolloid-Z., 1956, 146, № 1-3, 133—139 (нем.)

Автору не удалось найти такой слабо сольватированный гель, который дезагрегировался бы при замораживании. Показано, однако, что поведение коагулята, образующегося при замораживании золя, аналогично поведению осадка, полученного ультрафильтрацией: в тех случаях, когда коагулят после оттаивания растворяется, удается так же вновь растворить и отфильтрованный осадок и наоборот. Пептизация суспензий гидроокисей алюминия и железа, содержащих некоторое кол-во соляной к-ты, или суспензий берлинской лазури с  $\text{K}_4\text{Fe}(\text{CN})_6$ , увеличивается при замораживании. Это позволяет применить термин «криолиз» к неорганич. гелим. Пептизирующее действие замораживания проявляется лишь в определенном интервале конц-ий электролита-пептизатора и выражено тем сильнее, чем скорее после сливания геля и пептизатора заморожен р-р. Благоприятное действие замораживания при пептизации объясняется тем, что т-ра замерзания соляватной оболочки частиц (лиосферы) ниже т-ры замерзания чистой воды. После замерзания воды лиосфера остается еще в квазжидком состоянии, конц-ия электролита-пептизатора в ней растет и пептизация облегчается. Пептизирующее действие не проявляется при слишком глубоком охлаждении, а также при очень большом содержании воды в замораживаемой суспензии.

И. Слоним

629. Влияние смесей электролитов на критическую концентрацию мицеллообразования в растворах додецил-1-сульфата. Дорст, Принс, Херманс (Effect of electrolyte mixtures on the critical micelle concentration in solutions of dodecyl-1 sulphate. Dorst W., Prins W., Hermans J. J.), Proc. Koninkl. nederl. akad. wetensch., 1956, B59, № 3, 190—194 (англ.)

Описанным ранее (Corrin M. L., Harkins W. D., J. Amer. Chem. Soc., 1947, 69, 683) флуоресцентным методом с применением роданина 6G в качестве индикатора измерена крит. конц-ия мицеллообразования  $c_{\text{кр.}}$  в р-рах додецил-1-сульфата Na в присутствии  $\text{NaCl}$ ,  $\text{KCl}$  и  $\text{LiCl}$ . Показано, что смеси  $\text{NaCl} + \text{KCl}$  понижают  $c_{\text{кр.}}$  так же, как и один  $\text{NaCl}$ , при условии, что конц-ия  $\text{KCl}$  не настолько велика, чтобы вызвать высаливание мыла. В смесях  $\text{NaCl} + \text{LiCl}$  при постоянной суммарной конц-ии  $c_{\text{кр.}}$  не зависит от отношения  $\text{Na}:\text{Li}$  при содержании  $\text{Li} > 60\%$ , а при дальнейшем уменьшении содержания  $\text{Li}$   $c_{\text{кр.}}$  падает, что свидетельствует о специфич. действии ионов.

И. Слоним

630. Критическая концентрация мицеллообразования неионных полиоксэтилированных поверхностно-активных веществ. Сяо Лунь, Данинг, Лоренз (Critical micelle concentrations of polyoxyethylated non-ionic detergents. Hsiao Lun, Daning, Lorenz)

Dunning H. N., Lorenz P. B.), J. Phys. Chem., 1956, 60, № 5, 657—660 (англ.)

С помощью измерений поверхностного натяжения ( $\sigma$ ) в зависимости от конц-ий ( $c$ ) водн. р-ров оксизтиллированных производных (I) полилфенола, содержащих на 1 моль последнего 10,5; 15; 20 или 30 молей окиси этилена, по точкам перегиба кривых  $\sigma = f(\ln c)$  определены крит. конц-ии мицеллообразования ( $c_{(кр.)}$ ) и влияние на них добавок электролитов. Показано, что  $c_{(кр.)}$  возрастает с увеличением числа А оксизтиленовых групп и уменьшается от добавок солей. Молекулярные площади в адсорбционных слоях также возрастают с увеличением А. Величина  $c_{(кр.)}$  связана с А выражением  $\ln c_{(кр.)} = 0,056 A + K$ , где постоянная  $K = 3,87$  для водн. р-ров, а в р-рах электролитов она зависит от их природы и конц-ии. Влияние Na-солей с различными анионами на снижение  $c_{(кр.)}$  характеризуется обычным лиотропным рядом  $J^- > NO_3^- > Br^- > Cl^- > BrO_3^-$ , что указывает на связь этого влияния понов с их дегидратирующим действием по отношению к оксизтиленовым группам. Установлено, что значения  $c_{(кр.)}$  удваиваются при укорочении углеводородных цепей на одну  $CH_2$ -группу или при увеличении А на 12 ед., тогда как по влиянию на растворимость  $CH_2$ -группа эквивалентна одной  $C_2H_4$ -группе. Это различие авторы истолковывают на основе представления о существовании в р-рах оксидиновых ионов, сообщающих мицеллам I слабые положительные заряды. А. Таубман

631. О солюбилизации и катратных комплексах. Рёйссен (Over solubilisatie en insluitingscomplexen. Ruysen R.), Meded. Vlaamse chem. verenig., 1955, 17, № 3, 109—121 (флам.)

632. О форме коллоидных мицелл мыла. Гупта (On the shape of the colloidal soap micelles. Gupta S. L.), Sci. and Culture, 1956, 21, № 8, 470 (англ.)

Сделана попытка объяснить наличие минимума на кривой эквивалентной проводимости р-ров мыл, молекулы которых содержат длинные алкильные цепочки; допускается существование нескольких форм полностью ионизованных мицелл мыла, резкий переход между которыми происходит при изменении конц-ии р-ра. Е. Саминский

633. Модель поперечносвязанных полиэлектролитов. Лазар, Сандхейм, Грегор (A model for cross-linked polyelectrolytes. Lazare Leon, Sundheim Benson R., Gregor Harry P.), J. Phys. Chem., 1956, 60, № 5, 641—648 (англ.)

В рамках теории Дебая — Хюккеля не удается найти объяснения большому диапазону изменений коэфф. активности  $f_{\pm}$  электролита во внутренней фазе ионитов (рассматриваемых как поперечносвязанные цепи полиэлектролита), в зависимости от изменения конц-ии внешнего р-ра, и очень низким его значениям при малых конц-иях. В развитие осмотич. теории ионитов Грегора и сотр. (РЖХим, 1956, 3581, 74585), авторы рассматривают модель внутренней фазы ионита, построенную из поверхностей, связанных упругой механич. связью и несущих двойной электр. слой из фиксированных ионов и противоионов, в среде р-ра электролита, локальное распределение катионов и анионов которого подчиняется закону Больцмана. Теоретич. анализ модели, детально проведенный для случая 1—1 электролита на основе сопоставления осмотич. эффектов с электростатич. взаимодействием ионов, приводит к формулировке выражений свободной энергии и величин  $f_{\pm}$  в этой сложной системе и к построению кривых набухания и  $f_{\pm}$ , правильно воспроизводящих ход

опытных кривых зависимости этих величин от активности внешнего р-ра. В. Анохин

634. Переход от типичных полиэлектролитов к полимыслам. II. Исследование вязкости производных поли-4-винилпиридина в водных растворах KBr. Страусс, Гершфельд, Крук (The transition from typical polyelectrolyte to polysoap. II. Viscosity studies of poly-4-vinylpyridine derivatives in aqueous KBr solutions. Strauss Ulrich P., Gershfeld Norman L., Crook Evan H.), J. Phys. Chem., 1956, 60, № 5, 577—584 (англ.)

В развитие предыдущей работы (сообщение I РЖХим, 1955, 42769) исследован переход от бимолекулярного поли-4-винилпиридина (I) к четвертичным основаниям (полимыслам) (II), полученным путем присоединения к части его атомов N (6,7—37,9%) *n*-додецилбромидов. Измерения вязкости  $\eta$  водн. р-ов II при добавке KBr показывают, что в отличие от I кривые  $\eta_{(уд.)}/c = f(m)$ , где  $c$  и  $m$  — конц-ии соответственно II и соли, обнаруживают во многих случаях минимум, после которого  $\eta_{(уд.)}/c$  резко возрастает. Особенно сильно влияние KBr проявляется на р-рах полимысла «37,9%», которые могут быть доведены до жатинирования. Зависимость  $\eta_{(уд.)}/c = f(c)$  при постоянном  $m$  ( $\sim 0,02$  M) показывает, что  $\eta$  резко снижается при увеличении содержания додециловых групп с 6,7 до 13,6%, когда система приобретает свойства типичного полимысла. Это позволяет считать, что указанный переход происходит при некотором крит. составе мицелл, величине, аналогичной крит. конц-ии мицеллообразования у обычных колл. электролитов. Эти зависимости  $\eta$  II от содержания додециловых групп могут быть истолкованы на основе представлений Флори (Flory P. J., Fox T. G., J. Amer. Chem. Soc., 1951, 73, 1904). Увеличение  $\eta$  р-ов II от добавок KBr и малая скоп-сть установления устойчивых значений  $\eta$  при разбавлении более конц. р-ов, а также при изменении т-ры р-ров в интервале 25—45° (при постоянной  $c$ ) приводит авторов к выводу о существовании в р-рах агрегатов молекул полимыла, обладающих значительной устойчивостью вследствие большой энергии активации процессов их образования и распада.

А. Таубман  
635. Гексагональное упорядочение в синтетических латексах. Гамильтон, Хамм (Hexagonal distant packing of synthetic latexes. Hamilton J. F., Hamm F. A.), J. Appl. Phys., 1956, 27, № 2, 190—191 (англ.)

Высокоупорядоченное расположение частиц, наблюдающееся при высушивании капли гидрозоля сополимера сукцинилжелатинаты (16%) с равными кол-вами этил- и метилакрилата, авторы объясняют на основе взглядов Фервея и Овербека. Предположено, что образование гексагональной решетки (наблюдаемое при повышении конц-ии твердой фазы от 0,01 до 1%) происходит, когда электростатич. отталкивание достигает равновесия со сжатием под действием капиллярных сил. Однако лучшее согласие измеренных величин с теорией имело бы место при расстоянии между частицами вдвое меньшим измеренного. Наиболее вероятной причиной расхождения авторы считают ошибку в вычислении толщины диффузного слоя. О. И.

636. Распределение размеров частиц в глинах. Джонсон (Particle size distribution in clays. Johnson A. L.), Bull. Div. Mines Dept. Natur. Resources State Calif., 1955, № 169, 89—91 (англ.)

Обзор методов определения размеров частиц глинистых минералов. Для частиц размером  $>25 \mu$  автор рекомендует оптич. методы измерения размеров частиц, в интервале 25—0,5  $\mu$  — седиментационный анализ, для частиц  $<0,5 \mu$  — центрифугирование и электронномикроскопич. методы. Указывается на большое влия-



ние агрегации на свойства технич. суспензий глин. Библ. 12 назв. И. Слоним

637. Применение петroleйного эфира (80—100°) в качестве диспергирующего агента при изучении дисперсных систем методом электронной микроскопии и электронографии. Боулит (Petroleum ether (80°—100° C) used as a dispersing agent for the examination of particulate matter by electron microscopy and electron diffraction. Boult E. H.), Nature, 1956, 177, № 4506, 484 (англ.)

Небольшое кол-во исследуемого порошка наносится на чистое предметное стекло, смачивается несколькими каплями петр. эфира (I) и тщательно растирается с помощью ланцета. После дополнительного добавления I все недостаточно диспергированные зерна порошка удаляются лезвием ланцета. На оставшееся диспергированное в-во вновь наносится небольшое кол-во I и кладутся предметные сеточки с коллоидной пленкой. После высыхания I приготовленный таким образом препарат исследуется в электронном микроскопе. Описываемый метод применялся для электрономикроскопич. и электронографич. исследований  $Mn_2O_3$ ,  $PbO$ ,  $Ag_2O$ ,  $NiO$ ,  $V_2O_5$ , глинистых минералов и диатомовых земель. Приведены микрофотографии и электронограммы образца  $\alpha = MnO_2$ , прокаленного при 400° в токе  $O_2$  в течение 24 час. и диспергированного описываемым способом. В. Лыгин

638. Движение пузырьков газа и капель жидкости. Штуке (Die Bewegung von Gasblasen und Flüssigkeitstropfen. Stuke Bernhard), Umschau, 1954, 54, № 23, 715—717 (нем.)

Краткое изложение основных данных о влиянии поверхностноактивных в-в на характер движения пузырьков газа или капель жидкости в жидкой среде. Н. Слоним

639 П. Способ разрушения умеренно стабильных коллоидных систем. Лаут (Verfahren zum Brechen mäßig stabiler kolloidaler Systeme. Lauth Hellmuth) [Farbenfabriken Bayer Akt.-Gcs.]. Пат. d RF 917907, 13.90.54 (нем.)

Коллоидные р-ры обрабатывают гонгтами, подобными применительно к каждому данному случаю, вводя таким путем элект. олит, связанный стабильностью. Пример: слабосильный, свеж осажившийся водн. колл. р-р  $AgCl$  фильтруют через H-ионообменную смолу на основе креатин-ω-сульфонисоты. Фильтрат выводит из осадка, а осадок  $AgCl$  осажается на слое сепаранта в виде легко улаиваемой кол-ки.

Chem. Zbl., 1955, 126, № 15, 3452—3453 Reichelt E.

См. также: раздел Химия высокомолекулярных веществ и рефераты. Структурно-мех. св-ва 37, 307, 1341—1343. Размеры и ст. оне колл. частиц 1362. Документация 3255. Р-ры макромолек. в-в 1340. Аз. озолн 744, 1345, 3252—3254, 3258, 3259. Общие вопр. колл. химии 40

## НЕОРГАНИЧЕСКАЯ ХИМИЯ. КОМПЛЕКСНЫЕ СОЕДИНЕНИЯ

Редактор А. Б. Пейдинг

640. Новые химические элементы. Лассен (Nue grundstoffer. Lassen N. O.), Ingeniøren, 1956, 65, № 24, 494—509 (дат.)

Обзор. Библ. 49 назв.

В. Штерн

641. Три-*n*-бутилфосфат как экстрагент для нитратов актинидных элементов. Маккей Х. А. Ц. В кн.: Химия ядерного горючего (Докл. ш. ученых на Междунар. конференции по мирному использованию атом. энергии, Женева, 1955). М., Госхимиздат, 1956, 496—504

Три-*n*-бутилфосфат (ТБФ), благодаря его низкой диэлектрич. постоянной (~7), легко экстрагирует нитраты 3-, 4- и 6-валентных актинидов (А). 3-валентные А экстрагируются удовлетворительно, 4- и 6-валентные — очень хорошо. В ряду  $Th(4+) < Np(4+) < Pu(4+)$  экстрагируемость повышается. 5-валентные А экстрагируются слабо. Для 6-валентных А экстрагируемость возрастает в ряду  $Pu(6+) < Np(6+) < U(6+)$ . Эффективное разделение достигается переводом А в различные степени окисления. В ТБФ каждый нитрат присутствует только в виде одного сольватированного комплекса предполагаемого состава:  $A(NO_3)_3 \cdot 3TBF$ ;  $A(NO_3)_4 \cdot 2TBF$ ;  $AO_2(NO_3)_2 \cdot 2TBF$ . Для ряда нитратов А эти ф-лы подтверждены методами растворимости и экстракции. При экстрагировании индикаторных кол-в нитратов А р-рами ТБФ в инертном растворителе коэфф. распределения (*K*) зависит от степени сольватации *q* и конц-ии ТБФ:  $K = a [TBF]^q$ . Величина *K* вначале возрастает с увеличением конц-ии  $HNO_3$  в водн. фазе в связи с повышением конц-ии недиссоциированных молекул нитратов А, проходит через максимум, а затем спадает вследствие одновременного образования соединения  $HNO_3$  с ТБФ. При экстракции макроколичеств нужно принимать меры против расслаивания ТБФ и растворителя. Н. Полянский

642. Получение тетраборана гидролизом боридов. Михеева В. И., Маркина В. Ю., Ж. неорган. химии, 1956, 1, № 4, 619—627

Изучено получение тетраборана (I) восстановлением борного ангидрида магнием и другими металлами и последующим разложением продуктов к-той. Измельченные металлы перемешивали с  $B_2O_3$ , смесь нагревали в электропечи и полученные продукты спекания разлагали 8 н. соляной к-той. Li, Na, K и Ca энергично реагируют с  $B_2O_3$ , но выход борводородов (БВ) очень мал. С Be максим. выход, полученный при отношении  $B_2O_3 : Be = 1 : 6$ , не превышает 0,35%. При растворении в к-те боридов Al, Mn и Fe получаются лишь следы БВ. Р-ция  $B_2O_3$  с Mg исследована подробно: систематически изучены смеси в интервале 0—100% содержания каждого компонента. Максим. выход БВ получается при отношении  $Mg : B_2O_3 = 6 : 1$ . Еще лучшие результаты получены при спекании смеси 22,48% аморфного В с 77,52% Mg, отвечающей составу  $B_2Mg_3$ , в токе  $H_2$  при 800° в течение 2 час. и растворении продукта в 8 н.  $H_3PO_4$ . В этом случае выход БВ доходит до 14—16%, в том числе I до 12,5—14,5% от всего взятого В. После разгонки дробной конденсацией получается весьма чистый I с т. пл. —121,6°. Очищенный I сравнительно устойчив, заметно не разлагается в течение суток при комнатной т-ре, при —80° может храниться длительное время. Н. Слоним

643. Получение окисл. двухвалентного германия. Гастингер (Über die Darstellung von Germanium (II)-oxyd. Gasteringer Ekkehard), Z. anorgan. und allgem. Chem., 1956, 285, № 1-2, 103—112 (нем.)

Р-ция  $Ge + CO_2 = GeO + CO$  при давл. 1 атм начинается при ~700° и быстро протекает при 800—900°; при этом сублимируется аморфный  $GeO$ , содер-

жащий некоторый избыток О. Еще быстрее сублимируется  $\text{GeO}$  при нагревании  $\text{Ge}$  в токе воздуха при 4–34 мм рт. ст.;  $\text{GeO}_2$ , образующийся при поверхностном окислении, восстанавливается быстро  $\text{Ge}$  до  $\text{GeO}$ , р-ция начинается при 600° и быстро протекает выше 700°. Повышение т-ры и понижение давления воздуха способствуют приближению состава сублимата к  $\text{GeO}$ .

**И. Рысс**  
644. Получение гидроксиламина по Рашигу. Инчеди, Дьюрко (Raschig-féle hidroxilamin-előállítás. Inczedy János, Gyurkó János), Magyar kem. folyóirat, 1956, 62, № 5, 165–170 (венг.; рез. нем.)

Исследованы условия получения  $\text{NH}_2\text{OH}$  по Рашигу. Наиболее пригодным оказался ранее опубликованный метод (Urbanek L., Mezőgazd. Kutatások, 1933, 6, 334) при оптимальном молярном отношении  $\text{NaHSO}_3 : \text{NaNO}_2 = 1 : 1,95$ . Исследовано влияние рН, т-ры и скорости перемешивания на процесс получения  $\text{NH}_2\text{OH}$ . При оптимальных условиях опыта выход готового продукта может быть > 90%. **М. Полтева**

645. О свойствах фосфорной кислоты. Ремн, Фалиус (Über das Verhalten der Unterphosphorsäure. Remy Heinrich, Falisus Hans), Naturwissenschaften, 1956, 43, № 8, 177 (нем.)

Для получения больших кол-в гипофосфата  $\text{Na}$  рекомендуется видоизменение описанного ранее метода (Leininger E., Chulski Th., J. Amer. Chem. Soc., 1949, 71, 2385): в охлаждаемую водой колбу вводят взвесь красного  $\text{P}$  в воде и прибавляют по каплям водн. р-р  $\text{NaClO}_2$ ; по окончании р-ции отфильтровывают непрореагировавший  $\text{P}$  и фильтрат обрабатывают по прежней методике.  $\text{H}_3\text{P}_2\text{O}_6 \cdot 2\text{H}_2\text{O}$  (I), т. пл. 62°, обезвоживается в вакууме над  $\text{P}_2\text{O}_5$  в течение 2 месяцев до  $\text{H}_3\text{P}_2\text{O}_6$  (II). II не имеет определенной т-ры плавления, начинает плавиться (с разложением) при 73°. I и II неограниченно долго сохраняются в отсутствие влаги при 0°–5°; при комнатной т-ре II в течение 6 дней превращается без изменения веса в вязкую жидкость (III). В спектре комб. расс. III отсутствует характерная для II частота 274  $\text{см}^{-1}$ . III не содержит  $\text{H}_3\text{PO}_4$  и  $\text{H}_3\text{PO}_3$ , последние появляются только после растворения III в р-ре  $\text{NaHCO}_3$ . В насыщ. водн. р-ре  $\text{Na}_2\text{H}_2\text{P}_2\text{O}_5$  наблюдаются частоты, близкие к найденным в III. **И. Рысс**

646. О строении «амида мононадесятой кислоты». Ванагат, Пфейффеншнейдер (Zur Konstitution der «Sulfoferamid-säure». Wagnagat Ulrich, Pfeiffenschneider Raymond), Naturwissenschaften, 1956, 43, № 8, 178 (нем.)

Соединение  $\text{H}_2\text{NOSO}_3\text{H}$  (I), образующееся из  $\text{NH}_2\text{OH}$  и  $\text{SO}_3$  или  $\text{HSO}_3\text{Cl}$ , считалось, вследствие значительных окислительных свойств, амидом мононадесятой к-ты (II). Попытки авторов получить II из I путем осторожного окисления I не привели к успеху. При р-ции эфирной взвеси I с диазометаном при т-рах от –20 до +20° образуется  $(\text{CH}_3)_3\text{N}^+ - \text{O} - \text{SO}_3^-$ , химически и рентгенографически идентичный в-ву, полученному из  $\text{SO}_3$  и  $(\text{CH}_3)_3\text{NO}$ . Поэтому для I принято строение  $\text{H}_3\text{N}^+ - \text{O} - \text{SO}_3^-$ . **И. Рысс**

647. Фториды меди. Хендлер (Copper fluorides. Haendler Helmut M.), Science, 1956, 123, № 3194, 459 (англ.)

Автор отмечает ошибочность данных (Ebert F., Wotinek H., Z. anorgan. und allgem. Chem., 1933, 210, 269; РЖХим, 1956, 31729) о структуре фторидов  $\text{Cu}$ ; в-во, которым на основании рентгенограмм были приписаны ф-лы  $\text{CuF}$  и  $\text{CuF}_2$  в действительности представляют собой  $\text{Cu}_2\text{O}$  и  $\text{CuCl}$ . Рентгенографически установлено, что  $\text{CuF}_2$  моноклинен с параметрами:  $a$  3,325 ±

± 0,005,  $b$  4,544 ± 0,005,  $c$  4,578 ± 0,005 А,  $\beta$  83°17'.

**И. Рысс**

648. Изучение соединений внедрения гидроокисей металлов. I. Гидроксидафлавианаты цинка. II. Строение гидроксидафлавианатов цинка. III. Гидроксидафлавианаты некоторых двухвалентных металлов. IV. Другие гидроксида цинка ароматических кислот. Фейткнехт (Zur Kenntnis der Metallhydroxyd-Einschlussverbindungen. I. Über Zinkhydroxydylflavianate. II. Über den Bau der Zinkhydroxydylflavianate. III. Über einige Hydroxydylflavianate zweiwertiger Metalle. IV. Über weitere aromatische Hydroxydsalze des Zinks. Feitknecht W.), Helv. chim. acta, 1956, 39, № 2, 564–575; 576–584, 584–589, 589–595 (нем.)

I. Соли  $\text{Zn}$  органич. к-т могут внедряться между слоями  $\text{Zn}(\text{OH})_2$  (I) с образованием слоистых структур (Feitknecht W., Bürki H., Chimia, 1949, 3, 146). Такие соединения I с диатриевой солью флавиановой к-ты (II), называемые автором гидроксидафлавианатами (ГФ), получали осаждением щелочью из р-ра  $\text{Zn}(\text{NO}_3)_2$  и II или взаимодействием I с флавианатом  $\text{Zn}$ . По устойчивости ГФ занимают промежуточное положение между основными хлоридами и нитратами. Свежеосажденные ГФ имеют дефектную двухслойную структуру. Расстояние между слоями непрерывно возрастает от 12,8 до 19,5 А с увеличением содержания II; при осаждении ГФ из р-ров с очень высокой конц-ией II расстояние между слоями достигает 24,2 А. При больших кол-вах II расстояние между слоями при старении возрастает, и в результате внутренней перекристаллизации образуются кристаллич. соединения с расстоянием между слоями 19,5 и 16,1 А, имеющие состав соответственно  $\text{Zn}(\text{OH})_2 \cdot 0,31\text{ZnFla}$  и  $\text{Zn}(\text{OH})_2 \cdot 0,25\text{ZnFla}$ . Наряду с этими формами могут образовываться дефектные структуры того же хим. состава.

II. Установленные выше расстояния между слоями (12,8; 16,1 и 19,5 А) автор ставит в связь с тождественной во всех трех случаях ориентацией имеющих форму дисков флавианат-ионов, которые располагаются перпендикулярно слоям  $\text{Zn}(\text{OH})_2$ . Различия между отдельными ГФ определяются различной плотностью упаковки органич. ионов на слоях  $\text{Zn}(\text{OH})_2$ . Эти ионы чередуются соответственно с четырьмя (при расстоянии между слоями 12,8 А), тремя (при расстоянии 16,1 А) и двумя (при расстоянии 19,5 А) ионами  $\text{Zn}^{2+}$ . В соединении с расстоянием между слоями 24,2 А оксифлавианат-ионы расположены в 2 ряда. Различие симметрии и размеров элементарной ячейки слоев гидроокиси и флавианат-ионов определяет возможность образования дефектных структур.

III.  $\text{Cu}$ ,  $\text{Cd}$ ,  $\text{Mn}$ ,  $\text{Co}$  и  $\text{Ni}$ , подобно  $\text{Zn}$ , образуют ГФ, образующиеся при неполном осаждении щелочью из р-ров нитратов указанных металлов, содержащих добавки флавианата  $\text{Na}$ . Свежеосажденный ГФ  $\text{Cu}$  имеет двухслойную структуру и состоит из деформированных слоев  $\text{Cu}(\text{OH})_2$  и расположенного между ними флавианата  $\text{Cu}$ . Расстояние между слоями в ГФ  $\text{Cu}$ , промытом ацетоном, составляет 16,4 А. В результате промывания водой частично удаляется флавианат, и расстояние между слоями понижается до 13,5 А. При старении в маточном р-ре эти формы превращаются в кристаллич. ГФ  $\text{Cu}$ , состоящий из кристаллов в виде двойных сферолитов с расстоянием между слоями 12 А и имеющий состав  $\sim 3\text{Cu}(\text{OH})_2 \cdot \text{CuFla}$ . ГФ  $\text{Cd}$  после непродолжительного промывания водой и ацетоном почти рентгеноаморфен и имеет состав  $\text{Cd}(\text{OH})_2 \cdot 0,32 - 0,35\text{CdFla}$ . Этот продукт при старении переходит через соединение с дефектной структурой в кристаллич. ГФ  $\text{Cd}$  с расстоянием между слоями 18,1 А. Свежеосажденные ГФ  $\text{Mn}$ ,  $\text{Co}$  и  $\text{Ni}$  образуют продукты внедрения с очень мало упорядоченной структурой, которые при

старении не переходят в кристаллич. формы. Расстояние между слоями у ГФ этих металлов составляет  $\sim 13$  А.

IV. Подобные ранее описанным ГФ Zn, соединения внедрения  $Zn(OH)_2$  с нитрофенолами, карбоновыми и сульфоновыми к-тами получали неполным осаждением щелочью из р-ра  $Zn(NO_3)_2$  в присутствии солей соответствующих к-т. Свежеосажденные соли в большинстве случаев представляют собой аналогичные ГФ дефектные двухслойные структуры, в кристаллах которых чередуются слои органич. солей толщиной от 6,8 А (в случае *п*-нитрофенола) до 22,4 А (в случае эриоглауцина) со слоями  $Zn(OH)_2$  толщиной  $\sim 4,6$  А. Однако гидроксидбензосульфат выпадает в виде почти аморфного осадка, который при старении постепенно кристаллизуется, переходя через несколько дней в устойчивый основной сульфат Zn. Гидроксид-циклат сразу выпадает в виде кристаллич. в-ва с несколько дефектной структурой и расстоянием между слоями 18,2 А. Некоторые органич. гидроксидсоли Zn при старении в маточном р-ре переходят в обычные основные соли (напр., гидроксид-*о*-нитрофенолат), другие — в кристаллич. в-ва (напр., гидроксидсалицилат).

Н. Полянский  
649. Роль напряжений связей с азотом в химии циклических аминокридридов бора. Берг, Гуд (Nitrogen bond strain effects in the chemistry of ring-amino boron hydrides. Burg Anton B., Good Carl D.), J. Inorg. and Nuclear Chem., 1956, 2, № 4, 237—245 (англ.)

Взаимодействием пиперидина (I), пирролидина (II), ацетидина (III) и этиленимина (IV) с  $B_2H_6$  (V) получены соединения  $A \cdot BH_3$ , где  $A = I, II, III$  или IV. Термич. разложением  $A \cdot BH_3$  получены соединения типа боронов:  $C_5H_{10}NBH_2$  (VI), т. пл.  $111^\circ$ , т. кип.  $202^\circ$ ,  $\lg p_{\text{мм}}(\text{т. в.}) = 13,131 - 4584/T$ ,  $\lg p_{\text{мм}}(\text{жидк.}) = 9,967 - 3368/T$ ;  $C_4H_8NBH_2$  (VII), т. пл.  $34^\circ$ , т. кип.  $194^\circ$ ,  $\lg p_{\text{мм}} = 8,675 - 2705/T$  и  $(C_3H_5NBH_2)_2$  (VIII), т. пл.  $51,8^\circ$ , т. кип.  $186^\circ$ ,  $\lg p_{\text{мм}}(\text{жидк.}) = 8,503 - 2469/T$ ,  $\lg p_{\text{мм}}(\text{т. в.}) = 11,811 - 3544/T$ . Теплоты плавления VI и VIII равны соответственно 5,57 и 4,92 ккал/моль. Нагреванием VI, VII, VIII,  $n\text{-C}_3H_7NBH_2 \cdot BH_3$  и  $C_2H_5NH \cdot BH_3$  с V получены соединения типа боронов:  $C_5H_{10}NB_2H_5$  (IX), т. кип.  $148^\circ$ ,  $\lg p_{\text{мм}} = -2410/T + 1,75 \lg T - 0,00510T + 6,1606$ ;  $C_4H_8NB_2H_5$ , т. пл.  $-63,5^\circ$ , т. кип.  $121,8^\circ$ ,  $\lg p_{\text{мм}} = -2205/T + 1,75 \lg T - 0,004539T + 5,7217$ ;  $C_3H_6NB_2H_5$ , т. пл.  $-45,4^\circ$ , т. кип.  $101^\circ$ ,  $\lg p_{\text{мм}} = -2248/T + 1,75 \lg T + 0,00616T + 6,6928$ ;  $n\text{-C}_3H_7NBH_2B_2H_5$ , стеклообразный, т. пл. от  $-146$  до  $-143^\circ$ , т. кип.  $121^\circ$ ,  $\lg p_{\text{мм}} = 8,537 - 2117/T$ . Р-цией  $C_2H_5NH \cdot BH_3$  с V соединение  $C_2H_4NB_2H_5$  получить не удалось; полученное в-во состава  $C_2H_5NBH_2B_2H_5$  тождественно с продуктом р-ции V с этиламином и имеет т. пл.  $-96,4^\circ$ , т. кип.  $86,6^\circ$ ,  $\lg p_{\text{мм}} = -2096,3/T + 1,75 \lg T - 0,00533T + 6,15245$ . В VI и VII имеет место равновесие мономер-димер, подобное описанному ранее для  $(CH_3)_3NBH_2$  (Burg A. B., Randolph C. L., J. Amer. Chem. Soc., 1951, 73, 953). Меньшую устойчивость производных III по сравнению с производными I и II авторы объясняют тем, что напряжения связей с азотом, обусловленные малостью угла  $B-N-B$ , усилены в III вследствие малости угла  $C-N-C$  ( $\sim 90^\circ$  по сравнению с  $\sim 112^\circ$ , напр. для IX). Напряжения в IV уже настолько велики, что дальнейшее увеличение его при образовании мостика  $NB_2N$  приводит к разрыву цикла, чем авторы и объясняют образование  $C_2H_5NBH_2B_2H_5$  вместо  $C_2H_4NB_2H_5$ .

В. Колесов

650. О боратах алюминия. Шольце (Über Aluminiumborate. Scholze Horst), Z. anorgan.

und allgem. Chem., 1956, 284, № 4-6, 272—277 (нем.)

Нерастворимые в воде  $9Al_2O_3 \cdot 2B_2O_3$  (I) и  $2Al_2O_3 \cdot B_2O_3$  (II) получены сплавлением смеси 70 вес. %  $B_2O_3$  и 30 вес. %  $Al_2O_3$  в течение 70 час. при  $1000^\circ$  (для получения I) или  $1100^\circ$  (для получения II), закаливанием сплава и извлечением разб. р-ром NaOH. Физ. свойства I и II: плотность  $2,94 \pm 0,01$  и  $2,93 \pm 0,01$ ; т. пл. (инконгруэнтного)  $1440 \pm 20$  и  $1050 \pm 20$ ; показатели преломления  $n_p$  1,602 и 1,605;  $n_m$  1,610 и 1,610;  $n_g$  1,627 и 1,645 (точность  $\pm 0,001$ ); (+)  $2V$   $69 \pm 2^\circ$  и  $37 \pm 5^\circ$ . Оба соединения кристаллизуются в ромбич. сингонии; возможные ф. гр.: для I  $Cmc2_1$ ,  $C2cm$  или  $Cmcm$ ; для II  $Cmm2$ ,  $C2m2$ ,  $C222$  или  $Cmmm$ ; параметры решеток I и II:  $a$   $7,68 \pm 0,05$  и  $14,8 \pm 0,2$ ,  $b$   $14,98 \pm 0,10$  и  $15,1 \pm 0,2$ ,  $c$   $5,65 \pm 0,03$  и  $5,6 \pm 0,1$  А,  $n = 1,09$  и 8,09. I отличается от известной ранее формы (Baumann H. N., Jr, Moore C. H., Jr, J. Amer. Ceram. Soc., 1942, 25, 391—4) оптич. свойствами.

П. Рыс  
651. Об ошибках в понимании состава и строения силикатов и написании их формул. Четвериков С. Д., Зап. Всес. минералог. о-ва, 1956, 85, № 1, 118—119

Автор указывает на необходимость учитывать современный уровень знаний о кристаллич. строении силикатов при написании их ф-л и критикует с этой точки зрения ряд учебных курсов, руководств и справочников.

Г. Попов  
652. Безводные оксонитраты титана и циркония. Гутман, Танненбергер (Wasserfreie Oxonitrate des Titans und Zirkoniums. Gutmann V., Tannenberger H.), Monatsh. Chem., 1956, 87, № 3, 421—424 (нем.)

При внесении  $TiJ_4$  или  $ZrJ_4$  в жидкий  $N_2O_4$  при  $-17^\circ$  идет энергичная р-ция с выделением  $NO$  и  $J_2$ . По-видимому, получаются  $M(NO_3)_4$  ( $M = Ti, Zr$ ) по р-ции:  $MJ_4 + 4N_2O_4 = M(NO_3)_4 + 4NO + 2J_2$ . Выделить  $M(NO_3)_4$  не удалось, так как они разлагаются выше  $10^\circ$  по ур-нию  $M(NO_3)_4 \rightarrow MO(NO_3)_2 + 2NO_2 + 1/2O_2$  с образованием оксонитратов. Для получения оксонитратов Ti и Zr пропускают при комнатной т-ре сухой  $N_2O_4$  и суспензию тетраоксидов в безводн.  $CCl_4$ . Р-р окисляется выделяющимся  $J_2$ . Через 1 час отфильтровывают оксонитраты, промывают безводн.  $CCl_4$  и сушат в вакууме.  $TiO(NO_3)_2$  — белое,  $ZrO(NO_3)_2$  — светло-розовое в-во. Оксонитраты Ti и Zr гигроскопичны, при нагревании, не плавясь, превращаются в диоксиды; растворимы в спирте, при нагревании растворяются в разб. к-тах, кроме уксусной; не растворяются в  $CCl_4$  и  $C_6H_6$ .

И. Слоним  
653. Гидриды переходных элементов. 1. Синтез и свойства гидридов ниобия. Алексеев Ю. П., Крылов Е. П., Укр. хим. ж., 1956, 22, № 2, 143—145

$NbCl_5$  очень быстро взаимодействует с 0,3 М р-ром  $C_6H_5MgBr$  в абс. эфире, образуя, по предположению авторов, соль металлич. Nb коричневого цвета. Образовавшийся высокодисперсный Nb легко присоединяет водород с выделением гидрида в виде смолистой жидкости темнокоричневого цвета. Эта жидкость после промывания эфиром и высушивания при комнатной т-ре в токе  $H_2$  переходит в черный аморфный гидрид Nb (I). При действии  $C_6H_5MgBr$  I снова приобретает жидкую консистенцию. I окисляется на воздухе, превращаясь в ниобиевую к-ту. Конц.  $HNO_3$  окисляет I с выделением ниобиевой к-ты и  $NO_2$ . При действии HCl на I выделяется  $H_2$  и образуется р-р желто-зеленого цвета. Взаимодействие I с  $H_2SO_4$  также сопровождается выделением  $H_2$ , но образующийся при этом р-р имеет кирпично-красный цвет, характерный для комплексных сульфатов Nb низших валентностей. Состав I



в зависимости от продолжительности воздействия  $\text{H}_2$  примерно отвечает ф-лам  $\text{NbH}$  или  $\text{NbH}_2$ . Некоторое превышение содержания водорода в I по сравнению с вычисленным для этих ф-л авторы связывают с поглощением гидридом  $\text{H}_2$  с образованием твердых р-ров.

Н. Полянский  
654. Гипофторит пентафторсеры и тетрафторид тиоцила. Дадли, Кейди, Эггерс (Pentafluoro-sulfur hypofluorite and thionyl tetrafluoride. Dudley F. B., Cady G. H., Eggers D. F., Jr), J. Amer. Chem. Soc., 1956, 78, № 8, 1553—1557 (англ.)

Смесь  $\text{SO}_2\text{F}_2$  с  $\text{N}_2$  не испытывает изменений при пропускании при  $200^\circ$  через содержащий  $\text{AgF}_2$  каталитич. реактор (Kellogg K. B., Cady G. H., J. Amer. Chem. Soc., 1948, 70, 3986), в который одновременно подается избыток  $\text{F}_2$ . В тех же условиях  $\text{SO}_2$  превращается в  $\text{SO}_2\text{F}_2$ , возможно, содержащий примесь  $\text{SF}_6$  (I), а  $\text{SOF}_2$  образует разделяемую фракционированную смесь I и  $\text{SOF}_4$  (II). Гипофторит пентафторсеры I быстро реагирует с водн. р-рами  $\text{KJ}$  или  $\text{KOH}$  по у-ниям:  $\text{I} + 2\text{J}^- + \text{H}_2\text{O} = \text{SO}_2\text{F}_2 + 2\text{HF} + \text{J}_2 + 2\text{F}^-$  и  $\text{I} + 6\text{OH}^- \rightarrow \frac{1}{2}\text{O}_2 + 5\text{F}^- + \text{SO}_3\text{F}^- + 3\text{H}_2\text{O}$ . Физ. свойства I: т. пл.  $-86^\circ$ , плотность при т-рах от  $-64,3$  до  $-47,2^\circ$   $d = 2,788 - 3,722 \cdot 10^{-3} T$ , давл. насыщ. пара при  $193,3 - 238,1^\circ \text{K}$   $\lg p_{\text{мм}} = 6,03633 - 4,20,35 / T - 78360 / T^2$ , т. кип.  $-35,1^\circ / 760$  мм,  $\Delta H$  испарения  $5210$  кал/моль, константа Трутона  $21,9$ . В ИК-спектре I наблюдаются сильные полосы  $935$  (вал. кол. S—F),  $888$  (вал. кол. O—F),  $614$  и  $585$  см $^{-1}$ . При р-ции II с р-ром  $\text{KJ}$  сначала выделяется  $\text{J}_2$ , который затем опять полностью восстанавливается; окончательный результат р-ции описывается у-ниями параллельных процессов:  $\text{II} + \text{H}_2\text{O} = \text{SO}_2\text{F}_2 + 2\text{HF}$  и  $\text{II} + 2\text{H}_2\text{O} = \text{SO}_3\text{F}^- + 3\text{HF} + \text{H}^+$ . Р-ция с холодным р-ром  $\text{KOH}$  протекает по у-нию:  $\text{II} + 4\text{OH}^- = \text{SO}_3\text{F}^- + 2\text{H}_2\text{O} + 3\text{F}^-$ . Физ. свойства II: т. пл.  $-99,6^\circ$ ,  $d = 2,6963 - 4,1121 \cdot 10^{-3} T$  (для т-р от  $-68,0$  до  $-57,3^\circ$ ),  $\lg p_{\text{мм}} = 7,2349 - 859,58 / T - 26275 / T^2$  (для  $196,5 - 224,7^\circ \text{K}$ ), т. кип.  $-49,0^\circ / 760$  мм,  $\Delta H$  испарения  $5090$  кал/моль, константа Трутона  $22,7$ . В ИК-спектре II есть сильные полосы  $1383$  (вал. кол. S=O),  $928$  и  $821$  (вал. кол. S—F),  $752$  и  $637$  (не идентифицированы) в  $567$  (деф. кол.). Н. Рысс

655. Новый метод получения имидодисульфатов. Зильберман Е. Н., Смирнова М. М., Ж. общ. химии, 1956, 26, № 3, 672—675

Описан метод получения диамонийной соли имидодисульфовой к-ты взаимодействием  $\text{NH}_4\text{HSO}_3$  с нейтр. р-ром  $\text{NH}_4$ -соли гидроксидомоносульфовой к-ты. Упрощен описанный ранее метод (Неоганн. синтез, 1951, 2, 170, 172, 175) получения амидосульфоновой к-ты из  $\text{NH}_4\text{OH}$  и  $\text{SO}_2$ . Для лучшего проведения р-ции при обычном давлении  $\text{SO}_2$  заменен  $\text{NH}_4\text{HSO}_3$ . Из продуктов р-ции амидосульфоновая к-та выделена действием конц.  $\text{H}_2\text{SO}_4$ . Н. Полянский

656. Новый способ получения солей двухвалентного кобальта и жирных кислот. Дюпюи, Моро (Sur une nouvelle méthode de préparation des alcanooates de cobalt bivalent. Dupuy Pierre, Moreau Claude), C. r. Acad. sci., 1956, 242, № 18, 2242—2243 (франц.)

Соли  $\text{Co}(2+)$  к-т от  $\text{C}_2$  до  $\text{C}_{10}$  готовили по р-ции:  $2\text{RCOOH} + \text{CoCl}_2 + 2\text{C}_2\text{H}_5\text{ONa} = (\text{RCOO})_2\text{Co} + 2\text{C}_2\text{H}_5\text{OH} + 2\text{NaCl}$ , применяя в качестве р-рителя  $\text{C}_2\text{H}_5\text{OH}$  и беря стехиометрич. кол-ва реагентов. В р-р  $\text{CoCl}_2$  добавляли при помешивании свежеприготовленный  $\text{C}_2\text{H}_5\text{ONa}$  и соответствующую к-ту, растворенную в  $\text{C}_2\text{H}_5\text{OH}$ , фильтровали от осадка  $\text{NaCl}$ , удаляли  $\text{C}_2\text{H}_5\text{OH}$  испарением под уменьшенным давлением и сушили продукты в вакууме. А. Аблов

657. Макромолекулы в неорганической химии. Мишель (Les macromolécules en chimie minérale. Michel A.), Bull. Soc. chim. France, 1956, № 8-9, 1103—1113 (франц.)

Расширенное изложение опубликованной ранее статьи автора (РЖХим, 1956, 25390). В. Штерн

658. Неорганическая химия. Комплексные нитрито-соли. Цутида, Нинмура (無機化學. 二ノリ錯鹽. 樋田龍太郎, 新村陽), 化學, Kagaku, Chemistry (Japan), 1956, 11, № 5, 318—321 (япон)

Обзор за 1955 г. Библ. 18 назв. В. Штерн

659. О валентности меди в ее некоторых комплексных соединениях. Подчайнова В. Н., Крылов Е. Н., Рябчиков Д. И., Ж. неорган. химии, 1956, 1, № 3, 406—411

Для установления валентности  $\text{Cu}$  в ряде ее комплексов определены магнитные восприимчивости этих комплексов при  $18^\circ$ . Дитизонат  $\text{Cu}(1+)$  и полученный действием избытка р-ра  $n$ -анизидина (I) и  $\text{KCNS}$  на разб. р-р  $\text{CuSO}_4$  осадок роданида  $n$ -анизидина  $\text{Cu}$  диамагнитны (состав обоих в-в не установлен) и, следовательно, содержат  $\text{Cu}(1+)$ . Парамагнитны следующие комплексы (в скобках приведены вычисленные по закону Кюри  $\mu_{\text{эфф.}}$  в  $\mu_B$ ): полученный действием избытка р-ра I на разб. р-р  $\text{CuSO}_4$  осадок сульфата  $n$ -анизидина  $\text{Cu}$  неустановленного состава, дитизонат  $\text{Cu}$  (1,01), сульфат тегосикарбазида  $\text{Cu}$  (1,69), диэтилдитиокарбамат  $\text{Cu}$  (1,73) и гидразид изоникотината  $\text{Cu}$  (1,84); величины  $\mu_{\text{эфф.}}$  указывают на 2-валентность  $\text{Cu}$  в этих комплексах. Н. Рысс

660. Изонитрильные комплексы металлов побочных подгрупп I и II групп. Сообщение II.  $\text{Au}(3+)$ ,  $\text{Au}(1+)$ ,  $\text{Cd}(2+)$ . Сакко, Френи (Complessi isonitrici dei metalli del I e del II gruppo B. Note II. Oro (III), oro (I), cadmio (II). Sacco Adria no, Freni Maria), Gazz. chim. Ital., 1956, 86, № 1-3, 195—198 (итал.)

При взаимодействии между ароматич. изонитрилами и галогенидами  $\text{Au}$  и  $\text{Cd}$  получены  $(\text{RNC})\text{AuX}_2$ ,  $(\text{RNC})\text{AuX}$ ,  $(\text{RNC})_2\text{AuX}$  и  $(\text{RNC})\text{CdX}_2$ . Предполагается, что  $\text{Au}$  в  $(\text{RNC})_2\text{Au}$ -четырёхвалентно и что комплексы  $\text{Cd}$  димерны. Сообщение I см. РЖХим, 1956, 22197. В. Каплан

661. Изучение дитизонатов двухвалентной ртути. Бреан (Étude des dithizonates de mercure mercurique. Breant Mylene, m-m-e), Bull. Soc. chim. France, 1956, № 6, 948—951 (франц.)

Дитизон (дифенилдитиокарбазон)  $(\text{H}_2\text{Dz})$  реагирует с  $\text{Hg}(2+)$  в к-то-или энольной форме, образуя два типа комплексов. Желто-оранжевый комплекс к-то-формы (I) образуется при рН водн. фазы  $< 3$ , неустойчивый на свету красно-фиолетовый комплекс энольной формы (II) образуется при  $\text{pH} \geq 4$ . Оба комплекса растворимы в  $\text{CCl}_4$  и  $\text{CHCl}_3$ , максимумы поглощения их лежат при  $490$  и  $\sim 520$  м $\mu$ . С применением метода неперывных измерений установлено, что I имеет состав  $\text{Hg}(\text{HDz})_2$ ; константа равновесия р-ции  $\text{Hg}^{2+} + 2\text{H}_2\text{Dz} \rightleftharpoons \text{I} + 2\text{H}^+$  при ионной силе  $0,5$  равна  $10^{23,45 \pm 0,25}$  (индекс «0» и «0» указывают на водн. или органич. фазу). Комплекс II, вероятно, имеет состав  $\text{HgDz}$ ; константа равновесия р-ции  $\text{Hg}^{2+} + \text{I} \rightleftharpoons \text{II} + 2\text{H}^+$  имеет порядок  $10^{-3}$ . Н. Рысс

662. Радиохимическое изучение ультрамикрочастиц металлоорганических соединений. III. Оксиды прометия и иттрия. Ишимори (Radiochemical studies on ultra-micro quantities of organometallic compounds. III. On hydroxyquinolates of promethium and yttrium. Ishimori Tomitaro), Bull. Chem. Soc. Japan, 1955, 28, № 3, 203—207 (англ.)

Р-ры оксина (I) в  $\text{CHCl}_3$  (II) экстрагируют из слабощел. водн. р-ров  $\text{Y}^{91}$  и  $\text{Pm}^{147}$ ; чистый II не экстрагирует ни Y, ни Pm. На этом основании автор предполагает образование этими элементами оксиновых комплексов. Состав образующихся комплексов определялся методом, описанным в сообщении II (РЖХим, 1956, 74658), основанным на определении того значения числа координированных анионов ( $n$ ) I, при котором обратная величина отношения экстрагированной активности к общему ее содержанию ( $E$ ) линейно зависит от  $(\text{HOx})^{-n}$ , где  $(\text{HOx})$  — кол-во I, введенное в систему. Поскольку наибольшее приближение к линейности предполагается в интервале  $2 < n < 5$ , автор приписывает комплексу вероятную ф-лу  $\text{Pm}(\text{Ox})_3$  или  $\text{Pm}(\text{Ox})_3(\text{HOx})$ . Р-р I в II экстрагирует  $\text{Y}^{90}$  из водн. р-ров с pH 8,6—8,8, содержащих добавки ацетата аммония или сегнетовой соли. При обоих значениях pH установлена линейная зависимость между  $E^{-1}$  и  $(\text{HOx})^{-2}$ . Следовательно, атом Y координирует 2 аниона I, и состав образующегося комплекса соответствует ф-ле  $\text{Y}(\text{Ox})_2\text{X}$ , где X — одновалентный анион, отличный от  $\text{Ox}^-$ . Н. Полянский 663.

**О монофторарсенатах.** Датт, Гупта (Über Monofluoroarsenate (V). Dutt N. K., Gupta A. K.), Z. anorgan. und allgem. Chem., 1956, 285, № 1-2, 92—94 (нем.)

Смесь  $\text{KAsO}_3$ , полученного прокаливанием  $\text{KH}_2\text{AsO}_4$  при 500°, и KF длительно сплавлялась при 800°; охлажд. сплав растворялся в миним. кол-ве лед. воды, и р-р выпаривался в вакууме над конц.  $\text{H}_2\text{SO}_4$ . Первые порции осадка содержали в основном  $\text{K}_3\text{AsO}_4$ , последующие — чистый  $\text{K}_2[\text{AsO}_3\text{F}]$  (I). Соединение I бесцветно, растворимо в лед. воде и образует смешанные кристаллы с  $\text{K}_2\text{SO}_4$ . Растворимость I растет с повышением т-ры. Р-циями двойного обмена р-ров I и перхлоратов и испарением р-ров получены хорошо растворимые  $\text{Ni}[\text{AsO}_3\text{F}] \cdot 7\text{H}_2\text{O}$ ,  $\text{Co}[\text{AsO}_3\text{F}] \cdot 6\text{H}_2\text{O}$ ,  $\text{Zn}[\text{AsO}_3\text{F}] \cdot 7\text{H}_2\text{O}$ , растворимые в воде  $\text{Na}_2[\text{AsO}_3\text{F}] \cdot 10\text{H}_2\text{O}$  (выветривается на воздухе),  $\text{Cu}[\text{AsO}_3\text{F}] \cdot 5\text{H}_2\text{O}$  и  $\text{Cd}[\text{AsO}_3\text{F}] \cdot 8\frac{1}{2}\text{H}_2\text{O}$ . Осаждением р-ра I р-рами солей соответствующих металлов получены малорастворимые  $\text{Ca}[\text{AsO}_3\text{F}] \cdot 2\text{H}_2\text{O}$  и нерастворимые  $\text{Ba}[\text{AsO}_3\text{F}]$  и  $\text{Pb}[\text{AsO}_3\text{F}]$ . Испарением смесей р-ров компонентов в вакууме получены легко растворимые  $\text{K}_2\text{M}[\text{AsO}_3\text{F}]_2 \cdot 6\text{H}_2\text{O}$ , где M = Co, Ni, Zn. Все соединения аналогичны сульфатам по содержанию кристаллизационной воды и по растворимости.

Н. Рыс

**664. Термогравиметрическое исследование пиролиза внутримолекулярных соединений скандия, тория и шестивалентного урана с 8-оксихинолином и 5,7-дигалоген-8-оксихинолином.** Уэндландт (Thermogravimetric pyrolysis of 8-quinolinol and 5,7-dihalo-8-quinolinol chelates of scandium, thorium, and uranium (VI). Wendlandt Wesley W.), Analyt. Chem., 1956, 28, № 4, part 1, 499—501 (англ.)

Исследовалась термич. устойчивость 8-оксихинолина (I), 5,7-дихлор-8-оксихинолина (II), 5,7-дибром-8-оксихинолина (III) и их соединений со Sc, Th и U ( $6+$ ). I начинает улетучиваться при 85° и быстро теряет в весе между 100 и 200°. II сублимируется с 142°, а при 200—250° улетучивание происходит с большой скоростью. Возгонка III начинается при 175° и по удалению  $\frac{2}{3}$  в-ва сменяется разложением. Sc, Th и  $\text{UO}_2^{2+}$  образуют с I, II и III соединения  $\text{M}(\text{Ox})_n \cdot \text{HOx}$ , где M — металл со степенью окисления  $n$ , HOx — молекула адденда. 8-оксихинолаты Th и U термич. нагр. переходят в соединения  $\text{M}(\text{Ox})_n$  стехиометрич. состава. В первом случае этот процесс начинается при 80° и заканчивается при 250°, во втором он начинается только при 230°. Несольватированные оксихинолаты Th и U разлагаются соответственно с 310 и 450°, образуя  $\text{ThO}_2$  и  $\text{U}_3\text{O}_8$ . Сольватированный

оксихинолат Sc теряет в весе с 125°, лишь частично переходя в  $\text{M}(\text{Ox})_n$ . Выше 350° начинается окисление I в молекуле комплекса, а около 600° образуется  $\text{Sc}_2\text{O}_3$ . 5,7-дигалоген-8-оксихинолаты Sc и U по термич. устойчивости уступают соответствующим 8-оксихинолатам; у Th все эти соединения имеют почти одинаковую устойчивость. Ни один из исследованных дигалоген-8-оксихинолатов не переходит при нагревании в  $\text{M}(\text{Ox})_n$ .

Н. Полянский

**665. О составе и устойчивости тартратсвинцовых комплексных ионов.** Панова В. Е., Ж. неорг. химии, 1956, 1, № 3, 422—426

Образование комплексных тартратов Pb изучено методом растворимости. Установлено, что при растворении  $\text{PbC}_4\text{H}_4\text{O}_6$  в р-рах  $\text{Na}_2\text{C}_4\text{H}_4\text{O}_6$  образуется комплексный ион  $[\text{Pb}(\text{C}_4\text{H}_4\text{O}_6)_2\text{C}_4\text{H}_3\text{O}_6]^{2-}$  (I) по ур-нию:  $\text{PbC}_4\text{H}_4\text{O}_6$  (тв.) +  $\text{C}_4\text{H}_4\text{O}_6^{2-}$  +  $\text{OH}^- \rightleftharpoons \text{I} + \text{H}_2\text{O}$  (I). Концентрационная константа равновесия р-ции (I) равна  $(6,03 \pm 0,61) \cdot 10^3$ . В соответствии с ур-нием (I) атом Pb при образовании тартратного комплекса вытесняет 1 протон, что ведет к подкислению р-ра. Н. Полянский 666.

**Исследование изменения pH при постоянных объеме и давлении в подкисленных растворах метаванадата аммония.** Бельтран, Гильен (Estudio de la evolución del pH, a volumen y temperatura constantes, en las disoluciones de metavanadato amónico acidificadas. Beltrán J., Guillén C.), An. Real soc. esp. fis. y quim., 1956, B52, № 4, 215—220 (исп.; рез. англ.)

Из водн. р-ров  $\text{NH}_4\text{VO}_3$ , подкисленных  $\text{HClO}_4$ , выделены изополиванадаты  $\text{NH}_4$  с молярным отношением  $\text{V}_2\text{O}_5 : (\text{NH}_4)_2\text{O} = 5 : 2, 2 : 1$  и  $5 : 3$ . В. Штерн

**667. Комплексные фториды. Часть IV. Структурная химия комплексных фторидов общей формулы  $\text{ABF}_6$ .** Кокс. Часть V. Комплексы, образуемые гексафторидами молибдена и вольфрама и тетрафторидом родия. Кокс, Шарп, Шарп (Complex fluorides. Part IV. The structural chemistry of complex fluorides of the general formula  $\text{ABF}_6$ . Cox B., Part V. Complexes formed by molybdenum hexafluoride, tungsten hexafluoride, and rhodium tetrafluoride. Cox B., Sharp D. W. A., Sharpe A. G.), J. Chem. Soc., 1956, Apr., 876—878; May, 1242—1244 (англ.)

IV. Ряд гексафторокомплексов общей ф-лы  $\text{ABF}_6$ , в которых валентность A равна 1 или 2, а валентность B 5 или 4, получены р-циями  $\text{BrF}_3$  со смесями соответствующих металлов, галогенидов или оксидов. (Сбор литературных данных и приводит авторов к выводу, что  $\text{ABF}_6$  кристаллизуются в решетках типов  $\text{NaCl}$ ,  $\text{CsCl}$  или  $\text{BaSiF}_6$  (тригональной), обозначаемых ниже как N, C или T, причем структура зависит не только от соотношения радиусов ионов. Определены следующие значения постоянных решеток  $a$  в Å и  $\alpha$  в градусах (в скобках типы решеток):  $\text{NaPF}_6$  (N) 7,61;  $\text{AgPF}_6$  (N) 7,52;  $\text{RbPF}_6$  (N) 7,92;  $\text{CsPF}_6$  (N) 8,19;  $\text{BaTiF}_6$  (T) 4,87; 98,2°;  $\text{AgAsF}_6$  (N) 7,74;  $\text{KAsF}_6$  (T) 4,92; 97,2°;  $\text{RbAsF}_6$  (N) 8,00; 97,1°;  $\text{CsAsF}_6$  (T) 5,20; 96°;  $\text{AgVF}_6$  (C) 9,52;  $\text{KVF}_6$  (T) 4,92; 97,2°;  $\text{RbVF}_6$  (T) 5,01; 97°;  $\text{CsVF}_6$  (T) 5,24; 96,2°;  $\text{BaSnF}_6$  (T) 4,97; 96,4°;  $\text{NaTaF}_6$  (N) 8,27;  $\text{KTaF}_6$  (C) 10,29;  $\text{RbTaF}_6$  (T) 5,14; 96,4°;  $\text{CsTaF}_6$  (T) 5,32; 95,8°;  $\text{NaNbF}_6$  (N) 8,27;  $\text{KNbF}_6$  (C) 10,29;  $\text{RbTaF}_6$  (T) 5,14; 96,4°;  $\text{CsTaF}_6$  (T) 5,32; 95,8°;  $\text{SrPtF}_6$  (T) 4,74; 97,8°;  $\text{BaPtF}_6$  (T) 4,88; 98°;  $\text{SrPdF}_6$  (T) 4,72; 98,2° и  $\text{BaPdF}_6$  (T) 4,88; 98,4°. Величина  $a$  для  $\text{AgPF}_6$  меньше, чем для  $\text{NaPF}_6$ , хотя для кристаллизующихся в том же типе AgF и NaF соотношения противоположны.  $\text{KJF}_6$  кристаллизуется в куб. сингонии,  $a$  11,90 Å.

V.  $\text{MoF}_6$  (I), загрязненный  $\text{Br}_2$ , легко получается действием  $\text{BrF}_3$  (II) на измельченный Mo и вымораживанием избытка II из газообразных продуктов р-ции

в охлажденной до  $-23^\circ$  ловушке. Смесь I и  $\text{Br}_2$  конденсировалась на лавеску фторида и, после прекращения поглощения I, избыток его и  $\text{Br}_2$  отгонялись. Из MF ( $M = \text{K, Rb, Cs}$ ) получены бесцветные  $\text{M}_2\text{MoF}_6$ ; аналогичным методом получены  $\text{M}_2\text{W}_6\text{F}_6$ . NaF не поглощает I или  $\text{WF}_6$ . Все комплексы устойчивы при комнатной т-ре в отсутствие влаги; при действии II образуются  $\text{MBrF}_4$ . Действием II на смесь  $\text{CsCl}$  и гидрата  $\text{RhCl}_3$  (2:1) и нагреванием продукта в вакууме до  $270^\circ$  получен гексагональный  $\text{Cs}_2\text{RhF}_6$  ( $a$  6,28,  $c$  10,11 Å). Аналогично, из II и  $\text{Na}_3\text{RhCl}_6$  получен гексагональный  $\text{Na}_2\text{RhF}_6$  (III) с  $a$  9,32 и  $c$  5,22 Å; синий цвет III, вероятно, вызван примесью  $\text{RhF}_4 \cdot \text{Na}_2\text{PdF}_6$  изомеру, фен III; постоянные гексагональной ячейки:  $a$  9,23 и 5,25 Å. Часть III см. РЖХИм, 1955, 11181.

II. Рысс 668. Комплексные соли высших жирных кислот. I, II, III, IV. Фишель (Săruri complexe ale acizilor grași superiori (I, II, III, IV). Fișel Simon). Studii și cercetări științ. Akad. RPR. Fil. Iași, 1955, 6, № 3-4, 295—327 (рум.; рез. рус., франц.)

Получены 72 комплексных соединений пальмитиновой и стеариновой к-т с Mn, Ni, Co, Cu, Zn и Cd типа  $(M'Ac_m)M'_m-2$  (I) и  $M'Ac_2A_n$  (II), где  $Ac = (C_{15}H_{31}COO^-)$  или  $(C_{17}H_{35}COO^-)$ ;  $M' = \text{Mn, Ni, Co, Cu, Zn, Cd}$ ;  $M = \text{Na, K}$ ;  $m = 3, 4, 6$ ,  $A = \text{NH}_3, \text{CH}_3\text{NH}_2, \text{C}_2\text{H}_5\text{NH}_2, \text{C}_3\text{H}_7\text{NH}_2$  и  $\text{C}_6\text{H}_5\text{N}$ ;  $n = 1/2, 1, 2, 3, 4$ . Определены молекулярные массы полученных соединений и установлено, что I имеют состав  $(M'Ac_m)M'_m-2$ . Длина цепи высших к-т и алифатич. амина не влияет на число присоединяемых молекул к-ты и амина в комплексах I; число молекул алифатич. амина уменьшается для комплексов в ряду  $\text{Ni} > \text{Cu} > \text{Cd} > \text{Zn} > \text{Mn}$ . Устойчивость II возрастает с длиной цепи алифатич. амина. Существование комплексов  $\text{CuAc}_2 \cdot (\text{C}_6\text{H}_5\text{N})_2$  и  $\text{CuAc}_2 \cdot (\text{C}_6\text{H}_5\text{N})_4$  подтверждено спектрами поглощения. В. Штерн

669. Четырехвалентное железо. Нюхольм, Парриш (Quadrivalent iron. Nyholm R. S., Parrish R. V.), Chemistry and Industry, 1956, № 21, 470 (англ.)

При обработке красного нитробензоляного р-ра  $[\text{FeCl}_2(\text{Diars})][\text{FeCl}_4]$  (I) (Nyholm R. S., J. Chem. Soc., 1950, 851), где Diars —  $\alpha$ -фенилбензидиметиларсин, 15 н.  $\text{HNO}_3$  развивается интенсивная, приглушающаяся к черной окраска; сильно разб. р-ры зеленые, но более конц. — темно-красные. При введении избытка р-ра  $\text{FeCl}_3$  в  $\text{C}_6\text{H}_5\text{NO}_2$  в отфильтрованный р-р выпадает черный осадок мало устойчивого (в особенности в присутствии влаги)  $[\text{Fe}^{(4+)}\text{Cl}_2(\text{Diars})_2][\text{Fe}^{(3+)}\text{Cl}_4]_2$  (II). Молярная электропроводность ( $\Lambda$ ) 0,00092 М II в  $\text{CH}_3\text{NO}_2$  равна 258,6, что соответствует двух-одновалентному электролиту; для 0,00034 М I, 0,00035 М  $[\text{FeCl}_2(\text{Diars})_2][\text{ClO}_4]$  (III), и 0,001 М  $[\text{Co}(\text{Diars})_2][\text{ClO}_4]_2$  и  $[\text{Co}(\text{Diars})_3][\text{ClO}_4]_3$  величины  $\Lambda$  соответственно равны 123,7; 129,6; 270,0 и 385 ом $^{-1}$ . Эффективный магнитный момент  $\mu$  для катодона II (2,98  $\mu_B$ ) соответствует двум неспаренным электронам и равен ожидаемому для  $\text{Fe}(4+)$  при октаэдрических  $3d^2 4s^4 p^3$ -связях; для катодонов I и III  $\mu$  равны 2,34  $\mu_B$ .

Р-р J- в  $\text{CH}_3\text{NO}_2$  окисляется до  $\text{J}_2$  р-ром II (в отношении 1:1). Ион  $[\text{FeCl}_2(\text{Diars})_2]^{2+}$  может быть также выделен в виде чрезвычайно взрывчатого перхлората, устойчивого перрената, у которого соответствует наличию  $\text{Fe}(4+)$ , и недостаточному чистого хлороплатината; черные комплексы легко восстанавливаются  $\text{SO}_2$  до красных комплексов  $\text{Fe}(3+)$ . Получен также  $[\text{FeBr}_2(\text{Diars})_2][\text{ClO}_4]_2$ , энергично взрывающийся при нагревании. II. Рысс

670. Спектрофотометрическое исследование комплексов трехвалентного железа с тиосульфатом. Часть I. Дас, Патнаик (Spectrophotometric study of the ferric-thiosulphate complex. Part I. Das J., Pat-

naik D.), J. Indian Chem. Soc., 1956, 33, № 4, 243—248 (англ.)

Спектрофотометрически при 500 и 600 м $\mu$  с применением метода непрерывных изменений изучены комплексы, образующиеся при смешении р-ров  $\text{FeCl}_3$  или  $\text{Fe}(\text{NO}_3)_3$  и  $\text{Na}_2\text{S}_2\text{O}_3$  при  $25^\circ$ ; влияние изменения окраски во времени элиминировалось экстраполяцией к нулевому времени, учитывающей S-образную форму кривой зависимости окраски от времени. Максимум поглощения в отсутствие к-ты соответствует образованию  $[\text{FeS}_2\text{O}_3]^{4+}$ ; поглощение при 600 м $\mu$  значительно больше, чем при 500 м $\mu$ , в связи с образованием продукта гидратизации  $[\text{Fe}(\text{OH})_2\text{Fe}]^{4+}$ ; есть указания и на образование  $[\text{Fe}(\text{OH})_2\text{FeS}_2\text{O}_3]^{2+}$ . Сдвиг положения максимума поглощения в присутствии к-ты вызывается, по мнению авторов, не образованием комплексов  $[\text{Fe}(\text{S}_2\text{O}_3)_2]^-$  или  $[\text{Fe}(\text{S}_2\text{O}_3)_3]^{3-}$ , а связыванием части  $\text{S}_2\text{O}_3^{2-}$  в  $\text{HS}_2\text{O}_3^-$ . II. Рысс

671. Исследование окраски, связанной с присутствием железа в системах, содержащих фосфаты. Часть I. Спектрофотометрическое и электрометрическое исследование феррифосфатных комплексов в растворах. Рам, Бос, Кумар (Studies on iron colour in phosphate system: Part I—Spectrophotometric and electrometric studies of ferriphosphate complexes in solutions. Ram Atma, Bose A. K., Kumar S.), J. Scient. and Industr. Res. 1956, (B—C) 15, № 2, B78—B86 (англ.)

При добавлении  $\text{H}_3\text{PO}_4$  к р-ру железных квасцов в  $\text{H}_2\text{SO}_4$  или к р-ру  $\text{FeCl}_3$  в  $\text{HCl}$  наблюдается понижение окислительно-восстановительного потенциала и оптич. плотности, указывающее на образование фосфатных комплексов. На основании данных, полученных в результате спектрофотометрич. и электрометрич. исследований, авторы считают вероятным образование фосфатных комплексов состава  $[\text{FeCl}(\text{H}_2\text{PO}_4)]^-$  — в системе  $\text{FeCl}_3 - \text{HCl} - \text{H}_3\text{PO}_4$  и  $[\text{FeSO}_4(\text{H}_2\text{PO}_4)_2]^-$  — в системе  $\text{FeSO}_4 - \text{H}_2\text{SO}_4 - \text{H}_3\text{PO}_4$ . Н. Полянский

672. Изучение фосфатных комплексов в растворе. I. Фосфатные комплексы железа. Пилипенко А. Т., Иващенко Л. Н., Ж. общ. химии, 1956, 26, № 3, 656—660

Для определения состава фосфатного комплекса  $\text{Fe}(3+)$  в р-ре изучено светопоглощение р-ров  $\text{Fe}(\text{ClO}_4)_3$  и  $\text{H}_3\text{PO}_4$  (I) в интервале 320—420 м $\mu$ . Изомольная серия для 0,1 М р-ров  $\text{Fe}(\text{ClO}_4)_3$  и I при 320 и 360 м $\mu$  в среде 1 н.  $\text{HClO}_4$  показала максимум светопоглощения при отношении  $\text{Fe}^{3+} : \text{PO}_4^{3-} = 2:1$ . Опыты по переносу понов показали передвижение  $\text{PCl}_4^{3-}$  к катоду. Сделан вывод, что комплекс имеет ф-лу  $(\text{Fe}_2\text{PO}_4)_3^{3+}$ . Изучена зависимость оптич. плотности при 320 м $\mu$  от конц-ии I при постоянной конц-ии  $\text{Fe}(3+)$ . Рассчитана степень связывания  $\text{Fe}(3+)$  в комплекс; половина общего  $\text{Fe}(3+)$  связана в комплексе при избыточной конц-ии I  $\sim 10^{-2}$  М. Обсуждено значение вопроса для определения Р в черных металлах. А. Бабко

673. Устойчивость комплексов цинка и кадмия с 2,2'-дипиридином и 1,10-фенантролином. Ямасак, Ясуда (Stability of zinc and cadmium complexes with 2,2'-bipyridine and 1,10-phenanthroline. Yamasaki Kazuo, Yasuda Motoo), J. Amer. Chem. Soc., 1956, 78, № 7, 1324 (англ.)

Определены ступенчатые константы ( $\lg k_1, \lg k_2$  и  $\lg k_3$ ) и общая константа устойчивости ( $\lg K$ ) комплексных соединений, 2,2'-дипиридила с Zn (5,4; 4,4; 3,5; 13,3) и Cd (4,5; 3,5; 2,5; 10,5) и 1,10-фенантролина с Zn (—; 5,9; 4,8; —) и Cd (—; 5,2; 4,2; —). В. Штерн

674. К вопросу о взаимодействии солей цинка с тиосульфат- и роданид-ионами. Новаковский М. С., Мушкина М. Г., Укр. хим. ж., 1956, 22, № 3, 313—319



Методом измерения э. д. с. изучено взаимодействие солей Zn с ионами  $S_2O_3^{2-}$  и  $CNS^-$  в широком интервале концентраций. Определены координационные числа  $n$  и константы нестойкости образующихся комплексов в присутствии различных электролитов при постоянной ионной силе  $\mu$ . Не имея возможности решить вопрос о том, входят ли в состав комплексов ионы  $ZnOH^+$  или ионы  $Zn^{2+}$ , авторы рассчитали константы нестойкости для обоих вариантов, обозначив их соответственно  $K$  и  $K'$ . Показано, что в системе  $Zn(NO_3)_2 - Na_2S_2O_3$  образуется один комплекс с  $n = 2$ . В присутствии  $KNO_3$  при  $\mu = 1,7$   $pK = 2,13$ ,  $pK' = 2,95$ . В присутствии  $Na_2SO_4$  при  $\mu = 1,7$   $pK = 1,28$ ,  $pK' = 2,18$ ; при  $\mu = 3,0$   $pK = 1,37$ ,  $pK' = 2,22$ . В системе  $Zn(NO_3)_2 - KCNS$  в присутствии  $KNO_3$  при  $\mu = 1,7$  образуются, по крайней мере, 2 комплекса: при малых концентрациях  $KCNS$   $n = 1$ ,  $pK = 2,01$ ,  $pK' = 1,55$ ; при больших концентрациях  $KCNS$   $n = 3$ ,  $pK = 2,66$ ,  $pK' = 2,18$ .

И. Слоним

**675. Устойчивость комплексных соединений металлов. Система ди-(три-*n*-бутилфосфин)-дихлоропалладий — *n*-октиламин. Меддингс, Буркин (Stability of complex compounds of metals. The system di(tri-*n*-butylphosphine) dichloropalladium (II) — *n*-octylamine. Meddings B., Burkin A. R.), J. Chem. Soc., 1956, May, 1115—1123 (англ.)**

При 25° измерены спектры поглощения в области 3600—2100 Å  $p$ -ионов  $[PdCl_2(n-C_8H_{17}-NH_2)_2]$  (I),  $[PdCl_2(n-C_8H_{17}-NH_2)_2]$  (II),  $[PdCl_2(P(n-C_4H_9)_3)_2]$  (III),  $n-C_8H_{17}-NH_2$  (IV) и  $P(n-C_4H_9)_3$  (V) в 2,2,4-триметилпентане. Сопоставление их со спектрами поглощения  $p$ -ионов, одновременно содействующих I—V, позволило определить константу каждого из реагентов и вычислить константы равновесия  $p$ -ионов. Описан ряд графиков методов расчета, пригодных для подобных случаев; расчеты упрощаются малым коэфф. активации и малой концентрацией V. Для  $p$ -ионов  $I + V \rightleftharpoons II + IV$   $\lg K_1 = 3,34 - 3,72$  и  $-\Delta F = 4,56 - 5,07$  ккал; для  $p$ -ионов  $II + V \rightleftharpoons III + IV$   $\lg K = 3,89 - 4,34$  и  $-\Delta F = 5,30 - 5,92$  ккал.

И. Рысс

**676. Комплексоны. XXVIII. Устойчивость некоторых комплексов трехвалентного железа. Сравнение влияния оксидирующей и окислительной групп. Координация аминогруппы трехвалентным железом. Андерегг, Шварценбах (Komplexe. XXVIII. Die Stabilität einiger Eisen (III)-Komplexe. Der Einfluss der Oxydohylgruppe in Vergleich zu der Oxyäthylgruppe. Die Koordination der Aminogruppe an Fe III. Anderegg G., Schwarzenbach G.), Helv. chim. acta, 1955, 38, № 7, 1940—1942 (нем.; рез. англ.)**

2-Аминоциклогексанодисукусная к-та (I) является более энергичным комплексообразующим агентом, чем этаноламидодисукусная к-та (II). Величины  $pK$  для первой ступени кислотной диссоциации  $FeZ^+$  (комплексов  $Fe(3+)$  с I и II;  $Z^{2-}$  — анион комплексона) почти одинаковы для I и II. 3-Аминоэтилминодисукусная к-та (III) образует чрезвычайно устойчивые комплексы  $FeZ^+$ , что указывает на образование связи Fe с группой  $NH_2$ . Значения  $pK_1$  и  $pK_2$  для  $FeZ^+$  в случае комплекса с III, в котором источником протонов могут являться только молекулы воды гидратной оболочки, значительно больше (3,88 и 7,61), чем для комплексов с I и II, где возможно отщепление протона от гидроксильных групп. Часть XXVII, РЖХИМ, 1956, 67965. И. Рысс

**677. Изучение реакций изотопного обмена в растворах зеленых модификаций солей хрома. Филков Я. А., Назаренко Ю. П., Ж. неорган. химии, 1956, 1, № 3, 565—578**

Периоды полубомена ионов  $SO_4^{2-}$  между внешней и внутренней сферами растворенного зеленого сульфата  $Cr(3+)$  при 20 и 30° равны 1200 и 270 мин.; энергия

активации равна  $26,3 \pm 3,5$  ккал/моль. Характер кривых обмена доказывает равноценность ионов  $SO_4^{2-}$ , связанных во внутренней сфере. Длительное выдерживание  $p$ -ра после кипячения не изменяет константы скорости. Так как процесс перехода зеленой формы в фиолетовую значительно медленнее обмена  $SO_4^{2-}$  (длится несколько месяцев), то авторы полагают, что первоначальной причиной образования зеленой формы является гидролиз  $[Cr(OH_2)_6]^{3+}$ , приводящий к образованию гидроксоакто-комплексов; последние стабилизируются выходом во внутреннюю сферу ионов  $SO_4^{2-}$ , способных образовывать мостики между атомами Cr. Описаны данные об обмене  $SO_4^{2-}$  в основных сульфатах Cr (РЖХИМ, 1956, 6811); указывающие на наличие 2 типов гидроксо-сульфатных комплексов; увеличение числа групп OH в них способствует обмену  $SO_4^{2-}$ . Изотопный обмен  $Br^-$  в растворенном зеленом бромиде  $Cr(3+)$ , изученный с помощью  $Br^{82}$  при 0—30°, протекает медленнее, чем превращение зеленой формы в фиолетовую. Это превращение задерживается в присутствии конц.  $NH_4Br$ ; в этом случае период полубомена при 25° равен  $6 \pm 1$  дням. По мнению авторов, основным фактором образования зеленого бромида является замещение молекул воды в  $[Cr(OH_2)_6]^{3+}$  на ионы  $Br^-$ ; все  $Br^-$  во внутренней сфере бромида равноценны.

И. Рысс

**678. О некоторых функциях, характеризующих ступенчатое комплексобразование в растворах. Яцимирский К. Б., Ж. неорган. химии, 1956, 1, № 3, 412—421**

Рассмотрены основные функции, характеризующие ступенчатое комплексобразование в  $p$ -рах: «функция образования»  $\bar{n}$ , «закомплексованность»  $\Phi$  (представляющая собой отношение общей концентрации металла к концентрации свободных ионов металла), «доля данного комплекса»  $\alpha_m$  (отношение концентрации данного комплекса ( $MA_m$ ) к сумме концентраций всех комплексных форм и свободных ионов металла). Установлена связь между  $\bar{n}$ ,  $\Phi$  и  $\alpha_m$  и показаны пути вычисления по одной из этих функций остальных.  $\bar{n}$ ,  $\Phi$  и  $\alpha_m$  могут быть вычислены из эксперим. данных, полученных при изучении ступенчатого комплексобразования методами растворимости, распределения, полного обмена, э. д. с., полярографии и др. Приводятся ф-лы, связывающие рассматриваемые функции с измеряемыми на опыте величинами. Из серий значений  $\bar{n}$ ,  $\Phi$  и  $\alpha_m$  можно вычислять ступенчатые константы устойчивости. Рассмотрены существующие методы вычисления констант устойчивости, предложено усовершенствование ранее описанного автором метода (РЖХИМ, 1954, 41064, 46234).

Р. Яцимирский

**679. Влияние времени и температуры на рост частиц ураната натрия в шламах в расплавленной каустической соде. Финдли, Грегори, Уэлдри (The effect of time and temperature upon the growth of particles of sodium uranate slurries in molten caustic soda. Findlay J. R., Gregory J. N., Weldrick G.), Repts Atomic Energy Res. Estab., 1956, № C/R 1884, 1—4 (англ.)**

Исследована зависимость изменения размера частиц  $Na_2UO_4$  в шламах в расплавленной каустической соде от времени,  $t$ -ры и скорости перемешивания при 400—800°. При 400—500° за 2500 час. изменения не происходило. При 600° через 2500 час. обнаружены частицы размером 7,5  $\mu$ ; при 800° скорость роста частиц значительна, и через 70 час. обнаружены частицы 30  $\mu$ .

В. Штерн

**680. Расщепление дисилоксанов до силана гидридами металлов. Шам, Робинсон (Cleavage of di-**

siloxanes to silane by metal hydrides. Schumb Walter C., Robinson Dean W., J. Amer. Chem. Soc., 1955, 77, № 20, 5294 (англ.)

Гексахлордисулкан (I) реагирует с  $\text{LiAlH}_4$  в эфирном или тетрагидрофурановом р-рах при  $-40$ ,  $-33$  или  $0^\circ$ : происходит восстановление и разрыв силоксановой связи с образованием силана по схеме  $\text{Cl}_2\text{SiOSiCl}_2 + 2\text{LiAlH}_4 \rightarrow 2\text{SiH}_4$ . В отсутствие р-рителя или в  $\text{CCl}_4$  р-ция не идет. Дисулкан также реагирует с  $\text{LiAlH}_4$  в эфире по ур-нию  $4\text{Si}_2\text{O}_6 + 2\text{LiAlH}_4 = 8\text{SiH}_4 + \text{Li}_2\text{O} + \text{Al}_2\text{O}_3$ . Борогидрид Li восстанавливает I до силана, но одновременно образуется 3-кратное кол-во диборана. Борогидрид и гидрид Na в диоксиде не восстанавливают I даже при кипячении. И. Слоним

681. Реакции кремния с карбонатами щелочных металлов. Кемптер, Альварес-Тостадо (Reactions of silicon with the alkali carbonates. Kempter Charles P., Alvarez-Tostado C., Z. anorgan. und allgem. Chem., 1956, 284, № 4-6, 203—207 (англ.; реф. нем.)

Т-ра начала р-ции смесей тонкодисперсного Si и  $\text{M}_2\text{CO}_3$  ( $\text{M} = \text{Li}, \text{Na}, \text{K}, \text{Rb}, \text{Cs}$ ) растет от Li к Cs; р-ция протекает наиболее бурно для Na. Авторы считают, что основная р-ция  $2\text{Na}_2\text{CO}_3 + 2\text{Si} = \text{Na}_2\text{Si}_2\text{O}_4 + 2\text{Na} + 2\text{CO}$  сопровождается побочными р-циями  $2\text{CO} = \text{CO}_2 + \text{C}$ ,  $2\text{Na} + \text{CO} = \text{Na}_2\text{O} + \text{C}$  и  $\text{Si} + 2\text{CO} = \text{SiO}_2 + 2\text{C}$ . Аналогично протекают р-ции и с другими  $\text{M}_2\text{CO}_3$ . И. Рысс

682. Определение температуры разложения гидразина в паровой фазе. Артулари (Détermination de la température de décomposition de l'hydrazine en phase vapeur. Hartoulari M. R. de, J. phys. et radium, 1956, 17, № 6, S, 29 (франц.)

Изучено разложение  $\text{N}_2\text{H}_4$  в парах в смеси с парами  $\text{H}_2\text{O}$ . Полученные значения ( $1180 \pm 20^\circ$  для гидрата) и линейная зависимость т-ры разложения от конц-и  $\text{N}_2\text{H}_4$  показывает, что в газовой фазе не происходит ассоциации  $\text{N}_2\text{H}_4$  и  $\text{H}_2\text{O}$ . И. Слоним

683. Наблюдение реакций образования  $\text{MgAl}_2\text{O}_4$  и  $\text{BeAl}_2\text{O}_4$  по спектрам люминесценции. Трофимов А. К., Докл. АН СССР, 1956, 108, № 2, 277—278

$\text{MgO}$ ,  $\text{BeO}$  и  $\text{Al}_2\text{O}_3$ , активированные 0,2%  $\text{Cr}_2\text{O}_3$ , получали разложением соответствующих нитратов с добавкой нитрата Cr и прокаливании при  $1100^\circ$ . Смесей (I:1)  $\text{MgO-Cr}$  (I) и  $\text{Al}_2\text{O}_3\text{-Cr}$  (II) или  $\text{BeO-Cr}$  (III) и II спрессовывали в таблетки и прокаливали 30 мин. при  $600-1700^\circ$  через каждые  $100^\circ$ . Спектры люминесценции (С/П) фотографировали при т-ре жидкого воздуха и возбуждении Hg-лампой. Смесью I с II, прокаленная при т-ре  $< 1200^\circ$ , дает только линии II 692,7 и 694,2 мμ (линия I 698,3 мμ весьма слаба и на снимке отсутствует). В интервале  $1200-1450^\circ$  появляются и усиливаются линии  $\text{MgAl}_2\text{O}_4\text{-Cr}$  (IV) 684,5 и 684,7 мμ и ослабляются линии II. Выше  $1450^\circ$  остаются только линии IV. Таким образом, р-ция между I и II начинается при  $1200^\circ$  и заканчивается при  $1450^\circ$ . Смесью III с II при т-ре прокалки  $< 1100^\circ$  дает только линии II ( $\text{BeO-Cr}$  не светится). В интервале  $1100-1450^\circ$  происходит исчезновение линий II и появление и усиление линий  $\text{BeAl}_2\text{O}_4\text{-Cr}$  (V) 677,0 и 678,7 мμ. Смесью V с I при т-ре прокалки  $< 1200^\circ$  дает только линии V. В интервале  $1200-1450^\circ$  появляются и усиливаются линии IV и исчезают линии V таким образом, идет р-ция  $\text{BeAl}_2\text{O}_4 + \text{MgO} \rightarrow \text{MgAl}_2\text{O}_4 + \text{BeO}$ . А. Хейнман

684 К. Учебник неорганической химии. Книга 2. Матиевич, Кеслер. Перев. с хорв. (Szervetlen vegytan. II. kötet. Matijevics Egon,

Keszler Mirko. Horvátból ford., Noviszdád, «Testvériség-Egység», 1955, 273 str., il.) (венг.)

685 К. Общая и неорганическая химия. Ребер. Перев. с нем. (Allgemeine en anorganische scheikunde. Reber Th. Vertuit het duits. Amsterdam—Antwerpen, Wereld-Bibliotheek, 1955, 471 blz) (флам.)

686 К. Лекции по неорганической химии. Чирилли (Lezioni di chimica inorganica. Cirilli Vittorio, Torino, Ed. Levrotto e Bella, 1954, viii, 297 p., 2000 L.) (итал.)

687 К. Руководство по неорганическому синтезу. Ключников Н. Г., Перев. с русс. (Manual de sinteză anorganică. Kliucnikov N. G. Trad. din limba rusă. București, Ed. tehn., 1955, 384 p., il.) (рум.)

688 К. Неорганическая химия в вопросах и ответах. Изд. 6-е, доп. Тило (Anorganische Chemie in Frage und Antwort. 6. verb. Aufl. Thilo Erich, Leipzig, Barth, 1956, 133 S., 3 DM) (нем.)

689 К. Неорганическая химия для I курса сельскохозяйственных технических училищ. Изд. 2-е. Петру, Кучера, Доуша. Перев. с чеш. (Anorganická chemia pre 1. roč. pôdohosp., techn. Šköl. 2. vyd. Petru F., Kučera Č., Douša K. Z češ, Bratislava, SPN, 1956, 201, [2] s., il., 12 Kčs.) (словац.)

690 П. Получение тетрахлорида урана. Полисар (Manufacture of uranium tetrachloride. Polissar Milton J.) [The United States of America as represented by the United States Atomic Energy Commission]. Пат. США 2725278, 29.11.55

Очень чистый  $\text{UCl}_4$  с размерами кристаллов, пригодными для сублимации в вакууме, получается в приборе, содержащем зону испарения поступающего в прибор жидкого  $\text{CCl}_4$  (I), расположенную выше и свободно сообщаемую с реакционной зоной, содержащей  $\text{UO}_2$ , нагретый до  $500^\circ$ ; пар I поступает в реакционную зону за счет своей тяжести. Удаляющиеся газообразные продукты р-ции, содержащие непрореагировавший I, выходит через обратный холодильник, возвращающий I в зону испарения: процесс ведется в токе инертного газа ( $\text{N}_2$ ). Р-ция может проводиться с оксидом U при  $400-500^\circ$ , в частности с  $\text{UO}_2$  при  $425-475^\circ$ , лучше всего при  $450^\circ$ . И. Рысс

691 П. Получение гексахлорида урана. Вандайк, Эверс (Preparation of uranium hexachloride. Van Duke Ross E., Evers Ernest Charles) [The United States of America as represented by the United States Atomic Energy Commission]. Пат. США 2725279, 29.11.55

$\text{UCl}_6$  получается действием р-ра хлора в  $\text{CCl}_4$ , содержащего до 20%  $\text{Cl}_2$ , при  $65-170^\circ$  (предпочтительно,  $100-125^\circ$ ) на  $\text{UCl}_5$ ,  $\text{UCl}_4$  и  $\text{UO}_2$  или их смеси. При использовании  $\text{UO}_2$  в качестве исходного в-ва желательно введение  $\text{UCl}_5$  в качестве промотора; молярное отношение  $\text{UCl}_5 : \text{UO}_2$  должно быть 1—2.  $\text{UCl}_6$  выделяется из охлажденной до  $45-70^\circ$  жидкой фазы испарением  $\text{CCl}_4$  в токе воздуха, желательного содержащего  $\text{Cl}_2$ ; продукт содержит 75—85%  $\text{UCl}_6$ ; остальное приходится на долю  $\text{UCl}_5$ . И. Рысс

См. также: Строение и св-ва молекул и кристаллов 105, 106, 109, 129, 133, 141, 168, 169, 172—177, 376. Кинетика и механизмы неорг. р-ций 333, 391, 400—402, 404, 425—427. Комплексные соед. 98, 99, 104, 179, 180, 371, 385, 501, 503, 631, 1189, 1200, 1230. Др. вопр. 1406, 1420, 1426, 1540, 1541

## КОСМОХИМИЯ. ГЕОХИМИЯ. ГИДРОХИМИЯ

Редакторы Г. Г. Воробьева М. С. Янишина

692. Образование элементов в звездах. Хойл, Фаулер, Бербидж, Бербидж (Origin of the elements in stars. Hoyle F., Fowler William A., Burbidge G. R., Burbidge E. M.), Science, 1956, 124, № 3223, 611—614 (англ.)

Образование элементов в звездах и распространение всех изотопов элементов. А. Я.

693. Реакции, приводящие к образованию элементов в звездах. Фаулер, Гринштейн (Element-building reactions in stars. Fowler William A., Greenstein Jesse L.), Proc. Nat. Acad. Sci. U. S. A., 1956, 42, № 4, 173—180 (англ.)

Обсуждается вопрос о возможности процесса образования хим. элементов в звездах из H и He в настоящее время. Авторы предполагают некоторые возможные ядерные р-ции и делают выводы об изменении состава звезд в результате таких р-ций. Изучение спектрального состава звезд подтверждает отдельные выводы. Наиболее убедительным доказательством в пользу образования элементов в настоящее время можно считать открытие линий технеция в спектрах S-звезд.

Л. Афанасьева

694. Экспериментальное исследование полосы поглощения озона 9,6 м в спектре Солнца. Уолшоу, Гуди (An experimental investigation of the 9.6 m band of ozone in the solar spectrum. Walshaw C. D., Goody R. M.), Quart. J. Roy. Meteorol. Soc., 1956, 82, № 352, 177—186 (англ.)

По методу Стронга (Strong J., J. Franklin Inst., 1941, 231, 121) определены средние высоты слоя озона  $h_{\text{озон}}$  (18—19 км). Спектры поглощения в области 9,6 м измерялись в Кембридже с марта по ноябрь 1952 г. (202 измерения) и с марта 1953 г. по март 1954 г. (370 измерений). Общее кол-во озона в атмосфере определялось в Оксфорде. Обнаружены сезонные колебания  $h_{\text{озон}}$  в 3—4 км с минимумом в июне — августе; для объяснения предложен сезонный цикл изменений концентрации озона в тропосфере (0—10 км) и нижних слоях стратосферы (10—16 км).

А. Чемоданов

695. Озон в атмосфере над Лос-Анжелосом. Ренцетти (Ozone in the Los Angeles atmosphere. Renzetti N. A.), J. Chem. Phys., 1956, 24, № 4, 909 (англ.)

Предварительное сообщение об измерении концентрации озона, проведенном в течение 15 дней на специально сконструированном фотоэлектрич. спектрометре. Полученная конц-ия равна  $3,5 \cdot 10^{-8} \%$ , ошибка определения  $1-2 \cdot 10^{-4} \%$ .

Р. Хмельницкий

696. Образование  $\text{Cl}^{39}$  при низких давлениях под действием космического излучения. Уиннеберг (The production of chlorine-39 in the lower atmosphere by cosmic radiation. Winsberg Lester), Geochim. et cosmochim. acta, 1956, 9, № 4, 183—189 (англ.)

Исследовано 5 образцов дождевой воды, собранных в разное время с площади в 450 м<sup>2</sup>. Обнаружено присутствие  $\text{Cl}^{39}$ , получаемого по р-ции  $\text{Ar}^{40} + \mu^- = \text{Cl}^{39} + n + \nu$ . Величина активности, определенная с носителем и без носителя, лежит в пределах 1—10 отсчетов в минуту.

Р. Хмельницкий

697. О распределении элементов в метеоритах и Земле и о происхождении тепла в центре Земли. Юри (Distribution of elements in the meteorites and the earth and the origin of heat in the earth's core. Urey Harold C.), Ann. geophys., 1955, 11, № 1, 65—72 (англ.)

Термохимические расчеты и эксперим. данные позволяют сделать вывод, что конц-ия радиоактивных элементов в железных метеоритах не отражает их конц-ию в ядре Земли. Более вероятно, что K присутствует в ядре в достаточном кол-ве, чтобы поддержать адиабатич. градиент, и что U и Th присутствуют в кол-вах, достаточных для этой цели. Однако любое предположение о присутствии радиоактивных элементов в ядре должно рассматриваться как в высшей степени сомнительное.

Л. Кузьмина

698. Радиоактивный бериллий в атмосфере и на Земле. Питерс (Radioactive beryllium in the atmosphere and on the earth. Peters B.), Proc. Indian Acad. Sci., 1955, A41, № 3, 67—71 (англ.)

Установлено, что около 1000 ядер радиоактивного  $\text{Be}^{10}$  ( $T_{1/2}$  2,7 млн. лет) на 1 м<sup>2</sup>/сек образуется под действием космич. излучения, вызывающего ядерные р-ции в атмосфере. Этим можно воспользоваться при определении скорости отложения илов в морях, а также других геологич. изменений поверхности, имевших место в третичный период.

Л. Кузьмина

699. О влиянии внешних условий на радиоактивный распад. Баранов В. И., Бюл. комис. по определению абсолют. возраста геол. формаций АН СССР, 1955, вып. 1, 77—79

Работами многих авторов доказано, что влияние на радиоактивный распад внешних условий — т-ры, давления, магнитного поля, космич. излучения и т. д. — не имеет никакого практич. значения при определении геологич. возраста, в пределах точности применяемых радиоактивных методов.

Л. Кузьмина

700. О распространении  $\text{C}^{13}$  в известняках и углях. Джефри, Компстон, Гринхалш, Лейтер (On the carbon-13 abundance of limestones and coals. Jeffery P. M., Compston W., Greenhalgh D., Laeter J. de), Geochim. et cosmochim. acta, 1955, 7, № 5/6, 255—286 (англ.)

Определен изотопный состав углерода в 41 образце известняков (I) и 42 образцах углей (II), взятых в 58 точках Австралии и Тасмании. Анализ проведен на масс-спектрометре; углерод вводился в виде  $\text{CO}_2$ ; за стандарт взят  $\text{CO}_2$  из чистого гомог. доломита. Результаты анализа (в ‰) лежат в пределах: I третичные от —8,1 до +1,7, среднее —5,6; I мезозойские от —1,2 до +2,0; I верхнепалеозойские от —12,7 до +2,1; I девонские от —1,7 до +4,7, среднее +1,2; I нижнепалеозойские от —2,9 до +2,0; II пермские от —26,2 до —12,0; II мезозойские от —27,3 до —19,7; углистые глинистые сланцы и графиты разного возраста от —36,0 до —14,7. Наблюдаемые колебания в изотопном составе могут быть вызваны только изменениями в изотопном составе гидросферы и атмосферы со временем. Основной причиной колебаний является периодич. диастрофизм, изменяющий баланс углеродного цикла в атмосфере.

Р. Хмельницкий

701. Аппаратура для определения возраста по  $\text{C}^{14}$ . Балларио, Беневентано, Де-Марко, Магистрелли, Кортези, Мантовани (Apparatus for carbon-14 dating. Bal-lario C., Beneventano M., De Marco A., Magistrelli F., Cortesi C., Mantovani T.), Science, 1955, 121, № 3143, 409—412 (англ.)

Для определения возраста по  $\text{C}^{14}$  вносится ряд изменений в метод Либби (Libby W. J., Radiocarbon Dating Chicago, Univ. of Chicago Press, 1952). 1. Нейугантство



материалы обугливаются в закрытом тигле и после этого обрабатываются HCl. 2. В первом цикле р-ций (сжигание образца в токе кислорода, поглощение образовавшейся  $\text{CO}_2$  в  $\text{NH}_4\text{OH}$  и осаждение  $\text{CaCO}_3$  при добавлении  $\text{CaCl}_2$ ) отброшена стадия с использованием жидкого азота. 3. В стадии обработки  $\text{CaCO}_3$  соляной к-той с последующим восстановлением до элементарного углерода не требуется пониженного давления, поэтому вся р-ция производится в аппарате Киппа, к которому присоединена трубка из нержавеющей стали с магнием. 4. Измерения производятся на Г.—М.—счетчике с четырьмя элементами, позволяющим производить одновременно измерение 4 образцов. Для образца с известным историч. возрастом ~2600 лет, определено  $2730 \pm 240$  лет.

702. Извлечение органического углерода из костей при определении возраста по  $\text{C}^{14}$ . Мей (Isolation of organic carbon from bones for  $\text{C}^{14}$  dating. May Irving), Science, 1955, 121, № 3145, 508—509 (англ.)

Производится пиролиз кости в атмосфере азота с последующей кислотной обработкой минер. части образца.

703. Возраст уранитов по размерам их элементарных ячеек. Вассерштейн, Химстра (Age of uraninites from dimensions of their unit cells. Wasserstein B., Hiemstra S. A.), Nature, 1955, 176, № 4478, 405—406 (англ.)

Дискуссия по статье Вассерштейна (РЖХим, 1955, 37098).

704. Выщелачивание радона из радиоактивных минералов. Джилетти, Кали (Radon leakage from radioactive minerals. Gilletti Bruno J., Kulp J., Laurence), Amer. Mineralogist, 1955, 40, № 5-6, 481—496 (англ.)

Произведено искусств. выщелачивание Rn из первичных и вторичных урановых минералов. Измерения проводили при равновесных и неравновесных условиях. Исследуемый образец ( $0,5-30$  г) помещали в стеклянную запаянную трубку, которую выдерживали при постоянной т-ре в течение 30 дней, затем вскрывали, и накопившийся Rn переводили в ионизационную камеру для измерения. При исследовании в неравновесных условиях образец либо запечатывали на время от 3 до 120 мин. для накопления выделяющегося Rn, либо через образец продували сухой азот, увлекающий с собой в ионизационную камеру Rn. Потери Rn при комнатной т-ре из образцов урановой смолы колеблется от 0,064% до 16,6%. Последнее значение дает тонкодисперсная смоляная руда. Соответствующие значения Rn для уранинита 0,58—0,80%, самарскита 0,03%, карнотита 17—27%, циркона 1,6—6,2%. При увеличении т-ры до  $150^\circ$  выщелачиваемость Rn возрастает почти вдвое, но затем в интервале  $200-300^\circ$  падает, что объясняется перекристаллизацией, уменьшающей внутреннюю поверхность образца. Если при определении возраста по отношению  $\text{Pb}^{206}/\text{U}^{238}$  ввести поправку на выщелачивание Rn, то полученные данные будут совпадать с данными, найденными из отношения  $\text{Pb}^{207}/\text{U}^{235}$ .

705. Уран в фосфоритах. Бурек (Uran w fosforytach. Burek Jerzy), Przegl. geol., 1956, № 4, 158—159 (польск.)

Содержание U в фосфоритах составляет, в среднем, 0,010%, достигая в отдельных случаях 0,127%. Концентрация U возрастает пропорционально содержанию  $\text{P}_2\text{O}_5$ ,  $\text{CO}_2$ , F и органич. в-в, вследствие чего предполагается, что U в фосфоритах связан с фосфорнокислыми минералами. Принимаются следующие пути процесса накопления U в фосфоритах: 1) осаждение из морской воды вместе с  $\text{P}_2\text{O}_5$ , 2) адсорбция U из морской воды фосфатным осадком и 3) адсорбция из вод, проходя-

щих через залежи фосфоритов. Мировые запасы фосфоритов достигают многих миллиардов тонн, и поэтому может быть рентабельно извлечение U из этих руд.

Н. Лобанов  
706. Колебания в природной распространенности изотопов лития. Камерон (Variation in the natural abundance of the lithium isotopes. Cameron A. E.), J. Amer. Chem. Soc., 1955, 77, № 10, 2731—2733 (англ.)

Произведено определение изотопного отношения  $\text{Li}^7 : \text{Li}^6$  в образцах продажной соли  $\text{Li}_2\text{SO}_4$ , а также в литии, выделенном из 15 образцов сподумена, лепидолита, амблигонита и трифилита. С помощью масс-спектрометра измерялись ионы  $[\text{Li}^6 \text{Li}^7 \text{J}]^+$  и  $[\text{Li}^7 \text{Li}^7 \text{J}]^+$  с массовыми 141 и 140. Величина отношения  $\text{Li}^7 : \text{Li}^6$  в продажной соли колеблется между 12,44 и 12,93. Пределы отношения в минералах составляют 12,47—12,72. Опытным путем установлено, что при осаждении 10% лития в присутствии 5%-ного нитритного р-ра, при добавлении  $\text{Na}_2\text{CO}_3$  и нагревании в течение часа с последующим быстрым фильтрованием  $\text{Li}_2\text{CO}_3$  отношение 7 : 6 равно 13,07, тогда как в исходном материале оно равно 12,87. Это указывает на то, что при хим. операциях имеет место частичное разделение изотопов.

Л. Кузьмина  
707. Шунгит из пород спилито-альбитофировой формации окрестностей г. Красноуральска (Средний Урал). Александр А. П., Изв. АН СССР, сер. геол., 1956, № 5, 99—103

Впервые для Урала описан редкий органогенный минерал шунгит, присутствующий в виде включений и мелких прожилков в спилитах, диабазовых порфиритах, туфогенно-кремнистых, филито-кремнистых и кремнистых сланцах, радиолириевых яшмах, карбонатных и зеленых сланцах, сульфидно-кварцевых жилах и других (осадочных, метаморфич. и жильных) породах. Установлено, что осадочные породы являются первоисточником углерода. Тепловое контактное воздействие на эти породы лавовых излияний привело к метаморфизации содержащихся в них битумов и образованию шунгита. Вторым фактором, способствующим шунгитообразованию, является тектоника. Произведены хим. анализы шунгита и шунгитсодержащего сланца в воздушно-сухой, абс. сухой и горючей массах. Хим. состав воздушно-сухого минерала (в %): C 92,75, H 1,42, влага 2,15, зола 2,79, сумма 99,11. Спектральный анализ обнаружил только слабые линии Mn.

Г. Воробьев  
708. Стабильность смитсонита. Харкер, Хатта (The stability of smithsonite. Harker R. I., Hutta J. J.), Econ. Geol., 1956, 51, № 4, 375—381 (англ.)

На основании 45 опытов определены точки кривой т-ра — давление  $\text{CO}_2$  в р-ции  $\text{ZnCO}_3 \rightleftharpoons \text{ZnO} + \text{CO}_2$  при давлении до  $3500 \text{ кг/см}^2$ . При давл. 700, 2100 и  $3500 \text{ кг/см}^2$  кривая проходит соответственно через 310, 410 и  $460^\circ$ .

Р. Хмельницкий  
709. Парадамит — новый арсенат цинка из Мексики. Сунцер (Paradamite, a new zinc arsenate from Mexico. Switzer George), Science, 1956, 123, № 3206, 1039 (англ.)

Описан новый минерал, обнаруженный с миметитом и адамитом в лимоните из рудника Охуэло (Маними, Дуранго). Состав:  $\text{Zn}_2(\text{AsO}_4)(\text{OH})$  — мышьяковый аналог тарбуттита. Величина кристаллов до 5 мм, сингония триклинная. Минерал диморфен адамиту, отчего и получил свое название «парадамит». Оптич. данные: двусосный отрицательный,  $2V = 50^\circ$ ,  $\alpha = 1,726$ ,  $\beta = 1,771$ ,  $\gamma = 1,780$  ( $\pm 0,002$ ). Спайность по (010). Цвет бледно-желтый, черта белая. Блеск стеклянный. Уд. в.  $4,55 \pm 0,02$ . Результаты хим. анализа (в %): ZnO 56,22, FeO 0,45,  $\text{Fe}_2\text{O}_3$  0,12,  $\text{As}_2\text{O}_5$  40,17,  $\text{H}_2\text{O}^+$

3,44,  $\text{H}_2\text{O}^-$  отсутствует; сумма 100,40. Получены рентгенограммы парадамита, тарбуттита и адамита.

Р. Хмельницкий

**710. Ненадевит — новый силикат урана. Поликарпова В. А., Атом. энергия, 1956, № 3, 132—134**

Описан новый силикат U, TR, Ca и Mg, открытый в СССР в 1952 г. Минерал представляет собой непрерывный изоморфный ряд с крайними членами:  $\text{U}^{4+}$  и  $\text{U}^{6+}$ . Обнаружен в виде кристаллов (0,05—0,001 мм), их сростков и плотных масс в зонах Na-метасоматоза безыманного Fe — U-месторождения в парагенезисе с браунеритом, итросфеном, уранинитом, ураносодержащим малаконом и апатитом. Габитус кристаллов удлиненно-призматический. Спайность отсутствует. Сингония ромбическая; ф-ла  $(\text{U}^{4+}, \text{Y}, \text{Ce}, \text{Th})\text{U}^{6+}(\text{Ca}, \text{Mg}, \text{Pb})[\text{SiO}_4]_2[\text{OH}]_4 \cdot n \text{H}_2\text{O}$ . Цвет черный, зелено-черный, коричневый до красно-бурого, оранжевого и желтого. Блеск стеклянный до жирного. Уд. в.: 4,16—4,81 (черного); 3,80—3,91 (коричневого), 3,56—3,70 (желто-оранжевого). Очень хрупкий, не люминесцирует, растворяется в к-тах (1:10), не электромагнитен, обычно изотропизированный, реже имеет пятнообразную анизотропию. В проходящем свете  $N_m = 1,716—1,781$  (темные разности),  $N_m = 1,618—1,635$  (светлые). Кривые нагревания всех разновидностей идентичны. Снята дебаеграма. Пределы хим. состава черной, красно-бурой, оранжево-коричневой и оранжево-желтой разновидностей по 6 анализам (в %):  $\text{MgO}$  0,7—11,08,  $\text{CaO}$  4,04—8,30,  $\text{PbO}$  6,37—11,7,  $\text{Fe}_2\text{O}_3$  от следов до 8,64,  $\text{TR}_2\text{O}_3$  0,31—1,29,  $\text{ThO}_2$  от следов до 0,34,  $\text{SiO}_2$  10,60—20,25,  $\text{U}_2\text{O}_3$  0,60—21,72 (2 определения),  $\text{UO}_3$  30,94—66,10,  $\text{H}_2\text{O}$  5,59—9,86. Редкие земли по данным полуконич. рентгеноспектрального анализа представлены итриевой и цериевой группами. Результаты изотопного анализа свинца:  $\text{Pb}^{204}$  0,082,  $\text{Pb}^{206}$  87,7,  $\text{Pb}^{207}$  10,1,  $\text{Pb}^{208}$  2,1.

Р. Хмельницкий

**711. Гидронастуран и ургит — новые минералы из группы родных окислов урана. Гецева Р. В., Атом. энергия, 1956, № 3, 135—136**

Описаны два новых минерала, обнаруженные в 1947 г. в окисленной зоне безыманного гидротермального месторождения урановых руд в СССР. Оба минерала являются членами единого ряда последовательного окисления и гидратации настурана. Гидронастуран (I)  $\text{UO}_2 \cdot k\text{UO}_3 \cdot n \text{H}_2\text{O}$ , где  $k = 2,3—5$ ,  $n = 3,9—9$ , встречается в плотных массах и натеchno-почковидных выделениях в глубокой части зоны окисления. Ургит (II)  $\text{UO}_3 \cdot n \text{H}_2\text{O}$ , где  $n = 2,3—3,1$ , развивается в средней части разреза зоны окисления, образуя плотные аморфные выделения. Спайность отсутствует у обоих. Цвет I черный, II от красновато-желтого до янтарно-желтого; блеск стеклянный; хрупкие; твердость I 3,1—3,8, II 2—3; уд. вес I 4,3, II 4,17. Показатель преломления I снижается по мере гидратации и окисления от 1,738 до 1,715, для II — от 1,705 до 1,681. У II практически отсутствует люминесценция. Кристаллич. индивиды II двусосны;  $n_g = 1,669—1,680$ ,  $n_p = 1,647—1,657$ . Минералы растворимы в HCl: I остается нерастворимым осадок, у II осадок растворяется при нагревании. Результаты двух неполных микрохим. анализов: I  $\text{UO}_3$  22,2; 11,90;  $\text{UO}_3$  54,07; 63,00;  $\text{PbO}$  5,64; 5,78;  $\text{H}_2\text{O}$  5,71;  $\text{H}_2\text{O}^-$  3,77,  $\text{H}_2\text{O}^+$  3,44; II (красновато-желтая и янтарно-желтая разности)  $\text{UO}_3$  70,83; 71,09;  $\text{PbO}$  2,67; 2,90;  $\text{Al}_2\text{O}_3 + \text{Fe}_2\text{O}_3$  4,23; 1,89;  $\text{SiO}_2$  3,92; 3,80;  $\text{H}_2\text{O}$  10,42;  $\text{H}_2\text{O}^-$  7,95;  $\text{H}_2\text{O}^+$  6,14. Спектральный анализ II обнаружил дополнительно Mg, Co, Bi, V, Cu, J, Be (?). По распространенности и промышленному значению II уступает I.

Р. Хмельницкий

**712. Химическое фазовое равновесие и физическая структура внутри Земли. Симадзу (Chemical**

phase equilibrium and physical structure within the earth's mantle. Shimazu Yasuo), J. Phys. Earth, 1956, 4, № 1, 4—6 (англ.)

Показано, что под действием гравитационной дифференциации легкие породы выдавливаются в верхние слои Земли даже при низких т-рах. Из термодинамич. расчета равновесия в системе Fe—Si—O для модели Земли  $\text{O} : \text{Fe} : \text{Si} = 49 : 34 : 17$  следует, что слой  $\text{Fe}_2\text{SiO}_4$  разлагается на глубине 1 000 км от земной поверхности с выделением железа, что сопровождается эффектом Джеффриса. На основании литературных данных вычислены  $\Delta H$  и  $\Delta G$  р-ций  $\text{Fe} + \frac{1}{2}\text{O}_2 \rightleftharpoons \text{FeO}$ ,  $\text{Si} + \text{O}_2 \rightleftharpoons \text{SiO}_2$ ,  $2\text{FeO} + \text{SiO}_2 \rightleftharpoons \text{Fe}_2\text{SiO}_4$  в интервале 1000—5000°. А. Чемоданов

**713. Связь между окислительными свойствами некоторых глинистых минералов и содержанием внутримолекулярных ионов  $\text{Fe}^{3+}$ . Блок, Шарбоннель, Кайзер (Rapport entre les propriétés oxydantes présentées par certains minéraux argileux, et les ions ferriques intrastucturaux. Bloch Jean-Michel, Charbonnelle Jacques, Kauser Fernand), Bull. Soc. chim. France, 1955, № 4, 507—511 (франц.)**

При смешении монтмориллонита или других глинистых минералов, содержащих ионы  $\text{Fe}^{3+}$  внутри кристаллич. решетки, с различными органич. в-вами (бензидин, лейкоседонин), адсорбирующимися на поверхности этих минералов, получают окрашенные в-ва. Исследования авторов показывают, что при этом ионы  $\text{Fe}^{3+}$  восстанавливаются в ионы  $\text{Fe}^{2+}$ , в то время как адсорбированное на поверхности минералов в-во окисляется и окрашивается. Имеется стехиометрич. соотношение между кол-вами образовавшегося  $\text{Fe}^{2+}$  и полученного окрашенного в-ва. Интенсивность р-ции зависит от кол-ва внутримолекулярных ионов  $\text{Fe}^{3+}$  и от степени адсорбции органич. в-в глинистыми минералами.

В. Красничева

**714. К вопросу об энергетике магматических горных пород и рудных образований. Садецкий К. Кардош (Über die Energetik der magmatischen Gesteins- und Erzgebilde. Szadeczy-Kardoss E.), Acta geol. Acad. sci. hung., 1955, 3, № 1-3, 163—172 (нем.)**

На основании потенциалов соединений важнейших магматич. и остаточно-магматических (пегматитовых, пневматолитовых и гидротермальных) минералов устанавливается, что кристаллизация происходит в порядке постепенного уменьшающихся потенциалов, которые в случае металлич. или ковалентной связи приблизительно равны потенциалам сингенетич. нерудных минералов разнополярной связи. Кристаллизационная последовательность остаточно-магматических элементов зависит от атомных потенциалов, катионов (ряд Эммонса) и соединяющихся с ними анионов. Рассмотрены две фазы полной магматич. кристаллизации. С. Коган

**715. О гидратации и окислении слюд. Цветков А. И., Вальяхина Е. П., Изв. АН СССР. Сер. геол., 1956, № 5, 74—83**

Установлено, что мусковит (М) при растирании поглощает воду (до 6,54%), которая при нагревании выделяется постепенно вплоть до 900°, в то время как М, настриженный ножницами, выделяет гидроксильную воду скачкообразно в интервале 800—900°. При длительном растирании М становится рентгеноаморфным, приобретает способность к катионному обмену К и Na на Ca и дает некоторые цветные р-ции, характерные для гидрослюд и монтмориллонитов. Все это свидетельствует о глубоких структурных изменениях, происходящих в слюдах (С) при растирании. В железистых С при нагревании в интервале 500—900° происходит окисление  $\text{Fe}^{2+}$  за счет кислорода гидроксила, причем выделяется свободный водород. Оставшееся  $\text{Fe}^{2+}$  окис-

ляется за счет кислорода воздуха при  $1100^\circ$ , в момент распада решетчатого минерала. Аналогичное окисление  $Fe^{2+}$  происходит при растривании железистых С. Гидратация и окисление С при растривании приводит к аналитич. ошибкам, поэтому для определения  $H_2O$  и  $FeO$  С необходимо настригать ножницами. При диагностике тонкодисперсных С надо с осторожностью пользоваться термоаналитич. характеристиками крупнокристаллич. С. Факт выделения из биотитов и флогопитов при нагревании свободного водорода наводит на мысль о наличии его при образовании этих С в природе.

А. Александров

**716. Псевдоморфизм в осадочном минералообразовании. Абрамович Ю. М.** Вopr. минералогии осадоч. образований. Кн. 3—4. Львов, Львовск. ун-т, 1956, 80—86

Обзорная статья. Попутно автор сообщает о найденном им новом типе псевдоморфозы одной разновидности минерала по другой разновидности того же минерала: псевдоморфоза окристаллизованного гипса по волокнистому, названная по месту нахождения ордитом (с. Орда, Молотовской обл.). Такой тип псевдоморфоз предложено называть автопсевдоморфозами, а все остальные — аллопсевдоморфозами. Библ. 29 назв.

Р. Хмельницкий

**717. Парагенезис аксессуарных минералов. Мурхаус (The paragenesis of accessory minerals. Moorhouse W. W.), Econ. Geol., 1956, 51, № 3, 248—262 (англ.)**

Предполагается, что аксессуарные минералы (АМ) изверженных пород (апатит, циркон и сфен), обладающие приблизительно такой же растворимостью в магматич. расплавах, как и породообразующие минералы, но значительно меньшей конц-ией, образуются на поздних стадиях кристаллизации магмы. Это предположение подтверждается: 1) отсутствием сегрегаций АМ в нижних частях дифференцированных массивов, 2) наличием повышенных кол-в АМ в контактово-метаморфических образованиях и в пергматитах, 3) присутствием АМ в основной массе порфировых пород, 4) неравномерностью их распределения в породах, 5) приуроченностью к стыкам зерен породообразующих минералов, трещинам, измененным участкам и т. д. Рассмотрены ассоциации АМ с породообразующими минералами и колич. подсчеты в шлифах. Доказана преимущественная связь АМ с поздними минералами, главным образом, с биотитом, роговой обманкой, магнетитом, шел. шпироксеном и др. В противоположность изверженным породам, гнейсы и сланцы осадочного происхождения характеризуются равномерным распределением АМ и отсутствием связи их с определенными породообразующими минералами. Таким образом, парагенезис АМ может указывать на генезис пород. Автор считает, что методы использования АМ для корреляции втузвус в свете настоящей работы должны быть пересмотрены.

В. Александров

**718. Изучение физико-химической природы глин в Эйбане (Изра). Саррот-Реноде-Кресней (Observations sur la nature physico-chimique des argiles d'Eybans (Isère). Sarrot-Reynaud de Cresseney J.), Travaux Lab. géol. fac. sci. Univ. Grenoble, 1953 (1954), 31, 243—246 (франц.)**

Четвертичные глинистые отложения Эйбана представляют собой чередование горизонтальных слоев серого и темного цвета толщиной в несколько см и общей мощностью 200 м. По минералогич. составу глины различных слоев качественно идентичны и состоят из кварца, кальцита и иллита. Светлые глины содержат больше кварца, а темные — органич. в-ва. Кол-во  $CaCO_3$  31% (светлые) и 19% (темные), нерастворимый в  $HCl$  остаток 71 и 79%. Радиоактивность ( $\beta + \gamma$ , в имп/час): светлые глины 215, темные 118. Светлые

глины, представляющие собой более грубые отложения, богатые тяжелыми радиоактивными металлами и кварцем, по-видимому, содержат много материала, принесенного потоками; повышенное содержание в них  $CaCO_3$  объясняется более высокой т-рой материнских вод. Темные глины беднее детритовым материалом и растворенными солями и богаче глинистой фазой и органич. в-вом. Автор приходит к выводу, что светлые глины отлагались в течение летнего периода, а темные — в течение зимнего, в обоих случаях — в шел. восстановительной среде. Наиболее вероятным представляется, что образование глинистых отложений происходило в глубоком межледниковом бассейне.

В. Красинцева

**719. Приложение принципов растворимости к системе варисцит — каолинит. Китрик, Джексон (Application of solubility product principles to the variscite-kaolinite system. Kittrick J. A., Jackson M. L.), Soil Sci. Soc. America Proc., 1955, 19, № 4, 455—457 (англ.)**

Исследована р-ция варисцита с  $H^+$  и  $OH^-$  в воде. р-рах. Отсутствие адсорбционного пика гидроксила при  $2,75\mu$  в ИК-спектре варисцита приводит к ф-ле  $AlPO_4 \cdot 2H_2O$ . Произведение растворимости варисцита в воде пропорционально  $[OH^-]^2$  только при рН 4. Изменение отношения твердая фаза : р-р существенно не меняет произведение растворимости. Добавление каолинита к системе варисцит — вода (рН 4,2) повышает молярную конц-ию алюминия в р-ре с  $2,3 \cdot 10^{-5}$  до  $4,8 \cdot 10^{-5}$  и снижает конц-ию фосфата с  $2,5 \cdot 10^{-4}$  до  $0,7 \cdot 10^{-4}$ .

А. Чемоданов

**720. О глинистых породах и их месторождениях. II. «Глина» и «каолин» с точки зрения геохимии (продолжение 8). III. О происхождении месторождений глин, используемых в качестве основы керамического сырья (продолжения 1—6). Феттер (Grundsätzliche Bemerkungen über Tongesteine und ihre Lagerstätten. II. Geochemische Betrachtungen zum Problem «Ton» und «Kaolin» (8. Fortsetzung). III. Über die Entstehung von Tonlagerstätten als Basis keramischer Rohstoffe. Fortsetzungen (1—6). Vetter Hans), Sprechsaal Keramik-Glas-Email, 1953, 86, № 23, 571—573; № 24, 595—597; 1954, 87, № 9, 208—210; № 11, 275—277; № 12, 302—304; № 13, 323—326; № 14, 347—349; № 15, 372—373; № 16, 394—396 (нем.)**

II. (8—1) Популярный обзор породообразования.

II. (8—2). Обзорные данные о генезисе глин и значении этого для керамич. технологии.

III. Популярно изложены современные представления о распределении хим. элементов в земной коре.

III. (1). Породообразующие минералы магматич. пород в условиях дневной поверхности неустойчивы и, проявляя тенденцию к кислородному равновесию, переходят в более устойчивое состояние. Образование глин невозможно без участия таких факторов, как климат, флора, времена года и т. п. Все старые теории каолинизации следует считать устаревшими.

III. (2). Приведен перечень каолиновых месторождений Германии и дан список соответствующей литературы. Указаны породы, за счет которых образовались каолины.

III. (3). Обзор данных по минералогич. составу каолинов и глин Германии.

III. (4). Изучение вальденских глин нижнего мела (район Ганновера) показало, что вместо каолинита во всех исследованных пробах присутствуют преобладающий огнеупорный глинистый минерал, отличающийся от каолинита, и слюдopodobный глинистый минерал.

III. (5). Обсуждается возможность применения глинистых слюдястых минералов в электрокерамике.



III. (6). Кривые нагревания, полученные Леманом для немецких огнеупорных глин, показали, что главным минералом является не каолинит, а неизвестный новый минерал, очень близкий к каолиниту. Кривые нагревания этого минерала наминают кривые нагревания английских огнеупорных глин. Предыдущее сообщение см. РИХим, 1955, 48762. Г. Воробьев

721. Металлогения — геологическая основа поисков месторождений полезных ископаемых. Абдулаев Х. М., Тр. Среднеаз. политехн. ин-та, Ташкент, Госиздат, УзССР, 1955, 39—53

Металлогения выдвигается как самостоятельная наука, имеющая свои особенные задачи и методы исследования, и большое значение для поисков месторождений и перспективных оценок рудных районов. А. Попов

722. Советская классификация карбонатных пород и химически осажденного  $\text{CaCO}_3$ . Обзор. Чаленджер (Soviet classification of carbonate rocks and chemically precipitated  $\text{CaCO}_3$ : a review. Chilingar George V.), Bull. Amer. Assoc. Petrol. Geologists, 1955, 39, № 9, 1885—1889 (англ.)

Излагается простой графич. метод литолого-геохимической характеристики карбонатных пород по величине нерастворимого остатка и содержанию углекислоты карбонатов, предложенный И. А. Юркевичем. Рассматриваются также основные типы хемогенного  $\text{CaCO}_3$  в осадочных карбонатных породах, выделенные Г. Н. Теодоровичем. Л. Листова

723. Десмин и кальцит с Шартагского гранитного массива. Подногин А. К., Юдин И. А., Тр. Свердл. горн. ин-та, 1956, вып. 26, 145—146

Произведено краткое морфологич. описание и определены простейшие оптич. константы образцов десмина и кальцита из пегматита. Ассоциирующие минералы: энидот, микроклин, мусковит и кварц. Спектроскопич. состав: десмин — Si и Al много, Ca 1—10, Mg и Na 0,1—1, Fe 0,01—0,1, Mn 0,001%; кальцит — Ca много, Mg и Fe 1—10, Si и Sr 0,1—1, Mn и Na 0,1, Al и V 0,01—0,1, Ti 0,01, Pb 0,001%. Г. Воробьев

724. Исследования по минералообразованию в некоторых силикатных расплавах под давлением водяного пара и водорода. Островский И. А., Тр. ин-та геол. руд. месторожд., петрогр., минералогии и геохимии АН СССР, 1956, вып. 1, 217

725. К изучению гидросиликатов никеля из Кржеме, Южная Чехия. Сланский (Příspěvek k poznání hydrosilikátů niklu z Křemé v jižních Čechách. Slánský Ervín), Univ. Carolina. Geol., 1955, 1, № 1, 1—28 (чеш.; рез. рус., англ.)

Микроскопическим, рентгенографич., термич. и спектральными методами изучены редкие минералы пимелит  $(\text{Ni}, \text{Mg})_3(\text{OH})_6(\text{Si}_4\text{O}_{10}) \cdot n\text{H}_2\text{O}$  и непуит (ревдинскит)  $(\text{Ni}, \text{Mg})_6(\text{OH})_8(\text{Si}_4\text{O}_{10})$  — продукты разрушения серпентинита. Для сравнения произведены рентгеновский и термич. анализы пимелита из Франкенштейна (Замбковицы) в Силезии. На основании анализов автор считает, что пимелит не может быть отнесен к группе монтмориллонита, как это считает Штрунц (Strunz H., Mineralogische Tabellen. 2 Aufl. Leipzig, 1949), а непуит является типичным представителем группы серпентина. По данным 5 спектральных анализов оба минерала содержат в разных сочетаниях: Mg, Ni, Si, Mn, Fe, Ca, Al, Ba, Cu, Ti, Cr, Zn, Na, Ag и Sr. Г. Воробьев

726. Эруптивные породы района плато Радана. Ристич (Еруптивне стене Радана и његове шире околине. Ристић Предраг). Геол. ан. Балкан. полуострова, 1955, 23, 163—187 (серб., рез. нем.)

Петрографическое описание амфиболовых и пироксеновых андезитов, амфиболовых и пироксеновых дацитов и пирокластич. пород. Приведены хим. анализы: амфиболового андезита с гиперстеном и авгитом, авгито-гиперстено-роговообманкового андезита, амфиболо-ав-

гитового андезита и выделенного плагиоклаза — андезина. Г. Воробьев

727. Реакционные структуры биотита в четвертичных гранодиоритовых массивах Сербии. Карамата (Die Reaktions-Gefüge des Biotits in tertiären Granodioritmässen Serbiens. Karamata S.), Neues Jahrb. Mineral. Monatsh., 1956, № 4, 73—82 (нем.)

В четвертичных гранодиоритовых массивах Боранья и Копаники (Сербия) наблюдается замещение биотита ортоклазом и роговой обманкой вместо нормальной последовательности выделения: роговая обманка — биотит. В качестве причины такого замещения принимается, что кристаллизация гранодиоритовых магм происходила в 2 стадии. Первая проходила на больших глубинах при большом внешнем давлении, большом содержании воды и умеренно высокой т-ре. При этом осаждались биотит и андезин. Вторая стадия осуществлялась после подъема магмы в более высокие участки земной коры с уже выделившимися биотитом и андезином. Вследствие повышения т-ры кристаллизации и понижения содержания воды происходило выделение роговой обманки и ортоклаза с замещением ранее выделившихся минералов. Л. Афанасьева

728. Хлоритойд в породах криворожской свиты. Шедерова А. Г., Материалы Всес. н.-п. геол. ин-та, 1956, вып. 8, 133—140

Продолжая работы по изучению хим. и минералогич. состава хлоритойда в метаморфич. сланцах Кривого Рога (Тарасенко В. Е., О некоторых кристаллических сланцах Криворожского рудоносного района, Воронеж, 1923), автор описал этот минерал, взятый на руднике имени Фрунзе. Применялись методы: хим., спектральный, кристаллооптич., термич. и рентгеновский. Хим. состав (в %):  $\text{SiO}_2$  21,98,  $\text{TiO}_2$  0,34,  $\text{Al}_2\text{O}_3$  34,70,  $\text{Fe}_2\text{O}_3$  2,02,  $\text{FeO}$  22,87,  $\text{MnO}$  0,23,  $\text{MgO}$  2,58,  $\text{CaO}$  0,25,  $\text{Na}_2\text{O}$  0,15,  $\text{H}_2\text{O}^+$  7,15,  $\text{H}_2\text{O}^-$  0,18, сумма 100,35. Кристаллохим. ф-ла:  $(\text{Fe}_{0,5}^{2+} \text{Mg}_{0,35} \text{Al}_{0,95} \text{Fe}_{0,1}^{3+} \text{Al}_{1,4})_{1,9} [\text{OH}]_2$

$[\text{Al}_{1,55} \text{Si}_{2,45} \text{O}_{11}] [\text{Fe}(\text{OH})_{1,9}]$ . Спектральный анализ обнаружил следы Ge и Ga. Уд. в. 3,43. Ассоциирующие минералы: хлориты, серицит, кварц, турмалин, мусковит, акцессорны и руды. Хлоритойд образовался при комбинации двух процессов: метаморфич. и гидротермального. Вторичные изменения выразились, главным образом, в замещении турингитом. Г. Воробьев

729. К изучению аутигенных минералов осадочных пород. Бобровник Д. П., Вопр. минералогии осадоч. образований. Кн. 3-4, Львов, Львовск. ун-т, 1956, 73—79

При распределении минералов осадочных пород на аутигенные (I) и аллотигенные (II) часто используется не вся совокупность признаков и свойств минерала. Так, идиоформизм минералов считается достаточным для выделения их в группу I. В ряде случаев в эту же группу включаются II магматич. или метаморфич. происхождения. Аутигенные минералы могут быть использованы как указатели физ.-хим. условий образования вмещающей осадочной породы при условии, если известны физ.-хим. параметры возникновения самих аутигенных минералов. Генетич. положение минерала определяется правильно только с учетом общегеологич. данных о породе, результатов петрографо-минералогич. исследований и данных о минер. парагенезисе. Р. Хмельницкий

730. Изменение ильменита в прибрежно-морских россыпях. Бейли, Камерон, Спедден, Уит (The alteration of ilmenite in beach sands. Bailey S. W., Cameron E. N., Spedden H. R., Weege Randall J.), Econ. Geol., 1956, 51, № 3, 263—279 (англ.)

Изучены продукты стадийного изменения ильменита из прибрежно-морских россыпей Мозамбика, Цейлона, Флориды и Бразилии. Ильменит изменяется в аморфные окислы Fe и Ti (образующие механич. смесь или изоморфное соединение), которые затем переходят в агрегат ориентированных микроскопич. кристаллов рутила или, реже, брукита (лейкоксен). Выделены 3 основные стадии изменения, продукты которых различаются по хим. составу, цвету, оптич., рентгеновским и магнитным свойствам. На электромагнитном сепараторе получены фракции, обогащенные продуктами той или иной стадии изменения ильменита, причем магнитная проницаемость убывает от ильменита к лейкоксену. Для образца из Мозамбика фракция, отличающаяся при силе тока 0,25 а, содержит 56,90%  $\text{TiO}_2$  и 28,15% FeO, при 0,8 а 82,1%  $\text{TiO}_2$  и 6,9% FeO, оставшаяся немагнитная фракция содержит 95,2%  $\text{TiO}_2$  и 0,9% FeO. Арканзит, описанный другими авторами как продукт изменения ильменита (Miller R., Amer. Mineralogist, 1945, 30, 65—75), в изученных образцах обнаружен не был. Изменение ильменита, вероятно, происходило в гипергенных условиях на конечных стадиях переноса зерен или непосредственно в россыпях. В. Александров

**731. О новообразовании турмалина в нижнекембрийских отложениях Иркутского амфитеатра. Тихомирова Н. Я.,** Материалы Всес. н.-и. геол. ин-та, 1956, вып. 8, 126—132

Изучены процессы регенерации терригенных зерен турмалина (Т) в названных отложениях по материалам Бельской опорной скважины в интервале глубин 1000—1922 м. В отложениях обнаружены минералы ряда драгит — шерл и ряда шерл — альбит. На окатанные кристаллы этих минералов с одного конца по оси *Np* нарастает новообразованный Т, сохраняющий оптич. ориентировку первичного Т, но отличающийся более слабой окраской, большей прозрачностью и пониженным показателем преломления. Отмечены две стадии регенерации Т: 1) образование наростов и кайм неправильной формы; 2) нарастание отдельных тонкопризматич. идиоморфных кристаллов или их шетковидных скопления. Кол-во регенерированных зерен Т увеличивается в горизонтах, содержащих повышенные кол-ва регенерированных зерен кварца, полевых шпатов, а также аутигенных кристаллов кварца, халцедона и опала. Предполагается, что первая стадия регенерации протекала в материнских породах питающей провинции (вероятно, районы Восточных Саян, Енисейского кряжа и Прибайкалья). Т второй стадии регенерации образовался, очевидно, аутигенным путем в ходе диагенеза, а может быть, и эпигенеза осадков. Перечислены все находки аутигенного Т, описанные в литературе. В. Александров

**732. Месторождение глиногипса в Кызыл-Ординской области. Воскобойников М. Е.,** Вести. АН КазССР, 1956, № 5, 62—67

Определен хим. состав, получены термограммы и выявлены технологич. свойства глиногипса (ГГ) из неогеновых отложений Тузбулакской брахиантиклинали. Кол-во  $\text{CaSO}_4 \cdot 2\text{H}_2\text{O}$  в месторождении колеблется от 59,0 до 91,7%. Приведены стратиграфич. колонка, профиль и план месторождения, а также таблица трех полных хим. анализов — порошковой и игольчатоложностной разновидностей ГГ. Следуя В. Г. Сагуну (РИХим, 1956, 64755), автор считает, что ГГ образовался путем выкристаллизации сульфата и карбоната Са при испарении грунтовых вод, в условиях аридного климата. На это указывает наличие в районе месторождения влаголюбивой растительности, которая при дальнейших геологич. работах может служить предварительным поисковым признаком на ГГ. Г. Воробьев

**733. Спектрографическое исследование распределения микроэлементов в гранодиорите и его продуктах выветривания. Ямасак, Иида, Йокои** (A spectrographic determination of the distribution of trace elements in a granodiorite and in its weathering products. Yamasaki Kazuo, Iida Chu-zo, Yokoi Hajime), J. Earth Sci. Nagoya Univ., 1955, 3, № 1, 58—64 (англ.)

Исследован образец материнской породы из Рокку-тё (Японии) и 6 образцов продуктов выветривания, взятых на различном расстоянии (до 200 см) от поверхности. Микроэлементы Ba, Ce, Co, Cr, La, Ni, Pr, Sr, V и Zr анализировались спектрографич. путем (точность определения  $\pm 30\%$  для Ba, Cr, Zr и  $\pm 50\%$  для Co, Ni, La, V, Ce и Pr). Величины содержания основных элементов в материнской породе и наиболее выветренном образце соответственно равны (в %):  $\text{SiO}_2$  73,31; 61,41;  $\text{Al}_2\text{O}_3$  13,55; 18,31;  $\text{Fe}_2\text{O}_3$  0,21; 2,22; FeO 1,44; 0,20;  $\text{TiO}_2$  0,30; 0,23; MnO 0,31; 0,26; CaO 1,94; 0,44; MgO 0,36; 0,42;  $\text{Na}_2\text{O}$  3,61; 1,94;  $\text{K}_2\text{O}$  2,84; 1,74; потеря при прокаливании 1,07, 11,95; содержание микроэлементов (в  $1 \cdot 10^{-4}\%$ ): Ba > 1,000, 1,000; Ce 200, < 60; Co 7, 7; Cr < 10, 10, La 14, 7; Ni 40, 100; Pr 50, 7; Sr > 1,000, 1,000; V < 3, 100; Zr 200, 350. Р. Хмельницкий

**734. Несколько заметок о верруканских аркозах между селами Клуковна и Маргечаны (хребет Черной горы) в связи с вопросом турмалинизации. Птак** (Niekol'ko poznámok k verukánským arkózam medzi Kluknavou a Margecanmi (hrebeň Čiernej hory) v súvislosti s otázkou turmalinizácie. Pťák Jozef), Geol. práce. Zprávy, 1956, № 5, 148—152 (словац.; рез. рус., нем.)

Названные аркозы состоят из кварца, полевого шпата, мусковита и биотита с серицито-хлоритовым цементом. Присутствие в отдельных случаях заметных кол-в турмалина связывается с гидротермальными процессами Спичско-гемерского оруденения. Дальнейшее изучение турмалина в горных породах Карпат может решить вопрос об относительном возрасте этого оруденения. Г. Воробьев

**735. Исследование физико-химических свойств расплавленного стекловидного и перекристаллизованного базальта. Сообщение I. Изучение линейного расширения расплавленного стекловидного базальта. Абрамян А. В.,** Изв. АН АрмССР. Физ.-матем., естеств. и техн. н., 1956, 9, № 2, 13—21 (рез. арм.) По кривым термич. коэфф. линейного расширения стержней ереванского базальта из восстановленных и обыкновенных расплавов не отличаются друг от друга. Коэфф. линейного расширения стержней лежит в пределах: для вытянутых из обыкновенного расплава при  $1350^\circ$   $25 \cdot 10^{-7}$ ; при  $1250^\circ$   $15 \cdot 10^{-7}$ ; для вытянутых из восстановленного расплава при  $1350^\circ$   $20 \cdot 10^{-7}$ ; при  $1250^\circ$   $10 \cdot 10^{-7}$ . Т-ра перехода хрупкого состояния в вязкое равна  $610 \cdot 625^\circ$ . При т-рах ниже точки перехода происходят хим. превращения; связанные с процессами окисления и восстановления и с сорбционными явлениями. Базальтовые стекловидные стержни имеют термич. гистерезис, равный  $50 \cdot 100^\circ$ . Р. Хмельницкий

**736. Инертные газы в геохимических исследованиях природных газов. Флоренский К. П.,** Вести. АН СССР, 1956, № 6, 92—94

Описан прибор высокой чувствительности ( $\sim 10^{-6}$  мл газа), сконструированный в Институте геохимии и аналитич. химии АН СССР, для определения суммы аргона, криптона и ксенона (I) и суммы гелия и неона (II). Соотношение между I и II определяет время циркуляции воды в земной коре или время существования газового месторождения. «Эффективный возраст», показывающий время, необходимое для получения в со-

ставе воды данного соотношения I и II для пластовых вод Средней Сибири, определяется величинами: надмерзлотная грунтовая вода 0—1·10<sup>3</sup> лет, сульфатно-гидрокарбонатные источники 10<sup>4</sup>—10<sup>5</sup> лет, хлоридно-натриевые более 10<sup>6</sup> лет. Разработана диагностическая классификация газов Сибирской платформы: современные газы II: I < 0,4%, четвертичные и разб. газы II: I ≈ 0,4—4%, древние газы II: I > 4%. Р. Хмельницкий

**737. Минералогия среднедевонского К-бентонита.** Уивер (Mineralogy of the middle devonian tioga K-bentonite. Weaver Charles E.), Amer. Mineralogist, 1956, 41, № 3-4, 359—362 (англ.)

С помощью р-ции с этиленгликолем, а также хим. рентгеноскопич. и термич. анализов изучены К-бентониты девона и ордовика из 6 различных районов США. Результаты хим. анализа девонского бентонита из Западной Виргинии и ордовичских бентонитов (среднее из 6 анализов) соответственно равны (в %): SiO<sub>2</sub> 47,0, 52,7; Al<sub>2</sub>O<sub>3</sub> 28,4, 22,1; Fe<sub>2</sub>O<sub>3</sub> 0,15, 2,24; MgO 1,92, 3,45; CaO 0,91, 1,20; Na<sub>2</sub>O 0,4, 0,46; K<sub>2</sub>O 5,0, 6,06; TiO<sub>2</sub> 0,3, 0,4; H<sub>2</sub>O—11,50, 3,78; H<sub>2</sub>O+ 4,26, 5,79. Результаты рентгеноструктурного и термич. анализов показывают, что кол-во конституционной воды может оказаться завышенным. Р. Хмельницкий

**738. Предварительный отчет о петрографии кристаллических пород Черной горы между селами Маргечаны и Клукунава.** Птак (Predbezná zpráva o petrografii krystalinika Čiernej hory medzi Margecanmi a Kluknavou. Pták Jozef), Geol. práce. Zpráva, 1956, № 5, 143—147 (словац.; рез. русс., нем.)

Названные породы относятся к верруканской серии (мезозой и палеоген) и включают, с одной стороны, различные парагнейсы, а с другой — гранитизированные и мигматизированные образования. Гранитизация сопровождалась заметным привнесом Na и Ca (полевые шпаты). Процессы хлоритизации и альбитизации происходили в связи с образованием сидерито-сульфидных рудных жил. Г. Воробьев

**739. Генезис титаномagnetитов и связанных с ними пород в районе озера Санфорд, штат Нью-Йорк.** Гилсон (Genesis of titaniferous magnetites and associated rocks of the Lake Sanford district, New York. Gillson J. L.), Mining Engng, 1956, 8, № 3, 296—301 (англ.)

На основании изучения положения и структуры рудных зон, минералогии, парагенезиса и взаимоотношений минералов в шлифах автор приходит к выводу о метасоматич. генезисе руд названного месторождения. В результате процесса андезинизации апортозитов под действием р-ров, содержащих Na, Fe и Mg, лабрадор замещался андезином, возможно, с одновременным образованием скандолита. В некоторых разностях апортозитов привнос Fe и Mg привел к выделению железомagneзиальных силикатов, с образованием метабобро. Под действием более поздних р-ров в апортозитах и метабобро метасоматически образуются ильменит, магнетит, гранат, апатит и шпинель. Площадь, на которой проявлено рудообразование, значительно меньше, чем площадь андезинизации. Рудные р-ры проникали по зонам разгнейсования, дробления и по разломам. Рудные минералы не затронуты тектонич. процессами. Андезинизация основных пород, по мнению автора, сходна с альбитизацией в гранитных породах. В. Александров

**740. Химизм и территориальное распределение третичных и четвертичных изверженных пород Эгейского района и прилегающих областей.** Параскевопулоу (Über den Chemismus und die provincialen Verhältnisse der tertiären und quartären Ergußsteine des ägäischen Raumes und der benachbarten Gebiete. Paraskevopoulos Georg M.),

Tschermaks mineral. und petrogr. Mitt., 1956, 6, № 1-2, 13—72 (нем.)

Проведены хим. анализы свыше 250 образцов лав, разделенных на 3 типа по провинциям: тихоокеанский, атлантический и средиземноморский. Приведены вариационные диаграммы, отражающие хим. особенности названных пород. Р. Хмельницкий

**741. О некоторых минерало-геохимических особенностях пустынно-континентальных формаций.** Попов В. И., Воробьев А. Л., Зап. Узбекист. отд. Всес. минералог. о-ва, 1955, вып. 8, 231—239

Обзор. Библ. 65 назв.

Р. Хмельницкий

**742. Нефть и органическое вещество в нефтеносных породах.** Хант, Джеймсон (Oil and organic matter in source rocks of petroleum. Hunt John M., Jamieson George W.), Bull. Amer. Assoc. Petrol. Geologists, 1956, 40, № 3, 477—488 (англ.)

Исследовано 36 образцов осадочных пород различного возраста, генезиса и состава, взятых на различных глубинах в нескольких штатах США. Органич. в-во выделялось экстрагированием смесью (в отношении к размолотой породе 5:1), состоящей из 70% бензола, 15% ацетона и 15% метанола. Практически все глинистые сланцы и карбонатные породы содержат органич. в-во, присутствующее в трех формах: 1) растворимые углеводороды, сходные по составу с тяжелой нефтяной фракцией; 2) растворимый асфальт, сходный с нефтяным асфальтом; 3) нерастворимое органич. в-во — кероген. Старые осадочные образования содержат в 5 раз больше масла, чем новые несформировавшиеся. Типичные старые структуры, давшие много нефти, содержат еще на 1 м<sup>3</sup>: 0,8 л нефти, 2,5 л асфальта и ~32,3 л керогена. Распределение органич. в-во в нерезервуарных породах осадочного происхождения зависит от формации и фацialsных особенностей. Р. Хмельницкий

**743. Геохимические методы поисков полезных ископаемых.** Гинзбург И. И., Вестн. АН СССР, 1956, № 6, 58—64

Геохимические методы поисков, основанные на массовом колич. определении в малых навесках элементов, присутствующих в виде следов, требуют быстрой и точной аналитич. методики. Большое значение имеет в этом отношении спектральный полуколич. анализ. Дальнейший прогресс геохим. поисков должен идти по пути использования одной пробы для определения 6—10 и более хим. элементов. Геохим., гидрохим., биохим. и геоботанич. методы поисков получают все большее распространение. Проведение комплексных исследований требует создания объединенных поисковых партий и работы лабораторий на местах. Для предварительного изучения значительных площадей необходима геохим. съемка в масштабах от 1:500 000 до 1:100 000, для картированных районов или известных рудных полей при детальном геохим. поисках — в масштабах 1:100 000 до 1:10 000. Р. Хмельницкий

**744. Открытие с воздуха радиоактивных минеральных отложений.** Грегори (Aerial detection of radioactive mineral deposits. Gregory A. F.), Canad. Mining and Metallurg. Bull., 1955, 48, № 520, 479—485 (англ.)

Изучение материалов воздушной радиометрич. съемки, проведенной в 1943—1954 гг., позволяет сделать ряд выводов. Для успешного открытия радиоактивности ненарушенных жильных тел съемка должна производиться с высоты менее 50 м. Осадочные урановые отложения и перматиты могут быть открыты на значительно большей высоте (более 150 м). Для открытия радиоактивных аномалий в изверженных и метамор-



фич. комплексах необходима небольшая высота полета. Наиболее удобным летательным аппаратом является вертолет.

Л. Кузьмина  
745. О карбонатобразовании и химическом составе рап озер Кулундинской степи. Баранов К. А., Изв. АН СССР, Сер. геол., 1956, № 5, 92—98

Приведены результаты обработки накопленных статистич. материалов по гидрохимии и карбонатобразованию в водоемах с уточнением исходного диффузного материала и более эффективным способом выражения хим. состава. С 1931 по 1944 г. отмечено общее увеличение солёности озер, в процессе осолонения осуществлялась непрерывная дифференциация растворенных солей. Хим. состав осадков озер за это же время оставался однообразным по всей площади. Установлено два типа озерных конкреций: кальцито-магнезитовый и кальцитовый с практически постоянным составом конкреций внутри каждого типа. Конкрециеобразование, как и осадкообразование, не зависит от изменения гидрохим. режима водоемов (в пределах рассмотренных конкреций) и, возможно, обусловлено сопереизменением вод различного хим. состава и т-ры.

Р. Хмельницкий  
746. Миграционная способность химических элементов в коре выветривания. Перельман А. И. В сб.: Кора выветривания, вып. 2. М., АН СССР, 1956, 92—100

Предложена расчетная ф-ла миграционной способности хим. элементов в коре выветривания:  $P_X = P_Y \times \frac{m_X n_Y}{m_Y n_X}$ , где  $P_X$  и  $P_Y$  — миграционная способность элементов X и Y,  $m_X$  и  $m_Y$  — среднее содержание элементов X и Y в воде реки,  $n_X$  и  $n_Y$  — среднее содержание соответствующего элемента в горных породах данного района, вовлеченных в процесс выветривания и дренируемых водами, питающими эту реку. Автор отмечает, что миграционная способность зависит: 1) от свойств элемента (положение в периодич. системе, радиус иона, валентность, поляризационные свойства и т. д.), 2) от минер. состава пород и типа кристаллич. решетки, в которую входит данный элемент, ее податливость к выветриванию, 3) от влияния организмов и природных вод. См. также РЖХим, 1956, 12667.

В. Штери  
747. Методы различения смеси грунтовой и морской воды от гидротермальной воды. Скофилд (Methods of distinguishing sea-ground-water from hydrothermal water. Schofield J. C.), N. Z. J. Sci. and Techn., 1956, B37, № 5, 597—602 (англ.)

На основании анализа 14 образцов из США, Новой Зеландии и Исландии (по литературным данным) предлагается отличать морскую воду, прошедшую через породы, от собственно морской по изменению в соотношении  $Mg^{2+}$ ,  $Ca^{2+}$ ,  $Na^+$  и  $K^+$  при равном содержании  $Cl^-$ . Смесь грунтовой и морской воды можно отличать

от гидротермальной по величине отношения  $Cl^-/Br^-$  или  $Cl^-/Mg^{2+}$ . Для морской воды эти величины соответственно равны 302 и 23—25, для грунтовой 129—834 и 72.

Р. Хмельницкий  
748. Классификация натуральных вод Дурона и химический состав атмосферных осадков в СССР (обзор). Чилингар (Durov's classification of natural waters and chemical composition of atmospheric precipitation in USSR: a review. Chilingar George V.), Trans. Amer. Geophys. Union, 1956, 37, № 2, 193—196 (англ.)

См. Докл. АН СССР, 1948, 59, № 1, 87—90; РЖХим, 1956, 19039.

Г. Воробьев  
749. Свартедикет. Северозападная олиготрофная зона. Гидрографическо-химическое исследование 1942—1943. Гордер, Тейсен (Svartediket. Et vestnorsk oligotroft ferskvann. Hydrografisk-kjemiske undersøkelser 1942—1943. Gaarder Torbjørn, Theisen E.), Arbok Univ. Bergen. Naturvidensk., 1953 (1954), № 4, 1—53 (норв.; рез. англ.)

Озеро Свартедикет площадью 198 012 м<sup>2</sup> и с наибольшей глубиной 36,6 м имеет периоды летней и зимней стагнации и весенней и осенней циркуляции. Летом т-ра в эпилимнионе 16,3°, в гипolimнионе 6°, слой скачка хорошо развит между 5—9 м. Прозрачность 3—6 м. Содержание O<sub>2</sub> вследствие малого развития фитопланктона никогда не поднимается выше 100% насыщения, минимум O<sub>2</sub>, наблюдаемый в августе-сентябре в придонных слоях, ≥80%. Поглощение O<sub>2</sub> летом в гипolimнионе равно 0,017 мг/л за сутки при т-ре ~6°. Р-ция воды кислая (pH—5,0—6,18). Окисляемость 4,6—12 мг/л KMnO<sub>4</sub>. Нитратов 34—200 мг/м<sup>3</sup> N, фосфатов 0,4—2,6 мг/м<sup>3</sup> P, PN в 72% случаев >100, в 27% 40—100 и только в одном случае 36. Это показывает, что фосфаты всегда находятся в минимуме. Фенольных в-в 0,01—0,12 мг/л; их кол-ва изменяются параллельно окисляемости. Иногда отмечались фенольные в-ва при хлорировании по привкусу. В. Кошшин

750 Д. Фиксация и выделение аммиака почвами и некоторыми минералами. Хануэй (Fixation and release of ammonium in soils and certain minerals. Hanway John J. Abstr. doct. diss., Iowa State Coll., 1954), Iowa State Coll. J. Sci., 1956, 30, № 3, 374—375 (англ.)

См. также: Методы хим. анализа 317, 1203, 1222, 1228, 1233, 1255, 1261, 1267, 1270, 1323, 1324, 1548. Структура и состав минералов 178, 181—183. Состав почв и природных вод 1231, 1781. Новые элементы 640. Микроэлементы и минералы в живых организмах 519—523Бх, 751Бх, 774Бх, 835Бх, 953Бх, 962—964Бх. Др. вопр. 325, 343, 574, 575, 583, 585, 586, 603, 607, 608, 636, 1408, 1543, 1546, 1556—1559, 1784, 1787, 1792

## ОРГАНИЧЕСКАЯ ХИМИЯ

### ТЕОРЕТИЧЕСКИЕ И ОБЩИЕ ВОПРОСЫ ОРГАНИЧЕСКОЙ ХИМИИ

Редактор М. Е. Вольпин

751. Строение сероуглерод-пиперазинового комплекса. Дандердейл, Уоткинс (The structure of the piperazine-carbon disulphide complex. Dunderdale J., Watkins T. J.), Chemistry and Industry, 1956, № 11, 174—175 (англ.)

Изучено строение комплекса состава C<sub>5</sub>H<sub>10</sub>N<sub>2</sub>S<sub>2</sub> (I), образующегося из CS<sub>2</sub> (II) и пиперазина (III) и широко применяющегося в качестве противоглистного средства. При действии C<sub>6</sub>H<sub>5</sub>CH<sub>2</sub>Cl (IV) на шел. р-р I образуется смесь бензиловых эфиров пиперазинкарбодитионовой-1 к-ты HN(CH<sub>2</sub>CH<sub>2</sub>)<sub>2</sub>NCSSCH<sub>2</sub>C<sub>6</sub>H<sub>5</sub> (V—к-та) и пиперазиндикарбодитионовой-1,4 к-ты C<sub>6</sub>H<sub>5</sub>CH<sub>2</sub>SC(=S)N(CH<sub>2</sub>CH<sub>2</sub>)<sub>2</sub>NC(=S)SCH<sub>2</sub>C<sub>6</sub>H<sub>5</sub> (VI—к-та). Авторы делают вывод, что при действии II на III образуется как V так и VI. Если в р-цию ввести 12 молей III на

1 моль II, то образуется в-во, которое с IV в щел. среде дает только бензиловый эфир V. Действием воды, р-ра диамида VI на водн. р-р дихлоргидрата III получена исключительно диниперазиновая соль VII, которая с IV дает с колич. выходом бензиловый эфир VI и III. Авторы считают, что I имеет полимерную структуру, состоящую из мономеров V и VI, за счет связи между CSSH-радикалом одной молекулы и иминогруппой второй молекулы; эта связь по своему характеру аналогична водородной связи.

**752.** К вопросу о структуре и реакциях органических дисульфидов. Виланд, Шван (Zur Struktur und Reaktionsweise organischer disulfide. Wieland Theodor, Schwahn Helga), Chem. Ber., 1956, 89, № 2, 421—428 (нем.)

С помощью радиоактивной серы  $S^{35}$  показано, что при восстановительном расщеплении на тиолы несимметрич. органич. дисульфидов (ДС), содержащих  $S^{35}$

в одном положении:  $RS^*SR' \rightarrow RSH + R'SH$ , изотопного обмена серы между обоими положениями в ДС не происходит. Это подтверждает линейную структуру ДС и отсутствие даже самых малых кол-в молекул с разветвленной цепью  $RS(=S)R'$ . Восстановительное расщепление ДС производили  $NaBH_4$  в водн. р-рах (на 1 ч. ДС брали 5 ч.  $NaBH_4$ ) при быстром нагревании до  $40^\circ$ , после чего избыток  $NaBH_4$  разлагали  $CH_3COOH$ . Меркаптаны выделяли в виде тиозфиров гликолевой к-ты  $RSCH_2COOH$ , образующихся при прибавлении в реакционную смесь иодуксеной к-ты. Разделение их проводили электрофорезом на бумаге. Смешанные ДС получали: 1) окислением смеси эквимольных кол-в двух тиолов в водн. р-рах или при рН 8 просасыванием через р-р воздуха, или в слабо кислой среде иодом; при этом всегда образуются равные кол-ва обоих симметрич. ДС и несимметрич. ДС; 2) действием тиола на симметрич. ДС. Этот метод удобен для получения меченых соединений, так как, если взять меченый симметрич. ДС и избыток немеченого тиола, то всю  $S^{35}$  удастся выделить в виде несимметрич. ДС. К водн. р-ру симметрич. ДС при рН 8 прибавляют 4—5-кратный весовой избыток тиола и оставляют на несколько часов при  $\sim 20^\circ$ . Так были получены ДС на цистенинотионов и тиогликолевой к-ты (I); 3) из двух симметрич. ДС растворением их в воде и прибавлением небольшого кол-ва тиола, соответствующего одному из ДС. Через несколько часов при  $\sim 20^\circ$  образуется несимметрич. ДС. Выделение несимметрич. ДС во всех случаях производилось электрофорезом на бумаге (РЖХим, 1956, 36340). Этими методами были получены ДС из следующих соединений: глутатион (II) + I; цистенин (III) + I;  $\beta$ -аминоэтилмеркаптана (IV) + I; IV + III; II + III. Для синтеза меченого цистина был получен  $P_2S_5^{35}$  из 4 г  $S^*$  и 1,5 г красного Р осторожным нагреванием в токе  $CO_2$ . Полученный  $P_2S_5^{35}$  нагревали с лед.  $CH_3COOH$  до  $160^\circ$ . Цистин получали из меченой тиоуксеной и ацетаминонакриловой к-ты (см. Schöberl, Wagner, Naturwissenschaften, 1947, 34, 189). Общий выход после очистки 40%. А. Рекашева

**753.** Изомерия оксимочевин. VII. Реакция гидроксиламина с циановой кислотой в безводном эфире. Кофод (On the isomerism of hydroxyurea. VII. The reaction of hydroxylamine with cyanic acid in anhydrous ether. Kofod Helmer), Acta chem. scand., 1956, 10, № 2, 256—260 (англ.)

Как было показано ранее, взаимодействие  $NH_2OH$  и  $HOCN$  (I) дает смесь двух изомеров оксимочевин с т. пл.  $140^\circ$  (IIa) и  $72^\circ$  (IIб). При проведении р-ции в водн. р-ре при  $0^\circ$  образуются почти равные кол-ва изомеров с некоторым преобладанием формы IIб (см. РЖХим, 1954, 37615). С целью проверки предположения, что образование двух изомеров оксимочевин

обусловлено существованием двух таутомерных форм I,  $HN=CO \rightleftharpoons N=COH$  (Ia и Ib), проведена р-ция  $NH_2OH$  и I в безводн. эфире, где в продуктах р-ции следует ожидать главным образом форму IIa, так как таутомерное равновесие I сдвинуто в сторону формы Ia. 4 мл безводн. эфира насыщали при  $0^\circ$  свежеприготовленным  $NH_2OH$  и добавляли по каплям р-р свежеприготовленной I в безводн. эфире до прекращения выпадения осадка, который был отцентрифугирован, промыт эфиром и высушен в вакууме. Хроматографией на бумаге установлено, что осадок представляет собой IIa. Более чувствительный полиграфич. метод показал присутствие в осадке  $\sim 10\%$  IIб. Таким образом, экспериментально подтверждено, что изомерия оксимочевин есть следствие таутомерии I. Сообщение VI см. РЖХим, 1956, 68810. Г. Балуева

**754.** Электронные влияния заместителей. Реакционная способность фенилпропионовых кислот. Роберте, Карбони (Electrical effects of substituted groups. Reactivities of substituted phenylpropionic acids. Roberts John D., Carboni Rudolph A.), J. Amer. Chem. Soc., 1955, 77, № 21, 5554—5558 (англ.)

Сделана попытка путем исследования реакционной способности замещ. фенилпропионовых к-т  $RCH_2CH=CHCOOH$  (I), где  $R = Cl, NO_2$ , определить, какую роль, сравнительно с влиянием поля, играет индуктивный эффект. Найдены следующие значения констант диссоциации ( $K \cdot 10^4$ ) I в 50 об. %-ном водн. спирте при  $25^\circ$  (р-ция A): H, 2,63; 2-Cl, 3,09; 3-Cl, 3,64; 4-Cl, 3,39; 2- $NO_2$ , 4,08; 3- $NO_2$ , 5,25; 4- $NO_2$ , 5,50. Полученные результаты рассматриваются совместно с данными и по скорости р-ции I с дифенилдиазометаном в ас. спирте и в диоксане при  $30^\circ$  (р-ции B и C) (Roberts J. D. с сотр., J. Amer. Chem. Soc., 1949, 71, 2923; 1951, 73, 760) и по шел. гидролизу в 87,83% водн. спирте этиловых эфиров I (р-ция D) (Kindler K., Liebigs Ann. Chem., 1926, 450, 1). Для мета- и пара-замещ. для всех 4 р-ций найдена линейная зависимость кинетич. констант от  $\sigma$  Хамметта; получены следующие значения  $\lg k_0$  и  $\rho$  в уравн.  $\lg k/k_0 = \sigma \rho$  (перечисляются р-ция,  $\lg k_0$ ,  $\rho$ ): A, -3,57, +0,41; B, 1,286, +0,31; C, 0,498, +0,95; D, -0,149, +1,91. Зависимость  $\lg k$  от  $\rho K$  в р-циях B и D для мета- и пара-замещ. I выражается прямой линией, на которую укладываются также точки орто-замещ., указывая тем самым, что орто-эффект не играет здесь существенной роли. По реакционной способности (р-ции A—B) Cl-и азводные располагаются в порядке  $m > n > o > H$ , а  $NO_2$ -производные —  $n > m > o > H$ , что указывает на примерно одинаковую роль эффектов поля и индуктивного. В р-ции D эфиры орто-замещ. к-т реагируют быстрее, чем можно было бы ожидать по величине  $\rho K$  соответствующих к-т, что свидетельствует о преобладании эффекта поля. Г. Балуева

**755.** Относительная реакционная способность связи C—Cl  $\alpha$ - и  $\gamma$ -хлоралкилтриметилсиланов в реакции с иодистым калием. Мионов В. Ф., Докл. АН СССР, 1956, 108, № 2, 266—269

Для выяснения относительной реакционной способности связи C—Cl в р-циях бимолекулярного нуклеофильного замещения ( $S_N2$ ) изучены обменная р-ция  $\alpha$ -хлоралкилтриметилсилана (I) и  $\gamma$ -хлорпропилтриметилсилана (II) с KI. Показано, что галоген в  $\alpha$ -кремнехлоридах ( $\alpha$ -КРХ) значительно более подвижен, чем в  $\gamma$ -КРХ; при совместном кипячении 0,3 моля I и 0,3 моля II в р-ре ацетона выделено 0,21 моля  $\alpha$ -йодпропилтриметилсилана (III) и лишь  $\sim 0,03$  моля  $\gamma$ -йодпропилтриметилсилана (IV). Противоречие полученных результатов с ранее найденными данными (Sommer L. H., Dorfman E., J. Amer. Chem. Soc., 1946, 68, 488) о большей реакционной способности C—Cl-связи в  $\gamma$ -положении

к Si при взаимодействии  $\text{Cl}(\text{CH}_2)_n\text{SiCl}_3$  со спирт. щелочью объясняется, по-видимому, не столь различным механизмом р-ции  $\alpha$ - и  $\gamma$ -KPX со щелочью или KJ, сколько различным механизмом взаимодействия щелочи с  $\alpha$ - и  $\gamma$ - $\text{Cl}(\text{CH}_2)_n\text{SiCl}_3$ . Взаимодействием  $\alpha$  и  $\gamma$ -хлоралкилсилхлоридов с  $\text{RMgX}$  синтезированы следующие  $\alpha$ - и  $\gamma$ -KPX (указаны исходные в-ва, выход в %, т. кип. в  $^{\circ}\text{C}/\text{мм. рт. ст.}$ ,  $n_D^{20}$ ,  $d_4^{20}$ ): I,  $\text{CH}_3\text{MgCl}$  и  $\text{ClCH}_2\text{Si}(\text{CH}_3)_2\text{Cl}_2$  (V), 85, 97—98, —, —; II,  $\text{CH}_3\text{MgCl}$  и  $\text{Cl}(\text{CH}_2)_3\text{SiCl}_2$ , 84, 150,5/744, 1,4319, 0,8789;  $\gamma$ -хлорпропилдиэтилметилсилан,  $\text{C}_6\text{H}_5\text{MgBr}$  и  $\text{Cl}(\text{CH}_2)_3\text{Si}(\text{CH}_3)_2\text{Cl}_2$  (VI), 65,5, 64/3, 1,4483, 0,8376;  $\gamma$ -хлорпропилдиэтилметилсилан,  $n\text{-C}_3\text{H}_7\text{-MgBr}$  и VI, 58, 69—70/1, 1,4515, 0,8887;  $\alpha$ -хлорметилдипропилметилсилан,  $n\text{-C}_4\text{H}_9\text{MgBr}$  и V, 74,7, 227,5/767, 1,4480, 0,8827;  $\alpha$ -хлорметилдифенилметилсилан,  $\text{C}_6\text{H}_5\text{MgBr}$  и V, 60,6, 93,5/1, 1,5717, 0,9945;  $\alpha$ -хлорметилтрипропилсилан,  $n\text{-C}_3\text{H}_7\text{MgBr}$  и  $\text{ClCH}_2\text{SiCl}_3$ , 25, 222/733, 1,4530, 0,8119.

Кипячением  $\alpha$ - и  $\gamma$ -KPX с KJ в р-ре ацетона синтезированы соответствующие  $\alpha$ - и  $\gamma$ -кремнеидиды (указаны продолжительность кипячения в час, выход в %, т. кип. в  $^{\circ}\text{C}/\text{мм. рт. ст.}$ ,  $n_D^{20}$ ,  $d_4^{20}$ ):  $\alpha$ -йодметилдипропилметилсилан, 45, 71,5, 227—228/746, 1,4944, 1,2742; IV, 32, 43, 191—192/744, 1,4900, 1,3256; III, 32; 75, 139—139,5, 1,4915, —. В результате хлорированием 25 час  $(\text{CH}_3)_2\text{SiCl}_2$  при  $t$ -ре  $< 126^{\circ}$ , выход V 76,5%, т. кип. 120—121 $^{\circ}$ ; наряду с V образуется  $\text{Cl}_2\text{CHSi}(\text{CH}_3)_2\text{Cl}_2$  (VII), выход 16,5%, т. кип. 148—149 $^{\circ}$ . При более высокой  $t$ -ре (до 149 $^{\circ}$ ) выход VII возрастает до 56%, а выход V падает до 11,8%. Хлорирование I (20 час.) в условиях капельно-жидкой конденсации (до 135 $^{\circ}$ ) приводит к  $\text{Cl}_2\text{CHSi}(\text{CH}_3)_3$ , т. кип. 131—132 $^{\circ}$ , и  $(\text{CH}_3)_3\text{Si}(\text{CH}_2\text{Cl})_2$ , т. кип. 153 $^{\circ}$ , в отношении 1:1,8; общий выход 88% на внешедший в р-цию I. Л. Хейфиз

756. Кислотные свойства диоксидарилеульфонон. Беркман Я. П., Полонская Л. А., Науч. зап. Львовск. политех. ин-та, 1956, вып. 22, 49—60

С целью выяснения влияния заместителей на кислотность фенолов методом потенциометрич. титрования со стеклянным электродом определены константы диссоциации ( $K$ ) фенола,  $o$ -,  $m$ - и  $p$ -крезолов (I—III) и сульфонов из них (Ia—IIa), 4-метокси- и 4,4-диоксидифенилсульфонон (IV и V) в 71,9 вес. % спирте. Получены следующие значения  $K$  при 24 $^{\circ}$ : фенол,  $1,52 \cdot 10^{-12}$ ; I,  $4,39 \cdot 10^{-13}$ ; Ia,  $1,32 \cdot 10^{-10}$  ( $K_2$   $6,46 \cdot 10^{-13}$ ); II,  $1,80 \cdot 10^{-13}$ ; IIa,  $2,41 \cdot 10^{-10}$  ( $K_2$   $1,49 \cdot 10^{-13}$ ); III,  $2,35 \cdot 10^{-13}$ ; IIIa,  $5,6 \cdot 10^{-9}$  ( $K_2$   $2,89 \cdot 10^{-11}$ ); IV,  $2,63 \cdot 10^{-10}$ ; V,  $5,31 \cdot 10^{-10}$  ( $K_2$   $1,93 \cdot 10^{-11}$ ). В воде для V  $K_1$   $2,67 \cdot 10^{-8}$ ,  $K_2$   $2,98 \cdot 10^{-9}$ .  $pK$   $p$ -фенолсульфокислоты в воде равно 8,91.  $K_1$  для IV и  $K_1$  V в 150—300 раз превышает  $K$  фенола; аналогичное повышение имеет место для Ia и IIa. Влияние группы  $\text{RSO}_2$  как заместителя в фенольном ядре приближается к влиянию нитрогруппы. Отношение  $K_1/K_2$  для V значительно меньше, чем для Ia—IIa, что указывает на усиление взаимодействия между гидроксильными в обоих ядрах под влиянием метальных групп. Г. Балуева

757. Реакции этилениминнов. VIII. Константы диссоциации. О'Рорк, Кланн, Эдуарде (Reactions of ethylenimines. VIII. Dissociation constants. O'Rourke Charles E., Clapp Lealyn B., Edwards John O.), J. Amer. Chem. Soc., 1956, 78, № 10, 2159—2160 (англ.)

Потенциометрическим методом получены следующие значения  $pK_a$  (при 25 $^{\circ}$  в водн. р-ре при ионной силе 0,1): этиленимин (I), 5,99; 2,2-диметил-I, 5,36; 2-этил-I, 5,69. Значительное повышение основности азота, вызванное введением  $S$ -алкилзаместителей, является еще одним подтверждением «ненасыщ. характера» трехчленных колец. Сообщение VII см. РЖХим, 1956, 74776. Г. Балуева

758. Строение и свойства циклических соединений.

III. Константы диссоциации простых  $\alpha$ ,  $\beta$ -ненасыщенных циклических кислот. Уилер, Лернер (Structure and properties of cyclic compounds. III. Dissociation constants of simple  $\alpha$ ,  $\beta$ -unsaturated cyclic acids. Wheeler Owen H., Lerner Isaac), J. Amer. Chem. Soc., 1956, 78, № 1, 63—64 (англ.)

Определены константы диссоциации ненасыщенных циклич. к-т  $\text{CH}_2(\text{CH}_2)_{n-1}\text{CH}=\text{CCOOH}$  (I,  $n=2-5$ )

и  $\text{CH}_2(\text{CH}_2)_n\text{C}=\text{CHCOOH}$  (II,  $n=3-5$ ). Для I наблюдаются те же закономерности, что и для предельных циклич. к-т (Roberts и др., J. Amer. Chem. Soc., 1951, 73, 50.0): т. е. чем меньше  $n$ , тем сильнее к-та. Особенно резко это сказывается у I ( $n=2$ ), где напряжение 4-членного кольца с двойной связью приводит к значительному увеличению константы диссоциации вследствие  $I$ -эффекта. В I ( $n=4, 5$ ) напряжение в кольце отсутствует, поскольку эти кольца имеют форму «полукресла». Константы диссоциации II меньше зависят от величины  $n$ ; отличия здесь объясняются различной степенью копланарности двойной связи и карбоксильной группы. Приведены константы диссоциации I и II в их ациклич. аналогах: I ( $n=2$ ), 7,2; I ( $n=3$ ) 0,78; I ( $n=4$ ), 0,38; I ( $n=5$ ), 0,23; тиглиновая к-та, 0,38; II ( $n=3$ ), 0,21; II ( $n=4$ ), 0,33; II ( $n=5$ ), 0,19; 3,3-диметилакриловая к-та, 0,39. Константы диссоциации были определены потенциометрич. титрованием водно-спирт. (1:1) р-ров к-т при 25  $\pm$  0,2 $^{\circ}$ . Предыдущее сообщение см. РЖХим, 1955, 49001. В. Райгородская

759. Подвижность серы в метиловом эфире диэтилдитиокарбаминной кислоты и никелевой соли этилксантогеновой кислоты. Кухтенко Н. П., Буркеев Л. Е., Миклухин Г. П., Докл. АН СССР, 1956, 106, № 6, 1023—1026

Исследован изотопный обмен между элементарной серой, меченой  $\text{S}^{35}$ , и метиловым эфиром диэтилдитиокарбаминной к-ты (I) и этилксантогеном никеля (II), в толуольном и бензольном р-рах соответственно. При эквимолекулярных соотношениях  $\text{S}^{35}$  и I и конц-ии реагентов  $\sim 0,25\text{M}$  при 1,6 $^{\circ}$  полупериод обмена  $\tau_{1/2}=4,5$  часа; при 170 $^{\circ}$   $\tau_{1/2}=0,75$  часа. Константы скорости обмена при 156 $^{\circ}$   $K=0,156$  час $^{-1}$ , при 170 $^{\circ}$  0,915 час $^{-1}$ ,  $E \approx 40$  ккал/моль. В обмен вступает один атом серы I, предположительно сера C=S-группы. Опыты проводились в запаянных ампулах в термостате. В системе  $\text{S}^{35}$ —II (80 мг S + 200 мг II в 20 мл бензольного р-ра) при 139 $^{\circ}$   $\tau_{1/2}=10$  час., при 150 $^{\circ}$  2 часа; при 159 $^{\circ}$   $K=0,07$  час $^{-1}$ ; при 150 $^{\circ}$  0,35 час $^{-1}$ . В обмен вступают все 4 атома серы молекулы II. Полученные данные показывают, что I и II обмениваются значительно медленнее, чем Na- и K-соли соответствующих к-т (РЖХим, 1956, 403). Авторы объясняют это, исходя из ранее предложенного механизма обмена серы тионовых групп, уменьшением отрицательного заряда на атомах серы связей C=S при переходе от поляризованных солей. щел. металлов к более ковалентным солям тяжелых металлов или эфирам исследованных к-т, за счет ослабления  $\sigma$ - $\pi$  сопряжения в дитиокарбоксильных группах последних, по сравнению с дитиокарбоксильными группами солей щел. металлов указанных тиокислот. А. Рекашева

760. Химия свободных радикалов. Лю Ю-чэн (自由基化学. 劉有成), 化学通報, Хуасюэ тунбао, 1956, № 6, 16—24 (кит.)

Обзор. Библи. 21 назв.

М. В.

761. Ароматическое замещение свободными радикалами. Нелсон (Aromatic substitution by free



radicals. Nelson Peter F.), J. Chem. Educ., 1955, 32, № 12, 607—610 (англ.)

Обзор по теории гомолитич. замещения в ароматич. ряду. Вибл. 30 назв. М. В.

762. Соли свободных радикалов триариламиния. Уолтер (Triarylammonium salt free radicals. Walter Robert J.), J. Amer. Chem. Soc., 1955, 77, № 22, 5999—6002 (англ.)

Получены пара-замещ. триариламинны общей ф-лы  $(n\text{-XC}_6\text{H}_4)_3\text{N}$  (I) и окислены до радикалов триариламиния (II), выделенных в виде перхлоратов. I получены 2 методами: а)  $2n\text{-XC}_6\text{H}_4\text{J} + n\text{-NH}_2\text{C}_6\text{H}_4\text{X} \xrightarrow[\text{K}_2\text{CO}_3]{\text{Cu}}$  I (X = CH<sub>3</sub>, C<sub>6</sub>H<sub>5</sub>, Cl, NO<sub>2</sub>) и б)  $n\text{-XC}_6\text{H}_4\text{J} + \text{CH}_3\text{CONHC}_6\text{H}_4\text{X} \xrightarrow[\text{HCl}]{\text{Cu}}$  I

$\xrightarrow[\text{H}_2\text{O, C}_2\text{H}_5\text{OH}]{\text{K}_2\text{CO}_3}$   $(n\text{-XC}_6\text{H}_4)_2\text{NCOCH}_3 \xrightarrow[\text{H}_2\text{O, C}_2\text{H}_5\text{OH}]{\text{HCl}}$   $(n\text{-XC}_6\text{H}_4)_2\text{NH} \xrightarrow[\text{Cu, K}_2\text{CO}_3]{\text{K}_2\text{CO}_3}$  I (X = OCH<sub>3</sub>, F, COOCH<sub>3</sub>). Метод (а) проще, но выделение I из смесей труднее II. Окисление проходит легче в случае электронодонорных заместителей (константа Хамметта  $\sigma < 0,5$ ). Окисление I до II (в отсутствие O<sub>2</sub>) проводилось AgClO<sub>4</sub> (для I, X = OCH<sub>3</sub>) или смесью AgClO<sub>4</sub> с Br<sub>2</sub> в эфир. р-ре; I (X = COOCH<sub>3</sub> и NO<sub>2</sub>) этим способом не окисляются. II устойчивы на воздухе, растворимы в CHCl<sub>3</sub>, C<sub>6</sub>H<sub>6</sub>, дихлор- и тетрахлорэтанах, ацетоне, спирте, имеют темносиню окраску (I, X = C<sub>6</sub>H<sub>5</sub>, зеленый). Разложение до смолообразных продуктов проходит быстрее в присутствии O<sub>2</sub> и при нагревании и сопровождается изменением окраски до зеленой, коричневой или бесцветной. Р-ры восстанавливаются гидрохиноном и Fe<sup>2+</sup>; CH<sub>2</sub>N<sub>2</sub> обесцвечивают их с выделением N<sub>2</sub>. Получены в отсутствие влаги воздуха следующие I и II (указаны X, выход в %, т. пл. I в °C, выход II в %, т. пл. перхлората II в °C): OCH<sub>3</sub>, 28, 94—96 (из бzl.-гексана), 85—95, 108—112; CH<sub>3</sub>, 11, 110—117 (из CH<sub>3</sub>COOH), 90, 129—130; C<sub>6</sub>H<sub>5</sub>, 7, 265—266, 75, 240—242; F, 37, 122—124 (сублим.), 85, 151—153 (разл. уже при ~20° в течение нескольких дней); Cl, 20, 148—149 (сублим.), 50—87, 155—157; COOCH<sub>3</sub>, 70, 138—140, —, 180—182.

В. Латышева

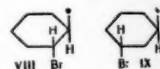
763. Арирование ненасыщенных систем свободными радикалами. V. Фенилирование *о*-ксилола, фенилтриметилсилана и бензотрифторида. Интерпретация явления ориентации при арировании замещенных бензолов. Рондестведт, Бланчард (Arylation of unsaturated systems by free radicals. V. Phenylation of *o*-xylene, phenyltrimethylsilane, and Benzotrifluoride. Interpretation of orientation phenomena in arylation of substituted benzenes. Rondestvedt Christian S., Jr, Blanchard Harry S.), J. Organ. Chem., 1956, 21, № 2, 229—237 (англ.)

Предлагается колич. теория ориентации, наблюдаемой при свободнорадикальном фенилировании замещ. бензолов. Преобладающее орто-пара-замещение объясняют стабилизацией резонансом *о*- и *п*- $\pi$ -комплексов. Обычное при этом преобладание орто-замещения объясняется вторичным фактором, состоящем в стремлении фенильного радикала к месту наибольшей электронной плотности, которое находится в случае электрофильных заместителей непосредственно на них и в орто-положении, вследствие индуктивного эффекта. Уменьшение процента орто-замещ. в ряду C<sub>6</sub>H<sub>5</sub>CH<sub>3</sub>, C<sub>6</sub>H<sub>5</sub>C<sub>2</sub>H<sub>5</sub>, *п*-изо-C<sub>8</sub>H<sub>9</sub>-C<sub>6</sub>H<sub>4</sub>CH<sub>3</sub>, *трет*-C<sub>4</sub>H<sub>9</sub>-C<sub>6</sub>H<sub>5</sub> объясняется ростом стерич. препятствий; ослабление орто-пара-ориентации объясняется уменьшением роли резонанса. Анализируются литературные и полученные в работе данные по свободнорадикальному фенилированию. ИК-спектроскопически определено, что фенилирование с помощью C<sub>6</sub>H<sub>5</sub>C(O) O OC(O)C<sub>6</sub>H<sub>5</sub> при 80—100° дает следующее соотношение изомерных бифенилов: 63%

2,3- и 37% 3,4- из *о*-ксилола; 31% *о*-, 45% *м*-, 24% *п*- из фенилтриметилсилана (I); 20% *о*-, 40% *п*-, 40% *м*- из бензотрифторида (II). Общая скорость фенилирования относительно скорости р-ции с бензолом равна 0,99 для II, 1,06 для I и 1,2 для C<sub>6</sub>H<sub>5</sub>OCH<sub>3</sub>. Сообщение IV см. РЖХим, 1956, 74905. В. Антоновский

764. Реакции атомов и свободных радикалов в растворе. XXXVIII. Реакции *транс*-1,2- и 1,3-дибромциклогексанов с реактивом Гриньяра в присутствии бромада кобальта. Хараш, Салло, Ньюденберг (Reactions of atoms and free radicals in solution. XXXVIII. The reactions of *trans*-1,2- and 1,3-dibromocyclohexanes with Grignard reagents in the presence of cobaltous bromide. Kharasch M. S., Sallo Jerome S., Nudenberg Walter.), J. Organ. Chem., 1956, 21, № 1, 129—135 (англ.)

В противоположность легко получаемому *транс*-1,2-дибромциклогексану (I) *транс*-1,3-дибромциклогексан (II) синтезировать труднее. Присоединение HBr к 3-бромциклогексану (III) с добавкой 3 мол. % аскардила или смеси *трет*-бутилоксианида с дифениламино приводит, однако, исключительно к II; степень чистоты и идентичность II, полученных обоими путями, подтверждена ИК-спектрами (приводятся кривые). При взаимодействии I с *изо*-C<sub>3</sub>H<sub>7</sub>MgBr в присутствии 5 мол. % CoBr<sub>2</sub> выделяется смесь эквивалентных кол-в пропана (IV) и пропилена (V) и образуется циклогексен (VI). Продуктами аналогичной р-ции II являются смесь IV—V (1:1), циклогексан, VI и 3,1,0-бидциклогексан (VII). Предложен свободнорадикальный механизм р-ции



$\text{RMgBr} + \text{CoBr}_2 \rightarrow \text{RCoBr} + \text{R} \cdot + (\text{CoBr}) \cdot$ ;  $2\text{R} \cdot \rightarrow \text{IV} + \text{V}$  (I здесь и далее *изо*-C<sub>3</sub>H<sub>7</sub>). Радикал (CoBr)· отрывает бром от I или II, переходя в CoBr<sub>2</sub>, а образующийся при этом *транс*-1,2- (VIII) или 1,3-дибромциклогексильные радикалы (IX) реагируют далее, напр.:  $\text{VIII} + \text{R} \cdot \rightarrow \text{VI} + \text{RBr}$ ;  $\text{VIII} + (\text{CoBr}) \cdot \rightarrow \text{VI} + \text{CoBr}_2$ ;  $\text{VIII} + \text{RMgBr} \rightarrow \text{VI} + \text{R} \cdot + \text{MgBr}_2$ ;  $2\text{VIII} \rightarrow \text{VI} + \text{C}_6\text{H}_{10}\text{Br}_2$ . Поскольку все четыре направления р-ции возможны и приводят к VI, основное из них выбрать трудно. Механизм образования продуктов р-ции II с *изо*-C<sub>3</sub>H<sub>7</sub>MgBr не ясен. Предполагают, что VII получается в результате взаимодействия IX с молекулой — акцептором, аналогично схеме для VIII. Сообщение XXXVII см. РЖХим, 1956, 64795. Ю. Сорокин

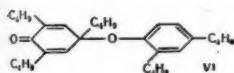
765. Влияние полярных заместителей и полярных растворителей на радикальные реакции распада. Лефлер, Бонд (The influence of polar substituents and polar solvents on radical decomposition reactions. Leffler John E., Bond W. Bradford), J. Amer. Chem. Soc., 1956, 78, № 2, 335—341 (англ.)

Проверено предположение, что р-ции гомолитич. разложения, переходное состояние которых имеет распределение зарядов, сходное с исходным, не чувствительны к полярным заместителям и р-рителям, тогда как при перераспределении зарядов в процессе разложения влияние полярности заместителей и р-рителя растет. Для этого исследовано разложение ряда дибензоилдлинимидов  $\text{RC(O)N=NC(O)R'}$  (R = R' = C<sub>6</sub>H<sub>5</sub>; (I); R = n - O<sub>2</sub>NC<sub>6</sub>H<sub>4</sub>, R' = n - CH<sub>3</sub>OC<sub>6</sub>H<sub>4</sub> (II); R = R' = CH<sub>3</sub>OC<sub>6</sub>H<sub>4</sub> (III)) в р-рах CCl<sub>4</sub>, C<sub>2</sub>H<sub>5</sub>OH, CH<sub>3</sub>OH, пиридине, C<sub>6</sub>H<sub>5</sub>CHO, C<sub>6</sub>H<sub>5</sub>CN и в смесях некоторых из них. Результаты сопоставлены с литературными данными по распаду перекиси бензоила. Иницирование полимеризации и состав продуктов указывают на образование радикалов во всех опытах. В р-рителях CCl<sub>4</sub>, C<sub>6</sub>H<sub>6</sub> и C<sub>6</sub>H<sub>5</sub>CN разложение шло относительно медленно. Нуклеофильные р-рители: спирты, амины и их смеси с C<sub>6</sub>H<sub>6</sub>, CCl<sub>4</sub> и C<sub>6</sub>H<sub>5</sub>CN значительно уско-

ради распада. В смеси  $\text{CCl}_4\text{--C}_2\text{H}_5\text{OH}$  разложение шло быстро и автокаталитически, так как  $\text{C}_6\text{H}_5\text{COCl}$ , образовавшийся при атаке радикалом  $\text{CCl}_4$ , реагируя с  $\text{C}_2\text{H}_5\text{OH}$ , давал  $\text{HCl}$ , сильно катализирующий распад. Ускоряющее действие нуклеофильных р-рителей объясняется образованием сольватированных радикалов. Изученная спектрофотометрически кинетика распада I—III интерпретируется с учетом конкуренции прямого распада, индуцированного распада и р-ции присоединения радикала к азосвязи. Добавки акрилонитрила, малонового эфира, гидрохинона и воздуха не ингибируют, а введение ацетанилида ускоряет распад I в р-ре  $\text{C}_6\text{H}_6$ . Скорость распада растет в ряду  $\text{III} < \text{II} < \text{I}$ . Авторы считают, что влияние полярных заместителей, р-рителей и катализаторов распада I—III и IV сходно с соответствующим их влиянием на нерадикальные р-ции. Это влияние приводит в большей степени к ускорению радикальных р-ций, чем к переходу к более быстрому гетеролитич. механизму. Не выяснено, происходит при этом ускорение первичного распада или простое увеличение зарождения радикалов из р-рителя для цепного распада. В. Антоновский

766. Окисление пространственно экранированных фенолов. IV. Стабильные феноксирадикалы. Кук, Кун, Фиану (Oxidation of hindered phenols. IV. Stable phenoxyl radicals. Cook Clinton D., Kuhn David A., Fianu Peter), J. Amer. Chem. Soc., 1956, 78, № 9, 2002—2005 (англ.)

При окислении щел. р-ром  $\text{K}_3\text{Fe}(\text{CN})_6$  2,6-ди-*m*-метил-4-алкокси- (I) и 4-*m*-метил-алкилфенолов (II) образуются устойчивые феноксирадикалы (III). III из I окрашены в красный, а III из II — в синий цвет. Между III и I или II в р-ре существует подвижное равновесие. III легко реагируют с  $\text{O}_2$ , образуя соответствующие перекиси 4,4-бис-циклогексадиенонов (IV). Показано, что при диспропорционировании III из 2,4,6-(*m*- $\text{C}_6\text{H}_4$ ) $_2\text{C}_6\text{H}_2\text{OH}$  (V) (см. РЖХим, 1956, 46781) образуются



V,  $(\text{CH}_3)_2\text{C}=\text{CH}_2$  и (VI). К охлажд. до  $5^\circ$  1 моль фенола + 5 мл конц.  $\text{H}_2\text{SO}_4$  прибавляют за 10 час. 3,42 моля  $(\text{CH}_3)_2\text{C}=\text{CH}_2$ , после обычной обработки получают 2,4,6-(*m*- $\text{C}_6\text{H}_4$ ) $_2\text{C}_6\text{H}_2\text{OH}$ , выход 16%. К р-ру 6 г КОН и 1 г  $\text{Na}_2\text{S}_2\text{O}_4$  в 50 мл воды при кипении в токе  $\text{N}_2$  прибавляют 20 мл  $(\text{C}_2\text{H}_5)_2\text{SO}_4$  и 5 г 2,6-(*m*- $\text{C}_6\text{H}_4$ ) $_2\text{C}_6\text{H}_2\text{OH}$  в 35 мл ацетона, через 3 часа выделяют 2,6-(*m*- $\text{C}_6\text{H}_4$ ) $_2\text{C}_6\text{H}_2\text{OH}$ , выход 70%. Получены следующие III и IV (указаны заместители в исходном феноле, т. кип. в  $^\circ\text{C}/\text{мм}$  и т. пл. в  $^\circ\text{C}$  фенола, т. пл. в  $^\circ\text{C}$  IV из п.): 2,4,6-(*m*- $\text{C}_6\text{H}_4$ ) $_2$ , —, 130—131, —; 2,4,6-(*m*- $\text{C}_6\text{H}_4$ ) $_2$ , 94—96/0,08, 0,8, —; 2,6-(*m*- $\text{C}_6\text{H}_4$ ) $_2$ -4-*m*- $\text{C}_6\text{H}_4$ , 118—119/0,02, —, 82—84 (разл.); 2,6-(*m*- $\text{C}_6\text{H}_4$ ) $_2$ -4- $\text{CH}_3$ , —, —, —; 2,6-(*m*- $\text{C}_6\text{H}_4$ ) $_2$ -4- $\text{CH}_3\text{O}$ , —, 103,5—104,5, 114—115; 2,6-(*m*- $\text{C}_6\text{H}_4$ ) $_2$ -4- $\text{C}_2\text{H}_5$ , —, 83—84, 125—126; 2,6-(*m*- $\text{C}_6\text{H}_4$ ) $_2$ -4-*m*- $\text{C}_6\text{H}_4$ , —, 99—100, 109—109,5 (разл.); 2,6-(*m*- $\text{C}_6\text{H}_4$ ) $_2$ -4- $(\text{CH}_3)_2\text{C}(\text{OCH}_3)$ , —, —, —; 2,6-(*m*- $\text{C}_6\text{H}_4$ ) $_2$ -4- $(\text{CH}_3)_2\text{C}(\text{OC}_2\text{H}_5)$ , —, —, —. Приведены  $\lambda_{\text{макс}}$  видимых и ИК-спектров III. Сообщение III см. РЖХим, 1956, 49124.

А. Гуревич

767. Торможение аутоокисления бензальдегида. Часть VII. Дальнейшие исследования действия полициклических ароматических углеводородов. Тернер, Уотере (The retardation of benzaldehyde autoxidation. Part VII. Further studies of the actions of polycyclic aromatic hydrocarbons. Turner A. H., Waters William A.), J. Chem. Soc., 1956, Apr., 879—888 (англ.)

В предыдущей работе (см. часть VI, РЖХим, 1956, 3862) было высказано предположение о связи между

так называемым «числом свободных валентностей»  $F$  реакционного центра полициклич. ароматич. углеводородов и их тормозящим влиянием на р-цию самоокисления бензальдегида (I). В настоящем сообщении приведены и подробно рассмотрены результаты исследования кинетики этой р-ции при  $60^\circ$  в присутствии большого кол-ва соединений: замещ. антраценов (II) и 1,2-бензантраценов (III), производных акридина и др. Полученные данные показали, что без знания точного механизма р-ции и характера продуктов нельзя найти простое численное соотношение между  $F_{\text{макс}}$  и замедляющим действием. Не существует также параллелизма между карциногенными свойствами исследованных углеводородов и их влиянием на р-цию самоокисления I. Перелен, у которого отсутствует углеродный центр с высокой  $F_{\text{макс}}$ , является весьма эффективным замедлителем, в то время, как 9,10-диметил-II, 9-метил-III и 9,10-диметил-III почти совершенно не тормозят р-цию. Нет прямой связи между строением углеводорода и временем его защитного действия. II полностью исчезает к концу защитного периода; в продуктах его окисления найден антрахинон, диантраил-9 и диантропилен-9. Замедление самоокисления I в присутствии II, по-видимому, вызвано последовательным присоединением двух радикалов  $\text{C}_6\text{H}_5\text{C}(\text{O})\text{OO}\cdot$  в мезо-положение к II или же димеризацией аддукта, образованного первичным простым радикалом. Г. Балуева

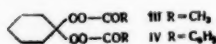
768. Об индуцированном разложении пербензойной кислоты. Кирмзе, Хорнер (Beitrag zum induzierten Zerfall der Perbenzoesäure. Kirmze Wolfgang, Horner Leopold), Chem. Ber., 1956, 89, № 3, 836—842 (нем.)

Показано, что пербензойные анионы могут окисляться до радикала:  $\text{C}_6\text{H}_5\text{COOO}^- \rightarrow (\text{I}) + \text{Cl}_2 \rightarrow \text{C}_6\text{H}_5\text{COOO}^- \cdot (\text{II}) + \text{Cl}^-$  или  $\text{I} + \text{C}_6\text{H}_5\text{COOOH} (\text{III}) \rightarrow \text{II} + \text{C}_6\text{H}_5\text{COO}^- + \cdot\text{OH}$ ; II вызывает цепное разложение Na-соли III с образованием бензоата и  $\text{O}_2$ :  $\text{I} + \text{II} \rightarrow \text{C}_6\text{H}_5\text{COO}^- + \text{C}_6\text{H}_5\text{COO}^- + \text{O}_2$ ;  $\text{C}_6\text{H}_5\text{COO}^- + \text{I} \rightarrow \text{C}_6\text{H}_5\text{COO}^- + \text{II}$ . В интервале pH 6—9 происходит образование перекиси бензоила (IV):  $\text{C}_6\text{H}_5\text{COO}^- + \text{III} \rightarrow \text{IV} + \cdot\text{OH}$ . В щел. среде наблюдается ускоренное разложение III, но IV не образуется. В кислой среде III разлагается частично. При действии 34,8 ммоль бензолсульфохлорида на 34,8 ммоль Na-соли III в смеси вода-диоксан (1:1) при  $0^\circ$  вместо предполагаемой перекиси бензолсульфонилбензоила получено: 8,40 ммоль IV, 14,62 ммоль  $\text{C}_6\text{H}_5\text{COOH}$ , 2,86 ммоль  $\text{CO}_2$ , 1,94 ммоль фенола, 22,05 ммоль сульфокислоты и 31,83 ммоль  $\text{Cl}^-$ , 75%  $\text{O}_2$ . При окислении 7,38 ммоль Na-соли III в водно-метанольном р-ре при  $20^\circ$  за 24 часа 7,31 ммоль  $\text{Br}_2$  (1:1) получено 5,66% IV; 3,66 ммоль  $\text{Br}_2$  (2:1) — 5,06% IV; 1,83 ммоль  $\text{Br}_2$  (4:1) — 2,96% IV; 0,71 ммоль  $\text{Br}_2$  (10:1) — 2,68% IV. При окислении  $\text{Cl}_2$  наблюдается максим. выход IV (7,95—16,2%) при соотношении Na-соли III и  $\text{Cl}_2$  20:1 при  $25^\circ$ . При отношении компонентов 10:1 наблюдалась полимеризация акрилонитрила. Водно-метанольный р-р в присутствии  $\text{Na}_2\text{HPO}_4$  ( $\text{NaHCO}_3$ ) обесцвечивал дифенилпикрилгидразил. Приведена кинетич. кривая (при  $25^\circ$ ) зависимости скорости распада от pH среды для 0,01 M р-ра III. В. Латяева

769. Окислительное действие некоторых ацильных перекисей. Разуваев Г. А., Ступень А. В., Минскер К. С., Ж. Общ. химии, 1956, 26, № 2, 473—474

Исследовано окислительное действие перекиси бензоила (I), перекиси ацетилбензоила (II), ацетилированного и бензоилированного производных типа (III) и (IV) на р-цию выделения  $\text{I}_2$  из  $\text{KI}$ . Установлено большое различие в скоростях окисления I и II (3—5 мин.) и III и IV (20—100 час.). Дано математич. выражение скорости

окисления для III и IV:  $V = x / (a - bx)$ , где  $V$  — кол-во мл 0,1 н. р-ра  $\text{Na}_2\text{S}_2\text{O}_3$ , пошедшего на титрование,  $x$  — время титрования от начала р-ции в мин.,  $a$  и  $b$  — коэфф., различные для III и IV (для III при 22° найдено  $a = 49,2$ ;  $b = 0,0857$ ). Скорость иницирующего действия совершенно не связана со скоростью окислительного действия, что объясняется различным механизмом обоих процессов. Титрование проводилось в р-ре дихлорэтана, подкисленного лед.  $\text{CH}_3\text{COOH}$ . В. Латыева



770. Хлористая медь как катализатор 2,4-дихлорфенилирования бензола в водном ацетоне. Механизм реакции Меервейна. Диккерман, Вейсс, Ингберман (Cuprous chloride catalyzed 2,4-dichlorophenylation of benzene in aqueous acetone. The mechanism of the Meerwein reaction. Dickerman S. Carlton, Weiss Karl, Ingberman Arthur K.), J. Organ. Chem., 1956, 21, № 3, 380—381 (англ.)

Показана возможность распространения р-ции Меервейна на соединения ароматич. ряда на примере р-ции хлорида 2,4-дихлорфенилдиазония (I) с  $\text{C}_6\text{H}_6$  в ацетон-водн. (AB) среде в присутствии  $\text{CuCl}_2$ . Продуктами р-ции являются: 2,4-дихлорбифенил (II), 1,3-дихлорбензол (III) и 1,2,4-трихлорбензол (IV). В отсутствие  $\text{C}_6\text{H}_6$  I в AB дает III, IV и хлорацетон (V). В отсутствие  $\text{CuCl}_2$  I в AB образует 1,5-ди-(2,4-дихлорфенил)-3-ацетилформазон, а отщепление  $\text{N}_2$  составляет менее 10% теоретич. кол-ва. Эти данные доказывают роль  $\text{CuCl}_2$  как катализатора в р-ции Меервейна, что также подтверждается соответствием скорости отщепления  $\text{N}_2$  от I и образования  $\text{CuCl}$  из  $\text{CuCl}_2$ . Авторы считают, что р-ция Меервейна имеет общие фазы с р-цией Зандмейера и протекает по радикальному механизму. Предложена схема р-ции Меервейна (ур-ния 1—8) и сопоставлена со схемой р-ции Зандмейера в среде AB (ур-ния 1—6).  $\text{CH}_3\text{COCH}_3 + 2\text{CuCl}_2 \rightarrow \text{CH}_2\text{ClCOCH}_3 + 2\text{CuCl} + \text{HCl}$  (1),  $\text{ArN}_2^+ + \text{CuCl}_2^- \rightarrow \text{ArN} = \text{N} \cdot + \text{CuCl}_2$  (2),  $\text{ArN} = \text{N} \cdot \rightarrow \text{Ar} \cdot + \text{N}_2$  (3),  $\text{Ar} \cdot + \text{CuCl}_2 \rightarrow \text{ArCl} + \text{CuCl}$  (4),  $\text{Ar} \cdot + \text{CH}_3\text{COCH}_3 \rightarrow \text{ArH} + \cdot\text{CH}_2\text{COCH}_3$  (5),  $\cdot\text{CH}_2\text{COCH}_3 + \text{CuCl}_2 \rightarrow \text{ClCH}_2\text{COCH}_3 + \text{CuCl}$  (6),  $\text{Ar} \cdot + >\text{C} = \text{C} \leftrightarrow \text{Ar}-\dot{\text{C}}-\text{C} \cdot$  (7),  $\text{Ar}-\dot{\text{C}}-\text{C} \cdot + \text{CuCl}_2 \rightarrow$



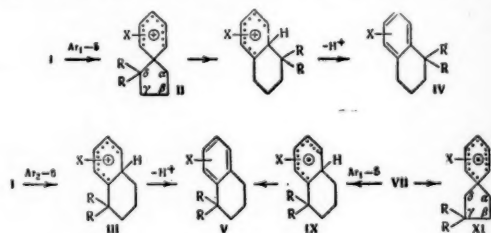
$\rightarrow \text{Ar}-\text{C}-\text{C}-\text{Cl} + \text{CuCl}$  (8). 6 г I в гомог. смеси 420 мл ацетона, 180 мл  $\text{H}_2\text{O}$ , 45 мл  $\text{C}_6\text{H}_6$  и 4,32 г  $\text{CuCl}_2$  дали 29% II, 18% III и 5% IV. 24,5 г I в 1724 мл ацетона, 745 мл  $\text{H}_2\text{O}$  и 17,88 г  $\text{CuCl}_2$  дали 48% III, 26% IV и 49% V. М. Беспрозванный

771. Реакция серебряной соли β-фенилизовалериановой кислоты с бромом. Уилт (The reaction of silver β-phenylisovalerate with bromine. Wilt James W.), J. Amer. Chem. Soc., 1955, 77, № 23, 6397—6398 (англ.)

В результате действия брома на Ag-соль β-фенилизовалериановой к-ты (I) в качестве единственного галогидопроизводного получен 1-бром-2-метил-2-фенилпропан (II), что свидетельствует о том, что механизм этой р-ции не связан с промежуточным образованием свободных радикалов, легко подвергающихся изомеризации. К 51,3 г I в 400 мл  $\text{CCl}_4$  при 0° прибавлено 28,8 г  $\text{Br}_2$  в 30 мл  $\text{CCl}_4$ . Смесь перемешивали 1,5 часа при ~20° и 15 мин. при 65°. Получены II, выход 16%, т. кип. 68—70°/2 мм,  $n_D^{20}$  1,5442,  $d_4^{20}$  1,260, и β-фенилизовалериановая к-та (III), выход 42%, т. пл. 52—54°. При проведении р-ции при кипении смеси выход II 34%, III 30,5%. В. Райгородская

772. Участие арильной группы  $\text{Ar}_1$ -5 и  $\text{Ar}_2$ -6 в ионных и свободно-радикальных процессах. Уинстейн, Хек, Ланпорт, Бэрд ( $\text{Ar}_1$ -5 and  $\text{Ar}_2$ -6 aryl participation in ionic and free radical processes. Winstein S., Heck R., Lapporte S. Baird R.), Experientia, 1956, 12, № 4, 138—141 (англ.; рез. нем.)

Изучены сольволиз (формолиз) и термич. разложение замещ. 8-арилбутилбромбензолсульфонатов типа  $\text{ArCR}_2\text{CH}_2\text{CH}_2\text{CH}_2\text{CH}_2\text{OSO}_2\text{C}_6\text{H}_4\text{Br}$  (Ia—e), где a R = H, Ar =  $n\text{-CH}_3\text{OC}_6\text{H}_4$ , б R = H, Ar = 2,4-( $\text{CH}_3\text{O}$ ) $_2\text{C}_6\text{H}_3$ , в R = H, Ar = 3,5-( $\text{CH}_3\text{O}$ ) $_2\text{C}_6\text{H}_3$ ; г R = H, Ar =  $n\text{-HOC}_6\text{H}_4$ ; д R =  $\text{CH}_3$ , Ar =  $n\text{-CH}_3\text{OC}_6\text{H}_4$ ; е R = H, Ar =  $\text{C}_6\text{H}_5$ , идущие по ионному механизму. Замещ. арильная группа участвует в образовании промежуточных ионов типа (II) и (III) своими первым и вторым атомами углерода, что обозначается как  $\text{Ar}_1$ -5 и  $\text{Ar}_2$ -6 соответственно (индексы 1 и 2 обозначают номер атома C арильной группы, участвующего в образовании иона



II или III, цифры 5 и 6 указывают на членность нового цикла в ионах II и III). Участие типа  $\text{Ar}_1$ -5 и  $\text{Ar}_2$ -6 в р-циях Ia—Id доказано образованием замещ. тетралинов (IV и V) и тем, что константы скорости сольволиза Ia—Id заметно превосходят константу скорости сольволиза Ie, приводящего к образованию нормального продукта сольволиза — муравьиному эфиру  $\text{C}_6\text{H}_5(\text{CH}_2)_4\text{OSCHO}$  (VI). Образование 5,7-диметокситетралина IV, R = H, X = 5, 7-( $\text{CH}_3\text{O}$ ) $_2$  из Ib протекает с участием  $\text{Ar}_1$ -5; при этом получается ион типа II [R = H, X = 2, 4-( $\text{CH}_3\text{O}$ ) $_2$ ], который перегруппировывается в ион типа III [R = H, X = 5, 7-( $\text{CH}_3\text{O}$ ) $_2$ ]. Потери протона приводит к V [R = H, X = 5, 7-( $\text{CH}_3\text{O}$ ) $_2$ ], выход 93%. То же в-во получается из Ib. В этом случае р-ция протекает с участием  $\text{Ar}_2$ -6, образующийся ион типа III [R = H, X = 5, 7-( $\text{CH}_3\text{O}$ ) $_2$ ] теряет протон и превращается в V [R = H, X = 5, 7-( $\text{CH}_3\text{O}$ ) $_2$ ], выход 84%. Аналогично этому Ig с хорошим выходом превращается в V [R = H, X = 6-OH]. Если образование замещ. тетралина происходит с участием  $\text{Ar}_1$ -5 при R = H, то можно было бы ожидать, что конечный продукт будет состоять из смеси изомерных тетралинов типа IV и V в зависимости от того, происходит ли в ионе типа II разрыв связи при  $\text{C}_8$  или при  $\text{C}_x$ . Опыт показал, что при сольволизе Id получается продукт перегруппировки IV (R =  $\text{CH}_3$ , X = 7-( $\text{CH}_3\text{O}$ ), выход 59%), и не получается тетралин типа V, что указывает на большую легкость разрыва связи при  $\text{C}_8$  по сравнению со связью при  $\text{C}_x$  в ионе типа II. Также изучено замыкание цикла с образованием тетралинов и участие  $\text{Ar}_1$ -5 и  $\text{Ar}_2$ -6 в некоторых р-циях, протекающих по свободнорадикальному механизму. Свободные радикалы типа  $\text{C}_6\text{H}_5\text{CR}_2\text{CH}_2\text{CH}_2\text{CH}_2\cdot$  (VII), образующиеся при декарбонилировании  $\text{C}_6\text{H}_5(\text{CH}_2)_4\text{CHO}$  и  $\text{C}_6\text{H}_5\text{C}(\text{CH}_3)_2(\text{CH}_2)_3\text{CHO}$  (VIII) превращаются в V (X = H, R = H или  $\text{CH}_3$ ). Эта р-ция протекает главным образом с участием  $\text{Ar}_2$ -6 и промежуточным образованием свободного радикала типа (IX). Однако, при декарбонилировании VIII кроме V и  $\text{C}_6\text{H}_5\text{C}(\text{CH}_3)_2\text{CH}_2\text{CH}_2\text{CH}_3$ , получается углеводород  $\text{C}_6\text{H}_5\text{C}$





бензиловый спирт (I), не содержащий D. При проведении РК с бензальдегидом-d<sub>1</sub>, содержащим 0,99 ± 0,02 атомов D на молекулу, в H<sub>2</sub>O + NaOH в доведении р-ции до конца получен I, содержащий 1,99 ± 0,02 атомов D. Таким образом непосредственный переход водорода от одной молекулы бензальдегида к другой без обмена со средой подтвержден еще раз. А. Рекашева

**777. К вопросу о механизме реакции ангидридов с аминами.** Денни, Гринбаум (Concerning the mechanism of the reaction of anhydrides with amines. Denney Donald B., Greenbaum Michael A.), J. Amer. Chem. Soc., 1956, 78, № 4, 877—878 (англ.)

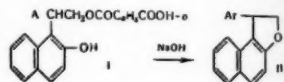
С помощью O<sup>18</sup> и C<sup>14</sup> исследован механизм образования бензойной (I) и бензанилида (II) из бензойного ангидрида (III) и жидкого NH<sub>3</sub> и анилина (IV) соответственно. Для этой р-ции на основании литературных данных (Berliner E., Altschul L., J. Amer. Chem. Soc., 1952, 74, 4110; РЖХим, 1956, 3443; 61064) предложена следующая схема: R—C(O)—O—C(O)—R + :NH<sub>2</sub>R' → R—C(O—)(N<sup>+</sup>H<sub>2</sub>R')—O—C(O)R; R—C(O—)(N<sup>+</sup>H<sub>2</sub>R')—O—C(O)R → R—C(O—)(N<sup>+</sup>H<sub>2</sub>R')—O—C(O)OH + R—C(O—)(N<sup>+</sup>H<sub>2</sub>R')—O—C(O)NHR'. При действии жидкого NH<sub>3</sub> на III, меченный O<sup>18</sup> в одной из карбонильных групп (IIIa), полученные I и бензойная к-та (V) содержат по 50% исходного O<sup>18</sup>. Действием IV на IIIa в эфирном р-ре получен II, содержащий 33% O<sup>18</sup> и V, содержащая 67% исходного O<sup>18</sup>, т. е. в этих условиях происходит полный обмен O<sup>18</sup> между тремя атомами O в IIIa. При повторении опытов с IV в смеси вода-ацетон (2 : 1) найден лишь незначительный обмен O<sup>18</sup>. Для выяснения механизма обмена O<sup>18</sup> при образовании II проведены опыты в эфире в присутствии V, меченной C<sup>14</sup> (Va). Полученный II содержит 15% от равновесного кол-ва C<sup>14</sup>. В отсутствие IV найден также лишь медленный обмен бензойных остатков между III и Va. Из этого следует, что только незначительная доля обмена O<sup>18</sup> может происходить за счет обмена бензойными остатками между V, образующейся в ходе р-ции, и непрореагировавшим III. В контрольном опыте IIIa был растворен в эфире, затем выделен и превращен в II в смеси вода-ацетон (2 : 1). Установлено, что при взаимодействии IIIa с эфиром равномерного распределения O<sup>18</sup> между тремя атомами O IIIa не происходит. Авторы объясняют полученные данные тем, что при р-ции IIIa с NH<sub>3</sub> скорость распада A на продукты р-ции сильно превосходит скорость обратного процесса. При взаимодействии IIIa с IV в эфире скорость обратной р-ции (ведущей к обмену O<sup>18</sup>) значительно больше скорости распада A на II и V. Дальнейшее изучение природы и свойств A продолжается. А. Рекашева

**778. Пространственное протекание термического разложения несимметричных четвертичных солей диметиламмония.** Шмид, Филиппборн, Шмид, Каррер (Der sterische Verlauf der thermischen Zersetzung von unsymmetrischen quartären Dimethylammoniumsalzen. Schmid K., Philipsborn W. von, Schmid H., Karrer P.), Helv. chim. acta, 1956, 39, № 2, 394—400 (нем.)

Хлористый N-(C<sup>14</sup>-метил)-тропий при термич. расщеплении дает тропин и C<sub>2</sub>H<sub>5</sub>Cl с приблизительно одинаковой молярной радиоактивностью. Следовательно, отщепление происходит не стереоспецифически. Установлено, что рекомбинация и переметилирование, сопровождающие собственно р-цию отщепления, идут также не стереоспецифически. Напротив, при термич. расщеплении радиоактивного дихлорметилата «тетрагидрооснования», полученного из С-курарина, наблюдается стерич. эффект. Из опыта следует, что «тетрагидрооснование» метилируется у N-атома, уже несущего C<sub>2</sub>H<sub>5</sub>-группу, и что метилирование протекает отчасти стереоспецифически. А. Курсанова

**779. Внутримолекулярное замещение карбоксильного иона. III. Стерическое облегчение реакции.** Гассе, Лернер (Intramolecular displacement of carboxylate ion. III. Steric facilitation. Guss Cyrus O., Lerner Robert W.), J. Amer. Chem. Soc., 1956, 78, № 6, 1236—1239 (англ.)

Моно-(2-оксинафтил-1)-β-арилэтиловые эфиры фталевой к-ты (I) при обработке водн. р-ром NaOH в результате расщепления алкилхлоридной связи C—O образуют 2-арил-1,2-дигидро-[3, 4, 1', 2']-нафтофураны (II). Найдено, что легкость этого замещения (протекающего как внутримолекулярный аналог бимолекулярной р-ции) зависит от стерич. факторов (размер арила и наличие C<sub>2</sub>H<sub>5</sub>-группы в положении 8 нафталинового ядра) и не зависит от индукционного эффекта заместителей в ариле (см. также J. Amer. Chem. Soc., 1950, 72, 3462; сообщение II, 1951, 73, 608). Увеличение размера заместителя Ar обозначает протекание р-ции. Нагревая смесь производного C<sub>6</sub>H<sub>5</sub>CHONCOOH (III) и β-нафтола (IV) 0,5—1 час при 150—210°, разбавляют спиртом, получают лактоны (2-оксинафтил-1)-α-арилуксусных к-т (V) [указаны арил, заместитель в нафталиновом ядре, соотношение III к IV в реакционной смеси, выход в %, т. пл. в °C (из лед. или разб. C<sub>6</sub>H<sub>5</sub>COOH)]:



*n*-ClC<sub>6</sub>H<sub>4</sub> —, 1 : 1,5—2,93, 170—172; *n*-CH<sub>3</sub>OC<sub>6</sub>H<sub>4</sub> —, 1 : 1,5—2, 89,9, 146—148; 2,4,6-(CH<sub>3</sub>)<sub>3</sub>-C<sub>6</sub>H<sub>2</sub> —, 1 : 1,5—2,94, 203—204; C<sub>6</sub>H<sub>5</sub> —, 8-CH<sub>3</sub>, избыток IV, 98, 187—188,5. V восстанавливают LiAlH<sub>4</sub>, получают (2-оксинафтил-1)-β-арилэтанолы (VI) [указаны арил, заместитель в нафталиновом ядре, выход в %, т. пл. в °C (из разб. сп.)]: *n*-ClC<sub>6</sub>H<sub>4</sub> —, 100, стекловидное некристаллич. в-во: *n*-CH<sub>3</sub>OC<sub>6</sub>H<sub>4</sub> —, 128—130; 2,4,6-(CH<sub>3</sub>)<sub>3</sub>-C<sub>6</sub>H<sub>2</sub> —, 98, 162—165; C<sub>6</sub>H<sub>5</sub> —, 8-CH<sub>3</sub>, 95, 110—117; циклогексил —, 97, 133,5—135. VI в C<sub>6</sub>H<sub>6</sub> + избыток кол-го *n*-CH<sub>3</sub>C<sub>6</sub>H<sub>4</sub>SO<sub>3</sub>Na кипятят 1—2 часа, после обычной обработки выделяют II (указаны арил, заместитель в нафталиновом ядре, выход в %, т. пл. °C (из разб. сп.)]: *n*-ClC<sub>6</sub>H<sub>4</sub> —, 100, 94—96; *n*-CH<sub>3</sub>OC<sub>6</sub>H<sub>4</sub> —, 104—106; 2,4,6-(CH<sub>3</sub>)<sub>3</sub>-C<sub>6</sub>H<sub>2</sub> —, 100, 143—144,5; C<sub>6</sub>H<sub>5</sub> —, 8-CH<sub>3</sub>, 32, 128—130; циклогексил —, 96,6, 87—88. Р-р 0,726 моля пикло-C<sub>6</sub>H<sub>4</sub>COCl (т. кип. 77—78°/19 мм) в 125 мл CS<sub>2</sub> прибавляют за 140 мин. к смеси 0,75 моля 2-метоксинафталена, 0,73 моля AlCl<sub>3</sub> и 300 мл CS<sub>2</sub>, через 5 час. обрабатывают 100 мл охладж. до 0° конв. HCl и после обычной обработки выделяют 19 г 2-оксинафтил-1-пиклогексилкетона (VII), т. пл. 136—137° (из сп. или петр. эф.). VII метилируют (CH<sub>3</sub>)<sub>2</sub>SO<sub>4</sub>, получают 2-метоксинафтил-1-пиклогексилкетон (VIII), выход 50%, т. пл. 107,5—108,5° (из петр. эф.). VIII восстанавливают LiAlH<sub>4</sub>, получают 2-метоксинафтил-1-пиклогексилкарбинол (IX), выход 90%, т. пл. 77—79°; *n*-нитробензоат, т. пл. 124—126° (из сп.). Р-р пикло-C<sub>6</sub>H<sub>4</sub>MeCl (из 0,25 моля пикло-C<sub>6</sub>H<sub>4</sub>Cl, 0,26 моля Mg и 200 мл эфира) прибавляют за 30 мин. к 0,2 моля 2-метоксинафтил-1 (см. Adams, Montgomery, J. Amer. Chem. Soc., 1924, 46, 1518) в 125 мл C<sub>6</sub>H<sub>6</sub>, через 1 час смесь обрабатывают р-ром NH<sub>4</sub>Cl и после обычной обработки получают 54 г IX. Р-р 54 г IX в 150 мл C<sub>6</sub>H<sub>6</sub> обрабатывают 25 мл SOCl<sub>2</sub>, через 12 час. выделяют 58 г α-пиклогексил-1-(хлорметил)-2-метоксинафталена (X). Р-р 58 г X в 1250 мл ацетона + 28 г KCN в 400 мл воды выдерживают 1 час при 35° и 2 часа при ~20°, упаривают при ~20° до 0,5 объема, разбавляют водой, извлекают эфиром и после обычной обработки получают 61 г α-пиклогексил-2-метоксинафтил-1-ацетонитрила (XI), т. пл. 113—114,5° (из разб. сп.); при меньшем кол-ве ацетона и воды образуется главным образом (вероятно) бис-α-

дициклогексил-2-метоксиафтил-1)-диметиловый эфир, т. пл. 200—201° (из петр. эф.); при проведении р-ции в воде спирте образуется главным образом ( $\alpha$ -циклогексил-2-метоксиафтил-1)-этиловый эфир, т. пл. 81,5—83° (из разб. сп.). 61 г неочищ. XI в 200 мл триэтилдиэфила + 20 г NaOH в 20 мл воды кипятят до прекращения выделения NH<sub>3</sub> (~12 дней), разбавляют водой, извлекают эфиром, воду, слой подкисляют разб. HCl, извлекают эфиром и после обычной обработки получают 49,5 г  $\alpha$ -циклогексил-2-метоксиафтил-1-уксусной к-ты (XII). XII, полученная действием CO<sub>2</sub> на Mg-органич. соединение из X, имеет т. пл. 157—158° (из разб. сп.). 49,5 г неочищ. XII, 50 мл конц. HBr и 150 мл лед. CH<sub>3</sub>COOH кипятят 8 час., разбавляют водой, извлекают эфиром и после обычной обработки получают лактон  $\alpha$ -циклогексил-2-оксинафтил-1-уксусной к-ты, выход 28,7% (считая на 2-метоксиафтиль), т. пл. 134,5—135,5° (из разб. сп.). Р-р 0,01 моля VI и 0,02 моля фталевого ангидрида в 15 мл дioxана + 3 мл пиридина выдерживают 24 часа при ~20° и после обычной обработки получают Na-соль I (XIII), которую обрабатывают 3-10%-ым р-ром NaOH при 60—70°, получают II (указаны Ag, замещатель в нафталиновом ядре, конция NaOH в %, выход в %):  $n$ -C<sub>10</sub>H<sub>7</sub>, —, ~3, 92,4;  $n$ -C<sub>10</sub>H<sub>7</sub>OC<sub>6</sub>H<sub>4</sub>, —, ~3, 98,9; 2,4,6-(CH<sub>3</sub>)<sub>3</sub>C<sub>6</sub>H<sub>2</sub>, —, ~10, 92,5; C<sub>6</sub>H<sub>5</sub>, 8'-CH<sub>3</sub>, ~10, 96,2; циклогексил, —, ~10, 91,2. В случае Ag = C<sub>6</sub>H<sub>5</sub>,  $n$ -C<sub>10</sub>H<sub>7</sub>,  $n$ -C<sub>10</sub>H<sub>7</sub>OC<sub>6</sub>H<sub>4</sub> при увеличении конция NaOH с 3 до ~10% выход II заметно падает. А. Гуревич

780. Дегалогенирование с декарбоксилизацией. Вон, Крейвен (Dehalogenative decarboxylation. Vaughan Wymen R., Craven Robert L.), J. Amer. Chem. Soc., 1955, 77 № 17, 4629—4633 (англ.)

Изучено действие водн. р-ров оснований, NaHCO<sub>3</sub> в ацетоне и AgNO<sub>3</sub> в ацетоне и CH<sub>3</sub>CN на 2-хлор- и 2-бромциклогексанкарбоновые к-ты. В случае *цис*-изомеров преимущественно идет *транс*-отщепление HX в незначительной степени — декарбоксилизацию и образование 2-оксидциклогексанкарболовой к-ты. В случае *транс*-изомеров преимущественно идет также *транс*-отщепление HX, сопровождающееся декарбоксилизацией: меньше идет образование оксикислоты и в незначительной степени — образование ненасыщ. к-ты. Обсуждены некоторые возможные механизмы процесса. См. также РЖХим, 1956, 43068. А. Гуревич

781. О термической диссоциации органических соединений. IX. C—N-связь в мочевилах (1,3-дизамещенные мочевины в спиртах). Мукайяма, Фунданта (On the thermal dissociation of organic compounds. IX. The urea linkage (1,3-di-substituted ureas in alcohols). Mukaiyama Teruaki, Fujita Yasuhiko.), Bull. Chem. Soc. Japan, 1956, 29, № 1, 54—57 (англ.)

Определены константы скорости ( $k$ ) термич. диссоциации 1,3-дизамещ. мочежин при ~175° в спиртах (бензиловый, этиленгликоль, глицерин) при молярном соотношении спирта и мочежины 100 : 1. Р-ция — первого порядка по отношению к мочежине. Диссоциация 1,3-дизамещ. мочежин растет в ряду р-рителей: бензиловый спирт < этиленгликоль < глицерин, однако  $k$  изменяется в порядке бензиловый спирт < глицерин < этиленгликоль. Предполагают, что при взаимодействии мочежины и гидроксильных групп р-рителя образуется промежуточный комплекс RNHCNHR' + 2R'OH → R'O—...NH(R)H...CO—NR...H...O(R')H (A) → R'O— + RNH<sub>2</sub> + OCNH + R'OH<sub>2</sub><sup>+</sup>, при этом одна молекула спирта является донором, а вторая акцептором протона, диссоциация мочежины протекает при двойном переходе протона. Скорости диссоциации 1,3-дизамещ. мочежин изменяются в ряду: 1,3-ди-*n*-пропилмочевина (I), 1,3-ди-*n*-амилмочевина (II), 1,3-ди-*n*-

гептилмочевина (III), 1,3-дизобутилмочевина (IV), 1,3-дидецилмочевина (V) < 1,3-дизопропилмочевина (VI) < 1,3-ди-*tert*-бутилмочевина (VII). Третьичные и вторичные алкильные группы, вызывая внутреннее напряжение, облегчают переход протона и диссоциацию в менее напряженный изопропанат и амин. Из соответствующего изопропаната и воды получают I, т. пл. 105° (из лигр.), и II, т. пл. 84° (из лигр.). В водн. р-ре K<sub>2</sub>CO<sub>3</sub>, фосген и соответствующий амин дают III, т. пл. 91° (из лигр.), IV, т. пл. 135° (из 70%-ного водн. сп.), V, т. пл. 227° (из 70%-ного водн. сп.), VI, т. пл. 192° (из лигр.). Мочевину с *tert*-бутанолом превращают в VII, т. пл. 248° (из 80%-ного водн. сп.). Сообщение VII см. РЖХим, 1956, 78009. В. Якерсон

782. О термической диссоциации органических соединений. X. Влияние растворители (амины и жирные кислоты) на термическую диссоциацию уретанов. Мукайяма, Хосино (On the thermal dissociation of organic compounds. X. The effects of the solvents (amines and fatty acids) on the thermal dissociation of urethans. Mukaiyama Teruaki, Hoshino Yoichi), J. Amer. Chem. Soc., 1956, 78, № 9, 1946—1948 (англ.)

Измерена константа скорости ( $k$ ) термич. диссоциации бензилового (I) и коричного (II) эфиров фенилкарбаминной к-ты при 165° в р-рителе состава: 100 молей тетралина и 10 молей амина (или жирной к-ты) на 1 моль эфира. Получены следующие значения  $k$  в мин<sup>-1</sup> (указаны катализатор, 10<sup>3</sup>  $k$  для I, 10<sup>2</sup>  $k$  для II): бензиламин, 5,83, 5,44; ди-*n*-бутиламин, 33,6, 20,4; лаурилам, 15,2, 14,5; гексаметилендиамин, 12,6, 10,4; лауриламмин (в C<sub>6</sub>H<sub>5</sub>CH<sub>2</sub>OH), 12,0, 9,33; этаноламин (в C<sub>6</sub>H<sub>5</sub>CH<sub>2</sub>OH), 13,2, 12,4; монохлоруксусная к-та, 10,9, 27,0; фенилуксусная к-та, 6,13, 12,0; капроновая к-та, 2,52, 4,3; каприновая к-та, 1,86, 2,56. Диссоциация катализируется как к-тами, так и основаниями. В щел. среде скорости р-ции повышаются с увеличением основности амина; скорость определяется процессом отдачи протона с образованием сопряженного уретана у основания, которое затем диссоциирует, отщепляя спирт. В кислой среде скорость р-ции возрастает с ростом силы к-ты; определяющим фактором является присоединение протона с образованием сопряженной уретану к-ты и отщепление изопропаната. Полученные данные подтверждают тримолекулярный механизм р-ции термич. диссоциации уретанов. Г. Балуева

783. Применимость, ограничения и механизм реакции образования амидов из кислот и мочежины. Рахман (Applications, limitations and the mechanism of amide formation from acids and urea. Rahman Aziz-Ur.), Recueil trav. chim., 1956, 75, № 2, 164—168 (англ.)

Продолжая изучение взаимодействия карбоновых к-т с мочевиной (I) (РЖХим, 1955, 48909), автор установил, что к-ты без дополнительных функциональных групп гладко переводятся в амиды, причем дикарбоновые к-ты дают имиды и диамиды. Присутствие в к-тах таких групп, как Cl, NH<sub>2</sub>, OH и CO, либо значительно снижает выход амида, либо исключает его образование. В условиях проведения р-ции (220—230°, 1,5 часа) I разлагается с образованием диановой к-ты, изомеризующейся в изопропановую к-ту (II), а также частично полимеризующейся в пиауровую к-ту (III), которая была выделена и идентифицирована путем сравнения ИК-спектра найденного продукта со спектром заведомого образца III. Карбоновая к-та образует с II нестойкий продукт (IV), быстро разлагающийся с выделением CO<sub>2</sub>, образованной углеродным атомом II (см. опыты с меченой I, Arnstein и др., J. Chem. Soc., 1951, 3509). Предложена схема р-ции образования амида:  $\text{HN}=\text{CO} + \text{RCOOH} \rightarrow \text{H}_2\text{N}[\text{C}(=\text{O})-\text{O}]-\text{CRO IV} \rightarrow$



→ H<sub>2</sub>NCRO + CO<sub>2</sub>. Приведены полученные этим путем амиды; (указаны применявшаяся к-та, выход амида в %, его т. пл. в °C: масляная, 72,4, 114—115, изовалериановая, 62, 135—136; стеариновая, 96,6, 108—109; фенилукусная, 91,7, 155—156; дифенилукусная, 77, 170—171; β, β-дифенилпропионовая, 85,5, 131—132; янтарная, 84 (имид), 125—126; адипиновая, 83 (диаимид), 219—220.

**784. Образование имидоэфиров в ряду ароматических нитрилов.** Бейлисс, Эпполетт, Литл, Миллер (Imido ester formation in aromatic nitriles. Bayliss Noel S., Eppollette R. L., Little L. H., Miller Joseph, J. Amer. Chem. Soc., 1956, 78, № 9, 1978—1981 (англ.))

На м-нитробензонитриле (I) проверены различные методы определения образующегося в щел. среде имидоэфира и показано, что наилучшие результаты (точность ±1%) дает метод, основанный на необратимом гидролизе имидоэфира. Равновесная конц-ия имидоэфира для I в CH<sub>3</sub>OH в присутствии CH<sub>3</sub>ONa равна 88%. ИК-спектры дают точность определения ±3—4%. На примере 2-хлор-5-нитробензонитрила (II) и 4-хлор-3-нитробензонитрила (III) показано наличие первичного и вторичного пространственных эффектов, затрудняющих образование имидоэфиров. Первый обусловлен Cl-группой в орто-положении к CN и невозможностью вследствие этого копланарности образующейся группы C(=NH)OR и кольца, а второй — нарушением копланарности NO<sub>2</sub>-группы и кольца при введении Cl в орто-положение к NO<sub>2</sub>. Полученные результаты подтверждают данную ранее (см. РЖХим, 1956, 22308) трактовку р-ций замещения хлорнитробензальдегидов и хлорнитробензонитрилов. Приведены кривые ИК-спектров II, III и бензонитрила в CH<sub>3</sub>OH в присутствии и в отсутствие CH<sub>3</sub>ONa.

**785. Механизм образования нафтилпиперидинов из нафтилбромидов.** Баннетт, Братертон (Mechanisms for the formation of naphthylpiperidines from naphthyl bromides. Bunnett J. F., Brotherton T. K., J. Amer. Chem. Soc., 1956, 78, № 1, 155—158 (англ.))

При действии амида Na (I) и пиперидина (II) на α-бромнафталин (III) образуется 32% α-нафтилпиперидина (IV) и 68% β-нафтилпиперидина (V). При действии I и II на β-бромнафталин (VI) образуется также 26% IV и 74% V. Авторы полагают, что р-ция идет через стадию отщепления галоидоводорода с образованием «дегидронафталинов» (А) и (Б) с последующим присоединением к ним пиперидина, причем А дает как IV, так и V, а Б — только V. Из III образуется А, в то время как из VI образуется А и Б, чем объясняется преобладание V в продуктах р-ции VI. При действии II на III в отсутствие I образуется исключительно IV (выход 49%), а при действии II на VI — только V (выход 79%).

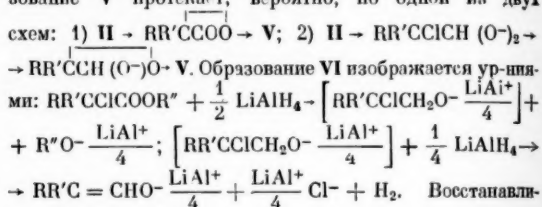
**786. Двойственный механизм пиролиза хлоргидрата иминобензойного эфира *трет*-бутилкарбинола.** Шарпантье-Мориз, Фелкин (Dualité de mécanismes lors de la pyrolyse du chlorhydrate d'imino-benzoate de néopentyle. Charpentier-Morize Micheline, m-me, Felkin Hugh, C. r. Acad. sci., 1956, 242, № 9, 1186—1188 (франц.))

Изучен пиролиз (CH<sub>3</sub>)<sub>3</sub>CCN<sub>2</sub>CO—C(C<sub>6</sub>H<sub>5</sub>)=N+H<sub>2</sub>Cl—(I). Обычная бимолекулярная р-ция в этом случае затруднена вследствие пространственных препятствий. I устойчив при τ-рах ниже 190°. При 190—255° он разлагается с образованием (CH<sub>3</sub>)<sub>3</sub>C(Cl)C<sub>6</sub>H<sub>5</sub> (выход 32%) и (CH<sub>3</sub>)<sub>3</sub>CCN<sub>2</sub>Cl—(выход 67%), что свидетельствует о том, что наряду с обычной бимолекулярной р-цией идет мономолекулярный процесс распада I. I синтезирована из 10,2 г сухого HCl, 22 г *трет*-бутилкарбинола и

26 г бензонитрила (0°, 1 час), выход 77%, т. пл. 205—206° (разл. из CH<sub>3</sub>COOH).

**787. Механизм восстановления галоидопроизводных алюминия лития.** III. Восстановление α-хлоркислот и эфиров. Илил, Герман, Тракслер (The mechanism of halide reductions with lithium aluminum hydride. III. Reduction of α-chloro acids and esters. Eliel Ernest L., Herrmann Carolyn, Traxler James T., J. Amer. Chem. Soc., 1956, 78, № 6, 1193—1198 (англ.))

В отличие от галоидных алкилов (I), которые лишь с трудом восстанавливаются LiAlH<sub>4</sub> в эфир. р-ре, восстановление производных α-хлорзамещ. к-т (II) в тех же условиях приводит в значительной степени к дегалогенированию в-ва. Основными продуктами восстановления являются спирты (III), хлоридрины (IV), гликоли (V) и альдегиды (VI). IV являются, очевидно, промежуточными продуктами при образовании III из II. Образование V протекает, вероятно, по одной из двух схем: 1) II → RR'CCOO → V; 2) II → RR'CClCH (O<sup>-</sup>)<sub>2</sub> →



Восстанавливают I LiAlH<sub>4</sub> в кипящем эфире (указаны I, молярное отношение LiAlH<sub>4</sub> : I, выход в % дегалогенированного в-ва, взврат I в %): C<sub>6</sub>H<sub>5</sub>CH<sub>2</sub>CH<sub>2</sub>Cl, 1,1, 4, 7; C<sub>6</sub>H<sub>5</sub>CH<sub>2</sub>CH<sub>2</sub>CH<sub>2</sub>Cl, 1,2, 8, 75; C<sub>6</sub>H<sub>5</sub>CH<sub>2</sub>CH<sub>2</sub>CH<sub>2</sub>CH<sub>2</sub>Cl, 1,05, 2, 89; C<sub>6</sub>H<sub>5</sub>CH<sub>2</sub>CH<sub>2</sub>CH<sub>2</sub>CH<sub>2</sub>CH<sub>2</sub>Cl, 1,68, 17, 77. Восстанавливают II, либо прибавляя II к избытку эфир. р-ра LiAlH<sub>4</sub> (метод А), либо прибавляя р-р LiAlH<sub>4</sub> к II (метод В), кипятят и после обработки к-той (К), р-ром тартрата Na (Т) или щелочи (Щ) разделяют смесь полученных продуктов (указаны II, метод восстановления, молярное отношение LiAlH<sub>4</sub> : II, метод обработки после восстановления, выход III, IV, V и VI в %): ClCH<sub>2</sub>COOH, А, 1,25, К, 16—38, <5, —, —; CH<sub>3</sub>CHClCOOH, А, 1,45, К, 44, 46, —, —; CH<sub>3</sub>CHClCOOCH<sub>3</sub>, Б, 0,52, К, следы, 78, —, —; CH<sub>3</sub>CH<sub>2</sub>CHClCOOH, А, 1,5, К, 52, 38, —, —; CH<sub>3</sub>CH<sub>2</sub>CHClCOOCH<sub>3</sub>, Б, 0,55, К, —, 89, —, —; CH<sub>3</sub>CCl(CH<sub>3</sub>)COOH, А, 1,5, К, 70, —, следы, —; CH<sub>3</sub>CCl(CH<sub>3</sub>)COOCH<sub>3</sub>, Б, 0,52, К, —, 74, —, —; CH<sub>3</sub>CCl(CH<sub>3</sub>)COOCH<sub>3</sub>, Б, 1,1, К, 82, —, —; C<sub>6</sub>H<sub>5</sub>CHClCOOH, А, 1,5, К, 83, —, следы, —; C<sub>6</sub>H<sub>5</sub>CHClCOOCH<sub>3</sub>, Б, 0,5, Т, —, ~68, —, —, ~6% окиси стирола (вероятно); VII, Б, 0,5, Щ, —, —, —, —, 80% окиси стирола; VII, А или Б, 1,1, Щ, 70—82, —, —, —; C<sub>6</sub>H<sub>5</sub>CCl(CH<sub>3</sub>)COOH, А, 2,1, Щ, 50—60, —, <10, 10—20; (C<sub>6</sub>H<sub>5</sub>)<sub>2</sub>CClCOOH, А, 1,5, К или Щ, ~55, —, 20, ~25; (C<sub>6</sub>H<sub>5</sub>)<sub>2</sub>CClCOOCH<sub>3</sub>, А, 0,85—1,2, К, ~45, —, —, ~55. См. также сообщения II, J. Amer. Chem. Soc., 1952, 74, 923. А. Гуревич

**788. Реакция эпигалоидгидринов с ацетиленом натрия.** Хиски, Слейтс, Уэндлер (The reaction of epihalohydrins with sodium acetylide. Hiskiey Claude F., Slates H. L., Wendler N. L., J. Organ. Chem., 1956, 21, № 4, 429—433 (англ.))

Взаимодействие *трет*-3-бром-1,2-эпоксибутана (I) с 2 молями HC≡CNa в жидком NH<sub>3</sub> приводит к гексен-3-ин-5-олу-2 (II) (выход 22,2%, т. кип. 58—40°/3—4 мм, n<sub>D</sub><sup>20</sup> D 1,4770; α-нафтилуретан, т. пл. 83—84,5° (из лигр.), который, как показано ранее (Haynes J. и др., J. Chem. Soc., 1947, 1583) образуется при действии HC≡CNa в жидком NH<sub>3</sub> на 1-бром-2,3-эпоксибутан. Строение II подтверждено УФ-спектром, а также гидрированием спирта. р-ра II над Pt в гексанол-2; α-нафтилуретан, т. пл. 59,5—61°. Образование II авторы объясняют тем,

что первоначальная атака этилиона в зависимости от пространственных факторов может быть направлена не только на С-атом, несущий галлоид, как принималось ранее (см. ссылку выше), но также и на наименее замещ. С-атом, связанный с эпоксигруппой. I получен из транс-критилового спирта (транс-III) (т. кип. 120—121°,  $n_D^{20}$  1,4270; 3,5-динитробензоат (ДНБ), т. пл. 71°), который бромированием в р-ре  $\text{CHCl}_3$  превращен в эритро-2,3-дибромбутанол-1 (IV) (выход 85%, т. кип. 70°/3 мм., т. пл. 32—33° (из петр. эф.),  $n_D^{20}$  1,5434); обработка последнего эквивалентным кол-вом 1,7 н. р-ра КОН сопровождается ивверсией при  $\text{C}_{(2)}$  и приводит к I, выход 82,5%, т. кип. 81—82/70 мм.,  $n_D^{20}$  1,4731. Конфигурации I и IV установлены ранее (РЖХим, 1955, 457/4). При обработке эфириного р-ра I раствором Na-K образуется смесь из 65% *цис*-III и 35% *транс*-III. Вопреки литературным указаниям (Петров А. А., Ж. общ. химии, 1941, 11, 713), кипение эфириного р-ра IV (131°) с мелко измельченным КОН приводит не к I, а к *цис*-2-бромбутан-2-олу (V), образуемому в результате транс-отщепления HBr от IV, выход 38,6 г., т. кип. 98°/47 мм.,  $n_D^{20}$  1,5803; ДНБ, т. пл. 96—98° (из водн. ацетона). I при аналогичной обработке не изменяется. Строение V подтверждено окислением  $\text{CrO}_3$  в р-ре  $\text{CH}_3\text{COOH}$  в транс- $\alpha$ -бромкетоновую к-ту (транс-VI), т. пл. 106—107°, идущую к к-той, полученной при окислении IV в 2,3-диброммасляную к-ту и дегидробромировании последней, а также при бромировании и дегидробромировании кетоновой к-ты. Изменение конфигурации при окислении V является закономерным, так как в тех же условиях *цис*-VI также количественно превращается в транс-VI. Вопросы указанию (Hoff M. C. и др., J. Amer. Chem. Soc., 1951, 73, 3323) о сохранении конфигурации при восстан. зwitterном дегалогенировании винилгалогенидов действием Na в жидком  $\text{NH}_3$ , показав, что при аналогичном восстановлении V образуется смесь транс-III и *цис*-III (2:1), состав которой установлен по диаграмме плавкости ДНБ этих спиртов. Изменение конфигурации при восстановлении V обусловлено, по-видимому, наличием рядом с галлоидом спирт. группы. Присутствие в ИК-спектре *цис*-III интенсивной полосы при 10,3  $\mu$ , характерной для С—Н-связи в транс-диамещ. ол-финах, ограничивает в данном случае использование спектрального метода для установления конфигурации. Для сравнения приготовлен *цис*-III, т. кип. 60—61°/60 мм.,  $n_D^{20}$  1,4343; ДНБ, т. пл. 50,5—51,5°. Приведен УФ-спектр II и кривые ИК-спектров *цис*-III и транс-III. Л. Хейфц

789. Циклизация 3,3-диметил-5-кетогексановой кислоты в димедон под действием серной кислоты. Хеншалл, Силберман, Уэбстер (The cyclization of 3,3-dimethyl-5-keto-hexanoic acid to dimedone by sulfuric acid. Henshall T., Silbermann W. E., Webster J. G., J. Amer. Chem. Soc., 1955, 77, № 24, 6656—6658 (англ.))

При гидролизе 6-оксиг-3-циано-2-кето-4,4,6-триметилпиперидина (I) смесью  $\text{H}_2\text{SO}_4$  и  $\text{CH}_3\text{COOH}$  вместо ожидаемой 3,3-диметил-5-кетогексановой к-ты (II) получен кристаллич. продукт, который, видимо, получается из II отщеплением  $\text{H}_2\text{O}$ . Это соединение было определено по ИК-спектрам и по р-циям конденсации с  $\text{CH}_3\text{O}$  и  $\text{CH}_3\text{CHO}$  как 3,3-диметилциклогександион-1,5 (димедон) (III). Исследования подтвердили, что р-ция идет через II. Показано, что р-ция первого порядка относительно II сильно зависит от конц-ий  $\text{H}_2\text{SO}_4$  и имеет  $E_{\text{акт}} = 23,4\text{—}23,8$  ккал (при 100—131°, конц-ия  $\text{H}_2\text{SO}_4$  50—72% по в-су). Влияние кислотности среды на р-цию изучено зам-рением констант скоростей р-ции (k) в водн. р-рах  $\text{H}_2\text{SO}_4$  при изменении конц-ий  $\text{H}_2\text{SO}_4$  от 50 до 75% (по в-су). В интервале конц-ий 64—75%  $k$  оказался линейной функцией как от кислотной

функции Хамметта  $H_0$ , так и от логарифма стехиометрич. конц-ий к-т. Эта р-ция не соответствует простому механизму, так как наклоны кривых зависимости  $\lg k$  от  $H_0$  и  $\lg k$  от  $\text{C}_{\text{H}_2\text{SO}_4}$  равны соответственно 0,35 и 4,6. В более широком интервале конц-ий к-ты кривая  $\lg k$  от  $H_0$  имеет заметную кривизну, тогда как кривая от стехиометрич. конц-ий к-ты линейна на всем интервале. II получена кислотным гидролизом I, т. пл. 28,2° (из петр. эф.), т. пл. семикарбазона 170—172° (разл.). Циклизация II проводилась в 72% по в-су  $\text{H}_2\text{SO}_4$  (130°, 1,5 часа). Выход III 92%. При кинетич. исследованиях за скоростью превращения II в III следили по спектрам поглощения (СП) в УФ. Кол-во III определяли путем сравнения СП исследуемых проб и приготовленных эталонных р-ров смеси II и III в р-ра III в 0,1 н. NaOH. В. Титов

790. Окрашенные изомеры рубренов нерубренового типа, сопровождающие метоксильрованные рубрены. Дюфрессе, Этьенн, Валье (Isomères de rubrènes, colorés, mais non rubréniques, satellites des rubrènes méthoxylés. Dufresse Charles, Étienne André, Valls Jaime), C. r. Acad. sci., 1955, 241, № 21, 1427—1430 (франц.)

При рубреновой конденсации, проводимой с различными производными 1,1,3-трифенилпропангетлового спирта (I), содержащими 1, 2 и 3 метоксигруппы в пара-положениях различных фенильных ядер (РЖХим, 1955, 40131), получают, кроме всех теоретически возможных *н*-метокситетрафенилнафтаенов (II), также примеси более глубоко окрашенных соединений. Так из 1-*н*-метокси-I образуются красно-фиолетовые кристаллы  $\text{C}_{44}\text{H}_{32}\text{O}_2$ , т. пл. 302°; из 3-*н*-метокси-I — следы красновато-фиолетовой смолы; из 1,3-ди-*н*-метокси-I (III) — красно-фиолетовая смола; из 1,1-ди-*н*-метокси-I (IV) — красно-фиолетовые кристаллы  $\text{C}_{46}\text{H}_{36}\text{O}_4$ , т. пл. 357°; из 1,1,3-три-*н*-метокси-I — красно-фиолетовые кристаллы  $\text{C}_{48}\text{H}_{40}\text{O}_6$ , т. пл. 250°. Спектры поглощения (СП) всех этих соединений сильно смещены bathochromно по сравнению с СП соответствующих водородов (главная полоса на 400 Å). Образование дополнительных изомеров, кроме предсказываемых согласно центросимметричной схеме рубреновой конденсации (см. ссылку выше), вызывает сомнение в правильности этой схемы. Поэтому были проведены сравнительные исследования получающихся из IV тетраметокси-II (V) и изомерного фиолетового в-ва (VI). При действии сухого HCl на V образуются два ожидаемых бесцветных псевдорубрена (один из которых имеет т. пл. 276—277°), тогда как из VI получается светлофиолетовый продукт (VII), СП которого несколько отличается от СП VI. Р-ры VI и VII неустойчивы на свету. V не реагирует на холоду с малеиновым ангидридом, тогда как VI дает с ним бесцветный продукт (VIII), вероятно, путем двенового присоединения, диссоциирующий при нагревании с образованием уже не VI, а VII, который с малеиновым ангидридом также образует VIII. Различие свойств V и VII показывает, что VI, а также остальные фиолетовые продукты не являются рубренами и что, следовательно, центросимметричная схема рубреновой конденсации верна. Н. Спасокукоцкий

791 К. Справочник по углеводородам. Феррис (Handbook of hydrocarbons. Ferris Seymour. Washington. Acad. press, 1955, 324, p. ill., 8.50 doll., 68 sh.) (англ.)

792 Д. Часть I. Сравнение реакций 1,2- и 1,3-отщепления. Часть II. Факторы, влияющие на ионизацию карбоновых кислот. Хогл (Part I. Comparison of 1,2- and 1,3-elimination reactions. Part II. Factors which influence the ionization of carboxylic acids. Hogle Donald H. Abstr. doct. diss., Iowa

State Coll., 1954), Iowa State Coll. J. Sci., 1956, 30, № 3, 385—386 (англ.)

На примере р-ции нитрилов  $\alpha$ -бром-(I) и  $\alpha$ -хлормасляной к-ты (II) с ROK проведено сравнение р-ций 1, 2- и 1,3-отщепления в различных р-рителях. Высокая основность атакующего реагента и малая диэлектрич. постоянная среды благоприятствуют р-ции 1,3-отщепления. Большая скорость р-ции I по сравнению с II и характер продуктов р-ции (II дает больший выход циклопропилиазида) доказывает, что бром промотирует р-цию 1,2-отщепления в большей степени, чем 1,3-отщепления. Однако полученные результаты не позволяют сделать выбор между двумя возможными механизмами р-ции: быстрым образованием нитрильного аниона с последующим замещением галоида и механизмом, в котором ионы водорода и галоида удаляются одновременно, как это имеет место для р-ции 1,2-отщепления. Во второй части работы определены константы диссоциации K ряда алифатич. карбоновых к-т, производных  $\text{CH}_3\text{COOH}$  (III). Методом потенциометрич. титрования получены следующие значения  $10^4 K$  при  $40^\circ$  в водно-метанольном р-ре (1:1): III, 27,6; метилнеопентил-III, 8,90; метил-*т-тем*-бутил-III, 5,63; этил-*т-тем*-бутил-III, 4,90; диизопропил-III, 3,98; триэтил-III, 3,62; диметилнеопентил-III, 3,13; дивнеопентил-III, 2,75; диметил-*т-тем*-бутил-III, 1,91; метил-*т-тем*-бутилнеопентил-III, 1,10. Ослабление кислотных свойств автор объясняет пространственным затруднением сольватации карбаниона, вызванным присутствием массивных группировок в  $\alpha$ -положении. Г. Балуева

793 Д. Часть I. Исследование конденсации Дикмана диэтилового эфира фенилендиуксусной кислоты с помощью изотопного эффекта  $\text{C}^{14}$ . Часть II. Исследование пинаколиновой перегруппировки бензпинакона и 4, 4', 4'', 4'''-тетраметоксибензпинакона с помощью изотопного эффекта  $\text{C}^{14}$ . Каррик (Part I. A carbon-14 isotope effect study of the Dieckman condensation of diethyl phenylenediacetate. Part II. A carbon-14 isotope effect study of the pinacol rearrangement of benzopinacol and 4, 4', 4'', 4'''-tetramethoxybenzopinacol. Carrick Wayne Lee. Doct. diss. Univ., Arkansas, 1955), Dissert. Abstrs, 1955, 15, № 7, 1171 (англ.)

Определение величины кинетич. изотопного эффекта (ИЭ)  $\text{C}^{14}$  применено для выяснения стадии, определяющей скорость конденсации Дикмана диэтилового эфира фенилендиуксусной к-ты (I). Внутримолекулярный ИЭ для  $\text{I-C}^{14}_{(1)}$  найден равным 5,6%. Межмолекулярный ИЭ как для  $\text{I-C}^{14}_{(1)}$ , так и для  $\text{I-C}^{14}_{(2)}$  равен 8,5% при проведении р-ции в смеси  $\text{C}_2\text{H}_5\text{OH} + \text{C}_2\text{H}_5\text{ONa}$ . Так как единственной стадией, в которой принимают участие  $\text{C}_{(1)}$  и  $\text{C}_{(2)}$  I, является стадия образования связи  $\text{C}-\text{C}$ , то автор приходит к выводу о том, что именно эта стадия определяет скорость процесса. При проведении р-ции в толуоле с  $\text{I-C}^{14}_{(1)}$  и металлич. Na внутримолекулярный ИЭ равен 1,6%. ИЭ при пинаколиновой перегруппировке бензпинакона (II), меченного  $\text{C}^{14}$  в одном из третичных атомов C, равен  $0 \pm 1\%$ . Исследован обмен  $\text{C}^{14}$  в бензпинаколин (III), меченном  $\text{C}^{14}$  в карбонильной группе, в условиях перегруппировки. Под действием  $\text{J}_2$  и  $\text{CH}_3\text{COOH}$  (IV) или разб.  $\text{H}_2\text{SO}_4$  в IV активность в карбонильном атоме C не уменьшается. Под действием конц.  $\text{H}_2\text{SO}_4$  или  $\text{ZnCl}_2$  в  $(\text{CH}_3\text{CO})_2\text{O}$  1% активности из карбонильного атома C переходит в третичный атом C III. При более длительном действии  $\text{ZnCl}_2$  на III 4,5% активности переходит в третичный C-атом III. Это однозначно доказывает обратимость перегруппировки. Малая величина ИЭ связана с кинетикой, а не с изотопным обменом. На основании своих данных автор считает, что стадия, определяющая ско-

рость, является согласованным процессом отщепления гидроксильной группы и миграции фенильной группы. Внутримолекулярный ИЭ при перегруппировке 4, 4', 4'', 4'''-тетраметоксибензпинакона- $\text{C}^{14}$  в  $\text{J}_2 + \text{IV}$  и в разб.  $\text{H}_2\text{SO}_4 + \text{IV}$  равен 4%. Из этого следует, согласно автору, что в данном случае имеет место менее согласованный процесс, чем при перегруппировке II, и основным фактором в стадии, определяющей скорость, является разрыв  $\text{C}-\text{O}$  связи при отщеплении группы OH. А. Рекашева

См. также: Строение органич. соед. 73, 74, 77, 105, 122—124, 184, 810, 818, 819, 823, 839, 840, 846, 893, 823, 958, 998, 1031, 1037, 1039, 1040, 1044, 1049, 1078, 1083. Реакционная способность 901, 910, 915. Механизмы и кинетика р-ций 390, 393—399, 407, 409, 411—415, 417, 420—422, 424, 428—431, 451, 452, 458, 459, 462—467, 469, 801, 825, 833, 834, 878, 888, 919, 960, 1012, 1024, 1057, 2772

## СИНТЕТИЧЕСКАЯ ОРГАНИЧЕСКАЯ ХИМИЯ

Редакторы М. А. Атабекова, Н. С. Вульфсон, Б. М. Дубинин, В. А. Загоревский, Я. Ф. Комиссаров, Г. Я. Кондратьева, И. Ф. Луценко

794. Синтезы с помощью азот-иллидов и фосфор-иллинов. Виттиг (Synthesen über Stickstoff-ylide und Phosphor-ylene. Wittig G.), Experientia, 1956, 12, № 2, 41—48 (нем.; реза. англ.)

Обзор работ автора и других за последние годы по применению «иллидов» типа  $\text{R}_3\text{N}^+\text{C}=\text{NR}'$  для синтеза циклич. соединений (напр., дибензциклооктатетраена, тетрабензциклододекагексаена и др.) и применению «фосфор-иллинов» типа  $\text{R}_3\text{P}=\text{CH}_2$  для синтеза олефинов по схеме:  $\text{R}_3\text{P}=\text{CHR} + \text{R}'_2\text{C}=\text{O} \rightarrow \text{R}_3\text{P}=\text{O} + \text{R}'_2\text{C}=\text{CHR}$ .

М. Вольпин  
795. Хлорирующие свойства хлористого нитрила. Коллис, Гинц, Годдард, Хабдон (The chlorinating properties of nitril chloride. Collis M. J., Gintz F. P., Goddard D. R., Hebdon E. A.), Chemistry and Industry, 1955, № 52, 1742—1743 (англ.)

При действии  $\text{NO}_2\text{Cl}$  на алкилбензолы образуется ~55% хлорпроизводных и <3,5% нитропроизводных. Р-ция не идет в среде  $\text{CCl}_4$ ,  $\text{C}_6\text{H}_{14}$ ,  $(\text{C}_2\text{H}_5)_2\text{O}$ , но протекает в р-рах  $\text{CH}_3\text{NO}_2$ ,  $\text{C}_2\text{H}_5\text{NO}_2$ ,  $\text{CH}_3\text{CN}$ ,  $\text{CH}_3\text{COOH}$ ,  $\text{CH}_2\text{Cl}_2$  и  $\text{C}_6\text{H}_6$  при  $\sim 20^\circ$  и более низкой т-ре. Р-ры  $\text{NO}_2\text{Cl}$  в неполярных в-вах и в  $\text{CH}_2\text{Cl}_2$  бесцветны, р-ры в полярных в-вах бесцветны в момент приготовления, но вскоре (от нескольких минут до 3/4 часа) желтеют, и в их спектре появляется  $\lambda_{\text{макс}}$  460 м $\mu$ , соответствующий по положению максимуму для  $\text{NOCl}$ . Хлорирующие действие оказывают лишь окрашенные р-ры, что видимо обусловлено появлением в них  $\text{Cl}_2$  и  $\text{NOCl}$  (в результате р-ций  $\text{NO}_2\text{Cl} + \text{H}_2\text{O} \rightarrow \text{HClO} + \text{HNO}_2 \rightarrow \text{HCl} + \text{HNO}_3$  и  $2\text{NO}_2\text{Cl} + \text{HCl} \rightarrow \text{Cl}_2 + \text{NOCl} + \text{HNO}_2$ ). Исключением являются бесцветные р-ры  $\text{NO}_2\text{Cl}$  в  $\text{C}_6\text{H}_6$  и в  $\text{CH}_2\text{Cl}_2$ , которые также оказывают хлорирующее действие.  $\text{HCl}$ , образующаяся при хлорировании  $\text{R}_\text{H}$ , окисляется  $\text{HNO}_3$  и дает дополнительное кол-во  $\text{Cl}_2$  также идущего на хлорирование. Хлорирование алкилбензолов посредством  $\text{NO}_2\text{Cl}$  — р-ция первого порядка, скорость которой растет с увеличением полярности р-рителя. При действии  $\text{NOCl}_2$  на стирол получено 60%  $\alpha$ ,  $\beta$ -дихлорфенилэтана. Исходный  $\text{NOCl}_2$  готовился действием абс.  $\text{HNO}_3$  на  $\text{HSO}_3\text{Cl}$ , освобожденный от примеси  $\text{NOCl}$  действием озонированного  $\text{O}_2$  и перегонялся для удаления  $\text{Cl}_2$  и  $\text{N}_2\text{O}_4$ , т. кип.  $-14,3^\circ$ , т. зам.  $-141 \pm 2^\circ$ . Б. Меркин



796. Восстановление соединений, содержащих галогид и нитрогруппу, цинком. Клагер (The reduction of halo nitro compounds with zinc. Klager K.), J. Organ. Chem., 1955, 20, № 10, 1348—1349 (англ.) При восстановлении метилового эфира 4-хлор-4-нитровалериановой к-ты (I) и 1-бром-1-нитродиклогексана (II) получены метиловый эфир  $\gamma$ -кетовалериановой к-ты (III) и соответственно циклогексанон (IV), охарактеризованные через семикарбазоны (СК); промежуточно образуется, очевидно, комплекс Zn с оксидом этих кетонов. К 28 г КОН в 200 мл воды добавляют при 0° 55 г 1-хлор-1-нитроэтана и затем 107 г метилакрилата, перемешивают 3 часа при 45—50°, через 20 час. экстрагируют эфиром, выход I, 53,5 г, т. кип. 95°/5 мм,  $n_D$  1,4542 (23°). Смесь 19,6 г I в 100 мл  $CH_3OH$ , 10,2 г Zn-пыли и 5 г  $NH_4Cl$  перемешивают до образования осадка и еще 10 мин. при 60°; осадок (18 г) промывают  $CH_3OH$  и эфиром. 10 г осадка суспендируют в 100 мл воды, добавляют HCl, затем экстрагируют и перегоняют III, т. кип. 80°/5 мм (т-ра бани); СК, т. пл. 148—149° (из воды). Аналогично из 20,8 г II, 10,2 г Zn-пыли и 10 г  $NH_4Cl$  в 250 мл  $CH_3OH$  получают 18 г осадка, из 10 г которого выделено 5,2 г IV; СК, т. пл. 166—167° (из воды). Н. Мезенцева

797. Получение диенов путем пиролиза циклических соединений. I. Получение бутадиена путем пиролиза циклогексена. Краус М., Бажант В., Сб. чехосл. хим. работ, 1956, 21, № 2, 356—362 (рез. нем.) См. РЖХим, 1956, 46829.

798. Получение диенов путем пиролиза циклических соединений. II. Получение бутадиена путем пиролиза циклогексанола. Краус М., Бажант В., Сб. чехосл. хим. работ, 1956, 21, № 2, 363—367 (рез. нем.) См. РЖХим, 1956, 46830.

799. Диалкилалюминийгидриды как стерически специфические восстановители для ацетиленов. Вилке, Мюллер (Dialkylaluminumhydride als sterisch spezifische Reduktionsmittel für Acetylene. Wilke Günther, Müller Herbert), Chem. Ber., 1956, 89, № 2, 444—447 (нем.)

Р-ция диалкилалюминийгидрида с двумя замест. ацетиленами (в отсутствие влаги и в атмосфере инертного газа) с последующим разложением водой получены *цис*-олефины. К 47 г (*изо*- $C_4H_9$ )<sub>2</sub>AlH (I) прибавляют 15 г гексина-3 (<45°), нагревают 3—4 часа при 45°, охлаждают и разлагают небольшим избытком  $CH_3OH$ , выделяющиеся газы улавливают в охлаждаемой ловушке. Al( $OCN$ )<sub>3</sub> разлагают разб.  $H_2SO_4$ , отделяют *цис*-гексен-3 (II) и объединяют с остатком из ловушки после отгонки *изо*- $C_4H_9$ , выход II 14 г, т. кип. 66,6°,  $n_D^{20}$  1,3946. Смесь 9,5 г толана и 17 г I нагревают 12 час. при 45—50°, разлагают  $CH_3OH$  и разб.  $H_2SO_4$ , выход изостильбена (III) 7 г, т. кип. 147—148°/15 мм, т. пл. 2—3°,  $n_D^{20}$  1,6220. Приведен ИК-спектр III. И. Мильштейн

800. Изучение химических превращений полихлоруглеводородов и родственных соединений. Несмеяно А. Н., Фрейдлина Р. Х., Захаркин Л. И., Успехи химии, 1956, 25, № 6, 665—704

Подробный обзор. Библ. 93 назв. И. Ц. 801. Дегалондирование алленовых галогенидов. Джейкобс, Тич, Уэйсс (The degalogenation of allenic halides. Jacobs Thomas L., Teach Eugene G., Weiss Daniel), J. Amer. Chem. Soc., 1955, 77, № 23, 6254—6258 (англ.)

Показано, что 1-хлоргексадиен-1,2 (I), 1-хлор-3-метилбутадие-1,2 (II) и бромпропадиен (III) дегалондируются Zn/Cu-парой с образованием смесей алленовых и ацетиленовых углеводородов, аналогичных по составу получаемым тем же методом из соответствующих галонд-

пропаргиллов: 3-хлоргексина-1 (IV), 3-хлор-3-метилбутина-1 (V) и бромистого пропаргила (VI). В условиях р-ции не происходит изомеризации исходных или конечных в-в; по-видимому, одинаковые результаты для каждой пары галогенидов обусловлены образованием общих промежуточных продуктов. Из I и IV получены гексадиен-1,2 (VII) и гексин-1 (VIII) (~36:1); из V (как и из II, см. Я. И. Гинабург, Ж. общ. химии, 1940, 10, 513) — 3-метилбутадие-1,2 (IX) без примеси 3-метилбутина-1, (X); из III и VI — аллен (XI) и метилацетилен (XII) (2:1). Дегалондирование IV, V и VI с помощью  $LiAlH_4$  дает соответственно смесь VII и VIII (7:1), IX и смесь XI и XII (<1:50); III реагирует аналогично VI, но дегалондирование I и II приводит главным образом к смеси парафинов и олефинов. Различия в р-циях хлоралленов и хлорпропаргиллов с  $LiAlH_4$  авторы приписывают большей подвижности хлора в последних; в случае IV, V и VI р-ция протекает, по-видимому, по типу  $S_N 2$  у  $C_{(1)}$  и  $C_{(3)}$ . Встряхивают 1 моль IV (Hennion, Sheehan, J. Amer. Chem. Soc., 1949, 71, 1964), 20 г  $Cu_2Cl_2$ , 16 г  $NH_4Cl$ , 10 мл конц. HCl, 50 мл воды и 0,6 г бронзы при ~20°, 14 дней, получают I, выход 52% (неочист.); для очистки I выдерживают с 80%-ным  $(C_2H_5)_2NH$  24 часа (см. РЖХим, 1953, 8417), т. кип. 58°/50 мм, 45°/25 мм,  $n_D^{25}$  1,4673,  $d_4^{25}$  0,9279. I

получают также из гексин-1-ола-3 и  $SOCl_2$ , выход 44%. Получение II и V (см. Hennion G. F., Sheehan J. J., Maloney D. E., J. Amer. Chem. Soc., 1950, 72, 3542). II, выход 51%, т. кип. 61—62°/175 мм,  $n_D^{25}$  1,4739. V, выход 55%, т. кип. 35—36°/175 мм,  $n_D^{25}$  1,4155. Р-ции I, IV и V с Zn/Cu проводят по Хенниону и Шихану (см. выше). VII, выход 59% (из IV) и 50% (из I), т. кип. 75—75,5°,  $n_D^{20}$  1,4283; IX, выход 51% (из V), т. кип. 39,5—40,5°  $n_D^{25}$  1,4159—1,4165. 0,05 моля III (или VI) в равном объеме абс. спирта добавляют по каплям к Zn/Cu (из 6,5 г Zn-пыли; перемешивание), кипятят 3 часа, в ловушке получают смесь XI и XII (анализ по ИК-спектру). К 0,58 моля  $LiAlH_4$  в 0,5 л эфира добавляют 0,5 моля IV в течение 45 мин. (перемешивание), кипятят 3 часа, через ~12 час. разлагают водой; получают смесь VII (2,73 г) и VIII (2,87 г, анализ по  $n_D$ ) и неочист. VII, выход 17,4 г. Из 0,5 моля V и 0,58 моля  $LiAlH_4$  в 200 мл тетрагидрофурана (кипятят 2 часа, перегоняют не гидролизую) получают IX, выход 54%. 0,05 моля VI (или III) в равном объеме диэтилкарбита добавляют к 0,05 моля  $LiAlH_4$  в 20 мл того же р-рителя за 20 мин. (~0°, перемешивание), нагревают (30 мин., 100°), разлагают водой, получают смесь XI и XII (<2,5% XI по ИК-спектру), выход 85% (из VI) и 89,5% (из III). По сходной методике из 0,5 моля II получают ~1,5 г углеводорода, дающего положительную р-цию с аммиачным  $AgNO_3$  (до гидролиза) и, по-видимому, смесь изопентана и изоамиленов (после гидролиза); при употреблении половинного кол-ва  $LiAlH_4$  получают X, выход 5%,  $n_D^{20}$  1,3725, и смесь углеводородов (выход 88%), в том числе 3-метилбутен-1, выход 63%,  $n_D^{20}$  1,3660. Аналогично проводят р-цию с I. Для I и IV приведены ИК-спектры. О. Охлобыстин

802. Об  $\alpha$ ,  $\omega$ -дигалондированных соединениях с длинными цепями. Маршак, Гермон (Sur les composés à longue chaîne  $\alpha$ ,  $\omega$ -dihalogénés. Marszak Israël, Guermont Jean-Pierre), Bull. Soc. chim. France, 1956, № 3, 464—465 (франц.)  $\alpha$ ,  $\omega$ -Дигалондированные моноацетиленовые соединения получают при взаимодействии полиметилхлорбромидов с Na-производными  $\omega$ -хлорзамещ. моноацетиленов, а  $\alpha$ ,  $\omega$ -дигалондзамещ. диацетилены — при взаимодействии с ди-Na-производными диацетиленов. К 500 мл жидкого  $NH_3$  прибавляют следы  $Fe(NO_3)_3$ , 0,31 моля Na, а затем 0,26 моля 5-хлорпентина-1 и

через 0,5 часа — 0,26 моля  $\text{Cl}(\text{CH}_2)_4\text{Br}$  (I). Перемешивают 5 час., разлагают 200 мл эфира + 20 мл  $\text{CH}_3\text{OH}$ , после перегонки получают 1,9-дихлоронии-4 (II), выход 79%, т. кип.  $83^\circ/0,1$  мм,  $n_D^{20}$  1,4834. Конденсируя Na-производное, полученное из 0,37 моля 6-хлоргексина-1, 400 мл  $\text{NH}_3$  и 0,45 моля Na, с 0,42 моля  $\text{Cl}(\text{CH}_2)_4\text{Br}$  синтезируют II, выход 39%. Аналогично предыдущему, из 0,44 моля  $\text{NaNH}_2$ , 0,2 моля октадина-1,7 и 0,44 моля I, получают 1,16-дихлоргексадекадин-5,11, выход 59%, т. кип.  $124-126^\circ$  (в глубоком вакууме),  $n_D^{20}$  1,4982; побочно образуется 12-хлордодекадин-1,7, выход 22%, т. кип.  $113^\circ/0,2$  мм,  $n_D^{20}$  1,4830.

Е. Караулова

**803. Третичные спирты с разветвленной цепью. I. Динзобутилкарбинол. Круг, Чот, Уолберт, Линд (Branched-chained tertiary alcohols. I. Diisobutylethylcarbinol. Krug Robert C., Choate Warren L., Walbert Joseph T., Leedy Robert C.), J. Amer. Chem. Soc., 1956, 78, № 8, 1698—1699 (англ.)**

При взаимодействии  $\text{C}_6\text{H}_5\text{MgBr}$  (I) с динзобутилкетон (II) наряду с образованием динзобутилэтилкарбинола (III) происходит также восстановление и енолизация II. К кипящему р-ру I (из 2 молей Mg) в 500 мл эфира прибавляют (1,5 часа) эфирный р-р (1 : 1) 4 моля II, гидролизуют 4 н. HCl. Выход III 65 г, т. кип.  $91-93^\circ/16$  мм,  $n_D^{20}$  1,4347,  $d_4^{25}$  0,8252; выделен также динзобутилкарбинол (в смеси с II). При эквимолекулярном соотношении I и II образуются лишь следы III. Дегидратация II над  $(\text{COOH})_2$  дает смесь (т. кип.  $159-162^\circ/710$  мм) 4-этил-2,6-диметилгептена-3 и 3-изобутил-5-метилгексена-2.

**804. Приготовление n-бутоксипилен. Дюамель (Sur la préparation du n-butoxyéthylène. Duhamel André), Bull. Soc. chim. France, 1956, № 1, 156—158 (франц.)**

Разработан непрерывный способ получения n-бутоксипилен (I) при нормальном давлении. В железный сосуд (2,5 л, снабжен мешалкой, капельной воронкой, дефлегматором, муфтой для термометра), герметически присоединенный к приемнику с ртутным затвором (приведен чертеж), загружают 1 кг n- $\text{C}_4\text{H}_9\text{OH}$ , 500 г порошка KOH, при перемешивании вытесняют воздух  $\text{C}_2\text{H}_2$ , доводят т-ру смеси до  $125^\circ$ . Прекращают подачу газа, следя за тем, чтобы избыточное давление в приборе было  $\sim 10$  мм Hg. Когда поглощение газа начнет замедляться, отгоняют продукты р-ции, доводят т-ру паров до  $100^\circ$  и т-ру смеси до  $160-170^\circ$ ; охлаждают до  $125^\circ$ , снова пропускают  $\text{C}_2\text{H}_2$ . После отделения воды взвешивают дистиллат, добавляют в прибор соответствующее кол-во n- $\text{C}_4\text{H}_9\text{OH}$ . Дистиллат после отгонки воды фракционируют. При  $92,5-93^\circ$  перегоняется азеотропная смесь из 90,6—90,8% I и n- $\text{C}_4\text{H}_9\text{OH}$ . К азеотропу прибавляют 0,005—0,01%  $\text{H}_3\text{PO}_4$ , нагревают до прекращения повышения т-ры жидкости, нейтрализуют безводн.  $\text{CH}_3\text{COOK}$ , отгоняют I, в остатке  $\text{CH}_3\text{CH}(\text{OC}_4\text{H}_9)_2$  (II). Смесь 368 г II и 100 мл 85%-ной  $\text{H}_3\text{PO}_4$  фракционируют, измеряя т-ру паров и жидкости. При т-ре жидкости  $180^\circ$  отгоняется 361 г дистиллата, т. кип.  $113^\circ$ . Фракционированием дистиллата получают 163 г I. Общий выход I 91%, т. кип.  $93^\circ/758$  мм,  $d_4^{20,5}$  0,7783,  $n_D^{20,5}$  1,399. Т. кип. II  $187^\circ/758$  мм,  $73,5^\circ/13$  мм,  $d_4^{18}$  0,834,  $n_D^{18}$  1,408.

Е. Алексеева

**805. Галондоэфиры. II. Продукты взаимодействия тетраэторалена с алкогалогенидами моноэфиров этиленгликоля. Клементшиц, Гичталер (Die Umsetzungsprodukte des Tetrachloräthylens mit Alkoholen einiger Halbäther des Äthylenglykols. II. Mitteilung über halogenierte Äther. Klementschitz W., Gitschthaler K.), Monatsh. Chem., 1956, 87, № 2, 319—322 (нем.)**

$\text{ROCH}_2\text{CH}_2\text{ONa}$  реагируют с  $\text{CCl}_2=\text{CCl}_2$  (I) с образованием  $\text{ROCH}_2\text{CH}_2\text{OCCl}=\text{CCl}_2$ , где R =  $\text{CH}_3$  (II); R =  $\text{C}_2\text{H}_5$  (III); R =  $\text{C}_4\text{H}_9$  (IV). Добавление  $(\text{CH}_3\text{COO})_2\text{Hg}$  (РЖХим, 1955, 7564), или гидрохинона не увеличило выход II—IV. Побочно образуются высококипящие масла с меньшим содержанием Cl. II, III, IV устойчивы, частично разлагаются при перегонке (3 мм), в присутствии влаги и  $\text{O}_2$  постепенно превращаются в  $(\text{COOH})_2$ ,  $\text{RO}(\text{CH}_2)_2\text{Cl}$  и HCl; в токе сухого  $\text{O}_2$  при  $90^\circ$  дают  $\text{COCl}_2$ ; в отсутствие  $\text{O}_2$  вода действует при т-ре  $> 80^\circ$ . III присоединяет HCl-газ ( $\sim 20^\circ$ , 40 час.), образуя, по-видимому, смесь изомеров:  $\text{C}_6\text{H}_5\text{O}(\text{CH}_2)_2\text{OCCl}_2\text{CHCl}_2$  и  $\text{C}_6\text{H}_5\text{OCH}_2\text{CH}_2\text{OCHClCCl}_2$ , т. кип. смеси  $114-115^\circ/8$  мм. При омылении смеси 90%-ной  $\text{CH}_3\text{COOH}$  получен  $\text{C}_2\text{H}_5\text{OCH}_2\text{CH}_2\text{OCCl}_2\text{CHCl}_2$ , т. кип.  $95-96^\circ/8$  мм. II и Na кипятят с 60 г  $\text{CH}_3\text{O}(\text{CH}_2)_2\text{OH}$  в 100 мл толуола, добавляют к теплomu р-ру 83 г I, нагревают 2,5 часа, NaCl отделяют, промывают водой, выход II 19—22 г, т. кип.  $101^\circ/20$  мм. Аналогично получены III, т. кип.  $101-103^\circ/11$  мм и IV, т. кип.  $125-127^\circ/13$  мм. Сообщен I см. РЖХим, 1954, 47991.

**806. Хлорирование некоторых эфиров. Бёме, Дёррис (Über die Chlorierung einiger Äther. Böhme Horst, Dörries Alexander), Chem. Ber., 1956, 89, № 3, 723—730 (нем.)**

Изучалось хлорирование метилбензильного (I), хлорметилметилового (II), симметричного дихлорметилового (III), хлорметилэтилового (IV) и хлорметилбензильного (V) эфиров эквимолекулярным кол-вом  $\text{Cl}_2$ , в присутствии перекиси бензоила (VI) на свету в р-ре  $\text{CCl}_4$  или  $\text{SO}_2\text{Cl}_2$ . Строение продуктов хлорирования доказано гидролизом и р-цией с алкогалогенидами натрия. 24,4 г I в 60 мл  $\text{CCl}_4$  при  $\sim 20^\circ$  и облучении лампой в 500 вт смешивали с р-ром 14 г  $\text{Cl}_2$  в 160 мл  $\text{CCl}_4$ . Получена смесь  $\alpha$ -хлорбензилметилового эфира (VII) (73—77%) и V (23—27%), выход 55%, т. кип.  $94-95^\circ/12$  мм. Гидролизом VII получены  $\text{C}_6\text{H}_5\text{CHO}$ ,  $\text{CH}_3\text{OH}$  и HCl, из V —  $\text{C}_6\text{H}_5\text{CH}_2\text{OH}$ ,  $\text{CH}_3\text{O}$  и HCl. Взаимодействием  $\text{CH}_3\text{ONa}$  и VII синтезирован бензальдегидметилацеталь, из V — формальдегидметилбензалацеталь. В смеси 17,5 г II и 27 г  $\text{SO}_2\text{Cl}_2$  добавляли немного VI и осторожно нагревали до  $100^\circ$ , получена смесь III (63—65%) и асимметричного дихлорметилового эфира (VIII) (35—37%), выход 51%, т. кип.  $94-96^\circ/755$  мм. При гидролизе III получены  $\text{CH}_2\text{O}$  и HCl, из VIII —  $\text{HCOOH}$  и  $\text{CH}_3\text{OH}$ . III действием  $\text{C}_6\text{H}_5\text{ONa}$  (IX) превращен в бис-пропилоксиметилэфир, VIII в этих условиях дает метилдипропилортоформат. Хлорированием III в  $\text{CCl}_4$  получен хлорметилдихлорметилэфир, выход 51%, т. кип.  $129-130^\circ/750$  мм (при его гидролизе получены  $\text{CH}_2\text{O}$ ,  $\text{HCOOH}$  и HCl); из IV в  $\text{SO}_2\text{Cl}_2$  — хлорметил- $\alpha$ -хлорэтиловый эфир (X), выход 53%, т. кип.  $107-108^\circ/752$  мм (при гидролизе получены  $\text{CH}_2\text{O}$ ,  $\text{CH}_3\text{CHO}$  и HCl). При взаимодействии IX и X получен  $\text{CH}_3\text{CH}(\text{OC}_6\text{H}_5)_2(\text{OCH}_2\text{OC}_6\text{H}_5)_2$ , выход 63%, т. кип.  $66-67^\circ/11$  мм. Хлорированием V в  $\text{CCl}_4$  при  $120^\circ$  синтезирован хлорметил- $\alpha$ -хлорбензильный эфир, выход 51%, т. кип.  $107-108^\circ/11$  мм, гидролизом последнего получены  $\text{C}_6\text{H}_5\text{CHO}$ ,  $\text{HCHO}$  и HCl, действием  $\text{CH}_3\text{ONa}$  —  $\text{C}_6\text{H}_5\text{CH}(\text{OCH}_3)(\text{OCH}_2\text{OCH}_3)$ , выход 61%, т. кип.  $106^\circ/11$  мм.

**807. Синтез некоторых диметоксиналканов с длинной цепью. Фриц-Бринн, Амед (Synthèse de quelques diméthoxyalcane à longue chaîne. Fritz Brini Mathilde, m-me, Hamade Noël), C. r. Acad. sci., 1956, 242, № 24, 2842—2843 (франц.)**

На примере  $\text{CH}_3\text{O}(\text{CH}_2)_{24}\text{OCH}_3$  (I) и  $\text{CH}_3\text{O}(\text{CH}_2)_{28}\text{OCH}_3$  (II) разработан метод синтеза  $\omega$ -диметоксиналканов с длинной цепью. Восстановительная конденсация  $\text{CH}_3\text{O}(\text{CH}_2)_{10}\text{COOC}_2\text{H}_5$  с металлом. Na получают  $\text{CH}_3\text{O}(\text{CH}_2)_{10}\text{COCHON}(\text{CH}_2)_{10}\text{OCH}_3$  (III), выход 53%, т. пл.

60° (из  $\text{CH}_3\text{OH}$ ). III получен в смеси с  $\text{CH}_3\text{O}(\text{CH}_2)_2\text{COCO}(\text{CH}_2)_{10}\text{OCH}_3$ , т. пл. 66—67°; оксим, т. пл. 96—97°; смесь разделяют фракционной кристаллизацией из  $\text{CH}_3\text{OH}$ . Восстановлением III по Клемсену получают  $\text{CH}_3\text{O}(\text{CH}_2)_{22}\text{OCH}_3$ , выход 95%, т. пл. 53°, который через дибромид превращают в  $\text{NC}(\text{CH}_2)_{22}\text{CN}$  (IV). Конденсацией IV соответственно с  $\text{CH}_3\text{O}(\text{CH}_2)_6\text{MgBr}$  и  $\text{CH}_3\text{O}(\text{CH}_2)_6\text{MgBr}$  получают  $\text{CH}_3\text{O}(\text{CH}_2)_6\text{CO}(\text{CH}_2)_{22}\text{CO}(\text{CH}_2)_6\text{OCH}_3$ , выход 42%, т. пл. 100° (из бэл.), очищен хроматографией на  $\text{Al}_2\text{O}_3$ ; диоксим, т. пл. 69°, и  $\text{CH}_3\text{O}(\text{CH}_2)_6\text{CO}(\text{CH}_2)_{22}\text{CO}(\text{CH}_2)_6\text{OCH}_3$ , выход 39%, т. пл. 101°; диоксим, т. пл. 72°, которые восстанавливают по Клемсену. Приведены в-во, выход в%, т. пл. в °C: I, 75, 75; II, 72, 78. Б. Мерков

808. Химия кетена. Ивакура (ケテンの化学, 岩倉義男), 化学と工業, Kagaku to Kōgō, Chem. and Chem. Ind., 1956, 9, № 4, 159—166 (япон.). Обзор. Библ. 36 назв. Н. Ц.

809. Присоединение тиоуксусной кислоты к этилкарбинолам и превращение аддуктов в альдоли и  $\alpha$ -ненасыщенные альдегиды. Бейдер (The addition of thioacetic acid to ethynylcarbinols and the conversion of the adducts into aldols and  $\alpha$ -unsaturated aldehydes. Bader Henry), J. Chem. Soc., 1956, Jan., 116—121 (англ.).

Изучалась р-ция  $\text{CH}_3\text{COSH}$  (I) с этилкарбинолами в различных условиях. К 0,1 моля  $\text{C}_2\text{H}_5\text{CH}(\text{OH})\text{C}\equiv\text{CH}$  (II) добавляют за 50 мин. 0,1 моля I при охлаждении льдом + NaCl, нагревают 1 час (100°) (метод А), получают  $\text{C}_2\text{H}_5\text{CH}(\text{OH})\text{CH}=\text{CHSCOH}$  (III) и  $\text{C}_2\text{H}_5\text{CH}(\text{OH})\text{CH}(\text{SCOH})\text{CH}_2\text{SCOH}$  (IV), (приведены выход, т. кип.,  $n_D^{20}$ ,  $n_D^{25}$ ,  $n_D^{30}$  в А и в макс. соответственно): 34,5%, 76°/5·10<sup>-4</sup> мм., 1,5050, 2510, 8000; и 4%, 80°/10<sup>-3</sup> мм.,  $n_D^{20}$  1,5208, 2280, 7500. III и IV получают также при быстром смешении I и II (по 0,2 моля) с последующим кипячением (2 часа) (метод Б); при добавлении к смеси 0,05 моля II и 0,00025 моля аскаридола (V) при 0° за 10 мин. смеси 0,05 моля I с 0,00025 моля V и последующей выдержкой при -20° 26 час. (метод В); добавляя 3,8 г. I в 30 мл эфира за 20 мин. к 4,9 г II (охлаждение водой) при облучении УФ-лучами, которое продолжают еще 3 часа (метод Г); в аналогичных условиях, но без эфира с последующим кипячением (7,5 часа, УФ-лучи); выходы III и IV в % соответственно: Б, 23, 14,5; В, 67, 0,51; Г, 0,6, 22,5. К р-ру ацетата семикарбазиды (VI) из 1,2 г хлоридрата (XГ) в 6,5 мл 80%-ного спирта добавляют 0,87 г III, нагревают до 50°, выдерживают 30 час. при ~20°, упаривают в вакууме, добавляют 2 мл эфира, извлекают горячим  $\text{CHCl}_3$ , выход семикарбазона (СК)  $\text{C}_5\text{H}_7\text{CH}(\text{OH})\text{CH}_2\text{SCHNO}$  60%, разл. при 149° (из сп.). 2,9 г III в 40 мл абс.  $\text{C}_6\text{H}_6$  встряхивают 19 час. при 20° с 3,5 г  $\text{P}_2\text{O}_5$  в атмосфере  $\text{N}_2$ , добавляют воду, получают  $\text{C}_5\text{H}_7\text{CH}=\text{CHSCOH}$  (VII), выход 30%, т. кип. 66°/10<sup>-3</sup> мм.,  $n_D^{25}$  1,5330, 0,31 г VII, 0,2 г  $\text{COCH}=\text{CHCOO}$  и 0,5 мл

$\text{C}_6\text{H}_6$  кипятят 15 мин., оставляют на 3 дня при 0°, получают 0,06 г аддукта (VIII), т. пл. 113° (из водн. сп.). 0,78 г VII и р-р VI (из 1,2 г XГ) в 13 мл 90%-ного спирта (20 мин., -20°), дают СК  $\text{C}_5\text{H}_7\text{CH}=\text{CHSCOH}$ , выход 20%, т. пл. 174° (из водн. сп.; 1 : 1). Из 0,1 моля I в 20 мл эфира и 0,1 моля  $\text{C}_6\text{H}_5\text{CH}(\text{OH})\text{C}\equiv\text{CH}$  (метод Г), затем оставляют на 7 дней при 20° получают  $\text{C}_6\text{H}_5\text{CH}(\text{OH})\text{CH}=\text{CHSCOH}$  (IX) и  $\text{C}_6\text{H}_5\text{CH}(\text{OH})\text{CH}(\text{SCOH})\text{CH}_2\text{SCOH}$  (X), выход, т. кип. /10<sup>-3</sup> мм.,  $n_D^{20}$  соответственно: 23,8%, 115°, 1,5730 и 10,7%, 123—128°, 1,5857—1,5904; при р-ции по методам А, Б и В выходы IX

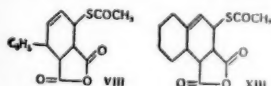
и X в % соответственно: 3,5; 17,0; 6,18. 1,04 г IX и VI (из 1,2 г XГ) в 7 мл 85%-ного спирта (сутки при 20°) дают СК коричного альдегида, выход 40%. Из I и 1-этилциклогексанола получают (метод В, 2 дня при 20°)  $\text{CH}_2(\text{CH}_2)_4\text{C}(\text{OH})\text{CH}(\text{SCOH})\text{CH}_2\text{SCOH}$  (неочищ.), выход 4%, т. кип. 95°/5·10<sup>-3</sup> мм.,  $n_D^{20}$  1,5460 и смесь  $\text{CH}_2(\text{CH}_2)_4\text{C}(\text{OH})\text{CH}=\text{CHSCOH}$  (XI) с  $\text{CH}_2(\text{CH}_2)_3\text{CH}=\text{CHSCOH}$  (XII), т. кип. 95—122°/10<sup>-4</sup> мм.,  $n_D^{22}$  1,5328—1,5390 (для смеси).

16,15 г смеси XI с XII нагревают 2 часа при 95°/15 мм с 16 г безводн.  $(\text{COOH})_2$ , добавляют воду, извлекают петр. эфиром, получают 8,6 г смеси изомеров XII, т. кип. 85—89°/5·10<sup>-3</sup> мм.,  $n_D^{17}$  1,5700, из которой выделяют 5,5 г кристаллич. формы, т. пл. 35,5—36,5° (из петр. эф. при -30°) и масло, т. кип. 85°/0,05 мм.,  $n_D^{19}$  1,5575. Смесь изомеров XII получают также при перегонке смеси XI и XII. Из 0,91 г кристаллич. XII и 0,49 г  $\text{COCH}=\text{CHCOO}$  (кипятят 15 мин. с 0,5 мл  $\text{C}_6\text{H}_6$ ,

выдерживают сутки при 0°, извлекают горячим циклогексаном, выдерживают 12 час. при 0°) получают аддукт (XIII), выход 32%, т. пл. 103—103,5°, 0,91 г XII кипятят 2,5 часа со спирт. р-ром VI (из 1,2 г XГ), добавляют воду, получают смесь СК циклогексенил- и циклогексиденуксусного альдегидов, 60 и 40% соответственно (определяют спектроскопически). К смеси 0,2 моля  $\text{CH}_3\text{CH}(\text{OH})\text{CH}_2\text{C}\equiv\text{CH}$  и 0,002 моля V быстро добавляют 0,2 моля I, кипятят 3 часа, выход  $\text{CH}_3\text{CH}(\text{OH})\text{CH}_2\text{CH}=\text{CHSCOH}$  (XIV) 60%, т. кип. 76°/5·10<sup>-4</sup> мм.,  $n_D^{22}$  1,5158; в тех же условиях, но без V получают 44% XIV. К 15,9 г XIV в 9,2 мл пиридина добавляют при охлаждении 9,5 мл  $(\text{CH}_3\text{CO})_2\text{O}$ , выдерживают 60 час. при 20°, добавляют по 100 мл воды и эфира, выход  $\text{CH}_3\text{CH}(\text{OCOCH}_3)\text{CH}_2\text{CH}=\text{CHSCOH}$  (XV) 53%, т. кип. 83°/0,05 мм.,  $n_D^{19}$  1,4910, 0,005 моля XV кипятят 13 час с р-ром VI (из 1,2 г XГ) в 13 мл 90%-ного спирта, выход СК  $\text{CH}_3\text{CH}(\text{OCOCH}_3)\text{CH}_2\text{CHNO}$  28%, т. пл. 86,5° (из петр. эф. при 0°). Из I и  $\text{CH}_3\text{CH}=\text{CHCH}(\text{OH})\text{C}\equiv\text{CH}$  (по 0,1 моля) получают  $\text{CH}_3\text{CH}(\text{SCOH})\text{CH}_2\text{CH}(\text{OH})\text{C}\equiv\text{CH}$  и  $\text{CH}_3\text{CH}=\text{CHCH}(\text{OH})\text{CH}(\text{SCOH})\text{CH}_2\text{CH}=\text{CHSCOH}$ , выходы в % по методам А, Б и Г, т. кип. /10<sup>-4</sup> мм.,  $n_D^{20}$  соответственно: 6, 25, 12, 67°, 1,5007, и 6, 11, 13,5, 100°,  $n_D^{25}$  1,5407. Приведены максимумы поглощения VII—X, XII—XV и других в-в. Т. Амбруш

810. О продуктах конденсации изомасляного альдегида с ацетоном. Хейлманн, Годмари, Арио (Sur les produits de condensation de l'isobutanol avec l'acétone. Heilmann René, Gaudemar Gabriel de, Arnaud Paul), C. r. Acad. sci., 1956, 242, № 16, 2008—2010 (франц.).

Структура *trans*-изобутиленацетона (I, семикарбазон (СК), т. пл. 126°), описанного ранее (Eccott, Linstead, J. Amer. Chem. Soc., 1930, 132, 905), подтверждена исследованием его ИК- и УФ-спектров и сртн-ста I из хлорангидрида *trans*-изогексеновой к-ты и  $\text{CH}_2\text{ZnI}$ . Исследованием ИК- и УФ-спектров показано, что образующийся при дегидратации 5-метилгексанол-4-она-2 (II) изомерный I кетон, которому ранее было приписано строение *cis*-изомера I, представляет собой 5-метилгексен-4-он-2 (III). Конденсацией  $(\text{CH}_3)_2\text{CHCHO}$  с  $(\text{CH}_3)_2\text{CO}$  получен II (выход 50%, т. кип. 83—84°/12 мм.,  $n_D^{20}$  1,4388), дегидратацию в присутствии  $\text{J}_2$  в смеси (выход 75%, т. кип. 46—49°/12 мм.) 20% I и 80% III (т. кип. 76°/50 мм.,  $n_D^{20}$  1,4385; динитрофенилгидразон (ДНФ), т. пл. 82,5°; СК, т. пл. 158°). Конденсация  $(\text{CH}_3)_2\text{CHCHO}$  и  $(\text{CH}_3)_2\text{CO}$  в более жестких условиях приводит к смеси (выход 22%) 95% I (т. кип. 77,8°/51 мм.,  $n_D^{20}$  1,4423; ДНФ, т. пл. 170,5°; СК, т. пл. 127°) и 5% III. I и III разделялись фракционированием на колонке



VIII

XIII



Подбильяна. Приведены кривые ИК-спектров I и III.

Н. Герштейн

**811. Синтез карбоновых кислот из ненасыщенных соединений, окиси углерода и воды в присутствии катализаторов. Эрколи** (Sintesi di acidi carbossilici per reazione fra composti non saturi, ossido di carbonio ed acqua in presenza di solventi. Ercoli R. Raffaele), Chimica e industria, 1955, 37, № 13, 1029—1032 (итал.; рез. англ., франц., нем.)

Изучены условия синтеза карбоновых к-т из олефинов, СО и воды в р-ре ацетона или диоксана в присутствии  $\text{CO}_2(\text{CO})_8$  (I). Применение р-рителей снижает т-ру р-ции до 120—125° и давление до 100—300 ат. Выход к-т 80—90%. В сравнимых условиях олефины легче реагируют с СО и  $\text{H}_2\text{O}$ , чем с СО и  $\text{CH}_3\text{OH}$ . Возрастание разветвленности олефина затрудняет р-цию. Побочные продукты — альдегиды, образующиеся в результате гидроформилирования олефина. В качающихся автоклавах из нержавеющей стали, емкостью 457 мл, наполненный СО, загружают 5 г I, 54 г воды, 0,5 моля циклогексена (II), 7 г ацетона и подают СО до 128 ат. При 165° давление повышается до 197 ат. Через 185 мин. давление спадает до 132 ат. Отгоняют непрореагировавшие II, ацетон и воду, с парами которой отгоняется немного  $\text{C}_6\text{H}_{11}\text{CHO}$ . Перегонкой остатка в вакууме выделяют  $\text{C}_6\text{H}_{11}\text{COOH}$  (III) (часть к-ты выделяют из Со-соли действием HCl). Выход III 89% (определен титрованием щелочью). Перечисляются исходное в-во (моли), вода в молях, ацетон в г, I в г, т-ра в °C, давление в ат, время в мин., продукт р-ции, % превращения олефина: гексен-1 (IV) (0,5), 2, 121,5, 150, 130—110, 150, изомерные гептановые к-ты, 88; 2-этилгексен-1 (V), (0,5), 1,5, 77,5, 165, 165—112,  $\text{C}_8$ -к-ты, 57; кротоновая к-та (0,5), 2,40, 2,5, 150, 200—170, 240, глутаровая и метилактарная к-ты, 52; ундециленовая к-та (0,11), 0,66, 57, 1,5, 145, 210—200, 60, додекандовая к-та, 76, 73 г пропилена, 7 г I, 360 г диоксана, 100 г воды при 125° и 320—200 ат за 540 мин. дают масляную к-ту с выходом 90%. Р-ция с  $\text{CH}_3\text{OH}$  проводится при соотношениях: 2,1—2,5 моля/л олефина, 7,5—8,5 моля/л воды, 16,5—18,5 моля/л  $\text{CH}_3\text{OH}$ , 0,07 моля/л I. Образуются метиловые эфиры соответствующих к-т. Перечисляются олефин, т-ра в °C, время в мин., % превращения олефина: II, 165, 120, 33; IV, 165, 180, 61; V, 165, 380, 20.

Г. Курбский  
**812. Новый синтез щавелевой кислоты. Хассельстром, Генри** (New synthesis of oxalic acid. Hasselstrom Torsten, Henry Malcolm C.), Science, 1956, 123, № 3206, 1038—1039 (англ.)

При облучении водн. р-ров  $\text{NH}_4\text{HCO}_3$ ,  $\text{NaHCO}_3$ ,  $\text{Ca}(\text{HCO}_3)_2$ , а также  $(\text{NH}_4)_2\text{CO}_3$  (~20°)  $\beta$ - или  $\gamma$ -лучами образуется щавелевая к-та (I). Получить I облучением  $\text{Na}_2\text{CO}_3$  не удалось. Образование I из  $(\text{NH}_4)_2\text{CO}_3$  объясняется постоянным присутствием в используемом р-ре  $(\text{NH}_4)_2\text{CO}_3$  примесей  $\text{NH}_4\text{HCO}_3$  и  $\text{NH}_3$ . Облучение образцов проводят в полиэтиленовых мешочках (емкость ~250 мл, толщина  $\leq 6$  мм) или в стеклянных сосудах с помощью электронного ускорителя в 2 Мэв. Доза одного облучения 2,10 Мфэр (1 Мфэр эквивалентен 52,4·10<sup>18</sup> эв), общая доза радиации 2,10—52,5 Мфэр. Приведены кривые зависимости выходов I (до 4%) от дозы радиации и конц-ий применяемых растворов.

О. Нефёдов

**813. Гексадецин-2-овая кислота. Сунко, Вуанович** (2-hexadecynoic acid. Sunko D. E., Vujanovic N.), Arhiv. kemija, 1955, 27, № 4, 217—218 (англ.; рез. сербо-хорв.)

Раствор  $\text{C}_{12}\text{H}_{25}\text{MgBr}$  (из 0,315 моля  $\text{C}_{12}\text{H}_{25}\text{Br}$ ) в эфире прибавляют к 0,3 молю  $\text{CH}_2=\text{CBrCH}_2\text{Br}$ , кипятят 4 часа, разлагают разб. HCl. Выход 2-бромпентадецена-1 (I) 35%, т. кип. 92°/0,15 мм,  $n_D$  1,4690. К взвеси

$\text{NH}_2\text{Na}$  (из 8,8 г Na) в 270 мл ксилола прибавляют (1 час, 140°) 39 г I, кипятят 10 час., добавляют лед и конц. HCl, извлекают пентадецин-1 (II) эфиром, выход 49,1%, т. кип. 88°/0,25 мм,  $n_D^{25}$  1,4545. 13,8 г II в 70 мл эфира прибавляют к  $\text{CH}_3\text{MgI}$  в эфире, кипятят 17 час. и насыщают  $\text{CO}_2$ . Выход гексадецин-2-овой к-ты (III) 13,2%, т. пл. 54—55° (из петр. эф.). III очищают, осаждают из ацетонového р-ра в виде К-соли 5 н. р-ром  $\text{KOH}/\text{CH}_3\text{OH}$  с последующим выделением разб. HCl.

Г. Кондратьева

**814. Квази-рацемические соединения оптически активных изомеров положения метиламещ. карбоновых кислот с длинной цепью. Халлгрэн** (Quasiracemic compounds between optically active positional isomers of methyl-substituted long-chain carboxylic acids. Hallgren B.), Arkiv kemi, 1956, 9, № 4, 389—396 (англ.)

Синтезирована (+)-9-р-метилоктадекановая к-та (I). Найдено, что I образует с (+)-10-л-метилоктадекановой к-той (II) квази-рацемич. соединение (на основании изучения зависимости т-ры плавления смеси I и II от ее процентного состава). Смесь D-форм обеих к-т образует лишь низкотемпературную эвктику. Смесь 0,8 г Na в 300 мл  $\text{CH}_3\text{OH}$ , 0,626 моля  $\text{CH}_3(\text{CH}_2)_7\text{COOH}$  (III) и 10 г (+)-D- $\text{HOOCCH}_2\text{CH}(\text{CH}_3)(\text{CH}_2)_7\text{COOCH}_3$  (IV) подвергают электролизу (Pt-электроды, 7—10 а, ~40 мин.) до pH 7, добавление III и IV и электролиз повторяют еще 4 раза, восполняя и потери  $\text{CH}_3\text{OH}$ ; смесь выливают в воду, извлекают эфиром, фракцию 86—88°/0,25—0,30 мм гидролизуют кипячением (3 часа) с 35 г КОН в 70 мл воды и 200 мл 99,5%-ного спирта, разбавляют водой, извлекают эфиром, водн. слой подкисляют HCl (к-той), извлекают эфиром, вытяжку упаривают, остаток выдерживают в 200 мл петр. эфира ~12 час. при -15°; упариванием р-ра получают (+)-3-р-метилдодекановую к-ту (V), выход 18,4 г, т. кип. 135—137°/0,5 мм,  $n_D^{25}$  1,4405,  $d_4^{25}$  0,8848,  $[\alpha]_D^{25}$  +4,78°. Смесь 0,4 г Na в 250 мл  $\text{CH}_3\text{OH}$ , 0,082 моля  $\text{HOOC}(\text{CH}_2)_6\text{COOH}$  и 0,082 моля V подвергают электролизу (45 мин., 4—9,5 а) добавляют 300 мл воды, извлекают эфиром, упаривают, гидролизуют, как выше, выдерживают 3 часа с 200 мл петр. эфира при ~20°, фильтруют, фракцию 140—179°/0,6—0,8 мм выдерживают несколько часов в петр. эфире при -20°, фильтруют, из р-ра получают I, выход 4,47 г, т. пл. 12,5—12,9°,  $n_D^{25}$  1,4511,  $d_4^{25}$  0,8733,  $[\alpha]_D^{25}$  +0,05°; амид, т. пл. 65,5—65,9° (из эф.),  $[\alpha]_D^{25}$  +0,07°; гидролизом амида получают I с т. пл. 16,4—16,7°, что объясняется диморфизмом I и подтверждается исследованием дифракции рентгеновских лучей. Аналогично, исходя из DL-V, получают DL-I, т. пл. 38,7—39,2°; амид, т. пл. 69,9—70,1° и 61,3—61,5°. При синтезе I образуется также 2,45 г (—)-10-л, 13-р-диметилдодеканоана, т. кип. 156°/0,3 мм,  $n_D^{25}$  1,4459,  $d_4^{25}$  0,7971,  $[\alpha]_D^{25}$  D—0,98.

Т. Амбруш

**815. Синтез линоленовой кислоты. Нигам, Уидон** (Synthesis of linolenic acid. Nigam S. S., Weedon B. C. L.), Chemistry and Industry, 1955, № 48, 1555 (англ.)

Структура  $\text{CH}_3(\text{CH}_2\text{CH}=\text{CH})_3(\text{CH}_2)_7\text{COOH}$  (I) линоленовой к-ты подтверждена синтезом гексабромидов I-9,10,12,13,15,16-гексабромстеариновой к-ты (II). 1-бромпентан-2-он конденсируют с  $\text{O}(\text{CH}_2)_4\text{CHOCH}_2\text{C}\equiv\text{CMeX}$  в тетрагидрофуране в присутствии  $\text{Cu}_2\text{Cl}_2$  и ионич. продукт р-ции обрабатывают кипящим р-ром  $n\text{-CH}_3\text{C}_6\text{H}_4\text{SO}_3\text{H}$  в спирте; выход октадин-2,5-ола-1 (III) 50%;  $\alpha$ -нафтилуретан, т. пл. 126°. Из III и  $\text{PBr}_3$  получают с выходом 60% 1-бромоктадин-2,5, который при р-ции с  $\text{OCH}_2\text{CH}_2\text{OCH}(\text{CH}_2)_7\text{C}\equiv\text{CMeX}$  (катализатор  $\text{Cu}_2\text{Cl}_2$ ) дает этиленацеталь октадекатриин-9,12,

15-али (IV; V — альдегид), выход 33%; 2,4-динитро-фенилгидразон, т. пл. 102°. IV гидрируют в соответствующий *цис*, *цис*, *цис*-триен, последний бромнруют, гидролизуют и окисляют. Кристаллизацией полученной смеси бромзамещ. к-т выделяют II, выход 16%, т. пл. 180—181°. Метиловый эфир, т. пл. 157—158°. Для получения исходного  $\text{OCH}_2\text{CH}_2\text{OCH}(\text{CH}_2)_7\text{C}\equiv\text{CH}$  децин-

9-овую к-ту превращают в е N-метиланилид (выход 75%), который восстанавливают  $\text{LiAlH}_4$  в V.

Г. Кондратьева

816. Элаидирование олеиновой кислоты этилнитритом. Ранков, Попов (Elaidinierung von Ölsäure mittels Äthylnitrit. Rankoff G., Popoff A.), Докл. Болгар. АН, 1955, 8, № 2, 37—40 (нем.; рез. русс.)

Предлагается метод превращения олеиновой к-ты (I) в элаидиновую (II) под действием этилнитрита (III). Р-ция с небольшими кол-вами I происходит медленно и выход II мал. Кол-во продуктов присоединения значительно меньше (1,4—16%), чем при проведении р-ции с  $\text{HNO}_3$  или окислами азота (3,9—67,3%). I растворяют в двойном кол-ве спирта, прибавляют 10% III (считая на I); чистого или в спирт. р-ре, оставляют на 24 часа при 0°. Выход III 50—55% (из сп.), т. пл. 44,4°, молярное число 89,5.

И. Мильштейн

817. Элаидирование рицинолеиновой кислоты селеном. Ранков, Новчев (Elaidinierung von Ricinolsäure mittels Selen. Rankoff G., Novt-scheff A.), Докл. Болгар. АН, 1955, 8, № 2, 41—44 (нем.; рез. русс.)

50 г рицинолеиновой к-ты нагревают с 0,25 г Se 3 часа, при 220—230° в токе  $\text{CO}_2$  Se отделяют и из полученной некристаллизующейся смеси выделяют рицино-элаидиновую к-ту, выход 24,5—31,1%; т. пл. 50,5—51°,  $n_D^{20}$  1,4541.

И. Мильштейн

818. Конфигурация 9,10-диоксистеариновой кислоты. Генслер, Шлейн (Configuration of 9,10-dihydroxystearic acid. Gensler Walter J., Schlehn Herbert N.), J. Amer. Chem. Soc., 1956, 78, № 1, 169—172 (англ.)

Расщеплением с помощью бруцина доказано, что 9,10-диоксиктадекановая к-та (I) с т. пл. 121—122° (РЖХим, 1956, 35795) является рацемич. формой. Полноту установлено, что I, выделенная из корковой пробки, не обладает оптич. активностью. С целью установления конфигурации 9,10-стеариновых к-т (II) (Swern D. и др., J. Amer. Chem. Soc., 1952, 74, 1655) *rac*-I превращена в II по схеме: → моноэтиловый эфир I (III) → 9,10,18-триоксистеариновая к-та (IV) → 9,10-диокси-18-тозилдоксистеариновая к-та (V) → 9,10-диокси-18-йодстеариновая к-та (VI) → II. Была получена II с т. пл. 94,5—95° отсюда следует, что «низкоплавкой» II действительно отвечает *trans*-конфигурация. Авторы высказывают сомнение, что триоксистеариновой к-те с т. пл. 104°, выделенной из корковой пробки (Zetsche F., Weber K., J. prakt. Chem., 1938, 150, 140), отвечает строение III, так как *эритро*-III должна плавиться выше чем *трео*-форма. 0,003 моля бруцина и 0,0015 моля I в 50 мл абс.  $\text{C}_2\text{H}_5\text{OH}$  кипятят 1 час, упаривают до объема 15 мл и оставляют при 0° на 3 дня. Выпавшую соль промывают спиртом, сушат на воздухе; дробная кристаллизация как из спирта, так и из воды, спирта не удаляет. 3,6 г полученной соли и 10 мл абс.  $\text{C}_2\text{H}_5\text{OH}$  выдерживают 2 дня при 20°, с нерастворившейся частью повторяют ту же операцию до 8 раз; в остатке получают 1,3 г соли, т. пл. 118—119° (из сп.),  $[\alpha]_D^{25}$   $-65^\circ$  (0,103 г в 10 мл абс. сп.). 0,41 г соли, 50 мл  $\text{H}_2\text{O}$  и 1 мл конц.  $\text{HCl}$  оставляют при  $\sim 20^\circ$ , добавляют еще 1 мл конц.  $\text{HCl}$ , извлекают эфиром; вытяжку промывают водой (до pH 5), выход I 88%, т. пл. 122—123° (из этилацетата),  $[\alpha]_D^{25}$   $4,6 \pm 0,4^\circ$  (0,112 г

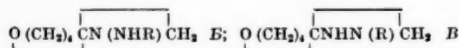
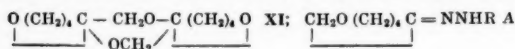
в 5 мл сп.); монобензойное производное, выход 86%, т. пл. 114—116° (из этилацетата),  $[\alpha]_D^{25}$   $8,6 \pm 0,6^\circ$  (0,082 г в 5 мл сп.). 25 мл бензальдегида, 0,0015 моля *rac*-I и 1,5 г безводн.  $\text{CuSO}_4$  встряхивают 10 дней, фильтруют, осадок промывают эфиром, отгоняют эфир и  $\text{C}_6\text{H}_5\text{CHO}$  (в вакууме), остаток растворяют в эфире (50 мл), промывают насыщ. р-ром  $\text{NaHSO}_3$ , затем 5%-ным  $\text{NaOH}$ , щел. р-р подкисляют (pH 2), извлекают эфиром; выход бензилиденового производного I 71%, т. пл. 87—88° (из этилацетата), 0,005 моля *трео*-I, 40 мл этилацетата, 0,6 мл абс.  $\text{C}_2\text{H}_5\text{OH}$  и 2 капли конц.  $\text{H}_2\text{SO}_4$  кипятят 2 часа, р-ритель испаряют и остаток растворяют в эфире (100 мл). III извлекают насыщ. р-ром  $\text{Ca}(\text{OH})_2$  ( $7 \times 30$  мл), р-р подкисляют (100 мл 5%-ной  $\text{HCl}$ , перемешивание 3 часа); выход III 0,75 г, т. пл. 67—68° (из петр. эф.). Растворяют 0,02 г-атома Na в р-ре 0,0027 моля III в 50 мл абс.  $\text{C}_2\text{H}_5\text{OH}$  (40°), р-ритель испаряют током сухого  $\text{N}_2$ , остаток встряхивают с 75 мл эфира и 100 мл 5%-ной  $\text{HCl}$ , IV извлекают 5%-ным  $\text{NaOH}$ ; подкисляют (pH 2); выход IV 78%, т. пл. 136—137° (из сп.-воды). I в условиях опыта не изменяется. Р-р 0,0015 моля IV и 0,0016 моля *n*- $\text{C}_8\text{H}_{17}\text{SO}_2\text{Cl}$  в 25 мл пиридина выдерживают при 0° 18 час., р-ритель удаляют током  $\text{N}_2$ , остаток растворяют в эфире, промывают водой и эфир испаряют; выход V 81%, т. пл. 67—68° (из сп.+ этилацетат), 0,001 моля V и 0,01 моля  $\text{KJ}$  в 40 мл ацетона выдерживают при  $\sim 20^\circ$  3 дня, р-ритель испаряют, остаток (в эф.) промывают водой и 5%-ным  $\text{Na}_2\text{S}_2\text{O}_3$ ; выход VI 0,45 г (неочищ.), 0,45 г неочищ. VI, 35 мл лед.  $\text{CH}_3\text{COOH}$ , 5 г  $\text{Zn}$ -пилы и 5 мл конц.  $\text{HCl}$  нагревают на водяной бане (перемешивание) 2 часа, фильтруют, осадок промывают водой (50 мл) и эфиром (собирают отдельно), к фильтрату добавляют еще 50 мл воды и смесь экстрагируют эфиром. Эфирные вытяжки соединяют, получают II, выход 48%, т. пл. 94,5—95° (из этилацетата).

О. Охлобыстин

819.  $\alpha$ -Метиленадипиновая кислота и некоторые родственные соединения. Оуэн, Пито ( $\alpha$ -Methyleneadipic acid and some related compounds. Owen L. N., Peto A. G.), J. Chem. Soc., 1956, May, 1146—1151 (англ.)

Циклодегидратация этилового эфира 1-ацетоксиметилциклопентанон-2-карбоновой-1 к-ты (I) под действием конц.  $\text{KOH}$  приводит не к *цис*-циклопентандикарбоновой-1,3 к-те (Daltroff, Ann. Chim. (France), 1940, 14, 207), а к  $\alpha$ -метиленадипиновой к-те (II), идентичной с полученной ранее (РЖХим, 1956, 54333). Наличие двойной связи в II доказано гидрированием над Pd (поглощается 1 моль  $\text{H}_2$ ), р-цией воды. р-ра II с бромной водой и озонлизом (образуется формальдегид). Образование II протекает, по-видимому, по схеме  $\text{I} \rightarrow \text{HOOC}(\text{CH}_2)_3\text{CH}_2\text{COOC}_2\text{H}_5 \rightarrow \text{HOOC}(\text{CH}_2)_3\text{CH}_2\text{COOH} \rightarrow \text{II}$  (см. РЖХим, 1954, 12643). При аналогичном превращении этилового эфира 1-ацетоксиметилциклогексан-2-карбоновой к-ты (III) образуется не циклич. к-та (Hiong, Ann. Chim. (France), 1942, 17, 269), а  $\alpha$ -метиленинминовая к-та (IV). Восстановление метилового (V) или этилового (VI) эфира II с помощью  $\text{LiAlH}_4$  дает 2-метилгександадиол-1,6 (VII), содержащий, возможно, примесь 2-метилгександадиола-1,6 (VIII); VIII получается восстановлением ( $\text{LiAlH}_4$ ) этилового эфира  $\alpha$ -метил-адипиновой к-ты (IX) (из VI гидрированием над Pd). Озонлиз VII приводит не к ожидаемому 1,6-диоксигексанон-2-диолу-1,6 (X), а к продукту интермолекулярной дегидратации двух молекул пиранозной формы X — *мезо*-1,7,10,15-тетраоксациспиро-[5,2]-гексакану (XI); последний при нагревании с 2,4-динитро-фенилгидразином (ДНФГ) в  $\text{H}_2\text{SO}_4$  дает 2,4-динитро-фенилгидразон X (XII), имеющий циклич. строение, судя по отсутствию  $\text{OH}$ -групп (ИК-спектр). Авторы отмечают, что соединения типа X вследствие отсутствия

большого числа ОН-групп удобны для решения вопроса о строении озазонов сахаров.  $\text{CH}_2\text{OH}$  (+HCl) метилирует XI в тетрагидро-2-метокси-2-метоксиметилпирин (XIII). Кислый гидролиз XIII приводит к неоднородному продукту, дающему циклич. 2,4-динитрофенилгидразон (XIV), которому можно приписать одну из трех структур (А, В или С, R = 2,4-(NO<sub>2</sub>)<sub>2</sub>C<sub>6</sub>H<sub>3</sub>). С избытком ДНФГ образуется XII. I (Daltroff, см. выше), выход 68%, т. кип. 122—123°/0,4 мм,  $n_D^{17}$  1,4542. 117 г I добавляют к р-ру 90 г NaOH в 900 мл 50%-ного спирта, кипятят 2 часа, упаривают в вакууме и подкисляют 450 мл 17%-ной HCl. Осадок, выпадающий



при 0°, высушивают и II извлекают эфиром в экстракторе, выход 88%, т. пл. 128° (из воды). V (кипятят II с метанольным р-ром HCl), выход 96%, т. кип. 117°/8 мм,  $n_D^{21}$  1,4469. Нагревают 23,7 г II, 80 мл спирта, 250 мл  $\text{CCl}_4$  и 1,5 г  $n\text{-CH}_3\text{C}_6\text{H}_4\text{SO}_3\text{H}$ , отгоняют воду, выход VI 28,1 г, т. кип. 94/0,2 мм,  $n_D^{17}$  1,4436. Из III получают IV (Hiong, см. выше), т. пл. 87—88° (из бэл.). 6,6 г VI в 90 мл спирта гидрируют над 1 г 10%-ного Pd/C, выход IX 6,1 г, т. кип. 128—129°/14 мм,  $n_D^{19}$  1,4270. 6,3 г IX восстанавливают 1,9 г  $\text{LiAlH}_4$  в 38 мл эфира (кипение 3 часа), после обычной обработки воды. Слой экстрагируют 24 часа эфиром, остаток после отгонки эфира кипятят с 1 н. NaOH в 50%-ном спирте (30 мл) 4 часа, спирт отгоняют и VIII извлекают эфиром; выход 1,4 г, т. кип. 105—107°/0,1 мм,  $n_D^{21}$  1,4556; ди- $\alpha$ -нафтилуретан (3 часа при 100° в запаянной трубке), т. пл. 152° (из воды, сп.). 4 г V восстанавливают 1,2 г  $\text{LiAlH}_4$  в 130 мл эфира (0°, 20 мин. + 1 час, 20°), получают VII, выход 1,2 г (неочищ.), т. кип. 122°/0,4 мм,  $n_D^{18}$  1,4749; ди- $\alpha$ -нафтилуретан, т. пл. 115—116° (из петр. эф.). Озонизируют 3,9 г VII в 90 мл этилацетата при 0°, р-ритель отгоняют в вакуум, остаток нагревают (100°, 30 мин.) с 20 мл воды, 80 мл  $\text{CH}_3\text{COOH}$  и 10 г Zn-пыли, из фильтрата осаждают 2,4-динитрофенилгидразон формальдегида, остаток упаривают в вакууме досуха и экстрагируют эфиром в экстракторе. XI извлекают петр. эфиром, выход 0,3 г, т. пл. 161° (из  $\text{CH}_3\text{OH}$ ). XI получают также, разлагая озонид гидрированием над Pd/C в этилацетате; остаток после удаления р-рителя обрабатывают водой и центрифугируют, выход XI 1,9 г из 8 г VII. Нагревают 36 мг XI с 24 мл спирт. ДНФГ (0,4 г ДНФГ и 4,5 мл  $\text{H}_2\text{SO}_4$ ) 1 час при 100°, XII промывают разб.  $\text{H}_2\text{SO}_4$ , выход 84%, т. пл. 224—226° (из пиридина). 1,5 г XI кипятят в 10 мл 3%-ного метанольного HCl 17 час., нейтрализуют  $\text{Ag}_2\text{CO}_3$ , выход XIII 1,7 г, т. кип. 110°/50 мм,  $n_D^{20}$  1,4382. Нагревают (—100°) XIII с 2 н. HCl 1 час, добавляют воды. ДНФГ, получают XIV, т. пл. 164° (из диоксана). Приведены ИК- и УФ-спектры XII и XIV.

О. Охлобыстин  
820. Стереизомеры  $\alpha$ ,  $\alpha'$ -дибромпимелиновой кислоты. Шотте (The sterical isomers of  $\alpha$ ,  $\alpha'$ -dibromopimelic acid. Schotte Lennart), Arkiv kemi, 1956, 9, № 5, 407—412 (англ.).

Выделены *мезо*- и *рау*-формы  $\alpha$ ,  $\alpha'$ -дибромпимелиновой к-ты (I); из *рау*-I получены оптич. антиподы. I синтезируют бромированием  $\text{ClOC}(\text{CH}_2)_5\text{COCl}$  с последующим гидролизом в горячей  $\text{HCOOH}$ ; из р-ра после гидролиза получают за первые 1,5 дня фракцию I (а) с т. пл. 110—140° (выход 69,9%) и за последующие 7 дней (при охлаждении) фракцию I (б), выход 13%, т. пл. 70—85°. Фракция а взбалтывают 2—3 мин. с  $\text{CHCl}_3$ , получаая в осадке *мезо*-I, т. пл. 152—154° (из  $\text{HCOOH}$ ). Маточ-

ный р-р в  $\text{CHCl}_3$  упаривают досуха, объединяют с б, обрабатывают  $\text{CHCl}_3$ , фильтруют, упаривают, 1 получают *рау*-I, т. пл. 95,5—97° (из толуола, затем из  $\text{HCOOH}$  по 3 раза), загрязненную примесью *мезо*-I; в одном опыте получена чистая *рау*-I, 0,0305 моля *рау*-I и 0,03 моля динихонидина растворяют 200 мл горячего ацетона + 20 мл воды, выдерживают неделю при 0°, полученную соль разлагают 4 н.  $\text{H}_2\text{SO}_4$ , выделяют (—)-I, т. пл. 59—61° (из эф.-петр. эф.),  $[\alpha]_D^{25}$   $-56^\circ$  (с 0,385; абс. сп.). Упариванием маточного ацетонового р-ра выделяют оставшуюся к-ту; ее и 0,023 моля бринуна растворяют в горячей смеси ацетона и воды (по 85 мл), через сутки при —20° получают соль, разложение которой 4 н.  $\text{H}_2\text{SO}_4$  ведет к (+)-I, т. пл. 60—61° (из эф.-петр. эф.),  $[\alpha]_D^{25}$   $+57^\circ$  (с 0,662; абс. сп.), +67° (с 0,342; лед.  $\text{CH}_3\text{COOH}$ ), +98° (с 0,542; этилацетат). Т. Амбруш

821. Отщепление ацильной группы при действии диазометана. Бредерек, Зибер, Кампенкель (Über Acylspaltungen mit Diazomethan. Brederick Hellmut, Sieber Rolf, Kamphenkel Lore), Chem. Ber., 1956, 89, № 5, 1169—1176 (нем.).

Исследовалось расщепление сложных эфиров (СЭ) под влиянием  $\text{CH}_2\text{N}_2$ . Р-ция легко идет в р-ре  $\text{CH}_3\text{OH}$ , труднее в  $\text{C}_2\text{H}_5\text{OH}$  и *изо*- $\text{C}_3\text{H}_7\text{OH}$ , не идет в  $n\text{-C}_3\text{H}_7\text{OH}$  и  $n\text{-C}_4\text{H}_9\text{OH}$ . Хорошему выходу способствует избыток спирта, ~25% теоретич. кол-ва  $\text{CH}_2\text{N}_2$ . Замена  $\text{CH}_2\text{N}_2$  на  $\text{CH}_3\text{CHN}_2$  снижает выход. Авторы предположили, что вначале  $\text{CH}_3\text{OH}$  с  $\text{CH}_2\text{N}_2$  образуют аддукт  $[\text{CH}_3\text{O}]^+[\text{CH}_2\text{N}_2]^-$ , причем его катион атакуют СЭ, давая переходный комплексный ион, при расщеплении которого образуется метиловый эфир соответствующей к-ты, а спирт. остаток СЭ превращается в спирт либо в его метиловый эфир (за счет  $\text{CH}_2\text{N}_2$ ).  $\text{CH}_3(\text{C}_2\text{H}_5)_2\text{C}(\text{C}_6\text{H}_5)\text{OCOCCH}_3$  не расщепляется из-за пространственных препятствий. Из 1-ацетилпиррола аналогично получен пирол с выходом 90%, но  $\text{CH}_3\text{CONHCONH}_2$ , апетанилид,  $\text{C}_6\text{H}_5\text{NHCOCH}_2\text{Cl}$  и 1-ацетилпирролидин в этих условиях не отщепляют ацильной групп. К 10 г СЭ в 50 мл  $\text{CH}_3\text{OH}$  добавляли эфирный р-р  $\text{CH}_2\text{N}_2$  (из 43 г  $n\text{-CH}_3\text{C}_6\text{H}_4\text{SO}_3\text{N}(\text{CH}_3)\text{NO}$ ) (РЖХим, 1955, 42923). Через 48 час. при —20° испаряют р-рители и выделяют метиловый эфир соответствующей к-ты. Так проведено расщепление (здесь и ниже указан % расщепления): гликолядипетата, 93; апетина, 96; глицеринтрист-арата, 60; сливочного масла, 100; бензилацетата, 65;  $\beta$ -фенилацетилглюкозы, 100; тетраацетил- $\alpha$ -метилглюкозида, 80; диэозимилтарtrate, 70; бензоата глицерина, 40. СЭ фенолов расщепляли аналогично, но выделяли метиловые эфиры фенолов. Так были расщеплены апетаты: фенола, 91; *о*-, *м*-, и *п*-крезола, 80; 1, 2, 4- и 1, 3, 5-кисленоло, 81; *о*-, 75, *м*-, 81, и *п*-хлорфенола, 95; 2-Br-4-Cl- $\text{C}_6\text{H}_3\text{OCOCCH}_3$  89; *о*-, 60, *м*-, 58, и *п*-нитрофенола, 40;  $\alpha$ -, 86, и  $\beta$ -нафтола, 100, пикокатехина, 68; резорцина, 75; гидрохинола, 82; флюоглюцина, 85. Последние 4 в-ва взяты в виде полных эфиров. Аналогично расщеплены фениловые эфиры к-т:  $\text{C}_2\text{H}_5\text{COOH}$ , 68;  $n\text{-C}_3\text{H}_7\text{COOH}$ , 70;  $n\text{-C}_4\text{H}_9\text{COOH}$ , 82; капроновой, 60; каприловой, 88, каприновой, 68; лауриновой, 65; бензойной, 60, и  $\beta$ -нафтиловый эфир бензойной к-ты, 25. Предыдущее сообщение см. РЖХим, 1956, 6708.

А. Кост.  
822. О конденсации формальдегида со шавелевоуксусным эфиром в водно-кислой среде. Элкк (Sur la condensation du formaldéhyde avec l'ester oxalacétique en milieu aqueux acide. Elkk Elias), C. r. Acad. sci., 1956, 242, № 9, 1188—1189 (франц.). При взаимодействии  $\text{CH}_2\text{O}$  с  $\text{C}_2\text{H}_4\text{OOCOCCH}_2\text{COOC}_2\text{H}_4$  (I) в кислой среде образуется моногидрат этилового эфира метил-*бис*-шавелевоуксусной к-ты (II). К 1 г р-ра, содержащего 1 моль  $\text{CH}_3\text{COOH}$  и 2 моля  $\text{CH}_3\text{COONa}$ , прибавляют при —5° 1 моль  $\text{CH}_2\text{O}$  (35%-ного) и постепенно 1 моль I, через 24 часа осадок промывают водой,



эфиром, выход III 55% (из разб. сп.). См. РЖХим, 1956, 39484. Е. Караулова

823. Реакция дициандиамида с капроновой, изопентановой, стеариновой и азелановой кислотами. Дангян М. Т., Титанян С. Г. (Գրիգորիանի և Նազարյանի կապրոնա-, իզոօկտանա-, ստեարինա- և ազելանաթթուների հետ Դանգյանի Ս. Գ. և Տիտյանի Ս. Զ.), Երևանի Գիտական աշխատությունների թիվաթիվ, 1956, № 53, 27—32, Науч. тр. Ереванск. ун-та, 1956, 53, 27—32 (арм.; рез. русс.)

Показано, что при нагревании дициандиамида (I) с капроновой (II), изопентановой (III), азелановой (IV) и стеариновой (V) к-тами после перегонки полученных продуктов с  $P_2O_5$  (VI) образуются соответствующие нитрилы по р-ции  $4RCOOH + C_2H_4N_4 \rightarrow 4RCN + 4H_2O + 2CO_2$ . При взаимодействии I с II и III в среде кислоты (VII) образуются соответствующие триазины  $RCOOH + C_2H_4N_4 \rightarrow RCONHCNHC(NH_2) = NH \rightarrow RC = NC(NH_2) = NC(OH) = N + H_2O$ . 18 г IV и 6 г мелко-

раздробленного I нагревают (200—210°, 1,5 часа), а затем перегоняют с 3 г VI. Фракцию 195—270° дважды перегоняют 2%-ным водн.  $NH_4OH$ , выход динитрила IV 76,92%, т. кип. 163—164°/10 мм,  $n^{20}_D$  1,4450,  $d^{20}_4$  0,9288. 20 г II и 5 г I нагревают (200—210°, 1,5 часа), после охлаждения добавляют 4 г VI и перегоняют. Фракцию 155—190° нейтрализуют содой и нитрил II экстрагируют эфиром, выход 74,2%, т. кип. 156—160°,  $n^{20}_D$  1,4070,  $d^{20}_4$  0,8032. 20 г V и 4 г I нагревают (230—240°, 1,5 часа), после охлаждения добавляют 4 г VI и перегоняют, выход нитрила V 86,17% (после промывания водой), т. кип. 320°, т. пл. 41°. 10 г III и 4,3 г I нагревают (210—220°, 1,5 часа), продукт р-ции перегоняют с 2 г VI. Фракцию 165—190° нейтрализуют содой и нитрил III экстрагируют эфиром, выход 69,2%, т. кип. 170—172°. 20 г II и 16 г I в 40 мл VII нагревают 8 час., 2-амил-4-окси-6-амино-1,2,3-триазин (VIII) отфильтровывают горячим, выход 60,91%, т. пл. 204—205°. Для доказательства строения VIII окислили  $HNO_3$  (выделена валериановая к-та). Аналогично VIII из 10 г III и 7 г I в 40 мл VII получен 2-изогексил-4-окси-6-амино-1,2,3-триазин, выход 53,33%, т. пл. 258°. Л. Нахпетян

824. Физические свойства 8-ми нитропарафинов высокой чистоты. Тупе (Physical properties of eight high-purity nitroparaffins. Тоорс Емогу Е., Jr), J. Phys. Chem., 1956, 60, № 3, 304—306 (англ.)

Приведены константы соединений (чистота 99,82—99,95% по эбуллиоскопич. и криоскопич. методам), полученных фракционированием синтетич. и охлажденных нитропарафинов (пересчитаны в-во, т. кип. в °C/760 мм, т. заст. в °C,  $n^{20}_D$ ,  $n^{25}_D$ ,  $n^{30}_D$ ,  $d^{20}_4$ ,  $d^{25}_4$ ,  $d^{30}_4$ ): нитрометан, 101,20, —28,55, 1,38188, 1,37964, 1,37738, 1,43816, 1,43128, 1,42439; нитроэтан, 114,07, —89,52, 1,59193, 1,38973, 1,38754, 1,05077, 1,04464, 1,03870; 1-нитропропан, 131,18, —103,99, 1,40160, 1,39956, 1,39755, 1,40144, 0,96609, 0,99073, 2-нитропропан, 110,25, —91,32, 1,39439, 1,39535, 1,39428, 0,98839, 0,98290, 0,97740; 1-нитробутан, 152,77, —81,23, 1,41019, 1,40801, 1,40573, 0,9734, 0,9688, 0,96552; 2-нитробутан, 159,5, —, 1,40407, 1,40189, 1,39979, 0,96535, 0,96036, 0,95536; 1-нитро-2-метилпропан, 141,72, —76,85°, 1,40642, 1,40436, 1,40232, 0,96349, 0,95848, 0,95347; 2-нитро-2-метилпропан, 127,16, —66,23,  $n^{20}_D$  1,39715,  $n^{25}_D$  1,39515,  $d^{20}_4$  0,95028,  $d^{25}_4$  0,94464.

К. Пузниккий

825. Исследования по нитрованию. VII. Нитрование олефинов в паровой фазе: хлорнитрование. Бакман, Чанн (Nitration studies. VII. The vapor phase

nitration of olefins: chloronitration. B a c h m a n B r y a n t G., C h u p p J o h n P.), J. Organ. Chem., 1956, 21, (англ. 4, 465—467.)

Нитрование в паровой фазе пропилена (I) и бутена-1 (II) двуокисью азота (III) в присутствии хлора (IV) приводит к β-хлорнитроалканам — 1-хлор-2-нитропропану (V) и соответственно 1-хлор-2-нитробутану (VI) в качестве единственных нитропродуктов. Конкурирующим направлением р-ции является хлорирование с образованием 1,2-дихлорпропана (VII) и 1,2-дихлорбутана. При оптимальных условиях (260—275°; олефин, III и IV в отношении 7:1:1; время контакта 4—5 сек.) степень конверсии I 12%, II—9%. В жидкой фазе идет только хлорирование. Предложенный авторами радикальный

механизм  $RCN = CH_2 \xrightarrow{Cl_2} R\dot{C}HCH_2Cl$ ;  $RCN(NO_2)CH_2Cl \leftarrow R\dot{C}HCH_2Cl \rightarrow RCHClCH_2Cl$  подтверждается отсутствием нитрования в случае добавок катализаторов хлорирования. Р-цию проводят по методике, аналогичной описанной ранее для парового нитрования (J. Organ. Chem., 1952, 17, 914). Продукты р-ции улавливают в ловушках, из которых одна охлаждается водой, а другая — твердым  $CO_2$ . После испарения непрореагировавшего олефина соед. жимое обеих ловушек перегоняют с паром. Напр., из 8,15 моля I, 1,11 моля III и 1,11 моля IV при 270° и времени контакта 3,2 сек. получают 45 г VII, т. кип. 40—45°/110 мм,  $n^{20}_D$  1,4385,  $d^{25}_4$  1,585, и 13 г V, т. кип. 89—91°/40 мм,  $n^{21}_D$  1,4432,  $d^{25}_4$  1,245. С антрилиновой к-той V дает 2-(2'-нитро-1'-пропиламино)-бензойную к-ту (см. J. Organ. Chem., 1947, 12, 108), т. пл. 156°. VI, т. кип. 92—94°/40 мм,  $n^{20}_D$  1,4324,  $d^{20}_4$  1,244; 2-(2'-нитро-1'-бутиламино)-бензойная к-та, т. пл. 140—141°. Сообщение VI см. РЖХим, 1955, 18666.

О. Охлюбытин

826. Получение вторичных алифатических аминов из шиффовых оснований при помощи  $LiAlH_4$ . Соммерс, Аланд (The preparation of secondary aliphatic amines from Schiff bases using lithium aluminum hydride. Sommers Armiger H., Aaland Sharon E.), J. Organ. Chem., 1956, 21, № 4, 484—485 (англ.)

Применение  $LiAlH_4$  для восстановления оснований Шиффа в несимметричные алифатич. амины экспериментально проще и дает такой же выход, как каталитич. гидрирование или восстановление Na в спирте. К перемешиваемому р-ру 0,3 моля  $LiAlH_4$  в 500 мл безводн. эфира в атмосфере  $N_2$  добавляют за 1 час 0,3 моля альдимины, перемешивают 1 час, осторожно добавляют 23 мл воды, на другой день фильтруют, отгоняют эфир и разгоняют, получают (указан выход в %):  $CH_3NHC_4H_9$ , 55 (т. пл. α- $C_{10}H_7NHCN(C_2H_5)_2$ , 104°);  $C_2H_5NHC_2H_5$ , 46;  $C_3H_7NHC_4H_9$ , 79;  $iso-C_4H_9NHC_3H_7$ , 71;  $iso-C_3H_7NHC_4H_9$ , 72;  $iso-C_3H_7NHC_4H_9-iso$ , 78.

Б. Мерков

827. Алкеновые и ацетиленовые амины из винил-ацетилена. Энгелхардт (Alkenic and acetylenic amines from vinylacetylene. Engelhardt V. A.), J. Amer. Chem. Soc., 1956, 78, № 1, 107—109 (англ.)

Диметиламин (I) в воде присоединяется к винилацетилену (II) с образованием 1-диметиламинобутадиена-2,3 (III), который в присутствии избытка I или  $CH_3ONa$  перегруппировывается в диметиламинобутин-2 (IV). Р-цией II с  $CH_3NH_2$  (V),  $(C_2H_5)_2NH$  (VI), морфолином (VII) и  $n-C_4H_9NH_2$  (VIII) получены соответствующие N-замещ. 2,3-бутадиениламины; строение их подтверждено ИК-спектрами и встречным синтезом III;  $(C_5H_{11})_2NH$  и  $C_6H_5NHC_2H_5$  не реагируют с II в указанных условиях. 3 моля 25%-ного водн. I помещали в автоклав при —70° в отсутствие  $O_2$ , добавляли 3 моля II, нагревали  $N_2$

(14,6 ат), нагревали 10 час. при 100°, смесь насыщали  $K_2CO_3$ , экстрагировали эфиром III, выход 56%, т. кип. 106–107°, 58–60°/155 мм,  $n_D^{25}$  1,4477; йодметилат, т. пл. 193–194°. В отсутствие воды выход III 1,8%, III получен также из I и 1-хлорбутадиена-2,3 (выход ~32%). Гидрирование III над Pd/C приводит к  $n-C_4H_9N$  ( $CH_3$ )<sub>2</sub>, т. кип. 90°,  $n_D^{25}$  1,3954; пикрат, т. пл. 97–98°. 2 моля II и 4 моля 25%-ного I нагревают 20 час. при 100°, получают 17 г III и 39 г IV, т. кип. 117°,  $n_D^{25}$  1,4339. 0,51 моля III и 0,51 моля  $CH_3ONa$  в 97 мл абс.  $CH_3OH$ , под давлением  $N_2$  (14,6 ат), нагревают 8 час. при 105°, выделением IV, выход 75%; йодметилат, т. пл. 164–165° (из сп.). IV получен также встречным синтезом, исходя из 2,3-дибромпропена (методику см. Parcell, Pollard, J. Amer. Chem. Soc., 1950, 72, 2385). Р-цией 3 молей 40%-ного V с 3 молями II (10 час., 100°) аналогично III получают 30,8 г 1-метиламинобутадиена-2,3 (IX), т. кип. 105–106°, 59–59,5°/141 мм,  $n_D^{25}$  1,4616, а из него — N-метил-N-(2,3-бутадиенил)-N'-фенилтиомочевину, т. пл. 62–63,5° (из сп.-воды). При нагревании 13,2 моля II с 12 молями 25%-ного V (14,6 ат, 100°, 15 час.) образуется 80,9 г IX и 186 г  $CH_3N$  ( $CH_2=CH=$   $C=CH_2$ ), т. кип. 70–71°/15 мм,  $n_D^{25}$  1,4988. Из 1,93 моля VI и 1,92 моля II в 260 мл воды (100°, 15 час.) получают 29 г 1-диэтиламинобутадиена-2,3, т. кип. 91–92°/147 мм,  $n_D^{25}$  1,4505; йодметилат, т. пл. 109–110° (из ацетона). При нагревании 1,93 моля VII и 1,92 моля II в 260 мл воды (100°, 10 час.) образуется 72 г N-(2,3-бутадиенил)-морфолина, т. кип. 70,5–71,5°/9 мм,  $n_D^{25}$  1,4917, йодметилат, т. пл. 105–107° (из абс. сп.). Аналогично из II и VIII получено 5,9 г 1-*n*-бутиламинобутадиена-2,3, т. кип. 89–90°/33 мм,  $n_D^{25}$  1,4582. А. Файнзильберг

828. Реакция некоторых аминов с цианистым водородом. Эрикссон (Reactions of some amines with hydrogen cyanide. E r i c k s o n J o h n G.), J. Organ. Chem., 1955, 20, № 11, 1569–1572 (англ.)

*n*-Бутиламин (I), диэтиламин (II) и пиперидин (III) медленно реагируют с HCN с образованием неустойчивых замещ. формамидинов CH (NH) NRR' (ФА), гидролизующихся водой в стабильные формамиды; морфолин (IV) дает с HCN ди-4-морфолинацетонитрил  $(CH_3CH_2OCH_2CH_2N)_2CHCN$

(V), по-видимому, также через образование ФА. К 0,5 моля HCN и 1 моля I (25 дней, ~20°) добавляют 0,5 моля воды, через 3 дня получают бутилформамид, выход 71%, т. кип. 62°/0,5 мм,  $n_D^{25}$  1,4424. К 2 молям II и 1,5 моля HCN через 11 дней добавляют 1,5 моля воды (13 дней), получают диэтилформамид, выход 46%, т. кип. 29°/0,5 мм,  $n_D^{25}$  1,4318. Из 0,5 моля III и 0,25 моля HCN (12 дней) + 0,25 моля воды (26 дней) образуется N-формилпиперидин, выход 90% (по HCN), т. кип. 111–112°/24,5 мм,  $n_D^{25}$  1,4826. Из 0,5 моля HCN и 1 моля IV (2 недели) выход V 62%, т. пл. 123,5–124,5° (из *tert*- $C_4H_9OH$ ), при гидролизе дает HCN и IV. Все т-ры плавления исправлены. В. Мерков

829. Об алкилфтористых нитроосидинах. XIV. К изучению взаимодействия оснований Манниха с производными нитроуксусной кислоты. Дорнов, Мюллер (Zur Kenntnis der Umsetzungen von Mannich-Basen mit Nitroessigsäurederivaten. Über aliphatische Nitroverbindungen. XIV. D o r n o w A l f r e d, M ü l l e r A r n o), Chem. Ber., 1956, 89, № 4, 1023–1027 (нем.)

В продолжение предыдущих исследований (РЖХим, 1955, 11590) описано взаимодействие третичных оснований Манниха — диметиламинопропиофенона (I) и диэтиламинометилантранипина (II) с нитроацетанилидом (III), а также II с  $NO_2CH_2COOC_2H_5$  (IV). I образует с III соль  $[C_6H_5COCCH_2CH_2N(CH_3)_2]^+ CH(NO_2)CONHC_6H_5]^-$  (V), которая при обработке разб. к-той переходит снова в III, а при стоянии в маточном р-ре в те-

чение нескольких дней — в соль анилида  $\alpha$ -нитро- $\gamma$ -бензонилмасляной к-ты (VI) и I. V, полученная р-цией диэтиламинометилантранипина с III, превращается в соль I и VI за 2 дня. Под действием HCl (к-ты) соль I и VI дает VI. При взаимодействии II и III образуется устойчивая соль. К-соль III и йодметилат II (VII) дают соль, которая легко превращается в анилд  $\alpha$ -нитро- $\beta$ -антипирилпропионовой к-ты (VIII). Соль II и IV, полученная из VII и IV, легко претерпевает превращение Манниха с образованием этилового эфира  $\alpha$ -нитро- $\beta$ -антипирилпропионовой к-ты (IX), идентифицированного в виде диэтиламониевой и пиперидиновой солей IX (соответственно X и XI). К 300 мг III в 90 мл абс. эфира приливают по каплям р-р 300 мг I в 10 мл эфира, выход V ~100%, т. пл. 98–99° (из  $CH_3ONa$ -эф.). У растворяют в охлажд. до 0° разб. KOH и после обработки эфиром фильтруют, подкисляют разб.  $CH_3COOH$ , выпадает III. К р-ру 500 мг III в 10 мл абс. эфира и 3 мл абс. спирта добавляют 0,3 мл  $(C_2H_5)_3NH$  (XII) и 500 мг I и оставляют стоять 2 дня (~20°), выход соли I и VI 44%, т. пл. 114–115° (из сп.). 300 мг соли I и VI в 3 мл  $CH_3ONa$  обрабатывают 1,5 мл конц. HCl (5 мин., охлаждение), разбавляют 10 мл воды, эфиром извлекают VI, выход ~100%, т. пл. 104–106° (из 50%-ного сп.); из водн. р-ра выделяют I в виде пикрата, т. пл. 148–150°. Из 150 мг VI в  $CH_3OH$  и 100 мг I (~20°) снова образуется соль I и VI. Р-р 410 мг II в 30 мл абс. эфира приливают по каплям к 270 мг III в 90 мл теплового эфира, образуется соль II и III. К 3,25 г III в 20 мл воды осторожно добавляют ~1 г KOH, разбавляют ~100 мл воды и вносят 5 г VII, смесь кипятят ~10 час., выход VIII 82%, т. пл. 178–179° (разл.; из сп.). К р-ру 1,16 г IV в 25 мл абс. спирта прибавляют 3,6 г VII и смешивают с  $C_2H_5ONa$  (из 200 мг Na и 20 мл сп.), нагревают 3,5 часа, смесь упаривают в вакууме, добавляют XII и разбавляют водой, извлекают эфиром, водн. р-р подкисляют разб.  $CH_3COOH$ , экстрагируют эфиром, к вытяжке добавляют XII, выход X 48%, т. пл. 112° (из этилацетата). Водн. р-р X подкисляют разб. HCl, эфиром извлекают IX (масло). К р-ру IX в эфире приливают эфирный р-р пиперидина, при охлаждении выпадает XI, т. пл. 113–114° (из этилацетата). Предыдущее сообщение см. РЖХим, 1956, 3824.

О. Нефёдов

830. Получение О-алкилгидроксиламинов. Теиллаккер, Эбке (Darstellung von O-Alkylhydroxylaminen. Theilacker W., Ebke K.), Angew. Chem., 1956, 68, № 8, 303 (нем.)

Описано два метода получения О-алкилгидроксиламинов  $RONH_2$  (I). К р-ру 10 г  $ClNH_2$  в 500 мл эфира прибавляют при 20° алкоголят Na (из 6 г Na и 250–300 мл соответствующего сп.), через 24 часа фильтруют, перегоняют, в дистиллат пропускают HCl (газ),  $NH_4Cl$  отделяют. Р-р снова насыщают HCl (газом), выпадает хлоридат I ( $R = C_3H_7$ , *n*- $C_4H_9$ , *изо*- $C_4H_9$ , *трет*- $C_4H_9$ , *n*- $C_6H_{13}$ ,  $C_6H_5CH_2$ ). Хлоридаты I ( $R = C_2H_5$ , *изо*- $C_3H_7$ , *етор*- $C_4H_9$ , *етор*- $C_6H_{13}$ , циклогексил) остаются в р-ре. После отделения осадка отгоняют от фильтрата 50 мл р-рителя, остаток упаривают. К алкоголяту Na (из 6 г Na и 250–300 мл сп.) добавляют 200 мл сухого диоксиана, при 80° прибавляют 10 г  $ClNH_2$  в 600 мл эфира, перемешивают 15 мин., далее обрабатывают, как описано выше. Применение алкоголята К понижает выход I. Сухой перегонкой смеси порошка NaOH и хлоридата I выделяют I — основания. Получены следующие I (перечисляются R, т-ра р-ции в °C, выход хлоридата I в %, т. пл. хлоридата I в °C, т. кип. I в °C):  $CH_3$ , 20, 32, 149–150 (возогнан), 50;  $C_2H_5$ , 20, 29, 125–126 (возогнан), 69; *n*- $C_3H_7$ , 20, 38, 155–157 (возогнан), 90–91; *изо*- $C_3H_7$ , 20, 38, 94–95 (возогнан), 79–80; *n*- $C_4H_9$ , 20, 46, 159–160 (возогнан), 115; *изо*- $C_4H_9$ , 20, 37, 129–130 (возогнан), 95–97; *етор*- $C_4H_9$ , 80, 34,

68—70 (из тетрагидрофурана-эф., 1:12), 103—104; *трет*-C<sub>4</sub>H<sub>9</sub>, 80, 44, 149—150 (абс. эф.), 92—93; *н*-C<sub>6</sub>H<sub>17</sub>, 80, 26, 150 (из тетрагидрофурана-эф., 1:1), 200—203; *втор*-C<sub>6</sub>H<sub>17</sub>, 80, 26, 71—72 (очищен через основание), 189—192; C<sub>6</sub>H<sub>5</sub>CH<sub>2</sub>, 80, 51, 225—230 (из абс. CH<sub>3</sub>OH), 212—215; циклогексил, 80, 25, 175 (из толуола), 171—172.

И. Мильштейн

**831. О получении нитрилов дзамещенных амидинов щавелевой кислоты.** Гальяс-Новас, Морена-Кальве (Sobre la formacion de nitrilos de amidinas disustituidas del acido oxalico. Gallas Novas G., Morena Calvet M. de la), An. Real. soc. española fis. y quim., 1954, В 50, № 9—10, 741—746 (исп.; рез. англ.)

При действии Hg(CN)<sub>2</sub> на ди-*п*-метоксифенилтиомочевину (I) и ди-*п*-этоксифенилтиомочевину (II) проходит реакция десульфирования (Laubenheimer, Ber., 1880, 13, 2155) и образуются соответственно нитрил ди-*п*-метоксифенил-амидина щавелевой к-ты (III) и нитрил ди-*п*-этоксифенил-амидина щавелевой к-ты (IV). В случае *N*-(2,4-динитрофенил)-*N*,*N'*-дифенилтиомочевины (V), *N*,*N'*-(2,4-динитрофенил)-*N*,*N'*-дифенилтиомочевины (VI), дитиолтиомочевины (VII), этилтиомочевины и тиомочевины вместо десульфирования происходит образование комплексов Hg(CN)<sub>2</sub> с этими в-вами или р-ция совсем не идет. Гидролиз нитрила дифенил-амидина щавелевой к-ты (VIII), III и IV в водно-спирт., кислой или щел. средах при нагревании проходит как по нитрильной, так и по иминогруппе и приводит соответственно к анилину, *п*-анилидину, *п*-фенетидину. Гидролиз III, IV или VIII в абс. спирте током сухого HCl, с последующей обработкой водой промежуточно образующегося иминоэфира, приводит к этиловому эфиру дифениламинощавелевой к-ты (IX). 9 г дифенилтиомочевины (X), 8 г 2,4-динитрохлорбензола кипятят в спирт. р-ре 8 час., фильтруют, упаривают, продукт перегоняют с паром, получают V, т. пл. 148—150° (из сп.), содержит следы 2,4-динитродифениламина. Аналогично получена VI (кипение 3 часа в присутствии Na<sub>2</sub>CO<sub>3</sub>), выход 55%, т. пл. 198° (из толуола). Кипятят 18 г этилдитиокарбамата Pb и 33%-ный спирт. р-р этиламина. VII выделен после отгонки с паром извлечение дистиллата эфиром т. пл. 78° (из сп.). 10 г X и 11 г Hg(CN)<sub>2</sub> в 200 мл спирта кипятят 9—10 час., к фильтрату добавляют 0,3 г гидрохинона и оставляют на 12 час., получают VIII, т. пл. 139° (из сп. или бал.). К р-ру 10 г I в 500 мл кипящей спирто-ацетонной смеси (3:1) добавляют 6,5 г Hg(CN)<sub>2</sub>, кипятят 6 час., получают III, т. пл. 151,5—152° (из сп.). К р-ру 20 г II в 400 мл спирта добавляют эквивалентное кол-во Hg(CN)<sub>2</sub> и кипятят 6 час., получают 9,3 г IV, т. пл. 105° (из сп.). Через р-р I в VIII в 25 мл абс. спирта пропускают при охлаждении ток тщательно высушенного и охлажд. HCl (газ.), после растворения образующегося осадка хлоргидрата иминоэфира HCl (газ) пропускают еще 1 час, затем после выдержки при 0° р-р медленно выливают в тройное кол-во воды (т-ра не поднималась выше 40°), нагревают при 40° еще 30 мин., медленно нейтрализуют содой, получают IX, т. пл. 73° (из сп., с добавлением воды до помутнения).

Г. Карпов

**832. Реакции формамидиндисульфида с аминами.** Хейне, Вальтер, Бебенбург (Reaktion von Formamidin-disulfid mit Aminen. Heynes K., Walter W., Bebenburg W. von), Angew. Chem., 1956, 68, № 12, 415 (нем.)

Формамидиндисульфид (I) разлагается в среде третичных аминов на тиомочевину, цианамид и серу. В случае применения вторичных аминов получают диаминосульфиды и небольшое кол-во диаминодисульфида. Первичные амины при р-ции с I дают смесь быстро разлагающихся азотсодержащих сернистых в-в. Со смесью

серы, амина и пиридина вторичные амины дают неисследованный продукт; при добавлении в-в, связывающих H<sub>2</sub>S (HgO, PbO, (CH<sub>3</sub>COO)<sub>2</sub>Pb), с хорошим выходом образуются диаминодисульфиды. И. Мильштейн

**X. Новая реакция тиоцианатов.** Римшнейдер (Thiocarbamates and related compounds. X. A new reaction of thiocyanates. Riemschneider R andolph), J. Amer. Chem. Soc., 1956, 78, № 4, 844—847 (англ.)

Алкил- и арилтиоцианаты в присутствии H<sub>2</sub>SO<sub>4</sub> реагируют со спиртами — *изо*-C<sub>3</sub>H<sub>7</sub>OH, *втор*-C<sub>4</sub>H<sub>9</sub>OH, *трет*-C<sub>4</sub>H<sub>9</sub>OH, а также с олефинами — циклогексанолом, изобутиленом (I) циклогексеном, камфеном (II) с образованием *N*-замещ. тиокарбаматов: RSCN + R'OH → RSCNHR' (A). CH<sub>3</sub>OH и C<sub>2</sub>H<sub>5</sub>OH не вступают в эту р-цию. *N*-метилловые производные арилмидов реагируют с тиоцианатами по ур-нию: RSCN + ArCONHCH<sub>2</sub>OH → RSCNHCNHNHCOAr (B). Строение *N*-замещ. тиокарбаматов доказано встречным синтезом из *S*-замещ. монотиохлоркарбаматов и первичных аминов (см. сообщение IX, РЖХим, 1954, 37618), а также гидролитич. расщеплением их под действием щелочи. Предложен ионный механизм р-ции тиоцианатов со спиртами (олефинами). Р-ция обратима, судя по тому, что при взаимодействии *S*-фенил-*N*-циклогексимнонотиокарбамата с 4-хлорфенилтиоцианатом образуется *S*-4-хлорфенил-*N*-циклогексимнонотиокарбамат. Трифенилкарбинол и 1,1-дифенилэтанол (III) с тиоцианатами не реагируют. 0,03 моля метилтиоцианата медленно прибавляют к 0,03 моля *изо*-C<sub>3</sub>H<sub>7</sub>OH в 25 мл конц. H<sub>2</sub>SO<sub>4</sub> при —5°, смесь оставляют в закрытом сосуде при 0—5° на 6 час., затем выливают на лед, отделяют. *S*-метил-*N*-изопропилмононотиокарбамат, выход 18% (неочищ.), т. пл. 75° (из гексана). Аналогично получают (см. ур-ние А) тиокарбаматы общей ф-лы RSCNHR' (перечисляются R, R', выход в %, т. пл. в °C, р-ритель для перекристаллизации, где RГ — гексан): C<sub>2</sub>H<sub>5</sub>, CH(CH<sub>3</sub>)<sub>2</sub>, 25, 60, ГР; *н*-CH<sub>3</sub>C<sub>6</sub>H<sub>4</sub>, CH(CH<sub>3</sub>)<sub>2</sub>, 49, 96—97, ГР-бэл.; CH<sub>3</sub>, C(CH<sub>3</sub>)<sub>3</sub>, 25, 88, ГР; C<sub>6</sub>H<sub>5</sub>, C(CH<sub>3</sub>)<sub>3</sub>, 13, 48, ГР; *н*-C<sub>6</sub>H<sub>13</sub>, CH(CH<sub>3</sub>)<sub>2</sub>(C<sub>2</sub>H<sub>5</sub>), 98, 46, ГР; C<sub>6</sub>H<sub>5</sub>, C(CH<sub>3</sub>)<sub>3</sub>, 40, 115, ГР; *н*-CH<sub>3</sub>C<sub>6</sub>H<sub>4</sub>, C(CH<sub>3</sub>)<sub>3</sub>, 6, 117 (получен из 4,5 г *п*-толилтиоцианата, т. кип. 116°/10 мм, и 5,5 г I в 2,5 мл H<sub>2</sub>SO<sub>4</sub> + 15 мл лед. CH<sub>3</sub>COOH, 24 часа); CH<sub>3</sub>, C<sub>6</sub>H<sub>11</sub>, 45, 113, ГР (получен так же, как и последующие девять соединений в присутствии 1 ч. лед. CH<sub>3</sub>COOH и 4 ч. H<sub>2</sub>SO<sub>4</sub>, 20—24 часа); C<sub>2</sub>H<sub>5</sub>, C<sub>6</sub>H<sub>11</sub>, 60, 67, ГР; *н*-C<sub>6</sub>H<sub>7</sub>, C<sub>6</sub>H<sub>11</sub>, 67, 45, ГР; *н*-C<sub>4</sub>H<sub>9</sub>, C<sub>6</sub>H<sub>11</sub>, 66, 68, ГР; *н*-C<sub>8</sub>H<sub>17</sub>, C<sub>6</sub>H<sub>11</sub>, 80, 39, ГР; *н*-C<sub>6</sub>H<sub>13</sub>, C<sub>6</sub>H<sub>11</sub>, 41, 36, ГР; (5 час.); *н*-C<sub>7</sub>H<sub>15</sub>, C<sub>6</sub>H<sub>11</sub>, 88, 57, ГР; *н*-C<sub>8</sub>H<sub>17</sub>, C<sub>6</sub>H<sub>11</sub>, 87, 43, ГР; *н*-C<sub>9</sub>H<sub>19</sub>, C<sub>6</sub>H<sub>11</sub>, 88, 66, ГР; *н*-C<sub>10</sub>H<sub>21</sub>, 90, 59, ГР; C<sub>6</sub>H<sub>5</sub>, C<sub>6</sub>H<sub>11</sub>, 80, 114, ГР-бэл.; *н*-CH<sub>3</sub>C<sub>6</sub>H<sub>4</sub>, C<sub>6</sub>H<sub>11</sub>, 90, 125, ГР-бэл.; *п*-ClC<sub>6</sub>H<sub>4</sub>, C<sub>6</sub>H<sub>11</sub>, 98, 137, ГР-бэл.; CH<sub>3</sub>, C<sub>11</sub>H<sub>17</sub> (изоборнил), 34, 80, ГР (получен так же, как и последующие семь соединений на основе II, претерпевающего перегруппировку и образующего тиоловые эфиры *N*-изоборнилмононотиокарбаминной к-ты; р-цию проводят в присутствии эквивалентных кол-в H<sub>2</sub>SO<sub>4</sub> и лед. CH<sub>3</sub>COOH; 24 часа); C<sub>2</sub>H<sub>5</sub>, C<sub>11</sub>H<sub>17</sub>, 19, 91, ГР; *н*-C<sub>4</sub>H<sub>9</sub>, C<sub>11</sub>H<sub>17</sub>, 66, 36, ГР; *н*-C<sub>3</sub>H<sub>7</sub>, C<sub>11</sub>H<sub>17</sub>, 54, 36—37, ГР; C<sub>2</sub>H<sub>5</sub> (циклопентил), C<sub>11</sub>H<sub>17</sub>, 76, 111, ГР; C<sub>6</sub>H<sub>5</sub>, C<sub>11</sub>H<sub>17</sub>, 85, 90, ГР; *н*-CH<sub>3</sub>C<sub>6</sub>H<sub>4</sub>, C<sub>11</sub>H<sub>17</sub>, 48, 75, ГР; *п*-ClC<sub>6</sub>H<sub>4</sub>, C<sub>11</sub>H<sub>17</sub>, 51, 103, ГР. Р-цией соответствующих спиртов или олефинов с 1,4-дитиоцианатобутаном, 1,5-дитиоцианатопентаном и *п*-дитиоцианатобензолом получают *N*,*N'*-дзамещ. бистнокарбаматы общей ф-лы R'HNOCRSRSCNHR' (перечисляются R, R', выход в %, т. пл. в °C, в скобках — условия р-ции): —(CH<sub>3</sub>)<sub>4</sub>—, CH(CH<sub>3</sub>)<sub>2</sub>, 48, 166 (из сп.) (1 ч. лед. CH<sub>3</sub>COOH, 4 ч. конц. H<sub>2</sub>SO<sub>4</sub>, 0°, 20—24 часа); —(CH<sub>3</sub>)<sub>4</sub>—, C<sub>6</sub>H<sub>11</sub>, 87, 174 (из сп.) (аналогично первому); —(CH<sub>3</sub>)<sub>5</sub>—, C<sub>6</sub>H<sub>11</sub>, 88, 138 (из сп.) (аналогично первому); —(CH<sub>3</sub>)<sub>4</sub>—,



$C_{11}H_{17}$ , 60, 64 (из ГК) (эквивалентные кол-ва лед.  $CH_3COOH$  и  $H_2SO_4$ , 0°, 24 часа); —  $C_6H_5$ —,  $C_{11}H_{17}$ —, 64, 173 (из ГК-баз.) (аналогично предыдущему); —  $C_6H_5$ —,  $CH(CH_3)_2$ , 90, 203—204 (из сп.) (конц.  $H_2SO_4$ , 0°, 4—6 час.). Из N-метилполбензамида и тиоцианатов в присутствии конц.  $H_2SO_4$  при 0° (4—6 час.) получают (см. ур-ние Б) соединения общей ф-лы  $RSCONHCH_2NHCOC_6H_5$  (перечисляются R, выход в %, т. пл. в °C):  $n-C_4H_9$ , 22, 161 (из сп.);  $C_6H_5$ , 25, 169 (из сп.);  $n-C_7H_{15}$ , 50, 150—151 (из сп.);  $n-C_{10}H_{21}$ , 46, 143 (из сп.). S-фенил-N-трет-бутилмонотгоакамат при кипячении с 5%-ным NaOH гидролизует, давая трет-бутиламин (выход 77%). S-н-бутил-N-циклогексилмонотгоакамат с NaOH дает вместо ожидаемого циклогексиламин N, N'-дициклогексилмочевину, выход 86%. III не реагирует с бутилтиоцианатом в условиях, описанных выше; если к  $H_2SO_4$  (1 ч.) добавить лед.  $CH_3COOH$  (4 ч.), то из III образуется 1,1,3,3-тетрафенилбутен-1, т. пл. 114°; в присутствии избытка тиоцианата с последующим немедленным гидrolизом III превращается в 1,1,3,3-тетрафенилциклобутан, т. пл. 141°. Описан синтез фенилтиоцианата, т. кип. 94—97°/9 мм, 104—106°/14 мм.

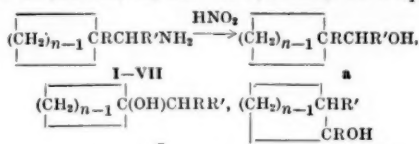
А. Файнзильберг

**834. Реакция расширения цикла по Демьянову. II.** Сравнение реакций расширения пяти- и шестичленных циклов. Смит, Бер, Эге (The Demjanov ring expansion. II. Comparison of the expansion of five- and six-membered rings. Smith P. A. S., Baer Donald R., Ege Seyhan N.), J. Amer. Chem. Soc., 1954, 76, № 18, 4564—4570 (англ.).

Исследована реакция расширения циклов по Демьянову на примерах аминотилциклопентана (I),  $\alpha$ -циклопентилбензиламина (II),  $\alpha$ -циклопентилэтиламина (III),  $\alpha$ -циклогексилэтиламина (IV),  $\alpha$ -(4-метилциклогексил)этиламина (V) и  $\alpha$ -(1-фенилциклопентил)этиламина (VI). В предыдущей работе (Smith P. A. S., Baer D. R., J. Amer. Chem. Soc., 1952, 74, 6135) авторы показали, что в случае аминотилциклопентана (VII) при проведении реакции в среде воды.  $CH_3COOH$  расширение кольца не бывает полным и образуются большие количества эфиров  $CH_3COOH$ . Описанные превращения проводились в большинстве случаев в р-ре  $NaH_2PO_4$ . Расширение цикла происходило лишь в тех случаях, когда первичная алкильная группа превращалась во вторичную или третичную. Напряжение в цикле оказывает влияние на течение реакции Демьянова; в пятичленном цикле оно ослаблено. Это соответствует представлению о том, что если принять во внимание дополнительное влияние напряжения цикла, существенным моментом рассматриваемой реакции является образование более устойчивого карбониевого иона. Авторы предполагают, что отщепление азота от алифатического азониевого гона и превращение последнего в карбониевый ион не является чистым мономолекулярным процессом и происходит путем двух конкурирующих процессов: реакции замещения нуклеофильным реагентом, приводящей к алкильному производному непосредственной перегруппировкой структуры и реакции миграции воды или алкильной группы, приводящей к карбониевому иону перегруппированной структуры. Эти два процесса могут комбинироваться в реакции, где нуклеофильный реагент атакует атом углерода, от которого мигрировал водород или алкильная группа. Для сравнения с данной реакцией изучено поведение некоторых спиртов в условиях, благоприятных для образования карбониевого гона (образование циклогексилотида из циклопентилкарбинола, см. Зелинский Н. Д., Михлина С. Е., Эвантова М. С., Бер., 1933, 66, 1422). При замене в реакции Демьянова  $HNO_3$  на  $NOCl$  в случае  $n-C_4H_9NH_2$  выделен  $n-C_4H_9Cl$ ; в случае же VII из полученной смеси продуктов чистого алкилхлорида выделить не удалось, что подтверждает предположение о существенном влиянии природы нуклеофильного

реагента на процесс перегруппировки. Нагревают смесь 0,5 моля циклопентилметилкетона (VIII), 2,5 моля  $HCOONH_4$  и 1 моля  $HCOOH$ , отгоняющийся при 148° VIII возвращают в реакционную смесь, нагревают до 174° и кипятят 13 час. По охлаждении добавляют 150 мл  $HCl$  (1:1), кипятят 3 часа, отгоняют с водяным паром, остаток VIII, добавляют избыток щелочи и отгоняют с водяным паром, экстрагируют III из дистиллата эфиром и выделяют III, т. кип. 149°/750 мм,  $n_D^{25}$  1,4491,  $d_4^{25}$  0,8487; бензольное производное, т. пл. 102—102,5° (из водн. сп.), пикрат, т. пл. 165,5—166,8° (из воды). По методике, описанной для 2-метилциклопентанола (Bartlett P. D., Berry S. M., J. Amer. Chem. Soc., 1934, 56, 2683) из VIII приготовлен  $\alpha$ -циклопентилэтанол, выход 63%, т. кип. 161°/747 мм. 1-Этилциклопентанол готовили из циклопентанола и  $C_2H_5MgBr$ . Транс-2-метилциклогексанол, выход 90%, т. кип. 165°/748 мм, получили гидролизом кислого эфира фталевой кислоты и 2-метилциклогексанола 20%-ным р-ром NaOH (Hückel W., Hagenguth K., Ber., 1931, 64, 2892). 1-Этилциклогексанол, выход 74%, т. кип. 77—80°/20 мм, приготовлен из циклогексанона и  $C_2H_5MgBr$ ,  $\alpha$ -циклогексилэтанол, выход 54%, т. кип. 91—92°/23 мм — восстановлением циклогексильметилкетона при помощи  $LiAlH_4$ . IV, т. кип. 174—176°/750 мм, получали из циклогексильметилкетона (Blicke F. F., Zienty F. B., J. Amer. Chem. Soc., 1939, 61, 193), а V, т. кип. 188—192°/752 мм по реакции Лейкаута из 4-метилциклогексильметилкетона; кроме V при этом выделен транс-4-метилциклогексанол, выход 10%, т. кип. 172—174°/752 мм; фенилуретан, т. пл. 123—125°. Циклопентилфенилкетон (IX), выход 51%, т. кип. 142—145°/15 мм; оксим, т. пл. 119,5—120° (из водн. сп.), готовили из циклопентилмагнийбромидом и бензонитрилом. Действием  $HCOOH$  и  $HCONH_2$  по Лейкауту IX превращен в II, выход 65%, т. кип. 146°/21 мм,  $n_D^{25}$  1,5455,  $d_4^{25}$  0,9915; ацетильное производное, т. пл. 109—111° (из сп.); бензольное производное, т. пл. 166—167° (из водн. сп.); хлоридрат, т. пл. 280° (из эф.). Смесь р-ра  $CH_3MgI$  (из 64 г  $CH_3I$ , 10,9 г  $Mg$  и 300 мл эф.) и 25,7 г 1-фенилциклопентилциангида в равном объеме эфира кипятят 18 час., разлагают смесью льда и  $HCl$ , водн. слой кипятят, экстрагируют  $C_6H_6$  и получают 1-фенилциклопентилметилкетон (X), выход 57%, т. кип. 142—148°/18 мм, 110°/3 мм,  $n_D^{25}$  1,5318; динитрофенилгидразон, т. пл. 145,6—146,2° (из сп.); семкарбазон, т. пл. 228,5—231° (из 50%-ного сп.). Смесь 21,5 г X и 27 г  $HCONH_2$  кипятят 15 час., по охлаждению встряхивают с 50 мл воды, декантируют, осадок кипятят 1,5 часа с 150 мл конц.  $HCl$ , отгоняют остаток X с водяным паром. Выделенный при подщелачивании амин перегоняют с водяным паром, экстрагируют дистиллат  $C_6H_6$  и выделяют VI, выход 66%, т. кип. 103°/2,2 мм,  $n_D^{25}$  1,5407,  $d_4^{25}$  1,0008; хлоридрат, т. пл. 200° (из эф.); бензольное производное, т. пл. 101° (из водн. сп.). При восстановлении 10,9 г X в эфире р-ре 0,76 г  $LiAlH_4$  и сушки в вакууме над  $P_2O_5$  получают 1-фенилциклопентилметилкарбинол, выход 99%, т. кип. 110°/2 мм; 3,5-динитробензол, т. пл. 128,5—129,5° (из сп.); полутидрат, т. пл. 54—56° (из водн.  $CH_3OH$ ). К эфир. р-ру  $CH_3MgI$  (из 21,3 г  $CH_3I$ , 3,4 г  $Mg$ ) и 200 мл эфира добавляют р-р 16,7 г IX в 50 мл эфира, через 12 час. гидролизуют и после обычной обработки выделяют  $\alpha$ -циклопентил- $\alpha$ -метилбензильный спирт (XI), выход 75%, т. кип. 116—118°/3 мм, 91—92°/0,6 мм; при дегидратации 8,66 г XI кипячением (10 мин.) с 100 мл 85%-ной  $H_3PO_4$  получен  $\alpha$ -циклопентилметилбензол, выход 86%, т. кип. 116—118°/12 мм. К смеси 400 мл спирта, насыщ.  $HCl$  при 0—5° и 0,7 моля гидратированного альдегида добавляют при перемешивании и охлаждении 1,05 моля  $NaNa$ , перемешивают 3 часа, медленно нагревают, кипятят 4 часа, охлаждают и

выливают в воду. Слой масла и эфир. р-р промывают  $\text{NaHCO}_3$  и  $\text{CaCl}_2$  и получают этиловый эфир гидратированной к-ты (XII), выход 51%, т. кип. 107–110°/13 мм. К реактиву Гриньяра из 0,8 моля Mg и 0,38 моля тетраметилдидробромида добавляют 0,31 моля XII и выделяют 1-( $\alpha$ -фенилэтил)-циклопентанол, выход 52,5%, т. кип. 112°/1,6 мм; 3,5-динитробензоат, т. пл. 112–113° (из  $\text{CH}_3\text{OH}$ ); *n*-нитробензоат, т. пл. 70° (из  $\text{CH}_3\text{OH}$ ). Р-цию Демьянова осуществляли путем обработки амина  $\text{NaNO}_2$  в водн. р-ре  $\text{CH}_3\text{COOH}$  (Ruzicka L., Brugger W., Helv. chim. Acta, 1926, 9, 389) или в р-ре  $\text{NaH}_2\text{PO}_4$  (см. предыдущее сообщение). В большинстве исследованных случаев получены смеси спиртов, изображенных на схеме (ф-лы а, б, в). Состав выделенных спиртов определяли при помощи сопоставления ИК-спектров, полученных и искусственно подобранных смесей спиртов соответствующего строения. Наряду со спиртами в большинстве случаев образуются олефины. Приведены следующие данные о продуктах р-ции (указаны исходный амин, выход в % и т. кип. олефина, выход в %, т. кип. и состав смеси спиртов (% а, б, в), % возвратного амина): I, —, —, 0, 65–70°/11 мм; 5, 19,76, —; II, —, —, 70, 151–156°/19 мм; 100, 0, 0, >1; III, 9, 80–150°/740 мм, 55, 158–165°/740 мм, 41, 28,31 (*транс*), 11; IV, 3,34/±0 мм, 40, 82–93°/26 мм, 58, 42, 0, 15; V, 25, 58–62°/34 мм, 19, 101–109°/30 мм, Va с примесью



I, а, б, в,  $n=5$ ,  $R=R'=H$ ; II, а, б, в,  $n=5$ ,  $R=H$ ,  $R'=C_2H_5$ ; III, а, б, в,  $n=5$ ,  $R=H$ ,  $R'=CH_3$ ; IV, а, б, в,  $n=6$ ,  $R=H$ ,  $R'=CH_3$ ; V, а, б, в,  $n=6$  ( $4-CH_3$ ),  $R=H$ ,  $R'=CH_3$ ; VI, а, б, в,  $n=5$ ,  $R=C_2H_5$ ,  $R'=CH_3$ ; VII, а, б, в,  $n=6$ ,  $R=R'=H$ .

1-этил-4-метилциклогексанола, 9; VI, —, —, 73,90–105°/1 мм, 0, 0, 100, —; VII, 11, 103–123°, 39, 118–181°, 32, 5, 63, —. Разделение образующейся из VII смеси циклогексилкарбинола (XIII) и циклогексанола (XIV) проводят путем получения кислотных эфиров фталевой к-ты. Смесь спиртов и олефинов, полученную из 16 г VII, 42 г  $\text{NaNO}_2$  и 47,5 г 85%-ной  $\text{H}_3\text{PO}_4$  в 500 мл воды, экстрагируют петр. эфиром. Отгоняют р-ритель на колонке, к остатку добавляют 10 г фталево-о ангидрида и нагревают 30 мин. до 150°. Нейтр. и кислые продукты разделяют при помощи 50 мл петр. эфира и р-ра 8,5 г соды в 350 мл воды. При подкислении выделяют 11 г кислого эфира фталевой к-ты и XIII, т. пл. 115–119°. Нейтр. продукты перегоняют (результаты приведены выше) и получают XIV, выход 35%, т. кип. 160–180°, при нагревании с 29 г фталевого ангидрида и 32 г пиридина выделяют кислый эфир фталевой к-ты и XIV, выход 15 г, т. пл. 90–95° (из  $\text{CH}_3\text{COOH}$  и лигн.-бэл.). К р-ру 37 г  $n\text{-C}_4\text{H}_9\text{NH}_2$  в 200 мл эфира добавляют при охлаждении сухим льдом р-р 36,8 г  $\text{NOCl}$ , выдерживают без охлаждения 13 час., экстрагируют водой и выделяют неизмененный амин, выход 21%. Из эфир. р-ра получают  $n\text{-C}_4\text{H}_9\text{Cl}$ , выход 8,74 г и 7 г в-ва, т. кип. 70–130°, которое далее не исследовалось. К охлажд. смеси 0,405 моля 2-этилциклопентанола, 0,41 г KCN и 100 мл воды добавляют при 2–5° р-р 0,41 моля  $\text{H}_2\text{SO}_4$  в 94 мл воды, выделяют цингидрин, выход 64%, т. кип. 93–96°/1,5 мм, растворяют в 61,4 г пиридина и добавляют 61,4 г  $\text{SOCl}_2$ . Через 12 час нагревают 1 час при 100°, разлагают смесью льда и  $\text{HCl}$ , экстрагируют эфиром, получают 2-этилциклопентенилцианид, выход 62%, т. кип. 85–95°/21 мм, восстанавливают 23 г Na в

250 мл изоамилового спирта и выделяют 2-этил-1-амино-метилциклопентан, выход 55%, т. кип. 175–176°/745 мм,  $n_D^{25}$  1,4559,  $d_4^{25}$  0,8600; пикрат, т. пл. 179–181°, хлорид-пикрат, т. пл. 192–193°. Аналогичным образом синтезированы следующие алкиламинометилциклопентаны (указаны алкил, выход в % и т. кип. в °C/мм цингидрина, выход в % и т. кип. в °C/мм нитрила, выход в %, т. кип. в °C/мм,  $n_D^{25}$ ,  $d_4^{25}$  амина, т. пл. в °C пикрата, т. пл. в °C хлоридрата): 2-метил, —, —, 64 (из кетона), 73–76/20, 66, 147–157/740, 1,4500, 0,8551, 179–179,5, 259–260; 3-метил, 73, 122–144/17, 43 (из кетона), 79–82/19, 52, 46–48/15, 1,4478, 0,8486, 189–191, 226; 3-изо-пропил, —, —, 20 (из кетона), 100–106/21, 60, 192–193,5/70, 1,4512, 0,8483, 193,5–194,5, 165; 3-трет- $\text{C}_4\text{H}_9$ , —, —, 12 (из кетона), 104–109/15, 63, 88,5/15, 1,4519, 0,8538, 178–178,5, 238,5–239,5. Получены *n*-фенилазофенилуретаны следующих спиртов (указаны спирт, выход в % и т. пл. в °C уртана): циклогексанол, 97, 160,5–162; *транс*-2-метилциклогексанол, 61, 145,5–146,5; 3-метилциклогексанол, 75, 122–124; 4-метилциклогексанол, 65, 177,5–178,5; 4-изопропилциклогексанол, 41, 157–158,5; 4-трет-бутилциклогексанол, 45, 173,5–174; циклогептанол, 75 и 35, 119–120. Поытки разделить смеси спиртов при помощи хроматографирования *n*-фенилазофенилуретанов не дали положительных результатов.

М. Бурмистрова

835. Реакции конденсации альдольного типа. I. Автоконденсация циклопентанола. П л е ш е к (Kondensaci reakce aldolového typu. I. Autokondensace cyklopentanonu. Plešek Jaromír, Chem. listy, 1956, 50, № 2, 246–251 (чеш.); Сб. чехосл. хим. работ, 1956, 21, № 2, 368–374 (нем.; реф. русс.)) Установлено путем определения скорости образования воды, выделяющейся из р-ции, что автоконденсация циклопентанола (I) в толуоле протекает ~450 раз быстрее под действием KOH, чем в присутствии  $n\text{-C}_4\text{H}_9\text{SO}_3\text{H}$ . Выдерживанием I с  $\text{C}_2\text{H}_5\text{ONa}$  в спирте (16 или 40 час.) получают 2-циклопентенилденциклопентанон (II), выход соответственно 42 или 53%, т. кип. 95°/1 мм, и 2,5-дициклопентенилденциклопентанон (III), выход 20 или 23%, т. пл. 83° (из  $\text{CH}_3\text{OH}$ ); ранее III неправильно приписано строение 2-(2'-циклопентенилденциклопентенилден)-циклопентанола (РКХИМ, 1955, 21127). Кипячением I с KOH в толуоле с удалением образующейся воды получают II, выход 12%, и III, выход 81%. При одинаковых условиях из II образуется III, выход 81%. III озонируют в лед.  $\text{CH}_3\text{COOH}$ , нагревают 30 мин. (60°), получают 2-циклопентенилденглутаровую к-ту (IV), выход 28%, т. пл. 158–159° (из воды), I и янтарную к-ту (V). При окислении IV с помощью  $\text{KMnO}_4$  в присутствии р-ра NaOH (~20°) образуются I и V. 84 г I насыщают 36 г  $\text{HCl}$  (газа), выдерживают 20 или 48 час., выход II соответственно 14 или 13,5 г, и трициклопентенобензола (VI), выход 2 и 2,5 г, т. пл. 97–98°. При выдерживании смеси I и II, насыщ.  $\text{HCl}$  (газом), выход VI соответствует кол-ву I в смеси; по-видимому II не является промежуточным продуктом при образовании VI из I. При нагревании II с  $n\text{-C}_4\text{H}_9\text{SO}_3\text{H}$  (200–220°, 2 часа) образуется 1-циклопентенилденитрисциклотриметилбензол, выход 14%, т. пл. 118–119° (14%), который при кипячении с  $\text{HNO}_3$  дает меллитовую к-ту.

Jan Kovář

836. Реакции конденсации альдольного типа. II. Автоконденсация циклогексанола. П л е ш е к (Kondensaci reakce aldolového typu. II. Autokondensace cyklohexanonu. Plešek Jaromír, Chem. listy, 1956, 50, № 2, 252–257 (чеш.); Сб. чехосл. хим. работ, 1956, 21, № 2, 375–381 (нем.; реф. русс.))

Принимая скорость автоконденсации циклопентанола в толуоле в присутствии KOH за единицу (см.

пред. реф.), скорость автоконденсации циклогексана (I) в тех же условиях составляет 0,6, а в присутствии  $n\text{-C}_3\text{H}_7\text{C}_6\text{H}_4\text{SO}_3\text{H}$ —0,18; с КОН получают 2-дициклогексильциклогексанон (II), выход 36%, т. кип.  $113^\circ/2$  мм, 2,6-дициклогексильциклогексанон (III), выход 22%, т. пл.  $79^\circ$ , и смесь (IV), т. кип.  $172^\circ/2$  мм,  $165^\circ/0,5$  мм, содержащее III, 2,6-дициклогексильдициклогексанон, суммарный выход компонентов смеси 32%. При тех же условиях из II образуется смесь III и IV, выхода соответственно 45 и 37%. В присутствии  $n\text{-C}_3\text{H}_7\text{C}_6\text{H}_4\text{SO}_3\text{H}$  получают II, выход 54%, III, выход 11%, IV, выход 14%, и трисциклотриметиленбензол, выход 2%, т. пл.  $236^\circ$ . Высказанное ранее предположение о строении III (РйХим, 1954, 34083) не оправдалось. Дегидрирование III на  $\text{Pd}/\text{Al}_2\text{O}_3$  (4 часа,  $300\text{--}320^\circ$ ) приводит к 2,6-дифенилфенолу (V), выход 76%, т. пл.  $101^\circ$ , 1,3-дифенилбензолу, выход 20%, т. пл.  $89^\circ$ , и 2,6-дициклогексильдициклогексанону (VI), выход 2%, т. пл.  $133\text{--}134^\circ$ . Те же продукты получены при дегидрировании IV, выхода соответственно 50, 22 и 9%. При озонировании в лед.  $\text{CH}_3\text{COOH}$  с последующим нагреванием до  $80^\circ$  из III не удалось выделить индивидуальное в-во, из IV получен I; семикарбазон, т. пл.  $166^\circ$ . Гидрирование III и IV в спирте на  $\text{Pd}/\text{Al}_2\text{O}_3$  приводит к VI, выход  $\sim 100\%$ . V при действии  $\text{CrO}_3$  в лед.  $\text{CH}_3\text{COOH}$  ( $18^\circ$ , 16 час.) дает 2,6,2',6'-тетрафенилдифенохинон, выход 66%, т. пл.  $270^\circ$ , и 2,6-дифенилбензохинон, выход 14%, т. пл.  $137\text{--}138^\circ$ . Jan Kovář.

**837. Ациклические соединения с четвертичным атомом углерода. I. Синтезы некоторых гем-полиметилциклогексанов. Шюрдоглу, Макестьо (Composés alicycliques à carbone quaternaire. I. Synthèse de quelques gem-polyméthylcyclohexanes. Chiurdoglu G., Maquestiau A.), Bull. Soc. chim. belges, 1954, 63, № 8-10, 357—378 (франц.)**

Из димедона и изофорона получен ряд гем-диалкилциклогексанов (ЦАН): 1,1-( $\text{CH}_3$ )<sub>2</sub> (I); 1,1,2-( $\text{CH}_3$ )<sub>3</sub> (II); 1,1,3-( $\text{CH}_3$ )<sub>3</sub> (III); 1,1,4-( $\text{CH}_3$ )<sub>3</sub> (IV); *цис*-1,1,3,5-( $\text{CH}_3$ )<sub>4</sub> (V); *транс*-1,1,3,5-( $\text{CH}_3$ )<sub>4</sub> (VI); 1,1,3,4-( $\text{CH}_3$ )<sub>4</sub> (VII); 1,1,3,3-( $\text{CH}_3$ )<sub>4</sub> (VIII); 1,1,4,4-( $\text{CH}_3$ )<sub>4</sub> (IX); 1,1,3,3,5-( $\text{CH}_3$ )<sub>5</sub> (X); 1,1,2,4,4,6-( $\text{CH}_3$ )<sub>6</sub> (XI); 1,1,3-( $\text{CH}_3$ )<sub>3</sub>-3- $\text{C}_2\text{H}_5$  (XII); 1,1,3-( $\text{CH}_3$ )<sub>3</sub>-3- $n\text{-C}_3\text{H}_7$  (XIII) и 1,1,3-( $\text{CH}_3$ )<sub>3</sub>-3-*изо*- $\text{C}_3\text{H}_7$  (XIV). Показано, что соотношение продуктов 1,2- и 1,4-присоединения  $\text{RMgBr}$  к изофоронолу в присутствии  $\text{Cu}_2\text{Cl}_2$  (Kharasch M. S., Tawney P. O., J. Amer. Chem. Soc., 1941, 63, 2308) зависит от кол-ва  $\text{Cu}_2\text{Cl}_2$ . Для  $\text{CH}_3\text{MgBr}$  наибольший выход продукта 1,4-присоединения (72%) получается в присутствии 2 мол. %  $\text{Cu}_2\text{Cl}_2$  (10%—1,2-присоединение; в отсутствие  $\text{Cu}_2\text{Cl}_2$ —91% 1,2- и 0% 1,4-присоединения); оптимальная конц-ия  $\text{Cu}_2\text{Cl}_2$  для  $\text{C}_2\text{H}_5\text{MgBr}$ ,  $\text{C}_3\text{H}_7\text{MgBr}$  и *изо*- $\text{C}_3\text{H}_7\text{MgBr}$  составляет 0,2%; для  $\text{C}_2\text{H}_5$ : 1,4—50%, 1,2—25%; для  $n\text{-C}_3\text{H}_7$ : 1,4—46%, 1,2—26%; для *изо*- $\text{C}_3\text{H}_7$ : 1,4—30%, 1,2—30%; при увеличении или уменьшении конц-ии  $\text{Cu}_2\text{Cl}_2$  выход продукта 1,4 резко падает, а продукта 1,2 увеличивается. Со всеми  $\text{RMgBr}$  (кроме  $\text{CH}_3\text{MgBr}$ ) наблюдается сильная пинаколизация изофорона. Дегидратация циклогексанолов (ЦОЛ) проводилась с  $\text{KHSO}_4$  (выход 72—90%), иногда с  $(\text{COOH})_2$ ,  $\text{HCOOH}$  или  $\text{I}_2$ ; состав получающейся смеси циклоалкенов (ЦЕН) исследовался с помощью спектров комб. рас. Прямое превращение ЦОЛ в ЦАН по методу Зелинского и Гавердовской (Ber., 1928, 1049; 1931, 435) не удалось—образовывалась смесь ЦАН и ЦЕН. Дегидратация по методу Чугаева приводит к распаду гемдиметильной группы. Восстановление ЦЕН в ЦАН проводили над  $\text{Pt}$  (из  $\text{PtO}_2$ ). Р-ция дигидроизофорона с  $\text{CH}_3\text{MgBr}$  приводит к 1,1,3,5-тетраметилциклогексанолу-3 (XV), т. пл.  $80\text{--}81^\circ$ ; XV с  $\text{HCOOH}$  дал смесь 1,1,3,5-тетраметил-ЦЕН-2 и -3 (смесь, т. кип.  $151,6\text{--}152^\circ$ ,

$n_D^{20}$  1,4463,  $d_4^{20}$  0,7987), восстановлением которой получены V и VI. Структура V (т. кип.  $152,4\text{--}152,5^\circ$ ,  $n_D^{20}$  1,4318,  $d_4^{20}$  0,7813) и VI (т. кип.  $156,4\text{--}156,5^\circ$ ,  $n_D^{20}$  1,4369,  $d_4^{20}$  0,7929) доказана с помощью спектров комб. рас., окислением и бромированием ( $\text{KMnO}_4$  и  $\text{Br}_2$  действуют на VI быстрее, чем на V, что, по правилу Шюрдоглу, характеризует *транс*-изомеры). Р-ция изофорона с  $\text{CH}_3\text{MgBr}$  дает 1,1,3,5-тетраметилциклогексанин-2,4 (т. кип.  $152\text{--}154^\circ$ ,  $n_D^{20}$  1,4700,  $d_4^{20}$  0,8142, восстановление которого также дает смесь V и VI, но загрязненную. Конденсация 2,3-диметилбутадиена-1,3 с метилметакрилатом ( $150^\circ$ , автоклав) дает 1,3,4-триметил-1-карбометокси-ЦЕН-3 (XVI), выход 85%, т. кип.  $103\text{--}105,5^\circ/20$  мм,  $n_D^{20}$  1,4668,  $d_4^{20}$  0,9696.  $\text{LiAlH}_4$  восстанавливает XVI в 1,3,4-триметил-1-оксиметил-ЦЕН-3, выход 90%, т. кип.  $110,3^\circ/13$  мм,  $n_D^{20}$  1,4876,  $d_4^{20}$  0,9407, который действием  $\text{PBr}_3$  переводят в бромид, выход 60%, т. кип.  $112,3^\circ/17$  мм,  $n_D^{20}$  1,5062,  $d_4^{20}$  1,2085. Последний с помощью Na в спирте и  $\text{H}_2$  над  $\text{Pt}$  (из  $\text{PtO}_2$ ) восстанавливают в VII, выход 49% на бромид, т. кип.  $159,5\text{--}161,1^\circ$ ,  $n_D^{20}$  1,4379,  $d_4^{20}$  0,7975. В эфир. р-р  $\text{RMgBr}$  добавляют на холоду  $\text{Cu}_2\text{Cl}_2$ , а затем медленно прибавляют эфир. р-р изофорона, после обычной обработки отгоняют эфир и дие, охлаждением выделяют пинакон и фракционированием отделяют соответствующий 1,1,3-триметил-3-алкилциклогексанон-5, (XVII—XX) (указаны алкил, выход в %, т. кип. в  $^\circ\text{C}$ ,  $n_D^{20}$ ,  $d_4^{20}$ ): XVII,  $\text{CH}_3$ , 72, 203,8—204,8, т. пл.  $13,2^\circ$ , 1,4530, 0,8953; XVIII,  $\text{C}_2\text{H}_5$ , 50, 224,3—226,3, 1,4608, 0,9151; XIX,  $n\text{-C}_3\text{H}_7$ , 46, 241,9—242,1, 1,4598, 0,8975; XX, *изо*- $\text{C}_3\text{H}_7$ , 30, 244,1—244,9, 1,4661, 0,9107. Из кетонов действием  $\text{LiAlH}_4$  получены соответствующие спирты (XXI—XXIV) (выходы  $\sim 90\%$ ): XXI (из XVII), т. пл.  $86^\circ$ , т. кип.  $102,3^\circ/17$  мм; нитрофталат, т. пл.  $197\text{--}198^\circ$ ; XXII (из XVIII), т. кип.  $120\text{--}121^\circ/17$  мм; XXIII (из XIX), т. кип.  $132\text{--}133^\circ/17$  мм; XXIV (из XX), т. пл.  $28^\circ$ . Из ЦОЛ получены 1,1,3-триметил-3-алкил-ЦЕН (указаны R, место C=C, т. кип. в  $^\circ\text{C}$ ,  $n_D^{20}$ ,  $d_4^{20}$ ): — $\text{CH}_3$ , 4, 147,4—147,9, 1,4449, 0,80046;  $\text{C}_2\text{H}_5$ , смесь 4 и 5, 174—175,5, 1,4534, 0,8193;  $n\text{-C}_3\text{H}_7$ , смесь 4 и 5, 192,9—193,5, 1,4553, 0,8215; *изо*- $\text{C}_3\text{H}_7$ , смесь 4 и 5, 194—194,6, 1,4604, 0,8322. Восстановление этих ЦЕН дает после перегонки ЦАН (даны т. кип. в  $^\circ\text{C}$ ,  $n_D^{20}$ ,  $d_4^{20}$ ): VIII (154,8—155, 1,4374, 0,7935); XII (180,9—181,5, 1,4473, 0,8132); XIII (202,3—202,5, 1,4488, 0,8154); XIV (204,4—204,9, 1,4548, 0,8274). XVII с  $\text{CH}_3\text{MgBr}$  дает 1,1,3,3,5-пентаметилциклогексанол-5 (XXV), выход 85%, т. кип.  $91\text{--}92^\circ$ ,  $n_D^{20}$  1,4612,  $d_4^{20}$  0,8876. XXV дегидратируется  $\text{HCOOH}$  в ЦЕН (т. кип.  $162,4^\circ\text{--}162,9^\circ$ ,  $n_D^{20}$  1,4490,  $d_4^{20}$  0,8041), а последний восстанавливается в X (т. кип.  $166,7\text{--}167,1^\circ$ ,  $n_D^{20}$  1,4400,  $d_4^{20}$  0,7932). Восстановлением 1,1,4,4-тетраметилциклогексан-2,6-диона (XXVI) действием Na в спирте получают 1,1,4,4-тетраметил-ЦОЛ-2 (XXVII), выход 35%, т. кип.  $75\text{--}76^\circ/7$  мм) с примесью 2,6-диола (выход 3%, т. пл.  $200\text{--}201^\circ$ ) и 2-ол-6-она (выход 16%, т. пл.  $40^\circ$ ). XXVII дегидратируют  $\text{KHSO}_4$  в соответствующий ЦЕН (т. кип.  $146,3\text{--}148,3$ ,  $n_D^{20}$  1,4362,  $d_4^{20}$  0,7889), который восстанавливается в IX (т. кип.  $152,6\text{--}153,3^\circ$ ,  $n_D^{20}$  1,4258,  $d_4^{20}$  0,7753). XXVI с  $\text{CH}_3\text{MgBr}$



дает 1,1,2,4,4,6-гексаметилциклогександиол-2,6 (т. пл. 140,5°), дегидратирующийся  $J_2$  в смесь 1,1,2,4,4,6-гексаметилциклогексана-2,5 и 1,1,4,4-тетраметил-2,6-диметилциклогексана (смесь, т. кип. 179,9–180,9°,  $n_D^{20}$  1,4659,  $d_4^{20}$  0,8287), дающую при восстановлении XI (т. кип. 191,5–192,7°,  $n_D^{20}$  1,4516,  $d_4^{20}$  0,8193).

В. Смит

### 838. Синтетические сладкие вещества (о сахариле).

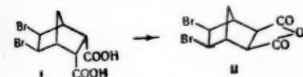
Аояма (人工甘味劑中にシュツカルに就いて. 青山壽雄), 香科, 1954, № 31, 16–17, 15 (япон.)  
Краткий обзор, посвященный синтезу и вкусовым качествам (сладкий вкус) Na- или Са-соли циклогексилсульфаминовой к-ты (сахарил) по сравнению с сахарином и другими синтетич. сладкими в-вами. Библ. 11 назв.

Л. Яновская

839. Строение и стереохимия бициклических производных. V. Пиролиз *эндо-цис-3,6-эндометил-эко-цис-4,5-дибромгексагидрофталевой кислоты*. Берсон (The structure and stereochemistry of bicyclic derivatives. V. Pyrolysis of *endo-cis-3,6, -endomethylene-exo-cis-4,5-dibromohexahydrophthalic acid*. Bereson Jerome A.), J. Amer. Chem. Soc., 1954, 76, № 16, 4069–4072 (англ.)

Установлено, что ангидрид, получающийся при пиролизе *эндо-цис-3,6-эндометил-эко-цис-4,5-дибромгексагидрофталевой к-ты* (I) или при дегбромировании цинком *эко-цис-3,6-эндометил-Δ<sup>4</sup>-тетрагидрофтаlegового ангидрида*, является ангидридом *эко-цис-3,6-эндометил-эко-цис-4,5-дибромгексагидрофталевой к-ты* (II) (к-та — III). Монометилевый эфир III (IV) через хининовую и хинидиновую соли может быть разделен на (–)-IV и (+)-IV, тогда как разделить на антиподы III вообще не удастся.

Симметризация (+)-IV пиролизом до II



или этерификацией  $CH_3NH_2$  до диметилового эфира III (V) приводит к потере оптич. активности; при действии же  $CH_3CHN_2$  (+)-IV дает (+)-метилэтиловый эфир III ((+)-VI). Эти данные показывают, что II является *мезо-соединением*; выбор между *эндо*- и *эко*-конфигурацией атомов Br сделан по принципу наименьшего изменения строения при р-ции I → II. Пиролиз I проводят по описанному методу (Bartlett P. D., Schneider A., J. Amer. Chem. Soc., 1946, 68, 6); при прибавлении I в течение 10 мин. и последующем нагревании 7 мин. основным нейтр. продуктом является ангидрид I, при прибавлении I за 3 мин. и нагревании 15–20 мин. — II, т. пл. 257–258°. Гидролиз II в кипящем 50%-ном  $CH_3CN$  приводит к III, т. пл. 257–258°. III не изменяется в шел. (по фенолфталеину) р-ре 3,25 часа при ~20° и 0,5 часа при 100°; хининовая и хинидиновая соли III (получают в ацетоне) после кристаллизации (из  $HCON(CH_3)_2$  и, соответственно, из 70%-ного сп.- $CH_3OH$ ) и разложения HCl дают исходную II, 2,1 г II и 25 мл  $CH_3OH$  кипятят 135 мин., выход (+)-IV 2,23 г, т. пл. 170–172° (разл.) и 250–252° (из ацетон-гексана). Горячие р-ры 5,4 г (+)-IV в 50 мл ацетона и 5,75 г тригидрата хинина в 100 мл ацетона смешивают, фильтруют и последовательно упаривают и охлаждают; получают (а) 1,5 г, (б) 8,0 г и (в) 1,55 г. Фракции а и б кристаллизуют из ацетона и получают 1,3 г хининовой соли (–)-IV, а из нее — 0,25 г (–)-IV, т. пл. 150°, т. разл. 165–170° и т. пл. 254–254° (из разб. ацетона),  $[α]_D^{20}$  –6,7° (с 1,85; ацетон); фракция в дает 0,84 г (+)-IV,  $[α]_D^{20}$  +1,8° (с 4,3; ацетон); из маточных р-ров от а и б получают 2,4 г IV, которые растворяют в 15 мл ацетона, смешивают при нагревании с 2,2 г хинидина в 40 мл ацетона, упаривают до 20 мл и охлаждают, получают 1,25 г хинидиновой соли (+)-IV, а из нее — 0,56 г (+)-IV, т. пл. 145–150°,

т. отв. 170–175° и т. пл. 251–253°,  $[α]_D^{20}$  +3,6° (с 5,6; ацетон). 0,18 г (–)-IV в 20 мл  $CH_3OH$  прибавляют к избытку  $CH_3NH_2$  в 100 мл эфира, через 1,5 часа  $CH_3NH_2$  разлагают  $CH_3COOH$ , р-р промывают водой и упаривают; выход V 94%,  $α$  +0,001 ± 0,005° (l 4; ацетон). Аналогично (+)-IV дает V, т. пл. 173,5–174,5° (из этилацетата),  $α$  –0,002 ± 0,007° (l 4; ацетон); V получают также при кипячении II в подкисленном  $CH_3OH$ , 0,52 г (+)-IV в 15 мл  $CH_3OH$  обрабатывают избытком  $CH_3CHN_2$  как при синтезе V, выход (+)-VI 0,56 г, т. пл. 100,5°–101,5° (из  $CCl_4$ -гексана). Аналогично из 0,56 г (+)-IV получают 0,35 г (+)-VI, т. пл. 106,5–107,5° (из  $CCl_4$ -гексана),  $[α]_D^{20}$  +2,1° (с 2,8; ацетон). 0,225 г (+)-IV нагревают 5 мин. при 185–190°; выход II 94%,  $α$  +0,006 ± 0,016° (в ацетоне). Все т-ры плавления исправлены. Сообщение IV см. РЖХим, 1956, 74872.

М. Колосов

840. Восстановление органических соединений литием в аминах с низким молекулярным весом. III. Восстановление ароматических соединений, содержащих функциональные группы. Бенкесер, Арнолд, Ламберт, Томас (Reduction of organic compounds by lithium in low molecular weight amines. III. Reduction of aromatic compounds containing functional groups. Benkeser Robert A., Arnold Charles, Jr., Lambert Rogers F., Thomas Owen H.), J. Amer. Chem. Soc., 1955, 77, № 22, 6042–6045 (англ.)

Ряд ароматич. в-в восстановлен по разработанной ранее методике (см. РЖХим, 1956, 50675). При восстановлении 0,15 моля стирала 1,2 *г-атома* Li в  $CH_3NH_2$  получают этилциклогексан, выход 18%, и 1-этилциклогексен (I), выход 25%, продукт присоединения NOCl (III) к I, т. пл. 100–101°. Восстановление 0,15 моля ацетофенона 0,9 *г-атома* Li в  $CH_3NH_2$  приводит к образованию 1-(1-циклогексенил)-этанола (II), выход 65%,  $α$ -нафтилуретан, т. пл. 106–107°. Для доказательства строения II конденсируют циклогексениллитий (из 0,34 моля 1-хлоридциклогексена и 0,685 *г-атома* Li) в эфире с 0,5 моля  $CH_3CHO$ , выход II 41%, т. кип. 86–87°/15 мм,  $n_D^{20}$  1,4842 или восстанавливают 1-ацетилциклогексен  $LiAlH_4$ , получают II, выход 90%. Из 0,11 моля диэтилкетала ацетофенона и 0,88 *г-атома* Li в  $CH_3NH_2$  получают I, выход 67%, а из 0,14 моля 2-бензоокситетрагидропирана и 0,84 *г-атома* Li в  $CH_3NH_2$  — метилциклогексан и метилциклогексен, выход 68%, III, т. пл. 93–94°, продукт присоединения 2,4-динитробензолсульфенилхлорида, т. пл. 138–139°; таким образом эти кетали расщепляются так же, как сходные по строению простые аллильные эфиры Na в  $NH_3$ . Кетали с кетогруппой, удаленной от ароматич. ядра, не расщепляются, так из 0,2 моля диэтилкетала бензилацетона и 0,82 *г-атома* Li в  $CH_3NH_2$  получают β-(1-циклогексенил)-этилметилкетон (III), выход 77%, т. кип. 90–91°/7 мм,  $n_D^{20}$  1,4733,  $d_4^{20}$  0,934; 2,4-динитрофенилгидразон (ДНФГ), т. пл. 90–91°. Для доказательства строения 20 *г* III восстанавливают по Кижнеру-Вольфу (Huang-Minlon, J. Amer. Chem. Soc., 1946, 68, 2487), получают 1-бутилциклогексен, выход 72%, т. кип. 178–179°,  $n_D^{20}$  1,4568, III, т. пл. 94–95°. Диэтилкеталь ацетона не восстанавливается Li в  $CH_3NH_2$ . Из 0,4 моля 2-фенилэтанола и 2 *г-атома* Li в  $CH_3NH_2$  получают 2-(1-циклогексенил)-этанол (IV), выход 67%, т. кип. 74–75°/2 мм,  $n_D^{20}$  1,4878; 3,5-динитробензоат, т. пл. 78–80°. IV получают также из циклогексениллития и окиси этилена или методом Кука и Данси (Cook J. W., Dansi A. J.; Chem. Soc., 1935, 500). Восстановление фенола в  $CH_3NH_2$  или  $C_2H_5NH_2$  небольшим избытком Li при быстром гидролизе реакционной массы приводит к циклогексанолу, выход 96%; при восстановлении 0,2 моля фенола,

1,6 *g*-атома Li 6 часов при кипении  $C_6H_5NH_2$  и медленном гидролизе (2 часа) получают продукт, содержащий 18% кетонов и 82% циклогексанола. Из 0,2 моля анизола, 1,6 моля Li в  $C_6H_5NH_2$  получают фенол, 48% и циклогексанол, 40%. К 0,2 моля анизола в  $C_6H_5NH_2$  за 15 мин, добавляют 0,4 *g*-атома Li, и после растворения Li отгоняют  $C_6H_5NH_2$ , гидролизуют остаток и отгоняют 3 *g* дигидроанизола, т. кип. 148—149°,  $n_D^{20}$  1,4805; при действии 2,4-динитрофенилгидразина (РЖХим, 1954, 47983) дает 2,4-динитрофенилгидразон циклогексанола, который может образоваться из 2,5- и из 2,3-дигидроанизола. На основании данных УФ-спектра,  $\lambda_{\max}$  268  $m\mu$  (2000, абс. сп.) установлено, что дигидроанизол содержит 53%, 2,5- и 47% 2,3-изомера. Из 0,1 моля  $C_6H_5CN$ , 1,2 *g*-атома Li в  $C_6H_5NH_2$  получен  $C_6H_5CH_2NH_2$  (V), выход 47%, т. кип. 162—164°,  $n_D^{20}$  1,4632, бензамид, т. пл. 105—106°; пикрат, т. пл. 184—185°, производное фенилтиомочевины (ФМ), т. пл. 128—129°. Строение V подтверждают синтезом из циклогексанкарбонной к-ты, которую превращают в хлорангидрид и амид, а последний восстанавливают  $LiAlH_4$  до V. При восстановлении 0,1 моля бензилцианида 0,82 *g*-атома Li в  $C_6H_5NH_2$  получают  $\beta$ -(1-циклогексил)-этиламин (VI), выход 50%, и  $\beta$ -циклогексэтиламин (VII), выход 5%. VI получают также другим путем (Schneider O., Helv. chim. Acta, 1950, 33, 1437), т. кип. 50—51°/1  $mm$ ,  $n_D^{20}$  1,4682; хлоридрат, т. пл. 162—165°; пикрат, т. пл. 174—175°; *n*-нитробензамид, т. пл. 124—125°; ФМ, т. пл. 121—122°. VII получают каталитическим восстановлением  $\beta$ -фенилэтиламина, выход 66%. Сообщение II см. РЖХим, 1956, 54328.

Н. Швецов

841. Алкилирование дифенила спиртами в присутствии  $BF_3$ . Ромадан И. А., Рендель Т. И., Ж. общ. химии, 1956, 26, № 1, 202—208

С целью получения теплоносителей алкилированием дифенила  $C_6H_5OH$  (I),  $C_6H_5OH$  (II), *изо*- $C_6H_5OH$  (III),  $C_4H_9OH$  (IV), *изо*- $C_4H_9OH$  (V), *изо*- $C_3H_7OH$  (VI),  $C_6H_{13}OH$  (VII) в присутствии  $BF_3$  синтезированы моно- и диалкилдифенилы (примерно в равных кол-вах). Последние наиболее чистые и с более высокими выходами получают при использовании нормальных спиртов. Авторы считают, что алкилирование идет соединением  $2ROH \cdot BF_3$ . К 40 *g* VI, насыщ. на холоду  $BF_3$ , добавляют 25 *g* дифенила и нагревают при перемешивании до 165—170° 1,5 часа (вообще 0,5—1,5 часа для *н*- и 3 часа для нормальных спиртов), разбавляют водой, маслянистый слой обрабатывают водяным паром и перегоняют. Получают моно- и диизоамилдифенилы с небольшим преобладанием первых, выход 98%. Изоамилдиф. т. кип. 298—302°, т. заст. —55°,  $n_D^{20}$  1,5075,  $d_4^{20}$  0,8876,  $\eta^{20}$  12,9164 *спуз*; диизоамилдифенил, т. кип. 310—313°, т. заст. —53°,  $n_D^{20}$  1,5102,  $d_4^{20}$  0,8976. Аналогично получают алкаты из I—V и VII (перечисляются выходы алкатов в %, т. кип. в °C/ $mm$ , т. заст. в °C,  $n_D^{20}$ ,  $d_4^{20}$  для моно- и диамещен.): из I, 85,3, моно-, 284—282, —51, 1,5681, 0,9793; ди-, 304—305, —50, 1,5615, 0,9547; из II, 100, моно-, 299—300, —48, 1,5349, 0,9343,  $\eta^{20}$  27,84,  $\sigma^{15}$  32,20; ди-, 328—330, —41, 1,5340, 0,9297; из III, 74, моно-, 295—298, —55, 1,5475, 0,9123,  $\eta^{20}$  18,94; ди-, 315—316, —48, 1,5480, 0,8949; из IV, 100, моно-, 308—310, —70, 1,5259, 0,8950; ди-, 324—326, —66, 1,5248, 0,8939; из V, 88, моно-, 282—286, —51, 1,5295, 0,9070,  $\eta^{20}$  16,89,  $\sigma^{15}$  30,96; ди-, 306—308, —46, 1,5142, 0,8952. Из 80 *g* VII, 27,1 *g*  $BF_3$  и 60 *g* дифенила (160—170°, 3 часа) получают смесь (выход колич.) моногексилдифенила, т. кип. 313—315°,

с 40,6, и дигексилдифенила, т. кип. 330—331°.

М. Чельцова  
842. О монометилировании ксилола. Савинов Б. Г., Вернер Д. А., Михайловина А. А., Укр. хим. ж., 1956, 22, № 1, 84—87

Изучены условия получения псевдокумола (I) из ксилола (II). При 12—25 час. метилировании II  $CH_3Cl$  в присутствии безводн.  $AlCl_3$  при 80° получают I, выход 30—38% на вошедший в р-цию II. Метилирование изомеров II порознь не дает преимуществ по сравнению с метилированием их смеси; в обоих случаях образуется I и мезитилен. Из сульфокислот, полученных при сульфировании фракции 150—180° алкилата равным объемом конц.  $H_2SO_4$  при 80°, выделяют II и мезитилен гидролизом 20%-ной  $HCl$  (30 мин.) и перегонкой с паром при 80—90° в течение 90 мин. Из остающейся псевдокумолсульфокислоты гидролизом конц.  $H_2SO_4$  выделяют I.

М. Чельцова  
843. Поиски новых антибактериальных веществ. Часть I. Тивари, Трипатхи (Search for new antibacterial compounds. Part I. Tiwari S., Tripathi Brajendra N., J. Indian Chem. Soc., 1956, 33, № 3, 211—213 (англ.))

С целью испытания антибактериальных свойств синтезированы 2-Cl-4-*m*- $pep$ - $C_6H_4$ -6- $RCN_2$ - $C_6H_4$ -OH (I) перегруппировкой по Фрису эфиров 2-Cl-4-*m*- $pep$ - $C_6H_4$ - $C_6H_4$ -OCOR (II) (1 моль II, 1,5 моля  $AlCl_3$ , нагревание до 110°), полученных обычным способом (РЖХим, 1955, 37229) в соответствующие 2-Cl-4-*m*- $pep$ - $C_6H_4$ -6- $RCOC_6H_4$ -OH (III) и восстановлением III по Клемменсену (приведены R, II, выход в %, т. кип. в °C/ $mm$ , III, выход в %, т. кип. в °C/ $mm$ , т. пл. 2,4-динитрофенилдиэфила, I, выход в %, т. кип. в °C/ $mm$ ;  $C_6H_5$ , II, 80, 180/10, III, 85, 142/33, 224, I, 64, 133/29;  $C_6H_5$ , II, 72, 129/10, III, 80, 142/10, 227, I, 62, 119/21;  $C_6H_5$ , II, 70, 162/16, III, 80, 152/10, 176, I, 58, 146/11;  $C_6H_5$ , II, 74, 169/21, III, 75, 154/20, 185, I, 62, 163/42;  $C_6H_{11}$ , II, 76, 157/10, III, 71, 163/13, 163, I, 58, 150/42;  $C_6H_{13}$ , II, 68, 187/10, III, 72, 170/10, 127, I, 52, 153/11;  $C_6H_9$ , II, 70, 200/12, III, 68, 162/13, 185, I, 52, 160/11;  $C_6H_5$ , II, 63, 212/10, III, 68, 180/22, 193, I, 50, 170/11.

Е. Феднева

844. Получение некоторых метилзамещенных фенолов и фенолоспиртов. Фицджералд (The preparation of some methyl-substituted phenols and phenol alcohols. Fitzgerald J. S., J. Appl. Chem., 1955, 5, № 7, 289—296 (англ.))

Описаны методы синтеза некоторых полиметилзамещ. фенолов (МФ), а также фенолоспиртов (ФС) и других промежуточных продуктов синтеза МФ. Показано, что гидрирование  $NOCH_2$ -группы ФС в присутствии  $Su(CrO_2)_2$  приводит к МФ (без каких-либо внутримолекулярных перегруппировок) при работе не более, чем с 10 *g* ФС. Гидрирование хлорзамещ. ФС и удаление хлора производилось на скелетном Ni. Установлено, что, хотя в 3,5-киленол (I) первая  $NOCH_2$ -группа входит в пара-положении к фенольному гидроксилу, соответствующий I диалкоголь имеет строение 2,6-диоксиметил-3,5-диметилфенола (II). 2,3,4,5-тетраметилфенол (III) наиболее удобно получать превращением 2,3,5-триметилфенола (IV) по Гаттерману в 4-окс-2,3,6-триметилбензальдегид (V) и восстановление V по Клемменсену. 3,4,5-триметилфенол (VI) получен гидролизом продукта конденсации (Prelog V. и др., Helv. chim. acta, 1947, 30, 675; 1951, 34, 358) ацетондикарбонного эфира (VII) с 3-метилпентадион-2,4 (VIII) и далее гидролизом эфира и декарбонилированием 2-окси-4,5,6-триметилфталевой к-ты (IX). Конденсация VII с ацетилацетоном дает 75% диэтилового эфира 2-окс-4,6-диметилфталевой к-ты (X), восстановленного  $LiAlH_4$  в II. Для получения ФС к *p*-ру ~50 *g* соответствующего фенола в 75 *мл* воды и 20 *g*  $NaOH$

прибавляют при 18—20° (или при т-ре начала кристаллизации) 50—70 мл 37%-ного  $\text{CH}_2\text{O}$  (2—3 моля на 1 моль фенола), охлаждают 0,5 часа льдом и оставляют при 18—20° на 12 час., разлагают Na-соль ФС разб.  $\text{CH}_3\text{COOH}$ . Р-р 5 г ФС в 25 мл диоксиана гидрируют 10—15 мин. с 2—3 г  $\text{Cu}(\text{CrO}_2)_2$  при 150—160° и 210 ат, затем 2 часа при 170—180° (или 0,5 часа при 200°); МФ выделяют перегонкой с паром. Для удаления хлора в р-р 5 г хлорсодержащего МФ в 100 мл 5%-ного NaOH вносят за 1 час при 80° и размешивании 5 г сплава Ni-Al, центрифугируют, выливают в 50 мл 5 н. HCl и выделяют МФ перегонкой с паром. 2,4,6-триметилфенол получается гидрированием 2,6-бис-(оксиметил)-4-метилфенола при 160—175° 3,5 часа, выход 84%. Указанным методом получены: 4-хлор-2,6-диметилфенол, выход 77%, т. пл. 83° (из петр. эф.), фенилуретан (ФУ), т. пл. 142—144°; из 4-оксиметил-3,5-кисленолола, т. пл. 174—176° (из  $\text{CH}_3\text{OH}$ ), — VI, выход 74%, т. пл. 107—109° (из петр. эф.), 2,6-дибромпроизводное, т. пл. 142—144° (из петр. эф.); из II — 2,3,5,6-тетраметилфенол (XI), выход 60—80%, т. пл. 116—118° (из петр. эф.), 4-бромпроизводное, т. пл. 116—118°, ФУ, т. пл. 214—218°, моноацетат, т. пл. 79—80° (из разб.  $\text{CH}_3\text{COOH}$ ); из 4-хлор-3,5-кисленолола—4-хлор-2,3,5,6-тетраметилфенол (XII), выход 40—75%, т. пл. 114—115,5° (из петр. эф.), ФУ, т. пл. 231—235° (из сп.); дехлорирование XII дает XI, выход 76%; из 6-хлор-2-оксиметил-3,5-диметилфенола (XIII), т. пл. 102—104° (из петр. эф.), диацетат (ДА), т. пл. 91° (из  $\text{CH}_3\text{OH}$ ,  $\text{CH}_3\text{COOH}$ ), — 6-хлор-2,3,5-триметилфенол (XIV), выход 70—80% при загрузках XII не более 5 г, т. пл. 56—58° (из водн.  $\text{CH}_3\text{OH}$ ), 4-бромпроизводное XIV, т. пл. 157—158°, ФУ XIV, т. пл. 199° (из сп.; петр. эф.). Дехлорирование XIV дает IV, выход 75—85%. Конденсация XIV с  $\text{CH}_2\text{O}$  дает бис-(5-хлор-4-окси-2,3,6-триметилфенил)-метан, т. пл. 204—206°, ДА, т. пл. 205—206°, и 6-хлор-4-оксиметил-2,3,5-триметилфенол (ДА, т. пл. 109°), гидрирование которого привело к 6-хлор-2,3,4,5-тетраметилфенолу, выход 50%, т. пл. 108—110° (из  $\text{CH}_3\text{OH}$ ), дехлорирование его дало III, выход 70%, т. пл. 82—83° (из петр. эф.), ацетат, т. пл. 54—55° (из петр. эф.), ФУ, т. пл. 145—146° (из разб. сп.), 6-бромпроизводное, т. пл. 114—115°, ацетат 6-бромпроизводного, т. пл. 84—85° (из  $\text{CH}_3\text{OH}$ ). Пропускают 1,5 часа при охлаждении льдом HCl (газ) в р-р 40 г IV и 80 г  $\text{Zn}(\text{C}_2\text{H}_3\text{O}_2)_2$  в 400 мл безводн. эфира, прибавляют порциями 40 г  $\text{AlCl}_3$ , пропускают HCl при охлаждении еще 0,5 часа и 1 час при 20°, гидролизуют, отгоняют с паром непрореагировавший IV и о-альдегид, и экстрагируют остаток горячим 20%-ным спиртом, выход неочищ. V 65%, т. пл. 146,5—147,5° (из разб. сп.). III получают из V гидрированием или восстановлением по Клемменсену, выход 85% (из 5 г V) или 60% (при больших загрузках, считая на IV). III был получен также гидрированием 3,4,5-триметил-2-пиперидинометилфенола (продукта конденсации параформальдегида, пиперидина и VI, выход 56%, т. пл. 103—105°), выход 72%, т. пл. 82—84°. 4-хлор-2,3,5-триметилфенол (XV) получен гидрированием 4-хлор-3,5-диметил-2-пиперидинометилфенола, т. пл. 142—145°, или 4-хлор-3,5-диметил-2-морфолинометилфенола, т. пл. 125—126°, выход ~40%, т. пл. 103—104° (из петр. эф.), 6-бромпроизводное XV, т. пл. 144,5—145° (из разб.  $\text{CH}_3\text{COOH}$ ). Конденсируют 5 г VIII с 8,9 г VII в р-ре 1 г Na в 30 мл абс. спирта, гидролизуют р-ром KOH в  $\text{CH}_3\text{OH}$  и выделяют 3,6 г неочищ. IX HCl (к-той), т. пл. 200—201° (разл.; из  $\text{CH}_3\text{COOH}$ , сп.); дикарбоксилирование IX в хинолине дает VI. К р-ру 3 г  $\text{LiAlH}_4$  в 150 мл безводн. эфира прибавляют по каплям р-р 5 г X в 20 мл эфира, кипятят 3 часа и через 24 часа обработкой разб.  $\text{H}_2\text{SO}_4$  или Na-K-тарtratoм выделяют небольшое кол-во II, т. пл. 159°; триацетат, т. пл. 65—67°.

О. Чернцов

845. О синтезе хлорфениловых эфиров метакриловой кислоты. Арбузова П. А., Медведева Л. И., Плоткина С. А., Ж. общ. химии, 1956, 26, № 4, 1127—1130

Синтезированы хлорзамещ. фениловые эфиры метакриловой к-ты общей ф-лы  $\text{CH}_2=\text{C}(\text{CH}_3)\text{COOAr}$  (I), где  $\text{Ar} = 2\text{-ClC}_6\text{H}_4$  (Ia),  $\text{Ar} = 4\text{-ClC}_6\text{H}_4$  (Ib),  $\text{Ar} = 2,4\text{-Cl}_2\text{C}_6\text{H}_3$  (Ic),  $\text{Ar} = 2,4,6\text{-Cl}_3\text{C}_6\text{H}_2$  (Id) и  $\text{Ar} = \text{Cl}_2\text{C}_6\text{H}_3$  (Ie) р-цией соответствующего  $\text{ArOH}$  с  $\text{CH}_2=\text{C}(\text{CH}_3)\text{COCl}$  (II, III — к-та) или действием  $\text{SOCl}_2$  на смесь  $\text{ArOH}$  и III. При нагревании с  $(\text{C}_6\text{H}_5\text{COO})_2\text{I}$  дают прозрачные стеклообразные полимеры. К 25,7 г 2-ClC<sub>6</sub>H<sub>4</sub>OH при 45° постепенно добавляют 23 г II, нагревают 2,5 часа при 70—80°, перегонкой в токе  $\text{N}_2$  выделяют Ia, выход 89%, т. кип. 98—99°/3 мм,  $n_D^{20}$  1,5268,  $d_4^{20}$  1,1739. Аналогично проводят р-цию с расплавленным 4-ClC<sub>6</sub>H<sub>4</sub>OH (продукт р-ции растворяют в эфире и промывают 4%-ным NaOH), выход Ib 73,5%, т. кип. 113—114°/6 мм, 93—94°/2 мм (перегонка в присутствии  $\text{Cu}_2\text{Cl}_2$ ),  $n_D^{20}$  1,5292,  $d_4^{20}$  1,1823. Так же из 2,4-Cl<sub>2</sub>C<sub>6</sub>H<sub>3</sub>OH (IV) и II получают Ic (нагревание 3 часа при 90—92°, перегонка над  $\text{Cu}_2\text{Cl}_2$ ), выход 82,7%, т. кип. 133—133,5/10 мм, т. пл. 55—56° (из сп. + бэл.),  $n_D^{20}$  1,5239,  $d_4^{20}$  1,249. К 192,75 г 4-ClC<sub>6</sub>H<sub>4</sub>OH и 146 г III постепенно добавляют 200,9 г  $\text{SOCl}_2$ , нагревают (70°, ~2,5 часа) до окончания выделения HCl, растворяют в эфире, обрабатывают 10%-ным  $\text{Na}_2\text{CO}_3$ , выход неочищ. Id 80%, после перегонки в токе  $\text{CO}_2$  над  $\text{CuCl}_2$ , выход 53%. К расплаву 81,5 г IV и 45 г III добавляют 54,4 г  $\text{SOCl}_2$ , оставляют на 50 час. при ~20°, нагревают 2 часа при 70°, выливают в 4%-ный NaOH, осадок растворяют в эфире, отгонкой эфира выделяют Ie, выход 77%. К 67,2 г 2,4,6-Cl<sub>3</sub>C<sub>6</sub>H<sub>2</sub>OH (V) и 34,4 г III при 35—40° добавляют 41,8 г  $\text{SOCl}_2$ , нагревают 10 час. при 40—60°, выход Ig 61,6%, т. пл. 61—61,5° (из сп.). К 40 г V в 126,5 г пиридина постепенно добавляют 23 г II, нагревают 3 часа при 90°, выливают в разб. HCl, р-р осадка в эфире обрабатывают NaOH, отгонкой эфира выделяют 74% Ig. Аналогично из 80 г  $\text{C}_6\text{H}_5\text{Cl}_2\text{OH}$  в 73,5 г пиридина и 47 г II (2 часа, 70°) получают Id, выход неочищ. 75,7%, т. пл. 91—91,5° (из сп. + бэл.).

Е. Феднева

846. О красной окраске, возникающей при действии водных щелочей на фенолы каменноугольной смолы. Выделение хинона, образующегося из тетраокситетраметилдифенила. Бейкер, Майлс (The red colour given by coal-tar phenols and aqueous alkalis. Isolation of a quinone derived from a tetrahydroxytetramethyldiphenyl. Baker Wilson, Miles D.), J. Chem. Soc., 1955, July, 2089—2096 (англ.)

Фенолы, образующиеся при низкотемпературной карбонизации каменноугольной смолы, окрашивают водн. р-ры щелочей в красный цвет. Красное окрашивание объясняется окислением кислородом воздуха присутствующих в смеси фенолов—3,5-диметилпирокатехина (I) и 2,4-диметилрезорцина (II), а также других С-алкилированных производных пирокатехина и резорцина. Установлено, что I и II в 1%-ном водн. р-ре NaOH конденсируются, образуя 2,4,3',4'-тетраокси-3,5,2',6'-тетраметилдифенил (III), окисляющийся затем в соответствующий хинон (IV). Строение III подтверждено его встречным синтезом из 4-йод-3,5-диметилрезортола (V) и 2,4-диметокси-3,5-диметилдобензола (VI) по Ульману, причем получают тетраметилловый эфир III (VII) и небольшие кол-ва 3,4,3',4'-тетраметокси-2,6,2',6'-тетраметилдифенила (VIII) и 2,4,2',4'-тетраметокси-3,5,3',5'-тетраметилдифенила (IX). Несмотря на то, что IV дает хиноксалиновое производное (X), он не является о-хиноном, так как диацетильное производное (ДА) IV не реагирует с о-фенилдиаминном в безводн. среде. Авторы предполагают, что IV существует



в р-ре в виде трех таутомерных форм, включая *o*-хинон-ную. В твердом состоянии IV существует, вероятно, в виде замещ. *n*, *n'*-дифенохинона. Строение V, полученного йодированием 3,5-диметилвератрола (XI), доказано встречным синтезом из 3,5-диметилфенола (XII). Полученный нитрованием XII 3,5-диметил-4-нитрофенол (XIII) окисляют по Эдмунду в 3,5-диметил-4-нитропирокатехин (XIV), образующий при метилировании 3,5-диметил-4-нитровератрол (XV), синтезированный также прямым нитрованием XI. Восстановление XV приводит к 4-амино-3,5-диметилвератролу (XVI), превращенному через диазотиевую соль в V. Через р-р 5 г I и 5 г II в 200 мл 1%-ного NaOH, содержащий 19,5 г  $\text{Na}_2\text{CO}_3$ , пропускают воздух 14 час. и отфильтровывают Na-соль IV, выход 12,1 г. При подкислении водн. суспензии последней выпадает IV, выход 9 г, т. пл. 227—228° (разл.; из  $\text{CH}_3\text{OH}$ ); ДА, т. пл. 143—144,5° (из  $\text{CH}_3\text{OH}$ ). Кипятят 3 часа р-р 10 г I в 120 мл безводн. ацетона и 80 мл  $\text{C}_6\text{H}_6$  с 40 г  $\text{K}_2\text{CO}_3$  и 20 мл  $(\text{CH}_3)_2\text{SO}_4$ , добавляют еще такое же кол-во  $\text{K}_2\text{CO}_3$  и  $(\text{CH}_3)_2\text{SO}_4$ , кипятят еще 13 час., получают XI, выход 11,2 г, т. кип. 118°/16 мм. К кипящему р-ру 4,07 г XI в 15 мл спирта добавляют порциями 12,5 г  $\text{J}_2$  и 10,5 г  $\text{HgO}$ , р-ритель отгоняют в вакууме, петр. эфиром извлекают V, выход 5,34 г, т. пл. 62,5—63°. В тех же условиях 6,1 г диметилового эфира II (полученного аналогично XI, т. кип. 114—115°/20 мм) дают VI, выход 7,5 г, т. кип. 159—161°/16 мм. 3 г V и 3 г активированной Cu-бронзы нагревают 2 часа при 220°;  $\text{CH}_3\text{OH}$  извлекают VIII, выход 1,07 г, т. пл. 172,5—173° (из  $\text{CH}_3\text{OH}$ ). Аналогично из 5 г VI синтезируют IX, выход 2,44 г, т. пл. 107—108° (из  $\text{CH}_3\text{OH}$ ). 4,7 г V и 4,7 г VI нагревают с Cu 6 час. при 190—200°. Продукт экстрагируют этилацетатом, экстракт упаривают и с водяным паром отгоняют V и VI (1,55 и 1,2 г) и 0,04 г смеси VII, VIII и IX. Из остатка эфиром извлекают еще 0,59 г VIII и 0,78 г IX и затем с водяным паром отгоняют 0,81 г VII, т. кип. 85°/0,1 мм. 0,47 г VII кипятят 6 час. с 7 мл  $\text{CH}_3\text{COOH}$  и 7 мл 50%-ной  $\text{HBr}$ ; продукт р-ции (0,334 г) растворяют в 1%-ном NaOH, содержащем  $\text{Na}_2\text{CO}_3$ , через р-р пропускают воздух 1,5 часа, получают IV, выход 0,31 г 2,29 г IV и 1,1 г *o*-фенилендиамина в 50 мл лед.  $\text{CH}_3\text{COOH}$  нагревают до кипения; выход X 88,5%, т. пл. 194—195° (из  $\text{CH}_3\text{OH}$ ); ДА, т. пл. 206—207° (из  $\text{CH}_3\text{OH}$ ); моноацетат, т. пл. 207—208° (из  $\text{CH}_3\text{OH}$ ). Из 8,25 г диметилового эфира II и 4,5 мл конц.  $\text{HNO}_3$  в 80 мл  $\text{CH}_3\text{COOH}$  через 1 день получают 1,3-диметокси-2,4-диметил-6-нитробензол, выход 5 г, т. кип. 110—112°/0,3 мм. Из 11,3 г XI аналогично получают XV, выход 3,1 г, т. пл. 86,86,5° (из петр. эф.). XII нитруют по ранее описанному методу (Adams, Stewart, J. Amer. Chem. Soc., 1941, 63, 2861) в XIII, т. пл. 107—108° (из разб.  $\text{HCl}$ ). К р-ру 25 г XIII и 30 г NaOH в воде добавляют за 3 часа 40,5 г  $\text{K}_2\text{S}_2\text{O}_8$ , через 48 час. подкисляют и отфильтровывают XIII (14,9 г), водн. р-р, промытый эфиром, кипятят 30 мин. с избытком конц.  $\text{HCl}$  и эфиром извлекают XIV, выход 8,7 г, т. пл. 124—125° (из воды), дибензойльное производное, т. пл. 87—88° (из сп.). 3,65 г XIV метилируют  $(\text{CH}_3)_2\text{SO}_4$  в атмосфере  $\text{N}_2$ , получают XV, выход 3 г. 0,43 г XV восстанавливают со скелетным Ni в 100 мл этилацетата (3 атм) до XVI; N-бензойльное производное, т. пл. 169,5—170,5° (из 50%-ного сп.). Р-р 0,5 г неочищ. XVI в разб.  $\text{H}_2\text{SO}_4$  диазотируют при 0° 0,2 г  $\text{NaNO}_2$  в 2 мл воды и затем добавляют мочевины и NaJ, через 5 час. нагревают 2 часа при 100° и перегоняют с водяным паром V, выход 0,62 г. Приведен УФ-спектр IV.

Л. Бергельсон

847. Получение ацеталей в щелочной среде. Шмидт (Herstellung von Acetalen in alkalischem Medium. Schmitz Ernst), Angew. Chemie, 1956, 68, № 11, 375 (нем.)

Для получения диметилацеталей (I) р-р соответствующего альдегида (II) и теоретич. кол-ва  $(\text{CH}_3)_2\text{SO}_4$  в  $\text{CH}_3\text{OH}$  прибавляют по каплям при 0° к небольшому избытку 2 н. водн. NaOH. Р-ция применима к  $\text{CH}_2\text{O}$  и тем II, которые имеют электрооттягивающую группу. Получены соответствующие I (приведены исходные II, выход I в %, т. кип. в °C/мм,  $n_D^{20}$ ): 2- $\text{NO}_2\text{C}_6\text{H}_4\text{CHO}$ , 85, 131,5—133/9, 1,5180; 3- $\text{NO}_2\text{C}_6\text{H}_4\text{CHO}$ , 84, 145—146/9, 1,5246; 4- $\text{NO}_2\text{C}_6\text{H}_4\text{CHO}$ , 85, 146—148/9 (т. пл. 28°), —; *n*- $\text{C}_6\text{H}_4(\text{CHO})_2$ , 61, 138—139/9 (т. пл. 53°), —;  $\text{CH}_2\text{O}$ , 43, 41,5—43,5/760, 1,5345.

Е. Феднева

848. Прямой синтез арил-β-хлорвинилкетонов. Кочетков Н. К., Хорлин А. Я., Карпейский М. Я., Ж. общ. химии, 1956, 26, № 2, 595—598

Описан удобный метод получения арил-β-хлорвинилкетонов  $\text{ArCOCH=CHCl}$  (I), где  $\text{Ar} = \text{C}_6\text{H}_5$  (а), *n*- $\text{C}_6\text{H}_5$  (б), *n*- $\text{ClC}_6\text{H}_4$  (в), *o*- $\text{BrC}_6\text{H}_4$  (г), *n*- $\text{NO}_2\text{C}_6\text{H}_4$  (д), прямым взаимодействием  $\text{ArCOCl}$  с  $\text{C}_2\text{H}_2$  в присутствии  $\text{AlCl}_3$  в дихлорэтано. К охлажд. до 0° р-ру 100 г  $\text{ArCOCl}$  в 100 мл дихлорэтана при перемешивании и охлаждении добавляют 95 г безводн.  $\text{AlCl}_3$  (т-ра < 10°), затем при сильном размешивании пропускают 6—7 час.  $\text{C}_2\text{H}_2$  при 40—50°, выливают на лед, органич. слой отделяют, водн. извлекают  $\text{CHCl}_3$  и получают Ia, выход неочищ. 65—70% (здесь и далее выходы в расчете на входящий в р-цию  $\text{ArCOCl}$ ), т. кип. 80—82°/0,5 мм; 85—87°/1 мм,  $n_D^{20}$  1,5860,  $d_4^{20}$  1,2062. Аналогично получают (даны выход в %, т. кип. в °C/мм,  $n_D^{20}$ ,  $d_4^{20}$ ): Ib, 70—75, 114—116/2, 1,5835, 1,1693; Ic (т-ра 30—40°), 68—70, 114—116/2, т. пл. 35,5—36,5° (из петр. эф.); Id (т-ра 30—40°), 56,5—62, 118—122/1,5—2, т. пл. 45,5—46,5°. В полученный при ~20° из 30 г *n*- $\text{NO}_2\text{C}_6\text{H}_4\text{COCl}$ , 26 г  $\text{AlCl}_3$  в 70 мл дихлорэтана комплекс пропускают 8,5—9 час.  $\text{C}_2\text{H}_2$ , выливают на лед, соединенные вытяжки кипятят 4—5 час. с равным объемом насыщ. водн.  $\text{NaHCO}_3$ , органич. слой отделяют, упаривают в вакууме, остаток многократно извлекают кипящей смесью петр. эфира с этилацетатом. Из вытяжки получают Id, выход неочищ. 57,5—60,2%, т. пл. 88,5—89° (из петр. эф.).

М. Карпейский

849. Конденсация альдегидов с кетонами. II. Синтез и термическое расщепление 1,5-дикетонов. Тиличенко М. Н., Ж. общ. химии, 1955, 25, № 13, 2503—2509

Изучалась конденсация  $\text{CH}_2\text{O}$  (I),  $\text{C}_6\text{H}_5\text{CHO}$  (II), пропионового (III) и изомасляного (IV) альдегидов с ацетофеноном (V) с образованием 1,5-дикетонов. Предложено называть эту р-цию дикетонной конденсацией. Дикетоны подвергались далее термич. расщеплению при 245—315°; при этом происходил разрыв C—C-связи, находящейся в β-положении к CO-группе. Легкость расщепления уменьшалась в ряду арилиден-, алкилиден-, метилендикетоны. Конденсация проводилась в условиях, описанных ранее (Докл. АН СССР, 1950, 74, 951). Из 12 молей 34%-ного I и V получен метилдиацетофенон (VI), выход 33%, т. пл. 67—68°; диоксим, т. пл. 164—166°; ди-2,4-динитрофенилгидразон, т. пл. 233° (разл.); из II получен этилдиацетофенон (VII), т. пл. 72—73°; диоксим, т. пл. 166—168°; дисемикарбазон, т. пл. 208—209°; из III—пропилдиацетофенон, т. пл. 85—86°; дисемикарбазон, т. пл. 207—209°; из IV—изобутилендиацетофенон, т. пл. 140—141°. При действии  $\text{NH}_2\text{OH} \cdot \text{HCl}$  на VII и  $\text{HCl}$  на диоксим VII получен 2,6-дифенил-4-метилпирдин (VIII), выход в первом случае 92%, т. пл. 66° (из сп.); пикрат, т. пл. 183,5—184,5°; VIII· $\text{HCl}$ , т. пл. 199—204° (разл.); VIII· $\text{H}_2\text{SO}_4$ , т. пл. 169—170°; VIII· $\text{HNO}_3$ , т. пл. 172—174° (разл.). При термич.

расщеплении VI образуются V и смола, которая, вероятно, получилась полимеризацией винилфенилкетона. VII расщепляется на V и этилидендиацетофенон. т. кип. 107—109°/8 мм; 129—131°/20 мм,  $n_D^{20}$  1,5586,  $d_4^{20}$  1,0232; бензилдиендиацетофенон (т. пл. 85°) — на V и бензальацетофенон; *n*-диметиламинобензилдиендиацетофенон (т. пл. 124—125°) — на V и *n*-диметиламинобензальацетофенон, т. пл. 113—114° (из сл.); метиленидипропиофенон (т. кип. 207,5—211,5°/2,5 мм) — на пропиофенон и изопропенилфенилкетон.

Р. Пузичкий

850. О редуктонах. Сообщение 38. Выделение *аци-редуктонов* и их производных. Хассельквист (Isolierung von *aci*-Reduktionen und Derivaten derselben. 38. Mitteilung über Reduktone. Hasselquist Hans), Arkiv. kemi, 1955, 8, № 4, 381—386 (нем.)

Подтверждено, что в монобензоилредуктоне  $\text{HOCH}=\text{C}(\text{CHO})\text{COC}_6\text{H}_5$  (I) (Arkiv. kemi, 1951, 3, № 18, 140) бензильный остаток находится у второго С-атома. 500 мг I смешивают с 10 мл лед.  $\text{CH}_3\text{COOH}$  и 280 мг  $\text{C}_6\text{H}_5\text{NHNH}_2$  и оставляют при 20° до перехода I в р-р, прибавляют воды до появления слабой опалесценции, оставляют на 6 дней при 0° и получают анил  $\text{C}_6\text{H}_5\text{N}(\text{CH}_3)\text{CH}=\text{C}(\text{CHO})\text{COC}_6\text{H}_5$ , т. пл. 151,5—152° (из этилацетата), идентичный с анилом из Na-соли монометиланилредуктона и  $\text{C}_6\text{H}_5\text{COCl}$  (Cocker и др., J. Chem. Soc., 1950, 2052). При добавлении  $\text{Co}(\text{NO}_2)_2$  и насыщ. р-ра  $\text{CH}_3\text{COONa}$  к водн. р-ру  $\text{HOCH}=\text{C}(\text{CHO})\text{CHO}$  (так называемый редуктон-I) получена кобальтовая соль  $\text{NaOCH}=\text{C}(\text{OH})\text{CHO}$ . Аналогично получены Ва- и Рb-соли. Показано, что дегидроаскорбиновая к-та (II) в шел. р-рах образует два новых эндиила, которые были разделены с помощью хроматографии на бумаге. К р-ру 0,82 г II в 5 мл воды добавляют 2 г  $\text{CH}_3\text{COONa}$  и нагревают при 65° до прекращения выделения  $\text{CO}_2$ , подкисляют до pH 6 и хроматографируют на бумаге (Munkelt OB), растворитель: 4 ч. *n*- $\text{C}_4\text{H}_9\text{OH}$ , 1 ч. лед.  $\text{CH}_3\text{COOH}$ , 1 ч. воды, получают *аци-редуктон*-IV,  $R_f = 0,18$ ,  $\lambda_{\text{max}}$  260 мμ, и *аци-редуктон*-V,  $R_f = 0,32$ ,  $\lambda_{\text{max}}$  262 мμ. К 1,74 г II в 10 мл воды в токе  $\text{N}_2$  добавляют 10 мл 2 н. NaOH, нагревают 1 мин., добавлением  $\text{CH}_3\text{COOH}$  доводит pH до 7, упаривают в эксикаторе, экстрагируют  $\text{CH}_3\text{OH}$ . В р-ре  $\text{CH}_3\text{OH}$  эндиил не содержится. В статке хроматографией на бумаге обнаруживают редуктон с  $R_f = 0,18$  и следы редуктона с  $R_f = 0,32$ . Показано, что полученный из этилового эфира бензоилмолочной к-ты, т. кип. 195°/30 мм, и бензильного эфира бензоилгликолевой к-ты (III), как описано ранее (Micheel, Haarhoff, Liebig Ann. Chem., 1940, 545, 28), 3,4-диокси-5-метилтетраон, т. пл. 176—177°, идентичен *аци-редуктону*-III, образуемому из II в кислых р-рах. III получают при кипячении смеси 12 г  $\text{ClCH}_2\text{COOC}_2\text{H}_5$ , 10 г  $\text{C}_6\text{H}_5\text{COONa}$ , 1 г NaI и 60 мл ацетона в течение 2 дней, выход 15 г, т. пл. 59—60° (из петр. эф.). Предыдущее сообщение см. РЖХим, 1955, 26158.

Ю. Волькенштейн

851. Обратимое монодиалкилирование алкилалогенидами в жидком аммиаке в присутствии щелочных амидов. Однозначное моноалкилирование  $\alpha$ -фенилэтил- и бензгидрихлоридами. Хаусер, Брей-ен (Mono-versus dialkylation of phenylacetone with alkyl halides by alkali amides in liquid ammonia. Exclusive monoalkylation with  $\alpha$ -phenylethyl and benzhydryl chlorides. Hauser Charles R., Braesen Wallace R.), J. Amer. Chem. Soc., 1956, 78, № 2, 494—497 (англ.)

Алкилирование  $\text{C}_6\text{H}_5\text{CH}_2\text{CN}$  (I) в присутствии  $\text{NaNH}_2$  (или  $\text{KNH}_2$ ) в смеси эфира с жидким  $\text{NH}_3$  действием  $\text{CH}_3\text{I}$  или  $\text{C}_6\text{H}_5\text{CH}_2\text{Cl}$  (II) приводит к смеси соответ-

ственно  $\text{C}_6\text{H}_5\text{CH}(\text{CH}_3)\text{CN}$  (III) с  $\text{C}_6\text{H}_5\text{C}(\text{CH}_3)_2\text{CN}$  (IIIa) и  $\text{C}_6\text{H}_5\text{CH}(\text{CH}_2\text{C}_6\text{H}_5)\text{CN}$  (выход 33%, т. кип. 134—135°/0,5 мм) с  $\text{C}_6\text{H}_5\text{C}(\text{CH}_2\text{C}_6\text{H}_5)_2\text{CN}$  (IV) (выход 30%, т. кип. 185—186°/0,5 мм), тогда как при действии на I  $\text{C}_6\text{H}_5\text{CHClCH}_3$  (V) или  $(\text{C}_6\text{H}_5)_2\text{CHCl}$  (VI) в тех же условиях образуются исключительно моноалкилпроизводные (соответственно *эритро*-VII), выход 99%, т. пл. 132,5—133,5° (из водн. ацетона) и (VIII), выход 99%, т. пл. 99,5—100,5° (из  $\text{CH}_3\text{OH}$ ); VIII при гидролизе (48 час., KOH в водн.  $\text{CH}_3\text{O}(\text{CH}_2)_2\text{OH}$ ) дает амид  $\alpha,\beta$ -трифенилпропионовой к-ты, выход 87%, т. пл. 205—206°. Взаимодействие I и V в эфире приводит к смеси почти равных кол-в *эритро*-VII (выход 30%) и *трео*-VII, выход 29%, т. кип. 125°/0,4 мм, т. пл. 35—36°,  $n_D^{20}$  1,5632. Авторы объясняют образование IIIa, IV и I существованием равновесия  $\text{C}_6\text{H}_5\text{CHRCN} + \text{C}_6\text{H}_5\text{CHNaCN} \rightleftharpoons \text{I} + \text{C}_6\text{H}_5\text{CHNaCN}$ . В случае V и VI скорость р-ции диалкилирования значительно меньше скорости р-ции моноалкилирования. При взаимодействии VIII,  $\text{KNH}_2$  и VI получен  $\alpha,\alpha$ -дифенилгидрилофенилацетонитрил, выход 33%, т. пл. 212—213° (из сл.). Разделение смеси I, III и IIIa и определение их выхода проведены действием  $\text{C}_6\text{H}_5\text{CHO}$  с образованием из I  $\alpha,\beta$ -дифенилакрилонитрила (выход 21%, т. пл. 86—87° (из  $\text{CH}_3\text{OH}$ )) и последующем гидролизе остатка действием KOH до  $\alpha$ -метилфенилуксусной к-ты (IX) (выход 50%, т. кип. 134—132°/4,9 мм,  $n_D^{20}$  1,5213),  $\alpha,\alpha$ -диметилфенилацетамида (выход 7%, т. пл. 158—159° (из ацетона)) и IIIa, выход 12%, т. кип. 92—93°/5,5 мм,  $n_D^{20}$  1,5030. IX идентифицирована последовательным превращением в ее амид (выход 83%, т. пл. 94,5—95,5° (из бал.-петр. эф.)) и III, выход 84,5%, т. кип. 91,5—92,5°/5,6 мм,  $n_D^{20}$  1,5095. Строение IV подтверждено гидролизом ( $\text{H}_2\text{SO}_4 + \text{CH}_3\text{COOH}$ ) с последующей обработкой  $\text{NaNO}_2$  до  $\alpha,\alpha$ -дифенилуксусной к-ты (т. пл. 124—125°) и образованием при взаимодействии IV с  $\text{KNH}_2$  в смеси жидкого  $\text{NH}_3$  и эфира 1,2,3-трифенилпропиена, циклизующегося в 1,2-дифенилиндан (выход 10%, т. пл. 175,5—176°). Найдено, что метилирование I в эфире приводит к снижению выхода IIIa.

В. Зарецкий.

852. Получение 2,6-диметоксibenзойной кислоты. Крейхунас (The preparation of 2,6-dimethoxybenzoic acid. Kreichunas A.), J. Organ. Chem., 1956, 21, № 3, 368—369 (англ.)

2,6-( $\text{CH}_3\text{O}$ ) $_2\text{C}_6\text{H}_3\text{COOH}$  (I) получена метилированием 2-метилрезорцина (II) до 2,6-( $\text{CH}_3\text{O}$ ) $_2\text{C}_6\text{H}_3\text{CH}_3$  (III) и окислением последнего. 0,6 моля II и 2,4 моля  $(\text{CH}_3)_2\text{SO}_4$  в 200 мл  $\text{CH}_3\text{OH}$  обрабатывают 2,4 моля  $\text{CH}_3\text{O}-\text{Na}$  в 600 мл  $\text{CH}_3\text{OH}$  2 часа при 25—30°, кипятят 30 мин., отгоняют 650 мл  $\text{CH}_3\text{OH}$ , после охлаждения добавляют 600 мл воды, маслообразный продукт отделяют фильтрованием и перегоняют, выход III 87,4%, т. кип. 219—220°/731 мм, т. пл. 39—40,5° (из водн.  $\text{CH}_3\text{OH}$ ). Смесь 0,33 моля III, 125 мл пиридина и 400 мл воды обрабатывают при перемешивании 1 молем  $\text{KMnO}_4$  (1 час, 45—50°), перемешивают при той же т-ре 2 часа, оставляют на —12 час., отфильтровывают, осадок промывают 150 мл воды, от фильтрата отгоняют в вакууме 300 мл воды, извлекают эфиром, водн. р-р обрабатывают 100 г 40%-ной  $\text{H}_2\text{SO}_4$ , получают I, выход 55,8%, т. пл. 187,5—188,5° (из дихлорэтана).

Е. Феднева

853. Новый синтез  $\alpha$ -резорциловой кислоты. Градуэлл, Мак-Гукни (A novel synthesis of  $\alpha$ -resorcylic acid. Gradwell W. T., McGookin A.), Chemistry and Industry, 1956, № 18, 377 (англ.)

Флороглюцин при обработке KCN и разб.  $\text{H}_2\text{SO}_4$  дает моноциангидрин кетоформы  $\text{CH}_2\text{C}(\text{OH})=\text{CHC}(\text{OH})=\text{CHC}(\text{OH})\text{CN}$ , т. пл. 215° (из сл.), который при нагре-

вания с конц. HCl на водяной бане гидролизуеться и дегидратируется с образованием  $\alpha$ -резорциловой к-ты, т. пл. 235°; диацетат, т. пл. 161°.

Е. Феднева  
854. О некоторых новых соединениях — продуктах аутоконденсации хлористого фенилацетила по реакции Фриделя — Крафта. Шмитт, Буатар (Sur quelques combinaisons nouvelles issues de l'autocondensation du chlorure de phénylacétyle selon la réaction de Friedel — Crafts. Schmitt Josef, Boitard Jean), Bull. Soc. chim. France, 1955, № 9, 1033—1036 (франц.)

При аутоконденсации фенилацетилхлорида (I) по Фриделю — Крафту образуются: дезоксибензоин-4-уксусная к-та (II), дезоксибензоин-3-уксусная к-та (III) и фенилацетил-4'-дезоксибензоин-4-уксусная к-та (IV). К р-ру 62 г I в 60 г CS<sub>2</sub> добавлено 26 г AlCl<sub>3</sub> и через 30—60 мин. постепенно 100 мл CH<sub>3</sub>OH и 500 мл воды; после отгонки р-рителя воды, слой декантирован и остаток экстрагирован 100 мл C<sub>6</sub>H<sub>6</sub>; получены 1-я фракция, т. кип. 200—220°/15 мм (метилловый эфир фенилуксусной к-ты), 2-я фракция, т. кип. 210—230°/1 мм и 3-я фракция, т. кип. 300—350°/1 мм. Из 2-й фракции выделено 10 г метилового эфира II, т. пл. 99° (из сп.), а из маточного р-ра после разгонки и омыления щелочью получена (через семикарбазон) III, т. пл. 96° (из эф. петр. эф.). Из 3-й фракции выделено 1,5 г метилового эфира IV, т. пл. 180° (из бзл.), который получен также при разгонке остатка после экстракции реакционной смеси. Метилловый эфир II при омылении дал II, т. пл. 138° (из бзл.), строение которой доказано окислением KMnO<sub>4</sub> до бензойной и терефталевой к-т, а также декарбоксилированием (30 мин., 270°) до 4-метилдезоксибензоина. Строение III доказано окислением KMnO<sub>4</sub> до бензойной и изоталевой к-т. Из метилового эфира IV омылением получена IV, т. пл. 211° (из диоксана), которая при 270°/12 мм (30 мин.) дала 4-метилфенилацетил-4-дезоксибензоин.

Л. Песин  
855. О некоторых новых соединениях — продуктах смешанной конденсации фенилацетилхлорида и о дальнейшей их конденсации с подходящими ароматическими соединениями в условиях реакции Фриделя — Крафта. Шмитт, Сюке, Комау (Sur quelques combinaisons nouvelles issues de la condensation mixte du chlorure de phénylacétyle sur lui-même et sur un support aromatique approprié dans les conditions de la réaction de Friedel — Crafts. Schmitt Josef, Suguet Michel, Comoy Pierre), Bull. Soc. chim. France, 1955, № 9, 1055—1059 (франц.)

Фенилацетилхлорид (I) под действием AlCl<sub>3</sub> претерпевает межмолекулярную самоконденсацию, в результате которой получаются дезоксибензоины с более или менее длинными цепями. Для обрыва цепи конденсации и определения синтезированных соединений предложена р-ция дальнейшей конденсации по Фриделю — Крафту с подходящим ароматич. соединением. Таким путем получены 4- и 3-фенилацетилдезоксибензоин (II, III), 4'-фенилацетил-4-фенил- (IV), 4-(*n*-метилфенил)- (V), 3-(*n*-метилфенил)- (VI), 4'-фенилацетил-4-(*n*-метилфенил)- (VII), 4-(*n*-метоксифенил)- (VIII), 3-(*n*-метоксифенил)- (IX) и 4'-фенилацетил-4-(*n*-метоксифенил)-дезоксибензоин (X). К р-ру 186 г I в 180 мл CS<sub>2</sub> добавлено 78 г AlCl<sub>3</sub>, через 40 мин. при ~20° введено постепенно 300 мл сухого C<sub>6</sub>H<sub>6</sub> и 78 г AlCl<sub>3</sub>; после кипячения 30 мин. и разложения комплекса HCl (к-той), отгонки р-рителя, промывки C<sub>6</sub>H<sub>6</sub> получено 60 г твердого в-ва, из которого фракционированием в вакууме выделены IV, выход 6 г, т. кип. 300—390°/0,5 мм, т. пл. 255—256° (из анизола); восстановлением по Кижнеру — Вольфу IV переведен в 4,4'-дифенил-этил)-дибензил, т. кип. 245°/0,2 мм, т. пл. 132—134°; из р-ра в C<sub>6</sub>H<sub>6</sub> выделен II, выход 30 г, т. кип. 330—

380°/5 мм, т. пл. 180° (из толуола); восстановлением по Кижнеру — Вольфу II переведен в 4-фенилэтил-дибензил, т. пл. 89° (из CH<sub>3</sub>OH), а также выделен III, выход 12 г, т. пл. 80° (из эф.). Аналогичной конденсацией I и толуола получен VII, т. кип. 340°/0,2 мм, т. пл. 242—243° (из анизола), V, т. кип. 230°/0,2 мм, т. пл. 169—170° (из толуола), идентичный продукту декарбоксилирования 4'-фенилацетилдезоксибензоин-4-уксусной к-ты и VI, т. кип. 245—250°/1 мм, т. пл. 68° (из сп.). Аналогично из I и анизола получен X, т. пл. 247—248° (из анизола), VIII, т. пл. 175° (из толуола), и IX, т. кип. 240—260°/1 мм, т. пл. 66° (из эф.).

Л. Песин

856. Синтез пластификаторов. IX. Смешанные эфиры диоксиметилксолола. Пени, Ямасита, Таканоути (可塑劑の合成研究. 第9報. ジオキシメチルキシレンの混酸エステル. 石井義郎, 山下雄也, 竹之内正男), 油脂化学協會誌, Юси какаку кейкай, J. Oil Chemists' Soc. Japan, 1953, 2, № 4, 6—9 (япон.)

Конденсация 2,4-дихлорметил-*m*-ксилола (51 г) с ацетатом Na (23 г) и Na-солью каприловой к-ты (50 г) в ксилоле (200 г, кипячение 7 час.) в присутствии катализатора (1 г) приводит к образованию 2-ацетоксиметил-4-каприлоксиметил-*m*-ксилола (I), т. кип. 185—220°/5 мм; 106—107°/3 мм, и 2,4-дикаприлоксиметил-*m*-ксилола (II), т. кип. 220—260°/5 мм; соотношение между I и II зависит от природы используемого катализатора: гексаметиленотетрамин и триэтанолламин благоприятствуют образованию I; триметиламин и пиридин — образованию II; в случае триэнола-Б и триэтиламина образуются примерно равные кол-ва I и II. Аналогично I и II получены 2-ацетоксиметил-4-каприлоксиметил-*m*-ксил- (III), т. кип. 129—130°/3 мм, и 2,4-дикаприлоксиметил-*m*-ксил- (IV), т. кип. 255—276°/4,5 мм; 2-ацетоксиметил-4-лаурилоксиметил-*m*-ксил- (V), т. кип. 143—145°/2,5 мм, и 2,4-дилаурилоксиметил-*m*-ксил- (VI), т. кип. 260—293°/3 мм. I—VI испытаны в качестве пластификаторов поливинилхлорида. I, III и V обладают хорошими пластифицирующими свойствами, в то время как II, IV и VI не являются пластификаторами.

Л. Яновская

857. Синтез пластификаторов. X. Пластификаторы типа сложных моноэфиров (3). Ямасита, Пени. XI. Синтез эфиров  $\beta$ -арилпропионовой кислоты и  $\gamma$ -арилалерановой кислоты и их пластифицирующие свойства. Мотоянаги, Ямасита, Пени. XII. Синтез пластификаторов из полналкленгликолей и их пластифицирующие свойства. Пени, Такадзава XIII. Синтез эфиров  $\gamma$ ,  $\gamma'$ -тиодивалерановой кислоты из леулиновой кислоты. Пени, Такадзава. Ямасита, Камата, Ябэ (可塑劑の合研研究. 第10報. モノエステル系可塑劑. III. 山下雄也, 石井義郎. 第11報.  $\beta$ -Aroyl propionic acid及び  $\gamma$ -Aryl valeric acidの各重エステルの合成と可塑性. 本柳忠義, 山下雄也, 石井義郎. 第12報. ポリアルキレングリコールエステル系可塑劑の合成及び可塑劑性能. 石井義郎, 高澤茂治. 第13報. レブリン酸より  $\gamma$ ,  $\gamma'$ -チオジキツ草酸エステルの合成. 石井義郎, 高澤茂治, 山下雄也. 鎌田進, 谷部誠次郎), 工業化学雑誌, Kogyo Kagaku Zasshi, J. Chem. Soc. Japan, Industr. Chem. Sec., 1953, 56, № 10, 811—814; № 11, 887—890; № 12, 945—949; 1954, 57, № 2, 156—158 (япон.)

Сообщение X. Получены 25 сложных эфиров общей ф-лы RCH<sub>2</sub>OOCR', RCOOR', RCH<sub>2</sub>COOR', R(CH<sub>2</sub>)<sub>2</sub>COOR', RCH=CHCOOR', где R = C<sub>6</sub>H<sub>5</sub>,  $\alpha$ -C<sub>10</sub>H<sub>7</sub> или  $\alpha$ -фурил, а R' — алкильный радикал с числом атомов C от 3 до 12. Оценена пластифицирующая способность этих эфиров по отношению к поливинилхлориду определением механич. прочности, скорости гелеобразования (качественно) и морозостойкости. Сложные моноэфиры, содержащие ароматич. кольцо, являются лучшими пластификаторами, особенно арилатацети.



Введение нафталинового кольца улучшает пластифицирующие свойства и морозостойкость, в то время как введение фуранового цикла сказывается неблагоприятно на этих свойствах.

**Сообщение XI.** Получено 11  $\beta$ -арилзамещ. пропионовых к-т  $\text{RCOCH}_2\text{CH}_2\text{COOR}'$  (I) по р-ции Фриделя—Крафца из 1 моля соответствующего ароматич. соединения, 1 моля итарного ангидрида, 2 молей  $\text{AlCl}_3$  и 10 молей р-рителя при  $\sim 0^\circ$  (в большинстве случаев) и при продолжительности р-ции 1,5–6 час. Подобным же образом получены 4  $\gamma$ -арилвалерьяновые к-ты  $\text{CH}_3\text{RCHCH}_2\text{CH}_2\text{COOR}'$  (II) из 1 моля  $\gamma$ -валеролактона, 2 молей соответствующего ароматич. углеводорода и 1,05 моля  $\text{AlCl}_3$  кипячением 6–30 мин. Этерификацию этих к-т спиртами (бутиловым, 2-этилгексеновым, лауриловым, бензиловым и нафтилкарбинолом) проводят кипячением смеси 0,1 моля к-ты, 0,15–0,3 моля спирта и 150–200 мл кислоты в течение 6 час. в присутствии  $n\text{-CH}_3\text{C}_6\text{H}_4\text{SO}_3\text{H}$  (1–3% от веса к-ты). Вальцеванием и пресованием при  $150^\circ$  были получены образцы для испытаний на поливинилхлориде с добавкой одного из эфиров (50% от веса полимера) и Pb-соли стеариновой к-ты (3%). Получены следующие I (перечисляются R и соответствующие ему R', выход в %, т. кип. в  $^\circ\text{C}/\text{мм}$ ,  $d_4^{20}$ ):  $\text{C}_6\text{H}_5$ ;  $\text{C}_6\text{H}_5\text{CH}_2$ , 59, 214–215/5, —;  $\text{C}_4\text{H}_9$ , 66, 168–169/5, 1,0007;  $\text{C}_6\text{H}_{17}$ , 64, 190–193/5, 1,0528;  $\text{CH}_3\text{C}_6\text{H}_4$ ;  $\text{C}_6\text{H}_5\text{CH}_2$ , 53, 225–226/5, —;  $\text{C}_4\text{H}_9$ , 56, 174–175/4,5, 1,0394;  $\text{C}_8\text{H}_{17}$  (Ia), 53, 201–205/4, 0,9980;  $(\text{CH}_3)_2\text{C}_6\text{H}_3$ ;  $\text{C}_6\text{H}_5\text{CH}_2$ , 49, 235–250/4, —;  $\text{C}_4\text{H}_9$ , 63, 179–181/4,5, 1,0292;  $\text{C}_8\text{H}_{17}$ , 51, 220–223/5, 0,9939; 4- $\text{ClC}_6\text{H}_4$ ;  $\text{C}_6\text{H}_5\text{CH}_2$ , 59, 251–253/4, —;  $\text{C}_4\text{H}_9$ , 70, 190–195/3,5, —;  $\text{C}_8\text{H}_{17}$ , 53, 233–235/4,5, 1,0912; 4- $\text{CH}_3\text{OC}_6\text{H}_4$ ;  $\text{C}_6\text{H}_5\text{CH}_2$ , 35, 250–253/5, —;  $\text{C}_4\text{H}_9$  (Ib), 42, 207–210/8, —;  $\text{C}_8\text{H}_{17}$  (Ia), 50, 220–225/3,5, 1,0375; 2,5- $(\text{CH}_3\text{O})_2\text{C}_6\text{H}_3$ ;  $\text{C}_6\text{H}_5$ , 51, 240–245/4,5, 1,1373;  $\text{C}_6\text{H}_5$ ;  $\text{C}_4\text{H}_9$ , 16, 210–218/5, 1,0922; 4-метокси-нафтил;  $\text{C}_6\text{H}_5$ , 67, 240–243/3,5, 1,1339; 2-метокси- $\alpha$ -нафтил;  $\text{C}_6\text{H}_5$ , 40, 225–230/3,5, —; 3-аенафтил;  $\text{C}_6\text{H}_5$ , 40, 245–249/3,5, 1,1056. В том же порядке перечисляются данные о II:  $\text{C}_6\text{H}_5$ ;  $\text{C}_6\text{H}_5\text{CH}_2$ , 64, 182–183/4,5, 0,9326;  $\text{C}_4\text{H}_9$ , 61, 144–145/4, 0,9620;  $\text{C}_8\text{H}_{17}$ , 85, 175–176/4, 0,9410; лаурил, 50, 210–218/3,5, 0,9159; нафтилметил, 35, 230–235/3,5, 1,0612; 4- $\text{CH}_3\text{C}_6\text{H}_4$ ;  $\text{C}_6\text{H}_5\text{CH}_2$ , 65, 188–189/3,5, 0,9258;  $\text{C}_6\text{H}_5$ , 64, 151–152/4, 0,9575;  $\text{C}_8\text{H}_{17}$  (IIa), 83, 193–194/4, 0,9375; лаурил, 47, 230–233/4, 0,9146; нафтилметил, 40, 240–250/4, 1,0827;  $\alpha$ ,  $\gamma$ -( $\text{CH}_3$ ) $_2\text{C}_6\text{H}_3$ ;  $\text{C}_6\text{H}_5\text{CH}_2$ , 61, 190–195/3,5, 0,9201;  $\text{C}_4\text{H}_9$ , 74, 163–164/6, 0,9580;  $\text{C}_8\text{H}_{17}$  (IIb), 81, 227–229/5, 0,9330; лаурил, 48, 225–230/3,5, 0,9149; нафтилметил, 40, 250–270/3,5, —; 4- $\text{CH}_3\text{COC}_6\text{H}_4$ ;  $\text{C}_6\text{H}_{17}$ , 26, 187–192/3,5, —. Приведены значения прочности пластифицированного поливинилхлорида на разрыв и разрывного удлинения в процентах. Найдено, что соединениями, которые можно применять как пластификаторы, являются Ia, б, в и IIa, б.

**Сообщение XII.** Получены эфиры 6 гликолей (диглицилгликоля (I), триэтилгликоля (II), тетраэтилгликоля (III), гексаэтилгликоля (IV), трипропиленгликоля (V) и дипропиленмоноэтилгликоля (VI)) и 5 к-т (масляной (VII), капроновой (VIII), каприловой (IX), каприновой (X) и бензойной (XI)) и определены их свойства. Этерификацию до образования диэфиров проводят нагреванием 0,35–0,8 моля гликоля и эквивалентного кол-ва к-ты при 115–160° в течение 1,5 часа в присутствии 150 г кислоты и 2 г  $n$ -толуолсульфокислоты. Перечисляются исходные в-во, т. кип. в  $^\circ\text{C}/\text{мм}$  и  $d_4^{20}$  полученных диэфиров: I, IX, 185–205/4, 0,9536; I, XI, 190–220/3,5, 1,1731; II, VIII, 180–205/4, 0,9860; II, IX, 210–230/4, 0,9629; II, X, 240–255/4, 0,9491; II, XI, 210–245/4, 1,1601; III, VII, 175–200/3,5, 1,0483; III, VIII, 220–240/4, 1,0002; III, IX, 235–255/3, 0,9750; III, X, 260–280/4, 0,9570; IV, VIII, 250–270/6,5, 1,0244; IV, IX, 270–280/7, 0,9890; V,

IX, 215–235/4,5, 0,9410; V, X, 220–235/4, 0,9279; V, XI, 195–235/4, 1,1042; VI, IX, 185–200/3, 0,9507; VI, X, 235–240/4, 0,9332. Были изготовлены из поливинилхлорида образцы для испытаний с добавкой 30, 40, 50 и 60 ч. каждого эфира, 2 ч. Cd-соли стеариновой к-ты и 1 ч. Ba-соли стеариновой к-ты на 100 ч. полимера и были определены их прочность на разрыв, разрывное удлинение, термич. стойкость, морозостойкость и т. п.

**Сообщение XIII.** Гидрированием левулиновой к-ты над скелетным Ni в щел. среде (78–90°, 50–95 ат., 1,5–3 часа) получен  $\gamma$ -валеролактон (I), выход 85–95%, т. кип. 86–88°/10 мм. 100 г I и 51 г  $\text{Na}_2\text{S}$  нагревают постепенно от 120 до 230° в течение 5,5 часа, отгоняют непрореагировавший I, добавляют 1 л воды, р-р кипятят, прибавляют 145 г 60%-ной  $\text{H}_2\text{SO}_4$ , смесь нагревают до 80°, перемешивают с активированным углем, фильтруют и перегоняют в вакууме, получают 49 г  $\gamma$ ;  $\gamma'$ -тиодивалерьяновой к-ты (II), т. кип. 200–225°/5 мм. Эфиры II получены обработкой II  $\text{C}_4\text{H}_9\text{OH}$  или ксилолом в присутствии 4- $\text{CH}_3\text{C}_6\text{H}_4\text{SO}_3\text{H}$  при 112–118° в течение 10 час. (указаны в-во, выход в % (считая на I), т. кип. в  $^\circ\text{C}/\text{мм}$  и  $d_4^{20}$ ): бутиловый эфир II (III), 70, 197–206/7, 0,9906; 2-этилгексеновый эфир II (IV), 63, 240–263/5, 0,9571. Исследованы механич. свойства поливинилхлоридных образцов, пластифицированных III и IV, их теплоемкость, электрич. уд. сопротивление, устойчивость по отношению к влаге и газолину и антифризные свойства. III и IV являются хорошими антифризными пластификаторами.

Chem. Abstrs, 1955, 49, № 17, 11554. Katsuye Inouye 858. Синтез пластификаторов. XIV. Ступенчатые реакции у дихлорметилсилола. Исии, Ямасита, Такеоноути (可塑劑の合成研究・第14報・ジクロルメチルシリレンの階段的反応について・石井義郎・山下雄也・竹之内正男), 油脂化学協会誌, Юси нагаку кейкай, J. Oil Chemists' Soc., Japan, 1954, 3, № 2, 22–24 (япон.)

В продолжение предыдущей работы 200 г дихлорметил-м-силола нагревали (108–125°, 8 час.) с 114 г  $\text{C}_3\text{H}_7\text{COONa}$  в 300 г кислоты в присутствии 6 г  $(\text{CH}_3)_3\text{N}$  и 6 г воды, разгонкой выделяли 2-бутироксиметил-4-хлорметил-м-силол (I), выход 75%, т. кип. 160–175°/4 мм,  $d_4^{20}$  1,0786. Аналогично получен 2-каприлоксиметил-4-хлорметил-м-силол (II), выход 47%, т. кип. 190–225°/6, 5 мм, 180–210°/3 мм,  $d_4^{20}$  1,0179–1,0334. Взаимодействием I с Na-солями масляной и левулиновой к-т (115–140°, 6–8 час.) получены 2,4-дибутироксиметил-м-силол (III), выход 73%, т. кип. 170–192°/3 мм,  $d_4^{20}$  1,0381, и соответственно 2-бутироксиметил-4-левулиноксиметил-м-силол (IV), выход 48%, т. кип. 180–215°/3 мм,  $d_4^{20}$  1,0696; аналогично из II получены 2-каприлоксиметил-4-ацетоксиметил-м-силол (V) (130°, 16 час., в присутствии тритона-Б), выход 66%, т. кип. 200–220°/4 мм, и 2-каприлоксиметил-4-бутироксиметил-м-силол (VI), выход 40%, т. кип. 230–245°/5 мм,  $d_4^{20}$  1,0345. При ведении р-ции между I и Na-солью каприловой к-ты в  $\text{CH}_3\text{COOH}$  (125°, 5 час.) выделяется масляная к-та и образуется V, выход 51%, т. кип. 200–207°/4,5 мм; при р-ции II с  $\text{CH}_3\text{COONa}$  в  $\text{CH}_3\text{COOH}$  (125°, 8 час.) получен также V, выход 84%, т. кип. 200–225°/5 мм; при р-ции II с  $\text{C}_3\text{H}_7\text{COONa}$  в масляной к-те (125–130°, 5 час.) получен VI с выходом 66%. При нагревании I и II с  $n$ -бутанолом и  $n$ -октанолом (98–111° или 120–135°, 5–7 час.) в присутствии небольших кол-в КОН и воды образуются 2-бутироксиметил-4-бутоксиметил-м-силол (VII), т. кип. 170–185°/6 мм,  $d_4^{20}$  1,0359, с примесью 2-бутоксиметил-4-оксиметил-м-силола (выход последнего зависит от

кол-ва КОН); 2-бутироксиметил-4-октилоксиметил-м-кислот (VIII), т. кип. 160—198°/5,5 мм,  $d_4^{20}$  1,0143, с примесью продукта омыления ацильной группы; 2-каприлоксиметил-4-бутоксиметил-м-кислот (IX) т. кип. 172—185°/5 мм,  $d_4^{20}$  1,0063, также с примесью продукта омыления ацильной группы; при ведении р-ции между II с *n*-бутанолом в присутствии малых кол-в КОН наряду с IX образовался бутиловый эфир каприловой к-ты. III—IX испытаны как пластификаторы для поливинилхлорида. Наилучшие пластифицирующие свойства показал VII, затем V и III.

Л. Яновская 859. Синтез пластификаторов. XV. Пластификаторы типа сложных моноэфиров (V). Ямасита, Иси. XVI. Пластифицирующие свойства эфиров монокарбоновых кислот и ароматических спиртов. Ямасита, Иси. Таканоути, Такасава (可塑劑の合成研究. 第15報・モノエステル系可塑劑. V. 山下雄也, 石井義郎. 第16報・芳香族アルコールのモノカルボン酸エステル系可塑性. 石井義郎, 山下雄也, 竹之内正男, 高澤茂治), 業工化学雑誌, Kōrei Kagaku Zasshi, J. Chem. Soc. Japan, Industr. Chem. Sec., 1954, 57, № 9, 665—667; 667—670 (япон.).

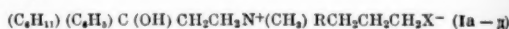
Сообщение XV. Проведено сравнение пластифицирующих свойств сложных эфиров типа  $\text{ArCOOR}$ ,  $\text{ArCH}_2\text{CH}_2\text{COOR}$  и  $\text{ArOCH}_2\text{CH}_2\text{COOR}$  по отношению к поливинилхлориду определением механич. прочности и сравнением внешнего вида пластифицированных пленок. Найдено, что сложные эфиры, содержащие алифатич. цепи с числом атомов C более 12, плохо совмещаются со смолой и что наилучшие пластифицирующие свойства наблюдаются при введении нафталинового остатка и (или) метиленового остатка между ароматич. остатком и эфирной группой.

Сообщение XVI. Получены сложные эфиры общей ф-лы  $\text{RCOOR}^1\text{Ar}$ , где  $\text{RCOO}$  — остатки каприновой, каприловой, каприновой, лауриновой, миристиновой, пальмитиновой, олеиновой, бензойной или леволиновой к-ты, а  $\text{Ar}$  — фенильный, диметилфенильный или нафтильный радикал. Пластифицирующие свойства этих эфиров по отношению к поливинилхлориду были оценены сравнением механич. прочности, теплоотдачи и стойкости к действию масла или воды пластифицированных пленок. Полученные результаты показывают, что 1) эфиры к-ты, более высших, чем миристиновая, являются плохими пластификаторами, 2) эфиры нафтилкарбинола обладают лучшими свойствами, чем эфиры бензилового или диметилбензилового спиртов, 3) эфиры лауриновой, каприновой и леволиновой к-ты превосходят по пластифицирующим свойствам другие эфиры.

Г. Колесников 860. Фенилциклогексилкарбинолы, обладающие антиспазмолитической активностью. Харфенист, Маньян (Phenylcyclohexylcarbinols with antispasmodic activity. Harfenist M., Magnien E.), J. Amer. Chem. Soc., 1956, 78, № 5, 1060—1064 (англ.).

Описаны новые методы получения четвертичных оснований (Ia—d) и  $(\text{C}_6\text{H}_{11})(\text{C}_6\text{H}_5)\text{C}(\text{OH})\text{CH}_2\text{CH}_2\text{N}^+(\text{C}_2\text{H}_5)_3\text{I}^-$  (Ie) обладающих антиспазмолит. активностью, из этиловых эфиров 3-фенил-(IIa) или 2-метил-3-фенил-(IIb) — 3-циклогексил-3-оксипропионовых к-ты, полученных по Реформатскому из фенилциклогексилкетона (III) и этиловых эфиров бромуксусной (IV) или бромпропионовой к-ты. На взаимодействии с 2 молями  $\text{NH}_2\text{CH}_3$  в  $\text{CH}_3\text{OH}$  превращен в амид N-метил-3-фенил-3-циклогексил-3-оксипропионовой к-ты (V), который кипячением 41 час с  $\text{LiAlH}_4$  восстановлен в 1-фенил-1-циклогексил-1-оксипропан (VI), превращенный при р-ции с 1,4-дибромбутаном (VII) и  $\text{K}_2\text{CO}_3$  в кипящем спирте в Ia. IIa и IIb восстановлены  $\text{LiAlH}_4$  в 1-фенил-(VIIa) и 2-метил-1-фенил-(VIIb) —

1-циклогексил-1,3-пропандиолы, этерифицированные *n*-толуолсульфохлоридом (IX) в  $\text{C}_6\text{H}_6$  в присутствии пиридина при 20° в 1-фенил-(Xa) и 2-метил-1-фенил-(Xб) — 1-циклогексил-3-*n*-толуолсульфонилпропанола; при нагревании Xa с N-метилпирролидином (XI) или N-метилгексаметиленнимом (XII) в спирте при 65—80° получены Ib и в; при нагревании же Xa с 2-метилгексаметиленнимом (XIII) или  $(\text{C}_2\text{H}_5)_2\text{NH}$  в  $\text{CH}_3\text{OH}$ , получены соответственно 3-(2-метилгексаметиленнимом)-(XIV) и 3-диэтиламино-(XV)-1-фенил-1-циклогексилпропанола, превращенные действием  $\text{CH}_3\text{J}$  в Ig и Ie. При попытке получения XIV и XV непосредственным взаимодействием Xa с 1,2-диметилгексаметиленнимом или  $\text{N}(\text{C}_2\text{H}_5)_3$  получены некристаллизующиеся в-ва. Аналогично из Xб и XI получен *n*-толуолсульфонат 1-метил-1-(3-фенил-3-циклогексил-3-оксипропил)-пирролидин (XVI). Если р-ция VIIa с IX в присутствии пиридина проводится при нагревании, то образуется *n*-толуолсульфонат пиридина и некристаллизующийся 1-фенил-1-циклогексил-3-хлорпропанол, превращающийся при р-ции с XI в Id.



a R =  $\text{CH}_3$ , X = Br; б R =  $\text{CH}_3$ , X =  $n\text{-CH}_2\text{C}_6\text{H}_4\text{SO}_3\text{H}$ ;

в R =  $\text{CH}_2\text{CH}_2\text{CH}_2$ , X =  $n\text{-CH}_2\text{C}_6\text{H}_4\text{SO}_3\text{H}$ ;

г R =  $\text{CH}(\text{CH}_3)\text{CH}_2\text{CH}_2$ , X = J; д R =  $\text{CH}_3$ , X = Cl

При исследовании одного из возможных путей получения I синтезирован фенилциклогексилкарбинол (XVII), восстановленный (см. Lindlar H., Helv. chim. acta, 1952, 35, 446) в фенилциклогексилкарбинол т. кип. 100—101°/0,2 мм,  $d_4^{25}$  1,5453. XVII не реагирует с XI в воде. *трет*-бутиловом спирте. К взвес 401 г  $\text{AlCl}_3$  в 1,15 л  $\text{C}_6\text{H}_6$  добавляли в течение 20 мин. 286 г хлорангидрида циклогексанкарбоновой к-ты, кипящая 3,5 часа, выливают в 0,2 л конц. HCl со льдом, органич. слой перегоняют и получают III, выход 75%, т. пл. 55,5—57,3° (из скелетосольва). К 39,2 г Zn, протравленного HCl (к-той), приливают при кипении р-р 0,5 моля III и 0,6 моля IV в 250 мл  $\text{C}_6\text{H}_6$  кипятят 2 часа, приливая насыщ. р-р 131 г  $\text{NH}_4\text{Cl}$  от органич. слой отгоняют р-рителем, остаток растворяют в спирте при 40°, осаждают водой, охлаждают до 10° и получают IIa, выход 127 г, т. пл. 55—57°. Аналогично получают IIb, выход 85,5%, т. пл. 40—45° (из пентана). 0,1 моля IIa и 0,209 моля  $\text{NH}_2\text{CH}_3$  в 100 мл  $\text{CH}_3\text{OH}$  нагревают при 30—40°, отгоняют при 20°  $\text{CH}_3\text{OH}$  и  $\text{NH}_2\text{CH}_3$  и получают V, выход 29,8 г, т. пл. 114—116° (из  $\text{CH}_3\text{NO}_2$ ). Смесь 0,11 моля  $\text{LiAlH}_4$ , 0,037 моля V и 0,2 л эфира кипятят 41 час, приливают 11 мл воды и насыщ. р-р 9 г  $\text{NH}_4\text{Cl}$  и получают хлоридат VI, выход 9,1 г, т. пл. 202—204° (из  $\text{CH}_3\text{OH}$ -эф). Смесь VI (из 6,5 г хлоридата), 0,024 моля VII, 1,6 г  $\text{K}_2\text{CO}_3$ , 40 мл  $\text{C}_6\text{H}_6$  и 0,2 л абс. спирта кипятят 21 час, фильтруют, отгоняют р-рителем, остаток растворяют в смеси спирта  $\text{C}_6\text{H}_6$  (1 : 6) и осаждают эфиром Ia, выход 73%, т. пл. 191—195°, 27,5 г IIa и 5,7 г  $\text{LiAlH}_4$  в 350 мл эфира кипятят 1,5 часа и получают VIIa, выход 99,5%, т. пл. 93—94° (из гексана); аналогично получают VIIb, т. пл. 141—142°. К охлажд. смеси 30 г VIIa, 40,5 г пиридина и 40 мл  $\text{C}_6\text{H}_6$  приливают в течение 10 мин. при т-ре <20° р-р 27 г IX в 40 мл  $\text{C}_6\text{H}_6$ , размешивают 6,5 часа, при 20° и получают Xa, выход 42,5 г, т. пл. 93—97° (из бэл.-гексана). Смесь 9,6 г VIIa, 12,2 г пиридина и 45 мл  $\text{C}_6\text{H}_6$  и 8,1 г IX в 25 мл  $\text{C}_6\text{H}_6$  оставляют на 3 дня, разбавляют 225 мл  $\text{C}_6\text{H}_6$ , оставляют на 11 дней при 20° и выделяют Xб, выход 11,7 г, т. пл. 100—103° (из бэл.-гексана). Смесь 3,89 г Xa, 1,7 г XI, 18 мл абс. спирта и следов фенола нагревают 4 дня при 65—

80°, приливают  $C_6H_6$  и эфир и получают **16**, выход 3,9 г, т. пл. 168,3—169°. Аналогично из **Ха** и **ХП** получают **1в**, выход 70%, т. пл. 174—175° (из абс. сп.-эф.) 11,7 г **Ха** и 6,8 г **ХП** в 0,1 л  $CH_3OH$  нагревают 5 дней при 80°, отгоняют большую часть  $CH_3OH$ , остаток встряхивают с эфиром и р-ром  $NaHCO_3$ , эфирный слой извлекают разб.  $HCl$ , кислый р-р подщелачивают и извлекают эфиром, затем  $C_6H_6$  **14в**, выход 7,3 г, 7,3 г **14в** и 6,4 г  $CH_3J$  в 30 мл  $CH_3OH$  нагревают 2 дня при 80°, оставляют на 3 дня при 20°, отгоняют р-ритель, к остатку добавляют эфир, продукт растворяют в  $CH_3OH$ , встряхивают 2 часа с  $AgCl$  (из 8,9 г  $AgNO_3$ ) и получают **1г**, т. пл. 225—228° (разл., из  $CH_3OH$ -ацетона) 7,77 г **Ха** и 2,92 г  $NH(C_2H_5)_2$  в 100 мл  $CH_3OH$  нагревают 3 дня при 80°, затем оставляют на 5 дней при 20°, р-р концентрируют до 0,5 объема, встряхивают с  $C_6H_6$  и разб.  $HCl$ , кислый р-р подщелачивают и извлекают эфиром **14в**, выход 3,2 г, хлоргидрат, т. пл. 182—185° (из  $CH_3OH$ -эф.). 3. г **ХV** и 4 г  $C_2H_5J$  в 30 мл абс. спирта оставляют в темноте на 9 дней при 20°, перегоняют и получают **1е**, т. пл. 175—178° (из  $CH_3OH$ -эф.), 6 г **Хб** и 2,6 г **Х1** в 80 мл  $CH_3OH$  нагревают 13 дней при 40°, отгоняют р-ритель и **Х1** при 100°, остаток растворяют в миним. кол-ве  $CH_3OH$ , добавляют эфир, осадок извлекают кипящим этилацетатом, по охлаждению отделяют л-толуолсульфонат N-метилпирролидиния, выход 1,76 г, маточные р-ры упаривают досуха и получают **16в**, выход 1,4 г, т. пл. 156—158° (из  $CH_3OH$ -эф. и этилацетата) **К** 2 л жидкого  $NH_3$  по возможности быстро добавляют 23 г  $Na$ , пропускают со скоростью 3 л/мин охлад. твердой  $CO_2$  небольшим избыток  $C_2H_6$ , приливают по каплям 50 г **III** в 0,2 л эфира, добавляют 0,5 л эфира, через 5 час. добавляют еще 0,5 л эфира, размешивают ~16 час., нагревают до удаления  $NH_3$ , подкисляют 25%-ым р-ром  $CH_3COOH$  до pH 4—5 и из эфирного слоя получают **17в**, выход 167 г, т. кип. 109°/0,5 мм,  $n_D^{25}$  1,5469.

Д. Витковский

## 861. 4-диметиламинобензальдегид.

Часть 1.—

(4-dimethylaminobenzaldehyde. Part. I.—), Lab. Practice, 1956, 5, № 6, 222—225 (англ).  
Обзор. Библ. 77 назв. М. Атабекова

862. Синтез диэтилацетата  $\alpha$ -амино-о-толуолового альдегида и попытка его превращения в псевдоизонидол. Борнштейн, Биделл, Драммонд, Козлоски (The synthesis of  $\alpha$ -amino-o-tolualdehyde diethylacetal and its attempted conversion to pseudoisoinidole. Bornstein Joseph, Bedell Stanley F., Drummond Paul E., Kosloski Clement L.), J. Amer. Chem. Soc., 1956, 78, № 1, 83—86 (англ).

Описана попытка получения псевдоизонидола нагреванием эквимольных кол-в диэтилацетата  $\alpha$ -амино-о-толуолового альдегида (**I**) и  $AlCl_3$  в атмосфере  $N_2$  в течение 25 мин. при 155°, причем выделены неисследованный полимер и спирт; различные видоизменения условий также не увенчались успехом. **I** синтезирован конденсацией фталлида с фталимидом-**К** (**II**) в  $\alpha$ -фталимидо-о-толуоловую к-ту (**III**), хлорангидрид которой (**IIIa**) восстановлен над  $Pd/BaSO_4$  в  $\alpha$ -фталимидо-о-толуоловый альдегид (**IV**), превращенный действием спирт. р-ра этилового эфира ортомуравьиной к-ты (**V**) в присутствии  $FeCl_2$  в диэтилацеталь (**VI**), нагреванием которого со спирт. р-ром гидразингидрата получают **I** с общим выходом 25%. Строение **I** подтверждено данными ИК-спектра; строение **III** — встречным синтезом ее этилового эфира (**IIIb**) (полученного также р-цией **III** с диазоэтаном) из этилового эфира  $\alpha$ -бром-о-толуоловой к-ты (**VII**) и **II**. **III** гидролизована р-ром щелочи в  $\alpha$ -( $\alpha$ -карбоксибензамидо)-о-толуоловую к-ту (**VIII**), из которой при нагревании с лед.  $CH_3COOH$  регенерируется **III**, образующаяся также с частичным разло-

жением при нагревании **VIII** без р-рителя выше т-ры плавления. Строение **VIII** доказано гидролизом при кипячении 27 час. со смесью конц.  $HCl$  и  $CH_3COOH$  (2:1) в фталевую к-ту и фталимидин. 0,745 моля фталлида, 0,811 моля **II** и 0,5 л диметилформамида (**IX**) кипятят 6 час., охладж. р-р постепенно выливают в смесь 0,3 л  $CH_3COOH$  и 0,5 л воды, размешивают 30 мин., осадок кипятят с 60%-ным спиртом и получают **III**, выход 59%, т. пл. 266—267° (из  $C_2H_5COOH$ ). 0,355 моля **III** и 1,51 моля  $SOCl_2$  кипятят 4 часа, приливают 0,1 л  $C_6H_6$ , кипятят 1 час, отгоняют  $C_6H_6$  и  $SOCl_2$  и получают **IIIa**, выход 92%, т. пл. 183,5—184,8° (из б.з.). В кипящую суспензию 15 г 5%-ного  $Pd/BaSO_4$  в 0,7 л ксилола, содержащего 1,5 мл хинолин-S-регулятора, пропускают  $H_2$ , отгоняют 20 мл р-рителя, добавляют 0,323 моля **IIIa**, кипятят 6,5 часа и из р-ра выделяют **IV**, выход 82%, т. пл. 183—185°; 2,4-динитрофенилгидразон, т. пл. 259,5—260° (из  $CH_3COOH$ ). 0,26 моля **IV**, 0,297 моля **V**, 150 г абс. спирта и 0,1 г  $FeCl_3$  кипятят 2,5 часа и охлаждением в холодильнике ~16 час. выделяют **VI**, выход 80%, т. пл. 73—73,5° (из петр. эф.). **К** 6,5 мл 85%-ного  $N_2H_4 \cdot H_2O$  в 275 мл спирта добавляют 0,103 моля **VI**, кипятят 1,5 часа, охлаждают, встряхивают с 250 мл эфира и р-ром 30 г  $KOH$  в 175 мл воды и получают **I**, выход 70%, т. кип. 105—106°/1,2 мм,  $n_D^{25}$  1,5059; фенилтиоуретан, т. пл. 95,6—96,3° (из сп.), 0,145 моля **VII** и 0,222 моля **II** в 0,2 л **IX** размешивают 30 мин., нагревают 1 час при 60°, выливают в 250 мл воды и плавляют  $CHCl_3$  **IIIb**, выход 70%, т. пл. 135,2—136° (из 60%-ного сп.). 0,097 моля **IIIb**, 0,1 л 98—100%-ной  $HCOOH$  и 1 мл конц.  $H_2SO_4$  кипятят 2 часа, р-р концентрируют, приливают 150 мл воды и отделяют **III**. 17,8 ммоль **III** в р-ре 2 г  $NaOH$  в 30 мл воды подкисляют разб.  $HCl$ , оставляют на 4 часа при 20° и отделяют **VIII**, выход 94%, т. пл. 186—212° (из 60%-ного сп.).

Д. Витковский  
863. Получение 3-ацетиламино-2, 4, 6-трийодбензойной кислоты. Анпел, Хендерсон (Obtention du acide 3-acetilamino-2,4,6-triiodobenzoique. Appel H. H., Henderson D. P.), Bol. soc. chilena quim., 1954, 6, № 1, 13—15 (исп.; рез. англ).

Детально отработан синтез 3-ацетиламино-2,4,6-трийодбензойной к-ты (**I**) по схеме: бензойная к-та (**II**)  $\rightarrow$  м-нитробензойная к-та (**III**)  $\rightarrow$  м-аминобензойная к-та (**IV**)  $\rightarrow$  3-амино-2,4,6-трийодбензойная к-та (**V**)  $\rightarrow$  (**I**). Методы синтеза **I**, **III**, **IV** и **V** модифицированы и значительно улучшены. **К** 250 мл конц.  $H_2SO_4$  прибавляют при  $<80^\circ$  смесь 100 г **II** и 200 г  $KNO_3$  (50—60 мин.), нагревают 10—15 мин. при 90°, отделяют кристаллы; полученную смесь орто-изомера и **III** растворяют при нагревании в р-ре 130 г  $Ba(OH)_2$  и 200 мл воды, разбавляют при нагревании до 5 л, из фильтрата при охлаждении выделяется Ва-соль **III**, из которой разложением  $HCl$  (1:20) выделяют **III** с выходом 58—60%. **К** смеси 42,5 г гранулированного  $Sn$  и 20 г **III** прибавляют по частям 100 мл конц.  $HCl$  (40—50 мин.), разбавляют 120—140 мл воды, нагревают до растворения двойной соли, фильтрат упаривают до 60—70 мл, получают **IV  $\cdot HCl \cdot SnCl_2$ , выход 90—95%. 13,25 г этой двойной соли обрабатывают р-ром 11 г  $K_2CO_3$  в 25 мл воды, фильтрат разбавляют до 900 мл и подкисляют 100 мл конц.  $HCl$ . **К** полученному р-ру **IV** добавляют р-р 13 г  $J_2$  в 40 мл 21,6%-ного  $KOH$  + 4,7 г  $KJO_3$  в 120 мл воды, разб. до 1 л, в течение 2 час. при 30°, получают **V**, выход 90—96%. Р-р 10 г **V** в 110 мл 1%-ного  $Na_2CO_3$  и 6 мл  $(CH_3CO)_2O$  взбалтывают 1 час при 20° получают **I**, выход 68—70%, т. пл. 277—279° (из водн. сп.). Для очистки **I** растворяют в 100—110 мл 1%-ного  $Na_2CO_3$ , разбавляют до 400 мл, добавляют медленно 20—25 мл  $HCl$  (1:20), фильтруют, вновь добавляют понемногу 5—8 мл  $HCl$ , фильтруют,**



сразу вводят 10—15 мл HCl и осаждают всю чистую I.

Э. Гомес

864. Исследования в области теории красителей. Сообщение II. Триарилметановые красители дифенилового ряда. Тейлакер, Бергер, Поппер (Untersuchungen zur Farbstofftheorie: Triaryl-methanfarbstoffe der Biphenylreihe, II. Theilacker Walter, Berger Wilhelm, Popper Peter), Chem. Ber., 1956, 89, № 4, 970—983 (нем.).

Получены фениловые гомологи карбинолов кристаллич. фиолетового — три-4'-диметиламинодифенил-4-карбинол (I) и малахитового зеленого — фенил-ди-4'-диметиламинодифенил-4-карбинол (II). Синтез I осуществляют восстановлением 4,4'-ди-(*n*-нитрофенил)-бензофенона (III), метилированием 4,4'-ди-(*n*-аминофенил)-бензофенона (IV) и конденсацией 4,4'-ди-(*n*-диметиламинофенил)-бензофенона (V) с магниипроизводным (VIa) 4-под-4-диметиламинодифенила (VI). Получить III по Фриделю — Крафтсу из *n*-нитродифенила (VII) и  $\text{SOCl}_2$  *p*-цией VII с хлорангидридом (VIIIa) 4'-нитродифенилкарбонной-4-к-ты (VIII) при нитровании ди-дифенилкетона не удается. III получают *p*-цией VIIIa с дифенилом с последующим нитрованием 4-фенил-4'-(*n*-нитрофенил)-бензофенона (IX). Синтез II осуществляют конденсацией VIIIa с  $\text{C}_6\text{H}_6$ , восстановление 4-нитро-4'-бензоилдифенила (X), метилированием 4-амино-4'-бензоилдифенила (XI) и конденсацией 4-диметиламино-4'-бензоилдифенила (XII) с VIa. I и II растворяются в конц.  $\text{H}_2\text{SO}_4$  с темно-красным окрашиванием. Р-ры I и II в лед.  $\text{CH}_3\text{COOH}$  почти бесцветны при 20°, а при нагревании окрашиваются в сине-зеленый и соответственно зеленый цвет благодаря образованию кислых солей красителей типа трифенилметановых. К *p*-ру 0,4 моля ди-дифенилкетона в 80 мл конц.  $\text{H}_2\text{SO}_4$  медленно, при 5—7°, приливают 0,2 моля дымящей  $\text{HNO}_3$ , оставляют на 12 час., выливают на воду со льдом и выделяют 4,4'-ди-(*n*-нитрофенил)-2,2'-динитробензофенон, выход 30%, т. пл. 223—224°. Смесь 6 ч. VIII и 5 ч.  $\text{PCl}_5$  оставляют на 8 час., затем 8 час. нагревают при 100°, отгоняют  $\text{POCl}_3$  и получают VIIIa, т. пл. 192—193° (из бэл.-лигр.). 19 г VIIIa нагревают 4 часа с 100 мл  $\text{C}_6\text{H}_6$  и 15 г  $\text{AlCl}_3$ ;  $\text{C}_6\text{H}_6$  отгоняют, остаток обрабатывают льдом и HCl (1 : 1), и выделяют X, выход 68%, т. пл. 156—157° (из ацетона). 100 г VII, 125 г  $\text{AlCl}_3$  и 220 г  $\text{C}_6\text{H}_5\text{COCl}$  растворяют в 400 мл  $\text{C}_6\text{H}_5\text{NO}_2$ , нагревают 6 час. до 100°, 3 часа до 150° и 5 час. до 170°, по охлаждению выливают в разб. HCl (1 : 1) и получают X, выход 40%. Восстановлением X  $\text{SnCl}_2$  в конц. HCl при 100° получают XI, выход 73%, т. пл. 143—144°. 2 г XI, 4 г  $\text{K}_2\text{CO}_3$  и 46 г  $\text{CH}_3\text{J}$  нагревают в автоклаве 3 часа при 210°, отгоняют  $\text{CH}_3\text{J}$  и получают иодистый триметил-(4'-бензоилдифенил-4-ил)-аммоний, выход 46%, из которого при нагревании в спирте получают XII, выход 41%, т. пл. 182—183° (из сп.). При метилировании XI в *p*-ре  $\alpha$ -метилнафталина (XIII) действием  $(\text{CH}_3)_2\text{SO}_4$  и 40%-ного *p*-ра NaOH при 160° получают XII с выходом 16%; побочно выделяют 4-метиламино-4'-бензоилдифенил, выход 45%, т. пл. 175°. 10 г VIIIa, 6 г дифенила и 5,2 г  $\text{AlCl}_3$  в 90 мл  $\text{C}_6\text{H}_5\text{NO}_2$  нагревают по 1 часу при 120, 130 и 140°, по охлаждению разлагают водой и выделяют IX, выход 69%, т. пл. 258—259° (из лед.  $\text{CH}_3\text{COOH}$ ); 2,4-динитрофенилгидразон, т. пл. 288—290° (из  $\text{CH}_3\text{COCH}_2\text{COOC}_2\text{H}_5$ ). К смеси 4 г IX, 170 мл конц.  $\text{H}_2\text{SO}_4$  и 30 мл лед.  $\text{CH}_3\text{COOH}$ , при—5° приливают по каплям *p*-р 1,15 г  $\text{KNO}_3$  в смеси  $\text{H}_2\text{SO}_4$  и  $\text{CH}_3\text{COOH}$ , через несколько часов (0°) разлагают льдом и получают III, выход 55%, т. пл. 243° (из *m*-бутанола). 0,33 г III в 100 мл анизола (XIV) гидрируют над 18 мг Pt (из  $\text{PtO}_2$ ) при 70° и получают 4-(*n*-нитрофенил)-4'-(*n*-аминофенил)-бензофенон, выход 65%, т. пл. 308—310° (из  $\text{C}_6\text{H}_5\text{Cl}$ ).

1 г III в 100 мл XIV гидрируют над Pt (из 55 мг  $\text{PtO}_2$ ) при 145° и получают IV, выход 80%, т. пл. 252—254° (из  $\text{C}_6\text{H}_5\text{Cl}$ ); при восстановлении III в циклогексане (XV) Fe-стружкой и конц. HCl при 140—150° получают IV с выходом 58%. *p*-р 0,73 г IV в 50 мл диоксана смешивают с 180 мл разб. HCl (1 : 1) при—5°, диазотируют 0,5%-ным *p*-ром  $\text{NaNO}_2$ , через несколько часов добавляют 1 г мочевины, обрабатывают *p*-ром 10 г  $\text{Cu}_2\text{Cl}_2$  в 100 мл конц. HCl, нагревают до 100° и получают 4,4'-ди-(*n*-хлорфенил)-бензофенон, т. пл. 280—281° (из бэл.). 5,6 г IV в 450 мл XIV нагревают при 150—160° с *p*-ром 60 г NaOH в 130 мл воды, в течение 3 час. приливают 75 г  $(\text{CH}_3)_2\text{SO}_4$ ; XIV отгоняют с паром и получают V, выход 52%, т. пл. 295—300° (из  $\text{C}_6\text{H}_5\text{Cl}$ ). К кипящему *p*-ру 10 г 4-йод-4'-нитродифенила в 200 мл XV добавляют в течение 2 час. порциями 17,5 г Fe-стружки и 125 мл конц. HCl и выделяют 4-йод-4'-аминодифенил-(XVI), выход 83%, т. пл. 167° (из сп.). Метилированием *p*-ра 7,5 г XVI в 75 мл XIII и 75 мл 50%-ного *p*-ра NaOH действием 35 мл  $(\text{CH}_3)_2\text{SO}_4$  получают VI, т. пл. 224° (из лед.  $\text{CH}_3\text{COOH}$ ), выход 74%. K VIa (из 2,5 г VI в 100 мл тетрагидрофурана (XVII)) добавляют в атмосфере  $\text{N}_2$  2,2 г XII в 20 мл XVII, кипятят 24 часа, отгоняют XVII, остаток выливают в *p*-р  $\text{NH}_4\text{Cl}$  и выделяют 3,3 г осадка, т. пл. 140—160°, из которого дробной кристаллизацией из толуола выделяют II, выход 11%, т. пл. 218° (из бэл.-циклогексана). K *p*-ру VIa (из 5 г VI в 50 мл XVII) в атмосфере  $\text{N}_2$  постепенно добавляют 0,9 г V, кипятят 12 час., выливают в *p*-р  $\text{NH}_4\text{Cl}$  и выделяют I, т. пл. 160—180° (разл.; из бэл.-циклогексана). Сообщение I, см. Chem. Ber., 1951, 84, 204, А. Евдокимов-Скопинский 865. Арил-2-галогеналкиламины. Часть XVI. Получение производных 4-(ди-2-хлоралкил)-аминоазобензола. Росс, Уорик (Aryl-2-halogenoalkylamines, Part XVI. The preparation of derivatives of 4-di-(2-chloroalkyl)-aminoazobenzenes. Ross W. C. J., Warwick G. P.), J. Chem. Soc., 1956, June, 1364—1369 (англ.).

С целью изыскания в-в, продукты превращения которых в организме легко гидролизуются и обладают противоопухолевой активностью, синтезированы ряд соединений типа,  $n\text{-(ClCH}_2\text{CH}_2)_2\text{NC}_6\text{H}_4\text{N}=\text{NC}_6\text{H}_5$  (I), а также  $n\text{-[ClCH(CH}_3\text{)CH}_2\text{]}_2\text{NC}_6\text{H}_4\text{N}=\text{NC}_6\text{H}_5$  (II) с различными заместителями в ядре между атомами N (в дальнейшем обозначение 2 и 3, считая от атома C, связанного с  $\text{N}_2$ -группой) и в конечном бензольном ядре (обозначение 2', 3' и 4'). В большинстве случаев I синтезированы сочетанием соответствующей диазониевой соли с  $\text{C}_6\text{H}_5\text{N(CH}_2\text{CH}_2\text{Cl}_2)$  (III) или с орто- или пара-замещ. III. Легкость азосочетания соответствует электрофильной природе  $\text{ArN}_2^+$  и обычному влиянию заместителей. При действии  $\text{SOCl}_2$  на  $m\text{-CH}_2\text{OC}_6\text{H}_4\text{N}=\text{NC}_6\text{H}_5\text{N(CH}_2\text{CH}_2\text{OH)}_2$  *n*-вместо замещения OH-групп на Cl образуется циклич. сульфит. Применены следующие варианты синтеза I—II: А) к 0,02 моля амина в 6 мл конц. HCl и 10 мл воды прибавляют 0,02 моля  $\text{NaNO}_2$  в 5 мл воды, при перемешивании (10°) прибавляют *p*-р 0,02 моля арилди-хлоралкиламина (IV) в 150 мл спирта, через 12 час. (0°) отделивают I—II; Б) то же, но длительность *p*-ции 1 неделя; В) к *p*-ру 0,08 моля амина в 24 мл конц. HCl и 25 мл воды прибавляют *p*-р 0,08 моля  $\text{NaNO}_2$  в 15 мл воды и 100 мл спирта, прибавляют при 0° по каплям за 1 час 0,02 моля IV в 100 мл спирта, перемешивают еще 3 часа, через ~12 час. (0°) отделивают I—II; Г) то же что В, но продолжительность *p*-ции 1—5 недель; Д) для получения азосульфокислот к взвеси твердой диазониевой соли из 0,02 моля аминосульфокислоты в 100 мл спирта прибавляют 0,02 моля IV в 150 мл спирта, перемешивают 3 дня и отделивают I; Е) в случае нитроаминов после диазотирования по методу А выделившуюся диазокси соль растворяют в 20 мл

конц. HCl, прибавляют 50 мл  $\text{CH}_3\text{OH}$ , фильтрат вводят в р-р 0,02 моля IV в 125 мл  $\text{CH}_3\text{OH}$ , нагревают несколько часов при 40–50°, через 12 час. (0°) отделяют I–II. Получены следующие I (перечисляются заместители, вариант синтеза, т. пл. в °C, в скобках р-ритель—птр. эф. с т. кип. 40–60° (V), птр. эфир с т. кип. 60–80° (VI), пентан (VII), циклогексан (VIII),  $\text{C}_6\text{H}_6$  (IX), ацетон (X),  $\text{CH}_3\text{OH}$  (XI), спирт (XII), этилацетат (XIII),  $\text{CH}_3\text{OCH}_2\text{CH}_2\text{OH}$  (XIV): — (Ia), A, 73–75 (V); 2- $\text{CH}_3$ , B, 87,5–89 (VII); 2'- $\text{CH}_3$ , Г, 97, (V); 3'- $\text{CH}_3$ , В, 76 (V); 4'- $\text{CH}_3$ , В, 84 (V); 2- $\text{CH}_3\text{O}$ , A, 79–80 (VI); 3'- $\text{CH}_3\text{O}$ , В, 64–66 (VI–XIII); 4'- $\text{CH}_3\text{O}$ , Г, 104–105 (XII); 2'-Cl, A, 109 (XII); 3'-Cl, A, 84 (XII); 4'-Cl, A, 130 (XII); 2'-Br, A, 97–100 (XII); 3'-Br, A, 76–78 (IX–XII); 4'-Br, A, 132–134 (VI–XI); 2'-J, A, 97–98 (XII); 2'-CN, A, 114–115 (XII); 2'- $\text{NO}_2$ , A, 119 (XII); 3'- $\text{NO}_2$ , A, 113 (XII); 4'- $\text{NO}_2$  (Ib), A, 166–167 (X), 2'-COOH (Ib), A, 179–180 (X); 3'-COOH (Ib), A, 162–164 (XI); 4'-COOH (Ib), A, 212–214 (XIV); 4'- $\text{CH}_3\text{CO}$ , B, 136 (XII); 2'- $\text{C}_6\text{H}_5$ , A, 92 (VI–XII); 4'- $\text{C}_6\text{H}_5$ , A, 142 (VI); 2'- $\text{SO}_3\text{H}$  (Ic), D, —; 4'- $\text{SO}_3\text{H}$  (Iж), D, —; 2'-COOCH<sub>3</sub>, B, 107–108 (XII); 2', 3'-бенз, Г, 103 (V); 2- $\text{CH}_3\text{O}$ , 2'- $\text{CH}_3$ , A, 99–101 (VI); 2- $\text{CH}_3$ , 4'- $\text{CH}_3\text{O}$  (Iз), B, 98 (XII); 2- $\text{CH}_3\text{O}$ , 2'- $\text{CH}_3\text{O}$ , A, 138–139 (V–IX); 2- $\text{CH}_3\text{O}$ , 2'-OH, B, 136–138 (XII); 2- $\text{CH}_3$ , 2'-Cl, A, 122–123 (XII); 2'- $\text{CH}_3$ , 3'-Cl, A, 98–99 (XII); 2'- $\text{CH}_3$ , 4'-Cl, A, 78–80 (XII); 2', 3'-Cl<sub>2</sub> (Iи), A, 135 (XII); 2', 4'-Cl<sub>2</sub>, A, 109–110 (XII); 3', 4'-Cl<sub>2</sub>, A, 88 (XII); 2- $\text{CH}_3$ , 2'- $\text{NO}_2$ , A, 148 (XII); 3- $\text{CH}_3\text{O}$ , 3'- $\text{NO}_2$ , A, 120–121 (XII); 3- $\text{CH}_3\text{O}$ , 4'- $\text{NO}_2$ , A, 131–132 (XII); 2', 4'- $\text{NO}_2$ , A, 186–189 (XII); 2'-OH, 5'- $\text{NO}_2$ , E, 166 (IX); 2- $\text{CH}_3$ , 2'-COOH (Iк), A, 190–191 (X); 2- $\text{CH}_3$ , 4'-COOH (Iл), A, 223 (XII); 2- $\text{CH}_3\text{O}$ , 2'-COOH (Iм), A, 182 (X, XII); 3- $\text{CH}_3\text{O}$ , 3'-COOH (Iн), A, 132–134 (VI, VIII); 3- $\text{CH}_3\text{O}$ , 4'-COOH, —, 166 (XI); 2-COOH, 4'- $\text{NO}_2$  (Iп), A, 185–190 (IX); 2-COOCH<sub>3</sub>, 4'- $\text{NO}_2$ , A, 135–138 (VIII); 2,4'-(COOH)<sub>2</sub>, B, 197 (XII); 2-COOH, 2'-CN (Io), A, 213–214 (XII); 2- $\text{CH}_3$ , 2',3'-бенз, —, 118–119 (XI); 2'-OH, 2,4'-( $\text{CH}_3$ )<sub>2</sub>, 2'-COOH (Im), A, 204 (X); 2- $\text{CH}_3$ , 2'-OH, 5'- $\text{NO}_2$ , E, 193–194 (IX). Получены следующие II (те же показатели): 2'- $\text{NO}_2$ , A, 104 (XII); 4'- $\text{NO}_2$ , A, 169 (VI–IX). Кроме того, по варианту А синтезирован о-НООС<sub>6</sub>H<sub>4</sub>N<sub>2</sub>C<sub>6</sub>H<sub>4</sub>(C<sub>2</sub>H<sub>5</sub>)<sub>2</sub>CH<sub>2</sub>CH<sub>2</sub>Cl, т. пл. 145,5–147,5° (из  $\text{CH}_3\text{OH}$ ). Изучена сравнительная скорость гидролиза части полученных в-в по описанному ранее методу (Ross, J. Chem. Soc. 1949, 183). Ia—п очень медленно гидролизруется (<1%); I (3- $\text{CH}_3\text{O}$ , 4'-COOH) быстро гидролизруется: к-та 35%, Na-соль 21%. I с электроноотталкивающими группами в орто-положении к азогруппе активны против мышьяковой саркомы, что по-видимому, связано с легким восстановлением азогруппы в таких I. Монозамещение в положения 3' и 4' ведет к потере активности. К наиболее активным относятся I (2'-COOH, 2- $\text{CH}_3$ ) и I (4'-COOH, 3- $\text{CH}_3\text{O}$ ). Часть XV РЖХим, 1956, 58009 Я. Комиссаров

866. Влияние пространственных факторов на свойства красителей, содержащих ядро бифенила. III. Исследование бисазокрасителей — производных бифенила, фенантрена, феназона и фенантридона. Красовицкий Б. М., Перясова Д. Г., Коваленко О. Д., Шербакова Л. И., Укр. хим. ж., 1955, 21, № 5, 614–618

Проведено сравнение свойств бисазокрасителей (БАК), полученных из 2,7-диаминофенантрена (I), 2,7-диаминофеназона (II) и 2,7-диаминофенантридона (III), как бислазосоставляющих, с ранее исследованными БАК из бензидина (IV), 2,7-диаминофлуорена (V), 2,7-диаминофенантренина (VI), 2,7-диаминофлуоренина и других 2,7-диаминов (см. сообщение II, РЖХим, 1956, 61502). I получен в виде 81%-ного продукта нагреванием (5 час., 225–230°) 2,7-дифторфенантрена с конц.  $\text{NH}_3$  в присутствии  $\text{Cu}_2\text{Cl}_2$  и Cu-порошка в запаянной трубке.

II получен восстановлением 2,2'-динитробензидина Na/Hg, а III — омылением диацетильного производного III 0,5 н. спирт. КОН (кипение 4 часа). БАК получились сочетанием бисазотированных I–III с Азислотой (VII), 1-нафтол-4-сульфокислотой (VIII) или 1-амино-8-нафтол-2,4-дисульфокислотой (IX) в щел. среде. БАК из I или II с VII (I → VII,  $\lambda_{\text{макс}}$  565 мμ, субстантивность 55%) близки по окраске к БАК из VI → VII и окрашены значительно выше БАК из IV или V с VII, что объясняется, по-видимому, электроноакцепторным влиянием этиленового мостика I или азогруппы II, а по субстантивности занимают среднее положение между БАК из IV или VI с VII. Переход от БАК из II к БАК из 3,3'-диаминоазобензола (X), отличающимся от дифенильного связи, проявляется резким падением субстантивности и повышением окраски (указаны состав красителя,  $\lambda_{\text{макс}}$  в мμ,  $\epsilon_{\text{макс}}$  и субстантивность в %): II → VII, 560, 40000, 54; II → VIII,  $\lambda_{\text{макс}}$  525 мμ; X → VII, 525, 45000, 31; X → VIII,  $\lambda_{\text{макс}}$  490 мμ. Сравнение БАК из III с соответствующими БАК из 3,3'-(XI) и 4,4'-диаминобензидинов (XII) и из IV показывает, что введение CONH-группы на субстантивность существенно не влияет, но возникновение дифенильной связи вызывает резкое повышение субстантивности (указаны состав красителя,  $\lambda_{\text{макс}}$  в мμ и субстантивность в %): IV → IX, 575, 59; XI → VII, 520, 13; XI → IX, 520, 19; XI → VIII,  $\lambda_{\text{макс}}$  490 мμ; XII → VII, 550, 63; XII → IX, 550, 56; III → VII, 570, 61; III → IX, 575, 54; III → VIII,  $\lambda_{\text{макс}}$  540 мμ. Триазокрасители из 2,4,4'-триаминодифенила (VIII) по субстантивности и окраске занимают среднее положение между БАК из IV и из дифенила (указаны те же показатели): XIII → VII, 560, 39; XIII → VIII, 520, —.

О. Чернов

867. Синтез и эстрогенная активность бис-2,4-диоксифенилдисульфида и соответствующего тиофенола. Урусибара, Кора (The synthesis and the estrogenic activity of bis-2,4-dihydroxyphenyl disulfide and the related thiophenol. Urushibara Yoshiyuki, Koga Gen, Bull. Chem. Soc. Japan, 1956, 29, № 3, 419–421 (англ.))

С целью получения новых эстрогенных в-в синтезирован бис-2,4-диоксифенилдисульфид (I) из резорцина (II) через 6-окс-1,3-бензоксатриол-2 (III) и 2,4-диоксифенол (IV). Строение I доказано превращением в бис-2,4-диметоксифенилдисульфид (V), полученный также из известного 2,4-диметоксифенола (VI). I и IV обладают сильной эстрогенной активностью. Приведены соображения о связи между строением и действием в-в этого типа. К р-ру 22 г II и 100 г  $\text{CuSO}_4 \cdot 5\text{H}_2\text{O}$  в 500 мл воды прибавлен р-р 62 г  $\text{NH}_4\text{CNS}$  в 100 мл воды, через 1 час осадок отделен и р-р нагрет (100°), выделен III, выход 36%, т. пл. 154,5–155° (из водн. сп). Смесь 10 г III и 100 мл 2 н. NaOH в  $\text{N}_2$  нагрета до растворения и по охлаждению подкислена на конго; выделен IV, выход 79%, т. пл. 110–111° (из бзл.). Р-р 6 г IV в 40–60 мл воды при 10–15° обработан 4 мл 35%-ной  $\text{H}_2\text{O}_2$ , получен I, выход 67%, т. пл. 170–171° (из воды). Действием йода в спирте из VI получен V, выход ~100%, т. пл. 113–115° (из сп.). V образуется также при метилировании I.

А. Берлин

868. Окисление азобензолсульфидов надуксусной кислотой. Ризалити (Ossidazione con acido peracetico di azobenzen-solfuri. Risaliti Amerigo), Ann. chimica, 1956, 46, № 1–3, 199–210 (итал.). В продолжение работы (РЖХим, 1956, 50704) изучено окисление о-метил (I), м-метил (II), п-метил (III)-о-фенил (IV), м-фенил (V) и п-фенилмеркаптоазобензола (VI) посредством надуксусной к-ты. I–II,

IV—VI образуются соответственно *о*-метил (VII), *м*-метил- (VIII), *о*-фенил- (IX), *м*-фенил- (X) и *п*-фенил-сульфонилазобензол (XI). Из III получен *п*-метилсульфоксидазобензол (XII), который при дальнейшем окислении превращается в *п*-метилсульфонилазобензол (XIII). Строение VII—XI и XIII подтверждено синтезом из соответствующих аминсульфонов и  $C_6H_5NO$  (XIV). Аналогично из аминсульфидов приготовлены I—VI. В соответствии с предположениями (см. ссылку выше) выходы азосульфонов при *р*-ции с XIV понижаются в ряду мета-, пара- и орто-изомеров. Высказаны предположения о механизме *р*-ции. Смешивают *р*-р 3,9 *г* *о*-аминометилтиофенола в 5 мл лед.  $CH_3COOH$  и 2,7 *г* XIV в 10 мл лед.  $CH_3COOH$ , через несколько часов выливают в воду, подщелачивают содой, извлекают бензолом, хроматографируют на  $Al_2O_3$ , вымывают спиртом I, выход 50%, т. пл. 78—79° (из лигр.). Аналогично получены (указаны в-во, выход в %, т. пл. в °C или т. кип. в °C/мм): II, —, 156/3; III, 60, 82—83 (из сп.); IV, 60, 202—205/3; V, 63, 39—40 (из сп.); VI, 70, 74—76 (из сп.); 1 *г* I в 60 мл лед.  $CH_3COOH$  нагревают 15 час. при 40° с 7 мл перигироля, разбавляют водой, получают VII, выход 73%, т. пл. 94—95° (из бэл.-лигр.). Аналогично получены (указаны в-ва, время нагревания в час, выход в *г* (из 1 *г* исходного), т. пл. в °C): VIII, 3, 0,9, 125—126 (из сп.); XII, 1, 1, 137—138 (из бэл.-лигр.); IX, 7, 0,8, 157—158 (из сп.); X, 3, 1, 120—121 (из сп.); XI, 2, 1, 200—201. Подобно I получены (указано в-во, выход в %): VIII, 60; XIII, 7; X, 66 и XI, 30. 0, 5 *г* XII в 30 мл лед.  $CH_3COOH$  нагревают с 8 мл перигироля (4 часа, 40°), разбавляют водой, получено 0,4 *г* XIII, т. пл. 166—167° (из сп.).

Л. Яновская

869. Сульфокислоты сульфонов как побочные продукты при процессах сульфирования. I. Образование сульфокислот дифенилсульфона при сульфировании бензола олеумом. Шестов А. П., Ж. общ. хим., 1956, 26, № 4, 1219—1224

При сульфировании  $C_6H_6$  олеумом на *м*-дисульфокислоту (I) продукт *р*-ции содержит помимо I ~25% 3,3-дисульфокислоты дифенилсульфона (II). считая на  $C_6H_6$ ; при 70—160° число H-атомов в бензольном ядре, замещ. на  $SO_3H$ - и  $SO_2$ -группы, составляет 2; при *т*-ре >160° это число возрастает и при ~220° кол-во H-атомов, замещ. одними  $SO_3H$ -группами, равно 2. *Р*-цию проводили с очищ.  $C_6H_6$  с т. заст. 5,5° и избытком 60%-ного олеума (3 часа 20—240°). Противоречивые данные о *т*-ре превращения  $C_6H_5SO_3H$  в I объясняются тем, что при анализе сульфомассы ранее не учитывалось содержание в ней II, отделенной от I ввиду плохой растворимости хлорангидрида II в лигровне. В. Дашунин

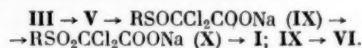
870. Исследование ароматических сульфидов и дисульфидов. Сообщение XVII. Окисление замещенных метилсульфонил- и фенилсульфонилдиарилдисульфидов. Леандри, Тундо (Ricerche sui solfuri e disolfuri aromatici (Nota XVII). Ossidazione dei diaril-disolfuri metil-solfonil e fenil-solfonil sostituiti. Leandri G., Tundo A.), Boll. scient. Fac. chim. industr. Bologna, 1955, 13, № 2, 42—47 (итал.)

При окислении надбензойной *к*-той (I) асимметрич. дисульфиды  $RC_6H_4SSC_6H_5$ , где  $R=o-SO_2CH_3$  (II), *м*- $SO_2CH_3$  (III), *п*- $SO_2CH_3$  (IV), *о*- $SO_2C_6H_5$  (V), *м*- $SO_2C_6H_5$  (VI), *п*- $SO_2C_6H_5$  (VII), дают тиосульфаты  $RC_6H_4SSO_2C_6H_5$ , где  $R=o-SO_2CH_3$  (VIII), *м*- $SO_2CH_3$  (IX), *п*- $SO_2CH_3$  (X), *о*- $SO_2C_6H_5$  (XI), *м*- $SO_2C_6H_5$  (XII), *п*- $SO_2C_6H_5$  (XIII). Одновременно происходит перегруппировка II—VII в VII в симметрич. дисульфиды  $RC_6H_4SSC_6H_4R$ ,  $R=o-SO_2CH_3$  (XIV), *м*- $SO_2CH_3$  (XV), *п*- $SO_2CH_3$  (XVI), *о*- $SO_2C_6H_5$  (XVII), *м*- $SO_2C_6H_5$  (XVIII), которые в случае XV, XVI и XVII подвергаются окислению до сульфонов  $RC_6H_4SSO_2C_6H_4R$  ( $R=м$ - $SO_2CH_3$  (XIX), *п*- $SO_2C_6H_5$  (XX), *м*- $SO_2C_6H_5$  (XXI)). 1 моль *о*-аминодифенилсульфона диазо-

тируют при 5—10° посредством  $NaNO_2$ , полученный *р*-р обрабатывают при 40° водн. *р*-ром 1,5 моля ксантогената K в присутствии двух молей  $NaHCO_3$ , эфиром экстрагируют ксантогеновый эфир, который омывают 10%-ным спирт. KOH (кипение 1 час.), выделяют *о*-фенилсульфонилтиофенол (XXII), т. пл. 105—106° (очищен переосаждением из щел. *р*-ра). Аналогично получают *м*-фенилсульфонилтиофенол (XXIII), т. пл. 87°, и *п*-фенилсульфонилтиофенол (XXIV), т. пл. 115—116°. К 1 молю XXII в  $CHCl_3$  прибавляют 1 моль  $C_6H_5SCl$  в  $CHCl_3$ , через 1 час выделяют V, т. пл. 126° (из ацетона и  $CH_3OH$ ). Аналогично получают VI, т. пл. 82—83° (из  $CH_3OH$ ), и VII, т. пл. 85° (из  $CH_3OH$ ). При действии на XXII, XXIII, *о*-метил- и *п*-метилсульфонилтиофенолы  $Br_2$  в  $CH_3COOH$  образуются соответственно XVII, т. пл. 216—218° (из сп. + диоксан), *м*-*м*-дифенилсульфонилдисульфид, т. пл. 142° (из сп.), XVIII, т. пл. 167—168° (из сп.), XIV, т. пл. 216—218° (из сп. + диоксан), и XVI, т. пл. 191° (из сп. + диоксан). К 1 молю II в  $CHCl_3$  прибавляют (охлаждающая смесь) 2 моля I в  $CHCl_3$ , оставляют на несколько часов при 0° и несколько дней при ~20°, промывают *р*-ром  $NaHCO_3$ , упаривают досуха, из остатка горячим спиртом извлекают VIII, т. пл. 117—120° (из сп.), нерастворимая часть остатка дает XIV. Аналогично получают XIX, т. пл. 205—206° (из сп. + диоксан), и IX, т. пл. 119—120° (из сп.); XX, т. пл. 248°, и X, т. пл. 103° (из сп.); XVII и XI, т. пл. 154—155° (из сп.); XII, т. пл. 111—112° (из сп. + ацетон); XXI, т. пл. 165° (из сп.), и XIII, т. пл. 105° (из сп.). VIII—XIII образуются также при взаимодействии (2 часа при ~20°) эквимольных кол-в  $C_6H_5SO_2Ag$  с соответствующими бензолсульфенилхлоридами, которые получают при обработке хлором замещ. тиофенолов (ср. Zincke, Liebigs Ann. Chem., 1912, 193, 55). Сообщение XVI см. РЖХим., 1956, 28980. Н. Сандлер

871. Трихлорметилсульфоны и родственные соединения. Фаррар (Trichloromethyl sulphones and related compounds. Farrar W. V.), J. Chem. Soc., 1956, March, 508—513 (англ.)

Трихлорметилсульфоны  $RSO_2CCl_3$  (Ia—n) (здесь и далее  $a R=C_6H_5$ ;  $b R=п$ - $ClC_6H_4$ ;  $c R=2,4$ - $Cl_2C_6H_3$ ;  $d R=2,5$ - $Cl_2C_6H_3$ ;  $e R=2$ - $NO_2$ -4- $ClC_6H_3$ ;  $f R=о$ -толил;  $g R=2$ - $CH_3$ -4- $ClC_6H_3$ ;  $h R=2,5$ -( $CH_3$ )<sub>2</sub>-4- $ClC_6H_3$ ;  $i R=о$ - $NO_2$ - $C_6H_4$ ;  $k R=п$ - $NO_2$ - $C_6H_4$ ;  $l R=2$ - $C_10H_7$ ;  $m R=C_6H_5(CH_2)_2$ ;  $n R=2$ -бензтиразолил) синтезируют действием  $NaOCl$  (II) на  $RSCH_2COONa$  (III, *к*-та IV). Течение *р*-ции в зависимости от кол-ва II изучено на примере IV *к* при 2—3 молях II на 1 моль III, главный продукт *р*-ции  $RSOCH_2COONa$  (V); при 4—5 молях —  $RSOCHCl_2$  (VI); наилучший выход I достигается при применении 6—7 молей II. При замене II на  $NaOBr$  (VII) получены  $RSO_2CBr_3$  (VIII), однако Br-аналоги V и VI не выделены. VI не реагируют с II даже при 60°; I, по-видимому, образуются по схеме:



Избыток II направляет *р*-цию в сторону образования X и из него I.  $Na(CH_2COOH)_2$  (XI) реагирует с II с образованием  $(CCl_3)_2SO_2$  (XII); из XI и VII в нейтр. среде образуется  $(CBr_3)_2SO_2$  (XIII), в щел. —  $(CBr_3)_2SO$  (XIV). Если II содержит  $Cl_2$  и VII содержит  $Br_2$ , то из XI образуется соответственно ди-(дихлорметил)- (XV) и ди-(дибромметил)-сульфон (XVI). I медленно гидролизуетс.  $NaOH$  до  $RSO_3Na$  (XVII); VI с конц.  $H_2SO_4$  дает  $HCl$  и  $RSSR$ . I и VIII восстанавливаются  $NaI$  с выделением I или нескольких атомов галогена. При действии хлорамин-Т (XVIII) на III с последующей обработкой II с целью получения  $n$ - $CH_3C_6H_4SO_2N=S(OCCl_3)-C_6H_4Cl_2$ -2,4 был выделен  $n$ - $CH_3C_6H_4SO_2N=S(OCCl_3)-C_6H_4Cl_2$ -2,4 (XIX). Из 1,3,5-триана (XX) и II полу-



чен гексахлор-1,3,5-тринитро-1,4,3,3-тетраоксид (XXI). α-Дисульфоны  $\text{RSO}_2\text{SO}_2\text{CCl}_3$  не удалось получить ни окислением  $\text{CCl}_3\text{SO}_2\text{H}$ , ни из (*n*-хлорфенилсульфонил)-трихлорметансульфида. Нейтр. или щел. р-р III добавляют к р-ру, содержащему 8 экв II (12–13% активного Cl) при  $<45^\circ$ , через 2–5 час. отделяют I, перекристаллизованные из спирта или воды. спирта. Приведены I, выход в %, т. пл. в  $^\circ\text{C}$ : а, 87,88; б, 82, 146; в, 68, 98; г, 65, 111; д, 5,163; е, 50, 50; ж, 55, 100; з, ~20, 150–151; и, 83, 112–113 (из бэл.-петр. эф.); к, 75, 174–175; л, 90, 158–159; м, 50, 65 (из петр. эф.); н, 24, 142–143. При добавлении к фильтрам Iв и Iи NaCl выделены соответствующие Na-соли XVII. При синтезе Iа выделены также VIа, т. пл. 103–104 $^\circ$  (из петр. эф.). Аналогично I получены VIII (указан выход в % и т. пл. в  $^\circ\text{C}$ ): VIIIа, 81, 147; VIIIв, 90, 132–133.  $\text{HSCH}_2\text{COOH}$ ,  $(\text{SCH}_2\text{COOH})_2$  и другие к-ты бурно реагируют с II, но нейтр. соединения выделены не были. *n*-Хлорфенилселеноуксусная к-та окисляется избытком II в водорастворимые в-ва, при меньшем кол-ве II образуется ди-*n*-хлорфенилдиселенид. 2,4-дихлорфеноксисукусная к-та не реагирует с II. К 10 г IVб в 200 мл 0,4 н. NaOH добавляют различные кол-ва II, через 3 дня (20–25 $^\circ$ ) отфильтровывают нейтр. соединения (VIб, т. пл. 65 $^\circ$ , или I), фильтрат подкисляют и отделяют V, т. пл. 125 $^\circ$ , или идентифицированное в-во, т. пл. 120 $^\circ$ . В нейтр. или щел. р-ре III (5 молей II, 24 часа) получены следующие VI (указан выход в % и т. пл. в  $^\circ\text{C}$ ): а, 30, 32–34 (из бэл.-петр. эф.); б, 80, 66 (из петр. эф.); в, 54, 89 (из разб. сп.). 96 г  $\text{Na}_2\text{S}\cdot 9\text{H}_2\text{O}$  и  $\text{CH}_3\text{ClCOONa}$  (из 76 г к-ты) в 500 мл воды кипятят 1 час, подкисляют HCl (к-той) по конго и, не выделяя XI, добавляют р-р II ( $<45^\circ$ ), выход XII 68,5 г, т. пл. 37–38 $^\circ$  (из петр. эф.). Через р-р XI пропускают 6 час. при 80 $^\circ$  ток  $\text{Cl}_2$  и отделяют 40 г XV, т. пл. 104 $^\circ$ . К 64 г NaOH в 1 л воды добавляют 128 г Br $_2$ , затем 20 г  $\text{NaHCO}_3$  и 15 г XI в 150 мл воды, через 1 час отделяют XIII, выход 11 г, т. пл. 134 $^\circ$  (из петр. эф.); к фильтрату добавляют разб.  $\text{H}_2\text{SO}_4$  и отделяют XVI, выход 20 г, т. пл. 160–162 $^\circ$  (из хлф.). Если  $\text{NaHCO}_3$  не добавлять, то получается 31 г XIV, т. пл. ~95–98 $^\circ$  (разл.; из сп.). К р-ру I или VIII и избытка NaI в ацетоне через 2–24 часа добавляют избыток воды. р-ра  $\text{NaHSO}_4$  и отделяют осадок. Из XII получают  $\text{CCl}_3\text{SO}_2\text{CHCl}_2$ , т. пл. 35 $^\circ$ ; из XIII образуется сначала XVI, а затем  $\text{CHBr}_2\text{SO}_2\text{CH}_2\text{Br}$ , т. пл. 67 $^\circ$ , из XIV –  $\text{CBr}_2\text{SOCHBr}_2$ , т. пл. 117 $^\circ$  (из сп.). Водн. р-р 7 г *n*- $\text{ClC}_6\text{H}_4\text{SCH}_2\text{SO}_3\text{Na}$  обрабатывают II и отделяют 5,25 г *n*- $\text{ClC}_6\text{H}_4\text{SO}_2\text{CCl}_2\text{SO}_3\text{Na}$ . К р-ру 5 г IVв в 2 н. NaOH добавляют 12 г XVIII·3H $_2$ O, через 3 дня добавляют 50 мл р-ра II и через 2 дня отделяют смесь Iв и XIX (1,8 г), т. пл. 124 $^\circ$  (из бэл.). 20 г XX добавляют к 400 мл р-ра II, р-ра 20 г  $\text{NaHCO}_3$  в 400 мл воды, через ~12 час. отделяют дисульфид XXI (приведен ИК-спектр), выход 22 г, т. пл. 203–204 $^\circ$  (разл.; из ацетона). 50 г *n*-хлорбензолсульфиновой к-ты (XXII), 60 мл  $\text{CHCl}_3$  и 30 г NaOH в 450 мл воды кипятят 10 час. и экстрагируют  $\text{CHCl}_3$  дихлорметил-*n*-хлорфенилсульфон, выход 57%, т. пл. 122 $^\circ$  (из сп.); подкислением водн. р-ра выделена неизменная XXII (20%). Аналогично получен дихлорметил-*n*-толилсульфон, т. пл. 118 $^\circ$ .

И. Леви  
872. Образование нафталинов из инденов. II. Парем, Рейфф, Сварценцбург (The formation of naphthalenes from indenenes. II. Parham William E., Reiff Harry E., Swartzentruber Paul), J. Amer. Chem. Soc., 1956, 78, № 7, 1437–1440 (англ.).

При синтезе 2-хлорнафталина (II) из индена (II) и  $\text{CHCl}_3$  в присутствии *tert*-C $_4$ H $_9$ OK образуется в качестве промежуточного в-ва 1,1-дихлор-1а,6а-дигидроциклопроп-(а)-инден (III). Из II и  $\text{CHBr}_3$  получают 2-

бромнафталин (IV), а из I (или 3)-метилиндена (V) и  $\text{CHBr}_3$  — только 1-метил-2-бромнафталин (VI). К смеси 345 г II и *tert*-C $_4$ H $_9$ OK (из 13,3 г K) при 0 $^\circ$  прибавлено по каплям 0,33 моля  $\text{CHCl}_3$  и через 1 час добавлено 300 мл петр. эфира; после отгонки избытка II при  $<50^\circ$ , 0,6 мм хроматографированием в петр. эфире на  $\text{Al}_2\text{O}_3$  выделен III, выход 71,5%, т. пл. 75–76 $^\circ$  (из сп.). Если реакционную смесь перегнать с паром, к остатку прибавить 1 г KOH и р-р кипятить 2 часа, то образуется 52% I. При кипячении 4 часа 4 г III и 10 г KOH в 100 мл спирта получено 98% I. При взаимодействии II и  $\text{CHBr}_3$  в тех же условиях получен IV, выход 51,7%. Из 0,551 моля V (т. кип. 76–78 $^\circ$ /11 мм,  $n_D^{20}$  1,5587), 0,08 моля  $\text{CHBr}_3$  и *tert*-C $_4$ H $_9$ OK (из 0,082 г-атома K) аналогично I получен VI, выход 44%, т. пл. 31–33 $^\circ$  (из сп.). Предыдущее сообщение см. РЖХим, 1956, 6852. А. Берлин



873. 1-фенилнафталины. Часть II. Циклизация моноэтиловых эфиров γ-ди-*o*-метоксифенил- и γ-ди-*m*-метоксифенилуксусной кислоты в соответствующие 1-фенилнафталины. Баддар, Эль-Ассал, Барос (1-phenylnaphthalenes. Part II. The cyclization of ethyl hydrogen γ-di-*o*-methoxyphenyl- and γ-di-*p*-methoxyphenyl-itaconate to the corresponding 1-phenylnaphthalenes. Baddar F. G., El-Assal Lanson S., Baghos Victorine B.), J. Chem. Soc., 1955, June, 1714–1718 (англ.).

Симметрично замещ. 2,2'-(Iа) и 4,4'-диметоксibenзо-феноны (Iб) при конденсации с  $(\text{CH}_3\text{COOC}_2\text{H}_5)_2$  (II) (катализатор *tert*-C $_4$ H $_9$ OK (III)) дают соответственно моноэтиловые эфиры γ-ди-*o*- (IVа, к-та Va) и γ-ди-*m*-метоксифенилуксусной к-ты (IVб, к-та Vб) (Johnson и др., J. Amer. Chem. Soc., 1950, 72, 511). При замене III на C $_2$ H $_5$ OK из продуктов р-ции выделен ди-*o*-метоксифенилметанол (VI), т. пл. 85–86 $^\circ$ . Циклизация IVа и IVб действием  $\text{CH}_3\text{COONa}-(\text{CH}_3\text{CO})_2\text{O}$  приводит к этиловому эфиру 4-ацетокси-8-метокси-1-*o*-метоксифенил-(VIIа) и 4-ацетокси-6-метокси-1-*m*-метоксифенилнафталинкарбоновой-2 к-ты (VII б). Соответствующие им 4-окси-8-метокси-1-*o*-(VIIIа) и 4-окси-6-метокси-1-*m*-метоксифенилнафталинкарбоновая-2 к-та (VIIIб) превращены действием  $\text{CH}_3\text{I}$  в метиловые эфиры 4,8-диметокси-1-*o*-(IXа, к-та Ха) и 4,6-диметокси-1-*m*-метоксифенилнафталинкарбоновой-2 к-ты (IX б, к-та Хб), из которых после гидролиза и декарбоксилирования получены 4,8-диметокси-1-*o*-(XIа) и 4,6-диметокси-1-*m*-метоксифенилнафталин (XIб). При циклизации Хб действием P $_2$ O, получен 2,2',7-триметокси-3,4-бензфлуоренон (XII), синтезированный также следующим путем: обработкой  $\text{AlCl}_3$  ангидрид Vб превращают в 6-метокси-3-*m*-метоксифенил-1-оксо-2-инденилуксусную к-ту (XIII), которая при действии  $\text{CH}_3\text{COONa}-(\text{CH}_3\text{CO})_2\text{O}$  дает 2-ацетокси-2',7-диметокси-3,4-бензфлуоренон (XIV), превращающийся в XII после гидролиза и последующего метилирования. Ангидрид Va при обработке  $\text{AlCl}_3$  неожиданно дает 4-*o*-метоксифенил-3-кумаринилуксусную к-ту (XV), что подтверждено кипячением с  $(\text{CH}_3)_2\text{SO}_4$  и NaOH и превращением XV в Va. Попытки декарбоксилирования и лактонизации Va оказались безрезультатными. Не удалось также синтезировать XIа конденсацией 1,5-диметоксинафталина и диазотированного метилового эфира 3-аминоанисовой к-ты, а также из *o*-йоданисового эфира и 1-йод-4,8-диметоксинафталина из-за плохих выходов последнего. 2 г ксантона и 1,7 г KOH сплавляют 20 мин. при 205–210 $^\circ$ , получают 1,4 г 2,2'-диоксibenзофенона, т. пл. 62–63 $^\circ$  (из петр. эф.). Ia и Ib получены метилированием соответствующих диоксисоединений, т. пл. 104–105 $^\circ$  (из CH $_3$ OH) и 145–146 $^\circ$  (из сп.). Смесь 3,7 г неочищ. IVб, 0,8 г  $\text{CH}_3\text{COONa}$  и 20 мл  $(\text{CH}_3\text{CO})_2\text{O}$  кипятят

5 час., разлагают  $(\text{CH}_3\text{CO})_2\text{O}$  и экстрагируют  $\text{C}_6\text{H}_6$ . VIIб, выход 3,2 г, т. пл. 198—199° (из ацетона). VIIб гидролизуют 10%-ным спирт. р-ром КОН и выделяют VIIIб, т. пл. 219—220° (из лед.  $\text{CH}_3\text{COOH}$ ); этиловый эфир, т. пл. 199—200°. Из 3,3 г VIIIб, 6 мл  $\text{CH}_3\text{I}$  и 3 г  $\text{K}_2\text{CO}_3$  в 15 мл ацетона (12 час.) получены 3,4 г IXб, т. пл. 127—128° (из бэл.); гидролиз IXб 10%-ным спирт. р-ром КОН приводит к Xб, т. пл. 205—206° (из лед.  $\text{CH}_3\text{COOH}$ ). 0,4 г Xб в 4 мл хинсолина и 0,25 г Cu-бронзы нагревают 30 мин. (205—210°), добавляют в течение 2 час. еще 0,25 г Cu-бронзы, нагревают 1 час, выход XIб 0,3 г, т. пл. 117,5—118,5°. Vб получена из IVб гидролизом 10%-ным водно-спирт. р-ром КОН, т. пл. 161—162°. Смесь 3 г ангидрида Vб и 1,5 г  $\text{AlCl}_3$  добавляют к 15 мл  $\text{C}_6\text{H}_5\text{NO}_2$  (<5°), через 2 дня (—20°) смесь гидролизуют,  $\text{C}_6\text{H}_5\text{NO}_2$  отгоняют с паром, после обычной обработки получают XIII, выход 2,8 г, т. пл. 181,5—182,5°; метиловый эфир, т. пл. 117—118°; 2,4-динитрофенилгидразон, т. пл. 262—263° (из лед.  $\text{CH}_3\text{COOH}$ ). 3 г XIII обрабатывают  $\text{CH}_3\text{COONa}-(\text{CH}_3\text{CO})_2\text{O}$  аналогично IVб (3 часа) и получают XIV, выход 3,2 г, т. пл. 210—211° (из бэл.). Гидролиз XIV водн. р-ром NaOH приводит к 2-окси-2',7-диметокси-3,4-бензфлуоренону (XVI), т. пл. >320° (из бэл.). Из 0,4 г XVI, 2,5 мл  $\text{CH}_3\text{I}$ , 1,4 г  $\text{K}_2\text{CO}_3$ , 15 мл ацетона (14—16 час.) получено 0,4 г XII, т. пл. 183—184°. XII получают также из 0,4 г Xб, 15 мл  $\text{C}_6\text{H}_6$ , 3 г  $\text{P}_2\text{O}_5$  (2 часа), выход 0,35 г, 6,1 г Ia, 6,5 г II и III (из 1,1 г K) в 25 мл *трет*- $\text{C}_4\text{H}_9\text{OH}$  кипятят в  $\text{N}_2$ , после обработки подобно Iб (см. ссылку выше) выход неочищ. IVa 3,7 г, т. пл. 153—154° (из бэл.). 2 г IVa обрабатаны 4 г  $\text{CH}_3\text{COONa}$  и 10 мл  $(\text{CH}_3\text{CO})_2\text{O}$ , как описано выше, получают VIIa в виде масла, при гидролизе которого получено 1,7 г VIIIa, т. пл. 246—247° (из бэл. и  $\text{CH}_3\text{COOH}$ ); этиловый эфир, т. пл. 162—163° (из бэл.). Из 2 г VIIa получена Xa, выход 2 г, т. пл. 175—176° (из лед.  $\text{CH}_3\text{COOH}$ ), и после декарбоксилирования—XIa, т. пл. 111—112° (из петр. эф.). 4 г IVa гидролизуют 10%-ным водно-спирт. р-ром КОН и получают 3,7 г Va, т. пл. 185—186° (из разб.  $\text{CH}_3\text{COOH}$ ). Нагреванием 4 г Va и 20 мл  $\text{CH}_3\text{COCl}$  получено 3,7 г ангидрида Va, т. пл. 140—141° (из бэл.-петр. эф.). 1,5 г  $\text{AlCl}_3$  добавляют к р-ру 3 г ангидрида Va в 30 мл  $\text{C}_6\text{H}_5\text{NO}_2$  при 0—5°, через 2 дня (—20°) после обработки, описанной для Vб, выделено 2,7 г XV т. пл. 185—186° (из петр. эф.). 0,3 г XV и 0,3 г NaOH в 1 мл воды кипятят 30 мин., добавляют 0,32 г  $(\text{CH}_3)_2\text{SO}_4$  и нагревают 1 час; после экстрагирования эфиром, гидролиза продукта р-ции 10%-ным спирт. р-ром  $\text{K}_2\text{CO}_3$  (3 часа) и подкисления получено 0,3 г Va. Йодированием анисовой к-ты получена 3-йоданисовая к-та; метиловый эфир, т. пл. 94—95° (из петр. эф.). Часть I см. J. Chem. Soc., 1948, 1270.

И. Левин

874. 1-Фенилнафталины. Часть III. Влияние заместителей и их положение на спектры поглощения ангидридов 1-фенилнафталиндикарбоновых-2,3-клет. Баддар, Соайре (1-phenylnaphthalenes. Part III. The effect of substituents and their position on the absorption spectra of 1-phenylnaphthalene-2,3-dicarboxylic anhydrides. Baddar F. G., Sawires Zaki, J. Chem. Soc., 1956, Febr. 395—400 (англ.).

Исследованы УФ-спектры поглощения ангидридов 3',6-диметокси-(Ia), 3',6-диэтокси-(Iб), 3',6-дипропокси-(Iв), 3',4',6,7-тетраметокси-(Iг), 3',4',6,7-тетраэтокси-(Iд), 4',7-диметокси-(Iе), 3',8-диметокси-(Iж), 3',8-диэтокси-(Iз), 3',8-дипропокси-(Iи), 3',4',7,8-тетраэтокси-(Iк), 2',5-диметокси-(Iл), 5-метокси-(Iм) и 2'-метокси-1-фенилнафталиндикарбоновых-2,3-к-т (Iн), 1-фенилнафталиндикарбоновой-2,3-к-ты, а также ангидрида 6,7-метилendioкси-1-(3,4-метилendioксифенил)-нафталиндикарбоновой-2,3-к-ты (II). Для всех соединений приведены кривые

и таблица значений  $\lambda$  и  $\epsilon$ . На основании полученных данных рассматриваются возможные электронные структуры нафталинового ядра. Исследованные соединения авторы объединяют в 3 типа А: Iж, з, и, л, м; Б: Ia, б, в, к, н; В: Iг, д, е, II. При этом кривые соединений типа А подобны кривым 2-фенилнафталина (III), а кривые соединений типа Б — подобны кривым 1-фенилнафталина (IV). Для соединений типа В представлены возможные электронные структуры, с помощью которых делаются попытки объяснения разницы кривых III и IV.

И. Левин

875. Антибактериальные свойства нафтохинонов. I. Синтез и антибактериальные свойства ацилнафтохинонов. Хасе, Нисимура (ナフトキノンの抗菌作用・第1報・アシルナフトキノンの合成及び抗菌作用に就いて・その1・長谷純一, 西村淑子), 藥學雜誌, Якутаку дзасси, J. Pharm. Soc. Japan, 1955, 75, № 2, 203—207 (япон.; реф. англ.).

К смеси 1,2-г  $\text{C}_6\text{H}_3\text{COCl}$ , 1,2-г  $\text{AlCl}_3$  и 4 мл  $\text{CS}_2$  прибавляют постепенно 1,4- $\text{C}_{10}\text{H}_6$  ( $\text{OCH}_3$ )<sub>2</sub> в 8 мл  $\text{CS}_2$ , нагревают 3 часа, отгоняют  $\text{CS}_2$ , прибавляют разб. HCl и отделили 0,8 г 6- $\text{C}_2\text{H}_5\text{COC}_{10}\text{H}_5$ ( $\text{OCH}_3$ )<sub>2</sub>-1,4 т. пл. 93—94° (из сп.); из маточного р-ра выделено 0,4 г 2- $\text{C}_2\text{H}_5\text{CO}$ -изомера, т. пл. 78°. Аналогично получены следующие  $\text{RCOC}_{10}\text{H}_5$ ( $\text{OCH}_3$ )<sub>2</sub>-1,4 (I) (указаны положение введенной ацильной группы, выход в %, т. пл. в °C): 6-капроил, 19, 77,5—78; 6-октаноил, 18, 81—82; 6-деканоил, 33, 60—61; 2-ацетил, 44, 119; 2-капроил, 11—24, 57—57,5; 2-деканоил, 24, 47—48; 2-лауроил, 21, 54—55. При синтезе в-в, содержащих деканоильную или лауроильные группы, применяют избыток  $\text{AlCl}_3$  на 10—20% больше указанного выше; при ациле, равном капроил или лауроил, образуется 3—5% 2- $\text{RCOC}_{10}\text{H}_5$ ( $\text{OH}$ )<sub>2</sub>-1,4 (II). Нагревают 1 г I ( $\text{RCO}$ —2-ацетил) в 50 мл  $\text{C}_6\text{H}_6$  30 мин. с 5 г  $\text{AlCl}_3$ , выход II ( $\text{R}=\text{CH}_3$ ) 96%, т. пл. 205—206°. Аналогично получены следующие II (указан  $\text{RCO}$ , выход в %, т. пл. в °C): пропониол, 48, 147—148; капроил, 79, 161—161,5; октаноил, 63, 139—140; деканоил, 60, 132; лауроил, 70, 119—120. К 2 г I ( $\text{R}=\text{CH}_3$ ) в 250 мл эфира прибавляют 10 г  $\text{Na}_2\text{SO}_4$  и 8 г  $\text{Ag}_2\text{O}$ , перемешивают 1 час, из фильтрата после отгонки р-рителя получают 2-ацилнафтохинон-1,4 (III) = (ацил- $\text{CH}_2\text{CO}$ ) (IIIa), т. пл. 80—81°. Подобным образом получают другие III (указаны ацил, выход в % и т. пл. в °C): пропониол, 70, 55—56; капроил, 76, 43—44; октаноил, 83, 53—54; деканоил, 88, 64—65; лауроил 60, 68—69. В р-р 0,5 г IIIa в 12 мл спирта при 0° пропусают  $\text{CH}_3\text{NH}_2$  (из 7,7 г хлоргидрата), выход 2-ацил-3-метиламинаонафтохинон-1,4 (IV) (ацил- $\text{CH}_2\text{CO}$ ) (IVa) 36%, т. пл. 138—139°. Аналогично синтезированы другие IV (перечисляются ацил, выход в % и т. пл. в °C): пропониол, 44, 106—107; капроил, 13, 76—77; октаноил, 24, 45—46; деканоил, 27,58—59; лауроил, 46,65—66. Нагревают 0,05 г IVa, 8 мл лед.  $\text{CH}_3\text{COOH}$  и 2 мл 20%-ной  $\text{H}_2\text{SO}_4$  30 мин., выливают в воду, выход 2-ацил-3-оксинафтохинон-1,4 (V) (ацил- $\text{CH}_2\text{CO}$ ) 72%, т. пл. 134—135° (из ацетона). Так же получают следующие V (указаны ацил, выход в %, т. пл. в °C): пропониол, 42, 118—119; капроил, 64, 117—118; октаноил, 52, 116—117; деканоил, —, 115—116; лауроил, —, 114—115,5°. К 0,2 г IIIa в 12,2 г  $(\text{CH}_3\text{CO})_2\text{O}$  прибавляют 0,25 г конц.  $\text{H}_2\text{SO}_4$ , через 48 час. (—37°) выливают в ледяную воду и экстрагируют эфиром 1- $\text{OSO}_3\text{H}$ -2- $\text{COC}_2\text{H}_5$ -3,4-( $\text{CH}_3\text{COO}$ )<sub>2</sub> $\text{C}_{10}\text{H}_6$ , т. пл. 212° (из сп.). К 0,5 г IIIa в 15 мл спирта прибавляют 2,9 мл диоксана, 0,1 г  $\text{Na}_2\text{CO}_3$ , 2,5 мл воды и 0,5 мл 35%-ной  $\text{H}_2\text{O}_2$ , взбалтывают 5 мин. выливают в холодную воду и отделили 0,2 г 2-ацетил-2,3-эпоксинафтохинон-1,4, т. пл. 125—126° (из сп.). При обработке I подобно II получают следующие 6-ацилнафтогидрохиноны-1,4 (VI) (указаны ацил, выход в % и т. пл. в °C): пропониол, 67, 147—148; октаноил, 53, 117—118; деканоил, —, 114. Обра-

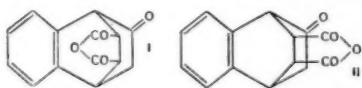
боткой VI, как при получении II, синтезированы 6-ацилнафтохиноны-1,4 (указаны ацил, выход в %, т. пл. в °C): пропанил, —, 81—82; октаонил, 76, 78—79; деканонил, 77, 80.

Chem. Abstrs, 1956, 50, № 3, 1712. K. Kitsuta 876. О получении симметричных нафтилазменных оксиглutarовых кислот. Иванов, Младенова-Орлинова (On the preparation of symmetric naphthyl-substituted oxoglutaric acids. Ivanov Chavdar P., Mladenova-Orlinova Lilianna), Докл. Болгар. АН, 1955, 8, № 4, 17—20 (англ.)

При взаимодействии Na-солей  $\alpha$ -магнийорганич. производных фенил- или нафтилуксусных к-т и хлорангидридов ароматич. к-т (ХК) синтезированы 1,2,3-триарил-2-оксиглutarовые к-ты (ТГ) с целью дальнейшего превращения их в производные флуоренона. При р-ции одновременно в больших кол-вах образуются соответствующие кетоны (К). При наличии в любом из исходных в-в  $\alpha$ -нафтильного остатка образование ТГ не происходит, вероятно, вследствие пространственных затруднений. К р-ру 0,05 моля *изо*-C<sub>8</sub>H<sub>7</sub>MgCl прибавляли 0,05 моля Na-соли фенил- или нафтилуксусной к-ты и, после краткого нагревания, эфирный р-р 0,025 моля ХК, смесь кипятили 3 часа, разлагали и выделяли ТГ и К. Получены следующие результаты (перечислены исходные к-ты и ХК, ТГ, выход ее в %, т. пл. в °C и в скобках р-ритель, К, выход его в %, т. пл. в °C и в скобках р-ритель): C<sub>6</sub>H<sub>5</sub>CH<sub>2</sub>COOH (I),  $\alpha$ -C<sub>10</sub>H<sub>7</sub>COSCl (II), —, —, бензил- $\alpha$ -нафтилкетон, 30, 65—67; I,  $\omega$ -C<sub>10</sub>H<sub>7</sub>COSCl (III), 1,3-дифенил-2- $\beta$ -нафтил-2-оксиглutarовая к-та, 19,5, 145—150 (разл.), бензил- $\beta$ -нафтилкетон, 30, 98—99;  $\alpha$ -C<sub>10</sub>H<sub>7</sub>CH<sub>2</sub>COOH (IV), C<sub>6</sub>H<sub>5</sub>COSCl (V), —, —,  $\omega$ -( $\alpha$ -нафтил)-ацетофенон, 34, 104—106 (сп.); IV, II, —, —,  $\alpha$ -дезоксинафтон, 22, 103—104 (сп.); IV, III, —, —,  $\omega$ -( $\alpha$ -нафтил)-ацето- $\beta$ -нафтон, 33, 108—109 (сп.);  $\beta$ -C<sub>10</sub>H<sub>7</sub>CH<sub>2</sub>COOH (VI), V, 1,3-ди- $\beta$ -нафтил-2-фенил-2-оксиглutarовая к-та, 15,8, 172—174,5 (разл.),  $\omega$ -( $\beta$ -нафтил)-ацетофенон, 33,5, 124—125; VI, II, —, —,  $\omega$ -( $\beta$ -нафтил)-ацето- $\alpha$ -нафтон, 32,9, 138—140; VI, III, 1,2,3-три- $\beta$ -нафтил-2-оксиглutarовая к-та, —, ~19, 162—165 (разл.),  $\beta$ -дезоксинафтон, ~17, 155—156. А. Берлин

877. Конфигурация аддуктов из  $\beta$ -нафтола и маленового ангидрида. Уорриер (The configuration of the  $\beta$ -naphthol maleic anhydride adducts. Warriar N. S.), Proc. Indian Acad. Sci., 1956, A43, № 4, 231—236 (англ.)

Аддукты из  $\beta$ -нафтола и маленового ангидрида являются *экзо*- (I) и *эндо*-(II) формами. Кипячением с водой I (т. пл. 193—194°) и II (т. пл. 192—193°), пре-



вращены в соответствующие дикарбоновые к-ты (III и IV), из которых получены диметилловые эфиры (V и VI). При восстановлении V образуется диметилловый эфир 2-тетралол-1,4-эндоэтилендикарбоновой к-ты (VII), а из VI отщепляется CH<sub>3</sub>OH и образуется лактон 2-тетралол-1,4-эндоэтилен-2'-карбометоксикарбоновой-1'-к-ты (VIII). Строение VIII подтверждено синтезом из IV через лактон 2-тетралол-1,4-эндоэтилендикарбоновой-1'-2'-к-ты (IX). Приведены кривые УФ-спектров I и II и ИК-спектр VIII. Из 0,5 г III в 5 мл CH<sub>3</sub>OH и эфирного р-ра CH<sub>2</sub>N<sub>2</sub> получен V, т. пл. 96—97° (из CH<sub>3</sub>OH). Аналогично IV превращен в VI, т. пл. 112—113° (из CH<sub>3</sub>OH). К 0,7 г V в 10 мл CH<sub>3</sub>OH прибавлено понемногу 0,5 г NaBH<sub>4</sub>, выделен VII, т. пл. 128—129° (из сп.). В тех же условиях из 0,75 г VI получено 0,25 г VIII, т. пл. 128—129° При действии 2 г

NaBH<sub>4</sub> на р-р 1 г IV в водн. CH<sub>3</sub>OH образовалось 0,3 г IX, т. пл. 198—200° (из водн. CH<sub>3</sub>OH), из которого действием CH<sub>2</sub>N<sub>2</sub> получен VIII. А. Берлин

878. Аценафтен. IV. Хлорирование аценафтена и 5-хлораценафтена в присутствии большого количества металлического порошка. Гото, Нагаи (アセナフテンに関する研究. 第4報. 金屬粉末を多量に用いるアセナフテンおよび5-クロルアセナフテンの鹽素化について. 後藤信行, 永井芳男), 工業化學雜誌, Koré karaku дзасси, J. Chem. Soc. Japan, Industr. Chem. Sec., 1955, 58, № 1, 50—52 (япон.)

Изучен механизм хлорирования 5-хлораценафтена (I). Во избежание образования смолистых продуктов пропускают Cl<sub>2</sub> при 90° в смесь 1—5 г Zn-пыли, 4 г I в 50 мл CH<sub>3</sub>OH, лед. CH<sub>3</sub>COOH или C<sub>6</sub>H<sub>6</sub>, максим. выход дихлораценафтена (II) 52,6%. При применении Sn, Fe, Al, J<sub>2</sub> или ZnCl<sub>2</sub> в лед. CH<sub>3</sub>COOH, C<sub>6</sub>H<sub>6</sub> или дихлорэтаноле выход II ниже. Из 4 г аценафтена и 1 г Zn в C<sub>6</sub>H<sub>6</sub> при 77° получено 3 г I. Сообщение III см. РЖХим, 1956, 22429.

Chem. Abstrs, 1956, 50, № 5, 3367. Katsuya Inouye

879. Синтез соединений с конденсированными ядрами путем ацилирования кетонов. Уокер (Synthesis of fused-ring compounds via acylation of ketones. Walker Gordon N.), J. Amer. Chem. Soc., 1956, 78, № 10, 2340—2341 (англ.)

При конденсации ангидрида гомовератровой к-ты (I) с циклич. кетонами в присутствии эфира BF<sub>3</sub> происходят одновременно процессы ацилирования и циклизации. Из I и циклогексанона (II) получен 3,4-тетраметил-4-оксн-6,7-диметокситетралон-2, выход 68%, т. пл. 140—141°, дегидратированный нагреванием с полифосфорной к-той в 3,4-тетраметил-6,7-диметоксинафтол-2, т. пл. 219—221°; ацетат, т. пл. 170—171°. Аналогично из I и циклогептанона (III) получен 3,4-пентаметил-6,7-диметоксинафтол-2, выход 29%, т. пл. 207—208°; ацетат, т. пл. 139—141°. При применении BF<sub>3</sub> в CH<sub>3</sub>COOH из I и II образовался 1-ацетил-3,4-тетраметил-6,7-диметоксинафтол-2 (IV), выход 38%, т. пл. 167—168°, а из I и III — 1-ацетил-3,4-пентаметил-6,7-диметоксинафтол-2 (V), выход 11%, т. пл. 157—158°. Гидрированием в этилацетате (Pd/C, 80°) IV превращен в 1-( $\alpha$ -оксизтил)-3,4-тетраметил-6,7-диметокситетралон-2, т. пл. 171—173°, а V — в 1-( $\alpha$ -оксизтил)-3,4-пентаметил-6,7-диметокситетралон-2, т. пл. 142—144°. Приведены данные УФ- и ИК-спектров полученных в-в. А. Берлин

880. Расщепление антрахинона гидроокисями щелочных металлов в соль бензойной кислоты. Шнейдер (Štěpni anthrachinonu alkalickými hydroxydy na benzoan. Schneider Jaroslav), Chem. průmysl, 1956, 6, № 5, 188—192 (чеш.)

При 200—280° антрахион (I) в керосине или нафатине расщепляется КОН с образованием C<sub>6</sub>H<sub>5</sub>COOK. Одновременно протекает диспропорционирование I с образованием антрагидрохинона (II) и оксидантрахионов. При применении NaOH (оптимальная т-ра 250—260°) расщепление I протекает несколько медленнее, но выход C<sub>6</sub>H<sub>5</sub>COOH (III) не меньше, чем с КОН. Пропускание тока воздуха через реакционную смесь увеличивает выход III, так как переводит образовавшийся II в I. 10 г I перемешивают (3 часа, 250—260°) в слабом токе воздуха со 150 мл керосина и 11,5 г порошкообразного КОН, фильтруют III, выход 84,4% на использованный I. Н. Котлярский

881. Синтез бис-(метиламино)-дибромантрахинона. Хаяси (ジメチルアミノジブロムアントラキノンの合成収率の向上. 林隆之), 工業化學雜誌, Koré karaku дзасси, J. Chem. Soc. Japan, Industr. Chem. Sec., 1955, 58, № 1, 77—78 (япон.)

Смесь 1,2 г 1,5-бис-(метиламино)-антрахинона, 1,5 г



$\text{CH}_3\text{COONa}$ , 23 г лед.  $\text{CH}_3\text{COOH}$  и 1,6 г  $\text{Br}_2$  через 3 часа ( $\sim 20^\circ$ ) нагревают 2 часа при  $80^\circ$ , получено 1,7 г 1,5-бис-(метиламино)-4,8-дибромантрахинона, т. разл.  $215^\circ$ . Аналогично из 1,3 г 1,8-бис-(метиламино)-антрахинона, 1,7 г  $\text{CH}_3\text{COONa}$ , 20 г лед.  $\text{CH}_3\text{COOH}$  и 1,7 г  $\text{Br}_2$  (4 часа,  $\sim 20^\circ$  и 2 часа,  $80^\circ$ ) получено 1,3 г 1,8-бис-(метиламино)-4,5-дибромантрахинона, т. разл.  $234^\circ$  (из  $\text{C}_6\text{H}_5\text{Cl}$ ).

Chem. Abstrs, 1956, 50, № 5, 3371. Katsuya Inouye

882. Реакция Нефа с 9,10-дигидро-(11-нитроэтанано)-антраценами. Новый путь синтеза 9,10-дигидро-(11-кетозанано)-антраценов. Ноленд, Бейкер, Фриман (The Nef reaction on 9,10-dihydro-(11-nitroethano)-anthracenes. A new route to 9,10-dihydro-(11-ketoethano)-anthracenes. Noland Wayland E., Baker M. Scott, Freeman Howard I.), J. Amer. Chem. Soc., 1956, 78, № 10, 2233—2236 (англ.)

Синтезированные ранее (см. РЖХим, 1956, 64853, 68319) из антрацена (I) и нитроолефинов 9,10-дигидро-9,10-(11-нитроэтанано)-I (II), 9,10-дигидро-9,10-(11-нитро-12-фенилэтанано)-I (III) и 9,10-дигидро-9,10-(11-нитро-12-метилэтанано)-I (IV) превращены по р-ции Нефа соответственно в 9,10-дигидро-9,10-(11-кетозанано)-I (V), 9,10-дигидро-9,10-(11-кетозанано-12-фенилэтанано)-I (VI) и 9,10-дигидро-9,10-(11-кетозанано-12-метилэтанано)-I (VII). Наличие групп  $\text{C}_6\text{H}_5$  и  $\text{CH}_3$  в III и IV затрудняет течение р-ции. Строение III подтверждено восстановлением в 9,10-дигидро-9,10-(11-фенилэтанано)-I (VIII), полученный также из I и стирола (IX). Приведены данные УФ- и ИК-спектров. Кр-ру 0,271 г II в 15 мл насыщ. спирт. р-ра KOH при  $0^\circ$  прибавлена по каплям холодная конц. HCl до pH 2 и затем холодный водн. р-р KOH до pH 10; попеременное прибавление HCl и KOH повторено еще 3 раза, смесь нагрета ( $100^\circ$ , 0,5 часа) и разбавлена 250 мл горячей воды; через 12 час. выделено 87% V, т. пл.  $151-152,5^\circ$  (из петр. эф.; возгонка); оксим, т. пл.  $212-214^\circ$ ; 2,4-динитрофенилгидразон (ДНФГ), т. пл.  $214,5-216^\circ$  (из  $\text{CHCl}_3$ -биз.). Кр-ру 0,01365 моля III в 150 мл 70%-ного водн. р-ра KOH и 250 мл  $\text{CH}_3\text{OH}$  медленно прибавлена смесь 425 г конц.  $\text{H}_2\text{SO}_4$  с 275 мл воды и 600 мл эфира; водн. слой извлечен эфиром и петр. эфиром, р-тител отогнаны в вакууме, из остатка хроматографированием (ХР) в  $\text{C}_6\text{H}_6$  на  $\text{Al}_2\text{O}_3$  выделен VI, выход 26%, т. пл.  $157-159^\circ$  (из петр. эф.); ДНФГ, т. пл.  $187,5-189^\circ$  (разл.; из сп.). Из 0,5 г VI в 5 мл толуола и 10 г амальгамированного Zn, 12 мл конц. HCl и 10 мл лед.  $\text{CH}_3\text{COOH}$  с последующим добавлением 10 мл конц. HCl и лед.  $\text{CH}_3\text{COOH}$  (кипение, 24 часа), после ХР на  $\text{Al}_2\text{O}_3$  получен VIII, выход 15%, т. пл.  $97-99,5^\circ$  (из  $\text{CH}_3\text{OH}$ ). При нагревании 0,222 моля I, 0,114 моля IX ( $n_D^{20}$  1,5440), 1 г п-тет-бутилпирокатехина и 425 мл кислоты до  $275^\circ$  (затем  $190-210^\circ$ , 4 часа) и ХР продукта р-ции на  $\text{Al}_2\text{O}_3$  также выделен VIII, выход 12%, т. пл.  $99,5-100,5^\circ$  (из сп.). Аналогично VI, из IV получен VII, выход 17%, т. пл.  $121,5-123^\circ$  (из петр. эф.), оксим (X), т. пл.  $\sim 164-166^\circ$  (разл.; из петр. эф.); ДНФГ, т. пл.  $220-230^\circ$  (разл.; из сп.), одновременно выделено в-во  $\text{C}_{15}\text{H}_{14}\text{N}_2\text{O}_3$ , т. пл.  $194-194,5^\circ$  (из петр. эф.). При прибавлении шел. р-ра IV к смеси HCl (к-ты) и эфира выделены в-во  $\text{C}_{15}\text{H}_{15}\text{NO}_5$ , т. пл.  $134-135,5^\circ$  (из петр. эф.), 11% VII и 56% в-ва с т. пл.  $173-175^\circ$  (возгонка) предположительно, син- или анти-X. А. Берлин

883. Международный коллоквиум по химии. Окисленные гетероциклы. Менцер (Colloque international de chimie des hétérocycles oxygénés. Menzies C.), Bull. Soc. chim. biol., 1955, 37, № 12, 1229—1234 (франц.)

Краткое изложение докладов, прочитанных на коллоквиуме. А. В.

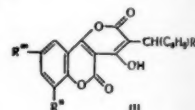
884. Соединения дикумарола с некоторыми органическими основаниями. Экштейн, Коцва (Połączenia dwukumaroli z niektórymi zasadami organicznymi. Eckstein M., Kocwa A.), Acta Polon. pharm., 1955, 11, Dodatek: Pam. i Ogólnopolskiego Zjazdu nauk. Polsk. Towarz. Farmac. Łodzi, 63—64 (польск.; рез. русс., англ.) Дикумарол образует соли с морфолином (т. пл.  $216,5-218^\circ$ ), диметилколамином (т. пл.  $137-138^\circ$ ) и диэтилколамином (т. пл.  $175-176,5^\circ$ ), которые можно использовать для идентификации дикумарола

A. Roniewicz

885. К химии 4-оксикумарина. Сообщение IV. Синтез 3-(1'-фенил-пропил)-4-оксикумарина. Юнек, Циглер (Zur Chemie des 4-Hydroxy-cumarins. IV. Mitteilung: Eine Synthese des 3-(1'-Phenyl-propyl)-4-hydroxy-cumarins. Jonek H., Ziegler E.), Monatsh. Chem., 1956, 87, № 1, 218—222 (нем.)

В продолжение работы по изучению термич. разложения дифениловых эфиров  $\alpha$ -замещ. малонового к-ты ( $\text{R}^1\text{R}^2\text{C}_6\text{H}_4\text{OCO}_2\text{CHCH}(\text{C}_6\text{H}_5)_2$ ) R (1) (см. сообщение III, РЖХим, 1956, 74926) показано, что I ( $\text{R}^1=\text{R}^2=\text{H}$ ,  $\text{R}=\text{C}_6\text{H}_5$ ) (Ia) при  $230-240^\circ$  дает наряду с 3-(1'-фенил-пропил)-4-оксикумарином (II) также 3'-(1'-фенилпропил)-4'-окси-(1,2-пирено-5', 6': 3,4-кумарин) (IIIa) и пропепилбензол (IV). При  $280-320^\circ$  Ia дает только IV и IIIa. Аналогично из I ( $\text{R}^1=\text{R}^2=\text{H}$ ,  $\text{R}=\text{CH}_3$ ) (Ib) получены при  $280^\circ$  3-(1'-фенилэтил)-4-оксикумарин (V) и соответствующий пироккумарин (IIIb), а I ( $\text{R}^1=\text{R}^2=\text{C}_6\text{H}_5\text{CH}_2$ ,  $\text{R}=\text{Cl}$ ) (Iv) при  $300^\circ$  дает через 2 часа 3,8-дифенил-6-хлор-4-оксикумарин (VI), а через 3 часа — соответствующий пироккумарин (IIIv).

Нагревают 6 час. 3 г Ia при  $230-240^\circ$ , добавляют р-р NaOH, осаждают HCl (к-той), через 12 час. осадок растворяют в спирте и по охлаждению отделяют IIIa, т. пл.  $204^\circ$  (из лед.  $\text{CH}_3\text{COOH}$ ); разбавлением фильтрата водой получают II, выход 15%, т. пл.  $175-176^\circ$  (из водн.  $\text{CH}_3\text{OH}$ ). Нагревают 1 час 3 г Ia при  $280^\circ$  или 10 мин. при  $320^\circ$  и получают IIIa. Нагревают 40 мин. при  $290-300^\circ$  3,5 г Ia, отгоняют IV и  $\text{C}_6\text{H}_5\text{OH}$ , к дистилляту добавляют щелочь и экстрагируют эфиром IV. Аналогично из 2,5 г Ib (1 час.,  $280^\circ$ ) получают V, выход 0,2 г, т. пл.  $202^\circ$  (из сп.), и IIIb, выход 0,3 г, т. пл.  $190^\circ$  (из лед.  $\text{CH}_3\text{COOH}$ ); из 7 г Iv (2 часа,  $300^\circ$ ) получают VI, выход 36%, т. пл.  $196^\circ$  (из  $\text{CH}_3\text{OH}$ ) или (3 часа,  $300^\circ$ ) IIIv, т. пл.  $206^\circ$  (из лед.  $\text{CH}_3\text{COOH}$ ). Р. Юриш



IIIa  $\text{R}^1=\text{C}_6\text{H}_5$ ,  $\text{R}^2=\text{H}$ ; IIIb  $\text{R}^1=\text{CH}_3$ ,  $\text{R}^2=\text{H}$ ; IIIv  $\text{R}^1=\text{C}_6\text{H}_5\text{CH}_2$ ,  $\text{R}^2=\text{Cl}$

886. Реакция Пехмана: кумарины из 2-этилгидрохинона и 4-этилпирогаллола. Мехта, Салиматх, Шах (Pachmann reaction: coumarins from 2-ethylquinol and 4-ethylpyrogallol. Mehta D. H., Salimath R. S., Shah N. M.), J. Indian Chem. Soc., 1956, 33, № 2, 136—139 (англ.)

Исследована конденсация 2-этилгидрохинона (I) и 4-этилпирогаллола (II) с различными  $\beta$ -кетозафирми по Пехману и показано, что I и II более реакционноспособны, чем гидрохинон и пирогаллол соответственно. Установлено, что  $\text{POCl}_3$  является лучшим конденсирующим агентом, чем  $\text{H}_2\text{SO}_4$ . К 5 г I и 5 г  $\text{CH}_3\text{COCH}_2\text{COOC}_2\text{H}_5$  (III) прибавляют 3 мл  $\text{POCl}_3$ , через 24 часа ( $20^\circ$ ) обрабатывают льдом и выделяют 6-оксис-7-этил-4-метилкумарин (IV), выход 4,5 г, т. пл.  $200^\circ$  (из сп.); бензильное производное, т. пл.  $150^\circ$  (из сп.); метоксипроизводное, т. пл.  $165^\circ$  (из сп.). Из 12,5 г ацетондикарбоновой к-ты (V), 7 г I и 25 мл конц.  $\text{H}_2\text{SO}_4$  (24 часа,  $0^\circ$ ) получают (6-оксис-7-этилкумарил-4-)-уксусную к-ту (VI), выход 7 г, т. пл.  $192^\circ$  (разл., из  $\text{CH}_3\text{COOH}$ ); ацетильное

производное, т. пл. 182° (разл., из сп.); метиловый эфир, т. пл. 185° (из сп.); этиловый эфир, т. пл. 188°. Декарбоксилированием VI при 195° в течение 15 мин. получают IV. Из 3 г I, 5 г этилового эфира ацетогидратной к-ты (VII) и 12 мл конц.  $H_2SO_4$  (24 часа, 20°) получают этиловый эфир (6-окси-7-этил-4-метилкумарил-3)-уксусной к-ты (VIII), выход 2 г, т. пл. 189° (из сп.); подкислением фильтрата выделяют 0,7 г свободной к-ты (VIIIa), т. пл. 285° (из лед.  $CH_3COOH$ ); гидролизом VIII 10%-ным спирт. р-ром NaOH получают VIIIa; ацетильное производное VIII, т. пл. 126° (из сп.); ацетильное производное VIIIa, т. пл. 215° (из сп.); бензоильное производное VIII, т. пл. 145° (из сп.); метоксипроизводное VIII, т. пл. 169° (из сп.). Декарбоксилированием VIIIa получают 6-окси-7-этил-3,4-диметилкумарин (IX), т. пл. 245°, который получают также конденсацией 3 г I и 4 г  $CH_3COCH(CH_3)COOC_2H_5$  в присутствии 3 мл  $POCl_3$  (24 часа, 20°), выход 3 г; ацетильное производное IX, т. пл. 149°; бензоильное производное IX, т. пл. 137° (из сп.); метоксипроизводное, т. пл. 188° (из разб. сп.). 3 г I конденсируют с 5 г  $C_6H_5COCH_2COOC_2H_5$  (X) в присутствии  $POCl_3$  и получают 6-окси-7-этил-4-фенилкумарин (в статье это соединение ошибочно названо 6-окси-7-фенил-4-метилкумарином), выход 1,5 г, т. пл. 194° (из бал.); ацетильное производное, т. пл. 125° (из сп.). Из 3 г I и 4 г этилового эфира  $\alpha$ -н-бутилацетоксуксусной к-ты получают 6-окси-7-этил-3-бутил-4-метилкумарин, выход 2 г, т. пл. 215° (из бал.); ацетильное производное, т. пл. 150° (из сп.). Из II и III в присутствии  $AlCl_3$  в  $C_6H_5NO_2$  или с  $POCl_3$  получают 7,8-диокси-6-этил-4-метилкумарин, т. пл. 204°. К смеси 8 г V, 3 г II и 10 мл  $H_2SO_4$  прибавляют 5 мл  $H_2SO_4$  и через 24 часа при 0° выделяют (7,8-диокси-6-этилкумарил-4)-уксусную к-ту, выход 2 г, т. пл. 215—216° (разл.); диацетильное производное, т. пл. 202—203° (из разб. сп.); дибензоильное производное, т. пл. 110°; диметоксипроизводное, т. пл. 112° (из бал.); этиловый эфир, т. пл. 212—213° (из сп.); ацетильное производное эфира, т. пл. 100°; метоксипроизводное эфира, т. пл. 158°. Конденсацией II с VII в присутствии  $POCl_3$  получают этиловый эфир (7,8-диокси-6-этил-4-метилкумарил-3)-уксусной к-ты, выход ~колич., т. пл. 152°, который гидролизуют конц. HCl и выделяют к-ту, т. пл. 275° (из  $CH_3COOH$ ). Из II и X в присутствии 80%-ной  $H_2SO_4$  получают 7,8-диокси-6-этил-4-фенилкумарин, т. пл. 145°. II с  $\alpha$ -( $\alpha$ -окси- $\beta$ , $\beta$ -трихлорэтил)-ацетоксуксусным эфиром в присутствии  $POCl_3$  дает 7,8-диокси-6-этил-3-( $\alpha$ -окси- $\beta$ , $\beta$ -трихлорэтил)-4-метилкумарин; трибензоильное производное, т. пл. 103° (из разб. сп.); триметоксипроизводное, т. пл. 144—145° (из сп.). 3 г II, 3 г молочной к-ты и 20 мл  $H_2SO_4$  нагревают 1 час при 100°, выделяют 1 г продукта, т. пл. 171—172° (из воды); диацетильное производное, т. пл. 140° (из разб. сп.). Т. Краснова

887. 5,7-дихлоркумаранон-3. Схот, Класене (5,7-dichlorocoumaran-3-one. Schoot C. J., Klasesens K. H.), Recueil trav. chim., 1956, 75, № 3, 190—192 (англ.)

С целью получения физиологически активных соединений синтезировали 5,7-дихлоркумаранон-3 (I), выход 88%, т. пл. 127—130° (из сп.); О-ацетильное производное, т. пл. 105—106° (из водн. сп.). I получен взаимодействием 2,4-дихлоранизола [получен из 2,4-дихлорфенола и  $(CH_3)_2SO_4$ , выход 65%, т. кип. 103—104°/10 мм, т. пл. 26°] с  $ClCH_2COCl$  ( $AlCl_3$ ,  $CS_2$ ), циклизацией образовавшегося при этом 3,5-дихлор-2-оксиф-хлорацетофенона (II) (выход 45%, т. пл. 133° (из сп.)) и прибавлением р-ра  $CH_3COONa$  к кипящему р-ру II. Найдено, что I не обладает гормональной активностью.

В. Зарецкий

888. Об изохромане. Сообщение I. Раскрытие и замыкание цикла производных изохромана. Две новые

перегруппировки. Рихе, Шмиц (Ringöffnung und Ringschluß bei Isochroman-Abkömmlingen. Zwei neue Umlagerungen. (I Mitteilung Über Isochroman). Rieche Alfred, Schmitz Ernst), Chem. Ber., 1956, 89, № 5, 1254—1262 (нем.)

Исследованы некоторые р-ции изохромана (I) и его производных. 1-бромизохроман (II), образующийся при прямом бромировании I, легко гидролизуетсся ледяной водой, превращаясь в динизохроманиловый-1 эфир (III). Тенденция к образованию II наблюдается и у других производных I; так 1-этоксизохроман (IV), получающийся при нагревании II со спиртом и пиридином, и 1-ацетоксизохроман (V), образующийся при кипячении IV с  $(CH_3CO)_2O$ , превращается в III с колич. выходом при простом хранении на воздухе. При нагревании р-ров II и обработке продукта  $NaHSO_3$  получают в результате раскрытия гетероцикла бисульфитное производное (VIa) 2-( $\beta$ -бромэтил)-бензальдегида (VI) и изохроман-1-сульфонат-Na (VII), образующийся также из IV и  $NaHSO_3$ . VII при действии солянокислого 2,4-динитрофенилгидразина превращается в 2,4-динитрофенилгидразон (ДНФГ) 2-(3-окси-этил)-бензальдегида (VIII), т. пл. 189°, образующийся также из всех аналогичных производных I: II—V, 1-окси-(IX) и 1-хлор-(X)-изохроманов и изохроманил-1 и ди-(изохроманил-1)-пероксидов. X претерпевает аналогичную перегруппировку только при 190°, превращаясь в 2-( $\beta$ -хлорэтил)-бензальдегид (XI). При нагревании VI со спиртом и пиридином наблюдается обратная р-ция: замыкание цикла и образование III. Предложен новый механизм обоих превращений. При гидролизе V холодным водно-спирт. р-ром щелочи часть в-ва превращается в VIII, а часть — в крайне неустойчивое, существующее в р-ре в-во, вероятно IX, которое при подкислении  $H_2SO_4$  превращается в III, а при извлечении эфиром — в VIII. Улучшен синтез I. Синтезирован 1-фенилизохроман (XII). В смеси 2 молей  $\beta$ -фенилэтилового спирта (XIII) и 2,5 молей параформальдегида пропускают в течение 2 час. при 0° ток HCl, на следующий день удаляют в вакууме часть HCl, добавляют 100 г NaOH в 0,5 л воды, кипятят 2 часа и извлекают эфиром I, выход 94—96%, т. кип. 87—88,5°/10 мм; т. пл. 3°,  $n_D^{20}$  1,5420, 20 г XIII и 25 г  $C_6H_5CHO$  насыщают при 0° HCl, в смесь пропускают HCl еще 5 час. при 70°, перегоняют и получают XII, выход 6,7%, т. кип. 165—165,5°/7 мм, т. пл. 89° (из сп.); или 30 г I в 0,2 л  $C_6H_6$  бромируют в УФ-свете 36 г  $Br_2$ , приливают 18 мл пиридина, полученный р-р вливают при 0° в р-р  $C_6H_5MgBr$  (из 52 г  $C_6H_5Br$ , 8 г Mg и 150 мл эфира), нагревают при 100° и получают XII, выход 43,3%. 40 г I в 240 мл  $CCl_4$  бромируют в УФ-свете 48 г  $Br_2$ , приливают смесь 50 мл спирта и 50 мл пиридина, нагревают 1 час при 100°, отделяют осадок, отгоняют р-ритель, остаток встраивают с 250 мл эфира и 250 мл ледяной воды, эфирный слой перегоняют и получают IV, выход 79%, т. кип. 113—115°/9 мм,  $n_D^{20}$  1,5180, 20 г VI, 50 мл спирта и 10 мл пиридина кипятят 30 час., отгоняют спирт, остаток встраивают с 150 мл ледяной воды и 0,2 л  $CCl_4$ , перегоняют и получают IV, выход 59,6%. 50 г IV и 0,1 л  $(CH_3CO)_2O$  кипятят 4 часа, перегоняют и получают V, выход 87%, т. кип. 140—141°/8 мм,  $n_D^{20}$  1,5260,  $d_4^{20}$  1,1592. Нагревают 6 час. 10 г III и 20 мл  $(CH_3CO)_2O$  и получают V, выход 75,5%. Р-р II (из 25 г I, 30 г  $Br_2$  и 150 мл  $CCl_4$ ) вливают на лед, органич. слой промывают р-ром  $NaCO_3$ , отгоняют  $CCl_4$ , остаток растворяют в 250 мл пиридина, нагревают, приливают воду до помутнения р-ра и получают III, выход 61—76%, т. пл. 143—144°, 1 г VIII перегоняют в вакууме и получают III, выход 29%. 10 г IV и 0,1 л 40%-ного р-ра  $NaHSO_3$  оставляют на 2 дня периодически встряхивая и получают VII, выход 81%;

или р-р II (из 50 г I, 0,2 л  $\text{CCl}_4$  и 60 г  $\text{Br}_2$ ) нагревают 1 час при 100°, отгоняют  $\text{CCl}_4$ , приливают 250 мл 40%-ного р-ра  $\text{NaHSO}_3$ , на следующий день отделяют VII, выход 23%, фильтрат оставляют на 7 дней и получают VIa, выход 46%. Бромнруют 20 г I, отгоняют в течение 1 часа р-ритель, приливают 30 мл 48%-ного р-ра  $\text{HBr}$ , смесь кипятят 5 мин. и извлекают эфиром VI, выход 69%, т. кип. 82–83°/0,1 мм,  $n_D^{20}$  1,5862,  $d_4^{20}$  1,4337. 5 г IV и 20 мл  $\text{CH}_3\text{COCl}$  нагревают 2 часа при 60°, разгоняют в вакууме и получают X, выход 60–80%, т. кип. 113,5–122°/6,5 мм. Неочищ. X (из 5 г IV) нагревают 10 мин. при 190–200° и перегоняют XI, выход 82%, т. кип. 129–130°/11 мм,  $n_D^{20}$  1,5632,  $d_4^{20}$  1,181; ДНФГ, т.пл. 193°. 0,05 моля V и 0,1 л 1 н. р-ра  $\text{NaOH}$  встряхивают 30 мин. и получают VIII, выход 75–85%, т. пл. 75° (из  $\text{CCl}_4$ ). Д. Витковский 889.

**Ксантоны. Часть IV. Новые синтезы оксиксантонов и оксизбензофенонов. Гровер, Шах, Шах (Xanthones. Part IV. A new synthesis of hydroxyxanthones and hydroxybenzophenones. Grover P. K., Shah G. D., Shah R. C.), J. Chem. Soc., 1955, Nov., 3982–3985 (англ.)**  
Конденсацией оксизбензойных к-т (I) с фенолами (II) в присутствии смеси  $\text{POCl}_3$  и  $\text{ZnCl}_2$  при 60–80° получают оксизбензофеноны (III), которые затем при нагревании с водой при 180–220° превращены в оксиксантоны (IV). В случае конденсации с к-тами типа γ-резорциловой (V) с флороглюцином (VI) или орсинном (VII) сразу образуются соответствующие IV. Смесь I, II,  $\text{POCl}_3$  и  $\text{ZnCl}_2$  нагревают 1,5–2 часа, охлаждают, выливают на ледяную воду, отделяют, промывают  $\text{NaHCO}_3$  и получают III. Так, из 1 г салициловой к-ты (VIII), 1,4 г пирогаллола (IX), 3 г  $\text{ZnCl}_2$  и 7 мл  $\text{POCl}_3$  получают 2,2',3,4-тетраоксизбензофенон (X), выход 0,9 г, т. пл. 103–104° (из воды), 149° (после сушки в вакууме при 100°); тетраацетат (ТА), т. пл. 117–118° (из сп.); из β-резорциловой к-ты (XI) и резорцина (XII) — 2,2',4,4'-тетраоксизбензофенон (XIII), т. пл. 196–198° (из воды); тетраметилловый эфир, т. пл. 126–128° (из разб. сп.); ТА, т. пл. 146–147° (из сп.); из 2-окси-4-метоксизбензойной к-ты и монометилового эфира XII — 2,2'-диокси-4,4'-диметоксизбензофенон (XIV), т. пл. 139–140° (из бzl.); 2,4,2',3',4'-пентаоксизбензофенон (XV) получают из XII и 2,3,4-триоксизбензойной к-ты, т. пл. 187–188° (из водн. сп.); XV образуется также из XI и IX, 0,5 г X и 20 мл воды нагревают при 180–200° 5 час. и получают 3,4-диоксиксантон, т. пл. 240–241° (из сп.); диметилловый эфир (ДМЭ), т. пл. 157° (из сп.); диацетат (ДА), т. пл. 163–164°. Аналогично получают: из XIII 3,6-диоксиксантон (XVI), т. пл. >330° (из разб.  $\text{C}_5\text{H}_5\text{N}$ ); ДА, т. пл. 205–206°; ДМЭ, 187° (из сп.); из XV 3,4,6-триоксиксантон, т. пл. >340°; триацетат (ТрА), т. пл. 209–211°, из  $\text{CH}_3\text{COOH}$ , триметилловый эфир (ТрМЭ), т. пл. 153–154° (из сп.). Из XIII и  $\text{NH}_2\text{OH} \cdot \text{HCl}$  получают оксим XVI, т. пл. 283–285° (из лед.  $\text{CH}_3\text{COOH}$ ). 1 г VIII, 1,4 г VI, 3 г  $\text{ZnCl}_2$  и 7 мл  $\text{POCl}_3$  при 60–70° дают 1,3-диоксиксантон, выход 0,8 г, т. пл. 256–258° (из разб. сп.); ДМЭ, т. пл. 169–170° (из сп.); ДА, т. пл. 149° (из сп.). Аналогично получают: 3,8-диоксиксантон из V и XII, т. пл. 246–247° (из водн.  $\text{C}_5\text{H}_5\text{N}$ ); ДА, т. пл. 155° (из разб. сп.); 1,3,6-триоксиксантон из флороглюцинонкарбонной к-ты и XII и из XI и VI, т. пл. 323–324°; ТА, т. пл. 172–173° (из сп.); ТМЭ, т. пл. 155–156°; 1,6-диокси-3-метилксантон (XVII) из XI и VII, т. пл. 326–327° (из разб.  $\text{C}_5\text{H}_5\text{N}$ ); ДА, т. пл. 161–162°, а также из п-орселиновой к-ты и XII; 1-окси-6-метокси-3-метилксантон получен из XVII действием  $(\text{CH}_3)_2\text{SO}_4$ , т. пл. 155–156° (из сп.); 1,3-диокси-7-метоксиксантон из 2-окси-5-метоксизбензойной к-ты (XVIII), и VI, т. пл. 239–240° (из разб. сп.); ДА, т. пл. 210–212° (из  $\text{CH}_3\text{COOH}$ ); ТрМЭ, т. пл.

171–173°; диметилируется HJ в 1,3,7-триоксиксантон, т. пл. 316–318° (из разб. сп.); 1-окси-7-метокси-3-метилксантон из XVIII и VII, т. пл. 155–156° (из разб.  $\text{C}_5\text{H}_5\text{N}$ ); ацетат, т. пл. 157–158°; деметилирование HJ приводит к 1,7-диокси-3-метилксантону, т. пл. 251–252° (из разб.  $\text{C}_5\text{H}_5\text{N}$ ). Часть III см. РЖХим, 1955, 46060.

**Н. Гринева 890. О расщеплении бензольных, тиофеновых и фурановых колец ультразвуком. Цехмейстер, Уолкейв (On the cleavage of benzene, thiophene and furan rings by means of ultrasonic waves. Zechmeister L., Wallcave L.), J. Amer. Chem. Soc., 1955, 77, № 10, 2853–2855 (англ.)**

Бромбензол (I), йодбензол (II), α-бромтиофен (III), α-йодтиофен (IV), α-бромфуран (V) и другие подобные соединения были смешаны с водн.  $\text{AgNO}_3$  и подвергнуты воздействию ультразвука при 40°; источник — титанато-бариевый чашеобразный преобразователь diam. 9 см, питаемый переменным током (125 в, 550–600 кГц). В выделенных при 6-часовом озвучивании осадках галогенного серебра или  $\text{Ag}_2\text{S}$  обнаружены ацетилениды и диацетилениды серебра, содержание которых составило в % от теоретически возможных колец для I–V соответственно: 6–11, 15–16, 9–10, 7–16 и 8–9. Описаны методы разделения, идентификации и колич. оценки осадка на содержание ацетиленидов и диацетиленидов.

**Л. Сысоев 891. Изопропилирование метил-2-тиенилкетона по реакции Фриделя — Крафта. Снейт, Жермен (Friedel — Crafts isopropylation of methyl-2-thienyl ketone. Spaeth Earl C., Germain Christine B.), J. Amer. Chem. Soc., 1955, 77, № 15, 4066–4069 (англ.)**

Установлено, что при изопропилировании метил-2-тиенилкетона (I) по Фриделю — Крафту образуется в основном 4-изопропил-I (II) и небольшое кол-во 5-изопропил-I (III); 3-изопропил-I (IV) не был обнаружен. Приведено 3 метода изопропилирования. Метод А. К охлажд. до –10° смеси 400 мл  $\text{CS}_2$  и катализатора добавляют (30 мин.) р-р I и изопропилхлорида (V), нагревают до ~20° или до кипения и разлагают льдом. Водн. слой извлекают эфиром. Перегонкой получают фракцию 70–130°/15–10 мм. Метод Б. К смеси 400 мл  $\text{CS}_2$  и катализатора добавляют (~20°, 30 мин.) I, перемешивают 1–2 часа и пропускают сухой пропилен (VI) при 25° или при кипении. Разлагают и обрабатывают аналогично А. Метод В. К жидкому HF добавляют (0,5 мин.) I, пропускают 3 часа VI при 0° (перемешивание). Через 24 часа после испарения HF при ~20° смесь выливают в лед, нейтрализуют  $\text{Na}_2\text{CO}_3$ , добавляют 4 объема воды и эфира и обрабатывают аналогично А. Изучена зависимость выхода II и III от условий р-ции по методу А, причем использовались: 0,4 моля  $\text{AlCl}_3$ , 0,2 моля V, 0,2 моля I, время р-ции 24 часа, т-ра –10+25° (перечисляются изменения условий, общий выход II и III в %, кол-во прореагировавшего I в %, содержание II в %, содержание III в %): —, 43–51, 53–63, 92–87, 4–11; при кипении реакционной смеси, 50, 64, 95, 3; время р-ции 48 час., 37, 58, 99, I; время р-ции 12 час.: 52, 63, 88, 11; без р-рителя, 42, 61, 86, 15; 0,25 моля V, 48, 51, 78, 19; 0,1 моля V, 64, —, 97, 3; 0,21 моля  $\text{AlCl}_3$ , 9, 31, 97, 1. Изучена также зависимость выхода II и III от природы катализатора и алкилирующего агента, причем использовались 0,4 моля катализатора, 0,2 моля I, время р-ции 24 часа, р-ритель  $\text{CS}_2$  (перечисляются метод, катализатор, алкилирующий агент, общий выход в %, кол-во прореагировавшего I в %, содержание II и III в %): Б,  $\text{AlCl}_3$ , 0,4 моля VI пропускают 3,5 часа при кипении, 13, 34, 95, 5; А (т-ра –10+25°),  $\text{AlBr}_3$ , 0,2 моля V, 62, 73, 82, 18; Б,  $\text{AlBr}_3$ , 0,2 моля VI пропускают 1,25 часа при 25° и оставляют на 24 часа при 25°, 10



51, 64, 89, 9; А (т-ра — 10 + 25°), FeCl<sub>3</sub>, 0,2 моля V, 20, 35, 92, 8; В (без р-рителя), 200 мл HF, 0,8 моля VI, 3, 9, 83, 13. Показано, что внутри- и межмолекулярная миграция *изо*-C<sub>3</sub>H<sub>7</sub>-группы в продукте моноэпоксиацетилирования не оказывает заметного влияния на выход II и III в исследованных условиях. Строение II и III подтверждено ИК-спектрами поглощения и встречным их синтезом; для сравнения был получен также IV, причем III (семикарбазон, т. пл. 208—209°) получен ацетилированием 2-изопропилтиофена, а II (т. кип. 73°/0,5 мм, *n*<sub>D</sub><sup>20</sup> 1,5422; семикарбазон, т. пл. 210,5—211,5) и IV (т. кип. 58/0,6 мм, *n*<sub>D</sub><sup>20</sup> 1,5422; семикарбазон, т. пл. 183—185,5°) при ацетилировании 3-изопропилтиофена. Полученные встречным синтезом IV и II окисляют, т. п. (3-VII) и 4-изопропил-2-тиофенкарбонные (VIII) к-ты соответственно. VII (т. пл. 110—111,5°) и VIII (т. пл. 92—93°) превращаются в *п*-бромфенацетил-эфир (т. пл. 88—89° и 80,5—81,5° соответственно). При гидролизе над Ni-Ренева в р-ре NaOH VII дает β-изопропилвалерьяновую к-ту (*п*-бромфенацетил-эфир, т. пл. 32,5—33,5°), а VIII — γ-изопропилвалерьяновую к-ту (*п*-бромфенацетил-эфир, т. пл. 55—56°). Даны УФ-спектры поглощения II, III и IV.

М. Рыбинская

892. Реакция тиасангидрола с соединениями, содержащими активный водород. Савицкий, Оливерно (Reaction of thiaxanthidol with compounds containing active hydrogen. Sawicki Eugene, Oliverio Vincent T.), J. Organ. Chem., 1956, 21, № 2, 183—189 (англ.).

Ксангидрол (I) и тиасангидрол (II), реагируя в среде CH<sub>3</sub>COOH и спирта с соединениями, содержащими активный водород, образуют производные типа R—X (III) и X—R—X (IV) (X = ксантил-9) или соответственно R—Y (V) и Y—R—Y (VI) (Y = тиасантил-9). Некоторые из полученных соединений фосфоресцируют и (или) флуоресцируют. Исследованы цветные р-ции I и II с производными карбазола, индола, β-дикетонами и барбитуровой к-той и предложено строение некоторых образующихся при этом красителей. К 0,005 моля I в 1,5 мл лед. CH<sub>3</sub>COOH и 1,5 мл спирта прибавляют р-р 0,005 моля FCH<sub>2</sub>CH<sub>2</sub>OCONH<sub>2</sub> в 1,5 мл лед. CH<sub>3</sub>COOH и 1,5 мл спирта, выдерживают 3 дня при ~20°; получают 4-фторэтил-N-9-ксантилкарбамат, выход 71%, т. пл. 183—184° (из C<sub>7</sub>H<sub>10</sub>). Аналогично синтезированы следующие соединения: 1) RCONHX (VII) и RCONHY (VIII), выход 60—80%, указаны R, т. пл. в °C VII и VIII (из C<sub>6</sub>H<sub>12</sub>, C<sub>6</sub>H<sub>14</sub> или C<sub>6</sub>H<sub>16</sub>): CH<sub>3</sub>O, 192—193, 155—156; F<sub>3</sub>CCN<sub>2</sub>O, 166—167, 126—128; ClCH<sub>2</sub>CH<sub>2</sub>O, 171—172, 114—116; FCH<sub>2</sub>CH<sub>2</sub>O, 183—184, 161—162; C<sub>2</sub>H<sub>5</sub>O, 170—171, 170—171; CH<sub>2</sub>=CHCH<sub>2</sub>O, 147—148, 106—107; *n*-C<sub>3</sub>H<sub>7</sub>O, 144—145, 123—124,5; *n*-C<sub>4</sub>H<sub>9</sub>O, 140—141, 91—92; *изо*-C<sub>4</sub>H<sub>9</sub>O, 145—146, 118—119; *n*-C<sub>5</sub>H<sub>11</sub>O, 146—147, 83,5—85; *n*-C<sub>6</sub>H<sub>13</sub>O, 120, 80—81; C<sub>2</sub>H<sub>5</sub>S, 173—174, 147—149; 2) RSX (IX) и RSY (X), выход 80—95% (время р-ции 1 час), указаны R, т. пл. в °C IX и X (карбонные к-ты — из воды или водн. сп., остальные — из C<sub>5</sub>H<sub>12</sub> или C<sub>6</sub>H<sub>14</sub>): HOOCCH<sub>2</sub>, 131—132, 165—167; CH<sub>3</sub>CH<sub>2</sub>, 63—65, 135—136; HOOCCH<sub>2</sub>CH<sub>2</sub>, 84—85, 132—133; HOOCCH<sub>2</sub>CH<sub>2</sub>COOH, 207—208, 234—235 (разл.); CH<sub>3</sub>(CH<sub>2</sub>)<sub>4</sub>, —, 104—105; *n*-O<sub>2</sub>NC<sub>6</sub>H<sub>4</sub>, 133—135, 164—166; C<sub>6</sub>H<sub>5</sub>, 77—78, 152—153; CH<sub>3</sub>(CH<sub>2</sub>)<sub>2</sub>, 37—38, 64—65; β-нафтил, 137—138, 217—218; 3) (RCO)(R'CO)CR'X (XI) и (RCO)(R'CO)CR'Y (XII), выход 60—80%, указаны R, R', R'', т. пл. в °C XI и XII (из C<sub>6</sub>H<sub>14</sub> или C<sub>7</sub>H<sub>16</sub>): CH<sub>3</sub>, CH<sub>3</sub>, Н, 152—153, 165—166; CH<sub>3</sub>, OC<sub>2</sub>H<sub>5</sub>, Н, 87—89, 117—118; α-тиенил, CF<sub>3</sub>, Н, 133—134, 143—144; C<sub>6</sub>H<sub>5</sub>, CH<sub>3</sub>, Н, 171—172, 150—152; R + R' = *o*-C<sub>6</sub>H<sub>4</sub>, NO<sub>2</sub>, 157—158, 188—189; R + R' = *o*-C<sub>6</sub>H<sub>4</sub>, Н, 143—145 (разл.), 141—142; 4) IV и VI (указаны R, выход в %, т. пл. в °C IV и VI): S, 10—30, 179—180 (разл., из C<sub>6</sub>H<sub>14</sub>-C<sub>7</sub>H<sub>16</sub>), 184—185 (разл.,

из C<sub>6</sub>H<sub>14</sub>-C<sub>7</sub>H<sub>16</sub>); Se, 10—30, 145—146 (разл., из C<sub>6</sub>H<sub>14</sub>-C<sub>7</sub>H<sub>16</sub>), ~190 (из C<sub>6</sub>H<sub>14</sub>-C<sub>7</sub>H<sub>16</sub>); NHCONH, 40—50, 274—275 (разл., из (CH<sub>3</sub>)<sub>2</sub>NCONH), 283—285 (из (CH<sub>3</sub>)<sub>2</sub>NCONH); C = CHCH = CN, 70—75, 198—201 (из метилцеллозоль-

ва), 238—239 (из метилцеллозольва); 5) RNHX (XIII) и RNHY (XIV) (указаны R, выход в %, т. пл. XIII и XIV): 2-Cl-4-O<sub>2</sub>N-C<sub>6</sub>H<sub>3</sub>, 30—50, —, 170—172; 2-O<sub>2</sub>NC<sub>6</sub>H<sub>3</sub>, 30—50, 201—202, 150—151; 2-O<sub>2</sub>N-4-CH<sub>3</sub>OC<sub>6</sub>H<sub>3</sub>, 30—50, 164—165, 165—167; 3-нитродибензофурил-2, 30—50, 230—231, —; 4-C<sub>6</sub>H<sub>5</sub>-2-O<sub>2</sub>NC<sub>6</sub>H<sub>3</sub>, 30—50, 181—182, 170—171; 3,4-Cl<sub>2</sub>C<sub>6</sub>H<sub>3</sub>SO<sub>2</sub>, 70—80, 186—187 (из бзл. или сп.), —; 4-BrC<sub>6</sub>H<sub>4</sub>SO<sub>2</sub>, 70—80, 216—217 (из бзл. или сп.), —; 3-O<sub>2</sub>NC<sub>6</sub>H<sub>4</sub>SO<sub>2</sub>, 70—80, 206—207 (из бзл. или сп.), —; 3-O<sub>2</sub>NC<sub>6</sub>H<sub>4</sub>CONH, 10, 191—192, 194—195 (из бзл. или сп.); 4-C<sub>6</sub>H<sub>5</sub>OC<sub>6</sub>H<sub>4</sub>NHCO, 70—80, 245, 232—233 (из метилцеллозольва); 6) III и V (указаны R, выход в %, т. пл. III и V в °C): 9-метилкарбазол-3, 30—50, 193—195, 162—163 (из метилцеллозольва); пидолил-3, 30—50, —, 155—156 (из бзл. или сп.); N<sup>4</sup>-сульфадиазисо-, 30—50, 246—247, —; N<sup>4</sup>-сульфамидопиридино-, 30—50, 241—242, —; O<sub>2</sub>NCH<sub>2</sub>, 10, 186—188 (из бзл. или сп.), —; (CN)<sub>2</sub>CH, 70—80, 186—188, —.

А. Гуревич

893. Соединения, содержащие непосредственно связанные пиррольные кольца. Часть I. Новый тип пиррольного пигмента. Элвидж, Фитт, Линстед (Compounds containing directly linked pyrrole rings. Part I. A new type of pyrrole pigment. Elvidge J. A., Fitt John S., Linstead R. P.), J. Chem. Soc., 1956, Febr., 244—246 (англ.).

При кипячении (1 час) 5-цианозетоксикарбонилметил-2-иминопирролидина (4 г) с пропионовой к-той (40 мл) в присутствии пиридина (1 мл) образуется с выходом 0,7% ди-(5-цианозетоксикарбонилметил)-2-пирролидидивалиден (I), выделенный хроматографией на Al<sub>2</sub>O<sub>3</sub> (р-ритель C<sub>6</sub>H<sub>6</sub>, вымывание 5%-ным спиртом в C<sub>6</sub>H<sub>6</sub>), темно-красные призмы, не имеет характерной т-ры плавления, λ<sub>макс</sub> (в сп.) 5630, 5240 Å (ε 78,600, 51400); λ<sub>макс</sub> (в бзл.) 5810, 5400 Å. Строение I подтверждено окислением пигмента в смеси лед. CH<sub>3</sub>COOH и разб. H<sub>2</sub>SO<sub>4</sub> посредством 0,1 н-КМnO<sub>4</sub> с образованием известного 5-цианозетоксикарбонилметиленипирролидона-2. Механизм образования I неясен. Спектры I в CH<sub>3</sub>OH, ацетоне и CH<sub>3</sub>COOH подобны таковым в этаноле, а в пиридине подобны таковым в C<sub>6</sub>H<sub>6</sub>. I легко дает нестойкие комплексы с ацетатами Си или Ni в пиридине (λ<sub>макс</sub> 6270 и соответственно 6230 Å) с NaOH в воде, λ<sub>макс</sub> 6050 Å, добавка CH<sub>3</sub>COOH немедленно разрушает комплексы. По окраске и тонкой структуре I подобен индиго. Образование интенсивно окрашенного пигмента при непосредственной связи частично гидрированных пиррольных колец наблюдается впервые.

Л. Яновская

894. Реакция Померанца — Фрича в пиррольном ряду. Синтез апогармина. Херц, Токкер (The pomeranz — Fritsch reaction in the pyrrole series. The synthesis of apogarmine. Herz Werner, Tockker Stanley), J. Amer. Chem. Soc., 1955, 77, № 23, 6355—6357 (англ.).

Конденсацией 2-пирролальдегида (I), 2-ацетилпиррола (II) и N-метил-2-пирролальдегида (III) с диэтил-ацеталем аминокислотного альдегида (IV) получены соответственно аминокеталы (V—VII). Циклизация V приводит к изомерным пирроло(1,2-а)-пиазину (VIII) и пирроло-(2,3-с)-пиридины-(6-азанидолу) (IX). При циклизации VI выделены 1-метилпирроло-(1,2-а)-пиазин (X) и апогармин (XI), что является первым прямым синтезом XI. Продукт циклизации VII идентифицирован как N-метилпирроло-(2,3-с)-пиридин (XII). 2-гомовератроилпиррол (XIII) с трудом образует оксим, который не поддается ни каталитич. гидрированию,

ни восстановлению  $\text{LiAlH}_4$ . 8 г I и 13 г IV в 35 мл толуола кипятят в приборе Дина и Старка до окончания выделения воды ( $\sim 20$  мин.), р-ритель и избыток IV удаляют при 2 мм, выход V 58%, т. кип. 119—125°/2 мм,  $n_D^{21}$  1,4731; пикрат, т. пл. 173°. Аналогично из 5 г II и 10 г IV в 35 мл толуола получают VI, выход 81%, т. кип. 126—130°/2 мм,  $n_D^{20}$  1,5125; пикрат, т. пл. 118°. VII (из 7 г III и 15 г IV), выход 91%, т. кип. 94°/0,5 мм,  $n_D^{20}$  1,5988. К нагретым до 100° 15 г полифосфорной к-ты добавляют 2 мл  $\text{POCl}_3$  и, прекратив нагревание, приливают (10 мин.) 2,1 г V, смесь нагревают при 120° до окончания выделения  $\text{HCl}$ , выливают в 150 мл воды, водн. слой извлекают  $\text{C}_6\text{H}_6$ , подщелачивают и снова извлекают  $\text{C}_6\text{H}_6$ , из последнего экстракта перегонкой выделяют VIII, выход 21%, т. кип. 71°/2 мм,  $n_D^{20}$  1,6176; пикрат, т. пл. 212°; из остатка возгонкой (130°/1 мм) получают IX, выход 2,2%, т. пл. 129,5° (из бал.). При аналогичной циклизации 1,2 г VI выделяют с выходом 23% X, т. кип. 82°/1,5 мм,  $n_D^{20}$  1,6910; пикрат, т. пл. 230°, и из остатка возгонкой (168°/1 мм) — XI, выход 5,1%, т. пл. 183° (из бал.) (в отдельных опытах, воспроизвести которые не удалось, выход XI достигал 25—35%). Циклизацией 2 г VII в тех же условиях получают XII, выход 27%, т. кип. 140—141°/11 мм,  $n_D^{20}$  1,6932; пикрат, т. пл. 194—195°. К  $\text{C}_2\text{H}_5\text{MgJ}$  (из 0,103 моля  $\text{C}_2\text{H}_5\text{J}$ ) добавляют по каплям при 5—10° 0,101 моля пиррола в 50 мл эфира, перемешивают 30 мин. и при охлаждении  $< 0^\circ$  медленно приливают 0,093 моля хлористого гомовератроила в эфире, смесь перемешивают  $\sim 12$  час., добавляют 250 мл конц. р-ра  $\text{NH}_4\text{Cl}$  и 100 мл  $\text{C}_6\text{H}_6$ , р-рители удаляют в вакууме и выделяют XIII, выход 7,2%, т. пл. 99° (из бал. с добавлением лигр.); оксим (1,48 г XIII, 4 г  $\text{NH}_2\text{OH} \cdot \text{HCl}$ , 10 мл пиридина, кипячение 24 часа, выход 0,13 г), т. пл. 170—171° (из абс. сп.).

**895. О некоторых производных индола. Ротштейн, Фейтельсон** (Sur quelques dérivés de l'indol. Rothstein Robert, Feitelson Bruce N., C. r. Acad. sci., 1956, 242, № 8, 1042—1043 (франц.))

Циклизацией фенилгидразонов действием  $\text{HCl}$  получен ряд замес. 2-метилиндолов (I) и определены оптимальные условия их синтеза. Синтезированы следующие I (указаны заместитель в положении 3 и 5, р-ритель, продолжительность и т-ра р-ции, выход в %, т. кип. в °C/мм, т. пл. в °C, пикрат, т. пл. в °C):  $\text{CH}_3$ ,  $\text{CH}_3$ , абс. спирт, 24 часа при  $\sim 20^\circ$  и 90 мин. при кипении, 80, —, 121, —;  $\text{C}_2\text{H}_5$ ,  $\text{CH}_3$ , абс. спирт, 24 часа при  $\sim 20^\circ$  и 90 мин. при кипении, 61, 146/4, 66, 151;  $n\text{-C}_4\text{H}_9$ ,  $\text{CH}_3$ , абс. спирт, 24 часа при  $\sim 20^\circ$  и 90 мин. при кипении, 60, 155/4, 59, 128;  $iso\text{-C}_4\text{H}_9$ ,  $\text{CH}_3$ , абс. спирт, 24 часа при  $\sim 20^\circ$  и 90 мин. при кипении, 56, 152/15, 79, 155;  $\text{CH}_3$ , Cl (II), абс. спирт, 90 мин. при кипении, 92, —, 143, 132;  $\text{C}_2\text{H}_5$ , Cl, абс. спирт, 90 мин. при кипении, 79, —, 76, 157;  $n\text{-C}_4\text{H}_9$ , Cl, абс. спирт, 90 мин. при кипении, 57, 145/3, 62, 137;  $iso\text{-C}_4\text{H}_9$ , Cl, абс. спирт, 90 мин. при кипении, 51, 160/5, 63, 166;  $\text{CH}_3$ , Br, абс. спирт, 30 мин. при кипении, 76, —, 138, 147;  $\text{C}_2\text{H}_5$ , Br, абс. спирт, 30 мин. при кипении, 53, 162/4, 101, 156;  $n\text{-C}_4\text{H}_9$ , Br, абс. спирт, 30 мин. при кипении, 48, 155/2, 53, 135;  $iso\text{-C}_4\text{H}_9$ , Br, абс. спирт, 30 мин. при кипении, 38, 166/4, 55, 162;  $\text{CH}_3$ ,  $\text{COOC}_2\text{H}_5$ , 95%-ный спирт, 24 часа при  $\sim 20^\circ$  и 90 мин. при кипении, 54, —, 115, —;  $\text{C}_2\text{H}_5$ ,  $\text{COOC}_2\text{H}_5$ , 95%-ный спирт, 24 часа при  $\sim 20^\circ$  и 90 мин. при кипении, 50, —, 102, —;  $n\text{-C}_4\text{H}_9$ ,  $\text{COOC}_2\text{H}_5$ , 95%-ный спирт, 24 часа при  $\sim 20^\circ$  и 90 мин. при кипении, 46, —, 108, —;  $n\text{-C}_4\text{H}_9$ ,  $\text{NO}_2$ , вода, 3 часа при  $\sim 100^\circ$ , 20, —, 164, —;  $iso\text{-C}_4\text{H}_9$ ,  $\text{NO}_2$ , вода, 6 час. при  $\sim 100^\circ$ , 31, —, 169, —. Получены также следующие I (указаны заместители в положении 3 и 5, т. пл. в °C):  $\text{CH}_3$ ,  $\text{CONHNH}_2$ , 234;

$\text{C}_2\text{H}_5$ ,  $\text{CONHNH}_2$ , 212;  $n\text{-C}_4\text{H}_9$ ,  $\text{CONHNH}_2$ , 190;  $\text{CH}_3$ ,  $\text{COOH}$  (III), 240;  $\text{C}_2\text{H}_5$ ,  $\text{COOH}$  (IV), 213;  $n\text{-C}_4\text{H}_9$ ,  $\text{COOH}$ , 205. Методом, описанным ранее (см. Perkin, Robinson, J. Chem. Soc., 1921, 1640) для мета-изомера синтезирован 4- $\text{C}_2\text{H}_5\text{OOCCH}_2\text{NHNH}_2$ , т. пл. 114,5°. II слабо бактерициден по отношению к стафилококкам, 2,3-диметил-5-нитроиндол действует на стафилококки и бактерии *Coli*, III и IV снижают кровавое давление.

А. Гуревич

**896. Получение 4-йодоксидола, 4-йодиндола, 4-йодсколатилантона и родственных соединений. Хардеггер, Корроди** (Herstellung von 4-Jodoxindol, 4-Jod-indol, 4-Jod-skatolyl-aceton und verwandten Verbindungen. Hardegger E., Corrodi H., Helv. chim. acta, 1956, 39, № 2, 514—517 (нем.))

Исходя из 2-йод-6-нитротолуола (I) через 2-йод-6-нитрофенилпировиноградную к-ту (II) [26,3 г I, 4 г K, 14,6 г ( $\text{COOC}_2\text{H}_5$ )<sub>2</sub>, выход К-енолята II 85%, выход II 90%, т. пл. 126° (из бал.)] и 2-йод-6-нитрофенилуксусную к-ту (III) [4 г II, 25 мл 0,5 н. NaOH, 15 мл 15%-ного р-ра  $\text{H}_2\text{O}_2$ ; т. пл. 180° (из  $\text{CH}_3\text{OH}$ )] синтезирован 4-йодоксидол (IV) [3 г III, 15 мл 15%-ного р-ра  $\text{NH}_4\text{OH}$  восстанавливают 25 г  $\text{FeSO}_4$  в 50 мл воды и 25 мл конц. р-ра  $\text{NH}_4\text{OH}$ ; т. пл. 217° (сублимирован.)]. Из II через 4-йодиндолкарбоную-2 к-ту (V) [получена аналогично IV, т. пл. 265° (разл., из  $\text{CH}_3\text{OH}$ ); метиловый эфир, т. пл. 159° (из  $\text{CH}_3\text{OH}$ ), этиловый эфир, т. пл. 164° (из  $\text{CH}_3\text{OH}$ )] получают 4-йодиндол (VI) [кипение 3 часа 10 г V, 4 г  $\text{Cu}_2\text{I}_2$  и 1 г Cu в 15 мл хинолина, выход 50—70%, т. пл. 90° (из эф.-петр. эф.)]; пикрат, т. пл. 172° (из водн.  $\text{CH}_3\text{OH}$ )]. Получить VI циклизацией 4-йод-6-формаминотолуола, т. пл. 129° (из  $\text{CH}_3\text{OH}$ ) не удалось. Из VI, пиперидина и  $\text{CH}_2\text{O}$  получен 4-йод-3-пиперидинометилиндол (VII), т. пл. 178° (разл., из  $\text{CH}_3\text{OH}$ ), пикрат, т. пл. 157—158° (из  $\text{CH}_3\text{OH}$ ), превращенный в неочищ. 4-йодсколатилантоноуксусный эфир [2,4 г  $\text{CH}_3\text{COCH}_2\text{COOC}_2\text{H}_5$ , 0,22 г Na, 10 мл абс. спирта, 2,8 г VII, 1,75 г ( $\text{CH}_3$ )<sub>2</sub> $\text{SO}_4$ , 4 часа,  $\sim 20^\circ$ ], дающий при нагревании с 25 мл 40%-ного р-ра NaOH 4-йодсколатилантон (VIII), т. пл. 103° (из бал.-циклопексана). IV, VI, VIII могут применяться в синтезе соединений ряда эрголина. Все т-ры плавления исправлены.

В. Зарский

**897. Модели энзимов. III. Синтез некоторых новых производных оксидола. Эндлер, Беккер** (Enzyme models. II. Synthesis of some new oxindole derivatives. Endler Abraham S., Becker Ernest I., J. Amer. Chem. Soc., 1955, 77, № 24, 6608—6610 (англ.))

В продолжение работы (см. сообщение II, J. Phys. Chem., 1952, 56, 722) получены 3-( $\alpha,\alpha$ -диметилбензил-имино)-оксидол (I), 3-метил-3-аминооксидол (II), 3-метилоксидол (III), 3-метил-3-оксидоксидол (IV), 1-метил-3-ацетаминиоксидол (V), моноацетил-3-аминооксидол (VI) и заново изучен синтез 3-бензилдиаминиоксидола (VII). Полученные в-ра представляют интерес как органич. катализаторы декарбоксилирования бензоилмуравьиной к-ты. Смесь 34 ммольей изатина, 140 г  $\alpha$ -оксидола, 33 ммольей  $\alpha,\alpha$ -диметилбензиламина, 10 г диметиламина и 30 г  $n$ -бутанола кипятят 2 часа, упаривают до 75 мл, получают I, выход 40%, т. пл. 216—218° (из диоксана-бэл.). 0,224 ммоль  $\alpha$ -нитроацетофенона, 100 мл  $\text{CH}_3\text{OH}$ , 75 мл воды, 0,46 моля  $\text{NH}_4\text{Cl}$ , 0,51 моля  $\text{NH}_4\text{HCO}_3$  и 0,51 моля NaCN встряхивают 14 час. при 60—70°, упаривают до 150 мл, подкисляют до pH 4, разбавляют водой до 250 мл, упаривают до 150 мл, промывают  $\text{C}_6\text{H}_6$ , получают 5-метил-5-(2-нитрофенил)-гидантонин (VIII), выход 68%, т. пл. 193,7—194,7° (из  $\text{CH}_3\text{OH}$ -толуола); VIII гидрируют в  $\text{CH}_3\text{OH}$  в присутствии 5%-ного Pd/C (20—30°,  $\sim 3,5$  ат), получают 5-метил-5-(2-аминофенил)-гидан-

тоин (IX), выход 95%, т. пл. 298—300°. 0,083 моля IX и р-р 0,75 моля NaOH в 400 мл воды кипятят в атмосфере  $N_2$  48 час., нейтрализуют до pH 5, упаривают до 50 мл, извлекают метанолом, упариванием выделяют хлоргидрат II, обрабатывают избытком  $NH_4OH$ , выпаривают досуха, извлекают толуолом II, выход 66%, т. пл. 182,2—183,2° (из бутанола); диалкильное производное  $[(CH_3CO)_2O, CH_3COONa, CH_3COONa]$ , выпаривание досуха при  $\sim 100^\circ$ , выход 67%, т. пл. 191—192° (из толуола); р-р II в  $CH_3OH$  смешивают с  $C_6H_5CHO$  (X), упаривают до 2 мл, растворяют в  $C_6H_6$ , вновь выпаривают, получают 3-бензилденамино-3-метилоксииндол, выход 19%, т. пл. 145,2—146° (из разб.  $CH_3OH$ ). Смесь 0,181 моля *o*-хлорацетофенона, 0,8 моля NaCN, 0,94 моля  $(NH_4)_2CO_3$ , 0,48 моля  $NaHSO_4$ , 0,93 моля  $NaCl$ , 100 мл воды и 150 мл  $CH_3OH$  перемешивают при 20—30° 48 час., получают 5-метил-5-(2-хлорфенил)-гидантоин (XI), выход 61%, т. пл. 200,2—201° (из  $CH_3OH$ -толуола). 0,044 моля XI, 1,8 моля 28%-ного  $NH_4OH$  и 0,035 моля  $CuCl \cdot 2H_2O$  и порошком  $Cu$  образуются 5-метил-5-фенилгидантоин с выходом 62%. Ацетилированием  $[CH_3COOH, CH_3COONa, (CH_3CO)_2O, \sim 20^\circ]$  хлоридата 3-аминооксиндола получен VI, выход 10%, т. пл. 248—249,5° (из *iso*- $C_3H_7OH$ -бэл.). Гидрированием оксима 1-метилизатина в HCl (к-те) с последующим ацетилированием полученного хлоридата 1-метил-3-аминооксиндола получен V, т. пл. 213—214°. Очистка VII (см. J. Organ. Chem., 1951, 16, 1349) осуществлена кипячением с сухим пиридином (30 мл.), разбавлением охлажд. р-ра равным объемом циклогексана, выход  $\sim 20\%$  от неочищ., т. пл. 250—252°. VII получен также нагреванием ( $\sim 100^\circ$ , 1 час) смеси 0,02 моля *n*-толуолсульфоната 3-аминооксиндола, 0,03 моля  $CH_3COONa$  и 0,019 моля X в 100 мл  $CH_3OH$ , выход VII 19%. Кислотный гидролиз VII (2 п. HCl, нагревание с отгонкой) привел к разложению на исходные компоненты X и аминооксиндол.  $\beta$ -Пропионилфенилгидразин циклизуется в присутствии  $CaH_2$  (Brunner K., Monatsch. Chem., 1897, 18, 533), получен III, выход 38—50%, т. кип. 132°/1,5 мм, т. пл. 123,8—124,6° (из толуол-бутанола). Из *o*-ацетиламиноацетофенона, как в случае XI, получают IV, выход 51%, т. пл. 159,5—160,5° (из воды). Л. Яновская

898. О получении гетероауксина. Наметкин С. С., Мельников Н. Н., Бокарев К. С., Ж. прикл. химии, 1956, 29, № 3, 459—463

Изучен процесс получения  $\beta$ -индолуксусной к-ты (I) взаимодействием индола (II) с диазоксусным эфиром (III) с последующим омылением этилового эфира  $\beta$ -индолуксусной к-ты (IV) (Jackson, Manske, Can. J. Res. Sect. B., 1935, 13, 170). Установлено, что лучшими катализаторами р-ции I с II являются  $Cu$  и  $Cu_2Cl_2$ , а лучшим р-рителем — бензин. К кипящему р-ру 0,97 моля II в 250 мл  $C_6H_6$  с 0,1—0,25 г  $Cu_2Cl_2$  прибавляют по каплям р-р 0,97 моля III в 800 мл  $C_6H_6$ , кипятят 1—1,5 часа, по охлаждению фильтруют, р-ритель отгоняют и получают IV, выход 74,5%, т. кип. 213—225°/12 мм. Омылением IV с помощью 16—17%-ной NaOH получают I с выходом 82—90%. Р. Журин

899. О винилпиридине. Профт (Über Vinylpyridine. Profft Elmar), Chem. Technik, 1955, 7, № 9, 511—518 (нем.)

Обзор. Библ. 25 назв. С. Шишкин

900. Реакции 1,3-дихлорбутена-2. II. Синтез 2, 3, 4-триметилпиридина. Лукеш, Гудлицкий, Яну (Reakce 1,3-dichlor-2-butenu II. Synthesa 2,3,4-trimethylpyridinu. Lukeš Rudolf, Hudlický Miloš, Janů Zdeněk), Chem. listy,

1956, 50, № 2, 258—263 (чеш.); Сб. чехосл. хим. работ, 1956, 21, № 1, 140—145 (англ.; рез. русс.)

При действии бензиламина (I) на 1,3-дихлорбутен-2 (II) образуется бис-( $\gamma$ -хлоркритил)-бензиламин (III). Последний при действии конц.  $H_2SO_4$  отщепляет HCl и превращается в *N*-бензил-3-ацетил-4-метил-1, 2, 5, 6-тетрагидропиридин (IV). Перегонка IV при обычном давлении приводит к разложению с образованием 2,3,4-триметилпиридина (V) и толуола, при перегонке хлоргидрата IV получен также V и, кроме того, бензилхлорид. Подобные расщепления с перегруппировкой описаны ранее (Prelog V. и др., Helv. chim. acta, 1942, 25, 1654). К 1 молю I в 360 мл воды + 3 моля NaOH за 20 мин. при 42° прибавили 2 моля II, повысили т-ру в течение 3,5 часа до 98° и перемешивали 4,5 часа. При этой т-ре получили III, выход 67%, т. кип. 123,5—133,5°/1,2—1,7 мм; пикрат, т. пл. 132—133° (из сп.). Прибавили по каплям 0,5 моля III к 150 мл 96%-ной  $H_2SO_4$  при 80°, нагревали и пропускали воздух (для удаления HCl) в течение 6 час., при этой же т-ре вылили на лед, подщелочили, извлекли  $C_6H_6$ , выделили в виде пикрата IV, выход 29,5%, т. пл. 146—146,2° (из сп.). Из пикрата выделен IV, т. кип. 131°/0,2 мм,  $n_D^{20} 1,5519$ ,  $d_4^{20} 1,0492$ ,  $M_R 69,82$ . Перегонка IV при 115—400° дала V, выход 34%, т. кип. 188,5—189,5°/740 мм,  $n_D^{20} 1,5151$ ,  $n_D^{22} 1,5138$ ,  $d_4^{20} 0,9543$  ( $n_D$  сильно снижается при продолжительном стоянии V на воздухе, ввиду сильной гигроскопичности V, чем объясняется разноречивость в физ. константах в литературе). V получен с выходом 47,6% перегонкой IV с 3% HCl (газ); из хлоргидрата IV с выходом 65,2% — V, пикрат, т. пл. 163,5—164° (из воды или сп.), пикролат, т. пл. 242—243° (из сп.), стифнат (кислый), т. пл. 171—173,5° (из сп.); т-ра плавления зависит от скорости нагревания). Сообщение I см. Chem. listy, 1951, 45, 452. Jaromír Plešek

901. Сравнительная реакционная способность метильных групп бензологов 4-метилпиридина. Михайлов Б. М., Тер-Саркисян Г. С., Изв. АН СССР, Отд. хим. н., 1954, № 5, 846—853

Изучена реакционная способность  $CH_3$ -группы  $\gamma$ -никотина (I), лепидина (II), 5,6-бензалепидина (III), 7,8-бензалепидина (IV), 9-метилакридина (V), 9-метил-1,2-бензакридина (VI), 9-метил-3,4-бензакридина (VII), 9-метил-1,2,7,8-дибензакридина (VIII), 9-метил-3,4,5,6-дибензакридина (IX) в р-ции конденсации с  $m-O_2NC_6H_4CHO$  (X). Установлено, что способность исследованных соединений к данной р-ции выражается рядами  $I > II > III > IV$  и  $V > VII > VI > VIII > IX$  и показано, таким образом, что подвижность водорода в  $CH_3$ -группе бензологов I зависит как от числа, так и от положения связанных с молекулой пиридина бензольных циклов. Смесь 0,19 моля  $\beta$ ,  $\beta$ -динафтиламина, 0,19 моля  $(CH_3CO)_2O$  (XI) и 26 г безводн.  $ZnCl_2$  нагревают 5 час. при 185—190°, отгоняют  $CH_3COOH$ , нагревают 30 мин. при 250—260°, многократно обрабатывают 10%-ной  $H_2SO_4$  и нейтрализуют 25%-ным  $NH_4OH$ ; получают VIII, выход 46,8% (неочищ.), т. пл. 180—183° (последовательно из бэл., этилацетата, сп.). При хроматографировании неочищ. VIII выделен его изомер с т. пл. 215—216°. Смесь 2,7 ммоль I, 2,7 ммоль II и 5 ммоль XI нагревают в запаянной трубке 1,5 часа при 150—153°, растворяют в 20 мл,  $C_6H_6$ , обрабатывают 30 мл 6*n* HCl; из солянокислого р-ра при нейтр-ции выделяют 4-(*m*-нитрофенил)-пиридин (выход 48,2%), из бензольного р-ра — неводный в р-цию II в виде семикарбазона; 47,85%, считая на взятый в р-цию II). В аналогичных условиях произведена конденсация названных выше бензологов I с X, а также I и II с  $m-O_2NC_6H_4CHO$ . Смесь 2,2 ммоль хлоргидрата III, 2,2 моля X и 1,5 мл XI кипятят 3 часа, добавляют по охлаждению 10 мл

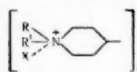


воды, подщелачивают 25%-ным  $\text{NH}_4\text{OH}$ , осадок промывают 2 раза (по 3 мл) спиртом; получают *м*-нитробензилден-5,6-бензепидин, выход 30%, т. пл. 168—169° (из сп.). Аналогичным образом синтезированы *п*-диметиламинобензилден-5,6-бензепидин, выход 26,9%, т. пл. 170,5—171,5° (из сп.), *м*-нитробензилден-7,8-бензепидин, выход 21,8%, т. пл. 155—157° (последовательно из  $\text{CH}_3\text{OH}$  и сп.), и 9-(*п*-диметиламиностирил)-2-метилакридин, выход 94% (неочищ.), т. пл. 225—226° (последовательно из  $\text{CH}_3\text{OH}$  и смеси бэл. с петр. эф.). Конденсация V с X при облучении УФ-светом приводит к  $\alpha$ -(*м*-нитрофенил)-3-(9-акридил)-этанолу (XII): смесь 7 ммоль V, 7 ммоль X и 14 мл  $\text{C}_6\text{H}_6$  облучают 100 час. УФ-светом в атмосфере  $\text{N}_2$ ; выход XII 54%, т. пл. 146,5—147,5° (последовательно из бэл. и диоксана). В аналогичных условиях произведена конденсация X с II, III и VI.

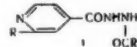
А. Травин  
902. Синтез гипотензивных соединений. III. Некоторые 4,4'-дипиридины. Филлипс, Ментха (Synthetic hypotensive agents. III. Some 4,4'-bipiperidines. Phillips Arthur P., Menthha John, J. Amer. Chem. Soc., 1955, 77, № 23, 6393—6395 (англ.))

В продолжение работы по поискам синтетич. ганглиоблокирующих средств (см. сообщение II, РЖХим, 1956, 6819) осуществлен синтез ряда производных дипиридила общей ф-лы (I). Получение I проведено двумя способами. По первому — 4,4'-дипиридил (II) подвергают каталитич. гидрированию до 4,4'-дипиридила (III), посредством  $\text{CH}_3\text{O}$  и  $\text{HCOOH}$  в  $\text{N}$ ,  $\text{N}'$ -диметил-4,4'-дипиридил (IV), действием галогенных алкилов на который получают I. По второму — II превращают в четвертичную соль, гидрируют ее до IV и его гомологов соответственно действием  $\text{CH}_3\text{J}$ , на которые получают I. Для сравнения синтезирован ряд четвертичных солей  $\text{N}$ -метилдипиридина (V). Физиологич. испытания показали, что I не обладают ганглиоблокирующим действием. Р-р II и 4 ммоль  $\text{CH}_3\text{J}$  в  $\text{CH}_3\text{OH}$  кипятят 20 час., охлаждают и получают дийодметилат II (VI), выход >90%, т. пл. >330° (из водн. ацетона). Из метанольного маточного р-ра выделяют дипиридил дийодметилат II, выход 2%, т. пл. 221—222° (из  $\text{CH}_3\text{OH}$ ). Аналогично получают дийодэтиллат, выход 80—90%, т. пл. 273—274° (из водн. ацетона и  $\text{CH}_3\text{OH}$ ), и дипиридил дийодэтиллат II, выход 2%, т. пл. 208—209° (из  $\text{CH}_3\text{OH}$ ). В результате гидрирования II в водн.  $\text{CH}_3\text{OH}$  над Pt (из  $\text{PtO}_2$ ) в присутствии  $\text{HCl}$  (~20°, 4 ат) получают дихлоргидрат III, выход >90%, т. пл. >310°; основание, т. пл. 167—168°, 0,01 моля VI в 150 мл воды гидрируют над 0,2 г  $\text{PtO}_2$  при 3—4 ат и получают I ( $\text{R}=\text{CH}_3$ ,  $\text{R}'\text{X}=\text{HJ}$ ), выход 100%, т. пл. 304—305° (из  $\text{CH}_3\text{OH}$  и  $\text{CH}_3\text{OH}$ -этилацетата). Смесь 0,05 моля III, 10 мл 98%-ной  $\text{HCOOH}$  и 10 мл 37%-ного  $\text{CH}_2\text{O}$  нагревают при ~100° 3—4 часа, вносят еще по 5 мл  $\text{HCOOH}$  и  $\text{CH}_2\text{O}$ , нагревают 1 час, добавляют 100 мл  $\text{CH}_3\text{OH}$ , 15—20 мл конц.  $\text{HCl}$ , упаривают досуха и получают I ( $\text{R}=\text{CH}_3$ ,  $\text{R}'\text{X}=\text{HCl}$ ), т. пл. 320—322° (из  $\text{CH}_3\text{OH}$  и сп.). Взаимодействием основания с  $\text{RX}$  в  $\text{CH}_3\text{OH}$  получены I, выход >90% (приводятся  $\text{R}$ ,  $\text{R}'\text{X}$ , т. пл. в °C):  $\text{CH}_3$ ,  $\text{CH}_3\text{J}$ , 320 (из водн. ацетона) (Ia);  $\text{CH}_3$ ,  $\text{C}_2\text{H}_5\text{J}$ , 293—295 (из сп.) (Iб);  $\text{CH}_3$ ,  $\text{n-C}_4\text{H}_9\text{J}$ , 218—219 (из  $\text{CH}_3\text{OH}$ ). Ia и Iб получают также вторым способом. Кроме того, из дийодэтиллата II получают I ( $\text{R}=\text{C}_2\text{H}_5$ ,  $\text{R}'\text{X}=\text{HJ}$ ), выход >90%, т. пл. 312—314° (из  $\text{CH}_3\text{OH}$ ). Получены также V (основание), т. пл. 211—212° (из сп.-эф.); йодметилат, т. пл. 340° (из  $\text{CH}_3\text{OH}$ -эф.); йодэтиллат, т. пл. 304—305° (из  $\text{CH}_3\text{OH}$ -эф.), и *н*-йодпропилат, т. пл. 179—180° (из сп.-эф.).

Ю. Волькенштейн



I



### 903. Химиотерапия экспериментального туберкулеза.

IV. Аминокислотные производные гидразида изоникотиновой кислоты и гидразида 2-метилизоникотиновой кислоты. Винтерштейн, Хегелюш, Фуст, Бёни, Штудер (Chemotherapie der experimentellen Tuberkulose IV. Aminosäure-Derivate des Isonicotinsäurehydrazids und des 2-Methyl-isonicotinsäurehydrazids. Winterstein A., Hegedüs B., Fust B., Böhni E., Studer A.), Helv. chim. acta, 1956, 39, № 1, 229—248 (нем.; рез. англ.)

Производные изоникотиновой к-ты ( $\text{I}$ ,  $\text{R}'=\text{ацил}$ ) синтезированы тремя методами: 1) р-цией гидразидов ацилированных аминокислот с хлоргидратом хлорангидрида изоникотиновой к-ты (II) или 2-метилизоникотиновой к-ты; 2) взаимодействием хлорангидридов ациламино-кислот с гидразидом изоникотиновой к-ты (III) или 2-метилизоникотиновой к-ты (IV); 3) р-цией S-эфиров ацилированных тиаминокислот с III. При попытке синтеза I ( $\text{R}'=\text{ацил}$ ) из III и азида ацетил-*dl*-метионина (V, к-та) или азида ацетил-*dl*-триптофана (VI) получены (вероятно, вследствие перегруппировки VI и азида V в изонанаты) соответственно 1-изоникотинил-4-(1-ацетамино-3-метилмеркаптопропил)-семикарбазид (VII) и 1-изоникотинил-4-(1-ацетамино-2-(3-индолил)-этил)-семикарбазид (VIII). При гидролизе I ( $\text{R}=\text{H}$ ,  $\text{R}'=\text{COOCH}_2\text{C}_6\text{H}_5$ ) над  $\text{PhS}$  получены I ( $\text{R}=\text{R}'=\text{H}$ ). Не удалось провести гидролиз 1-изоникотинил-2-(*N*-карбобензоксид-метионил)-гидразина и 1-изоникотинил-2-(*N*-карбобензоксид-S-бензил-L-цистеил)-гидразина; при попытке отщепления в них карбобензоксигруппы действием  $\text{Na}$  в жидком  $\text{NH}_3$  образуются неидентифицируемые продукты, причем, вероятно, происходит отщепление  $\text{CH}_3\text{S}$ -группы. Кипячением (2 дня) смеси 270 г гиппуровой к-ты, 600 мл  $\text{C}_6\text{H}_6$ , 500 мл спирта и 2 г  $\text{n-C}_4\text{H}_9\text{SO}_3\text{H}$  получают этиловый эфир, выход 88%, т. пл. 66—67°. Аналогично получают этиловый эфир ацетил-*dl*-фенилаланина, т. пл. 64—68°. Р-р 750 г гликокола в 7,5 л спирта, насыщ.  $\text{HCl}$  (газом), кипятят 6—7 час., упаривают в вакууме досуха, остаток растворяют в 3 л  $(\text{CH}_3\text{CO})_2\text{O}$  при 70—80°, добавляют 900 г безвод.  $\text{CH}_3\text{COONa}$  (60—70°), оставляют из 12 час. при ~20° и отфильтровывают этиловый эфир ацетуровой к-ты, выход 65—70%, т. кип. 140—145/12 мм. Подобным образом получают этиловые эфиры ациламино-кислот общей ф-лы  $\text{C}_6\text{H}_5\text{NHCOR}'$  (IX) (последовательно указаны  $\text{R}$ ,  $\text{R}'$ , конфигурация, т. кип. в °C/мм, т. пл. в °C,  $[\alpha]_D$ ):  $\text{CH}_3\text{CH}_2$ ,  $\text{CH}_3$ , *dl* (IXa), 120—125°/10, —, —,  $\text{CH}_3\text{CH}_2$ ,  $\text{CH}_3$ , *l*, 80/0,1, —, —80° (с 3; вода) (—54° (без р-рителя);  $\text{CH}_3\text{CH}_2$ ,  $\text{CH}_3$ , *d*, 80/0,1, —, +82° (с 3; вода) (+53 (без р-рителя);  $\text{CH}_3\text{CH}_2\text{CH}(\text{CH}_3)_2$ ,  $\text{CH}_3$ , *dl*, 110—115/0,1, 58, —;  $\text{CH}_3\text{CH}_2\text{CH}(\text{CH}_3)_2$ ,  $\text{CH}_3$ , *l*, 95—100/0,04, —, +43,9° (с 1; сп.);  $\text{CH}_3\text{CH}_2\text{CH}(\text{CH}_3)_2$ ,  $\text{CH}_3$ , *d*, 100/0,05, —, +42,5° (с 1; сп.);  $\text{CH}_3\text{CH}_2\text{CH}_2\text{SCH}_3$ ,  $\text{CH}_3$ , *dl*, 132/0,2, 59, —;  $\text{CH}_3\text{CH}_2\text{CH}_2\text{SCH}_3$ ,  $\text{CH}_3$ , *l*, 126/0,5, —, —35° (с 1; вода);  $\text{CH}_3\text{CH}_2\text{CH}_2\text{SCH}_3$ ,  $\text{CH}_3$ , *d*, 122/0,2, —, 39,1° (с 1; вода);  $\text{CH}_3\text{CH}_2\text{CH}_2\text{SCH}_2\text{CH}_3$ ,  $\text{CH}_3$ , *dl*, 128/0,03, —, —;  $\text{CH}_3\text{CH}_2\text{CH}_2\text{OCH}_3$ ,  $\text{CH}_3$ , *dl*, 126—128/0,4, —, —;  $\text{CH}_2\text{CH}_2$ ,  $\text{CH}_3$  (IXб), 115/0,02. Смесь 53 г IXa 150 мл абс. спирта и 30 мл 65%-ного гидразингидрата (X) кипятят 4 часа, выпаривают в вакууме, добавляют 100 мл абс. спирта, упаривают досуха в вакууме; получают гидразид ацетил-*dl*-α-аланина (XI), выход 79%, т. пл. 135—136° (из диоксана (XII)). Аналогично из 113 г IXб, 100 мл абс. спирта и 65 мл 65%-ного X (оставляют на 12 час.) получают гидразид ацетил-3-аланина, выход 85%, т. пл. 110—112° (из XII). Из соответствующих этиловых эфиров получены гидразиды общей ф-лы  $\text{H}_2\text{NNHC(O)R} - \text{NHCOR}'$  (XIII) (последовательно указаны  $\text{R}$ ,  $\text{R}'$ , конфигурация, т. пл. в °C,  $[\alpha]_D$  (с 1, вода):  $\text{CH}_2$ ,  $\text{CH}_3$ , —, 103—106 (из XII), —;  $\text{CH}_2$ ,  $\text{C}_6\text{H}_5$ , —,

менять производные тиогликолевой к-ты: р-з XV (из 95 г V), 35 мл HSClCH<sub>2</sub>COOH, 70 мл (C<sub>2</sub>H<sub>5</sub>)<sub>3</sub>N в 50 мл HCON(CH<sub>3</sub>)<sub>2</sub> (12 час., 20°) получают 8-ацетил-*dl*-меттионил-тиогликолевую к-ту, выход 31%, т. пл. 125–128° (из CH<sub>3</sub>COOC<sub>2</sub>H<sub>5</sub>), из которой при р-ции с III получают **Ik**. К смеси 20,5 г XIIIa, 300 мл ледяной воды, 15 мл конц. HCl в 250 мл CH<sub>3</sub>COOC<sub>2</sub>H<sub>5</sub> прибавляют в 3–4 приема р-р 7 г NaNO<sub>2</sub> в 30 мл воды, к органич. слою постепенно прибавляют 13,6 г III, через 12 час. при ~20° выделяют 9–10 г VII, т. пл. 196–197° (из воды). Смесь 40 г этилового эфира ацетил-*dl*-триптофана и 15 мл 70%-ного H<sub>2</sub> нагревают 30 мин. при 100°, добавляют 100 мл спирта, кипятят 30 мин., получают 29 г гидразида ацетил-*dl*-триптофана (XVII), т. пл. 218–220°; 26 г XVII превращают, как описано выше, в VI, при р-ции VI с III получают 7 г VIII, т. пл. 204–206°. К р-ру 25 г N-(1 или 3)-бензил-*l*-гистидина в 5 г NaOH в 120 мл воды прибавляют одновременно 21 г ~80%-ного C<sub>6</sub>H<sub>5</sub>CH<sub>2</sub>OSOC<sub>2</sub>Cl и р-р 5 г NaOH в 100 мл воды, перемешивают 3 часа, осадок промывают водой, перемешивают 24 часа при ~20° с 800 мл 10%-ной CH<sub>3</sub>COOH; получают N-(α)-карбобензоксиг-N-(1 или 3)-бензил-*l*-гистидин, выход 42%, т. пл. 212–213° (из HCON(CH<sub>3</sub>)<sub>2</sub>), [α]<sub>D</sub><sup>20</sup> D = -16,3° (с 2; 1 н. HCl). К р-ру 103 г H<sub>2</sub>NCH<sub>2</sub>CH<sub>2</sub>CH<sub>2</sub>COOH и 45 г NaOH в 500 мл воды одновременно прибавляют 200 г C<sub>6</sub>H<sub>5</sub>CH<sub>2</sub>OSOC<sub>2</sub>Cl и р-р 45 г NaOH в 500 мл воды, перемешивают 3 часа, экстрагируют эфиром, водн. р-р подкисляют конц. HCl, получают N-карбобензоксиг-γ-аминомасляную к-ту, выход 53%, т. пл. 66–67° (из CCl<sub>4</sub>). Аналогично получают и другие N-карбобензоксигаминокислоты общей ф-лы HOOC—R—NHCOOCH<sub>2</sub>C<sub>6</sub>H<sub>5</sub> (XVIII) (последовательно указаны R, конфигурация, т. пл. в °C, [α]<sub>D</sub>): CH<sub>2</sub>—, 120 (из CCl<sub>4</sub>), —; CHSCH<sub>3</sub>, *dl* (XVIIIa), 112–114 (из CCl<sub>4</sub>), —; CHSCH<sub>3</sub>, *l*, 84–86 (из CH<sub>3</sub>COOC<sub>2</sub>H<sub>5</sub>), -14,8° (с 1; лед. CH<sub>3</sub>COOH); CHSCH<sub>3</sub>, *d*, 84–86 (из CH<sub>3</sub>COOC<sub>2</sub>H<sub>5</sub>), +15,4° (с 1; лед. CH<sub>3</sub>COOH); CHSCH<sub>2</sub>CH(CH<sub>3</sub>)<sub>2</sub>, *dl*, масло, —; CHSCH<sub>2</sub>C<sub>6</sub>H<sub>5</sub>, *dl*, 103 (из CCl<sub>4</sub>), —; (CHSCH<sub>2</sub>)<sub>2</sub>NHCOOCH<sub>2</sub>C<sub>6</sub>H<sub>5</sub>, *l*, масло, —; CHSCH<sub>2</sub>SCH<sub>3</sub>, *dl*, 110–112 (из CCl<sub>4</sub>), —; CHSCH<sub>2</sub>SCH<sub>2</sub>C<sub>6</sub>H<sub>5</sub>, *l*, 92–94 (из CCl<sub>4</sub>), -40,5° (с 2; сп.); CHSCH<sub>2</sub>—, —, 111–113 (из CCl<sub>4</sub>), —. К р-ру 33,4 г XVIIIa в 16,8 мл (C<sub>2</sub>H<sub>5</sub>)<sub>3</sub>N в 300 мл CHCl<sub>3</sub> прибавляют за 10–15 мин. 14,4 мл C<sub>6</sub>H<sub>5</sub>OSOC<sub>2</sub>Cl, затем за 10 мин. 20,4 г III, перемешивают 2 часа при ~20°, встряхивают с 2 н. HCl (2×150 мл), кислый р-р экстрагируют эфиром, подщелачивают NaOH до pH 5–5,2; получают 1-изоникотинил-2-(N-карбобензоксиг-*dl*-α-аланин)-гидразин, т. пл. 192–194° (из воды). Аналогично получают другие I (R = H, R' = COOCH<sub>2</sub>C<sub>6</sub>H<sub>5</sub>) (последовательно показаны R', конфигурация, т. пл. в °C, [α]<sub>D</sub>): CH<sub>2</sub>—, —, (Ia), 159–160 (из воды), —; CHSCH<sub>3</sub>, *l*, 197–198 (из сп.), -43,3° (с 1; 1 н. HCl); CHSCH<sub>3</sub>, *d*, 200–201 (из сп.), +44° (с 1; 1 н. HCl); CHSCH<sub>2</sub>CH(CH<sub>3</sub>)<sub>2</sub>, *dl*, 161–163 (из ацетона); CHSCH<sub>2</sub>C<sub>6</sub>H<sub>5</sub>, *dl*, 183–185 (из ацетона), —; CH(CH<sub>2</sub>)<sub>2</sub>NHCOOCH<sub>2</sub>C<sub>6</sub>H<sub>5</sub>, *l*, 166–168 (из сп.), -10,8° (с 1; HCON(CH<sub>3</sub>)<sub>2</sub>); CHSCH<sub>2</sub>CH<sub>2</sub>SCH<sub>3</sub>, *dl*, 124–127 (из CH<sub>3</sub>OH), —; CHSCH<sub>2</sub>SCH<sub>2</sub>C<sub>6</sub>H<sub>5</sub>, *l*, (Ib), 168–170 (из сп.), -16,8° (с 1; HCON(CH<sub>3</sub>)<sub>2</sub>); CHSCH<sub>2</sub>—, —, 162–163 (из воды), —; CH<sub>2</sub>CH<sub>2</sub>CH<sub>2</sub>—, —, 150–151 (из сп.), —. Суспензия 20 г I (R = H, R' = COOCH<sub>2</sub>C<sub>6</sub>H<sub>5</sub>, R' = CH(CH<sub>2</sub>)<sub>2</sub>NHCOOCH<sub>2</sub>C<sub>6</sub>H<sub>5</sub>) в 1 л 3 н. HCl гидрируют 14 час. в присутствии 400 мг Pd-черни, р-р упаривают в вакууме, добавляют 200 мл абс. спирта, получают I (R = R' = H, R' = CH(CH<sub>2</sub>)<sub>2</sub>NH<sub>2</sub>), выход 61%, т. пл. 260–265° (из сп.), [α]<sub>D</sub><sup>20</sup> D +37,4° (с 1; вода). Аналогично получают другие I (R = R' = H) (последовательно указаны R', конфигурация, т. пл. в °C (из сп.), [α]<sub>D</sub><sup>20</sup> D (с 1; вода)): CHSCH<sub>3</sub>, *l*, 230–234, +24,8°; CHSCH<sub>3</sub>, *d* (Ic), 244–246, -25°; CHSCH<sub>2</sub>CH(CH<sub>3</sub>)<sub>2</sub>, *dl*, 210–215, —; CHSCH<sub>2</sub>C<sub>6</sub>H<sub>5</sub>, *dl*, 235–235, —; CH<sub>2</sub>CH<sub>2</sub>—, —, 240–241, —; CH<sub>2</sub>CH<sub>2</sub>CH<sub>2</sub>—, —, 214–217, —. Р-р 25 г Ib в 500 мл XII, 250 мл спирта и 250 мл воды гидрируют 12–14 часа,

присутствии 400 мг Рb-черни, р-р упаривают до ~100 мл, оставляют на 12 час. в холодильнике, получают 9,2 г I ( $R=R'=H$ ,  $R'=CH_3$  (In), т. пл. 212—214° (из воды); аналогично из I ( $R=H$ ,  $R'=CHCH_3$ ,  $R'=COOCH_2C_6H_5$ , dl) получают I ( $R=R'=H$ ,  $R'=CHCH_3$ , т. пл. 199—200° (из воды). Активность против эксперим. туберкулеза у Ib, Ic, In и Ip примерно такая же, как у «изониазида», у большинства других в 2—3 раза меньше. Из Ib значительно менее активны, чем их l и dl-формы. В то же время почти нет различия в активности d, l и dl-форм у Ia и Ik. Активность Iv в 5—10 раз больше, чем активность Io. В остальных случаях различия между I ( $R'=алл$ ) и I ( $R'=H$ ) незначительны. Ic, Id, Ie, If и Ig имеют очень низкую токсичность. Сообщение III см. РЖХим, 1956, 58073. Г. Швехгеймер

**904. Синтез веществ, обладающих спазмолитическим действием. Часть III. Химия «спазмонала» — нового синтетического спазмолитического средства. Вундерлих** (Über die Synthese spasmolytisch wirksamer Substanzen. Teil III. Über die Chemie von Spasmonal, einem neuen synthetischen Spasmolyticum. Wunderlich H.), Pharmazie, 1956, 11, № 3, 201—205 (нем.)

Описан синтез β-пиперидиноэтилового эфира α-фенил-α-пиперидиноуксусной к-ты (I) по схеме:  $C_6H_5CH_2COONa$  (II) —  $C_6H_5CHBrCOONa$  —  $C_6H_5CHBrCOCl$  —  $C_6H_5CHBrCOOC_2H_5$  —  $C_6H_5CH(NC_5H_9)COOC_2H_5$  (III, к-та — IV) — I, без выделения промежуточных продуктов. К 87 г II, содержащей следы  $PCl_5$ , прибавляют при 85—90° каплями 113 г  $Br_2$ , вносят после бромирования при той же т-ре 91 г  $SOCl_2$ , размешивают до окончания р-ции и прибавляют каплями 60 г спирта; после этерификации отгоняют в вакууме избыток спирта, добавляют 80 г толуола (V), 109 г пиперидина (VI) и 60 г  $K_2CO_3$ , выдерживают при 90°, отгоняют  $KBr$ , отгоняют V и VI, прибавляют к неочищ. III ~300 г β-пиперидиноэтанола (VII), содержащего в р-ре 5 г металлич. Na, размешивают 40 час. при 90°, отгоняют избыток VII в вакууме при 140°, остаток обрабатывают смесью V и воды; из высушенного толуольногор-рапергонкой получают I, выход 48—50% (на II), т. кип. 178°/1 мм, 183—184°/1,5 мм, 197°/2,5 мм, 217—218°/5 мм, 227—228°/10 мм,  $n_D^{20}$  1,5289,  $n_D^{25}$  1,5269,  $n_D^{28}$  1,5249; дихлоргидрат («спазмонал») (VIII), т. пл. 212—214° (из *изо*- $C_3H_7OH$ ); дибромгидрат, т. пл. 226—228° (из сп.); дигидогидрат, т. пл. 194—196° (из сп.); оксалат, т. пл. 175—176° (из сп.); d-камфорсульфонат, т. пл. 208—209° (из сп.); монобромметилат, т. пл. 183—184° (из сп.); моноидометилат, т. пл. 164—165° (из сп.); монобромэтилат, т. пл. 112—114° (из сп.); моноидэтлат, т. пл. 121—123° (из сп.); монобромаллилат, т. пл. 132—134° (из сп.); монобромкритилат, т. пл. 136—138° (из сп.). Взаимодействием IV с  $(ClCH_2CH_2)_2NCH_3$  синтезирован «бис-спазмонал» ( $(C_6H_5CH(NC_5H_9)COOC_2H_5)_2NCH_3$ ), т. кип. 255—259°/0,01 мм, оксалат, т. пл. 170—172°, обладающий сильным спазмолитич. действием. Изучена кинетика гидролиза водн. и метанольных р-ров I в присутствии KOH при 20 и 60°, приведены соответствующие кривые при 20 и 60°. При гидролизе I получена IV, выход 90—95%, т. пл. 212—214° (из *изо*- $C_3H_7OH$ ). Приведена кривая растворимости VIII в *изо*- $C_3H_7OH$ . Часть II см. РЖХим, 1955, 55116. А. Гуревич

**905. Выделение чистого хинолина из реакционной смеси при реакции Скраупа путем дробной перегонки в вакууме. Уэндленд, Райан** (Separation of pure quinoline from Skraup's synthesis mixture by fractional distillation in vacuum. Wendland R. A., Ryan Robert), Chemist Analyst, 1956, 45, № 1, 18—19 (англ.)

Показано, что благодаря значительному различию между т-рами кипения анилина (I) и хинолина (II) при

уменьшенном давлении (122°/110 мм и 165°/110 мм соответственно) смесь I и II, получаемую при р-ции Скраупа, возможно разделить посредством вакуум-перегонки с хорошей колонкой. Смесь 50 г  $H_3BO_3$ , 240 мл глицирина, 28 г  $FeSO_4 \cdot 7H_2O$ , 76 г I и 59 г  $C_6H_5NO_2$  кипятят 10 час.; смесь I и II, полученную при отгонке с паром (вместе с бензольным экстрактом водн. слои) высушивают над  $MgSO_4$  и трижды перегоняют в вакууме для удаления большей части  $C_6H_6$ . Получают 342 г смеси, которую подвергают фракционированию при 110 мм на колонке высотой 76 см, соответствующей 15 теоретич. тарелкам, контролируя каждую фракцию на содержание I. 3-я и 4-я фракции, перегоняющиеся соответственно при 170—171°/110 мм и 171°/110 мм и представляющие собой чистый II, составляют вместе 235,5 г, т. е. 74,5% от теории (считая на I). Вместе с 2-й фракцией (147—170°/110 мм, 50 г), содержащей очень малое кол-во I, выход II достигает 90%. Выделение II в таком же опыте, основанное на предварительном отделении I в виде *n*-толуолсульфонатида, дает выход 73%. А. Травин

**906. Синтез иона 4-метилдегидрохинолиния и родственных соединений. Бокелхейд, Росс** (A synthesis of the 4-methyldehydroquinolinium ion and related compounds. Boekelheide V., Ross J. M.), J. Amer. Chem. Soc., 1955, 77, № 21, 5691—5693 (англ.)

Разработанный ранее (РЖХим, 1955, 16366) способ получения иона дегидрохинолиния (I) улучшен в последней стадии дегидрирования иона 3Н,4Н-хинолиния (II) и применен для синтеза 4-метил-I (III). 4-этоксип-1-[α-(6-метилпиридил)]-бутанол-2 (IV) получен известным методом (Синтезы органич. препаратов, М., Изд-во ин. лит., 1952, сб. 3, 278) из 6-метил-α-пикколиллития и β-этоксипропионового альдегида; выход 47%, т. кип. 135—137°/3 мм,  $n_D^{20}$  1,5009. Смесь 19 г IV и 100 мг 47%-ной HJ кипятят 4 часа, р-р упаривают в вакууме, остаток растворяют в воде, нейтрализуют 10%-ным р-ром  $K_2CO_3$  и извлекают  $CHCl_3$ , получают йодистый 2-оксис-6-метил-1,2-дигидро-II (V), выход 61%, т. пл. 174—175° (из сп.-этилацетата). Применяя 48%-ную HBr, аналогично получают с выходом 53% соответствующий бромид (Va), т. пл. 174—175°; пикрат, т. пл. 172—173° (из сп.). Р-р 3 г V в 17 мл  $(CH_3CO)_2O$  с 1 каплей конц.  $H_2SO_4$  кипятят 5 мин. и добавлением 30 мл этилацетата выделяют йодистый 6-метил-II (VI), выход 98%, т. пл. 204—205° (из абс. сп. + 1 капля HJ). Аналогично и с тем же выходом получают соответствующий бромид (VIa), т. пл. 198—199° (из сп.-этилацетата); пикрат (VIb), т. пл. 134,5—135° (из сп.). Смесь 250 мг VIb, 7 мл  $C_6H_5NO_2$  и Pt (из 50 мг  $PtO_2$ ) кипятят 1 час в атмосфере  $N_2$ , отфильтровывают катализатор, добавляют 100 мл  $C_6H_6$ , отгоняют смолу и из фильтрата добавлением 120 мл эфира выделяют пикрат III (IIIa), выход 42%, т. пл. 135—135,5° (из воды). IIIa превращают в бромид III (IIIb) на колонке с Амберлитом IRA-400, 170 мг IIIb в 25 мл абс. спирта гидрируют над 50 мг  $PtO_2$  (5 молей  $H_2$ , 7 час., ~20°, 1 атм); получают пикрат 4-метилхинолиния, т. пл. 191—193° (из сп.). Бромистый 2-оксис-1,2-дигидро-II (VII) получают аналогично Va из 4-этоксип-1-(α-пиридил)-бутанола-2, выход 42%, т. пл. 169—170° (из сп.-этилацетата). Бромистый II получают аналогично VIa из VII с колич. выходом, т. пл. 207—208° (из сп.-этилацетата); пикрат II (IIa), т. пл. 133—133,5° (из сп.). К 104 мг йодистого II в 2 мл  $CH_3COOH$  прибавляют по каплям 3,3 мл 2%-ного р-ра  $Br_2$  в  $CH_3COOH$ ; получают йодистый 1,2-дигидро-1,2-дигидро-II (VIII), выход 86%, т. пл. 141,5—142,5° (из сп.). Смесь 600 мг VIII и 5 мл γ-коллидина нагревают 30 мин. при ~100° и из осадка дробной кристаллизацией получают йодистый I, выход 21%, т. пл. 206—212° (из сп.-этилацетата).



Смесь 800 мг **IIa**, 60 мл  $n\text{-C}_4\text{H}_9\text{OH}$  и 160 мг 10%-ного  $\text{Pd/C}$  кипятят 3 часа, фильтруют и получают пикрат **I** (**IIa**), выход 34%, т. пл. 180—181° (из сп.). Другие способы дегидрирования **II** (действие хлоранила,  $\text{SeO}_2$ ,  $\text{O}_2$ , в присутствии  $\text{Pt}$  или действие  $(\text{C}_2\text{H}_5)_3\text{N}$  на бромированные при помощи  $\text{N}$ -бромсукцинимиды соли **II**) дают более низкие выходы **I**. Приведены УФ-спектры **Ia** и **IIIa**.

А. Белоцветов

907. Конденсация окиси этилена с анилином над окисью свинца. Моргул Г. Е., Малиновский М. С., Наук. зап. Львовск. ун-ту, 1955, 34, вып. 4, 110—114.

При конденсации окиси этилена (**I**) с  $\text{C}_6\text{H}_5\text{NH}_2$  (**II**) на  $\text{PbO}$  при  $t$ -ре 420—440° образуются хинолиновые основания, среди которых главным продуктом является хиналидин, т. кип. 247° (пикрат, т. пл. 191—192°, продукт конденсации с  $\text{Cl}_3\text{CCOONa}$ , т. пл. 63°, с  $\text{C}_6\text{H}_5\text{CHO}$ , т. пл. 99°), с примесью небольшого кол-ва 6-метилхинолина (пикрат, т. пл. 186—187°), образование которого авторы объясняют изомеризацией кротонового альдегида (получаемого из **I**, через  $\text{CH}_3\text{CHO}$ ) в метакриловый альдегид и конденсацией последнего со **II**. При конденсации **I** со **II** над  $\text{FeO}$  шестичленные гетероциклы не образуются.  $\text{FeO}$  благоприятствует образованию кольца пиррола: выделен  $\alpha$ -фенилпиррол (**III**) (т. кип. 271—272°, т. пл. 129° (из сп.)), образование которого, по-видимому, протекает по схеме:  $\text{I} + \text{II} \xrightarrow{\text{FeO}} \text{C}_6\text{H}_5\text{N}(\text{CH}=\text{CH}_2)\text{C}_2\text{H}_5 \rightarrow \text{N}$ -фенилпиррол  $\rightarrow$  **III**.

В. Зарецкий

908. Синтез цианиновых красителей конденсацией  $n$ -диалкиламинобензальдегида с некоторыми гетероцическими соединениями. Часть VI. Доджа, Синха (Synthesis of cyanine dyes by the condensation of  $n$ -dialkylaminobenzaldehyde with appropriate heterocyclic compounds. Part VI. D o j a M. Q., Sinha A. R. Kumar, J. Indian Chem. Soc., 1956, 33, № 3, 183—188 (англ.))

Конденсацией  $n$ -диметиламино-(**I**),  $n$ -диэтиламинобензальдегида (**II**) с йодэтитами (**III**), 6-хлоро-(**III**), 6-бromo-(**IV**), 6-йодохинолина (**V**) и с  $\text{Iz}$  6-формамидо-(**VI**), 6-ацетамидохинолина (**VII**) получены новые  $\text{Iz}$  6-замещ. 2- $n$ -диэтиламино-(соответственно этил)-амино-стерилхинолинов (**VIII**). Изучены их оптич., хим., красящие и фотографич. свойства. В спирте  $p$ -ре они красят хлопок, шерсть, шелк; окраска не прочна к свету и мытью.  $\text{Iz}$  2- $n$ -диэтиламиностирил-6-формамидохинолина (**IX**) и 2- $n$ -диэтиламиностирил-6-ацетамидохинолина (**X**) — отличные сенсibilизаторы. Получены следующие **VIII** (перечисляются исходные  $v$ -ва и их кол-ва, продолжительность кипячения, выход в %, т. пл. в °C (из  $\text{CH}_3\text{OH}$ )):  $\text{Iz}$  2- $n$ -диметиламиностирил-6-хлорохинолина, 0,33 г **III**, 0,15 г **I**, 15 мл абс. спирта (**XI**), 3 капли пиперидина (**XII**), 30 мин., 53,7, 266—267;  $\text{Iz}$  2- $n$ -диметиламиностирил-6-бромхинолина, 0,76 г **IV**, 0,3 г **I**, 20 мл **XI**, 2 капли **XII**, 45 мин., 49,1, 264;  $\text{Iz}$  2- $n$ -диметиламиностирил-6-йодохинолина, 0,4 г **V**, 0,15 г **I**, 20 мл **XI**, 4 капли **XII**, 45 мин., 28,2, 271—272; **IX**, 0,34 г **VI** (получение: кипятят 3 часа 2,1 г 6-аминохинолина и 12 г  $\text{HCOONa}$ , выливают в воду, подщелачивают  $\text{Na}_2\text{CO}_3$ , через 24—48 час. отделяют 6-формамидохинолина (**XIII**), выход 1 г, т. пл. 133—134° (из ксидола). 1 г **XIII**, 0,5 мл  $\text{C}_2\text{H}_5\text{N}$ , 5 мл нитробензола нагревают при  $\sim 100^\circ$  4 часа, получают **VI**, выход 0,3 г, т. пл. 240—243° (при 237° чернеет, из водн. сп.). 0,18 г **II**, 15 мл **XI**, 3 капли **XII**, 6 час. концентрируют  $p$ -ре до 6 мл), 23,7, 225—226°; **X**, 0,45 г **VII**, 0,22 г **II**, 15 мл **XI**, 2 капли **XII**, 1,5 часа, выход 0,32 г, 251—252°.

П. Соков

909. Реакция Пфитцингера с кетонами, обладающими фенольной функцией. Быу Хой, Си, Сыенг (Sur la réaction de Pfitzinger avec les cétones phénoliques. Buu-Hoi N. P., Sy Michel, Xu-

ong N. D.), Bull. Soc. chim. France, 1956, № 4, 629—632 (франц.)

Реакция изатина (**I**) и его производных с жирноароматич. кетонами (**II**), содержащими фенольный гидроксил (особенно в пара-положении), протекает медленнее, чем с соответствующими метиловыми эфирами **II**; наличие двух гидроксильных групп тормозит реакцию в еще большей степени. Смесь 15 г **I**, 14 г 3-оксиацетофенона, 22,4 г  $\text{KOH}$  и 130 мл спирта нагревают 6 дней при 70°, разбавляют водой и подкисляют  $\text{CH}_3\text{COOH}$ ; получают 2-(3'-оксифенил)-хинолинкарбоную-4 к-ту, выход 90%, т. пл. 339—341° (разл., из сп. или  $\text{CH}_3\text{COOH}$ ). Аналогично синтезированы следующие замещ. хинолинкарбонные-4 к-ты (указаны заместители в положении 2 и 3, длительность кипячения, выход, т. пл. в °C (из  $\text{CH}_3\text{COOH}$ ): 3'- $\text{HOC}_6\text{H}_4$ , **H**, (6-Br), —, 92%, >325; 4- $\text{HOC}_6\text{H}_4$ , **H**, (6-Br), 48 час., 25%, >320; 4'- $\text{CH}_3\text{OC}_6\text{H}_4$ , 4'- $\text{CH}_3\text{OC}_6\text{H}_4$ , 48 час., 26 г из 18 г **I**, 335—336; 4'- $\text{CH}_3\text{OC}_6\text{H}_4$ , 4'- $\text{CH}_3\text{OC}_6\text{H}_4$  (**III**), (6-Br), 48 час., 75%, 316—317; 3'-F-4'- $\text{HOC}_6\text{H}_4$ ,  $\text{CH}_3$ , 7 дней, 70%, >320; 3'-Cl-4'- $\text{HOC}_6\text{H}_4$ ,  $\text{CH}_3$ , 30 час., 92%, 310; 3'-Cl-4'- $\text{CH}_3\text{OC}_6\text{H}_4$ ,  $\text{CH}_3$ , (6-Br), —, >320; 3'-Cl-4'- $\text{CH}_3\text{OC}_6\text{H}_4$ ,  $\text{CH}_3$ , (6-CH<sub>3</sub>), —, >320; 3'-F-4'- $\text{HOC}_6\text{H}_4$ ,  $\text{C}_6\text{H}_5$ , 7 дней, 60%, >330; 3'-F-4'- $\text{HOC}_6\text{H}_4$ ,  $\text{C}_6\text{H}_5$ , (6-Br), 7 дней, 64%, >330; 3'-F-4'- $\text{CH}_3\text{OC}_6\text{H}_4$ ,  $\text{C}_6\text{H}_5$ , 3 дня, 80%, 300; 3'-5'-Br-2'- $\text{CH}_3\text{OC}_6\text{H}_4$ ,  $\text{CH}_3$ , 3 дня, колич., —; 5'-F-2'- $\text{CH}_3\text{OC}_6\text{H}_4$ ,  $\text{C}_6\text{H}_5$ , 4 дня, 90%, 298; 5'-F-2'- $\text{HOC}_6\text{H}_4$ ,  $\text{C}_6\text{H}_5$ , 7 дней, 50%, >320; 5'-F-2'- $\text{HOC}_6\text{H}_4$ ,  $\text{C}_6\text{H}_5$ , (6-Br), 7 дней, 72%, —; 5'-F-2'- $\text{HOC}_6\text{H}_4$ ,  $\text{C}_6\text{H}_5$ , (6-CH<sub>3</sub>), —, —; (3'-Br-2'-HO-5'- $\text{CH}_3\text{OC}_6\text{H}_4$ , —, 7 дней, 45%, 319—320; 5'- $m$ - $\text{CH}_3\text{OC}_6\text{H}_4$ , 2'- $\text{HOC}_6\text{H}_4$ ,  $\text{CH}_3$ , 3 дня, 67%, >320. Декарбоксилированием описанных к-т при нагревании выше  $t$ -ры плавления получены следующие производные хинолина (указаны заместители в положении 2 и 3, т. пл. в °C): 3'- $\text{HOC}_6\text{H}_4$ , **H**, 158—159 (из бzl.); 4'- $\text{CH}_3\text{OC}_6\text{H}_4$ , 4'- $\text{CH}_3\text{OC}_6\text{H}_4$  (**IV**), 110 (из сп.); 3'-F-4'- $\text{HOC}_6\text{H}_4$ ,  $\text{CH}_3$ , 199 (из сп.); 3'-Cl-4'- $\text{CH}_3\text{OC}_6\text{H}_4$ ,  $\text{CH}_3$ , 106 (из сп.); 3'-F-4'- $\text{HOC}_6\text{H}_4$ ,  $\text{C}_6\text{H}_5$ , 200 (из сп.); 3'-F-4'- $\text{CH}_3\text{OC}_6\text{H}_4$ ,  $\text{C}_6\text{H}_5$ , 104 (из сп.). Деметилированием дезоксианизолина при нагревании с избытком  $\text{C}_5\text{H}_5\text{N} \cdot \text{HCl}$  (4 ч.) получен 4- $\text{HOC}_6\text{H}_4\text{COCH}_2\text{C}_6\text{H}_4$ -4-ОН, выход 80—85%, т. пл. 215° (из разб.  $\text{CH}_3\text{COOH}$ ). Аналогично из **III** получены 2,3-ди-(4-оксифенил)-хинолинкарбонная-4 к-та, выход 95%, т. пл. 350° (из  $\text{CH}_3\text{COOH}$ ), и из **IV**—2,3-ди-(4'-оксифенил)-хинолин, выход почти колич., т. пл. 265—266° (разл.; из сп.). Из 3,5-дибром-2-оксипропифенона (**V**) и  $\text{CH}_3\text{J}$  получен 2-О-метил-**V**, т. пл. 66° (из петр. эф.). Конденсацией 4- $m$ - $\text{C}_6\text{H}_4\text{N}$ ,  $\text{C}_6\text{H}_4\text{OH}$  и  $\text{CH}_3\text{CH}_2\text{COOH}$  в присутствии  $\text{BF}_3$  при 70—80° синтезирован 5- $m$ - $\text{C}_6\text{H}_4$ -2- $\text{HOC}_6\text{H}_4\text{COCH}_2\text{CH}_3$ , т. кип. 206—209°/24 мм,  $n_D^{20}$  1,5320; семикарбазон, т. пл. 226° (из см.).

А. Гуревич

910. Исследования в ряду изохинолина. Часть I. Синтез производных 1-бензилизохинолина. Часть II. Окисление 1-бензил-3,4-дигидроизохинолинов. Говиндачари, Нагараджан (Studies in the isoquinoline series. Part I. Synthesis of 1-benzyl isoquinoline derivatives Part. II. Oxidation of 1-benzyl-3,4-dihydroisoquinolines. Govindachari T. R., Nagarajan K.). Proc. Indian Acad. Sci., 1955, A42, № 3, 136—141; № 5, 261—266 (англ.)

Часть I. Описанным ранее методом (см. Gulland, Haworth, J. Chem. Soc., 1928, 581) синтезированы следующие производные  $\text{N}$ -3-(3',4'-диметоксифенил)этил-фенилацетамида (**I**) (указаны заместители, выход в %, т. пл. в °C): незамещ., 65,108; 2-Br (**II**), 84, 128; 3-Br, 76, 105—106; 4-Br, 81, 129; 2-CH<sub>3</sub>, 94, 123—124; 3-CH<sub>3</sub>, 85, 92—93; 4-CH<sub>3</sub>, 84, 121; 2-OCH<sub>3</sub>, 81, 119—120; 3-OCH<sub>3</sub>, 82, 114; 4-OCH<sub>3</sub>, 94, 124—125; 2-NO<sub>2</sub> (**III**), 86, 110—111; 3-NO<sub>2</sub>, 78, 132—133; 4-NO<sub>2</sub>, 86, 119—120; 4-CN, 61, 131—132. Эти амиды можно получить

также нагреванием соответствующих производных фенилуксусной к-ты (IV к-та) с гомоватриламином (V) при 180—200°, в случае II (1 час нагревания) выход 8 г из 5,5 г 2-Br-IV и 5 г V. Циклизация I в производные 1-бензил-6,7-диметокси-3,4-дигидроизохинолина (VI) осуществлена двумя методами: А. 1 г I, 10 мл толуола и 3 мл  $\text{POCl}_3$  кипятят 2 часа (только в случае III выдерживают при  $\sim 20^\circ$ ), обрабатывают обычным образом. Б. К р-ру 1 г I в 10 мл  $\text{CHCl}_3$  осторожно прибавляют 1,3 г  $\text{PCl}_5$ , выдерживают 48 час. при  $\sim 20^\circ$  и удаляют  $\text{CHCl}_3$  в вакууме. Синтезированы следующие VI (указаны заместитель, выход в % по методу А, по методу Б, т. пл. хлоргидрата (из сп.-эф.), т. пл. пикрата в  $^\circ\text{C}$ ): незамещ., 70,84, 182, 176; 2'-Br, 73, 91, 197 (разл.); 183; 3'-Br, 69, 78, 190, 183—184 (разл.); 4'-Br, 73, 91, 175, 197—198 (разл.); 2'- $\text{CH}_3$ , 71, 90, 186, 192; 3'- $\text{CH}_3$ , 68, 85, 111—112, 193—194 (разл.); 4'- $\text{CH}_3$ , 66, 88, 196—197 (разл.), 182—183 (разл.); 2'- $\text{OCH}_3$ , 75, 80, 169—170, 164—166; 3'- $\text{OCH}_3$ , 76, 76, 183, 156—157; 4'- $\text{OCH}_3$ , 71, 90, 165, 168—169 (разл.); 2'- $\text{NO}_2$  (VII), 82, 95, 218 (разл.), 195—197 (разл.); 3'- $\text{NO}_2$  (VIII), 76, 88, 190, 197—198 (разл.); 4'- $\text{NO}_2$  (IX), 85, 99, 180—181, 193—194; 4'-CN, 76, 79, 209—211, 200—202 (разл.). Восстановлением VI получены производные 1-бензил-6,7-диметокси-1,2,3,4-тетрагидроизохинолина (X). В случае VII, VIII и IX восстанавливают Zn-пылью и  $\text{HCl}$ -к-той при 60—70°, остальные VI гидрируют над Pt (из  $\text{PtO}_2$ ) при 4,2 ат. Получены следующие X (указаны заместитель, т. пл. хлоргидрата (из абс. сп.), т. пл. пикрата в  $^\circ\text{C}$ ): 2'-Br, 215—216, 181—182; 3'-Br, 225—227, 155; 4'-Br, 213—214, 180 (спекается при 165°); 2'- $\text{CH}_3$ , 196—198, 184—185; 3'- $\text{CH}_3$ , 208—210, 171—172; 4'- $\text{CH}_3$ , 222—224, 173—175; 2'- $\text{OCH}_3$ , 176—178, 155—156; 4'- $\text{OCH}_3$ , 195—197, 148—150; 2'- $\text{NH}_2$ , 220 (разл., из абс. сп.-эф.), не приведена; 3'- $\text{NH}_2$ , 237—239 (разл., из абс. сп.-эф.), 198 (разл.); 4'- $\text{NH}_2$ , 233 (разл., из абс. сп.-эф.), 181—182° (разл.). А. Гуревич

Часть II. Изучено влияние рода и положения заместителей в бензольном ядре на легкость окисления 1-бензил-3,4-дигидро-6,7-диметоксиизохинолинов (I) в соответствующие 1-бензильные соединения (II) посредством  $\text{J}_2$  (способ А) и воздуха (способ Б). По способу А и Б получены II (приводятся заместители в бензольном остатке, т. пл. и т. пл. пикрата в  $^\circ\text{C}$ ): 4'- $\text{OCH}_3$ , 110—112, 220 (разл.); 2'- $\text{OCH}_3$ , —, 180; 4'- $\text{CH}_3$ , 93—95, 183; 2'- $\text{CH}_3$ , —, 172 (разл.). По способу Б получены II: 2'-Br, 159—160 (разл.), 159—160 (разл.); 3'-Br, 126—127, 173—174 (разл.); 4'-Br, 132, 193—194; 3'- $\text{NO}_2$ , 175—176, 155—157. I (2'- $\text{NO}_2$ ) не окисляется в описанных условиях; из I (4'- $\text{NO}_2$ ) образуется смола. Показано, что по способу А наиболее легко окисляются I, где 4'- $\text{OCH}_3$ , 2'- $\text{OCH}_3$ , 4'- $\text{CH}_3$ , 3'- $\text{OCH}_3$ , 2'- $\text{CH}_3$ ; труднее 3'- $\text{CH}_3$ , 3'-Br, 4'-Br, незамещ. I, 3'- $\text{NO}_2$ , 4'- $\text{NO}_2$ , 4'-CN; почти не окисляется 2'- $\text{NO}_2$  и совсем не окисляются 2-Br и 6,7-диметокси-3,4-дигидроизохинолин. На основании полученных данных предложен механизм окисления I  $\text{J}_2$ . Окисление производят путем прибавления р-ра 0,3 г  $\text{J}_2$  в 10 мл спирта к р-ру 0,2 г хлоргидрата I и 1 г  $\text{CH}_3\text{COONa}$  в 5 мл спирта. Через 1 час избыток  $\text{J}_2$  связывают  $\text{Na}_2\text{S}_2\text{O}_3$ . Спирт. р-р I оставляют на воздухе несколько дней, полученный II кристаллизуют из спирта. Р-р 0,7 г I (4'- $\text{OCH}_3$ ) в 10 мл 10%-ного  $\text{KOH}$  в  $\text{CH}_3\text{OH}$  выпаривают 4 часа с добавлением  $\text{CH}_3\text{OH}$ , получают 0,2 г 6,7-диметокси-1-(4-метоксибензоил)-изохинолина, т. пл. 145—146° (из сп.). Ю. Волькенштейн

911. Получение 10-винилакридона. Микантьев

Б. И., Скляров В. А., Ж. общ. химии, 1956,

26, № 3, 784—785

Смесь 11 г акридона, 150 мл диоксана (или 250 мл  $\text{H}_2\text{C}_4\text{H}_8\text{O}_2$ ) и 0,5 г  $\text{KOH}$  обрабатывают ацетиленом при 180° и начальном давлении 13 ат в течение 4—5 час. (см. Фаворский, Шостаковский, Ж. общ. химии, 1943,

13, 1); получают 10-винилакридон (I), выход 92%, т. пл. 181,5° (из сп. или бzl.). Строение I подтверждено его превращением в 10-этилакридон (гидрирование над скелетным Ni при  $\sim 20^\circ$  в диоксане, выход 94%).

А. Гуревич

912. Синтетические применения активированных металлических катализаторов. Часть II. Образование гетероциклических диариллов. Баджер, Сассе (Synthetic applications of activated metal catalysts. Part II. The formation of heterocyclic diaryls. Badger G. M., Sasse W. H. F.), J. Chem. Soc., 1956, March, 616—620 (англ.)

Азотистые гетероциклич. соединения, имеющие свободное  $\alpha$ -положение (пиридин (I),  $\alpha$ -пиктолин (II), 4-этилпиридин (III), никотиновая к-та (IV), хинолин (V), 6-метилхинолин (VI), бензо-[f]-хинолин (VII) и др.), при нагревании со скелетным Ni W (VIII), особым образом обработанным, образуют  $\alpha,\alpha'$ -димеры (IX). При аналогичной р-ции с акридином (X) (оба  $\alpha$ -положения блокированы) происходит  $\gamma,\gamma'$ -димеризация, сопровождаемая образованием 9,9', 10, 10'-тетрагидро-9,9'-диакридила (XI) (наряду с 9,10-дигидроакридином (XII)). Соединения, у которых оба  $\alpha$ -положения свободны, образуют с VIII также органо-никелевые соединения (XIII), которые при пиролизе могут быть превращены в IX. К VIII из 125 г сплава (Org. Synth., 1949, 29, 24), который предварительно нагревают 2 часа при 100° и 20 мм и предохраняют от соприкосновения с воздухом, прибавляют 250 мл I, кипятят 11 час., отделяют VIII, отгоняют I (225 мл), остаток извлекают петр. эфиром; из нерастворимой части получают 0,5 г XIII; р-р хроматографируют на  $\text{Al}_2\text{O}_3$ , выделяют 20 г 2,2-дипиридила, т. пл. 70,5—71,5° (из петр. эф.), и небольшое кол-во 2,2',2''-терпиридила, т. пл. 88° (из петр. эф.). В сходных условиях получены 6,6'-диметил-2,2'-дипиридил (0,85 г из 230 мл II кипятят 8 час.), т. пл. 88—90° (из петр. эф.); пикрат, т. пл. 167—169°; 4,4'-диэтил-2,2'-дипиридил (15 г из 100 г III, кипятят 17 час.), т. кип. 210°/30 мм, т. пл. 38—40°, и 0,85 г соответствующего XIII; 5,5'-(?-)-дикарбоксы-2,2'-дипиридил (1 г из 50 г IV в виде Na-соли, кипятят 8 час.), т. пл.  $>400^\circ$ , возгорается при 300°/0,01 мм; 5,5'-(?-)-дикарбоксы-2,2'-дипиридил (5,1 г из 53 г этилового эфира IV, кипятят 21 час), т. пл. 148—149° (из сп.), и 2,75 г соответствующего XIII; 2,2'-дихинолил (5 г из 100 г V, кипятят 14 час.), т. пл. 193—194° (из сп.); 6,6'-диметил-2,2'-дихинолил (2 г из 97 г VI, кипятят 14 час.), т. пл. 267° (из бzl.);  $\alpha,\alpha'$ -ди-(бензо-[f]-хинолил) (2 г из 47 г VII, кипятят 5 час в присутствии 230 мл ксилола (XIV)), т. пл. 300° (из XIV); 2,2'-ди-(бензо-[h]-хинолил) (0,1 г из 35 г бензо-[h]-хинолина, кипятят 12 час. в присутствии 170 мл XIV), т. пл. 280° (из XIV). 75 г X, 200 мл XIV и VIII (из 150 г сплава) кипятят 5 час., отделяют смесь катализатора и белого осадка, промывают ее 200 мл кипящего XIV и извлекают в аппарате Сокелета пиридином; получают 12 г XI, т. пл. 247—248°, и 5 г X; из объединенного ксилольного р-ра выделяют 9 г XII и 2 г X. 100 г изохинолина (XV), 70 мл XIV и VIII (из 125 г сплава) кипятят 5 час., фильтруют, отгоняют XIV и XV (70 г), получают XIII, которое подвергают пиролизу; получают 0,1 г 3,3'-дихинолила, т. пл. 195—196° (из бzl.). Часть I см. РЖХИМ, 1956, 61434.

А. Гуревич

913. Нафтиридины. Часть III. Оксинафтиридины. Харт (Naphthyridines. Part III. Hydroxynaphthyridines. Hart E. P.), J. Chem. Soc., 1956, Jan., 212—214 (англ.)

При нитровании и бромировании 2-окси- (I) и 4-окси- (II)-1,5-нафтиридина получены соответствующие моно- и дибромпроизводные, которыми, по аналогии с результатами подобных превращений в пиридиновом и хинолиновом ряду, приписано строение 3-нитро-

и 3-бромзамещ. соединений. Строение 3-нитро-II (III) доказано встречным синтезом. Смесь 2-окси-5-аминопиридина (полученного гидрированием 2-е 2-окси-5-нитропиридина в 150 мл  $\text{CH}_3\text{OH}$  над 2 г 10%-ного Pd/C), 2 г  $\text{H}_2\text{AsO}_4$ , 4 г глицерина и 6 мл конц.  $\text{H}_2\text{SO}_4$  нагревают 1 час при 165°, извлекают разб. HCl, упаривают вытяжку и подщелачивают  $\text{NH}_4\text{OH}$ ; получают I, выход 57%, т. пл. 256° (из водн. сп.) 0,3 г I нагревают 4 часа на водяной бане с 3 мл  $\text{HNO}_3$  (d 1,5) и 3 мл 20%-ного олеума и выливают в небольшое кол-во воды; получают 3-нитро-I, выход 0,25 г, т. пл. 272—274° (из водн. сп.). Аналогично при нитровании II (реакционную смесь после разбавления водой подщелачивают  $\text{NaHCO}_3$ , упаривают до суха и извлекают горячим спиртом) получают III, т. пл. 328—330° (разл.). К р-ру 0,2 г I в 5 мл теплой воды прибавляют по каплям насыщ. бромную воду до прекращения выделения осадка и выливают в разб. р-р  $\text{Na}_2\text{CO}_3$ ; получают 0,22 г 3-бром-I, т. пл. 295—297° (из воды). Аналогично из 0,2 г II получают 0,2 г 3-бром-II, т. пл. 318° (разл., из воды). К р-ру 3-аминопиридинкарбоновой-2 к-ты (из 10 г хинилимида), подкисленному 5 мл соляной к-ты, прибавляют по каплям р-р К-соли метазоновой к-ты (из 5 г нитротетана и 10 мл 50%-ного р-ра KOH); получают 3,2'-нитроэтилдидеаминопиридинкарбоновую-2 к-ту (IV), т. пл. 255° (разл., из водн. сп.). 1 г IV, 10 г  $(\text{CH}_3\text{CO})_2\text{O}$  и 1 г безводн.  $\text{CH}_3\text{COONa}$  нагревают на водяной бане до растворения, кипятят 1 час, подщелачивают  $\text{NaHCO}_3$  и извлекают эфиром; получают III. Часть II см. РЖХим, 1955, 45915.

А. Травин  
914. Реакция хлоранила с ацетилацетоном в присутствии пиридина. Тилак, Венкитесваран (Reaction of chloranil with acetylacetone in the presence of pyridine. Tilak B. D., Venkiteswaran M. R., Chemistry and Industry, 1956, Apr., R 33—R 34 (англ.))

Хроматографией на  $\text{Al}_2\text{O}_3$  из продуктов конденсации хлоранила (I) и ацетилацетона (II) в пиридине (III) выделено два изомера: а, т. разл. >370° ( $\text{iso-C}_6\text{H}_4\text{Cl}_2$ ), и б, т. пл. 362—363°. Установлено, что изомер а идентичен с 5,11-диацетилбензо-(1,2-б, 4,5-б')-дипирроколином-6,12-хиноном, который синтезирован из III и 2,5-дихлор-*н*-бензохинон-3,6-ди-(ацетилацетона), т. пл. 198—199° (из сп.) (получен из 2,5-дихлор-3,6-дифенокс-*н*-бензохинона и II в присутствии  $\text{C}_2\text{H}_5\text{ONa}$ ). Изомер б представляет 5,7-диацетилбензо-(1,2-б, 5,6-б')-дипирроколином-6,12-хинон, который получен также из бензохинона, II и III. Установлено также, что дибензоилметан, I и III дают 2 изомера: 5,11-дибензоил-(т. пл. 310° (из бэл.)) и 5,7-дибензоилбензо-(1,2-б, 5,4-б')-дипирроколином-6,12-хинон, т. пл. 327—328° (из бэл.), который синтезирован также из III и 2,5-дихлор-*н*-бензохинон-3,6-ди-(бензоацетона), т. пл. 210—211° (из сп.). 1 моль I, 1 моль  $\text{CH}_3\text{COCH}_2\text{COOC}_2\text{H}_5$  и 2 моля III в абс. спирте образуют 5-карбатоки-7,8-дихлорбензо-(1,2-б)-пирроколином-6,9-хинон (IV), т. пл. 165° (из сп.). IV,  $\text{CH}_3\text{COCH}_2\text{COOC}_2\text{H}_5$  и III дают смесь 5,11-дикарбатоки- и 5,7-дикарбатокибензо-(1,2-б, 5,4-б')-дипирроколином-6,12-хинонов.

Ю. Розанова  
915. О способности 1,2-дифенил-4-н-бутилпиразолидин-3,5-диона к окислению. Соколов В. Н., Магидсон О. Ю., Ж. общ. химии, 1956, 26, № 2, 604—607

При конденсации *н*-бутилмалонового эфира с гидразобензолом (I) в присутствии  $\text{C}_2\text{H}_5\text{ONa}$  (ср. Англ. пат. 646597, Chem. Abstrs, 1950, 45, 7602), кроме основного продукта — 1,2-дифенил-4-н-бутилпиразолидин-3,5-диона (II) образуется в результате окисления II побочный продукт с т. пл. 132—133° (из сп.), представляющий собой 1,2-дифенил-4-н-бутил-4-оксипиразолидин-3,5-дион (III). Установлено, что окисление II до III происходит только в присутствии I. Строение III доказано

следующими р-циями: 26,2 г III размешивают с 220 мл 8%-ного р-ра NaOH, осадок вновь размешивают с 250 мл воды и из воды. р-ра после подкисления р-ра получают 12,4 г моно-NN'-дифенилгидразид-*н*-бутилтартроновой к-ты (IV), т. пл. 144—145° (разл., из 50%-ного сп.). При нагревании (~100°, 2 часа) 9,22 г IV с 100 мл 6%-ного р-ра NaOH получают *н*-бутилтартроновую к-ту, выход 80%, т. пл. 126—127° (разл., из хлф.), которая при декарбоксилировании (125—130°) переходит в  $\alpha$ -оксикапроновую к-ту, т. пл. 56—60°, последняя при окислении р-ром  $\text{KMnO}_4$  дает *н*-валерьяновую к-ту. При пропускании воздуха в спирт. р-р II в присутствии  $\text{C}_2\text{H}_5\text{ONa}$  и I (отгонка спирта 5 час.) образуется III. В отсутствие I окисления II не происходит. М. Герчук 916. Синтезы соединений родственные эпинефрину.

Вон, Блодигер (Synthesis of compounds related epinephrine. Vaughan James R. Jr, Blodinger Jack, J. Amer. Chem. Soc., 1955, 77, № 21, 5757—5760 (англ.))

С целью получения синтетич. препаратов антиастматич. действия получены аналоги эпинефрина: 1-(3,4-диметоксифенил)-(I), 1-(3,4-уредофенил)-(II) и 1-(2-метил-5-бензимидазол-1-ил)-(III)-2-метиламиноэтанол и 1-(3,4-уредофенил)-2-аминоэтанол-1 (IV). I получен взаимодействием  $\alpha$ -бром-3,4-диметоксиацетофенона (V) с бензилметиламином (VI) и последующим гидрированием образующегося хлоргидрата 3,4-диметокси- $\alpha$ -(*N*-бензил-*N*-метил)-аминоацетофенона (VII), причем помимо I получается 3,4-диметокси- $\alpha$ -метиламиноацетофенон (VIII). Для получения II 5-ацетилбензимидазол-2 (IX) (синтезированный ацетилированием по Фриделю—Крафтсу бензимидазола-2 (X) или взаимодействием 3,4-диаминоацетофенона (XI) с  $\text{COCl}_2$  бромирован в боковой цепи и образующийся 5-броманетилбензимидазол-2 (XII) р-цией с VI превращен в 5-(*N*-бензил-*N*-метиламиноацетил)-бензимидазол-2 (XIII), восстановленный над Pd/C в II; при гидрировании XIII в спирт. р-ре получен 5-(*N*-метиламиноацетил)-бензимидазол-2 (XIV). Аналогично из 2-метил-5-ацетилбензимидазола (XV) через 2-метил-5-( $\omega$ -бромацетил)-(XVI) и 2-метил-5-(*N*-бензил-*N*-метиламиноацетил)-(XVII)-бензимидазолы получены III и 2-метил-5-аминоацетилбензимидазол (XVIII), а из 5-бутилбензимидазола-2 (XIX) (синтезированного по Фриделю—Крафтсу из X и  $\text{C}_4\text{H}_9\text{Cl}$ ) через 5-( $\alpha$ -бромбутирил)-(XX) и 5-[ $\alpha$ -(*N*-бензилгидриламином)-бутирил]-(XXI)-бензимидазола-2—IV. К 0,088 моля V в 1 л эфира приливают р-р 0,18 моля VI в 100 мл эфира, оставляют на ночь, отделяют осадок, р-р насыщают HCl и получают VII, выход 43%, т. пл. 184—186° (из  $\text{CH}_3\text{COC}_2\text{H}_5$ ). 0,01 моля VII в 30 мл спирта гидрируют (10 час., 20°, 3,5 ат) над 0,2—0,3 г 10%-ного Pd/C и выделяют VIII, выход 24%, т. пл. 217—220° (разл., из сп.); из маточного р-ра получают I, выход 46,5%, т. пл. 114—115° (из сп.-эф.). К смеси 0,27 моля X и 0,6 моля  $\text{CH}_3\text{COCl}$  в 0,4 моля  $\text{CS}_2$  добавляют (15 мин.) 1,2 моля  $\text{AlCl}_3$ , нагревают 2 часа при 100° и получают IX, выход 63%, т. пл. 294—295° (из сп.), или в охлаждаемый р-р 0,016 моля XI в 50 мл разб. HCl пропускают 10—15 мин.  $\text{CCl}_2$  и отделяют IX, выход 76%. К р-ру 0,13 моля XI в 250 мл  $\text{CH}_3\text{COONH}_4$  приливают по каплям (30 мин.) р-р 0,13 моля  $\text{Vt}_2$  в 50 мл  $\text{CH}_3\text{COONH}_4$ , смесь кипятят и выделяют XII, выход 75%, т. пл. 264—266° (разл., из 50%-ной  $\text{CH}_3\text{COONH}_4$ ). Р-р 0,018 моля XII и 0,37 моля VI в 50 мл спирта кипятят 2 часа, приливают 100 мл воды, продукт растворяют в 75 мл разб. HCl и получают хлоргидрат XIII, выход 28%, т. пл. 252—254° (разл., из сп.). 0,6 моля хлоргидрата XIII в 30 мл спирта гидрируют (18 час., 20°, 3,5 ат) над 0,3 г 10%-ного Pd/C и получают хлоргидрат XIV, выход 80%, т. пл. >300° (из ацетона). Аналогично получают хлоргидрат II, выход 89%, т. пл. >261° (разл., из разб. сп.). К освещенному 100-е лампой р-ру



0,066 моля XV в 100 мл  $\text{CH}_3\text{COOH}$  приливают по каплям (4 часа,  $70^\circ$ ) р-р 0,066 моля  $\text{Br}_2$  в 25 мл  $\text{CH}_3\text{COOH}$  и получают XVI, выход 36,5%, т. пл.  $>300^\circ$  (из сп.-изо- $\text{C}_3\text{H}_7\text{OH}$ ). 0,015 моля XVI и 0,03 моля VI в 25 мл спирта кипятят 1 час, продукт растворяют в спирт. р-ре HCl и получают хлоргидрат XVII, выход 25%, т. пл. 238— $240^\circ$  (разл., из сп.-эф.). 0,0033 моля хлоргидрата XVII в 30 мл воды гидрируют (2 часа,  $20^\circ$ , 2,8 ат) над 0,2 г 10%-ного Pd/C и получают дихлоргидрат XVIII, выход 63%, т. пл.  $>275^\circ$  (из 85%-ного сп.); из маточного р-ра выделяют дихлоргидрат III, т. пл.  $>275^\circ$  (из сп.). К смеси 0,1 моля X и 0,2 моля  $\text{C}_4\text{H}_9\text{Cl}$  в 76 г  $\text{CS}_2$  добавляют (10 мин.) 0,5 г  $\text{AlCl}_3$ , нагревают 2 часа при  $100^\circ$  и получают XIX, выход 25%, т. пл. 261— $263^\circ$  (из сп.). К р-ру 0,11 моля XIX в 300 мл  $\text{CH}_3\text{COOH}$  приливают (20 мин.) при  $50$ — $60^\circ$  р-р 0,11 моля  $\text{Br}_2$  в 50 мл  $\text{CH}_3\text{COOH}$  и выделяют XX, выход 73%, т. пл. 235— $236^\circ$  (разл., из сп.-этилацетата). 0,01 моля XX и 0,02 моля бензгидриламины в 25 мл абс. спирта кипятят 3 часа и получают хлоргидрат XXI, выход 93%, т. пл. 182— $184^\circ$  (из сп.-изо- $\text{C}_3\text{H}_7\text{OH}$ ). 0,007 моля XXI в 80 мл абс. спирта гидрирует 7 час. над 0,3 г 10%-ного Pd/C и получают хлоргидрат IV, выход 82%. Д. Витковский 917.

Исследование в ряду пиримидина. Действие целочисла на 4-метил-5-этил-2,6-диметоксиимидина. Цзи Юй-фэн, Ли Юй-чэн (嘔啶的研究. 4-甲基-5-乙基-2,6-二甲氧基嘔啶對鹼的反應. 紀育澄, 凌育庭), 化學學報. Хуасюэ сюэбао, Acta chim. sinica, 1955, 21, № 1, 38—41 (кит., рез. англ.).

3,6-д-метил-5-этил-2,6-диметоксиимидина,  $\text{CH}_3\text{ONa}$  (из 0,69 г Na) и 50 мл 50%-ного  $\text{CH}_3\text{OH}$  нагревают в автоклаве при  $\sim 100^\circ$  200 час., из фильтрата отгоняют  $\text{CH}_3\text{OH}$ , остаток растворяют в 5 мл воды и р-р подкисляют 3 мл 50%-ной  $\text{CH}_3\text{COOH}$ , выход 2-метокс-4-кето-5-этил-6-метил-3,4-дигидропиримидина 1,2 г, т. пл. 209— $210^\circ$  (из  $\text{H}-\text{C}_3\text{H}_7\text{OH}$  и этилацетата). 0,3 г последнего и 10 мл 13%-ного  $\text{NH}_3$ , в спирте нагревают (трубка, 190— $200^\circ$ , 80 час.), отгоняют спирт, в остатке 2-амино-4-кето-5-этил-6-метил-3,4-дигидропиримидин, т. пл.  $280^\circ$  (разл.; из воды). Б. Дубиня 918.

Восстановительная перегруппировка Лоссена под действием алюмогидрида лития. Бауэр (Reductive Lossen rearrangement induced by lithium aluminum hydride. Bauer Ludwig), J. Amer. Chem. Soc., 1956, 78, № 9, 1945—1946 (англ.). Восстановление 3-бензолсульфонокси-5,6-дигидроурацила  $\text{COCH}_2\text{CH}_2\text{NHCON}-\text{OSO}_2\text{C}_6\text{H}_5$  (I) с помощью

$\text{LiAlH}_4$  (II) приводит к N, N'-диметилендиамину (III). Предложен механизм образования III на основе перегруппировки Лоссена. К 11,3 г Na-соли янтарно-гидроксамовой к-ты в 65 мл пиридина добавляют при  $25$ — $30^\circ$  25 г  $\text{C}_6\text{H}_5\text{SO}_2\text{Cl}$ , перемешивают 45 мин., выливают в 300 мл воды, нейтрализуют 75 мл лед.  $\text{CH}_3\text{COOH}$  и через 12 час. ( $0^\circ$ ) отфильтровывают I, выход 88%, т. пл. 175— $176^\circ$  (из  $\text{H}-\text{C}_3\text{H}_7\text{OH}$ ). При восстановлении I в тетрагидрофуране  $\text{LiAlH}_4$  выделяют III в виде бензолсульфонильного производного, выход 29%, т. пл. 129— $131^\circ$  (из сп. и  $\text{CH}_3\text{COOH}$ ), или в виде бензоильного производного, выход 41%, т. пл. 177— $178^\circ$  (из бzl.). Р-р 4,2 г 3-метиламинопропионитрила в 10 мл эфира добавляют по каплям к 1,9 г II в 100 мл эфира, смесь кипятят 0,5 часа и разлагают 1,5 мл 20%-ного NaOH и 7 мл воды, эфирный р-р декантируют и выделяют из него N-метил-1,3-диаминопропан, т. кип.  $140$ — $143^\circ$ ,  $n_D^{20}$  1,4453; бензоильное производное—масло, бензолсульфонильное, т. пл.  $95^\circ$  (из сп.). С. Гурвич 919.

Изучение механизма реакции Манниха. I. Реакция метилendiаминов с 2-метил-2-нитропропанолом. Батлер (Studies in the mechanism of the Mannich reaction. I. The reaction of methylenediamines with 2-methyl-2-nitro-1-propanol. Butler Geor-

ge B.), J. Amer. Chem. Soc., 1956, 78, № 2, 482—484 (англ.).

Бис-(диалкиламино)-метаны (I) реагируют с  $\text{CH}_3\text{C}(\text{CH}_3)(\text{NO}_2)\text{CH}_2\text{OH}$ , образуя основание Манниха. Вследствие легкости получения многих I из вторич. аминов и  $\text{CH}_3\text{O}$  предполагается, что они являются промежуточными соединениями в р-ции Манниха. Из I вследствие гидролиза образуются соответствующие производные  $\text{CH}_3\text{OH}$ , которые также могут участвовать в р-ции  $(\text{R}_2\text{N})_2\text{CH}_2 + \text{H}_2\text{O} \rightleftharpoons \text{R}_2\text{NCH}_2\text{OH} + \text{R}_2\text{NH}$ . N-фенил-N'-(2-метил-2-нитропропил)-пиперазин (II) получают: а) к р-ру 0,1 моля 2-нитропропана (III) и 0,1 моля N-фенилпиперазина (IV) в 30 мл диоксана (V) приливают 2 мл 2%-ного NaOH (VI) и 0,1 моля 37%-ного  $\text{CH}_2\text{O}$  (VII), перемешивают 1 час при  $\sim 20^\circ$  и 2 часа при нагревании (везде на паровой бане); II выпадает и высаживается водкой, выход 21 г, т. пл. 128— $130^\circ$  (из сп.); б) заменяют III и VII 2-метил-2-нитропропанолом (VIII) (0,1 моля), выход 17 г; в) из бис-(N-фенилпиперазил)-метана (IX). Для получения IX 4,1 г IV в 6 мл V и 1 г VII нагревают 1 час; высаживают IX водкой, выход 4 г, т. пл.  $127^\circ$  (из сп.). 4,5 г IX в 5 мл V и 0,5 г VIII нагревают 2 часа, выделяют II. N, N'-бис-(2-метил-2-нитропропил)-пиперазин (X); а) смесь 98 г гексагидрата пиперазина в 370 мл V, 90 г III и 40 мл VI охлаждают до  $5^\circ$ , прибавляют постепенно 82 г VII (т-ра  $<10^\circ$ ), перемешивают 1 час и нагревают 1 час; прибавляют 400 мл воды с 2 мл 37%-ной HCl выделяют X, выход 128 г, т. пл.  $170^\circ$  (из сп.); б) к 43 г безводн. пиперазина в 200 мл воды и 100 мл V прибавляют постепенно 42 г VII в 100 мл воды (т-ра  $<50^\circ$ ); р-р с осадком нагревают 2 часа; получают полиметиленипиперазин (XI), выход колич., т. пл.  $300^\circ$  (разл.). Смесь 75 мл V, 23,8 г VIII, 9,8 г XI и 20 мл воды нагревают 4 часа; фильтруют и выливают в воду; выпадает X. 3,5-диметил-N'-бис-(2-метил-2-нитропропил)-пиперазин, т. пл. 154— $156^\circ$ , получают аналогично вышеуказанному: а) из 3,5-диметиленипиперазина (XII), III и VII; б) из XII и VIII; в) из полиметилени-3,5-диметиленипиперазина (получают, как XI, выход 87%, т. пл. 285— $290^\circ$  (разл.)) и VIII. Диаллил-(2-метил-2-нитропропил)-амин (XIII); а) подобно X (по 1 молю диаллиламины (XIV), III, VII в 180 мл V и 20 мл VI), выход 167 г, т. кип.  $112^\circ/14$  мм,  $76^\circ/2$  мм,  $n_D^{25}$  1,4610,  $d_4^{25}$  0,9565; б) из бис-(диаллиламино)-метана (XV). Прибавляют 20,5 г VII к 49 г XIV (т-ра  $<50^\circ$ ); нагревают 2 часа, получают XV, выход 83%, т. кип.  $80^\circ/4$  мм,  $n_D^{25}$  1,4668,  $d_4^{25}$  0,8410. Р-р по 0,1 моля XV, VIII, III и 1 мл VI в 40 мл V нагревают 3 часа, выливают на лед; получают XIII, т. кип.  $76^\circ/2$  мм  $n_D^{25}$  1,4622,  $d_4^{25}$  0,9603. Диметаллил-(2-метил-2-нитропропил)-амин получают из диметаллиламина, III и VII аналогично XII, выход 50%, т. кип.  $97^\circ/2$  мм,  $n_D^{25}$  1,4719,  $d_4^{25}$  0,9060, или из VIII и бис-(диметаллиламино)-метана (последний приготавливают, как XV, выход 79%, т. кип.  $105^\circ/3$  мм,  $n_D^{25}$  1,4758,  $d_4^{25}$  0,8556).

II. Соков 920. Аминокислотные амидины дигидропиперазинового ряда. I. Получение из иминоэфира (O, O-дибензил-2,5-дигидропиперазина) амидинов. Петрова Р. Г., Гаврилов Н. И., Ж. общ. химии, 1956, 26, № 1, 258—264

При взаимодействии O, O-дибензильного эфира 2,5-диоксидигидропиперазина (I) с анилином (II) образуется дифенил-2,5-дигидропиперазинамидин (III). Аналогично при конденсации I с пропиламиноном (IV) образуется дипропил-2,5-дигидропиперазинамидин (V). Конденсация I с эфиром гликоколя (гликоколь VI) и метиловым эфиром тирозина (VII), по-видимому, приводит к линейным полипептидным амидинам типа  $\text{H}_2\text{NCH}_2\text{C}(\text{NCH}_2\text{NR})_n$ .

$\text{COOR}' = \text{NCH}_2\text{CONHCHRCOOR}'$  (VIII). Получение VIII возможно лишь в результате асимметрич. размыкания промежуточно образующихся дигидропиразинино-окислотных амидинов, что подтверждается выделением (при р-ции с VI) дикетонипиразина и эфира VI. Действием хлорангидрида фталилглицина (IX) на I получен N,N'-дифталилглициндикетонипиразин (X). Смесь, 1 г I, 0,63 г II, 1,5 г пикриновой к-ты (XI), 30 мл безводн.  $\text{CH}_3\text{OH}$  и 20 мл  $\text{CHCl}_3$  встряхивают 2 недели, упаривают при  $\sim 20^\circ$  в вакууме и прибавлением абс. эфира выделяют дипикрат III (IIIa), выход 96%, т. пл. 193—193,5°. Пропусканием сухого  $\text{HCl}$  в эфирный р-р IIIа до pH 2—3 получают хлоргидрат III, т. пл. 248—250°. Аналогично конденсацией 0,4 г I с 0,16 г IV и 0,62 г XI получают дипикрат V, выход 98%, т. пл. 194—195°, который переводят, аналогично IIIа в дихлоргидрат V, т. пл. 204—206°. 2,5 г I нагревают в  $\text{CHCl}_3$  со спирт. р-ром 2,4 г хлоргидрата этилового эфира VI несколько часов при 50—60°. После добавления эфира выпадает осадок, которому автор придает строение дихлоргидрата VIII ( $\text{R} = \text{H}$ ,  $\text{R}' = \text{C}_2\text{H}_5$ ). При встряхивании в течение 2 недель, смеси 0,5 г I, 0,66 г VII, 0,77 г XI в 30 мл безводн.  $\text{CH}_3\text{OH}$  и 20 мл  $\text{CHCl}_3$  выделяют пикрат VIII ( $\text{R} = \text{CH}_2\text{C}_6\text{H}_4\text{OH}$ ,  $\text{R}' = \text{CH}_3$ ). В-во на воздухе оседает. Смесь 1 г I, 1,42 г IX и 20 мл кислоты нагревают ( $\sim 100^\circ$ , 3 часа и  $110^\circ$  1/2 часа) и отфильтровывают X, т. пл.  $\sim 385^\circ$  (разл.). М. Герчук 921.

**Потенциальные антагонисты пуринов. I. Синтезы некоторых 4,6-замещенных пиразоло-[3,4-d]-пиримидинов. Робинс** (Potential purine antagonists. I. Synthesis of some 4,6-substituted pyrazolo-[3,4-d]-pyrimidines. Robins Roland K.), J. Amer. Chem. Soc., 1956, 78, № 4, 784—790 (англ.).

Синтезирован ряд пуриновых изомеров — производных пиразоло-(3,4-d)-пиримидина (I), исходя из 3-амино-4-цианпиразола (II) и полученного из него 3-аминопиразолкарбоксамид-4 (III). При сплавлении III с  $\text{HCONH}_2$  образуется 4-оксид-1 (IV), а с мочевиной 4,6-диоксид-1 (V). Сопоставлены свойства производных I и соответствующих производных пурина (растворимость в воде, УФ-спектры, различные р-ции). Исследована активность полученных в-в против аденокарциномы 755 (на мышах). Наиболее активным оказался 4-амино-1 (VI), т. е. аналог аденина. Медленное прибавление 150 г этоксиэтилмалоннитрила к 100 г 85%-ного  $\text{N}_2\text{H}_4 \cdot \text{H}_2\text{O}$  приводит к получению 97 г неочищ. II, т. пл. 174—175° (из воды). Кипятят 8 час. 0,5 г II с 100 мл  $\text{CH}_2\text{COCl}$ , выделяют 0,4 г 3-ацетил-II, т. пл. 221—222° (из воды). Вносят (30 мин.) 50 г II в 170 мл конц.  $\text{H}_2\text{SO}_4$ , размешивают (20—40°, 1 час), выделяют 67 г сульфата III, т. пл. 222—225° (из воды). III (осаждение  $\text{NH}_4\text{OH}$ ), т. пл. 187—189° (из воды). Из 75 г сульфата III и 200 мл  $\text{HCONH}_2$  (180—190°, 45 мин.) образуется 48 г IV (кристаллизация из воды). Нагревают 100 г сульфата III с 200 г мочевины (160°, 20 мин. и 190°, 20 мин.), сплав растворяют в горячей разб.  $\text{NaOH}$  и  $\text{CH}_3\text{COOH}$  осаждают 74 г неочищ. V; очищают перекристаллизацией. Из 35 г II и 70 г  $\text{CS}(\text{NH}_2)_2$  аналогично (180°, 30 мин. и 200° 10 мин.) получают 26 г 6-меркапто-VI. Аналогично из 50 г сульфата III и 100 г  $\text{CS}(\text{NH}_2)_2$  получают 24 г 6-меркапто-IV. В 300 мл  $\text{POCl}_3$  вносят 10 г IV, затем 30 мл  $\text{C}_6\text{H}_5\text{N}(\text{CH}_3)_2$ , кипятят смесь 1,5 часа, разлагают льдом и извлекают эфиром 9,8 г 4-хлор-I (VII), т. разл. 130—135° (из бал.). Смесь 10 г IV с 50 г  $\text{P}_2\text{S}_5$  вносят (30 мин.) в 300 мл тетралина при 165—185°, размешивают 4 часа при 195°, плав растворяют в 1 л разб.  $\text{KOH}$ , выделяют 10,1 г 4-меркапто-I, т. пл.  $> 360^\circ$  (из 30%-ного сп.). Его получают также кипячением 2 г VII и 2 г  $\text{CS}(\text{NH}_2)_2$  в 100 мл абс. спирта



(2 часа), выход 1,6 г. Р-р 3 г VII в 150 мл конц. р-ра  $\text{NH}_4\text{OH}$  упаривают до 50 мл, добавляют 200 мл р-ра  $\text{NH}_4\text{OH}$  и снова упаривают до 150 мл.; из охлажд. р-ра (pH 11) выпадает 0,85 г VI. Его получают также кипячением 30 г II с 60 мл  $\text{HCONH}_2$  (30 мин.), выход 21 г, или нагреванием 5 г VII с р-ром  $\text{NH}_3$  в спирте при 100° 12 час., выход 3,9 г. 10 г V, 30 мл  $\text{C}_6\text{H}_5\text{N}(\text{CH}_3)_2$  и 250 мл  $\text{POCl}_3$  кипятят 1 час., выделяют 2,4 г в-ва с т. пл. 225—227° (разл.; из кислоты), вероятно, 4-метиланилино-6-хлор-I. Из 10 г II и 20 г мочевины (180—200°, 20 мин.) получают 11,5 г 6-оксид-VI. Из 14 г 6-меркапто-IV в р-ре 10 г  $\text{NaOH}$  в 300 мл воды и 12 г  $\text{CH}_3\text{J}$  при 5° получают 12 г неочищ. 6-метилмеркапто-IV. Кипятят 22 г последнего с 400 мл  $\text{POCl}_3$  и 30 мл  $\text{C}_6\text{H}_5\text{N}(\text{CH}_3)_2$  30 мин., извлекают эфиром 16 г 6-метилмеркапто-VII, т. пл. 178—179° (разл., из n-гексана). Из р-ра 5 г 4-меркапто-I в 65 мл 0,8 н  $\text{NaOH}$  и 5 г  $\text{CH}_3\text{J}$  (20°, 15 мин.), после обработки полученного в-ва водой при pH 9 ( $\text{NH}_4\text{OH}$ ) выделяют 4,1 г 4-метилмеркапто-I, т. пл. 193° (из воды). Кипятят 4 часа 15 г V и 80 г  $\text{P}_2\text{S}_5$  в 900 мл  $\text{C}_6\text{H}_5\text{N}$ , отгоняют  $\text{C}_6\text{H}_5\text{N}$  в вакууме, остаток нагревают 2 часа с 600 мл воды, получают 12,6 г 4-меркапто-6-оксид-I, очищ. перекристаллизацией  $\text{CH}_3\text{COOH}$  из шел. р-ра. Аналогично из 15 г 6-меркапто-IV и 65 г  $\text{P}_2\text{S}_5$  получают 12 г 4,6-димеркапто-I. 4,5 г VII в 150 мл воды с 4 мл конц. р-ра  $\text{NH}_4\text{OH}$  гидрируют с 1 г 10%-ного  $\text{Pd/C}$  (1,3 ат, 6 час.), в-во отделяют от C (100 мл кипящей воды), упаривают, извлекают толуолом в Сокслете 18 час., выделяют 2,9 г незащ. I, т. пл. 213—214° (возг. при 180—200°/15 мл). Нагреванием 3 г VII с  $\text{NaOC}_2\text{H}_5$  (0,6 г  $\text{Na}$ , 30 мл абс. сп.) получают 1,3 г 4-этоксид-I, т. пл. 168—169° (из разб. сп.). 7 г 6-метилмеркапто-VII в 150 мл спирта с 10 мл конц. р-ра  $\text{NH}_4\text{OH}$  гидрируют с 2,7 г 10%-ного  $\text{Pd/C}$  (1,3 ат, 24 часа), получают 1,7 г 6-метилмеркапто-I, т. пл. 210—212° (из 80%-ного сп.). Нагреванием 4 г 6-метилмеркапто-VII с  $\text{NaOCH}_3$  (1 г  $\text{Na}$ , 75 мл  $\text{CH}_3\text{OH}$ ) получают 3,1 г 4-метоксид-6-метилмеркапто-I, т. пл. 193—194° (из  $\text{CH}_3\text{OH}$  + вода). Замещ. в аминогруппе VI (4-R'<sup>2</sup>-N-I) получают нагреванием 4 часа 5—10 г VII с 50—100 мл 25—40%-ного водн. р-ра амина или с р-ром 0,15 моля амина в 150 мл абс. спирта. Перечислены R', R<sup>2</sup>, выход в %, т. пл. в °C: H,  $\text{CH}_3$  83, 227—228 (из воды);  $\text{CH}_3$ ,  $\text{CH}_3$ , 61, 233—234 (из бал. + сп.);  $\text{C}_2\text{H}_5$ ,  $\text{C}_2\text{H}_5$ , 85, 196—197 (из разб. сп.); H,  $\text{HC}(\text{CH}_3)_2$  70, 253—254 (из воды); H,  $\text{C}_6\text{H}_5$ , 55, 263—264 (из сп.); H,  $\text{CH}_2\text{C}_6\text{H}_4$ , 78, 215—217 (из разб. сп.); H,  $\text{C}_6\text{H}_5$ , 77, 259—260 (из разб. сп.); H,  $\text{CH}_2 = \text{CH} = \text{CH} = \text{CH} = \text{O}$ , 82, 223—225 (из сп.);  $\text{CH}_3$ ,  $\text{C}_6\text{H}_5$ , 63, 234—236 (из сп.); H, n-C<sub>4</sub>H<sub>9</sub>, 75, 205—206 (из разб. сп.); H, o-C<sub>6</sub>H<sub>4</sub>, 85, 260—261 (из сп.). Аналогично получают производные 6-метилмеркапто-VI (4-R' R<sup>2</sup> N-6-CH<sub>2</sub>S-I). Перечислены R', R<sup>2</sup>, выход в %, т. пл. в °C: H, N, 58,  $> 300^\circ$  (из воды);  $\text{CH}_3$ ,  $\text{CH}_3$ , 45, 263—265° (из разб. сп.); H, N, 30,  $> 300^\circ$  (из воды); H,  $(\text{CH}_2)_2\text{N}(\text{C}_2\text{H}_5)_2$ , 35, 130—132 (из сп.).

Е. Головинская

922. **Синтез возможных противораковых препаратов. I. Хлорпурины. Монтгомери** (Synthesis of potential anticancer agents. I. Chloripurines. Montgomery John A.), J. Amer. Chem. Soc., 1956, 78, № 9, 1928—1930 (англ.).

2-хлор-(Ia), 6-хлор-(Ib) и 2,6-дихлор-4,5-диаминопиримидин-(In) при обработке смесью  $\text{CH}(\text{OC}_2\text{H}_5)_2$  (II) и  $(\text{CH}_3\text{CO})_2\text{O}$  (III) образуют 2-хлор-(IVa), 6-хлор-(IVb) и 2,6-дихлорпурины (IVv) наряду с 2-хлор-9(7)-ацетил-(Va), 6-хлор-9(7)-ацетил-(Vb) и 2,6-дихлор-9(7)-ацетилпуринами (Vv) соответственно, причем V легко гидролизуются в IV с выходами 90—95%. Суспензию I в 10-кратном кол-ве смеси II и III, 1 : 1, медленно нагревают, а затем кипятят 1 час и избыток II и III удаляют при 20 мм; далее а) чистые V выделяют про-

мыванием остатка холодным  $\text{CH}_3\text{OH}$ , а из упаренного досуха  $\text{CH}_3\text{OH}$ -фильтрата при растворении остатка в 10%-ном  $\text{NaOH}$  получают IV; или б) остаток обрабатывают 10%-ным  $\text{NaOH}$  (30—40°, 10 мин.) и углем, фильтрат подкисляют (рН 4—6), выделяя IV (дополнительное кол-во IV получают, извлекая маточный р-р эфиром в жидкостном экстракторе 18—24 часа). Выделены следующие в-ва (перечисляются IV и V, выход, т. пл. в °C): IVa, 73, 231 (из воды); Va, —, 192—195 (разл.); IVб, 86, разл.; Vб, —, 140—142; IVв, 53, 179—181 (из  $\text{CH}_3\text{OH}$  после возгонки); Vв, —, 154—158. Приведены данные УФ- и ИК-спектров всех I, IV и V.

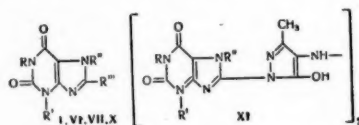
С. Гурвич

**923. К вопросу о строении триацетильного производного 4,5-диаминоурацила. Хмелевский В. И., Дурыгина О. И. Ж. общ. химии, 1956, 26, № 3, 755—760.**

Доказывается, что триацетильное производное 4,5-диаминоурацила (I), образующееся как промежуточное соединение при получении 8-метилксантина (II) из моче-вой к-ты (III) кипячением III в  $(\text{CH}_3\text{CO})_2\text{O}$ , является 4-ацетиламино-5-ди-(ацетиламино)-урацилом, а не диацетильным производным 2,6-диоксо-8-окс-8-метилгексагидропурина, как описано ранее (Biltz, Schmidt, Liebigs Ann. Chem., 1923, 431, 70). I был получен из III (кипятят 106 г 95%-ной III, 300 мл  $(\text{CH}_3\text{CO})_2\text{O}$  и 100 мл пиридина 5—5,5 часа, до прекращения выделения  $\text{CO}_2$ ; выпавший I промывают дихлорэтаном и абс. эфиром, быстро кристаллизуют порциями из 30 ч. воды, выход 65—66 г; при гидролизе горячей водой легко отщепляет одну ацетильную группу с образованием 4,5-ди-(ацетиламино)-урацила (IV). При кондуктометрич. титровании I расходуется 3 экв  $\text{NaOH}$  (на титрование IV идет 2 экв  $\text{NaOH}$ ). При кипячении с 100%-ной  $\text{CH}_3\text{COOH}$  подобно диацетанилиду образует IV с выходом 81%; при нагревании в хинoline с отщеплением молекулы  $(\text{CH}_3\text{CO})_2\text{O}$  и с изменением электропроводности реакционной массы (приведена кривая) I переходит в II (выход 95%). Такой процесс возможен только при отщеплении  $\text{CH}_3\text{COOH}$  с последующим ацидлизом промежуточного продукта  $\text{C}_4\text{H}_2\text{N}_2\text{O}_2=\text{N}(\text{COCH}_3)\text{C}(\text{CH}_3)=\text{N}$ . П. Соков

**924. 8-гидразинопурины и их превращение в пирозолон. Приве, Поляк (8-Hydrazino-purine und ihre Überführung in Pyrazolone. Priewe Hans, Poljak Alexander), Chem. Ber., 1955, 88, № 12, 1932—1937 (нем.).**

8-гидразинскофеин (Ia), -теофиллин (Iб), -теобромин (Iв) и -параксантин (Iг) получены из соответствующих 8-хлорпуринов действием гидразингидрата (II). При окислении Ia  $\text{FeCl}_3$  в продуктах р-ции идентифицированы кофеин (III) и 8-хлоркофеин (IV). Ia—г при действии ацетоуксусного эфира (V) образуют соответственно



$\text{R}'' = \text{NHNH}_2$ ; VI  $\text{R}'' = \text{NHN} =$   
 $= \text{C}(\text{CH}_3) \text{CH}_2\text{COOC}_2\text{H}_5$ ; VII  $\text{R}'' = 3$ -метил-  
 пирозолон-5-ил-1; X  $\text{R}'' = 3$ -метил-4-  
 изонитрозопирозолон-5-ил-1;  
 а  $\text{R} = \text{R}' = \text{R}'' = \text{CH}_3$ ; б  $\text{R} = \text{R}' = \text{CH}_3$ ,  
 $\text{R}'' = \text{H}$ ; в  $\text{R} = \text{H}$ ,  $\text{R}' = \text{R}'' = \text{CH}_3$ ;  
 г  $\text{R} = \text{R}' = \text{CH}_3$ ,  $\text{R}'' = \text{H}$

гидразоны (VIa—г), которые по Кнорру переведены в 1-пуринопирозолон (VIIa—г). Метилирование VIIa приводит к смеси 1-(кофеинил-8)-2,3-диметил-

(VIII) и 1-(кофеинил-8)-2,3,4-триметилпирозолон-5 (IX). Синтезированные из VIIa—в 4-изонитрозо-соединения (Xa—в) при попытке восстановления их в 4-аминопроизводные дают симметричные гидразосоединения (XIa—в). При окислении XIa  $\text{NaBrO}$  выделяется Na-соль 4,4'-азо-(1-кофеинил-8)-5-окс-3-метилпирозола (XII). 5 г IV в 50 мл спирта кипятят с 25 мл 80%-ного II до образования кристаллич. каши и еще 30 мин., выход Ia 92%, т. пл. 285° (разл., из воды). Из 13 г 7',8-дихлоркофеина в 200 мл  $\text{CH}_3\text{OH}$  с 30 мл 80%-ного II при 60° получают Iб, выход 77%, т. пл. 325° (разл., из 50%-ного сп.); хлоргидрат, т. пл. 198—199° (разл.). 5 г 8-хлортеобромина в 50 мл спирта кипятят 45 мин. с 20 мл 80%-ного II, непрореагировавшее в-во удаляют разб.  $\text{HCl}$ , фильтрат нейтрализуют  $\text{NaOH}$ , выделяя Iв, выход 92%, т. пл. 290° (разл.); хлоргидрат (при нагревании Iв со спирт.  $\text{HCl}$ ), т. пл. 306° (разл., из  $\text{CH}_3\text{OH}$ -эф). Iг получен из 8-хлорпараксантина аналогично Iв, т. пл. 265—268° (разл.). 4,5 г Ia и 2,9 г V в 50 мл спирта кипятят 20 мин., смесь упаривают в вакууме досуха, выход VIa 75%, т. пл. 132—134° (из бальн. лигр.). При кипячении (20 мин.) 2 г Iб, 5 мл V с 2 мл лед.  $\text{CH}_3\text{COOH}$  и 50 мл спирта и последующим охлаждением выделяют VIб, выход 82%, т. пл. 198° (разл., из  $\text{CH}_3\text{OH}$ ). Смесь 2,1 г Iв, 5 мл V, 5 мл лед.  $\text{CH}_3\text{COOH}$  и 50 мл воды кипятят до растворения осадка, выход VI в 96%, т. пл. 206—207° (разл., из сп.). 20 г Iг в 300 мл  $\text{CH}_3\text{OH}$  с 25 мл лед.  $\text{CH}_3\text{COOH}$  и 50 мл V кипятят 20 мин., выход VI г 19,5%, т. пл. 190—192° (разл., из воды). 3,4 г VIa и 0,4 г  $\text{NaOH}$  кипятят в 40 мл  $\text{CH}_3\text{OH}$  30 мин., абс. эфиром высаживают 2,5 г Na-соли VIIa, растворяют ее в 50 мл воды и избытком  $\text{CH}_3\text{COOH}$  выделяют VIIa, выход 68%, т. пл. 216—218° (из воды). 60 г VIIa и 30 г  $\text{CH}_3\text{I}$  нагревают в 500 мл  $\text{CH}_3\text{OH}$  (автоклав, 140—145°, 2 часа), охлаждают (снег + соль), осадок кипятят с 500 мл воды, нерастворимый осадок — IX, выход 20 г, т. пл. 335—340° (разл., из  $\text{HCON}(\text{CH}_3)_2$ ); водн. фильтрат упаривают до 100 мл, выход VIII 24%, т. пл. 251—253° (разл., из воды). Аналогично VIIa и VIб получают VIIб, выход 70%, т. пл. 310—312° (разл., из лед.  $\text{CH}_3\text{COOH}$ ), и из VIIв выделяют VIIв, выход 86%, т. пл. 290—292° (разл., из воды). 3,2 г VIг и 0,4 г  $\text{NaOH}$  в 50 мл абс. спирта кипятят 30 мин., выпавшую Na-соль растворяют в 50 мл горячей 1 н.  $\text{HCl}$  и выделяют VIIг, выход 47%, т. пл. 267—270° (разл., из сп.). К кипящему р-ру 12 г VIIa в 250 мл воды, содержащей 5 мл конц.  $\text{HCl}$ , добавляют 3 г  $\text{NaNO}_2$  в 10 мл воды, выход Xa 68%, т. пл. 248—249° (разл., из 50%-ного сп.). При обработке кипящего р-ра 2,8 г VIIб, 0,7 г  $\text{NaNO}_2$  и 0,5 г  $\text{NaOH}$  в 40 мл воды 5 мл конц.  $\text{HCl}$  выделяют Xб, выход 99%, т. пл. 310° (разл.). Аналогично из VIIв получают Xв, выход колич., т. пл. 285—287° (разл.). Р-р 8,1 г Xa в 255 мл  $\text{CH}_3\text{OH}$  гидрируют над 1,53 г 10%-ного  $\text{Pd/C}$  (1,46 моля  $\text{H}_2$  40 мин.), фильтрат подкисляют спирт.  $\text{HCl}$  и эфиром выделяют дихлоргидрат XIa, выход 72%, т. пл. 272—274° (разл.). К суспензии 20 г Xa в 250 мл кипящей воды постепенно добавляют 50 г  $\text{Na}_2\text{S}_2\text{O}_8$ , желтый профильтрованный р-р оставляют на ночь и отделяют моно-Na-соль XIa, выход 44%, т. пл. 224—225° (из воды). При добавлении 5 г  $\text{Na}_2\text{S}_2\text{O}_8$  к суспензии 3 г Xб в 100 мл горячей воды выделяют XIб, выход 83%, т. пл. 330° (из воды); аналогично из Xв получают XIв, т. пл. 245° (разл.). Смесь 6 г XIa в 50 мл воды и 40 мл 10%-ного р-ра  $\text{NaBrO}$  встряхивают 1 час, подкисляют разб.  $\text{HCl}$  до рН 5 и выделяют XII, выход 67%, т. пл. 298° (разл., из диметилформамида, осаждают аф). К р-ру 10 г Ia в 10 мл воды, подкисленному 1 экв 1 н.  $\text{HCl}$ , добавляют 200 мл 10%-ного р-ра  $\text{FeCl}_3$  и спустя 30 мин. р-р извлекают  $\text{CHCl}_3$ , экстракт упаривают досуха, остаток (7,5 г) в виде 3%-ного р-ра в  $\text{C}_6\text{H}_6$  хроматографируют на  $\text{Al}_2\text{O}_3$  и вымывают  $\text{CHCl}_3$ , выделяя



2,5-е IV, т. пл. 183—184° (из сп.), и 3,5-е красного кристаллич. в-ва, т. пл. 218—220°, предположительно 8,8'-диоксофенил (XIII). При аналогичной обработке 10 г Ia в 100 мл воды + 1 экв 1 н.  $H_2SO_4$  р-ром 50 г  $NH_4Fe(SO_4)_2$  в 150 мл воды выделяют 4,5 г III, т. пл. 223—225°, и 1,5 г XIII.

С. Гурвич  
925. О конденсации метилаллоксана с о-фенилендиамином. Пфлейдерер (Über die Kondensation von Methylalloxan mit o-Phenylendiamin. Pflaenderer Wolfgang), Chem. Ber., 1956, 89, № 5, 1148—1151 (нем.).

При конденсации о-фенилендиамина (I) с метилаллоксаном (II) в кислой среде образуется смесь 1- и 3-метилаллоксанинов (III и IV соответственно), которую не удалось разделить хроматографией на бумаге. Состав продукта р-ции (III) выяснен независимым синтезом III и IV и сравнением их УФ-спектров со спектром ПР (приведены данные). Р-ция I с II в нейтр. среде (кипение 15 мин. в воде) ведет к метиламиду 3-оксиксиналинкарбонной-2 к-ты, т. пл. 298° (из воды). Р-р 3 г хлоргидрата I в 30 мл воды кипятят 15 мин. с 3,2 г II в 30 мл воды. Выход ПР 3,1 г, т. пл. 330°. 10 г метилового эфира 3-метиламинохисооксалинкарбонной-2 к-ты (V — к-та) переводят в амид V (VI) в автоклаве (80°, 4 часа) со 150 мл насыщ. при 0° спирт.  $NH_3$ , выход 8,5 г, т. пл. 204° (из сп.). 3 г VI кипятят 26 час. при размешивании со 100 мл  $ClCOOC_2H_5$ , р-р обезвешивают углем и упаривают под вакуумом. Выход 3-(карбэтоксиметиламино)-2-цианхисолина (VII) 1,2 г, т. пл. 85° (из водн. сп.). Кипятят 1 час р-р 0,8 г VII в 20 мл  $CH_3OH$  с р-ром  $CH_3ONa$  (0,5 г Na и 20 мл  $CH_3OH$ ). Отфильтрованную Na-соль III (0,75 г) подкисляют в 40 мл теплой воды 2 н.  $H_2SO_4$ . Выход III 0,6 г, т. пл. 356—358° (из лед.  $CH_3COOH$ ). Нагревают 3 часа в автоклаве при 120° 2,6 г метилового эфира 3-аминохисооксалинкарбонной-2 к-ты (VIII — к-та) с 50 мл насыщ. при 0° спирт.  $CH_3NH_2$ . Выход метиламида VIII (IX) 1,8 г, т. пл. 175—178° (из  $CH_3OH$ ). Кипятят 24 часа 1,8 г IX с 50 мл  $ClCOOC_2H_5$  и упаривают досуха. Выход метиламида 3-N-карбэтоксид- VIII (X) 1,5 г, т. пл. 167° (из сп.). Кипятят 45 мин. 0,5 г  $X$  с  $C_2H_5ONa$  (0,5 г Na и 40 мл сп.), осадок подкисляют в горячей воде 2 н.  $H_2SO_4$ . Выход IV 0,3 г, т. пл. 343—344° (из лед.  $CH_3COOH$ ). При метилировании  $CH_3I$  в ацетоне в присутствии  $K_2CO_3$  (кипение 24 часа) III и IV дают 1,3-диметилаллоксанин, т. пл. 242° (из ацетона). Аналогичное этилирование III и IV  $C_2H_5I$  ведет соответственно к 1-метил-3-этил-(XI) и 1-этил-3-метилаллоксанину (XII), т. пл. 219 и 204° (из водн. ацетона). Сходным образом из аллоксанина получают 1,3-диэтилаллоксанин (XIII), т. пл. 157° (из водн. ацетона); этилирование посредством  $(C_2H_5)_2SO_4$  не удалось. XI и XII расплываются при кипячении с 0,5 н.  $NaOH$  (15—30 мин.) соответственно до этиламида V, т. пл. 121° (из водн. сп.) и метиламида 3-этиламинохисооксалинкарбонной-2 к-ты (XIV — к-та), т. пл. 148° (из водн. сп.). Из XIII аналогично (в 1 н.  $NaOH$ ) образуется этиламид XIV, т. пл. 128° (из водн. сп.).

А. Точилин  
926. Ингибиторы метаболизма. I. 6,7-диметил-9-формилметилизоаллоксанин, 6,7-диметил-9-(2'-оксипропил)-изоаллоксанин и их производные. Фолл, Питеринг (Metabolic inhibitors. I. 6,7-dimethyl-9-formylmethylisalloxazine, 6,7-dimethyl-9-(2'-hydroxyethyl)-isalloxazine and derivatives. Fall Harry H., Petering Harold G.), J. Amer. Chem. Soc., 1956, 78, № 2, 377—380 (англ.).

В целях изучения метаболизма и определения химиотерапевтич. свойств приготовлены биологически активные антагонисты рибофлавина (I): 6,7-диметил-9-формилметилизоаллоксанин (II), 6,7-диметил-9-(2'-оксипропил)-изоаллоксанин (III) и 6,7-диметил-9-(2'-ацетоксипропил)-изоаллоксанин (IV), а также производные

II и III. II и 9-(тиосемикарбазон) II (V) являются реверсивными антагонистами I (на крысах), а III и IV — мощными антагонистами I в росте крыс и против *L. casei* и обладают антигрибковой, -бактериальной, -паразитич. и -опухолевой (против Murphy-Sturm лимфосаркомы у крыс) активностью. III и IV вследствие большой стабильности сравнительно с I более пригодны как стандарты при колич. измерениях флюоресценции в биохим. исследованиях. УФ-спектры показали, что природа 9-боковой цепи не сказывается на электронном состоянии 6,7-диметилизоаллоксанинового ядра. Для аналитич. целей предлагается определение чисел омыления III и IV щел. гидролизом, который протекает количественно. К суспензии 5,7 г I в 150 мл 2 н.  $H_2SO_4$  при  $\sim 0^\circ$  без доступа света прибавляют 90 мл водн. р-ра (12,6 г)  $H_3JO_8$ , перемешивают 30 мин. и при 20° после полного растворения осадка добавлением  $Na_2CO_3$  устанавливают pH 1,5 и осветляют углем, добавляют в р-р  $Na_2CO_3$  до pH 3,8, получают 3,4 г гидрата II, т. пл. 270,5—271° (разл.); оксим, т. пл. 260—261° (разл.). В р-р 3,2 г II в 300 мл 50%-ной  $CH_3COOH$ , без доступа света добавляют 1,82 г тиосемикарбазида (VI) в 80 мл горячей воды и перемешивают 1 час, получают V, выход 96,4%, т. пл. 236,5—237° (разл.). Р-р 8 г  $Pb(CH_3COO)_2$  в 80 мл  $CH_3COOH$ , нагретый до 65°, прибавляют постепенно к холодному р-ру 2 г I в 80 мл 0,1 н.  $NaOH$ ; через несколько минут приливают р-р 2 г VI в 10 мл горячей воды и получают V, выход 85,2; примесь  $Pb < 0,43\%$  и структура V подтверждены ИК-спектром. К холодному р-ру 30,2 г гидрата II в 1 л 0,1 н.  $NaOH$  (без доступа света) прибавляют 3,7 г борогидрида Na в 25 мл воды; перемешивают 2 часа при  $\sim 20^\circ$ , охлаждают льдом и прибавляют лед.  $CH_3COOH$  до pH 4—4,5; получают III, выход 91%, т. пл. 300,5—301° (разл.). 25 г III, 900 мл пиридина и 46 мл  $(CH_3CO)_2O$  кипятят 30 мин., фильтрат охлаждают 48 час. при 5°; выход IV 75,9%, т. пл. 230—232° (разл., из лед.  $CH_3COOH$ ). Получены некоторые эфиры III. Функциональные группы I, II, III, IV, и V подтверждены ИК-спектрами. Приведены данные УФ-спектров этих в-в.

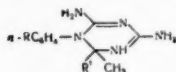
П. Соков  
927. Получение 1,2,3-триазола. Уайли, Хуссунг, Моффат (The preparation of 1,2,3-triazole. Woley Richard H., Hussung Karl F., Moffat James), J. Organ. Chem., 1956, 21, № 2, 190—192 (англ.).

Предложен новый удобный синтез 1,2,3-триазола (I), основанный на получении 1-бензил-1,2,3-триазолдикрбонной-4,5 к-ты (II) из ацетилдикрбонной к-ты (III) и бензилазида (IV) с последующим превращением ее в I через 1-бензил-1,2,3-триазол (V) или через 1,2,3-триазолдикрбонную-4,5 к-ту (VI). К р-ру 0,65 моля III в 200 мл ацетона добавляют 0,9 моля IV в 40 мл ацетона, быстро нагревают до кипения (осторожно) и оставляют на 12 час., выход II 92,5%, т. пл. 183°. При нагревании II с последующей перегонкой в вакууме получают V с почти колич. выходом, т. кип. 160°/1 мм, 210°/20 мм, т. пл. 61° (из эф. при  $-20^\circ$ ). К р-ру 0,6 г атома Na в 500 мл жидкого  $NH_3$  медленно приливают 0,2 моля II в 100 мл  $NH_3$  (в случае исчезновения голубой окраски до окончания приливания II добавляют еще 5 г Na), разлагают  $NH_4Cl$ , испаряют  $NH_3$ , остаток растворяют в воде, обрабатывают эфиром, подкисляют и выделяют моно-Na-соль VI, выход 55%; выход VI при восстановлении II над Pd/C ( $\sim 70$  ат, 150—200°, 1 час) только 10%. При восстановлении V Na в жидком  $NH_3$ , выход I  $< 50\%$ . 157,6 г V гидрируют над 1 г 50%-ного Pd/C при 175° и 80—27 ат 84 часа, смесь растворяют в эфире, фильтруют и разгоняют на колонке, выход I, считая на вошедший в р-цию V, 77%, т. кип. 208—210° (безопаснее перегонку вести в вакууме).

С. Гурвич

928. Исследования в ряду дигидротриазинов. 1-арил-2,4-диамино-1,6-дигидро-6,6-диалкил-1,3,5-триазины. Ба м и (Studies in dihydrotriazines: 1-aryl-2,4-diamino-1 : 6-dihydro-6 : 6 - dialkyl - 1 : 3 : 5 - triazines. Ба м и Н. Л.), J. Scient. and. Industr. Res., 1955, (В-С) 14, № 12, C231—C236 (англ.)

Ряд 1-арил-2,4-диамино-1,6-дигидро-6,6-диалкил-1,3,5-триазинов (Ia—m) синтезирован взаимодействием арилбигуанидов [или хлоргидратов ариламинов + дициандиамида (II)] с низшими кетонами. Другие кетоны, как, напр., метил-*n*-гексилкетон (III), в аналогичных условиях не дают I: из  $n\text{-ClC}_6\text{H}_4\text{NH}_2\cdot\text{HCl}$ , II и III получена *N*-*n*-хлорфенил-*N*'-гуанилмочевина (IV), образующаяся также при диазотировании *n*-хлорфенилбигуанида (V). Хлоргидрат *n*-нитрофенилбигуанида (VI) с кислым водн. ацетоном (VII), а также при диазотировании дает *N*-*n*-нитрофенил-*N*'-гуанилмочевину (VIII). I (особенно  $\text{R}'=\text{CH}_3$ ) являются весьма активными



против *P. gallinaceum* на пылятах. 14,3 г  $n\text{-CH}_3\text{C}_6\text{H}_4\text{NH}_2\cdot\text{HCl}$  (IX) и 8,5 г II кипятят в 100 мл VII 8 час., выход Ia·HCl·H<sub>2</sub>O 17 г, т. пл. 185—186° (из воды). При кипячении 14,3 г IX и 8,5 г II в 100 мл  $\text{CH}_3\text{COC}_2\text{H}_5$  (10 час.) получают 19 г Ib·HCl·H<sub>2</sub>O, т. пл. 186°. Из 16 г  $n\text{-CH}_3\text{OC}_6\text{H}_4\text{NH}_2\cdot\text{HCl}$  (X) и 8,5 г II в 50 мл VII (кипчение 6 час.) получают 15 г Ic·HCl·H<sub>2</sub>O, т. пл. 215° (из воды); *p*-2 г *n*-анилибигуанида в 1 мл HCl и 15 мл VII кипятят 8 час., половину р-теля удаляют, *p*-р слабо подкисляют, выход Id·HCl·H<sub>2</sub>O 1,5 г. При кипячении 12 час. 8 г X и 4,3 г II в 60 мл  $\text{CH}_3\text{COC}_2\text{H}_5$  получают 7,6 г Ie·HCl, т. пл. 182°. 7,3 г  $n\text{-C}_2\text{H}_5\text{OC}_6\text{H}_4\text{NH}_2$  (XI) и 8,4 г II кипятят 6 час. в 400 мл VII, отгоняют 300 мл *p*-р-теля, выход Id·HCl 6 г, т. пл. 202° (из воды). Аналогично из 8,6 г XI и 4,2 г II в 250 мл  $\text{CH}_3\text{COC}_2\text{H}_5$  (6 час.) получают 6 г Ie·HCl, т. пл. 197—198° (из воды). При кипячении 8 час. 2,1 г V и 1,5 мл HCl в 20 мл VII выделяют 1,5 г If·HCl, т. пл. 211—212° (из воды); последний получают также из 3,2 г  $n\text{-ClC}_6\text{H}_4\text{NH}_2$  и 2,1 г II в 15 мл VII + 1,3 мл HCl (3 часа), выход 4 г If·HCl выделяют при кипячении 8 час. 8,2 г  $n\text{-ClC}_6\text{H}_4\text{NH}_2\cdot\text{HCl}$  и 4,3 г II в 100 мл  $\text{CH}_3\text{COC}_2\text{H}_5$ , выход 7 г, т. пл. 208° (из воды). 20 г  $n\text{-BrC}_6\text{H}_4\text{NH}_2\cdot\text{HCl}$  и 8,5 г II кипятят 5 час. в 300 мл VII, отгоняют 150 мл VII, выход Im·HCl·H<sub>2</sub>O 20 г, т. пл. 202—203° (из воды); никрат, т. пл. 195—196° (из сп.); In, т. пл. 135°. *p*-2 г In·HCl·H<sub>2</sub>O в 50 мл воды кипятят с 5 мл 20%-ного KOH 10 мин. и отфильтровывают 1,6 г 2-броманилино-4-амино-1,6-дигидро-6,6-диметил-1,3,5-триазина, т. пл. 137° (из водн. сп.), пикрат, т. пл. 216—217°. Из 2,6 г  $n\text{-BrC}_6\text{H}_4\text{NH}_2\cdot\text{HCl}$  и 1,05 г II в 100 мл  $\text{CH}_3\text{COC}_2\text{H}_5$  (кипчение 8 час.) получают 2 г Ik·HCl, т. пл. 205—206° (из воды); применяя меньшее кол-во кетона, выделяют хлоргидрат *n*-бромфенилбигуанида, т. пл. 251—252°. 2,5 г последнего кипятят в 15 мл  $\text{CH}_3\text{COC}_2\text{H}_5$  + 1,5 мл HCl 5 час., выход Ik·HCl 1 г. 12,8 г  $\text{JC}_6\text{H}_4\text{NH}_2\cdot\text{HCl}$  и 4,2 г II в 150 мл VII кипятят 10 час., выход Il 14 г, т. пл. 202° (из воды). При кипячении (20 час.) 4 г хлоргидрата *n*-йодфенилбигуанида в 35 мл  $\text{CH}_3\text{COC}_2\text{H}_5$  + 7 мл воды + 1,8 мл HCl с последующим упариванием выделяют 3 г Im, т. разл. ~210°. 4,8 г  $n\text{-ClC}_6\text{H}_4\text{NH}_2\cdot\text{HCl}$  и 2,5 г II кипятят 1 час в 10 мл воды, добавляют 5 мл III, 20 мл спирта и 1,5 мл HCl, кипятят 20 час. и выделяют IV в виде никрата, т. пл. 255—257° (разл.; из водн. сп.). 2 г VI кипятят 20 час. в 40 мл VII + 40 мл воды + 1 мл HCl, осадок растворяют в воде и, подщелачивая,

выделяют VIII, выход 10 г, т. пл. 217° (из сп.). 3,4 г сульфанилампа (XII) и 1,6 г II кипятят 16 час. в 30 мл  $\text{CH}_3\text{COC}_2\text{H}_5$  + 7 мл воды + 3 мл HCl, при упаривании *p*-ра выделяют 2 г хлоргидрата *N*-*n*-сульфонамидофенил-*N*'-гуанилмочевину, т. пл. 212° (из воды); последний получают также из хлоргидрата XII и II в воде или *n*-сульфонамидофенилбигуанида и  $\text{CH}_3\text{COC}_2\text{H}_5$ . С. Гурвич

929. Некоторые производные 2,3-дифенил-5-аминоалкилтетразолия. I. Гадачек, Панек (Některé deriváty 2,3-difenyl-5-aminoalkyl-tetrazolia. I. Hadaček Jaromír, Pánek Karel), Práce Brněnské základ. CSAV, 1955, 27, № 11, 545—551 (чеш.; рез. рус., нем., англ.)

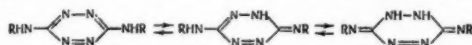
Из фенилгидразона фталимидоацетальдегида (I) действием хлористого фенилдиазония (II) получен С-(фталимидометил)-*N*,*N*'-дифенилформазан (III). Изоамилинитрит (IV) окисляет III в хлористый 2,3-дифенил-5-(фталимидометил)-тетразолий (V). При омылении V в присутствии икриновой к-ты (VI) образуется дипикрат 2,3-дифенил(аминометил)-тетразолия (VII). Тем же путем из фенилгидразона β-фталимидопропионового альдегида (VIII) получен дипикрат 2,3-дифенил-5-(β-аминоэтил)-тетразолия (IX). К *p*-ру 4 г I, т. пл. 163° (из  $\text{CH}_3\text{COOH}$ -сп.), в 80 мл  $\text{CH}_3\text{OH}$  и 20 мл пиридина при 0° приливают II (из 1,86 г хлоргидрата анилина), при стоянии выпадает 3,1 г III, т. пл. 202—203° (из пиридина). Так же из 4 г VIII, т. пл. 171° (из кетолла), получают 2,8 г С-(β-фталимидометил)-*N*,*N*'-дифенилформазана (X), т. пл. 192° (из пиридина). В смесь 1 г III, 70 мл  $\text{CHCl}_3$  и 1 мл IV при 40° вводят HCl (газ) до обесцвечивания, оставляют на 1 час и разбавляют 400 мл эфира, выпадает 0,52 г V, т. пл. 247° (разл., из сп.). Так же из 1 г X получают 0,3 г хлористого 2,3-дифенил-5-(β-фталимидометил)-тетразолия (XI), т. пл. 241—242° (разл., из сп.). 500 мг V кипятят 2,5 часа с 10 мл конц. HCl, охлаждают, фильтрат упаривают, растворяют в 20 мл воды и после добавления насыщ. *p*-ра VI и  $\text{CH}_3\text{COONa}$  получают 0,42 г VII, т. пл. 196° (из сп.). Так же из 0,5 г XI получают 0,37 г IX, т. пл. 186°.

И. Котляревский

930. Синтез сим-диаминотетразина. Линь Чжао-хань, Либер, Хорунц (The synthesis of sym-diaminctetrazine. Lin Chao-Han, Lieber Eugene, Horwitz Jerome P.), J. Amer. Chem. Soc., 1954, 76, № 2, 427—430 (англ.)

При действии  $\text{CH}_2\text{N}_2$  на 3,6-дикарбокси-1,2-дигидро-1,2,4,5-тетразин (I), кроме ожидаемого диметилового эфира I (II), образуется 1-метил-3,6-дикарбометокси-1,2-дигидро-1,2,4,5-тетразин (III). II при *p*-пп с избытком  $\text{H}_2\text{NNH}_2$  дает дигидразид 1,2-дигидро-1,2,4,5-тетразиндикарбоной-3,6 к-ты (IV), который в смеси  $\text{C}_6\text{H}_6$  и  $\text{CH}_3\text{COOH}$  подвергается перегруппировке Куршуса с образованием диазида 1,2,4,5-тетразиндикарбоновой-3,6 к-ты (V). Попытки превращения V в соответствующий уретан не увенчались успехом. При нагревании V в лед.  $\text{CH}_3\text{COOH}$  образуется сразу 3,6-диамино-1,2,4,5-тетразин (VI). Наличие двух аминогрупп в VI подтверждается образованием диацетилового производного (VII) и дитозилового производного (VIII). Факт содержания в VI 1,2,4,5-тетразинового цикла авторы подтверждают спектрами поглощения, так как  $\lambda_{\text{макс}}$  и  $\epsilon_{\text{макс}}$  для VI и ряда родственных соединений соответствуют литературным данным для такого типа соединений (Miller E., Heirdegen L., J. prakt. Chem., 1921, 102, 113). Появление второго максимума (смешенного в сторону коротких длин волн) можно, очевидно, объяснить равновесием таутомерных форм VI. (См. схему на следующей странице).

Причем смещение максимума в сторону коротких длин волн более резко выражено у VII и VIII, чем у VI, т. е. очевидно, у VII и VIII происходит перенос двух протонов, а у VI только одного. При действии  $\text{HNO}_3$  на нитрат диаминогуанидина (IX) и последующем окислении ( $\text{H}_2\text{O}_2$ ) образуется VI; последний также получается, если водн. р-р йодгидрата 8-метилтиосемикарбазида (X) подщелачивают до pH 8 (выход 13%). Свойства VI подтверждают его принадлежность к 1,2,4,5-тетразиновой системе и отличаются от свойств в-ва, полученного ранее (Ponizio G., Gastaldi C., Gazz. chim. ital., 1914, 44, (1), 257, 277; 1915, 45, (I), 181), которому приписывалось строение VI. К холодному р-ру 0,4 моля  $\text{CH}_3\text{N}_2$  в эфире постепенно прибавляют 0,14 моля I, нагревают несколько минут, получают II, выход 43%, т. пл. 168—170° (из воды); из маточного р-ра получают III, выход 50%, т. пл. 114—115° (из воды). К кипящему р-ру 150 ммольей 96%-ного  $\text{H}_2\text{NNH}_2$  в 20 мл абс. спирта по каплям прибавляют теплый р-р 0,5 ммольей II в 30 мл абс. спирта, кипятят 16 час., получают IV, выход 90%, т. пл. 287—288° (разл.).



VI R = H; VII R = COCH<sub>3</sub>; VIII R = SO<sub>2</sub>C<sub>6</sub>H<sub>4</sub>CH<sub>3</sub>.

Суспензию 2,5 ммольей IV в 50 мл лед.  $\text{CH}_3\text{COOH}$  и 25 мл  $\text{C}_6\text{H}_6$  обрабатывают при охлаждении 1 мл конц. HCl и р-ром, 8,3 ммольей  $\text{KNO}_2$  в воде, осадок (0,25 г) промывают лед.  $\text{CH}_3\text{COOH}$ , суспендируют в 125 мл лед.  $\text{CH}_3\text{COOH}$ , нагревают 2 часа при 100°, фильтруют, фильтрат упаривают досуха при 100° в токе воздуха, остаток обрабатывают водой, получают VI, выход 56%, не плавится ниже 300° (сублимация при 200—240°; из воды). Смесь 0,9 ммольей VI и 20 мл  $(\text{CH}_3\text{CO})_2\text{O}$  кипятят 30 мин.,  $(\text{CH}_3\text{CO})_2\text{O}$  удаляют в вакууме, остаток растворяют в 30 мл  $\text{CH}_3\text{COOC}_2\text{H}_5$ , охлаждают, получают 10 мг моноацетильного производного VI, т. пл. 272—274°; из маточного р-ра получают 50 мг VII, т. пл. 156—158° (из сп.). Смесь 0,9 ммольей VI, 3,7 ммольей  $n\text{-C}_3\text{H}_7\text{C}_6\text{H}_4\text{SO}_2\text{Cl}$  и 10 мл  $\text{C}_2\text{H}_5\text{N}$  кипятят 1 час, упаривают досуха в вакууме, прибавляют 10 мл 50%-ного спирта, получают 90 мг VIII, т. пл. 227—228° (из сп.). К р-ру 0,038 моля IX в 50 мл 1 н.  $\text{HNO}_3$  прибавляют р-р 0,08 моля  $\text{KNO}_2$  в 50 мл воды 6,5 часа, получают 0,25 г в-ва, которое растворяют в 20 мл 3%-ной  $\text{H}_2\text{O}_2$ , р-р выпаривают в вакууме-эксикаторе над  $\text{H}_2\text{SO}_4$ , остаток обрабатывают 10 мл воды, получают 75 мг VI. Г. Швехтсмер 931.

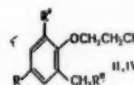
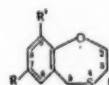
2,3-дигидробензо-(f)-1,4-оксатепин и его производные. Кулька (2,3-dihydrobenzo-(f)-1,4-oxathiepin and derivatives. K u l k a M a r s h a l l), Canad. J. Chem., 1955, 33, № 9, 1442—1449 (англ.). В процессе работы над получением аналитических методов — промежуточных продуктов для оксатепинов, синтезированы производные нового гетероцикла — 2,3-дигидробензо-(f)-1,4-оксатепина (Ia — u); последние получены взаимодействием 2-β-хлорэтоксibenзилхлоридов (Ia — u) с  $\text{CS}(\text{NH}_2)_2$  (III) с последующим шел. расщеплением образовавшихся производных хлористого S-(2-β-хлорэтоксibenзил)-изотурония (Iva — u) через S-(2-β-хлорэтоксibenзил)-меркаптаны. При обработке IV конц. шел. р-ром в основном образуются полимеры. Установлено, что присутствие заместителей в IV в орто-положении к  $\text{ClCH}_2\text{CH}_2\text{O}$ -группе не препятствует прикладанию в I. При окислении Ia — u получены соответствующие сульфоны (Va — u). Необходимые в качестве исходных соединений Iib — e получены хлорэтилговыми соответствующих фенолов действием  $\text{C}_2\text{H}_5\text{Cl}_2$  (см. Harris, Stewart, Can. J. Research., 1949, 27, 739) с последующим хлорметилированием образовавшихся 2-хлорэтилфениловых эфиров. Повести хлорметилирование 2,4,5-трихлорфенил-2-хлорэтилового эфира (VI) не уда-

лось. На синтезирован хлорэтилговым о- $\text{HOC}_6\text{H}_4\text{CHO}$  (VII), последующим превращением образовавшегося о- $\text{ClCH}_2\text{CH}_2\text{CCl}_2\text{HCHO}$  (VIII) по Каньянцаро в соответствующий бензиловый спирт (IX) и действием на IX  $\text{SOCl}_2$ .

Ia R = R' = H; б R = Cl.  
R' = H; в R = R' = Cl;  
г R = CH<sub>3</sub>, R' = H;  
д R = *m*-pet-C<sub>6</sub>H<sub>4</sub>, R' = H;  
е R = NO<sub>2</sub>, R' = H;

ж R = *m*-pet-C<sub>6</sub>H<sub>4</sub>, R' = Cl;

з R = *m*-pet-C<sub>6</sub>H<sub>4</sub>, R' = NO<sub>2</sub>; и R = CH<sub>3</sub>, R = *p*-*tw*-C<sub>6</sub>H<sub>4</sub>; II R' = Cl;



IV R' = SC(NH<sub>2</sub>·HCl)·NH

Смесь 100 г VII, 100 мл  $\text{C}_2\text{H}_5\text{Cl}_2$ , 50 г KOH и 100 мл воды кипятят 5 дней и получают VIII, выход 40%, т. кип. 163—164°/12 мм, т. пл. 38—39° (из бал.). К р-ру 20 г VIII в 100 мл спирта и 40 мл 40%-ного р-ра  $\text{CH}_2\text{O}$  прибавляют по каплям при 35—40° 50 мл 50%-ного р-ра KOH, нагревают 2 часа при 40°, отгоняют часть спирта в вакууме, остаток извлекают эфиром и получают IX, выход 85%, т. кип. 166—167°/12 мм,  $n_D^{20}$  1,550. К р-ру 12 г IX в 50 мл абс.  $\text{C}_6\text{H}_6$  прибавляют постепенно при  $t \leq 35^\circ$  10 г  $\text{SOCl}_2$ , оставляют на 5 час. при  $\sim 20^\circ$ , частично упаривают в вакууме без нагревания и получают в остатке р-р Ia, который применяют без выделения. Смесь 100 г *n*-толил-2-хлорэтилового эфира (X), 150 мл  $\text{C}_2\text{H}_5\text{Cl}_2$ , 300 мл конц. HCl, 15 мл воды, 22 г параформальдегида (XI) нагревают 24 часа при 55—60° и получают II, выход 88%, т. кип. 158—160°/12 мм, т. пл. 25—27°. Аналогично получают IIa, выход 50%, т. кип. 170—173°/12 мм,  $n_D^{20}$  1,533. К смеси 25 г XI, 150 г  $\text{ZnCl}_2$  и 400 мл  $\text{CH}_3\text{COOH}$ , насыщ. HCl, прибавляют 10 г 2,4-дихлорфенил-2-хлорэтилового эфира, р-р нагревают при 90—95° 4 дня, частично упаривают в вакууме, остаток обрабатывают 120 мл HCl, извлекают  $\text{C}_6\text{H}_6$  и получают IIb, выход 18 г (исочисл.), т. кип. 175—185°/12 мм. Аналогично из *n*-нитрофенил-2-хлорэтилового эфира получают IIc, выход (исочисл.) 35%, т. кип. 170—175°/12 мм. Р-р 71 г *n*-трет-бутилфенил-2-хлорэтилового эфира и 35 г  $\text{CH}_3\text{COONa}$  в 200 мл  $\text{CH}_3\text{COOH}$  насыщают 24 г  $\text{Cl}_2$  при 35—40°, оставляют на 15 мин. при  $\sim 10^\circ$ , выливают в воду, извлекают  $\text{C}_6\text{H}_6$  и получают 2-хлор-4-трет-бутилфенил-2-хлорэтиловый эфир (XII), выход 7%, т. кип. 160—163°/12 мм,  $n_D^{20}$  1,532. Аналогично IIb из 44 г XII, 10 г XI, 30 г  $\text{ZnCl}_2$  в 250 мл  $\text{CH}_3\text{COOH}$  получают IIж, выход 60%, т. кип. 180—185°/13 мм,  $n_D^{20}$  1,539. 12 г IIд в р-ре 25 мл  $\text{CH}_3\text{COOH}$  и 10 мл  $(\text{CH}_3\text{CO})_2\text{O}$  нитруют 4 мл дымящей  $\text{HNO}_3$  (25—30°) и получают IIз, выход 70%, т. пл. 77—78° (из  $\text{CH}_3\text{OH}$ ). К-ру 150 г X в 400 мл *трет*- $\text{C}_6\text{H}_4\text{Cl}$  при охлаждении в т-ре при помесе прибавляют 3 г  $\text{AlCl}_3$ , кипятят 3 часа, получают 2-трет-бутил-4-метилфенил-2-хлорэтиловый эфир (XIII), выход 30%, т. кип. 140—160°/13 мм, т. пл. 35—37° (из  $\text{CH}_3\text{OH}$ ). Смесь 30 г XIII, 6 г XI и 150 мл  $\text{CH}_3\text{COOH}$  насыщают HCl, нагревают 18 час, при 78—80°, отгоняют в вакууме большую часть р-рителя, остаток обрабатывают водой, извлекают  $\text{C}_6\text{H}_6$  и получают IIи, выход 60%, т. кип. 172—177°/13 мм,  $n_D^{20}$  1,534. VI (т. пл. 52—53°) получен из 2,4,5- $\text{Cl}_3\text{C}_6\text{H}_2\text{OH}$  и  $\text{C}_2\text{H}_5\text{Cl}_2$  с выходом 72%, а 2-ацетил-4-метилфенил-2-хлорэтиловый эфир (т. пл. 61—62°) из 2-окси-5-метилацетифенона и  $\text{C}_2\text{H}_5\text{Cl}_2$  с выходом 10%. К р-ру 20 г IIа в 50 мл спирта прибавляют  $\sim 20\%$ -ный избыток III, кипятят 3 часа, отгоняют спирт в вакууме, остаток обрабатывают горячей водой, извлекают  $\text{C}_6\text{H}_6$  и по охлаждению из гонд. слоя получают IVa. Аналогично получают IV (перечисляются в-во, выход в %, т. пл. °C): IVб, 75, 169—170; IVв (не очислялся); IVг, 82, 180—181; IVд, 69, 199—200; IVе, 80, 158—159; IVж, 79, 194—195; IVз, 90, 190—191; IVи (не очислялся). Р-р 30 г IVа в смеси 50 мл спирта и 100 мл воды прибав-



ляют при  $\sim 100^\circ$  в течение 1,5 часа к р-ру 20 г NaOH в 1 л воды, нагревают еще 1 час, извлекают  $C_6H_6$  и получают Ia, выход 47%, т. кип.  $130^\circ/13$  мм, т. пл.  $35-36^\circ$  (из  $CH_3OH$ ). Аналогично получены I (перечисляются в-во, выход в %, т. кип. в  $^\circ C/13$  мм, т. пл. в  $^\circ C$ , из  $CH_3OH$ ): Ib, 80, 160-162, 70-71; Ic, 10,  $\sim 180$ , 114-115; Id, 90, 146-147, 45-46; Ie, 94, 170, 53-54; If, 84, —, 124-125; Ig, 80, 185-190, —; Ih, 86, —, 81-82; Ii, 53, 175-180, 61-62. К-ру 1 г Ia в 5 мл  $CH_3COOH$  прибавляют 3 мл 30%-ного р-ра  $H_2O_2$ , нагревают при  $\sim 100^\circ$  1 час, разбавляют горячей водой и получают Va, т. пл.  $165-166^\circ$ . Аналогично получают V (перечисляются в-во, т. пл. в  $^\circ C$ ): Vb, 194-195; Vc, 209-210; Vd, 175-176; Ve, 184-185; Vf, 185-186; Vg, 158-159; Vh, 187-188; Vi, 189-190. В. Зарезский

**932. Оксазолиридины и оксазолихинолины. I. 2'-алкил- и 2'-арилпроизводные оксазол-(4',5'-3,4)-пиридина и оксазол-(4',5'-3,4)-хинолина. Фрейзер, Титтензор** (Oxazopyridines and oxazoloquinolines. Part I. 2'-alkyl and 2'-aryl derivatives of oxazolo(4':5'-3:4)pyridine and oxazolo(4':5'-3:4)quinoline. Fraser James, Tittensor E.), J. Chem. Soc., 1956, June, 1781-1784 (англ.)

Нагреванием 3-амино-4-оксипиридина (I) или 3-амино-4-оксихинолина (II) с ангидридами к-т получают 2'-алкил(арил)-оксазол-(4',5'-3,4)-пиридин (III) и -хинолины (IV) соответственно. Метод не применим для получения незамещ. III и IV, так как формильные производные I и II не циклизуются. 2'-метил-III быстро на холоду гидролизуются 1 н. HCl в 3-ацетамидо-пиридон-4, конденсируется с  $C_6H_5CHO$ , образуя стирильное производное, его  $CH_3$ -группа устойчива к действию  $SeO_2$  и N-бромсукцинимидов. 3-е 4-оксипиридинолина в 100 мл  $CH_3OH$  гидрируют в присутствии 1 г 10%-ного Pd/C и фильтрат упаривают в вакууме в атмосфере  $N_2$ , получают 2,4-е II. Аналогично из 10-е 4-оксипиридинолина получают 7,4-е I; моноацетильное производное, т. пл.  $213-214^\circ$  (из водн. ацетона). Смесь 0,04 моля I и 0,2-0,3 моля ангидрида алифатич. к-ты кипятят 24 часа, охлаждают, размешивают с 300 мл ледяной воды, р-р подщелачивают NaOH, 2'-алкил-III извлекают  $C_6H_6$  и кристаллизуют из петр. эфира. Смесь 0,01 моля I и 0,03 моля ангидрида ароматич. к-ты быстро нагревают до  $300^\circ$ , выдерживают 15 мин., плав растворяют в  $C_6H_6$ , экстрагируют охлажд. 2 п. HCl и действием NaOH выделяют 2'-арил-III, которое кристаллизуют из ацетона. Получены следующие III (перечисляются алкил или арил, выход в %, т. пл. в  $^\circ C$ , т. пл. йодметилата в  $^\circ C$ , из абс. сп.):  $CH_3$ , 27, 57,5-59, 147-148 (из сп.-эф);  $C_2H_5$ , 32, 46-47, 146-147 (из сп.-эф);  $n-C_3H_7$ , 42, 72,5-73,5, 94-96,5 (из сп.-эф); пикрат, т. пл.  $130-131^\circ$ ;  $C_6H_5$ , 45, 123,5-124,5, 279-280;  $n-C_8H_{17}$ , 57, 179,5-180, 226-227,5;  $n-CH_3OC_6H_4$ , 53, 177-178, 234-235,5, пикрат, т. пл.  $251-252^\circ$ ;  $n-ClC_6H_4$ , 32, 157-158, 267,5-268,5. Аналогично получены следующие IV:  $CH_3$ , 75, 90-91, 252,5-253,5;  $C_2H_5$ , 72, 72,5-73,5, 216-217;  $n-C_3H_7$ , 45, 69-70, 193-194;  $C_6H_5$ , 63, 168-169, 260-261 (из разб. сп.);  $n-C_8H_{17}$ , 42, 166-168, 238-240 (из разб. сп.);  $n-CH_3OC_6H_4$ , 40, 188-189, 251-252 (из разб. сп.);  $n-ClC_6H_4$ , 86, 219,5-220,5, 250-251 (из разб. сп.). Из 0,5 г 2'-метил-III, 3 г  $C_6H_5CHO$  и 0,3 г  $ZnCl_2$  ( $170^\circ$ , 5 час.) получают 0,06 г 2'-стирил-III, т. пл.  $122-123^\circ$  (из водн. ацетона). К р-ру 10-е 4-оксипиридинолина в 100 мл 5н. NaOH + 20 мл воды при  $t-ре < 5^\circ$  медленно прибавляют р-р  $C_6H_5NaCl$  (на 6 г анилина), добавляют охлажд. 5 н. HCl до нейтр. р-ции, осадок нагревают ( $\sim 100^\circ$ , 2 часа) с 200 мл конц. HCl и 26 г  $SnCl_2$  и выделяют 7 г хлоргидрата 3-амино-4-оксипиридинолина (V); ацетильное производное, т. пл.  $313,5-314^\circ$  (из водн. сп.). Смесь 4,89 г V, 30 мл  $(CH_3CO)_2O$  и 1,2 г безводн.  $CH_3COONa$

кипятят 4 часа и аналогично 2'-алкилIV выделяют 1,6 г 2',2,8-триметил-IV, т. пл.  $83-84^\circ$ . Б. Дубинин

**933. Химия сиднонов. I. Эрл** (Chemistry of the sydnone. I. Earl J. C.), Recueil trav. chim., 1955, 75, № 4, 346-348 (англ.)

При восстановлении 2-фенилсиднона (I) Zn и разб.  $CH_3COOH$  в результате асимметрич. присоединения  $H_2$  (так же как и при каталитич. восстановлении (см. Baker и др., J. Chem. Soc., 1949, 307) получается  $NH_4$ -соль анилиноуксусной к-ты. Предварительный разрыв лактонного кольца с образованием N-нитрозианилиноуксусной (II) и из нее фенилгидразиноуксусной (III) к-т отсутствует, так как при восстановлении II и III в условиях, приведенных для I (0,2 г I, 2 мл лед.  $CH_3COOH$ , 30 мл воды, 0,5 г Zn-пыли, кипячение 15 мин. получено 90,2%  $NH_4$ ), образуется лишь 31% и 24,6%  $NH_4$  соответственно. Асимметрич. присоедине-

ние  $H_2$ , присущее координационной связи  $=N \rightarrow O$  (напр., у азобензола, образующего азобензол), подтверждено восстановлением N-фенилового эфира оксима бензальдегида  $C_6H_5N(=CHC_6H_5) \rightarrow O$  (IV), образующего данилинодобензил  $C_6H_5NHCN(C_6H_5)CH(C_6H_5)NHC_6H_5$  (V), тождественный с получаемым из бензилиденаанилина. Наряду с V получается некоторое кол-во анилина (VI) и бензальдегида (VII). На основе сходства иминогруппы с O допускается наличие в I

групп  $=N \rightarrow N-$ . Из двух структур, возможных для сиднонов  $RN=C(R')C(O)N$  (A) или  $RN^+=NOC(O^-)=C(R')$

(B), более вероятна A, которой соответствует плохая растворимость в-в в воде и слабая окраска, что противоречит бетановой структуре B, включающей азогруппу. 1 г IV, 5 мл лед.  $CH_3COOH$ , 40 мл воды, 1 г Zn-пыли кипятят 15 мин.; прибавляют 50 мл воды, с которой отгоняют VII. Остаток охлаждают, фильтруют и осадок извлекают горячим спиртом; из экстракта высаживают водой V, выход 0,43 г. Из водн. фильтрата от Zn подщелачиванием выделяют VI. П. Соков

**934. Метоксипиридин и оксиметилгетероциклы. Гилман, Таул, Ингем** (Methoxy- and hydroxystyryl heterocycles. Gilman Henry, Towle J. Lewis, Ingham Robert K.), J. Organ. Chem., 1956, 21, № 5, 595-596 (англ.)

Для исследования антисептич. и трипановидной активности в-в конденсаций ароматич. альдегидов с  $CH_3$ -группой гетероциклов синтезированы метоксипирипроизводные бензотиазола (I), хиноксалина (II), хинолина (III) и пиридина (IV). Некоторые I и III деметилированы в соответствующие окиссоединения. Смесь 2-метил I, анисового альдегида и  $(CH_3CO)_2O$  (по 0,1 моля) кипятят 24 часа в атмосфере  $N_2$ , охлаждают, массу растирают с 50%-ным спиртом и промывают 80%-ным спиртом, выход 2-метоксипирипро-III (Ia) 58%, т. пл.  $142-144^\circ$  (из сп.). Аналогично получены следующие I и III (перечисляются в-во, выход в %, т. пл. в  $^\circ C$ ): 2-(2', 3'-диметоксипирипро)-I, 88, 90-91 (из разб.  $CH_3OH$ ); 2-(3', 4'-диметоксипирипро)-I, 67, 150-151 (из сп.); 2,6-ди-(2', 3'-диметоксипирипро)-IV, 50, 140-141 (из бал.-петр. эф); 2,2-ди-(3'-метоксипирипро)-IV, 39,5, 173-175 (из сп.); 2,3-ди-( $n$ -метоксипирипро)-II, 71, 163-164 (из бал.); 2,3-ди-(3', 4'-диметоксипирипро)-II, 64, 196-197 (из бал.-петр. эф); 2-( $n$ -метоксипирипро)-6-метоксипирипро-III, 76, 162-163 (из бал.-петр. эф); 2-(3', 4'-диметоксипирипро)-6-метоксипирипро-III, 75, 137-138 (из сп.); 2-(2', 3'-диметоксипирипро)-4-оксипирипро-III, 60, 278-280 (из 2-метоксипирипро). Р-р 7,5 г Ia в 200 мл смеси 47%-ной HCl и лед.  $CH_3COOH$  (1:1) кипятят 24 часа, разбавляют водой, подщелачивают  $NH_4OH$  и отфильтровывают 2- $n$ -метоксипирипро-I, который пересаживают  $CH_3COOH$  из 5%-ного р-ра NaOH

выход 84,5% т. пл. 212—213° (из сп.). Аналогично получены (перечисляются в-во, выход в %, т. разл. в °C): 2-(2',3'-диоксистирил)-I, 52, 185—190 (из  $\text{CH}_3\text{COOH} + \text{H}_2\text{O}$ ); 2-(3',4'-диоксистирил)-I, 62, 220—230 (из  $\text{CH}_3\text{COOH} + \text{H}_2\text{O}$ ); 2-(*n*-оксистирил)-6-окс-III, 58, 270—275. Б. Дубинин

935. Тиазолы. Сообщение XXVII. Изучение тиазолил-2-гидразонов. Бейер, Бишофф, Вольтер (Über Thiazole. XXVII. Mitteilung: Zur Kenntnis der Thiazolyl-(2)-hydrazone. Beyer Hans, Bischoff Christian, Wolter Gerhard). Chem. Ber., 1956, 89, № 5, 1095—1099 (нем.)

В связи с прежней работой (см. сообщение XII, Chem. Ber., 1952, 85, 1122) тремя различными методами приготовлены тиазолил-2-гидразоны: 4-нитро-(I), 4-карбокси-(II), 4-метоксикарбонильдегида (III), бензальдедон и аллоксана общей ф-лы  $\text{SC(R')}=\text{C(R)N}=\text{CNHN}=\text{R''(IV)}$ . Метод А. 0,01 моля I

и 0,01 моля 4-фенилтиазолил-2-гидразина в 100 мл спирта кипятят 15 мин., при охлаждении получают соответствующий IV, который перекристаллизовывают из пиридина и промывают водой и спиртом. Метод Б. 0,01 моля дитазоламмониевой соли тиосемикарбазона-II в 15 мл воды смешивают с р-ром 0,01 моля хлорацетона в 10 мл спирта, для окончания р-ции кипятят 10 мин., осадок IV очищают, как в методе А ( $\text{CH}_3\text{OH}$  вместо спирта). Метод В. Тиосемикарбазон хлорацетальдегида и III (по 0,01 моля) в 75 мл спирта кипятят 15 мин., по охлаждении смешивают с р-ром  $\text{CH}_3\text{COONa}$  и выделившийся IV кристаллизуют из ацетона; или I и хлоргидрат 2-амино-5-метил-1,3,4-тиадиазина (по 0,01 моля) кипятят 15 мин. в 30 мл 50%-ного спирта (РЖХим, 1955, 55154), добавляют р-р  $\text{CH}_3\text{COONa}$  и IV перекристаллизовывают из пиридина. Получены следующие IV, у которых  $\text{R}=\text{R}'=\text{H}$  (перечисляются R'', метод, выход в %, т. разл. в °C и т. пл. в °C моноацетального производного):  $\text{O}_2\text{NC}_6\text{H}_4\text{CH}=\text{CH}-$ , В, 96, 252,—;  $\text{n-HOOC}_6\text{H}_4\text{CH}=\text{CH}-$ , В, 79,—;  $\text{n-CH}_3\text{O}_6\text{H}_4\text{CH}=\text{CH}-$ , В, 70, 206,—;  $\text{C}_6\text{H}_5\text{CH}=\text{CH}(\text{CH}_3)\text{C}=\text{CH}-$ , В, 68, т. пл. 184°, 135;  $\text{CONHCOC}=\text{CH}-$  (Z), В, 71,

150.—. Получены IV, у которых  $\text{R}=\text{CH}_3$ ,  $\text{R}'=\text{H}$ :  $\text{O}_2\text{NC}_6\text{H}_4\text{CH}=\text{CH}-$ , В, 81, 249—250, 179;  $\text{n-HOOC}_6\text{H}_4\text{CH}=\text{CH}-$ , В, 89, 282, 182;  $\text{n-CH}_3\text{O}_6\text{H}_4\text{CH}=\text{CH}-$ , В, 68, 181,—;  $\text{C}_6\text{H}_5\text{CH}=\text{CH}(\text{CH}_3)\text{C}=\text{CH}-$ , В, 79, 160,—; Z, А, 83, 350,—. Получены IV, у которых  $\text{R}'=\text{C}_6\text{H}_5$ ,  $\text{R}=\text{H}$ :  $\text{O}_2\text{NC}_6\text{H}_4\text{CH}=\text{CH}-$ , А, 98, 252, 216;  $\text{n-HOOC}_6\text{H}_4\text{CH}=\text{CH}-$ , В, 86, 296, 236;  $\text{n-CH}_3\text{O}_6\text{H}_4\text{CH}=\text{CH}-$ , А, 84, 191, 141;  $\text{C}_6\text{H}_5\text{CH}=\text{CH}(\text{CH}_3)\text{C}=\text{CH}-$ , А, 86, 195,—; Z (IVa), 82, 340—343,—. Получены IV, у которых  $\text{R}=\text{R}'=\text{C}_6\text{H}_5$ :  $\text{O}_2\text{NC}_6\text{H}_4\text{CH}=\text{CH}-$ , В, 71, 252—253, 184;  $\text{n-HOOC}_6\text{H}_4\text{CH}=\text{CH}-$ , В, 96, 307, 147;  $\text{n-CH}_3\text{O}_6\text{H}_4\text{CH}=\text{CH}-$ , В, 67, 251, 135;  $\text{C}_6\text{H}_5\text{CH}=\text{CH}(\text{CH}_3)\text{C}=\text{CH}-$ , В, 93, 167,—; Z, А, 67, 330—332,—. Получены IV, у которых  $\text{R}=\text{CH}_3$ ,  $\text{R}'=\text{COOC}_2\text{H}_5$ :  $\text{O}_2\text{NC}_6\text{H}_4\text{CH}=\text{CH}-$ , А, 93, 244, 216;  $\text{n-HOOC}_6\text{H}_4\text{CH}=\text{CH}-$ , А, 93, т. пл. 330, 218;  $\text{n-CH}_3\text{O}_6\text{H}_4\text{CH}=\text{CH}-$ , А, 85, т. пл. 187°, 131;  $\text{C}_6\text{H}_5\text{CH}=\text{CH}(\text{CH}_3)\text{C}=\text{CH}-$ , А, 98, т. пл. 173, 132; Z, А, 92, т. пл. 320—323,—. Из 3,15 г IVa, 8 г  $\text{NaOH}$ , 15 мл воды и 2,6 г  $(\text{CH}_3)_2\text{SO}_4$  (100°, 2 часа) получают диметильное производное IVa, выход 84%, т. пл. 328° (разл.; из сп.). Смешивают горячие р-ры 0,01 моля моногидрата аллоксана в 3 мл лед.  $\text{CH}_3\text{COOH}$  и 25 мл воды с 0,01 моля тиосемикарбазона в 20 мл воды. Через 45 мин. отсасывают тиосемикарбазон аллоксана (V), выход 96%, т. разл. > 350° (из сп. в приборе Сокслета), который с р-ром  $\text{NaOH}$  и  $(\text{CH}_3)_2\text{SO}_4$  (по 0,03 моля) дает триметильное производное, выход 35%, т. пл. 269° (разл., из разб. сп.). Вероятно, третья  $\text{CH}_3$ -группа образует  $\text{CH}_3\text{S}$ -производное таутомерной формы V. Сообщение XXVI см. РЖХим, 1956, 50787. Б. Дубинин

936. Тиазолы. Сообщение XXVIII. Дитазолил-(2,2')-амины и их нитропродукты. Бейер, Берг (Über Thiazole. XXVIII. Mitteilung: Über Dithiazolyl-(2,2')-amine und deren Nitrierungsprodukte. Beyer Hans, Berg Gerhard, Chem. Ber., 1956, 89, № 7, 1602—1614 (нем.)

Дитазолил (2,2')-амины ( $\text{SCR}'=\text{CRN}=\text{C}-$ )<sub>2</sub> NH(I)

синтезированы сплавлением эквивалентных кол-в замещ. 2-аминотиазолов (II) с хлор (или бром) гидратами II или конденсацией  $\text{NH}_2\text{CSNHCN}$  (III) с галогидкетонами (ГК). Незамещ. I получен из III и  $\alpha, \beta$ -дихлордиэтилового эфира (IV) или лучше III и  $\text{ClCH}_2\text{CH}_2\text{CHO}$ . При конденсации 1 моля III с 2 молями IV или  $\text{ClCH}_2\text{COCH}_3$  получают наряду с I тиазолил-(2)-тиомочевны  $\text{SCH}=\text{CRN}=\text{CNHCN}$  (V), где  $\text{R}=\text{H}$  (Va) и  $\text{R}=\text{CH}_3$  (Vb) соответственно, которые при дальнейшей конденсации с ГК позволяют синтезировать I, содержащие различные заместители в тиазольных кольцах. Незамещ. в положениях 5,5' I при нитровании переходят в соответствующие 5,5'-динитропроизводные. Методом сплавления получены (обработка сплава горячей водой) следующие I (перечисляются исходный II, т-ра в °C, время нагревания в мин., R и R', выход в %, т. пл. в °C): хлоргидрат 4-метил-II, 200, 30,  $\text{CH}_3$ , H (Ia) (очистка кристаллизацией из 2н. HCl и выделение  $\text{CH}_3\text{COONa}$ ), 30, 153—154 (из сп.), хлоргидрат, т. пл. 276—278° (разл., из 2н. HCl); бромгидрат 4-фенил-II, 200, 60,  $\text{C}_6\text{H}_5$ , H (Ib), 85, 219—221 (растворение с бал.; из ацетона), N-ацетильное производное (AII), т. пл. 138° (из сп.), N-бензойное производное, т. пл. 165—167° (из сп.), нитрозамин (действием  $\text{NaNO}_2$  в лед.  $\text{CH}_3\text{COOH}$ , 2—3 часа на холоду), выход 72%, т. пл. 228—229° (разл., из сп.), сольват нитрозамин (из пиридина, > 200° теряет р-ритель); хлоргидрат 4,5-диметил-II, 220, 15,  $\text{CH}_3$ ,  $\text{CH}_3$  (Ic), 53, 215—216 (из сп.); бромгидрат 4,5-дифенил-II, 230, 30,  $\text{C}_6\text{H}_5$ ,  $\text{C}_6\text{H}_5$  (Id), 70, 208—209 (из  $\text{n-C}_4\text{H}_9\text{OH}-\text{CH}_3\text{OH}$ ); AII, т. пл. 213—215°. Из III и ГК кипячением в спирте получены следующие I (перечисляются I, кол-ва III и ГК в молях, время р-ции в мин., выход в %): Ia, 0,04, 0,12 (хлорацетон), 120, 70; Ib, 0,02, 0,04 (бромацетон), смесями теплых р-ров, 93; Ic, 0,01, 0,02 (3-бромбутанон-2), 30 (кристаллизуется бромгидрат, 78; Id, 0,01, 0,02 (дихлорид), 60, 62. 0,05 моля III и 0,1 моля  $\text{ClCH}_2\text{CH}_2\text{CHO}$  в 30 мл спирта кипятят 1 час, добавленным эфиром получают I ( $\text{R}=\text{R}'=\text{H}$ ) (Id) в виде хлоргидрата, т. пл. 214° (из 2н. HCl); Id, выход 75%, т. пл. 215°, AII, т. пл. 121—122°. Из 4,5 г III и 11 г IV в 80 мл 60%-ного спирта (1 час) выход Id 64%. 1,7 г Vb и 2 г  $\text{C}_6\text{H}_5\text{COCH}_2\text{Br}$  в 50 мл спирта (1 час) дают 4-метил-4'-фенилдитазолил-(2,2')-амин, выход 90%, т. пл. 245° (из диоксана). Из 0,02 моля III и 0,04 моля  $\text{m-O}_2\text{NC}_6\text{H}_4\text{COCH}_2\text{Br}$  (100 мл сп. 1 час, осадок растворяют в пиридине) получают I ( $\text{R}=\text{O}_2\text{NC}_6\text{H}_4$ ,  $\text{R}'=\text{H}$ ) (Ie), выход 85%, т. пл. 252—253° (из этилацетата); AII, т. пл. 296—298° (разл., из разб. пиридина). Из 4,5 г III и 9,6 г IV (50 мл сп. 1 час) получают хлоргидрат Va, выход 29,2%, т. пл. 203—204° (разл., из конц. HCl); из маточного р-ра выделяют 3,5 г хлоргидрата Id, 5,4 г III и 7,4 г  $\text{ClCH}_2\text{COCH}_3$  нагревают при ~100° 1 час, получают смесь хлоргидратов Vb и Ia. Из спирта сначала кристаллизуется хлоргидрат Vb, который разлагают  $\text{CH}_3\text{COONa}$ , выход Vb 51,5%, т. пл. 174—175° (из сп.). Р-р 0,01 моля Ia (или Id) в 25 мл конц.  $\text{H}_2\text{SO}_4$  при ~5° прибавляют по каплям к смеси 2 мл конц.  $\text{HNO}_3$  и 10 мл конц.  $\text{H}_2\text{SO}_4$ , через 2 часа выливают на лед, выход 5,5'-динитро-Ia 85%, т. разл. 233° (из сп.); выход 5,5'-динитро-Id 80%, т. пл. 225—226° (разл., из диоксана). К кипящему р-ру 3,6 г Ib в 150 мл ацетона прибавляют по каплям 10 мл смеси равных частей конц.  $\text{H}_2\text{SO}_4$  и конц.  $\text{HNO}_3$ , получают 5,5'-динитро-Ib, выход 86%, т. пл. 229—231°

(разл., из сп.); пиридинсолват (из пиридина) устойчив до 200°; к горячему р-ру 4,25 г 5,5'-динитро-16 в 25 мл  $(\text{CH}_3\text{CO})_2\text{O}$  и 10 мл лед.  $\text{CH}_3\text{COOH}$  прибавляют Zn-пыль, 30 мин. кипятят и фильтрат выливают в воду, получают пентаацетильное производное I ( $\text{R} = \text{C}_6\text{H}_5$ ,  $\text{R}' = \text{NH}_2$ ), т. пл. 208—209° (из лед.  $\text{CH}_3\text{COOH}$  и бал.). Строение 5,5'-динитро-16 и 1e доказано выделением при окислении (нагревание с конц.  $\text{HNO}_3$ ) бензойной и м-нитробензойной к-т соответственно. Б. Дубинин

**937. Тиазолы. Сообщение XXIX. Продукты конденсации тиосемикарбазида с  $\alpha$ -хлорацетоуксусным эфиром и новый вид сужения кольца при превращении 2-амино-5-метил-6-карбэтокситиадазина-1,3,4 в 3-метил-4-карбэтоксн-5-аминопиразол. Бейер, Вольтер (Über Thiazole. XXIX. Mitteilung: Über die Kondensationsprodukte von thiosemicarbazid mit  $\alpha$ -Chloracetessigester und eine neuartige Ringverengung des 2-Amino-5-methyl-6-carbäthoxy-1,3,4-thiadiazins zum 3-Methyl-4-carbäthoxy-5-aminopyrazol. Beyer Hans, Wolter Gerhard, Chem. Ber., 1956, 89, № 7, 1652—1658 (нем.))**

При конденсации  $\alpha$ -хлорацетоуксусного эфира (I) с тиосемикарбазидом (II) получают в зависимости от т-ры и pH среды 4-метил-5-карбэтокситиазолил-(2)-гидразин (III), 3-амино-4-метил-5-карбэтокситиазолон-(2)-имид (IV) или тиосемикарбазон I, который легко циклизуется в производное тиадазина-1,3,4  $\text{SC}(\text{NH}_2)=\text{NN}=\text{C}(\text{CH}_3)\text{CHCOOC}_2\text{H}_5$  (V). Под влиянием

конц.  $\text{HCl}$  V переходит в IV. При нагревании в нейтр. или слабо кислой среде V испытывает неопищенное в литературе превращение гетероцикли. соединений с выделением элементарной S, при этом образуется 3-метил-4-карбэтоксн-5-аминопиразол (VI), строение которого доказано дезаминированием в описанный ранее 3-метил-4-карбэтокспиразол (VII). При действии л-нитробензальдегида (VIII) на III тиосемикарбазон I или V получается только  $\text{SC}(\text{COOC}_2\text{H}_5)=\text{C}(\text{CH}_3)\text{N}=\text{CNHN}=\text{CHC}_6\text{H}_4\text{NO}_{2-n}$  (IX). К нагретой до 50° суспензии 2,28 г II в 20 мл спирта прибавляют (15 мин.)

р-р 4,1 г I в 3 мл спирта и получают хлоридат III, выход (при использовании маточного р-ра) 80%, т. пл. 188—190° (разл., из абс. сп.); III (действием  $\text{CH}_3\text{COONa}$ ), т. пл. 186° (из воды); диацетильное производное  $[(\text{CH}_3\text{CO})_2\text{O}, \sim 100^\circ, 20 \text{ мин.}]$ , выход 84%, т. пл. 198° (из 70%-ной  $\text{CH}_3\text{COOH}$ ); триацетильное производное  $[(\text{CH}_3\text{CO})_2\text{O}, \text{H}_2\text{SO}_4 \sim 100^\circ, 15 \text{ мин.}]$ , т. пл. 131°; моноформильное производное (98%-ная  $\text{HCOOH}$ , 100°, 1 час), выход 92%, т. пл. 205° (из сп.); с ацетоном (кипячением 15 мин.) получают гидразон, выход 92%, т. пл. 143° (из разб. сп.); аналогично из ацетофенона (в сп. +  $\text{CH}_3\text{COOH}$ ) выход гидразона 95%, т. пл. 118° (из сп.). 13,3 г I-ацетил-II, 8,5 г  $\text{CH}_3\text{COONa}$  и 75 мл спирта кипятят в атмосфере  $\text{CO}_2$ , прибавляют (15 мин.) 16,5 г I в 25 мл спирта, кипятят 1 час и получают N'-ацетил-III, выход 96%, т. пл. 227° (из сп.), который (12,2 г) при кипячении 1 час с 75 мл абс. спирта + 5,3 мл конц.  $\text{HCl}$  дает III, выход 88%. При прибавлении (0°, 1 час) I к суспензии II в 2н.  $\text{HCl}$  получают тиосемикарбазон I, выход колич., разлагается при нагревании. К 60 мл н- $\text{C}_2\text{H}_5\text{OH}$  при 70° прибавляют 9,5 г тиосемикарбазона I, нагревают быстро до кипения, тотчас же охлаждают до 50° и отфильтровывают осадок, который со спирт.  $\text{HCl}$  дает хлоридат V (осаждение эфиром), выход 74%, разлагается  $>90^\circ$ . V, желтые илы, т. разл. 80°; при  $\sim 20^\circ$  медленно (2—3 дня) переходит в VI и S. Из V и VIII (нагревание в спирте) получают IX, выход 40%, т. пл. 244°. 4-метил-5-карбэтокситиазолил-(2)-гидразон бензальдегида получают обычным путем из III или хлоридата V и  $\text{C}_6\text{H}_5\text{CHO}$  (раз-

мешивание несколько часов и разлжение  $\text{CH}_3\text{COONa}$ ), выход 93%, т. пл. 198°. Хлоридат V и конц.  $\text{HCl}$  ( $\sim 100^\circ$ , 15—20 мин., упаривание фильтрата до  $\frac{1}{3}$  объема) дают хлоридат IV, выход 66%, т. пл. 242—244° (разл.); при прибавлении I ( $\sim 100^\circ$ , 1 час) к смеси II и конц.  $\text{HCl}$ , выход 43% IV, т. пл. 130° (из воды); диацетильное производное, т. пл. 107—108° (из воды). Хлоридат IV после обработки (0°, 2н.  $\text{HCl}$ ) 2 молями  $\text{NaNO}_2$ , затем диметиланилином и  $\text{NH}_4\text{OH}$  переходит в 2-(л-диметил-амино-фенилазо)-4-метил-5-карбэтокситиазол, т. пл. 205° (из разб. сп.), который также получен обычным путем из 2-амино-4-метил-5-карбэтокситиазола, выход 45%. Хлоридат V в 2 п. спирт.  $\text{HCl}$  кипятят 1 час и фильтрат упаривают наполовину, выход хлоридата VI 80%, т. пл. 187—189° (из спирт.  $\text{HCl}$  + эф.). VI, т. пл. 113°; моногидрат, т. пл. 69° (из воды); нитрат, т. пл. 197—198° (разл., из разб.  $\text{HNO}_3$ ); моноацетильное производное, т. пл. 91° (из 50%-ной  $\text{CH}_3\text{COOH}$ ). Хлоридат VII, т. пл. 160° (разлагается при 145° из спирт.  $\text{HCl}$ ). Хлоридат VI после диазотирования и сочетания с диметиланилином дает 3-метил-4-карбэтоксн-5-(л-диметиламинофенилазо)-пиразол, выход 70%, т. пл. 172° (из разб. сп.). Б. Дубинин

**938. Синтез производных тиазола с помощью литийорганических соединений. Михайлов Б. М., Бронуицкая В. П., Ж. общ. химии, 1956, 26, № 1, 66—68**

Описано получение 2,4-диметилтиазолил-5-лития (I) и использование его для синтеза некоторых 5-замещ. 2,4-диметилтиазола. Карбоксилирование I приводит к 2,4-диметилтиазол-карбоновой-5 к-те (II). При взаимодействии I с окисью этилена получают 2,4-диметил-5-(3-оксэтил)-тиазол (III). Конденсация I с  $\text{CH}_2\text{O}$  и  $\text{CH}_3\text{CHO}$  приводит соответственно к 2,4-диметил-5-оксиметил-(IV) и 2,4-диметил-5- $\alpha$ -оксэтилтиазолу (V). Из  $\text{CH}_3\text{I}$  гладко получают 2,4,5-триметилтиазол (VI). Все операции с Li-органич. соединениями проводились в атмосфере  $\text{N}_2$ . К эфирному р-ру 0,516 г  $\text{C}_6\text{H}_5\text{Li}$  прибавляют ( $<0^\circ$ ) эфирный р-р 1 г 2,4-диметил-5-бромтиазола (VII), через 15 мин. выливают на твердую  $\text{CO}_2$ , прибавляют эфир и воду и подкисляют. Получают II, выход 73,5%, т. пл. 230—231° (из воды). К р-ру  $\text{C}_6\text{H}_5\text{Li}$  (из 24 г  $\text{C}_6\text{H}_5\text{Br}$ , 2,1 г Li и 90 мл абс. эфира) прибавляют ( $<0^\circ$ ) эфирный р-р 20 г VII, перемешивают 15 мин., пропускают окись этилена и разлагают водой. Получают III, выход 39,2%, т. кип. 130—132°/6 мм. Аналогично пропускаям газообразного  $\text{CH}_2\text{O}$  получают IV (через 12 час. р-р выливают в разб.  $\text{HCl}$  со льдом, нейтрализуют конц.  $\text{NH}_4\text{OH}$ , экстрагируют  $\text{CHCl}_3$ ), выход 64%, т. кип. 123—125°/4 мм, т. пл. 43—45°; пикрат, т. пл. 106—107° (из сп.); хлоридат, т. пл. 151—153° (из абс. сп.). К I, полученному из 20 г VII, прибавляют 9,2 г  $\text{CH}_3\text{CHO}$ , перемешивают при  $\sim 20^\circ$ , выливают в разб.  $\text{HCl}$  со льдом и выделяют V в виде масла, как описано выше, выход 41,5%. Разлагают при хранении. Из I (30 г VII) и 66 г  $\text{CH}_3\text{I}$  получают VI, выход 68,6%, т. кип. 48—50°/14 мм; пикрат, т. пл. 135—136,5° (из сп.). М. Ливькова

**939. Бромирование тиазолинов и роданинов. Пуджари, Раут (Bromination of thiazolidones and rhodanines. Pujari H. K., Rout M. K.), J. Scient. and Industr. Res., 1955 (B—C) 14, № 8, B398—B400 (англ.))**

Для получения фунгицидов проводилось бромирование 2-л-хлорфенилимино-4-тиазолидона (I), N-толилроданина (II) и их арилиденовых производных (III) и (IV) соответственно. I дает дибромид (V), легко отщепляющий весь Br (связан с N-атомом), II дает дибромид, из которого при обработке  $\text{SO}_2$  удаляется один атом Br; по мнению авторов, остающийся атом Br находится в положении 5; III и IV дают устойчивые дибромиды, получающиеся за счет присоединения



по двойной связи. Введение брома в 10 раз увеличивает фунгицидную активность тиазolidонов и роданидов (по прекращению прорастания спор *Alternaria polandii* Ayyangar). К р-ру I в 15 мл  $\text{CHCl}_3$  добавлен 1 мг  $\text{Br}_2$  в 2 мл  $\text{CHCl}_3$ , смесь оставлена на 1 час при 0°, после упаривания получен V, т. пл. 294°. При обработке V  $\text{SO}_2$  и  $\text{NH}_3$  получен I. К р-ру I в 20 мл  $\text{CHCl}_3$  добавлен 1 г  $\text{Br}_2$  в 2 мл  $\text{CHCl}_3$  при 0,5° и смесь оставлена на 2 часа. После обработки  $\text{SO}_2$  и  $\text{NH}_3$  получен 5-бром-N-н-толилроданид, т. пл. >300° (из сп.). К р-ру I в 5-бензаль-2-н-хлорфенилимино-4-тиазolidона (VI) в 30 мл  $\text{CHCl}_3$  при 0,5° добавлено 2 мл  $\text{Br}_2$  в 6 мл  $\text{CHCl}_3$  и смесь оставлена на 1 час при 0°. После обработки  $\text{SO}_2$  и  $\text{NH}_3$  получено дибромпроизводное VI, т. пл. 280°. Аналогично получены дибромиды III и IV,  $\text{ClC}_6\text{H}_4\text{N}=\text{CNHCOCBr}(\text{CHBrR})\text{S}$  (IIIa) и  $\text{OCN}(\text{CH}_2\text{C}_6\text{H}_4)\text{C}-$

(S)  $\text{SCBrCHBrR}$  (IVa) соответственно (указаны R и т. пл.

в °C IIIa и IVa):  $\text{C}_6\text{H}_5$ , 280 (разл.), 152;  $n\text{-CH}_2\text{OC}_6\text{H}_4$ , 230, 186;  $o\text{-NO}_2\text{C}_6\text{H}_4$ , 273 (разл.), 210;  $m\text{-NO}_2\text{C}_6\text{H}_4$ , 245, 162;  $n\text{-NO}_2\text{C}_6\text{H}_4$ , 220, 245; фурил-2, 210, 100;  $3\text{-CH}_3\text{O-4-NO}_2\text{C}_6\text{H}_3$ , 110, 210;  $n\text{-(CH}_2)_2\text{NC}_6\text{H}_4$ , 185, 142. Э. Кан

940. О некоторых побочных реакциях в синтезе норсульфазола. Ясенский Б. Г., Долберг Е. Б., Соловьева М. С., Мед. пром-сть СССР, 1956, № 2, 34—36

Изучены побочные р-ции, происходящие за счет наличия примесей в технич. сырье.  $\text{ClSCH}_2\text{COOH}$  (примесь в  $\text{ClSCH}_2\text{CHO}$ ) с тиомочевинной (I) образуют солянокислый псевдотиогидантоин (II); основание II (IIIa), т. пл. 201° (разл.). II и IIIa ведут себя аналогично 2-аминотиазолу (III), так что в конечном счете получается сульфаниламинопсевдотиогидантоин, т. пл. 235—237°. I (избыток) с ациламинобензолсульфохлоридом (IV) в кислой среде образует диацетиламинофенилдисульфоксид (т. пл. 226—227°), который при нагревании с к-той или щелочью гидролизует до диаминодифенилдисульфоксида, т. пл. 182—183°. В щел. среде IV с I дает ациламинобензолсульфотимочевину, т. пл. 243°. В нейтр. и щел. среде  $\text{ClSCH}_2\text{CHO}$  с III образует хлорэтилденаминотиазол (т. пл. 99°), который в кислой среде дает ацильное производное норсульфазола.

Ю. Розанова

941. Исследование в области производных бензтиазола. II. Взаимодействие 2-бензтиазолсульфокислоты с азотистыми основаниями. Давиденков Л. Р., Порай-Кошиц Б. А., Ж. общ. химии, 1956, 26, № 3, 868—872

Вследствие заместимости сульфогруппы на электронодонорные остатки 2-бензтиазолсульфокислота (I) легко реагирует с различными азотистыми основаниями. Этим путем могут получаться 2-замещ. бензтиазолы. Обнаружена разница в поведении подвижных сульфогруппы и галоида в соединениях ароматич. характера: 2-хлорбензтиазол реагирует с анилином (II) и с метиланилином, а I только с II. Получение 2-аминобензтиазола. 6 г К-соли I (III), 35 мл 25%-ного  $\text{NH}_3$  нагревают 4 часа при 125° в запаянной трубке, выход 65—70%, т. пл. 128° (из бzl.); пикрат, т. пл. 265° (из лед.  $\text{CH}_3\text{COOH}$ ). Получение 2-метиламинобензтиазола. Р-р 4 г  $\text{OH}_2\text{N}_2\text{H}_2\cdot\text{HCl}$  в 30 мл воды нейтрализуют 2,6 г  $\text{Na}_2\text{CO}_3$ , прибавляют 6 г III, нагревают 3 часа при 115—120°, выход 90—95%, т. пл. 138° (из разб. сп.; 1:2). Получение 2-диметиламинобензтиазола. 5 г  $(\text{CH}_3)_2\text{NH}\cdot\text{HCl}$ , 3,4 г  $\text{Na}_2\text{CO}_3$ , 6 г III и 30 мл воды, нагревают 3 часа при 130°, выход 85—90%, т. пл. 87° (перегонка в вакууме). Получение 2-анилинобензтиазола (IV), 4 г III, 2,3 г II, 16 мл воды нагревают 3 часа при 130°, выход 65—70%, т. пл. 158° (из  $\text{C}_6\text{H}_5\text{Cl}$ ); пикрат, т. пл. 224° (из лед.  $\text{CH}_3\text{COOH}$ ). Получение 2-гидразинобензтиазола (V). В р-р 10 г  $\text{NH}_2\text{NH}_2\cdot 2\text{HCl}$  в 40 мл воды, нейтрализо-

ванный 10 г  $\text{Na}_2\text{CO}_3$  (или берут  $\text{NH}_2\text{NH}_2\cdot\text{H}_2\text{O}$ ), прибавляют 10 г III, нагревают 30—40 мин. при  $-100^\circ$ ; выпавший V промывают холодной водой и сушат при  $-80^\circ$ ; выход 90—95%, т. пл. 197° (из разб. сп.; 1:1). Получение (бензтиазол-2)-семикарбазида-1 (VI). Р-р 10,6 г  $\text{NH}_2\text{CONHNH}_2\cdot\text{HCl}$  в 50 мл горячей воды, 4 г  $\text{Na}_2\text{CO}_3$  и 12 г III кипятят 25—30 мин., выход 75—80%, т. пл. 217° (из сп.). Получение амида бензтиазолокарбонной к-ты (VII). К суспензии 2 г VI в 300 мл кипящей воды приливают горячий р-р 1 г  $\text{KMnO}_4$  в 20 мл воды с 6 мл 1 н.  $\text{H}_2\text{SO}_4$ ; быстро фильтруют, выпадает VII, выход 70—75%, т. пл. 173° (из лед.  $\text{CH}_3\text{COOH}$ ). Получение 2-фенилгидразобензтиазола (VIII). 10 г III, 8,5 мл  $\text{C}_6\text{H}_5\text{NHNH}_2$ , 30 мл воды нагревают 2—3 часа при  $-100^\circ$ , выделяют как IV, выход 70—75% (выход лучше при 130°), т. пл. 227° (из сп.). Получение 2-фенилазобензтиазола. 2 г VIII, 5 г  $\text{HgO}$ , 40 мл спирта кипятят 10—15 мин., фильтруют, разбавляют небольшим кол-вом горячей воды, выход 75—80%, т. пл. 142° (из разб.  $\text{CH}_3\text{COOH}$ ; 2:1). Получение 2,2'-гидразобензтиазола (IX). Растертую смесь 4 г V и 6 г III нагревают 3 часа с 25 мл воды при 140—150°, IX промывают холодной водой и разб.  $\text{HCl}$  (1:4), выход 30—35%, очищают кристаллизацией из II и промывкой  $\text{C}_6\text{H}_6$ ; переходит при нагревании в 2,2'-азобензтиазол (X). 0,4 IX, 1,6 г  $\text{HgO}$  и 12 мл  $\text{C}_6\text{H}_5\text{Cl}$  кипятят 5—10 мин., получают X, т. пл. 294° (из  $\text{C}_6\text{H}_5\text{Cl}$ ); спирт. р-р X с конц. р-ром КОН окрашивается в зеленый цвет. Сообщение I, см. Ж. общ. химии, 1951, 21, 2046. П. Соков

942. Синтез 3-кето-1,4-тиазанов. Бабищев Ф. С., Шокол В. А., Укр. хим. ж., 1956, 22, № 2, 215—216

Получен ряд 3-кето-1,4-тиазанов  $\text{SCHRCONH-CH}_2\text{CH}_2$  (I). Сухой толуол, 1 г-атом Na и 1,1 моля

$\beta$ -аминоэтилмеркаптана (получен насыщением  $\text{H}_2\text{S}$  р-ра этиленмина в  $\text{CH}_3\text{OH}$  при 10—15°, выход 72,5%, т. пл. 98°) нагревают при  $\sim 100^\circ$  до растворения Na, выпадает  $\beta$ -аминоэтилмеркапид Na; прибавляют по каплям при охлаждении 1 моль эфира  $\alpha$ -бромзамещ. к-ты (II), нагревают 2—2,5 часа при  $\sim 100^\circ$ , отделяют NaBr, отгоняют толуол и получают I. Перечисляются исходный II, R, выход I в %, т. пл. в °C:  $\text{CH}_2\text{BrCOOC}_2\text{H}_5$ , H, 65,3, 89 (из сп. или бzl.) (молекулярное соединение с  $\text{AgNO}_3$  образуется в водн. р-рах, выход 98,2%, т. пл. 186°) (из воды);  $\text{CH}_3\text{CHBrCOOC}_2\text{H}_5$ ,  $\text{CH}_3$ , 69,8, 78—79 (из бzl.);  $\text{CH}_3\text{CH}_2\text{CHBrCOOC}_2\text{H}_5$ ,  $\text{C}_2\text{H}_5$ , 52,7, 66 (из бzl.);  $(\text{CH}_3)_2\text{CHCHBrCOOC}_2\text{H}_5$ , *изо*- $\text{C}_3\text{H}_7$ , 55 (т. кип. 150—152°/1 мм), 58 (из бzl.);  $\text{C}_6\text{H}_5\text{CHBrCOOC}_2\text{H}_5$ ,  $\text{C}_6\text{H}_5$ , 80,5, 162 (из сп. или диоксана);  $\text{CH}_3\text{OOCCH}_2\text{CHBrCOOC}_2\text{H}_5$ ,  $\text{CH}_2\text{COOCH}_3$ , 47,5, 71 (из бzl.). Р-р 0,5 г I (R =  $\text{CH}_2\text{COOCH}_3$ ) в 30 мл спирта насыщают при охлаждении  $\text{NH}_3$ , через 10 дней отгоняют спирт; выход I (R =  $\text{CH}_2\text{CONH}_2$ ) 56%, т. пл. 174° (из сп.).

П. Соков

943. 1,2,4-тиадиазолы. Сообщение VI. Получение и свойства 1,2,4- и 1,3,4-тиадиазолов. Гердлер, Ом, Тегтмейер (Darstellung und Eigenschaften des 1,2,4- und des 1,3,4-Thiadiazols. VI. Mitt. über 1,2,4-Thiadiazole. Goerdeler, Joachim, Ohm Josef, Tegtmeyer Otto), Chem. Ber., 1956, 89, № 6, 1534—1543 (нем.)

5-амино-1,2,4-тиадиазол  $\text{SN}=\text{CHN}=\text{CNH}_2$  (I) и

3-метил-I (Ia) диазореакцией превращены в 5-бром-1,2,4-тиадиазол (II) и 3-метил-II (IIa), которые при гидрировании переходят в 1,2,4-тиадиазол (III) и 3-метил-III (IIIa) соответственно. Подобным образом из 2-амино-1,3,4-тиадиазола  $\text{SCH}=\text{NN}=\text{CNH}_2$  (IV) и 5-

метил-IV (IVa) получены 2-бром-1,3,4-тиадиазол (V)

и 5-метил-V (Va) и из них 1,3,4-тиадиазол (VI) и 5-метил-VI (VIa) соответственно. V, в отличие от Va и II, мало устойчив. V и Va и особенно II, Ia сравнительно легко заменяют Br на нуклеофильные остатки III более чувствителен к к-там, особенно разбавленным р-рам щелочей и к восстановительным агентам, чем VI. С Mg- или Li-алкилами (арилами) в эфире VI образует трудно растворимые осадки, которые не переходят при нагревании в алкилированные VI. Приведены кривые ИК-спектров III и VI. К р-ру 0,05 моля I в 150 мл 37%-ной HCl прибавляют ( $-10^{\circ}$ , 40 мин.) немного порошка Cu и конц. р-р 0,1 моля  $\text{NaNO}_2$ , размешивают (1,5 часа на холоду и 30 мин. при  $50-60^{\circ}$ ), нейтрализуют NaOH и эфиром извлекают 5-хлор-III, выход 58%, т. кип.  $122-122,5^{\circ}/758 \text{ мм}$ , т. пл. от  $-8$  до  $-7^{\circ}$ ,  $n_D^{20} 1,5388$ ,  $d_{20} 1,496$ . Р-р 20,2 г I в 350 мл 35%-ной HBr диазотируют, но нагревают возможно меньше, только до  $40^{\circ}$ . После нейтр-ции р-ра II отгоняют с паром, выход 74%, т. пл.  $27,5-28^{\circ}$  (из петр. эф.). Аналогично из Ia получают IIa, выход 69%, т. пл.  $24-25^{\circ}$ . Р-р II и  $(\text{C}_2\text{H}_5)_3\text{N}$  (по 0,3 моля) в 70 мл  $\text{CH}_3\text{OH}$ , содержащего 30 г скелетного Ni, гидрируют 14 час., добавляют  $\sim 350 \text{ мл}$  эфира, отфильтровывают катализатор и  $(\text{C}_2\text{H}_5)_3\text{N}$ , получают III, выход 72%, т. кип.  $120,7-121,2^{\circ}/753 \text{ мм}$ , т. пл. от  $-35^{\circ}$  до  $-33^{\circ}$ ,  $n_D^{21,2} 1,5316$ ,  $d_{20} 1,3298$ ,  $\lambda_{\text{макс}}$  (в гексане)  $229 \text{ мк}$   $\lg \epsilon$  3,73. Пропусканием сухого HCl в отогнанный эфир выделяют 2,6-3,7 г хлоргидрата III (легко возгорающийся кристаллы); йодметилат  $(\text{CH}_3)_2\text{I}$ ,  $\sim 20^{\circ}$ , несколько дней), т. пл.  $164^{\circ}$  (разл., из сп.); III-AgNO<sub>3</sub> (в  $\text{CH}_3\text{OH}$ ), т. пл.  $\sim 80-81^{\circ}$ ; III-HgCl<sub>2</sub>, кристаллы. III-0,5 CoCl<sub>2</sub> (в  $\text{CH}_3\text{OH}$ ), фиолетовые иглы. Аналогично из IIa получают IIIa, выход 78%, т. кип.  $131,8-132,9^{\circ}$ , т. пл. от  $-19^{\circ}$  до  $-17^{\circ}$ ,  $n_D^{21} 1,5149$ ,  $d_{20} 1,2104$ . 3,3 г II в 10 мл конц.  $\text{H}_2\text{SO}_4$  нагревают ( $\sim 100^{\circ}$ , 2 часа), после охлаждения выливают в 50 мл ледяной воды, фильтруют и эфиром извлекают 5-оксид-III, выход 64%, т. пл.  $120,5^{\circ}$  (из блз.-лигр., 5:1). Из II и  $\text{CH}_3\text{NH}_2$  в спирте (нагревание 30 мин.) получают 5-метиламино-III, выход 92%, т. пл.  $58,5-60^{\circ}$  (из лигр.). К 0,1 молю формилтиосемикарбазида (полученного из 0,05 моля тиосемикарбазида и 0,1 моля  $\text{CH}_3\text{COOCH}$  при т-ре  $< 50^{\circ}$ , выход 85%) осторожно прибавляют 0,3 моля  $\text{CH}_3\text{COCl}$ , через 5-6 час. при охлаждении прибавляют воду и подщелачивают, выход IV 80%, т. пл.  $190-191^{\circ}$  (из воды). Смесь 10 г IV и 32 г  $\text{NaNO}_2$  вносят ( $-10^{\circ}$ , 1 час) в 160 мл 40%-ной HBr, содержащей немного порошка Cu, размешивают при  $-5^{\circ}$  1 час и при  $\sim 20^{\circ}$  1,5 часа, нейтрализуют NaOH, добавляют р-р  $\text{NaHSO}_3$  (проба с KJ), нагревают коротко при  $60^{\circ}$ , фильтруют (осадок промывают горячей водой) и 6-7 час. экстрагируют эфиром V, выход  $75-80\%$ , т. пл.  $72-73^{\circ}$  (возгонка при  $56^{\circ}/12 \text{ мм}$ ). Аналогично из IVa получают Va, выход  $80-90\%$ , т. пл.  $107,5-108^{\circ}$  (возгонка при  $64^{\circ}$  в вакууме; или из воды). Подобным образом (25%-ная HCl) из IV получают 2-хлор-VI, выход  $70-75\%$ , т. пл.  $32,5-33^{\circ}$  (из эф. при  $-60^{\circ}$ ). Из V и  $\text{CH}_3\text{NH}_2$  в спирте ( $150^{\circ}$ , 2-3 часа) получают 2-метиламино-VI, выход  $80\%$ , т. пл.  $164,5-165^{\circ}$  (из разб.  $\text{CH}_3\text{OH}$ ). V и тиомочевину (по 0,015 моля) в 10 мл спирта нагревают  $\sim 100^{\circ}$  1,5 часа, прибавляют р-р 0,02 моля KOH в 16 мл воды, нагревают до кипения, подкисляют и эфиром экстрагируют 2-меркапто-VI, выход  $75\%$ , т. пл.  $143^{\circ}$  (из разб.  $\text{CH}_3\text{OH}$ ). Смесь 8,2 г V, 5,3 г  $(\text{C}_2\text{H}_5)_3\text{N}$ , 40 мл  $\text{CH}_3\text{OH}$ , 100 мг  $\text{PtO}_2$  гидрируют при  $\sim 20^{\circ}$  и слабым давлением (катализатор обновляют 3 раза), из фильтрата отгоняют  $\text{CH}_3\text{OH}$  и остаток обрабатывают эфиром. Получают VI, выход  $90\%$ , т. кип.  $82-83^{\circ}/13 \text{ мм}$ ,  $204-205^{\circ}/760 \text{ мм}$  (разл.), т. пл.  $42-43^{\circ}$  (сильно гигроскопичен),  $n_D^{22} 1,5470$ , нет  $\lambda_{\text{макс}}$  выше  $220 \text{ мк}$ ; пикрат, т. пл.  $98^{\circ}$  (разл.); йодметилат (1 моль  $\text{CH}_3\text{I}$ ,  $\text{CH}_3\text{OH}$ ,  $100-120^{\circ}$ , 3 часа,

выход колич.), т. пл.  $240-241^{\circ}$  (разл., из разб.  $\text{CH}_3\text{OH}$ ); VI-AgNO<sub>3</sub>, т. пл.  $169^{\circ}$  (разл.); VI-HgCl<sub>2</sub>, т. пл.  $124-126^{\circ}$  (разл.). Аналогично из Va получают VIa т. кип.  $93^{\circ}/17 \text{ мм}$ ,  $200,5-201,3^{\circ}/760 \text{ мм}$  (разл.), т. пл.  $22,0-22,7^{\circ}$ ,  $n_D^{20} 1,5320$ ,  $d_{20} 1,2395$ ; хлоргидрат, т. пл.  $116-119^{\circ}$  (разл.); пикрат, т. пл.  $103-105^{\circ}$  (разл.); VIa-HgCl<sub>2</sub>, т. пл.  $151-152^{\circ}$  (разл.), VIa-AgNO<sub>3</sub>, т. пл.  $168-169^{\circ}$  (разл.). Все т-ры плавления исправлены. Сообщение V, см. РЖХим, 1956, 58110. Б. Дубинин

944. Реакция тиосемикарбазида с ортоэфирами. Эйнсуэрт (The reaction of thiosemicarbazide with orthoesters. Ainsworth C.), J. Amer. Chem. Soc., 1956, 78, № 9, 1973-1975 (англ.)

Реакция тиосемикарбазида (I) с  $\text{HC}(\text{OC}_2\text{H}_5)_3$  (II) приводит к N,N'-бис-(1,3,4-тиадиазолил-2)-формамидину  $\text{SCH}=\text{NN}=\text{CN}=\text{CHNHC}=\text{NN}=\text{CHS}$  (III), при

этом выделены следующие промежуточные в-ва: тиосемикарбазон  $\text{HCOOC}_2\text{H}_5$  (IV), 2-амино-1,3,4-тиадиазол (V) и [N-(1,3,4-тиадиазолил-2)-иминометил]-этиловый эфир  $\text{SCH}=\text{NN}=\text{CN}=\text{CHOC}_2\text{H}_5$  (VI). Этило-

вый эфир ортоуксусной к-ты (VII) образует с I через семикарбазон этилацетата (VIII) смесь 5-метил-V (IX) и 5-меркапто-3-метил-1,2,4-триазола (X). Аналогично при р-ции I с этиловым эфиром ортопропионовой к-ты ( $\sim 100^{\circ}$ , 12 час.) выделен 2-амино-5-этил-1,3,4-тиадиазол, выход  $31\%$ , т. пл.  $200^{\circ}$  (из  $\text{CH}_3\text{CN}$ ). 0,1 моля I и 50 мл II нагревают ( $\sim 100^{\circ}$ , 12 час), осадок промывают эфиром, выход III  $85\%$ , т. пл.  $245^{\circ}$  (разл., из водн. диметилформамида); при нагревании III с конц. HCl ( $100^{\circ}$ ,  $\sim 12$  час.) с последующим удалением HCl в вакууме и подщелачиванием остатка выделяют V. I и II (по 0,1 моля) нагревают ( $100^{\circ}$ ,  $\sim 12$  час), добавляют 500 мл кипящего спирта и из горячего р-ра отфильтровывают 2 г III, фильтрат упаривают до 100 мл и при  $0^{\circ}$  выделяют V, выход  $57\%$ . I и II (по 0,1 моля) нагревают при  $\sim 100^{\circ}$  2 часа, добавляют  $\sim 250 \text{ мл}$   $\text{CH}_3\text{CN}$ , нагревают до кипения, отфильтровывают III и при охлаждении получают IV, выход  $41\%$ , т. пл.  $165^{\circ}$  (разл.). При нагревании I с II ( $\sim 100^{\circ}$ , 10 мин.) с последующим горячим фильтрованием получают 0,5 г IV. Р-р I и II нагревают при  $140^{\circ}$  12 час. и отгоняют VII, выход  $41\%$ , т. кип.  $100^{\circ}/0,3 \text{ мм}$ ,  $n_D^{25} 1,5510$ , т. пл.  $42-44^{\circ}$ . При стоянии жидкого препарата VI в сосуде с неплотно закрытой пробкой в течение нескольких месяцев отфильтровывают III, в фильтрате, кроме VI, обнаруживают II,  $\text{HCOOC}_2\text{H}_5$  и  $\text{C}_2\text{H}_5\text{OH}$ ; при доступе влаги VI через 12 час. превращается в III. При нагревании V и VI (по 0,01 моля) при  $150^{\circ}$  2 мин. выделяют III; последний получают также из 1 г V и 10 мл II ( $100^{\circ}$ , 4 часа). 0,1 моля I и 100 мл VII нагревают ( $\sim 100^{\circ}$ ,  $\sim 12$  час.) и выделяют VIII, выход  $56\%$ , т. пл.  $151-152^{\circ}$  (из сп.); 8 г VIII нагревают ( $180^{\circ}$ , 1 час), удаляя  $\text{C}_2\text{H}_5\text{OH}$ , остаток обрабатывают 50 мл 1 н. NaOH, выделяют  $\sim 3$  г IX т. пл.  $233^{\circ}$  (разл., из воды); подкисляя щел. р-р, собирают  $\sim 3$  г X, т. пл.  $263-264^{\circ}$  (из воды). Приведены данные УФ-спектров III, IV, VI, и VIII. С. Гурвич

945. Присоединение 1,3,4-тиадиазолдитиола-2,5 к непредельным соединениям. Филдс (Addition of 1,3,4-thiadiazole-2,5-dithiol to olefinic compounds. Fields Ellis K.), J. Organ. Chem., 1956, 21, № 5, 497-499 (англ.)

1,3,4-тиадиазолдитиол-2,5 (I) присоединяется к непредельным соединениям (HC) с образованием моно- и дитиоэфиров. Стирол, против правил, дает катализируемый перекисями аддукт  $\text{C}_6\text{H}_5\text{CH}_2\text{CH}_2\text{SC}=\text{NN}=\text{C}(\text{SH})\text{S}$  (II), строение которого доказано встречным синтезом из К-соли I и  $\text{C}_6\text{H}_5\text{CH}_2\text{CH}_2\text{Br}$ . Октен-1 образует только «нормальный» аддукт  $\text{C}_6\text{H}_{13}\text{CH}(\text{CH}_3)\text{S}=\text{NN}=\text{C}(\text{SH})\text{S}$

(III) даже в присутствии перекисей и света. Строение III доказано синтезом идентичного в-ва (ИК-спектр) из К-соли I и 2-бромоктана и отличием от в-ва, полученного из 1-бромоктана. Смесь I и HC (моль на моль) размешивают при 110–130° до образования жидкости (~1 час; с 2 молями HC размешивают 10–24 часа), в случае октадецена-1 применяют в качестве р-рителя диоксан. Некристаллич. (1:1) аддукты очищают растворением в 10%-ном р-ре  $\text{Na}_2\text{CO}_3$  и осаждением разб. HCl. Аддукты (1:2) растворяют в эфире, р-р промывают 10%-ным р-ром  $\text{Na}_2\text{CO}_3$  и упаривают при 120° 0,1 мм (16 час.). Кристаллич. аддукты перекристаллизовывают из смеси  $\text{C}_6\text{H}_6$ -петр. эфир. Перечисляются исходное HC, отношение I:HC, выход аддукта в %, т. пл. в °C,  $n_D^{20}$ : стирол, 1:1, 92, 103,—; стирол, 1:2, 60,—, 1,6742;  $\alpha$ -метилстирол, 1:1, 66, 122,—;  $\alpha$ -метилстирол, 1:2, 88,—, 1,6750; октен-1, 1:1, 52,—, 1,6223; октадецен, 1:1, 52, 72–74,—;  $\alpha$ -пинен, 1:2, 67,—, 1,5998; *dl*-лимонен, 1:1, 91,—, 1,5991; бензальацетон, 1:1, 95, 117,—; бензальацетон, 1:2, 94, в виде стекла; акриловая к-та, 1:1, 95, 138,—; 2-этилгексилакрилат, 1:2, 100,—, 1,5293. К-соль I (из 0,2 моля I, 0,2 моля KOH и 260 мл спирта) кипятят 5 час. с 0,2 молями  $\text{C}_6\text{H}_5\text{CH}_2\text{CH}_2\text{Br}$ , выливают в 1 л воды и отфильтровывают II, выход 80%, т. пл. 103°. Аналогично получают III, выход 94%. 1-бромоктан дает 2-(1-*n*-октилтио)-5-меркапто-1,3,4-тиадиазол, выход 92%, т. пл. 75°, а 1-бромоктадекан образует 2-(1-*n*-октадецилтио)-5-меркапто-1,3,4-тиадиазол (IV), выход 85%, т. пл. 97°. IV,  $\text{C}_{18}\text{H}_{35}\text{SO}_3\text{N}$  (4 моля) и избыток 5%-ного р-ра  $\text{Na}_2\text{CO}_3$  нагревают (80°, 3 часа), подкисляют и отфильтровывают 2-(1-*n*-октадецилтио)-1,3,4-тиадиазол-5-меркаптоуксусную к-ту, выход 90%, т. пл. 96° (из петр. эф.). Эта р-ция с аддуктом из октадецена-1 приводит к образованию 2-(2-*n*-октадецилтио)-изомера, выход 92%, т. пл. 76–78° (размягчается при 62°). Б. Дубинин

946. Реакция металлорганических соединений с непредельными углеводородами. Син Цзи (有機銻金屬化合物及鉛化合物と烯炭烴の反應. 邢其毅), 化學通報, Хуасюэ тунбао, 1956, № 3, 1–14 (кит.). Обзор. Библ. 4 назв.

И. Л. 947. Изучение ртутьорганических производных. XIII. Меркурирование салициловой кислоты сульфатом ртути. Укав, Ямамото, Канамото, Мацусиро. XIV. Меркурирование хинолинпроизводных азобензола. Укав, Ямамото, Ито, Янаги, Ёсудзука. XV. Меркурирование бензилового спирта. Укав, Ямамото, Йоцудзука (有機水銀化合物の研究. 第13報. サリチル酸の硫酸水銀による水銀化に就いて. 梶岡貞二. 山本譲, 金友昭一, 松代公夫. 第14報. キノリン1-オキサイド誘導體及びアゾキシベンゼン誘導體の水銀化に就いて. 梶岡貞二. 山本譲. 伊藤安夫, 柳彰, 四塚勝. 第15報. Benzyl Alcohol の水銀化に就いて. 梶岡貞二. 山本譲, 四塚勝), 藥學雜誌, Якугаку засси, J. Pharmac. Soc. Japan, 1955, 75, № 3, 280–283; № 5, 490–493; 493–459 (япон.; рез. англ.).

Сообщение XIII. Меркурирование салициловой к-ты сульфатом ртути по данным Сова (см. пат. США 2607790) приводит к 4-замещ. соединениям. Проверка этого эксперимента показала, что содержание серы в меркурированной продукции соответствует соединению (4-ОН-3-НОСОС<sub>6</sub>H<sub>4</sub>)<sub>2</sub>SO<sub>4</sub>, которое дает: 3,5-дибромсалициловую к-ту при действии 2 молей Br<sub>2</sub> и 5-йодсалициловую к-ту при действии J<sub>2</sub> и KJ. Поэтому сделано заключение, что меркурирование салициловой к-ты сульфатом ртути происходит в положении 5.

Сообщение XIV. Меркурирование ацетатом ртути N-оксид 6-метилхинолина, 4-бромхинолина и 8-бромхинолина с последующей обработкой NaCl дает соответственно: N-оксид 8-хлормеркур-6-метилхинолина, 8-хлормеркур-4-бромхинолина и 4-хлормеркур-8-бромхинолина,

которые были определены превращением в бромхинолины. Эти факты показывают, что положение 8 у N-оксид хинолинового ряда гораздо более чувствительно к меркурированию, чем положение 4. Меркурирование ацетатом ртути 2-бромазоксибензола и 4-бромазоксибензола соответственно дает: 4 и 2-меркурированные производные. Последние были обработаны Br<sub>2</sub> и дали 2,4-дибромазоксибензол. Дается предположительный механизм р-ции.

Сообщение XV. Меркурирование бензилового спирта ацетатом ртути с последующей обработкой NaCl были получены: *o*-хлормеркурбензиловый спирт (61%), *n*-хлормеркурбензиловый спирт (15%) и полимеркурированные соединения (24%). Положение атома ртути в ртутьорганич. производных подтверждено последовательной обработкой их  $\text{KMnO}_4$  и J<sub>2</sub> с превращением в йодбензойные к-ты. Один из полимеркурированных продуктов оказался 2,5-дихлормеркурбензиловым спиртом. При обработке J<sub>2</sub> *o*- и *n*-хлормеркурбензиловых спирты дают соответствующие йодбензиловые спирты с высокими выходами. Это дает новый удобный метод для получения *o*-галогенбензиловых спиртов. Сообщение XII, см. РЖХим, 1956, 64982. А. Бочков

948. Синтез реакцией Вюрца кремнеорганических соединений с  $\alpha$ -положением двойной связи. Петров А. Д., Миронов В. Ф., Гауховцев В. Г., Изв. АН СССР, Отд. хим. н., 1956, № 4, 461–466. При конденсации триалкилхлорсиланов с производными  $\text{CH}_2=\text{CHCl}$  (I) при помощи Na в присутствии этилацетата получают с высокими выходами кремнеорганические соединения с  $\alpha$ -положением двойной связи. При конденсации  $\text{SiCl}_4$  (II) с I в этих условиях получают  $(\text{CH}_3)_3\text{SiCH}_2\text{CH}=\text{CH}_2$  (III). Из  $(\text{CH}_3)_2\text{SiClCH}_2\text{CH}=\text{CH}_2$  (IV) и  $\text{CH}_3\text{CH}=\text{CHBr}$  (V) с  $\text{SiSi}(\text{CH}_3)_2\text{C}_2\text{H}_5$  (VI) в тех же условиях получают соответственно  $(\text{CH}_3)_2\text{SiCH}=\text{CHSi}(\text{CH}_3)_2\text{C}_2\text{H}_5$  (VII) и  $\text{CH}_3\text{CH}=\text{CHSi}(\text{CH}_3)_2\text{C}_2\text{H}_5$  (VIII). При р-ции  $(\text{CH}_3)_2\text{SiCH}=\text{CHCl}$  (IX) и  $(\text{CH}_3)_2\text{SiClCH}_2\text{CH}=\text{CH}_2$  (X) с  $\text{SiSiR}_3$  (XI), где R = CH<sub>3</sub>, получают  $[(\text{CH}_3)_2\text{SiCH}=\text{CH}]_2$  (XII) и  $[(\text{CH}_3)_2\text{Si}]_2\text{C}=\text{CH}_2$  (XIII). Из  $\text{SiClCH}_2\text{CH}=\text{CH}_2$  (XIV) и XI в присутствии пиридина получают  $\text{CH}_2\text{SiCl}=\text{CHCH}_2\text{OSiR}_3$  (XV), который с XI под действием Na образует  $\text{R}_3\text{SiC}(\text{CH}_3)=\text{CHCH}_2\text{OSiR}_3$  (XVI), гидролизующий в  $\text{R}_3\text{SiC}(\text{CH}_3)=\text{CHCH}_2\text{OH}$  (XVII). Последний с  $\text{CH}_2=\text{CHCN}$  (XVIII) дает  $\text{R}_3\text{SiC}(\text{CH}_3)=\text{CHCH}_2\text{OCH}_2\cdot\text{CH}_2\text{CN}$  (XIX).  $\text{CH}_2=\text{CH}$ -группа у III не обнаруживает экзальтации MR. Характеристики частоты  $\text{CH}_2=\text{CH}$  в спектрах комб. расс. III и  $(\text{C}_2\text{H}_5)_2\text{SiCH}=\text{CH}_2$  1272, 1404, 1594, 3054  $\text{cm}^{-1}$ . К 140  $\text{g}$  расплавленного Na в 300 мл эфира и 250 г II добавляют 3–5 мл этилацетата и при кипении эфира пропускаяют в течение 7 час. ток I. Выход III 6%, т. пл. 130,2/746,1 мм,  $n_D^{20}$  1,4625,  $d_4^{20}$  0,7999. При хлорировании 2 ж  $\text{C}_6\text{H}_5\text{SiCl}_3$  получают с выходом 93%, смесь  $\text{ClCH}_2\text{CH}_2\text{SiCl}_3$  (XX), т. кип. 151,7°/71 мм,  $n_D^{20}$  1,4652,  $d_4^{20}$  1,4239, и  $\text{CH}_3\text{CHClSiCl}_3$  (XXI), т. кип. 136,5°/746,5 мм,  $n_D^{20}$  1,4545,  $d_4^{20}$  1,3912, в отношении 1:1,5. При хлорировании XXI при 152° с выходом 19% получают смесь  $\text{CH}_3\text{CCl}_2\text{SiCl}_3$  и  $\text{CH}_2\text{ClCHClSiCl}_3$  (XXII) в отношении 1:0,6; XXII, т. кип. 180°/55 мм,  $n_D^{20}$  1,5850,  $d_4^{20}$  1,5161. Из XX при хлорировании при 174° получают с выходом 93% трудно разделимую смесь XXII и  $\text{CHCl}_2\text{CH}_2\text{SiCl}_3$  (XXIII) с т. кип. 170–180°. Из  $(\text{Cl}_3\text{Si})_2\text{CHCH}_2\text{CH}_2$  получают  $(\text{Cl}_3\text{Si})_2\text{CClCH}_3$ , выход 44%, т. кип. 224°/741 мм,  $n_D^{20}$  1,4972,  $d_4^{20}$  1,5926, который при отщеплении HCl образует  $(\text{Cl}_3\text{Si})_2\text{C}=\text{CH}_2$  с т. кип. 199–200°/740 мм,  $n_D^{20}$  1,4930. При отщеплении HCl с помощью диметиламина из смеси XXII и XXIII получают с 60%-ным выходом  $\text{Cl}_3\text{SiCH}=\text{CHCl}$  (XXIV), т. кип. 133°/731 мм,  $n_D^{20}$  1,4745,  $d_4^{20}$  1,4364, и  $\text{Cl}_3\text{SiCCl}=\text{CH}_2$  (XXV).



т. кип.  $124^{\circ}/740$  мм,  $n_D^{20}$  1,4648,  $d_4^{20}$  1,4243, в отношении 1:1,3. Из 100 г XXV и  $\text{CH}_3\text{MgI}$  (45 г Mg, 350 г  $\text{CH}_3\text{I}$ , 0,5 л эфира, кипячение 5 час.) получают X, выход 61,5%, т. кип.  $104^{\circ}$ , аналогичным путем из XXV и  $\text{C}_2\text{H}_5\text{MgBr}$  получают  $\text{CH}_2=\text{CClSi}(\text{C}_2\text{H}_5)_2$ , выход 78,5%, т. кип.  $182-183^{\circ}/739$  мм,  $n_D^{20}$  1,4595,  $d_4^{20}$  0,9186, а из XXIV и  $\text{CH}_3\text{MgI}$  получают IX, выход 77%, т. кип.  $116,6^{\circ}/741$  мм,  $n_D^{20}$  1,4380,  $d_4^{20}$  0,8924. К 9 г распыленного Na добавляют 0,5 л эфира, 20 г XI ( $\text{R}=\text{CH}_3$ ), 1,2 мл X и 1,2 мл этилацетата. После начала р-ции добавляют еще 23,5 г X и кипятят 2,5 часа. Выход XIII 46,5%, т. кип.  $151,6^{\circ}/756,5$  мм,  $n_D^{20}$  1,4374,  $d_4^{20}$  0,7823. Из 10 г Na, 25 г XI ( $\text{R}=\text{CH}_3$ ) и 27 г IX получают XII, выход 76%, т. кип.  $145^{\circ}/746$  мм,  $n_D^{20}$  1,4310,  $d_4^{20}$  0,7889. Из 17 г Na, 41 г VI, 1 мл этилацетата и 47 г IV получают VII, выход 50,1%, т. кип.  $139,5^{\circ}/743$  мм,  $n_D^{20}$  1,4361,  $d_4^{20}$  0,7649, а из V и VI получают VIII, выход 32,5%, т. кип.  $118,5^{\circ}/739$  мм,  $n_D^{20}$  1,4265,  $d_4^{20}$  0,7546. При кипячении смеси 52 г XI ( $\text{R}=\text{CH}_3$ ) и 39 г XIV 4 часа получают XV ( $\text{R}=\text{CH}_3$ ), выход 50,8%, т. кип.  $164-165^{\circ}$ ,  $n_D^{20}$  1,4350,  $d_4^{20}$  0,9481. К смеси 142 г XI ( $\text{R}=\text{C}_2\text{H}_5$ ), 80 г пиридина и 250 мл  $\text{C}_6\text{H}_6$  добавляют 109 г XIV и оставляют на 48 час. Выход XV ( $\text{R}=\text{C}_2\text{H}_5$ ) 82,5%, т. кип.  $72^{\circ}/2$  мм,  $n_D^{20}$  1,4538,  $d_4^{20}$  0,9553. К 8 г Na в 200 мл эфира и 21 г XI ( $\text{R}=\text{CH}_3$ ) смесь начала р-ции, вызванной этилацетатом, добавляют в течение 2 час. 28,5 г XV ( $\text{R}=\text{CH}_3$ ). После нагревания 3 часа получают XVI ( $\text{R}=\text{CH}_3$ ), выход 52%, т. кип.  $195^{\circ}/759$  мм,  $n_D^{20}$  1,4369,  $d_4^{20}$  0,8309. Из XV ( $\text{R}=\text{C}_2\text{H}_5$ ) и XI ( $\text{R}=\text{C}_2\text{H}_5$ ) получают XVI ( $\text{R}=\text{C}_2\text{H}_5$ ), выход 52%, т. кип.  $101^{\circ}/2$  мм,  $n_D^{20}$  1,4628,  $d_4^{20}$  0,8716. Кипятят 16 г XVI ( $\text{R}=\text{CH}_3$ ) в 20 мл спирта, 30 мл воды с 4 каплями HCl в течение 8 час. Выход XVII ( $\text{R}=\text{CH}_3$ ) 60%, т. кип.  $47^{\circ}/2$  мм,  $n_D^{20}$  1,4590,  $d_4^{20}$  0,8698. При гидролизе XVI ( $\text{R}=\text{C}_2\text{H}_5$ ) получают XVII ( $\text{R}=\text{C}_2\text{H}_5$ ), выход 59%, т. кип.  $81^{\circ}/2$  мм,  $n_D^{20}$  1,4725,  $d_4^{20}$  0,8886. Из XVII ( $\text{R}=\text{CH}_3$ ) и XVIII в присутствии  $\text{CH}_3\text{ONa}$  получают XIX ( $\text{R}=\text{CH}_3$ ), выход 80%, т. кип.  $65^{\circ}/6$  мм,  $n_D^{20}$  1,4610,  $d_4^{20}$  0,9153. Из XVII ( $\text{R}=\text{C}_2\text{H}_5$ ) и XVIII получают XIX ( $\text{R}=\text{C}_2\text{H}_5$ ), выход 85%, т. кип.  $113^{\circ}/2$  мм,  $n_D^{20}$  1,4732,  $d_4^{20}$  0,9215.

С. Иоффе

#### 949. Реакция трифенилсилилития со стильбеном.

Брук, Дай, Гильман (The reactions of triphenylsilyl lithium with stilbene. Brook A. G., Tai K. M., Gilman Henry), J. Amer. Chem. Soc., 1955, 77, № 23, 6219—6221 (англ.). Взаимодействие  $(\text{C}_6\text{H}_5)_3\text{SiLi}$  (I) с транс-стильбеном (II) в  $\text{CH}_3\text{OCH}_2\text{CH}_2\text{OCH}_3$  (III) протекает с образованием большого кол-ва кремнийсодержащих полимеров, ряду с которыми образуются 1,2-бис-(трифенилсилил)-1,2-дифенилэтан (IV) и 1-трифенилсилил-1,2,3,4-тетрафенилбутан (V). Все р-ции проводились в атмосфере сухого  $\text{N}_2$ . К I (из 0,05 моля  $(\text{C}_6\text{H}_5)_3\text{SiI}_2$  и 0,057 а-атома Li) в 100 мл III добавлен 0,1 моля II в 150 мл  $\text{C}_6\text{H}_6$ ; смесь перемешивалась 24 часа при  $20^{\circ}$  и обрабатывалась водой; выход IV 26%, т. пл.  $250-252^{\circ}$  (из сп.). Водн. слой трижды экстрагировался  $\text{C}_6\text{H}_6$ . После удаления  $\text{C}_6\text{H}_6$  получен V, выход 24%, т. пл.  $155-157^{\circ}$  (из петр. эф.). IV был также получен при взаимодействии 0,011 моля I в 13 мл III с 0,0056 моля толана с последующим гидролизом водой; выход IV 8%. При гидролизе IV с помощью KOH получен  $(\text{C}_6\text{H}_5)_3\text{SiOH}$  (VI), выход 80%, т. пл.  $149-151^{\circ}$  (из петр. эф.), а из маточного р-ра

выделен  $(\text{C}_6\text{H}_5\text{CH}_2)_2$ , выход 67%. IV получен также встречным синтезом из 0,0117 моля а-бромбензилтрифенилсилана и 0,5 г Na в бензольно-ксилольном р-ре ( $115^{\circ}$ , 12 час.). Расщепление V с помощью KOH приводит к VI, выход 39% и 1,2,3,4-тетрафенилбутану, выход 75%, т. пл.  $89-91^{\circ}$  (из сп.). Р. Стерлин

950. Синтез хлорфенилэтилдихлорсиланов. Андрианов К. А., Одинов В. А., Изв. АН СССР, Отд. хим. н., 1956, № 4, 457—460

При р-ции  $\text{Cl}_n\text{C}_6\text{H}_{5-n}\text{SiCl}_3$  (I) с  $\text{C}_2\text{H}_5\text{MgBr}$  получены соединения  $\text{Cl}_n\text{C}_6\text{H}_{5-n}(\text{C}_2\text{H}_5)_2\text{SiCl}_2$  (II). Синтезированы следующие II, указаны значения  $n$ , положения Cl в бензольном кольце, выход в %, т. кип. в  $^{\circ}\text{C}$  / мм,  $n_D^{20}$  D,  $d_4^{20}$ : 1, 3 (III), 70,3,  $116-118,7$ ,  $1,5270$ ,  $1,2947$ ; 2, 1,3,5,7,  $130-132/10$ ,  $1,5450$ ,  $1,4381$ ; 3, 1,3,5,41,  $142-144/12$ ,  $1,5481$ ,  $1,4921$ ; 4, 1,2,3,5, 30,  $123-125/3$ ,  $1,5618$ ,  $1,5396$ ; 5, 1,2,3,4,5, 23,  $145-147/3$ ,  $1,5650$ ,  $1,5996$ . Исходные I получают хлорированием 1 моля  $\text{C}_6\text{H}_5\text{SiCl}_3$  в присутствии безвод.  $\text{FeCl}_3$  (0,5% по весу хлорида) при  $70-80^{\circ}$  в течение 10—15 час. Получены следующие I, указаны  $n$ , положения Cl в ядре, т. кип. в  $^{\circ}\text{C}$  / мм,  $n_D^{20}$ : 1, 3 (IV),  $90-95/10$ ,  $1,4102$ ; 2, 1,3,  $105-110/10$ ,  $1,4801$ ; 3, 1,3,5,  $123-125/10$ ,  $1,5530$ ; 4, 1,2,3,5,  $135-137/10$ ,  $1,6210$ ; 5, 1,2,3,4,5,  $147-150/10$ , —. К 1 а-атому Mg-стружки, нагретой до  $36-38^{\circ}$ , прибавляют по каплям при  $38-40^{\circ}$  20 г  $\text{C}_2\text{H}_5\text{Br}$  и после начала р-ции добавляют смесь 1 моля IV, 1 моля  $\text{C}_2\text{H}_5\text{Br}$  и 100 г толуола. Нагревают 2 часа при  $70-80^{\circ}$  и после фильтрования и разгонки получают III. Аналогичным путем получают остальные II. С. Иоффе

951. Кремнийсодержащий аналог 9,9-дифенилфлуорена. Гильман, Горсич (A silicon analog of 9,9-diphenylfluorene. Gilman Henry, Gorsich Richard D.), J. Amer. Chem. Soc., 1955, 77, № 23, 6380—6381 (англ.).

Синтез кремнийсодержащего аналога 9,9-дифенилфлуорена (5,5-дифенилдибензосилол или дифенил-2,2-бифенилсилан) (I) осуществлен с целью получения термически устойчивых 4-замещ. производных кремния. К р-ру 0,032 моля 2,2-дибромбифенила (II) в 50 мл эфира медленно добавляли 47 мл 1,31 н. р-ра  $\text{C}_6\text{H}_5\text{Li}$  (III) и реакционную массу перемешивали 4,5 часа. К полученному 2,2-дилитийбифенилу (IV) добавлено 0,032 моля  $(\text{C}_6\text{H}_5)_2\text{SiCl}_2$  в 35 мл эфира, смесь нагревали 1 час, туда же добавлено 90 мл сухого  $\text{C}_6\text{H}_6$  и после перемешивания 0,5 часа эфир отгоняли; реакционную смесь перемешивали 0,5 часа при  $59^{\circ}$  и 1 час при  $63^{\circ}$ , обрабатывали водой, экстрагировали эфиром, после отгонки которого остаток растворяли в петр. эфире. Р-р декантировался и из него получен I, выход 31%, т. пл.  $148-149^{\circ}$  (из петр. эф.), т. возг.  $\sim 445^{\circ}$ . Из нерастворимого в эфире осадка выделено в-во неустойчивого строения с т. пл.  $229-230^{\circ}$  (из сп.). Из 0,0129 моля II в 10 мл эфира и 0,028 моля III в 26 мл эфира получен IV. Добавлением к нему 0,0258 моля бензофенона получен 2,2'-ди-(оксигензидрил)-бифенил, выход 70%, т. пл.  $255,5-255,6^{\circ}$ . Р. Стерлин

952. Исследования в области кислородсодержащих кремнийорганических соединений. Получение диалкилфенилсиланхлорида, диалкилфенилсиланола, тетраалкилфенилдиэтилоксана и некоторые их превращения. Шостаковский М. Ф., Кочкин Д. А. (Investigación de combinaciones orgánicas del silicio que contienen oxígeno. Shostakovskii M. F., Kochkin D. A.), Industria y química, 1955, 17, № 5, 276, 304 (исп.). Перевод см. РЖХим, 1954, 46334.

953. Деарилрование  $\text{Ar}_2\text{PbX}_2$  как метод синтеза нового класса соединений  $\text{ArPbX}_2$ . Кочешков К. А.,

Панов Е. М., Изв. АН СССР, Отд. хим. н., 1955, № 4, 711—717

Дегидрированием свинцовоорганич. соединений  $(C_6H_5)_2Pb(OCOR)_2$  солями ртути в р-рах органич. к-т получены соединения класса  $C_6H_5Pb(OCOR)_3$  [ $R = CH_3$  (I);  $R = (CH_3)_2CH$  (II);  $R = C_6H_5$  (III)]. I получен из 1,92 г  $Hg(OCOCN_3)_2$  в 40 мл лед.  $CH_3COOH$  и 2,88 г диэцетата дифенилсвинца (24 часа, 20°), образовавшаяся  $C_6H_5HgOCOCN_3$  переведена в  $C_6H_5HgCl$  добавлением 1,28 мл 4,7 н. р-ра  $HCl$  в спирте и отфильтрована. Фильтрат испарен в вакуум-экзикаторе над  $KOH$ . Остаток (3,63 г) растворен в 15 мл этилацетата и охлажден. Кристаллы I отфильтрованы и промыты гексаном. Получено 2,19 г (79%) триэцетата фенилсвинца с т. пл. 101—102°. II получен из  $[(CH_3)_2CHCOO]_2Hg$  (из 2,16 г желтой  $HgO$  и 20 мл изомасляной к-ты) и 5,32 г диизобутирата дифенилсвинца (12 дней, 2°); выход II 50,5%, т. пл. 77—78°, 0,55 г II вносят в горячий р-р 0,44 г  $C_6H_5COOH$  в 8 мл гексана. Р-р нагрет до кипения и оставлен для кристаллизации. Выпавший осадок отфильтрован, промыт горячим гексаном, спиртом, эфиром. Осадок (0,4 г) перекристаллизован из 1,5 мл абс.  $C_6H_6$ , промыт гексаном, высушен при 61°; выход III 41,5%, т. пл. 149,5—151°. Фенилплатомоновая к-та (IV) получена при внесении р-ра 0,27 г II в 5 мл абс. спирта в 6 мл 5%-ного  $NH_4OH$ . Через 24 часа выпавший осадок отфильтрован, промыт водой, спиртом, эфиром и высушен в вакууме при 100°, выход IV 88,5%. IV получена также из I. При продолжительной обработке йодом в  $CHCl_3$  I и II выделяют  $PbI_2$ ; при кипячении с водой гидролизуются. Гидролиз медленно идет и при 20°. II при обработке диизобутиратом ртути в изомасляной к-те дает с 36%-ным выходом тетраизобутират  $Pb$  с т. пл. 114°. В. Сазонова

954. Соединения класса  $Ag_2PbX_2$  и  $AgPbX_3$  в паратолином ряду. Кочешков К. А., Панов Е. М., Изв. АН СССР, Отд. хим. н., 1955, № 4, 718—722

Разработан метод синтеза  $Ag_2Pb(OCOR)_2$  (I) из  $Ag_2Pb$  в (II) ( $Ag = n-C_4H_9$ ); получены I с  $R = CH_3$  (Ia) и с  $R = (CH_3)_2CH$  (Ib). Из Ia синтезирован  $AgPb(OCOCN_3)_2$  (III), который переведен в триэцетат  $n$ -толилсвинца (IV). 7,5 г II постепенно вносят в 75 мл конц.  $HNO_3$ . Реакционная смесь нагревается в течение нескольких минут и охлаждается. Выпавший  $Ag_2Pb(NO_3)_2$  отсасывается и промывается водой; растворяется в 80 мл спирта и спирт. р-ром  $KOH$  (2,2 г в 25 мл) переводится в  $Ag_2PbO$  (V), выход 5,25 г. Растворением 3,2 г V в 3 мл лед.  $CH_3COOH$  получают Ia, выход 64%, т. пл. 209—210°. Аналогично получают Ib, выход 48,3%, т. пл. 202—203°. При нагревании в течение 1 часа (120—140°) 4,2 г II с 2,2 г изомасляной к-ты получают 0,41 г Ib. Для получения III в теплый р-р 1,59 г  $Hg(OCOCN_3)_2$  45 мл лед.  $CH_3COOH$  вносят 2,5 г Ia. Через 24 часа к реакционной смеси прибавляют 1,9 мл 2,62 н. спирта. р-ра  $HCl$ , выход  $n-C_4H_9PbH_2HgCl$  86%. Фильтрат оставляется в вакуум-экзикаторе над щелочью. Закристаллизовавшийся остаток (2—2,2 г) кристаллизуют из 6 мл горячего этилацетата, подкисленного каплей  $CH_3COOH$ , выход III 67%, т. пл. 86—88°. При кристаллизации из  $C_6H_6$  в-во кристаллизуется с 1 молекулой р-рителя. IV образуется при добавлении 0,39 мл метакриловой к-ты к р-ру 0,36 г III в 1,5 мл абс. спирта, выход 42%, разлагается выше 120° не плавясь.  $n$ -Толлилплатомоновая к-та (VI) получается при смешивании р-ра 0,5 г III в 10 мл абс. спирта с 12 мл 5%-ного  $NH_4OH$ , выход 60%. При кипячении VI с конц.  $HCl$  образуется толуол. При обработке VI метакриловой к-той образуется IV. В. Сазонова

955. Свинцовоорганические и ртутьорганические соединения ивдена и флуорена. Дан, Циммер, Браухич (Organo-Blei-Verbindungen und Or-

gano-Quecksilber-Verbindungen des Indens und Fluorens. D'Ans Jean, Zimmer Hans, Brauchitsch Matthias v), Chem. Ber.-1955, 88, № 10, 1507—1510 (нем.)

Взаимодействием  $Ag_3PbCl$  (I) и  $Ag_2PbCl_2$  (II) ( $Ag = C_6H_5$ ) с  $RLi$  9-литийфлуореном (III) и 3-литийинденом (IV) получают малостойкие соединения  $RPbAg_3$  (V) и  $R_2PbAg_2$  (VI). При действии избытка  $RMgBr$  или  $RLi$  на  $PbCl_2$  не удалось получить соединений типа  $R_4Pb$ ;  $HgCl_2$  в этих условиях также не дает  $R_2Hg$ . К суспензии 0,01 моля I в 100 мл абс. эфира прибавляют по каплям при перемешивании 20 мл 0,5 н. р-ра III. Избыток III удаляют 100 мл влажного эфира, осадок отфильтровывают, эфир отгоняют в вакууме. Выход V ( $R =$  флуоренил) 75%, т. пл. 118—120° (из бзл. + петр. эф.). Через р-р V в  $C_6H_6$  при нагревании пропускают  $HCl$  (15 мин.), получают  $Ag_2RPbCl$ , т. пл. ~160° (разл., из бзл.). Аналогичным образом из I и IV синтезируют V ( $R =$  инденил), выход 75%, т. пл. 122°. 0,01 моля II смешивают с 40 мл 0,5 н. III, через 1 час эфир испаряют, встряхивают со 100 мл теплого эфира, осадок отфильтровывают в вакууме  $C_6H_6$ , закристаллизовавшееся масло промывают смесью абс. эфира и петр. эфира. Выход неочищ. VI ( $R =$  флуоренил) 30%, т. пл. 138—140° (из бзл. + петр. эф.). В таких же условиях II и IV дают VI ( $R =$  инденил), т. пл. 107—110° (разлагается при перекристаллизации). К суспензии 27 г  $HgCl_2$  в 200 мл абс. эфира прибавляют 100 мл 1 н. р-ра IV, выделяют из эфира р-ра  $RHgBr$  ( $R =$  инденил), выход 9%, т. пл. 118°. Работу проводят в атмосфере  $N_2$ . Э. Углова

956. О строении оловофосфорорганических соединений. Арбузов Б. А., Гречкин Н. П., Изв. АН СССР, Отд. хим. н., 1956, № 4, 440—442. Подтверждается образование  $RP(O)(OR)(OSnR'_2)$  (I) при р-ции  $(RO)_3P$  (II) и  $R'_2SnJ$  (III) (Malatesta L., Gazz. chim. ital., 1950, 80, 527), а не  $R'_2SnP(O)(OR)_2$  (Докл. АН СССР, 1947, 57, 353). II претерпевает арбузовскую перегруппировку, образуя  $Ri(O)(OR)_2$  (IV), который с III дает I и RJ. 1 моль  $(C_2H_5)_2SnJ_2$  (V) и 2 моля IV ( $R = C_2H_5$ ) при 125° дают  $C_2H_5J$  (выход 72%) и  $[C_2H_5P(O)(OC_2H_5)_2]_2Sn(C_2H_5)_2$  (VI), выход колич. т. пл. 261—263°. VI получают из II ( $R = C_2H_5$ ) и V. Из 2 молей  $C_6H_5(C_2H_5)_2P(O)(OC_2H_5)$  и 1 моля V получают  $[C_6H_5(C_2H_5)_2P(O)_2]_2Sn(C_2H_5)_2$  (VII), выход 78%, т. пл. 292—294°, который получают также из  $C_6H_5P(OC_2H_5)_2$  и V. При гидролизе VII с конц.  $HCl$  получают  $C_6H_5(C_2H_5)_2POH$ . При нагревании до 210° 2 молей  $(C_6H_5)_2POC_2H_5$  (VIII) и 1 моля  $(C_2H_5)_2SnCl_2$  получают  $[C_6H_5(C_2H_5)_2P(O)_2]_2Sn(C_2H_5)_2$  (IX), т. пл. 346—349°, и  $(C_6H_5)_3PO$ . Образование IX, по-видимому, связано с внутримолекулярным восстановлением-окислением VIII, что однако не доказано. При гидролизе IX получают  $(C_6H_5)_2POH$ , выход колич. В. Гиляров

957. Действительная структура диметиламиноэтиловых эфиров ароматических фосфиновых кислот. Куин, Ро (The true structure of dimethylaminoethyl esters of aromatic phosphonic acids. Quin Louis D., Roe Arthur, J. Organ. Chem., 1955, 20, № 11, 1469—1472 (англ.))  
Для продуктов р-ции  $RC_6H_4P(O)(OAg)_2$  с  $ClCH_2CH_2N(CH_3)_2$  установлена структура  $RC_6H_4P(-O)O^- \cdot [OCH_2CH_2N^+(CH_3)_2CH_2CH_2N(CH_3)_2]$  (I), а не  $RC_6H_4P(-O)[OCH_2CH_2N(CH_3)_2]_2$  (Bost, Quin, Ro, J. Organ. Chem., 1952, 18, 362). При гидролизе I ( $R = 4-NO_2$ ) получают  $HOCH_2CH_2N^+(CH_3)_2CH_2CH_2N(CH_3)_2$  (II) (выделен в виде пикрата). Приводятся данные фармакологич. испытаний I ( $R = 4-NO_2$ , 4-Cl, H, 4-CH<sub>3</sub>O, 3,4-ОСН<sub>3</sub>O, 4-F). Для пикрата I ( $R = 4-NO_2$ ), т. пл. 278° (из  $CH_3OH$ ). 0,0035 моля I ( $R = 4-NO_2$ ) нагревают 3 дня с 50 мл 10%-ного  $NaOH$  при 50°. Насыщают смесь  $NaCl$  и экстрагируют гексаном. Водя. р-р

подкисляют HCl (к-той) до pH 8—9, смесь упаривают при 30 мм почти досуха, остаток экстрагируют спиртом и фильтруют. Из фильтра и 0,0079 моля пикриновой к-ты получают пикрат II, выход 69%, т. пл. 195—196° (разл., из сп.). В. Гиллиров

**958.** О реакции диалкилдитиофосфатов с тиовиноливыми эфирами. Матрковская Т. А., Прилежаева Е. Н., Уварова Н. И., Шостаковский М. Ф., Кабачник М. И., Изв. АН СССР, Отд. хим. н., 1956, № 4, 443—450

Показано, что  $(RO)_2PSSH$  (I) легко присоединяются к  $CH_2 = CHSR'$  (II) в соответствии с правилом Марковникова с образованием  $(RO)_2PSSCH(CH_3)SR'$  (III). Получены следующие III, указаны R, R', выход в %, т. кип. в °C/мм.,  $n_D^{20}$ ,  $d_4^{20}$ :  $C_2H_5$ ,  $C_4H_9$  (IV), 70—75, 109—110/2,5, 1,5290, 1,1392;  $C_2H_5$ ,  $C_4H_9$  (V), 66, 109—110/2, 1,5198, 1,0965;  $C_2H_5$ ,  $C_4H_9OCH_2CH_2$ , 80, 123—125/3, 1,5125, 1,0940; *н-н*- $C_4H_9$ ,  $C_2H_5$ , 78, 113—115/2, 1,5070, 1,0556; *н-н*- $C_4H_9$ ,  $C_4H_9$ , 90, 121—122/2, 1,5052, 1,0384; *н-н*- $C_4H_9$ ,  $C_4H_9OCH_2CH_2$ , 60—80, 124—126/3, 1,5012, 1,0422. Строение III доказано их синтетами на примере IV и V из  $(C_2H_5O)_2PSSK$  (VI) и  $CH_3CH(SR)Cl$  (VII), а также р-цией расщепления III с  $HgCl_2$  в спирте, при которой образуются  $CH_3CH(OC_2H_5)_2$  (VIII),  $R'SHgCl$  (IX),  $(RO)_2PSSHgCl$ , которая диспропорционируется при очистке в  $[(PO)_2PSS]_2Hg$  (X), а также 2 моля HCl, которые количественно титровались 0,1 н. NaOH. Для получения IV к 0,068 моля II ( $R = C_2H_5$ ) прибавляют при т-ре 60—62° 0,05 моля I ( $R = C_2H_5$ ). Перемешивают 30 мин., отстаивают на 12 час., после чего разгоняют. Остальные III получают аналогичным образом. 0,09 моля VII ( $R = C_2H_5$ ) добавляют по каплям к 0,05 моля VI в 25 мл эфира. Нагревают 3 часа при 40°, отфильтровывают KCl и из фильтра получают IV, выход 62%. Аналогичным путем из VII ( $R = C_4H_9$ ) и VI получают с выходом 71% V. Из 0,0036 моля IV и 0,0081 моля  $HgCl_2$  в 11 мл 96%-ного спирта получают VIII, выход 92,9%, HCl выход 97,7%, 0,8 г IX ( $R' = C_2H_5$ ) и 0,7 г X ( $R = C_2H_5$ ), т. пл. 121—122° (разл., из бэл.). С. Иоффе

**959.** Синтез некоторых фосфорорганических соединений и исследование их влияния на свойства минеральных масел. Санин П. И., Шерв В. В., Докл. АН СССР, 1956, 107, № 4, 551—553

Синтезируют  $Ba$ - и  $Ni$ -соли к-ты  $(RO)_2PSSH$  (I), дисульфиды  $(RO)_2PSS_2$  (II) и  $[(C_2H_5)_2O_2P(O)]_2Ba$  (III) и испытано их влияние на свойства минер. масел. Для I приведены R, т. кип. в °C/мм.,  $n_D^{20}$ ,  $d_4^{20}$ : *н-н*- $C_4H_9$ , 121,0—122/2,5, 1,4940, 1,0689; *н-н*- $C_6H_{11}$ , 147,0—148,0/2,5, 1,4887, 1,0354. Для I ( $R = n-C_6H_{13}$ ) т. пл. 79,5—80,5°. Перечисляются в-га, R, т. пл. в °C, влияние на образование лака на поршневом двигателе ПЗВ в баллах и на коррозию Pb-пластинки в г/м<sup>2</sup>: для минер. масла без добавок 4,5 балла, коррозионность 46,0 г/м<sup>2</sup>; для I,  $Ba$ -соль,  $C_4H_9$ , 136,0—138,0, 4,5, 33,6;  $C_6H_{11}$ , 179,0—180,0, 4,5, 41,8;  $C_{10}H_{21}$ , —, 1,5, 0,9;  $C_{18}H_{37}$ , 99,0—100,0, 1,0, 1,7;  $C_7H_{15}$  ( $C_6H_{13}$ )  $CH_2CH_2$ , —, 1,5, 5,1;  $Ni$ -соль,  $C_4H_9$ , 16,0—16,5, 3,5, 5,6;  $C_6H_{11}$ , 23,5—24,5, 3,5, 6,4;  $C_{10}H_{21}$ , 20,0—21,0, 1,5, 11,0;  $C_{18}H_{37}$ , 0,5—1,5, 0,5, 3,6;  $K$ -соль,  $C_{18}H_{37}$ , 165,0—167,0, 1,0, 5,0; для II,  $C_4H_9$ , —, 5,0, 97,1;  $C_{18}H_{37}$ , 39,0—40,0, 4,0, 4,3; для III, —, ~200, 0,5, 137,7.  $Ba$ -соли I получают из  $Ba(OH)_2$  и I,  $Ni$ -соли из  $K$ -соли I и  $NiSO_4$ ; II получают окислением I в йодом в щел. среде. Основным носителем антикоррозионных свойств солей I является сера. I с длинными радикалами нормального строения показали высокую активность в качестве депрессоров. В. Гиллиров

**960.** Реакция трихлорфосфазосульфенилов со спиртами. Кирсанов А. В., Шевченко В. И., Ж. общ. химии, 1956, 26, № 2, 504—510

Взаимодействие  $ArSO_2N = PCl_2$  (I) со спиртами идет по разным направлениям и зависит от природы арильного радикала и условий р-ции. Первый атом хлора I реагирует со спиртом быстрее, чем последующие, при этом сначала образуется неустойчивое молекулярное соединение с HCl, которое в течение 60—80 мин. при 5—9° выделяет 0,8 экв HCl, со скоростью отвечающей р-ции первого порядка, и переходит в  $ArSO_2N = PCl_2$  (OR) (II). В случае проведения р-ции без удаления HCl газомоедействие протекает по ур-нию:  $I + CH_3OH \rightarrow CH_3Cl + ArSO_2NHPOCl_2$  (III), при этом взаимодействие с HCl объясняется схемой:  $II (R = CH_3) + HCl \rightarrow CH_3Cl + ArSO_2N = PCl_2$  (OH). Большой избыток спирта приводит к образованию  $ArSO_2N = P(OR)_3$  (IV), легко превращающегося под влиянием HCl в  $ArSO_2NHP$  (O) (OR)<sub>2</sub> (V). II ( $Ar = \alpha-C_{10}H_7$ ) получают добавлением к р-ру 0,25 моля I ( $Ar = \alpha-C_{10}H_7$ ) в 500 мл сухого эфира при охлаждении, в токе  $CO_2$ , при 2—5° р-ра 0,29 моля  $CH_3OH$  в 100 мл эфира и последующим нагреванием (3 часа), выход 66,8%, т. пл. 82—83°. III ( $Ar = \alpha-C_{10}H_7$ ) получают из 0,1 моля I ( $Ar = \alpha-C_{10}H_7$ ) в 20 мл  $C_6H_6$  и 0,01 моля  $CH_3OH$  в 10 мл  $C_6H_6$  при стоянии в течение недели в закрытой колбе, выход 76,1%. При добавлении к р-ру 0,03 моля I ( $Ar = C_6H_5$ ) в 50 мл  $C_6H_6$  при охлаждении в токе  $CO_2$  р-ра 0,03 моля  $CH_3OH$  в 30 мл  $C_6H_6$  (т-ра 2—5°) получен II ( $Ar = C_6H_5$ ), бесцветная жидкость с содержанием чистого в-га ~68%. II ( $Ar = o-CH_3C_6H_4$ ) получен с выходом 62%. Состав и строение доказаны аналитич. данными и перегревом в IV. III ( $Ar = C_6H_5$ ) получен из 0,1 моля I ( $Ar = C_6H_5$ ) в 150 мл сухого эфира и 0,1 моля  $CH_3OH$  в 50 мл сухого эфира (0—2°), выход 81%, т. пл. 131—132°. Р-ция с I ( $Ar = o-CH_3C_6H_4$ ) в аналогичных условиях протекает с выходом 43,6%. Метоксигированием 0,002 моля II в 20 мл бензола  $CH_3ONa$  (из 0,004 моля Na и 20 мл  $CH_3OH$ ) при 3—5° и последующим нагреванием в течение 30 мин. при 60° получены IV ( $Ar$ , выход в %):  $\alpha-C_{10}H_7$ , 80,5;  $C_6H_5$ , 90,2;  $o-CH_3C_6H_4$ , 65,6. Гидролизом 0,01 моля II ( $Ar = \alpha-C_{10}H_7$ ) 100 мл воды получена  $\alpha-C_{10}H_7SO_2NHPO(OH)$  (схемы), выход 61,4%, т. пл. 95—99°, т. разл. 105°.  $\alpha-C_{10}H_7SO_2N = PCl(OCH_3)_2$  (VI) получен добавлением к р-ру 0,01 моля II ( $Ar = \alpha-C_{10}H_7$ ) в 30 мл  $C_6H_6$  р-ра 0,01 моля  $CH_3OH$  в 20 мл  $C_6H_6$  при стоянии (15 дней, 20°) без доступа влаги воздуха, выход 34,8%, т. пл. 138—140° (из бэл.). Гидролизом 0,01 моля VI в 5 мл воды при 40° 1 н. р-ром NaOH и последующим подкислением получена V ( $Ar = \alpha-C_{10}H_7$ ), выход 82%, т. пл. 164—165. Действием на 0,003 моля I большого избытка спирта (10 мл) (1 час, 20°) образуется от 9,6 до 37,5% IV и от 21,5 до 50,3% V. С  $C_2H_5OH$  в тех же условиях образуется от 26,4 до 34,1% IV и от 22,7 до 45,6% V. При проведении р-ции в течение суток при 20° образуется V с выходом до 80%. З. Крайц

**961.** Действие хлорангидрида и ангидрида уксусной кислоты на алкильные эфиры мышьяковистой кислоты. Камай Гильм, Хисамова З. Л., Ж. общ. химии, 1956, 26, № 2, 411—416

Показано, что  $(RO)_2AsOR'$  (I) и  $(RO)_2As$  (II) газомоедействуют с  $CH_3COCl$  на холоду с разогриванием, образуя хлорангидриды диалкилмышьяковистых к-т  $(RO)_2AsCl$  (III) и  $RO'As(OR')Cl$  (IV). II реагируют с  $(CH_3CO)_2O$  при нагревании, образуя смешанные ангидриды диалкилмышьяковистых и уксусной к-т  $(RO)_2AsOCCCH_3$  (V). II получены путем нагревания  $As_2O_3$  с соответствующими спиртами (приведены R, т. кип. в °C/мм.,  $n_D^{20}$ ,  $d_4^{20}$ ):  $C_2H_5$ , 97—98/13, 1,4391, 1,1132; *н-н*- $C_4H_9$ , 116—117/12, 1,4390, 1,0568; *н-н*- $C_6H_{13}$ , 109/4, 1,4428, 1,0683; *н-н*- $C_8H_{17}$ , 119/2, 1,4502, 1,0419. Путем газомоедействия  $ROH$  с  $RO'AsCl_2$  в присутствии безводной пиридина в эфире получены следующие I (приведены



$R', R$ , т. кип. в  $^{\circ}C / \text{мм}$ ,  $n_D^{20}$ ,  $d_4^{20}$ :  $C_2H_5$ ,  $C_3H_7$ , 92—93/19, 1,423, 1,1325;  $C_2H_5$ ,  $C_4H_9$ , 110—113/9, 1,4542, 1,1262;  $C_2H_5$ ,  $C_4H_9$ , 112—112,5/14, 1,448, 1,0930. 20 г II ( $R = C_2H_5$ ) смешаны в перегонной колбе Арбузова с 6,2 г  $CH_3COCl$ . Смесь нагрета, 110°, 30 мин. При разгонке собраны фракции: до 0°/13 мм — 16,5 г уксуснопропилового эфира и 73—75°/10 мм — 13,8 г III ( $R = C_3H_7$ ),  $n_D^{20}$  1,4683,  $d_4^{20}$  1,2447. По сходной методике получены следующие III и IV (приведены  $R, R'$ , т. кип. в  $^{\circ}C / \text{мм}$ ,  $n_D^{20}$ ,  $d_4^{20}$ ): III,  $C_3H_7$ , 73—75/10, 1,4683, 1,2447;  $C_4H_9$ , 110—112/10, 1,4569, 1,2401; *изо*- $C_4H_9$ , 108—111/25, 1,4639, 1,2276; *н*- $C_6H_{13}$ , 140—143/2, 1,4642, 1,0960; IV,  $C_2H_5$ ,  $C_3H_7$ , 72—73/10, 1,672, 1,2987;  $C_3H_7$ ,  $C_4H_9$ , 96—96,5/14, 1,4630, 1,2280; III легко омыляется водой, по схеме  $2(RO)_2AsCl + 3H_2O \rightarrow As_2O_3 + 4ROH + 2HCl$ ; со спиртами в присутствии безвод. пиридина образуют I. 20 г II ( $R = C_2H_5$ ) и 6,8 г ( $CH_3COCl$ ) O нагрелась на масляной бане (7 час., 140—146°). При разгонке собраны фракции: до 30°/20 мм — в основном  $CH_3COOC_2H_5$  и с т. кип. 125—126°/10 мм — 14,2 г V ( $R = C_4H_9$ ),  $n_D^{20}$  1,4483,  $d_4^{20}$  1,1803. Аналогично получены следующие V (приведены  $R$ , т. кип. в  $^{\circ}C / \text{мм}$ ,  $n_D^{20}$ ,  $d_4^{20}$ ): *изо*- $C_4H_9$ , 111—112/12, 1,4420, 1,1554; *н*- $C_6H_{13}$ , 146—148/5, 1,4520, 1,0954; V легко гидролизуются влажной воздухом. Взаимодействие II с  $CH_3COOH$  протекает сложно. Ю. Бундель

962. О действии некоторых алкоксипроизводных на триалкоксистибин и диалкоксилоретибины. Арбузов Б. А., Самойлова О. Д., Изв. АН СССР, 1955, № 3, 435—440

Частичной перэтерификацией  $Sb(OC_2H_5)_3$  (I) с эквивалентным кол-вом высшего спирта  $R'OH$  (не выше  $C_6H_{13}OH$ ) получают  $Sb(OC_2H_5)_2OR'$  и  $Sb(OC_2H_5)(OR')_2$ . Перэтерификация идет также при действии  $RCOOR'$  и лед.  $CH_3COOH$ . Диалкоксилоретибины при действии высших спиртов обменивают алкоксигруппы. Весь опыт проходил в колбе А.Е. Арбузова при нагревании. 18 г I и 4,5 г *н*- $C_4H_9OH$  (при *т*-ре 110—115°) дают 4,9 г  $Sb(OC_2H_5)_2(OC_4H_9-n)$  (II), т. кип. 109—110°/7 мм,  $n_D^{20}$  1,4902,  $d_4^{20}$  1,3990, 3,2 г  $Sb(OC_2H_5)(OC_4H_9-n)_2$ , т. кип. 129—130°/7 мм,  $n_D^{20}$  1,4861,  $d_4^{20}$  1,3051 и  $Sb(OC_4H_9-n)_3$  (III), т. кип. 140—141°/7 мм, аналогично (при 120—125°) получают (перечисляются эфир, т. кип. в  $^{\circ}C / \text{мм}$ ,  $n_D^{20}$ ,  $d_4^{20}$ ):  $Sb(OC_2H_5)_2(OC_6H_{11-iso})$ , 120—121/6, 1,4856, 1,3452,  $Sb(OC_2H_5)(OC_6H_{11-iso})_2$  (IV), 136—137/3, 1,4815, 1,2630;  $Sb(OC_2H_5)_2(OC_6H_{13-n})$ , 151—152/4, 1,4840, 1,3313,  $Sb(OC_2H_5)(OC_6H_{13-n})_2$ , 171—172/4, 1,4743, 1,4182. Из 4,9 г II при 150—160° (20 мин.) получают 2,9 г I и 1,6 г III. Аналогично диспропорционируется IV. При взаимодействии 4 г I и 6 г  $CH_3COOC_2H_5-n$  (V) (110—115°, 1 час) выделяют 0,6 г III. Из 5 г I и 8 г  $CH_3COOC_6H_{11-iso}$  синтезируют в этих условиях  $Sb(OC_6H_{11-iso})_3$ , выход 82,4%, т. кип. 156—157°/6 мм,  $d_4^{20}$  1,1885, выделяют  $CH_3COOC_2H_5$  (VI). I и  $C_6H_5COOC_6H_5$  (140—150°, 30 мин.) дают  $Sb(OC_6H_5)_3$ , выход 77,4%, т. кип. 238—242°/4 мм, т. пл. 99—101°, и  $C_6H_5COOC_2H_5$ . На 10 г I действуют 2,3 г лед.  $CH_3COOH$ , отгоняют при 35—40°/90 мм спирт. Остаток промывают эфиром  $Sb(OC_2H_5)_2(OC_2H_5)$ , т. пл. 50—51°, разлагается при 100—110° с выделением VI. 12 г  $Sb(OC_2H_5)_2Cl$  и 6,8 г V нагревают при 110—115°, выход  $Sb(OC_4H_9-n)_2Cl$  90%, т. кип. 147—148°/10 мм,  $d_4^{20}$  1,5066. Таким же образом получают  $Sb(OC_6H_{11-iso})_2Cl$ , выход 89,5%, т. кип. 140—141°/3 мм,  $d_4^{20}$  1,3891, а  $Sb(OC_4H_9-n)_2Cl$  переводят в  $Sb(OC_6H_{13-n})_2Cl$ , выход 79,1%, т. кип. 170—172°/3 мм. Э. Углова

963. Третичные моно- и дифторалкилы в магнийорганическом синтезе. Петров А. Д., Сущинский В. Л., Шебанова М. П., Изв. АН СССР, Отд. хим. н., 1956, № 4, 510—512

Изучена р-ция конденсации третичных моно- и дифторалкилов с  $CH_2 = CHCH_2Cl$  (I),  $CH_3CH_2CH_2Cl$  и  $CH_2 = C(CH_3)CH_2Cl$  в присутствии Mg. Показано, что выход в 2,5—3 раза выше, чем в р-циях с аналогичными хлоралкилами. Исходные  $(CH_3)_3CC(CH_3)_2F$  (II),  $(CH_3)_2CHCH_2C(CH_3)_2F$  (III),  $(CH_3)_3CC(C_2H_5)(CH_3)F$  и  $[CH_3CH_2C(CH_3)F]_2$  получают в медной аппаратуре (реактор и холодильник); загружают сухой лед и ацетон, при  $-40^{\circ}$  помещают безвод. HF и приливают по каплям олефин (перемешивание, *т*-ра не выше  $-30^{\circ}$ ), избыток HF удаляют, пропуская  $N_2$  при 0—10°. Выход монофторидов 30—60%. Дифториды 22%. Полученные смеси и второй компонент синтеза приливают к Mg в эфире при *т*-рах +40 и  $-30^{\circ}$ . Из I и II синтезируют  $(CH_3)_3CC(CH_3)_2CH_2CH = CH_2$ , выход 10,3%, т. кип. 156,3°/745 мм,  $n_D^{20}$  1,4314,  $d_4^{20}$  0,7706. III в присутствии Mg дает  $[(CH_3)_2CHCH_2C(CH_3)_2]_2$  с выходом 18%, т. кип. 218°/750 мм,  $n_D^{20}$  1,4406,  $d_4^{20}$  0,7904. Получены также (перечисляются соединения, выход в %, т. кип. в  $^{\circ}C / \text{мм}$ ,  $n_D^{20}$ ,  $d_4^{20}$ ):  $(CH_3)_2CHCH_2C(CH_3)_2CH_2CH_2CH_2CH_2$ , 24, 151/745, 1,4156, 0,7360;  $CH_2 = C(CH_3)CH_2C(m\text{-}C_4H_9)(CH_3)CH_2CH_2CH_2CH_2$ , 42, 81/9, 1,4526, 0,806;  $CH_2 = CHCH_2C(m\text{-}C_4H_9)(CH_3)CH_2CH_2CH_2CH_2$ , 36,4, 175/750, 1,4386, 0,7618;  $(CH_3)_2CHCH_2C(CH_3)_2CH_2CH_2CH_2CH_2$  (IV), 37, 146/145, 1,4625, 0,8205. IV окисляют 3%-рым р-ром  $KMnO_4$ , идентифицируют  $HSOON$  и  $(HOOCCH_2C(CH_3)_2)_2$ . Конденсируют  $[CH_3CH_2C(CH_3)F]_2$  с избытком I, выделяют 4,5,6-триметилтетрадецен-1,5, т. кип. 176—178°/750 мм,  $n_D^{20}$  1,4530,  $d_4^{20}$  0,8002 (при окислении идентифицируют  $CH_3COOC_2H_5$ ,  $HSOON$  и триметилпентан-4-оновую к-ту). Э. Углова

964. 2,2,2-трифторэтилнитрогуанидин. Милани, Скольник, Эванс (2,2,2-trifluoroethylnitroguanidine. Milani Virgil, Skolnik Sol, Evans Robert), J. Amer. Chem. Soc., 1955, 77, № 10, 2903 (англ.)

2,2,2-трифторэтилнитрогуанидин (I) получен при обработке N-нитро-S-метилселводтиомечивны (II) 2,2,2-трифторэтиламином (III). 0,0747 моля II и 0,151 моля III, разбавленного 2 мл воды, кипятили 6 час., затем добавлено 0,0222 моля III и смесь дополнительно нагревалась 7 час. Избыток III и вода удалялись в вакууме, а остаток кристаллизовался из 90 мл горячей воды (рН 6), выход I 94%, т. пл. 147—148°; восстановлением 0,0134 моля I над 0,125 г Pd-черни в 62 мл 15%-ной  $CH_3COOH$  (20°, 12 час) и обработкой фильтрата 0,0134 моля пикриновой к-ты в 25 мл абс. спирта получен 2,2,2-трифторэтилгуанидинникрат т. пл. 183—193° (из сп.); нитрат, т. пл. 134—136° (получен при обработке 0,054 моля пикрата 10 мл 20%-ной  $HNO_3$ ). Р. Стерлин

965. Три-(трифторметил)-этибиновая кислота и ее производные. Эмелеус, Мосс (Tristrifluoromethyl antimonie acid and its derivatives. Emeléeus H. J., Moss J. H.), Z. anorg. und allgem. Chem., 1955, 282, № 1-6, 24—28 (англ.)

Реакция  $(CF_3)_3SbCl_2$  (I) с водой приводит к образованию I- $H_2O$  (II) и I-2 $H_2O$  (III). Получена к-та  $N(CF_3)_3Sb(OH)_3$  (IV), являющаяся уникальной по своей устойчивости и растворимости своих солей. Действием HCl и HBr на ее пиридиновую соль  $C_5H_5N \cdot H(CF_3)_3Sb(OH)_3$  (V) получены соответствующие галогидные производные. 0,616 г I смешаны с 0,0167 г  $H_2O$ , избыток I откачивается. П очищен сублимацией, т. пл. 51°. Для получения III 1,124 г I смешаны с 19,4 г  $H_2O$ . В р-ре III подвергается обратному гидролизу. Водн. р-р I с избытком  $Ag_2O$  дает  $Ag(CF_3)_3Sb(OH)_3$  (VI), для которой выделен ком-

плекс с  $C_6H_6$ . Водн. р-р VI с  $C_5H_5N \cdot HCl$  дает V, с  $HCl$  — р-р IV. 0,144 г V в ацетоне с избытком  $HBr$  дают 0,198 г  $C_5H_5N \cdot H(CF_3)_3SbBr_3$  (VII), 0,2 г VII в ацетоне с избытком конц.  $HCl$  дают 0,177 г  $C_5H_5N \cdot H(CF_3)_3SbCl_3$ ; 0,469 г I реагируют с избытком  $NOCl$  при  $-10^\circ$ ; избыток  $NOCl$  отсасывается при  $-50^\circ$ . Выход  $NO[(CF_3)_3SbCl_3]$  0,531 г. 0,05 г VII с 2 мл безводн.  $HF$  дают  $C_5H_5N \cdot H \cdot (CF_3)_3SbF_3$ . И. Белецкая

**966. Амиды фторсульфиновой кислоты. Гёринг, Фойгт** (Über Amide der Fluorsulfinsäure. Goehring Margot, Voigt Günter), Chem. Ber., 1956, 89, № 4, 1050—1054 (нем.)

Изучена р-ция  $SOF_2$  (I) с  $NH_3$  и аминами. Избыток I с  $NH_3$  образует  $OS(F)NH_2$  (II), легко полимеризующийся в  $[OS(F)NH_2]_x$ . Первичные амины с I дают  $OS(F)NHR$  (III), отщепляющие  $HF$  с образованием  $RNSO$  (IV). Вторичные амины с I дают устойчивые  $OS(F)NR_2$  (V). Р-ция проводилась в спец. аппаратуре, защищенной от влаги, в токе  $N_2$ . В колбу, содержащую 750 мл  $Cl_2F_2C$  (VI), насыщ. I при  $-78^\circ$ , добавляют из капельной воронки при перемешивании р-р  $NH_3$  в VI до образования кристаллич. масс. Далее реакционную массу медленно нагревают до  $20^\circ$ . Получено 1 г в-ва, содержащего 5,6 ммоль II и 7,8 ммоль  $NH_4F$ . Р-ция с аминами проводилась в тех же условиях в эфире с 20—50 мл амина (3—6 час.). Из I и пиперидина получены  $OS(F)NC_5H_{10}$ , т. кип.  $91,5-92^\circ/14$  мм. Получены также V, где  $R = C_2H_5$ , т. кип.  $63-65^\circ/20$  мм; IV, где  $R = C_4H_9$ , т. кип.  $35-36^\circ/20$  мм,  $116^\circ/760$  мм. З. Крайц

**967. Восстановление ферроценом трифенилметилкарбонийона. Хотин** (The ferrocene reduction of the triphenylmethyl carbonium ion. Hawthorne M. Frederick), J. Organ. Chem., 1956, 21, № 3, 363 (англ.)

Показано, что ферроцен (I) восстанавливает трифенилметилкарбонийон до радикала трифенилметила, окисляясь при этом до феррициниумкатиона.  $2,9 \cdot 10^{-3}$  моля  $(C_6H_5)_3CCl$  и  $4,3 \cdot 10^{-3}$  моля I в 20 мл  $CH_3NO_2$  (пропускание сухого  $O_2$ ) встряхивают 0,5 часа. После добавления 100 мл  $CH_2Cl_2$ , удаления  $[(C_5H_5)_2Fe]^+$  промыванием водой и испарения р-рителя из остатка получают перекисы трифенилметила, выход 16%, т. пл.  $184-185^\circ$  (из  $CH_2Cl_2$  гексана), 150 мг I и смесь не идентифицированных продуктов. Н. Волькену

**968. Синтез алкилферроценов. Несмеянов А. Н., Волькену Н. А.**, Докл. АН СССР, 1956, 107, № 2, 262—264

С помощью 10-кратного избытка амальгамированного Zn и конц.  $HCl$  в лед.  $CH_3COOH$  алкилферроцены восстановлены в алкилферроцены (приведены выход в%, т. кип.  $^\circ C/мм$ ,  $n_D^{20}$ ,  $d_4^{20}$ ): ацетилферроцен до этилферроцена, 67, 108—109/5,5,  $n_D^{20}D$  1,6017,  $d_4^{20,5}$  1,2469; диацетилферроцен (I) до диэтилферроцена (II), 40—50, 123—124/5,5, 1,5803, 1,1787; дипропионилферроцен (III) до дипропилферроцена, 70, 137—138/5, 1,5619, 1,1244; дибутирилферроцен (IV) до дибутилферроцена, 60, 164—165/6, 1,5511, 1,1086; дибензоилферроцен (V) до дибензилферроцена, 68, т. пл.  $101,5-102,5^\circ$  (из петр. эф.). III, IV и V получены взаимодействием соответствующих хлорангидридов и  $AlCl_3$  с ферроценом в  $CS_2$  (даны выход в%, т. пл. в  $^\circ C$ ): III, 40, 53—54 (из петр. эф.); IV, 40, 74—75 (из петр. эф.); V, 70, 101—102 (из 50%-ного сп.). Показано, что синтезированные алкилферроцены окисляются хиноном до алкилферрициниумкатионов, которые могут быть снова восстановлены с помощью  $SnCl_2$ . Высказано предположение, что во всех синтезированных диалкилферроценах алкильные группы стоят в резных  $C_5H_5$ -кольцах. Для II это вполне достоверно, так как положение  $CH_3CO$ -групп в I известно. Н. Волькену

**969. О некоторых 1,1'-дизамещенных ферроценах. Римшнейдер, Хельм** (Über einige 1,1'-Disubstitutionsprodukte des Ferrocens. Riemschneider Randolph, Helm Dietrich), Chem. Ber., 1956, 89, № 1, 155—161 (нем.)

Синтезированы некоторые 1,1'-дизамещ. производные ферроцена (I) с заместителями, содержащими асимметрич. атом. Так взаимодействием 1,1-диацетилферроцена (II) с  $C_2H_5MgBr$  получены стереоизомерные 1,1'-ди-( $\alpha$ -окси- $\alpha$ -втор-бутил)-ферроцены: (IIIa), т. пл.  $101^\circ$ , и (IIIb), т. пл.  $116^\circ$ . Одно из этих в является мезо-, другое — рацемич. формой. Из II с  $CH_3MgI$  и 1,1'-дибензилферроцена (IV) с  $C_6H_5MgI$  получены 1,1'-ди-( $\alpha$ -оксизопропил)-ферроцен (V) и 1,1'-ди-(оксизбензил)-ферроцен (VI) соответственно. Показано, что смесь IIa и IIb легко дегидратируется, образуя смесь стереоизомерных 1,1'-ди-( $\alpha$ , $\beta$ -диметилвинил)-ферроценов: (VIIa), т. пл.  $39^\circ$ ,  $n_D^{20}D$  1,6155,  $n_D^{25}D$  1,6235 (экстраполировано); (VIIb) — маслообразн.,  $n_D^{25}D$  1,6224. При дегидратации V образуются только полимеры  $(C_{16}H_{18}O_{1,5}Fe)_x$ . При восстановлении IV ( $u-o-C_3H_7O$ ) $_2Al$  получен 1,1'-ди-(фенилзопропоксиметил)-ферроцен (VIII). Авторам не удалось осуществить для I р-цию Фриделя — Крафта с  $(COCl)_2$ ,  $u-o-C_3H_7Cl$ ,  $C_2H_5Br$ ,  $C_6H_5CH_2Cl$ . Показано, что I реагирует с  $n-C_3H_7C_6H_4SO_2Cl$ . Найдено, что I конденсируется с отщеплением воды с  $CH_2O$ , образуя соединения  $(C_{10}H_8Fe)_2(C_2H_5)_2$ , т. пл.  $189-190^\circ$ , и с  $C_6H_5CHO$ , образуя  $(C_{10}H_8Fe)_2(C_6H_5)_2$  (CHC $_6H_5$ ) $_2$ , т. пл.  $258-261^\circ$ , и  $C_{10}H_8Fe \cdot C_6H_5 \cdot C_6H_5$ . При действии  $Br_2$  в кипящем  $CCl_4$  I окисляется до феррициниумбромферрата  $C_{10}H_8Br_2Fe_2$ , который с помощью  $SnCl_2$  в разб.  $HCl$  может быть восстановлен в I. В эквимолекулярных кол-вах  $Br_2$  и I при  $0^\circ$  образует темно-фиолетовый продукт. К 0,075 моля  $AlCl_3$  в 30 мл  $CS_2$  прибавляют 0,03 моля I и 0,066 моля  $CH_3COCl$  в 50 мл  $CS_2$ , кипятят 90 мин., и получают после разложения льдом с  $HCl$  (к-той) и извлечения продукта бензолом II, выход 60%, т. пл.  $131^\circ$  (из бzl.). II получают также из I и  $CH_3COBr$  и  $(CH_3CO)_2O$  с выходами 38 и 54%. Тем же методом из 0,23 моля  $AlCl_3$  в 60 мл  $CS_2$ , 0,06 моля I и 0,125 моля  $C_6H_5COCl$  в 100 мл  $CS_2$  (кипение 2 часа) получают IV, выход 53%, т. пл.  $105-106^\circ$  (из бzl.). К р-ру  $CH_3J$  (из 0,033 моля  $Mg$  и 0,033 моля  $CH_3J$ ) в 30 мл эфира прибавляют 0,01 моля II в 50 мл  $C_6H_6$ , кипятят 1 час, разлагают 10%-ным р-ром  $NH_4Cl$  с примесью  $Na_2SO_3$  и получают V, выход 56%, т. пл.  $124^\circ$  (из лигр.). Из 0,02 моля II в 50 мл  $C_6H_6$  и  $C_2H_5MgBr$  (из 0,062 моля  $Mg$  и 0,06 моля  $C_2H_5Br$ ) в 15 мл эфира получают в тех же условиях смесь IIIa и IIIb, которую разделяют кристаллизацией из петр. эфира и лигроина. Взаим. действием 0,003 моля IV в 25 мл  $C_6H_6$  с  $C_6H_5MgI$  (из 0,01 моля  $Mg$  и 0,001 моля  $C_6H_5J$ ) в 25 мл эфира синтезируют VI, т. пл.  $179-181^\circ$  (из спирта кристаллизуется с 1 молекулой  $C_6H_5OH$ ). 7 г смеси IIIa и IIIb нагревают с 0,05 г  $KHSO_4$  (30 мин.,  $120-150^\circ$ ) и получают смесь VIIa и VIIb, т. кип.  $172-176^\circ/4$  мм, которую разделяют кристаллизацией из  $CH_3OH$  (VIIa получают испарением маточного р-ра). 4 г IV восстанавливают (4 часа) ( $u-o-C_3H_7O$ ) $_2Al$  (из 5 г  $Al$  и 150 мл  $C_3H_7OH$ ), смесь разлагают 10%-ной  $HCl$ , извлекают продукт  $C_6H_6$  и получают VIII, выход 2,5 г, т. пл.  $90-94^\circ$  (из петр. эф.). Н. Волькену

**970. Синтез меркаптанов и дисульфидов, меченных радиоактивным изотопом серы. Васильева В. Н., Гурьянова Е. Н.**, Ж. общ. химии, 1956, 26, № 3, 677—684

Описан синтез следующих соединений, меченных  $S^{35}$ :  $C_6H_5SH$  (I),  $C_6H_5CH_2SH$  (II),  $n-C_3H_7C_6H_4SH$  (III),  $(n-C_3H_7C_6H_4S)_2$  (IV),  $n-C_3H_7OC_6H_4SH$  (V),  $(n-C_3H_7OC_6H_4S)_2$  (VI),  $n-C_6H_5C_6H_4SH$  (VII),  $C_2H_5OCSSK$  (VIII),  $(C_2H_5S)_2$  (IX),  $(C_4H_9S)_2$  (X),  $(C_6H_5CH_2S)_2$  (XI),  $(n-NO_2C_6H_4S)_2$  (XII),  $(C_6H_5S)_2$  (XIII) и  $(n-C_6H_5C_6H_4S)_2$  (XIV). I и II синтези-

рованы действием на  $n\text{-C}_4\text{H}_9\text{Br}$  или  $\text{C}_6\text{H}_5\text{CH}_2\text{Cl}$  спирт. р-ра  $\text{NaHS}^*$ . Последний готовили или пропуская  $\text{H}_2\text{S}^*$  через спирт. р-р  $\text{C}_2\text{H}_5\text{ONa}$ , или растворяя мелочной серы в спирте. р-ре  $\text{C}_2\text{H}_5\text{ONa}$  с последующим пропуская через р-р обычного  $\text{H}_2\text{S}$ . К спирту. р-ру  $\text{NaHS}^*$  (5 г Na в 100 мл сп.) осторожно добавляли соответствующее галогенное соединение, затем нагревали 2–3 часа на водяной бане. Реакционную смесь выливали в воду, выделяющиеся меркаптаны собирали и перегоняли. Всю работу по получению  $\text{NaHS}^*$  вели в атмосфере  $\text{N}_2$ . Выход I 80–90%, выход II 7%. III получен по методу Тип-Скворцовой и др. (РЖХим, 1954, 32374), выход 20–25%. Наряду с III образуется IV, который синтезировали также окислением шел. р-ра III  $\text{K}_3\text{Fe}(\text{CN})_6$ . Выход IV по этому способу ~90%. V получен из VIII и  $n\text{-CH}_3\text{OC}_6\text{H}_4\text{N}_2\text{Cl}$ , промежуточно образующийся  $n$ -метоксибензиловый эфир этилксантоновой к-ты разлагали спирт. р-ром КОН. Выход V ~70%, т. кип. 80–90°/4–5 мм рт. ст. Окислением V  $\text{K}_3\text{Fe}(\text{CN})_6$  получен VI. VIII получали по схеме: спирт.

$\text{p-р Na}_2\text{S}^* + \text{CS}_2 \rightarrow \text{Na}_2\text{CS}_3 \xrightarrow{\text{HCl}} \text{H}_2\text{S}^* + \text{CS}_2 + \text{NaCl}$ ;  $\text{CS}_2 + \text{C}_2\text{H}_5\text{OK} \rightarrow \text{VIII}$ . Всю работу проводили в атмосфере  $\text{N}_2$ . Спец. опытами установлено, что все три атома S в  $\text{Na}_2\text{CS}_3^*$  равноценны. VII с выходом 70% получали восстановлением XIV Zn-пылью и  $\text{H}_2\text{SO}_4$ . XIV синтезировали из  $n$ -бифенилдиазонийхлорида по методу, описанному для получения V. При гидролизе бифенилового эфира этилксантоновой к-ты вместо соответствующего меркаптана образуется XIV. IX синтезировали по

схеме:  $\text{Na}_2\text{S} + \text{S}^* \xrightarrow{\text{C}_2\text{H}_5\text{OH}} \text{Na}_2\text{S}_2^* \xrightarrow{\text{C}_2\text{H}_5\text{OH}} \text{Na}_2\text{S}_3^* + 2\text{C}_2\text{H}_5\text{J} \rightarrow \text{C}_2\text{H}_5\text{S}^*\text{S}^*\text{C}_2\text{H}_5 + 2\text{NaJ}$ . Выход IX ~80%. По такому же способу из  $n$ -бутилбромида получен X, из хлористого бензола — XI с выходами по 90%, а из  $n$ -хлорэтилбензола XII с выходом 40–50%. XII образуется в виде трех кристаллич. форм. Авторы выделяли форму с т. пл. 179°. XIII получен прибавлением при охлаждении к эфир. р-ру  $\text{C}_6\text{H}_5\text{MgBr}$  эфир. р-ра  $\text{S}_2\text{C}_2\text{I}$  и разложением образующегося комплекса водой, подкисленной HCl, выход 30%, т. кип. 190–195°/10 мм, т. пл. 60,5°. Наряду с XIII образуется дифенилмоносульфид, который отделяется при перегонке в вакууме. Описанные соединения получены в кол-вах порядка десятков грамм с общей активностью 1–5 мюриг.

А. Рекашева

971. Радиоактивные стереоизомеры сульфамидов: право- и левовращающие  $\text{N}_1$ -фенилэтилсульфаниламиды с  $\text{S}^{35}$ . Самдаль, Чельберг (Sulfamides stéréoisomériques radioactifs:  $\text{N}_1$ -phényléthylacétylsulfanilamide dextrogyre et lévogyre avec  $\text{S}^{35}$ , Samdahl Bjørnne, Kjelberg Arve), C. r. Acad. sci. 1956, 242, № 19, 2367–2369 (франц.) В продолжение изучения свойств оптич. изомеров сульфаниламидов (РЖХим, 1956, 58018), авторы синтезировали  $\text{C}_6\text{H}_5\text{CH}(\text{C}_2\text{H}_5)\text{CONHS}^{35}\text{O}_2\text{C}_6\text{H}_4\text{NH}_2$  (I). Полученная р-цией  $\text{H}_2\text{S}^{35}\text{O}_4$ ,  $(\text{CH}_3\text{CO})_2\text{O}$  и ацетанилида ацетилсульфаниловая к-та превращена действием  $\text{PCl}_5$  и затем  $\text{NH}_3$  в ацетилсульфаниламид (II), а 3,7 мюриг.  $d$ - и  $l$ -изомеры I получены действием хлорангидридов  $d$ - и  $l$ -фенилэтилуксусной к-ты на II с последующим гидролизом конд. HCl в спирте.  $d$ -I, т. пл. 190–200°,  $[\alpha]^{22}_D + 91,0^\circ$  (с 0,6166, ацетон), а 2,5 мюриг.  $l$ -I, т. пл. 190–200°,  $[\alpha]^{22}_D - 90,0^\circ$  (с 0,7333, ацетон), а 2,4 мюриг. Был синтезирован также радиоактивный сульфаниламид, т. пл. 164,5–165,5°, а 5,6 мюриг.

В. Райгородская

972 К. Экспериментальная органическая химия. Маккензи (Experimental organic chemistry.

Mackenzie Charles Augustus. Prentice-Hall, 1955, 260 p., ill., 3.75 doll.) (англ.)

973 Д. Алкилирование и полимеризация олефиновых углеводородов эфирами минеральных кислот. Цигуро Г. М. Автореф. дисс. канд. техн. н., Моск. нефт. ин-т, М., 1956

974 Д. Исследование карбоната гликоля. Конденсация с аминоспиртами и первичными и третичными диаминами. Использование четвертичных аммониевых солей. Рока-д'Уйтеза (Contribution à l'étude du carbonate de glycol. Condensation avec les amino-alcools et les diamines primaires, tertiaires. Les utilisations des sels d'ammoniums quaternaires. Roca d'Huyteza Marie Castan de Planard), Thèse. Ing.-doct., Paris, 1954, 57 ff. ill. Bibliogr. France, 1955, 144, № 47. Suppl. thèses, 1954, № 10, 161 (франц.)

975 Д. О некоторых новых азометиновых производных. Флери (De quelques nouveaux dérivés azométhiniques. Fleury Jean-Pierre. Thèse. Ing.-doct., Strasbourg, 1954, 141 p.), Bibliogr. France, 1955, 144, № 47. Suppl. thèses, 1954, № 10, 163 (франц.)

976 Д. Необычные реакции метилвинилнитрозамина и  $\beta$ -хлорэтилметилнитрозамина. Уоркман (Unusual reactions of methylvinylnitrosamine and  $\beta$ -chloroethylmethylnitrosamine. Workman Wesley Ray. Doct. diss., Univ. Minnesota, 1954), Dissert. Abstrs, 1955, 15, № 10, 1733 (англ.)

977 Д. Некоторые химические свойства алифатических оксамидинов. Гофман (Some chemical properties of the aliphatic oxamidines. Hoffman Warren Eugene. Doct. diss., Univ. Buffalo, 1955), Dissert. Abstrs, 1955, 15, № 10, 1723–1724 (англ.)

978 Д. Конденсация непредельных карбонильных соединений с 1,2-аминомеркаптанами, 1,2-диаминами и тиамидами карбоновых кислот. Мухкало Л. К. Автореф. дисс. докт. хим. н., Киевск. ун-т, Киев, 1956

979 Д. 1,3-диоксолиенивые и 1,3-диоксониевые соли — новый класс циклических, третичных оксониевых солей. Боденбеннер (Über 1 (Eins), 3-Dioxolenium- und 1,3-Dioxoniumsalze, eine neue Klasse cyclischer, tertiärer Oxoniumsalze. Bodennener Kurt. Diss., Phil. F. Marburg, 1953, 90 Bl., Maschinenschr.), Dtsch. Nationalbibliogr., 1955, B, № 11, 804 (нем.)

980 Д. Расщепление некоторых гетероциклических эфиров натрием в жидком аммиаке. Оливер (The cleavage of some heterocyclic ethers by sodium in liquid ammonia. Oliver Gene Leech. Northwestern Univ., 1955), Dissert. Abstrs, 1955, 15, № 11, 2019 (англ.)

981 Д. Производные некоторых 2-алкилпиперидинов. Паркин (Derivatives of some 2-alkylpiperidines. Parkin Bernard Arthur, Jr. Doct. diss., Univ. Florida, 1955), Dissert. Abstrs, 1955, 15, № 12, 2415 (англ.)

982 Д. Синтез некоторых производных 2- и 5-фенилпиримидинов и 2- и 5-бензилпиримидинов. Негеле (The synthesis of some substituted 2- and 5-phenylpyrimidines and 2- and 5-benzylpyrimidines. Naegle Edward Wister, Jr. Doct. diss., Temple Univ., 1955), Dissert. Abstrs, 1955, 15, № 12, 2414–2415 (англ.)

983 Д. Химия пиримидо [4,5- $b$ ]-хинолинов. Календа (The chemistry of the pyrimido [4, 5- $b$ ]quinolines. Kalenda Norman Wayne. Doct. diss., Univ. Illinois, 1955), Dissert. Abstrs, 1955, 15, № 11, 2013 (англ.)



- 984 Д. Химия 5(4)-имидазолонов. Кер (Bidrag til 5(4)-imidazoloneenes kemi. Doktorafhandling-Autoreferat. Kjaer Anders), Kemisk, 1955, 36, № 5, 37—39 (дат.)
- 985 Д. Получение и реакции 2-фенил-3-*n*-алкил-4-оксотиазolidинов. Шмолька (Preparation and reactions of 2-phenyl-3-*n*-alkyl-4-oxo-thiazolidines. Schmolka Irving R. Doct. diss., Polytechn. Inst. Brooklyn, 1955), Dissert. Abstrs, 1955, 15, № 7, 1175 (англ.)
- 986 Д. Азопроизводные цианиновых красителей. Федорова И. П. Автореф. дисс. канд. хим. н., Киевск. ун-т, Киев, 1956
- 987 Д. Производные оксазопиримидина и тиазопиримидина, родственные ксантинам. Кайзе (Oxazopyrimidine and thiazopyrimidine derivatives related to the xanthines. Kaiser Carl. Doct. diss., Univ. Maryland, 1955), Dissert. Abstrs, 1955, 15, № 11, 2024 (англ.)
- 988 Д. Исследования в области синтеза производных бенз-2,1,3-тиодиазола. Чжао Чжи-чжун Автореф. дисс. канд. хим. н., Ленингр. хим.-фармацевт. ин-т, Л., 1956
- 989 Д. Прямой синтез алкил- и алкенилгалондсенов. Сметанкина Н. П. Автореф. дисс. канд. хим. н., Моск. хим.-технол. ин-т, М., 1956
- 990 Д. Взаимодействие  $\alpha$ -окисных соединений с органиохлоридами. Романцевич М. К. Автореф. дисс. канд. хим. н., Львовск. ун-т, Львов, 1956
- 991 Д. Синтез и гидролиз производных арилфосфиновой кислоты. Спенсер (Synthesis and hydrolysis of derivatives of arylphosphonic acids. Spencer Arthur T. Doct. Diss., New York Univ., 1955), Dissert. Abstrs, 1955, 15, № 12, 2417 (англ.)
- 992 Д. Взаимодействие некоторых галондпроизводных с серебряными солями диалкилфосфорных кислот. Красильникова Е. А. Автореф. дисс. канд. хим. н., Казанск. хим.-технол. ин-т, Казань, 1956
- 993 Д. Получение некоторых фторированных олефинов, содержащих трифторметильную группу. Тейлор (The preparation of certain fluoroolefins containing the trifluoromethyl group. Taylor Robert Edward. Doct. diss., Univ. Florida, 1955), Dissert. Abstrs, 1955, 15, № 5, 710 (англ.)
- 994 Д. Перфторалкилцинка соединения. Бергман (Perfluoroalkyl zinc compounds. Bergman Elliot. Doct. diss., Cornell Univ., 1955), Dissert. Abstrs, 1955, 15, № 6, 972 (англ.)
- 995 Д. Получение некоторых соединений, содержащих сполна фторированную винильную группу. Лайликумет (The preparation of certain compounds containing the perfluorovinyl group. Lilyquist Marvin Russell. Doct. diss., Univ. Florida, 1955), Dissert. Abstrs, 1955, 15, № 7, 702—703 (англ.)
- 996 Д. Изучение реакций некоторых галогидрированных кислот и эфиров с литийорганическими соединениями. Мак-Грат (A study of the reactions of certain halogenated acids and esters with organolithium compounds. McGrath Thomas F. Doct. diss., Univ. Pittsburgh, 1955), Dissert. Abstrs, 1955, 15, № 5, 703—704 (англ.)
- 997 Д. Реакция ацетиленовых и алленовых соединений с карбонилами кобальта. Гринфильд (The reaction of acetylenic and allenic compounds with cobalt carbonyls. Greenfield Harold. Doct. diss., Univ. Pittsburgh, 1955), Dissert. Abstrs, 1955, 15, № 5, 699 (англ.)

См. также раздел *Промышленный органический синтез* и рефераты: Соединения алифатич. 668, 752, 753, 762, 781, 787, 788, 1479, 2790; алициклич. 789; ароматич. 454, 466, 754, 766, 768, 770, 771, 779, 785, 786, 790, 1479, 2173, 2306, 2307, 2312; гетероциклич. 751, 2208, 2311, 2313, 2315—2317; элементоорганич. 755, 774, 1505, 1507; с мечеными атомами 759

## ПРИРОДНЫЕ ВЕЩЕСТВА И ИХ СИНТЕТИЧЕСКИЕ АНАЛОГИ

Редакторы Л. Д. Бергелсон, М. М. Ботвиник, А. Д. Кузнецов, В. В. Некрасов, И. В. Торгов, Л. М. Уткин, В. В. Шпанов

998. 1,3-бензалиден-ди-*n*-толилсульфонил-DL-арабит. Зиссис, Рихтмайер (1,3-O-benzylidene-2,5-di-O-*p*-tolylsulfonyl-DL-arabitol. Zississ Emanuel, Richtmyer Nelson K.), J. Amer. Chem. Soc., 1955, 77, № 19, 5188—5189 (англ.)
- Описанный ранее (РЖХим, 1956, 68423) 1,3-бензалиден-4,5-ди-*n*-толилсульфонил-D-арабит является в действительности 1,3-бензалиден-2,5-ди-*n*-толилсульфонил-D-арабитом (I), т. пл. 136°,  $[\alpha]_D^{20} -10,3^\circ$  (с 1,4; C<sub>2</sub>H<sub>5</sub>N), оптически антиподом вещества (II), полученного Греем (РЖХим, 1955, 5666). Рацемат I и II, т. пл. 152—154° (из хлф.-*n*-пентана), оптически неактивны. Полученный авторами ранее частично тозилированный 1,3-метилен-D-арабит (т. пл. 161—163°), 1-видному, является 1,3-метилен-2,5-ди-*n*-толилсульфонил-D-арабитом. В. Зеленкова
999. Синтез D-арабинозы-1-<sup>14</sup>C и D-рибозы-1-<sup>14</sup>C. Лалани, Смит-Хелланд (The synthesis of D-arabinose-1-<sup>14</sup>C and D-ribose-1-<sup>14</sup>C. Lalands G., Smith-Kielland I.), Acta chem. scand., 1955, 9, № 3, 393—396 (англ.)
- Необходимые для некоторых биохим. исследований D-арабиноза с C<sup>14</sup><sub>(1)</sub> (I) и D-рибоза с C<sup>14</sup><sub>(1)</sub> (II) синтезированы циангидридным методом из D-эритрозы (III). В отличие от известных работ (Isbell и сопр., J. Research Natl. Bur. Standards, 1952, 48, 1f3) разделяют не эфирные альдоновые к-ты (IV), а конечные сахара (методом хроматографии на бумаге). Выводы предыдущих авторов о влиянии природы катализатора на соотношение образующихся IV не подтвердились и образовалась преимущественно D-арабиновая к-та (V). Для уведения выхода D-рибиновой к-ты (VI) смеси IV эфиризовали 1,0 мл Фिशера, однако степень эфиризации достигала лишь 20%. К 11 мг КОН и 20,6 мг K<sup>14</sup>CN (1  $\mu$ кюри, содержащий 9 мг КОН) в 3 мл воды замораживают твердой CO<sub>2</sub> + ацетон, прибавляют р-р 80 мг III,  $[\alpha]_D^{20} -19,8^\circ$  (с 6,66; вода) в 1 мл воды и затем 160 мг твердой CO<sub>2</sub>, дают смеси отстоять, выдерживают при 0° 20 час., при ~20° 2 дня. Через р-р, нагретый до 50°, прогоняют воздух, выпаривают досуха (вакуум). Остаток растворяют в 1 мл воды, прибавляют 15 мл спирта и через 4 дня (0°) сливают р-р и К-соли IV промывают спиртом и эфиром (3×10 мл). Свободные IV, 1 полученные пропусканием р-ра К-солей через амберлит IR-120 (H) (VII) и выпариванием в вакууме досуха, нагревают в запаянной трубке с 0,07 мл пиридина + 0,75 мл воды (130°, 2 дня), разбавляют 10 мл воды, снова обрабатывают VII, выпаривают досуха и лактонизируют нагреванием (50°, 1 час, 0,01—0,001 мл). Лактоны растворяют в 3,5 мл воды, восстанавливают 800 мг 5%-ной Na-амальгамы, для подщелачивания pH прибавляют 117 мг (COOH)<sub>2</sub> и 133 мг (COONa)<sub>2</sub>, смесь взбалтывают 3 часа (0°), затем оставляют на 12 час. (20°), прогоняют через VII и амберлит IR-4B (OH); полученный р-р содержит 11,4 мг I и 9,5 мг II (колориметрич. определение (Euler, Hahn,

Svensk kem. tidskr., 1946, 58, 251), общий выход 25% на  $K^{14}CN$ , его лиофилизируют, остаток растворяют в 0,4 мл воды и алиquotную часть (0,1 мл) хроматографируют на бумаге (ватман № 3, р-ригель: вода-бутанол-спирт- $NH_3$ , 49; 45; 5; 1). Дан график распределения радиоактивности на хроматограмме (два пика не идентифицированы). Выделены 6 мг I и 1,8 мг II. I гомогенна в системах: бутанол- $CH_3COOH$ -вода (4:1:5) и феноле, насыщ. водой; II — в последней системе. Активность I  $3,24 \cdot 10^6$  и II  $3,07 \cdot 10^6$   $цм/мин$  в 1 мг.

В. Зеленкова

1000. Синтез и свойства 5-фосфата D-ксилофуранозы. Барнуэлл, Сондере, Уотсон (Synthesis and characterization of D-xylofuranose-5-phosphate. Barnwell J. L., Saunders W. A., Watson R. W.), Canad. J. Chem., 1955, 33, № 4, 711—715 (англ.)

Описан улучшенный способ синтеза 5-фосфата D-ксилофуранозы (I). 5,25 г 1,2-изопропилиден-D-ксилозы обезвоживают отгонкой с бензолом, растворяют в 60 г 2,6-лутидина (II), р-р охлаждают до  $-20^\circ$  и в течение 10 мин. прибавляют 15 г сухого дифенилфосфорхлорида; через 2 суток ( $5^\circ$ ), отфильтровывают хлоргидрат II, фильтрат выпаривают, извлекают  $CHCl_3$ , выход 5-дифенилфосфата 1,2-изопропилиден-D-ксилофуранозы (III) 93%, т. пл.  $102,2-102,4^\circ$  (из  $CCl_4$ ),  $[\alpha]_D^{20} +10,8^\circ$  (с 2,21; хлф.). 2,0 г III восстанавливают с Pt (из  $PtO_2$ ) в лед.  $CH_3COOH$ , разбавляют водой и гидролизуют (рН  $1,5 \pm 0,2$ ,  $80^\circ$ , 2 часа), нейтрализуют  $Ba(OH)_2$  до рН 8,5, из р-ра осаждают 4 объемами спирта Ва соль I, выход 90%. Получены также ди-На-соль,  $[\alpha]_D^{20} +10^\circ$  (с 2,0; вода рН 7,2)  $\rightarrow -1,0^\circ$  (5 дней), ди-К-соль I,  $[\alpha]_D^{20} +13,4^\circ$  (с 2,09; вода рН 8,9), дибруциновая соль I,  $[\alpha]_D^{20} -37,8^\circ$  (с 2,02; хлф.), и дистрихнинская соль I,  $[\alpha]_D^{20} -33,2^\circ$  (с 1,02; вода). И. Лишанский

1001. Синтез  $\alpha$ -D-глюкозы-2- $C^{14}$ ,  $\alpha$ -D-маннозы-2- $C^{14}$  и  $\alpha$ -D-галактозы-2- $C^{14}$ . Иббелл, Фраш, Шаффер (Synthesis of  $\alpha$ -D-glucose-2- $C^{14}$ ,  $\alpha$ -D-mannose-2- $C^{14}$  and  $\alpha$ -D-galactose-2- $C^{14}$ . Isbell Horace S., Frush Harriet L., Schaffer Robert), J. Res. Nat. Bur. Standards, 1955, 54, № 4, 201—203 (англ.)

Улучшен описанный ранее метод синтеза гексоз с  $C^{14}$ -атомом в положении 2 из пентоз (D-арабинозы-1- $C^{14}$  (I) и D-ликозы-1- $C^{14}$  (II)) действием нерадиоактивного NaCN. Из продуктов р-ции I (680  $\mu$ юри) с NaCN выделена кристаллич. Ва-соль D-глюкозовой-2- $C^{14}$  к-ты (III),  $3H_2O$  (339  $\mu$ юри + 71  $\mu$ юри на носителе = 60,3% активности I). Из маточного р-ра выделен кристаллич.  $\gamma$ -лактон D-маннозовой-2- $C^{14}$  к-ты (IV) (126  $\mu$ юри); прибавлением носителя выход по радиоактивности увеличивается до 173  $\mu$ юри = 25,4% активности I. Часть Ва-соли III (400  $\mu$ юри) превращена по методу Иббелла и др. (J. Res. NBS, 1952, 48, 183) в  $\delta$ -лактон D-глюкозовой-2- $C^{14}$  к-ты (V), который восстановлен амальгамой Na (VI) в присутствии кислого оксалата Na (VII) до  $\alpha$ -D-глюкозы-2- $C^{14}$  (VIII) (314  $\mu$ юри + 17  $\mu$ юри на носителе = 82,8% активности III или 49,9% I).  $\alpha$ -D-манноза-2- $C^{14}$  (IX) получена восстановлением IV посредством VI в присутствии VII (185  $\mu$ юри + 20  $\mu$ юри на носителе = 69,7% активности IV или 17,7% I). Из  $\beta$ -II действием NaCN и  $NaHCO_3$  синтезирована D-галактозавая-2- $C^{14}$  к-та (X) в виде кристаллич. Са-соли с 5  $H_2O$ . II получена восстановлением  $\gamma$ -лактона D-ликозовой-1- $C^{14}$  к-ты (XI). Активность Са-соли X = 46,5% исходного XI (593  $\mu$ юри + 219  $\mu$ юри = 892  $\mu$ юри). В р-ре после выделения X осталась Са-соль D-талонозавой-2- $C^{14}$  к-ты.  $\alpha$ -D-галактоза-2- $C^{14}$  (VII) получена из Са-соли X восстановлением с помощью VI в присутствии VII. Активность XII = 621  $\mu$ юри = 77,3% Са-соли X или 35,9% XI. Р. Шерешевская

1002. Действие анионообменных смол на восстанавливающие сахара. Тертон, Пачу (The effect of anion exchange resins on reducing sugars. Turtton C. N., Pascu Eugene), J. Amer. Chem. Soc., 1955, 77, № 4, 1959—1961 (англ.)

В развитие предыдущей работы (РЖХим, 1954, 27071) найдено, что при действии амберлита IRA-400 (ОН-форма) (А-ОН) на смесь D-глюкозы (I) и D-фруктозы (II) образуется в небольших кол-вах D-манноза (III). В этих же условиях из III образуется I и II. При действии А-ОН на I, II или III образуется также D-псилоза (D-рибогексулоза) идентифицированная в виде фенилглюкозона, т. пл.  $175,5-177^\circ$ , дан рентгеновский спектр. Таким образом превращение сахаров происходит по ранее предложенному эндольному механизму. Сахара значительно адсорбируются на А-ОН и могут быть десорбированы превращением смолы в карбонатную форму. При длительной адсорбции сахаров на А-ОН происходит образование к-т, из числа которых хроматографически идентифицированы гликолевая и молочная к-ты. И. Лишанский

1003. Водорастворимое производное кверцетина. Хартвиг (Ein wasserlösliches Derivat des Quercetins. Hartwich Walter W.), Arch. Pharmazie, 1956, 289/61, № 4, 207—211 (нем.)

Разработан метод приготовления и очистки кверцетина (I) и его водорастворимого производного. 21,0 г I, 10,5 г рутина (II) и 12,3 г гексаметилентетрамина (III) нагревают до кипения в 210 мл глицерина. Образуется темно-коричневый р-р, рН 8,6; смешивается с водой в любых отношениях. 100 мл этого р-ра размешивают с 400 мл смеси: спирт-фир (1:1). Через 24 часа декантируют, промывают 200 мл спирта, фильтруют, промывают 200 мл спирта и сушат при  $37^\circ$  (защита от света). Получают 14,5 г сухого комплекса I, разлагается при  $170-180^\circ$ . Р-р I+II+III в воде (1:5) имеет состав: I—2%, II—1%, III—1,2% и глицерин 10%, рН 7,5. Пригоден для парентерального применения. 1 г I растирают с 3 мл глицерина, нагревают до растворения ( $100^\circ$ ) и разбавляют водой. Г. Челпанова

1004. Строение монометилена- и диметилена-D-глюкозы. Шайлук, Ханнман, Таймелл (The structure of mono-O-methylene- and di-O-methylene-D-glucose. Shyluk W. P., Honeymann John, Timell T. E.), Canad. J. Chem., 1955, 33, № 7, 1202—1206 (англ.)

Строение 1,2-метилена- $\alpha$ -D-глюкофуранозы (I) доказано превращением 1,2-изопропилиден-3,5,6-тримезил- $\alpha$ -D-глюкофуранозы (II) и 1,2-изопропилиден-3,5,6-три- $\alpha$ -тозил- $\beta$ -D-глюкофуранозы (III) в соответствующие производные I, идентичные с соединениями, полученными ацилированием монометилена- $\alpha$ -D-глюкофуранозы. Тем самым подтверждена и структура 4,2; 3,5-диметилена- $\alpha$ -D-глюкофуранозы (IV), так как известно (Hough и др., J. Chem. Soc., 1952, 1525), что ОН-группа у  $C_{(6)}$  в IV свободна и при наличии фуранозного цикла вторая  $CH_2$ -группа должна занимать положение 3,5. 6-ацетилдиметилена-D-глюкозу, полученную по известному методу (см. ссылку выше), дезацетилируют ( $CH_3O_2$ ) в  $CH_3OH$ , выделенную IV (13 г) нагревают со 175 мл 2%-ной HCl (к-ты) ( $100^\circ$ , 1 час), р-р пропускат через амберлит IR-4B, выпаривают в вакууме до 42 мл, извлекают этилацетатом (V) ( $8 \times 70$  мл), водн. слой снова выпаривают до сиропа (2,73 г), глюкозу (VI) удаляют сбраживанием дрожжами ( $30^\circ$ , 36 час.), после обработки суперцелом фильтруют, деионизируют фильтрат амберлитом IR-4B и IR-120, упаривают до сиропа (1,95 г), из которого кристаллизуется 0,24 г I, т. пл.  $147-148^\circ$  (из сп.),  $[\alpha]_D^{20} -6,2^\circ$  (с 1,2; вода); не восстанавливает реактив Шаффера и Сомоги. Ив

первых 4 фракций ранее полученного этилацетатного экстракта при выпаривании выделяется 6,8 г IV, из других 4—3,6 г сиропа, который растворяют в 10 мл воды и снова извлекают V ( $2 \times 10$  мл), удаляют VI, выпаривают, сироп растворяют в спирте и выделяют еще I (всего 5,8%). Р-р 4,4 г моноацетонглюкозы (VII) в 8 мл теплого  $C_5H_5N$  всасывают при охлаждении с 5,5 мл  $CH_3SO_2Cl$ ; через 42 часа ( $20^\circ$ ) прибавляют дважды (с помешиванием в 15 мин.) по несколько капель воды, затем еще 10 мл воды и получают II (90,5% технич.), т. пл.  $162,5-163,5^\circ$  (из хлф. и  $n-C_5H_{12}$ ),  $[\alpha]_D^{25} - 20,4^\circ$  (с 1,8;  $C_6H_5N$ ). К 4,4 г VII в 10 мл  $C_5H_5N$  прибавляют при охлаждении 16 г  $n-CH_3C_6H_4SO_2Cl$ , через 4 дня ( $20^\circ$ ) приливают воду по каплям с охлаждением и выделяют III (81,6%), т. пл.  $129-130^\circ$  (из сп.),  $[\alpha]_D^{25} D - 4,5^\circ$  (с 1,4; хлф.). 2,75 г параформальдегида (VIII) и 2,5 г II в 10 мл лед.  $CH_3COOH$  нагревают ( $\sim 90^\circ$ ), медленно прибавляют 0,75 мл  $H_2SO_4$ , выдерживают 80 мин., по охлаждению прибавляют 20 мл воды, извлекают  $CHCl_3$  ( $2 \times 20$  мл), упаривают (вакуум,  $50^\circ$ ) до сиропа и получают 1,2-метилен-3,5,6-триметил- $\alpha$ -D-глюкофуранозу (IX) (60%), т. пл.  $104,5-105,5^\circ$  (из хлф.  $-n-C_5H_{12}$ ),  $[\alpha]_D^{25} D - 13,4^\circ$  (с 1,4;  $C_5H_5N$ ). Аналогичной реакцией III с VIII ( $H_2SO_4$  прибавляют при  $0^\circ$ ) получают 1,2-метилен-3,5,6-три-*n*-тозил- $\alpha$ -D-глюкофуранозу (X) (84% технич.), т. пл.  $134,5-135^\circ$  (из хлф.  $-n-C_5H_{12}$ ),  $[\alpha]_D^{25} + 9,8^\circ$  (с 1,2; хлф.). 0,152 г I в 0,32 мл  $C_5H_5N$  с 0,2 мл  $CH_3SO_2Cl$  за 40 час. ( $20^\circ$ ) дает IX (0,16 г). 0,15 г II в 0,35 мл  $C_5H_5N$  при медленном прибавлении 0,15 г  $n-CH_3C_6H_4SO_2Cl$  за 3 дня дает 0,18 г X.

В. Зеленкова

**1005. Влияние замещения хлором в ацетиловой группе при  $C_2$  на некоторые свойства пентаацетатов глюкозы.** Лемье, Брайс, Хьюбер (The effect of chlorine substitutions at the  $C_2$ -acetoxy group on some properties of the glucose pentaacetates. Lemieux R. U., Brice Carol, Huber G.), Canad. J. chem. 1955, 33, № 1, 134-147 (англ.)

Методами поляризации и изотопного обмена изучены скорости аномеризации и параллельно протекающего обмена ацетиловой группы при  $C_{(1)}$  ( $C_{(1)}-AG$ ) в пентаацетатах D-глюкозы с ацетатными ионами реакционной среды (0,5 M р-р  $H_2SO_4$  в смеси  $CH_3COON$ :  $(CH_3CO)_2O = 1:1$ ), характеризирующего легкость разрыва связи между  $C_{(1)}$  и ацетиловой группой. Исследовано поведение  $\alpha$ - и  $\beta$ -форм пентаацетил-D-глюкозы, 2-хлор-ацетилтетраацетилглюкозы, 2-дихлор-ацетилтетраацетилглюкозы, 2-трихлор-ацетилтетраацетилглюкозы, меченных  $C^{14}$  в карбониле у  $C_{(1)}-AG$ . Обнаружено, что у  $\beta$ -форм скорость обмена больше скорости аномеризации, но с введением атомов Cl в  $C_{(2)}-AG$  и увеличением их кол-ва скорость обмена сильно снижается, что объясняется уменьшением влияния  $C_{(2)}-AG$  на диссоциацию  $C_{(1)}-AG$  (из-за уменьшения нуклеофильности карбонильного кислорода в  $C_{(2)}-AG$ ). В случае  $\alpha$ -форм скорости аномеризации и обмена одинаковы, а введение атомов Cl в  $C_{(2)}-AG$  не приводит к столь резкому замедлению обмена. С увеличением кол-ва атомов Cl в  $C_{(2)}-AG$  снижается и скорость аномеризации, но в меньшей степени, чем скорость обмена. Предполагается, что аномеризация  $\alpha \rightarrow \beta$  происходит через образование карбониевого иона, стереокопифигурация которого благоприятствует образованию  $\beta$ -формы при взаимодействии со средой. Аномеризация же  $\beta \rightarrow \alpha$  протекает через образование 12- $\alpha$ -циклич. карбониевого иона, перегруппировку в карбониевый ион с зарядом у  $C_{(1)}$  (иной стереоконфигурации, чем при переходе  $\alpha \rightarrow \beta$ ) и последующее взаимодействие со средой.

И. Лишанский

**1006. О тиобензгидразиде L-фукозы.** Хольмберг (Über L-Fucosethiobenzhydrazid. Holmberg B. G.), Arkiv kemi., 1955, 7, № 6, 529-534 (нем.)

В продолжение работ по тиобензгидразидам простых сахаров (Arkiv kemi., 1952, 4, 35) получен тиобензгидразид L-фукозы (I) и описаны его р-ции с  $FeCl_3$ , D,L- $\alpha$ -бромпропионовой к-той (II) и  $H_2CO$ . К р-ру 0,8 г L-фукозы в 10 мл воды прибавляют 1 г р-га тиобензгидразида (III) в 10 мл спирта и через день получают 1,3 г I; I может быть получен из буевой водоросли *Fucus vesiculosus* L., после гидролиза 1 н. HCl ( $\sim 90^\circ$ , 4 часа);  $C_{12}H_{18}O_4N_2S$ , т. пл.  $193-195^\circ$  (разл., из сп.),  $[\alpha]_D^{25} D + 36,5^\circ$  (с 5,3; пиридин). Смесь теплого р-ра 1,5 г I в 50 мл 50%-ного спирта с 10 мл 2M  $FeCl_3$  выделяет при остывании 0,9 г (неочищ.) 5-L-фукотетраоксиамил-2-фенил-1,3,4-тиодиазола (IV),  $C_{12}H_{16}O_4N_2S$ , т. пл.  $223-225^\circ$  (разл.; из сп.),  $[\alpha]_D^{25} D - 67^\circ$  (с 2; пиридин). Приведены данные рентгеновских спектров I и IV. 3 г I, 1 г формалина и 20 мл 0,5 н. HCl всасывают 7 час. и получают 2,1 г метилтиобензгидразида L-фукозы (V),  $C_{14}H_{18}O_4N_2S$ , т. пл.  $132-133^\circ$ ,  $[\alpha]_D^{25} D - 72,2^\circ \rightarrow -61,1^\circ$  (с 5,04; пиридин). Взаимодействием I со II, а также V с тиогликолевой к-той получен ряд в-в с нестойкими свойствами.

В. Зеленкова

**1007. Получение ангидросахаров с помощью щелочных ионообменников.** Михель, Баум (Darstellung von Zuckeranhydriden mit Hilfe von alkalischen Austauschern. Michael Fritz, Baum G. G. t.), Chem. Ber., 1955, 88, № 4, 479-481 (нем.)

Разработан метод получения чистых ангидросахаров из  $\beta$ -1-фтор- и  $\beta$ -1-азидосахаров путем взаимодействия их с сильнощел. ионообменниками (выход до 80% теоретич.). В этих же условиях  $\beta$ -1-феноксисахара дают низкий выход. Наиболее подходящим ионообменником оказался амберлит IRA-400 (I) (величина зерен 1 мм). Перед употреблением его обогащают 2 н. NaOH и определяют емкость.  $\beta$ -1-фтор-D-глюкоза (II) при ангидризации на холоду (0,58 г I и 50 г ноната в 50 мл воды) дает левоглюкозан (III) с выходом 72%. При нагревании происходит более глубокий распад I с образованием DL-молочной к-ты. Для получения макс. выхода II лучше обрабатывать 15 мин. на холоду, а затем 10 мин. нагревать на водяной бане для разрушения не вступившего в р-цию продукта; кислые продукты р-ции прочно удерживаются I и р-р содержит только III, который кристаллизуется после упаривания в вакууме, т. пл.  $180^\circ$  (из сп.),  $[\alpha]_D^{25} D - 66^\circ$  (с 1,8; вода). Р-р 1,3 г  $\beta$ -1-азидо-D-глюкозы в 100 мл воды нагревают ( $\sim 95^\circ$ ) и смешивают с горячей суспензией I в 100 мл воды, смесь нагревают на водяной бане 20 мин. Из упаренного р-ра кристаллизуется III, выход 8%. 2 г  $\beta$ -фенил-D-глюкозида прибавляют к горячей смеси 10 г I и 200 мл воды, нагревают 6 час. ( $95^\circ$ ), выпариванием фильтрата получают сироп, после ацилирования которого выделяют триацетат III, выход 8%, т. пл.  $110^\circ$  (из сп.),  $[\alpha]_D^{25} D - 45,7^\circ$  (с 0,75; сп.).  $\alpha$ -1-фтор-D-глюкоза в описанных условиях не образует II, хотя довольно гладко реагирует с  $Ba(OH)_2$ .

С. Бонди

**1008. Полиэтерификация 2,4,3,5-диметил-D-глюконовой кислоты.** Мелтреттер, Меллис (The polyesterification of 2,4,3,5-di-O-methylene-D-gluconic acid. Meltretter C. L., Melles R. L.), J. Amer. Chem. Soc., 1955, 77, № 2, 427-428 (англ.)

Конденсация замещ. 2,4,3,5-диметил-D-глюконовой к-ты быстро протекает в сухом  $C_5H_5N$  в присутствии эквивалентного кол-ва  $C_6H_5COCl$  или  $(C_6H_5CO)_2O$ . Присутствие в р-ре эквивалентного кол-ва воды препятствует полиэтерификации с теоретич. кол-вом  $C_6H_5COCl$ . Введение добавочного кол-ва  $C_6H_5COCl$  дает



немедленно осадок полимера. Показано, что полимеризация проходит также при применении *m*-, *p*-нитро-, 3,5-динитро-, *n*-хлорбензоилхлорида, *n*-толуолсульфохлаорида и не проходит с  $\text{SOCl}_2$ ,  $\text{CH}_3\text{COCl}$  и  $(\text{CH}_3\text{CO})_2\text{O}$ . Выделены 2 фракции полиэфира. По данным элементарного анализа и данным определения конечных карбоксильных групп рассчитан молекулярный размер фракций. Полиэфир главной фракции (I) получен с выходом 57%, т. разл. 268°; содержит в среднем 36 основных мономерных единиц. Полиэфир второй фракции (II), т. разл. 240°, имеет меньшую длину молекул и состоит в среднем из 3 мономерных единиц. I растворим в горячем водн.  $\text{NH}_3$ ,  $\text{HCONH}_2$  и  $\text{HCOOH}$  с постепенным желатинированием р-ра при стоянии; практически не растворим в воде,  $\text{C}_2\text{H}_5\text{N}$  и обычных органич. р-рителях. II растворим в  $\text{HCOOH}$  и не дает геля при стоянии. Г. Аликберова

**1009. Определение структуры редуцирующих дисахаридов окислением тетраацетатом свинца. Перлин** (Structure of reducing disaccharides by lead tetraacetate oxidation. Perlman A. S., Analyst. Chem., 1955, № 3, 396—399 (англ.))

Предложен новый метод определения положения глюкозидной связи у редуцирующих дисахаридов, основанный на образовании различных кол-в  $\text{HCOOH}$  (I) при окислении их  $\text{Pb}(\text{CH}_3\text{COO})_4$  (II). Для окисления необходимо 5 мг в-ва; время 5—6 час. В зависимости от нахождения глюкозидной связи в 1,3-, 1,4- и 1,6-положениях расход II на редуцирующую часть дисахарида составил 1, 2 и 3 моля на 1 моль в-ва. В соответствии с этим для кристаллич. галактобозы (III), полученной при частичном гидролизе камеди *Acacia ruscifolia* (Г.Хим., 1955, 40304), предложено строение 3-D-галактопиранозил-D-галактозы, так как при его окислении образуется столько же I, как и при окислении 1,3-ламинарибозы (IV). Расход II и кол-во I, образующийся при окислении, подтверждает, что дисахариды окисляются II в форме циклич. полуацеталей. При окислении III, IV и мальтозы (1,4-) небольшим избытком II в продуктах р-ции были найдены с помощью хроматографии на бумаге, соответственно ликсоза (0,97 моля), арабиноза (1,07 моля) и эритроза. Окисление 1,6- и 1,4-дисахаридов приводит к образованию лишь незначительного кол-ва пентоз. При окислении дисахаридов (1,3-) образуется  $\text{H}_2\text{CO}$  (V), определяемый колориметрически с хромотроповой к-той, в то время как при окислении дисахаридов (1,4-) V не образуется. При окислении 2-, 3-, 4- и 6-метил-D-галактоз расход II и кол-во I соответствуют величинам, найденным при окислении дисахаридов; это дает возможность установить положение глюкозидной связи у неизвестных дисахаридов, а также определять отдельные дисахариды в смесях. Метод может быть распространен на олигосахариды, редуцирующие части которых сходны с рассмотренными для дисахаридов. Окисление пентозных дисахаридов с положением глюкозидной связи 1,5-, 1,3- и 1,2- приводит к результатам, сходным с полученными при окислении гексозных дисахаридов. Исключением является ксилобиоза (1,4-), что хорошо согласуется с предложенным механизмом окисления, протекающего через образование муравьиных эфиров пентоз и тетроз. А. Юркевич

**1010. О частичной этерификации метилгалактозида и глюкозы пальмитиновой кислотой. Асселино** (Sur l'estérification partielle par l'acide palmitique du glucoside de méthyle et du glucose. Asselineau Jean), Bull. Soc. chim. France, 1955, № 7-8, 937—944 (франц.)

Имея в виду осуществить синтез сложных эфиров муколевой к-ты и п-галактозных сахаров с целью получения в-в, обладающих активностью так называемого «фактора тяжести» (cord factor), исследована более про-

стая р-ция хлористого пальмитола (I) с метил- $\alpha$ -D-галактозидом (II) и с глюкозой (III). II (т. пл. 161°) был приготовлен из III и  $\text{CH}_3\text{CN}$  в присутствии Амбергита II-420 (Cadotte J. E. и др., J. Amer. Chem. Soc., 1952, 74, 1501). К р-ру 1 моля II в пиридине при небольшом охлаждении по каплям прибавили р-р 1 моля I в ацетоне, через 2 дня продукт выделился и издвоен хроматографирован на  $\text{Al}_2\text{O}_3$ . 1-я фракция: метил-6-альмитол- $\alpha$ -D-галактозид (IV), т. пл. 89—10° (из  $\text{CH}_3\text{CN}$ ),  $[\alpha]_D^{20} +61.5^\circ$  (с 1,22, хлф.). Обработкой IV еще одним молем I получают главным образом метил-2,6-диальмитол- $\alpha$ -D-галактозид (V), т. пл. 72—74°,  $[\alpha]_D^{20} +40^\circ$  (с 1,115, хлф.). Для сравнения с IV приготовлен метил-2-альмитол- $\alpha$ -D-галактозид (VI), для чего из метил-4,6-бензилден- $\alpha$ -D-галактозида и I получен метил-2-альмитол-4,6-бензилден- $\alpha$ -D-галактозид, т. пл. 97—10° (из ацетона),  $[\alpha]_D^{20} +76^\circ$  (с 1,71, хлф.), который после гидролиза 0,1 н. HCl в ацетоне (50°, 2 часа) дал VI, т. пл. 100—102°,  $[\alpha]_D^{20} +88^\circ$  (с 1,24, хлф.), резко отличающийся по своим константам от IV. 2-я фракция соответствует дипальмитолметилгалактозиду и содержит два в-ва, имеющих идентичные ИК-спектры; одно из них V идентифицировано в виде метил-3,4-диметил-2,6-диальмитол- $\alpha$ -D-галактозида (VII), т. пл. 39—41°, который получен обработкой V  $\text{CH}_3\text{I}$  в присутствии  $\text{Ag}_2\text{O}$ , а также встречным свертыванием из метил-2,6-ди-*n*-тозил- $\alpha$ -D-галактозида (VIII) метилированием, отщеплением тозилных групп обработкой  $\text{HgNa}$  и последующим ангидрированием полученного метилированного сахара с помощью I. Кроме того, VII был омылен р-ром  $\text{NH}_3$  в  $\text{CH}_3\text{OH}$  и после гидролиза 1%-ной HCl идентифицирован хроматографией на бумаге, как 3,4-диметил-D-глюкоза,  $R_G$  0,66. Из этой же фракции выделено в-во, которому приписано строение метил-3,6-дипальмитол- $\alpha$ -D-галактозида (IX), т. пл. 50—55°,  $[\alpha]_D^{20} +44^\circ$  (с 1,45, хлф.). Действием двух молей *n*-тозилхлорида (X) на II полученная смесь в-в, из которой выделены: VIII,  $[\alpha]_D^{20} +68^\circ$  (с 2,13, хлф.), метил-6-*n*-тозил- $\alpha$ -D-галактозид, т. пл. 104—106°,  $[\alpha]_D^{20} +104^\circ$  (с 1,35, хлф.) и в-во неустановленного строения. Эквимольные кол-ва I и III дают в тех же условиях смесь; 6-альмитол-D-глюкоза (XI), т. пл. 129—132°,  $[\alpha]_D^{20} +78^\circ$  (с 0,152, дроксан); строение XI автором окончательно не доказано, сравнение с 3-альмитол-D-глюкозой (XII), приготовленной действием разбавка I на дипальмитол-D-глюкозу и последующим кислотным гидролизом образовавшейся 3-альмитолдипальмитол-D-глюкозы,  $[\alpha]_D^{20} -10^\circ$ , не дает никаких указаний, так как XI и XII принадлежат к разным рядам ( $\alpha$  и  $\beta$ ). Получен фенилозаон XI, т. пл. 91—96°; кроме XI получена 2,6-дипальмитол-D-глюкоза (XIII), т. пл. 95—101°,  $[\alpha]_D^{20} +26.5^\circ$  (с 1,26, хлф.) с примесью 3(4), 6-дипальмитол-D-глюкоза, т. пл. 71—75°,  $[\alpha]_D^{20} +8.4^\circ$  (с 0,925, хлф.), фенилгидразон т. пл. 55—58°.

А. Юркевич

**1011. Характеристика метил-4,6-бензилден- $\alpha$ -D-галактозида и 2,3-диметил-D-галактозы. Белл, Гревилл** (Characterisation of methyl 4,6-O-benzylidene- $\alpha$ -D-galactoside and of 2,3-di-O-methyl-D-galactose. Bell D. J., Greville G. D., J. Chem. Soc., 1955, Apr., 1136—1140 (англ.))

Физические свойства полученных авторами 2,3-диметил-D-галактозы (I) и ее производных отличались от приведенных в литературе (Robertson, Lamb, J. Chem. Soc., 1934, 1521):  $[\alpha]_D^{20}$  I выше;  $[\alpha]_D^{20}$  и показатель преломления метил-2,3-диметил- $\alpha$ -D-галактозида (II) ниже. I охарактеризована по ангидридовому производному (III)  $\text{C}_{14}\text{H}_{21}\text{O}_6\text{N}$ , т. пл. 154—155° (из ацетона);  $[\alpha]_D^{20} -56.8^\circ$  (с 3,6; сп.) (20 мг.)  $\rightarrow +12.1^\circ$  (121 час., равновесие). Кристаллич. 1,4-лактон 2,3-диметилгалактоновой к-ты (IV) получен окислением I  $\text{Br}_2$ .

в воде (43 часа), перегнан при 0,1 мм (т-ра бани 180—190°), очень гигроскопичен;  $[\alpha]^{19}_D -48,8^\circ$  (18 мин.) (с 1,9, вода)  $\rightarrow -36,2^\circ$  (270 час., равновесие); по скорости гидролиза IV является  $\gamma$ -лактоам. Из IV действием  $\text{NH}_3$  в  $\text{CH}_3\text{OH}$  ( $\sim 20^\circ$ , 4 дня) получен 2,3-диметил- $\beta$ -галактонамид  $\text{C}_8\text{H}_{11}\text{O}_6\text{N}$  (V), выход 53%, т. пл.  $140^\circ$  (из. сп.-ацетона),  $[\alpha]^{20}_D +13,1^\circ$  (с 2,0; вода). Окислением I  $\text{HNO}_3$  (d 1,5,  $\sim 90^\circ$ ) получен 1,4-лактон 2,3-диметил- $\beta$ -галактаровой к-ты (VI)  $\text{C}_8\text{H}_{12}\text{O}_7$ , выход 50%, т. пл. 126—126,5° (из эф.),  $[\alpha]^{18}_D -55,4^\circ$  (8 мин.) (с 2,0, вода)  $\rightarrow -11,0^\circ$  (370 час., равновесие); по скорости гидролиза VI  $\gamma$ -лактон. Из продуктов атерификации VI (2%  $\text{HCl}$  в  $\text{CH}_3\text{OH}$ , кипячение 10 час.) выделен диметил- $\alpha$ -пир 2,3-диметил- $\beta$ -галактаровой к-ты (VII)  $\text{C}_{10}\text{H}_{18}\text{O}_8$ , т. пл. 95—96° (из эф.-пент. эф.),  $[\alpha]^{18}_D +12,7^\circ$  (с 1,0; вода; 7 мин.)  $\rightarrow -3,6^\circ$  (292 часа, равновесие). Из маточного р-ра получено кристаллич. в-во (VIII), т. пл. 62—63° (из эф.),  $[\alpha]^{18}_D -22,2^\circ$  (с 1,1; вода; 7 мин.)  $\rightarrow -4,0^\circ$  (34 дня); VIII является смесью VII и метилового эфира VI. При действии на VII и VIII 1,5 н.  $\text{CH}_3\text{NH}_2$  в  $\text{CH}_3\text{OH}$  ( $\sim 20^\circ$ ; 2 дня) получен бисметиламид 2,3-диметил- $\beta$ -галактаровой к-ты, т. пл. 181—182° (из сп.-эф., 183,5—184,5° испарял.),  $[\alpha]^{18}_D -7,7^\circ$  (с 2,5; вода). Кипячением р-ра VI и  $\text{C}_6\text{H}_5\text{NHNH}_2$  в спирте получают бисфенилгидразид 2,3-диметил- $\beta$ -галактаровой к-ты  $\text{C}_{20}\text{H}_{26}\text{O}_8\text{N}_4$ , т. пл.  $140^\circ$  (разл.; из сп.-эф.),  $[\alpha]^{20}_D +17^\circ$ . Чистый  $\alpha$ - $\beta$ -метилгалактозид (IX) был получен через посредство тетраацетилпроизводного,  $[\alpha]^{19}_D +133^\circ$  (с 6,1; хлф.). После переацетилизации IX из спирта и сушки над  $\text{P}_2\text{O}_5$  (90—95°/0,01 мм) т. пл. 123—125°,  $[\alpha]^{17}_D +195,1^\circ$  (с 1,8; вода); на воздухе IX образует моногидрат. IX превращен в 4,6-бензилденпроизводное (X)  $\text{C}_{14}\text{H}_{18}\text{O}_6$  (Freudenberg, Ber., 1928, 61, 1728; Sorkin, Reichstein, Helv. chim. acta, 1945, 28, 1), т. пл. 169—170°,  $[\alpha]^{17-21}_D +144^\circ$  (с 1,8—1,1; хлф.),  $+168^\circ$  (с 2,3;  $\text{CH}_3\text{OH}$ ). Из X получено его 2,3-диацетилпроизводное (Müller и др., Ber., 1939, 72, 745)  $\text{C}_{18}\text{H}_{22}\text{O}_8$ , т. пл. 117—118° (из разб. сп.),  $[\alpha]^{19}_D +211,5^\circ$  (с 1,5; хлф.). Метилированием X  $(\text{CH}_3)_2\text{SO}_4$  и  $\text{NaOH}$  в ацетоне получен метил-4,6-бензилден-2,3-диметил- $\alpha$ - $\beta$ -галактозид (XI)  $\text{C}_{18}\text{H}_{22}\text{O}_6$ , выход 77%, т. пл. 126,5—127° (из эф.-ацетона),  $[\alpha]^{22}_D +170^\circ$  (с 2,0; хлф.). II ( $\text{C}_8\text{H}_{14}\text{O}_6$ ) получен из XI по методу Робертсона и Лемба (см. ссылку выше); перегонка (0,05 мм, т-ра бани 150—173°) дала 3 фракции, которые имели следующие  $n_D^{25}$  и  $[\alpha]^{19}_D$  (хлф.): 1) (10%)  $-1,4771$ ,  $+165^\circ$ ; 2) (53%)  $-1,4773$ ,  $+167^\circ$  и 3) (28%)  $-1,4773$  и  $+167^\circ$ ;  $[\alpha]^{19}_D +209^\circ$  (с 2,2; вода); экстраполяцией найден  $n_D^{15}$  1,4811 и 4,6-динитро-II, получен из II действием дымящей  $\text{HNO}_3$  в  $\text{CHCl}_3$ ,  $\text{C}_6\text{H}_{10}\text{O}_9\text{N}_2$ , т. пл. 95—95,5° (из сп.),  $[\alpha]^{19}_D +114^\circ$  (с 1,6; хлф.). При обработке II  $\text{Zn}$  и  $\text{Fe}$  в лед.  $\text{CH}_3\text{COOH}$  получают обратно II, выход 62%. Метил-2,3-диметил- $\beta$ - $\beta$ -галактозид был получен из 4,6-бензилденпроизводного (Oldham, Bell, J. Amer. Chem. Soc., 1938, 60, 323) после перегонки (0,05 мм) — спирт,  $[\alpha]^{18}_D +23,0^\circ$  (с 7,4, вода),  $-10,7^\circ$  (с 6,8; хлф.),  $n_D^{20}$  1,4787. I получена гидролизом II; при хроматографировании на бумаге гидролизат дал одно пятно (бутанол-вода), после сушки над  $\text{P}_2\text{O}_5$  (40—50°/0,02 мм; 4 часа) — гигроскопич. спирт,  $[\alpha]^{19}_D +113^\circ$  (с 3,19; вода; с определена окислением  $\text{NaOJ}$ ). Р. Шерешевская

1012. Ацетолза альфа и бета-метилтетраацетил- $\beta$ -глюкопиранозидов. Лемье, Шайлук, Хьюбер (The acetolyses of the alpha and beta-methyl  $\beta$ -glucopyranoside tetraacetates. Lemieux R. U., Shyluk W. P., Huber G.), Canad. J. Chem., 1955, 33, № 1, 148—162 (англ.)

Исследован ацетолза  $\alpha$ - и  $\beta$ -форм метилтетраацетил- $\beta$ -глюкопиранозидов (I) (среда — 0,5 М р-р  $\text{H}_2\text{SO}_4$  в смеси  $\text{CH}_3\text{COOH}$ :  $(\text{CH}_3\text{CO})_2\text{O} = 1:1$ , т-ра 25°). В результате разрыва пиранового цикла в  $\alpha$ -I образуется

метилгексаацетилальдо-глюкоза, а вследствие разрыва глюкозидной связи в  $\alpha$ -I получается пентаацетат глюкозы (II), главным образом  $\beta$ -форма. Константа скорости второй р-ции в 10 раз больше константы скорости первой р-ции. Из  $\beta$ -I в этих условиях образуются  $\alpha$ -I и II (главным образом  $\beta$ -форма как непосредственно из  $\beta$ -I, так и из возникшего  $\alpha$ -I). Приведен расчет конд-ий продуктов р-ции на основании полиариметрич. определений и исследования реакционной смеси методом изотопного разбавления с последующим хроматографированием. В соответствии с ранее предложенным механизмом аномеризации ацетилированных алкил-глюкопиранозидов (РЖХим, 1956, 19146) предполагается, что  $\beta$ -I образует с кислотным катализатором переходный комплекс, легко преобразующийся в соединение с парой ионов, при распаде которого возникает  $\alpha$ -I. Ацетоллиз же  $\alpha$ -I протекает через образование карбониевого иона, который взаимодействует с р-рителем, образуя  $\beta$ -II. Указывается, что механизм и кинетику аномеризации нельзя исследовать только полиариметрически, как это делалось ранее (Lindberg, Acta chem. scand., 1949, 3, 1153; 1950, 4, 1386, 1446), ввиду сложного состава продуктов р-ции.

И. Лишанский

1013. Строение хлорида  $\alpha$ -3-карбонамид- $N'$ - $\beta$ -рибозидопиридиния. Висконтини, Хох, Марти, Каррер (Struktur des  $\alpha$ -3-carbonsäureamid- $N'$ - $\beta$ -ribosido-pyridiniumchlorids. Viscontini M., Hoch D., Marti M., Karrer P.), Helv. chim. acta, 1955, 38, № 3, 646—648 (нем.)

С помощью нового, усовершенствованного метода определения величины кислородсодержащего цикла в углеводных остатках нуклеозидов (РЖХим, 1956, 39888) исследовано строение синтезированного ранее (РЖХим, 1955, 37376) амида изорибозидоникотиновой к-ты (I), 1,5 мг I и 2,14 мг  $\text{NaJO}_4$  растворяют в 0,1 мл воды. Через 4 часа прибавляют р-р 2 мг  $\text{NaBH}_4$  в 0,1 мл воды и оставляют на ночь, затем гидролизуют, нагревая 15 мин. с 0,2 мл 1 н.  $\text{HCl}$ . Из разб. до 0,5 мл р-ра берут 0,01 мл для хроматографии на бумаге. В реакционной массе найдены глицерин и незначительное кол-во этиленгликоля. Отсюда следует, что, очевидно, остаток рибозы в этих соединениях находится в форме фуранозы. Этот вывод подтверждается тем, что тетраацетилрибоза (т. пл.  $85^\circ$ ), из которой получают I, обладает фуранозной структурой. Характер глюкозидной связи между рибозой и амидом никотиновой к-ты установлен окислением  $\text{NaJO}_4$ , при котором  $\beta$ -форма должна была дать диальдегид, идентичный с таковым, получаемым из амида  $\beta$ -глюкозидоникотиновой к-ты (II); окисление обоих соединений показало, что для I  $[\alpha]^{20}_D -69^\circ$ , а для II  $[\alpha]^{20}_D +67^\circ$ . Неидентичность продуктов окисления делает весьма вероятным, что I является хлоридом 3-карбонамид- $N'$ - $\alpha$ -рибозидопиридиния.

С. Бонди

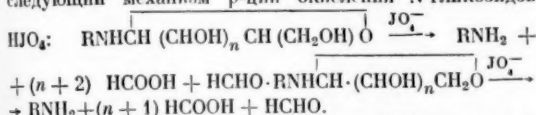
1014. Кристаллический бромид 3-карбонамид- $N'$ - $\beta$ -ксилозидопиридиния. Каррер, Висконтини, Лейтенеггер (Kristallisiertes 3-Carbonsäureamid- $N'$ - $\beta$ -xylosidopyridiniumbromid. Karrer P., Viscontini M., Leutenegger O.), Suomalais. tiedekat. toimituks., 1955, Sar. A II, № 60, 134—138 (нем.)

Соли  $N'$ -пентозидоникотины представляют интерес вследствие их связи с кодеидами. Кристаллич. бромид 3-карбонамид- $N'$ - $\beta$ - $\beta$ -ксилопиранозидопиридиния (I) получен из  $\alpha$ -ацетобром- $\beta$ -ксилозы (II) и амида никотиновой к-ты (III) и последующим омылением образованного триацетата (IV). При омылении образуется также другое кристаллич. в-во, по-видимому, изомерное соединение (A). К р-ру 5 г  $\beta$ -ксилозы в 25 мл пиридина ( $50^\circ$ ) по каплям прибавляют 18 мл  $(\text{CH}_3\text{CO})_2\text{O}$ , через 18 час. ( $\sim 20^\circ$ ) удаляют р-ритель в

вакууме; маслянистый остаток (0°) смешивают с насыщ. р-ром НВг в лед.  $\text{CH}_3\text{COOH}$  и перемешивают до полного растворения, через 1 час выделяется II; выход 5,3 г, т. пл. 100–102°. Р-р 7 г II в 20 мл сухого  $\text{CH}_3\text{CN}$  смешивают с р-ром 2,7 г III в 1,3 г лед.  $\text{CH}_3\text{COOH}$  и 60 мл сухого  $\text{CH}_3\text{CN}$ , через 12 час. (37°) кипятят 1 час, удаляют р-ритель в вакууме; выход технич. IV 1,75 г,  $\text{C}_{17}\text{H}_{21}\text{O}_4\text{N}_2\text{Br} \cdot 2\text{H}_2\text{O}$ , т. пл. 138–139° (из  $\text{iso-C}_3\text{H}_7\text{OH}-\text{C}_4\text{H}_9\text{OH}$ );  $R_f$  0,33, р-ритель  $\text{C}_4\text{H}_9\text{OH}$ :  $\text{CH}_3\text{COOH}$ : вода 20:3:7. Р-р 11 г технич. IV в 110 мл 5%-ного водн. р-ра НВг нагревают 30 мин. (90°), удаляют р-ритель в вакууме, остаток растворяют в небольшом кол-ве сухого  $\text{CH}_3\text{OH}$  и выливают в 800 мл сухого эфира, осадок пересаживают эфиром из спирта, выход 6,3 г. Смесь разделена хроматографией на бумажном порожке, р-ритель бутанол-лед.  $\text{CH}_3\text{COOH}$ -вода 50:3:7; после прохождения 400 мл собраны 400 фракций по 10 мл; фракции 240–384 дали после выпаривания I,  $\text{C}_{17}\text{H}_{21}\text{O}_4\text{N}_2\text{Br}$ , т. пл. 170–171° (разл., из  $\text{CH}_3\text{OH}-\text{iso-C}_3\text{H}_7\text{OH}$ ),  $[\alpha]_D^{25} + 4,2 \pm 0,4^\circ$  (вода). При окислении  $\text{NaJO}_4$  образуется диальдегид,  $[\alpha]_D^{25} + 54 \pm 1^\circ$ . Из фракций 150–240 получено в-во А, выход 0,8 г, состав тот же, что у I, т. пл. 139–140° (из  $\text{CH}_3\text{OH}-\text{iso-C}_3\text{H}_7\text{OH}$ ),  $[\alpha]_D^{25} - 44 \pm 1^\circ$  (вода). Предыдущее сообщение см. РЖХим 1955, 37376. Л. Май

1015. Изучение реакции окисления N-гликозидов йодной кислотой. I, II, III, IV. Кавасиро N-glycoside (の過沃度酸々々に就いて. 第 1~4 報. 川城巖), 藥學雜誌, Якагаку зааси, J. Pharm. Soc. Japan, 1953, 73, № 8, 892–894; № 9, 943–946; 1954, 74, № 1, 33–36; № 4, 328–330 (япон.).

Сообщение I. Степень гидролиза N-гликозидов м- и п-нитроанилина при окислении  $\text{HJO}_4$  в обычных условиях меньше 30%. При таком окислении N-гликозидов, поглощающих точно 5 молей окислителя, выделяется такой же объем  $\text{HCOOH}$ , как и при окислении самой глюкозы. На основании этих результатов предложены следующий механизм р-ции окисления N-гликозидов



Сообщение II. Изучалось действие  $\text{KJO}_4$  на о-, м- и п-толуидины, м-(I) и п-нитроанилины (II), о-, м-, и п- $\text{H}_2\text{NC}_6\text{H}_4\text{COOH}$ ,  $\text{C}_6\text{H}_5\text{NH}_2$ ,  $\text{C}_6\text{H}_5\text{NHC}_2\text{H}_5$ ,  $\text{C}_6\text{H}_5\text{NHC}_2\text{H}_5 \cdot \text{HCl}$ ,  $\text{C}_6\text{H}_5\text{N}(\text{C}_2\text{H}_5)_2$  и  $(\text{C}_6\text{H}_5)_2\text{NH}$ . Все эти соединения, за исключением I и II, поглощают  $\text{KJO}_4$  с такой же скоростью как α-гликоли. График скоростей этих р-ций очень сходен с отрезком кривой скорости поглощения  $\text{KJO}_4$  (сверх 5 молей) арилиамин-N-гликозидами (III). Следовательно после окисления III 5 молями  $\text{KJO}_4$ , окислитель взаимодействует не с  $\text{HCOOH}$  и  $\text{HCHO}$ , а с выделившимся арилиаминном.

Сообщение III. Участок кривой окисления толуидина периодатом в присутствии 5 молей  $\text{HCOOH}$  (I) аналогичен с кривой поглощения  $\text{KJO}_4$  при окислении N-гликозидов толуидина. Из этого следует, что поглощение  $\text{KJO}_4$  сверх 5 молей в процессе окисления N-гликозилтолуидинов происходит за счет аглюкона. При окислении толуидинов в отсутствие I не замечено существенной разницы в скорости поглощения окислителя. Установлено, что  $\text{C}_6\text{H}_5\text{NO}_2$  не оказывает влияния на р-цию между п-толуидином и  $\text{KJO}_4$ .  $\text{CH}_3\text{CONHC}_6\text{H}_5$  не поглощает  $\text{KJO}_4$  (ср. сообщение I).

Сообщение IV. К 1 г теofilлин-7-гликозида в 15 мл воды добавляют 23 мл (0,27 моля)  $\text{NaJO}_4$  и выдерживают 60 час. при 20°. Получают диальдегидное соединение (I), т. пл. 207–208° (разл.; из воды). 1 г I в 30 мл 50%-ного спирта нагревают с 0,5 г о- $\text{N}_2\text{NC}_6\text{H}_4\text{NHNH}_2$  в

30 мл 50%-ного спирта, р-р выливают в воду и отфильтровывают моно-(п-нитрофенилгидразон)-I (II)  $\text{C}_{18}\text{H}_{16}\text{O}_7 \cdot \text{H}_2\text{O}$ , т. пл. 157–158° (разл.),  $[\alpha]_D^{25} - 95,2^\circ$ . II в кислой среде разлагается на  $\text{CH}=\text{N}-\text{NHC}_6\text{H}_4\text{NO}_2$  (н), т. пл. 314° (разл.), свободный  $(\text{CHO})_2$ ,  $\text{CH}_2\text{OHCHOH} \cdot \text{CHO}$  и теofilлин, как и в случае производного, полученного из метилглюкозида (ср. сообщение III). Chem. Abstrs, 1953, 47, 12758; 1954, 48, № 18, 10630; 1955, 49, № 3, 1586; № 8, 5305. K. Kitsuta

1016. Структура некоторых нуклеозидов губки. Бергманн, Берк (Die Struktur einiger Schwammnucleoside. Bergmann Werner, Burke Derek F.), Angew. Chemie, 1955, 67, № 4, 127 (нем.). Из морской губки *Cryptothelia crypta* была выделена смесь нуклеозидов, один из которых (I) получен в кристаллич. форме; гидролиз I до тимина, образование пм трибензоата и расход окислителя при окислении  $\text{NaJO}_4$  показали, что он является тимин-пентофуранозидом; он получил название спонготимидина (Bergmann, Feenay, J. Organ. Chem. 1951, 16, 981). Хроматографированием смеси нуклеозидов на даукс-1 получают второе однородное в-во, названное спонгоуридином (II), так как при гидролизе его  $\text{HCOOH}$  получил урацил. Применяя гидрирование Na и спиртом в жидком  $\text{NH}_3$  и последующий гидролиз пропуская продукт восстановления через колонку с катионитом даукс-50, удалось получить свободный сахар (РЖХим, 1956, 43325) и при помощи хроматографии на бумаге, ионофореза в фосфатном буфере, образования фенилсазола и ИК-спектра последнего установить, что сахар является арабинозой. По медленному окислению  $\text{NaJO}_4$  и медленному передвижению ионов борного комплекса при ионофорезе на бумаге можно заключить, что I является транс-соединением, а по уд. вращению  $[\alpha]_D^{25} + 15^\circ$  продукта окисления I  $\text{NaJO}_4$ , что это β-гликозид. Отсюда следует, что I это тимин-β-арабофуранозид, а II, оказавшийся по всем р-циям аналогичным I, представляет собой урацил-3-арабофуранозид. С. Болотников

1017. Приготовление чистых моно-, ди- и тригалактуроновых кислот. Ашби, Брукс, Рид (Preparation of pure mono-, di- and tri-galacturonic acids. Ashby T., Brooks T., Reid W. W.), Chemistry and Industry, 1955, № 13, 360 (англ.). Чистые моно-(I), ди-(II) и тригалактуроновые (III) к-ты выделены из неочищ. гидролизатов пектиновой к-ты (IV) и разделены методом хроматографии. Гидролиз IV проведен при pH 5,0 ферментом из *Aspergillus foetidus* (тип D), который инактивировали нагреванием после полного расщепления IV. Р-р 30 г неочищ. смеси Na-солей пропущен через колонку (50×4 см) с деаидитом FF (форматная форма), который затем промывает водой, для удаления  $\text{HCOONa}$ , арабинозы, галактозы и глюкозы. I, II и III последовательно вымыты р-рами 0,2 н., 0,5 н. и 1,0 н.  $\text{HCOOH}$ . Каждая фракция проверена хроматографией на бумаге, соответствующие фракции соединены, извлечены эфиром для удаления  $\text{HCOOH}$  и сгущены в вакууме до сиропа, сироп упарен несколько раз с п-пропанолом, моногидраты I, II и III отфильтрованы и просушены; микрокристаллич. порошки; выход: 4,1 г I, 5,6 г II и 11,6 г III. Их однородность проверена хроматографией на бумаге.

А. Лютенберг 1018. Ионофорез углеводов. Часть III. Поведение некоторых амилосахаридов и их реакция с боратными ионами. Фостер, Ньютон-Херн, Стейси (Ionophoresis of carbohydrates. Part III. Behaviour of some amylosaccharides and their reaction with borate ions. Foster A. B., Newton-Hearn P. A., Miss, Stacey M.), J. Chem. Soc., 1956, Jan., 30–36 (англ.).

С целью изучения р-ций нейтр. полисахаридов с боратными ионами (БИ) исследованы ионофорез на бу-



маге ряда амилосахаридов в различных буферах. Найдено, что в богатом буфере (ББ) с  $\mu\text{H}$  10 амилонектин (I) мигрирует к аноду, не адсорбируясь по пути, в то время, как амилоса (II) со степенью полимеризации 135, 415 и  $>4000$  сильно адсорбируется и ее миграция становится заметной только при конц. 2%. В глициновом ( $\mu\text{H}$  11) и фосфатном ( $\mu\text{H}$  10) буферах перемещение I очень мало, II не перемещается совсем. Ранее было отмечено (РЖХимБх, 1955, 6541), что при электрофорезе р-ра смеси I и II в ББ подвижность обоих компонентов снижается. В настоящей работе найдено, что при ионофорезе на бумаге смеси I и II подвижности их не изменяются. Большая подвижность I по сравнению с II объясняется наличием большого кол-ва передупонирующих глюкозных остатков со свободными гидроксильными у  $\text{C}_{(4)}$  и  $\text{C}_{(6)}$ , реагирующими с  $\text{H}^+$ , и накоплением вследствие этого большого отрицательного заряда. Значительная подвижность II может объясняться иммобилизацией БИ спиральными цепями II. Введение в ББ мочевины снижает адсорбцию II на бумаге. Метод ионофореза в ББ, содержащем 40% мочевины, может быть применен для обнаружения 0,3  $\gamma$  II в присутствии 10  $\gamma$  I или 2  $\gamma$  I в присутствии 2,5  $\gamma$  II. При ионофорезе полисахаридов (ПС), получающихся действием смеси Р и Q-ферментов на 1-фосфат-D-глюкозу, обнаружены компоненты, отличные от находящихся в картофельном крахмале. ПС, выделяемый *Neisseria perflava* (N. p.) и относящийся к типу гликогенов (Abdel-Akher, Smith, J. Amer. Chem. Soc., 1951, 73, 994), при ионофорезе не мигрирует, что может объясняться сильной адсорбцией на бумаге. Ионофорез проводили по ранее описанному методу (Foster, Chem. A. Ind., 1952, 1050), в течение 4 час. при 500 в. ББ с  $\mu\text{H}$  10 содержал 7,44 г  $\text{H}_2\text{BO}_3$  и 4,0 г  $\text{NaOH}$  в 1 л. После высушивания при 100—110°, нейтр-ции в смеси вода- $\text{C}_2\text{H}_5\text{OH}-\text{HCl}$  (10:1:1) и повторного высушивания бумагу обрабатывали 0,4%-ным р-ом йода в  $\text{C}_2\text{H}_5\text{OH}$ . Окраска: I красновато-пурпурная, II синяя, гликогены желто-коричневая, ПСН.р. темнокоричневая,  $\alpha$ -декстрин Шардингера коричневая,  $\beta$ -декстрин Ш-ра желтая. Подвижность ( $\times 10^6 \text{ см}^2 \text{ в}^{-1} \text{ сек}^{-1}$ ): D-глюкоза 2,26  $\pm$  2,74, мальтоза 0,81  $\pm$  1,08, II 0,35  $\pm$  0,57, I 0,51  $\pm$  0,269, гликоген 0,61  $\pm$  0,90. Часть II см. РЖХим, 1956, 43261. И. Лишанский

**1019. Растворимые в щелочи полисахариды лишайника *Cladonia alpestris* (олений мох). Аспинал, Херст, Уорбертон** (The alkali-soluble polysaccharides of the lichen *Cladonia alpestris* (reindeer moss). Aspinal G. D., Hirst E. D., Warburton Margaret), J. Chem. Soc., 1955, March, 651—655 (англ.)

Лишайник *Cladonia alpestris*, распространенный в Норвегии, состоит на 93% из углеводов и при гидролизе дает галактозу, глюкозу и маннозу. Полисахариды, извлеченные из *C. alpestris* 5%- и 24%-ными р-рами KOH, после метилирования и последующего гидролиза образуют смесь 2,3,4,6-тетраметил-D-галактозы, охарактеризованной в виде ангидра, с 2,3,4,6-тетраметил-D-маннозой, 2,3,6-триметил-D-глюкозой, 2,4,6-триметил-D-галактозой и 2,3-диметил-D-глюкозой. Кроме этого, получают 2 трудно гидролизуемых продукта А и В. При жестком гидролизе А дает 2,3,4,6-тетраметил-D-маннозу и 3,4-диметил-D-маннозу. Хроматографически I оказано также наличие триметил-, диметил- и монометил-D-маннозы. В этих же условиях В дает смесь метилированных производных D-глюкозы, из числа которых идентифицирована 2,3,4,6-тетраметил-D-глюкоза. Таким образом, полисахариды *C. alpestris* имеют сильно разветвленное строение, причем остатки галактозы представляют собой, в основном, концевые группы. И. Лишанский

**1020. Меркаптолиз полисахарида из *Chondrus crispus*. Персивал** (The mercaptolysis of the polysaccharide from *Chondrus crispus*. Percival Elizabeth E.), Chemistry and Industry, 1954, № 48, 1487 (англ.)

Меркаптолизом выделенного ранее полисахарида (Dewar, Percival, J. Chem. Soc., 1947, 1622) по методу Араки—Хираса (РЖХим, 1955, 29084) получены 3,6-диэтилмеркаптал ангидро-D-галактозы, т. пл. 110—111°,  $[\alpha]_D^{20} -12^\circ$  (с 2,3; вода),  $+21^\circ$  (с 2,3; спир.), и диэтилмеркаптал DL-галактозы, т. пл. 127°.  $[\alpha]_D^{20} D \pm 0^\circ$  (с 0,64; вода). Г. Новоселова

**1021. Изучение активных компонентов йодофильной смолы эмоди. П. Гранадос-Харке, Прасасабаль-Нерпель** (Estudio de los componentes activos del podofilino resina emodi. P. Granados Jarque Ricardo, Irazabal Nerpell Amelia), An. Real. Soc. española fis. y quim., 1954, B50, № 9-10, 779—784 (исп.)

В связи с открытием антираковых свойств у подофилина изучен состав смолы «*Podophillum emodi*» Wall (A). Найдено, что А содержит 54% подофилотоксина (I), 6% ( $\beta$ -D-8-глюкопиранозил)-пикроподофилина (II), 8% кверцетина (III), 0,6% воска (IV), 10% подофилиновой смолы (V) и минер. соли. По ранее известному методу (Hartwell J. L., J. Amer. Chem. Soc., 1950, 72, 246) 5 г А кипятят 15 мин. с 6 мл абс. спирта, прибавляют 54 мл  $\text{C}_6\text{H}_6$ , через 4 часа декантируют, упаривают, остаток растворяют в смеси спирта и  $\text{C}_6\text{H}_6$  (1:1) и после хроматографирования на  $\text{Al}_2\text{O}_3$  получают 2,5 г I, т. пл. 114—116°. Так как способ Гартвелла не позволяет выделить все вышеуказанные компоненты, авторами разработан новый метод обработки А. Из 50 г А последовательной экстракцией водой (4 раза по 120 мл) и  $\text{C}_6\text{H}_6$  в аппарате Сокслета (3 раза по 250 мл, 6 час.) выделяют соответственно 3,9 г III и 16 г сырого I, при хроматографировании которого получают 0,37 г IV и 12,82 г I, т. пл. 115—117° (из хлф.), 152,6—154,7° (из водн. сп.),  $[\alpha]_D^{20} -100,0^\circ$  (с 0,7; спир.). Остаток растворяют в 152 мл горячего спирта, прибавляют 1250 мл  $\text{C}_6\text{H}_6$ , выпадают 4,8 г V; при хроматографировании маточного р-ра получают 14,4 г I, 2,81 г II, т. пл. 249,8—250,9° (вымывание смесью 47,5% спир., 47,5%  $\text{C}_6\text{H}_6$  и 5%  $\text{H}_2\text{O}$ ), а также твердое желатиноподобное в-во и минер. соли (вымывание спир. и  $\text{H}_2\text{O}$ ). 3,73 г I с т. пл. 115—117° нагревают 2 часа при 150—160° (т-ра бани) с 20 мл  $(\text{CH}_3\text{CO})_2\text{O}$ , выливают в ледяную воду, получают 3,42 г ацетильного производного, т. пл. 181—183° (из абс. спир.), которое при повторной обработке  $(\text{CH}_3\text{CO})_2\text{O}$  дает ацетильное производное (VI) с т. пл. 210,4—211,5° (из абс. спир.). Аналогично из I с т. пл. 152—154° образуются 1,01 г VI, мол. в. 444,3, ацетильное число 119,1 (на I), 0,32 г II с  $(\text{CH}_3\text{CO})_2\text{O}$  дают 0,37 г ацетильного производного, т. пл. 280° (из абс. спир.), ацетильное число 336,7. При гидролизе II (1 г  $\text{HCl}$ , 1 час кипячения) образуется глюкоза. 2 г I с т. пл. 115—117° в 15 мл ацетона и 3 г *трет*-бутилата Al в 50 мл  $\text{C}_6\text{H}_6$  кипятят 96 час., получают кетон с т. пл. 273,3° (очищают через производное реактива Т Жирара); 2,4-динитрофенилгидразон, т. пл. 133—138°. 1,88 г I с т. пл. 115—117° в 20 мл спирта кипятят 3,5 часа с 20 мл 10% р-ра  $\text{NaOOCCH}_3$ , выделяют 1,28 г пикроподофилина (VII), т. пл. 225,4—228,6°. 1 г VII в 50 мл ацетона кипятят 98 час. с 1,5 г *трет*-бутилата Al в 50 мл  $\text{C}_6\text{H}_6$  и через производное реактива Т Жирара выделяют 0,1 г кетона с т. пл. 139—141° (из водн. спир.), 6,41 г I и 1,17 г Pt-черни нагревают в запаянной трубке 22 часа при 240—260°, получают в-во с т. пл. 85°, которое дает окрашивание с  $\text{FeCl}_3$  и растворяется без изменения в 2 н. р-ре NaOH. Сообщение I см. An Real. Soc. española fis. y quim., 1951, B 47, 221. И. Гонсалес

1022. Окисление (—)-цитронеллонитрила перманганатом. Мелук, Мислов (Permanganate oxidation of (—)-citronellonitrile. Meluch William C., Mislou Kurt), J. Organ. Chem., 1955, 20, № 10, 1311—1316 (англ.)

При окислении (—)-цитронеллонитрила (I) избытком перманганата в ацетоне образуется в основном пик 3-метилглутаровой к-ты (II) наряду с (+)-4-метил-5-цианопентановой к-той (III), (+)-4-метилкарбамидопентановой к-той (IV), *d,l*-метилантарной к-той (V) и оптически активным соединением (VI), которому авторы приписывают структуру:  $\text{NCCH}_2\text{CH}(\text{CH}_3)\text{CH}_2\text{CH}_2\text{CONHCH}=\text{C}(\text{CH}_3)\text{CH}_2\text{CN}$ . К 1,57 моля  $(\text{CH}_3\text{CO})_2\text{O}$  добавляют при 100° 1,49 моля оксима цитронеллала с такой скоростью, чтобы реакционная смесь кипела, кипятят смесь 10 мин. и получают I, выход 72—86%, т. кип. 105—107°/13 мм;  $n_D^{25}$  D 1,4468,  $[\alpha]_D^{20}$  D—3,85° (l 0,5). К смеси 3,17 моля  $\text{KMnO}_4$  и 750 мл ацетона добавляют (40—50°, 2 часа) 0,66 моля I, перемешивают до исчезновения фиолетовой окраски (18 час.), приливают 75 мл воды, фильтруют, разлагают  $\text{MnO}_2$  смесью 454 г  $\text{Na}_2\text{SO}_3$ , 750 мл воды и 125 г конц.  $\text{H}_2\text{SO}_4$  и объединяют слой масла с эфирным экстрактом водн. фильтрата. Остаток после удаления р-рителя обрабатывают р-ром  $\text{Na}_2\text{CO}_3$ , экстрагируют эфиром, подкисляют и получают смесь продуктов в виде масла (VII), выход 51 г. В девяти опытах из 912 г I получают 527 г VII. Данные разложения полученных смесей продуктов в вакууме приведены в виде таблиц. Полученную при разгонке VII кислоту фракцию с т. кип. 139—150°/1,3—1,6 мм (6,3 г) подщелачивают р-ром  $\text{Na}_2\text{CO}_3$ , экстрагируют эфиром, из эфирного р-ра выделяют 1 г масла, далее не исследованного; щел. р-р подкисляют, выделившийся продукт (5,56 г) фракционируют и получают III, выход 2,16 г, т. кип. 110—124°/0,23—0,25 мм,  $n_D^{25}$  D 1,4559,  $d_4^{25}$  1,068,  $[\alpha]_D^{20}$  D +4,1° (l 0,5). III гидролизуют горячей конц.  $\text{HCl}$ , экстрагируют  $\text{CHCl}_3$  и получают (+)-3-метилгидроксиновую к-ту (VIII), т. пл. 84,6—85,6° (из  $\text{CCl}_4$ ). Из остатков от разгонки VII при стоянии выделяются кристаллы IV, выход 1,3 г, т. пл. 131—132° (из дилиткарбоната),  $[\alpha]_D^{27}$  D +7,1° (с 3,80; абс. сп.).  $[\alpha]_D^{30}$  D +6,9° (с 1,30; абс. сп.); при гидролизе 278 мг IV 0,5 мл конц.  $\text{HCl}$  образуется VIII, выход 100 мг, т. пл. 85—87° (из эф.-этилацетата; 3:1),  $[\alpha]_D^{30}$  D +7,5° ± 0,5° (с 10,9; вода). К р-ру 4,15 г (+)-цитронелламиды в 250 мл ацетона добавляют за 2 часа 20 г  $\text{KMnO}_4$ , приливают р-р 5 г  $\text{Na}_2\text{S}_2\text{O}_3$  в 50 мл воды и 30 мл изопропилового спирта, фильтруют, упаривают, подщелачивают  $\text{Na}_2\text{CO}_3$ , экстрагируют эфиром. Водн. слой подкисляют, насыщают  $(\text{NH}_4)_2\text{SO}_4$  и получают IV, выход 30 мг. Головную фракцию разгонки VII (5 г) перегоняют при атмосферном давлении и получают (+)-3-метилциклопентанон, выход 1,2 г, т. кип. 143—144°,  $n_D^{19}$  D 1,4337,  $[\alpha]_D^{23}$  D +57,21° (с 0,5),  $[\alpha]_D^{16,5}$  D +42,1° (с 10,1); семикарбазон, т. пл. 179—181°. Полученная при разгонке VII фракция с т. кип. 110—130°/1,5—2,6 мм, кристаллизующаяся при стоянии, представляет собой II, выход 66 г, т. пл. 144—145° (из бзл.),  $[\alpha]_D^{20}$  D 0° (сп.). При гидролизе 1 г II в 10 мл конц.  $\text{HCl}$  образуется 3-метилглутаровая к-та, выход 0,22 г. Из получаемой из VII фракции с т. кип. 81—89°/1,3 мм (3 г) выделяют кристаллы V, выход 0,58 г, т. пл. 110—113° (из бзл.),  $[\alpha]_D^{21}$  D—0,29° (с 8,84; вода). Фракцию с т. кип. 122—147°/1,3—1,8 мм (37,8 г) обрабатывают р-ром 8 г  $\text{Na}_2\text{CO}_3$ , выделяющееся масло объединяют с эфирным экстрактом водн. слоя и получают VI, выход 9,5 г, т. кип. 105—107°/0,6 мм,  $n_D^{25}$  D 1,4567,  $d_4^{25}$  0,9981,  $[\alpha]_D^{27}$  D +3,49°. При гидролизе VI конц.  $\text{HCl}$  образуется VIII. Приведены ИК-спектры III и VI и УФ-спектр VI.  $[\alpha]_D^{20}$  D жидких в-в определены без р-рителя.

М. Бурмистрова

1023. Свойства сложных эфиров тетрагидролавандулола и возможности их применения. Панрадль (Eigenschaften und Verwendungsmöglichkeiten der Ester des Tetrahydrolavandulols (lavandor BASF). Panradl Rudolf), Riechstoffe und Aromen, 1956, 6, № 5, 129—130 (нем.)

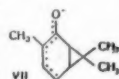
Приведены константы следующих сложных эфиров тетрагидролавандулола и указаны возможности их применения в пров.-ве душистых и ароматич. в-в: α-этилгексат, т. кип. 138—139°/5 мм,  $d_{20}^{20}$  0,856,  $n_D^{20}$  D 1,4376; капроат, т. кип. 131°/6 мм,  $n_D^{20}$  D 1,4355,  $d_{20}^{20}$  0,8639; каприлат, т. кип. 152°/6 мм,  $n_D^{20}$  D 1,4399,  $d_4^{15}$  0,8657; дихлорацетат, т. кип. 122°/6 мм,  $n_D^{20}$  D 1,4524,  $d_4^{15}$  1,0511; формиат, т. кип. 78°/6 мм,  $n_D^{20}$  D 1,4284,  $d_4^{15}$  0,8789; циннамат, т. кип. 185°/5 мм,  $n_D^{21}$  D 1,5200,  $d_{20}^{20}$  0,948; гидроциннамат, т. кип. 170—171°/5 мм;  $n_D^{21}$  D 1,4823,  $d_{20}^{20}$  0,943.

Л. Бергельсон

1024. О стадии образования метилового мостика при превращении эйкарвона в производные карена. Кори, Берк, Риммер (The nature of the ring-bridging step in the transformation of eucarvone to carene derivatives. Corey E. J., Burke H. J., Remers W. A.), J. Amer. Chem. Soc., 1956, 78, № 1, 180—183 (англ.)

Обсуждены теоретич. выводы, вытекающие из опытов, описанных в предыдущем сообщении (РЖХим, 1956, 68440). В УФ-спектре эйкарвона (I) имеется максимум при 302 мμ ( $\lg \epsilon$  3,82), но отсутствует максимум при 229 мμ, характерный для бициклич. соединений ряда карена. Однако колич. изучением дейтерообмена I показано, что I содержит небольшое кол-во бициклич. формы (II). Эти измерения основаны на том, что в I на дейтерий могут обмениваться 2 H-атома, а в II—3 H-атома. Изучением ИК-спектра енолацетата I (III) установлено, что III существует только в моноциклич. форме (отсутствие полосы при ~1000  $\text{cm}^{-1}$ ). Учитывая ранее полученные данные о строении циклогептатриена, 1, 1,4-триметилциклогептатриена (IV) и 1,1,3,4-тетраметилциклогептатриена (V) можно утверждать, что циклогептатриеновая система в общем случае более устойчива, чем система норкардиена.

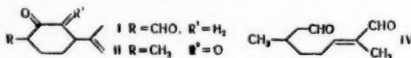
Осторожная нейтр-ция Na-производного I (VI) приводит только к I, но не к II, откуда следует, что и енолата I также устойчивее соответствующего бициклич. иона. Этот вывод подтверждается изучением УФ-спектра VI, близкого к спектру I и образованием моноциклич. енольных эфиров I при ацилировании VI даже в самых мягких условиях. Алкилирование VI приводит к бициклич. продуктам и, возможно, что эта р-ция проходит через бициклич. ион типа (VII). Другой возможный механизм р-ции алкилирования VI (транс-аннуляриный) мало вероятен, так как γ, δ-дигидроэйкарвон (VIII) метилируется «нормально» с образованием Δ<sup>2</sup>-2,2,6,6-тетраметилциклогептано-1 (IX). Озонирование еноловых эфиров I при —80° также проходит через бициклич. стадию и в этом случае образование мостика происходит одновременно с электрофильной атакой молекулой  $\text{O}_3$ . Аналогично протекает и окисление I  $\text{SeO}_2$ . По-видимому, электрофильная атака индуцирует образование мостика. К р-ру 1,2 г  $\text{NaBH}_4$  в 8 мл  $\text{CH}_3\text{OH}$  добавляют при 0° 4,5 г I, через 40 мин. р-рителем удаляют в вакууме и из остатка экстракцией эфиром- $\text{CH}_2\text{Cl}_2$  выделяют эйкарвол (X), выход 3,2 г, т. кип. 67—69°/1,4 мм,  $n_D^{20}$  D 1,5040. Дегидратацией X (перегонкой при 120°/20 мм в присутствии 1 капли  $\text{H}_2\text{SO}_4$ ) синтезируют IV, т. кип. 65°/70 мм,  $n_D^{20}$  D 1,4960. К кипящему р-ру 0,06 моля  $\text{CH}_3\text{Li}$  в эфире добавляют (40 мин.) эфирный р-р I, смесь кипятят



2 часа и после обычной обработки выделяют метилэйкарвол (XI), выход 3,18 г, т. кип. 58°/0,9 мм,  $n_D^{20}$  1,5070. Дегидратация XI в вышеуказанных условиях приводит к V, т. кип. 61°/10 мм,  $n_D^{20}$  1,5072. 8 г I гидрируют (12 час.) в спирте с отравленным свинцом Pd-катализатором до VIII, выход 85%, т. кип. 83°/10 мм,  $n_D^{20}$  1,4808. 1 г  $\text{NaNH}_2$  и 3 г VIII в 41 мл диоксиана кипятят 3 часа в атмосфере  $\text{N}_2$  и добавляют (20°, 2 часа) 3,64 г  $\text{CH}_3\text{I}$ . После обработки выделяют IX, выход 1,6 г, т. кип. 79—80°/15 мм. Даны УФ-спектры IV, V и VIII и ИК-спектры VIII и IX. Л. Бергельсон

**1025. Окисление карвона и цитронеллала двуокисью селена. Чакраварти, Бхаттачария** (Oxidation of carvone and citronellal with selenium dioxide. Chakravarti K. K., Bhattacharya S. C.), *Perfum. and Essent. Oil Rec.*, 1955, 46, № 10, 341—343 (англ.)

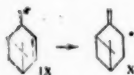
Смесь 125 г  $\text{SeO}_2$  и 160 г карвона в 1 л абс. спирта кипятят 16 час., селен отфильтровывают, спирт отгоняют, а остаток разгоняют. Фракцию с т. кип. 110—170°/5 мм (70 г) встряхивают 5 мин. с 300 мл 20%-ного р-ра  $\text{NaOH}$ ; нерастворившуюся часть экстрагируют



эфиром, из эфирного экстракта фракционной перегонкой получают 8 г кетональдегида (II), т. кип. 98—100°/0,6 мм,  $n_D^{20}$  1,5320,  $[\alpha]_D - 35,1^\circ$ ; дисемикарбазон, т. пл. 208—210°. Растворимую в щелочи часть подкисляют серной к-той, экстрагируют эфиром, промывают, сушат, отгоняют эфир, остаток растворяют в 50 мл смеси эфира и петр. эфира (1 : 1) и оставляют на 12 час. Выделившиеся кристаллы отфильтровывают; из маточного р-ра фракционной перегонкой выделяют 7 г дикетона (III), т. кип. 125—126°/1,2 мм,  $n_D^{20}$  1,5540 (растворим в разб. щелочи), и 4 г неидентифицированного продукта  $\text{C}_7\text{H}_{10}\text{O}_4$ , т. кип. 150—152°/1,2 мм, т. пл. 140° (из эф.-петр. эф.). 250 г цитронеллала (III) и 112 г  $\text{SeO}_2$  в 600 мл спирта кипятят 18 час., отфильтровывают селен, удаляют основную часть спирта в вакууме, а остатки спирта и непрореагировавший III отгоняют с паром в течение 15 мин. Остаток экстрагируют эфиром, промывают, сушат и после отгонки эфира разгоняют в вакууме. Получают 150 г фракции с т. кип. 140°/1—2 мм, которую тщательно разгоняют на колонке (25 теор. тарелок). Получают 40 г диальдегида (IV), т. кип. 119—121°/2—3 мм,  $n_D^{20}$  1,4785; дисемикарбазон, т. пл. 226° (из сп.). Даны УФ-спектры выделенных продуктов и дисемикарбазона IV. С. Корэ

**1026. Аутоокисление  $\alpha$ -пинена. Мур, Голумбич, Фишер** (Autoxidation of  $\alpha$ -pinene. Moore R. N., Golumbic C., Fisher G. S.), *J. Amer. Chem. Soc.*, 1956, 78, № 6, 1173—1176 (англ.)

При аутоокислении  $\alpha$ -пинена (I) в темноте при 100° и восстановлении образовавшихся гидроперексидов I



посредством  $\text{Na}_2\text{S}$ , наряду с неизмененным I выделены (в скобках указано содержание в-ва в перегоняющейся фракции): вербенон (II) (9%), вербенон (III) (16%), вербенен (IV) (следы), окись I (V) (13%), транс-пиннокарвеол (VI) (8%), транс-карвеол (VII) (2%) и миртенил (VIII) (1%). Авторы предполагают, что все указанные в-ва, за исключением V, образуются в результате радикальной атаки по  $\alpha$ - $\text{CH}_3$ -группе I, приводящей к образованию миртенильного радикала (IX), который затем может перейти в пиннокарвиловый радикал (X). Образование V объясняется вторичной р-цней образовавшихся перексидов с двойной связью I. Оптич. чистый I-I получают изомеризацией оптич. l-3-пинена нагреванием в присутствии канифоли. Фракционированной

разгонкой продукта изомеризации выделяют l-I, т. кип. 52°/20 мм,  $n_D^{20}$  1,4658,  $d_4^{20}$  0,8576,  $[\alpha]_D^{27} - 47,4^\circ$ . Через 3374 г d-I (оптич. чистота 98%) пропускают при 100° ток  $\text{O}_2$  со скоростью 200—400 л/час, следя за ходом р-ции по изменению перекисного числа (ПЧ). Р-цию прерывают по достижении максим. значения ПЧ (2600) и получают 3753 г неочищ. продукта. 1500 г последнего добавляют порциями при 50—60° к р-ру 2 молей  $\text{Na}_2\text{S}$  и 4 молей  $\text{NaOH}$  в 500 мл воды, смесь перемешивают 15 мин., промывают и фракционируют на колонке. Отдельные компоненты дистиллата определяют с помощью ИК-спектров. Этим путем из l-I получают фракцию с т. кип. 55—60°/20 мм; вторичной перегонкой выделяют d-IV,  $n_D^{20}$  1,4997,  $d_4^{20}$  0,8818,  $[\alpha]_D^{25} + 94,2^\circ$ . Для сравнения путем дегидратации III ( $(\text{CH}_3\text{CO})_2$ ,  $\text{CH}_3\text{COONa}$ , кипячение) синтезируют l-IV, т. кип. 162°/769 мм,  $n_D^{20}$  1,4991,  $d_4^{20}$  0,8799,  $[\alpha]_D - 35,8^\circ$ .

Фракция с т. кип. 83°/20 мм,  $n_D^{20}$  1,4692,  $d_4^{20}$  0,9660,  $[\alpha]_D + 54,92^\circ$ , полученная из d-I, представляет собой V. Из l-I в тех же условиях получают l-V с  $n_D^{20}$  1,4694,  $d_4^{20}$  0,9629,  $[\alpha]_D^{25} - 106,1^\circ$ . 20 г V, полученной из d-I, перемешивают 15 мин. с 60 мл 0,1 н.  $\text{H}_2\text{SO}_4$ ; выпадает соберол (XI), выход 10 г, т. пл. 131—132° (из ацетонитрила и воды). При перегонке с паром в присутствии 0,5 н.  $\text{H}_2\text{SO}_4$  XI (2 г) дает пинол (XII), выход 1,4 г,  $n_D^{20}$  1,4720,  $d_4^{20}$  0,9554. V не гидрируется с  $\text{PtO}_2$  в этилацетате и не восстанавливается при кипячении с  $\text{LiAlH}_4$  в тетрагидрофуране. При попытке осуществить каталитич. гидрирование в среде  $\text{CH}_3\text{COOH}$  V изомеризуется в XII. Фракция с т. кип. 80°/20 мм (полученная из l-I) дает семикарбазон VIII, т. пл. 215—216°, гидролизом которого получают VIII,  $n_D^{20}$  1,5010,  $d_4^{20}$  1,036,  $[\alpha]_D - 23,2^\circ$  (3%-ный р-р в сп.). Из фракции с т. кип. 103—105°/20 мм получают оптич. неактивный n-нитробензоат (XIII), т. пл. 96,5—97° (из гексана) и оптич. активный нитробензоат, т. пл. 90—91,5°,  $[\alpha]_D - 45,5^\circ$  (2%-ный р-р в сп.). Омыление XIII приводит к dl-VI, т. пл. 14°,  $n_D^{20}$  1,5042,  $d_4^{20}$  0,9887. Аналогично при окислении l-I выделяют d-VI,  $n_D^{20}$  1,4977,  $d_4^{20}$  0,979,  $[\alpha]_D + 70,8^\circ$  (3%-ный р-р в спирте). Фракция с т. кип. 108—109°/20 мм дает n-нитробензоат dl-III (XIVa), т. пл. 99—100° (из гексана) и n-нитробензоат l-III (XIVb), т. пл. 81,5—82°,  $[\alpha]_D + 171^\circ$  (2%-ный р-р в сп.). Омыление XIVa приводит к dl-III, т. пл. 13—14°,  $n_D^{20}$  1,4914,  $d_4^{20}$  0,9650. При быстром охлаждении (—20°) выделена кристаллич. модификация dl-III, с т. пл. 1—2°, переходящая при нагревании в вышеплавящуюся форму. Омылением XIVb получают l-III,  $n_D^{20}$  1,4923,  $d_4^{20}$  0,969,  $[\alpha]_D - 87,0^\circ$  (5%-ный р-р в сп.). Фракция с т. кип. 110—111°/20 мм образует семикарбазон d-II, т. пл. 207—208° (из этилацетата), омылением которого получают d-II,  $n_D^{20}$  1,4944,  $d_4^{20}$  0,9749,  $[\alpha]_D + 121,9^\circ$ . Аналогично из l-I получают l-II,  $n_D^{20}$  1,4961,  $d_4^{20}$  0,9731,  $[\alpha]_D^{25} - 263,5^\circ$ . Наиболее высококипящая фракция, полученная при окислении l-I, дает n-нитробензоат l-VII, т. пл. 72—91°, омылением которого выделяют l-VII,  $n_D^{20}$  1,4944,  $d_4^{20}$  0,946,  $[\alpha]_D - 88,6^\circ$  (5%-ный р-р в сп.). Л. Бергельсон

**1027. К изучению пиненовой кислоты и ее производных. Ле Ван Тхой** (Contribution à l'étude de l'acide pinonique et de ses dérivés. Le-Van-Thoi), *Ann. chimie*, 1955, 10, jan.-fevr., 35—91 (франц.)

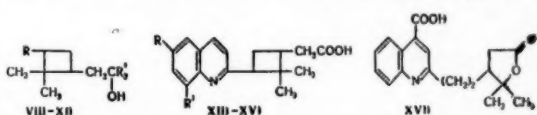
Изучены производные пиненовой к-ты (I): соли, эфиры и продукты конденсации с изатином (II) и его



алкилпроизводными. Расщеплением тетраметилового цикла I получен  $(\text{CH}_3)_2\text{CSH}(\text{CH}_2\text{CH}_2\text{COCH}_3)\text{CH}_2\text{COO}$  (III). Изучена енолизация метилового эфира, *d*, *l*-I (IV) под действием магнийорганических соединений (V). Гидрированием *d*, *l*-I получены *транс*- и *цис*-пиноловые к-ты (VI) и *d*, *l*-камфоляновая к-та (VII). При действии на IV избытка V образуется 2,2-диметил-3-(1'-метил-1'-оксипропил)-1-(2'-метил-2'-оксипропил)-циклобутан (VIII) и 2,2-диметил-3-ацетил-1-(2'-этил-2'-оксипропил)-циклобутан (IX). Окислением 300 г *d*, *l*-пинена посредством  $\text{KMnO}_4$  получают 270—280 г *d*, *l*-I, т. кип. 155°/1,5 мм, т. пл. 104—105° (из бал.); семикабазон (СК), т. пл. 206° (из водн.  $\text{CH}_3\text{OH}$ ); гидразон, т. пл. 168° (из  $\text{CH}_3\text{OH}$ ); фенилгидразон, т. пл. 101—102° (разл., из водн. сп.), разлагается при хранении; 2,4-динитрофенилгидразон (ДФ), т. пл. 123—124° (из  $\text{CH}_3\text{OH}$ ). Оксим *d*, *l*-*цис*-I, т. пл. 150° (из  $\text{CH}_3\text{OH}$ ); оксим *d*, *l*-*транс*-I, т. пл. 168°; оксим *d*-*цис*-I, т. пл. 128° (из эф.),  $[\alpha]_D^{20} + 48^\circ$  (в эф.); оксим *d*-*транс*-I, т. пл. 191°,  $[\alpha]_D^{20} - 29^\circ$  (в эф.). Получены следующие эфиры *d*, *l*-I (указаны т. кип.  $n_D^{20}$ ,  $d_4^{20}$ , т. пл. СК, т. пл. ДФ): метиловый, 113—4°/3 мм, 1,4554, 1,012, 157°, 122°; этиловый, 121—2°/3, 1,4528, 0,998, 137,5°, 118°; *n*-пропиловый, 140—1°/4, 1,4543, 0,985, 141,5°, 124°; изопропиловый, 154°/18, 1,4493, 0,978, 144°, 99°; *n*-бутиловый, 155,6°/6, 1,4535, 0,973, 128,5° 103°; *тер*-бутиловый, 160°/17, 1,4516, 0,968, —, 115°; изобутиловый, 140°/2, 1,4522, 0,971, 145°, 110—111°. Во всех эфирах *d*, *l*-I на основании данных УФ-спектра и р-ции с цинкорганич. соединениями обнаружено ~5% енольной формы.

Енолизация IV под влиянием V увеличивается с ростом *т*-ры и мол. веса радикала V и зависит от строения последнего (первичный R влияет слабее, чем вторичный или третичный). Енол IV нестойк даже при низких *т*-рах. Через 2,5 часа после получения остается 62,5% енола, через 9 час. 17,2%, экстраполяцией найдено первоначальное содержание енола 98%. Действием  $\text{C}_6\text{H}_5\text{COCl}$  на IV в среде эфира (кипение 12 час.) получают бензоат енола IV, т. кип. 75,7°/1,5 мм,  $n_D^{20} 1,15025$ ,  $d_4^{20} 1,1402$ . При действии V на *d*, *l*-IV при —10° или —18° образуются с выходом, не превышающим 10%, алкильные производные *d*, *l*-VI, которые очищают перегонкой и удалением IV обработкой 2,4-фенилгидразидом. Получены метиловые эфиры следующих алкилзамещ. VI (приведены выход в %, т. кип. в °C/мм,  $n_D^{20}$ ,  $d_4^{20}$ ): метил-VI, 34, 119—120/2, 1,4567, 1,000; этил-VI, 43, 133—134/3, 1,4628, 0,990; *n*-пропил-VI, 35, 143—145/7, 1,4638, 0,984. При действии 3 молей  $\text{CH}_3\text{MgI}$  на 1 моль IV (при —10°, затем кипячение) получают VIII, выход 38%, т. пл. 65,5—66° (из эф. — петр. эф.). Из маточных *р*-ров выделяют незначительное кол-во IX; ДФ, т. пл. 84°. Аналогично IV и  $\text{C}_6\text{H}_5\text{MgI}$  дают 2,2-диметил-3-(1'-метил-1'-оксипропил)-1-(2'-этил-2'-оксипропил)-циклобутан (X), выход 30%, т. пл. 77—77,5° (из эф.-петр. эф.), из маточных *р*-ров выделяют 2,2-диметил-3-ацетил-1-(2'-оксипропил)-циклобутан (XI), выход 20%, т. кип. 122—124°/1 мм,  $n_D^{20} 1,4682$ ,  $d_4^{20} 0,9562$ . Действие *изо*- $\text{C}_3\text{H}_7\text{MgBr}$  на IV сопровождалось енолизацией; удалось выделить лишь немного 2,2-диметил-3-ацетил-1-(2'-этил-2'-оксипропил)-циклобутана (XII), т. кип. 135—138°/1 мм,  $n_D^{20} 1,4619$ ,  $d_4^{20} 0,9727$ ; ДФ, т. пл. 229—230° (из  $\text{CH}_3\text{OH}$ ). Гидрирование *d*, *l*-I в спирте в присутствии скелетного Ni и NaOH, получают *d*, *l* *цис*-VI, выход 100%, т. пл. 100° (из эф.-петр. эф.); фталат, т. пл. 174° (из лигр.); фенилуретан, т. пл. 145—146° (из водн. сп.). Окисление VI  $\text{KMnO}_4$  приводит к *d*, *l*-I. При перегонке VI в вакууме образуется *d*, *l*-пинокамфоляновая к-та,

т. кип. 149—151°/18 мм,  $n_D^{20} 1,4693$ ,  $d_4^{20} 0,989$ . Восстановлением *d*, *l*-I Na в спирте образуется некристаллизующаяся *d*, *l*-*транс*-VI. При гидрировании *d*, *l*-I со скелетным Ni при 170° и 200 ат выделяют 12% камфоляновой к-ты, т. кип. 130—132°/7 мм,  $n_D^{20} 1,4557$ ,  $d_4^{20} 0,970$ . Получены следующие эфиры *d*, *l*-IV (указаны т. кип. в °C/мм,  $n_D^{20}$ ,  $d_4^{20}$ ): метиловый, 126/2, 1,4570, 1,004, фенилуретан, т. пл. 71—72° (из водн. сп.); этиловый, 132—3,8, 1,4564; 0,988; *n*-пропиловый, 135—136/7, 1,4571, 0,977; изопропиловый, 144/4, 1,4530, 0,973; *n*-бутиловый, 135—137,7, 1,4568, 0,976; *тер*-бутиловый, 134/5, 1,4542, 0,967; изобутиловый, 150/5, 1,4547, 0,975. Конденсацией *р*-ра 1 моля *d*, *l*-I с 0,1 моля II в 150 мл спирта в присутствии *р*-ра 0,3 моля KOH в 20 мл воды (нагревание 48 час. на водяной бане) получают 4-(2',2'-диметилкарбок-3'-метилциклобутил)-пихониновую к-ту (XIII), выход 89%, т. пл. 237° (из 80%-ного сп.), декабосилируется при нагревании в вакууме до *т*-ры плавления, образуя хинолин. Конденсацией 1,8 г *d*, *l*-I с 5-метил-II получают 2-(2',2'-диметил-3'-карбоксиметилциклобутил)-6-метилпихониновую к-ту (XIV), выход 1,9 г, т. пл. 275°. При конденсации *d*, *l*-I с 7-метил-II образуется 2-(2',2'-диметил-3'-карбоксиметилциклобутил)-8-метилпихониновая к-та (XV), выход 76%, т. пл.



VIII R =  $(\text{CH}_3)_2\text{C}(\text{OH})$ , R' =  $\text{CH}_3$ ; IX R =  $\text{CH}_2\text{CO}$ , R' =  $\text{CH}_3$ ; X R =  $(\text{CH}_3)_2\text{C}(\text{OH})$ , R' =  $\text{C}_2\text{H}_5$ ; XI R =  $\text{CH}_2\text{CO}$ , R' =  $\text{C}_2\text{H}_5$ ; XII R =  $\text{CH}_2\text{CO}$ , R' = *изо*- $\text{C}_3\text{H}_7$ ; XIII R = R', XIV R =  $\text{CH}_3$ , R' = H; XV R = H, R' =  $\text{CH}_3$ ; XVI R = R' = Br

278° (из сп.). Конденсация *d*, *l*-I (0,9 г) с 5,7-дигидро-II приводит к 2-(2',2'-диметил-3'-карбоксиметилциклобутил)-6,8-дигидропихониновой к-те (XVI), выход 1 г, т. пл. 249° (из сп.). При нагревании смеси 18,4 г I, 18,4 г 50%-ной  $\text{H}_2\text{SO}_4$  (30 мин. на водяной бане) получают III, выход ~95%. Оптически активный III, т. пл. 47—48°,  $[\alpha]_D^{20} \pm 59,2^\circ$  (в сп.); *d*, *l*-III, т. пл. 63° (из эф., бал. или ацетона), т. кип. 188°/13 мм,  $d_4^{20} 1,16$ ; оксим, т. пл. 81—82° (из сп.); СК, т. пл. 219—220° (из  $\text{CH}_3\text{OH}$ ); ДФ, т. пл. 167° (из  $\text{CH}_3\text{OH}$ ). Омылением III получают оксикислоту, т. пл. 62°, которая быстро лактонизируется. Изучена кинетика омыления III 0,1 н. KOH: при 0° за 90 мин. омыление проходит на 49,5%, при 21° за 90 мин. на 70,9%, при 40° за 95 мин. на 83,6%. При гидрировании *d*, *l*-III в спирте в присутствии скелетного Ni и небольшого кол-ва 0,1 н. NaOH при 95° образуется *d*, *l*-метостилгептаноид, т. пл. 326—327°; моногидрат, т. пл. 79—80°. При конден. 9,2 г *d*, *l*-III с 7,4 г II в 75 мл спирта в присутствии *р*-ра 8,5 г KOH в 10 мл воды (кипение 24 часа), получают 2-(3',3'-диметил-3',5'-пентаноид)-пихониновую к-ту выход 81%, т. пл. 244° (из сп.). Приведены данные о спектрах к мб. рас. *d*, *l*-*цис*-I, *d*-*цис*-I, *d*, *l*-III, *d*, *l*-IV, этилового эфира *d*, *l*-I, *n*-пропилового эфира *d*, *l*-I, изопропилового эфира *d*, *l*-I, *n*-бутилового эфира *d*, *l*-I, *тер*-бутилового эфира *d*, *l*-I, изобутилового эфира *d*, *l*-I, метило-IV, этил-IV и кривые УФ-спектров *d*, *l*-I (*цис*- и *транс*-) и III.

Е. Смольянинова

1028. Синтетические исследования в ряду камфоры. Часть IV. Изучение внутримолекулярной циклизации этилового эфира 2-метилгексан-2,3,6-трикарбоновой кислоты. Талугдар, Багчи (Synthetic investigations in the camphor series. Part IV. Study of intramolecular cyclization of triethyl 2-methylhexan-2,3,6-tricarboxylate. Talukdar P. B., Bag-

chi P.), J. Organ. Chem., 1955, 20, № 1, 25—32 (англ.)

При циклизации по Дикману этилового эфира 2-метилгексантикарбоновой-2,3,6 к-ты (I) образуется этиловый эфир 2-метил-2-(2'-кетодиклопентил)-пропионовой к-ты (II). Строение II доказано идентичностью, полученной из него при восстановлении и гидролизе 2-метил-2-циклопентилпропионовой к-ты (III) с III, синтезированной по ранее описанному методу (Hintikka, Chem. Zentr., 1919, 1, 840), а не с 2,2-диметилциклогексан-1-карбоновой к-той (IV), синтезированной следующим путем: этиловый эфир 2,2-диметил-3-цианопропандикарбоновой-1,3 к-ты (V) подвергнут цианэтированию, полученный динитрил (VI) омылением, декарбоксилированием и этерификацией превращен в этиловый эфир 2,2-диметилгексантикарбоновой-1,3,5 к-ты (VII), последний циклизацией по Дикману и омылением переведен в кетокислоу (VIII), восстановлением которой получена IV. Конденсация этилового эфира  $\alpha$ -бромизомасляной к-ты (IX) с этиловым эфиром циклопентанон-1-карбоновой-2 к-ты (X) приводит не к ожидаемому этиловому эфиру 2,2-диметил-2-(2'-кетодиклопентил)-уксусной к-ты (XI), а к этиловому эфиру 2-метил-3-(2'-кетодиклопентил-1'-карбоксил)-пропионовой к-ты (XII), идентичному с XII, синтезированным присоединением X к метилметакрилату (XIII) по Михаэлю. Образование XII происходит, по-видимому, в результате отщепления HBr от IX с последующим присоединением образовавшегося XIII к X и декарбоксилированием. По-видимому, XI не образуется, вследствие пространственных затруднений. К Na-производному X, полученному из 15,6 г X и 4 г K в 150 мл кислоты, прибавляют 21,5 г IX, кипятят 22 часа; после обработки получают XII, выход 4,5 г, т. кип. 140—146°/2—3 мм,  $n_D^{20}$  1,4552; семикарбазон, т. пл. 146—147°. Гидролизом XII (2 г) со смесью 20 мл  $\text{CH}_3\text{COOH}$ , 15 мл  $\text{HCl}$  и 5 мл воды (160—170°, 6 час.) и последующей этерификацией (кипчение 11 час. с 5 мл спирта и 0,5 мл  $\text{H}_2\text{SO}_4$ ) получают этудный эфир 2-метил-3-(2'-кетодиклопентил)-пропионовой к-ты (XIV), выход 0,6 г, т. кип. 93—95°/1 мм,  $n_D^{20}$  1,4428; семикарбазон XIV, т. пл. 168—169° (из спирта). Смесь Na-производного X (из 15,6 г X и 0,27 г Na) и 12,5 г XIII в 10 мл спирта и 5 мл эфира оставляют на 12 час., кипятят 2 часа и выделяют XII, выход 18 г. Этиловый эфир 2-метил-2,3,6-трициангексантикарбоновой-3 к-ты (XV) получают из Na-производного этилового эфира 2-метил-2,3-дицианпропандикарбоновой-3 к-ты (из 49 г эфира и 6,3 г Na) и 40 г 1-бром-3-цианпропана, выход 74,07%, т. кип. 205—207°/3 мм,  $n_D^{20}$  1,4638. 48 г XV гидролизуют кипячением с конц.  $\text{HCl}$  (700 мл), полученную к-ту этерифицируют смесью 150 мл спирта и 18 мл  $\text{H}_2\text{SO}_4$  (кипчение 25 час.) и получают I, выход 46,7%, т. кип. 144—146°/2 мм,  $n_D^{20}$  1,4390; гидролизуется  $\text{HCl}$  до к-ты, т. пл. 132,5° (из воды, подкисленной  $\text{HCl}$ ). Циклизацию I (15,5 г) по Дикману проводят под действием тонко измельченного Na (1,7 г) в 75 мл  $\text{C}_6\text{H}_6$  в атмосфере  $\text{N}_2$  (20°, 3,5 часа), продукт р-ции омыляют (96 мл  $\text{HCl}$ , 128 мл  $\text{CH}_3\text{COOH}$  и 32 мл воды, 160—170°, 4 часа), вновь этерифицируют (25 мл спирта, 2 мл  $\text{H}_2\text{SO}_4$ , кипчение 16 час.) и получают II, выход 51,5%, т. кип. 104—106°/3—4 мм,  $n_D^{20}$  1,4488. II превращают в III при нагревании 1,5 г II в 17,5 мл этиленгликоля с 2,25 г  $\text{K}_2\text{CO}_3$  и 3 мл 50%-ного гидразингидрата (190°, 2 часа) в токе  $\text{N}_2$ , выход III 40,4%, т. кип. 120—125°/3—4 мм,  $n_D^{20}$  1,4611; S-бензилтиоурониевая соль, т. пл. 155°. VI синтезируют цианэтированием V в диоксане в присутствии тритона Б (20°, 72 часа), выход 71,6%, т. кип. 198—200°/2 мм,  $n_D^{20}$  1,4606. 27,05 г VI омыляют 65%-ной  $\text{H}_2\text{SO}_4$  (100 мл) (кипятят 1 час, нагревают 15 час. на водяной бане, затем кипятят 2 часа), полу-

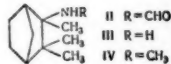
ченную к-ту этерифицируют (100 мл спирта, 10 мл конц.  $\text{H}_2\text{SO}_4$ , кипчение 30 час.) и выделяют VII, выход 11 г, т. кип. 178—180°/5 мм,  $n_D^{20}$  1,4455, и 9,2 г с т. кип. 198—203°/5 мм,  $n_D^{20}$  1,4530, который при омылении 48%-ной HBr (кипчение 46 час.) дает 2,2-диметилгексантикарбоновую-1,3,5 к-ту, выход 8,5 г, т. пл. 137,5°. Циклизацию VII по Дикману проводят в атмосфере  $\text{N}_2$  действием Na в  $\text{C}_6\text{H}_6$ , полученный эфир омыляют смесью 72 мл  $\text{CH}_3\text{COOH}$ , 54 мл  $\text{HCl}$  и 18 мл воды (кипчение 14 час.), полученную VIII выделяют перегонкой при т-ре бани 160—170°/0,4 мм, выход 70%, застывает в воскообразную массу; семикарбазон, т. пл. 214—215°. Восстановлением по Кижнеру VIII (2,4 г) превращают в IV, в выход 84,1%, т. кип. 103—105°/3—4 мм,  $n_D^{20}$  1,4621; S-бензилтиоурониевая соль, т. пл. 158,5°. Часть III см. РЖХим, 1956, 75036.

С. Поддубная

#### 1029. Реакция камфена с сильной кислотой.

Штейн, Слетцингер, Арнольд, Рейнхольд, Гейнс, Пфистер (The reaction of camphene with hydrogen cyanide. Stein G. A., Slettinger M., Arnold H., Reinhold D., Gaines W., Pfister K., III., J. Amer. Chem. Soc., 1956, 78, № 7, 1514—1515 (англ.))

При обработке dl-камфена (I) избытком HCN в кислых условиях при  $\leq 5^\circ$  вместо ожидаемого N-формилэпоксиламмина образуется 3-формамидизокамфен (II), т. пл. 173—176°. При щел. гидролизе маточных р-ров выделены лишь следы эпоксиламмина. Омыление I приводит к 3-аминоизокамфану (III), т. пл. 175—176°. При окислении посредством  $\text{KMnO}_4$  III с небольшим выходом дает нитросоединение  $\text{C}_{10}\text{H}_{17}\text{O}_2$ , т. пл. 198°. III получают также при р-ции хлоридата I с  $\text{AgNO}_3$  и последующем восстановлении продукта р-ции Na в спирте. Восстановление II  $\text{LiAlH}_4$  приводит к 3-метиламиноизокамфану (IV), т. кип. 72°/4 мм,  $n_D^{20}$  1,4881; хлоридат, т. пл. 236—246° (разл.), идентичному с продуктом, полученным с низким выходом конденсацией хлоридата I с  $\text{CH}_3\text{NH}_2$ . II и в особенности IV оказывают блокирующее действие на ганглии. IV отличается особо длительным действием. Для IV предложено название мекамилана.



Л. Бергельсон

#### 1030. Дополнительное изучение транс- $\pi$ -формилкамфоры. IV. Реакция Канниццаро и отщепление муравьиной кислоты от формилкамфоры целочаши. Ноэда (Trans-Oxo-camphor の研究補遺. 第4報 Oxocamphor の Cannizzaro 反応と炭酸分解. 吉田正久). 薬學雑誌, Якугаку дзасси. J. Pharm. Soc. Japan, 1955, 75, № 9, 1143—1148 (япон.; рез. англ.)

Показано, что в зависимости от природы и пространственной затрудненности углерода, связанного с альдегидной группой, при действии щелочи альдегиды наряду с р-цией Канниццаро, кротоновой или альдольной конденсацией способны к отщеплению альдегидной группы в виде  $\text{HCOOH}$  (I). Отщепление альдегидной группы в виде I наблюдалось при нагревании (6 час.) с 20%-ным NaOH на водяной бане следующих альдегидов: 2-амилкоричного альдегида (в этом случае был выделен также углеводород  $\text{C}_{13}\text{H}_{18}$ , т. кип. 90—110°/6 мм, 148°/13 мм), 2-амилнон-2-али-1, кротонового альдегида, коричного альдегида, бензальдегида и анисового альдегида (с 40%-ным NaOH). Испытано действие щелочи также на транс- $\pi$ -формилкамфору (II) и 10-формилкамфору (III). При нагревании (6 час., водяная баня) 10 г II с 100 мл 30%-ного NaOH в продуктах р-ции обнаружена I и выделен  $\alpha$ -сантеон в виде семикарбазида, т. пл. 235°. В тех же условиях III наряду с отщеплением альдегидной группы в виде I претерпевает в небольшой степени р-цию Кан-

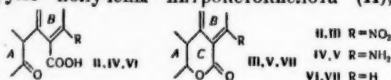




Из канифоли (при 340°, 3 часа) получена «пирокислота», которую сульфуруют; после кислотного гидролиза сульфогидроабетиновой к-ты получают I, т. пл. 172–173,5° (из сп.),  $[\alpha]_D + 63,77^\circ$ . Аутоокисление I проведено в среде нафталина при 85 и 95° в присутствии ацетата Co (II) (1% от веса I). Для исследования кинетики аутоокисления служила ранее описанная установка (РЖХим, 1955, 51500). Кол-во поглощенного  $O_2$  (и скорость аутоокисления) определено по привесу трубок с аскаритом, через которые пропускался газ из реакционного сосуда, вытесняемый током  $O_2$ . Аутоокисление I при начальной скорости 0,7 мл  $O_2$  мин/г практически прекращалось после поглощения 0,21 моля  $O_2$ /моль I. После вытеснения газа из реакционного сосуда током  $O_2$  скорость аутоокисления увеличилась до 0,56 мл  $O_2$  мин/г; после поглощения еще 90 мл газа скорость аутоокисления резко снизилась. Анализ выделенного при р-ции газа показал наличие в нем 35–45%  $CO_2$ . Соотношение  $CO_2 : O_2$  зависит от кол-ва II и мало изменяется в течение одного опыта. В атмосфере  $N_2$  декарбоксилирование I не происходит. Авторы считают, что при аутоокислении I и декарбоксилировании I протекают 4 процесса: 1) образование гидроперекисного радикала из радикала I по  $C_{(9)}$ ; 2) образование радикала I по карбоксильной группе (III); 3) декарбоксилирование III; 4) отщепление H-атома от  $C_{(9)}$  новой молекулы I в результате взаимодействия с III.

**1035.** Окисление метилового эфира 8-нитродегидроабетиновой кислоты. Зейсс, Цуцуй (Oxidation of methyl 8-nitrodehydroabietate. Zeiss Harold H., Tsutsui Minoru J. Amer. Chem. Soc., 1955, 77, № 24, 6707 (англ.))

Окислением 6,8 г метилового эфира 8-нитродегидроабетиновой к-ты (I) описанным ранее способом (РЖХим, 1956, 35965, с последующим декарбоксилированием кислой фракции (т. пл. 140–150°) при 150–160° в вакууме получены нитрокетокислота (II), выход

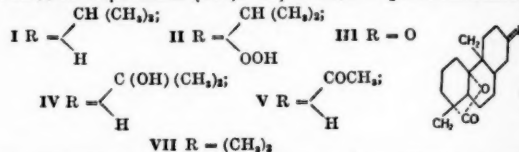


1,8 г, т. пл. 231–232° (из сп.),  $[\alpha]_D + 296^\circ$  (с 0,7), и лактон нитроенола (III), выход 0,2 г, т. пл. 208–209° (из сп.),  $[\alpha]_D + 409^\circ$  (с 0,23). Восстановлением  $Sn + HCl$  (к-та) II и III переводит соответственно в аминокетокислоту (IV) и лактон аминокетокислоты (V), выход 110 мг (из 300 мг III), т. пл. 86–87° (из сп.),  $[\alpha]_D + 133,5^\circ$  (с 0,48). Диазотированием превращают IV или V в смесь кетокислоты (VI) и лактона енола (VII). Аналогичным окислением метилового эфира дегидроабетиновой к-ты (3,14 г) с последующим декарбоксилированием кислой фракции (выход 220 мг, т. пл. 120°) при 160° также получают смесь VI (выход 99 мг) и VII, наряду с 1,12-диметил-1-карбометокси-7-ацетил-1,2,3,4,9,10,11,12-октагидрофенантроном-9, выход 17–20%, т. пл. 143–144° (из сп.). К смеси I и II, 20 мл  $CH_3COOH$  и 1 г  $Sn$  прибавляют за 20 час. 5 мл конц.  $HCl$ ; после обработки получают IV, т. пл. 185–186° (из водн. сп.),  $[\alpha]_D + 125^\circ$  (с 1,33). К смеси 340 мг IV и 0,5 мл конц.  $HCl$  прибавляют при 0–5° 0,08 г  $NaNO_2$  и через 20 мин. 30%-ную  $H_3PO_4$ , выдерживают 20 час. при 0°, 30 мин. при 100°, обрабатывают и получают VII, выход 30 мг,  $[\alpha]_D + 163,5^\circ$  (с 2,5), и VI, выход 240 мг, т. пл. 153–154° (из сп.),  $[\alpha]_D + 163^\circ$  (с 0,57). Аналогично из V (140 мг) получают VII (23 мг) и VI (91 мг), т. пл. 154–156° (из сп.). Смесь 0,1 г II и 10 мл  $(CH_3CO)_2O$  нагревают 24 часа при 160°, добавляют 50 мл воды, нагревают 20 мин. при 100° и получают III, выход 80 мг, т. пл. 206–208° (из сп.).

С. Кустова

**1036.** Аутоокисление и окисление хромовым ангидридом лактона «окситетрагидроабетиновой кислоты». Минн, Сандерсон, Сабласки (The autoxidation and chromic anhydride oxidation of the lactone of dehydroxytetrahydroabietic acid). Minn James, Sanderson Thomas F., Subluskey Lee A., J. Amer. Chem. Soc., 1956, 78, № 3, 630–633 (англ.)

При перемешивании расплавленного лактона 4аа-оксипропил-13, 4вβ-диметил-7ξ-изопропил-8аα, 10β-пергидрофенантрен-1-кабонной к-ты (I) (образующегося при обработке частично гидролизованной канифоли минер. к-тами) в атмосфере  $O_2$  с УФ-облучением образуются гидроперекись (II) (не выделена), лактон 4аа-оксипропил-13, 4вβ-диметил-8аα, 10аβ-пергидрофенантрен-кабонной-1 к-ты (III) и 4аа-лакстон 4аα, 14-диоксипропил-13, 4вβ-диметил-8аα, 10аβ-пергидрофенантрен-кабонной-1 к-ты (IV). III образуется также при восстановлении II  $FeSO_4$ . Окисление I  $O_2$  в присутствии Co-катализатора или  $CrO_3$  в  $CH_3COOH$  приводит к смеси III, IV и лактона 4аα-оксипропил-13, 4вβ-диметил-8аα, 10аβ-пергидрофенантрен-кабонной-1 к-ты (V). IV синтезирован также действием  $CH_3MgI$  на V. При р-ции III с  $CH_3MgI$  и последующем дегидрировании с  $Pd/C$  образуется пимантрон (VI). При дегидратации IV с  $KHSO_4$  и последующем озонировании выделен ацетон, откуда следует, что продукт дегидратации обладает строением (VII). Через 30,4 г расплавленного



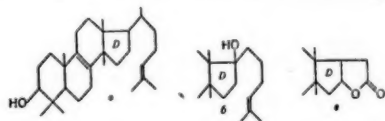
I пропускают при 133–134° ток  $O_2$ , освещая смесь первые 2,5 часа УФ-светом. Через 11 час. содержание гидроперекисей составляет 10,5% (определено йодометрически). 60,8 г расплавленного I перемешивают (139°, 10 час. в присутствии 60 капель р-ра нафената Co (6% Co) в атмосфере  $O_2$ . В летучей фракции (улавливаемой охлаждением сухим льдом) обнаруживают ацетон (в виде 2,4-динитрофенилгидразона). Продукт р-ции (50 г) хроматографируют (в  $C_6H_6$ ) на  $Al_2O_3$ , промывают этилацетатом. С помощью  $C_6H_6$  вымывают 35,2 г неизмененного I. Дальнейшим вымыванием  $C_6H_6$  выделяют III, выход 12%, т. пл. 146,5–148° (из эф. и этилацетата),  $[\alpha]_D^{25} - 3,6^\circ$ . Смесью  $C_6H_6-CH_2Cl_2$  (1:1) вымывают IV, выход 27%, т. пл. 180,5–181,5° (из ацетона),  $[\alpha]_D^{25} - 7,5^\circ$ . При дальнейшем вымывании  $CH_2Cl_2$  и смесью эфира с  $CH_3OH$  выделяют сложные смеси неидентифицированных в-в (0,68 г и 0,91 г соответственно). При обработке смеси продуктов каталитич. окислении I реактивом Жигара получают III и IV с выходом 14% и 22% соответственно. При противоточном распределении продуктов аутоокисления I (29,2 г) выделяют 1,8 г масла (фракция А) (содержащего 48,3% гидроперекисей), 1,65 г III и 1,51 г IV. Р-р 1,35 г фракции А в 50 мл  $CH_3OH$  добавляют к р-ру 2,78 г  $FeSO_4 \cdot 7H_2O$  в 50 мл водн.  $CH_3OH$  (1:1). Смесь перемешивают 2 часа при 50–60° и выливают в воду. Продукт р-ции обрабатывают хлоридом 2,4-динитрофенилгидразина и хроматографируют на силикагеле (вымывают  $CH_2Cl_2$ ), выделяют 2,4-динитрофенилгидразон II, выход 300 мг, т. пл. 229–231°. К р-ру 30,4 г I в 500 мл  $CH_3COOH$  и 450 мл  $(CH_3CO)_2O$  добавляют (7 час.) 33,3 г  $CrO_3$ . Продукт р-ции обрабатывают реактивом Жигара и кетонную фракцию хроматографируют на  $Al_2O_3$ .  $C_6H_6$  вымывают V, выход 12%, т. пл. 138–139° (из ацетона); 2,4-динитрофенилгидразон V, т. пл. 231–235°, а вымыванием  $CH_2Cl_2$  выделяют III, выход 6,5%. Щел.

гидролиз некетонной фракции приводит к IV, выход 29%. I и III и избыток  $\text{CH}_3\text{MgI}$  перемешивают при 20° и продукт р-ции дегидрируют с 5%-ным Pd/C (300—325°, 8 час.). После экстракции эфиром и хроматографии ванили на силикагеле (вымывают гексаном) получают VI, выход 273 мг, т. пл. 84—85°; тринитробензолат, т. пл. 160—160,5°; пикрат, т. пл. 130—131°. 500 мг V перемешивают (20°, 18 час.) с р-ром, приготовленным из 160 мг Mg, 940 мг  $\text{CH}_3\text{I}$  и 25 мл эфира. После обработки получают IV, выход 90 мг.

Л. Бергельсон

**1037. Химия даммаровой смолы.** Милс, Уэрнер (The chemistry of dammar resin. Mills J. S., Werner A. E. A.), J. Chem. Soc., 1955, Sept., 3132—3140 (англ.)

Хроматографически исследован состав даммаровой смолы (I), которая предварительно обрабатывалась горячим  $\text{CH}_3\text{OH}$ ; нерастворимая часть, так называемая  $\beta$ -смола, отделялась и исследовалась отдельно. Показано, что  $\beta$ -смола состоит из низкомолекулярных полимеров с мол. весом от 1830 до 4040. Растворимая в спирте I состоит из смеси нейтр. и кислых тритерпенов. Выделен даммадиенилацетат  $\text{C}_{32}\text{H}_{52}\text{O}_2$  (II) (151—



153° (из сп.); + 60° (с 0,68; 0,19) (в скобках здесь и ниже указаны константы в-в: т-ра плавлений,  $[\alpha]_D$  и  $R_F$ ).

II перекристаллизован из спирта и гидролиз его спирт. щелочью дает даммадиенол  $\text{C}_{30}\text{H}_{50}\text{O}$  (III) (136—138° (из  $\text{CH}_3\text{OH}$ ); + 47° (с 0,6; 0,35). Показано присутствие в III двух двойных связей, что позволяет считать III тетрациклич. соединением. С малым выходом получен даммадиенон  $\text{C}_{30}\text{H}_{48}\text{O}$  (IV) (72—75° (из  $\text{CH}_3\text{OH}$ ); + 81° (с 0,78; 0,25). IV дает положительную р-цию Диммермана; в тритерпенах эта р-ция специфична для соединений, содержащих 3-кетогруппу. ИК-спектр IV содержит полосу, характерную для шестичленного циклич. кетона, а ИК-спектры в III и IV-полосы, указывающие на присутствие винилиденной группы. Изомерные кетоны — оксидаммаренон  $\text{C}_{30}\text{H}_{50}\text{O}_2$  (V) (145—147° (из  $\text{CH}_3\text{OH}$ ); + 60° (с 1,34; 0,62) и оксидаммаренон (VI) (134—136° (из  $\text{CH}_3\text{OH}$ ); + 66; (с 1,18; 0,62) — разделены хроматографически и кристаллизацией из водн.  $\text{CH}_3\text{OH}$ . Восстановлением V и VI получены изомерные даммарендиолы  $\text{C}_{30}\text{H}_{52}\text{O}_2$  (142—144° (из  $\text{CH}_3\text{NO}_2$ ); + 27 (с 1,23; 0,82) и (131—133° (из  $\text{CH}_3\text{NO}_2$ ); + 33 (с 1,19; 0,82), которые получены также и из I. Оба диола содержат 3- $\beta$ -оксигруппу. V, VI и даммарендиолы — соединения тетрациклич. V и VI содержат 3-кетогруппу и ОН-группу. Третичный характер ОН-группы и тетрациклическость доказаны окислением  $\text{CrO}_3$ ; в обоих случаях получен ацетон. Окислением V получают кристаллич. соединение  $\text{C}_{27}\text{H}_{46}\text{O}_3$  (218—220° (из  $\text{CH}_3\text{OH}$ ); + 53° (с 1,11; —), которое не дает окрашивания с тетранитрометаном, а окислением VI — насыщ. соединение (183—185° (из  $\text{CH}_3\text{OH}$ ); + 69° (с 1,06; —). Оба эти соединения имеют одинаковый ф-лу и близкие ИК-спектры, подтверждающие наличие шестичленного циклич. кетона и насыщ.  $\gamma$ -лактонной группировки. Кетоны V и VI содержат изопропилиденную группу. В образовании лактона принимает участие ОН-группа. Если боковая цепь сходна с боковой цепью ланостерина (а), то кетол может содержать группировку (б), а оба лактона группу (в). Авторы предполагают, что лактоны содержат циклопропановый цикл. Третий кетол — оксидо-

панон  $\text{C}_{30}\text{H}_{50}\text{O}_2$  (252—256° (из сп.); + 64° (с 1,68; 0,66) выделен наряду с V и VI; он изомерен с V и VI, содержит 3-кетогруппу и третичную ОН-группу и имеет пентациклич. строение; 2,4-динитрофенилгидразон, т. пл. 241—243° (из сп.-бэл.); оксим, т. пл. 295—298° (из сп.- $\text{CHCl}_3$ ). Выделена урсеновая к-та (VII)  $\text{C}_{30}\text{H}_{48}\text{O}_3$  (270—275° (с разл.); + 80° (с 0,9; 0,74); р-цией VII с диазометаном получен метиловый эфир VII  $\text{C}_{31}\text{H}_{48}\text{O}_3$  (192—194° (из сп.); + 84° (с 1,23; 0,46), идентифицированный восстановлением и ацетилированием в метиловый эфир ацетата урсеновой к-ты  $\text{C}_{33}\text{H}_{52}\text{O}_4$  (245—247° (из  $\text{CH}_3\text{OH}$ ); + 55° (с 1,22; 0,33); К-та  $\text{C}_{30}\text{H}_{48-50}\text{O}_{60}$  (315 (с разл.); + 49° (с 1,58; 0,96) выделена из фракции к-т, нерастворимых в эфире; она идентична даммароловой к-те, т. пл. 325° (Mladenović, Barković, Monatsh. Chem., 1940, 73, 206, 214). Получен ее метиловый эфир, который при р-ции с тетранитрометаном дает желтую окраску. Главная часть кислой фракции состоит из метилового эфира даммареноловой к-ты  $\text{C}_{31}\text{H}_{52}\text{O}_3$  (VIII) (89—92° (из  $\text{CH}_3\text{OH}$ ); + 41° (с 1,45; 0,54). Гидролизом VIII спирт. щелочью получена даммареноловая к-та  $\text{C}_{30}\text{H}_{50}\text{O}_3$  (IX) (138—142° (из водн.  $\text{CH}_3\text{OH}$ ); + 43° (с 0,98; 0,86). Доказано присутствие в IX ОН-группы и двух двойных связей, одна из которых винилиденная. Авторы предполагают для IX трициклич. строение. Окисление эфира приводит к образованию ацетона и тринор- $\gamma$ -лактона, содержащего, как и V, боковую группу (а). При восстановлении VIII получен диол и его моноацетат. Подробно описаны способы выделения и исследования фракций хроматографирования, число которых достигает 56. Описаны также цветные р-ции при хроматографии на бумаге, выделены продукты окисления и восстановлении отдельных компонентов. ИК-спектры определены в  $\text{CS}_2$ ,  $[\alpha]_D$  определено в  $\text{CHCl}_3$ .

С. Каминская

**1038. Строение нейтральных тетрациклических тритерпенов из даммаровой смолы.** Коера, Уриссон, Такахаши (The constitution of the neutral tetracyclic triterpenes of Dammar resin. Cosserat L., Ourisson G., Takahashi T.), Chemistry and Industry, 1956, № 12, 190—191 (англ.)

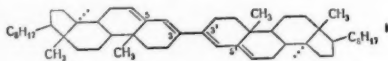
Содержащихся в смолах *Dipterocarpus. Dyeri*, *D. alatus*, *D. intricatus* и *D. arto caripifolius* в кол-вах 10—40% тритерпен (I) обладает свойствами, аналогичными свойствам диптерокарпола Ван-Итали; т. пл. 127°, после застывания т. пл. 135—136°,  $[\alpha]_D$  + 65°. На основании изучения при помощи стандартных физ. и хим. методов установлено, что I является тетрациклич. соединением, содержащим группировку  $\text{CO} - \text{CH}_2 -$ , одну двойную связь, возможно тризамещ. и являющуюся частью боковой цепи, одну третичную ОН-группу, находящуюся в  $\alpha$ -положении к метильной группе и, возможно, отделенную от двойной связи двумя насыщ. связями. I дает семикарбазон, т. пл. 206—207°, и 2,4-динитрофенилгидразон в виде геля, т. пл. ~ 162°. I не дает депрессии при смешении с оксидаммареноном (см. пред. реф.).

М. Бурмистрова

**1039. Структура холестерилена.** Шопен (Structure of the  $\alpha$ -cholesterylène. Chopin Jean), Bull. Soc. chim. France, 1956, № 2, 258—268 (франц.)

Исследована структура в-в «312» (I) и «280» (II), образующихся при действии конц.  $\text{H}_2\text{SO}_4$  на р-р холестерина в  $\text{CHCl}_3$ . I оказался идентичным продукту дегидратации пинакона из  $\Delta^4$ -холестерона. Принимаемая авторами I структура бихолестатетраен-3, 5, 3', 5'-ила-3, 3' соответствует данным УФ-спектра и подтверждается образованием при взаимодействии I с N-бромсукцинимидом (III) бихолестатетраен-3, 5, 7, 3', 5', 7'-ила-3, 3' (IV), максимум УФ-спектр которого соответствует вычисленному (Woodward, J. Amer.

Chem. Soc., 1942, 64, 72). Дегидрогенизация II приводит к образованию  $\gamma$ -метилциклопентенфенантрена. При гидрировании как I, так и II образуется один и тот же продукт — смесь двух предельных углеводородов состава  $C_{54}H_{94}$ , один из которых, по аналогии с гидрированием 3,5-диенов ряда моностероидов, должен представлять собой 3, 3', 3'-бихолестанил (V). При окислении II надбензойной  $\kappa$ -той получены дикарбоновая  $\kappa$ -та  $C_{52}H_{82}O_4$  (VI) в смеси с бензойной  $\kappa$ -той, а также трехокись  $C_{54}H_{88}O_3$  (VII), на основании чего



сделан вывод о наличии в молекуле II трех двойных связей, положение которых не установлено. При взаимодействии II с III получены IV, бихолестантен-3,5,7,3',5'-пл-3,3' (VIII), углеводород  $C_{54}H_{88}$  (IX) и изомерный II углеводород  $C_{54}H_{88}$  (Ha), по-видимому, имеющий гетеропланарную диеновую систему. Установлена идентичность II с  $\alpha$ -холестериленом. Спектральные данные подтверждают наличие в II трех конъюгированных связей. Продукт бромирования II, а также моноаддукт (X) и диаддукт (XI) II и маленового ангидрида идентичны в-вам, полученным ранее (Owades, Sobel, J. Amer. Chem. Soc., 1951, 73, 4223). При термическом разложении X в вакууме образуется II; при аналогичной обработке XI получена смола, поэтому считают, что только X является продуктом нормальной диеновой конденсации. При озонировании II получена известная 2,3-секохолестан-2,3-диовая  $\kappa$ -та (XII), полученная также при окислении холестанола. В соответствии с хим. спектральными данными авторы отвергают предположенные ранее ф-лы и принимают для II строение бихолестантен-2', 3,5-пла-3,3'. К  $\rho$ -ру 0,48 ммоль I в 50 мл горячего  $C_6H_6$  добавляют 1,1 ммоль III, нагревают, приливают 0,5 мл пиридина, кипятят несколько минут и выливают в воду. После обычной обработки получают IV, выход 90 мг, т. пл. 235—236° (в запаянном капилляре; из бал.-сп.),  $[\alpha]^{20}_D + 204^\circ$  (с 0,11 хлф.). 270 мг I растворяют в 150 мл горячего циклогексана и гидрируют при 50—60° с 300 мг  $PtO_2$ . Обычным путем выделяют углеводород с т. пл. 418—420°,  $[\alpha]^{20}_D 0^\circ$  (с 0,05, хлф.) и с т. пл. 400—410°,  $[\alpha]^{19}_D + 38^\circ$  (с 0,12; хлф.). Те же в-ва получают при гидрировании II. К суспензии 3,89 г II в 150 мл  $CHCl_3$  приливают 50 мл 0,95 н. р-ра надбензойной  $\kappa$ -ты в  $CHCl_3$ ; через 24 часа при —8°, 67 час. при +5° и 96 час. при +20° йодометрическое титрование показывает поглощение 4,02 атома O на 1 моль II. Остаток после удаления  $CHCl_3$  растворяют в ацетоне, высаживают  $C_6H_6$ , полученное аморфное в-во хроматографируют на  $Al_2O_3$  и получают VII, выход 120 мг, т. пл. 336—339° (из бал.-эф.),  $[\alpha]^{23}_D + 32^\circ$  (с 0,38; хлф.), не изменяется при ацетилировании в пиридине и бензоле при 70—75°, при обработке  $Br_2$  в  $CCl_4$  на холоду и при озонировании в  $CCl_4$ ; ИК-спектр не показывает двойной связи. Суспензию 5 г II в 150 мл  $C_6H_6$  обрабатывают 50 мл 1,08 н. р-ра надбензойной  $\kappa$ -ты в  $CHCl_3$ . Через 72 часа при +5° констатируется 3,75 атомов O на 1 моль II. Кислые продукты извлекают 4%-ным NaOH, водн. слой подкисляют, осадок экстрагируют  $CHCl_3$ , остаток после удаления  $CHCl_3$  обрабатывают кипящей водой и получают VI, выход 150 мг, т. пл. 201—202° (из бал.-нетр. эф.),  $[\alpha]^{20}_D + 40^\circ$  (с 0,25; хлф.). К  $\rho$ -ру 1,36 ммоль II в 100 мл  $CCl_4$  добавляют 2,92 ммоль III и кипятят 10 мин. К смеси прибавляют  $CaCO_3$ , диметиланилин, кипятят 15 мин., фильтруют горячим, промывают, сушат и упаривают в вакууме, получают VIII, выход 20 мг, т. пл. 206—210° (в блоке) и 290—292° (в запаянном капилляре),  $[\alpha]^{20}$

$D + 83^\circ$  (с 0,09 хлф.). К  $\rho$ -ру 2,72 ммоль II в 250 мл кипящего  $C_6H_6$  добавляют 5,6 ммоль III, кипятят, приливают 5 мл пиридина, кипятят 10 мин.; после обработки получают продукт, кипятят его 6 час. с пиридином в  $C_6H_6$  и получают IX, т. пл. 195—196° (в блоке, после 6 перекристаллизаций из бал.) и 260—264° (в запаянном капилляре),  $[\alpha]^{20}_D + 20^\circ$  (с 0,2; хлф.). Из маточных р-ров после хроматографирования на  $Al_2O_3$ , многократной перекристаллизации выделяют IV и Ha, т. пл. 210—212° (в запаянном капилляре; из бал.-этилацетата),  $[\alpha]^{20}_D + 53^\circ$  (с 0,38; хлф.). Смесь 1 моля II и 4 молей маленового ангидрида кипятят 5 час., р-ритель отгоняют в вакууме, остаток кипятят с этилацетатом, фильтруют горячим и по охлаждению получают X, т. пл. 208° (в блоке, из бал.),  $[\alpha]^{18}_D + 75^\circ$  (с 0,1 циклогексан). При экстрагировании кипящим  $C_6H_6$  нерастворимого в этилацетате в-ва из  $C_6H_6$  получают XII; нерастворившаяся часть представляет собой XI, т. пл. 258—260° (в запаянном капилляре; из ксилола). X нагревают 1,5 часа при 250—290° и 0,05 мм в приборе для молекулярной перегонки, остаток обрабатывают  $C_6H_6$  и получают II, выход почти колич. Через  $\rho$ -р 1,6 г II в 100 мл  $CHCl_3$  пропускают в течение 75 мин. ток озонированного кислорода (5%  $O_3$ ), упаривают в вакууме, приливают 30 мл воды, нагревают 2 часа при 100° и 10 мин. при кипении смеси. По охлаждению водн. слой экстрагируют эфиром, эфир.  $\rho$ -р обрабатывают насыщ. р-ром  $NaHCO_3$ , затем 10%-ным NaOH. При подкислении  $\rho$ -ра в NaOH осадка не выпадает; подкисление бикарбонатного  $\rho$ -ра дает резиноподобное в-во, которое экстрагируют нетр. эфиром и через 3 недели выдерживания получают XII, т. пл. 197—198° (в запаянном капилляре; из  $CH_3COOH$ ),  $[\alpha]^{20}_D + 29^\circ$  (с 1,16; хлф.). Приведены кривые ИК-спектров I, II, IV и продукта гидрирования I и II, кривые УФ-спектров продуктов взаимодействия I и II с III, а также данные ИК-и УФ-спектров для Ha, IV, VIII и IX.

М. Бурмистрова

1040. **Определение структуры гиохоловой кислоты. Зиглер** (The elucidation of the structure of hyocholic acid. Ziegler P.), Canad. J. Chem., 1956, 34, № 4, 523—529 (англ.).

Из желчи свиной выделена новая желчная  $\kappa$ -та  $C_{24}H_{46}O_5$ , названная автором гиохоловой  $\kappa$ -той (I). Окислением I  $CrO_3$  и последующим метилированием получен триметилловый эфир 3-кетотиллобилинавой  $\kappa$ -ты (II). Последний восстановлением по Хуан — Минлун превращен в известный триметилловый эфир тилобилинавой  $\kappa$ -ты (III). Восстановление III  $NaBH_4$  привело к известному диметилловому эфиру 3 $\alpha$ -окси-3,5-лактоилтилобилинавой  $\kappa$ -ты (IV). На том основании, что I не дает нерастворимого дигитонина, одной из 3-ОН-групп приписана  $\alpha$ -ориентация. Учитывая наличие 3,5-лактонового кольца в IV, этот факт указывает на *цис*-сочленение колец A и B в I. Сравнением молекулярных вращений установлено, что две другие ОН-группы в I занимают 6 $\alpha$ - и 7 $\alpha$ -положения. Таким образом I является 3 $\alpha$ , 6 $\alpha$ , 7 $\alpha$ -триоксигиохоловой  $\kappa$ -той. 1 г свиной желчи кипятят (60 час.) с 100 г NaOH. Смесь подкисляют и экстрагируют этилацетатом. После упаривания экстракта выпадает 50 г глиц. зокейхоловой  $\kappa$ -ты. Маточный  $\rho$ -р ацетилируют, обрабатывают гексаном и выделяют 15 г триацетата I (V), т. пл. 188—190° (из эф.-гексана),  $[\alpha]^{20}_D + 20,95^\circ$  (с 1,22). Омылением V получают I, т. пл. 183—185° (из этилацетата),  $[\alpha]^{24}_D + 4,59^\circ$  (с 1,18),  $[\alpha]^{25}_D + 4,59^\circ$  (с 1,1; сп.). Окислением (20°, 14 час.) 2 г I  $CrO_3$  в  $CH_3COOH$  синтезируют II, выход 854 мг, т. пл. 140—142° (из эф.-гексана),  $[\alpha]^{25}_D - 5,05^\circ$  (с 0,29). Восстановлением по Хуан — Минлуну с последующей обработкой  $CH_3N_2$  из 0,25 г II приготавливают 82 мг III, т. пл. 108—109° (из изоктана),  $[\alpha]^{24}_D - 13,6^\circ$  (с 0,695). Восстановлением



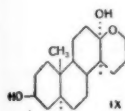
(12 час., 20°) 0,1 г II NaBH<sub>4</sub> в CH<sub>3</sub>OH с последующим метилированием получают 47 мг IV, т. пл. 157—159° (из эф. гексана), [α]<sub>D</sub><sup>20</sup> —18,9° (с 0,61; диоксан). Приведены УФ-спектр V и ИК-спектры II, III, IV, и V. [α]<sub>D</sub> определены в диоксане. Г. Сегаль

**1041. О стероидах. XIV. Перегруппировки 3,5-циклохлестанов основного характера.** Лаблер Л., Шорм Ф., Сб. чехосл. хим. работ, 1955, 20, № 1, 188—192. См. РЖХим, 1955, 34568.

**1042. О стероидах. XV. Конфигурация 16-бромпроизводных андростана.** Файкош (On steroids. XV. The configuration of some 16-bromo derivatives of androstane. Fajkoš J.), Сб. чехосл. хим. работ, 1955, 20, № 2, 312—335 (англ., рез. русс.). См. РЖХим, 1955, 40232

**1043. Химия стероидов с лактонным кольцом D.** Меррей, Джонсон, Педерсон, Отт (Chemistry of the steroidal D-ring lactones. Mirray M. F., Johnson B. A., Pederson R. L., Ott A. C.), J. Amer. Chem. Soc., 1956, 78, № 5, 981—984 (англ.)

Показано, что при окислении 33-ацетоксиандростанола-17 (I) с помощью надукусной к-ты образуется только лактон 33-ацтокси-13α-оксн-13,17-секоандростан-17-карбоновой-17 к-ты (II). Присутствие в продуктах окисления 16,17-секо-стероидов не обнаружено. Восстановлением II LiAlH<sub>4</sub> получают 13,17-секо-андростанол-33,13α,17 (III), переходящий при окислении в лактон 3-кето-13α-оксн-13,17-секоандростан-17-карбоновой-17 к-ты (IV). Обработка III C<sub>6</sub>H<sub>5</sub>COCl в пиридине приводит



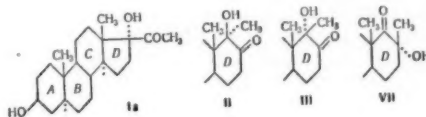
к смеси из трибензоата III (V) и 33,17-дibenзокси-13,17-секо-Δ<sup>13</sup>(18)-андростена (VI). При кипячении V с диметиланилином (VII) также образуется VI. При озонолизе VI дает 33,17-дibenзокси-13,17-секо-18-андростенон-13 (VIII), который под влиянием спирта NaOH переходит в циклич. полукеталь (IX). Гидроксилизацией (VI) OsO<sub>4</sub> синтезируют 13,17-секо-андростанол-33,13,17,18 (X), 0,015 моля II, приготовленного по ранее описанному методу (Levy H. и др., J. Biol. Chem., 1947, 171, 171) из I, восстанавливают (20°) 0,1125 моля LiAlH<sub>4</sub> в тетрагидрофуране. Выделяют III, выход 81%, т. пл. 225—226° (из сн.), [α]<sub>D</sub><sup>25</sup> +3° (сн.). 0,03 моля III обрабатывают (8 час., 20° и 1 час, 50°) 0,135 моля C<sub>6</sub>H<sub>5</sub>COCl в 100 мл пиридина. После охлаждения прибавляют 300 мл смеси эфир-CH<sub>2</sub>Cl<sub>2</sub> (2:1) и промывают разб. HCl (к-той), 5%-ным р-ром NaOH и водой. После отгонки р-рит-лей остаток разбавляют 50 мл CH<sub>2</sub>Cl<sub>2</sub> и 600 мл CH<sub>3</sub>OH, выпадает VI, выход 49,7%, т. пл. 134—135° (из CH<sub>3</sub>OH), [α]<sub>D</sub><sup>20</sup> —18° (хлф.). Из маточного р-ра выделяют V, выход 2,5%, т. пл. 175—176° (из ацетона), [α]<sub>D</sub><sup>20</sup> +26° (хлф.). Кипячением (3 часа) V и VII получают VI с выходом 44%. Окислением 310 мг III CrO<sub>3</sub> в CH<sub>3</sub>COOH (15 час., 20°) синтезируют IV, выход 204 мг, т. пл. 163—171° (из ацетона-гексана). Озонирование VI в CH<sub>2</sub>Cl<sub>2</sub>-пиридине при —70° приводит к VIII, выход 63%, т. пл. 116—117° (из из-С<sub>6</sub>H<sub>5</sub>OH). Обработкой VIII водно-спирт. р-ром NaOH (2,0, 12 час.) получают IX, выход 68%, т. пл. 174—176° (из ацетона), [α]<sub>D</sub><sup>25</sup> +2° (сн.). Гидроксилизацией VI OsO<sub>4</sub> синтезируют X, выход 86%, т. пл. 229—230° (из из-С<sub>6</sub>H<sub>5</sub>OH), [α]<sub>D</sub><sup>25</sup> +23° (сн.).

Г. Сегаль

**1044. D-гомоанилирование 17α-оксн-20-кетостероидов.** Фукусима, Добринер, Хефлер, Кричевский, Херлинг, Роберте (The D-homoannulation of 17α-hydroxy-20-ketosteroids. Fukushima David K., Dobriner Shirley,

Heffler Milton S., Kritchevsky T. H., Herling Friederike, Roberts Glyn), J. Amer. Chem. Soc., 1955, 77, № 24, 6585—6591 (англ.)

Исследовалась перегруппировка 17-оксн-20-кетостероидов в D-гомостероиды под воздействием оснований и к-т Льюиса. Нагревание 33-ацетата аллопрегнандиол-33, 17α-она-20 (I) с водно-спирт. КОН привело к образованию смеси продуктов, из которой выделены 17α-метил-D-гомоандростандиол-33, 17α3-он-17 (II), выход 71%, и 17α3-метил-D-гомоандростандиол-33, 17α-он-17 (III), выход 13%, наряду с незначительными количествами исходного стероида и, вероятно, 17α-кетонизомера. Вывод о строении этих соединений сделан на основании исследования ИК-спектров, р-ции с м-динит-бензолом, ИК-спектров продуктов дейтерирования, а также р-ции этерификации и [α]<sub>D</sub>. Аналогично при перегруппировке прегнандиол-3α, 17α-она-20 (IV) получены 17α-метил-D-гомоэтрохоландиол-3α, 17α3-он-17 (V), выход 67%, и 17α3-метил-D-гомоэтрохоландиол-3α, 17α-он-17 (VI), выход 16%. Строение V и VI выводится из соотношения изомеров, ИК-спектров и [α]<sub>D</sub>. Напротив перегруппировка под воздействием к-т Льюиса протекает с преимущественной миграцией связи C<sub>(16)</sub>—C<sub>(17)</sub> и образованием 17α-кето-D-гомостероида, что объясняется преимущественным влиянием стерич. факторов. Так, при нагревании I с *tert*-бутилатом Al из реакционной массы



после ацетилирования выделены 33-ацетат III (IIIa) и 3-ацетат 17β-метил-D-гомоандростандиол-33, 17α-она-17α (VII, диол) наряду с соответствующим диацетатом (VIIa); VIIa получен также при перегруппировке I в присутствии BF<sub>3</sub> в CH<sub>3</sub>COOH или *tert*-бутилатом Al с последующим ацетилированием. Гидролизом VIIa получен VII, последний ацетилированием вновь превращен в 3-ацетат VII и VIIa. Аналогично протекает изомеризация IV, основным продуктом р-ции является 17β-метил-D-гомоэтрохоландиол-3α, 17α-он-17α (VIII), выход 68%; VI образуется лишь в незначительном количестве. При нагревании I или соответствующего диола (Ia) выше их т-р плавления имеет место аналогичная перегруппировка с образованием смеси VII и III или 3-ацетата VII и IIIa. В этих же условиях IV образует смесь VIII и VI. Преимущественная α-ориентация гидроксидов в образующихся продуктах объясняется ориентацией карбонильной C<sub>(20)</sub> благодаря водородной связи между этим карбонилем и гидроксильной C<sub>(17)</sub>. Высказано предположение, что изомер Δ<sup>4</sup>-17α3-метил-D-гомоандростенон-17α-диола-3,17, полученный при перегруппировке Δ<sup>4</sup>-прегненол-17α-диола-3,20 (Euw, Reichstein, Helv. chim. acta, 1941, 24, 879), является Δ<sup>4</sup>-17β-метил-D-гомоандростенон-17α-дионом-3,17. Р-р 250 мг I в 200 мл спирта кипятят с 200 мл 10%-ного КОН 4 часа, продукт р-ции экстрагируют этилацетатом, р-рит-лей удаляют, остаток хроматографируют на силикагеле. На фракции спирт-CH<sub>2</sub>Cl<sub>2</sub> (2:100) получают 159 мг II, т. пл. 200—200,5° (из ацетона), [α]<sub>D</sub><sup>25</sup> —36,2°; 3-ацетат (IIa), т. пл. 178,5—159°, [α]<sub>D</sub><sup>25</sup> —36,3°. Ацетилированием IIa CH<sub>3</sub>COOH, (CH<sub>3</sub>CO)<sub>2</sub>O в присутствии BF<sub>3</sub> получают диацетат II, т. пл. 217—218°, [α]<sub>D</sub><sup>25</sup> —6,4°; из последующих фракций выделяют 3 мг I и 29 мг III, т. пл. 272—275° (из этилацетата); ацетилированием III (CH<sub>3</sub>CO)<sub>2</sub>O в пиридине 3 часа при 20° получен IIIa, т. пл. 234,5—235,5° (из ацетона-циклогексана), [α]<sub>D</sub><sup>25</sup>

—35,6° (в ацетоне). Р-р 150 мг I и 500 мг трет-бутилата Al в 30 мл  $C_6H_6$  кипятят 27 час., после обычной обработки и ацелирования получают 129 мг полукристаллич. смеси, при хроматографировании которой на силикагеле из фракции 1%-ный спирт в смеси  $CH_2Cl_2$ -петр. эфир (1:1) получают 11 мг VIIa, из последующих фракций получают 78 мг ацетата VII, т. пл. 108,5—109,5° (из эф.-петр. эф.),  $[\alpha]^{25}_D + 21,2^\circ$ ; из фракции 1%-ный спирт в  $CH_2Cl_2$  получают 15 мг IIIa. При перегруппировке I с  $BF_3 \cdot (C_2H_5)_2O$  в смеси  $CH_3COOH$  и  $(CH_3CO)_2O$  (см. РЖХим, 1955, 9583) получают VIIa, содержащий примесь IIIa. 100 мг VIIa кипятят с 5%-ным КОН 1 час, получают 85 мг VII, т. пл. 182—182,5° (из этилацетата-ацетона),  $[\alpha]^{25}_D + 32,9^\circ$ . Нагревают 300 мг I при 240° 30 мин. При хроматографии на силикагеле продуктов р-ции получено 58 мг 3-ацетата VII, 198 мг I и 45 мг IIIa. Обработав 500 мг IV гидроксилом, при хроматографировании на силикагеле получают из фракции спирт- $CH_2Cl_2$  (2:100, 3:100) 335 мг V, т. пл. 186—187° (из ацетона-петр. эф.),  $[\alpha]^{25}_D - 14,5^\circ$ ; 3-ацетат (Va), т. пл. 171—171,5° (из  $CH_3OH$ ),  $[\alpha]^{25}_D + 8,9^\circ$ ; диацетат, т. пл. 187—190,5°,  $[\alpha]^{25}_D + 34,9^\circ$ . При вымывании  $CH_2Cl_2$ , содержащего 4% спирта, выделяют 77 мг VI, т. пл. 207—220° (из ацетона-петр. эф.), 3 ацетат (Vla), т. пл. 201,5—202,2° (из ацетона-петр. эф.),  $[\alpha]^{25}_D + 8,9^\circ$ . Р-р 60 мг IVa в 300 мл трет-бутилата Al в 10 мл  $C_6H_6$  кипятят 18 час.; при хроматографировании на силикагеле из фракции циклогексан- $C_6H_6$  (1:1) насыщ. формидом выделяют 4 мг в-ва неустановленного строения, т. пл. 172—174°,  $[\alpha]^{25}_D + 46,4^\circ$ , затем 2 мг VI, из фракции циклогексан- $C_6H_6$  (1:1) получают 41 мг VIII, т. пл. 169—170° (из ацетона-петр. эф.),  $[\alpha]^{25}_D + 48,4^\circ$ , 3-моноацетат (VIIla), т. пл. 188—189,5° (из ацетона-петр. эф.),  $[\alpha]^{25}_D + 61,2^\circ$ . Ацелируют 100 мг IV  $CH_3COOH$ ,  $(CH_3CO)_2O$  и  $BF_3$ , продукты р-ции хроматографируют на силикагеле, получают 76 мг VIIla, т. пл. 144—144,5° (из петр. эф.),  $[\alpha]^{25}_D + 94,6^\circ$ . 100 мг IV нагревают при 220—225° 30 мин., реакционную массу обрабатывают, как указано выше, получают 17 мг IV, 15 мг VIII и 31 мг VI. Дейтерирование проходило по методу, описанному ранее (Jones, Coll, Nolin, J. Amer. Chem. Soc. 1952, 74, 5662). Приведены данные ИК-спектров IIa, IIIa, Va, ацетата VII и VIIla. Э. Мистрюков

**1045. Реакции аденокортикотропных гормонов с 2,4-динитрофенилгидразином.** Рейх, Самюэлс (The reaction of adrenocortical hormones with 2,4-dinitrophenylhydrazine. Reich Hans, Samuels Barbara K.), J. Organ. Chem., 1956, 21, № 1, 65—67 (англ.)

Получены бисдинитрофенилгидразоны (БДНФГ) дезоадренокортистерона (I),  $\Delta^4$ -прегненодион-3,20-диола-17а, 21 (II), кортизона (III) и кортизола (IV). Показано, что БДНФГ I (V) образуется при 20°, тогда как кипячение приводит к оазону (VI). Найдено, что 21-ацетаты I, II, III и IV дают только 3-монодинитрофенилгидразоны (МДНФГ). Последние после удаления избытка 2,4-динитрофенилгидразина (VII), как описано ранее (РЖХим, 1954, 32442), могут быть использованы для спектрофотометрич. колич. определения кортикоидов. Р-цией (20°, 2, 5 часа) I с VII в абс. спирте в присутствии следов конц. HCl (к-ты) приготавливают V, т. пл. 251—254° (из хлф.-сп.); ацетат V (VIII), т. пл. 234—236° (из хлф.-сп.). Смесь I и VII кипятят 2 часа в абс. спирте в присутствии следов конц. HCl (к-ты), выпадает VI, выход 35%, т. пл. — 215° (из хлф.-сп.). Из II и VII при 20° получают продукт, который хроматографируют на  $Al_2O_3$ . Смесь  $C_6H_6$ - $CHCl_3$  (1:3) вымывает БДНФГ II (IX), т. пл. 200—203° (из хлф.-сп.). Аналогично приготавливают БДНФГ III (X), т. разл. 275—280°; 21-ацетат X (XI) после хроматографии на  $Al_2O_3$  (вымывают смесью  $C_6H_6$ - $CHCl_3$ ) имеет т. пл.

201—203° (из хлф.-сп.); БДНФГ IV (XII), т. разл. 270°; 21-ацетат XII (XIII), т. пл. 236—240° (из разб. сп.). Р-цией 21-ацетата II с VII получают МДНФГ (XIV), который после хроматографии на  $Al_2O_3$  имеет т. пл. 231—234° (из хлф.-сп.); а из 21-ацетата IV и VII синтезируют МДНФГ (XV), который после хроматографии на  $Al_2O_3$  имеет т. пл. 235—240° (из хлф.-сп.). Приведены данные об УФ-спектрах V и VIII—XV.

Г. Сегаль  
**1046. Химическое исследование сапонина, полученного из заменителя *Polygala senega* L.: *Spergularia marginata* Kittel или *Spergularia media* L. Presl.** Буше (Étude chimique sur la saponine d'une falsification de *Polygala senega* L.: La *Spergularia marginata* Kittel ou *Spergularia media* L. Presl. Bouché R.), J. pharm. Belgique, 1955, № 5-6, 169—191 (франц.; реф. флам.)

Описано выделение и очистка спергулосапонина (I) из *Spergularia marginata* Kittel или *Spergularia media* L. Presl., заменителя *Polygala senega*, являющегося исходным сырьем для приготовления лечебного I. При гидролизе I образуются спергулагенин (II),  $C_{30}H_{48}O_8$ , по строению близкий  $\alpha$ -амирину, и углеводы: глюкоза (III), арабиноза (IV), ксилоза (V) и рамноза (VI). Выделение I проводили по методике, описанной для сенегины (Jacobs, Isler, J. Biol. Chem., 1937, 119, 155): сухой порошок ствола и корней *S. marginata* K. экстрагировали спиртом, через 24 часа фильтровали при 0° и получали неочищ. I, выход 80%. Для очистки метанольный р-р I осаждают ацетоном, после 5 осаджений гемолитич. индекс (ГИ) достигает по тонинной величине 121500. 4,5 г I растворяют в 50 мл дистил. воды и подвергают электродиализу при 220 в и после сушки вымораживанием получают 2,6 г I с ГИ-145830, а после повторного электродиализа в спирт. р-ре I получают 1,76 г I (с тем же ГИ и т. пл. 223—226°), в котором отсутствуют минеральные примеси, азотсодержащие в-ва, таннины, пектины. Элект. фторез и хроматография на бумаге показывают однородность продукта. Чистый I имеет т. пл. 232—233° (из  $CH_3OH$ ) ( $iso$ - $C_4H_9OH$ ),  $[\alpha]_D + 74,2^\circ$ . Индекс всасывания I (Keller, Die Saponine, viscine, Springer (1929)) равен 16500. Приведены изменения величины ГИ для I в зависимости от величины pH. I ядовит для рыб в дозах 1/5000, за 60 мин.; по отношению к мысам ядовитость I незначительна. 10%-ный спирт. р-р I нагревают 30 мин. с 20%-ным спирт. р-ром HCl при 50°, центрифугируют, осадок промывают спиртом при 30° и водой и суспендируют в смеси (вода-спирт-HCl; 1:3:1). После нагревания 2 часа фильтруют при 60° и получают неочищ. II, т. пл. ~ 240°. Р-р II в эфире фильтруют через  $Al_2O_3$ , вымывают спиртом и выделяют II, т. пл. 275,5—277° (из спирта при 60° и высасыванием водой из ацетона). Спектр II не содержит полос, свидетельствующих о наличии в его молекуле ассиметрич. двойной связи, характерной для лугеола или тетрациклич. терпенов. Наличие в II карбоксильной группы доказано декабонксильрованием его при 300° в присутствии Zn. При ацелировании II в пиридине и без него образуется один и тот же ацетат, т. пл. 230°.  $[\alpha]_D - 4^\circ$ , что исключает наличие в нем тростичной спиртовой группы. II дает семикарбазон, т. пл. 161—263°. Двойная связь в II не обнаруживается при окислении надбромной к-той, но с  $C(NO_2)_2$  в  $CHCl_3$  II дает желтое ок. анирование. Метилирование II посредством  $CH_3N_2$  дает метиловый эфир II, т. пл. 192—193°,  $[\alpha]_D + 30^\circ$  (в сп.). Смесь 20 г I и 50 г Se нагревают 48 час. при 340—360° и после обработки продукта р-ции получают смесь углеводородов, из которой выделяют см. атален (VII) в виде 1-кратка (VIII), выход 677 мг, т. пл. 127—129° (в блоке Кофлера); стифнат (IX), т. пл. 154—155°. VIII и IX не дают депрессии с соответственными производными продуктов дегидри-

разл. разб. (НОГ имеет в VII мато- (сп.). —ХУ. егаль учеп- ularia. Бу- sificac- ginala (е R.); ранц.; на (I media за пе- При —50,0, коюза 3. Вы- сене- сухой агиро- и поаноль- гемо- ичны под- вымо- не по- 1,76 г. сущ- та- умаге имеет 74,2% icine, вели- ядо- нению спирт. и HCl и том при 60° и содер- моле- для кар- аннем ли II аде- личне карба- ружи- NO<sub>2</sub> и II 192— нагрета- дукта выде- выход ифнат ессли гидри-

рования  $\alpha$ - и  $\beta$ -амирина (Haworth, Chem. Soc. Ann. Rep., 1937, 34, 327). VII, регенерированный из VIII, имеет т. кип. 147—148°/16 мм, 139—141°/12 мм,  $n_D^{15}$  1,609,  $d_4^{15}$  1,008. Кроме VII, при дегидрировании I получены: смесь замещ. нафталинов и углеводороды с т. пл. 294—299° (выход 2,7 мг) и с т. пл.  $\sim$  245° (выход 3,1 мг), обладающие спектрами поглощения, аналогичными спектрам производных плицена. Для всех продуктов дегидрирования приведены данные УФ-спектров. На основании стридательных результатов опытов окисления II надбензойной к-той и литературных данных по сравнительной активности двойной связи в  $\alpha$ - и  $\beta$ -амирине, авторы относят II к группе  $\alpha$ -амирина. Подтверждением этого служит образование конъюгированного диена при действии на II *N*-бромсукцинимид (X). Взаимодействие X и метилового эфира ацетата II приводит к продукту (XI), не содержащему галогена, но дающему окрашивание с C(NO<sub>2</sub>)<sub>4</sub>. УФ-спектр XI аналогичен УФ-спектру метилового эфира ацетилдегидроуроловой к-ты (XII). В аналогичных условиях  $\alpha$ -амирин образует конъюгированный диен, тогда как  $\beta$ -амирин дает конъюгированный триен. Водн. 3%-ный р-р I нагревают с 3,5%-ной H<sub>2</sub>SO<sub>4</sub> к-ту удаляют обработкой смеси BaCO<sub>3</sub> или фильтрованием через смолу амберлит IKA 4B и хроматографированием на бумаге констатируют наличие III, IV, V и VI. Приведены образцы хроматограмм, т-р плавления выделенных сахаров и результаты их колич. и колориметрич. определений. Из 1 моля I образуется 1 моль III, 4 моля IV, 2 моля V и 1 моль VI. Приведены ИК- и УФ-спектры II, а также УФ-спектры XI, XII и ацетата амиритриваля.

М. Бурмистрова

1047. О превращениях в ряду арилпропаноламинов. Пфауц, Видувильт (Über Umlagerungsreaktionen in der Reihe der Arylpropanolamine. Pflanz H., Wieduwilt H.), Arch. Pharmazie, 1955, 288/60, № 11-12, 563—582 (нем.)

Разработан способ превращения *d*, *l*-псевдоэфедрина (I) в *d*, *l*-эфедрин (II) по схеме (все в-ва рацемич.): I-хлоргидрат 1-хлорпсевдоэфедрина (III)  $\rightarrow$  1-хлор-N-ацетилпсевдоэфедрина (IV)  $\rightarrow$  хлоргидрат О-ацетилэфедрина (V)  $\rightarrow$  II. Из IV получен непосредственно II при омылении в кислом и щел. р-рах. Превращение I  $\rightarrow$  II в производственных условиях может быть осуществлено без выделения промежуточных в-в: хлоргидрат I обрабатывают SOCl<sub>2</sub>, реакционную массу выливают в воду, ацетируют (CH<sub>3</sub>CO)<sub>2</sub>O в присутствии NaHCO<sub>3</sub>, добавляют HCl (к-ту) и омыляют при кипячении, выделяют II. Проверена возможность превращения оптически-активных в-в тем же путем. Из II и SOCl<sub>2</sub> образуется III. Другими р-циями не удалось достигнуть полного превращения I  $\rightarrow$  II. При кипячении III с 2 н. HCl получены I и II ( $\sim$  5 : 1). N-ацетил-I (VI) при действии HCl (к-ты) превращается в О-ацетил-I, омыляемый HCl (к-той) в I. Из VI и SOCl<sub>2</sub> получено в-во, омыляемое HCl (к-той) до смеси I и II (2 : 3). Из N-ацетил-II (VII) после аналогичной обработки получен I. О-ацетил-II омыляется HCl (к-той) в II, О, N-диацетат-I и О, N-диацетат-II соответственно в I и в I+II (8 : 1). Изучены аналогичные превращения производных I и II, содержащих в пара-положениях —NO<sub>2</sub> или —NH<sub>2</sub>, а также производных *d*, *l*-псевдонорэфедрина (VIII) и *d*, *l*-норэфедрина (IX). 38,9 г хлоргидрата I добавляют порциями к 116,7 мл SOCl<sub>2</sub> при 0°, затем оставляют на 15 мин. при 45° и упаривают в вакууме; добавляют 196 мл охладж. ацетона; после стояния в холодильнике выход неочищ. III, 37,9 г; III, т. пл. 181—183° (из *n*-C<sub>3</sub>H<sub>7</sub>OH). К р-ру 25 г III в 125 мл воды при охлаждении льдом добавляют 25 мл (CH<sub>3</sub>CO)<sub>2</sub>O и затем порциями 60 г NaHCO<sub>3</sub>. После этого перемешивают 1 час при 20°. Извлекают этил-

ацетатом IV, выход неочищ. 25 г IV, т. пл. 101—103° (из этилацетата). 5 г IV, 25 мл 2 н. HCl, 1 час кипячения, выделяют 4,4 г хлоргидрата II, 5 г IV, 20 мл спирта, 4 мл воды, 1 час кипячения, выход неочищ. V 4,5 г; V, т. пл. 213—215° (из сп.). 3 г V, 20 мл 2 н. HCl, 30 мин. кипячения, выход хлоргидрата II 2,5 г. Из 25 г II (аналогично получению IV из III) синтезирован VII, выход неочищ. 16 г; VII, т. пл. 78—81° (из воды). В р-р 1 г VII в 20 мл абс. эфира пропускают сухой HCl (газ), получают 1,2 г продукта присоединения (X), т. пл. 112—114°. 0,5 г X в 2,5 мл спирта кипятят 20 мин., выделяют 0,4 г V. Р-р 16,6 г основания III в 300 мл эфира смешивают с 17 г NaHCO<sub>3</sub>, при охлаждении льдом прибавляют по каплям 10,5 мл C<sub>6</sub>H<sub>5</sub>COCl, через 48 час. стояния при  $\sim$  20° выделяют 1-хлор-N-бензоилпсевдоэфедрин (XI), выход неочищ. 19,5 г; XI, т. пл. 98—99° (из бал.-петр. эф.). 5 г XI, 25 мл 2 н. HCl, 1 час кипячения, выделено 4,3 г хлоргидрата О-бензоилэфедрина (XII), т. пл. 187—189°. 3 г XII, 20 мл HCl (1 : 1), 2 часа кипячения, выделено 1,1 г II. К смеси 20 г I, 80 мл C<sub>6</sub>H<sub>6</sub> и 29,2 мл C<sub>5</sub>H<sub>5</sub>N добавляют 28,8 мл (CH<sub>3</sub>CO)<sub>2</sub>O, нагревают до 60°, оставляют на 12 час. и затем кипятят 15 мин., выделяют 15 г О, N-диацетата-I, т. кип. 168°/3 мм,  $n_D^{25}$  1,5164. Аналогично получают О, N-диацетат-II, т. кип. 166°/3 мм,  $n_D^{25}$  1,5160. Из 16 г хлоргидрата I-псевдоэфедрина и SOCl<sub>2</sub> (аналогично получению III) синтезируют хлоргидрат 1-хлорпсевдоэфедрина (XIII), выход неочищ. 14,8 г; XIII, т. пл. 192—194° (из *n*-C<sub>3</sub>H<sub>7</sub>OH). Охлажд. до 0° р-р 10 г XIII в 50 мл воды смешивают с 10 мл (CH<sub>3</sub>CO)<sub>2</sub>O и добавляют частями 24 г NaHCO<sub>3</sub>, после чего перемешивают 1 час при  $\sim$  20°, добавляют 45 мл конц. HCl и кипятят 45 мин., выход хлоргидрата *d*-эфедрина 5 г, т. пл. 214—215° (из *n*-C<sub>3</sub>H<sub>7</sub>OH),  $[\alpha]_D^{15}$  +34,4 (с 5). 5 г О, N-диацетата-II вносят при 0° в 40 мл HNO<sub>3</sub> (d 1,52), оставляют на 1 час при 0°, выливают на 100 г льда, выделяют *n*-нитропсевдоэфедрин в виде хлоргидрата (XIV), выход 1,5 г, т. пл. 190—195° (из сп.). Аналогично из 11 г IV получают *n*-нитро-1-хлор-N-ацетилпсевдоэфедрин (XV), выход неочищ. 5,2 г; XV, т. пл. 150—152° (из CH<sub>3</sub>OH). 5 г XV, 25 мл 2 н. HCl, 1 час кипячения, получают 4,3 г хлоргидрата *n*-нитроэфедрина (XVI), т. пл. 265—270° (из сп.). 5 г XV, 20 мл спирта, 4 мл воды, 1 час кипячения, получен хлоргидрат *n*-нитро-О-ацетилэфедрина (XVII), выход неочищ. 4,9 г; XVII, т. пл. 225° (разл.; из водн. сп.). XVII получен также нитрованием V. 2,7 г XIV гидрируют в 50 мл CH<sub>3</sub>OH с Pt из 0,05 г PtO<sub>2</sub>, выделяют дихлоргидрат *n*-аминопсевдоэфедрина (XVIII), выход 2,3 г, т. пл. 152—154°. XIV, XVI и XVIII не реагируют с SOCl<sub>2</sub> или PCl<sub>5</sub>. Из 40 г хлоргидрата IX и 120 мл SOCl<sub>2</sub> получают (как III) хлоргидрат 1-хлорпсевдонорэфедрина (XIX), выход неочищ. 41,0 г; XIX, т. пл. 196—199° (из сп.). При омылении XIX 2 н. HCl получены VIII+IX ( $\sim$  9 : 1). Из 15 г XIX, 15 мл (CH<sub>3</sub>CO)<sub>2</sub>O, 36 г NaHCO<sub>3</sub> в 100 мл воды получают 13,7 г N-ацетил-1-хлорпсевдонорэфедрина (XX), т. пл. 140—142° (из этилацетата). 5 г XX, 25 мл 2 н. HCl, 1 час кипячения, выделено 2,5 г хлоргидрата IX и 1,2 г хлоргидрата VIII. 2,5 г XX, 10 мл спирта и 2 мл воды, 3 часа кипячения, выделен хлоргидрат О-ацетилнорэфедрина (XXI), выход неочищ. 2 г; XXI, т. пл. 184—186° (из сп.-эф.). Из 20 г хлоргидрата VIII, 21,5 мл (CH<sub>3</sub>CO)<sub>2</sub>O, 50 г NaHCO<sub>3</sub> в 115 мл воды получают N-ацетилпсевдонорэфедрин (XXII), выход неочищ. 20,2 г; XXII, т. пл. 98—100° (из C<sub>6</sub>H<sub>6</sub>). Из 10 г XXII после обработки SOCl<sub>2</sub> и последующего омыления 2 н. HCl получены хлоргидраты VIII (4,6 г) и IX (2,1 г).

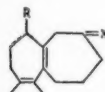
А. Кузюков

1048. Частичное расщепление колхицина до октагидродеметоксидезоксиацетамидоколхицина и гексагидродеметоксидезацетамидоколхицина. Рапопорт, Каминюв, Гордон (An alternative



degradation of colchicine to octahydrodemethoxydesoxydesacetamidocolchicine and hexahydrodemethoxydesacetamidocolchicine. Report Henry, Campion John E., Gordon John E., J. Amer. Chem. Soc., 1955, 77, № 9, 2389—2392 (англ.)

Разработан новый метод элиминирования ацетамидной группы у производных колхицина (ср. РЖХим, 1955, 26322). Гексагидродеметоксидеоксиколхицин (I) (ссылку см. выше) восстанавливают  $\text{LiAlH}_4$  в аппарате Сокслета в эфирном р-ре в атмосфере  $\text{N}_2$ , получают N-этилгексагидродеметоксидеоксидеацетамидоколхицин (II), выход 92%, т. кип.  $95^\circ/0,03 \text{ мм}$ ,  $[\alpha]_D^{25} - 190^\circ$  (с 0,42; сп.), 0,33 г II, 2 мл  $(\text{CH}_3\text{CO})_2\text{O}$ , 5 мл  $\text{C}_6\text{H}_5\text{N}$ , 1 час кипения, получают N-этилгексагидродеметоксидеоксиколхицин (III), выход 91%, т. пл.  $129,5-130,4^\circ$ , т. возг.  $110^\circ/0,008 \text{ мм}$ ,  $[\alpha]_D^{25} - 175^\circ$  (с 1,11; сп.). Восстанавливают III (как I)  $\text{LiAlH}_4$ , ацилированием (как II) отделили вторичные амины, выделяют N, N'-диэтилгексагидродеметоксидеацетамидоколхицин (IV), выход 90%, т. кип.  $70^\circ/0,03 \text{ мм}$ ; пикрат, т. пл.  $178-179^\circ$  (из сп.). 0,441 г IV и 5,5 мл  $\text{CH}_3\text{J}$  нагревают в запаянной трубке в атмосфере  $\text{N}_2$  при  $75^\circ$  5 час., отфильтровывают йодистый диэтилдиметиламмоний. К фильтрату прибавляют 40 мл  $\text{C}_6\text{H}_6$  и при промывании 3 н.  $\text{CH}_3\text{COOH}$  и водой отделили 29% непрореагировавшего IV. Из бензольного р-ра получают 0,26 г масла; гидрируют последнее в лед.  $\text{CH}_3\text{COOH}$  с Pt из 0,018 г  $\text{PtO}_2$  и с 0,036 г 5%-ного Pd/C; продукт р-ции хроматографируют на  $\text{Al}_2\text{O}_3$  из  $\text{C}_6\text{H}_{14}$ , вымывают  $\text{C}_6\text{H}_{14} + \text{C}_6\text{H}_6$  (9:1) октагидродеметоксидеоксидеацетамидоколхицин (V), выход 43%; диморфен, т. пл.  $76,4-77,5^\circ$  (а) (из  $\text{CH}_3\text{OH}$ ), т. пл.  $70-71^\circ$  (б) (возгонка  $60^\circ/0,04 \text{ мм}$ ); при нагревании при  $67-69^\circ$  45 мин. б переходит в а. Окись V получена р-цией с  $\text{C}_6\text{H}_5\text{CO}_2\text{ON}$ , выход 88%, т. пл.  $115-116^\circ$  (из  $\text{C}_6\text{H}_{14}$ ).



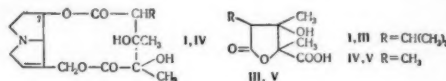
I — V X = H; I R =  $\text{NHCOCH}_3$ ; II R =  $\text{NHC}_2\text{H}_5$ ; III R =  $\text{N}(\text{C}_2\text{H}_5)_2$ ; COCH<sub>3</sub>; IV R =  $\text{N}(\text{C}_2\text{H}_5)_2$ ; V R = H; VI R =  $\text{NHCOCH}_3$ , X = O; VII — XI X = — O  $(\text{CH}_2)_2$  O —; VII R =  $\text{NHCOCH}_3$ ; VIII R =  $\text{NHC}_2\text{H}_5$ ; IX R =  $\text{N}(\text{C}_2\text{H}_5)_2$ ; COCH<sub>3</sub>; X R =  $\text{N}(\text{C}_2\text{H}_5)_2$ ; XI R = H; XII R = H, X = O; XIII R = H, X =  $(\text{SCH}_3)_2$ .

Р-р 1,62 г тетрагидродеметоксидеоксиколхицина (VI) (ссылку см. выше) и 3,2 мл этиленгликоля в 250 мл  $\text{C}_6\text{H}_6$  кипятят 18 час. в присутствии  $n\text{-CH}_3\text{C}_6\text{H}_4\text{SO}_3\text{H}$ , отгоняют воду, получают VI — этиленкеталь (VII), выход 91%, т. пл.  $213-214^\circ$  (из водн.  $\text{CH}_3\text{OH}$ ),  $[\alpha]_D^{25} - 118^\circ$  (с 1; сп.). VII восстанавливают  $\text{LiAlH}_4$  в тетрагидрофуране, 18 час. кипения в атмосфере  $\text{N}_2$ , получают этиленкеталь N-этилтетрагидродеметоксидеацетамидоколхицина (VIII), выход 88%,  $[\alpha]_D^{25} - 131^\circ$  (с 0,99; сп.); производное с  $\alpha$ -нафтилтиомочевинной, т. пл.  $153-154^\circ$  (из сп.),  $[\alpha]_D^{25} - 75,4^\circ$  (с 0,25; сп.). Ацилированием  $(\text{CH}_3\text{CO})_2\text{O}$  в  $\text{C}_6\text{H}_5\text{N}$  превращают VIII в этиленкеталь N-этилтетрагидродеметоксидеоксиколхицина (IX), выход 96%, т. пл.  $109-111^\circ$  (из водн.  $\text{CH}_3\text{OH}$ ),  $[\alpha]_D^{25} - 170^\circ$  (с 0,7; сп.). IX восстанавливают  $\text{LiAlH}_4$  (как I), получают этиленкеталь N, N'-диэтилтетрагидродеметоксидеацетамидоколхицин (X), выход 92%, т. пл.  $160-161^\circ$  (из  $\text{C}_{12}\text{H}_{14}$ ). Расщепление X по Гофману проводят в условиях расщепления IV, возвращают 42% X, получают после гидрирования этиленкеталь гексагидродеметоксидеацетамидоколхицина (XI), выход 39%, т. пл.  $95-96^\circ$  (из  $\text{C}_6\text{H}_6\text{-C}_6\text{H}_{14}$ ), оптически неактивен, 49,7 мг XI, 25 мл сухого ацетона и 2 мг  $\text{CH}_3\text{C}_6\text{H}_4\text{SO}_3\text{H}$  кипятят 2 часа, охлаждают, добавляют 5 мл  $\text{M NaHCO}_3$ , отгоняют в вакууме ацетон. Остаток распределяют между  $\text{C}_6\text{H}_6$  и водой. В-во из бензольного р-ра встряхивают 12 час. с 35 мл 20%-ного  $\text{NaHSO}_3$ , промыванием  $\text{C}_6\text{H}_6$  отделили 19,1 мг

XI. Водн. р-р подщелачивают  $\text{K}_2\text{CO}_3$ , экстракцией  $\text{C}_6\text{H}_6$  выделяют гексагидродеметоксидеацетамидоколхицин (XII), выход 54%, т. кип.  $75^\circ/5 \text{ мм}$ . Р-р 52 мг XII в 10 мл  $\text{C}_6\text{H}_6$  прибавляют к 0,05 г  $\text{ZnCl}_2$  и 0,05 г  $\text{Na}_2\text{SO}_4$ ; р-ритель испаряют; к остатку прибавляют  $\sim 10 \text{ мл CH}_3\text{SH}$ , запаивают трубку, встряхивают 1 час. при  $\sim 20^\circ$  и оставляют на 24 часа; получают диметилмеркаптол XII (XIII), который очищают хроматографированием на  $\text{Al}_2\text{O}_3$  из  $\text{C}_6\text{H}_6 + \text{C}_6\text{H}_{14}$  (1:3), вымывают  $\text{C}_6\text{H}_6 + \text{C}_6\text{H}_{14}$  (1:1), выход 67%, т. пл.  $104-105^\circ$  (из  $\text{C}_6\text{H}_{14}$ ), т. возг.  $90^\circ/4 \text{ мм}$ . Р-р 47 мг XIII в 35 мл спирта кипятят 15 час. с 1,2 г скелетного Ni в атмосфере  $\text{N}_2$ , получают V, выход 72%. С. Поддубная

1049. Алкалоиды *Senecio*: строение триходесмина. Адамс, Джантурко (Senecio Alkaloids: the structure of trichodesmine. Adams Roger, Gianturco Maurizio), J. Amer. Chem. Soc., 1956, 78, № 9, 1922—1925 (англ.)

Триходесмин (I) (Меньшиков и Рубинштейн, Бер., 1935, 68, 2039) при гидрировании с Pt (из  $\text{PtO}_2$ ) поглощает 2 моля  $\text{H}_2$ , при этом восстанавливается двойная связь и происходит гидрогенолиз сложноэфирной группы, образуется тетрагидротриходесмин (II)  $\text{C}_{18}\text{H}_{31}\text{O}_6\text{N}$ , т. пл.  $182^\circ$ ,  $[\alpha]_D^{25} - 20,4^\circ$  (сп.). II является



внутренней солью аминокислоты. Из II при обработке катионитом Dowex-50 (в Н-форме) образуется триходесминовая к-та (III) в результате внутримолекулярной перэтерификации между сложноэфирной связью при  $\text{C}_{(7)}$  и OH-группой, находящейся в II в  $\alpha$ -положении к  $\text{COOH}$ . III —  $\text{C}_{18}\text{H}_{29}\text{O}_6$ , т. пл.  $209-211^\circ$ ; в ИК-спектре полосы  $\gamma$ -лактона OH-и  $\text{COOH}$ -групп. Наличие в I гликолильной группы установлено при окислении  $\text{HJO}_4$ . Транс-конфигурация OH-групп в I доказана изучением скоростей р-ций  $\text{HJO}_4$  с I, риделином, ретрорсином, сенецифилином и монократалином (IV), а также получением из I и  $\text{SOCl}_2$  при  $\sim 20^\circ$  хлоридрата кислотного эфира  $\text{C}_{18}\text{H}_{27}\text{O}_5\text{NS}\cdot\text{HCl}$ , т. пл.  $172^\circ$ . Предложен механизм образования  $\gamma$ -кетокислоты при омылении I; по-видимому, гидролизу предшествует распад гликоли. При сравнении ИК-спектров установлена близость строения I и IV, III и монократалиновой к-ты (V). Продолжены ф-лы I и III.

А. Данилова  
1050. Реакция алкалоидов *Rauwolfia* с уксуснокислой ртутью. Прегращение 3-изоресерпина в резерпин. Уэйсенборн, Дьясси (The reaction of *Rauwolfia* alkaloids with mercuric acetate. Conversion of 3-isoreserpine to reserpine. Weisenborn Frank L., Diassi Patrick A.), J. Amer. Chem. Soc., 1956, 78, № 9, 2022—2023 (англ.)

Предложен способ превращения в-в группы похибмина (I), содержащих  $\alpha\text{-H}$  у  $\text{C}_{(3)}$ , в менее стабильные в-ва, содержащие  $\beta\text{-H}$  у  $\text{C}_{(3)}$ . I окисляют  $\text{Hg}(\text{CH}_3\text{COO})_2$  в  $\text{CH}_3\text{COOH}$  2 часа при  $60^\circ$ . Отфильтровывают  $\text{Hg}_2(\text{CH}_3\text{COO})_2$ , осаждают  $\text{Hg}^{2+}$  в виде  $\text{HgS}$ , выделяют перхлорат 3-дегидрохибмина (II), выход 85%, т. пл.  $205-206^\circ$ . При восстановлении II Zn и  $\text{HCl}$  (к-той) при  $\sim 20^\circ$  (30 мин.) получают псевдохибмин (III), т. пл.  $277-278^\circ$ ,  $[\alpha]_D^{25} + 28^\circ$  ( $\text{C}_2\text{H}_5\text{N}$ ). Восстановление II с Pt (из  $\text{PtO}_2$ ) приводит к I. Аналогично II получают: из  $\alpha$ -хибмина 3-дегидро- $\alpha$ -хибмин, перхлорат (IV) с т. пл.  $211-212^\circ$ ; из 3-изоресерпина — 3-дегидроизоресерпин, нитрат (V) с т. пл.  $160-170^\circ$ ; из метил-3-изоресерпата — метил-3-дегидроизоресерпат; из метил-3-изо-



II, IV, V

резерпат-18-ацетата — метил-3-дегидроэрезерпат-18-ацетат, Перхлорат (VI) с т. пл. 234—237°. При восстановлении IV—VI Zn и 50%-ной  $\text{CH}_3\text{COOH}$  получены резерпин (VII), метилрезерпат (VIII) и метилрезерпат-18-ацетат. III, VII, VIII и дезерпинидин не окисляются Hg ( $\text{CH}_3\text{COO}$ )<sub>2</sub> в этих условиях: по-видимому, только в-ва с аксиальным Н у С<sub>(3)</sub> вступают в эту р-цию.

А. Данилова  
1051. О пиколинах. Сообщение 3. Новый синтез конина. Профт, Шнейдер (Über Picoline. 3. Mitteilung. Über eine neue Synthese des conyrins. Profft Elmar, Schneider Fritz), Arch. Pharmazie, 1956, 289/61, № 2, 99—104 (нем.)

К 5 молям 2-пиколина (I) и 25 г Na в автоклаве добавляют 5 молей этилена под давлением 60 ат, нагревают 2,5—3,5 часа при 120—130°, при этом давление падает до 85—10 ат и затем падает до 15—20 ат; выделяют 500 г продукта, который ф-акциируют в вакууме на 3 фракции: I, 1-(пиридил-2)-пропан или конин (II), 3-(пиридил-2) пентан (III). I получают 70 г, т. кип. 30—32°/14 мм. II получают 115 г, т. кип. 60—61/14 мм. III получают 305 г, т. кип. 76—77°/14 мм, 195°/760 мм,  $n_D^{20}$  1,4878; пикрат, т. пл. 99—100°. II гидрируют на скелетном Ni под давлением при 250° и выделяют *dl*-1-(пиридил-2)-пропан или *dl*-конин (IV), выход 90 %, т. кип. 73—74°/18 мм, 168—171°/760 мм,  $n_D^{20}$  1,4497. При гидрировании 100 г III в аналогичных условиях выделяют 92 г *dl*-3-(пиридил-2)-пентана (V), т. кип. 83—85°/18 мм, 202—204°/760 мм,  $n_D^{20}$  1,4459. 21,5 г IV, 19,5 г 2-винил-пиридина (VI), 0,8 г  $\text{CH}_3\text{COOH}$  кипятят 5 час., ф-акциируют в вакууме, выделяют 29,6 г *dl*-1-(пиридил-2)-2-[2-(пирил-1)-пиридил-1]-этана (VII), т. кип. 172—173°/12 мм,  $n_D^{20}$  1,5129; хлоридат, т. пл. 156—157°. 24,5 г V, 19 г VI, 0,9 г  $\text{CH}_3\text{COOH}$  кипятят 5 час. выделяют 20,2 г *dl*-1-(пиридил-2)-2-[2-(пентил-3)-пиридил-1]-этана (VIII), т. кип. 189—190°/12 мм,  $n_D^{20}$  1,5121. 17,8 г VII го-станавливают 55 г Na в 500 мл абс. спирта, выделяют 10,1 г *dl*-1-(пиридил-2)-2-[2-(пирил-1)-пиридил-1]-этана, т. кип. 169—172°/12 мм,  $n_D^{20}$  1,4800; хлоридат, т. пл. 252°. 6,5 г VIII восстанавливают 12 г Na в 120 мл абс. спирта, выделяют 4,2 г 1-(пиридил-2)-2-[2-(пентил-3)-пиридил-1]-этана, т. кип. 184—187°/13 мм,  $n_D^{20}$  1,4900. Сообщение 2 см. РЖХИ, 1956, 46967.

В. Шибнев

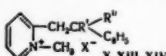
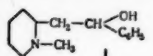
1052. Пиридин-1-оксиды. II. Новый синтез ридинина. Тейлор, Кроветти (Pyridine-1-oxides. II. A new synthesis of ricinine. Taylor E. C., Jr, Crovetti Aldo J.), J. Amer. Chem. Soc., 1956, 78, № 1, 214—217 (англ.)

Новый синтез алкалоида ридинина (I). 3-пиколлин был превращен (см. сообщение I), РЖХИ, 1955, 3706) в 4-нитро-3-пиколлин-1-оксид (II). В 335 мл конц.  $\text{H}_2\text{SO}_4$  прибавляют 50 г II при 20—25°, затем при 30° прибавляют 96,5 г  $\text{Na}_2\text{CO}_3 \cdot 7\text{H}_2\text{O}$  за 1,5 часа и выдерживают еще 2,5 часа, после прибавления льда оставляют на 6—8 час. при 5° (общий объем ~ 1 л). Выделяют 33,5 г N-оксида 4-нитропикотиновой к-ты (III), т. пл. 170—172° (из ацетона). Р-р 25 г III в 288 мл абс.  $\text{CH}_3\text{OH}$  и  $\text{CH}_3\text{ONa}$  (из 6,88 г Na и 210 мл  $\text{CH}_3\text{OH}$ ) кипятят 1,75 часа; выделяют 17,6—18,7 г N-оксида 4-метоксиникотиновой к-ты, т. пл. 202° (разл.; из воды); метиловый эфир (IV), т. пл. 141—143°; пикрат, т. пл. 146—147° (из  $\text{CH}_3\text{OH}$ ). 125 мл жидкого  $\text{NH}_3$  и 7,47 г IV оставляют на 4 часа, испаряют  $\text{NH}_3$  за 6—8 час., выделяют амид (V), выход 6,59—6,8 г, т. пл. 210—211° (разл.; из  $\text{CH}_3\text{OH}$ ). 3,07 г V, 5,32 г  $\text{PCl}_5$  и 10 мл  $\text{POCl}_3$  нагревают 1,5 часа при 115—120°; выделяют 2,4-дигидропикотинонитрил (VI), выход 1,05 г, т. пл. 114—115° (из  $\text{CH}_3\text{OH}$ ). При нагревании VI с  $\text{CH}_3\text{ONa}$  в течение 5 час. выделяют 2,4-диметокси-3-цианопиридин

(VII). VII нагревают с  $\text{CH}_3\text{J}$  10 час. при 155°, выделяют I. В 50 мл  $\text{CH}_3\text{COCl}$  при 0° прибавляют II и кипятят 2 часа; выделяют N-оксид 4-хлор-3-пиколлина, выход 70%, т. пл. 121—123° (из петр. эф.). К 30—35 мл  $\text{CH}_3\text{COCl}$  при 0° добавляют 6,0 г III, через 2,5 часа кипения выделяют N-оксид 4-хлорпикотиновой к-ты, выход 65%, т. пл. 145—146° (разл.). 6 г III и 120 мл абс.  $\text{CH}_3\text{OH}$  при 0° насыщают HCl и кипятят 2 часа, выделяют 4,1 г N-оксида метил-4-хлорпикотиноната, т. пл. 84° (разл.); пикрат, т. пл. 146—147°. Р-р  $\text{CH}_3\text{ONa}$  (из 2,8 г Na и 250 мл  $\text{CH}_3\text{OH}$ ) и 10 г 2-хлорпикотинонитрила кипятят 1,5 часа; выделяют 7,6 г 2-метоксиникотинонитрила (VIII), т. пл. 75—77°, и 0,34 г 2-метоксиникотиноамида (IX), т. пл. 128—130°. Р-р 2 г VIII в 40 мл абс. спирта, 0,8 г KOH и 40 мл 30%-ной  $\text{H}_2\text{O}_2$  нагревают 30 мин. при 65°, затем прибавляют 10 мл 30%-ной  $\text{H}_2\text{O}_2$  и нагревают еще 30 мин.; выделяют 1,59 г IX, выход 70%, т. пл. 130—131°. В. Шибнев  
1053. Синтез и стереохимия седамин. Бейерман, Эвелене, Мюллер (On the synthesis and stereochemistry of sedamine. Beyerman H. C., Eveleens W., Müller Yvonne M. F., Miss), Recueil trav. chim., 1956, 75, № 1, 63—74 (англ.)

Синтезирован ( $\pm$ )-седамин ( $\pm$  I) и получен его диастереомер ( $\pm$ )-изоседамин (II). Осуществлено расщепление ( $\pm$ )-I и выделен ( $\pm$ )-I. 260 г  $\text{C}_6\text{H}_5\text{CHO}$  (III), 226 г  $\alpha$ -пиколина (IV) и 110 г  $(\text{CH}_3\text{CO})_2\text{O}$  кипятят 40 час; выделяют 250 г 1-фенил-2-( $\alpha$ -пиридил)-этена (V), т. кип. 150—160°/3 мм. Р-р 155 г Br<sub>2</sub> в 100 мл  $\text{CS}_2$  прибавляют при 20° к р-ру 176 г V в 200 мл  $\text{CS}_2$ , выделяют 196 г 1-фенил-2-( $\alpha$ -пиридил)-1,2-дибромэтана (VI), т. пл. 185—186°. 182 г VI кипятят 1,5 часа с р-ром 90 г KOH в 450 мл абс. спирта; выделяют 88,5 г фенил-( $\alpha$ -пиридил)-ацетилена (VII), т. кип. 160—164°/3—4 мм. 88,5 г VII кипятят 30 мин. с 400 мл 60%-ной  $\text{H}_2\text{SO}_4$ ; выделяют 89 г  $\alpha$ -фенацилпиридина (VIII), т. кип. 160—165°/2—3 мм. Р-р 68 г VIII и 103 г метил-*n*-толуолсульфоната (IX) в 125 мл  $\text{C}_6\text{H}_6$  кипятят 2 часа; выделяют 117 г в-ва (X), т. пл. 154—155°. X гидрируют (Marion L. и др., Canad. J. Res. Ser. B., 1945, 23, 165) и получают смесь  $\alpha$ -фенацил-N-метилпиридина (XI) и ( $\pm$ )-I, которые не разделяются через пикраты. Р-р 20 г неочищ. XI в 200 мл эфира прибавляют к р-ру 2,0 г  $\text{LiAlH}_4$  в 200 мл эфира, кипятят 2 часа, выделяют 12,8 г ( $\pm$ )-I, т. пл. 90° (из петр. эф.); пикролат, т. пл. 162—163° (из  $\text{CH}_3\text{OH}$ ; в-во высушено при 111°/3 мм). Из маточного р-ра после выделения ( $\pm$ )-I при стоянии в холодильнике получен II, выход 1,5 г, т. пл. 68—69° (из петр. эф.); хлороаурат, т. пл. 157—158° (из водн. сп.); пикролат, т. пл. 152—155° (из  $\text{CH}_3\text{OH}$ ). При гидрировании XI в спирт. р-ре при 60—65° и 30 ат с Pt-катализатором (Frampton V. L. и др., J. Amer. Chem. Soc., 1951, 73, 4432), выход ( $\pm$ )-I и II 33 и 25%. Из 41,1 г *n*- $\text{C}_4\text{H}_9\text{Br}$  и 3,8 г Li в р-ре эфира при т-ре 10—15° получают *n*- $\text{C}_4\text{H}_9\text{Li}$ , затем р-р охлаждают до —30° и прибавляют р-р 22,3 г IV в 50 мл эфира за 15 мин., понижают т-ру до —70° и прибавляют холодный р-р 21,2 г III в 50 мл эфира и выдерживают 2,5 часа при —70°, затем оставляют на ночь при 20°, выделяют 15,25 г фенил-( $\alpha$ -пиколлин)-карбинола (XII), т. пл. 110° (из петр. эф.). В горячий р-р 3,42 г XII в 7 мл  $\text{C}_6\text{H}_6$  прибавляют 8 г IX и кипятят 1 час; выделяют 5,69 г (XIII), т. пл. 106—114°, затем твердеет и вновь т. пл. 163—165° (из  $\text{CH}_3\text{OH}$ -эф.). 11,4 г  $\text{CH}_3\text{J}$  прибавляют в р-р 3,7 г XII в 14 мл абс. спирта и кипятят 2 часа; выделяют 6 г (XIV), т. пл. 161—162°. 5,04 г XIII в 100 мл 96%-ного спирта гидрируют над Pt-катализатором (ссылку см. выше) 20 час. при 30 атм и 20°; кристаллизацией из петр. эфира разделяют ( $\pm$ )-I и II, выход 0,85 и 1,4 г. 6,045 г XIV в 130 мл 96%-ного спирта с 0,1 г Pt-катализатора гидрируют при 30 атм и 20°; выде-

ляют 6,11 г смеси I и II, выход 98%; перекристаллизацией из петр. эфира выделяют 0,74 г ( $\pm$ )-I и 1,6 г II.



X R' + R'' = O, X =  
-n-CH<sub>2</sub>C<sub>6</sub>H<sub>4</sub>SO<sub>3</sub>; XII  
R' = H, R'' = OH,  
X = n-CH<sub>2</sub>C<sub>6</sub>H<sub>4</sub>SO<sub>3</sub>;  
X, XIII, XIV

XIV R' = H, R'' = OH, X = J

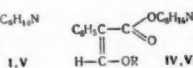
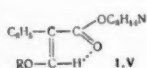
Из 6 г ( $\pm$ )-I и 9,8 г Lg (—)-дибензоилвинной к-ты в CH<sub>3</sub>OH получают 6,8 г гидрата (—)-I-Lg-би-дибензил-тартрата (XV), т. пл. 134—135° (из водн. сп.),  $[\alpha]_D^{25} - 91,1^\circ$  (с 1,9; сп.); после высушивания при 78°/15 мм над P<sub>2</sub>O<sub>5</sub>, т. пл. 137—141° (безводн. в-во). Из XV получен (—)-I, т. пл. 75° (из петр. эф.),  $[\alpha]_D^{25} - 88,1^\circ$  (с 4,45; сп.); хлоргидрат, т. пл. 210—211° (из CH<sub>3</sub>OH-эф.); хлораурат, т. пл. 157—158° (из водн. сп.); пикрولات, т. пл. 159—160° (из CH<sub>3</sub>OH). В. Шибнев

1054. Синтез  $\alpha$ -фенацил-N-метилпиперидина («седамин-кетона») в псевдофизиологических условиях. Бейерман, Энтховен (Synthesis of  $\alpha$ -phenacyl-N-methylpiperidine («sedamine-ketone») under pseudo-physiological conditions. Beyerman H. C., Enthoven P. H.), Recueil trav. chim., 1956, 75, № 1, 82—84 (англ.)

N-метил- $\alpha$ -пиридон гидрируют со скелетным Ni при 150° и 130 ат; выделяют N-метил- $\alpha$ -пиперидон (I), т. кип. 101—102°/14 мм. Р-р 5 г I в 100 мл абс. эфира прибавляют к р-ру 0,52 г LiAlH<sub>4</sub> в 100 мл абс. эфира и кипятят 45 мин. Затем прибавляют шел. р-р C<sub>6</sub>H<sub>5</sub>—CO—CH<sub>2</sub>—COOH (II), полученный омылением 12 г этилового эфира II 2,5%-ным водн. КОН при ~20°; подкисляют 1 н. HCl до pH 5; отгоняют эфир и оставляют на 48 час. при 20°; выделяют 0,6 г I и 4,2 г  $\alpha$ -фенацил-N-метилпиперидина, т. кип. 135—136°/1 мм; пикрат, т. пл. 159—160° (из CH<sub>3</sub>OH). В. Шибнев

1055. Енольная изомерия у производных тропина. Фридман, Гладич (Enolism in the tropine series. Friedmann C. A., Gladych J. M. Z.), J. Chem. Soc., 1956, Febr., 310—313 (англ.)

При синтезе  $\alpha$ -формилфенилацетилтропеина (I) из 11,9 г этилформата (II) и 32 г фенилацетилтропеина (III) по известному методу (Asahina, Nogami, Proc. Imp. Acad., Tokyo, 1946, 16, 229) получено ~40% I, т. пл. 212—213° (разл.), и коричневое масло (IV), выход 10,4 г. Оба в-ва количественно гидролизуются водно-спирт. NaOH в тропин и фенилуксусную к-ту (IV быстрее, чем I) и образуют енольные бензоаты состава C<sub>24</sub>H<sub>25</sub>O<sub>4</sub>N: в-во (V) из I; в-во (VI) из IV. I является полностью енольной формой (отсутствие C=O полосы в области 1730 см<sup>-1</sup>), а IV, вероятно, таутомерной смесью енольной и альдегидной форм (полосы при 1735, 1700 и 1653 см<sup>-1</sup>). ИК-спектры V и VI имеют одинаковый ход кривых в области 1650—700 см<sup>-1</sup>, как и следует ожидать у геометрич. изомеров, и полосы 1700 и 1730 см<sup>-1</sup> у V и 1710 и 1730 см<sup>-1</sup> у VI. Батохромный сдвиг в 10 см<sup>-1</sup> у полосы C=O у V зависит от наличия водородной связи, что возможно при транс-расположении заместителей у двойной связи. Авторы приходят к



I, IV R = H  
V, VI R = C<sub>6</sub>H<sub>5</sub>CO

выводу наличия внутримолекулярной водородной связи в I, что подтверждается высокой т-рой плавления, солеобразным поведением, относительной нерастворимостью в органич. р-рителях и отсутствием образования енолята меди. R 2,9 г I в 50 мл 5%-ного

NaOH при перемешивании по каплям добавляют 1,4 мл C<sub>6</sub>H<sub>5</sub>COCl, получен V, выход 2,3 г, т. пл. 130—131° (из ацетона). R 2,9 г IV в 20 мл сухого C<sub>6</sub>H<sub>5</sub>N при перемешивании добавляют 1,4 мл C<sub>6</sub>H<sub>5</sub>COCl, выдерживают 24 часа при 20°, выливают в 40 мл ледяной воды, получен VI, выход технич. продукта 2,1 г, т. пл. 117—119° (из ацетона). Л. Шахновский

1056. Алкалоиды из корней греческой белладонны. Штейнгер, Фокас (Die Alkaloide der griechischen Belladonnawurzel. Steinegger E., Phokas G.), Pharm. acta helv., 1956, 31, № 5, 284—297 (нем.; рез. англ., франц., итал.)

Разработан метод обнаружения и разделения алкалоидов Solanaceae при помощи хроматографии на бумаге и распределительной хроматографии на целлюлозе. Из корней белладонны, собранной в Греции, выделены гиосциамин (I), скополамин (II), апоатропин, белладонин, кускугирин (III) и новый алкалоид геллардин (IV). В экстрактах, обработанных щелочью, обнаружены тропин (V) и скополин (VI). Корни белладонны были извлечены ранее описанным методом (King, Ware, J. Chem. Soc., 1941, 331). Сумма алкалоидов разделена на фракции при извлечении р-ра при pH 8,5 (фракция а) и 10—11 (фракция б). Фракции а и б (по 0,1 г) подвергались хроматографированию на колонках, наполненных целлюлозой (по 5 г). Р-ритель: этилацетат+25%-ная HCOOH (100:8), с последующим добавлением CH<sub>3</sub>OH в увеличивающемся количестве (10, 20, 50 и 100% по отношению к смеси). Из а выделены I, III и IV. Из б получены I, V и VI. Приведены значения Rf выделенных алкалоидов в различных системах р-рителя. Т. Платонова

1057. К синтезу цитизина. Сообщение II: Получение производных хинолизона. Больман, Энглиш, Политт, Зандер, Вейзе (Zur Synthese des Cytisins. II. Mitteilung: Darstellung von Chinolon-Derivaten. Bohlman Ferdinand, English Alfred, Politt Joachim, Sander Han, Weise Wolfgang), Chem. Ber., 1955, 88, № 12, 1831—1838 (нем.)

Изучен синтез производных хинолизона-4 (I). При восстановлении диметилового эфира 2-никотилдинкарбоновой-3,5 к-ты (II) LiAlH<sub>4</sub> получают N=HCN(CH<sub>2</sub>OH)=CHC(CH<sub>2</sub>OH)=CCN<sub>3</sub> (III). Из III при взаимодей-

ствии с SOCl<sub>2</sub> образуется 3,5-бис-хлорметил-2-пиколлин (IV). Действием CH<sub>3</sub>ONa на IV синтезируют 3,5-бис-метоксиметил-2-пиколлин (V). При попытке получить Li-производное V р-цией с CH<sub>3</sub>Li или C<sub>6</sub>H<sub>5</sub>Li наблюдалась полимеризация. Предложено объяснение механизма этой р-ции. 3,5-лутидин (VI) переводят в 2, 3, 5-коллидин (VII). Конденсацией Li-производного VII с диэтиловым эфиром (VIII) получают этиловый эфир 3,5-лутидил-2-уксусной к-ты (IX), который при конденсации с этоксиметиленилмалоновым эфиром (X) образует 1,3-дикарбэтоксид-7,9-диметилхинолизон-4 (XI). V в жидком NH<sub>3</sub> с KNH<sub>2</sub> и VIII образует этиловый эфир 3,5-бис-метоксиметилпиперидил-(2)-уксусной к-ты (XII). Конденсацией XII с X получают 1,3-дикарбэтоксид-7,9-бис-метоксиметилхинолизон-4 (XIII). Превращение XIII в 1,3-дикарбэтоксид-7,9-бис-ацетоксиметилхинолизон-4 (XIV) идет с незначительным выходом. Взаимодействием 2-пиколлина (XV) с NaNH<sub>2</sub> в жидком NH<sub>3</sub> и последующей конденсацией с X получают 3-карбэтоксидхинолизон-4 (XVI). Омылением и декарбоксилированием XVI синтезируют I. Из V получают аналогично 3-карбэтоксид-7,9-бис-метоксиметилхинолизон-4 (XVII). Также из II синтезируют 7,9-бис-карбэтоксид-3-карбэтоксидхинолизон-4 (XVIII), который является исходным в-вом в синтезе тетрагидроцитизина. 300 г диэлового эфира 2,6-лу-



тидиндикарбоновой-3,5,6 к-ты омыляют 180 г КОН в 1,5 л 60%-ного  $\text{CH}_3\text{OH}$ . Р-тель отгоняют, остаток растворяют в 8 л воды, при 90° прибавляют порциями 480 г  $\text{KMnO}_4$  (8 час.); осадок отделяют, кипятят с 1 л воды (2 раза), подкисляют  $\text{CH}_3\text{COOH}$  до pH 5; добавлением  $\text{BaCl}_2$  осаждают Ba-соли при 80°; осадок отделяют после стояния ~ 16 час., выход 460—480 г, при обработке разб.  $\text{H}_2\text{SO}_4$  получают 2-пиколдинтрикарбоную-3,5,6 к-ту (XIX); триметиловый эфир, т. пл. 75° (из  $\text{CH}_3\text{OH}$ ). Неочищ. XIX кипятят 3 часа с 600 мл лед.  $\text{CH}_3\text{COOH}$ , получают дикарбоную-3,5 к-ту, выход 120—130 г. При этерификации последней ( $\text{CH}_3\text{OH}$  и  $\text{H}_2\text{SO}_4$ , 10 час. кипения) получают II, выход 80—90 г, т. пл. 88° (из  $\text{CH}_3\text{OH}$ ). К 12 г  $\text{LiAlH}_4$  в 1000 мл эфира при кипении прибавляют р-р 26 г II в эфире, нагревают 2 часа. К продукту р-ции (20 г) при охлаждении прибавляют 100 мл  $\text{SOCl}_2$ , нагревают 1 час при 100°, получают IV, выход 24 г, т. пл. 85° (из петр. эф.). 24 г IV в 50 мл  $\text{CH}_3\text{OH}$  нагревают 1 час. при 100° с избытком  $\text{CH}_3\text{ONa}$ , получают V, выход 71% (на II), т. кип. 128—132°/12 мм (т-ра бани); пикрат V, т. пл. 128°, 8,5 г К растворяют в 500 мл жидкого  $\text{NH}_3$ , добавлением  $\text{Fe}(\text{NO}_3)_3$  получают р-р  $\text{KNH}_2$ , к которому добавляют 38 г V в 30 мл эфира,  $\text{NH}_3$  испаряют, прибавляют эфир, кипятят 2 часа, добавляют 25,4 г VIII, нагревают 2 часа, выделяют 19 г V и 9,7 г XII, т. кип. 120—125°/0,02 мм; пикрат, т. пл. 114° (из  $\text{CH}_3\text{OH}$ ). 9,7 г XII и 9,2 г X выдерживают при 180° 8 час.; получают XIII, выход 80%, т. пл. 75° (из ацетона и из лигр.). 1 г XIII, 5 мл  $\text{CH}_3\text{OH}$ , 0,1 г воды. р-ра NaOH выдерживают несколько часов при 20°, получают 3-карбоксит-1-карботоксит-7,9-бис-метоксиметилхинолизон-(4), выход 0,78 г, т. пл. 128° (из  $\text{CH}_3\text{OH}$ ). 1 г XIII в 20 мл лед.  $\text{CH}_3\text{COOH}$  гидрируют над Pt (из 50 мг  $\text{PtO}_2$ ) до поглощения 4 молей  $\text{H}_2$ ; получают 1,3-дикарботоксит-7,9-бис-метоксиметилгидрохинолизон-(4). К р-ру  $\text{NaNH}_2$  (из 1,4 г Na и 250 мл жидкого  $\text{NH}_3$ ) и 11 г V прибавляют по каплям 13,1 г X, выдерживают 10 мин. и разлагают  $\text{NH}_4\text{Cl}$ . Упаривают  $\text{NH}_3$ , остаток растворяют в воде, экстрагируют эфиром. Р-тель удаляют, отгоняют V, остаток нагревают 8 час. при 180°; растворяют в  $\text{C}_6\text{H}_6$ ; фильтруют через  $\text{Al}_2\text{O}_3$ , получают XVII, выход 50%, т. пл. 131° (из лигр.). 100 мг XIII, 1 мл  $(\text{CH}_3\text{CO})_2\text{O}$  и 2 капля  $\text{SnCl}_4$  нагревают 5 час. при 70°, выделяют XIV, т. пл. 134°. 500 г  $\text{CH}_3\text{CH}_2\text{CHO}$ , насыщ.  $\text{NH}_3$ , нагревают с 260 г параформа и 190 мл конц. водн. р-ра  $\text{NH}_3$ , при 230—250° в автоклаве (давление до 80 ат), экстрагируют эфиром, перегоняют, собирают фракцию, т. кип. 52—78°/13 мм, обрабатывают 12%-ным КОН и  $\text{CH}_3\text{C}_6\text{H}_4\text{SO}_2\text{Cl}$  для удаления вторичных оснований, получают VI, выход 72 г, т. кип. 59—61°/13 мм. Побочный продукт 3,5-диметил-2-этилпиридин, т. кип. 85—87°/15 мм; пикрат, т. пл. 156°. К р-ру  $\text{CH}_3\text{Li}$  в эфире (970 мл, 0,545 н.) прибавляют по каплям 53,5 г VI, добавляют 300 мл толуола, эфир отгоняют. Реакционную массу нагревают 4 часа при 100°, разлагают льдом, выделяют VII, выход 67%, т. кип. 65—68°/12 мм. 36,3 г VII в эфире обрабатывают  $\text{C}_6\text{H}_5\text{Li}$ , прибавляют 39 г VIII в 100 мл эфира, выдерживают 1 час, выход IX 30%, т. кип. 125—135°/0,2 мм (т-ра бани). 17,4 г IX и 23,5 г X нагревают 2 часа при 200°, растворяют в 10 мл ацетона. При —10° кристаллизуется XI, выход 5,9 г, т. пл. 102° (из ацетона). К  $\text{NaNH}_2$  (из 2,3 г Na и 500 мл жидкого  $\text{NH}_3$ ) прибавляют 9,2 г XV, через 15 мин. добавляют 0,1 моля X в 50 мл эфира, выдерживают 15 мин., получают XVI, т. кип. 150°/0,01 мм (т-ра бани), т. пл. 115° (из ацетона и лигр.). Р-р  $\text{NaNH}_2$  (из 2,3 г Na и 600 мл жидкого  $\text{NH}_3$ ) смешивают с р-ром 20 г II в 100 мл эфира, прибавляют по каплям 21 г X, через 30 мин. после обычной обработки выделяют продукт р-ции, отгоняют II при 120—140°/0,001 мм (т-ра бани), остаток нагревают

1 час при 150°, получают XVII, выход 4,8 г, т. пл. 151° (из ацетона). 5,7 г IV, 50 мл  $\text{C}_6\text{H}_5\text{CH}_2\text{OH}$  и 12 г  $\text{C}_6\text{H}_5\text{CH}_2\text{ONa}$  нагревают 8 час. при 100°, получают 3,5-бис-бензилоксиметил-2-пиколлин, выход 54%, т. кип. 155°/0,003 мм (т-ра бани); пикрат, т. пл. 135° (из сн.). Предыдущее сообщение см. РЖХим, 1956, 32622.

Ю. Малина

1058. Синтез DL-цитизина. Питре (Sintesi della dl-citizina. Pitre D.), Farmaco Ed. scient., 1955, 10, № 12, 1046—1047 (итал.)

Краткое изложение схемы первого синтеза цитизина (РЖХим, 1956, 58178). Библ. 9 назв.

Л. Яновская

1059. Синтез флиндерсина. Браун, Хьюз, Ритчи (A synthesis of flindersine. Brown R. F. C., Hughes G. K., Ritchie E.), Chemistry and Industry, 1955, № 43, 1385 (англ.) 3R-4R'-хинолон-2 (I) ( $\text{R}=\text{H}$ ,  $\text{R}'=\text{OH}$ ) при обработке  $(\text{CH}_3)_2\text{C}=\text{CHCOCl}$  в пиридине дает I ( $\text{R}=\text{H}$ ,  $\text{R}'=\text{OCO}-\text{CH}=\text{C}(\text{CH}_3)_2$ ), т. пл. 214°, изомеризация которого в присутствии  $\text{AlCl}_3$  в  $\text{C}_6\text{H}_5\text{NO}_2$  приводит к I ( $\text{R}+\text{R}'=-\text{COCH}_2\text{C}(\text{CH}_3)_2\text{O}-$ ) (II), т. пл. 247°. Каталитич. гидрированием II получен соответствующий спирт, т. пл. 209°; дегидратация последнего с помощью  $\text{P}_2\text{O}_5$  или  $\text{SOCl}_2$  дает I ( $\text{R}+\text{R}'=-\text{CH}=\text{CHC}(\text{CH}_3)_2\text{O}-$ ) — флиндерсин.

Е. Цветков

1060. Синтез радиоактивно меченого папаверина (изохинолин-1- $\text{C}^{14}$ ) и установление положения изотона в молекуле. Шринивасан, Турба (Synthese von radioaktiv markiertem Papaverin (Isochinolin-1- $\text{C}^{14}$ ) und Lokalisation des Isotops im Molekül. Shrinivasan V. R., Turba F.), Biochem. Z., 1956, 327, № 5, 362—367 (нем.)

Для изучения механизма действия папаверина (I) и его судьбы в организме синтезирован  $\text{C}^{14}$ -меченый I (II) по схеме: 4-бромвератрол (III) +  $\text{C}_4\text{H}_9\text{Li}$  (IV) +  $+\text{C}^{14}\text{O}_2 \rightarrow \text{C}^{14}$ -вератровая к-та (V) +  $\text{C}^{14}$ -хлорангидрид V (VI) +  $\text{Ag}_2\text{O}$ -вератроилдиазометан (VII) гамовератрилами (VIII),  $\text{Ag}_2\text{O}$

$\rightarrow \text{C}^{14}$ -N-гомовератрилгомовератриамид (IX)  $\rightarrow \text{C}^{14}$ -дигидропапаверин (X)  $\rightarrow$  II. Окисление II  $\text{KMnO}_4$  приводит к  $\text{C}^{14}$ -6,7-диметоксизахинолин-1-карбоновой к-те (XI) и неактивной V (XII) (идентифицированы УФ-спектрами), что доказывает нахождение  $\text{C}^{14}$ -атома в положении 1 изохинолиновой части II, а также подтверждает механизм перегруппировки в синтезе Арида-Айстерта (Hugelt C. и др., J. Amer. Chem. Soc., 1942, 64, 3043). Биологич. активность II, испытанная на изолированной тощей кишке кролика, соответствует таковой I; УФ-спектры II и I (приведены кривые поглощения) совпадают. К IV, полученному испарением р-рителя в вакууме из 7 мл 0,47 M р-ра IV в петр. эфире, добавляют 5 мл свободного от перекисей абс. эфира (вакуум, охлаждение тверд.  $\text{CO}_2$ -ацетон), после растворения IV приливают еще 5 мл эфира, охлаждают р-р до —170° и в токе  $\text{N}_2$  прибавляют 1 г охлажд. III; затем реакционную колбу эвакуируют, повышают т-ру до —60°, через 15 мин. вводят сухой  $\text{C}^{14}\text{O}_2$  (из 250 мг  $\text{BaC}^{14}\text{O}_3$ ); после поглощения  $\text{C}^{14}\text{O}_2$  (проверка по манометру) охлажденные снимают, приливают в атмосфере  $\text{N}_2$  2 мл конц. HCl, V извлекают эфиром, выход 59%, т. пл. 177°. 148 мг V кипятят 5 час. в 2 мл  $\text{SOCl}_2$ , избыток  $\text{SOCl}_2$  испаряют в вакууме, следы  $\text{SOCl}_2$  удаляют двухкратной отгонкой с  $\text{C}_6\text{H}_6$  в вакууме, к оставшемуся VI приливают эфир. р-р  $\text{CH}_3\text{N}_2$  (из 1 г  $\text{NH}_2\text{CON}(\text{NO})\text{CH}_3$ , через сутки р-ритель отгоняют, в остатке VII, выход 116 мг, т. пл. 75° (из бzl.). К р-ру 116 мг VII в небольшом кол-ве спирта добавляют р-р 150 мг VIII в 3 мл спирта и  $\text{Ag}_2\text{O}$  (из 0,5 г  $\text{AgNO}_3$  и NaOH), нагревают смесь на водяной бане 2 часа, р-ритель отгоняют, приливают к остатку разб. щелочь, извлекают IX  $\text{CHCl}_3$

и высаживают из вытяжки петр. эфиром, выход 94 мг, т. пл. 124°. Р-р 94 мг IX в 0,5 мл  $\text{POCl}_3$  в 1 мл толуола кипятят 90 мин., охлаждают, добавляют петр. эфир, осадок декантируют, растворяют в горячем спирте, подщелачивают р-р KOH, выливают в воду, спирт отгоняют, X извлекают  $\text{CaH}_6$ , выход 83 мг (неочищ.). 83 мг X и 50 мг 30%-ного Pd/C нагревают 90 мин. в 1 мл тетралина до 195–200° в атмосфере  $\text{N}_2$ , по охлаждению добавляют  $\text{C}_6\text{H}_6$ , II извлекают 15%-ной HCl, кислый р-р II нейтрализуют  $\text{NH}_3$  (газ.), II извлекают  $\text{CHCl}_3$  и после удаления р-рителя очищают ионофоре-зом на бумаге (см. РЖХим Бх, 1955, 14218) (40×15 м, в 10%-ной HCOOH падение напряжения 5 в/см, 6 час.), выход II 48 мг, уд. активность 1,7·10<sup>5</sup> имп./мин. на 1 мг. 225 мг I с добавкой II растворяют в 0,7 мл 1 н.  $\text{H}_2\text{SO}_4$ , добавляют 6 мл 1,5%-ного водн.  $\text{KMnO}_4$ , по окончании р-ции осадок центрифугируют (из р-ра выделяют XII и  $(\text{COOH})_2$ ), суспендируют в 2–3 мл воды, насыщают  $\text{SO}_2$ , в осадке папаверальдин (XIII), в р-р добавляют 0,5%-ной  $\text{Na}_2\text{CO}_3$ , фильтруют, маточный р-р упаривают в вакууме досуха, остаток извлекают горячим спиртом, спирт отгоняют, остаток растворяют в воде, подкисляют разб. HCl, выпадает XI, уд. активность 1,2·10<sup>4</sup> имп./мин. на 1 мг. К 500 мг расплавленного KOH добавляют 100 мг XIII, после чего нагревание прекращают, плав растворяют в воде, подкисление дает XII.

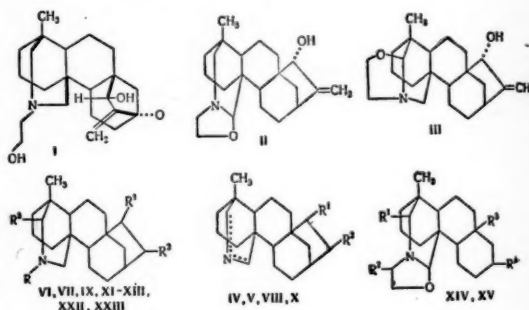
А. Хорин  
1061. Новый метод получения (+)-морфина из (+)-дигидротейбаина. Гото, Ямамото (Another method to prepare (+)-morphine from (+)-dihydrothebaine. Goto Kakuiji, Yamamoto Izuru), Proc. Japan Acad., 1956, 32, № 1, 45–47 (англ.)

При бромировании 4 г (+)-дигидротейбаина (I) в лед.  $\text{CH}_3\text{COOH}$  получают 1, 5, 7-трибромдигидротейбаин, который кипятят 10 час. с 35 мл гликоля в 350 мл  $\text{C}_6\text{H}_6$  с постепенной отгонкой, образуется этиленкеталь 1, 5, 7-трибромдигидротейбаина. Из реакционной массы отгоняют  $\text{C}_6\text{H}_6$  и остаток обрабатывают 20 мл 20%-ного NaOH. Через 5 мин. добавляют 60 мл воды и извлекают  $\text{CHCl}_3$  4 г неочищ. этиленкетала 1,7-дибромдигидрокодеина (II). Из водн. р-ра выделяют 1 г 1-бромсинемина (из 1,5 г I). II нагревают 6 час. с р-ром 0,4 г Na в 20 мл гликоля при 140°, получают 1,6 г неочищ. этиленкетала 1-бром-(+)-кодеина (III). Выход улучшается при применении  $n\text{-C}_4\text{H}_9\text{ONa}$ . При нагревании 1,6 г III в 15 мл 2%-ной HCl 30 мин. при 100° получают 0,2 г 1-бром-(+)-кодеина (IV), т. пл. 202° (из этилацетата). 0,18 г IV и 0,1 г  $\text{LiAlH}_4$  в 30 мл тетрагидрофурана кипятят 7,5 часа, выделяют 60 мг (+)-кодеина, т. пл. 268°. В. Шибнев

1062. Алкалоиды Garrya. III. Скелет алкалоидов Garrya. Уиснер, Армстронг, Бартлетт, Эдуарде (Garrya alkaloids. III. The skeletal structure of the Garrya alkaloids. Wiesner K., Armstrong R., Bartlett M. F., Edwards J. A.), J. Amer. Chem. Soc., 1954, 76, № 23, 6068–6073 (англ.)

Предложены пространственная структурная ф-ла для дигидроветхина (I) и структуры ветхина (II) и гарриина (III). Соединение  $\text{C}_{16}\text{H}_{15}\text{N}$ , полученное при дегидрировании II при помощи Se при 340° (см. сообщение II, РЖХим, 1955, 557), является не фенантрином, как это предполагалось ранее, а 1-метил-7-этил-3-аза-фенантрином, что доказано синтезом. Для полученных пирилизом оснований А (IV) и В (V) также предложены структурные ф-лы, в которых не определено положение двойной связи пиперидинового цикла. При восстановлении IV и V  $\text{LiAlH}_4$  получены тетрагидрооснование А (VI) и дигидрооснование В (VII) (см. ссылку выше). Обработка VII  $\text{CH}_3\text{SiCH}_2\text{OH}$  приводит к образованию I, а из VI получается не тетрагидроветхин, а его изо-

мер; предполагается, что конфигурация гидроксильной группы в VI, образовавшегося при восстановлении кетогруппы IV, противоположна конфигурации II. При окислении VII действием  $\text{CrO}_3$  получен  $\alpha$ ,  $\beta$ -ненасыщ. кетон (VIII). Восстановление VIII  $\text{LiAlH}_4$  приводит к в-ву (IX) изомерному VII. При гидрировании IX над  $\text{PtO}_2$  в  $\text{CH}_2\text{COOH}$  получен VI и тем самым доказано, что в IV присутствует ненасыщенный скелет исходных алкалоидов. В результате окисления VI действием  $\text{CrO}_3$  в пиридине происходит превращение пиперидинового цикла в  $\Delta'$ -пиперидиновый и получается основание (X). При ацилировании и щелоч. гидролизе VII получается N-ацетильное производное (XI), при окислении которого  $\text{CrO}_3$  в пиридине образуется амид (XII). При восстановлении йодметилата IV борогидридом натрия получается N-метилдигидрооснование А (XIII). При окислении II  $\text{KMnO}_4$  расщепляется цикл у вторичной OH-группы, отщепляется экзоциклич. метиленовая группа и получаются две карбоновые к-ты (XIV) и (XV). При действии  $\text{CH}_2\text{N}_2$  эти к-ты дают диметилевые эфиры (XVI) и (XVII). В ИК-спектре XVI линия лактама 1705  $\text{cm}^{-1}$ , а в ИК-спектре XVII—1650  $\text{cm}^{-1}$ . При щел. омылении XVI и XVII получены моноэфиры, которые далее не



IV  $\text{R}^1 = \text{O}$ ,  $\text{R}^2 = \text{CH}_3$ ; V  $\text{R}^1 = \dots\text{OH}$ ,  $\text{R}^2 = \text{H}$ ,  $\text{R}^3 = \text{OH}$ ,  $\text{R}^4 = \text{CH}_3$ , VII  $\text{R} = \text{H}$ ,  $\text{R}^1 = \text{CH}_3$ , VIII  $\text{R}^1 = \text{O}$ ,  $\text{R}^2 = \text{CH}_3$ ; IX  $\text{R} = \text{H}$ ,  $\text{R}^1 = \text{OH}$ ,  $\text{R}^2 = \text{CH}_3$ ; X  $\text{R}^1 = \text{OH}$ ,  $\text{R}^2 = \text{CH}_3$ ; XI  $\text{R} = \text{COCH}_3$ ,  $\text{R}^1 = \text{OH}$ ,  $\text{R}^2 = \text{CH}_3$ , XII  $\text{R} = \text{COCH}_3$ ,  $\text{R}^1 = \text{O}$ ,  $\text{R}^2 = \text{CH}_3$ ; XIII  $\text{R} = \text{CH}_3$ ,  $\text{R}^1 = \text{O}$ ,  $\text{R}^2 = \text{CH}_3$ ; XIV  $\text{R}^1 = \text{H}$ ,  $\text{R}^2 = \text{O}$ ,  $\text{R}^3 = \text{R}^4 = \text{COOH}$ ; XV  $\text{R}^1 = \text{O}$ ,  $\text{R}^2 = \text{H}$ ,  $\text{R}^3 = \text{R}^4 = \text{COOH}$ ; XXII  $\text{R} = \text{CH}_3$ ,  $\text{R}^1 = \text{O}$ ,  $\text{R}^2 = \text{CH}_3$ ,  $\text{R}^3 = \text{OH}$ ; XXIII  $\text{R} = \text{CH}_3$ ,  $\text{R}^1 = \text{O}$ ,  $\text{R}^2 = \text{CH}_3$ ,  $\text{R}^3 = \text{OCH}_3$ .

омыляются, что указывает на экранирование одного из карбоксильных. При кипячении XIV и XV с  $(\text{CH}_3\text{CO})_2\text{O}$  получены замест. глutarовые ангидриды (XVIII) и (XIX). При восстановлении XVII  $\text{LiAlH}_4$  и дегидрировании полученного триола над Se при 340° получают пимантрен (XX). При дегидрировании XV из нейтр. фракции также выделен XX, а при обработке кислотной фракции  $\text{CH}_2\text{N}_2$  выделен 1-метил-7-карбометоксифенантрен (XXI). Предполагается, что 7-метиленовая группа XX образуется за счет восстановления карбоксильной группы при дегидрировании. II и III представляют собой внутримолекулярные эфиры карбиноламинов. Карбиноламины (XXII), не содержащий OH-группы, способный образовывать внутримолекулярный эфир, т. пл. 117–119° (из абс. эф.), получается при обработке щелочью йодметилата водн. р-ра IV. Это в-во не изменяется при нагревании до 90° (24 часа) в вакууме, а при сублимации (190°) превращается в IV. При перекристаллизации XXII из  $\text{CH}_3\text{OH}$  образуется метиловый эфир (XXIII) с т. пл. 110–111°. Р-р 0,83 г  $\text{CrO}_3$  и 0,83 г VI в 29 мл пиридина встряхивают несколько часов и оставляют на 12 час. Хроматографированием выделено X, выход 0,47 г, т. пл. 220° (из ацетона). Р-р 1,7 г VII в 17 мл

пиридина окислен 3 г  $\text{CrO}_3$  в 30 мл пиридина в тех же условиях. Получен VIII, выход 0,5 г, т. пл. 157–158° (из ацетона, после хроматографирования на  $\text{Al}_2\text{O}_3$ ). При восстановлении 0,22 г VIII избытком  $\text{LiAlH}_4$  в эфире получен IX, выход ~100%, т. пл. 181° (из эф.). Ацетируют 0,25 г VII в 5 мл абс. пиридина 3 мл  $(\text{CH}_3\text{CO})_2\text{O}$  при ~20° и оставляют с 0,1 г NaOH в 10 мл 50%-ного спирта, получают XI, выход ~100%, т. пл. 148° (из эф., петр. эф.). Окисляют 0,24 г XI, 0,24 г  $\text{Cr}_2\text{O}_3$  в 9 мл пиридина, получают XII, выход 0,13 г, т. пл. 167–168° (из эф.; после хроматографирования на  $\text{Al}_2\text{O}_3$ ). К 0,5 г йодметилата IV в 40 мл  $\text{CH}_3\text{OH}$  добавлено 60 мг  $\text{NaNH}_2$  в 10 мл  $\text{CH}_3\text{OH}$ , через несколько часов смесь разложена водой, получен XIII, выход 400 мг, т. пл. 144–145° (из  $\text{CH}_3\text{OH}$ ). К 10 г II в 700 мл ацетона за 2 часа добавляют  $\text{KMnO}_4$ , перемешивают 5 час., фильтруют, осадок  $\text{MnO}_2$  обрабатывают  $\text{SO}_2$  в смеси воды и  $\text{CHCl}_3$ , водн. слой экстрагируют  $\text{CHCl}_3$ , кислотную фракцию подвергают противоточному распределению в автоматич. аппарате на 50 фракций. Из 36–47 фракций получена XV, выход 0,925 г, т. пл. 262–263° (из  $\text{CH}_3\text{OH}$ -этилацетата). При обработке XV  $\text{CH}_2\text{N}_2$  в  $\text{CH}_3\text{OH}$  получен XVII (возгонка в вакууме при 180°). Кипятят 166 мг XVII в 10 мл  $\text{CH}_3\text{OH}$  с 7 мл 0,25 н. NaOH 2 часа, получают монометиловый эфир XV, выход 146 мг, т. пл. 269–270° (из  $\text{CH}_3\text{OH}$ ). Кипятят 143 мг XV с 5 мл  $(\text{CH}_3\text{CO})_2\text{O}$  4 часа, получают XIX, т. пл. ~270° (возгонка в вакууме). Из фракций 23–30 получают XIV, выход 548 мг, т. пл. 247–249° (из  $\text{CH}_3\text{OH}$ -этилацетата); монометиловый эфир, т. пл. 138° (из этилацетата). XVIII, т. пл. 202–205° (из эф.). Нагревают 1 г XV с 2 г Se при 340° 9 час. под азотом. Кислотную фракцию (137 мг) этерифицируют диазометаном и получают XXI, выход 17 мг, т. пл. 100–110° (хроматографирование на  $\text{Al}_2\text{O}_3$  в  $\text{C}_6\text{H}_6$ , вымывание  $\text{CH}_3\text{OH}$ ). Кипятят 1,303 г XVII с избытком  $\text{LiAlH}_4$  12 час. Полученное масло (1,105 г) нагревают с 2,2 г Se при 340° 9 час. под азотом. Нейтр. фракцию хроматографируют на  $\text{Al}_2\text{O}_3$  в  $\text{C}_6\text{H}_6$ , вымывают петр. эфиром и выделяют XX в виде тринитробензоата, выход 30 мг, т. пл. 157°, при хроматографировании которого на  $\text{Al}_2\text{O}_3$  выделяется свободный XX. Приведены данные о спектрах VIII, X, XII, XIII, XVI, XVII, XVIII, XIX, XXI, XXII и XXIII. Н. Швецов

1063. Производные теоброминкарбоновой-1 и теобромин-1-уксусной кислот. Какаче, Цифферро (Derivati degli acidi teobromin-1-carbonico e teobromin-1-acetico. C. S. Fulvio, Zifferero Maurizio), Ann. chimica, 1955, 45, № 11, 1026–1030 (итал.).

Действием диметиламина и диэтиламина на хлорангидрид теоброминкарбоновой-1 к-ты (I) ( $\text{C}_8\text{H}_6$ , охлаждение) приготовлены диметиламид, т. пл. 151,5–152° (из бэл.-петр. эф.), и диэтиламид теоброминкарбоновой-1 к-ты, т. пл. 154,5–155° (из бэл.-петр. эф.). При р-ции метил-(II) или этиламина (III) с I образуются не соответствующие алкиламиды, а хлоридат амина, теобромин (IV) и симм-диметил-(или диэтил)-мочевина. Аналогично при р-ции II или III с этиловым эфиром теоброминкарбоновой-1 к-ты получается IV и N-метил-или N-этилмочевина. Этиловый эфир теобромин-1-уксусной к-ты (V), напротив, реагирует с первичными аминами (II, III, гидразин, этилендиамин) при нагревании до 120° в течение 6 час., образуя соответственно метиламид, т. пл. 304–305° (разл.; из сп.), этиламид, т. пл. 307,5° (разл.; из сп.), гидразид, т. пл. 300° (разл.; из сп.) и  $\beta$ -аминоэтиламид теобромин-1-уксусной к-ты, т. пл. 200–202° (разл.; из n-бутанола). Диалкиламины и оксиддиламины не действуют на V. К кипящей смеси 10 г IV и р-ра 1,25 г Na в 100 мл безводн. спирта добавляют избыток соответствующего замещ. амида хлоруксусной к-ты, перемешивают несколько

ко часов, получают диметиламид, т. пл. 226–227° (из сп.-эф.), фениламид, т. пл. 266–266,5° (разл. из сп.), и бензиламид теобромин-1-уксусной к-ты, т. пл. 251–252° (разл.; из сп.). 5 г теобромин-1-уксусной к-ты кипятят с 5 г  $\text{SOCl}_2$  в 20 мл безводн.  $\text{C}_6\text{H}_6$  до прекращения выделения HCl, получают хлорангидрид теобромин-1-уксусной к-ты. Л. Иновская

1064. Алкалоиды чемерицы. 1. Некоторые эфиры цевина и состав «цевиндикалия». Вейделек, Трчка (Veratrum — Alkaloide. I. Über einige Ester des Cevins und die Zusammensetzung des «Cevindikaliums». Vojdšek Z. J., Trčka V.), Сб. чехосл. хим. работ, 1956, 21, № 3, 743–753 (нем.; рез. русс.). См. РЖХим, 1956, 32614.

1065. Алкалоиды *Pinus*. Алкалоиды из *P. sabiniana* и родственных видов. Таллент, Стромберг, Хорнинг (Pinus alkaloids. The alkaloids of *P. sabiniana* Dougl. and related species. Tallent W. H., Stromberg V. L., Horning E. C.), J. Amer. Chem. Soc., 1955, 77, № 23, 6361–6364 (англ.).

Установлено наличие (+)- $\alpha$ -пинеколина (I) и нового алкалоида пинидина (II) в иглах ряда калифорнийских видов *Pinus*. Алкалоиды найдены в *P. attenuata* Lemmon, *coulteri* D. Don, *monophylla* Torr. and Frem., *piceana* Gordon, *radiata* D. Don, *remora* Mason, *sabiniana* Dougl., *jeffreyi* Balfour, *torreyana* Parry. Последние три содержат II (0,28; 0,12 и 0,08% соответственно) и в то же время не содержат бициклич. терпенов. При озонолизе I образуется  $\text{CH}_3\text{CHO}$ , что указывает на наличие группы  $\text{CH}_2\text{CH}=\text{C}$ . I является моноциклич. вторичным амином, возможно, производным пинеридина. 3 кг размолотых свежих игл *Pinus sabiniana* смешивают с 750 г  $\text{Na}_2\text{CO}_3$  и 10 л воды и перегоняют с паром. Смесь аминов, полученных из 57 кг материала, разгоняют на колонке, получают 2 фракции: (а), выход 0,03%, т. кип. 117–119°; (б), выход 0,28%, т. кип. 174–177°. В (а) содержится I (идентифицирован сравнением с синтетич. продуктом). Из (б) получен II,  $\text{C}_8\text{H}_{17}\text{N}$ , т. кип. 176–177°/751 мм,  $n_{\text{D}}^{21,5}$  1,4622,  $[\alpha]_{\text{D}}^{25}$  — 23,4° (с 1,88; абс. сп.),  $[\alpha]_{\text{D}}^{25}$  — 10,5° (с 1,88; абс. сп.); хлоридат, т. пл. 244–246° (из этилацетата-сп.); йодметилат (по-видимому, подгидрат N-метил-I), т. пл. 214–218° (из этилацетата-сп. и бэл.- $\text{CH}_3\text{OH}$ ). Р-р II в  $\text{C}_2\text{H}_5\text{OH}$  гидрируют в присутствии 10%-ного Pd/C, получен дигидропинидин, т. кип. 173–174°/751 мм, выход колич.,  $n_{\text{D}}^{21,5}$  1,4460,  $[\alpha]_{\text{D}}^{25}$  — 1,2° (с 1,617; абс. сп.); хлоридат, т. пл. 247–248° (из этилацетата). В р-р 1,68 г II в 18 мл  $\text{CH}_3\text{COOH}$  пропускают озон 1,5 часа, затем массу добавляют по каплям к 1 г Zn-пыли в 20 мл воды, выделен димедон ацетальдегида, выход 63 мг, т. пл. 140–145°. Л. Шахновский

1066. Алкалоиды *Crotalaria juncea*. Адамс, Джамтурко (The alkaloids of *crotalaria juncea* Adams Roger, Gianturco Maurizio), J. Amer. Chem. Soc., 1956, 78, № 9, 1919–1921 (англ.).

Экстракцией семян *Crotalaria juncea* спиртом получена сумма алкалоидов (0,003%), в которой при хроматографии на бумаге установлено наличие в-в с  $R_f$  0,40, 0,58 и 0,62 (бутанол +5%-ная  $\text{CH}_3\text{COOH}$ , 1:1). Методом распределительной хроматографии на целлюле 545 (ЖХим, 1956, 68466) из смеси выделены сенеционин, сенецифиллин и ридделлин. Растительный материал после извлечения спиртом извлекли  $\text{CH}_3\text{OH}$ . В экстракте установлено наличие в-ва  $R_f$  0,38 и 0,54. Обработкой суммы экстрактивных в-в водой отделен  $\beta$ -окси-N-метил- $\beta$ -норвалин А. В-ва, не растворимые в воде, разделены на колонке с флоризилом. Вымыванием  $\text{CHCl}_3$  по-



лучен трихлоресмин ( $R_f$  0,54); последующим вымыванием смесью  $\text{CHCl}_3$ - $n\text{-C}_3\text{H}_7\text{OH}$  (4:1) получен новый алкалоид-юнцейн  $\text{C}_{18}\text{H}_{27}\text{NO}_7$ ,  $R_f$  0,38, т. пл. 191—192°,  $[\alpha]_D^{20} -3^\circ$  ( $c$  0,8;  $\text{C}_6\text{H}_5\text{N}$ ).

А. Данилова

**1067. Витамин  $\text{B}_{12}$ . XXV. 3,3-диметил-2,5-диоксопирролидин-4-пропионамид, как новый продукт деградации.** Кюл, Шанк, Мур, Фолкерс (Vitamin  $\text{B}_{12}$ . XXV. 3,3-dimethyl-2,5-dioxopyrrolidine-4-propionamide: a new degradation product. Kuehl Frederick A., Jr, Shunk Clifford H., Moore Marjorie, Folkers Karl), J. Amer. Chem. Soc., 1955, 77, № 16, 4418—4419 (англ.)

Найдено, что при окислении витамина  $\text{B}_{12}$  (I), наряду с 5,6-диметилбензимидазолом (II) и лактоном 3,3-диметил-2,5-диоксо-4-оксипирролидин-4-пропионой к-ты (III), образуется оптически деятельный амид 3,3-диметил-2,5-диоксопирролидин-4-пропионой к-ты (IV). Р-р 5 г I в 17,4 г  $\text{Na}_2\text{CrO}_4$  в 300 мл лед.  $\text{CH}_3\text{-COOH}$  после 3 час. стояния при  $\sim 20^\circ$  нагревают 12 час. на паровой бане, удаляют в вакууме р-ритель, остаток растворяют в воде, подкисляют  $\text{HCl}$  до pH 2, извлекают 16 час.  $\text{CHCl}_3$ , остаток после отгонки  $\text{CHCl}_3$  растворяют в воде, доводят pH до 7 и снова экстрагируют  $\text{CHCl}_3$ . Для отделения II остаток после удаления  $\text{CHCl}_3$  снова растворяют в воде, подкисляют до pH 2 и извлекают  $\text{CHCl}_3$ . Растворенные в  $\text{CHCl}_3$  III и IV подвергают разделению методом противотока. Получают 25,6 мг IV, т. пл. 150,5—151° (после возгонки в вакууме, из ацетона),  $[\alpha]_D^{25} -42^\circ$ . Строение IV доказано его синтезом из 3,3-диметил-2,5-диоксопирролидин-4-пропионой к-ты (V), получаемой при окислении кислотного гидролизата I (см. сообщение XXIV, РЖХим, 1956, 43312), а также превращением (при действии  $\text{HCl}$ ) в 2-метилпентапентикарбоную-2, 3,5 к-ту. Высказано мнение, что карбоксильная группа V генетически связана с карбамидной группой IV, изначально присутствующей в I.

А. Травин

**1068. Витамин  $\text{B}_{12}$ . XXVI. Деградация фактора III до 5-оксбензимидазола, его производные и биосинтез фактора III.** Робинсон, Миллер, МакФерсон, Фолкерс (Vitamin  $\text{B}_{12}$ . XXVI. Degradation of factor III to 5-hydroxybenzimidazole and derivatives and biosynthesis of factor III. Robinson F. M., Miller I. M., McPherson I. F., Folkers Karl), J. Amer. Chem. Soc., 1955, 77, № 19, 5192 (англ.)

Из гидролизата фактора III (РЖХимБх, 1956, 2251) 6 н.  $\text{HCl}$  (21 час., 150°) выделен 5-оксбензимидазол (II),  $R_f$  (бутанол- $\text{CH}_3\text{COOH}$ -вода) 0,65; пикрат, т. пл. 220—225°; полиморфный хлоргидрат, т. пл. 185—190°. I получен из 5-метоксбензимидазола действием  $\text{HBr}$  (к-ты). Из I и фактора В (РЖХимБх, 1955, 9879) при помощи *Escherichia coli* получены 2 красных кристаллич. Со-комплекса; один из них идентичен с фактором III. Приведены данные УФ-спектра I.

А. Травин

**1069. Кристаллическое соединение бензилпенициллина с N-этилпиперидинбензилпенициллином.** Шолтес (A g-penicillinnek N-etil-piperidin-g-penicillinel képezett kristályos vegyülete. Soltész Jenő), Magyar kém. folyóirat, 1956, 62, № 1, 38 (венг.)

Из конц. водн. р-ра этилпиперидинбензилпенициллина (I) при pH 5,3 выделяется кристаллич. осадок, состоящий из 1 моля I и 1 моля бензилпенициллина, т. пл. 133—138°. В-во биологически активно более чем I. Состав установлен определением мол. веса, ацидиметрич. титрованием, определением содержания N-этилпиперидина и по данным элементарного анализа.

Г. Челпанова

**1070. Определение молекулярного веса актиномицинов и их продуктов разложения с применением метода окислительно-восстановительного титрования.**

Брокман, Фовинкель (Molekulargewichtsbestimmung der Actinomycine und ihrer Abbauprodukte durch Redoxititration. Brockmann H., Vohwinkel K.), Angew. Chemie, 1955, 67, № 19—20, 618—619 (нем.)

Метод основан на восстановлении хиноидных систем актиномицинов (I) и их производных до светло-желтых лейкосоединений. В качестве восстановителей применяют р-р  $\text{TiCl}_3$  в 50%-ной  $\text{CH}_3\text{COOH}$  или р-р  $(\text{CH}_3\text{COO})_2\text{Cr}$  в 70%-ном  $\text{CH}_3\text{OH}$ . Поскольку I содержат только 1 хиноидную систему, найденные методом окислительно-восстановительного титрования (ОВТ) эквиваленты соответствуют мол. весам. Экспериментально найденные значения мол. веса 5 различных I совпадают в пределах ошибок опыта. Для актиномицинов  $\text{C}_2$ ,  $\text{C}_3$ ,  $\text{J}_1$ ,  $\text{X}_1$  и  $\text{X}_2$  значения мол. веса соответственно равны  $1296 \pm 35$ ;  $1307 \pm 35$ ;  $1305 \pm 35$ ;  $1320 \pm 35$  и  $1307 \pm 35$ . Для актиномицина  $\text{X}_{03}$ , отличающегося от других I и по хим. свойствам, найдено большее значение мол. в.  $1393 \pm 35$ . При ОВТ дезамино-актиномицинов р-ром  $(\text{CH}_3\text{COO})_2\text{Cr}$  в  $\text{CH}_3\text{OH}$ , титруемый р-р окрашивается сначала в темно-зеленый, а затем в светло-желтый цвета. Мол. вес дезамино-актиномицина С найден равным  $1308 \pm 35$ . Зеленый промежуточный продукт его восстановления представляет собой полухинон. Последний не образуется, если в качестве восстановителя использовать р-р  $\text{TiCl}_3$  в лед.  $\text{CH}_3\text{COOH}$ . Мол. вес десептидо-актиномицина ( $\text{TiCl}_3$ )  $290 \pm 8$ , актиноидина и актиноцил-треонин-метилового эфира  $(\text{Cr}(\text{CH}_3\text{COO})_3)$  соответственно  $282 \pm 7$  и  $475 \pm 13$ . При навеске 5—15 мг I мол. вес определяют с точностью  $\pm 2,5\%$ . Применением больших навесок точность повышается до  $\pm 1\%$ .

Н. Полянский

**1071. Новые природные аминокислоты.** Муссо (Neue natürliche Aminosäuren. Musso H.), Angew. Chem., 1956, 68, № 9, 313—323 (нем.; рез. англ., франц.)

Обзор. Библ. 135 назв.

В. Ш.

**1072. Некоторые  $\alpha$ -метиламинокислоты.** Потс (Some  $\alpha$ -methylamino-acids. Potts K. T.), J. Chem. Soc., 1955, May, 1632—1634 (англ.)

Синтезирован ряд  $\alpha$ -метил- $\alpha$ -аминокислот (I), аналогов в-в, задерживающих рост микроорганизмов. Гидролизом соответствующих 5-замещенных глутантонов получены следующие I:  $\alpha$ -аминоизомасляная к-та (II),  $\alpha$ -метилфенилаланин (III),  $\alpha$ -метилметионин (IV),  $\alpha$ -метилтирозин (V), S-бензил- $\alpha$ -метилцистеин (VI), а также  $\alpha$ -метилглутаминовая к-та (VII), которую получают по описанному ранее методу (РЖХим, 1956, 50926), т. пл. 175° (из воды); фталильное производное, т. пл. 203°. I получают гидролизом 5,5-диметилглутантоина, т. сублимации 280°. 30 г 5-бензил-5-метилглутантоина кипятят 30 час. с 150 г  $\text{Ba}(\text{OH})_2$  и 750 мл воды, удаляют  $\text{Ba}^{2+}$ , упаривают и выделяют III, выход 53%, т. пл. 294—295° (разл.). 8 г метил-3-оксобутилсульфида в 60 мл 50%-ного спирта нагревают (3 часа, 65—70°) с 6,4 г KCN и 20 г  $(\text{NH}_4)_2\text{CO}_3$ , упаривают в вакууме досуха, экстрагируют горячим бензолом и из экстрактов выделяют 5-метил-5-(метилтиозил)-глутантоин (VIII), выход 28%, т. пл. 108° (из бzl.). 3,2 г VIII кипятят 36 час. с 20 г  $\text{Ba}(\text{OH})_2$ , 100 мл воды и выделяют IV аналогично III, выход IV 32%, т. пл. 134° (из воды). 28 г n-метоксифенилacetона, 15 г KCN, 50 г  $(\text{NH}_4)_2\text{CO}_3$  в 250 мл 50%-ного спирта нагревают 7 час. при 65—70° и при охлаждении выделяют 5-(4-метоксбензил)-5-метилглутантоин (IX), выход 97%, т. пл. 198° (из воды). 33,5 г IX нагревают 30 мин. со 150 мл  $\text{HJ}$  ( $d = 1,7$ ) и выделяют 5-(4-оксбензил)-5-метилглутантоин (X), выход 94%, т. пл. 307° (из воды). X гидролизует до V (анало-

точно получению III), выход 35%, т. пл. 330—332° (разл., из воды). К 2,0 г V в 20 мл воды и избытке 60% водн. этилендиамина прибавляют 10,4 мл йода в 4 н. КJ, через два часа нейтрализуют  $\text{CH}_3\text{COOH}$  и выделяют  $\alpha$ -метилдигидротирозин, выход 85%, т. пл. 215° (разл., из 50%-ной  $\text{CH}_3\text{COOH}$ ). 100 г 1-(бензилто)-апетона, 48 г KCN, 162 г  $(\text{NH}_4)_2\text{CO}_3$  в 400 мл 50%-ного спирта нагревают 7 час. при 65—70°, упаривают в вакууме, выливают на лед, осторожно прибавляют разб. HCl и выделяют 5-(4-метилтнобензил)-5-метилгидантрон (XI), выход 92%, т. пл. 119° (из сп.). 50 г XI, 250 г  $\text{Ba}(\text{OH})_2$  и 1250 мл воды кипятят 30 час., удаляют  $\text{Ba}^{2+}$  и выделяют VI, выход 71%, т. пл. 234°. 10 г X за 90 мин. прибавляют при перемешивании при 25—32° к конц.  $\text{HNO}_3$  (35 мл,  $d = 1,42$ ); Через 30 мин. выливают на лед и выделяют 5-(4-окси-3,5-динитробензил)-5-метилгидантрон (XII), выход 75%, т. пл. 273° (разл. из воды). 5 г XII, 4,6 г *n*-толуолсульфохлорида и 40 мл абс. пиридина кипятят 30 мин., прибавляют 6,8 г *n*-метоксифенола, нагревают 2 часа, упаривают в вакууме, растворяют остаток в ацетоне, выливают на лед и выделяют 5-(4-*n*-метоксифеноксипро-3,5-динитробензил)-5-метилгидантрон выход 69%, т. пл. 147° (из водн. алетона и затем из  $\text{CH}_3\text{OH}$ ). С. Аваева

**1073. Исследования N-карбоксиямидов  $\alpha$ -аминокислот. VII. О взаимодействии с гриньяровскими соединениями.** Вессели, Павлов, Ридиц (Untersuchungen über  $\alpha$ -Amino-N-carbonsäureanhydride. VII. Über die Umsetzung mit Grignardschen Verbindungen. Wessely F., Pawloy H., R i z z i W.), Monatsh. Chem., 1955, 86, № 1, 75—87 (нем.)

Реакция магнийорганич. соединений с N-карбоксиямидами  $\alpha$ -аминокислот (I) двух различных типов  $\text{C}_6\text{H}_5\text{NCH}_2\text{COOCO}$  (II) и  $\text{NHCH}(\text{CH}_2\text{C}_6\text{H}_5)\text{COOCO}$  (III)

протекает по-разному: II реагирует только по СО-группе, связанной с С, отщепляет  $\text{CO}_2$  и дает аминокетоны  $\text{C}_6\text{H}_5\text{NCH}_2\text{COR}$  (IV  $\text{R} = \text{C}_2\text{H}_5$ ,  $\text{C}_6\text{H}_5$ ) и третичные аминоспирты  $\text{C}_6\text{H}_5\text{NHCH}_2\text{C}(\text{OH})\text{R}_2$  (V  $\text{R} = \text{CH}_3$ ,  $\text{C}_2\text{H}_5$ ,  $\text{C}_6\text{H}_5$ ), соответствующие N-фенилглицину. III обычно не отщепляет  $\text{CO}_2$  и образует N-ацил- $\alpha$ -аминокетоны  $\text{C}_6\text{H}_5\text{CH}_2\text{CH}(\text{NHCOR})\text{COR}$  (VI  $\text{R} = \text{C}_2\text{H}_5$ ,  $\text{C}_6\text{H}_5$ ) и N-ацил-*пре*- $\alpha$ -аминоспирты  $\text{C}_6\text{H}_5\text{CH}_2\text{CH}(\text{NHCOR})\text{C}(\text{OH})(\text{C}_6\text{H}_5)_2$  (VII). При действии  $\text{C}_6\text{H}_5\text{MgBr}$  II образует в качестве побочного продукта  $(\text{C}_6\text{H}_5)_3\text{COH}$ . III взаимодействует с  $\text{C}_2\text{H}_5\text{MgI}$  подобно II с образованием  $\text{C}_6\text{H}_5\text{CH}_2\text{CH}(\text{NH}_2)\text{C}(\text{OH})(\text{C}_2\text{H}_5)_2$  (VIII). II в отличие от III не разлагается под действием безводн. пиридина; разложение II водой, спиртами и аминами приводит к мономолекулярным соединениям  $\text{C}_6\text{H}_5\text{NHCH}_2\text{COR}$  (IX  $\text{R} = \text{OH}$ ,  $\text{NHAiK}$ ,  $\text{NHAe}$ ,  $\text{OAlK}$ ,  $\text{OAr}$ ); III в тех же условиях образует производные пентидов  $\text{NH}_2\text{CH}(\text{CH}_2\text{C}_6\text{H}_5)\text{CO}[\text{NHCH}(\text{CH}_2\text{C}_6\text{H}_5)\text{CO}]\text{NHCH}(\text{CH}_2\text{C}_6\text{H}_5)\text{COR}$  (X) ( $\text{R} = \text{OH}$ ,  $\text{NHAiK}$ ,  $\text{NHAe}$ ,  $\text{OAlK}$ ,  $\text{OAr}$ ). При взаимодействии магнийорганич. соединений с N-карбоксопроизводными сложных эфиров  $\alpha$ -аминокислот N-карбоксогруппа не реагирует:  $\text{C}_6\text{H}_5\text{N}(\text{COOC}_2\text{H}_5)_2$  (XI) дает  $\text{C}_6\text{H}_5\text{N}(\text{COOC}_2\text{H}_5)_2$  (XI)  $\text{R} = \text{CH}_3$ ,  $\text{C}_2\text{H}_5$ ,  $\text{C}_6\text{H}_5$ ;  $\text{NH}(\text{COOC}_2\text{H}_5)_2$  (XII)  $\text{R} = \text{CH}_3$ ,  $\text{C}_2\text{H}_5$ ,  $\text{C}_6\text{H}_5$ ;  $\text{NH}(\text{COOC}_2\text{H}_5)_2$  (XIII) дает  $\text{NH}(\text{COOC}_2\text{H}_5)_2$  (XIII)  $\text{R} = \text{CH}_3$ ,  $\text{C}_2\text{H}_5$ ,  $\text{C}_6\text{H}_5$ ;  $\text{CH}(\text{CH}_2\text{C}_6\text{H}_5)\text{C}(\text{OH})(\text{C}_6\text{H}_5)_2$  (XIV); только в р-ции XI с  $\text{C}_2\text{H}_5\text{MgI}$  с низким выходом образуется IV ( $\text{R} = \text{C}_2\text{H}_5$ ). I получают из соответствующих аминокислот и фосгена (Fuchs F., Ber., 1922, 55, 2943; Chem. Abstrs, 1951, 45, № 12, 5177). Для получения IV, V, VI, VII и VIII помещают I в гильзу аппарата Сокслета и экстрагируют 6—11-кратным молярным р-ром реактива Гриньяра в абс. эфире 3 часа; через 12 час. разлагают как обычно р-ром  $\text{NH}_4\text{Cl}$  и перегоняют в вакууме при 0,05 мм. V ( $\text{R} = \text{CH}_3$ ) получают а) из II и  $\text{CH}_3\text{MgI}$ , выход 54%; б) из этилового эфира N-фенилглицина и

$\text{CH}_3\text{MgI}$ , выход 32,6%; в) из анилина и  $\text{CH}_3\text{MgI}$ , т. пл. 52—53,5° (из бэл. или петр. эф.) IV ( $\text{R} = \text{C}_2\text{H}_5$ ) получают а) из II и  $\text{C}_2\text{H}_5\text{MgI}$ , выход 30,7%; б) из этилового эфира N-фенилглицина и  $\text{C}_2\text{H}_5\text{MgI}$ , выход 0,3%; в) из XI и  $\text{C}_2\text{H}_5\text{MgI}$ , выход 0,3%, т. пл. 80,5—81,5° (петр. эф.). V ( $\text{R} = \text{C}_2\text{H}_5$ ) получают а) из II и 10-кратного молярного избытка  $\text{C}_2\text{H}_5\text{MgI}$ , выход 52%; б) из этилового эфира N-фенилглицина и  $\text{C}_2\text{H}_5\text{MgI}$ , выход 39%; масло,  $n_D^{20}$  1,5420; 3,5-динитробензойное производное, т. пл. 124—126° (лигр.). V ( $\text{R} = \text{C}_6\text{H}_5$ ) получают а) из II и  $\text{C}_6\text{H}_5\text{MgBr}$ , выход 27,8%; б) из этилового эфира N-фенилглицина и  $\text{C}_6\text{H}_5\text{MgBr}$ , выход 7%, т. пл. 109—110° (сп. или лигр.). IV ( $\text{R} = \text{C}_6\text{H}_5$ ) получают из II и небольшого избытка  $\text{C}_6\text{H}_5\text{MgBr}$ , т. пл. 94°. VI ( $\text{R} = \text{C}_2\text{H}_5$ ) получают из III и  $\text{C}_2\text{H}_5\text{MgI}$ , выход 28,6%, т. пл. 68—71° (перерастворение и вымораживание из эф.). VII получают из III и  $\text{C}_2\text{H}_5\text{MgI}$ , выход 12,1%, масло; бензойное производное, т. пл. 135—136° (лигр.). VIII получают из III и  $\text{C}_6\text{H}_5\text{MgBr}$ , выход 12,77%, т. пл. 211° (незначительная часть имеет т. пл. 219°) (из лед.  $\text{CH}_3\text{COOH}$ ). VI ( $\text{R} = \text{C}_6\text{H}_5$ ) получают из III и  $\text{C}_6\text{H}_5\text{MgBr}$  (выделен из маточного р-ра вышеуказанного опыта), выход 33,4%, т. пл. 146° (сп.). Получение XII: к охлажд. реактиву Гриньяра добавляют по каплям р-р эфиров N-карбоксоаминокислот в небольшом кол-ве абс. эфира, кипятят 30 мин. и оставляют на ~12 час. XII ( $\text{R} = \text{CH}_3$ ) получают из XI и  $\text{CH}_3\text{MgI}$ , выход 80%, масло,  $n_D^{20}$  1,5104, XII ( $\text{R} = \text{C}_2\text{H}_5$ ) получают: а) из XI и  $\text{C}_2\text{H}_5\text{MgI}$ , выход 81%; б) карбоксилированием соответствующего аминоспирта, масло,  $n_D^{20}$  1,5090; идентифицирован по УФ-спектру. Определение  $\text{OC}_2\text{H}_5$  по Цейлю дает неверные результаты. XII ( $\text{R} = \text{C}_6\text{H}_5$ ) получают: а) из XI и  $\text{C}_6\text{H}_5\text{MgBr}$  (~20°), выход 21,9%; б) карбоксилированием соответствующего аминоспирта, т. пл. 102—103° (из  $\text{CH}_3\text{OH}$ ). XIV получают: а) из XIII и  $\text{C}_6\text{H}_5\text{MgBr}$ , выход 48,4%; б) карбоксилированием соответствующего аминоспирта, т. пл. 134—135° (кристаллизация из 80%-ного сп.,  $\text{CH}_3\text{OH}$ ). Кристаллизуется с  $\text{CH}_3\text{OH}$ . Анилинацетон (Wolf, Liebigs Ann. Chem., 1952, 578, 83) получают из 0,023 моля монобромцетона в 50 мл эфира и 0,046 моля анилина в 25 мл эфира, ~48 час. при 10—15°; фильтруют, промывают водой, извлекают HCl (1:3) ( $2 \times 50$  мл), нейтрализуют HCl-слоем твердого  $\text{Na}_2\text{CO}_3$ , подщелачивают 5 мл 50% NaOH, экстрагируют немедленно эфиром ( $3 \times 40$  мл) и перегоняют при 0,05 мм при 80—110° — перегоняется желтое, легко кристаллизующееся масло, выход 5,8%, т. пл. 58,5—59,5° (петр. эф.). Получают XI: а) нагреванием N-карбоксо-1,1,3-трифенил-2-аминопропанола (из 1, 1, 3-трифенил-2-аминопропанола,  $\text{ClCOOCH}_3$  и  $\text{Na}_2\text{CO}_3$ , т. пл. 153,5—154,5°) при 0,5 мм. При 155° плавление с выделением газа, при 190—230° сублимация, выход 97%; б) омылением XIV 5%-ным KOH в  $\text{CH}_3\text{OH}$  (нагревание 3 часа, атмосфера  $\text{N}_2$ ), т. пл. 228—229° (из лед.  $\text{CH}_3\text{COOH}$  или  $\text{CH}_3\text{OH}$ ). Этиловый эфир (N-карбоксо)-3-фенил- $\alpha$ -аланина, получен карбоксилированием соответствующего аминоспирта; бесцветное масло, т. кип. 130—140°/0,5 мм. Сообщение VI см. Wessely F. и др., Monatsh. Chem., 1950, 81, 861. J. L. May

**1074. Синтез d,l-серина путем избирательного восстановления N-замещенных аминомалонового и аминопанукеевского эфиров.** Берлинге (The synthesis of d, l-serine by selective reduction of N-substituted aminomalononic and cyanoacetic esters. Berlinguet Louis), Canad. J. Chem., 1955, 33, № 6, 1119—1129 (англ.)

С целью получения d, l-серина (I) изучалось избирательное восстановление дитиловых эфиров ацетамидо-(II), формамидо-(III), бензамидо-(IV), фталмидомалоновой к-ты (V) и этилового эфира ацетамидоцианукеевской к-ты (VI) при действии  $\text{LiAlH}_4$ ,  $\text{NaBH}_4$ ,  $\text{KBH}_4$

и  $\text{LiBH}_4$  в различных р-рителях. Разработан синтез I из II, а также из VI при действии  $\text{NaBH}_4$  в воде. В зависимости от условий при восстановлении II, III, IV, V образуются, в различных соотношениях, I, глицин (VII) и 2-амино-1,3-пропандиол (VIII); из VI образуются I и VII. Восстановление этилового эфира аминомалоновой к-ты (IX) не привело к I. Максим. выход I получен при действии  $\text{NaBH}_4$  на II, III, IV, V в воде, и водно-спирт. р-рах, на VI — в  $\text{C}_2\text{H}_5\text{OH}$ .  $\text{KBH}_4$  и  $\text{LiBH}_4$  снижают выход, в присутствии  $\text{LiAlH}_4$  I не образуется. Конц-ия гидрида, порядок добавления, pH среды, поверхность соприкосновения между гидридом и эфиром не влияют на выход I. Повышение т-ры снижает выход. Продукты восстановления анализировались хроматографией на бумаге (р-ритель: пиридин-вода (80 : 20);  $R_f$  I 0,30, VII 0,19, VIII 0,75). Кол-ва I и VII в реакционной смеси определялись колориметрически, с применением р-ра нингидрина в ацетоне. В отсутствие VIII кол-во I определялось окислением иодной к-той (Rees M. W., Biochem. J., 1946, 40, 632). Выделение полученных продуктов производилось: а) дробной кристаллизацией из водно-спирт. смеси; б) хроматографированием; в) перегонкой этилового эфира I, либо избирательным осаждением I с 5-нитронафталинсульфокислотой (Stein W. H. и др., J. Biol. Chem., 1942, 143, 121); г) разделением на колонке с пермунитом S-1. Оставшиеся на колонке аминокислоты вымывают 0,1 н.  $\text{CH}_3\text{COOH}$ . Восстановлением этилового эфира изонитрозомаалоновой к-ты, т. пл. 87°, с Al-амальгамой получен IX; хлоридрат, выход 45%, т. пл. 162°; оксалат, выход 55%, т. пл. 138°. К р-ру 43,4 г II в 200 мл  $\text{C}_2\text{H}_5\text{OH}$  и воды (1 : 1) добавляют (1 час.) при охлаждении и размешивании 12,0 г  $\text{NaBH}_4$ . Смесь размешивают еще 1 час, добавляют 200 мл конц. HCl и кипятят 3 часа. Получен I, т. пл. 244° (разл.). Хроматография на бумаге показала отсутствие VII. При восстановлении II избытком  $\text{NaBH}_4$  в водн., либо водно-спирт. р-ре (80 : 20) на холоду с последующим гидролизом 2 часа разб. HCl (к-той) получены I и VII (4 : 1). VIII не образуется. Выход I 40—60%, в зависимости от способа выделения. Выход I снижается до 30%, если у II омылить 1 эфирную группу до восстановления  $\text{NaBH}_4$ . Применение  $\text{KBH}_4$  приводит к тем же выходам I и VII. При восстановлении VI  $\text{NaBH}_4$  в  $\text{C}_2\text{H}_5\text{OH}$  при 20° с последующим гидролизом 6 час. конц. HCl выделен I с выходом 70%; VIII не образуется. К р-ру 10,0 г VI в 25 мл  $\text{C}_2\text{H}_5\text{OH}$  постепенно добавляют при размешивании 6 г  $\text{NaBH}_4$ . Затем размешивают еще 1 час, добавляют 200 мл конц. HCl (к-ты) и кипятят 8 час. Получен I, выход 58%; VII отсутствует. С  $\text{KBH}_4$  выход I менее 35%. Р. Соколик 1075.

**N-тиокарбамоилглицин и его этиловый эфир.** Элмор, Тоселанд, Террелл (N-thiocarbamoylglycine and its ethyl ester. Elmore D. T., Toseland P. A., Tyrgrell H. J. V., J. Chem. Soc., 1955, Dec., 4388—4391 (англ.))

Путем изучения ИК-спектров показано, что соединение с т. пл. 65°, принятое за  $\text{NH}_2\text{CSNHCOOC}_2\text{H}_5$  (I) (Hargies, Weiss, Ber., 1900, 33, 3418), представляет тиоцианат этилового эфира глицина. (II—глицин). Он получается при нагревании эквивалентных кол-в KCNS и хлоридрата II в кипящем спирте, выход 52%. Также получают тиоцианат этилового эфира глицилглицина (III), т. пл. 105°. При встряхивании 1,6 г III в 40 мл дioxана с 1,06 г BrCN и 1,5 г  $\text{NaHCO}_3$  12 час. образуется 0,76 г этилового эфира N-диангиллилглицина (IV), т. пл. 82° (из смеси сп.-эф.); IV не реагирует с  $\text{C}_2\text{H}_5\text{SH}$ ; в диоксане насыщ. HCl IV превращается в хлоридрат III; N-тиокарбамоилглицин (V) получен кипячением р-ра 5,8 г 2-тиогидантоина (VI) в 200 мл воды с 15 г гидрата  $\text{Ba(OH)}_2$  1 час и экстракцией эфиром из сернистой р-ра, выход 2,7 г, т. пл. 179° (из сп.);

с HCl количественно образуется VI. При кипячении 1 г V в 25 мл спирта и 25 мл  $\text{C}_6\text{H}_6$  с 0,1 г *n*-толуолсульфокислоты 2 часа с отгонкой р-рителей. Получают 0,84 г I. Последний получен также встряхиванием 1 г V с 75 мл спирта, насыщ. HCl (12 час., 0°), выход 0,97 г, т. пл. 79° (из воды). С 2 н. HCl или с р-ром  $\text{NH}_3$  в спирте из I получают V, т. пл. 228—229° (разл.). Приведены ИК-спектры описанных соединений. Б. Токарев 1076.

**Метилные производные таурина и холинсульфат в красных водорослях.** Линдберг (Methylated taurines and choline sulphate in red algae, Lindberg Bengt), Acta chem. scand., 1955, 9, № 8, 1323—1326 (англ.). Из красных водорослей выделены таурин (II), N-метилтаурин (III), N,N-диметилтаурин (III) и холинсульфат (IV). Самым высоким содержанием I и его производных в форме их солей (~1,5%) отличаются водоросли *Gelidium cartilagineum*. II и III найдены в природном материале впервые. Предложена гипотеза, согласно которой в процессе биосинтеза I постепенно метилируется до образования N,N,N-триметилтаурина (V) (в экстракте водорослей обнаруживать V не удалось); окисление V приводит к IV; IV в результате перэтерификации передает сульфатные эфирные группы полисахариду, что приводит к образованию галактозансульфата (агара), которым особенно богаты красные водоросли. После обработки эфиром (2 дня) водоросли (370 г) экстрагируют  $\text{CH}_3\text{OH}$  (14 дней). Экстракт выпаривают досуха, остаток растворяют в воде; фильтрат освобождают от солей пропусканием через ионообменную смолу IR 120 или IR 4B и сгущают. Очистка кристаллов, полученных после 4-кратной перекристаллизации сиропа из спирта, фильтрованием их водн. р-ра через колонку, наполненную смолкой дауэке 2, приводит к продукту, т. разл. ~315° идентифицированному спектроскопически как IV. Сгущением маточных р-ров получают фракции, при дальнейшем фракционировании которых (РЖХим, 1956, 75026) выделен митилит (С-метилюксит), выход 0,002%, т. пл. 258—262°, и получена кристаллич. смесь (1,35 г), разделенная хроматографически на I, II и III. Синтезированы II (выход 76%, т. пл. 244—245° (из разб. сп.), III (выход 68%, т. разл. 299—304°) и V (выход 75%, т. разл. 335—340°) описанным ранее методом с тем усовершенствованием, что водн. р-ры продуктов р-ции освобождают от солей фильтрованием через ионообменную смолу. Р. Томштейн 1077.

**2-меркаптогликоксалины. Часть IX. Получение 1,5-двузамещенных 2-меркаптогликоксалинов из  $\alpha$ -аминокислот.** Лосон, Морли (2-mercaptoglyoxalines. Part. IX. The preparation of 1:5-disubstituted 2-mercaptoglyoxalines from  $\alpha$ -amino-acids. L. A. Wason Alexander, Morley H. V.), J. Chem. Soc., 1955, June, 1695—1698 (англ.).

В продолжение предыдущих работ (см. часть VIII, РЖХим, 1955, 40162) изучалась р-ция образования 1,5-двузамещ. 2-меркаптогликоксалинов из эфиров  $\alpha$ -аминокислот. Получены: 1-ацетонил-2-меркапто-5-метилгликоксалин (I), 1-(2-кетобутил)-2-меркапто-5-этилгликоксалин (II), 1-(2-кетогексил)-2-меркапто-5-н-бутилгликоксалин (III), 1-(4-метил-2-кетопентил)-2-меркапто-5-н-бутилгликоксалин (IV), 1-(2-кето-3-фенилпропил)-2-меркапто-5-бензилгликоксалин (V) из эфиров DL- $\alpha$ -аланина, DL- $\alpha$ -аминомасляной к-ты, DL-норлейцина, L-лейцина и DL- $\beta$ -фенилаланина соответственно восстановлением Na-амальгамой и последующей конденсацией полученных аминоальдегидов с KCNS или  $\text{NH}_4\text{CNS}$ . Из эфира глицина не удалось получить соответствующего производного. Образование двузамещ. гликоксалинов протекает наиболее полно при pH 4; при более высоком значении pH происходит разложение этих соединений, а при pH 2, образуются исключительно меркаптогликоксалины.



При восстановлении I по Кижнеру — Хуан-Мишлону получен 2-меркапто-5-метил-1-*n*-пропилглюкоксалин (VI), который синтезирован также из диэтилацетата  $\alpha$ -*n*-пропиламинопропионового альдегида (VII) и  $\text{NH}_4\text{CNS}$ . Предполагается, что образование I происходит согласно схеме:  $\text{OHCCH}(\text{CH}_3)\text{N}=\text{CHCH}(\text{CH}_3)\text{NH}_2 \rightarrow \text{OHCCH}(\text{CH}_3)\text{NCH}=\text{C}(\text{CH}_3)\text{NH}_2 \rightarrow \text{OHCCH}(\text{CH}_3)\text{N}[\text{C}(\text{SH})\text{C}=\text{NH}]\text{CH}_2\text{COCH}_3 \rightarrow \text{I}$ .



VI R =  $\text{CH}_3$   
 IX R =  $\text{C}_2\text{H}_5$   
 X R =  $\text{C}_3\text{H}_7$   
 XI R =  $\text{iso-C}_3\text{H}_7$

При кипячении I с конц. HCl, происходит замыкание кольца с образованием 5,5'-диметилтиазоло-3',2'-1,2-глиокалина (IX), из III — 5,5'-дипропилтиазоло-3',2'-1,2-глиокалина (X), из IV — 5,5'-ди-*n*-пропилтиазоло-3',2'-1,2-глиокалина (XI). Хлоргидрат этилового эфира DL- $\alpha$ -аланина (из 50 г аланина) восстанавливают при pH 2,0–4,5 Na-амальгамой (2,5%; 2 кг, J. Chem. Soc., 1922, 1350), размешивают 30 мин., фильтруют, фильтрат (pH 4) кипятят с 70 г KCNS. Через 45 мин. р-р концентрируют. Получен I, выход 16,5 г, т. пл. 182–183° (из воды).  $\lambda_{\text{макс}}$  (в воде) 2580 Å (ε 16600); (в  $\text{CHCl}_3$ ) 2740 Å (ε 15900), семикарбазон, т. пл. 250–251° (разл.). оксим, т. пл. 210–211° (разл.),  $\lambda_{\text{макс}}$  (в  $\text{C}_2\text{H}_5\text{OH}$ ) 2660 Å (ε 15500). Добавление KCNS к аминоальдегидному р-ру при pH ~ 3,0 привело к смеси 2-меркапто-4(5)-метилглюкоксалина, выход 44,5%, т. пл. 246° (разл.), и I, выход 15%. Аналогично, из 10 г DL- $\alpha$ -аминомасляной к-ты получают II, выход 1,4 г, т. пл. 118–120° (из бzl.-птр. эф.); из 10 г DL-норлейцина получен III, выход 1,8 г, т. пл. 98–100°, а также 4,2 г 4(5)-бутил-2-меркаптоглюкоксалина, т. пл. 125–127° (из воды); из 10 г L-лейцина получен IV, выход 1,1 г, т. пл. 153–154° (из сп.); из 10 г DL- $\beta$ -фенилаланина получено 0,8 г V с т. пл. 162–163° (из этилацетата), а также 3,6 г 4(5)-бензил-2-меркаптоглюкоксалина, т. пл. 220–223° (разл., из воды). К 35,4 г изопротипламина в 20 мл воды постепенно добавляют 30,6 г  $\alpha$ -бромпропионового к-ты, оставляют на 68 час. при 20°, полученная  $\alpha$ -изопротипиламинопропионовая к-та (XII); выход 13,6 г, т. возг. 295–300°. Восстановление хлоргидрата эфира XII Na-амальгамой в аминоальдегид не удалось. Смесь 31,8 г диэтилацетата  $\alpha$ -бромпропионового альдегида (XIII), 63 г изопротипламина и 20 мл  $\text{C}_2\text{H}_5\text{OH}$  нагревают 10 час. при 100°, получен диэтилацетат  $\alpha$ -изопротипиламинопропионового альдегида (XIV), выход 14,2 г, т. кип. 86–88°/26 мм. Кипятят 10 час. 2,4 г XIV, 2,4 г KCNS, 10 мл 2н. HCl и 10 мл  $\text{C}_2\text{H}_5\text{OH}$ , получают 2-меркапто-5-метил-1-изопропилглюкоксалин, выход 0,25 г, т. пл. 198–199° (из эф.). Нагревают смесь 10 г диэтилацетата  $\alpha$ -аминопропионового альдегида, 6,7 г  $\text{CS}_2$ , 15 мл 5 н. NaOH и 34 мл воды, получают диэтилацетат  $\alpha$ -изотиопанатопротипонового альдегида (XV), выход 9,4 г, т. кип. 125/27 мм 3,8 г XV, 2 г изопротипламина и 5 мл  $\text{C}_2\text{H}_5\text{OH}$  нагревают 30 мин., р-ритель удаляют и остаток кипятят (10 час.) с 10 мл 30%-ной  $\text{H}_2\text{SO}_4$ ; получен 2-меркапто-4-метил-1-изопропилглюкоксалин, выход 0,3 г, т. пл. 156–158° (из птр. эф.). Смесь 31,8 г XII, 63 г *n*-пропиламина и 20 мл  $\text{C}_2\text{H}_5\text{OH}$  нагревают 12 час. при 100°, получают диэтилацетат  $\alpha$ -*n*-пропиламинопропионового альдегида (XVI), выход 12,9 г, т. кип. 98°/30 мм. Кипячением смеси (3 часа) 3,8 г XVI, 2,4 г  $\text{NH}_4\text{CNS}$ , 20 мл 2н. HCl и 5 мл  $\text{C}_2\text{H}_5\text{OH}$  получен VI, выход 2,6 г, т. пл. 166–167° (из бzl.-птр. эф.). Кипятят 1,5 часа 0,75 г I, 1 мл гидразингидрата, 1,4 г KOH, 50 мл этиленгликоля, отгоняют воду до т-ры 190° и р-р кипятят еще 5 час. Получено 0,23 г VI. Кипятят 0,5 г I с 5 мл конц. HCl 30 мин., охлаждают и подщелачивают (pH 10), получают VIII, выход колич., т. пл. 88–89° (из птр. эф.).  $\lambda_{\text{макс}}$  (в  $\text{C}_2\text{H}_5\text{OH}$ ) 2480 Å

(ε 5400). Из 0,6 г II аналогично получен IX в виде пикрата, т. пл. 238–240° (разл., из сп.); из 0,15 г III, получен X в виде пикрата, выход 0,23 г, т. пл. 185–186° (из сп.); из 0,35 г IV получен XI, выход колич., т. пл. 96–98° (из птр. эф.). Р. Соколик

1078. Строение макроциклических пептидов глицина. Бамфорд, Уэймут (The structure of macrocyclic glycine peptides. Bamford C. H., Weymouth F. J., J. Amer. Chem. Soc., 1955, 77, № 23, 6368–6369 (англ.))

Обработкой метилового эфира пентаглицилглицина гидразином в 30%-ном р-ре LiCl в  $\text{CH}_3\text{OH}$  получен гидразид пентаглицилглицина, который действием  $\text{HNO}_2$  превращен в азид. Циклизацией азидов получен цикло-(гексаглицил) (I), выход 23% (считая на гидразид). Получены полугидрат и моногидрат I, а также метастабильная модификация. I идентичен с продуктом циклизации диглицилглициназида, которому ранее ошибочно приписывали структуру цикло-(триглицил) (ср. РЖХим, 1956, 19388; 1957, 1079). I является также главным продуктом циклизации N-карбосиглицинагидрида. Все это указывает на большую легкость замыкания 18-членного (гексапептидного) цикла из аминокислотных остатков. I значительно более устойчив к гидролизу щелочами и к-тами, чем 2,5-дикетопиперазин или линейные продукты гидролиза I; в гидролизате I найдены лишь глицин и глицилглицин.

С. Аваева

1079. Продукт циклизации триглициназида. Шихан, Гудман, Ричардсон (The product derived from the cyclization of triglycine azide. Sheehan John C., Goodman Murray, Richardson Wallace L., J. Amer. Chem. Soc., 1955, 77, № 23, 6391 (англ.))

Полученное из триглициназида соединение (РЖХим, 1956, 19388) является не цикло-(триглицилом), а, по всей вероятности, цикло-(гексаглицилом) (I), что подтверждено определением мол. веса методом изотермич. перегонки (найден мол. в. 344), а также сходством ИК-спектра со спектром I, полученного другим путем. См. пред. реф. С. Аваева

1080. О высокомолекулярных циклических дисульфидах пептидов. Сообщение I. Синтез дисульфида цистеинилтетраглицилистеина и первая ступень синтеза дисульфида цистеинилпентаглицилистеина. Лауч, Креге (Über hochgliedrige, cyclische Peptid-Disulfide, I. Mitteil.: Synthese des Cysteinyl-tetraglycylcystein-disulfids und der Vorstufe zur Synthese des Cysteinyl-pentaglycylcystein-disulfids. Lautsch Willy, Kraege Hans-Jürgen), Chem. Ber., 1956, 89, № 3, 737–742 (нем.))

Описан азидный метод синтеза дисульфида цистеинилтетраглицила L-цистеина и N-карбобензоксиглицилглицина (I) в 75 мл лед.  $\text{CH}_3\text{COOH}$ , 38 мл 5 н. HCl и 300 мл  $\text{H}_2\text{O}$  (–5°) приливают конц. р-р 3 г  $\text{NaNO}_2$  и экстрагируют 750 мл этилацетата. Этилацетатный р-р вливают в р-р 6 г этилового эфира глицина в 15 мл абс. эфира. Выход этилового эфира N-карбобензоксиглицилглицина (II) 70%. Р-р 3,5 г II в 50 мл абс. этилацетата нагревают 1 час с 1 мл гидразингидрата. Выход гидразида N-карбобензоксиглицилглицина (III) (через 20 час.) 78%, т. пл. 216–217° (из водн. сп.). К р-ру 3,3 г III в 500 мл  $\text{H}_2\text{O}$ , 130 мл лед.  $\text{CH}_3\text{COOH}$  и 80 мл 5 н. HCl при –5° добавляют р-р 1,05 г  $\text{NaNO}_2$ , навешивают 1000 мл этилацетата и вносят в конц. эфир. р-р бензильного эфира S-бензил-L-цистеина (из 5,4 г хлоргидрата). Через 20 час. высаживают птр. эфиром бензильный эфир N-карбобензокситриглицил-S-бензил-L-цистеина (IV); выход 60%, т. пл. 150–151° (из ацетона),  $[\alpha]^{22}_D -18 \pm 2^\circ$  (с 1; в диоксане). 3 г IV растворяют

в 50 мл лед.  $\text{CH}_3\text{COOH}$  и под током  $\text{H}_2$  нагревают 2,5 часа с 2 г  $\text{PH}_4\text{J}$  до 45–50°, декантируют, упаривают в вакууме и добавляют 60 мл абс. эфира. Выход йодгидрата бензилового эфира триглицерил-S-бензил-L-цистеина (V) 70%, т. пл. 164–167° (из смеси сп. эф.),  $[\alpha]_D^{22} - 14,7^\circ \pm 2^\circ$  (с 1, в абс. сп.). Этилацетатный р-р азида N-карбобензоксис-S-бензил-L-цистеинилглицина (IV) (Helv. chim. acta, 1948, 31, 737) (из 1,25 г гидразида) приливают к спирт. р-ру 1,8 г V и триэтиламина. Через 48 час. (0°) к фильтрату добавляют двойной объем петрол. эфира. Выход бензилового эфира N-карбобензоксис-S-бензил-L-цистеинилтетраглицерил-S-бензил-L-цистеина (VII) 75%, т. пл. 204–206° (из сп.),  $[\alpha]_D^{22} - 30,5^\circ \pm 2^\circ$  (с 1; в лед.  $\text{CH}_3\text{COOH}$ ). Р-р I и VII в 100 мл жидкого  $\text{NH}_3$  размешивают с Na до исчезновения синего окрашивания, добавляют  $\text{NH}_4\text{Cl}$  и оставляют в вакуум-эксикаторе над  $\text{H}_2\text{SO}_4$ . Остаток растворяют в 100 мл  $\text{H}_2\text{O}$  (без  $\text{O}_2$ ), подкисляют 0,1 н.  $\text{H}_2\text{SO}_4$  до pH 5, гексанентид осаждают в виде меркаптида добавлением реактива Гопкина, фильтруют и промывают  $\text{H}_2\text{O}$ . Меркаптит суспендируют в бидистиллате, пропускают  $\text{H}_2\text{S}$ , фильтрат разбавляют до 5 л и  $\text{H}_2\text{S}$  удаляют током  $\text{N}_2$ . Через р-р пропускают воздух или  $\text{O}_2$  до исчезновения нитропруссидной р-ции. Упаривают в вакууме до 10 мл, нейтрализуют р-ром  $\text{Ba}(\text{OH})_2$ , фильтруют и циклич. пептид высаживают спиртом в виде масла, которое превращается в белый порошок при стоянии в эксикаторе. Циклич. дисульфид (или тетра-сульфид) L-цистеинилтетраглицерил-L-цистеина разлагается при 130°  $[\alpha]_D^{22} - 67^\circ \pm 2^\circ$  (с 0,5; в 1 н.  $\text{H}_2\text{SO}_4$ ). Бензиловый эфир N-карбобензоксидиглицерил-S-бензил-L-цистеина (VIII) получают с выходом 77% (аналогично II) из I и бензилового эфира S-бензил-L-цистеина, т. пл. VIII 115,5–116,5° (из водн. сп.),  $[\alpha]_D^{21} - 32,3^\circ \pm 2^\circ$  (с 1,07; в абс. сп.). Обработкой VIII  $\text{PH}_4\text{J}$  получают йодидат бензилового эфира диглицерил-S-бензил-L-цистеина (IX), выход 68%, т. пл. 139–140° (абс. сп. + эф.),  $[\alpha]_D^{23} - 40,3^\circ \pm 2^\circ$  (с 0,78; в абс. сп.). Из I и I получают азид и приливают к основанию IX (из 1,8 г IX) в дioxане. Через 40 час. (0°) выделяют бензиловый эфир N-карбобензоксидтриглицерил-S-бензил-L-цистеина (X), выход 67%, т. пл. 217–218,5° (из водн. сп. или ацетона),  $[\alpha]_D^{23} - 24,5^\circ \pm 2^\circ$  (с 1,03; в лед.  $\text{CH}_3\text{COOH}$ ). Йодидат бензилового эфира тетраглицерил-S-бензил-L-цистеина (XI) получают из X с  $\text{PH}_4\text{J}$ ; т. пл. X 166–168° (из абс. сп.),  $[\alpha]_D^{20} - 24,2^\circ \pm 2^\circ$  (с 0,82; в лед.  $\text{CH}_3\text{COOH}$ ). В условиях, описанных для VII, из VI и XI получают бензиловый эфир N-карбобензоксис-S-бензил-L-цистеинилпентаглицерил-S-бензил-L-цистеина, выход 70%, т. пл. 224–226° (из лед.  $\text{CH}_3\text{COOH}$ )  $[\alpha]_D^{22} - 27,2^\circ \pm 2^\circ$  (с 1,14; в лед.  $\text{CH}_3\text{COOH}$ ). 8,6 г этилового эфира N-карбобензоксис-S-бензил-L-цистеинилглицина (XII, пептид) растворяют в 150 мл абс. спирта и добавляют 2,5 мл  $\text{N}_2\text{H}_4 \cdot \text{H}_2\text{O}$ . Выход гидразида XII 58%, т. пл. 142° (из абс. сп.),  $[\alpha]_D^{23} - 38,4^\circ \pm 2^\circ$  (с 0,94; в абс. сп.).

Е. Чаман  
1081. Строение и синтез природных пептидов. Робинсон (Structure and synthesis of naturally-occurring peptides. Robinson F. A.), J. Pharmacology and Pharmacology, 1956, 8, № 5, 297–308 (англ.)

Обзор. 89 назв.

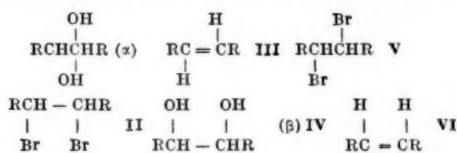
В. Ш.  
1082. О строении лактобацилловой кислоты. Гофман, Юккер, Миллер, Янг, Тосиг (On the structure of lactobacillic acid. Hofmann, Klaus, Jucker Otto, Miller William R., Young Alfred C. Jr., Taussig Fred.), J. Amer. Chem. Soc., 1954, 76, № 7, 1799–1804 (англ.)

Описано получение дигидростеркуловой к-ты (I), гидролизом косточкового масла плодов *Sterculia foetida* без предварительного выделения стеркуловой к-ты, и

синтез транс-метилеоктадекановых к-т (производных циклопропана), исходя из транс-циклопропан-1,2-дикарбоновой к-ты (ЦПК) либо конденсации олефинов общей ф-лы  $\text{CH}_2=\text{CH}-(\text{CH}_2)_n-\text{CH}_3$  с  $\text{N}_2\text{CHCOOC}_2\text{H}_5$  и омылением полученных эфиров. Сравнение ИК-спектров выделенной ранее лактобацилловой к-ты (ЛБК) (см. РЖХим, 1954, 48295), и I со спектрами синтетич. транс-9,10- и транс-11,12-метилеоктадекановых к-т (соответственно II и III) подтверждает циклопропановую структуру природных к-т. Длина элементарной ячейки ЛБК, II и III одинакова (41,0 Å), их амидов — соответственно 36,3, 39,6 и 39,7 Å. Гидрирование 10,35 г масла в 100 мл этилацетата (Pd/C 28°), омыление остатка после отгонки р-рителя (KOH в водн.  $\text{CH}_3\text{OH}$ , кипение 5 час.) и этерификация выделенных к-т (8,98 г)  $\text{CH}_3\text{N}_2$  приводит к метиловым эфирам  $\text{C}_{16}$  (12%),  $\text{C}_{18}$  (15%) и  $\text{C}_{19}$  (52%); вышекипящие фракции 20%. Омыление эфиров  $\text{C}_{19}$ , т. кип. 187–189°/3 мм, дает I (вероятно cis-форма), т. пл. 39,7–40,5°, (из ацетона или петрол. эф., –20°). Смесь 13 г ЦПК и 9,2 г ее метилового эфира (IV) с 3 г конц. HCl нагревают (140–145°) до гомогенности и затем кипятят (100°, 4 часа), добавляя  $\text{CH}_3\text{OH}$  (всего 5,5 мл); разгонкой выделяют избыток IV и монометиловый эфир ЦПК (V), выход 9,5 г, т. кип. 145–148°/10 мм, т. пл. 40,5–45° (из петрол. эф.). 10 г V переводят в хлорангидрид действием  $(\text{COCl})_2$  в  $\text{C}_6\text{H}_6$  и конденсируют его с суспензией Na-ацетоксуксусного эфира (из 1,8 г Na и 11 г  $\text{CH}_3\text{COCCH}_2\text{COOC}_2\text{H}_5$  в  $\text{C}_6\text{H}_6$  (0°), смесь кипятят 10 мин., выпаривают в водяную баню, подкисляют 10%-ной  $\text{H}_2\text{SO}_4$ , извлекают эфиром дикетозфир, который расщепляют р-ром 1,9 г Na в 50 мл  $\text{CH}_3\text{OH}$  (~20°, 4 часа), получают метиловый эфир транс-γ-кетог-α,β-метиленадициклопропановой к-ты (VI), выход 57%, т. кип. 163–168°/18 мм,  $n_D^{20} 1,4680$ . Смесь 3,55 г VI, 3,60 г  $\text{N-C}_4\text{H}_9\text{J}$ , 12 г  $\text{K}_2\text{CO}_3$  и 40 мл  $\text{CH}_3\text{COC}_2\text{H}_7$  кипятят (16 час., т-ра бани 120°), продукт р-ции омыляют и декарбоксилируют в р-ре 13 г KOH + 13 мл воды + 200 мл  $\text{CH}_3\text{OH}$  (24 часа, 45°), выделяют транс-4-кетог-2,3-метилеонановую к-ту (VII), выход 17%, т. пл. 48–49° (из петрол. эф.). Аналогично из VI и  $\text{N-C}_4\text{H}_9\text{J}$  получают транс-4-кетог-2,3-метилеундекановую к-ту (VIII), выход 31%, т. пл. 67–68° (из петрол. эф.). Восстановление 0,56 г VII (0,58 г KOH, 0,78 г  $\text{N}_2\text{H}_4 \cdot \text{H}_2\text{O}$  в 3 мл  $(\text{CH}_3\text{OH})_2$ ) приводит к транс-2,3-метилеонановой к-те (IX), выход 35%, т. кип. 114–118°/0,01 мм, 45,0 г октена-1, 30 г  $(\text{N-C}_4\text{H}_9)_2\text{O}$  и 1 г «порошкообразной Si обрабатывают  $\text{N}_2\text{CHCOOC}_2\text{H}_5$  (110°, 3 часа, затем 120–150°, 1 час), получают этиловый эфир IX, выход 57%, т. кип. 75–80°/0,05 мм,  $n_D^{20} 1,4342$ ; его омыляют (KOH в водн.  $\text{CH}_3\text{OH}$ , кипение 6 час., атмосфера  $\text{N}_2$ ) и очищают IX через S-бензилтиурониевую смесь (BTC), выход 60 г, т. пл. 143–144° (из сп.), и метиловый эфир IX (с  $\text{CH}_2\text{N}_2$ ), выход 23 г, т. кип. 78–79°/3 мм,  $n_D^{22} 1,4382$ . Омылением получают IX, выход 20 г, т. кип. 115–117°/0,05 мм,  $n_D^{22} 1,4512$ ; амид, т. пл. 107–107,5° (из водн.  $\text{CH}_3\text{OH}$ ); n-бромфенацетилэтиловый эфир, т. пл. 90,5–91°, n-фенилфенацетилэтиловый эфир, т. пл. 104,5–105,5°. Восстановление VIII (как VII) приводит к транс-2,3-метилеундекановой к-те (X), выход 89%, т. кип. 120–122°/0,03 мм; BTC, т. пл. 139–140° (из сп.) амид, т. пл. 108–104° (из  $\text{CH}_3\text{OH}$ ); n-бромфенацетилэтиловый эфир, т. пл. 94–95° (из петрол. эф.); n-фенилфенацетилэтиловый эфир, т. пл. 116–107° (из петрол. эф.). Из 59 г децена-1 и  $\text{N}_2\text{CHCOOC}_2\text{H}_5$  получено 51,6 г этилового эфира X, т. кип. 88–91°/0,04 мм,  $n_D^{20} 1,4418$ ; омыление приводит к X, выход 19 г, т. пл. 33,8–34° (из петрол. эф.); BTC, т. пл. 152–153°. Из 71 г додецена-1 (96 г  $\text{N}_2\text{CHCOOC}_2\text{H}_5$ , аналогично получено 67 г этилового эфира транс-2,3-метилтридекановой к-ты, т. кип. 114–142°/0,05 мм, омыление которого приводит к свободной к-те (XI), выход 55,6 г, т. пл. 49,5–50,5° (из

птр. эф.). Из 23,5 г хлорангидрида IX (получен с  $\text{SOCl}_2$ , т. кип.  $75-78^\circ/0,1$  мм), аналогично VI, изготовлен метиловый эфир транс-3-кето-4,5-метиленудекаановой к-ты (XII), выход 19,2 г, т. кип.  $110-114^\circ/0,03$  мм,  $n_D^{22} 1,4539$ . Из 22,3 г хлорангидрида X, т. кип.  $103-107^\circ/0,03$  мм, также получено 19 г метилового эфира транс-3-кето-4,5-метиленудекаановой к-ты (XIII), т. кип.  $129-132^\circ/0,06$  мм,  $n_D^{22} 1,4550$ . Конденсацией 16,8 г XIII и 16,9 г  $\text{J}(\text{CH}_2)_8\text{COOCH}_3 + 30$  г  $\text{K}_2\text{CO}_3$  в 100 мл  $\text{CH}_3\text{COCH}_3$  (кипение 16 час., т-ра бани  $115^\circ$ ) с последующим омылением продукта (52 г KOH, 52 мл воды, 780 мл  $\text{CH}_3\text{OH}$ , 24 часа,  $45^\circ$ ) получают 67% транс-8-кето-9,10-метиленоктадекановой к-ты (XIV), т. пл.  $60,4-61,4^\circ$  (из ацетона). Омыление продукта, полученного аналогично из 17,3 г XII и 21,7 г  $\text{J}(\text{CH}_2)_8\text{COOCH}_3$ , приводит к транс-10-кето-11,12-метиленоктадекановой к-те (XV), выход 56 г, т. пл.  $61-62^\circ$  (из ацетона). Из XIV (как IX из VII) получают II, т. пл.  $33,6-35^\circ$  (из птр. эф.); BTC, т. пл.  $137-138^\circ$  (из сп.); амид, т. пл.  $86,2-87,2^\circ$  (из водн.  $\text{CH}_3\text{OH}$ ); II очищена через метиловый эфир, т. кип.  $185,8-186,1^\circ/3$  мм. Аналогично из XV с очисткой через метиловый эфир III, т. кип.  $190,4-190,6^\circ/3$  мм, получена III, т. пл.  $56,5-57,2^\circ$  (из птр. эф.); BTC, т. пл.  $137-138^\circ$  (из сп.); амид, т. пл.  $84-85^\circ$  (из водн.  $\text{CH}_3\text{OH}$ ). При гидрировании I и III в  $\text{CH}_3\text{COOH}$  с  $\text{PtO}_2$  (12 час.) получено 42 мг нонадекановой к-ты. Приведены кривые ИК-спектров ЛБК. I, II и III. Р. Томпсон

1083. Пространственное строение флюионовой кислоты. Дюпон, Дюлу, Коэн (Structure stérique de l'acide phloionique. Dupont Georges, Dulou Raymond, Cohen Joseph), Bull. Soc. chim. France, 1956, № 5, 819-824 (франц.). Строение  $\alpha$ - и  $\beta$ -флюионовых к-т [I-VI R =  $(\text{CH}_2)_7\text{COOH}$ ] показано путем следующих превращений: I  $\rightarrow$  II  $\rightarrow$  III  $\rightarrow$  IV  $\rightarrow$  V  $\rightarrow$  VI-I; II  $\rightarrow$  IV; III  $\rightarrow$  I; VI  $\rightarrow$  IV; V-I. Структура III и VI доказана их т-рами плавления и ИК-спектрами. Строение I и IV показано тем, что они получаются соответственно из VI и III при гидрокислировании перекисями, происходящем с инвер-



сией, и из III и VI при гидрокислировании  $\text{KMnO}_4$ , происходящем без инверсии структуры, а также рентгеновскими спектрами I и IV. Строение II и V показано получением их соответственно из I и IV, происходящем с инверсией и образованием I и IV (через ацетаты) соответственно из V и II при действии  $\text{CH}_3\text{COOAg}$ , протекающим без обращения конфигурации. Р-р 10 г I в 150 мл ацетона кипятят 1,5 часа с 10 г  $\text{KMnO}_4$ , ацетон отгоняют, р-р остатка в 150 мл воды обезбачивают  $\text{SO}_2$ , подкисляют, в-во экстрагируют эфиром и в щел. среде окисляют  $\text{H}_2\text{O}_2$ , получают азелаиновую к-ту, выход 70%, т. пл.  $104^\circ$  (из бzl.). Смесь 80 г I и 800 мл р-ра HBr в  $\text{CH}_3\text{COOH}$  ( $d$  1,25) перемешивают 4 часа с 80 мл конц.  $\text{H}_2\text{SO}_4$ , через 12 час. нагревают (8 час.,  $85-96^\circ$ ), добавляя после 4 час. нагревания 80 мл р-ра HBr в  $\text{CH}_3\text{COOH}$ , при стоянии выпадает II, выход 78%, т. пл.  $85-87^\circ$  (из бzl.-гептана). Этерификация II  $\text{CH}_3\text{OH}$  с HBr приводит к диметилевому эфиру II, выход  $\sim 100\%$ , т. пл.  $44^\circ$  (из бzl.-гептана), который (50 г) при кипячении 3 часа с 117 г Zn, 500 мл спирта и 7 мл 60%-ной водн. HBr дает диметиловый эфир III (VII), т. пл.  $30^\circ$  (из эф.). При омылении VII 1 н. спирт. KOH получают III, выход 70%, т. пл.  $98,5-$

$99^\circ$  (из бzl.-гептана, 1 : 3). Смесь 0,05 моля III, 60 мл  $\text{HCOOH}$  и 100 мл р-ра 6,9 г  $\text{H}_2\text{O}_2$  выдерживают 3 часа при  $40^\circ$ , нейтрализуют при  $100^\circ$  3 н. NaOH, подкисляют 3 н. HCl и получают IV, выход 100%, т. пл.  $159-160^\circ$  (из  $\text{CH}_3\text{OH}$ ). В р-р 200 мг III и 600 мг NaOH в 200 мл воды добавляют при  $5^\circ$  18 мл 1%-ного  $\text{KMnO}_4$ , пропускают через р-р  $\text{SO}_2$  и получают I, выход 81%, т. пл.  $122^\circ$ . Аналогично синтезу II из IV получают V, выход 73%, т. пл.  $74-75^\circ$  (из бzl.-гептана). Диметиловый эфир V (VIII — вязкая жидкость) получают с выходом  $\sim 100\%$  при этерификации  $\text{CH}_3\text{OH}$  в присутствии  $\text{H}_2\text{SO}_4$  и р-ра HBr в  $\text{CH}_3\text{COOH}$ ; выход VI из VIII 70%, т. пл.  $70^\circ$  (из бzl.-гексана). I получен из VI (как IV из III) с выходом 95%, а IV из VI с выходом 90% (как I из III). Смесь 5 г диметилево эфира II, 20 мл лед.  $\text{CH}_3\text{COOH}$  и 4,22 г  $\text{CH}_3\text{COOAg}$  кипятят 8-10 час, эфиром извлекают диацетат IV, который после омыления спирт. KOH дает IV с выходом 55%. Так же из VIII получают I с выходом 72%.

И. Котляревский  
1084. Строение стеркуловой кислоты. Верма, Натх, Аггарвал (Structure of stercularic acid. Verma J. P., Nath Bhola, Aggarwal J. S.), Nature, 1955, 176, № 4492, 1082 (англ.)

На основании обсуждения литературных данных указывается, что ни ИК-спектры, ни ряд примененных ранее хим. р-ций, не решают вопроса о строении стеркуловой к-ты. Приводятся аргументы в пользу ф-лы, предложенной авторами ранее (РЖХим, 1955, 49070).

Б. Токарев  
1085. Выделение и изучение строения мускарина. Кул, Лебел, Рихтер (Isolation and characterisation studies on muscarine. Kuehl Frederick A., Jr., Lebel Norman, Richter John W.), J. Amer. Chem. Soc., 1955, 77, № 24, 6663-6665 (англ.)

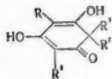
Новые исследования мускарина (I) подтверждают выводы Эйгстера и Вазера (РЖХим, 1955, 40240). Из рейнеката не удалось выделить чистый I. Получены очень гигроскопичные кристаллы хлорида I (II),  $[\alpha]_D^{25} +8,1^\circ$  (с 3,5; сп.). Данные анализа II и хлораурата I удовлетворяют ф-ле  $\text{C}_{10}\text{H}_{20}\text{NO}_2$ . В молекуле I доказано наличие одной OH-группы. II не окисляется периодатом, что указывает на отсутствие винильных OH-групп или смежных OH- и CO-групп. Ацетилированием II  $(\text{CH}_3\text{CO})_2\text{O}$  в пиридине получено лишь моноацетильное производное, превращенное затем в хлорплатинат, т. пл.  $185-192^\circ$ . В ИК-спектре последнего подтверждено наличие поглощения в области 5,75  $\mu$ , соответствующего сложному эфиру. Природа второго атома O в I не установлена. Наличие CO-группы в I не подтверждено.  $\text{CH}_3\text{O}$ -группа (по Цейзелю) не обнаружена. По Гофману I и II не расщепляются. Наличие алкокситриметиламмониевой группы не доказано. Определение токсичности приготовленных препаратов проводилось на мышах. Из *Amanita muscaria* (красная разновидность) I извлечен в виде густого сиропа, показывающего токсичность 3,0 мг/мышь. После очистки амберлитом IRC-50 в водородной форме выделены фракции с токсичностью 20-40  $\mu\text{г}/\text{мышь}$ . Наивысшая активность достигает 70%. Хроматографией на бумаге при различных смесях р-рителей определены  $R_f$  для II и хлорида холина. После хроматографии, разделения, получаемого при ионном обмене неочищ. I, и последующей обработки остатка 0,02 н. HCl получают II, превращенный затем в хлораурат, т. пл.  $116-119^\circ$ . Рейнекат I, приготовленный обычным способом, не был очищен при фракционной кристаллизации из водн. ацетона. Ацетил-II получен перемешиванием (18 час.) суспензии 8,2 мг II, 0,8 мл пиридина и 0,4 мл  $(\text{CH}_3\text{CO})_2\text{O}$  при  $\sim 20^\circ$  и последующей кристаллизацией из этилацетата. Он растворим в спирте, ацетоне,  $\text{CHCl}_3$  и имеет  $R_f$  0,35.

Н. Соломоник



1086. Строение лупулонов из немецкого и американского хмеля. О горьких веществах хмеля. Сообщение VIII. Ридль, Никль (Konstitution der Lupulone aus deutschem und amerikanischem Hopfen. Über Hopfenbitterstoffe. VIII. Mitteilung. Riedl W., Nickl J.), Angew. Chemie, 1955, 67, № 22, 704 (нем.).

Исследование гидрированных производных лупулону (I) показало, что гидрирование (PtO<sub>2</sub>) боковых цепей природного I приводит к гексагидропроизводному, т. пл. 110° (но не 141°, как указывалось ранее (Carson J. F.,



I R = COCH<sub>2</sub>CH(CH<sub>3</sub>)<sub>2</sub>  
II R = COCH<sub>2</sub>CH<sub>2</sub>CH<sub>3</sub>  
III R' = CH<sub>2</sub>CH = C(CH<sub>3</sub>)<sub>2</sub>

J. Amer. Chem. Soc., 1951, 73, 1850), строение которого подтверждается полным синтезом его, основанным на изоамилировании флоризовалерофенона в ядре. Гидрирование бутирильного аналога I, «колулулона» (II), синтезированного авторами ранее, приводит к соединению, описанному Карсоном. Сделан вывод, что в американском хмеле содержится не I, а II, являющийся также главной составной частью английского хмеля и лишь в незначительном количестве сопровождающий I в немецком хмеле. Сообщение VII. См. РЖХим, 1956, 75074. Р. Топштейн

1087. Второй пигмент из цветов *Trollius europaeus*: троллифлор. Липперт, Каррер (Ein zweites Pigment aus den Bl:ten von *Trollius europaeus*: Trolliflor. Lippert M., Karrer P.), Helv. chim. acta, 1956, 39, № 3, 698—701 (нем.).

В цветах *Trollius europaeus*, кроме выделенного ранее (РЖХим, 1956, 68483) каротиноида тролликсантина (I), найден второй пигмент, названный троллифлором (II). Показано, что II сильнее абсорбируется на Al<sub>2</sub>O<sub>3</sub>, чем I. Подобно тому, как I под влиянием HCl (газ) в CHCl<sub>3</sub> перегруппировывается в троллихром (III), содержащий фураноидную группировку, II перегруппировывается в троллифлавин (IV). Следовательно, II аналогично I является каротиноидной оксью. Бруттоформула II и IV C<sub>40</sub>H<sub>56</sub>O<sub>5</sub>, т. е. в них содержится на один O-атом больше, чем в I и III. На основании сходства УФ-спектров соответственно I и II или III и IV авторы пришли к выводу, что I и II являются близко родственными в-ами. Смесь I и II разделяют хроматографированием на Al<sub>2</sub>O<sub>3</sub>. Из верхней зоны с помощью 10%-ного р-ра CH<sub>3</sub>OH в эфире вымывают II, т. пл. 200° (из бzl. и бzl.-петр. эф.). II обрабатывают (4 мин.) CHCl<sub>3</sub>, содержащим следы HCl (газ), и продукт хроматографируют на ZnCO<sub>3</sub>. 20—25%-ным р-ром ацетона в C<sub>6</sub>H<sub>6</sub> вымывают IV, т. пл. 186—187° (из бzl.-петр. эф. и эф.-петр. эф.). Приведены кривые УФ-спектров I—IV. Г. Сегаль

1088. О танине из сумха, новом типе таниновых дубильных веществ. Грасман, Штифенхофер, Эндрес (Über Sumachtannin, einen neuen Typus der Tanningerbstoffe. Graßmann Wolfgang, Stiefenhofer Gundolf, Endres Horst), Chem. Ber., 1956, 89, № 2, 454—462 (нем.).

Исследовались два вида сумха: *Rhus coriaria* и *R. typhina* (синоним *R. hirta*). Ацетоновый экстракт листьев сумха (71% от веса листьев) содержит 70% дубильных в-в, которые вызатыванием с этилацетатом при pH 7 и 3,5 разделяют на дубильные фенолы (ДФ) и дубильные к-ты (ДК) (5:1), последние электрофоретически неоднородны. ДФ и ДК имеют, примерно, одинаковый R<sub>f</sub>, после очистки с (CH<sub>3</sub>COO)<sub>2</sub>Pb содержат соответственно 96,8 и 94,6% дубильных в-в. Продукты гидролиза с H<sub>2</sub>SO<sub>4</sub> (500 мг ДФ, 100 мл 2,5%-ная H<sub>2</sub>SO<sub>4</sub>, 100°) у ДФ и ДК соответственно: галловая к-та (I) 70 и 60% (колориметрически), сахара 7,3 и 8,3% (хрома-

тографически с C<sub>4</sub>H<sub>9</sub>OH-CH<sub>3</sub>COOH-вода; 4:1:5); промежуточный продукт — м-дигалловая к-та (II). Кроме глюкозы (III), найдена рамноза (IV) и арабиноза (V) (в китайском танине подтверждена только III). При расщеплении таназой (166,6 мг ДФ, 0,17 мл C<sub>6</sub>H<sub>5</sub>CH<sub>3</sub>, 22 мг энзима в 50 мл воды, 33°) получают 94,8% I и 13,6% сахаров (в расчете на III); при полном отщеплении I кол-во восстанавливающих сахаров составляет всего 8,5%, одновременно обнаруживаются ди- и трисахариды; дальнейший гидролиз объясняется наличием в препаратах таназы глюкозидазы и фермента, расщепляющего рамнозиды. Четырехкратная обработка ДФ с CH<sub>3</sub>N<sub>2</sub> приводит к продукту с содержанием ОСН<sub>3</sub> 37,8%, из которого при щел. омылении (12%-ный КОН, 20°) и отщеплении метилированной I, выделяют тетрасахарид с R<sub>f</sub> 0,07, дающий при кислотном гидролизе III, IV и V в отношении 2:1:1. Из содержания триметил- и диметилгалловой к-ты (VI), выделенных из щел. гидролизата подкислением и экстрагированием эфиром и определенных в сумме алкалометрически и VI колориметрически с фосфомolibденовой к-той, определяют отношение I:II как 2:1. Анализ метилированного танина близок к вычисленным данным для C<sub>170</sub>H<sub>110</sub>O<sub>55</sub>; содержит 44 ОСН<sub>3</sub>-группы, учитывая, что тетрасахарид имеет 12 свободных OH-групп, из них восемь этерифицировано I, а четыре — II. В. Зеленкова

1089. Синтез дивинина. Боуман, Дейволл (Synthesis of divicine. Bowman R. E., Davoll J.), Chemistry and Industry, 1956, № 7, 138 (англ.).

Обработкой дигидрофурана HOCH<sub>2</sub>CN получают O(CH<sub>2</sub>)<sub>4</sub>CH(OCH<sub>2</sub>)<sub>2</sub>CN. Последним действием CO(OCH<sub>2</sub>)<sub>2</sub>N<sub>3</sub> переведен в O(CH<sub>2</sub>)<sub>4</sub>CH(OCH<sub>2</sub>)<sub>2</sub>COOC<sub>2</sub>H<sub>5</sub>, выделенный в виде Na-производного, которое при обработке разб. H<sub>2</sub>SO<sub>4</sub> в течение нескольких минут дало сульфат дивинина (аглокона глюкозида видина из семян вики), идентифицированный по УФ-спектру. В. Токарев

1090. Лактоны. Часть II. Строение мелленина. Блер, Ньюболд (Lactones. Part II. The structure of mellein. Blair John, Newbold G. T.), J. Chem. Soc., 1955, Aug., 2871—2875 (англ.).

Показано, что мелленин или охрацин (I), метаболит *Aspergillus melleus* и *A. ochraceus* является (—)-3,4-дигидро-8-оксис-3-метилцикумарин; синтезированный (±)-метилый эфир (II). Два новых синтеза охрарина (III) подтверждают, что он является 3-этил-7-оксифталидом. 2-нитро-3-метоксифенилхлорид (IV) (из к-ты и SOCl<sub>2</sub>, т. пл. 85° (из абс. эф.)) действием CH<sub>3</sub>N<sub>2</sub> в диоксане + эфир (0°) превращен в диазометил-2-нитро-3-метоксифенилкетон (V), т. пл. 144° (разл.; из диоксана). Теплый р-р 9 г V в 75 мл диоксана прибавляют порциями к свежеприготовленной смеси 4 г Ag<sub>2</sub>O и р-ра 3 г Na<sub>2</sub>S<sub>2</sub>O<sub>3</sub> и 5 г Na<sub>2</sub>CO<sub>3</sub> в 150 мл воды (50—60°, 1 час, затем 90—95°, 30 мин.), фильтрат разбавляют 200 мл воды, подкисляют разб. HNO<sub>3</sub>, экстрагируют CHCl<sub>3</sub>, получают 6,05 г 2-нитро-3-метоксифенилуксусной к-ты (VI), т. пл. 136—137° (из воды). 4,22 г VI превращают в хлорангидрид, р-р которого в 25 мл эфира прибавляют к кипящему эфирному р-ру этилового эфира этониметилмалоновой к-ты (из 3,52 г малонового эф.); через 0,5 часа Mg-комплекс растворяют встряхиванием с р-ром 2,5 г H<sub>2</sub>SO<sub>4</sub> в 20 мл воды, получают 6 г этилового эфира 2-нитро-3-метоксифенилацетилмалоновой к-ты (VII), т. пл. 85—86° (из водн. сп.). 5,7 г VII кипятят (6 час.) с 12 мл CH<sub>3</sub>COOH, 1,5 мл H<sub>2</sub>SO<sub>4</sub> (d 1,84) и 8 мл воды; после подщелачивания 5 г NaOH получают 2 г 2-нитро-3-метоксифенилацетона (VIII), т. пл. 61—62° (из водн. сп.). При действии NaBH<sub>4</sub> на р-р I в водн. спирте (2 часа)

образуется 1-(2-нитро-3-метоксифенил)-пропанола-2 (IX), выход 900 мг, т. пл. 82—83° (из бэл.-петр. эф.), возгоняется при 70°/0,001 мм. Из 500 мг IX в 50 мл этилацетата восстановлением со скелетным Ni получают 400 мг 1-(2-амино-3-метоксифенил)-пропанола-2 (X), т. пл. 69° (из петр. эф.), возгоняется при 60°/0,001 мм. Р-р 300 мг X в 0,43 мл HCl (d 1,16) и 9 мл воды диализируют, нейтрализуют Na<sub>2</sub>CO<sub>3</sub>, прибавляют к р-ру 380 мг KCN, 300 мг NiCl<sub>2</sub> и 100 мг Na<sub>2</sub>CO<sub>3</sub> в 10 мл воды, выдерживают (2 часа), нагревают (70°, 15 мин.), нитрил извлекают эфиром, гидролизуют 10%-ным р-ром KOH (кипение 3 часа), получают II, выход 60 мг, т. пл. 66—67° (из петр. эф.), по УФ- и ИК-спектрам идентичен с (—)-II (из I, т. пл. 88—89°, [α]<sub>D</sub><sup>20</sup> D = 245, —250° (с 1,1; 0,5; хлф.). При кипячении (3 часа) с NaOH (—)-II не рацемизируется. Синтез III: а) 290 мг 6-оксиметил-2-метокси-N, N-диметилбензамида окислен (см. часть I, РЖХим, 1956, 78109); полученный альдегид обработан C<sub>2</sub>H<sub>5</sub>MgBr (из 0,54 г C<sub>2</sub>H<sub>5</sub>Br), из полученной смолы после кипячения (1 час, атмосфера CO<sub>2</sub>) с HBr (20 мл, d 1,46) выделен III, выход 75 мг, т. пл. 78° (из петр. эф.), возгоняется при 75°/0,001 мм; б) неочищ. этиловый эфир 2-нитро-3-метоксибензилмалоновой к-ты (полученный 4,4 г IV вышеописанным методом) смешивают с р-ром 0,5 г Na в 10 мл спирта + 2 мл CH<sub>3</sub>Al кипятят (3 часа) с добавлением CH<sub>3</sub>Al (4 × 0,5 мл), смолу обрабатывают (как для VIII), получают 1,1 г 2-нитро-3-метоксипропифенона (XI), т. пл. 96° (из водн. сп.), возгоняется при 80°/0,001 мм. 700 мг XI восстанавливают в соответствующий спирт (вязкое масло), гидрируют (аналогично описанному выше), продукт переводит в 3-этил-7-метоксифталид (как при получении I), который дегидрируют кипячением водн. р-ром HBr, подобно методу а, получают 20 мг III. Из VIII гидрированием со скелетным Ni получен 2-метил-7-метоксиниол (XII), т. пл. 83—85° (из петр. эф.); пикрат, т. пл. 153° (из водн. CH<sub>3</sub>OH). Из 2,3-диметокси-6-оксиметил-N,N-диметилбензамида окислением до альдегида, затем действием CH<sub>3</sub>MgI (или C<sub>2</sub>H<sub>5</sub>MgBr) получены 3-метилмеконин (XIII), выход 60% т. пл. 101° (из бэл.-петр. эф.) (сублимация возгоняется при 100°/0,001 мм) и 3-этилмеконин (XIV), выход 70%, т. пл. 98° (из водн. сп.). Приведены данные УФ-спектров (в спирте) I—III и VII—XIV.

О. Теплово

**1091. Структура свартциола: идентичность с кемферолом.** Пари, Безанже-Бокен (Sur la constitution du swartziole: identité avec le kempferol. Paris René-Raymond, Bézanger-Beauquesne Lucienne-m-me J. C. r. Acad. sci., 1956, 242, № 13, 1761—1762 (франц.))

Проведено дополнительное исследование свартциола (I), желтого пигмента плодов *Swartzia madagascariensis* (II) (Ann. pharm. française, 1947, 5, 470). Найдено, что I идентичен кемферолу (III). Грубо измельченные плоды II экстрагированы последовательно в приборе Сокслета петр. эфиром, CHCl<sub>3</sub>, эфиром, этилацетатом, ацетоном и спиртом. Р-ры в эфире, этилацетате и ацетоне показали слабую окраску с Mg и HCl (к-та); только спирт. экстракт обнаружил сильную р-цию цианидина. Остаток упаренного р-ра обработан кипящей водой, выделен осадок, который показал цветные р-ции флавонов. Для очистки р-р в 60%-ном спирте извлечен эфиром, получено бледно-желтое в-во, т. пл. 255—256° (из этилацетата + 5% сп.). После гидролиза 3%-ной H<sub>2</sub>SO<sub>4</sub> (4 часа, 100°) и экстракции эфиром получены желтые кристаллы, т. пл. 285° (из 80%-ного сп.); смешанная проба с III из *Cassia angustifolia* не показала депрессии т-ры плавления. УФ-спектры (в сп.) с R<sub>1</sub> I и III (различных р-рителях) также идентичны. С (CH<sub>3</sub>CO)<sub>2</sub>O + + несколько капель конц. H<sub>2</sub>SO<sub>4</sub> приготовлены ацетальные производные I (IV) и III (V) (~20°, несколько

дней); т. пл. IV 189°, V 187° (оба в-ва из 80%-ного сп.), их смешанные пробы — 189°. Все т-ры плавления определены на блоке Макенна.

А. Лютенберг

**1092. Окисление тетраметилового эфира мелакацидина йодной кислотой.** Боттомли (The periodic acid oxidation of melacacin tetramethyl ether. Bottomley W.), Chemistry and Industry, 1956, № 11, 170—171 (англ.)

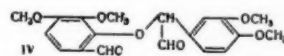
При окислении тетраметилового эфира мелакацидина (I) р-ром HIO<sub>4</sub> образуется 2-окси-3,4-диметоксibenзальдегид (II) в-во (III) с т. пл. 104°, λ<sub>max</sub> 215,319 м.м.

III образуется, вероятно, из диальдегида предполагаемого строения (IV) путем внутренней альдольной конденсации с последующим деформированием и дегидратацией. Оно идентично с синтетически полученным 2-(3,4-диметоксифенил)-6,7-диметоксикумароном. II, возможно, образуется из того же альдегида IV путем разрыва эфирной связи. При конденсации II с этил-α-хлор-3,4-диметоксифенилацетатом выделен эфир, вероятно, представляющий смесь изомеров. Путем гидролиза этой смеси выделена к-та. При нагревании последней с хинолином (240°, 40 мин.) образуется III.

Н. Соломоник

**1093. Синтез изобергантена.** Родигеро, Антонелло (Sintesi dell'isobergaptene. Rodighiero G., Antonello C.), Farmaco. Ed. scient., 1955, 10, № 11, 889—896 (итал.; рез. англ.)

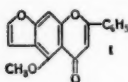
В связи с изучением фотодинамич. свойств фурукумаринов осуществлен впервые полный синтез изобергантена (I) (5-метокси-7,8-(1',2'-фуоро)-кумарин, выделен из корней *Pimpinella saxifraga*, *P. magna* и *Heraclium sphondylium*). I получен из флороглюцина (II) через монометильный эфир II (III), 2,4-диоксис-6-метоксibenзальдегид (IV), 7-оксис-5-метоксикумаринкарбонную-3 к-ту (V), 7-оксис-5-метоксикумарин (VI), 8-формил-7-оксис-5-метоксикумарин (VII), 8-формил-5-метоксис-7-карбоксиметоксикумарин (VIII) и 8-формил-5-метоксис-7-карбоксиметоксикумарин (IX). Испытания показали, что фотодинамич. активность по отношению к псоралену (100) равна для бергантена 27,5, для ангелицина 12, для I 10, таким образом переход от линейной структуры к ангулярной в ряду фурукумаринов сопровождается сильным снижением фотодинамич. активности. 0,36 моля II, 200 мл сухого ацетона, 0,32 моля K<sub>2</sub>CO<sub>3</sub>, 0,36 моля (CH<sub>3</sub>)<sub>2</sub>SO<sub>4</sub> кипятят 1,5 часа, отгоняют р-ритель, растворяют остаток в 400 мл воды, извлекают эфиром, разгонкой выделяют III, выход 34%, т. кип. 180—200°, т. пл. 78°. Через р-р 10 г III в 120 мл безводн. эфира пропускают ток HCN + HCl 1 час, удаляют эфир, нагревают при 60° 10 мин. с 100 мл воды, получают IV, выход 87%, т. пл. 200—202° (из водн. смесь 6,5 г IV, 40 мл 20%-ного NaOH, 6 г CH<sub>3</sub>CNCOOC<sub>2</sub>H<sub>5</sub> оставляют на 16 час. при обычной т-ре, кипятят с 350 мл 9%-ной HCl 30 мин., получают V, выход 71%, т. пл. 264° (из сп.). Смесь 3 г V и 9 г CaO нагревают при 230°/100 мм, возгоняют при 140—170°/0,005 мм, получают VI, выход 73%, т. пл. 243—244°. 1 г VI, 2 г гексаметилентетрамина в 15 мл лед. CH<sub>3</sub>COOH нагревают при 100° 5 час., добавляют 15 мл 10%-ной HCl, через 10 мин. выпаривают в вакууме досуха, остаток извлекают 30 мл кипящего толуола, получают VII, выход 8,7%, т. пл. 254° (разл.; из толуола); фенилгидразон, т. пл. 270° (из сп.). 140 мг VII, 30 мл сухого ацетона, 0,3 мл CH<sub>2</sub>BrCOOC<sub>2</sub>H<sub>5</sub> (X), 0,7 г K<sub>2</sub>CO<sub>3</sub> кипятят 24 часа, декантируют, остаток вновь кипятят с 30 мл ацетона и 0,3 мл X 24 часа. Полученные объединенные р-ры выпаривают в вакууме, получают VIII, выход 51%, т. пл. 156° (из абс. сп.), возго-



няется при 120—130°/0,05 мм. VIII омыляют кипячением с 5%-ным водно-метанольным (1:1) р-ром KOH 30 мин., получают IX, выход 88,5%, т. пл. 241—242°. 85 мг IX, 0,5 г  $\text{CH}_3\text{COONa}$  и 5 г  $(\text{CH}_3\text{CO})_2\text{O}$  кипятят 1 час, добавляют 50 мл воды, извлекают эфиром, остаток после удаления эфира возгоняют при 130—160°/0,005 мм, получают I, выход 30%. Л. Яновская

**1094. Новые флавоны из *Pongamia pinnata* (L) Merr.** Идентификация соединения D. Паванарам. Roy (New flavones from *Pongamia pinnata* (L.) Merr.: Identification of compound D. Pavanaram S. K., Row L. Ramachandra), Nature, 1955, 176, № 4494, 1177 (англ.)

Вновь изучены р-ции соединений С и D, выделенных ранее (Austr. J. Sci. Res., 1952, A5, 754) из *Pongamia pinnata* (L.) Merr. Найдено, что

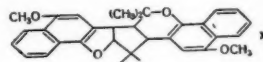
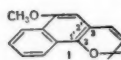


они являются фуранофлавонами, незамещ. в положении 3, так как из продуктов щел. гидролиза этих в-в не удалось выделить кетона. Из бензоата виснагнона синтезирован 5-метоксифурано-7, 6, 2, 3'-флавоны (I), т. пл. 181—182°; смешанная проба I и D (т. пл. 177—179°) не показала депрессии т-ры плавления. Р-ции обоих в-в идентичны. Синтезировано также 3', 4'-метилendioксипроизводное 5-метоксифурано-7, 8, 2', 3'-флавоны, т. пл. 263—264°; соответствующее производное в-ва С плавится при 232—233°. А. Лютенберг

**1095. Структура лапаченола, экстрактивного вещества из древесных твердых пород. Ливингстон, Уайтинг** (The structure of lapachenole, a hardwood extractive. Livingstone R., Whitting M. C.), J. Chem. Soc., 1955, Nov., 3631—3636 (англ.)

Для в-ва  $\text{C}_{16}\text{H}_{16}\text{O}_2$ , выделенного из активной нейтр. фракции petr. эфирного экстракта твердой древесины *Parotesoma alba*, вызывающей дерматит, предложено название лапаченол (I) вместо прежнего лапаченона (см. Chem. Zbl., 1900, II, 727; 1901, 1, 114; 1914, 1, 984). Выяснена структура I как 4'-метокси-6,6-диметилнафталин-(1', 2'-2,3)-пирана. Она подтверждена синтезом дигидро-I (II). По отношению к  $\text{LiAlH}_4$  I инертен. Оба атома O находятся в эфирных группах. Найдена 1  $\text{OCH}_3$ -группа. При гидрировании в разных условиях получены: II и гексагидро-I (III). При перегонке I с Zn-пальпой получено 3% нафталина (IV). Отсюда следует, что I имеет 1 двойную связь, сопряженную с ядром IV. Для сравнения с II синтезирован 1,4-диметоксинафталин (V), из него гидрированием получен 5,8-диметокситетралин (VI). При окислении I выделены: двусосновая  $\alpha$ -(2-карбокси-4-метокси-1-нафтокси)-изомасляная к-та  $\text{C}_{16}\text{H}_{16}\text{O}_6$  (VII), фталевая к-та (VIII) и следы изонафтазарина (IX). При действии к-т I превращен в димер (X). Из тонко измельченной древесины I выделен перегонкой с паром (выход 0,5%), или продолжительным экстрагированием с petr. эфиром, промыванием р-ром  $\text{NaHCO}_3$  и кристаллизацией из пентана (выход 0,4%), т. пл. 62° (из petr. эф.). При адсорбции на  $\text{Al}_2\text{O}_3$  I становится фоточувствительным: первоначальная оранжевая окраска переходит в синю-зеленую. Никрат I (из р-ров компонентов в  $\text{CH}_3\text{OH}$ ), т. пл. 141°. 5 г I с 0,1 г  $\text{PtO}_2$  в 100 мл спирта гидрировали до поглощения 1 моля  $\text{H}_2$ , выход II 3,75 г, т. пл. 78° (из водн. сп.). Пикрат II (XI), т. пл. 141—142,5° (из  $\text{CH}_3\text{OH}$ ). При встраивании 0,5 г I, 0,08 г  $\text{PtO}_2$  и 25 мл лед.  $\text{CH}_3\text{COOH}$  с  $\text{H}_2$  (33 часа) поглощено  $3\text{H}_2$ ; из нейтр. сиропа перегонкой при 10<sup>-5</sup> мм получен III, выход 0,39 г,  $n_D^{17,5}$  1,5668. Окисление I проведено разными путями: а) р-р 2 г I в 50 мл ацетона окислен 13 г  $\text{KMnO}_4$ , через 24 часа (~20°) добавлено 450 мл ацетона, кипятили 3 часа, выделено 0,11 г VIII и 40 мг IX, возгоняется

при 258—260° (после кристаллизации из этилацетата). При р-ции IX с  $\text{CH}_2\text{N}_2$  в эфире и возгонке остатка при 10<sup>-5</sup> мм получают 2,3-диметокси- $\alpha$ -нафтохинон, т. пл. 112—114°; б) при кипячении I с  $\text{HNO}_3$  (d 1,12) получено 80% VIII; в) 6 г I 17,4 г  $\text{KMnO}_4$  и 150 мл ацетона кипятили 6 час.; фильтрат разбавлен 200 мл воды и



обесцвечен, из оранжевого остатка, промытого  $\text{C}_6\text{H}_6$ , выделена VII (40%), т. пл. 163—164° (из водн. сп.). При 170°, в  $\text{N}_2$ , VII выделяет 1,03 моля  $\text{CO}_2$ . Деалкилирование VII проведено 25 мл 50%-ного р-ра  $\text{HBr}$  в  $\text{CH}_3\text{COOH}$  (3 часа, 60—65°, в струе  $\text{N}_2$ ); выделено 0,6 г А (смесь 1,4-диокси-2-нафтоиной к-ты и ее монометилового эф. 2:1). При кипячении (2 часа) 200 мг А с 5 мл  $(\text{CH}_3\text{CO})_2\text{O}$  и 100 мг  $\text{CH}_3\text{COONa}$  получен 1,4-диакетоксинафталин, выход 40 мг, т. пл. 130,5—131,5°. Проведена р-ция 100 мг А в 7 мл эфира и 2 мл  $\text{CH}_3\text{OH}$  с избытком  $\text{CH}_2\text{N}_2$ ; выход метилового эфира 1-окси-4-метокси-2-нафтоиной к-ты (XII) 10 мг, т. пл. 136—137° (из водн. сп. и ацетона). Р-р 85 мг А в 5 мл  $\text{CH}_3\text{OH}$  насыщен  $\text{HCl}$ , кипятили 1,5 часа. После обработки выделено 50 мг 1-окси-4-метокси-2-нафтоиной к-ты, т. пл. 196—200°, и 20 мг XII. Р-р 1,2 г VII в 20 мл эфира и 15 мл  $\text{CH}_3\text{OH}$  метилирован избытком  $\text{CH}_2\text{N}_2$  (1 час), р-ритель удален, р-р остатка в сухом эфире добавлен к избытку эфирного р-ра  $\text{LiAlH}_4$  (перемешивание), кипятили 2 часа, избыток реактива разрушен. Выделено 0,81 г 2-(2-оксиметил-4-метокси-1-нафтилокси)-2-метилпропанола-1  $\text{C}_{16}\text{H}_{20}\text{O}_4$  (XIII), т. пл. 105—106° (из petr. эф., т. кип. 80—100°). Через кипящий р-р 153 мг XIII в 55 мл 30%-ного  $\text{H}_2\text{SO}_4$  пропущена струя  $\text{N}_2$ , в отходящих газах установлено наличие масляного альдегида. 5 г I и 150 мл  $\text{HCOOH}$  (d 1,12) нагреты до 90°, через 30 мин. из охлажд. р-ра выделен X, выход 4,25 г, т. пл. 258° (из этилацетата). При гидрировании 190 мг X в смеси 7 мл  $\text{CHCl}_3$ , 25 мл этилацетата и 25 мл лед.  $\text{CH}_3\text{COOH}$  с 330 мг  $\text{PtO}_2$  выделен октагидро-X, т. пл. 248—249° (из этилацетата). 467 мг V в 40 мл  $\text{CH}_3\text{COOH}$  гидрировано с 42 мг  $\text{PtO}_2$  (24 часа), выход VI 370 мг, т. пл. 43—44° (из  $\text{CH}_3\text{OH}$ ). 12,1 г 1,4-диоксинафталина (из 1,4-нафтохинона) в 40 мл  $\text{CH}_3\text{OH}$  кипятили с 3,4 г  $\text{NaOH}$  и 12,1 г  $\text{CH}_3\text{J}$  (4 часа, в струе  $\text{N}_2$ ); р-ритель удален, твердый остаток возгоняют при 10<sup>-5</sup> мм, при 90° получено 2,1 г V, при 90—112°—3,15 г 4-метоксинафтола-1 (XIV), 0,2 г XIV, 170 мг 1-бром-3-метилбутена-2, 170 мг  $\text{ZnCl}_2$  и 6 мл  $\text{C}_6\text{H}_6$  кипятили 3 часа, охлажд. р-р промыт разб.  $\text{HCl}$ , р-рами  $\text{NaOH}$  и  $\text{Na}_2\text{S}_2\text{O}_4$ , водой и упарен. При р-ции остатка с насыщ. р-ром пикриновой к-ты в  $\text{CH}_3\text{OH}$  выделено 160 мг XI, из него получено 56 мг II. Приведены кривые УФ-спектров (в сп.) I, II, V и IX; кривые II и V идентичны. А. Лютенберг

**1096. Идентичность белламарина и ацетиламарина. Станек** (The identity of bellamarine and acetylamarine. Stanek Jaroslav), Chemistry and Industry, 1955, № 48, 1557 (англ.)

Подтверждена идентичность белламарина  $[\text{C}_{18}\text{H}_{16}\text{O}_4\text{N}]$ , т. пл. 185°,  $[\alpha]_D^{20} = 183,5^\circ$  (с 1,7; сп.) (Fragner K., Ber. dtsh. chem. Ges., 1891, 24, 1498) с ацетиламаринном. (См. также РЖХим, 1956, 968). Л. Алексеева

См. также: Углеводы и родств. соед. 431, 2817, 2982; 421Бх, 422Бх, 494Бх, 495Бх, 498Бх, 502Бх. Терпены 2367, 2379. Стероиды 430; 378Бх, 380—382Бх. Алкалоиды 135Бх, 179Бх, 489Бх, 490Бх, 492Бх. Витамины 70Бх. Антибиотики 2329; 426Бх, 431Бх, 432Бх. Аминокислоты и белки 903, 2892, 2982; 2Бх, 71Бх, 191Бх, 197Бх, 201Бх, 214Бх.



## ХИМИЯ ВЫСОКОМОЛЕКУЛЯРНЫХ ВЕЩЕСТВ

Редакторы Х. С. Багдасарьян, Г. С. Колесников, Ю. С. Липатов

1097. Развитие химии высокополимеров, новая ветвь органической химии. Штаудингер (L'évolution de la chimie macromoléculaire, branche nouvelle de la chimie organique (1) (2). Staudinger Hermann), Colloq. internat. Centre nat. rech. scient., 1955, 57, 10—21 (франц.)

1098. Высокомолекулярная химия. Морн, Цудан (高分子化学. 森昇, 辻和一郎), 化学, Kagaku, Chemistry (Japan), 1956, 11, № 3, 17—21 (япон.)

Обзор. Библ. 104 назв. Ю. Л.  
1099. Высокомолекулярная химия. Термореактивные смолы. Имото, Танигаки (高分子化学 熱硬化性樹脂の化学. 井本稔, 谷垣順一), 化学, Kagaku, Chemistry (Japan), 1956, 11, № 5, 330—332 (япон.)

Обзор за 1955 год. Х. Б.  
1100. Исследование и применение высокомолекулярных соединений. Ван Бао-жэнь (高分子化合物的研究和利用. 王葆仁), 科学通报, Касюэ тунбао, 1956, № 5, 43—47 (кит.)

1101. Сообщение о заседании Комиссии по макромолекулярной химии при Международном союзе чистой и прикладной химии и о работах по макромолекулярным веществам, представленных на заседании. (Дюрих, 1955). Веселый (Zpráva o zasedání komise pro makromolekulární chemii při mezinárodní unii pro čistou a užitou chemii a o pracích přednesených na symposiu o makromolekulárních látkách (Curých 1955). Vesely K.), Chem. listy, 1956, 50, № 3, 490 (чеш.)

1102. Структура и свойства пластомеров. Шампетье (Structure et propriétés des plastomères. Champetier G.), Colloq. internat. Centre nat. rech. scient., 1955, 57, 45—67 (франц.)

Строение полимерных молекул и их физ. и термомехан. свойства; пластификация пластомеров.

А. Праведников  
1103. О молекулярном вращении полипептидов аланина. Мураками (On the molecular rotations of polypeptides of alanine. H. Murakami Hideo), Bull. Chem. Soc. Japan, 1955, 28, № 8, 583—584 (англ.)

Теоретически рассчитано молекулярное вращение для аланина, аланилаланина, три- и тетрааланилаланина в предположении, что молекулы имеют плоскую вытянутую конфигурацию. Расчеты проводились как для абсолютно жестких молекул ( $\beta_1$ -форма), так и для молекул, концевые группы которых ( $\text{COOH}$  и  $\text{CH}(\text{CH}_3)\text{NH}_2$ ) свободно вращаются, а остальная часть является жесткой ( $\beta_2$ -форма). Проведено сравнение расчетных данных с экспериментальными, а также с расчетами для случая изогнутой  $\alpha$ -конфигурации. Показано, что направления молекулярного вращения для  $\alpha$ - и  $\beta$ -форм противоположны. Относительные значения рассчитанного мол. вращения для разных полипептидов удовлетворительно согласуются с эксперим. в особенности для  $\beta_2$ -формы, однако численные величины сильно расходятся. Предполагается, что в действительности существует равновесие между различными поворотными изомерами, чем и объясняется расхождение численных величин. Предыдущее сообщение см. РЖХМ, 1956, 70930. Н. Андреева

1104. Рентгенограммы коллагена, полученные при съемке под малыми углами. Томлин, Уэртингтон (Low-angle X-ray diffraction patterns of

collagen. Tomlin S. G., Worthington C. R.), Proc. Roy. Soc., 1956, A235, № 1201, 189—201 (англ.)

Произведено рентгенографич. исследование под малыми углами ряда объектов коллагена, подвергнутых различной обработке и находящихся при различных влажностях. Образец находился в спец. кювете с Векнами, где поддерживалась определенная степень влажности, или помещался непосредственно в откачиваемое пространство камеры. Расстояние образц-пленка менялось от 8 до 22 см. Измерены относительные интенсивности 23 порядков отражений у сухих препаратов и 25 порядков у влажных. Построены одномерные паттерсоновские ряды для всех видов препаратов. Анализ полученных данных позволяет сделать вывод о распределении более плотных и менее плотных участков вдоль фибриллы. Для влажных объектов предложена простая схема чередования этих участков. На основании метода проб и ошибок найдена относительная величина более плотных и менее плотных участков, равная 0,53 и 0,47 периода соответственно (фактор достоверности 22%). Для влажных объектов предложена более сложная схема распределения плотности. Важным результатом этих исследований является увеличение длины участков с меньшей плотностью при увлажнении препаратов. По предположению эти участки соответствуют аморфной «фазе» фибрилл, ориентация которой улучшается по мере увлажнения препарата. О росте упорядоченности структуры свидетельствует значительное сокращение экспозиции при переходе к мокрым образцам. На рентгенограммах наблюдалось усиление 19 и 20 порядков отражений для сухих объектов и 20 и 21 для влажных. Эти данные дают некоторые основания полагать, что фибрилла коллагена построена из субструктурных единиц длиной 32,8 Å. Н. Андреева

1105. Значение кристаллизации в полимерах и белках. Флори (Role of crystallization in polymers and proteins. Flory Paul J.), Science, 1956, 124, № 3211, 53—60 (англ.)

Популярный обзор. Библ. 37 назв. Ю. Липатов  
1106. Структура кристаллического 1,2-полибутадиена и других «синдиотактических полимеров». Натта, Коррадини (The structure of crystalline 1,2-polybutadiene and of other «syndiotactic polymers». Natta G., Corradini P.), J. Polymer Sci., 1956, 20, № 95, 251—266 (англ.; рез. франц., нем.)

Путем применения анионных катализаторов получены полимеры 1,3-бутадиена, образующие два вида кристаллич. в-ва. Описаны свойства 1,2-полибутадиена (I), состоящего из мономерных звеньев, присоединенных по месту 1, 2. I является высокоплавким (т. пл. 150°) и высококристаллич. полимером бутадиена, линейным и неэластичным. Исследование I методами рентгеновской и электронной дифракции позволило определить пространственную группу и элементарную ячейку, принадлежащую к орторомбич. системе с параметрами  $a=10,98$ ,  $b=6,60$  и  $c=5,14$  Å. Теоретич. плотность в предположении, что в ячейке содержится 4 мономерных звена, составляет 0,963; эксперим. значение плотности 0,92. Предложена модель структуры I и определены координаты индивидуальных углеродистых атомов в ячейке. Цепь несколько отклоняется от плоскостной зигзагообразной структуры; виниловые группы регулярно чередуются в конфигурациях d

и I. Виниловые полимеры с плоскостной структурой основной цепи (в отличие от изотактич. полимеров со спиральной структурой цепи) и с чередующимися *d*- и *l*-конфигурациями заместителей предлагается называть «синдиотактическими». Рассмотрена также структура цепи полученного радикальной полимеризацией поливинилхлорида и показано, что в нем содержится небольшое число упорядоченных областей, структура которых аналогична структуре синдиотактического I.

**1107. Исследование инфракрасных спектров хлорированных каучуков.** Рамакришнан, Даггунта, Панде (Infra-red studies on chlorinated rubbers. Ramakrishnan C. S., Dasgupta Sharda, Pande J. B.), J. Polymer Sci., 1956, 19, № 92, 323—330 (англ.; рез. нем., франц.)

Изучены изменения в ИК-спектрах поглощения хлорированных натуральных каучуков (К), растворенных в  $\text{CCl}_4$ . При хлорировании К фенилодидхлоридом на 6% наблюдалось появление полос поглощения у 8,02, 8,85, 9,9, 10,82 и 11,25  $\mu$  (6% Cl). Дальнейшее хлорирование до 19% вело к увеличению интенсивности полосы поглощения у 8,02  $\mu$  и появлению новой слабой полосы поглощения у 8,20  $\mu$ . При 51% Cl появляется новая полоса поглощения у 6,65  $\mu$ , а интенсивность поглощения у 10,7  $\mu$  сильно увеличивается; полоса поглощения 11,9  $\mu$  полностью исчезает, а полоса 9,26  $\mu$  сильно ослабевает. Сильная полоса поглощения у 13,1  $\mu$  отнесена к колебаниям C—Cl. Спектр полностью хлорированного К (67% Cl) ничем не отличается от спектра гидрохлорида К за исключением полосы поглощения 9,56  $\mu$ , появляющейся в хлорированном К. Спектр К, хлорированно о на 6%, сильно отличается от полностью хлорированного К и в нем, судя по спектру, не наблюдается смещения двойной связи. В полностью хлорированном К имеются полосы 6,1, 10,0 и 10,3  $\mu$  свидетельствующие об оставшейся ненасыщенности (17% Cl) (РЖХим, 1956, 52396). Полоса поглощения К с 19,51 и 67% Cl и гидрохлорида К с 19% Cl смещается от 6,52  $\mu$  для *p*-ра в  $\text{CCl}_4$  до 6,65  $\mu$  для пленок, полученных из этого же *p*-ра, что указывает на изменения в агрегатном состоянии.

Е. Покровский

**1108. Изучение рассеяния света в растворах анизотропных макромолекул.** Хорн (Contribution à l'étude de la diffusion de la lumière par des solutions de macromolécules anisotropes. Horn Paul), Ann. phys., 1955, 10, mai-juin, 386—434 (франц.)

Изучено рассеяние света при углах 40—140° для *p*-ров нитроцеллюлозы (I) (относительно гибкие макромолекулы), мозаичного вируса табака (II) (палочкообразные жесткие макромолекулы) и тимонуклеиновой к-ты (III) (неизвестная степень жесткости) при помощи метода, описанного в работе Цимма (Zimm B. H., J. Chem. Phys., 1948, 16, 1099). Измерялись  $H_v$  и  $V_v$ , т. е. интенсивности рассеянного света, поляризованного вертикально и горизонтально, при падающем вертикально-поляризованном свете. Мол. веса образцов определялись экстраполяцией интенсивности рассеянного света к нулевой конц-ии при угле рассеяния, равном нулю. Для гибких цепей I  $H_v$  при данной объемной конц-ии слабо зависит от мол. веса, а  $V_v$  меняется приблизительно пропорционально мол. весу. Изменения проводились для четырех фракций I с мол. в. 450 000, 335 000, 210 000 и 110 000. Экстраполяция  $C/H_v$  к  $C = 0$  позволяет определить  $H_v$  при  $C = 0$  независимо от мол. веса, так как кривые для разных мол. весов почти совпадают. Второй виртуальный коэфф.  $B$ , определяемый из наклона  $C/V_v$ , слабо зависит от мол. веса. Угловое распределение  $H_v$ ,  $V_v$  и  $H_h$  для III практически не зависит от конц-ии. Значение фактора деполаризации

$\delta = 0,3$  соответствует длине цепочки  $L = 2300 \text{ \AA}$ , что согласуется с экспериментом: использовался вирус длиной  $2150 \pm 200 \text{ \AA}$ . Эксперим. кривые зависимости  $V_v$  и  $H_h$  от  $\sin^2 \theta/2$ , полученные для *p*-ров III, немного расходятся с теоретич. для жестких цепочек, что говорит о наличии гибкости в молекуле. Из значения  $\delta = -0,15$  получена длина цепочки  $L = 2000 \text{ \AA}$ . Если принять для молекулы модель двойной спирали (РЖХим, 1954, 28891), то для  $L = 2000 \text{ \AA}$  получается мол. в. 400 000. Из данных по рассеянию  $\alpha$  равен  $\sim 1500 000$ , что также говорит о наличии гибкости цепочки. Э. Бютнер

**1109. Изучение вторичного светорассеяния.** Краут, Дандликер (A study of secondary scattering. Kraut J., Dandliker W. B.), J. Polymer Sci., 1955, 18, № 90, 563—572 (англ.; рез. франц., нем.)

Теоретически и экспериментально исследована величина вторичного светорассеяния (ВСР). Показано, что ВСР вносит заметный вклад в деполаризацию рассеянного света. Эксперим. данные по измерению мутности и светорассеяния *p*-ров Ludox различной конц-ии показывают, что ВСР пропорционально  $\tau^2$  и обуславливает кажущееся укорачивание размеров коветы и кажущееся увеличение деполаризации света, имеющих место при использовании *p*-ров высокой мутности в качестве калибровочных стандартов. Предложен метод точного определения калибровочной константы и деполаризации.

С. Котляр

**1110. Исследование строения бутадиевстирольных сополимеров.** Соболева Н. Г., Макашова Н. В., Матвеева А. В., Медведев С. С., Коллоид. ж., 1956, 18, № 3, 344—349 (рез. англ.)

Для ряда фракций бутадиевстирольного сополимера, полученных при проведении полимеризации до различной глубины превращения, и для некоторых нефракционированных полимеров определены мол. веса методами осмометрии  $M$  (осм.) и светорассеяния  $M$  (свр.) и определены коэфф. асимметрии светорассеяния и характеристич. вязкости. Наблюдаемые большие различия  $M$  (осм.) и  $M$  (свр.) указывают на присутствие в *p*-ре бутадиевстирольного сополимера относительно небольшого числа очень больших частиц, влияние которых сказывается только при весовом характере усреднения. На присутствие таких частиц указывают также и большие значения коэфф. асимметрии и мутности *p*-ров. Авторы предполагают, что макрочастицы, присутствующие в *p*-ре, являются зародышами пространственных образований. Представления об образовании в процессе полимеризации стирола и бутадиев больших молекул с сильно разветвленной цепью подтверждаются также медленным возрастанием асимметрии светорассеяния и уменьшением характеристич. вязкости при увеличении мол. веса. Показано, что неоднородность фракций и разветвленность молекул сополимера возрастают с увеличением глубины полимеризации и повышением *t*-ры *p*-ции.

Ю. Липатов

**1111. Теплоты разбавления растворов поливинилового спирта I.** Амая, Фудзисиро (Heats of dilution of polyvinylalcohol solution. I. A maya Kazuo, Fujishiro Ryoichi), Bull. Chem. Soc. Japan, 1956, 29, № 3, 361—363 (англ.)

Определены теплоты разбавления вод. *p*-ров поливинилового спирта (степени полимеризации 450 и 600) при 30°. Из ур-ния для теплоты смещения, полученного авторами ранее (РЖХим, 1956, 65133), определены значения коэфф.  $\alpha$ , описывающего взаимодействие между полимером и *p*-рителем, равные от  $-2$  до  $-4 \text{ кал/мл}$ . Полученные значения  $\alpha$  существенно ниже значений для системы этиловый спирт — вода. Это указывает на существование в *p*-ре поливини-

лового спирта сильных внутримолекулярных водородных связей, уменьшающих взаимодействие полимера и воды. Нагревание р-ра до 70–100° приводит к падению  $\alpha$ , пропорциональному  $t$ -ре нагрева, что приписывается увеличению числа внутримолекулярных связей. Образование внутримолекулярных водородных связей подтверждается, по мнению авторов, увеличением значения  $\alpha$  при замене гидроксильных групп в молекуле на ацильные. Ю. Липатов 1112. Молекулярно-весовое распределение в полиэтилене. Никола (Distribution des masses moléculaires dans les polyéthylènes. Nicolas Louis), C. r. Acad. sci., 1956, 242, № 23, 2720–2723 (франц.)

На основании фракционирования ряда промышленных образцов полиэтилена, полученных при высоких давлениях и т-рах, установлена следующая общая для всех этих образцов зависимость между характеристич. вязкостью  $[\eta]$  в тетралине и мол. весом ( $M$ ) при 80°  $[\eta] = 1,16 \cdot 10^{-3} M^{0.61}$ . Для одного из образцов, расфракционированного разными способами, построены интегральные кривые распределения по  $M$ , сопоставление которых друг с другом показывает, что полученные на основании фракционирования осажждением кривые распределения не являются достаточно точными. На основании анализа распределений высказывается предположение о наличии разветвленностей в молекулярных цепях. М. Мосевичкий 1113. Молекулярно-весовое распределение линейных и многоцепных полиаминокислот. Статистический анализ. Качальский, Гехатия, Села (Molecular weight distribution of linear and multi-chain polyamino acids. Statistical analysis. Katchalski Ephraim, Gehatia Matiahu, Sela Michael), J. Amer. Chem. Soc., 1955, 77, № 23, 6175–6182 (англ.)

Показано, что статистич. анализ молекулярно-весовых распределений (МВР) линейных полиаминокислот (ПАК), получающихся при полимеризации ангидридов  $N$ -карбок- $\alpha$ -аминокислот, дает те же результаты, что и кинетич. анализ (РЖХим, 1956, 78357). Статистич. рассмотрение распространено на случай многоцепных ПАК, получающихся при применении воelfункциональных инициаторов (в качестве которых могут использоваться, напр., различные белки). Выведена общая ф-ла, для МВР многоцепных молекул, содержащих как растущие, так и завершие цепи. При отсутствии  $r$ -ции завершения получается весьма узкое МВР. Среднечисленная и средневесовая степени полимеризации  $\bar{P}_n$  и  $\bar{P}_w$  при этом примерно равны и возрастают в  $b$  раз, если вместо монофункционального применяется  $b$ -функциональный инициатор (т. е. содержащий  $b$  функциональных групп). Второе из указанных свойств имеет место для максим. величины  $\bar{P}_n$  и при наличии  $r$ -ции завершения, однако при этом получаются более широкие распределения, стремящиеся, при  $b = 1$ , к пуассонову. В общем случае для таких МВР  $\bar{P}_w/\bar{P}_n = 1 + b^{-1}$ , откуда следует, что МВР становятся более узкими с ростом  $b$ . Обсуждены возможные практич. приемы приготовления ПАК высокого мол. веса. Отмечено, что аналогичные МВР могут иметь место и для других многоцепных полимеров. С. Френкель

1114. Измерения седиментации, диффузии и вязкости фракций полиметилметакрилата, полученных при разных степенях превращения. Эрикссон (Sedimentation, diffusion and viscosimetric measurements on polymethyl methacrylate fractions obtained at different degrees of conversion. Eriksson A. Fredrik, V.), Acta chem. scand., 1956, 10, № 3, 378–393 (англ.)

Изучена седиментация в ультрацентрифуге, диффузия и вязкость р-ров в этилацетате ряда фракций нескольких образцов полиметилметакрилата, полученных в разных условиях. Показано, что константа седиментации  $s$  сильно уменьшается с ростом конц-ии  $c$ . При  $c \geq 0,8\%$  почти все фракции оседают с одинаковой скоростью, т. е. молекулы в р-ре оседают не по осям, а пучками. При достаточно большом разбавлении соблюдается ур-ние  $1/s = (1/s_0)(1 + k_s c)$ , позволяющее линейной экстраполяцией определить  $s$  при бесконечном разбавлении  $s_0$ . Коэфф. диффузии  $D$  растет с ростом  $c$ , что приводит к смещению максимума кривой диффузии в сторону р-рителя. Постоянная  $k_D$  в ур-нии  $D(c) = D_0(1 + k_D c)$  уменьшается с ростом  $D_0$ . Для всех фракций соблюдается эмпирически найденная зависимость  $k_D = 2,24/D_0^2$ . По  $s$  и  $D$  рассчитан мол. вес  $M$  всех фракций и определены постоянные ур-ний  $[\eta] = K_1 M^{a_1}$  и  $s = K_2 M^{a_2}$ , где  $[\eta]$  — характеристич. вязкость. Линейная зависимость между  $\lg s$  и  $\lg [\eta]$  соблюдается для фракций с  $M$  до 700–800 тыс., но не соблюдается для полимеров с большим  $M$ , полученных в последней стадии полимеризации. По-видимому, в этом случае молекулы соединены разветвлениями или настолько тесно переплетены, что не разделяются при разбавлении, это ведет к уменьшению  $s$  и увеличению  $[\eta]$ . Для величины  $\Phi^{1/2} P^{-1} \cdot 10^6$ , входящей в ур-ние теории Флори (Principles of polymer chemistry, Flory P. J., New York, 1953), получены средние значения 2,37, 2,44, 2,55 для фракций с мол. весами соответственно  $< 250$  тыс., в пределах 250–500 тыс.,  $> 500$  тыс. Хорошие результаты получены при расчете  $M$  по ур-нию  $M = \pi N [16 \cdot 200 / (55/8)]^{1/2} k_s^{1/2} [s_0 \eta_0 / (1 - V\rho)]^{1/2}$ , где  $N$  — число Авогадро,  $V$  — парц. уд. объем полимера,  $\rho$  — плотность р-рителя. И. Слоним

1115. Зависимость характеристической вязкости линейных молекул от градиента. Петерлин, Чопич (Gradient dependence of the intrinsic viscosity of linear macromolecules. Peterlin Anton, Čopić Milan), J. Appl. Phys., 1956, 27, № 5, 434–438 (англ.)

Характеристическая вязкость  $[\eta]_q$  линейных макромолекул в потоке при градиенте  $q$  выражается общей ф-лой  $[\eta]_q = [\eta]_{q=0}(1 - Bq^n + \dots)$ . Многие авторы приписывали показателю степени  $n$  значения  $1/2, 1$  и  $2$ , но имеющиеся эксперим. данные недостаточны для того, чтобы сделать определенный выбор. Однако, учитывая, что  $[\eta]_q$  не должно зависеть от знака градиента, следует положить  $n = 2$ . Для данного полимера коэфф.  $B$  резко возрастает с увеличением мол. веса ( $M$ ), а при данном  $M$   $B$  тем больше, чем лучше р-ритель. С повышением  $t$ -ры  $B$  возрастает или уменьшается в зависимости от использования соответственно плохого или хорошего р-рителя. Анализ колич. вычислений  $B$ , проведенных другими авторами, показывает, что предположение следует отдать методу расчета, учитывающему гидродинамич. анизотропию молекулярных клубков. М. Мосевичкий

1116. К вопросу об определении характеристической вязкости разбавленных растворов высокополимеров. Роскин Е. С., Коллоид. ж., 1956, 18, № 3, 369–371 (рез. англ.)

Предложено ур-ние для определения характеристич. вязкости р-ров  $[\eta] = \{\alpha [\eta]_2 - [\eta]_1\} / (\alpha - 1)$  (1), где  $[\eta]_1$  — приведенная вязкость  $\eta_{уд}/c$  для первой конц-ии  $c_1$  и  $[\eta]_2$  — то же для конц-ии  $c_2$ ;  $\alpha = C_1/C_2$ . При помощи ур-ния (1) на основании данных по полиакрилонитрилу, приведенных в работе Фринда (РЖХим, 1955,



50719), вычислены значения  $[\eta]$ , в хорошем совпадении с рассчитанными по линейному уравнению Хаггинса.

Ю. Липатов

1117. Вязкость алфинового полиизопрена при очень малых и высоких скоростях сдвига. Голуб (Viscosity of alfin polyisoprene at very small and quite high rates of shear. G o l u b M o r t o n A.), J. Phys. Chem., 1956, 60, № 4, 431—435 (англ.)

Исследована зависимость вязкости разб. бензольных р-ров фракций алфинового полиизопрена (мол. в. 700 000—5 000 000) при скоростях сдвига  $P$  100—20 000  $\text{см}^{-1}$ . Полученные результаты указывают, что с ростом  $P$  вязкость заметно уменьшается, причем уменьшение особенно сильно при очень малых  $P$ . В области высоких значений  $P$  (10 000—15 000  $\text{см}^{-1}$ ) вязкость почти не зависит от  $P$ , т. е. р-р ведет себя как ньютоновская жидкость. Зависимость приведенной вязкости от концентрации при разных  $P$  линейна. Зависимость характеристич. вязкости от  $P$  в интервале  $P$  0—600  $\text{см}^{-1}$  описывается ур-нием  $\eta_p = \eta_0(1 - ap)$  ( $\eta_p$  и  $\eta_0$  — вязкости при скорости сдвига  $P$  и 0) и в области 3000 и выше — ур-нием:  $\eta_p = \eta_0(1 - aP + bP^2)$ . Общая зависимость вязкости от  $P$  поэтому дается в виде:  $\eta_p = \eta_\infty + (\eta_0 - \eta_\infty) \cdot \exp(-KP)$ , где  $\eta_\infty$  — характеристич. вязкость при  $P \rightarrow \infty$ . Поскольку изменения вязкости со скоростью сдвига обусловлены изменениями формы и ориентацией макромолекул в потоке, величина  $\eta_\infty/\eta_0$  или  $(\eta_0 - \eta_\infty)$  является характеристич. для данной системы полимер-р-ритель; при этом  $[\eta]_0 - [\eta]_\infty = K[\eta]_0^2$ , где  $K$  — константа, не зависящая от мол. веса, что следует из применимости ур-ния к данным по вязкости нефракционированного алфинового полиизопрена (РЖХим, 1956, 39747). Линейность зависимости  $[\eta]$  от  $P$  при малых значениях  $P$  противоречит теории (Kuhn H., Kuhn W., Helv. chim. acta, 1945, 28, 1533), согласно которой величина предельного наклона кривых зависимости вязкости от  $P$  должна быть равна нулю. Предельный тангенс угла наклона полученных зависимостей  $[\eta]$  от  $P$  пропорционален  $[\eta]_\infty$ . Теоретич. ур-ние (РЖХим, 1956, 25867) описывает полученные данные до значений  $P$  порядка 12 000  $\text{см}^{-1}$ , после чего наблюдаются отклонения от теории.

Ю. Липатов

1118. Вискозиметрия нитроцеллюлозы в бинарных смесях ацетона с другим растворителем. Буайе-Кавенки (Comportement viscosimétrique du nitrate de cellulose dans des mélanges binaires: acétone-diluant. B o u e r - K a w e n k i F a n n y), Bull. Soc. chim. France, 1956, № 6, 941—947 (франц.)

Изучалась зависимость от состава р-рителя характеристич. вязкости  $[\eta]$  и постоянной Хаггинса  $k'$  для двух образцов нитроцеллюлозы со средними осмотич. мол. весами 39 000 и 68 500. В качестве р-рителей использовались ацетон и бинарные смеси его с водой (I), метанолом (II), изопропанолом (III),  $n$ -бутанолом (IV) и циклогексаном (V). Установлено, что  $[\eta]$  имеет наибольшее значение в чистом ацетоне и уменьшается в бинарных смесях в следующем направлении:  $V > IV > III > II > I$ . Исключение составляют  $[\eta]$  образца с  $M = 39 000$  в бинарных смесях III, IV и V, практически не отличающиеся от  $[\eta]$  в чистом ацетоне. Зависимость  $k'$  от содержания второго компонента в бинарной смеси с ацетоном почти во всех случаях представляется кривой с максимумом, особенно резко выраженным в случае I.

М. Мосевидский

1119. Исследования вязкости растворов полипептидов DL-фенилаланина. Брейтенбах, Аллингер, Кореф (Viskositätsstudien an Lösungen von DL-Phenylalaninpolypeptiden. B r e i t e n b a c h J. W., A l l i n g e r K., K o r e f A.), Monatsh. Chem., 1955, 86, № 2, 269—277 (нем.)

ref A.), Monatsh. Chem., 1955, 86, № 2, 269—277 (нем.)

Приведенная вязкость  $\eta_{уд}/c$  ( $c$  — конц-ия,  $\text{г}/\text{см}^3$ ) р-ров ряда полипептидов DL-фенилаланина (РЖХим, 1956, 75174) измерялась в нитробензоле (I), дихлоруксусной к-те (II) и бензоле (III) в интервале мол. весов  $M$  от 600 до 10 000. Никакой корреляции значений  $M$  и характеристич. вязкости  $[\eta]$  установить не удалось.  $\eta_{уд}/c$  не зависит от  $c$  (т. е. равен  $[\eta]$ ) I и II и в отдельных случаях показывает сильную зависимость от  $c$  в III. Аномальный характер этой зависимости свидетельствует об особо сильной агрегации полипептидов, увеличивающейся с  $c$ . В целом же агрегация имеет место во всех случаях и при всех разбавлениях, т. е. измеренные значения  $[\eta]$  соответствуют не единичным молекулам, а полимолекулярным агрегатам. Способность к агрегации существенным образом зависит от способа приготовления (и, следовательно, конфигурации цепи) полипептида; этим и объясняется полное отсутствие корреляции между  $M$  и  $[\eta]$ . Агрегация протекает за счет образования водородных мостиков. При стоянии р-ры стареют (изменяется степень агрегации). С. Френкель

1120. Соотношения между вязкостью и средневесовым молекулярным весом для декстранов в области максимальных клинических размеров. Воспроизводимость метода светорассеяния. Грехэм (Viscosity — weight average molecular weight relationships for dextrans in the higher clinical size range. Reproducibility of the light scattering method. G r a h a m D o n a l d W.), Canad. J. Technol., 1956, 34, № 2, 83—87 (англ.)

Установлено соотношение между характеристич. вязкостью  $[\eta]$  и средневесовым мол. весом  $M_w$  (определенным методом светорассеяния) для высокомолекулярных образцов клинич. декстрана, полученного из NRRL B512 Leuconostoc mesenteroides и затем деградированного. Исследовано 17 фракций с  $M_w$  от  $1,5 \cdot 10^5$

до  $4,25 \cdot 10^5$  и установлено, что  $[\eta] = 1,58 \cdot 10^{-3} M_w^{0,467}$ .

Воспроизводимость определения  $M_w$  методом светорассеяния составляет  $\pm 10\%$  среднего значения. О. Птицын

1121. Диффузия фракции полистирола в четыреххлористом углероде. Киселева К. Г., Кизу Б. И. А., Вестн. Ленингр. ун-та, 1956, № 10, 6—11

Поляризационно-оптическим методом (Цветков В. Н., Ж. эксприм. и теор. физики, 1951, 21, 701) определены коэфф. диффузии  $D$  семи фракций полистирола (мол. веса по вязкости  $0,7—0,045 \cdot 10^6$ ) в  $\text{CCl}_4$ . Установлена связь  $D$  с мол. весом  $M$  вида:  $D = 1,12 \cdot 10^{-4} M^{-0,52}$ . Полученная зависимость соответствует модели слабо протекаемого клубка. Определены значения  $\{\eta_0 D (M [\eta])^{1/2}\}$  для исследованных фракций, определяющие отношение  $R_\eta : R_D$ , где  $R_D$  — радиус гидродинамической эквивалентной сферы в явлениях диффузии и  $R_\eta$  — радиус эквивалентной сферы в явлениях вязкости, согласно теории Дебая и Бьюка (Debye P., Bueche D., J. Chem. Phys., 1948, 16, № 6). Полученные значения совпадают для всех фракций. Значения  $R_D$ , вычисленные из значений  $D$ , в 2,1—2,6 раза превосходят средние квадратичные радиусы модели со свободным вращением. Полученные результаты соответствуют данным, полученным для фракций полистирола в дихлорэтане (РЖХим, 1953, 241) и в толуоле (РЖХим, 1955, 13745).

Ю. Липатов

1122. О совместимости поливинилхлорида и поливинилацетата с другими высокополимерами. Алексеев Н. В., Мишустин Н. У., Коллоид. ж., 1956, 18, № 3, 257—261 (рез. англ.)

Показана возможность совмещения дивинилхлорвинилиденного каучука I с жесткими полимерами: поливинилхлоридом II и поливинилацетатом, с целью их пластификации. Приведены зависимости предела прочности и разрывного удлинения от содержания каучука в пластифицированных им полимерах. Показано, что в случае нагревания пленок II, содержащих I, происходит упрочнение совмещенных полимеров, объясняемое усилением взаимодействия между полярными группами. Авторы считают, что природа полярных групп не имеет существенного значения для совместимости.

Ю. Липатов  
1123. О механическом разрушении растворенных цепных молекул при столкновении суспендированных твердых тел. П. Зонтаг, Енкель (Über den mechanischen Abbau von gelösten Kettenmolekeln beim Zusammenstoß suspendierter Festkörper (II). Sonntag Franz, Jenckel Ernst), Kolloid-Z., 1954, 135, № 5, 81—91 (нем.)

Исследовано влияние различных факторов на описанный авторами ранее (см. сообщение I, РЖХим, 1956, 75175) процесс уменьшения степени полимеризации (P) высокомолекулярного в-ва при взбалтывании или перемешивании его р-ра с суспензией кварцевого песка. Большая часть опытов проведена с р-ром полиметилметакрилата (I) в толуоле. Скорость распада ( $dP/dt$ ) растет с уменьшением конц-ии полимера и проходит через максимум при некоторой конц-ии ( $C^*$ ). Расчеты по уравнениям гидродинамических теорий вязкости показывают, что  $C^*$  примерно соответствует конц-ии, при которой свернутые в клубки макромолекулы соприкасаются между собой.  $C^*$  растет с уменьшением P. Существование максимума  $dP/dt$  авторы объясняют тем, что с ростом конц-ии одновременно растет вероятность рекомбинации обрывков цепи. При  $75^\circ dP/dt$  пропорционально P. При  $25^\circ$  деструкция при больших P происходит быстрее вследствие электризации частиц. Энергия активации, рассчитанная по температурному коэф. скорости распада, невелика (2—4 ккал/моль) и соответствует не разрыву главных валентностей, а уменьшению размера молекулярного клубка в р-ре за счет разрыва побочных связей. В «плохих» р-рителях, дающих р-ры с меньшей вязкостью, распад I вследствие малой скорости рекомбинации идет быстрее, чем в «хороших» р-рителях. Увеличение плотности р-рителя замедляет распад. Полистирол в толуоловом р-ре расщепляется в аналогичных условиях вначале быстрее, а затем медленнее, чем I. Описаны также ориентировочные опыты с полиизобутиленом и поливиниловым спиртом.

И. Слоним  
1124. Предпочтительная ориентация в жестком каучуке, исследованная с помощью автоматического гониометра-интегратора полярных фигур. Ньютоном, Манделькерн, Роберте (Preferred orientation in stark rubber studied with an automatic integrating pole figure goniometer. Newton C. J., Mandelkern L., Roberts D. E.), J. Appl. Phys., 1955, 26, № 12, 1521—1522 (англ.)

С помощью указанного в заглавии прибора (Suits C. G., Gen. Electr. Rev., 1951, 54, № 11, 32) и рентгеновского дифрактометра Гейгера исследована преимущественная ориентация в пластинке (толщина ~ 2 мм) жесткого каучука, выдержанной под давлением между двумя плоскими металлами. Пластинки в течение 20 лет при  $t$ -рах  $0^\circ$ — $14^\circ$ . Интерпретация рентгенограмм качаний методом анализа полярных фигур (РЖХим, 1956, 30584) показала наличие двух текстурных систем с различными преимущественными ориентациями, но с общей Z-осью, совпадающей с осью ценной молекулы. Наличие преимущественной ориентации вдоль оси Z связано с одной

макроскопич. особенностью резиновой пластинки: на ней видна сетка, образованная двумя последовательностями сравнительно темных параллельных линий, разделенных интервалами ~ 5 мм и пересекающихся под углом  $65^\circ$ . Как темные (линии), так и светлые (параллелограммы, заключенные между этими линиями) участки пластинки состоят из кристаллич. каучука с преимущественной ориентацией. Направление оси Z на полярных фигурах совпадает с направлением коротких диагоналей параллелограммов сетки. Предполагается, что по аналогии с кристаллизацией обычного каучука при растяжении в жестком каучуке могли сохраниться остаточные или «замороженные» напряжения, которые и привели к преимущественной кристаллизации.

С. Френкель  
1125. Исследование геля натурального шелка методом рассеяния рентгеновских лучей при малых углах. П. Краткий, Пилз (Röntgen Kleinwinkeluntersuchung an nativem Seidengel. II. Kratky O., Pilz I.), Z. Naturforsch., 1955, 10b, № 7, 389—395 (нем.)

Продолжено исследование двух зон, обнаруженных на рентгенограммах гелей натурального шелка (РЖХим, 1956, 74168). Установлено наличие двух видов частиц. Малые частички изотропны, их радиус 32,5 Å, а радиус, рассчитанный при принятии шарообразной формы, 42 Å, объем  $3,16 \cdot 10^5 \text{ Å}^3$ , мол. в. 278 000. Большие частички анизотропны, имеют приближенно цилиндрич. форму, радиус изотропного поперечного сечения 75 Å, объем  $2,06 \cdot 10^7 \text{ Å}^3$ , мол. в.  $18,2 \cdot 10^6$ . Весовая доля этих частичек составляет 3% от общей массы. Отсюда средневесовая мол. в. 840 000. Экспериментально найденная инварианта  $\bar{Q}_{\text{экс}} = \int_0^\infty I x^2 dx = 282$  совпадает

с вычисленной теор. по ур-нию  $\bar{Q}_{\text{теор}} = 1,67 \cdot 10^3 P_0 D \Delta \rho \cdot (\Delta \rho)^2 w w = 287$  ( $P_0$  — интегральная интенсивность первичного пучка, D — толщина препарата,  $\Delta \rho$  — разность плотностей электронов между белком и р-рителем,  $w w$  — произведение объемных долей дисперсной фазы и дисперсионной среды). Обсуждая результаты, авторы отмечают следующие преимущества метода рассеяния при малых углах перед другими методами: точное определение радиуса и формы частиц, независимость определения объема и поперечного сечения и возможность контроля эксперим. данных путем теоретич. расчета.

С. Гликман  
1126. Определение формы гамма-глобулина методом рентгеновского рассеяния под малыми углами. Краткий, Пород, Секора, Палетта (Determination of the shape of gamma-globulin by means of the X-ray low-angle method. Kratky O., Porod G., Sekora A., Paletta B.), J. Polymer Sci. 1955, 16, № 82, 163—175 (англ.; рез. франц., нем.)

Усовершенствованным методом, основанным на измерениях рассеяния рентгеновских лучей под малыми углами (РЖХим, 1956, 68847), исследованы форма и размеры молекул  $\gamma$ -глобулина (I) человека. Измерения производились в 16%-ном водн. р-ре в присутствии и в отсутствие солей. Показано, что I состоит из цилиндрич. глобул длиной  $l = 230$ — $240$  Å с эллиптич. сечением, оси которого равны 19 и 57 Å. Объем такого цилиндра составляет  $1,98 \cdot 10^{15} \text{ Å}^3$ , что дает при постановке плотности сухого белка  $1,354 \text{ г/см}^3$  мол. вес  $M = 162$  000. Эти результаты хорошо согласуются с данными ультрацентрифугирования, согласно которым молекулы I имеют стержневидную форму с  $M = 1,56$ — $1,76 \cdot 10^5$ ,  $l = 230$  Å и толщиной 44 Å. С. Френкель  
1127. Теплоемкости полиизобутилена в интервале  $0$ — $380^\circ\text{K}$ . Фурукава, Рейлли (Heat capacity of polyisobutylene from  $0^\circ$  to  $380^\circ\text{K}$ . Fu-

rukawa George T., Reilly Martin L.), J. Res. Nat. Bur. Standards, 1956, 56, № 5, 285—288 (англ.)

При помощи адиабатич. калориметра проведены определения теплоемкости полиизобутилена (средний мол. вес по вязкости  $1,35 \cdot 10^6$ ) в интервале 14—380°K. На основании температурного хода теплоемкости определена т-ра стеклования, равная 199°K. Значения теплоемкости в функции т-ры выше т-ры стеклования могут быть с точностью  $\pm 2\%$  представлены ур-нием  $c = 0,844 + 3,03 \cdot 10^{-3} T + 2,24 \cdot 10^{-6} T^2$  абс. дж/град. г. На основании полученных данных рассчитаны значения энтальпий, энтропий и свободных энергий Гиббса при 0°—380°K. Ю. Липатов

1128. Удельная теплоемкость синтетических высокополимеров. VII. Полиэтилентерефталат. Смит, Доль (Specific heat of synthetic high polymers. VII. Polyethylene terephthalate. Smith Carl W., Dole Malcolm), J. Polymer Sci., 1956, 20, № 94, 37—56 (англ.; рез. франц., нем.)

Определены теплоемкости  $c_p$  полиэтилентерефталата в виде хлопьев (I), волокна негастянутого (II) и растянутого (III) образца охлажденного от т-ры 286° до комнатной т-ры за 3 дня (IV) и растянутого волокна, нагретого до 210° и охлажденного за 2 дня (V). Температурный ход  $c_p$  для аморфных I и II одинаков; в области т-ры стеклования  $T_g$   $c_p$  резко возрастает, затем около 100° падает за счет кристаллизации и далее вновь возрастает. IV и V в области  $T_g$  показывают очень незначительные изменения  $c_p$ , что связано с их кристалличностью. Для III, который является некристаллич. ориентированным волокном, кристаллизация при нагревании начинается при более низких т-рах, чем для I и II. Большая часть полученных данных описывается ур-нием:  $c_p = A + Bt$ ; даны таблицы значений A и B. Явления стеклования рассмотрены на зависимостях  $c_p/T$  от T ( $T = t - t_a$ ).  $c_p/T$  резко возрастает в области  $T_g$  и вновь падает после кристаллизации. Для IV и V возрастание  $c_p/T$  при  $T_g$  относительно мало, что указывает на напряженность аморфных областей в ориентированном волокне, затрудняющую возрастание подвижности цепей при  $T_g$ . Из данных по теплоемкостям вычислены значения энтальпий и оценены теплоты кристаллизации и плавления. Рассмотрен вопрос об оценке степени кристалличности и выборе необходимого для расчета значения теплоты плавления полностью кристаллич. полимера. Теплота плавления, вычисленная из данных по энтальпиям, совпадает со значением, вычисленным на основании теории Флори для понижения т-р плавления сополимеров. Степень кристалличности найдена из данных по энтальпиям в хорошем согласии с оцененной из измерений плотностей. Исследована также температурная зависимость степени кристалличности. Рассмотрено влияние свободной поверхностной энергии кристаллитов на изменение т-р плавления, и для разных т-р вычислены размеры кристаллитов и оценено изменение числа кристаллитов при повышении т-ры на один градус. См. сообщение VI, РЖХим, 1956, 36069.

1129. Механика высокополимеров. Бао Юэ-хань, Брандт (The mechanics of high polymers. Bao Yoh-Han, Brandt Werner), Appl. Mech. Revs., 1956, 9, № 6, 233—236 (англ.)

Обзор. Библи. 33 назв.

Ю. Липатов

1130. Вязко-эластические свойства сетчатой структуры. I. Общая формулировка Ямамото (The visco-elastic properties of network structure. I. General formalism. Yamamoto Misao), J. Phys. Soc. Japan, 1956, 11, № 4, 413—421 (англ.)

Формулируется статистич. теория вязко-эластических свойств аморфных высокополимерных в-в. Предполагается, что скорость деформации и изменения строения сетки настолько мала, что для определения зависимости напряжения от деформации в данный момент времени (соотношение  $S - S - T$ ) можно применять известную статистич. теорию равновесной высокоэластич. деформации. Далее предполагается, что узлы сетки закреплены в их наиболее вероятных положениях, которые смешаются при деформации образца, и что сетка образована не только постоянными вулканизационными узлами, но и временными связями, разрыв и образование которых, происходящие непрерывно, ответственны за необратимость деформации. Вероятность разрыва цепи в единицу времени  $\beta(h, N)$  есть функция вектора, соединяющего концы цепи h и числа сегментов в ней N. Выводится дифференциальное и интегральное ур-ния движения для функции распределения цепей  $F(h, N, t)$ . Подстановка дифференциального ур-ния в соотношение  $S - S - T$  показывает, что разрыв и образование связей приводит к нелинейности в соотношении  $S - S - T$ . Подстановка интегрального ур-ния в выражение для свободной энергии приводит к выводу, что рассеяние энергии связано с тем же механизмом деформации. Из рассмотрения малых деформаций следует, что предложенная модель сетки фононотопическая эквивалентна обобщенной модели Максвелла и  $1/(\beta(h, N))$  имеет смысл времени релаксации элемента модели. Т. Хазанович

1131. Динамико-механические свойства системы трибутират целлюлозы — диметилфталат. Ландел, Ферри (Dynamic mechanical properties of the system cellulose tributyrat — dimethyl phthalate. Landel Robert F., Ferry John D.), J. Phys. Chem., 1956, 60, № 3, 294—301 (англ.)

Вещественная и мнимая части комплексной податливости  $I'$  и  $I''$  измерены в области частот 30—4500 гц при переходе от стеклообразного к эластич. состоянию для гелеобразующих р-ров трибутирата целлюлозы ( $M\eta = 300\,000$ ) в диметилфталате при конц-ях 20,4; 42,6 и 57,5% и т-рах от +25 до —52°. Исследованные р-ры, как указывают авторы, являются частично кристаллическими и, следовательно, молекулы полимера в них спиты между собой при т-рах измерений. Данные для конц-и 20,4% хорошо описываются методом приведения переменных, что указывает на то, что в этой системе содержание кристаллич. областей незначительно и что свойства системы определяются только аморфной фазой. Данные для 42,6%-ного р-ра описываются двумя кривыми для т-р выше и ниже —25°; вблизи —25° наблюдаются изменения свойств системы, приписанные возможному увеличению кристалличности. Р-ры конц-и 57,5% не описываются методом приведения из-за наличия заметных изменений структуры р-ра с т-рой. Температурная зависимость фактора приведения  $a_T$  хорошо совпадает с предложенным авторами ранее ур-нием (РЖХим, 1956, 32677). Максим. значения  $I'$  при 25° и низких частотах приближаются к значениям равновесной податливости этих систем; величина модуля пропорциональна конц-и р-ра в степени 2,8. Максимум тангенса механич. потерь с ростом конц-и становится более размытым и сдвигается к низким частотам. Из полученных данных вычислены функции распределения времен запаздывания по ур-ниям второго приближения (РЖХим, 1956, 43405). При постоянном времени запаздывания высота функции распределения  $L$  в логарифмич. шкале уменьшается с ростом конц-и. Авторы указывают, что форма кривой распределения определяется расположением поперечных связей между молекулами и распределением длин цепей между ними. Поэтому возрастание кристалличности понижает



высоту функции распределения, особенно при больших временах. Вычисление функций распределения времен релаксации показало, что для 20,4%-ного р-ра кривая хорошо описывается теорией Роуза, т. е. ее наклон близок к предсказываемому теорией. Для более конц. р-ров наблюдаются заметные отклонения.

Ю. Липатов

**1132. Полиамиды из тетрагидрофуран-2,5-дипропионой кислоты: влияние тетрагидрофуранового кольца, находящегося в цепи молекулы полиамида. Хатихама, Хаяси (Polyamides from tetrahydrofuran-2,5-dipropionic acid: the effects of the tetrahydrofuran ring inserted in the chain of polyamide molecule. Hachihama Yoshikazu, Hayashi Izumi), Makromolek. Chem., 1955, 17, № 1, 43—55 (англ.; рез. нем.)**

По ранее описанному методу (РЖХим, 1956, 51016) синтезированы полиамиды конденсацией тетрагидрофуран-2,5-дипропионой к-ты и с полиметиленадиамин  $H_2N(CH_2)_nNH_2$  ( $n=2,4,10$ ). Определение т-р плавления показало, что они уменьшаются с ростом длины цепи диамина; при этом т-ра плавления поочередно возрастает и падает. Интервал т-р плавления лежит в пределах 145—218° для различных полиаминов. На основании рентгенографич. определения периода повторности авторы делают вывод, что введение в цепь фуранового кольца не изменяет жесткости цепи и что понижение т-р плавления по сравнению с полиамидами из адипиновой, себациновой и т. п. к-т обусловлено меньшей плотностью упаковки из-за наличия в цепи полиамида большого кольца. Приведены данные по растворимости полученных полиамидов; их повышенная растворимость в уксусной к-те (холодной) и горячем этаноле объяснена наличием в цепи кислородного атома. Приготовлены также сополиамиды, в которых часть группы тетрагидрофуран-2,5-дипропионой к-ты была заменена на адипиновую или азеланиновую к-ту. Определение т-р плавления сополиамидов показало, что для случая сополимеризации с адипиновой к-той на зависимость т-р плавления от молярного соотношения имеется минимум, указывающий на невозможность образования смешанных кристаллов. Из полученных сополиамидов приготовлены волокна и исследованы их физ. свойства: плотности, влагопоглощение, накрашиваемость и механич. свойства. Повышенное влагопоглощение сополиамидов по сравнению с известными полиамидами авторы объясняют меньшей их кристалличностью или наличием в цепи кислорода. Сделан вывод о возможности практ. применения полученных волокон. Ю. Липатов

**1133. Изучение холодной вытяжки полимеров. (Часть III). Квазистатическая вытяжка поликапрамида. III. Влияние тепловой обработки и температурной зависимости гетерогенности структуры полимеров. Юмото (Studies on the cold-drawing of polymers (Part III). The quasistatic drawing of polycapramide. III. The effects of heat-treatments and the temperature dependencies of the heterogeneous structure in polymers. Yumoto Hirotsuke), Bull. Chem. Soc. Japan, 1956, 29, № 3, 353—360 (англ.)**

Исследована холодная вытяжка волокон поликаприда, подвергнутых термообработке при т-рах 115—250° в течение 1—250 час. в мокром и сухом состоянии. Для полученных образцов методом флотации определены плотности. На зависимостях плотности и напряжения вытяжки  $W_c$  (часть II РЖХим, 1956, 68544) от т-ры обработки наблюдается ряд сингулярных точек. В случае обработки в сухом состоянии эти точки проявляются при 60° в значениях  $W_c$  и при 120—и 180° в значениях  $W_c$  и плотности. Сингулярные точки, соответствующие 120 и 180°, при обра-

ботке в мокром состоянии наблюдаются при 40—50° и 100°. Наблюдаемые сингулярные точки трактуются как т-ры переходов и связаны при 60 и 120° с микроброуновским и при 180° с макроброуновским движением. Полученные данные объясняются автором, исходя из предположения о гетерогенности структуры кристаллич. полимера и наличии в нем кристаллич., аморфных и мезоморфных областей, переходящих в сингулярных точках друг в друга. При этом при переходе аморфных областей в мезоморфные или кристаллич. наблюдается возрастание  $W_c$  при отсутствии изменений плотности, а при переходе мезоморфных областей в кристаллич. изменяется значительно только плотность. Автор считает, что при холодной вытяжке течение может иметь место только в аморфных областях, в то время как в мезоморфных возможно только незначительное скольжение молекул относительно друг друга.

Ю. Липатов

**1134. Рассеяние света тонкими пленками полимеров. II. Рассеяние полиэтилена. Кин, Стейн (The scattering of light from thin polymer films. II. Scattering from polyethylene. Keane John J., Stein Richard S.), J. Polymer Sci., 1956, 20, № 95, 327—350 (англ.; рез. франц., нем.)**

Проведены измерения абс. светорассеяния (СР) различных образцов полиэтилена в зависимости от угла рассеяния  $\theta'$ , т-ры, типа образцов и характера их обработки. Методика измерений описана в сообщении I (РЖХим, 1956, 47171). Изучение температурной зависимости СР показало, что СР значительно больше при малых  $\theta'$  и уменьшается с повышением т-ры. СР зависит от природы образца и от условий его кристаллизации. Определено также общее пропускание света (мутность) образцами в зависимости от т-ры при нагревании и охлаждении образцов. Полученные результаты интерпретируются на основании теории СР аморфных тел, развитой Дебаем и Бьюком (Debye P., Bueche A. M., J. Appl. Phys., 1949, 20, 518). Исходя из данных по величине релеевского отношения для исследованных образцов, авторы вычислили функции корреляции  $\gamma(r) = \langle \eta_1 \eta_2 \rangle_{\text{ср}} / \eta^2$  в зависимости от  $r$ , где  $\eta_1$  и  $\eta_2$  — отклонения значения диэлектрич. постоянной (ДП) среды от среднего значения ДП для двух объемов  $v$ -ва, отстоящих на расстоянии  $r$  друг от друга, и  $\eta^2$  — среднеквадратичная флуктуация ДП. Показано, что функция  $\gamma(r)$  может быть хорошо представлена эмпирич. функцией вида  $A \exp(-r/a)$ . Параметр  $a$  является мерой размера гетерог. образований в полимере, ответственных за СР.  $a$  Может быть вычислена из экспериментально найденной функции  $\gamma(r)$ , из асимметрии светорассеяния и из зависимости пропускания света образцами от длины волны. Вычисление  $a$  тремя методами дало значения  $a = 2300—2800 \text{ \AA}$ .  $\eta^2$  Можно определить на основании значений  $a$  в соответствии с теорией Дебая и Бьюка из абс. измерений релеевского отношения или из измерений мутности. Определение температурной зависимости  $a$  показывает, что  $a$  остается постоянным при повышении т-ры, в то время как  $\eta^2$  уменьшается с т-рой приблизительно одинаково с изменением степени кристалличности. Таким образом, при плавлении кристаллитов средний размер рассеивающих областей остается постоянным, в то время как среднее отклонение ДП от среднего значения становится все меньше. Наблюдается качеств. согласие между изменениями  $a$  и изменениями размеров сферолитов, определенных микроскопически. Однако величина  $a$  значительно меньше размера сферолитов, хотя и больше размера индивидуального кристаллита. Изучение  $a$  в функции времени показало, что равновесное при данной т-ре значение  $a$  устанавливается в течение некоторого времени. Посту-

лируется, что  $\alpha$  связан или с определенными частями сферолитов, т. е. с наличием внутренней периодич. структуры в сферолите, или с расстояниями между сферолитами. Не обнаружено прямой связи между степенью кристалличности, определенной из плотности, и величиной  $\eta^2$ . Изучение  $\eta^2$  при нагревании и охлаждении показало эффект гистерезиса, обусловленного скоростями охлаждения из состояния расплава. Исходя из факта, что  $\eta^2$  полиметилена, кристаллического на 95%, меньше, чем для полиэтилена, авторы заключают, что ни совершенный кристалл, ни полностью аморфное в-во не дают такого интенсивного СР, как частично кристаллический полимер, характеризующийся наибольшей внутренней гетерогенностью. Предложена модель, объясняющая физ. содержание параметров  $\alpha$  и  $\eta^2$ .

Ю. Липатов

**1135. Влияние пластификаторов на энергии активации некоторых диэлектриков.** Кайон, Грuber (Action des plastifiants sur les énergies d'activation de certains diélectriques. Caillon Paul, Gruber Edmond, C. r. Acad. sci., 1956, 242, № 10, 1313—1314 (франц.))

Изучены изменения величин энергий активации, связанных с дебазской поляризацией  $\Delta E_D$ , проводимостью  $\Delta E_C$  и максвелл-вагнеровской поляризацией  $\Delta E_{M-W}$  на примерах поливинилхлорида, поливинилацетата и полиметилметакрилата, пластифицированных трикрезилфосфатом, диоктилфталатом и бутилфталатом. Стремление  $\Delta E_{M-W}$  и  $\Delta E_C$  к общему значению при увеличении содержания пластификатора подтверждает предположение об одинаковой природе обоих эффектов, так как при раздвигании молекулярных цепей энергетич. барьер, обусловленный перемещением ионов от одного полюса к другому, не будет отличаться от барьера, обусловленного небольшими перемещениями ионов в межмолекулярном пространстве. Более медленное изменение  $\Delta E_{M-W}$  по сравнению с  $\Delta E_D$  и  $\Delta E_C$  при увеличении содержания пластификатора показывает разную природу воздействия пластификатора на энергетич. барьеры, связанные с перемещением ионов в межмолекулярном пространстве, и на энергетич. барьеры, связанные с вращением диполей и перемещением молекулярных цепей.

Н. Плато

**1136. Диэлектрические свойства электротехнических изоляционных материалов в связи с различными физико-химическими факторами.** Шулце (Die Repräsentanz der dielektrischen Eigenschaftswerte elektrotechnischer Isolierstoffe in ihrer Abhängigkeit von den verschiedenen physikalisch-chemischen Faktoren. Schulze W. M. H., Schweiz. Arch. angew. Wiss. und Techn., 1956, 22, № 5, 137—149 (нем.; рез. англ.))

Обсуждается влияние различных факторов (климатич. условия, влажность образца, неоднородность его строения, наличие в нем примесей и др.) на точность и воспроизводимость диэлектрич. измерений в изоляционных материалах. Библ. 39 назв. М. Мосевичкий

**1137. Электрическая прочность облученного полиэтилена.** Старк, Гартон (Electric strength of irradiated polythene. Stark K. H., Garton C. G.) Nature, 1955, 176, № 4495, 1225—1226 (англ.)

Измерена электрич. прочность облученного электропамяти с энергией 4 Мэв полиэтилена при дозах облучения 150 и 300 Mrad. Изменение электрич. прочности, вызванное облучением, оказалось сходным с изменением модуля Юнга  $Y$ , измеренным ранее (РЯХим, 1956, 43408), что противоречит теории внутренней электрич. прочности. Авторы считают, что наблюдаемые данные соответствуют не внутренней электрич. прочности, а ранее неизвестной форме пробоя, вызванного механич. деформацией.

Под действием приложенного напряжения  $V$  образец сжимается и его равновесная толщина  $l$ , если она существует и если не достигнута внутренняя электрич. прочность, определяется ур-нием:  $(\varepsilon/8\pi)(V/l)^2 = Y \ln(l/t_0)$  (1), где  $t_0$  — начальная толщина (система единиц CGSE). Максим. значение  $l/t_0 = 0,6$ ; если при этом не достигнута внутренняя прочность, дальнейший рост  $V$  приводит к пробую в крит. поле  $E_y = (4\pi Y/\varepsilon)^{1/2}$ . При этом

видимая электрич. прочность определяется ур-нием:  $E_a = \exp(-E_y/2)$  (2). Указывается, что учет микроскопич. неоднородностей, зависимости  $Y$  от времени и напряжения и пластичности приведет к уменьшению  $Y$ . Сравнение  $E_a$ , вычисленного с помощью (2), с эксперим. данными дает удовлетворительное совпадение. Развитие представления объясняет быстрое изменение электрич. прочности полиизобутилена вблизи  $-40^\circ\text{C}$ . Т. Хазанович

**1138. Образование изломов при продавливании аморфных полимеров через капилляры.** Торделла (Fracture in the extrusion of amorphous polymers through capillaries. Tordella J. P.), J. Appl. Phys., 1956, 27, № 5, 454—458 (англ.)

При продавливании через капилляр аморфных нешитых полимеров (полиметилметакрилат, полистирол, политетрафторэтилен, нейлон 66 и полиэтилен) в случаях, когда приложенное усилие превышает некоторое критическое, наблюдается возрастание с увеличением усилия нерегулярность формы выдвинутого образца. Анализ эксперим. данных приводит к выводу, что описываемое явление обусловлено изломами и разрывами, возникающими не при прохождении капилляра, а раньше, на подходах к нему, и вызванными деформациями, которые приводят вследствие больших времен релаксации к напряжениям, превышающим предел прочности. С повышением  $t$ -рций критич. усилие, как и следовало ожидать, возрастает.

М. Мосевичкий

**1139. Перекись метилэтилкетона как инициатор при виниловой полимеризации.** Гоналп, Сант-халпа (Methyl ethyl ketone peroxide as initiator in vinyl polymerization. Gopal M. R., Sant h a p p a M.), Current Sci., 1956, 25, № 4, 116—118 (англ.)

Исследована кинетика полимеризации метилметакрилата (I), стирола (II) и метилакрилата (III) в массе и в р-ре бензола (IV) или этилацетата при 65 и 70°; инициатор — перекись метилэтилкетона. Во всех случаях скорости полимеризации прямо пропорциональны, а величины, обратные мол. весам ( $1/P$ ), обратно пропорциональны корню квадратному из концентрации инициатора. Из полученных данных рассчитаны значения  $k_0/k_p^2$

(первая цифра),  $k_{\text{пер}}/k_p \cdot 10^3$  и  $k_{\text{пер}}^2/k_p \cdot 10^3$  (70°, полимеризация в массе) для I 103,3, 3,0, 9,2; II 1085, 12, 217,4; III 7,563, 1,8, 76,9. При полимеризации I в массе (65°) соответствующие значения равны 122,7, 2,0, 7,46, а при полимеризации в р-ре IV (70°) 84,67, 2,0 и 2 ( $k_p$ ,  $k_0$ ,  $k_{\text{пер}}$  и  $k_{\text{пер}}^2$  соответственно константы скоростей  $r$ -рций роста, обрыва, передачи через мономер и инициатор).

А. Праведников

**1140. Механизм действия переносчиков цепи и замедлителей.** Брейтенбах (Wirkungsmechanismus von Kettenüberträgern und Verzögerern. Breitenbach J. W.), Z. Elektrochem., 1956, 60, № 3, 286—295 (нем.)

Обзор. Библ. 73 назв.

А. Праведников

**1141. Исследование концевых групп и элементарных процессов при радикальной полимеризации.** Керн, Ахон, Шрёдер, Шульц (Endgruppenuntersuchungen und Elementarvorgänge der radikalischen Polymerisation. Kern Werner,

Achon Marco Antonio, Schröder Gerd, Schulz Rolf, Z. Elektrochem., 1956, 60, № 3, 309—316, Diskuss. 316—317 (нем.)

С помощью ИК-спектроскопии и данных хим. анализа определено строение концевых группировок, образующихся при полимеризации стирола и винилацетата в присутствии перекиси *n*-бромбензола (I), пербромбензойной к-ты (II) и гидроперекиси *n*-бромкумола (III). При проведении полимеризации в присутствии I при 27—50° омыление полностью удаляет Br из полимера, в то время как в полимере, полученном при 98—100°, после омыления остается еще 24% Br. Полученные результаты указывают, по мнению авторов, на то, что при низких *t*-рах иницирование осуществляется исключительно бромбензойными радикалами; при высоких *t*-рах полимеризация иницируется также и бромфенильными радикалами. Аналогичные результаты получены при применении окислительно-восстановительных систем I — Fe<sup>2+</sup> и III — Fe<sup>2+</sup>. В случае II полимер совершенно не содержит Br (иницирование осуществляется радикалами OH). При иницировании полимеризации системой III — Cu<sup>2+</sup> (или Fe<sup>2+</sup>) образуется полимер, содержащий перекисные группировки, что, по мнению авторов, связано с протеканием р-ций  $\text{ROOH} + \text{Cu}^{2+} \rightarrow \text{ROO} \cdot + \text{Cu}^+ + \text{H}^+$ ,  $\text{ROOH} + \text{Cu}^+ \rightarrow \text{RO} \cdot + \text{Cu}^{2+} + \text{OH}^-$ ; в дальнейшем радикалы ROO· реагируют или с молекулами мономера, или с полимерными радикалами. Образование полимеров, содержащих перекисные группировки, наблюдается также при полимеризации в присутствии *tert*-бутилгидроперекиси (IV) при 60°, но не имеет места при фотополимеризации в присутствии смеси IV + динитрил азодизомасляной к-ты при 25° и  $\lambda = 3650 \text{ \AA}$  (длина волны, не поглощаемая IV). Авторы считают, что внедрение перекисных группировок в полимер происходит не за счет передачи цепи через инициатор, а в результате следующих р-ций:  $\text{ROOH} + \text{CH}_2 = \text{CHX} \rightarrow \text{ROO} - \text{CH}_2 - \text{CHX} \cdot + \text{H} \cdot$  или  $\text{ROOH} + \text{CH}_2 = \text{CHX} \rightarrow \text{CH}_3 - \text{CHX} \cdot + \text{ROO} \cdot$ ; в дальнейшем радикалы ROO· могут реагировать или с молекулами мономера, или с полимерными радикалами.

A. Праведников  
1142. Константы передачи через полистирол и метилметакрилат и проблема разветвленности молекул. Шульц, Хенрич, Оливс (Die Übertragungskonstanten von Polystyrol und Polymethylmethacrylat und das Problem der Molekülverzweigung. Schulz G. V., Henrici C., Olivé S.), Z. Elektrochem., 1956, 60, № 3, 296—305. Diskuss. 305—309 (нем.)

Исследована полимеризация метилметакрилата (I) и стирола (II) в *p*-ре бензола в присутствии низкомолекулярного ( $P = 30-300$ ) полиметилметакрилата (III) и полистирола (IV) при 40—80°; инициатор — динитрил азодизомасляной к-ты (V). III и IV получены полимеризацией соответствующих мономеров в *p*-ре бензола (или ксилола) в присутствии V, перекиси бензоила и SnCl<sub>4</sub> при 35—145°. Добавка в систему III и IV практически не влияет на скорость полимеризации, но значительно снижает мол. вес образующегося полимера. Исходя из полученных данных, автор рассчитал константу передачи цепи через полимер  $C$  ( $C = k_{\text{пер}}/k_p$ , где  $k_{\text{пер}}$  и  $k_p$  — константы скоростей р-ций передачи и роста цепи), которая является линейной функцией от  $1/P_{\alpha}$ , причем в случае III  $C$  возрастает, а в случае IV — уменьшается при уменьшении  $P_{\alpha}$ . Результаты, полученные при полимеризации в присутствии III, авторы объясняют одновременным протеканием двух реакций: р-ций передачи цепи через концевые группы полимерных молекул и р-ций передачи через остальные группировки полимерной молекулы; константы скоростей и

энергии активации этих р-ций соответственно равны: для I  $k_{\text{пер}}$  (л/моль сек) 10 и  $4,1 \cdot 10^{-2}$  (50°),  $E$  (ккал/моль) 5,4 и 6,3; для II  $k_{\text{пер}}$  13,4 и  $0,5 \cdot 10^{-2}$  (50°). В случае IV величина  $C$  зависит от условий приготовления низкомолекулярного полимера; передача цепи через IV авторы связывают с наличием в полимере особых группировок, содержащих очень подвижный атом водорода. Сравнением полученных данных показано, что при полимеризации по радикальному механизму полистирол должен быть в ~10 раз более разветвлен, чем полиметилметакрилат, полученный в аналогичных условиях.

A. Праведников

1143. Влияние размера ацильной цепи на совместную полимеризацию виниловых эфиров. Уитнауэр, Уоткинс, Порт (Effect of the size of acyl chain on copolymerization of vinyl esters. Witnauer Lee P., Watkins Nathaniel, Port William S.), J. Polymer Sci., 1956, 20, № 94, 213—214 (англ.)

Из состава полимеров, полученных при совместной полимеризации винилстеарата (I) с различными мономерами (*t*-ра полимеризации 70°, инициатор — динитрил азодизомасляной к-ты) рассчитаны константы совместной полимеризации  $r_1$  (первая цифра) и  $r_2$  (индекс 1 относится к мономеру I) для систем: I — винилацетат 0,73, 0,90, I — диизопропилмалеат 0, 0,0075, I — метилакрилат 0,03, 5,8, I — акрилонитрил 0,03, 4,3. Полученные результаты сопоставлены с имеющимися в литературе значениями для констант  $r_1$  и  $r_2$ , полученными при совместной полимеризации винилацетата с этими же мономерами (Lewis F. M., Mayo F. R., J. Amer. Chem. Soc., 1948, 70, 1533; Mayo F. R. и др., J. Amer. Chem. Soc., 1948, 70, 1523), и сделан вывод, что длина ацильной цепи не влияет на реакционную способность мономера и образующегося из него радикала.

A. Праведников

1144. Совместная полимеризация оптически активного этилового эфира 2-метил-2-этилбутен-2-ой кислоты с винилацетатом. Такебаяси, Ито (Copolymerization of optically active ethyl 2-methyl-2-ethyl-2-butenate with vinyl acetate. Takebayashi Matsuji, Ito Yasumasa), Bull. Chem. Soc. Japan, 1956, 29, № 2, 287—288 (англ.)

Для выяснения вопроса о влиянии стерич. факторов на скорость радикальной полимеризации исследована совместная полимеризация винилацетата (I) с D- и D,L-этил-2-метил-2-этил-2-бутенатом (соответственно II и III) при 60°; инициатор — перекись бензоила. Из состава полученных полимеров рассчитаны константы совместной полимеризации (индекс 1 относится к I),  $r_1$  (первая цифра) и  $r_2$  для систем I — II  $2,2 \pm 0,4$ ;  $0,1 \pm 0,1$  и I — III  $3,2 \pm 0,5$ ;  $0,3 \pm 0,2$ . Таким образом, II по отношению к винилацетатному радикалу в ~1,5 раза реакционнее, чем III.

A. Праведников

1145. Кинетика реакций полимеризации в вязких системах. Мелвилл (Kinetics of polymerisation reactions in viscous systems. Melville H. W.), Z. Elektrochem., 1956, 60, № 3, 276—281, Diskuss. 281—285 (англ.)

Термопарным методом (РЖХим, 1955, 54858) исследована кинетика фотополимеризации бутилакрилата (I) и метилметакрилата (II) при 25°. Скорость полимеризации I сначала несколько увеличивается с глубиной, а затем, после достижения глубины превращения 20—25%, медленно уменьшается. Константы скоростей р-ций роста  $k_p$   $10^{-3}$  л/моль сек (первая цифра) и обрыва  $k_t$   $10^{-8}$  л/моль сек равны: при глубине превращения 1% 2,93; 4,7, 20% 0,76, 0,38; 40% 0,46, 0,15; 60% 0,26, 0,043; 70% 0,0044, 0,0073. Полная энергия активации (первая цифра), энергия активации р-ций роста и обрыва равны (ккал/моль): при глубине 20%



4,0, 12,8; 17,6; 40% 3,8; 12,3; 17. При полимеризации II наблюдается резкое возрастание скорости р-ции при глубине превращения  $\sim 20\%$ , при глубине 40—60% р-ция протекает с постоянной скоростью; при большей глубине превращения скорость р-ции постепенно уменьшается. При введении в систему гликольдиметакрилата возрастание скорости и ее уменьшение наблюдаются при значительно меньших глубинах превращения, что свидетельствует, по мнению автора, о резком уменьшении как  $k_0$ , так и  $k_p$  при образовании в системе 3-мерной полимерной сетки.

А. Праведников  
1146. Синтез разветвленных полистиролов. Джоне Мелвилл, Робертсон (The synthesis of branched polystyrenes. Jones M. H., Melville H. W., Robertson W. G. P.), *Ricerca scient.*, 1955, 25, Suppl., 271—278 (англ.; рез. итал., нем., франц.)

Р-р фотохимически бромированного на (10 вес.%) при комнатной т-ре полистирола в радиоактивном стироле освещали У-Ф-светом до отщепления некоторой части Br. Образующиеся полимерные радикалы и атомы Br иницируют полимеризацию стирола. При высоком содержании Br наступает желатинизация, очевидно, благодаря образованию поперечных связей при соединении разветвленных полирадикалов. Для предотвращения желатинизации применялся  $CCl_4$  (укорочение молекулярных цепей благодаря р-ции передачи). Высокомолекулярный разветвленный полистирол отделялся от линейного пересадением. Весовой процент разветвлений в полимере вычислялся из его радиоактивности, длина ответвлений вычислялась с учетом величины константы передачи в  $CCl_4$  и других параметров системы. Кроме того, содержание Br в полимере определялось методом нейтронной активации.

Р. Милотинская  
1147. Новый метод приготовления блок-сополимеров. Аллен, Даунер, Хастингс, Мелвилл, Молинеукс, Эрвин (New methods of preparing block copolymers. Allen P. E. M., Downer J. M., Hastings G. M., Melville H. W., Molyneux P., Urwin J. R.), *Nature*, 1956, 177, № 4516, 910—912 (англ.)

Описаны три новых метода синтеза блочных сополимеров. 1. Стирол полимеризовался в массе при 50° в присутствии ди-(гидропероксизонопропил)-бензола. Полученный полимер, содержащий на концах цепей гидрперекисные группировки, растворился в метилметакрилате и р-р эмульгировался в воде. Дальнейшая полимеризация проводилась в эмульсии при 0° посредством радикалов, образующихся при распаде полимерных гидрперекисей под действием  $Fe^{2+}$ . 2. Винилацетат полимеризовался в эмульсии под действием  $\gamma$ -излучения до глубины превращения 70%, после чего облучение прекращалось и в систему добавлялась эмульсия метилметакрилата. Дальнейшую полимеризацию вызывали радикалы, застрявшие в полимерных частицах. 3. Р-р смеси полистирола и полиметилметакрилата подвергался действию ультразвука: разрыв полимерных молекул и последующая рекомбинация образовавшихся полимерных радикалов приводили к образованию блочного сополимера. Выделение блочных сополимеров из смеси полимеров во всех случаях проводилось с помощью турбидиметрического титрования.

А. Праведников  
1148. Роль кислорода в начальной стадии полимеризации хлористого винила. Минскер К. С., Шевляков А. С., Разуваев Г. А., *Ж. общ. химии*, 1956, 26, № 4, 1082—1087

При полимеризации хлористого винила (I), чистого и с добавками инициаторов (перекиси бензоила (II)

динитрила азонизомасляной к-ты, перекиси ацетилбензоила, 2,2-азо-бис-*n*-изобутилпропилнитрила, метиламин-бис-диазо-*n*-анизола и метиламин-бис-диазобензола), наблюдается индукционный период, продолжительность которого зависит от кол-ва  $O_2$ , природы и конц-ии инициатора. В чистом I индукционный период значительно больше, чем в присутствии инициаторов. Во время индукционного периода подометрически установлено образование перекисей. В случае иницированной полимеризации скорость образования перекисей пропорциональна корню квадратному из конц-ии инициатора и тем выше, чем эффективнее инициатор (в случае инициатора II в конце индукционного периода найдено 350% перекиси от первоначального кол-ва). Энергия активации суммарного процесса образования перекиси равна 15,5 ккал/моль. Авторы принимают, что инициатор образует комплекс с I и предлагают следующий механизм начальной стадии процесса в присутствии воздуха  $RR + 2M \rightarrow 2RM$  (стадия, определяющая скорость),  $RM + O_2 \rightarrow RMO_2 \dots \rightarrow$  полиперекиси (I) ( $RR$  — инициатор,  $M$  — мономер). Р-ция (I) идет до полного израсходования  $O_2$  в системе, подавляя полимеризацию. Р. Милотинская

1149. Кинетика эмульсионной полимеризации стирола. Бартоломе, Герренте, Хербец, Вейц (Über die Kinetik der Emulsionspolymerisation von Styrol. Bartholomé E., Gerrens H., Herbeck R., Weitz H. M.), *Z. Elektrochem.*, 1956, 60, № 3, 334—346. Diskuss. 346—348 (нем.)

На примере эмульсионной полимеризации (II) стирола, с помощью специально разработанных уточненных dilatометрич. и электронномикроскопич., а также вискозиметрич. методик тщательно проверялись теоретич. выражения (Smith W. V., Ewart R. H., *J. Chem. Phys.*, 1948, 16, 592) для суммарной скорости  $V$  р-ции II в зависимости от числа  $N$  глобул в  $1\text{ см}^3$  и конц-ии  $C$  мономера в частицах, а также для  $N$  в зависимости от конц-ии  $S$  эмульгатора и скорости  $p$  образования радикалов. Соотношения между кол-вами стирола и воды не влияют на  $V$ ,  $N$ ,  $C$  и степень II. В соответствии с теорией  $V$  пропорциональна  $S^{0.6}$ ,  $p^{0.4}$  и  $NC$ . После исчезновения фазы мономера Р имеет 1-й порядок. Получены значения (при 45°) констант роста цепи  $(165 \pm 13) \cdot 10^1\text{ см}^3\text{ моль}^{-1}\text{ сек}^{-1}$ , передачи цепи  $3,6\text{ см}^3\text{ моль}^{-1}\text{ сек}^{-1}$  и распада персульфата К  $4,5 \cdot 10^{-7}\text{ сек}^{-1}$ . Теория Смита и Эварта хорошо подтверждается для стирола до 75%-ой конверсии.

А. Лебедев  
1150. Синтез полимеров с помощью  $\gamma$ -излучения. Каллинан (Polymer synthesis by gamma radiation. Callinan T. D.), *J. Electrochem. Soc.*, 1956, 103, № 5, 292—296 (англ.)

Проведена полимеризация этилена (давл. 84 кг/см<sup>2</sup>, выход полимера 12,5% при дозе 36 мегарентген), метилметакрилата (I), метилакрилата (II), стирола (III), метилстирола, 1-винил-2-пирролидона, акрилонитрила (IV) и совместная полимеризация IV с I, II и III с I и II под действием  $\gamma$ -излучения (источник  $Co^{60}$ ) при комнатной т-ре. Приведены данные о физ.-мех. свойствах полученных полимеров, в частности отмечается, что теплостойкость большинства из них несколько выше (на 14—40°) теплостойкости обычных промышленных образцов. Показано также, что жидкие низкомолекулярные полиэферы под действием облучения превращаются в твердые, а силиконовые масла — в эластичные в-ва.

А. Праведников  
1151. Сшивание полимеров типа полиэтилена при действии излучения с большой энергией. Окамото, Исихара (Crosslinking of polyethylene-type polymers by high-energy irradiation. Okamoto H., Ishihara A.), *J. Polymer Sci.*, 1956, 20, № 94, 115—122 (англ.; рез. франц., нем.)

Методом стационарного состояния рассмотрена кинетика радиационного сшивания полиэтилена для следующих случаев: 1) радикалы не могут мигрировать вдоль цепи; образование поперечных связей происходит в результате взаимодействия радикала с валентно-насыщенной молекулой по схеме  $RR'CH \cdot + R''R'''CH_2 \rightarrow \rightarrow RR'CH - CHR'R''' + H$ ; 2) радикалы могут мигрировать вдоль цепи, образование поперечных связей происходит при встрече двух полимерных радикалов. Рассмотрено также поведение радикалов, образующихся при разрыве связей  $C - C$  главной цепи.

А. Праведников  
1152. Кинетика полимеризации этилена, катализируемая алкаломиниевыми соединениями. Натта, Нино, Фарина (Cinetica della polimerizzazione dell'etilene catalizzata da composti alluminio-alchilici. Natta Giulio, Pino Piero, Farina Mario), Ricerca scient., 1955, 25, Suppl., 120-133 (итал.; рез. англ., нем., франц.)

Полимеризация  $C_2H_4$  в присутствии алкаломиниевых и алкиллитиевых соединений протекает не по цепному, а по ступенчатому механизму. Полимеризация  $C_2H_4$  в присутствии  $Al(C_2H_5)_3$  при  $t_{ре} > 100^\circ$  в алюминиевом сосуде идет в 2 стадии, которые можно суммарно представить следующим образом: 1) присоединение алкаломиния, согласно схеме:  $AlR_3 + nC_2H_4 \rightarrow \rightarrow Al(C_2H_4)_m - R(C_2H_4)_r - R(C_2H_4)_s - R$  (1) ( $R$  — алкильная группа,  $m + r + s = n$ ), 2) распад алкаломиния согласно схемам  $AlR_3R_2C_nH_{2n+1} \rightarrow AlR_1R_2H + C_nH_{2n}$  (2a),  $AlR_1R_2H + C_2H_4 \rightarrow AlR_1R_2C_2H_5$  (2b),  $AlR_1R_2C_nH_{2n+1} + C_2H_4 \rightarrow AlR_1R_2C_2H_5 + C_nH_{2n}$  (3). Скорость стадии (1) приблизительно пропорциональна конц-ии  $CH_2=CH_2$  в жидкой фазе и не зависит от длины исходного алкильного радикала (вплоть до 30 членов цепи). При  $t_{ре} 100^\circ$  распад алкаломиния идет с заметной скоростью и полимеризация протекает по каталитич. механизму. Эксперим. данные по скорости р-ции и распределению по мол. весам не могут быть объяснены на основании только одного из механизмов (2) или (3). Хорошее согласие между вычисленными и эксперим. данными получается, если приять, что р-ции (2) и (3) идут одновременно. Из распределения по мол. весам продуктов р-ции вычислено соотношение между суммой скоростей р-ции (2) и (3) и р-цией (1) для каждой отдельной ступени полимеризации. Из этих данных сделана оценка соотношения между скоростями процессов (2) и (3). При давл. 600 атм отношение между суммой скоростей процессов (2) и (3) и скоростью (1) для каждой отдельной ступени выше, чем это же отношение для предыдущей ступени процесса. Отношение между (2) и (3) изменяется подобным образом. Из резюме автора

1153. Катионная полимеризация оксациклобутанов.

Части I, II. Роз (Cationic polymerization of oxacyclobutanes. Parts I, II. Rose J. B.), J. Chem. Soc., 1956, March, 542-546; 546-555 (англ.)

Часть I. Изучалась катионная полимеризация оксациклобутана (I), 2-метилоксациклобутана (II) и 3,3-диметилоксациклобутана (III). В присутствии  $BF_3$  (0,01 мол./л) I дает смесь кристаллич. полиофира (ПЭ) и тетрамера (Т); с повышением  $t_{ре}$  р-ции доля Т возрастает; разб. I вдвое хлористым этилом несколько снижает мол. вес ПЭ и почти не влияет на долю Т; в присутствии  $BF_3 \cdot 2H_2O$  скорость р-ции и мол. веса ПЭ ниже. В присутствии  $BF_3 \cdot 2H_2O$  III дает смесь низкомолекулярного кристаллич. ПЭ и Т. II в присутствии  $BF_3$  (0,01 мол./л) дает только высокомолекулярный аморфный ПЭ, что объясняется наличием асимметричного атома C в молекуле II и различными возможностями присоединения мономерных звеньев. ПЭ, полученные сополимеризацией I и II, аморфны.

Часть II. Изучалась кинетика полимеризации I в присутствии  $BF_3$  при  $-22^\circ$  (р-ритель — метилхлорид) и влияние на скорость р-ции добавок воды, этанола и полимера I с конечными группами OH. При конц-иях добавки  $< 0,01 M$  и конц-ии  $BF_3$  0,1 M скорость полимеризации пропорциональна конц-иям I,  $BF_3$  и добавки. Незначительная полимеризация без добавки, по мнению авторов, вызвана недостаточной осушкой реагентов. При конц-иях воды  $> 0,01 M$  скорость полимеризации проходит через максимум, и порядок р-ции по мономеру возрастает от 1 до 2. Мол. веса полимеров возрастают с ростом конц-ии I и падают с ростом конц-ии добавки. Предложен механизм процесса, в котором цепь распространяется через ионы оксония. Обрыв цепи осуществляется путем образования ненапряженного многочисленного иона оксония, а при больших конц-иях добавки — путем р-ции ее с ионом оксония. Найденные закономерности распространяются и на полимеризацию III. Теплоты полимеризации I и III (при  $-9^\circ$  в смеси этил- и метилхлорида), равные соответственно 19,3 и 16,1 ккал/моль, характеризуют напряженность оксациклобутановых колец.

Т. Гриценко

1154. Изменения молекулярных весов при деструкции высокополимеров. Чарлсби (Molecular-weight changes in the degradation of long-chain polymers. Charlesby A.), Proc. Roy. Soc. Edinburgh, 1954, A 224, № 1156, 120-128 (англ.)

Рассмотрен вопрос о влиянии деструкции высокополимеров (разрыв цепи по закону случая) на характер распределения по мол. весам для следующих случаев: 1) исходный полимер монодисперсен; 2) исходный полимер представляет собой смесь равных кол-в двух монодисперсных фракций со степенями полимеризации  $P=u$  и  $2u$ ; 3) то же, что и 2), но  $P=u$  и  $4u$ ; 4) исходный полимер представляет собой смесь равных кол-в и монодисперсных фракций с  $P$  от 1 до  $u$ ; 5) в исходном полимере распределение по закону случая. Показано, что при достаточно большой степени деструкции характер распределения для случаев 1-4 приближается к распределению по закону случая, причем исчезновение характерных особенностей исходного распределения происходит при 3-8 разрывах на исходную молекулу.

А. Праведников

1155. Влияние ультразвука на полимеризацию в растворе. Косино, Миягава (溶液重合過程への超音波の影響について・越野雅夫, 宮川一郎), 工業化学雑誌・Kōei Kagaku Zasshi, J. Chem. Soc. Japan. Industr. Chem. Sec., 1953, 56, № 8, 618-619 (япон.)

При помещении смеси 15 г винилацетата, 15 г брн-зола, 75 мг перекиси бензола в поле ультразвука с частотой 540 кц (1000 в, 160 ма) выход поливинилацетата равен 68,3% (через 7 часов, при  $75^\circ$ ). При увеличении напряжения до 1450 в, силы тока до 185 ма выход полимеризации через 4,5 часа равнялся 17,1%, а степень полимеризации увеличивалась с 1205 до 3980.

В. Иоффе

1156. Атомная радиация и полимеры. Уолл (Atomic radiation and polymers. Wall L. A.), SPE Journal, 1956, 12, № 3, 17-20 (англ.)

Предложена следующая схема процессов, приводящих к образованию поперечных связей в ходе облучения:  $RR'CH \cdot \rightarrow RR'CH \cdot + H$ ; атом H отрывает от ближайшего к радикалу  $RR'CH \cdot$  углеродного атома атом водорода  $R''R'''CH_2 + H \rightarrow R''R'''CH \cdot + H_2$ ; рекомбинация радикалов приводит к образованию поперечной связи  $RR'CH \cdot + R''R'''CH \cdot \rightarrow RR'CH - CHR'R''$ . Деструкция полимеров, содержащих четвертичный углеродный атом, происходит, по мнению автора, в результате распада полимерных радикалов,

возникших при отрыве атома Н или метильной группы низкомолекулярным свободным радикалом или атомом Н, с образованием двухвалентно насыщенных молекул (одна из них содержит на конце цепи связь С—С). Деструкцию политетрафторэтилена автор объясняет тем, что в случае этого полимера невозможно протекание р-ции сшивания по рассмотренной выше схеме вследствие высокой энергии образования связи  $\text{C}—\text{F}$  (120 ккал/мол) и низкой энергии образования связи  $\text{F}—\text{F}$  (37 ккал/мол). А. Праведников

**1157. О механизме образования и превращения кремнийорганических полимеров.** Андрианов К. А. (Despre mecanismul de formare și transformare a polimerilor silicoorganici. Andrianov K. A.), An. Rom.-Sov. Ser. chim., 1956, 10, № 1, 86—96 (рум.)

Перевод. См. РЖХим, 1956, 32706.

**1158. Динамическое изучение образования высокополимеров.** Мелвилл (Étude dynamique de la formation des hauts polymères. Melville H. W.), Colloq. internat. Centre nat. rech. scient., 1955, 57, 23—32 (франц.)

Рассмотрен вопрос о механизме р-ции полимеризации виниловых мономеров при различных глубинах превращения (РЖХим, 1955, 54858; 1956, 29243; 1957, 1145).

**1159. Омыление поливинилацетата гидроокисью аммония.** Окамура, Ямасита (アセトニブを触媒とするポリ酢酸ビニルの脱酢酸化反応・岡村誠三・山下隆男), 工業化学雑誌・Korô Kagaku Zasshi, J. Chem. Soc. Japan. Industr. Chem. Sec., 1953, 56, № 11, 859—860 (япон.)

Изучалась р-ция омыления поливинилацетата (I) со степенью полимеризации 2450 р-ром  $\text{NH}_4\text{OH}$ . При увеличении молярного отношения  $\text{NH}_4\text{OH} : \text{I}$  от 0,43 до 4,35 время образования геля (22—24°) уменьшается от 576 до 48 час. Степень полимеризации поливинилового спирта при проведении омыления при 18—21° равна 1320—1440 при молярных отношениях  $\text{NH}_4\text{OH} : \text{I}$  3,64—9,17 и времени омыления 37—55 час. Энергия активации р-ции 7 ккал/мол. В. Иоффе

**1160. Полимеры акролеина.** Сообщение 2. Реакции и строение дисакрила. Шульц, Керн (Polymere Acroleine. 2. Mitt. Reaktionen und Konstitution des Disacryls. Schulz Rolf C., Kern Werner), Makromolek. Chem., 1956, 18—19, 4—8 (нем.; рез. англ.)

Изучались р-ции продукта самопроизвольной полимеризации акролеина — дисакрила (I) с реактивами на альдегиды: тиогликолевой к-той, этилмеркаптаном, тиофенолом, спиртами (в условиях, при которых образуются ацетали), гидроксиламином, фенилгидразином, гидразином, анилином, дианилиноэтаном; р-ции протекают значительно медленнее, чем у низкомолекулярных альдегидов и лишь на 65—70%; продукты р-ции растворимы в органич. р-рителях; осмотич. и вискозиметрич. измерения мол. весов указывают на их полимерную природу. Р-ция I с водн. р-ром  $\text{NaHSO}_3$  дает высоковязкие р-ры, поведение которых характерно для р-ров приэлектролитов; они реагируют с анилином и фенилгидразином и, в отличие от I, с KCN; с гидразидом полиакриловой к-ты образуется нерастворимый во всех р-рителях осадок. Предложена структурная ф-ла I, согласующаяся с данными по ИК-спектрам (см. сообщение 1 РЖХим, 1956, 68575). В условиях, когда ацидные группы из альдегидгидрата могут расщепляться, I ведет себя как полиальдегид. Предполагается наличие и других групп в I.

**1161. Стабильность пластмасс как функция их состава и их строения.** Штаудингер (La stabilité des matières plastiques en fonction de leur

composition et de leur structure. Staudinger H.), Chimie et industrie, 1955, 73, № 3, 519—530 (франц.)

Рассмотрено строение мочецино-формальдегидных (I) и тиомочецино-формальдегидных смол (II). По мнению автора, I и II не обладают макромолекулярным строением и высокая вязкость р-ров этих смол объясняется наличием ассоциированных комплексов низкомолекулярных продуктов конденсации с OH-группами. Конц. водн. р-ры LiBr и LiI, а также  $\text{Mg}(\text{ClO}_4)_2$  является р-рителем аморфных продуктов конденсации мочецино- и тиомочецино- в кислой среде. Кривокопич. определениями в р-ре капролактама мол. вес II найден равным 350—600, такая же величина мол. веса найдена у производных II с хлоралем. Метиловые эфиры II удалось фракционировать на продукты с мол. весом <370 и 480. Прочность и стабильность аминопластов автор приписывает р-ции метиловых групп низкомолекулярных I или II с OH-группами целлюлозы, благодаря чему образуются продукты с сильно разветвленной сетчатой структурой. Л. Песин

**1162. Состав циклических полиамидов, выделенных из полимера Найлон-6.** Херманс (Constitution of the cyclic polyamides isolated from nylon 6 polymers. Hermans P. H.), Nature, 1956, 177, № 4499, 126—127 (англ.)

Определялся состав кристаллич. в-в, выделенных из технич. поли-ε-капролактама (РЖХим, 1954, 34179) методом ступенчатого гидролиза 25%-ной HCl при 110° и разделением продуктов гидролиза хроматографией на бумаге. На первой стадии гидролиза возникают линейные димер, тример и тетрамер ε-капролактама, т. е. исследуемые продукты являются соответствующими циклич. олигомерами. Это согласуется с криоскопич. определением мол. веса в лактаме гексагидро-η-аминобензойной к-ты и ацетанилиде (РЖХим, 1956, 4056).

**1163. Механизм присоединения гидроокиси натрия к волокнам целлюлозы.** Мерсеризация. Структура водных растворов едкого натра. Сообщение 2. Шеден, Марсодон (Sur le mécanisme de fixation de la soude sur les fibres de cellulose. Mercrisation. Structure des solutions aqueuses de soude. (2ème communication). Chédin Jean, Marsaudon André), Makromolek. Chem., 1956, 20, № 1, 57—82 (франц.; рез. нем., англ.)

Приведены эксперим. данные по влиянию на целлюлозу р-ров NaOH с конц-ией, превышающей 20%, в присутствии  $\text{NaNO}_3$  в качестве 43-го компонента. Подтверждено, что водн. р-ры NaOH (5—35%) состоят из сольватированной ионной пары  $\text{Na}^+$ ,  $\text{OH}^-$ , причем средняя степень сольватации меняется в зависимости от конц-ии. Предложено ур-ние равновесия, показывающее, что гидрат присоединяется к целлюлозе с заменой трех молекул  $\text{H}_2\text{O}$  тремя группами OH целлюлозы. Рассмотрены термодинамика р-ции, а также изменения кристаллич. решетчатой структуры макромолекул в процессе мерсеризации. Для очно конц. р-ров (41%) выдвинута гипотеза образования «целлюлозатов» Na. Во всех исследованных случаях на одну  $\text{C}_6$ -группу может присоединиться не более 1 моля NaOH. Предыдущее сообщение см. РЖХим, 1956, 75183.

**1164. Нитрование хлопкового пуха.** Шериубен (Considérations sur la nitration des coton-linters. Chérubin Gilbert), Bull. Soc., chim. France, 1954, № 2, 192—195 (франц.)

Осторожное нитрование хлопкового пуха дает возможность выявить различную реакционную способность двух фракций целлюлозы, одна из которых представляет собой упорядоченную кристаллич. область, а другая — аморфную. При отсутствии набухания можно с помощью этой р-ции количественно опреде-





**Сообщение IV.** При изучении эмульсионной полимеризации винилацетата, проводившейся в присутствии хлористого додецилпиридия (I), хлористого додецилпиридина (II) и четвертичных аммониевых солей, напр., бромистого триметиламмония (III), установлено, что применение I и II не ведет к образованию устойчивой эмульсии поливинилацетата. Устойчивые эмульсии получены при применении III в качестве эмульгатора катионного типа.

**Сообщение VII.** Изучалась скорость эмульсионной полимеризации (ЭП), а также устойчивость образующихся эмульсий при ЭП винилацетата в присутствии водорастворимых высокомолекулярных защитных коллоидов (ЗК). В качестве ЗК применяли 9 различных синтетич. полимеров: поливиниловый спирт и его производные, полиакриловую к-ту, сополимеры малеинового ангидрида, поливиниламин и 12 различных природных полимеров: альгиновокислый натрий, казеин, арабийскую камедь и др. Результаты опытов приведены в таблицах. Сообщение V см. Робунси какагу, Chem. High Polymers, 1951, 8, 329.

**1171.** Некоторые успехи химии целлюлозы в Америке. Продолжение и окончание. Марк (Einige Fortschritte in der Chemie der Zellulose in Amerika. Fortsetzung und Schluss. Mark H.), Holz, 1953, 66, № 9, 5—7 (нем.). В. Иоффе

Окончание обзора (разделы 3 и 4) опубликованных работ по химии целлюлозы (Ц) (см. РЖХим, 1954, 25283). В 3 разделе приведены результаты исследований надмолекулярной структуры природной и регенерированной Ц. В 4 разделе приведены работы по исследованию ксантогенатов Ц, продуктов окисления Ц йодной к-той, сложных эфиров Ц и гидрофобизованных волокон Ц.

**1172.** Исследование альдегидов, содержащихся в желатинах. Сообщение 4. Ландуччи, Пурадье, Дюрант (Recherche sur les aldéhydes existant dans les gélatines (4-e mémoire). Landucci Jean-Marie, Pouradier Jacques, Durante Monique, m-m-e), Bull. Soc. chim. France, 1955, № 6, 857—865 (франц.).

Дальнейшее изучение названного вопроса привело авторов к изменению высказанных ими ранее положений об имеющихся в желатине альдегидах (см. сообщение 3, РЖХим, 1955, 5750). Методом хроматографич. разделения выяснено, что при р-ции тиобарбитуровой к-ты (I) с альдегидами (вернее редуктонами) в желатине образуются не три, а не менее пяти окрашенных соединений с максимумами поглощения при 390, 455, 495, 535 и 555 мμ. Эти соединения не обязаны соответствовать пяти различным альдегидам, так как было показано, что при упаривании в-ва с максимумом поглощения 390 мμ образуются в-ва с максимумами поглощения 455 и 535 мμ. Так как упаривание производилось в присутствии избытка свободной I, то можно предположить, что происходили вторичные р-ции конденсации с участием I. Спектры поглощения синтетически полученных производных альдегидов и редуктонов с I различались

в зависимости от природы редуктона, от времени и т-ры р-ции, кол-ва реагентов и даже иногда от т-ры р-ра при измерении спектра. Все же кол-во полос поглощения ограничено и равно шести с максимумами поглощения 390, 455, 495, 535, 555 и 635 мμ, причем максимум почти не зависит от природы редуктона. Высказана рабочая гипотеза, что все получаемые производные редуктонов можно разбить на 6 типов, имеющих каждый свою характерную полосу поглощения. В основе типа А (максимум поглощения 390 мμ) лежит структура (II), в основе типа В (максимум поглощения 455 мμ) структура (III) с системой сопряженных двойных связей.

Типы С (495 мμ) и Е (635 мμ) являются производными В, а D (535 мμ) производным А, образующимся присоединением еще одного остатка I ко второй карбоксильной группе (напр. в глиоксале). Следовательно: 1) полоса поглощения при 390 мμ не характеризует CH<sub>2</sub>O, а свойственна всем альдегидам (за исключением случаев с образованием сопряженных цепей); 2) полоса поглощения 535 мμ не характеризует структуру редуктона R—CHON—COCHO, так как может быть вызвана также группой R—COCHO; 3) вновь найденная полоса поглощения при 635 мμ характеризует триозоредуктоновую группировку. С точки зрения высказанной гипотезы разобрана кинетика р-ции I с желатиной и подтвержден высказанный ранее вывод о том, что найденные энергии активации соответствуют обратимой связи редуктона-желатина и не связаны с разрывом пептидной связи. Авторы считают, что в желатине должно находиться не менее одного α-оксальдегида, одного α-дальдегида и одного α-кетальдегида. Присутствие CH<sub>2</sub>O не обязательно, а триозоредуктона мало вероятно.

Е. Каверзнева

**1173 Д.** Изучение молекулярной структуры синтетических полиамидных волокон по тепловым эффектам смачивания и растворения. Файнберг Э. З. Автореф. дисс. канд. хим. н., Н.-п. физ.-хим. и-т, М., 1956

**1174 Д.** Исследование совместной поликонденсации бензола и галондопроизводных бензола с дихлорэтаном. Супрун А. П. Автореф. дисс. канд. хим. н., Ин-т элементоорганич. соединений АН СССР, М., 1956

**1175 Д.** Некоторые вопросы химии альгиновых кислот. Евтушенко В. А. Автореф. дисс. канд. хим. н., Ин-т высокомолекул. соединений АН СССР, Л., 1956

См. также разделы *Каучук натуральный и синтетический. Резина и синтетич. полимеры. Пластмассы и рефераты: Физ. св-ва высокополимеров 555, 556. Кинетика и механизм полимеризации 783. Синтезы высокомолекул. в-в 857—859.*

## АНАЛИТИЧЕСКАЯ ХИМИЯ

### ОБЩИЕ ВОПРОСЫ

Редакторы А. И. Бусев, Ф. П. Судиков

**1176.** Современные направления в аналитической химии. Гхош (Modern trends of analytical methods of chemical analysis. Ghosh A. N.), Eastern Metals Rev., 1956, 9, № 1, 83—85 (англ.)

Изложены пути развития аналитич. химии в связи с развитием учения о свойствах в-ва. Отмечается тенденция замены хим. методов анализа физ.-хим. методами. Н. Чудинова

**1177.** Новые методы в химическом анализе. I. П. Мурто (新しい化学分析法. その1—2, 武蔵義一), 電気化学, Дэнки какагу, J. Electrochem. Soc. Japan, 1954,

22, № 7, 385—390; № 8, 433—439 (япон.; рез. англ.)

I. Обзор. Библ. 50 назв. II. Обзор. Библ. 63 назв. Ф. С.

1178. Новые методы анализа и организации работы в аналитической лаборатории в металлургии. Е и ц ш Neue Arbeitsverfahren und Arbeitsorganisation im analytischen Laboratorium der NE-Metallurgie. Jentzsch Dietrich, Chem. Technik, 1956, 8, № 2, 74—77 (нем.)

Формулируются задачи аналитич. лаборатории в металлургии. Подчеркивается большое значение физ.-хим. методов объективной индикации конца титрования и аналитических преимуществ автоматич. титраторов. В связи с введением новых методов подчеркивается необходимость изменения структуры аналитич. лаборатории и рекомендуется введение экстракционной, ионообменной, колориметрической, полярографической, потенциометрической и спектрографической групп.

Н. Полянский

1179. Капельный анализ. Ц и Дэ-ю (点滴分析概況介紹. 漆德喬), 化學通報, Хуасюэ тунбао, 1955, № 6, 334—340 (кит.). Обзор. Библ. 40 назв. А. Бусев

1180. Анализ — ключ к химии. Роджерс (Analysis — the key to chemistry. Rogers Lockhart B.), Sci. Counselor, 1956, 19, № 1, 2—4, 26 (англ.)

Популярная статья, посвященная использованию коломергич., полярографич., спектрофотометрич. и хроматографич. методов для обучения основным принципам химии.

Н. Полянский

1181. Применение тиосолей в анализе. IV. Новая схема качественного анализа. Часть В. Нерастворимые вещества в качественном анализе. Салария (The application of thiosalts in analysis. IV. A new scheme of qualitative analysis. Part B. Insoluble substances in qualitative analysis. Salaria G. B. S.), Analyst. chim. acta, 1956, 14, № 2, 97—99 (англ.; рез. нем., франц.)

Остаток от кислотной обработки смеси обычных элементов ранее описанным способом (Часть IV А РЖХим., 1956, 68594) может содержать  $\text{BaSO}_4$ ,  $\text{SrSO}_4$ ,  $\text{PbSO}_4$ , безводн.  $\text{Cr}_2(\text{SO}_4)_3$ ,  $\text{AgCl}$ ,  $\text{CaF}_2$ , фиолетовую модификацию  $\text{CrCl}_3$ , прокаленные  $\text{Al}_2\text{O}_3$ ,  $\text{Cr}_2\text{O}_3$ ,  $\text{SnO}_2$ ,  $\text{Sb}_2\text{O}_3$  и  $\text{SiO}_2$ , комплексные ферро- и феррицианиды и фосфат олова. Этот остаток обрабатывают насыщ.  $\text{CH}_3\text{COONH}_4$  и в полученном р-ре определяют Pb. Нерастворившийся остаток кипятят с 4 н.  $\text{NaOH}$ , фильтруют, концентрируют фильтрат до небольшого объема и упаривают досуха с царской водкой с целью дегидратации кремневой к-ты и разложения цианидов. Сухой остаток растворяют в 2 н.  $\text{HCl}$ , фильтруют и к фильтрату добавляют избыток  $\text{Na}_2\text{S}$ . В осадке испытывают на Al, Cr и Fe, в фильтрате — на Sb. Остаток после обработки 4 н.  $\text{NaOH}$  экстрагируют холодной разб.  $\text{HCl}$  и в р-ре открывают Cu, Fe и Cr. Нерастворившийся остаток обрабатывают разб.  $\text{NH}_4\text{OH}$  и в фильтрате делают пробу на Ag. В случае положительной пробы на Ag на исходную смесь действуют Zn и  $\text{H}_2\text{SO}_4$  и открывают анионы  $\text{Cl}^-$ ,  $\text{Br}^-$ ,  $\text{I}^-$ ,  $\text{CN}^-$  и  $\text{SCN}^-$ . Остаток от аммиачной обработки сжигают с  $\text{NaOH}$ ,  $\text{Na}_2\text{CO}_3$  и (при наличии окраски)  $\text{KNO}_3$ . Плав выщелачивают водой и в р-ре испытывают на фосфаты, фториды, сульфаты и силикаты, а также на Al, Cr, Sb и Sn. Нерастворившийся остаток кипятят с  $\text{CH}_3\text{COOH}$  и в р-ре открывают Ba, Ca и Sr. Пробу на сульфиды делают в остатке после кипячения исходной смеси с насыщ.  $\text{Na}_2\text{CO}_3$ . В карбонатном экстракте открывают ионы Fe  $(\text{CN})_6^{3-}$  и Fe  $(\text{CN})_6^{4-}$ .

Н. Полянский

1182. Синтез комплексометрических индикаторов типа эриохрома. Балог (Sintez a unor indicatori complexometrici de tip eriocrom. Balogh A.), Rev.,

chim., 1956, 7, № 5, 275—278 (рум.; рез., русе., нем.)

Азокраситель эриохром черный Т (I) (5-нитро-2-окси- $\alpha$ -нафталиаза- $\beta$ -нафтол-4-сульфокислота) применяют в качестве индикатора при прямом и косвенном объемном определении ряда катионов и анионов ( $\text{Zn}^{2+}$ ,  $\text{Ca}^{2+}$ ,  $\text{Mg}^{2+}$ ,  $\text{SO}_4^{2-}$ ,  $\text{PO}_4^{3-}$  и др.). I образует с металлами комплексы, в которых металл легко замещается комплексомом III, что позволяет определить ряд катионов и анионов ( $\text{Fe}^{3+}$ ,  $\text{Al}^{3+}$ ,  $\text{Ti}^{4+}$ ,  $\text{CO}_3^{2-}$ ,  $\text{C}_2\text{O}_4^{2-}$ ). С изменением pH синий цвет I переходит в красный (при pH 6,3) или в оранжевый (при pH 11,5). Исходным в-вом для синтеза I служит  $\beta$ -нафтол, который нитрируют  $\text{NaNO}_2$  в кислой среде ( $\text{H}_2\text{SO}_4$ ) с получением  $\alpha$ -нитрозо- $\beta$ -нафтола (II) (выход 98%). II сульфатируют  $\text{NaHSO}_3$  и, не отделяя образовавшуюся 1-нитрозо- $\beta$ -нафтол-4-сульфокислоту (III) (выход 84%), восстанавливают присутствующим в р-ре  $\text{NaHSO}_3$  при подкислении ( $\text{H}_2\text{SO}_4$ ) р-ра. Полученную 1-амино- $\beta$ -нафтол-4-сульфокислоту (IV) нитруют смесью конц.  $\text{HNO}_3$  с олеумом или  $\text{CH}_3\text{COOH}$ . Во избежание образования продуктов окисления к 20 мл лед.  $\text{CH}_3\text{COOH}$  прибавляют 5 мл IV и при перемешивании и охлаждении (30 мин.) прибавляют смесь 2 г 65%-ной  $\text{HNO}_3$  и 4 мл лед.  $\text{CH}_3\text{COOH}$ . При дальнейшем перемешивании (30 мин.) осаждаются 2 изомера нитропроизводных: 1-амино- $\beta$ -нафтол-5-нитросульфокислота (V) и 1-амино- $\beta$ -нафтол-8-нитросульфокислота (VI), из которых V пригодна для синтеза индикатора. Осадок отфильтровывают и промывают спиртом, он растворим в воде, водн. спирте и щелочах, из которых высаживается разб.  $\text{H}_2\text{SO}_4$ . Разделение изомеров рекомендуется производить в последней фазе синтеза. Из смеси изомеров V и VI получают Zn-соль (VII), которая с  $\text{Zn}(\text{NO}_3)_2$  дает Zn-соль (VIII) диазоксипроизводных — устойчивое кристаллич. в-во. VIII очищают перекисью азота с  $\text{CH}_3\text{COONa}$  из водн. р-ра. Р-цию сочетания VIII с I осуществляют в щел. среде. Сочетание происходит в орто-положении по отношению к OH-группе нафтола. К р-ру 2 г VIII в 3 мл воды прибавляют при перемешивании 1 г I (р-р в 3 мл 25%-ного KOH). Через 20 мин. смесь нагревают при 35° 1 час, затем повышают т-ру до 80°. Полученный красновато-фиолетовый осадок является смесью двух азокрасителей. Его отфильтровывают и перекисью азота из водн. р-ра при помощи  $\text{CH}_3\text{COONa}$ . Изомеры разделяют хроматографич. методом с применением  $\text{Al}_2\text{O}_3$  в качестве инертного адсорбента. Первая фракция, вымываемая из колонки 60%-ным спиртом, является красителем красно-коричневого цвета (не реагирует с катионами) и состоит из продуктов окисления и разложения, загрязняющих основное в-во. Вторая фракция, полученная также при вымывании 60%-ным спиртом, черно-фиолетового цвета, является красителем, слабо реагирующим с катионами. Затем производят вымывание 10%-ным р-ром  $\text{Na}_2\text{HPO}_4$ , из которого при помощи  $\text{CH}_3\text{COONa}$  высаживают I сине-фиолетового цвета, являющийся чувствительным комплексометрич. индикатором. Выход I по отношению к исходному VIII составляет всего 15%. Ввиду сложности синтеза I и его низкого выхода рекомендуется применение другого индикатора той же группы, изготовление которого значительно проще. Изменением условий нитрования можно ориентировать группу  $\text{NO}_2$  только в положении 6. В качестве исходного в-ва применяют IV, которое диазотируют  $\text{NaNO}_2$  в присутствии катализатора ( $\text{CuSO}_4$ ) или в среде  $\text{CH}_3\text{COOH}$  без катализатора. Полученная диазокси-сульфокислота (IX) представляет собой очень устойчивое в-во желтого цвета. Выход 95%. IX нитруется  $\text{HNO}_3$  при -5° в присутствии олеума (5% свободной  $\text{SO}_3$ ) с образованием 6-нитро- $\beta$ -нафтолдиазо-4-сульфокислоты (X) (в-во желтого цвета, хорошо растворимое в воде, выход 90%). Р-ция сочетания X с I осуществ-



вляется по вышеописанному методу. Полученный азокраситель осаждают  $\text{CH}_3\text{COONa}$  и промывают 94%-ным спиртом. Выход 77% (по отношению к IX). Описанным способом синтезирован индикатор, имеющий фиолетовую окраску в водн. р-ре, синюю в спиртовом, очень чувствительный и пригодный для замены I (точка перехода при pH 9—10). Б. Маюле

**1183. Аналитическое применение полифосфорных кислот вместо комплексона. III. Янкович** (Analytische Verwendung der Polyphosphorsäuren anstatt Trilon B. Jankovits L., Acta chim. Acad. sci. hung., 1956, 8, № 4, 355—372 (нем.; рез. русс., англ.))

Полифосфорные к-ты (ПК) благодаря их способности к циклообразованию могут давать достаточно прочные комплексы с катионами металлов, напр. Ca и Mg. Из всех ПК наибольшую комплексообразующую способность (КС), измеряемую кол-вом Са, которое связывает 1 моль ПК, имеет гексаметафосфорная к-та. Однако в результате кипячения в течение 2 час. КС всех ПК, кроме триполифосфорной к-ты (I), вследствие их гидролиза резко убывает. I наименее склонна к гидролизу и потому пригодна для приготовления рабочих р-ров. Для полного использования КС I ее конц-ия в рабочих р-рах не должна превышать 0,01 моль/л. КС зависит также и от pH р-ра, достигая максимума при pH 10,4—11,0. В более щел. средах КС I незначительно уменьшается. Длительное нагревание р-ра I в воде, боратном буферном р-ре с pH 10 или 0,001 M NaOH при 85° приводит к уменьшению КС I, причем наиболее слабо этот эффект проявляется для р-ра I в 0,001 M NaOH. При комнатной т-ре титр 0,01 M р-ра I в 0,01 н. NaOH в течение 10—15 дней практически не изменяется. Следовательно, титрование р-рами I правильное выполнять при комнатной т-ре, а не при нагревании. Для определения Mg, анализируемый р-р, забуференный аммонийной смесью, титруют по эриохром черному T 0,01 н. р-ром I в воде, 0,01 н. NaOH или боратном буферном р-ре с pH 10. Во всех случаях установлены небольшие положительные ошибки определения, которые автор объясняет присутствием примесей в I. Реактив готовят сплавлением стехиометрич. кол-в  $(\text{NaPO}_3)_6$  и  $\text{Na}_2\text{P}_2\text{O}_7$ . Н. Полынский

**1184. Аналитическое применение ауритрикарбонной кислоты. Молот Л. А., Кульберг Л. М., Ж. аналит. химии, 1956, 11, № 2, 198—204 (рез. англ.)**

Доказано наличие не хиноидной, а пиноидной структуры и положительного заряда у лаков алюминия (I) с 3-валентными металлами. Уточнен метод определения Al с I. Определение ведут при pH 4,4 в среде бифталатного буфера с выдержкой после сливания р-ров (5—10 мин.). Стабилизатором служат гуммиарабик или крахмал. Возможно определение  $\text{Al}^{3+}$  и  $\text{Fe}^{3+}$  с I при совместном присутствии. Пользуясь буферными р-рами с интервалом pH 4,0—5,5 или ниже (максим. чувствительность р-ции при pH 3,78) и стабилизатором гуммиарабиком, можно определить 0,5—40  $\mu\text{г}$   $\text{Fe}^{3+}$  в 3 мл р-ра.  $\text{Al}^{3+}$  определяют при pH 4,4 после восстановления  $\text{Fe}^{3+}$  до  $\text{Fe}^{2+}$  Cd-редуктором (Кульберг Л. М., Чугрева Н. В., Молот Л. А., Цемент, 1952, 6, 21). В интервале конц-ий 10—60  $\mu\text{г}$  оптич. плотность р-ров Ca-лаков I подчиняется закону Бера. Определение ведут при pH 4,7 через 5 мин. после сливания р-ров. При pH 5 метод более точен, но его чувствительность ниже. В присутствии  $\text{Zn}^{2+}$  (25—30  $\mu\text{г}$ ) добавляют изо-СаН:ОН (1/3 общего объема жидкости) и определяют Ga при pH 4,6—5,18. В. Коробкин

**1185. Спектрофотометрическое изучение некоторых фторорганических соединений. Кингдон, Меллон** (Absorptiometric study of certain organic

fluorine compounds. Kingdon Frederick, Mellon M. G., Analyt. Chem., 1956, 28, № 5, 860—864 (англ.))

Качественно исследовано отношение пиков ряда металлов к фторированным 1,3-диомам: теноил-, фурил- и пирроилтрифторацетону (4,4,4-трифтор-1-(R)-1,3-бутандион, где R = 2-тил (I), 2-фурил (II) и 2-пиррил (III), теноил- и фурилперфторбутирилметану (4,4,5,5,6,6,6-гептафтор-1-(R)-1,3-гександион, где R = 2-тил (IV) или 2-фурил (V), а также к  $\text{CF}_3\text{COCH}_2\text{COCH}_3$  (VI) и  $\text{CF}_3\text{COCH}_2\text{COCF}_3$  (VII). I, II и IV—VII являются сходными по свойствам реагентами; они дают белые осадки с  $\text{ZrO}_2^{2+}$  и  $\text{Th}^{4+}$ , синее окрашивание с  $\text{Cu}^{2+}$ , желтое — с  $\text{Mn}^{2+}$  и  $\text{UO}_2^{2+}$ , желто-оранжевое — с  $\text{Ti}^{4+}$ , зеленое — с  $\text{Ni}^{2+}$ , красное с  $\text{Fe}^{3+}$ ;  $\text{Cr}^{3+}$  и  $\text{Co}^{2+}$  дают красное окрашивание с IV,  $\text{Ce}^{4+}$  — с IV и V;  $\text{Os}^{3+}$  и  $\text{Ru}^{3+}$  дают красное или коричневое окрашивание с I. Комплексы  $\text{Be}^{2+}$  с I и VII обладают значительной экстинкцией в УФ-области (380  $\mu\text{м}$ ). Комплексы  $\text{Fe}^{3+}$  с I, II, IV и V обладают сходными спектрами поглощения; газ-абсорбметод колич. определения  $\text{Fe}^{3+}$  с помощью I. Метод: пробу в виде хлорида или нитрата, но не сульфата, содержащую от 0,05 до 0,15 мг  $\text{Fe}^{3+}$  в 5 мл, доводят до pH  $1,9 \pm 0,1$  и прибавляют 1 мл 0,6 M р-ра I в спирте; после коагуляции осадка (~5—10 мин.) вводят 10 мл 2-пропанола для растворения осадка, изводят водой до 25 мл, измеряют экстинкцию при 502  $\mu\text{м}$  и сравнивают ее с данными калибровочной кривой. Экстинкция комплекса подчиняется закону Бера, окраска комплекса устойчива, но чувствительность метода сравнительно мала и многие ионы мешают определению. Галоидоацетоны  $\text{CF}_3\text{COCH}_3$  (VIII),  $\text{CH}_2\text{F}_2\text{COCH}_3$  (IX),  $\text{CH}_2\text{ClCOCH}_3$  (X) и  $\text{CH}_2\text{ClCOCH}_2\text{Cl}$  (XI) не могут быть определены большинством методов, известных для определения ацетона (XIII); применим метод, основанный на р-ции с 2,4-динитрофенилгидразином с последующим извлечением образующихся 2,4-дифенилгидразонов (ДНФГ) действием  $\text{CCl}_4$  и определением экстинкции р-ра в УФ-области. Приведены спектры поглощения ДНФГ, образуемых VIII—XII и  $\text{CH}_3\text{ONHCOCH}_3$  (XIII) и  $\text{CH}_3\text{ONHCCCH}_2\text{OH}$  (XIV). Максимумы поглощения (в  $\mu\text{м}$ ) и молярное поглощение для ДНФГ следующих в-в: VIII 327 и 7000, IX 344 и 11 700, X 340—344 и 8800, XI 337 и 10 700, XII 345—350 и 13 000, XIII 307 и 7500, XIV 297 и 10 700; их поглощение приблизительно соответствует закону Бера. И. Рысс

**1186. О цветной реакции на фенолы с хлорным железом. Кузнецов В. И., Тр. Комис. по аналит. химии АН СССР, 1956, 7 (10), 174—193**

Изучены особенности р-ций фенолов (Ф) с  $\text{FeCl}_3$ . Установлено, что окраска образующихся феррикомплексов Ф вызвана хромофорным действием Fe в состоянии  $\text{Fe}^{3+}$ —О и не отличается от окраски органич. соединений, содержащих другие хромсфоры. Интенсивность возникающей окраски зависит от влияния ионного состояния комплекса (включая и внутримолекулярное ионное состояние), pH, природы заместителей в молекуле Ф, т-ры и других факторов, оказывающих аналогичное влияние на окраску органич. соединений. Подкисление и введение в молекулу неокрашенных Ф электронодонорных заместителей (ОН,  $\text{C}_2\text{H}_5$ ) вызывает изменение окраски от красной через фиолетовую к синей. Подщелачивание и введение в Ф электроакцепторных заместителей ( $\text{NO}_2$ ,  $\text{SO}_3\text{H}$ ) оказывают обратное влияние. В. Товбин

**1187. Влияние характера освещения на определение границы перехода окраски кислотно-основных индикаторов. Кинсента, Конка, Кинсента, Мурамацу** (酢鹽基指示薬の紫色點の識別に對する各種の照明の影響について・木下郷兵衛・小池久, 木下登喜子, 村松正美), 名古屋市立大學藥學部紀要,

Нагой-сприцу дайгаку якугаку-бу кёё, Bull. Nagoya Univ. Pharm. School., 1954, № 2, 18—27 (япон.)

Изучено влияние солнечного света в ясную, облачную и дождливую погоду и света флуоресцентной и электрич. ламп на определение границы перехода окраски наиболее широко применяемых кислотно-основных индикаторов. Ф. Судаков

1188. Метод экстракционного извлечения ионов металлов. Гу И-дун (金屬離子の液相萃取分離法・顧翼東) • 化学世界 • Хуасюэ шицзе, 1955, № 9, 404—410 (кит.). Обзор. Библ. 54 назв. А. Бусев

1189. Изучение экстракции комплексов металлов. XVI. Изучение методом распределения комплексообразования U(6+) с салициловой и метоксибензойной кислотами. Хёк-Бернстрём (Studies on the extraction of metal complexes. XVI. Distribution studies on the complex formation of U(VI) with salicylic acid and methoxybenzoic acid. H ö k-B e r n s t r ö m Brita), Acta chem. scand., 1956, 10, № 2, 163—173 (англ.)

Комплексообразование между  $UO_2^{2+}$  и салициловой ( $H_2A$ ) или метоксибензойной ( $HВ$ ) к-тами изучалось методом распределения между 0,1 М водн. р-ром  $NaClO_4$  и р-рами соответствующих органич. к-т в гексоне. При конц-ии  $H_2A > 10^{-2}$  М и полной конц-ии  $U$   $10^{-4}$  М гидролиз  $UO_2^{2+}$  не имеет места. Многоионные комплексы при этих конц-иях взаимодействующих в-в также не образуются. Если же полные конц-ии  $H_2A$  и  $U$  составляют соответственно 0,1 и  $10^{-3}$  М, то при  $pH > 3,5$  уже возможно образование многоионных комплексов.  $H_2A$  образует в водн. и органич. фазе комплексы типа  $UO_2(H_2A)_x(H^+)_{-y}$  (обозначения комплексов см. РЖХим, 1956, 29274). В органич. слое образуются комплексы с  $x=2$ ,  $y=2$  и  $x=3$ ,  $y=2$ , для которых автор предлагает изомерные ф-лы  $UO_2(HA)_2$  и  $UO_2A \cdot H_2A$ ;  $UO_2(HA)_2 \cdot H_2A$  и  $UO_2A \cdot 2H_2A$ . В водн. фазе образуются комплексы с  $x=1$ ,  $y=1$  и  $x=1$ ;  $y=2$ . Вероятный состав этих комплексов выражается ф-лами  $UO_2(HA)^+$  и  $UO_2(HA)(OH)$ . Константы равновесия этих комплексов соответственно равны  $10^{12,2}$  и  $10^{12,1}$ . В присутствии  $HВ$  в органич. слое переходит комплекс  $UO_2B_2$ . В водн. фазе образуется комплекс  $UO_2(B)(OH)$  с константой равновесия  $10^{11,9}$ . Графики распределения процентного содержания отдельных салицилатных комплексов  $UO_2^{2+}$  в зависимости от  $pH$  водн. р-ра приводятся для двух значений полной конц-ии  $H_2A$ : 0,3 и 0,03 М. Сообщение XV см. РЖХим, 1956, 46515. Н. Полянский

1190. Применение хроматографии на бумаге в аналитической химии. Харасава (ペーパークロマトグラフィーの分析化学への應用・原澤四郎) • 化学 • Кагаку, 1955, 10, № 1, 65—72 (япон.) Обзор. Библ. 73 назв. А. Бусев

1191. Аэрозоли для опрыскивания хроматограмм. Цвейг (Aerosol chromatographic spray. Z w e i g G u n t e r), Analyst. Chem., 1956, 28, № 3, 428 (англ.) Для устранения затруднений при опрыскивании хроматограмм на бумаге различными пульверизаторами как выпускаемых промышленностью, так и изготовляемых самостоятельно (Block R. J. и др. Paper chromatography and paper electrophoresis, New York, Acad. Press, 1955) предложено пользоваться бомбами с аэрозолями соответствующих реактивов. Фирма Аэрогаз (Чикаго) выпустила первую партию такого рода бомб с аэрозолем нитридина, растворенного в ацетоне или  $n-C_4H_{10}O$ . Опрыскивание хроматограмм из таких бомб аэрозолями с помощью пистолета дает хорошие результаты и устраняет необходимость иметь источник сжатого воздуха, необходимый для равномерной работы пульверизаторов. Ожидается выпуск бомб с аэрозолями реактивов, применяемых для опрыски-

вания хроматограмм сахаров, органич. к-т, кетокислот, стероидов и других соединений. А. Горюнов

1192. Приложение высокочастотных методов к открытию полос в распределительной хроматографии. Бауман, Блейдел (Application of high frequency methods to detection of bands in partition chromatography. B a u m a n n F r e d e r i c k, B l a e d e l W. J.), Analyst. Chem., 1956, 28, № 1, 2—4 (англ.)

На примере разделения смеси водорастворимых карбоновых к-т (салициловой, миндальной, уксусной и муравьиной) на колонке  $SiO_2$  показано, что для контроля процесса разделения в-в в распределительной хроматографии метод ВЧ-кондуктометрии имеет ряд преимуществ перед методом низкочастотной кондуктометрии. Главные преимущества метода: большая чувствительность к изменениям электропроводности и (или) емкости при прохождении через колонку хроматографич. зон и возможность применения внешних электродов. В целях устранения вредного воздушного промежутка между электродами и стенками колонки на последние с противоположных сторон предварительно наносят слой  $Ag$  с помощью  $Ag$ -краски, которую затем обжигают на горелке для разрушения связующего в-ва. Электроды (из латуни) прижимаются к слою  $Ag$  за счет шарнирного винтового зажима, сделанного из органич. стекла (применение подвижных электродов без прослойки  $Ag$  понижает высоту пиков на хроматограмме на ~40%). В качестве источника ВЧ-колебаний (4 Мгц) использован генератор с кварцевой стабилизацией (Hall J. L., Analyst. Chem., 1952, 24, 1244) после внесения лишь небольших изменений. Форма записываемых на хроматограмме пиков не вполне точно соответствует происходящим в колонке изменениям конц-ии в-в. Это объясняется тем, что ВЧ-контур отзывается на изменение лишь средней конц-ии ионов в водн. фазе между электродами, а эта конц-ия зависит не только от общего кол-ва к-ты в данной хроматографич. зоне, но и от распределения к-ты между водн. и органич. фазами, от константы диссоциации к-ты и от ширины зоны. Площадь под пиками не может служить точным мерилем кол-ва к-ты в зоне, так как ордината нелинейно зависит от конц-ии. ВЧ-метод рекомендуется только для контроля процесса разделения в колоночной распределительной хроматографии, но не для колич. определений. А. Горюнов

1193. Применение радиоактивных изотопов в распределительной хроматографии на бумаге для неорганических соединений. Бурксер Е. С., Елисеева Г. Д., Тр. Комис. по аналит. химии. АН СССР, 1956, 7 (10), 84—88

На примере хроматографич. разделения катионов  $Ca^{2+}$ ,  $Sr^{2+}$ ,  $Co^{2+}$  и  $Fe^{3+}$ , меченных радиоактивными изотопами  $Ca^{45}$ ,  $Sr^{90}$ ,  $Co^{60}$  и  $Fe^{59}$ , соответственно, по восходящему и нисходящему методам с помощью подвижных р-рителей, состоящих из смесей пиридин- $H_2O$ - $KSCN$  (79 : 20 : 1) для  $Ca$  и  $Sr$  и ацетон- $H_2O$ -конц.  $HCl$  (87 : 5 : 8) для  $Co$  и  $Fe$ , подтверждено, что хим. поведение радиоактивных изотопов ничем не отличается от такового стабильных изотопов. Показано, что метод радиоактивных индикаторов пригоден для прямого открытия местоположения зон на хроматограммах на бумаге. На примере загрязненного посторонними радиоактивными изотопами препарата радиоактивного  $Sr^{90}$  показано, что метод хроматографии на бумаге является весьма чувствительным методом для оценки степени радиочистоты радиоактивных препаратов. А. Горюнов

1194. Разделение насыщенных жирных кислот с прямой цепью. III. Количественная хроматография на бумаге. Перили (Separation of saturated straight chain fatty acids III. Quantitative paper

chromatography. Perilä Olavi, Acta chem. scand., 1956, 10, № 1, 143—144 (англ.)

Кислоты, от  $\text{HCOOH}$  до валериановой, могут быть разделены и определены путем превращения их в соответствующие гидроксамовые производные и хроматографирования радиальным методом на бумаге. В качестве проявителя употребляют водн. слой смеси  $\text{H}_2\text{C}_4\text{H}_9\text{OH}-\text{C}_6\text{H}_6-\text{H}_2\text{O}$  (1:1:1). К-ты обнаруживают опрыскиванием хроматограммы р-ром  $\text{FeCl}_3$  (50 г  $\text{FeCl}_3 \cdot 6\text{H}_2\text{O}$  растворяют в 1 н. спирт. р-ре  $\text{HCl}$ ), соответствующие участки хроматограммы экстрагируют р-ром  $\text{FeCl}_3$  (5 г  $\text{FeCl}_3 \cdot 6\text{H}_2\text{O} + 25$  мл конц.  $\text{HCl} + 575$  мл воды) и колориметрируют при 5200 Å.  $R_f$   $\text{HCOOH}$ ,  $\text{CH}_3\text{COOH}$ , пропионовой, масляной, валериановой и капроновой к-т, соответственно, 0,24, 0,34, 0,51, 0,69, 0,83 и 0,90. К-ты от капроновой до пеларгоновой определяют аналогичным способом, но в качестве проявителя употребляют верхний слой смеси  $\text{C}_6\text{H}_6-\text{HCOOH}-\text{H}_2\text{O}$  (1:1:1).  $R_f$  валериановой, капроновой, энантовой, каприловой, пеларгоновой и каприновой к-т, соответственно, 0,18, 0,33, 0,49, 0,62, 0,72 и 0,76. К-ты от каприновой до церотиновой разделяют описанным ранее методом (РЖХим, 1956, 7173), пользуясь бумагой, насыщ. углеводородом, и смесью  $\text{CH}_3\text{COOH}-\text{H}_2\text{O}$  (9:1), насыщ. углеводородом, в качестве проявителя. Углеводород испаряют и бумагу 30 мин. обрабатывают 1,5%-ным р-ром  $\text{AgNO}_3$ . Избыток  $\text{Ag}$  удаляют промывкой деминерализованной водой, затем бумагу сушат и опрыскивают 0,05%-ным спирт. р-ром  $n$ -диэтиламинобензильденпропандина. Участки пятен  $\text{Ag}$ , видимые в УФ-свете, вырезают, сжигают со смесью  $\text{H}_2\text{SO}_4-\text{HClO}_4-\text{HNO}_3$  и кол-во  $\text{Ag}$  определяют колориметрически с дитизоном при 6250 Å. Воспроизводимость результатов  $\pm 5\%$ . Часть II см. РЖХим, 1956, 36113. Т. Леви

**1195. Распределительная хроматография алифатических кислот.** Количественное разделение кислот  $\text{C}_{12}-\text{C}_{24}$ , с четным числом С-атомов, с неразветвленной цепью. Ванденхёвель, Ватчер (Partition chromatography of aliphatic acids. Quantitative resolution of normal chain even acids from  $\text{C}_{12}$  to  $\text{C}_{24}$ . Vandenhoevel F. A., Vatcher D. R.), Analyt. Chem., 1956, 28, № 5, 838—845 (англ.)

Разделение алифатич. к-т  $\text{C}_{12}-\text{C}_{24}$ , с четным числом С-атомов, с неразветвленной цепью осуществлено методом хроматографии с обратными фазами на колонке кремневой к-ты, обработанной дихлордиметилсиланом. В качестве неподвижной фазы употребляли 2,2,4-триметилпентан, в качестве подвижной — водн.  $\text{CH}_3\text{OH}$ , насыщ. избытком 2,2,4-триметилпентана. Содержание  $\text{CH}_3\text{OH}$  в подвижной фазе увеличивали от 75 (в начальный период вымывания) до 100% (конечный период). Для разделения достаточно 50 мг смеси к-т. Вымывание и титрование 7 к-т продолжалось  $\sim 5$  час. Погрешность определения к-т, присутствующих в смеси в кол-ве  $\geq 10\%$ , составляет  $\leq 2,5\%$ . Описано устройство для автоматич. и непрерывного изменения состава подвижной фазы. Т. Леви

**1196. Хроматографический метод определения фракционного состава высокополимеров.** Лосиков Б. В., Каверина Н. И., Федянцева А. А., Химия и технол. топлива, 1956, № 3, 51—53. Изложены результаты, полученные при хроматографии, разделении на фракции полиизобутилена (I) с использованием в качестве адсорбента активированного угля БАУ и силикагеля МК. Исследовали 2 образца I со средним мол. в.  $\sim 18\,000$  и  $\sim 27\,000$ . Перед загрузкой в колонку I растворяли в изоктане в соотношении 1:10 или 1:12; для приближенного разделения I применяли колонки малых размеров ( $l = 1300$  мм,

$d = 17$  мм); более точное фракционирование было осуществлено на колонках больших размеров ( $l = 1800$  мм,  $d = 26$  мм); проявление вели изоктаном и (на конечной стадии)  $\text{C}_6\text{H}_6$ . Совпадение данных хроматографич. разделения с результатами определения фракционного состава тех же образцов по методу дробного осаждения I из р-ра в диизобутилене  $n$ -бутиловым спиртом удовлетворительное.

А. Виппер  
**1197. Электрохроматография. VII. Разделение ионов с помощью органических растворителей. VIII. Разделение кобальтоаминовых комплексных ионов. IX. Разделение катионов в форме фосфатных комплексов. Разделение с полифосфорной кислотой 2. Разделение с метафосфорной кислотой 3. Маки (電気クロマトグラフ法・第7報・有機溶媒使用によるイオンの分離・第8報・コバルトアンミン錯イオンの分離に関する研究・第9報・硫酸鉛錯形成による陽イオンの分離. (2).ポリリン酸による分離.第10報.硫酸鉛錯形成による陽イオンの分離. (3).メタ硫酸による分離.牧正文), 分析化学・フユエキ кагаку, Japan Analyst, 1955, 4, № 3, 156—158; № 4, 217—221; № 5, 302—307 (япон.; рез. англ.)**

VII. При миграции ионов на фильтровальной бумаге, пропитанной органич. р-рителем, наблюдается иное разделение ионов, чем при использовании водн. р-ра, так как при этом подвижности ионов и их адсорбция на бумаге различны. Опыт по разделению ряда ионов в среде  $\text{NH}_4\text{Cl}-\text{CH}_3\text{OH}$  показал, что ионы аналитич. группы II и особенно  $\text{Zn}^{2+}$  обладают меньшей подвижностью, чем в водн. р-ре. При разделении ионов в р-рах, состоящих из  $\text{CH}_3\text{OH}$  и  $(\text{CH}_3)_2\text{CO}$  (в различных соотношениях), подкисленных  $\text{HCl}$ , установлено, что условия разделения ионов меняются в зависимости от соотношения между этими двумя р-рителями. Ионы, которые в водн. р-ре трудно отделяются друг от друга, напр.  $\text{Sr}^{2+}$  и  $\text{Ba}^{2+}$ ,  $\text{Ni}^{2+}$  и  $\text{Co}^{2+}$ ,  $\text{Mn}^{2+}$  и  $\text{Zn}^{2+}$ , разделены в среде указанных р-рителей.

VIII. Исследовано разделение на группы комплексных солей кобальта  $[\text{Co}(\text{NH}_3)_6]\text{Cl}_2$ ;  $[\text{Co}(\text{NH}_3)_5\text{NO}_2]\text{Cl}_2$ ; *транс*- $[\text{Co}(\text{NH}_3)_4(\text{NO}_2)_2]\text{Cl}$ ;  $[\text{Co}(\text{NH}_3)_4(\text{NO}_2)_2]\text{Cl}$ ;  $[\text{Co}(\text{NH}_3)_2(\text{NO}_2)_4]\text{K}$  и  $[\text{Co}(\text{NO}_2)_6]\text{Na}_3$  методом электрохроматографии. Установлено, что: 1) скорость миграции (СМ) различных комплексных ионов (КИ) на фильтровальной бумаге тем выше, чем больше число их электр. зарядов; 2) разделение смеси вышеперечисленных КИ происходит при тех же  $\text{CH}_3\text{OH}$ , что и в случае соответствующих простых КИ; 3) pH буферного р-ра мало влияет на СМ КИ; сделан вывод об отсутствии тесной связи между адсорбцией на фильтровальной бумаге и гидролизом, как у обычных катионов; 4) СМ каждого КИ в водн. р-ре возрастает почти пропорционально числу его электр. зарядов; отсюда кажутся радиусы КИ, вычисленные на основе закона Стокса, приблизительно одинаковы; однако, хотя адсорбция КИ на фильтровальной бумаге увеличивается с увеличением числа электр. зарядов, а степень увеличения СМ несколько снижается, существует общая тенденция к увеличению СМ с возрастанием числа электр. зарядов.

IX. Разделение с полифосфорной к-той. Для изменения устойчивости комплексных ионов [H водн. р-ров  $\text{Na}_3\text{P}_2\text{O}_7$  или  $\text{Na}_4\text{P}_2\text{O}_7$ ] изменяли путем добавления  $\text{HCl}$ . Этими р-рами пропитывали фильтровальную бумагу; ионы под действием постоянного тока перемещались к катоду или аноду. В щел. р-ре каждый ион превращался в комплексный и перемещался к аноду; разделение не было эффективным, так как относительные скорости миграции ионов были близки между собой. При pH р-ра  $< 2$  устойчивость комплексных ионов снижалась (по-разному для каждого из элементов) и разделение их становилось возможным. В кислой среде разделены  $\text{Cu}^{2+}$ ,  $\text{Cd}^{2+}$ ,  $\text{Bi}^{3+}$  и  $\text{Pb}^{2+}$ ;  $\text{Al}^{3+}$ ,  $\text{Fe}^{3+}$  и  $\text{CrO}_4^{2-}$ ;  $\text{Ni}^{2+}$ ,



$\text{Co}^{2+}$  и  $\text{Zn}^{2+}$ . Как  $\text{Na}_2\text{P}_2\text{O}_7$ , так и  $\text{Na}_4\text{P}_2\text{O}_7$  обуславливает иной характер разделения ионов, чем  $\text{Na}_2\text{P}_2\text{O}_7$ .

Х. Методом, описанным в сообщении IX, фильтровальную бумагу, пропитанную р-ром  $\text{HNO}_3$ ,  $(\text{HNO}_3)_2$  или  $(\text{HNO}_3)_3$ , обрабатывали  $\text{NaOH}$  или  $\text{HCl}$  для получения различных значений рН. Затем исследовали миграцию различных ионов в среде указанного электролита к электродам, соединенным с источником постоянного тока. Устойчивости комплексных ионов различных элементов в  $\text{HNO}_3$  при рН  $\sim 1,7$  и в  $(\text{HNO}_3)_2$  при рН  $< 5,6$  отличались друг от друга, что делало возможным разделение этих ионов. Уменьшение рН р-ра в случае  $(\text{HNO}_3)_2$ , снижавшее устойчивость комплексных ионов, оказалось нецелесообразным ввиду незначительного различия относительных скоростей миграции ионов к аноду, хотя и наблюдалось постепенное уменьшение этих скоростей. С помощью  $\text{HNO}_3$  произведено разделение  $\text{Al}^{3+}$ ,  $\text{Fe}^{3+}$ ,  $\text{Ni}^{2+}$ ,  $\text{Co}^{2+}$  и  $\text{Zn}^{2+}$ ;  $\text{Ca}^{2+}$ ,  $\text{Sr}^{2+}$  и  $\text{Ba}^{2+}$ ;  $\text{Ni}^{2+}$ ,  $\text{Cu}^{2+}$  и  $\text{Fe}^{3+}$ ;  $\text{Ni}^{2+}$ ,  $\text{Zn}^{2+}$  и  $\text{Al}^{3+}$ ;  $\text{Ni}^{2+}$ ,  $\text{Cd}^{2+}$  и  $\text{Fe}^{3+}$ .  $(\text{HNO}_3)_2$  применена для разделения  $\text{Ni}^{2+}$ ,  $\text{Co}^{2+}$  и  $\text{Zn}^{2+}$ ;  $\text{Al}^{3+}$  и  $\text{Fe}^{3+}$ ;  $\text{Cu}^{2+}$ ,  $\text{Cd}^{2+}$ ,  $\text{Pb}^{2+}$  и  $\text{Bi}^{3+}$ ;  $\text{Ca}^{2+}$  и  $\text{Sr}^{2+}$ , а также следующих смесей ионов:  $\text{Ca}^{2+}$ ,  $\text{Al}^{3+}$  и  $\text{Fe}^{3+}$ ;  $\text{Ni}^{2+}$ ,  $\text{Cu}^{2+}$ ,  $\text{Sb}^{3+}$  и  $\text{Fe}^{3+}$ ;  $\text{Ba}^{2+}$ ,  $\text{Zn}^{2+}$ ,  $\text{Pb}^{2+}$  и  $\text{Fe}^{3+}$ ;  $\text{Ba}^{2+}$ ,  $\text{Co}^{2+}$ ,  $\text{Al}^{3+}$  и  $\text{Fe}^{3+}$ . Р-ция образования комплексной соли (MR) из перечисленных фосфорных к-т ( $\text{H}_2\text{R}$ ) и какого-либо иона ( $\text{M}^{2+}$ ) протекает по ур-нию  $\text{H}_2\text{R} + \text{M}^{2+} \rightleftharpoons \text{MR} + 2\text{H}^+$ . Подвижность иона выражается ур-нием  $u = U[\text{H}^+]^2 / \{K[\text{H}_2\text{R}] + [\text{H}^+]^2\}$ , где  $U$  — подвижность при полной диссоциации на  $\text{M}^{2+}$ ,  $K$  — константа равновесия; отсюда возникает возможность разделения ионов, имеющих различные  $k$ . Сообщение VI см. РЖХим, 1956, 68608.

Л. Херсонская

1198. Основные принципы полярографического метода анализа. Гао Сюэ-ся (極譜分析法的基本原理. 高小霞), 化學通報, Хуасюэ тунбао, 1955, № 2, 79—91 (кит.).

Обзор. Библ. 12 назв.

А. Бусев

1199. Фундаментальное исследование по высокочастотному титрованию (о форме кривых титрования). Накано (高周波滴定の基本的研究. 基礎曲線の形状について. 中基邦夫), 日本化学雑誌, Нихон кагаку дзасси, J. Chem. Soc. Japan. Pure Chem. Sec., 1954, 75, № 8, 776—782 (япон.).

Обсуждается форма кривых титрования.

Chem. Abstrs, 1955, 49, № 5, 2432. K. Yamasaki.

1200. Высокочастотное титрование с использованием внутрикомплексных соединений с этилендиаминтетрауксусной кислотой. V. Комплексообразование с редкоземельными элементами. Хара, Уэст (High frequency titrations involving chelation with ethylenediaminetetraacetic acid. V. Complexation with rare earths. Hara Reinosuke, West Philip W.), Anal. chim. acta, 1956, 14, № 3, 280—286 (англ.; рез. нем., франц.).

В отличие от Th редкоземельные элементы (РЗЭ) образуют с этилендиаминтетрауксусной к-той ( $\text{H}_4\text{A}$ ) комплексы, устойчивые при рН 2,8—10. ВЧ-титрование (ВЧТ) самой  $\text{H}_4\text{A}$  р-ром  $\text{La}(\text{NO}_3)_3$ , а также ВЧТ водородных ионов, вытесняемых катионами  $\text{La}^{3+}$  или других РЗЭ, указывает на образование комплексов с отношением центральный ион: адденд=1:1. Если титрование вытесненных  $\text{H}^+$ -ионов р-ром  $\text{NaOH}$  приводит в присутствии избытка  $\text{H}_4\text{A}$ , то положение излома на графиках ВЧТ зависит от содержания соли РЗЭ в анализируемом р-ре. Этот факт можно использовать для колич. определения РЗЭ. Более простым является другой метод колич. определения РЗЭ, основанный на прямом ВЧТ солей РЗЭ стандартным р-ром комплекса III. При этом большая четкость конечной точки титрования достигается забуфериванием анализируемого р-ра ацетатной смесью с рН 5,3. В таких случаях погрешность колич. определения всех РЗЭ,

кроме Gd, ниже 0,5%. Определение Gd связано с ошибками  $> 1\%$ , которые авторы относят за счет загрязнений, присутствующих в анализируемых солях Gd. Небольшие кол-ва хлоридов, иодидов, бромидов, роданидов, броматов, сульфатов и хроматов, а также катионы щел. металлов,  $\text{NH}_4^+$ ,  $\text{Ba}^{2+}$ ,  $\text{Sr}^{2+}$ ,  $\text{Ag}^+$  и  $\text{Tl}^+$  не мешают титрованию. Любые посторонние соли уменьшают чувствительность ВЧ-титриметра. При титровании 1/3000 М р-ров РЗЭ конц-ия индифферентных электролитов не должна превышать 1/2000 М. В присутствии оксалатов ВЧТ солей РЗЭ невыполнимо. Сообщение IV см. РЖХим, 1956, 47292 Н. Полянский

1201. Спектрохимическое определение малых концентраций элементов. Янциш, Якоб, Кандлер (Spektrochemische Bestimmung von Spurenelementen. Jentzsch D., Jacob G., Kandler D.), Exptl. Techn. Phys., 1955, 3, Sonderheft, 119—125 (нем.).

Описано применение метода полных энергий для определения малых содержаний In, Ga и Be в продуктах металлургич. произв. Введения внутреннего стандарта не требуется. По постоянному градуировочному графику выполняется анализ разнообразных проб. Навеску пробы 5 мг + 15 мг  $\text{Li}_2\text{CO}_3$  (стабилизатор) набивают в углубление угольного катода и сжигают в дуге постоянного тока. Диаметр электрода 4 мм, диаметр отверстия 3 мм, глубина 3,5 мм. Спектр фотографируют через 6-ступенчатый ослабитель. Условия фотографирования: ширина щели 11 м, межэлектродный промежуток 4 мм, сила тока 6 а, экспозиция — до полного выгорания пробы. При определении Ga для подавления полос CN дуга горит в токе  $\text{CO}_2$ . Твердые градуировочные графики строят в координатах  $\lg I - \lg C$  при усреднении данных из 20 измерений. Аналитич. линии: In 4511, Ga 4172, Be 2348 А. Фон учитывается. Ошибка определения In  $\pm 7,0\%$ . Описана схема устройства для получения стабилизированного постоянного тока, обеспечивающая автоматич. регулировку силы тока в области 2—12 а. Желательная сила тока устанавливается потенциометром и поддерживается с точностью  $\pm 0,1$  а.

В. Борзов

1202. Спектральный анализ различных образцов в виде растворов и порошков. Бил, Пойнтер (The application of spectrographic solution and powder methods to the analysis of miscellaneous samples. Beale P. T., Poynter Daphne A.), Metallurgia, 1955, 52, № 313, 253—261 (англ.).

В обзорной статье дана характеристика различных способов анализа. Описана техника работы с пористым угольным и медным чашечными электродами и с вращающимся электродом. Даны приемы пропитки электродов испарения проб из каналов, возбуждения спектров в пламени. Описаны способы растворения в-в и изготовления эталонов. Дана обширная сводная таблица, включающая условия анализа различных металлов и сплавов в виде их р-ров, с указанием определяемых элементов, пределов конц-ий, способов растворения, условий возбуждения спектров, аналитич. линий и величин ошибок анализ-ва. Т. Гуревич

1203. Спектрохимический анализ силикатов. I. Описание устройства спектрографа и методов анализа. Инда, Ямасак (大型ガラス分光器による珪酸鹽の分光分析. 第1報. 分光器の性能及び分析法. 飯田忠三, 山崎一雄), 日本化学雑誌, Нихон кагаку дзасси, J. Chem. Soc. Japan, Pure Chem. Sec., 1954, 75, № 2, 189—192 (япон.).

Описывается спектрограф особой конструкции для определения малых кол-в Ba, Ce, Co, Cr, La, Mn, Mo, Nd, Ni, Pb, Pr, Sr, Ti, V и Zr в силикатах. Стандартные образцы для анализа готовятся добавлением окислов определяемых элементов к основному материалу,

состоящему из  $\text{SiO}_2$  (100 ч.),  $\text{Al}_2\text{O}_3$  (20 ч.) и  $\text{Fe}_2\text{O}_3$  (3 ч.). Chem. Abstr., 1954, 48, № 19, 11236. К. Жуков.

1204. Библиография по аналитическому применению пламенной спектроскопии. Части I и II. Мавродиняну (Bibliography on analytical flame spectroscopy. Part I. II. Mavrodineanu R.), Appl. Spectroscopy, 1956, 10, № 2, 51—64 (англ.).

I. После краткого введения приведен перечень опубликованных работ за период с 1848 по 1952 г. Зарегистрировано 481 назв.

II. Приведены перечень опубликованных работ за период 1952—1956 (март) гг. (444 назв.) и общий предметный указатель. Г. Кибисов.

1205. Анализ методом изотопного разбавления. Такака (同位元素稀釋法. 田中元治), 化学の領域, Kagaku-no reiki, J. Japan Chem., 1954, 8, № 11, 8—16 (япон.).

Обзор. Библ. 78 назв.

Ф. С.

1206. Анализ смесей жидкостей с использованием критической температуры смещения (микроопределение). Фишер, Кольмайр (Die Analyse von Flüssigkeitsgemischen mit Hilfe der kritischen Mischungstemperatur (Mikrobestimmung). Fischer R., Kolmayr F.), Pharmaz. Zentralhalle, 1955, 94, № 1, 8—10 (нем.).

Для микроопределения крит. т-ры смещения применяют микроаппарат Кофлера, в котором вспомогательную жидкость вместе с испытуемой пробой вводят в капилляр диам.  $\sim 0,3$  мм, нагревают и отмечают максим. т-ру, при которой происходит исчезновение мениска между обеими жидкостями. Преимущества метода: применение незначительного кол-ва в-ва (доли мг), отсутствие взвешивания и быстрота определения ( $\sim 15$  мин.). Описанным методом исследован состав следующих смесей: бензилдегид-бензойная к-та, коричный альдегид-коричная к-та,  $\text{CHCl}_3\text{-CCl}_4$ ,  $\text{C}_6\text{H}_5\text{CHO}$ -нитробензол,  $\text{C}_6\text{H}_6\text{-CS}_2$ , диэтиленгликоль-дипропиленгликоль, гликоль-пропиленгликоль, а также тройной смеси глицерин-гликоль-вода ( $\leq 50\%$  воды). В качестве вспомогательных жидкостей применяли гликоль, диэтиленгликоль,  $\text{CS}_2$ ,  $\text{C}_6\text{H}_6$ , ацетофенон. Ц. Гельфер.

1207. Аналитическое определение методом измерения плотности. Определение состава смеси жидких веществ и воды. Такака (Analytical determination by density method. Determination of mixture ratio of liquid substance and water. Takakana Junichi), J. Sci. Hiroshima Univ., 1955, A18, № 3, 413—418 (англ.).

Измерены плотности ( $d$ ) водн. р-ров  $\text{C}_2\text{H}_5\text{OH}$  и  $\text{CH}_3\text{COOH}$  при конц-ях ( $c$ ) 100, 80, 60, 40, 20 об. % указанных в-в при т-рах 9,8—35° (приведены таблицы). Из полученных данных выведены эмпирич. ф-лы вида  $d = a - bt$  и  $\ln d = -p + qc - rc^2$ , где  $a, b, p, q, r$  — константы; приведены значения  $a, b$  для указанных конц-ий и  $p, q, r$  для 0°, 10, 20, 30, 40 и 50°. В. Урбах.

1208 К. Качественный полумикроанализ с очерком теории аналитической химии. Изд. 2-е, перераб. и доп. Гожеляный, Войцеховская, Слива (Półmikroanaliza jakościowa z zarysem teorii chemii analitycznej. Wyd. 2 popr. i. uzupeln. Gorzelany Wiktor, Wojciechowska Jadwiga, Śliwa Alfred. Szczecin, Państw. Wydawn. Nauk., 1956, 282 + 1 S., ил., 11. 20 zł) (польск.).

1209 К. Колориметрический анализ. Олпорт (Analiza kolorymetryczna. Allport Noel L. Tum. z. angielski. Warszawa, Państw. Zakład Wydawn. Lekars., 1956, 3+381 S., ил., 35 zł.), (польск.).

1210 К. Цериметрия и применение феррона в качестве титриметрического редоксиндикатора. Петцольд (Die Cerimetrie und die Anwendung der Ferroine als massanalytische Redoxindikatoren.

Petzold W. Weinheim, Verl. Chemie, 1955, VII, 340 S. 29.80 DM) (нем.).

1211 К. Таблицы для вычислений в химическом элементарном анализе. Крикалла (Rechentafeln zur chemischen Elementar-Analyse. Krzikalla Reinhard. Weinheim, Verl. Chem., 1956, 232 S., 12 DM) (нем.).

См. также: Хроматография 588—592, 596—598; 71Bx, 78Bx, 86Bx, 92Bx, 93Bx. Др. вопр. 150, 351, 357, 380, 661, 676, 2625; 3Bx, 58Bx, 60Bx, 61Bx, 317Bx

## АНАЛИЗ НЕОРГАНИЧЕСКИХ ВЕЩЕСТВ

Редакторы А. П. Бусев, Ф. П. Судакос

1212. Электрохроматографическое разделение солей щелочных и щелочноземельных металлов. Зейлер, Арц, Эрленмейер (Elektrochromatographische Trennung von Alkali- und Erdalkalisalzen. Seiler H., Artz K., Erlenmeyer H.), Helv. chim. acta, 1956, 39, № 23, 783—786 (нем.; рез. англ.).

Предлагается следующий комбинированный метод: проба смеси солей хроматографируется сначала на бумажном листе в восходящем потоке смеси абс. спирта, 8 н. уксусной к-ты и 1 н. аммиака (8:1:1) в течение 13 час. Далее, в поперечном направлении накладывается электрич. поле 600 в и производится понофорез в течение 2 час. Наконец, в течение еще 2 час. продолжается хроматографирование в первоначальном направлении. Катодная половина листа опрыскивается 0,1 М водн. р-ром винюлуровой к-ты и после высушивания при 60° катионы выявляются в виде флуоресцирующих в УФ-лучах зон. Анодную половину разрезают на 3 части: нижняя содержит  $\text{PO}_4^{3-}$ , окрашиваемый смесью  $\text{HClO}_4$  (5 мл, 60%-ная),  $\text{HCl}$  (10 мл, 1 н.), молибдата аммония (25 мл 4%-ный) и воды (60 мл); средняя часть —  $\text{Cl}^-$  и  $\text{Br}^-$ , окрашиваемые 0,1 н.  $\text{AgNO}_3$  с добавкой флуоресцен-на (для исследования в УФ-лучах); верхняя часть —  $\text{J}^-$ , окрашиваемый  $\text{H}_2\text{O}_2$ ,  $\text{SCN}^-$ , окрашиваемый р-ром  $\text{FeCl}_3$ . Приводятся результаты определений величин  $R_f$  для катионов  $\text{Li}^+$ ,  $\text{Na}^+$ ,  $\text{K}^+$ ,  $\text{Be}^{2+}$ ,  $\text{Mg}^{2+}$ ,  $\text{Ca}^{2+}$ ,  $\text{Sr}^{2+}$  и  $\text{Ba}^{2+}$  и анионов  $\text{Cl}^-$ ,  $\text{Br}^-$ ,  $\text{J}^-$ ,  $\text{SCN}^-$  и  $\text{PO}_4^{3-}$ . В. Анохин.

1213. Отделение хлоридов щелочных металлов от хлорида аммония с применением анионита. Мураоэ, Сасаки, Какихана (陰イオン交換樹脂柱によるアンモニウムイオンとアルカリイオンの分離. 村瀬武男, 佐佐木行美, 垣花秀武), 日本化学雑誌, Нихон кагаку дзасси, J. Chem. Soc. Japan. Pure Chem. Sec., 1954, 75, № 2, 227—229 (япон.).

При пропускании смеси хлоридов щел. металлов и  $\text{NH}_4\text{Cl}$  через анионит (амберлит IRA-410), насыщ.  $\text{OH}^-$ , образуются гидроокиси щел. металлов и  $\text{NH}_4\text{OH}$ . После выпаривания вымывной жидкости в остатке остаются лишь гидроокиси щел. металлов, которые превращают в хлориды и взвешивают. Метод можно с успехом применять в последней стадии определения щел. металлов, где обычно требуется удаление  $\text{NH}_4\text{Cl}$ . Chem. Abstr., 1954, 48, № 19, 11235. К. Yamasaki.

1214. Пламенное спектрофотометрическое определение микроколичеств меди. Манна, Странк, Адамс (Flame spectrophotometric determination of microgram quantities of copper. Manna L., Strunk D. H., Adams S. L.), Analyt. Chem., 1956, 28, № 7, 1070—1072 (англ.).

Для усиления эмиссии линии  $\text{Cu}$  324,7 мμ анализируемый азотнокислый р-р смешивают с метанолом в отношении 1:4. Спектр возбуждают в водороднокислородном пламени ( $\text{H}_2$  0,17 кг/см<sup>2</sup>,  $\text{O}_2$  0,7 кг/см<sup>2</sup>). Измерение проводят на спектрофотометре Бекмана с фотоумножителем при щели 0,03 мм. Подавляющее

действие на эмиссию линии  $\text{Cu}$  324,7 мμ оказывают ионы  $\text{Al}$ ,  $\text{Ca}$ ,  $\text{Fe}$ ,  $\text{K}$ ,  $\text{Mg}$ ,  $\text{Ni}$ ,  $\text{Pb}$ ; ионы  $\text{Mn}$ ,  $\text{Na}$  и  $\text{Li}$  влияют в обратном направлении. Ввиду возможного наложения линий посторонних примесей на линию  $\text{Cu}$ , из показаний суммарной интенсивности для 324,7 мμ вычитают интенсивность излучения чистого 80%-ного р-ра метанола для этой же длины волны и интенсивность излучения анализируемого р-ра для 325,1 мμ, где интенсивность линии  $\text{Cu}$  падает до 0. Этот способ расчета дает хорошее совпадение результатов анализа с истинными конц-циями. Градуировочные графики линейны в области конц-ций  $\text{Cu}$  от 0 до 12 γ/мл. Цена деления шкалы прибора соответствует 0,16 γ/мл  $\text{Cu}$ .

Б. Льюсв

#### 1215. Использование качественных реакций для колориметрического определения меди и никеля. Райнес М. М., Ларионов Ю. А., Тр. Комис. по аналит. химии. АН СССР, 1956, 7(10), 295—299

Метод микрохим. открытия  $\text{Cu}$ , основанный на катализе окисления на р-цию окисления гидрохинона  $\text{H}_2\text{Q}$  в присутствии пиридина, применен для фотоколориметрич. определения  $\text{Cu}$ . Опыты вели с фотоколориметром ЛНОТ с фотоэлементом. Толщина слоя р-ра 10 см, емк. кюветы 4 мл. Экстинкцию рассчитывали по результатам измерения фототоков. К 10 мл р-ра  $\text{CuSO}_4$ , содержащего 0,2—5 мг/л  $\text{Cu}$ , прибавляли по 1 мл 0,1%-ного р-ра гидрохинона,  $\text{H}_2\text{Q}$  и 5%-ного пиридина. Через 10 мин. приливали 1 мл 5%-ной  $\text{CH}_3\text{COOH}$  и немедленно колориметрировали с синим светофильтром. Незначительные кол-ва  $\text{Ni}$  и  $\text{Fe}$  не мешали. Оптимальное значение рН 3—3,5. Для определения  $\text{Ni}$  добавляли к 10 мл анализируемого р-ра 1 каплю реактива (приготовленного нагреванием до кипения смеси 3,75 мл 40%-ного  $\text{CH}_2\text{O}$ , 3,5 г  $\text{NH}_4\text{OH} \cdot \text{HCl}$  и 3,75 мл воды) и 0,4—1,0 мл 1 н.  $\text{NaOH}$ . Р-р колориметрировали без светофильтра. Б. Товбин

#### 1216. Колориметрическое определение следов меди в металлическом никеле и его соединениях в ультрафиолетовой области спектра. Столяров К. П., АгREST Ф. Б., Ж. аналит. химии., 1956, 11, № 3, 286—291 (рез. англ.)

Метод колориметрич. определения следов  $\text{Cu}$  в соединениях  $\text{Ni}$  основан на измерении оптич. плотности р-ра аммиачного комплекса  $\text{Cu}^{2+}$  при 365—380 мμ. При этих длинах волн комплекс  $\text{Ni}$  обладает незначительным св-поглощением.  $\text{Cu}^{2+}$  восстанавливают до  $\text{Cu}^+$  аскорбиновой к-той в присутствии  $\text{KBr}$ . Комплекс  $\text{Cu}^+$  в интервале конц-ций 5—20 γ/мл подчиняется закону Бера. Определение  $\text{Cu}$  производят при соотношении  $\text{Cu} : \text{Ni} : \text{Co} : \text{Zn} = 1 : 1500 : 30 : 75$ .  $\text{Fe}^{2+}$  мешает.

Е. Разводовский

#### 1217. Аналитическая химия бериллия. VI. 8-оксихинальдин как реактив для определения бериллия. VII. Спектрофотометрическое определение микроколичеств бериллия при помощи 8-оксихинальдина. VIII. Флуориметрическое определение микроколичеств бериллия при помощи 8-оксихинальдина. Мотожима (Analytical chemistry of beryllium. VI. 8-hydroxyquinoline as a reagent for determination of beryllium. VII. Spectrophotometric determination of micro quantities of beryllium with 8-hydroxyquinoline. VIII. Fluorometric determination of micro quantities of beryllium with 8-hydroxyquinoline. Motojima Kenji). Bull. Chem. Soc. Japan, 1956, 29, № 1, 29—32; 71—75, 75—77 (англ.)

VI. 8-оксихинальдин (I) применим как для весового, так и для объемного определения  $\text{Be}$ . При весовом определении к р-ву, содержащему 2—40 мг  $\text{Be}$ , добавляют 5 мл 4 н.  $\text{NH}_4\text{Cl}$ , 5 мл 10%-ного тартрата  $\text{Na}$  (II), разбавляют до ~50 мл, нагревают до 60—70° и доводят рН при помощи 2 н.  $\text{NH}_4\text{OH}$  до 9 (по бумажке, пропитанной тимоловым синим). Затем по каплям при пере-

мешивании добавляют 20—30%-ный избыток I. Осадок ( $\text{Be}(\text{C}_{10}\text{H}_6\text{NO}_2)_2$ ) нагревают  $\frac{1}{2}$  часа для лучшей кристаллизации, фильтруют через тигель (№ 4), несколько раз промывают  $\text{NH}_4\text{OH}$  (1 : 100) и сушат при 110° до постоянного веса (~ $\frac{1}{2}$  часа). Фактор пересчета на  $\text{Be}$  0,02770. Вместо II к нагретому р-ру  $\text{Be}$ , содержащему  $\text{NH}_4\text{Cl}$ , можно сначала добавить I, затем установить рН до 9 и продолжать анализ как указано выше. При объемном определении полученный осадок растворяют в  $\geq 20$  мл 6 н.  $\text{HCl}$ , добавляют несколько капель 0,1%-ного р-ра метилового красного и при постоянном перемешивании титруют р-ром  $\text{KBrO}_3 + \text{KBr}$  (III) (2,784 г  $\text{KBrO}_3 + 10$  г  $\text{KBr}$  в 1 л). После перехода окраски в желтую добавляют еще несколько капель III, закрывают колбу, через несколько минут добавляют 1 г  $\text{KJ}$  и титруют 0,1 н.  $\text{Na}_2\text{S}_2\text{O}_3$ , добавляя крахмал. 1 мл 0,1 н. р-ра III эквивалентен 0,1127 мг  $\text{Be}$ . Хлориды, нитраты, сульфаты и ацетаты элементов I группы в кол-ве ~1 г не мешают. Ионы металлов, осаждаемые I в аммиачных р-рах:  $\text{Bi}$ ,  $\text{Cd}$ ,  $\text{Cr}$ ,  $\text{Co}$ ,  $\text{Cu}$ ,  $\text{Fe}$ ,  $\text{Mg}$ ,  $\text{Mn}$ ,  $\text{Ni}$ ,  $\text{Ag}$ ,  $\text{Ti}$ ,  $\text{Zn}$ , и  $> 0,5$  мг  $\text{Al}$  мешают.  $\text{Fe}$  и  $\text{Al}$  (< 20 мг) осаждают 5%-ным р-ром 8-оксихиналина в  $\text{CH}_3\text{COOH}$  при рН 4,5—5 (буферный 2 н. р-р  $\text{CH}_3\text{COONH}_4$ ). Затем оксихинальдинаты  $\text{Fe}$  и  $\text{Al}$ , а также избыток 8-оксихиналина экстрагируют  $\text{CHCl}_3$ , нагревают для удаления следов  $\text{CHCl}_3$  и определяют  $\text{Be}$ . Этим же методом удаляют и < 10 мг  $\text{Ti}$ . Метод точен и чувствителен.

VII. К ~35 мл слабокислого р-ра, содержащего  $\leq 30$  γ  $\text{Be}$ , добавляют 5 мл 10%-ного р-ра  $\text{NH}_4\text{Cl}$  и 3 мл реактива (2 г 8-оксихинальдина при нагревании растворяют в 4 мл лед.  $\text{CH}_3\text{COOH}$  и разбавляют до 200 мл) и доводят при помощи 2 н.  $\text{NH}_4\text{OH}$  рН до  $8,0 \pm 0,2$ . Р-р смывают несколькими мл воды в делительную воронку и разбавляют до 50 мл. Через  $\frac{1}{2}$  часа экстрагируют 10 мл  $\text{CHCl}_3$  (1 мин.). Органич. слой сушат над 1 г  $\text{Na}_2\text{SO}_4$  и фотометрируют при 380 мμ в спектрофотометре Бекмана, модель DU, с 1-см стеклянной кюветой. В качестве р-ра сравнения используют р-р контрольного опыта. Содержание  $\text{Be}$  определяют по калибровочной кривой, построенной по р-рам с известным содержанием  $\text{Be}$  (при  $> 30$  γ  $\text{Be}$  закон Бера не выполняется). Небольшие кол-ва ацетатов, сульфатов, хлоридов и нитратов,  $\text{K}$ ,  $\text{Na}$  и  $\text{NH}_4^+$ , < 1 мг  $\text{PO}_4^{3-}$ , < 15 мг  $\text{Mg}$ , < 5 мг  $\text{Ca}$ , < 100 γ  $\text{Al}$  не мешают.  $\text{Bi}$ ,  $\text{Cd}$ ,  $\text{Cr}$ ,  $\text{Cu}$ ,  $\text{Co}$ ,  $\text{In}$ ,  $\text{Fe}$ ,  $\text{Ni}$ ,  $\text{Sn}$ ,  $\text{Ti}$  и  $\text{Zn}$  мешают, но, за исключением  $\text{Ti}$ , их отделяют электролизом с  $\text{Hg}$ -катодом;  $\text{Cu}$ ,  $\text{Cd}$ ,  $\text{Fe}$ ,  $\text{Ni}$ , и  $\text{Zn}$  маскируют динатриом.  $\text{Al}$ ,  $\text{Cu}$ ,  $\text{Fe}$ ,  $\text{Ni}$  и  $\text{Ti}$  количественно отделяют от  $\text{Be}$  в уксуснокислой среде в форме оксихинальдинатов, растворимых в  $\text{CHCl}_3$ . В этом случае фотометрируют при 580 мμ и при необходимости вносят поправку на  $\text{Fe}$ .

VIII. К ~35 мл слабокислого р-ра, содержащего 0,3—3 γ  $\text{Be}$ , добавляют 5 мл 10%-ного р-ра  $\text{NH}_4\text{Cl}$  и 2 мл 1%-ного р-ра 8-оксихинальдина; рН р-ра доводят при помощи 2 н.  $\text{NH}_4\text{OH}$  до  $8,0 \pm 0,2$ . Р-р смывают несколькими мл воды в делительную воронку, разбавляют до 50 мл, экстрагируют 10 мл  $\text{CHCl}_3$  и органич. слой сушат безводн.  $\text{Na}_2\text{SO}_4$ . Флуоресценцию измеряют спектрофотометром Бекмана, модель DU, с приставкой и W-лампой. Прибор устанавливают на нуль по  $\text{CHCl}_3$ , на 100 (или 50) по р-ру сульфата хинина (1 γ в 1 мл 0,1 н.  $\text{H}_2\text{SO}_4$ ).  $\text{Be}$  определяют по калибровочной кривой. Линейная зависимость между конц-цией и интенсивностью флуоресценции сохраняется при  $\leq 3$  γ  $\text{Be}$ . Мешают те же ионы, что и при спектрофотометрич. анализе (см. предыдущий реф.). Погрешность определения от -0,16 до +0,26 γ.

М. Пасмант

#### 1218. Быстрый метод определения кальция в присутствии магния. Пасовская Г. Б., Тр. Комис. по аналит. химии АН СССР, 1956, 7 (10), 272—275



Для определения Са в присутствии Mg к анализируемому р-ру в сосуде для кондуктометрич. титрования добавляют 1 мл насыщ. спирт. р-ра магнетона II, 0,5 мл  $\text{NH}_4\text{OH}$  (1:2) и после разбавления смеси до 20 мл титруют 1 н. р-ром  $\text{K}_2\text{C}_2\text{O}_4$  (титр установлен кондуктометрически по стандартному р-ру  $\text{CaCl}_2$ ). При соотношении  $\text{Mg}:\text{Ca} = 7:1$  рекомендуется прибавить определенное кол-во стандартного р-ра  $\text{CaCl}_2$  и разбавлять р-р так, чтобы конц-ия  $\text{CaCl}_2$  была в пределах 0,01–0,02 н. Максим. погрешность  $\leq 0,97\%$ . Определение продолжается 20 мин. Присутствие К и Na определению Са не мешает. Б. Товбин

**1219. Определение кальция в известниках методом амперометрического титрования с применением индикатора.** Усатенко Ю. И., Виткина М. А., Тр. Комис. по аналит. химии АН СССР, 1956, 7 (10), 155–161

Для амперометрич. определения Cd в присутствии  $\text{Cu}^{2+}$  в качестве индикатора навеску известняка 0,05–0,06 г смачивали водой и, после растворения при кипячении в небольшом кол-ве  $\text{HCl}$ , приливали 10 мл 0,1 М  $\text{NH}_4\text{Cl}$ . Р-р разбавляли до 20 мл и кипятили для удаления  $\text{CO}_2$ . К охлажд. р-ру приливали равный объем спирта, 0,2–0,3 мл 0,1 М  $\text{FeCl}_3$  (слабо подкисленного  $\text{HCl}$ ) и в присутствии 1 капли р-ра метилового красного нейтрализовали  $\text{NH}_4\text{OH}$  (1:1) до перехода розовой окраски в бледно-желтую + избыток  $\text{NH}_4\text{OH}$  1–2 капли. В р-р опускали вращающийся Pt-электрод и ртутно-подиный полуэлемент, обладающий невысоким положительным потенциалом (0,017 в), соединенный с сосудом для титрования агар-агаровым мостиком. Включали мешалку и силу тока измеряли гальванометром с характеристикой:  $1^\circ - 0,2 \cdot 10^{-6}$  а,  $R = 649$  ом. После прибавления по каплям 0,01 М р-ра  $\text{CuCl}_2$  до отклонения стрелки гальванометра за шкалу, медленно титровали 0,1 М р-ром  $(\text{NH}_4)_2\text{C}_2\text{O}_4$  и вычерчивали участок кривой вблизи конечной точки в таком масштабе, чтобы можно было отсчитывать сотые доли мл. Параллельно определяли поправку на индикатор. Обычно встречающиеся в известнике элементы титрованию не мешают. Б. Товбин

**1220. Спектрофотометрическое титрование миллиграммовых количеств бария.** Роули, Стойнер, Гордон (Spectrophotometric titration of milligram quantities of barium. Rowley Keith, Stoenner R. W., Gordon Louis), *Analyt. Chem.*, 1956, 28, № 1, 136 (англ.)

К 15–20 мл исследуемого нейтр. или кислого р-ра, содержащего 0,1–1,5 мг Ва, не содержащего  $\text{CO}_3^{2-}$ , добавляют 5 мл  $\text{CH}_3\text{OH}$ , 10 мл буферного р-ра (Manns T. J. и др., *Analyt. Chem.*, 1952, 24, 909) и 5 капель р-ра индикатора (р-р 50 мг эриохрома черного в 50 мл триэтанолamina) и при перемешивании титруют р-ром комплексона III (0,002 н. для р-ров, содержащих  $< 1$  мг Ва, и 0,01 н. для р-ров, содержащих больше кол-ва Ва), измеряя светопоглощение при 650 мк. Конечную точку определяют графически по кривой зависимости между кол-вом титрованного р-ра и уд. поглощением. Титрованием р-ра, не содержащего Ва, определяют поправку. М. Гладышева

**1221. Электрогравиметрическое определение цинка и кадмия.** Мак-Невин, Мак-Айвер (Coulogravimetric determination of zinc and cadmium. MacNevin William M., Melver R. D.), *Analyt. Chem.*, 1955, 7, № 12, 1994–1995 (англ.)

Описанное ранее сочетание кулометрич. и весового методов для определения труднорастворимых элементов без их разделения (РЖХим, 1954, 11258) применено для определения Zn и Cd при совместном присутствии. Описаны используемая ячейка с Hg-катодом и метод определения. А. Зозуля

**1222. О комплексометрическом определении редкоземельных элементов.** Брунисхольц, Казин (Sur le dosage complexométrique des terres rares. Brunisholz G., Cahen R.), *Helv. chim. acta*, 1956, 39, № 11, 324–325 (франц.; рез. англ.)

Описан быстрый и точный метод объемного определения ионов редкоземельных металлов (La, Ce и Sm) при помощи этилендиаминтетрауксусной к-ты в слабодкислой среде. В качестве индикатора употребляют смесь аммониевой соли ализаринсульфокислоты (45 мл 0,5%-ного р-ра) и метиленового голубого (15 мл 0,1%-ного р-ра). К р-ру анализируемых хлоридов ( $\leq 50$  мг La, Ce или Sm в 200–300 мл) с  $\text{pH} \sim 4$  (устанавливают разб.  $\text{NH}_4\text{OH}$ ) добавляют 5 мл буферной смеси (77 г  $\text{CH}_3\text{COONH}_4$  растворяют в 1 л 1 н.  $\text{CH}_3\text{COOH}$ ), 10–15 капель смешанного индикатора и титруют 0,01 М р-ром аммониевой соли этилендиаминтетрауксусной к-ты (2,921 г комплексона II растворяют в 5–6 мл 2 н.  $\text{NH}_4\text{OH}$  и разбавляют до 1 л; титр устанавливают по р-ру  $\text{CeCl}_3$ ) до перехода окраски из розово-фиолетовой через грязно-серую в зеленую. Погрешность определения 9–50 мг La, Ce и Sm составляет  $\pm 0,5\%$ . Метод применим для определения редкоземельных элементов группы Y;  $\text{Mg}^{2+}$  и  $\text{Ca}^{2+}$  не мешают,  $\text{Fe}^{3+}$  и  $\text{Al}^{3+}$  мешают. Метод применим для определения средних атомных весов смеси редкоземельных элементов (звешивание окисей и титрование после растворения в  $\text{HCl}$ ). Т. Левин

**1223. Спектрофотометрическое определение церия в растворе карбоната.** Конка, Мерритт (Spectrophotometric determination of cerium in carbonate solution. Conca Nicholas, Merritt Charles, Jr), *Analyt. Chem.*, 1956, 28, № 8, 1264–1268 (англ.)

Для определения Ce (4+) аликвотную часть анализируемого р-ра, 0,5 М по  $\text{H}_2\text{SO}_4$ , содержащую 0,3–0,9 мг Се, помещают в мерную колбу емк. 50 мл и разбавляют до метки 3 М р-ром  $\text{K}_2\text{CO}_3$ . Измеряют светопоглощение р-ра на спектрофотометре Бесмана (модель DU) при 305 мк, применяя в качестве нулевого р-ра 3 М  $\text{K}_2\text{CO}_3$ . В случае необходимости  $\text{Ce}(3+)$  окисляют  $\text{K}_2\text{S}_2\text{O}_8$  до  $\text{Ce}(4+)$  с катализатором  $\text{Ag}_2\text{SO}_4$ . Р-р Се (4+) в  $\text{K}_2\text{CO}_3$  устойчив в течение 24 час. Определение мешают многие ионы; их предварительно отделяют. Ф. Линкога

**1224. Хромотропные азокрасители как реактивы на трехвалентный таллий.** Коренман И. М., Потемкина В. Г., Федорова Л. С., Ж. аналит. химии, 1956, 11, № 3, 307–309 (рез. англ.)

Исследована возможность применения азопроизводных хромотропной к-ты для определения  $\text{Tl}^{3+}$ . Показано, что эти реактивы дают реакцию с  $\text{Tl}^{3+}$  в слабодкислой среде ( $\text{CH}_3\text{COOH}$ ). *n*-Диметиланилиназохромотроповая к-та применима для определения 1–10 γ мл  $\text{Tl}^{3+}$  в среде  $\text{HCl}$  в присутствии 100–1000-кратного кол-ва Al, 100-кратного  $\text{Fe}^{3+}$ , 300-кратного Mg и 700-кратного Са. Соли  $\text{Tl}^{(1+)}$  подобной окраски не дают. Е. Разводоский

**1225. Спектрофотометрическое определение циркония в тории.** Силверман, Холм (Spectrophotometric determination of zirconium in thorium. Silverman Louis, Hawley Dorothy W.), *Analyt. Chem.*, 1956, 28, № 5, 806–808 (англ.)

Описан метод фотометрич. определения 0,005–0,350% Zr в форме красного лака с ализарином красным S. К образцу (металл или сложное соединение), содержащему 0,8 г Th, в Pt-чашке добавляют 10 мл конц.  $\text{HNO}_3$  и несколько капель 2%-ной  $\text{HF}$  и нагревают до начала р-ции. К кону р-ции добавляют 5 мл конц.  $\text{HClO}_4$ , выпаривают почти досуха и охлаждают; снова добавляют 2 мл  $\text{HNO}_3$  и 5 мл  $\text{HClO}_4$  и выпаривают

почти досуха. Остаток при нагревании растворяют в 5 мл HCl (1 : 1) и разбавляют до 100 мл. К 25 мл полученного р-ра добавляют 4 мл уксуса и разбавляют до  $32 \pm 2$  мл. Доводят pH р-ра до 0,7 при помощи конц. HCl (1 : 1) и воды и добавляют 10 мл реактива ализарина красного S (500 мг ализарина красного S растворяют в разб. HCl (2 : 3) и разбавляют до 1 л). Полученный р-р нагревают на водяной бане (70—90°) 10—30 мин. и охлаждают до 18—20°. Через 3 часа после начала нагревания р-р фотометрируют на спектрофотометре Бекмана DU при 540 мμ, используя в качестве р-ра сравнения воду. Среднеквадратичная погрешность  $\leq 0,002$ . М. Гладышева

1226. Применение комплексонов в химическом анализе. XLVI. Весовое и объемное определение арсената. Малинек, Ржегак (Use of complexones in chemical analysis. XLVI. Gravimetric and volumetric determination of arsenic. Malínek M., Řehák B.), Сб. чехосл. хим. работ, 1956, 21, № 3, 777—780 (англ.; рез. русс.) См. РЖХим, 1956, 22749.

1227. Примечания к колориметрическому методу определения мышьяка после выделения его в форме арсина. Беркхаут (Notes on the colorimetric determination of arsenic after volatilization as arsine. Berkhout H. W.), Chemist-Analyst, 1956, 45, № 1, 24 (англ.)

Метод определения As (РЖХим, 1955, 40374) модифицирован путем 1) снижения конц-ии р-ра  $N_2H_4 \cdot H_2SO_4$ , употребляемого для восстановления молибдата, с 2,5%-ной до 1%-ной (2 мл) для устранения желтоватого оттенка р-ра молибденовой сини, 2) промывки порошкообразной целлюлозы, после поглощения арсина, 0,5 мл  $CH_3OH$ , для предупреждения возможности осаждения  $HgBr_2$  в р-ре после добавления  $N_2H_4 \cdot H_2SO_4$ . Последующие обработки адсорбента производят согласно первоначальному методу. Для облегчения промывки рекомендуется прилагать давление при помощи резиновой груши. Б. Товбин

1228. Колориметрический метод определения сурьмы в руде. К вопросу использования отечественных руд. Поппер, Олтяну, Попеску, Сугу (O metoda colorimetrică pentru determinarea cantitativă a stibiului din minereuri. Valorificarea mineurelor indigene. Popper E., Olteanu Ileana, Popescu N., Suciu Gh.), Rev. chim., 1956, 7, № 6, 367—369 (рум.; рез. русс., нем.) После кислотного разложения руды Sb отделяют в форме  $SbOCl$  и определяют колориметрически с  $CS(NH_2)_2$  в форме окрашенного комплекса. Навеску руды многократно обрабатывают сначала  $HNO_3$ , затем HCl с последующим выпариванием досуха. Прибавляют HCl (1 : 2), горячую воду и по каплям 25%-ный р-р  $NH_4OH$  до красной окраски по фенолфталеину или синей (в присутствии Cu). Разбавляют горячей водой, перемешивают и оставляют до охлаждения. Полученный осадок отфильтровывают, промывают 2,5%-ным р-ром  $NH_4OH$  и растворяют в 50 мл HCl уд. в. 1,2. К р-ру добавляют 15 г  $CS(NH_2)_2$ , перемешивают и оставляют на 40—60 мин. В случае образования осадка с тяжелыми металлами его необходимо отфильтровать. Колориметрируют с синим фильтром, сравнивая окраску полученного р-ра со стандартным р-ром  $SbCl_5$  в HCl (1 : 2), содержащим ~ 1% Sb. Bi мешает,  $Fe^{3+}$  восстанавливается  $CS(NH_2)_2$  и не мешает. Продолжительность анализа в 3—4 раза меньше, чем при классич. методе. Метод применим при анализе минералов, фармацевтик, продуктов и в цветной металлургии. Б. Манолте

1229. Экстракционное разделение ниобия, тантала и титана. Зайковский Ф. В., Ж. аналит. химии, 1956, 11, № 3, 269—277 (рез. англ.)

Новый метод разделения Nb, Ta и Ti основан на различной экстракционной способности пирокатехинатных комплексов этих элементов в оксалатном р-ре. При pH 3  $m\text{-}C_4H_9OH$  в присутствии избытка пирокатехина экстрагирует пирокатехинаты Ta и Ti. Комплекс Nb в этих условиях остается в водн. фазе. Из экстракта Ti рекстрагируют 5%-ной  $H_2SO_4$ . Для полного отделения Ta от Ti требуется повторная операция. Пирокатехинаты других элементов (Fe, Zr, Sn, Mo) в этих условиях не экстрагируются. Метод применим для разделения микроколичеств Nb и Ta. Погрешность метода  $\pm 10\%$ . Е. Разводовский

1230. Новый спектрофотометрический метод определения хрома и кобальта с помощью этилендиаминтетраацетата натрия. Гото, Кобаяси (エチレンジアミンテトラ酢酸ナトリウムによるCr及びCoの新光度定量. 後藤秀弘, 小林純一), 日本化学雑誌, 1954, 75, № 9, 964—968 (япон.); Sci. Repts. Res. Insts. Tohoku Univ., 1954, A6, № 6, 551—556 (англ.)

Спектрофотометрически изучили комплексы  $K_2Cr_2O_7$  и  $CoSO_4$  с этилендиаминтетраацетатом Na (I) и установлен его состав:  $[(Co - I)_2Cr_2O_7]$ . Комплекс имеет два максимума светопоглощения — 550 и 380 мμ. Cr и Co определяют при 558 мμ в 0,5 н.  $CH_3COOH$  через 20 мин. после добавления реактивов. Можно определить 5—30 γ/мл Cr и 10—80 γ/мл Co. Мешают  $Fe^{3+}$ , Ni, Cu, Al, Zn, Cd, Ba и Pb.

Chem. Abstrs, 1955, 49, № 9, 6023. К. Yamasaki

1231. О содержании молибдена в итальянских почвах. Джованнини (Sul contenuto in molibdeno dei terreni italiani. Giovanni E. Erm. i o), Studi sassaresi, 1953, Sez. 3, 1, 174—178 (итал.)

Навеску почвы 20 г сушат при 100°, прокалывают при 400—450°; остаток обрабатывают 50 мл HCl (1 : 4), кипятят, фильтруют, остаток промывают 50 мл HCl (1 : 4) и водой. Фильтр с осадком выдерживают в муфеле при 450°, обрабатывают 50 мл воды, 2 мл конц.  $H_2SO_4$  и 50 мл 48%-ной HF; выпаривают на бане и выдерживают в муфеле, вновь обрабатывают HF и прокалывают (удаление Si). После охлаждения добавляют 100 мл воды и 10 мл конц. HCl, кипятят, фильтруют и разбавляют до 100 мл. К аликвотной порции полученного р-ра добавляют HCl (1 : 4), 3 мл 10%-ного р-ра  $SCN^-$  и разбавляют до 50 мл р-ром  $SnCl_4$  (р-р 10 г  $SnCl_4 \cdot 2H_2O$  в 100 мл HCl, 1 : 9). Смесь встряхивают с 20 мл циклогексанола (при ~ 2 γ/мл Mo достаточно одной экстракции). Через 1 час органич. слой колориметрируют в колориметре Дюлока. В качестве стандартов употребляют р-ры с конц-ией Mo 0,1 и 0,5 γ/мл. Содержание Mo в итальянских почвах различного типа, определенное описанным методом, колеблется в интервале 0,12—7,20 γ/мл. Т. Леви

1232. Фотометрическое определение умеренных количеств урана в растворах хлорной кислоты. Силверман, Мауди (Colorimetric determination of moderate concentrations of uranium in perchloric acid solutions. Silverman Louis, Moudy Lavada), Analyt. Chem., 1956, 28, № 1, 45—47 (англ.)

Описан метод определения U в форме его перхлората. К исследуемому р-ру добавляют 5 мл  $HNO_3$  и 15 мл  $HClO_4$  (уд. в. 1,67) и выпаривают до паров  $HClO_4$ . К охлажд. р-ру добавляют воду, нагревают на паровой бане 15 мин. для удаления  $Cl_2$  и разбавляют до 25 мл. Фотометрируют при  $25 \pm 0,3^\circ$  при 415—420 мμ. В качестве р-ра сравнения употребляют воду. При > 65%  $HClO_4$  показатели оптич. плотности перестают подчиняться закону Бера, что указывает на образование новых соединений U типа  $UO_2(ClO_4)_3$  и  $H_mUO_2(ClO_4)_m+2$ . М. Гладышева

**1233. Определение урана в глубоководных морских обложениях.** Хахофер, Хехт (Uranbestimmung in Tiefseeproben. Nahofer Else, Hecht Friedrich), *Mikrochim. acta*, 1954, № 3-4, 417—434 (нем.; рез. англ., франц.)

Пробу глубоководного морского осадка сплавляют с  $\text{Na}_2\text{CO}_3$ , плав растворяют в  $\text{HNO}_3$ , удаляют  $\text{SiO}_2$ , и экстрагируют эфиром или выделяют хроматографически. Определение U производят измерением интенсивности флуоресценции королька  $\text{NaF}$ , в котором концентрируют U.

*Chem. Abstr.*, 1954, 48, № 16, 9266. W. T. Hall  
**1234. Методика определения иония.** Старик И. Е., Старик А. С., Ложкина Г. С., Таблица Л. В., Бюл. Комис. по определению абсолют. возраста геол. формаций АН СССР, 1955, вып. 1, 47—52

После разложения смолки при помощи  $\text{HNO}_3$  изотопы Th выделяют на Ce (носитель) в форме оксалатов. Затем  $\text{RaD}$ ,  $\text{RaE}$  и  $\text{Po}$  отделяют электролизом в 1 н.  $\text{p-p}$   $\text{HNO}_3$  при 100 мв в течение 9 час. при 2,1 в. В качестве индикатора для определения полноты выделения Iо применяли  $\text{UX}_1$ . Установлено, что: 1) при 2-кратном осаждении оксалата  $\text{Ce}(\text{Iо})$  происходит полная очистка его от  $\text{Ra}$  и  $\text{U}$ ; 2) осадок оксалата  $\text{Ce}$  при 2-кратном осаждении адсорбирует 7—12%  $\text{Po}$ , > 30%  $\text{RaE}$ , 2—3%  $\text{RaD}$ ; 3) при отделении  $\text{Ce}(\text{Iо})$  от  $\text{RaD}$ ,  $\text{RaE}$ ,  $\text{RaF}$  сероводородом происходит полное отделение  $\text{RaD}$ ,  $\text{RaE}$  и  $\text{RaF}$ , но при этом 30% Iо адсорбируется осадком сульфидов. Л. Кузьмина

**1235. Определение марганца в цементе планофотометрическим методом.** Даймонд (Flame photometric determination of manganese in cement. Diamond J. J.), *Analyt. Chem.*, 1956, 28, № 3, 328—329 (англ.)

Для определения Mn в портовом цементе и шлакоцементе использован метод пламенной фотометрии, применяемый для определения Sr (РЖХим, 1956, 75268). При опытах употребляют пламенный фотометр Бекмана DU с кислородо-водородным пламенем и фотомножителем (ширина щели 0,02 мм). Для введения поправки на фон определяют эмиссию при ~ 401 мμ и вычитают полученное значение из результата определения эмиссии при 403,3 мμ. Навеска цемента составляет 1 г. Указанным способом определяют Na, K, Sr и Mn без предшествующих хим. разделений в одной пробе  $\text{p-p}$ .

**1236. Отделение рения от ванадия и вольфрама методом ионообменной хроматографии.** Рябчиков Д. И., Лазарев А. И., Тр. Комис. по анал. химии АН СССР, 1956, 7 (10), 64—76

Для отделения Re от V пропускают через колонку с 10 г анионита ММГ-1 в  $\text{OH}^-$  форме со скоростью  $\leq 3$  мл/мин 100 мл 0,3 н.  $\text{HCl}$ , содержащего  $\leq 75$  мг V и различные кол-ва Re. При вымывании 100 мл 0,3 н.  $\text{HCl}$  V переходит в фильтрат, а удержанный анионом Re вымывают 250 мл 2,5 н.  $\text{NaOH}$ . Разделение Re и V может быть осуществлено и на катионите СБС в  $\text{H}^+$  форме. Кислый по конго  $\text{p-p}$  (100 мл) пропускают со скоростью 2—3 мл/мин через колонку (диам. 12 мм) с 15 г катионита. Промывают 150 мл подкисленной воды; Re попадает в фильтрат в форме  $\text{ReO}_4^-$ ; V вымывают 100 мл  $\text{p-p}$   $\text{NH}_3$  (1 : 4).

Для отделения V от W добавляют к 50 мл  $\text{p-p}$   $\text{W}(6+)$  и V (5+) 2,5 мл 3%-ной  $\text{H}_2\text{O}_2$  и  $\text{HCl}$  до pH 1,0. Окрашенный  $\text{p-p}$  пропускают через колонку с анионообменной  $\text{Al}_2\text{O}_3$ , откуда V выделяют последовательным вымыванием 25 мл  $\text{p-p}$  с pH 1,0, содержащего 1 мл 3%-ной  $\text{H}_2\text{O}_2$  и 75 мл  $\text{p-p}$   $\text{HCl}$  с pH 1,0 без  $\text{H}_2\text{O}_2$ . Фильтрат, содержащий комплекс V, после кипячения и охлаждения подкисляют  $\text{H}_2\text{SO}_4$  и титруют V(5+) солью  $\text{Fe}(2+)$  с фенилантрапиловый к-той. W вымывают

из колонки 200 мл  $\text{p-p}$   $\text{NH}_3$  (1 : 3) и 50 мл воды и определяют его в фильтрате известными методами.

Для отделения Re от W сплавляют 0,05—0,15 г сплава в Pt-тигле с 3 г  $\text{Na}_2\text{CO}_3$  и 0,5 г  $\text{NaClO}_3$ . Плав выщелачивают горячей водой.  $\text{p-p}$ , содержащий  $\text{Na}_2\text{WO}_4$ ,  $\text{NaReO}_4$ ,  $\text{Na}_2\text{CO}_3$  и  $\text{NaCl}$ , после нейтрализации и подкисления  $\text{HCl}$  по бумажке конго красный пропускают через анионообменную  $\text{Al}_2\text{O}_3$ . Колонку промывают 20 мл 0,1 н.  $\text{HCl}$ . Re вымывают 75 мл 0,1 н.  $\text{HCl}$ . Фильтрат и промывные жидкости, содержащие весь Re, разбавляют до 200 мл, к 25—30 мл  $\text{p-p}$  добавляют 10 мл  $\text{HCl}$  (уд. в. 1,19) и после охлаждения 10 мл 20%-ного  $\text{p-p}$   $\text{KSCN}$  или  $\text{NH}_4\text{SCN}$  и 1,5 мл 25%-ного  $\text{p-p}$   $\text{SnCl}_2$  в  $\text{HCl}$  (1 : 1), разбавляют до 50 мл и через 10 мин. определяют роданидный комплекс Re на фотоколориметре или визуально. W вымывают 200 мл  $\text{p-p}$   $\text{NH}_3$  (1 : 3) и 50 мл воды. К фильтрату добавляют 50 мл конц.  $\text{HCl}$ , 10 мл 0,5%-ного  $\text{p-p}$  желатин и оставляют на 40—60 мин. на бане. После фильтрования и 5-кратной промывки горячим  $\text{p-p}$ ом  $\text{HCl}$  фильтр с осадком сжигают, прокаливают при 700—800° и после охлаждения взвешивают  $\text{WO}_3$ . Для подготовки колонки анионообменной  $\text{Al}_2\text{O}_3$  заполняют цилиндр емк. 250 мл 75—100 г порошка  $\text{Al}_2\text{O}_3$ , заливают водой и вымывают. Через 2 мин. сливают мелкую взвесь. После 5—10-кратного отмучивания  $\text{Al}_2\text{O}_3$  просушивают и прокаливают 30—40 мин. при 900—1000°. Приготовленная  $\text{Al}_2\text{O}_3$  пригодна для 50 рабочих циклов. Продажная  $\text{Al}_2\text{O}_3$  не обладает повоообменными свойствами и ее следует обработать  $\text{p-p}$ ом  $\text{NH}_3$  (1 : 3) и 2 н.  $\text{HCl}$ .

**1237. Фотометрический анализ с помощью органических реактивов. I. Применение пиридина в качестве основания. II. Фотометрическое определение железа экстрагированием органическими растворителями. Опи (ジメチルグリオキシムによる鉄の比色定量 (有機試薬による比色分析の研究) . 第1報. 鹽基としてピリジンの使用について. 第2報. 有機溶媒抽出法による比色定量. 井大信一), 日本化学雑誌, Нихон катэку дзассэн, J. Chem. Soc. Japan. Pure Chem. Sec., 1954, 75, № 10, 1067—1069, 1069—1070 (япон.)**  
I. Применение пиридина вместо  $\text{NH}_4\text{OH}$  при фотометрич. определении Fe с помощью диметилглиоксима обеспечивает более интенсивную и устойчивую окраску (ср. *Analyt. Chem.*, 1947, 19, № 9, 654—655). Измерения производили при 500 мμ.

II. Красный комплекс  $\text{Fe}^{2+}$  с диметилглиоксимом экстрагируют  $\text{CHCl}_3$  с применением пиридина в качестве основания. Фотометрированием при 500 мμ можно открыть такие малые количества Fe, как 0,1 γ/мл.

*Chem. Abstr.*, 1955, 49, № 9, 6024. К. Yamasaki  
**1238. Спектральное определение железа и магния в алюмосиликатах.** Александров С. И., Шмуляковский Я. Э., Малахова Г. П., *Химия и технол. топлива*, 1956, № 6, 55—57

Методика разработана для интервала конц-ий 0,04—1%  $\text{Fe}_2\text{O}_3$  и 0,1—1%  $\text{MgO}$ . Аналитич. пары линий: Fe 2585—Si 2532 и Mg 2776—Si 2532 А. Образцы порошка, смешанные в отношении 1 : 3 с  $\text{BaCO}_3$ , как со стабилизатором дуги, помещают в канал угольного электрода диам. 2,5 мм и глубиной 2,5 мм. Спектры возбуждают в дуге переменного тока при 7 а, электродном промежутке 3 мм и экспозиции 60 сек. Применен средний спектрограф ИСП-22 со щелью 0,015 мм. Градуировочные графики строят в координатах  $\Delta S - \lg C$ . Ошибка анализа 10%. Эталоны готовят внесением соединений Fe и Mg в чисто отмытый алюмосиликат с последующим прокаливанием и растиранием смеси.

**1239. Полуколичественное определение малых количеств металлов методом хроматографии на бумаге. I. Никель в соли кобальта.** Харасева, Такасу



(ペーパークロマトグラフィーによる微量金属の半定量的検出に関する研究. 第1報. コバルト鹽中の微量ニッケルについて. 原澤四郎, 高須邦彦), 日本化学雑誌, Нихон катсу дзасси, J. Chem. Soc. Japan. Pure Chem. Sec., 1955, 76, № 2, 173—176 (япон.)

Наиболее чувствительным реактивом для открытия Ni в солях Со методом хроматографии на бумаге является рубеноводородная к-та. Можно обнаружить 1 ч. Ni в 3500 ч. солей Со.

Chem. Abstrs, 1955, 49, № 21, 14559. К. Yamasaki 1240. Фотометрическое определение никеля в катализаторах нефтяного крекинга. Блэкуэлл, Баннелл, Миллер (Photometric determination of nickel in petroleum cracking catalyst. Blackwell A. T., Daniel Archie M., Miller Jessie D.), Analyt. Chem., 1956, 28, № 7, 1209 (англ.)

Для определения 10—300  $\gamma$  Ni в форме диметилглиоксимата применен спектрофотометрич. метод. Для маскировки Fe и Al употребляют винную и фосфорную к-ты. Навеску катализатора 2—5 г увлажняют водой, добавляют HF для разложения  $\text{SiO}_2$  и выпаривают досуха. Добавляют 5 мл  $\text{H}_2\text{SO}_4$  и выпаривают 15 мин. Охлаждают, кипятят 5 мин., разбавляют до 250 мл, фильтруют, отбирают аликвотную порцию, содержащую  $\leq 300 \gamma$  Ni, добавляют 5 мл 20%-ной винной к-ты, 2 мл  $\text{H}_3\text{PO}_4$  (1 : 4), разбавляют до 50 мл и добавляют 5 мл насыщ. водн. р-ра Вг<sub>2</sub>. Через  $\geq 1$  мин. добавляют по каплям водн.  $\text{NH}_4\text{OH}$  (1 : 1) до осветления р-ра + избыток 2 мл и охлаждают до  $< 20^\circ$ . Устанавливают pH на уровне  $11,5 \pm 0,5$  (6 н. NaOH) и добавляют 2 мл 1%-ного спирт. р-ра диметилглиоксима. Разбавляют до 100 мл и через 15 мин. спектрофотометрируют при 530 м $\mu$ . Расхождение в результатах весового метода составляет 0,001—0,007%.

В. Потапов 1241. К методике фотоколориметрического определения кобальта с нитрозо-Р-солью. Финкельштейн Д. Н., Завод. лаборатория, 1956, 22, № 6, 648—650

Метод фотоколориметрич. определения Со с нитрозо-Р-солью (Шербов Д. П., Завод. лаборатория, 1949, 15, 1399; Файнберг С. Ю., Анализ руд цветных металлов, Металлургиздат, 1953, 346) видоизменен следующим образом: 1) стандартный р-р Со готовят раствором соли в 0,01—0,05 н. HCl или  $\text{H}_2\text{SO}_4$  (pH р-ра  $< 2$ ); 2) при определении 0,002—0,006 мг Со в 50 мл р-ра на приборе ФЭК-М употребляют 50-миллиметровые, 0,02—0,1 мг Со 20-миллиметровые, 0,06—0,25 мг Со 10-миллиметровые; 3) в присутствии  $\sim 10\%$  Cu и 7—10% Ni употребляют удвоенное (10 мл 0,2%-ного р-ра) кол-во нитрозо-Р-соли; 4) при отделении Cu и Ni (Малюга Д. П., Ж. аналит. химии, 1947, 2, 323) кипячение с  $\text{CH}_3\text{COONa}$  ведут  $\leq 5$  мин.; 5) при  $> 10\%$  Cu большую часть ее отделяют цементацией на Fe; 6) при большом содержании Ni употребляют меньшую аликвотную порцию р-ра ( $\leq 4$  мг Ni); 7) при  $\sim 50\%$  Mn перед нейтр-цией исходного кислого р-ра  $\text{NH}_4\text{OH}$  прибавляют 1 мл 2%-ного р-ра  $\text{NaNO}_2$  или  $\text{Na}_2\text{SO}_3$ ; 8) при соотношении  $\text{Cr}_2\text{O}_3 : \text{Co} > 300$  необходимо разделить Со и Cr путем окисления Cr (3+) до Cr (6+) сплавлением с  $\text{Na}_2\text{O}_2$ ; навеску 0,2 г сплавления 2 г  $\text{Na}_2\text{O}_2$  плав выщелачивают водой, кипятят 10—15 мин., разбавляют горячей водой до  $\sim 100$  мл. Осадок на фильтре промывают горячим 2%-ным р-ром  $\text{Na}_2\text{CO}_3$ , растворяют в 15 мл конц. HCl, р-р выпаривают досуха, приливают 5 мл  $\text{H}_2\text{SO}_4$  (1 : 1) и выпаривают до паров  $\text{SO}_3$ . Охлаждают, прибавляют 10—15 мл воды, нагревают, фильтруют и далее ведут определение обычным способом. Т. Левин

1242. Новый йодометрический метод определения кобальта, основанный на образовании йодпентаамминокобальта (3+) нитрата. Ялман (New iodometric determination of cobalt based on formation of iodo-

pentamminecobalt (III) nitrate. Yalman Richard G.), Analyt. Chem., 1956, 28, № 1, 91—93 (англ.)

Для определения Со (2+) предложена р-ция между Со и  $\text{J}_2$  в аммиачном р-ре  $\text{NH}_4\text{NO}_3$ , ведущая к образованию йодпентаамминокобальта (3+) нитрата (I). Конечную точку определяют потенциометрически. К 25 мл р-ра, содержащего 1—250 мг Со, добавляют 25 г  $\text{NH}_4\text{NO}_3$  и 25 мл р-ра  $\text{J}_2$  (6,3 г  $\text{J}_2$  и 25 г KJ в 1 л р-ра); избыток  $\text{J}_2$  должен составлять 10—50%. Перемешивают магнитной мешалкой до растворения  $\text{NH}_4\text{NO}_3$ , добавляют 5 мл конц.  $\text{NH}_4\text{OH}$  (кислые р-ры предварительно нейтрализуют 6 н.  $(\text{NH}_4)_2\text{CO}_3$ , добавляемым до прекращения выделения  $\text{CO}_2$ ). Полученный р-р (pH 9) не следует нагревать или охлаждать. Осаждение I заканчивается через 5 мин. с момента добавления  $\text{NH}_4\text{OH}$ . Набыток  $\text{J}_2$  определяют потенциометрич. титрованием 0,1 н. р-ром As (3+). Потенциал в конечной точке титрования составляет  $+ 0,27$  е (насыщ. к. э.). При определении 3—65 мг Со относительная погрешность изменяется в интервале от  $- 0,60$  до  $- 20\%$ . При визуальной оценке конечной точки и употреблении в качестве индикатора крахмала относительная погрешность увеличивается (до  $- 1,16\%$ ). Присутствие  $\text{O}_2$  не мешает. Присутствие Cu, Zn, Cd и Ni не мешает, но при наличии Cu титрование в присутствии крахмала невозможно. Cr, Bi, Sn, Al и Fe маскируют тартратом. Mn следует удалять в форме  $\text{MnO}_2$ . Т. Левин 1243. Открытие углерода методом капельного анализа. Фейгль, Гольдштейн (Nachweis von Kohlenstoff in der Tüpfelanalyse. Feigl F., Goldstein D.), Mikrochim. acta, 1956, № 7-8, 1317—1321 (нем.; рез. англ., франц.)

Твердую пробу спекают с  $\text{KJO}_3$  или  $\text{MoO}_3$ , которые в присутствии С являются хорошими окислителями при сравнительно низких т-рах. Открытие образовавшихся KJ или  $\text{Mo}_2\text{O}_3$  свидетельствует о присутствии С. Чувствительность соответствует 0,5—8  $\gamma$  С. При окислении  $\text{KJO}_3$  в микропробирку помещают немного твердой пробы,  $\text{KJO}_3$  ( $\sim 0,05$  г), смачивают 1—2 каплями воды и высушивают. Сверху насыпают еще немного  $\text{KJO}_3$  и 5 мин. нагревают при 300—400°. По охлаждению добавляют каплю р-ра крахмала и каплю  $\text{H}_2\text{SO}_4$  (1 : 1). Появление синей окраски указывает на присутствие С. При окислении  $\text{MoO}_3$  в пробирку на тугоплавкого стекла (75 $\times$ 7 мм) помещают твердую пробу (или высушивают каплю р-ра) и заполняют до половины измельченным  $\text{MoO}_3$ . Удаляют насосом воздух, и закрытую пробирку в наклонном положении нагревают 1—2 мин. на бунзеновской горелке (сначала верхнюю часть, затем нижнюю). Появление синей окраски в месте соприкосновения пробы с  $\text{MoO}_3$  свидетельствует о присутствии С. Н. Гершева

1244. Быстрое определение малых количеств углерода в стали. Икенно, Камимори, Аmano (鋼中の微量炭素迅速定量方法. 池上卓郎, 神森大彦, 天明明), 鐵と鋼, Tetsu to hanagan, J. Iron and Steel Inst. Japan, 1954, 40, № 9, 958—960 (япон.)

1245. Колориметрическое определение кремния в сталях с применением ионного обмена. Дегтярев Я. А., Ошановский В. В., Науч. зап. Львовск. политехн. ин-та, 1956, вып. 22, 107—110 К 0,1 г стали прибавляют 7 мл  $\text{HNO}_3$  (1 : 1), 7 мл HCl (1 : 1) и подогревают, р-р переводят в мерную колбу емк. 250 мл, доливают водой до метки, перемешивают и дают некоторое время отстояться или часть р-ра фильтруют в сухой стакан. 5 или 10 мл р-ра пропускают через колонку с катионитом со скоростью 2—3 мл/мин. Колонку промывают 25 мл воды порциями по 5 мл. Длительность фильтрования и промывания не превышает 5—7 мин. Фильтрат и промывные воды собирают в мерную колбу емк. 50 мл, прибавляют 1 мл

5 н.  $\text{H}_2\text{SO}_4$  и 3 мл 5%-ного р-ра молибдата аммония. Полученный р-р перемешивают и оставляют стоять 10 мин. Затем в колбу добавляют отдельными порциями 4 мл 8 н.  $\text{H}_2\text{SO}_4$ , перемешивают и по каплям добавляют 3 мл 0,5%-ного р-ра  $\text{SnCl}_2$ . Доводят объем до метки, перемешивают и через 5 мин. измеряют интенсивность окраски в колориметре погружения. Стандартный р-р готовится растворением навески  $\text{Na}_2\text{SiF}_6$ . При фильтровании кислых р-ров, стальных, содержащих небольшие кол-ва Si, кремнекислота не адсорбируется на катионитах СБС, эспатит I и вюфатит II. В. Сазанова

**1246.** Титриметрическое определение кремневой кислоты в цементе. Зимний (Miareczkowe oznaczenie kwasu krzemowego w cementcie. Z u m n y E.), Cement. Wapno. Gips, 1956, 12, № 6, 152—153 (польск.).

См. РЖХим, 1956, 1154.

**1247.** Применение азотометрии. IV. Определение азотистой кислоты. Ямагиси, Йокоо (アゾトメトリーへの應用. 第4報. 亜硝酸の定量. 山岸正治, 横尾亮), 薬學雜誌, Якугаку дзасси, J. Pharm. Soc. Japan, 1954, 74, № 9, 957—958 (япон.; рез. англ.)

Микроопределение  $\text{HNO}_2$  (20—300  $\gamma$ ) с успехом осуществлено азотометрич. способом по объему выделяющегося  $\text{N}_2$  при взаимодействии сульфамината аммония и  $\text{HNO}_2$ . При анализе технич.  $\text{KNO}_3$  азотометрич. и перманганатным методами получены совпадающие результаты. Сообщение III, РЖХимБх, 1957, № 1.

Т. Левина

**1248.** Улучшение метода Деварда для определения нитратного азота. Льюэе, Дальбер, Траншан (Amélioration de la méthode Devarda pour le dosage de l'azote nitrique. Liogier Henri, Dalbert René, Tranchant Jean), Mém. poudres, 1955, 37, 433—438 (франц.)

Для некоторого сокращения стадий восстановления сплавом Деварда и перегонки применен аппарат Фрея (РЖХим, 1954, 50225) с некоторыми видоизменениями (перегонный аппарат заканчивается трубкой, погруженной в р-р  $\text{H}_2\text{SO}_4$  в конич. колбе, холодильник удлинен для лучшей конденсации паров). Произведено сравнительное определение N в  $\text{KNO}_3$  и в нитроцеллюлозе в видоизмененном аппарате Фрея и в классич. аппарате. Установлено, что  $\text{KNO}_3$  легче восстановить, чем нитраты, полученные омылением сложных нитроэфиров (время перегонки при анализе  $\text{KNO}_3$  15 мин.). Метод Фрея в применении к нитроцеллюлозе не обеспечивает полного ее восстановления за то же время перегонки (необходимо 30 мин.). Присутствие ацетона значительно замедляет перегонку и для метода с использованием ацетона аппарат Фрея неприменим. Т-ра 120° на выходе колонки недостаточна для устранения конденсации  $\text{NH}_3$ ; при т-ре 130° повреждается соединительная каучуковая трубка. Хорошие результаты получены при работе с взрывчатыми в-вами: время перегонки сокращается до 40 мин. по сравнению с 2 час. 30 мин. — 2 час. 45 мин. при методе Деварда.

М. Пасманик

**1249.** Сульфат гидразина как реактив в объемном анализе (гидразинометрия). VI. Новое объемное определение нитритов, применимое для контроля лекарственных средств. Маркова, Зыка (Siran hydrazina jako odměrný činidlo (hydrazinometrie). VI. Nový odměrný stanovení dusitanu vhodný pro kontrolu léčiv. Marxová Irena, Zýka Jaroslav), Českosl. farmac., 1956, 5, № 4, 218—221 (чеш.; рез. русс., англ., нем.)

Определение нитритов основано на р-ции  $\text{N}_2\text{H}_4 + 2\text{HNO}_2 = \text{N}_2 + \text{N}_2\text{O} + 3\text{H}_2\text{O}$ , проходящей количественно в кислом р-ре (5—10%  $\text{HCl}$ ). 3,00—5,00 мл 0,005 M сульфата гидразина разбавляют ~ 10%-ной

соляной к-той до ~ 30 мл и титруют потенциометрически ~ 0,01 M р-ром исследуемого нитрита. В эквивалентной точке наблюдается значительное изменение потенциала (~ 300 мВ). Таким образом можно точно и быстро определить  $\text{NaNO}_2$  в смесях с  $\text{KBr}$ , теофилином, теобромином, кофеином, барбиталом, фенобарбиталом, салицилатом Na, бензоатом Na, хлористоводородным папаверином и экстрактом белладонны. Сообщение V см. РЖХим, 1956, 19585. Н. Туркевич

**1250.** Сравнительное изучение фотометрических методов определения фосфора. Изыскание высокочувствительного метода для определения органического фосфора после хроматографирования. Дельсаль, Манхури (Étude comparative des dosages colorimétriques du phosphore. Recherche d'une méthode de haute sensibilité applicable au dosage du phosphore organique dans les spots après chromatographie. Delsal J.-L., Manhourri H.), Bull. Soc. chim. biol., 1955, 37, № 9-10, 1041—1054 (франц.)

Изучены различные фотометрич. методы и влияние следующих факторов на их чувствительность: нагревания, экстракции органич. р-рителями, длины волны, а также восстановителей (гидрохинон, аминаонафтол-сульфокислоты,  $\text{SnCl}_2$ , хлоридат гидразина,  $\text{FeSO}_4$  и аскорбиновая к-та). Если устройство спектрофотометра позволяет производить отсчеты при  $\leq 700$  мμ, то методом Беренблума (Berenblum I., Chain E., Biochem J., 1938, 32, 286—295) можно определить 1—10  $\gamma$  P при 635 мμ. Для определения 0,5—4  $\gamma$  P применяют упрощенный метод с  $\text{SnCl}_2$ , экстрагируют миним. кол-вом  $\text{n-C}_4\text{H}_9\text{OH}$  и производят отсчеты при 700 мμ. Если устройство спектрофотометра позволяет производить отсчеты при 400—900 мμ, определение ведут по видоизмененному методу Хорекера (Horecker B. L., J. Biol. Chem., 1940, 136, 775): после нагревания экстрагируют миним. объемом  $\text{n-C}_4\text{H}_9\text{OH}$ . Для определения 0,5—4  $\gamma$  P отсчеты производят при 800 мμ. Метод рекомендуется для определения отношения холестерина: фосфатиды в липопroteидах (после электрофореза на бумаге) и для определения фосфатидов в сыворотке крови. В. Мунтерс

**1251.** Спектральное определение фосфора в стали.

Кремпл, Бертрам (Di spektroskopische Bestimmung des Phosphors im Stahl. Krempel Hans, Bertram Fritz), Arch. Eisenhüttenwesen, 1956, 27, № 5, 303—309 (нем.)

Спектр возбуждают генератором низковольтной искры с электронным управлением при емкости 6 мкФ, индуктивности 150 мкГ и напряжении 1 кВ. Линии 2554, 3175, 4019 и 4057 Å имеют хорошую концентрационную чувствительность; из них РII 3175 Å наиболее подходит для анализа. Из-за больших колебаний в содержании Fe в стали в качестве внутреннего стандарта взят фон. Спектры фотографируют на спектрографе Q-24 при промежуточной диафрагме 0,5 и щели 0,015 мм. Оба электрода берут в виде закругленных полированных на концах стержней из анализируемой пробы. Искровой промежуток 4 мм, обсыкивание 30 сек., экспозиция 180 сек. Приводятся градуировочные графики в интервале конц-ий 0,01—0,86% P для линий PI 2554 и PII 3175 Å. Применяют также фотоэлектрич. регистрацию спектров при измерении интенсивности неразложенного света, отраженного от грани призмы. Ошибка одного определения  $\pm 3\%$ .

А. Штейнберг

**1252.** Доля усвояемой фосфорной кислоты и сельскохозяйственная ценность гранитных почв. Бланше (Taux d'acide phosphorique utilisable et valeur culturale de sols granitiques. Blanchet Robert), Compt. rend. Acad. agric. France, 1955, 41, № 17, 745—750 (франц.)

Сравнены различные методы определения усвояемого  $P_2O_5$ ; показано, что для кислых гранитных почв, бедных  $P_2O_5$ , результаты, полученные методами Шаминана и Моргана — Барбье, лучше всего отображают сельскохозяйственную ценность данных почв. При употреблении метода Моргана — Барбье рекомендуется для получения сравнимых результатов вести перемешивание строго определенное время. При использовании метода, основанного на экстракции лимонной к-той, результаты определения  $P_2O_5$  превышают кол-во  $P_2O_5$ , усвояемые растениями; при экстракции р-ром  $H_2C_2O_4$  извлекаются малоактивные фосфаты.  $P_2O_5$ , внесенный в указанные почвы с удобрениями, сохраняет активность при предварительном доведении pH почвы до  $\sim 7$ . Т. Левин

1253. Идентификация озона в атмосфере Лос-Анжелоса. Литман, Марыновский (Identification of ozone in the Los Angeles atmosphere. Littman Fred E., Marynowski C. W.), *Analyt. Chem.*, 1956, 28, № 5, 819—825 (англ.)

Для концентрирования атмосферного  $O_3$  употребляли силикагель ( $\sim 100$  мл), находящийся в трубке, охлаждаемой жидким кислородом. Воздух (просасываемый 45 мин. со скоростью 5 л/мин) предварительно пропускали через ловушку для вымораживания со спиралью из нержавеющей стали или боросиликатного стекла и затем через фильтр Миллипора. Десорбированный  $O_3$  вытесняли током  $O_2$  (5 л/мин), и  $O_3$  идентифицировали по спектру поглощения в УФ-области. Для спектроскопии пользовались спектрографом ARL (1,5 м), модифицированным для установки кюветы длиной 50 см. В качестве источника УФ-света употребляли Н-лампу Бекмана. Полученный спектр сравнивали со спектрами искусств. смесей  $O_3$  с  $O_2$ . Выделенное кол-во  $O_3$  соответствовало 30—45% (из расчета на общее кол-во окислителей). Т. Левин

1254. Об определении содержания водорода и кислорода в стали методом вакуум-плавки Матоба, Манти (真空加熱法および真空熔融法による鋼中水素、酸素の定量について、的場幸雄、萬谷志郎), *分析化学*, Бунсэки кагаку, Japan Analyst, 1956, 5, № 3, 171—188 (япон.)

Обзор. Библ. 138 назв. Ф. С.  
1255. Определение содержания сернистого газа в воздухе полумокрым микроаналитическим методом. Нейдзака, Нагано, Хамада (半湿式亜硫酸ガス小型測定法. 石坂晋治、永納秀男、浜田善樹), *名古屋市立大学薬学部紀要*, Nagoya-sirindyu дайгаку якугаку-бу кие, Bull. Nagoya Univ., Pharm. School., 1954, № 2, 31—32 (япон.)

Метод основан на р-ции  $H_2SO_3$  с  $KMnO_4$ . Ф. С.

1256. Определение микрограммовых количеств фторидов. IV. Применение комплекса алюминия с эриохромцианином. Макналти, Хантер, Барретт (The determination of microgram quantities of fluoride. IV. The use of the aluminium-eriochromcyanin complex. Macnulty B. J., Hunter G. J., Barrett D. G.), *Analyt. chim. acta*, 1956, 14, № 4, 368—380 (англ.; рез. нем., франц.)  
Эриохромцианин R (I) устойчив при pH 2, но при pH 4,0—6,5 максимум поглощения смещается от 4800 до 5200 Å и поглощение падает во времени. Комплекс I и Al неограниченно устойчив при pH 4,2—7,0; максимум поглощения его лежит при 5350 Å. Окраска комплекса медленно ослабевает при введении F<sup>-</sup> при комнатной t-ре; при 60° процесс заканчивается за 15 мин. Методика определения: к нейтр. р-ру прибавляют 2 мл буферного р-ра (32 г  $NH_4Cl$  + 25 мл лед.  $CH_3COOH$  +  $+ NH_4OH$  до pH 4,5; разбавляют до 300 мл) и 15 мл стандартного р-ра комплекса (последовательно вводят в 450 мл воды 13,4 г  $NH_4Cl$ , 1 мл лед.  $CH_3COOH$ , 20 мл 0,25%-ного р-ра I в 0,1 M HCl, 10 мл р-ра  $Al^{3+}$

в конц-ии 111 γ/мл Al и прибавляют 1,8 M  $NH_4OH$  до достижения pH 4,5 по pH-метру; доводят до 500 мл, вводят кристалл тимол и выдерживают 2—3 дня), доводят до объема 50 мл, нагревают в горячей воде 15 мин. при 60°, охлаждают до комнатной t-ры и фотометрируют при 5350 Å в ячейке на 1 см. Падение поглощения по сравнению с пустой пробой сопоставляется с калибровочной кривой, построенной по р-рам, содержащим 0, 4, 8, 12, 16 и 20 γ F<sup>-</sup>. Метод позволяет открыть до 0,02 γ/мл F и определить 0—20 γ F с точностью до 0,6 γ. Определению мешают те же ионы, что и при определении F с помощью Al-гематоксилинового комплекса (РЖХим, 1953, 9144), при необходимости F сперва отгоняется в виде  $H_2SiF_6$ . Обсужден механизм р-ции. Часть III см. РЖХим, 1955, 5827. Н. Рысс

1257. Применение обменных реакций осаждения в аналитической химии. II. Определение ионов хлора. Эрден, Баньян (Anwendung von Fällungsaustauschreaktionen in der analytischen Chemie. II. Bestimmung von Chloridionen. Erdelyi L., Bánffy E.), *Acta chim. Acad. sci. hung.*, 1956, 8, № 4, 395—408 (нем.; рез. русс., англ.)

Метод основан на титровании анионов, вытесняемых ионами  $Cl^-$  из суспензий  $Hg_2(JO_3)_2$  (I),  $AgJO_3$  (II),  $Hg_2C_2O_4$  (III),  $Ag_2CrO_4$  (IV) или  $Ag_2C_2O_4$  (V). I—V готовились обменным разложением соответствующих нитратов с небольшим избытком  $K_2CrO_4$ ,  $Na_2C_2O_4$  или  $KJO_3$  при 70—80° с последующим промыванием осадков водой до достижения постоянной конц-ии хромата, оксалата или йодата в насыщ. осадком промывной жидкости. Для определения  $Cl^-$ , нейтрализованный анализируемый р-р энергично взбалтывают с избытком суспензии I, II, III, IV или V, добавляют для ускорения коагуляции  $AgCl$  1 мл 20%-ного или 2%-ного р-ра  $KNO_3$  в случаях анализа соответственно 0,1 н. или 0,01 н. р-ра, разбавляют до 50 мл, водой, фильтруют, отбрасывая первые порции фильтрата, а затем собирают 25 мл и определяют  $JO_3^-$ ,  $CrO_4^{2-}$  йодометрически,

$C_2O_4^{2-}$  — перманганатометрически. Результаты титрования р-ров  $Cl^-$  различных конц-ий и различных значений pH хорошо согласуются с теоретич. расчетами. Нижняя граница конц-ии  $Cl^-$ , при которой ошибка определения не превышает 1%, составляет при использовании III, IV и V 29 ммоль/л, при использовании I и II соответственно 1 и 2 ммоль/л. Границы pH, в которых III, IV, V, I и II еще могут быть использованы для определения  $Cl^-$ , составляют соответственно 1—7; 4,5—7; 2—7; 0—7; 1—7. Наиболее пригодны из перечисленных солей I и II, так как их применение обеспечивает 6-кратное возрастание титра. I особенно пригоден для анализа сильноокислых р-ров. Для анализа более конц. р-ров  $Cl^-$  можно использовать III, IV и V. Экспериментально найденные значения произведений растворимости (IIP) I—V составляют соответственно  $2,08 \cdot 10^{-7}$ ;  $4,04 \cdot 10^{-2}$ ;  $3,54 \cdot 10^{-3}$ ;  $4,12 \cdot 10^{-8}$  и  $1,35 \cdot 10^{-2}$ . Указанные значения IIP для I и II на несколько порядков величины превосходят опубликованные данные. Сообщение I см. РЖХим, 1956, 78375. Н. Полянский

1258. Определение концентрации хлоридов и бромидов методом хронометрического титрования. Никитин Е. К., Пономарева Е. Н., Тр. Комис. по аналит. химии АН СССР, 1956, 7 (10), 234—245  
Особенность метода хронометрия титрования заключается в установлении начального момента р-ции, фиксируемого секундомером при падении 1 капли р-ра сульфита в пробирку с анализируемым р-ром и момента, называемого концом периода индукции, устанавливаемого по внезапному окрашиванию крахмала за счет  $I_2$ , выделяющегося после окисления всего  $SO_3^{2-}$ . Для определения конц-ии  $Br^-$  смешивают 5 мл 0,001 M



$K_2S_2O_8$  с 5 мл анализируемого р-ра и 1 мл 0,5%-ного р-ра крахмала. 1 мл смеси титруют в пробирке 1 каплей из бюретки, заполненной смесью равных объемов 0,1 М  $H_2SO_4$  и 0,2 М  $KJO_3$ . При определении  $Cl^-$  конц-ию  $KJO_3$  уменьшают в 10 раз, а конц-ию к-ты увеличивают в 20—25 раз. Кран бюретки остается во время титрования открытым настолько, чтобы за 1 мин. вытекало 3—4 капли. Для устранения влияния индикатора на скорость р-ции контрольный р-р готовят без индикатора. К 10 мл 0,1 н.  $HCl$  прибавляют такой же объем 0,1 н.  $KOH$  или  $NaOH$ , какой был израсходован при предварительном титровании ее с фенолфталеином. Смесь разбавляют до 100 мл. Контрольный р-р  $Br^-$  готовят аналогично или растворением точной навески чистой соли. Конц-ию  $Cl^-$  вычисляют по ф-ле  $c_x = c[t_c(t_0 - t_x)]/[t_x(t_0 - t_c)]$ , где  $c_x$  и  $c$  — конц-ия исследуемого и контрольного р-ров;  $t_x$  и  $t_c$  — периоды индукции тех же р-ров;  $t_0$  — то же для контрольной пробы. Погрешность определения  $Cl^-$  не более  $\pm 2,6\%$ .

Б. Товбин

**1259. Электрометрическое определение подиов методом поляризации одного из электродов.** Михальский, Жук-Кунашевская (Elektrometryczne oznaczanie jodków metoda polaryzacji jednej z elektrod. Michalski E., Żuk-Kunaszewska M. Łódź, LTN, 1944, 18 s., 2,50 zł) (польск.)

Для титрования применяют прибор, состоящий из двух сосудов: одного с р-ром  $KJ$  и другого с насыщ. р-ром  $Hg_2(NO_3)_2$ . Сосуды соединены электролитич. мостиком, наполненным р-ром  $KNO_3$ . В р-ры погружены  $Pt$ -электроды, соединенные с гальванометром, к торый включают при титровании только на краткое время для наблюдения за его показанием. Электрод, погруженный в р-р  $KJ$ , представляющий анод, деполяризуется во время титрования. После достижения точки равновесия следует резкое понижение конц-ии ионов  $J^-$ , что вызывает поляризацию анода и прекращает ток. Под конец титрования гальванометр может быть включен постоянно (когда его показания приближаются к нулю). Средняя ошибка определения  $1/10$ ,  $1/50$ ,  $1/100$  и  $1/250$  п. р-ров  $KJ$  составляет  $\sim 0,05\%$ ; в присутствии хлоридов  $\sim 0,2\%$ , при наличии  $Br^-$   $\sim 1\%$ .

Aleksy Jagielski

**1260. Обнаружение металлических ядов при помощи органических реагентов.** Цепелевич, Кожбицкий (Wykrywanie trucizn metalicznych odczynnikami organicznymi. Cepelawicz Sabina, Kozbiński Roman), Acta polon. pharm., 1956, 13, № 3, 213—218 (польск.; реэ. русс., англ.)

Для обнаружения металлич. ядов в судебно-химическом анализе пробу минерализуют нагреванием с  $HCl$  в присутствии  $KClO_3$ , из полученного р-ра удаляют хлор 10-минутным пропусканием воздуха и выявляют наличие металлов непосредственным действием органич. реагентов.  $Hg$  выявляют по сине-фиолетовому окрашиванию, которое образуется после добавления к 1 мл исследуемого р-ра 2—3 капли спирт. р-ра дифенилкарбазона (0,1 г в 10 мл 95%-ного спирта). Ионы  $Bi$ ,  $Cu$ ,  $Zn$  и  $As$  не мешают р-ции. Для обнаружения  $Bi$  к 1 мл р-ра добавляют 2—3 капли кислого р-ра хлористоводородного динохина (I), содержащего  $KJ$  (0,1 г в 1 мл растворяют в 10 мл воды и добавляют 5 капель 10%-ного р-ра  $HNO_3$  и 1 мл 10%-ного р-ра  $KJ$ ). Оранжевый осадок получается еще при разбавлении 1 : 200 000.  $Bi$  можно также обнаружить по выпадению светло-фиолетового осадка при добавлении к 1 мл исследуемого р-ра 5—6 капель 0,2%-ного спирт. р-ра метилового красного, а затем 5—6 капель 5%-ного водн. р-ра хлорамина. Предельная конц-ия 1 : 4000. Для обнаружения  $Cu$  к 1 мл исследуемого р-ра добавляют

2—3 капли 5%-ного спирт. р-ра купрона и несколько капель аммиака (выпадает зеленый осадок). Можно также к 1 мл точно нейтрализованного р-ра добавить 4—5 капель 5%-ного р-ра 8-оксихинолина в 10%-ной  $CH_3COOH$  и 4—5 капель 25%-ного р-ра  $KCN$  (образуется красное окрашивание). Ионы  $Bi$ ,  $Hg$ ,  $Zn$  и  $As$  не мешают р-ции.

Н. Туркевич

**1261. Применение фотометрии при флотации, при отделении руд мокрым путем и при определении ценных металлов.** Живанович (Primena fotometrije i flotaciji, u mokrom separiranju ruda i u analizama plemenitih metala. Živanović Dušan), Tehnika, 1956, 11, № 7, 1010—1017 (хорв., реэ. нем.)

Для определения  $Cu$  в породах, рудах и флотационных концентратах используют фотометрич. метод, основанный на растворении пробы в смеси  $H_2SO_4$  и  $HNO_3$ , испарении р-ра досуха, растворении остатка в воде, добавлении аммиака и фотометрировании при длине волны 7200 Å. Свинец определяют фотометрически при 4200 Å прибавлением  $Na_2S$  в присутствии ацетатного буферного р-ра pH 4,6 и р-ра желатин. Для определения  $W$  в рудах его переводят сначала в  $Na_2WO_4$  и после прибавления  $NH_4SCN$  и  $SnCl_2$  фотометрируют при 4200 Å.

Н. Туркевич

**1262. Некоторые усовершенствования в области ускоренного анализа железа и стали.** Маэкава, Кикутти, Комацу, Като (鐵鋼分析の迅速化に關する一、二の改良. 前川静潮, 菊地安藏, 小松文彦, 加藤清敏), 鐵と鋼, Тэйто хаганэ, J. Iron and Steel Inst. Japan, 1954, 40, № 9, 963—965 (япон.)

**1263. Быстрое определение некоторых элементов в углеродистой стали.** Сато, Йосикава, Мацумото (炭素鋼の系統的迅速分析法に就て. 佐藤武彦, 吉川貞治, 松本俊郎), 鐵と鋼, Тэйто хаганэ, J. Iron and Steel Inst. Japan, 1954, 40, № 9, 962—963 (япон.)

Описываются методы определения  $Si$ ,  $Mn$ ,  $P$ ,  $Cu$ ,  $Ni$ ,  $Cr$  и  $Mo$  в углеродистой стали.

Ф. С.

**1264. Спектральный анализ титана и его сплавов на азот, водород и кислород.** Свентицкий Н. С., Сухенко К. А., Галонов П. П., Фалькова О. Б., Алнатов М. С., Таганов К. И., Завод. лаборатория, 1956, 22, № 6, 668—673

Описано определение  $N$ ,  $O$  и  $H$  в сплавах  $Ti$ , а также  $H$  в порошкообразном  $Ti$ . Съемки производили на спектрографе ИСП-51 (с камерой  $f = 270$  мм в случае  $N$  и  $O$  и с камерой УФ85  $f = 1300$  мм в случае  $H$ ); употребляли спектральные пластинки тип III ( $N$  и  $O$ ) и пленку панхром 250 ед. ГОСТ (H). В качестве источников возбуждения испытывали низковольтную конденсированную искру и единичные импульсы высоковольтного и низковольтного разрядов конденсаторов. Для  $N$  лучшие результаты получены с первым источником, для  $O$  и  $H$  — с третьим.  $N$  и  $O$  определяли в атмосфере чистого  $He$  (700 и 500 мм рт. ст. соответственно), а  $H$  — на воздухе. Эталоны служили литые образцы  $Ti$ , проанализированные на  $N$  химически, а на  $O$  и  $H$  методом горячей экстракции. Ширина щели 0,015 мм ( $N$ ), 0,02 мм ( $O$ ) и 0,07 мм ( $H$ ). Экспозиция в случае  $N$  1 сек. Аналитич. пары для  $N$  —  $N II 3994$ , 995/ $Ti I 3889$ , 954А и  $Ti I 3998$ , 640 А. При анализе на  $O$  сравнивали интенсивности линий  $O II 4705$ , 32 и  $O II 4596$ , 13А и фона. В случае  $H$  измеряли почернение линии  $H 6563$  Å. Погрешность определения  $N \pm 25\%$ ,  $O \pm 20$ —40% (по мере повышения энергии разряда интенсивность линий  $O$  сначала растет, а затем начинает падать),  $H$  — для прогретых образцов  $\pm 8,8\%$ , для непрогретых  $\pm 15,5\%$ . Для определения  $H$  в порошкообразном  $Ti$  применяли брикетированные элект-

троды. Эталонные брикеты готовили из порошков гидрида Ti и Cu. Погрешность  $\pm 10-13\%$ . А. Штейнберг 1265.

**Анализ специальных видов керамического сырья. I. Анализ окисей титана. Плодек** (Rozbor zvláštních keramických surovin. I. Rozbor kyslíčnicku titaničitého. Ploдек Ladislav), Sklár a keramik, 1956, 6, № 5, 112—114 (польск.)

Определение  $TiO_2$  производят методом с применением Zn-амальгамы; определение примеси  $Fe_2O_3$  — с помощью HF и  $H_2SO_4$ ;  $Sb_2O_3$  определяют с помощью  $TiCl_3$  в смеси  $H_2SO_4$  и  $(NH_4)_2SO_4$ ;  $SO_2$  и  $P_2O_5$  — новыми комплексометрич. методами. Е. Стефановский 1266.

**Фотометрическое определение алюминия, железа и титана в цементах. Вальраф** (Kolorimetrische Bestimmung von Aluminium, Eisen und Titan in Zementen. Wallraf Maria), Zement-Kalk-Gips, 1956, 9, № 5, 186—194 (нем.; рез. англ., франц.) Описаны фотометрич. методы, пригодные для определения  $Al_2O_3$ ,  $Fe_2O_3$  и  $TiO_2$  в цементе. Для анализа употребляют солянокислый фильтрат после отделения  $SiO_2$ . Метод определения Al основан на образовании с эриохромцианином при pH 3,8 в ацетатном буферном р-ре (I) при маскировке Fe и Mn тиагогликолевой к-той водорастворимого красно-фиолетового соединения с  $\lambda$  (макс.) 530 м $\mu$ . Fe (3+) с сульфосалициловой к-той, при pH 3—4 в среде I, образует красное водорастворимое соединение с  $\lambda$  (макс.) 495 м $\mu$ , а в щел. р-ре — желтое окрашенное соединение с  $\lambda$  (макс.) 424 м $\mu$ . Ti с сульфосалициловой к-той в среде I при pH 3—5 образует желтое водорастворимое соединение с  $\lambda$  (макс.) 340 м $\mu$ . Все определения, точность которых не уступает таковой стандартного метода, продолжают 60 мин.

**1267. К вопросу определения церуцита в рудах и породах. Овнич** (Doprinos k došodovanju ceruzita v rudah in jalovinah. Ovnič Valentin), Kemijska u industriji, 1956, 45, № 5, 96—98 (хорв.; рез. нем.)

Минерал или породу измельчают до величины зерна  $< 0,06$  мм и высушивают при  $110^\circ$ . Из 0,5—2,5 г пробы экстрагируют церуст кипятильником с 200 мл р-ра ацетата аммония с pH 5—5,5 (120 мл  $NH_4OH$ , уд. в. 0,91, 170 мл воды и 175 мл 80%-ной уксусной к-ты) в течение 1 часа. Смесь охлаждают до  $20^\circ$ , дополняют водой до 500 мл и фильтруют через двойной сухой фильтр. В 100 мл фильтрата определяют Pb электролитически ( $70^\circ$ , 1,5 а, 20 мин. после подкисления серной к-той).

**1268. Методика определения гидролитической кислотности. Рошик** (Metodyka oznaczania kwasowości hydrolytycznej. Roszyk Eligiusz), Roczn. nauk rolniczych, 1955, A 71, № 2, 310—314 (польск.)

Произведены сравнительные исследования двух модификаций метода Канпена для определения гидролитич. кислотности почвы, основанного на встрихивании в течение часа 100 г воздушно-сухой почвы с 250 мл 1 н.  $Ca(CH_3COO)_2$  с последующим титрованием фильтрата 0,1 н. NaOH по фенолфталеину. Согласно одной из этих модификаций (Петербургский, Практикум по агрохимии. М., 1952, стр. 145), достаточно 40 г почвы и 100 мл  $Ca(CH_3COO)_2$ ; согласно другой, возможна замена р-ра  $Ca(CH_3COO)_2$  р-ром  $CH_3COONa$ . Исследования проведены с четырьмя видами почв: песчаной, песчано-глинистой, глинисто-песчаной и глинистой. Установлено, что как исходный метод, так и его модификации дают примерно одинаковые результаты. Полное исследование метода, основанного на электрометрич. титровании, показало, что этот метод дает более высокие результаты.

**1269 К. Анализ легких металлов. Изд. 3-е расшир. и перераб. Гинсберг** (Leichtmetallanalyse. 3.

wes. verb. und neubearb. Aufl. Ginsberg Hans, Berlin, de Gruyter, 1955, XIX, 283 S., 28,80 DM) (нем.)

**1270 К. Микрохимическое определение минералов. Рост** (Mikrochemické určování nerostu. Rost Rudolf. Praha, SPN, 1956, 218 (1) s., 17, 20 Kcs.) (чеш.)

**См. также:** Полярография 47Бх. Хроматография 593; 840Бх. Технич. анализы 1902, 1954, 1956, 2343, 2886, 2888, 3120. Др. вопр. 380, 664, 672; 2390; 22Бх, 35Бх, 39Бх, 51Бх, 103Бх, 108—111Бх, 114Бх, 117Бх, 125—127Бх, 467Бх

## АНАЛИЗ ОРГАНИЧЕСКИХ ВЕЩЕСТВ

Редакторы А. И. Бусев, Ф. П. Судакое

**1271. Успехи количественного элементарного анализа. Сообщение I. Углерод, водород, кислород. Кайнц** (Zur neueren Entwicklung der quantitativen organischen Elementaranalyse. I. Kohlenstoff, Wasserstoff, Sauerstoff. Kainz G.), Österr. Chem.-Ztg., 1956, 57, № 15—16, 216—221 (нем.)

Обзор. Библ. 67 назв. А. Бусев  
**1272. Экспериментальные ошибки в микроанализе. Ито, Такахаси** (元素分析の實驗誤差について. 伊東保二, 高橋亂子),名古屋市立大学薬学部紀要, Нагой-сирицу дайгаку якугаку-бу кий, Bull. Nagoya Univ. Pharmas. School., 1954, № 2, 15—17 (япон.) Обсуждаются возможные эксперим. ошибки при микроаналитич. определении C, H и N в органич. соединениях. Ф. С.

**1273. Применение пятиокиси ванадия в микроаналитическом определении углерода и водорода. Судзэи** (五酸化バナジウムを用いる炭水素微量元素分析法. 廣岡脩二), 日本化学雑誌, Нихон кагаку засси, J. Chem. Soc. Japan. Pure Chem. Sec., 1954, 75, № 2, 236—237 (япон.)

**1274. Определение серы путем мокрого сжигания при помощи хлорной кислоты. Бетге** (Determination of sulfur by wet combustion with perchloric acid. Bethge Per Olof), Analyt. Chem., 1956, 28, № 1, 119—122 (англ.)

Затруднения, возникающие при определении S в пробах древесины и пульпы по методу Гроте и Крекелера (W. Grote, H. Krekeler, Angew. Chem. 1933, 46, 106), могут быть устранены путем применения мокрого сжигания с  $HClO_4$  и  $HNO_3$ . К пробе в колбе емк. 50 мл (А) добавляют через сборник для флегмы (СФ) 5 мл смеси к-т (40 мл  $HClO_4$ , уд. в. 1,69, + 60 мл  $HNO_3$ , уд. в. 1,40); верхний конец СФ соединяют с шариковым холодильником и газопровывателем, в последнем находится вода или 3%-ный р-р  $H_2O_2$ . Колбу А нагревают на микрогорелке до выделения нитрозных газов, через 5 мин. закрывают кран над колбой А и нагревание продолжают до тех пор, пока вся  $HNO_3$  не соберется в СФ. После окисления пробы и охлаждения аппарата жидкость из СФ спускают в колбу А и  $HNO_3$  отгоняют в СФ. В колбу А после охлаждения добавляют 8 мл НВг (уд. в. 1,49), нагревают до паров  $Brg$  и образующуюся  $H_2SO_4$  (присутствующую в колбе в смеси с  $HClO_4$ , продуктами разложения  $HClO_4$  и небольшим кол-вом  $HNO_3$ ) восстанавливают до  $H_2S$ . Для этого применяют описанный ранее метод (РЖХим, 1954, 29325); в колбу для титрования (Б) вводят 15 мл 5 М  $H_3PO_4$ , эвакуируют, в поглотительную склянку вводят 20 мл 3 н. NaOH. Колбу Б соединяют с аппаратом; в колбу А добавляют 7 мл восстановительной смеси (160 мл HJ, уд. в. 1,60 + 45 мл 50%-ной  $H_2PO_3$  +

+160 мл HCl, уд. в. 1,19, кипятят 1 час в атмосфере  $N_2$  или  $CO_2$ , присоединяют ее к аппарату, и содержащее колбы А кипятят 15 мин. в атмосфере  $N_2$ .  $H_2S$  поглощается р-ром NaOH; в поглотитель через холодильник вводят 15 мл  $\sim 0,01$  н. р-ра  $J_2$ , 1 мин. встряхивают и оттитровывают избыток  $J_2$  0,01 н. р-ром  $Na_2S_2O_3$  в присутствии крахмала. Кол-во S (в %) вычисляют по ф-ле  $x = 1603 (b - a) n/w$ , где  $b$  и  $a$  — соответственно кол-во р-ра  $Na_2S_2O_3$ , расходуемого на титрование 15 мл р-ра  $J_2$  при опыте,  $n$  — нормальность р-ра  $Na_2S_2O_3$ ,  $w$  — навеска (в мг). Т. Леви

**1275.** О полумикроопределении гетероциклически связанной серы в серусодержащих органических соединениях. Каньян, Каньян (Sur le semi-microdosage du soufre hétérocyclique dans les composés organiques soufrés. Cagniant Denise, m-me, Cagniant Paul), Bull. Soc. chim. France, 1956, № 5, 765—768 (франц.)

Ранее описанный метод (Elek A., Hill D. W., J. Amer. Chem. Soc., 1933, 55, 3479) использован для колич. окисления серусодержащих соединений с последующим полумикроопределением сульфата бензидина (Friedrich A. La pratique de la microanalyse organique quantitative, Paris, Dunod, 1939, 203). Для минерализации в микробомбу вносили 25 мг глюкозы, 200 мг порошкообразного  $KNO_3$ , 15—30 мг образца и 1,5 г  $Na_2O_2$ . После сжигания и охлаждения содержимое бомбы переносили в фарфоровый тигель с  $\sim 25$  мл воды. Р-р и промывные воды переносили в колбу с 2,8 мл конц. HCl и 2 каплями р-ра бромфенолового синего и разбавляли до 100 мл промывной водой из тигля. 25 мл полученного р-ра выпаривали на водяной бане до суха, по охлаждению приливали по каплям (при размешивании) 20 мл р-ра хлоргидрата бензидина, и через 20 мин. фильтровали; осадок на фильтре промывали водой, спиртом, 1 мл спирт. р-ра  $AgNO_3$  и спиртом. В стакан с 25 мл воды, 2—3 каплями смешанного индикатора (метилловый красный, метилловый голубой) добавляли 2—3 капли 0,02 н. к-ты и 0,02 н. р-р щелочи до перехода окраски индикатора в зеленую, выносили фильтр с осадком и после кипячения титровали 0,02 н. р-ром щелочи до устойчивой зеленой окраски. В аналогичных условиях проводили контрольный опыт. Погрешность метода 0,62%. Метод применим для анализа галоидопроизводных гетероциклич. соединений, содержащих серу. Т. Лунина

**1276.** Анализ кремнийорганических соединений. Сообщение 17. Качественный анализ технических алкоксидов и ароксисиланов. Крешков А. П., Шемятенкова В. Т. Сообщение 18. Фотоколориметрический метод определения кремния в силикатах, полученных на основе кремнийорганических соединений. Крешков А. П., Глудина Н. И. Тр. Моск. хим.-технол. ин-та, 1954, № 18, 67—72; 73—76

**17.** Для открытия ароксисиланов использована р-ция перэтерификации, происходящая по ур-нию  $(C_6H_5O)_4Si + 4C_2H_5OH \rightleftharpoons (C_2H_5O)_4Si + 4C_6H_5OH$ . 5—40 мг феноксисилана (I) нагревают с 1—2 мл  $C_2H_5OH$  10—15 мин. на водяной бане; продукт перэтерификации I реагирует с медно-аммиачным комплексом (II),  $HNO_3$ , бромной водой (III), конц.  $NH_4OH$  в присутствии III или  $Ca(ClO)_2$  с образованием характерных окрасок или осадков. Открываемый минимум 0,08—20 мг.  $C_6H_5OH$  в I определяют действием на бензольный р-р навески III,  $HNO_3$ ,  $FeCl_3$ , II и др.  $SiCl_4$  в тетраэтоксисилане или тетраметоксисилане определяют на основе р-ции с  $HJ$  или  $J^-$  по выделению  $J_2$ . 1—2 мл анализируемого р-ра нагревают с 2—3 каплями  $HJ$  в пробирке, покрытой крахмальной бумажкой или фильтром, пропитанным р-ром  $Hg(NO_3)_2$ . Красная окраска бумаги, пропитанной  $Hg(NO_3)_2$ , указывает на присутствие

этоксид- и метоксисиланов, бурая — на присутствие  $SiCl_4$ .  $SiCl_4$  можно открыть также на основе р-ции с  $C_6H_5NH_2$ , р-ром тетраметилдиминобензофенона в  $C_6H_5NH_2$ , с водой, по замедлению р-ции алкоксисиланов с  $K_2Cr_2O_7$  и  $HNO_3$  и т. д. Метоксид- и этоксисиланы в смеси с  $SiCl_4$  обнаруживают р-цией с бурой.  $C_2H_5OH$  и  $CH_3OH$  при взаимодействии с  $Fe_2[Fe(CN)_6]$  (бумажка, пропитанная спирт. р-ром комплексной соли и высушенная) дают красную окраску.

**18.** Для фотометрич. определения Si (в силикатах, полученных из кремнийорганич. соединений) по поглощению молибденовой сини в качестве восстановителя предложен насыщ. р-р смеси  $Na_2SO_3$  и  $Na_2SO_4$ . Навеску (0,0008 г/мл  $SiO_2$ ) растворяют в 15 мл 10%-ного р-ра KOH и разбавляют; 5—15 мл полученного р-ра обрабатывают 5 мл 5%-ного р-ра  $(NH_4)_2MoO_4$  в 10%-ной  $CH_3COOH$ , прибавляют 5 мл р-ра восстановителя, нагревают 5 мин. и охлаждают р-р молибденовой сини. Обрабатывают 20 мл р-ра глицерина (20 г/л  $(NH_4)_2C_2O_4$ , 20 г/л  $Na_2CO_3$ , 150 мл/л глицерина), разбавляют до 100 мл и через 1 час фотоколориметрируют при 650—700 мμ. Т. Леви

**1277.** Об определении гидроксильных чисел методом ацетилирования уксусным ангидридом. Хаушильд, Зингер, Пти (Sur la détermination des indices d'hydroxyles par la méthode d'acétylation à l'anhydride acétique. Hauschild Rémi, Singer Klaus, Petit Jean), Bull. Soc. chim. France, № 5, 768—772 (франц.)

Изучено влияние т-ры, продолжительности р-ции и кол-в реагента при определении гидроксильных чисел первичных и вторичных одно- и многоатомных спиртов модифицированным методом Мейера (Meier K., Farbe und Lack, 1951, 57, № 10, 437—439). К испытуемому р-ру добавляли смесь  $(CH_3CO)_2O$  (чистота  $\geq 98\%$ ) и пиридина (1:10); нагревали 1 час до 90—100°, охлаждали, добавляли при перемешивании небольшими порциями воду, по окончании гидролиза охлаждали и оттитровывали  $CH_3COOH$  спирт. 1 н. р-ром KOH по фенолфталеину. Параллельно вели контрольный опыт. Установлено, что 100—200%-ный избыток  $(CH_3CO)_2O$  недостаточен; для получения точных результатов, избыток  $(CH_3CO)_2O$ , в зависимости от исследуемого спирта, должен составлять 103—620%. При анализе многоатомных спиртов требуется более продолжительное нагревание, время которого устанавливают предварительными опытами. Т-ра ацетилирования должна составлять 90—100° при изучении спиртов, кипящих при  $\geq 110^\circ$ . Т. Лунина

**1278.** Отчет о рекомендуемых спецификациях на аппарат для микрохимического определения алкоксильных групп. — (Report on recommended specifications for microchemical apparatus alkoxy-). Analyt. Chem., 1956, 28, № 1, 112—115 (англ.)

Опытным путем установлено, что при определении алкоксильных групп наиболее точные результаты получают при применении аппарата Кларка; приведены спецификации на аппарат Кларка, пригодный для микро- и полумикроопределений. При объемном окончании анализа пользуются аппаратом, состоящим из колбы с боковым отводом, холодильника с газопроводителем, вводной трубки, меевика и приемника. При весовом окончании анализа меевик и приемник заменяют спец. приемником. Газопроводитель состоит из двух отделений, соединенных капиллярной трубкой. Т. Леви

**1279.** Определение степени ненасыщенности путем катализированного кислотой бромирования. Берн, Джонсон (Unsaturation determination by acid-catalyzed bromination. Byrne Robert E., Jr., Johnson James B.), Analyt. Chem., 1956, 28, № 1, 126—129 (англ.)



Метод определения степени ненасыщенности органических соединений, основанный на бромировании *p*-ром  $\text{Br}_2$  в  $\text{CH}_3\text{OH}$  (Kaufman H. P. Studien auf dem Fettgebiet. Berlin, Verlag Chemie, 1935), модифицирован путем изменения состава бромлирующего агента для повышения его стабильности и получения более воспроизводимых результатов. Для приготовления реактива 2,5 мл  $\text{Br}_2$  добавляют к смеси из 300 мл воды, 300 мл  $\text{CH}_3\text{OH}$ , 100 г  $\text{NaBr}$  и 10 мл конц.  $\text{HCl}$  и полученный *p*-р разбавляют  $\text{CH}_3\text{OH}$  до 1 л. В конич. колбу вводят 5–10 г  $\text{NaBr}$ , 50 мл реактива и пробу ( $\leq 3,5$  мэкв ненасыщ. соединений); при необходимости разбавления пробы в качестве разбавителя употребляют  $\text{CH}_3\text{OH}$ ,  $\text{C}_2\text{H}_5\text{OH}$ , ацетонитрил, диизопропиловый эфир,  $\text{CH}_3\text{COOH}$  и воду. Смесь выдерживают  $\leq 2$  час. (в зависимости от типа соединения), добавляют 50 мл  $\text{CH}_3\text{OH}$ , 10 мл 15%-ного *p*-ра  $\text{KJ}$  и титруют 0,1 н.  $\text{Na}_2\text{S}_2\text{O}_3$  до исчезновения желтой окраски. Параллельно ведут контрольный опыт. Ряд ненасыщ. соединений (2-бутил-1-октен, 2,5-диметил-2,4-гексадиен, диизобутилен, додецен, тетрадецен, триизобутилен, аллилацетон, бутилдекадецен, 2,8-диметил-3,6-нонадиен-5-он, 5-этил-3-нонен-2-он, фурфурол, 2,4-гексадиенал, ненасыщ. к-ты и эфиры с сопряженными двойными связями и соединения, с двойными связями, смежными с эфирными связями) не могут быть определены с удовлетворительной точностью при применении описанного метода. Т. Леви

1280. Идентификация органических веществ. X. Идентификация сульфидов. Вечержа, Петранек (Identifikace organických látek. X. Identifikace sulfidu. Věčeřa Miroslav, Petránek Jaromír), Chem. listy, 1956, 50, № 2, 240–245 (чеш.); Сб. чехосл. хим. работ, 1956, 21, № 4, 912–919 (нем.; рез. русс.)

При исследовании производных тиоэфиров изучены свойства сульфидиминнов (I), получаемых взаимодействием органич. сульфидов (II) с  $\text{Na}$ -солью *N*-хлор-*n*-толуолсульфамида (хлорамин *T*) (III). На модельных *n*-вах, дибутилсульфиде и дибензилсульфиде (IV), устанавливали влияние *p*-рителей и продолжительности *p*-ции на выходы. Наибольшие выходы I (75–87%) были достигнуты следующим способом. Смешивают 0,005 *M* *p*-ры II и III в 10 мл  $\text{CH}_3\text{OH}$ , *p*-ритель отгоняют и остаток промывают 5 мл 2 н. *p*-ра  $\text{NaOH}$  и 20 мл воды. Продукт растворяют на водяной бане в 10 мл толуола, фильтруют, прибавляют циклогексан до помутнения и оставляют для кристаллизации. В качестве побочных продуктов при взаимодействии IV и III получены дибензилсульфоксид и *n*-толуолсульфамид. Получены I из следующих II; ниже приведены *t*-ры плавления; эвтектические *t*-ры (ЭТ) со стандартными *n*-вами: ацетанилидом (V), бензолом (VI), фенацетином (VII) и диангидрамидом (VIII); показатели преломления расплавов I (Kofler L., Kofler A. Mikromethoden zur Kennzeichnung organischer Stoffe und Stoffgemische. Innsbruck, Universitätsverlag Wagner, 1948). Для измерения эвтектической температуры вещества смешивали в соотношении 1:1. Диметил *t*. пл. 158,5–159°, ЭТ VII 116°,  $n^{182-188}_D$  1,5309; метил-этил *t*. пл. 131,5–132,5°, ЭТ VII 106°,  $n^{159-158}_D$  1,5309; диэтил *t*. пл. 144,5–145,5°, ЭТ VII 109°,  $n^{165-167}_D$  1,5217; метил-*n*-пропил *t*. пл. 104–105°, ЭТ VI 75°, ЭТ V 74°,  $n^{127-130}_D$  1,5309; метилизопропил *t*. пл. 114–115,5°, ЭТ V 77°,  $n^{135-138}_D$  1,5309; метил-*n*-бутил *t*. пл. 87–88°, ЭТ VI 68°,  $n^{105-107}_D$  1,5309; метилизобутил *t*. пл. 120–121°, ЭТ V 81°,  $n^{133-136}_D$  1,5217; этил-*n*-пропил *t*. пл. 104–105°, ЭТ VI 78°, ЭТ V 74°,  $n^{110-114}_D$  1,5309; этилизопропил *t*. пл. 116,5–117,5°, ЭТ V 75°,  $n^{140-141}_D$  1,5217; этил-

*n*-бутил *t*. пл. 87–88°, ЭТ V 63°, ЭТ VI 67°,  $n^{92-95}_D$  1,5309; этилизобутил *t*. пл. 108–109°, ЭТ V 70°,  $n^{120-122}_D$  1,5217; ди-*n*-пропил *t*. пл. 110–111,5°, ЭТ V 72°,  $n^{120-123}_D$  1,5217; *n*-пропилизопропил *t*. пл. 107–108°, ЭТ V 72°,  $n^{128-129}_D$  1,5217; диизопропил *t*. пл. 117,5–118,5°, ЭТ V 76°,  $n^{132,5-134,5}_D$  1,5217; пропилизобутил *t*. пл. 99–100°, ЭТ VI 69°, ЭТ V 65°,  $n^{105-107,5}_D$  1,5217; изопропилизобутил *t*. пл. 102–103°, ЭТ VI 73°, ЭТ V 70°,  $n^{108,5-110}_D$  1,5217; изопропил-этор-бутил *t*. пл. 96–97°, ЭТ VI 71,5°, ЭТ V 67°,  $n^{120-123}_D$  1,5217; ди-*n*-бутил *t*. пл. 64°, ЭТ VI 51°,  $n^{86-88}_D$  1,5217; *n*-бутил-этор-бутил *t*. пл. 75–76°, ЭТ VI 61°,  $n^{100-102}_D$  1,5217; диизобутил *t*. пл. 133,5–134,5°, ЭТ VII 105°,  $n^{163-165}_D$  1,4953; изобутил-этор-бутил *t*. пл. 95–96°, ЭТ VI 73,  $n^{112-114}_D$  1,5151; пентаметилен *t*. пл. 148,5–149°, ЭТ VII 103°,  $n^{172-174}_D$  1,5427; дибензил *t*. пл. 192–193°, ЭТ VIII 168°,  $n^{220-222}_D$  1,5309. Jiri Horaček

1281. Применение окисления перманганатом для идентификации некоторых ароматических кислот. Кордье (Utilisation de l'oxydation permanganique à l'identification de certains acides aromatiques. Cordier Paul), Bull. Soc. pharmacie Bordeaux, 1955, 94, № spécial, 33–40 (франц.)

При окислении  $\alpha$ -этиленовых к-т  $\text{KMnO}_4$  образуются  $\alpha$ -кетокислоты, которые идентифицируют по цветной *p*-ции с  $\text{FeCl}_3$ . Окисление выполняют при 18–20° в присутствии  $\text{NaHCO}_3$  или в спирт. *p*-ре, добавляя по каплям рассчитанное кол-во 2%-ного  $\text{KMnO}_4$ . Осадок  $\text{MnO}_2$  отфильтровывают, подкисляют *p*-р разб.  $\text{HCl}$ , добавляют  $(\text{NH}_4)_2\text{SO}_4$  и из водн. *p*-ра экстрагируют эфиром органич. *n*-ва. Промывают, эфир выпаривают, растворяют остаток в спирте и добавляют несколько капель *p*-ра  $\text{FeCl}_3$ . В зависимости от природы к-ты в исходном анализируемом *p*-ре после добавления  $\text{FeCl}_3$  появляется зеленая, красная или яркочерная окраска. Описанный метод использован для изучения превращений бензилбензальдегидной к-ты, происходящих при нагревании в щел. среде или же в присутствии  $(\text{CH}_3\text{CO})_2\text{O}$  и ведущих к перемещению двойной связи. Установлено, что дегидратация  $\alpha$ -бензил- $\alpha$ -окселеулиновой к-ты сопровождается отщеплением  $\text{H}$  от  $\alpha$ -углеродного атома по отношению к карбоксильной группе. Кроме того, уточнено строение  $\gamma$ -кетотиленовых к-т и их лактонов. Метод применим для определения положения двойной связи в молекуле, а следовательно, и для изучения ее перемещения под действием реактивов. Н. Полянский

1282. Изучение методов определения кислот и эфиров стиролизованного масла с помощью радиоактивных индикаторов. Бабалек, Бадфорд, Льютиер, Акияма (Radiotracer studies of analytical methods for styrenated oil acids and esters. Bobalek E. G., Bradford J. R., Leutner Fred, Akiyama Robert), Analyt. Chem., 1956, 28, № 5, 906–908 (англ.)

Большинство аналитич. методов для стиролизованных лакокрасочных связующих оказываются непригодными для идентификации нейтр. полистирола и сополимера стирола с к-тами масел; точная хим. природа такого сополимера до сих пор неизвестна. Исследован метод фракционирования сополимеров, основанный на различной растворимости Са-мыл стирола и нейтр. полистирола во влажном этилацетате. При опытах пользовались полимерами, приготовленными из стирола, меченого по месту  $\alpha$ -углерода  $\text{C}^{14}$ . Описано разложение и фракционирование стиролизованной смолы; получена смола, содержащая большую часть полимера в форме почти нейтр. полистирола; в этом случае

можно отделить  $\geq 90\%$  к-т с содержанием  $\leq 25\%$  полистирола; последний отделяют от к-т повторным пересаживанием с Са в насыщ. водой этилацетате.

Б. Шемякин

**1283. Идентификация микрограммовых количеств L-арабинозы и L-фукозы с помощью микроскопа. Прямой синтез кристаллических производных 2,4-динитрофенилгидразона и 1,1-дифенилгидразона способом, основанным на диффузии растворителя. Сикор, Уайт (Microscopic identification of microgram quantities of L-arabinose and L-fucose. Direct synthesis of crystalline 2,4-dinitrophenylhydrazones and 1,1-diphenylhydrazones by solvent diffusion technique. Secor Geraldine E., White Lawrence M.), *Analyt. Chem.*, 1955, 27, № 12, 1998—1999 (англ.)**

Усовершенствован метод прямого синтеза и идентификации 2,4-динитрофенилгидразона L-арабинозы (I) (РЖХим, 1956, 13284) и разработан аналогичный метод идентификации I и L-фукозы (II) в форме их 1,1-дифенилгидразонов. Опыты вели с описанным ранее прибором. Высушенное пятно, оставшееся после нанесения р-ра I, смачивают 4—5 порциями реактива (смесь 2,4-динитрофенилгидразин-этилацетат), вносят в углубление предметного стекла 0,5—0,6 мл пиридина и герметизируют прибор. По прошествии 16—24 час. I дает тонкие желтые иглы (чувствительность 5  $\gamma$ ), II — скопления плоских желтых кристаллов с зазубренными краями (чувствительность 50  $\gamma$ ); D-галактоза — прозрачный желтый гель, иногда переходящий в кристаллич. состояние (чувствительность 25  $\gamma$ ). При опытах с 1,1-дифенилгидразином применяют реактив (к 0,25 ммольям хлоргидрата прибавляют 0,25 ммольа порошкообразного безводн.  $\text{CH}_3\text{COONa}$ ; смесь хранят в эксикаторе), избыток которого наносят на высушенное пятно сахара, переворачивают предметное стекло для удаления избытка реактива, затем в углубление предметного стекла вносят 1 мл 70%-ного  $\text{C}_2\text{H}_5\text{OH}$  и герметизируют прибор. I через 0,02—2 часа дает небольшие белые скопления блестящих нитей (чувствительность 1—3  $\gamma$ ), II через 0,08—2,5 часа — белые, плотные, разделенные на сегменты, скопления тонких игл (чувствительность 10  $\gamma$ ), D-рибоза через 0,1—2 часа — бесцветные стержневидные кристаллы (чувствительность 75  $\gamma$ ).

Т. Леви

**1284. Определение аскорбиновой кислоты в присутствии кислого сульфата натрия. Дудзик (Oznaczenie kwasu askorbinowego obok kwaśnego siarczynu sodowego. Dudzik Zygmunt), *Acta polon. pharm.*, 1956, 13, № 3, 225—231 (польск.)**

Метод определения аскорбиновой к-ты (I) основан на ее окислении при помощи пергидрола (II) до щавелевой к-ты, осаждении последней в виде Са-соли и титровании при помощи  $\text{KMnO}_4$ . 10 мл р-ра ( $\sim 1$  г в 100 мл) смешивают с 70 мл воды и 1 мл II и нагревают 15 мин. на водяной бане (80°). После добавления 2 мл 10%-ного р-ра аммиака, а также горячей смеси 2 мл 10%-ного р-ра  $\text{CaCl}_2$  и 5 мл воды нагревают исследуемый р-р еще 1 час при 80°. Осадок отфильтровывают, промывают водой и растворяют в разб.  $\text{H}_2\text{SO}_4$ . Титруют при 80° 0,1 н. р-ром  $\text{KMnO}_4$ . Метод ценен тем, что одновременно определяется дегидроаскорбиновая к-та, а наличие в препарате  $\text{NaHSO}_3$  не мешает определению. 1 мл 0,1 н.  $\text{KMnO}_4$  соответствует 0,017612 г I.

Н. Туркевич

**1285. Спектрофотометрическое изучение некоторых 2,4-динитрофенилгидразонов. Джонс, Холмс, Селигман (Spectrophotometric studies of some 2,4-dinitrophenylhydrazones. Jones Louis A., Holmes Joseph C., Seligman Robert B.), *Analyt. Chem.*, 1956, 28, № 2, 191—198 (англ.)**

При спектрофотометрич. изучении 40 2,4-динитрофенилгидразонов (I) алифатич., olefinовых, ароматич., гетероциклич. альдегидов и кетонов в УФ- и видимой области установлено, что полученные спектры поглощения в нейтр. и щел. среде могут быть использованы для определения характера родственных карбонильных соединений. При использовании нейтр. р-ров к навеске I добавляли  $\text{CHCl}_3$  до конц-ии  $1\text{--}2 \cdot 10^{-4}$  г/мл. Аликвотную порцию полученного р-ра разбавляли до конц-ии  $1\text{--}10$   $\gamma$ /мл I. Для приготовления щел. р-ра р-р в  $\text{CHCl}_3$  разбавляли спирт. 0,25 н. NaOH до конц-ии  $\sim 10$   $\gamma$ /мл I. Алифатич. альдегиды отличали от алифатич. кетонов по скорости изменения оптич. плотности р-ров соответствующих I в щел. р-ре. При изучении поглощения I в ИК-области применяли метод с KBr (Scheidt U., Reinwein H., *Z. Naturforsch.*, 1952, 76, 270; Stimson M. M., O'Donnell M. J., *J. Amer. Chem. Soc.*, 1952, 74, 1807). Установлено, что характер полосы поглощения в области 3—3,1  $\mu$  группы N—H I может быть использован для отличия альдегидов от кетонов; по характеру полосы поглощения группы C—N определяли, является ли данный I производным алифатич. или ароматич. карбонильного соединения. Olefinовые и фурановые производные имеют характеристич. полосы поглощения, облегчающие их идентификацию.

Т. Лунина

**1286. Отделение ацетальдегида от винилацетата хроматографическим методом и разработка быстрого метода его определения. Фреден, Эксичоф (Separarea acetaldehydei din acetatul de vinil pe cale cromatografica si elaborarea unei metode rapide pentru dozarea ei. Freden O., Ecsichof Tati-ana), *Rev. chim.*, 1956, 7, № 5, 304—308 (рум.; рез. русс., нем.)**

Метод очистки винилацетата (I) от ацетальдегида (II) основан на осаждении II с помощью  $\text{Na}_2\text{S}_2\text{O}_5$  (III) и последующей адсорбции полученного осадка на III. После очистки содержание II в I  $\leq 0,1\%$ . Прибор состоит из вертикальной колонки с III, присоединенной в верхней части к шариковому холодильнику, через который из делительной воронки поступает III. В нижней части колонка присоединена к двухгорлой колбе-приемнику, во второе горло которой вставлен второй холодильник, соединенный с источником вакуума. Для уменьшения потерь I за счет испарения применяют охлаждение. Для определения II в I уточнен йодометрич. метод. К пробе 1—5 мл I (или его р-ра в  $\text{CH}_3\text{OH}$  или  $\text{C}_2\text{H}_5\text{OH}$ ), содержащей  $\leq 0,05$  г II, прибавляют 10 мл 1%-ного р-ра  $\text{NaHSO}_3$ . После 10 мин. выдержки при частом перемешивании избыток  $\text{NaHSO}_3$  оттитровывают 0,1 н. р-ром  $\text{J}_2$  в присутствии крахмала. Параллельно ведут контрольный опыт 1%-ный р-р  $\text{NaHSO}_3$  готовят из 5 г  $\text{Na}_2\text{S}_2\text{O}_5$ , 950 мл воды и 5 мл  $\text{C}_2\text{H}_5\text{OH}$ .

Н. Маноло

**1287. Определение перекиси бензоила в полиметакрилате. III. Фотометрия. Такаяма, Дои (ポリメチルメタクリレート中の過酸化ベンゾイルの定量法. 第3報. 光電比色法. 高山雄二, 土井絹子), *分析化学*, Бунсэки какаку, *Japan Analyst.*, 1955, 4, № 6, 349—353 (япон.; рез. англ.)**

Описан достаточно точный метод определения малых кол-в перекиси бензоила (I) ( $\geq 0,001\%$ ) в мономерах, пригодный, в основном, и для полимеров. Интенсивность окраски измеряют после нагревания до 45° и выдержки в течение  $\sim 40$  мин., так как окраска, появляющаяся при взаимодействии I с KI, обладает незначительной устойчивостью и трудно измерима. Присутствие мономера или полимера не влияет на определение. Изучено распределение I в термически обработанном порошкообразном полимере по описанному методу и полярографически; результаты хорошо согласуются. Сообщение II см. РЖХим, 1956, 72064. А. Зозуля

1288. Колориметрическое определение анилина на основе реакции диазотирования и образования азо-соединения. Пономаренко Б. В., Тр. Комис. по аналитич. химии АН СССР, 1956, 7 (10), 289—294. Для определения  $C_6H_5NH_2$  20 л воздуха пропускают в течение 15 мин. через 4 трубки Петри с 0,1 н.  $HCl$ . К р-рам, содержащим 0,01—1,0 мг  $C_6H_5NH_2$ , добавляют по 5 мл 1,0 н.  $HCl$  и диазотируют 4 каплями 10%-ного р-ра  $KNO_2$  в присутствии 1 капли 5%-ного р-ра  $KBr$ . После 30 мин. перемешивания р-ры нейтрализуют 3 мл 19,3%-ного р-ра  $Na_2CO_3$  и смешивают с 2 каплями свежереприготовленного р-ра из 0,5 г  $H$ -кислоты в 12,5 мл воды. Появившаяся пунцово-красную окраску колориметрируют через 30 мин. после разбавления р-ров до 50 мл. Диазотирование продолжается 30 мин. На практике достаточно пропускать воздух через 2 трубки Петри. Б. Товбин

1289. Определение мочевины с помощью монооксида диацетила. Нутти, Мияги (Diacetyl monoxide) 法による尿素定量について. 井内岩夫, 宮地隆典), 毒學と生物學, Игаку то сэйбугукаку, Med. and Biol., 1955, 36, № 3, 121—125 (япон.)

При взаимодействии  $CO(NH_2)_2$  с монооксидом диацетила (I) образуется красно-коричневое соединение, пригодное для колориметрич. определения  $CO(NH_2)_2$ . Для окисления побочного продукта р-ции  $NH_2OH$  применяют  $HClO_4$ . 0,1 мл крови или сыровотки (мочу разбавляют в 10—30 раз) смешивают с 1,5 мл воды, добавляют 1,4 мл р-ра  $CCl_3COOH$  (0,1 г/мл), фильтруют, фильтрат разбавляют водой (в зависимости от содержания  $CO(NH_2)_2$ , прибавляют 1 мл р-ра I (р-р 1 г I в 100 мл 5%-ной  $CH_3COOH$ ), 1,5 мл окислителя (60%-ная  $HClO_4$ -конц.  $HCl$ , 1 : 4), 1,5 мл воды, нагревают 30 мин. в водяной бане и после охлаждения колориметрируют с фильтратом S 47. При конц-н  $CO(NH_2)_2 \leq 0,6$  мг/мл в 440—490 мμ выполняется закон Бера. Рекомендуется употреблять посуду из коричневого стекла. Расхождение результатов описанного метода и метода, при котором в качестве окислителя употребляют мышьяковую к-ту, незначительно. Метод применим для клинич. биохим. контроля. Т. Леви

1290. Спектрофотометрический анализ лутидиновой фракции в инфракрасной области спектра. Танака, Аракава, Иосимура (赤外線吸収スペクトルによるルチン層分の分析. 田中誠之, 荒川久一, 吉村甲二), Чоул-талл, Кору тару, Coal Tar., 1954, 6, № 10, 406—409 (япон.)

Методом ИК-спектрофотометрии определено содержание 2,3-(I); 2,4-(II) и 2,5-лутидина (III) и 2,4,6-коллидина (IV) в некоторых фракциях лутидина при 12,73; 10,98; 8,02 и 11,92 мμ для I—IV соответственно. Даются стандартные кривые, выражающие соответствующие величины интенсивностей и конц-н каждого соединения. В анализированной фракции содержатся: I 11—14, II 59—66, III 18—22, IV 2—9%.

Chem. Abstrs, 1955, 49, № 6, 3735. Т. Amemiya  
1291. Фотометрическое определение биурета. Эллис, Формайни (Colorimetric determination of biuret. Ellis G. C., Formaini R. L.), J. Agric. and Food Chem., 1955, 3, № 7, 615—618 (англ.)

Предложен новый метод определения биурета (I) в продуктах пироллиза  $CO(NH_2)_2$ , пригодный для анализа других в-в, дающих биуретовую р-цию. При анализе проб, растворимых в воде при 25°, навеску, содержащую 0,4—1,8 г I, растворяют в 500 мл воды, нейтрализуют р-р до pH 7 и разбавляют до 1 л. К 50 мл полученного р-ра добавляют при перемешивании 20 мл щел. р-ра  $KNaC_4H_4O_6$  (1 н., по  $NaOH$  0,18 М по тартрату) и 20 мл 0,06 М  $CuSO_4$ , разбавляют до 100 мл и определяют I фотометрически. Закон Бера выполняется при 10—80 мг I в 100 мл р-ра. При анализе проб,

нерастворимых в воде при 25°, навеску (0,4—1,2 г I) суспендируют в 700 мл воды, нагревают до 70—80°, охлаждают до 30°, нейтрализуют до pH 7, фильтруют, промывают остаток водой (3×50 мл), разбавляют до 1 л и определяют I, как описано выше. Метод быстр, устраняет фильтрование, увеличивает точность анализа (окислы  $Cu$  не образуются). Рассмотрено влияние примесей в пироллизате  $CO(NH_2)_2$ . В. Шведов

1292. Определение аминокислот окислением нингидрином и хроматографией в газовой фазе. Хантер, Димик, Корсе (Determination of amino-acids by ninhydrin oxidation and gas chromatography. Hunter I. R., Dimick K. P., Corse J. W.), Chemistry and Industry, 1956, № 16, 294—295 (англ.)

Пробы лейцина, изолейцина и валина (2—5 мг) окисляли нингидрином; образовавшиеся альдегиды (I) удаляли из р-ра продуванием  $N_2$ . I поступали в ловушку, состоящую из стеклянной спирали с насадкой из стеклянной ваты, погруженной в смесь твердого  $CO_2$  и ацетона или в жидкий азот. Затем I переводили во вторую ловушку, включенную последовательно (за счет постепенного нагрева первой до 18—20° при медленном пропускании  $N_2$  через систему). Внизу второй ловушки имеется боковое ответвление, через которое отбирали пробу для хроматографич. анализа. Из валина, лейцина, изолейцина и аланина соответственно получали изомасляный альдегид, 3-метилбутаналь, 2-метилбутаналь и ацетальдегид. Смесь 3-метилбутанала (т. кип. 92,5—93°) и 2-метилбутанала (т. кип. 93°) вводили в хроматографию. колонку длиной 3,05 м, наполненную смесью силикон-целлит (РЖХим, 1955, 5770). При т-ре колонки 69° и скорости подачи газа-носителя (He) 23 мл/мин максимумы наблюдались через 43 мин. 55 сек. и 47 мин. 35 сек. Один из лейцинов можно было определить в присутствии 10-кратного кол-ва другого. М. Пасманник

1293. Объемный метод определения синтетических производных уксусной кислоты. Капитани, Имперьяле (Su un metodo volumetrico per l'analisi dei derivati acetici di sintesi. Capitani C., Imperiale P.), Chimica e industria, 1954, 36, № 8, 606—611 (итал.; рез. англ., франц., нем.)

Метод применим для контролирования некоторых фаз промышленного произ-ва винилацетата и уксусного ангидрида из  $C_2H_2$  и  $CH_3COOH$  и для анализа смесей, содержащих эти в-ва.  $(CH_3CO)_2O$  определяют при 0° в уксуснокислом р-ре с помощью большого избытка  $C_6H_5NH_2$  (8%-ный р-р в хлорбензоле) и титрование непрореагировавшего  $C_6H_5NH_2$  уксуснокислым р-ром  $HClO_4$  (0,1 н.) в присутствии кристаллич. фиолетового (0,1%-ный р-р).  $CH_3COOH$  в присутствии легкоомыляемых эфиров и альдегидов определяют титрованием 0,5 н.  $NH_4OH$  в присутствии смешанного индикатора (нейтр. красный + метиленовый голубой), изменяющего цвет из фиолетового в зеленый при pH 7. Винилацетат в смеси с этилендиацетатом и  $CH_3COOH$  определяют бромированием по месту двойной связи р-ром  $KBr-KBrO_3$ ; точку насыщения находят электрометрически, с Pt-электродом. Этилендиацетат определяют омылением (нагревание с 0,5 н.  $NaOH$ ) с расходом его на  $CH_3COOH$ ,  $(CH_3CO)_2O$  и  $CH_3CHO$ ; к-ту и ангидрид определяют, как указано выше.  $CH_3CHO$  определяют бисульфатным методом. З. Бобрь

1294. Хроматография токоферолов на бумаге (качественный анализ). Конечкий (Papírová chromatografie tokoferolů. (Kvalitativní analýza). Konecký A. n.), Průmysl potravin, 1956, 7, № 6, 267—269 (чеш.)

Полоски бумаги для хроматографии (28×6 см), чехословацкого произ-ва, пропитывали 20%-ным р-ром вазелинового масла в петр. эфире. Концентраты (~38% то-



коферолов (I)), полученные экстракцией из льняного (II) или соевого (III) масел, наносят в виде капли, содержащей  $\sim 10 \gamma$  I, на линию, отдаленную на 2,5—3 см от нижнего края полосок, причем получают восходящую хроматограмму с применением метанола в качестве подвижной фазы. Результаты сравнивают с данными, полученными при применении  $\alpha = 1$ , полученного из препарата «эревит» ( $50 \text{ мг dl} = \alpha = 1$  в 1 мл рафинированного масла). Пятна проявляют спиртовым аммиачным р-ром  $\text{AgNO}_3$  (коричневая окраска), спирт. р-ром  $\alpha, \alpha'$ -дипиридила (с последующим нанесением р-ра  $\text{FeCl}_3$ ; розовая окраска), а также р-ром  $\text{Na}_2\text{CO}_3$  с последующим опрыскиванием полосок р-ром диазотированного *o*-дихлоридина (пурпурная окраска пятен). Определены  $R_f$  для  $\alpha = 1$   $0,23 \pm 0,02$ ;  $\gamma = 1$   $0,38 \pm 0,02$ ;  $\delta = 1$   $0,52 \pm 0,01$ . Найдело, что в II имеется главным образом  $\gamma = 1$ , а в III находятся все изомеры I с небольшим преобладанием  $\gamma = 1$ .

Н. Туркевич  
1295. Фармацевтический анализ с использованием полярграфии. VIII. Определение антипирина и его солей. Мацумото (Боррографайерによる薬品分析の研究. 第8報. アンチピリン及びその鹽類の定量法. 松本和夫), 薬学雑誌, Якутаку даэсси, J. Pharm. Soc. Japan, 1955, 75, № 8, 1001—1003 (япон.; рез. англ.)

Антипирин (I), в молекуле которого отсутствуют группы, связанные с  $\text{C}_4$  пиразолонового кольца, нитрировали нитритом в кислом р-ре для получения 4-нитроантипирина и изучали колич. определение I и его солей. Результаты исследования р-ции нитроирования и полярграфии. определения показали, что при добавлении 1 мл 0,1 н.  $\text{H}_2\text{SO}_4$  и 1 мл 0,1 М  $\text{NaNO}_2$  к 1 мл  $10^{-2}$  М р-ру I или его солей и нагревании смеси в течение 12 мин. при  $23\text{--}28^\circ$  достигается колич. образование 4-нитроантипирина. Избыток  $\text{HNO}_2$  нейтрализуют 1 мл 0,1 н.  $\text{NaOH}$ , добавляют 0,5 мл 1%-ного р-ра желатин для подавления специфич. волн и полярграфируют относительно методом в интервале от  $-0,3$  до  $-1,3$  в. Описанным способом получены удовлетворительные результаты.

Т. Левин  
1296. Фотометрическое определение метионина в таблетках. Стереску, Симионович (Dozarea fotometrică a metioninei din comprimate. Sterescu M., Simionovici Ruxandra), Rev. chim., 1956, 7, № 5, 299—301 (рум.; рез. русс., нем.)  
Метионин (I) ( $\text{CH}_3\text{—(S—CH}_2\text{)—CH}_2\text{—CH(NH}_2\text{)—COOH}$ ) после щел. гидролиза с последующим окислением дает с нитропруссидом натрия (II) устойчивую красную окраску. Образующийся в начале комплекса желтого цвета неустойчив и под действием воды в присутствии  $\text{H}^+$  переходит в устойчивый комплекс красного цвета. Навеску, содержащую  $\sim 0,20$  г I взбалтывают с водой 10 мин. разбавляют до 100 мл и фильтруют. К 0,5 мл фильтрата добавляют воду до 3 мл, 1 мл 20%-ного р-ра  $\text{NaOH}$  и 0,5 мл 1%-ного р-ра II. После перемешивания пробирку помещают на 5 мин. на водяную баню ( $40^\circ$ ). К охлажд. р-ру прибавляют 1 мл 25%-ного р-ра  $\text{HCl}$  и 4,5 мл воды. Фотометрируют с фильтром № 5 (530 мμ).

Б. Манолов  
1297. К анализу фитотерапевтических продуктов. VI. Определение 2-метил-4-хлорфеноксиуксусной кислоты хромато-спектрофотометрическим методом. Априэ (Contribution à l'analyse des produits phytopharmaceutiques. VI. Dosage de l'acide 2-méthyl-4-chlorophénoxyacétique par chromatographie spectrophotométrique. Henriot J.), Parasitica, 1955, 11, № 3, 81—102 (франц.)

Метод основан на выделении 2-метил-4-хлорфеноксиуксусной к-ты (I) из бактерицидов на основе метил-хлорфеноксиуксусных к-т путем распределительной хроматографии на колонке силикагеля «гифлосуперцель» забуференного до pH 6,5 при помощи буферного

р-ра  $\text{NaH}_2\text{PO}_4\text{—Na}_2\text{HPO}_4$ . Для вымывания употребляют смесь эфир- $\text{CHCl}_3$  (1:1). После истечения 150 мл р-рителя, отбрасывают первую, 75-мл фракцию; I присутствует во второй, 150-мл фракции. Р-ритель выпаривают, остаток растворяют в  $\text{CH}_3\text{OH}$  и измеряют светопоглощение полученного р-ра, содержащего I, при 280 мμ. Для контроля спектрофотометрируют р-р в  $\text{CH}_3\text{OH}$  остатков, полученных после выпаривания р-рителя из первой и третьей (контрольной) фракций после хроматографирования. Кол-во выделенной I составляет 98,5%.

Т. Левин

1298. Комплексометрическое титрование в фармацевтическом анализе XIV. Косвенное определение теофиллина, теобромина, хинина, аналергина и диваскола. Будешинский, Ваничкова (Komplexometrické titrace ve farmaceutické analýze. XIV. Nepřímé stanovení theofyllinu, theobrominu, chininu, analerginu a divascolu. Buděšinský Břetislav, Vaníčeková Eliška), Českosl. farm., 1956, 5, № 2, 77—80 (чеш.; рез. русс., англ., нем.)

Разработан метод определения теобромина (I), теофиллина (II), хинина (III), аналергина (антистин) (IV) и диваскола (пискол) (V), основанный на осаждении указанных в-в определенным кол-вом йодовисмутата калия (VI), отфильтровании осадка и обратном титровании избытка висмута в фильтрате комплексом (VII). 60—120 мг I (или 150—200 мг V, 100—150 мг III либо сульфата (IV) растворяют в 10 мл воды и 1 мл конц. соляной к-ты (VIII). К полученному р-ру прибавляют 5 мл 0,25 М VI и дополняют водой до 25 мл. Смесь встряхивают и фильтруют (в случае I после 10 мин. стояния). Первые 5 мл фильтрата отбрасывают. К 10 мл фильтрата прибавляют 1 мл 0,1 н.  $\text{Na}_2\text{S}_2\text{O}_3$  5 мл ацетатного буферного р-ра (pH 4,5) и титруют 0,05 М р-ром VII до исчезновения желтого окрашивания. При определении II 70—75 мг в-ва растворяют в 5 мл воды и 1 мл VIII, прибавляют VI и дополняют до 25 мл насыщ. р-ром  $\text{Na}_2\text{SO}_4$ . Одновременно производят слепой опыт. Этим методом можно определять указанные в-ва в смеси с барбитуратами, салицилатами, нитратами, фенацетином и аскорбиновой к-той. Для определения I в смеси с солями средних и сильных оснований сначала производят осаждение последних 0,25 М р-ром йодомеркуриата калия. VI образует осадки постоянного состава с I, II и III при pH 1,2—1,5, а с IV и V при pH 1,2—2,1. Состав осадков: I  $[\text{C}_7\text{H}_8\text{O}_3\text{N}_2] \text{H}_4 (\text{BiI}_4)_4 \text{BiI}_3$ , II  $[\text{C}_7\text{H}_8\text{O}_3\text{N}_2] \text{H}_4 (\text{BiI}_4)_4$ , гидрат солянокислого III  $[\text{C}_{10}\text{H}_{14}\text{O}_2\text{N}_2] \text{H}_2 \cdot (\text{BiI}_4)_3$ , сульфат IV  $[\text{C}_{17}\text{H}_{19}\text{N}_3] \text{H}_2 \cdot (\text{BiI}_4)_3 \cdot \text{H}_2\text{O}$ . Сообщение XIII, РЖХИМ 1956, 36157.

Н. Туркевич

1299. Метод количественного определения иодида декаметил-1,10-бис-триметиламмония в водных растворах а также в растворах физиологической соли. Дмовская, Пех (Metoda ilościowego oznaczania jodku dekanu 1-10 bis-trójmetyloamoniowego w roztworach wodnych i w roztworach soli fizjologicznej. Dmowska Wanda, Pech Maria), Acta polon. pharm., 1956, 13, № 3, 219—222 (польск.; рез. русс., англ.)

Для argentометрич. определения иодида декаметил-1,10-бис-триметиламмония (декаметионийдид) (I) в лекарственных средствах эвлиссин и синкурин  $\sim 0,4$  г пробы растворяют в 50 мл воды и добавляют 5 мл 6 н.  $\text{HNO}_3$  (II), 20 мл 0,1 н.  $\text{AgNO}_3$ , 3 мл нитробензола, 1 мл р-ра железно-аммиачных квасцов ( $\sim 40\%$ -ный р-р подкисленного II). Избыток  $\text{AgNO}_3$  оттитровывают 0,1 н.  $\text{NH}_4\text{SCN}$ . При наличии I в физиологич. р-ре смешивают 5 мл 0,3%-ной пробы с 400 мл воды, 0,2 мл  $\text{Br}_2$  и 1 мл  $\text{H}_2\text{SO}_4$  (1:1). После добавления нескольких кусков мрамора смесь кипятят ( $\sim 10$  мин.) до полного удаления  $\text{Br}_2$ . К охлажд. р-ру добавляют

0,2 мл 25%-ного р-ра фенола в  $\text{CH}_3\text{COOH}$ , а после 2 мин. перемешивания 2 г KI. Выделенный йод титруют 0,05 н.  $\text{Na}_2\text{S}_2\text{O}_3$  в присутствии крахмала.

Н. Туркевич

**1300. Методы определения остаточных инсектицидов в растительных материалах.** Оттер (Methoden zur Rückstandsbestimmung von Insektiziden in pflanzlichem Material. Other J.), Mikrochim. acta, 1956, № 1—3, 125—133 (нем.; рез. англ., франц.) Описан метод определения  $<0,00001\%$  остаточных фосфорорганич. инсектицидов: шрадна, мипафокса и димефокса на канустной рассаде, репе, сахарной свекле, томатах, огурцах, лимонах и апельсинах. Метод основан на экстракции испытуемого материала  $\text{CHCl}_3$ , последующем отделении инсектицидов от природных фосфорорганич. соединений, растворимых в  $\text{CHCl}_3$ , микродистилляцией и определении в полученном дистилляте Р колориметрич. способом (Berenblum L., Chain E., Biochem. J., 1938, 32, 295).

Т. Лунина

**1301. Анализ стиролизованных метиловых эфиров жирных кислот льняного масла посредством молекулярной перегонки.** Се Сван Тионг, Ватерман, Булхаувер (Analysis of styrenated methyl esters of linseed oil fatty acids by molecular distillation. Sie Swan Tjong, Waterman H. I., Baelhouwer C.), Analyt. chim. acta, 1956, 14, № 3, 228—234 (англ.; рез. франц., нем.) Образцы метилолеата готовили этерификацией олеиновой к-ты избытком  $\text{CH}_3\text{OH}$  в присутствии  $\text{H}_2\text{SO}_4$  в качестве катализатора, образцы бензиолеата — этерификацией олеиновой к-ты бензиловым спиртом в кипящем масле в присутствии  $\text{H}_2\text{SO}_4$ . 170 мл полученных смешанных эфиров стиролизовали в стеклянной колонке с кольцами Рашига при  $280^\circ$ ; стирол подавали со скоростью 40 г/час, стиролизацию вели в атмосфере  $\text{N}_2$ , пропуская до и после добавления стирола через смесь  $\text{N}_2$  в течение 20 мин. для удаления летучих в-в. Стиролизованные эфиры подвергали молекулярной перегонке при давл.  $5 \cdot 10^{-4}$  мм рт. ст. при флегмовом числе 7,5 : 1. В отгонках определяли уд. коэфф. преломления. На основании полученных данных сделан вывод, что при стиролизации стирол химически соединяется с эфирами.

Т. Лунина

**1302. Хроматография 2,4-динитрофенилгидразонов некоторых альдегидов и кетонов, присутствующих в табачном дыме.** Байск, Оуэн, Уайлдер, Хоуе (Chromatography of the 2,4-dinitrophenylhydrazones of some aldehydes and ketones in tobacco smoke. Buyske Donald A., Owen L. H., Wilder Pelham, Jr., Hobbs Marcus E.), Analyt. Chem., 1956, 28, № 5, 910—913 (англ.) Табачный дым конденсировали в ловушках, охлаждаемых жидким воздухом, пробу растворяли в 200 мл  $\text{CH}_3\text{OH}$ , содержащего 2 г 2,4-динитрофенилгидразина и 0,5 мл 0,1 н. HCl. Р-р нагревали 2 часа с обратным холодильником и 1 мл теплого р-ра наносили на растоянии 5 мм от края по всей ширине листа бумаги (20×40 см) ватман № 1. Бумагу предварительно выдерживали 30 сек. в N,N-диметилформамиде (I) и сушили ~45 мин. при  $18-20^\circ$  в шкафу с принудительной вентиляцией. Хроматограмму проявляли в нисходящем потоке (после 18-часовой выдержки в камере в атмосфере, насыщ. n-гексаном (II)) при помощи II, насыщ. I с т-рой  $15-18^\circ$  в течение 4 час. Участки бумаги, соответствующие восьмью, отчетливо видным (особенно в УФ-свете) желтым полосам, вырезали и экстрагировали  $\text{CH}_3\text{OH}$  в аппарате Сокслета. Экстракт упаривали в вакууме, сухие остатки растворяли в 0,2—0,3 мл  $\text{CH}_3\text{OH}$  и вторично хроматографировали по отдельности. Экстракты, полученные при второй экстракции

$\text{CH}_3\text{OH}$ , испытывали на гомогенность хроматографированием с применением трех систем проявителей: 1) II (на бумаге, обработанной I), 2) смесь  $\text{CH}_3\text{OH}$ -изоктан (1 : 1) (на необработанной бумаге) и 3) смесь  $\text{H}_2\text{O}$ - $\text{CH}_3\text{OH}$  (95 : 5) (на бумаге, обработанной силианом), в нисходящем потоке. Для идентификации 2,4-динитрофенилгидразонов (III) пользовались контрольными хроматограммами, для колич. их определения — измерением коэфф. поглощения при  $\lambda$  (макс.) Достигнуто разделение III фурфурола, формальдегида, ацетальдегида, пропионового и масляного альдегидов, ацетона, метилэтилкетона, диэтилкетона. Установлено, что кол-во свободных альдегидов и кетонов низкого мол. веса составляет 3—3,5 мг (на 1 папиросу), т. е. ~10% от общего веса дыма. Обнаружены транс- и цис-стереоизомеры III фурфурола. Метод применим для открытия альдегидов и кетонов в различных смесях. Т. Леви

**1303. Нефелометрическое определение желатинаты.** Пршистоупил, Томанова, Никл (Turbidimetrické stanovení Zlatiny. Přistoupil T. I., Tomanová V., Nikl J.), Chem. listy, 1956, 50, № 3, 386—387 (чеш.)

Р-ция осаждения с танином (0,3%-ный р-р в физиологич. р-ре) применена для определения конц-ии желатинаты (I) в различных биологич. жидкостях. Степень помутнения при оптимальном pH (4,5—5,5) измерена на фотоколориметре Ланге с применением синего светофильтра (через 25 мин. после смешения реактивов). Калибровочные кривые построены как для р-ра I, так и для продукта его частичного кислотного гидролиза (II) (вязкость 5%-ного р-ра гидролизата при  $20^\circ$  равна 1,5—1,7). Для I р-ция лучше всего протекает при конц-ии I 0,1—5 мг/мл, для II 0,01—0,5 мг/мл,  $\leq 1\%$  NaCl мешает. При определении I в присутствии белков плазмы сначала осаждают белки (5%-ным р-ром  $\text{CCl}_3\text{COOH}$ ). Калибровочная кривая прямолнейна, погрешность определения  $\pm 10\%$ . Конц-ию I определяют также по методу Роджера. Степень помутнения образовавшегося после прибавления соответствующего кол-ва конц.  $\text{H}_2\text{SO}_4$  к фильтрату образца, осажденного 50%-ной  $\text{CCl}_3\text{COOH}$ , измеряют колориметрич. путем. Jiri Vaněček

**1304. Хроматографическое определение содержания смол в топливе.** Найт, Ски, Гронингс, Никсон (Chromatographic determination of gum in fuels. Knight H. S., Skei Thurston, Groennings Sigurd, Nixon A. C.), Analyt. Chem., 1956, 28, № 1, 8—11 (англ.)

Определение содержания смол в топливе основано на измерении длины коричневой зоны, наблюдаемой при перемещении пробсы в небольшой колонке силикагеля при употреблении в качестве р-рителя 1-метилнафталина (I) и в качестве проявителя ацетона (II). I обесцвечивают пропуская через силикагель (соотношение смесей 2 : 1) и вымыванием II. В колонку силикагеля (высота слоя 30—40 мм) при анализе светлоокрашенных образцов добавляют 10 мм геля, окрашенного этиловым красным. Для определения растворимых смол употребляют пробу топлива 5 мл. Предварительное отделение смолы осуществляют на колонке с внутренним диам. 5 мм, длиной 150 или 200 мм. После внесения пробсы (разбавленной, в случае необходимости,  $\text{C}_6\text{H}_6$ ) пропускают хлористый изопрен (для вытеснения углеводородов) и смолу вымывают II. Р-ритель вытравливают при  $18-20^\circ$  в токе воздуха, смолу растворяют в  $\text{CHCl}_3$  и вносят во вторую колонку (разбавления  $\text{C}_6\text{H}_6$  при этом не применяют). Прилагают давл. 0,21 г/см<sup>2</sup>, пока фронт жидкости не достигнет середины колонки, затем давление повышают до 0,35—0,70 г/см<sup>2</sup>, добавляют 0,1 ± 0,02 мл очиз. I, вводят II и прилагают давл. 0,21 г/см<sup>2</sup> (при анализе бензина — давление 0,14 г/см<sup>2</sup>) до образования от-

четливой коричневой зоны. Длину этой зоны измеряют на белом фоне. Нерастворимую смолу (осадок, остающийся на пористом стеклянном фильтре после промывания *n*-гексаном) раст опрят в полярном р-рителе; при употреблении в качестве р-рителя  $\text{CHCl}_3$  пользуются методом, описанным выше. При употреблении в качестве р-рителя ацетона или этилацетата их удаляют испарением и остаток растворяют в  $\text{CHCl}_3$ . Метод применим для анализа топлива для реактивных самолетов, газойля и бензина. Т. Левин

**1305. Колориметрический экспресс-метод определения воды в растворителях.** Хорошая Е. С. (快速比色法測定溶劑中的水分, 哈羅雅娃 Е. С.), 化學世, 界, Хуасюэ шицзе, 1956, № 5, 2-6 (кит.)  
Перевод см. РЖХим, 1956, 26057. А. Б.

**1306 К. Количественные методы органического микроанализа.** Кларк (Quantitative methods of organic microanalysis. Clark Stanley John. London, Butterworth's Scient. Publs, 1956, x, 253 pp., ill., 30 sh.) (англ.)

**1307. Д. Полярографические методы определения остатков от расщепления нуклеиновых кислот.** Бронштерт (Polarographische Methoden zur Bestimmung von Nucleinsäuren-Spalt stücken. Bronster Klaus. Diss. Naturwiss. Fak, Würzburg, 1954). Dtsch. Nationalbibliogr., 1956, В, № 11, 915 (нем.)

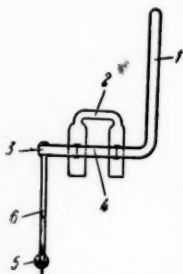
См. также: Полярография 46Бх, 793Бх. Хроматография 610, 2664, 2992; 87—89Бх, 91Бх, 94—96Бх, 98Бх, 840Бх, 904Бх, 1036Бх. Технич. анализ 1888, 1902, 1954, 1956, 1959, 2300, 2773, 2775, 2777, 2822, 2856, 2862, 2886, 2888, 2915, 2919, 2928, 2960, 2992, 3058, 3059, 3116, 3120—3122, 3144; 90Бх, 99Бх, 124Бх. Др. вопр. 1933, 2302, 2303, 2390, 2778; 19Бх, 21—30Бх, 32Бх, 35—39Бх, 41Бх, 49Бх, 50Бх, 57Бх, 64Бх, 65Бх, 75Бх, 76Бх, 82Бх, 100Бх, 111—116Бх, 118Бх, 119Бх, 121—123Бх, 125—127Бх, 129Бх, 130Бх, 132Бх, 135Бх, 137—139Бх, 152Бх, 153Бх, 156Бх, 157Бх, 162Бх, 165Бх, 166Бх, 168Бх, 170—172Бх, 173Бх, 467Бх, 946Бх.

## ОБОРУДОВАНИЕ ЛАБОРАТОРИЙ. ПРИБОРЫ, ИХ ТЕОРИЯ, КОНСТРУКЦИЯ, ПРИМЕНЕНИЕ

Редактор А. И. Саразов

**1308. Весы для измерения плотности. I. Конструкция и возможности применения.** Клазен (Dichtewaage. I. Konstruktion und Anwendungsmöglichkeiten. Clasen Hermann), Chem.-Ingr.-Techn., 1956, 28, № 1, 45—48 (нем.; рез. англ., франц.)

Сконструированы простые весы для измерения плотности жидкостей, паст, воскообразных и твердых в-в, плавящихся без разложения. Весы (см. рис.) состоят из запаянной с одного конца стеклянной трубки — коромысла 1 длиной 15, диам. 1 см, вращающегося на горизонтальных стеклянных трубках 2. Исследуемое в-во, вводимое через отверстие 3 в часть 1 до метки 4, создает вращательный момент, уравновешиваемый разновесами на чашке 5 рычага 6. Перед измерением находится «нулевое» положение и константа весов  $k$  по в-ву с известной плотностью  $D_1$ ,  $k = D_1/G_1$ , где  $G_1$  — уравновешивающий груз. Затем в весы вводится исследуемое в-во, и весы грузом  $G_2$  снова приводятся в «нулевое» положение. Плотность в-ва  $D_2$  вычисляется по ф-ле  $D_2 = kG_2$ . Для определения плотности необходимо 8 см<sup>3</sup> в-ва. Точность измерений  $\pm 10^{-3}$  г/см<sup>3</sup> при колебаниях т-ры окружающей среды не более  $\pm 1^\circ$ . Положительные моменты 4 не влияют на точность измерений. Видоизмененные весы позволяют измерять плотность при т-рах вплоть до т-ры крит. и получать полную кривую т-ра — плотность. А. Лоншанов



Приведены кривые распределения энергии в первичном пучке от рентгеновской установки на 280 кэ при значениях слоя половинного ослабления 1,7; 2,5 и 3,1 мм Cu. Отмечено, что результаты измерений с кристаллом NaJ(Te) совпадают с данными расчета, полученными по анализу поглощения пучка. К. Аглинцев

**1310. Поглощение света кварцевым стеклом в области 1470—1750 А.** Грот, Вейсенхофф (Die Lichtabsorption von Quarzglas zwischen 1470 Å und 1750 Å. Groth W., Weyssenhoff H. v.), Z. Naturforsch., 1956, 11a, № 2, 165—166 (нем.)

На спектрографе с флюоритовой оптикой исследовалась прозрачность кварцевого стекла в области 1470—1750 А. Источником излучения служила разрядная трубка с окошком из LiF, которая заполнялась ксеноном (линия 1470 А), водородом (ряд линий между 1486,7 и 1609,9 А) и азотом (1743 А). Замеренные значения коэфф. поглощения и ранее полученные для больших длин волн ложатся на общую кривую в зависимости от длины волны при нанесении их в логарифмич. масштабе. Приводятся величины пропускания, полученные для кварцевых пластинок толщиной 0,012—0,53 мм в исследованной области спектра. С. Жданов

**1311. О некоторых принципах конструирования визуального прибора для измерения интенсивности рассеянного света.** Сокол (O niektorých princípoch konštruovania vizuálneho prístroja na meranie intenzity rozptýleného svetla. Sokol František), Chem. zvesti, 1956, 10, № 5, 322—329 (словац.; рез. рус., нем.)

Приведены некоторые улучшения универсального визуального прибора, описанного ранее (РЖХим, 1954, 29352). Обсуждены некоторые факторы (стабилизация источников света, монохроматизация, коллимация первичных лучей, чувствительность детекторов), которые оказывают влияние на точность измерений визуального прибора. Резюме автора

**1312. Приприспособление пресса, предназначенного для прессования дисков из бромистого калия, к прессо-**

**1309. Измерения непрерывного спектра рентгеновских лучей с помощью сцинтилляционного спектрометра.** Кормак, Тилл, Уитмор, Джонс (Measurement of continuous X-ray spectra with a scintillation spectrometer. Cormack D. V., Till J. E., Whitmore G. F., Johns H. E.), Brit. J. Radiol., 1955, 28, № 335, 605—609 (англ.)



ванию микродисков в вакууме. Пиккеринг (Adaptation of existing potassium bromide disk press for microdisk pressing in vacuo. Pickering Roger A.), *Analyt. Chem.*, 1956, 28, № 2, 280 (англ.)

Описан способ использования вакуумного пресса промышленного изготовления для прессования в вакууме микродисков из KBr, используемых для микроанализа в ИК-области спектра. Прессование производится в стандартной матрице вакуумного пресса, в которую вставляется другая матрица с диаметром пуансона 6 мм, изготовленная из закаленной нержавеющей стали.

В. Лыгин

1313. Быстрое приготовление и наполнение ампул для рентгенографического исследования по методу Дебая — Шеррера. Гривнак (Rychla príprava a plnenie trubčiek pre roentgenografickú metódu Debye — Scherrerovu. Hrivňák J.), *Chem. průmysl*, 1956, 6, № 2, 79 (словац.)

Подготовка образцов для снятия дебаграмм ускоряется при использовании в качестве ампул коллоидных капилляров, снабженных конусообразным расширением, в которое высыпается порошок. Для приготовления ампул стеклянную трубочку с оттянутым капилляром погружают в расплав парафина и затем 10—15 раз (через некоторые интервалы времени) в 5%-ный р-р коллодия. Отделение ампулы от стекла достигается погружением трубки в горячую воду.

В. Свиридов

1314. Спектрометрия электронной интерференции. II. Расшифровка интерференционных спектрограмм и сравнение с теоретическими данными. Леонхард (Spektrometrie von Elektronen-Interferenzen. II. Auswertung der Interferenz-Spektrogramme und Vergleich mit der Theorie. Leonhard F.), *Z. Naturforsch.*, 1954, 9a, № 12, 1019—1031 (нем.)

Получены интерференционные картины от пленок Be, Al, Au (200—300 Å) при замедлении, через 10—20 e, пучка электронов с энергией 50 кэв и построены кривые распределения интенсивности по скоростям электронов и по углам рассеяния. Анализ интерференционных картин затруднен из-за невозможности различить упругорассеянные электроны (УРЭ) и многократно УРЭ, отклоненные в диффузный фон. Сравнение эксперим. отношения всех УРЭ к сумме падающих на образец электронов ( $\sigma_0 = N(\text{упр. сум.})/N_0$ ) с рассчитанным (Debye P., *Erg. techn. Röntgenkunde*, 1933, 3, 11; Mollière G., *Z. Naturforsch.*, 1947, 2b, 133) дало  $\sigma_0$  (эксп.) = 0,05 и  $\sigma_0$  (теор.) = 0,42. При расчете  $\sigma_0$  для неупругорассеянных электронов по ф-ле Коппа (Kopp, *Z. Phys.*, 1948, 124, 658) получен подобный ход эксперим. и теоретич. кривых интенсивности, однако колич. данные, особенно при малых углах рассеяния, различны. Часть I, см. РЖХим, 1956, 54878. А. Лошманов

1315. Распределение плотности электронов на электронномикроскопическом изображении. Стоянов П. Г., *Ж. техн. физики*, 1956, 26, № 5, 990—995

Исследовано распределение плотности электронов на электронномикроскопич. изображении однородных объектов в зависимости от атомного веса, кол-ва рассеивающего в-ва и ускоряющего напряжения. В качестве объектов применяются слои W, Ti, Cr, Si, конденсированные в вакууме  $5 \cdot 10^{-3}$  мм рт. ст. на сеточки с коллоидными пленками. Показано, что плотность электронов на светопольном изображении изменяется по закону, который хорошо описывается функцией  $n = n_0 e^{-adV}$ , где  $n_0$  — электронная плотность падающего потока,  $n$  — электронная плотность в различных участках изображения,  $V$  — ускоряющее напряжение,  $a = 19 \text{ см}^2 \text{ кэВ} / \gamma$ ,  $d$  — кол-во в-ва в  $\gamma/\text{см}^2$ . Эта закономерность справедлива для различных в-в, если они

сравниваются по одинаковой поверхностной плотности. Найденная закономерность позволяет просто определить толщину однородных объектов. Полученные результаты позволяют считать, что темнопольный метод целесообразно применять в области больших и малых толщин в основном для всех в-в в диапазоне напряжений 40—100 кэВ. Область малых толщин объектов, в которой предпочтительно использование темнопольного метода при исследовании однородных объектов, уменьшается при понижении ускоряющего напряжения и увеличении атомного веса в-ва. Показано, что миним. кол-во W, которое может быть обнаружено в электронном микроскопе в темном поле, на 2 порядка меньше, чем кол-во W, обнаруживаемое в светлом поле.

В. Лыгин

1316. Видоизмененный способ приготовления реплик и его применение к исследованию поверхности травленых кристаллов титаната бария. Кемпбелл, Стерленд (A modified replica technique and its application to the examination of etched single crystals of barium titanate. Campbell D. S., Stirland D. J.), *Brit. J. Appl. Phys.*, 1956, 7, № 2, 62—65 (англ.)

Треугольные пластинки титаната бария (с гипотенузой 1 см и толщиной 0,001 см) подвергаются травлению в слабом р-ре HCl. Время травления 1—10 мин. Промытые и высушенные пластинки подтягиваются окисью хрома под углом 30°. На подтянутую поверхность наносится 1%-ный р-р коллодия в амламетате. Обработанная таким образом пластинка титаната бария снова погружается на несколько секунд в HCl для облегчения отделения коллоидовой реплики. Отделяющаяся коллоидная реплика извлекается из HCl, промывается дистил. водой, сушится и исследуется в электронном микроскопе. Приведенные микрофотографии, полученные описываемым способом, дают лучшее воспроизведение структуры травленной поверхности, чем микрофотографии, полученные методом сухого отдираания коллоидных реплик. На травленной поверхности наблюдаются отдельные участки сильного, среднего и слабого травления. Наблюдаемая картина интерпретируется как результат неоднородности в разработке отдельных граней тетрагональных кристаллов титаната бария.

В. Лыгин

1317. Простой способ нанесения шкалы с межплоскостными расстояниями на пленку в порошковой камере. Олберг (Simple technique for imprinting scale of  $d$ -spacings on powder films. Ohlberg Stanley), *Analyt. Chem.*, 1955, 27, № 12, 2016—2017 (англ.)

Стандартная шкала Nies впечатывается на рентгеновскую пленку контактным способом. Пленка со шкалой закладывается в камеру над неэкспонированной пленкой и засвечивается 200-вт лампой в течение 1 сек., после чего пленка со шкалой удаляется, а камера с образцом и оставшейся пленкой экспонируется обычным способом. Проявленная пленка кроме дифракционных колец содержит шкалу, по которой непосредственно читаются межплоскостные расстояния.

А. Бабад-Захряпин

1318. Крутильные весы для отдельной микроскопической магнитной частички. Ю, Морриш (Torsion balance for a single microscopic magnetic particle. Yu S. P., Morrish A. H.), *Rev. Scient. Instrum.*, 1956, 27, № 1, 9—11 (англ.)

Подробно описана конструкция крутильных весов нового типа с кварцевой нитью diam. 0,5  $\mu$ . Аппарат позволяет измерять магнитные свойства на отдельных микроскопич. частичках, имеющих диаметр порядка 1  $\mu$ .

Я. Дорфман

1319. Теченекатель по галогенному методу для высоковакуумных трубок. Вебер (Lecksucher nach dem

Halogenverfahren für Hochvakuumröhren. Weber A.), Glas- und Hochvakuum-Technik, 1953, 2, № 12-13, 259—262 (нем.)

Принцип течеискателя основан на использовании эффекта Rice (пат. США, № 2550498). Датчиком служит диод, состоящий из двух концентрич. Pt-цилиндров с зазором 1 мм. Внутренний цилиндр — анод диам. 5 мм и длиной 40 мм нагревается до 900° спиралью из Pt-провода диам. 0,15 мм и длиной 400 мм, заключенной в закрытый кварцевый чехол для повышения стабильности тока накала. Сенсибилизация анода щелочью повышает чувствительность прибора. Тщательная изоляция выводов датчика и подбор стекла баллона сводят к минимуму утечки электронного и ионного тока. Рабочее давление в датчике 0,01—0,001 мм рт. ст. Изменение ионного тока датчика, вызванное попаданием атомов галогена, измеряется компенсационной схемой на двойном диоде EDD11. Питание цепей нагрева датчика, компенсационной схемы и термовакуумметра осуществляется через отдельные трансформаторы со стабилизацией. Выход мешающих ионов с нити накала подавляется подачей на нить соответствующего напряжения, которое, однако, ведет к обеднению сенсибилизирующего слоя. Прибор имеет оптимальную чувствительность при токе покоя 1—2 мк и позволяет обнаруживать течи до  $10^{-8}$  мм рт. ст. л/сек.

А. Лошманов

1320. Механическое устройство для создания градиента плотности в жидкостях. Андерсон (Mechanical device for producing density gradients in liquids. Anderson Norman G.), Rev. Scient. Instrum., 1955, 26, № 9, 891—892 (англ.)

Две жидкости, применяющиеся для создания градиента плотности, помещаются в два вертикально расположенных шприца, поршни которых движутся с разной, непрерывно меняющейся скоростью с помощью электромотора и спец. передаточной системы. Нужно распределение плотности может быть достигнуто либо подбором соотношения длин плеч передаточной системы, либо подбором соотношения диаметров шприцев. Втекающая из шприцев жидкость непрерывно перемешивается с помощью магнитной мешалки и образует поток с непрерывно меняющейся плотностью. Полученный градиент может быть определен по приведенной ф-ле или с помощью денситометра.

Л. Абрамович

1321. Кювета с закрепленными электродами для измерения диэлектрической постоянной жидкостей. Абрагаль (Cellule à électrodes fixes pour la mesure de la constante diélectrique d'un liquide. A. Bragall Claude), C. r. Acad. sci., 1956, 242, № 1, 76—78 (франц.)

Описана кювета для быстрых и хорошо воспроизводимых измерений диэлектрич. постоянной жидкостей, отличительными чертами которой являются: 1) способ закрепления электродов с помощью винта и тефлоновых колец (без применения замазок), допускающий простую смену внутреннего электрода; 2) уменьшение влияния индуктивности вывода от центрального электрода путем укорочения линии соединения кюветы с эталонным конденсатором. Описана также кювета с подвижными электродами. В. Дианов-Клюков

1322. Современная техника изготовления и транспортировки радиоактивных источников из кобальта-60. Лилли А. Б. В сб.: Дозиметрия ионизирующих излучений. М., Гостехтеоретиздат, 1956, 563—578. Подробно описаны конструкции капсул (К) для облучения Co в реакторе, контейнера для терапевтич. источника (КТ) и горячей камеры (ГК), рассчитанной на несколько тысяч кюри, в которой прототворяются источники. Описан контейнер для транспортировки источника и приспособление для извлечения К из реактора. К длиной 4,5 и диам. 1,9 см изготавливается

из Al высокой чистоты. Уменьшение экранировки таблеток Co по отношению к потоку нейтронов достигается созданием Al-оболочки внутри К. КТ содержит тонкую чашку (0,5 мм) из нержавеющей стали, вставленную в корпус из W-сплава. Между чашкой и пробкой из вольфрамового сплава ставятся Pb-прокладки. ГК размерами 84×65×56 см изготовлена из литого Pb толщиной 25—30 см, облицованного сталью. Окно размером 25×16,5 см состоит из 4 пластин стекла плотностью 6,2 г/см<sup>3</sup>, толщиной 10 см и одной пластины цериового стекла толщиной 5 см. Внутри ГК поддерживается вакуум. Инструменты и приспособления монтируются на ступенчатых пробках. Кратко описана методика работы с ГК. Извлечение активного материала из ГК осуществляется с помощью подвижного Pb-ящика. Стержень с К извлекается из реактора в первый КТ с Pb-защитой (25 м), из которого при помощи подвижных ящиков К переносится во второй КТ. В этом КТ производится транспортировка на дальние расстояния.

А. Бабад-Захрияни

1323. Очистка CO<sub>2</sub>, предназначенной для наполнения пропорционального счетчика при определении возраста с помощью C<sup>14</sup>. Врисе (Purification of CO<sub>2</sub> for use in a proportional counter for <sup>14</sup>C age measurements. Vries Hl. de), Appl. Sci. Res., 1956, B5, N 5, 387—400 (англ.)

Процесс очистки состоит из вымораживания паров при —80°, откачки неконденсировавшихся газов при —182°, хим. очистки и очистки от возможных радиоактивных загрязнений (радон, криптон). Показано, что для исключения проскоков в холодной ловушке скорость газового потока через ловушку не должна превышать 10/α см<sup>3</sup>/сек, где α — градиент т-ры вдоль трубки. Предложенная методика гарантирует снижение конц-ий примесей до 10<sup>-6</sup>.

В. Васильев

1324. Изучение альфа-радиоактивности в воздухе с помощью быстродействующей ионизационной камеры. Фачини У., Мальвисини А. В сб.: Дозиметрия ионизирующих излучений. М., Гостехтеоретиздат, 1956, 274—278

Найдено, что загрязнение кислородом (~0,25%) Ar—N<sub>2</sub> наполнения быстродействующей ионизационной камеры (БИК) практически не влияет на величину импульса при напряжениях, превышающем некоторую величину. При этом линейность БИК не ухудшается. Проведено исследование спектра α-частиц радиоактивной пыли, осажденной на пластинке электроосадителя. Фон БИК ~1 имп/мин. При измерении линий спектра α-частиц с помощью амплитудного анализатора, с 5—6 каналами для регистрации импульсов, можно обнаружить в 1 м<sup>3</sup> воздуха α-радиоактивность ~5·10<sup>-13</sup> кюри.

А. Лошманов

1325. Применение CaSO<sub>4</sub>Mn для целей дозиметрии. Носенко Б. М., Ревзин Л. С., Ясколко В. Я., Докл. АН УзССР, 1956, № 4, 3—4 (рез. узб.); Ж. техн. физики, 1956, 26, № 9, 2046—2048. Исследована возможность применения фосфора CaSO<sub>4</sub>Mn для дозиметрии β- и γ-излучения в широком интервале интенсивностей. CaSO<sub>4</sub>Mn запасает значительную светосумму при катодовозбуждении, а затем термически высвечивает ее, теряя за 8 час. при т-ре хранения 20—40° соответственно 30—50% светосуммы. Световое излучение регистрировалось фотометром ФЭУ-19. Доза облучения определялась по максим. значению фототока в процессе высвечивания. При дозах облучения 0,005—40 рентген светосумма пропорциональна дозе излучения, а дальше монотонно возрастает с увеличением дозы. Недостаток данного фосфора — потеря светосуммы с течением времени. Чувствительность дозиметров с CaSO<sub>4</sub>Mn не уступает дозиметрам с Sr-Sm-Eu. Преимущества фосфора: неспособность CaSO<sub>4</sub>Mn запасать светосумму под дей-

ствием видимого света, не требуется спец. устройства для ИК-света и дополнительно термич. высвечивания, не нужна свинцовая корректирующая защита дозиметра. В. Васильев

**1326.** Влияние метилового спирта на люминесцентные свойства растворов, употребляемых в сцинтилляционных счетчиках. Кун, Мой жинш (Vliv methylalkoholu na luminiscenční vlastnosti roztoků používaných v scintilačních počítačích. Kuhn A. n. o. Mo j ž i š J a n), Českosl. časop. fys., 1956, 6, № 1, 60—63 (чеш.)

Изучены люминесцентные свойства *n*-терфенила (I) и 1,4-дифенилбутадиена (II) в бинарных системах, состоящих из метилового спирта (III) и бензола (IV), толуола (V) или ксилола (VI). Возбудителем люминесценции (Л) служило  $\alpha$ -излучение  $^{60}\text{Co}$ . Наибольшая интенсивность (И) Л наблюдается в случае, если р-ителем является V, наименьшая — когда в качестве р-ителя используется IV. С ростом т-ры И уменьшается. Увеличение конц-ии I приводит к росту И, причем начиная с 0,5% I И практически не изменяется. III снижает И, но не изменяет вида спектра Л, максимум интенсивности которой соответствует  $\lambda$  380 м. При конц-ии III в р-ре 30% И уменьшается на 35%. При повышении т-ры на 10° И уменьшается на 10%. Выход Л значительно больше, если I и р-ители являются люминесцентно чистыми. Присутствие воды приводит лишь к незначительному уменьшению И. И Л II значительно меньше, причем наибольшее ее значение наблюдается в р-рах VI. III снижает И Л II больше, чем в случае I. При использовании 0,5%-ного р-ра люминесцентно чистого I в системе III—V, содержащей 30% III, чувствительность счетчика к  $\beta$ -излучению увеличивается в 18,5 раза по сравнению со счетчиком Либби (Libby W. F. Radiocarbon dating. Chicago, University of Chicago Press, 1952). В. Свиридов

**1327.** Изотермический микрокалориметр. Стотт (An isothermal micro-calorimeter. Stott J. B.), J. Scient. Instrum., 1956, 33, № 2, 58—63 (англ.)

В описанном микрокалориметре все выделяющееся тепло отводится по проволокам термостолбика, состоящего из 100 термопар медь — константан. Такой режим работы обеспечивается устройством термостолбика, в котором теплоемкость холодных спаев в 1000 раз превышает теплоемкость горячих. Приведены теоретич. ф-лы для вычисления максим. чувствительности калориметра. Обсуждается влияние коэфф. теплопроводности материала термопар, длины проволоки и нестабильности теплового потока на чувствительность калориметра подобного типа. Автор считает, что описываемый калориметр с гальванометром типа Пашена обладает температурной чувствительностью  $5 \cdot 10^{-7}$  град. Калориметр позволяет измерять как общее кол-во тепла, так и скорость его выделения. Чувствительность калориметра не зависит от теплоемкости реагирующих в-в. И. Лыгина

**1328.** Устойчивость дифференциального микрокалориметра. Шарюзль, Тренар (Microcalorimètre différentiel étude de la stabilité. Chaguel R., Traupard Ph.), J. chim. phys. et phys.-chim. biol., 1955, 52, № 6, 441—446 (франц.)

Микрокалориметр для измерения теплового эффекта р-ции гидратации целлюлозы состоит из двух сосудов Дьюара. В первом происходит исследуемая р-ция, а во втором находится нагревательная спираль, в которой автоматически выделяется такое кол-во тепла, чтобы разность т-р между обоими сосудами, измеряемая термоэлементом, равнялась нулю. Э. д. с. термоэлемента измеряется гальванометром с фотоэлементом, ток фотоэлемента усиливается и подается на регистрирующий потенциометр. Стрелка потенциометра связана

с движком, который перемещается по реохорду, регулирующему подачу тепла в нагревательную спираль. Найдено ур-ние кривой профиля реохорда. Составлено дифференциальное ур-ние для функции  $i^2(t)$  ( $i$  — сила тока,  $t$  — время), характеризующей выделение тепла в нагревательной спирали, и путем математич. анализа найдены условия устойчивости регулирующей системы. Проведены измерения, которые подтвердили правильность предложенной простой теории. А. Лихтер

**1329.** Сверхпроводящий болометр как детектор тепловой радиации от низкотемпературных источников. Халберт, Джонс (The superconducting bolometer as a detector of thermal radiation from low-temperature sources. Hulbert J. A., Jones G. O.), Proc. Phys. Soc., 1955, B68, № 11, 810—804 (англ.)

В описанном болометре (Б) приемным элементом (Э) служит тонкая оловянная проволока, прикрепленная к тонкой алюминиевой фольге. Э смонтирован на каркасе из нейлоновых ниток и тонких константановых проволочек. Между источником радиации и Э расположено тонкое защитное окно и оптич. затвор. Ток от Э передается на чувствительный гальванометр, измеряющий поглощенную мощность с точностью  $3 \cdot 10^{-5}$  эрг/сек. Примененный метод градуировки дает возможность корректировать нелинейность инструмента и не учитывать оптич. природу принимающей поверхности. Б заключен в сосуд с т-рой  $\sim 3-7^\circ\text{K}$ . При термостате с грубой и тонкой регулировкой т-ру можно поддерживать с точностью  $10^{-4}$  град. Приведена кривая зависимости энергии, поглощаемой тонким слоем графита на поверхности Э, от изменения т-ры источника радиации. Отклонение от прямой объяснено независимостью поглощения от т-ры между 4 и  $17^\circ\text{K}$ , которое изменяется только с длиной волны и максимум которого находится между 0,2 и 0,4 м.м. Ю. Богомолов

**1330.** Измерение удельной теплоемкости. Обобщения и методы измерения средней удельной теплоемкости твердых тел. Лейденфрост (Messung der spezifischen Wärme. Allgemeines und Verfahren zur Messung der mittleren spezifischen Wärme fester Körper. Leidenfrost W.), Arch. techn. Messen, 1955, № 239, 277—280 (нем.)

Рассмотрены основные методы определения средней уд. теплоемкости твердых тел и описаны эксперим. установки с различными типами калориметров (водяным, металлич., паровым, ледяным), работающие по методам смешения, непосредственного нагрева и при известных т-рах до и после подвода тепла к твердому телу. Указывается область применения каждого метода, а также возможная точность получаемых результатов. Р. Артым

**1331.** Новое оформление оптических записей хода термического анализа. Прокс (Nová úprava optického záznamu priebehu diferenčnej termickej analýzy. Proks Ivo), Chem. zvesti, 1956, 10, № 1, 78—80 (словац.; рез. рус., нем.)

Описана аппаратура для оптич. регистрации данных дифференциального термич. анализа с использованием обыкновенного лабораторного оборудования.

Резюме автора

**1332.** Солевые мостики из пористого стекла и из ионообменных мембран. Карсон, Майклсон, Кояма (Salt bridges of porous glass and ion exchange membranes. Carson W. H., Jr., Michelson C. E., Koyama K.), Analyt. Chem., 1955, 27, № 3, 472—473 (англ.)

Описаны различные варианты используемых в электрохимии электролитич. мостиков (М) из пористого стекла, позволяющих работать при перепадах давления до 1 атм. и М с ионообменными резиновыми мембранами в виде листов толщиной 1,5—3 м.м. Пористое



стекло имеет объем пор  $\sim 28\%$  при их среднем диаметре 4 мк. Проницаемость такого стекла 0,00065 мл  $H_2O$  в час через 1 см<sup>2</sup> листа толщиной 2 мм при разности давлений в 1 атм. Электрич. сопротивление прутка пористого стекла диам.  $\sim 6,5$  мм при заполнении р-ром KCl 10 ом/мм. Приведены конструкции электродов сравнения с использованием описанных мостиков.

Ю. Топоров

### 1333. Изготовление нормального элемента Вестона.

Лю Шан-ань (韋斯頓標準電池的製造. 劉世安), 化學通報, Хуасюэ тунбао, 1955, № 9, 563—564 (кит.)

### 1334. Универсальный электрокомпаратор. Кайкарис, Станкевич (Universalis elektrokomparatorius. Kaikaris V., Stankevič J.), Mokslo darbai, Vilniaus valst. univ. Mat., fiz. ir chem. mokslu ser.; Уч. зап. Вильнюсск. ун-та, Сер. матем., физ. и хим. н., 1956, 5, 91—99 (лит.; рез. русс.)

Сконструирован универсальный электрокомпаратор (ЭК) для измерения pH кислот и щел. р-ров (от 0 до 14). ЭК имеет 3 пары электродов: хингидронные с пределами измерений pH 0—6 для небуферных р-ров и 0—8 для буферных р-ров; сурьмяные с пределами измерений pH 0—12; висмутные с пределами измерений pH 8—14. Точность измерений pH  $\sim 0,1$ . Прибор не пригоден для работы с водородным электродом.

Резюме автора

### 1335. Дифференциальное полярографирование на электронном самопишущем интегродифференцирующем полярографе. Пфасман С. Б., Завод. лаборатория, 1956, 22, № 2, 131—140

Описан электронный самопишущий полярограф, предназначенный для записи обычных и дифференциальных полярограмм (ДП). Показано, что при записи ДП получается большая разрешающая способность и упрощается предварительная подготовка р-ров. Для колич. анализа многокомпонентных р-ров до ДП предполагается использование многокомпонентных эталонных р-ров. Указывается также, что совместное использование обычных полярограмм и ДП увеличивает возможность полярографич. анализа. Г. Беда

### 1336. Стекланные электроды для измерения кислотности и щелочности. Штрафелда (Sklenné elektrody pro měření kyselosti a zásaditosti. Štráfel da František), Vesmír., 1956, 35, № 3, 78—80 (чеш.)

Популярная статья.

В. Свиридов

### 1337. Электрические резистивные тензометры. Влияния разницы активного и компенсационного сопротивлений тензометра на точность измерений. Роллинский (Elektryczne tensometry oporowe. Wpływ różnicy oporności tensometrów czynnego i kompensacyjnego na dokładność pomiarów. Rolin ski Zygmunt), Prace Inst. mech., 1956, 5, № 16, 54—57 (польск.; рез. русс., англ.)

Изложен математич. анализ погрешностей измерений от разницы активного и компенсационного сопротивлений тензометра, возникающей при изменении т-ры окружающей среды. Величина погрешности зависит от исследуемого материала и является наибольшей для алюминия. В последнем случае в тензометре применяют сопротивление с миним. допусками. А. Лошманов

### 1338. Автоматическое разделение фракций, вытекающих из хроматографической колонки, с помощью УФ-спектроскопии. Кеннон, Мак-Кеннел, Баучер, Робинсон, Уэб (Automatic ultraviolet spectral scanning of chromatographic effluents. Kenyon W. C., McCauley J. E., Boucher E. G., Robinson A. E., Wiebe A. K.), Analyt. Chem., 1955, 27, № 12, 1888—1895 (англ.)

Описано применение самопишущего УФ-спектрофотометра Гэри модели 11-M для регистрации состава фрак-

ций в малых порциях элюата при градиентном элюировании хроматографич. колонок. Автоматизирован весь процесс: непрерывное изменение конц-ии элюирующего р-ра, спектрофотометрия последовательных проб элюата (прерывный процесс) и отбор фракций. Приводятся результаты испытания прибора при разделении искусств. смеси бензола, стирола, анизола, бензальдегида, ацетофенона, фенола, бензойной к-ты и бензилового спирта на колонке с силикагелем при промывании смесью изооктана с эфиром. Записанная хроматограмма состоит из серии узких последовательных фотоспектрограмм, легко допускающих качеств. идентификацию и колич. определение фракций; стандартные отклонения составляют  $\pm 1,51\%$ . В. Анохин

### 1339. Новый прибор для измерения удельной поверхности порошков. Суйто, Аракава, Такахаши (新しい透過式比表面積測定装置と二, 三の結果. 水渡英二, 荒川正文, 高橋允), 工業化学雑誌, Kōgō kagaku zasshi, J. Chem. Soc. Japan. Industr. Chem. Sec., 1956, 59, № 3, 307—310 (япон.)

### 1340. Конструкция прибора с внешним ротором для динамического двойного лучепреломления в потоке. Изучение полидисперсности раствора вируса табачной мозаики. Лерай (Réalisation d'un appareil de biréfringence d'écoulement à rotor extérieur: application à l'étude de la polydispersité d'une solution de virus de la mosaïque du tabac. Lera y J.), J. chim. phys. et phys.-chim. biol., 1955, 52, № 10, 755—764 (франц.)

Описан прибор для измерения динамич. двойного лучепреломления в потоке с внешним ротором и неподвижными стеклами, сходный с универсальным динамометром (Фрисман Э. В., Цветков В. Н., Ж. Эксперим. и теор. физики, 1952, 23, № 6, 630). Длина ротора 100 мм, радиус внутреннего неподвижного цилиндра 25 мм. Три заменяемых ротора позволяют получить зазор величиной 0,95, 0,60 и 0,30 мм. Показано, что диэлектрич. покрытия уменьшают погрешности, возникающие за счет отражения света от стенок прибора и изменения состояния поляризации света. Определена величина двойного лучепреломления и углы гашения  $\phi$  для р-ра вируса табачной мозаики и подсчитан средний коэф. вращательной диффузии. С. Котляр

### 1341. Прибор для автоматического определения времени желатинирования. Билхеймер, Парретт (Apparatus for automatic determination of gel time. Billheimer John S., Parrette Richard), Analyt. Chem., 1956, 28, № 2, 272—273 (англ.)

Описан простой прибор для измерения времени желатинирования полимеризуемых соединений (ПС), основанный на автоматич. выпуске бусин на поверхность ПС. Пока ПС в жидком состоянии, бусины опускаются на дно сосуда, а после образования геля задерживаются на поверхности. По числу опустившихся на дно бусин определяют время гелеобразования.

В. Мунтерс

### 1342. Некоторые характерные особенности вискозиметра с конусом и пластиной. Мак-Кеннел (Einige charakteristische Merkmale der Kegel-Platte-Viskosimeter. McKennel R.), Kolloid-Z., 1956, 145, № 2, 114—116 (нем.)

Перечисляются практич. требования, которым должен удовлетворять вискозиметр данного типа, и рассматриваются их выполнимость. При сравнении с вискозиметром Куэтта отмечаются большая простота и наглядность расчетных ф-л для прибора рассматриваемого типа, а также отсутствие необходимости в температурных поправках даже при больших градиентах скорости. Существенным преимуществом прибора являются постоянство градиента скорости и крайне

малое кол-во испытуемой жидкости, пужное при работе.

**1343. Микровискозиметр. Фрэйнд, Вамош (Mikroviskosimeter. Freund Michael, Vámos Andreas), Erdöl und Kohle, 1955, 8, № 12, 895—898 (нем.)**

Описан прибор для измерения кинематич. вязкости (v) смазочных масел. Объем пробы 5—20 мг. Прибор представляет собой U-образную трубку с одним широким и одним узким (капиллярным) коленом. Измеряемое масло засасывается в узкое колено до метки, после чего прибор термостатируется. Измерение состоит в отсчете продолжительности опускания в капилляре столбика масла от одной метки до другой. Вычисление результата ведется по формуле:  $v = gr^4/8t$ , где  $g$  — ускорение силы тяжести,  $r$  — радиус капилляра,  $t$  — продолжительность перемещения жидкости между двумя метками,  $l$  — расстояние между ними. Расчет не требует поправок Гагенбаха и Куэтта, а также поправки на влияние поверхностного натяжения. Прибор может быть применен как абс. вискозиметр или же предварительно градуируется по жидкостям с известными  $v$ . Погрешности измерения в первом случае доходят до  $\pm 3\%$ , во втором — не превышают  $\pm 1\%$ . Приводятся графики и цифровые таблицы с результатами испытания вискозиметра и сравнения его показаний с данными, полученными на приборе Оствальда — Фенске.

**1344. Колориметр для пиротехнических дымов. (Colorimeter for pyrotechnic smokes.), J. Franklin Inst., 1955, 260, № 3, 232—233 (англ.)**

Колориметр состоит из линзы и трех фотоэлементов с фильтрами (ФФ). Исследуемый газ помещается в спец. камеру с большим окном, освещенным четырьмя 150-вт лампами. Свет от центральной зоны камеры фокусируется линзой на ФФ. Электрич. сигнал от ФФ отсчитывается в трех фотометрах, показывающих интенсивность красного, зеленого и синего компонентов дыма. С небольшими изменениями прибор может быть применен в других системах оценки цветов.

Ю. Богомолов

**1345. Электропреципитатор, приспособленный для отбора при высоких скоростях. Ленгер (Elektropräzipitator přizpůsobený pro odběr ve vysokých rychlostech. Lenger V. J.), Chem. listy, 1956, 50, № 1, 146—148 (чеш.)**

Описан прибор, позволяющий даже при высоких скоростях протекания аэрозолей, газов или паров (10—25 м/сек) отбирать образцы при соблюдении условия, что скорость во всасывающем отверстии равна скорости окружающего потока.

**1346. Лабораторная техника полимеризации под давлением. Штублей (Laboratorní technika tlakové polymerace. Štubléy Zdeněk), Chem. průmysl, 1956, 6, № 3, 121—122 (чеш.)**

Для проведения полимеризации под давлением до 10 атм автор использовал стеклянный сосуд, емк. 300 мл с металлич. струбциной, прижимающей резиновую пробку. Для ввода в сосуд реагентов служит баллон емк. 700 мл, содержащий азот под давлением. Отбор проб осуществляется через пробку небольшим шприцем (на 10 мл).

В. Свиридов

**1347. Объективный способ определения точки плавления и области размягчения высокомолекулярных веществ. Рыбникарж (Objektivní způsob stanovení bodu tání a oblasti měknutí vysokomolekulárních látek. Rybníkář F.), Chem. listy, 1956, 50, № 1, 145—146 (чеш.)**

На поверхность исследуемого в-ва, помещенного в нагреваемую пробирку, опирается тулая игла, соединенная с индикатором (стрелочный микрометр). При размягчении или расплавлении в-ва игла под действием

собственного веса и пружины индикатора начинает опускаться. Движение иглы отмечается индикатором.

Vladimír Kačena

**1348. Новый смесительный сосуд для пламенного фотометра. Пиккенхайн (Ein neues Mischgefäß für das Flammenfotometer. Pickenhain L o t h a r), Dtsch. Gesundheitswesen, 1954, 9, № 41, 1235—1236 (нем.)**

Описан новый смесительный сосуд (приведена схема) к пламенному фотометру Цейсса; сжатый воздух и  $C_2H_2$  подаются в сосуд по отдельным каналам; смешение осуществляется при прохождении воздуха и  $C_2H_2$  через спец. цилиндрич. устройство, от которого смесь газов направляется по трубке с шаровым расширением к горелке. Пламя горелки имеет при употреблении описанного сосуда постоянную яркость. В трех местах сосуда устроены стоки для конденсирующейся воды, закрытые при проведении опытов зажимами. Смесительный сосуд новой конструкции использован при пламеннофотометрич. определении Na и K.

Т. Леви

**1349. Фотометр с фотосопротивлением типа ФС-К1 для спектрального анализа в пламени. Столяров К. П., Каранетян Г. О., Завод. лаборатория, 1956, 22, № 4, 501—502**

Исследуемое в-во вводится в пламя горелки с помощью петли из нихромовой проволоки. Излучение выделяется стеклянными или интерференционными фильтрами. Фотосопротивление ФС-К1 позволяет регистрировать излучение в интервале длин волн 500—800 мμ с максим. чувствительностью при 600 мμ. Прибор питается от сети переменного тока. Отсчеты производятся по шкале микроамперметра на 500 мμ. Описываемый прибор применялся для колич. анализа K в чистых солях. Линия K 766,5 мμ выделялась свето-фильтром КС-18. Установлено, что наиболее удобный для анализа интервал конц-ий заключен между 0,1 и 10 γ K в капле размером 0,01 мл. Средняя ошибка определения не превышает 5% измеряемой величины.

В. Лыгин

**1350. К проблеме развития конструкций фотоколориметров отечественного производства. Шиллер (K problematike vývoja konstrukcie fotokolorimetra domácej výroby. Schiller Pavel), Techn. práce, 1956, 8, № 2, 57—58 (словац.)**

Описана конструкция двух фотоколориметров (ФК): 1) ФК, выпускаемого чешской промышленностью (ФК1), и 2) ФК, производство которого будет освоено в ближайшее время (ФКII). ФК1 описан ранее (РЖХИМ, 1956, 65423). ФКII отличается от ФК1 наличием двух зеркал вместо одного полупрозрачного, благодаря чему устраняются возможные ошибки, вызванные изменением со временем отражательной способности зеркала.

В. Свиридов

**1351. К проблеме фотоколориметров чехословацкого производства. Шиллер, Палдан (K problematike fotokolorimetrov čs. výroby. Schiller P., Paldan M.), Chem. průmysl, 1956, 6, № 2, 81—82 (словац.)**  
См. пред. реф.

**1352. Вакуумный осушитель с подогревом. Уодсворт (Heated vacuum desiccator. Wadsworth F. T.), Analyst. Chem., 1956, 28, № 2, 287 (англ.)**  
Предложен вакуумный осушитель с подогревом для быстрого удаления р-рителей. Подогрев осуществляется фарфоровой плиткой, мощностью  $\sim 0,5 \text{ вт/см}^2$ , установленной на подставке из жаропрочного стекла на дне эксикатора. Электрич. контакт осуществляется серебряными секторами в  $1/8$  окружности плитки и пружинными латунными контактами. Ток подводится к контактам двумя проводниками, проходящими через

отверстия 1,6 мм в стенках эксикатора, уплотненных порцелановым.

А. Лошманов

**1353.** Прибор для получения сухого хлористого водорода. Танигучи, Дженз (Anhydrous hydrogen chloride generator. Taniguchi Harry, Janz George J., *Analyst. Chem.*, 1956, 28, № 2, 287—288 (англ.))

Прибор состоит из сосуда с запасом  $H_2SO_4$ , которая через капельную воронку поступает в реакционный сосуд (PC), заполненный 5—50 г NaCl. Образующийся HCl пропускают через барботер с конц.  $H_2SO_4$  и через 3 колонки с драйеритом и стеклянной ватой. Отработанную реакционную смесь удаляют из PC сифоном.

В. Мунтерс

**1354.** О пробое диэлектрика при разрядах озонатора. Рамал, Рамакришна-Рао (On dielectric breakdown in ozoniser discharges. Ramaiah N. A., Ramakrishna Rao M. V., *Bull. Centr. Electrochem. Res. Inst.*, 1955, 2, № 1, 12—16 (англ.))

Разработан метод вычисления постоянной озонатора для данного озонатора системы Сименса и газа с известными физ.-хим. свойствами. На основании найденной постоянной озонатора можно производить колич. изучение других сред, заключенных в тот же озонатор.

В. Мунтерс

**1355.** Об уносе нелетучих веществ при дистилляции их водных растворов. Коларов, Трандафил-ов (Über das Mitreissen nichtflüchtiger Stoffe bei der Destillation ihrer wässrigen Lösungen. Kolarov N., Trandaphilow Tr.), Докл. Болгар. АН, 1954 (1955), 7, № 3, 13—16 (нем.; рез. русс.)

Рассмотрено загрязнение дистилл. воды, обусловленное кипением р-ра. В работе использованы 0,1; 0,5; и 1 н. р-ры KCNS, KBr,  $K_2SO_4$  и К-цитрата, приготовленные на дистилл. воде. Установлено, что различные анионы по степени получающегося загрязнения располагаются в следующем ряду: цитрат  $> SO_4^{2-} > Br^- > CNS^-$ . Показано, что загрязнение тем больше, чем ниже т-ра дистилляции, чем равномернее нагрев пространства над р-ром, чем энергичнее барботажа. Отмечено полное устранение загрязнения, если дистилляция осуществляется без формирования пузырьков в исходном р-ре. Дана в общих чертах классификация загрязнений дистил. воды.

Г. Бабкин

**1356.** Метод измерения влажности дробленого материала пикнометром. Эйман, Петровский и Хладынюк (Metoda pomiaru wilgotności kruszywa piknometrem. Eymann Krystian, Piotrowski Stanisław, Hładyniuk Włodzimierz), *Mater. budowl.*, 1955, 10, № 11, 300—304 (польск.)

Пикнометр (П), использованный авторами для определения влажности, состоит из стеклянной банки емк. ~1 л с металлич. конич. крышкой, имеющей сверху отверстие диам. 6 мм. Сначала определяют вес  $P_1$  пикнометра, заполненного  $H_2O$ , затем П опорожняют, засыпают в него 1 кг исследуемого материала, заливают  $H_2O$  и закрывают металлич. крышку, встряхиванием удаляют пузырьки воздуха, доливают водой до верха и снова взвешивают. Полученный вес  $G_1$  является суммой весов П, 1 кг влажного дробленого материала и воды. Разность весов ( $G_1 - P_1$ ) является величиной, на основании которой можно определить степень влажности дробленого материала. Приводятся ф-лы для подсчета влажности.

П. Кинкулькин

**1357.** Легко изготавливаемый обратный холодильник. Кода (簡単にできる還流冷却器. 甲田善生), *化学と工業*, Kagaku to kōgō, *Chem. and Chem. Ind.*, 1955, 8, № 11, 488 (япон.)

Холодильник представляет собой U-образную трубу

ку с коленами разного диаметра, вставляемую внутри пробирки на половину ее длины. Через холодильник пропускается охлаждающая жидкость. Пары жидкости, кипящей на дне пробирки, конденсируются в узком зазоре между стенками пробирки и холодильником и стекают обратно на дно пробирки.

А. Сарахов

**1358.** Стеклянная аппаратура для проведения реакций при давлениях ниже 1 мм рт. ст. в условиях непрерывного перемешивания. Гадобаш, Рех (Sklenná aparatura pro reakce při tlacích pod 1 mm/Hg za současného míchání. Hadobáš F., Řech Josef), *Chem. průmysl.*, 1956, 6, № 2, 80 (чеш.)

Прибор представляет собой реакционный сосуд (PC) со вставленной в него на шлифе стеклянной мешалкой, по оси которой сквозь капилляр проникает в PC инертный газ. Скорость подачи последнего и соответственно давление в системе регулируются толщиной капилляра. Т-ра PC регулируется т-рой кипения жидкости, в парах которой сосуд помещен. Для смазки шлифов использован полиэфир фталевой к-ты и дигликоля.

В. Свиридов

**1359.** Дозировка жидкостей с помощью капельной аппаратуры. Мейер, Хагер, Мюнцель (Die Dosierung von Flüssigkeiten mit Tropfgeräten. Meier A., Hager H., Münzel K.), *Pharmac. acta helv.*, 1956, 31, № 4, 177—256 (нем.; рез. англ., франц., итал.)

Исследована работа капельных устройств для дозирования жидкостей и дано руководство к практич. применению данной аппаратуры.

А. Лошманов

**1360.** Простой поглотитель кислорода. Пик, Риттер (Simple oxygen-scavenger. Peak Ralph, Ritter D. M.), *Rev. Scient. Instrum.*, 1956, 27, № 2, 109—110 (англ.)

Мотор от очистителя ветрового стекла автомобиля приводит в колебательное движение скребок из нержавеющей стали, который зачищает поверхность сплава 50% Na, 50% K. Непрерывно освежаемая поверхность сплава служит поглотителем кислорода. Отделяемая пыль собирается в спец. ковш.

А. Бабад-Захряппи

**1361.** Изоляция системы лабораторных труб. Хромый (Isolace laboratorního potrubí. Chromý R.), *Chem. průmysl*, 1956, 6, № 3, 122—123 (чеш.)

Для изоляции системы лабор. труб, содержащих охлаждающие смеси, применяют резиновые трубки и измельченную корковую массу. Для предохранения от влаги употребляют трубку из поливинилхлорида диам. ~3 см. Изоляция заканчивается корковой пробкой, покрытой защитной краской.

Н. Туркевич

**1362 Д.** Определение молекулярного веса при помощи равновесной ультрацентрифуги. Симпсон (Determination of molecular weight by the equilibrium ultracentrifuge method. Simpson William Cornelius, *Doct. diss.*, Univ. Virginia, 1955), *Dissert. Abstr.*, 1955, 15 № 10, 1876 (англ.)

Сконструирована ультрацентрифуга (УЦ) для определения мол. весов (300—5000) методом равновесной седиментации (Beams J. W. и др., *Rev. Scient. Instrum.*, 1951, 22, 77). Ротор УЦ, вращаемый воздушной турбиной со скоростью 100—300 об/сек, помещен в вакуумной камере (~ $10^{-5}$  мм рт. ст.). Исследуемый р-р помещается в итейку, находящуюся в роторе. Распределение конц-ии определялось по виду интерференционных картин, изменяющихся при изменении показателя преломления, который в свою очередь зависит от конц-ии р-ра. Мол. вес вычислялся по ранее предложенной ф-ле (Svedberg, Pedersen K. O. *The ultracentrifuge*, Oxford Press, 1940). А. Бабад-Захряппи



**1363 П.** Устройство шкалы к приборам, измеряющим концентрацию водородных ионов pH. Петцельт (Uspořádání stupnice pro přístroje na měření hodnoty zhuštění vodíkových iontů Ph. Petzelt Bedřich). Чехосл. пат. 82952, 1.09.54

Предложены две номографич. шкалы — прямая и круговая, позволяющие по величине напряжения (определяемого при измерении pH), непосредственно определять pH в интервале  $t$ -р 10—30°. В нижней части номограммы фиксируются значения pH, соответствующие значениям напряжения при 10°; в верхней части откладываются соответствующие значения при 30°. Для определения pH при любой  $t$ -ре от 10 до 30° используется движок с вертикально нанесенными значениями  $t$ -р и косой штриховкой, каждая линия которой соединяет значения pH, соответствующие одному значению напряжения. В. Свиридов

**1364 П.** Методика и целнометаллическое приспособление для введения жидкого абсорбента в резервуар, содержащий смесь газов. Дроз (Process and all-metal device for the introduction of a gas absorbent liquid into a container holding a gaseous mixture. Droz A.). Англ. пат. 717658, 27.10.54

Предложена целнометаллич. аппаратура для анализа газов, которая позволяет вводить в сосуд с газом жидкий поглотитель и измерять разность давления газа до и после абсорбции при помощи манометров. А. Бабад-Захрипин

См. также: к-и приборы 3331. Спектрографы 186, 1203. Получение монокристаллов 277. Вискозиметр 620. Прибор для опред. природной активности  $C^{14}$  317. Дилатометр для опред. коэфф. термич. расширения 342. Опред. давления паров 354. Хроматография 602. Опред. суммы Ar, Kr и Xe суммы He и Ne 736. Анализ неорганич. в-в 1248, 1259. Анализ органич. в-в 1286. Опред. конц-ии душистых в-в в воздухе 2372. Измерение плотности материалов и содержание в них влаги 1554. Измерение и поглощение кислорода 2768. Опред. плотности сахар. р-ров и известкового молока 2835. Опред. редуцирующих сахаров 2872. Опред. напряжения кислорода в цельной крови 45Бх. Опред. изоэлектрич. точки 54Бх. Прибор зонального электрофореза на крахмале 62Бх. Микроопред.  $CO_2$  в плазме крови 178Бх. Опред. pH крови 180Бх. Опред. уд. веса мочи 183Бх. Опред. красителя в окрашенных полосках бумаги 184Бх

## ХИМИЧЕСКАЯ ТЕХНОЛОГИЯ. ХИМИЧЕСКИЕ ПРОДУКТЫ И ИХ ПРИМЕНЕНИЕ

### ОБЩИЕ ВОПРОСЫ

Редакторы В. И. Елинек, В. Д. Матвеев,  
Н. А. Ширяева

**1365.** Химическая промышленность Бретани. П. Галло (Les industries chimiques Bretonnes. P. Gallo A.). Ind. chim., 1956, 43, № 467, 181—183 (франц.)

Приводятся обзор состояния различных отраслей хим. пром-сти: кожевенной, стекольной, керамич., пороховой, газовой и др. Предыдущее сообщение см. РЖХим, 1956, 78609. Ю. Михайленко

**1366.** Высокие давления. Майор (Les hautes pressions. Mayor Y.). Ind. pétrole, 1956, 24, № 6, 33 (франц.)

Перечислены некоторые области хим. пром-сти, где применяются или возможно применение высоких давлений. З. Хаимский

**1367 К.** Неорганическая техническая химия. Солтис, Кемпинский (Chemia techniczna nieorganiczna. Soltys Zdzisław, Kępiński Józef. Warszawa, PWT, 1955, 456 s., il., 24.60 zł.) (польск.)

**1368 К.** Основы организации и планирования химических предприятий. Липтак (Základy organizácie a plánovania chemických podnikov. Lipťák František. Bratislava, SVTL, 1956, 445 [1] s., il., 23.80 Kčs.) (словац.)

**1369 К.** Нормализация в химической промышленности. Ордон (Normalizacja w przemyśle chemicznym. Ordon Jerzy. Warszawa, PWT, 1955, 160 s., il., 11.60 zł.) (польск.)

**1370. К.** Методы очистки минеральных веществ. Новак (Asványanyagok jóvátesésének módszerei. Novák Friques. Mernőki Továbbképző Int. Budapest, 1954 [1955], 811. 13Ft) (венг.)

### ХИМИКО-ТЕХНОЛОГИЧЕСКИЕ ВОПРОСЫ ЯДЕРНОЙ ТЕХНИКИ

Редакторы В. И. Елинек, В. Д. Матвеев,  
Н. А. Ширяева

**1371.** Радиоактивные изотопы в химической промышленности. Кук (Radioactive isotopes in the chemical industries. Cook G. B.). Canad. Chem. Process., 1956, 40, № 3, 48, 50, 52, 54, 56, 58, 60 (англ.)

Обзор. Библ. 31 назв. В. Шацкий

**1372.** Влияние атомной энергии на промышленность. Флетчер (The impact of nuclear energy on industry. Fletcher J. M.). Chemistry and Industry, 1956, № 22, 474—477 (англ.)

Обзор. Вопросы, связанные с применением в Англии атомной энергии для мирных целей: сырье и материалы, необходимые для работы реакторов; возможные области применения атомной энергии. Затраты на две первые атомные электростанции мощностью 50 000 кВт составляет ~30—35 млн. фунтов стерлингов. Наиболее перспективно получение электроэнергии за счет атомного топлива и использование радиоактивных изотопов. Л. Херсонская

**1373.** Применение в технике результатов исследований по атомной физике. Адам (Die Anwendung atomphysikalischer Forschungsergebnisse in der Technik. Adam Hans), Energie und Technik, 1954, 6, № 7, 146—148 (нем.)

**1374.** Получение окиси урана из руд по шести технологическим схемам. Линз (Uranium oxide from ores — with six process flowsheets. Linz Arthur), Chem. Engng Progr., 1956, 52, № 5, 205—209 (англ.)

Приведен список э-дов, перерабатывающих U- и V-руды с целью извлечения  $U_3O_8$ . Даны различные технологич. схемы процесса получения  $U_3O_8$  или совместного получения  $U_3O_8$  и соединений V, предусматривающие кислотное или щел. разложение руд, разложение под давлением, осаждение или ионный обмен. Л. Херсонская

**1375. Полный обмен в производстве урана.** Арден (Ion exchange in uranium production. Arden T. V.), Nuclear Engng, 1956, 1, № 2, 68—71 (англ.; рез. франц., нем., исп.)

Описана стандартная технологич. схема извлечения U из р-ра после кислотного вскрытия бедной руды. Применяется 3-колонная установка (2 колонны на экстракции и одна регенерируется); адсорбент — сильносвязная анионообменная смола типа De-Acidite FF. Элюэнт — слабосильный р-р NaCl. Установка работает автоматически. 50% стоимости продукта приходится на добычу руды, размол и измельчение; 30% — на выщелачивание и фильтрацию; 10—20% — на ионный обмен и осаждение.

**1376. Способ разделения циркония и гафния.** Юре Ж., Сен-Жам Р. В кн.: Химия ядерного горючего (Докл. ин. ученых на Междунар. конференции по мирному использованию атом. энергии, Женева, 1955). М., Госхимиздат, 1956, 513—522

Изучалась противоточная экстракция (Э) Zr р-ром трибутилфосфата в уайт-спирите. Установлено, что для Э наиболее благоприятна среда  $\text{HNO}_3$ , но она способствует Э как Zr, так и Hf.  $\text{NaNO}_3$  дает избирательное извлечение Zr;  $\text{NH}_4\text{NO}_3$  — менее эффективный высаливатель, чем  $\text{NaNO}_3$ . С увеличением конц-ии Zr степени извлечения его уменьшается в зависимости от характера разбавления р-ра. Hf экстрагируется после извлечения Zr. При конц-ии Zr  $> 5$  г/л коэфф. разделения (если Hf : Zr  $\approx 2\%$ ) остается примерно постоянным. Дополнительная очистка экстрагированного Zr, в котором содержится  $\sim 0,1\%$  Hf, достигается промывкой органич. р-ра исходной смесью  $\text{HNO}_3$ - $\text{NaNO}_3$ . Извлечение Zr из органич. фазы производится промывкой  $\text{H}_2\text{O}$  или р-ром электролита. Однако в подкисленном  $\text{HNO}_3$  р-рителе Zr претерпевает изменения (характер которых не установлен), препятствующие его извлечению. Необходимо производить промывку водой по мере выхода р-ра из смеси. Р-ритель может возвращаться в цикл до 10 раз (он теряется за счет частичного гидролиза и растворения в воде  $\sim 2\%$ ). На ползаводской установке применялся р-р, содержащий Zr 30 г/л,  $\text{HNO}_3$  3 моль/л,  $\text{NaNO}_3$  3,5 моль/л. Э осуществлялась 60%-ным р-ром трибутилфосфата. Промывной р-р содержал 3 моль/л  $\text{HNO}_3$  и 3,5 моль/л  $\text{NaNO}_3$ . Необходимо  $\sim 6$  теоретич. тарелок для получения Zn с 0,01% Hf при 90%-ном выходе. Применялся каскад из 9 смесителей-отстойников, емкость каждого 15 л, а эффективный эквивалент  $\sim 0,75$  теоретич. тарелки. Обогащенный р-ритель содержал 10 г/л Zr, в водн. фазе — 42% Hf. Zr определялся колориметрич. путем или титрованием с комплексом; Hf — спектрографически или с помощью облучения.

**1377. Опытная установка для разделения компонентов ядерного топлива.** Пейдж, Рейсман, Гудман, Скарлетт (Pilot plant for separation of reactor fuel elements. Page W. R., Rase-man C. J., Goodman E. I., Scarlett C. H.), Chem. Engng Progr., 1955, 51, № 12, 566—570 (англ.)

Описывается процесс разделения продуктов частичного распада ядерного топлива, состоящий из двух стадий: жидкофазного фторирования при помощи  $\text{BrF}_3$  или  $\text{ClF}_3$  с последующей ректификацией фторидов различных элементов; целевым продуктом является  $\text{UF}_6$ , который затем подвергается обогащению диффузионным методом. Этот способ открывает возможность выделения  $\text{PuF}_6$ . Приводятся данные об упругостях пара в пределах т-р 200—500° K следующих в-в, входящих в состав смесей:  $\text{AsF}_5$ ,  $\text{SeF}_6$ ,  $\text{Cl}_2$ ,  $\text{TeF}_6$ ,  $\text{JF}_7$ ,  $\text{ClF}_3$ ,  $\text{HF}$ ,  $\text{MoF}_6$ ,  $\text{BrF}_5$ ,  $\text{UF}_6$ ,  $\text{Br}_2$ ,  $\text{PuF}_6$ ,  $\text{JF}_5$ ,  $\text{BrF}_3$ ,  $\text{SbF}_5$ ,  $\text{TeF}_4$  и  $\text{RuF}_6$ . Компонентами более летучими, чем  $\text{BrF}_3$ , являются  $\text{JF}_5$ ,  $\text{MoF}_6$ ,  $\text{TeF}_6$ ,  $\text{SeF}_6$  и  $\text{AsF}_5$ ;

последние 4 имеют большую летучесть, чем  $\text{UF}_6$ . При рассмотрении процесса выделения  $\text{UF}_6$  могут не учитываться компоненты с меньшей летучестью, чем  $\text{BrF}_3$ . Опыты на лабор. ректификационной установке показали, что существенное влияние в процессе разделения оказывает наличие  $\text{Te}^{129}$  с периодом полураспада 32 дня, содержащегося в виде  $\text{TeF}_6$ , отделяющегося от  $\text{UF}_6$  труднее, чем это следует из данных об упругостях паров. Было высказано предположение, что уменьшение летучести  $\text{Te}$  обусловлено образованием  $\text{Te}_2\text{F}_{10}$  или комплексов  $\text{TeF}_6$  с  $\text{BrF}_3$ ,  $\text{Br}_2$  или  $\text{BrF}_5$ . Опытная установка для ректификации состояла из двух колонн диам. 50 мм, высотой 2,75 м; насадка из колец диам. 4 мм (провокола 0,5 мм). Анализ смесей производился радиационными методами. Описывается техника работы на опытной установке и результаты испытаний; так, при разделении смеси 3 мол. %  $\text{UF}_6$  и 97 мол. %  $\text{BrF}_3$  во 2-й колонне, работавшей при флегмовом числе 30, получен дистиллят, содержащий  $\geq 99,9\%$   $\text{UF}_6$ ; содержание  $\text{UF}_6$  в кубовой жидкости составляло 0,05%. По данным опытов, в предположении применимости закона Рауля, рассчитана ВЭТТ, оказавшаяся равной 115—150 мм, что вдвое больше, чем для смеси  $n$ -гептан — метилциклогексан. Исследовалось образование  $\text{Te}$ - и  $\text{Se}$ -комплексов с разными соединениями. Данные опытов приводят к заключению о возможности перехода  $\text{Te}$  в присутствии  $\text{BrF}_3$  или  $\text{BrF}_5$  в нелетучую форму, через промежуточный (по летучести) продукт  $\text{Te}_2\text{F}_{10}$ .

V. Kogan

**1378 II. Способ получения урана.** Мугард (Sätt att framställa uran. Mogard H.) [Försvars- Forskningsanstalt]. Швед. пат. 148722, 17.05.55

$\text{UF}_4$  восстанавливают смесью (или сплавом) из 30—80% Mg и Ca (остатка) в печи в защитной атмосфере. Восстановление ведут в расплаве, внося одну или обе компоненты р-ции порциями; т-ру р-ции поддерживают между т-рой кипения сплава и т-рой плавления, образовавшейся при р-ции смеси  $\text{CaF}_2$  и  $\text{MgF}_2$ . К. Герцфельд

**1379 II. Получение тетрафторида урана.** Роберте (Preparation of uranium tetrafluoride. Roberts Alexander M.) [Imperial Chemical Industries Ltd]. Канад. пат. 511413, 29.03.55

$\text{UF}_4$  получают нагреванием суспензии окиси  $\text{U}(\text{U}_2\text{O}_8)$  в водн. р-ре  $\text{HF}$  до т-ры кипения при добавлении избытка (от потребного для восстановления до  $\text{U}^{4+}$ ) восстановителя ( $\text{SnCl}_2$ ).

V. Борисова

См. также: Переработка продуктов атомного распада 448, 681, 691, 705

## СЕРНАЯ КИСЛОТА, СЕРА И ЕЕ СОЕДИНЕНИЯ

Редакторы В. И. Елинек, В. Д. Мамсеев, Н. А. Ширяева

**1380. Сера.** Дьюккер, Эдди (Sulphur. Duecker W. W., Eddy E. W.), Mining Congr. J., 1956, 42, № 2, 65—67 (англ.)

Обзор развития пром-сти S и  $\text{H}_2\text{SO}_4$  в США, Мексике и Канаде. Приведены данные по США (за 1941 и 1954 гг.): добыча природной S и пиритов, использование обжиговых газов, улавливание  $\text{H}_2\text{S}$  из газов (природного, коксового, переработки нефти), регенерация отработанной  $\text{H}_2\text{SO}_4$ , получение  $\text{H}_2\text{SO}_4$  расщеплением кислотных гидродов, импорт и потребление по отраслям пром-сти (в 1952—1955 гг.). Г. Рабинович

**1381. Изучение проблем сухой газоочистки.** Сообщение I. Люке-лаута) масса как активный структурированный контакт. Зимон, Маршан (Untersuchungen zur Aufklärung des Problems der trockenen

Gasreinigung. I. Lux-(Lauta-) Masse als aktiver Skelettkontakt. Simon A., Marchand M., Z. anorgan. und allgem. Chem., 1954, 277, № 1—2, 1—16; Wiss. Z. Techn. Hochschule Dresden 1953/1954, 3, № 3, 329—336; Energietechnik, 1955, 5, № 3, 133—136 (нем.).

Определены активности (А) гидроокисей железа (I) различного происхождения при поглощении  $H_2S$  из светильного газа. Выдвинута гипотеза, по которой эффект активации при изготовлении контактных катализаторов, содержащих I, аналогичен эффекту, происходящему при изготовлении металлических скелетных катализаторов по способу Ренея; активными получаются только продукты гидролиза смешанных кристаллов цел. алюминат-феррита (II), в которых алюминат находится в избытке. При гидролизе алюминат растворяется в NaOH и образуется I с разрыхленной вторичной структурой и повышенной А. Степень разрыхления приближенно характеризуется насыщенным весом (НВ).  $\gamma$ -FeOОН обладает макс. НВ ( $4 \text{ см}^3/\text{г}$ ) и наибольшей А (99,13%  $Fe_2S_3$ ). Лauta-масса (побочный продукт пирогенетич. переработки боксита) и I, полученный из II, содержащего 25% феррита, имеют одинаковые НВ (1,6) и близкие А (68,84% и 61,20% соответственно). Меньшие значения НВ и А показывают образцы I, полученные из II, содержащего 50% феррита (1,4 и 48,96%), 75% феррита (0,67 и 6,60%) и I из 100%-ного феррита (0,65 и 2,92%). Аморфный I имеет НВ 0,83 и А 23,74%. Исключением является  $\alpha$ -FeOОН: при НВ большем, чем у Лauta-массы (1,7), а миним. (1,64%). Это объяснено процессом старения, происходящим при изготовлении  $\alpha$ -FeOОН. Приведены объяснения различной активности I. Библ. 86 назв.

Г. Рабинович

**1382 П.** Способ снижения содержания сероводорода и (или) элементарной серы в отходящих газах (Process for reducing the hydrogen sulphide and/or free sulphur content of effluent gases) [Naamlooze Vennootschap de Bataafsche Petroleum Maatschappij]. Англ. пат. 733004, 6.07.55

$H_2S$  и (или) S, находящиеся в газах (отходящих из установок для получения S из  $H_2S$ ), окисляют в  $SO_2$  кислородом при  $t$ -ре 150—400° над катализатором, содержащим 3—10%  $V_2O_5$  на носителе с поверхностью  $\geq 100 \text{ м}^2/\text{г}$ . Рекомендуются  $t$ -ры 150—300° (225—275°), в качестве носителя — гели  $Al_2O_3$ ,  $SiO_2$  (или их смесь), активированные глины; носитель с поверхностью предпочтительно  $>150$  (250—400)  $\text{м}^2/\text{г}$  применяют в виде кусков, приготовленных прессованием или штамповкой. Пример: продажный активированный  $Al_2O_3$  с поверхностью 280  $\text{м}^2/\text{г}$  пропитывают р-ром  $V_2O_5$  в щавелевой к-те, сушат при 120°, нагревают до 450°, а затем дробят до размера  $\sim 6 \text{ мм}$ . Газы можно предварительно пропустить при 150—400° над бокситом, содержащим Fe.

Г. Рабинович

**1383 П.** Промывка газов для извлечения двуокиси серы (Washing sulphur dioxide from gases) [Metallgesellschaft A.-G.]. Австрал. пат. 165970, 24.11.55 Для предупреждения образования сульфата газы, содержащие  $SO_2$ , промывают (в течение короткого промежутка времени) ароматич. основаниями с добавлением воды (или без нее) в распылительном скруббере. Немедленно после абсорбции смесь разделяют на компоненты в центробежном десорбере. Г. Рабинович

**1384 П.** Способ обработки огарка, полученного при производстве серной кислоты. Мацудзика (硫酸滓の処理方法, 松塚清人) [八幡製鉄株式会社, Явата Сайтоцу Кабусики Кайся]. Япон. пат. 5056, 14.08.54 [Chem. Abstrs, 1955, 49, № 19, 13064 (англ.)] Смесь из 1 ч. пиритного огарка, полученного при произ-ве  $H_2SO_4$  и содержащего (в %): CuO 0,44, S 4,97,

Fe 61,12 и силикатов 7,55, вместе с 4 ч. воды и 0,02 ч. порошка Fe измельчают в шаровой мельнице до размера частиц  $<0,075 \text{ мм}$  (рН 4—5). Затем добавляют (в г на 1 м):  $C_2H_5OCS_2Na$  20, пенообразующего в-ва 5 (для флотации CuS и осаждения Cu) и олеата-Na 100 (для отделения CuS). Флотированный Cu-концентрат содержит (в %): Cu 6 и S 25; осажденная фракция Cu 0,1 и Fe 85 (выход 85%).

Г. Рабинович

**1385 П.** Моноадесерная кислота. (Permonosulphuric acid) [Stevensons (Dyers) Ltd]. Австрал. пат. 165949, 24.11.55

$H_2O_2$  смешивают с равным (или большим) объемом  $H_2SO_4$  с конц-ией  $>75\%$ . Полученную смесь  $H_2SO_4$ ,  $H_2SO_5$ , воды и  $H_2O_2$  охлаждают для торможения дальнейшей р-ции и немедленно разбавляют водой до получения р-ра, содержащего  $\leq 15$  вес. %  $H_2SO_4$ .

Г. Рабинович

См. также: 1994

## АЗОТНАЯ ПРОМЫШЛЕННОСТЬ

Редакторы В. И. Елинек, В. Д. Матвеев, Н. А. Ширяева

**1386.** Производство аммиака конверсией [природного] газа. Ридел (Ammonia manufacture by gas reforming. Reidel John C.), Oil and Gas J., 1956, 54, № 47, 106—107, 110, 113 (англ.)

Описан з-д Phillips Chemical Co. в Адаме Терминал вблизи Пасадены (Техас, США) производительностью 450  $\text{м}^3/\text{сутки}$   $NH_3$ . Газ поступает на з-д под давл. 5,6  $\text{атм}$ , очищается от соединений S активированным углем, конвертируется водяным паром в 2 ступени (после 1-й ступени добавляется воздух — источник  $N_2$ ), проходит конверсию CO (давление после конверсии 1,75  $\text{атм}$ ), очистку от  $CO_2$  р-ром моноэтаноламина, компрессию (компрессора с газовым двигателем) до 130  $\text{атм}$ , аммиачно-медную очистку, компрессию до 350  $\text{атм}$  и поступает в 3 колонны синтеза. Г. Рабинович

**1387.** Производство аммиака на базе водорода, получаемого в качестве побочного продукта. Андеграфф, Мейленд (Ammonia from by-product hydrogen. Updegraff Norman C., Mayland B. J.), Petrol. Refiner, 1954, 33, № 12, 156—159 (англ.)

Сравниваются 3 способа произ-ва  $NH_3$  на базе  $H_2$ , получаемого при каталитич. реформинге нефти и содержащего 50—90%  $H_2$  и 50—10%  $CH_4$  совместно с другими углеводородами: 1) конверсия углеводородов (УВ) водяным паром; 2) неполное окисление УВ; 3) разделение газов методом глубокого охлаждения. Максим. выход  $NH_3$  на 1 моль исходного газа получается по 1-му способу (особенно при большом содержании УВ). При 2-м способе используется повышенное давление исходного газа, производятся меньшие капиталовложения и уменьшается стоимость произ-ва. 3-й способ отличается компактностью установки и относительно небольшими капиталовложениями. В качестве примеров приведены стоимость произ-ва  $NH_3$  и капиталовложения для з-дов по 3-му способу (55  $\text{м}^3/\text{сутки}$ ) и 1-му (110  $\text{м}^3/\text{сутки}$ ).

Г. Рабинович

**1388.** Некоторые проблемы отвода тепла, выделяющегося при синтезе аммиака. Гуаставсон (Neki problemi odvodjenja reakcione topline kod sinteze amonijaka. Gustavson Per), Kemija u industriji, 1956, 5, № 1, 1—5 (хорв.; рез. англ., франц., нем.)

Рассматриваются методы снижения  $t$ -ры катализатора при синтезе  $NH_3$ . Приведенные расчеты показывают, что получение пара за счет тепла, выделяющегося



при этой р-ции, увеличивает расход энергии на компрессию газа, ввиду чего не дает экономич. преимуществ.

Г. Рабинович

**1389.** Поглощение окислов азота гидратом закиси марганца. Пурцеладзе Х. Г., Джикия С. И., Карумидзе А. Х., Чкония Т. К., Тр. Ин-та металла и горн. дела АН ГрузССР, 1956, 7, 239—247

Результаты лабор. опытов по поглощению окислов N при конц-ии их ~ 0,3% и комнатной т-ре Mn-рудами (карбонатной, пористой, пиролюзитом) и пастообразной  $Mn(OH)_2$ , содержащей до 65% воды (смешанной для уменьшения сопротивления с древесными опилками), показали, что Mn-руды быстро теряют свою активность и что для поглощения окислов N можно применять только  $Mn(OH)_2$ . Из образующегося  $Mn(NO_3)_2$  можно регенерировать  $Mn(OH)_2$  действием  $NH_4OH$  или при термич. диссоциации получать активную  $MnO_2$  или Mn-концентраты.

Г. Рабинович

**1390 П.** Способ абсорбции нитрозных газов, получающихся при сжигании аммиака в высококонцентрированной азотной кислоте (Verfahren zur Absorption von bei der Ammoniakverbrennung entstehenden nitrosen Gasen in hochkonzentrierter Salpetersäure) [Pintsch Bamag A.-G.]. Пат. ФРГ 940043, 8.03.56

Степень окисления газов, поступающих из печи сжигания  $NH_3$ , содержащих 90—95%  $NO_2$ , освобожденных от паров  $H_2O$  охлаждением и затем окисленных при контакте с ~ 98%-ной  $HNO_3$ , доводится до 100%. Затем эти газы подвергаются промыванию в высококонц.  $HNO_3$  на одной отдельной ступени. Разб.  $HNO_3$ , образующаяся до или в процессе окисления газообразных окислов N, используется для поглощения паров  $HNO_3$ , возникающих при абсорбции  $N_2O_4$ , после чего уже более крепкая к-та перерабатывается в конц.  $HNO_3$  вместе с  $N_2O_4$  или с абсорбционной к-той, содержащей  $N_2O_4$ .

В. Шацкий

**1391 П.** Использование окислов азота. Огг Р. А., Дж. Р. А. (Recovering nitrogen oxides. Ogg R. A., Jr., Ray J. D.). Австрал. пат. 162755, 26.05.55

Соли  $HNO_3$  из NO получают в одну стадию контактированием NO при повышенной т-ре со щел. абсорбентом (одним из окислов щел. или щел.-зем. металлов) в присутствии свободного  $O_2$  и окислительного катализатора ( $Fe_2O_3$ ,  $Ni_2O_3$  или  $Co_2O_3$ ).

В. Борисова

**1392 П.** Способ выделения аммиака из паров цианитоводородной кислоты. Кагитани (粗青酸ガスのアンモニア除去法。鍵谷勲), [住友化学工業株式会社。Сумитома кагаку когэ кабусики кайси]. Япон. пат. 270, 20.01.54 [Chem. Abstrs, 1954, 48, № 22, 14137 (англ.)]

Газообразный HCN, содержащий  $NH_3$ , обрабатывают сухим  $SO_2$ , получают твердый  $NH_2SO_2H$  или  $NH_2SO_2NH_4$ . Выход HCN (несодержащего  $NH_3$ ) составляет >90%.

Г. Рабинович

См. также: 644, 1912, 3266

## СОДОВАЯ ПРОМЫШЛЕННОСТЬ

Редакторы В. И. Елинек, В. Д. Матвеев,  
Н. А. Ширлева

**1393.** Получение каустической соды взаимодействием сернистого натрия с марганцовыми рудами и отходами производства (Марганцовистый способ). Какабадзе В. М., Иванова Т. А., Тр. Груз. политех. ин-та, 1955, № 5 (40), 30—41 (рез. груз.)

Изучалась возможность замены дорогой пероксидной руды дешевыми рудами и отходами произ-ва: черная

белта, красная белта, карбонатная Mn-руда, анодный шлак одного из действующих з-дов и марганцовый шлак — отход чистурской марганцовой пром-сти. Установлено, что карбонатная Mn-руда имеет очень низкую обессеривающую способность. Значительно большую активность проявляют красная белта (90%) и черная белта (92%); анодный и марганцовый шламы дают при оптимальных условиях степень обессеривания 94—95%. Оптимальные условия процесса: комнатная т-ра, соотношение  $Na_2S : MnO_2 = 1 : 1,5$ , конц-ия р-ра  $Na_2S$  11,5—12%, время 3 часа, тонкость помола 400  $отс/см^2$ .

В. Борисова

**1394.** Производительность компрессоров в зависимости от концентрации  $CO_2$  в газе в производстве кальцинированной соды. Буда, Ионеску (Productivitatea compresoarelor in raport cu concentratia  $CO_2$  din gaze (In fabricatia sodiei calcinate). Buda A., Ionescu Valeria), Rev. chim., 1956, 7, № 3, 144 (рум.; рез. рус., нем.)

Рассматривается вопрос увеличения производительности компрессоров путем повышения конц-ии  $CO_2$  в газе.

Г. Рабинович

**1395 П.** Способ производства бикарбоната натрия и сульфата аммония. Фукумото, Ито, Ода (重曹並に硫安の製造法。福元武雄・伊藤正典・織田健一) [財団法人野口研究所, Дзайдан ходзин Ногуты кэнкюсё]. Япон. пат. 5875, 14.09.54 [Chem. Abstrs, 1955, 49, № 22, 16372 (англ.)]

Маточный р-р после отделения  $NaHCO_3$  по аммиачно-содовому способу, насыщ.  $(NH_4)_2SO_4$  и содержащий  $Na_2SO_4$  1,25 и  $NH_4HCO_3$  1,5 моля в 1 кг воды при 70°, оставляют стоять для разложения части  $NH_4HCO_3$  (0,2 моля/кг) на  $(NH_4)_2CO_3$  и  $H_2O$ . Полученный р-р обрабатывают 3,8 моля  $Na_2SO_4$  и 127 г  $H_2O$  при 25,5°, а затем охлаждают для осаждения 3,8 моля  $NaNH_4SO_4 \cdot 2H_2O$  (I). Фильтрат обрабатывают  $NH_3$  и  $CO_2$  для осаждения  $NaHCO_3$ . Маточный р-р от  $NaHCO_3$  рециркулируют для осаждения I. Повторяют попеременно осаждение I и  $NaHCO_3$ . При нагревании 3 кг I и 1 моля  $Na_2SO_4 \cdot 10H_2O$  при 60° получают осадок 1,8 молей  $Na_2SO_4$  и р-р, содержащий главным образом  $(NH_4)_2SO_4$ . Р-р охлаждают до 20° для выделения 0,7 молей I, маточный р-р концентрируют для получения  $(NH_4)_2SO_4$ , а затем рециркулируют его в качестве разбавителя для р-ции I с  $Na_2SO_4 \cdot 10H_2O$ .

Г. Рабинович

**1396 П.** Производство карбоната натрия (Manufacture of sodium carbonate.) [Diamond Alkali Co.]. Англ. пат. 723611, 9.02.55

Питатель и смеситель, использующиеся при работе по аммиачно-содовому методу для влажного  $NaHCO_3$ , рекомендуется покрывать смолообразным материалом неполярного гидрофобного характера (или делать из этого материала), напр. политетрафторэтиленом. Дилектрич. постоянная этого материала должна быть больше, а коэфф. трения скольжения меньше, чем соответствующие величины для кристаллов  $NaHCO_3$ .

Л. Херсонская

## МИНЕРАЛЬНЫЕ СОЛИ.

### ОКИСЛЫ. КИСЛОТЫ. ОСНОВАНИЯ

Редакторы В. И. Елинек, В. Д. Матвеев,  
Н. А. Ширлева

**1397.** Развитие калийной промышленности. Борисов В. М., Афанасьев Н. А., Хим. наука и пром-сть, 1956, 1, № 2, 146—149

Обзор состояния калийной пром-сти за рубежом и в СССР. Методы добычи солей K и получения KCl из сильвинита: хим., флотационный, статич. гравита-

пиронный (основан на различной плотности сальвина — 1,987 г/см<sup>3</sup> и галита — 2,17 г/см<sup>3</sup>, смесь которых помещается в тяжелую жидкость или суспензию тонкоизмельченного магнетита в маточном р-ре, уд. вес которой является средним между весами разделяемых минералов) и гидроциклонный.

Г. Рабинович 1398. Сульфат натрия в Индии. Сапре (Sodium sulphate in India. S. A. P. R. K.), Chem. Age India, 1956, 7, № 1, 55—58 (англ.)

Разработан способ очистки тенардита (90—96% Na<sub>2</sub>SO<sub>4</sub>) — отброса произ-ва NaCl из рассола озера Дидвана (Раджастан) — от органич. примесей. Тенардит растворяют в воде, насыщ. р-р выдерживают в отстойниках, фильтруют, концентрируют испарением на солнце или выпариванием и сушат полученным 99%-ный Na<sub>2</sub>SO<sub>4</sub>, затем кристаллизуют из р-ра при охлаждении (в бассейнах в зимние ночи или к кристаллизаторам) Na<sub>2</sub>SO<sub>4</sub>·10H<sub>2</sub>O. Обсуждаются возможности получения Na<sub>2</sub>SO<sub>4</sub>·10H<sub>2</sub>O кристаллизацией в зимнее время из рассола озера Дидвана и из рапы — отхода произ-ва NaCl на озере Самбхар.

Г. Рабинович 1399. Получение соли высокой чистоты. Джасвалла (Preparation of high purity salt. Jassawalla J. P.), Chem. Age India, 1956, 7, № 1, 53—54 (англ.)

Соль, полученную при испарении морской воды в бассейнах и содержащую (в %): NaCl 98,12, CaSO<sub>4</sub>·0,5H<sub>2</sub>O 0,71, MgSO<sub>4</sub>·H<sub>2</sub>O 0,11, MgCl<sub>2</sub> 0,62, нерастворимых 0,44, измельчают, превращают в пульпу добавлением морской рапы (23—24° Вё), центрифугируют и промывают рассолом (3—4° Вё); полученную соль с пониженным содержанием MgSO<sub>4</sub>·H<sub>2</sub>O (0,07%) и MgCl<sub>2</sub>·H<sub>2</sub>O (0,06%) растворяют в миним. кол-ве свежей воды, нагревают р-р до кипения и осаждают Mg и Ca, добавляя последовательно Ca(OH)<sub>2</sub> и 10%-ный р-р Na<sub>2</sub>CO<sub>3</sub> (предварительно превращают NaHCO<sub>3</sub> в Na<sub>2</sub>CO<sub>3</sub> нагреванием до 200°). После охлаждения отфильтровывают р-р NaCl, содержащий следы Na<sub>2</sub>SO<sub>4</sub> и Na<sub>2</sub>CO<sub>3</sub>, концентрируют его в открытых чанах до 1/4 объема, отделяют кристаллы соли центрифугированием, сушат их при 140° и измельчают. Продукт содержит (в %): NaCl 99,95, Na<sub>2</sub>CO<sub>3</sub> 0,015, Na<sub>2</sub>SO<sub>4</sub> 0,028, MgCO<sub>3</sub> 0,002, нерастворимых 0,005; выход 65%. Для получения пищевой соли можно несколько продолжить кристаллизацию и получить менее чистый продукт с выходом 75—80%. Этот продукт измельчают до размеров 30—60 меш и добавляют к нему 0,5% Ca<sub>3</sub>(PO<sub>4</sub>)<sub>2</sub>.

Г. Рабинович 1400. Получение высококачественной баскунчакской соли осветлением. Кузьмин Н. П., Тр. Всес. н.-и. ин-та соляной пром-сти, 1954, № 1, 4—31

Приведены результаты опытов (на установке производительностью 6 т/час) по очистке баскунчакской соли от 0,5—0,58% плыстных примесей (придающих соли грязножелтый цвет) до содержания их 0,04—0,05%. Столовую соль получали методом осветления — промывкой дробленой (до размера зерен 0,8—1,2 мм) соли рапой. Разработана схема з-да для получения столовой соли высокого качества из баскунчакской и других солей; также доказана экономическая рентабельность строительства з-да в районах потребления соли. Указывается на необходимость разработки шкалы белизны соли. Отмечается важность рассева соли по фракциям для обеспечения ее хорошего внешнего вида.

Г. Рабинович 1401. Опытная установка с движущимся слоем для разложения сульфата аммония. Делаплейн, Мак-Каллох (Pilot plant for decomposing ammonium sulfate uses moving bed. Delaplain J. W., McCullough R. B. F.), Chem. Engng Progr., 1955, 51, № 11, 499—503 (англ.)

Описана установка для разложения (NH<sub>4</sub>)<sub>2</sub>SO<sub>4</sub> (I) (производительностью 45 кг в час), получаемого в ка-

честве побочного продукта, с целью циклич. использования NH<sub>3</sub> и окислов S. В верхней реакционной зоне аппарата с футеровкой (внутренний диам. 250 мм, высота 9 м) при 500° I разлагается при контактировании с нагретым до 550—600° движущимся вниз слоем алуидовых шариков диам. 6,3 мм, импрегнированных ZnO, причем SO<sub>2</sub> связывается с ZnO, образуя ZnSO<sub>4</sub>, а NH<sub>3</sub> и водяные пары отводятся и направляются в водный скруббер. Указанную р-цию (эндотермич.) следует проводить при возможно низкой т-ре для уменьшения окисления NH<sub>3</sub>. Охлажд. до 450° шарики проходят зону подогрева, где нагреваются до 650° (ниже т-ры разложения ZnSO<sub>4</sub>) газами из верхней горелки (с добавкой вторичного воздуха для снижения т-ры). Большая часть этих газов выходит затем из аппарата ниже реакционной зоны. Далее слой шариков проходит зону разложения, где нагревается дополнительно газами из нижней горелки; здесь при 850—1000° ZnSO<sub>4</sub> разлагается на ZnO (эндотермич. р-ция) с выделением SO<sub>2</sub>, разлагающейся в свою очередь на SO<sub>2</sub> и O<sub>2</sub>. Для уменьшения разложения SO<sub>2</sub> т-ра должна быть по возможности низкой. Окислы S удаляются из аппарата поступающим снизу потоком<sup>1</sup> подогретого воздуха и направляются в скруббер, где поглощаются. Выходящие из аппарата шарики с т-рой 850° поступают в нижний бункер, откуда подаются (пневматически) подогретым воздухом в верхний бункер, из которого поступают в аппарат. Выход NH<sub>3</sub> достигает 90%. Указаны мероприятия, проведенные для устранения неполадок в работе установки. Результаты опытов показывают, что при противотоке шариков и газа т-ра разложения ZnSO<sub>4</sub> снижается на 100—150°. В аппарате с движущимся слоем можно проводить большое кол-во тепла в небольшой объем твердого материала. Предложена схема заводской установки, в которой в реакционной зоне слой шариков и газы движутся прямотоком, а в зоне разложения — противотоком. Выделяющиеся при разложении газы поступают в абсорбер для поглощения SO<sub>2</sub> при помощи 90%-ной H<sub>2</sub>SO<sub>4</sub> и по выходе из абсорбера подогреваются и возвращаются в нижнюю часть аппарата. Между зонами в аппарат подается инертный газ для предупреждения смешения потоков двух газов (NH<sub>3</sub> и SO<sub>2</sub>).

Г. Рабинович 1402. Некоторые замечания о рассоле и рапе озера Самбхар. Прасад, Мехта (Some observations on the Sambhar Lake brine and bitterns. Prasad M. A., Mehta D. J.), Chem. Age India, 1956, 7, № 1, 59—60 (англ.)

Приведен обзор работ по очистке рассола из озера Самбхар (Индия) от органич. в-в, окрашивающих в красный цвет соль (получаемую из этого рассола), и работ по использованию маточного р-ра и рапы для получения основного карбоната Mg или соды. Библ. 2 назв.

Г. Рабинович 1403. О режиме слива карбида кальция через одну летку. Казарян П. Е., Хим. пром-сть, 1956, № 2, 99—102

Приведено описание и результаты обследования (на 3 з-дах) 3-фазных карбидных печей с расположением электродов в ряд, мощностью 5000 и 7500 ккал, при работе со сливом CaC<sub>2</sub> через одну летку (что позволяет применять грануляционный охлаждающий барабан). Лучшие результаты (наиболее устойчивый режим при высоком качестве CaC<sub>2</sub> и меньшем расходе электроэнергии) получены на переоборудованной печи, имеющей уклон пода от крайних фаз к центру и хорошую теплоизоляцию (потери тепла ≤ 400—500 ккал/м<sup>2</sup> час). Основными условиями устойчивого режима слива (без перехода на крайние фазы) являются поддержание горячего состояния печи (что обеспечивает получение высокопроцентного CaC<sub>2</sub>), и сохранение в ванне опре-

деленного запаса расплава), а также правильная корректировка шихты, при которой состав шихты должен обеспечить образование эвтектич. смеси расплава (30%  $\text{CaO}$  и 70%  $\text{CaC}_2$ ) с т. пл. 1630°, и оптимальное расстояние между электродами. Г. Рабинович

**1404. Способ переработки ильменита с применением сульфата натрия.** Такимото, Хаттори (Ильменит-оксидのボウ硝および還元炭混合物処理について. 瀧本羊三, 服部弘), 工業化学雑誌, Korô kaaku dzasshi, J. Chem. Soc. Japan. Industr. Chem. Sec., 1955, 58, № 9, 654—656 (япон.)

Индийский ильменит ( $\text{TiO}_2$  53,1%,  $\text{FeO}$  35,1%) и малайский ильменит ( $\text{TiO}_2$  47,6%,  $\text{FeO}$  41,5%) смешивали с коксом или древесным углем (нелетучий C 83%) и  $\text{Na}_2\text{SO}_4$  в молекулярном соотношении  $\text{FeO} : \text{Na}_2\text{SO}_4 = 1 : 1,5$  и  $\text{Na}_2\text{SO}_4 : \text{C}$  (нелетучий) = 1 : 2,2 и прокаляли при 900—1200° разное время (до 3 час.). Примеси отделяли промывкой водой и кипячением в 5%-ной  $\text{H}_2\text{SO}_4$ . Оптимальные условия прокалывания: т-ра 1100° и время 2—3 часа. Рекомендуется экстракция к-той при т-ре  $>100^\circ$ , напр., при 180°, для разложения  $\text{Na}_2\text{O}$ , которая в противном случае остается в сыром  $\text{TiO}_2$ . Этот процесс был применен для мелкой руды, причем был получен продукт, содержащий 85%  $\text{TiO}_2$ .

Chem. Abstrs, 1955, 50, № 12, 8978. Katsuya Inouye **1405. Исследование процесса азотирования титана.** Сато, Ямане (Studies on the nitriding of titanium. Satoh Shun-ichi, Yamane Kôshin), J. Scient. Res. Inst., 1955, 49, Dec., 325—330 (англ.)

Нитрид Ti получали обработкой Ti-проволоки и прутков при помощи  $\text{NH}_3$  в течение 16 час. при т-ре 870°. Измерена  $H_v$  образовавшегося TiN (750—850), получены микрофотографии и электронограммы. Нитрид более электропроводен, чем металлич. Ti. Определены термо-э. д. с. термопары TiN-Pt, составляющие 0,27 и 4,1 мВ для т-р 22 и 416° соответственно. При т-рах 250—400° имеет место гистерезис. Измерен нормальный потенциал азотированного Ti-прутка по отношению к 0,1 н. к. э. В 1 н.  $\text{H}_2\text{SO}_4$  TiN положительнее Ti на ~0,17 в, в 1 н.  $\text{NaOH}$  на ~0,14 в и в 1 н.  $\text{NH}_4\text{Cl}$  на ~0,04 в. Л. Херсонская

**1406. Двуокись титана для синтеза монокристаллов рутила.** III. Получение и свойства аммонийтитансульфата. Таки, Кунитоми (合成宝石原料酸化チタンの研究. 第3報. アンモニウムチタニルサルフェートの生成およびその性状. 瀧 貞男, 國富 稔), 工業化学雑誌, Korô kaaku dzasshi, J. Chem. Soc. Japan. Industr. Chem. Sec., 1954, 57, № 8, 534—535 (япон.)

При смешении  $\text{TiCl}_4$ ,  $\text{H}_2\text{SO}_4$  и  $(\text{NH}_4)_2\text{SO}_4$  (по 1 моль) получены прозрачные кристаллы  $(\text{NH}_4)_2\text{TiO}(\text{SO}_4)_2 \cdot 2\text{H}_2\text{O}$  (I) с выходом ~75%. При стоянии на воздухе кристаллы становятся белыми. Рекомендуется перекристаллизация из 20%-ной  $\text{HCl}$ . I гидролизует в разб.  $\text{HCl}$  или разб.  $\text{H}_2\text{SO}_4$ . Кристаллы I имеют куб. решетку с константой  $17,57 \pm 0,02 \text{ \AA}$  и  $d_4^{15} = 2,005$ . Приведены в таблицах данные рентгенограмм для I, высушенного воздухом и дегидратированного. Сообщение II см. РЖХим, 1956, 43753.

Chem. Abstrs, 1955, 49, № 12, 8025. K. Inouye **1407. Опыт получения натриевого, цинкового и бариевого селенита для стекловидной промышленности.** Дамбазова, Симова (Относно получаването на натриев, цинков и бариев селенит за стъклоарката промишленост. Д ж а м б а з о в а Т., Симова В.), Лека промишленост, 1955, № 5, 42—43 (болг.)

Предложен аппарат и метод для получения селеновой к-ты из промытых и нейтрализованных  $\text{Na}_2\text{CO}_3$  селе-

новых шламов (отхода при произ-ве  $\text{H}_2\text{SO}_4$ ) путем окисления их  $\text{O}_2$  в присутствии  $\text{NO}_2$  (струя чистого, сухого  $\text{O}_2$  пропускается сквозь дымящую  $\text{HNO}_3$ ). В начале р-ции т-ра 200°, затем 400—500°; по мере улетучивания  $\text{SeO}_2$  цвет шлама переходит из черного в светлосерый.  $\text{SeO}_2$  оседает в отводной трубке в виде бесцветных игольчатых кристаллов, перекристаллизуемых из небольшого кол-ва воды. Выход составляет 90%, при содержании 50—60% Se в шламе. Для получения Na-селенита горячий р-р  $\text{SeO}_2$  в воде (1:4) нейтрализуют  $\text{Na}_2\text{CO}_3$  (взятой в эквимолярном кол-ве), продукт выпаривают и высушивают при 105°. Выход теоретич. Продукт не гигроскопичен, со щел. р-цией,  $d = 3,07$ , т. пл. равна 594°. Ва-селенит получают путем добавления  $\text{Ba}(\text{OH})_2$  (в порошок) к горячему (80—90°) р-ру  $\text{SeO}_2$  в воде (1:10); выпавший осадок выпаривают на водяной бане и высушивают при 105°, продукт мало растворим в воде и хорошо растворим в  $\text{HCl}$  и  $\text{HNO}_3$ ; р-ция нейтральная,  $d = 2,89$ . Из  $\text{SeO}_2$  можно также получить металлич. Se, восстановливая окись в водн. р-ре струей  $\text{SO}_2$ . З. Бобырь

**1408. Молибден в цинковых обманках и при электролитическом получении цинка.** Скаччати (Il molibdeno in alcune blende italiane e nel processo di estrazione elettrolitica dello zinco. Scacciatelli Giovanni), Chimica e industria, 1956, 38, № 5, 393—397 (итал.; реф. англ., нем., франц.)

Количественно определено наличие Mo в двух сортах итальянской цинковой обманки. Исследовано также влияние различных кол-в Mo на разных стадиях процесса электролитич. получения Zn: при переработке кальцинированной руды, выделении Cd порошком Zn, при электролитич. осаждении Zn и при регенерации Cd. В. Левинсон

**1409. О некоторых свойствах и способах получения двуокиси хлора и хлоритов в связи с их практическим применением.** Флис И. Е., Ж. прикл. химии, 1956, 29, № 5, 633—645

Обзор. Хим. р-ции  $\text{ClO}_2$  и хлоритов; термодинамич. характеристики процессов, протекающих в р-рах  $\text{ClO}_2$  и хлоритов, и их окислительные потенциалы; применение  $\text{ClO}_2$  и хлоритов для белины растительных волокон; промышленные способы получения  $\text{ClO}_2$  и хлоритов; материалы для аппаратуры. Библ. 123 назв. Г. Рабинович

**1410 Д. Флотация силиката цинка посредством n-октального производного метиленового синего.** Обрект (Flotation of zinc silicate by N-octyl methylene blue. Obrecht Malverne Frank.—Doct. diss., Michigan State Univ., 1952) (англ.)

**1411 П. Способ очистки цианата натрия.** Абэ (ナトリウムサイアネートの精製法. 阿部末吉), [旭硝子株式会社. Асахи гарасу кабусики кайся]. Япон. пат. 5077, 14.08.54 № 20, 14284 f (англ.)

Смесь 395 г  $\text{NaCN}$  и 605 г  $\text{Na}_2\text{CO}_3$  смешивают с 1000 г  $\text{NH}_4\text{Cl}$ . Смесь обрабатывают 5300 г жидкого  $\text{NH}_3$  при 0°. Нерастворимый  $\text{Na}_2\text{CO}_3$  отфильтровывают и выпаривают 2100 г  $\text{NH}_3$ . Осадок отфильтровывают и промывают 500 г жидкого  $\text{NH}_3$ ; получают 166 г 99%-ного  $\text{NaCN}$ . Г. Рабинович

**1412 П. Способ стабилизации гидратов метабората натрия** (Method of stabilizing hydrates of sodium metaborate) [Kodak, Ltd] Англ. пат. 732945, 29.06.55 Гидраты  $\text{NaBO}_2$  (I) стабилизируют нагреванием их в смеси с  $\text{CaH}_4(\text{CO}_3)_2\text{O}$ ,  $\text{B}_2\text{O}_3$  или  $\text{HBO}_2$ . Так, напр., к  $\text{NaBO}_2 \cdot 4\text{H}_2\text{O}$  добавляют 10%  $\text{B}_2\text{O}_3$ , и смесь выдерживают в течение 4 час. при 70°; к I добавляют 2,5%  $\text{CaH}_4(\text{CO}_3)_2\text{O}$  или 10%  $\text{HBO}_2$  и нагревают, как указано выше; смесь I с 10%  $\text{CaH}_4(\text{CO}_3)_2\text{O}$  нагревают в течение 30 дней при 40°; I в смеси с 1%  $\text{B}_2\text{O}_3$  распыляют по



поверхности, нагретой до 400°. Влага выделяется мгновенно. Готовый продукт содержит 9,1%  $H_2O$ .

Л. Херсонская

**1413 П.** Способ производства нитрата аммония. До рен (Process for production of ammonium nitrate. Dorsey John J.) [Commercial Solvents Corp.]. Пат. США 2723183, 8.11.55

Для устранения неполадок, вызываемых при подогреве  $HNO_3$  выше определенной т-ры, при одноступенчатом процессе получения  $NH_4NO_3$  в реакторе с насадкой из него быстро отводят плав  $NH_4NO_3$  и обрабатывают водными парами. К  $HNO_3$  добавляют 5—30 (15—20) вес. ч. твердого  $NH_4NO_3$  (мелочи — отхода после переработки плава в чешуйки, гранулы и т. п.). Это позволяет повысить т-ру подаваемой  $HNO_3$  до 121—166° (в зависимости от добавленного кол-ва  $NH_4NO_3$ ) и получать продукт с меньшей влажностью.

Г. Рабинович

**1414 П.** Очистка галогидных солей, получающихся в процессе восстановления галогидных соединений металлов (Purification of halide salts obtained from metal halide reduction processes) [Du Pont de Nemours & Co., E. I.]. Англ. пат. 738721, 19.10.55

Галогидные соли металлов-восстановителя (Na, K, Li, Ca, Zr, Ba, Mg), получающиеся в процессе восстановления галогидных соединений Ti, Zr, Nb, Mo, W, Ta, очищают в расплавленном состоянии обработкой газообразными  $Cl_2$ ,  $Br_2$  или  $J_2$  соответственно. Процесс проводят при т-рах, обеспечивающих достаточно высокую упругость пара исходного соединения и незначительную — очищаемой соли (для хлоридов 750—1050°). Газ предварительно нагревают и затем подают в расплав соли или контактируют с потоком или брызгами расплавленной соли в колонке, заполненной насадкой. Очищ. соль может возвращаться на электролиз с целью получения металла-восстановителя и газа.

Л. Херсонская

**1415 П.** Непрерывный способ получения растворов сульфата гидроксимирина. Кар (Kontinuerligt förfarande för framställning av hydroxylaminsulfatlösningar. Kahr K.) [Inventa A.-G. für Forschung und Patentverwertung]. Швед. пат. 151522, 20.09.55

При получении р-ров сульфата гидроксимирина воздействием  $SO_2$  на р-р  $NH_4NO_3$  на холоду с образованием дисульфата гидроксимирина и гидролизом его при нагревании; процесс ведут непрерывно, пропускают одновременно  $SO_2$ , р-р  $(NH_4)_2CO_3 + NH_4HCO_3$  и р-р  $NH_4NO_3$  в р-р дисульфата гидроксимирина при pH ~ 2,0—2,5.

К. Герцфельд

**1416 П.** Способ приготовления карбида или цианида кальция (Procédé de fabrication de carbure de calcium ou de cyanamide calcique) [Suddeutsche Kalkstickstoff-Werke A.-G.]. Франц. пат. 1068773, 30.06.54 [Chimica, 1955, 31, № 10, 392 (итал.)]

$CaC_2$  готовят введением в реакционную массу 2,5% плавикового шпата в виде кусочков величиной 5—10 мм, но не в виде порошка (во избежание уноса с  $CO$ ). Точка плавления полученного  $CaC_2$  понижается на 200—300° и облегчается последующий перевод его в цианамид.

П. Залекер

**1417 П.** Приготовление селенида кадмия (Preparation of cadmium selenide) [General Electric Co.]. Англ. пат. 720842, 29.12.54

К  $Al_2Se_3$ , полученному путем спекания порошкообразных Al и Se, по каплям прибавляют воду. Выделяющийся  $H_2Se$  пропускают через р-р  $Cd(NO_3)_2$ , поддерживая pH в интервале 3—7 (оптимально 6) прибавлением р-ра щелочи.  $CdSe$  отделяют центрифугированием, промывают и сушат в вакууме. Вместо  $Cd(NO_3)_2$  может применяться хлорид, сульфат, ацетат или хлорид  $Cd$ .

Л. Херсонская

**1418 П.** Процесс получения порошкообразного сульфата бария. Франсе (Process for the preparation of pulverulent barium sulphate. Français Uclaf) [Usines Chimiques des Lab.]. Англ. пат. 724272, 16.02.55 [J. Soc. Dyers and Colourists, 1955, 71, № 4, 197 (англ.)]

$BaSO_4$  в виде тонкого порошка, дающего устойчивые воды, суспензии при обычном смешении с водой, получают осаждением р-ра  $BaCl_2$  р-ром  $Na_2SO_4$  и промыванием осадка для получения пасты, содержащей 25—35 вес. %  $H_2O$ , которую смешивают с цитратом Na и высушивают при умеренной т-ре.

В. Борисова

**1419 П.** Способ осаждения гидрата окиси алюминия из раствора алюмината натрия. Накаси́ма, Кобаяси (アルミニウム酸ナトリウム溶液よりアルミナ水和物を析出せしめる方法. 中島信介・小林 晴雄) [昭和電工株式会社・セバ だんこ ばすき かいしゃ]. Япон. пат. 5217, 21.08.54. [Chem. Abstrs, 1955, 49, № 20, 14284 (англ.)]

Затравку  $Al_2O_3 \cdot xH_2O$  (I), добавляемую для осаждения I из р-ра алюмината Na (II), содержащего (в г/л):  $NaOH$  140,  $Na_2CO_3$  30 и  $Al_2O_3$  107,7, получают добавлением к II 1%  $AlF_3$ . Скорость осаждения I и II при добавлении 3% затравки I составляла 52% за 120 час., а при добавлении 15% затравки Байера — 45% за то же время. Затравку можно готовить добавлением  $Al_2(SO_4)_3$  или  $AlCl_3$  к II.

Г. Рабинович

**1420 П.** Приготовление высококачественной окиси алюминия (Preparation of improved alumina) [Standard Oil Development Co.]. Англ. пат. 737359, 21.09.55

Алкоголят Al контактируют с водяными парами или потоком влажного воздуха, продукт (бозит) отфильтровывают, сушат при 110° и прокалывают при 315—870°. Фильтрат возвращают на стадию получения алкоголята. Применение водяных паров исключает образование байерита. Спиртовой радикал, входящий в состав алкоголята, содержит 1—10 (предпочтительно 5—8) атомов C. На любой стадии процесса или к готовому продукту могут добавляться катализаторы:  $SiO_2$ , Fe, Co, Ni, V, Cr и W. Наилучшими катализаторами являются Pt 4—5 вес. % (можно брать в кол-ве 0,2—20%) или  $MoO_3$  5—10 вес. %.

Л. Херсонская

**1421 П.** Получение чистого карбоната свинца из содержащих свинец отходов. Бульман, Шнейдер (Verfahren zur Gewinnung von reinem Bleicarbonat aus bleihaltigen Abfallstoffen. Buhlmann Karl, Schneider Richard) [Metallgesellschaft A.-G.]. Пат. ФРГ 936506, 15.12.55

Отходы, содержащие Pb, выщелачивают горячим (напр., нагретым до 100°) р-ром  $NH_4Cl$ , затем отделяют нерастворимые примеси и выкристаллизовывают из р-ра при охлаждении  $PbCl_2$  (в качестве промежуточного продукта), который затем вновь растворяют в горячей воде и осаждают в виде  $PbCO_3$  добавкой карбоната или бикарбоната щел. металла или  $(NH_4)_2CO_3$ . Р-р  $PbCl_2$  можно вводить непрерывно в р-р карбоната или бикарбоната щел. металла.

Б. Застенкер

**1422 П.** Изделия из нитрида Si и способ их получения без связки. Суэнцел, Николсон (Formkropp av självbunden kiselnitrid, jämte sätt för dess framställning. Swentzel J. P., Nicholson K. C.) [The Carborundum Co.]. Швед. пат. 151923, 11.10.55

Изделие из нитрида Si, не содержащее связки, имеет ф-лу  $Si_3N_4$  и электрич. сопротивление такое же, как и  $SiO_2$ .

К. Герцфельд

**1423 П.** Материал из твердого карбида металла (Hard metal carbide material) [Metro-Cutanit Ltd]. Австрал. пат. 162423, 28.04.55

Материал, состоящий в основном из (одного или более) твердых карбидов вместе с Co и Cr, получают

спеканием формованного тела, состоящего из порошкообразной смеси (одного или более) карбидов и порошка сплава, содержащего (в вес. %): Cr 52—60 и Co 40—48. В результате чего получается твердый металл (включающий частицы карбида, заправленные в матрицу твердого р-ра Co-Cr), имеющий большую плотность и сопротивляемость коррозии. В. Борисова

**1424 П.** Улучшение качества кремнезема и способ его получения (Perfectionnements à une silice et à son procédé d'obtention) [Columbia — Southern Chemical, Corp.]. Франц. пат. 1095058, 26.05.55 [Rev. gen. sautchoise, 1955, 32, № 12, 1169 (франц.)] Мелкоизмельченный гидратированный (1 моль  $\text{H}_2\text{O}$  на 3—9 молей  $\text{SiO}_2$ ) аморфный осажденный  $\text{SiO}_2$  с уд. поверхностью от 50—200  $\text{м}^2/\text{г}$ , содержащий связанную  $\text{H}_2\text{O}$  (неудаляемую при нагревании ниже 400°), нагревают до тех пор, пока соединение не будет соответствовать ф-ле  $x\text{SiO}_2 \cdot \text{H}_2\text{O}$ , где  $x$  14 ÷ 85. Нагревание прекращают при образовании > 5 вес. % кристаллич. кремнезема. Улучшенный кремнезем используют для произ-ва вулканизированных изделий, работающих на истирание. Его используют для смесей при изготовлении из натурального или синтетич. каучука. С. Глебов

**1425 П.** Приготовление монооксида титана (Preparation of titanium monoxide) [Horizons Titanium Corp.]. Англ. пат. 727857, 6.04.55

$\text{TiO}$  получают прокаливанием измельченных до —325 меш: а) смеси  $\text{TiO}_2$  с углеродом; б) смеси  $\text{TiO}_2$  с  $\text{TiC}$ ; в)  $\text{TiC}$  при 1800—2100° (но > 1000°) в атмосфере водяного пара,  $\text{CO}$  или смеси этих газов. Вместо  $\text{TiO}_2$  может применяться материал типа ильменита. Прокаливание рекомендуется проводить в тигельной дуговой печи с водяной рубашкой и узким кольцевым отверстием в крышке, через которое поступает газ. Для подвода газа в реакционную смесь может служить центральное отверстие в электроде. Пары  $\text{H}_2\text{O}$  и  $\text{CO}$ , свободные от  $\text{N}_2$  и  $\text{O}_2$ , вводят в небольшое избытке против стехиометрич. необходимого кол-ва. Кол-во  $\text{H}_2\text{O}$  может быть увеличено в соответствии с исходным кол-вом  $\text{C}$ , а также если отделение непрореагировавшего  $\text{C}$  затруднено. Образующиеся  $\text{CO}$  и  $\text{H}_2$  предохраняют продукты р-ции от окисления; охлаждение также проводят в защитной атмосфере. Возможно использование индукционной печи. Л. Херсонская

**1426 П.** Монокристаллический титанат стронция (Monocrystalline strontium titanate) [Titan Co., Inc.]. Англ. пат. 730665, 25.05.55

Монокристаллический  $\text{SrTiO}_3$  готовят путем сплавления частиц  $\text{SrTiO}_3$  в восстановительном кислородно-водородном пламени (2110—2130°). Если образуется черный продукт его осветляют 12—180-часовым обжигом на воздухе при 650—1700°. Исходный  $\text{SrTiO}_3$  может быть получен при нагревании до 500° смешанного оксалата  $\text{Sr}$  и  $\text{Ti}$ , образующегося в результате взаимодействия  $\text{Ti}(\text{C}_2\text{O}_4)_2$  со  $\text{SrCl}_2$ . Титанат (измельченный до 0,1—0,3  $\mu$ ),  $\text{O}_2$  и  $\text{H}_2$  через концентр. трубы подают в огнеупорную камеру. Монокристалл наплавляется на спец. подставке, куда направлена вершина пламени. Л. Херсонская

**1427 П.** Получение двойных фторидов титана и щелочных металлов (включая аммоний) (Production of alkali metal (including ammonium) titanium double fluorides) [Horizons Titanium Corp.]. Англ. пат. 720655, 22.12.55

Двойные фториды получают при взаимодействии нормального или основного сульфата  $\text{Ti}$  с солью щел.-зем. металла (сульфат, хлорид, карбонат, фторид) и небольшим избытком F-содержащих солей. Р-ция протекает в водн. среде при нагревании до ~100° или при спекании сухих или пастообразных реагентов при 500—600°. Сульфат щел.-зем. металла отделяют и

после упаривания из фильтрата выкристаллизовывают двойной фторид. При изготовлении  $(\text{NH}_4)_2\text{TiF}_6$  применяют реагенты, не требующие нагрева > 100°. Источником F-ионов может служить эквимоллярная смесь  $\text{CaF}_2$  и  $\text{H}_2\text{SO}_4$ . Применимы фторосиликаты  $\text{Na}$ ,  $\text{K}$ ,  $\text{NH}_4$  или их смеси с фторидами. Эти соединения вначале контактируют с сульфатом  $\text{Ti}$ , а затем добавляют соль  $\text{Ca}$  или  $\text{Ba}$ . Для получения  $\text{TiOSO}_4$  рекомендуется разложение ильменита конц.  $\text{H}_2\text{SO}_4$ , восстановление присутствующего  $\text{Fe}$  металлч.  $\text{Fe}$  и осаждение  $\text{TiOSO}_4$  при нагревании р-ра (почти до кипения). Л. Херсонская

**1428 П.** Способ получения цианистоводородной кислоты из газообразных соединений азота и углеводородов. Уэнландт (Method for the manufacture of hydrocyanic acid from volatile nitrogen compounds and hydrocarbons. Wendlandt R.). Англ. пат. 737995, 5.10.55

Для получения  $\text{HCN}$  и  $\text{H}_2$  смесь газообразного N-соединения и углеводородов при соотношении  $\text{N}:\text{C} \geq 0,5:1$  с таким содержанием  $\text{O}_2$ , чтобы р-ция была эндотермична, пропускают через или вокруг непрерывно нагреваемых металлч. трубок (Т) или удлиненных камер, сделанных из катализатора или покрытых им. Р-ция происходит на поверхности катализатора при  $t$ -ре > 800°, предпочтительно при 900—1200°. Катализатором могут служить металлы или сплавы  $\text{Pt}$ ,  $\text{Ru}$ ,  $\text{Os}$ ,  $\text{Pd}$ ,  $\text{Ir}$ ,  $\text{Rh}$ ,  $\text{Cu}$ ,  $\text{Au}$ ,  $\text{Re}$ ,  $\text{Ta}$ ,  $\text{Nb}$ ,  $\text{V}$ ,  $\text{Mo}$  или  $\text{W}$ , а также окись или окиси металлов II или III групп периодич. системы, напр.  $\text{Al}$ ,  $\text{Sc}$ ,  $\text{Y}$ ,  $\text{La}$ ,  $\text{Be}$ ,  $\text{Mg}$ . Они могут быть в виде фольги, сетки или покрытий Т, или нанесены на керамику и другие носители. Смесь газов может проходить Т со скоростью > 5 м/сек. Аппарат (предпочтительно) состоит из пучка Т, расположенных в печи вертикально или горизонтально; Т имеют отдельные гибкие соединения и вставные Т меньшего диаметра для подвода газа и отвода его из наиболее горячей части Т. Устройства для охлаждения могут быть смонтированы снаружи камеры нагрева. Т можно нагревать электрич. током, лучеиспусканием или горячими газами. Пример:  $\text{NH}_3$  и  $\text{CH}_4$  в объемном соотношении 1:1 пропускали через обогриваемую снаружи жаростойкую стальную Т, выложенную фольгой из  $\text{Pt}$ , содержащей 10%  $\text{Ru}$ . При  $t$ -ре р-ции 950—1150°  $\text{NH}_3$  подавали в кол-ве (в кг/сут ки): в Т диам. 10 мм 6—60, а в Т диам. 60 мм 30—240. Г. Рабинович

**1429 П.** Способ получения цианистоводородной кислоты из цианамиды кальция. Иман (石灰素より青酸製造法. 今井示). [瀧斐川電気工業株式会社], Ибигава дэнки когё кабусики кайся. Япон. пат. 1828, 7.04.54 [Chem. Abstrs, 1955, 49, № 2, 1290f (англ.)]

Через  $\text{CaCN}_2$ , нагретый до 600°, пропускают смесь  $\text{CO} + \text{H}_2\text{O}$  (1:3 по объему). Выход  $\text{HCN}$  2,5%-ный (в расчете на пропущенный газ). Г. Рабинович

**1430 П.** Способ получения вольфрамовой кислоты из вольфрамит с большим содержанием примесей серы, мышьяка и фосфора. Накао (硫黄、砒素、磷を多量に含有する狼重石からタンクスレン酸を製造する方法. 中尾智三郎). [住友電気工業株式会社, Сумитомо дэнки когё кабусики кайся]. Япон. пат. 4757, 3.08.54 [Chem. Abstrs, 1955, 49, № 17, 11970 (англ.)]

Прокаленную руду, содержащую  $\text{S}$ ,  $\text{P}$  и  $\text{As}$ , нагревают с  $\text{HNO}_3$  (уд. в. 1,1) для превращения примесей в р-ры  $\text{H}_2\text{SO}_4$ ,  $\text{H}_3\text{PO}_4$  и  $\text{H}_3\text{AsO}_4$ , которые отделяют декантацией. Остаток промывают водой, обрабатывают  $\text{NaOH}$  для получения  $\text{Na}_2\text{WO}_4$  и пересаживают, как обычно, к-той для получения  $\text{H}_2\text{WO}_4$ . Г. Рабинович

**1431 П.** Способ получения газообразной  $\text{ClO}_2$ . Рапсон, Уэйман (Förfarande för framställning av gastormig klordioxid. Rapson W. H., Way-

man M.) [Canadian International Paper Co.]. Швед. пат. 151521, 20.09.55

Способ получения газообразной  $\text{ClO}_2$  действием  $\text{SO}_2$  (разб. инертным газом) на водн. р-р хлората металла (напр.,  $\text{NaClO}_3$ ) отличается тем, что этот водн. р-р непрерывно подают с такой скоростью в реакционную колонну с насадкой, чтобы диспергированный на поверхности насадки р-р хлората тесно перемешивался с током  $\text{SO}_2$  (поступающим в колонну в том же направлении, что и р-р); из колонны при этом непрерывно выделяется смесь  $\text{ClO}_2$  и разбавляющего инертного газа.

К. Герцфельд

См. также: Окислы 643

## ЛЮМИНЕСЦЕНТНЫЕ МАТЕРИАЛЫ

Редакторы В. И. Елинек, В. Д. Матвеев,  
Н. А. Ширяева

1432 П. Люминесцентный состав из фосфата бария, активированного оловом. Мак-Кинг (Tin activated barium phosphate phosphor. McKeag Alfred H.) [General Electric Co.]. Пат. США 2730504, 10.01.56

На основе фосфата Ва, активированного Sn, можно получить люминесцентные составы (ЛС), возбуждающиеся катодными и рентгеновскими лучами и УФ-светом (2537 Å), с различным цветом излучения в зависимости от т-ры прокаливания и соотношения  $\text{BaO} : \text{P}_2\text{O}_5$ . ЛС можно получать при спекании  $\text{BaCO}_3$  с  $(\text{NH}_4)_2\text{HPO}_4$ , но лучшие результаты получаются, если исходить из совместно осажденных фосфатов Ва и Sn (~2% Sn от веса продукта) с дальнейшей корректировкой отношения  $\text{BaO} : \text{P}_2\text{O}_5$  добавкой  $(\text{NH}_4)_2\text{HPO}_4$  или  $\text{BaCO}_3$ . Прокалку ведут в 3 стадии: сначала в воздухе (2 часа при 900°), затем в  $\text{H}_2$  (1 час при 800°) и опять в воздухе (1 час при 900°). Для получения смешанных фосфатов Ва и Sn (I) растворяют 1222 г  $\text{BaCl}_2 \cdot 2\text{H}_2\text{O}$  в 3 л дистилл. воды, нагревают до 60°, добавляют 42,6 г  $\text{SnCl}_2 \cdot 6\text{H}_2\text{O}$  и 5 мл конц.  $\text{HCl}$ . В этот р-р добавляют нагретый до 60° р-р 685 г  $(\text{NH}_4)_2\text{HPO}_4$  в 2 л воды. Осадок отфильтровывают, промывают холодной водой и сушат при 200°. Для получения ЛС с зеленым свечением 10,4 г I прокалывают в кварцевой пробирке в воздухе при 800° 30 мин., растирают, прокалывают в  $\text{H}_2$  при 700° в течение 1 часа и еще раз прокалывают в воздухе при 700° 30 мин. ЛС с красным свечением получают при прокаливании 10,4 г I в воздухе при 900° 2 часа, в  $\text{H}_2$  при 800° 1 час и в воздухе при 900° 1 час. Для получения ЛС с синим свечением 52 г I смешивают с 6 г  $(\text{NH}_4)_2\text{HPO}_4$  и прокалывают в воздухе при 850° 1 час, в  $\text{H}_2$  при 850° 30 мин. и в воздухе при 850° 30 мин. Для получения состава с требуемым оттенком синего цвета проводят прокалку нескольких порций I весом 52 г каждая, примешивая 5—7,5 г  $(\text{NH}_4)_2\text{HPO}_4$ . Для получения ЛС с белым свечением 52 г I смешивают с 11 г  $(\text{NH}_4)_2\text{HPO}_4$  и прокалывают в воздухе при 800° 2 часа, в  $\text{H}_2$  при 700° 0,5 часа и в воздухе при 900° 2 часа. Для получения состава с требуемым оттенком белого цвета проводят прокалку нескольких порций I по 52 г, примешивая 10—12 г  $(\text{NH}_4)_2\text{HPO}_4$ .

Б. Гугель

1433 П. Производство люминесцентного состава. Фортни, Моран (Phosphor manufacture. Fortney David F., Moran Gerald L.) [Sylvania Electric Products Inc.]. Канад. пат. 513189, 24.05.55

Люминесцентный состав (галлофосфат Са) получают при прокаливании тщательно перемешанной порошковой смеси  $\text{NH}_4\text{Cl}$ ,  $\text{CaHPO}_4$ ,  $\text{CaO}$  (или соединения, рас-

падающегося с образованием  $\text{CaO}$ ), активированной соединениями Sb и Mn (окислы или соединения, распадающиеся на окислы, хлориды, или антимонат Са и антимонат Mn). В смесь может быть введено фтористое соединение, напр.,  $\text{CaF}_2$ , а в качестве активатора могут быть введены только соединения Sb.

Б. Гугель

1434 П. Люминесцентные составы, в особенности подходящие для электрических разрядных ламп и способ их получения. Панке (Leuchtstoff, insbesondere für elektrische Entladungslampen, und Verfahren zu dessen Herstellung Pankke Hans) [Patent-Treuhand-Ges. für elektrische Glühlampen m. b. H.]. Пат. ФРГ 933646, 29.09.55

Люминесцентные составы (ЛС), возбуждаемые ультрафиолетовым корпускулярным, рентгеновским и др. видами излучений, предназначенные для разрядных электрич. ламп, внутри сосуда которых они наносятся на стенки или шпирь, содержат галогены и силикаты или германаты щел.-зем. металлов. В ЛС необходимо также добавлять активаторы, которые определяют цвет и интенсивность свечения. В качестве активаторов предлагаются окислы тяжелых металлов: Ti, Pb, Mn. Ti или его соединения рекомендуются вводить 0,001—30 вес. %, а Mn или его соединения 0,001—5 вес. %. Патентом предлагается следующий ЛС:  $\text{MgF}_2 : \text{MgO} : \text{SiO}_2 = 1 : 1 : 1$ , к которому добавляется (вес. %) от 1 до 3 (предпочтительно 1,7)  $\text{TiO}_2$ . Смесь прокаливается при 1150° в течение 1—2 час. Ti должен быть в 4-х валентной форме. Вместо Ti можно ввести 0,2 вес. % Mn в виде  $\text{MnCO}_3$ .

С. Тресвятский

1435 П. Электролюминесцентное вещество и способ его приготовления (Matière électroluminescente et son procédé de préparation.) [N. V. Philips' Gloeilampenfabrieken]. Франц. пат. 1092212, 19.04.55 [Rev. optique, 1956, 35, № 3, 172 (франц.)]

Нагревают в атмосфере  $\text{H}_2\text{S}$  сульфиды и селениды Zn, Cd, Mn с несколькими активаторами.

Ю. Михайленко

1436 П. Электролюминесцентные порошки (Poudre électroluminescente) [N. V. Philips' Gloeilampenfabrieken]. Франц. пат. 1092210, 19.04.55 [Rev. optique, 1956, 35, № 3, 172 (франц.)]

Патентуются сульфиды и селениды Zn, Cd, Mn с различными активаторами, конц-ия которых на поверхности частиц больше, чем внутри порошка.

Г. Рабинович

1437 П. Производство люминесцентных экранов. Дейвис, Даддинг, Вулман (Manufacture of luminescent screens. Davies B. L., Dudding R. W., Woolman M. K.) [General Electric Co., Ltd.]. Англ. пат. 735633, 24.08.55

Для нанесения экранов электроннолучевых трубок (ЭТ) методом осаждения из водн. суспензии силиката К (I) используется замкнутая система, состоящая из бачков с деминерализованной водой (II), р-ром I, р-ром электролита-коагулятора (III) и конц. суспензий люминесцентного состава (IV) в воде или водн. р-ре I, мерных цилиндров для р-ров I, II, III и суспензии IV, фильтровального устройства, смесителя и воронки-разбрызгивателя. Р-ры I, II и III отмеривают и передают после фильтрации в смеситель, откуда смешанный р-р поступает в воронку-разбрызгиватель одновременно с отмеренным кол-вом суспензии IV и далее в оболочку ЭТ, где происходит осаждение IV и формирование экрана.

Б. Гугель

1438 П. Люминесцентные материалы (Luminescent materials) [Thorn Electrical Industries Ltd.]. Австрал. пат. 200916, 15.03.56

Светящийся состав получают при прокаливании смеси соединений Mg, Si, O и F с активатором Ti. Полученный состав характеризуется определенной рентгеновской структурой.

Б. Гугель



**1439 П.** Способ образования светящегося экрана (Process of forming fluorescent screen) [British Thomson-Houston Co., Ltd]. Англ. пат. 709994, 2.06.54

При получении экрана методом осаждения на стеклянную поверхность люминофор осаждается через 2 водн. р-ра, разделенных слоем воды. Один из р-ров представляет собой 2,5—10%-ный р-р щел. силиката, а второй — р-р соли или гидроокиси щел.-зем. металла с конц.-ией, эквивалентной 0,25—1,0 г Ва на 1000 мл. Можно применять форматы, ацетаты, бутираты, галогениды, нитраты и гидроокиси Ва, Sr и Са. Способ применим для нанесения сульфидов Zn и ZnCd, силикатов Zn, Mg, ZnBe и ZnO. При нанесении экрана электроннолучевой трубки стенки последней можно нагревать. Б. Гугель

См. также: 226,2589

## ПРОИЗВОДСТВО КАТАЛИЗАТОРОВ И СОРБЕНТОВ

Редакторы В. П. Елинек, В. Д. Матсеев,  
Н. А. Ширева

**1440 П.** Способ получения силикагеля. Икэно, Ка дзи (珪酸ゲルの製造法・池野亮富・梶敬治) [株式会社多木製粉所, Кабусики Кайся Тамоку Сэйхисе]. Япон. пат. 3471, 15.06.54 [Chem. Abstrs, 1955, 49, № 9, 6510 (англ.)]

Из 10 кг эмульсии (15° Bé), полученной при пропускании в воду газов суперфосфатного произ-ва, после фильтрования получают 6 кг фильтра, содержащего  $\text{H}_2\text{SiF}_6$  (14° Bé), и 4 кг гидратированного силикагеля (I) состава (в %):  $\text{SiO}_2$  9,5,  $\text{H}_2\text{SiF}_6$  9,2 и  $\text{H}_2\text{O}$  81,3. I промывают водой для удаления  $\text{H}_2\text{SiF}_6$ , а затем добавляют 0,1 кг  $\text{Ca}(\text{OH})_2$ . Продукт сушат 3 часа при 180° и получают 0,54 кг силикагеля состава (в %):  $\text{SiO}_2$  89,2,  $\text{CaF}_2 + \text{CaSO}_4$  4,5,  $\text{H}_2\text{O}$  6,3. Г. Рабинович

**1441 П.** Способ получения активированной глины. Кувада, Мацувара (活性白土の製造方法・桑田勉・松原文雄) [菅原勇次郎, Цуцухара Юдзиро] Япон. пат. 2169, 23.04.54 [Chem. Abstrs, 1955, 49, № 3, 1992 (англ.)]

540 г кислой глины помещают в 5820 мл 7,5%-ной  $\text{H}_2\text{SO}_4$ , добавляют 5500 мл силиката Na, содержащего 90 г/л  $\text{SiO}_2$ . Гель формируют в гранулы, которые сушат до содержания 40—50%  $\text{H}_2\text{O}$ , а затем активируют как обычно в кислом р-ре. Г. Рабинович

**1442 П.** Получение сульфида натрия и (или) активированного угля. Тадзак (硫化ソーダ及又は活性炭の製造法・田崎正浩) Япон. пат. 7468, 15.11.54 [Chem. Abstrs, 1956, 50, № 7, 5251a (англ.)]

Опилки погружают в водн. р-р  $\text{Na}_2\text{SO}_4$ , содержащий > 10 вес. %  $\text{NaHSO}_4$  (по отношению к  $\text{Na}_2\text{SO}_4$ ), нагревают при 200—300° и пропускают через трубу из плавного кварца, нагретую до 600—850°. Поднимают смесь активированного угля и  $\text{Na}_2\text{S}$ , содержащего (в %):  $\text{Na}_2\text{S}$  83,5,  $\text{Na}_2\text{S}_2\text{O}_3$  4,82,  $\text{Na}_2\text{SO}_3$  6,62,  $\text{Na}_2\text{SO}_4$  3,76 и  $\text{Na}_2\text{CO}_3$  1,29. Для получения только одного активированного угля смесь обрабатывают водой, полученный р-р превращают в  $\text{Na}_2\text{SO}_4$ , а затем действием  $\text{H}_2\text{SO}_4$  получают  $\text{NaHSO}_4$ , который возвращают в цикл. Г. Рабинович

См. также: 584

## УДОБРЕНИЯ

Редактор И. Л. Гофман

**443.** Международная конференция по удобрениям в Белграде. Бобровицкий (Międzynarodowa konferencja nawozowa w Belgradzie. Bodrowni-

cki Włodzimierz), Chemik, 1956, 9, № 7-8, 202—203 (польск.)

**1444.** Термические фосфаты. Постников Н. Н., Ионас А. А., Хим. наука и пром-сть, 1956, 1, № 2, 150—154

Обзор. Произ-во и опытные работы по получению термофосфатов, плавящихся магнелиевых фосфатов, обесфторенных фосфатов, метафосфатов, томашлака и мартеновского шлака за рубежом и в СССР. Агрономич. эффективность указанных удобрений в сравнении с суперфосфатом и преципитатом. Библ. 23 назв. Е. Бруцкис

**1445.** Концентрированные фосфорные удобрения. Воскресенский С. К., Хим. наука и пром-сть, 1956, 1, № 2, 129—138

Обзор. Достижения в произ-ве простого суперфосфата в СССР. Способы и задачи произ-ва экстракционной  $\text{H}_3\text{PO}_4$  и ее упарки, произ-ва двойного суперфосфата, аммофоса и преципитата из апатитового концентрата, фосфорита Кара-Тай и др. Библ. 9 назв. Е. Бруцкис

**1446.** Производство фтористого натрия на Одесском суперфосфатном заводе. Елагин Г. Я., Канатская Б. С., Хим. пром-сть, 1956, № 3, 166—167

Лабораторными и заводскими опытами определены оптимальные условия получения NaF при р-ции пульпы  $\text{Na}_2\text{SiF}_6$  с р-ром  $\text{Na}_2\text{CO}_3$ . С окружной скоростью 2—3 м/сек производят перемешивание для предотвращения обволакивания кристаллов реагирующих в-в, выделяющихся при р-ции силикагелем; вводят всю пульпу  $\text{Na}_2\text{SiF}_6$  в 1/3 р-ра  $\text{Na}_2\text{CO}_3$  с последующим постепенным добавлением р-ра  $\text{Na}_2\text{CO}_3$ . Разработана схема произ-ва  $\text{Na}_2\text{SiF}_6$  и NaF, позволяющая переключать без остановок произ-во с одного продукта на другой.  $\text{H}_2\text{SiF}_6$  и насыщ. р-р NaCl подают в реактор с мешалкой, из которого пульпа  $\text{Na}_2\text{SiF}_6$  поступает в центрифугу; сырой продукт подается вагонетками в шнековую сушилку, а затем пневматически на размол и тарирование. При произ-ве NaF пульпа  $\text{Na}_2\text{SiF}_6$  подается во вторичный реактор, в который предварительно залив насыщ. р-р  $\text{Na}_2\text{CO}_3$ . После слива всей пульпы добавляется р-р  $\text{Na}_2\text{CO}_3$ . Обогрев производится острым или глущим паром. При 60—80° процесс длится 40—45 мин. Пульпа NaF подается в центрифугу; сухой NaF из сушилки затаривают в бочки. Е. Бруцкис

**1447.** Пути технического прогресса производства азотных удобрений. Дубовицкий А. М., Кильман Я. И., Хим. наука и пром-сть, 1956, 1, № 2, 139—146

Рассматриваются способы, применяемые и предложенные в СССР и за рубежом, для произ-ва аммиачной, известково-аммиачной, кальциевой и натриевой селитры, сульфата аммония, мочевины и жидких N-удобрений. Обсуждаются мероприятия, п.-и. и опытные работы, необходимые для увеличения произ-ва и расширения ассортимента N-удобрений в СССР. Г. Рабинович

**1448.** Азотные удобрения в капиталистических странах. Иванов А. Ф., Хим. наука и пром-сть, 1956, 1, № 2, 213—221

Обзор. Развитие пром-сти связанного азота. Состояние и объем произ-ва N-удобрений:  $(\text{NH}_4)_2\text{SO}_4$ ,  $\text{NH}_4\text{NO}_3$ , Са- и Na-селитры,  $\text{CaCN}_2$ , мочевины, жидких и сложных удобрений (нитрофосфатов, аммофоса,  $\text{KNO}_3$  и др.). Потребление N-удобрений. Библ. 60 назв. Г. Рабинович

**1449.** Применение алунита для получения сульфата калия гидротермическим методом. Шаргородский С. Д., Шор О. И., Барабанова А. С., Ж. прикл. химии, 1956, 29, № 4, 492—498

Термографические исследования нагревания смеси алуни́та, содержащего (в %):  $K_2O$  7,5,  $Al_2O_3$  27,8,  $SO_3$  26,6,  $SiO_2$  30,9 и др., с  $KCl$  (х. ч.) в молярном соотношении  $Al_2(SO_4)_3 : KCl = 1 : 6$  показали, что  $Al_2(SO_4)_3$  и  $KCl$  начинают взаимодействовать между собой и водой при  $480^\circ$ , т. е. при т-ре начала гидратации алуни́та. Продукты р-ции:  $Al_2O_3$ ,  $K_2SO_4$  и  $SiO_2$ ;  $KCl$  реагировал на 65,2%. Проведены опыты по конверсии смеси  $KCl$  с алуни́том в весовом соотношении 3,7 : 10 при нагревании в электрич. печи и пропускании перегретого водяного пара и без него. Оптимальными условиями конверсии, при которых не происходит улетучивания  $KCl$  и  $Al_2(SO_4)_3$ , являются т-ра  $700^\circ$ , время 45—60 мин. при обязательном пропускании водяного пара; степень конверсии достигала 94 и 95,4%. Г. Рабинович

1450. Улучшить хранение минеральных удобрений. Поволоцкий Л. И., Власова А. А., Стандартизация, 1956, № 3, 72—74

Приведены анализы минер. удобрений, показывающие, что качество удобрений резко снижается при хранении их потребителями в неудовлетворительных условиях. Е. Бруцук

1451 П. Получение триполифосфатов натрия (Manufacture of sodium tripolyphosphates) [Fisons, Ltd]. Англ. пат. 723245, 2.02.55

$Na_3PO_4$ , напр. содержащую ~30%  $P_2O_5$ , обрабатывают непрерывно небольшим избытком соды при подогреве так, чтобы конечная т-ра была  $\sim 85^\circ$  и pH 4,3—4,5;  $CO_2$  отводится вентилятором. Полученный р-р  $NaH_2PO_4$  фильтруют, осадок удаляют, а фильтрат делит на 2 части в соотношении 2 : 1, большую часть нейтрализуют содой или (для получения чистого продукта)  $NaOH$  до образования  $Na_2HPO_4$ , а затем смешивают с меньшей частью и подают смесь насосом в распылительную сушилку, обогреваемую горячими ( $\sim 450^\circ$ ) газами, поступающими из печи для прокаливания. Выбросные газы из сушилки проходят циклон и мешочный фильтр, из которых уловленная пыль присоединяется к основной массе, выходящей из сушилки и поступающей в печь для нагревания до  $350$ — $450^\circ$  в течение  $\geq 15$  мин. Полученный в печи триполифосфат Na охлаждается во вращающемся холодильнике, снабженном водяной рубашкой и при необходимости измельчается. Патентуется конструкция печи, обогреваемой горячими ( $800$ — $850^\circ$ ) газами, в которой материал проходит последовательно серию закрытых желобов с помощью насаженных на валы наклонных лопастей. Удаляемая из материала вода поступает вместе с горячими газами в распылительную сушилку. Е. Бруцук

## ПЕСТИЦИДЫ

Редактор Ю. А. Васкаков

1452. Основные направления в промышленности пестицидов, ее нужды, проблемы и развитие. Мойер (Major trends in the pesticide industry (its needs, its problems, its future growth and development. Moyer Warren), Agric. Chemicals, 1955, 10, № 10, 45, 46, 98, 99 (англ.))

1453. Общепотребительные названия для пестицидов. Касторф (Allgemein gebräuchliche Namen für Schädlingsbekämpfungsmittel. Kasterff O.), DIN-Mitt., 1956, 35, № 4, 183 (нем.)

Заметка о совещании в Германии. И. Мильштейн  
1454. О правильном использовании инсектицидов. Меррилла (Give the insecticide a fighting chance. Merrill Gene), Southern Seedsman, 1956, 19, № 6, 47, 63 (англ.)

Указано на необходимость ознакомления со свойствами и способами применения инсектицидов для их правильного использования. С. Иванова

1455. Испытание инсектицидов и фунгицидов. Хаммарлунд (Afprövning af plantebeskyttelsesmidler 1955. Hammarlund Lars), Tidsskr. planteavl., 1956, 59, № 5, 852—866 (дат.; рез. англ.)

Отчет Датской государственной фитопатологии, станции по испытанию препаратов для протравливания семян и инсектицидов против тлей и красных клещиков на фруктовых деревьях. К. Герцфельд

1456. Исследование по борьбе с лесными насекомыми с помощью авиации. Айслер, Юйлл (Research on the control of forest insects by aircraft. Isler D. A., Yuill J. S.), J. Econ. Entomol., 1956, 49, № 1, 92—94 (англ.)

1457. Применение радиоактивных изотопов в изучении действия инсектицидов (放射性同位元素と殺虫剤の研究. 其の 1. 小池久義), 植物防疫, Сёкубуцу боки, Plant protection, 1954, 8, № 12, 31—35 (япон.)

Обзор работ по применению радиоактивных изотопов для изучения некоторых инсектицидов. Кроме описания общих направлений применения изотопов (передвижение по растению и в почве, поглощение насекомыми, остатки на растениях и возможные превращения в растениях и насекомых, анализ, хроматография и т.д.), дано описание получения меченных радиоактивными изотопами ДДТ, бром-ДДТ, йод-ДДТ, ГХЦГ, фторацетата,  $C^{14}H_3Br$  и некоторых других, а также препаратов, получаемых из  $CS_2$ . Н. Мельников

1458. Аэрозоли в борьбе с бабочками. Тагирова Э., Защита растений от вредителей и болезней, 1956, № 1, 47—49

Термомеханические аэрозоли из 8%-ного р-ра ДДТ или из р-ра 8% ДДТ + 4% ГХЦГ в минер. маслах были эффективны против бабочек стеблевой мотылька, мальвової, капустной и яблонной моли. При расходе р-ра 8—10 л/га гибель бабочек дубовой листовертки составляла 85—99%. Гибель тополевой моли достигала 100%. При использовании аэрозолей против яблонной плодожорки повреждения плодов снижались более чем в 3 раза. Е. Гранин

1459. Новый инсектицид — гентахлор. Лост (L'héptachlore. Ce qu'est ce nouvel insecticide. Ses possibilités. Lhoste Jean), Engrais, 1956, 70, № 92, 17—18 (франц.)

Гентахлор — торговое название 1,4,5,6,7,8-гентахлор-3а,4,7,7а-тетрагидро-4,7-эндометилениндена (I). I — белое кристаллич. соединение с т. пл.  $95$ — $96^\circ$ , малолетучее, стойкое в кислой и щел. среде, хорошо растворим в органич. р-рителях (в керосине  $150$ — $160$  г/л). Технич. продукт содержит 72% I и 28% соединения близкого строения с инсектицидными свойствами. Применяется в виде 3%-ных дустов для обработки растений в кол-ве 25 кг дуста на 1 га, 5—10%-ных дустов для обработки почвы, 25%-ных смачивающихся порошков (суспензия из 200—300 г порошка на 100 л воды), эмульсий и в виде р-ров в керосине. I контактный и кишечный яд, по силе действия близкий к линдану, алдрину и дильдрину, в 4 раза сильнее хлордана. Применяется против долгоносика, трипсов, цикад, муравьев, медведки, саранчи и пр. Практически не фитотоксичен,  $LD_{50}$  для крыс от 100—180 мг/кг.

С. Иванова  
1460. Инсектицидные свойства некоторых аналогов 1,1-бис-(п-хлорфенил)-этанола. (DMK). Гантер, Блинн, Меткаф (Insecticidal properties of some topographical analogs of 1,1-bis (p-chlorophenyl)-ethanol (DMC). Gunther F. A., Blinn R. C., Metcalf R. L.), J. Agric. and Food Chem., 1956, 4, № 4, 338—340 (англ.)

Для испытаний на акарицидную активность были получены следующие соединения (приведены  $R'$ ,  $R^2$ ,  $R^3$ ,  $R^4$  и  $R^5$  в ф-ле  $n-R'C_6H_4-C(OH)(n-R^2C_6H_4)CR^3R^4R^5$  и т-ра плавления): Н, Н, Н, Н, Н 80,3—81,3°; Cl, Cl, Н, Н, Н, (I) 68,9—70,1°; Н, Н, Н, Н, Cl 64,4—65°; Н, Н, Н, Cl, Cl 96,1—96,8°; Н, Cl, Н, Cl, Cl (II) 80,1—80,5°; Cl, Cl, Н, Cl, Cl (III) 108,1—108,8°; Н, CH<sub>3</sub>, Н, Cl, Cl 61,8—62,8°; Н, Н, Н, Н, CH<sub>3</sub> 93,4—94,4°; Н, Н, Н, CH<sub>3</sub>, CH<sub>3</sub> 53,9—54,9°; Н, Н, CH<sub>3</sub>, CH<sub>3</sub>, CH<sub>3</sub> жидкость  $n^{20} D$  1,5746; CH<sub>3</sub>, CH<sub>3</sub>, Н, Н, CH<sub>3</sub> 41,8—42,8°; CH<sub>3</sub>, CH<sub>3</sub>, Н, CH<sub>3</sub>, CH<sub>3</sub> 96,3—97,3°; Cl, Cl, Н, Н, CH<sub>3</sub> (IV) жидкость  $n^{20} D$  1,5920; Cl, CH<sub>3</sub>, Н, Н, CH<sub>3</sub> (V) жидкость  $n^{20} D$  1,5802; Cl, Cl, Н, CH<sub>3</sub>, CH<sub>3</sub> (VI) 113,8—114,8°; Cl, Cl, Cl, Cl, Cl 78,5—79,5°. Приведены также УФ-спектры поглощения этих в-в. Тщательно очищ. соединения испытывались против клещей *Metatetranychus citri* (Mc G.), *Tetranychus bimaculatus* Harvey и *Heliethrips haemorrhoidalis* (Bouché) в виде остатков на зрелых апельсинах после погружения последних в ацетоновый р-р в-ва. Наиболее активными акарицидами были I, III и IV, несколько менее активны II, V и VI. Остальные в-ва для клещей значительно менее токсичны. Против мух *Musca domestica* L. и комаров *Culex quinquefasciatus* Say все соединения очень мало активны.

З. Нудельман

1461. Токсичность ДДТ для черного таракана при различном содержании жировых веществ и различных температурах. Лофгрэн, Каткомп (Toxicity of DDT to the American cockroach when lipid content and temperature are varied. Lofgren Clifford S., Cutkomp L. K.), J. Econ. Entomol., 1956, 49, № 2, 167—171 (англ.)

Исследовано действие ДДТ на черных тараканах (ЧТ). Во всех случаях самцы более чувствительны к ДДТ, чем самки. ЧТ, содержавшиеся после обработки ДДТ при 15°, показали более высокую смертность, чем при 30°. ЧТ, питающиеся пищей с высоким содержанием белка, менее устойчивы к ДДТ по сравнению с ЧТ, пита которых богата жирами.

К. Бокарев

1462. Устойчивость растений к клопам к ДДТ на семенниках сахарной свеклы. Хилс, Тейлор, Валкарс (Resistance of lygus bugs to DDT on sugar beets grown for seed. Hills O. G. A., Taylor Edgar A., Valcarlos A. C.), J. Econ. Entomol., 1956, 49, № 1, 94—95 (англ.)

Эффективность 5%-ного дуста ДДТ в 1945 г. против *Lygus hesperus* (Knight) и *L. lincolnsis* (P. de Be.) была выше, чем в 1954 г. Авторы полагают, что этот факт является доказательством появления у клопов устойчивости к ДДТ.

Е. Гранин

1463. Передача устойчивости к хлордану у рыжого таракана. Грейсон, Джарвис, Левитан (Transmission of resistance to chlordane in the German cockroach. Grayson J. M., Jarvis F. E., Jr., Levitan M.), J. Econ. Entomol., 1956, 49, № 1, 130—131 (англ.)

Для изучения механизма передачи устойчивости к хлордану у тараканов *Blattella germanica* (L.) использована методика определения относительной токсичности этого инсектицида для а) хлордан-устойчивых и неустойчивых групп тараканов, б) потомков от взаимного скрещивания этих двух групп и в) потомков удаленного скрещивания. Определено, что факторы устойчивости присущи самому организму таракана. Доказательства влияния цитоплазматич. и связанных с полом факторов на передачу устойчивости не найдены.

Е. Гранин

1464. Обзор фосфорорганических инсектицидов. Часть I. Введение и общий обзор. Баррададс (Organic phosphorus insecticides — a review. Part I. Introduction and general. Barradas R. G.), Chem. Age, 1956, 74, № 1919, 899—901 (англ.)

Рассмотрены инсектициды: ТЭПФ, паратион, параксон, систокс, изосистокс, ЭПН, шрадан, хлортон, потазан, диптерекс и диазинов.

К. Бокарев

1465. Опыты по применению новых эфиров фосфорной кислоты с малой токсичностью для борьбы с мухами. Юнг (Erfahrungen mit neuen mindertoxischen Phosphorsäureestern in der Fliegenbekämpfung. Jung H. F.), Z. angew. Zool., 1955, 42, № 4, 423—431 (нем.)

Подчеркнуты преимущества инсектицидов (II) на основе эфиров фосфорной к-ты по сравнению с хлорированными углеводородами. LD<sub>50</sub> ДДТ, альдрин, дильдрин, эдрина, тиофоса, хлортонна (I), диптерекса (II), резитокса (О,О-диэтил-О-(3-хлор-4-метилкумарил-7)-тиофосфат) равны соответственно для крыс (в мг/кг): 150—200, 40, 50, 10—12, 6,5, 1500, 625, 125. Описаны методы борьбы с помощью I и II с комнатными мухами (KM) *Musca domestica* L., *Fannia canicularis* L., *Stomoxys calcitrans* L., *Calliphora* и *Lucilia*. Для борьбы с личинками оводов, блохами, вшами и комарами II всprискивают под кожу домашнему скоту или вводят орально. LD II как кишечного яда для одной KM равна 0,03 г. При обработке помещений расход II равен 10 мг/м<sup>2</sup>. В течение 60 генераций при сублетальных дозах фосфорорганич. II не наблюдалось явления привыкания у мух.

И. Мильштейн

1466. Результаты полевого испытания меркаптофоса и октаметила в борьбе против хлопкового паутинного клещика. Малинин В. М., Соц. с. х. Узбекистана, 1956, № 6, 76—77

Испытания в полевых условиях 0,1 и 0,2%-ных водн. р-ров меркаптофоса (I) и 0,3%-ного водн. р-ра октаметила (II) при норме расхода 600 *а/га* против хлопкового паутинного клещика показали значительно большую эффективность I и II в сравнении с известково-серным отваром.

М. Галашина

1467. Полевые испытания малатиона для борьбы со свинным чесоточным клещом. Раун, Арне (A field test of malathion to control sarcoptic mange of hogs. Raun Earle S., Ahrens R. H.), J. Econ. Entomol., 1956, 49, № 1, 140 (англ.)

0,5 и 1,0%-ные эмульсии малатиона (из 57%-ного концентрата) были эффективны для уничтожения свиноного чесоточного клеща *Sarcoptes scabiei suis* (Gerl.). Препараты практически не токсичны и не раздражают кожу свиней.

Е. Гранин

1468. Аллетрин. Карьер (Allethrine. Carrière G.), Chem. en pharmac. techn., 1956, 11, № 17, 259—262 (голл.)

Обзор. Библ. 8 назв.

К. Герцфельд

1469. Смеси пиретринов с пиперонилбутоксидами как препараты для остаточной обработки элеваторов против насекомых. Уоттерс (Pyrethrins-piperonyl butoxide as a residual treatment against insects in elevator boots. Watters F. L.), Cereal Chem., 1956, 33, № 2, 145—150 (англ.)

Для борьбы с мучным хрущакom *Tribolium confusum* Duval и жуком *Leomophloeus pusillus* (Schönh.) на мукомольных мельницах вместо быстро улетучивающихся фунгицидов псытаны препараты, содержащие пиретрины (I) и пиперонилбутоксид (II). Конц. препарат I+II разбавляли дезодорированным керосином до необходимой конц-ии и опрыскивали помещение из расчёта 1 *мл* на 50 *г* муки. Получены следующие результаты (приведены конц-ия I и II в среднее кол-во насекомых, найденных до и через 5 недель после обработки): контроль 128,8 и 96,2; 2,5 I+25 II, 166,3 и 20,2; 1,5 I+15 II, 36,2 и 15,7; 0,5 I+5 II, 76,7 и 39,1. Все насекомые, найденные в обработанных ящиках для муки, были парализованы. Легкий запах препарата, оставшийся в муке, исчезал после брожения последней или вылечки изделий из нее.

З. Нудельман



1470. Белокрылка *Aleurolobus barodensis* Mask. на сахарном тростнике и борьба с ней. Сингх, Калра, Сандху (Sugarcane white fly (*Aleurolobus barodensis* Mask.) and its control. Singh Harbans, Kalra A. N., Sandhu J. S.), Indian Sugar, 1956, 5, № 12, 689, 691, 693, 695—696 (англ.).

Установлено, что действие ГХЦГ против нимф белокрылки сильнее, чем ДДТ. Эндриин (1,68 кг/га) и дильдрил (1,68 кг/га) дали результаты, сравнимые с ГХЦГ (4,2 кг/га). Наилучшие результаты показал малатион (1,68 кг/га), который в отличие от других инсектицидов был эффективен также против куколок белокрылки.

Е. Гранин  
1471. Борьба с мухами. Хеминг (Control of flies. Heming W. E.), Holstein-Friesian J., 1956, 19, № 3, 16, 47—49 (англ.).

Для борьбы с мухами на молочных фермах и в стойлах предложены опрыскивания внутри помещений инсектицидами контактного действия: ДДТ (I), метоксихлор (II), γ-ГХЦГ (III), малатион (IV) и диазинон (V). 0,5%-ные р-ры IV или V обеспечивают защиту от мух на 20—30 и 30—60 дней. IV, V можно применять в виде приманок. Не рекомендуется опрыскивание молочного скота I и другими хлорорганич. инсектицидами, так как они накапливаются в молоке, жире и мясе. II, пиперонилбутоксид с пиретрумом и тиюдианаты не опасны и могут применяться для опрыскивания молочного скота. Для борьбы с личинками нужно обрабатывать навоз и другие отбросы эмульсиями гентахлора, I, III, хлордана или IV. Норма расхода 1%-ного р-ра 2—3 л/м<sup>2</sup>.

М. Галашина  
1472. Влияние азотного удобрения, расстояния между растениями и полива на борьбу с кукурузным червем на сладкой кукурузе. Иден (Influence of nitrogen fertilizer, spacing, and irrigation on control of the corn earworm in sweet corn. Eden W. G.), J. Econ. Entomol., 1956, 49, № 2, 278—279 (англ.).

Число свободных от червей *Heliothis zea* Boddie початков сладкой кукурузы не зависит от полива, расстояния между растениями и от кол-ва внесенного азотного удобрения.

К. Бокарев  
1473. Борьба с клопами на газонах во Флориде. Керр (Chinch bug control on lawns in Florida. Kerr S. H.), J. Econ. Entomol., 1956, 49, № 1, 83—85 (англ.).

Опрыскивание газонов эмульсиями паратиона (1,6) и ДДТ (11,2) (в скобках доза в кг/га) дало удовлетворительный эффект против клопов *Blissus insularis* (Barber). Хлордан (11,2), дильдрил (5,6), деметон (1,12) и стробан (4,48) были малоэффективны.

Е. Гранин  
1474. Борьба с мучнистым червецом и сведения по его биологии. Уэйджас, Шоу (Control of the taxus mealybug with notes on its biology. Weidhaas John A., Jr, Shaw Frank R.), J. Econ. Entomol., 1956, 49, № 2, 273—274 (англ.).

Для борьбы с мучнистым червецом (*Pseudococcus cuspidatae* Rau) на *Taxus cuspidatae* с успехом применено опрыскивание эмульсией малатиона или суспензией смеси малатиона с ДДТ. ГХЦГ не эффективен. К. Бокарев  
1475. Паратион, ЭПН, дильдрил и метоксихлор для борьбы со сливовым долгоносиком на черносливах. Смит, Грейнджер, Эйвене (Parathion, EPN, dieldrin and methoxychlor for control of the plum curculio on Prunes. Smith E. H., Grainger Mary M., Avena A. W.), J. Econ. Entomol., 1956, 49, № 1, 14—18 (англ.).

В полевых условиях определено, что наиболее эффективным инсектицидом против сливового долгоносика является дильдрил (I), затем следуют ЭПН (II), метоксихлор (III) и паратион (IV). Порядок устойчивости к действию внешних факторов следующий: III > I =

= II > IV. Наибольшую контактную токсичность показал III, наименьшую IV.

Е. Гранин  
1476. Гранулированные инсектициды для борьбы с кукурузным мотыльком. Кокс, Бриндли, Лавли, Фейн (Granulated insecticides for European corn borer control. Cox H. C., Brindley T. A., Lovely W. G., Fahey J. E.), J. Econ. Entomol., 1956, 49, № 1, 113—119 (англ.).

Против кукурузного мотылька *Pyrausta nubilalis* (Hbn.) испытаны в гранулированной форме ДДТ, гентахлор (I), ЭПН и малатион (II). ДДТ испытан также в виде эмульсии. I и ДДТ в дозах 1,68 кг/га и ЭПН в дозе 0,56 кг/га были практически равноэффективны; II (2,22 кг/га) менее эффективен. I в гранулированной форме был равно или более эффективен, чем в эмульсии. Гранулированные инсектициды оставляют на растениях осадок в 100—200 раз меньший, чем эмульсия и, таким образом, менее опасны для скота при пастбище его на поле после сбора урожая. Кроме того, попавшие в пазуху листьев гранулы обеспечивают наилучший контакт с вредителем.

Е. Гранин  
1477. Влияние системных инсектицидов на популяции оранжевой персиковой тли на картофеле.

Кластермейер, Ландис, Шуп, Батлер (Effect of systemic insecticides on green peach aphid populations on potatoes. Klostermeyer E. C., Landis B. J., Schoop Ralph, Butler Lillian I.), J. Econ. Entomol., 1956, 49, № 2, 164—166 (англ.).

В условиях повторного заражения картофеля открытой формой оранжевой персиковой тли обработка паратионом (I), шрадраном (II) или деметоном (III) дает хороший эффект. I и изолан имеют малую остаточную эффективность. II в дозе 0,42 кг/га и III (1 кг/га) сохраняют активность в течение 2 недель после обработки. В клубнях картофеля в период уборки найдено 0,000038% III и 0,000059% II — концы, не опасные для животных.

К. Бокарев  
1478. Проблема остатков пестицидов в пищевых продуктах. Фармакологическая и токсикологическая точки зрения. Тома, Лафонтен (Le problème des résidus de pesticides dans les denrées alimentaires. Aspects pharmacodynamique et toxicologique. Thomas G., Lafontaine A.), Parasitica, 1955, 11, № 4, 126—131 (франц.).

Обзор литературных данных по фармакологии и токсикологии инсектицидов.

К. Бокарев  
1479. Остатки на семях, в почве и в молоке после обработки пастбища гранулированным дильдрином.

Апп, Картер. Или (Residues on forage, in the soil, and in milk following pasture treatment with granulated dieldrin. App B. A., Carter R. H., Fly R. E.), J. Econ. Entomol., 1956, 49, № 1, 136—137 (англ.).

Пастбища обрабатывали гранулированным дильдрином (I) в дозе 0,54 и 4,68 кг/га. Через день после обработки в почве обнаружено 60% I от внесенного кол-ва. В продолжение 28 дней заметные кол-ва I обнаруживали в образцах сена. I присутствовал в молоке коров при пастбище их на пастбище через 15—22 дня после обработки.

Е. Гранин  
1480. Оценка остатков хлорированных инсектицидов в обработанных пищевых продуктах. Пингале, Маджумдер (Residues of chlorinated insecticides on treated foods — an appraisal. Pingale S. V., Majumder S. K.), Bull. Centr. Food Technol. Res. Inst. Mysore, 1955, 5, № 3, 53—56 (англ.).

На основе литературных данных рассмотрена проблема ядовитых остатков инсектицидов группы хлорированных углеводов в обработанных ими пищевых продуктах.

Ю. Баскаков

**1481. Упрощенный панельный метод переменных для определения изменений вкуса овощей, обработанных пестицидами.** Креймер, Дитман (A simplified variables taste panel method for detecting flavor changes in vegetables treated with pesticides. Kramer Amihud, Ditman L. P.), Food Technol., 1956, 10, № 3, 155—159 (англ.)

Описан новый метод обработки опытных данных при определении вкуса у овощей, опыленных различными инсектицидами. Е. Гранин

**1482. Быстрый способ количественного определения ДДТ в водных эмульсиях.** Васселлари (Metodo rapido di determinazione del D. D. T. in emulsioni acquose. Vascellari Francesco), Boll. chim. farmac., 1955, 94, № 12, 493—494 (итал.; рез. франц., англ.)

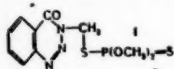
Описан способ колич. определения ДДТ в водн. эмульсиях, основанный на коагуляции эмульсии и экстракции коагулята эфиром: 100 мл водн. эмульсии ДДТ кипятят 3—4 мин. и после охлаждения вносят 5 г талька. Коагулят сушат в вакууме при  $t_{\text{ре}} \leq 45^\circ$ , затем смешивают с 5 г безводн.  $\text{Na}_2\text{SO}_4$  и экстрагируют 24 часа в аппарате Сокслета; вес сухого остатка равен весу ДДТ и хлорорганич. соединений, если таковые были в эмульсии. К. Герцфельд

**1483. Определение действующего начала инсектицида.** Крейг (Measuring the active ingredient in an insecticide. Craig John T.), Nucleonics, 1956, 14, № 5, 60—61 (англ.)

Описан способ определения  $\gamma$ -ГХЦГ в смеси методом изотопного разбавления. Расчет ведут по ф-ле  $X = \frac{A(B:C) - 1}{A - 1}$ , где  $X$  — вес компонента в неизвестной смеси,  $A$  — вес добавленного меченого компонента,  $B$  — уд. активность,  $C$  — уд. активность выделенной части компонента. М. Галашина

**1484. Новый специфический метод определения инсектицида «Байер 17147» (гузатион).** Волленберг, Шрадер (Neuer spezifischer Nachweis des Insektizides «Bayer 17147» (Gusathion). Wollenberg O., Schrader G.), Angew. Chem., 1956, 68, № 1, 41 (нем.)

Разработан специфич. метод колориметрич. определения бензализид-N-метилового эфира диметилдитиофосфорной к-ты (I) (гузатион) — нового инсектицида длительного действия, предназначенного для борьбы с вредителями хлопчатника. Метод основан на р-ции сочетания I с фенил- $\alpha$ -нафтиламином (II) с образова-



нием окрашенного в красновато-голубой цвет красителя, имеющего макс. поглощения при 570 м $\mu$ . 5 мл р-ра I в лед.  $\text{CH}_3\text{COOH}$ , содержащего  $\sim 0,25$  мг I, смешивают с 1 мл 2%-ного р-ра II в лед.  $\text{CH}_3\text{COOH}$  и 2 мл воды. Полученную смесь нагревают 15 мин. на водяной бане при 50—60°, добавляют 2 мл 2 н. р-ра  $\text{HCl}$ , вновь нагревают при той же  $t_{\text{ре}}$  15 мин. и получают интенсивно окрашенный р-р, который затем колориметрируют. Метод позволяет определять малые кол-ва I в растениях. Ю. Баскаков

**1485. Количественное определение и полная экстракция паратиона из оливкового масла.** Лассандро-Пене, Стораце (La estrazione totale del parathion dall'olio d'oliva e sua determinazione. Lassandro Pere Togo, Storace Giacomo), Olearia, 1956, 10, № 1-2, 9—11 (итал.; рез. англ., нем., франц.)

Нерастворимость паратиона в петр. эф. (I) позволяет выделить его из оливкового масла экстракцией этим р-рителем. Достаточно 2-кратная экстракция оливкового масла I с  $t_{\text{кп}}$  40—70°. Остаток от экстракции растворяют в 10 мл 95%-ного этанола, добавляют 15 мл 2 н.  $\text{HCl}$  и 0,5 г  $\text{Zn}$ -пыли, после кипячения в течение

10 мин. к фильтрату прибавляют 1 мл 0,3%-ного  $\text{NaNO}_2$ , через 10 мин. вносят 1 мл 3%-ного сульфамината  $\text{NH}_4$ , 2 мл 1%-ного гидрохлорида N-1-нафтилен-диамина и колориметрируют. К. Герцфельд

**1486. Фунгициды. Эмери** (Developments in fungicides. Emery G. A.), Chemist and Druggist, 1956, 165, № 3972, 235—238 (англ.)

Обзор применения  $\text{Cu}$ ,  $\text{S}$ ,  $\text{Hg}$ -содержащих органич. (каптан, глиодин, каратан и др.) фунгицидов и антибиотиков. К. Бокарев

**1487. Изучение фунгистатических, бактериостатических и амебцидных свойств изомеров нормаль-ной нонинновой кислоты.** Худак, Мерсер, Уотиз (Fungistatic, bacteriostatic, and amebicidal studies on the isomeric normal nonynoic acids. Hudak Edward S., Mercer Bessie D., Wotiz J. H.), J. Amer. Pharm. Assoc. Scient. Ed., 1956, 45, № 5, 327—330 (англ.)

Биологическая активность изомеров  $n$ -нониновой к-ты (I) зависит от положения тройной связи. По сравнению с ундециленовой к-той (II) определена фунгистатич. активность (ФА) различных изомеров I на 14 видах грибов. Наиболее активен 4-изомер. Проведено сравнение ФА I и октиновой к-ты (III):  $\text{ФА II} > \text{ФА I} > \text{ФА III}$ . Бактериостатич. активность I, определенная на 9 микроорганизмах, незначительна, кроме 4-изомера, миним. конц-ия которого полностью тормозящая рост *Mycobacterium tuberculosis* 1,25 мг/л I, обладает небольшой амебцидной активностью. С. Иванова

**1488. Опыты по применению хлорпикрина для обеззараживания почвы.** Хене (Erfahrungen mit Chlorpikrin als Bodenentseuchungsmittel. Hähne H.), Mitt. Biol. Bundesanst. Land- und Forstwirtschaft., 1955, № 83, 53—55, Diskuss. 55 (нем.)

В почву для обеззараживания вводят хлорпикрин (I). При борьбе с нематодами и фузариозом гвоздики покрытие почвы газонепроницаемой бумагой усиливает действие I. Из-за фитотоксичности I почву обрабатывают за 8—28 дней перед посевом в зависимости от  $t_{\text{ры}}$  и рода почвы. После обработки I во многих случаях наблюдается ускорение цветения и созревания плодов. I может применяться как в теплицах, так и в открытом грунте против нематоды земляники, *Thielavia basicola* на табаке; в лесных питомниках против *Picea sitkaensis*, *P. omorika*. При помощи I можно бороться против различных видов грибов: *Phoma*, *Pythium*, *Thielavia*, *Rhizoctonia*; против *Plasmidiophora brassicae* на капусте, против *Didymella lycopersici* и *Aplanobacter michiganense* на томатах, фузариоза огурцов, гвоздики, цикламенов; действие против склеротиниина недостаточно. Как нематодид I применяется против *Heterodera marioni*, *Ditylenchus dipsaci*, *Pratylenchus pratensis*, *H. rostochiensis*, *H. schachtii*. I может применяться как гербицид; травы более устойчивы по отношению к I, чем двудольные сорняки. И. Мильштейн

**1489. О применении дифенила для предохранения апельсинов и других citrusовых от плесени.** Рейт (Over het gebruik van difenyl als schimmelwerend middel bij sinaasappelen en andere citrusvruchten. Reith J. F.), Voeding, 1956, 17, № 5, 169—174 (голл.)

Обзор. Библ. 14 назв. К. Герцфельд

**1490. Трихлорфенолят меди — новый препарат для централизованного протравливания семян хлопчатника.** Швер Е. В., Соц. с. х. Узбекистана, 1956, № 3, 29—31

Описано применение трихлорфенолята  $\text{Cu}$  (I) для борьбы с гоммозом хлопчатника (ГХ). Состав препарата (в %): I 20, талька 65, каолина 15. Расход препарата 7 кг на 1 т семян. При обработке семян в день посева эффективность против ГХ достигает 86%, всхожесть

увеличивается на 6—23%. При обработке семян за 5, 3, 1 месяц и за 5 дней до посева достигается полное обеззараживание от ГХ, всхожесть повышается на 14%, урожай хлопка-сырца — на 11%. Препарат защищает всходы хлопчатника от корневой гнили.

И. Мильштейн

**1491. Применение ртутьорганических фунгицидов для обработки сахарного тростника.** Субба-Рао, Негги, Кханна (Use of organo-mercurial fungicide as sett treatment for sugarcane. Subba Rao M. S., Negi N. S., Khanna K. L.), Current Sci., 1956, 25, № 5, 159—160 (англ.)

Обработка аретаном (I) посевного материала сахарного тростника повышает процент прорастания. Наилучшие результаты получены с концентратами ~3 г/л при погружении и пропитке в течение 15 мин. Обработка I не влияет на рост, качество сока и урожайность.

С. Иванова

**1492. Оценка лабораторным методом антикриптоганного эффекта нескольких препаратов хлорокиси меди и кальция.** Радони, Ди-Каро (Valutazione in laboratorio dell'attività anticrittogamica dell'unità di rame in diversi ossicloruri di rame e calcio. Radoni Riccardo, Di Caro Sebastiano), Ann. Chimica, 1954, 44, № 12, 956—959 (итал.)

Сопоставлены величины антикриптоганного действия 5 хлорокисей (I) Cu и Ca, синтезированных в лаборатории из  $\text{CuCl}_2$  и  $\text{Ca(OH)}_2$ , и весьма токсич. для криптогана каффарского порошка (II), содержащего (в %): Cu 42,8, Ca 7,16 и Cl 12,70. Синтезированные препараты содержали (в %): Cu 48,19—52,00, Ca 3,20—7,87 и Cl 16,02—16,18. Исследование фунгицидного действия этих препаратов на *Alternaria tenuis* показало, что  $\text{LC}_{50}$  для II  $2,24 \cdot 10^{-2}$  % Cu; принимая  $\text{LC}_{50}$  II за 1,00, отношение  $\text{LC}_{50}$  I к  $\text{LC}_{50}$  II было 1,02—1,80, а обратная величина этих отношений, т. е. фунгицидный эффект (ФЭ), составила 0,55—0,99, причем максим. ФЭ был у I, содержащего 49,2% Cu и 6,12% Ca. Наибольший (0,96—0,99) ФЭ испытанных препаратов (считая за 1,00 ФЭ II) совпадал с содержанием в них 6—7,5% Ca.

К. Герцифельд

**1493. Лабораторные опыты по оценке активности фунгиантов в борьбе с грибами.** Сампсон, Людвиг (Laboratory studies on the evaluation and activity of antifungal fumigants. Sampson R. E., Ludwig R. A.), Canad. J. Bot., 1956, 34, № 1, 37—43 (англ.)

В борьбе со спорами *Alternaria solani*, культурами *Fusarium oxysporum*, *F. lycopersici* и *Bacillus subtilis*, выращенными на хлопчатобумажных нитях, испытаны окись этилена (I) и хлорпикрин (II). Доказана возможность применения стандартного графич. метода для оценки активности фунгиантов. Установлена зависимость фунгизации I и II от относительной влажности воздуха.

Е. Андреева

**1494. Термохимическая обработка семян.** Крушанк (Thermochemical seed treatment. Cruickshank J. A. M.), Nature, 1954, 173, № 4396, 217—218 (англ.)

Предварительное сообщение об экспериментах по предупреждению поражения семян льна вредителями *Sphaerella linorum* и *Polyspora lini* путем нагревания их в  $\text{CCl}_4$ . Опыты показали, что *S. linorum* не развивается в семенах, нагретых в течение 20 мин. при 65—75° или 30 мин. при 60°. Контрольный опыт с необработанными семенами дал 14% заражения. Для предупреждения развития *P. lini* достаточно нагреть семена 15 мин. до 70° или 20 мин. до 65°. Всхожесть семян от такой обработки не снижается.

Н. Ваксберг

**1495. Определение остатков актидиола в вишнях.** Прескотт, Эмерсон, Форд (Determi-

nation of cycloheximide (acti-dione) residues in cherries. Prescott George C., Emerson Harold, Ford Jared H.), J. Agric. and Food Chem., 1956, 4, № 4, 343—345 (англ.)

Антибиотик актидиол (имид β-[2-окси-2-(3,5-диметилциклогексанон-2-ил)-этил]-адипиновой к-ты (I)) эффективен в борьбе против пятнистости листьев вишни. Метод биоопределения I с помощью культуры *Saccharomyces pastorianus*, описанный Виффеном (Whiffen A. J., J. Bacteriol., 1948, 56, 283), позволяет определять 1,5—8 мг/кг. Предложено усовершенствование, состоящее в экстрагировании I хлф. и концентрировании вытяжки, повышающее чувствительность метода до 0,04 мг/кг. 500 г вишен измельчают и кипятят с 300 мл хлф. 45 мин., охлаждают, отделяют хлф. слой, упаривают до 10—20 мл и остаток хлф. испаряют при комнатной т-ре. Сухое в-во суспендируют в 1 мл этанола, разбавляют 9 мл воды и определяют I по Виффену. Пропцентное содержание I вычисляют по ф-ле  $X/(100-X) = (21 \cdot 300)/500$ , где 21 — коэфф. распределения I между хлф. и водой; 300 — объем хлф., мл; 500 — объем вишен, мл или г. Найдено, что образцы, опрысканные 0,003%-ным р-ром I, содержали через 1,5 часа 0,2—0,25 мг/кг I. Кол-во I внутри ягод увеличивалось первые 24 часа, а затем уменьшалось. Определению I не мешают дильдрин, метоксиклор, арсенат Pb, глиадин, но фербам и каптан угнетают развитие *S. pastorianus*, чем мешают определению I.

З. Нудельман

**1496. Гербициды и рост растений.** Знеп (Het gebruik van chemische onkruidbestrijdingsmiddelen in verband met hun invloed op de plantengroei. Zweep W. van der), Landbouwkund. tijdschr., 1956, 68, № 1, 65—69 (голл.)

Доклад о путях проникновения и переноса гербицидов в растения и их действия на растительную клетку.

К. Герцифельд

**1497. На совещании по вопросам химических средств борьбы с сорняками.** Чесапин Г. А., Земледелие, 1956, № 6, 123—125

Краткий отчет о совещании по хим. средствам борьбы с сорняками, проведенном Министерством сельского хозяйства РСФСР в марте 1956 г.

К. Бокарев

**1498. Новые химические препараты для удаления листьев хлопчатника.** Мауер Ф. М., Матвеев М. А., Абрамова Л. А., Завьялов А. П., Изв. АН УзССР, 1956, № 1, 45—22 (рез. узб.)

Описано применение хлората Mg (I), этилксантогената Na (II), эндотали (III) и эмульсии пентахлорфенола (IV) для удаления листьев хлопчатника. Этанолом (Э) служил р-р, полученный из водн. суспензии смеси 1% цианамиды Ca (V) с 0,6% кремнефтористого Na (VI). При проведении обработки 0,4%-ным р-ром I опадение листьев на 10-й день достигало 95—100%; Э 50—81%. При проведении испытаний на большой площади с применением авиационного метода обработки при норме расхода рабочей жидкости 200 л/га опадение листьев было 73—76%. Опадение вызвали 3—4%-ный р-р I, 3—4%-ный р-р II, 0,8%-ный р-р III. Низкие результаты дала эмульсия IV. При обработке Э (15%-ный р-р V с добавлением 5% VI) листья опали на 69—71%. При проведении опытов в период сильного похолодания только I дал хорошие результаты. I хорошо действует и при снижении норм расхода рабочей жидкости до 100 л/га. III иногда дает сильные ожоги листьев, черешков, коробочек и ветвей.

И. Мильштейн

**1499. Возможность применения трихлорацетата натрия для уничтожения камыша и различных кислых трав.** Вельте (Einsatzmöglichkeiten vom Natriumtrichloracetat zur Bekämpfung von Schilf und verschiedenen Sauergräsern. Welte E.), Mitt. Biol. Bun-



desanst. Land- und Forstwirtschaft., 1956, № 85, 187 — 189 (нем.)

Описано применение  $\text{CCl}_3\text{COONa}$  (I) как гербицида. I в кол-ве 5—25 г/м<sup>2</sup> не оказывает влияния на микрофлору и фауну почвы, где он распадается на  $\text{CHCl}_3$  и соду в течение 1—3 месяцев. При обработке водоемов, осушаемых на 6—8 недель, норма расхода I составляет (в г/м<sup>2</sup>) при борьбе с камышом 20—30, осокой 15—25, тростниковым канарейником (*Phalaris arundi hacea* L.) 20—25, белокудреником (*Ballota* L.) 20—25, ситником (*Juncus* L.) 10. Время обработки камыша—период появления метелок. При обработке неосушаемых водоемов с берега или с лодки I не дал однозначных результатов. Граница безопасности для рыб 10 г I на 1 л воды, для планктона 10—15 г/л.

И. Мильштейн

**1500 П. Способ обогащения и получения чистого  $\gamma$ -изомера гексахлорциклогексана.** Шель (Verfahren zur Anreicherung und Reindarstellung des  $\gamma$ -Isomeren des Hexachlorcyclohexans. Schell Kurt) [Kali-Chemie A.-G.]. Пат. ФРГ 880142, 18. 06. 53 [Chem. Zbl., 1955, 126, № 20, 4682—4683 (нем.)] Способ получения обогащенного  $\gamma$ -ГХЦГ (I) состоит в следующем: кристаллич. фракцию, содержащую I, отделяют механич. методами (просеивание, отвеивание, отмучивание), причем I остается в грубой кристаллич. фракции. Из исходной фракции могут быть выделены известными методами  $\alpha$ - и  $\beta$ -изомеры. Таким способом может быть получено 97% I.

И. Мильштейн

**1501 П. Очистка ГХЦГ.** Хетрик, Дональдсон (Refinement of benzene hexachloride. Hetrick James C., Donaldson William T.) [Ethyl Corp.]. Пат. США 2728799, 27.12.55

Способ повышения концентрации  $\gamma$ -изомера в технич. ГХЦГ заключается в перемешивании при  $t$ -ре 10—80° смеси технич. ГХЦГ, воды (1% от веса  $\gamma$ -рителя),  $\gamma$ -рителя для ГХЦГ (1 ч. на 1—10 ч. ГХЦГ), не смешивающегося с водой, и эмульгатора для эмульгирования по крайней мере части ГХЦГ и воды в  $\gamma$ -рителе. Полученную таким образом эмульсию, обогащенную  $\gamma$ -изомером, отделяют от твердого в-ва, относительно обедненного  $\gamma$ -изомером.

К. Бокарев

**1502 П. Способ очистки технического гексахлорциклогексана.** Бремер (Verfahren zur Reinigung von technischem Hexachlorcyclohexan. Bremer Hans). Пат. ФРГ 937348, 5. 01. 56

Способ очистки сырого ГХЦГ (I) состоит в том, что технич. I, содержащий 50—80%  $\gamma$ -изомера, перемалывают с водой, щелочью. Можно добавлять бензин (II) и полиэтиленоксипроизводные. Обработка происходит в аппарате для размола (шаровые или ультразвуковые мельницы и др.), в заключение I промывается водой. После обработки I смачивается водой и не обладает неприятным запахом. Кроме NaOH и KOH, для подщелачивания воды можно применять гидроокиси щел.-зем. металлов,  $\text{NH}_3$ ,  $\text{NH}_4\text{OH}$ ,  $\text{N}_2\text{H}_4$  и органич. амины. Пример 1: 1000 кг I, содержащего 70%  $\gamma$ -изомера, 1 кг NaOH и 150 кг воды размалывают 15 час. в шаровой мельнице, отсасывают, промывают водой (в конце слабо подкисленной) и 7 кг  $\text{CH}_3\text{OH}$ , отжимают, добавляют 20 кг II (т. кип. 80—130°), перемалывают 7 час., отсасывают и промывают 10 кг II и 7 кг  $\text{CH}_3\text{OH}$ . Пример 2: 1000 кг сырого I (диаметр частиц <10 мм), 2 кг  $\text{Ca}(\text{OH})_2$  и 125 кг воды размалывают 5 час., отсасывают, промывают водой, к последним порциям которой добавляют  $\text{NaH}_2\text{PO}_4$  или  $\text{COONa}$ , и отсасывают. Описаны примеры непрерывного и вакуумного способов очистки I. И. Мильштейн

**1503 П. Инсектицидный состав.** Захейм (Mejoras en composicion insecticida. Zacheim Muray)

[Pennsalt International Corp.]. Мекс. пат. 55062, 3. 01. 55

Инсектицид состоит из смеси 50—90 ч. технич. ГХЦГ и 10—50 ч. технич. ДДТ, причем ДДТ должен содержать  $\geq 70\%$  2,2-бис-(хлорфенил)-1,1,1-трихлорэтана с т. раст.  $\leq 100^\circ$ , а технич. ГХЦГ должен содержать 25—50%  $\gamma$ -изомера и плавиться  $< 80^\circ$ .

К. Герцфельд

**1504 П. Средство для борьбы с вредителями, особенно с клещами.** Хефлигер (Mittel zur Bekämpfung von Schädlingen, insbesondere von Milben. Häfliger Franz) [J. R. Geigy A.-G.]. Пат. ФРГ 941524, 12. 04. 56

Эфиры 4,4'-дихлорбензильного к-ты общей ф-лы  $(\text{C}_6\text{H}_4)_2\text{C}(\text{OH})\text{COOR}$  (I), где R — алкил, алкенил, галоидалкил, алкоксиалкил, циклоалкил или циклоалкенил, обладают акарицидными и инсектицидными свойствами. Предлагается применение в качестве акарицидов следующих эфиров этой к-ты: метилового, этилового (т. кип. 146—148°/0,04 мм),  $n$ -пропилового (т. кип. 151—153°/0,01 мм), изопропилового (т. кип. 148—150°/0,05 мм), аллилового, хлорэтилового, метоксиэтилового, этоксиэтилового и циклогексилового. Указанные эфиры можно применять в смеси с другими акарицидами, инсектицидами, овицидами, фунгицидами и (или) бактерицидами (бензилбензоат, диметилтиантрен, фталонитрил, ДДТ, ДДД, октахлор, паратион, 5,5-диметилдигидрорезорцидиндиметилкарбамат, динитрокрезол, нитрованный нафталин, соединения Hg, Cu, S и др.) или вместе с неактивными добавочными в-вами, напр. твердыми носителями (трикальцийфосфат,  $\text{CaCO}_3$ , каолин, болос, бентонит, тальк, жженая магнезия, борная к-та, пробковая мука, древесная мука и др.). При добавлении смачивателя и (или) диспергатора порошкообразные препараты можно применять в виде суспензий в воде. Подходящие  $\gamma$ -рителю для приготовления жидких препаратов: высококипящие масла (касторовое, парафиновое и др.) и низкокипящие углеводороды с  $t$ -рой вспышки  $\geq 30^\circ$  (гидрированный и алкилированный нафталин, сольвентнафта, погонны нефти типа керосина и т. д.). Можно готовить эмульсии этих в-в и концентраты эмульсий. В качестве диспергаторов и эмульгаторов можно применять естественные или синтетич. мыла, ализариевое масло, сульфаты жирных спиртов, сульфированные жиры, эфиры жирных к-т и т. д., высокомолекулярные четвертичные аммониевые соединения и продукты конденсации алифатич. и ариалфатич. соединений, напр. стеаринового спирта с окисью этилена (II). Возможно применение акарицидных эфиров в виде аэрозолей. В качестве добавок при изготовлении препаратов могут применяться казеин, соли жирных к-т, клеи, смолы, жиры, продукты расщепления белка, смачиватели, в-ва, способствующие растворению, красители, пахучие в-ва, для порошкообразных препаратов связывающие пыль средства и т. д. Препаратами эфиров можно обрабатывать растения и их части, аптекарские товары, текстиль, упаковочные материалы, овощи, сушеные фрукты, склады для пищевых продуктов и корма, семена, дерево, кожу, бумагу, меха, волосы, перья, ковры, стены, почву и т. д. Пример 1. 1—5 ч. I, где  $\text{R} = \text{C}_2\text{H}_5$ , (III), размалывают с 99—95 ч. талька. Можно также смешать  $\gamma$ -р I, напр. в 50 ч. ацетона с тальком,  $\gamma$ -ритель испарить. Полученный порошок эффективен против красных клещиков (КК) (*Paratetranychus pilosus*, *Tetranychus urticae* и т. д.) и клещей. В качестве носителя можно применять смесь талька, каолина и размолотого известняка. Пример 2. 10 ч. I размалывают с 80 ч. носителя и 10 ч. вспомогательного в-ва (сульфитный щелок (IV), Na-соль дибутилнафталинсульфокислоты (V) и т. п.). Препарат можно применять в виде водн. 0,1—1% суспензии против КК. Пример 3. 25 ч. I растворяют в

67 ч. ксилола и смешивают с 8 ч. продукта конденсации II, напр. с алкилированными фенолами. Препарат применяют в виде 0,05—0,5% эмульсии в воде. Пример 4. Концентрат эмульсий готовят растворением 20 ч. ДДТ и 4 ч. III в 21 ч. ксилола, к которому добавляют 5 ч. смолы, напр. канифоли, и 9 ч. размягчителя, напр. фталата или жирной к-ты. К р-ру добавляют 11,5 ч. эмульгатора, напр. соли жирных или смоляных к-т и 29 ч. воды. Пример 5. 1—5 ч. I растворяют в 99—95 ч. керосина, т. кип. 180—220°. Р-р применяют для опрыскивания. Пример 6. Смешивают 2 ч. I, 10 ч. бентонита, 10 ч. IV, 5 ч. V и 73 ч. молотой серы. Препарат можно применять в виде 0,5—1%-ной воды. суспензии одновременно против грибов и против КК. Пример 7. Размалывают 1 ч. I, 5 ч. ДДТ и 94 ч. талька. Эта смесь, а также аналогичные комбинации, напр., с 5,5-диметилдигидрофосфорцидиметилкарбаматом или другими контактными инсектицидами, фунгицидами пригодны для одновременной борьбы с клещиками, насекомыми и грибами. Пример 8. Размалывают 10 ч. I, 50 ч. ДДТ, 3 ч. продукта конденсации нафталисульфокислоты с формальдегидом, 5 ч. продукта конденсации II с высшими жирными спиртами, 26,5 каолина и 5,5 ч. тонко распределенной кремневой к-ты. Применяют в виде 0,1—1% суспензии в воде для борьбы с насекомыми и клещиками.

К. Бокарев  
1505 П. Способ производства эфиров диметоксифосфорилдиоруксеной кислоты, обладающих инсектицидным действием. Мюллер (Förfarande för framställning av dimetoxi-fosforyldiklorättiksyraester med insekticid verkan. M ü l l e r P.) [J. R. Geigy A.-G.]. Швед. пат. 151738, 4. 10. 55

1 моль триметилфосфата обрабатывают 1 молей эфира общей ф-лы  $Cl_3CCOOR$ , где R — алкильный или алкенильный остаток, который может быть прерван атомом O или группами —OCO—, COO—, а также может содержать цикл, включающий атом O. Р-ция проходит с отщеплением 1 моля  $CH_3Cl$ . Б. Фабричный

1506 П. Триизооктилфосфит и содержащий его гербициды. Мангем (Triisooctyl phosphite and herbicides containing same. Mangham Jesse Roger) [Virginia-Carolina Chemical Corp.]. Пат. США 2722479, 1.11.55

Предложен новый состав, содержащий триизооктилфосфит. Г. Швехгеймер

1507 П. Получение несимметричных диалкиловых эфиров бис-(диалкиламидо)-пирофосфорной кислоты. Сол (Preparation of unsymmetrical dialkyl bis (dialkylamido) pyrophosphates. Saul George A.) [Monsanto Chemical Co.]. Пат. США 2729667, 3. 01. 56

Несимметричные диалкиловые эфиры бис-(диалкиламидо)-пирофосфорной к-ты общей ф-лы  $(RO)_2P(O) — O — P(O)(NR'_2)_2$  (R и R' — алкил, напр., метил, этил, пропил, бутил или амил) получают р-цией диалкиловых эфиров галогидфосфорной к-ты с алкиловыми эфирами бис-(диалкиламидо)-фосфорной к-ты; р-цию проводят совместным нагреванием их в практически равномольных соотношениях. В частности, указано применение диэтилового эфира хлорфосфорной к-ты (I) и метилового или этилового эфиров бис-(диметиламидо)-фосфорной к-ты (II). 94,6 ч. I и 100 ч. этилового эфира II при размешивании нагревают до ~80°, при этом происходит экзотермич. р-ция с выделением  $C_2H_5Cl$ , нагревают еще 30 мин. при 80—90°, а затем в вакууме 45 мин. при 80°. Всего отгоняется 34,2 ч.  $C_2H_5Cl$ , в остатке — диэтиловый эфир бис-(диметиламидо)-пирофосфорной к-ты, т. кип. 145—150°/1 мм,  $d_{40}^{25} 1,16$ ,  $n_D^{25} 1,4395$ . Аналогично получают этот эфир из I и метилового эфира II. Полученные эфиры пригодны в качестве инсектицидов и пластификаторов. В. Уфимцев

1508 П. Составы для получения аэрозолей, содержащие цианамид или дициандиамида, и метод приго-

товления этих составов. Куртье (Composition comprising cyanamide or dicyandiamide for forming aerosols and method of making same. Courtier Armand Jean) [Soc. An. des Manufactures des Glaces et Produits Chimiques de Saint-Gobain, Chaunay & Cirey]. Пат. США 2707695, 3. 05. 55

Состав содержит инсектицид (I) (ДДТ ГХЦГ и т.д.), цианамид (II) (или дициандиамида (III)) и  $NH_4NO_3$  (III) или другой летучий азотнокислый амин, служащий для повышения т-ры в процессе распыления. Распыление происходит за счет бурного разложения I (или II) при нагреве ниже т-ры разложения I (~120°). Получающийся аэрозоль состоит в основном из очень мелких частиц (< 5 м), что обеспечивает его устойчивость, и в то же время он достаточно тяжел и прилегает к почве (может служить для защиты от заморозков). Состав может применяться в виде смеси порошкообразных компонентов, заключенной в открытую металлич. оболочку. Рекомендуется применение плавящего состава, который получается путем сплавления I со смесью I (или II) и III в соотношении в вес. % соответственно 75—30 или II (и 25—70 III). II и III образуют низкотемпературную эвтектику (~112°) при 66 вес. % III и 34 вес. % II. Эмульгирование II производится простым перемешиванием расплавленной массы, которая затем разливается в формы, обмазанные парафином. Наилучшие результаты дают составы, содержащие равные весовые кол-ва I и II (или II), причем кол-во III не должно составлять > 66,5—70% от веса I (или II) + III и не более 0,5 от веса всего состава. В случае применения других I кол-во I (или II) может быть повышено — на 40 вес. ч. И рекомендуется 100 в. ч. смеси I (или II) + III. По сравнению с известными способами новый способ обладает рядом преимуществ: операции безопасны; р-ция разложения проходит быстро под действием небольшого нагрева и по желанию может быть остановлена; в аэрозоль переходит до 90% II. Л. Херсонская

См. также: Родентициды 2162; 268Бх. Инсектициды 2907; 539Бх, 1066Бх, 1068Бх, 1079Бх, 1086Бх. Бактерициды и фунгициды: синтез 843, 875; анализ 2919; препараты 2813, 2907, 3070, 3090, 3102; 466Бх. Регуляторы роста: синтез 898; действие на растения 527Бх, 528Бх, 531—535Бх; на животных 530Бх; механизм действия 530Бх.

## ЭЛЕКТРОХИМИЧЕСКИЕ ПРОИЗВОДСТВА. ЭЛЕКТРООСАЖДЕНИЕ. ХИМИЧЕСКИЕ ИСТОЧНИКИ ТОКА

Редактор М. М. Мельникова

1509. Метод оценки различных катодных материалов гальванических элементов. Морхаус, Гликсман (A technique for evaluating various cathode materials. Morehouse C. K., Glicksman R.). J. Electrochem. Soc., 1956, 103, № 2, 94—98 (англ.)

Разработан метод оценки пригодности разных сортов  $MnO_2$  и других катодных материалов гальванич. элементов, основанный на изучении зависимости потенциала от времени при разряде в разных электролитах. Описываемая установка позволяет производить разряд также и в проточном электролите. На основании данных разряда 9 сортов  $MnO_2$  в электролите, содержащем 20%  $NH_4Cl$ , 33%  $ZnCl_2$  и 47%  $H_2O$ , со скоростью разряда 0,100 а/г катодного материала установлено, что при низких D, а также в проточном электролите получаемая емкость превосходит ожидаемую из р-ции восстановления  $MnO_2$  до  $Mn_2O_3$ , но несколько ниже емкости, ожидаемой из р-ции образования  $Mn_2O_4$ . Структура

$MnO_2$  отражается на емкости элемента. Электролитич.  $MnO_2$  обуславливает емкость большую, чем природная руда. При разряде в 30%-ном р-ре NaOH насыщ. ZnO получены аналогичные результаты. В. Левин

**1510. Основы гальваностегии. 8. Растворы. Серота** (Science for electroplaters. 8. Solutions. S. E. S. e. r. o. t. a. L.), Metal Finishing, 1955, 53, № 11, 78—81 (англ.). Сообщение 7 см. РХХим, 1956, 43869.

**1511. Электролитическое травление германия в потоке жидкости. Салливан, Эйглер** (Electrolytic stream etching of germanium. Sullivan Miles V., Eigler John H.), J. Electrochem. Soc., 1956, 103, № 2, 132—134 (англ.).

Метод электролитич. травления Ge-транзисторов в 0,1%-ном р-ре KOH отличается тем, что электролит пропускают лишь через участки, подлежащие травлению (напр., электролит стекает по Pt-проволоке, согнутой в виде головной шпильки). Рекомендуемая  $D_0 = 1,5 \text{ а/см}^2$  может быть увеличена до  $15 \text{ а/см}^2$ . Преимущества метода: возможность регулировки скорости травления, отсутствие вредных хим. реагентов, исключение загрязнения ванны и необходимости экранирования отдельных участков, низкая стоимость (в десять раз дешевле хим. травления), возможность травления деталей в смонтированном виде, лучшее качество отделки поверхности (транзисторы после электролитич. травления сохраняют свои свойства в сильновлажной среде). В. Левинсон

**1512. Об электролитическом оксидировании алюминия, электрополировке и окрашивании металлов.**— (Vom Eloxieren, Elektropolieren und Metallfärben.—), Chem. Rundschau, 1956, 9, № 11, 253—254 (нем.) Обзор.

**1513. О влиянии структуры углеродистых сталей на процесс электрополировки. Тиранская С. М.,** Укр. хим. ж., 1955, 21, № 1, 117—126

Установлена связь электрополировки с микроструктурой сталей (с 0,035 до 1,1% C) и ледебуритного чугуна: 1) наиболее легко полируется сталь однородной структуры (феррит, перлит, ледебурит); 2) наиболее трудно полируется сталь максимально неоднородной структуры (50% перлита и 50% феррита); 3) поведение промежуточных перлитно-ферритных и перлитно-цементитных структур определяется преобладающей структурной составляющей; 4) термообработка, способствующая получению однородной структуры, облегчает процесс электрополировки. Е. Друц

**1514. Определение меди в медных цианистых электролитах, содержащих виннокисловый калий-натрий. Геранд** (Complexometric determination of copper in copper cyanide-Rochelle salts plating baths. Gehrand Clarence E.), Plating, 1956, 43, № 6, 747 (англ.).

10 мл цианистого электролита для меднения помещают в мерную колбу емк. 100 мл и доливают водой до метки. Содержимое колбы тщательно перемешивают и 10 мл пробы переносят в выпарную чашку объемом 250 мл. Содержимое чашки нагревают под тягой и по каплям добавляют HCl (к-та) до осветления р-ра, выпаривают досуха и охлаждают. Затем нагревают под тягой и по каплям добавляют  $HNO_3$ , выпаривают почти досуха и охлаждают. Добавляют  $\sim 50 \text{ см}^3$  дистилл. воды и перемешивают до полного растворения соли. Добавляют по каплям буферный р-р ( $26,8 \text{ г } NH_4Cl + 176 \text{ мл конц. } NH_4OH + 0,5 \text{ л } H_2O$ ) до появления синего цвета (и несколько капель добавляют после этого). При желании можно отфильтровать осажденное железо. Переносят р-р в эрленмейеровскую колбу объемом в 500 мл, тщательно ополаскивают стакан дистилл. водой и доводят объем р-ра до 250 мл.

Добавляют 2—3 мг порошка мурексид и перемешивают, пока цвет р-ра не станет желтым или желто-коричневым. Титруют 0,05 М р-ром этилендиаминтетрауксусной к-ты до перехода окраски р-ра в оранжево-красную и затем в пурпурно-красную. Кол-во мл 0,05 М р-ра этилендиаминтетрауксусной к-ты, умноженное на 0,4244, соответствует содержанию 8 г/л Cu. Точность анализа очень хорошая.

Л. Прокопович

**1515. Катодное осаждение кадмия из йодистых электролитов. Киселева В. Л.,** Тр. Ивановск. хим.-технол. ин-та, 1956, вып. 5, 25—29

Изучена зависимость качества Cd-осадков и катодной поляризации от состава электролита, D, т-ры и природы добавок при электроосаждении Cd из йодистых р-ров. В р-рах  $CdJ_2$  и с добавкой KJ на катоде образуются игольчатые осадки. Введение в электролит добавок столлярного клея, перагала и ОП-10 улучшает рассеивающую способность и качество осадков, которые становятся плотными, гладкими, иногда блестящими до толщины 20 м, а также увеличивает катодную поляризацию, с чем автор связывает благоприятное влияние добавок на электроосаждение Cd. Добавление  $CaSO_4$ ,  $NaSO_4$ , кофеина, ализаринового масла и декстрина вызывает образование губчатых осадков. Оптимальные условия:  $CdJ_2$  1,5—2 н, KJ 1 н; добавки: столлярный клей 10 г/л, или ОП-10 2—5 г/л, или перагал 2 г/л.  $D_k = 2 \text{ а/дм}^2$ , выход по току  $\sim 100\%$ , т-ра 18—25°.

З. Соловьева

**1516. Новое гальваническое защитное Sn-Zn-покрытие. Хейлинг** (Ein neuer galvanischer Schutzüberzug — das Stanno-Zink-Verfahren. Heiling H. M.), Ind.-Anz., 1956, 78, № 34, 488—489 (нем.) Описаны методы получения, свойства и применение Sn-Zn-покрытия. Л. Прокопович

**1517. Может ли покрытие сплавом Zn-Sn улучшить качество продукции? Лоуэнхейм, Гор** (Can tin-zinc plating improve your products? Lowenheim F. A., Gore R. T.), Iron Age, 1956, 177, № 11, 92—95 (англ.)

Описаны свойства и применение Zn-Sn-покрытий. И. Ерусалимчик

**1518. Макро- и микрометоды определения равномерности осаждения металлов из гальванических ванн. Снеквик** (Makro- og mikrospreddningsevne ved elektrolitiske pletteringsbad. Snekvik Einar), Tekn. ukebl., 1956, 103, № 25, 566—573 (норв.) Обзор. Библ. 16 назв. К. Герцфельд

**1519. Измерение электропроводности электролитически полученных металлических слоев. Кейль** (Leitfähigkeitsmessungen an galvanisch erzeugten Metallfolien. Keil Albert), Metalloberfläche, 1955, 9, № 6, A81—A84 (нем.)

Измерена электропроводность (Э) Ag-, Ag- и Rh-пленок различной толщины, полученных электролизом в обычных условиях. Э измерялась на осадках поверхностью  $1 \text{ см}^2$ , снятых с подкладки путем ее хим. растворения, на спец. приборе по методу вихревых токов (токи Фуко). Показано, что Э Au составляет  $\sim 50\%$ , Ag 50—90%, Rh 25% от Э соответствующего металла, полученного не электролитич. способом. При получении Ag из р-ра с добавкой для увеличения твердости Э снижается до 10%, причем при термич. обработке такого Ag она возрастает. Высказывается мнение, что низкая Э Rh-осадков вызвана высокими внутренними напряжениями в них, приводящими к растрескиванию металла. Указывается, что в качестве коррозионностойкого и высокоэлектропроводного слоя для неблагородных металлов пригодны послойное покрытие Au+Rh или Ag+Rh. З. Соловьева



**1520. Определение пористости хромоых покрытий.**

**Беннингхофф** (Die Bestimmung der Porosität von Chromüberzügen. Benninghoff Hanns), Metallwaren-Ind. und Galvanotechn., 1956, 47, № 7, 305—307 (нем.)

Образование пор при обработке хромированных изделий при 200° и выше объясняется большим различием в величинах коэфф. теплового расширения хрома и стали. Пористость Cr-покрытий, полученную путем предварительной механич. обработки поверхности деталей, можно легко определить. При других же способах получения пористых Cr-покрытий определение степени пористости затруднено, так как образование сетки трещин зависит от многих факторов. Описан способ определения степени пористости по эталонным образцам и приводятся восемь фотографий с различной сеткой трещин пористого хрома (пористость 10—50% по отношению к общей площади). Хромированная поверхность деталей рассматривается в микроскоп и путем сравнения с эталоном определяется степень пористости Cr-покрытия. А. Липин

**1521. О контроле пористости хромоых покрытий.**

**Поляков А. А., Гаркунов Д. Н.**, Завод. лаборатория, 1956, 22, № 4, 482—484

Существующие методы контроля пористости покрытий обладают рядом недостатков, в частности они не дают возможности точно определить ширину каналов и размеры площадок пористого хромоого покрытия. Для контроля качества пористого хромоого покрытия цилиндра двигателя авторы применили прибор М. М. Хрущева и Е. С. Берковича. Прибор позволяет измерить ширину канала пористого хромоого покрытия с точностью до 0,01 мм и получить диаметр поля зрения 1,5 мм. При проведении испытаний на износ хромированных цилиндров с различными видами пористости лучшие результаты показали покрытия, имеющие от 25 до 12 площадок на 1 мм<sup>2</sup> с шириной каналов 0,03—0,06 мм. Сетка пористости должна быть равномерна по всему цилиндру. И. Ерусалимчик

**1522. Оценка качества оловянного покрытия. Хор** (Appraising the quality of tinplate. Hoare W. E.), Sheet Metal Inds, 1956, 33, № 348, 239—242, 246 (англ.)

Излагаются применяемые в пром-сти США методы контроля толщины и пористости оловянного покрытия. Описаны коррозионные испытания, которым подвергаются оловянные покрытия, и испытания на стойкость в агрессивных жидких средах. Приводятся методы определения сплава Sn-Fe в Sn-покрытиях, полученных методом горячего погружения. Описан оригинальный метод контроля толщины покрытия при помощи рентгеновских лучей, основанный на флуоресценции их на границе раздела Sn-Fe. И. Ерусалимчик

**1523. Некоторые сведения о гальванопластике. Рубинштейн** (Some tips on electroforming. Rubinstein Marv), Metal Finishing., 1956, 54, № 4, 58—60 (англ.)

Рассматривается технология некоторых частных случаев процесса изготовления гальванопластич. изделий. З. Соловьева

**1524. Указатели в процессах обработки поверхности.**

**Молер** (Finishing pointers. Mohler J. B.), Metal Finishing, 1956, 54, № 4, 61—62 (англ.)

Рассматривается роль и значение указателей различных параметров в процессах обработки поверхности и применение световых регуляторов для контроля т-ры. З. Соловьева

**1525 К. Практика анодного оксидирования алюминия.**

**Хюбнер, Шилткнехт** (Die Praxis der anodischen Oxidation des Aluminiums. Hübner Walther W. G., Schiltknecht Adolf.

Düsseldorf, Aluminium-Verl., 1956, XIV, 407 S., ill., 19.60 DM) (нем.)

**1526 Д. Исследование процесса анодного растворения алюминия, применительно к получению рельефных изображений. Петров П. Н.** Автореф. дисс. канд. техн. н., Моск. ин-т цвет. мет. и золота, М., 1956**1527 П. Гальванический элемент. Рид** (Primary cell. Reid Raymond W.) [The Dow Chemical Co.], Пат. США 2715653, 16.08.55

Гальванический элемент состоит из Mg — анода, катода из смеси угля с MnO<sub>2</sub> и водн. р-ра бромистой соли щел. или щел-зем. металла и аммония в качестве электролита. К электролиту добавлен металлич. порошок определенной дисперсности. Кол-во порошка составляет 0,1—1,5 вес.% от сухого в-ва электролита. В качестве добавляемых металлов могут быть Al, Bi, Co, Cu, Fe, Pb, Mg, Mn, Ni, Sn и Zn. Б. Герчиков

**1528 П. Гальванический элемент. Цигенберг** (Primärelement. Ziegenberg Rudolf). Швейц. пат. 304149, 1.03.55 [Chem. Zbl., 1955, 126, № 37, 8702 (нем.)]

Элемент, который приводится в действие заливкой электролита непосредственно перед разрядом, снабжается пористым и полым угольным электродом. Внутри электрода находится в сухом виде соль, которая при растворении образует электролит. Б. Герчиков

**1529 П. Способ изготовления сепараторов для свинцовых аккумуляторов. Шнейдер** (Verfahren zur Herstellung von Abstandsplatten für Blei-Akkumulatoren. Schneider Friedrich August) [Accumulatorenfabrik Varta N. V.], Пат. ФРГ 930217, 11.07.55

Сепараторы для свинцовых аккумуляторов имеют тот недостаток, что не содержат лигнинных и гуминовых к-т и других экстрактивных в-в древесины, необходимых для обеспечения хороших разрядных характеристик, особенно при больших силах тока и на холоду. Предлагается промышленный способ изготовления сепараторов из смеси твердого порошкообразного древесного экстракта, наполнителя и порошка искусств. смолы или каучука. Смесь выдерживается в атмосфере паров р-рителя достаточное время, чтобы вызвать набухание смолы или каучука. При этом масса приобретает пластичность, позволяющую развальцевать ее в пластины нужной толщины. После вальцовки пластины высушивают, отгоняя р-ритель. Приведены конкретные рецепты и варианты технологии. Б. Герчиков

**1530 П. Свинцовые аккумуляторы** (Electric storage batteries of the lead acid type) [Electric Storage Battery Co.], Англ. пат. 723614, 9.02.55

Патентуется следующий состав анодной пасты Pb-аккумуляторов (в %): Sb 4,5—12,5; As 0,2—2,5; Pb — остальное. Желательно, чтобы 54-кратное кол-во As + 0,25% не было меньше, чем 3,9-кратное кол-во Sb. Для обеспечения текучести во время литья можно добавлять 0,15—0,5% Sn. В. Левинсон

**1531 П. Аккумуляторные сепараторы. Сан** (Perfectionnement aux séparateurs pour accumulateurs. Sans Marcel) [Soc. Novacel Soc. An.], Франц. пат. 1048483, 22.12.53 [Chem. Zbl., 1955, 126, № 15, 3456 (нем.)]

Для улучшения физ. и хим. свойств, в особенности абсорбционной способности по отношению к жидкостям на 900—1000%, поверхность аккумуляторного сепаратора, выполненного из рыхлой регенерированной целлюлозы, покрывают слоем кожезаминителя, приготовляемого пропитыванием ткани вискозой, содержа-

щей  $\text{Na}_2\text{SO}_4$ , с последующим коагулированием и закреплением. В. Левинсон

1532 П. Травление металла. Эрвин (Conditioning of metal surfaces. Irwin Joseph T.). Канад. пат. 514270, 5.07.55

Патентуемый метод заключается в травлении металла в кислой травильной ванне, содержащей в основном  $\text{H}_2\text{SO}_4$  и 1—8 ч. тиосульфата натрия на 700 ч. 7%-ной  $\text{H}_2\text{SO}_4$ . Л. Прокопович

1533 П. Состав для обработки Al и его сплавов. Мерфи (Composition for treating aluminum and aluminum alloys. Murphy James F.) [Kaiser Aluminum & Chemical Corp.]. Пат. США 2719079, 27.09.55

Для хим. полировки Al и его сплавов применяется водн. кислый р-р, содержащий  $\text{HBF}_4$  и  $\text{HNO}_3$  и  $\geq 0,001 \text{ г/л Cu}$  ( $0,26 \text{ г/л Cu}(\text{NO}_3)_2 \cdot 3\text{H}_2\text{O}$ ).

М. Мельникова  
1534 П. Дополнительная обработка цинковых покрытий, полученных гальваническим путем (Procédé pour le traitement des surfaces métalliques revêtues d'un dépôt électrolytique de zinc ou métal analogue, baine de traitement pour la mise en oeuvre de ces procédés et pièces métalliques traitées conformément à ces procédés.—) [Cie Internationale de Procédés Electrolytiques pour le Revêtement des M'aux]. Франц. пат. 1063647, 5.05.54 [Chem. Zbl., 1955, 126, № 24, 5647 (нем.)]

Изделие обрабатывается в р-ре  $\text{CrO}_3$ ,  $\text{HNO}_3$  и  $\text{H}_2\text{SO}_4$ . Пример: 80—100 г/л  $\text{CrO}_3$ , 1—3 мл/л  $\text{HNO}_3$ , 3—5 мл/л  $\text{H}_2\text{SO}_4$  и Saramine M. S. до насыщения. Покрытие становится блестящим, но легко блекнет. Последующая обработка в р-ре  $\text{NaOH}$  и  $\text{Na}_2\text{SiO}_3$  осветляет покрытие.

Н. Сурков  
1535 П. Полировка алюминиевых рефлекторов. Хаясака (アルミニウム反射體の光澤処理法・早坂公郎), Япон. пат. 2411, 4.05.54

Данный метод является комбинацией хим. полировки и электрополирования, что позволяет избежать недостатков каждого из этих методов. Подготовленный к полировке рефлектор погружается в водн. р-р, состоящий из  $\text{AlPO}_4$  и небольшого кол-ва  $\text{H}_3\text{PO}_4$ . Т-ра р-ра 50—120°; время обработки для зеркальной поверхности несколько десятков секунд, а для грубой поверхности несколько минут. В результате этой обработки на поверхности образуются растворимые соли  $\text{Al}_2\text{PO}_4$ . После этого рефлектор погружается в ванну, состоящую из  $\text{CH}_3\text{COOH}$  и смешанной  $\text{H}_4\text{P}_2\text{O}_7$  и  $\text{H}_3\text{PO}_4$  при 50—100°, и проводится электрополировка в течение от нескольких десятков секунд до нескольких минут. Образовавшиеся соли и посторонние включения растворяются и получается хорошо отполированная поверхность. Пример: в р-р, состоящий из 80 вес.%  $\text{AlPO}_4$ , 1 вес.%  $\text{H}_3\text{PO}_4$  и  $\text{H}_2\text{O}$  — остальное, а также некоторого кол-ва  $\text{H}_2\text{SO}_4$ ,  $\text{CH}_3\text{COOH}$ ,  $\text{HNO}_3$  (или без них), при 90° рефлектор погружается на 40 сек. После этого рефлектор погружается в электролит, состоящий из 1 ч.  $\text{CH}_3\text{COOH}$  (уд. вес. при 15° 1,700) и 2 ч.  $\text{H}_3\text{PO}_4$  и имеющий т-ру 93°. D вначале устанавливается в 1 а/дм<sup>2</sup> и постепенно увеличивается до 3,5 а/дм<sup>2</sup>. Время электролиза 5 мин. Напряжение 5 в. Н. Криницин

1536 П. Меднение из фторборатного раствора. Кананэ, Токуоко, Нома, Окада (銅弗化銅浴電鍍法・河根誠・徳岡恒善・野間博・岡田辰三), [徳岡工業株式会社, Токуоко Kōgō Кабусики Кайся]. Япон. пат. 2012, 26.03.55

Патентуется способ быстрого меднения высокой твердости и вязкости из ванны, содержащей  $\text{Cu}(\text{BF}_4)_2$  и избыток  $\text{HBF}_4$  и  $\text{H}_3\text{BO}_3$  при нормальной т-ре и при  $D=15\text{—}30 \text{ а/дм}^2$ . Конц-ия  $\text{Cu}(\text{BF}_4)_2=2,5\text{N}$ , а  $\text{HBF}_4$  и  $\text{H}_3\text{BO}_3$  0,5 н. Такая конц-ия позволяет получить ровную поверхность, почти полностью предупредить ано-

дный рост кристаллов и увеличить вязкость слоя Cu. Твердость по Шору может изменяться в зависимости от D и т-ры р-ра от 15 до 26. Н. Криницин

1537 П. Процесс электроосаждения. Хитченс, Оуэнс (Electroplating. Hitchens Aaron L., Owens Robert G.) [Jolin Mathieson Chemical Corp.]. Канад. пат. 519496, 13.12.55

Патентуется процесс электроосаждения сплава Pb с 8—10% Sb. Для приготовления электролита 200 вес. ч. Sb растворяется при нагревании в смеси состава (в вес. ч.):  $\text{HF}$  150,  $\text{HNO}_3$  230 и винная к-та 400. Когда выделение бурых окислов азота прекращается, полученный р-р смешивают с другим р-ром состава (в вес. ч.):  $\text{H}_3\text{BO}_3$  340,  $\text{Pb}(\text{BF}_4)_2$  3200,  $\text{HBF}_4$  170, животный клей 50. Режим работы электролита не приводится.

И. Ерусалимчик  
1538 П. Метод получения металлического кальция. Зелигер, Циммерман, Моравец (Verfahren zur Herstellung von Calciummetall. Seliger Hellmuth, Zimmermann Paul, Morawietz Wilhelm). Пат. ГДР 9648, 12.04.55

Патентуется метод получения металла. Са высокой степени чистоты путем дистиллирования Са из сплавов Са с тугоплавкими металлами, получаемых электролизом расплавов. Сплавы имеют широкую область по содержанию Са в пределах т-ры электролиза. Для получения сплава используются металлы соседних с Са групп периодич. системы, предпочтительно Cu или Sn с другими металлами. Получаемый сплав по уд. весу тяжелее расплавленного электролита. Дистилляция Са из сплава доводится до конца. После дистилляции бедный по Са сплав вновь возвращается в электролизную ванну или смешивается с богатым сплавом. Примеры: 1) дистилляция сплава Са-Cu с 58,5 вес% Са при 0,2 мм рт. ст. при т-ре 1080°; получаемый Са имеет состав по примесям (в %): N<sub>2</sub> 0,018, Cl 0,24, Cu 0,027, Mn 0,02, Fe 0,003; 2) остаток сплава после дистилляции с 43,6% Са смешивается с катодным сплавом с 59,6% Са и вновь дистиллируется; состав дистилл. Са по примесям (в %): N<sub>2</sub> 0,02, Cl 0,25, Cu 0,025, Mn 0,02, Fe 0,0026; 3) катодный сплав (в %): Са 52, Cu 28, Al 20 дистиллируется при 0,15 мм рт. ст. и т-ре 1080°. Дистилл. Са содержит только 0,0026% Cu. В среднем Са имеет чистоту 99,3%, обычный же электролитич. Са—93—96%. Метод более экономичный, чем применяемые до сих пор (дистилляция электролитич. Са).

В. Зиновьев  
1539 П. Электролизная ванна (Electrolytic cell) [Ver-einigte Aluminium-Werke A.-G.]. Австрал. пат. 167110, 15.03.56

Ванна для электролиза расплавленных солей при высоких D, в которой влияние магнитных полей, вызванных продолженными снаружи шинами, доведено до минимума благодаря особому симметричному расположению парных электродов и токоподводящей оши-новки. Б. Герчиков

См. также: Электроосаждение металлов 3198. Электрохим. произ-ва без выделения металлов 507

## КЕРАМИКА.

### СТЕКЛО. СТРОИТЕЛЬНЫЕ МАТЕРИАЛЫ

#### Общие вопросы

Редакторы С. И. Горелкина, А. С. Пантелеев

1540. Тематика I Национальной конференции по глинам и керамической технологии и определению терминов, применяемых в промышленности. Грим (Objectives of the first National conference on clays and clay technology and definitions of terms used in the industry. Grim Ralph E.), Bull. Div.

Mines. Dept. Natur. Resources. State Calif., 1955, № 169, 13—15 (англ.)

Отмечается необходимость совместной работы исследователей и инженеров керамиков, агрохимиков, минералогов и физиков, и в качестве первоочередных проблем указывается на изучение текстуры глины и природы связующих сил, изменений при нагревании, условий генезиса различных глинистых минералов и на необходимость точного определения таких терминов, как глина, почва, сланцы, пластичность и т. д. М. Каранетянц

1541 Природа связи Si—O—Si и ее значение для энантиотропных и монотропных превращений кремнезема. Часть II. Энантиотропные и монотропные превращения кремнезема. Бадалукко (La natura del legame Si—O—Si e la sua importanza nelle trasformazioni enantiotrope e monotrope della silice. Parte II. Le trasformazioni enantiotrope e monotrope della silice. Badalucco Aldo), Ceramica, 1956, 11, № 6, 46—51 (итал.)

Приведены схематич. изображения структур модификаций SiO<sub>2</sub> — кварца, тридимита, кристобалита и кварцевого стекла. Перечислены известные температурные интервалы превращений модификаций SiO<sub>2</sub>. Приведены данные о строении и размерах ребер элементарных решеток α- и β-кварца, α-, β- и β<sub>2</sub>-тридимита, α- и β-кристобалита и рассмотрен механизм энантиотропных и монотропных превращений SiO<sub>2</sub>. Часть I см. РЖХим, 1956, 62235. С. Глебов

1542. Фазовые соотношения в системе CaO — Al<sub>2</sub>O<sub>3</sub> — P<sub>2</sub>O<sub>5</sub>. Стоун, Иган, Лер (Phase relationships in the system CaO—Al<sub>2</sub>O<sub>3</sub>—P<sub>2</sub>O<sub>5</sub>. Stone Philip E., Egan Edward P., Lehr James R.), J. Amer. Ceram. Soc., 1956, 39, № 3, 89—98 (англ.)

Систему CaO—Al<sub>2</sub>O<sub>3</sub>—P<sub>2</sub>O<sub>5</sub> изучали методом закалки при 900—1600°. Соединения Al<sub>2</sub>O<sub>3</sub>·3P<sub>2</sub>O<sub>5</sub>, 2Al<sub>2</sub>O<sub>3</sub>·3P<sub>2</sub>O<sub>5</sub> и Al<sub>2</sub>O<sub>3</sub>·P<sub>2</sub>O<sub>5</sub> готовили синтезом из воды. p-ров; соединения CaO·P<sub>2</sub>O<sub>5</sub>, 2CaO·P<sub>2</sub>O<sub>5</sub> и 3CaO·P<sub>2</sub>O<sub>5</sub> — прокаливанием соответствующих фосфатов или CaO·P<sub>2</sub>O<sub>5</sub>. Соединение Al<sub>2</sub>O<sub>3</sub>·3P<sub>2</sub>O<sub>5</sub> выше 700° теряет P<sub>2</sub>O<sub>5</sub>, выделяя Al<sub>2</sub>O<sub>3</sub>·P<sub>2</sub>O<sub>5</sub>·2Al<sub>2</sub>O<sub>3</sub>·3P<sub>2</sub>O<sub>5</sub>, выше 580° теряет воду и распадается на Al<sub>2</sub>O<sub>3</sub>·P<sub>2</sub>O<sub>5</sub> и Al<sub>2</sub>O<sub>3</sub>·3P<sub>2</sub>O<sub>5</sub>. Соединение Al<sub>2</sub>O<sub>3</sub>·P<sub>2</sub>O<sub>5</sub> при 1450° в течение 40 час., а при 1600° в течение 5 час. теряет ~0,2% P<sub>2</sub>O<sub>5</sub>. Путем экстраполяции кривых на двойных системах найдено, что t-ра плавления Al<sub>2</sub>O<sub>3</sub>·3P<sub>2</sub>O<sub>5</sub> 1490°, а Al<sub>2</sub>O<sub>3</sub>·P<sub>2</sub>O<sub>5</sub> >2000°. Изучены 10 двойных систем: Al<sub>2</sub>O<sub>3</sub>·3P<sub>2</sub>O<sub>5</sub>—Al<sub>2</sub>O<sub>3</sub>·P<sub>2</sub>O<sub>5</sub>; CaO·P<sub>2</sub>O<sub>5</sub>—Al<sub>2</sub>O<sub>3</sub>·3P<sub>2</sub>O<sub>5</sub>; 2CaO·P<sub>2</sub>O<sub>5</sub>—Al<sub>2</sub>O<sub>3</sub>·3P<sub>2</sub>O<sub>5</sub>; 3CaO·P<sub>2</sub>O<sub>5</sub>—Al<sub>2</sub>O<sub>3</sub>·P<sub>2</sub>O<sub>5</sub>; 5CaO·3Al<sub>2</sub>O<sub>3</sub>—2CaO·P<sub>2</sub>O<sub>5</sub>; 5CaO·3Al<sub>2</sub>O<sub>3</sub>—Al<sub>2</sub>O<sub>3</sub>·P<sub>2</sub>O<sub>5</sub>; Al<sub>2</sub>O<sub>3</sub>·P<sub>2</sub>O<sub>5</sub>—Al<sub>2</sub>O<sub>3</sub>; Al<sub>2</sub>O<sub>3</sub>·3P<sub>2</sub>O<sub>5</sub>—P<sub>2</sub>O<sub>5</sub>; CaO·P<sub>2</sub>O<sub>5</sub>—2Al<sub>2</sub>O<sub>3</sub>·3P<sub>2</sub>O<sub>5</sub>; 2CaO·P<sub>2</sub>O<sub>5</sub>—Al<sub>2</sub>O<sub>3</sub>·P<sub>2</sub>O<sub>5</sub>. В тройной системе обнаружены три тройные эвтектики: CaO·P<sub>2</sub>O<sub>5</sub>—Al<sub>2</sub>O<sub>3</sub>·3P<sub>2</sub>O<sub>5</sub>—Al<sub>2</sub>O<sub>3</sub>·P<sub>2</sub>O<sub>5</sub>; 2CaO·P<sub>2</sub>O<sub>5</sub>—Al<sub>2</sub>O<sub>3</sub>·P<sub>2</sub>O<sub>5</sub>—Al<sub>2</sub>O<sub>3</sub>·3P<sub>2</sub>O<sub>5</sub>; 3CaO·P<sub>2</sub>O<sub>5</sub>—2CaO·P<sub>2</sub>O<sub>5</sub>—Al<sub>2</sub>O<sub>3</sub>·P<sub>2</sub>O<sub>5</sub>. Система представляет интерес для произ-ва фосфорных удобрений и алюмофосфатных огнеупоров.

Ю. Шмидт  
1543. Система K<sub>2</sub>O—MgO—Al<sub>2</sub>O<sub>3</sub>—SiO<sub>2</sub>. I. Результаты исследования способом закалки четырех сечений в тетраэдре кордиерит-форстерит-лейцит-кремнезем и сечения кордиерит-муллит-калийный полевой шпат. Шэппер (The system K<sub>2</sub>O—MgO—Al<sub>2</sub>O<sub>3</sub>—SiO<sub>2</sub>. I. Results of quenching experiments on four joins in the tetrahedron cordierite-forsterite-leucite-silica and on the join cordierite-mullite-potash feldspar. Schairer J. F.), J. Amer. Ceram. Soc., 1954, 37, № 11, 501—533 (англ.)

Изучено 193 состава системы K<sub>2</sub>O—MgO—Al<sub>2</sub>O<sub>3</sub>—SiO<sub>2</sub>, представляющей практический интерес для геологии, петрографии и технологии огнеупоров. Образцы изготовлены плавлением смесей х. ч. SiO<sub>2</sub>, K<sub>2</sub>CO<sub>3</sub>, MgO и Al<sub>2</sub>O<sub>3</sub> и выдержкой расплавов при заданных t-рах (1125—1610°) от 3 час. до 21 суток с последую-

щим быстрым охлаждением. Закаленные стекла подвергали петрографич. и рентгенографич. исследованиям. Получены диаграммы состояний 5 тройных систем, включающих кордиерит, форстерит, эггитатит, муллит, лейцит, калиевый полевой шпат, кремнезем. Выяснено, что при нагревании >1125° происходит энантиотропное превращение эггитатита в протозеггитатит. Определено, что инвариантная точка области кордиерит+муллит+тридимит+жидкость отвечает 1443±5°. Определены составы стекол для 11 четверных инвариантных точек.

В. Баландина  
1544. Исследование системы окись магния — хлористый магний — вода и теплоты образования оксигидроксида магния. Ньюман (A study of the system magnesium oxide — magnesium chloride — water and the heat of formation of magnesium oxychloride. Newman Edwin S.), J. Res. Nat. Bur. Standards, 1955, 54, № 6, 347—355 (англ.)

Описаны опыты по получению оксигидридов Mg путем осаждения их из метастабильных p-ров MgO в водн. p-рах MgCl<sub>2</sub> различной конц-ии при 25°. Полученные осадки представляют собой Mg(OH)<sub>2</sub> или 3 Mg(OH)<sub>2</sub>·MgCl<sub>2</sub>·8H<sub>2</sub>O. Оксигидрид состава 5Mg(OH)<sub>2</sub>·MgCl<sub>2</sub>·8H<sub>2</sub>O получился в качестве промежуточного соединения. Были определены теплоты растворения оксигидридов в p-ре HCl и рассчитаны теплоты их образования. На основе полученных результатов произведен расчет теплоты p-ции твердения магнезиального цемента.

С. Кржеминский  
1545. Изучение твердофазных реакций с целью вскрытия нерастворимых в кислотах материалов. Усатенко Ю. И., Винник М. П., Климович Е. А., Тр. Днепротр. хим.-технол. ин-та, 1955, № 4, 95—107

Были изучены некоторые p-ции в твердых фазах с целью перевода в растворимое состояние нерастворимых в k-тах соединений. Для этого 0,5 г агломерата (А) железной руды спекали с 0,3 г Na<sub>2</sub>CO<sub>3</sub> при 500—1100°, с интервалами по 50°. А содержал (в%): SiO<sub>2</sub> 13,4; Fe<sup>2+</sup> 44,8; Fe<sup>3+</sup> 15,9; CaO 1,08; Mn 0,14; P 0,023; S 0,011. Максим. потеря веса смесей при спекании наблюдалась при 900—950°. При t-рах >950° было замечено незначительное увеличение веса за счет окисления Fe<sup>2+</sup>. Активация поверхности, определяемая по сорбционной способности, начиналась при 600°; максим. сорбция наблюдалась при 900 и 1100°; при 950—1000° сорбция резко снижалась. В массах, спеченных при 900°, было обнаружено максим. кол-во Na<sub>2</sub>Fe<sub>2</sub>O<sub>4</sub>, увеличение времени спекания с 5 до 10 мин. сопровождалось понижением содержания Na<sub>2</sub>Fe<sub>2</sub>O<sub>4</sub>. Скорость растворения спекшихся порошков в 1 н. HCl (на холоду) увеличивалась с повышением t-ры до 900° и падала при повышении t-ры >950°. Удлинение времени спекания при 900—950° с 5 до 10 мин. уменьшает скорость растворения. С целью изучения механизма p-ции подвергали спеканию смесь Na<sub>2</sub>CO<sub>3</sub>+FeO·SiO<sub>2</sub>, содержание последнего в А достигало 29,1%. Спекание этой смеси при 900° сопровождалось замедлением перехода закиси железа в окись, чего не наблюдалось при нагревании фаялита без Na<sub>2</sub>CO<sub>3</sub>. Наибольшую скорость растворения имели массы, спеченные при 950—1050° с выдержкой 1 мин. Увеличение t-ры и времени спекания снижало скорость растворения. Применение вместо Na<sub>2</sub>CO<sub>3</sub> смеси 95% Na<sub>2</sub>CO<sub>3</sub>+5% NaCl или KNaCO<sub>3</sub> снижало оптимальную t-ру спекания на 80—100°.

Т. Ряховская  
1546. Зависимость между минеральным составом и технологическими свойствами глины. Часть I. Штегмюллер (Beziehungen zwischen Mineralbestand und technologischen Eigenschaften der Lehme. Teil I. Steg Müller L.), Ziegelindustrie, 1956, 9, № 2, 37—46 (нем.)



Приводятся данные, характеризующие свойства глины при термич. обработке, на основании которых сделан вывод, что при т-рах обжига кирпича структурные решетки важнейших минералов глинистого сырья подвергаются изменению. Рассматриваются хим. р-ции и структурные изменения минералов, происходящие при 400—800° в системах кальцит — кварц и твердый каолин — карбонат кальция. Начало см. РЖХим, 1956, 65696. Е. Штейн

**1547. Термические эффекты каолинов и каолинистых глин при высоких температурах. Жерар-Хирне, Менере** (Les réactions thermiques à haute température des kaolins et argiles kaoliniques. Gérard-Hirne J., Meneret J.), Bull. Soc. franc. céram., 1956, № 30, 25—33 (франц.; рез. англ., нем.)

Кривые дифференциального термич. анализа каолинов и галлуазитов обнаруживают два экзотермич. эффекта (ЭЭ) при высоких т-рах: 1-й при ~975° относится к кристаллизации  $\gamma$ - $\text{Al}_2\text{O}_3$  или к образованию первичного муллита; последняя теория кажется авторам более близкой к истине; максимум 2-го ЭЭ лежит в пределах 1200—1300° и отвечает кристаллизации вторичного муллита. У некоторых огнеупорных глин наблюдается 3-й ЭЭ ~1350°, вызванный кристаллизацией кристобалита из кремнезема, освободившегося из каолинитового ядра после образования муллита. Последний ЭЭ тем яснее выражен, чем слабее 1-й. С. Туманов

**1548. Исследование глинистых сланцев методом дифференциального термического анализа. Кирш** (Die differentialthermoanalytische Untersuchung von Ton-schiefern. Kirsch Helmut.), Tonind.-Ztg, 1955, 79, № 23—24, 365—368 (нем.)

Приводится описание методики определения составных частей глинистых сланцев с помощью дифференциального термич. анализа (ДТА). Полученные результаты свидетельствуют о том, что метод ДТА в его применении к глинистым сланцам дает полуколич. результаты, характеризуется быстротой и является ценным дополнением к результатам оптич. исследований и петрохим. анализа. Г. Матвеев

**1549. Высокотемпературный dilatометр со стержнями из рекристаллизованного карбида кремния. Ямаути, Судзуки** (研結晶質炭化珪素材を用いた高温熱膨脹計・山内俊吉・鈴木弘彦), 窯業協會誌, Ege kōkai, J. Ceram. Assoc., Japan, 1956, 64, № 721, 53—60 (япон.; рез. англ.)

В Токийском технологич. ин-те сконструирован высокотемпературный дифференциальный dilatометр (ВДД) (до 1600°), существенные части которого (соединительные и дистанционный стержни) изготовлены из SiC. Между дистанционным стержнем и короткой кварцевой трубкой зажимается испытуемый образец диам. 8, длиной 20 мм. Расширение образца через дистанционный стержень передается на дифференциальный микрометр, измеряющий удлинение образца. ВДД вводят в криптоловую печь, где поднимают т-ру со скоростью 5° в 1 мин. и по микрометру отсчитывают изменения длины образца. При помощи ВДД получены кривые линейного расширения высокоглиноземистых огнеупоров («дегусит AL-23», «альфракс В-1» и диаспоровый кирпич), карбофракса, райтекса и огнеупорного сырья: индийского кианита, кварцитов, диаспора и др. С. Глебов

**1550. Синхронизация температуры на фотоэлектрических и потенциометрических кривых регистрирующего прибора. Гордон, Кемпбелл** (Synchronizing and reference marking of photoelectric and potentiometric recorder curves. Gordon Saul, Campbell Clement), Amer. Ceram. Soc. Bull., 1955, 34, № 11, 372—374 (англ.)

При проведении дифференциального термич. анализа в-в необходимо измерять и записывать т-ры печи, инертного в-ва и исследуемого в-ва и вычерчивать кривую дифференциальной т-ры (ДТ). Если запись осуществляется на регистрирующем приборе, барабан которого ведет отсчет времени, и если изменение т-ры печи или инертного в-ва происходит по прямолинейному закону, то т-ра инертного в-ва может быть определена по времени на кривой ДТ. Если режим нагревания отклоняется от прямолинейного, т-ру в любой момент времени приходится получать при помощи независимого измерения, в связи чем необходимо применять диспозитивный регистрирующий прибор. Возникает необходимость синхронизировать между собой записи двух приборов с нанесением достаточного кол-ва отметок т-ры. Описаны принцип работы, схемы и аппаратура, при помощи которых достигается соответствие между записями двух регистрирующих приборов и нанесение отметок т-ры через одинаковые интервалы. Дан пример дифференциального термич. анализа  $\text{KClO}_4$ . Метод синхронного нанесения отметок на ленты может быть применен для любых опытов, в которых требуется одновременная автоматич. запись и установление соответствия между двумя или более явлениями. Возможны также синхронизация и нанесение отметок через интервалы 1—4 сек. для более скоротечных процессов. В. Злочевский

**1551. Производственное определение пластичности керамических масс. Гулевич** (Provozni určení plastičnosti. Gulevič O.), Stavivo, 1956, 34, № 6, 215—218 (чеш.; рез. рус., нем.)

Метод определения пластичности, предложенный П. А. Земятченским, и предпосылки получения правильных результатов. Описание прибора. Н. Михайлова

**1552. Простое приспособление для измерения усадки глины. Болдуин** (A simple clay-shrinkage measuring device. Baldwin L. W.), Trans. Brit. Ceram. Soc., 1956, 55, № 3, 202—203 (англ.)

Аппарат состоит из латунного стержня длиной 127 мм и диам. 7,9 мм, скользящего внутри латунной трубки. На одном конце трубки и на другом конце стержня укреплены шпильки. Посередине стержня нанесена шкала от 0 до 20 с ценой деления 1,5 мм. На поверхности трубки вдоль щели длиной 25,4 мм и шириной 3,2 мм нанесена шкала нулюса от 0 до 10 с ценой деления 1,35 мм. При пользовании прибором шкалы устанавливаются на нуль и шпильки втыкаются в образец глины. Усадка глины вызывает скольжение стержня в трубке и шкала показывает изменение длины в процентах с точностью ~0,1%. А. Леснов

**1553. О простом методе определения чувствительности глины к сушке. Липпман** (Über einen einfachen Test zur Erkennung der Trockenempfindlichkeit bei Tonen. Lippman F.), Ber. Dtsch. keram. Ges., 1956, 33, № 5, 150—153 (нем.)

Образцы размером 1×3×5 см сушили при т-ре 80° на промежуточном дне эксикатора, в нижней части которого находился насыщ. р-р  $\text{MgCl}_2 \cdot 6\text{H}_2\text{O}$  (относительная влажность среды 28,5%), а в верхней — сосуд с водой (относительная влажность среды 100%). Отмечается, что, пользуясь таким методом сушки, можно сравнительно просто на небольших образцах определять чувствительность глины к сушке по величине возникающих трещин. Для колич. использования метода рекомендуется подразделять глины по величине суммарной длины трещин, отнесенной к 1 см<sup>2</sup> плоскости. П. Беренштейн

**1554. Использование искусственной радиоактивности для испытания строительных материалов без разрушения. Брокер** (Application de la radioactivité artificielle aux essais non destructifs des ma-

tériaux de construction. B r o s a r d J.), Rev. matr. constr. et trav. publics, 1955 (1956), № 482—483, 142—148 (франц.)

Во Франции созданы приборы, позволяющие измерять плотность материалов и содержание в них влаги. При определении плотности в качестве источника излучения служит  $\text{Co}^{60}$ . Испытуемый образец помещается в приборе между источником излучения мощностью 8 мкири и счетчиком Гейгера. Определяя кол-во импульсов, полученных за данный промежуток времени, находят по градуировочной кривой плотность материала. Определение длится  $\leq 5$  мин. Разброс результатов не превышает 0,5%. Такие приборы широко применяются на строительстве аэродромов и дорог. Приборы имеют различное конструктивное оформление в зависимости от того, плотность каких изделий требуется измерить. Намерение влажности основано на замедлении быстрых нейтронов атомами водорода воды и подсчете нейтронов с помощью спец. счетчика Гейгера, заполненного  $\text{BF}_3$ , содержащего  $\text{B}^{10}$ . Прибор оформлен в виде зонда, погружаемого в испытуемый материал. По показаниям прибора определяют водосодержание материала, пользуясь градуировочной кривой. Измерение длится 2 мин. Точность измерения составляет 2%.

И. Смирнова  
1555. Кварцевый песок как побочный продукт при обогащении фосфатной руды из Флориды. Карпентер (Glass sand as a by-product from the concentration of Florida phosphate rock. Carpenter Joseph E.), Amer. Ceram. Soc. Bull., 1956, 35, № 4, 155—156 (англ.)

При обогащении фосфатной руды на каждую т фосфата (I) уходит в отвал 1 т кварцевого песка (II). Малагаси результаты лабор. опытов по получению II высокого качества ( $\sim 99,5\% \text{SiO}_2$ ) из отходов (III). Кварцевые III подвергаются дополнительным операциям флотации с применением спец. реагентов, при которых II очищается от I, частиц глины, ильменита, лимонита и других железосодержащих примесей. Дается подробное описание двух лабор. опытов и приводятся хим. анализы продуктов, получаемых после операций флотации.

А. Леонов  
1556. Удаление железа из керамических сырых материалов хлором. III. Влияние добавки углеродсодержащих материалов. Судзук, Итиан. IV. Удаление железа и титана из сырых материалов хлором, смешанных с окисью углерода. Судзук, Томидзава (元素處理による窯業原材料脱鉄精製の研究・第3報・陶磁器原料脱鉄の際の炭素質物添加の効果・第4報・一酸化炭素・鹽素混合ガスによる陶磁器原料中の鉄およびチタンの除去・鈴木寛・落合康男), 工業化学雑誌, Kōgō kagaku dzasshi, J. Chem. Soc. Japan Industr. Chem. Sec., 1953, 56, № 11, 846—848; 1954, 57, № 1, 29—31 (япон.)

III. Смесь из двух сортов глины, антрацита, древесного угля, нефтяного кокса или пека измельчалась до 200 меш, тщательно перемешивалась. Увлажненный перемешанный порошок брикетировался и высушивался. Брикеты нагревались при  $700-900^\circ$  в струе  $\text{Cl}_2$  (2—4 л/час) при разной продолжительности времени ( $\sim 60$  мин.). При добавке 2% антрацита от веса глины содержание окислов Fe в исследуемых брикетах уменьшилось от 1 до 0,1—0,2%. Температурный эффект для всех исследуемых т-р при добавке 2% антрацита был почти незначительным. Эффективность удаления Fe была почти одинакова для исследуемых углеродсодержащих материалов; исключение составляет древесный уголь.

IV. Два сорта глины, содержащих (в %):  $\text{Fe}_2\text{O}_3$  4,02 и 2,46,  $\text{TiO}_2$  1,23 и 0,35, соответственно, были брикетированы с водой и высушены, затем нагреты в струе смеси CO и  $\text{Cl}_2$  (4 л/час) в соотношении 1:1, 1:2,

2:1 при  $500-900^\circ$ . 90%  $\text{Fe}_2\text{O}_3$ , содержащегося в глине, было удалено при  $800^\circ$ , в то время как удаление  $\text{TiO}_2$  уменьшалось с возрастанием т-ры от 80% при  $600^\circ$  до 70% при  $800^\circ$ . Смесь CO и  $\text{Cl}_2$  в соотношении 1:1 была наиболее эффективная. Проверялось влияние скорости газовой струи. Сообщение II см. J. Chem. Soc. Japan Industr. Chem. Sec., 1951, 54, 445.

Chem. Abstrs, 1954, 48, № 21, 14149c; 1955, 49, № 1, 1296 h.

Katsuya Inouye  
1557. Глины в Израиле. Боденхеймер, Браунфельд (Clays in Israel. Bodenheimer W., Braunfeld A. S.), Bull. Ceram. Res. Ass., 1955, № 7, 32—35 (иврит.)

1558. Седиментационный объем глин. Пейт, Нобл, Клаус (The sedimentation volume of clay. Pate K., Noble W., Clews F. H.), Claycraft, 1955, 28, № 12, 788—790 (англ.)

Для характеристики свойств глин предлагается установить термин «седиментационный объем» (CO), который занимает навеска глины (50 или 20 г) после взбалтывания в 100 мл воды и осаждения. Операции повторяются, пока CO не станет постоянным. Произведено определение CO для 8 разновидностей английских глин, параллельно с определением их зернового состава, водозатворения, сушильных свойств и объемной усадки. На значение CO слегка влияют т-ра, pH суспензии и вибрация; тонкое измельчение глин увеличивает CO. Установлена корреляция CO с рабочим водосодержанием, влажностью в кожевом состоянии, усадкой и с содержанием частиц  $<0,002$  мм.

М. Карапетьянц  
1559. Флоккуляционный объем глин. Вилкандер, Коутлер-Андерссон (Floc volume of clays. Wiklander Lambert, Koutler-Andersson Elisabet), Acta agric. scand., 1955, 5, № 2—3, 215—223 (англ.)

Для характеристики минер. состава и величины частиц глин предложено пользоваться флоккуляционным объемом (ФО)—объемом 1 г глины после быстрой коагуляции суспензии электролитом; ФО определяют при стандартизованных условиях и выражают в мл/г. Описан метод определения ФО и указаны значения ФО для некоторых видов глин и глинистых минералов (монтронит, бентонит, иллит, вермикулит, галлаузит, каолинит), смесей этих минералов и почв. Наибольший ФО наблюдался у бентонитов (порядка 140—182 мл/г), средний — у иллита (30—40 мл/г) и наименьший у каолиновых глин (14—18 мл/г).

М. Карапетьянц  
1560. К. Физическая химия силикатов (Учеб. пособие для технол. вузов и фак). Изд. 2-е, перераб. и доп. Ботвинкин О. К. М., Промстройиздат, 1955, 288 стр., илл., 8 р. 10 к.

1561 К. Производство строительных материалов (Сб. статей и материалов). Ред. С. П. Ничипоренко. Киев, Госстройиздат УССР, 1955, 111 стр., илл., 4 р. 90 к.

1562 К. Глины и технология глин. Труды Первой Национальной конференции по глинам и технологии глин [США]. Ред. Паск, Терниер (Clays and clay technology. Proceedings of the 1st National Conference on clays and clay technology. Eds Pask Joseph A., Turner Mort D. (Bull. Div. Mines Dept. Natur. Resources. State Calif., № 169). San Francisco, 1955, 326 pp., 4.50 doll.) (англ.)

См. также: Силикаты 636, 1203, 3364

### Стекло

Редакторы О. К. Ботвинкин, С. И. Ноффе

1563. Молекулярное строение и свойства стекла. Сандфорд (Glasets finstruktur och egenskaper. Sandford Folke) Kyltekn tidskr., 1956, 15, № 2, 24—25 (швед.)

Свойства минер. ваты зависят от числа связей, соединяющих тетраэдры  $\text{SiO}_4$ : в обыкновенной шлаковой вате, число связей нередко ниже 3, в минер. вате из диабазы, качество которой значительно выше, среднее число связей 3,4. К. Герцфельд

**1564. Кристаллитная теория строения стекла.** Е. В. Стропьев К. С. В сб.: Стрoение стекла. М.—Л., АН СССР, 1955, 9—18. См. РЖХим, 1955, 24254.

**1565. Представления о внутреннем строении силикатных стекол, вытекающие из результатов исследования свойств стекол некоторых простых систем.** Демкина Л. И. В сб.: Стрoение стекла. М.—Л., АН СССР, 1955, 107—119. См. также РЖХим, 1955, 2515.

**1566. Термодинамика стабилизации стекол.** Дейвис (The thermodynamics of the stabilization of glasses. Summary of paper read at meetings of the British Society of Rheology. Davies R. O.), Bull. Brit. Soc. Rheol., 1955, № 43, 3—4 (англ.)

Хотя стекло (С) не находится в состоянии термодинамич. равновесия, все же можно говорить о его термодинамич. стабилизации, если принять, что мгновенное состояние С фиксируется не только давлением и т-рой, но также одним или более упорядочивающими параметрами. Подобно тому, как в химии такими параметрами являются «степени взаимодействия», у С простейшим параметром является «фиктивная т-ра» (Т), определяющая меру внутреннего состояния С. Когда Т равна факт. т-ре (Т), то С находится в состоянии термодинамич. равновесия; когда же этого нет, то образуется такое строение С, которое было бы в состоянии равновесия при т-ре более высокой или более низкой, чем Т. Это положение может быть применимо с термодинамич. точки зрения к любому изотропному процессу в С. Высказываются соображения о теоретич. результатах и эксперим. подтверждении для каждого отдельного упорядочивающего параметра в С. С. Иофе

**1567. Разрушаемость водными растворами стеклообразных силикатов и алюмосиликатов натрия в зависимости от состояния кремнезема в стекле.** Дубров С. К. В сб.: Стрoение стекла. М.—Л., АН СССР, 1955, 181—184. См. также РЖХим, 1955, 14518.

**1568. Причины старения старинных стекол и проблема их сохранения.** Боркевич (Przyczyny starzenia się szkła zabytkowych i problem ich zabezpieczenia. Borkiewicz Jerzy), Szkło i ceram., 1956, 7, № 3, 62—65 (польск.)

Старение стекол (витражей, стекол из раскопок) вызывается: 1) поверхностным хим. разложением под действием атмосферных условий, обнаруживаемым по появлению призраки и матовости вследствие накопления на поверхности продуктов гидролиза щелочей и соединений кальция, которые в старинных стеклах содержатся в избыточных количествах; 2) кристаллизацией вследствие изменений внутренней энергии стекол, во многих случаях связанных с закалкой или неусветворительным отжигом. Е. Стефановский

**1569. Гидролитическая классификация стекол и методы испытания химической устойчивости.** Фогель (Hydrolytische Klassen des Glases und Prüfverfahren. Vogel J. E.), Lab.-Praxis, 1956, 8, № 5, 54—56 (нем.)

Методы определения хим. устойчивости отличаются друг от друга способом подготовки пробы, т-рой обработки стекла, продолжительностью обработки, способом определения степени выщелачивания стекла и др. На основе величин выщелачивания, получаемых по каждому из этих методов, производится классификация стекол на 5 гидролитич. классов. Для точной характеристики стекла рекомендуется определять его хим. устойчи-

вость двумя методами — стандартным порошковым и по выщелачиванию поверхности образца.

А. Полинковский  
**1570. Единые правила испытания силикатов применительно к стеклоделанию.** Косик (Jednotné zkušební předpisy silikátů, se zřetelem na sklárství. Kocík Jiří), Sklár a keramik, 1956, 6, № 7, 177—179 (чеш.)

**1571. Фенолит — сырье для стекльной промышленности.** Пачак (Znález — surovina sklárského průmyslu. Páček Oldřich), Vesmír, 1956, 35, № 6, 192—193 (чеш.)

Применение фенолита в произ-ве тарного и листового стекла. Ввод его в шихту дает возможность получать глиноземистое стекло с повышенным сопротивлением разрыву и пониженной коррозией огнеупора, а также дает значительную экономию в произ-ве. Е. Стефановский

**1572. К определению влажности песка.** Прищеп Л. Г., Строит. пром-сть, 1956, № 3, 31

Предложен следующий способ определения влажности почв, песка и других материалов: ртутным термометром замеряют т-ру песка ( $T_0$ ), затем шарик термометра нагревают до т-ры  $T_0 + T_{\text{прев}}$  ( $T_{\text{прев}} = 10—15^\circ$ ) и погружают в песок. Секундомером замеряют время охлаждения термометра от т-ры  $T_0 + T_{\text{прев}}$  до т-ры  $T_0 + T_{\text{прев}}/2$ . Определение влажности производят с помощью кривой зависимости времени снижения показаний термометра с  $T_0 + T_{\text{прев}}$  до  $T_0 + T_{\text{прев}}/2$ , построенной для каждого термометра по эталонным образцам песка с известной влажностью. Т. Риховская

**1573. Метод титрования для анализа стекльной шихты.** Смирчек (Titrační metoda k rozboru sklárského kmenu. Smrček Ant.), Sklár a keramik, 1956, 6, № 7, 161—162 (чеш.)

Ускоренный метод заключается в титровании соды + поташа 1 н.  $\text{HCl}$ , добавлении избытка 1 н.  $\text{HCl}$ , кипячения для растворения доломита или известняка и последующем титровании 1 н.  $\text{NaOH}$ . Берется навеска 10 г; титрование производится на метилоранж. Точность определения лежит в пределах  $\pm 0,1\%$ . Е. Стефановский

**1574. Цветное стекло.** Грунк (The story of stained glass. Gruenke Bernard O.), Sci. Counselor, 1956, 19, № 1, 18, 31 (англ.)

Кратко описано произ-во обычного цветного стекла. Сочетание большого кол-ва малых ярких окрашенных кусочков стекла позволяет использовать его как декоративно-строительный материал. А. Бережнов

**1575. Спаивание стеклянным припоем.** Долтон (Solder glass sealing. Dalton Robert H.), J. Amer. Ceram. Soc., 1956, 39, № 3, 109—112 (англ.)

Легкоплавкие составы для спаивания обычных стекол должны обладать такой вязкостью и т-рой размягчения, чтобы ими можно было спаивать при т-рах, близких к т-ре отжига спаиваемых стекол. При запайвании вакуумной аппаратуры важно, чтобы указанные стекла быстро затвердели. Коэфф. расширения спаиваемых стекол и стекла, применяемого для спаивания, должны быть возможно более близкими (желательно, чтобы различие не превышало  $\pm 2 \cdot 10^{-7} \text{ град}^{-1}$ ). Хим. устойчивость стекол для спаивания обычно невелика, однако для многих случаев достаточно, чтобы они не изменялись под действием атмосферы. Исследования стекла системы  $\text{PbO}—\text{B}_2\text{O}_3—\text{Al}_2\text{O}_3—\text{SiO}_2$ . Введение  $\text{ZnO}$  уменьшает т-ру размягчения, но увеличивает способность к кристаллизации. Стекла для спаивания наносятся на поверхность в виде порошка, замешанного на органич. связке или наплавляются в процессе изготовления детали. Ю. Шмидт

**1576. Стекло «симакс».** Вольф (Simax. Volf Miloš B.), Sklár a keramik, 1956, 6, № 5, 105—106 (чеш.)



Стекло, обладающее высокой термич. стойкостью (до  $350 \pm 20^\circ$ ), содержит максим. кол-во кремнезема, окись бора как плавень и незначительное кол-во глинозема как средство против растрескивания.

Е. Стефановский

1577. Опыты по спеканию сапфировых шариков. Нейвиас (Sintering experiments on sapphire spheres. Navias Louis), J. Amer. Ceram. Soc., 1956, 39, № 4, 141—145 (англ.)

Описаны опыты по спеканию шариков диам.  $\sim 1$  мм из монокристаллич. корунда. Шарик нагревался в атмосфере водорода или в вакууме и между ними образовались переходные спай в виде мостиков или линз. Аналогичные опыты проводились ранее с шариками меньших размеров (50—200  $\mu$ ), но при нагревании выше  $2000^\circ$  не происходило спекания. Автор указывает, что результаты спекания корундовых шариков находятся в соответствии с представлениями о спекании как процессе вязкого течения в результате действия сил поверхностного натяжения. Н. Павлушкин

1578. Влияние нагрева с последующей парафиновой обработкой на химическую устойчивость стекла. Дерев Н. К., Глебова Т. В., Тр. Горьковск. политехн. ин-та, 1955, 11, № 3, 27—29

Исследовано влияние термич. и последующей парафиновой обработки стекла на его поверхностную хим. устойчивость (ПХУ). Для определения ПХУ применялся йодоанодный способ Миллиуса. Отмечается, что нагревание листового стекла при  $250^\circ$  с последующей парафиновой обработкой повышает его ПХУ. Парафиновая защита рекомендуется для практич. применения с целью повышения ПХУ аппаратных стекол. Г. Матвеев

1579. Армированное волнистое стекло. — (El vidrio Ondulado Armado.—), Bol. inform. Sindic. constr. vidrio y ceram., 1956, 15, № 156, 35—37 (исп.)

Армированное металлич. проволокой волнистое стекло характеризуется следующими основными показателями: длина 131 см, ширина 92 см, толщина 6 мм, вес листа 23 кг, вес  $1 \text{ м}^2$  20 кг; лист  $131 \times 92$  см, положенный на 2 опоры, при расстоянии между ними 120 см выдерживает нагрузку в 370 кг; светопропускаемость составляет 80—100% светопропускаемости неармированного листового стекла. Указаны области применения армированного стекла. С. Иофе

1580. Применение жидкого стекла в качестве клея. Тихоцкий (Zastosowanie szkła wodnego jako kleju. Cichocki Janusz), Techn. przem. spozrywcz., 1956, 5, № 6, 219—220 (польск.)

Для приготовления клея пригодны р-ры жидкого стекла с модулем от 2,0 до 4,0 и вязкостью 1—10 пуаз. При более низком модуле они имеют чрезмерную концентрированность и малую прочность. Клеящая способность сохраняется при достаточной влажности воздуха (от 10%) и теряется при нагревании до  $360^\circ$ . При более высоких модулях клей быстрее сохнет. При изготовлении клея вводятся добавки — карбоксиметилцеллюлоза, глина, мыло и др. При низком модуле клей разрушающе действует на окраску склеиваемых предметов.

Е. Стефановский

1581. Стекольная промышленность в Бельгии. Пштынг (Przemysł szklarski w Belgii. Psztyng E.), Szkło i ceram., 1956, 7, № 7-8, 229—231 (польск.)

1582. Завод зеркального стекла. — (Gigantic plate plant shaping up.—), Amer. Glass Rev., 1956, 76, № 4, 12 (англ.)

Сообщается о строительстве в США модернизированного завода по произ-ву полированного стекла. З-д будет иметь двойную шлифовальную и полировальную линию и занимать в длину  $>1200$  м. Длина отжигающего лера составит 183 м, высота дымовой трубы ванной печи 85 м. А. Бережной

1583. Производство стекла. Жордану (Indústria de vidro. Giordano Silvio), Rev. brasil. quim., 1956, 41, № 241, 25—36 (порт.)

Обзор. Библ. 8 назв.

М. Степанова

1584. Применение графитовых форм в производстве изделий способом выдувания. Афанасьев А. Н., Потоцкая Г. В., Шатохин И. С., Стекло и керамика, 1956, № 5, 28—29

При выпуске небольших партий стеклоизделий изготовление чугунных форм для выдувания удорожает изделия. Предлагается применять графитовые формы (ГФ). За год работы в ГФ для выдувания отводов и стеклянным трубам было изготовлено 8000 изделий, причем размеры ГФ не изменились. ГФ имеют ряд преимуществ перед деревянными и чугунными: благодаря высокой теплопроводности они не перегреваются и позволяют работать на ускоренном режиме, не требуют смазки, обеспечивают высокое качество поверхности, малый коэфф. трения облегчает труд мастера-выдувальщика, изготовление ГФ во много раз дешевле, чем чугунной. И. Захаров

1585. Нужны ли противосильные карманы в ваннах печей? Мельвиленко Д. Т., Продайвода Н. Е., Стекло и керамика, 1956, № 5, 25

Карманы Питсбурга, предназначенные для улавливания загрязненного и засилинного стекла, ухудшают его качество. Объясняется это тем, что поверхность стенок кармана является более развитой по сравнению с прямым участком стенок бассейна печи без кармана, что вызывает значительно большие потери тепла стекломассой через стенки кармана, а следовательно, и усиление ее конвекционных потоков, вызывающих сильное разделение стенок, вследствие чего стекломасса в кармане насыщается свилью, уносимой в бассейн печи обратными нижними потоками. А. Бережной

1586. Исследование поверхностных потоков стекломассы в ванной печи при помощи меченых атомов. Дубровский (Badanie powierzchniowych strumieni masy szklanej w piecu wannowym za pomocą atomów znaczących. Dubrowski W. A.), Szkło i ceram., 1956, 7, № 7-8, 203—205 (польск.)

Перевод. См. РЖХим, 1956, 55229.

1587. Какой должна быть стекловаренная печь? Суворов (Jaka powinna być wana szklarska. Suwogow N. J.), Szkło i ceram., 1956, 7, № 6, 171—174 (польск.)

Перевод. См. РЖХим, 1956, 58842.

1588. Влияние дымовых газов на поведение фарфоровых глазурей при плавнении. Леман, Колькемейер (Der Einfluß von Rauchgasen auf das Schmelzverhalten von Porzellanmassen. Lehmann H. A., Kolkmeier Helmut), Tonind.-Ztg., 1956, 80, № 5—6, 69—76 (нем.)

Изучалось влияние дымовых газов и других факторов, тесно связанных с газовой атмосферой, на поведение фарфоровых глазурей при спекании. Установлено, что углекислота,  $N_2$  и водяные пары, а также органич. примеси в фарфоровой массе и глазури в кол-ве до 6% неблагоприятно действуют на фарфоровые глазури. СО в большой концентрации приводит к образованию пузырей, которые лопаются, оставляя после себя песочки. Возникновение пузырей обусловлено сгоранием С во время процесса плавнения глазури, причем воздух, доставляющий необходимый для горения кислород, способен проникать в расплавленную глазурь. С, образующийся при разложении СО на С и  $CO_2$ , отлагается в большом кол-ве в глазури тогда, когда она начинает плавиться. Поэтому при обжиге фарфора, особенно в период начала спекания глазури, рекомендуется избегать восстановительной атмосферы. Примесь 0,5%  $CaSO_4$  в глазури вызывает песочки, возникающие благодаря тому, что освобождающийся при диссоциации

SO<sub>2</sub> приводит к образованию пузырей, которые затем лопаются. SO<sub>2</sub> при всех т-рах, вплоть до начала плавления, неблагоприятно действует на поведение фарфоровых глазури. После разлива глазури SO<sub>2</sub>, имеющийся в газовой атмосфере печи, не оказывает более отрицательного влияния. В сырых глазурированных изделиях химически связанная вода, которая испаряется частично только во время плавления глазури, является причиной образования ряби и посечек. Вредное влияние карбида кремния на процесс спекания фарфоровых глазури объясняется взаимодействием его с плавящейся глазурию и сгоранием возникающего при этом С. Предыдущее сообщение см. РЖХим, 1956, 58848.

А. Бережной

1589. Глазурирование изделий из туфа. Манвельян, Погосян, Тер-Каранетян (Szkliwienie wyrobów z tufów. Manwielan M. G., Pogosjan R. P., Ter-Karanetjan S. A.), Szklo i ceram., 1956, 7, № 7-8, 218 (польск.)  
Перевод. См. РЖХим, 1956, 40308.

1590. Измерения поверхностного блеска покрытий керамических материалов. Нимеров, Хаммонд, Ричмонд, Крандалл (Specular-gloss measurement of ceramic materials. Nimeroff I., Hammond III H. K., Richmond J. S., Crandall J. R.), J. Amer. Ceram. Soc., 1956, 39, № 3, 103—109 (англ.)

Описан метод качеств. анализа покрытий керамич. материалов путем измерения поверхностного блеска для различных видов покрытий, в частности фарфоровых эмалей. Указаны факторы, определяющие шкалы и единицы значений «блескости». Даны сравнения некоторых типов приборов (гlossметров) для измерений блеска, построенных как на оптич., так и на фотоэлектрич. принципах. Приведены схемы и характеристики ряда glossметров.

А. Леонов

1591. Об исследовании по вопросу распыливания стекловидной эмали. И. Такеи, Нагасака, Танака (On the studies of glass enamel spraying. I. Takei Takeshi, Nagasaka Hideo, Tanaka Yukitomo), 科学研究所報告, Karaku kōkyōdō хококу, Repts. Scient. Res. Inst., 1953, 29, № 5-6, 292—296 (япон.)

Описаны способ распыливания эмали и конструкция аппарата, применяемого для этой цели.

В. Балавдина

1592. О появлении пыли щелочных хроматов на эмалированных изделиях. Ерохин (За появлята на прах от алкални хромати върху емайлирани изделия. Ерохин А.), Лека промишленост, 1955, 4, № 3, 20—21 (болг.)

Красящее в-во зеленого цвета можно получить из бихромата К с NH<sub>4</sub>Cl при 1400°. Полученная двуокись Cr имеет стабильную структуру, хороший цвет и качество. Недостаток этого метода — высокая т-ра р-ции. Пигмент, полученный при 750—850°, внешне хорош, но чувствителен к щелочам эмалевого стекла и дает желтый цвет. Этот недостаток устраняется добавлением до 0,05% двуокиси Ti в эмалевую массу или введением некоторых к-т (HCl, CH<sub>3</sub>COOH и др.). Попытки получить бесщелочную эмаль успеха не имели.

В. Рыжиков

1593. Туннельная печь для роликовой печи. Герстель (Tunnel- oder Rollenofen? Gerstel G.), Glas-Email-Keramo-Technik., 1954, 5, № 2, 48—49 (нем.; рез. англ., франц.)

Для обжига спец. изделий, приготовляемых в малых сериях, рационально иметь муфельную печь. Чтобы разрешить все встречающиеся в эмалевой пром-сти проблемы обжига, создана роликовая печь. Рентабельность их по сравнению с туннельными печами нуждается в дальнейшем изучении. Печь представляет собой

горизонтальный канал прямоугольного сечения длиной 20 м и сечением 1×0,5 м. Обжиг осуществляется газом или электричеством (возможен и комбинированный нагрев). В печи по движущимся роликам из огнеупорной стали переменяются решетки, нагруженные равномерно обжигаемыми изделиями.

Н. Фельдман

1594. Увеличение производительности ванн стекловаренных печей. Попеску (Mărirea indicelui de utilizare a cuptoarelor vană, pentru topirea sticlei. Popescu N.), Ind. usoara, 1956, 3, № 4, 169—173 (рум.; рез. русск., нем.)

Рассматриваются возможности повышения производительности ванн печей путем введения процесса варки стекла при более высоких т-рах и применения для футеровки печей высококачественных огнеупорных материалов.

Е. Штейн

1595 Д. Опыт синтеза химически и термически устойчивых стекол и изучение их свойств. Вильд-Флуш Р. Т. Автореф. дисс. канд. техн. н., Белорус. политех. ин-т, Минск, 1956

1596 П. Фторогерманиевое стекло. Сунь Гуань-хань (Fluogermanate glass. Sun Guan-Han) [Canadian Kodak Co. Ltd]. Канад. пат. 511764, 12.04.55

Патентуется способ изготовления оптич. стекла следующего состава (в вес. %): GeO<sub>2</sub> 38—70, TiO<sub>2</sub> 15 и 15 NaF или KF.

А. Бережной

1597 П. Способ изменения отражающей способности прозрачных предметов, в особенности оптических стекол. Гейфкен (Verfahren zur Änderung des Reflexionsvermögens durchsichtiger Gegenstände, insbesondere optischer Gläser. Geffcken Walter) [Jenaer Glaswerk Schott und Gen.]. Пат. ФРГ 924343, 28.02.55 [Glastechn. Ber., 1955, 28, № 4, P17 (нем.)]

Для получения на поверхности стекол тонких, прозрачных устойчивых пленок применяются газообразные в-ва, разлагающиеся в присутствии водяного пара с образованием гидрата окиси. Водяной пар и взаимодействующий с ним газ направляются на стекло при помощи сопел, причем струя газа до ее соприкосновения с водяным паром защищена слоем сухого воздуха.

С. Иофе

1598 П. Метод окрашивания стекла (Method for staining glass, stained glass article and glass staining composition) [Verd-a-Ray Processing Co.]. Англ. пат. 720979, 29.12.54 [J. Soc. Dyers and Colourists, 1955, 71, № 4, 200 (англ.)]

Стекло покрывается жидкой суспензией, содержащей соли Cu, Ag и Zn, и затем нагревается до 425—600°. Кол-во солей в суспензии в расчете на металлы (в %): Cu 15—90, Ag ≥ 0,875 и Zn ≥ 1,7. Суспензия должна содержать также 1,4—115,0% Cl по отношению к весу металлов.

Н. Павлушкин

1599 П. Метод производства гнутого многослойного стекла. Аткесон, Голайтли (Method of producing bent laminated glass sheets. Atkeson Florian V., Golightly James S.) [Pittsburgh Plate Glass Co.]. Пат. США 2725320, 29.11.55

Пульверизатором на лист стекла наносится сплошным слоем суспензия тонкомолотого огнеупорного материала, оптически одинакового с наносимым последующим слоем термoplastичного материала, который затем покрывается также листом стекла.

С. Туманов

1600 П. Усовершенствование производства стекланных тканей (Perfectionnements apportés à la fabrication des tissus de verre.) [Glass Fabrics Ltd]. Франц. пат. 1099755, 9.09.55 [Verres et réfract., 1956, 10, № 1, 20 (франц.)]

Предметом изобретения является способ получения тканей из некрученных прядей, в которых непрерывные стеклянные волокна расположены параллельно друг другу (напр., 88 волокон в каждой пряди). Эти пряди могут применяться как для утка, так и для основы. Полученные из них ткани отличаются большой прочностью на растяжение и могут пропитываться синтетич. смолами для получения армированных стеклопластиков. С. Хофе

**1601 П.** Применение стеклянных волокон, нитей и тканей для заготовки строительных деталей. Бертье (Utilisation des fibres, fils et tissus de verre dans les pièces préfabriquées. Berthier R. M.). Франц. пат. 1100944, 26.07.55 [Verres et réfract., 1956, 10, № 1, 25 (франц.)]

В целях увеличения прочности на разрыв гипсовых строительных деталей вводят в порошок или замеску из гипса 0,1—2% по весу нарезанное стеклянное волокно длиной ~1 см. Для этой цели можно также применять стеклянные нити и редкие ткани, которые располагают в направлении, соответствующем наибольшему растягивающим усилиям. При этом рекомендуют изготовлять формы для гипсовых деталей из эластичных материалов (резина, вишпласт и др.). Наилучшие результаты получаются с незамазанными стеклонитями. Вместо гипса можно применять гидравлич. кислые вяжущие материалы. С. Хофе

**1602 П.** Спай металла со стеклом для электрических разрядников. Кац (Metall-Glas-Verschmelzung für elektrische Entladungsfäße od dgl. Katz Helm u t) [Siemens und Halske A.-G.]. Пат. ФРГ 924819, 10.03.55 [Glastechn. Ber., 1955, 28, № 4, P17 (нем.)] Герметичные для вакуума стеклянные спаи для электрич. разрядников или т. п. приборов, в особенности покрытия из стекла на железо-никель-кобальтовые сплавы или другие металлы, наносятся посредством тонкого прожекующего слоя из Мо.

Г. Масленникова

См. также: 327

### Керамика

Редакторы П. П. Будников, С. В. Глебов,  
С. И. Горелкина, В. В. Клыкова

**1603.** Влияние минерализаторов на механические, термические и диэлектрические свойства фарфора. Будников П. П. (Einfluß von Mineralisatoren auf die mechanischen, thermischen und dielektrischen Eigenschaften von Porzellan. Budnikow P. P.), Silikattechnik, 1956, 7, № 4, 147—148 (нем.) Перевод. См. РЖХим, 1954, 48740.

**1604.** Диэлектрические потери и измерения диэлектрической проницаемости в керамических материалах. Гулевич (Dielektrické ztráty a měření dielektrické konstanty u keramických hmot. Gulevič Oleg), Sklár a keramik, 1955, 5, № 11, 256—257 (чеш.) Описан метод измерения тангенса угла потерь и диэлектрич. проницаемости для керамич. материалов при помощи моста сопротивления. Д. Шапиро

**1605.** Диэлектрические свойства керамических материалов из титаната бария. Менар, Эро (Propriétés diélectriques des céramiques au titanate de baryum. Mesnard G., Eyraud L.), J. phys. et radium, 1956, 17, № 6, suppl., A 62—A77 (франц.)

**1606.** Керамические магниты и их практическое значение. Нентвиг (Keramische Magnete und ihre praktische Bedeutung. Nentwig Kurt), Feinwerktechnik, 1955, 59, № 5, 160—162 (нем.)

Приведены основные параметры современных керамич. постоянных магнитов. Основной недостаток:

в 10 раз большая зависимость индукции от т-ры по сравнению с обычными постоянными магнитами. Технич. применения: многополюсные магниты, магниты с большим поперечным сечением, магниты измерительных приборов, электронных приборов, динамомашины, муфт сцепления.

А. Воробьев

**1607.** Магнитные ферриты с перминваровой петлей. Корнецкий, Бракман, Фрей (Magnetische Ferrite mit Perminvarschleife. Kornetzkij M., Brackmann J., Frey J.), Naturwissenschaften, 1955, 42, № 17, 482 (нем.)

Добавка незначительного кол-ва окисей Mn и Co к Ni и Ni-Zn-ферритам приводит к образованию у последних свойств перминваров. Особенно «перетянута» петля, если обжигот достигнуто наличие двух сортов кристаллов: мелких и крупных. При медленном охлаждении в магнитном поле свойства перминваров исчезают и материал имеет прямоугольную петлю.

А. Воробьев

**1608.** Полупроводниковый электротермометр. Лобанов Н., Строит. материалы, изделия и конструкции, 1956, № 3, 29

Описана схема установки дистанционного электротермометра, сконструированного на базе полупроводников. Указанный прибор со шкалой, отградуированный для контроля т-ры глиняного бруса, закреплен у рабочего места залишницы, которая получает возможность постоянно регулировать пароувлажнение бруса по точно заданной т-ре. Д. Шапиро

**1609.** Высокопустотный кирпич. Шульц (Hochlochziegel. Schulz Erich), Silikattechnik, 1956, 7, № 3, 118—120 (нем.)

В связи с необходимостью освоить выпуск пустотелого кирпича размером 240×115×113 мм и 240×175×113 мм с об. в. 1,2; 1,4; 1,6 г/см³ рассматриваются особенности его изготовления: условия подготовки массы, формовки изделий, сушки и обжига сырья. Для мульдштуков рекомендуются хромированные керны.

П. Беренштейн

**1610.** Совмещение сушки и помола глины в одном агрегате. Дибров Г., Люкумович Л., Чистова Е., Строит. материалы, изделия и конструкции, 1956, № 5, 29—30

Описывается реконструкция сушильного барабана (Б), выполненная на Ростовском кирпичном з-де. Внутренние ячейки и обечайки Б были удалены и взамен их вмонтированы две цепные зоны и две ковшовые лопастные зоны. В ковшово-лопастных зонах происходит непрерывное пересыпание глины (Г) и ее равномерное распределение по всему сечению Б, что обеспечивает более интенсивное омывание частиц Г горячими газами и более быструю ее подсушку. В цепных зонах, помимо подсушки Г теплом, аккумулированным цепями, происходит также ее частичное измельчение, что позволяет уменьшить кол-во Г, подвергаемое помолу в деинтеграторах. Производительность Б по кол-ву испаренной влаги возросла на 15—20% при одновременном уменьшении т-ры входящих газов.

Е. Штейн

**1611.** Мокрая и сухая подготовка глины. Суховский (Nasse oder trockene Aufbereitung? Suchowski K.), Tonind.-Ztg., 1956, 80, № 7-8, 120—121 (нем.)

Приводится сравнительная характеристика «мокрого» и «сухого» способов приготовления глинистых масс, описание машин, с помощью которых осуществляется эта подготовка. Особое внимание уделяется использованию мельниц ударного действия (напр., мельницы Новотор). Отмечается, что применение мельниц этой конструкции обеспечивает удовлетворительную и экономически рентабельную сухую подготовку некоторых сортов глины (сухих тощих гли). Рекомендуется также



на основе использования новых мельниц проведение комбинированной подготовки глинистых масс.

Г. Матвеев

1612. Сушка строительной керамики. Куатрекасас-Арум (Temas de cerámica de la construcción. La operación de secado. Cuatrecasas Arumi Luis), Bol. inform. Sindic. constr., vidrio y ceram., 1956, 15, № 155, 21—24 (исп.)

Рассмотрено использование естественной и искусств. сушки изделий строительной керамики. Для организации рациональной искусств. сушки необходимо предварительное построение кривой сушки в координатах усадка — время по опычному образцу керамич. изделия; усадку в ходе сушки удобно определять при помощи «ретрактометра». Приведено сравнение достоинств и недостатков камерных и туннельных сушил для сушки строительной керамики.

С. Глебов

1613. Устранение дефектов при обжиге кирпича и черепицы. Заика И., Сельское стр-во, 1956, № 4, 12—13; (Устранения дефектів при випалюванні цегли і черепиці. Заїка І.), Сільське будівництво, 1956, № 4, 12—13 (укр.)

Рассмотрены причины появления основных дефектов в кирпичном и черепичном сырье при их обжиге. Наиболее вероятным периодом трещинообразования в сырье является подсушка (окур). Нагрев в этот период должен идти медленно, по 5—10 град/час. Особенно опасна т-ра в 50° при отсутствии достаточного удаления влаги из сырья (запаривание). Прогрев от 100 до 500° можно вести с произвольной скоростью. Однако в изделиях из некоторых черепичных глин при нагревании от 500 до 600° происходит уменьшение в объеме, что приводит к трещинообразованию. Скорость нагревания в этом случае рекомендуется для этого интервала т-р 10—20 град/час. Длительность выдержки при 900—1000° определяет собой качество кирпича — при неравномерной т-ре в печи и недостаточно длительном обжиге получается недожог.

Э. Эршлер

1614. Критические замечания по дувановскому методу обжига кирпича в кольцевой печи. Швириг (Das Brennverfahren im Ringofen in der sowjetischen Ziegelindustrie früher und heute. Kritische Stellungnahme zu der sogenannten Duwanow-Methode. Schwiering H.), Ziegelindustrie, 1956, 9, № 12, 434—436 (нем.)

Оспариваются основные положения скоростного обжига по методу П. А. Дуванова. Высказывается мнение, что наиболее рациональными мероприятиями, повышающими производительность кольцевой печи, являются усиленная тяга при плотной садке и расширенная зона обжига (при достаточной длине обжигательного канала).

И. Мушлин

1615. Обжиг кирпича в кольцевых и зигзагообразных печах. Бродде (Wirtschaftliche Feuerführung in Ring- und Zickzacköfen der Ziegelindustrie. Brodde B e r n h a r d), Ziegelindustrie, 1954, 7, № 17, 674—675 (нем.)

Кратко описываются режимы обжига некоторых керамич. изделий и приводятся соответствующие температурные кривые. См. также РЖХим, 1954, 50388.

Н. Фельдман

1616. Опыт по обжигу коксовым газом. Рейкен (Erfahrungen beim Brennen mit Reingas. Rijk e n), Ziegelindustrie, 1954, 7, № 7, 245—247 (нем.)

1617. Пути рационализации производства изделий грубой керамики. Кремер (Wege zur Rationalisierung in der grobkeramischen Industrie, dargestellt an einem Beispiel der Steinzeugröhrenfabrikation. C r e m e r G.), Ber. Dtsch. keram. Ges. 1955, 32, № 12, 365—368 (нем.)

См. РЖХим, 1956, 69157.

1618. Современные усовершенствования в кирпичном производстве. Алхонуро (Tiilitööstisuuden viimeaikaisesta kehityksestä. Alhonoru Matti), Tekn. kemian aikakauslehti, 1956, 13, № 6, 171—175 (фин.; реэ. англ.)

До второй мировой войны преобладало произ-во полнотелого кирпича (ПК); толщина стен равнялась 60,8 см. Сейчас дырчатый кирпич (ДК) вытесняет ПК. Об. вес ДК на  $\frac{1}{3}$  меньше ПК. Стены, выложенные из ДК на 25% тоньше и на 45% легче стены из ПК. Потери тепла в стенах из ДК на 15% меньше по сравнению со стеной из ПК. Намечается и другой путь развития произ-ва кирпича — увеличение размеров его в целях уменьшения стоимости строительства. Выстроены здания из кирпичей размером 30×27,5×18,75 см.

П. Зильберфарб

1619. Изготовление архитектурно-художественных керамических изделий способом вибрационного пресования. Визир, Оболончик (Przygotowanie elementów ceramicznych o kształcie złożonym metodą wibrowania. Wizir W. A., Obolonczik W. A.), Szkło i ceram., 1956, 7, № 7-8, 215—217 (польск.)

Перевод. См. РЖХим, 1955, 12198.

1620. Возврат глиняной стружки в ленточные черепичные прессы. Рейх (Schnitzelrückführung an Strangdachziegelpressen. Reich A r n o), Silikattechnik, 1955, 6, № 11, 494 (нем.)

Рассматриваются методы возврата отходов глиняной стружки с целью использования их в произ-ве. Приведена схема механизированного возврата глиняной стружки в черепичный пресс.

П. Беренштейн

1621. Черепица. Проект норм от октября 1955 г. DIN 456.—(Dachziegel. Preßdachziegel und Strangdachziegel. Norm — Entwurf Oktober 1955. DIN 456.—), Tonind.-Ztg., 1956, 80, № 1-2, 18—22 (нем.)

См. РЖХим., 1955, 47790.

1622. Печь непрерывного действия для небольших масштабов производства. Люка (Un four à feu continu pour petites productions. Lucas J.), Terre cuite, 1953, № 26, 6—12 (франц.)

Описана конструкция и теплотехника, характеристики небольшой кольцевой печи производительностью 10—15 т в сутки. Стоимость печи ~7 млн. французских франков (в ценах 1952 г.). Основные характеристики печи: расстояние между осями люфтов 1,06 м, всего люфтов 156 (по 3 в ряду), общая длина канала 52,8 м, сечение 3,57 м<sup>2</sup> (ширина 2 м, высота до свода 2 м), кол-во камер 12; общие габариты печи 29,4×8×2×2,72 м; необходимая площадь для печи, с учетом прохода вокруг нее шириной 3 м—34,5×14,5 м. Тяга осуществляется вентилятором через систему переносных металлич. труб, присоединяемых к каналам, расположенным в боковых стенах. Печь снабжена рекуперацией, которая устроена как и вытяжная система, но канал расположен посередине печи. По прошествии 1 года работы печи параметры работы были следующими: сила потока огня 5,65 м в сутки, производительность 11,5 т в сутки, потребление условного топлива 50 кг/т плотность садки 570 кг/м<sup>3</sup>, средняя т-ра обжига 1000°.

В. Злочевский

1623. Изучение литья из шликеров. VII. Литье шпатных масс. Сиран, Катаэо. (泥漿鑄造の研究. シヤモット素地の鑄込み. 第7報. 素木洋一, 片瀬徳治), 窯業協會誌, Ege kekaisai, J. Ceram. Assoc., Japan, 1955, 63, № 717, 728—737 (Япон., реэ. англ.)

В Токийском технологич. ин-те было исследовано 192 литейных шликера, изготовленных из масс, содержащих 70% шмота и 30% каолининовой глины. В качестве электролитов использовали NaOH и смесь NaOH и HCl. Для шликеров были определены вязкость, усад-

ка, прочность черепка и pH как для свежеприготовленного шликера, так и после выдержки в течение 48 и 168 час. Установлено, что не существует корреляции между pH, временем излечения из формы и вязкостью шликера. Обнаружена четкая зависимость между литейной способностью и коэфф. тиксотропии. Обожженные образцы, отлитые из шликера с малой вязкостью и высокой тиксотропностью и представляющие собой плотно упакованную смесь шамота и глины, характеризуются высокой прочностью, низкими газопроницаемостью и пористостью. Г. Масленникова

1624. Барит в составе фарфора и фаянса. Раеселл, Валенси, Эмрих (Barite in ceramic whitewares. Russell Ralston, Jr, Valencia Camilo, Emrich H. W.), J. Amer. Ceram. Soc., 1956, 39, № 2, 73—82 (англ.)

Были исследованы баритсодержащие керамич. массы следующих составов: глина (Г) — барит (Б), полевой шпат — Г—Б, тальк — Г—Б, волластонит — Г—Б. Содержание Б изменялось в пределах 20—60%. Изучены свойства обожженных материалов: водопоглощение, кажущаяся пористость, усадка, об. и уд. веса, предел прочности при изгибе, термич. расширение, термостойкость, разбухание от увлажнения, окраска, хим. и минер. состав. Рекомендуются применение Б в качестве непластичной составляющей для изготовления керамич. изделий с пониженным содержанием или отсутствием стекловатой фазы в черепке. Полевошпатовый полуфарфор может быть изготовлен с добавкой 30—40% Б и 40—50% Г; массы типа фаянса — с добавкой 30—60% Б и 20—30% Г. Добавка Б к керамич. массам значительно расширяет их интервал спекания. А. Леонов

1625. Зависимость модуля упругости и коэффициента потерь массы твердого фарфора от влажности и температуры обжига. Дер (Elastizitätsmodul und Verlustzahl einer Hartporzellanmasse in Abhängigkeit vom Wassergehalt und der Brenntemperatur. Deeg Emil), Naturwissenschaften, 1956, 43, № 6, 125 (нем.) См. также РЖХИМ, 1956, 51596.

1626. Влияние состава полуфарфоровых масс на склонность изделий к пеку. Копейкин А. А., Федорова Т. Х., Стекло и керамика, 1956, № 5, 13—15

Массы с большим содержанием глинистых материалов (56—60%) характеризуются низким коэфф. расширения (КР) черепка ( $5,26-4,46 \cdot 10^{-6}$ ). Массы с содержанием 40—45% имели более высокий КР черепка ( $5,83-6,31 \cdot 10^{-6}$ ). При постоянном содержании глинистых материалов замена кварцевого песка полевым шпатом ведет к уменьшению КР черепка. Снижение глинистых материалов за счет кварца на 2,7,17% ведет к увеличению КР с  $5,06 \cdot 10^{-6}$  до  $6,25 \cdot 10^{-6}$ . Удобнее такое снижение КР производить за счет полевого шпата, так как введение кварца часто приводит к «холодному треску» изделий. С. Туманов

1627. Исследования по улучшению производства полустеклованных изделий и глазурей [в Израиле]. Шрейнер (The development of a semi-vitreous dinnerware body and glaze. Schreiner P.), Bull. Ceram. Res. Assoc., Israel, 1955, № 8, 47 pp. (англ.)

1628. Точное измерение вязкости керамических шликеров вискозиметром истечения. Поспишил (Přesné měření viskozity keramických břeček výtokovým viskozimetrem. Pospišil Zdeněk), Sklár a keramik, 1955, 5, № 8, 181—183 (чеш.)

Отмечены недостатки вискозиметра истечения и предложена ф-ла для перевода значений кинематич. вязкости в значения динамич. Значение кинематич. вязкости переводится в динамич. умножением на уд. вес шликера

по ф-ле:  $\eta = \pi^4 p / 8 V l \cdot 1/\tau - 1,1 s V / 8 \pi l \cdot 1/\tau$ , где  $\eta$  — вязкость;  $V$  — объем вытекшей жидкости;  $r$  — диаметр трубки,  $l$  — длина трубки,  $p$  — давление, с которым жидкость вытекает,  $s$  — уд. вес жидкости,  $\tau$  — время. Как показали эксперим. и расчетные данные с сужением устья капилляра получаются вполне сопоставимые данные. Д. Шаниро

1629. Основы определения газопроницаемости огнеупорных материалов. Жагар (Die Grundlagen zur Ermittlung der Gasdurchlässigkeit von feuerfesten Baustoffen. Zagar Ludwig), Arch. Eisenhüttenwes., 1955, 26, № 12, 777—782 (нем.)

Газопроницаемость (Г) огнеупоров может быть рассчитана по ф-ле:  $\eta \cdot l / A \cdot Q / (p_1 - p_a) \cdot 2p / (p_1 + p_a)$ , где  $\eta$  — вязкость воздуха в пуазах,  $l$  — длина образца (0) в см,  $A$  — поверхность 0 в см<sup>2</sup>,  $Q$  — скорость потока воздуха в см<sup>3</sup> сек<sup>-1</sup>,  $(p_1 - p_a)$  — потери давления при прохождении воздуха через 0 в дн см<sup>-2</sup>,  $p$  — абс. давление воздуха в дн см<sup>-2</sup>. Для упрощения расчета отношение  $2p / (p_1 + p_a)$  может быть принято за 1; искаженные значения уд. Г в этом случае  $\leq +3,3\%$ . Для выражения величины уд. Г предлагается абс. единица измерения перм. Пористое в-во имеет Г в 1 перм, если 1 см<sup>3</sup> газа с вязкостью 1 пуаз при перепаде давл. 1 дн см<sup>-1</sup> проходит через поперечное сечение 1 см<sup>2</sup> за 1 сек. Для выражения малых величин Г предлагается мперм =  $10^{-3}$  перм, мперм =  $10^{-6}$  перм и наноперм =  $10^{-9}$  перм. Если отношение  $Q : (p_1 - p_a)$  лежит в пределах 1,0—0,1, то уд. Г должна быть выражена в нанопермах. Приводятся вывод расчетной ф-лы, схема прибора для определения Г и градуировочные кривые. Уд. Г различных проб магнезита составляет 14,7; 14,6; 34,8; 36,1 наноперм; шамота 1,4; 1,3; 2,6; 3,0 наноперм, динаса 4,9; 4,3; 6,7; 7,7 наноперм. Т. Ряховская

1630. Огнеупорные материалы для литейной промышленности. Кобылинский (Materiały ogniotopowe stosowane w przemyśle odlewniczym. Kobyliński Stanisław), Przegl. odlewn., 1956, 6, № 5, 139—146 (польск.)

Польским комитетом стандартизации с 1953 г. падано 17 государственных стандартов на классификацию, свойства и методику испытаний огнеупорных материалов. Кроме того, в ПНР существует 7 внутренних стандартов Министерства черной металлургии на формы и размеры сталеразливочных изделий для нагревательных и других печей. Изложено содержание всех 24 стандартов. Приведены технич. требования к динасовым, полукислым, шамотным, магнезитовым, форситовым и доломитовым огнеупорам, а также даны чертежи и размеры нормального и клиноватого кирпичей и фасонных сталеразливочных изделий (сторонных трубок, пробок, стаканов и др.). С. Глебов

1631. Служба и износ огнеупоров в коксовых печах.

Таубин Г. Б., Кокс и химия, 1956, № 2, 38—42

При исследовании динаса (Д), прослужившего ~24 года в коксовых печах Днепропетровского з-да, было обнаружено, что Д в сводах конпов камер имел трещины и был науглерожен, в средней части он не претерпел существенных изменений; поверхностный слой стенового Д оплакован, уд. в. ~2,35, содержание Fe<sub>2</sub>O<sub>3</sub> достигает ~3%, Al<sub>2</sub>O<sub>3</sub> + TiO<sub>2</sub> ~5%, огнеупорность снизилась до 1630°. В нижних рядах стен обогревательного простенка остаточный кварц Д перешел в кристобалит, вследствие миграции содержание CaO в поверхностном слое повысилось до 4—4,7%. Д в нижних рядах кладки первых отопительных каналов, соприкасавшийся с угольной пылью, имел поздравную поверхность с прогарами и раковинами и был сильно изношен. Д головок коксовых камер имел зонвальную структуру и носил следы сильного истирания. Полу-

кислый кирпич пода был сильно изношен, прографичен, местами ошлакован и имел зональную структуру; предел прочности при сжатии снизился с 250 до  $\sim 100$  кг/см<sup>2</sup>. Д корнюрной зоны местами остеклована, кварц перешел в тридимит и кристобалит; уд. в. 2,30—2,32. Заметных изменений в Д горизонтального канала, в распорном Д обогревательного простенка и в насадочном кирпиче не было обнаружено.

Т. Ряховская  
1632. Лабораторное исследование железистых зон на динасовом кирпиче коксовых печей. Тёне (Laboratoriumsmäßige Untersuchung von eisenoxydhaltigen Zonen an Silika-Koksofensteinen. Thoenes H. W.), Brennstoff-Chemie, 1956, 37, № 9-10, 151—154 (нем.)

Нормальное содержание Fe<sub>2</sub>O<sub>3</sub> в динасе составляет  $\sim 0,3\%$ . Однако распределение его не всегда равномерно. На участках динасового кирпича с местным скоплением Fe<sub>2</sub>O<sub>3</sub> 3,2—10,7% возникают пороки в виде железистых пятен, выпаления железа и железистых гнезд, приводящих к снижению его механич. прочности. Местное скопление Fe<sub>2</sub>O<sub>3</sub> в динасовом кирпиче приводит также к образованию эвтектич. участков с низкой т-рой плавления.

Е. Штейн  
1633. Некоторые замечания об огнеупорах для газовых реторт. Оливер, Карр (Some observations on refractories for gas retorts. Oliver H., Carr K.), Refractories J., 1955, 31, № 11, 588—593, № 12, 652—656, discuss., 658—662 (англ.)

Изучены причины разрушения динасовой огнеупорной футеровки в газовых ретортах в зоне т-р 800—1000°: скалывание при колебаниях т-ры; пропитывание щел. окислами, которые со связкой образуют стекловидную фазу.

Обсуждены причины образования трещин в футеровке, нарушающих герметичность реторт, и способы текущего ремонта реторт. Капитальный ремонт на газовых з-дах Англии производится через 3—5 лет. Приведен хим. состав золь 12 сортов углей, применяемых для произ-ва газа, и важнейшие свойства и хим. состав 7 марок динаса Англии. Уд. вес динаса колеблется в пределах 2,31—2,33, истинная пористость 24,8—30,9%, содержание SiO<sub>2</sub> 94—96%.

А. Леонов  
1634. Повышенные давления прессования — мощный резерв в деле улучшения физико-химических свойств доменного огнеупора. Козинский Н. Ф., Изв. Киевск. политехн. ин-та, 1956, 17, 225—228  
Изучена зависимость свойств шамотного огнеупора для шахты доменной печи от давления прессования при введении в шихту оконного стекла. Состав шихты (в вес. %): шамота из новорайской глины 80—88, часовярской глины 10, стекла 2—10; влажность массы 8%. Кубики с ребром 50 мм прессовали на гидравлич. прессе при давл. 400, 600, 800, 1000 кг/см<sup>2</sup>; после сушки образцы обжигали при 1400° с 2-часовой выдержкой. При повышении давления прессования кажущаяся пористость понижается, а об. вес и предел прочности при сжатии повышаются. При давлениях прессования 400, 600, 800, 1000 кг/см<sup>2</sup> кажущаяся пористость равна соответственно 13,0; 10,6; 9,3; 8,1%; об. вес 2,04; 2,06, 2,08; 2,12 г/см<sup>3</sup>;  $\sigma_{сж}$  равен 815; 1000; 1157; 1410 кг/см<sup>2</sup>.

В. Злочевский  
1635. Бикерамический муллит-шамотный огнеупорный кирпич для подвесных сводов. Глаголев А. А., Шешминцев А. Н., Изв. АН КазССР. Сер. горн. дела, металлургии и обогащения, стройматериалов, 1956, № 8, 114—118 (рез. казах).

Описан опыт изготовления бикерамич. огнеупорного кирпича, рабочая часть которого (на 40% длины) состоит из смеси отходов муллитового бруса и огнеупорной глины, а остальная — из более дешевого огнеупора (шамота). Оба материала обладают близкими коэфф.

термич. расширения. Техника формовки кирпича была следующей: в форму вставляли разделительную пластинку, в один конец засыпали муллитовую, а в другой шамотную массу, после чего разделительную пластинку вынимали и засыпанный слой трамбовали вручную; последующие слои наносили таким же образом. Полученный сырец допрессовывали и обжигали при 1450° с выдержкой 2 часа. В месте стыка трещины не обнаружены. Приведены свойства муллитовой и шамотной части огнеупора, который испытывается в кладке свода отражательной медеплавильной печи. А. Леонов

1636. Производство шамотных легковесных изделий с объемным весом 1,0 г/см<sup>3</sup> на Свингиревском огнеупорном заводе. Рабинович М. А., Кривой М. И., Михайлов Н. П., Гурова М. И., Огнеупоры, 1956, № 2, 76—79

Свингиревским огнеупорным з-дом выпускаются легковесные шамотные изделия (ЛШИ) с об. в. 1,0—0,8 г/см<sup>3</sup>. Состав шихты (в об. %): выгорающих добавок 70—88, шамота из латненской глины 4—10, часов-ярской глины 8—22. ЛШИ с об. в. 1 г/см<sup>3</sup> имеют предел прочности при сжатии 33—42 кг/см<sup>2</sup>, дополнительную усадку при 1850° 0,2—0,8%, коэфф. теплопроводности 0,28—0,38 ккал/час град. ЛШИ с об. в. 0,80—0,84 г/см<sup>3</sup> имеют предел прочности при сжатии 18—21 кг/см<sup>2</sup>. Частичная замена опилок лигнином (до 50%) повышает предел прочности полуфабриката при сжатии на 15—20%, но при этом продолжительность обжига увеличивается в 1,5—2 раза. Вакуумирование пластичной легковесной массы снижает пористость на 12% и увеличивает механич. прочность на 20%; об. вес. изделий повышается при этом на 0,15—0,20 г/см<sup>3</sup>. Приведена технологич. схема произ-ва.

Т. Ряховская  
1637. Пути автоматизации производства огнеупорного кирпича по пластическому способу. Беттисон (An approach to automation in stiff mud refractory manufacture. Bettison L. S.), Amer. Ceram. Soc. Bull., 1956, 35, № 2, 71—72 (англ.)

Изложены общие соображения о возможности автоматизации произ-ва огнеупорного шамотного кирпича по пластич. способу произ-ва. Наиболее трудно поддаются автоматизации увлажнение массы и садка изделий на вагонетки туннельных печей. А. Леонов

1638. Изучение использованных огнеупорных материалов из маргеновских печей. II. Микроскопический анализ составляющих минералов, физические и химические свойства использованного динасового кирпича из маргеновской печи. III. О механизме химической эрозии хромомagneзитового кирпича. Ао, Ояма (平炉に使用された耐火物に関する研究. 第二報. 平炉に使用された珪石煉瓦成分礦物の定量と物理的化學的性質. クロマグ煉瓦の化學侵蝕機構に関する研究. 平炉に使用された耐火物に関する研究. 第三報. 青武雄, 尾山竹滋), 藥業協會誌, Ege kōkaiji, J. Ceram. Assoc. Japan, 1954, 62, № 697, 462—465, 1955, 63, № 716, 629—633 (япон.; рез. англ.)

III. При помощи минералогич. и хим. анализа было изучено действие плака на хромомagneзитовый кирпич, вынутый из передней стены маргеновской печи после 114 плавов. Было обнаружено зональное строение кирпича (6 зон). В горячую зону из печной атмосферы проникает известь и много окислов железа, которые входят в твердый р-р с хромистой шпинелью, известь образует со связкой кирпича моноклинные пироксоны (диопсид). Легкоплавкие силикаты из горячей зоны мигрируют в промежуточную, обогащая ее CaO, MgO и SiO<sub>2</sub>. В промежуточной зоне около половины MgO входит в твердый р-р со шпинелью, остальная распределена между периклазом и стеклофазой. Приведен расчетный минералогич. состав кирпича и физ. свойства по зонам. Сообщение I см. РЖХим., 1955, 49578

С. Глебов



1639. Некоторые свойства американских и японских хромитовых огнеупоров. Ямаути, Сомия (アメリカ産, 日本産クロム系耐火物の諸性質. 山内良吉, 宗宮重行), 産業協賛誌, Ege kōkai shi, J. Ceram. Assoc. Japan, 1956, 64, № 723, 126—130 (япон.; рез. англ.) Приводятся хим. состав, физ. свойства, механич. прочность, термич. изменения и объемные расширения исследованных огнеупоров. Описывается процесс отделения от огнеупора зерен хромовой шпинели с помощью плавки  $\text{KOH} + \text{NaOH} + \text{K}_2\text{CO}_3 + \text{Na}_2\text{CO}_3$  (6:4:5:5).

М. Степанова

1640. Последние достижения в области прессованных цирконовых огнеупоров для стекльной промышленности. Томас, Нофт (Recent developments in bonded zircon refractories for the glass industry. Thomas Everett A., Knauff Robert W.), Amer. Ceram. Soc. Bull., 1956, 35, № 1, 1—5 (англ.)

Кислый характер цирконовых огнеупоров (ЦО) обеспечивает им хорошую стойкость против действия большинства промышленных стекол; растворимость  $\text{ZrSiO}_4$  в них составляет ~4—5%. За последние годы на некоторых стекловых заводах США прессованные ЦО с успехом были использованы в качестве донных брусьев, а также для защиты донных шамотных брусьев от разделения стеклом и в верхнем строении стекловаренных печей (СП) — в плавочных камнях, трех верхних рядах кладки между окнами и в одном (выступающем) ряде кирпичей свода. Цирконовые формованные донные брусья толщиной 300 мм, установленные в одной из СП, за 1633 рабочих суток свосились всего на 65—75 мм. Шамотные донные брусья на этой печи держались 10,5—14 месяцев. На другой печи выстилка из ЦО поверх шамотных донных брусьев, толщиной 100 мм, сработалась всего на 7—9 мм за 308 рабочих суток, а шамотные брусья за то же время — на 76—88 мм. Столь же хорошие результаты получены от применения ЦО в верхнем строении СП.

С. Глебов

1641. О германской огнеупорной промышленности. — (Some impressions of the German refractories industry. —), Refractories J., 1956, № 1, 2—18 (англ.)

1642. Производство огнеупоров в Бразилии. Барзаги (Refratários J. da atualidade, no Brasil. Barzaghi Luciano), Engenharia, miner. e metalurgia, 1956, 23, № 133, 5—8 (порт.)

Начало произ-ва огнеупоров в Бразилии относится к 1939 г., когда была организована лаборатория керамики в Ин-те технологий. исследований в Сан-Паулу. В 1941 г. в Бразилии было открыто и начало эксплуатироваться месторождение кварца высокого качества для произ-ва диваса, несколько позднее — месторождение магнезита. В 1954 г. в Бразилии на нескольких заводах изготовлялись дивасовые, шамотные, высокоглиноземистые и основные огнеупоры, вследствие чего импорт огнеупоров и огнеупорного сырья с 11 тыс. т в 1952 г. упал в 1954 г. до 1,4 тыс. т; примерно 1/3 импорта составляют пластичные огнеупорные глины, без которых Бразилия пока не может обойтись. Качество продукции бразильского произ-ва огнеупоров повышается. Так, пористость шамотных изделий за 16 лет (с 1940 до 1954 г.) понизилась с 27,7—5,2 до 17—25%; уд. вес диваса — с 2,42—2,46 до 2,33—2,36; однако, пока оно уступает качеству импортных огнеупоров. В Бразилии имеются крупные залежи магнезитов, бокситов, латеритовых глин с высоким содержанием  $\text{Al}_2\text{O}_3$ , диаспора, кьянита, силлиманита и редких земель. Месторождения хромита трудно доступны и качество хромита весьма изменчиво.

С. Глебов

1643. Завод полукислых огнеупоров компании Дербишир (Англия). — (The Derbyshire Silica Firebrick Co. Ltd —), Refractories J., 1955, № 11, 611—618 (англ.)

Описано произ-во полукислых изделий с использованием местных отложений кварцевого песка высокой чистоты, кварцитов, кварцевой гальки и огнеупорных глин. Приведена технология, схема произ-ва. На заде применяются пластичный, полусухой способ произ-ва и прессотрамбование полукислых изделий. Изготавливаются свыше 15 марок огнеупоров, теплоизоляционных материалов и цементов различного назначения (для газовых реторт, электрич., сталеплавильных, мартеновских, медеплавильных печей, конвертеров и др.), в том числе силлиманитовые огнеупоры, огнеупорные цементы и диатомитовый теплоизоляционный кирпич.

А. Леонов

1644. Опыт работы короткотражной туннельной печи. Шалков К. А., Огнеупоры, 1956, № 3, 103—107

Изложены результаты опыта работы короткой туннельной печи Боровичского комбината (РЖХим, 1956, 29841), эксплуатируемой с I квартала 1952 г. для обжига широкого ассортимента шамотных изделий полусухого прессования; проектная производительность 30 тыс. т в год. Фактич. показатели работы печи в 1954 г. значительно превысили проектные: годовая производительность 60 350 т, выход брака 1,3%, недожога 1,4%, расход условного топлива 85,6 кг/т, съем год. ной продукции 506 кг/м<sup>3</sup> печного объема в сутки, время толкания вагонеток 2 часа 5 мин., максим. т-ра обжига 1390—1400°, общая длительность обжига 40 час. Короткая туннельная печь имеет лучшие показатели, чем другие туннельные печи, используемые в произ-ве огнеупоров СССР. Она размещается в печных корпусах действующих заводов и может быть рекомендована для замены устаревших кольцевых печей.

В. Злочевский

1645. Способ производства карбида кремния. Часть II. Механизм реакции образования карборунда. Томонари (カーボランダム製造法について. 第2報. SiCの生成機構について. 友成忠雄), 電気化学, Дания кагаку, J. Electrochim., Soc., Japan, 1956, 24, № 1, 27—32 (япон.; рез. англ.)

Исследована возможность протекания различных р-ций между  $\text{SiO}_2$  и С. Приведены термодинамич. хаарактеристики возможных р-ций: величины энтропии и энтальпии, константы равновесия и кривые давления паров  $\text{SiO}_2$  и С. Наиболее вероятно образование  $\text{SiC}$  по р-циям:  $\text{SiO}_2 + \text{C}_{\text{тв}} = \text{SiO}_{\text{газ}} + \text{CO}_{\text{газ}}$ ,  $\text{SiO}_{\text{газ}} + 2\text{C}_{\text{тв}} = \text{SiC}_{\text{тв}} + \text{CO}_{\text{газ}}$ . Часть I см. РЖХим, 1956, 65763.

И. Смирнова

1646. Измерение механических свойств при высоких температурах. Применение к некоторым огнеупорным материалам. Пуллинье (Mesure des propriétés mécaniques a hautes températures. Application au cas de quelques matériaux réfractaires. Poullinier J.), Colloq. nat. Centre nat. rech. scient., 1955, № 10, 119—139, discuss. 139 (франц.)

Описана аппаратура и методика определения механич. свойств жаропрочных материалов и керметов при растяжении их (удлинение, предел прочности при растяжении, ползучесть) в зависимости от т-ры. Испытание на растяжение и ползучесть при 800—850° в защитной или, наоборот, в корродирующей среде, применительно к жаропрочным металлам (W или Mo) или сплавам осуществляется на стандартной установке с печью Chevenard RT=5 с размещением испытуемого образца в герметичной, упругой металлической оболочке, позволяющей подводить защитный газ. Устройство с успехом применялось в лаборатории несколько лет. Разработана методика испытания механич. свойств керметов на изгиб. Образец размером 50×5,5×5,5 мм опирается на две цилиндрич. опоры из  $\text{Al}_2\text{O}_3$  диам. 7,5 мм, с пролетом ~40 мм; нагрузка образца осуществляется по середине.

При т-рах до 1050° применяется печь с нихромовой нагревательной обмоткой, для т-р до 1450° — печь с нагревательными стержнями из SiC. Для уменьшения разброса результатов ( $\pm 10-15$  до  $\pm 2-8\%$ ) необходимо производить механич. обработку образцов. Прочность материала на изгиб не дает достаточного представления о прочности на растяжение. Для этих испытаний были применены небольшие по размерам образцы с конич. головками. Образцы крепятся в держателях посредством разрезных конич. втулок, выполненных для т-р до 1100° из сплава ONERAL или для т-р до 1500° из  $Al_2O_3$ . Испытание образцов на растяжение ведется на любой машине. Нагрев осуществляется в стандартной муфельной печи. Установки такого типа были использованы для определения ползучести при т-рах до 1000° в течение 300 час. и на грузке образца до  $10 \text{ кг/мм}^2$ ; разброс в показателях прочности при растяжении составляет  $\pm 10-15\%$ . Комбинированное испытание на растяжение или ползучесть при высоких т-рах в нейтр. среде, применительное к весьма хрупким и малопрочным материалам (металлургич. кокс с прочностью 150—200  $\text{кг/мм}^2$ ), было успешно осуществлено на установках такого же типа. В. Злочевский

**1647 К. Оборудование для искусственной сушки черепицы и кирпича.** Залаи (A tégl és tetőcserep mesterséges szárításának berendezési. Zalán Z. István. Budapest, Mérnöki Továbbképző Int., 1955 [1956], 150 l., 30 ft.) (венг.)

**1648 К. Лабораторные исследования огнеупорных материалов.** Юст (Badania laboratoryjne materiałow ogniotrwałych. Just Jan. Stalinogród, Wydawn. Górno-Huth., 1956, 184, 4 nld. s., il., 10.90 zł.) (польск.)

**1649 П. Огнеупорные массы — искусственный строительный материал** (Process for making hydraulic binding material and refractory bricks) [Administration-Sequestre des Röchling'sche Eisen-und Stalwerke Ges.]. Англ. пат. 692088, 27.05.53

Шлак, получаемый при обессеривании доменного чугуна содой, может полностью или частично заменить портландцемент при изготовлении обычных вяжущих в-в и высокоглиноземистый цемент, получаемый при доменном процессе, при изготовлении огнеупорных мертелей и набивных масс. Материал, обладающий гидравлич. свойствами, получают путем помола, содержащего соду шлама с кварцевым песком. Строительные блоки и другие штучные материалы можно получить из масс, состоящих из гранулированного доменного шлама, песка, золы, опилок или других наполнителей, и цемента или извести, содержащих небольшое кол-во содового шлама. С. Глебов

**1650 П. Огнеупорные материалы.** (Refractory materials) [The Plessey Co. Ltd.]. Австрал. пат. 165433, 13. 10. 55.

Патентуется способ произ-ва сложной массы, основной составной частью которой является дисилицид Mo ( $MoSi_2$ ); добавкой служит огнеупорный материал со сходным коэфф. термич. расширения. Массу прессуют при т-ре и давлении, достаточными для получения связанного составного тела. С. Глебов

**1651 П. Метод производства хромомagneзитовых огнеупоров.** Хэйер (Briques ou matières réfractaires non-acides et procédé pour leur fabrication. Heuer R. P.). Франц. пат. 1082298, 28.12.54 [Chimie, et industrie, 1955, 74, № 5, 978 (франц.)]

Хромовую руду смешивают с MgO и добавляют связку. Из смеси под давлением формуют кирпич, который обжигают или применяют безобжиговым. Состав массы (в %): хром 80—20 (предпочтительно 50—80), MgO 20—80 (предпочтительно 50—20). В. Злочевский

**1652 П. Улучшение плавящихся огнеупоров.** Магри (Perfectionnements aux matières réfractaires fondues. Magri Ralph J., Jr) [Corhart Refractories Co.]. Франц. пат. 1077696, 10.11.54 [Chimie et industrie, 1955, 74, № 6, 1202 (франц.)]

Плавящийся огнеупор состоит из хромомagneзитальной шпинели. Его состав (%): FeO 1—5, MgO 40—78,  $Al_2O_3$  5—45,  $Cr_2O_3$  5—50. Сумма этих окислов >87%; молекулярное отношение  $FeO + MgO : Al_2O_3 + Cr_2O_3$  от 2,4 до 10. В. Злочевский

**1653 П. Огнеупорный кирпич и метод его получения** (Feuerfester Stein und Verfahren zu seiner Herstellung) [Veitscher Magnesitwerke A.-G.]. Австр. пат. 177368, 25.01.54 [Keram. Z., 1956, 8, № 2, 78 (нем.)]

Предложен способ нанесения на огнеупорные изделия (преимущественно безобжиговые основные) с одной или с нескольких сторон слоя мертеля, который, затвердевая, образует с изделием одно целое. Мертель состоит из материалов, способных спекаться при т-рах эксплуатации печи и прочно связывать смежные кирпичи, что обеспечивает получение прочной кладки. При выводе печи мертель размягчается, что способствует выравниванию напряжений, возникающих при тепловом расширении кирпичей. А. Полинковская

См. также: Керамика: строительная 3366; электрокерамика 1265; фарфор 3367

#### Вязущие материалы, бетон и другие строительные материалы

Редакторы Ю. М. Бутт, А. С. Пантелеев

**1654. К термехимии извести.** Швите, Пиглер (Beitrag zur Thermochemie des Kalkes. Schwiete H. E., Ziegler G.), Tonind.-Ztg., 1956, 80, № 7—8, 97—100 (нем.)

Методом растворения в 0,1; 0,3; 0,5 и 1 н. HCl (к-та) уточнена величина теплоты декарбонизации х. ч. карбоната кальция, равная при 25° 422 кал/г и 900° 391 кал/г. Определена также величина теплоты дегидратации некоторых минералов, встречающихся в природном известняке. Теплота дегидратации каолинита равна 186 кал/г, монтмориллонита 58,5 кал/г, иллита 43,2 кал/г.

Е. Штейн  
**1655. Улучшение свойств карбидной извести.** Вавржин (Zlepšenie vlastností karbidového vápna. Vavřín F.), Stavivo, 1956, 34, № 6, 216—217 (чеш.; рез. русс., нем.)

Карбидная известь, являющаяся заменителем обычной гашеной извести, имеет ряд недостатков (повышенное содержание воды, карбонизация поверхностных слоев и др.), которые могут быть устранены добавкой мергелистого сланца и обжигом при 800°. Желательно также прибавление цемента. Е. Стефановский

**1656. Общие сведения об истории и строительных свойствах вяжущих веществ.** Гжимек (Ogólne wiadomości o historii i rodzajach budowlanych materiałów wiążących. Grzymek Jerzy), Cement. Wapno. Gips., 1954, 19, № 5, 90—106 (польск.)

Приводятся краткие сведения о видах вяжущих в-в с их классификацией, общие сведения об истории применения вяжущих в-в в строительстве. Подробно рассматриваются перспективы дальнейшего развития произ-ва строительных вяжущих в-в в Польше. С. Кржеминский

**1657. Расход тепла в известеобжигательных шахтных печах, работающих на коксе.** Эйген (Der Wärmeverbrauch des koksbeheizten Kalkschachtofens. Eigen H.), Zement-Kalk-Gips, 1956, 9, № 3, 97—103 (нем.; рез. англ., франц.)

Тепло при обжиге извести (II) в шахтных печах расходуется в зонах обжига и охлаждения (главная систе-

ма) и в зоне подогрева (побочная система). Предложена ф-ла для определения расхода тепла в  $\text{kcal}$  на  $\text{кг}$  И, обжигаемой в шахтных печах, отапливаемых коксом:  $X \text{ kcal} = G + mZ$ , где  $G$  — основной расход тепла;  $Z$  — потери тепла через футеровку в главной системе и с отходящими газами;  $m$  — коэфф., равный 1,49 при коэфф. недостатка воздуха (КНВ), равном 1,0, и 2,0 при КНВ = 0,85 (для И с содержанием 93% активной  $\text{CaO}$ ). Расход тепла на  $\text{кг}$  И значительно понижается при увеличении КНВ, поскольку при этом уменьшается и основной расход тепла и коэфф.  $m$ . Основной расход тепла, минимально равный при содержании в И 93% активной  $\text{CaO}$  741  $\text{kcal/kg}$ , увеличивается с уменьшением КНВ (до 0,85) до 970  $\text{kcal/kg}$ . При увеличении КНВ уменьшается потеря  $\text{CO}$  на  $\text{кг}$  И и соответственно уменьшается общий расход тепла. Так, при увеличении КНВ с 0,5 до 1,0 термич. к. п. д. повышается почти в 5 раз. Если потери тепла через футеровку и с обжигаемой И уменьшаются на  $y \text{ kcal/kg}$ , то общий расход тепла уменьшается на  $fy$ , причем величина  $f$  достигает 2,44. При определенной величине потери тепла КНВ тем меньше, чем меньше куски измельченного кокса и чем однороднее их размер. При учете этого фактора возможно довести расход тепла на  $\text{кг}$  И вышеуказанной активности до 800  $\text{kcal}$  и одновременно значительно увеличить производительность печи.

Е. Штейн  
1658. Опыт использования вращающейся печи для обжига извести. Огибалов Т., Фишбейн О., Строит. материалы, изделия и конструкции, 1956, № 6, 13—15

Обжиг извести во вращающейся печи позволяет повысить качество готового продукта, полностью механизировать трудоемкие работы, улучшить санитарно-гигиенич. условия труда. Обжигу следует подвергать куски известняка крупностью 10—60 мм; отходы известняка мельче 10 мм следует использовать для произ-ва портландцемента. Т-ра в зоне обжига должна быть 1270—1300°. Рекомендуется при проектировании новых цементных з-дов предусматривать установку одной вращающейся печи для обжига извести, а также пристраивать вращающиеся печи для обжига извести на действующих цементных з-дах.

Е. Штейн  
1659. Номограмма расхода топлива при обжиге известняка во вращающихся печах. Эйген (Finding neat expenditure per ton rotary kiln lime. Eigen H.), Rock Prod., 1956, 59, № 2, 57, 84 (англ.)

1660. О распределении остаточной углекислоты в обожженной извести, магнезите и доломите. Лаль (Über die Verteilung der Restkohlendure in gebranntem Kalk, Magnesit und Dolomit. Lahl Walter), Tonind.-Ztg., 1956, 80, № 5-6, 76—78 (нем.)

При обжиге кускового известняка декарбонизация происходит в относительно узкой зоне. Процессы декарбонизации магнезита, известняка и карбоната кальция в доломите аналогичны. Т-ра декарбонизации карбоната магния в доломите при одинаковой т-ре наружной поверхности образца не постоянна. Вблизи наружной поверхности разложение происходит уже при т-ре 500°, а на глубине 5 см при 750°. Т-ра декарбонизации карбоната магния значительно повышается по мере проникновения зоны декарбонизации в глубь образца. Наружная окисная пленка в неполовностью декарбонизованном известняке, доломите и магнезите практически не содержит  $\text{CO}_2$ . Остаточная  $\text{CO}_2$  концентрируется в глубине материала, где ее содержание достигает 40—50%. На распиленных образцах отчетливо различимы 3 зоны:  $\text{MgO} + \text{CaO}$ ,  $\text{MgO} + \text{CaCO}_3$ ,  $\text{MgCO}_3 + \text{CaCO}_3$ .

См. также: РЖХим, 1954, 45307

А. Бережной  
1661. Влияние образования  $\text{CO}$  на тепловую баланс известкообжигательных шахтных печей. Вурер, Хедден (Einfluß der  $\text{CO}$ -Bildung auf die Wär-

mewirtschaft von Kalkschachtöfen. Wuhrer J., Hedden K.), Zement-Kalk-Gips, 1956, 9, № 4, 146—153 (нем.; рез. англ., франц.)

При обжиге извести в шахтной печи в зоне восстановительных процессов образуется ~1,7%  $\text{CO}$  вследствие недостатка кислорода.  $\text{CO}$  образуется интенсивно при 1000—1100°; при т-ре ниже 950°  $\text{CO}$  не образуется. Снижение содержания  $\text{CO}$  в отходящих газах возможно при соблюдении следующих условий: зона горения должна быть возможно выше, т-ра зоны диссоциации должна быть снижена. Эти условия могут быть выполнены путем снижения потерь тепла (хорошая изоляция, высокие печи) и выбора по возможности более крупного кокса.

Е. Штейн  
1662. Доломитовые вяжущие материалы. Караним (Dolomityczne tworzywa wiążące. Karaim Teodor), Cement. Wapno. Gips., 1956, 12, № 6, 129—135 (польск.)

Хорошо обожженные, чистые, мягкие доломиты с небольшой примесью глинистых в-в дают вяжущее, по качеству превышающее обыкновенную известь и пригодное для штукатурных работ. Вяжущее высокого качества дает и частичный обжиг доломитов.

Е. Стефановский  
1663. Математический анализ проблемы раскисления карбонатов, особенно известняка. Вурер, Радермахер (Mathematische Behandlung des Problems der Entsäuerung von stückigen Carbonaten, insbesondere von Kalkstein. Wuhrer J., Radermacher G.), Chem.-Ingr.-Tech., 1956, 28, № 5, 328—336 (нем.; рез. англ., франц.)

Предложены ф-лы для определения длительности декарбонизации кусков известняка различной формы при любой т-ре материала, выведенные путем математич. анализа. Применение полученных выводов дает возможность установить оптимальную мощность шахтных печей при произ-ве извести без пережога.

Е. Штейн  
1664. Завод молотого известняка с автоматическим управлением. Райт (Push-button controlled fine grinding limestone plant. Wright C. E.), Rock Prod., 1955, 58, № 4, 88—89, 186 (англ.)

Для размолта известняка на з-де применена прутковая мельница фирмы Кеннеди. Мельница вентилируется горячими газами, благодаря чему одновременно производится сушка и размол известняка.

С. Кржеминский  
1665. Сортировка в тяжелых суспензиях. Варанки В., Ратьковский Р., Строит. материалы, изделия и конструкции, 1956, № 4, 17—19

Исследовался процесс сортировки известняков (И) и термозитового щебня по об. весу способом мокрой отсадки, а также в тяжелых суспензиях. При мокрой отсадке И фракции 5—40 мм разделяется на прочный с сопротивлением сжатия 200  $\text{kg/cm}^2$  (и выше) и мягкий с сопротивлением 200  $\text{kg/cm}^2$  (и ниже). При сортировке И в тяжелых суспензиях применялся в качестве суспензонта магнетитовый порошок размером частиц до 150 м. Преимущества этого метода сортировки заключаются в наличии большого кол-ва прочного И в обогащенном продукте, меньшем расходе воды и электроэнергии. Сортировка термозитового щебня по об. весу производится последовательно в двух цилиндрич. барабанах с применением воды, суспензий уд. в. 1,0—1,8 с использованием в качестве суспензонта колошниковой пыли, притовых отгарков, магнетита и др.

Е. Штейн  
1666. Дробление и сортировка известняка для известковой промышленности. Намысловский (Kruszenie i sortowanie kamienia wapiennego dla przemysłu wapienniczego. Namysowski Władysław), Cement. Wapno. Gips., 1956, 12, № 5, 120—125 (польск.)



**1667.** Высокоэффективный способ обогащения флюсового известняка. Аникиев А. В., Горный ж., 1956, № 6, 51—53

Грохочение не обеспечивает полного отсева от известняка примесей пустых пород (глины и песка), что значительно ухудшает качество флюсов. Кроме того, отсеваются в отходы куски известняка размером 10—35 мм, представляющие наибольшую ценность для офлюсования агломерата. Рекомендуется осуществление на обогатительной ф-ке Еленовского рудоправления мокрый способ обогащения флюсового известняка, при котором фракция известняка крупностью 40—80 мм промывается на вибрационных грохотах с каскадами, а фракция 10—40 мм в моечных машинах корытного типа. Выход обогащенного флюсового известняка из горной породы при этом повышается с 56—58% до 71,5% при резком улучшении его качества (90% 1-го сорта). Е. Штейн

**1668.** Влияние гидротермальной обработки на способность кварцевого песка поглощать известь. Михальченко В. А., Уч. зап. Тамбовск. пед. ин-та, 1956, № 9, 3—23

Установлено, что при гидротермальной обработке кварцевого песка повышается его способность поглощать известь из водн. р-ров. Бóльшее значение имеет величина давления, меньшее — продолжительность гидротермальной обработки. Важна также тонкость помола песка. Так, при уменьшении крупности песка с 50—250 м до 1—10 м кол-во поглощенной извести увеличивается в 3,75 раза. При гидротермальной обработке известково-песчаных смесей образуется растворимая кремнекислота, кол-во которой зависит от режима обработки (длительности и давления) и крупности песка. Прочность изделий зависит от кол-ва образовавшейся кремнекислоты. Г. Копелянский

**1669.** Возможность производства дорожных блоков из известково-песчаных масс с автоклавной обработкой. Русецкий (Możliwości produkcji drogowych elementów prefabrykowanych z mas wapienno-piaskowych autoklawizowanych. Rusiecki Aleksander), Drogownictwo, 1956, 11, № 6, 141—143 (польск.)

Можно получить блоки с прочностью при сжатии до 300 кг/см<sup>2</sup> и высоким сопротивлением истиранию из масс, содержащих (в %): песка 79, гашеной извести 8,5, пылевидного кварца или лёссовой глины 10, портландцемента 2,5, воды 8. Для повышения истираемости рекомендуется добавлять базальтовую мелочь. Е. Стефановский

**1670.** Производство крупных блоков из вибрированных масс. Лернер С., Ляхович И., Пузапова, Л., Хворостанская Е., Строит. материалы, изделия и конструкции, 1956, № 4, 26—28

Проведены исследования крупных блоков из вибрированной силикатной массы, состоящей из песка, извести и тонкомолотых добавок. Зерновой состав песка: 1,2—0,6 мм 30%, <0,6 мм 70%, оптимальное содержание активной извести 5—6%, влажность массы 9—11%. В качестве тонкомолотых добавок (в кол-ве до 20%) могут использоваться бой силикатного кирпича, гранулированный шлак, зола-унос ТЭЦ. Вибрация осуществлялась электромагнитом, вибраторами при частоте колебаний 3000 в 1 мин. с максим. амплитудой 1 мм. Запарка производилась в автоклаве при 8 атм. Общая продолжительность запарки для полнотелых блоков 18,5 час. (в том числе выдержка при 8 атм. — 12 час.), для пустотелых блоков 11,5 час. (в том числе выдержка при 8 атм. — 8 час.). Размеры выпускаемых блоков: толщина 300—500 мм, длина 735—2190 мм. П. Беренштейн

**1671.** Производство кирпича из обожженного известняка. Унтатер (Making brick of fired limestone. Whitaker L. R.), Brick and Clay Rec., 1956, 128, № 5, 97, 115 (англ.)

Кирпич и пустотелые блоки для внутренних перегородок и перекрытий могут быть изготовлены из размоленного известняка методом пластич. формования. Кирпич, изготовленный из невакуумированной массы и обожженный до 590°, имеет прочность при сжатии 84,5 кг/см<sup>2</sup>. Вакуумирование массы повышает прочность при сжатии до 176 кг/см<sup>2</sup>. Добавка к массе 10% глины увеличивает прочность до 190 кг/см<sup>2</sup>. В качестве связки вместо глины можно добавлять 3% бентонита. Произ-во известкового кирпича ограничено климатич. поясом, не имеющим заморозков. Т. Ряховская

**1672.** Обзор новейших физико-химических исследований по гипсу. Сикора (Przegląd najnowszych badań fizykochemicznych w dziedzinie gipsu. Sikora Józef), Cement. Wapno. Gips., 1956, 12, № 5, 105—114 (польск.)

Обзор советских, английских и германских последних исследований по гипсу. Библ. 8 назв. Е. Стефановский

**1673.** Применение летучей пыли как добавки к гипсу. Мазур (Zastosowanie pyłów lotnych jako domieszki do gipsów. Mazur Stanisław), Mater. budowl., 1956, 11, № 6, 172—177 (польск.)

Применение летучей пыли от сжигания пылевидного угля под котлами электростанций как наполнителя для произ-ва изделий из высокопрочного гипса позволяет получить изделия желательной прочности, в зависимости от кол-ва добавляемой пыли. Схватывание немного замедляется, теплопроводность уменьшается, а водопоглощение повышается. Е. Стефановский

**1674.** Дегидратация и распад затвердевшего портландцемента во время электронномикроскопических наблюдений. Ватанабэ, Иван (セメント水和物の電顕観察時における脱水および分解. 渡邊幸三郎, 岩井正), 電子顯微鏡, Дэнси камбикэ, Electron Microscopy, 1956, 4, № 3, 37—41 (япон.; рез. англ.)

В опытах было обнаружено, что  $\text{Ca}(\text{OH})_2$  и  $\text{CaCO}_3$  превращаются в  $\text{CaO}$  без заметных изменений в контурах кристаллов.  $\text{CaSO}_4 \cdot 2\text{H}_2\text{O}$ , дегидратированный в  $\text{CaSO}_4 \cdot 0,5\text{H}_2\text{O}$ , а затем в ангидрит, разлагается сильным излучением электронов и на электронограммах появляются кольца, соответствующие  $\text{CaS}$  и  $\text{CaO}$ . При дегидратации гексагональных пластинок гидроалюмината и гидроферрита кальция внутренняя структура его превращается в аморфное состояние без заметного изменения наружных форм, что сопровождается соответствующим изменением в электронограмме. П. Зильберфарб

**1675.** Исследование процессов схватывания и твердения цемента методом дифференциального термического анализа. Ломмацх (Untersuchung von Zement mit der Differentialthermoanalyse im Hinblick auf Abbinden und Erhärten. Lommatzsch Alexander), Silikatechnik, 1956, 7, № 5, 188—190 (нем.)

Исследованием схватывающегося и твердеющего цемента марки «325» методом дифференциального термич. анализа обнаружено три эндотермич. эффекта: 1-ый в интервале 150—250°, 2-ый 550—560° и 3-ий 600—1000°. С увеличением возраста затворенного цемента величины эндотермич. эффектов уменьшаются, и при испытании образцов в возрасте 6 месяцев и 1 года наблюдались лишь очень незначительные термич. эффекты при 600—1000°, а эффекты при 150—250° и 550—560° совсем исчезли. При исследовании незатворенного цементного порошка обнаружен один эндотермич. эффект при 500—

600°. Физ.-хим. сущность наблюдавшихся явлений не объясняется. Е. Штейн

1676. Материалы по физико-химическому исследованию минеральных вяжущих веществ. Сообщение 2. Влияние поверхностно-активных добавок на улучшение помола цементного клинкера. Яковлев А. Г., Тр. Воронежск. зоовет. ин-та, 1956, 13, 231—236. Исследованием поверхностного натяжения жидких полидиеновых углеводородов и полистиролов на границе жидкость — воздух и бензольный р-р — вода методом наибольшего давления пузырьков установлена возможность их применения в качестве гидрофобных добавок, а также интенсификаторов измельчения цементного клинкера. Сообщение 1 см. РЖХим, 1956, 72502. Е. Штейн

1677. Новые возможности в области быстрого твердения цементов, растворов и бетонов. Дюрье, Лези (Possibilités nouvelles dans le durcissement rapide des ciments, mortiers et bétons. Duriez M., Lézy R.), Ann. Inst. techn. bâtim. et trav. publics, 1956, 9, № 98, 137—156 (франц.)

Рассмотрена возможность ускорения твердения цементов (Ц) путем воздействия на скорость и характер кристаллизации продуктов гидратации из пересыщ. р-ров так называемых центров кристаллизации (ЦК). В качестве ЦК применялись гидратированные Ц, размолотые до тонкости помола обычного Ц. Оптимальная добавка ЦК составляет 2% и вводится к клинкеру при помоле или непосредственно в бетономешалку. Можно также использовать молотый лежалый Ц. Введение ЦК в кол-ве 2% не влияет на усадку и набухание р-ров и бетонов. Интенсивность нарастания прочности р-ров и бетонов, а также конечная прочность увеличиваются. Наибольший эффект дает введение 2% ЦК и 2%  $\text{CaCl}_2$ . Изучали эффективность различных режимов изготовления ЦК, в частности влияние т-ры твердения гидратируемого Ц (20—180°). Введение 2% ЦК из цементного камня, твердевшего при 50°, вызвало увеличение  $R_{сж}$  в 7-дневном возрасте образцов на 50%. Наилучшие результаты получены при введении комбинированной добавки ЦК из Ц, гидратировавшихся при 20° в течение 6, 24 час. и 7 суток и при 50° в течение 7 суток.  $R_{сж}$  портландцемента в 7- и 28-суточном возрасте возрос с 269 и 369  $\text{кг/см}^2$  соответственно до 337 и 407  $\text{кг/см}^2$ . Разброс результатов отдельных испытаний уменьшился до 8%. Введение ЦК дает возможность повышать марку Ц и не исключает применения добавок ускорителей твердения, пластификаторов, пенообразователей и т. д. И. Смирнова

1678. Ускоренный метод определения содержания в цементе гидравлической добавки и гипса из одной навески. Майорова Т. И., Ермакова В. А., Цемент, 1956, № 2, 29—30

Навеска 0,25 г тонкоизмельченного цемента смачивается небольшим кол-вом дистилл. воды и после добавления 10 мл 1 н.  $\text{HCl}$  кипятится 5 мин. (до растворения клинкера). Затем добавляется 5 мл  $\text{BaCl}_2\text{O}_4$  (~10%-ный р-р) и содержимое колбы опять кипятится 5 мин. В результате титрования по фенолфталеину р-ром 0,25 н.  $\text{NaOH}$  до слабого зеленоватого побурения р-ра, по полученному осадку определяется содержание в цементе гидравлич. добавки и гипса. Далее содержимое колбы охлаждается, доливаеется до 100 мл и перемешивается, после чего производится определение кол-ва гипса по объемному хроматному методу. Е. Штейн

1679. Дискусия по статье: Чанек «Ускоренный анализ сырья цементных заводов». Тихомирова, Шимачкова (K članku Rychloanalýza cementárenských surovin. Tichomírova V., Šimáčková O.), Stavivo, 1956, 34, № 4, 157 (чеш.)

Имеющиеся данные о комплексометрич. титровании при определении содержания  $\text{CaO}$  и  $\text{MgO}$  в цементном сырье позволяют утверждать, что этот метод не уступает классич. методам. К РЖХим, 1956, 65791.

Е. Стефановский

1680. Изучение влияния повторного нагревания и охлаждения на прочность затвердевшего цементного камня. П. Наган, Асахара, Танио (セメントとセルベン混合物の硬化に関する研究. セメント硬化物の冷熱試験. 第2報. 永井彰一郎, 浅原眞一, 丹野直和), 窯業協會誌, Ege kēkai, J. Ceram. Assoc. Japan, 1956, 64, № 722, 90—94 (япон.; рез. англ.)

Затвердевшие призматич. образцы портландцемента (П) нагревались при 100 и 60° в течение 60, 200 и 300 мин. К П добавлялся в виде тонкого порошка лом фарфоровых электроизоляторов. Полученная смесь подвергалась повторным нагреваниям и охлаждениям от 100, 90, 80 или 50° к 0, 20, 50, 80 или 90°. П с 10—30% порошка может применяться в качестве цементующего материала для фарфоровых изоляторов. Сообщение 1 см. РЖХим, 1956, 4563. М. Степанова

1681. Производство быстротвердеющего цемента за рубежом. Скрамтаев Б. Г., Цемент, 1956, № 3, 3—6

Быстротвердеющий цемент (БЦ) на базе портландцементного клинкера производится в ряде стран Западной Европы и в США, однако выпуск его незначителен и составляет всего 2—10% от общего произ-ва портландцемента. Состав клинкера, применяемого для изготовления БЦ, отличается от состава клинкера обыкновенного портландцемента несколько более высоким содержанием  $\text{C}_2\text{S}$  (примерно, на 10%) и соответственно меньшим содержанием  $\text{C}_3\text{S}$  при равном содержании алюминатов кальция. При изготовлении БЦ практикуется очень тонкий помол сырья: вводят несколько повышенную добавку гипса и производят более тонкий помол цемента. Уд. поверхность БЦ в Англии и других странах равняется обычно 4000—4500  $\text{см}^2/\text{г}$ . Существенная разница в прочности БЦ и обыкновенного портландцемента имеется только в ранние сроки твердения, к 28 суткам она невелика, а к 3 месяцам и более практически исчезает. Прочность английского БЦ в 3-суточном возрасте составляет 60% от 28-суточной. Требования к прочности БЦ в различных странах неодинаковы. Наиболее высокие требования предъявляются в Швеции: прочность через 1 сутки при испытании образцов из р-ра пластичной консистенции должна быть  $\geq 150 \text{ кг/см}^2$ , а через 3 суток 325  $\text{кг/см}^2$ . Для приведения к стандартным методам испытаний в СССР эти показатели следует умножить на коэфф. 1,7. Глиноземистый цемент изготавливается в очень небольшом кол-ве и не во всех странах. Е. Штейн

1682. Исследования кремнеземистого цемента. Феррари (Le attitudini del cemento silico-basico. Ferrari F.), Cemento, 1955, 52, № 10, 2—12 (итал.) Обзор работ о поведении цемента при замораживании и оттаивании, воздействии агрессивных вод, бактерий, органич. к-т и растительных и минер. масел. Библ. 54 назв. Предыдущее сообщение см. РЖХим, 1956, 72489. И. Смирнова

1683. Производство местного портландцемента. Теодорович Я., Лошак И., Строит. материалы, изделия и конструкции, 1956, № 6, 7—9

Описывается произ-во портландцемента марки «300» из мергеля-натурала Золочевского района, Львовской области на цементной установке, состоящей из малогабаритной автоматич. шахтной печи производительностью ~20 т клинкера в сутки и дробильно-помольных агрегатов. Приводится подробное описание шахтной печи с анализом недостатков, выявленных в процессе ее эксплуатации. Е. Штейн

**1684. Изоляционный огнеупорный кирпич в футеровках цементных печей.** Чирки (Insulating firebrick for exposed lining in rotary cement kilns. Tschirky Leopold), Rock Prod., 1956, 59, № 4, 90—92, 170 (англ.)

Описываются рекомендуемые процессы монтажа футеровок цементных печей. Приведены данные о методах кладки кирпича и перевязки швов.

П. Зильберфарб

**1685. Кольца в цементных вращающихся печах с отоплением жидким топливом — их образование и разрушение.** Феррер-Малуер (Anillos: su formación y destrucción en los hornos rotativos de cemento empleando fuel-oil como combustible. Ferrer Maluquer J. M.), Cemento hormigón, 1956, 22, № 266, 174—179 (исп.)

Рассмотрены причины образования колец при обжиге портландцементного клинкера во вращающихся печах с угольным и нефтяным отоплением. При отоплении печей жидким топливом кол-во и протяженность зон образования колец значительно меньше, чем при отоплении твердым топливом, особенно во вращающихся печах Леполь. Так, при угольном отоплении длина зоны образования колец ~7,5 м и достигает 12,5 м, а при нефтяном отоплении ~5 м и достигает 5,5 м; состав колец при той же сырьевой смеси различен — модуль  $\text{SiO}_2 : \text{Fe}_2\text{O}_3$  в первом случае равен 1,44—1,61, во втором 1,55—1,70, что облегчает борьбу с образованием колец и их удаление как механич., так и особенно термич. способом. Основными методами борьбы с кольцами, образующимися при отоплении жидким топливом, является равномерность состава сырьевой смеси, особенно отношения  $\text{SiO}_2 : \text{Fe}_2\text{O}_3$ , хорошее смешение компонентов и наличие некоторого избытка воздуха при горении (от 6 до 30%). При соблюдении этих условий на одном из испанских цементных заводов с вращающимися печами на жидком топливе удалось повысить стойкость футеровки с 6 до 14—16 месяцев.

С. Глебов

**1686. Пуццолановый цемент.** Йосеи (シロカセメント. 吉井尊藤丸). 添業協會誌, Egē kēkaiji, J. Ceram. Assoc. Japan, 1956, 64, № 720, C79—C83 (япон.)

Дается сравнение состава и свойств пуццоланового цемента R 5212 по японскому стандарту с американским и итальянским пуццолановыми портландцементами. Рассматриваются области применения этого цемента и их свойства. Описываются р-ции, протекающие при твердении пуццоланового цемента.

М. Гусев

**1687. Влияние температуры сушки шлака на свойства доменного цемента.** Курдовский (Wpływ temperatury suszenia żużla na własności cementu hutniczego. K u r d o w s k i Z d z i s ł a w), Cement, Wapno, Gips, 1954, 19, № 8—9, 201—207 (польск.)

Рассмотрено влияние на свойства гранулированного доменного шлака его хим. и минералогич. составов и структуры. При сушке гранулированного доменного шлака нагревание его до высокой т-ры может привести к его расстекловыванию, так как в этих условиях создается возможность возникновения центров кристаллизации, а также дальнейшего роста уже имеющихся элементов кристаллич. решетки. Это приводит к изменению физ. свойств шлака. Чтобы установить, какая т-ра сушки гранулированного шлака является «опасной», были проведены опыты, в которых пробы шлака с влажностью 31,27% помещались в металлич. сосуды размером  $40 \times 15 \times 4$  см с перфорированным дном, нагревались в лабор. печи до 150—800° и выдерживались в течение заданного времени при максим. т-ре, а затем охлаждались. Полученные продукты исследовали следующим образом: 1) готовили из шлака (с добавкой портландцементного клинкера) доменный цемент и

определяли его прочность на изгиб и сжатие; 2) пробы шлака в виде порошковидных препаратов подвергали исследованию под минералогич. микроскопом; 3) проводили дифференциальный термич. анализ высушенного шлака. Наибольшую прочность на сжатие показали образцы доменного цемента, изготовленные из шлака, подвергнутого нагреванию при 400°. Хорошие показатели прочности на сжатие получены при нагревании шлака в пределах 150—600°. Нагревание шлака до 700 и 800° значительно снизило прочность проб, что, по-видимому, обусловлено изменением физ. свойств шлака (расстекловывание). При выдерживании шлака при 150° прочность образцов возрастала с увеличением времени выдерживания до 17 час., причем с увеличением времени выдерживания до 5 час. наблюдался быстрый рост прочности, а сверх 5 час. прочность возрастала медленно. При 400° наибольшая прочность была достигнута после выдерживания шлака в течение 3 час.; дальнейшее удлинение времени выдерживания привело к снижению прочности образцов (особенно на сжатие). Наилучшие показатели прочности на изгиб получены при нагревании шлака при 150° в течение 5 и 17 час. Значительное снижение гидравлич. свойств шлака в результате его нагревания при испытании на изгиб наступает только при 800°. При исследовании под микроскопом проб шлаков, подвергнутых термич. обработке, установлено наличие в них достаточно большого кол-ва отдельных кристаллов. Однако не было установлено заметной разницы в содержании кристаллов в шлаке, подвергнутом термич. обработке, по сравнению со шлаком, подвергнутом сушке на открытом воздухе. Проведенные испытания прочности и дифференциальный термич. анализ показали, что процесс расстекловывания шлака начинается при нагревании его до т-р  $>700^\circ$ . Следовательно, при сушке шлака в производственных условиях не следует превышать т-ру в 700°, так как это приводит к снижению гидравлич. свойств шлака.

S. A. Sommer

**1688. Технология пластичного шлакового цемента.** Рошак (Technologia plastycznego cementu żużlowego. Roszak Wojciech), Mater. budowl., 1956, 11, № 6, 169—172 (польск.)

Основной гранулированный доменный шлак, измельченный по мокрому способу, поступает в бетономешалку, где смешивается со щебнем, водой и активизатором (портландцемент, гипс, известь или известь+гипс), затем идет на формовку изделий (пустотелых блоков). Приводится подробное описание технологии процесса. См. также рЖХим, 1956, 78861.

Е. Стефановский

**1689. Вязкий материал из торфяных шлаков минских ТЭЦ.** Кисель Н. И., Попова Л. П., Сб. науч. работ. Белорус. политехн. ин-т, 1956, № 55, 98—102

Экспериментально установлено, что из портландцемента марки «300» (25—30 вес. %) и отсеянных торфяных шлаков минских ТЭЦ (крупность зерен  $<0,6$  мм), подвергнутых помолу на шаровой мельнице до полного прохождения через сито № 0085 (100 вес. %), можно получить вяжущее для строительных р-ров марки «50».

Е. Штейн

**1690. Испытание цемента в растеорах пластичной консистенции.** I. П. Туфегджич (Ispitivanje cementa po metodi plastičnog maltera, I. P. Tufegđić Vlastimir), Tehnika, 1956, 11, № 6, 814—818, № 7, 990—994 (сербо-хорв.; рез. франц.)

Рассматриваются существующие методы испытаний и описание их по новому югославскому стандарту за 1955 г. (испытание призм  $4 \times 4 \times 16$  см из р-ров пластичной консистенции на нормальном песке с В/Ц 0,44 для всех цементов). Обращается внимание на необходимость тщательного изготовления образцов и на трудность



достижения их плотности, требуемой стандартом.

Е. Стефановский

II. Приведены результаты испытания образцов на изгиб и сжатие. Автор рекомендует в окончательной редакции стандарта на испытание цемента учесть требования стандартов других стран.

И. Смирнова

1691. Цементная футеровка стальных труб. Рутле (Utforing av jern-og stålrør med cementmørtel. Rutle J. O. H. S.), Tekn. ukebl., 1956, 103, № 26, 597—600 (норв.).

Исследованы три цементных р-ра, которыми футерованы отрезки труб, состава (в ч.): цемента 1 и кварцевого песка 1,5; цемента 1, дробленного известняка 1,5 и чистый цементный р-р без песка. Р-р на кварцевом песке, нанесенный двумя последовательными слоями по 3 и 4 мм, не обнаружил трещин и откалываний от стальной поверхности, а нанесенные слои из других р-ров дали некоторое число трещин и местами отслоились от стальной стенки. Увеличение содержания песка ухудшило качество р-ра. Футеровка одним слоем р-ра недостаточна, так как не защищает стенку трубы от воды.

К. Герфельд

1692. Вращающиеся печи в цементном производстве.

Мика (Piece obrotowe w przemyśle cementowym. Mika Antoni), Cement. Wapno. Gips, 1954, 19, № 7, 159—161 (польск.).

Рассматриваются 2 конструкции вращающихся печи для обжига цемента: сварные и на заклепках. Анализируя достоинства и недостатки каждой из этих конструкций, автор приходит к выводу, что сварные печи благодаря своим преимуществам (возможность применять водяное охлаждение зоны обжига, изготовление печей в заводских условиях, быстрый ремонт) вытеснят печи клепаной конструкции.

С. А. Sommer

1693. Сепарационные и комбинированные мельницы. Бёрнер (Noch einmal: Sieb- oder Verbundmühle? Börner H.), Zement-Kalk-Gips, 1956, 9, № 4, 153—170 (нем.; рез. англ., франц.).

Рассматриваются два типа мельниц: сепарационные, в которых готовый продукт определенной тонкости помола извлекается только из сепаратора (С), при этом возврат из С поступает на вторичный помол, и комбинированные, в которых готовый продукт извлекается одновременно как из С, так и из последней мельницы (или камеры мельницы), размалывающей возврат из С, или же только из последней мельницы (или камеры мельницы). В 1-м случае С предназначен для регулирования тонкости помола готового продукта, во 2-м — для регулирования тонкости помола промежуточного продукта, поступающего на окончательный помол. Комбинированные мельницы имеют преимущество при твердом сырье сравнительно однородной крупности. Сепарационные мельницы экономичны при неоднородной крупности исходного сырья. Зерна цемента после помола на сепарационной мельнице имеют размеры 10—30 м.

Е. Штейн

1694. О снижении издержек производства цемента. Бolkовский (W jaki sposób można obniżyć koszty produkcji cementu. Bolkowski Jerzy), Cement. Wapno. Gips., 1956, 12, № 6, 151—152 (польск.).

Приводятся опыт Магнитогорского з-да по экономии материалов и топлива и по механизации вспомогательных работ.

Е. Стефановский

1695. Исследование к статье: Вебер «Определение степени декарбонизации по составу отходящих газов в зонах подогрева вращающихся печей» (Berichtigung. Weber P.), Zement-Kalk-Gips, 1955, 8, № 4, 152 (нем.).

К РИХИм, 1956, 29873.

1696. Оценка гранулированного шлака как обогащающей добавки к естественным пескам в цементобетоне.

Лещинский М. Ю., Завод. лаборатория, 1956, 22, № 6, 698—700

При оценке доменного шлака (Ш) рекомендуется наряду с определением модуля основности  $M_0$  и об. веса  $\gamma_0$  ввести новые характеристики: коэфф. пористости  $K_p$  и коэфф. крупности  $K_k$ :  $K_p = P_2/P_1$ , где  $P_1$  — пустотность и пористость Ш, равная  $(\gamma_0 - \gamma_0')/\gamma_0$ ;  $P_2$  — пустотность и открытая пористость гранулированного Ш, определенная в сосуде путем заполнения пустот водой;  $\gamma_0$  — уд. вес;  $K_k$  — отношение модуля крупности Ш, подвергнутого стандартному трамбованию (дроблению), к модулю крупности исходного Ш. Трамбование осуществляется в цилиндре диам. 100 мм, высотой 197 мм. Ш засыпается отдельными слоями, каждый в одну треть высоты цилиндра. Каждый слой уплотняется 30 ударами трамбовки весом 2,5 кг, падающей с высоты 30 см.

Е. Штейн

1697. О влиянии свободной извести, содержащейся в портландцементе, на стойкость бетона против агрессивных вод. Мейер-Грольман (Über die Bedeutung des freien Kalkes im Portlandzement für die Widerstandsfähigkeit des Betons gegen aggressive Einwirkungen. Meier-Grolman F. W.), Zement-Kalk-Gips, 1956, 9, № 1, 15—28; № 2, 58—71 (нем.; рез. англ. франц.).

Обобщающие статьи, публикуемые в порядке дискусии и посвященные результатам длительного изучения поведения бетонов на основе американских цементов при нахождении их в агрессивных средах, в частности в грунтах с большим содержанием сульфатов. Установлено значительное влияние свободной извести, содержащейся в портландцементе, на стойкость бетона против агрессивных влияний. Предельно допустимое кол-во свободной  $CaO$  составляет 0,5% (от веса цемента в бетоне) для бетонов содержанием цемента до 300 кг/м<sup>3</sup>. При увеличении расхода цемента 400 кг/м<sup>3</sup> бетоны становятся, вследствие большей плотности, менее чувствительными к повышенному содержанию  $CaO$ . Предельно допустимое содержание  $CaO$  в портландцементе составляет 6%. Указывается, что выделяющийся при гидролизе цементных зерен гидрат окиси кальция защищает от агрессивных воздействий оболочкающим слоем геля гидросиликатов кальция. В качестве наиболее эффективного метода контроля стойкости цемента и бетона рекомендуется определение динамич. модуля упругости по звуковому методу. На основе современных теоретич. представлений о процессе твердения цемента предлагается характеризовать стойкость цементов модулем агрессивности  $A$ , подсчитываемым по ф-ле:  $A = [C_2S + C_3S + C_4AF]/[CaO_{св} + C_3A + K_2O + CaCO_3]$ . Чем больше величина  $A$ , а также чем больше плотность бетона, тем больше стойкость бетона. Отмечается, что в условиях сильной хим. агрессии защитное влияние порообразующих добавок незначительно. Рекомендуется следующий оптимальный состав портландцементов (в %):  $C_2S$  50,  $C_3S$  < 45,  $C_4AF$  6, свободная  $CaO$  < 0,5,  $C_3A$  5—6, щелочи 1,  $CaSO_4$  3,5.

Е. Штейн

1698. Взаимодействие силикатов кальция с кремнеземом при гидротермальном твердении. Бутт Ю. М., Рашкович Л. Н., Данилова С. Г., Докл. АН СССР, 1956, 107, № 4, 571—574

На основании данных термич. и хим. анализов, а также прочностных испытаний, объясняется механизм взаимодействия  $Ca_2S$  и  $Ca_3S$  с песком при гидротермальной обработке. Максим. прочность образцов, изготовленных из  $Ca_2S$  и  $Ca_3S$ , соответствует максим. содержанию в них гидросиликата кальция с основностью 0,9. Оптимальное кол-во вводимой добавки кристаллич. кремнезема, обеспечивающее максим. содержание гидросиликата с основностью 0,9, зависит от типа силиката, ре-

жима автоклавной обработки, и, очевидно, от тонкости помола силиката и песка. Повышение давления с 8 до 16 атм снижает максимальную возможную прочность образцов и уменьшает оптимальное кол-во песка. Прочность образцов из  $\beta$ - $\text{C}_2\text{S}$  и песка (оптимального состава) в 2,5 раза выше прочности образцов из  $\text{C}_3\text{S}$  и песка. Авторы считают, что, меняя дозировку песка и режим автоклавного твердения, можно на битовом клинкере с добавкой песка получить бетонные и железобетонные изделия, не уступающие по прочности изделиям на алевитовом цементе.

Г. Копелянский  
1699. Использование гамма-лучей для проверки уплотнения жестких бетонов. Сорокер В., Вайншток И., Кайсер Л. Стронт. материалы, изделия и конструкции, 1956, № 5, 18—20

Экспериментально установлена примолинейная зависимость между остаточной интенсивностью пучка  $\gamma$ -лучей, прошедшего через исследуемую бетонную смесь (оценивается кол-вом импульсов, воспринимаемых счетчиком Гейгера — Мюллера) и степенью уплотнения (об. весом) этой смеси. Предлагается оценивать степень уплотнения смеси путем использования  $\text{Co}^{60}$ .

Е. Штейн  
1700. Рентгенография и радиография бетонных конструкций. Хёниг (Roentgenografie a radiografie betonových konstrukcí. Hönig Arnošt), Inžen. stavby, 1956, 4, № 6, 254—261 (чеш.; рез. русс., нем.)

Подтверждается возможность использования рентгеновских и  $\gamma$ -лучей в изучении бетона. Исследования на стройках требуют применения аппаратов облегченного веса. Могут быть применены следующие радиоизотопы: радий, радон, технич. мезоторий и искусств. —  $\text{Co}^{60}$ ,  $\text{Ta}^{182}$ ,  $\text{Ir}^{192}$ ,  $\text{Cs}^{137}$ . Возможна простая и стереометрич. съемки на пленку. В качестве защитного от излучения материала рекомендуется баритовый бетон.

Е. Стефановский  
1701. Инфракрасный прогресс в производстве бетона. Спектор Б. В., Бетон и железобетон, 1956, № 7, 264—266

Перед ИК-прогревом бетона (Б) обязательно предварительное выдерживание отформованных изделий в течение 1—2 час. Оптимальная т-ра прогрева при использовании портландцемента и шлакопортландцемента 90°. Подъем т-ры должен быть возможно быстрым; интенсивный подъем т-ры не оказывает вредного влияния, так как отсутствуют внутренние напряжения, возникающие при образовании встречных токов воды, пара и воздуха, что имеет место при пропаривании Б. Целесообразная длительность изотермич. прогрева составляет 2—4 часа, что обеспечивает получение 50—70% проектной прочности Б. Применение хлористого кальция столь же эффективно, как и при пропаривании Б. Для предотвращения обезвоживания Б необходимо применение закрытых форм или покрытие открытой поверхности Б пленкой растворимого стекла. Последующее нарастание прочности Б происходит так же, как и после пропаривания. Описывается применение прогрева ИК-лучами при изготовлении многослойных плит перекрытий. Расход электроэнергии составил 147 кат-ч/м<sup>3</sup> Б. Возможно понижение расхода энергии до 120 кат-ч.

Е. Штейн  
1702. Метод определения содержания цемента в пластичном бетоне. Хайм, Уиллис (A method for the determination of the cement content of plastic concrete. Hime W. G., Willis R. A.), ASTM Bull., 1955, № 209, 37—43 (англ.)

Для выделения и определения содержания цемента (Ц) в свеженеприготовленном пластичном бетоне впервые в лабор. условиях применен способ сепарации Ц с помощью тяжелой жидкости. Тяжелая жидкость должна иметь уд. вес., находящийся в интервале значений уд.

веса Ц и мелкого заполнителя, чтобы Ц мог осаждаться, а заполнитель всплывать. Для ускорения сепарации использовалась центрифуга. В опытах в качестве тяжелой жидкости применялась смесь carbon tetrachloride (уд. в. 1,59) и acetylene tetrabromide (уд. в. 2,96). Уд. вес смешанной жидкости 2,8. Эта жидкость не реагирует ни с Ц, ни с заполнителем. Бетон приготавливался на Ц разных типов, отличающихся по величинам и уд. весам, на разных заполнителях и с различным содержанием Ц. В качестве добавок применялась также золунос. Приводится описание методики опытов и полученных результатов, которые показали достаточную надежность этого метода.

П. Зильберфарб  
1703. Проблема бетона, содержащего воздухововлекающие добавки, в строительной технике. Мушиский, Ямрожи (Zagadnienie betonu napowietrzonego w technice budowlanej. Muszyński Władysław, Jamroz Zygmunt), Mater. budowl., 1955, 10, № 8, 211—218 (польск.)

Рассмотрена структура аэрированного бетона, а также влияние вовлеченного воздуха на свойства бетонной массы и проницаемость бетона и его сопротивление замораживанию. Приведены результаты опытов, целью которых являлось исследование различных отходов пром-сти Польши, которые могли бы быть использованы в качестве сырья для получения воздухововлекающих добавок (ВД). В качестве исходных сырьевых материалов были использованы: а) нафтеновое мыло и сульфатон — отходы нефтеперерабатывающей пром-сти; б) древесные пеки, получаемые при сухой перегонке древесины; в) отходы целлюлозно-бумажной пром-сти, такие как сульфитные щелоки, сульфитно-спиртовая барда, канифольные мыло и клеи, лигнин. Установлено, что ВД, приготовленные на основе отходов целлюлозно-бумажного произ-ва, дали по сравнению со всеми перечисленными добавками, наиболее положительные результаты. Оптимальное содержание добавки находится в пределах 0,1—0,25% в пересчете на сухое в-во по отношению к весу цемента. Существует достаточно тесная зависимость между поверхностным натяжением воды затворения и кол-вом введенного воздуха и свойствами бетона. Результаты исследования прочности на сжатие образцов, изготовленных из р-ров и жирных бетонов (~300 кг цемента на 1 м<sup>3</sup> бетона), показали снижение прочности в возрасте 28 дней в размере 4—5% на каждый процент дополнительно введенного воздуха. При введении добавок рост прочности жирного бетона замедляется. Образцы из тощего бетона (<200 кг цемента на 1 м<sup>3</sup> бетона) с добавками показали значительно более высокую прочность, чем образцы из того же тощего бетона, не содержащие добавок. ВД оказывают весьма благоприятное влияние на свойства тощих бетонов. Удобообрабатываемость тощего бетона при введении добавок почти не отличается от удобообрабатываемости жирных бетонов. Поперечное замораживание и оттаивание оказывает значительно меньшее влияние на прочность жирного р-ра и жирного бетона, содержащих добавки, по сравнению с теми же р-рами и бетонами, не содержащими добавок.

С. Кржембинский  
1704. Свойства бетона высокой плотности, приготовленного с заполнителем из железа. Дейвис, Браун, Уиттер (Properties of high-density concrete made with iron aggregate. Davis Harold S., Browne Frederick L., Witter Harry C.), J. Amer. Concrete Inst., 1956, 27, № 7, 705—726 (англ.)

Использование ядерной энергии привело к широкому применению бетона (Б) для устройства экранов в целях защиты обслуживающего персонала от радиации и воздействия ядерных частиц. Наиболее дешевым Б для защитных экранов является обычный Б на кварцевом песке и гравии или щебне с об. в. 2400 кг/м<sup>3</sup>.

Для уменьшения толщины стен экрана изготавливается более тяжелый Б с использованием более тяжелых заполнителей. Описываются опытные данные, характеризующие физ.-мех. свойства Б и р-ра, приготовленного на тяжелых заполнителях — лимоните (буром железняке), гетите (игльчатой железной руде), магнетите (магнитном железняке) и железе в виде лома или стальной дробы. Б, приготовленный из естественных тяжелых заполнителей, характеризовался об. в. 2960—3600 кг/м<sup>3</sup>, а на лимоните и ломе железа 4368 кг/м<sup>3</sup>. Стоимость Б с использованием лома железа в 6 раз превышает стоимость Б на естественных заполнителях — магнетите и лимоните. Проверялось два способа приготовления и уплотнения Б. По одному способу в формы вначале укладывался и уплотнялся заполнитель, а затем пустоты между частицами заполнителей заливались (нагнетанием) р-ром. Р-р приготавливался из цемента, молотого лимонита и добавки, которая облегчает нагнетание р-ра, замедляет сроки схватывания и уменьшает усадочные деформации цемента. По второму способу Б как обычно приготавливался совместным перемешиванием всех составляющих его материалов. Уплотнение Б в этом случае производилось вибрацией. Изучались следующие свойства Б: термич. проводимость, усадка, коэфф. расширения и структурные свойства при обычных и высоких т-рах (для бетона 85°, для р-ра 85, 200, 350 и 600°). Данные опытов показывают, что для защитных экранов могут быть использованы тяжелые заполнители, содержащие железо, с приготовлением и уплотнением Б обоими упомянутыми способами. Отрицательное влияние высоких т-р сказывается в большей степени для р-ров, приготовленных на более мелких песках и при больших значениях В/Ц.

П. Зильберфарб

1705. К вопросу о структурных напряжениях в бетоне. Хенк (Betrachtung über Gefügespannungen im Beton. Henk B.), Zement-Kalk-Gips, 1956, 9, № 3, 111—120 (нем.; рез. англ. франц.)

При определении несущей способности бетонных и железобетонных конструкций бетон рассматривают обычно как идеальное тело, подчиняющееся законам сопротивления материалов. Однако при оценке долговечности бетона при наличии температурно-влажностных влияний необходимо учитывать, что бетон состоит из двух компонентов — цементного камня и заполнителей, отличающихся друг от друга упругими свойствами, величинами усадки и набухания, а также величиной температурного расширения. Это обуславливает появление в бетоне внутренних (структурных) напряжений при его нагреве и охлаждении, увлажнении и высыхании. Несомненно также возникновение в бетоне дополнительных напряжений при его нагружении вследствие различной степени упругости цементного камня и заполнителей. Проведено теоретич. исследование внутренних сил, влияющих на структурные изменения в бетоне, причем для упрощения расчета элементарная структурная ячейка представлена шарообразной с ядром из зерна заполнителя и оболочкой из цементного камня. Предположено также, что компоненты бетона сами по себе изотропны и изменения их свойств в результате температурно-влажностных влияний происходят независимо друг от друга. Приводятся ф-лы для определения величин внутренних напряжений в структурном элементе под влиянием внешнего гидростатического давления и вызываемых ими деформаций, выведенных на основе теоретич. воззрений Тимошенко.

Е. Штейн

1706. Исправления к статье: Граф «Исследование в области тепловлажностной обработки бетона». (Errata. Graf O.), Cement, 1955, 7, № 9—10, 249—250 (голл.)

К РЖХим, 1956, 44041.

1707. Обработка цемента и бетона полисилоксаном. П. Бринк (Behandeling van cement en beton met siliconen (II). Brink J. C. M. van den), Cement, 1955, 7, № 1—2, 8—9 (голл.)

Рекомендуется обработка поверхности цементных и бетонных сооружений р-ром полисилоксановых смол, образующих гидрофобную пленку. Сообщение I см. РЖХим, 1956, 66559.

К. Герцфельд

1708. Некоторые особенности технологии газобетона.

Куприянов В., Строит. материалы, изделия и конструкции, 1956, № 5, 11—13

Описание применяемых за рубежом, а также в СССР газообразователей и способов стабилизации ячеистой структуры. Приводятся данные по влиянию на качество ячеистых бетонов их состава, вида цемента и режима тепловлажностной обработки.

Е. Штейн

1709. Новый метод определения напряжений растяжения. — (New method of making tensile tests. —), Cement and Lime Manufact., 1956, 29, № 3, 37—40 (англ.)

Испытание бетона на сжатие и растяжение проведено на цилиндрич. образцах диам. 15 и 10 см и высотой 30 и 20 см. Испытание на сжатие производилось обычным способом. Испытание на растяжение производилось на том же прессе, но цилиндры укладывались между подушками пресса в положении, перпендикулярном принятому при испытании цилиндров на сжатие. Между верхней и нижней подушками пресса и образцом прокладывались широкие пластины из дерева или другого материала в целях создания упругого основания. При передаче нагрузки в вертикальной плоскости цилиндра создаются напряжения растяжения. Проведены исследования по определению влияния размеров цилиндров на прочность их при сжатии и растяжении. Бетонные образцы приготавливались на разных цементах, хранились в различных условиях и испытывались в разные сроки. Размер образцов не оказал заметного влияния на их прочность. Было проведено сопоставление прочности бетона на растяжение с прочностью на изгиб. Прочность на растяжение определялась в образцах цилиндров диам. 15 см, а прочность на изгиб — в образцах балок длиной 60 см, площадью 10 см<sup>2</sup>. В этих испытаниях обнаружилась тенденция уменьшения соотношения между прочностью на растяжение и на изгиб и увеличением прочности образцов.

П. Зильберфарб

1710. Обзор достижений и дальнейшего развития технологии бетона. Кавана (Concrete technology progress and developments reviewed. Cavanagh K. J.), Constr. Rev., 1955, 28, № 7, 28—31

Builder (Austral), 1956, 33, № 14, 5—7, 9—10 (англ.)

За последние 20 лет особенно интересными достижениями в технологии бетона (Б) являются: применение смешанных и пуццолановых цементов, изготовление Б на легких заполнителях, тенденция к получению Б более высокого качества, изготовление готовых деталей, изготовление архитектурного Б с отделкой поверхности. Автором приведены данные о развитии технологии Б в указанных выше направлениях в США и о фактич. и перспективном развитии этих вопросов в Австралии. В США пуццолановые цементы или пуццолановые добавки в Б используются в тощих смесях при бетонировании массивных конструкций (плотин, мостовых устоев), в гидротехнич. сооружениях, в строительстве каналов и трубопроводов, в подводных сооружениях в целях снижения теплоты гидратации цемента, повышения водонепроницаемости Б и его сопротивления против воздействия агрессивной среды. В США пуццолановые цементы и пуццолановые добавки используются также как одно из средств борьбы с разрушением Б вследствие р-ции щелочей цемента с некоторыми заполнителями (опал и др.). В Австралии пуццолановые цементы найдут свое применение в строительстве мас-



сивных бетонных сооружений. На легком заполнителе можно изготовлять Б прочностью в возрасте 28 суток 210—280 кг/см<sup>2</sup> при об. весе, равном  $\frac{2}{3}$  веса обычного Б. В настоящее время  $\frac{2}{3}$  общего объема кладки приходится в США на долю Б. Из общего кол-ва бетонных блоков 50% изготовляется на легком заполнителе. В условиях Австралии по экономич. соображениям применение легкого заполнителя в настоящее время может быть ограничено лишь строительством многоэтажных зданий.

П. Зильберфарб

**1711. Поверхностноактивные добавки — основа прогресса бетона и раствора. С а н д а л л** (Surface active agents — the chemical basis of real progress in concrete and mortar. Sandall Malcolm), Master Builder, 1956, 74, № 6, 102—103 (англ.)

Поверхностноактивные добавки за последние годы нашли широкое применение в строительной промышленности, особенно как добавки к бетонам (Б) и р-рам. Поверхностноактивные добавки, применяемые в Б и р-ре, могут быть разделены на три основные группы: смачивающие добавки (СД) для Б, воздухововлекающие добавки (ВД) для Б и р-ра, пенообразователи (ПО) для изготовления легкого ячеистого Б. СД обеспечивают более интимный контакт зерен цемента с водой. Они также уменьшают вязкость цементного теста, что повышает текучесть бетонной смеси и удобоформуемость ее. Применение СД позволяет либо уменьшить значение В/Ц при сохранении заданной удобоформуемости смеси, что приводит к увеличению прочности Б, либо при сохранении В/Ц уменьшить расход цемента на 10—20%. СД вводятся в Б в кол-ве 0,03—1% от веса цемента в зависимости от свойств добавок. ВД широко применяются в США и во многих странах Европы. В США более чем 75% от общего кол-ва Б изготавливается с применением ВД. Установлено, что присутствие в Б 4—6% мельчайших воздушных пузырьков повышает удобоформуемость и морозостойкость Б. Однако введение в бетон ВД снижает в некоторой степени прочность Б. ВД не нашли широкого применения в Англии.

За последние годы стали применять ВД, именуемые «пластификаторами р-ра». Содержание в р-ре 10—20% воздушных пузырьков делает тонкие цементно-песчаные смеси «жирными», что позволяет отказаться от введения в р-р извести. Введение в Б добавок ПО осуществляется двумя методами. По первому смесь цемента (или цемента и песка) энергично перемешивается с ПО и водой. В р-ре образуется пена и перемешивание продолжается до получения материала заданной плотности. По второму методу пена изготавливается отдельно и добавляется в бетономешалку к смеси остальных материалов для дальнейшего совместного перемешивания.

П. Зильберфарб

**1712. Технология бетона. Ленхард** (Synthese betontechnologischer Erkenntnisse. Lenhard Hans), Strassen-und Tiefbau, 1956, 10, № 4, 209—221 (нем. рез. англ., франц.)

Свойства предельно уплотненной системы цемент — вода — заполнитель приведены в виде номограммы. Каждый из компонентов имеет значения от 0 до ∞. Таким образом, в номограмме представляются как реальные, так и мнимые бетонные смеси. Номограмма позволяет определить для предельно уплотненной смеси: весовое и объемное соотношение компонентов, объемное содержание цементного теста, консистенцию цементного теста, цементоводное отношение, предполагаемый объемный вес бетона, отношение цемент : заполнитель, содержание цемента в вес. % от сухих компонентов, содержание воды в вес. % от сухих компонентов, пустотность заполнителей, плотность упаковки зерен заполнителей, пористость цементного камня (после испарения лишней воды), плотность цементного камня, плотность бетона. Учитывая, что прочность предельно

уплотненного бетона зависит от консистенции цементного теста, изолинии В/Ц можно рассматривать как изолинии прочности бетона. Приводятся ф-лы, увязывающие отдельные показатели системы цемент — вода — заполнитель между собой.

Е. Штейн

**1713. Роль золы-уноса в готовых изделиях. Томсон** (Role of fly ash in precast products. Thompson Harry F.), Pit and Quarry, 1956, № 8, 48, № 8, 165—168 (англ.)

При применении золы-уноса (ЗУ) в бетоне особый интерес представляют 2 ее свойства: повышение прочности и удобоформуемости бетона вследствие пуццоланич. активности золы и наличия в ней мельчайших шарообразных частиц стекла. По технич. условиям в золе, используемой для бетона, потери при прокаливании не должны превышать 12%. При повышенном содержании угля в золе ее пуццоланич. активность снижается. Приводятся данные опытов проф. Дэвиса по сопоставлению прочностей бетона с заменой 20% цемента ЗУ, в которой содержание угля составляло 2,20 и 22%. Наибольшие прочности бетона через 7 и 28 суток и через 3 и 12 месяцев получены в случае применения ЗУ с содержанием в ней 2% угля. При нормальных условиях твердения, по данным Дэвиса, замена 20% цемента золой приводила к снижению прочности бетона на 10% через 28 суток и к повышению прочности через 3, 6 и 12 месяцев. Многие з-ды, выпускающие бетонные блоки, используют ЗУ, заменяя ею 25—35% цемента. Несмотря на то, что при применении ЗУ В/Ц увеличивается, прочность блоков при тепловой обработке их паром ( $t_{\text{ра}} < 76^\circ$ ) иногда даже возрастает. Приведены данные о прочности блоков, приготовленных на цемент с добавкой ЗУ в кол-ве 40—50%, при тепловой обработке их паром при атмосферном и повышенном давлениях. Высокая прочность блоков с применением добавки ЗУ указывает технич. и экономич. целесообразность использования ее при изготовлении бетонных изделий.

П. Зильберфарб

**1714. Использование золы-уноса в бетоне. Уэлш** (Use of fly ash materials in concrete. Welch G. B.), Commonwealth Engr, 1956, 43, № 7, 212—218, № 8, 251—254 (англ.)

1. С целью выявления возможности использования местной золы-уноса (ЗУ) в качестве добавки к бетону были проведены опыты по влиянию добавки ЗУ различных австралийских электростанций на водопотребность, прочность и скорость твердения цементного р-ра. Эти испытания, данные хим. анализа и тонкости помола, показали, что местные ЗУ уступают по качеству американским. Установлено, что водопотребность р-ра пропорциональна кол-ву введенной ЗУ и может быть найдена расчетным путем. Скорость твердения при введении ЗУ резко понижается. Припаятая методика исследования влияния добавки ЗУ на расширение р-ра во время твердения исходила из того, что ЗУ, взаимодействуя со щелочами цемента, понизит эффект расширения р-ра, вызываемый р-цией между цементом и заполнителем. В этих опытах в качестве заполнителей использовалось дробленое стекло, а в связи с применением низкощел. цементов щелочь вводилась непосредственно с водой затворения пропорционально кол-ву цемента. Опыты по дожиганию ЗУ и отсеву крупных фракций с целью удаления несгоревших частиц угля показали, что такая простая обработка значительно повысит ее активность.

В. Довжик

II. Зола-унос (ЗУ) как заменитель части портланд-цемента широко используется в США, особенно при строительстве массивных сооружений. В статье описываются исследования свойств местной ЗУ (Сидней) в сопоставлении с ЗУ США. Изучаемая ЗУ характеризуется высоким содержанием  $\text{SiO}_2$  и  $\text{Al}_2\text{O}_3$  и низким содержанием  $\text{Fe}_2\text{O}_3$ . Содержание  $\text{MgO}$  и  $\text{SO}_3$  небольшое, содержание щелочей в пределах 1,25—1,30 в пересчете

на  $\text{Na}_2\text{O}$ . В исследуемой золе в среднем угля больше, чем в золах Чикаго, являющихся наилучшими в США, однако можно получить золу с содержанием угля в допускаемых пределах (10—12% потери при прокаливании). Дисперсность ЗУ имеет не меньшее значение, чем содержание в ней угля. Местная зола характеризуется более крупным зерновым составом, чем зола Чикаго. Гидравлич. активность ЗУ проверялась испытанием ее в р-ре. Исследуемая ЗУ уступала по активности чикагским золам. Повышение активности зол может быть достигнуто уменьшением содержания в ней угля и изменением зернового состава путем отсева. Хотя исследуемая зола по содержанию в ней несгоревшего угля, по зерновому составу, величинам водопоглощения и прочности р-ра уступает лучшим ЗУ США, все же она оказалась пригодной для использования в бетоне. При замене 30% цемента ЗУ к возрасту менее одного года прочность бетона не уступает прочности бетона на одном цементе.

**П. Зильберфарб 1715. Новый высокоогнеупорный бетон.** Янке-лев Л. Ф., Стр-во предприятий нефт. пром-сти, 1956, № 3, 30—32

Приводится описание новой разновидности огнеупорного бетона, предназначенного для службы при  $t$ -рах  $>1000^\circ$  и изготовляемого на основе глиноземистых вяжущих и огнеупорных заполнителей. При использовании шамотного заполнителя и глиноземистого цемента максим.  $t$ -ра применения равняется  $1350^\circ$ . При употреблении в качестве заполнителя силлиманита, хромита, хромомгнезита, карборунда и корунда максим.  $t$ -ра применения на 100—200° выше. При использовании в качестве вяжущего  $\text{C}_3\text{A}_2$  максим.  $t$ -ра применения выше, чем при глиноземистом цементе, примерно на  $250^\circ$ , и достигает  $1700^\circ$ . Срок схватывания нового вяжущего равен 3—4 час. Интенсивность роста прочности такая же, как и у глиноземистого цемента. Усадка под нагрузкой в  $0,5$ — $1,0$   $\text{кг/см}^2$  при  $1600$ — $1725^\circ$  примерно равна 3%, а при использовании в качестве заполнителя плавленного глинозема практически равна нулю. Предельная прочность при сжатии составляет  $175$ — $245$   $\text{кг/см}^2$ . Бетон обладает высоким сопротивлением против истирания. Коэфф. теплопроводности для бетона с корундовым заполнителем ( $\gamma_0 = 2500$   $\text{кг/м}^3$ ) равен  $2,0$  и  $2,8$   $\text{ккал/м}^2 \text{ час град}$  при  $500^\circ$  и  $1500^\circ$ . Коэфф. термич. расширения в интервале  $t$ -р от нуля до  $1400^\circ$  равен от  $2,5$  до  $5,0 \cdot 10^{-6}$  на  $1^\circ$ . Термостойкость бетона исключительно высокая. Расход вяжущего составляет в зависимости от зернового состава заполнителя  $400$ — $480$   $\text{кг/м}^3$  и заполнителей —  $1,2$   $\text{м}^3/\text{м}^3$  бетона. Бетон применяется для огнеупорной футеровки металлургич. печей, нагревательных колодцев и разных трубчатых печей с особыми температурными условиями службы, форсуточных и фурменных блоков, зоны спекания цементно-обжигательных вращающихся печей и пр. Е. Штейн

**1716. Неоднородность бетонных смесей, применяемых для бетонирования шоссе и дорог.**

Часть II. Волеом, Дютрон (L'hétérogénéité des mélanges destinés à l'exécution des chaussées en béton de ciment. Volsom E. van, Dutron R.), Rev. gén. routes et aérodr., 1956, 26, № 291, 65—66, 69—76, 79—84 (франц.)

Исследования производились в лаборатории и на строительстве. В лаборатории изучали влияние типа бетономешалки на степень однородности бетонной смеси. На строительстве исследовали влияние состава бетона на однородность бетонной смеси на выходе из бетономешалки и при укладке. Исследования показали важность получения однородной бетонной смеси во избежание значительных отклонений в удобообрабатываемости, плотности и прочности бетона. Дана оценка трем типам бетономешалок. Установлено, что даже при изготовлении

бетонной смеси в наилучшей бетономешалке, бетонная смесь получается недостаточно однородной. Однако отклонения в составе бетонной смеси не влияют на прочность бетона. Неоднородность бетонной смеси возрастает с увеличением максим. размера заполнителей. Неоднородность бетонной смеси не увеличивается в процессе ее транспортирования с центрального бетонного завода к месту укладки и в процессе укладки в опалубку. Часть I см. РЖХим, 1956, 69222. И. Смирнова

**1717. Исследование результатов испытаний бетонов с применением пудцоланы.** Такахаши (ボゾランを使用したコンクリートの配合試験. 高橋和雄), 岩手大学農学部報告, Иватэ дайгаку ногакубу, хококу J. Fac. Agric. Iwate Univ., 1956, 2, № 4, 494—501 (япон.; рез. англ.)

Исследовалось влияние пудцоланы (П) на удобообрабатываемость и прочность бетона (Б). При замене 10—15% цемента П улучшается удобообрабатываемость Б. Оптимальное кол-во П, вводимой в Б, 20%. Прочность на сжатие Б, содержащего П, в первые сроки твердения (7—28 дней) ниже, чем у Б без пудцоланы, но к 3 месяцам прочность Б с 10—20% П приближается к прочности Б, не содержащего П.

М. Степанова

**1718. Факторы, оказывающие влияние на подвижность бетонной смеси при перекачивании насосами.** Миллер (Factors affecting pumpability of concrete. Miller A. E.), J. Amer. Concrete Inst., 1956, 27, № 7, News Letter, 5—6, 8 (англ.)

Все бетонные смеси, подлежащие перекачиванию насосами, должны быть пластичными и удобоформуемыми. Наиболее удобными для перекачивания считаются те смеси, которые характеризуются пластичностью Sl-5—10  $\text{см}$  по конусу. Однако измерение пластичности бетонной смеси конусом не является надежным показателем удобоформуемости и подвижности ее при перекачивании насосами. При небольшом расходе цемента в бетоне для повышения пластичности его следует увеличить в нем содержание мелкого песка, проходящего через сито 50 и 100 меш. Бетонная смесь, приготовленная на заполнителях хорошего зернового состава, может перекачиваться на большие расстояния и свойства ее при этом не ухудшаются. При плохом зерновом составе заполнителей расстояние, на которое можно перекачивать бетонную смесь, сокращается. Легкие заполнители, адсорбирующие воду, пригодны для использования в бетоне при перекачке бетонной смеси насосами лишь в случае предварительного насыщения их водой. Добавки, повышающие пластичность и удобоформуемость бетона и снижающие водоотделение, увеличивают подвижность бетонной смеси и позволяют перекачивать его на большие расстояния. При введении воздухововлекающих добавок не следует допускать значительного сокращения содержания песка в смеси, так как это может ухудшить ее подвижность. Существенных потерь воздуха и бетонной смеси при перекачивании не происходит. В жаркую погоду во избежание снижения пластичности бетона рекомендуется трубопровод покрывать влажным мешочным полотном. При перекачивании бетонной смеси в холодную погоду ( $6^\circ$  и менее) должны быть приняты меры защиты бетона от охлаждения. Желательно по трубопроводу, раньше чем перекачивать бетонную смесь, пропускать пар или горячую воду.

П. Зильберфарб

**1719. Дискуссия по статье: Макнотон и Хербич «Случайный» воздух в бетоне.** Пью, Скриптер (Discussion on «Accidental», air in concrete» by M. F. Macnaughton John B. Herbieh. Pugh W. L., Scripture E. E., Jr), J. Amer. Concrete Inst., 1955, 27, № 4, Part 2, Disc. 51-13, 284-1—284-2 (англ.)

Бетонная смесь, перемешанная без каких-либо воздухововлекающих добавок, содержала до 14% вовлеченного воздуха, в то же время песок, доставленный из того же месторождения, не обладал воздухововлекающими свойствами. Предполагается, что воздухововлекающие свойства песка одного и того же месторождения зависят от различных условий его хранения и воздействия на него атмосферных осадков и энергии солнца. К РЖХим, 1955, 35109. В. Горшков

**1720. Краткое исследование состава бетонов. Вилагут-Гитарт** (Breve estudio sobre dosificación de hormigones. Vilagut Guitart Fernando), Cemento-hormigón, 1954, 20, № 242, 172—178, № 244, 301—305, № 245, 343—351 (исп.)

Рассматриваются способ и условия вибрирования бетона, отмечается влияние вибрирования на качество бетона.

Предыдущее сообщение см. РЖХим, 1955, 32283.

**1721. Проектирование состава бетона с применением небольшого количества фракций заполнителей. Лемпикский** (Projektowanie betonu z nielicznych frakcji kruszywa. Lempicki Jerzy), Inżynieria i budown., 1955, 12, № 10, 338—343 (польск.)

На основании проведенных опытов утверждается, что наиболее обоснованным методом проектирования состава бетона в случае одновременного проектирования также и зернового состава заполнителей является метод Фори (Faury. Le Béton. Paris, 1946).

**1722. Отчет о морозостойкости бетонов и о выборе состава бетона.**—(Rapport sur la gélivité des bétons et sur la définition de la composition des bétons.—), Rev. mater. constr. et trav. publics, 1956, № 485, 40, 52 (франц.)

См. РЖХим, 1956, 69223.

**1723. Влияние зернового состава и максимальной крупности зерен на прочность бетона. Сиксани** (A szemszerkezet és az alkalmazott legnagyobb szemnagyság hatása a beton szilárdságára. Szikszay Gerő), Építőanyag, 1955, 7, № 6, 226—230 (венг.)

**1724. Бетон с добавлением сульфитной барды. Шмит** (Beton z dodatkiem wywaru siarczynowego. Szmit Andrzej), Mater. budowl., 1956, 11, № 6, 188—189 (польск.)

Добавление сульфит-целлюлозной барды к бетону повышает его пластичность и усиливает сцепление с арматурой, понижает его водопоглощение, замедляет схватывание и твердение, уменьшает усадку, увеличивает водонепроницаемость и уменьшает об. вес. Приводятся указания о порядке применения сульфитно-целлюлозной барды. Е. Стефановский

**1725. Практика введения воздуха в бетон на основе портландцемента. Бургоа** (Práctica de la Incorporación intencional de aire al hormigón de cemento Portland. Burgoa Guillermo N.), Construcciones, 1955, 11, № 5, 145—158 (исп.)

**1726. Способы уплотнения бетона, в частности, способы и оборудование вибрационного уплотнения. Хорш** (Betonverdichtungsverfahren insbesondere Rüttelverdichtung und Rüttel-einrichtung. Horsch A.), Baustein-Ztg, 1956, 22, № 4, 187—189 (нем.; реж. англ., франц.)

Рассматриваются методы повер постного, наружного и станочного (объемного) вибрирования. Указывается, что вибрирование с частотой 3000 колебаний в 1 мин. на виброплощадках сверх 30 сек. неэкономично, так как не приводит к повышению плотности и прочности. Особое внимание уделяется нагружению поверхности уплотняемого изделия дополнительным грузом и качеству форм. В частности, указывается, что деревянные формы при вибрации амортизируют колебания,

придаваемые бетонной смеси, и поглощают большую часть энергии виброустановки. Е. Штейн

**1727. Легкий бетон из шлакового раствора. Терещенко В., Неклюдова Г., Стронт**, материалы, изделия и конструкции, 1956, № 6, 29—30

Установлена возможность получения виброуплотненных пеноактивизированных легкобетонных изделий с об. весом в высушенном состоянии 1040—1620 кг/м³ и пределом прочности при сжатии 7—152 кг/см² при расходе портландцемента 68—123 кг/м³, извести 26—38 кг/м³, активизированного на бегунах в течение 12 мин. гранулированного доменного шлака 377—683 кг/м³, CaCl₂ 1,5% от веса граншлака и шлаковой пемзы ( $\gamma_0 = 1500 \text{ кг/м}^3$ ) 580—630 кг/м³. В качестве пенообразователя применялся дегтеизвестковый пластификатор «ДИ ЮЖНИИ». Е. Штейн

**1728. О выборе методов уплотнения в производстве известково-песчаных автоклавных бетонов. Болквадзе Л. С.** (იპრობებზე ავტოკლავური ბეტონების წარმოებაში შემკვრივების მეთოდების შერჩევის შესახებ. ბოლქვაძე ლ.), საქ. სსრ მეცხ. აკად. მოხაზბ., 1956, 17, № 2, 119—125 (груз.; русс.)

Исследовано влияние методов уплотнения на прочность и плотность известково-песчаных автоклавных бетонов, изготовляемых как на гидратной, так и на молотой негашеной извести. Установлено, что по степени эффективности методы уплотнения располагаются в следующем порядке: центрифугирование, прессование, вибрирование, трамбование, литье. Рекомендуется применять метод центрифугирования при произ-ве несущих элементов (фундаментных блоков, пустотелых колонн и столбов, балок и т. д.) и профилированных изделий (ступеней, труб, и т. д.), к которым предъявляются повышенные требования по прочности и плотности. Методы вибрирования и литья рекомендуется применять при произ-ве крупногабаритных изделий с пределом прочности при сжатии 100—400 кг/см², метод прессования — при произ-ве мелких изделий простой конфигурации (фасадные плиты, плиты для полов и др.); метод трамбования при произ-ве изделий из известково-песчаных автоклавных бетонов применять не рекомендуется. Е. Штейн

**1729. Бетонные блоки на портландцементе в плотине. Андерсен** (Portland-cement-beton i havvand. Andersen I.), Beton-teknik, 1956, 22, № 1, 37—41 (дат.; реж. англ.)

В Дании в 1899 г. была выстроена плотина с возведением некоторых элементов ее, предназначенных для службы в морской воде, из бетонных блоков с применением портландцемента, изготовленного либо в Германии, либо в Дании. В 1954 г. при реконструкции плотины было обнаружено, что блоки хорошо сохранились и могут быть вновь использованы в строительстве этой плотины. Автор считает, что повышению долговечности бетонных блоков в морской воде способствовало предварительное поддержание их в воде. среде на протяжении 4 месяцев. П. Зильберфарб

**1730. Легкие бетоны на искусственных заполнителях. Корнилов Ю. Е.**, Бюлл. техн. информ. Гос. ком-т Сов. Мин. УССР по делам стр-ва и архитект., 1956 № 1, 25—27

Экспериментально установлено, что при использовании прочных и дешевых заполнителей прочность бетона продолжает возрастать. Существуют 3 основных вида разрушения бетонов, зависящие от величин прочности цементного камня (р-ра), заполнителей и силы сцепления между ними. Е. Штейн

**1731. Подбор оптимального содержания песка в смеси заполнителей для бетона на основе предельных кривых их просеивания. Малиновский** (Dobór optymalnej ilości piasku w kruszywie do betonu w oparciu o graniczne krzywe przesiewu. Malinowski



Roman), Inz-ia i budown., 1955, 12, № 10, 333—337 (польск.)

Предлагается способ подбора оптимального содержания песка в смеси заполнителей для бетона с учетом факторов, рассмотренных в работах шведского исследователя Нильса Одемарка и английского исследователя Х. Смита. Способ использует общепринятые и предположенные нормами предельные кривые просеивания заполнителей и связывает оптимальное содержание песка с видом бетона, его прочностью и консистенцией бетонной массы.

С. Кржеминский  
1732. Прочность бетона во влажной среде. Бончек (Wytrzymałość betonu w środowisku wilgotnym. Bączek Zenon), Inz-ia i budown., 1955, 12, № 10, 332—333 (польск.)

1733. Домениные плаки в огнеупорных бетонах. Целуйко М., Лаврентьев С., Строит. материалы, изделия и конструкции, 1956, № 6, 20—21  
Проведено исследование огнестойкости отвалных домениных плаков (ОДШ) следующих разновидностей: остеклованного, пористого и плотнокристаллич., а также, для сравнения, гранитного и шамотного щебня. Прочность ОДШ при воздействии т-р до 900° увеличивается, что объясняется кристаллизацией шлакового стекла и криптокристаллич. в-ва и увеличением вязкости шлакового камня. После 5- и 10-кратного обжига при 900° прочность бетона на ОДШ уменьшается почти в той же степени, как и в случае шамотного заполнения. Огнеупорные бетоны для т-р до 900° изготавливаются в настоящее время только с ОДШ. Состав бетона марок от «100» до «140» (в объеме. ч.): портландцемент «40С» 1,0, тонкокомолотый граншлак 0,4, отсеб ОДШ крупностью до 5 мм 1,8—2,0, ОДШ крупностью 5—40 мм 2—2,4.

В. Злочевский  
1734. Вклад промышленности строительных материалов в индустриализацию строительства. Керамические заполнители для легких бетонов. Шетцер (Beiträge der Baustoffindustrie zur Industrialisierung des Bauens. Keramische Zuschlagstoffe für Leichtbeton. Schätzer Léon), Silikattechnik, 1956, 7, № 6, 224—226 (нем.)

Свойства и технология произ-ва искусств. пористых заполнителей: вспученных шлаков и глиня (керамзита) и обожженных керамич. пустотелых гранул (глобулита).

Е. Штейн  
1735. Смешивание мелкого и крупного песка. Чатурведи, Гупта, Миттал (Blending fine with coarse sand. Chaturvedi D. C., Gupta G. C., Mittal S. K.) Indian Concrete J., 1956, 30, № 2, 46—48 (англ.)

Проведены опыты по изучению влияния смеси мелкого и крупного песка в различных соотношениях на прочность р-ра и бетона. В опытах использовалась одна проба крупнозернистого песка (модуль крупности 3,47) и две пробы мелкого песка (модуль крупности 0,56 и 1,8), не рекомендуемые для использования в бетоне и даже в р-ре. Для каждой пробы песка (естественного и полученного смешением) определялись об. вес, пустотность, зерновой состав и модуль крупности, а также прочность р-ров составов 1:3 и 1:6 (цемент:песок) и бетона разных составов (В/Ц=0,575—0,725) в возрасте 28 суток. Опыты показали, что использование смешанных в надлежащей пропорции песков повышает плотность, удобоформируемость и прочность р-ра и бетона и одновременно снижает его стоимость.

П. Зильберфарб  
1736. Сцепление битумных покрытий с огрунтованными бетонами. Мазур, Карабон (Przyczepność powłok bitumicznych do betonów gruntowanych. Mazur Stanisław, Karabon Bohdan), Mater. budowl., 1955, 10, № 2, 44—46 (польск.)  
Были проведены опыты, имевшие целью усилить

сцепление битумных покрытий с влажным бетоном путем покрытия (огрунтовки) поверхности бетона омыленной горной смолой и р-ром горной смолы в бензоле. Горная смола является составной частью битума бурого угля. Битумы, полученные из польских бурых углей, содержат 30—65% смол. Горная смола представляет собою отход произ-ва, получаемый при очистке горного воска. Исследования проводились на образцах-восьмерках из цементного р-ра состава 1:3. При изготовлении восьмерок в формы, в наиболее узкой их части, закладывали перегородки из жести, что позволяло получать одновременно 2 половинки восьмерки. Эти половинки в дальнейшем склеивались строительным битумом. Опыты показали, что грунтовка омыленной горной смолой и бензоловым р-ром горной смолы значительно повышает сцепление строительного битума с влажным бетоном.

С. Кржеминский  
1737. Новый изоляционный материал. Либерман А., Строит. материалы, изделия и конструкции, 1956, № 6, 28—29

Шерстобетон — новый изоляционный материал, изготавливают из гранулированной минер. ваты и вяжущих: цемента, гипса, глины. Об. вес шерстобетона на цемент составляет 500—700 кг/м³, его коэфф. теплопроводности 0,12—0,16 ккал/м час град, предел прочности при сжатии 5—10 кг/см², влажность 7%, водопоглощение 60—65%. Расход материалов для изготовления шерстобетона с об. в. 600 кг/м³: гранулированная вата 300—310; цемент 200, мелкий песок 80—100, вода 580—600. Изделия из шерстобетона изготавливаются в формах. Твердение происходит при т-ре 15—20° в течение 3—4 дней.

И. Берней  
1738. Опытная станция предварительно напряженного бетона. Каифаш (Stacja doświadczalna betonu sprężonego. Kajfasz Stanisław), Inz-ia i budown., 1956, 13, № 5, 201—205 (польск.)

1739. Предварительно напряженный бетон. Райт (Prestressed concrete. New developments here and abroad. Wright C. E.), Rock Prod., 1956, 59, № 2, 196, 200, 204, 206, 208, 210 (англ.)

Отчет о конференции по предварительно напряженному бетону в США.

В. Злочевский  
1740. Эксплуатация бетонных заводов. Николсон (Plant maintenance. Nicholson Jas A.), Rock. Prod., 1956, 59, № 2, 187—188, 190, 194 (англ.)

Рассмотрены некоторые вопросы эксплуатации бетонных з-дов.

В. Злочевский  
1741. Автоматический бетонный завод. Ленхарт (Push — button ready mixed concrete batching plant. Lenhart Walter B.), Rock Prod., 1956, 59, № 2, 180—181 (англ.)

1742. Бетономешалка для густой бетонной смеси (по данным советских журналов). Хигути, Кадакикава (かた練りコンクリート用ミキサ. 連続新聞の投書欄から. 樋口芳朗, 梶川温彦), セメントコンクリート, Сэмэнто конкүрито, Cement and Concrete, 1956, № 111, 32—34 (япон.)

1743. Теплостойкость веществ, повышающих качество асфальта. Лиссант, Фара (Heat stability of typical asphalt antistripping compounds. Lissant Kenneth J., Farr Allen H.), Industr. and Engng. Chem., 1955, 47, № 11, 2276—2278 (англ.)

В дорожном строительстве применяются добавки к асфальту, дающие возможность покрывать влажный грунт и увеличивающие устойчивость связи между асфальтом и гравием к действию влаги. При укладке эти добавки подвергаются длительному действию высокой т-ры. Изучено влияние нагревания до 92—100° в течение 1—7 суток на свойства добавок: аминокислотного кокосового масла (I); эфира таллового масла и триэтил-

воламина (II); димыла таллового масла и этиленгликоля (III); смеси димыла и диамиды таллового масла и этилендиамиды (IV); продукта р-ции жирной к-ты и оксизилэтилендиамиды (V) и ряда других выпускаемых промышленностью добавок. Наибольшая теплостойкость обнаружена у II и V; действие III и IV сильно ослабляется после нагревания. Ослабление действия добавок связано с их разложением при высокой т-ре и их р-циями с компонентами асфальта (сильнее в смесях с асфальтами, имеющим более кислый характер). И. Слоним

**1744 К. Портландцемент. Химия производства портландцемента.** I. Каллаунер (Portlandcement. A portlandcement gyártási kémiája. I. Kallauer O. Ford. Budapest, E. M. Dok. Váll., 1955 [1956], 125 l.) (венг.)

**1745 К. Проектирование состава бетона.** Кляз, Эйман (Projektowanie betonów. Kłuz Tomasz, Eymann Krystian. Warszawa, Budown. i Architekt., 1954, 200 s.) (польск.)

Излагается метод точного определения состава бетона по аналитически-эксперим. способу, основанному на общих принципах технологии бетона и оригинальных исследованиях, выполненных В. Пашковским. В основу метода кладут эксперим. определение удобообрабатываемости бетона с учетом кол-ва пустот в свежей бетонной массе и их влияния на прочность бетона. Работа предусматривает проектирование состава высокопрочного бетона для предварительно напряженных конструкций и для изделий заводского изготовления. J. Nechay

**1746 К. Железобетон.** Геррен (Traité de béton armé. Guerrin André-Louis. Paris. Dunod., 1955, xii. 316, p., ill., 2700 fr.) (франц.)

**1747 Д. Влияние химических примесей в карбонатном сырье на скорость седиментации шламов, полученных при каустификации содовых растворов известью.** Ривный Б. С. Автореф. дисс. канд. техн. н., Днепропетр. хим.-технол. ин-т, Днепропетровск, 1956

**1748 Д. Экспериментальное исследование возможности регулирования свойств газобетона.** Ерофеева Е. А. Автореф. дисс. канд. техн. н., Моск. инж.-строит. ин-т, М., 1956

**1749 Д. Изучение структурно-механических свойств строительных растворов.** Янгалькович В. Ф. Автореф. дисс. канд. хим. н., Ин-т химии АН БССР, Минск, 1956

**1750 П. Производство состава для вспенивания цементных растворов.** Судзуки (セメント起泡劑製造法. 鈴木信一) Судзуки Синъити. Япон. пат. 4938, 09.08.54

В качестве пенообразователя применяли сульфитный щелок, но добавление к цементу сульфитного щелока даже в небольшом кол-ве весьма сильно затрудняет затвердевание цемента. Известно, что пенообразующая способность сульфитного щелока зависит от содержания в нем лигносульфониксидов и их солей. Таннины, органич. к-ты, альдегиды, сахара и фуниновые в-ва, содержащиеся в сульфитном щелоке, оказывают вредное влияние на гидратацию цемента. Патентуемый метод произ-ва пенообразователя заключается в том, что для устранения указанных выше недостатков к сульфитному щелоку добавляют р-р поливинилового спирта и затем слабый окислитель. Чтобы нейтрализовать всю массу и удалить кислотный остаток  $SO_4$  добавляют карбид кальция или же гашеную известь и затем фильтруют. М. Гусев

**1751 П. Производство белого портландцемента.** Йоснока (白色ポルトランドセメントの製造法. 吉岡

峻一) [小野田セメント株式会社, Онода сэменто кабусики кайся]. Япон. пат. 7591, 18.11.54

Патентуемый метод получения портландцемента повышенной белизны заключается в том, что портландцементный клинкер, нагретый до  $900-1250^\circ$ , подвергают быстрому охлаждению в воде. При естественном охлаждении степень белизны цемента равна 8,8, а при быстром охлаждении водой она увеличивается до 9,2-9,4. Опыты проводились и с клинкером, нагретым до  $1250, 1350$  и  $1450^\circ$ . При нагреве до  $1250^\circ$  с последующим быстрым охлаждением водой белизна цемента была значительно выше, чем при нагреве до  $1350$  и  $1450^\circ$ . М. Гусев

**1752 П. Использование пыли цементных заводов.** Цумура, Тюдю (湿式セメント工場に於けるダストの処理法. 津村寿治, 中堂昭) 大阪薬業セメント株式会社 [Осака бэй сэменто кабусики кайся]. Япон. пат. 2038, 26.03.55

Для замедления схватывания смеси, состоящей из цемента и пыли, увлажняемой в произ-ве цемента, рекомендуется добавление мелассы в кол-ве 0,03% от веса пыли. М. Гусев

**1753 П. Способ изготовления изделий для строительных целей.** Рольф (Verfahren zur Herstellung von Formkörpern, insbesondere für Bauzwecke. Rolf Gerhard). Пат. ГДР, 10635, 17.10.55

Строительные детали готовятся из предварительно обработанных разб. к-тами наполнителей — щебня, цемента, шлака, золы, вулканита, пород — путем смешивания их с синтетич. связующими в-вами — аммоно-пластами, фенопластами, протеинпластами или сложными эфирами. Смешивание производится в спец. камере при рН равном 5,5-6,5. Из подготовленных указанных способом масс готовятся изделия прессованием при давл.  $30-50 \text{ кг/см}^2$ , холодным или горячим литьем. Соотношение между наполнителем и колл. кремнекислотой должно быть 1:1. Конц-ия кремнекислоты должна составлять 5%. Связующие в-ва — производные ряда акриловых к-т или каучук — растворяются в спирте или углеводороде, или применяются в виде водн. дисперсий с рН 5,5-6,5. М. Фогельман

**1754 П. Строительная деталь.** Кунц, Хаузер (Bauelement. Kunz Albrecht, Hauser Carl). Швейц. пат. 289616, 1.07.53 [Chem. Zbl., 1955, 126, № 25, 5874 (нем.)]

Строительная деталь состоит из затвердевшей смеси (в %): напр., туфового щебня 60, песка 28 и цемента 12. Е. Штейн

**1755 П. Способ изготовления строительных плит.** Цоллингер, Цоллингер (Verfahren zur Herstellung von Bauplatten und nach dem Verfahren hergestellte Bauplatte. Zollinger Rudolf, Zollinger Rudolf M.) [Minhardt & Fischer Kommandit. Ges.]. Пат. ФРГ 878917, 8.06.53 [Chem. Zbl., 1955, 126, № 24, 5628 (нем.)]

Слой минер. строительного материала, как, напр. цемента, гипса, ксилолита и т. п., соединяется по меньшей мере с одной плитой из органич. волокнистых материалов методом литья и (или) прессования. Минер. строительный материал может быть также залит в зазор между двумя плитами из органич. волокнистых материалов. Е. Штейн

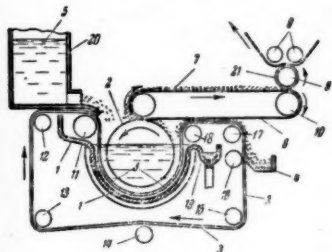
**1756 П. Приготовление масс на основе цемента Сореля для устройства маскировочных покрытий.** Мейер (Verarbeitung sogenannter Sorelzementgrundlagen zu Tarnanstrichen. Meier Egon) [Deutsche Magnesit A.-G.]. Пат. ФРГ 937155, 29.12.55

Приготовление массы на основе магнезиальных цементов под маскировочные покрытия заключается в приготовлении ее из р-ра  $MgCl_2$  и обожженного магнезита с красителями и другими добавками. Получаемая смесь, пастообразной консистенции, или консистенции, подго-

товленной для намазывания или набрызгивания, наносится на маскируемые объекты (дороги или железно-дорожные пути).

Е. Штейн  
1757 П. Машина для производства асбестоцементных труб и плит. Синобука, Танабо (石綿の如き纖維質物及セメントより成る管狀又は板狀體製造装置・篠塚實, 田邊清), 日本 エタニツ トバイフ 株式会社, [Нихон этанитто пайшу кабусики кайси]. Япон. пат. 3238, 14.05.55

Аппарат состоит из ванны 1, цилиндра 2, помещенного в ней, бесконечной ленты 3, вращающей цилиндр, приемника 4. В 1 поступает смесь 5 из асбеста, цемента



и воды, которая при помощи всасывающей помпы, всматриванной в 2, из 1 поднимается по 2 и при помощи бесконечной ленты 6 в виде тонкого слоя 7 подается по центральному валку 8, который вращается

между вальками 9 и 10, при этом подаваемая масса уплотняется. 3 проходит по валькам 11, 12, 13, 14, 15, 16, 17, 18 и между 16 и 4. Аппарат имеет сливной бак 19 и бак 20 для смеси 5 и скалку 21 для формовки труб.

М. Гусев  
1758 П. Способ изготовления строительных материалов для дорог (Verfahren zur Herstellung von Baustoffen für Straßen u. dgl.) (Zeller & Gmelin). Австр. пат. 180031, 25.10.54 [Chem. Zbl., 1955, 126, № 24, 5702 (нем.)]

Строительные материалы для дорог производятся применением эмульсий битуминозных материалов и минер. наполнителей. Одно- или многофракционные наполнители подвергаются при этом предварительной обработке, заключающейся в сублимации сухого или влажного наполнителя шелком фенолята и затем в смешивании с эмульсией битуминозных материалов.

Е. Штейн  
1759 П. Приспособление для изготовления бетонного винтового лотка. Шульце (Vorrichtung zum Herstellen von Beton-Wendelrinnen. Schultze Wolfgang) [VEB Maschinen- und Apparatebau Staßfurt]. Пат. ГДР 10999, 21.12.55

Предлагается цилиндр. форма (Ф) для изготовления бетонного лотка к винтовому отстойнику, отличающаяся тем, что верхние ребра Ф выполнены в соответствии с шагом винта. В Ф имеется вертикальная прожегнутая стенка, расположенная на верхней и нижней разделительных участках винта. В цилиндр. Ф вкладывается Ф для образования основания лотка, кривизна поверхности которой совпадает с шагом винта.

Е. Штейн

См. также: 1235, 1246, 1266, 3221, 3345

## ПОЛУЧЕНИЕ И РАЗДЕЛЕНИЕ ГАЗОВ

Редактор В. Г. Фастовский

1760. Кристаллизация и возгонка примесей воздуха в регенераторах воздухооделительных установок. Густов В. Ф., Тр. Всес. п.-н. ин-та кислород. машиностр., 1956, 1, 3—21

Проанализированы процессы кристаллизации и возгонки примесей воздуха в регенераторах с насадкой

в виде дисков из алюминиевой рифленной ленты. Сделаны следующие выводы: 1) уменьшение высоты диска облегчает унос кристаллов, оставшихся на поверхности после прохождения воздуха, обратным потоком газа; 2) уменьшение тепловой нагрузки, приходящейся на единицу веса диска в зоне вымораживания  $\text{CO}_2$  или влаги, облегчает унос обратным потоком газа оставшихся кристаллов; 3) с уменьшением высоты диска возрастает допустимая уд. тепловая нагрузка на диск в зоне вымораживания  $\text{CO}_2$  или влаги; 4) с уменьшением разности между т-рами обратного потока газа и диска при холодном дутье улучшаются условия уноса кристаллов обратным потоком газа; 5) при постоянной уд. тепловой нагрузке на диск и данной характеристике насадки повышение давления воздуха облегчает унос кристаллов обратным потоком газа.

Ю. Петровский

1761. Гелиевый сжижитель. Чампин (Helium liquefier. Champagne George), Minnesota Technol., 1956, 36, № 6, 354—359 (англ.)

Описана схема установки для сжижения гелия, включающей типовой сжижитель системы Коллинса (РЖХим, 1955, 52697). Давление сжатого гелия 16 атм, производительность установки 2 или 4 л/час жидкого гелия (последняя — в случае применения жидкого азота для предварительного охлаждения сжатого гелия). Жидкий гелий хранится в вакуумных сосудах емкостью 25 л, охлаждаемых жидким азотом, причем ежегодно испаряется 150 см<sup>3</sup> жидкости. Указаны области физ. исследований с применением жидкого гелия.

Ю. Петровский

1762. Производство сухого льда. Митчелла (The production of dry ice. Mitchell Terry), World Refrig., 1956, 7, № 6, 316—318 (англ.)

В юго-восточной части штата Колорадо (США) создан з-д по произ-ву сухого льда на базе природных источников  $\text{CO}_2$ . Газ подается бустер-компрессором под давл. 1,75 атм по трубопроводу диам. 200 мм и протяженностью 8 км к з-ду, где подается предварительному охлаждению обратным потоком  $\text{CO}_2$ , в результате чего из газа частично выделяется влага. Затем  $\text{CO}_2$  сжимается 2-цилиндровыми компрессорами до давл. 17,5 атм, охлаждается в водяных холодильниках и проходит через 4 фильтра для удаления масла. Очищ.  $\text{CO}_2$  сжимается в вертикальном кожухотрубном конденсаторе, охлаждаемом аммиаком, кипящим при  $-33,5^\circ$ ; жидкая  $\text{CO}_2$  собирается в ресивере и через теплообменник, охлаждаемый обратным холодным ( $-73^\circ$ ) потоком газообразной  $\text{CO}_2$ , поступает в 2 прессы, где расширяется в спец. камеры:  $\sim 42,5\%$   $\text{CO}_2$  превращается при этом в сухой лед, который прессуется под давл. 170 кг/см<sup>2</sup> в блоки толщиной 280 мм; испаряющаяся  $\text{CO}_2$  выходит через теплообменники во всасывающую линию компрессоров. Производительность каждого пресса 25 т сухого льда в сутки. Полученные блоки распиливаются на куски размером 250 × 250 × 280 мм, поступают на конвейер, где упаковываются в бумагу, а затем в спец. тару для транспортировки.

Ю. Петровский

1763 К. Получение кислорода [Учеб. пособие для производ.-техн. курсов и техн. школ мастеров]. Изд. 2-е, перераб. и доп. Глизманенко Д. Л. М. Гос. химиздат, 1956, 436 стр., илл., 8 р. 30 к.

764 Д. Адсорбция криптона из тока гелия. Шевелев Я. В. — Автореф. дисс. канд. техн. н., Моск. инж.-физ. ин-т, М., 1956

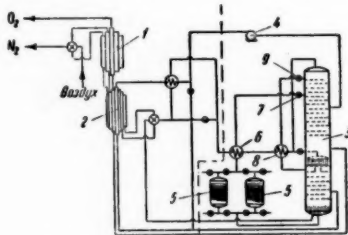
1765 П. Процесс производства кислорода. Дженни, Шейбел (Process of producing oxygen. Jenny Frank J., Scheibel Edward G.), Канад. пат. 519575, 13.12.55



Установка для произ-ва газообразного  $O_2$  методом ректификации жидкого воздуха в 2-колонном аппарате отличается применением промежуточного охлаждения и детандера. Воздух сжимается до давл. 4,9—5,9 *атм* и при  $t$ -ре 21—43° поступает в предварительный теплообменник, где охлаждается до  $t$ -ры (—12°) — (—15°), освобождаясь при этом от основного кол-ва влаги; теплообменник 3-ходовой, причём потоки воздуха и  $N_2$  периодически переключаются. Затем воздух охлаждается в испарителе хладагента внешнего цикла и поступает в 4-секционный основной теплообменник, на холодном конце которого поддерживается средняя температурная разность в 2,8—5,6°, что гарантирует достаточно совершенную очистку воздуха от  $CO_2$  и возможность удаления образовавшихся отложений обратным потоком  $N_2$ . Очищ. и охладж. воздух поступает в нижнюю колонну аппарата двойной ректификации, и под крышки конденсатора которого отбирается до 15% газообразного  $N_2$  для расширения в детандере; часть этого газа нагревается в отдельном канале основного теплообменника и, после смешения с остальным кол-вом  $N_2$ , поступает в детандер. Поток расширенного  $N_2$  присоединяется к  $N_2$ , выходящему из верхней колонны, с которым он и выводится из установки через переохладители и теплообменники. Газообразный  $O_2$  выводится по отдельным каналам основного и предварительного теплообменников без переключений, что исключает его загрязнение.

Ю. Петровский  
1766 П. Производство кислорода сжижением и ректификацией воздуха. Джонсон (Production of oxygen by liquefaction and rectification of air. Johnson Evan A., Jr) [Hydrocarbon Research, Inc.]. Пат. США, 2715323, 16.08.55

Установка для разделения воздуха (В) методом глубокого охлаждения отличается системой дополнительной очистки В. Сжатый В охлаждается в регенераторах-рекуператорах 1 и 2, где одновременно происходит осушка В и очистка его от  $CO_2$ ; удаление отложений с поверхности охлаждения производится путем периодич. переключений потоков сжатого В и азота, идущего из

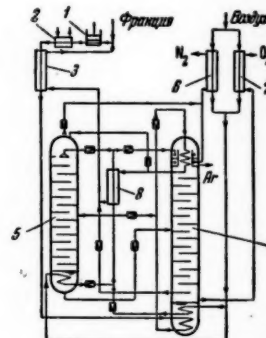


аппарата двойной ректификации 3. Через 1 и 2 кислород выводится без переключений и потому не загрязняется. Весь поток сжатого В направляется из 2 в куб нижней колонны аппарата 3, где он барботирует через слой жидкости, обогащенной кислородом; при этом из В удаляются остатки  $CO_2$ , не выделившиеся в 1 и 2. Из пространства между тарелками, примыкающими к кубу нижней колонны, отбирается часть В для расширения в турбодетандере 4; предварительно часть этого В нагревается в 2, затем смешивается со второй частью В для получения нужной  $t$ -ры и поступает в 4, а отсюда — в верхнюю колонну аппарата 3. Жидкость из куба нижней колонны через переключающиеся адсорберы 5, переохладитель 6 и дроссельный вентиль 7 направляется в верхнюю колонну; туда же вводится жидкий азот из карманов конденсатора после переохладения в теплообменнике 8 и дросселирования через вентиль 9.

Ю. Петровский

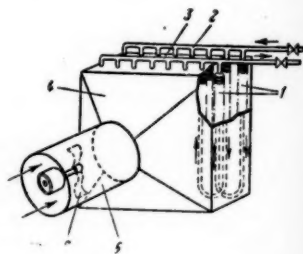
1767 П. Процесс и аппаратура для получения аргона. Беккер, Вухерер (Process and apparatus for the production of argon. Becker Rudolf, Wucherer Johannes) [Ges. fuer Linde's Eismaschinen A.-G.]. Пат. США 2728205, 27.12.55

Описана технологич. схема переработки  $Ar$ -фракции, отобранной из воздухоразделительного аппарата и содержащей  $Ar$  и приблизительно равные кол-ва кислорода и азота. Фракция сжимается в компрессоре 1, охлаждается в водяном холодильнике 2 и теплообменнике 3, после чего поступает в змеевик испарителя колонны 4, где сжимается и затем распределяется по двум направлениям: одна часть поступает в колонну 5, а другая используется как хладагент в конденсаторе колонны 4. Нижний продукт колонны 5, представляющий смесь  $Ar$  и кислорода, переводится для дальнейшего разделения в 4, дистиллатом которой является  $Ar$ , нижним продуктом — кислород. Для компенсации холодопотерь и регулирования теплового режима ректификации служит воздушный цикл. Сжатый воздух охлаждается в теплообменниках 6 и 7 и разветвляется на два потока: один из них направляется в змеевик испарителя колонны 4, а другой — в змеевик испарителя колонны 5, где происходит сжижение воздуха, после чего он проходит теплообменник 8 и вновь распределяется по двум направлениям: часть жидкого воздуха непосредственно вводится в качестве флегмы в 5, а другая часть используется как хладагент в конденсаторе колонны 4, откуда выводится через 6; через 7 выводится кислород из 4. Дистиллат колонны 5 частично выводится через 6, а частично присоединяется к потоку фракции, направляющемуся из конденсатора колонны 4 через 8 и 3 во всасывающую линию компрессора 1. Аргон из 4 отбирается в жидком состоянии.



Ю. Петровский  
1768 П. Испарение сжиженных газов. Монро, Фрейд (Vaporisation of liquefied gases. Monroe Adam Gregory, Freud Anton Walter) [The British Oxygen Co. Ltd.]. Пат. США 2729074, 3.01.56

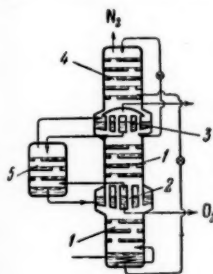
Конструкция газификатора для испарения и нагревания сжиженных газов (напр., жидких кислорода и азота) отличается применением атмосферного воздуха в качестве теплоносителя. Газификатор состоит из ряда U-образных трубок 1 с наружными ребрами, концы которых объединены входным 2 и выходным 3 коллекторами для газифицируемой жидкости. Трубки заключены в кожух 4, к торцевой поверхности которого примыкает камера 5 с расположенным в ней вентилято-



ром 6. Вентилятор 6 направляет воздушный поток перпендикулярно осям трубок 1. Во избежание вымерзания влаги на наружной поверхности труб, что привело бы к ухудшению условий теплообмена, температура воздуха не должна превышать 5°. Соотношение наружной (с ребрами) и внутренней поверхностей трубок 1 не ниже 10:1. Если необходимо значительно перегреть пары, то устанавливаются двойные U-образные трубки, а поток жидкости периодически переключают, изменяя направление его течения; это полностью устраняет возможность образования наледи на поверхности трубок.

Ю. Петровский 1769 П. Воздухоразделительный аппарат. Ямаути (重複熱交換式精溜装置. 山内武), 株式会社神戸製鋼所, [Кабусики Кайся Эдо Сайкося]. Япон. пат. 2823, 24.05.54

Патентуется устройство воздухоразделительного аппарата, допускающего осуществление процесса ректификации жидкого воздуха под давлением более низким, чем в обычном аппарате двойной ректификации. Сжатый и охлажденный воздух поступает в куб нижней

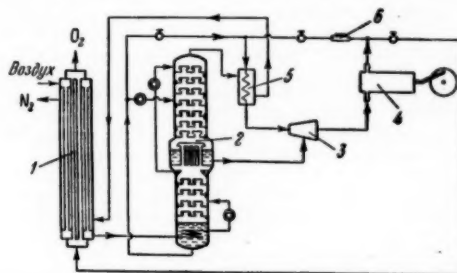


колонны 1, снабженной дополнительным конденсатором-испарителем 2, в трубах которого образуется флегма, необходимая для ректификации в 1; азотная флегма образуется в основном конденсаторе-испарителе 3, разделяющем нижнюю 1 и верхнюю 4 колонны воздухоразделительного аппарата. В 1 в результате предварительной ректификации получают жидкий азот (дистиллят) и жидкость, обогащенную до 35—40% кислорода (жидкий продукт). Из карманов конденсатора 3 азотная флегма направляется на орошение 4, куда поступает также жидкость с 35—40% кислорода из куба нижней колонны 1. В 4 получают газообразный азот (дистиллят) и жидкость, богатую кислородом, которая накапливается в межтрубном пространстве конденсатора 3 и является хладагентом, обеспечивающим конденсацию азота в трубах. Дальнейшая ректификация этой жидкости происходит в дополнительной колонне 5, нижним продуктом которой является кислород, стекающий в межтрубное пространство 2; образующиеся здесь пары кислорода возвращаются в 5. Жидкий кислород выводится в качестве продукта. Снижение давления ректификации в 1 достигается за счет применения в 3 жидкости, кипящей при более низкой т-ре, чем чистый кислород, который выполняет роль хладагента в 2, где происходит сжижение паров с повышенным содержанием кислорода.

Ю. Петровский 1770 П. Способ и устройство для нагнетания летучих жидкостей. Стилл (Method and apparatus for pumping volatile liquids. Steele Arthur E.) [Air Products Inc.]. Пат. США 2730870, 17.01.56

Описана система вывода жидкого кислорода (ЖК) под давлением из воздухоразделительной установки с жидкостным насосом, отличающаяся способом переохлаждения ЖК перед поступлением его в насос. Сжатый воздух охлаждается в теплообменнике 1 и поступает в аппарат 2 двойной ректификации; в верхней колонне аппарата 2 получают чистый ЖК в межтрубном пространстве конденсатора и газообразный азот. ЖК подводится к инжектору 3, где он смешивается с переохлажденным ЖК, в результате чего давление ЖК повышается при практически неизменной т-ре, и на входе в насос 4 поток ЖК оказывается переохлажденным. Из 4 под высоким давлением ЖК направляется в 1, где газифицируется, нагревается и поступает в

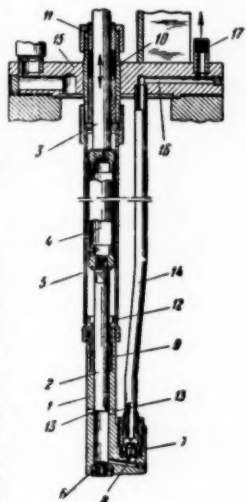
баллоны. Часть ЖК под высоким давлением направляется в переохладитель 5, через который проходит поток газообразного азота, направляющийся в 1. Давление отбираемого в 5 ЖК автоматически поддерживается



постоянным регулятором 6; из 5 переохлажденный ЖК направляется в 3. Во время пуска установки до момента, пока на выходе из 4 будет получена требуемая т-ра, к 3 подводится кислородная жидкость из испарителя нижней колонны.

Ю. Петровский 1771 П. Устройство для нагнетания летучей жидкости. Рид (Apparatus for pumping a volatile liquid. Riede Peter M.). [Union Carbide and Carbon Corp.]. Пат. США 2730957, 17.01.56

Насос для нагнетания под высоким давлением сжиженных газов состоит из цилиндра 1, плунжера 2, связанного со штоком 3, промежуточной направляющей 4, которая перемещается в стакане 5. В открытый конец 1 ввинчен всасывающий клапан 6, а сбоку размещен нагнетательный клапан 7, к которому идет канал 8 из 1. Плунжер 2 уплотняется графитовой втулкой 9, а шток 3 — сальниковой набивкой 10, плотность которой регулируется гайкой и буксой 11. Для выхода газов, попадающих в стакан 5, служит отверстие 12. В 1 также имеются отверстия 13, которые при нагнетании перекрываются 2; когда 2 занимает верхнее мертвое положение, отверстия 13 открываются; это гарантирует заглизнение 1 жидкостью и исключает возможность образования газовой подушки. Нагнетание жидкости производится по трубке 14, которая вварена верхним концом в опорную плиту 15, имеющую канал 16, заканчивающийся штуцером 17. Насос вместе с 15 устанавливается на стоец. цилиндрич. приемнике жидкости, куда она поступает из резервуара. Уровень жидкости в приемнике не должен быть выше отверстий 12 во избежание интенсивного испарения жидкости.



См. также: 526

## ПОДГОТОВКА ВОДЫ. СТОЧНЫЕ ВОДЫ

Редактор М. И. Лапшин

1772. Определение жесткости воды, используемой для изготовления саке [японской водки]. Тамура,

- Тарата** (酒造用水の硬度測定に就て. 田村寛, 寺田章.), 日本醸造協會雜誌, Нихон дайдзо кёкай даэсип, J. Soc. Brew. Japan, 1954, 49, № 3, 28—29 (япон.)
- Сопоставление методов мыльной пробы и трилонометрич. показало, что последний является более быстрым, легким, точным и дешевым. Син-Бен-дон
- 1773. Определение цианидов в промышленных сточных водах и их обезвреживание.** Крынская (Oznaczenie i unieszkodliwianie cyjanków w ściekach przemysłowych. Kryńska Aleksandra), Ochrona pracy, 1955, 9, № 12, 398—401 (польск.)
- 1774. Статистический анализ данных определения *Coli*-бактерий.** Томас (Statistical analysis of coliform data. Thomas Harold A., Jr), Sewage and Industr. Wastes, 1955, 27, № 2, 212—222 (англ.)
- Предложен способ вычисления «арифметич. среднего» кол-ва *Coli*-бактерий  $m$ , характерного для данного загрязненного подтока. На основании стандартного бактериологич. исследования, состоящего в посеве нескольких серий 10-кратных разведений воды (по 3, 5 или 10 проб каждого разведения), получают наиболее вероятное число (НВЧ) (*Most probable number*) *Coli*-бактерий в определенном объеме воды. По этим данным строят логарифмич. кривую, откладывая по оси ординат значения НВЧ, по оси абсцисс — вероятность каждой позиции НВЧ, выраженную в процентах. Для вычисления  $m$  применяют ур-ние:  $m = C m_g^{1.18 \lg C_g}$ , где  $C$  — фактор, зависящий от кол-ва проб  $n$  в каждом разведении:  $C = e^{-0.305/n}$ ;  $m_g$  — среднее геометрич. кол-во *Coli*-бактерий;  $\sigma_g$  — геометрич. стандартное отклонение, отражающее колебания среднего кол-ва ( $m_g$  и  $\sigma_g$  определяют по кривой). Показано, что функция  $m$  более правильно характеризует степень бактериального загрязнения воды и вероятность кишечных инфекций, чем средне-геометрич. кол-во или медиана. Величины  $m$  и  $\sigma_g$  представляют целостность при расчете и эксплуатации очистных сооружений. М. Губарь
- 1775. Обсуждение статистического анализа данных определения *Coli*-бактерий.** Помрой (Statistical analysis of coliform data. A discussion. Pomeroy Richard), Sewage and Industr. Wastes, 1955, 27, № 11, 1299—1301 (англ.)
- Предложенная Томасом (см. предыдущий реферат) функция, названная «арифметич. средним» кол-вом *Coli*-бактерий ( $m$ ), имеет не вполне определенное значение. Для серии < 100 исследований  $m$  существенно изменяется в зависимости от метода построения кривой вероятности. Ур-ние для вычисления  $m$  выведено на основе приближенных допущений. При больших отклонениях ( $\pm$ ) отдельных результатов исследований НВЧ величина  $m$  завышается. При бактериологич. исследовании воды целесообразнее делать больше разведений, чем увеличивать кол-во проб каждого разведения: повышение точности НВЧ в последнем варианте нередко является иллюзорным. М. Губарь
- 1776. Применение лаурил-сульфат-триптозного бульона в качестве среды для идентификации кишечной палочки.** Бикнелл, Мидлтон, Неблетт (Lauryl sulfate tryptose broth as a presumptive and confirmatory medium for coliform organisms. Bicknell Alice K., Middleton John, Neblett Thomas.), J. Amer. Water Works Assoc., 1954, 46, № 5, 481—485 (англ.)
- Проведенное сравнительное исследование различных селективных сред для выращивания кишечной палочки (КП) показало преимущество лаурил-сульфат-триптозного бульона (ЛСТБ), предложенного Мелманом и Дерби (Am. J. Pub. Health, 1941, 31, 127). При применении ЛСТБ не требуется дополнительных пересевов в спец.
- среды для индикации КП. После инкубации посевов в ЛСТБ содержимое пробирок, где наблюдается газообразование, исследуется с применением соответствующих реактивов на: микроскопию мазка, реакцию с метиловым красным, образование ацетилметилкарбинола, образование нигола и пересев 0,5 мл в 1,5 мл полужидкой питательной среды Симмонса. Е. Дианова
- 1777. Исследование воды с применением мембранных фильтров и методом бродильной пробы.** Кейблер (Water examinations by membrane filter and most probable number procedures. K a b l e r P a u l.), Amer. J. Public Health, 1954, 44, № 3, 379—386 (англ.)
- 1706 проб различных вод исследовались параллельно методом мембранных фильтров и методом бродильной пробы (определение наиболее вероятного числа). 73,8% проб дали совпадающие результаты, из 571 пробы питьевой воды наблюдалось совпадение в 88%. Е. Дианова
- 1778. Техника бактериологического исследования воды при помощи мембранных фильтров.** — (Technique of bacterial examination of water with molecular filter membranes.—), J. Amer. Water Works Assoc., 1953, 45, № 11, 1196—1210 (англ.)
- 1779. Анализ промышленных вод.** Дюп (L'analyse des eaux industrielles. Dup M.), Usine nouvelle, 1956, 12, № 22, 87, 89 (франц.)
- 1780. Контрольное сопоставление лабораторных анализов.** Кредба (Kontrolní srovnání laboratorních rozborů. K r e d b a M.), Vodní hospodářství, 1955, 5, № 4, 130—132 (чеш.)
- Сопоставление данных параллельных физ., хим., бактериологич. и биологич. исследований поверхностных и сточных вод, проведенных различными лабораториями, показало большие расхождения в определении Fe, растворенных в-в, кислорода и жесткости. Величины окисляемости и БПК<sub>5</sub> в основном совпали. Результаты определения *Coli aerogenes* лежат в пределах 1000—10000. С. Яворогская
- 1781. Химические исследования воды р. Дунай и Майна.** Аммон (Chemische Untersuchungen an Donau und Main. Ammon F. V.), Münchner Beitr. Abwasser.—, Fisch- und Flussbiol., 1954, 2, 210—234 (нем.)
- Приведены результаты хим. анализов воды р. Дунай (на участке между Донауэшингом и Пассау) и р. Майна (от истоков до устья), выявлены источники загрязнений обеих рек и факторы, влияющие на интенсивность их самоочищения. Н. Ваксберг
- 1782. Биологические и химические исследования нового мелководного бассейна.** Хоутон (Some biological and chemical problems in a new and shallow reservoir. Houghton G. U.), Water and Water Engng, 1954, 58, № 699, 216—218 (англ.)
- Приведены данные об эволюции флоры и фауны в зарегулированном бассейне в Южном Эссексе (глубина ~5,2 м) за 13 лет с момента его создания. Отмечено понижение карбонатной жесткости воды под влиянием биологич. и физ.-хим. факторов. Н. Ваксберг
- 1783. Проблема загрязнения питьевых и хозяйственных вод радиоактивными изотопами.** Гётте (Das Problem der Verunreinigung von Trink- und Brauchwasser durch radioaktive Stoffe. G ö t t e P a n s), Gas- und Wasserfach, 1956, 97, № 2, 42—47 (нем.)
- Рассмотрены вопросы возможного загрязнения источников водоснабжения при взрыве атомных бомб, методы идентификации радиоактивного загрязнения и удаления радиоактивных примесей из воды, подаваемой населению. О. Мартынова
- 1784. Загрязнение воды синтетическими детергентами в Канзасе.** Калп, Столиберг (Synthetic-detergent pollution in Kansas. Culp Rus-



sell L., Stoltenberg Howard A.), J. Amer. Water Works Assoc., 1953, 45, № 11, 1187—1195 (англ.)

1785. Загрязнение водоемов, вызываемое сбросом промышленных сточных вод. — (Production processes produce pollution problems. — ), Wastes Engng, 1956, 27, № 1, 27—29 (англ.)

Дана характеристика влияния на водоемы сточных вод ряда произ-в и указаны приемы их очистки. Даны указания о правильном высушивании ила. Н. Ваксберг

1786. К вопросу о загрязненности поверхностных стоков городов. Шигорин Г. Г., Водоснабжение и сан. техника, 1956, № 2, 19—20

Исследована зависимость загрязненности поверхностных стоков (г. Ленинграда) от интенсивности дождя, застроенности территории, характера мощения и движения транспорта. Дождевая вода с улиц с булыжными мостовыми и малой интенсивностью движения транспорта (грубодисперсные примеси — 14 г/л, из них 33,5 % летучих, окисляемость 56,5 мг/л, БПК<sub>5</sub> 36,2 мг/л, БПК<sub>20</sub> 65 мг/л) в 1,1—1,3 раза менее концентрирована, чем вода с асфальтовых мостовых при большом движении. Сброс дождевых вод без предварительной очистки может оказать неблагоприятное влияние на санитарное состояние водоемов. А. Фихман

1787. Восстановление ионов  $\text{NO}_3^-$  в ионы  $\text{NO}_2^-$  и  $\text{NH}_4^+$  под действием солей железа в агрессивных тропических водах. Вьялар-Гуду, Ришар (Réduction dans les eaux tropicales agressives des ions  $\text{NO}_3^-$  en ion  $\text{NO}_2^-$  et  $\text{NH}_4^+$  par le fer. Vialard-Goudou André, Richard Claude), C. r. Acad. sci., 1955, 241, № 15, 978—980 (франц.)

Найдено, что в агрессивных водопроводных водах Сайгона, (рН 4,6—6) ионы  $\text{NO}_3^-$  могут восстанавливаться в  $\text{NH}_4^+$  и  $\text{NO}_2^-$  под действием солей  $\text{Fe}^{2+}$  (опыты проводились в стерильных условиях). Поэтому наличие в воде ионов  $\text{NO}_3^-$  и  $\text{NH}_4^+$  не может служить однозначным признаком ее загрязнения. Ю. Михайленко

1788. Обоснование предельно допустимой концентрации сточных вод меховых производств. Гуськов В. Н., Гигиена и санитария, 1956, № 3, 10—13

Проведено исследование влияния сточных вод (СВ) меховых произ-в на процессы самоочищения водоемов, на животных организмы и на процесс хлорирования. Состав СВ (мг/л): грубодисперсные примеси 298, плотный остаток 9782 (из них 75% NaCl и 10% органич. легко окисляющиеся в-ва), окисляемость 313,  $\text{Cr}^{3+}$  13,  $\text{CrO}_4^{2-}$  4, урсол — следы. Установлено, что СВ уже в разведении 1:100 не оказывают никакого торможения на процесс самоочищения. Через 30 дней наблюдалась полная минерализация, сопровождающаяся интенсивным процессом нитрификации. При этом разведении СВ не оказывают бактерицидного действия на сифофитную микрофлору. Токсикол. исследовании на былых крысах, кроликах и кошках показали, что СВ в разведении 1:100 не оказывают на них никакого влияния, но мешают обзариживанию воды  $\text{Cl}_2$ : обзарижив протект кишечной палочки при нормальной конц-ии остаточного  $\text{Cl}_2$ . Сделан вывод, что сброс неочищ. СВ в водоемы 1-й категории возможен в случае их разведения в 100 раз. А. Фихман

1789. Влияние на водоросли фосфора, содержащегося в сточных водах. Керри, Вильсон (Effect of sewage-borne phosphorus on algae. Curry John J., Wilson S. L.), Sewage and Industr. Wastes, 1955, 27, № 11, 1262—1266 (англ.)

Причиной сильного развития водорослей (В) и водн. растительности в одном из озер штата Коннектикут слу-

жит Р, конц-ия которого в воде за последние годы увеличилась, вследствие распространения синтетич. детергентов, содержащих органич. Р. При очистке сточных вод (СВ), спускаемых в озеро, происходит окисление Р до минер. соединений, усваиваемых В. Обработка СВ  $\text{Al}_2(\text{SO}_4)_3$  и  $\text{Ca}(\text{OH})_2$  снижает конц-ию растворенного Р (3,61—4,62 мг/л) на —97%. Возможность предупреждения развития В путем удаления Р из СВ проверяется экспериментально. М. Губарь

1790. Влияние калийных стоков на фауну рек Верра и Виппер. Альбрехт (Die Wirkung der Kaliabwässer auf die Fauna der Werra und Wipper. Albrecht Marie-Luise), Z. Fischerei, 1954, 3, № 6—8, 401—426 (нем.)

В результате увеличения сброса сточных вод (СВ) калийной пром-сти в реки Верра и Виппер в них повысилась жесткость (соответственно) до 60 и 79 мг-экв/л; конц-ия  $\text{Cl}^-$  до 7500 и 5000 мг/л. Опыт в условиях аквариума показали, что основной причиной наблюдающейся гибели рыб и низших водн. организмов является не рост суммарной конц-ии солей, а ядовитое действие  $\text{K}^+$  и (в меньшей мере)  $\text{Mg}^{2+}$ . Изменения в биоценозе р. Верра начались с постепенного уменьшения кол-ва гаммарид, наиболее чувствительных к влиянию  $\text{K}^+$ . Самыми стойкими к высоким конц-иям  $\text{K}^+$  оказались личинки *Tendipedidae*, составившие 98% фауны засоленного участка реки. Влияние калийных СВ на жизнь рыб главным образом косвенно: обилие реки низшими организмами, составляющими основу питания рыб. Осенью 1953 г. вследствие сильного обилия р. Виппер отмечалось кратковременное повышение жесткости до 357 мг-экв/л, хлоридов до 15 000 мг/л, что вызвало массовый замор рыб. Установлено, что фореи менее чувствительны к высокому солевому составу, чем другие рыб. Н. Ваксберг

1791. Наличие в воде ухрома как причина эндемического зоба. Хеттхе (Urochrom im Wasser als Ursache des endemischen Kropfes. Hettche Hans O t t o), Gas- und Wasserfach, 1955, 96, № 20, 660—663 (нем.)

Установлено, что причиной заболевания зобом является не недостаток в воде йода, как это принято считать, а загрязнение воды ухромом, содержащимся в моче и кале. Наличие ухрома в воде в конц-иях  $>2,5$  мг/л уже может вызывать различные заболевания. Йод оказывает профилактич. действие, но само по себе недостаток его не провоцирует заболевания. Н. Ваксберг

1792. Биологическая оценка воды и сточных вод. — (Biological evaluation of water and effluents. — ), Nature, 1954, 174, № 4440, 1042—1043 (англ.)

Итоги работ конференции по определению качества поверхностных и сточных вод. Я. Парнес

1793. Гуминовые воды. Новак (Humínové vody ve vodích národních nádrží. Novák Zdeněk), Vodní hospodářství, 1955, 5, № 4, 127—128 (чеш.)

Суждение о конц-ии в воде гуминовых к-т по волнению окисляемости малонадежно, так как определению мешает присутствие других восстановителей (напр., белков). Более надежно определение цветности воды по платиновой шкале. Зависимость между конц-ией гуминовых к-т и цветностью воды линейная. Гуминовые к-ты устойчивы к действию микроорганизмов, поэтому очистка воды на медленных фильтрах малоэффективна. Лучшие результаты дает хим. очистка солями  $\text{Fe}$  и  $\text{Al}$ , снижающая цветность воды до 10 мг/л платиновой шкалы. С. Яворзкая

1794. Вода, ее состав и обработка. Норделл (Water, how it's treated. Water, what it contains. Nordell Eskel), Chm. Engng, 1955, 62, № 9, 183—188; № 10, 175—184 (англ.)

1795. Доклад Комитета по качеству и обработке воды. — (Report of the Committee on water quality and

treatment.—), J. New England, Water Works Assoc., 1955, 69, № 4, 387—391 (англ.)

Изложены рекомендации по ряду отдельных вопросов. Конц-ию остаточного  $\text{Cl}_2$  после 30 мин. контакта следует поддерживать 0,2 мг/л при pH 9,3, повышая до 1 мг/л при pH 10,5. То же хлорамин 2,3 мг/л при pH 7 и 3,4 мг/л при pH 10,5. Такие дозы уничтожают бактерий, но цисты *Entamoeba histolytica* могут быть убиты только большим избытком  $\text{Cl}_2$  (2,5—21 мг/л), зависящим от pH и т-ры. Вредное действие  $\text{Cl}_2$  на человека не обнаружено при длительной подаче воды с конц-ией его до 50 — 75 мг/л. Предварительные данные показывают, что вода с конц-ией  $\text{Cl}_2$  до 200 мг/л не действует вредно на потребителей. Рекомендуется определять титр *Coli* при помощи мембранных фильтров. Хотя на ряде установок скорость фильтрации на песчаных фильтрах поднята с 4,9 до 7,4 м/час, рекомендуется установки рассчитывать на меньшую скорость, что позволит их форсировать в случае необходимости. Г. Крушель

1796. Устранение затруднений при осаждении извес-сей. Конради (The jumping turbidities don't worry us any more. Conrady, Elmo), Amer. City, 1956, 71, № 1, 120—122 (англ.)

Описано расширение водопроводной станции Маунт Карелл, оборудованной осветлителями, работающими с дозировкой сульфата алюминия и извести, и песчаными фильтрами. Хлорирование производится  $\text{Cl}_2$  и  $\text{ClO}_2$  (для разрушения фенолов, сбрасываемых в источник водоснабжения со сточными водами нефтеперевозных судов). Г. Крушель

1797. Способ устранения цветности воды. Норделл (How to remove color from water. Nordell Eskel), Amer. City, 1956, 71, № 6, 139—141 (англ.)

1798. Очистка воды от молекулярно-растворенных загрязнений в осветлителях со взвешенным алюмоугольным слоем. Кульский Л. А., Когановский А. М., Ровинская Т. М., Рыбчинский М. И., Укр. хим. ж., 1956, 22, № 1, 112—117

Удаление из воды истинно растворенных примесей рекомендуется производить в осветлителях со взвешенным слоем, состоящим из активного угля (АУ), стабилизированного добавкой 5—10% свежесаживаемой  $\text{Al}(\text{OH})_3$  и  $\text{Fe}(\text{OH})_3$ . Опыты по поглощению фенола (конц-ия 25—100 мг/л) показали, что наиболее полное использование емкости АУ происходит при двух последовательно работающих осветлителях (конич. диффузоры с дырчатым дном высотой 100 см, диам. 30 см) при высоте взвешенного слоя 0,70—0,50 м и восходящих скоростях движения воды на уровне дырчатого дна 2,06 мм/сек, на выходе 0,185 мм/сек. В этих условиях выноса АУ из осветлителя не наблюдается. Адсорбционная емкость АУ достигала 63—90 мг/л. Для более полного использования АУ рекомендуется система из ряда последовательных осветлителей. Соответствующие расчеты проводятся по ф-ле изотермы адсорбции Фрейндлиха.

Л. Фальковская  
1799. Обеззараживание воды на водопроводной станции в Бомбее. Карнак (A note on sterilization of Bombay's water supply. Carnac K. B.), J. Instn. Engrs (India), 1953, 34, № 1, 95—100 (англ.)

1800. Установка для обеззараживания воды, забираемой из шахтных колодезов. Кульский Л. А., Смирнов П. И., Водоснабжение и сан. техника, 1956, № 2, 17—18

Дана схема установки для автоматич. хлорирования воды, забираемой из шахтных колодезов для снабжения сельского населения. Схема рассчитана на производительность насосной станции 50—250 м<sup>3</sup>/сутки.

А. Фихман  
1801. Корректирование состава воды как мера борьбы с коррозией. Кола (Correction des eaux dans la lutte

contre la corrosion. Colas M.), Corros. et anti-corros., 1955, 3, № 5, 222—223 (франц.)

Рассматривается вопрос известкования агрессивных вод. О. Блох

1802. Экспериментальное исследование напорных установок по обезжелезиванию воды. Мамонтов К. В., Водоснабжение и сан. техника, 1956, № 3, 21—23

Приведены результаты испытания на опытной установке, состоящей из аэратора, дозатора р-ра извести, контактного фильтра из антрацита и песчаного фильтра. Конц-ия  $\text{Fe}^{2+}$  снижалась с 13,4 мг/л до 0,3 мг/л при скорости фильтрации 18 м/час, то же при скорости 10 м/час до 0,1 мг/л. Длительность фильтровочного цикла при потере напора в 10 м при скорости 18 м/час 18 час. при скорости 10 м/час 32 часа; грязеемкость при этом колебалась от 4 до 4,8 кг/м<sup>2</sup>. Контактный фильтр задерживал 65—77 % Fe, остальное оседало в песчаном фильтре. Промывка производилась до 25% расширения. Прогрессирующего загрязнения не наблюдалось. Г. Крушель

1803. Пути повышения экономичности эксплуатации натрий-катионитовых фильтров. Населенко Н. П., В сб.: Подготовка воды для питания котлов паровозов. М., Трансжелдориздат, 1955, 88—104

На основе эксперим. изучения регенерации катионитовых фильтров в лабор. условиях установлено, что основным фактором, влияющим на уд. расход NaCl, является скорость пропускания р-ра NaCl. Рекомендуется уменьшать скорости фильтрации р-ра NaCl до минимально возможных по условиям времени, которое может быть отведено на регенерацию. Данные годичной эксплуатации 3 промышленных установок на режиме регенерации со скоростями 5 м/час подтверждают экономичность предложенного способа. Н. Субботина

1804. Обессоливание воды на современных электростанциях. Кейлис (The status of demineralizing in today's plants. Calise V. J.), Combustion, 1954, 26, № 2, 52—55 (англ.)

По ориентировочным подсчетам на промышленных и центральных электростанциях число понитных установок составляет: На-катионитных, работающих на глауконите, 10 000—15 000; то же на синтетич. цеолитах 3000—5000; то же на сульфогугле и искусств. смолах 4000—6000; Н-На-катионитных 500—700; обессоливающих с применением слабоосновных анионитов 250—350; то же с применением сильноосновных анионитов 250—350. Оптимальные условия работы обессоливающих установок обеспечиваются правильным выбором марок анионитов, использованием исходной воды с высокой прозрачностью и малой конц-ией органич. в-в, правильными условиями регенерации, низкой конц-ией растворенного  $\text{O}_2$  в воде, проходящей через анионитные фильтры. Все большее применение получают вакуумные деаэраторы. Н. Субботина

1805. Судовые установки для перегонки морской воды. Фриули (Impianti di bordo per la distillazione di acqua di mare. Friuli Bartolomeo), Termotecnica, 1955, 9, № 2, 63—65 (итал.)

Приведены схемы основных типов дистилляционных аппаратов: змеевиковых вертикальных и горизонтальных, испарителей низкого и высокого давления, испарителей с высоким вакуумом. З. Бобры

1806. Электролиз воды с применением селективных ионообменных мембран. Унгер, Бодамер, Кунин, Прайзер, Хармон (Elektrodialysis of water using a multiple membrane cell. Winger A. G., Bodamer G. W., Kunin R., Prizer C. J., Harmon G. W.), Industr. and Engng Chem., 1955, 47, № 1, 50—60 (англ.)

Изложены основные принципы электролитического обессоливания сильноминерализованных вод путем электролиза с применением селективных ионообменных

мембран. В многокамерной установке обессоливание может быть проведено как по параллельной, так и по последовательной схемам. Производительность установки ( $v$ , л/час) и расход электроэнергии ( $P$ , кВт-ч/л) могут быть рассчитаны по следующему упрощенному формулам:  $v = 0,0374 (E - e) n p / R \Delta C$  и  $P = E (\Delta C) / 37,4 n p$ , где  $E$  — внешняя э. д. с., в;  $e$  — электродные потенциалы мембран, в;  $n$  — число ячеек между электродами;  $p$  — коэф. эффективности использования электрич. тока, эквивалент / фарадей;  $R$  — полное омич. сопротивление ячейки, ом;  $\Delta C$  — разность конц-ий в струе, протекающей через ячейку, экв/л. Изложены также методы расчета оптимальных параметров отдельных схем и их экономии. Указывается на перспективность метода электроонолитного обессоливания сильноминерализованных вод. О. Мартынова

1807. Исследование котловой воды и воды для питания паровых котлов в молочной промышленности. Зобек (Über die Bedeutung von Kesselspeise- und Kesselwasseruntersuchungen im Molkereilaboratorium. Sobek Evelyn), Österr. Milchwirtsch., 1956, 11, № 8, 131—132 (нем.)

1808. Химическая очистка котлов, пароперегревателей и экономайзеров ингибированной кислотой. Ниссен (Chemische Innenbehandlung zur Reinigung von Dampfkesseln, Überhitzern und Ekonomisern unter Anwendung von Säure mit Zusatz von Hemmstoffen. Nissen W.), Energietechnik, 1955, 5, № 4, 166—172; № 6, 261—264 (нем.)

Обзор литературы по растворимости стали в соляной к-те, ингибиторам (применяемым в ГДР), режимам проведения щел. и кислотных промывок перед вводом объектов в эксплуатацию и для удаления из них накипи. Щел. промывки в отношении удаления окислов железа менее эффективны, чем кислотные. Приведены данные по затратам на кислотные промывки котлов

Н. Субботина

1809. Опыт применения воды для нужд стекольной промышленности Яблонецкого района. Бурда (Pokusy s úpravou vody pro potreby jabloněckého průmyslu. Burda Josef), Sklár a keramik, 1956, 6, № 5, 106—109 (чеш.)

1810. Снабжение спиртовых заводов водой собственных установок. Фогль (Über die Eigenwasserversorgung der Brennerbetriebe. Vogl K.), Branntweinwirtschaft, 1954, 76, № 18, 354—358 (нем.)

Указаны методы изыскания и выбора места для устройства шахтных и артезианских колодезев. Приведены габариты шахт, их заглубление, способы устройства и другие технич. данные. И. Еобрик

1811. Непрерывный контроль расхода воды при ее подготовке и очистке сточных вод на бумажных фабриках. Дрейк, Шаффер (New flow control approach to water treatment. Drake William W., Shaffer G. E., Jr), Paper Ind., 1955, 37, № 1, 49—51 (англ.)

1812. Испытание катионо-поверхностноактивных гермицидов с целью применения их в промышленном водоснабжении. Болленбак, Крукшанк (Testing cationic surface active germicides for use in industrial water systems. Bollenback Carol Houck, Cruickshank George A.), Analyst. Chem., 1954, 26, № 8, 1355—1357 (англ.)

Катионо-поверхностноактивные гермициды (КПГ) обладают сильным бактерицидным действием. Устанавливались дозы 8 КПГ, снижающие кол-во бактерий *Aerobacter aerogenes* на 99, 99%. Определение бактерицидного действия КПГ титриметрическим методом с твердой питательной средой имеет преимущества перед пиретрическим с жидкой средой. Е. Дианова

1813. Обработка трубопроводов для морской воды на кораблях с целью предотвращения обрастания. Дольди (Trattamento antivegetativo nei circuiti di acqua marina a bordo delle navi. Doldi Sandro), Marina ital., 1954, 52, № 11, 305—307 (итал.)

Описано устройство и работа установки для непрерывного электрохим. хлорирования воды. З. Бобры

1814. Очистка сточных вод. I. Расчет станции биохимической очистки. Галамек. II. Основы проектирования очистных станций. Клицман. III. Очистка сточных вод. Галамек. IV. Отстаивание (механическая седиментация). Контроль работы песколовков. Галамек, Новак. V. Биохимическая очистка на полях фильтрации, в рыбных прудах и на искусственных сооружениях. Штиха, Галамек, Клицман. VI. Очистка коагуляцией. Галамек.

VII. Переработка осадков. Клицман (Čištění odpadních vod. I. Biochemické výpočty pro návrh kanalizační čistírny. Halámek Ferd. II. Podklady pro návrh kanalizační čistírny. Klicman Josef III. Čištění odpadních vod. Halámek Ferd. IV. Prosté usazování (mechanická sedimentace). Kontrolovaný horizontální lapáči písku. Klicman Ferd, Novák Gustav. V. Biologické čištění (zavlažová a filtrační pole, v rybnících) způsobu umělými. Štícha. V. Halámek Ferd, Klicman Josef. VI. Čištění odpadních vod chemickými srážedky. Halámek Ferd. VII. Kalové hospodářství. Klicman Josef.), Voda, I, I—1953, 33, № 6, 146—151; II—№ 7—8, 170—176; № 9, 222—226, № 10, 252—258; III—№ 12, 315—324; IV—1954, 34, № 1, 7—11, № 2, 15—41, № 3, 72—76, № 4, 98—101, № 5, 134—138; V—№ 6, 163—168, № 7, 198—202, № 8, 226—233, № 9, 261—264, № 10, 290—298, № 11, 323—328; VI—№ 12, 354—360; VIII—Vodní hospodářství, 1955, 5, № 1—2, 11—15, № 3, 100—104, 133—138 (чеш.).

1815. Оценка различных методов очистки сточных вод, потребляющих кислород. Де-Лапорт (An analysis of various methods for treatment of deoxygenating wastes. De La Porte A. V.), Municip Utilities Mag., 1954, 92, № 6, 25, 42, 44 (англ.)

Наиболее экономичный способ очистки сточных вод, потребляющих  $O_2$ , — аэробная обработка их в аэротенках или на биофильтрах с предварительным отстаиванием и корректированием pH. При анаэробном сбраживании (даже в случае 10-суточной продолжительности) для спуска в водоем необходима дополнительная очистка. Н. Ваксберг

1816. Мероприятия по предотвращению загрязнения воздуха, вызывающие задачу очистки сточных вод. Ланг (Air pollution corrective measures complicating water pollution control problems. Lang W. H.), Sewage and Industr. Wastes, 1955, 27, № 8, 957—961 (англ.)

Мокрая очистка газов, выбрасываемых в атмосферу, вызывает необходимость очистки образующихся при этом сточных вод, стоимость которой должна входить в стоимость очистки газов. С. Стефанович

1817. Применение микропроцеживателя на станции очистки бытовых сточных вод. Кифер (Operating a sewage microstrainer. Keefer C. E.), Water and Sewage Works, 1954, 101, № 8, 356—357 (англ.)

В Балтиморе проведены опыты по применению микропроцеживателя (М) для фильтрования бытовых сточных вод (СВ) после биофильтра. М представляет собой барабан diam. 0,75 м и длиной 0,68 м. Сетка выполнена из нержавеющей стальной проволоки и имеет 12 000 отверстий на 1 см<sup>2</sup>; сечение каждого отверстия 35 м. М погружен в жидкость на глубину 0,53 м. СВ поступает во внутрь барабана и вытекает с его наружной стороны. Непосредственно над М расположена водопровод-



ная линия с соплами для промывки М под давл. 3 атм. Отмытые от поверхности М взвешенные в-ва вымываются водой с внутренней стороны барабана. Опыты проводились при времени 1-го оборота барабана за 30, 40 и 50 сек. Скорость вращения не оказывает существенного влияния на эффект работы М. Расход СВ через М колебался от 70 до 168 л/мин. Эффект работы М характеризуется снижением взвешенных в-в на 56—59%, БПК<sub>5</sub> на—38%. С. Конобеев

**1818. Влияние синтетических детергентов на осаждение грубодисперсных примесей.** Дегенс, Зе, Коммер (Effect of synthetic detergents on the settling of suspended solids. Degens P. N., Jr, Zee H., vander, Kommer J. D.), Sewage and Industr. Wastes, 1954, 26, № 9, 1081—1088 (англ.)

Проведены лабор. опыты по осаждению грубодисперсных примесей в искусственно приготовленной бытовой сточной воде (СВ) в присутствии синтетич. детергентов (СД): анионоактивных, типа алкилсульфатов (Теорол) и неионогенных — полигликолевого эфира алкилированного фенола (Lissapol N). Помимо обычных фекальных примесей, СВ содержала сажу, крахмал и пенитон. Конц-ия мыл изменялась от 0 до 150 мг/л. Конц-ия СД — от 0 до 75 мг/л. Установлено, что в пределах указанных конц-ий СД не оказывают тормозящего действия на эффект осаждения грубодисперсных примесей и не влияют на объем осадка и на содержание в нем воды. С. Конобеев

**1819. Очистка сточных вод.** Кольб (Die Reinigung des Abwassers. Kolb Anton), Z. Hyg. und Infektionskrankh., 1954, 140, № 1, 70—79 (нем.)

Опытами установлено, что наряду с бактериями важную роль в процессе самоочищения сточных вод (СВ) играют также простейшие из семейства ресничных инфузорий (*Ciliatae*). Добавка последних в пробу СВ заметно ускоряет процесс их осветления. Нагревание СВ до 56°, убивающее инфузорий, но сохраняющее в живых более половины бактерий (быстро затем размножающихся), замедляет осветление воды. Результаты опытов согласуются с литературными данными. Н. Ваксберг

**1820. Биохимическое разложение синтетических детергентов I. Предварительное исследование. II. Влияние химической структуры на биохимическое окисление.** Боган, Сойер (Biochemical degradation of synthetic detergents. I. Preliminary studies. II. Studies on the relation between chemical structure and biochemical oxidation. Bogan Richard H., Sawyer Clair N.), Sewage and Industr. Wastes, 1954, 26, № 9, 1069—1080; 1955, 27, № 8, 917—928 (англ.)

Исследование биохим. окисления синтетич. детергентов (СД) совместно с бытовыми сточными водами показало, что все основные СД как анионоактивные так и неионизирующие окисляются в той или иной степени. Скорость окисления СД сильно изменяется как среди представителей одного и того же класса, так и у представителей различных классов. Очень быстро окисляются алифатич. сульфокислоты, их амиды и эфиры. Низкомолекулярные полиэтиленгликоли гораздо легче подвергаются окислению, чем высокомолекулярные. Л. Милованов

Установлено замедляющее влияние разветвленной алкильной цепи в алкилбензолсульфокислотах. Адаптация активного ила происходит в сравнительно короткие сроки, порядка 48—60 час. Н. Ваксберг

**1821. Последние данные о работе очистных сооружений в Лейкестере и использовании бытовых сточных вод в качестве удобрения Роберте** (Recent work at Leicester sewage farm and works. Roberts S. J.), J. and Proc. Inst. Sewage Purific., 1954, № 2, 115—120 (англ.)

**1822. Развитие процесса очистки сточных вод на биофильтрах.** Стэнбридж (The development of biological filtration. Stanbridge H. H.), Water and Sanit. Engr, 1954, 4, № 9, 353—357; 1956, 5, № 11, 496—500 (англ.)

Выбор среды, подача сточных вод на биофильтры, время контакта. Приспособления для распределения сточных вод по поверхности биофильтров. А. Фихман. **1823. Влияние рециркуляции на работу биофильтров.** Соррелс, Зеллер (Effect of recirculation on trickling filter performance. Sorrells J. H., Zeller P. J. A.), Sewage and Industr. Wastes, 1955, 27, № 4, 415—430 (англ.)

Установлено, что при увеличении нагрузки на биофильтр (Б) по БПК<sub>5</sub> с 148 г/м<sup>3</sup> до 647 г/м<sup>3</sup> в сутки как с рециркуляцией, так и без нее окислительная мощность Б составляет соответственно 111 и 350 г/м<sup>3</sup> БПК<sub>5</sub> в 1 сутки. Процент снижения БПК<sub>5</sub> уменьшается при этом с 77 до 40. Рециркуляция (1:1 — 2:1) повышает конц-ию нитратов в очищ. сточных водах (СВ). При нагрузке по БПК<sub>5</sub> ≥ 444 г/м<sup>3</sup> в сутки нитраты восстанавливаются в нитриты. При постоянной нагрузке по БПК увеличение расхода СВ, подаваемых на Б, уменьшает процент снижения БПК и ухудшается качество очищ. СВ. С. Конобеев

**1824. Длительная подача больших нагрузок на высоконагружаемые биофильтры.** Оливер (Increased dosage of high-rate filtration process with continuous application. Oliver F.), J. and Proc. Inst. Sewage Purific., 1954, № 4, 405—409 (англ.)

Приведены результаты опытов очистки ливневых вод на биофильтрах. Введение рециркуляции позволило увеличить нагрузку на биофильтры с 1,2 до 2,14 м<sup>3</sup>/м<sup>3</sup> в сутки и улучшить качество очищ. воды. А. Фихман

**1825. Результаты обследования станции активированной биохимической очистки в Готтиваржи.** Сладек (Výsledky výzkumu o biologické aktivace čistírny v Hostivati. Sládeček Vladimír), Vodní hospodářství, 1955, 5, № 4, 132—133 (чеш.)

В результате 21-месячных обследований были установлены следующие закономерности: биологич. показатели не зависят от т-ры; увеличение биомассы ведет к увеличению кол-ва взвеси; растворенный О<sub>2</sub> влияет на распределение микроорганизмов в механич. и биологич. отделениях станции; оптимальная т-ра 7—13°; оптимальное содержание биомассы 20.—500 мг/л. При этом эффект очистки достигает 80—90%. При высокой конц-ии нитратов рН снижается до 5,0, щелочность также убывает. С. Яворовская

**1826. Рациональный подход к проектированию сооружений для очистки сточных вод с активным илом.** Хазелтайн (A rational approach to the design of activated sludge plants. Haseltine T. R.), Water and Sewage Works, 1955, 102, № 12, 487—495 (англ.)

При неполной очистке сточных вод (СВ) с активным илом (АИ) протекает 2 процесса: адсорбция (А) и окисление (О). А заканчивается за 20—40 мин., сопровождаемая хорошим осветлением воды. Если О отстает от А, отстаивание АИ ухудшается и происходит его вспучивание. При более сильном отстаивании АИ теряет способность осветлять СВ, хотя отстаивание его улучшается (характерно для процессов: высокоскоростных и неполной очистки). Если О преобладает над А, большие кол-ва АИ разрушаются, хлопья его становятся очень мелкими. Такой АИ не дает хорошего осветления СВ (хотя степень нитрификации может быть высокой). Связь между А и О зависит от кол-ва АИ, введенного в аэротенк. Установлено, что при нагрузке БПК<sub>5</sub> ≤ 50 г на 100 г АИ в аэротенке снижение БПК составляет 90%; тоже при 400 г 54%. Для больших

станций рекомендуется нагрузка 30—40 г. Для процессов окисления на полную очистку возраст АИ исчисляются 3—4 сутками, для высокоскоростных процессов 0,4 в холодную погоду и 0,2 в жаркую. Для АИ с возрастом 0,5—3 суток характерен высокий иловый индекс и плохое отстаивание. Концентрация возвратного АИ зависит от илового индекса. Современные большие сооружения запроектированы с иловым индексом—250, малые—350. Для первых конц-ий возвратного АИ равна 4 г/л, для вторых 2,86 г/л. Период аэрирования принимается равным 1,14 час.; расход воздуха 27—99 м³ на 1 кг снижения БПК₅.

А. Фихман  
1827. Влияние анионоактивных детергентов на процессы очистки сточных вод в аэротенках с диффузным аэрированием. Дегенс, Зе, Коммер (Influence of anionic detergents on the diffused air activated sludge process. Degens P. N., Jr, Zee van der, Kommer J. D.), Sewage and Industr. Wastes, 1955, 27, № 1, 10—25 (англ.)

Установлено, что вторичные алкилсульфаты при концентрации их в отстойной сточной воде (СВ) до 50 мг/л, после адаптации активного ила (АИ), не оказывают влияния на биохим. очистку СВ в аэротенке при 3 час. аэрирования и 8 час. регенерации АИ; сами они при этом полностью разлагаются. В тех же условиях алкиларилсульфонаты в конц-ии 12,5 мг/л оказывают тормозящее действие на очистку СВ, ухудшая качество АИ. Увеличение конц-ии О₂ до 3,5 мг/л (за счет интенсификации аэрирования) позволяет очищать СВ с конц-ией алкиларилсульфонатов до 20 мг/л (остаточное БПК 11—14 мг/л). Тот же результат получен при доочистке СВ, поступающих из аэротенка, на биофильтре при нагрузке СВ 0,27 м³/м³ в 1 час. Однако при этом в СВ после биофильтра оставались алкиларилсульфонаты в конц-ии до 11 мг/л.

С. Конобеев  
1828. Контроль процессов очистки воды и сточных вод на основе измерения pH, окислительного потенциала и электропроводности. Экенфельдер (Water and waste treatment by pH, ORP, and conductivity. Eckenfelder W. Wesley, Jr), Instruments and Automat., 1954, 27, № 7, 1082—1083 (англ.)

1829. Обеззараживание сточных вод на очистных установках воинских частей. Томас (Disinfection in military sewage treatment plants. Thomas Harold A., Jr), Sewage and Industr. Wastes, 1955, 27, № 11, 1234—1237 (англ.)

Хлорирование (Х) сточных вод (СВ) воинских объектов следует применять только при выпуске их в водоемы, используемые для водоснабжения, купания или орошения, а также с целью улучшить очистку СВ. В местностях, где отсутствуют спец. законоположения, необходимую степень очистки СВ определяют по фактору беззараживания  $F$ , который вычисляют по формуле:  $F = \lg [100 / (100 - p)]$ , где  $p$  — % бактерий, уничтожаемых при очистке. Суммируют  $F$  отдельных операций очистки (напр., первичного отстаивания, Х, разбавления в водоеме) и по величине исходного заражения вычисляют остаточное бактериальное загрязнение водоема. Если необходимо повысить эффект Х, руководствуются тем, что  $F$  для *Coli*-бактерий увеличивается приблизительно прямо пропорционально конц-ии остаточного  $Cl_2$  (при постоянном времени контакта).

М. Губарь  
1830. Техника безопасности при двойном хлорировании сточных вод в Сакраменто. Кеннеди (Safety is keynote for double chlorination at Sacramento. Kennedy Richard), Wastes Engng, 1956, 27, № 2, 64—65 (англ.)

Для предотвращения неприятного запаха на очистных сооружениях применяется предварительное хлорирование стоков большими дозами хлора и вторичное хлорирование очищ. вод при сбросе их в реку. Подробно

не описаны способы хранения  $Cl_2$  и подача его на станцию из ж.-д. цистерн.

Г. Крушель

1831. Предотвращение запаха от канализационной системы введением хлорирования. Холком (Home-made chlorinators are helping to control odors. Holcomb A. E.), Southwest Water Works J., 1956, 37, № 10, 8—10 (англ.)

В низменных частях окрестностей г. Даллас летом замечался неприятный запах от дренажной канализационной сети. Запах возникал от загнивания воды в коллекторах с малым уклоном, в особенности там, где грунтовые воды имели повышенную конц-ию сульфатов, образующих  $H_2S$ . Для ликвидации запаха в пяти местах сети немедленно начали вводить р-р из 2,3 кг 75%-ного гипохлорита кальция в 1900 л воды. Р-р приготавливает один рабочий, легко успевающий обслужить все пять точек хлорирования. Для получения хорошего эффекта следует р-р вводить в верхних точках дренажной системы района, где обнаружен гнилостный запах.

Г. Крушель

1832. Опытные работы на Хоршемской станции очистки бытовых сточных вод. Маршалл (Operation and maintenance experiences at Horsham Sewage Work. Marshall A.), J. and Proc. Inst. Sewage Purific., 1953, № 1, 51—58 (англ.)

Рассматриваются приспособления для устранения неудобств, вызываемых совместной очисткой бытовых и ливневых сточных вод. Исследовалась работа горизонтальных отстойников, вентилируемых биофильтров, фильтрпрессов, метантенков и других агрегатов. Обезвоживание осадка на фильтрпрессах рационально производить с добавлением извести в качестве коагулянта; сбраживание осадков — в метантенках с перемешиванием перед и после добавления сырого осадка.

Л. Милованов

1833. Мероприятия для улучшения очистки сточных вод в Дельта-Уоркс. Уайт (Attempts to improve the Delta Works effluent in order to avoid stream pollution. White E. G.), J. and Proc. Inst. Sewage Purific., 1953, № 1, 61—67 (англ.)

Станция биохим. очистки сточных вод (СВ) в Дельта-Уоркс работала в условиях перегрузки, что приводило к истуханию активного ила в аэротенках (А). Для более полного использования объема А в них были нарощены промежуточные перегородки, удлинившие путь прохождения СВ через А. На имеющихся на станции биофильтры стала подаваться смесь СВ, наполовину разб. очищ. стоком после А. Проведенная реконструкция позволила увеличить фактич. время пребывания воды в А в 4 раза и улучшить условия использования воздуха, уменьшив число работающих компрессоров с 4 до 2. Станция удовлетворительно справляется с нагрузкой, не испытывая затруднений.

С. Конобеев

1834. Сооружения для сбраживания осадка, удаления песка и хлорирования. Филдхаус, Ле-Чард (Sludge digestion, grit removal and post-chlorination units. Fieldhouse George E., LeChard Joseph H.), Wastes Engng, 1955, 26, № 10, 514—517, 573 (англ.)

Описывается станция очистки сточных вод (с людским эквивалентом 87 500 человек) г. Атлантик. Состав сооружений: решетки, песколовна (на выходе из нее — предварительное хлорирование), первичные горизонтальные отстойники (в отводном канале — вторичное хлорирование), контактные горизонтальные резервуары. Годовой расход  $Cl_2$  400 т. Осадок до подачи в метантенки (объем 0,07 м³ на 1 человека) уплотняется в илоуплотнители. Иловая вода из метантенков и илоуплотнителей перекачивается на головные сооружения, осадок — на иловые площадки.

В. Разнощик

1835. Станция очистки сточных вод в Кливленде. Флауэр (Cleveland sewage plant. Flower, G. E.), Diesel Progress, 1956, 22, № 7, 30—31 (англ.)

1836. Новая станция очистки сточных вод в Хайфе. Голдштейн (Haifa's modern sewage treatment plants. Goldstein S.), Water and Sewage Works, 1956, 103, № 6, 268—269 (англ.)

1837. Утилизация или сброс отходов. Риган (Wastes: utilisation or disposal. Croll memorial lecture. Regan C. J.), Munic. Engng, 1955, 132, № 3416, 771, 773 (англ.)

Краткий обзор проблемы утилизации отходов с точки зрения перспективного значения их для экономики промышленности. Приведены примеры утилизации отходов в содовой промышленности, при газификации топлива и в производстве атомной энергии. С. Конобеев

1838. Потребность в питательных веществах при биохимическом окислении промышленных сточных вод. IV. Обработка на скорых фильтрах. Килгор, Соьер (Nutritional requirements in the biological stabilization of industrial wastes. IV. Treatment on high-rate filters. Kilgore Harold D. Jr., Sawyer Clair N.), Sewage and Industr. Wastes, 1953, 25, № 5, 596—604 (англ.)

Сообщение III см. Sewage and Industr. Wastes, 1952, 24, № 4, 496.

1839. Проблема обезвреживания радиоактивных сточных вод. Либберман (Disposal of radioactive wastes a growing problem. Lieberman Joseph A.), Civil Engng, 1955, 25, № 7, 44—47 (англ.)

При эксплуатации ядерных реакторов радиоактивность охлаждающей воды (даже при оборотной схеме охлаждения) в значительной степени может быть снижена в результате очень тщательного предварительного ионитного обессоливания ее. Вода от продувки цикла также подвергается обессоливанию; отработанные иониты, как правило, обезвреживаются закапыванием в землю. Наибольшую радиоактивность имеет вода от «мокрой» обработки отработанных тепловыделяющих элементов ядерных реакторов. Она содержит смесь радиоактивных изотопов с ат. в. 70—162 (Sr, Cs и др.); радиоактивность ее может достигать  $\sim 100$  кюри/мл. Эта вода, кроме радиоактивных, обычно содержит также в значительных количествах и нерадиоактивные примеси. Описаны обычно применяемые методы обезвреживания радиоактивных сточных вод. Приведены предельно допустимые концентрации радиоактивных примесей в источниках водоснабжения: при пользовании источником в течение 10 дней  $3,5 \cdot 10^{-2}$  мкюри/мл; в течение 30 дней  $1 \cdot 10^{-3}$  мкюри/мл; постоянно  $1 \cdot 10^{-7}$  мкюри/мл.

О. Мартынова

1840. Проблема обезвреживания радиоактивных отходов. Уолман, Горман (Disposing of radioactive wastes a new problem. Wolman Abel, Gorman Arthur), Wastes Engng, 1955, 26, № 6, 280—282, 304, 306 (англ.)

Сточные воды (СВ) предприятий атомной промышленности делятся на две группы: с высокой активностью излучения ( $\sim 10^{-1}$  кюри/мл) и с низкой активностью ( $10^{-4}$ — $10^{-3}$  мкюри/мл). В зависимости от условий технологич. процесса кол-во первых составляет 0,5—50% от общего кол-ва СВ. Особенностью радиоактивного загрязнения воды (или воздуха) является полная невозможность обнаружения его органолептически. Радиоактивные отходы (жидкие или газообразные) образуются в основном при охлаждении ядерных реакторов (воздухом, водой, жидкими металлами) и в процессе обработки частично отработанных тепловыделяющих элементов (урановых стержней). Последняя операция дает ряд радиоактивных изотопов, наиболее опасными из которых (вследствие сравнительно большого периода полураспада) являются:  $\text{Sr}^{90}$ ,  $\text{Sr}^{89}$ ,  $\text{J}^{131}$ ,  $\text{Nb}^{95}$ ,  $\text{Ce}^{144}$ ,  $\text{Pr}^{144}$ ,

$\text{J}^{91}$ ,  $\text{Ba}^{140}$  и  $\text{Zr}^{95}$ . Газообразные радиоактивные продукты, образующиеся при обработке тепловыделяющих элементов ( $\text{NO}_2$ ,  $\text{J}_2$ ), улавливаются в скрубберах, твердые (в виде частиц с diam. 1—50  $\mu$ ) улавливаются при помощи высокоэффективных фильтров из стеклянного волокна, способных работать при  $t$ -ре до 800°. Для обезвреживания жидких отходов (сточных вод) их целесообразно прежде всего концентрировать, затем некоторое время выдерживать в спец. резервуарах для распада коротко живущих изотопов и, наконец, в зависимости от ряда условий, либо спустить в океан или подземные хранилища, либо предварительно перевести радиоизотопы в твердую фазу. Последнее осуществляется путем соосаждения, ионирования, сорбции монтмориллонитовыми глинами с последующим их обжигом при 800—1000° для перевода радиоизотопов в водонепроницаемую форму.

О. Мартынова

1841. Необходимо разрешить проблему радиоактивных сточных вод. Фернс (We must solve the problem of radioactive wastes. Ferns John F.), Munic. Engng, 1956, № 3454, 235—236 (англ.)

Спуск радиоактивных сточных вод в различные водоемы, являющийся наиболее простым способом их ликвидации, вместе с тем может привести к большим осложнениям в практике водоснабжения.

О. Мартынова

1842. Обработка сточных вод металлургического комбината Фэрлесс. Хауэлл (Disposal of steel production wastes at the Fairless Works. Howell G. A.), Sewage and Industr. Wastes, 1954, 26, № 3, 286—297, discuss 297—299 (англ.)

Сточные воды (СВ) цехов хромирования после оседнения состава смешиваются с частью кислых травильных р-ров. Восстановление хроматов происходит в течение 1 часа, после чего производится осаждение гидроокиси  $\text{Cr}^{3+}$  известковым шламом. Остальное кол-во травильных р-ров нейтрализуется известковым шламом. Шлам сбрасывается в пруды. Щел. СВ (промывные р-ры от процессов электролитич. покрытия оловом, отжига и покрытия способом горячего погружения) также обрабатываются известковым шламом (для повышения pH до 9 и осаждения ионов металлов), после чего идут на нейтр-цию кислых СВ. СВ прокатных цехов, содержащие растворимые масла, перемешиваются с кислыми травильными р-рами для разрушения эмульсий масел в воде (отстоявшиеся масла используются). СВ прокатных цехов, содержащие окалину, сбрасываются в ямы и после 15 мин. отстаивания возвращаются в произв. После первичной обработки СВ поступают на сооружения вторичной обработки в составе: аэраторов с временем аэрирования 5 мин., горизонтальных первичных отстойников (время отстаивания 16 мин.), горизонтальных вторичных отстойников (4 часа) и накопителя перед сбросом СВ в реку (4 часа отстаивания).

С. Конобеев

1843. Обработка кислых сточных вод кальцитом. Лукас (Treatment of acid wastes with calcite. Lukas Vincent de P.), Sewage and Industr. Wastes, 1955, 27, № 11, 1253—1258 (англ.)

Описана установка для нейтр-ции кислых сточных вод (СВ) цехов металлопокрытий до их сброса в городскую канализацию. Установка рассчитана на нейтр-цию  $\sim 75$  м<sup>3</sup> различных к-т, содержащихся в  $\sim 250$  000 м<sup>3</sup> СВ. СВ предварительно отстаиваются, затем засасываются эжектором, в котором разбавляются нейтральной СВ и подаются на два последовательных фильтра, загруженных кальцитом (diam. зерен 2—3 мм). Промешенный фильтр СВ распыляются для удаления  $\text{CO}_2$  и направляются в канализацию. Расход кальцита 1600 кг в месяц. pH СВ, подаваемых на фильтры, 2,9, после 1-го фильтра 4,5, после 2-го 5,5, при сбросе в канализацию 5,7. Кальцит добавляется в фильтры пор-



циями по 35—45 кг и полностью сменяется раз в три месяца.

Г. Крушель  
1844. Обезвреживание цианосодержащих сточных вод окислением гипохлоритом. Штумм, Вокер, Фишер (Die Entgiftung von zyanidhaltigen Abwässern durch Oxydation mit Hypochlorit. Stumm W., Woker H., Fischer H. U.), Schweiz. Z. Hydrol., 1954, 16, № 1, 1—21 (нем.).

Способ основан на окислении гипохлоритом цианидов и их комплексных соединений до  $\text{ClCN}$  и гидролизе последнего в щел. среде до цианата. Щел. цианиды и комплексные цианиды  $\text{Cd}$  и  $\text{Zn}$  окисляются гипохлоритом на 97—96,5%, —  $\text{Ni}$  на 94%, —  $\text{Hg}$  на 70%, —  $\text{Fe}^{2+}$  на 13% с переходом большей его части в устойчивый комплексный цианид  $\text{Fe}^{3+}$ . Скорость гидролиза полученного  $\text{ClCN}$  до цианата находится в обратной зависимости от pH-ра: при  $\text{pH} \leq 7$  конц-ия  $\text{ClCN}$  уменьшается вдвое через 24 часа, при 7,95  $\text{ClCN}$  еще ясно заметен через 6 час.; гидролиз проходит полностью при  $\text{pH} 10,85$  через 45 мин., при  $\text{pH} 12,5$  через 20 мин. Обезвреживание цианосодержащих сточных вод (CB) указанным методом рекомендуется при конц-иях  $\text{CN}^- \leq 1000 \text{ мг/л}$ ; более конц CB необходимо предварительно разбавлять. Для эксперим. установления дозировки  $\text{Cl}_2$  определяют конц-ию цианидов в CB титрованием  $\text{AgNO}_3$ , доводит pH воды до  $\geq 8$ , прибавляя р-р  $\text{NaCl}$  из расчета 2,73 г  $\text{Cl}_2$  на 1 г  $\text{CN}^-$ , не допуская нагревания  $>50^\circ$ . Перемешивают в течение 10—15 мин. и через 0,5 часа снова определяют оставшийся  $\text{CN}^-$ , если нужно хлорируют повторно, снижая конц-ию  $\text{CN}^-$  до  $<0,2 \text{ мг/л}$ . Оставляют стоять хлорированную воду 3—4 час., если ее  $\text{pH} > 9$  (и на 20 час. при  $\text{pH} 8$ ). В 1-м случае перед спуском очищ. CB в водоем их нейтрализуют 5%-ой  $\text{HCl}$  или  $\text{H}_2\text{SO}_4$  до  $\text{pH} 8,5$ —9. Разделение CB в водоеме должно быть  $\geq 10$ -кратное. При разработке способа не учитывалось влияние труднорастворимых комплексных цианидов и вода считалась обезвреженной, если в течение 60 мин. подопытные рыбы (*Proximus laevis* Agas.) не проявляли признаков заболевания.

Н. Ваксберг  
1845. Обработка и обезвреживание сточных вод травильных и гальванических установок. Штрассилла (Aufarbeitung und Entgiftung von Abwässern aus Beizeichen und galvanischen Betrieben. Strasschill M.), Metallwaren-Ind. und Galvanotechn., 1955, 46, № 8, 358—362 (нем.).

Сточные воды (CB) травильных и гальванич. установок содержат минер. к-ты и соли многих металлов. Наиболее распространенным способом их обезвреживания является нейтр-ция  $\text{Ca}(\text{OH})_2$ , сопровождающаяся осаждением гидроокисей тяжелых металлов. При наличии в CB хромовой к-ты ее предварительно восстанавливают в соли  $\text{Cr}^{3+}$  сульфитом  $\text{Na}$  или другими восстановителями. CB, содержащие цианиды, обезвреживают обработкой солями трехвалентного железа или окислением (хлором, гипохлоритом, озоном или электролитически).

М. Губарь  
1846. Очистка сточных вод нефтепромыслов и нефтеперерабатывающих заводов. Монгайт И. Л., Водоснабжение и сан. техника, 1955, № 1, 23—27  
Экспериментально установлено, что ф-ла Стокса для определения скорости всплытия и осаждения частиц не удовлетворяет действительным условиям всплытия нефтяных частиц в нефтесодержащих сточных водах (CB), где на скорость всплытия, помимо крупности частиц, влияет также соотношение кол-в нефти и твердых примесей. Для определения скорости всплытия частиц нефти  $u_1$  предложена эмпирич. ф-ла:  $u_1 = a \cdot (112 - 93 \gamma_n) 10^{0,014 d}$ , м/сек., где  $\gamma_n$  — уд. вес нефтепродуктов;  $d$  — расчетный диаметр частицы нефти, м;  $a = K_n / K_{\text{м.п.}}$  — коэфф., характеризующий отношение кол-в нефти и примесей в CB. При-

водится эксперим. ф-ла расчета длины  $l$  горизонтальной нефтеловушки:  $l = 12,5 h / [0,312 + (u_1 / V_p)] - 0,00018 V_p^2$ , м, где  $h$  — глубина проточной части ловушки, м;  $V_p$  — расчетная скорость движения CB в ловушке, м/сек;  $u_1$  — скорость всплытия частицы, расчетной крупности, м/сек. Ф-ла учитывает неравномерность распределения скоростей в движущемся потоке CB в ловушке, а также действие вертикальной составляющей скорости на скорость всплытия и осаждения частиц. Рекомендуется горизонтальный тип ловушек со скребковыми транспортерами для сбора осадка и нефти, водосливными распределительными устройствами, нефтесборными ловоотными трубами с щелевыми устройствами для удаления нефти. Для удаления осадка рекомендуются водоструйные эжекторы или вертикальные центробежные насосы.

С. Конобеев  
1847. Удаление сероводорода. Шей, Хаккатори (How to eliminate  $\text{H}_2\text{S}$  odors. Shea Richard. Hackathorn Jack), Petrol. Refiner, 1955, 34, № 11, 191—193 (англ.).

Описан способ удаления  $\text{H}_2\text{S}$  из сточных вод (CB) от каталитич. крекинга нефти с помощью отработанных газов, имеющих т-пу  $\sim 550^\circ$ . Конц-ия  $\text{H}_2\text{S}$  в CB от различных операций достигает 900—11000 мг/л. Пропуская (в течение 30 мин.) через CB горячие отработанные газы, нагревающие воду до  $\sim 90^\circ$ , можно снизить конц-ию  $\text{H}_2\text{S}$  на 85—90%. Продувка производится в десорбере (углеродистая сталь) диам. 75 см и высотой 9 м, заполненном кольцами Рашига. Для уменьшения коррозии десорбер заполнен CB на высоту 8 м. Понижая pH CB до  $\sim 3$  (путем добавки  $\text{HCl}$ ), можно снизить конц-ию  $\text{H}_2\text{S}$  на 98%.

С. Яворовская  
1848. Биохимическое окисление промышленных сточных вод. Де-Лапорт (Bio-oxidation of plant wastes. De Laporte A. V.), Petrol. Engr, 1954, 26, № 13, C43—C45 (англ.).

Описание станции биохим. очистки фенолсодержащих сточных вод (CB) нефтеперерабатывающего з-да. Для удаления нефти CB поступают в бетонную одноосеционную ловушку, а затем в аэротенк с земляными стенками. Конц-ия активного ила составляет 3—4%, т-ра CB 18—30°, pH 7—8,5. Конц-ия растворенной и эмульгированной нефти 150—200 мг/л, фенолов  $\leq 200 \text{ мг/л}$ , сульфидов  $\leq 250 \text{ мг/л}$ . Эффект удаления фенолов 95%, сульфидов 100%. Нагрузка 82 г фенолов на 1 м<sup>3</sup> объема аэротенка. Расход кислорода воздуха в аэротенках  $\sim 900 \text{ кг}$  в сутки. Интенсивность аэрации 31 л воздуха на 1 м<sup>2</sup> площади аэротенка в 1 мин.

С. Конобеев  
1849. Очистка на биофильтрах сточных вод от газификации топлива. — (Treatment of gas liquor on percolating filters.—), Surveyor, 1954, 113, № 3276, 1114—1116 (англ.).

При определении нагрузки на биофильтры сточных вод (CB) от газификации топлива (при очистке их совместно с бытовыми CB) рекомендуется пользоваться показателем БПК, а не 4-часовой окисляемостью. То же относится к определению эффекта очистки смеси указанных CB.

С. Конобеев  
1850. Извлечение ценных веществ из фенольных сточных вод. Ланда (Die Gewinnung und Bedeutung der Wertstoffe von Phenolabwässern. Landa Stanislaw), Wasserwirtschaft-Wassertechnik, 1956, 6, № 3, 73—76 (нем.).

Для извлечения из фенольных сточных вод (CB) содержащихся в них фенолов и других ценных продуктов рекомендуется при высоких конц-иях фенолов многоступенчатая экстракция с применением в качестве р-рителей высших кетонов,  $n$ -бутилацетата и бензола (с регенерацией их щелочью). При малых конц-иях фенолов целесообразен метод адсорбции с применением в каче-

стве адсорбентов активного угля, пыли из генераторов Винклера, вофатита. Для десорбции применяется водяной пар,  $\text{CO}_2$ , щелочь, бензол, метанол, нагревание в атмосфере  $\text{N}_2$ ; задача регенерации адсорбентов окончательно еще не разрешена. Биохим. очистка СВ должна проводиться с улавливанием промежуточных продуктов окисления, из числа которых удалось выделить муковиную к-ту (выход до 15%) — ценное сырье для произ-ва пластмасс. Образование ее наблюдалось под действием *Bac. coli*, плесневых грибов и некоторых других организмов. Н. Ваксберг

**1851. Обработка сточных вод шерстомоек коллоидным бентонитом.** Фын, Лундгрен (Treatment of wool scouring wastes with colloidal bentonite. Fong W., Lundgren H. P.), Text. Res. J., 1955, 25, № 12, 994—1000 (англ.)

Лабораторные исследования показали, что дополнительная обработка сточных вод шерстомоек (после добавки  $\text{H}_2\text{SO}_4$  до pH 3—4) 5%-ной водн. суспензией бентонита значительно повышает степень их очистки и осветления. Так, обработка бентонитом повышает выход жира до 96% от содержащегося в воде кол-ва против 67%, получаемых при чисто кислотном методе. Снижение окисляемости, достигаемое в результате сопоставляемых обработок, составляет соответственно 60% и 33%. А. Матецкий

**1852. Обработка нитратами сточных вод, содержащих сероводород.** Шульце (Über die Nitratbehandlung von Schwefelwasserstoffhaltigen Abwässern. Schulze Eberhard), Gas- und Wasserfach., 1954, 95, № 14, 452—453 (нем.)

За последние годы для очистки легкозагнивающих сточных вод (СВ) консервных, винокурных и других предприятий широко применяются биол. пруды. Во избежание образования в последних  $\text{H}_2\text{S}$  (в случае перегрузки) в СВ добавляют нитраты, которые восстанавливаются денитрифицирующими бактериями до элементарного азота  $4\text{KNO}_3 + 5\text{C} = 2\text{K}_2\text{CO}_3 + 3\text{CO}_2 + 2\text{N}_2$  или до аммиака  $2\text{C} + \text{NaNO}_3 + 3\text{H}_2 = \text{NaHCO}_3 + \text{NH}_4\text{HCO}_3$ . В денитрификации участвуют и серобактерии:  $6\text{KNO}_3 + 5\text{S} + 2\text{H}_2\text{O} = 3\text{K}_2\text{SO}_4 + 2\text{H}_2\text{SO}_4 + 3\text{N}_2$ . Вода прудов может служить хорошим удобрением. Л. Гюнтер

**1853. Бактериологическое исследование сточных вод сахарной промышленности.** Андерсен (Bacteriological examinations of waste water. Andersen E. R.), Sugar, 1954, 49, № 10, 52—54, 64 (англ.)

**1854. Удаление сточных вод консервных заводов.** Паркер (Disposal of cannery wastes. Parker C. D.), Austral. Food Manufact., 1953, 4, № 23, 44, 48 (англ.)

**1855. Теория и практика очистки сточных вод молочной промышленности методом аэрирования.** Поргеш (Waste treatment by optimal aeration — theory and practice in dairy waste disposal. Porges N. and J. J. Milk and Food Technol., 1956, 19, № 2, 34—38 (англ.)

Обобщены итоги лабор. исследований и эксплуатационных данных, полученных на опытных установках, по очистке сточных вод молочной пром-сти аэрированием с активным илом. Длительно эксплуатировавшаяся опытная установка производительностью 11 м³/сутки очищала воды с ХПК — 2000 мг/л за период аэрирования 6 час. при конц-ии активного ила 5500 мг/л. В. Разнощик

**1856. Обзор очистки сточных вод дрожжевой промышленности.** Дворжак (Přehled o čištní vod droždářenských. Dvořák J.), Voda, 1956, 35, № 4, 116—118 (чеш.)

**1857. Состав и нитрифицируемость осадков некоторых бытовых и промышленных сточных вод.** Кларк, Гадди (Composition and nitrification

characteristics of some sewage and industrial sludges—1952. Clark K. G., Gaddy V. L.), Farm Chemicals, 1955, 118, № 10, 41—45 (англ.)

Установлено, что удобрительная ценность (определенная по скорости нитрификации) свежего избыточного активного ила значительно выше по сравнению со сброженным и с осадками сточных вод предприятий кожевенной пром-сти. Приводятся данные по содержанию общего N,  $\text{P}_2\text{O}_5$ ,  $\text{K}_2\text{O}$ ,  $\text{CaO}$ ,  $\text{MgO}$ ,  $\text{Fe}_2\text{O}_3$ , S, Cu, B, Mn, Mo, Zn и зольности в 18 различных осадках (сырой и сброженный избыточный активный ил, сброженный осадок из первичных отстойников, осадок сточных вод предприятий кожевенной пром-сти.)

**1858. Переработка ила на канализационных сооружениях в Бирмингеме.** Хьюитт (Sludge digestion at the Works of the Birmingham Tame and Rea District Drainage Board. Hewitt C. H.), J. and Proc. Inst. Sewage Purific., 1954, № 1, 39—52 (англ.)

Описана работа 5 станций (производительность 6—245 тыс. м³/сутки), широко применяющих анаэробное брожение (АБ) первичного ила и осадков из биофильтров. Приведены подробные данные, характеризующие кол-во и состав ила на разных стадиях АБ, емкость сооружений, произ-во газа, эффективность процесса. В процессе АБ разлагается — 2/3 от общего кол-ва грубодисперсных примесей сточных вод (СВ) (139—329 мг/л), что соответствует снижению БПК<sub>5</sub> на 25—45% (73—102 мг/л  $\text{O}_2$ ). При обработке бытовых СВ нагрузка распределяется почти поровну между процессами АБ и окислительными, при обработке производственных СВ преобладают последние. М. Губарь

**1859. Исследование ускоренного процесса сбраживания осадка сточных вод.** Морган (Studies of accelerated digestion of sewage sludge. Morgan Philip F.), Sewage and Industr. Wastes, 1954, 26, № 4, 462—476 (англ.)

Лабораторные исследования показали, что при рециркуляции диффундирующего газа по объему метантенка с целью перемешивания сырого и сброженного осадка продолжительность сбраживания может быть сокращена на 2/3 (до 7,2 суток), а нагрузка на сооружения повышается до 5,58 кг/м³ органич. в-ва. Рециркуляция осуществляется установкой в центре сооружения почти на дне диффузоров для подачи газа. После 7,2-суточного сбраживания осадок хорошо обезвоживается. Рекомендуется проектная нагрузка на метантенк 3,2 кг/м³ органич. в-ва. Л. Гюнтер

**1860. Борьба с образованием корки при брожении осадка сточных вод.** Фурман (Scum control in sludge digestion. Fuhrman Ralph E.), Sewage and Industr. Wastes, 1954, 26, № 4, 453—461 (англ.)

Описан новый способ разрушения корки, состоявший в подаче под нее газа. Такой метод препятствует образованию корки на вновь введенных в эксплуатацию сооружениях и разбивает существующую корку. При этом нагрузка на метантенки, работающие с обогревом, может быть увеличена до 1,9—2,4 кг/м³ органич. в-ва. На сооружениях в Торонто успешно разрушали корку толщиной в ~4,5 м, содержащую 20% сухого в-ва, из которых свыше 60% не подвергаются сбраживанию. Л. Гюнтер

**1861. Как избежать закисания метантенков.** Бакмейер (How to avoid sour digesters. Backmeier David P.), Water and Sewage Works, 1955, 102, № 10, 369—378 (англ.)

Параллельные опыты на производственных метантенках на очистной станции г. Цинцинати показали, что при конц-ии летучих к-т <1800 мг/л (в пересчете на  $\text{CH}_3\text{COOH}$ ), pH—7 и содержании в выделяемом газе  $\text{CO}_2$  <3 об. % пусковой период без добавления зрелого

осадка длился 60—100 суток, а при добавлении зрелого осадка — сокращался до 18 суток. При концентрации летучих к-т  $> 4000 \text{ мг/л}$  метантенк должен опорожняться. Нормальная работа метантенка характеризуется следующими показателями: общая щелочность  $\geq 2000 \text{ мг/л}$ , летучие к-ты  $< 300 \text{ мг/л}$ ,  $\text{pH} \geq 7,0$  и содержание  $\text{CO}_2$  в выделяемом газе  $< 36\%$ . В. Разношук

1862. Предварительное изучение процессов быстрого компостирования. Уайли, Пирс (A preliminary study of high-rate composting. Wiley John S., Pearce George W.), Proc. Amer. Soc. Civil Engrs, 1955, 81, № 846, 1—28 (англ.)

Для замены медленно протекающего в анаэробных условиях (6—12 месяцев) процесса компостирования (К) отбросов было исследовано в лабораторных условиях (К) городского мусора в спец. аппаратах емк. 66 л при непрерывном перемешивании и аэрировании. Определялись влажность и т-ра смеси, кол-во органич. в-в (ОВ), С, N, pH и состав образующихся газов ( $\text{CO}_2$  и  $\text{H}_2\text{O}$ ). В процессе К происходило термофильное аэробное разложение ОВ, сопровождающееся повышением т-ры до  $70^\circ$ . Процесс К продолжался 4—10 суток, после чего т-ра смеси снижалась до окружающей, а кол-во ОВ уменьшалось на  $\sim 30\%$ . Установлена степень зависимости скорости образования  $\text{CO}_2$  и  $\text{H}_2\text{O}$  от т-ры смеси. Объемное соотношение  $\text{CO}_2 : \text{O}_2$  составляло 0,87—0,91. Оптимальная степень аэрации 600—1800 л/сутки воздуха на 1 кг ОВ, оптимальная влажность исходной смеси 55—69%. Скорость перемешивания не влияет существенно на процесс К. М. Губарь

1863. Возможное использование ила сточных вод. Томсон, Морган (Conservation potential of sewage sludge. Thomson James F., Morgan James M., Jr), Water and Sewage Works, 1955, 102, № 13, 532—535 (англ.)

Илы (И), образующиеся при очистке сточных вод, могут применяться в качестве удобрения. Приведено кол-во питательных в-в в различных И. Указаны способы и стоимость их подготовки (обезвоживания), произ-во И в США и область их с.-х. применения.

М. Губарь

1864. Очистка и нанесение защитных покрытий на магистральные трубопроводы. Франк, Перкинс (Water main cleaning and lining. Frank J. A., Perkins A. G.), Water and Sewage Works, 1955, 102, № 6, R169—R171, R174, R175, R177—R179 (англ.)

Образование отложений и коррозии повышают шероховатость водопроводных магистралей, понижая этим их пропускную способность (ПС). На ряде магистралей найдено, что коэфф. ПС (по Хазену) за 30 лет снизился с 130 до 80. Для восстановления ПС применяют внутреннюю очистку труб, которая, однако, мало эффективна; трубы после очистки снова обрастают за несколько месяцев в ПС падает до исходной; более радикальным является покрытие труб внутри слоем цементного р-ра, отношение песка к цементу в р-ре 1,5 : 1. Цементное покрытие полностью восстанавливает ПС до проектной величины, не обрастает, держится очень прочно и одновременно предохраняет трубы от коррозии. Покрывать трубы следует при монтаже или сразу после их механич. очистки. Разработаны машины для механизированного покрытия труб изнутри, позволяющие изменять толщину покрытия от 5 до 10 мм.

Г. Крушель

1865. Эксплуатация фильтросов. Ро (Air diffuser maintenance. Roe Frank C.), Water and Sewage Works, 1955, 102, № 6, R-267, R-271, R-272—R-275 (англ.)

С целью предохранения фильтросов (Ф) от забивки (пылью из воздуха, каплями масла, ржавчиной и осадками сточных вод) следует придерживаться следую-

щих правил: непрерывно подавать воздух; поддерживать постоянным давление воздуха; следить за плотностью Ф; периодически дезинфицировать Ф, пропуская вместе с воздухом  $\text{Cl}_2$ . При периодич. очистке пор Ф с водной стороны опрыскивают Ф 80%  $\text{H}_2\text{SO}_4$  с добавкой 2%  $\text{Na}_2\text{Cr}_2\text{O}_7$ , выдерживают 2 дня и продувают воздухом; промывают р-ром  $\text{NaOH}$  и снова продувают; можно производить промывку 12%-ным р-ром  $\text{NH}_3$ . Иногда применяют промывку хлорной водой или обдувку песком. Очистку с воздушной стороны производят обдувкой песком или промывкой бензином. Г. Крушель

1866. Неполадки в работе дозаторов. Леви (Chemical feeder puzzles. Leveque R. J.), Water and Sewage Works, 1955, 102, № 6, R-91—R-93 (англ.)

Описаны отдельные случаи неправильной работы дозаторов. Г. Крушель

1867. Принципы проектирования насосных станций для сточных вод. Мартин (Sewage pumping station design principles. Martin Raymond G.), Sewage and Industr. Wastes, 1956, 28, № 2, 150—157 (англ.)

1868. Проектирование и применение задвижек. Махан (Gate valve design and application. Mahan G. J.), Sewage and Industr. Wastes, 1956, 28, № 3, 225—231 (англ.)

1869. Малые автоматические электрические насосные станции. Эскритт (Small automatic electric pumping stations. E s c r i t t L. B.), Munic. Engng, 1953, 130, № 3322, 1202, 1220 (англ.)

На станции решетки во всасывающих колодцах (БК) заменены шельмами в стенке БК. Ширина шели 37 мм, высота 600 мм, промежуток между шельмами 550 мм. Крупные примеси, прошедшие через шели, измельчаются дезинтеграторами. Насосы с автоматич. пуском позволяют отказаться от больших БК, являющихся по существу отстойниками и требующих периодич. очистки. Объем БК, равный минутной производительности насоса, дает гарантию, что пуск насоса, управляемого поплавковым регулятором, будет происходить не чаще 15 раз в час. К. Герфельд

1870 К. Очистка сточных вод. Чижек (Čistění odpadních vod. Čížek Pavel. Praha, SNTL, 1956, 127, [39] s. il., 11 Kčs., Rotaprint), (чеш.)

1871 К. Германские стандартные способы исследования вод, сточных вод и ила: физические, химические и бактериологические способы (Deutsche Einheitsverfahren zur Wasser-, Abwasser- und Schlammuntersuchung. Physikalische, chemische und bakteriologische Verfahren. Verlag Chemie, G. m. b. H., Weinheim a. d. Bergstrasse, 1954, 180 S., 12.40 DM) (нем.)

1872 Д. Река Днепр как источник хозяйственно-питьевого водоснабжения на участке Днепродзержинск — Днепротропек. Шеляг М. Я., Автореф. дисс. канд. мед. н., Днепротроп. мед. ин-т, Днепротропек, 1956

1873 П. Способ доочистки от коллоидных примесей предварительно обработанных вод, идущих для промышленного использования. Рихтер (Verfahren zur Feinreinigung vorbehandelter Gebrauchswasser von kolloidalen Stoffen. R i c h t e r A d o l f) [Eigentum des Volkes. VEB Farbenfabrik Wolfen]. Пат. ГДР 7364, 12.08.54

Для удаления таких колл. примесей, как  $\text{Fe}(\text{OH})_3$ ,  $\text{Al}(\text{OH})_3$ , а также скоагулированные органич. соединения рекомендуется фильтрация воды через анионитный фильтр. Материал для загрузки фильтра представляет собой искусств. смолу, являющуюся продук-



том конденсации длинноцепочечных молекул с очень крупной решеткой. Регенерация материала фильтра состоит в пептизации коллоидов с помощью относительно слабого р-ра электролита кислого или щел. характера с последующей обратной промывкой фильтра. Наиболее пригодны для заполнения фильтра продукты конденсации формальдегида с фенилендиаминном и производными дифенилена. В зависимости от заряда удаляемых коллоидов анионит применяется в ОН- или в Cl-форме. С. Конобеов

**1874 П.** Способ приготовления растворов, содержащих активный хлор. Петерс (Verfahren zur Herstellung von wässrigen Lösungen mit einem Gehalt an elementarem und/oder aktivem Chlor. Peters Karl) [Deutsche Solvay-Werke G. m. b. H.]. Пат. ФРГ 924749, 7.03.55

Способ приготовления р-ров, содержащих активный  $\text{Cl}_2$ , состоит в том, что вода смешивается с большим избытком  $\text{Cl}_2$  в шаровом смесителе, образуя пену. Пена засасывается эжектором (возможно с добавкой р-ра щелочи или извести) и пропускается через ряд шаровых смесителей, в которых образуется р-р хлорной воды. Г. Крушель

**1875 П.** Способ удаления из воды солей марганца. Фрейхольд (Verfahren zur Entmanganung von Wässern. Freyhold Helmut von) [Henkel und Cie G. m. b. H.]. Пат. ФРГ 930140, 11.07.55

Для удаления солей  $\text{Mn}^{2+}$  из воды ее сперва аэрируют, а затем добавляют силикат натрия в кол-ве, примерно равном кол-ву  $\text{Mn}^{2+}$ . Если в воде содержатся также соли  $\text{Fe}^{2+}$ , то дозу силиката нужно увеличить, причем процесс удаления  $\text{Mn}^{2+}$  улучшается. Воду после такой обработки направляют без предварительного отстаивания на обычные гравийные фильтры, поверхность зерен которых покрывается активным слоем, поглощающим Mn. Активность осадка со временем не снижается. После накопления осадка и снижения пропускной способности фильтра последний промывают обычным способом. Процесс мало зависит от pH воды, который может лежать в пределах 5,5–10. Скорость фильтрования можно доводить до 15 м/час. Г. Крушель

**1876 П.** Кран для водоумягчителей. Робертс (Valve for water softeners. Roberts V. F.), Англ. пат. 719023, 24.11.54

Предложена конструкция многоходового крана с ручным приводом от маховичка для обслуживания катионитных фильтров. Расход воды регулируется плоским диском, прижимаемым к корпусу крана давлением воды; в диске и корпусе имеются прорезы, по которым протекает вода. Г. Крушель

**1877 П.** Очистка воды для питания паровых котлов (Epuration des eaux d'alimentation des chaudières) [Sulzer Freres, Soc. Anon.]. Франц. пат. 1074412, 5.10.54 [Chimie et industrie, 1955, 74, № 3, 467 (франц.)].

Добавок воды для питания паровых котлов обессоливается и присоединяется к возвратному конденсату, вместе с которым подвергается повторному обессоливанию. При обессоливании добавка воды работа производится до истощения материала, при обессоливании смеси добавка с конденсатом — до появления проскока. Н. Брызгалов

**1878 П.** Проточный осветлитель для сточных вод. Бинфорд (Continuously operating clarifier tanks for sewage liquids containing gritty and non-gritty solids. Binford Thomas A.) [Dorr-Oliver Inc.]. Пат. США 2713027, 12.07.55

Патентуется устройство радиального отстойника для осветления сточных вод, содержащих песок и легкие грубодисперсные примеси. А. Фихман

**1879 П.** Очистка сточных вод. Логан, Фишер (Sewage treatment. Logan Robert P., Fi-

scher Anthony J.) [Dorr-Oliver Inc.]. Пат. США 2723231, 8.11.55

Патентуется конструкция осветлителя со взвешенным осадком для очистки сточных вод. Во взвешенном слое, помимо адсорбции, происходит биохим. аэробное окисление. Предусмотрена регенерация активного ила в выносном регенераторе. Насыщение воды  $\text{O}_2$  осуществлено при помощи перемешивания. В. Разнощия

**1880 П.** Обработка органических отходов (Treatment of organic waste matter) [British Organic Products Ltd]. Австрал. пат. 161443, 10.03.55

Предложен процесс анаэробного сбраживания сточных вод совместно с находящимися в них органич. осадками, с получением газа, содержащего большой процент  $\text{CH}_4$ . Остающийся в сточных водах осадок смешивается с тонкоизмельченными органич. отходами, сбраживается в аэробных условиях и идет на изготовление компостов. С. Конобеов

**1881 П.** Способ умерщвления яиц аскарид в бытовых сточных водах. Баумхёггер (Verfahren zum Keimunfähigmachen von Askarideneiern in Fäkalien. Baumhögger Walter) [Deutsche Abwasser-Reinigungs-G. m. b. H.]. Пат. ФРГ 927740, 16.05.55

Для умерщвления яиц аскарид, содержащихся в бытовых сточных водах, последние фильтруют и осадок сбраживают при 25–30° (фильтрат может быть использован для орошения). Сброженный осадок подается под давлением через сопло в камеру, где нагревается в течение 5 мин. голым паром до 55°. При этом белок свертывается и яйца аскарид умерщвляются. С. Трудов

**1882 П.** Удаление фенолов из сточных вод (Separation of phenols from waste water) [Metallges. A.-G.]. Англ. пат. 716886, 13.10.54 [Chem. Abstrs, 1955, 49, № 4, 2652 (англ.)]

Большие концентрации фенола в промышленных сточных водах могут быть снижены до  $<100 \text{ мг/л}$  путем применения 4–12-ступенчатой противоточной экстракции неомыляющимися экстрагентами, относящимися к классу углеводов, эфиров, кетонов или азотсодержащих оснований. Экстрагент может быть использован повторно после дистилляции и обработки щелочью. С. Конобеов

**1883 П.** Процесс удаления фенолов из сточных вод газовых заводов (Procédé d'élimination des phénols, des eaux résiduaires de l'industrie gazière) [Gas de France (Service National)]. Франц. пат. 1027493, 12.05.53 [Chem. Zbl., 1955, 126, № 12, 2819 (нем.)]

Для удаления остаточных фенолов из сточных вод, подвергшихся обессоливанью, их пропускают через анионитные фильтры. В качестве анионит-я применяют продукты окисления, конденсации и полимеризации анилина, мочевины, меламмина или фенилированных диаминов. С. Конобеов

**1884 П.** Прибор для измельчения мусора и других твердых отходов (Apparatus for disintegrating solids in garbage or like waste) [New Zealand Textile Engineers, Ltd]. Англ. пат. 719 509, 1.12.54

С целью удаления через канализацию твердых отходов для их измельчения предлагается дезинтегратор, состоящий из вращающегося барабана с ножами, проходящими между ножей неподвижной крышки. Описано взаиморасположение ножей. Л. Милованов

См. также: Анализ  $\text{Ca}^{2+}$  и  $\text{Mg}^{2+}$  1183;  $\text{Al}^{3+}$  1184; F- 1256; фенол 1180. Физ.-хим. основы технологии: гидролиз  $\text{Al}^{3+}$  и  $\text{Fe}^{3+}$  502; кислородные комплексы акт. углей 565. Внутрикотловые процессы: разложение  $\text{N}_2\text{H}_4$  682; р-римость  $\text{CaHPO}_4$  и  $\text{Ca}_3(\text{PO}_4)_2$  376. Иониты: обзор 597, 598; терминология 599; ионообменное равновесие 605; обмен анионов глинами 607; избирательная адсорбция 609; синтез анионитов 2568;

ионитные мембраны 611; роторные ионообменные колонки 612. Коррозия: в системе горячего водоснабжения 3209;  $(\text{NaPO}_3)_x$  как замедлитель коррозии 3227. Утилизация и удаление отходов: фильтрование угольного шлама 1891. Аппаратура: фильтрующие среды 3257. Подготовка воды для бумажной пром-сти 2691.

## ПЕРЕРАБОТКА ТВЕРДЫХ ГОРЮЧИХ ИСКОПАЕМЫХ

Редактор М. О. Хайкин

1885. О теплоте смачивания водой витренизированного и фюзенизированного вещества некоторых углей Средней Азии. Смолина Л. Б., Докл. АН УзССР, 1955, № 12, 7—10 (русс.; рез. узб.)

Теплоты смачивания ингредиентов среднеазиатских углей измерялись в калориметре Андрианова. Показано, что витренизированные компоненты плохо смачиваются и пропитываются водой и часто имеют жесткую структуру, в то время как фюзенизированные ингредиенты хорошо смачиваются и впитывают до 100% воды, т. е. являются резко гидрофильными. Сделан вывод, что различие в прочности связи гидрофильных групп гуминовых к-т с молекулами воды для витренизированных и фюзенизированных в-в обусловлено их различной структурой. Набухающие и окисленные разности бурых углей характеризуются более высокими значениями теплоты смачивания. Установлено, что смачивание образцов неполярными жидкостями — бензолом и керосином — дает незначительные тепловые эффекты, что указывает на явную гидрофильность поверхности частиц на стадии бурых углей. Предположено, что при повышении степени углефикации и образовании более жестких и компактных структур происходит гидрофобизация в-ва углей.

М. Липец

1886. Окисление угля азотной кислотой. Часть IV. Применение графостатистического метода при исследовании нитрогуминовых кислот. Дурен (The nitric acid oxidation of coal. Part IV. Application of the graphical-statistical method to the interpretation of the investigations on the nitrohumic acids. Duren B. L. van), J. S. Afric. Chem. Inst., 1953, 6, № 2, 31—35 (англ.)

Изучались диаграммы зависимости (соотношения): число атомов водорода (число атомов углерода, число атомов кислорода), число атомов углерода. Р-ции окисления, дегидрогенизации, гидрогенизации, дегидратации, отщепления  $\text{CH}_4$ , декарбоксилирования выражаются на диаграмме прямыми линиями. Исследовалась смесь нерастворимых в эфире нитрогуминовых к-т, полученных при окислении углей  $\text{HNO}_3$ , а также фракция от осаждения ацетоном эфирной вытяжки. Часть III см. J. S. Afric. Chem. Inst., 1951, 4, № 2, 17—34.

А. Очкин

1887. Ингибиторы низкотемпературного окисления каменных углей. Терпигосова Е. А., Изв. АН СССР, Отд. техн. н., 1954, № 4, 147—151

Проведено испытание кузнечного угля на окисление до и после обработки ингибиторами; в качестве окислителей применялись перекись водорода и воздух (при 100—160°). Уголь смачивался жидкостью, служащей ингибитором: эмульсией керосина и автола со щелочью, самими нефтепродуктами, мылами, жирными к-тами, известковым молоком, высушивался на воздухе и окислялся перекисью водорода. До и после окисления определялись т-ры возгорания в смеси с твердым окислителем ( $T$  и  $T_1$ ). Лучшими ингибиторами оказались нефтепродукты и их эмульсии ( $T - T_1 = 1 - 6^\circ$ ), слабее действуют мыла ( $T - T_1 = 9 - 17^\circ$ ), жирные к-ты

( $T - T_1 = 6^\circ$ ), известкового молоко ( $T - T_1 = 14^\circ$ ). Не-обработанный уголь имел  $T - T_1 = 36^\circ$ . Н. Кондуктов

1888. Методика и практическое значение определения содержания ксилитов в мягких бурых углях. Якоб, Вагнер-Бегер (Zur Methodik und praktischen Bedeutung der Bestimmung des Xylitgehaltes in Weichbraunkohlen. Jacob Helmut, Wagner-Beeger Sigrid), Freiburger Forschungsh., 1955, A, № 44, 80—95 (нем.)

Предложена методика определения ксилитов (лигнитов), основанная на ручной отборке проб угля класса 1—6 мм. Показано, что присутствие фракции 1—0 мм мешает определению. На искусств. смесях, содержащих от 10 до 50% ксилитов установлено, что средняя погрешность определения колеблется в пределах  $\pm 0,4 - \pm 0,9$ . Определение содержания ксилитов существенно для брикетирования и коксования, так как ксилиты улучшают прочность брикетов и понижают прочность кокса.

С. Гордон

1889. К вопросу о плавкости угольной золы. Шукнехт (Zur Frage des Schmelzverhaltens von Kohlenaschen. Schuknecht W.), Glückauf, 1956, 92, № 1-2, 52—53 (нем.)

Приводятся результаты определения т-р плавления 2 проб угольной золы, проведенного различными лабораториями, в окислительной атмосфере и смешанной окислительно-восстановительной атмосфере. Разница в значениях т-ры плавления достигает 80—135° в окислительной и 130—150° в смешанной атмосфере. Опыты по влиянию характера газовой среды на точность определения т-ры плавления угольной золы показали, что наибольшие отклонения в параллельных определениях, достигающие 150°, наблюдаются в атмосфере, состоящей из 50%  $\text{N}_2$  и 50% водяного пара; в этой же среде получается и наиболее низкое абс. значение т-ры плавления. В средах: воздух, 50% воздуха + 50% водяного пара, 50%  $\text{N}_2$  + 50% водяного пара, 50% светильного газа + 50% водяного пара и  $\text{N}_2$ , расхождения в параллельных определениях невелики.

Б. Энглин

1890. К вопросу получения сверхмалозольных концентратов из донецких каменных углей. Майер Д. М., Науч. тр. Харьковский. горн. ин-та, 1956, 3, 57—60

Структура каменных углей Донецкого бассейна (ДКУ) и распределение в них зольных элементов изучались с помощью микроскопич. и петрографич. методов исследования. Показано, что ДКУ резко отличаются друг от друга как по содержанию минер. включений, так и по ряду физ. свойств. Проведенные автором опыты по флотационному обогащению тонких ДКУ показали возможность получения концентратов с выходом 65—76,6%, при зольности 0,5—0,95%. Сделан вывод, что многие ДКУ могут давать достаточно высокие выходы концентратов с миним. зольностью (до 1%). Для практич. решения проблемы получения сверхмалозольных концентратов из ДКУ важно подобрать подходящий метод обогащения.

М. Липец

1891. Влияние различных факторов на фильтрацию угольного шлама под вакуумом. Симон, Пенсон (Contribution à l'étude de l'influence des divers facteurs conditionnant la filtration sous vide des schlamms de charbons. Simon G., Melle, Pinçon A.), Mines, 1955, 10, № 3, 275—282 (франц.)

При фильтрации угольного шлама, содержащего 30% частиц  $< 0,1$  мм с конц-ией 475 г/л, с добавками коагулянта в кол-ве 56—168 г/л производительность фильтра увеличилась со 168 до 360 кг/час/м<sup>2</sup>. Показано, что с повышением конц-ии вдвое производительность фильтра увеличивается втрое. Наличие частиц  $< 0,1$  мм в кол-ве  $> 35\%$  замедляет фильтрацию. С. Гордон

**1892. Охлаждение буроугольных брикетов. Тренклер** (Beitrag zur Kühlung von Braunkohlenbriketts. Trenkler Harro), Braunkohle, 1955, 7, № 15/16, 325—333 (нем.)

Процесс сушки буроугольных брикетов после прессования рассматривается в связи с капиллярным строением угля. Установлено, что быстрая сушка (24—36 час.) улучшает прочность брикетов, особенно в первые 4 часа. Охлаждение следует вести в насыщ. влагой атмосфере или даже при опрыскивании брикетов водой. Предложено применение для этой цели ленты, движущейся со скоростью 0,068 м/сек, на которой охлаждающие достигаются за 12 мин.

С. Гордон

**1893. Усреднение углей и шихты на коксохимических заводах. Зашквара В. Г., Сапожников Я. Ю., Черкасская Э. И., Сталь**, 1955, № 10, 871—879

Даны результаты заводских опытов усреднения качества угля по зольности, содержанию летучих в-в и S путем постоянной загрузки в штабель или бункер и выдачи угля в разрез слоев. Усреднение проводилось на механизированном складе, в бункерах дозирования отделения и угольной башне коксохимич. з-дов. Показано, что наибольший эффект усреднения достигается в основных штабелях угольного склада; усреднение в бункерах и угольной башне значительно менее эффективно вследствие одновременного заполнения и неполного опорожнения бункеров. Рекомендуется загрузку угля в бункеры производить над выпускными отверстиями и учитывать оптимальные условия усреднения при проектировании складов, бункеров и угольных башен.

В. Кельцев

**1894. Интенсификация процесса улавливания бензола. Кафаров В. В., Дытнерский Ю. И., Кулик Н. И., Кокс и химия**, 1956, № 3, 47—49

Исследование зависимости эффективности работы насадочных колонн (НК) от линейной скорости газа показало, что предельные скорости газа приводят к значительному возрастанию производительности НК. Оптимальным режимом для эксплуатации НК является режим эмульгирования. Приведено ур-ние для вычисления скорости газа, отвечающей этому режиму, и схема опытной установки эмульгационного скруббера. Проведенные на Московском коксогазовом з-де испытания по эмульгационному режиму показали значительную интенсификацию процесса поглощения сырого бензола из коксового газа в скруббере. Сделан вывод, что осуществление режима эмульгирования позволит заменить 3—4 типовых скруббера одним скруббером общей высотой 4—5 м и слоем насадки 1,5—2 м. При этом сопротивление скруббера не превышает 400—450 мм.

М. Линец

**1895. Соотношение между 10% точкой выкипания и равновесной кривой выкипания для смол. Ланда, Шешулка** (O vztahu mezi krivkami desítiprotentové destilace a krivkami rovnovážné mízkové destilace u dehtů. Landa S., Šešulka V.), Paliva, 1955, 35, № 9, 263—267 (чеш.; рез. русс., нем.)

Разработан метод построения равновесной кривой выкипания (РКВ) смолы, исходя из разгонки по Энглеру. При этом за основу выбирается точка, лежащая в середине 10% кривой, являющейся точкой пересечения с РКВ. Из наклона 10% кривой с помощью ур-ния кубич. параболы рассчитывается наклон РКВ.

Б. Энглин

**1896. Получение белого парафина с помощью селективных растворителей. Пецольд** (Zur direkten Gewinnung von Weißparaffin mit selektiven Lösungsmitteln. Pezold Ernst v.), Brennstoff-Chemie, 1956, 37, № 1-2, 9—14 (нем.)

Приведены результаты лабор. исследований по экстракции смесями различных р-рителей парафиновой массы, полученной из каменноугольной смолы. В качестве р-рителей применяли: ацетон, 99%  $C_6H_6O$ , он же с 2%  $C_6H_6$ ;  $C_6H_6$ , бутанол, легкий бензин,  $CH_3OH$ , петр. эфир,  $CS_2$ ,  $CCl_4$ . Выделенный парафин характеризовали т-рой плавления и содержанием масла. Исследования показали, что применение р-рителей позволяет получать в более короткий срок более высокие выходы белого парафина, чем другие методы. При применении  $CCl_4$  отмечается образование  $HCl$ . Б. Энглин

**1897. О составе фракций 180—330° генераторной и туннельной смол сланцев Прибалтийского месторождения. Гуляева Л. И., Пышкина Н. И., Тр. Всес. н.-и. ин-та по переработке сланцев**, 1955, № 4, 137—151

Приводятся результаты исследования группового хим. состава дистиллятов сланцевых смол, для чего исследуемый продукт разделялся адсорбционным хроматографич. методом на отдельные фракции. Показано, что фракции 180—330° генераторной и туннельной смол имеют практически один и тот же групповой хим. состав. В них определены: парафиновые и олефиновые углеводороды нормального строения, причем среди последних найдены полиеновые и диеновые с сопряженной двойной связью; циклоолефины, нафтены; ароматич. углеводороды бензольного ряда и с конденсированными кольцами; кислые и нейтр. О-соединения и S-соединения. Разработан адсорбционный хроматографич. метод отделения бромпроизводных углеводородов от предельных углеводородов. Б. Энглин

**1898. Каталитическая термолимеризация средних фракций сланцевой смолы с синтетическим алюмосиликатом. Добрянский А. Ф., Уус Э. Г., Изв. АН ЭстССР; Eesti NSV Teaduste Akad. toimetised**, 1955, 4, № 4, 599—608

Показано, что при полимеризации обесфеноленной дизельной фракции ( $d_{40}^{20}$  0,9096, вязкость при 20° 7,05 ссст, кокс по Конрадсону 0,27%, пределы кипения 230—346°, мол. в. 209, S 0,90%) смолы из генератора полукоксования сланца над синтетич. алюмосиликатным катализатором (K) можно наряду с дизельным топливом (43—49%) получить также и смазочные масла типа веретенных, машинных и автотракторных с выходом до 30%. Оптимальными условиями полимеризации являются т-ра 240—250°, продолжительность контакта 10 час., кол-во K 75% от веса исходной фракции. Обработанный K может быть регенерирован после крекинга смолистых отложений на нем (при 400°, в течение 20—30 мин.) в потоке воздуха по принятой в пром-сти крекинга схеме.

Г. Марголина

**1899. Производство газа на установке Талли для безостаточной газификации. Талли** (Gas manufacture by the Tully complete gasification process. Tully J. E.), Gas Times, 1954, 81, № 830, 28, 33—38 (англ.)

**1900. О термическом разложении пылевидного бурого угля Александровского месторождения в потоке водяного пара. Каширский В. Г., Петелина В. С., Лобачева Н. Б., Якорева А. Р., Укр. хим. ж.**, 1956, 22, № 2, 253—258

Описаны результаты лабор. опытов, проведенных в реакторе с внешним обогревом. Перегретый до 440—450° водяной пар подавался в кол-ве 8—9 г/мин, что соответствует расходу пара 1 г на 1 г угля; т-ра потока смеси на выходе из реактора изменялась от 620 до 840°. Показано, что скоростной нагрев пылевидного топлива в условиях интенсивного массо- и теплообмена в потоке пара влияет на состав и качество продуктов термич. деструкции органич. в-ва угля. При т-ре потока выше 600° наблюдается значительное увеличение вы-



хода газа, обогащенного водородом и окислами углерода в результате окисления кокса водяным паром и углекислотой. При термич. разложении бурого угольной пыли отмечается резкое уменьшение образования смолы и соответствующее увеличение выхода газа и газового бензина. Последний содержит преобладающее кол-во ароматич. соединений при  $t$ -рах  $> 700^\circ$ . Установлена зависимость состава и свойств пылевидного кокса и водн. конденсата от  $t$ -ры пиролиза угля. Теплопроизводительность пылевидного кокса превышает 5500 ккал/г. Сделан вывод о возможности энергохимич. использования бурых углей путем термич. разложения угольной пыли в потоке пара. М. Липец

1901. К вопросу о коллоидно-химическом анализе каменноугольного дегтя. Маллисон (Beitrag zur kolloidchemischen Analyse des Steinkohlenteers. Mallison H.), Bitum., Teere, Asph., Pechе und verw. Stoffe, 1954, 5, № 9, 287—290 (нем.)

Предложено разделение дегтя для аналитич. целей на фракции различных дегтевых смол и масел с помощью избирательно действующих  $r$ -рителей: 1 фракция — не растворимые в антраценовом масле и пиридине высокомолекулярные дегтевые смолы; 2 фракция — не растворимые в бензоле среднемолекулярные дегтевые смолы; 3 фракция — не растворимые в метаноле низкомолекулярные дегтевые смолы; 4 фракция — не растворимые в разб. водой метаноле среднемолекулярные дегтевые масла; 5 фракция — растворимые в разб. водой метаноле низкомолекулярные дегтевые масла. Навеска дегтя для анализа берется 1 г, пека 0,8—0,6 г. Дан подробный ход анализа и приведена таблица выходов указанных фракций для различных дегтей и пеков. Предложена ф-ла для вычисления выхода кокса из пеков и дегтей на основании данных фракционного состава. Вычисленные выходы кокса близко совпадают с полученными экспериментально по методу Брукмана — Мука в платиновом тигле. А. Кузьмина

1902. Погрешность при определении двуокиси углерода в угле. Нелсон, Шипли (Errors in the determination of carbon dioxide in coal. Nelson J. B., Shipley D. E.), Fuel, 1955, 34, № 4, 404—408 (англ.)

При определении карбонатной  $\text{CO}_2$  минер. части угля разложением фосфорной  $k$ -той по стандартному методу получаются заниженные результаты. Найдено, что при замене фосфорной  $k$ -той 4%-ной  $\text{HCl}$  достигается большая полнота разложения. При данной концентрации  $\text{HCl}$  нет опасности выделения паров  $\text{HCl}$  и их влияния на кол-во определяемой  $\text{CO}_2$ . С. Гордон

1903. Новые пути физико-химического исследования продуктов низкотемпературного гидрирования. Хюттинг, Кюнханс, Заагер (Neue Wege zur physikalisch-chemischen Untersuchung des TTH-Abstreifers. Hüttig Erhard, Kühnhanss Gerhard, Saager Johannes), J. prakt. Chem., 1954, 1, № 1-2, 41—56 (нем.)

Низкотемпературное гидрирование (НТГ) смеси бурого угольной смолы и 10—35% легкого масла протекает при  $t$ -ре 300—480° и парц. давлении  $\text{H}_2$  220—270 ат на сульфидных катализаторах. Полученные продукты разгоняются на бензин, тяжелый бензин, среднее и дизельное масло, а тяжелые продукты обеспарафиниваются и дают веретенное и машинное масла. В работе сделаны попытки разработки более тонкого анализа содержащихся компонентов в продуктах НТГ и получения непрерывных физ.-хим. данных при протекании процесса, что основывается на сопоставлении между собой двух-трех известных констант. Состав углеводородов ( $\text{U}$ ), содержащихся кроме насыщ.  $\text{U}$  и ароматич. соединений в области выкипания бензиновой фракции можно определить из соотношений между рефрактометрич. параметром  $n-d/2$  и плотностью. Продукты,

выкипающие до 120°, оцениваются предварительным фракционированием, а затем разделяются компоненты, выкипающие при 120—160°, парафины, нафты и ароматич.  $\text{U}$ . Разгонка проводится в нормальной аппаратуре. Отогнанные фракции исследуются хроматографически. Тяжелый бензин, среднее дизельное масло разгоняются по колонке диам. 3 см и длиной 240 см, а веретенное и машинное масло на колонке высотой 9 м. Ароматич. соединения и смола вымываются из колонки бензолом и ацетоном. Дано графич. соотношение между плотностью и рефрактометрич. константой в интервале до 200° для 1, 2 и 3-х кольцевых нафтонов, парафинов, нецикл. моноолефинов, ароматич.  $\text{U}$ . В координатах  $n-d/2$  и  $d^{20}$  построен треугольник, позволяющий для любой фракции, лежащей внутри треугольника, определить содержание ароматич.  $\text{U}$ , парафинов, нафтонов. Дано графич. изображение содержания углеводородов этих классов в зависимости от плотности при  $t$ -рах выкипания  $< 160^\circ$ .

Г. Стельмак

1904. Уменьшение размера частиц и разделка проб кокса для общего анализа. Мотт, Тернер (The size-reduction and sample-division of the moisture sample of coke for general analysis. Mott R. A., Turner R. W.), Gas World, 1955, 142, № 3703, 31—38, 40 (англ.)

Согласно английскому стандарту, 1 кг пробы кокса с размером частиц 1,25 см измельчается до 0,3 мм, из полученного продукта отбирается проба в 112 г, измельчающиеся до 72 меш. Для предотвращения погрешности при таком методе разделки образцов вследствие трудности равномерного перемешивания вручную предлагается спец. лабор. мешалка. Показано распределение зольных элементов во фракциях кокса разной крупности, причем наибольшая зольность (при тонком измельчении до 240 меш) отмечена в самых крупных и самых мелких фракциях. Во избежание ошибок рекомендуется всю исходную пробу в 1 кг измельчать до 14—72 меш в лабор. мельнице. В этом случае погрешность не превышает  $\pm 0,02\%$ . С. Гордон

1905 Д. Теория и методы расчета раскрытия минералов при дроблении и гравитационном обогащении углей. Звягин Б. М. Автореф. дисс. канд. техн. н., Ин-т горючих ископаемых АН СССР, М., 1956

1906 Д. Изучение новых путей переработки нейтральной части каменноугольной смолы. Раукас М. М. Автореф. дисс. канд. техн. н., Уральский политехн. ин-т, Свердловск, 1956

1907 Д. Исследования в области обесфеноливания каменноугольных масел. Спицын А. К. Автореф. дисс. канд. техн. н., Харьковский политехн. ин-т, Харьков, 1956

1908 Д. К вопросу о механизме образования кокса из торфа. Новичкова Е. А. Автореф. дисс. канд. техн. н., Моск. торф. ин-т, М., 1956

1909 П. Деалкилирование и обессеривание ароматических углеводородов (Desalkylation of the hydrocarbons aromatics) [Imperial Chemical Industries Ltd]. Франц. пат. 1039760, 9.10.53 [Chem. Zbl., 1955, 126, № 15, 3488 (нем.)]

Моноциклические ароматич. углеводороды (толуол) ксилол, этилбензол (триметилбензол) обрабатывают  $\text{H}_2$  при 500—600° (лучше 540—570°) и 200—300 ат в присутствии  $\text{Al}_2\text{O}_3$ ,  $\text{SiO}_2$  или алюмосиликатного катализатора, содержащего один или несколько окислов Pb, Mo, W и Mn или же один (или несколько) свободных металлов из числа указанных выше. Примеры: ксилол и  $\text{H}_2$  пропускают при 550° и 200 ат над «супер-фильтролом» (алюмосиликат); получают (в вес. %)  $\text{C}_6\text{H}_6$  24 и  $\text{C}_6\text{H}_5\text{CH}_3$  48. Обработкой каменноугольного бензола, имеющего 0,6% S в виде S-соединений,  $\text{H}_2$

при 550° и 250 ат в присутствии  $\text{Al}_2\text{O}_3 - \text{SiO}_2$ -катализатора получают бензол, содержащий 0,025% S; при использовании в качестве катализатора окислов Mn, Mo и Al получают бензол с содержанием 0,003—0,008% S в виде S-соединений. В. Красева

**1910 П.** Газы с высокой и низкой теплотворной способностью (Gases of high and low calorific value) [Union Rheinische Braunkohlen Kraftstoff A.-G.] Австрал. пат. 166871, 23.02.56

Процесс одновременного получения газов с высокой и низкой теплотворностью из твердых топлив при деструктивной перегонке с помощью твердых теплоносителей (Т), поддерживаемых в циклическом потоке, и газификации кокса, образующегося при деструктивной перегонке, для получения генераторного газа (Г), состоит в произ-ве Г при т-ре более высокой, чем т-ра, необходимая для нагрева рециркулирующего Т для обеспечения деструктивной перегонки (или низкотемпературной карбонизации), нагревания рециркулирующего Т этим Г и передаче Т пневматически или в виде турбулентного потока или псевдооживленного слоя.

Г. Марголина

**1911 П.** Получение синтез-газа из твердых топлив.

Пирри, Мак-Кейн, Мозес (Preparation of synthesis gases from carbonaceous solids. Peery Luther C., McKane Robert H., Moses Douglas V.) [E. J. du Pont de Nemours and Co.] Канад. пат. 517135, 4.10.55

Предложен способ получения синтез-газа ( $\text{H}_2 + \text{CO}$ ) из пылевидного угля (по различным вариантам патента — из битуминозного угля, пластич. состояние которого наступает при  $\sim 400^\circ$ , а также из угля, 90% которого проходит через сито 200 меш), заключающийся в: 1) суспендировании угля в перегретом паре; 2) смешении суспензии с кислородом (конц.  $\text{O}_2 > 90\%$ ) в кол-ве, достаточном для конверсии угля в  $\text{CO}$  и  $\text{H}_2$ , но недостаточном для образования  $\text{CO}_2$  и  $\text{H}_2\text{O}$ ; 3) введении этой смеси в невоспламеняющемся состоянии и при т-ре, соответствующей началу перегонки (по варианту патента выше точки росы смеси, но ниже т-ры перехода угля в пластич. состояние), в зону горения при скорости, не допускающей проскака пламени в зону смешения (при битуминозном угле  $> 15 \text{ м/сек}$ ); 4) неполном сжигании угля в зоне горения при  $1200\text{—}1700^\circ$ . Зона смешения в поперечном сечении имеет длину  $\geq 25$  ее диаметров. Приведена технологич. схема процесса. В. Кельцев

**1912 П.** Способ получения водорода конверсией газов, содержащих окись углерода. Мидбротт (Verfahren zur Herstellung von Wasserstoff durch Konversion von kohlenoxydhaltigen Gasen. Miedbrodt Carl) [Pintsch Barmag A.-G.] Пат. ФРГ 930029, 7.07.55

Предложен способ получения водорода многоступенчатой конверсией с водяным паром  $\text{CO}$ -содержащих газов с промежуточным охлаждением частично конвертированного газа и отмывкой его от  $\text{CO}_2$  водой под давлением, отличающийся тем, что частично конвертированный газ, охлажденный и освобожденный от основной массы  $\text{CO}_2$  путем промежуточной отмывки, для своего нагрева перед II ступенчатой конверсии подогревается вначале теплом конверсии II ступени, а затем за счет перепада в кол-ве тепла между 1-м и 2-м слоями катализатора конверсии I ступени. Полностью конвертированный газ подвергается 2-ступенчатой отмывке от  $\text{CO}_2$ , при этом часть промывной воды, получаемой при отмывке конечного газа, используется для отмывки от  $\text{CO}_2$  частично конвертированного газа. Приведена схема процесса. С. Гордон

**1913 П.** Способ удаления кислых составных частей из газов. Карл (Verfahren zur Entfernung von sauren Bestandteilen aus Gasen. Karl Alfred)

[Heinrich Koppers G. m. b. H.] Пат. ФРГ 929 986, 7.07.55

Предлагается улучшение способа удаления из газов (напр. полученных при переработке угля) кислых составных частей ( $\text{HCN}$ ,  $\text{H}_2\text{S}$ ,  $\text{NO}$  и др.) пропусканием очищаемого газа через твердую очистную массу (люкс-массу). Улучшение состоит в том, что люкс-массу пропускают через вибрационный грохот с ситом 2 мм и частотой колебания 1500 гц непосредственно в очистные илчики, при этом насыпной вес просеянной массы составляет 780—800 кг/м<sup>3</sup>. Б. Энглин

**1914 П.** Способ и вращающийся фильтр для фильтрации газов, находящихся под давлением, в частности газа дальнего газоснабжения. Ширп (Verfahren und Umlauffilter zum Filtern von unter Druck stehenden Gasen, insbesondere von Feingas. Schirp Alloys.) Пат. ФРГ 931 254, 4.08.55

Предложен способ фильтрации газов, находящихся под давлением, заключающийся в том, что газ обычным способом пропускается через вращающийся фильтр (ВФ), к которому непрерывно подводится промывная жидкость, при этом скорость вращения ВФ регулируется в зависимости от давления газа. Управление ВФ осуществляется электрорегулятором, работающим от мотора через манометр, присоединенный к корпусу фильтра. Приведены схема и описание фильтра. Б. Энглин

См. также: Битумные дорожные покрытия 1736, 1758. Гуминовые к-ты 1793. Дальнее газоснабжение 3247, 3263. Газоочистка 3254. Анализ газов 3331. Газификация угля 3345. Газовые заводы, техника безопасности 3353. Сточные воды коксохимич. заводов 1849, 1850, 1883, 1885

## ПЕРЕРАБОТКА ПРИРОДНЫХ ГАЗОВ И НЕФТИ. МОТОРНОЕ ТОПЛИВО. СМАЗКИ

Редакторы И. М. Руденская, М. О. Хайкин

**1915.** Применение атомной энергии при переработке нефти.— (To study use of atomic energy in petroleum reactions.—), World Petrol., 1955, 26, № 1, 42—43 (англ.)

Фирмой Standard Oil Development Co сооружена лаборатория для исследования влияния атомной радиации на процессы переработки нефти и произ-ва нефтехим. продуктов. Двухлетние предварительные исследования показали возможность применения  $\gamma$ -лучей, получаемых из  $\text{Co}$ -источника для р-ций полимеризации. Радиоактивные изотопы позволяют активизировать процессы крекинга, изучать действие присадок к топливам и маслам, поведение смазок в механизмах, а также исследовать вопросы, связанные с происхождением нефти. А. Чочиа

**1916.** Микробиология в нефтяной промышленности. Дейвис, Андеграфф (Microbiology in the petroleum industry. Davis John B., Updegraff David M.), Bacteriol. Revs., 1954, 18, № 4, 215—238 (англ.)

Обзор. Роль микроорганизмов в процессах образования, переработки и хранения нефти и нефтепродуктов. Библ. 107 назв. А. Чочиа

**1917.** Новая портативная газолиновая установка в Перу. Фриес (How Peru's new portable gasoline plant operates. Fries Herbert), Petroleum International, 1955, 13, № 2, 49—53 (англ.; исп.)

Описана абсорбционная газолиновая установка (ГУ), рекомендуемая для небольших месторождений. ГУ перерабатывает 22 500 м<sup>3</sup> газа в сутки при давл. 7 атм,

извлекаемый нестабильный газолин с упругостью паров по Рейду 1240 мм рт. ст. Из 1 м<sup>3</sup> газа извлекается 0,32 л газоллина, расход абсорбционного масла с уд. в. 0,825 составляет 25 г/мин. Десорбция газоллина производится отдувкой газом при давлении 0,63 атм и т-ре 30°; расход газа на десорбцию 2,25 м<sup>3</sup>/мин. После выделения газоллина последний рекомпримируется и возвращается в абсорбер. Стабилизация бензина производится при 4,6 атм; т-ра в рибойлере 71°. Н. Кельцев 1918.

**Подготовка нефти к переработке на установке с гравийным фильтром.** Булиан, Рённеке (Die Aufbereitung von Erdöl in einer Kiesfilteranlage. Bulian W., Roenneke H.), Erdoel-Z. Boh-und Förder-techn., 1956, 72, № 3, 309—312 (нем.). Приведены схема, принцип действия и описание работы указанной установки. Б. Энглин

1919. **Вязкость нефтяных эмульсий.** Бенъковский В. Г., Изв. АН КазССР, Сер. хим., 1956, № 9, 8—12

Исследована вязкость трех нефтяных эмульсий типа вода — масло при конц-ии воды от 0 до максимально возможной, при которой эмульсия еще сохраняет устойчивость, при т-рах 20—50°. С увеличением содержания воды в эмульсии вязкость ее возрастает и достигает 4—7-кратной величины при 45—50% содержания воды. При более высоком содержании воды в эмульсии наблюдается очень резкое возрастание ее вязкости, связанное с образованием структуры, что подтверждается данными по предельному напряжению сдвига. Образование структуры прежде всего происходит в высокосмолистых нефтях. С повышением т-ры вязкость эмульсий при низких и средних конц-иях воды уменьшается почти линейно. При более высоком содержании воды в эмульсии наблюдается очень резкое снижение вязкости при повышении т-ры, связанное с разрушением структуры. Дано эмпирич. ур-ние зависимости вязкости эмульсии от содержания воды, пригодное для практич. применения при содержании воды ≤ 35%. Б. Энглин

1920. **Развитие нефтехимической промышленности Канады.** Хатчисон, Стивенс (The Canadian petrochemical industry a rapid expansion. Hutchison A. W., Stevens R. G.), Canad. Chem. Process., 1956, 40, № 4, 38—40, 42, 44, 49—51 (англ.)

Обзор достижений нефтехим. пром-сти в Канаде по материалам IV Международного нефтяного конгресса в Риме в 1955 году. Библ. 18 назв. М. Энглин

1921. **Нефтяные ксилолы. Их разделение и окисление.** — (Petroleum xylenes. Their separation and oxidation. —), Oil and Gas J., 1955, 54, № 12, 232—233, 236—237, 239 (англ.)

Обзор произ-ва ксилолов из нефти по материалам IV Международного нефтяного конгресса в Риме в 1955 году. Библ. 34 назв. М. Энглин

1922. **О нафтеновых углеводородах, содержащихся в высококипящих фракциях нефтей.** Жердева Л. Г., Потанина В. А., Кроль Б. Б., Химия и технол. топлива, 1956, № 2, 13—23

Абсорбционным разделением на силикагеле с десорбцией метановым р-рителем из высококипящих фракций различных нефтей выделены и изучены фракции нафтеновых углеводородов (НУ) различного строения. Окисление различных фракций НУ в бомбе Буткова кислородом под давл. 15 атм при 150° в течение 3 час. показало, что стабильность НУ зависит от их строения и мол. веса. С повышением мол. веса уменьшается окисляемость как малоциклич. так и полициклич. высокомолекулярных НУ. Высокомолекулярные малоциклич. НУ, выделенные из остаточных фракций нефтей, при окислении не дают липкого кислого осадка (ЛО), растворимого в спирте, а образуют небольшое

кол-во сухого осадка (СО), не растворимого в спирте. Высокомолекулярные полициклич. НУ окисляются значительно легче, чем малоциклич. близкого мол. веса, и образуют значительное кол-во ЛО (в основном) и СО. НУ с мол. в. <500, выделенные из дистиллатов различных нефтей, разной цикличности отличаются повышенной склонностью к окислению по сравнению с высокомолекулярными, выделенными из высококипящих концентратов нефтей, и образуют в большом кол-ве только ЛО, характеризующийся высоким кислотным числом. При добавлении 10—15% малоциклич. высокомолекулярных НУ, выделенных из остаточного масла, к малоциклич. НУ близкого структурно-группового состава, выделенным из дистиллатного масла сернистых нефтей, стабильность последних повышается в два раза. Это наблюдается и при смешении дистиллатного масла с остаточным. Б. Энглин

1923. **Использование нефтяного кокса для получения химических продуктов.** Джонс, Паркер, Стробел (Petrochemical profits from refinery cokes. Jones E. L., Parker F. D., Strobel W. B.), Petrol. Engr., 1954, 26, № 8, C23—C24, C26—C28 (англ.)

Доходность нефтеперерабатывающих з-дов может быть повышена за счет переработки нефтяного кокса на CaC<sub>2</sub> с последующим получением ряда продуктов, главным образом ацетилена. Рассмотрена технологич. схема з-да производительностью ~20 000 т в год CaC<sub>2</sub>. Н. Кондуков

1924. **Современный загод по переработке нефти, получению из нее химических продуктов и обогащению угля.** Рейсский ольфингоый загод в Весселинге. Розер (Neuzeitliche Werke der Erdölverarbeitung, Petrochemie und Kohleveredlung. Die Rheinischen Olefinwerke in Wesseling. Rosser Otto) Erdöl und Kohle, 1945, 9, № 1, 13—16 (нем.)

1925. **Рост производства нефтехимических продуктов и его значение для нефтяной промышленности.** Хьюз (The growing petrochemical industry what it means to the oil producer. Hughes T. G.), Petrol. World and Oil., 1955, 52, № 52, 11—12 (англ.) Произ-во нефтехим. продуктов в США в 1955 г. составило 14 млн. т, а в 1975 году увеличится до 24,5 млн. т. В настоящее время в США на нефтехимикаты перерабатывается ~1% сырой нефти и газа. В 1975 г. эта цифра должна возрасти до 2%. М. Энглин

1926. **Опытная установка для получения химических продуктов из нефти.** Фостер, Недлер, Питерсен, Шарра (Petrochemical research pilot plant. Foster C. V., Knedler O. A., Petersen J. F., Sharrah M. L.), Industr. and Engng Chem., 1956, 48, № 5, 849—853 (англ.)

Описана опытная установка для получения хим. продуктов из нефти, а также прислал к смазочным маслам. Указаны детали устройства помещения, хранения, вспомогательных служб и приспособлений: нагревательные устройства, водоснабжение, система подачи сжатого воздуха, вакуума и электроэнергии, вентиляция и освещение. Приведены данные по технике безопасности. Л. Херсонская

1927. **Ускоренный вывод двухфазных установок термического крекинга на нормальный режим.** Эрлих Б., Новости нефт. техники. Нефтепереработка, 1954, № 6, 9—10

Для устранения недостатков, наблюдающихся при выводе двухфазных установок термич. крекинга на режим, предлагается одновременная горячая циркуляция продукта на обеих печах до 370—390°, после чего печь глубокого крекинга выключают из системы. На печи легкого крекинга производят форсированный подъем т-ры до нормальной. Свежее сырье направляют на шестую тарелку ректификационной колонны, что



позволяет ускорить загрузку печи легкого крекинга и вывод ее на режим. Частичное перераспределение потока сырья между низом и шестой тарелкой колонны позволяет обеспечить питание флегмой печи глубокого крекинга. Затем налаживают нормальную стабилизацию и зашелачивание бензина. Годовая практика работы показала, что время вывода установок на нормальный технологич. режим ускоряется на 3—4 часа.

А. Чочиа

**1928. Влияние изменения технологических параметров на показатели каталитического крекинга при работе на тяжелом сырье.** Прошкин А. А., Новости нефт. техн. Нефтепереработка, 1956, № 1, 3—6

Повышение т-ры сырья на выходе из печи в реактор (с 455—468° до 477—492°), увеличение расхода пара на сырье (с 2,8—3,0% до 5,0—5,4%) и снижение т-ры катализатора на входе в реактор (с 550 до 520°) при каталитич. крекинге вакуумного газойля позволяет резко снизить расход катализатора (с 1,01—1,3 до 0,46—0,56%) и содержания на нем остаточного кокса (с 3,6 до 1,94—2,11 из реактора и с 1,67—1,7 до 0,46—0,51% из регенератора). Кроме того облегчается работа регенератора, улучшается детонационная характеристика моторного бензина, повышается его выход (с 25,6—26,4 до 27,74—29,10%), а также выход компонента дизтоплива (с 32,6—33,6 до 36,56—39,91%). Общая загрузка установки, с учетом циркулирующего сырья, в отдельные дни была доведена до 900—920 *м/сутки*. Изменение режима позволяет работать на более тяжелом сырье.

Б. Энглин

**1929. Упрощенный способ снижения углистых отложений.** Спенсер (Simplified control of carbon laydown. Spencer Hollis A.), Petrol. Process, 1954, 9, № 7, 1083—1084 (англ.)

Сравнительно простая схема приборов в установке каталитич. крекинга с псевдоожиженным катализатором позволяет максим. снизить углистые отложения на катализаторе. Последнее достигается регулированием потока воздуха, поступающего в генератор, и т-ры на выходе газового потока из генератора, где установлена контрольная термопара.

А. Чочиа

**1930. Распределение изомеров в углеводородах, синтезированных по методу Фишера — Тропша.** Макдоналд, Сунтт, Холл (Isomer distribution in the hydrocarbon products of the Fischer—Tropsch synthesis. Macdonald P., Sweett F., Hall S. C.), J. Appl. Chem., 1955, 5, № 10, 536—541 (англ.)

В целях исследования хода р-ции при синтезе по Фишеру — Тропшу были детально изучены продукты, полученные с катализатором Co—Th—Mg на кизельгуре в реакторе с неподвижным слоем при давл. 10,2 атм, при составе газа  $H_2 : CO = 2$  и объемной скорости в час 110. Продукт А, содержащий 40% спиртов, был получен в указанных условиях на протяжении 4 дней при 170°. Конверсия составляла 15%. Продукт В был получен в тех же условиях, но при 190°, конверсия 65% (2% спиртов). Были изучены также продукты, полученные с Fe-катализатором, пропитанным 2%  $K_2CO_3$  и сплавленным при 1000°. Процесс проводился при рециркуляции газа состава  $H_2 : CO = 1,2$ . Продукт С был получен в небольшом реакторе с неподвижным слоем при 230° и давл. 30 атм (конверсия 70%), а D — в реакторе диам. 2,54 см с «кипящим» слоем при 320° и 20 атм (конверсия 90%). Продукты р-ции разгонялись на колонне с 10 тарелками в пределах 20—100°, кислородные соединения удалялись промывкой водой и р-ром КОН, 20 час. обработкой при 100° в автоклаве и, наконец, промывкой водой. Олефины гидрировались и разгонялись в пределах 36—83°. Фракции исследовались по поглощению в ИК-области. Было уста-

новлено, что во всех продуктах превалирует *n*-гексан (I). Для ряда продуктов CoA, CoB, FeA и FeB было найдено соответственно (в мол. %) *n*-гексана: 96,5; 94,5; 79,5 и 70,2; 2-метилпентана 1,2; 3,2; 8,1 и 13,0; 3-метилпентана 1,7; 2,2; 8,2 и 10,4; 2,3-диметилбутана 0,3; 0,1; 0,9 и 1,2 и небольшое кол-во бензола, циклогексана и метилциклопентана. Из приведенных данных следует, что повышение т-ры р-ции обуславливает уменьшение кол-ва углеводородов с прямой цепью. Fe несколько повышает кол-во изосоединений. Для выяснения вопроса, является ли разветвление цепи результатом изомеризации, синтетич. *n*-гексан был подвергнут контактированию с катализатором FeB. Продукты р-ции и исходный *n*-гексан были гидрированы и подвергнуты анализу в ИК-спектрометре. Результаты показали, что изомеризация проходит в крайне незначительной степени.

Е. Покровская

**1931. Крекинг нефтяных остатков на коксогазовом заводе (Берлин — Мариендорф).** Бауш (Ölsplattung zur Spitzengaserzeugung in der Gaskokerei Berlin — Mariendorf, Bausch Herbert), Erdöl und Kohle, 1956, 9, № 2, 90—93 (нем.)

Описание установки по крекингу нефтепродуктов для покрытия потребности в газе в часы пик.

Б. Энглин

**1932. Использование продукции газодинамических заводов для химического производства.** Крокетт (The natural-gasoline producer's stake in chemical manufacture. Crockett L. O.), Oil and Gas J., 1955, 53, № 50, 162, 165—166, 169, 172—178 (англ.)

Обзор хим. продуктов, получаемых из этана, пропана, бутана и газового бензина. Отмечается целесообразность переработки газового бензина в высокооктановое моторное топливо путем каталитич. реформинга и гидроформинга, а также произ-ва из него бензола, толуола, циклогексана, ксилолов.

Н. Кельцев

**1933. Методы удаления меркаптанов без применения водорода. Часть I. Химические методы.** Шервуд (Méthodes d'élimination des mercaptans sans utilisation de l'hydrogène. Première partie. Méthodes chimiques. Sherwood Peter W.), Techn. et applic. pétrole, 1956, 11, № 122, 4376—4378 (франц.)

Обзор хим. методов удаления меркаптанов из бензиновых и лигроиновых фракций без применения водорода: окисление с использованием комплексов солей Co, применяемых в виде 10%-ного р-ра в крезоле, снижающее содержание S в керосине с 0,18% до отрицательной докторской пробы, в бензине с 0,25 до 0,001—0,004%; окисление плумбитом натрия, гипохлоритом (содержание S уменьшается на 40—70%),  $CuCl_2$  в твердой фазе или в р-ре; обработка безводн.  $AlCl_3$ . Библ. 9 назв.

Г. Марголина

**1934. Расчет адсорбции и десорбции. Часть 1. Основы расчета.** Парекх (Absorption and stripping design. Part 1. Basis for design method. Parekh R. H.), Petrol. Refiner, 1955, 34, № 6, 123—126 (англ.)

Изложены принципы графич. и аналитич. методов расчета процесса абсорбции и десорбции углеводородных систем.

Н. Кельцев

**1935. Экстракция сернистым ангидридом сернистых соединений и ароматических углеводородов. Влияние кислых промоторов.** Арнолд, Ли (Sulfur dioxide extraction of sulfur compounds and aromatics. Effect of acid promoters. Arnold R. C., Lien A. P.), Industr. and Engng Chem., 1955, 47, № 2, 234—240 (англ.)

Прибавление к жидкому  $SO_2$  кислых промоторов позволяет использовать его для одновременной экстракции сернистых соединений и ароматических углеводородов. Исследовано промотирующее действие  $AlCl_3$ ,  $FeCl_3$ ,  $TiCl_4$ ,  $BF_3$ . Наиболее перспективным

является применение  $\text{BF}_3$  в кол-ве 2 молей на  $\alpha$ -атом S в загрузке. Изучение велось на нефтяных продуктах и искусств. смесях гептана с сернистыми соединениями различных типов и мол. вес. Механизм обессеривания состоит в образовании полярных комплексов молекул промоторов с атомами S сернистых соединений. Описан процесс 2-ступенчатой экстракции керосина промотированным  $\text{SO}_2$ . В I стадии обессеривание составляет 74%, деароматизация 16%, во II стадии соответственно 88 и 59%. С. Гордон

1936. Очистка дешевых остаточных топлив для газовых турбин с помощью промывной системы. Ландис (Washing system cleans up residual fuel for low-cost gas-turbine operation. Landis D. M., Power, 1955, 99, № 7, 78—80 (англ.))

Сжигание остаточных тяжелых топлив в газовых турбинах вызывает образование осадков и коррозию деталей вследствие присутствия V и Na в золе топлив. Было установлено, что соотношение Na:V в золе должно быть  $\leq 0,3$  для предупреждения коррозии от  $\text{V}_2\text{O}_5$ , промотируемого присутствием  $\text{Na}_2\text{SO}_4$ . Позже было показано, что как Na, так и Ca промотируют образование отложений и кол-во Na в топливе должно быть снижено до 0,004—0,005%, а Ca до 0,005—0,006%. Наиболее дешевый способ очистки тяжелых остаточных топлив, разработанный за последние 5 лет, заключается в следующем: к нагретому топливу добавляют деэмульгатор и тщательно перемешивают его с промывным р-ром. Последний должен иметь плотность на 3—4% выше, нежели исходное топливо для обеспечения лучшего центрифугирования; он должен содержать магниевую соль, предупреждающую коррозию от  $\text{V}_2\text{O}_5$ . Смесь далее центрифугируется через два последовательно поставленных сепаратора Лавала. Во избежание потерь верхний слой топлива над спущенными в отстойник осадками и грязью непрерывно закачивается обратно в первый сепаратор через отверстие в нижней его части; твердые осадки, скопившиеся на дне отстойника, периодически удаляются. З. Векслер

1937. Контактно-каталитическое обогащение туймазинского бензина. Шуйкин Н. П., Тулунова Е. Д., Изв. АН СССР, Отд. хим. н., 1956, № 2, 220—225

Приведены результаты двухстадийной каталитич. обработки туймазинского бензина прямойгонки с концом кипения  $200^\circ$ . В первой стадии бензин при  $80$ — $100^\circ$  в течение 6—20 час. обрабатывали 6—10%  $\text{AlCl}_3$ , в результате чего он полностью обессеривался и подвергался изомеризации, при этом 8,9% пятичленных нафтенов превращались в шестичленные и 10—12%  $n$ -алканов в углеводороды изомерного строения. Вторую стадию обработки — деидрогенизацию проводили при  $300$ — $305^\circ$  над углем, содержащим 10% Pt или при  $310$ — $315^\circ$  над  $\text{Al}_2\text{O}_3 + \text{SiO}_2$ , содержащим 30% Ni, при этом кол-во ароматич. углеводородов в бензине повышалось с 8 до 28%. В результате двухстадийного процесса октановое число бензина повысилось с 37,5 до 50 пунктов без ТЭС и с 59,6 до 71,6 с 1,5 мл ТЭС. Одна порция  $\text{AlCl}_3$  может быть использована для трех последовательных операций, вследствие чего расход его не превышает 2—3,5%. Проведена также изомеризация  $n$ -гептана и  $n$ -октана на  $\text{AlCl}_3$ . Б. Энглин

1938. Разделение углеводородных смесей получением аддуктов с мочевиной. Фрэйнд, Батори (Die Trennung von Kohlenwasserstoffgemischen durch Carbamidaddukte. Freund Michael, Bátor J. J. J. J., Erdöl und Kohle, 1956, 9, № 4, 237—241 (нем.))

Обзорный доклад, прочитанный 6 октября 1955 г. (Карлсруе) на годичном заседании Германского о-ва изучения нефти и химии угля. Библ. 13 назв. М. Энглин

1939. Исправления к статье: Шлиф «Способ выделения  $n$ -парафинов из смеси углеводородов с помощью мочевины» (Berichtigung. Schlieff H.), Chem. Technik, 1954, 6, № 11, 630 (нем.)  
К РЖХим, 1955, 22205

1940. Пирролы, фенолы и пиридины, содержащиеся в дистилляте гильсонита. Сугихара, Соренсен (Some pyrroles, phenols and pyridines contained in a gilsonite distillate. Sugihara James M., Sorensen David P., J. Amer. Chem. Soc., 1955, 77, № 4, 963—966 (англ.))

При пиролизе асфальтита — гильсонита получают дистиллят с выходом  $\sim 55\%$ . Последний фракционируют, собирают фракции: (а) выход 6,5%, т. кип.  $35$ — $120^\circ$ , (б) выход 31%, т. кип.  $(60$ — $150^\circ/13$  мм. Фракция (а) не содержит N и S. 4 г фракции (б) обрабатывают 20 г металлич. K ( $100^\circ$ , 4 часа), твердую часть разлагают 50 мл спирта, затем 250 мл воды, извлекают эфиром 6 г пиррольной фракции (с), т. кип.  $50$ — $95^\circ/15$  мм; водн. слой подкисляют, извлекают 9 г фенольной фракции (д). Из жидкой части извлекают 40%-ной  $\text{H}_3\text{PO}_4$  6 г пиридиновой фракции (е), т. кип.  $160$ — $220^\circ$ . Р-р 12 г фракции (с) в петр. эфире хроматографируют на магнезоцеллите, получают 4 г пиррола (I) и 1,5 г 2-метилпиррола (II). I идентифицирован в виде пикрата, тетрагидропиррола, пиррол-1-уксусной к-ты, ее амида, пиррол-2-карбоксанилида и продукта конденсации с фталевым ангидридом; II — в виде 5-метилпиррол-2-карбоксанилида, 1- $n$ -нитробензил-2-метилпиррола и продукта конденсации с фталевым ангидридом. Фракцию (с) разгоняют, хроматографируют, выделяют фенол,  $o$ -крезол, 3,5-диметилфенол и 1-нафтол, идентифицированные в виде арилоксиуксусных к-т, бромированных и 3,5-динитробензоатов. Фракцию (д) фракционируют перегонкой, хроматографируют. Для выявления зон применяют Na-соль тетрагидрофенолфталена, с которой пиридины дают бесцветные комплексы. Выделяют 4-пиколилин, 2,6-, 3,4-, 2,5- и 3,5-лутидины и 2, 3, 5-триметилпиридин, идентифицированные в виде пикратов, хлормеркуратов, хлорплатинатов и стифнатов. Г. Дядюша

1941. Исследование церезинов и парафинов нефтей с применением молекулярной перегонки. Баглагин А. Н., Ж. прикл. химии, 1956, 29, № 2, 264—274

Исследованы парафины и церезины, выделенные из ряда нефтей с применением вакуум- и молекулярной перегонки. Парафины и церезины характеризовали мол. и уд. весами, показателем преломления, анилин-овой точкой, р-цией с олеумом. Церезины (Ц), выделенные из фракции нафтенно-метановых нефтей, имеют более разветвленные молекулы и более высокий мол. вес по сравнению с Ц из фракций метановых нефтей. Исследования подтверждают гипотезу Добрянского о происхождении и превращении Ц, а именно, что в результате раскрытия цикла высокомолекулярных конденсированных циклич. углеводородов, содержащихся в нефтях, образуются Ц с сильно разветвленными молекулами, которые затем терпят боковые цепи, причем происходит уменьшение их мол. веса. В конечном итоге Ц превращаются в парафины. Б. Энглин

1942. Очистка озокерита с предварительной его деафальтизацией в эмульсии. Полищук С. А., Новости нефт. техн. Нефтепереработка, 1956, № 3, 16—19

Разработан способ частичного обессмоливания деафальтизацией в эмульсии озокерита-сырца, сильно загрязненного асфальто-смолистыми и минер. в-вами, основанный на образовании эмульсии типа «вода в озокерите» и последующем гравитационном разделении без разрушения эмульсии. При этом уменьшается расход  $\text{H}_2\text{SO}_4$  на  $\sim 50\%$ , сокращается про-

должительность технологич. цикла и повышается выход церезина (напр., с 50 до 64%). Для получения водно-озокеритовой эмульсии в качестве воды. фазы служит 2%-ный р-р нафтовых мыл, получаемый зашелачиванием средних и тяжелых погонов нефти; разделение производится путем отстаивания или центрифугированием при 100°. Деасфальтизация в эмульсии дает озокериты с одинаковой остаточной смолистостью (7—8%); содержание церезина в бориславском озокерите-сырце повышается с 72,8% до 78,9%, кол-во асфальтенов снижается с 2,35% до 0. Г. Марголина 1943. Исследование сплавов из нефтяных и синтетических церезинов и парафинов. Родзаевская В., Новости нефт. техники. Нефтепереработка, 1954, № 5, 19—22

Изучены сплавы из синтетич. и нефтяных восков для выяснения возможности замены нефтяного церезина синтетическим в различных парафино-церезиновых сплавах. Показано, что микроструктура сплавов из синтетич. и нефтяных восков различна. При сплавлении синтетич. продуктов наблюдается структура, характерная для металлич. сплавов — переход от механич. смеси к твердому р-ру и образование промежуточной структуры, типичной для эвтектик. сплава, чего не происходит при сплавлении нефтяных продуктов. Эвтектич. сплавы из синтетич. продуктов образуются с предельной конц-ией парафина 70%. Сплавы, содержащие > 70% синтетич. парафина, имеют структуру, характерную для механич. смесей. Смесей из нефтяных продуктов при добавлении к парафину только 5% церезина имеют типичную церезиновую структуру. Эти наблюдения указывают на существенное различие между сплавами из синтетич. и нефтяных восков. А. Кузьмина 1944. Научно-техническая конференция по смолам.

Го л л е р (Pracovní konference o živcích. Holle r Milan), Věst. Českosl. akad. věd. 1955, 64, № 5-6, 256—259 (чеш.)

Приведены выступления на научно-технич. конференции, происходившей 17—18 февраля 1955 г. в Чехословакии, а также решения конференции по вопросам произ-ва, улучшения качества и применения битумов и каменноугольных дегтей. Л. Песин

1945. Силикагель с хорошими осушающими свойствами. Герман (Silicagel proves good drying agent. H e r m a n n R o b e r t H.), Oil and Gas J., 1955, 53, № 50, 144—147 (англ.)

На газолинном з-де в Карлсруе проведено промышленное испытание силикагеля для осушки природного газа. Величина поверхности силикагеля составляла 30 000 м<sup>2</sup>/м<sup>3</sup> при размере зерен в 3—8 меш. Высота загрузки в колонне 4,5 м при диам. ее 9,5 см. Длительность цикла осушки составляла 50 час., регенерация производилась продувкой природным газом при 190°, в течение 6—10 час. Осушка осуществлялась до точки росы (—25,6°). Достигнуты высокие показатели сушки, показана хорошая устойчивость силикагеля и возможность работы при больших т-рах и давлениях. Наличие газолина в газе не ухудшает процесса осушки. С. Гордон

1946. Механизм реакции расщепления газообразных и жидких углеводородов при получении промышленных газов. II. Термически-каталитическое разложение газообразных и жидких углеводородов. Герхольд (Beiträge zur Aufklärung des Reaktionsmechanismus der Spaltung von gasförmigen und flüssigen Kohlenwasserstoffen zur Herstellung von Industriegasen II. Thermisch-katalytische Zersetzung gasförmiger und flüssiger Kohlenwasserstoffe. G e r h o l d M a x), Erdöl und Kohle, 1956, 9, № 2, 93—98 (нем.) Рассмотрено поведение отдельных классов углеводородов при каталитич. крекинге (КК), влияние свойств катализатора на процесс расщепления при

КК и течение р-ций с образованием преимущественно низкомолекулярных, олефиновых продуктов расщепления. Дан механизм р-ции КК. Библ. 37 назв. Сообщение I см. РЖХим, 1956, 79070. В. Кельцев

1947. Стабильность автомобильных и авиационных бензинов при хранении. Энглин Б. А., Калайтан Е. И., Химия и технол. топлива, 1956, № 3, 21—31

Исследовано влияние состава топлив и условий их хранения на качеств. изменения при длительном хранении. Б. Энглин

1948. Нормирование содержания антиокислителя в автомобильном бензине. Гуреев А. А., Саблина З. А., Стандартизация, 1956, № 2, 75—76

Недостаточное кол-во антиокислителя в товарных автомобильных бензинах и отсутствие его в некоторых сортах бензинов обуславливают неудовлетворительную хим. стабильность большинства автомобильных топлив. Оптим. конц-ия древесносмоляного антиокислителя, зависящая от хим. состава бензина, может доходить до 100 мг/100 мл (0,13%). Показано, что применение древесносмоляного антиокислителя в такой конц-ии не вызывает затруднений при использовании бензина. Наиболее способ введения антиокислителя, от которого также зависит стабильность бензина, — непосредственное введение антиокислителя на все кол-во бензина. Рекомендуется при пересмотре ГОСТ 2084-51 ввести норму на содержание антиокислителя (0,065%—0,13%), улучшить нормы по индукционному периоду и содержанию фактик. смол и унифицировать заводские способы введения антиокислителя. А. Гуреев

1949. Образование и сгорание сажи в ламинарных пламенах. Шалла, Кларк, Мак-Доналд (Formation and combustion of smoke in laminar flames. Schalla Rose L., Clark Thomas P., McDonald Glen E.), Repts. Nat. Adv. Comm. Aeronaut., 1954, № 1186, 21 pp. (англ.)

Относительная способность к сажеобразованию (С) оценивалась по максим. расходу углеводорода, при котором возможно сжигание без образования сажи. В пламенах различных горелок—диффузионной (ДГ), фитильной (ФГ), булзеновской (БГ) для разных углеводородов С возрастает в следующем порядке: *н-парафины* > *изопарафины* > *циклопарафины* > *олефины* > *циклоолефины* > *диолефины* > *н-алкилбензолы*; для *н-парафинов* С возрастает с увеличением мол. веса; для изомеров и различных типов топлив с одинаковым мол. весом С больше у топлива с более прочным углеводородным скелетом. Для топлив с умеренной С (изобутан, 2,2-диметилпропан, 1-пентен) сажеобразование падает при обогащении кислородом или замещении N<sub>2</sub> через А; для топлив с высоким С (циклопропан, пропилен и 1-бутилен) наблюдается при низких конц-иях О<sub>2</sub> обратная тенденция. Повышение т-ры топлива в ДГ до 190° или т-ры топливоздушной смеси в БГ до 450° не изменяет С. В ДГ предельный расход (или предельная высота пламени) — линейная функция обратной величины давления в интервале 0,5—20 ат. Для БГ С не зависит от давления. Высота пламени БГ линейно изменяется с возрастанием расхода топлива, но в то же время возрастает способность к С. Предложен механизм С, включающий вначале дегидрогенизацию с последующим разложением до C<sub>2</sub>H<sub>2</sub> и углеводородных радикалов, которые затем подвергаются полимеризации и дегидрогенизации с образованием сажи. Н. Кельцев

1950. Роль окислов азота в образовании отложений в двигателе. Спиндт, Вулф, Стивенс (Role of nitrogen oxides in formation of engine deposits. Spindt R. S., Wolfe Court L., Stevens Donald R.), Science, 1955, 121, № 3154, 836 (англ.)



Изучалась р-ция  $N_2 + O_2 \rightleftharpoons 2NO$ , имеющая место в процессе работы бензинового двигателя, и показана возможность образования заметного кол-ва NO (до 0,8% от объема выхлопного газа). Найдено, что окислы азота участвуют в образовании низкотемпературных отложений в двигателе; хим. и спектр. анализы последних показали, что азот находится в них в форме алифатич. нитрогрупп. При испытаниях опытного двигателя в условиях, благоприятствующих образованию низкотемпературных отложений в среде, представлявшей смесь  $O_2$  и  $CO_2$ , установлено отсутствие отложений. Добавление  $NO_2$  в кол-ве, соответствующем обычно обнаруживаемому в выхлопных газах, привело к образованию значительного кол-ва отложений. По мнению авторов, образование низкотемпературных отложений в двигателе может вызываться р-цией между горючим и  $NO_2$  в низкотемпературных условиях работы двигателя и окислением нестабильного смазочного масла при высоких т-рах, а также сочетанием этих двух р-ций.

Г. Марголина

1951. Распределение состава смеси и температуры в камере сгорания аммиачно-кислородного ракетного двигателя. Бейкер (Mixture ratio and temperature surveys of ammonia-oxygen, rocket motor combustion chambers. Baker Dwight I., Jet Propuls., 1955, 25, № 5, 217—226, 234 (англ.))

Исследован процесс сгорания в ракетной камере, работающей на аммиаке с кислородом, с определением локальных: состава смеси  $r_e$ , анализом проб газа с помощью масс-спектрометра и т-ры  $T_e$  пьезометром с двумя звуковыми соплами. Измерения, проведенные на различных расстояниях от форсунки, а в каждом сечении — на различных расстояниях от стенок, показали: соответствие между значениями  $r_e$  и  $T_e$ ; равномерное радиальное их распределение и полное завершение р-ции перед соплом при оптимальной работе двигателя и неравномерное распределение и неполное локальное сгорание при плохой работе двигателя. На основе результатов измерений и экстраполированных данных по хим. кинетике процесс сгорания представляется в такой последовательности: р-ция  $O_2$  с  $NH_3$  в стехиометрич. соотношении; сжигание продуктов с неразложенным избытком  $NH_3$ .

А. Соколик

1952. Изображение вязкостно-температурной зависимости у минеральных масел посредством интерполяционных формул. Вебер (Über die Darstellung der Temperaturabhängigkeit der Viscosität von Mineralölen durch Interpolationsformeln. Weber Wolf, Erdöl und Kohle, 1955, 8, № 9, 643—649 (нем.))

Исследованы 3 ур-ния вязкостно-температурной зависимости у минер. масел, содержащие только 2 константы: ур-ния Убеллоде-Вальтера, Умштеттера и Фогель-Камерона. Для сравнения результатов, полученных по интерполяционным ф-лам, проводилось определение вязкости 14 минер. и 2 силиконовых масел в пределах  $0-100^\circ$  для маловязких масел и  $0-250^\circ$  для остальных масел; кроме того, в области малых вязкостей использовались данные других авторов. Показаны недостатки и преимущества отдельных ур-ний, а также область их применения.

Б. Энглин

1953. Международный конгресс по применению сернисто-молибденовых смазок. — (Congrès international sur le bisulfite de molybdène lubrifiant.), Génie civil., 1955, 132, № 19, 373—374 (франц.)

Конгресс в Бад-Пагаз, Швейцария, июль 1955 г. Краткое содержание докладов. Отмечены широкие перспективы применения  $MoS_2$ -смазок (моликолов) при очень высоких, очень низких т-рах и сверхвысоких давлениях.

Г. Марголина

1954. Ускоренный ламповый метод определения серы в различных нефтепродуктах. Волынский

Н. П., Тр. Ин-та нефти АН СССР, 1956, 8, 84—87  
См. РЖХим, 1956, 44242

1955. Эффективность различных методов аналитической фракционировки нефтепродуктов избирательными растворителями. Рыбак Б. М., Химия и технол. топлива, 1956, № 2, 54—60

Приведены сравнительные результаты фракционировки избирательными р-рителями цилиндрического дистиллата тяжелой балаханской нефти пятью различными методами, а именно: 1) методом Брея путем прямо-многократной экстракции равными объемами р-рителя при постепенно повышающейся т-ре; 2) методом многократно-прямоточной экстракции при постоянной т-ре равными или увеличивающимися объемами р-рителя; 3) методом полного или частичного растворения продукта с последующим дробным выделением фракций при понижении т-ры экстракционного р-ра; 4) методом дробной фракционировки; 5) изменением автором методом Брея, в котором фракционировку проводят последовательно рядом р-рителей с возрастающими критич. т-рами растворения в них нефтепродукта с анализом не экстрактов, а рафинатов. Показано, что третий и особенно четвертый методы мало пригодны для аналитич. фракционировки масел. Более четкое разделение по хим. составу дает пятый метод, а метод Брея недостаточно эффективен для разделения много-ядерных нафтеновых углеводородов. Результаты исследований, полученные для одного сырья различными методами, совершенно несоизмеримы, поэтому предложено стандартизировать методику фракционирования избирательными р-рителями, приняв за основу пятый метод.

Б. Энглин

1956. Методика определения органических остатков в отработанной серной кислоте. Алиев Д. А., Новости нефт. техники. Нефтепереработка, 1956, № 3, 11—12

Предложены аппарат и методика анализа для определения органич. остатков в отработанной серной к-те, полученной в процессе алкилирования изобутана бутиленами, а также и в других технологиях, процессах нефтепереработки. Методика основана на легкой омыляемости кислотных эфиров воды, р-ром целочной и выделения органич. остатков из нейтрализованного р-ра с помощью соответствующего р-рителя.

Г. Марголина

1957. Масс-спектрометрический контроль на нефтепергонных заводах. Кроу (The mass spectrometer in refinery control. Crowe D., Inst. Petrol. Rev., 1955, 9, № 98, 29—35 (англ.))

Описаны принципы применения масс-спектрометра (МС) для анализа газообразных и жидких углеводородных смесей, нефтяных восков и асфальтов. Колич. анализ смеси из 20 компонентов, содержащих до 5 атомов С, выполняется с точностью до 0,1 мол. % за 20 мин., а расчет на счетно-решающей машине за 30 мин. Для анализа требуется 1 мл газа. Анализ жидких смесей компонентов, содержащих до 11 атомов С, с давлением паров  $> 0,05$  мм рт. ст. выполняется на обычном МС без существенных переделок. Анализ высокомолекулярных соединений с мол. в. до 650, включая смазочные масла, воски и асфальты, выполняется на МС с нагретой до  $400^\circ$  напускной системой. МС, включенный непосредственно в производственную линию, используется для автоматич. непрерывного анализа смесей и контроля технологич. процесса.

И. Задорожный

1958. Физические константы и структура смесей углеводородов. Новые графо-статистические методы и возможности их различного практического применения. Ватерман (Physikalische Konstanten und Struktur von Stoffgemischen. Neuere Entwicklungen graphischer statistischer Methoden und ihre

- verschiedenen industriellen Anwendungsmöglichkeiten. Waterman H. I.), Erdöl und Kohle, 1956, 9, № 3, 166—169 (нем.)
- Обзор разработанных в последние годы графич. методов исследования группового углеводородного состава нефтепродуктов, основанных на определении их физ. констант. Библ. 11 назв. Б. Энглин
1959. Хроматографический метод разделения битума на отдельные группы составляющих. Клейншмидт (Chromatographic method for the fractionation of asphalt into distinctive groups of components. Kleinschmidt Lawrence R.), J. Res. Nat. Bur. Standards, 1955, 54, № 3, 163—166 (англ.)
- Хроматографический метод для разделения битумов (Б) на основные компоненты рекомендуется для изучения хим. изменений Б при их применении. В качестве адсорбента (А) используется фуллерова земля, а в качестве селективных р-рителей *n*-пентан (I), хлористый метилен (II), метилэтилкетон (III). Кол-во исследуемого образца 3—6 г. Предварительно образец Б растворяется в I для отделения асфaltenов. Растворимая в I часть Б пропускается через колонку ( $d = 30$  мм,  $h = 30$  см) с А при соотношении А и разделяемого продукта 15:1. После разделения отгоняют I и выделяют «светлые масла». Далее II выделяют «темные масла» и III — «асфальтовые смолы». Для выделения в-в, не извлекаемых I, II и III, применяют смесь 10% воды и 90% ацетона с последующей обработкой хлороформом (фракция, выделяемая ацетон-хлороформом). Продолжительность анализа в зависимости от природы Б 6—8 час., воспроизводимость удовлетворительна. Приведены физ. характеристики выделенных групп компонентов и колич. содержание их в шести образцах битума. З. Саблина
1960. Нефть и ее использование. Сергеев С. Р. (현유와그의이용에있.알.에르가엔프), 과학과기술, Квахак на кисуль, 1955, № 10, 42—50 (кор.)
- Перев. с русс. См. РИХим, 1956, 26589.
- 1961 К. Технология производства авиационных топлив. Мамедли М. Г. Баку, Азнефтеиздат, 1956, 136 стр., 5 р. 65 к.
- 1962 Д. Некоторые вопросы рациональной переработки юйманской нефти. Вэн Чжэн-ян. Автореф. дисс. канд. техн. н., Моск. нефт. ин-т, М., 1956
- 1963 Д. Деароматизация керосинно-газойлевых фракций каталитического крекинга. Фоминых Л. Ф. Автореф. дисс. канд. техн. н., Моск. нефт. ин-т, М., 1956
- 1964 Д. Исследование химического состава и физико-химических свойств бензина кукурузных сланцев. Рюнда Л. Я. Автореф. дисс. канд. техн. н., Таллинск. политехн. ин-т, Таллин, 1956
- 1965 Д. Возможность использования широкой фракции буроугольной смолы для получения автобензина методом каталитического крекинга. Рубан И. Н. Автореф. дисс. канд. техн. н., Днепронетр. хим.-технол. ин-т, Днепронетровск, 1956
- 1966 П. Получение нефтепродуктов с очень малым содержанием серы. Портер, Хайд (Procédé de récupération à partir de pétrole brut de produits ayant une teneur en soufre très réduite. Porter Frederick W. B., Hyde John W.) [Anglo-Iranian Oil Co. Ltd]. Франц. пат. 1064400, 13.05.54 [Chem. Zbl., 1955, 126, № 36, 8535 (нем.)]
- После удаления Na и V бокситным катализатором сырую нефть подвергают обессериванию при 399—454° и 35—105 ат в присутствии  $H_2$  над катализатором, содержащим  $Al_2O_3$ , окислы Co и Mo. Жидкие продукты

при тех же т-рах и давлениях отделяют от газообразных и направляют в ректификационную колонну.

Б. Энглин

1967 П. Удаление ванадия и натрия из нефти и нефтяных углеводородов. Портер, Порткотт (Removal of vanadium and or sodium from petroleum and hydrocarbons of petroleum origin. Porter F. W. B., Northcott R. P.) [British Petroleum Co., Ltd]. Англ. пат. 735520, 735521, 24.08.55

Сырую нефть или нефтяные углеводороды, содержащие V и (или) Na, обрабатывают контактированием с материалом, состоящим главным образом из окисей Fe и Al, в присутствии  $H_2$  в таких условиях т-ры и давления, при которых V и Na отлагаются на упомянутом материале. Оптим. условиями очистки являлись т-ра 400—425°, давл. 35—105 атм, часовая объемная скорость 0,5—2 и объемная скорость рециркуляции  $H_2$  175—1750. Обработанный продукт можно подвергать каталитич. гидрированию для удаления органически связанной S. Сырую нефть или нефтяные остатки можно очистить согласно процессу и затем подвергнуть гидроочистке с применением катализатора, состоящего из окисей Co и Mo, нанесенных на  $Al_2O_3$ . В англ. пат. 735520 обработку производят контактированием с фуллеровой землей в присутствии  $H_2$  при тех же условиях. Пример: нефтяные остатки обрабатывают контактированием с окисью Fe на глиноземе (12,8 вес. %  $Fe_2O_3$ ) в присутствии  $H_2$ . Обработанный продукт имеет пониженное содержание Na, V и S. Г. Марголина

1968 П. Процессы и установки для низкотемпературного разделения. Маэр (Low temperature separation processes and units. Maher Joseph L.) [National Tank Co.]. Пат. США 2728406, 27.12.55

В процессе низкотемпературного разделения поток нефти из скважины первоначально делят на паровую и жидкую части; охлажденную паровую часть вводят в сепараторную зону (СЗ), где сконденсировавшиеся продукты отделяют от паровых и вводят раздельно в виде углеводородной (УФ) и водн. фаз (ВФ). Усовершенствование заключается в раздельном удалении выделенной жидкой части из 1-й ступени разделения; переводе жидкой части в СЗ и разделении ее на УФ и ВФ при поддержании раздельно жидкой и паровозной части; раздельного удаления выделенных УФ и ВФ из СЗ. Г. Марголина

1969 П. Процесс и аппаратура для переработки нефтяных фракций и получения газа (Process and apparatus for the refining of hydrocarbon oils with production of fuel gas) [Foster Wheeler, Ltd]. Англ. пат. 714780, 1.09.54 [Petroleum, 1955, 18, № 1, 27 (англ.)]

Нефтяную фракцию направляют в реактор, содержащий слой псевдоожиженного катализатора, и нагревают до т-ры образования кокса из части масла и испарения остальной части масла. Затем вводят смесь водяного пара и воздуха, которая, реагируя с коксом, дает генераторный газ. При этом выделяется тепло, достаточное для поддержания катализатора при 540—895°. Полученный газ отделяют от паров нефтяной фракции. И. Рожков

1970 П. Коксование тяжелых углеводородных остатков. Адамс (Coking of heavy hydrocarbonaceous residues. Adams Clark E.) [Standard Oil Development Co.]. Пат. США 2698284, 28.12.54

Коксование тяжелых углеводородных масел проводится в контакте с предварительно нагретым раздробленным твердым теплоносителем в зоне коксования при низком давлении, где упомянутое масло конвертируется в основном в жидкой фазе, при этом частицы теплоносителя смачиваются маслом до слипания. Приготавливают смесь масла с 5—35% по весу воды и нагревают ее в жидкой фазе при повышенном давлении до т-ры, достаточной для мгновенного испарения воды.

Смесь при повышенном давлении поступает в зону коксования с низким давлением, где мгновенное испарение и расширение воды способствует образованию чрезвычайно тонкой дисперсии масла. Г. Марголина

**1971 П. Метод конверсии газообразных углеводородов. Кит Персивал С.** (Method of effecting conversion of gaseous hydrocarbons. Keith Percival C.) [The M. W. Kellogg Co.]. Пат. США 2714126, 26.07.55

Предложен процесс конверсии нормальных газообразных углеводородов, включающий смешивание предварительно подогретых газообразных углеводородов с горячим огнеупорным порошком (т-ра порошка  $\sim 983^\circ$ , кол-во, достаточное для быстрого подогрева углеводородов до желаемой т-ры р-ции) и пропускание полученной смеси через удлиненную реакционную зону; газообразные продукты р-ции и порошок выпускаются в нижнюю часть расширенной вертикальной зоны, где скорость газа уменьшается достаточно, чтобы вызвать отделение порошка (соответственно плотности) от жидкого слоя. Указанный слой выдерживается в нижней части реакционной зоны при т-ре, значительно ниже желаемой т-ры р-ции для быстрого охлаждения продуктов р-ции и предотвращения вторичных р-ций. Процесс включает также удаление из нижней части реакционной зоны (ниже уровня жидкого слоя) потока порошка и подогрев после удаления, по крайней мере, части его до т-ры  $\sim 983^\circ$ , и смешивание нагретого порошка с новой порцией газообразных углеводородов для их конверсии. Л. Андреев

**1972 П. Получение олефинов путем крекинга углеводородных смесей (Olefins by cracking).** [N. V. De Bataafsche Petroleum Maatschappij]. Австрал. пат. 200408, 19.01.56

Способ получения олефинов путем крекинга высококипящих углеводородов (ВУ) отличается тем, что смеси ВУ, содержащие  $< 25$  вес. % ароматич. углеводородов, подвергаются прямому нагреванию при  $\geq 500^\circ$ . При этом происходит полное сгорание части крекируемого сырья в сравнительно небольшой нагревательной зоне (НЗ), предшествующей зоне крекинга и содержащей твердый агент, способствующий окислению; смесь паров из НЗ проходит через зону крекинга. Г. Марголина

**1973 П. Способ превращения углеводородов. Шулц, Хелмере** (Verfahren zur Umwandlung von Kohlenwasserstoffen. Schulze Walter Adolph, Helmers Carl Joyce) [Phillips Petroleum Co.]. Пат. ФРГ 923377, 10.02.55

Эндотермический процесс каталитич. превращения углеводородов, в частности крекинг газойля в паровой фазе, состоит в том, что пары, нагретые до соответствующей т-ры, пропускают через катализатор, находящийся в последовательно расположенных реакционных зонах (РЗ) возрастающего объема. Для поддержания необходимой т-ры к сырью между РЗ подводят инертный газо- или паробразный разбавитель, подогретый до т-ры, превышающей т-ру р-ции. Увеличение объема РЗ пропорционально увеличению объема паров и достигается увеличением диаметра или длины РЗ. В последнем случае скорость прохождения паров сырья и разбавителя через катализатор повышается. Перед подогревателем к сырью добавляют водяной пар или другой разбавитель. Пример: к газойлю с уд. в. 0,86, выкипающему при  $218-371^\circ$ , добавляют 10%  $C_3H_8$  и после нагрева до  $529,4^\circ$  пары газойля и  $C_3H_8$  под давл. 5 атм со скоростью 1 л на 1 л в час направляются в реакционную камеру, заполненную 3,2 м<sup>3</sup> бокситного катализатора. Камера представляет собою аппарат диам. 122 см, разделенный на четыре РЗ, длиной 24,3, 54,8, 82,2 и 112,7 см, отделенные друг от друга свободным пространством, шириной 10,1 см, в котором расположены трубы, подводящие перегретый

разбавитель. Вверху первой РЗ т-ра паров падает до  $512,2^\circ$ , а после добавления к 40,8 кг сырья 5,4 кг  $C_3H_8$  с т-рой  $648,8^\circ$  она вновь повышается до  $529,4^\circ$ . Аналогично поддерживается т-ра в 3-й и 4-й РЗ. Общее соотношение сырья к  $C_3H_8$  составляет 2:1. После 2-часового контакта выход бензина достигает  $\sim 41\%$ . Б. Энглин

**1974 П. Конверсия углеводородных фракций с применением магнийсиликатного катализатора, содержащего небольшое количество стронция. Эриксо́н** (Conversion of hydrocarbon oils with the use of a silica-magnesia cracking catalyst incorporated with a small amount of strontium. Erickson Henry) [Sinclair Refining Co.]. Пат. США 2731397, 17.01.56

Активность силикатных катализаторов (К) крекинга, особенно магнийсиликатных и алюмосиликатных, повышается при введении в их состав небольшого кол-ва ( $0,1-2$  вес. %) Sr, при этом увеличивается выход полезных продуктов конверсии углеводородных дистиллатов. Установлено, что Sr, входящий в состав К, улучшает его регенерационные свойства, повышая скорость выжигания кокса  $O_2$ -содержащим газом. Последнее особо важно для магнийсиликатного К, отличающегося низкой скоростью регенерации. Кроме того, соотношение  $CO_2/CO$  в дымовых газах регенерации не увеличивается, что обычно имеет место при промоторах сжигания. Sr вводит в состав магнийсиликатного или алюмосиликатного К пропиткой таким кол-вом воды, р-ра соли, которое полностью адсорбируется катализаторной массой и заранее устанавливается опытным или расчетным путем. Крекиговая характеристика К улучшается с повышением содержания Sr до 1%, тогда как скорость выжигания кокса является функцией кол-ва введенного Sr. Примеры: 1) алюмосиликатный гидрогель, содержащий 12 вес. %  $Al_2O_3$ , прокаливали 3 часа при  $538^\circ$ . Затем К смачивали р-ром  $Sr(NO_3)_2$  для введения в общую композицию 0,4% Sr; 2) магнийсиликатный К с содержанием 25% MgO прокаливали, а затем пропитывали р-ром  $Sr(NO_3)_2$  из расчета введения 0,4% Sr. К, промотированные Sr и непромотированные, были подвергнуты сравнительной оценке на опытной установке при контактировании стандартного газойля. В присутствии К, промотированного Sr, конверсия повышается до 55,2%. З. Векслер

**1975 П. Регенерация катализаторов или контактных материалов. Сандрок** (Reactivation of catalysts or contact materials. Sandrock J. D.) [Standard Oil Development Co.]. Англ. пат. 719644, 8.12.54 [J. Appl. Chem., 1955, 5, № 5, 752 (англ.)]

Псевдооживленный тонкодисперсный контактный материал находится в непрерывном циклич. движении между реакционной и регенерационной зонами. Парофазная эндотермич. р-ция органич. в-в происходит в реакционной зоне, а углеродистые отложения выжигают с контактного материала в регенерационной зоне, причем выделяющееся тепло частично используют для нагревания реакционной зоны. Регенерированный контактный материал поступает в бункер регенерационной зоны и выходит через отверстие в нижней части бункера. Жидкий или паробразный катализит. или активизирующий катализатор материал непрерывно вводит в бункер над выходным отверстием для регенерированного катализатора. В. Уфимцев

**1976 П. Каталитический процесс. Флек, Биле** (Catalytic process. Fleck Raymond N., Bill's John L.) [Union Oil Co. of California]. Пат. США, 2726195, 6.12.55

При каталитич. гидроформинге углеводородов последние при  $427-649^\circ$  и давл.  $1-35$  атм обрабатывают богатым  $H_2$  рециркуляционным газом в кол-ве 42,5—



170 м<sup>3</sup> газа на 159 л сырья. Процесс ведется в присутствии катализатора, состоящего из 60—98%  $Al_2O_3$ , 1—20% фосфорнокислого металла с атомным номером 22—42, напр. фосфорнокислого Zn, Zr, Ti, Cu, Co или металла группы Fe и 1—20% оксида Cr или Mo. В частности, предложен катализатор, состоящий из (вес. %) 60—98  $Al_2O_3$ , 1—20  $Zn_3(PO_4)_2$  и 1—20 окиси Mo. Катализатор готовится путем осаждения фосфорнокислой соли на водн. геле  $Al_2O_3$ , с последующей сушкой и прокаливанием полученного продукта и пропиткой его затем окислом металла. Пример: (в ч.) к 50 водн. геля  $Al_2O_3$ , содержащего ~5 сухого основания, добавляют р-р 0,3 кислого диаммонийфосфата в 70 воды. К взмученной смеси добавляется р-р 0,45 безводн.  $ZnCl_2$  в 5 воды. Образовавшийся гель фильтруют, промывают 3 раза 100 воды, сушат 16 час. при 110° и прокаливают 6 час. при 600°. Полученный продукт содержит (вес. %) 3,23 Zn и 1,3 P. 2,25 ч. прокаленного продукта погружают в р-р, состоящий (в ч.) из 0,5 молибдата аммония, 0,2 конц. аммиака и 2,2 дистил. воды. После удаления избытка р-ра катализатор сушат при 110° и прокаливают 6 час. при 600°. Он содержит 11,6% окиси молибдена. Л. Пашковская 1977 П.

**Конверсия углеводородов в присутствии расплавленных солей. Россе** (Hydrocarbon conversion with molten salt catalysts. Rosset A. m. and J. de) [Universal Oil Products Co.]. Пат. США 2719113, 27.09.55

Процесс превращения углеводородного топлива, более тяжелого, чем бензин, состоит в контактировании топлива в условиях крекинга с расплавленными сульфидами P, As, Sb, Bi. Г. Марголина 1978 П.

**Способ получения низкокипящих углеводородов из высококипящих путем каталитического расщепления. Пир, Фре, Фюнер** (Verfahren zur Herstellung niedrigsiedender Kohlenwasserstoffe aus höhersiedenden Kohlenwasserstoffen durch katalytische Spaltung. Pier Mathias, Free Gerhard, Fünser Wilhelm von) [Badische Anilin- und Soda-Fabrik]. Пат. ФРГ 886897, 17.08.53 [Chem. Zbl., 1954, 125, № 50, 11586 (нем.)]

Процесс проводится в присутствии  $H_2$  при 350—500° и давл. 2—100 ат. Время работы катализатора удлиняется, повышается выход бензина и улучшаются его антидетонационные качества, если применяемые для приготовления катализатора глинозем (I) или гидроксид Al (II) промотируют металлом или соединением металла из группы Fe, а затем обрабатывают  $F_2$  или летучим соединением фтора. II осаждают из р-ра алюмината прибавлением к-ты до pH < 7 и после подсушивания доводят до тестообразного состояния с помощью к-ты. II может быть получен также из р-ров сульфата или сульфита Al при t-ре > 50°, особенно 75—100°, при pH 7—10, в присутствии хлоридов или нитратов Zn, Mg, Cd, Be, Ca, Sr и Ba с последующей обработкой водн.  $NH_3$  при 60—100°. I и II в сыром или сухом виде смешивают с Fe, Co, Ni или их солями до содержания металла ≤ 40%, оптимально 2—20%, промывают, сушат и нагревают до 400—800°, после чего обрабатывают при нормальной или повышенной t-ре  $F_2$ ,  $H_2F_2$  или  $NH_4F$ . Порядок обработки катализатора может быть изменен. Готовый катализатор может служить носителем для металлов, окислов или сульфидов V и VI групп, особенно Mo, Cr, W, V, а также Pt, Pd, Ru. Л. Бельский 1979 П.

**Выделение пылевидных катализаторов из экзотермически реагирующих газов. Гарбо** (Separating powdered catalysts from exothermically reacting gases. Garbo Paul W.) (Hydrocarbon Research, Inc.). Канад. пат. 515747, 16.08.55

Способ выделения увлеченных частиц катализатора (K) в парофазных каталитич. процессах, развиваю-

щихся экзотермич. р-ции, проводимые в реакционной зоне при контролируемой t-ре с пылевидным взвешенным в газообразных реагентах K, заключается в прохождении газов или паров в зону, где расположен ряд фильтрующих приспособлений; фильтровании этих газов или паров при прохождении хотя бы через одно из этих приспособлений; одновременном введении в зону в обратном направлении хотя бы через одно из фильтрующих приспособлений в-ва, химически подавляющего активность увлеченных частиц K. Способ предупреждает нежелательные повышения t-ры внутри частично прореагировавших газов или паров, выходящих из зоны р-ции. Ступенчатый экзотермич. процесс синтеза углеводородов, окисленных углеводородов и смеси их из  $H_2$  и CO при контактировании их с пылевидным K, содержащим элемент из группы Fe, в псевдооживленном состоянии, включает следующие стадии: введение  $H_2$  и CO в псевдооживленный слой K, при этом реагирует лишь часть газообразных в-в; удаление из слоя K газового потока, содержащего часть непрореагировавших газообразных в-в, продукты р-ции и увлеченные частицы K; введение в выходящий газовый поток такого кол-ва катализаторного яда, которое химически подавляет активность частиц K, но которого недостаточно, чтобы вызвать существенное охлаждение системы вследствие абсорбции тепла; выделение увлеченных частиц K из газового потока; удаление из него по крайней мере части продуктов р-ции и катализаторного яда; введение газового потока во второй псевдооживленный слой K, где реагирует остальная часть газообразных реагентов. Г. Марголина 1980 П.

**Преграждение тяжелых нефтяных фракций в легкие** (Conversion of heavy petroleum feed stocks into lighter products) [Standard Oil Development Co.]. Англ. пат. 719872, 8.12.54 [Fuel Abstrs, 1955, 17, № 4, 61 (англ.)]

Для превращения тяжелых нефтяных фракций (ТНФ) в легкие ТНФ пропускают через подогревательную и испарительную зоны при 400—620°, причем происходит частичное испарение ТНФ. Время пребывания ТНФ в зонах нагрева и испарения ~ 5 сек. и уменьшается с увеличением t-ры зоны. Далее производят механич. отделение полученного дистиллата от неиспарившейся части ТНФ. Дистиллат подвергают каталитич. крекингу в крекинг-зоне, а не испарившуюся часть ТНФ подают в зону коксования, где происходит пиролиз тяжелых остатков в турбулентном потоке инертных твердых частиц (на коксе) в течение времени, достаточного для образования нефтяного кокса. Коксовые частицы снова направляют в процесс, а продукты из зон крекинга и коксования выводят как конечный легкий продукт. Г. Стельмах 1981 П.

**Конверсия жидких реагирующих потоков контактированием с движущимся слоем твердых частиц. Леффер** (Method for effecting the conversion of fluid reactant streams by contact with a moving bed of solid particles. Leffer Frederick A. W.) [Universal Oil Products Co.]. Пат. США 2697686, 21.12.54

Способ непрерывного контактирования и конверсии реагирующего углеводородного потока с тонко раздробленными твердыми частицами катализатора (K) заключается: в поддержании непрерывно спускающегося слоя частиц K в более низко расположенной реакционной зоне (P3) и примыкающей расположенной выше регенерационной зоне (PГЗ); в непрерывном прохождении меньшей части катализаторного слоя (KC) в нагретом и регенерированном состоянии вниз через P3 вместе с реагирующим углеводородным потоком, подаваемым через верхнюю часть P3; в разделении и удалении получаемого жидкого продукта конверсии из нижней части P3; в непрерывной разгрузке

отработанных частиц К из РЗ и смешении их с потоком регенерирующего газа, содержащего определенное кол-во  $O_2$ ; в подъеме этих частиц К в ожигенной фазе в спускающийся КС и в верхнюю часть РГЗ, при этом частицы К поступают в верхнюю часть КС, в то время как при переключении  $O_2$ -содержащего газового потока и прохождении его вниз через верхнюю часть спускающегося КС к промежуточной части слоя в РГЗ происходит окисление и удаление загрязняющего материала из части К; в прохождении отделенной части регенерирующего газа с определенным содержанием  $O_2$  вверх противотоком через спускающийся КС в нижнюю промежуточную часть РГЗ, при этом происходит почти полное окисление и удаление загрязняющих в-в из К; в смешении текущих вверх и вниз потоков образующихся газов и удалении их из промежуточной части слоя РГЗ; в непрерывном прохождении нагретых и регенерированных частиц К из нижней части РГЗ в верхнюю часть РЗ для контактирования с реагирующим потоком.

Г. Марголина

1982 П. Каталитический процесс. Адаме, Кимберлин (Catalytic process. Adams Clark E., Kimberlin Charles N., Jr) [Esso Research and Engineering Co.]. Пат. США 2719111, 27.09.55

При реформинге прямогонной бензиново-лигроиновой фракции с пределами кип.  $38-135^\circ$  (содержащей  $\geq 30\%$  углеводородов, кипящих в пределах  $80-102^\circ$ ) последнюю контактируют над слоем псевдоожигенного тонкодисперсного катализатора (величина частиц  $20-150 \mu$ ), представляющего собой активированный при  $650-1093^\circ$  углерод (нефтяной кокс). Процесс проводят при обычных условиях реформинга (давл.  $1-70 \text{ кг/см}^2$ , т-ра  $427-593^\circ$ ) в течение времени, достаточного для конверсии углеводородов ( $0,01-2 \text{ сек.}$ ), после чего катализатор удаляют из зоны р-ции и регенерируют при  $650-1093^\circ$  окислительным газом (воздух, пар,  $CO_2$  и др.). В регенерационную зону непрерывно добавляют свежий углеродистый материал, прошедший стадию карбонизации и активации ( $1-10\%$ ). Накаплиющиеся, богатые золой частицы удаляют с выходящими газами и заменяют таким кол-вом свежеективированного кокса, чтобы конц-ия углерода в регенерируемом катализаторе сохранялась на уровне  $30-70 \text{ вес. \%}$ . В результате обработки повышается октавовое число (ОЧ) бензина и улучшаются другие моторные свойства. Преимуществом процесса является применение дешевого катализатора, получаемого в самом процессе. В примере показано, что ОЧ бензина, полученного предельным способом, повысилось по сравнению с ОЧ исходного сырья с  $64,8$  до  $86,4$ , при этом бромное число возросло с  $0$  до  $32$ . Выход реформированного бензина составил  $74,5\%$ .

З. Векслер

1983 П. Процесс гидрирования углеводородных фракций. Харпер, Лутер (Process for hydrogenating hydrocarbon oils. Harper James I., Luther Martin W.) [Sun Oil Co.]. Пат. США 2706167, 12.04.55

При обработке газойли и фракций смазочных масел, водородом в присутствии раздробленного катализатора (К) сырье подают в зону контактирования (ЗК), содержащую К, где поддерживают т-ру и давление, способствующие р-ции  $H_2$  с жидким маслом ( $120-430^\circ$ , давл.  $1-350 \text{ ат}$ ). Из ЗК жидкое масло переходит в зону осаждения (ЗО).  $H_2$  подают в нижнюю часть ЗК в избытке, скорость подачи его такова, что частицы К определенного размера находятся внутри зоны и не осаждаются, в то время как частицы меньших размеров перемещаются вверх в нижнюю часть ЗО. Обработанное масло, в основном свободное от К, удаляют из ЗО через отверстие, расположенное выше нижней части. Непрореагировавший  $H_2$  удаляют из верхней части ЗО, смесь масла и К удаляют из нижней части ЗО, примыкающей

к ЗК. Масло отделяют от К, частицы К, подвергшиеся истиранию во время процесса, удаляют из системы, а отделенное масло возвращают в ЗК. К должен проходить сито  $10-100 \text{ меш}$ . К служат окислы и сульфиды Ni, Mo, V, Zn, Cr, Fe, Co, W, Sn, промотированные окислами других металлов, и нанесенные на силикагель,  $MgO$  и др.

И. Шебло

1984 П. Контактное бензиновое фракции с активированным углем. Дрегер (Contacting gasoline fractions with activated carbon. Draeger Arthur) [Esso Research and Engineering Co.]. Пат. США 2721832, 25.10.55

Для переработки бензиновых фракций (в том числе полученных крекингом лигроина), содержащих значительное кол-во моно- и диолефинов, а также  $\geq 1/3$  от этого кол-ва нафтенов, их контактируют с активированным углем при  $232-332^\circ$ , давл.  $0-14 \text{ ат}$  и скорости  $0,5-10$  объемов жидкости на 1 объем угля в час (лучше  $288-330^\circ$ , давл.  $3,5-10,5 \text{ ат}$  и часовой объемной скорости  $1,0-5,0$ ); при этом происходит селективная конверсия диолефинов без значительной конверсии моноолефинов. Уголь можно промотировать небольшим кол-вом ( $0,2-10 \text{ вес. \%}$ ) соединений К, напр.  $K_2CO_3$ ,  $K_2O$  и  $KOH$ . Для конверсии диолефинов в крекированных лигроинах рекомендуется контактировать их с активированным битуминозным углем при  $330^\circ$ ,  $7 \text{ ат}$  и скорости  $1,0$  объемов жидкости на 1 объем угля в час. В этих условиях не отмечается значительной конверсии моноолефинов и повышения конца кипения лигроина. Для гидрирования диолефиновых углеводородов, соответствующих по т-ре кипения бензину, в смеси их с нафтеновыми углеводородами, также соответствующими по т-ре кипения бензину, их контактируют с активированным углем в указанных выше условиях. В результате гидрирования диолефинов получают продукт, содержащий моноолефины и нафтеновые углеводороды, причем кол-во последних должно составлять  $\geq 1/3$  исходных диолефинов. Н. Кельцев

1985 П. Реформинг углеводородов (Reforming hydrocarbons) [Universal Oil Products Co.]. Австрал. пат. 166438, 19.01.56

Процесс каталитич. реформинга бензиновых углеводородов заключается в разгонке на высококипящую (ВК) и низкокипящую (НК) фракции исходного продукта, содержащего нафтеновые углеводороды и кипящего в пределах кипения бензина, раздельном реформинге этих двух фракций в присутствии  $H_2$  над Pt-катализатором, при более высоком парц. давлении  $H_2$  для ВК и по крайней мере в 10 раз более интенсивных условиях для НК, чем для ВК. Для ВК условия каталитич. реформинга находят согласно следующей ф-ле:  $RJ = (P_{GL}/P_{GN})^2 \cdot (P_{H_2N}/P_{H_2L})^{0.5} \cdot 2 \exp [(T_L - T_{H/122}) + (x_L + x_{H/8})]$ , где RJ — относит. интенсивность процесса.  $P_{GL}$  — парц. давление НК в зоне каталитич. реформинга этой фракции в  $\text{атм}$ ;  $P_{GN}$  — парц. давление ВК в зоне каталитич. реформинга этой фракции в  $\text{атм}$ ;  $P_{H_2N}$  — парц. давление  $H_2$  в зоне реформинга ВК в  $\text{атм}$ ;  $P_{H_2L}$  — парц. давление  $H_2$  в зоне реформинга НК в  $\text{атм}$ ;  $T_L$  — оптимальная средняя т-ра в зоне реформинга НК в градусах;  $T_N$  — оптимальная средняя т-ра в зоне реформинга ВК в градусах;  $x_L$  — конц-ия галойда в зоне реформинга НК,  $\text{г-экс}/100\,000 \text{ г катализатора}$ ;  $x_N$  — конц-ия галойда в зоне реформинга ВК,  $\text{г-экс}/100\,000 \text{ г катализатора}$ .

З. Векслер

1986 П. Процесс алкилирования. Шульце (Alkylation process. Schulze Walter A.) [Phillips Petroleum Co.]. Канад. пат. 512979, 17.05.55

В процессе получения моноалкилпропадиенового ароматич. углеводорода, смесь углеводородов, содержа-

щую олефиновый углеводород (ОУ) и алкилируемый ароматич. углеводород (АУ), взятый в мол. избытке, пропускают через слой твердого гранулированного катализатора (К) в таких условиях, которые обеспечивают соединение ОУ и АУ с образованием моноалкилпроизводного АУ. К состоит из  $\text{SiO}_2$  с добавкой 0,1—2 вес. % окиси металла из III и IV группы периодической системы; К готовят добавлением воды. р-ра силиката щел. металла к избытку минер. к-ты. Образующийся осадок представляет собой гель кремневой к-ты. Его промывают водой и частично подсушивают, в результате чего получают водн. кислый силикагель; последний обрабатывают водн. р-ром гидролизуемой соли металла из III и IV группы периодической системы, благодаря чему достигается активация силикагеля. Последний промывают и сушат при т-ре не выше т-ры в реакционной зоне (ЗР). Из продукта, выходящего из ЗР, выделяют фракцию, содержащую моноалкилпроизводное данного ароматич. углеводорода. В качестве примера указан метод получения моноалкилпроизводного бензола, в котором алкильная группа содержит 2—6 атомов С, из  $\text{C}_6\text{H}_6$  и алифатич. олефина, имеющего 2—6 атомов С в молекуле; поток  $\text{C}_6\text{H}_6$  и олефина в жидкой фазе пропускают в ЗР через слой твердого гранулированного адсорбента-катализатора, представляющего синтетич. силикагель, промотированный  $\text{Al}_2\text{O}_3$ , в таком соотношении, чтобы молярное отношение  $\text{C}_6\text{H}_6$  к олефину было больше 1 : 1; К готовят водн. силикагель, получаемый добавлением р-ра силиката щел. металла к избытку к-ты. Из смеси осаждают гель, который промывают водой для удаления растворимых в воде примесей и частично высушивают его, а затем промотируют водн.  $\text{Al}_2\text{O}_3$  в кол-ве 0,1—2,0 вес. %. Окончательную сушку геля производят при т-ре, не превышающей т-ру в ЗР (93—370°); давление в ЗР обеспечивает проведение процесса в жидкой фазе, скорость 0,1—10 объемов жидкого сырья на 1 объем катализатора в час. Для получения водн. силикагеля рекомендуется брать  $\text{H}_2\text{SO}_4$ , а в качестве гидролизуемой соли алюминия  $\text{Al}_2(\text{SO}_4)_3$ . Спос. можно применить для получения этилбензола из  $\text{C}_6\text{H}_6$  и  $\text{C}_2\text{H}_4$  при их мол. отношении 1 : 1 и т-ре в ЗР 204—370°.

**1987 П. Процесс алкилирования. Ворис, Сиднор** (Alkylation process. Voorhies Alexis, Jr, Sydnor Ashley R., Jr) [Esso Research and Engineering Co.]. Канад. пат. 515492, 9.08.55

Для получения компонентов авиационного топлива катализатор (К) получают растворением в 96—98%-ной  $\text{H}_2\text{SO}_4$  небольшого кол-ва сульфированного алифатич. углеводорода с 1—3 атомами С в молекуле, чтобы снизить т-ру замерзания к-ты с —7 до —18°. Алкилирование газообразного в нормальных условиях изопарафина газообразным в нормальных условиях олефином производят в жидкой фазе при т-рах от —29 до —18° в присутствии указанного К. В процессе алкилирования изобутана бутиленами К получают растворением в 1 моле 98%-ной  $\text{H}_2\text{SO}_4$  0,1—0,5 моля этилена, чтобы т-ра замерзания К была снижена с —7 до —18°. Алкилирование производят в жидкой фазе при т-ре ниже —7° так, чтобы кислотность р-ра К поддерживалась 70—98%.

**1988 П. Конверсия ароматических углеводородов в алкилциклопарафины. Чанетта, Хантер** (Conversion of aromatic hydrocarbons into alkyl cycloparaffins. Ciapetta Frank G., Hunter James B.) [The Atlantic Refining Co.] Пат. США 2721226, 18.10.55

Предложен метод конверсии ароматич. углеводорода в алкилциклопарафин путем контактирования первого при т-ре 232°—427°, в присутствии  $\text{H}_2$  при давл. 7—70  $\text{кг/см}^2$ , с агентом, состоящим в основном из 98—

40%  $\text{SiO}_2$  и 2—60%  $\text{Al}_2\text{O}_3$  с нанесенным на нем металлосодержащим гидрирующим катализатором (Ni, Co, Pt,  $\text{NiWO}_4$ ,  $\text{NiMoO}_4$ ,  $\text{Ni}_3(\text{PO}_4)_2$ ,  $\text{NiCrO}_4$ ,  $\text{NiB}_4\text{O}_7$ ,  $\text{NiMoS}_4$ ,  $\text{MoO}_3$ ,  $\text{V}_2\text{O}_5$ ,  $\text{CuCrO}_4$ ,  $\text{WO}_2$  и  $\text{CrO}_3$ ), металл. компонент которого составляет 0,2—20 вес. % алюмосиликата.

**1989 П. Полимеризация олефинов в присутствии циклических углеводородных разбавителей. Маттокс** (Olefin polymerizations using cyclic hydrocarbon diluents. Mattox William J.) [Universal Oil Products Co.]. Канад. пат. 508893, 4.01.55

Для полимеризации газообразных олефинов, из которых один является этиленом или пропиленом, их контактируют с твердым катализатором, в состав которого входит компонент, содержащий  $\text{SiO}_2$  и кислородные соединения Al, Th, Ti, Zr или фосфорную к-ту; контактирование проводится при т-ре 200—500° в присутствии разбавителя, состоящего из неолефиновых углеводородов, весьма мало реакционноспособных, напр. циклич. углеводородов (нафтеновых), кипящих выше температурных пределов кипения бензина). Процесс проводят при давл. 13,5—70 ат, достаточном для поддержания разбавителя в жидкой фазе, весовое отношение разбавителя и олефинов по крайней мере 1 : 1. Скорость потока ~ 1—4 объема жидких углеводородов на 1 объем рабочего пространства (с катализатором) в час. В результате олефины превращаются в алифатич. углеводороды с более высокими молекулярными весами (изобутан и др. углеводороды, кипящие в пределах между т-рами кипения нафтеновой и олефиновой фракции), которые разделяют разгонкой.

**1990 П. Процесс производства улучшенных печных топлив. Джонс** (Process for the production of improved heating oils. Jones Minor C. K.) [Esso Research and Engineering Co.]. Пат. США 2703307, 1.03.55

Метод получения форсуночного топлива, не забивающего отверстия форсунок, состоит в фракционировании нефтяного сырья для получения ряда фракций, в том числе фракций, выкипающих в пределах кипения форсуночного топлива и газойля. Фракцию форсуночного топлива подвергают щел. промывке и обессериванию. Газойлевую фракцию подвергают крекингу, продукты крекинга разгоняют, и крекинг-фракцию, выкипающую в пределах кипения форсуночного топлива, также подвергают щел. промывке. Форсуночное крекинг-топливо после щел. промывки прокачивают через мелкие отверстия под давл. 70—560  $\text{кг/см}^2$ , после чего пригонное и крекинг-топливо смешивают. А. Чочиа

**1991 П. Производство сжиженного нефтяного газа. Мак-Кинни** (Liquified petroleum gas production. McKinney Claude Owen) [Standard Oil Co.]. Пат. США 2727367, 20.12.55

Предложен процесс произ-ва обезвоженного сжиженного нефтяного газа, включающий: 1) фракционирование нефтяного дистиллата, содержащего сжижаемые углеводороды, для получения парогазовой смеси горючего газа, жидких углеводородов (ЖУ) и воды; 2) охлаждение этой смеси для конденсации ЖУ и воды; 3) отделение воды от ЖУ; 4) удаление потока ЖУ из зоны отделения, применяя при этом давление, достаточное для циклической подачи этого потока во фракционирующую зону; 5) циклическую подачу части названного потока во фракционирующую зону в качестве рефлюкса; 6) пропускание остальной части названного потока в холодильник для охлаждения до т-ры, достаточной для выделения растворенной в ЖУ воды; 7) декантацию выделенной воды от ЖУ; 8) пропускание части ЖУ после ступени (7) через адсорбент для окончательной их сушки и продолжение осушки до насыщения адсорбента; 9) нагревание остальной части ЖУ после



ступени (7) для получения газа с т-рой, достаточной для десорбции воды из адсорбента и с давлением более высоким, чем давление при фракционировке в ступени (1); пропускание этого газа до полной регенерации адсорбента; 10) подачу смеси газа и пара десорбированной воды в парогазовую смесь ступени (1). Дана схема процесса.

**П. Богаевский**  
1992 П. Способ получения сульфокислот и сульфатов. **Андерсон, Самсон, Кларк** (Process of producing sulfonic acids and sulfonates. **Anderson Henry W., Samson Otto A., Clark Augustus W.**) [Shell Development Co.]. Канад. пат. 510015, 8.02.55

Патентуется способ получения масляного р-ра нефтяных сульфокислот, растворимых в нефтепродуктах, для чего рафинат от сольвентной очистки масляного дистиллата контактируют с дымящей 103,5—105,5%-ной  $H_2SO_4$  так, что рафинат частично превращается в маслорастворимые сульфокислоты. Реакционную смесь тотчас же хорошо перемешивают с достаточным кол-вом воды для получения кислого слоя с кислотностью 50—70%; полученной смеси дают отстояться, после чего разделяют масляный и кислый слои.

**Е. Покровская**  
1993 П. Очистка нефтяных фракций (Refining oils) [Standard Oil Co.]. Австрал. пат. 166819, 23.02.56

Процесс очистки углеводородной фракции (УФ), более высококипящей, чем бензин, и содержащей меркаптаны и фенолы, состоит: в контактировании УФ с жидким  $SO_2$ , взятым в кол-ве, достаточном, чтобы с избытком обеспечить растворимость  $SO_2$  в УФ при  $t-ре < 2^\circ$ ; в отделении рафината от экстракта; в удалении  $SO_2$  из рафината; в контактировании рафината свободного от  $SO_2$ , при  $t-ре < 50^\circ$  в присутствии свободного  $O_2$  с каталитич. массой, состоящей из хлористой меди, воды и инертного носителя, в течение времени, достаточного для получения продукта, свободного от меркаптанов; в отделении полученного продукта от катализатора.

**Г. Марголина**  
1994 П. Обессеривание и реформинг углеводородных фракций. **Браун** (Desulfurization and reforming of hydrocarbon fractions. **Brown Kenneth M.**) [Universal Oil Products Co.]. Пат. США 2697064, 14.12.54

При комбинированном обессеривании и реформинге серосодержащих углеводородных фракций, последние вместе с  $H_2$  пропускают над обессеривающим катализатором. К продуктам р-ции добавляют  $SO_2$  и смесь пропускают над окислительным катализатором. Образующуюся элементарную серу отделяют от углеводородов, часть серы сжигают и  $SO_2$  подают в зону окисления. Обессеренные углеводороды направляют на реформинг, от продуктов которого отделяют газовую фракцию, часть которой направляется (как водород) на стадию обессеривания.

**Ю. Голынец**  
1995 П. Каталитическое обессеривание нефтяных углеводородов. **Портер** (Catalytic desulfurization of petroleum hydrocarbons. **Porter F. W. B.**) [British Petroleum Co., Ltd.]. Англ. пат. 728506, 20.04.55

Процесс каталитич. обессеривания нефтяных фракций включает следующие операции: пропускание сырья в 1-ую реакционную зону (РЗ) для контактирования с серостойким дегидрирующим — гидрирующим катализатором в таких условиях т-ры и давления, чтобы сырье находилось в жидкой фазе, кол-во выделяющегося  $H_2$  при дегидрировании содержащихся в сырье было в избытке по сравнению с требуемым для превращения органически связанной в сырье S в  $H_2S$ , и пределы кипения сырья заметно не менялись; непрерывное пропускание продуктов из 1-й РЗ во 2-ую РЗ, где они контактируются при повышенных т-ре и давлении с сероустойчивым гидрирующим катализатором; разделение продуктов, получаемых во 2-й РЗ на жидкий и богатый  $H_2$  газообразный продукт и рециркулирование последнего во 2-ую РЗ. В 1-й РЗ применяют катализатор типа молибдата кобальта, содержащий фтор и иногда фосфор. Т-ру в 1-й РЗ предпочитают держать 370—425° и давл.  $\geq 35$ —70 ат. Во 2-й РЗ можно поддерживать более низкую объемную скорость, чем в 1-й РЗ для достижения полного обессеривания. Продукты из 2-й РЗ проходят в сепаратор, из которого жидкий продукт удаляется, а газовая смесь, содержащая  $H_2$ , рециркулирует во 2-ую РЗ.

**Г. Марголина**  
1996 П. Удаление меркаптанов из углеводородных фракций (Process for removing mercaptans from hydrocarbon fractions) [Esso Standard Soc. Anon. Française]. Англ. пат. 735784, 31.08.55

Для удаления меркаптанов из углеводородных фракций (УФ) последние контактируют с небольшими кол-вами алифатич. или ароматич. альдегида, первичного или вторичного алифатич. амина и безводн. соли, абсорбирующей в условиях р-ции воду. Образующийся между меркаптанами, альдегидом и амином комплекс отделяют от очнщ. фракций. К упомянутым УФ относятся лигроин, бензин, керосин, газойль, а также УФ, применяемые для экстракции пищевых масел, жиров, а также парфюмерных масел. Из альдегидов применяют формальдегид, ацетальдегид, пропионовый, масляный, бензальдегид или акролеин, но предпочитают 30%-ный вод. р-р формальдегида. Из аминов применяют алканол амины, как моно- или диэтаноламина, или диамины, как этилендиамина. Из безводн. солей предпочитают безводн. Na- или K-карбонат. В случае применения формальдегида и амина  $RNH_2$  последний реагирует с меркаптаном  $R'SH$  с выделением воды и образованием комплекса  $RNHCH_2SR'$ . В примерах лаковые бензины перемешивают со смесью формалина, безводн.  $K_2CO_3$  и этилендиамина, моно- или диэтаноламина или диэтилдиамина при  $\sim 20^\circ$  или немного выше; в некоторых случаях применяются последовательные обработки свежими реагентами. Очнщ. бензины декантируют, промывают водой и перегоняют. **Г. Марголина**

1997 П. Удаление серы, азот и кислородсодержащих органических соединений из углеводородов. **Доршнер, Эйзенлох, Херберт, Байер** (Verfahren zur Entfernung von unerwünschten Stoffen, wie schwefelhaltigen, stickstoffhaltigen und sauerstoffhaltigen organischen Verbindungen aus Kohlenwasserstoffen. **Dorschner Oskar, Eisenlohr Heinz, Herbert Wilhelm, Bayer Richard**) [Metall. Ges. Akt.-Ges.]. Пат. ФРГ 930225, 11.07.55

Способ заключается в каталитич. обработке углеводородов (бензола и бензина, полученных при крекинге, гидрировании или коксовании твердых топлив) в паровой фазе  $H_2$  или  $H_2$ -содержащим газом при 300—400° и давл.  $\sim 200$  атм, в присутствии сероустойчивого катализатора, над которым S-содержащие соединения превращаются в  $H_2S$ , N-содержащие — в  $NH_3$ , а кислородсодержащие — в углеводороды. Чтобы набегнуть или уменьшить полимеризацию соединений, содержащихся в сырье (что влечет за собой порчу катализатора), предусмотрен ряд следующих мер: быстрое испарение сырья при 120—150° и быстрый нагрев газопаровой смеси до т-ры р-ции при умеренном давл. (20—50 атм) и при умеренных условиях теплопередачи; выбор из областей турбулентных потоков наиболее выгодных сфер для теплопередачи; поддержание скорости потоков жидкостей, в особенности у поверхности нагрева 2—4 м/сек, а скорости потоков парогазовых смесей, при их нагревании 100—500 м/сек; применение больших кол-в  $H_2$  или газов, содержащих  $H_2$ , причем

газы многократно пропускают через испаряемую жидкость для улучшения процессов испарения; применение малых кол-в жидкостей в испарителях и нагревателях.

З. Векслер

#### 1998 П. Сульфирование минерального масла.

Джонсон (Sulfonation of mineral oil. Johnson Herbert L.) [Sun Oil Co.]. Пат. США 2717265, 6.09.55

В процессе приготовления красных сульфокислот из минер. масла, имеющего  $\geq 1,2$  ароматич. колец в молекуле (в ароматич. его части), перед сульфированием производят контактирование минер. масла в жидкой фазе с  $H_2$  в условиях гидрирования, при этом происходит уменьшение на  $\geq 0,005$  показателя преломления  $n^{20}_D$  ароматич. части масла и уменьшение на  $\leq 15\%$  содержания ароматич. углеводородов в масле.

Г. Марголина

#### 1999 П. Способ гидроочистки трудноочищаемых парафинов. Любен (Verfahren zur raffinierenden Hydrierung schwer raffinierbarer Paraffine. Lüben Robert) [Ruhchemie A.-G.]. Пат. ФРГ 928116, 23.05.55

При гидроочистке трудноочищаемых парафинов, преимущественно твердого парафина, получаемого каталитич. гидрированием СО, очищаемый продукт предварительно обрабатывают водой в течение 1—3 час. при соответствующем давлении и т-ре, превышающей т-ру плавления продукта, предпочтительно при 200°. Вода растворяет в-ва, затрудняющие очистку. Ее отделили от продукта, который затем обычным способом подвергают гидрированию в атмосфере  $H_2 + N_2$  при 10—120 атм, предпочтительно при 75 атм, соответствующему парц. давлению водорода 56 атм над катализаторами, представляющими металлы VIII группы периодической системы, а также Cu, активированными MgO, нанесенными на кизельгуре. Предварительную обработку производят 30% воды в течение, напр., 2 час. при 200° во вращающемся автоклаве при парц. давлении водяных паров 16 атм.

Б. Энглин

#### 2000 П. Способ очистки нефтяных фракций и смол и их продуктов дистилляции, крекинга и гидрирования каталитическим гидрированием под давлением. Райхле (Verfahren zur Raffination von Mineralölen und Teeren und deren Destillations-, Crack- und Hydriererzeugnissen durch katalytische Druckhydrierung. Reichle Ludwig) [Badische Anilin- & Soda-Fabrik A.-G.]. Пат. ФРГ 927349, 5.05.55

Очистку нефтяных фракций, смол и продуктов их дистилляции, крекинга и гидрирования производят каталитич. гидрированием газами, содержащими  $H_2$ , полученными конвертированием СО-содержащих газов. Конвертированные газы применяют для очистки без удаления  $CO_2$ , конвертирование и очистку проводят примерно при равном давлении, целесообразно при 10—150 атм и при равных т-рах. Очистку проводят в присутствии окислов или сульфидов металлов от VI до VIII групп периодической системы или смесей окислов и сульфидов, в частности Mo, W, Ni или Co. Катализаторы наносят на силикаты или  $Al_2O_3$  и др. При низких т-рах катализатор применяют без носителей. Приведены схема и описание процесса.

Б. Энглин

#### 2001 П. Обработка нефтяных фракций гипохлоритом. Берч, Каллум, Дин (Hypochlorite process for the treatment of petroleum distillates. Birch S. F., Cullum T. V., Dean R. A.) [British Petroleum Co., Ltd.]. Англ. пат. 736795, 14.09.55

Нефтяные дистилляты очищают обработкой сначала р-ром гипохлорита щел. или щел.-зем. металла, а затем смесью  $CH_3OH$  и р-ра едкой щелочи. После этого дистиллят можно контактировать с р-ром едкой щелочи. Процесс может быть периодич. и непрерывным. Приведены примеры обработки прямогонных керосина

и лигроина, крекинг-лигроина и газойля гипохлоритом кальция и затем  $CH_3OH$  и NaOH.

Г. Марголина  
2002 П. Обработка парафинов совместным осаждением азотсодержащими компонентами. Кларк, Спрингс, Бак (Refining of wax by co-precipitation with nitrogenous compounds. Clarke Edgar W., Springs Laurel, Buck William H.) [Atlantic Refining Co.]. Канад. пат. 516071, 30.08.55

Разделение парафинистой смеси углеводородов на высокоплавкую, более парафинистую, и низкоплавкую, менее парафинистую фракции проводится таким образом, что разница между т-рами плавления названных фракций составляет по крайней мере 8,3°. Способ включает: растворение парафинистой смеси в 2—3 объемах ароматич. углеводородного р-рителя (напр., бензола или углеводородного р-рителя, кипящего ниже 231°); смешение парафинистого р-ра с 2—3 объемами спиртового р-ра ( $CH_3OH$  или другого, с  $\leq 4$  атомов С), содержащего 8—9 моль-экв соединения из группы мочевины и тиомочевины; образование нерастворимого комплекса этого соединения (мочевины или тиомочевины) с высокоплавкими, более парафинистыми компонентами при 27—55° (или 16—55°), при этом низкоплавкие, менее парафинистые компоненты остаются в р-ре; выделение нерастворимого комплекса из р-ра; разложение его водой при 66—100° и выделение высокоплавких, более парафинистых компонентов.

Г. Марголина

#### 2003 П. Аппарат для очистки нефтепродуктов. Артерс (Apparatus for conducting sweetening operations. Arthurs Stanley) [Standard Oil Co.]. Пат. США 2723945, 15.11.55

Непрерывный процесс многоступенчатой очистки осуществляется в одном аппарате, что требует меньше производственной площади, снижает расход металла и упрощает эксплуатацию. Легкий нефтепродукт (НП), напр. бензин, керосин и т. п., непрерывно подается в верхнюю часть аппарата — отделение предварительной промывки (П) через смесительный клапан, куда поступает вода. р-р NaOH, выходящий из регенератора (Р). В П смесь расслаивается: р-р NaOH собирается внизу и по трубе насосом подается в Р. Можно работать без Р, использованный NaOH удалять и вводить в систему свежий. Прощедший первую промывку НП скопляется сверху П и по переливной трубе проходит в секцию, заполненную стеклянкой ватой или подобным материалом, задерживающим обводненные компоненты, которые оседают на дно секции и удаляются из системы, а обезвоженный НП идет в нагреватель, где оставшиеся малые к-ва воды удаляются. Нагретый НП перекачивается насосом через эжектор в отделение обработки (ОЧ). В эжекторе к НП подмешиваются реагенты (напр. хлорная медь и глинозем), которые очищают НП от меркаптанов и регенерируются благодаря присутствию  $O_2$  или  $O_2$ -содержащего газа, подаваемого в систему (в ОЧ они оседают вниз). Очищ. НП непрерывно отводится из верхней части ОЧ, смешивается с водой, забираемой на рециркуляцию насосом из секции промывки, и подается в эту секцию. Здесь чистый НП, отстаиваясь, собирается сверху и переливается во вторую секцию обезвоживания, заполненную стеклянкой ватой. Остатки воды, отделенные от НП, собираются внизу и удаляются, а очищ. НП отводится на хранение. С. Забродский

#### 2004 П. Очистка нефтяных фракций, содержащих меркаптаны. Маккен, Денайер (Sweetening of petroleum oils containing mercaptans. Macken D. S., Denayer R. L.) [British Petroleum Co., Ltd.]. Англ. пат. 728586, 20.04.55

Нефтяную фракцию обессеривают при смешении с водой. р-ром едкой щелочи, содержащей в-во, способ-

ное повышать растворимость меркаптанов в щел. р-ре, в присутствии  $O_2$  или  $O_2$ -содержащего газа, напр. воздуха, но в отсутствие катализатора для окисления меркаптанов в дисульфиды. Нефтяную фракцию, напр. сернистые лигроны или бензин, можно подвергнуть предварительной обработке водн. р-ром едкой щелочи, без промоторов растворимости, в присутствии  $O_2$  или  $O_2$ -содержащего газа. В качестве щелочи можно применять  $NaOH$ , а промотора растворимости — технич. крезол. Обработку р-ром едкой щелочи, содержащим промотор растворимости, можно проводить в две или более ступени. Содержание S во фракции остается неизменным при обработке, меркаптаны превращаются в органич. дисульфиды, остающиеся во фракции. Регенерация щел. р-ра не требуется. Г. Марголина

2005 П. Процесс очистки углеводородных масел. Симпсон (Process for refining hydrocarbon oils. Simpson Warren C.) [Shell Development Co.]. Пат. США 2704738, 22.03.55

Процесс произ-ва сырья для каталитич. крекинга из остаточных нефтяных фракций, в котором содержатся составные части, способствующие образованию кокса при каталитич. крекинге, состоит в обработке этой фракции насыщ. углеводородами с 3—5 атомами C, являющимися деасфальтирующими агентами, в присутствии небольших кол-в (1—10 вес. %) водорастворимой неорганич. соли, содержащей в качестве катиона элементы переменной валентности с атомным номером 24—28 и способствующей осаждению кокса. При обработке образуется р-р масла в деасфальтирующем агенте и фаза, содержащая осадок и асфальт, которые отделяют от р-ра масла. Г. Стельмах

2006 П. Способ каталитического обессеривания высококипящих нефтяных фракций, содержащих сернистые углеводороды. Портер, Роуленд (Verfahren zur katalytischen Entschwefelung von höhersiedenden naphthenhaltigen Erdöldestillaten. Porter Frederick William Bertram, Rowland John) [Anglo-Iranian Oil Co. Ltd.]. Пат. FRG 927947, 20.05.55

При каталитич. обессеривании высококипящих нефтяных фракций, содержащих сернистые углеводороды, как напр. газойлей, парафиновых дистиллатов и экстрактов, богатых ароматич. углеводородами, посредством гидрирования без существенного изменения их состава, исходное сырье в виде паров без введения извне  $H_2$  или добавления гидрирующих в в пропускают при 395—430° и давл. 3,5—14 кг/см<sup>2</sup> над псевдооживленным сероустойчивым катализатором. При этом происходит одновременное дегидрирование нафтеновых углеводородов в ароматич. и превращение органически связанной S в  $H_2S$ . Газовую смесь, богатую  $H_2$ , отделяют от продукта и вновь направляют в реакционную зону, а отработанный катализатор на регенерацию. Скорость подачи сырья составляет 1—5 объемов на 1 объем катализатора в час. В процессе применяют Co-Mo-катализатор, отложенный на глиноземе. Приведена схема и описание процесса. Б. Энглин

2007 П. Катализатор, содержащий окись молибдена для обработки углеводородных масел. Энгел (Molybdena-containing catalyst for the treatment of hydrocarbon oils. Engel Willem F.) [Shell Development Co.]. Канад. пат. 516582, 13.09.55

Окисный Mo-катализатор состоит, в основном, из носителя  $Al_2O_3$ , содержит 4—8% Mo и промотирован ~ 12% Co и 2,5—25% K (оба из расчета на Mo). Катализатор перед употреблением прокаливается в присутствии  $O_2$  при 700—800° в течение 2—40 час. (предпочтительно 10 час. при 750°). Е. Покровская

2008 П. Стабилизация высокомолекулярных ненасыщенных соединений двуокисью серы. Гоппел (Werkwijze voor het stabiliseren van producten, verk-

regen door reactie van micromoleculaire, meervoudig onverzadigde verbindingen met zwavel-dioxyde. Goppel Johan M.) [N. V. De Bataafsche Petroleum Maatschappij]. Голл. пат. 73978, 15.01.54 [Chem. Abstrs, 1954, 48, № 20, 12453 (англ.)]

При получении стабилизированных продуктов, в соответствии с дат. пат. 69786, нестабильные продукты р-ции нагревают с тиомочевинной или ее производными, применяемыми в качестве стабилизаторов, предпочтительно при 100—25°. Целесообразно стабилизированные продукты смешивать с горячим р-ром стабилизатора. А. Чочина

2009 П. Обработка масла для удаления железа. Асселин (Treatment of oil for removing iron. Asselin George F.) [Esso Research and Engineering Co.]. Пат. США 2703306, 1.03.55

Метод удаления железа из минерал. масла заключается в контактировании последнего с водн. р-ром тиоцианата аммония и извлечения масла после обработки. А. Чочина

2010 П. Обработка смазочного масла. Ла-Порт (Treatment of lubricating oil. La Porte Walter N.) [Sun Oil Co.]. Канад. пат. 515094, 26.07.55

Для улучшения цвета масляного дистиллата без существенного гидрирования неопределенных углеводородов масло пропускают в нисходящем потоке при 230—300° через слой гидрирующего катализатора 4—20 меш, содержащего  $MoS_2$  или Ni, в присутствии  $H_2$  под давл. 10—35 ат (лучше 11 ат), с объемной скоростью 1—5 объемов масла на 1 объем катализатора в час и скоростью потока в пределах 0,28—4,53 м<sup>3</sup> на 0,1 м<sup>2</sup>. Получают масло со значительно улучшенным цветом и почти неизменным показателем преломления (разница 0,001). Е. Покровская

2011 П. Снижение содержания серы в нефтяных дистиллатах. Нобл (Reduction of sulphur content of mineral oils. Noble D. A. J.) [British Petroleum Co., Ltd.]. Англ. пат. 728585, 20.04.55

Дистиллаты, содержащие сернистые соединения, очищают обработкой водн. р-ром органич. перекисного соединения, полученного при окислении углеводородов воздухом; затем дистиллат отделяют от продуктов окисления сернистых соединений. Р-цию можно проводить с одновременной продвух реакционной смеси воздухом. Тесного контакта масляной и водн. фаз в процессе р-ции можно достигнуть применением хим. диспергирующих агентов, механич. диспергированием или добавлением  $CH_3OH$ , в случае его применения в вышеописанной стадии экстракции. Продукты окисления сернистых соединений можно удалить промывкой к-той, экстракцией р-рителем, напр.  $CH_3OH$ , фракционной перегонкой, экстрактивной перегонкой, адсорбцией или комбинированными методами. Таким способом можно очищать керосин, газойль и другие фракции. Углеводородный материал, подвергающийся окислению воздухом, может быть нефтяной фракцией, предпочтительно парафинистой, напр. свободный от S и ароматики керосин. Обогащенную парафином фракцию можно получить из керосина приготовлением твердого аддукта мочевины, удалением жидкой фазы и разложением аддукта для получения указанного выше продукта. Обогащенную парафином фракцию можно получить из керосина приготовлением твердого аддукта тиомочевины с последующей обработкой. Пример: керосин, свободный от S и ароматики, продувают воздухом при 145°, и вытекающий поток проходит через ряд вертикальных холодильников. Полученная при конденсации жидкости водн. фаза содержит желаемое перекисное соединение. Сырой газойль обрабатывают этой водн. фазой при 100°, экстрагируют метанолом и получают рафинат с пониженным содержанием S. Г. Марголина



**2012 П. Обессеривание тяжелых нефтяных фракций** (Desulphurization of heavy petroleum fractions) [Esso Research & Engineering Co.]. Англ. пат. 736072, 31.08.55

Нефтяные фракции, кипящие  $> 345^\circ$ , такие, как отбензиненные нефти, остатки и петролатум обессеривают гидрированием при  $150-425^\circ$ , давл.  $7-350$  ат в присутствии растворенных  $\text{SnCl}_4$ ,  $\text{TiCl}_4$ ,  $\text{BF}_3$  или комплекса  $\text{BF}_3$  со сложным эфиром, простым эфиром или водой. При работе с  $\text{BF}_3$  или его комплексами берут 1—50 вес. %  $\text{BF}_3$ , считая на исходное сырье; при работе с другими галогидропроизводными берут обычно 2—20% и добавляют 1—15% галогидоводородных промоторов. Углекислоту и катализатор могут проходить противотоком к  $\text{H}_2$ -содержащему газу, жидкий продукт отстаивается, его промывают и фракционируют для получения лигроина, газойля, котельного топлива, а остаток можно рециркулировать. Газообразные продукты охлаждают, чтобы выделить жидкие продукты и частично рециркулировать. Твердые осадки обрабатывают  $\text{Cl}_2$  или  $\text{HF}$ , в случае применения в качестве катализатора  $\text{BF}_3$ , для выделения и повторного использования катализатора. Углеводородное сырье можно предварительно обработать  $\text{H}_2$  в отсутствие катализатора.

Г. Марголина

**2013 П. Деасфальтизация нефтяных фракций** (Deasphalting of petroleum oils) [Esso Research and Engineering Co.]. Англ. пат. 736612, 14.09.55

Асфальтовые компоненты удаляют из нефтяных фракций продувкой их воздухом при  $230-370^\circ$  и последующей обработкой деасфальтирующим р-рителем. Нефтяная фракция может быть остаточным продуктом, а деасфальтирующими р-рителями — низкокипящие углеводороды, содержащие 2—5 атомов С в молекуле, в частности пропан и бутан. Пример: нефтяной остаточный продукт продувают воздухом при  $288^\circ$  и затем деасфальтируют жидкой смесью *n*- и *изо*-бутанов. Полученные деасфальтированные продукты можно применять как смазочное масло, тяжелое топливо или сырье для каталитич. крекинга. Описана аппаратура, в которой нефтяное сырье перегоняют для получения газа, легкого и тяжелого лигроина, газойля и остаточной фракции, которую продувают воздухом и затем деасфальтируют пропаном. Деасфальтированную остаточную фракцию, смешанную с фракцией газойля, направляют в зону каталитич. крекинга с псевдоожиженным катализатором, затем крекинг-продукты разгоняют для получения газа, бензина, бытового топлива, масла каталитич. крекинга, остаточных фракций. Приведены данные о режиме в крекинг-зоне, катализаторах и регенерации их.

Г. Марголина

**2014 П. Деасфальтизация масла** (Deasphalting petroleum oil) [Standard Oil Development Co.]. Австрал. пат. 166547, 2.02.56

Для деасфальтизации остаточное масло, вязкость которого превышает  $5,5$  ст при  $100^\circ$ , смешивают с деасфальтирующим агентом, состоящим в основном из пропана и бутана, причем содержание бутана достигает  $\sim 14$  об. %.

А. Виппер

**2015 П. Денапарафинизация смазочных масел**. Аке (Dewaxing of lubricating oil. A x e William N.) [Phillips Petroleum Co.]. Пат. США 2723220, 8.11.55

Процесс получения низкозастывающих масел из высокозастывающих парафинистых масел включает: частичную денапарафинизацию масла охлаждением р-ра масла — жидкий пропан до необходимой т-ры застывания; добавление избытка комплекса мочевины (I) — *n*-парафина и отделение добавленного комплекса, после чего парафин кристаллизуется из пропанового р-ра. Нигреуют р-р до  $-18-37,8^\circ$  и добавляют I, смоченную активатором (метанолом, этанолом, ацетоном, метилэтилкетон, диэтиэфиром и др.). Полу-

ченную смесь, содержащую в твердой фазе выпавший парафин и образовавшийся комплекс I — *n*-парафиновые углеводороды, фильтрованием разделяют на твердую и жидкую части. Из последней выделяют целевой продукт — денапарафинированное масло с требуемой т-рой застывания. Твердая часть служит в одной порции для выделения парафина, другая порция возвращается на первую ступень процесса и способствует лучшей фильтрации смеси. Преимущество метода заключается в ликвидации переохлаждения р-ра масло — жидкий пропан и в способности взвеси комплекса I действовать как осадитель парафина из р-ра масло — пропан, а также улучшать процесс фильтрации.

З. Векслер

**2016 П. Способ денапарафинизации масел**. Цорн, Поль (Verfahren zum Entparaffinieren von Olen. Zorn Hermann, Pohl Franz) [Badische Anilin- & Soda-Fabrik A.-G.]. Пат. ФРГ 925852, 31.03.55

При денапарафинизации масел посредством охлаждения в присутствии р-рителя в качестве р-рителя применяют тетрагидрофуран (I) совместно с кетонами, алифатич. спиртами, нитрилами, сложными эфирами или галогидропроизводными. Этот р-ритель способствует хорошему образованию кристаллов парафина, но обладает низкой способностью вымывания. Пример: 5 кг смазочного масла, содержащего 15% парафина, предварительно очищ.  $\text{H}_2\text{SO}_4$ , растворяют при  $60^\circ$  в 15 кг смеси, состоящей из 85% I и 15% ацетонитрила и равномерно в течение 2 час. охлаждают до  $-20^\circ$ . Выпавший парафин отфильтровывают при разрежении 100 мм рт. ст. Время фильтрования 50 сек. Затем в продолжении 150 сек. парафиновую лепешку промывают тем же р-рителем. После отгонки р-рителя получают 850 ± 85—90% парафина с т. пл.  $56^\circ$  и 4,1 кг масла с т. заст.  $-22^\circ$ . Р-рителем могут служить смеси, состоящие из 25%  $\text{CH}_3\text{OH}$ , 45% I и 30% толуола или 15%  $\text{CH}_3\text{OH}$ , 40% I и 45% дихлорэтана.

Б. Энглия

**2017 П. Способ денапарафинизации масел**. Цорн (Verfahren zum Entparaffinieren von Olen. Zorn Hermann) [Badische Anilin- & Soda-Fabrik A.-G.]. Пат. ФРГ 927646, 12.05.55

В доп. к патенту ФРГ 925852 (см. пред. реф.), согласно которому денапарафинизацию масел проводят р-рителем, содержащим тетрагидрофуран (I), предложено перед денапарафинизацией масла подвергать его обработке селективным р-рителем. Пример: 6 кг рафината, полученного фуфурольной очисткой и содержащего еще 16,6% фуфурола (II) растворяют при  $60^\circ$  в 24 кг смеси, состоящей из 75% I, 20%  $\text{CH}_3\text{OH}$  и 5% II. Гомог. р-р в продолжении 2 час. охлаждают до  $-20^\circ$  и выпавший парафин при этой же т-ре и абс. давл. 200 мм рт. ст. отфильтровывают в течение 31 сек. Парафиновую лепешку промывают 24 кг той же смеси, при этом время фильтрации составляет 61 сек. После отгонки р-рителя получают 0,5 кг 90%-ного парафина с т. пл.  $58^\circ$ , а из первого фильтрата 4,5 кг смазочного масла с т. заст.  $-20^\circ$ .

Б. Энглия

**2018 П. Способ денапарафинизации масел**. Ги, Гросс, Смыслов (Verfahren zum Entparaffinieren von Olen. Gee William Provine, Gross Howard Halcomb, Smisloff Walter, Texaco Development Corp.). Пат. ФРГ 925125, 14.03.55

Денапарафинизацию смазочных, по преимуществу, цилиндрических остаточных масел, производят осаждением парафина при низких т-рах с применением селективного р-рителя и дальнейшей фильтрацией на вращающихся барабанных фильтрах. Особенностью способа является возвращение в исходную смесь (сырье + р-ритель) выбранной фракции осажденного парафина (обычно с более низкой т-рой плавления), свободной от вязких остаточных в-в, изменяющих структуру кри-

сталлов парафина. При этом конц-ия парафина в смеси значительно повышается и происходит быстрое образование фильтрационной пленки необходимой толщины. **П р и м е р:** для депарафинизации цилиндрического масла с вязкостью 31,8 сст при 99° и содержанием 8% парафина, его смешивают с селективным р-рителем, состоящим из 40% метилэтилкетона и 60% технич. бал., взятого из расчета 3—4 объемн. ч. р-рителя на 1 объемн. ч. масла. К смеси добавляют парафин в кол-ве 4—15%, считая на масло. Смесь нагревают до 71° для полного растворения всего парафина и масла, после чего охлаждают до —23,3° и фильтруют. Получают депарафинированный фильтрат и ленешку. Из парафина, возвращаемого в обрабатываемую смесь, можно р-рителем не удалять, но учесть его кол-во при расчете необходимого кол-ва р-рителя для депарафинизации. При добавлении к цилиндрическому маслу 4,4% объемн. ч. парафина, смешении с селективным р-рителем и фильтрации выход депарафинированного масла с т. заст. —17,8° составил 94%.

**2019 П. Процесс депарафинизации масел методом флотации. Д о р н (Process of dewaxing oils by flotation. Doorn Johannes) [Shell Development Co.]. Пат. США 2719817, 4.10.55**

Для депарафинизации масел их обрабатывают инертным флотационным газом при т-ре  $T_1$ , причем получают первый вспененный парафиновый и первый масляный слои. После разделения этих слоев вспененный парафиновый слой, содержащий парафин и масло, обрабатывают инертным флотационным газом при т-ре  $T_2$  более высокой, чем  $T_1$ , но обеспечивающей наличие некоторого кол-ва парафина в твердом состоянии. При этом образуются второй вспененный парафиновый и второй масляный слои. После разделения этих слоев масляный слой возвращается на флотацию при  $T_1$ . Вязкость смеси масла и парафина при  $T_1$  и  $T_2$  должна быть ниже 50 спуаз. Если необходимо, можно вводить разбавители (галоидопродукты углеводородов). Процесс может осуществляться с последующими стадиями флотации при  $T_3$  и  $T_4$ , в качестве флотационного газа указано применение воздуха и азота. **П р и м е р:** газойль охлаждали до 10° и флотировали  $N_2$  1,5 часа при подаче его со скоростью 1,5 л/мин. Полученные вспененный парафиновый и масляный слои разделяли. Масляный слой практически не содержал твердого парафина, его выход составил 79,4% от исходного продукта. Отделенный вспененный слой нагревали до 14° и вновь флотировали  $N_2$ . Полученный масляный слой составил 14,9% от исходного масла. Следующая стадия флотации при 10° дала выход масла в 10,6%, таким образом общий выход масла увеличился до 90%.

С. Гордон

**2020 П. Способ и аппаратура для выделения парафина из парафинистых углеводородных масел. Х о п п е (Verfahren und Vorrichtung zum Abtrennen von Paraffin aus paraffinhaltigen Kohlenwasserstoffölen. Hoppe Alfred) [Edeleanu Ges. m. b. H.]. Пат. ФРГ 928726, 10.06.55**

Кристаллический парафин получают распылением однородной парафинсодержащей смеси масла и р-рителя инертным газом ( $CO_2$ ,  $N_2$ , воздух, пары р-рителя) при определенной т-ре смеси и газа. Осажденный парафин освобождают от масляных частиц растворением его в 100—1000 об. % селективного р-рителя (пропан, хлорированные углеводороды и др.) при т-ре ниже т-ры плавления получаемого товарного парафина, перемешиванием, фильтрацией, промывкой и освобождением от р-рителя. В зависимости от т-ры, при которой производится перемешивание, выделяют ту или иную фракцию парафина. Обычно обработку ведут двумя ступенями с целью выделения фракции высокоплавкого парафина (при 30—50°) и низкоплавкого (при —10°).

Соответственно в первом случае получают высокозастывающие, а во втором — более низкозастывающие фильтраты. Наиболее чистые сорта парафинов получают повторной обработкой указанным способом.

Дана аппаратурная схема и описание хода процесса.

**2021 П. Способ депарафинизации. У и к е (Dewaxing process. Weeks Robert L.) [Standard Oil Development Co.]. Канад. пат. 509774, 1.02.55**

Улучшенный процесс удаления парафина из парафинистых остаточных масел, способных обычно хорошо фильтроваться, состоит в разбавлении масла сжиженным газообразным углеводородом в качестве р-рителя депарафинизации при добавлении 0,01—0,1 вес. % на масло депрессора — продукта конденсации хлорированного парафина с ароматич. углеводородом, напр., нафталином. Смесь охлаждают со скоростью 5,5—14° в мин. до выделения твердого парафина, который затем отфильтровывают от масла. Е. Покровская

**2022 П. Приготовление эмульгаторов для производства растворимых масел. Л и п к и н (Preparation of emulsifiers for producing soluble oil. Lipkin Moses Robert) [Sun Oil Co.]. Пат. США 2724697, 22.11.55**

Способ приготовления кислого частично окисленного продукта, содержащего растворимые в углеводородах красные сульфокислоты, пригодного для произ-ва растворимых масел, состоит из обработки нефтяных фракций, кипящих в основном > 232°, сульфированием агентом в соответствующих условиях, с последующим отделением сульфированного продукта от кислого гудрона, нейтрацией продукта р-ром щелочи и обработки нейтрализованного продукта воздухом или другим  $O_2$ -содержащим газом при т-ре > 110°, в условиях, обеспечивающих частичное окисление до карбоновых к-т. Процесс сульфирования проводят до получения в продукте 2—2,5 вес. % красных сульфокислот, а частичное окисление — до числа омыления продукта 15—100. Растворимые масла получают смешением нейтрализованного продукта окисления с углеводородными маслами. **П р и м е р:** фракцию масла после фурфурольной очистки ( $d_{40}^{20}$  0,9118, вязкость 9,56 сст при 99°, ароматич. углеводородов 27%) сульфировали  $SO_3$  при 20° до содержания ~ 14 вес % красных сульфокислот. Кислый гудрон отделили в центрифуге. Кислый продукт нейтрализовали NaOH, смешивали с 0,4% олеата Mn и обрабатывали воздухом при 138° до числа омыления 52 и кислотного числа 16. После нейтр-ции продукт пригоден для применения в качестве эмульгатора.

С. Гордон

**2023 П. Способ разделения углеводородных смесей путем экстракционной или азеотропной перегонки. Р е д л и х, Г е й б л (Verfahren zum Zerlegen von Kohlenwasserstoffgemischen durch extractive oder azeotrope Destillation. Redlich Otto, Gable Charles Martin) [N. V. De Bataafsche Petroleum Maatschappij]. Пат. ФРГ 956428, 28.03.55**

Разделение смесей углеводородов с близкими пределами кипения (смеси изомерных углеводородов) экстракционной или азеотропной перегонкой проходит в присутствии вспомогательных в-в, содержащих перфторкарбоновые к-ты или состоящих из них. **П р и м е р:** этиленбензол выделяют из его смесей с углеводородами (преимущественно из смесей с  $n$ -или  $m$ -ксиолом) разгонкой в присутствии перфторкарбоновой к-ты [перфтормасляной к-ты (I)], т-ра кипения которой отличается на 35° (предпочтительно на 25°) от т-ры кипения смеси, после отгонки из нее 50%. Разделение циклогексана и бензола производят экстракционной перегонкой с I или азеотропной перегонкой с трифтор-

уксусной к-той. Вспомогательное вещество, применяемое при азеотропной перегонке, содержит воду.

**2024 П.** Способ разделения парафина и масла посредством эмульсионного обезмасливания гачей и аналогичных сырых продуктов. Шмальфусе, Гельхар (Verfahren zur Trennung von Paraffin und Öl durch Emulsionsentölung von Gatschen oder ähnlichen Rohstoffen. Schmalfuß Hans, Gehlhaar Erwin) [Deutsche Vacuum Oel A.-G.]. Пат. ФРГ 933649, 29.09.55

Для разделения парафина и масла посредством эмульсионного обезмасливания гачей и аналогичных сырых продуктов используют эмульсии типа вода в масле/масло в воде — в масле. Эмульсия вода в масле достигается постепенным прибавлением воды к гачу или к аналогичному сырому продукту, при этом т-ра воды должна быть ниже т-ры плавления парафина. К эмульсии вода в масле добавляется небольшое кол-во эмульгатора. Пример: к эмульсии, состоящей из 99 ч. воды и 100 ч. веретенного гача, содержащего 37% масла, добавляется 44 ч. парафиновых лепешек, содержащих 5% масла и 56 ч. фильтрата, содержащего 62% масла (вода не учитывается).

**2025 П.** Процесс дистилляции углеводородов (Hydrocarbon distillation process) [Du Pont de Nemours & Co., E. I.]. Англ. пат. 718221, 10.11.54 [Fuel Abstrs, 1955, 17, № 4, 60 (англ.)]

Для уменьшения образования полимеров при дистилляции состава, большая часть которого содержит углеводороды с  $\leq 6$  атомами С в молекуле и  $\geq 0,01$  вес. % диолефинов с 3—6 атомами С в молекуле, добавляют ингибитор процесса полимеризации в кол-ве 0,001—5% от веса сырья. Ингибитор содержит  $\geq 1$  нитритов с ф-лой  $\text{RONO}$ , где R — углеводородный радикал, содержащий 1—8 атомов С, а нитритная группа присоединена к атому С, входящему в алифатич. насыщ. остаток.

**2026 П.** Разделение углеводородов методом адсорбции. Блэк (Separation of hydrocarbons by adsorption. Black James F.) [Standard Oil Development Co.]. Канад. пат. 514007, 21.06.55

Предложен состав и способ приготовления адсорбентов (А) для селективного поглощения углеводородов нормального строения. А имеет эмпирич. ф-лу  $4\text{CaO} \cdot \text{Al}_2\text{O}_3 \cdot 4\text{SiO}_2$  и получается в результате р-ции воды.  $\text{Al}_2\text{O}_3$ , вода,  $\text{SiO}_2$  и  $\text{Ca}(\text{OH})_2$  в течение 48—216 час. при 100—500° с последующим охлаждением до 20° и обезвоживанием или при добавке к указанной смеси воды. р-ра Са-соли конц-ей 1—10% (напр.,  $\text{CaCl}_2$  конц-ей 5%). Соотношение составляющих в исходной смеси рекомендуется 4:1:4.

**2027 П.** Отделение этилбензола от других ароматических углеводородов  $\text{C}_8$  путем экстракции  $\text{HF} = \text{BF}_3$ . Мак-Коли, Лин (Separation of ethylbenzene from other  $\text{C}_8$  aromatic hydrocarbons by extraction with  $\text{HF} \cdot \text{BF}_3$ . McCaulay David A., Lien Arthur P.) [Standard Oil Co.]. Пат. США 2728803, 27.12.55

Предлагается усовершенствование процесса отделения этилбензола от диметилбензолов из сырья, содержащего этилбензол и не менее одного диметилбензола, экстракцией смесью  $\text{HF} - \text{BF}_3$ . Содержание  $\text{BF}_3$  должно составлять не менее 0,9—1,5 моля на 1 моль диметилбензолов, содержащихся в исходном сырье. Последнее контактируется  $\leq 5$  мин. с экстрагирующим материалом при т-ре от —25° до —50°, после чего смесь разделяется; при этом экстракт содержит в основном весь диметилбензол, рафинат — большую часть этилбензола.

**2028 П.** Обработка нефтяных фракций. Торнес (Production of hydrocarbon oils. Thornes L. S.)

[British Petroleum Co., Ltd.]. Англ. пат. 728581, 20.04.55

Нефтяные фракции, в частности нефтяные топлива, обрабатывают мочевиной в отсутствие воды и в присутствии спиртов  $\text{C}_1 - \text{C}_3$  (метанола, этанола, пропанола) и углеводородных разбавителей, не реагирующих с мочевиной. Из образовавшегося аддукта мочевины регенерируют путем нагревания в отсутствие воды. Фракционированием нефтяных фракций, выкипающих до 350°, получают фракцию 100—200°, используемую как разбавитель, а более высококипящую часть обрабатывают мочевиной. Описывается обработка газойли в присутствии керосина в качестве разбавителя.

**2029 П.** Способ разрушения одно-масляных эмульсий посредством осаждения. Нольден, Кляк (Verfahren zur Brechung von Wasser-in-Öl-Emulsionen durch Absetzen. Nolden Hans-Otto, Klück Alfred) [Union Rheinische Braunkohlen Kraftstoff A.-G.]. Пат. ФРГ 925124, 14.03.55

Для разрушения водно-масляных эмульсий посредством осаждения, напр., при регенерации отработанных масел, в эмульсию или противоточно ей, периодически или непрерывно подводят воду, которая вымывает продукты, способствующие образованию эмульсии или стабилизаторы эмульсии. Скорость потока эмульсии по отношению к скорости потока воды выбирается столь низкой, чтобы обеспечить оба рабочих периода — осаждение и противоток, за один рабочий ход в одном аппарате. Пример: через 3 м<sup>3</sup> отработанного масла, содержащего 8,6% воды и 0,57% твердых в-в, в течение 3 час. пропускают 30 м<sup>3</sup> воды. Обработанный продукт переводят в осадитель, где после 4-часового отстаивания получают масло с 1% воды и 0,02% твердых веществ.

**2030 П.** Промывка продуктов присоединения мочевины или тиомочевины к углеводородам. Линч (Washing urea and thiourea containing adducts. Lynch Charles S.) [Phillips Petroleum Co.]. Пат. США 2714586, 2.08.55

Продукты присоединения мочевины к нормальным парафиновым  $\text{C}_{10-50}$ -углеводородам очищают от окклюдированных углеводородов смещением продукта при присоединении при т-ре ниже т-ры его разложения с насыщ. водн. р-ром мочевины, выделением продукта присоединения из смеси с загрязняющими углеводородами и выделением осажденного аддукта и углеводородных примесей в качестве отдельных продуктов. Приведена технологич. схема.

**2031 П.** Экстракционная кристаллизация с применением мочевины. Шампанья (Extractive crystallization processes by means of urea. Champagnat Alfred) [The British Petroleum Co. Ltd.]. Пат. США 2719106, 27.09.55

Предложена обработка минер. масла (М) р-ром мочевины в тройном р-рителе, состоящем из смеси ~ 2—30% воды, растворимого в воде органич. кислотного соединения из числа кетонов, одноатомных спиртов или их смесей и органич. соединения типа многоатомных спиртов и моно-амино-спиртов. При этом образуется эмульсия типа вода-масло, которую поддерживают в условиях, обеспечивающих образование твердого аддукта мочевины с компонентами М. Аддукт отделяют от остальных компонентов М и разлагают. В варианте процесса эмульсию разделяют на два слоя: верхний, содержащий рафинат аддукта с мочевиной, и нижний, представляющий собой суспензию твердого аддукта с мочевиной в р-ре мочевины. Аддукт отделяют, разлагают и выделяют компоненты М. Для разслаивания эмульсии применяют воду. р-р одноатомного спирта, а также головную фракцию от перегонки р-ра мочевины после разложения аддукта. В том же про-



цессе применяют пересыщ. р-р мочевины. При непрерывном процессе получения высокооктанового бензина, лигрои́н подвергают термич. реформингу. Реформинг-бензин отделяют и обрабатывают пересыщ. р-ром мочевины. Рафинат представляет собой высокооктановый бензин, а экстракт с более низким октановым числом добавляют в лигроиновое сырье, поступающее на реформинг. В процессе получения *n*-парафинов и высокооктанового бензина нефтяной лигрои́н обрабатывают пересыщ. р-ром мочевины. Экстракт содержит *n*-парафины, а рафинат — силворазветвленные изо-парафины и ароматич. углеводороды. Он поступает на термич. реформинг для получения высокооктанового бензина. Е. Покровская

**2032 П.** Получение бесцветного и стабильного на свету парафина или перезина из темных, гачеподобных парафинсодержащих остатков от переработки нефти или смолы. Крэнелли, Штейнбрехер (Verfahren zur Herstellung von farblosem und lichtbeständigem Paraffin bzw. Ceresin aus dunkelgefärbten, gatschartigen paraffinhaltigen Rückständen der Mineralöl- und Teerverarbeitung. Kroeppelin Hans, Steinbrecher Hans). Пат. ФРГ 927287, 5.05.55

Остаток, полученный при переработке нефти или смолы, вначале по возможности полностью обезмасливают с помощью р-рителя (легкого бензина) и только затем обрабатывают отбеливающей землей в присутствии такого кол-ва р-рителя, которое обеспечивает полное растворение парафина. Б. Энглин

**2033 П.** Процесс разделения парафинов. Уикс, Рид (Wax fractionation process. Weeks Robert L., Read Chester L.) [Esso Research and Engineering Co.]. Пат. США 2723941, 15.11.55

Процесс отделения сравнительно высокоплавких парафинов от сравнительно низкоплавких состоит из следующих стадий: осаждение смеси высоко- и низкоплавких парафинов из углеводородной смеси, фильтрования смеси парафинов в первой ступени фильтрации с получением парафиновой лепешки. Лепешку затем растирают и перемешивают с р-рителем, состоящим, в основном, из бензола и толуола, при той же т-ре, при которой осуществлялось фильтрование первой ступени; смесь проходит ступень разделения при той же т-ре фильтрации, причем получают вторую парафиновую лепешку. Вторая лепешка содержит сравнительно высокоплавкий парафин, оставшаяся же смесь состоит из р-рителя и низкоплавкого парафина; далее следует разделение этой смеси на низкоплавкий парафин и р-ритель. П р и м е р: высокопарафинистый дистиллят смешивают с 5 объемами ч. р-рителя, содержащего 60% метилэтилкетона и 40% толуола, смесь охлаждают до  $-7^{\circ}$  и осевшие кристаллы парафина отфильтровывают. Полученная парафиновая лепешка, после пресмыкания 1 объемом того же р-рителя, содержит  $< 5\%$  масел и имеет т. пл.  $56^{\circ}$ . Часть этой лепешки повторно смешивают с 3 объемами толуола (в пересчете на объем сырья) при  $-7^{\circ}$  и смесь вновь фильтруют при  $-7^{\circ}$ ; полученную лепешку пресмыкают 1 объемом толуола. Фильтрат и фракция парафина осебсжидали от р-рителя. В фильтрате содержалось 20% исходной смеси парафинов; парафин из фильтрата имеет т. пл.  $41^{\circ}$ . В лепешке содержание парафина с т. пл.  $58^{\circ}$  составило 86%. С. Гордон

**2034 П.** Получение горючих газов из нефтяных фракций. Станьер (Process for producing combustible gases from hydrocarbon oils. Stanier Harold). [South Eastern Gas Board]. Канад. пат. 516588, 13.09.55

В процессе получения из нефтяной фракции (НФ) горючего газа, состоящего главным образом из  $\text{C}_n\text{H}_2$ ,  $\text{H}_2$ ,  $\text{CO}$ , смесь НФ и пара (в кол-ве 30—400 вес. % от

НФ) при атмосферном давлении пропускают через мелкоиздробленную катализич. массу (КМ), один из компонентов которой выбирается из группы оксидов и карбонатов Li, Na, K и оксидов Mg, Ca, Sr, Ba, Al, Ti, Zr, Th. При прохождении через КМ смесь НФ и пара нагревается с  $500^{\circ}$  до максим. т-ры  $750-1200^{\circ}$ . Часть требуемого для катализич. обработки тепла получают при сжигании углеродистых отложений, образующихся на КМ. Катализич. обработку смеси НФ и пара и сжигание углеродистых отложений на КМ проводят последовательно: через КМ поочередно пропускают обрабатываемую смесь, а затем воздух или  $\text{O}_2$ . Дана аппаратурная схема. Г. Марголина

**2035 П.** Способ регулирования процесса сгорания топливной смеси, подаваемой в печь для производства сажи (Method of controlling combustion of a combustible mixture fed to a furnace especially for the production of carbon black) [Columbian Carbon Co.]. Англ. пат. 715403, 15.09.54 [Rubber Abstrs, 1954, 32, № 12, 559 (англ.)]

Улучшенный способ поддержания постоянной т-ры и фронта пламени в топливных камерах, особенно в тех случаях, когда существенно колеблется теплотворная способность горючего. Для этого отсечение кол-ва сжигаемого газа к кол-ву кислородсодержащего газа регулируется в соответствии с уд. весом сжигаемого газа, являющимся мерилом его теплотворной способности. М. Лурье

**2036 П.** Способ получения ацетиленов путем неполного сгорания углеводородов. Закесе, Косбан, Лерер (Process for the production of acetylene by incomplete combustion of hydrocarbons. Sachsse Hans, Kosbahn Thomas, Lehrer Erwin) [Badische Anilin- & Soda-Fabrik A.-G.]. Пат. США 2715648, 16.08.55

Способ получения  $\text{C}_2\text{H}_2$  в пламени при неполном сгорании углеводородов, предпарительно смешанных с кислородом, отличается тем, что углеводороды и кислород, до поступления в реакционную зону, с целью создания спирально вращающихся газовых потоков проходят по каналам керамики, блока, имеющим ширину 10—35 мм. Дана схема блока. М. Полякова

**2037 П.** Очистка ацетиленов. Ниренберг (Acetylene purification. Nirenberg Lester) (The Lummus Co.). Пат. США 2726734, 13.12.55

Процесс выделения  $\text{C}_2\text{H}_2$  из смеси крекинг-газов, содержащих диацетилен (I), винилацетилен,  $\text{C}_n\text{H}_4$ ,  $\text{H}_2$  и другие компоненты, состоит из ступеней: контактирования крекинг-газов с 1-ой порцией селективного р-рителя для получения потока р-рителя, обогащенного I и более тяжелыми компонентами, и головки, содержащей  $\text{C}_2\text{H}_2$ , в основном свободной от I; удаления I из потока р-рителя и подачи р-рителя в систему вторичной перегонки его; контактирования содержащей  $\text{C}_2\text{H}_2$  головки со 2-ой порцией р-рителя для достижения почти полной абсорбции ацетиленов; нагревания обогащенного  $\text{C}_2\text{H}_2$  р-рителя для отгонки ацетиленов, пропускания ацетиленов в колонну для выделения  $\text{C}_2\text{H}_2$ ; контактирования в ней ацетиленов с практически чистым р-рителем, полученным из системы повторной перегонки р-рителя, для получения чистого продукта, состоящего в основном из чистого  $\text{C}_2\text{H}_2$ ; разделения р-рителя, оставшегося после отгонки ацетиленов, на 1-ую и 2-ую порции для абсорбции I и  $\text{C}_2\text{H}_2$ . Г. Марголина

**2038 П.** Топлива для двигателей внутреннего сгорания. (Fuels for internal combustion engines) [Shell Refining and Marketing Co. Ltd.]. Австрал. пат. 165795, 10.11.55

Улучшенное топливо, состоящее из моторного горючего с добавкой небольшого кол-ва металлорганич. соединения общей ф-лы  $\text{MR}_2$ , где M — атом Fe или Ni,

а R — замещ. или незамещ. циклопентаденильный радикал. Кроме того, моторное топливо содержит небольшое кол-во растворимого в топливе органич. соединения, содержащего B или As. А. Гурьев

**2039 П. Топлива, содержащие металлопроизводные циклопентадиена** (Fuels containing metal derivatives of cyclopentadiene) [«Shell» Refining and Marketing Co. Ltd.]. Австрал. пат. 167121, 15.03.56

Улучшенное топливо для двигателей внутреннего сгорания состоит из моторного топлива, небольшого кол-ва металлоорганич. соединения общей ф-лы  $MR_2$ , где M-атом Fe, Ni, Ru или Os, а R — замещ. или незамещ. циклопентаденильный радикал, и небольшого кол-ва растворимого в топливе органич. соединения, содержащего Si. Г. Марголина

**2040 П. Гидрирование окиси углерода** (Hydrogenation of oxides of carbon) [The Rheinpreussen Akt.-Ges. für Bergbau und Chemie]. Австрал. пат. 167059, 8.03.56

Способ гидрирования CO в присутствии катализатора, суспендированного в среде, жидкой в условиях р-ции; содержание катализатора в суспензии повышается в течение р-ции, поддерживая содержание элементарного углерода в суспензии  $\leq 6$  вес. %.

Г. Марголина

**2041 П. Конверсия газов, содержащих окись углерода** (Conversion of gases containing carbon monoxide) [Ruhchemie A.-G. and Lurgi Gesellschaft für Wärmetechnik m. b. H.]. Австрал. пат. 164633, 1.09.55

Способ каталитич. конверсии содержащих CO газов, состоящий в каталитич. окислении CO водяным паром и последующем гидрировании CO, отличается тем, что для гидрирования используются газы, образующиеся непосредственно после этой операции, без существенного изменения давления и без отделения продуктов окисления. В. Борисова

**2042 П. Дополнительные топлива.** (Supplementary fuels) [Thompson Products, Inc.]. Англ. пат. 727792, 6.04.55

Дополнительное недетонирующее топливо содержит 0,03—4,0 л тетраэтилсвинца на 1 м<sup>3</sup> топлива и водно-спиртовой р-р, состоящий из 50—90 об. % одного или нескольких одноатомных спиртов, содержащих 1—5 атомов C, и 50—10% воды. Топливо может периодически вводиться в основную бензино-воздушную смесь. K тетраэтилсвинцу могут быть добавлены дибромэтан и хлористый этилен. В качестве добавочного недетонирующего агента может добавляться крезол.

Г. Марголина

**2043 П. Предупреждение коррозии.** Шелдал (Prevention of corrosion. Sheldahl David B.) [Sinclair Refining Co.]. Канад. пат. 515086, 26.07.55

Предлагается добавлять к легким нефтяным дистиллатам сульфат аммония, приготовленный на обезмасляных красных нефтяных сульфокислотах в кол-ве от 270—1800 г или 225—900 г, и морфолин в кол-ве от 180—1800 г на 150 т дистиллата. А. Гурьев

**2044 П. Бензиновые топлива** (Gasoline fuels) [N. V. de Bataafsche Petroleum Maatschappij]. Англ. пат. 718567, 17.11.54 [Fuel Abstrs, 1955, 17, № 4, 70 (англ.)]

Для улучшения качества углеводородного топлива, выкипающего в пределах кипения бензина, к нему добавляют Pb-органич. соединения (как антидетонатор) и растворимое в топливе ненасыщ. алициклич. соединения, кипящее в тех же пределах. Кол-во последнего в топливе составляет 0,05—3 теоретич., считая на соединение Pb. И. Рожков

**2045 П. Способ получения хлорированных алифатических углеводородных масел, практически не корродирующих.** Оме (Verfahren zur Herstellung prak-

tisch nicht korrodierender, chlorierter, aliphatischer Kohlenwasserstofföle. O h m e W o l f r a m) [Dortmunder Paraffinwerke G. m. b. H.]. Пат. ФРГ 936625 15.12.55

Указанные масла получают из продуктов гидрирования CO с последующей обработкой дехлорирующими агентами для удаления неустойчивых галоидных соединений. Хлорированный продукт последовательно обрабатывают  $Ca(OH)_2$  и отбеливающей землей или их смесью при 30—100°, предпочтительно при 60—90°, до тех пор, пока содержание  $Cl_2$  в продукте не понизится на ~ 4%. Полученное масло дополнительно обрабатывают адсорбентами — кизельгуром, отбеливающей землей, активированным углем. Пример: продукт гидрирования CO, выкипающий в пределах 230—320°, с т. пл. — 7° хлорируют до 52% содержания  $Cl_2$ , в результате чего получают сильно корродирующее масло с  $\eta_{50} = 98$  сст. 3-часовой обработкой его смесью 5%  $Ca(OH)_2$  и 5% отбеливающей земли при 75° получают стабильное масло с  $\eta_{50} = 87$  сст., содержанием  $Cl_2$  48% и т. пл. — 14°. Последующая обработка его отбеливающей землей при 20° еще больше повышает стабильность масла, которое в присутствии избыточного кол-ва воздуха не корродирует Fe, Cu и Al в широком интервале температур. Б. Энглин

**2046 П. Комбинированный процесс получения смазочных масел.** Бландинг (Combination process for producing lubricating oils. Blanding Forest H.) [Esso Research and Engineering Co.]. Канад. пат. 515508, 09.08.55

Способ получения смазочного масла с высоким индексом вязкости включает стадии каталитич. крекинга газойля, выкипающего в пределах 345—595°, содержащего значительные кол-ва ароматич., нафтеновых и парафиновых углеводородов, выделения путем перегонки из продуктов крекинга светлой масляной фракции с т. кип. 370—595°, денарафинизации ее и удаления ароматич. углеводородов путем обработки фенолом (50—400 объемов), а затем силикагелем. Е. Покровская

**2047 П. Смазочные композиции** (Lubricating oil compositions and process) [N. V. de Bataafsche Petroleum Maatschappij]. Австрал. пат. 166852, 23.02.56

Смазочная композиция состоит из минер. смазочного масла и 0,001—0,01 вес. % Na-соединения одно- или многоатомного фенола, содержащего  $\geq 1$  углеводородного остатка с  $\geq 8$  атомами C, замещ. в ядре.

Г. Марголина

**2048 П. Получение синтетического смазочного масла.** Хейрик (Production of synthetic lubricating oil. Heinrich Raymond L.) [Esso Research and Engineering Co.]. Канад. пат. 515498, 9.08.55

Для получения смазочного масла улучшенного качества низкокипящий  $\alpha$ -олефин, напр., пентен-1 в смеси с, примерно, равным кол-вом изопентана при обыкновенной т-ре контактируют с практически безводн.  $AlCl_3$  в течение времени, достаточного для образования полимера, кипящего в пределах, характерных для смазочного масла. Затем прекращают полимеризацию и прибавляют HCl для превращения  $AlCl_3$  из катализатора полимеризации в катализатор алкилирования. Процесс ведут при обыкновенной т-ре и продолжительности, достаточной для алкилирования полимера изопарафином. Полученный насыщ. продукт пригоден в качестве смазочного масла. Е. Покровская

**2049 П. Присадки к смазочным маслам** (Lubricating oil additives) [Monsanto Chemicals, Ltd.]. Англ. пат. 729148, 4.05.55

Смазочная композиция состоит из нефтяного смазочного масла, диалифатич. фталата и диалифатич. тартрата, каждая алифатич. группа не насыщена и содержит  $\geq 12$  атомов C. Из сложных эфиров указы-

ваются диолеилфталат и диолеилтартрат; к маслу может добавляться 0,01—0,5% смеси эфиров.

Г. Марголина

**2050 П.** Присадки к смазочным маслам. Хокис, Ловенсетин-Лом, Поттер [Lubricant additives. Hawkins E. R., Lowensetin-Lom W., Potter E. B. V.] [Standard Oil Development Co.]. Англ. пат. 717675, 3.11.54 [Fuel Abstrs, 1955, 17, № 4, 71—72 (англ.)]

Для получения присадок смесь минер. масла и сульфида Р или смесь масла с элементарными Р и S нагревают до т-ры между 100° и т-рой кипения или разложения масла при перемешивании инертным газом. Фосфорсульфированное масло смешивают с ненасыщ. углеводородами и выдерживают при т-ре 100—200° в течение ~ 24 час.

В. Силицын

**2051 П.** Присадки к минеральным смазочным маслам. Энгель, Гёре, Симон [Zusätze zu Mineralschmierölen. Engel Hans, Göhre Otto, Simon Walter] [Badische Anilin- & Soda-Fabrik A.-G.]. Пат. FRG 929383, 27.06.55

В качестве присадок к минер. смазочным маслам предлагаются смеси, состоящие из: 1) моно-или полициклич. ароматич. соединений, связанных через S с алкильным, арильным или гетероциклич. радикалом, в молекуле которых содержится  $\geq 1$  гидроксильная, сульфгидрильная, амино-, карбоксильная или сложнотерпеновая группа, а также желательны и металлы; 2) продуктов взаимодействия сернистого фосфора с кислородсодержащими неалкогольными, либо Cl-или N-содержащими органич. соединениями, содержащими  $\geq 4$  атома S. Кроме того, к маслу добавляют соли алифатич. или циклич. сульфокислот, имеющих одну или несколько алкильных боковых цепей с 6—15 атомами C в каждой. Наличие 4—5% смеси, состоящей из 5 ч. первого состава и 1—2 ч. второго состава, а также небольшого кол-ва мощной присадки в масле (напр., SAE-20 или SAE-30) позволяет предотвратить коррозию и износ двигателя, предохранить его от загрязнений, нагаро- и лакообразования.

Б. Энглин

**2052 П.** Литиево-кальциевая консистентная смазка. О'Халлоран (Lithium-calcium lubricating grease composition. O'Halloran Rosemary) [Standard Oil Development Co.]. Канад. пат. 511444, 29.03.55

Предлагается смазочная композиция, состоящая из смазочного масла, загущенного до консистенции смазки смесью Li-и Ca-мыл незамещенного практически насыщ. высокомолекулярного омыляемого продукта, в которой молярное отношение Li-и Ca-мыл должно лежать в пределах 6 : 1 до 3 : 1 (лучше 4 : 1). Примерный состав композиции (в %): гидрированных к-т из рыбьего жира 12,5, LiOH (моногидрат) 1,42, Ca(OH)<sub>2</sub> 0,67, обработанного к-той дистиллата из нефтей Техаса и Луизианы с вязкостью 110 *сст* при 38° 85,41. В качестве смазочной основы может быть взят ди-(2-этилгексил)-себацат.

Е. Покровская

**2053 П.** Органические полисилоксановые смазки (Organopolysiloxane lubricants) [British Thomson-Houston Co., Ltd.]. Англ. пат. 708260, 5.05.54 [J. Appl. Chem., 1954, 4, part 12, ii 720 (англ.)]

Смазывающая способность жидкого органич. полисилоксана, содержащего 1,9—2,67 метильных групп, считая на Si, улучшается путем добавки 0,5—25 вес. % свободного от S ароматич. соединения, содержащего Cl в ядре, напр. трихлорбензола (I) или диоктилхлорфталата (II), пентахлордифенилового эфира, метилхлорбензоата, моноклорфенилового эфира стеариновой к-ты, смеси (1 : 1) I и тетрахлорбензола или смеси II и октилтетрахлорбензоата. Так, добавка 3% I к метилполисилоксановому маслу с вязкостью ~ 300 *сст* уменьшает след износа на шариковой машине (600 об/мин при

25° в течение 1 часа при нагрузке 10 кг) на стали с 0,49 до 0,36 мм и на лагуни с 2,33 до 0,51 мм.

Е. Калайтан

См. также: Содержание нефти в породах 742. Хранение нефтепродуктов 3358. Перегонка нефти 3348. Сточные воды нефтеперерабатыв. заводов 1846—1848. Техника безопасности на нефтеперераб. з-дах 3357, 3359, 3370, 3372. Каталитич. крекинг 1240. Активность катализатора 456. Асфальтов. покрытия 1743. Битумные эмульсии 1758. Газоочистка 3254. Искусств. жидк. топл. 3354. Анализы нефтепродуктов и газов 1343, 3331. Коррозия маслами двигателя 3235. Антикорр. смазки 3240. Депрессоры для минер. масел 959. Св-ва смазочных в-в 553

## ПРОМЫШЛЕННЫЙ ОРГАНИЧЕСКИЙ СИНТЕЗ

Редакторы С. З. Тайц, В. П. Фабричный

**2054.** Гидратация этилена и пропилена. Шервуд (Hydration of ethylene and propylene. Scherwood Peter W.), Chem. Rundschau, 1955, 8, № 20, 430—432; Chem. Age, 1955, 72, № 1858, 481—486 (англ.)

Обзор промышленных методов жидкофазной и паровфазной гидратации этилена и пропилена. Библ. 6 назв.

С. Гордон

**2055.** Получение цианистого водорода из аммиака. Андеграфф (From ammonia to hydrogen cyanide. Updegraff Norman), Petrol. Refiner, 1953, 32, № 9, 197, 200—201, 196 (англ.)

Обзор литературных и патентных данных о получении HCN из NH<sub>3</sub> в Германии и США. В последнее время за счет улучшения аппаратуры удалось значительно снизить разложение HCN и увеличить стойкость катализатора. Приведена схема промышленной установки для получения HCN и данные по экономике процесса.

Я. Ротштейн

**2056.** Реакция Фриделя—Крафца в промышленности. Карролл (Friedel-Crafts processes. Carroll M. F.), Manufact. Chemist., 1955, 26, № 3, 97—100 (англ.)

Краткий популярный обзор р-ции Фриделя—Крафца и ее технич. применения. Приведены примеры получения в пром-сти на основе этой р-ции ацетофенона, дифенилметана и бензофенона.

Л. Бельский

**2057.** Двухлетняя работа первой в мире установки по производству фенола из кумола. Холл (World's first phenol-from-cumene plant completes two year operation. Hall R. H.), World Petrol., 1955, 26, № 5, 88—90 (англ.)

**2058 П.** Усовершенствованный способ использования смесей ацетилена и этилена. Фуско (Perfectionnements aux procédés d'utilisation des mélanges d'acétylène et d'éthylène. Fusco Victor C.) [Mathieson Chemical Corp.]. Франц. пат. 1078746, 23.11.54 [Chimie et industrie, 1955, 74, № 5, 981 (франц.)]

Смесь C<sub>2</sub>H<sub>2</sub> (I) и C<sub>2</sub>H<sub>4</sub> пропускают через зону, содержащую абсорбент в виде суспензии, состоящей из взвеси тонкодисперсного поташа в органич. инертной жидкости при 70—100°. Получается газовая смесь, обогащенная C<sub>2</sub>H<sub>4</sub>, и суспензия абсорбента, обогащенная I, из которой выделяют I.

С. Гордон

**2059 П.** Очистка изобутилена (Purifying isobutylene) [Esso Research & Engineering Co.]. Англ. пат. 735265, 17.08.55

Изобутилен (I) освобождают от CH<sub>3</sub>SH перегонкой при 5,25—7,35 *ата* (лучше 5,6—5,95 *ата*) для удаления



азеотропной смеси  $\text{CH}_3\text{SH}$  с I в качестве головного погона; I остается в кубе. Подаваемый I предварительно обрабатывают к-той, нейтрализуют и промывают водой. I, выделенный из фракции  $\text{C}_4$ -углеводородов, перегоняют при 5,6 *ата*, отделяя азеотроп с т. кип. 53°, содержащий 78 мол. % I и 22 мол. %  $\text{CH}_3\text{SH}$ . Перегонку проводят, напр., в колонке с насадкой, эффективностью 18 теоретич. тарелок при 5,95 *ата* и флегмовом числе 11.

В. Красева

**2060 П. Способ получения углеводородов и кислородсодержащих органических соединений** (Process for the synthesis of hydrocarbons and oxygen-containing organic compounds) [Rheinpreussen A.-G. für Bergbau und Chemie] Англ. пат. 728602, 20.04.55

Патентуется катализатор (K) для синтеза органических соединений из CO и паров воды в присутствии или в отсутствие  $\text{H}_2$ , содержащий Fe, Co, Ni или Ru в качестве основных металл. компонентов, присутствующих в кол-ве  $\geq 50\%$  в виде нитридов. Если металлы присутствуют в виде оксидов, их восстанавливают (преимущественно  $\text{H}_2$ ) и затем вводят в р-цию с  $\text{NH}_3$ ; оксиды можно вводить в р-цию одновременно с  $\text{H}_2$  и  $\text{NH}_3$ . Промоторами, которые можно добавлять, являются соединения щел. и щел.-зем. металлов, а также трудновосстанавливаемые оксиды, напр.  $\text{Th}_2\text{O}_3$ ,  $\text{Ce}_2\text{O}_3$ ,  $\text{Al}_2\text{O}_3$  и  $\text{Cr}_2\text{O}_3$ , а также соединения Mn, V, B, Cu, Ni, Ag и Au. Могут применяться носители. Можно применять неподвижные K или K, суспендированные в масляном или газовом потоке. Fe — Cu-катализатор, активированный щелочью, восстанавливают  $\text{H}_2$  3 часа при 400°, а затем обрабатывают  $\text{NH}_3$  при 300°; получают катализатор, состоящий на 50% из нитрида ф-лы  $\text{Fe}_3\text{N}$ .

В. Красева

**2061 П. Способ получения диаллильных соединений.** Портер, Раст (Verfahren zur Herstellung von Diallylverbindungen. Porter Lee Marion, Rust Frederick Farlow) [N. V. de Bataafse Scheepvaart Maatschappij]. Пат. ФРГ 937288, 5.01.56

Диаллильные соединения получают р-цией одного или нескольких аллильных соединений общей ф-лы  $\text{R}^1(\text{R}^2)\text{C} = \text{C}(\text{R}^3)\text{CH}(\text{R}^4)\text{R}^5$ , где  $\text{R}^1$ ,  $\text{R}^2$ ,  $\text{R}^3$ ,  $\text{R}^4$  и  $\text{R}^5$  — одинаковы или различны и могут быть атомами H, алкилом, насыщ. или ненасыщ. алкилом, циклоалкилом, арилалкилом или алкиларилом, с органич. или неорганич. полихлорсоединениями, содержащими  $\geq 2$  атомов Cl, которые в условиях р-ции отщепляют  $\geq 1$  атома Cl (но не HCl); эти соединения берут в молекулярных отношениях  $> 3:1$  (лучше 4—12:1, а в частности 5—8:1), а р-цию проводят при 400—750° в течение  $< 5$  мин. (лучше 1—50 сек.). В частности, указано: а) применение пропилена или изобутилена в качестве аллильных соединений; б) применение алифатич. полихлорсоединений с 1—12 атомами Cl и 3—8 атомами Cl (преимущественно,  $\text{CCl}_4$ , октахлорциклопентен или гексахлорпропилен) при 400—600° (лучше при 540—600°); в) применение неорганич. полихлорсоединений (преимущественно,  $\text{SOCl}_2$  и  $\text{PCl}_5$ ) при 450—600°. Через стеклянную трубку (длина 30 см, сьем 700 мл), обогреваемую электрич. печью и снабженную нагреваемой проволокой внутри, пропускают смесь гексахлорпропилена и пропилена в молярном соотношении 1:7 при 400° при длительности пребывания в обогреваемой зоне 33 сек., прошедшие через трубку пары быстро охлаждают и перегонкой сконденсированного продукта выделяют гексадиен-1,5, выход 9,5%, превращение 40%; в качестве побочного продукта выделен  $\text{C}_6\text{H}_6$ . Аналогично получают (указаны исходные в-ва и их молярное соотношение, т-ра р-ции и длительность р-ции в секундах, выход в процентах, превращение в процентах, побочный продукт): а) изобутилен, гексахлорпропилен, 7:1, 400°, 33, 9, 40,  $\text{C}_6\text{H}_6$ ; б) про-

пилен (I),  $\text{CCl}_4$ , 4:1, 575°, 10, 4, 2, 45,  $\text{CHCl}_3$ ; в) I,  $\text{SOCl}_2$ , 5:1, 500°, 17, 1, 45,  $\text{C}_6\text{H}_6$ ; г) I, гексахлорциклопентен, 4:1, 400°, 32, 2, 30, —; д) I, октахлорциклопентен, 4:1, 400°, 30, 12, 15, гексахлорциклопентадиен; е) изобутилен, октахлорциклопентен, 4:1, 400°, 30, 10, 15, гексахлорциклопентадиен.

В. Уфимцев

**2062 П. Способ получения перхлорэтилена.** Доррер, Остермайер (Verfahren zur Herstellung von Perchloräthylen. Dörger Eugen, Ostermayer Hans) [Badische Anilin- & Soda-Fabrik A.-G.]. Пат. ФРГ 932609, 5.09.55

Перхлорэтилен (I), наряду с трихлорэтиленом (II), получают действием  $\text{Cl}_2$  на тетрахлорэтан (III) или нагреванием пентахлорэтана (IV). Р-цию проводят в пустом реакционном пространстве, при 400—500°, причем тепло подводят нагревом зоны р-ции и (или) предварительным подогреванием компонентов р-ции. Через нагретую до 400—500° кварцевую трубку (KT) емк. 250 мл ежесекундно пропускают смесь 200 г паробразного III и 85 г  $\text{Cl}_2$ . Выход I—85%. Одновременно получают небольшие кол-ва II, III, IV и высококипящих продуктов. Через KT пропускают в 1 час 85 г  $\text{Cl}_2$ , нагретого до 450°, и 200 г III в виде пара или жидкости. Выход I—90%. Через KT, нагретую до 450°, пропускают в 1 час смесь 200 г паробразного III и 43 г  $\text{Cl}_2$  (мол. соотношение 1:0,5). Выход I—45%, выход II—42%. Приведено еще 5 сходных примеров.

Б. Дяткин

**2063 П. Способ получения перхлорэтилена.** Фрувирт, Валла (Verfahren zur Herstellung von Perchloräthylen. Fruhwirth Otto, Walla Heinrich) [Donau-Chemie A.-G.]. Пат. ФРГ 936685, 22.12.55

Доп. к герм. пат. 734024. Перхлорэтилен (I) получают по герм. пат. 734024 с тем отличием, что из газовой смеси продуктов, полученных сжиганием  $\text{CH} \equiv \text{CH}$  и  $\text{Cl}_2$ , конденсируют фракцию I, кипящую при  $\sim 80$ —120°, а также собирают фракции, кипящие ниже и выше этих пределов. В частности, указано применение I в качестве охлаждающей жидкости для конденсации фракции, кипящей  $> 120^\circ$ , а для выделения фракции, кипящей  $< 80^\circ$ , в качестве охлаждающей жидкости применяют жидкость с низким давлением пара, неагрегирующую и не смешивающуюся с этой фракцией, нагретую до этой т-ры (напр.,  $\text{H}_2\text{SO}_4$ ).  $\text{CH} \equiv \text{CH}$  и  $\text{Cl}_2$  через смеситель вводят и сжигают в камере для сжигания, охлаждаемую снаружи водой. Продукты сжигания вводят в колонну, наполненную кольцами Рашига и орошаемую I; часть I испаряется и увлекается с продуктами сжигания, другая стекает вниз и охлаждается в холодильнике. Выпавший гексахлорбензол отфильтровывают, а I насосом возвращают в верхнюю часть колонны. Выделение I из выходящих из колонны газов проводят аналогичным образом, орошением конц.  $\text{H}_2\text{SO}_4$ , нагретой до 80°, в колонне, наполненной кольцами Рашига. Уходящие из последней пары в-в с т-рой кипения  $< 80^\circ$  конденсируют орошением холодной водой, после чего нижний слой ( $\text{CCl}_4$ ) отстаивают от слоя разб. HCl. Приведена технологич. схема.

В. Уфимцев

**2064 П. Способ получения тетра-(хлорметил)-метана.** Манн (Verfahren zur Herstellung von Tetrachlormethan. Mann Hans-Joachim) [Deutsche Gold- und Silber-Scheideanstalt vormals Roessler]. Пат. ФРГ 935362, 17.11.55

Тетра-(хлорметил)-метан получают, действуя на пентаэритрит (I) HCl при повышенной т-ре под давлением, применяя на 1 моль I  $> 4$  (лучше 8—14) моль HCl в виде 40—60%-ного водн. р-ра. Р-цию проводят в присутствии воды и 0,1—0,5 моля водорастворимой алифатич. карбоновой к-ты (напр.,  $\text{HCOOH}$  или

$\text{CH}_3\text{COOH}$ ) при  $180-200^\circ$ . При недостатке или избытке карбоновой к-ты против указанных кол-в образуются побочные продукты в первом случае дихлоргидрин I, во втором — эфир карбоновой к-ты и трихлоргидрина I. Смесь 136,1 г I с 500 мл воды, к которой прибавлено 6 г  $\text{CH}_3\text{COOH}$ , помещают в посеребренный автоклав, добавляют 500 г  $\text{HCl}$  и нагревают 3 часа при  $200^\circ$ . После охлаждения спускают избыточный  $\text{HCl}$  и отделяют выкристаллизовавшийся тетрахлоргидрин I, который перекристаллизовывают из  $\text{CH}_3\text{OH}$  с добавкой активированного угля. Выход 78%, т. пл.  $97^\circ$ . Тетрахлоргидрин I служит для приготовления средств, пригодных для борьбы с вредителями.

В. Красева  
2065 П. Парофазное дегидрогалогенирование полигалометилных соединений. Ладд, Харви, Кейбл, Сайна (Vapor phase dehydrohalogenation of polyhalogenomethyl compounds. Ladd E. L., Harvey Merlin P., Cabel Donald E., Szauna Antoni) [United States Rubber Co.]. Пат. США 2725411, 29.11.55

Полигалометилные соединения получают парофазным пиролизом 1, 1, 1-трихлор-3-галогеналканов, имеющих 3—5 атомов C, при  $150-500^\circ$  в присутствии окисей и галогенидов поливалентных металлов. Образуются моноолефиновые тригалогеналкены и диолефиновые 1,1-дигалогендиены, имеющие такое же число атомов C, что и исходный алкан. Концевой атом C тригалогеналкана связан с 2—3 атомами галогена.

В. Дяткин

2066 П. Оксосинтез спиртов. Грешам (Oxo synthesis of alcohols. Gresham William F.) [E. I. du Pont de Nemours and Co.]. Канад. пат. 517815, 25.10.55

Первичные спирты получают р-цией олефиновых углеводородов с CO и  $\text{H}_2$  (начальное молярное соотношение олефин: CO :  $\text{H}_2$  должно быть в пределах от 1 : 2 : 2 до 1 : 5 : 20) под давл.  $> 300 \text{ ат}$  ( $325-1500 \text{ ат}$ ) и  $250-400^\circ$  ( $275-375^\circ$ ) в присутствии катализатора, содержащего Cu и труднорастворимые окислы. Бутиловый спирт получают р-цией пропилена с CO и  $\text{H}_2$  при  $250-400^\circ$  и  $325-1500 \text{ ат}$  в присутствии катализатора, содержащего Cu или Cu, Co и Cr.

В. Красева

2067 П. Производство жидких продуктов, обладающих свойствами спиртов, из этилена и одноатомных спиртов. Эрчак (Production of liquid alcoholic products from ethylene and monohydric alcohols. Erchak Michael Jr.) [Allied Chemical & Dye Corp.]. Канад. пат. 519358, 13.12.55

Жидкие спирты, содержащие 5—30 атомов C, получают р-цией этилена (I) с насыщен. одноатомным спиртом, содержащим 1—8 атомов C. Р-цию проводят при  $300-350^\circ$  и давл.  $> 70 \text{ ат}$  в присутствии кислородного катализатора. Молярное соотношение спирт: I должно быть  $\geq 1$ ; на 100 вес. ч. I берут  $\leq 0,1$  вес. ч. катализатора.

В. Красева

2068 П. Каталитическое гидрирование эпоксидных производных олефинов. Мак, Бикфорд, Маркли (Catalytic hydrogenation of epoxidized olefinic compounds. Mack Charles H., Bickford William G., Markley Klare S.) (United States of America as represented by the Secretary of Agriculture). Пат. США 2727048, 13.12.55

Избирательное гидрирование эпоксигрупп к-т или их эфиров, содержащих  $\geq 1$  олефиновых радикалов, имеющих  $\geq 4$  атомов C, в оксифеновые группы осуществляют растворением эпоксидного соединения в алифатич. насыщ. к-те с 2—5 атомами C, ее ангидриде или их смесях и обработкой р-ра  $\text{H}_2$  в присутствии Pd, диспергированного на частичках угля, суспендированных в растворе.

Я. Кантор

2069 П. Способ получения ацетиленовых спиртов. Доль, Призе (Verfahren zur Herstellung von Acetylen-carbinolen. Doll Willy, Priese Otto). Пат. ГДР 10177, 1.08.55

Способ заключается в конденсации альдегидов и кетонов с  $\text{C}_2\text{H}_2$  или 1-алкинами под давлением или без него и т-ре от 0 до  $+10^\circ$  в присутствии конденсирующего агента (КА), в качестве которого применяют KOH, который длительное время ( $\sim 10 \text{ час.}$ ) размалывают с  $\text{CaC}_2$ , напр. в шаровой мельнице. В качестве КА можно применять также мелкоизмолотый сплав Na с KOH. В автоклав помещают 750 мл высушенного толуола и 135 г тонкоизмельченной смеси KOH с  $\text{CaC}_2$ . Туда же прибавляют при перемешивании и т-ре  $0^\circ$  278 г метилгептена. Смесь с соответствующими предосторожностями обрабатывают 20 час. при т-ре от 0 до  $+10^\circ$   $\text{C}_2\text{H}_2$ , разб.  $\text{N}_2$ . После разложения ледяной водой и нейтр-ции толуольный р-р фракционируют в вакууме. Получают 235 г дегидролиналола. Из 490 г диметилгептена, растворенного в 1 л толуола,  $\text{C}_2\text{H}_2$  и 194 г КА получают 346 г 3-метиллиналола; из 172 г 73%-ного изовалерианового альдегида, растворенного в толуоле,  $\text{C}_2\text{H}_2$  и 376 г КА получают 69 г изобутилэтилкарбинола и 58 г соответствующего диола; из 40 г изобутилэтилкарбинола 30 г  $\text{CH}_3\text{COC}_2\text{H}_5$  и 50 г КА получают 34 г 1,7-диметилнон-5-диола-4,7.

В. Красева

2070 П. Способ присоединения воды к олефинам. Гино (Verfahren zur Wasserranlagerung an Olefine. Guinot Henri Martin) [Soc. An. Les Usines de Melle]. Пат. ФРГ 915331; 19.07.54 [Chem. Zbl., 1953; 126, № 15, 3484 (нем.)]

Способ присоединения воды к олефинам (I) эмульгированием газообразных I (одних или в смеси с инертными газами) в среде гидратирующей жидкости (ГЖ) заключается в том, что I или газообразные смеси, содержащие I, пропускают через ряд реакционных зон (последовательно расположенные аппараты для эмульгирования) противотоком к ГЖ и сбрасываемые спирты отдувают инертным газом, плохо растворимым в ГЖ, напр.  $\text{N}_2$ . Отдувку спиртов производят при такой т-ре и давлении, чтобы абсорбирующий р-р не кипел. Эмульгирование лучше производить турбинной мешалкой. ГЖ должна проходить через сосуды для эмульгирования с такой скоростью, чтобы кол-во образующихся спиртов не превышало 5% от кол-ва ГЖ.

В. Красева

2071 П. Способ получения высших спиртов восстановлением сложных эфиров натрием. Блингов (Verfahren zur Herstellung hochmolekularer Alkohole durch Reduktion von Estern mit Natrium. Blinoff Vsevolod) [Soc. An. d'Innovations Chimiques dite: «Sinnova» ou «Sadice»]. Пат. ФРГ 934524, 27.10.55

Высшие спирты получают с почти колич. выходом восстановлением сложных эфиров (СЭ) в спирт. среде, причем СЭ в р-рителе обезвоживают до содержания  $> 0,001\%$  (лучше  $0,0001\%$ ) воды и вводят непрерывно и одновременно с расплавленным Na в камеру смешения, оборудованную быстро вращающимся диском, а затем продукт р-ции непрерывно из нее выводит. Напр., СЭ и р-ритель (амиловый или бутиловый спирт) при помощи дозирующих насосов подают в смеситель, оборудованный мешалкой. Из смесителя смесь СЭ и р-рителя и из плавильного аппарата жидкий Na при помощи дозирующих насосов подают в колл. мельницу. Продукт р-ции подают в сборник, из которого  $\text{H}_2$  удаляют через редукционный вентиль, а снизу удаляют р-р полученного высшего спирта. Во избежание возможных взрывов, воздух должен быть удален из всей аппаратуры и трубопроводов; можно также работать под давлением. Приведена схема.

В. Уфимцев

**2072 П.** Способ получения пентаэритрита. **Джэксон, Джонс** (Förfaringssätt för framställning av pentaerytritol. Jackson H., Jones G. G.) [Imperial Chemical Industries Ltd.]. Швед. пат. 143581, 12.01.54

Для получения пентаэритрита р-цией  $\text{CH}_3\text{CHO}$  с избытком  $\text{CH}_2\text{O}$  в присутствии сильно основной гидроксиды металла при  $t\text{-ре} < 33^\circ$  на 1 моль  $\text{CH}_3\text{CHO}$  берут  $\geq 7$  молей  $\text{CH}_2\text{O}$ ; избыток  $\text{CH}_2\text{O}$  удаляют из реакционной массы дистиляцией или, предпочтительно, перегонкой с паром.

В. Фабричный

**2073 П.** Способ получения триметилпропана (Verfahren zur Herstellung von Trimethylpropan.) [Chemische Werke Albert]. Австр. пат. 180925, 25.01.55 [Chem. Zbl., 1955, 126, № 26, 6131 (нем.)]

Реакционную смесь, полученную конденсацией  $\text{C}_3\text{H}_7\text{CHO}$  с  $\text{CH}_2\text{O}$  в присутствии щел. катализаторов, обрабатывают спиртом, в котором подлежащие отделению форматы нерастворимы или плохо растворимы. После обезвоживания смеси в вакууме выделившиеся форматы отделиют фильтрованием или центрифугированием. Фильтрат разлагают минер. к-той или неорганич. солями, имеющими кислую р-цию, и затем перегоняют.

В. Дяткин

**2074 П.** Получение дигидрата триметилпропана (Dihydrate de triméthylpropane et sa préparation.) [Trojan Powder Co.]. Франц. пат. 1089773, 22.03.55 [Chimie et industrie, 1956, 75, № 3, 551 (франц.)]

Готовят водн. р-р триметилпропана с конц-ией ниже, чем для насыщ. р-ра при  $t\text{-ре} 30^\circ$ , но выше, чем для насыщ. р-ра при более низкой  $t\text{-ре}$ . Для кристаллизации р-р охлаждают до  $t\text{-ры} < 30^\circ$ .

В. Красева

**2075 П.** Способ выделения полиглицеринов из остатков при перегонке глицерина. **Роу** (Process for the recovery of polyglycerols from distillation residues. Rowe Richard.) [Victor Wolf Ltd.]. Пат. США 2712721, 6.09.55

Полиглицерины получают из кубовых остатков при перегонке глицерина, содержащих соли органич. к-т, экстракцией р-рителем (в частности, диоксаном).

В. Красева

**2076 П.** Способ получения алкоголятлов щелочных металлов (Procédé pour la préparation d'alcoollates alcalins et produits conformes à ceux obtenus.) [Deutsche Gold- und Silber-Scheideanstalt vormals Roessler]. Франц. пат. 1089101, 15.03.55 [Chimie et industrie, 1956, 75, № 3, 552 (франц.)]

Чистый порошкообразный алкоголят, устойчивый при хранении, получают взаимодействием мелкодробленного щел. металла с избытком спирта. Последний, а также кристаллизационный спирт, отгоняют от образовавшегося алкоголята в присутствии органич. р-рителя, инертного к алкоголяту.

В. Красева

**2077 П.** Переработка использованной серной кислоты, получаемой при производстве спиртов из алкилсульфатов (Werkwijze voor het zuiveren en het concentreren van afval-zwavelzuur, verkregen door hydrolyse of ontleding van alkylsulfaten.) [The Distillers Co. Ltd.]. Голл. пат. 73875, 15.01.54 [Chem. Zbl., 1955, 20, № 29, 6826 (нем.)]

Отработанную серную к-ту, содержащую 60—70 вес. %  $\text{H}_2\text{SO}_4$  охлаждают до  $15\text{—}30^\circ$ . При этом выпадают смолистые в-ва, которые удаляют; полученную к-ту затем концентрируют. Если отработанная к-та содержит меньше  $\text{H}_2\text{SO}_4$ , то перед охлаждением кислоту концентрируют отгонкой.

В. Красева

**2078 П.** Способ селективного удаления формальдегида из смеси формальдегида с глиоксальем. **Скофилд** (Process of selectively removing formaldehyde from a formaldehyde glyoxal mixture.

Schofield Harold E.) [General Aniline & Film Corp.]. Канад. пат. 518498, 15.11.55

Для удаления  $\text{CH}_2\text{O}$  из его смеси с глиоксальем, смесь доводят до рН 0,75—1,5 (лучше до рН 1,3), прибавляют к ней  $\beta$ -нафтол, нагревают при  $95\text{—}100^\circ$  до завершения р-ции и отделяют продукт р-ции  $\text{CH}_2\text{O}$  с  $\beta$ -нафтолом.

В. Красева

**2079 П.** Получение насыщенных альдегидов из ненасыщенных спиртов при помощи карбониллов металлов. **Олсен** (Preparation of saturated aldehydes from unsaturated alcohols by means of metal carbonyls. Olsen Robert J.) [General Aniline & Film Corp.]. Канад. пат. 517584, 18.10.55

Насыщенные альдегиды получают нагреванием ненасыщ. спирта [олефиновых (с открытой цепью или циклич.), ацетиленовых] с карбониллом металла, способным образовывать гидрокарбонилы. Р-цию проводят в присутствии р-рителя, нагретого до  $t\text{-ры}$  кипения. Из  $\text{CH}_2=\text{CHCH}_2\text{OH}$  получают альдегиды, имеющие прямую цепь атомов С, нагревая его с Fe-карбониллом в присутствии водн. р-ра щелочи (напр.,  $\text{NaOH}$ ) при  $60\text{—}100^\circ$ .

В. Красева

**2080 П.** Способ получения окиси мезитила или ее гомологов (Procédé de fabrication d'oxyde de mésityle ou de ses homologues.) [Soc. Industrielle des Dérivés de l'acétylène]. Франц. пат. 1096646, 22.06.55 [Chimie et industrie, 1956, 75, № 5, 970 (франц.)]

Ацетон или другой кетон нагревают в щел. среде при  $50\text{—}160^\circ$  в присутствии небольшого кол-ва катализатора конденсации, достаточно растворимого в применяемом кетоне. Р-ция продолжается от нескольких минут до нескольких часов, причем получают исключительно окись мезитила и диацетоновый спирт и (или) изопропан или их соответствующие гомологи.

В. Красева

**2081 П.** Способ получения чистых кислородсодержащих производных алифатических углеводородов, предпочтительно альдегидов и кетонов. **Рёлен, Ландграф** (Verfahren zur Gewinnung reiner sauerstoffhaltiger Derivate aliphatischer Kohlenwasserstoffe, vornehmlich Aldehyde und Ketone. Roelen Otto, Landgraf Alfred.) [Chemische Verwertung Ges. Oberhausen m. b. H.]. Пат. ФРГ 889891, 14.09.53 [Chem. Zbl., 1955, 126, № 15, 3485 (нем.)]

Указанные в-ва получают р-цией смеси олефинов (I) с  $t\text{-к.} 150\text{—}350^\circ$  с  $\text{CO} + \text{H}_2$ . При этом, наряду с альдегидами и кетонами образуются другие О-содержащие в-ва, затрудняющие выделение альдегидов и кетонов и особенно дальнейшую переработку их в жирные к-ты или спирты. Согласно изобретению, I разделяют на 2 или более фракции так, чтобы самая высококипящая составная часть каждой фракции кипела ниже, чем самый низкокипящий продукт р-ции, получаемый из той же фракции.

В. Красева

**2082 П.** Получение кетонов. **Лейен** (Pyrolysis of esters to ketones. Lacey Richard N.) [The Distillers Co. Ltd.]. Канад. пат. 514335, 5.07.55

Ненасыщенные кетоны получают пиролизом (II) эфира общей ф-лы  $\text{R}'''\text{CH}_2\text{COCCH}_2\text{COOCHRCR}'=\text{CHR}''$ , где  $\text{R}$ ,  $\text{R}'$ ,  $\text{R}''$  и  $\text{R}'''$  — атомы Н или низшие алкилы. I проводят в паровой фазе при  $300\text{—}600^\circ$ ; в реакционной зоне может присутствовать спирт, остаток которого входит в состав применяемого сложного эфира. Аллил-ацетон получают II аллилового эфира ацетоуксусной к-ты при  $500^\circ$  в присутствии аллилового спирта; 3-метилгексен-1-он-5 получают II кротилового эфира ацетоуксусной к-ты при  $490\text{—}510^\circ$ .

В. Красева

**2083 П.** Получение С-ацетилных производных. **Носима** (アセチル化合物の製法. 磯島波三.), 鹽野義製薬株式会社, Сионоги сэйяку кабусики кайсяй. Япон. пат. 1580, 9.03.55



Предложен способ получения С-ацетильных производных действием кетена (I) на Na-пропаводные соединений жирного ряда, содержащих активную  $\text{CH}_2$ -группу. Способ характеризуется простой операцией и коротким периодом проведения р-ции. К 0,25 моля ацетилацетона в 100 мл эфира прибавляют 0,25 моля Na, затем при охлаждении водой вводят 0,6 моля I; подкисляют 20%-ной  $\text{H}_2\text{SO}_4$ , эфирный слой сушат  $\text{Na}_2\text{CO}_3$ , перегонкой выделяют  $\text{CH}(\text{COCH}_3)_2$ , выход 21%, т. кип.  $100-102^\circ/20$  мм,  $n_D^{20}$  1,4872, т-ра плавления Си-соли  $192-195^\circ$ . К 0,5 моля  $\text{CH}_3\text{COCH}_2\cdot\text{COOC}_2\text{H}_5$  в 300 мл абс. эфира прибавляют 0,45 моля Na и, при охлаждении водой, 1,4 моля I. Подкисляют 20%-ной  $\text{H}_2\text{SO}_4$  и выделяют  $(\text{CH}_3\text{CO})_2\text{CHCOOC}_2\text{H}_5$ , выход 49%, т. кип.  $100-104^\circ/20$  мм,  $n_D^{20}$  1,4710, т-ра плавления Си-соли  $150-152^\circ$ , 0,112 моля  $\text{CH}_3\text{COCH}_2\text{NaCOOC}_2\text{H}_5$  суспендируют в 200 мл эфира, прибавляют 0,7 моля I, после подкисления получают  $(\text{CH}_3\text{CO})_2\text{CHCOOC}_2\text{H}_5$ , выход 55%. К 0,25 моля  $\text{CH}_2(\text{COOC}_2\text{H}_5)_2$  в 300 мл эфира и прибавляют 0,25 моля Na и затем 1 моль I, выделяют  $\text{CH}_3\text{COCH}_2\cdot(\text{COOC}_2\text{H}_5)_2$ , выход 51%, т. кип.  $125^\circ/14$  мм,  $n_D^{20}$  1,4469, т-ра плавления Си соли  $122-123^\circ$ . К 0,25 моля  $\text{NCCN}_2\text{COOC}_2\text{H}_5$  в 300 мл эфира прибавляют 0,25 моля Na, вводят 0,7 моля I; получают  $\text{NCCN}(\text{COCH}_3)\text{COOC}_2\text{H}_5$ , выход 21%, т. кип.  $106-111^\circ/20$  мм,  $n_D^{20}$  1,4488; т-ра плавления Си-соли  $234-235^\circ$ . К 0,25 моля  $\text{NCCN}_2\text{COOC}_2\text{H}_5$  в 200 мл  $\text{C}_6\text{H}_6$  прибавляют 0,25 моля Na, нагревают до  $65^\circ$  и добавляют 0,6 моля I; получают  $\text{NCCN}(\text{COCH}_3)\text{COOC}_2\text{H}_5$ , выход 30%.

В. Каратаев

2084 П. Ацетилирование. Исосима (アセチル化方法. 磯島寅三) [鹽野義製薬株. 會社. Сионоги сэйяку кабусики кайся]. Япон. пат. 1579,9.03.55

Предложен новый способ непосредственного С-ацелирования  $\text{CH}_2$ -группы, соседней с карбонилем, с помощью кетена (I). Р-ция применима для соединений жирного ряда, не требует применения катализаторов и может проводиться в широких температурных интервалах (от  $-50$  до  $150^\circ$ ), в присутствии инертных р-рителей или без них. Р-ция заканчивается в короткое время. Охлаждают 0,25 моля ацетилацетона и пропускают 0,6 моля I, полученного пиролизом ацетона; после окончания р-ции в-во перегоняют в вакууме, получают 11 г триацетилметана, выход 31%, т. кип.  $115-119^\circ/30$  мм. Нагревают 0,5 моля этилового эфира ацетоуксусной к-ты до  $80-85^\circ$  и пропускают 1 моль I; полученное в-во перегоняют в вакууме, получают 35 г этилового эфира диацетилауксусной к-ты, выход 40%, т. кип.  $100-105^\circ/20$  мм,  $n_D^{20}$  1,4713. Си-соль т. пл.  $150-151^\circ$ .

В. Каратаев

2085 П. Способ получения монохлорацетальдегида. Ока, Такамия, Ямагути (モノクロアセトアルデハイドの製造方法. 岡秀明, 高宮正, 山口進), 三菱化成工業株式會社, Мицубиси кэйсэй когё кабусики кайся]. Япон. пат. 1982, 14.04.54

$\text{CH}_3\text{CHO}$  или продукты его полимеризации обрабатывают  $\text{Cl}_2$ , продукт р-ции обрабатывают водой при нагревании и перемешивании и отделяют масло от водн. р-ра, содержащего  $\text{ClCH}_2\text{CHO}$ . 44 г  $\text{CH}_3\text{CHO}$  охлаждают льдом или сухим льдом и при  $15-18^\circ$  медленно вводят 71 г  $\text{Cl}_2$ . К 103,5 г полученного продукта прибавляют 207 г воды, перемешивают при постепенном нагревании и выдерживают  $\sim 1$  час при  $50^\circ$ , охлаждают и размешивают 16 час. при  $20^\circ$ , отделяют 44 г масла от 266 г водн. р-ра, содержащего 39 г  $\text{ClCH}_2\text{CHO}$ , выход 79%. Аналогично 264 г паральдегида обрабатывают 426 г  $\text{Cl}_2$ , к 600 г продукта прибавляют 1200 г воды; получают 134 г масла и 1666 г водн. р-ра, содержащего 394 г  $\text{ClCH}_2\text{CHO}$ , выход 84%.

В. Уфимцев

2086 П. Способ получения  $\gamma$ -галоидбутиральдегидов. Офферман (Verfahren zur Herstellung von  $\gamma$ -Halogenbutyraldehyden. Opfermann Adolf Christian Josef) Пат. ФРГ 892441, 08.10.53 [Chem. Zbl., 1955, 126, № 31, 7321-7322 (нем.)]

$\gamma$ -Галоидбутиральдегиды получают гидрированием соответствующих галоидангидридов над Pd-катализаторами, отравленными металлоидами V или IV группы периодической системы элементов (в частности, серой, растворенной в хинолине) или тяжелыми металлами. Продукты служат для получения циклич. соединений, напр., пирролина или пирролидина. 10 г хлорангидрида  $\gamma$ -хлормасляной к-ты гидрируют 8 час. в 250 мл кипящего ксилола в присутствии 5 г отравленного Pd/ $\text{BaSO}_4$ -катализатора. Получают  $\gamma$ -хлорбутиральдегид, выход 45%, т. кип.  $45-55^\circ/15$  мм. В. Красева

2087 П. Способ очистки диэтилуксусной кислоты. Беллон (Procédé de purification de l'acide diéthylique. Bellon R.). Франц. пат. 1074978, 11.10.54 [Chem. Zbl., 1955, 126, № 26, 6132 (нем.)]

Диэтилуксусную к-ту переводят в амид, который кристаллизуют из  $\text{C}_6\text{H}_6$ , затем гидролизуют щелочью и подкисляют. Б. Дяткин

2088 П. Производство пентадекандионовой кислоты. Лемье (Production of pentadecandioic acid. Lemieux Raymond U.) [National Research Council]. Пат. США 2717266, 6.09.55.

Пентадекандионовую к-ту (I), ее эфиры и соли получают, обрабатывая эфир 15, 16-диоксипентадекановой к-ты, растворенный в  $\text{CH}_3\text{COOH}$ , окислителем ( $\text{Pb}$ -тетраацетат,  $\text{PbO}_2$  Na-висмутат). Получаемый альдегид обрабатывают щел. р-ром  $\text{H}_2\text{O}_2$ ; образуется I.

В. Красева

2089 П. Способ получения полигликолевых эфиров карбоновых кислот (Polyglycol esters of homocyclic organic carboxylic acids and process of making some) [Ciba Ltd]. Англ. пат. 728644, 20.04.55

Полиэтиленгликолевые эфиры коричной к-ты получают этерификацией к-ты простым эфиром ф-лы  $\text{RO}(\text{CH}_2\text{CH}_2\text{O})_n\text{CH}_2\text{CH}_2\text{OH}$ , где  $n=4-50$ , R — Н или углеводородный остаток, содержащий 4-6 атомов С.

Хлорангидрид коричной к-ты этерифицируют метиловым эфиром полигликоля с мол. в.  $\sim 350$ . Патентуется продукт с мол. в.  $\sim 480$ . В. Красева

2090 П. Способ получения глюкогептоновой кислоты и ее производных (Procédé de fabrication de l'acide glucoheptonique et de ses dérivés) [Lab. Clevenot]. Франц. пат. 1074939, 11.10.54 [Chem. Zbl., 1955, 126, № 29, 6850 (нем.)]

Глюкогептоновую к-ту получают р-цией ее Са-соли со щавелевой к-той. Р-р свободной к-ты обесцвечивают активированным углем и фильтруют. В. Уфимцев

2091 П. Галоидсодержащие производные дикарбоновых кислот. Хараш (Halogen containing derivatives of dicarboxylic acids. Charasch Morris S.) [United States Rubber Co.]. Канад. пат. 519550, 13.12.55

1,1,1-трихлор-5-бром-2,3-дикарбалкоксиалканы (I) замещ. I и продукты их дегидробромирования получают нагреванием 1,1,1-трихлор-3-бром-2,3-дикарбалкоксипропана и олефина, имеющего концевую двойную связь в присутствии пероксидного катализатора полимеризации. В. Красева

2092 П. Способ получения  $\text{N,N}'$ -дигалоидамидов дикарбоновых кислот (Verfahren zur Herstellung von Dicarbonsäuredihaloogenamiden) [Thüringische Zellwolle A.-G., Zellwolle- und Kunstseide-Ring G. m. b. H.]. Пат. ФРГ 909455; 22.04.54 [Chem. Zbl., 1955, 126, № 15, 3486 (нем.)]

Дигалоидамиды дикарбоновых к-т, в частности алифатич., алициклич. и ариалифатич. рядов, получают,

обрабатывая диамиды дикарбоновых к-т свободным галогеном, гипогалогенитом или другими галогенирующими в-вами в присутствии соединений, связывающих галогеноводород. Р-цию проводят в водн. среде с добавкой в-ва, связывающего галогеноводород, а также в среде лед.  $\text{CH}_3\text{COOH}$ , или другой органич. к-ты, добавляя соль щел. или щел.-зем. металла и этой к-ты. 1 моль диамида пимелиновой к-ты смешивают с 4 эквивалентами  $\text{Br}_2$ . Реакционный сосуд помещают в охлаждающую смесь и прибавляют требуемое кол-во щелочи в виде р-ра соды. Перемешивают в течение короткого времени и отделяют димоноброамид пимелиновой к-ты от р-ра неорганич. соли. Аналогично получают дибромамид адипиновой к-ты, в виде желтых игол. т. разл. 138°; дихлорамид адипиновой к-ты, т. разл. 155°.

В. Красева

2093 П. Синтез аминокислот. Снайдер (Synthesis of amino acids. Snyder Harold R.) [Merck & Co., Inc.]. Канад. пат. 517624, 18.10.55

$\alpha$ -Оксиминно- $\gamma$ -бутиролактон получают р-цией ацетобутиролактона с этилнитритом в присутствии небольшого кол-ва минер. к-ты (напр.,  $\text{HCl}$ ) в инертном р-рителе (напр.,  $\text{CH}_3\text{OH}$ ) при пониженной температуре.

В. Красева

2094 П. Производство саркозина. Каверли (Manufacture of sarcosine. Caverly Waldo R.) [E. I. du Pont de Nemours and Co.]. Пат. США 2720540, 11.10.55

Усовершенствование способа получения саркозина р-цией цианида щел. металла с  $\text{CH}_3\text{O}$ , последующей р-цией с  $\text{CH}_3\text{NH}_2$  и гидролизом нитрила, заключается в проведении всех стадий процесса в присутствии окислителя: гипохлоритов щел. или щел.-зем. металлов нитритов, перекисей, перборатов щел. металлов или  $\text{H}_2\text{O}_2$ . Концентрация окислителя должна быть по крайней мере достаточна для того, чтобы реакционная масса давала положительную пробу с подкрасочной бумагой.

С. Бонгард

2095 П. Способ получения *dl*-лизина (Procédé de synthèse de la *dl*-lysine) [L'Air Liquide, Soc. An. pour l'Étude et l'Exploitation des Procédés Georges Claude]. Франц. пат. 1093998, 11.05.55 [Chimie et Industrie, 1956, 75, № 5, 970 (франц.)]

1,4-дигалондбутан конденсируют с  $\text{Na}$ -ацетамидомалоновым эфиром. Получают 8-галондбутилацетамидомалоновый эфир, который декарбоксилируют действием  $\text{HCl}$ , бензоилируют, не выделяя хлоргидрата образующейся в качестве промежуточного продукта  $\gamma$ -амино- $\epsilon$ -галондикпропеновой к-ты. Полученное бензоильное производное обрабатывают аммиаком для получения  $\text{HOOCCH}(\text{NHCOC}_6\text{H}_5)(\text{CH}_2)_3\text{CH}_2\text{NH}_2$ .

В. Красева

2096 П. Усовершенствованный способ производства  $\omega$ -аминононановой кислоты (Procédé perfectionné de fabrication de l'acide  $\omega$ -amino-nonanoïque) [Courtaulds Ltd]. Франц. пат. 1093821, 10.05.55 [Chimie et Industrie, 1956, 75, № 5, 985 (франц.)]

Ненасыщенную к-ту общей ф-лы  $\text{RCH}=\text{CH}(\text{CH}_2)_7\text{COOH}$ , где  $\text{R}$  — одновалентный радикал, превращают в соответствующий нитрил, который затем окисляют  $\text{O}_3$  при одновременной или последующей обработке водой. Получают  $\text{NC}(\text{CH}_2)_7\text{COOH}$  и одновременно побочный продукт ф-лы  $\text{RCOOH}$ . Моновитрил восстанавливают в присутствии катализатора гидрирования до  $\omega$ -аминононановой кислоты.

В. Красева

2097 П. Способ производства  $\omega$ -аминононановой кислоты (Procédé de fabrication d'acide  $\omega$ -amino-nonanoïque) [Courtaulds Ltd]. Франц. пат. 1093822, 10.05.55 [Chimie et Industrie, 1956, 75, № 5, 985 (франц.)]

Ненасыщенную к-ту общей ф-лы  $\text{RCH}=\text{CH}(\text{CH}_2)_7\text{COOH}$ , где  $\text{R}$  — одновалентная группа, окисляют до альдегида ф-лы  $\text{RCHO}$  и  $\text{HCO}(\text{CH}_2)_7\text{COOH}$ . Полученную

альдегидокислоту превращают в  $\omega$ -аминононановую к-ту.

В. Красева

2098 П. Способ очистки глутаминовой кислоты (Procédé de purification de l'acide glutamique) [Fond d'Équipement de l'Hygiène Publique]. Франц. пат. 1095845, 7.06.55 [Chimie et Industrie, 1956, 75, № 5, 971 (франц.)]

Раствор продажной глутаминовой к-ты (I) пропускают при нагревании через колонну с катионообменным в-вом, которое удерживает I, а лактам остается в р-ре. I или ее соли выделяют из колонны пропусканием воды.

В. Красева

2099 П. Ангидриды аминокислот (Amino acid anhydrides) [Monsanto Chemical Co.]. Англ. пат. 717045, 20.10.54

$\text{N}$ -карбоксангидриды аминокислот общей ф-лы  $\text{H}_2\text{NRCOOH}$  ( $\text{R}$  — 2-валентный алкил, у которого обе валентные связи соединены с одним и тем же атомом  $\text{C}$ ), общей ф-лы  $\text{R}'\text{CH}(\text{NH}_2)\text{COOH}$  ( $\text{R}'$  — остаток алифатич. насыщ. тетрауглерода или бензил), общей ф-лы  $\text{HOOCCH}(\text{NH}_2) - (\text{C}_m\text{H}_{2m}) - \text{NH}_2$  ( $m = 1-10$ ) или общей ф-лы  $\text{HOOCCH}(\text{NH}_2)(\text{C}_m\text{H}_{2m})\text{R}''(\text{OH})_n$  ( $\text{R}''$  — незамещ. или замещ. арил;  $m = 1-10$ ;  $n = 1-3$ ) получают обработкой аминокислот или их производных, у которых оксиген- или аминогруппы, кроме находящихся в  $\alpha$ -положении, первоначально защищены,  $\text{SO}_2$  в последующей обработке полученного продукта фосгеном, после чего их подвергают доолинительной обработке для превращения в свободные ангидриды. В качестве исходных аминокислот применяют глицин, аланин, галин, норвалин, лейцин, норлейцин, изолейцин, фенилаланин, метионин, лизин и орнитин, у которых ацилируют аминогруппы, кроме находящихся в  $\alpha$ -положении, а также этерифицированные к-ты общей ф-лы  $\text{HOOCCH}(\text{NH}_2)\text{CH}_2 - [-\text{C}_6\text{H}_4 - \text{M} - \text{M}' - \text{X} - \text{p} - (\text{O}-)]_p\text{H}$  ( $\text{X} = \text{H}$ ,  $\text{I}$  или  $\text{OH}$ ;  $p = 1$  или 2), напр. тирозин, 3,5-дииндолизин, тироксин или 3,4-диоксифенилаланин с этерифицированными оксигруппами. Р-цию проводят в отсутствие воды в органич. р-рителях (лед.  $\text{CH}_3\text{COCH}$ ,  $\text{CH}_3\text{COC}_2\text{H}_5$ , ацетон,  $\text{C}_6\text{H}_6$  или толуол). Эти р-рители применяют для растворения конечного продукта, но не для растворения исходных или промежуточных в-в, конечный продукт выделяют прибавлением жидкости, не растворяющей его напр. петр. эфира, гексана и тетрагидроэтана. Обработку  $\text{SO}_2$  проводят при 10–25° (лучше при 15–20°), а фосгеном — при 15–60° (лучше при 25–45°). Ацилирование или этерификацию, после предварительной обработки соответствующего исходного амфифрагторимой  $\text{Si}$ -солью или  $\text{SiCO}_3$  для образования  $\text{Si}$ -комплекса с аминогруппами, кроме находящихся в  $\alpha$ -положении, проводят с хлорангидридами к-т или алкил- или арилхлоридформатами, после чего этерифицированный комплекс разлагают путем осаждения  $\text{Si}$  в нерастворимой форме, напр., в виде  $\text{SiO}_2$ . Особенно удобными реагентами этерификации являются  $\text{CH}_3\text{COCl}$ , метил- или бензилхлорформаты. Приведены примеры получения  $\text{N}$ -карбоксангидридов в среде  $\text{CH}_3\text{COCCl}_3$  из глицина, валлина,  $\text{I}$ -лейцина, аланина, тирозина (после превращения их в  $\text{O}$ -карбобензоксипроизводные), метионина и  $\text{I}$ -лизина (после превращения в  $\epsilon$ - $\text{N}$ -карбобензоксипроизводное).

В. Уфимцев

2100 П. Новые производные уретанов гликолей. Дессен (Nouveaux dérivés des uréthanes glycoliques et leurs applications. Dessaigne G.) [Etat Français]. Франц. пат. 1094959, 25.05.55 [Chimie et Industrie, 1956, 75, № 5, 974 (франц.)]

Уретаны гликолей обрабатывают конц.  $\text{HNO}_3$ , смесью  $\text{HNO}_3$  и  $\text{H}_2\text{SO}_4$  или смесью  $\text{HNO}_3$  и  $\text{CH}_3\text{COOH}$ .

В. Красева

2101 П. Способ производства уретанов гликолей (Procédé de fabrication d'uréthanes dérivées des gly-

cols) [Soc. An. des Manufactures des Glaces et Produits Chimiques de St.-Gobain, Chauny et Cirey]. Франц. пат. 1096204 (D. D.), 16.06.55 [Chimie et industrie, 1956, 75, № 5, 971 (франц.)]

Циклические карбонаты гликолей вводят в р-цию в-вами, содержащими одну или несколько NH-групп, в которых обе связи соединены с атомами Н и (или) С. Указанным способом из циклич. карбоната пропиленгликоля получают уретан пропиленгликоля. В. Красева

2102 П. Производство амидов или замещенных амидов из аминокислот или пептидов. Бёрингер, Бёрингер, Либрехт, Либрехт (Production of amides or substituted amides from aminoacids or peptides. Boehringer A., Boehringer E., Liebrecht I., Liebrecht J.) [Boehringer Sohn, C. H.]. Англ. пат. 699678, 11.11.53 [J. Appl. Chem., 1954, 4, № 4, 391 (англ.)]

Видоизменение англ. пат. 693524 (РЖХим, 1955, 30068) заключается в том, что в качестве исходных в-в вместо ангидридов аминокислот применяют ацилмеркаптаны, получаемые р-цией арил- или алкилтиолов со смешанными ангидридами аминокислоты и соответствующей карбоновой к-ты. 1 г S-фенилового эфира карбобензилоксиглицина  $C_6H_5CH_2OCONHCH_2COSC_6H_5$  кипятят 5 мин. с 5 мл. конц. воды.  $NH_3$ , после чего отгоняют под вакуумом  $NH_3$  и образовавшийся  $C_6H_5SH$ , а остаточный р-р охлаждают; выделяется 0,5 г  $C_6H_5CH_2OCONHCH_2CONH_2$ . Я. Кантор

2103 П. Способ получения  $\beta, \beta', \beta''$ -нитрило-трис-пропионамида. Милинойс, Свифт (Method of preparing  $\beta, \beta', \beta''$ -nitritoltrispropionamide. Milinois Jerry P., Swift Abbott M.) [American Cyanamid Co.]. Канад. пат. 517999, 1.14.55. Примерно эквивалентные кол-ва акриламида и  $NH_3$  вводят в р-цию в водн. среде (напр., водн. р-ре  $NH_3$ ) при 0—50° (10—30°). В. Красева

2104 П. Способ получения аммонийных производных полинитроспиртов. Шенк, Веттерхольм (Process for producing ammonia derivatives of polynitroalcohols. Schenck Friedrich R., Wetterholm Gustav A.) [Nitroglycerin Aktiebolaget]. Канад. пат. 519016, 29.11.55

Аммонийные производные полинитроспиртов, в частности тринитроэтанола, динитроэтанола и динитропропанола, получают р-цией соответствующего полинитроспирта с аммиаком или его производными. В. Красева

2105 П. Способ производства  $\alpha, \omega$ -диаминов (Procédé pour la fabrication de  $\alpha, \omega$ -diamines) [Badische Anilin- & Soda-Fabrik]. Франц. пат. 1079714, 02.12.54 [Chimie et industrie, 1956, 75, № 1, 107 (франц.)]

Эфиронитрилы обрабатывают при повышенных т-ре и давлении  $H_2$  и  $NH_3$  (или, взамен  $NH_3$ , первичными или вторичными аминами) в присутствии катализатора гидрирования и небольших кол-в воды или спиртов. Я. Кантор

2106 П. Способ получения синильной кислоты. Диксон, Лонгфилд (Cyanogen production. Dixon James K., Longfield James E.) [American Cyanamid Co.]. Пат. США 2730430, 10.01.56

Смесь 1 моля  $H_2$  и  $>2$  молей (2—4 моля)  $ClCN$  в паровой фазе подвергают р-цию при т-ре  $>400^\circ$  (650—950°) в течение 0,5—60 сек. (1—20 сек.) и выделяют полученный  $HCN$ . В частности, запатентовано проведение процесса с применением 1 моля  $H_2$  и 3 молей  $ClCN$  при 950° в течение 2 сек. 1 моль  $H_2$  и 3 моля  $ClCN$  в кварцевой трубке нагревают 20 сек. при 850°, выходящий газ быстро охлаждают до 20° и пропускают через промывную башню, орошаемую водой, и получают  $HCN$ , выход 95%. Аналогично при нагревании до 950° в течение 2 сек. получают  $HCN$ , выход 97%, а при заполнении трубки кварцевой насадкой, при 950° и сокращении длительности нагревания до 1 сек.,

выход увеличивается до 98%. Приведены еще 3 примера применения способа с выходами 35—84%.

В. Уфимцев  
2107 П. Производство акрилонитрила (Production of acrylonitrile) [Badische Anilin- & Soda-Fabrik]. Англ. пат. 730425, 25.05.55

Катализаторы для произ-ва акрилонитрила из  $HCN$  и смеси газов, содержащей  $C_2H_2$  и  $CO$ , представляют собой р-ры  $Cu^+$ -соли, содержащие соли редкоземельных металлов и, желателно,  $NH_4$ -соли и (или) соли щел. металлов и сильных минер. к-т. Подходящим р-рителем для катализаторов являются, напр. вода, гликоли, формамид или ацетамид. Применяют водн. р-р  $Cu_2Cl_2$ ,  $NH_4Cl$ ,  $NaCl$ ,  $HCl$  и  $CeCl_3$  или водн. р-р  $Cu_2Cl_2$ ,  $La(COOCH_3)_3$ ,  $NH_4Cl$ ,  $NaCl$  и  $HCl$ . В. Красева

2108 П. Способ получения акрилонитрила присоединением цианистого водорода к ацетилену в присутствии кислого водного раствора медной соли как катализатора. Гёрг, Гроб (Förfarande för framställning av akrylsyranitril genom addition av blåsyra vid acetylen i närvaro av en vattenhaltig, sur kuprosalt-katalysator. Goerg A., Grob A.) [Ciba A.-G.]. Швед. пат. 148399, 11.01.55

Смесь газов, содержащую ~ 0,3—5 об.%  $HCN$  и 2—12 об.%  $C_2H_2$ , вводят в контакт с р-ром  $Cu^+$ -соли при т-ре  $<60^\circ$ , т. е. в таких условиях, при которых образование акрилонитрила не идет со значительной скоростью. Прочие условия должны быть таковы, чтобы  $HCN$  абсорбировалась катализатором. После этого  $C_2H_2$  вводят в р-цию с абсорбированным  $HCN$ . Приведена схема процесса. Б. Фабричный

2109 П. Способ получения неароматических сульфамидов. Балле, Шильд, Рёйтер (Verfahren zur Herstellung nichtaromatischer Sulfamide. Balles Gerhard, Schild Heinz, Reuter Martin) [Farbwerke Hoechst A. G. vormalig Meister Lucius & Brüning]. Пат. FRG 900093, 21.12.53 [Chem. Zbl., 1955, 126, № 15, 3484—3485 (нем.)]

Способ получения неароматич. сульфамидов р-цией неароматич. сульфохлоридов с  $NH_3$ , первичным или вторичным амином заключающийся в том, что реакционную смесь для удаления присутствующих углеводородов экстрагируют низкомолекулярным одноатомным водн. спиртом или смесью таких спиртов. Смесью сульфохлоридов и неперореагировавших углеводородов (54%), полученную р-цией парафиновых углеводородов (т. кип. 230—320°) с  $Cl_2$  и  $SO_2$ , согласно герм. пат. 715747 обрабатывают при  $-10^\circ$  в среде  $CCl_4$ . После отделения  $NH_4Cl$  и отгонки  $CCl_4$  экстрагированием 95%-ным водн.  $CH_3OH$  получают 95—97%-ные акилеульфамиды. В. Красева

2110 П. Способ получения аминокислосульфокислот. Хельбергер, Манекке (Verfahren zur Herstellung von Aminoalkylsulfonsäuren. Helberger Johann Heinrich, Manescke Georg) [Böhme Fettchemie G. m. b. H.]. Пат. FRG 940834, 29.03.56

Аминокислосульфокислоты, в частности замещенные в аминогруппе, получают р-цией алифатич. сульфонов с  $NH_3$  или с замещ. органич. основаниями (первичными, вторичными и третичными аминами, диаминами, пиридином, пиперидином) в отсутствие воды. 13,6 г. сульфона, полученного согласно пат. 887341 (бутансульфона) (РЖХим, 1955, 56496), смешивают с 9,3 г. анилина. После слабого нагревания начинается экзотермич. р-ция и т-ра повышается до 100°. Получают твердый, стекловидный, хрупкий продукт, легко растворимый в воде и перекристаллизовывающийся из спирта. 13,6 г. бутансульфона смешивают с 10 г. пиридина и нагревают. Происходит быстрая экзотермич. р-ция и вскоре реакционная смесь затвердевает. В-во перекристаллизовывают из спирта, в котором оно трудно растворимо.



Продукты могут найти применение как лекарственные, дезинфицирующие, моющие и вспомогательные текстильные в-ва, как исходные или промежуточные в-ва, напр., для красителей.

**В. Красева**  
**2111 П.** Способ получения алкильных эфиров ацилоксиакриловой кислоты. Бабсон (Method for preparing alkyl acyloxy acrylates. Babson Robert D.) [Merck & Co., Inc.] Канад. пат. 517622, 18.10.55

Алкильный эфир энолата формилюксусной к-ты, напр.  $\text{HC}(\text{ONa})=\text{CHCOOC}_2\text{H}_5$ , вводят в р-цию с галогенгидридом алифатич. карбоновой к-ты, напр.  $\text{CH}_3\text{COCl}$ , в среде диалкильного эфира, напр.  $\text{C}_2\text{H}_5\text{OCC}_2\text{H}_5$ , нейтрализуют реакционную смесь до  $\text{pH} \sim 7$  води.  $\text{NaHCO}_3$  и выделяют алкильный эфир  $\beta$ -ацилоксиакриловой кислоты.

**В. Красева**

**2112 П.** Способ получения  $\alpha$ -уредо- $\gamma$ -бутиролактона. Ота ( $\alpha$ -ウレイド- $\gamma$ -ブチロラクトンの製造方法・大田正樹), 三菱化成工業株式会社, [Мицубиси-касей когё кабусики] Япон. пат. 4918, 9.08.54

$\alpha$ -Уредо- $\gamma$ -бутиролактон (I) получают р-цией води. р-ра хлоргидрата  $\alpha$ -амино- $\gamma$ -бутиролактона с цианатами щел. металлов в нейтр. среде. К р-ру 3 ч. хлоргидрата  $\alpha$ -амино- $\gamma$ -бутиролактона в 10 ч. воды приливают р-р 2 ч.  $\text{NaCNO}$  в 30 ч. воды, нейтрализуют разб.  $\text{HCl}$  и нагревают 2 часа при  $60^\circ$ . Полученную смесь упаривают досуха в вакууме, осадок экстрагируют 20 ч. горячего спирта. При охлаждении спирт. р-ра выпадает 3 ч. I, иглы, т. пл.  $152^\circ$ .

**В. Уфимцев**

**2113 П.** Способ получения N-ацетоацетильных производных аминоксоединений. Шенкель, Эберли (Verfahren zur Herstellung von N-Acetoacetyl-derivaten von Aminoverbindungen. Schenkel Hans, Aeberli Max) [Durand & Huguenin A.-G.]. Пат. ФРГ 926130, 7.04.55

Способ состоит в обработке р-ра или суспензии первичного или вторичного ароматич. или алифатич. ароматич. амина, или гетероциклич. амина со вторичным атомом N в гетероцикле, в среде 90—100%-ной  $\text{CH}_3\text{COOH}$  дикетеном при  $40-80^\circ$ , в частности при  $60-70^\circ$ . Способ дает более высокие выходы, чем обычные способы получения указанных соединений, и особенно применим к аминоксоединениям, которые по обычным способам вовсе не реагируют с дикетеном или дают очень низкие выходы, в частности к 1- и 2-аминоантрахинонам, 1-амино-4 (5)-бензоил- и 1-амино-4-фениламиноантрахинонам, 2-амино-1(3)-хлорантрахинонам, 1,4- и 1,5-диаминоантрахинонам, бензидинафтохинонам, 1-аминобензол-4-сульфоморфолиду, -4-сульфо-*n*-фениламиниду, -4-сульфодиметиламиду и -4-сульфотиазолил-(2')-амиду, 4-аминодифенилсульфону, дифениламину, 4-бензоиламинодифениламину, N-1- и N-2-нафтил-N-фениламин и карбазолу. В некоторых случаях целесообразно по завершении р-ции выдерживать реакционную смесь некоторое время при  $t\text{-ре} > 80^\circ$ . К суспензии 22,3 ч. 1-аминоантрахинона в 200 ч. лед.  $\text{CH}_3\text{COOH}$  прибавляют по каплям (при перемешивании) 3 часа при  $65-70^\circ$  17 ч. дикетена, затем перемешивают при той же  $t\text{-ре}$  3 часа и после остывания выделяют желтые кристаллы 1-ацетоацетиламиноантрахинона; выход 90%, т. пл.  $163-165^\circ$ , нерастворим в воде, растворим в лед.  $\text{CH}_3\text{COOH}$  и  $\text{C}_6\text{H}_5\text{N}$ . Описано также получение 2-ацетоацетиламиноантрахинона (т. пл.  $156-158^\circ$ ) и его 1- и 3-хлорпроизводных (т. пл.  $181-183^\circ$  и  $195-198^\circ$  соответственно), ди-(ацетоацетил)-1,5-диаминоантрахинона (т. пл.  $181^\circ$ ), 1-ацетоацетиламино-5-бензоиламиноантрахинона (т. пл.  $198^\circ$ ), 1-ацетоацетиламинобензол-4-сульфоморфолида (т. пл.  $142-144^\circ$ ), ацетоацетилдифениламина (т. пл.  $81,5-82,5^\circ$ ), ацетоацетил-4-бензоиламинодифениламина (т. пл.  $136-$

$140^\circ$ ), ацетоацетилкарбазола (т. пл.  $118-120^\circ$ ), 1-ацетоацетиламинобензол-4-сульфотиазолил-(2')-амида (т. пл.  $184-185^\circ$ ) и ацетоацетилацетилсульфата (т. пл.  $118-119^\circ$ ).

**И. Кантор**  
**2114 П.** 2,3-Алкилзамещенные глицидамиды. Шелтон, Уилер (2,3-Alkyl substituted glycidamides. Shelton Robert S., Wheeler Keith W.) [The Wm. S. Merrell Co.]. Канад. пат. 511233, 22.03.55

2,3-Алкилзамещенные глицидамиды (алкил содержит 1—3 атома C) получают окислением мононафталевого к-той ненасыщ. алифатич. амидов общей ф-лы  $\text{R}'\text{CH}=\text{CHCONH}_2$  (R и R' —  $\text{C}_{1-3}$ -алкил) в сухом органич. р-рителе. 2-Этил-3-пропилглицидамид получают окислением 2-этил-2-гексенамида и 2-пропил-3-этилглицидамоксислением 2-пропил-2-пентенамида.

**В. Уфимцев**

**2115 П.** Способ получения четвертичных эселей аммоноалкильных эфиров хлормуравьиной кислоты. Шлак (Verfahren zur Herstellung quaternärer Salze von Chlorameisensäureaminoalkylestern. Schlack Paul) [Badische Anilin- & Soda-Fabrik A.-G.]. Пат. ФРГ 893794, 19.10.53 [Chem. Zbl., 1954, 125, № 17, 3802 (нем.)]

Указанные соли образуются при р-ции оксикал или меркаптоалкиламмониевых оснований с  $\text{COCl}_2$ . 6-пиперидиногексанол-1 (из пиперидина и 6-хлорциклогексанола-1) превращают в четвертичную соль действием метилового эфира бутансульфокислоты и обрабатывают при охлаждении 2 молями  $\text{COCl}_2$ . Получают вязкое масло, дающее уретан со спирт. р-ром  $\text{NH}_3$ . Аналогично получают соль из N-метил-ди-( $\epsilon$ -оксамил)-амина, густое масло. В-ва являются полупродуктами.

**Б. Дяткин**

**2116 П.** Способ получения иминоэфиров хлормуравьиной кислоты. Хехельхаммер (Verfahren zur Herstellung von Chlorameisensäureiminoestern. Heschelhammer Wilhelm) [Farbenfabriken Bayer A.-G.]. Пат. ФРГ 940588, 22.03.56

Иминоэфиры хлормуравьиной к-ты, общей ф-лы  $\text{R}'\text{C}(\text{=NR}')\text{OCOC}_2\text{H}_5$ , где R' и R' — алифатич. или ароматич. остатки или же R' вместе с R' может образовывать алифатич. остаток, получают, действуя  $\text{COCl}_2$  на продукты взаимодействия с к-тами N-замещ. амидов моно- или дикарбоновых к-т. Для р-ции пригодны N-метил-, N-этил-, N-пропил-, N-бутилацетамид или соответствующие замещ. амиды пропионовой или масляной к-т, N,N'-диметил-, N,N'-диэтил-, N,N'-дипропил-, N,N'-дибутиламид янтарной к-ты и соответствующие замещ. амиды адипиновой к-ты, N-метил-, N-этил-, N-пропил-, N-бутилбензамид и их гомологи и продукты замещения. Особенно пригодны циклич. амиды, напр.  $\gamma$ -пирролидон и  $\delta$ -пиперидон и  $\epsilon$ -капролактан (I). Из числа к-т могут применяться, напр.  $\text{HCl}$ ,  $\text{H}_2\text{SO}_4$ ,  $\text{H}_3\text{PO}_4$ ,  $\text{CH}_3\text{COOH}$ ,  $\text{C}_2\text{H}_5\text{COOH}$  или  $\text{C}_6\text{H}_5\text{COOH}$ . Р-цию проводят при  $t\text{-ре} \sim 20^\circ$  в присутствии р-рителя  $[\text{C}_6\text{H}_6, \text{C}_6\text{H}_5\text{CH}_3, \text{C}_6\text{H}_4(\text{CH}_3)_2, \text{CHCl}_3, \text{эфир}, \text{HCOOH или } \text{CH}_3\text{COOH}]$ . 115 вес. ч. N-бутилацетамида растворяют в 400 объемн. ч.  $\text{C}_6\text{H}_6$ . В р-р пропускают  $\text{HCl}$  до насыщения, затем вводят 130 вес. ч.  $\text{COCl}_2$  и оставляют на 10 час. Избыток  $\text{COCl}_2$  и р-ритель удаляют продуванием сухого воздуха. Остаток (бесцветное вязкое масло) является хлоргидратом эфира N-бутилацетамида и хлормуравьиной к-ты, выход 95%. 113 вес. ч. I растворяют в 500 объемн. ч.  $\text{C}_6\text{H}_6$ , р-р насыщают при перемешивании сухим  $\text{HCl}$ , при этом выпадает хлоргидрат I. При перемешивании вводят 110 вес. ч.  $\text{COCl}_2$ , при этом осадок растворяется. После удаления избытка  $\text{COCl}_2$  и р-рителя получают хлоргидрат эфира хлормуравьиной к-ты и капролактана (вязкое масло, кристаллизующееся при охлаждении, выход 99%,

т. пл. 25°). Продукты являются ценными промежуточными в-вами, напр. для получения пластификаторов, пластич. масс и средств для борьбы с вредителями.

В. Красева

**2117 П.** Приготовление N-карбоангидридов α-аминокислот. Мак-Дональд (Preparation of N-carboanhydrides of alpha-amino acids. Mac Donald Robert N.) [E. I. du Pont de Nemours and Co.]. Канад. пат. 515014, 26.07.55

Метод получения N-карбоангидридов первичных α-аминокислот, имеющих 2—11 атомов C, заключающийся в р-ции  $\text{COCl}_2$  с указанными выше к-тами, а также их солями (щел., щел.-зем. или хлоргидратами) в безводн. условиях при  $-70 \pm 100^\circ$ .

Г. Швехгеймер

**2118 П.** Получение гидантоина метионина. Холланд (Preparation of methionine hydantoin. Holland David Oliver) [Beecham Research Labs., Ltd.]. Пат. США 2717252, 6.09.55

Гидантоин метионина получают р-цией  $\text{CO}_2$  с метионинитрилом в присутствии амина, более щелочного, чем последний.

В. Красева

**2119 П.** Способ получения метилтрихлорсилана (Process for the manufacture of methyltrichlorosilane) [Midland Silicones, Ltd.]. Англ. пат. 735610, 24.08.55

Три- и тетрахлорсиланы получают как побочные продукты при произ-ве метилтрихлорсилана, обрабатывая Si, преимущественно в тонкораздробленном состоянии, смесью парафинов (до 7 атомов C) и HCl при  $600-1000^\circ$ , используя  $\geq 1$  моля парафина на 1 моль HCl. Процесс можно проводить непрерывно или периодически.

В. Красева

**2120 П.** Способ получения диметилсиландиола. Кантор (Methods for preparing dimethyl silanediol. Kantor Simon W.) [General Electric Co.]. Пат. США 2717258, 6.09.55

Диметилсиландиол (I) получают нагреванием смеси диметилдиалкоксилана и воды, не содержащей следов к-ты и щелочи. Кол-во воды в смеси должно быть больше кол-ва, необходимого для полного гидролиза диметилдиалкоксилана до I. Смесь нагревают и выделяют I.

В. Красева

**2121 П.** Способ получения триэфиров фосфорной кислоты. Бретшнейдер (Förfarande för framställning av tertiära fosforsyrastrar. Bretschneider H.) [Metallgesellschaft A.-G.]. Швед. пат. 147224, 12.10.54

Триэфиры фосфорной к-ты, содержащие остатки сложных эфиров многоатомных спиртов с карбоновыми к-тами, получают дальнейшей этерификацией триэфиров фосфорной к-ты, содержащих остатки полностью этерифицированных многоатомных спиртов (в особенности имеющих простые эфирные группы). Этерификацию производят одной или несколькими карбоновыми к-тами, их смесями или ангидридами.

Б. Фабричный

**2122 П.** Моноамиды моноэфиров тригалоидметанфосфоновых кислот. Ван-Уинкл, Белл, Моррис (Monoamides of trihalomethanephosphonic acid monoesters. Van Winkle John L., Bell Edward R., Morris Rupert C.) [Shell Development Co.]. Пат. США 2712029, 28.06.55

Способ получения моноамидов, в частности, алкиламидов моноэфиров тригалоидметанфосфоновых к-т, основанный на взаимодействии амида, в частности, алкиламида алифатич. диэфира фосфористой к-ты с  $\text{CX}_3$ , где X — галоид. Напр., при взаимодействии Р-аминофосфолана с  $\text{CX}_3$  получается амид винилового эфира тригалоидметанфосфоновой к-ты.

Л. Белевский

**2123 П.** Способ приготовления сплава натрия со свинцом (для получения тетраалкисвинца). Шапиро (Method for preparation of leadsodium alloys.

Shapiro Humin) [Ethyl Corp.]. Пат. США 2717206, 6.09.55

Pb в тонкораздробленном состоянии, преимущественно остатки Pb после получения тетраалкисвинца, превращают в Pb — Na-сплав, смешивая Na-гидрид (11,6 вес. ч.) с тонкораздробленным Pb (100 вес. ч.) и нагревая смесь при  $\sim 250-400^\circ$  в течение достаточного времени.

В. Красева

**2124 П.** Способ разложения гидроперекиси 1-алкилциклогексена. Раест, Белл (Process for decomposing 1-alkylcyclohexyl hydroperoxides. Rust Frederick F., Bell Edward R.) [Shell Development Co.]. Пат. США 2717264, 6.09.55

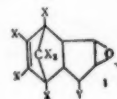
Форматы кетоспиртов получают, обрабатывая  $\text{HCOOH}$  гидроперекись 1-алкилциклогексена общей

ф-лы  $\text{CH}_2\text{CR}_2\text{CR}_2\text{CR}_2\text{CH}_2\text{C(R')OOH}$ , где R' — низший алкил, R — атомы H или низшие алкилы. В. Красева

**2125 П.** Галоидированные окиси диклопентадиена (Halogenated dicyclopentadiene epoxides) [Arvey Corp.]. Англ. пат. 714869, 1.09.54

1,4,5,6,7,8,8-гептагалойд-2,3-эпоксид-4,7-метано-3а,4,7,7а-тетрагидроинданы общей ф-лы (I), где X — Cl или Br, Y — F, Cl или Br, получают из 1-галойдзамещ.

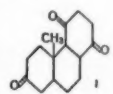
продукта присоединения гексагалойдциклопентадиена к циклопентадиену по Дильсу-Альдеру действием гипогалойдной к-ты (лучше всего внося алкилгипогалогенид в присутствии органич. к-ты) и образующийся 2,3-галойдгидрин дегидрогалойдируют, напр., с помощью NaOH. 1,4,5,6,7,8,8-гептахлор-4,7-метано-3а,4,7,7а-тетрагидроинден (II) обрабатывают *трем*-бутилгипохлоритом в  $\text{CH}_3\text{COOH}$  и на полученный ацетат хлоргидрина действуют HCl в  $\text{CH}_3\text{OH}$ , что приводит к образованию хлоргидрина, который с NaOH дает I, (X = Y = Cl). Этот же продукт получают, если



исходным является 1-бром-4,5,6,7,8,8-гексахлор-4,7-метано-3а,4,7,7а-тетрагидроинден (III), благодаря преимущественному отщеплению HBr (III) образуется при бромировании продукта присоединения гексахлорциклопентадиена к циклопентадиену в присутствии органич. перекиси). I, где X — Cl, а Y — F, получают, если исходят из 1-фтор-4,5,6,7,8,8-гексахлор-4,7-метано-3а,4,7,7а-тетрагидроиндена, который образуется при нагревании III с  $\text{HgF}_2$  в гексане. Действием *трем*-бутилгипобромиата на II в указанной выше обработкой получают I, где X — Cl, Y — Br. И. Шалавина

**2126 П.** 4b-метилдодекагидрофенантрены и их получение. Арт, Пус, Саретт (4b-methyl dodecahydrophenanthrenes and preparation thereof. Arth Glen E., Poos George I., Saret Lewis H.) [Merck & Co., Inc.]. Пат. США 2722532, 1.11.55

Метод получения в-ва ф-лы (I), заключающийся в р-ции 4b-метил-7-этилендиокси-1,2,3,4,4а,4в,5,6,7,8,10,1 а-додекагидрофенантредиола-1,4 с  $(\text{CH}_3\text{CO})_2\text{O}$  в присутствии  $\text{C}_6\text{H}_5\text{N}$ , окислении пиридинового р-ра полученного ацетилированного продукта



$\text{C}_6\text{H}_5\text{N} \cdot \text{CrO}_3$ , гидролизе образовавшегося 1,4-диол-1-ацетата с помощью  $\text{K}_2\text{CO}_3$ , окислении продукта гидролиза  $\text{C}_6\text{H}_5\text{N} \cdot \text{CrO}_3$  в  $\text{C}_6\text{H}_5\text{N}$  и гидролизе продукта окисления при нагревании с кислотой.

Г. Швехгеймер

**2127 П.** Способ получения поленалядегидов. Ислер, Монтанон, Рюэгг, Целлер (Förfarande för framställning av en polenaledehyd. Isler O., Montanon M., Rüegg R., Zeller P.) [F. Hoffmann-La Roche & Co. A.-G.]. Швед. пат. 151207, 151208, 151210, 23.08.55

6-(2',6',6'-триметилциклогексен-1'-ил)-4-метилгекса-

диен-2,4-аль-1 превращают в ацеталь, который конденсируют с пропениловым эфиром в присутствии кислотного агента. Образовавшийся 8-(2',6',6'-триметилциклогексен-1'-ил)-2,6-диметилотадиев-4,6-эфир-3-ацеталь-1 превращают в 8-(2',6',6'-триметилциклогексен-1-ил)-2,6-диметилотатриен-2,4,6-аль-1 обработкой к-той, причем происходит гидролиз и образование двойной связи за счет отщепления спирта из положений 2,3 (пат. 151207). 4-(2',6',6'-триметилциклогексен-1'-ил)-2-метилбутен-2-аль-1 превращают в ацеталь, который конденсируют с виниловым эфиром и затем с пропениловым эфиром в присутствии кислотного агента конденсации в 8-(2',6',6'-триметилциклогексен-1-ил)-2,6-диметилотадиев-4,6-аль-1, который обработкой к-той превращают в 8-(2',6',6'-триметилциклогексен-1-ил)-2,6-диметилотатриен-2,4,6-аль-1 (пат. 151208). 4-(2',6',6'-триметилциклогексен-1'-ил)-2-метилбутен-2-аль-1 конденсируют с эфиром галлоидуксусной к-ты, дегидратируют полученный продукт конденсации, восстанавливают в нем сложноэфирную группу, обрабатывают образовавшийся 6-(2',6',6'-триметилциклогексен-1'-ил)-4-метилгексадиен-2,4-ол-1 окислителем и конденсируют полученный альдегид с эфиром  $\alpha$ -галлоидпропионовой к-ты. Образовавшийся продукт конденсации дегидратируют и восстанавливают его сложноэфирную группу; полученный 8-(2',6',6'-триметилциклогексен-1'-ил)-2,6-диметилотатриен-2,4,6-ол-1 окисляют в 8-(2',6',6'-триметилциклогексен-1'-ил)-2,6-диметилотатриен-2,4,6-аль-1 (пат. 151210).

Б. Фабричный

**2128 П.** Эфир тетрагидробензильного спирта и тетрагидробензойной кислоты и пимелиновая кислота. Хокинс, Стерн (Manufacture of tetrahydrobenzyl tetrahydrobenzoate and pimelic acid therefrom. Hawkins E. G., Stern E. S.) [Distillers Co., Ltd]. Англ. пат. 713639, 18.08.54 [Chem. Zbl., 1955, 126, № 17, 2969 (нем.)]

Патентуется получение  $\Delta^3$ -тетрагидробензойной к-ты (I), солей I,  $\Delta^3$ -тетрагидробензильного спирта (II) и пимелиновой к-ты.  $\Delta^3$ -Тетрагидробензальдегид самоконденсируется в присутствии алколюлятов Al или Mg при 0—110°, предпочтительно в р-ителе, до  $\Delta^3$ -тетрагидробензильного эфира  $\Delta^3$ -тетрагидробензойной к-ты (выход 96%). Последний гидролизуют щелочью до I и II. Окислением в водн.щелочах при 250—400° I превращают в пимелиновую к-ту, выход 92,6%. Окислением при 292—294° в присутствии Cu-хромита II превращают в  $\Delta^3$ -тетрагидробензильный альдегид, выход 40%.

Б. Дяткин

**2129 П.** Способ производства о-карбоксигидрокориновой кислоты. Редзницкий, Балачану (Procédé de fabrication de l'acide orthocarboxyhydrocinnaïque. Radzitzky Pierre de, Balaceanu Jean C.) [Institut Français du Pétrole, des Carburants et Lubrifiants]. Франц. пат. 1096419, 21.06.55 [Chimie et Industrie, 1956, 75, № 5, 970 (франц.)]

Тетраол или неочищ. продукты окисления тетралина окисляют  $\text{HNO}_3$ .

В. Красева

**2130 П.** Отделение м-ксилола от его изомеров (Werkwijze voor het afscheiden van meta-xyleen uit een meta-xyleen en één of meer isomeren daarvan bevattend mengsel) [N. V. de Bataafsche Petroleum Maatschappij]. Голл. пат. 75455, 16.08.54 [Chem. Abstrs, 1955, 49, № 9, 6590 (англ.)]

Смесь ксилолов, содержащую м- и п-изомеры, обрабатывают  $\text{BF}_3$  в присутствии жидкой HF таким образом, чтобы образовались 2 слоя. Нижний слой содержит комплекс  $\text{BF}_3$  с большей частью м-ксилола. Предпочтительное молярное соотношение р-рителя ( $\text{HF} + \text{BF}_3$ ) 5—10 моль на 1 моль ксилола, молярное соотношение  $\text{BF}_3$  к м-ксилолу 1:1 или менее, напр.

1:2. 11,8 моля ксилольной фракции нефти смешивают в закрытом сосуде с 82,3 моля HF, при 0° прибавляют  $\text{BF}_3$  (до 5,9 моля), смесь перемешивают 10 мин. Углеродороды выделяют раздельной перегонкой обоих образующихся слоев. Верхний слой содержит (в %) 9,5 м-ксилола, 15,7 п-ксилола и 45,7 этилбензола, нижний слой содержит, соответственно, 32,8, 4,2 и 16%.

В. Красева

**2131 П.** Способ получения чистого л-дизопропилабензола, пригодного для получения чистой терефталевой кислоты. Ландо, Эгберт, Заффер (Procédé de préparation de paradiisopropylbenzene très pur en vue de l'obtention d'acide téréphthalique à grande pureté. Landau Ralph, Egbert Robert B., Saffer Alfred) (Chempatents Inc.) Франц. пат. 1088332, 7.03.55 [Chimie et industrie, 1956, 75, № 3, 558 (франц.)]

$\text{C}_6\text{H}_6$  вводят в р-цию с пропиленом в присутствии кислотного катализатора так, чтобы получить реакционную смесь, содержащую изомерные дизопропилабензолы, моноизопрпилабензол и высшие полиизопрпилабензолы. Изомерные дизопропилабензолы отделяют, затем выделяют из последней фракции очень чистый л-изопрпилабензол.

В. Красева

**2132 П.** Экстракция ароматических соединений, содержащих галлоид в боковой цепи, фурфуролом. Шеффер (Extraction of aromatics containing side chain halogen with furfural. Schaeffer Benjamin B.) [Mathieson Chemical Corp.]. Канад. пат. 515906, 23.08.55

Метод экстракции жирноароматич. соединений (I), имеющих галлоид в боковой цепи, из смеси, содержащей I, имеющих двойную связь в боковой цепи, состоит в обработке смеси фурфуролом или его алкильными производными в присутствии водорастворимых спиртов низкого мол. веса с последующим расслоением действием воды. Водн. слой содержит основную часть р-рителя и значительную часть соединения с галлоидом в боковой цепи. Так, смесь хлорэтилдихлорбензола (II) и дихлорстирола обрабатывают одно- или двукратным объемом (по отношению к объему смеси) этанола и фурфуrolа, взятых примерно в равных кол-вах; после добавления воды образуется водн. слой, содержащий главное кол-во р-рителя и II. Аналогично проводят разделение  $\text{ClCH}_2\text{CH}_2\text{C}_6\text{H}_4$  и  $\text{C}_6\text{H}_5\text{CH}=\text{CH}_2$ .

Г. Швехгеймер

**2133 П.** Способ получения органических галлоидо-содержащих соединений (Verfahren zur Herstellung von organischen Halogenverbindungen) [May & Baker Ltd]. Пат. ФРГ 918209, 20.09.54 [Chem. Zbl., 1955, 126, № 29, 6834—6835 (нем.)]

Соединения общей ф-лы  $\text{R}(\text{XCH}_2\text{Y})_n$ , где R — замещ. арильный остаток, X — O или S, Y — Cl или Br и  $n=1-3$ , получают, обрабатывая сульфокислоты общей ф-лы  $\text{R}(\text{CH}_2\text{SO}_3\text{H})_n$  или их соли  $\text{PCl}_5$ ,  $\text{POCl}_3$ ,  $\text{SOCl}_2$  или  $\text{PBr}_5$ ,  $\text{POBr}_3$ ,  $\text{SOBr}_2$ , 2,75 и Na-соль 2,4-дихлорфеноксиметансульфокислоты растраивают с 4,15 г  $\text{PCl}_5$  до превращения массы в жидкость. Прибавлением льда разлагают  $\text{POCl}_3$  и  $\text{SOCl}_2$ , массу экстрагируют эфиром, экстракт промывают р-ром NaOH, затем водой. После отгонки эфира получают 2,4-дихлорфеноксиметилхлорид, т. пл. 53—54° (испр.). Аналогично получены: 4-метоксифеноксиметилхлорид, т. кип. 74—76°/0,08 мм; 2,5-дихлорфеноксиметилхлорид, т. пл. 45—46°; 2,4,5-трихлорфеноксиметилхлорид, т. пл. 83—84°; 2,4,6-трихлорфеноксиметилхлорид, т. пл. 34—35°, т. кип. 80—90°/0,1 мм; 4-хлорфеноксиметилхлорид, т. пл. 27,5—30°; 4-цианфеноксиметилхлорид, т. пл. 36—37°; феноксиметилхлорид, т. кип. 78°/10 мм; 3-метил-4-хлорфеноксиметилхлорид, т. кип. 116—118°/9 мм; 3,5-диметил-4-хлорфеноксиметилхлорид, т. пл. 69,5—70°; 3-нафтоксиметилхлорид, т. кип. 90—110°/0,15 мм, т. пл. 39—41°. Из фенилен-1,4-бис-оксиметансульфо-



кислоты и  $\text{PCl}_5$  получают фенилен-1,4-бис-оксиметилхлорид, т. кип.  $91,5-94,5^\circ$  (давление не указано), из Na-соли 4-метилфенилмеркаптометансульфокислоты и  $\text{PCl}_5$  — 4,6-дихлорфенилен-1,3-бис-тиометилхлорид, т. кип.  $126-129/15$  мм; из Na-соли 4,6-дихлорфенилен-1,3-бис-меркаптометансульфоната и  $\text{PCl}_5$  — 4,6-дихлорфенилен-1,3-бис-тиометилхлорид, т. пл.  $87,5-88,5^\circ$ . Кроме того, получены 4-нитрофеноксиметилхлорид, т. пл.  $35-36^\circ$  и 4-хлорфенилмеркаптометилхлорид, т. кип.  $147,5-148,5/22$  мм, т. пл.  $19-21,5^\circ$ . Получаемые продукты приведенной общей ф-лы, где  $n=1$ , особенно содержащие в ароматич. ядре 1 атом Cl, пригодны в качестве инсектицидов.

**2134 П.** Усовершенствование способа получения фенолов (Perfectionnement à la production de phénols) [The Distillers Co Ltd]. Франц. пат. 1096345, 17.06.55 [Chimie et Industrie, 1956, 75, № 5, 971 (Франц.)] Резорцин получают разложением дигидроперекиси *m*-динизопропилбензола в среде безводн. жидкого ароматич. углеводорода, жидкого хлорированного ароматич. углеводорода или их смеси в присутствии твердого катализатора, состоящего из кислых ф-л в активной поверхности (монтмориллониты, бентониты, отбельные земли и т. д.). Катализатор отделяют от реакционной смеси и регенерируют при помощи полярного органич. р-рителя.

**2135 П.** Способ получения новых производных 2,2'-диокси-5,5'-диметилдифенилметана. Ламберт, Лейланд (Sätt att framställa nya derivat av 2,2'-dihydroxi-5,5'-dimetyldifenylmetan. Lambert A., Leyland B. N.) [Imperial Chemical Industries Ltd]. Швед. пат. 149920, 10.05.55

Производные 2,2'-диокси-5,5'-диметилдифенилметана, замещ. в положении 3 третичным алкилом с 4—8 атомами C, ( $R'$ ) третичный атом C которого связан с бензольным ядром, а в положении 3' циклогексильной, борнильной, изоборнильной или нетретичной алкильной группой с 1—5 атомами C, ( $R''$ ) получают, вводя в р-цию эквивалентные кол-ва замещ. крезолов общей ф-лы (I), у одного из которых  $X = H$ , а  $Y = R'$ , а у другого  $X = -CH_2OH$  или  $-CH_2Cl$ -группа, а  $Y = R''$ .

**2136 П.** Способ получения 2,5-дихлорфенолатов щелочных металлов (Procédé de préparation de 2,5-dichlorophénolates alcalins) [N. V. Philips' gloeilampenfabrieken]. Франц. пат. 1094912, 25.05.55 [Chimie et Industrie, 1956, 75, № 5, 994 (Франц.)]

Гексахлорциклогексан вводят в р-цию с гидроокисью щел. металла в присутствии  $CH_3OH$  под давлением и при  $160-180^\circ$ .

**2137 П.** Способ производства замещенного 2-фенил-индиано-1,3. Литван, Столль (Substituted 2-phenyl-indan-1,3-dione and process for the production thereof Litvan Franz, Stoll Willy) [J. R. Geigy A.-G.]. Канад. пат. 517581, 18.10.55

2-(*n*-Хлорфенил)-индиандион-1,3 (I) получают конденсацией фталевого ангидрида и *n*-хлорфенилуксусной к-ты в присутствии плавящего  $CH_3COONa$  и превращением образующегося *n*-хлорбензилфталата в I р-цией с алкоголем щел. металла.

**2138 П.** Способ очистки фталевой кислоты или фталевого ангидрида. Пило, Дальбек (Sätt att rena ftalsyra eller ftalsyreanhydrid. Pilo C.-W., Dahlbeck S. W.). Швед. пат. 148488, 18.01.55

Загрязненные продукты смешивают с углеводородами, преимущественно алифатич. углеводородами (напр., керосином), и нагревают до кипения; пары чистого фталевого ангидрида (I), воды и р-рителя пропускают через дистилляционную колонну и затем конденсируют в первом холодильнике при т-ре, достаточно высокой для

того, чтобы получить конденсат, состоящий из I, растворенного в р-рителе, и воды. Из конденсата удаляют воду. Остаток конденсата, содержащий чистый I и р-ритель, пропускают обратно в колонну и выводят во второй холодильник, где остаток охлаждают так, чтобы чистый I выделялся из р-ра. Приведена схема аппарата.

**2139 П.** Способ получения диметилового эфира терефталевой кислоты. Лоц (Verfahren zur Herstellung von Terephthalsäuredimethylester. Lotz Rudolf) [Vereinigte Glanzstoff-Fabriken A.-G.]. Пат. PFG 940825, 29.03.56

Диметилловый эфир терефталевой к-ты (I, к-та) получают окислением *n*-ксилилэндихлорида (II)  $HNO_3$  средней конц-ии, одновременно этерифицируя образующуюся  $I\ CH_3OH$ . Р-цию проводят при пропускании  $HCl$ -газа и в присутствии  $H_3PO_4$ ,  $CaO$  или бифосфатов Na, K или Ca. Для этерификации можно использовать паробразный  $CH_3OH$ .  $350 \pm II$ ,  $800 \pm 65\%$ -ной  $HNO_3$  и  $300 \pm$  воды нагревают при  $105^\circ$  в сосуде из керамики 6 час. при перемешивании турбинной мешалкой, одновременно пропускают  $HCl$ -газ и прибавляют по каплям  $2000 \pm CH_3OH$ ; реакционную массу выдерживают еще 7 час. при  $100^\circ$ . При охлаждении примерно через 0,5 часа выделяется диметилловый эфир I (выход  $80\%$ ) наряду с небольшим кол-вом *n*-карбметоксисбензальдегида, остаток состоит из непрореагировавшей I, которую можно этерифицировать повторно. Из маточного р-ра, кроме того, можно выделить немного метилового эфира *n*-хлорметилбензойной к-ты. Т. пл. I  $141^\circ$  (из  $CH_3OH$ ). В смесь  $350 \pm II$ ,  $800 \pm 65\%$ -ной  $HNO_3$  и  $250$  мл воды после 3—5 час. нагревания при т-ре  $\sim 100^\circ$  одновременно пропускают 6—8 час.  $HCl$ -газ и  $400 \pm$  паров  $CH_3OH$ . При охлаждении выпадает диметилловый эфир I, который можно применять для приготовления полиэфирных синтетич. волокон.

**2140 П.** Способ получения *n*-динизопропилбензола и терефталевой кислоты (Procédé de préparation du *n*-di-isopropyl benzène et de l'acide téréphthalique) [N. V. de Bataafsche Petroleum Maatschappij]. Франц. пат. 1097066, 29.06.55 [Chimie et Industrie, 1956, 75, № 5, 985 (Франц.)]

Для непрерывного получения *n*-динизопропилбензола алкилируют  $C_6H_6$ , кумол или их смесь. Продукт алкилирования перегоняют для выделения *n*-динизопропилбензола, фракции, содержащей *o*- и *m*-динизопропилбензолы, и высококипящей фракции, содержащей изопропилбензолы с большим числом изопропильных групп. Фракцию, содержащую *o*- и *m*-изопропилбензолы, дезалкилируют с целью получения пропилена,  $C_6H_6$  и кумола, которые возвращают на алкилирование. Терефталевую к-ту получают окислением полученного *n*-динизопропилбензола.

**2141 П.** Способ получения терефталевой кислоты и бензальдегид-*o*-карбоновой кислоты. Гриль (Verfahren zur Gewinnung von Terephthalsäure und Phthalaldehydsäure aus Xylofen und deren  $\omega$ -Substitutionsprodukten. Griehl Wolfgang). Пат. ГДР 9443, 29.03.55

Способ получения терефталевой к-ты (I) и бензальдегид-*o*-карбоновой к-ты (II) омылением смеси, полученной галондированием ксилолов и  $\omega$ -замещ. ксилолов, напр. хлорметилтолуола [особенно из смеси, содержащей *n*-ди-(трихлорметилбензол) (III) и *o*-трихлорметил- $\alpha, \alpha$ -дихлортолуол (IV)], причем разделение продуктов производят предпочтительно фильтрованием при т-ре, лежащей выше т-ры плавления неочищ. II. Смесь  $200 \pm IV$  и  $100 \pm III$ , которую получают при галондировании смеси изомерных ксилолов и их  $\omega$ -замещ. продуктов и отделения кристаллизацией основного кол-ва III, нагревают до  $120^\circ$  в присутствии  $0,4 \pm FeCl_3 \cdot 6H_2O$ . При перемешивании прибавляют  $58 \pm$  воды с такой ско-

ростью, чтобы вода успевала входить в р-цию. Во время прибавления воды (2 часа) т-ру массы поддерживают 120—140°. Полученную мутную массу фильтруют при т-ре ~100° от выпавшей I, фильтрат представляет собой II, которая после перекристаллизации из воды имеет т. пл. 97°. Выход II 96%, считая на взятый IV. Осадок, оставшийся на фильтре, промывают горячей водой или  $\text{CH}_3\text{OH}$ . Выход I 53 г. Вместо  $\text{FeCl}_3 \cdot 6\text{H}_2\text{O}$  можно применять 1 г  $\text{PbCl}_2$ , в этом случае время омыления следует удваивать. В. Красева

**2142 П.** Способ получения продуктов окисления *n*-толуилового альдегида. Дарралл, Нью, Оуэн (Sätt att framställa oxidationsprodukter av *p*-tolualdehyd. Darvall R. A., New R. G. A., Owen E. C.) [Imperial Chemical Industries Ltd]. Швед. пат. 147583, 9.11.54

В жидкий *n*-толуиловый альдегид вводят содержащие  $\text{O}_2$  газы, причем т-ру реакционной смеси держат <150° до тех пор, пока поглощение  $\text{O}_2$  значительно не снизится, а главная часть *n*-толуилового альдегида не окислится хотя бы частично. После этого т-ру поднимают >150°, а содержание  $\text{O}_2$  в газах, содержащих  $\text{O}_2$ , постепенно поднимают до 100%. М. Нагорский

**2143 П.** Способ получения эфиров из ангидридов дикарбоновых кислот и спиртов. Кёнен, Бройх (Verfahren zur Herstellung von Estern aus Anhydriden zweibasischer Carbonsäuren und Alkoholen. Coenen Alfred, Broich Franz) [Chemische Werke Hüls A.-G.]. Пат. ФРГ 914006, 24.06.54 [Chem. Zbl., 1955, 126, № 20, 4699 (нем.)]

Реакцию дикарбоновых к-т или их ангидридов, напр. фталевого ангидрида, со спиртами проводят в присутствии амфотерных соединений, напр. гидроокисей или сульфидов Al, Pb, Mn, Sn, Zn, Sb, и щел. в-в, напр. гидроокисей щел. или щел.-зем. металлов, алюминатов, пьомбитов и т. д., в качестве катализаторов. Способ позволяет сократить время этерификации и получать эфиры повышенного качества, в особенности в отношении окраски. Я. Кантор

**2144 П.** Способ получения винильных соединений. Шустер, Гануш (Verfahren zur Herstellung von Vinylverbindungen. Schuster Kurt, Hanusch Fritz) [Badische Anilin- & Soda-Fabrik A.-G.]. Пат. ФРГ 940981, 29.03.56

Винильные соединения получают из  $\text{C}_2\text{H}_2$  и в-в, имеющих  $\geq 1$  реакционноспособного атома Н, р-цией в присутствии *N*-метилпирролидона (I) и обычно применяемых катализаторов винилирования. К 300 ч. циклич. гидразида малеиновой к-ты в 1500 объемах. ч. I прибавляют в качестве катализатора 50 ч. пирролидон калия (II). Реакционную смесь нагревают при 120° в автоклаве со смесью  $\text{C}_2\text{H}_2$  и  $\text{N}_2$  (2 : 1) при 25 атм до насыщения. Затем реакционную смесь отделяют от катализатора и фракционируют. Получают 150 ч. гидразида *N,N'*-дивинилмалеиновой к-ты, т. кип. 125—130°/15 мм. При применении в качестве р-рителя толуола получают в тех же условиях только 15 ч. этого соединения. К 300 ч. дикетопиперазина в 2000 ч. I прибавляют 50 ч. II и обрабатывают в автоклаве смесью  $\text{C}_2\text{H}_2$  и  $\text{N}_2$ , как указано выше. Затем отфильтровывают катализатор и реакционную смесь фракционируют. Полученный *N,N'*-дивинилдикетопиперазин имеет т. кип. 160—161°/14 мм. После перекристаллизации из спирта получают 120 ч. чистого продукта, т. пл. 166°. При применении другого р-рителя, напр.  $\text{C}_6\text{H}_6$  или тетрагидрофурана, выход значительно меньше. Во врашающемся автоклаве емк. 5 л нагревают смесь 1000 г карбазола, 1000 мм I и 60 г порошкообразного KOH. Одновременно нагнетают  $\text{C}_2\text{H}_2$ , разб.  $\text{N}_2$ . Повторной подкачкой  $\text{C}_2\text{H}_2$  поддерживают давл. 15—20 атм. Т-ра 130—150°. Через 2 часа поглощение  $\text{C}_2\text{H}_2$  (~200 г) прекращается. I отгоняют в вакууме, остаток перекри-

сталлизовывают из  $\text{CH}_3\text{OH}$ . Получают 960 г *N*-винилкарбазола, т. пл. 61—62°. При проведении винилирования в присутствии I продукт получается значительно чище. В качестве катализаторов винилирования могут применяться также щел. металлы, ZnO, CdO. В. Красева

**2145 П.** Очистка натриевой соли гентизиновой кислоты. Райт, Смит, Коллинс (Purification of sodium gentisate. Wright William B., Jr, Smith James M., Jr, Collins Kenneth H.) [American Cyanamid Co.]. Пат. США 2715644, 16.08.55

Na-соль гентизиновой (2,5-диоксибензойной) к-ты осаждают из ее водн. р-ра при pH 6—7 и т-ре  $\leq 10^\circ$ , отделяют фильтрованием и промывают холодным насыщен. водн. р-ром соли. В. Уфимцев

**2146 П.** Способ получения гидразинофтализинов (Procédé pour la préparation d'hydrazinophthalazines et nouveaux composés ainsi obtenus) [Ciba A.-G.]. Франц. пат. 1072787, 15.09.54 [Chemie et industrie, 1955, 73, № 1, 107 (франц.)]

1,4-Дигидразинофтализины получают обработкой гидразина свободными от оксогрупп функциональными производными бензолдикарбоновых-1,2-к-т, в которых не более, чем одна из карбоксигрупп превращена в CN-группу. Я. Кантор

**2147 П.** Способ получения триазенов. Ричмонд (Process of preparing triazenes. Richmond Henry H.) [Domini on Rubber Co., Ltd.]. Канад. пат. 516929, 27.09.55

Симметричные арилтриазены получают из подходящих первичных ароматич. аминов, соли которых с минер. к-тами или не растворимы в воде или быстро гидролизуются водой и, следовательно, трудно диазотируются, растворением их в жидком при нормальных условиях р-рителе (напр.,  $\text{C}_6\text{H}_6$ , галондбензол и их гомологи) и прибавлением к полученному р-ру алкилнитрита (напр., пропуская метилнитрит в р-р амина). В частности, указано получение 1,3-*ис*-(*о*-фенилфенил)-триазена ф-лы  $\text{o-C}_6\text{H}_4\text{C}_6\text{H}_4\text{N}=\text{NNHC}_6\text{H}_4\text{C}_6\text{H}_4\text{N}$  р-цией *о*-фениланилина с метилнитритом в жидком р-рителе, осаждением и выделением продукта из реакционной смеси и, аналогично, 1,3-*бис*-(*п*-фенилфенил)-триазена из *п*-фениланилина. В. Уфимцев

**2148 П.** Производство дифениламинов (Production of diphenylamines) [Monsanto Chemicals, Ltd.]. Англ. пат. 738986, 26.10.55

Дифениламины получают из  $\text{C}_6\text{H}_5\text{NH}_2$  или его производных, алкилированных в ядре, нагреванием в жидкой фазе, в присутствии катализатора — смеси, содержащей Cu-соль, напр.  $\text{CuCl}_2$  или  $\text{CuSO}_4$  (в безводн. или гидратированной форме), тонкоизмельченный металл, напр. Cu или металл, находящийся в ряду нап-ряжений между Cu и Ca (предпочтительно Fe или Cu-бронза), и хлорид, способный отщеплять HCl, напр.  $\text{NH}_4\text{Cl}$  или  $\text{C}_6\text{H}_5\text{NH}_2 \cdot \text{HCl}$ . В-во, отщепляющее HCl, можно не вводить в состав катализатора, если применяют  $\text{CuCl}_2$  и, напр., Fe или Zn. В общем случае катализатор содержит приблизительно равные весовые части каждого компонента; на 100 ч. амина используют ~10 ч. катализатора. Состав катализатора можно менять, главным образом прибавлением металлич. Cu в течение процесса, но каталитич. активность поддерживают добавлением к остатку катализатора хлорида, отщепляющего HCl, напр.  $\text{C}_6\text{H}_5\text{NH}_2 \cdot \text{HCl}$ . В частности, дифениламин получают из  $\text{C}_6\text{H}_5\text{NH}_2$  в присутствии смеси гидратированной  $\text{CuCl}_2$  или безводн.  $\text{Cu}_2\text{Cl}_2$ , порошкообразных Fe, Zn или Cu-бронзы,  $\text{NH}_4\text{Cl}$  или  $\text{C}_6\text{H}_5\text{NH}_2 \cdot \text{HCl}$ . В. Красева

**2149 П.** Получение ароматических изотиоцианатов. Эрлиш, Суомер (Preparation of aromatic isocyanates. Irwin Carl F., Swamer Frede-

гис W.) [E. I. du Pont de Nemours and Co.]. Канад. пат. 518034, 1.11.55

Ароматические изоцианаты (I) получают, одновременно вводя в инертную жидкую среду р-р ароматич. амина в инертном р-рителе (напр., 5—30%-ный р-р амина в хлорированном ароматич. углеводороде) и  $\text{COCl}_2$ , вводимый в избытке,  $\geq 50\%$  от стехиометрич. кол-ва. Т-ра р-ции должна быть 100—300°. Непрореагировавший  $\text{COCl}_2$  и образовавшийся  $\text{HCl}$  удаляют, затем выделяют I. Процесс можно осуществлять непрерывно, прибавляя амин с такой же скоростью, с какой удаляют I. В. Красева

2150 П. Способ производства *п*-фенилендиамината (Procédé de production de 1,4-diisocyanatobenzène) [Farbenfabriken Bayer A. G.]. Франц. пат. 1093304, 3.05.55 [Chimie et Industrie, 1956, 75, № 5, 983 (франц.)]

Фосген вводят в р-цию с *п*-фенилендиамином. Сначала р-цию проводят на холоду, затем при  $t\text{-ре} < 100^\circ$  (80—90°) и только в конечной фазе р-ции повышают  $t\text{-ру}$   $> 100^\circ$  (115—125°). В. Красева

2151 П. Способ электрохимического окисления *о*-толуолсульфамида до имиды *о*-сульфобензойной кислоты. Дёнгес (Verfahren zur elektrochemischen Oxydation von *o*-Toluolsulfamid zu Benzoës. uresulfimid. Dönges Ernst). [Farbwerke Hoechst A.-G. vormals Meister Lucius & Brüning]. Пат. ФРГ 932608, 05.09.55

*о*-Толуолсульфамид электрохимически окисляют до имиды *о*-сульфобензойной к-ты (I) в щел. р-ре между электродами из Pb или Pb-сплавов с применением электролита, содержащего Sb-соединения. Напр., при первом наполнении электролитич. ячейки к нагретому до 55° электролиту, содержащему воды 2 н.  $\text{Na}_2\text{CO}_3$ , прибавляют  $\sim 0,3$  г  $\text{Sb}_2\text{O}_3$  на каждый 1 л электролита. Благодаря этому удается на протяжении 3 недель окислять *о*-толуолсульфамид между наелегированными Pb-электродами с поверхностью 4000  $\text{см}^2$  при плотности тока 1 а/м<sup>2</sup>, выход I 80%. При этом для выделения образовавшегося I подвижный электролит удаляют и приливают новый р-р 2 н.  $\text{Na}_2\text{CO}_3$ . Описаны аналогичные примеры электролиза с применением Na-антимоната, KSB-тартрата и  $\text{Sb}_2\text{O}_3$ . В. Уфимцев

2152 П. Способ получения моно-*п*-тет-октилфениловых и моно-*п*-тет-октилкрезиловых эфиров фосфорной кислоты. Зенфман, Уитуэрт (Sätt att framställä *p*-tertiäröktylfenyl- och *p*-tertiäröktylkresyldihydrofosfater. Zenftman H., Whitworth E.). [Imperial Chemical Industries Ltd.]. Швед. пат. 142543, 20.10.53

Указанные эфиры фосфорной к-ты получают гидролизом *п*-тет-октилфенокси- и *п*-тет-октилкрезокси-фосфоглихлоридов, удаляя образующийся при р-ции  $\text{HCl}$ . Реакционную массу поддерживают в жидком виде до завершения р-ции. Усовершенствование способа заключается в том, что 2 моля воды постепенно прибавляют к 1 молью соответствующего дихлорида, поддерживая  $t\text{-ру}$  реакционной массы в начале р-ции 85—90° и поднимая ее до 120—140° в процессе реакции. В. Фабицкий

2153 П. *N*-Алкил-*N*-(β-метилсульфамидоэтил)-*п*-аминофенолы, Уэйсбергер, Терта, Бент [N-alkyl-N-(β-methylsulfonamidoethyl) *p*-aminophenols. Weissberge Arnold, Thirtle John R., Bent Richard L.]. [Canadian Kodak Co., Ltd.]. Канад. пат. 519393, 13.12.55

*N*-Алкил-*N*-(β-метилсульфамидоэтил)-*п*-аминофенолы общей ф-лы  $\text{R}'\text{N}(\text{C}_2\text{H}_4\text{NHSO}_2\text{CH}_3)\text{OH}$ , где R — парамещ. одноядерный арильный радикал, R' — алкил с 1—2 атомами C, получают, обрабатывая *N*-алкил-*п*-аминофенол практически эквимолекулярным кол-вом β-метилсульфамидоэтилбромида в присутствии воды.

р-ра  $\text{NaHCO}_3$  и спирта. В частности, указан *N*-метил-*N*-(β-метилсульфамидоэтил)-*п*-аминофенол. В. Красева

2154 П. Четвертичные аммониевые соли *N*-3-аминоэтилкарбаматов. Лосси, Лотт (Quaternary-ammonium-salt of *N*-3-aminoethyl carbamates. Loeise Kathryn A., Lott William A.). [Olin Mathieson Chemical Corp.]. Пат. США 2721208, 18.10.55

При действии фенола ф-лы  $\text{RONH}$ , где R — ароматич. радикал (Фенил или нафтил), имеющий высший алкильный заместитель с 8—18 атомами C (алкил является производным вторичного спирта), на галогенидхидриды к-ты ф-лы  $\text{XCOX}$ , где X — галогид, получают в-во ф-лы  $\text{ROCOX}$ , которое обрабатывают амином ф-лы  $\text{H}_2\text{NCH}_2\text{CH}_2\text{NR}'\text{R}''$  (R' и R'' — низшие алкилы). Р-цией образующегося соединения с R''Y (Y — анион катионного детергента) получают четвертичную аммониевую соль ф-лы  $[\text{ROCONHCH}_2\text{CH}_2\text{N}^+\text{R}'\text{R}''\text{Y}^-]$ , которую выделяют из реакционной смеси. И. Шалавина

2155 П. Способ получения 1,5-дибензилнафталина. Зедльмайр (Verfahren zur Herstellung von 1,5-Dibenzoylnaphthalin. Sedlmayr Robert). [Farbwerke Hoechst A.-G. vormals Meister Lucius & Brüning]. Пат. ФРГ 941123, 5.04.56

1,5-Дибензилнафталин получают из α-бензилнафталина, получаемого нагреванием нафталина с 1 мольем  $\text{C}_6\text{H}_5\text{COCl}$  в присутствии металлов, конденсацией его при продолжении процесса еще с 1 мольем  $\text{C}_6\text{H}_5\text{COCl}$ . 12,8 ч. нафталина, 14 ч.  $\text{C}_6\text{H}_5\text{COCl}$  и 0,3 ч. Fe-порошка при размешивании нагревают при  $t\text{-ре} > 150^\circ$  до прекращения выделения  $\text{HCl}$ -газа, затем прибавляют еще 14 ч.  $\text{C}_6\text{H}_5\text{COCl}$  и продолжают процесс в тех же условиях. Из продукта р-ции сначала отгоняют нафталин, затем при 280—300°/4 мм отгоняют масло, застывающее при охлаждении. Кристаллизацией (напр., из  $\text{C}_6\text{H}_5\text{Cl}$ ) выделяют 1,5-дибензилнафталин, т. пл. 188—190°, дающий при обработке плагом смеси  $\text{NaCl}$  с  $\text{AlCl}_3$  дибензпиренхинон (кубовый кристалл). В. Уфимцев

2156 П. Способ получения дигидро- и тетрагидропроизводных фурана восстановлением смеси мезитила амальгамой натрия. Виман, Нахум (Procédé de préparation de composés dihydro- et tétrahydrofuraniques par réduction de l'oxyde de mésitile, au moyen de l'amalgame de sodium. Wiemann J., Nahum R.). [Centre National de la Recherche Scientifique]. Франц. пат. 195485, 22.12.54 [Chimie et Industrie, 1956, 75, № 5, 971 (франц.)]

Амальгаму Na вводят в р-цию с окисью мезитила при 0° в присутствии ледяной воды и иногда р-рителя (напр., эфира) при сильном перемешивании. Декантируют органич. слой и экстрагируют воды. р-р эфиром. Отгоняют эфир и фракционируют остаток, выделяя дигидрофуран, тетрагидрофуран и высшие фракции, содержащие кетоны. В. Красева

2157 П. Способ получения производных фуран-2-карбоновой кислоты. Мольтенхауэр, Иррион, Марвиц (Verfahren zur Herstellung von Furan-(2)-carbonsäurederivaten. Moldenhauer Otto, Irion Wilhelm, Marwitz Heinrich Otto). [Phrix-Werke, A.-G.]. Пат. ФРГ 941062, 5.04.56

Производные фуран-2-карбоновой к-ты (I) общей ф-лы  $(\text{ROOC}-\text{C}=\text{CH}-\text{CH}=\text{COCH}_2\text{O})_2\text{CH}_2$  (R — углеводородный остаток) получают постепенным внесением эфира I в избыток р-ра  $\text{CH}_2\text{O}$  при  $t\text{-ре}$  от  $-10$  до  $+30^\circ$  в присутствии  $\text{H}_2\text{SO}_4$  и  $\text{CH}_3\text{COOH}$ . 200 г параформальдегида суспендируют в 300 мл конц.  $\text{H}_2\text{SO}_4$  и 300 мл лед.  $\text{CH}_3\text{COOH}$ , охлаждают до  $-10^\circ$  и в течение 30 мин. при  $t\text{-ре} < 0^\circ$  приливают р-р 300 г метилового эфира



1 в 300 мл конц.  $H_2SO_4$  и 300 мл лед.  $CH_3COOH$ , охлажденный до  $-10^\circ$ , размешивают 15 мин. и выливанием на лед выделяют 311 г бис-(2-карбометокси-5-фурфурилокси)-метана, т. пл.  $75^\circ$  (из  $CH_3OH$ ). 162 г параформальдегида, а затем 300 г метилового эфира I вносят в смесь 600 мл конц.  $H_2SO_4$  и 600 мл лед.  $CH_3COOH$  при  $t < 0^\circ$ , размешивают 15 мин. и выделяют выливанием на лед бис-(2-карбометокси-5-фурфурилокси)-метан, выход 60%, и небольшое кол-во диметилового эфира дифурфуралэфар-2,2'-дикарбоновой к-ты, т. пл.  $154^\circ$ . Получаемые производные I пригодны в качестве промежуточных продуктов.

В. Уфимцев

2158 П. Способ получения 2,5-диалкокси-3,4-диокситетрагидрофуранов (Fremgangsmåde til fremstilling af 2,5-dialkoxy-3,4-dihydroxy-tetrahydrofuraner) [A/S Sadolin & Holmblad]. Дат. пат. 78381, 8.11.54

2,5-Диалкокси-3,4-диокситетрагидрофураны получают окислением 2,5-диалкокси-2,5-дигидрофуранов  $KMnO_4$ , предпочтительно в водн. р-ре и при  $t < 5^\circ$ . 2,5-Диметокси-3,4-диокситетрагидрофуран, т. кип.  $160^\circ/11$  мм,  $n_D^{25}$  1,452—1,454, получают в кол-ве 13,5 г окислением 39 г технич. 2,5-диметокси-2,5-дигидрофурана при  $0^\circ$ ; из 13 г низкоплавкого изомера 2,5-диметокси-3,4-диокситетрагидрофурана было выделено 3,51 г изомера с т. кип.  $150^\circ/9$  мм, т. кип.  $32-33,5^\circ$ , расплавленные кристаллы имеют  $n_D^{25}$  1,450. Из 13 г высокоплавкого изомера выделено 0,4 г масла (т. кип.  $145-150^\circ/11$  мм,  $n_D^{25}$  1,458), которые не удалось закристаллизовать. Из 15,8 г 2,5-диэтокси-2,5-дигидрофурана получено 5,5 г 2,5-диэтокси-3,4-диокситетрагидрофурана, т. кип.  $157-158^\circ/9$  мм; из 18,6 г 2,5-ди-*n*-пропокси-2,5-дигидрофурана получают 4,1 г 2,5-ди-*n*-пропокси 3,4-диокситетрагидрофурана, т. кип.  $171-172^\circ/9$  мм,  $n_D^{25}$  1,447; из 18,6 г 2,5-диизопропокси-2,5-дигидрофурана получают 6,9 г 2,5-диизопропокси-3,4-диокситетрагидрофурана, т. пл.  $51-52^\circ$ .

Б. Фабричный

2159 П. Способ получения 2,5-диалкокси-2,5-дигидрофуранов (Fremgangsmåde til fremstilling af 2,5-dialkoxy-2,5-dihydrofuraner) [Kemisk Værk Kjøge A/S.]. Дат. пат. 79630, 01.08.55

Доп. к дат. пат. 75471 (РЖХим., 1954, 19031). Видоизменение способа, приведенного в дат. пат. 75471, заключается в том, что смесь органич. к-ты с ее ангидридом прибавляют к в-ву, связывающему к-ту, напр.  $CH_3COONa$ , потом прибавляют галогид, напр.  $Br_2$ , а затем вводят весь фуран. Описано получение 2,5-диалкокситетрагидрофурана, выход 83%,  $n_D^{25}$  1,4534  $\pm$   $\pm 0,0005$ .

Б. Фабричный

2160 П. Способ получения фурфуролового спирта (Process for the production of furaluryl alcohol) [Quaker Oats Co.]. Англ. пат. 734118, 27.07.55

Катализатор (К), применяемый для колич. восстановления фурфуrolа в фурфуроловый спирт, содержащий восстановленную  $Cu$ , промотированную 5—20 вес.% безводн.  $Na$ -силиката. К может быть приготовлен таблетированием  $Cu$ -оксида с  $Na$ -силикатом с последующим восстановлением в токе газов, содержащих  $H_2$ , при  $t < 400^\circ$ . Напр., К готовят нагреванием в атмосфере  $H_2$  и  $N_2$  брикетов, сделанных из  $CuO$ ,  $Na$ -силиката и графита. Вместо  $CuO$  могут быть использованы тонко измельченная  $Si$  или  $Si$ -соединения, образующие при сжигании  $CuO$  или  $Cu_2O$ . В. Красева

2161 П. Получение тетрагидропиранов. Холл, Стэнли (Tetrahydropyrans and their preparations. Hall Reginald D., Stanley Herbert M.) [The Distillers Co. Ltd.]. Канад. пат. 514333, 5.07.55

Соединения общей ф-лы  $CH_2R'CH(R^2)CH(R^3)CH(OR^4)OC$ .

-(R)CH(OR^4)\_2 (R, R', R^2 и R^3—H или алкил; R^4—

алкил) получают р-цией дигидропиранов общей ф-лы  $CH_2R'CH(R^2)CH(R^3)CHO$  с алифатич. спиртами

1. общей ф-лы  $R^4OH$  в отсутствие воды, но в присутствии катализатора ацетилизирования. Патентуются 6-алкокси-2-диалкоксиметилтетрагидропираны и 6-метокси-2-диметоксиметил-2,5-диметилтетрагидропиран.

В. Уфимцев

2162 П. Усовершенствование способа производства 3-замещенных 4-оксикумаринов. Старр, Ди-Санто (Chemical manufacture. Starr Donald F., DiSanto Carmine C.) [S. B. Penick & Co.]. Канад. пат. 517645, 18.10.55

Усовершенствование способа произ-ва 3-замещ. 4-оксикумаринов, напр. 3-( $\alpha$ -фенил-3-ацетилэтил)-4-оксикумарина, заключается в нагревании низшего алкильного сложного эфира 3-карбокси-4-оксикумарина, напр. 3-карбтокси-4-оксикумарина, с  $\alpha, \beta$ -ненасыщ. кетоном, напр. бензальдегидом, диспергированным в водн. среде. Р-цию проводят в присутствии  $NH_3$  или органич. амина, в частности, триалкиламина (напр., триэтиламина) или пиперидина, взятых в кол-ве 5 мол.%, считая на 3-карбтокси-4-оксикумарин. Осадок, образующийся при нагревании, сушат и подвергают очистке.

В. Красева

2163 П. Очистка загрязненного меркаптобензотиазола (Purification of crude mercaptobenzothiazole) [American Cyanamid Co.]. Англ. пат. 734970, 10.08.55

2-Меркаптобензотиазол (I) очищают отдувкой примесями паром от расплавленного неочищ. I при  $170-240^\circ$ . Описаны аппарат и 2 примера применения способа с использованием 0,1—2 вес. ч. пара на 1 ч. I (преимущественно в противоточном процессе), указан способ выделения I.

В. Красева

2164 П. Выделение и очистка 2-метил-5-винилпиридина. Садхофф (Séparation et purification de la 2-méthyl-5-vinyl pyridine. Sudhoff Roy W.) [The Chemstrand Corp.]. Франц. пат. 1095859, 7.06.55 [Chimie et Industrie, 1956, 75, № 5, 971 (франц.)]

Смесь 2-метил-5-винилпиридина (I) с 2-метил-5-этилпиридином разделяют перегонкой, получая остаток, содержащий 65—90% I. Выделяют I из остатка, охлаждая его в таких условиях, чтобы образовался кристалл. осадок I. Затем отделяют жидкую часть от кристаллов.

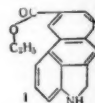
В. Красева

2165 П. Способ получения 4,5-дигидро-9-карботоксинилола (4,3-fg)-хинолина. Штоль, Петржила (Förfarande för framställning av 4,5-dihydro-9-etoxykarbonyl-indolo (4,3-fg) kinolin. Stoll A., Petrzila T.) [Sandoz A.-G.]. Швед. пат. 151214, 23.09.55

4,5-Дигидро-9-карботоксинилола (4,3 fg)-хинолин ф-лы (I) получают следующим способом: 4-метоксинафтоксирил восстановлением и последующим ацетилированием превращают в 1-ацетил-4-метоксибенза-(cd)-индолин, который омылением, ацетилированием и аминированием по Бухеру переводят в 1-ацетил-4-аминобенза-(cd)-индолин, который конденсируют с дианналовым диальдегидом в 1-ацетил-4-(2'-формил-2'-цианэтил-иденамино)-бенза-(cd)-индолин. Последний циклизует в 4-ацетил-4,5-дигидро-9-цианидола-(4,3 fg)-хинолин, нитрильную группу которого превращают в карботоксигруппу с одновременным омылением  $N$ -ацетильной группы.

Б. Фабричный

2166 П. Способ получения 1-(3',4'-метилendioксифенил)-3-метил-6,7-метилendioкси-3,4-дигидроизохинолина. Сугасави (1-(3'-4'-метилendioксифенил)-3-метил-6,7-метилendioкси-3,4-дигидроизохинолинの製造法・菅澤重彦) [田邊製薬株式会社]



Танаба сэйяку кабусики кайся]. Япон. пат. 7024, 27.10.54

1-(3',4'-Метилendioксифенил)-3-метил-6,7-метилendioкс-3,4-дигидроизохинолин получают, обрабатывая смесь  $\alpha$ -метил- $\beta$ -(3,4-метилendioксифенил)-этиламина и пиперониловой к-ты  $\text{POCl}_3$  в присутствии р-рителя. 20 г  $\alpha$ -метил- $\beta$ -(3,4-метилendioксифенил)-этиламина и 18,5 г пиперониловой к-ты растворяют на холоду в 150 мл толуола или ксилола, приливают 82 мл  $\text{POCl}_3$  и кипятят 1,5 часа на масляной бане при 120—130°. По окончании р-цию охлаждают, прибавляют петр. эфир, после 16 час. стояния отделяют органич. слой, отгоняют от него петр. эфир и толуол, остаток растворяют в разб.  $\text{HCl}$ , тотчас фильтруют и подщелачиванием фильтрата  $\text{NaOH}$  выделяют и сушат 1-(3',4'-метилendioксифенил)-3-метил-6,7-метилendioкс-3,4-дигидроизохинолин, выход 20 г, т. пл. 124°.

В. Уфимцев  
2167 П. Способ получения ацилированных имидазолинов. Гандерсон (Acyliated imidazolines and method for preparing the same. Gundersen Lewis O.) [Dearborn Chemical Co.]. Канад. пат. 508535, 28.12.54

Ацилированные имидазолины общей ф-лы  $\text{XC}=\text{NCH}_2\text{CH}_2\text{NR}$ , где X — неароматич. углеводородный радикал с 11—19 атомами C, R —  $\text{COX}$ - или  $-(\text{C}_2\text{H}_4\text{NR})_m\text{C}_2\text{H}_4\text{NHCOCX}$ -группа (R' — H или  $\text{COX}$ ),  $m = 0-15$ , получают р-цией полиалкиленполиамида с менее чем эквимолекулярным кол-вом карбоновой к-ты ф-лы  $\text{XCOOH}$ , при т-ре  $\geq 250^\circ$ . Образующийся имидазольный промежуточный продукт ацилируют карбоновой к-той ф-лы  $\text{XCOOH}$ , напр. нафтеновой к-той.

Е. Капланский  
2168 П. Способ получения 4-( $\lambda$ -аминобензолсульфонил)-аминопиримидинов. Лон (Sätt att framställa 4-( $\lambda$ -aminobensensulfonyl) aminopyrimidin. Loo p W.) [Nordmark-Werke G. m. b. H.]. Швед. пат. 148563, 25.01.55

На 1 моль 4-аминопиримидина в отсутствие воды действуют не менее, чем 1,5 молями галоидангидрида бензолсульфонилхлорида, содержащей в пара-положении к сульфогруппе заместитель, который может быть превращен в аминогруппу. Р-цию проводят в среде органич. р-рителя, свободного от OH-групп, в присутствии  $\geq 1,5$  моль в-ва, связывающего к-ту, которым может быть  $(\text{CH}_3)_3\text{N}$  и по крайней мере еще один третичный амин, который способен связывать галоидоводород не слабее, чем  $(\text{CH}_3)_3\text{N}$ . От полученного промежуточного продукта, если он является *bis*-(бензолсульфонил)-аминопиримидином, отщепляют один бензолсульфонильный остаток, а заместитель, находящийся в пара-положении к сульфогруппе, превращают в аминогруппу. Превращение заместителя в аминогруппу можно проводить одновременно с отщеплением или после него.

В. Фабричный  
2169 П. Способ получения 2-амино-5-(2'-оксэтил)-оксазол-1,3. Эбел, Пасада, Зефельдер (Verfahren zur Herstellung von 2-Amino-5-(2'-oxyäthyl)-oxazol-(1,3). Ebel Friedrich, Pasadach Heinrich, Seefeldner Matthias) [Badische Anilin- & Soda-Fabrik A.-G.]. Пат. ФРГ 936686, 22.12.55

2-Амино-5-(2'-оксэтил)-оксазол-1,3 (I) получают взаимодействием мочевины с 3-галоидтетрагидрофураном, содержащим в положении 2 легко заменяемую группу, напр. галогид, амино-, окси-, алкокси-, амилокси-, алкилмеркапто- или арилокси-группу. К р-ру 72 ч. мочевины в 250 мл воды прибавляют 141 ч. 2,3-дихлортетрагидрофурана. Смесь кипятят 1 час и затем упаривают в вакууме. При охлаждении выкристаллизовывается основное кол-во образовавшегося хлоргидрата, из маточного р-ра прибавлением небольшого кол-ва

горячей лед.  $\text{CH}_3\text{COOH}$  осаждают дополнительное кол-во хлоргидрата I. Всего получают 121 ч. бесцветного хлоргидрата I, т. разл. 207° (из лед.  $\text{CH}_3\text{COOH}$ ). Растворением хлоргидрата в  $\text{CH}_3\text{OH}$ , прибавлением эквивалентного кол-ва  $\text{Na}$ -метилата, фильтрованием и упариванием получают с колич. выходом бесцветное основание I, т. пл. 132—133° (из сп.). Может применяться как промежуточное в-во при синтезе фармацевтич. препаратов и пластмасс.

В. Красева  
2170. П. Усовершенствование катализаторов окисления углеводородов (Perfectionnements aux catalyseurs d'oxydation des hydrocarbures) [Soc. An. des Manufactures des Glaces et Produits Chimiques de St-Gobain, Chauny et Cirey]. Франц. пат. 1093512, 5.05.55 [Chimie et industrie, 1956, 75, № 5, 970 (франц.)]  $\text{K V}_2\text{O}_5$  прибавляют в качестве промотора Sn-оксиды или несколько оксидов Ti и Cl или соединения Sn, Ti и Cl, образующие соответствующие оксиды при нагревании.

В. Красева  
2171 П. Способ приготовления катализатора, содержащего окисл. цинка, пригодного для дегидрирования вторичных спиртов в кетены. Видман (Verfahren zur Herstellung von Zinkoxydkatalysatoren zur Dehydrierung von sekundären Alkoholen zu Ketonen. Wiedmann Helmut) [Rheinpreuss. A.-G. für Bergbau und Chemie]. Пат. ФРГ 919227, 18.10.54 [Chem. Zbl., 1955, 126, № 29, 6849 (нем.)] Гранулированную пемзу (лучше после ее обезгаживания) пропитывают насыщ. р-ром Zn-соли, сушат при т-ре  $\sim 200^\circ$ , а затем прокаляют при 600—1000° (лучше 800°). 85 г пемзы (геличина зерен 2—4 мм) обезгаживают при нагревании 1 час в круглодонной колбе с помощью масляного насоса. После охлаждения к пемзе прибавляют 75 мл р-ра Zn-ацетата (содержит 30 г соли в 100 мл р-ра). Смесь сушат при 110°, постепенно повышая т-ру до 220°, и затем прокаляют 1 час при 800°. Содержание Zn в катализаторе  $\sim 7,25\%$ . Приведен пример получения ацетона из *iso*- $\text{C}_4\text{H}_9\text{OH}$  и  $\text{CH}_3\text{COC}_2\text{H}_5$ , из вторичного амилowego спирта.

В. Красева

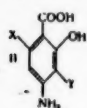
См. также: Олефины, алкилирование 973. Ацетилен, получение и очистка 2036, 2037. Олефины, нитрование 825. Бутадиен, получение 797, 798. Кетен, св-ва 808. Синтез высших жирных к-т 811, 815—817. Синтез павелевой к-ты 812. Алкилдиклопарафины, получение 1988. Этилбензол, выделение, 2027. Синтез пластификаторов 856—859. Аценафтен, хлорирование 878. Автрахион, расщепление 880. Хинолин, выделение 905. Бензотиазол, св-ва 941.

## ПРОМЫШЛЕННЫЙ СИНТЕЗ КРАСИТЕЛЕЙ

Редактор Р. А. Медызовская

2172 П. Способ получения азокрасителей. Краккер (Verfahren zur Herstellung von Azofarbstoffen. Kracker Herbert) [Farbwerke Hoechst, vormals Meister Lucius and Brünig]. Пат. ФРГ 889043, 7.09.53 [Chem. Zbl., 1955, 126, № 29, 6856—6857 (нем.)] Азокрасители получают сочетанием подходящих диазосоставляющих с 4-амино-2-оксибензойной к-той (I) или ее производными общей ф-лы (II) (X и Y — H или другие заместители); полученный мезоазокраситель можно диазотировать и сочетать с азосоставляющей, которая может содержать диазотирующую аминогруппу; дисазокраситель диазотируют и сочетают с азосоставляющей с образованием триазокрасителя, который можно непосредственно или на голышке металлизировать, напр. хромировать. В частности, приведены азокрасители (указаны диазо- и азосоставляющие)

щие красителей и цвет окрашенного ими (из кислой бани) шерстяного волокна до и после хромирования): 4-хлор-2-аминофенол—I, тупой желто-коричневый, красно-коричневый; 6-нитро-2-аминофенол-4-сульфокислота—



→I, бордо, интенсивный фиолетово-коричневый; [сульфаниловая к-та (III)—I]→1-фенил-3-метилпиразолол-5, желто-коричневый, интенсивный коричневый; [(III)—I]→1-нафтиламин—2-нафтол, —, насыщ. красно-коричневый. Получаемые красители, в особенности с последующим хромированием, дают окраски, обладающие высокими прочностями к стирке, валке, поттингованию и свету.

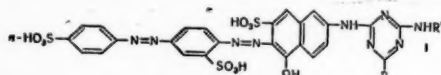
В. Уфимцев

**2173 II.** Способ получения желтых прямых азокрасителей. Хубер, Валь, Хильгер (Verfahren zur Herstellung von gelben substantiven Azofarbstoffen. Huber Eugen, Wahl Ottmar, Hilger Josef) (Farbenfabriken Bayer A.-G.). Пат. FRG 935565, 24.11.55.

Желтые прямые азокрасители получают алкилированием дисазокрасителя (I) из 1 моля бисдиазотированной 4,4'-диаминотильбен-2,2'-дисульфокислоты и 2 молей фенола, причем в качестве алкилирующего средства применяют дихлорированные эфиры или ацетали, у которых атомы Cl не находятся рядом с атомом O эфирной группы. Эти красители по сравнению с известными желтыми прямыми красителями отличаются чистыми тонами и лучшими прочностями к мокрому оботголку. Загружают в автоклав 364 вес. ч. I, в виде влажной ~ 60%-ной пасты, 660 об. ч. спирта и 60 вес. ч. воды и размешивают, прибавляют 150 вес. ч. 33%-ного р-ра NaOH, 70 вес. ч. соды и 210 вес. ч. β,β'-дихлордиэтилового эфира (II) и нагревают 48—60 час. при 90—97°. Когда проба при смешении с р-ром соды перестает менять окраску, отгоняют водяным паром спирт, отфильтровывают и сушат краситель. Алкилирование можно проводить в водн. р-ре без давления; вместо II можно также брать его гомологи. Краситель с лучшими прочностями к мокрому оботголку получают, заменяя в описанном выше примере II на 260 вес. ч. формальдегид-бис-(β-хлорэтил)-ацетата. В. Уфимцев

**2174 П.** Дисазокрасители. Верли, Бенц (Disazo dyestuffs. Wehrli Walter, Benz Jakob) [Sandoz A.-G.]. Пат. США 2722527, 1.11.55

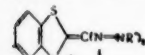
Патентуются прямые красители общей ф-лы (I) (R—первичная, вторичная или третичная аминогруппа;



R'—остаток бензольного ряда, содержащий группу, способствующую растворению в воде). В. Уфимцев

**2175 П.** Дисазокрасители, способы их получения и применения. Валь (Nouveaux colorants disazoïques, leurs procédés de préparation et leurs applications. Wahl Henri) [Cie Française des Matières Colorantes.]. Франц. пат. 1092537, 21.04.55 [Bull. Inst. text. France, 1955, № 56, 166 (франц.)]

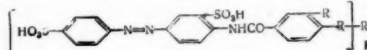
Обрабатываемые металлами азокрасители общей ф-лы (I) получают сочетанием 2 молей соли диазона с 1 молем четвертичной соли 2-метилбензотиазола или его производных. (R—алкил; R'—арил). Кроме указанных солей, можно применять четвертичные соли 2-метилбензоселеназола, 2-метил-3-алкилбензотиазола и их производных. При этом 2-метил-бензоселеназол, 2-метил-3-алкилбензотиазол и их производные превращают I в четвертичные аммониевые соли действием алкилирующих средств; затем соли сочетают, непосредственно



или на волокне с диазопроизводными ароматич. оснований или аналогичных соединений. О. Славина

**2176 П.** Дисазокрасители. Гранжан (Disazo dyestuffs. Grandjean Philippe) [Sandoz Akt.-Ges.]. Пат. США 2727886, 20.12.55

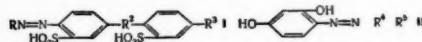
Патентуются дисазокрасители общей ф-лы (I) [один R—азогруппа, другой R—H, галоид, низший алкил или низший алкоксил; R'—остаток 2-ариламино- или 2-ацетиламино-5-нафтол-7-сульфокислоты, сочетающийся



в положение 6 или остаток 2-ариламино- или 2-ацетиламино-8-нафтол-6-сульфокислоты, сочетающийся в положение 7 или остаток 1-(моноядерный арил)-3-метил (или карбоксил)-пиразолола-5, сочетающийся в положение 4). В. Уфимцев

**2177 П.** Полиазокрасители, их получение и применение (Colorants poly-azoïques, leur préparation et leurs applications) [Sandoz Soc. An.]. Франц. пат. 1094633, 23.05.55 [Teintex, 1955, 20, № 12, 1003 (франц.)]

Металлсодержащие полиазокрасители получают сочетанием 1 моля диазотированного аминоазосоединения общей ф-лы (I) (R—фенил, дифенил или нафтил, незамещ. или содержащий алкилы, алкоксилы, арилы, карбокси-, сульфогруппы или галоиды; R²—группа —CH=CH— или —CH₂CH₂—; R³—аминогруппа или



остаток —N=NR'NH₂; R'—фенил, дифенил или нафтил, в котором азогруппа находится в мета- или пара-положении в группе NH₂) с 1 молем моноазопроизводного общей ф-лы (II) (R⁴—фенил, незамещ. или содержащий алкилы, алкокси-, нитро-, карбокси-, сульфо- или сульфамидные группы; R⁵—группа, способная к образованию металлч. комплекса и находящаяся в орто-положении к азогруппе), после чего полученные полиазосоединения обрабатывают металлоотдающими средствами. Красители окрашивают шерсть, шелк, кожу и волокна из целлюлозы и регенерированной целлюлозы в яркий коричневый цвет, очень прочный к свету и трению. О. Славина

**2178 П.** Кобальтсодержащие азокрасители, их получение и применение (Nouveaux colorants azoïques cobaltifères, leur préparation et leur emploi.) [Ciba A.-G.]. Франц. пат. 1092850, 27.04.55 [Teintex, 1955, 20, № 12, 995, 997 (франц.)]

Со-содержащие азокрасители получают обработкой в-вами, отдающими Co, моноазокрасителей, не содержащих сульфо- или карбоксильных групп общей ф-лы RN=NR'NHR' (R—остаток диазосоединения, содержащего оксигруппу в орто-положении к азогруппе; R'—нафтил, связанный с азогруппой в орто-положении к остатку NHR'; R—алкил или, предпочтительно, арил, возможно замещ.), в таких условиях, чтобы 1 атом Co был связан не более чем с 1 молем моноазокрасителя. Красители окрашивают шерсть. О. Славина

**2179 П.** Кобальтсодержащие моноазокрасители. Булер, Циккендрат (Cobaltiferous monoazo-dyestuffs. Buehler Arthur, Zickendraht Cristian) (Ciba Ltd). Пат. США 2727032, 13.12.55

Патентуются Co-комплексы, содержащие 1 атом Co, находящийся в комплексной связи с моноазокрасителем, не содержащим карбоксильных и сульфогрупп, общей ф-лы HO—R—N=N—R' (R—бензольный остаток, связанный с азогруппой в орто-положении к оксигруппе; R'—нафтольный остаток, связанный с азогруппой в соседнем положении к оксигруппе, или 1-

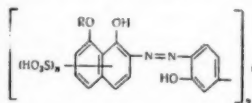


фенил-5-пиразолоновый остаток, содержащий азогруппу в положении 4, или остаток ариламида β-кетокрбиновой к-ты, содержащий азогруппу в α-положении; при этом по крайней мере или R или R' содержит ароматически-связанную метилсульфоновую группу).

В. Уфимцев

**2180 П.** Металлосодержащие дисазокрасители и способ их получения (Colorants disazoiques métallifères et leur procédé de production) [Farbenfabriken Bayer A.-G.]. Франц. пат. 1097918, 12.07.55 [Teintex, 1956, 21, № 2, 145 (франц.)]

Металлосодержащие дисазокрасители получают обработкой в-вами, отдающими металл (напр., Cu), дисазокрасителей общей ф-лы

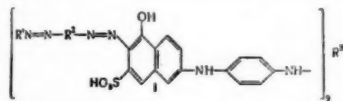


(I) ( $n = 1$  или  $2$ ; в одном нафталиновом остатке R — алкил, в другом — H или алкил). Красители окрашивают целлюлозные волокна и вискозный шелк в синий цвет, более яркий и более прочный к свету и противосмываемым обработкам, чем соответствующие не содержащие металла красители.

О. Славина

**2181 П.** Обрабатываемые металлами тетрааксизокрасители и способ их получения (Colorants tétrakisazoiques métallifères et leur procédé de préparation) [J. R. Geigy Soc. An.]. Франц. пат. 1097064, 29.06.55 [Teintex, 1956, 21, № 2, 143 (франц.)]

Патентуются обрабатываемые металлами тетрааксизокрасители общей ф-лы (I): (R' — одинаковые или различные остатки бензольных соединений с одним или несколькими ядрами, содержащие оксигруппу в орто-положении к карбоксильной группе; R<sup>2</sup> — одинаковые

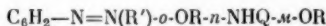


или различные арилы, производные бензола или нафталина, содержащие азогруппы в пара-положении друг к другу, а также группу, способную участвовать в образовании металл. комплексов, в орто-положении к азогруппе; R<sup>3</sup> — двухвалентный остаток, связанный с атомами N амидоидифенильных групп посредством карбоксильных групп). Эти красители, при обработке медью по обычным способам, окрашивают целлюлозные волокна в синий цвет, прочный к свету и стирке.

О. Славина

**2182 П.** Ледяные красители хинолинового ряда. Броди (Ice colors of the quinoline series. Brody Frederick) [American Cyanamid Co.]. Пат. США 2725376, 29.11.55

Патентуются ледяные красители общей ф-лы



(OR-группы находятся в пара-положении друг к другу; Q — остаток 2-хинолина или его гомологов; R — вицильный алкил; R' — остаток азосоставляющей нафталинового ряда, применяемой для ледяного крашения).

В. Уфимцев

**2183 П.** Применение фталоцианинов в качестве кубовых красителей. Бауман, Винерт (Verwendung von Phthalocyaninen als Küpenfarbstoffe. Baumann Fritz, Bienert Barthold) [Farbenfabriken Bayer A.-G.]. Пат. ФРГ 908132, 1.04.54 [Chem. Zbl., 1954, 125, № 32, 7295—7296 (нем.)]

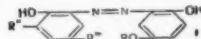
Со-фталоцианин (I) или его замещенные, гидрофильные свойства которых повышены введением соответствующих заместителей, могут применяться в ка-

честве кубовых красителей. Особенно пригодны смеси 15—40% сульфокислот, напр. моносulfокислоты I, с 85—60% незащел. I.

В. Уфимцев

**2184 П.** Металлические комплексы красителей — производных моноэфиров гидрохинона. Серуто (Metallized dyes derived from hydroquinone monoethers. Seruto Joseph) [American Cyanamid Co.]. Канад. пат. 513247, 31.05.55

Патентуются металл. комплексы азокрасителей общей ф-лы 4-OR-2-(R'-N=N-)-C<sub>6</sub>H<sub>3</sub>(OH) (R — остаток углеводорода; R' — сульфированный арил, содержащий в орто-положении к азогруппе группу, способную к образованию металл.



комплексов, но не содержащий других групп, способных к образованию металл. комплексов, не связанных с азогруппой). В частности, приведены азокрасители общей ф-лы (I) а именно: Ia, R' — NO<sub>2</sub>, R'' — SO<sub>3</sub>H, и Ib, R' — SO<sub>3</sub>H, R'' — NO<sub>2</sub>, а также Cr-комплекс Ib.

В. Уфимцев

**2185 П.** Хромосодержащие красители азометинового ряда и способ их получения (Colorants chromifères de la série azométhine et leur procédé de production) [Farbenfabriken Bayer A.-G.]. Франц. пат. 1098839, 22.08.55 [Teintex, 1956, 21, № 2, 149 (франц.)]

Красители, являющиеся хромовыми комплексами орто, орто'-дигидроазометиновых соединений общей ф-лы o-OH-R-C(R')=N-R-o-OH (R — ароматич. остаток, по крайней мере один из которых содержит алкилсульфоновую группу, R' — H или органич. остаток, и если каждый из 2 остатков R несет алкилсульфоновую группу, то обе эти группы могут быть связаны между собой с образованием цикла), отличаются от известных хромосодержащих красителей тем, что, хотя они и не содержат сообщающих растворимость групп, они обладают растворимостью в воде, достаточной для процессов крашения. Кроме того, они дают более интенсивные окраски, чем известные азометиновые красители. Они ровно окрашивают животные волокна в цвета — оранжевый, красный и бордо, прочные к стирке и трению.

О. Славина

**2186 П.** Кубовые красители и способ их получения (Nouveaux colorants de cuve et leur procédé de production) [Farbenfabriken Bayer A.-G.]. Франц. пат. 1093363, 3.05.55 [Bull. Inst. text. France, 1955, № 56 165 (франц.)]

Кубовые красители получают, используя вместо к-т, обычно применяемых для ацилирования кубовых красителей, содержащих ациламиногруппы (бензойных, галлобензойных, нафтоиных к-т и т. д.), бензойные к-ты, содержащие оксиметильные группы, в частности изомерные оксиметилбензойные к-ты. Эти красители могут быть получены ацилированием либо ацетоксиметилбензоилхлоридом с последующим омылением ацетоксиметильной группы, либо ω-хлорметилбензоилхлоридом с последующей р-цвей ω-хлорметильной группы с ацетатом щел. металла и последующим омылением. Они особенно пригодны для печати по хлопку, вискозе и штапелю; легко восстанавливаются и превосходно фиксируются.

О. Славина

См. также: Триарилметановые 864. Бисазокрасители 866. Пирильные 893. Цианиновые 908, 986. Анализы 1224.

## КРАШЕНИЕ И ХИМИЧЕСКАЯ ОБРАБОТКА ТЕКСТИЛЬНЫХ МАТЕРИАЛОВ

Редакторы О. В. Матвеева, А. И. Матвеев

**2187.** Обзор по отделке текстильных материалов в Европе и США. Джакоби (A broad view of textile processing in Europe and the United States.

- Jacoby Raymond W.), Amer. Dyestuff Reporter, 1955, 44, № 22, P754 — P760 (англ.)
2188. Заслуги русских и советских химиков в колористическом оформлении и отделке тканей. Ожел (Zasługi chemików rosyjskich i radzieckich dla rozwoju kolorystyki i wykończalnictwa. Orzeł Mieczysław), Przem. włókienniczy, 1955, 9, № 7, 288—291 (польск.)  
Обзор. В. Мухин
2189. Распад молекул фибрина под действием солнечного света. Окамото (日光によるフィブリン分子の崩壊について・岡本奨), 繊維學會誌・桑田 廣, J. Soc. Text. and Cellulose Ind., Japan, 1953, 9, № 6, 284—288 (япон.; рез. англ.)  
Методом хроматографии на бумаге исследован распад фибрина шелка под действием солнечного света. Установлено наличие изменений тирозина, треонина и лейцина, происходящих в некристаллич. частях фибрина и обнаруживаемых только во фракции, наиболее легко растворяющейся в разб. соляной к-те. Изменения под действием солнечного света подобны изменениям при взаимодействии фибрина с  $H_2O_2$ . Из образцов шелка, подвергавшихся и не подвергавшихся действию солнечных лучей, были выделены некоторые низшие полипептиды, имеющие различный аминокислотный состав. М. Корчагин
2190. Исследование химической модификации шелка. II. Механизм реакции между фибрином шелка и формальдегидом. Оку, Симидзу (絹の品質の化学的強化改善に關する研究・第2報・絹フィブリンに對するフォルムアルデハイドの反應機構について・奥正巳・清水周), 繊維學會誌・桑田 廣, J. Soc. Text. and Cellulose Ind., Japan, 1954, 10, № 9, 413—416, II—III (япон.; рез. англ.)  
Фибрин шелка обрабатывали  $CH_2O$  в следующих условиях:  $CH_2O$  16%, pH 2,0, модуль ванны 1:40, т-ра 100°, длительность 45 мин. с последующей тепловой обработкой при 100° в течение 45 мин. При такой обработке образуются поперечные связи между остатками серина молекул фибрина и блокируется некоторая часть  $NH_2$ -групп фибрина. Остатки тирозина мало участвуют в образовании поперечных связей. Рентгенография, исследования показывают, что с  $CH_2O$  реагируют остатки серина и  $NH_2$ -группы аморфных областей фибрина, кристаллич. области остаются незатронутыми. Часть I см. РЖХим, 1956, 1891.  
М. Корчагин
2191. Способ непрерывной подготовки и белины штапельных тканей. Козлов М. П., Текстильная промышленность, 1956, № 1, 40—42  
Разработан способ одновременной подготовки и белины суровых вискозных штапельных тканей в одной операции на основе применения шел. р-ров  $H_2O_2$ . Ткань пропитывается при 40—45° на плюсовке р-ром, содержащим 3—4 г/л  $H_2O_2$  (100%-ного), 6—7 г/л силиката натрия техн. (уд. в. 1,4), 1—1,5 г NaOH (100%-ного), 0,5 г смачивателя ОП-10. Затем ткань отжимается до содержания пропиточной жидкости в ней 100—120% (к ее весу), обрабатывается паром при 96—98° 15 мин. в запарной аппарате и промывается горячей и холодной водой до удаления щелочи. Этот способ может осуществляться как на спец. агрегате, так и на имеющемся на ф-ках оборудовании — на аппарате ПАЖ с плюсовой и запарной камерой из нержавеющей стали. О. Славина
2192. Научные вопросы текстильной промышленности. Парикх (Problems of science in textile industry. Parikh J. D.), Indian Text J., 1955, 65, № 778, 609—613 (англ.)  
Краткое изложение достижений в области прядения, ткачества и белины. Н. Соколова
2193. Извлечение ланолина после промывки шерсти. Шабран (La récupération de la lanoline après desuintage. Chabrand A.), Ind. Text., 1955, № 822, 337—338 (франц.)  
Описан способ полного выделения ланолина (I) с клеточным числом ( $KЧ$ ) < 1 из пены промывных вод путем прибавления р-ров  $Na_2CO_3$  и фосфатов Na и K при 85°, диспергирования и центрифугирования полученной дисперсии. Применяют моно- и дифосфаты Na,  $Na_2P_2O_7$ , («тетрон») и полифосфат Na («кальгон»). Метод может быть применен в случае промывки шерсти мылом или синтетич. детергентами и выделения пены флотацией. Чтобы получить I с  $KЧ < 0,5$ , предлагают следующие р-ры: а) 0,5—1%  $Na_2CO_3$  и 0,05—0,5% (0,1—0,2%)  $Na_2HPO_4$ ; б) 0,5—1%  $Na_2CO_3$  и 0,1—0,5% (0,1—0,2%)  $Na_4P_2O_7$ ; в) 0,5—1%  $Na_2CO_3$  и 0,2—0,5% Na-полифосфата. Для получения I с  $KЧ \sim 1$  предлагают р-ры: 1%  $Na_4P_2O_7$  или 0,2—3% Na-полифосфата с добавкой  $Na_2CO_3$  в кол-ве, нужном для получения pH ~ 9,8. Уменьшение pH облегчает получение дисперсии и выделение из нее I, но увеличивает его  $KЧ$ . При промывке шерсти синтетич. детергентами величина pH имеет меньшее значение. В. Красева
2194. Единая теория крашения текстильных волокон. Маркузе К. М., Текстильная промышленность, 1955, № 12, 52—55  
Краткое изложение ряда современных теорий и методов крашения. В. Штудер
2195. Об определении изменений окрасок на хлопчатобумажных и вискозных тканях под действием отделки, придающей водонепроницаемость и несминаемость. Янишевский (Określenie zmian, jakim ulegają wybarwienia tkanin bawełnianych i z jedwabiu wiskozowego na skutek wykończenia niemnacego i wykończenia typu velanu. Janiszewski K. A.), Przem. włókienniczy, 1955, 9, № 2, Biul. Inst. włókiennictwa, 5—6 (польск.)  
Исследование изменений окрасок под действием мочевиноформальдегидных смол и продуктов типа велан показало полную возможность применения кубовых красителей, индигозольей, сернистых и нерастворимых азокрасителей; из прямых красителей многие непригодны для крашения тканей, подлежащих последующей отделке. И. Рез
2196. Изучение применения интенсификаторов-носителей при крашении полиэфирного волокна дакрон. Зиммерман, Мекко, Карлино (A study of carriers in dyeing dacron polyester fiber. Zimmerman C. L., Mecco J. M., Carlinio A. J.), Amer. Dyestuff Reporter, 1955, 44, № 9, 296—302 (англ.)  
См. РЖХим, 1956, 20483.
2197. Изучение орсеиллинового красителя. Муссо (Zur Kenntnis der Orseille-Farbstoffe. Musso Hans), Naturwissenschaften, 1955, 42, № 18, 513 (нем.)  
Получены кольцевые хроматограммы на бумаге натурального орсеиллинового красителя (орсеина), на которых можно различить ~10 компонентов. В целочах эти компоненты имеют цвета от красновато-фиолетового до синего, при подкислении становятся красно-оранжевыми (до сине-фиолетовых). При хроматографировании р-ра (в смеси формамид-хлороформ-пиридин 20:20:4) в колонке с целлюлозным порошком выделено 13 компонент. Л. Еленький
2198. Крашение и окочечная отделка ковров с вискозным ворсом. Вудрафф (Dyeing and finishing rayon tufted carpets. Woodruff Jackson A.), Amer. Dyestuff Reporter, 1955, 44, № 18, 636—640 (англ.)  
Отмечаются трудности, возникающие при крашении ковров с вискозным ворсом прямыми красителями, особенно в достижении равномерного крашения. Возможность возникновения полосатости и других видов

брака усугубляется тем, что крашение приходится осуществлять при малом модуле ванны 10—15. В этих условиях скорость выбирания красителя из ванны приблизительно в два раза больше, чем при обычном модуле, равном 40. Приводятся репертура крашения ковров и разбираются факторы, влияющие на успешное проведение этой операции.

П. Моряганов  
2199. **Равномерное крашение кислотно-протравными красителями с последующим хромированием.** Ратти (Level dyeing with afterchrome dyes. Rattie J. D.), J. Soc. Dyers and Colourists, 1954, 70, № 8, 347—354; Text J. Australia, 1954, 29, № 9, 1140—1146 (англ.)

Изучена скорость крашения кислотно-протравными красителями с последующим хромированием. Скорость выравнивания этих красителей в присутствии необходимого кол-ва к-ты превосходит скорость выравнивания хорошо выравнивающихся кислотных красителей. Разработан метод классификации кислотно-протравных красителей в отношении их способности выравниваться. Исследовано поведение кислотно-протравных красителей и бихромата калия в процессе хромирования. Показано, что большинство хромирующихся красителей хромируется очень быстро. Найдено, что щелочь, образующаяся при восстановлении бихромата, приводит к десорбции адсорбированных ионов и, следовательно, неравномерная адсорбция хрома может вызвать неравномерную десорбцию ионов красителя. В соответствии с этим сделаны некоторые рекомендации по улучшению стадии хромирования в процессе крашения.

П. Моряганов  
2200. **Металлические комплексы красителей, не содержащих сульфогрупп, для крашения текстильных изделий.** Пфитцер (Metallkomplexfarbstoffe ohne Sulfonsäuregruppen für die Textilfärberei. Pfitzner H. E. M. u. T.), Melland Textilber, 1954, 35, № 6, 649—651 (нем.; рез. англ., франц., исп.)

Описано строение и свойства металлизированных красителей, не содержащих сульфогрупп, и их металл. комплексов, содержащих 3-валентный металл в соотношении к красителю 1 : 2 и обладающих кислым характером и хорошей растворимостью в органич. р-ритах. К этим красителям относятся красители для крашения полиамидных волокон (BASF), циаланы (Циба), иргаланы (Geigy), ланазины (Sandoz) для крашения шерсти и новый тип Cr-комплексов  $\alpha, \alpha'$ -диоксиза-азокрасителей — неопалатины (BASF). В. Уфимцев

2201. **О механизме лакообразования при ализаринном крашении.** Кулев Л. П., Горизонтова Т. Н., Изв. Томского политех. ин-та, 1956, 83, 113—120

2202. **Применение *n*-аминофенилимида нафталевой кислоты для ледяного крашения хлопка.** Мацкевич Р. М., Уч. зап. Харьковск. ун-та, Т. 50. Тр. в.-н. ин-та химии и хим. фак., 1954, 11, 282—283  
*n*-Аминофенилимид нафталевой к-ты испытан в качестве диазосоставляющей для холодного крашения хлопчатобумажных тканей в комбинации с азотолами А, ОТ, ПА, АНФ и ХА. Полученные окраски красного цвета не прочны к свету — погоде; прочности к мокрым обработкам высокие.

Н. Васильевская  
2203. **Крашение хлопчатобумажной пряжи азотолами.** Попович (O bojenju pamučnog prediva naftolima. Popović), Tekstil. ind., 1955, 3, № 7—8, 21—27 (серб.; рез. франц., англ., нем.)

Описан способ крашения азотолами, указаны преимущества этого способа и встречающиеся в работе трудности. Особое внимание обращено на устранение и исправление неправильных методов работы. О. Славина

2204. **Крашение тканей из вискозного штапельного волокна (фибро) и из содержащих его смесей.** Мак-Фарлан (Dyeing of fabrics made from fibro and blends containing fibro. McFarlane R. A.),

J. Text. Inst., 1954, 45, № 8, P395 — P414 (англ.)

Ткани из смеси разных волокон обладают новыми ценными свойствами. Примесь к вискозному штапельному волокну ацетатного штапельного волокна (фибрета) придает ткани прочность и драпируемость, примесь казенного волокна (фибrolана) — теплоизоляционные свойства и эластичность, примесь найлона — устойчивость к истиранию. При обработке таких тканей следует учитывать физ.-хим. свойства составляющих их волокон и отношение их к красителям. Описаны условия подготовки, крашения и отделки тканей из 100% вискозного штапельного волокна и изменения, которые следует вносить в обработку тканей, содержащих примесь указанных волокон. О. Славина

2205. **Крашение и окончательная отделка изделий из ацетатного волокна.** Эллисон (Dyeing and finishing of cellulose acetate yarns and fabrics. Ellison T.), Dyer, 1955, 114, № 6, 447, 449, 451 (англ.); Indian Text. J., 1956, 66, № 789, 540, 541, 531 (англ.)

Обсуждаются особенности крашения изделий из ацетилцеллюлозы различными классами красителей, в том числе дисперсными, кубовыми индигоидными и нерастворимыми азокрасителями. Для окончательной отделки применяются различные в-ва, увеличивающие мягкость ткани и уменьшающие скольжение. Особенного внимания заслуживает введение в анирирующие составы в-в, тормозящих разрушение некоторых дисперсных красителей под действием дыма и окислителей, всегда присутствующих в атмосфере промышленных городов. Для этой цели рекомендуются в-ва основного характера, имеющие сродство к ацетилцеллюлозе.

П. Моряганов

2206. **Крашение белкового волокна ардил В, F и K, а также смесей, содержащих ардил.** — (La teinture de la fibre protéique «Ardil» B, F et K, ainsi que des fibres mixtes contenant de l'«Ardil».), Monit. text., 1954, 16, № 11, 89, 91, 93, 95—96, 99, 101 (франц.)

Подробно описан процесс крашения волокна ардил различными красителями. С. Савина  
2207. **Крашение волокон орлон и дакрон и их смесей с другими волокнами.** Лосиус, Мёнье (Dyeing of «orlon» and «dacron» and blends. Laucius J. L., Meunier P. L.), Canad. Text. J., 1954, 71, № 19, 66—70 (англ.)

Приводятся сравнительные данные по оптимальным конц-ям, стоимости, действию на человеческий организм некоторых интенсификаторов-носителей, применяемых при крашении орлона и дакрона, а также по прочности получаемых окрасок. Описывается крашение дакрона красителями для ацетатного волокна, дающими на дакроне прочные окраски, кубовыми красителями, а также крашение дакрона в смеси с шерстью и целлюлозными волокнами (искусств. волокна и хлопок) по однованному и двухванному способам. Предыдущее сообщение см. РЖХим, 1956, 40944. Н. Соколова

2208. **Исследования по крашению гидрофобных волокон.** Виккерстафф (Ricerche nella tintura delle fibre idrofobe. Vickerstaff T.), Tintoria, 1955, 52, № 7, 271—275 (итал.)  
См. РЖХим, 1955, 50264.

2209. **Красильная аппаратура с радиальной циркуляцией системы.** Кранц. — (Appareils de teinture à circulation radiale, système Krantz.), Teintex, 1955, 20, № 5, 373, 375 (франц.)

2210. **Печатание и крашение текстильных материалов пигментами.** Бертолина (Pigment printing and dyeing. Bertolina G.), Dyer, 1954, 111, № 13, 991, 993, 995, 997, 999 (англ.)

Описан комплексный метод печатания и крашения различных волокон пигментами, закрепление которых на поверхности волокон достигается с помощью смол. Указаны свойства и составные части применяемых



эмульсий типа «вода в масле», «масло в воде» и водн. р-ров связующих; описана техника печатания и последующая термообработка для полимеризации связующего, техника крашения пигментами, которое может быть совмещено с обработками для придания тканям спец. свойств (уменьшение усадки, несминаемость, водостойкость и др.). Возможно также печатание пигментами по пигментно-окрашенным тканям с последующим совместным закреплением. Метод применим для любого вида волокон, для смесей волокон и позволяет получить высокую прочность к свету, стирке и хим. чистке.

М. Гольдберг

**2211. Применение камеди лоха в шелковом производстве.** Шарова З. П., Чернина Г. Е., Зонина Е. А., Текстильн. пром-сть, 1954, № 10, 50—51

Камедь лоха из кустарника лоха, произрастающего в Средней Азии и на Кавказе, хорошо разваривается при действии острого пара и дает однородную загустку. Было испытано применение ее для загущения кубовых печатных красок, используемых для набивки натурального шелка. К камедной загустке нужно добавлять загустку из декстрина или из альгината натрия (в кол-ве 100 г на 1 кг печатной краски). Такая смешанная загустка легко смывается с ткани, окраски получаются яркие, ровно ложатся на ткань, обеспечивают сквозную пропитку ткани.

М. Корчагин

**2212. Механическая установка для приготовления печатной краски.** Лебедев И. И., Текстильн. пром-сть, 1955, № 9, 33

Установка состоит из цилиндрич. бачка для размешивания печатной краски с пропеллерной мешалкой. Готовая краска стекает вниз и шестеренным насосом через фильтр подается в расходный ушат. Установка экономична при расходе печатных красок не менее 2000—3000 кг в день.

В. Штупер

**2213. Печатание прочными красителями.** Джейкобс (Fast-color printing. Jacoby Raymond W.), Amer. Dyestuff Reporter, 1955, 44, № 2, P54—P58; Fibres, 1954, 15, № 12, 411—412 (англ.)

Описаны различные способы печатания кубовыми и пераставными азокрасителями, кубозолями, фталоцианиновыми пигментами, а также пигментами, закрепляемыми на ткани с помощью связующих в-в. Имеется указание на применение пигментной печати также и для синтетич. волокон. Качество пигментной печати, главным образом, зависит от свойств связующего в-ва. Печатные пасты для пигментной печати могут быть эмульсиями типа «масло в воде», «вода в масле» или содержать только водную среду. Они несовместимы друг с другом, вследствие чего неудобны для многоцветной печати. Пигментную печать возможно применять совместно с азокрасителями, требующими запаривания в кислой среде, так как наличие к-ты благоприятно отражается на ускорении полимеризации связующих в-в; при этом повышается прочность печати к трению. В последнее время широко распространен специальный сернистый черный для печати, применяемый с глюкозой и поташом и фиксируемый в нейтр. зрельнике.

З. Панфилова

**2214. Область применения нейтрогенных красителей.** Бендер (Applicazioni dei coloranti neutrogeni e limiti di essi. Binder Maurice), Tintoria, 1955, 52, № 1, 436—444 (итал.)

См. РЖХим. 1956, 17283.

**2215. Борьба с пороками при применении диазоль синего О.** Емельянов А. Г., Текстильная пром-сть, 1956, № 1, 42—43

Рассмотрены некоторые причины образования пороков при резервной печати под диазоль синий О. Уксуснокислый алюминий, применяемый в качестве резервирующего средства для получения бели, в зависимости

от щелочи, наносимой с азотом, дает различные соединения. Наилучшим резервирующим действием обладает основной ацетат алюминия или гидрат окиси алюминия, которые, выпадая в осадок, довольно прочно удерживаются волокон, создавая непроницаемую для красильного р-ра пленку. Повышенное кол-во щелочи приводит к образованию растворимого алюмината натрия, а недостаточная щелочность снижает устойчивость резерва к действию воздуха. Плохая просушка ткани ведет к гидролизу уксуснокислого натрия с образованием уксусной к-ты, которая растворяет защитную пленку резерва. Аналогичным образом действуют кислые пары, имеющиеся в воздухе. Не следует допускать «обдувки» ткани воздухом до крашения. Неравномерное действие воздуха на различные места ткани также проявляется в случае резервирования с помощью солей железа.

З. Панфилова

**2216. Современная отделка хлопчатобумажных тканей.** Ганц (Modern finishing of cotton fabrics. Gantz George M.), Canad. Text. J., 1955, 66, № 4, 55—65 (англ.)

Обзор. Библ. 38 назв.

З. Панфилова

**2217. О научных основах аппретирования шерстяных тканей.** Картер (Quelques aspects scientifiques de l'apprêt de tissus de laine. Carter E. G.), Bull. Inst. text. France, 1955, № 53, 13—31 (франц.; реза. англ.)

Обзор работ по физ.-хим. свойствам волокон шерсти, а также по вопросу о значении процесса аппретирования для формирования оптимального комплекса свойств готовой ткани. Библ. 12 назв. Л. Беленький

**2218. Протипоусадочная отделка тканей.** Гензель (Apprettatura irstringibile dei tessuti. Gensel Herbert), Fibre et colori, 1955, 5, № 2, 57—61 (итал.)

Обзор различных методов отделки тканей из синтетич. волокон или шерсти.

З. Бобырь

**2219. Усадка тканей при стирке.** Роман (Contractia țesăturilor la spălat. Roman V.), Ind. textilă, 1954, 5, № 7, 231—239 (рум.)

Рассмотрены причины, вызывающие усадку хлопчатобумажных тканей в воде — набухание, натяжение в процессе промывки и отделки, вид переплетения и т. д.

С. Савина

**2220. Идентификация повреждений шерсти и сходных с ней волокон насекомыми.** Отт (Identification of insect damage on wool and related animal fibres. Ott Donald J.), Amer. Dyestuff Reporter, 1955, 44, № 16, 515—520 (англ.); Canad. Text. J., 1955, 72, № 22, 49—52 (англ.)

Кроме моли и личинок коврового жука, многие виды насекомых способны переваривать кератин или повреждать его, не переваривая. Указаны 19 видов насекомых, переваривающих кератин, и 22 вида, повреждающих его без переваривания. Современные средства борьбы против повреждения шерсти насекомыми, из которых важнейшим является митин FF (хлорированный комплекс замещенной мочевины), могут употребляться вместе с красителями. Образцы тканей, обработанные митином, по возвращении из носки показали в общем отсутствие повреждений насекомыми, так как имевшиеся повреждения были механич. происхождения. Однако митин не имеет инсектицидного действия по отношению к насекомым, не переваривающим кератин. Из хим. методов обнаружения повреждений насекомыми отмечен метод Мошара, основанный на определении в местах повреждений мочевой к-ты, находящейся в экскрементах насекомых. Основным методом идентификации является микроскопич. Микроскопич. исследование позволяет обнаружить отсутствие ворса, ямы на волокнах в местах повреждения (даны фотографии), наличие паутины, чешуек моли,

волосы личинок коврового жука и т. д. В. Штупер  
2221. Старые и новые способы придания парусине водонепроницаемости. Шлоссер (Alte und neue Verfahren zum Wasserdichtmachen von Segeltuch. Schlosser G.), Textil-Praxis, 1955, 10, № 11, 1168 (нем.; рез. англ. франц., исп.)

Старый способ состоит в том, что материал обрабатывают р-ром смеси ацетатов Са и Al, а затем после сушки обрабатывают составом из картофельного крахмала, костяного клея, мыла, аппретурного масла, стеарина, японского воска и парафина. Для придания водонепроницаемости клею в р-р ацетатов Al и Са вводят уксуснокислый Cr. Иногда применяют спец. наполнители в виде каолина, литопона и др. Новый способ пропитки состоит в применении эмульсий из жирных к-т и металлич. мыл. Обрабатывают холодным или теплым р-ром, что обеспечивает лучшее качество товара.

П. Морганов  
2222. Применение термопластичных смол в аппретировании текстильных изделий. Стас, Кентен (Die Verwendung von thermoplastischen Harzen bei der Ausrüstung von Textilien. Stas N., Quintin J.), Reyon, Zellwolle und and. Chemiefasern, 1955, № 1, 21—24 (нем.)

Покрытие тканей эмульсиями или р-рами термопластич. смол позволяет получить на них стекловидный аппрет, который улучшает матрадные и мебельные ткани, может применяться для фиксации пигментов, для придания водонепроницаемости и эффекта матирования, для улучшения плащей и ковровых изделий (при нанесении с изнанки), а также для имитации кожи и других аналогичных целей.

В. Штупер  
2223. Эффекты гофрировки, клоче, тиснения и глянца на текстильных изделиях. Хофмейстер (Kräusel-, cloqué-, präge- und glanzeffekte auf Textilien H. Hofmeister Richard), Melliand Textilber, 1954, 35, № 1, 61—64; № 2, 174—177 (нем.)

Обзор способов получения на тканях различных эффектов, включающий характеристику качества исходной ткани, способов ее предварительной обработки, пропитывающих материалов, остаточной влажности при сушке, связующих в-в, способов конденсации смол, прочности полученных эффектов к стирке и последующим обработкам. Описано также получение цветного глубокого тиснения на аппарате из искусств. смол, аппликаций из искусств. смол и др. Часть I см. РЖХим. 1956, 62891.

О. Славина  
2224. Действие света на металлизированные ткани. Хейль, Крамер (Das Verhalten von metallisierten Geweben gegenüber Lichtstrahlung. Heyl G., Kramer M.), Melliand Textilber, 1955, 36, № 11, 1161—1166 (нем.)

Металлизирование тканей является одним из способов отделки тканей. Значение его состоит в: 1) прочности обработанного материала к фотохим. действию света, главным образом, в УФ-части спектра; 2) защите против теплового излучения солнечного света и горячих тел и 3) улучшении способности удерживать тепло. Металлизированные ткани могут применяться для изготовления палаток, спальных мешков, занавесей и различной теплоизоляционной одежды. Особенно многочисленны возможности защиты тканей от действия УФ-света. Для металлизирования тканей могут быть применены тонкие порошки алюминия и бронзы. Металлизированная таким путем вискозная ткань по своим теплоизоляционным свойствам приближается, в известной мере, к шерсти. Металлизирование окрашенных тканей может, по желанию, изменить тон окраски.

П. Морганов  
2225. Защитные покрытия сетематериалов (применение пека). Оранский Н. И., Изв. Тихоокеанск. н.-и. ин-та рыб. х-ва и океаногр., 1955, 43, 173—179

Разработана методика определения защитного действия пленок по изменению разрывной прочности пропитанной дели и коэфф. окислительной полимеризации пленки. Найдена новая пропитка для сетематериалов на основе черемховского пека и солярового масла. Пропитка из пека имеет преимущества по стойкости, доступности, транспортабельности и стоимости по сравнению с известными смоляными пропитками. Применение центрифугирования при сушке пропитанного волокна усиливает процессы окисления и полимеризации и закрепляет пленку на волокне. Сравнительные испытания пропиток на дели в море показали, что применение белой дели ввиду быстрой потери прочности должно быть исключено, а окрашенной — ограничено.

О. Славина  
2226. Солюционная соль и ее применение. Бородин В. Ф. (溶解鹽及其應用・鮑羅特金) 染化, Жаньхуа, 1955, № 7, 287, 288 (кит.)

Перевод. См. РЖХим, 1955, 44370.

2227. Вспомогательные вещества из жирных кислот и их производных, применяемые в текстильной промышленности. Мак-Лауд (Textile assistants from fatty acids and their derivatives. McLeod E. D.), J. Amer. Oil Chemists Soc., 1954, 31, № 11, 587—589 (англ.)

Описано применение различных вспомогательных в-в из жирных к-т и их производных при придании, пилировании, промывке, крашении и заключительной отделке различных текстильных материалов. Даны практич. указания по наиболее эффективному использованию вспомогательных в-в в указанных операциях текстильного произ-ва.

П. Морганов  
2228. Современные искусственные смолы в отделке хлопчатобумажных текстильных материалов. Уппенкам (Neuzeitliche Kunststoffe in der Veredlung von Textilien aus Baumwolle. Uppenkamp B.), Melliand Textilber., 1955, 36, № 12, 1290—1292 (нем.)

Обзор.  
О. С.  
2229. Эмульгатор для удаления пятен с суровых хлопчатобумажных тканей. Янишевский (Emulgator do usuwania plam z surowych tkanin bawlnianych. Janiszewski Karol), Przem. włókienniczy, 1955, 9, № 7, Biul. Inst. włókiennictwa, 25 (польск.)

Разработано 3 эмульгирующих состава, представляющих р-ры мыл и моющих средств в органич. р-рителях с высокой т-рой кипения (рецепты не приведены). Эти составы удаляют свыше 25% пятен от минер. масла (высушенного, окисленного, смешанного с железной пылью и ржавчиной) и других загрязнений. Перед промывкой после нанесения эмульгатора целесообразно давать небольшую выдержку.

В. Мухин  
2230. Испытание оптически отбеливающих веществ на прочность к стирке и свету. Марквичова (O trwalosci na swiatlo i pranie niektórych srodkow optycznie bielacych. Markiewiczowa Wacława), Zesz. nauk. Politechn. Łódzkiej. Chem., 1954, № 2, 69—77 (польск.; рез. англ.)

Была испытана прочность 11 оптически отбеливающих в-в к стирке и к свету. На основании изучения в УФ-лучах прочность к стирке была оценена в 1—5. Прочность к свету, определенная на фелометре, для всех испытуемых в-в была равна 1. Высшую степень прочности к стирке показали тиазол 4 и бланкофор В. При последующей обработке их, а также бланкофора WT, закрепителем W прочность к стирке увеличилась на 0,5 балла; прочность к свету не улучшилась.

О. Славина  
2231. Новый ускоренный метод определения вымываемости замасливающих веществ. Ничке, Вернекке (Eine neue Schnellmethode zur Bestimmung

der Auswaschbarkeit von Schmelzmitteln. Nitschke Gerd, Wernecke Marianne), Textil- und Faserstofftechnik, 1955, 5, № 8, 479—481 (нем.)

Воздушно-сухую камвольную ленту (5 г) обрабатывают 1 мин. р-ром, содержащим 5 г замасливателя на 200 мл  $\text{CCl}_4$  или 10 г замасливателя в 200 мл дистилл. воды. Отжимают, сушат на воздухе, делят на две равные части (А и В). Часть А промывают дважды 25 мл р-ра  $\text{Na}_2\text{CO}_3$  при  $\sim 20^\circ$ , отсасывают р-р водоструйным насосом, дважды промывают 50 мл дистилл. воды, отсасывают, экстрагируют трижды 20 мл  $\text{CCl}_4$ , собирают экстракт во взвешенную колбу, сушат и взвешивают. В пробе В экстрагируют замасливатель только  $\text{CCl}_4$ . Вымываемость (в %) =  $100 \cdot (\text{AF} - \text{RF}) / \text{AF}$ , где AF — содержание жира в пробе В, RF — то же в пробе А.

Л. Бельский

2232. Об определении красящей способности красителей. Вилецх (Über Stärkebewertung von Farbstoffen. Wylezich A), Melland Textilber., 1955, 36, № 7, 728—730 (нем.)

Содержание красящего в-ва в торговых образцах красителей проверяют сопоставлением интенсивности окрасок, произведенных испытуемым и эталонным образцами красителей с установленной конц-цией. Для целей проверки применяются также спектрофотометрич. методы.

Н. Абдулова

2233. Колориметрический анализ эталонов прочности окрасок. Раутиан Г. Н., Текстильн. пром-сть, 1955, № 11, 33—34

На трехцветном визуальном колориметре ГОИ типа ФМ-18 измерены цвета желтых, красных и синих эталонов прочности окрасок и вычислены координаты цветности  $K = a/(a+b+c)$  и  $Z = b/(a+b+c)$ , а также координаты  $\alpha$ ,  $\beta$  и  $\gamma$  в системе XYZ. Полученные значения сопоставлены с аналогичными координатами для окрасенных (при испытаниях) белых образцов тканей. Предложено для избежания сопоставлений гетерохромных окрасок ввести 5 шкал: желтую, красную, гурпурную, синюю и зеленую и сделать каждую из них равноступенной.

Л. Бельский

2234. Контроль процессов кубового крашения. Бельский, Казанская (Die Kontrolle der Küpfenfarbungen. Belenckij L. J., Kassanskaja M. E.), Textil-Praxis, 1954, 9, № 7, 656—659 (нем.; рез. англ., франц., исп.)

Перевод, см. РХХим, 1955, 2886.

2235. Определение концентрации водных растворов поверхностноактивных вспомогательных веществ, применяемых в текстильной промышленности. Швердтнер (Zur Konzentrationsbestimmung oberflächenaktiver Textilhilfsmittel in wässrigen Lösungen. Schwerdtner Herbert), Textil- und Faserstofftechnik, 1955, 5, № 10, 569—572 (нем.)

Рекомендуется титровать катионактивные в-ва анионактивными или наоборот, применяя в качестве индикатора калиевую соль тетрагидрохлорфлуоресцина (I). Рецепт приготовления р-ра индикатора: 50 мл 0,2%-ного водн. р-ра I, 500 мл воды, 500 мл бутилацетата, 250 мл 10%-ного р-ра  $\text{Na}_2\text{SO}_4$  и 10 мл 10%-ной  $\text{CH}_3\text{COOH}$ . Рецепт приготовления р-ра для титрования: 2 мл испытуемого р-ра, 2 мл 1%-ного р-ра  $\text{CH}_3\text{COOH}$  и 2 мл 10%-ного р-ра  $\text{Na}_2\text{SO}_4$  и 1 мл р-ра индикатора. Для установки титров рекомендуется водн. р-р дигидрофосфата.

В. Штупер

2236 К. Химическая технология текстильных материалов. Феликс (Chemická technologie textilní. Kn. 4/1 Barvení bavlny a buničinnové stříže. Pomocná kniha pro 3. roč. prům. školy textilní, odbor zúšlecht' ovatel'ský. Felix Václav. Praha, SNTL, 1955, 202, 3 s., il., 16.90 Kčs) (чеш.)

2237 К. Практическая текстильная химия. Белл (Practical textile chemistry. Bell James William. Nat. trade press, 1955, 259 pp., ill., 30 sh.) (англ.)

2238 К. Исследования влияния температуры на текстильные материалы. Коплан (A study on the effect of temperature on textile materials. Coplan Myron J., WADC Techn. Rept, 1953, № 21, ix, 172 pp., ill.) (англ.)

2239 П. Способ очищающей обработки тканей и других материалов. Дунглер (Procédé de traitement d'épuration pour tissus ou autres produits similaires. Dungler Julien). Франц. пат. 1092693, 26.04.55 [Teintex, 1955, 20, № 12, 993 (франц.)]

Для удаления нежелательных примесей с текстильных изделий или других материалов, напр. для расшивки, отварки, отбелики тканей из хлопка, льна или искусств. волокон, их пропитывают жидкостью, содержащей хим. в-во, действующее на эти примеси, напр. водн. р-ром NaOH или NaOCl и смачивателя. Пропитанную ткань подвергают действию тепла для обеспечения интенсивного испарения указанного р-ра при  $t > 100^\circ$ . Тепловой поток получают с помощью смеси пара, преимущественно перегретого, с какой-либо жидкостью.

О. Славина

2240 П. Способ крашения текстильных волокон. Олпин, Стэнли (Coloration of textile fibres. Olpin Henry C., Stanley Edmund) [Camille Dreyfus]. Канад. пат. 507866, 30.11.54

Текстильные волокна из простых или сложных эфиров целлюлозы (напр., ацетатное волокно) пропитывают р-ром кислотного красителя (не имеющего средства к эфирам целлюлозы в водн. среде, напр. кислотного зеленого, CI № 375) в жидкости, содержащей смешивающийся с водой органич. р-ритель, способствующий набуханию производного целлюлозы (напр., водн. 55—70%-ный этиловый спирт, содержащий тиоцианат), с последующим закреплением красителя путем промывки волокон водн. р-ром неорганич. соли (напр., NaCl), не способствующей набуханию производного целлюлозы и снижающей растворимость кислотного красителя в воде.

В. Зельтман

2241 П. Способ фиксации обрабатываемых металлами красителей на волокнистых материалах (Procédé pour fixer des colorants métallissables sur des matières fibreuses) [Ciba A.-G.]. Франц. пат. 1089784, 22.03.55 [Bull. Inst. text. France, 1955, № 56, 169 (франц.)]

При крашении кислотными или прямыми красителями, обрабатываемыми солями металлов, обработку эту на волокне проводят в присутствии альгинатов и/или их солей. Способ особенно интересен для печати с альгинатным загустителем, причем обработку соединений металлов проводят непосредственно после запаривания, т. е. до удаления загустки. В качестве в-в, отдающих металл, можно применять водн. р-ры комплексных металлосодержащих, напр. медьсодержащих, соединений и основных продуктов конденсации  $\text{CH}_2\text{O}$  с дициандиамином, дициандиамином или цианамидом.

О. Славина

2242 П. Способ регулирования миграции металлосодержащего красителя между красильной ванной и фабрикатом. Мурадян, Милсон (Method of controlling the migration of metallized dyes between dye bath and fabric. Mooradian Shannon, Millson Henry Edmund) [American Cyanamid Co.]. Пат. США 2723178, 8.11.55

Материал из N-содержащих волокон, имеющих основные группы, окрашивают растворимыми в кислой ванне металлосодержащими красителями. Крашение ведут в ванне, содержащей указанный краситель, растворен-



мую в воде к-ту и четвертичную  $\gamma$ -алкиламинопропил-аммониевую соль общей ф-лы  $\text{RCONH}(\text{CH}_2)_3\text{N}^+(\text{R}')(\text{R}'')(\text{R}''')\text{X}$  (RCO — остаток ацетиновой или алифатич. к-ты с 10—18 атомами C; R' — метил, оксиптил или бензил; R'' и R''' — алкилы с 1—3 атомами C; X — анион минер. к-ты) в кол-ве, достаточном для эффективного действия, но недостаточном для образования пены и чрезмерного образования осадка в ванне.

В. Уфимцев

**2243 П.** Окрашенные изделия из продуктов полимеризации или сополимеризации акрилонитрила и их получение (Produits teints provenant de la polymérisation ou de la copolymérisation de l'acrylo nitrile et leur préparation) [Mainkur Cassella Farbwerke A.-G.]. Франц. пат. 1094620, 23.05.55 [Teintex, 1955, 20, № 12, 1007 (франц.)]

Текстильные изделия из полиакрилонитрила обрабатывают следующими в-вами: а) восстановителями, напр. гидросульфатом, б) р-рами или водн. суспензиями медных комплексов  $o,o'$ -диоксимоназокрасителей, содержащих лишь одну сульфогруппу и нафталиновое ядро в одном из остатков, связанных с азогруппой. Особенно благоприятные результаты дает обработка волокон солями Cu, восстановителями и красителями, не содержащими металла, с образованием медного комплекса внутри волокна. По этому способу можно окрашивать полиакрилонитриловые волокна в насыщенные оранжевый, алый, красный, бордо, фиолетовый, зеленый и оливково-зеленый цвета, очень прочные к свету.

О. Славина

**2244 П.** Способ крашения полиакрилонитриловых волокон (Procédé pour la teinture de fibres en nitriles polyacryliques et teintures obtenues par ce procédé) [Ciba A.-G.]. Франц. пат. 1093276, 3.05.55 [Teintex, 1955, 20, № 12, 1005, 1007 (франц.)]

Полиакрилонитриловые волокна окрашивают красителями, не содержащими сульфогрупп, но содержащими солеобразующие аминогруппы, способные реагировать с к-тами, образуя лишь частично гидролизуемые соли. Можно применять для крашения соли вышеуказанных красителей или смеси красителей с к-тами или же обрабатывать волокна к-тами до или после крашения. Для этой цели пригодны HCl, HBr,  $\text{H}_2\text{SO}_4$ ,  $\text{H}_3\text{PO}_4$ , сульфаминовая, хлорная, алкил- или арилсульфокислоты, уксусная, пропионовая, хлоруксусная, глутаминовая, бензойная, 4-*tert*-бутилбензойная, нафтойная, салициловая и фталевая к-ты.

О. Славина

**2245 П.** Способ кубового крашения при высокой температуре с добавлением в красильную ванну соединений марганца. Фордемуолт (High temperature vat dyeing process using manganese compounds in the dye bath. Fordemwalt Frederick) [American Cyanamid Co.]. Канад. пат. 514520, 12.07.55. Восстановительная ванна, пригодная для крашения кубовыми красителями (напр., пирантроном) при высокой т-ре, содержит водн. р-р едкой щелочи и гидросульфит металла, стабилизатор против перевосстановления кубового красителя и по крайней мере 0,001 моля соединения Mn на 1 моль гидросульфита металла. В качестве стабилизатора можно применять неорганич. нитрит (напр., нитрит щел. металла), неорганич. галогенат или N-содержащее соединение, у которого атом N связан одной ковалентной связью с атомом O и одной ковалентной связью с атомом, отличным от O или N. Кроме того, можно добавлять растворимое соединение Mg или триалканолamina.

В. Уфимцев

**2246 П.** Смеси, содержащие кубовые красители, и способ крашения ими. Мекко (Vat dye composition and methods of dyeing. Мессо Jerry M.) [American Cyanamid Co.]. Канад. пат. 507316—507318, 16.11.54.

Кубовое крашение волокнистых материалов солями щел. металлов лейкосоединений кубовых красителей, чувствительных к перевосстановлению при обычном крашении из куба при 100° (напр., антрахинондигидроазина), проводят в присутствии в кубе, кроме сильной щелочи и восстановителя: а) азотистого соединения, в котором атом N связан одной ковалентной связью с атомом O и одной ковалентной связью с атомом, отличным от O (напр., N-(2-нитро-2-метилпропил)-сульфаниловой к-ты) (пат. 507316), б) неорганич. галогената (напр.,  $\text{NaClO}_3$ ) (пат. 507317) или в) неорганич. нитрита (напр.,  $\text{NaNO}_2$ ) (пат. 507318). Эти добавки применяют в кол-ве  $\geq 25\%$  от веса 100%-ного красителя.

В. Уфимцев

**2247 П.** Способ одновременного крашения и аппретирования текстильных материалов. Пирер (Verfahren zum gleichzeitigen Färben und Appretieren von Textilien. Pierer Heinz). Пат. ФРГ 922162, 10.01.55 [Textil-Praxis, 1955, 10, № 4, 400 (нем.)]

Текстильный материал сначала пропитывают диазосолью для последующего сочетания, затем обрабатывают в ванне, содержащей водорастворимые в-ва, образующие термореактивную смолу (преимущественно мочевиноформальдегидную), и азосоставляющую для сочетания с ранее нанесенной диазосоставляющей. Затем производится термообработка для отверждения смолы.

З. Панфилова

**2248 П.** Способ декорирования тканей (Procédé pour la décoration de tissus) [The Bradford Dyers' Association Ltd.]. Франц. пат. 1094646, 23.05.55 [Teintex, 1955, 20, № 12, 1007 (франц.)]

Текстильные или другие изделия, полностью или частично состоящие из синтетич. полимеров, напр. полиамидов, полиуретанов и сополимеров акрилонитрила и винилхлорида или винилацетата, красят обычным способом и наносят на все изделие или на отдельные места резервирующее в-во, напр.  $\text{HOCl}$ , моно- или полиизонанаты и различные синтетич. танинды (для изделий из полиамидов), способные устранить или уменьшить проникновение красителей в полимер. Перед крашением изделие подвергают местному механич. воздействию, с одновременным нагреванием, что противоположно действию резервирующего в-ва, вследствие этого на изделии получаются контрастные эффекты.

О. Славина

**2249 П.** Способ производства новых синтетических тканей (Procédé d'obtention de nouveaux tissus de contexture entièrement synthétique) [Soc. Nouvelle Coudurier, Fructus, Descher]. Франц. пат. 1062961, 28.04.54 [Teintex, 1955, 20, № 1, 37 (франц.)]

Патентуется способ произ-ва тканей с двойной окраской путем применения смеси полиакрилового и полиамидного волокон и крашения смешанной ткани красителем, который окрашивает только полиамидное волокно.

С. Савина

**2250 П.** Способ крашения и печатания полиакрилонитриловых волокон (Procédé pour la teinture et l'impression de fibres polyacryliques, teintures et impressions obtenues par ce procédé) [Ciba A.-G.]. Франц. пат. 1092828, 27.04.55 [Teintex, 1955, 20, № 12, 1005 (франц.)]

Крашение или печатание полиакрилонитриловых волокон производят красителями, не содержащими кислотных групп, придающих им растворимость, и состоящими из 6-членного ароматич. цикла, связанного группой  $-\text{N}=\text{N}-$  или  $-\text{NH}-$  с 5- или 6-членным циклом. В молекуле этих красителей содержится, по крайней мере, одна аминогруппа (первичная или вторичная) и, по крайней мере, один заместитель с мол. весом  $\geq 17$ , связанный с одним из вышеуказанных циклов. В качестве примеров указаны: 3- или 4-хлор-

2',4'-диамино-1,1'-азобензол и 4-метил-2',4'-диамино-1,1'-азобензол. О. Славина

**2251 П.** Состав для пигментной печати и покрытий на волокнистых материалах (Zubereitung für die Herstellung von Pigmentdrucken und Überzügen auf Fasermaterialien) [Badische Anilin- & Soda-Fabrik A.-G.]. Швейц. пат. 304693, 1.04.55 [Chimia, 1955, 9, № 8, 194 (нем.)]

Состав содержит в качестве связующего в-ва водн. суспензии полимеров с реакционноспособными атомами N, продукт неполной конденсации и полифункциональные соединения, образующие при полимеризации сетчатую структуру. О. Славина

**2252 П.** Способ печатания на ацетилцеллюлозных и полиамидных волокнах (Procédé de production d'impressions sur fibres d'acétyle-cellulose et de polyamides) [Farbwerke Hoechst A.-G. vormals Meister Lucius & Brünig]. Франц. пат. 1093894, 10.05.55 [Bull. Inst. text. France, 1955, № 56, 164 (франц.)]

Равномерную печать с хорошей прочностью на указанных волокнах получают с помощью диазосоединений, образуемых из оксидиалкиламинов (напр., диэтанолamina, метилэтанолamina) и диметиламида или диэтиламидов диазотируемой 1-амино-2-метоксибензол-5-сульфокислоты совместно с азосоединениями, обычно применяемыми для получения ледяных красителей. Проявление азокрасителя производят нейтр. запариванием с последующей обработкой к-той. О. Славина

**2253 П.** Огнестойкая и водостойкая ткань. Цуда (Fire- and water-resistant cloth. Tsuda Tsuneo). Япон. пат. 5400, 19.10.53 [Chem. Abstrs, 1954, 48, № 22, 14236 (англ.)]

На ткань наносят смесь кристаллич. остатков, полученных от экстракции ДДТ (содержание Cl 51%), хлорированных парафинов и  $Sb_2O_3$  (в соотношении 20 : 30 : 10) с  $CCl_4$ . Ткань теряет способность к горению благодаря выделению невоспламеняющегося газа  $SbOCl$ , образующегося при взаимодействии HCl, выделяемого ДДТ, с парафином и  $Sb_2O_3$  при повышенных т-рах. Г. Марголина

**2254 П.** Способ обработки текстильных материалов. Близ, Крук, Марш (Procédé de traitement de produits textiles et produits résultant de la mise en oeuvre de ce procédé. Blease Ronald A., Crook Alan, Marsch John T.). [Tootal Broadhurst Lee Co. Ltd]. Франц. пат. 1070512, 28.07.54 [Teintex, 1955, 20, № 4, 313 (франц.)]

Ткань из регенерированной целлюлозы обрабатывают водн. р-ром продукта неполной конденсации аминоальдегидной смолы (напр., мочевиноформальдегидной или меламиноформальдегидной), содержащим также аммиак, способный выделять к-ту (напр., соль аммония или амина с минер. к-той). Пропитанную ткань нагревают 3—5 мин. при 160—180° для конденсации смолы, а затем нагревают в атмосфере, содержащей не менее 20% перегретого водяного пара. Последняя операция повышает прочность волокна к трению. С. Савина

**2255 П.** Способ обработки текстильных изделий из ацетилцеллюлозы (Procédé de traitement des articles textiles en acétate de cellulose) [Soc. Rhodiaceta]. Франц. пат. 1091025, 6.04.55 [Bull. Inst. text. France, 1955, № 56, 174 (франц.)]

Для устранения матирования и сохранения блеска изделий из ацетилцеллюлозы во время водн. обработки при повышенной обработке ведут в присутствии щавелевой к-ты в кол-ве 0,5—10 г/л (обычно 1—2 г/л) при т-ре 85—105°. О. Славина

**2256 П.** Получение утяжеленных текстильных волокон. Каньяссо (Fibres textiles chargées et leur fabrication. Cagnasso A.). Франц. пат.

1092548, 21.04.55 [Bull. Inst. text. France, 1955, № 56, 171 (франц.)]

Текстильные материалы для придания им износостойкости обрабатывают теплым водн. колл. р-ром одного или нескольких минер. в-в, поверхностноактивного в-ва и р-ром или суспензией силиката (напр., силиката натрия), к которой может быть добавлено небольшое кол-во искусств. смолы. Напр., состав может содержать в необходимых соотношениях: колл. слюду, колл. агбест, водн. эмульсию поливинилхлорида, мочевиноформальдегидную смолу, силикат натрия и окись этилена, конденсированную с сульфированным лауриловым спиртом. Материал обрабатывают в ванне, содержащей 10% этого состава и 90% воды при 35—40°, затем сушат при т-ре 80—150°, в зависимости от природы волокна. О. Славина

**2257 П.** Способ обработки текстильных материалов. Аккави (Procédé de traitement des textiles et tissus obtenus par ce procédé ou procédé similaire. Akkawi Sony-Jean). Франц. пат. 1093238, 2.05.55 [Teintex, 1955, 20, № 12, 993 (франц.)]

Обработка текстильных материалов, особенно из полиамидных волокон, состоит, в основном, из следующих операций: а) набухания в ванне, содержащей продукт конденсации окиси этилена с алкилфенолом или фенолом; б) расклихивки, которая может быть осуществлена в указанной ванне; в) матирования мочевиноформальдегидной или виниловой смолой, укислой к-той или сульфатом Al, которое также может быть осуществлено в ванне для набухания; г) фиксирования при ~120°; д) крашения при 80—85°. О. Славина

**2258 П.** Способ ornamentации ворсовых тканей и получаемые при этом новые изделия (Procédé d'ornementation de tissu à poil et produit nouveau en résultant) [Manufactures de Velours et Peluches J. B. Martin et Cie]. Франц. пат. 1078208, 16.11.54 [Teintex, 1955, 20, № 6, 499 (франц.)]

Ткань в местах, на которые должен приклеиваться ворс, покрывают клеем в-вом, после чего ворс наносят электростатич. методом. Расстояние между тканью и электродами, несущими ворс, подбирается таким образом, чтобы обеспечить вертикальную (по отношению к поверхности ткани) ориентировку ворсинок до их приклеивания. Л. Белевский

**2259 П.** Способ обработки изделий с негладкой поверхностью (Procédé de traitement d'articles à surface étendue) [A.-G. Cilander]. Франц. пат. 1080786, 13.12.54 [Teintex, 1955, 20, № 8, 635 (франц.)]

Тканям из полиамидных, полиакрилонитриловых, поливиниловых или полиэфирных волокон придают постоянный эффект гофрирования, крепирования и т. д. и изменяют их внешний вид путем изменения преломляющей способности поверхности этих изделий. Для этого деформируют поверхность обрабатываемого изделия и изменяют ее в процессе какой-либо операции (по меньшей мере на отдельных участках изделия) посредством твердых, жидких или газообразных в-в, таких как р-рители или в-ва, вызывающие набухание синтетич. полимеров, из которых изготовлены изделия. Для полиамидных тканей, напр., такая обработка производится р-ром серной к-ты (20—60° Bé) при т-ре от —30 до +80°, а для полиакрилонитриловых тканей — р-ром азотной к-ты (35—44° Bé) при т-ре от —20 до +60°. Д. Кантер

**2260 П.** Способ пропитки тканей, сообщающий волокнам бактерицидные и инсектицидные свойства. Пихльмайер (Nouveaux procédés permettant de réaliser l'impregnation des tissus dans le but de les parfumer et de leur donner des propriétés bactéricides et insecticides et nouveaux produits en résultant. Pichlmayer H.). Франц. пат. 1084060, 17.01.55 [Teintex, 1955, 20, № 7, 587 (франц.)]

К дисперсиям смол, обычно применяемых для пропитки тканей, напр. поливинилацетата, добавляются следующие в-ва: а) не растворимый в воде пластификатор (типа дибутилфталата, бензилбутилфталата или диметилгликольфталата) и трикрезилфосфат или дибутилфосфат; б) одно или несколько в-в, растворенных в пластификаторе и представляющих собой бактерицидные или инсектицидные средства; в) иногда метилцеллюлоза.

С. Савина  
**2261 П.** Устойчивые к плесени текстильные изделия и процесс их изготовления. Уэйк (Mildew resistant textile products and processes for preparing them. Weick Arthur C.) [Pacific Mills.]. Пат. США 2698263, 28.12.54

Предлагается устойчивая к плесени текстильная ткань, предназначенная для изготовления подкладки для обуви; она не токсична при соприкосновении с кожей. Ткань пропитывают масляным р-ром 8-оксифинолина С<sub>11</sub>, мылуют, промывают и пропитывают молочнокислым фенилмеркуртриэтаноламмонием.

К. Бокарев

**2262 П.** Усовершенствование способа устранения раздергивания нитей обрезанных краев ткани, например при вырезывании образов (Perfectionnements apportés aux moyens pour empêcher les coupes de tissu, telles que les échantillons, de s'effiloche) [Vente des Tissus Chotard]. Франц. пат. 1075618, 19.10.54 [Teintex, 1955, 20, № 5, 399 (франц.)]

На края ткани наносят пульверизацией в-ва, фиксирующие отдельные нити, затем быстро сушат. Применяют р-ры полиакриловой или метакриловой к-ты, их эфиров или нитрилов в органич. р-рителях, напр. этил- или бутилацетате, толуоле или ксилолах.

О. Славина

**2263 П.** Водная устойчивая эмульсия (типа масло в воде) связующих веществ, ее получение и применение (Emulsion aqueuse stable de liants, du type huile-dans-eau, sa préparation et son emploi) [Ciba A.-G.]. Франц. пат. 1095071, 26.05.55 [Teintex, 1955, 20, № 12, 1009 (франц.)]

Указанная эмульсия, применяемая в качестве связующего в крашении и печатании текстильных материалов пигментами, состоит из следующих компонентов: 1) внутренней фазы, представляющей собой эластомер, напр. натуральный каучук; 2) второй внутренней фазы из термореактивного, маслорастворимого аминокласта, напр. продукта конденсации аминокислоты, меланина, бензогуанидина или мочевины с СН<sub>2</sub>O; эту смолу модифицируют спиртом, который практически не смешивается с водой, напр. бутанолом; 3) внешней водн. фазы, содержащей: а) растворенный казеин, получаемый осаждением обезжиренного молока к-той, б) иногда растворимый карбамид, производящий гидро-тропное действие, и (или) окись этилена для придания казеиновому р-ру устойчивости по отношению к СН<sub>2</sub>O и в) иногда различные добавки, напр. красители, пигменты, утяжелители, пластификаторы, смягчители, вулканизирующие, отверждающие и (или) гидрофобные в-ва.

О. Славина

**2264 П.** Способ получения растворимых в холодной воде, устойчивых к соли и щелочам продуктов из муки плодов розкового дерева (Verfahren zur Herstellung eines kaltwasserlöslichen, salz- und alkalibeständigen Produktes aus Johanniskernmehl) [Diamalt A.-G.]. Швейц. пат. 297405, 1.06.54 [Chem. Zbl., 1955, 126, № 2, 460 (нем.)]

Для получения загустителя для печатания и шпикования природных и искусств. волокон муку этерифицируют галоидуксусной к-той (напр., СН<sub>2</sub>ClCOOH) или ее солью в присутствии воды, водорастворимого, препятствующего набуханию органич. р-рителя (напр., спирта или ацетона), и щелочи.

О. Славина

**2265 П.** Заменители глицерина, применяемые при крашении и печатании. Герстнер (Glyzerinersatzprodukt für die Färberei und Druckerei. Gerstner Herbert). Пат. ФРГ 911724, 17.05.54 [Textil-Praxis, 1954, 9, № 12, 1198 (нем.)]

В качестве указанных заменителей применяют производные тиомочевины, имеющие не менее одной RОН-группы (R — замещ. или незамещ. углеводородный остаток с 2—4 атомами С), или соединения, способные превращаться в указанные тиомочевины. Б. Шемякин

**2266 П.** Непылящие производные крахмала (Free-flowing starch derivative) [National Starch Products, Inc.]. Англ. пат. 717901, 3.11.54 [J. Text. Inst., 1955, 46, № 4, A262 (англ.)]

Непылящие в сухом состоянии и устойчивые к смачиванию водой производные крахмала получают обработкой крахмала в щел. среде замещ. циклич. ангидридом дикарбоновой к-ты (напр., янтарной или глутаровой) с последующей обработкой полученного моноэфира крахмала соединением поливалентного металла (напр., солью Al, Fe, Ca, Sr или Ba). Новый продукт получается в виде гранул и применяется как матирующее средство для ацетилцеллюлозы (добавление его в прядильный р-р), а также в качестве водоупорной шпикты и отделки.

З. Панфилова

**2267 П.** Матирующее средство для искусственных волокон (Agent de matage pour fibres artificielles) [Deutsche Gold- und Silber-Scheideanstalt vormals Roessler]. Франц. пат. 1091954, 18.04.55 [Teintex, 1955, 20, № 12, 1009 (франц.)]

Новое матирующее средство, преимущественно, для поверхностного матирования, состоит из водн. суспензии окислов металлов, напр. диоксида титана, глинозема или окиси циркония, полученных гидролизом в газообразной фазе соответствующих летучих галоидных соединений. Эти окислы получают в форме аэрозолей и выделяют в форме аэрогелей. Частицы этих окислов в водн. суспензии имеют размеры < 100 мк. Водн. суспензии их устойчивы и частицы фиксируются волокном без добавления вспомогательных веществ.

О. Славина

**2268 П.** Водные дисперсии N-алкоксиметилполиамидов и их применение (Aqueous dispersions of N-alkoxymethyl polyamides and their application) [E. Du Pont de Nemours & Co.]. Англ. пат. 722774, 723952, 26.01.55 [J. Soc. Dyers and Colourists, 1955, 71, № 5, 256 (англ.)]

Водные дисперсии N-алкоксиметилгексаметиленди-полиамидов получают с помощью солей азотсодержащего основания и к-ты с константой диссоциации для первого (или единственного) атома Н > 10<sup>-8</sup> при 25° и с т. разл. < 170° (напр., цитрата аммония). Продукты отверждаются при нагревании и используются в текстильной промышленности.

А. Дабагова

См. также: Исслед. хлопкового волокна 2678; шелка 1125. Изучение процесса мерсизации 1163. Обработка сточных вод шерстомоек 1851.

## ВЗРЫВЧАТЫЕ ВЕЩЕСТВА. ПИРОТЕХНИЧЕСКИЕ СОСТАВЫ. СРЕДСТВА ХИМИЧЕСКОЙ ЗАЩИТЫ

Редактор М. С. Фишбейн

**2269.** Теория детонации твердых взрывчатых веществ. Швейкерт (Theorie der Detonation fester Sprengstoffe. Schweikert Gustav), Explosivstoffe, 1955, 3, № 12, 197—200; 1956, 4, № 1, 10—14 (нем.)

Теоретическое исследование процесса детонации твердых взрывчатых в-в с точки зрения ранее разра-



ботанной автором молекулярно-кинетич. теории горения колл. порохов. Приведены ур-ния, позволяющие рассчитать т-ру, скорость и давление детонации, а также величины, характеризующие на примере пикриновой к-ты состояние продуктов взрыва позади реакционной зоны. М. Фишбейн

2270. Изучение взрываемости гидроперекиси кумола. Ле-Ру (Aptitude à l'explosion de l'hydroperoxyde de cumène. Le Roux Albert), Mém. poudres, 1955, 37, 49—58 (франц.)

Показано, что во время нагревания гидроперекиси кумола при пониженном давлении происходит дистилляция продуктов разложения по мере их выделения и эта р-ция никогда не переходит в детонацию. При нагревании 20 г 86%-ной гидроперекиси в калориметрич. бомбе при начальном давл. в 2 мм, погруженной в масляную баню, нагретую до 190° в течение 20 мин., произошло частичное разложение, в результате которого образовались в основном ацетон, диметилфенилкарбинол и тяжелый остаток, а также газообразные продукты, содержащие CO, CO<sub>2</sub>, этиленовые углеводороды, H<sub>2</sub> и CH<sub>4</sub> при полном отсутствии кислорода. М. Фишбейн

2271. Взрывчатые вещества, изготавливаемые в Болгарии и применяемые для работ в шахтах, карьерах и в строительстве. Жечева, Бырлев (Взрывн. вещества, произведени у нас и употребявани в мините, кариерите и строителството. Жечева Димка, Бырлев Александър), Техника промишленост, 1955, 4, № 11, 40—46 (болг.)

Описаны болгарские взрывчатые в-ва, применяемые для открытых работ и для работ в шахтах как опасных, так и неопасных по газу и пыли. Приведены наименования взрывчатых в-в, их состав, работоспособность. Указаны требования, предъявляемые к ним, установленные на основании результатов их практич. испытания. М. Фишбейн

2272. Определение удельной поверхности нитроцеллюлозы. Ронсен (Mesure de la surface spécifique des nitrocelluloses. Ronssin Stanislas), Mém. poudres, 1955, 37, 85—96 (франц.)

Доказана возможность применения метода и несколько измененного аппарата Ригдена, обычно используемого для измерения уд. поверхности порошкообразных в-в, для определения уд. поверхности нитроцеллюлозы. Метод позволяет классифицировать нитроцеллюлозы по величине их уд. поверхности и контролировать процесс их измельчения. М. Фишбейн

2273. Взрывные свойства трех ароматических нитро-соединений. Медар (Propriétés explosives de trois dérivés nitrés aromatiques. Médard Louis), Mém. poudres, 1955, 37, 25—34 (франц.)

Определялись взрывные свойства (уд. работоспособность, чувствительность к инициирующему импульсу, чувствительность к удару, скорость детонации и др.): гексанитродифениламина (гексила), тринитрорезорцина и тринитрофенетол. Кроме того, исследовалась сенсibilизация тротила гексилом и физиологич. действие гексила, чувствительность к удару тринитрорезорцината в зависимости от степени его чистоты и свойства смесей тринитрофенетол с гексеном и нитратом аммония. М. Фишбейн

2274. Изучение термической стойкости пентрита. Метод определения периода индукции взрыва. Шамгар, Гродзинский (Étude de la résistance au chauffage des pentrites par la méthode des périodes d'induction de l'explosion. Shamgar A., Grodzinski J.), Mém. poudres, 1955, 37, 111—119 (франц.)

Описан хорошо воспроизводимый метод определения периода индукции взрыва в запаянных ампулах с точки зрения пригодности его для исследования термич. стойкости пентрита. Показано, что предлагаемый метод пригоден для этой цели, так как полученные резуль-

таты находятся в полном соответствии со степенью чистоты этого взрывчатого в-ва. Способ стабилизации пентрита в кислой среде позволяет получить очень стойкий продукт по этой пробе. М. Фишбейн

2275. Перекристаллизация пентрита для применения его при изготовлении детонационных шнуров. Траншан (Recristallisation de la pentrite pour cordons détonants. Tranchant Jean), Mém. poudres, 1955, 37, 121—126 (франц.)

В однолитровом стакане, снабженном мешалкой, делающей 400—500 об/мин., суспендируют 60 г сырого пентрита в 400 мл воды, содержащей 0,1% эмульгатора (эмульфора СО10), после чего приливают 100 мл нитрометана и нагревают при перемешивании до полного растворения в нем пентрита. Добавив затем 8 г сульфата натрия, отгоняют азеотропную смесь нитрометана с водой, отфильтровывают и промывают осадок. Пентрит получается с хорошим выходом в виде игольчатых кристаллов гексагональной формы. М. Фишбейн

2276. Способы получения и свойства гексена. Майер (Über Hexogen, seine Fabrikationsmethoden und Eigenschaften. Mayer J.), Explosivstoffe, 1954, № 7/8, 83—85 (нем.)

Обзор. М. Ф.

2277. Производство тетрила. Часть I. Способ получения динитрометиланилина. Иессуар, Пьерцель, Бюрле (Étude sur la préparation du tétryl. I. e part. Préparation de la dinitrométhylaniline. Issoire Jean, Pfertzel Roger, Bulet Germaine), Mém. poudres, 1955, 37, 7—18 (франц.)

Описан промышленный способ получения динитрометиланилина — промежуточного продукта в произ-ве тетрила путем конденсации динитрохлорбензола с монометиламином в водн. среде с выходом 99% по отношению к динитрохлорбензолу. В приложении дан метод определения содержания органич. хлора в динитрометиланилине и динитрохлорбензоле. М. Фишбейн

2278. Изучение свойств циклотриметилтринитро-амина. Медар, Дютур (Étude des propriétés de la cyclo-triméthylène-trinitrosamine. Médard Louis, Dutour Maurice), Mém. poudres, 1955, 37, 19—24 (франц.)

Определялись физ. и взрывные свойства (насыпная плотность и плотность при прессовании, чувствительность к инициирующему импульсу, чувствительность к удару, удельная работоспособность, скорость и расстояние передачи детонации), т-ра плавления смесей с тринитротолуолом, а также влияние на его стойкость металлов, пикриновой к-ты, т-ры (разложение во время медленного нагревания от 105 до 170°, взрыв при быстром нагревании от 110 до 300°). Показано, что циклотриметилтринитроамин представляет собой недорогое мощное бризантное взрывчатое в-во со скоростью детонации 7800 м/с, обладающее малой чувствительностью к удару. Недостаток его — высокая чувствительность к действию к-т. М. Фишбейн

2279. Измельчение пироксилина. Улучшение техники измельчения и сравнительное исследование аппаратов, применяемых для этой цели. Гризон, Кешон (Le pilage du coton-poudre. Amélioration des techniques de pilage et comparaison des appareils de pilage. Grison Emmanuel, Quinchon Jean), Mém. poudres, 1955, 37, 59—84 (франц.)

Исследовалась пригодность различных размольных аппаратов, применяемых в бумажной пром-сти, для измельчения пироксилина. Показано, что частичный распад молекул, происходящий во время стабилизации его при высокой т-ре (120°), значительно облегчает его измельчение. Применяя же наиболее рациональные аппараты, можно уменьшить расход энергии на 200 кг/т. М. Фишбейн

**2280 П.** Пластический, не слеживающийся взрывчатый состав и способ его изготовления. Кистяковский, Уэйтман, Мак-Дугалл, Айстер (Plastic nonhardening explosive composition and method of forming same. Kistiakowsky George B., Weltman Clarence A., MacDougall Duncan P., Eyster Eugene H.) [Government of the United States, as represented by the Secretary of War]. Канад. пат. 509950, 8.02.55

Указанный состав содержит 80—95% циклонита и 5—20% высокополимеризованного масла, в частности рапсового, спермацетового, или петролатума, подвергнутых действию тихого разряда (вольтовые масла).

**2281 П.** Получение гелей из горючих жидких углеводородов с применением ланостерола. Ватерродт (Gel formation by use of lanosterol. Vaterrodt Peter) [Botany Mills, Inc.]. Пат. США 2799782, 4.10.55

Для превращения жидких горючих в гели типа напалма, пригодные для снаряжения им зажигательных бомб, какие-либо предельные углеводороды (гексан, гептан, октан), ароматич. углеводороды (бензол), нефть или продукты ее переработки (газолин) нагревают с 8—15% ланостерола. В зависимости от кол-ва взятого ланостерола получают продукты различной консистенции.

**2282 П.** Способ стабилизации нитроцеллюлозы. Вальтер, Хехлер (Verfahren zum Stabilisieren von Nitrocellulose. Walter Paul, Hechler Georg) [Dynamit-A-G. vormals Alfred Nobel & Co.]. Пат. ФРГ 929176, 20.06.55

Нитроцеллюлозу с содержанием N 13,25% подвергают варке под давл. 0,5 ат в воде в присутствии 0,1% какого-либо смачивающего в-ва, в частности высокомолекулярных продуктов конденсации окисей этиленовых углеводородов или жирных к-т с продуктами расщепления белков.

**2283 П.** Патроны взрывчатых веществ с оболочкой и способ их изготовления. Орт, Дильс (Mantelpatrone und Verfahren zu ihrer Herstellung. Orth Hermann, Diels Albert) [Poudreries Réunies de Belgique, Soc. An.]. Пат. ФРГ 915551, 31.01.55

Пламягасящие материалы, как напр.  $\text{NaHCO}_3$ ,  $\text{Ca(OH)}_2$ ,  $\text{NaCl}$  или их смеси с бентонитом или пластик. глиной, употребляют для прессования и получения затвердевшей оболочки, которая заполняется порошкообразным или пластик. взрывчатым в-вом. Полученные патроны покрывают слоем каких-либо водоотталкивающих в-в, как, напр., парафина, ацетилцеллюлозы, поливинилхлорида и многократно обертывают бумагой, что предохраняет их от повреждений во время хранения.

**2284 П.** Электрокапсюль-детонатор с приспособлением, защищающим его от взрыва, вызываемого случайно прошедшим через него электрическим током. Вереиде, Платоу (Gegen unbeabsichtigte, durch elektrische Ströme verursachte Explosionen gesicherte, elektrische Spreng kapsel. Wereide Thorstein, Plato Eilif) [Imperial Chemical Industries Ltd.]. Швейц. пат. 297846, 16.06.54 [Chem. Zbl., 1955, 126, № 22, 5224 (нем.)]

Для защиты капсюля-детонатора от действия атмосферных разрядов обматывают провод, подводящий к нему электрич. ток, металл. фольгой. Эту обмотку изолируют от провода и присоединяют к металл. гильзе, создавая таким образом нечто вроде «Фарадовой клетки».

М. Фишбейн

## ЛЕКАРСТВЕННЫЕ ВЕЩЕСТВА. ВИТАМИНЫ. АНТИБИОТИКИ

**2285.** Силиконы в химической и фармацевтической промышленности. Диксит (Silicones in chemical and pharmaceutical industries. Dixit G. K.) Indian J. Pharmacy, 1955, 17, №6, 116—120 (англ.)

Своеобразные свойства жидких силиконов (I) — устойчивость к  $\text{Cl}$ ,  $\text{HNO}_3$ ,  $\text{HCl}$ ,  $\text{NaCl}$ ,  $\text{SO}_2$  и 30%-ной  $\text{H}_2\text{SO}_4$ , широкие пределы вязкости от 0,65 до 1 000 000 сст при 20°, отсутствие изменения вязкости после соприкосновения с Fe, латунию, прилоями, Pb и Al при 160° в течение 96 час., хорошие диэлектрич. свойства и т. п. не только позволяют внедрить их в хим. пром-сть, но вызывают все больший интерес к ним в фармакологии, физиологии и клинич. медицине. I следует заменять по возможности минер. масла, разрушающие витамины A, D, E и K, разлагающиеся в легких и вызывающие фиброзы, хронич. пнеймониты и действующие как слабительные средства. Микроскопич. исследования тканей сердца, легких, селезенки, почек, надпочечников, желудка и кишечника подопытных крыс показали отсутствие патологич. изменений при пероральном применении I, которые проходят через кишечный тракт неизмененными и не поглощаемыми. Подкожные и внутривенные инъекции I, кроме гексаметилдискосилана, не показали нежелательных явлений. I обволакивают тонкой пленкой кровяные тельца, причем не препятствуют обмену  $\text{O}_2$  и  $\text{CO}_2$ . Наружное применение I не вызывает раздражения у крыс; при лечении ожогов I защищают от доступа  $\text{O}_2$ , предохраняют от ожогов при УФ-облучении, не задерживая УФ-лучей. Будучи хим. инертными, I не являются терапевтич. в-вами и поэтому могут применяться в случаях, когда противопоказано применение животных жиров, растительных масел, углеводородов, спиртов и пр. I могли бы сообщать протрагирующие свойства антибиотикам, гормонам и т. п. I, обладающие противонепыстным действием, применяют для лечения рогатого скота: при вздутиях, наблюдающихся после неумеренного поедания корма, содержащего сапонины. Смазывающее действие и термич. устойчивость I позволяют успешно применять их для смазывания и стерилизации шприцев и хирургич. инструментов, избегая внесения инфекции при смазывании другими, нетермостойкими веществами.

Ю. Вендельштейн

**2286.** Получение хлоргидрата котарнина из отходов при приготовлении настоек и экстракта опия. Георгну, Ионеску-Матиу, Зотта (Obținerea clorhidratului de cotarnină prin utilizarea deșeurilor de la prepararea tincturilor și extractului de opiu. Gheorghiu A., Ionescu-Matiu Elena, Zotta V.) Farmacia (Român.), 1956, 4, № 1, 43—47 (рум.; рез. русс., франц.)

Из отходов при приготовлении настоек и экстракта опия был получен и очищен наркотин (выход 90%), при окислении которого был выделен котарнин (выход 83—85%) и его хлоргидрат (выход 78%). Константы выделенных в-в отвечают указанным в литературе. Стоимость полученного хлоргидрата котарнина в 10 раз меньше импортного. Технологич. лабор. процесс осуществлен в обычной аппаратуре, с применением доступных р-рителей, которые могут быть регенерированы.

Н. Медыховская

**2287.** Никотиновая кислота и ее соединения. Тейбер (Die Nicotinsäure und ihre Verbindungen. Teuber Wolfgang, Seifen-Öle-Fette-Wachse, 1956, 82, № 2, 33—35 (нем.; рез. франц., англ., исп.)

**2288.** О получении биологически активных лекарственных веществ и кормовых продуктов из лесных отходов. Солодкий Ф. Т., Тр. Ленингр. лесотехн. акад., 1955, № 72, 135—144

2289. Настойки, приготовляемые на лекарственном растительном сырье, содержащем сапонины. Станциу, Брэильяну, Исбэшеску (Tincturi din droguri cu saponine. Staniciu N., Brăileanu C., Ișbășescu C.), Farmacia, 1955, 3, № 3, 35—42 (рум.; рез. русс., франц.)

Местное лекарственное растительное сырье, содержащее сапонины, может с успехом заменить импортное. При приготовлении настоек лучшие результаты получены при извлечении 60° спиртом. Качество полученных настоек устанавливали путем определения гемолитич. показателя. Сапонины, получаемые из гипсофилии, могут быть использованы для приготовления лекарств как для внутреннего, так и наружного применения.

Н. Медыковская  
2290. Устойчивость кристаллического и аморфного пенициллина при различной температуре. Климов А. Н., Жукова Е. Н., Аптеч. дело, 1955, 4, № 2, 27—31

Исследовалась термостабильность отечественных препаратов кристаллич. I и аморфного I (пенициллин-I), хранившихся в течение двух лет в различных температурных условиях. Активность препаратов определялась алкалометрич., йодометрич., колориметрич. и биологич. методами. Кристаллич. Na-соль II (бензилпенициллин-II), хранившаяся 2 года при 0 и 20°, полностью сохраняет первоначальную активность. Хранение при 37 и 60° снижает активность препарата на 7 и 11%, соответственно. Активность кристаллич. новокаиновой соли II (хранение при 37°) и Al-соли II (хранение при 60°) за 2 года не изменилась. Na-соли аморфного I инактивируются уже при 0°; за 4—5 месяцев хранения при 37°, или одного месяца при 60°, разрушается около половины кол-ва I (первоначальная активность 1000—1200 ед/мг). Скорость инактивации замедляется при добавлении к Na-соли аморфного I безводн. MgSO<sub>4</sub> и цитрата натрия.

О. Черцов  
2291. Ацетат калия в качестве реактива для получения кристаллической K-соли пенициллина. Ма Юй-чан (用醋酸鉀作爲製備青黴素鉀鹽的結晶反應劑馬譽徵), 藥學學報, Яосюэ сюэбао, Acta pharm. sinica, 1955, 3, № 1, 15—23 (кит.; рез. англ.)

Приведен краткий обзор методов очистки и получения солей пенициллина, причем проведено сравнение методов и обсуждены технич. требования для промышленного произ-ва. Насыщ. р-р ацетата K в спирте был предложен (впервые в 1949 г.) для получения K-пенициллина; при непосредственном осаждении кристаллич. соли из экстрактов в органич. р-рителе получают выход 70%, а при использовании азеотропной перегонки — 90%. Подробно описаны опыты, поставленные для проверки метода и описаны условия для его применения в производстве.

Ю. Вендельштейн  
2292. Лечебное действие растительных масел после термической реакции с металлическим магнием и кальцием. Кубич, Масяк (Spostrzeżenia o działaniu leczniczym olejów roślinnych po reakcji termicznej z metalicznym magnezem i wapniem. Kubicz Józef, Masiać Michał), Acta polon. pharm., 1955, 12, № 1, 17—21 (польск.; рез. русс., англ.)

При нагревании сырого льняного масла с опилками металла Mg возрастает значение йодного числа и содержание Mg в масле; обработанное таким образом масло оказывает сильное влияние на заживление ран. Контакт сырого льняного масла с металлами. Ca при комнатной т-ре повышает содержание Са в масле; обогащенное Са масло эффективно при лечении некоторых форм экземы.

А. Травин  
2293. О применении силиконового масла в качестве противосклеивающего средства при изготовлении таблеток. Мерц (Über die Verwendung von Silikonöl als Gegenklebemittel bei der Herstellung von

Tabletten. Merz Walter), Dtsch. Apoth.-Ztg., 1955, 95, № 52, 1243 (нем.)

Предложена замена применяемых обычно при прессовании таблеток стеаратов и масла какао силиконовым маслом. Напр., при прессовании смеси 10 кг сахарной массы и 20 г силиконового масла не наблюдается «склеивания» сахарной массы и забивания формы. Таблетки легко отходят от пуансона и не имеют постороннего вкуса и запаха.

Ю. Вендельштейн  
2294. Качественный контроль фармацевтических препаратов. Карим (Qualitative control of pharmaceuticals. Karim M. A.), Industr. Recorder, 1955, 4, № 3, 199—200 (англ.)

В начальной стадии произ-ва фармацевтич. препаратов (I) важным является контроль щелочности воды, обусловленной растворимостью стекла, присутствие хлоридов, сульфатов, железа и других в-в в дистилл. воде, pH дистилл. воды, а также стандартизации употребляемых реактивов и аппаратуры. Анализ сырья проводится методами качеств. и колич. анализа. Готовые I анализируют хим., физ.-хим., биологич., бактериологич. методами анализа. Последние два метода при случаях, когда исключено применение двух первых методов. Хим. колич. анализ проводится объемным, весовым, газометрич. и электрометрич. методами. Физ.-хим. анализ включает оптич., рефрактометрич., электрометрич. и колориметрич. методы. Токсичность или фармакологич. действие I на живые организмы проверяется методом биологич. и микробиологич. анализа. Готовый I испытывается на стерильность. Перечислены основы методов анализа и принципы их применения.

В. Иванова  
2295. Применение микрометодов Кофлера при контроле лекарств. II. Определение химических лекарственных веществ, приведенных в списке первого дополнения к Чехословацкой фармакопее первого изд. I. Секера, Крачмар (Použití kořflových mikrometod v kontrole léčiv. II. Identifikace chemických léčiv ofiálních v ČsL I-Dopl. I. Sekera Aleš, Kráčmar Josef), Českosl. farm., 1955, 4, № 5, 232—233 (чеш.; рез. русс., англ.)

У 19 хим. лекарственных в-в, приведенных в списке 1-го дополнения к Чехословацкой фармакопее 1-го издания, были микрометодом Кофлера определены т-ры плавления, величины рефракции и т-ры плавления эвктич. смесей их с другими в-вами. Полученные результаты приведены в 3 таблицах. Часть I, см. РЖХим, 1956, 69735.

В. Уфимцев  
2296. О применении методов хроматографии на бумаге в фармацевтической практике. Науман (Über die Anwendung papierchromatographischer Methoden in der pharmazeutischen Praxis. Nauman H.), Pharmazie, 1955, 10, № 6, 372—379 (нем.)

Обзор работ по применению методов хроматографии на бумаге для идентификации растительных тинктур и экстрактов, галеновых препаратов (репен, глюкозиды горчичных масел), препаратов морфина (дромар, дилаудид и пр.), сульфонамидов, производных барбитуровой к-ты (эйнаркон, нарконумаль, эпиван, ноктал, фанодорм, люминал, веронал), местных анестетиков (новокаин, бутеллин, кокаин, ортоформ, анестезин, пантокаин, фаликаин, холокаин), симпатикомиметиков (симпатол, l-адреналин, суприфен, веритол, l-федрин, перитин, аналоги фенилтиламины, производные фентиазина, кардиазол) и различных комбинаций лекарственных в-в.

Ю. Вендельштейн  
2297. Контроль препаратов полиэлектролитов для парентерального применения с помощью пламенного фотометра. Хершенсон, Смит (Production control of polyelectrolyte parenterals with a flame photometer. Hershenson Harold,



Smith Donald F), J. Amer. Pharmac. Assoc. Scient. Ed., 1955, 44, № 12, 731—735 (англ.)

Описано оборудование для быстрого и точного колич. определения Na, K и Ca в полукристаллич. и жидкостях. определения Mg в р-рах полиэлектrolитов с помощью спектрофотометра Бекмана. Ю. Вендельштейн

2298. Термическая реакция ацетилсалициловой кислоты. Вукчевич-Ковачевич (O termijskoj reakciji acetilsalicilne kiseline. Vukčević-Kovačević V.), Farmac. glasnik, 1954, 10, № 12, 506—512 (хорв.; рез. англ.)

Для контроля чистоты аспирина (I), вместо т-ры плавления, которая зависит от скорости нагревания, предложено применять цветную р-цию с  $\text{FeCl}_3$ , достаточно чувствительную, чтобы обнаружить в I небольшие примеси салициловой к-ты (II). Для идентификации I предложено использовать его термич. разложение: в закрытый пробный прибор, стенки которого предварительно смочены конц.  $\text{H}_2\text{SO}_4$ , вносят 0,01—0,03 г I и нагревают на малом пламени до появления белых паров, затем нагревание прерывают, и возобновляют его по мере надобности, от времени до времени открывают пробку, чтобы дать выход парам уксусной к-ты. На стенках сосуда оседают хорошо образованные кристаллы сублимированной II, которую идентифицируют обычным образом. А. Травин

2299. Способ определения натриевой соли стибглюконовой кислоты. Сунь Чжэнь-ци, Тан Тэн-хань (關於葡萄糖鈉鈣的含量測定. 孫振圻, 湯騰漢), 藥學學報, Яосюэ сюэбао, Acta pharm. sinica, 1955, 3, № 2, 133—136 (кит.; рез. англ.)

Разработан простой и быстрый способ определения Na-соли стибглюконовой к-ты (I). 0,2 г I растворяют в 50 мл воды, прибавляют к 2,5 г KJ в 50 мл 3 н. HCl и оставляют стоять в темноте 30 мин., выделившийся  $\text{I}_2$  титруют 0,1 н. тиосульфатом в присутствии крахмала (1 мл  $\text{Na}_2\text{S}_2\text{O}_3$  эквивалентен 6,088 мг Sb). Образующаяся  $\text{Sb}^{3+}$  дает с избытком KJ ярко-желтое окрашивание р-ра вследствие образования комплексной соли, но это не мешает определению конца титрования. В. Уфимцев

2300. Колориметрическое определение 3-(1-фенилпропил)-4-оксикумарина. Беднарж (Kolometrické stanovení 3-(1'-fenylyl-propyl)-4-oxukumarinu. Bednář Jiří), Českosl. farm., 1956, 5, № 1, 26—27 (чеш.; рез. рус., англ., нем.)

Метод колориметрич. определения 3-(1'-фенилпропил)-4-оксикумарина (маркумар) основан на р-ции его с диазотированным *n*-нитранилином в среде  $\text{CH}_3\text{COONa}$ . Образующийся желтый продукт после подкисления полностью переходит в бензол. Интенсивность окраски бензольного р-ра определяется фотометрически. Метод можно применять для прямого определения маркумара в таблетках. Экстрагирование активного в-ва проводится р-ром  $\text{CH}_3\text{COONa}$ . Н. Медзыховская

2301. Контроль содержания алкалоидов спорыньи. Часть 2. Пём (Die Kontrolle der Mutterkornalkaloide. 2 Teil. Pöhm Maximilian), Csterr. Apoth.-Ztg., 1954, 8, № 46, 712—713 (нем.)

Предложен способ, позволяющий отличать природные алкалоиды (I) спорыньи от их дигидропроизводных (II). Он основан на цветной р-ции I и II с *n*-диметиламинобензальдегидом (III). К р-ру алкалоидов (5—10 мг в 100 мл) прибавляют двойной объем р-ра III (приготовленного по британской фармакопее). II дают с реактивом чистое синее окрашивание; в присутствии примеси I окраска содержит слабые красноватые компоненты. Исследуя окрашенный р-р при помощи спектрофотометра, колориметра или фотометра с подобранными соответствующим образом светофильтрами, можно по величине экстинкции судить о характере присутствующих алкалоидов. Алкалоиды, подвергшиеся более

глубокому восстановлению (с полностью или частично гидрированным изольным циклом), цветной р-ции в описанных условиях не дают. Часть I см. РЖХим, 1955, 41490. А. Травин

2302. Колориметрическое определение кофеина. Грунтова (Kolorimetrické stanovenie kofeínu. Gruntová Zora), Farmácia, 1955, 24, № 5, 140—143 (словац.; рез. рус., нем.)

Точный и достаточно быстрый метод определения кофеина (I) осуществляется следующим образом: I в разб.  $\text{H}_2\text{SO}_4$  обрабатывают избытком фосфорномолибденовой к-ты, выпавший осадок промывают, растворяют в небольшом кол-ве 0,5 н. NaOH, разбавляют водой и в р-ре определяют фосфор колориметрически. Н. Медзыховская

2303. Химические способы определения антибиотиков. II. Колориметрическое определение окситетрациклина. Какэми, Уно, Самэдзима (抗菌性物質の化学的定量法. 第2報. オキシテトラサイクリンの比色定量法. 加見喜一郎, 宇野豊三, 嶋島政義), 藥學雜誌, Якугаку дзасси, J. Pharmac. Soc. Japan, 1955, 75, № 2, 194—196 (япон.; рез. англ.)

Разработан колич. метод определения окситетрациклина (I): смесь 1%-ного р-ра молибдата аммония и р-ра I в уксуснокислом буфере с pH 4 нагревают 15 мин. при 60°, взбалтывают с равным объемом смеси эфира и этилацетата, водн. слой разбавляют до определенного объема и оптически измеряют в трубке 2 см с фильтрами S 50 и S 66 и вычисляют значение  $E_{550} - E_{566}$ . Часть I см. РЖХим, 1956, 62934. Ю. Вендельштейн

2304. Количественная оценка активных веществ смолы подофиллы. Потешилова (Pokus o kvantitativní vyhodnocení obsahových látek resiny podophylli. Potěšilová Helena), Českosl. farm., 1955, 4, № 9, 454—456 (чеш.; рез. рус., англ., нем.)

Используя наличие лактонной группировки в активных в-вах смолы подофиллы, автор исследовал возможность колич. оценки указанных в-в путем измерения кол-ва щелочи, расходуемой на размыкание лактонной цепи, и к-ты, расходуемой на ее замыкание. Ю. Вендельштейн

2305. Выделение лекарственных веществ из суппозиториев и мазей. Крейтцкам (Ueber die Isolierung von Arzneimitteln aus Suppositorien und Salben. Kreutzkamp N.), Dtsch. Apoth.-Ztg., 1955, 95, № 27, 640—642 (нем.)

Для извлечения лекарственных в-в из суппозиториев, последние измельчают, хорошо высушивают в вакуум-экстракторе и обрабатывают сухим  $\text{CH}_2\text{Cl}_2$ . Нерастворимый остаток (неорганич. и органич. соли, сульфамиды) отделяют от р-ра, промывают и после высушивания в вакуум-экстракторе исследуют обычным образом. Р-р упаривают на водяной бане, остаток тщательно высушивают в вакуум-экстракторе и подвергают вакуум-сублимации (см. В. Reichert, Dtsch. Apoth.-Ztg., 1941, 56, 233) при 12 мм и 150—190° (в бане). Сублимат исследуют известными способами. Для выделения лекарственных в-в из мазей рекомендуется адсорбционный метод: 1 г мази растворяют в 10 мл подходящего р-рителя ( $\text{C}_6\text{H}_6$ ,  $\text{CHCl}_3$ , эфир, петролейный эфир) и в течение 30 мин. пропускают через колонку (высота 8,5 см) с 10 г  $\text{Al}_2\text{O}_3$ . Затем, пользуясь тем же р-рителем (5 мл × 5,10 мин. каждый раз), вымывают масляную основу. Адсорбированные на  $\text{Al}_2\text{O}_3$  лекарственные в-ва вымывают подходящим р-рителем (этанол, метанол, вода). Описано применение указанных способов для выделения лекарственных в-в из суппозиториев, содержащих кофеин, фенацетин, пирамидон, основной нитрат висмута, анестезин, салициловую к-ту, мелинал, адалин, и из мазей, содержащих пеллидол, резорцин и йод. А. Травин

**2306 П.** Способ получения 4-моноалкиламиносалициловых и 4-моноалкилоксиалкиламиносалициловых кислот. Гримме, Эмде, Шмиц, Вёльнер (Sätt att framställa 4-monoalkylaminosalicylsyror och 4-monoalkyloxialkylaminosalicylsyror. Grimme W., Emde H., Schmitz H., Wöllner J.) [Rheinpreussen A.-G. für Bergbau und Chemie]. Швед. пат. 147949, 7.12.54

Способ получения указанных к-т отличается тем, что 4-аминосалициловую к-ту вводят в р-цию с незамещ. или замещ. альдегидами (или кетонами), содержащими  $\geq 2$  атомов С, в присутствии воды или подходящего органич. р-рителя; образующееся N-алкилиденовое производное гидрируют в присутствии катализатора, желательно при повышенных т-ре и давлении.

Б. Фабричный

**2307 П.** Способ получения ароматических амидоэфиров, обладающих фармакологическим действием. Наута, Харме (Sätt att framställa aromatiska amidoetrar med farmakologisk verkan. Nauta W. T., Harms A. F.) [N. V. Koninklijke Pharmaceutische Fabriken v/h Brocades-Stheeman & Pharmacia]. Швед. пат. 149283, 22.03.55

Указанные в-ва общей ф-лы  $(R^1)(R^2)CH-O-R^5-N(R^3)(R^4)-HX$ , ( $R^1$  и  $R^2$  — арил или замещ. арил;  $R^3$  и  $R^4$  — алкилы, которые вместе с атомом N могут образовывать гетероцикл. остаток;  $R^5$  — алкилен; X — галогид или другой анион) получают нагреванием соединения общей ф-лы  $[(R^1)(R^2)CH-N(R^3)(R^5-OH)-R^4]x^-$ , желательнее до т-ры, превышающей т-ру плавления взятого в-ва.

Б. Фабричный

**2308 П.** Способ получения коагулирующих кров. эфиров бис-(4-оксикумаринил-3)-уксусной кислоты. Фучик, Прохазка (Sätt att framställa blodkoaguleringshämmande estrar av bis-(4-hydroxikumarinyl-3)-ättiksyra. Fučík K., Procházka Z.) [Špofa, Sp. jené farmaceutické zavodny, n. p.]. Швед. пат. 147948, 7.12.54

Указанные эфиры получают обработкой бис-(4-оксикумаринил-3)-уксусной к-ты дегидратирующим в-вом ( $POCl_3$ ,  $SOCl_2$ ,  $SO_2$  или  $CH_3COOH$ ), не реагирующим в условиях р-ции с оксигруппой, находящейся в положении 4. Получаемый продукт этерифицируют алифатич. или ароматич. спиртом.

Б. Фабричный

**2309 П.** Хлораль-никотинамид и способ его получения. Мейер (Chloral nicotinamide and method for preparing the same. Meyer Arthur) [Fellows Medical Mfg. Co., Inc.]. Пат. США 2721203, 18.10.55

Названное соединение ф-лы  $CH=CH(CO-NH-$

$CHON-CCl_3)-CH=N-CH=CH$  получают нагреванием хлорали с никотинамидом. Н. Медзыховская

**2310 П.** Способ получения фармакологически активных соединений, содержащих одну эфирную группу и две четвертичные аммониевые группы (Sätt att framställa föreningar med farmakologisk verkan innehållande en etergrupp och två kvartära ammoniumgrupper) [H. Morren]. Швед. пат. 147395, 26.10.54

Способ получения указанных в-в общей ф-лы  $((R)_2N(X)R')_2O$  ( $R$  — алкил с 1—3 атомами С;  $R'$  — алкилен с 3—6 атомами С; X — Cl, Br или J) заключается в том, что  $\alpha,\omega$ -алкандиолы, углеродная цепь которых соответствует значению  $R'$ , или их подходящие производные вводят в р-цию с избытком  $\alpha,\omega$ -дигалоидалкана, углеродная цепь которого соответствует значению  $R'$ ; полученный  $\omega$ -галогид- $\omega'$ -оксидиалкильный эфир вводят в р-цию с галоидоводородной к-той; полученный  $\omega,\omega'$ -дигалоиддиалкильный эфир превращают в четвертичное соединение нагреванием с избытком алкамина.

Б. Фабричный

**2311 П.** Метод получения сульфамидов. Клапп, Роблин (Method of preparing sulfonamides. Clapp James W., Roblin Richard O., Jr) [American Cyanamid Co.]. Канад. пат. 509877, 8.02.55

Тиадиазолсульфамиды получают р-цией соответствующих тиадиазолмеркантанов с бромом (I) при 5—25° в присутствии водн. р-ра к-ты, последующей обработкой  $NH_3$  и выделением продукта р-ции. Действием I на 2-(низший)-алкилкарбонилиламино-5-мерканто-1,3,4-тиадиазол при 5—25° в присутствии водн. р-ра низшей алифатич. к-ты и последующей обработкой жидким  $NH_3$  получают 2-(низший)-алкилкарбонилиламино-1,3,4-тиадиазол-5-сульфамид. В частности, патентуется 2-ацетиламино-1,3,4-тиадиазол-5-сульфамид и способ его получения р-цией при 5—25° I с 2-ацетиламино-5-мерканто-1,3,4-тиадиазолом в присутствии водн. р-ра  $CH_3COOH$  и последующей обработкой, как указано выше.

И. Шалавина

**2312 П.** Способ получения производных сульфамидов. Дорн, Дидрих (Verfahren zur Herstellung von Abkömmlingen von Sulfonamiden. Dohrn Max, Diedrich Paul) [Scheering A.-G.]. Пат. ФРГ 907649, 29.03.54 [Chem. Abstrs, 1955, 49, № 11, 7594 (англ.)]

Содержащуюся в ядре  $NH_2$ -группу и радикал  $SO_2NH_2$  аминобензолсульфамида ( $NH_2C_6H_4SO_2NH_2$ ) (I) последовательно ацилируют различными агентами в том же р-ре в присутствии в-в, связывающих HCl, причем в первой стадии для ацилирования  $NH_2$ -группы применяют эфир галоидкарбоновой к-ты (в молярном отношении 1:1). Смешивают 109 г  $ClCOOC_2H_5$  (II) с р-ром 172 г I в 500 мл  $C_2H_5N$ , смесь нагревают 15 мин. при 50°, охлаждают до 20°, прибавляют 79 г  $CH_3COCl$ , нагревают 30 мин. при 50—60°, р-р смешивают с 5-кратным кол-вом воды, подкисляют HCl, осадок растворяют в разб. р-ре соды, р-р фильтруют, подкислением фильтрата осаждают 70—80% чистого 4- $C_2H_5OOC-NH-C_6H_4-SO_2-NHCOCH_3$ . Обработкой I сначала I в пиридине, затем хлорангидридом пирослизевой к-ты получают 4-(карботексинамино)-бензолсульфон-N-2-фуриламид, т. пл. 259°.

Ю. Вендельштейн

**2313 П.** Способ получения 4-(*n*-аминобензолсульфон-амид)-пиримидинов (Process for the production of 4-(*p*-amino-benzenesulphonamido)-pyrimidines) [Nordmarkwerke G. m. b. H.]. Австрал. пат. 163570, 7.07.55

4-(*n*-аминобензолсульфон-амид)-пиримидины получают взаимодействием 4-аминопиримидина с галоидбензолсульфонилем, содержащим в пара-положении к сульфону заместитель, превращаемый в аминогруппу. Р-ция осуществляется в присутствии в-в, связывающих галоидный водород (напр., одного или более диметилалкиламинов общей ф-лы  $(CH_3)_2NR$ , где R — алкил, содержащий 2—4 атомов С).

Ю. Вендельштейн

**2314 П.** Новый эфир и способ его получения (Procédé pour la préparation d'un nouvel éther et nouveau produit ainsi obtenu) [Ciba A.-G.]. Франц. пат. 1090439, 30.03.55 [Prod. pharm., 1955, 10, № 9, 559 (франц.)]

N-метил-триметилкохлициновую к-ту обрабатывают в-вами, способными образовывать метиловые эфиры; разделяют смесь образовавшихся метиловых эфиров, выделяют N-метилизокхлидин, лишенный ацетильной группы и, по желанию, превращают последний в его соли. Р-цию проводят предпочтительно с диазометаном.

Ю. Вендельштейн

**2315 П.** Фентиазины (Phentiazines) [Société des Usines Chimiques Rhone-Poulenc]. Австрал. пат. 163337, 30.06.55

Производные фентиазина, применяемые в терапии, общей ф-лы (I) ( $R$  — H, Cl, Br, метил или метоксиль в положении 6 или 8,  $R'$  — Cl или Br в положении 1 или 3,  $R^2$  — двувалентная, нормальная или разветвлен-

ная алифатич. цепь, содержащая 2—5 атомов С, каждый из  $R^3$  и  $R^4$  — отдельные метильные или этильные группы двувалентных групп, которые с присоединенным атомом N образуют одноядерное насыщ. гетероциклич. кольцо, за исключением таких соединений, в которых одновременно  $R - H$ ,  $R' - Cl$ ,  $R^2 - n$ -пропилен, оба  $R^3$  и  $R^4$  — метил, и таких соединений, в которых одновременно  $R - H$ , а оба  $R^3$  и  $R^4$  — остаток кольца пирролидила или пиперидила) получают конденсацией фен-тиазинов ф-лы I, в которой группа



$R^2R^3R^4$  заменена атомом H, а R и R' имеют вышеуказанные значения с третичным галогенным аминоалкилом (II) общей ф-лы  $R^2R^3R^4$  ( $R^5$  — атом галогена), за исключением конденсации таких фен-тиазинов, в которых одновременно  $R - H$  и  $R' - Cl$ , с II, в которых одновременно  $R^2 - n$ -пропилен и оба  $R^3$  и  $R^4$  — метил, и конденсации фен-тиазинов, в которых  $R - H$ , с II, в которых оба  $R^3$  и  $R^4$  — остатки кольца пирролидила или пиперидила. Ю. Вендельштейн

2316 П. Метод получения гетероциклических сульфамидов. Клапп, Роблин (Method of preparing heterocyclic sulfonamides. Clapp James W., Roblin Richard Q., Jr) [American Cyanamid Co.]. Канад. пат. 509876, 8.02.55

Тиазолсульфамиды получают р-цией соответствующих тиазольдисульфидов с  $Cl_2$  в водн. р-ре алифатич. к-ты (напр., уксусной) с последующей обработкой жидким  $NH_3$  и выделением продукта р-ции. Так, действием  $Cl_2$  на бис-2-алкил(низший)-карбониламино-1,3,4-тиазол-5,5'-дисульфид, в частности бис-2-ацетиламино-1,3,4-тиазол-5,5'-дисульфид, и вышеуказанной последующей обработкой получают 2-алкил(низший)-карбониламино-1,3,4-тиазол-5-сульфамид, в частности 2-ацетиламино-1,3,4-тиазол-5-сульфамид. Патентуется также и вышеуказанный тиазолсульфамид. Н. Шалавина

2317 П. Способ получения соединений с окислительным действием (Process for the preparation of oxidotically active compounds and preparations) [N. V. Amsterdamsche Chininefabriek]. Англ. пат. 718230, 10.11.54

Облагодитель окислительным действием 3-(алкилпиперидил-N-метил)-индолы получают взаимодействием алкилпиперидина с индолом и формальдегидом или нагреванием 3-диметил-или 3-диэтиламиноэтил-индола с алкилпиперидином; указанные соединения можно иметь в виде их солей — хлоридов или малеатов. Напр., 3-(2'-метил-1' пиперидил-N-метил)-индол — Получают прибавлением формальдегида к индолу к  $\alpha$ -пикнолину в среде  $CH_3COOH$ , прибавлением воды и подкислением р-ом  $NH_3$ . Аналогично получают 3'-и 4'-метил-1, 2', 4'-диметил-1, 2', 6'-диметил-1, 2', 4', 6'-триметил-1, 2'-этил-1, 2'-n-пропил-1, 4'-этил-1, и 2'-метил-5'-этил-1. Ю. Вендельштейн

2318 П. Синтез производных сапогенина. Фонтен, Даукс (Synthesis of sapogenin derivatives. Fontaine Thomas D., Doukas Harry M.) [United States of America as represented by the Secretary of Agriculture]. Пат. США 2716116, 23.08.55

Патентуется способ получения  $\Delta^2$ -22-изофугостен-3 $\beta$ , 26-диола взаимодействием в безводн. среде  $\Delta^2$ -22-изопростен-3 $\beta$ -ола с  $LiAlH_4$  в инертном органич. р-ителе, подкисленном HCl. Ю. Вендельштейн

2319 П. Препарат витамина и способ его получения. Элдер (Vitamin preparation and method of making same. Elder John A., Jr) [Merck & Co., Inc.]. Канад. пат. 511003, 15.03.55

Патентуется препарат, состоящий из витамина А или его эфиров, напр., ацетата витамина А, 0,25—1,0% бутилированного оксанизола и 0,1—0,75% одного или нескольких антиоксидантов, напр. пальмитата

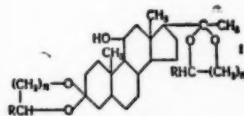
аскорбиновой к-ты, лацитина и токоферола.

Ю. Вендельштейн  
2320 П. Способ получения препаратов витамина. Данмайр (Process for producing vitamin compositions. Dunmire Russell P.) Пат. США 2709149, 24.05.55

Патентуемую стабилизацию безводн. препарата, состоящего из витамина и гидрированного масла, осуществляют колл. измельчением препарата в жидком состоянии, до затвердевания, в инертной атмосфере, подвергая вытекающую в виде тонкой пленки жидкость действию режущих сил. Ю. Вендельштейн

2321 П. 11  $\beta$ -оксипрегнан-3,20-дион-3,20-дикеталь. Магерлейн, Левин (11 $\beta$ -hydroxypregnane-3,20-dione-3,20-diketals. Magerlein Barney J., Levin Robert H.) [The Upjohn Co.]. Канад. пат. 508896, 4.01.55

Патентуются 11  $\beta$ -оксипрегнан-3,20-дион-3,20-дикетали общей ф-лы (I) ( $R - H$  или алкил, содержащий 1—6 (вкл.) атомов С;  $n - 1$  или 2), получаемые действием восстановителя на прегнан-3,11,20-трион-3,20-алкадиол дикеталь, кетальные группы которого являются остатками алкан-1,2-диолов или алкан-1,3-диолов, содержащих 2—8 (вкл.) атомов С, в присутствии неакционноспособного в условиях р-ции органич. р-рителя, при  $t$ -ре от 0° до  $t$ -ры кипения реакционной смеси, причем образуется 11  $\beta$ -оксипрегнан-3,20-дион-3,20-алкадиол дикеталь. Взаимодействием прегнан-3,11,20-триона с этиленгликолем в присутствии кислотного катализатора получают прегнан-3,11,20-трион-3,20-этиленгликоль дикеталь, последующей р-цией последнего с  $LiAlH_4$  в среде вышеуказанного органич. р-рителя получают 11 $\beta$ -оксипрегнан-3,20-дион-3,20-этиленгликоль дикеталь. Патентуется также 11  $\alpha$ -оксипрегнан-3,20-дион-3,20-пропан-1,3-диол дикеталь. Ю. Вендельштейн



2322 П. Эфиры стероидов и  $\beta$ -карбонилкарбоновых кислот. Каммингс, Вогель, Бейдер (Beta-carbonyl carboxylic acid esters of steroids. Cummings Lowell O., Vogel Henry A., Bader Alfred R.) [Pittsburgh Plate Glass Co.]. Пат. США 2693476, 2.11.54

Патентуются эфиры стерола с ацетоксусной, бензоилуксусной, ацетондихлоромовой и ацетилянтарной кислотой. Ю. Вендельштейн

2323 П. Сульфоксиды стероидов. Дьерасси, Розенкранц, Ромо (Steroid sulfoxides. Djerassi Carl, Rosenkranz George, Romo Jesus) [Syntex Soc. An.]. Пат. США 2698854, 4.01.55

Патентуются 3-аралкилсульфоксиды ряда  $\Delta^2$ -прегнена, 3-аралкилсульфоксиды ряда  $\Delta^2$ -андростена, 16-аралкилсульфоксиды ряда прегнана и 3,16-диаралкилсульфоксиды ряда  $\Delta^2$ -прегнена. Ю. Вендельштейн

2324 П. Получение солей сульфата эстра (Preparation of estrane sulphate salts) [Penick & Co., S. B.]. Англ. пат. 697531, 23.09.53

Реакцией гормонов ряда эстра, напр. эстра, эквивалина или эквивалина с в-вом, представляющим соединение  $SO_3$  с третьим аминном, получают в виде крупных гранул бесцветная соль сульфата эстра. Для получения сульфата эстра смешивают в среде предварительно охлажденного и обезвоженного инертного хлорированного углеводорода, содержащего свободный третичный амин, гормон ряда эстра с избытком соединения  $SO_3$  с третьим аминном, не содержащего влаги и кислот в-в. Полученный в виде



гранул продукт р-ции отделяют, разлагают в щел. среде для удаления свободных аминов, выделяют сульфат эстрана и затем очищают его. Полученный продукт может вступать в р-цию с карбонатом щел. металла или с соединением щел.-зем. металла, давая соответственно щел. или щел.-зем. соль сульфата эстрана. Предложено употреблять  $\text{CCl}_4$  как р-ритель и пиридин, пиколин, диметиланилин, N-этилморфолин или триметиламин в качестве свободного третичного амина.

И. Кобзарев

**2325 П.** Адренокортикотропный гормон. Вермерен (Adrenocorticotrophic hormone. Vermeren T. L. M.). Австрал. пат. 163359, 7.06.55

Патентуется препарат адренокортикотропного гормона (I), содержащий в качестве активной составной части продукт р-ции I с растворимым в воде эфиром целлюлозы. Препарат обладает протрагирующим действием.

Ю. Вендельштейн

**2326 П.** Способ получения секретина. Юрнес, Мутт (Förfarande för utvinning av sekretin. Jöres J. E., Mutt V.). Швед. пат. 149314, 22.03.55

Способ получения секретина из свиных кишечных обочек состоит в том, что кишки подвергают экстракции, после чего экстракт обрабатывают синтетич. или природным высокомолекулярным катионообменным материалом, содержащим карбоксильную группу, напр., оксидцеллюлозой или пектином, из которого затем вымывают секретин.

Б. Фабричный

**2327 П.** Способ получения питательных сред для выращивания микроорганизмов, образующих антибиотики, в особенности пенициллина. Гейпен, Бонд (Verfahren zur Herstellung von Nährmedien für die Züchtung von Antibiotica, insbesondere Penicillin bildenden Mikroorganismen. Geyen Clark C., Bond Robert W.). [Corn Products Refining Co.]. Пат. ФРГ 913686, 18.06.54 [Chem. Zbl., 1955, 126, № 3, 644 (нем.)]

Питательную среду для выращивания микроорганизмов, образующих антибиотики, в особенности пенициллина, получают прибавлением к кукурузному экстракту твердой составной части, по крайней мере одной из фракций, получаемых при мокром размоле кукурузы, напр., отходящей воды от концентратора клейковины или шлама из этой воды или ее пены. Приведены колич. соотношения. Применение этой питательной среды увеличивает выходы антибиотиков.

В. Уфимцев

**2328 П.** Соли пенициллина и их получение. Шорт, Бродрик, Дональдсон (Penicillin salts and the manufacture thereof. Short Wallace F., Brodrick Charles I., Donaldson Margaret L.). [Boots Pure Drug Co. Ltd.]. Канад. пат. 510410, 15.03.55

Предложен способ получения соли пенициллина с органич. основанием, обладающим антигистаминным действием, путем р-ции обмена растворимой соли пенициллина с растворимой солью вышеуказанного органич. основания и последующего выделения образовавшейся новой соли. Напр., получают твердую соль пенициллина G и  $\alpha$ -(N-фенил-N-бензиламин)-ацетамидина и соль пенициллина G и 2-(N-фенил-N-бензиламино-метил)-4,5-дигидроглюкокалина. Патентуются также и полученные этим способом вышеуказанные соли.

Ю. Вендельштейн

**2329 П.** Соль пенициллина и эфира лейцина. Хитоми (Salt of penicillin and leucine ester. Hitomi Hiroshi). [Takeda Pharmaceutical Industries Co.]. Япон. пат. 4946, 30.09.53 [Chem. Abstrs, 1955, 49, № 11, 18'5 (англ.)]

Раствор 1110 мг К-соли пенициллина G в 3 мл воды смешивают с р-ром 690 мг  $\text{L}-(\text{CH}_3)_2\text{CHCH}_2\text{CH}(\text{NH}_2\text{HCl})-\text{COOCH}(\text{CH}_3)_2$  в 1 мл ацетона, оставляют стоять в те-

чение 30 мин. при 0° и получают 1650 мг продукта, т. пл. 112—115°, с содержанием 1092 ед/мг.

Ю. Вендельштейн

**2330 П.** Способ получения 1-фенил-2-дигалоидацетиламинопропандиолов-1,3. Коллонич, Габор, Хайош (Förfarande för framställning av 1-fenyl-2-dihälogenen acetamido-1:3-dihydroxiopropaner. Kolonitsch J., Gábor V., Hajós A.). [Chinoi Gyógyszer és Vegyészeti Termékek Gyára r. t.]. Швед. пат. 147945, 7.12.54

Способ получения в-в общей ф-лы  $\text{RC}_6\text{H}_4\text{CH}(\text{OH})\text{CH}(\text{NHCOSn}_2\text{X})\text{CH}_2\text{OH}$ , где R — H, галоид,  $\text{NO}_2$  или  $\text{NH}_2$ -группа, X — галоид, заключается в том, что аминспирты общей ф-лы  $\text{RC}_6\text{H}_4\text{CH}(\text{OH})\text{CH}(\text{NH}_2)\text{CH}_2\text{OH}$  вводят в р-цию с кетомасляной к-той, замещ. в положениях 1 и (или) 3 двумя атомами галоида.

Б. Фабричный

**2331 П.** Способ получения окситетрациклина (Nouveau procédé de préparation de l'oxytétracycline) [Soc. des Usines Chimiques Rhone-Poulenc]. Франц. пат. 1084203, 18.01.55 [Prod. pharm., 1955, 10, № 8, 492 (франц.)]

Для получения путем ферментации окситетрациклина применяют новую разновидность *Streptomyces* S. 942.

Ю. Вендельштейн

**2332 П.** Соли хлортетрациклина (Salts of chlortetracycline) [American Cyanamid Co.]. Австрал. пат. 163794, 14.07.55

Для выделения чистой соли щел. металла хлортетрациклина (I) из содержащего I материала обрабатывают р-р последнего в полярном органич. р-рителе водой при pH 8—10 в присутствии ионов щел. металла для осаждения соответствующей соли I и ее выделения.

Ю. Вендельштейн

**2333 П.** Инсулин (Insulin) [Armour and Co.]. Австрал. пат. 162102, 07.04.55 (англ.)

Инсулин получают экстрагированием панкреатич. железу при pH 2,5—4,0 смесью  $(\text{COOH})_2$  и органич. р-рителя инсулина, совместимого с  $(\text{COOH})_2$ , и выделением инсулина из экстракта.

Ю. Вендельштейн

**2334 П.** Препараты с наркотическим действием и способ их получения. Луэнштейн (Preparation of compounds having a narcotic effect and the products obtained thereby. Lewenstein M. J.). Англ. пат. 713675, 18.08.54 [J. Appl. Chem., 1955, 5, № 4, 1616 (англ.)]

Патентуется препарат, содержащий соль гоматропина и многоосновной к-ты (напр., камфарной, фумаровой, винной, аконитиновой, малоновой, янтарной, фталевой, терефталевой, лимонной, серной, сернистой, фосфорной, фенолдисульф-, бензолтрисульфо-, оксибензолдисульфокислоты) и по меньшей мере одно соединение с наркотич. действием группы морфина, встречающееся в опии, или производное этого соединения, содержащее кольцо морфина и обладающее наркотич. действием (напр., кодеин или его производное с кольцом морфина: дигидрооксикодонин, дигидрокодеинон, дигидрооксиморфинон, дигидроморфинон).—3,15 г дигидрооксикодонина, 2,75 г гоматропина и 1,66 г терефталевой к-ты растворяют в 75 мл теплого метанола, удаляют большую часть р-рителя, остаток выдерживают 24 часа при 0°, сушат и растирают в ступке.

Ю. Вендельштейн

**2335 П.** Способ приготовления мази для обработки ран или для парентеральных инъекций. Уорд, Додд (Sätt att framställa en salva för sårbehandling eller för parenteral injektion. Ward W. C., Dodd M. C.). [The Norwich Pharmacal Co.]. Швед. пат. 149576, 12.04.55

Нитрофуран, обладающий бактерицидным действием, растворяют в безводн. р-рителе, не содержащем ионо-

генных оснований, состоящем в основном из полиэтил-  
ленгликоля с высоким мол. весом. Б. Фабричный

См. также: Общие вопр. 982Бх, 1048Бх. Органич.  
синтет. лек. в-ва 731, 843, 860, 865, 875, 895, 902—904,  
916, 922, 928, 934, 940, 983, 1047, 2098, 2110, 2169;  
5Бх, 91Бх, 129Бх, 986Бх, 1006Бх, 1009Бх, 1030Бх,  
1040Бх, 1055Бх, 1076Бх, 1078Бх. Алкалоиды 1049—  
1053, 1056, 1061, 1062, 1065, 1066; 135Бх, 179Бх,  
490Бх, 492Бх. Глюкозиды 88Бх, 1033Бх, 1036Бх.  
Витамины 1067, 1068; 26Бх, 70Бх, 99Бх, 309Бх, 317Бх,  
327Бх, 378Бх, 403Бх, 474Бх, 482Бх. Гормоны 1039,  
1041—1043, 1045; 30Бх, 55Бх, 79Бх, 161Бх, 162Бх,  
376Бх, 380—382Бх, 385Бх, 402Бх. Антибиотики 1069,  
1070; 17Бх, 426—432Бх, 437Бх. Методы анализа 1249,  
1295

## ФОТОГРАФИЧЕСКИЕ МАТЕРИАЛЫ

Редактор В. С. Чельцов

2336. О сродстве иона серебра к желатине. У м а н о,  
Накамура (銀イオンとゼラチンとの相互作用に  
ついて. 馬野周二, 中村信哉), Япон. хим. общ. журн.,  
Токио, 1954, 17, № 2, 54—59 (япон.; рез. англ.)  
Проводилось потенциометрич. титрование 1%-ных  
р-ров фотографич. желатин 0,02 н.  $\text{AgNO}_3$ . Для раз-  
личных сортов желатин величина потенциала (П)  
изменялась в широком диапазоне, но всегда с повы-  
шением фотографич. активности желатин понижался  
П, т. е. увеличивалось сродство желатин к  $\text{Ag}^+$ .  
Увеличение П с добавлением р-ра  $\text{AgNO}_3$  являлось ха-  
рактеристикой индивидуальной желатин. Величина  
П широко изменялась в зависимости от рН р-ра жел-  
атин. При рН 2—3 все желатин показывали миним.  
сродство к  $\text{Ag}^+$ . Изучалось также влияние желатин на  
проводимость  $\text{Ag}^+$  и  $\text{Cu}^{2+}$ . В первых опытах проводи-  
мость изменялась так же, как изменялся П; в послед-  
них опытах изменения проводимости для различных  
сортов желатин не было получено. Абсорбция не-  
большого кол-ва  $\text{Ag}^+$  желатинной производится за счет  
групп —SH, —NH и —NH<sub>2</sub>, а также за счет допускае-  
мых примесей.

Т. Ткаченко

2337. Восстанавливающие сахара и альдегиды же-  
латин. Штейгман (Aldéhydes et sucres réduc-  
teurs des gélatines. Steigmann Albert),  
Sci. et inds. fotogr., 1956, 27, № 2, 46—48 (франц.)  
Открытие сахаров (С), альдегидов (А) в желатине  
р-ции с резорцином и его производными недостаточно  
точно. Такую же р-цию дают нитриты, образующиеся  
из нитратов при изготовлении желатин. Открытие  
С и А в желатине возможно с помощью р-ра тиобарби-  
туровой к-ты в лед. уксусной к-те и 0,25%-ного р-ра  
хлорида 1,3,5-трифенилметазола в 0,4%-ном р-ре  
NaOH. Этот реактив (ТТАЗ) открывает С, А — про-  
изводные С, глюконовую к-ту, глюкональ, витамин Д,  
α-ацетилбензосилдикетон и гидросульфид натрия. Одна-  
ко последние четыре в-ва в желатине и коллоиде от-  
сутствуют и поэтому не мешают анализу. ТТАЗ не реа-  
гирует с обычными А, полисахаридами, полиглюкоза-  
минами. В статье приведен ряд в-в, дающих с ТТАЗ  
слабую р-цию, и перечислен ряд желатин различного  
происхождения, отличающихся по интенсивности р-ции  
с ТТАЗ. Выказано предположение, что легкая раство-  
римость некоторых сортов коллоиде в к-тах, обычно  
приписываемая отсутствию водородных связей, вызва-  
на отсутствием в них восстанавливающих С, дающих  
поперечные связи, стабилизирующие макромолеку-  
лярное состояние.

Н. Спасокукоцкий

2338. Исследование процесса изготовления эмульсий  
для ионизирующих излучений. Кубал (Studium

der Herstellung von Emulsionen für ionisierende  
Strahlung. Kubal Josef), Чехосл. физ. ж.,  
1955, 5, № 1, 49—56 (нем.; рез. русс.)

Показано, что улучшение регистрации ионизирую-  
щих частиц достигается не увеличением содержания  
 $\text{AgBr}$  в эмульсии, а повышением светочувствительности  
(С) слоя. При исследовании фотохим. влияния жел-  
латин на свойства ядерных эмульсий получено, что  
наилучшая регистрация α-частиц достигается при ис-  
пользовании быстрой активной желатин, худшие  
результаты дает медленная желатин, а инертная не  
дает никаких результатов даже при хим. сенсibiliза-  
ции. Следовательно, в ядерных и нормальных эмуль-  
сиях центры С одинаковы, и в образовании их значи-  
тельную роль играют фотохимически активные компо-  
ненты желатин. Для повышения С ядерных эмульсий  
предлагается интенсивный хим. сенсibilизатор ами-  
нофталгидразид. См. РЖХим, 1956, 41100.

Т. Ткаченко

2339. Фотографическая эмульсия в ее техническом  
развитии до современного качества. — (Die photo-  
graphische Emulsion in technischem Fortschritt zu  
ihrer gegenwärtigen Leistung.—). Photo-Techn. und  
Wirtsch., 1956, 7, № 3, 96—98 (нем.; рез. англ.,  
франц., исп.)

Кратко рассмотрены основные технич. усовершен-  
ствования, обеспечившие достижение высокого каче-  
ства современных фотографич. эмульсий. Отмечена  
наметившаяся в последние годы тенденция максим.  
использования фотографич. возможностей эмульсион-  
ных слоев увеличением продолжительности проявления  
и применением с этой целью спец. проявителей. Для  
обеспечения высокой разрешающей способности и рез-  
кости контуров фотографич. изображения, наряду с  
улучшением эмульсий и выбором условий проявления,  
в современной фототехнологии стремятся к умень-  
шению толщины эмульсионных слоев. С. Бонгард

2340. Ион кадмия — металлический сенсibilизатор  
эмульсий, богатых хлористым серебром. Штейг-  
ман (L'ion cadmium sensibilisateur métallique des  
émulsions riches en chlorure d'argent. Steig-  
mann Albert), Sci. et inds. fotogr., 1956, 27,  
№ 3, 90—91 (франц.)

Присутствие иона  $\text{Cd}^{2+}$  в хлоробромосеребряных эмуль-  
сиях, содержащих меньше 33%  $\text{AgBr}$ , сильно повышает  
их светочувствительность. Это свойство используют  
при произ-ве новых типов мелкозернистых эмульсий  
большой контрастности, применяемых в штриховой  
репродукции. В то же время ионы  $\text{Cd}^{2+}$  действуют десенси-  
билизирующе на обычные бромосеребряные негативные  
эмульсии. Автор предполагает, что сенсibilизирую-  
щее действие  $\text{Cd}^{2+}$  связано с его способностью заменять  
вакантные ионы  $\text{Ag}^+$ , что приводит к уменьшению числа  
центров, конкурирующих за захват электрона.

Н. Спасокукоцкий

2341. Рост кристаллов хлористого серебра, суспенди-  
рованного в растворе поливинилового спирта. О-Я м а,  
Футаки (Croissance des cristaux de chlorure d'argent  
en suspension dans une solution d'alcool polyvinyli-  
que. Oh-Jama Jasushi, Futaki Ki-  
yoshi), Sci. et inds. fotogr., 1956, 27, № 2,  
41—46 (франц.)

При созревании галлоидосеребряных эмульсий в сре-  
де поливинилового спирта (I) диаметр зерен не пре-  
восходит 0,1 м (AgBr) или 0,05 м (AgCl) вследствие силь-  
ной адсорбции I, затрудняющей рост зерен. Однако  
присутствие некоторых в-в, преимущественно органич.,  
содержащих атомы S или N, напр. алкилмеркаптанов,  
тиосульфата, алкиламинов, ускоряет рост зерен. Вели-  
чина зерен галлоидного серебра в I и скорость их роста  
оценивались по мутности, определяющей нефелометри-  
чески или по поглощению света. Мутность увеличи-

вается в присутствии некоторых в-в общей ф-лы:  $R-N-C(=X)-Y$ , где  $X=O$  или  $S$ ;  $Y=-NH_2$ ,  $=NH$ ,  $-CH=CH-$ ,  $-CH_2-CH_2-O-$  или  $-S-$ ;  $R$  — алкил, арил или аралкил, содержащие до 20 атомов  $C$ , полиметилен (в случае дипроизводных) или винил (в случае поливиниловых производных). Исследованы производные гуанидина, пирролидона, пиридола, хинолона и 2-имино-6-метилбензотиазолина. Их активность, определяемая обратной величиной наименьшей конц-ии (в ммоль), вызывающей определенное увеличение мутности, растет с увеличением числа атомов  $C$  радикала  $R$  до  $\approx 16-20$  атомов. Зависимость между активностью и мол. весом внутри каждого ряда выражается ф-лой:  $lg_{10}A=(M/50)-\alpha$ , где  $\alpha$  — постоянная. Эта ф-ла оправдывается в случае этиленгуанидина. При гексаметиленгуанидине приходится брать половинное значение  $M$ , так как он адсорбируется обеими концевыми группами. Применение этой ф-лы к поливинилпирролидону показывает, что он адсорбируется каждой второй или третьей пирролидоновой группой. Для роста зерен галогенного серебра необходимы незначительные конц-ии ускорителей ( $\approx 0,0003$  ммоль, т. е. около 0,00001%) и при оптимальной конц-ии они занимают лишь несколько сотых частей поверхности зерен  $AgCl$ . Амфинокислоты — аргинин и креатин — неактивны, тогда как амид креатина — креатинин — активен. Отсюда следует, что  $COOH$ -группа снижает активность.

**2342. Фенидоновые проявители.** Бер, Левак (Wywolywacze fenidonowe. Beer Janusz, Lewak Stanisław), Fotografia, 1955, 3, № 6, 16 (польск.). Описаны свойства 1-фенил-3-пирозолидона (фенидола), применяемого в качестве проявляющего в-ва. Проводится ряд рецептов проявителей, содержащих это проявляющее вещество.

**2343. Периметрический способ определения проявляющих веществ в фотографическом проявителе, применяемом в кинопроизводстве.** Сасаи, Мидзудава (映画用現像液の主薬のセリメトリに就いて. 笹井明, 水澤伸也.), Япония, Нихон сисин гаккай кайси, J. Soc. Scient. Photogr. Japan, 1954, 17, № 2, 60—64 (япон.; рез. англ.).

Проводится определение проявляющих в-в (ПВ) в фотографич. проявителе титрованием р-ром сульфата церия. Способ включает два различных экстрагирования р-рителем: одно — гидрохинона (I) и другое — I и метола (II). При экстрагировании с амилацетатом ПВ переходит в р-р, при pH 2,0 только I, а при pH 8,4 — II и I. После 20-кратного разбавления экстракта водой производится титрование 0,05 н.  $Ce(SO_4)_2$  с индикатором дифениламино. Ион сульфата, переходящий в экстракт, при pH 2 дезактивируется формалином, после чего титрование доводится до конца. В сравнении с йодометрич. способом периметрич. способ более прост: отсутствует затрата времени на дистилляцию; изменение цвета индикатора очень резкое, так что определение конца титрования не представляет трудности; точность измерения достаточно высока для контроля свойств фотографич. проявителя.

**2344. Быстрый фотографический фиксаж.** Китагава (迅速定着液. 北川卓四郎), NHK 技術研究, NHK 放送局 広報, Techn. J. Japan Broadcast Corp., 1956, № 24, 19—24 (япон.; рез. англ.).

Определялась скорость фиксирования (СФ) р-ром тиосульфата аммония различного состава. Для получения дубящего фиксирующего р-ра добавлялись некоторые хим. в-ва и исследовались фотографич. свойства р-ров в сравнении со свойствами известных фиксажей 5-F и 6-F. СФ предложенным фиксирующим р-ром возрастает на 154% и 105% по сравнению с СФ фиксажа 5-F при фиксировании панхроматич. пленки неопав-SS и позитивной пленки 824A соответственно. В отношении

дубящего действия предложенный фиксаж несколько слабее фиксажа 5-F.

**2345. Эффективный проявитель для электронной микроскопии.** Цутикура (電子線乾板に対する増感現像液. 土倉秀次), 電子顕微鏡, Дэнси камбикэ, Electron Microscopy, 1955, 4, № 1, 41—42 (япон.; рез. англ.). Отмечается, что введение гидразинсульфата в проявитель дает возможность уменьшить продолжительность экспонирования фотопластинок в электронном микроскопе до десятых долей секунды без снижения разрешающей способности фотографич. слои.

**2346. Общие принципы быстрых способов обработки фотографических материалов.** Мархлевский К. И., Ж. науч. и прикл. фотографии и кинематогр., 1956, 1, № 1, 60—62.

Сформулированы и кратко изложены пять общих принципов быстрой обработки фотографич. материалов: 1) повышение т-ры обрабатываемых р-ров; 2) использование спец. обрабатывающих р-ров; 3) ускорение движения р-ров, воды и воздуха относительно поверхности обрабатываемого фотографич. материала; 4) сокращение числа операций обработки; 5) применение спец. фотографич. материалов.

**2347. Возможности сокращения времени экспонирования.** Зомер (Możliwości skracania czasu naświetlania. Sommer Stanisław), Fotografia, 1955, 3, № 8, 6—8 (польск.).

Обсуждаются возможности сокращения времени экспонирования фотографич. материалов при помощи спец. хим. обработки и соответствующих условий проявления.

**2348. Недостатки фотографических материалов.** Илинский (Wady materiałów fotograficznych. Iliński M.), Fotografia, 1955, 3, № 5, 8—9; № 6, 12 (польск.).

Обсуждаются дефекты светочувствительных материалов (СМ) и фотографич. хим. в-в, а также причины их возникновения. Приводятся указания, как отличить дефекты, возникшие при произ-ве СМ, от дефектов, возникших вследствие неправильных условий применения и хранения.

**2349. Цветовое маскирование.** Бисвае (Colour masking. Biswas A.), Indian Print and Paper, 1955, 21, № 2, 22—23 (англ.).

Популярно изложены общие принципы фотографич. субтрактивного цветовойоспроизведения и способов маскирования. Даны некоторые практич. указания по применению маскирования при получении цветных фотографий. отпечатков.

**2350 К. Зернистость и разрешающая способность фотографических изображений.** Ромер (Ziarnistość i rozdzielczość obrazów fotograficznych. Rómer W., Warszawa, Państwowe Wydawnictwo Naukowe, 1953, s. 112, 8 zł.) (польск.).

**2351 П. Антистатическая фотографическая пленка.** Мори, Уайт (Anti-static photographic film. Morey Donald R., White Walter R.) [Canadian Kodak Co. Ltd.], Канад. пат. 513489, 7.06.55. Указанная пленка состоит из эфира целлюлозы (I) и нанесенного на нее светочувствительного эмульсионного слоя и содержит в одном из слоев пленки, который, в частности, может быть нанесен на обратную сторону подложки, смесь поверхностноактивного ионного в-ва (II) и поверхностноактивного диспергирующего в-ва (III), причем II составляет 30—95% этой смеси. В качестве I указан практически полностью этерифицированный сложный эфир целлюлозы и нижеи жирной к-ты. II выбирается из продуктов конденсации формальдегида и сульфопроизводных нафталина в виде соли, в частности, аммонийные или соли цел. металлов, а также алкил-



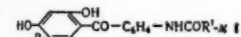
фосфаты щел. металлов и сульфаты целлюлозы, в которых одна валентность сульфата насыщена радикалом — щел. металлом, аммонием или амином; III — эфиры многоатомных спиртов с высшими жирными к-тами, алкиларилсульфонаты, Na-соли сульфокислот алифатич. спиртов, Na-соли сульфированных высших эфиров, смешанные продукты конденсации алкиламинов с жирными к-тами и алкилированные полиэфиры ароматич. спиртов. С. Бонгард

2352 П. Дубление желатиновых слоев (Hardening gelatin coatings) [Kodak (A. Asia) Pty. Ltd.]. Австрал. пат. 160828, 10.02.55

В водн. р-р желатины вводят дубящее в-во ф-лы  $\text{CH}_3 - \text{SO}_3 - \text{H}_2\text{C} - \text{X} - \text{CH}_2 - \text{SO}_3 - \text{CH}_3$  в кол-ве от 0,61% до 10% от веса желатины; X может быть  $(\text{CH}_2)_{n-4}$  и  $-\text{C}_2\text{H}_4 - \text{O} - \text{C}_2\text{H}_4 -$ . М. Гольдберг

2353 П. Фотографический материал. Содн. Лориа (Photographic element. Sawdey George W., Loria Anthony) [Eastman Kodak Co.]. Пат. США 2719086, 27.09.55

Материал состоит из подложки и, по крайней мере, одного галоидосеребряного эмульсионного слоя с введенным в один из слоев



в-вом строения (I), где R — алкильная и алкокси-группа, арильная и арилоксиметильная группа, замещенная группой и солями щел. металлов этих групп. Т. Ткаченко

2354 П. Способ изготовления зеркальных изображений оригинала и получения отпечатков. Ритцерфельд (Verfahren zur Herstellung und Vervielfältigung abdruckfähiger Spiegelbildoriginale. Ritzerfeld Wilhelm). Пат. ФРГ 899044, 7.12.53 [Chem. Zbl., 1954, 125, № 48, 11082 (нем.)]

Патентуется способ изготовления зеркального изображения оригинала пропечатыванием оригинала на обратную сторону подложки, покрытой слоем материала, способного к задубливанию (напр., светочувствительной, содержащей соединения Cr, желатиной), последующим вымыванием незадублинной желатины и окрашиванием оставшегося рельефа жирной краской. С полученного рельефа печать производится до полного истощения краски с помощью растворяющего краску средства. После улаживания и окрашивания рельефа цикл печати может быть повторен. Л. Крупенин

2355 П. Фотографические обрабатывающие растворы, содержащие железосинеродистые ионы и соединения простых α-эфиров карбоновых кислот. Амбергер (Photographic treating solutions containing ferricyanide ions and alpha ether carboxylic acid compounds. Umberger Jacob Quentin) [E. I. du Pont de Nemours and Co.]. Пат. США 2699994, 18.01.55

Указанный р-р представляет собой водн. р-р ионов  $\text{Fe}(\text{CN})_6^{3-}$  и катионов, которые образуют феррицианиды с пониженной растворимостью. В состав р-ра входит также простой α-эфир производного карбоновой к-ты, содержащего, по крайней мере, один радикал строения  $-\text{O} - \text{CH}_2\text{COOM}$ , где M — H или водорастворимый солеобразующий катион из группы следующих к-т или их водорастворимых солей: дигликолевой, метоксисуксусной, o-метоксифеноксисуксусной, n-нитрофеноксисуксусной, 2,7-нафтоксидисуксусной, этилен-бис-гликолевой, крахмалогликолевой и целлюлозогликолевой. Л. Крупенин

2356 П. Способ и устройство для электролитической регенерации отработанных фотографических растворов фиксажа. Леверенц (Verfahren und Vorrichtung zur elektrolytischen Regeneration von verbrauchten photographischen Fixierbädern. Levernitz Wilhelm) [Land Baden-Württemberg, vertreten

durch Wirtschaftsministerium]. Пат. ФРГ 889261, 10.09.53 [Chem. Zbl., 1954, 125, № 49, 11349 (нем.)]

Патентуется способ выделения серебра электролизом отработанных р-ров фиксажа, при котором р-р протекает с большой скоростью через быстровращающиеся аноды в виде мешалок к неподвижно укрепленным катодам. Л. Крупенин

2357 П. Способ повышения светочувствительности diazотинных светокопировальных слоев. Поэер, Шмидт (Verfahren zur Empfindlichkeitssteigerung von Diazo-Lichtpauschichten. Poser Gottlieb von, Schmidt Maximilian Paul) [Kalle & Co. A.-G.]. Пат. ФРГ 906406, 15.03.54 [Chem. Zbl., 1955, 126, № 17, 4023 (нем.)]

Патентуется способ повышения светочувствительности diazотинных слоев введением в слой в-ва, обладающих интенсивным поглощением лучей в области 330—400 мμ. Особенно пригодны для этого многоатомные ароматич. углеводороды, напр. соединения антрацена, перилена, пирона и хризена, хиноксалиновые производные, ароматич. нитросоединения, нелетучие производные ацетона (ацетонсульфокислота), пировиноградная и кротоновая кислоты. С. Бонгард

2358 П. Одноступенный фотографический процесс с первичным цветным проявлением изображения. Ланд (Photographic transfer process utilizing a primary color developer for producing a colored photographic transfer image. Land Edwin H.) [Polaroid Corp.]. Пат. США 2698244, 28.12.54

Патентуется одноступенный фотографич. процесс изготовления одноцветного позитивного изображения с получением негатива контактированием экспонированного галоидосеребряного эмульсионного слоя с спец. принимающим слоем (ПС) при одновременном распределении между ними пасты с цветным проявителем. Кол-во проявителя подбирают таким образом, чтобы обеспечить полное израсходование его в сильно экспонированных местах негатива. Как в негативной эмульсии, так и в ПС позитивного материала находятся компоненты цветного проявления, дающие с продуктами окисления проявляющего в-ва краситель. В ПС находятся также в-ва, окисляющие непрореагировавший в неэкспонированных участках негатива проявитель, вследствие чего в ПС получается позитивное изображение из красителя. Н. Спассокуцкий

2359 П. Способ получения цветных фотографических изображений с помощью цветного проявления (Verfahren zur Herstellung farbiger photographischer Bilder mit Hilfe der chromogenen Entwicklung) [Agfa A.-G. für Photofabrikation]. Пат. ФРГ 905094, 25.02.54 [Chem. Zbl., 1954, 125, № 49, 11350 (нем.)]

Патентуются недиффундирующие компоненты цветного проявления. В качестве компонент для образования пурпурных красителей применяются ароилацетонитрилы, в которые замещением  $\text{NH}_2$ -,  $\text{OH}$ - или карбэтоксигруппы вводят остаток определенного состава, придающий антидиффузионные свойства. В качестве примеров указаны следующие ацетонитрилы (I): n-аминобензоил-I, n-аминобензоил-4-аминонафтоил-I, 4-аминобензоил-4-аминонафтоил-I, 4-амино-3-бромбензоил-I, 4-оксибензоил-1-3-карбоновая к-та и 4-окси-6-метилбензоил-1-3-карбоновая кислота. Л. Крупенин

2360 П. Способ получения цветных отпечатков. Це, Ваттер (Verfahren zur Herstellung von Mehrfarbentkopien. Zeh Walter, Watter Otto) Пат. ГДР 8053, 22.09.54

Патентуется способ получения цветных отпечатков на однослойной пленке, отличающейся тем, что частичные изображения располагаются в строго ограниченных по глубине зонах слоя. Печать изображений может проводиться как с цветоделенных негативов, так и с трех-

слоистого негатива. Частичные изображения получают цветным проявлением с контролируемой диффузией или комбинацией этого способа с гидротипным переносом одного из изображений, или по способу с обесцвечиванием красителя Ag. В последнем случае фильтровый краситель является одновременно красителем одного из частичных изображений. Напр., на оптически несенсибилизированную позитивную пленку, в слой которой введен тартрацин, ведут печать через основу с «зеленого» цветоделенного негатива. После проявления изображения цветным проявителем с пурпурной компонентой слой снова окрашивают тартрацином и с эмульсионной стороны ведут печать с «синего» цветоделенного негатива. Проявление ведут цветным проявителем с желтой компонентой. Ag и AgBr удаляют отбеливанием и фиксированием, и пленку высушивают. Частичное голубое изображение получают в слое гидротипным переносом с рельефной матрицы. Приведено шесть вариантов предлагаемого способа.

С. Бонгард  
2361 П. Пиразольные компоненты для цветной фотографии. Содри (Pyrazolone couplers for color photography. S. A. W. de George W.) [Canadian Kodak Co., Ltd.]. Канад. пат. 513483, 7.06.55

Патентуется фотографич. галогидосеребряный слой, содержащий в качестве компоненты цветного проявления (I) продукт конденсации одной или двух молекул пиразолона с активной метиленовой группой в положении 4 и соединения, включающего группировку

$=C-Z-C(=)C(OH)(X)$ , напр. аллоксангидрата ( $X-H$  или  $OH$ ;  $Z$  — атомы для замыкания цикла, свободного от заместителей, реагирующих с указанной метиленовой группой). При конденсации происходит выделение воды за счет  $H_2$  метиленовой группы пиразолона и  $OH$ -группы указанного соединения. Для получения цветного изображения галогидосеребряный слой после экспонирования проявляют р-ром первичного ароматич. амина. Указанные I могут вводиться также в проявляющий р-р.

Т. Ткаченко  
2362 П. Фотографическая пленка с предварительно напечатанным растром. Юл, Маурер (Prescreened posterizing photographic film. Yule John A. C., Maurer Richard E.) [Eastman Kodak Co.]. Пат. США 2691585, 12.10.54

Патентуется фотографич. материал для растровой печати, состоящий из подложки и равномерной толщины галогидосеребряного эмульсионного слоя, имеющего участки кладееновской десенсибилизации (I). I распределена по всему слою в виде однородного скрытого полутонного рисунка, имеющего от трех до восьми уровней (по глубине слоя) различной светочувствительности (S). S на любом из уровней изменяется менее чем на одну треть разности между S на соседних уровнях.

С. Бонгард  
2363 П. Повышение контраста полутонных reproductions. Хау (Increasing contrast of halftone reproductions. Howe Donald J.) [Eastman Kodak Co.]. Пат. США 2691580, 12.10.54

Патентуется способ получения полутонных отпечатков на галогидосеребряном светочувствительном слое, способном к кладееновской десенсибилизации. Перед светочувствительным слоем помещают полутонный растр и через него дважды экспонируют слой. Первую экспозицию проводят светом высокой интенсивности с короткой выдержкой для получения областей кладееновской десенсибилизации за прозрачными участками растра, вторую — светом низкой интенсивности с длительной выдержкой при печати изображения непрерывного тона, после чего фотоматериал проявляют.

С. Бонгард  
2364 П. Светочувствительная галогидосеребряная эмульсия для полутонной фотографической печати.

Стоффер (Photosensitive silver halide emulsion for use in half-tone photographic processes. Stauffer R. E.) [Kodak, Ltd.]. Англ. пат. 701891, 6.01.54

Патентуется способ изготовления имеющего скрытое изображение растра галогидосеребряного материала (I), на котором полутоновой отпечаток получается непосредственно при экспонировании через изображение непрерывного тона. I получают путем надавливания твердой поверхностью, снабженной полутонным рисунком на выпуклых зубцов, на галогидосеребряный слой с  $\gamma_{\max} > 4$ . Давление вызывает десенсибилизацию слоя.

Если зубцы имеют сферич. вершину, то в эмульсионном слое образуются участки, в которых светочувствительность (S) непрерывно изменяется от миним. до максим., так как эффект десенсибилизации постепенно распространяется от точки, к которой приложено максим. давление, до области, не подвергшейся давлению. Если зубцы имеют плоскую вершину, то образуются соответствующие участки с миним. S. Обычно давление производят зубчатой поверхностью, смоченной водой. Дополнительный эффект и получают, если вершины зубцов несут хим. десенсибилизирующее в-во, напр. красители: метиленовый голубой, пинакрилол желтый или феносафранин. Приведена схема приспособления для получения I. Пленка проходит между двумя роликами, один из которых, давящий на эмульсионный слой, имеет твердую поверхность с полутонным рисунком на выпуклых зубцов. Зубцы смачиваются с помощью слеп. соприкасающегося с ними ролика, вращающегося в кювете с водой. Предусмотрены приспособления для отсасывания избыточной влаги с поверхности зубцов ролика и высушивания обработанной пленки. Приведены также различные формы зубцов и характер получаемой при их применении десенсибилизации.

См. также: Фотограф. эмульсии 481. Фотограф. желатина 1172. Проявители и проявления 1412

## ДУШИСТЫЕ ВЕЩЕСТВА. ЭФИРНЫЕ МАСЛА. ПАРФЮМЕРИЯ И КОСМЕТИКА

Редактор В. Н. Белов

2365. Эфирные масла. Якубов (Ätherische Öle, nüchtern betrachtet. Jakuboff J. J.). Seifen-Öle-Fette-Wachse, 1956, 82, № 6, 133—134 (нем.)

Дается понятие об эфирных маслах и обсуждается вопрос о развитии произ-ва их в Германии. С. Корэ 2366.

Исследование характеристик эфирных масел, полученных из местного сырья. Беднаркiewicz, Клиmek (Badania nad właściwościami olejków eterycznych wyprodukowanych z surowców krajowych. Bednarkiewicz Zofia, Klimek Romuald). Farmacja polska, 1955, 11, № 8, 180—182 (польск.; рез. русс., франц.)

Определены физ. и хим. константы 11 эфирных масел, полученных из произрастающих в Польше растений методом перегонки с паром. 1) Масло из *Pseudotsuga douglasii* Carr. выход 0,5%,  $d_{15}^4$  0,8366,  $n_D^{20}$  1,4751,

$[\alpha]_D^{20}$  —44,8°, кислотное число (КЧ) 1,1, эфирное число (ЭЧ) 67,9, эфирное число после ацетилирования (ЭЧПА) 77,2, растворимость в 90° спирте ( $P_{90}$ ) 1:3, в 80° спирте ( $P_{80}$ ) 1:20. 2) Сосновое масло (из *Pinus silvestris* L.) выход —0,28%,  $d_{15}^4$  0,8776,  $n_D^{20}$  1,4810,

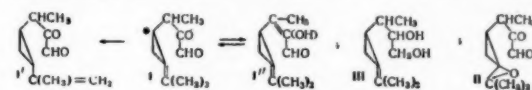
$[\alpha]_D^{20}$  +6,5°, КЧ 0,4, ЭЧ 9,25, ЭЧПА 20,0,  $P_{90}$  1:7. 3) Еловое масло из игл *Abies alba* Mill. а) выход 0,35%,  $d_{15}^4$  0,8809,  $n_D^{20}$  1,4786,  $[\alpha]_D^{20}$  —40,5°, КЧ 0,9, ЭЧ 21,6, ЭЧПА 29,2,  $P_{90}$  1:8, б) выход 0,5%,  $d_{15}^4$  0,8910,

$n_D^{20}$  1,4809,  $[\alpha]_D^{20} -41^\circ$ ,  $P_{90}$  1:4. 4) Масло горной сосны (из *Pinus montana* Mill.) — выход 0,3%,  $d_{15}$  0,8799,  $n_D^{20}$  1,4797,  $[\alpha]_D^{20} -36,5^\circ$ , КЧ 0,83, ЭЧ 23,55, ЭЧПА 32,45,  $P_{90}$  1:45. 5) Можжевельное масло из ягод *Juniperus communis* L. выход 0,7%,  $d_{15}$  0,8685,  $n_D^{20}$  1,4818,  $[\alpha]_D^{20} -2,2^\circ$ , КЧ 1,2, ЭЧ 7,76, ЭЧПА 20,48. 6) Пижмовое масло (из *Tanacetum vulgare* L.) выход 0,08%,  $d_{15}$  0,9306,  $n_D^{20}$  1,4747,  $[\alpha]_D^{20} +9,1^\circ$ , КЧ 3,9, ЭЧ 43,68, ЭЧПА 108,7,  $P_{90}$  1:1. 7) Кориандровое масло (из *Coriandrum sativum* L.) выход 0,9%,  $d_{15}$  0,8705,  $n_D^{20}$  1,4672,  $[\alpha]_D^{20} +10,8^\circ$ , КЧ 2,4, ЭЧ 24,42, ЭЧПА 175,  $P_{90}$  1:1,  $P_{80}$  1:2. 8) Майорановое масло (из *Majorana hortensis* Mueb., *Origanum majorana* L.) выход 0,3%,  $d_{15}$  0,9061,  $n_D^{20}$  1,4738,  $[\alpha]_D^{20} +29,0^\circ$ , КЧ 1,3, ЭЧ 55, ЭЧПА 66,2,  $P_{90}$  1:1,  $P_{80}$  1:2. 9) Мятное масло (из *Mentha piperita* L.) выход 0,25%,  $d_{15}$  0,9082,  $n_D^{20}$  1,4657,  $[\alpha]_D^{20} -29,2^\circ$ , КЧ 0,65, ЭЧ 32,1, ЭЧПА 192,28,  $P_{90}$  1:1,  $P_{80}$  1:2, содержание ментола 62,08% и ацетата ментола 11,23%. 10) Тимьяновое масло (из *Thymus vulgaris* L.) выход 0,3%,  $d_{15}$  0,9202,  $n_D^{20}$  1,5020,  $[\alpha]_D^{20} -0,65^\circ$ , КЧ 2,9, ЭЧ 9,1,  $P_{90}$  1:1,  $P_{80}$  1:2, содержание фенолов 41 об. %. 11) Масло лимонного котовника (из *Nepeta cataria* var. *clitoriflora* Beck — выход 0,5%,  $d_{15}$  0,8810,  $n_D^{20}$  1,4782,  $[\alpha]_D^{20} -1,9^\circ$ , КЧ 3,33, ЭЧ 8,0, ЭЧПА 241,32,  $P_{90}$  1:1, содержание альдегидов в пересчете на цитраль 28,34%. С. Войткевич

2367. Химическое исследование масла индийской курчавой мяты. Часть II. Строение нового монотерпена — ментилгликоксила. Чакраварти, Бхаттачария (Chemical examination of Indian spearmint oil Part II. Structure of the new monoterpene — mintglyoxal. Chakravarti K. K. Bhattacharya S. C.), *Pefum and Essent. Oil Rec.*, 1955, 46, № 8, 256—268 (англ.).

Установлено, что выделенный ранее (см. РЖХим, 1955, 22456) главный компонент (85%) высококипящей фракции масла индийской перечной мяты-ментилгликоксила (I),  $C_{10}H_{14}O_2$  (т. заст.  $22,6^\circ$ ; т. кип.  $100-102^\circ/2-3$  мм;  $n_D^{20}$  1,5050;  $d_{15}^{20}$  1,048  $[\alpha]_D^{20} +181,3^\circ$  ( $c=5,82$ ; сп.) является терпеновым гликоксилом, содержащим циклопропановое кольцо с присоединенной к нему изопропилидиновой группой. I дает моносемикарбазон, т. пл.  $175^\circ$  (разл.). Кетоальдегидная структура I доказана восстановлением I в соответствующие гликоли с последующим окислением с помощью  $NaJO_4$ , а также образованием эпоксида (II) при взаимодействии I с  $NaJO_4$ . При восстановлении I с помощью  $LiAlH_4$  получен кристаллич. гликоль III  $C_{10}H_{16}O_2$ , т. пл.  $148^\circ$  (из бэл.-петр. эф.);  $[\alpha]_D^{20}$   $109,8^\circ$  ( $c=4,76$ ; сп.), а при восстановлении I изопропилидином алюминия получен жидкий диол (IV),  $C_{10}H_{18}O_2$  (очевидно, IV является изомером III), т. кип.  $134-136^\circ/4$  мм,  $n_D^{20}$  1,4990;  $[\alpha]_D^{20} +47,31$  ( $c=2,48$ ; сп.) В последнем случае выделен также кристаллич. триол (V),  $C_{12}H_{24}O_3$ , т. пл.  $122^\circ$  (эф.-петр. эф.);  $[\alpha]_D^{20} +111,1^\circ$  ( $c=2,13$ ; сп.), который, вероятно, является результатом конденсации I с образовавшимся во время р-ции ацетоном с последующим восстановлением. VI,  $C_{10}H_{14}O_3$  [т. пл.  $80^\circ$  (эф.-петр. эф.); семикарбазон, т. пл.  $180^\circ$  (из разб. сп.; разл.)], при обработке 2%-ной  $H_2SO_4$  приводит к кристаллич. диолу,  $C_{10}H_{16}O_4$  (т. пл.  $138^\circ$ ), при взаимодействии которого с  $NaJO_4$  образуется большое кол-во ацетона. Образованием ацетона и следов  $CH_2O$  при озонлизе I, II, III, IV и V доказано, что I представляет собой

смесь изомеров изопропенильной (I') и изопропилидиновой структуры с преобладанием последней. При окислении нелетучих продуктов озонлиза I с помощью  $NaOBr$  получены метилглутаровая и янтарная к-ты. Образование последней и р-ция I с  $FeCl_3$  доказывают



существование I в энольной форме (I'). Присутствие метильной группы в боковой цепи показано образованием  $CH_3COOH$  при окислении I с помощью  $H_2CrO_4$ . ИК-спектр I, II, III, IV и V подтверждает наличие циклопропанового кольца. Помимо I из высококипящей фракции выделен продукт (15%), т. кип.  $101-102^\circ/7$  мм;  $n_D^{20}$  1,5090;  $[\alpha]_D^{20} -3,2^\circ$  ( $c=4,96$ ; сп.).

Г. Молдованская

2368. Исследование качества настоек полыни. Чиневская, Качмарек (*Badania nad wartoscią nalewek piołunowych. Czystowska St., Kaczmarek F.*), *Biul. Panstw. inst. nauk. lezn. surow. rozl. w. Poznaniu*, 1955, 1, № 4, 185—193 (польск.; рез. русск., нем.).

Изучены экстракты полыни (*Artemisia absinthium* L.): а) стабильный экстракт (СЭ) из свежего сырья, полученный действием  $95^\circ$  спирта, б) настоек (Н) из травы, высушенной при  $30-32^\circ$ , полученные действием спиртовых р-ров различной крепости ( $10-90^\circ$ ). Предложены методы определения содержания эфирного масла (ЭМ) и «числа горечи» (ЧГ) в СЭ и Н, рекомендуемые для включения в фармакопею. Показано, что СЭ имеет ЭМ 0,138% и ЧГ 6000. Установлена целесообразность приготовления Н на  $50^\circ$  спирте; при этом Н имеет ЭМ 0,078% и ЧГ 2833 и является достаточно устойчивой. С. Войткевич

2369. Экстракция эфирных масел при помощи нового процесса. Isol. Ровести (*Estrazione di alcuni olii essenziali mediante il nuovo procedimento di isolizzazione. Rovesti Paolo*), *Riv. ital. essenze profumi, piante offic., olii veget., saponi*, 1955, 37, № 3, 145—146 (итал.); *Inds. parfum.*, 1956, 11, № 2, 51—52 (франц.).

Метод «Isol» (I — вода (idro), so — солиubilизация и l — липоиды), широко используемый в Италии для экстракции каротина, хлорофилла, холестерина, с успехом применен для извлечения эфирных масел из такого сырья, как ветиверия, пачули, цитрусовые. Метод основан на применении поверхностноактивных в-в в воде. суспензии, прост в выполнении, экономичен, не требует спец. аппаратуры. Применяемые поверхностноактивные в-ва (напр., продукт конденсации олеинового спирта с полиоксипиленом, так называемый «агезол 31») возвращаются обратно в произ-во. Этот метод дает более высокий выход эфирного масла, чем метод паровой перегонки. Р. Гусева

2370. «Белые ароматы». Ардицио (*Bianche fragranze. Ardizio Pierre*), *Riv. ital. essenze profumi-piante offic.-olii veget.-saponi*, 1953, 35, № 1, 24—29 (итал.).

Обзор хим. соединений, входящих в состав душистого начала гардении, жасмина, апельсиновых цветов, нарцисса, ландыша (бензилацетат, коричный и фенилпропиловый спирты, жасмон, неролидол, фарнезол, линалоол, нерол и их ацетаты и др.) Библи. 32 назв.

З. Бобырь

2371. Свойства кумилацетальдегида. Джейкобе (*Properties of cumylacetaldehyde Jacobs Morris B.*), *Amer. Perfumer and Arom.*, 1950, 67, № 4, 59, 60, 62 (англ.).



Краткий обзор существующих методов получения кумиладетальдегида и его свойств. Е. Смольянинова

**2372.** Душистые вещества животного происхождения. Швейсхеймер (Animal odours and perfumes. Schweisheimer W.). *Perfum. and Essent. Oil Rec.*, 1956, 47, № 2, 57—59 (англ.)

Описаны продукты: мускус, цибет, касториум, серая амбра и мускрат; их нахождение в природе и применение в парфюмерии. С. Корэ

**2373.** Автомат для определения концентрации душистых веществ в воздухе. Кинг (Robot nose. King T. E.). *Purdue Engr.*, 1955, 51, № 3, 44—45 (англ.)

**2374.** Действие на кожу мякоти плодов *Diospyros Kaki* L. и *Rosa Canina* L. Брамбилла, Ровести (Azione cutanea delle polve dei frutti di *Diospyros Kaki* L. e di *Rosa Canina* L. Brambilla Giuliana, Rovesti Paolo). *Riv. ital. essenze profumi, piante offic., olii veget. saponi* 1955, 37, № 10, 544—546 (итал.)

См. РЖХим, 1957, 33898.

**2375.** Специфическая защита кожи в косметике. Бергвейн (Richtlinien und Formulierung spezieller Hautschutz-Kosmetika. Bergwein Karl). *Seifen-Öle-Fette-Wachse*, 1956, 82, № 3, 59—60 (нем., рез. англ., франц., исп.)

Описаны основные функции кожи человека и приведены рецепты детского масла, крема, лосьона, пудры, защитного крема, крема от загара. Рекомендуется применение в детской косметике азулена, являющегося антиаллергич. успокаивающим зуд средством (0,2 г на 1 кг продукта). Для придания пудре антисептич. свойств вводят 0,2% ралубена (Raluben). А. Войцеховская

**2376.** Аналитические методы в косметике. Велон (Cosmétologie analytique. Vélon Pierre). *Parfum. mod.*, 1955, 47, № 46, XXI, XXIV, XXVI, XXVIII, XXX (англ.)

Краткий обзор методов определения жирности кожи, оценки детергентов, анализа холестерина, определения силиконов в жирной смеси, контроля губной помады, определения уд. веса сухих пигментов, определения парафина в восках, потенциометрия, анализа к-т и изучения аллергии. действия на кожу компонентов косметич. препаратов. Е. Смольянинова

**2377.** Предварительное сообщение о реакции между тиогликолевой и азотистой кислотами. Уокер (Vorläufige Mitteilung über Reaktion zwischen Thioglykolsäure und salpêtriger Säure. Walker G. T.). *Seifen-Öle-Fette-Wachse*, 1955, 81, № 5, 117 (нем.; рез. англ., франц., исп.)

При р-ции азотистой к-ты (I) с тиогликолевой к-той (II) получается красный р-р, сильно поглощающий в УФ-области спектра. На этом явлении основана разработка методики спектрального анализа II. По-видимому, красная окраска является результатом образования тионитрита II ф-лы  $\text{ONSCH}_2\text{CO}_2\text{H}$ , доказательством чего может служить выделение тионитрита при взаимодействии этилнитрита с II. З. Мильман

**2378 К.** Практика современной парфюмерии. Еллинг. Перев. с нем. (Practice of modern perfumery; tr. from the German. Jellinek Paul). *Inter-science*, 1954, 219 p., doll. 4,75; Hill, Leonard, 25 s.) (англ.)

**2379 П.** Способ получения 6-метил- $\alpha$ -нонона и 6-метил- $\beta$ -нонона. Шинц (Verfahren zur Herstellung von 6-Methyl- $\alpha$ -nonon und 6-Methyl- $\beta$ -nonon. Schin z H a n s) Firmenich & Co., successeurs de la Soc. An. M. Naef & Cie]. Пат. ФРГ 933149, 12.09.55

Патентуется способ получения смеси пронов (I) путем циклизации  $\gamma$ -метилсведропона (II), синтезированного

из  $\gamma$ -метиллиналоола (III) через  $\epsilon$ -метилгераниол (IV) и  $\epsilon$ -метилцитраль. Установлено, что циклизацией II с  $\text{H}_3\text{PO}_4$ ,  $\text{BF}_3$  и газб.  $\text{H}_2\text{SO}_4$  получают I с преобладанием  $\alpha$ -пропа, в то время как с конц.  $\text{H}_2\text{SO}_4$  — в основном  $\beta$ -пропа (V). Переменением 6 час. при 150—155° 10 кг III, 7 кг  $(\text{CH}_3\text{CO})_2\text{O}$  и 7 кг лед.  $\text{CH}_3\text{COOH}$  получают аперат IV, выход 5,6 кг, т. кип. 71—74°/0,2 мм. Омылением (3 часа) 4,5 кг этого продукта р-ром 3 кг КОН в 15 л  $\text{CH}_3\text{OH}$  получают IV, выход 2,7 кг, т. кип. 73—74°/0,2 мм; аллофанат, т. пл. 108—109°. Для получения II смесь 2,7 кг IV, 6 кг изопропилата алюминия и 90 л абс.  $(\text{CH}_3)_2\text{CO}$  кипятят 60 час. и при 0° обрабатывают эфирным р-ром HCl, выход 1,08 кг, т. кип. 91—92° (0,01 мм,  $n_D^{20}$  1,5338,  $d_4^{20}$  0,9044; 2,4-динитро-фенилгидразон, т. пл. 148—150°. Для получения I 1 кг II смешивают с 4 кг  $\text{H}_3\text{PO}_4$  ( $d_4^{15}$  1,65) при (—4°)—0°, выдерживают 20 мин. при 0° и нагревают 15 мин. при 50—55°, выход 660 г (неочищ.), после очистки через фенилсемикарбазон и измеривании с  $\text{HCOOH}$ , т. кип. 70—71°/0,01 мм,  $n_D^{19}$  1,5012,  $d_4^{19}$  0,9337 (15%, V, определено спектроскопически). Р-р 1 кг II в 4 кг толуола насыщают  $\text{BF}_3$  до повышения т-ры с —5° до 15°. При —5° обрабатывают 10%-ным NaOH, очищают через бетаингидразон и получают I, выход 700 г, т. кип. 90—94°/0,3 мм,  $n_D^{20}$  1,5040,  $d_4^{20}$  0,936 (20%, V, определено спектроскопически). К охлажденной до —10° смеси 3,5 кг 98%-ной  $\text{H}_2\text{SO}_4$  и 1,5 кг лед.  $\text{CH}_3\text{COOH}$  приливают 1 кг II. При 20—25° переменяют 20 мин. и получают I, выход 720 г (неочищ.). Перегонкой на колонне (Ind. and Eng. Chem., 1941, 33, 639) выделяют V, т. кип. 75—76°/0,01 мм,  $n_D^{16}$  1,5197,  $d_4^{16}$  0,9551. С. Кустова

**2380 П.** Получение из  $m$ - и  $p$ -цимола синтетических душистых веществ с запахом мускуса (Verfahren zur Herstellung von künstlichen Moschusriechstoffen aus  $m$ - und  $p$ -Cymol) [P. F. W. of Amerika Inc.]. Пат. ФРГ 918747, 4.10.54 [Chem. Zbl., 1955, 126, № 20, 4720—4721 (нем.)]

Для получения из  $m$ - и  $p$ -цимола душистых в-в, обладающих запахом мускуса в  $m$ - или  $p$ -цимол вводят алкильную группу с 4—6 атомами C (лучше  $\text{tert-C}_5\text{H}_{11}$ ) путем: а) алкилирования цимол (I) галоидным алкилом по Фиделю — Крафту; б) алкилирования I соответствующим спиртом или алкеном в присутствии  $\text{H}_2\text{SO}_4$  или  $\text{ZnCl}_2$ ; в) ацилирования I ацилгалогенидом по Фиделю — Крафту с последующим восстановлением образовавшегося кетона в алкилцимол. Полученные алкилцимолы превращают в соответствующие метилкетоны ацилированием  $\text{CH}_3\text{COCl}$  по Фиделю — Крафту. Таким образом получены:  $\text{tert}$ -амил- $p$ -цимолметилкетон, т. кип. 158—159°, т. пл. —25—46°,  $d_4^{18}$  0,985 (смесь изомеров); метилазобутилкетон бинил- $p$ -цимолметилкетон, т. кип. 140°/2 мм (из метилазобутилкетона бинил- $p$ -цимола и  $\text{CH}_3\text{COCl}$ ); изоамил- $p$ -цимолметилкетон, т. кип. 110°/0,3 мм (из изоамил- $p$ -цимола и  $\text{CH}_3\text{COCl}$ ) и вторбутил- $p$ -цимолметилкетон, т. кип. 128°/5 мм (из вторбутил- $p$ -цимола и  $\text{CH}_3\text{COCl}$ ). Н. Фрумкина

**2381 П.** Способ приготовления средств для защиты от солнечных ожогов. Цирм (Verfahren zur Herstellung von Lichtschutzmitteln. Zirm Konrad L.). Австр. пат. 181369, 10.03.55 [Chem. Abstr., 1955, 49, № 8, 5785 (англ.)]

При проп-ве средств для защиты кожи от эритемы эфиры 9, 10, 13-октадекатриенкарбоновой к-ты (предпочтительно, триглицериды) эмульгируют при помощи ламина или воды. Эфиры лучше растворять в подходящем маслянистом р-рителе (напр., масле земляного ореха). Напр., 5 ч. моностеарата глицерина эмульгируют с 65 ч. белого вазелина и 30 ч. концентрата, со-

державшего 80% глицеринового эфира указанной к-ты; или 20 ч. этилового эфира этой к-ты растворяют в 80 ч. масла земляного ореха или вазелинового масла.

**2382 П.** Составы для чистки зубов. Слай (Dentifrice compositions. Sly G.). Австрал. пат. 163021, 9.08.55

Патентуется состав для чистки зубов, содержащий тиротрицин и в качестве полирующего средства фосфаты или карбонаты Са или Mg с добавлением нерастворимой соли полиметафосфорной к-ты.

**2383 П.** Изготовление пасты для удаления лака для ногтей. Пильхмайр (Procédé de préparation de pâte dissolvante pour vernis a ongles. Pichlmayr H.). Франц. пат. 1060561, 2.04. 54 [Chem. Zbl., 1955, 126, № 15, 3506 (нем.)]

Патентуется паста для удаления лака для ногтей, состоящая (в ч.): из 5 метилцеллюлозы, 1,5 нитроцеллюлозы, 1 лецитина, 55 трихлорэтилена, 17 метанола, 11 этилацетата и 9,5 диацетилового спирта.

**2384 П.** Косметический крем против потения. Хенкин, Мессина (Crème cosmétique stabilisée contre la transpiration. Henkin Numan, Messina Ralph P.). [Colgate Palmolive Co.]. Франц. пат. 1096011, 8.06.55 [Inds parfum., 1955, 10, № 11, 477 (франц.)]

Предлагается крем, представляющий собой эмульсию типа «масло в воде» и содержащий ингибитор, задерживающий выделение пота; агент, диспергирующий масляную фазу в водной, и стабилизатор эмульсии.

**2385 П.** Необесцвечивающийся бриллиантин. Фокс, Хилс, Андерсон (Fade-proof brilliantine. Fox Arthur L., Hills Short, Anderson Albin F.). [Colgate-Palmolive Co.]. Канад. пат. 516089, 30.08.55

Патентуется следующий состав бриллиантина: ~5% моноэфира лауриновой к-ты и пропиленгликоля, ~0,2% (от 0,1 до 1%) бензоилрезорцина для предохранения от обесцвечивания, 1,13% отдушки, ~89,67% минер. масла, ~2% желтой № 3 и ~2% оранжевой № 2 краски F' Dand C (0,1%-ный р-р в минер. масле).

**2386 П.** Состав бриллиантина (Brilliantine composition) [Laboratories Scientifiques de Neuilly] Австрал. пат. 164666, 01.09.55

Патентуется состав бриллиантина, состоящего из гелеобразного при повышенной т-ре, не имеющего цвета и запаха углеводорода (с вязкостью 5—27,5 единицы Энглера и уд. в. 0,85—0,89) и мыла (4—12% от веса углеводорода), образованного алифатич. жирными к-тами с 16—18 атомами Си Al, Mg или Zn. Бриллиантин имеет вид прозрачного вязкого, но не липкого крема, при выдавливании из круглого отверстия сохраняет цилиндрич. форму, тиксотропен, гомогенен, нетекуч, устойчив вплоть до 100°, нейтрален, без запаха и нерастворим в спирте.

**2387 П.** Стабилизированные сульфитные растворы. Де-Митт, Рид (Stabilized sulfite solutions. De Mytt Louis, Reed Raymond E.). [Raymond Lab., Inc.]. Канад. пат. 509099, 11.01.55

Патентуются стабильные водн. щел. сульфитные р-ры для заправки волос, содержащие сульфит щел. металла, основную буферную соль для поддержания щел. pH, небольшие кол-ва ионов металла, обычно ускоряющего окисление сульфита (Cu, Co, Mn и Fe), а также в-во, связывающее эти ионы: трет-аминополикарбоновые к-ты или их соли, напр. соли этилендиаминтетрауксусовой к-ты, или соединения строения  $(\text{HOOC}\cdot\text{CH}_2)_x\text{N}(\text{R})(\text{CH}_2\text{COOH})_x$   $\times (\text{N}(\text{CH}_2\text{COOH})_2)_x$ , где X равен нулю или

положительному целому числу, а R — алкиленовые группы, содержащие  $\leq 4$  атомов С. Б. Мерков

## КАУЧУК НАТУРАЛЬНЫЙ И СИНТЕТИЧЕСКИЙ. РЕЗИНА

Редактор Д. М. Сандомирский

**2388.** О работе научно-исследовательского института резиновой промышленности. Пумпянский И. М., Хим. пром-сть, 1956, № 3, 186—187

**2389.** Химия каучука. Имото (ゴムの化学・井本 稔), 材料試験, Даайрё сикан, J. Japan Soc. Test Mater., 1956, 5, № 29, 75—82 (япон.)

**2390.** Определение содержания магния, общего фосфора и свободного фосфата в каучуковом латексе. Таниклiffe (Determination of magnesium, total phosphorus and free phosphate in rubber latex. Tunncliffe M. E.), Trans. and Proc. Instn Rubber Ind., 1955, 31, № 5, T141—T149 (англ.)

Описаны методики колич. определения Mg, Р и ортофосфата в каучуковом латексе.

**2391.** Натуральный каучук с улучшенными технологическими свойствами. Бейкер (Superior processing rubber. Baker H. C.), Rubber India, 1955, 7, № 11, 25—27 (англ.); Trans. and Proc. Instn Rubber Ind., 1956, 32, № 3, T77—T96 (англ.); Planter, 1956, 32, № 4, 218—219 (англ.)

Каучук, обладающий лучшей обрабатываемостью, готовят смешением 4 ч. свежего натурального латекса и 1 ч. вулканизированного латекса, пропущенного один раз через центробежный очиститель для удаления вулканизующих агентов. Смесь обычным образом коагулируют и из коагулюма готовят крен или смекс-шитте. Полученный каучук несколько желтеет, чем обычный крен и быстрее пластицируется на нагретых вальцах, образуя гладкую шкурку, усадка которой значительно меньше, чем у шкурки из обычного крена при одинаковых условиях. Шприцованные и каландрированные изделия из непанолненных смесей на основе этого каучука незначительно изменяют размеры и форму сечения при хранении и имеют гладкую поверхность. Термопластичность смесей из этого каучука невысока и, напр., тонкостенные трубки, вулканизуемые острым паром или горячим воздухом, сравнительно мало деформируются на начальных стадиях этого процесса; усадка вулканизатов также меньше, чем обычных.

**2392.** Ингибиторы окисления каучуков (связь между структурой молекулы и эффективностью действия ингибиторов). Кузьминский А. С., Ангерт Л. Г., Докл. АН СССР, 1954, 96, № 6, 1187—1189

Изучалась зависимость подвижности аминного Н (I) от структуры молекулы вторичного ароматич. амина. Подвижность I оценивалась по скорости р-ции амина с в-вом, способным к отрыву I —  $\alpha, \alpha$ -дифенил- $\beta$ -пикрилгидразилом (II). Последний представляет собой свободный радикал, способный сохраняться длительное время в кристаллич. виде и в бал.-р-ре. Показано, что р-ция II с вторичными аминами протекает действительно с отрывом I. Подвижность I растет с повышением эффекта сопряжения в молекуле амина и введенном паразаместителей в фенильное кольцо. Защитные свойства вторичных аминов повышаются с увеличением подвижности I. Эффективность ингибитора оценивалась по скорости изменения высокоэластич. равновесного модуля термовулканизатов каучука при его окислении в присутствии данного ингибитора. Скорость структурных изменений вулканизатов при окислении зависит от

прочности связи N — H в молекуле ароматич. амина. Чем легче происходит отрыв H от молекулы ингибитора, тем выше его защитные свойства. И. Ходжаева 2393. Морфология новых синтетических эластомеров.

Хаузер (The morphology of new synthetic elastomers. Hauser Ernst A.), Rubber Age, 1956, 78, № 5, 713—717 (англ.).

Методами микроскопии, электронной микроскопии и рентгенографии исследовались образцы Li-изопренового «кораллового» каучука (I) и бутадиенстирольного сополимера, полученного полимеризацией с аллиновым катализатором (II). Проведено сравнение полученных результатов с данными для стандартных образцов НК, балаты и бутадиенстирольных каучуков (III). Микрофотографии I и НК в основном аналогичны. На тех и других видны тонкие нити (высокомолекулярная фракция) наряду с глобулами различной величины (низкомолекулярная фракция). Более резкий максимум на рентгенограмме для нерастянутого I по сравнению с НК объясняется наличием в последнем смол. II по своей морфологии сильно отличается от III и также приближается к НК. А. Лебедев

2394. Применение неопрена и хайпалона при повышенной температуре. Смуки (Einsatz von Neoprene und Hupalon bei hoher Temperatur. Smook M. A.), Kautschuk und Gummi, 1955, 8, № 12 WT 314—WT317 (нем.).

Резины из неопрена (I) и хайпалона (II) (хлорсульфированный полиэтилен, наполненные мелом, обладают высокой теплоустойчивостью при 150°. Растянутые на 100% резины из II сохраняют свои свойства при t-ре на 15—20° выше, чем резины из I. Резины из I выдерживают 121° в течение 4 недель и 150°—3 дня, резины из II в 3 раза долговечнее. Сопротивление разрыву резин из I или II, наполненных сажей, при 100° в 2 раза меньше, чем при 25°. Резины из II, вулканизованные с MgO, обладают меньшим остаточным удлинением, чем вулканизованные с PbO. В рецепт теплоустойчивых резин из I не должны входить S или в-ва, отщепляющие ее при нагревании. В качестве вулканизующего агента рекомендуют ZnO, в качестве ускорителя — 2-меркаптоимидазолин, в качестве противостарителя — n-(n-толилсульфониламидо)-дифениламин (Аравокс). Смеси из II рекомендуют вулканизовать смесью PbO и MgO (20:10) с комбинацией динептаметилентиураттетрасульфида и алтатекса (0,75:0,5). В качестве противостарителей рекомендуют полимеризованный триметилдигидрохинолин или дибутилдитиокарбамат Ni.

И. Тугорский

2395. О методах оценки качества бутадиенстирольных каучуков. Ходжаева И. В., Гуль В. Е., Догадкин Б. А., Хим. пром-сть, 1955, № 5, 16—21

На динамометре типа Поляны измерялся неравномерный модуль растяжения при 100%-ном удлинении ( $M_{100}$ ) ста партий сырого каучука СК-30, полученных в разное время на разных з-дах. Одновременно определялись твердость по Дефо (Д) и основные физ.-мех. показатели стандартных вулканизатов. Между  $M_{100}$  и Д существует линейная зависимость, позволяющая рассчитывать величину Д, зная значения  $M_{100}$ . Чем выше  $M_{100}$  сырого каучука, тем ниже относительное удлинение и выше модули его вулканизатов. Сопоставление содержания гель-фракции в каучуке с  $M_{100}$  показало, что между ними в первом приближении также имеется линейная зависимость.  $M_{100}$  является чувствительным показателем, позволяющим высунуть направленность процессов, протекающих в полимере. Для оценки упругих свойств был измерен «показатель ползучести» (П) — величина относительной деформации, развивающейся за определенное время под действием определенной начальной нагрузки. С уменьшением П увеличивается

$M_{100}$ , содержание гель-фракции, время термопластичности, и модули вулканизатов, уменьшаются сопротивление разрыву, относительное удлинение, усталостная прочность и коэфф. старения вулканизатов. Предложены 2 метода для оценки качества каучука СК-30: по  $M_{100}$  и П.

И. Ходжаева

2396. Каучуки на основе изоцианатов. Маутон (Rubbers on isocyanate basis. Mouton E. J.), Plastica, 1955, 8, № 8, 404—407, 437 (голл.; рез. англ., франц., нем.).

Описаны свойства, методы обработки и применение уретановых каучуков: I-гумми, вулколлана, хемигума SL, адипрена В и вулкапрена.

И. Ходжаева

2397. Современные синтетические каучуки. Камбара (最近の合成ゴム. 神原周), 材料試験, Дайри сэкан, J. Japan. Soc., Test. Mater., 1956, 5, № 29, 83—87 (япон.).

Обзор. Библ. 10 назв.

Д. Сандомирский

2398. Стойкость каучуков к действию масел и различных химических веществ. Иноуэ (耐油・耐薬品性ゴム・井上良三), 材料試験, Дайри сэкан, J. Japan Soc. Test. Mater., 1956, 5, № 29, 123—127 (япон.).

Обзор. Библ. 10 назв.

Д. Савдомирский

2399. Идентификация масел в масляных каучуках с помощью ультрафиолетовых спектров поглощения. Прем, Дьюк (Oil identification in oil-polymer masterbatches from ultra-violet absorption spectra. Prem D., Duke J.), Rubber World, 1956, 133, № 5, 659—664 (англ.).

Исследованы девять различных образцов бутадиенстирольных и полибутадиеновых каучуков и полученные из них масляные каучуки, заправленные рядом производственных масел с известными спектрами поглощения (см. РЖХим, 1956, 63067). Предварительным анализом установлено процентное содержание масла в каучуке. Образцы (всего 39) растворялись в n-гептане или смеси 85% метилциклогексана и 15% абс. эфира с последующим разбавлением n-гептаном до получения нужных оптических характеристик. Измерялась оптич. плотность  $A = \lg(I_0/I)$ , ( $I_0$  — интенсивность падающего, I — интенсивность прошедшего через образец луча) для полимера и масляных каучуков на его основе для волн 220—270 мμ через интервал 1—2 мμ. В каждом случае, зная конц-ию масла, рассчитывался индекс оптич. плотности для этого последнего. Строя график зависимости этого индекса для масел от длины волны и сравнивая его с таковыми для исследованных масел, идентифицируют последние. Однозначность выводов определяется точностью определения процентного содержания масла в каучуке и влиянием других составных частей (напр., противокислителя) на способность поглощать УФ-лучи. Во всяком случае, группа масел (ароматич., неароматич., нефтеновые) может быть определена, если известен тип полимера и хотя бы приблизительно конц-ия масла и стабилизатора.

В. Кулезнев

2400. Уравнение устойчивости масляных каучуков. Тафт, Снайдер, Дьюк, Муни (Equation governing stability of oil masterbatches. Taft W. K., Snyder A. D., Duke J. T., Mooney H. R.), Industr. and Engng Chem., 1956, 48, № 2, 336—338 (англ.).

Масляные каучуки с 37,5 ч. различных масел получали обычным способом из латекса GR-S, приготовленного по рецепту с пирофосфатом Fe, и эмульсии масла и высущивали в вакууме при ~20°. Измеряли содержание геля и вязкость разб. p-ров образцов, подвергавшихся старению при 60° на воздухе до 30 дней. Алетоновый экстракт при этом не изменялся. Быстрое ухудшение свойств при хранении наблюдается для образцов, содержащих пирофосфат Fe и масла с высоким содержа-



нием ароматич. углеводородов. Кинетика р-ции де-струкции определяется эмпирическим ур-нием  $V - A = B [\exp(-at)]$ , где  $V$  — исправленная вязкость разб. р-ра образца (с учетом присутствия некаучуковых составляющих),  $t$  — время в днях.  $A$ ,  $B$  и  $a$  — константы, причем  $A$  — минимальная достижимая вязкость разб. р-ра (на нее сильно влияет противокислитель и ряд в-в, присутствующих в маслах),  $B$  — указывает на степень изменения вязкости при деструкции, но не определяет скорости последней,  $a$  — зависит от состава масла, латекса, противокислителя и др., характеризует степень окисленности масла и полимера, связана со скоростью деструкции. Зависимость вязкости разб. р-ров от времени старения при 60° для большинства масел выражается монотонными кривыми, причем их наклон тем меньше, чем меньше неперелестности масла. Ряд кривых после 20 дней старения резко поднимается вверх, отражая начавшиеся процессы структурирования каучука. Все производственные масла по увеличению ускоряющего действия на деструктивные процессы располагаются в ряд, соответствующий росту их нева-сценности.

В. Кулезнев

#### 2401. Исследования вулканизованного каучука. IV.

Сравнение нагревания вулканизата на воздухе и в углекислом газе. V. Влияние некоторых ускорителей на связанную серу. Морита (加硫ゴムの研究. 第4報. 加硫ゴムの空气中加熱と炭酸ガス中加熱の比較. 第5報. 數種の加硫促進剤の結合硫黄に及ぼす影響. 森田榮一). 日本ゴム協誌. Нихон гому кёкайси. J. Soc. Rubber Ind. Japan, 1955, 28, № 12, 799—805, 860; 1956, 29, № 2, 77—82 (япон.; рез. англ.)

Неполненные вулканизаты из НК, вулканизованные как таксом (I), нагревались на воздухе, в  $O_2$  или в  $CO_2$  при 70—80°. Уменьшение содержания свободной S поглощается  $O_2$ . При высоком содержании свободной S содержание общей S уменьшается при нагревании на воздухе. Содержание сульфидной S уменьшается при нагревании на воздухе, но увеличивается при нагревании в  $CO_2$ . Изменение содержания S, связанной с каучуком, по удаляемой смесью  $H_2O_2$  и  $CH_3COOH$  в виде сульфата ( $S_s$ ), зависит от исходного состояния вулканизата и условий нагревания. Превращение S в  $S_s$ , связанную с каучуком и не удаляемую указанной смесью ( $S_p$ ), протекает легко при нагревании в  $CO_2$  и медленно в присутствии  $O_2$ . Это превращение в атмосфере  $CO_2$  ускоряется при повышении т-ры, однако максим. густота сетки при этом уменьшается. Нагревание на воздухе и в  $CO_2$  вызывает увеличение числа поперечных связей; в первом случае этот эффект достигается главным образом за счет воздействия  $O_2$ . Взаимное превращение различных модификаций связанной S одинаково в случае вулканизатов с I и альтаксом, что указывает на переход альтакса в I при вулканизации. Физ. и хим. свойства вулканизатов с сантокуром отличаются от свойств вулканизатов с I или альтаксом, что указывает на участие амина в р-циях вулканизации. Густота сетки и сопротивление разрыву в оптимуме вулканизатов с дифенилгуанидином (II) выше, чем с I. При определенном кол-ве общей связанной S отношение  $S_s$  и сульфидной S больше в вулканизатах с II, чем с I. При низком значении свободной S в процессе вулканизации наблюдается переход  $S_s$  в сульфидную S и в  $S_p$ . Часть III см. РЖХим, 1956, 52414.

И. Тугорский

2402. Вулканизация нитрильного каучука перекисями. Лафтер (Peroxide cures of nitrile rubber. L. u fter C. H.), Rubber World, 1956, 133, № 4, 511—518, 522 (англ.)

При вулканизации смесей из хайкара с различным содержанием нитрильных групп гидроперекисями диизо-пропилбензола, парамента или кумола по модулям вулканизаты приближаются к тиурамовым, обладают

пониженной т-рой хрупкости, высоким сопротивлением старению, но меньшим сопротивлением разрыву и относительно большим удлинением, смеси подвержены преждевременной вулканизации. Хайкар с высоким содержанием нитрильных групп способен вулканизоваться одной перекисью, без  $ZnO$  и стеариновой к-ты. Неозон D незначительно уменьшает склонность смесей к преждевременной вулканизации и снижает сопротивление разрыву, n-нитрозодинфениламин не влияет на преждевременную вулканизацию и значительно уменьшает сопротивление разрыву. Смесей с перекисью изопропилбензола (I) из хайкара с высоким содержанием нитрильных групп обладают склонностью к преждевременной вулканизации, при малом содержании нитрильных групп последняя отсутствует. Вулканизаты с I имеют более высокие сопротивление разрыву и относительное удлинение, чем с гидроперекисью, и низкое остаточное сжатие. I способна вулканизовать смеси из хайкара, наполненные каолином.

И. Тугорский

2403. Разрушение неполненных вулканизатов в горячем воздухе и релаксация напряжения. Ямада, Коно (純ゴム配合加硫物の熱空氣中劣化と伸長歪力の緩和. 山田昌男, 河野正隆), 電気試験所彙報. Данки сикэнсё ихо, Bull. Electrotechn. Lab., 1955, 19, № 2, 134—139, 155 (япон.; рез. англ.)

Каучук, вулканизованный 1) только с тиурамом, 2) с S и каптаксом, 3) с S и дифенилгуанидином, нагревался на воздухе при 100±1°. Изменение свойств вулканизатов при нагревании оценивалось по способности растянутых образцов сохранять напряжение в процессе старения и по их остаточному удлинению. Ход кривых сопротивления разрыву — время старения и остаточное напряжение — время старения хорошо совпадает друг с другом. Величина энергетич. потерь, по-видимому, может характеризовать поведение вулканизатов при старении.

И. Ходжаева

2404. Окислительная и неокислительная тепловая деструкция каучука. Америкенген (Oxidative and nonoxidative thermal degradation of rubber. Ameri-gen G. J. van), Industr. and Engng Chem., 1955, 47, № 12, 2565—2574 (англ.)

Изучалось изменение свойств НК, некоторых СК и их непонесенных и сажевых вулканизатов (В) в процессе теплового старения при различных т-рах в присутствии и отсутствии  $O_2$ . Нагревание в обоих случаях приводит к снижению мол. веса НК и к ухудшению физ.-мех. свойств (ФМС) его В, но в присутствии  $O_2$  этот процесс протекает быстрее и при более низкой т-ре. Вулканизация ускоряет окисление; при 16% связанной S наблюдается максим. ускорение. Энергия активации р-ции окисления НК 24,7 ккал/мол для непонесенных и 18 ккал/мол для сажевых В (с 50% канальной сажи). В с канальной сажей окисляются быстрее, чем с печной, и равное кол-во связанного  $O_2$  сильнее ухудшает их ФМС. В, полученные с тетраметилтиурамди-сульфидом (без S), при нагревании в присутствии  $O_2$  окисляются медленнее, чем серные В, и окисление меньше влияет на их ФМС. GR-S, неопрен и пербуан-18 окисляются быстрее, а бутилкаучук — медленнее, чем НК. Нагревание GR-S низкотемпературной полимеризации без доступа  $O_2$  сопровождается повышением сопротивления разрыву и твердости и снижением относительного удлинения и способности к набуханию в органич. р-рителях; при нагревании в присутствии  $O_2$  прочность падает, но меньше, чем в случае НК. Таким образом, при тепловом старении НК преобладает деструкция, а в случае GR-S — структурирование. Худшее сопротивление истиранию шин с протектором на основе НК объясняется более сильным по сравнению с СК падением поверхностной прочности его В в результате окислительного старения при кратковремен-

ных воздействиях высоких т-р в процессе эксплуатации.

А. Лебедев  
**2405. Деструкция масляных каучуков в присутствии солей металлов.** Митчелл, Эмбри, Мак-Фарлан (Degradation of oil-extended polymers in presence of metal salts. Mitchell J. M., Embree W. H., MacFarlane R. B.), Industr. and Engng Chem., 1956, 48, № 2, 345—348 (англ.)  
Исследовалось влияние Fe, Cu и других металлов на изменение свойств бутадиенстирольного масляного каучука в процессе ускоренного старения на воздухе при 66° и ~20°. По данным ускоренного старения металлы по возрастанию деструктирующего действия располагаются в ряд: Cr, Co, Fe, Mn, Cu. Действие Sn, Zn, Ni незначительно; увеличение содержания Fe более 0,05 ч. перестает ускорять деструкцию, при этом безразлично вводить ли Fe в латекс в виде сульфата или пирофосфатного комплекса. Влияние масел на деструкцию зависит от содержания в них ароматики. По данным старения при хранении, Fe значительно менее активно, чем Cu. Отмывка Cu водой или р-рами связывающих ее в-в не дала заметных результатов. Fe в виде загрязнений менее активно, чем его сульфат и пирофосфат. Cr и Mn дают некоторое повышение вязкости по Муни, сопровождающееся затем резким ее падением. Физ. свойства вулканизатов деструктированных каучуков лишь немного хуже обычных. Из рецептуры масляных каучуков необходимо исключать Fe.

В. Кузнецов  
**2406. Озонное растрескивание вулканизатов GR-S при двумерном растяжении.** Оссефорт, Таухи (Ozone crazing of biaxially stressed GR-S vulcanizates. Ossefort Z. T., Touhey W. J.), Rubber World, 1955, 132, № 1, 62—63, 70 (англ.)  
Вулканизаты GR-S подвергались старению в озонной камере в темноте при одно- и двумерном растяжении. Для сравнения один образец подвергался атмосферному старению. Растрескивание вулканизатов проверялось визуально при 20- и 5-кратном увеличении. При одномерном растяжении образовывались типичные для озонного старения правильные трещины, направленные перпендикулярно к оси напряжения. При двумерном растяжении появились беспорядочные волосные трещины, обычно приписываемые действию света, активировавшего окисление каучука. Растрескивание растянутых вулканизатов может вызываться одним O<sub>3</sub> в отсутствие света. Фотографии подтверждают сходство между характером растрескивания шинной покрышки и растрескиванием, вызываемым O<sub>3</sub> в темноте при двумерном растяжении.

И. Ходжаева  
**2407. Вещества, защищающие вулканизаты GR-S от озонного растрескивания.** Шоу, Оссефорт, Таухи (Antiozidants for GR-S rubber. Shaw R. F., Ossefort Z. T., Touhey W. J.), Rubber World, 1954, 130, № 5, 636—642 (англ.)  
Синтезированы и испытаны промышленные противостарители с целью выявления в-в, способных защищать вулканизаты GR-S от озонного растрескивания («антиозиданты») (I). I должны обладать специфич. противозонным действием; низкой летучестью; ограниченной растворимостью для обеспечения миграции на поверхность; устойчивостью при тепловом старении; доступностью. I не должны изменять цвета резин. Растянутые вулканизаты GR-S подвергались статич. и динамич. испытаниям в озонной камере (при 55,5° и конц-ии O<sub>3</sub> 25 ± 1 ч. на 100 млн. ч. воздуха) и в атмосферных условиях. Критерием служило время до появления первых трещин. Наилучшими защитными св-вами обладают алкил-*n*-фенилендиамин (RNH)<sub>2</sub> A, где R — H, фенил или алкил с ≥ 20 атомами C; A — 1—3 ароматич. кольца, соединенные вместе или с группой CH<sub>3</sub>. Образцы, содержащие 3—5 ч. I на 100 ч.

каучука, не растрескивались в течение 2 лет при атмосферном старении. Ускоренные испытания в озонной камере плохо коррелируют с атмосферным старением из-за колебаний конц-ии O<sub>3</sub> в атмосфере. Воски с т. пл. 70 ± 5° в кол-ве 1—3 ч., недостаточные сами по себе для обеспечения защиты от O<sub>3</sub>, способствуют миграции I на поверхность каучука, что особенно важно при использовании высокомолекулярных ароматич. аминов, молекулы которых обладают ограниченной подвижностью. Для уменьшения летучести I рекомендуется повышение их мол. веса до определенных пределов (до 19 алкильных групп). Лучшие результаты дает N, N'-диоктил-*n*-фенилендиамин (II). Понижение т-ры полимеризации и содержания стирола в GR-S приводит к уменьшению сопротивления озонному растрескиванию. При повышении содержания стирола необходимо увеличить конц-ии I в смесях. Для увеличения озоностойкости смесей, содержащих I, рекомендуется прибавлять неозон D или Age Rite Resin D. I, особенно II, повышают устойчивость при тепловом старении. И. Ходжаева  
**2408. Защитные материалы для каучука: противостарители, вещества, защищающие от действия озона и воска.** Отчет о семинаре Акронской резиновой группы. Противостарители общего назначения для синтетических каучуков. Нил (Protective materials for rubber: antioxidants, antiozonants and waxes. Report of a symposium sponsored by the Akron rubber group. General antioxidants for synthetic rubber products. Neil A. M.), Rubber Age, 1955, 77, № 5, 705—706 (англ.)

Противостарители общего назначения — неозон D, продукты р-ции кетонов и дифениламинов более эффективны в смесях из СК, чем из НК, особенно если окисление сопровождается затвердеванием изделия. Противостарители спец. назначения, напр., антифлексинги, более активны в смесях из НК, что связано с их способностью предотвращать образование трещин, но не препятствовать их прорастанию. Испытания на ускоренное старение не позволяют предсказывать продолжительность службы резиновых изделий в условиях эксплуатации. Наилучшая корреляция получена для неопрена, смеси которого исключительно стойки к окислению, особенно в присутствии неозона D. Применение повышенных кол-в противостарителей общего назначения в неопреновых смесях сильно повышает сопротивление озонному растрескиванию.

И. Ходжаева  
**2409. Влияние изменений противостарителя на вулканизаты каучука.** Зависимость между поглощением кислорода и изменением физических свойств. Шелтон, Роке, Уиккем (Effect of inhibitor variations in rubber vulcanizates. Relationship between oxygen absorption and changes in physical properties. Shelton J. Reid, Cox William L., Wickham William T.), Industr. and Engng Chem., 1955, 47, № 12, 2559—2564 (англ.)  
Проводилось сравнительное изучение скорости поглощения O<sub>2</sub> сажевыми вулканизатами GR-S (I) при 101° и НК (II) при 91° ч изменения их физ.-мех. свойств (ФМС) в присутствии различных кол-в противостарителей: фенил-3-нафтиламина (III) (для I и II), N, N'-ди-*н*-бутил-*n*-фенилендиамина (IV), 2,6-ди-*н*-бутил-*п*-крезола (V) и гидрохинона (VI) (только для II). Для III, V и VI в случае II найдена оптим. конц-ия, выше которой наблюдается повышение скорости окисления каучука и ухудшения ФМС. Для III в I также имеется оптимум конц-ии, соответствующий миним. скорости окисления, но дальнейшее увеличение содержания III не приводит к ускорению падения ФМС вулканизатов при тепловом старении. IV мало влияет на скорость окисления II, но оказывает значительное стабилизирующее действие на ФМС. При равном кол-ве поглощенного каучуком O<sub>2</sub> амины являются лучшими противоста-

рителями, чем фенолы. В большинстве случаев существует корреляция между поглощением  $O_2$  и изменением ФМС резины, но имеются исключения, когда р-ции destruction изменяются без соответствующего изменения суммарной скорости окисления. А. Лебедев

2410. Невыцветающие противостарители. Вильямс (Non-staining antioxidants. Williams G. E.), Trans and Proc. Instn Rubber Ind., 1956, 32/3, № 1, P43—P54 (англ.)

Обзор свойств и применения. Библ. 30 назв.

2411. Обладка химической аппаратуры резиной из синтетических каучуков. Сиба (合成ゴムライニング. 椎葉 雲八), 日本ゴム協会誌, Нихон гому кэйкайси, J. Soc. Rubber Ind., 1955, 28, № 10, 668—677 (япон.)

2412. Применение синтетических каучуков в производстве электрических проводов. Ямада (電線工業と合成ゴム・山田 哲三), 材料試験, Дзайрё сикэн, J. Japan Soc. Test. Mater., 1956, 5, № 29, 132—137 (япон.)

2413. Современные тенденции в области применения каучука и пластмасс как изоляционных материалов для силовых кабелей. Танака (動力ケーブル用絶縁材料としてのゴムプラスチックの最近の趨勢について・田中 郁雄), 材料試験, Дзайрё сикэн, J. Japan Soc. Test. Mater., 1956, 5, № 30, 148—157 (япон.)

2414. Испытание резины при низких температурах. Описание и применение новых субарктических приборов для пяти видов различных испытаний. Браун (Testing of rubber at low temperatures. A description of a new sub-arctic testing apparatus and its application to five separate and distinct valid tests. Brown Robert), Rubber Age, 1955, 78, № 2, 245—247 (англ.)

Изготовлена камера, в которой при постоянной  $t$ -ре от  $+70$  до  $-78^\circ$  можно проводить пять различных испытаний резины. 1. Испытание на сгиб для определения хрупкости резины. Определают появление трещин при резком сближении концов образца, охлажденного в соевом состоянии. 2. Определение остаточной деформации сжатия при замораживании. 3. Определение жесткости с помощью весов Жоли. 4. Испытание ячеистой резины на сжатие при  $t$ -ре  $\sim 20$  и  $-40^\circ$ . 5. Определение модуля Юнга по величине прогиба под заданным грузом замороженной резиновой балки, свободно расположенной на двух опорах. Зависимость кривой изменения модуля с  $t$ -рой от времени замораживания позволяет определить наличие стеклования и кристаллизации.

М. Хромов  
2415. Исследования методов анализа органических ингредиентов. I. Ультрафиолетовые спектры поглощения органических ингредиентов. Кавагути, Уэда, Кога (有機配合剤分析法に関する研究. 第1報・有機配合剤の紫外吸収スペクトルについて・川口 輝雄, 植田 貞一, 古賀 肇), 日本ゴム協会誌, Нихон гому кэйкайси, J. Soc. Rubber Ind., 1955, 28, № 9, 525—530, 585 (япон.; рез. англ.)

Измерены УФ-спектры поглощения 20 ускорителей, 10 противостарителей, 1 замедлителя преждевременной вулканизации (N-нитрозодинеиламин) и 8-мичлителя в хл.фил. сп. р-рах. Почти все ингредиенты могут быть определены при конц-ии 1—2 мг на 100 мл р-рителя. Обсуждена связь между хим. составом и спектрами поглощения. И. Турский

2416 К. Технология резины. Т. 2. Обработка каучука и свойства резины. Бабек, Добно (Gumárenská technologie. 2. díl. Zpracování kaučuku a vlastností pryže. Bábek M., Dobiaš L. Praha, GNTL, 1955, 591, 3 s. il., 50. 80 Kčs.) (чеш.)

2417 К. Связь между молекулярной структурой каучука и его физическими свойствами и основные методы исследования. Ярмай, Варшань (A kaucsuk molekuláris szerkezetének és fizikai tulajdonságainak, összefüggése és a legfontosabb vizsgálati eljárások. Jármay Zoltan, Varsanyi Gyula. Budapest, 1955, 88 l., 18 ft.) (венг.)

2418 К. Успехи технологии резины. Ежегодники за 1953, 1954, 1955 гг. Ред. Дрейкел (Annual report on the progress of rubber technology. 1953, 17, IX + 173 pp. 1L, 1 sh.; 1954, 18, IX + 186 pp. 1L, 1 sh.; 1955, 19, VIII + 158 pp. 1L, 1 sh.; Ed. Drakeley T. J. London, Inst. Rubber Ind.) (англ.)

2419 К. Международный сборник по каучуку, пластмассам и смежным областям (Recueil international du caoutchouc des matières plastiques et des activités connexes. (Inst. franç. caoutchouc, Brit. rubber develop. board, Rubber stichting). 7 éd. Paris, Annales internationat. Rousset, 1955, Lxxvi, 360, Lxxiv, 352 p., 2 000 fr.) (франц.)

2420 К. Общая технология синтетических каучуков. Крючков А. П. Перев. с русс. (Obecná technologie syntetických kaučuků. Krjučkov A. P. Z ruš. Praha, SNTL, 1955, 334, [1] s., il., 49 Kčs.) (чеш.)

2421 П. Способ стабилизации латекса и стабилизированная смесь. Хола (Method of stabilizing latex and stabilized latex composition. Hall Alan Montague) [B. B. Chemical Co. of Canada, Ltd]. Канад. пат. 516073, 516074, 30.08.55

Для стабилизации щел. натурального латекса на каждой глобуле создают слой из продукта р-ции по крайней мере 0,5 или 2—4 вес. ч. казеина с 1 ч. мочевины, осажденного на глобулах формальдегидом. Чтобы воспрепятствовать коагуляции каучуковых частиц при прибавлении к латексу полярных р-рителей, осажденное в-во должно составлять  $\geq 1,5$  или 4,5 вес. ч. на 100 вес. ч. сухого каучука. М. Лурье

2422 П. Латексная смесь (Rubber latex composition) [B. B. Chemical Co. of Aust. Ltd]. Австрал. пат. 164243, 4.08.55

Смесь состоит из латекса и небольшого кол-ва фенилтиокарбамида в качестве противостарителя.

Ю. Дубинкер

2423 П. Латексные смеси для покрытий, содержащие окись цинка, модифицированную фосфатом цинка. Трит, Райден (Latex coating compositions containing zinc phosphate-modified zinc oxide. Treat Lyle G., Ryden Laurence L.) [The Dow Chemical Co.]. Пат. США 2727012, 13.12.55

Щелочную водн. дисперсию пленкообразующего в-ва (сополимер диолефина с сопряженными двойными связями с моновинилароматич. углеводородом или пластицированный полимер моновинилароматич. углеводорода) тщательно смешивают с пигментом, содержащим  $ZnO$ , покрытую фосфатом  $Zn$ , и  $\geq 2$  вес. ч. на 100 вес. ч. пигмента  $\beta$ -оксиналкиламиноной или морфоллиновой соли олеиновой кислоты. М. Лурье

2424 П. Изготовление резиновых изделий отложением из латекса. Рамболд (Manufacture of rubber latex-deposited articles. Rumbold John S.) [United States Rubber Co.]. Пат. США 2726924, 13.12.55

Для снятия с острых краев формы натянутой пленки, отложенной из латекса, на нее воздействуют агентом, вызывающим набухание. М. Лурье

2425 П. Твердые стеновые панели и покрытия для полов с войлочной подкладкой. Беймиллер (Hard surface floor and wall covering having a beater saturated backing. Baummiller John W.) [Armstrong Cork Co.]. Пат. США 2720476, 11. 10.55



Стенные панели и покрытия для полов, не растрескивающиеся при скатывании в рулоны и раскатывании, изготавливаются из гибкого водостойкого основания с однородной структурой и износостойкого декоративного слоя. Основание состоит главным образом из свайловых и высушенных отходов мебельного производства, в которых содержится 50—90 вес. ч. целлюлозного волокна и около 5—50 вес. ч. тонкоизмельченной пробки, причем на волокнах и частицах пробковой мелочи равномерно распределен слой из 20—50 вес. ч. связующего материала. Последний представляет собой коагулятом дисперсии СК. Ю. Дубинкер

**2426 П. Водные дисперсии эластомеров.** Эрнст, Бете (Dispersions aqueuses d'élastomères. Ernst John L., Betts Joseph L., Jr) (Standard Oil Development Co.). Франц. пат. 1095904, 7.06.55 [Rev. gén. caoutchouc, 1956, 33, № 2, 206 (франц.)]

Для получения стойкой эмульсии эластомера, в частности GR-I, последний растворяют в надлежащем р-рителе, р-р диспергируют в тщательно выбранной и отрегулированной эмульгирующей водн. системе и отделяют р-ритель. М. Лурье

**2427 П. Защита прозрачных упаковочных материалов от запотевания.** Карсон (Prevention of fogging of transparent packages. Carson Clarence M.) (Wingfoot Corp.). Канад. пат. 510832, 8.03.55

Водоотталкивающая пленка для упаковки состоит из гидрохлорированного каучука, в котором диспергирован или нанесен на его внутреннюю поверхность нетоксичный, без вкуса и запаха гидрофильный неполный эфир жирной к-ты (спиртовой радикал которого представляет собой простой эфир с длинной цепью), напр. полиоксипропиленполиметилат. Кол-во эфира подбирается так, чтобы конденсирующаяся вода растекалась по поверхности пленки. А. Лебедев

**2428 П. Способ получения каучукоподобных продуктов реакции полимеров с кислотой.** Румшайдт, Хакман (Process for producing rubbery polymer-acid reaction products. Rumscheidt Gottfried E., Hackmann Johannes T.) (Shell Development Co.). Канад. пат. 516815, 20.09.55

Для изготовления нитей р-р диенового полимера, содержащего 3—12% алкиларилгидроперекиси, вводят в коагуляционную ванну с р-ром сернистого ангидрида; в результате р-ции полимер переходит в нерастворимую форму и легко извлекается из ванны. В качестве полимера могут применяться НК, бутадиеновые и хлоропреновые каучуки, а в качестве перекиси — гидроперекиси трифенилметана, этилбензола, диэтилбензола или изопропилбензола. А. Лебедев

**2429 П. Усовершенствование способа получения сополимеров бутадиена с нитрилом акриловой кислоты.** Вильямс, Фордем (Perfectionnement à l'obtention des copolymères de butadiène et d'acrylonitrile. Williams Harry L., Fordham James W. L.) (Polymer Corp. Ltd.). Франц. пат. 1081080, 15.12.54 [Chimie et Industrie, 1955, 74, № 6, 1208—1209 (франц.)]

Иницирующая система для эмульсионной сополимеризации бутадиена с нитрилом акриловой к-ты при  $t_{\text{рач}} < 30^\circ$  состоит из водорастворимых персульфата и соли двухвалентного Fe. Эмульгирующая группа — смесь синтетич. эмульгатора, растворимого в нейтр. или кислой средах, с меньшим кол-вом пальмитата или стеарата К. А. Лебедев

**2430 П. Способ эмульсионной полимеризации бутадиена с нитрилом акриловой кислоты.** Вильямс, Фордем (Procédé de polymérisation de butadiène et d'acrylonitrile en émulsion. Williams Harry L., Fordham James W. L.) (Polymer Corp. Ltd.). Франц. пат. 1081331, 17.12.54 [Chimie et Industrie, 1955, 74, № 6, 1209 (франц.)]

Иницирующая система для эмульсионной полимеризации состоит из персульфата К, соли двухвалентного Fe и небольшого кол-ва цианэтильного производного какого-либо амина (напр., алкил- или диалкиламина с короткой цепью, диэтилентриамин, этаноламина), замещ. алкильным радикалом с короткой цепью. А. Лебедев

**2431. П. Усовершенствованный неопреновый клей.** Тани (Cément perfectionné au néoprène. Tann William E.) (The Firestone Tire & Rubber Co.). Франц. пат. 1097360, 5.07.55 [Rev. gén. caoutchouc, 1956, 33, № 2, 207 (франц.)]

Быстро вулканизирующийся клей, не желатинирующийся при нормальных условиях хранения, получают из р-ра неопрена, содержащего ускоритель, полученный из  $\text{CS}_2$  и диметиламина или аминспирта. При некоторых из этих ускорителей получаемые результаты улучшаются в присутствии  $\text{H}_2\text{S}$ . М. Лурье

**2432 П. Резиновая смесь, содержащая полихлоропрен и основную свинцовую соль алифатической дикарбоновой кислоты в качестве вулканизирующего средства.** Кебрич, Хендрикс (Kontstgummi blandning, som jämte polykloropren innehåller basiskt blysalt av en alifatisk dikarbonsyra som vulkmedel. Kebrich L. M., Hendricks J. G.) (Titan Co., Inc.). Швед. пат. 150192, 31.05.55

К полихлоропрену в качестве вулканизирующего средства добавляют 0,5—50 вес. % (от веса СК) основной Рб-соли алифатич. дикарбоновой к-ты с ф-лой  $\text{C}_n\text{H}_{2n}(\text{COOH})_2$  или  $\text{C}_n\text{H}_{2n-2}(\text{COOH})_2$ , имеющей в молекуле  $\geq 3$  атомов С. Рб-соль должна содержать 1,5 молей РбО на 1 моль дикарбоновой к-ты. Б. Фабричный

**2433 П. Ускорение реакции бутилкаучука с диметилофенолами посредством хлорированного парафина и полученный продукт.** Питерсон, Бате (Acceleration of the reaction between butyl rubber and dimethylol phenols by means of chlorinated paraffin wax and product, obtained thereby. Peterson Lester C., Batts Harvey J.) (United States Rubber Co.). Пат. США 2727874, 20.12.55

100 ч. смеси каучукоподобного сополимера изоолефина с 4—7 атомами С с 0,5—10% алифатич. диолефина с сопряженными двойными связями содержащего 4—6 атомов С, нагревают при  $93\text{—}204^\circ$  5 мин.—3 часа в присутствии 0,4—2,0 ч. 2,6-диметилол-4-фенолазещ. алкила (от  $\text{C}_1$  до  $\text{C}_{20}$ ), циклоалкила, арила или аралкила. Для ускорения р-ции добавляется 1—20 ч. хлорированного парафина. И. Тютковский

**2434 П. Склеивающие составы на основе бутилкаучука** (Compositions adhésives à base de butyl-caoutchouc) [Soc. An. des Pneumatiques Dunlop]. Франц. пат. 1100754, 23.09.55 [Rev. gén. caoutchouc, 1956, 33, № 2, 207 (франц.)]

Для придания бутилкаучуку адгезии к НК в вулканизованную смесь из бутилкаучука, измельченную в порошок, вводят в смесителе меньшее кол-во вулканизирующей смеси бутилкаучука. Смешение ведут при  $t_{\text{ре}}$  ниже  $t_{\text{ры}}$  вулканизации; из полученной смеси приготавливают пластину. М. Лурье

**2435 П. Вулканизирующаяся смесь** (Masse vulcanisable) [Wacker-Chemie G.m.b.H.]. Франц. пат. 1101048, 27.09.55 [Rev. gén. caoutchouc, 1956, 33, № 3, 207 (франц.)]

Для получения силиконовых эластомеров со значительным удлинением при разрыве и малой остаточной деформацией сжатия составляют смесь из силикона, наполнителя, вулканизирующего агента и оловоорганич. соединения. М. Лурье

**2436 П. Способ склеивания вулканизированных деталей из полиуретана.** Туми (Procédé de collage de sections vulcanisées en polyuréthane. T w o m e y

Jeremiah J.) [United States Rubber Co.]. Франц. пат. 1095909, 7.06.55 [Rev. gén. caoutchouc, 1956, 33, № 2, 207 (Франц.)]

Между двумя поверхностями вулканизованного полиуретанового эластомера помещают слой невулканизованного, затем обе поверхности прижимают друг к другу и вулканизуют при нагревании. М. Лурье

2437 П. Сополимеры и способ их приготовления. Ландлер, Лебель (Procédé de préparation de copolymères et produits obtenus par ce procédé. Landier Yvan, Lebel Pierre) [Polyplastic]. Франц. пат. 1101682, 10.10.55 [Rev. gén. caoutchouc, 1956, 33, № 2, 206 (Франц.)]

«Привитые» или «блочные» сополимеры получают полимеризацией по крайней мере 2 мономеров, А и В, таким образом, что все кол-во А полимеризуется, химически связываясь с предварительно полностью полимеризованным В. Присоединение А к В должно происходить группами с  $\geq 10$  звеньями к группам В такой же величины. Полимеризацию возбуждают по существу разложением эмульсии или р-ра полимера В с двойными связями, обработанного  $H_2O_2$  или  $O_3$ . Даны примеры хим. присоединения к НК (в виде латекса или бал. р-ра) акриловой к-ты, ее нитрила или стирола. М. Лурье

2438 П. Способ получения каучукоподобных пластмасс. Шмидт (Verfahren zur Herstellung kautschukartiger Kunststoffe. Schmidt Fritz) [Dynamit-A.-G. vorm. Alfred Nobel & Co.]. Пат. ФРГ 934502, 27.10.55

Полиэфиры из двухосновных к-т и спиртов взаимодействуют с соединениями, содержащими два алкиленминовых остатка; во время этого процесса при получении полиэфира добавляют небольшое кол-во вещества с более чем двумя реакционноспособными функциональными группами. Пример: 75 ч. полиэфира из β-метилгексаметиленгликоля и адипиновой к-ты и небольшого кол-ва триметилдодецанола смешивают с 25 ч. гексаметилен-ди-этиленмочевины, полученной при р-ции гексаметилендиизоцианата с этиленмином. Смесь нагревается в открытой форме 20 час.

М. Монастырская

2439 П. Способ пластификации каучука (Procédé de plastification du caoutchouc.) (New-York Hamburger Gummi-Waaren Co.). Франц. пат. 1060522, 2.04.54 [Chem. Zbl., 1955, 126, № 26, 6156 (нем.)]

Каучуку вальцеванием или измельчением придают большую поверхность, после чего его обрабатывают водой или водн. эмульсией тонко измельченного восстановителя, содержащего S или N, а также восстановителя, содержащего перекиси (напр., продукт присоединения  $H_2O_2$  к мочевины), а затем нагревают до 140—150° в насыщ. влажной атмосфере. В качестве восстановителя применяют: гидразин, алифатич. и ароматич. меркаптаны, тиокарбонные к-ты, их соли, меркаптоэфиры. Пример: 200 г каучука, вытянутого в тонкий лист, обрызгивают 10 см<sup>3</sup> 7%-ной водн. эмульсии пентахлортофенолата Zn, лист складывают и выдерживают 15 мин. при 140° в шкафу для старения с циркуляцией воздуха. В. Кулезнев

2440 П. Окислительная пластификация каучука. Бевиласква (Oxygen-softening of rubber. Bevilacqua Edward M.) (United States Rubber Co.). Пат. США 2 725 414; 2725415, 29.11.55

Натуральный латекс обрабатывают газом, содержащим свободный  $O_2$  в присутствии органич. гидроперекиси (I) (0,05—5% от веса сухого в-ва латекса), в которой атом O присоединен к третичному атому C, и того же кол-ва алкиленполиамида. По пат. 2725415 кроме I присутствуют водорастворимая соль Fe, соль щел. металла и алкиленполиамин полиуксусной к-ты, содержащей 3—5 ацетогрупп и кетоза. В. Кулезнев

2441 П. Вулканизованные жидкие полимеры в качестве пластификаторов каучука. Шулиц, Крауч (Vulcanized liquid polymers as rubber plasticizers. Schulze Walter A., Crouch Willie W.) [Phillips Petroleum Co.]. Пат. США 2721185, 18.10.55

В резиновые смеси из НК, диолефиновых полимеров или их сополимеров с соединениями, имеющими концевую группу  $CH_2 = C<$ , в качестве пластификаторов вводят 1—25 вес. % вулканизованных с S жидких полимеров алифатич. к-ноньюгированных диолефинов или их сополимеров с соединениями, имеющими концевую группу  $CH_2 = C<$ . А. Лебедев

2442 П. Фенилтиосалицилат как каталитический пластификатор каучука. Серлс (Phenyl thiosalicylate as a catalytic plasticizer for rubber. Serles Scott, Jr.) [American Cyanamid Co.]. Канад. пат. 511992, 19.04.55

Для повышения пластичности НК, полибутадиена, алкиламещ. полимеров бутадиена и сополимеров стирола или акрилонитрила с диолефинами, имеющими сопряженные двойные связи, в них распределяют 0,05—5,0 вес. % фенилтиосалицилата (I) с ф-лой:  $C_6H_4COO \cdot C_6H_4 \cdot SH$  - орто. Смесь выдерживают при  $t > 90^\circ$  до достижения пужной пластичности. Дозировка I для НК 0,05—2,0 вес. %, бутадиенстирольного каучука 0,5—3,0 вес. %. Ю. Дубинкер

2443 П. Способ улучшения качества резиновых изделий (Verfahren zur Verbesserung von Kautschukwaren) [DEHYDAG Deutsche Hydrierwerke G. m. b. H.]. Пат. ФРГ 927766, 16.05.55

Хорошими мягчителями или пластификаторами НК или СК служат сложные эфиры пергидрированных ароматич. одно- или многоатомных спиртов с  $\geq 10$  атомами C, замещенных высокомолекулярными алкильными или циклоалкильными радикалами, с одно- или многоосновными карбоновыми к-тами: уксусной, молочной, высшими жирными к-тами, бензойной, салициловой, адипиновой, фталевой, гидрофталевой. Спирты получают каталитич. восстановлением под высоким давлением природных смол или смоляных к-т. Пример: смешивают (в вес. ч.) 38 крена, 22 регенерата, 23 мела, 10 ацетата канифольного спирта или фталата смольного спирта из копака конго, или лаурилдекагидронафтилстеарата, 5 ZnO, 2 S, 0,5 дифенилгуанидина и вулканизуют 45 мин. при 142°. М. Лурье

2444 П. Резины из синтетического каучука (Synthetic rubber compositions) [Standard Oil Development Co.]. Австрал. пат. 164271, 4.08.55

Для повышения сопротивления разрыву и эластичности вулканизатов сополимеров изоолефинов и олефинов с несколькими двойными связями в смеси вводят сажу с  $pH < 7$ , на поверхности частиц которой содержится O. Для необратимого связывания по меньшей мере части сополимера с окисленной сажей смеси нагревают до 121° или выше. Ю. Дубинкер

2445 П. Агломерирование ускорителей вулканизации (Agglomerating) [The Goodyear Tire & Rubber Co.]. Австрал. пат. 200272, 200273, 200274, 22.12.55

Агломерирование ускорителей производят путем смешения с натуральным или синтетич. латексом (полихлоропреновым, полибутадиеновым, бутадиенстирольным или бутадиенакрилонитрильным), содержащим противостаритель и стабилизатор, удаления избытка воды и стабилизатора после коагуляции латекса, приготовления агломератов, сушки их и сбора готового продукта. Конц-ия латекса должна быть  $\leq 10\%$ . Пластичность полимера  $\leq 120$  по Муни. Кол-во полимера  $\geq 4$  вес. % от ускорителя. При агломерировании меркаптобензотиазилдисульфида может применяться нелетучий водорастворимый или летучий стабилизатор; в первом случае содержание воды перед агломерацией должно быть

равно 50—70%, а во втором 35—50%. При агломерировании тетраметилтиураммоно-или дисульфида, тетраэтилтиурамдисульфида, диэтилдитиокарбамата или дибутилдитиокарбамата Zn применяют только летучий стабилизатор и удаление избытка воды производят до 10—30 вес. %.

Ю. Дубинкер  
2446 П. Резиновые смеси и способ их изготовления.

Смит, Амбеланг (Rubber composition and method of making same. Smith George E. P., Jr., Ambelang Joseph C.) [The Firestone Tire and Rubber Co.]. Канад. пат. 517145, 4.10.55

Патентуется смесь полибутадиенового, бутадиенстирольного, регенерата натурального или бутадиенстирольного каучука со смолистым продуктом р-ции хлористой серы и 3-R', 4-R'', 5-R'''-фенола, а также с металл. солью одноосновной карбоновой к-ты, содержащей 10—25 атомов С. R' и R'' — Н или алкил, а R''' — алкил, содержащий не более трех атомов С. П р и м е р: сополимер бутадиена и стирола, резинат Zn и продукт р-ции 1,0 моля *n*-трет-амилфенола с 0,9—1,0 молем двуххлористой серы. В. Кулезнев

2447 П. Способ осуществления реакции каучуков с двуокисью серы. Хакман (Process of reacting rubbers with sulfur dioxide. Hackmann Johannes T.) [Shell Development Co.]. Канад. пат. 512110, 19.04.55

Для получения продуктов р-ции каучукоподобного полимера не менее чем одного диолефина с сопряженными двойными связями (напр., бутадиена) и двуокиси серы (I) полимеры растворяют и р-р приводит во взаимодействие с продуктом соединения I и алифатич. кетона с числом атомов С 3—10 (напр., ацетона). Р-цию можно активировать, вводя в р-р полимера перекись. Высокомолекулярный полимер можно растворить в том же кетоне, с которым связана I. Другим способом проведения этой р-ции является выщелачивание р-ра полимера, содержащего перекись, в коагуляционную ванну с р-ром, содержащим I, при этом образуется нерастворимый волокнистый продукт, который извлекают из реакционной смеси. Коагуляционная ванна состоит из продукта присоединения I к алифатич. кетону с 3—10 атомами С, в котором содержится 1—5 вес. % воды и  $\geq 150$  г/л I. Ю. Дубинкер

2448 П. Резиновые смеси, содержащие антиокислители (Rubber compositions containing antioxidants) [Imperial Chemical Industries Ltd.]. Австрал. пат. 162684, 10.05.55

Для стабилизации НК и СК, резиновых изделий и латексов вводят  $\alpha$ -бис-(2-гидрокси-5-метилфенил)-этан, в котором в каждой фенильной группе третий атом Н замещен алкильной, циклоалкильной или алкилциклоалкильной группой с числом атомов С  $\leq 8$ .

А. Лебедев  
2449 П. Стабилизация полимеров и вулканизатов. Алберт (Stabilization. Albert Harry E.) [The Firestone Tire and Rubber Co.]. Канад. пат. 510508, 1.03.55

Стабилизация каучукоподобного сополимера диена с сопряженными двойными связями и винилароматич. мономера (напр., бутадиена и стирола) или его вулканизата достигается введением небольших, но существенных кол-в триалкилфенола, содержащего всего 5—20 атомов С в трех алкильных группах (напр., 2,6-дигрет-бутил-*n*-крезол) и соли алифатич. или алициклич. карбоновой к-ты с 7—20 атомами С (напр., нафтеновой) и 2-валентного Sn. Ю. Дубинкер

2450 П. Стабилизатор для натурального и синтетического каучуков и его приготование. Китчен (Stabilizer for natural and synthetic rubbers and the preparation thereof. Kitchen Leland J.) [Firestone Tire and Rubber Co.]. Канад. пат. 515724, 16.08.55

Для защиты каучуков и латексов от теплового, кислотного и светового старения вводят небольшое кол-во продукта р-ции между галогензамещ. углеводородом с 3—8 атомами С (напр., трет-бутилхлоридом) и олефин-алкилированной крезоловой к-той с 3—8 атомами С (напр., изобутиленалкилированной нефтяной крезоловой к-той). В этом случае стабилизатор представляет собой вязкую жидкость с т. кип. 100—220°/10 мм.

А. Лебедев  
2451 П. Стабилизация GR-S. Смит (Stabilization of GR-S. Smith George E. P.) [Firestone Tire and Rubber Co.]. Канад. пат. 515725, 16.08.55

Для стабилизации сополимерных каучуков (напр., бутадиенстирольных), латексов и вулканизатов в них вводят небольшое кол-во алкилированной крезоловой к-ты (I) (фракции, кипящей  $> 100^\circ/10$  мм), в которой алкильные группы (в среднем 1—2 на молекулу) содержат от 4 до 12 атомов С. I получают из крезоловой к-ты, кипящей при 190—250° при атмосферном давлении.

А. Лебедев  
2452 П. Способ стабилизации продуктов взаимодействия каучукоподобных полимеров с сернистым ангидридом. Гоппел (Method for the stabilization of sulfur dioxide-rubbery polymer products. Goppel John M.). [Shell Development Co.]. Канад. пат. 516816, 20.09.55

Для повышения стабильности диеновых каучукоподобных полимеров (активированных гидроперекисями) их переводят в нерастворимые продукты за счет присоединения SO<sub>2</sub>. С или S-содержащее соединение, способное легко ее выделять (напр., H<sub>2</sub>S), вводят в р-р полимера в кол-ве 0,1—2 вес. % и полученную смесь подвергают действию SO<sub>2</sub> при  $t$ -ре  $\leq -5^\circ$ .

А. Лебедев  
2453 П. Способ пропитки текстильных материалов и полученные продукты (Procédé pour l'imprégnation des matières textiles et produits obtenus) [Dunlop Rubber Co., Ltd, Soc. An. des Pneumatiques Dunlop]. Франц. пат. 1102980, 27.10.55 [Rev. gén. caoutchouc, 1956, 33, № 2, 204 (франц.)]

Для улучшения пропитки смолы текстильного корда, предварительно пропитанного латексом, корд обрабатывают фенолом, затем альдегидом так, что на корде образуется фенолальдегидная смола. Напр., вискозные нити обрабатывают резорцином, затем формальдегидом, после чего нагревают 30 мин. при 100°. М. Лурье

2454 П. Бутилкаучук для заклеивания проколов (Butyl rubber for puncture sealing) [Wingfoot Corp.]. Австрал. пат. 164480, 18.08.55

Состав для заклеивания проколов состоит из 60—20 вес. % каучукоподобного сополимера изоолефина (с 4—7 атомами С) с меньшим кол-вом олефина с несколькими двойными связями (с 4—8 атомами С) и 40—80 вес. % НК или бутадиенстирольного каучука.

А. Лебедев  
2455 П. Способ крепления каучукоподобных полимеров к металлам посредством композиции, содержащей бромированный сополимер изоолефина и полиолефина, и получаемые изделия. Крофорд, Моррисси (Method of bonding using brominated isomonoolefin polyolefin interpolymers adhesive compositions and article produced thereby. Crawford Richard A., Morrissey Richard T.) [The B. F. Goodrich Co.]. Пат. США 2720479, 11.10.55

Для крепления каучукоподобного сополимера изоолефина (70—90 вес. %) с 4—8 атомами С и полиолефина (1—30 вес. %) с 4—18 атомами С к металлу, последний покрывают слоем смеси фенолальдегидной смолы и бромированного твердого каучукоподобного сополимера указанного состава, содержащего 20—80% кол-ва Br, необходимого для насыщения всех двойных



связей. Собранный изделие вулканизуется под давлением.

**2456 П.** Обжим изделий, обожженных резиной (Indenting rubber-covered bodies) [W. T. Henley's Telegraph Works Co. Ltd.] Австрал. пат. 164160, 4.08.55

Изделия, свежескопанные резиновой смесью, пропускают через камеру, давление пара в которой  $\geq 7$  ат, где они подвергаются обжиму, затем изделия направляют на вулканизацию.

**2457 П.** Усовершенствование резервуаров для горючих углеводородов. Мишо (Perfectionnement aux réservoirs destinés à contenir des hydrocarbures inflammables. Michaux Pierre [S. E. L. A., Soc. d'Exploitation du Latex]. Франц. пат. 1100345, 19.09.55 [Rev. gén. caoutchouc, 1956, 33, № 2, 206 (франц.)])

Резервуары для горючих углеводородов защищают при помощи сложного материала, состоящего по крайней мере из одного слоя вполне вулканизированного НК или СК и одного слоя ячеистой резины, снабженной на поверхности перегородками так, что затрудняется возможное течение жидкости вдоль нее, препятствуя таким образом утечке вследствие набухания губчатой резины. Последнюю получают из натурального латекса, перегородки образуют механич. путем, напр., действуя соответствующей решеткой или пропускающей черезрифленные вальцы.

**2458 П.** Ячеистая резина (Cellular rubber) [Rubatex Products Inc.]. Австрал. пат. 164227, 4.08.55

В специальную форму, раздвигающуюся только в одном направлении, помещают резиновую смесь, содержащую порообразователь, образующий газ при нагревании, и вулканизирующий агент, нагревают до т-ры, достаточной для выделения газа и вулканизации, и подвергают частичной вулканизации. Выделяющийся газ раздвигает форму в одном направлении до определенного размера, причем одновременно происходит значительное увеличение объема резины. После этого производится окончательная вулканизация ячеистой резины.

**2459 П.** Сасмоклеивающий упаковочный материал. Хектман (Self-sealing wrapping material. Hechtman John F.) [The Munising Paper Co.]. Пат. США 2714562, 2.08.55

Сасмоклеивающийся лист, вполне пригодный для заворачивания и заклеивания изделия, представляет собой тонкий, гибкий лист из непористого материала, одна сторона которого покрыта пленкой с прочным сцеплением, но почти не клейкой, состоящей из смеси 10—60% НК и 90—40% сополимера 50—80 вес. % бутадиенового углеводорода и 50—20 вес. % акрилонитрила, с мол. весом  $< 100\,000$ ; другая сторона листа покрыта гибкой восковой пленкой.

**2460 П.** Метод регенерирования отходов невулканизированной резины, содержащих ткань. Дашер (Methods for reclaiming unvulcanized rubber scrap, or the like, containing fiber. Dasher Paul J.) [Dasher Rubber and Chemical Co.] Канад. пат. 517121, 4.10.55

Отходы резины, содержащей целлюлозу, измельчают так, чтобы в основном проходили через сито с отверстиями 9,4 мм и имели влажность  $\sim 1\%$ , при перемешивании продвигают вдоль ряда зон с различной т-рой навстречу парам HCl. Т-ра паров падает с 93—116° на входе до 66—82° после обработки материала и далее к выходу поднимается до прежнего уровня, создавая зону подушки. Т-ра материала увеличивается от  $< 20^\circ$  до 52—79° на выходе. Конца кипения HCl (21—28%) выбрана так, чтобы пары ее, конденсирующиеся на регенерируемом материале и смешивающиеся с содержащейся там влагой, давали азеотропную смесь. Общий объем паров к-ты в 8—20 раз больше объема ре-

генерируемого материала, время обработки 2—7 мин. Целлюлоза гидролизруется, а полученный после обработки материал еще раз измельчают и ткань отделяют от каучукового в-ва.

**2461 П.** Установка для регенерации резины и резиновых отходов (Installation pour régénération du caoutchouc et des déchets de caoutchouc) [Continental Gummi-Werke A.-G.]. Франц. пат. 1103167, 31.10.55 [Rev. gén. caoutchouc, 1956, 33, № 2, 206 (франц.)]

Измельченную резину непрерывно пропускают винтовым транспортером через цилиндр, окруженный горячей жидкостью (маслом) с т. кип. 270° при нормальном давлении. Масло лучше всего нагревать газовыми горелками.

**2462 П.** Усовершенствование регенерации резины. Бутера (Perfectionnements apportés à la régénération du caoutchouc. Butera Gaspare) [Pirelli (S. p. A.)]. Франц. пат. 1103627, 4.11.55 [Rev. gén. caoutchouc, 1956, 33, № 2, 206 (франц.)]

Для удаления обугленного текстиля, содержащегося в регенерате, полученном паровым способом, выгружаемый из автоклава регенерат измельчают, промывают водой, если нужно при механич. перемешивании, и сушат.

**См. также:** Латекс, вязкость 618. Хлорированный каучук 1107, 3224—3226. Произ-во СК 3362. Полимеризация под действием излучения 1150. Полибутадиев 1106. Полиизопрен 1117. Бутадиенстирольные сополимеры, строение 1110. Силиконовый каучук 2543. Полиизобутилен, теплоемкость 1127. Фракционирование 1196. Соплимер бутадиена, стирола и акрилонитрила 2477. Полууретановая губка 2567. Ориентация каучука при длительном хранении 1124. Структура вулканизата 1130. Резиновый клей 2588. В-во уменьшающее липкость 2555. Гуммирование аппаратуры 3222

## СИНТЕТИЧЕСКИЕ ПОЛИМЕРЫ. ПЛАСТМАССЫ

Редакторы А. А. Жданов, Н. С. Левкина

**2463.** Пластические массы. Ярсли (The plastics family. Yarsley Y. E.), Far East Trade, 1956, 11, № 3, 279, 281 (англ.)

Популярная статья о свойствах пластич. масс.

**2464.** Пластмассы. Дибб (Plastics. Dobb R. H.), Engineer, 1956, Centenary Number, 184—187 (англ.)

Кратко описаны достижения в области создания нового оборудования для произ-ва и переработки пластич. масс и изложены общие сведения о произ-ве и применении пластиков.

**2465.** Промышленность синтетических смол и сырья.

1. Сумия (原料面より見た合成樹脂工業・上・岡本威雄), 工業化学雑誌, Koré karaku daasen, J. Chem. Soc. Japan. Industr. Chem. Sec., 1955, 58, № 7, 477—481 (япон.)

**2466.** Новое в промышленности пластмасс. Пуч (Nuevas técnicas en la industria de los plásticos. Puig Ignacio), Goma, 1955, 3, № 36, 11—14 (исп.)

За последнее время: 1) разработан новый пластификатор диалкилфенилфталат с малой летучестью и обеспечивающий высокую морозостойкость поливинилхлоридным композициям; 2) получен наполнитель для пластмасс и шпательный порошок порошкообразных инсектицидов путем обработки крахмала (5 мин.) разб. р-ром органич. диизоцианата; обработанный крахмал обладает повышенной водостойкостью; 3) предложен новый метод формования нейлона: заделке формуют сначала из порошка на холоду и затем его прогревают

(в масле); полученные таким методом изделия лишены внутренних напряжений; 4) разработан центробежный метод формования антикоррозийных труб (для нефтепромыслов) из стеклопластика на основе полиэфирных смол.

Л. Песин

**2467. Успехи в производстве полиэтилена и окиси этилена в восточном Монреале.** — (Progress in polyethylene and ethylene oxide at Montreal East.), Chem. in Canada, 1955, 7, № 8, 40, 42, 46, 48, 50 (англ.)

На новых установках по произ-ву окиси этилена применяют метод прямого окисления этилена воздухом (катализатор Ag на инертном носителе, т-ра 220°). В качестве сырья используют непрореагировавший этилен от произ-ва полиэтилена, с которыми установки по получению окиси этилена обычно образуют общий комбинат.

Л. Песин

**2468. Малениновый ангидрид в пластмассах. Черния** (L'anidride maleica nelle materie plastiche. Cernia E.), Mater. plastiche, 1955, 21, № 9, 749—752 (итал.)

Малениновый ангидрид (I) используют в качестве компонента при сополимеризации и сополиконденсации. Сополимеры I и стирола (II) при высоком соотношении I к II хорошо растворимы в воде, цел. р-рах и применяются для отделки тканей, в качестве клеев (напр., заменителей желатин) и при изготовлении фруктовых соков. Сополимеры I с акрилатами и метилметакрилатом обладают повышенной стойкостью к абразивным действиям и успешно используются для оптич. изделий. Сополиконденсаты I применяют для получения полиэфирных смол и стеклотекстолита на их основе. Некоторые сополимеры I применяют в качестве ионитов.

Л. Песин

**2469. Новые области применения плит из высокопрочного полистирола. Грудка** (Neue Anwendungsgebiete für stoßfeste Polystyrol-Platten. Hrudka Robert F.), Kunststoffe, 1955, 45, № 9, 401—405 (нем.; рез. англ., франц., исп.)

Плиты из сополимера стирола с бутадиеном, обладающего высокой ударной вязкостью, перерабатывают в крупногабаритные изделия сложной конфигурации методом вакуумного формования. В ряде случаев при формовании применяют локальное нагревание (частичным экранированием шаблонами поверхности плиты от источника тепла) и охлаждение (местным обдувом плиты холодным воздухом). Таким способом изготавливают панели холодильников, усиленные ребрами жесткости.

Л. Песин

**2470. От карбида к поливинилхлориду. Вемпнер** (Vom Karbid zum PVC. Wömpner Heinz), Wiss. und Fortschr., 1956, 6, № 1, 4—7 (нем.)

Популярно изложены методы получения винилхлорида из ацетилена, способы полимеризации и переработки полимера в материалы и области применения поливинилхлоридных пластиков.

Л. Песин

**2471. Молекулярная характеристика поливинилхлорида. Чампа** (La caratterizzazione molecolare del cloruro di polivinile. Ciampa G.), Materie plast., 1956, 22, № 2, 87—91 (итал.)

Описаны методы определения вязкости р-ров поливинилхлорида (I) и приведена формула расчета константы Фикенчера ( $K_w$ ) для I по данным определения вязкости. Показана зависимость  $K_w$  от концентрации I в р-ре, природы р-рителя и т-ры.

Л. Песин

**2472. Эластичные литьевые материалы на основе виниловых смол. Янг** (Elastomeric injection moulding compounds from vinyl resins. Young T. C.), Brit. Plastics, 1955, 28, № 9, 378—382 (англ.)

Сополимер винилхлорида с винилацетатом (I) хорошо перерабатывается литьем под давлением. Он имеет достаточную текучесть при 80—150°, исключаяющей раз-

ложение материала. Свойства этого сополимера зависят от отношения винилхлорида к I. При изготовлении жесткого материала применяют низкомолекулярный сополимер с большим содержанием I. Эластичные композиции получают на основе высокомолекулярного сополимера с добавлением пластификатора (диоктилфталата). Типовой состав средней мягкости содержит (в вес. ч.): 100 смолы, 60 диоктилфталата, 6 стабилизатора и 2 смазки. Приведены основные физ.-мех. свойства жесткого, мягкого и очень мягкого материалов, а также технология их изготовления. Для литьевых форм рекомендуется применять литники диам. ~ 0,75 мм и вентиляционные каналы, отсутствие которых может вызвать подгорание материала. Т-ра нагревательного цилиндра и сопла должна быть примерно на 20° ниже т-ры литья. Типовой режим литья для материала средней мягкости: т-ра передней зоны нагревательного цилиндра 150°, задней зоны 140°, уд. давление литья 430 кг/см², продолжительность цикла 40 сек. (10 сек. — выдержка под давлением, 30 сек. — охлаждение).

С. Перлин

**2473. Производство кумарониденовых смол на основе продуктов переработки каменного угля** (石炭化学によるクマロン・インデン・レチンの製造), 化学工業, Kagaku kōgi, Chem. Ind. (Tokyo), 1956, 6, № 7, 672—673 (япон.)

В качестве катализаторов полимеризации кумарона и индена применяют конц.  $H_2SO_4$ , фуллерову землю,  $BF_3$ , а также комплексы  $BF_3 \cdot 2C_6H_5ON$ , содержащий 26%  $BF_3$ , и  $BF_3 \cdot 2CH_3COON$  или  $BF_3 \cdot CH_3COON$ , содержащие 36% или 40—41%  $BF_3$ . При использовании комплексов  $BF_3$  необходимо применять стальную аппаратуру, покрытую свинцовым антикоррозийным защитным слоем. Полимеризацию начинают при 35°, но так как процесс протекает экзотермически, необходимо отводить тепло и поддерживать т-ру  $\leq 120^\circ$ . Продолжительность полимеризации составляет  $\leq 1,5$  часа. Продукт необходимо тщательно отмыть от катализатора.

В. Иоффе

**2474. Мономерный и полимерный винилацетат и его производные. Хорн** (Monomeric and polymeric vinyl acetate and its derivatives. Horn O.), Chemistry and Industry, 1955, № 53, 1748—1755 (англ.)

Подробно описаны схемы получения винилацетата (I) в жидкой и газовой фазе и методы его полимеризации. При эмульсионной полимеризации можно получить продукт с размером частиц до 0,05 м. I также сополимеризуют с винилхлоридом, малениновым ангидридом, винилбензоатом, кротовой к-той и ее эфирами и т. д. Описаны области применения поливинилацетата (II) и приведены данные, характеризующие относительное применение II в США и Германии для клеев, красок в текстильной и бумажной пром-сти, для склейки древесины и других назначений. Рассмотрены процессы получения поливинилового спирта (III) омылением II и схемы ацетализации III; охарактеризованы различные марки III, отличающиеся между собой по мол. весу и степени омыления. Процесс омыления I и ацетализация образующегося II могут быть проведены в одну операцию. Подробно описаны области применения поливинилацеталей.

С. Шишкин

**2475. Эмульгирующие свойства поливиниловых спиртов. Капитани, Пирроне** (Proprietà emulsive degli alcoli polivinilici. Capitani C., Pirrone G.), Materie plast., 1956, 22, № 2, 139—144 (итал.)

Поливиниловые спирты промышленного выпуска, характеризующиеся высокой величиной поверхностного натяжения, являясь хорошими защитными коллоидами, обладают большой эмульгирующей способностью и вызывают небольшое пенообразование. В отличие от альбуминов и карбоксиметилцеллюлозы поливиниловые спирты не осаждаются в присутствии тяжелых и щел-

зем. металлов (Zn, Hg, Ca, Mg), не коагулируют в присутствии к-т и не гидролизуются в кислой среде с разрывом цепей. Л. Песин

2476. Аллильная полимеризация за точкой желатинизации. Старквэтер, Эйрих (Allyl polymerization beyond the gel point. Starkweather Howard W. Jr., Eirich Frederick R.), Industr. and Engng Chem., 1955, 47, № 12, 2452—2455 (англ.)

Для контроля полимеризации диэтиленгликоль-бис-(аллилкарбоната) предложено определять величину мол. рефракции образцов, замеряя их коэфф. рефракции и плотность. Найдено, что максим. конверсия, достигаемая при т-ре полимеризации 80°, составляет ~70%, независимо от дозирования инициатора (2—4% перекиси бензоила); у такого полимера величина мол. рефракции составляет ~61,6. Л. Песин

2477. Новые материалы для литья под давлением. Тройной полимер стирола, акрилонитрила и бутадиена. (新しい射出成型材料・スチロール・アクリロニトリル・ブタジエン・トリポリマー)・プラスチック・Пурасутикусу, Japan Plastics, 1956, 7, № 2, 44—48 (япон.)

Описаны основные хим., физ. и механич. свойства сополимера стирола, акрилонитрила и бутадиена («Циколок») и методы переработки этого материала на червячных прессах, каландрировании и литьем под давлением. В. Иоффе

2478. Образование поперечных связей при реакции эпоксидных смол и диизоцианатов. Сэнда, Ода (ジソシアナートによるエポキシ樹脂の架橋に関する研究・千田整・小田良平)・工業化学雑誌・Kōgō Kagaku daasshi, J. Chem. Soc. Japan, Industr. Chem. Sec., 1954, 57, № 10, 753—755 (япон.)

Исследовалось образование поперечных связей при р-ции эпоксидных смол (из бис-оксифенилпропана и эпихлоргидрина) и различных диизоцианатов (4,4'-дифенилметандиизоцианат (I), 4,4'-дифенилдиизоцианат и л-фенилдиизоцианат). Установлено, что наилучшие по водостойкости и по стойкости к действию хим. агентов смолы получаются с использованием I. Испытания проводились на пленках толщиной 0,02 мм. В. Иоффе

2479. Применение ксиленолов для производства фенольных смол. Лу (Utilisation des xylénols pour la fabrication des résines phénoplastes. L ou p F.), Ind. plast. mod., 1955, 7, № 8, 53 (франц.)

Ксиленольную фракцию (т. кип. 205—230°) трудно разделить на отдельные изомеры, в связи с чем из нее целесообразно удалять наиболее нежелательные составные части, особенно, содержащие изомеры, блокированные в орто-положении. Из подготовленной таким образом ксиленольной фракции можно получить смолу по своей реакционной способности (определяемой по уменьшению содержания растворимых в ацетоне компонентов по ходу выдержки при 130°) весьма близкую к крезольной смоле. Так, содержание нерастворимых в ацетоне в-в после термич. обработки при 130° в ксиленольной и крезольной смоле соответственно составляло (в %): через 15 мин. 52,1; 55—65; через 30 мин. 78,1; 75—85; через 60 мин. 86,7; 85—95; через 120 мин. 97,3; 90—100. Л. Песин

2480. Измерение пеногасящих свойств силоксановых соединений. Урю, Хаяси, Вада (シリコンの消泡効果の測定について・瓜生敏三・林孝一・和田正)・工業化学雑誌・Kōgō Kagaku daasshi, J. Chem. Soc. Japan Industr. Chem. Sec., 1955, 58, № 11, 851—855 (япон.)

Изучено влияние различных факторов на пеногасящие свойства силоксановых соединений и предложен простой способ определения пеногасящих свойств. В. Иоффе

2481. Литые под давлением или формование под вакуумом? Йоксэймер (Form it... or mold it? Yoxsimer O. H.), Mod. Plast., 1955, 32, № 11, 86—87, 200—203 (англ.)

Анализа методов произ-ва крупных изделий из термoplastич. материалов (на примере облицовочной панели для дверки холодильника площадью 1,2 м²) показывает, что методы инжекционного и вакуумного формования равноценны с точки зрения прочности деталей, но метод инжекционного формования обеспечивает лучшее качество поверхности изделий, хотя формование под вакуумом имеет определенные преимущества с точки зрения стоимости готовых деталей. Е. Хургин

2482. Критический анализ технологии прессования термореактивных пластмасс на основе опытных данных. Добрачинский (Analiza krytyczna technologii prasowania tworzyw termoutwardzalnych w świetle zdobytego doświadczenia. Dobraczyński Aleksander), Przegl. elektrotechn., 1955, 31, № 10—11, 644—647 (польск.)

Приведены основные положения по рациональной организации прессования фено- и аминопластов. Рассмотрены вопросы качества перерабатываемых пресс-материалов, пути сокращения цикла прессования, в том числе за счет применения предварительного подогрева пресскомпозиций, а также принципы рационального конструирования прессформ и обогревающих устройств. Л. Песин

2483. Применение пластических масс для изготовления инструмента. Уоки (Plastic tooling progress. Walkey G. J.), Pacif. Factory, 1955, 83, № 3, 46—47, 84, 86 (англ.)

Упрочненные стеклотканью пластич. массы широко применяются в авиационной пром-сти для изготовления контрольного инструмента, штампов и различных приспособлений. Эпоксидные смолы начали вытеснять в настоящее время ранее применявшиеся фенольные и полиэфирные смолы, благодаря высокой адгезии к стеклу, стабильности размеров, способности отверждаться при ~20° и высокой механич. прочности. Е. Хургин

2484. Применение стекловолокна для армирования пластмасс и его химическая обработка. Гранвалле (Le verre textile dans le renforcement des plastiques. Principaux finishes. Leurs avantages. Grandvalet Y.), Techn. et sci. aéronaut., 1954, 4, № 4, 250—257 (франц.)

Описано произ-во непрерывного и штапельного стеклянного волокна во Франции и способы обработки волокна для повышения водостойкости и адгезии смолы к волокну. С. Иоффе

2485. Формование пластиков на основе полиэфирных смол методом контактного прессования. Акита (ポリエステル接觸壓成型法・秋田務)・プラスチック, Пурасутикусу, Japan Plastics, 1955, 6, № 4, 1—5 (япон.)

Описаны методы формования пластиков на основе полиэфирных смол. Рассмотрены контактное, инжекционное и вакуумное формование, а также формование в резиновых мешках. В. Иоффе

2486. Волнистые листы из стеклопластиков на основе полиэфирных смол. Бенке (Wellplatten aus glasfaserverstärkten Polyesterharzen. Benke Edith), Gummi und Asbest, 1956, 9, № 1, 21—22, 24—25 (нем.)

Около 30% вырабатываемых в США стеклопластиков применяется для строительных целей в виде конструкционных или декоративных элементов из волнистых и плоских листов. Объем произ-ва волнистых листов составлял (в м²): в 1949 г. 50000 и в 1954 г. — 2300000. Светопроницаемость этого материала (в зависимости от содержания стекловолокна, связующего, на-



полнители и красителя) составляет 5—85%. Непрозрачность материала делает его особенно пригодным для ограждения балконов, ограждений, для жалюзи и перегородок. Листовые стеклопластики отличаются постоянством размеров, нечувствительностью к изменениям т-ры, имеют небольшой коэфф. термич. расширения и устойчивы к коррозии, но под действием солнечного света с течением времени желтеют, по-видимому, не только под действием УФ-излучения, но также в результате хим. изменений, происходящих в самой смоле. Волнистые листы обладают большей прочностью на удар и могут выносить большую нагрузку, чем другие прозрачные материалы (стекло, целлофан, плексиглас); их прочность определяется в первую очередь содержанием стекловолокна, которое составляет 30—35% для листов, изготавливаемых выкладкой, и 40—50% для прессованных листов. Волнистые листы легко поддаются механич. обработке и обладая уд. в. 1,5 могут монтироваться на облегченных рамах (по сравнению со стеклом, с волнистым железом и асбестом), что дает до 30% экономии веса рамных конструкций. Воспламенившиеся листы продолжают медленно гореть контящимся пламенем, но т-ра их воспламенения составляет  $\sim 400^\circ$ ; при попадании на крышу из полиэфирных смол горящих материалов она не загорается; введением соответствующих добавок в смолу можно получать самозатухающие материалы. 60% выпущенных в США в 1954 г. волнистых листов нашли применение в пром-сти, а 40% — в жилищном строительстве и для декоративных целей. Кратко описаны также основные способы произ-ва листовых стеклопластиков. С. Иоффе

**2487. Способы и оборудование для изготовления многослойных материалов из пластических масс.** Н е м и ц (Verfahren und Anlagen zur Herstellung von Plastik-Verbundmaterialien. Nehmiz W.), Kunststoffe, 1955, 45, № 10, 434—435 (нем.; рез. англ., франц., исп.)

Двухслойные материалы с применением поливинилхлорида (две пленки, пленка и бумага, пленка и ткань) получают в результате сварки по поверхности, осуществляемой на двухвалковом каландре. Многослойные материалы из поливинилхлорида получают сваркой на большом обогреваемом барабане, к которому свариваемый пакет прижимается с помощью бесконечной ленты. Изготавливать двухслойные материалы из полиэтилена методом поверхностной сварки неэкономично. Соединение пленки с подложкой лучше всего осуществлять непосредственно после выхода пленки из червячного пресса. Е. Хургин

**2488. Виниловые пенопласты и их применение.** В и с о т к и й (Vinyl foam and its applications. Wisotzky Reuben), Plastics Ind., 1956, 14, № 1, 18—23, 43 (англ.)

Обзор свойств и областей применения виниловых пенопластов. С. Каменская

**2489. Изучение смол с окислительно-восстановительными свойствами. I. Об окислительно-восстановительных смолах ряда тиола.** Х а м а м у р а, Т а н у к а, У н о (酸化還元樹脂に関する研究. 第1報SH系酸化還元樹脂について. 浜村保次, 達川正昭, 宇野庄平), 日本農藝化学会誌, Нихон ноэй гагаку кайси, J. Agric. Chem. Soc. Japan, 1955, 29, № 3, 194—197 (япон.; рез. англ.)

Были синтезированы тиофенолформальдегидная, окситиофенолформальдегидная, аминотиофенолформальдегидная смолы и смола на основе тигликолевой к-ты, анилина и формальдегида при молекулярном соотношении тигликоля и анилина 1 : 2. У смол определялись окислительно-восстановительные потенциалы и емкости. По определению содержания серы и азота было установлено строение синтезированных смол. С. Шишкин

**2490. Метод определения способности к склейке алюминиевой фольги, покрытой термопластичными смолами.** К а м м е р е р (Methode zur Bestimmung der Heißsiegelfähigkeit von thermolackierten Aluminiumfolien. Kammerer A. A.), Schweiz. Arch. Angev. Wiss. und Techn., 1955, 21, № 1, 1—3 (нем.)

Метод определения оптимальных т-р для склейки алюминиевой фольги, покрытой термопластичными смолами. Техника определения, аппаратура и примеры. К. Беляева

**2491. О синтетических клеях для дерева.** А н д е р с (Über synthetische Klebstoffe für Holz. Anders Hein z), Holz (München), 1955, 9, № 10, 217 (нем.)

Для склейки деревянных конструкций наиболее целесообразно применять фенолформальдегидные клеи холодного отверждения с кислотным катализатором. Для фанерного произ-ва такие клеи, однако, не рекомендуются, так как кислотный катализатор оказывает неблагоприятное действие на поверхность древесины; на фанерных з-дах предпочтительно применять фенольные клеи горячего отверждения с щел. катализаторами. Л. Песин

**2492. Новые эксперименты с синтетическими смолами в качестве среды с высокими и низкими показателями преломления.** Ф р и з о н (Some further experiments with synthetic resins as mounting media of high and low refractive indices Frison Ed.), Microscope, 1955, 10, № 8, 204—210 (англ.)

В качестве среды с высоким показателем преломления для микроскопич. техники хорошие результаты дала смола арохлор 1262 ( $n_D^{20} = 1,6501—1,6517$ ), а также ее сплав с кумароновой смолой (1 : 1) с добавкой 1% (от смол) касторового масла. В качестве среды с низким показателем лучепреломления (ниже, чем у канадского бальзама) пригодным оказался 40%-ный р-р полибутилметакрилата в *n*-бутаноле, содержащий 0,5—1% касторового масла. Л. Песин

**2493. Контроль качества заготовок форм.** У и т т е д (Quality control for custom molders. Whitted John B., Jr), Mod. Plast., 1955, 33, № 3, 117—120, 254 (англ.)

Изложены основные вопросы правильного конструирования прессформ для изделий из бакелитовых смол и, в частности, способы определения усадки материала. Приводятся методы статистич. обработки найденных значений усадки, позволяющие правильно оценить необходимые допуски в размерах прессформ. Е. Пылаева

**2494. Влияние металлических форм на качество изделий, изготавливаемых инжекционным формованием.** Х и г а с и м и н о (成型用金型と成型品の関係・とくにインジェクション用について. 東峯基之), プラスチックス, Пурасутиккыу, Japan Plastics, 1955, 6, № 8, 21—25 (япон.)

Описаны конструкции металлич. форм, используемых для изготовления изделий методом инжекционного формования. В. Иоффе

**2495. Соединение деталей методом литья под давлением.** Ш а у п п (Verbinden von Teilen durch Spritzguss. Schaurpp Fritz), Kunststoffe, 1955, 45, № 8, 357 (нем.; рез. англ., франц., исп.)

В том случае, когда соединение деталей из пластич. масс посредством клеев и р-рителей является недостаточно прочным (когда клеи не действуют растворяться на склеиваемый материал) или при неблагоприятных условиях самого процесса (напр., при склейке полиамидов конц. HCOOH), детали соединяют методом литья под давлением. Обе соединяемые детали вставляют в спец. литевную форму и место стыка заливают на литевную машину пластик. массой при т-ре, которая позволяет несколько расплавить материал соединяемых дета-

лей, благодаря чему происходит прочное соединение склеиваемых частей. Таким способом соединяют днища и боковую стенку бутылок из полиамидов. Е. Хургин 2496. Отделка полов смолами и пластиками. Уэйрич (Resin and plastic floor polishes. Weirich Clarence L.), Mod. Sanit., 1955, 7, № 9, 24—26 (англ.)

Оценка новых материалов для ухода за полами. К. Топчиев

2497 К. Достижения в области пластических масс: доклады и выступления на конференции по пластическим массам в Англии 1955 г. (Plastics progress: papers and discussions at the British Plastics Convention 1955. Ed. Morgan Phillip. London, Iliffe, 1956, viii, 432 pp., 50 sh.) (англ.)

2498 П. Способ сушки термопластичных смол (Procédé de séchage des matières résineuses thermoplastiques) [Wingfoot Corp.]. Франц. пат. 1060049, 30.03.54 [Rev. gén. caoutchouc, 1955, 32, № 9, 839 (франц.)]

Способ сушки смол, полученных эмульсионной полимеризацией и содержащих воду, состоит в том, что латекс осаждают, фильтруют и полученный тестообразный осадок нагревают не ниже  $t_{\text{ры}}$ , при которой частицы смолы имеют тенденцию к агломерации; в результате значительная часть воды выделяется в жидком состоянии. Я. Кантор

2499 П. Способ полимеризации. Хейк (Polymerisationsverfahren. Heuck Claus) [Badische Anilin- & Soda-Fabrik A.-G.]. Пат. ФРГ 914902, 12.07.54 [Chem. Zbl., 1955, 126, № 26, 6151 (нем.)]

Способ полимеризации ненасыщ. органич. соединений (исключая несим. дихлорэтилен) в р-рителе, растворяющем мономер, но не полимер (даже в смеси с мономером), отличается тем, что мономер и р-ритель обрабатывают в среде инертного газа сильным восстановителем, после чего проводят полимеризацию, прибавляя перекисный инициатор. В качестве р-рителя можно применять растворимый в воде р-ритель, напр. смеси последнего с водой, или только воду. Приведены примеры полимеризации винилхлорида, метилакрилата, метилметакрилата в метаноле и воде. М. Альбам

2500 П. Способ получения низкомолекулярных насыщенных полиэтиленов. Хонф, Эйльбрахт (Verfahren zur Herstellung von niedrigmolekularen gesättigten Polyäthylenen. Hopff Heinrich, Eilbracht Hans) [Badische Anilin- & Soda-Fabrik A.-G.]. Пат. ФРГ 922618, 20.01.55

Высокомолекулярный твердый полиэтилен нагревают в присутствии  $H_2$  и катализаторов гидрирования до 300—600°. Изменяя продолжительность нагревания, получают продукты различной степени деструкции, полностью растворяющиеся в углеводородах, напр., в этилбензоле, тетрагидронафталине, скинпидаре. 20 ч. полиэтилена с мол. в. 16750 и 2 ч. скелетного Ni-катализатора нагревают при 400° в течение 15 мин. в автоклаве в атмосфере  $H_2$  под давл. 100 atm. После удаления катализатора получают белый продукт с т-рой размягч. 105—110° и мол. в. 4670, растворимый в органич. р-рителях и обладающий необычной для низкомолекулярного полиэтилена твердостью и хрупкостью.

М. Альбам

2501 П. Способ непрерывного снижения давления в производстве полимеров, получаемых при высоком давлении. Хонф, Бергер (Verfahren zur kontinuierlichen Entspannung von Hochdruckpolymerisaten. Hopff Heinrich, Berger Kurt) [Badische Anilin- & Soda-Fabrik A.-G.]. Пат. ФРГ 933062, 15.09.55

Способ непрерывного снижения давления в произ-ве полимеров, получаемых при высоком давлении (напр., полиэтилена), отличается тем, что полимер, находящийся под высоким давлением, проходит из труб большего диаметра в подобные трубы меньшего диаметра. Для снижения давления можно применять системы из труб, навитых по спирали. Напр., этилен обычным способом сначала сжимают до давл. 300 atm, а затем до 1500 atm. Сжатый газ смешивают с каталитич. кол-вом  $O_2$  и пропускают через трубу диам. 24 мм, нагретую до 210°; после полимеризации непрореагировавший этилен и полимер попадают в систему труб диам. 2 мм и длиной 50 м, навитых по спирали и расположенных в нагретой до 150° бане. Продукты выходят из труб под давл. 300 atm. Полимер собирается в отделителе, а этилен подводится к компрессору первой ступени сжатия. Вязкотекучий полиэтилен, находящийся под давл. 300 atm, выпускают из отделителя через трубку диам. 2 мм, нагретую до 150°; давление при этом непрерывно снижается до атмосферного.

Б. Киселев

2502 П. Способ превращения плавленого полиэтилена в порошок. Кэрнз (Process for converting fused polyethylene into a powder. Cairns Robert E.) [Monsanto Chemical Co.]. Пат. США 2727693, 20.12.55

Для превращения плавленого полиэтилена в порошок его подвергают интенсивному перемешиванию с помощью нескольких измельчающих элементов, вращающихся с различной окружной скоростью, в закрытой камере под давлением. Во время перемешивания стенки камеры и измельчающие элементы охлаждаются циркулирующей холодной водой до 2—25°. Вначале перемешивание производят при окружной скорости 60—86 м/мин и давл. 1,4—2,1 кг/см<sup>2</sup>, затем при 30—45 м/мин и 0,07—0,35 кг/см<sup>2</sup>, далее при 30—45 м/мин и 1,4—2,1 кг/см<sup>2</sup> и, в заключение, при 60—86 м/мин и 0,07—0,35 кг/см<sup>2</sup>. Продолжительность первого и третьего периода 1—2 мин., второго 2—4 мин. и последнего  $\geq 2$  мин.

Ю. Васильев

2503 П. Способ получения смол. Рёлен (Verfahren zur Herstellung von Harzen. Roelen Otto) [Ruhchemie A.-G.]. Пат. ФРГ 927117, 28.04.55

Циклопентадиен обрабатывают при повышенной т-ре и давлении (~125° и 150 atm) смесью CO и  $H_2$  (водяным газом) в присутствии катализаторов, способствующих присоединению CO и  $H_2$  к ненасыщ. соединениям. Полученные смолы применяются для получения литевых масс и для пропитки. Технич. дициклопентадиен медленной дистилляцией в высокой колонне переводят в мономер с т. кип. 41°. После многодневного стояния из мономера образуется  $\alpha$ -димер; последний перегоняют под вакуумом, собирая фракцию с т. кип. 68°/12 мм. 792 г этой фракции в смеси с 500 см<sup>3</sup> пентана обрабатывают водяным газом в автоклаве при 150 atm и 125° в присутствии катализатора, содержащего (в ч.): 100 кобальта, 10 MgO, 5 окиси тория и 200 кизельгура. Кол-во катализатора соответствует 32 г металлич. Co. После охлаждения твердый, черный продукт экстрагируют ацетоном и р-ритель тщательно отгоняют. Получается 900 г твердой смолы со слабо-коричневой окраской и следующими свойствами: карбонильное число 89, гидроксильное число 81, число нейтр-ции 57, число омыления 123, т. размягч. 90—100°.

М. Альбам

2504 П. Термическая полимеризация  $\alpha$ -метилстиролов. Хайет, Солт, Стенли (Thermal polymerization of alpha methyl styrenes. Hight Hugh C., Salt Francis E., Stanley Herbert M.) [The Distillers Co. Ltd]. Канад. пат. 513391, 31.05.55

Способ полимеризации  $\alpha$ -метилстирола (I) или его низших замещ. в ядре гомологов состоит в том, что р-р

И в инертном в условиях полимеризации р-рителе (напр., в изопропилбензоле, из которого I может быть получен дегидрогенизацией), с конц-ией 30—90 вес % пропускают через трубчатую печь при 290—350° в отсутствие катализатора, под давлением, обеспечивающим сохранение жидкой фазы. Ю. Васильев

**2505 П.** Органозолы политетрафторэтилена и получение из них формованных изделий. Лонц (Polytetrafluoroethylene organosols and the formation of shaped articles therefrom. L o n t z J o h n F r a n k) [E. I. du Pont de Nemours and Co.]. Пат. США 2718452, 20.09.55

Органозоль содержит в дисперсной твердой фазе S—50 вес. ч. коллоидального политетрафторэтилена (I) в качестве среды 95—50 ч. инертной органич. жидкости, не растворяющей I и имеющей т. кип. 30—200°. В жидкости растворено 0,25—10 ч. в обычных условиях твердого, линейного, синтетич. полимера, распадающегося на летучие продукты при 250—500°. Второй полимер имеет средний мол. в.  $\geq 10000$ . Композицию формуют в виде нитей путем испарения жидкости и спекают полученную нить при достаточно высокой температуре. Ю. Васильев

**2506 П.** Композиции, содержащие политрифторхлорэтилен. Фукс, Зоммер, Хдьер (Compositions which comprise polymerized trifluoro-chloroethylene. F u c h s O., S o m m e r S., H d y e r H.) [Farbwerke Hoechst A.-G. Vorm. Meister, Lucius & Brünig]. Англ. пат. 724742, 23.02.55 [Rubber Abstrs, 1955, 33, № 6, 253 (англ.)]

Композиции состоят из полимера и гидроароматич. соединения, вызывающего набухание или пластификацию —  $\beta$ -пинена (камфена, винилциклогексена, диненена) или подобного соединения, содержащего, по крайней мере, одну двойную связь и один алкильный, алкиленовый или алкилденный радикал. Указанные соединения можно использовать как дешевые разбавители для таких растворяющих полимер в-в, как 1,2,3-трифторпентахлорпропан или о-хлорбензотрифторид. А. Дабагова

**2507 П.** Политетрафторэтилен, пластифицированный хлорфтортеломерами. Беннинг, Хилл (Polytetrafluoroethylene plasticized with chlorofluoro telomers. Benning Anthony Francis, Hill Frederick Burns, Jr) [E. I. du Pont de Nemours & Co.]. Пат. США 2720498, 11.10.55

Пластическая композиция состоит из смеси 60—91 вес. % политетрафторэтилена с т. размягч.  $< 327^\circ$  и 9—40 вес. % пластификатора с т. кип.  $\geq 100^\circ/1$  мм, имеющего цепь из 25—35 атомов C и содержащего 20—41 вес. % Cl. Пластификатор состоит из теломеров хлортрифторэтилена и хлороформа, теломеров из смеси хлортрифторэтилена и тетрафторэтилена, содержащей  $\leq 30\%$  (от веса смеси) тетрафторэтилена и хлороформа или представляет собой композицию, отличающуюся от названных теломеров тем, что водород и 1—3 атома Cl заменены на атомы F. Б. Киселев

**2508 П.** Полимеризация 1,3-дигалондолефинов. Андерегг, Мелстром (Process for polymerizing 1,3-dihaloolefins. Anderegg Arnold H., Melstrom Donald S.) [Shell Development Co.]. Пат. США 2714619, 2.08.55

Димеры и тримеры 1,3-дихлорпропилена получают обработкой 1,3-дихлорпропилена при т-ре от  $-10$  до  $50^\circ$  катализатором, состоящим из  $AlCl_3$ , растворенного в нитрометане. Ю. Васильев

**2509 П.** Пластифицированные виниловые композиции. Александер (Plasticized vinyl resin compositions. Alexander Claude H.) [The B. F. Goodrich Co.]. Канад. пат. 509948, 8.02.55

Пластифицированная виниловая композиция содержит 100 ч. поливинилхлорида, 10—25 ч. дициклогек-

силфталата и 25—100 ч. ди-(2-этилгексил)-фталата.

Б. Киселев

**2510 П.** Эмульсии поливиниловых эфиров, их получение и продукты, получаемые на основе этих эмульсий (Emulsions d'esters polyvinyls, leur préparation et les produits obtenus à partir de ces émulsions) [Alexander Wacker Ges. für Elektrochemische Industrie G. m. b. H.]. Франц. пат. 1059225, 23.03.54 [Chem. Zbl., 1955, 126, № 29, 6864 (нем.)]

Способ эмульсионной полимеризации виниловых эфиров состоит в том, что в качестве эмульгатора применяют поливиниловый спирт. Для ацетилирования последнего во время полимеризации добавляют небольшое кол-во (1—40%, лучше 5—15% от поливинилового спирта) альдегида, содержащего  $\geq 2$  атомов C ( $C_2H_5CHO$ ,  $C_6H_5CHO$ ) и в-во кислого характера для установления pH 2,5—5,5 (лучше 3,5—4,2). Эти кислые в-ва могут быть получены при разложении катализаторов, напр. персульфатов. Получаемые полимеры стойки к водн. щел. среде. К р-ру, состоящему (в ч.) из 100 воды и 6 частично ацетилированного поливинилового спирта, добавляют (в ч.) 0,33  $C_2H_5CHO$ , 0,05  $KHSO_4$  и 1,3 20%-ной  $H_2O_2$ , затем при  $64^\circ$  постепенно вводят 100 ч. винилацетата. Получается устойчивая 50%-ная эмульсия, дающая прозрачные водостойкие полимеры. М. Альбам

**2511 П.** Пленка из поливинилацетата. Донахью, Льюс (Polyvinyl acetate film. Donahue William E., Luce Stewart R.) [Swift and Co.]. Канад. пат. 510572, 1.03.55

Водная эмульсия пластифицированного поливинилацетата, подкисленная до pH 2,5 или ниже, и содержащая 0,5—2,5% гидрохинона от веса эмульсии, дает по высыхании пленку с хорошей водоустойчивостью. Ю. Васильев

**2512 П.** Способ получения продуктов поликонденсации. Ильцман (Verfahren zur Herstellung von Polykondensationsprodukten. Uelzmann Hein z) [Badische Anilin- & Soda-Fabrik A.-G.]. Пат. ФРГ 912630, 31.05.54 [Chem. Zbl., 1955, 126, № 25, 5915 (нем.)] Доп. к пат. ФРГ 910594 (РЖХим 1956, 14414).

Способ получения продуктов поликонденсации отличается тем, что к реакционной смеси добавляют твердые водоотнимающие в-ва, напр. безводн.  $Na_2SO_4$ , жженный гипс или цемент. 358 ч. триэфира бутантриола и ацетоуксусной к-ты, 425 ч. гипса и краситель смешивают в шаровой мельнице, охлаждают до  $\sim 5^\circ$ , смешивают с 7 ч. пиперидина и 98 ч. кротонового альдегида, после чего смесь при т-ре  $< 10-15^\circ$  заливают в формы. Полученные изделия для последующего отверждения нагревают при  $50^\circ$  или выдерживают несколько дней при низких т-рах. Изделия практически не имеют пузырей. М. Альбам

**2513 П.** Метод получения гидролизovaných и ацетилированных продуктов полимеризации. Д'Алельо (Verfahren zur Herstellung hydrolysiert und acetalisierter Polymerisationsprodukte. D'Alalio G. et al.) [Allgemeine Elektrizitäts-Ges.]. Пат. ФРГ 912149, 24.05.54 [Chem. Zbl., 1955, 126, № 35, 8275 (нем.)]

Для получения гидролизovaných и ацетилированных продуктов полимеризуют сложный алиловый эфир или смесь сложного винилового эфира (по крайней мере с одной двойной связью) и органич. нитрида (который также имеет не менее одной двойной связи); полученные продукты непосредственно после полимеризации гидролизуют и ацетируют. Для ацетилирования применяют соединения, содержащие CO-группы, напр. кетоны и (или) альдегиды, лучше в присутствии в-в, которые образуют с кетонами и альдегидами промежуточные продукты конденсации или смолы. Напр.,



полимерный диаллилмалонат, диаллилосалат или диаллилдицинат гидролизуют и ацетируют  $\text{CH}_2\text{O}$ ,  $\text{C}_6\text{H}_7\text{CHO}$  или метилизопропенилкетон или же сополимеры винилацетата и нитрила акриловой к-ты после гидролиза обрабатывают указанными выше альдегидами, ацетоном или хлорацетоном. Из смол получают пластмассы, волокна, изоляционные материалы, пеньбующее стекло, клеи и лаки. З. Зазулина

**2514 П.** Способ получения гидразидов полимерных акриловой и метакриловой кислот. Керн, Шнейдер, Хукке (Verfahren zur Herstellung von Hydraziden polymerer Acryl- und Methacrylsäure. Kern, Werner, Schneider, Rudolf, Hücke, Theodor) [Röhm & Haas G. m. b. H.]. Пат. ФРГ 921891, 30.12.54 [Chem. Zbl., 1955, 126, № 22, 5215 (нем.)]

Указанные гидразиды получают при р-ции полиакриловой или полиметакриловой к-ты или их производных (сложных эфиров, напр., полиметилметакрилата) с гидразином или гидразингидратом. Перевод гидразидов в нерастворимое состояние осуществляют во влажном воздухе, лучше при нагревании. В примерах в качестве исходного в-ва назван полиметилакрилат. Перевод в нерастворимое состояние может осуществляться на носителе, напр., на волокне. М. Альбам

**2515 П.** Полимеры простых виниловых эфиров, содержащих аминогруппы, и их получение (Vinyl amino ether polymers and their preparation) [Soc. des usines chimiques Rhône-Poulenc]. Англ. пат. 713487, 11.08.54 [Chem. Abstrs., 1955, 49, № 6, 4332 (англ.)]

При полимеризации винилалкиламиноэтиловых эфиров используют кислые катализаторы типа  $\text{BF}_3$  вместо  $\text{SO}_2$ . Образующиеся полимеры содержат только следы загрязнений и пригодны для изготовления хирургич. пластмасс, клеев, пропитывающих средств или пластификаторов. Напр., 300 ч. комплекса  $\text{BF}_3 \cdot (\text{C}_2\text{H}_5)_2\text{O}$  (эквивалентно 144 ч.  $\text{BF}_3$ ), растворенного в 270 ч. бэл., прибавляют частями (за 15 мин.) к 283 ч. винилдиэтиламиноэтилового эфира, растворенного в 270 ч. бэл. Смесь выдерживают при 20—50° в течение 2 час. в атмосфере  $\text{N}_2$  при перемешивании, после чего вводят дополнительно 720 ч. бэл. в течение 10 мин. и затем 2000 ч. 25%-ного водн. р-ра  $\text{CH}_3\text{COOK}$ , содержащего 200 ч. КОН. Из бензольного слоя выделяют 230 ч. вязкого красно-желтого полимера. А. Дабагова

**2516 П.** Ингибирование полимеризации акрилонитрила (Inhibiting acrylonitrile polymerization) [Monsanto Chemical Co.]. Австрал. пат. 164549, 25.08.55

Полимеризацию акрилонитрила ингибируют введением 0,5—1000 ч. монометилового эфира гидрохинона на 1000000 ч. мономера. Ю. Васильев

**2517 П.** Композиции, содержащие полиакрилонитрил и  $\beta, \beta'$ -иминодипропионитрил. Шнейдер, Падбери (Compositions comprising polyacrylonitrile and  $\beta, \beta'$ -iminodipropionitrile. Schneider, William G. Padbury John T.) [American Cyanamid Co.]. Канад. пат. 518695, 22.11.55

Композиции содержат  $\beta, \beta'$ -иминодипропионитрил и  $\geq 5$  вес. % полимера с мол. в. 15 000—300 000, который представляет собой полиакрилонитрил, или сополимер, содержащий  $\geq 85\%$  связанного акрилонитрила. А. Жданов

**2518 П.** Растворы полиакрилонитрила. Хальбиг (Lösung von Polymerisaten des Acrylnitrils. Halbig Paul). Швейц. пат. 299716, 1.09.54 [Chem. Zbl., 1955, 126, № 22, 5216 (нем.)]

Растворы полиакрилонитрила получают с помощью  $\text{HNO}_3$  и  $\text{CH}_3\text{NO}_2$  при т-ре  $< 80^\circ$ . Тонкий порошок полимера сначала смешивают с  $\text{CH}_3\text{NO}_2$  и затем растворяют добавлением  $\text{HNO}_3$ . Р-ры применяют для получения пленок и волокон. М. Альбам

**2519 П.** Способ формирования линейных высокополимеров. Рейн (Verfahren zum Verformen von linearen Hochpolymeren. Rein Herbert) [Cassella Farbwerke Mainkur A.-G.]. Пат. ФРГ 915034, 15.07.54 [Chem. Zbl., 1955, 126, № 22, 5195 (нем.)]

Способ формирования линейных высокополимеров (полакрилонитрила или его сополимеров) отличается тем, что в качестве р-рителей или пластификаторов применяют формилированные первичные или вторичные амины ф-лы  $\text{HCON}(\text{R}^1)(\text{R}^2)(\text{R}^3)$  — Н или не содержащий ОН-группы алкил, арил или аракил и  $\text{R}^2$  — любой не содержащий ОН-группы радикал, напр. диметилформамид, N-формилметиламин, N-формилдиэтиламин, N-формилпириролидин, N-формилпириролидон, N-формилморфин, N,N'-диформилэтилендиамин, N,N'-диформилдиметилэтилендиамин, N,N'-диформилпиперазин, N-формилмеламин, N-формилполиэтилендиамин или N-формилполиэтиленмин. М. Альбам

**2520 П.** Способ получения продуктов поликонденсации. Фёргеле (Verfahren zur Herstellung von Polykondensationsprodukten. Vögele Paul) [Zellwolle- und Kunstseide-Ring G. m. b. H.]. Пат. ФРГ 918778, 4.10.54 [Chem. Zbl., 1955, 126, № 22, 5196 (нем.)] Доп. к пат. ФРГ 901592 (РЖХим, 1956, 52579)

Для получения продуктов поликонденсации из бифункциональных органич. соединений компоненты конденсируют в расплавленном состоянии и в тонких слоях, лучше непрерывным способом. Отличие состоит в том, что для р-ции применяют такие исходные в-ва, из которых образуются полиамиды, полимочевины, полуретаны, полиэфиры или смешанные полимеры. Приведены примеры получения полиамида с внутренней вязкостью 1,12 из тетраметилдиуретана и себаценовой к-ты. М. Альбам

**2521 П.** Продукт реакции эпоксидной смолы и полиамида. Флойд (Polyamide-epoxy resin reaction product. Floyd Don E.) [General Mills, Inc.]. Канад. пат. 516107, 30.08.55

Композиция состоит из эпоксидной смолы, содержащей конечные эпоксигруппы, и полиамида, являющегося производным полиалкиленполиамина (напр., диэтилентриамина, триэтилентетрамина) и смеси полимерных жирных к-т и димеризованной капрофили, взятой в кол-ве 0,5—1 экв на 1 экв жирных к-т. Полиамид имеет  $\text{NH}_2$ -число 20—250 и берется в кол-ве 2—80% от общего веса смол. Ю. Васильев

**2522 П.** Композиции на основе термореактивных смол. Ренфру, Уиткофф (Thermosetting resinous compositions. Renfrew Malcolm M., Wittcoff Harold) [General Mills, Inc.]. Канад. пат. 516106, 30.08.55

Композиции состоят из эпоксидной смолы с конечными эпоксигруппами и отвердителя — полиамида со свободными  $\text{NH}_2$ - или  $\text{COOH}$ -группами (напр., с кислотным числом 5—100), полученного взаимодействием полимерных жирных к-т, содержащих  $\geq 2$   $\text{COOH}$ -групп, с алифатич. полиаминами (этилендиамином или диэтилентриамином). Я. Кантор

**2523 П.** Получение полимеров из производных оксэтана. Халс (Preparation of oxetane polymers. Hulse George E.) [Hercules Powder Co.]. Пат. США 2722520, 1.11.55

Полимер 3,3-бис-(хлорметил) оксэтана получают обработкой 3,3-бис-(хлорметил) оксэтана при т-ре от —80 до 25° в жидком  $\text{SO}_2$  катализаторами —  $\text{HF}$ ,  $\text{BF}_3$ , или молекулярными комплексами  $\text{BF}_3$ , вызывающими полимеризацию. Ю. Васильев

**2524 П.** Изолированный электрический провод. Ролстон (Insulated electrical conductor. Rolston Robert H.) [Hercules Powder Co.]. Пат. США 2722492, 1.11.55

Изолирующее покрытие электрич. провода состоит из гомополимеров 3,3-бис-(хлорметил) оксатана (I), сополимеров I с другими двузамещ. 3,3-оксатанами или из сополимеров I с оксатаном, смешанных с нерастворяющим пластификатором, взятым в кол-ве  $\geq 3\%$  от смеси. Полимер имеет при  $50^\circ$  уд. вязкость (для 1% р-ра в циклогексаноне)  $\geq 0,3$ .

Ю. Васильев  
2525 П. Способ поликонденсации эфиров терефталевой кислоты и гликоля. Хейзенберг, Зиггель, Вацль (Verfahren zur Polykondensation von Terephthalsäureglycolestern. Heisenberg, Erwin, Siggel Erhard, Watzi Anton) [Vereinigte Glanzstoff-Fabriken A.-G.]. Пат. ФРГ 926936, 25.04.55

Эфир терефталевой к-ты и гликоля диспергируют в парафиновом углеводороде с т. кип.  $> 300^\circ$  при интенсивном перемешивании и нагревают до т-ры поликонденсации, пропуская одновременно пары ароматич. или гидроароматич. соединений, не имеющих реакционно-способных групп. 100 ч. диметилового эфира терефталевой к-ты этерифицируют обычным способом 64 ч. этиленгликоля и отгоняют избыток последнего. В конце отгонки добавляют 80 мл парафинового масла с т. кип.  $> 350^\circ$  и включают быстро работающую мешалку. Т-ру поднимают до  $265^\circ$  и в течение 3,5 часов пропускают через дисперсию нагретые до  $180^\circ$  пары  $C_6H_6$ . После охлаждения выпадает белый продукт с т. пл.  $249,5^\circ$  и  $K = 49,5$ .

Ю. Васильев  
2526 П. Получение пластических масс из смеси сложных эфиров дикарбоновых кислот. Шпер, Фирлинг (Verfahren zur Herstellung von plastischen Massen aus Dicarbonsäureestergemischen. Speer Walter, Vierling Karl) [Badische Anilin- & Soda-Fabrik A.-G.]. Пат. ФРГ 924897, 10.03.55

Пластические массы изготавливают из смеси дикарбоновых к-т (полученных каталитич. окислением циклогексана (I) или его гомологов в жидкой фазе после отгонки летучих составных частей) этерификацией смеси к-т триметилпропаном. Напр., 1600 г I, содержащего 1,6 г нафтагата Co, растворенного в 8 г циклогексана (II), окисляют воздухом (500—600 л/час) под давл. 20 ат при  $145^\circ$  в течение 4 час. После отгонки избытка I, воды, циклогексанола и II, 470 г смеси дикарбоновых к-т нагревают 8 час. при  $160^\circ$  с 260 г триметилпропана. Получают вязкую, эластичную массу, используемую после введения наполнителей для покрытия полов.

Ю. Васильев  
2527 П. Способ получения сополимеров. Нисвандт (Verfahren zur Herstellung von Mischpolymerisaten. Nieswandt Werner) [Badische Anilin- & Soda-Fabrik A.-G.]. Пат. ФРГ 933786, 6.10.55

Для получения сополимеров из ненасыщ. полиэфирных смол и растворяющих их виниловых соединений полиэфирные смолы до полимеризации обрабатывают простыми виниловыми эфирами, лучше в присутствии в-в кислотного характера. При сополимеризации ненасыщ. полиэфиров со стиролом могут применяться простые эфиры с несколькими винильными группами. 500 ч. смолы для лагтя, содержащей 35% стирола и 65% ненасыщ. полиэфирной смолы (на основе малеиновой и фталевой к-т и пропиленгликоля в молекулярном соотношении соответственно 1 : 2 : 3,5) с кислотным числом 44 и гидроксильным числом 48, обрабатывают при перемешивании 55 ч. простого дивинилового эфира 1,4-бутандиола и 0,005 ч. л-толуолсульфоновой к-ты. Разогреваемую смесь охлаждают, поддерживая т-ру  $20-30^\circ$ . По окончании р-ции кислотное и гидроксильное числа падают до 0, а вязкость повышается с 986 стуаз до 2264 стуаз. После добавления перекисного инициатора и восстановительного активатора смесь полимеризуют

обычным способом. Полимеры имеют хорошую влажностойкость и механич. прочность и не оказывают коррозирующего действия на металлы.

М. Альбам  
2528 П. Стиролаквидные смолы (Styrene-alkyd resins.) [Imperial Chemical Industries Ltd]. Австрал. пат. 164194, 4.08.55

Способ произ-ва стиролалкидных смол состоит в нагревании р-ра алкидной смолы, модифицированной высыхающими маслами, со стиролом и отличается тем, что по прекращении быстрой полимеризации стирола к реакционной смеси добавляют метил- или этилметакрилат.

Б. Киселев  
2529 П. Метод непрерывного получения конденсационных смол. Хессен (Verfahren zur stetigen Herstellung von Kondensationskunstharzen. Hesse Richard) [Süd-West-Chemie G. m. b. H.]. Пат. ФРГ 925732, 28.03.55

Доп. к пат. ФРГ 914323 (РЖХим, 1956, 63214). Усовершенствование метода непрерывного получения фенолформальдегидных смол состоит в том, что сушка в сушильной камере проводится при дальнейшем механич. измельчении тонкого слоя на отдельные частицы при наикратчайшем пути удаления испаряющихся в-в. В последующем образовавшиеся частицы могут быть снова превращены в тонкий однородный слой.

З. Заулина  
2530 П. Элементы промышленных конструкций (Eléments de constructions a usage industriel) [Farwerke Hoechst vormals Meister Lucius & Brüning]. Франц. пат. 1062192, 20.04.54 [Chem. Zbl., 1955, 126, № 24, 5671 (нем.)]

Элементы промышленных конструкций (трубы, плиты, желоба, емкости) получают из ксиленолформальдегидных смол, содержащих хлоргидрины (эпихлоргидрин, этиленхлоргидрин, моно- или дихлорпропанол) или хлорированные альдегиды и (или) алкилфосфаты (триметил- или триэтилфосфат), к которым также могут быть добавлены ускорители отверждения ( $NaHSO_4$ ,  $H_2PO_4$ ,  $PbO_2$ ,  $MnO_2$ , бензол- или нафталинсульфоксид, нафталиндисульфоксид, диэтил- или дипропила-сульфат) и наполнители (графит, карбонид, тальк,  $BaSO_4$ , кварцевый порошок). Исходными продуктами для получения смол могут служить ксиленолы, содержащие  $CH_3$ -группы в 2,3-, 2,5- или 2,6-положениях. В смолы можно вводить поливинилхлорид или полистирол в к-ве 10—25%. Смесь (в вес. ч.): 270 ксиленолформальдегидной смолы, 30 эпихлоргидрина и 300 графита прессуют при  $100-105^\circ$  и  $100 \text{ кг/см}^2$ ; последующее отверждение ведут при  $120-160^\circ$ .

М. Альбам  
2531 П. Способ получения продуктов конденсации. Кёлер (Verfahren zur Herstellung von Kondensationsprodukten. Köhler Franz) [Röhm & Haas G. m. b. H.]. Пат. ФРГ 933229, 22.09.55

Производные аминотриазина или алкил-, арил-, алкил-, арил- или алкилазамещ. триазинов и  $\alpha, \beta$ -ненасыщ. монокарбоновых к-т, имеющие по крайней мере одну свободную аминогруппу и полученные по пат. ФРГ 930779 (РЖХим, 1956, 59733), конденсируют с альдегидами или их смесями в присутствии кислот или цел. катализаторов. Конденсацию можно проводить таким образом, что исходные в-ва предварительно обрабатывают в цел. среде альдегидами (за исключением  $CH_2O$ ) и во второй стадии — любыми альдегидами или их смесями в кислой среде. Для получения исходных продуктов (при конденсации с ненасыщ. к-тами) можно применять также смеси функциональных производных триазина и в-ва ф-лы  $NH_2C(X)N(R^1)R^2$ , где  $R^1$  и  $R^2$  имеют значения, указанные в пат. ФРГ 929278 (РЖХим, 1956, 59735). Продукты применяют для покрытий, пропитки и в качестве клеев в текстильной, бумажной и кожевенной пром-сти. 108 ч. продукта конденсации 1 моля меламина и 1 моля безвод. акриловой к-ты ре-

агируют с 226 ч. 40%-ного (по объему)  $\text{CH}_2\text{O}$  в присутствии 1 ч. лед.  $\text{CH}_3\text{COOH}$  при pH 4,5—5,0 и при нагревании на водяной бане в течение 30 мин. до 70—80°. По охлаждению нейтрализуют 20 ч. 10 н. NaOH и получают прозрачный красноватый р-р со слабым запахом альдегида. Продукт неограниченно стоек при хранении. Ю. Васильев

**2532 П. Продукты конденсации меламина (Melamine condensation products.)** [Monsanto Chemical Co.]. Австрал. пат. 164527, 25.08.55

Смола представляет собой продукт конденсации меламина, фенилмеламина и формальдегида с молекулярным отношением меламина к фенилмеламину от 1:0,1 до 1:0,3 и отношением суммы меламина и фенилмеламина к формальдегиду между 1:1 и 1:6.

Ю. Васильев

**2533 П. Способ получения конденсационных смол.** D'Alelio (Verfahren zur Herstellung harzartiger Kondensationsprodukte. D'Alelio Gaetano F.) [Allgemeine Elektrizitäts-Ges.]. Пат. ФРГ 928975, 16.06.55

Способ получения конденсационных смол из аминокли амидосоединений (мочевинны, тиомочевинны, меламина, гуанидина или дигуанидида) и альдегидов отличается тем, что вышеуказанные соединения обрабатывают сложными эфирами малоновой к-ты и полученные продукты отверждают с помощью ускорителей. Смолы применяют для получения прессовочных масс, покрытий, клеев и для литья под давлением. Смесь (в ч.): 57 мочевины, 7,6 воды. (28%-ного) р-ра  $\text{NH}_3$ , 161 воды. (37%-ного) р-ра  $\text{CH}_2\text{O}$ , 0,04 NaOH (растворенных в 10 ч. воды) и 8 диэтилового эфира малоновой к-ты смешивают и нагревают с обратным холодильником 30 мин. К полученной массе добавляют 0,02 ч. HCl в качестве ускорителя отверждения; жидкую массу смешивают с 70 ч. измельченной целлюлозы и 0,04 ч. стеарата Zn, сушат, размалывают, просеивают и прессуют при 130° в течение 3 мин. Вместо HCl в качестве ускорителя можно применять лимонную к-ту или фталевый ангидрид.

М. Альбам

**2534 П. N,N-этиленмочевинформальдегидная смола.** Уивер (Formaldehyde-N, N-ethylene urea resin. Weaver Welcome J.) [Chemical and Dye Corp.]. Канад. пат. 509868, 8.02.55

Промежуточный продукт конденсации и неплавкую смолу получают взаимодействием эквимолекулярных кол-в  $\text{CH}_2\text{O}$  и N, N-этиленмочевинны. Я. Кантор

**2535 П. Способ обработки политриазолов.** Фишер, Уитли, Бейтс (Process of treating polytriazoles. Fischer James W., Wheatley Edward W., Bates Harold) [Camille Dreyfus]. Канад. пат. 516189, 30.08.55

Для перевода поли-4-амино-1,2,4-триазолов, связанных в линейную полимерную цепь в положениях 3,5, в неплавкое состояние их обрабатывают ацилирующим агентом или альдегидом ( $\text{CH}_2\text{O}$ ), монокарбоновой к-той или ее ацилирующим производным. Патентуют также ацилированные продукты. Я. Кантор

**2536 П. Полиуретановые смолы (Polyurethane resins)** [National Research Development Corp.]. Австрал. пат. 164533, 25.08.55

Способ получения полиуретановой смолы состоит в том, что алкидную смолу, содержащую свободные COOH- и (или) OH-группы и полученную по крайней мере из одной дикарбоновой к-ты и одного многоатомного спирта, модифицируют эпоксидной смолой, не содержащей Cl и изготовленной из эпихлоргидрина и диоксифенилпропана или их замес. производных и модифицированную смолу обрабатывают изоданатом, имеющим  $\geq 2$  реакционноспособных NCO-групп.

Ю. Васильев

**2537 П. Смоляные композиции (Resinous compositions)** [Midland Silicones, Ltd. formerly Dow Corning, Ltd.]. Англ. пат. 737515, 28.09.55

Композиция для покрытия электрич. проводов со стеклянной оплеткой содержит смесь 60—80 вес. % кремнийорганич. смолы, 10—30 вес. % эпоксидной смолы и 5—20 вес. % фенолформальдегидной смолы. Кремнийорганич. смолу получают при р-ции 40—80 вес. % в-ва ф-лы  $\text{R}_m\text{SiX}_n\text{O}_{(4-m-n)/2}$ , 10—40% терефталевой или изофталевой к-т или их низших эфиров и 5—25% глицерина. Эпоксидная смола получается при р-ции бис-( $n, n'$ -оксифенил)-диметилметана с эпихлоргидрином и имеет эпоксидное число  $\geq 450$ . В ф-ле R — алкил ( $\leq 4$  атомов C) или фенил, X — OH или алкоксигруппа,  $m = 1-2$  и  $n = 0,01-3$ . 210 ч. глицерина, 261 ч. диметилтерефталата и 35 ч. изофорона нагревают при 191—210° в течение 2,5 часа до отгонки теоретич. кол-ва  $\text{CH}_3\text{OH}$ . После охлаждения до т-ры  $< 130^\circ$  вводят 953 ч. трикрезола и 588 ч. частично конденсированного алкоксилана, содержащего в молекуле 67 мол. % фенилметилсилоксановых звеньев и 33 мол. % монофенилсилоксановых звеньев, а также 20 вес. %  $\text{OCH}_3$ -групп. Нагревание продолжают при 160—200° в течение 8 час. 70 ч. полученной смолы (в р-ре) смешивают с 20 ч. эпоксидной смолы (с эпоксидным числом 1600—1900) и 10 ч. крезолформальдегидной смолы. Лак применяют для покрытия проводов. Пленку запекают в эмали-печах при 300—400° в течение 1 мин. А. Жданов

**2538 П. Смоляные композиции (Resinous compositions)** [Midland Silicones, Ltd. formerly Dow Corning, Ltd.]. Англ. пат. 737142, 21.09.55

Смола для пропитки стеклянной оплетки проводов представляет собой смесь 10—30 вес. % эпоксидной смолы и 70—90 вес. % кремнийорганич. смолы. Эпоксидную смолу получают при конденсации бис-( $n, n'$ -оксифенил)-диметилметана и эпихлоргидрина; образующийся продукт имеет эпоксидное число  $\geq 450$ . Кремнийорганич. смолу получают при взаимодействии 40—80 вес. % в-ва ф-лы  $\text{R}_m\text{SiX}_n\text{O}_{(4-m-n)/2}$ , 10—40% терефталевой или изофталевой к-т (или их низших алкильных эфиров) и 9—35% глицерина. В ф-ле R — алкил ( $\leq 4$  атомов C) или фенил, X — OH-или алкоксигруппа,  $m = 1-2$  и  $n = 0,01-3$ . Смолы могут быть модифицированы маслами или жирными к-тами масел в кол-ве  $\leq 10$  вес. %. 210 ч. глицерина, 261 ч. диметилтерефталата и 35 ч. изофорона (р-ритель) нагревают при 210° до выделения теоретич. кол-ва  $\text{CH}_3\text{OH}$ . К продукту добавляют 935 ч. трикрезола (р-ритель) и 588 ч. частично гидролизованного силоксана, состоящего (в мол. %) из 67 фенилметилсилоксановых звеньев, 33 монофенилсилоксановых звеньев и содержащего 20 вес. %  $\text{OCH}_3$ -групп. Нагревание продолжают при 210° до удаления теоретич. кол-ва  $\text{CH}_3\text{OH}$ . К р-ру добавляют необходимое кол-во эпоксидной смолы и полученный лак используют для подклейки и пропитки стеклянной оплетки провода. Лак запекают в эмали-печах при 300—400° в течение 1 мин. Изоляция выдерживает испытания на скребковом приборе. А. Жданов

**2539 П. Материалы на основе силоксана (Siloxane materials)** [Diamond Alkali Co.]. Англ. пат. 735906, 31.08.55

Продукт согидролиза 10—30 мол. % этилтригалогидсилана и 79—90 мол. % фенилтригалогидсилана, полученный по англ. пат. 683905, обрабатывают пентаэритритом (I), взятым в таком кол-ве, чтобы в продукте р-ции содержалось 3,5—12% связанного I (от веса силоксана). Напр., р-р продукта согидролиза в диэтилопропиловом эфире смешивают с I, водой и диоксаном, смесь кипятят, охлаждают, отделяют и промывают эфирный слой. Часть р-ра смешивают с триэтаноламином и используют в качестве лака. От другой части отгоняют



р-ритель, смолу измельчают и используют в качестве пресспорошка, при необходимости с добавкой наполнителя. А. Жданов

**2540 П.** Силоксановые полимеры (Siloxane polymers) [Midland Silicones, Ltd, formerly Dow Corning, Ltd]. Англ. пат. 737230, 21.09.55

Кремнийорганическое соединение, содержащее  $\geq 0,6$  вес. % OH-групп, связанных с Si и 0,9—3 одновалентных углеводородных радикалов (не содержащих тройных связей) у каждого атома Si (остальные валентности атома Si насыщены кислородом), полимеризуют в присутствии  $\geq 0,1$  вес. % (от исходного в-ва) аминсилана ф-лы  $[R_n Si(NR')_{(4-n)}]_x$ , где R — одновалентный углеводородный радикал, не содержащий тройных связей,  $n = 1, 99-2$ , R' — H или  $CH_3$  и  $x$  — целое число  $\geq 3$ . Р-ция, которую можно проводить в р-рителе (толуоле), протекает при  $t_{ре} < 20^\circ$  и при более высоких  $t_{рах}$ , вплоть до  $400^\circ$  с выделением  $NH_3$  или метиламина. При малых кол-вах аминопроизводного образуются полисилоксаны, но при соотношении  $> 1$  группы —  $SiN(R')Si$  — на две группы OH образуются сополимеры, содержащие 25—99,99 мол. % силоксановых звеньев ф-лы  $R_m SiO_{(4-m)/2}$  и 0,01—75 мол. % аминсилановых звеньев вышеуказанной ф-лы. Исходными кремнийорганич. соединениями являются силанолы  $R_3SiOH$ , силандиолы  $R_2Si(OH)_2$ , полимеры ф-лы  $HO(R_2SiO)_xH$  и гидроксилсодержащие смолы, имеющие звенья ф-лы  $SiO_2$ ,  $RSiO_{1,5}$ ,  $\dot{R}_2SiO$  и  $R_3SiO_{0,5}$ , где R может быть  $CH_3$ ,  $C_2H_5$ , октадецил, винил аллил, гексадиенил, циклогексил, циклогексенил, фенил, толил, ксенил или бензил в любых сочетаниях. Продукты используют как компаунды и в качестве электроизоляционных покрытий. А. Жданов

**2541 П.** Кремнийорганические соединения (Organosilicon compounds) [Midland Silicones, Ltd, formerly Dow Corning, Ltd]. Англ. пат. 737963, 5.10.55

Полимеры с элементарным звеном ф-лы  $(CCl_2 = CCl)_n R_x SiO_{(4-n-x)/2}$ , которые могут содержать также OH-группы, получают гидролизом хлорсиланов ф-лы  $(CCl_2 = CCl)_n R_x SiCl_{(4-n-x)}$ . В ф-лах R — углеводородный радикал (алкил, алкенил, алкинил, циклоалкил, аллил, алкарил, аракил, напр.  $CH_3$  или  $C_6H_5$ ),  $n = 1-2$ ,  $x = 0, 1$  или  $2$  и  $n+x \leq 3$ . Напр., р-р смеси трихлорвинилфенилди-хлорсилана и трихлорвинилдифенилхлорсилана в толуоле вводят в избыток воды. Образующийся смешанный полимер содержит соответствующие элементарные звенья. А. Жданов

**2542 П.** Отверждение силоксановых смол кротонатом алюминия. Эйджене (Curing of silicone resins with aluminum crotonate. Agents Maynard C.) [General Electric Co.]. Пат. США 2714585, 2. 08.55

Композиция состоит из термореактивной полисилоксановой смолы, имеющей в среднем 1—2 углеводородных радикала на 1 атом Si и содержит катализатор отверждения — кротонат алюминия ф-лы  $(CH_3CH = CHCOO)_2AlOH$  в кол-ве, достаточном для превращения этой смолы при нагревании в отвержденное, не липкое состояние. Ю. Васильев

**2543 П.** Способ получения алюмосилоксанов. Виберг, Канцлер (Verfahren zur Herstellung von Alumo-Siliconen. Wiberg Egon, Kanzler Karl Heinz) [Süd-Chemie A.-G.]. Пат. ФРГ 937557, 12.01.56

Алюмосилоксаны получают взаимодействием активированного Al с моно- или полифункциональными силанами, в частности, с диалкилсиландиолами. R  $13,2$  g  $(C_2H_5)_2SiOH$  добавляют 1 g активированного Al. Р-ция начинается сразу с выделением  $H_2$  и разогреванием. Через 1 час продукт превращается в кристаллич. массу, которую растворяют в эфире, р-р фильтруют и отгоняют р-ритель. Al  $[OSi(C_2H_5)_3]_3$  имеет т. пл.  $\sim 310^\circ$ .

Выход продукта составляет 80% теоретич. Аналогично, эфирный р-р диэтилсиландиола обрабатывают на холоду активированным Al. Через 18 час. фильтруют р-р и отгоняют р-ритель. Образуется серая каучукоподобная масса состава  $(C_2H_5)_2SiO \cdot 0,1 Al_2O_3$ . А. Жданов

**2544 П.** Получение простых сульфониловых эфиров гидроксилодержащих полимеров. Шейне, Чеймберс (Preparation of sulphonyl ether of hydroxylated polymers. Schoene Dwight L., Chambers Victor S.) [Dominion Rubber Co., Ltd.]. Канад. пат. 510689, 8.03.55

Полисахариды (крахмал, целлюлозу) обрабатывают моновинилсульфоном ф-лы  $CH_2 = CHSO_2R$  (R — алкил с 1—4 атомами C), в частности, в присутствии основного катализатора. Я. Кантор

**2545 П.** Наполнитель для битумов и пеков, находящийся при нормальной температуре в вязкотекучем или пластичном состоянии. Эйкке, Шульте-Бокхольт, Шлумбергер (Füllstoff für bei normaler Temperatur zähflüssige bis plastische Bitumina und Peche. Eicke Johannes, Schulte-Bockholt Hans, Schlumberger Hans) [Eisenwerke Gelsenkirchen A.-G.]. Пат. ФРГ 919205, 14.10.54 [Chem. Zbl., 1955, 126, № 21, 4980 нем.]

Наполнитель состоит из минер. или шлакового волокна, скатанного в виде шариков. Применяется в качестве уплотнений для муфт, заливаемых масс и т. п. М. Альбам

**2546 П.** Способ крашения искусственных смол. Кёрнер, Зейберт, Хансен (Verfahren zum Färben von Kunststoffen. Koerner Jürgen, Seibert Heinrich, Hansen Kurt) [Farbenfabriken Bayer A.-G.]. Пат. ФРГ 915504, 22.07.54 [Chem. Zbl., 1955, 126, № 24, 5659—5660 (нем.)]

Для крашения материалов из полиакрилонитрила, полистирола, полиэтилена, эфиров акриловой к-ты, а также нитро- и ацетилцеллюлозы применяют различные красящие в-ва, напр. некоторые азокрасители, не содержащие остатков сульфоновых к-т, трифенилметановые и полиметиновые красители. Р. Нейман

**2547 П.** Процесс окрашивания. Салвин (Dyeing process. Salvin Victor S.) [Celanese Corp. of America]. Канад. пат. 511774, 12.04.55

Формованные изделия из материала на основе органич. производного целлюлозы (ацетилцеллюлозы) окрашивают погружением в красильную ванну, содержащую воду, дисперсию ацетилцеллюлозного красителя, 0,1—0,3 вес. % мыла, 0,1—0,3 вес. % ализаринового масла и 5—10 вес. % водорастворимого эфира ф-лы:  $R-O(CH_2CH_2O)_n-CH_2CH_2OH$ , где R — алкил,  $n = 0-1$  (напр., монобутилового или моноэтилового эфира этиленгликоля). Изделие выдерживают в р-ре при 25—75° в течение 30 сек. — 2 мин. до прокрашивания на глубину 100—500 м. Ванна может также содержать эмульсию полиметилвинилкетона. Ю. Васильев

**2548 П.** Пластичные композиции из сополимера бутадена и акрилонитрила и фенольной смолы. Гротен, Рид (Plastic compositions of butadiene-acrylonitrile copolymers of phenolic resin. Groten Frank J., Reid Robert J.) [Firestone Tire & Rubber Co.]. Канад. пат. 518494, 15.11.55

Композиция содержит: 1) сополимер в-ва ф-лы  $R_2C = C(R')C(R) = CR_2$  с 10—75 вес. % (от общего кол-ва мономеров) соединения ф-лы  $CH_2 = C(R'')CN$ , где R — H или  $CH_3$  (независимо каждый), R' — H,  $CH_3$  или Cl, R'' — H,  $CH_3$ ,  $C_2H_5$ ,  $C_3H_7$  или Cl; 2) фенолальдегидную смолу; 3) поливинилхлоридную смолу в кол-ве, большем, чем фенольной смолы. А. Жданов

2549 П. Смесь формовочного песка со связующим веществом (Mélanges des sable de fonderie ou à noyaux avec des liants) [Industrielackwerke G. m. b. H.]. Франц. пат. 1047015, 10.12.53 [Chem. Zbl., 1955, 126, № 29, 6839 (нем.)]

В качестве связующих в-в для формовочного песка применяют фенольные, мочевиные или подобные, полученные конденсацией в кислой среде смолы в смеси с ускорителем отверждения напр., гексаметиленснтрамином. Конденсационные смолы могут применяться в жидком виде, напр., в виде водн. р-ра, или же в виде порошка.

М. Альбам  
2550 П. Связующие типа эмульсий. Униг (Emulsion binders. Wing Henry J.) [Chicopee Manufacturing Corp.]. Канад. пат. 509225, 18.01.55

Эластичное не токсичное связующее для соединения волокнистых материалов представляет собой эмульсию поливинилацетата, содержащую 60% твердых в-в и 40—60 вес. % (от полимера) нерастворимого в воде пластификатора (дибутилфталата).

Б. Киселев  
2551 П. Изоляционный материал. Бринкман (Isolations material. Brinkmann Friedrich) [C. Lorenz A.-G.]. Пат. ФРГ 916777, 16.08.54 [Chem. Zbl., 1955, 126, № 37, 8701 (нем.)]

Изоляционный материал содержит фенолформальдегидную смолу и в качестве наполнителя чистый кварц, размолотый после предварительного плавления, в кол-ве 70 ч. кварца на 22 ч. смолы.

М. Альбам  
2552 П. Способ приготовления пресспорошка из синтетической смолы. Шерхорн (Verfahren zur Aufbereitung einer Kunstharzpreßmasse. Scherhorn Wilhelm David) [N. V. Philips' Gloeilampenfabrieken]. Пат. ФРГ 933093, 15.09.55

Пресспорошок для изготовления изоляционных деталей, работающих под высоким напряжением, проверяют рентгенографически на присутствие metallic. частиц; порции, содержащие metallic. частицы, отбраковывают. Перед рентгенографическим испытанием пресспорошок пропускают через магнитный сепаратор для удаления частиц железа.

М. Альбам  
2553 П. Термопластичные композиции (Thermoplastic compositions) [Dunlop Rubber Aust. Ltd.]. Австрал. пат. 165932, 24.11.55

Композиция содержит однородную смесь каменноугольной смолы и сополимера стирола и бутадиена; кол-во сополимера составляет 5—50% от веса смолы, а кол-во связанного стирола составляет  $\geq 50$  вес. % от сополимера.

Ю. Васильев  
2554 П. Патефонные пластинки с мелкой записью (Disque a microsillon) [Dynamit A.-G. vormals Alfred Nobel & Co.]. Франц. пат. 1076569, 27.10.54 [Chem. Zbl., 1955, 126, № 30, 7097 (нем.)]

Материал для изготовления патефонных пластинок с мелкой записью состоит из полимеров или сополимеров винилхлорида и 20—80% пека. Смесь (в ч.) из 50 поливинилхлорида, 50 каменноугольного пека (т. размягч. 70° по Кремер-Сарнову), 2 стеарата Рв и 2 сажки пластифицируют при 160°, продавливают через фильтр и формуют. Пластинки обладают более высокой твердостью и теплоустойчивостью по сравнению с пластинками, полученными из материала, не содержащего пека. М. Альбам

2555 П. Дисперсия высокомолекулярных углеводородных полимеров. Синглтон (Dispersion of high molecular weight hydrocarbon polymers. Singleton Henry M.) [Standard Oil Development Co.]. Канад. пат. 511273, 22.03.55

Продукт, снижающий липкость каучукоподобного полимера, получают нагреванием насыщ. водн. р-ра стеарата Na с  $ZnSO_4$  при  $\sim 65^\circ$  и энергичном перемешивании; pH реакционной смеси доводят до 8—8,5 добавлением NaOH и сульфата Na. Полученный Р-р содержит  $\sim 42$  г/л твердых веществ. Я. Кантор

2556 П. Способ получения слоистых стеклопластиков. Килтау, Кутра (Stratifiés à nappes de fibres de verre et leur preparation. Kiltau Martha K. Coutras Alexander) [Ciba A.-G.]. Франц. пат. 1094859, 25.05.55 [Verres et réfract., 1955, 9, № 5, 272 (франц.)]

Стекланные маты пропитываются связующим, которое состоит из меламиноформальдегидной смолы и 2—15% насыщ. углеводорода, содержащего две гидроксильные группы и 6—10 атомов С. Пропитанные стекломаты, нагретые до содержания в них летучих в кол-ве 2,5—3,5%, собираются в пакеты, которые прессуются при 120—175° и давл. 1,75—56 кг/см<sup>2</sup>. Содержание связующего в слоистом стеклопластике составляет 40—80 вес. %, содержание стекловолокна 10—40%.

С. Иоффе

2557 П. Способ производства пропитанных смолы изделий. Нелсон, Морроу (Procédé pour fabriquer des pièces imprégnées de résine. Nelson Reginald, E., Morrow Neil McKay) [Cie Francaise Thomson-Houston]. Франц. пат. 1067078, 11.06.54 [Chem. Zbl., 1955, 126, № 22, 5937 (нем.)]

Смолу смешивают с катализатором, а пористый или волокнистый материал (напр., пряжу из стекланных волокон) обрабатывают активатором. Напр., полимеризуемая смола содержит (в ч.): 68 дипропиленгликольмаленината, 3 стирола и 1 перекиси бензоила; р-р активатора содержит (в ч.): 2 диметиланилина и 8 ксилола.

Р. Нейман

2558 П. Изделия из неармированных смол (Articles de résines synthétiques non armés) [Farbenfabriken Bayer A.-G.]. Франц. пат. 1064035, 10.05.54 [Chem. Zbl., 1955, 126, № 25, 5915 (нем.)]

Полиамиды, полиуретаны, поливиниловые соединения, фено- или аминопласти ориентируют шприцеванием, литьем или вальцеванием, складывают слоими в перпендикулярных направлениях и прессуют. Слоистое изделие имеет более высокую прочность, чем отдельные пластины.

М. Альбам

2559 П. Способ улучшения высокомолекулярных веществ. Бауэр, Тессмар (Verfahren zur Verbesserung von hochmolekularen Stoffen. Bauer Walter, Tessmar Klaus) [Röhm & Haas G. m. b. H.]. Пат. ФРГ 918356, 23.09.54 [Chem. Zbl., 1955, 126, № 25, 5912—5913 (нем.)]

Способ повышения механич. прочности и устойчивости к р-рителям высокомолекулярных в-в отличается тем, что полиметилметакрилат, полистирол, их сополимеры с акрилонитрилом (I) или триацетат целлюлозы смешивают с содержащим инициатор I (готовые изделия покрывают или смачивают I), после чего подвергают обработке, при которой происходит полимеризация. Полученные материалы либо содержат в целом  $>50$  мол. % связанного I, либо (в случае готовых изделий) имеют слой, в котором содержится  $>50$  мол. % I; последний может содержать также другие полимеризующиеся или непolyмеризующиеся в-ва, а также пластификаторы.

М. Альбам

2560 П. Новые упрочненные пленки из пластмасс. Нунш (Nouvelles feuilles armées en matière plastique avec procédé et dispositif de fixation. Nunchy C.). Франц. пат. 1056606, 1.03.54 [Chem. Zbl., 1955, 126, № 22, 5195 (нем.)]

Рыхлую ткань из минер. волокон покрывают с обеих сторон мало или совсем непластифицированным поливинилхлоридом, формуют в виде лент, которые затем пропускают через горячие вальцы.

М. Альбам

2561 П. Приводной ремень. Де-Маттео (Belting. De Matteo Dante E.) [Thiexle Plastics Corp.]. Пат. США 2686745, 17.08.54

Ремень состоит из полосы закрученных прядей тонких волокон и эластичного пластич. материала, на-прессованного на волокна так, что он образует слой с одной стороны полосы и загнутые борта, переходящие на другую сторону полосы. Пластич. материал проникает между волокнами, благодаря чему изделие приобретает соответствующие механич. характеристики. Наружная поверхность ремня с одной стороны не покрыта пластич. материалом. Б. Киселев

**2562 П. Чертежный материал.** Эйкорт (Drawing material. Eichorn Adrian) [Screen Engineering Co.]. Пат. США 2718476, 20.09.55

Устойчивый против усадки прозрачный гибкий материал для снятия точных копий состоит из стеклянной ткани, пропитанной полиэфирной смолой, на поверхность которой имеется прозрачная пленка из органич. смолы, содержащая абразивные в-ва, в кол-ве, обеспечивающем нанесение карандашных линий. Применяемая полиэфирная смола представляет собой сополимер соединения, имеющего концевую этиленовую группу, и продукта р-ции этилен- $\alpha$ -,  $\beta$ -дикарбоновой к-ты и гликоля. Б. Киселев

**2563 П. Способ получения упаковочного материала из термопластов, не содержащих пластификаторов.** Шопмейер (Procédé de fabrication de matière d'emballage exempte de plastifiants, thermoplastiques, se laissant sceller à chaud et matière d'emballage fabriquée par ce proc. Schoppmeyer Werner) [Heinrich Nicolaus G. m. b. H. Unilever N. V.]. Франц. пат. 1066269, 3.06.54 [Chem. Zbl., 1955, 126, № 36, 8522 (нем.)]

Упаковочный материал изготавливают из термопластов, напр. из поливинилхлорида, полистирола, или поливинилкарбазола, которые покрывают смесью из парафина, воска или воскоподобных в-в с термопластами, напр. с полиизобутиленом и (или) полиэтиленом. Материал особенно пригоден для упаковки пищевых продуктов. М. Альбам

**2564 П. Способ и аппаратура для получения тонких пленок высокопластичных термопластов и нанесение их на бумагу и подобные материалы.** Массей (Method and apparatus for preparing thin films of high melting point thermoplastics and the application thereof to paper and the like. Massey Peter Jay). Пат. США 2712508, 5.07.55

Для нанесения на бумагу и подобные материалы высоковязких смол, имеющих при 190° вязкость не ниже вязкости полиэтилена с мол. в.  $\sim 19000$  и миним. рабочую т-ру  $>115^\circ$ , подложку высушивают до полного удаления влаги, проводят по нагретому вращающемуся валку и пропускают через зазор между вращающимися и неподвижным параллельными валками, куда загружают композицию для покрытия, нагретую до минимально необходимой т-ры. При прохождении подложки через зазор на нее наносится покрытие определенной толщины. Вдоль зазора между валками образуется равномерно распределенный запас композиции; по мере расходования туда непрерывно добавляют новые порции нагретого материала. Контакт вращающегося между валками запаса композиции и бумаги ограничен, благодаря чему не происходит обугливания бумаги. Т-ру композиции и зазор валков можно регулировать. Б. Киселев

**2565 П. Слоистые конструкции.** Тиллер (Laminated structures. Tillyer Edgar D.) [American Optical Co.]. Пат. США 2727843, 20.12.55

В линзе слой стекла и пластика соединены прозрачным цементом, состоящим из канифоли, хлорированного парафина, фенилсалицилата и диметакрилата полиэтиленгликоля. На поверхность стекла, обращенную к цементу, наносят тонкую пленку из казеина или альбумина, увеличивающую прочность склейки. Б. Киселев

**2566 П. Смесь биурета и мочевины как вспениватель для пенопластов.** Шварц (Biuret-urea blowing agent used for producing cellular materials. Schwarz Herbert F.) [The Sherwin-Williams Co.]. Пат. США 2707707, 3.05.55

Размолотый полимер, способный при нагревании до 130—176° переходить в пластич. состояние, смешивают с биуретом и мочевиной и нагревают полученную композицию до т-ры, при которой биурет и мочевина реагируют с выделением  $\text{NH}_3$ . На 100 вес. ч. полимера берут 4—15 ч. смеси, содержащей  $\geq 1$  вес. % мочевины. Ю. Васильев

**2567 П. Способ получения звукопоглощающих материалов на основе полиуретанов.** Хоппе, Вейнбрэннер (Verfahren zur Herstellung von Schallschluckstoffen auf Polyurethan-Basis. Hoppe Peter, Weinbrenner Erwin) [Farbenfabriken Bayer A.-G.]. Пат. ФРГ 915033, 15.07.54 [Chem. Zbl., 1955, 126, №22, 5196 (нем.)]

Способ получения звукопоглощающих материалов заключается в том, что жесткие или эластичные пенопласты из полиуретанов, содержащие трихлорэтилфосфат, трихлорэтилфосфит или фосфат  $\text{NH}_4$ , а также защитные средства от термитов и бактерий, подвергают дополнительной обработке с целью раскрытия пор. Эластичные пенопласты отжимают закручиванием, а жесткие — обрабатывают перегретым паром при  $\sim 140^\circ$  или продувают сжатым воздухом до достижения требуемой пористости. М. Альбам

**2568 П. Анионообменные смолы и способы их получения.** Дадли (Anion active resins and processes of producing the same. Dudley James R.) [American Cyanamid Co.]. Канад. пат. 510654, 8.03.55

Акиленполиамины конденсируют с органич. соединениями, содержащими несколько этиленоксидных групп, в частности, с бис-(2,3-эпоксипропил)-сульфидом, продукт конденсации желатинируют, гель отверждают и нерастворимый продукт гранулируют. Я. Кантор

**2569 П. Способ проведения ионообменных реакций с применением нескольких ионообменных смол разного типа.** Грисбах, Ляут, Мейер (Verfahren zur Durchführung von Ionenaustauschreaktionen unter Verwendung mehrerer verschiedener Austauscher. Griessbach Robert, Lauth, Hellmuth, Meier Erhard) [VEB Farbenfabrik Wollen]. Пат. ГДР 6295, 25.01.54

Способ отличается тем, что для проведения ионообменных р-ций применяют смесь ионитов, компоненты которой могут быть разделены физ.-хим. путем и после сепарации отдельно регенерированы. Напр., водно-спиртовой экстракт *Digitalis purpurea* с конц-ией солей 4,5% обрабатывают смесью оксифенилсульфоновой катионообменной смолы (зерна темного цвета, диам. 0,5—2 мм) и полиэтиленгликолевой анионообменной смолы (светлые зерна диам. 0,2—0,4 мм) в соотношении 500 : 300 г на 1 л экстракта; после 15 мин. перемешивания определяют рН и в зависимости от результатов определения добавляют небольшое кол-во той или иной смолы для того, чтобы величину рН довести до 7. Жидкость отсасывают, смесь смол взмучивают в воде, путем мокрого просеивания разделяют на компоненты, после чего обычным способом регенерируют. Л. Песня

**2570. П. Способ соединения механических элементов.** Самуэлл (Method of bonding mechanical elements. Samuely Max) [Paul P. Heinley]. Пат. США 2718485, 20.09.55

Часть металл. элемента, подлежащую склейке, обрабатывают к-той для очистки и травления на определенную глубину, ополаскивают и окунают обработанную поверхность в ванну с расплавленной смолой; после охлаждения на поверхности детали образуется твер-



дое покрытие. Затем деталь с покрытием соединяют с другой склеиваемой деталью, и собранный узел помещают в ВЧ-поле, где термопластичная смола вторично расплавляется; после охлаждения узла элементы оказываются соединенными.

**Б. Киселев**  
**2571 П.** Клеевые составы на основе канифоли из таллового масла. **Страдзинс, Хастингс** (Dry tall oil resin size compositions. *Strazdins Edward, Hastings Randall*) [American Cyanamid Co.]. Канад. пат. 508094, 14.12.54

Стабильный при хранении, гомогенный, легко-кучный клей на основе канифоли из таллового масла состоит из: а) 1 вес. ч. нейтр. соли щел. металла, в частности, натриевой соли, частично диспропорционированной канифоли таллового масла, имеющей уд. вращение плоскости поляризации в пределах  $+25$  и  $+45^\circ$  (в частности  $+35^\circ$ ), б) от 0,5 до 0,25 вес. ч. (в частности, 0,33) нейтр. соли щел. металла маленизированной канифоли (в частности, живичной) и в)  $\sim 0,1-1,0\%$  (от веса присутствующей немаленизированной канифоли) антиоксиданта, в частности диариламина или феноксиамина.

**М. Гольдберг**  
**2572 П.** Листовой клеющий материал для соединения обрабатываемых деталей. **Холл, Уолтон** (Sheet adhesive material for bonding of workpieces. *Hall Alan Montague, Walton Ewart Harold*) [B. V. Chemical Co.]. Пат. США 2723207, 8.11.55

Листовой клеющий материал состоит из пористой волокнистой основы, на которую нанесено плавкое, термореактивное клеющее в-во. Последнее представляет собой смесь 3—4 вес. ч. немасцированного НК, 1—3 вес. ч. новолачной смолы и необходимого кол-ва альдегида для отверждения новолачной смолы и превращения клея при нагревании в прочный и эластичный материал.

**Б. Киселев**  
**2573 П.** Клей для переплетения книг и брошюр (Method of binding books and booklets) [Risco A.-G.]. Англ. пат. 713098, 4.08.54

Клей для переплетения книг состоит из синтетич. смолы, в которую введен волокнистый материал — марля, пряжи и волокна нейлона длиной  $\leq 1$  см — в кол-ве 10 объемн. %.

**Б. Киселев**  
**2574 П.** Клеи, применяемые для улавливания пыли. **Бранднер** (Dust filter adhesives. *Brandner John D.*) [Atlas Powder Co.]. Канад. пат. 509645, 1.02.55

Жидкий клей для улавливания пыли состоит из 5—40 вес. ч. смеси к-т (70—100% фосфорной к-ты и 0—30% борной к-ты) и 100 ч. смеси многоатомных спиртов (50—100% глицерина и 0—50% этиленгликоля). Так, напр., клей содержит 15—30 ч. смеси к-т (70—90% фосфорной к-ты и 10—30% борной к-ты) и 100 ч. смеси из 75—90% глицерина и 10—25% этиленгликоля. К-ты могут быть частично нейтрализованы.

**Б. Киселев**  
**2575 П.** Цокольная замазка. **Симонелли** (Basing cement. *Simonelli Angelo*) [General Electric Co.]. Пат. США, 2725222, 1.11.55

Замазка для цоколей электрич. ламп содержит по крайней мере одну природную смолу (канифоль или шеллак), термореактивную фенолальдегидную смолу, р-ритель в кол-ве, достаточном для растворения природной смолы, 3—6% сахара и минер. наполнитель — мраморную муку, тяжелый шпат, асбест. Кол-во смол составляет 13 вес. % от композиции.

**Ю. Васильев**  
**2576 П.** Электроизоляционные материалы (Electrical insulating materials) [British Thomson-Houston Co., Ltd.]. Англ. пат. 715049, 8.09.54

Электроизоляционный материал, содержащий 40—60 вес. % волокнистого материала, пропитанного 15—25% фенолформальдегидной смолы (I), 3—27% поливинилхлорида и 6—32% анилинформальдегидной смо-

лы, отверждают при нагревании под давлением. Вначале волокнистый материал пропитывают I в виде р-ра в воде и низших спиртах (до бутилового); после испарения р-рителей материал пропитывают двумя другими смолами, растворенными в ацетоне или спирте, после чего сушат и отверждают. Волокнистый материал может быть в форме листов из целлюлозы (напр., в виде бумаги), из стекловолна или асбеста. I может добавляться во время размолла массы в ролле в процессе произ-ва бумаги. Пропитанные листы обрезают до необходимых размеров, собирают в пакет и прессуют при нагревании или измельчают в мелкие куски с последующим прессованием из них фасонных деталей.

**С. Шишкин**  
**2577 П.** Изоляционные материалы (Insulating compositions.) [The General Electric Co.]. Австрал. пат. 164224, 4.08.55

Изоляционный состав содержит слюдяной материал, пропитанный и покрытый смесью, содержащей: а) низкомолекулярный сложный полиэфир, имеющий свободные карбоксильные группы и являющийся продуктом реакции глицерина более чем с эквивалентным кол-вом алифатич. дикарбоновой к-ты с 5—10 атомами С, и б) смолы, содержащей более одной эпокси-группы в молекуле и представляющей собой простой полиэфир органич. соединения, содержащего несколько замещаемых атомов Н.

**В. Уфимцев**  
**2578 П.** Конденсаторы (Capacitors) [Standard Telephones & Cables Ltd.]. Англ. пат. 713572, 11.08.54

Доп. к англ. пат. 693062 (РЖХим, 1955, 36113). Конденсатор, герметизированный в корпусе смесью смолы с отвердителем, как указано в основном патенте, сначала пропитывают пластификатором для смолы или термореактивным компаундом из смолы, отвердителя и пластификатора. В качестве пластификатора для эпоксидных смол может применяться пентахлордифенил. Пропитанный компаунд отверждается вместе с заливочным компаундом.

**С. Шишкин**  
**2579 П.** Селеновые выпрямители (Selenium rectifiers) [Standard Telephones & Cables, Ltd.]. Англ. пат. 710812, 16.06.54

Слой из полиамида, находящийся в выпрямителях между селеном и контроэлектродом, наносится на селен в виде лакового р-ра, содержащего (в %) 4—7 нейлона, 65—75 изопропилового спирта, 10—16 воды и 7—12 фурфурилового спирта; р-р содержит также смесь 1,5—4,5 объемн. ч. спирта и 0,5—1,5 объемн. ч. нитрометана и  $\text{NH}_4\text{OH}$ , для поддержания рН  $\sim 7$ . Собранный выпрямитель можно подвергать электрич. формовке.

**Я. Кантор**  
**2580 П.** Искусственный наполнитель из пуха и способ его изготовления. **Фредерик** (Simulated down filler and method of making the same. *Fredrick Edward R.*) [United States of America as represented by the Secretary of the Army]. Пат. США 2713547, 19.07.55

Способ изготовления искусств. наполнителя из пуха состоит в том, что волокна из смолы, имеющей усадку при нагревании, вытягивают не менее чем на 5%, наносит клей на волокно, онудривают волокно материалом из перьев домашней птицы, которые прочно склеиваются с волокном и располагаются в направлении от волокна, и режут волокно на отрезки желаемой длины. После нарезки волокна нагревают и подвергают усадке не менее чем на 30%; покрытие из пуха при этом не повреждается.

**Б. Киселев**  
**2581 П.** Способ получения формованных изделий из полистирола (Verfahren zur Herstellung von Formkörpern aus Polystyrol) [Siemens & Halske A.-G.]. Пат. ФРГ 915152, 15.07. 54 [Chem. Zbl., 1955, 126, № 22, 5195 (нем.)]

Изделия, полученные литьем или прессованием, в случае их дальнейшей механич. обработки (особенно при сверлении, обточке или резке) нагревают при  $t$ -ре между  $\sim 40^\circ$ , но ниже начала текучести полистирола до механич. обработки, но лучше еще и после обработки, при необходимости несколько раз. М. Альбам

**2582 П.** Способ и приспособление для повышения прочности швов на пленках из термопластичных материалов. Вальтер (Verfahren und Vorrichtung zum Erhöhen der Haltbarkeit von Schweißverbindungen an Folien aus thermoplastischen Kunststoffen. Walther Emil.) [Siemens-Schuckertwerke A.-G.]. Пат. ФРГ 926573, 21.04.55 [Kunststoffe, 1955, 45, № 9, 394 (нем.).]

Для упрочнения сваркой обычного нитяного шва на иглоку швейной машины насаживают электрод, удерживаемый пружиной, а в столе машины, против иголки, ставят 2-й кольцевой электрод, охватывающий отверстие для иголки. Когда иголка опускается вниз и, сдвигая, прокалывает пленку, верхний электрод прижимается к пленке пружиной. В этот момент включают генератор токов ВЧ и материал в точке прокола сваривается. Отверстия и надрезы от иголки запаиваются вследствие размягчения материала. Кроме того, справа и слева от иголки могут быть расположены роликовые электроды для сварки материала по обе стороны от шва. Е. Хургин

**2583 П.** Способ производства оболочек из пластического материала. Бер (Method of fabricating envelopes employing plastic materials. Baer Carl A.). Пат. США 2691613, 12.10.54

Способ изготовления оболочек состоит в том, что поверхности смежных участков листового материала соединяют без применения клея, благодаря чему соединяемые поверхности легко могут быть разъединены без повреждения материала. Этот материал при  $\sim 20^\circ$  нелипко, но обладает пластичными свойствами и липкостью при нагревании. Процесс склеивания осуществляется при нагревании материала ВЧ-токами.

**2584 П.** Усовершенствования в сваривании пластмасс. Малавьей (Perfectionnements au soudage de matières plastiques. Malavieille L. H. L.). Франц. пат. 1062329, 21.04.54 [Chem. Zbl., 1955, 126, № 29, 6863 (нем.).]

Способ сваривания пластиков отличается тем, что между источниками тепла и пластиком (полиэтиленом) помещают хорошо проводящий тепло тонкий металлический лист, покрываемый для предотвращения прилипания силиконовым маслом или полимерной окисью этилена. М. Альбам

**2585 П.** Сварка секции из пластических пленок. Бранс (Welding plastic film sections. Bruns Carl N.). [The Connecticut Hard Rubber Co.]. Пат. США 2713017, 12.07.55

Для соединения секций из пленок, последние укладывают в нахлестку, располагают в шве два параллельных провода с высоким электрич. сопротивлением и пропускают электрич. ток по проводам; материал пленок плавится и сваривает отдельные части. Б. Киселев

**2586 П.** Печатание на виниловых пластиках. Голдстейн (Printing on vinyl plastics. Goldstein Gabriel F.). [Interchemical Corp.]. Пат. США 2708188, 10.05.55

Композиция для печатания состоит из р-ра в летучем, не совместимом с водой органич. р-рителе сополимера винилхлорида и винилацетата, и смеси алкилметакрилатной смолы ( $\leq 6$  атомов С в алкильной группе) и алкидной смолы, модифицированной 20—60% высыхающего масла, или сополимера указанных выше алкидной смолы и алкилметакрилата. Я. Кантор

**2587 П.** Способ раскрашивания или печатания на пластических материалах (Werkwijze voor het vervaardigen van een contrasterende tekening op een kunststoffoppervlak en volgens deze werkwijze verkregen voorwerpen) [N. V. Drukkerij «De Spaarnestad»]. Голл. пат. 7:091, 15.06.54 [Chem. Abstrs, 1955, 49, № 4, 2754 (англ.).]

На поверхность пластика наносят гидрофильное изображение фотомеханич. способом. Всю поверхность, включая изображение, покрывают равномерным слоем окрашенного лака или краски, имеющего большую адгезию к пластику, но не к материалу изображения. После сушки, окрашенную поверхность, обрабатывают водн. шлифовальным материалом, напр. полировальной пастой, чтобы удалить краску только с частей поверхности, занятой изображением (вместе с самим изображением). Рекомендуется приготавливать краску на той же смоле, которая составляет поверхность пластика. Адгезия улучшается добавлением к краске р-рителя, вызывающего набухание пластика. А. Дабагова

**2588 П.** Приспособление для шлифования и полирования. О'Нил (Träger für Schleif- oder Polierauflagen. O'Neil Joseph Raymond, jun.) [The Carborundum Co.]. Пат. ФРГ 922034, 10.01.55 [Metallüberfläche, 1955, 9, № 5, B78 (нем.).]

Опора приспособления для шлифования и полирования представляет собой эластичное круглое тело из пенистого НК или СК, обтянутое слоем эластичной резины. С одной стороны деталь имеет концентрич. углубление, в которое помещается ла клею шайба из пропитанного латексом достаточно прочного волокнистого материала. К шайбе приклеена неподвижная оправа, имеющая внутреннюю резьбу для соединения с ведущим элементом. На передней стороне круглого тела имеется слой клея, который закрыт защитной пластиной. В качестве клея используют смесь, содержащую 10—20% этилцеллюлозы средней вязкости, 80—90% алкидной смолы (или 80% каучука), 16% р-рителя и 4% ZnO. Пенистая резина получается при заполнении формы СК и НК с последующим механич. или хим. вспениванием. Б. Киселев

**2589 П.** Способ получения люминесцирующих пластиков. Лирн, Кастеллари (Procédé de fabrication d'un plastique luminescent suractive pour revêtements de consistances diverses. Lyr R., Castellari R.). Франц. пат. 1057584, 9.03.54 [Chem. Zbl., 1955, 126, № 17, 3979 (нем.).]

Люминесцирующие покрытия состоят (%) из 5 пластификатора, 45 р-рителя, 25 смолы (виниловой смолы и силоксана, мочевиноформальдегидной смолы и силоксана или метакрилатной смолы) и 25 солей или окислов металлов (ZnS в качестве люминесцирующего в-ва, мышьяковый колчедан, сурьмяный блеск и Ag<sub>2</sub>S в качестве стабилизаторов, Cd в качестве красителя, Cu, Ce или Zr в качестве активаторов). Для смешения с пластмассами служит смесь из 30% окислов или солей металлов и 70% смол. М. Альбам

**2590 П.** Способ и аппарат для обработки пленок из пластмасс (Apparatus for and method of treating plastic film) [Visking Corp.]. Англ. пат. 722875, 2.02.55 [J. Soc. Dyers and Colourists, 1955, 71, № 4, 201 (англ.).]

Для повышения адгезии типографских красок к пленкам из пластмасс (полиэтилена) пленку пропускают через электрич. поле высокого напряжения с коронирующим разрядом. Пленка сохраняет все свои характеристики, но после печатания краска остается незатронутой после 2-дневного соприкосновения с жиром и противостоит так называемой «шотландской» пробе. Я. Кантор

См. также: Общие вопр. 1097—1099, 1105, 2419. Сырье 2169. Физ.-хим. исслед. 555, 577, 1100, 1110—

1112, 1114, 1116, 1121, 1122, 1127—1130, 1134—1138, 1159, 1162, 1347. Полимеризац. смолы: строение 1102; получение 1146, 1147, 1150, 1155, 2437, 2599; процесс полимеризации 1123, 1139—1145, 1148, 1149, 1151—1154, 1156, 1168—1170; св-ва 1102; анализ 1196, 1287, 1391; применение 2222, 2260, 2599, 2941, 3127, 3128. Конденсацион. смолы: строение 1161; получение 2643; св-ва 1167; применение 2223, 3127. Полиэфирные 2600. Вспомогательные материалы 856—859, 1002, 1107, 1168, 2624. Слоистые пластмассы 1600. Анионообменные смолы 600, 604, 609, 611. Изоляционные материалы 2413.

## ЛАКИ. КРАСКИ. ЭМАЛИ. ОЛИФЫ. СИККАТИВЫ

Редактор М. Ф. Сорокин

2591. Петрохимия и ее роль в производстве красок и лаков. Монторсен (la petrochimica ed il suo contributo all'industria delle pitture e vernici. Montorsi Edgard o), Pitture e vernici, 1955, 11, № 6, 385—387 (итал.)

Краткий историч. обзор развития химии нефти, связанной с получением продуктов нефтепереработки, применяемых в лакокрасочной промышленности: р-ритил (ароматич. и алифатич. углеводороды кетоны), к-ты, фталевый ангидрид, глицерин. Особый интерес представляют получаемые из продуктов переработки нефти эпоксидные смолы «Эпикот».

З. Бобырь

2592. Применение сорбита для производства лакокрасочных материалов. Швенк, Хаманн (Die Verwendung von Sorbit zur Herstellung von Lackrohstoffen. Schwenk Ernst, Hamann Karl), Dtsch. Farben-Z., 1956, 10, № 3, 79—83 (нем.)

Сорбит получают при каталитич. гидрировании глюкозы. Белый сладкий порошок хорошо растворим в воде, плохо растворим почти во всех органич. р-рителях, т-ра плавления чистого продукта 93—97,7°, при  $t > 200^\circ$  начинает разрушаться и принимает коричневую окраску, имеет 3 изомера. При перэтерификации с жирными к-тами льняного масла ОН-группы сорбита вступают во взаимодействие в кол-ве  $\sim 4,5$ , а при получении масляных алкидных смол в кол-ве только 3,0—3,5. Произ-во сорбитосодержащей алкидной смолы затрудняется из-за чувствительности сорбита к нагреву, приводящей к получению более темнокрасочных продуктов р-ции; кроме этого необходимы особая тщательность и большее время на проведение процесса. Рекомендуется применять сорбит, содержащий возможно больше первичных ОН-групп, которые перэтерифицируются легче вторичных и благодаря этому сокращается время р-ции. Приведены свойства сорбитосодержащих масляных алкидных смол, лаков и пленок, получаемых из них; в отношении водостойкости отмечается, что пленки лаков с сорбитом менее вабухают при орошении водой, чем пленки лаков без него. Пленки, преимущественно при более высоком содержании сорбита, при отверждении быстрее высыхают с поверхности, но немного медленнее в глубине пленки, по сравнению с обычными алкидами. При замене глицерина в масляных алкидных смолах сорбитом применяют двойное кол-во последнего. Б. Шемякин

2593. Некоторые интересные химикаты. Гарднер, Роде (Some interesting chemicals. Gardner William Howlett, Rhodes Michael S), Paint Ind. Mag., 1956, 71, № 1, 11—14 (англ.)

Обзор и краткая характеристика свойств новых хим. материалов, применяемых в лакокрасочной промышленности: многоосновных к-т и ангидридов, аликилич. и бициклич. ангидридов, насыщ. двусосновных к-т с открытой цепью, напр., адипиновой и янтарной к-т

и их ангидридов, ненасыщ. алифатич. ангидридов, диизоцианатов и циклогексана. Библ. 24 назв.

Б. Шемякин

2594. Актуальные проблемы химии лакокрасочных материалов. Блом (Aktuelle Probleme der Lackchemie. Blom A. V.), Chem. Rundschau, 1956, 9, № 5, 85—86 (нем.)

Общие сведения о полиэфирных смолах, содержащих ненасыщ. к-ты (акриловую, кротоновую, итаконовую, изоитаконовую) или аллиловый спирт, полиуретановых или эпоксидных смолах, «реагирующих» грунтах.

Н. Аграненко

2595. Соображения по поводу метода пересчета весовых величин в объемные. Занер (Réflexions sur l'arithmétique de la formulation anglo-saxonne. Zaner M. P.), Peintures, pigments, vernis, 1956, 32, № 2, 128—130 (франц.)

Сравнение американской и английской систем исчисления объемных и весовых единиц в промышленности лаков и красок.

Н. Аграненко

2596. Об алкидных смолах для лаков. Рётген (Wissenschaftliches über Alkydharze in Kunstharzlacken. Rötthgen Conrad), Industrie — Lackier — Betrieb, 1956, 24, № 3, 61—63 (нем.)

Даны известные рекомендации по применению алкидных смол для различных видов покрытий.

Н. Аграненко

2597. Фракционирование глифталевых смол. Пуассон (Fractionnement des résines glycérophthaliques. Poisson R.), Peintures, pigments, vernis, 1956, 32, № 1, 39—41 (франц.)

Описаны результаты лабор. работ по фракционированию глифталевых смол (I) и их хроматографии. Исследованию. Была установлена значительная гетерогенность I, даже при условии идентичности ведения технологич. режима. Отмечено, что избыток глицерина, против стехиометрич. соотношений, вредит качеству конечного продукта. Отмечено также, что фракции, выделенные экстракцией тяжелыми спиртами, обладают ценными пленкообразующими свойствами.

Н. Аграненко

2598. Новейшие разработки фенольных покрытий горячей сушки. Барнетт, Дрейкли (Recent developments in stoving phenolic coatings. Barnett G., Drakeley K. D.), Prod. Finish., 1955, 8, № 9, 68—75 (англ.)

Получены фенольные смолы, обладающие щелочестойкостью и эластичностью, путем модификации их полиаминами и эпоксидами. Модифицированный полиаминный продукт получали применением этилендиамина и диэтилететрамина. Приводится методика изготовления. Способы получения покрытий на основе модифицированных полиаминов смол, а также методы нанесения их аналогичны способам для обычных фенольных смол, а сушка этих покрытий требует более точного соблюдения температурного режима. Экспериментально было установлено, что смолы, модифицированные полиаминами, обладают значительной щелочестойкостью; пленки этих покрытий проявляли стойкость при нахождении в 10%-ном р-ре NaOH в течение 1000 час., в то время как пленки р-ров обычных фенольных смол полностью разрушались в течение нескольких часов. Однако по эластичности эти смолы не отличаются от немодифицированного продукта. Фенольные же смолы, модифицированные эпоксидами, обладали повышенной щелочестойкостью, наравне с продуктом, модифицированным полиаминами, проявляют в то же время значительную эластичность пленок по сравнению с фенольными смолами. Отмечено, что соотношение между щелочестойкостью и эластичностью можно изменять применением эпоксидных смол различного типа.

М. Ваньян



**2599. Последние достижения в области получения стирола и полистирола.** Часть I и II. Иглтон (Styrene and polystyrene. Part I, II. Eagleton S. D.), Rubber and Plast. Age, 1954, 35, № 8, 385—386; № 9, 432—433 (англ.)

Материалы из сополимеров стирола, в частности с бутадиеном или акрилонитрилом, и их использование (в том числе в эмульсионных красках). М. Лурье

**2600. Эпоксидные смолы «Эпикот» с повышенной гибкостью и для антикоррозионных покрытий.** Савелли (Resine epossidiche «Epikote» nei rivestimenti anticorrosivi e ad elevata flessibilità. Savelli Emanuele), Ind. vernice, 1955, 9, № 3, 65—73 (итал.)

Обзор типов эпоксидных смол, получаемых путем реакции дифенилолпропана с эпихлоргидрином в различных пропорциях. Библ. 26 назв. З. Бобырь

**2601. Применение эпоксидных смол для поверхностных покрытий.** Уилер (Surface coating applications of epoxide resins. Wheeler R. N.), Paint Technol., 1954, 18, № 207, 131—135 (англ.)

Приведена характеристика различных марок смол «эпикот» (I), продуктов этерификации низкомолекулярных I к-тами льняного масла; описано применение в качестве отвердителей I фенольных смол (бутилированных низкомолекулярных резолов), аминосмол (мочевинноформальдегидных и меламиноформальдегидных), а также модификация I алкидными смолами и изоцианатами. Л. Песня

**2602. Лаковые эпоксидные смолы.** Фиск (Epoxy coating resins. Fisk Neil R.), Paint Technology., 1955, 19, № 217, 345—347 (англ.)

Описание 3-х в Англии, производящего 6 видов эпоксидных смол (I), в кол-ве 200 т в год, и необходимый для их произ-ва дифенилолпропан (II) (из фенола и ацетона). Р-р II в водн. р-ре NaOH фильтруется перед загрузкой в реактор из нержавеющей стали емк. ~1,3 м, снабженный мешалкой с мотором 83 л. с. Начальная т-ра 40—50°, которая затем поднимается до 90° в течение 1—1,5 час. Промывка готовой I производится водопроводной водой и конденсатом, которые поступают снизу котла и под небольшим давлением продавливаются через смолу и выводятся по трубе, расположенной у поверхности жидкости. Промежуточный контроль включает определение т-ры плавления по Уббелде и вязкости (в р-ре бутилцеллозольва) по вискозиметру Гарднера. Окончательный контроль произ-ва смол предусматривает определение т-ры плавления, вязкости, прозрачности и обычных показателей пленок смол: эластичности, времени высыхания, времени нанесения 2-го слоя (через 18 час. после нанесения 1-го не должно быть сморщивания пленки), прочности на удар и стойкости к р-рителям. В отдельных случаях проверяется стойкость к кипящей воде и 20%-ному NaOH. К. Беляева

**2603. Краски на основе водных эмульсий поливинилацетата.** Коломбе (Les peintures à base d'émulsion aqueuse d'acétate de polyvinyle. Colombo R.), Peintures, pigments, vernis, 1956, 32, № 2, 131—135 (франц.)

Описываются свойства поливинилацетата, дается указание об основных в-вах, составляющих основу поливинилацетатных эмульсионных красок: пластификаторов, пигментов, наполнителей и т. д. Описываются способы приготовления красок, приводятся некоторые рецептурные данные и в заключение перечисляются положительные свойства эмульсионных красок, применяемых как для наружной, так и для внутренней отделки. Н. Аграненко

**2604. Связующие.** Пейн (Binders. Payne H. F.), Offic. Digest, 1953, № 347, 926—932 (англ.)

Связующие, применяемые в водн. красках, можно разбить на 3 группы: водорастворимые, растворимые в щелочах и нерастворимые в воде или эмульгирующиеся. К числу последних относятся: поливинилацетат, полистирол и сополимеры (сти-олбутадиеновый, винилхлорида и винилиденхлорида, винилиденхлорида и акрилонитрила, полиакрилатов). Пленкообразующие свойства каждого из связующих определяются структурой его мономера. Поливинилацетат и полиакрилаты разрушаются от щелочи в связи с наличием эфирных групп, при этом поливинилацетат разрушается быстрее, так как местоположение его карбонильной группы создает меньше пространственных трудностей для воздействия щелочи, чем у полиакрилата. Полистирол и полиметилметакрилат размягчаются при нагревании и нестойки к ряду р-рителей. Увеличение стойкости в данном случае может быть достигнуто введением боковых групп с большей полярностью, примером чего являются полиакрилонитрил и политетрафторэтилен. Полимеры, содержащие бутадиен, отличаются меньшей светостойкостью из-за наличия двойной связи. Комбинацией отдельных связующих можно достигнуть заданных для покрытий свойств. К. Беляева

**2605. Производство эмульсионных красок.** Шолл (Manufacture. Scholl Edward C.), Offic. Digest, 1953, № 347, 907—912 (англ.)

Краткие сведения о произ-ве различных типов эмульсионных красок. М. Сорокин

**2606. Дисперсии акриловых смол.** Тиммонс (New acrylic resin dispersions. Timmons N. J.), Offic. Digest., 1953, № 347, 921—926 (англ.)

Подробное описание свойств водоземных эмульсионных красок (I) и покрытий на основе полностью полимеризованных акриловых смол. I отличаются стабильностью после 5 циклов, включающих попеременное охлаждение в течение 16 час. при —15° и оттаивание при ~20°, стойкостью против коагуляции водн. р-рами солей (10% CaCl<sub>2</sub>) и механич. стабильностью. Покрытия из I на основе полиакрилатов обладают высокой атмосферостойкостью, стойкостью к истиранию, малой водонабухаемостью, не загрязняются, легко моются 1%-ным мыльным р-ром, стойки к жирам и маслам и отличаются большим удлинением и прочностью на разрыв, чем покрытия из I на основе полистирола и стиролбутадиеновых сополимеров. В отличие от этих связующих полиакрилаты при изготовлении I не требуют введения защитных коллоидов. К. Беляева

**2607. Характеристика и значение алюминиевой краски.** Брейденфельд (Betrachtungen über Aluminiumfarbe. Breidenfeld J.), Farbe und Lack, 1956, 62, № 3, 100—103 (нем.)

Общая характеристика и требования, предъявляемые к металлу. Al-пигменты. В США применяют порошки с содержанием 99,95% Al, примеси Si и Fe придают пленке голубоватый оттенок. Б. Шемякин

**2608. Органические пигменты для лаков.** (Organische Pigmente für Lacke.—), Dtsch. Farben-Z., 1956, 10, № 4, 129—131 (нем.)

Таблица органич. пигментов, выпускаемых разными з-дами, с обозначением марок и общей характеристикой укрывистости, свето- и теплостойкости. Б. Шемякин

**2609. Красители для лаков.** (Farbstoffe für Lacke.—), Dtsch. Farben-Z., 1956, 10, № 4, 127—129 (нем.)

Приведена таблица красителей, выпускаемых разными з-дами, с обозначением марок и общей характеристикой светопрозрачности, растворимости и теплостойкости для применения в различных лаках и в некоторых случаях для окраски жиров, масел и восков. Б. Шемякин

**2610. Кристаллизация пигмента фталоцианина голубого.** Цейсбергер (Das Kristallisieren von Phtha-

locyaninbeau. Zeisberger Robert), Dtsch. Farben-Z., 1956, 10, № 3, 87—88 (нем.)

Оттенок лака, содержащего в качестве пигмента фталоцианин голубой (I), после более или менее длительного хранения на воздухе необратимо изменяется, красящая сила уменьшается; причиной этого является кристаллизация (особенно в среде ароматич. р-рителей), причем относительно большие кристаллы I придают пигменту недостаточную красящую силу. Рентгенографически определены  $\alpha$ - и  $\beta$ -модификации I, однако практически, в лакокрасочной промышленности модификации I чаще характеризуются как кристаллизующаяся и некристаллизующаяся формы. Для предотвращения кристаллизации достаточных средств еще не найдено, а отказ от применения ароматич. р-рителей (бензол, толуол, ксилол) практически невозможен, так как они необходимы для многих областей лакокрасочной техники. Можно, напр., добавлять к I фталоцианину цинка, магния или других металлов, однако эти в-ва, предотвращая кристаллизацию, заметно влияют на уменьшение красящей силы I. Способ спец. размола I в органич. среде для перевода  $\beta$ -частиц в частицы подходящего размера позволяет применять ароматич. р-рители и дает практически стойкий продукт, но этот способ сравнительно дорог. В настоящее время для получения некристаллизующегося I чаще всего применяют способ введения в молекулу I галоида (напр., 0,5—1 С-атома на молекулу пигмента) или остатка сульфокислоты. Получаемый пигмент имеет красновато-голубой оттенок, смещающийся в сторону зеленого, но блеск, красящая сила и другие благоприятные свойства, против свойств обычного I, не ухудшаются. Современные сорта I по стойкости в среде ароматич. р-рителей подразделяют на 3 типа. Описание опробованное I — микроскопически или определенным оттенком смеси испытываемого пигмента с цинковым кровом (диновой желтой).

Б. Шемякин  
2611. Пигментные дисперсии. Хобак (Pigment dispersions. Hoback Waller H.), Offic Digest, 1953, № 347, 912—921 (англ.)

Рассмотрены факторы, влияющие на получение качества латексных красок (ЛК) и образование стабильных дисперсий при предварительном суспензировании пигментов в воде, смешивании суспензии пигмента с латексом (получения краски) и образовании, после улетучивания воды или диффузии ее в подложку, пленки ЛК, представляющей собой твердую дисперсию пигмента в связующем. Приведены рецепты ЛК. Библ. 9 назв.

М. Гольдберг

2612. Об опытах с бактерицидными красочными покрытиями. Кнцман (Über Versuche mit bakterizid wirkenden Farbanstrichen. Kietzmann Ulrich), Lebensmitteltierarzt, 1954, 5, № 13/14, 155—156 (нем.)

Обсуждаются вопросы гигиены, окраски судов для транспортировки рыбы. Проведены опыты, приближенные к практич. условиям, по исследованию бактерицидного действия окрасок деревянных поверхностей трюмных помещений. Для грунтовок применяли обычные составы, для верхних покрывных слоев новые материалы — алкаиды, на которые производили посев чистых культур бактерий. Алкаиды несколько уменьшали загнивание, развитие плесени на покрытиях.

Б. Шемякин

2613. Ректификация таллового масла. Медников Ф. А., Агранат А. Л., Техн. информ. по результатам науч.-исслед. работ. Ленингр. лесотехн. акад., 1956, № 38, 33—39

Проведены эксперим. работы, подтвердившие возможность наиболее четкой ректификации таллового масла на насадочной колонне, в вакууме, с применением острого перегретого пара, при выделении 35% жирных

к-т. Кратко описаны установка и опыты по разгонке таллового масла следующего состава: жирных к-т 49,85%, смоляных 35,1%, неомыляемых в-в 14,5%, воды 0,55%. Рекомендуемые скорости и т-ра перегонки при 10—12 мм рт. ст. и т-ре перегретого пара 200—240°: головной фракции — 0,10 кг/час, 40—150° (без перегретого острого пара), I фракции — 0,17 кг/час, 150—210°, II — 0,10 кг/час, 210—220°, III — 0,12 кг/час, 220—240°. Средний состав жирнокислотной фракции: жирных к-т 82%, смоляных 8%, неомыляемых в-в 10% (по сумме всех фракций — 30%). Выход III фракции 32% от разгрузки, смоляные к-ты выделяли кристаллизацией и фугованием. Кол-во нека составляло 13—15% от загрузки.

Б. Шемякин

2614. О химизме действия свинцовых сиккативов. Кауфман, Гулинский (Über den Chemismus der Wirkung von Blei-Sikkativen. Kaufmann H. P., Gulinsky E.), Fette, Seifen, Anstrichmittel, 1955, 57, № 9, 677—681 (нем.; реза. англ., франц., исп.)

Исследовалось действие производных 2-валентного (I) и 4-валентного свинца (II) на высыхающие масла. I ускоряют высыхание масел как с изолированными, так и с ковалентными связями. В случае свинц. древесного масла добавление 2-валентных свинцовых сиккативов ведет к ускорению процесса полного высыхания пленки, но не процесса высыхания от пыли. Соли II оказывают сильное влияние на высыхание масел с ковалентными связями. В присутствии II можно высушить древесное масло за 2—3 мин. На масла с изолированными двойными связями соли II действуют слабо.

Н. Аграненко

2615. О влиянии веществ, содержащихся в древесной подложке, на погодостойкость и высыхание масляных и полиэфирных лаков. Зандерман, Шварц (Über den Einfluss von Holzhaltstoffen auf die Witterungsbeständigkeit und die Trocknung von Öl- und Polyesterlacken. Sander mann Wilhelm, Schwarz Eckhard), Farbe und Lack, 1956, 62, № 4, 134—145 (нем.)

Обзор. Библ. 24 назв.

Б. Шемякин

26216. Значение гарантийных сроков службы многослойных антикоррозионных лакокрасочных покрытий. — (Garanties de durabilité dans l'efficacité de protection de revêtements antirouille multicouches, par vernis peintures et préparations assimilées. —), Peintures, pigments, vernis, 1956, 32, № 1, 25—29 (франц.)

На основании результатов многолетних испытаний различных масляных и синтетич. лакокрасочных покрытий можно считать, что для масляных покрытий при условии идеальной обработки стальной подложки, при толщине слоя 110—120 м покрытие может служить 6—8 лет, а при слое 140—150 м — 10—12 лет.

Н. Аграненко

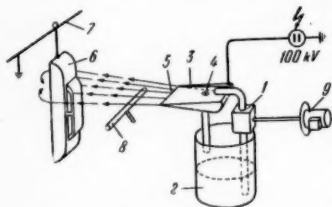
2617. Испытание физико-механических свойств красок в условиях их практического применения. Тален (Physical examination of paints in relation to their practical performance. Talen H. W.), Chemistry and Industry, 1955, № 49, 1564—1574 (англ.)

Установлено, что, проводя испытания на растяжение и разрыв лакокрасочных пленок, изменение их свойств на воздухе, можно наблюдать количественно и сравнительно быстро. Приведены результаты испытаний пленок на льняном и тунговом маслах и алкидных смолах, пигментированных ZnO, титанатом Pb, Sb<sub>2</sub>O<sub>3</sub>, TiO<sub>2</sub>.

Б. Шемякин

2618. Новый способ нанесения лакокрасочных покрытий распылением. Реннер (Ein neues Verfahren der Spritztechnik. Renner Otto), AEG Mitt., 1954, 44, № 3/4, 136—137 (нем.)

Аппарат для распыления лаков, красок и других жидкостей (см. рис.) состоит из насоса 1, нагнетающего жидкость из резервуара 2 в распыливающее устройство в виде лотка 3, снабженного переливной трубкой, для возврата избытка жидкости в резервуар 2. Жидкость распыляется с кромки 5 лотка, который является одним из полюсов, соединенным с источником постоянного тока напряжением 100 кВ. Второй полюс заземлен. Заземлены также окрашиваемое изделие 6 и транспортирующее устройство 7, с помощью которого изделие перемещается вдоль кромки 5 на некотором расстоянии от нее. Между лотком и изделием создается



электрич. поле с высоким градиентом у распыливающей кромки лотка. Под действием поля происходит тонкое распыление жидкости, причем траектории ее частиц направлены примерно вдоль силовых линий

поля. Поэтому покрытие наносится также на боковые поверхности изделий. Сила тока, питающего аппарат, составляет лишь несколько мА. Поэтому установка высокого напряжения может быть безопасна в работе, а стоимость электроэнергии составляет лишь часть эксплуатационных затрат обычной установки для лакировки изделий. При помощи отклоняющего электрода 8 можно, изменяя направление движения распыляемой жидкости, покрывать широкие поверхности, а также регулировать величину струи. Е. Зарецкий

**2619. Об электростатическом нанесении лаковых покрытий. Астори** (Sulla deposizione elettrostatica dei prodotti vernicianti. Astori Carlo), Pitture e vernice, 1955, 11, № 6, 393—399 (итал.)

Общие сведения о способе окраски распылением в электростатич. поле. З. Бобырь

**2620. Современная установка по окраске. Бругген** (Beispiel einer neuzeitlichen Lackieranrichtung. Bruggen B. van der), Industrie—Lackier—Betrieb, 1956, 24, № 3, 51—59 (нем.)

Описана установка для окраски распылением деталей из металла и дерева. Отдельным разделом дается описание установки для окраски автомобилей.

**2621. Глубокое крашение буковой строганой фанеры. Иванов П. А.**, Держвообработ. и лесохим. пром-сть, 1954, № 6, 23—25

Описан способ окраски буковой фанеры под орех и под красное дерево горячими водн. р-рами красителей. В качестве последних применяют смеси кислотных и прямых красителей. Недостатками способа являются высокая стоимость, неравномерность окраски, значительная длительность процесса. Н. Аграненко

**2622. Клеевая и известковая окраска зданий. Шелева А.**, Сельский строитель, 1954, № 5, 22—24

Практические советы по вопросам клеевой и известковой окраски зданий. Приведены составы грунтовок и колерных красок, подробно описан способ их приготовления и нанесения. Н. Аграненко

**2623. Краски на поливиниловой основе для окрашивания судов. Скартабелли** (Pitture a base vinilica per costruzioni navali. Scartabelli A.), Riv. marittima, 1955, 88, № 6, 577—585 (итал.)

Общая характеристика поливиниловых смол и красочных пленок из них. Пленки прочны, непроницаемы, гибки, имеют хорошее сцепление с металлом, негорючи, токсичны для морских организмов. Для полной защиты корабельного корпуса его тщательно очищают

механич. путем и покрывают одним слоем грунта (на основе поливинилбутирата +  $\text{H}_3\text{PO}_4$  +  $\text{ZnCrO}_4$ ), затем 2—3 слоями антикоррозийной краски и 1—2 слоями противобрастающей краски. Опыты показывают, что краски на поливиниловой основе защищают металл от микроорганизмов, коррозии и обрастания в морской воде лучше всех других типов и отличаются быстрым, равномерным высыханием, гладкой поверхностью и долговечностью. З. Бобырь

**2624. Краски и чернила для пластических масс. Рабате** (Peintures et encres pour matières plastiques. Rabat J. L.), Peintures, pigments, vernis, 1956, 32, № 2, 120—123 (франц.)

Разбираются условия и способы окраски различных литых изделий из пластич. масс. Рекомендуются для окраски ацетилцеллюлозных, ацетобутиратцеллюлозных и метилметакрилатных пластмасс краски на основе эфиров целлюлозы. Для целлулоида рекомендуются нитрокраски, для фенольноформальдегидных пластиков — краски на алкидных смолах, для полистирола — эфирцеллюлозные краски, для мочевино-формальдегидных смол — краски на основе модифицированных поливиниловых смол; для поливиниловых пластмасс — краски на основе полиметилметакрилата, для полиэтилена — двухслойное покрытие, где в качестве первого слоя применяется виниловый сополимер, а в качестве второго — поливинилбутираль. Н. Аграненко

**2625. О новых технических возможностях аналитической химии красочных материалов. Уолли** (Changing frontiers in the analytical chemistry of paint materials. Walliey C.), J. Oil and Colour Chemists' Assoc., 1956, 39, № 3, 193—211 (англ.)

Обзор применения новой аналитич. техники для анализа красочных материалов и определения как органич., так и неорганич. в-в, включая микрохим. колориметрич. методы, капельный анализ, хроматографию на бумаге и в паровой фазе, применение ионообменных смол и комплексонов или клещевидных реактивов. Значение аналитич. техники иллюстрировано примерами анализа различных компонентов красочной системы. Выбл. 31 назв. Б. Шмякин

**2626. Новый метод оценки влияния копала на качество эмалированных. Лифшиц М. С., Рамина Е. А.**, Пиформ-техн. сб. М-во электротехн. пром-сти СССР, 1956, № 4 (88), 17—19

Разработан метод определения относительной вязкости 50%-ного р-ра копала в льняном масле, позволяющий получать показатели качества копала, влияющие на свойства копальных лаков, и оптимально предопределять пригодность копалов для варки различных сортов лаков. Смесь равных навесок (по 40 г) копала и сырого рафинированного льняного масла нагревают 30 мин. при 250° и перемешивании, охлаждают до 100°, добавляют керосин (40 мл), тщательно перемешивают до растворения, фильтруют через медную сетку и определяют вязкость по вискозиметру ВЗ-4 при 20°. Установлено, что р-ры разных сортов копальных копалов и марки ЛК-1 имеют различную вязкость от 2 мин. 34 сек. до 11 мин. 40 сек.; это может служить критерием их влияния на вязкость лаков, так как т-ры застывания и кислотных чисел не предопределяют свойства копальных лаков. Результаты анализа подтвердились при варке лаков, причем наиболее сильно копал влиял на вязкость лаков при длительной варке. Другие свойства лаков (растворимость, стойкость против коагуляции, укрывистость) так же зависят от вязкости копала. Б. Шмякин

**2627. Об определении оттенков красок. Бикс** (Notes on tinting of paints color matching symposium which was April 18, 1953. Beakes Henry L.), Offic. Digest, 1953, № 344, 555—558 (англ.)



Цвет краски зависит от концентрации пигмента и степени его дисперсности, от применяемого связующего, толщины пленки и состояния ее поверхности. Для определения оттенка пользуются стандартами, которыми могут быть как сами краски, так и цветные карты. Определение оттенка может производиться невооруженным глазом и при помощи спектрофотометра. При определении оттенка особое значение имеет освещение. Дается ряд грантич. указаний о произве. определении оттенка краски и приводятся примеры.

Т. Фабрикант  
2628. Проект стандарта DIN 53191 на визуальный метод определения осветляющей способности белых пигментов. — (Prüfung von Pigmenten. Bestimmung des Aufhellvermögens von Weißpigmenten (Visuelles Verfahren). Normen-Entwurf. März 1956, DIN 53191.—), Dtsch. Farben-Z., 1956, 10, № 4, 126; Farbe und Lack, 1956, 62, № 4, 156 (нем.)

Разбелывающая способность белых пигментов характеризуется их способностью придавать более светлые оттенки черным или цветным пигментам, а также связующим, окрашенным черными или цветными веществами. По проекту стандарта разбелывающая способность белых пигментов выражается числовым значением, в виде доли от разбелывающей способности стандартного белого пигмента — титана, принимаемой за 100; это значение определяется в зависимости от расхода испытуемого пигмента для достижения тождественности оттенков двух синих паст путем визуального сравнения их. Одна из паст содержит стандартный белый пигмент — титан, а другая — испытуемый белый пигмент, при одинаковом содержании в обеих пастах ультрамарина,  $\text{CaSO}_4$  и касторового масла.

Б. Шемякин  
2629. Определение укрывистости по соотношению контрастности оттенков. Таф (The use of contrast ratio in the measurement of hiding power. T. O. U. G. H. D.). J. Oil and Colour Chemists' Assoc., 1956, 39, № 3, 169—184 (англ.)

Недавно разработан метод быстрого определения укрывистости красочной системы по соотношению контрастности оттенков. Укрывистость ряда пигментов хорошо определяется при нанесении последовательных тонких слоев краски на шахматную черно-белую доску (подложку). Соотношение контрастности определяют по соотношению степени просвечивания тонкой пленки при наложении ее на черные (0%) и белые (100%) места подложки. Графически показаны очень хорошие результаты соотношения между определением контрастности и укрывистостью. При увеличении последней и достижения большого значения укрывистости, кривая асимптотически приближается к значению соотношения контрастности, равному 100. Укрывистость, однако, может изменяться в зависимости от влажного или сухого состояния покрытия и в то время, как определение в первом состоянии пригодно для сравнения химически идентичных пигментов, оно ограничено для сравнения химически различных пигментов и тем более для сравнения красок, приготовленных из смесей различных пигментов.

Б. Шемякин  
2630. Структура пленки и адгезия. Сообщения на Конференции ассоциации химиков по лакам и краскам. — (Film structure and adhesion. Papers read at O. C. C. A. Conference. —), Paint, Oil and Colour J., 1955, 127, № 2958, 1591; 128, № 2959, 30—33 (англ.)

2631. Опыты по определению проникновения влаги в покрытия и защитного действия последних. Прагет (Bericht über einige Versuche zur Frage der feuchtigkeitshemmenden Wirkung von Anstrichstoffen. Pragst W.), Farbe und Lack, 1956, 62, № 4, 145—149 (нем.)

Защита железа от ржавления путем его окраски вызывает необходимость предотвращения проникновения влаги через пленку до подложки. Проведены опыты по определению времени появления влаги под пленкой на стеклянных пластинках, заменявших железную подложку. Время пенетрации влаги указывало степень защитного действия различных лакокрасочных составов — чистых и пигментированных. Поверхность пленки покрывали дистилл. водой, окрашенной метиленовым голубым красителем, которая могла проникать в массу пленки через поры или вследствие набухания ее, или одновременно этими двумя путями. Первые следы окраски в массе пленки, наблюдавшиеся с обратной стороны стеклянной пластинки, часто появлялись уже через несколько часов, но дальнейшее проникновение влаги наступало позднее, через дни, недели и месяцы. Метод испытания позволяет сравнивать защитное действие красок на различных связующих, предотвращающих пенетрацию влаги в массу пленки, по скорости проникновения влаги до подложки, определять влияние кол-ва покрывных слоев и пигментных добавок на степень увеличения защитного действия покрытия, применить более новые, наименее водонепроницаемые лакокрасочные составы.

Б. Шемякин  
2632. Термическое старение и красочное число высокополимеров. Эйх (Thermische Alterung und Farbzahl von Hochpolymeren. Eich T.). Farbe und Lack, 1956, 62, № 4, 150—151 (нем.)

Опыты по определению физ. изменений — вязкости и цвета (красочного числа) — лаковых пленок горячей сушки на основе полимеризованных смол под влиянием теплового воздействия. Исследованы пленки полиакрилатилового и полиакрилатилового эфиров, низко- и средневязкого поливинилацетата на стекле, которые подвергали старению в течение 14 дней в сушильном шкафу при 130 и 150°, снабженным циркулирующим воздухом. Установлена взаимосвязь между появлением чрезмерной хрупкости и пожелтением пленок. Денатурацию образцов выражали по взаимосвязи с уд. вязкостью и красочным числом. Более высокие температуры (150°) ускоряли термич. расщепление. Растяжение на разрыв и эластичность пленок коллоидных в-в линейной структуры (нитроцеллюлозы) непосредственно зависят от ориентирования молекул и длины цепей.

Б. Шемякин  
2633. Средства для промышленного удаления окрасок. Даггетт (The formulation of industrial paint removers. Daggett W. F.), Paint Manufact., 1956, 26, № 2, 45—50 (англ.)

Основными компонентами составов для удаления старых лакокрасочных покрытий служат р-рители, замедлители их испарения и загущающие в-ва. Рассматривается воздействие р-рителей на сухие красочные пленки различного состава, токсичность р-рителей. Широкое применение получил метиленхлорид, являющийся основой большинства невоспламеняющихся составов. Одним из основных в-в, замедляющих испарение р-рителей или предотвращающих высыхание состава, служат парафины, в качестве загущающих в-в обычно применяют производные целлюлозы. Приведены примеры невоспламеняющихся составов: ацетон 25%, метанол (или метилированный спирт) 23%, бензол или толуол 40%, метилхлорид 10%, воск 2%. В другом случае, вместо ацетона и метилхлорида применяют кислые фракции дегтя и уайт-спирита в кол-ве соответственно 10 и 7% и увеличивают бензол или толуол до 55%, метилированный спирт до 25% и воск до 3%. Третий состав: ацетон 14%, метилированный спирт 10%, бензол или толуол 20%, метилхлорид 50%, воск 2%, высоковязкая нитроцеллюлоза 4%. Водосмываемый невоспламеняющийся со-

став: метанол или метилированный спирт 15%, метилхлорид 75%, эфир целлюлозы 2—4%, толуол 5—10%, морфолин 2,5%, вода 5%. Б. Шемякин

**2634. Высыхание типографских красок. Части II и III. Варрон** (How inks dry. Parts II, III. Varron Frederick A.), Paint Manufact., 1954, 24, № 2, 49—53, 56; Amer. Ink Maker, 1953, 31, № 11, 37—38; № 12, 43—45, 67 (англ.)

Продолжено рассмотрение способов сушки типографских красок: 1) осаждением смолы из р-ра путем добавления разбавителя, уменьшающего ее растворимость; р-рителем для смолы большей частью служит гликоль, а разбавителем — вода; 2) отверждением краски в процессе охлаждения ее после наведения на расплавленном состоянии на бумагу; 3) фильтрацией, получающейся вследствие избирательного проникновения р-рителя в бумагу и оставления на бумаге пигмента и связующего (смолы, подвергающейся последующему оплавлению); 4) желатинированием, происходящим при повышенной т-ре в системе пластификатора с диспергированным в нем порошком связующего; 5) окислительной полимеризацией связующего; 6) термич. полимеризацией связующего. Во всех случаях высыхание начинается с проникновения краски в подложку. Это вызывает отделение части связующего, что приводит к частичному схватыванию краски. Более полное схватывание происходит при дальнейшем образовании геля, отверждение которого является конечной стадией процесса высыхания. Библ. 16 назв. Часть I см. РЖХим, 1955, 6625; 1956, 56277.

**2635. О типографских красках. Дёрбанд** (Wissenswertes über Druckfarben. Dörband Georg), Farbe und Lack, 1956, 62, № 3, 103—104 (нем.)

Общие сведения о типографских красках. Ежегодный выпуск красочными предприятиями ФРГ составляет ~20 000 т типографских красок, применяемых в виде очень многих сортов и оттенков как для различной техники и способов печати, так и для различной подложки (основы): бумаги, картона, пластмасс, металлич. фольги, дерева, стекла, кожи и т. д. Указываются дальнейшие задачи и перспективы развития красок для полиграфии, целей как в области пигментов, так и в области связующих.

**2636. Усовершенствованное печатание на упаковочных материалах. Паши** (Improved packaging printing with improved flexography. Nash Harry A.), Print. Equipm. Engr, 1955, 85, № 9, 75, 78 (англ.)

Краткие сведения об офсетной печати на упаковочных материалах (фольга, пленки из пластмасс). Б. Брейтман

**2637 K. Руководство по краскам и лакам: составы и испытания. Гордон, Гордон** (Paint and varnish manual: formulation and testing. Gordon Philip L., Gordon Ruth., New York, London, Intersci. Publ., 1955 x, 182 p., illus., plates, tables, diagrs, 25 sh.) (англ.)

**2638 П. Производство летучих эмалей и красок, пригодных для хранения** (Production of storable pigmented lacquers and paints) [Chemische Werke Albert]. Англ. пат. 720176, 15.12.54 [Paint Manufact., 1955, 25, № 6, 240 (англ.)]

Связующие для красок или летучих эмалей перед пигментированием обрабатывают стабилизированным р-ром алкогولاتа (бутилата) алюминия. Перед добавлением пигмента, который может быть основным, связующее нагревают с алкогولاتом до 50—60°. К бутилату добавляется стабилизирующий агент, напр. эфир  $\beta$ -кетокрбоновой к-ты или подобные ему соединения. М. Гольдберг

**2639 П. Сополимеры окисированных высыхающих масел и алкилароматических соединений и составы,**

их содержащие. Хогстен (Interpolymers of oxidized drying oils and alkenyl aromatic compounds and compositions comprising same. Hoogsteen. Harold M.) [Dom Chemical Co.]. Канад. пат. 509922, 8.02.55

Метод получения смолы, растворимой в толуоле, состоит в совместной полимеризации при 100—250° стирола и  $\alpha$ -метилстирола с предварительно окисированным льняным маслом, содержащим 13—16,2 вес. % химически связанного  $O_2$  и с вязкостью 1,25—98,4 пуаз; полимеризация проводится в присутствии органич. перекисного катализатора при следующих соотношениях компонентов: на 80—20 или 70—40 вес. ч. частично окисированного масла берут, соответственно, 20—80 или 30—60 вес. ч. смеси, состоящей из 10—40 или 10—30 вес. %  $\alpha$ -метилстирола и 90—60 или 90—70 вес. % стирола. Кроме льняного масла, также может применяться и другое жидкое высыхающее масло с содержанием  $O_2$ , повышающим по крайней мере на 10% кол-во его в соответствующем сыром масле.

**2640 П. Приготовление гомогенных дисперсий сополимеров в высыхающих маслах. Хенсон, Эдуарде** (Making homogeneous dispersions of, copolymers in drying oils. Henson Walter A., Edwards Franklin G.) [The Dow Chemical Co.]. Канад. пат. 509923, 8.02.55

Предложенный метод состоит в растворении масло-растворимого эмульгирующего агента в высыхающем масле и добавке, при помешивании, в полученный р-р воды. дисперсии полимера, полученной эмульсионной полимеризацией соответствующего ненасыщ. мономера. Для изготовления дисперсии применяли сополимеры из 50—90% винилхлорида и 50—10% винилденхлорида. Воды. дисперсия сополимера добавляется в таком кол-ве, чтобы вес. соотношения дисперсии и высыхающего масла в р-ре были равны и находились в пределах 10—50%. Помешивание продолжают до получения однородной эмульсии сополимера в масле, после чего добавляют летучего органич. коагулянта, по крайней мере частично смешивающегося с водой и не являющегося р-рителем для твердого сополимера, с целью коагуляции последнего из воды. дисперсии и отделения воды от масла. Перед использованием в качестве покрытий дисперсии сополимеров в маслах подвергаются дегидратации, продувкой при т-рах уплотнения, воздуха до основательной дегидратации смеси.

**2641 П. Отверждение синтетических высыхающих масел. Нелсон, Мак-Кэй, Уэлш, Кенекке** (Curing synthetic drying oils. Nelson Joseph F., McKay John F., Jr, Welch Lester M., Koenekke Donald F.) [Standard Oil Development Co.]. Пат. США 2701780, 8.02.55

Между двух металлич. слоев проложена пленка, которая представляет собой твердый смольной продукт, полученный нагреванием маслоподобного бутадиевстирольного сополимера при т-рах 288—276° в отсутствие воздуха в течение времени от 3 мин. до менее чем 1 сек. Указанный сополимер получен сополимеризацией 75—85% бутадиена = 1,3 с 25—15% стирола при т-рах 20—100° в присутствии Na в качестве катализатора.

**2642 П. Покрывные материалы** (Coating compositions) [Devco and Reynolds Co., Inc]. Австрал. пат. 161098, 24.02.55

Метод получения связующего для защитных покрытий состоит в нагревании триглицеридов ненасыщ. к-т масел с эпоксидами смолами при т-ре 210—305° до получения гомогенного реакционного продукта.

**2643 П. Фенолформальдегидные смолы** (Phenol-for-

maldehyde resins) [Lewis Berger and Sons Ltd], Австрал. пат. 163914, 21.07.55

Способ произ-ва пленкообразующей смолы заключается в добавлении к низкомолекулярному (димеру) продукту конденсации фенола и формальдегида 1—2 моль этилалидогидрина (считая на фенол).

Б. Киселев

2644 П. Составы для морщинистых покрытий. Уолди (Wrinkle coating compositions. Waldie William A.) [New Wrinkle, Inc.]. Канад. пат. 514604, 12.07.55

Состав для морщинистого покрытия представляет собой смесь 1814,4 г поливинилбутирала, 15,14 л бутанола и 3,785 л воды; указанное кол-во воды является близким к предельному, при котором наступает помутнение смеси.

М. Ваньян

2645 П. Временные покрытия для отделанных поверхностей. Оппенгейм (Temporary protective coatings for finished surfaces. Oppenheim Richard D.) [Spraylat Corp.]. Канад. пат. 514633, 12.07.55

Композиция для создания на отделанных поверхностях временных, впоследствии удаляемых защитных покрытий представляет собой диспергированный в воде поливинилбутираль, пластифицированный касторовым маслом. Диспергирующими агентами являются сульфаты с формулой  $C_nH_{2n-10}SO_3Na$ , где  $n = 20-30$ , а их средний мол. вес находится в пределах 400—600.

Композиция имеет нейтр. р-цию и содержит на 100 ч. поливинилбутирала 2—16,5 ч. в-ва, способствующего снятию покрытия, последнее состоит из соевого лецитина и твердого полиоксипропиленгликоля.

М. Ваньян

2646 П. Влагонепроницаемые покрытия, пропитывающие и печатные составы для волокнистых материалов. Кремер, Хельшер (Production of moistureproof coatings, impregnations, prints, and the like on fibrous materials and mixtures therefor. Craemer Karl, Hoelscher Friedrich) [Badische Anilin- & Soda-Fabrik]. Пат. США 2719832, 4.10.55

Печатный состав для нанесения отпечатка пигмента на волокнистые материалы представляет собой эмульсию типа «масло в воде», содержащую в прерывной фазе летучий водонесмешивающийся органич. р-ритель, имеющий воду, непрерывную фазу. Эмульсия содержит пигмент, а вода, фаза представляет собой смесь, содержащую диспергированный полимер (I) мономера, имеющего группу  $CH_2 = C<$  и продукт предварительной конденсации водорастворимого метилоламина и его эфира, способного образовывать термоактивную смолу и получаемого при конденсации формальдегида с мочевиной, тиомочевинной, алкилированной мочевиной, диалкилтиомочевинной, аминотриазинном, гуанидином, уретаном, диуретаном или гликокаль моноуретаном. I состоит в свою очередь из смеси сополимера амиды акриловой к-ты и мономера (II) галогидрированных этилена, простых виниловых эфиров или сложных эфиров акриловой к-ты со смесью не менее двух полимеров мономеров, содержащих группу  $CH_2 = C<$ , один из которых содержит амидную группу акриловой к-ты, а другой — полимер мономера II. Б. Шемякин

2647 П. Производство титановых пигментов из руд с высоким содержанием  $TiO_2$ . Тодд, Майерс, Кауэнбергер (Production of titanium dioxide pigment from high titanium dioxide content slags. Todd Seldon P., Myers Myron L., Caunenberg Wingred J.) [American Cyanamid Co.]. Канад. пат. 516894, 27.09.55

Метод извлечения  $TiO_2$  из руд, содержащих не < 65% окиси титана, 1—16% железа в виде  $FeO$  и 5—30% остаточных флюсов. Метод состоит в измельчении руды

до такой степени, чтобы средний диаметр преобладающего большинства частиц был < 70,74  $\mu$ , по крайней мере, 92% частиц — не > 44  $\mu$  и 8—10% частиц — не < 10  $\mu$ . Измельченная руда смешивается с 85—98%-ной  $H_2SO_4$ ; необходимое кол-во  $H_2SO_4$  эквивалентно 1,5—2,2 вес. ч. 100%-ной  $H_2SO_4$  на 1 вес. ч.  $TiO_2$  + кол-во к-ты, требуемое для р-ции с другими в-вами, содержащимися в руде. Руда с к-той подвергается нагреванию для перевода  $Ti$  в водорастворимую сульфатную форму, после растворения которой в воде, среде высаживают гидрат двуокиси титана; прокаливанием последнего получают  $TiO_2$ . Осветленную жидкость, пригодную для гидролиза с целью получения чистого  $TiO_2$ , готовят смешением реакционной массы с кол-вом воды, необходимым для образования суспензии с уд. в. 1,4—1,55. Затем к суспензии добавляют 0,02—0,07% животного клея и 0,01—0,005%  $SbO$  в 10%-ном р-ре  $Na_2S$ ; кол-ва обеих добавок берутся от веса водн. суспензии. Смесь оставляют стоять до флокуляции нерастворимых в-в, фильтруют и полученный светлый р-р кипятят до перехода титана в гидрат двуокиси, прокаливанием которого получают  $TiO_2$ , пригодную для использования в качестве пигмента.

М. Ваньян

2648 П. Конденсат высыхающего масла с бензодиксаном. Элоуи (Drying oil condensate with benzodioxane. Aelony David) [General Mills, Inc.]. Канад. пат. 515737, 16.08.55

Процесс получения указанного конденсата состоит в нагревании конъюгированного высыхающего масла с 6-замещ. бензодиксаном при 200—250° в течение 30—60 мин. Кон-ция замещ. бензодиксана составляет 5—40% от суммарного веса его с высыхающим маслом. Полученный продукт высыхающего масла представляет р-р обоих компонентов. Процесс проводится в тунновом маслом и 6-т-м-бутилбензодиксаном-1,3.

М. Ваньян

2649 П. Улучшение цвета высыхающих масел. Бланк (Color improvement of drying oils. Blank Robert E., Arters Albert A.) [The Sherwin-Williams Co.]. Пат. США 2727051, 13.12.55

Процесс произ-ва отбеленного растительного масла состоит в нагревании (в инертной атмосфере) масла, высыхающего или полувсыхающего типа, с ацилирующим реагентом из числа галоидангидридов и ангидридов алифатич. монокарбоновых к-т, содержащих 2—18 атомов C в ацильном радикале, при т-ре > 100—325° в течение от 15 мин. до ~ 20 час.

Б. Шемякин

2650 П. Водоотталкивающие аэрогели (Waterrepellent aerogels) [National Research Council]. Англ. пат. 721605, 12.01.55 [Paint, Oil and Colour J., 1955, 127, №2946, 874 (англ.)]

Использование высыхающих масел для покрытия силикагеля, служащего в качестве носителя катализатора и загустителя смазок. Пригодны льняное, тунговое, дегидратированное касторовое и соевое масла, а также натуральные и синтетич. смолы и производные целлюлозы.

М. Гольдберг

2651 П. Метод нанесения защитных слоев на отражающие металлические поверхности. (Methods of applying protective layers to reflecting metal surfaces) [Philips Electrical Industries, Ltd]. Англ. пат. 714088, 25.08.54

Защитный слой для отражающей металлич. поверхности получают из термоактивного лака, отверждаемого при т-ре на 15° ниже, чем грунточный слой лака, на который был нанесен отражающий слой. Предпочтительной отражающей поверхностью является слой Al, наносимый на грунточный слой лака испарением в вакууме. В качестве грунтующего и защитного слоев применяют один и тот же лак (смесь продукта конденсации мочевины с  $CH_2O$  с невысыхающей алкидной смолой, растворенная в смеси ксилолбута-



пол). Покрытие можно наносить пульверизацией или центрифугальным методом (последующим быстрым вращением покрытой поверхности). Напр., на пластину, имеющую частично сферич. поверхность, наносят грунтовой лак, сушат его при 150°, затем наносят Al-зеркало, которое покрывают р-ром смеси «Паралак 6001» (продукта мочевиноформальдегидной конденсации и «Sigmol 706» — невясышающей алкидной смолы в ксилол-бутаноле) с вязкостью 9—9,5° Е при 20°, нанесением небольшого кол-ва р-ра на зеркало с последующим быстрым вращением последнего. Затем покрытие сушат при 60° 20 мин. и окончательно отверждают при 115° в течение более 1,5 час. Б. Брейтман

**2652 П. Метод получения целлюлозных пленок с покрытием. Грантем** (Coated cellulosic pellicles and methods of producing the same. Grantham William G.) [American Viscose Corp.]. Пат. США 2721150, 18.10.55

Патентуется промышленное изделие, представляющее неволокнистую целлюлозную пленку, на поверхность которой нанесены дискретные тонкоизмельченные частицы сополимера, состоящего из 60—95% винилиденхлорида и 5—40% винилхлорида. М. Ваньян

**2653 П. Блестящие высыхающие эмульсии** (Dry bright emulsions, [Farbwerke Hoechst A.-G. vormals Meister Lucius & Brüning]. Австрал. пат. 164748, 8.09.55

Блестящие высыхающие полировочные эмульсии содержат воду, эмульсии восков типа сложных эфиров (имеющих число омыления не ниже 100), неионные эмульгаторы и высокомолекулярные алифатич. углеводороды или продукты их окисления на воздухе, т-ра плавления которых не ниже 70°. М. Ваньян

**2654 П. Метод приготовления жидкого полировального состава. Райт** (A method of preparing a liquid polish. Wright Charles S.) [The Pure Oil Co.]. Пат. США 2728679 27.12.55

Метод приготовления микрокристаллич. восковой композиции состоит в растворении растительного воска в нормальном жидком одноосновном спирте, молекула которого содержит по крайней мере 3 атома С. Растворение производят смешением воска и алкоголя в таких кол-вах, что полученный р-р после охлаждения его до ~20° образует маслянистую массу. Смесь нагревают до т-ры, достаточной для растворения воска, и добавляют к ней летучее органич. связующее, в котором воск растворим при обычной т-ре в кол-ве ≤ 7 вес. % и которое бурется в кол-ве, необходимом для получения суспензии воска в нем. М. Ваньян

**2655 П. Типографские краски. Шмюцлер** (Printing inks. Schmutzler Alfred F.) [American Cyanamid Co.]. Канад. пат. 516689, 20.09.55

Связующие для некоторых сортов типографских красок, отверждаемых под действием пара, содержат сополимер мономерного органич. в-ва (I), напр. стирола или α-метилстирола, имеющего способность к полимеризации реакционно-способную группу  $\text{CH}_2 = \text{C}<$ , и окисляемого сложного эфира α,β-ненасыщ. карбоновой к-ты (II), напр. ди-(2-оксиптил) малеата. Сополимер диспергируется в многоатомном спирте, содержащем 2—6 атомов С и 2—4 ОН-группы, при соотношении I : II от 0,3 : 1 до 3,0 : 1. Б. Шемякин

См. также: Лаки 2513, 2518. Методы исслед. лаков 1282

## ЛЕСОХИМИЧЕСКИЕ ПРОДУКТЫ. ЦЕЛЛЮЛОЗА И ЕЕ ПРОИЗВОДНЫЕ. БУМАГА

Редактор А. П. Хованская

**2656 П. Экстракция под давлением отходов, содержащих целлюлозу. Миттельштейнер** (Die

Druckextraktion zellstoffhaltiger Abkömmlinge. Mittelesteiner Erich), Wochenbl. Papierfabr., 1954, 82, № 9, 305—309 (нем.)

При экстракции спиртом измельченного целлюлозо-содержащего сырья (лигнита, древесины, сельскохозяйственных отходов), при т-ре до 130° и давления не выше 8 атм получается в основном целлюлоза. При 240° и давл. 60—65 атм происходит разложение клетчатки и образуются смолистые продукты «сырые воски» (СП), лигнинный остаток (ЛО). При кипячении с водой СП, выделен воск (В) (застывающий при 100°), а в р-ре найдены летучие жирные к-ты (I). Соответствующие выходы СП, ЛО, В, I для сосны: 72,5; 27,5%; 75,0; 25,0; для древесины виноградно-лозы: 67,0; 33,0; 60,0; 40,0%, для лигнита: 44,5; 55,5; 80,0; 20,0%; буковой древесины (не обработанной паром): 42,0; 58,0; 59,0; 41,0%; буковой древесины (обработанной паром): 28,5; 71,5; 41,5; 58,5. Приведены схема и описание установки для переработки отходов на местах. Указано применение получаемых продуктов. Н. Рудакова

**2657. Производство этилбутирата. Тарасова** А. Г., Гидролизная и лесохим. пром-сть, 1956, № 4, 23—24

Этилбутират (I) получают при ректификации технич. этилацетата, содержащего ~4% этилпропионата (II) и ~2% I. Использование: I — в качестве р-рителя, II — для получения пропионового к-ты. I имеет уд. вес 0,885 при 20°, кислотность 0,017%, число омыления 341,7, выдерживает пробу с бензином 1:0,5; при разгонке по Энглеру 95% по объему отгоняется до 134°.

**2658. Особосмолопродуктивная сосна. Орлов Н.И.**, Гидролизная и лесохим. пром-сть, 1956, № 4, 14  
Сосна в среднем за 5 лет дала 14 кг жигиды, при фактич. выходе (в г) за сезон на карпу 7035 и на карпоподновку 184,0, вместо (в г) на карпу 650 и на карпоподновку 17,2. А. Хованская

**2659. Предварительные результаты исследования биосинтеза живицы при помощи радиоактивного углерода. Сухов Г. В.**, Гидролизная и лесохим. пром-сть, 1956, № 4, 17

**2660. Исследование процесса выделения смолы при сушке дерева. Колло** (Untersuchungen über den Harzaustritt bei der Holz Trocknung. Kolljo Boris), Holz. Roh- und Werkstoff, 1956, 14, № 5, 172—181 (нем.)

Количественно исследованы процесс выделения смолы из сердцевин сосны в различных направлениях по отношению к волокну при 40, 60, 80, 100 и 120°, т-ры размягчения смолы и изменение ее цвета под действием воды и окисления при повышенных т-рах. При повышении т-ры усиливается выделение смолы, причем интенсивное выделение последней наблюдается при т-ре > 80°; выделение смолы в тангенциальном, радиальном и осевом направлениях происходит в отношении 1:1,3:1,6. Т-ра размягчения смолы понижается при значительном содержании летучих составных частей (главным образом скипидара). Окрашивание смолы обусловлено действием воды и окислением, причем свет и тепло ускоряют окрашивание. При низких т-рах и высоком содержании терпенов смола выделяется под действием силы тяжести. Однако в процессе сушки интенсивное выделение смолы может иметь место только при т-ре > 50° вследствие испарения летучей части терпенов. Ю. Вендельштейн

**2661. Расширить производство иммерсионного кедрового (сибирского) масла. Могутов С. И., Бадашева Н. А.**, Гидролизная и лесохим. пром-сть, 1956, № 3, 19—20

Масло представляет собой р-р кедрового балзама в определенной фракции тяжелого кедрового скипидара из газоуловителя. Живицу (Ж) сибирского кедра

выдерживают при  $t$ -ре ниже  $+10^\circ$ , образующиеся кристаллы смоляных к-т отделяют на вакуум-фильтре от Ж вместе с сором. Профильтрованную Ж осветляют 5%-ным р-ром  $\text{H}_3\text{PO}_4$  и после неоднократной промывки водой до нейтр. р-ции снова фильтруют на вакуум-фильтре. Подготовленную таким образом Ж загружают в вакуум-аппарат, где варят при  $70-135^\circ$  в течение 5-6 час. до образования бальзама (бальзам должен быть светлым, иметь  $t$ -ру размягч.  $44-46^\circ$  и  $n_D^{20} 1.53-1.54$ ). Испаривание уменьшают и улучшают перемешивание Ж подачей  $\text{CO}_2$  в нижнюю часть вакуум-аппарата. Для приготовления р-рителя тяжелую фракцию получаемого на газодувателе кэдрового скинпидара (уд. в. — 0,891,  $n_D^{20} 1.4890$ , степень дисперсии — 39,6) загружают в вакуум-перегонный аппарат и при  $160-190^\circ$  и отгоняют иммерсионную фракцию с  $n_D^{20} 1.4950$  до 1,5020. Иммерсионное масло готовят из расчетного кол-ва (исходя из соотношения 1:1) бальзама, расплавленного при  $60-70^\circ$  и р-рителя перемешиванием и до однородного состояния. Испарение иммерсионного масла уменьшают добавлением небольшого кол-ва кастрового масла. Полученное масло вполне заменяет импортное. Л. Михеева

2652. Новый способ очистки сульфатного скинпидара. Ефимов П. И., Матюшина А. П., Прохоров А. В., Бум. пром-сть, 1956, № 6, 22-23

Высуненный над  $\text{Na}_2\text{SO}_4$  скинпидар-сырец кипятят при  $160^\circ$  с обратным холодильником для удаления сернистых примесей и перегоняют с водяным паром. Очист. продукт содержит менее 0,03% серы, по кол-ву пиненовой фракции не уступает живичному скинпидару. Расход пара на очистку 1 кг скинпидара 1,5 кг. Приведена схема и описание установки. При конденсации сернистых соединений можно получать товарный одорант-сульфан; кубовый остаток может использоваться в качестве флотационного масла. Н. Рудакова

2653. Устойчивость при хранении неорганических соединений фтора, применяемых для защиты древесины. Шульце (Zur Haltbarkeit (Lagerbeständigkeit) anorganischer im Holzschutz verwendeter Fluorverbindungen. Schulze Bruno), Holzforschung, 1955, 9, № 1, 18-20 (нем.; рез. англ.)

Определена устойчивость  $\text{NaF}$ ,  $\text{MgSiF}_6$ ,  $\text{FH}_4\text{F}$ ,  $\text{KFHF}$  и фтористого-водородной смеси «WB-4» при хранении в различных условиях: на воздухе от 15 дней до 6 мес. при  $-20^\circ$  и относительной влажности воздуха от 45 до 97% и при  $40^\circ$  и  $\varphi = 18$ . При  $\varphi = 97\%$  все соли поглощают влагу; особенно гигроскопичны  $\text{NH}_4\text{FHF}$  (37% через 15 дней) и  $\text{WNH}_4$  (34%), наименее гигроскопичен  $\text{NaF}$  (2,4%). При уменьшении  $\varphi$  гигроскопичность падает и при  $\varphi = 45\%$  все соли не гигроскопичны. При  $40^\circ$  и  $\varphi = 18\%$  происходит выделение газообразных соединений фтора; наиболее велика потеря в весе  $\text{MgSiF}_6$  и  $\text{NH}_4\text{FHF}$  (35-40% за 34 дня), для  $\text{NaF}$  и  $\text{KFHF}$  практически она равна 0. Выделяемые газообразные соединения фтора поглощались 30%-ным р-ром  $\text{CaCl}_2$  и определялись содержанием фтора. При  $\varphi = 60\%$  оно равно за 163 дня для  $\text{KFHF}$  5%, для  $\text{WB-4}$  4,28%, для  $\text{MgSiF}_6$  0,37. При тщательной упаковке заметного уменьшения содержания фтора практически не наблюдается, следовательно, хранение в неупакованном виде должно быть запрещено. Е. Алексеева

2654. Краткие сведения об определении хроматографией на бумаге гидролизатов полисахаридов путем прямой фотометрии. Яйме, Тидтке (Quantitative papierchromatographische Bestimmung von Polysaccharid-Hydrolysaten durch indirekte Photometrie. Jaime Georg, Tiedike Karl Heinrich), Das Papier, 1956, 10, № 9-10, 190-192 (нем.; рез. англ., франц.)

Очень малые кол-ва сахаров и миним. загрязнений целлюлозы количественно определяют с точностью  $\pm 1\%$  с помощью хроматографии на бумаге. При  $m$  с р: 100 мг гидратцеллюлозы (98,08 мг абс. сухой) растирают с 1 мл охлажденной льдом 61%-ной  $\text{H}_2\text{SO}_4$  и оставляют на 2-4 часа в эвакуированном эксикаторе при  $20^\circ$  и периодич. помешивании, разбавляют при охлаждении льдом 2 мл ледяной воды, оставляют на ночь и снова прибавляют 15 мл воды, кипятят 2 часа с обратным холодильником, охлаждают, пропускают через амберлит  $\text{IR} 4\text{B}$  в ОН-форме, промывают до отрицательной р-ции на антрон, выпаривают досуха в вакууме при  $40^\circ$  в токе профильтрованного воздуха, получая 107 мг смеси сахаров, которую растворяют в 2 мл воды. 5 мл р-ра подвергают ориентировочному хроматографированию на бумаге с применением смеси р-рителей ( $n$ -бутанол-уксусная к-та-вода, 4:1:5) при  $26-27^\circ$  восходящим методом и идентифицируют с помощью фталата анлилина или аминокипируровой к-ты. Наряду с глюкозой обнаруживаются очень малые кол-ва манозы и ксилозы; для повышения точности определения получают не менее 3 хроматограмм искусств. смесей обнаруженных сахаров в возможно более близких конц-ях. Получив микроснимки хроматограмм, подвергают их фотометрированию с помощью электросветового регистрирующего фотометра, причем диаметр пятна на микрофильме не должен превышать длины щели фотометра. Полученные кривые почернения непосредственно или после копирования, или увеличения, интегрируют, планиметрируют или переводят в кривые распределения Гаусса и вычисляют по ф-ле:  $1,064 \cdot c \cdot a$ , где  $c$  — высота,  $a$  — ширина кривой Гаусса при половинной высоте. Приведенные эксперим. данные показывают возможность определения 0,9% маннозы и 1,6% ксилозы наряду с 97,5% глюкозы. Общее кол-во найденных после определения ангидросахаров составляет 98,86% теоретического.

Ю. Вендельштейн

2655. Фиксация деревом соединений хрома. Кинберг (Die Verankerung von Chromverbindungen im Holz. Kinberg Willy), Holz Roh- und Werkstoff, 1956, 14, № 5, 186-188 (нем.)

Опилки заболони сосны (50 г) пропитывали р-ром базилита UA (0,6 г), содержащим 0,08 г  $\text{As}_2\text{O}_3$ , 0,12 г  $\text{Cr}_2\text{O}_3$  и 0,06 г F. Периодические пропитывающий р-р удаляли из опилок прессованием, дважды промывали холодной дистилл. водой, прессовали и анализировали (р-р с промывными водами и опилки) на содержание Cr, As и F. Установлено, что по истечении 1 месяца пропитки опилками фиксировалось только 0,1 г  $\text{Cr}_2\text{O}_3$ , через 2 месяца 0,12 г  $\text{Cr}_2\text{O}_3$ , 0,06 г  $\text{As}_2\text{O}_3$  и 0,06 г F. Хранение чистой целлюлозы в упомянутом р-ре в течение 1 месяца не вызвало никаких изменений в составе и конц-ии р-ра. Очевидно, фиксация Cr, As и F осуществляется реакционноспособным лигнином или гемицеллюлозами, но не целлюлозой и экстрактивными в-вами. Ю. Вендельштейн

2656. Причина и предотвращение повреждений окраски грибками, вызывающими синеву древесины. Тейле (Ursache und Verhütung von Anstrichschäden durch Bläuerpilze. Teile K.), Schweiz. Arch. angew. Wiss. und Techn., 1956, 22, № 1, 10-15 (нем.)

Для защиты хвойной древесины ее пропитывают водн. р-рами фторидов щел. металлов (I), смесями I с бихроматами щел. металлов (II) или смесями I, II с арсенатами щел. металлов. Можно применять кремнефториды или 4-5%-ный водн. р-р пентахлорфенолята Na (III). Соединения As и F способствуют росту некоторых грибов. Наиболее хорошим фунгицидом является III. Пропитка или грунтовка древесины соеди-

нениями на основе пентахлорфенола в р-ре высококипящих углеводов также предохраняет древесину.

И. Мильштейн

## 2667. Исследования в области химической окорки.

Туовинен (Tukimukisa kemiallisesta kuorinnasta. Tuovinen Arno), Paperi ja Puu, 1955, 37, № 12, 575—588, 590—591, 593—597 (фин.; рез. англ.)

При проведении опытов по хим. окорке древесины сосны, ели и березы под действием 40%-ного р-ра мышьяковистокислого натрия (I) производилось кольцевание на высоте 0,5 м от поверхности почвы, снималась полоса коры шириной от 7,5 до 20 см; I наносился кистью; лучшее время для хим. воздействия июнь и июль. Затрата труда на снятие коры вручную после обработки I уменьшалась в среднем на 20%; при механич. окорке балансов с 8 до 3 час. Обработка I защищает древесину от разрушения насекомыми и несколько замедляет процесс высыхания. Отмечены случаи появления сини на хвойных и коричневых пятен на листовых породах.

Н. Рудакова

2668. Применение сульфита натрия для спрысков дефибрера в древесномассном производстве. Кокран (The use of sodium sulphite at the grinder showers in the groundwood process. Cochrane James A.), Pulp and Paper Mag. Canada, 1956, 57, № 3, 201—207, 215 (англ.)

К воде, идущей на спрыски дефибрера, прибавляют р-р  $\text{Na}_2\text{SO}_3$  в кол-ве 0,8% от веса древесной массы. Наличие этого реагента в зоне дефибрирования снижает расход энергии на процесс на 8,7% и повышает белизну на 2,5 единицы G. E. Конц. р-р  $\text{Na}_2\text{SO}_3$  (18%) получают в скруббере из кальцинированной соды и двуокиси серы, используемой отходящих газов турм Иенсена и тем самым обезвреживаемой. Механич. прочность и обезвреживание не ухудшаются, коррозия оборудования меньше, чем при обработке древесной массы гидросульфитом цинка, но несколько выше, чем при работе без дачи  $\text{Na}_2\text{SO}_3$ . На выход продукта этот процесс влияет мало.

С. Иванов

2669. Использование отходов в качестве сырья для производства целлюлозы. Бончинская (Produkty odpadkowe jako surowiec celulozowy. Baczynska K.), Przegl. papiern., 1954, 10, № 12, Buil. Inst. celulozowo-papierniczego, 1—2 (польск.)

Для получения целлюлозы сульфатным способом использовались отходы фанерных произ-в, деревообрабатывающих предприятий (сосновая стружка, содержащая до 18% опилок); отходы лесохим. предприятий (дубовая стружка после экстракции) и камыш. Условия варки для отходов фанерного произ-ва — 170°, 6 час; при модуле 5 : 1, выход 46—47%; сосновой стружки — 170°, 5 час. при модуле 4 : 1; камыша — 160°, 2 часа. Разрывная длина и число двойных перегибов целлюлозы размолотой до 50° ШР, соответственно следующие: из отходов фанерного произ-ва 8220 и 5170; из сосновой стружки 6000 и 590; из дубовой щепы после экстракции 6900 и 640; из сосновой щепы 8400 и 4800; из камыша 9600 и 1250. Целлюлозу используют главным образом на выработку упаковочных бумаг.

Е. Гурвич

2670. Сульфитная целлюлоза из бразильской сосны. Вурц (Sulfitzellstoff aus Brasilkiefer. Wurz Otto), Das Papier, 1956, 10, № 1-2, 17—21 (нем.; рез. англ., франц.)

Древесина *Arcuaria brasiliensis* отличается повышенной прочностью волокон и используется для получения древесной массы и целлюлозы. Так как ядровая часть древесины отличается от заболони, то она отделяется от последней, измывается, варится в котлах с сульфитным телом (содержащим 5,5—6,0%  $\text{SO}_2$  и 0,7%  $\text{CaO}$ ) под давл. 5,5 атм при 42° в течение 11 час.

Полученная целлюлоза после предварительной обработки хлором, концентрирования, добавки щелочи отбеливается гл. оксидом кальция. Сильные колебания длины волокон целлюлозы (от 0,05 до 10 мм) вызывают ряд затруднений при изготовлении бумаги, для устранения их рекомендуется добавлять к массе Na-соль карбоксиметилцеллюлозы. Вершинная часть древесины и коры используются для получения целлюлозы щел. способом; древесина заболони идет на произ-во древесной массы.

Н. Рудакова

2671. Получение древесной целлюлозы с высоким содержанием  $\alpha$ -целлюлозы и ее свойства. Рихтер (Production of high alpha-cellulose wood pulps and their properties. Richter George A.), Tappi, 1955, 38, № 3, 129—150 (англ.)

Ценность определения  $\alpha$ -целлюлозы (I) значительно повышается при условии введения в получаемые аналит. данные поправки на другие устойчивые к щелочам составные части древесины и дополнительного испытания I на устойчивость при кипячении с 7,14%-ным р-ром NaOH. Приведен обзор методов, с помощью которых можно получить древесную целлюлозу с высоким содержанием I. В некоторых деталях обсужден многоступенчатый способ варки, дающий целлюлозу с 95% I и выше. Рассмотрен широко распространенный способ очистки сырой целлюлозы горячей щел. обработкой, реже применяемые способы холодной обработки щелочью, и слабо щел. буферными р-рами при 200°. Описаны методы удаления гемипцеллюлозы слабыми медноаммиачными р-рами и вымораживанием.

Ю. Вендельштейн

2672. Влияние концентрации водородных ионов в процессе отбелки целлюлозы. Снагич (Utjecaj koncentracije vodikovih iona pri bijeljenju celuloze. Snagie Dragan), Kemija u industriji, 1955, 4, № 8, 145—148 (хорв.; рез. англ., франц., нем.)

В результате изучения роли концентрации водородных ионов в процессе хранения и отбелки целлюлозы отмечается необходимость и дан способ поддержания оптимального pH для устранения потерь активного хлора в целлюлозу.

А. Яшунская

2673. Лабораторный способ хлорирования целлюлозы.

Хьюм (Laboratory method for pulp chlorination. Hume Clare), Tappi, 1956, 39, № 1, A139—A140 (англ.)

Для отбелки целлюлозы (ПЦ) требуются значительные кол-ва  $\text{Cl}_2$  (I); при отбелке хлорной водой необходимо ее предварительное приготовление, что связано с потерями I; при обработке ПЦ в лаборатории хлорной водой, содержащей 0,45—0,5% I, конц-ия ПЦ понижается до 2% и ниже. Указанные недостатки устраняются при хлорировании ПЦ газообразным I из тарированного на весах цилиндра (точность взвешивания  $\pm 0,5$  г) путем пропуска I в суспензию ПЦ желаемой концентрации в закрытой башне лабор. типа.

Ю. Вендельштейн

2674. Исследование холоцеллюлозы джута с помощью хроматографии на бумаге. Дас, Чаудхури, Узрем (Paper chromatographic study of jute holocellulose. Das D. B., Chaudhuri P. K., Roy, Wareham J. F.), Proc. Nat. Inst. Sci. India, 1955, A21, № 4, 266—279 (англ.)

В качестве сырья для получения холоцеллюлозы (II) служил джут следующего состава (% на сухое в-во):  $\alpha$ -целлюлозы 61,40, гемипцеллюлозы 25,12, лигнина 11,78, зола 0,81 и фурфурола 9,38 (значение  $\text{CO}_2$  1,26%). Для получения I обезжиренный джут обрабатывали 50-кратным кол-вом 0,7%-ного р-ра  $\text{NaClO}_2$  на кипящей водяной бане в течение 2 час. при pH 4,5—5 в присутствии  $\text{CH}_3\text{COOH}$  и  $\text{CH}_3\text{COONa}$  в качестве буфера, промывали водой и сушили на воздухе; потер



в весе достигала 11,85%. Гидролиз I проводили тремя способами: а) 72%-ной  $H_2SO_4$  (1 : 20) при  $t_{ре} < 10^\circ$  в течение 16 час., разбавляли  $H_2SO_4$  до 3%-ной концентрации и нагревали на водяной бане с обратным холодильником 2 часа; б) 0,5 г I и 30 мл 85%-ной муравьиной к-ты (II) кипятили 30 мин. на масляной бане при 130—135°; в) 1—6 п. HCl в тех же условиях, как и при применении II, но в течение 24 час. При гидролизе II значительно меньше разрушает I, чем минер. к-ты. При гидролизе II замечено разложение глюкуроновой к-ты, ксилозы и рамнозы, и слабо выраженное — арабинозы и глюкозы. Второй метод пригоден для определения урановой к-ты и рамнозы (последняя присутствует в джуте в малых кол-вах). I идентифицированы, разделены метилглюкуроновая к-та, галактоза, глюкоза, ксилоза, арабиноза и рамноза. Обнаружен комплекс, указывающий на наличие связи между метилурановой к-той и ксилозой. Галактозу можно легко отделить от глюкозы хроматографически, применяя *n*-бутанол в качестве р-рителя (время хроматографирования 168 час.). Фракционированный гидролиз I дал 7 фракций или подфракций, некоторые из которых показали разницу в хим. составе. Присутствие пентозы с глюкозой почти во всех подфракциях подтверждает предположение, что по меньшей мере некоторые из арабиноз в джуте находятся в форме пираноз. Ю. Вендельштейн 2675. О структуре «мест разрыхления» в фибриллярном строении волокон природной целлюлозы. Дольмеч (Über die Struktur der Lockerstellen im fibrillären Gefüge der nativen Cellulosefasern. D o l m e t s c h H a n s), Holz Roh- und Werkstoff, 1955, 13, № 3, 85—91 (нем.).

На основе ранее опубликованных и новых данных о первичной «местах разрыхления» в препаратах природной целлюлозы в статье подвергнуты критич. разбору теоретич. взгляды на тонкую структуру этих областей. Зоны мест разрыхления отличаются от лежащих между ними областей или меньшей плотностью унавоки, вследствие ненормальных условий образования или отсутствием сетчатой структуры молекул.

Ю. Вендельштейн

2676. Куприэтилендиамин в качестве растворителя целлюлозы. Вильсон (Cupriethylenediamine as a solvent for cellulose. Wilson K a r i n), Svensk papperstidn., 1956, 59, № 3, 88—92 (англ.; нем., швед.).

Описан способ приготовления р-ра Cu-этилендиамина, содержащего Cu (I) 1 моль/л. При насыщении р-ра этилендиамина (II) чистой  $Cu(OH)_2$  устанавливается отношение II : I = 2,0:1 причем такой р-р обладает хорошей растворяющей способностью для всех видов целлюлозы (III). Растворяющая способность р-ра резко падает при неполном насыщении его  $Cu(OH)_2$ , т. е. если отношение II : I превышает 2,0. Исследования показали, что вязкость р-ров III в большой степени зависит от упомянутого отношения: при увеличении его с 2,0 до 2,4 (содержание I 0,5 моль/л) относительная вязкость повышается на 7%, а истинная на 12%. Изменение относительной вязкости р-ров III в пределах  $\pm 1\%$ , при отношении II : I  $2,0 \pm 0,04$ , а содержания I  $1,00 \pm 0,10$  моль/л практически легко выполнимо. Содержание I в р-ре можно определять с точностью 0,01 моль/л. При стоянии из насыщ. р-ров выделяется I, но столь незначительно (сотые доли моль/л, что не влечет за собой заметного изменения значения вязкости III.

Ю. Вендельштейн

2677. Растворы комплексных соединений цинка с этилендиамином, растворяющие целлюлозу. Яйме, Нёйшеффер (Über celluloselösende Tri-(en)-Zink-hydroxydösungen. J a y m e G e o r g, N e u s c h ä f f e r K a r l h e i n z), Naturwissenschaften, 1955, 42, № 19, 536 (нем.).

Получены комплексные соединения этилендиамина (I) с  $Zn(OH)_2$ , названные авторами «цинкоксенами» (II), позволяющие создавать высокие кон-ции комплексов в водн. р-рах, которые обладают способностью растворять целлюлозу. При прибавлении  $NH_3$  к 10%-ному р-ру  $ZnCl_2$  при  $90^\circ$  образуются весьма реакционноспособный  $Zn(OH)_2$ , содержащий после промывки, обработки ацетоном и высушивания на воздухе 57% Zn и 8,3—12,56% Cl. Таким препаратом насыщают при  $0^\circ$  и перемешивании 30,5%-ный (по весу) водн. р-р I и получают р-р, содержащий свыше 6 вес. % Zn. Для получения р-ра с содержанием 8,02% Zn к указанному р-ру добавляют при  $0^\circ$  еще  $Zn(OH)_2$ , центрифугируют и повторяют эту операцию. Такой р-р способен растворять при  $0^\circ$  и перемешивании в течение 45 мин. до 2,8 вес. % хлопкового пуха со степенью полимеризации ~550. Особое значение должны приобрести р-ры II для аналитич. целей ввиду их полной бесцветности и прозрачности; р-ры только совершенно чистой целлюлозы в II остаются бесцветными и прозрачными; небольшие примеси золы, экстрактивных в-в, лигнина и т. п. тотчас вызывают помутнение и окрашивание, которые можно измерить оптически и воспользоваться этими измерениями для быстрого анализа целлюлозных материалов.

Ю. Вендельштейн

2678. Превращение целлюлозы I в целлюлозу III обработкой этиламином. Манн, Марриан (Conversion of cellulose I to cellulose III by ethylamine. M a n n J., M a r r i n a n H. J.), Chemistry and Industry, 1953, № 41, 1092—1093 (англ.).

При обработке хлопковой целлюлозы безводн. этиламином достигается значительное изменение «кристаллич. части целлюлозы (II) без изменения кристаллич. решетки. Наблюдается полоса спектра поглощения (3841  $\text{cm}^{-1}$ ), объясняемая образованием Ц III, а не аморфностью целлюлозы. Предполагается возможность превращения больших кол-в Ц I в Ц III. При обработке Ц аммиаком при низкой  $t_{ре}$  получены такие же результаты.

Е. Гурвич

2679. Влияние степени замещения на фракционирование нитратов целлюлозы. Беннетт, Таймелл (Effect of degree of substitution on the fractionation of cellulose nitrate. B e n n e t t C. F., T i m e l l T. E.), Svensk papperstidn., 1956, 59, № 3, 73—79 (англ.; рез. швед.).

Для характеристики целлюлозы необходимо знание не только ее степени полимеризации (СП), но, в большей степени, распределения мол. веса. В качестве объекта исследования удобнее пользоваться нитроцеллюлозой (I), получаемой из целлюлозы без деструкции. Новейшие исследования показывают хим. гетерогенность даже высокозамещенных I, причем длинные цепи содержат больше нитратных групп, чем короткие. Цель настоящей работы — установить влияние хим. неоднородности I на ее фракционирование. Приготовленный образец полностью замещен недеструктированной I, служивший эталоном для сравнения и 8 образцов I с содержанием N 13,52—14,14% из хлопкового пуха, применяемого для получения ацетилцеллюлозы. Фракционирование проводилось путем испарения ацетона из р-ра I в водн. ацетоне при пропускании тока воздуха (10—15 фракций) или ступенчатым осаждением I гексаном из р-ра в ацетоне (7—8 фракций); каждая фракция анализировалась на содержание N и определялась приведенная вязкость. Результаты исследования показали, что распределение по мол. весу, наблюдаемое у частично зам. образцов I, почти идентично с таковым у полностью зам. продукта: влияние хим. неоднородности на результаты фракционирования оказалось ничтожным. Распределение фракций по мол. весу, найденное методом осаждения гексаном, подобно таковому, определенному испарением

рением ацетона; последний способ предпочтительнее, так как позволяет получать большее кол-во фракций.

Ю. Вендельштейн

**2680. Ацетилирование волокнистой холоцеллюлозы. Фуджимура** (Acetylation of holocellulose in fibrous state. Fujimura Toshikazu), Bull. Chem. Soc. Japan, 1955, 28, № 4, 248—253 (англ.)

При ацетилировании древесных целлюлоз большое значение имеет содержание в них пентозанов. При сравнении скоростей ацетилирования смесью  $(\text{CH}_3\text{CO})_2\text{O}$ ,  $\text{CH}_3\text{COOH}$  и  $\text{H}_2\text{SO}_4$  различных видов целлюлоз (холоцеллюлоза, обогащенная древесная целлюлоза, регенерированная целлюлоза в виде медноаммиачного шелка) оказалось, что скорость ацетилирования воздушно-сухой холоцеллюлозы определяется характером ее поверхности, независимо от условий ацетилирования и степени обогащения. Скорость ацетилирования предварительно обогащенной целлюлозы снижается по-видимому, из-за ороговения поверхности. В этом случае приобретает значение также скорость внутренней диффузии реактива в волокно. Во время ацетилирования лучепреломление волокна сперва резко падает, затем возрастает и вновь падает. Вторичный рост лучепреломления объясняется ацетилизмом, в первую очередь ацетилизмом аморфной части ацетилцеллюлозы. Аморфная часть ацетилируется быстрее кристаллич., но после шел. обогащения разница в скоростях ацетилирования аморфной и кристаллич. части целлюлозы уменьшается. Одновременно замедляется ацетилирование. Существует оптимум концентрации шелочн. взятой для обогащения целлюлозы. Содержание пентозанов в целлюлозе во время ацетилирования не изменяется. А. Пакивер

**2681. Кривая распределения молекулярных весов ацетилцеллюлозы. I. Изменение молекулярного веса при омылении ацетилцеллюлозы. Собуэ Мацудзакэ, Ямамура** (酢酸纖維素の重合度分布について. 第1報 酢酸纖維素の鹼化 熟成中における重合度分布の變化. 祖父江寛, 松崎啓, 山村喜三雄), 纖維學會誌, Сэнэй гаккайшэ, J. Soc. Text. and Cellulose Ind Japan, 1956, 12, № 2, 100—104 (япон.; рез. англ.)

Из образца ацетилцеллюлозы из хлопкового пуха, содержание 59,7, 57,4 и 54,9% ацетильных групп, фракционировали из р-ра в метилхлориде (или ацетоне) этиловым спиртом. Исследуемые образцы подвергались омылению 20%-ным р-ром  $\text{NH}_4\text{OH}$ , затем нитровали, и нитроцеллюлозы фракционировали из ацетонового р-ра лигроином. Сравнение кривых распределения мол. весов нитроцеллюлоз и ацетилцеллюлоз показывает, что фракционирование нитроцеллюлоз происходит более четко. Доля фракций с высоким мол. весом уменьшается во время омыления. А. Пакивер

**2682. Противоточное фракционирование ацетата целлюлозы путем селективной диффузии в угле. Свенсон** (Motströmsfraktionering av cellulosacetat genom selektiv diffusion i kol. Swenson Harold A.), Svensk papperstidn, 1955, 58, № 15, 550—553 (швед.; рез. англ., нем.)

Предлагаемый метод фракционирования ацетата целлюлозы по размерам молекул принципиально заключается в том, что один и тот же р-р исследуемого препарата в ацетоне последовательно наливается в ряд цилиндров, содержащих пористый активированный уголь, предварительно пропитанный ацетоном. По мере прохождения р-ра через цилиндры вязкость его возрастает. Соответственно строятся графики, на основании которых вычисляется фракционный состав ацетата целлюлозы. Описан прибор для фракционирования по данному методу. Поглощение фракций пористым углем зависит от полярности р-рителя.

М. Нагорский

**2683. Влияние набухания и тонкой структуры на реакцию целлюлозы с двуокисью азота. Розвир, Сполдинг** (Effect of swelling and supermolecular structure on reaction of cellulose with nitrogen dioxide. Roseveare W. E., Spaulding D. W.), Industr. and Engng Chem., 1955, 47, № 10, 2172—2175 (англ.)

Исследована р-ция окисления целлюлозы р-рами  $\text{NO}_2$  в  $\text{CCl}_4$  различных конц-ий. После окисления волокно отделили,  $\text{NO}_2$  удалили током сжатого воздуха и промывали ацетоном. Окисление искусств. шелка показало равномерное протекание р-ции при конц-ии  $\text{NO}_2$  16,6%, причем окисление протекает на 97%. т. е. нет разницы в скорости окисления аморфной и кристаллич. части волокна; при низких конц-иях  $\text{NO}_2$  скорость р-ции в конце процесса понижается. Окисление хлопка 16,6%-ным р-ром  $\text{NO}_2$  протекает медленнее и лишь на 60%, вероятно, вследствие трудности диффузии  $\text{NO}_2$  в кристаллич. участки природной целлюлозы. После обработки в течение 5 мин. 50%-ным р-ром  $\text{NO}_2$  природная целлюлоза приобретает структуру регенерированной целлюлозы. Сравнительный гидролиз природного и окисленного волокна показал, что окисленные участки волокна быстро гидролизуются, оставшаяся часть кристаллич. целлюлозы гидролизуется очень медленно.

Ю. Вендельштейн

**2684. Сульфатное мыло — получение талового масла и его применение. Михайлов, Петрусенко** (Сульфатен сапун — преработване в талово масло и непосредствено приложение. Михайлов М., Петрусенко П.), Техника (София), 1955, 4, № 7, 38—40

Обзор. Библ. 27 назв.

Л. Марин

**2685. Экстрагируемые компоненты сульфитного щелока. Квасничка, Мак-Лафлин** (Extractable components of sulphite waste liquor. Kvasnicka E. A., McLaughlin R. R.), Pulp and Paper Mag. Canada, 1955, 56, № 10, 125—127 (англ.)

При экстракции сульфитного щелока органич. р-рителями возможно получить (дополнительно к продуктам брожения, окисления и т. д.) ~1,4—1,8 г/л экстрагируемых низкомолекулярных в-в, продуктов разложения лигнина, которые могут найти применение для синтеза и в фармацевтич. пром-сти. Л. Михеев

**2686. Превращение под действием микробиогенных и влияние на почвы обезвоженных отработанных сульфитных щелоков с аммониевым основанием. Боллен** (Microbial transformations and effects of dehydrated ammonia-base sulphite spent liquor in soils. Bollen W. B.), Tappi, 1955, 38, № 4, 208—215 (англ.)

Препарат Ориан А, получаемый высушиванием отработанных сульфитных щелоков с аммониевым основанием, применяется для повышения плодородия и улучшения структуры почвы. Главными компонентами являются лигносульфонаты аммония и сахара.

Н. Рудакова

**2687. Новый способ определения азота в нитроцеллюлозе. Падманабхан, Сундарам** (A new method for the estimation of nitrogen in cellulose nitrate. Padmanabhan C. V., Sundaram S.), Current Sci., 1955, 24, № 12, 403—404 (англ.)

При определении N в нитроцеллюлозе (I) по модифицированному методу Девара на стадии обработки I щел. р-р м  $\text{H}_2\text{O}_2$  происходят небольшие потери N. Во избежание потерь N авторами предложена следующая методика: 100 мг I растворяют в 5 мл  $\text{H}_2\text{SO}_4$ . В перегонную колбу помещают смесь 30 мл р-ра NaOH 1:1 и 100 мл дистилл. воды, к смеси прибавляют из капальной воронки р-р навески I в  $\text{H}_2\text{SO}_4$ , воронку смывают 2—3 раза по 2 мл  $\text{H}_2\text{SO}_4$ , дважды по 50 мл воды

и 5 мл египта Analar, после этого прибавляют 1,5 г сплава Декарда через боковую трубку, которую немедленно закрывают. Выделение  $H_2$  прекращается через  $\frac{1}{2}$  часа; р-р постепенно нагревают до кипения и в течение  $\frac{1}{2}$  часа заканчивают отгонку  $NH_3$ . Параллельно ставят контрольный опыт с применяемыми реактивами. Параллельно поставленные опыты определения N в том же образце I методом Лунге, модифицированным методом Декарда и предложенным методом, показали хорошее совпадение результатов по предполагаемому методу с методом Лунге и значительно более низкое содержание N по модифицированному методу Декарда.

Ю. Вендельштейн  
2688. Исследование садкости массы и показатели длины волокна. Лодзинский (An investigation of the freeness and the index of fiber length tests. L o d z i u z s k i F. P.), Tappi, 1955, 38, № 7, A151—A153 (англ.)

При изменении конц-ии испытуемой бумажной массы показатель садкости (ПС) и весовой показатель длины волокна (ВПД) изменяются по закону прямой линии. Удаление длинного волокна из массы мало влияет на ПС бумажной массы, тогда как ВПД изменяется сильно. Удаление мелкого волокна из бумажной массы путем ее отмывки на промывном ролле приводит к заметному повышению ПС и увеличивает ВПД. Сделан вывод, что на садкость бумажной массы большее влияние оказывает мелочь, а на ВПД длинное волокно. Предлагается для оценки качества бумажной массы пользоваться обоими методами контроля. Описан прибор для определения ВПД.

С. Иванов  
2689. Изучение некоторых факторов, влияющих на долговечность бумаги. Симонеску Кристофор Поппел, Эмануил, Асандей Николай, Бум. пром-сть, 1955, № 11, 5—10

Изучено влияние природы клеящего материала, кол-ва клея, среды и наполнителя на процесс старения бумаги (Б) при действии на нее УФ-лучей (кварцевая лампа типа Ганау с диапазоном радиации 330—750 мк без фильтра). Установлено (анализ физико-механич. показателей и определение значений pH), что меламиновый клей сохраняет в основном физ.-механич. показатели Б, за исключением излома; капроновый, хлорпарафиновый, протеиновый (белковый) с увеличением процента протеинового клея, используемого в смеси с клеем Бевонд, ухудшают физ.-механич. показатели Б, особенно излом. Щел. проклейка придает лучшие физ.-механич. свойства Б, чем кислая, но в первом случае Б имеет склонность к потемнению. Наполнитель (20—30% каолина) не оказывал заметного влияния на процесс старения Б. Наличие тряпки в проклеенной Б повышает ее качество и долговечность. Введение в композицию Б противокислителей не дало положительных результатов.

Л. Михеева  
2690. Влияние концентрации массы на качество формового элементарного слоя. Тольский Г. А., Бум. пром-сть, 1955, № 10, 7—10

Проверено влияние конц-ии массы, поступающей в ванну, на давление фильтрации и физ.-мех свойства формового элементарного слоя для конц-ий 0,07—0,10—0,15—0,20—0,25—0,30—0,40% и степени помола 20—30—45—60—75° ШР сульфитной бленовой целлюлозы марки А. Одновременно определено влияние конц-ии массы на качество формового элементарного слоя при различном весе 1 м<sup>2</sup>. Определены объемный вес элементарного слоя весом 60 г/м<sup>2</sup>, отлитого при различной конц-ии массы; уд. расход энергии на формование элементарного слоя, отнесенный к 1 г суспензии, и уд. площадь поверхности волокон в зависимости от степени помола массы. В зависимости от степени помола массы, подаваемой в ванну, оптималь-

ные ее конц-ии и расходы энергии на формование, отнесенные к 1 г суспензии, соответственно, <0,07; 0,07; 0,10; 0,15—0,20 и >0,49·10<sup>3</sup>; 0,78·10<sup>3</sup>; 0,24·10<sup>3</sup>; 0,45·10<sup>3</sup>; 0,60·10<sup>3</sup> при 20, 30, 45, 60, 75° ШР.

А. Хованская  
2691. Подача массы к формирующим элементам. Лоу (Flow to forming elements. Lowe Allen A.), Paper Mill News, 1954, 77, № 24, 62, 64—67 (англ.)

Приведены новейшие конструкции подводных мас-су элементов, способствующих положительному решению таких вопросов, как смешение массы с водой перед бумагоделательной машиной, аккумулятирование оборотной воды, поддержание постоянного уровня массного потока, предупреждение захвата воздуха массой и подача массы на сетку (в основном описание конструкций фирмы Sandy Hill Special Vat).

М. Белецкая  
2692. Требования, предъявляемые полиграфической промышленностью к бумагой. Тобайас (What the printer would like to have from the papermaker. Tobias Philip E.), Tappi, 1955, 38, № 6, 134A—135A (англ.)

Влажность офсетной бумаги (Б) должна оставаться постоянной: относительная влажность воздуха в помещении хранения Б должна поддерживаться  $\sim 53\% \pm 3\%$ ; лист Б должен быть 6 мм, чистым, равномерной плотности, однородным, хорошо впитывать типографскую краску. Контроль Б необходим как со стороны ее производителей, так и потребителей.

Е. Гурвич  
2693. Фильтровальная бумага. Грюне (Filter papers. Grüne A.), S. Afric. Industr. Chemist, 1955, 9, № 3, 55—57 (англ.)

Изложены требования, которым должны отвечать фильтровальные бумаги, и краткая характеристика сырья для произ-ва. Приведена классификация.

Л. Михеева  
2694. Копировальная бумага с бархатистой оборотной стороной. Оффер (Kohlepapier mit Velourrückten. Offer L.), Seifen-Öle-Fette-Wachse, 1954, 80, № 3, 61 (нем.)

Описан процесс получения копировальной бумаги с бархатистой обратной стороной, что позволяет применять ее для снятия большого кол-ва копий на пишущей машинке. Бумага пропитана мовелитом. В качестве мягчителя использованы дибутилфталат и трикрезилфосфат.

Н. Маньковская  
2695. Контроль качества древесной массы для газетной бумаги. Патерсон (Control of groundwood quality for newsprint. Paterson H. A.), Pulp and Paper Mag. Canada, 1956, 57, № 3, 190—194 (англ.)

Качество древесной массы определяют микроскопически (рассмотрение препарата при увеличении 135× с помощью микропроекторного аппарата) и определением скорости обезжелезивания бумажной массы, отбираемой непосредственно из ипорного ящика бумагоделательной машины без каких-либо поправок на конц-ию и т-ру. Приведены данные испытания качества древесной массы за несколько лет при скорости бумагоделательных машин 330—510 м/мин. Описана система производственного контроля в древесно-массном 3-дв газетной фабрики.

С. Иванов  
2696. Определение бутилированного оксанизола в бумаге и картоне. Остин (Analysis of butylated hydroxyanisole in paper and paperboard. Austin James J.), J. Amer. Oil. Chemists' Soc., 1954, 31, № 10, 424—427 (англ.)

Быстрый метод колич. определения бутилированного оксанизола (I) в бумаге и картоне основывается на цветной р-ции 2,6-дихлорхинонхлорамида (2,6-Д) с фенолами. Предварительно готовят стандартный р-р I в 80%-ном этиловом спирте с конц-ией 10 мкг в 1 мл; из него разбавлением получают 10 сравнитель-



них р-ров с конц-ей I от 0,3125—3,1250 г в 1 мл; в каждый из них вводят 10 мл 0,01%-ного р-ра 2,6-D в абс. спирте и 10 мл 2%-ного водн. р-ра  $\text{Na}_2\text{B}_4\text{O}_7 \cdot 10 \text{H}_2\text{O}$ . Бумагу (~5 г), обработанную I, нарезают полосками (6,35—12,7 мм) и экстрагируют в течение 5 мин. в широкогорлой колбе Эрленмейера, емк. 250 мл, 50 мл абс. этилового спирта при встряхивании. Экстракт сливают в мерную колбу. Экстракцию абс. этиловым спиртом (50 мл) повторяют, экстракт присоединяют к первой порции. От полученного экстракта отбирают кратное кол-во мл, которые разбавляют 48 мл 80%-ного этилового спирта, прибавляют 8 мл 0,1%-ного р-ра 2,6-D в абс. спирте, 8 мл 2%-ного водн. р-ра  $\text{Na}_2\text{B}_4\text{O}_7 \cdot 10 \text{H}_2\text{O}$  и выдерживают в течение 10—15 мин. Окраску р-ра сравнивают по стандартной шкале (если необходимо, экстракт разбавляется в 2—3 раза абс. сп.). Л. Михеева

2697 К. Технология бумажного производства. Баранов Н. А., Добровольский Д. С. Перев. с русс. (Technologie papírenské výroby. Baranov N. A., Dobrovolskij D. S. Ž. ř. s. Praha, SNTL, 1955, 359, [1] s., il. 25, 50 K. s) (чеш.)

2698 П. Отбелка целлюлозной массы (Bleaching of cellulose pulps) [Tennants Consolidated, Ltd]. Англ. пат. 736541, 7.09.55

В многоступенчатом процессе отбелки сульфитной целлюлозы (СЦ), состоящем из предварительной частичной отбелки СЦ в водн. среде  $\text{Cl}_2$  и последующей отбелки водн. р-ром гипохлорита, предлагается предварительная частичная отбелка в водн. среде  $\text{ClO}_2$  и  $\text{Cl}$ , выполняемая при pH 2,5—2,7 водн. р-ром хлорита Na и  $\text{Cl}_2$  при t-ре 20°. После предварительной отбелки СЦ фильтруют, промывают, обрабатывают в водн. суспензии при 60° р-ром NaOH, затем вновь промывают, суспендируют и обрабатывают, напр., гипохлоритом Са. Ю. Вендельштейн

2699 П. Получение щелочной целлюлозы и производных целлюлозы. Уилкокс, Даунинг, Дривитт (Production of alkali cellulose and cellulose derivatives made therefrom. Wilcox — Merlyn H., Downing John, Drevitt James G. N.) [Camille Dreyfus]. Канад. пат. 511305, 22.03.55

Для получения щел. целлюлозы целлюлозные листы измельчают на частицы, величина которых, по меньшей мере, в одном измерении <5 мм с насыщенным весом 0,23—0,46 кг/дм<sup>3</sup>. Полученный продукт смешивают с твердой каустич. содой в отношении: 8—35 молей каустич. соды на 1 моль целлюлозы. В некоторых случаях описанную обработку проводят в присутствии жидкого мономоноам. эфира гликоля, взятого в кол-ве 5—30% от веса целлюлозы. Ю. Вендельштейн

2700 П. Способ и приспособление для окисления целлюлозы или веществ, ее содержащих, с помощью двуокиси азота. Паулинг (Verfahren und Vorrichtung zum Oxydieren von Cellulose oder celluloselhaltigen Stoffen mittels Stickstoffdioxid. Pauling Harry), Пат. ФРГ 941282, 5.05.56

При окислении целлюлозы (I) или содержащих ее в-в газообразной  $\text{NO}_2$  происходит образование  $\text{HNO}_3$  из  $\text{NO}_2$  и воды, содержащейся в I, вследствие чего наблюдается ороговение окисляемого материала, и  $\text{NO}_2$  не проникает равномерно в I. Для устранения этого недостатка, препятствующего технич. осуществлению процесса, предложено окислять I в измельченном виде, поддерживая частицы I в состоянии вихревого движения током  $\text{NO}_2$ , разб. инертным газом. По окончании окисления полученную оксидцеллюлозу (II) обрабатывают тем же способом инертным газом или перегретым водяным паром. В качестве приспособления

предложен конич. аппарат, стоящий на острие конуса, в который вмонтирована длинная и узкая решетка с наклонными отверстиями или щелями для выпуска  $\text{NO}_2$ . Пример: 430 г в виде хлопьев вносят в конусообразный аппарат и вдувают у острия конуса смесь воздуха с  $\text{NO}_2$ , содержащую 6,5 об.% последнего в течение 40 мин., причем скорость тока регулируют так, чтобы частицы I находились все время во взвешенном состоянии; в течение следующих 20 мин. увеличивают конц-ю  $\text{NO}_2$  до 10,5 об.% и затем повышают ее до 38,5 об.%, пропуская ток смеси еще 2 часа до содержания карбоксильных групп 6%, после чего продувают аппарат и II в течение 30 мин. воздухом, промывают дистил. водой. II стжимают на нутче и сушат при 50—60°. Полученная II в значительной мере сохраняет структуру исходной I. При увеличении времени обработки 38,5%-ным  $\text{NO}_2$  с 2 до 3 час. получают II с содержанием карбоксильных групп 9%, надело растворяющуюся в 2%-ном р-ре NaOH.

Ю. Вендельштейн

2701 П. Получение простых эфиров целлюлозы. Уилкокс, Даунинг, Дривитт (Manufacture of cellulose ethers. Wilcox Merlyn H., Downing John, Drevitt James G. N.) [Camille Dreyfus]. Канад. пат. 511306, 22.03.55

Целлюлозу обрабатывают едкой щелочью (напр. р-ром NaOH конц-ей >70%), полученную щел. целлюлозу подвергают действию алкилирующего агента (напр., алкилхлоридов, содержащих 1—4 атома С, монохлоруксусной к-ты) в присутствии неполного простого эфира глицерина, 2-метоксизанола или простого эфира гликоля, взятых в кол-ве 5—30% от веса целлюлозы.

Ю. Вендельштейн

2702 П. Регенерация химических реагентов при получении древесной целлюлозы. Грей, Кросби, Стейнберг (Recovery of chemicals in wood pulp preparation. Gray Kenneth R., Crosby Hartnell L., Steinberg John C.). Канад. пат. 499736, 2.02.54

Отработанные щелока после варки древесины, содержащие Na и S, сжигают; полученный плав, содержащий  $\text{Na}_2\text{S}$ , растворяют и подвергают ряду карбонизаций (K) под давл. при t-ре >50° газом, содержащим  $\text{CO}_2$ ; после каждой обработки следует перегонка с паром в вакууме. Первую K проводят под давл. 1,4—11,5 абс. ат и t-ре 50—150° с последующей отгонкой в вакууме при 12,5—72,5 мм рт.ст.; вторую K проводят при давл. 1,1—10,5 абс. ат при 50—150° и отгоняют в вакууме с паром как после первой K, причем получают р-р с повышенным содержанием Na-соды угольной к-ты, свободный от сульфидов, и конц.  $\text{H}_2\text{S}$ , который окисляется в  $\text{SO}_2$ . Из последнего и р-ра соды получают р-р  $\text{Na}_2\text{SO}_3$ , применяемый для приготовления варочного щелока. Отработанные щелока после кислой сульфитной и щел. варки древесины также обрабатывают описанным способом, получая р-р  $\text{NaHSO}_3$  и  $\text{SO}_2$  (с незначительным содержанием восстанавливающих соединений S), применяемый для сульфитной варки древесины. Ю. Вендельштейн

См. также:

Строение древесины 1095. Методы опред. фенолов, пассив. жирных к-т, серы 1186, 1194, 1274. Терпены (бицикли), превращение, исследование 1024, 1026—1030. Дегидроабнетиновая к-та 1033—1036. Целлюлоза: получение отбеливающих средств 1409; использование отходов целлюлозного произ-ва 1724, 2613; общие и теоретич. вопр. 483, 1171, 2714; производные, св-ва 556, 1163, 1164, 2272, 2282, 2715. Опред. карбоксильных групп 1165. Общие вопр. бум. произ-ва, нанесение покрытий 1811, 2681

## ИСКУССТВЕННЫЕ И СИНТЕТИЧЕСКИЕ ВОЛОКНА

Редактор В. А. Дерезицкая

2703. От природных текстильных волокон к синтетическим. Валь (Des textiles naturels aux textiles synthétiques. Wahl Henri), Teintex, 1956, 21, №1, 17, 18, 21, 23, 24, 27, 29, 30, 33, 35, 36 (франц.) Популярно изложена история текстильных волокон: природных, искусств., синтетич. Очень кратко описаны свойства волокон. Д. Кантер

2704. Проблемы, связанные с производством химических волокон. Кун, Вебер (Probleme auf dem Gebiet der Chemiefasern. Kuhn Hans Heinrich, Weber Kurt), Neue Zürcher Ztg. Technik, 1956, №9—12, 25. Jan., Blatt 7 (нем.)

2705. Развитие производства синтетических волокон в США. Уэйдман (Syntetifibernas utveckling i U.S.A. Weidmann C. J.), Fargeritsteknik, 1956, 32, № 5, 95, 97—102 (швед.)

2706. Химические волокна, их разнообразие и свойства. Кокх (Le fibre chimiche, la loro varietà e la loro caratteristica. Koch P. A.), Riv. tessile, 1954, 9, № 3, 289—295 (итал.) См. РЖХим, 1956, 48992.

2707. Полимераналогичные превращения полиакрилонитрила. Кудрявцев Г. И., Жаркова М. А., Науч. исслед. тр. Всес. н.-и. ин-та искусств. волокна, 1955, №2, 103—109

Для повышения гидрофильности и окрашиваемости карбоцепных волокон, получаемых на основе полимеров и сополимеров акрилонитрила, исследовался процесс омыления нитрильных групп (до карбоксильных, амидных и других) в гомог. и гетерог. средах в присутствии кислотных и основных катализаторов. Установлены кинетич. ряды по склонности сополимеров к омылению в кислой и щел. средах. Приводятся возможные механизмы омыления нитрильной группы в кислой и щел. средах. З. Зазулина

2708. Промышленное использование лактамов. Керфи (Lactams — some important industrial applications. Cuthrey E. G.), Canad. Chem. Process., 1955, 39, № 12, 48, 50, 52, 54 (англ.)

Различные лактамы (I), получаемые путем бекмановской перегруппировки из соответствующих циклокетохимов, используются в качестве полупродуктов при синтезе в-в различных классов, а также для произ-ва волокон, смол и пластиков. Не считая волокон из полиакрамида, обладающего высокой устойчивостью к истиранию и хорошей окрашиваемостью,  $\text{HN}(\text{CH}_2)_5\text{CO}$

используется для получения гидрофильного сополимера с  $\text{H}_2\text{N}(\text{CH}_2)_6\text{NH}_2$ ,  $\text{HOOC}(\text{CH}_2)_4\text{COOH}$  и  $\text{HOOC}(\text{CH}_2)_3\text{COOH}$ , применяемого для изготовления фотографии, эмульсии, получения сополимера (полиэфирамида) с  $\text{HOCH}_2\text{CH}_2\text{OH}$  и двухосновной к-той, применяемого для изготовления искусств. кожи и различных покрытий, для получения сополимера с  $\text{H}_2\text{N}(\text{CH}_2)_3\text{COOH}$ , пригодного для формирования волокна, для модификации свойств меламинно-формальдегидных смол, применяемых в бумажной промышленности для повышения прочности бумаги в сухом и мокром состояниях, для получения сополимеров, растворимых в спирте и используемых для отделки текстильных изделий. Бифункциональные I, напр.  $\text{N,N}'$ -терефталдиглициди-бис-капролактамы, применяются для повышения мол. веса полиэфиров, полиамидов, полиэфирамидов; применение три- и более функциональных I приводит к образованию сетчатой структуры этих полимеров. I применяются в качестве пластификаторов для синтетич. полимеров; пластифицирующий эффект I зависит от числа  $\text{CH}_2$ -групп. В статье обсуждаются преимущества и недостатки различных активаторов про-

цесса полимеризации  $\text{HN}(\text{CH}_2)_5\text{CO}$  ( $\text{H}_2\text{O}$ ,  $\text{HCOOH}$ , спирты, амины,  $\text{LiCl}$ , гидроокиси  $\text{Ti}$ ,  $\text{Zr}$ ,  $\text{Th}$ ,  $\text{Ce}$  и др.). Ю. Васильев

2709. Повышение гигроскопичности полиамидных волокон. Хаит Э. В., Корецкая А. И., Науч.-исслед. тр. Всес. н.-и. ин-та искусств. волокон, 1955, № 2, 138—145

Исследования по повышению гигроскопичности полиамидного волокна капрон проводились в 2 направлениях: 1) получение N-алкоксиметилпроизводных поликапролактама с различной степенью замещения амидогрупп, 2) поверхностная обработка волокна и изделий из него различными в-вами, обладающими повышенной гигроскопичностью. Получены N-метоксиметилпроизводные поликапролактама с высокой степенью замещения (65%), обладающие равновесной гигроскопичностью вдвое большей, чем исходный капрон. Однако такой полиамид имеет низкую t-ру размягчения (40—45°) и обладает каучукоподобными свойствами. Поверхностная обработка проводилась водн. р-рами поливинилового спирта и карбоксиметилцеллюлозам, р-рами в-в, имеющих строение, подобное молекуле полиамида (спирторастворимые соли  $\text{Ag}$  и  $\epsilon$ -капролактама, N-метоксиметилполиамиды, казеин) и р-рами, вызывающими набухание (воднофенольные р-ры). Приводятся данные по влиянию обработки капронового волокна различными в-вами на кинетику влагопоглощения. З. Зазулина

2710. О свойствах волокон из модифицированных ароматических полиэфиров. Часть I. П. Гриль, Хофмейстер (Über die Fasereigenschaften modifizierter aromatischer Polyester. Teil I. H. Griehl Wolfgang, Hofmeister Roman), Faserforsch. und Textiltechnik, 1955, 6, № 11, 504—508; № 12, 554—562 (нем.; рез. англ., русс.)

I. Для повышения качества волокна, получаемого на основе полиэтилентерефталата (повышение термостабильности расплава, снижение хрупкости невязнутого волокна, повышение устойчивости к многократным деформациям, повышение гигроскопичности), были проведены исследования по получению модифицированных полиэфиров. Модификация приводит к снижению кристалличности полимера, улучшению указанных выше свойств, при одновременном снижении, напр. прочности волокна, t-ры плавления полимера, обусловленных высокой кристалличностью немодифицированного полимера. Модификация проводилась в 2-направлениях: получение смешанных полиэфиров посредством сополиконденсации с модифицирующими компонентами (напр., бутандиолом (1, 4), пропандиолом (1, 2) и себацдиновой к-той) и получение полиэфирных смесей или блокполимеров (напр., из блок-ков полиэтилентерефталата и полиэтиленоксида). Показано, что применение себацдиновой к-ты приводит к значительному повышению скорости поликонденсации и получению полимеров с высокой термостабильностью.

II. С повышением содержания модифицирующего реагента наблюдается снижение t-ры плавления и замерзания полимера. Наибольшее снижение  $t_{\text{пл}}$  наблюдается в случае применения себацдиновой к-ты,  $t_{\text{зам}}$  — в случае сополиконденсации с себацдиновой к-той и получения блокполимеров с полиэтиленоксидом; в последнем случае  $t_{\text{пл}}$  практически не изменяется.

Рентгенографич. исследования во всех случаях показали снижение кристалличности полимеров. Из указанных выше модифицированных полиэфиров получены волокна и исследованы их свойства. Показано, что повышение содержания бутандиола (1, 4) до 50% приводит к снижению прочности волокна в ~ 2 раза, при дальнейшем увеличении содержания бутандиола сни-

жение прочности несколько меньше. Введение небольших кол-в (до 10%) бутандиола или себадиновой к-ты не влияет на прочность волокна, пропандиол и полиэтиленоксид — снижают прочность волокна на 20—30%. Все модифицированные полиэфиры обладают более высокой устойчивостью к действию многократных деформаций (особенно содержащие полиэтиленоксид и полиэтиленсебаат), пониженной светостойкостью (особенно содержащие полиэтиленоксид и полипропилентерефталат) и повышенной накрашиваемостью. Библ. 22 назв.

З. Заулина

**2711.** Полимеры с волокнообразующими свойствами, полученные на основе гидразина. Части I, II, III. Монкрифф (Fibre-forming polymers from hydrazine I, II, III. Moncrieff R. W.), Text. Manufactures, 1953, 79, № 947, 559—562, 564; № 948, 635—638, 642; 1954, 80, № 949, 33—36—39 (англ.)

I. Путем поликонденсации органич. к-т или их ангидридов с гидратом гидразина  $N_2H_4 \cdot H_2O$  или дигидразидов к-т могут быть получены полимеры, пригодные для формирования волокна. При нагревании дигидразида себадиновой к-ты вместо ожидаемого полигидразида, имеющего строение  $H[NHNNHCO(CH_2)_8CO]_nNHNNH_2$ , образуется полиамино-1, 3, 4-триазол  $[-(CH_2)_8-CN(NH_2)C-N]_n$ .

Формование волокна из полиаминотриазолов (I) может быть осуществлено из расплава и из р-ров в м-крезоле или 99%-ной  $CH_3COOH$  по сухому или мокрому способам. Сформованное волокно подвергается вытягиванию и может быть приведено в неплавкое и нерастворимое состояние обработкой р-ром  $CH_2O$ .

Ю. Васильев

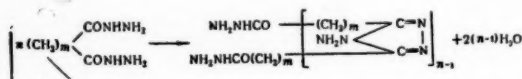
II. Мол. вес. получаемых I может быть увеличен дополнительным нагреванием их в токе инертного газа. I более устойчивы к действию пара, чем полиамиды. Так же как и полиамиды, I могут быть стабилизированы блокированием конечных групп. I растворим в смеси метанола с хлороформом (4:1) или метилхлоридом, толуолом или нитрометаном, а также в 3-хлор-1-пропанол, этиленхлоргидрине, бензиловом спирте и в циангидринах (напр., ацетальдегидциангидрине).

III. I могут быть получены с различной т-рой плавления, обычно т. пл. 250—320°. Схема получения этих полимеров: 1 моль дикарбоновой к-ты + 2 моля гидразина → дигидразид дикарбоновой к-ты → полиаминотриазол. Описываются методы модификации свойств I: в частности, повышение растворимости и понижение т-ры плавления путем совместной поликонденсации с аминами. Смесь I с ацетилцеллюлозой окрашивается кислотными красителями. Продукт совместной поликонденсации I и полиамидов типа найлон пригодны для получения волокон. Модифицированные полигидразиды могут быть получены при поликонденсации дигидразида двухосновной к-ты (напр., адипиновой) совместно с другими дикарбоновыми к-тами (напр. терефталевой, азелаиновой, шавелевой). Библ. 38 назв.

З. Роговин

**2712.** Новые полимеры — полиаминотриазолы. Фишер (New condensation polymers. The poly (aminotriazoles). Fisher J. W.), Fibres, 1954, 15, №11, 365—368 (англ.)

Политриазолы (I) получают поликонденсацией дигидразидов двухосновных органич. к-т по следующей схеме:



В качестве стабилизатора для регулирования мол. веса I при поликонденсации используется  $CH_3CONH_2$ . Т-ра плавления I зависит от числа метиленовых групп в элементарном звене. Полиоктаметиленаминотриазол, получаемый на основе себадиновой к-ты, имеет т. пл. 255—260°, растворим в муравьиной и конц. серной к-тах, фенолах, хлоргидринах этилена и глицерина и циангидринах этилена и ацетона и в горячих многоатомных спиртах ди- и триэтанолaminaх. Волокно, сформованное из расплава этого полимера и подвергнутое холодной вытяжке, имеет прочность 4,2 г/дене при удлинении 20% и начальный модуль 63 г/дене и хорошо окрашивается кислотными красителями, а также дисперсионными красителями, применяемыми для аператного шелка. Для получения I могут быть использованы и другие двухосновные к-ты — адипиновая, пимелиновая, себуриновая, азелаиновая, а также к-ты общей ф-лы  $[HOOC(CH_2)_n]_2S$  и  $[HOOC(CH_2)_n]_2SO_2$ . Приводятся методики получения I из себадиновой к-ты и гидразингидрата и из дигидразида себадиновой к-ты, условия формирования и вытягивания волокна из получаемого полиаминотриазола, а также т-ра плавления различных I.

Ю. Васильев

**2713.** Изменение структуры целлюлозы в процессе получения искусственного волокна. Чентола (Trasformazione della struttura della cellulosa durante la fabbricazione delle fibre artificiali. Centola G. e m. a. n. o), Tintoria, 1955, 52, № 5, 179—186 (итал.)

Характерные различия между натуральным и искусств. волокном объясняются не только уменьшением мол. веса целлюлозы, но и изменением степени кристалличности в процессе ее обработки. Как показали рентгенографич. исследования, при растворении целлюлозные волокна распадаются на пластинки, которые затем распадаются до отдельных макромолекул. В разб. р-ре макромолекулы могут свободно передвигаться, теряя свою прямолинейность и перепутываясь между собой, но в конц. р-рах, где свобода движения молекул ограничена, могут присутствовать даже нераспавшиеся пластинки, и структура исходной целлюлозы сохраняется до некоторой степени в искусств. волокне. Если бы целлюлоза переходила в р-р только в виде пластинок, вязкое волокно по своим свойствам значительно приблизилось бы к натуральному. Сохранение структурных единиц исходной целлюлозы в насыщ. р-ре ксантогената целлюлозы зависит не только от способа получения последнего, но и от структуры исходной целлюлозы, т. е. от типа древесины. Библ. 19 назв.

З. Бобыр

**2714.** Влияние химического строения органического основания на растворимость целлюлозы. Стренихеев А. А., Могилевский Е. М., Николаева Н. С., Науч.-исслед. тр. Всес. н.-п. ин-та искусств. волокна, 1955, № 2, 25—29.

Исследовалось влияние хим. строения органич. основания на его способность растворять целлюлозу (I). Для растворения I применялись водн. р-ры 5 органич. гидроокисей:  $(CH_3)_2(C_6H_5)(C_6H_5CH_2)NOH$ ;  $(C_2H_5)_2(C_6H_5)(C_6H_5CH_2)NOH$ ;  $(CH_3)_2(C_6H_5)(C_6H_5CH_2)NOH$ ;  $(CH_3)_2(C_6H_5)(C_6H_5CH_2)NOH$ ;  $(CH_3)_2(C_6H_5)(C_6H_5CH_2)NOH$  с конц-ией 30—50%. Исследовалась растворимость I с различной реакционной способностью и степенной полимеризации. Показано, что I растворяется полностью только в гидроокисях с бензильными радикалами и с относительно высоким мол. весом, напр. в гидроокисях диметилфенилбензиламмония и триэтилбензиламмония. Для получения фильтруемых р-ров I в органич. гидроокисях необходимо применять I с высокой реакционной способностью и водн. р-ры гидроокисей определенной концентрации.

З. Заулина



2715. Исследование процесса ацетилирования целлюлозы парами уксусного ангидрида. III. Адсорбция хлористого цинка целлюлозой в уксуснокислых растворах. Кидо, Судауки, Кадоя. IV. Деструкция целлюлозы в уксуснокислых растворах хлористого цинка. Кидо, Судауки, Ямада (氣相法による酢酸纖維素の製造研究. 第3報. 鹽化亜鉛—酢酸溶液中の纖維素による鹽化亜鉛の吸着. 木戸猪一郎, 鈴木公宏, 角矢晃一. 第4報. 鹽化亜鉛—酢酸溶液中における纖維素の重合度變化. 木戸猪一郎, 鈴木公宏, 山田太郎), 纖維學會誌, Сэнги гаккайси, J. Soc. Text. and Cellulose Ind. Japan 1955, 11, № 5—8, 9—11 (япон.; рез. англ.)

III. При обработке целлюлозы р-ром  $ZnCl_2$  (I) в уксусной к-те (II) адсорбция I целлюлозой при определенной т-ре подчиняется изотерме Фрейндлиха. При повышении т-ры кол-во I, адсорбированного целлюлозой, уменьшается. Адсорбция объясняется большим средством I к целлюлозе, чем к II. При увеличении содержания в II воды или уксусного ангидрида кол-во адсорбированного целлюлозой I сильно снижается, что объясняется большим средством I к воде или к уксусному ангидриду, чем к целлюлозе. Из вышеизложенного можно заключить, что в ацетилирующей смеси II является не только р-рителем, но и способствует адсорбции катализатора целлюлозой, ускоряет проникновение ацетилирующей смеси внутрь целлюлозного волокна и способствует равномерному ацетилированию.

IV. Деструкция целлюлозы в уксуснокислых р-рах протекает более интенсивно при увеличении конц-и I и повышении т-ры. При увеличении содержания воды в II деструкция целлюлозы уменьшается, что объясняется, по-видимому, уменьшением адсорбции I целлюлозой. При добавлении к II уксусного ангидрида одновременно протекает и деструкция и ацетилирование, причем эти р-ции наиболее интенсивно протекают при конц-и уксусного ангидрида, равной 60%, что объясняется, по-видимому, с одной стороны, повышением конц-и уксусного ангидрида и, с другой стороны, уменьшением адсорбции I целлюлозой в этих условиях. Часть II см. РЖХим, 1955, 10668. Ю. Васильев

2716. Изучение волокна из сополимера акрилонитрила и винилацетата. IV. Обработка волокна щелочами. V. Волокна из частично омыленных продуктов. Окамура, Ямасита (酢酸ビニルとアクリロニトリルの共重合物纖維に關する研究. 第4報. 共重合物纖維の後處理. 第5報. 部分鹼化物の纖維. 岡村誠三, 山下隆男), 纖維學會誌, Сэнги гаккайси, J. Soc. Text. and Cellulose Ind., Japan, 1953, 9, № 9, 448—452, 452—454 (япон.; рез. англ.)

IV. О сополимеризации  $CH_2=CHCN$  и  $CH_2=CHOCOCH_3$  см. J. Soc. Text. and Cellulose Ind., 1951, 6, 202—205, 501—504; об условиях формирования волокна — ibid, 1951, 6, 505—508. Механич. свойства (прочность и удлинение) волокна из сополимера акрилонитрила и винилацетата изменяются при вытягивании волокна в горячей воде, однако при этом устраняется основной недостаток волокна — низкая термостойкость. Т-ра размягчения волокна может быть повышена путем обработки его р-ром щелочи в  $CH_3OH$ .

V. Соплимер, содержащий ~30—50 мол.% винил-ацетата и 50—70% акрилонитрила был частично омылен до приблизительно 20—70% винилацетата и 3—30% алкилонитрила в  $H_2SO_4$ —ацетон-метаноловом р-ре. Продукты растворимы в ацетоне и придуны в воду. ванну. При вытягивании на 3000% в воде при т-ре 60—70° были получены волокна с прочностью  $2-3 \frac{\text{г}}{\text{денье}}$  и удлинением 30—40%. Часть III см. РЖХим., 1955, 31533. Ю. Васильев

2717. Получение, свойства и применение химических волокон на основе поливинилхлорида. РеСе, РеСеУ,

ровиль. — (Entstehung, Eigenschaften und Einsatzgebiete der Chemiefasern auf Polyvinylchloridbasis. РеСе, РеСеУ und Rhovyl. —), IVC Reihe, 1956, № 16 (нем.)

Волокно ровиль получается из поливинилхлорида, растворенного в смеси  $CS_2$  с  $(CH_3)_2CO$ . Придание 20—30%-ного р-ра производится по сухому способу в шахтах в токе нагретого воздуха со скоростью 100—200 м/мин. Затем следует 4—5-кратная вытяжка и отделка антистатич. в-вами. Волокно ровиль может быть использовано для различных технич. целей и для произ-ва бельевых и трикотажных изделий. Это волокно не гниет, не горит, не набухает в воде, светостойко, имеет хорошие теплоизоляционные свойства. Оно особенно пригодно для произ-ва ковров, мебельных тканей, театральных занавесей и т. п. А. Пакшвер

2718. Исследования в области формирования волокна совида. Груздев В. А., Жучкова Н. Г., Клименков В. С., Котина В. Е., Науч.-исслед. тр. Всес. н.-и. ин-та искусств. волокна, 1955, № 2, 115—119

Формование волокна совида (из сополимера  $CH_2=CHCl$  и  $CH_2=CCl_2$ ) может быть осуществлено только в вязкотекучем состоянии при повышенных т-рах, поэтому повышение термостабильности сополимера имеет большое значение. Интенсивное разложение сополимера наблюдается обычно при т-рах, близких к т-рам размягчения. Снизить т-ры размягчения смолы и повысить ее термостойкость можно введением пластификаторов, стабилизаторов и ингибиторов. Исследовался режим формования волокна совида различного хим. состава методом литья под давлением на машино-швейного типа. Для получения волокна с удовлетворительными физ.-мех. показателями необходимо, чтобы уд. вязкость 0,5%-ного р-ра сополимера в циклогексаноне была  $\geq 0,25$ . Прочность волокна снижается, пропорционально кол-ву введенного в сополимер пластификатора. Приводятся данные по изучению свойств волокна совида.

3. Зазулина  
2719. Производство полиэфирного волокна терилена. — (The chemistry of the «terylene» process. —), Canad. Chem. Process., 1955, 39, № 12, 35—38 (англ.)

Краткое описание технологии процесса получения полимера, формования, вытяжки и последующих обработок волокна, контроля произ-ва и готовой продукции на з-де терилового волокна в Канаде. Для формования волокна получают смолу терилена, имеющую мол. в. 10 000—20 000.

Ю. Васильев  
2720. Метод определения влаги в полиамидной смоле капрол. Корейская А. И., Науч.-исслед. тр. Всес. н.-и. ин-та искусств. волокна, 1955, № 2, 134—138

Для определения влажности смолы капрол рекомендуется метод йодометрич. титрования, дающий возможность быстро проводить определение минимальных кол-в влаги в смоле с точностью до тысячных долей процента. Определение может быть проведено в присутствии лактама. Приводится методика проведения эксперимента.

3. Зазулина  
2721. Вискозное волокно в крашении. Верунг (Viskoserayon in der Färberei. Wehrung A.), Textil-Rundschau, 1955, 10, № 8, 428—432 (нем.)

Обзор методов, позволяющих получить вискозное волокно большой однородности, необходимой для его равномерного прокрашивания. Упомянуты патенты, в которых рекомендуется нагревать волокна в атмосфере влажного воздуха или пара в целях снижения их гигроскопичности.

В. Штупер  
2722. О применении хлопковой целлюлозы в вискозном производстве. Киселева В. П., Науч.-исслед. тр. Всес. н.-и. ин-та искусств. волокна, 1955, № 2, 16—20

Реакционная способность хлопковой целлюлозы к вискообразованию значительно ниже, чем у сульфитной целлюлозы, что объясняется структурными особенностями и большей длиной хлопкового волокна. Низкая реакционная способность отражается на фильтруемости вискозных р-ров, получаемых из хлопковой целлюлозы. Из существующих образцов для вискозного произ-на наиболее приемлемой является хлопковая целлюлоза, полученная из коротковолокнистого хлопкового пуха путем глубокого бучения и мягкой отбелки. Ввиду сравнительно высокой стоимости хлопковой целлюлозы в настоящее время наиболее целесообразно перерабатывать ее в смеси в сульфитной. Добавка 25—50% хлопковой целлюлозы к сульфитной улучшает качество готового волокна, не вызывая значительных затруднений при фильтрации вискозных р-ров. З. Зазулина

2723. Непрерывная мерсеризация целлюлозы в массе и работа нового аппарата «суспензионной» мерсеризации. Тенгквист (Die kontinuierliche Maischalkalisierung mit besonderer Berücksichtigung des Slurryapparates auf den USA und des Einflusses des Nullfasergehaltes auf dessen Arbeitsweise. Tengquist Ebbel, Das Papier, 1954, 8, № 21/22, 479—481 (нем.; рез. англ., франц.).

На опытной установке, состоящей из бачка для мерсеризации массы во взвешенном состоянии при перемешивании и подогревании, циркуляционного насоса, вакуум-фильтра для отсоса избытка щелочи и разрыхлителя, были испытаны различные типы древесных целлюлоз (I). Определялись производительность установки в  $m/сутки$  мерсеризованной I и содержание коротких волокон (мелочи) в I, т. е. потеря I при ее переработке. Оказалось, что производительность установки растет с уменьшением содержания мелочи в I. Одновременно уменьшается давление, необходимое для отделения щелочи от мерсеризованной I на вакуум-фильтре. Так, напр., при работе на I, имеющей 18,4% коротких волокон, проходящих через сито № 100, производительность установки равна 16  $m/сутки$  при рабочем давлении на фильтре 0,9  $кг/см^2$ . I, содержащая 10,1% волокон, проходящих через то же сито в тех же условиях, перерабатывается с производительностью 20—21  $m/сутки$  при давлении на фильтре только 0,3  $кг/см^2$ . А. Пакшвер

2724. Влияние степени этерификации ксантогената целлюлозы на структурирование вискозных растворов. Михайлов Н. В., Завьялова Н. Н., Науч. исслед. тр. Всес. н.-и. ин-та искусств. волокна, 1955, № 2, 30—35

Исследовалось влияние степени этерификации ксантогената целлюлозы ( $\gamma_{CS_2}$ ) на кол-во щелочи, связанной со свободными гидроксильными группами ксантогената ( $\gamma_{NaOH}$ ), и вязкость вискозного р-ра.  $\gamma_{CS_2}$  и  $\gamma_{NaOH}$  определялись с помощью потенциометрич. титрования вискозного р-ра  $AgNO_3$ . Общая  $\eta$  определялась по падению шарика, структурная — по истечению в вискозиметре Оствальда. Установлено, что общая вязкость вискозного р-ра в зависимости от кол-ва  $CS_2$ , взятого при ксантогенировании, проходит через минимум, а суммарная  $\gamma_{CS_2} + NaOH$  и  $\gamma_{NaOH}$  — через максимум. Миним.  $\eta$  соответствует  $\gamma_{CS_2} \sim 50-60$ . Высказано предположение, что причиной повышения  $\gamma_{NaOH}$  при повышении  $\gamma_{CS_2}$  является увеличение расстояния между молекулами ксантогената с ростом  $\gamma_{CS_2}$ ; причиной понижения  $\gamma_{NaOH}$  при дальнейшем увеличении  $\gamma_{CS_2}$  ( $> 50-60$ ) является повышение содержания электролитов в вискозном р-ре. З. Зазулина

2725. Вискоза. II. Изменение кристаллических областей целлюлозы в зависимости от условий ксанто-

генирования. Курияма, Михара, Фуками (ビスコースに関する研究. 第2報. 種々の硬化条件による纖維素の結晶部分の變化について. 栗山捨三, 原啓介, 深見清), 工業化学雑誌, Korô gakagu zasshi, J. Chem. Soc. Japan Industr. Chem. Sec., 1954, 57, № 6, 455—457 (япон.)

Часть I см. РЖХим, 1955, 47766.

2726. Влияние поверхностноактивных веществ при получении вискозного раствора и формировании из них волокна (II). Элед, Гётце, Раух (Untersuchungen über die Wirkung grenzflächenaktiver Verbindungen bei der Herstellung und Verspinnung von Viskose (II). Elöd E., Götze K., Rauch H.), Reyon, Zellwolle und Chemiefasern, 1955, № 9, 626—628, 630—631 (нем.)

Изучено влияние семи групп поверхностноактивных в-в на мерсеризацию целлюлозы, растворение ксантогената, фильтруемость и прозрачность вискозы: 1) низкосульфированные масла, 2) Na-соли высокосульфированных жирных к-т, 3) то же с добавкой р-рителей, 4) алкилированные и оксигетилированные четвертичные аммониевые соли, 5) оксигетилированные жирные амины, 6) алкилированные и оксигетилированные соли аминов и сульфированных жирных к-т, 7) оксигетилированные жирные спирты. При добавке этих в-в к вискозе во всех случаях повышается ее прозрачность, так как исчезают гелеобразные частицы и волокна, придающие вискозе мутность. По эффективности действия отдельных в-в на прозрачность вискозы они могут быть расположены в ряд (по уменьшению прозрачности): 3—2—6—7—5—1—4 (при конц-ии 1—2  $г/л$ ). Внесение поверхностноактивных в-в в мерсеризационную щелочь приводит иногда к ухудшению, а иногда — к улучшению фильтруемости. В-ва типа 2—3—4—6 улучшают фильтруемость вискозы, а в-ва типа 1—5—7 ее ухудшают. При добавлении в процессе растворения ксантогената эти в-ва почти не влияют на фильтруемость. То же самое относится к добавке тех же в-в к готовой вискозе. Оптимальное кол-во добавляемого поверхностноактивного в-ва равно 0,25  $г/л$ . Увеличение этого кол-ва часто приводит к ухудшению фильтруемости. Часть I см. РЖХим, 1956, 45174. А. Пакшвер

2727. Исследование свойств вискозных растворов, полученных из ксантогената целлюлозы пониженной степени этерификации, и процесса формирования волокна из этих растворов. Роговин З. А., Шулятикова Н. В., Городецкая Л. А., Науч.-исслед. тр. Всес. н.-и. ин-та искусств. волокна, 1955, № 2, 35—43

Исследовались условия получения прядильных вискозных р-ров из ксантогенатов целлюлозы пониженной степени этерификации, полученных при расходе  $CS_2$  25% от веса  $\alpha$ -целлюлозы, и процесс формирования волокна из этих р-ров. Хорошо фильтрующиеся вискозные р-ры ксантогената целлюлозы с пониженной  $\gamma$  получают при снижении т-ры растворения от 0 до  $-4^\circ$ . Показана специфичность поведения этих р-ров в процессе созревания: в начальный период созревания происходит «омолаживание» вискозного р-ра, и зрелость р-ра не только не повышается, но даже несколько снижается. Приводится объяснение указанного факта. Разработан состав прядильной ванны для формирования волокна по обновленному способу из р-ров ксантогената целлюлозы пониженной  $\gamma$ . При формировании волокна в прядильной ванне, содержащей  $H_2SO_4$  90—105  $г/л$ ,  $Na_2SO_4$  260—270  $г/л$  и  $ZnSO_4$  35—45  $г/л$ , при  $45^\circ$  из р-ров ксантогената целлюлозы пониженной степени этерификации было получено волокно с нормальными механич. показателями. З. Зазулина

2728. Отбелка вискозного шелка перекисью водорода. Архангельский Д. Н., Лев Е. М., Калмыкова Л. В. Науч.-исслед. тр. Всес. н.-и. ин-та искусств. волокна, 1955, № 2, 76—83

Исследовалась возможность применения  $H_2O_2$  для отбелки вискозного шелка. Предложен технологич. режим отбелки вискозного шелка в куличках с одновременной обработкой шелка авиважем. Рекомендуется следующий режим проведения процесса отбелки: шелк, отмытый от к-ты, обрабатывают при  $60^\circ$  в течение 30—50 мин. р-ром авироля (0,5—1 г/л), в который введены  $H_2O_2$  (0,7—1 г/л) и стабилизатор  $Na_4P_2O_7 \cdot 10H_2O$  (0,005 г/л). Для создания необходимого рН среды (8—9) в ванну вводится  $NH_3$  (0,05 г/л), приготовленный на умягченной воде с содержанием  $Fe \sim 0,001$  г/л. Р-р является достаточно стабильным. Предложенный режим отбелки дает удовлетворительную степень белизны шелка и не ухудшает его сериметрич. показателей и оттеночности. Наличие в ванне  $Fe$  приводит к снижению степени полимеризации целлюлозы шелка на ~20% и к снижению стабильности р-ров  $H_2O_2$ .

З. Зазулина

2729. Крашение волокон в мотках. Диркс (Die Stranggarn-Färberei. Dierkes G.), Reyon, Zellwolle und and. Chemiefasern, 1955, №4, 225—229 (нем.)

Описание оборудования, в том числе некоторых новых машин фирмы «Gerber — Wansleben», для крашения волокон в мотках. Красильные барки для крашения вручную изготовлены из нержавеющей стали, приведено описание различных типов машин. Приведены фотографии машин.

В. Штутцер

2730. Получение водонепроницаемой вискозной пленки. Константинова О. И., Шаркова Н. И., Конькова З. С. Науч.-исслед. тр. Всес. н.-и. ин-та искусств. волокна, 1955, № 2, 90—92

Исследовался процесс лакировки целлофана синтетич. полимерами. Получен целлофан, обладающий высокой водостойкостью с незначительной потерей прочности в мокром состоянии. Рекомендуется применять для лакировки целлофана лаки, представляющие собой р-ры смол СВХ-60 или смеси смол СВХ-60 и СВХ-40 в органич. р-рителях.

З. Зазулина

2731. Изучение процесса регенерации сероуглерода активированным углем. Кипершлак З. Ф., Барочина Б. Я., Артамасова Н. П., Науч.-исслед. тр. Всес. н.-и. ин-та искусств. волокна, 1955, № 2, 93—98

В опытном масштабе освоен метод регенерации  $CS_2$  с центрифугальных прядильных машин сорбцией его активированным углем из паро-воздушных смесей с конц-ией  $CS_2 \geq 3$  г/м<sup>3</sup>. Применяемая паро-воздушная смесь наряду с  $CS_2$  содержит  $H_2S$ , мелкие брызги осадительной ванны и водяные пары в кол-ве, близком к насыщению, поэтому до сорбции паро-воздушная смесь подвергается очистке от паров  $H_2S$  слабым р-ром  $NaOH$  и, кроме того, путем контакта ее с водой при  $8-10^\circ$  происходит охлаждение смеси и снижение ее влагосодержания. Адсорбция производится на угле типа AP-3. Десорбция производится водяным паром с  $p = 1,1$  атм, при  $102-103^\circ$ . Перед десорбцией адсорбер продувают азотом. Приводится технология, схема регенерации  $CS_2$ . Разработанный метод дает возможность при центрифугальном прядении шелка регенерировать не менее 35%  $CS_2$  от заданного при кантогенерации. Регенерированный  $CS_2$  удовлетворяет требования ГОСТ №1541—42 и в дистилляции не нуждается.

З. Зазулина

2732. Определение серы в вискозном волокне. Хургина Р. А., Николаева С. С., Текстильная пром-сть, 1956, № 1, 31—32

Для определения свободной S в вискозном волокне использован объемный метод, широко применяемый в резиновой пром-сти и в с. х. при анализе почв, основанный на р-ции взаимодействия S с р-ром  $Na_2SO_3$ . Метод имеет ряд преимуществ по сравнению с ранее применяемым: может применяться для волокна, окрашенного сернистыми красителями; прост и дает возможность получить результаты анализа через час (вместо 24 час. при весовом анализе). Приводятся подробная методика определения.

З. Зазулина

2733. Новое полнакриловое волокно. Верел. — (New acrylic fiber available to mills for evaluation. — ), Text. Inds., 1956, 120, № 5, 136 (англ.)

Краткое описание физ.-мех. и хим. свойств нового модифицированного полнакрилового волокна Верел фирмы Tennessee Eastman Co. Приводятся составы смесок волокна Верел с хлопком, шерстью и вискозным волокном, а также изделий из этих смесок.

А. Пакишвер

2734. Полиэфирные, виниловые, акриловые и другие волокна. Сатта (Fibre poliesteri, viniliche, acriliche ed altre. Satta Vittorio), Laniera, 1955, 69, № 3, 215—217, 219, 221, 223, 225 (итал.)

Кратко описаны следующие виды синтетич. волокон: нейлон-66 (перлон-Т), нейлон-6 (перлон-Л, зикалон, грилон, лиллон), нейлон-11 (рильсан) и другие типы полиамидных волокон; полиэфирные волокна (дакрон, терилон, вулколан), полиэтилениновые, виниловые (Ресе, ровиль, термовиль, винион, мовиль, винилон, саран), полнакрилонитриловые (орлон, редон, долан), полиуретановые, полистирольные, политетрафторэтиленовые волокна и т. д., их состав, строение, свойства.

З. Бобырь

2735. Изучение механизма набухания капронового волокна в пластифицирующих веществах. Михайлов Н. В., Орлова А. В., Науч.-исслед. тр. Всес. н.-и. ин-та искусств. волокна, 1955, № 2, 126—128

Методом микроскопии изучалась кинетика набухания вытянутого и невытянутого волокна капрон, под действием пластификаторов (1—20%-ной  $H_2SO_4$ , гуанидина, мочевины, капролактама, ацетамида, тетрахлорэтана, бензола и воды), вызывающих набухание волокна. Разработан метод одновременного определения продольного и поперечного набухания волокна в одном поле зрения микроскопа. Выявлено различие в оптич. анизотропии вытянутого и невытянутого волокна. В то время как невытянутое волокно набухает в продольном направлении, не изменяя поперечных размеров, вытянутое волокно сокращается по длине и в некоторых пластификаторах увеличивает поперечные размеры. Показано, что набухание капронового волокна в большинстве случаев является анизотропным в продольном и поперечном направлениях, что может представлять существенный интерес при разработке методов получения названного волокна за счет изменения молекулярной структуры полиамида.

З. Зазулина

2736. Фотохимический распад полиамидных волокон. Швеммер (Über den photochemischen Abbau von Polyamidfasern. Sch w e m m e r Martin), Textil-Rundschau, 1956, 11, №1, 1—15 (нем.)

Механизм фотохим. распада полиамидных волокон изучался на примере моноволокон из нейлона 66,6 и 610, которые были подробно охарактеризованы методом хроматографии на бумаге, т-рой плавления, содержанием азота, определением вязкости, концевых  $NH_2$  и  $COOH$ -групп и т. д. Описана аппаратура для облучения волокон УФ-светом. Библ. 12 назв.

А. Волохина

2737. Физиологическое действие полиамидных волокон. Мехельс (Über physiologische Eigen-



schaften von Polyamidfasern. Mecheels Otto, Melland Textilber., 1955, 36, № 12, 1259—1266 (нем.)  
Поставлены опыты по разведению различных культур кожных и других бактерий на полиамидных тканях, чулках и волокнах. Показано, что полиамидные волокна и изделия из них не подвергаются действию бактерий и микроорганизмов, но из-за плохой передачи влаги под слоем ткани или другого изделия на поверхности кожи образуется зона повышенной влажности, способствующая развитию бактерий, вследствие чего могут появиться кожные болезни. Сама полиамидная ткань, а также выскраски по этой ткани не вызывают раздражения человеческой кожи. Полиамидные волокна легко растворяют жиры, в том числе и жиры кожного слоя, которые являются питательной средой для бактерий. При правильной проведенной стирке полиамидных волокон и изделий из них в горячей воде жиры удаляются и прекращается рост бактерий. Изделия из полиамидных волокон после стирки столь же хорошо сопротивляются действию и росту бактерий, как новые. Низкая влагопроницаемость полиамидных волокон и изделий является недостатком, но может быть в известной степени устранена созданием правильных переплетений или трикотажной вязки. См. РИХХим, 1956, 52817. А. Пакшвер

2738. Изучение структурных особенностей полнакрилонитрила в зависимости от способов его формирования. Михайлов Н. В., Горбачева В. О., Науч.-исслед. тр. Всес. н.-и. ин-та искусств. волокна, 1955, № 2, 99—102

Полнакрилонитрильное волокно (нитрон) и пленки, полученные различными способами, исследовались параллельно рентгенографич. и термографич. методами для выяснения структурных превращений и фазового состояния полимера в твердом виде. Сопоставление полученных результатов указывает на то, что равновесным состоянием полнакрилонитрила является аморфное.

З. Зазулина

2739. Изучение внутренней структуры и прядильных свойств вискозного штапельного волокна. Эйгес Е. Г., Науч.-исслед. тр. Центр. н.-и. ин-та хлопчатобум. пром-сти, М., Гизлегпром, 1955, 3—21  
С целью уточнения требований, предъявляемых к пром-сти искусств. волокна, была исследована зависимость прядильных и эксплуатационных свойств различных видов тонковолокнистого вискозного штапельного волокна от его внутренней структуры и релаксационных свойств. Определялись: ориентация макромолекул разных видов вискозного штапельного волокна до и после усадки (рентгенографически); интерференционная окраска волокна по макрослоям в зависимости от неоднородности ориентации макромолекул (в поляризованном свете); неоднородность окрашивания волокна на срезах в зависимости от неоднородности структуры; ИК-спектры поглощения для изучения межмолекулярных связей, гидратцеллюлозных волокон до и после обработки формальдегидными смолами; релаксационные свойства волокон различных видов по переходам технологич. процесса; изменение прочности и удлинения волокна в прядении, в суровой ткани, после отделки ее и в процессе эксплуатации. На основании большого эксперим. материала выдвинут ряд требований к вискозному штапельному волокну различных номеров. Библи. 12 назв.

З. Зазулина

2740 К. "Синтетические волокна. Хаузен (Synthetische Fasern. Hausen Josef. Murnau — München — Innsbruck — Olten, Lux, 1955, 73 S., ill., 1 DM) (нем.)

2741 Д. Щелочная обработка и промывка синтетических волокон. Диренфурт (Alkali- und Waschbehandlungen an synthetischen Fasern. Dyrenfurth Eberhart. Diss. techn. Wiss. ETH, Zürich, 1955, 40 S. ill.), Schweiz. Buch., 1955, B55, №6, 275 (нем.)

2742 П. Способы получения продуктов взаимодействия ε-капролактама и азотсодержащих соединений. Крона, Падбери (Reaction products of epsilon-caprolactam and a nitrogenous compound and methods of preparing the same. Kropa Edward L., Padbury John J.) [American Cyanamid Co.]. Канад. пат. 511995, 19.04.55

Способ получения линейного полимера с мол. в. 2000 и характеристической вязкостью  $\leq 0,35$  взаимодействием ε-капролактама (I) с в-вом (II) общей ф-лы  $\text{HNR}_2$ , где R—H, алкил- или монооксалкил, при  $t\text{-ре} \geq 110^\circ$  (напр., при  $t\text{-ре} 125\text{—}250^\circ$ ) и не выше  $t\text{-ры}$  разложения продуктов р-ции, при соотношении I к II от 1 : 1 до 1 : 20 молей. Образуется линейный полимер общей ф-лы:  $\text{NH}_2(\text{CH}_2)_5\text{CO}[\text{NH}(\text{CH}_2)_5\text{CO}]_n\text{NH}(\text{CH}_2)_5\text{CON}(\text{R})_2$ , где n изменяется от 0 до 16. А. Волохина

2743 П. Получение нитей из сополимеров, окрашиваемых кислотными красителями. Крейг (Perfectionnements relatifs aux compositions formant des fibres présentant une affinité tinctoriale. Craig A. B.) [Monsanto Chemical Co.]. Франц. пат. 1038566, 30.09.53 [Chem. Zbl., 1955, 126, № 21, 4971 (нем.)]

Для формования волокна применяется смесь полимеров, состоящая из 60—98% сополимера, содержащего  $\geq 75\%$  акрилонитрила и из 2—40% сополимера, содержащего 30—70% акрилонитрила и 70—30% соединения ряда винилпиридина. Полученная смесь обрабатывается эфиром O-содержащей к-ты, производной  $\text{H}_2\text{SO}_4$ ,  $\text{H}_2\text{SO}_3$ , толуолсульфоновой или бензолсульфоновой к-ты. Так, напр., готовят смесь 637,5 г N,N-диметилацетамида, 7,9 г метилового эфира толуолсульфоновой к-ты 103,5 г тонкоразмолотого сополимера из 95% акрилонитрила и 5% винилацетата и 9 г тонкоразмолотого сополимера 50% акрилонитрила и 50% винилпиридина. Смесь нагревается 1 час. при  $80^\circ$  и затем 12 час. при  $65^\circ$ . Полученный прядильный р-р выпадает в ванну, состоящую из 60 ч. N,N-диметилацетамида и 40 ч. воды. При этом нить вытягивается на 600%. После промывки и сушки нить хорошо окрашивается в красильной ванне, содержащей на 1 мл 2%-ного водн. р-ра красителя Шарлак для шерсти G supra 5 мл 30%-ной  $\text{H}_2\text{SO}_4$  и 40 мл воды (из расчета на 1 г волокна). Краситель выбирается волоком полностью.

А. Пакшвер

2744 П. Способ прядения волокон из растворов полимеров или сополимеров акрилонитрила (Process of spinning filaments from solutions of polyacrylonitrile or copolymers of acrylonitrile) [Vereinigte Glanzstofffabriken A.-G.]. Англ. пат. 719760, 8.12.54

Прядение волокон из полимеров или сополимеров акрилонитрила включает приготовление прядильных р-ров, для чего полимер, имеющий величину частиц 10—100 мк, добавляют при перемешивании в р-ритель, напр. диметилформамид, бутиролактон или формилпирролидон, при  $t\text{-ре} 0\text{—}20^\circ$  и пониженном давлении, недостаточном, однако, для кипения, напр., при 20 мм рт. ст. Перемешивание при указанной  $t\text{-ре}$  и давлении продолжается  $\leq 2$  час. до образования гомог. дисперсии, которую затем нагреванием до  $t\text{-ры} \leq 100^\circ$ , переводит в р-р, который немедленно поступает на непрерывное прядение.

А. Волохина

2745 П. Получение вискозного шелка с высокой степенью полимеризации. Татикава (Manufac-

ture of viscose and of regenerated cellulose fibres therefrom. Tachikawa S.). Англ. пат. 730226, 18.05.55

Древесную целлюлозу со степенью полимеризации 780 мерсеризуют 2 часа при 20° в 17,5%-ной щелочи, отжимают до 2,75-кратного веса и без предсозревания намельчают и затем ксантогенируют при 15°. При этой т-ре дают  $CS_2$  в кол-ве 50% от веса целлюлозы. В течение 2,5 час. т-ра поднимается до 20° и затем ксантогенирование продолжается еще 1 час. при 25°. Ксантогенат целлюлозы растворяют в воде и получают вискозу с содержанием 6% целлюлозы и 2,82% NaOH. Вязкость равна 520 сек. по шару. Вискоза без созревания выпрадается в ванну, содержащую 10,3 г/л  $H_2SO_4$  при 25°, при этом нить подвергается вытяжке на 4-ступенчатом диске с соотношением диаметров отдельных дисков 1:2:2,5:3. Вискоза должна содержать  $\geq 1,5\%$  целлюлозы и  $\leq 2,5$  моля NaOH на 1 глюкозный остаток. Осадительная ванна должна содержать  $< 30$  г/л  $H_2SO_4$  и 50 г/л глауберовой соли.

А. Пакшвер

**2746 П.** Способ крашения искусственных волокон в массе при помощи пигментов (Procédé pour la fabrication de fils de rayonne teints en filature au moyen de colorants à pigments.) [Joh. A. Benckiser G. m. b. H. Chemische Fabrik]. Франц. пат. 1087674, 28.02.55 [Bull. Inst. text. France, 1955, № 55, 174—175 (франц.)]

Для равномерного крашения искусств. волокна в массе, в цел. придильный р-р добавляют в-ва, образующие растворимые неорганич. комплексы, как напр., конденсированные фосфаты (метафосфаты, полифосфаты, безводн. фосфаты), соли аминофосфорных к-т или эфиры фосфорной к-ты, либо органич. соли, (растворимые соли лимонной, винной, нитрилуксусной и этилендиаминтетрауксусной к-т.). В-ва добавляются в кол-ве  $\leq 0,1\%$  на одной из стадий прядения.

С. Савина

**2747 П.** Процесс прядения вискозного волокна (Process of spinning viscose) [North American Rayon Corp.]. Англ. пат. 736588, 14.09.55

Прядение вискозного волокна производится в двух ваннах. Первая ванна содержит  $Na_2SO_4$ ,  $ZnSO_4$  и  $H_2SO_4$  в кол-ве, недостаточном для полного разложения ксантогената. Затем нить подвергается вытяжке и проходит при 60° через вторую ванну, содержащую меньше к-ты и солей, чем первая ванна. Во избежание образования  $ZnS$  к ванне добавляется персульфат Na, K или  $NH_4$ , а также анионоактивные в-ва, напр. мыло, сульфированные спирты, алкиламещ. сульфированные фенолы, содержащие в алкиле  $\geq 8$  атомов C, алкиларилсульфонаты.

А. Пакшвер

**2748 П.** Способ получения нерастворимых протеиновых волокон (Insolubilisation de textiles et analogues artificiels en protéines.) [Imperial Chemical Industries Ltd]. Франц. пат. 1088827, 10.03.55 [Bull. Inst. text. France, 1955, № 55, 154 (франц.)]

Протеиновые волокна (из казеина или арахиса) после коагуляции обрабатывают кислым р-ром  $CH_2O$ , вытягивают на 200%, сушат при 100°, а затем нагревают при 130° до тех пор, пока волокна становятся нерастворимыми. Обработка  $CH_2O$  может производиться в насыщ. р-ре NaCl или  $Na_2SO_4$  при pH 4,5. Перед обработкой волокна могут быть окрашены в водн. р-ре красителя при 40°. Крепость таких волокон при т-ре 21° и относительной влажности 65% 18—22 кг/мм<sup>2</sup> а в мокром состоянии 10—12 кг/мм<sup>2</sup>.

С. Савина

**2749 П.** Способ получения креповой пряжи из волокон, состоящих по крайней мере частично из полиамидов (Procédé pour l'obtention de fils crêpes constitués au moins en partie de superpolyamides et fil crêpe obtenu par ce procédé) [Soc. Rhodi-

acéta]. Швейц. пат. 297810, 16.06.54 [Chem. Zbl., 1955, 126, № 11, 2568 (нем.)]

Способ получения креповой пряжи из полиамидных волокон для тканей полотняного переплетения, включающий скручивание нитей, напр. до 2200 витков/м, раскручивание их и окончательную крутку до 2000 витков/м.

А. Волохина

См. также: Исходное сырье 1132, 2471, 2519, 2520, 2525, 2623, 2676. Формование волокна 2518. Сп-ва волокон 1133, 1173

## ЖИРЫ И МАСЛА. ВОСКИ.

## МЫЛА. МОЮЩИЕ СРЕДСТВА. ФЛОТОРЕАГЕНТЫ

Редактор А. А. Зинотев

**2750.** Применение масла, полученного из *Viroba surinamensis*. Мартиненги, Мартиненги, Симойнш-Лейти (Sull' utilizzazione del grasso di ucuuba. Martinenghi G. B., Martinenghi G. B., Simões Leite E.), Olearia, 1953, 7, № 11/12, 290—299 (итал.)

Исследовано продажное бразильское масло из *Viroba surinamensis*. Рафинация масел, особенно с повышенной кислотностью, не дала удовлетворительных результатов, поскольку не удалось устранить окраску и получить масло, пригодное для питания. Жирные к-ты после перегонки (760 мм рт. ст.) водяным паром при 185—250° получены в виде белого продукта, а при 250—260° в виде массы бледно-желтого цвета. Перегонка при 165—225°/40 мм дала почти те же результаты. В смеси жирных к-т содержится значительное кол-во миристиновой к-ты. Найдено, что получение масла экстракцией, с применением легкого бензина на выгоднее получения масла методом прессования. Указано на необходимость тщательного удаления скорлупы.

А. Марин

**2751.** Усовершенствованный лабораторный метод определения содержания остаточного линтера на хлопковых семенах. Ходжес, Нипл, Гуэстафсон (An improved laboratory method for residual linters on cottonseed. Hodges Lawrence H., Knipple Ralph E., Gustafson Millard B.), J. Amer. Oil Chemists' Soc., 1955, 32, № 8, 442—444 (англ.)

Для определения берется хорошо перемешанная проба, свободная от примесей. Навеска  $50 \pm 0,1$  г равномерно распределяется в чашке из жаростойкого стекла диам. 152,4 мм и глубиной 25,4 мм и сушится в незакрытом виде 15 мин. при  $118 \pm 3^\circ$  в печи с двойными стенками, между которыми находится изоляция толщиной 25,4 мм из асбеста или стеклянной ваты. Печь обогревается ИК-лампами (125 Вт и 110—115 в), расположенными снизу и сверху металла. рамки печи на расстоянии соответственно 152,4 и 177,8 мм. Сверху печи, в центре, имеется трубка (38,1 мм) для отвода дыма и снизу 6 отверстий диам. 9,5 мм для прохода воздуха. Чашка в печи располагается так, чтобы лучи падали непосредственно на образец. Для семян с влажностью  $> 15\%$  время сушки увеличивается еще на 15 мин. Перед окончанием сушки на внутреннюю сторону крышки из пористой глины, снаружи окрашенной в светло-коричневый цвет, наливают 2 мл разб. HCl (для делинтерования семян 1 мл), которая при этом абсорбируется. После сушки чашку закрывают крышкой и продолжают нагревать 20 мин. при  $118 \pm 3^\circ$ , используя только верхнюю лампу. Семена охлаждают до  $\sim 20^\circ$  без сушки и взвешивают. Пух отделяют при помощи щеточной машины и определяют его влажность. Взвешивают семена без пуха. Расчет произво-

дится по ф-ле (на влажность 8%): опухенность в %  $= \frac{2}{100} (A - B) \cdot (100 - C) / 92$ , где: А — вес обработанных семян с пухом, В — вес семян без пуха, С — влажность пуха.

В. Белобородов  
2752. О переработке прессовым способом важнейших масличных семян, культивируемых в Европе. Часть II. Рентенбергер (Über die Verarbeitung der wichtigsten in Europa kultivierten Ölsaaten im Preßverfahren. Teil II. Rentenberger Alois), Seiten-Öle-Fette-Wachse, 1954, 80, № 2, 27—28; № 3, 51—52; № 4, 75—77 (нем.)

Описаны машины для подготовительных операций, жаровня с паровым обогревом, гидравлич. пресс, гидравлич. система, насосы, клапаны, машины для измельчения жмыхов. Приведены данные, относящиеся к хранению жмыхов и их кормовой ценности. Часть I см. РЖХим, 1954, 24641, 26373. В. Белобородов  
2753. Форпрессование — экстракция хлопковых семян, технологический режим и характеристика готовых продуктов. Понс, Тербер, Хофнойр (Prepress-solvent extraction of cottonseed, processing conditions and characteristics of products. Pons Walter A., Thurber F. H., Hoffnauir Carroll L.), J. Amer. Oil Chemists' Soc., 1955, 32, № 2, 98—103 (англ.)

Исследованы образцы 11 маслоэкстракционных з-дов. Образцы отбирались через каждые 8 час. нормальной работы з-да. По каждому з-ду определялись все технологич. показатели работы оборудования и качества. показатели для полупродуктов и продуктов на отдельных стадиях производственного цикла. Средний по всем з-дам общий выход масла составил 98% (колебания от 96,1 до 99,2%), в том числе выход форпрессового масла 70,6% (62,1—78,6%) и экстракционного 27,4% (19,2—35,1%). Масличность форпрессового жмыха колебалась от 8,8 до 12,4% (средняя 10,6%), а масличность шрота от 0,27 до 1,62% (средняя 0,74%). Степень связывания госсипола (I) в разных фазах произ-ва различна. В процессе измельчения связывание I незначительно, притом тем больше, чем выше влажность мятки. Главным фактором связывания I является режим жарения. Более длительное жарение (45—60 мин.) и при более высоких т-рах (107—110°) вызывает большее связывание свободного I. Снижение свободного I в процессе форпрессования и экстракции объясняется главным образом его переходом в форпрессовое и экстракционное масло. В процессе жарения происходит также основное снижение растворимости белков; при форпрессовании и экстракции снижение растворимости белков небольшое, причем при форпрессовании в данной технологич. схеме оно меньше, чем при схеме переработки хлопковых семян на шнековых прессах. Форпрессовое масло дает меньше потерь при рафинации и лучшую цветность при отбелке по сравнению с экстракционным маслом. При хранении сырых масел в течение 30 дней при 38° реверсия цветности больше у экстракционного масла. Содержание свободного I в шроте колебалось от 0,024 до 0,040% (по 5 з-дам) и от 0,040 до 0,063% (по 6 з-дам). Общее содержание I колебалось от 0,66 до 1,28%. Растворимость белков шрота в 0,5 M NaCl колебалась от 26,5 до 47,8% (средняя 38,0%), а растворимость в 0,02 N NaOH колебалась от 65,4 до 83,4% (средняя 72,2%).

Г. Фрид  
2754. Переработка подсолнечных семян и бобов сои по схеме однократное прессование — непрерывная экстракция. Минасян М. А., Плюшкин Е. З., Маслосб. жир. пром-сть, 1954, № 5, 29—31

Описана работа по схеме однократное прессование — экстракция на Усть-Лабинском маслозаводе. Результаты переработки подсолнечных семян и бобов сои оказались столь же успешными, как и при переработке

семян хлопчатника. При одном непрерывно действующем экстракторе, диам. 1000 мм, производительность при переработке семян подсолнечника составила 192—200 т в сутки, при масличности выпускаемого шрота <1, пониженном расходе энергии, топлива и бензина. Выявлено существенное значение для проницаемости р-рителя в экстрагируемый материал степени денатурации белковых в-в. Процесс проводится следующим образом. Ядро с лузжистостью 1,7—3,9% измельчают на двухпарных вальцевых станках, полученный грубый помол подвергают жарению, увлажнение мятки ведут в верхних чанах до 8,5—9%, межу с влажностью 4,5—5,5% и т-рой 100—105° подвергают прессованию на форпрессах при 12 об/мин. Выход прессового масла 83,8%. Ракушку перед экстракцией измельчают на дисковой дробилке, а затем на плющильных вальцах, полученный лепесток поступает на экстракцию с влажностью 5,5—7% и с масличностью 13—14%, время одного оборота загрузочной воронки 113—127 сек., кол-во прокачиваемого бензина 6—7 м³/час, конц-ия отходящей мисцеллы 10—11%, кол-во отстоя в ней небольшое, расход бензина на 1 т семян — 7,1 кг. При переработке соевых бобов производительность одного экстрактора 90—100 т в сутки, общие потери масла 0,4—0,5%, масличность шрота 0,46—0,56%, ракушки 9,06—9,75%. Описанная схема дает лучшие показатели, чем схема двукратное прессование — экстракция. А. Ясный

2755. Экстракция растительных масел спиртом. I. Растворимости хлопкового, арахидного, кукурузного и соевого масел в водном спирте. Рао, Кришна, Захир, Арнолд (Alcoholic extraction of vegetable oils. I. Solubilities of cottonseed, peanut, sesame, and soybean oils in aqueous ethanol. Rao Rama Kanth, Krishna M. G., Zaheer S. H., Arnold L. K.), J. Amer. Oil Chemists' Soc., 1955, 32, № 7, 420—423 (англ.)

Установлено, что растворимость хлопкового, арахидного, кукурузного и соевого масел в водн. спирте (конц-ия спирта 90%) возрастает с повышением т-ры до критической т-ры, когда растворимость становится бесконечной. Критическая т-ра повышается с уменьшением конц-ии спирта, причем зависимость во всех случаях линейная. Определение растворимости проводилось прямым методом путем перемешивания смеси масла со спиртом 30 мин. при постоянной т-ре в закрытом стальном сосуде, снабженном стальной мешалкой, электрообогревом и манометром. Полученные данные хорошо согласуются с данными японских химиков (Okamoto, Sajiro, Contemporary Manchuria, 1937, 1(3), 83—101; Sato M., Kitagawa K., Inaba T., J. Chem. Soc. of Japan (Suppl. Binding), 1934, 37, 718—721 В).

С. Поддубная  
2756. Давление водяных паров над соевым шротом и его фракциями. Белтер, Ланкастер, Смит (Aqueous vapor pressure of soybean meal and its fractions. Belter P. A., Lancaster C. R., Smith A. K.), J. Amer. Oil Chemists' Soc., 1954, 31, № 9, 388—392 (англ.)

Определено давление водяного пара над: а) неденатурированным соевым шротом, б) денатурированным соевым шротом, в) воднорастворимой фракцией (рН 7,4), г) фракцией, растворимой при рН 4,6. Измерения производились при помощи специально сконструированного прибора. Изотермы «влажность шрота в % — давление паров в мм рт. ст.» изогнуты аналогично типичным кривым адсорбции и имеют точку перегиба, отражающую окончание монослойной и начало многослойной адсорбции или капиллярной конденсации. Все изотермы при влажности ~60% приближаются к давлению паров чистой воды. Зависимость «давление паров в мм рт. ст. — т-ра в °С» представлена



в виде прямых с наклоном, численно равным отношению теплоты десорбции к скрытой теплоте испарения воды при той же т-ре. Гигроскопичность объектов увеличивается от а) к г).

В. Белобородов  
2757. Попытки сульфирования некоторых растительных масел. Дима, Браниште, Хуйдович (Incercări de sulfonare a citorva uleiuri vegetale. Dima M., Braniste C., Huidovici M.), Studii și cercetări, științ. Acad. RPR. Fie Jași, 1954, 5, № 1-2, 159—172 (рум.; рез. русс., франц.)

В целях технич. применения изучено сульфирование масел из виноградных косточек и репейника *Xanthim Echinatum* (Italicum), Указано, что кроме этерификации ОН-групп глицеридов и присоединения  $H_2SO_4$  к двойным связям ненасыщ. жирных к-т, входящих в состав этих масел, могут протекать и другие р-ции (в зависимости от кол-ва введенной в р-цию  $H_2SO_4$ , т-ры р-ции и ее продолжительности). Сульфирование производили, прибавляя постепенно  $H_2SO_4$  ( $d=1,84$ ). Полученный продукт промывали насыщ. р-ром NaCl и после удаления воды нейтрализовали 40%-ным р-ром NaOH. Качество сульфированных масел зависит от кол-ва присоединенной  $H_2SO_4$ . Оптим. условия для сульфирования масла виноградных косточек  $H_2SO_4$  25—35% (от веса масла), продолжительность р-ции 12 час., т-ра р-ции 20—30°, масла репейника  $H_2SO_4$  35—40%, 6—12 час., 30°. Сульфированные масла имеют некоторые свойства, близкие к свойствам продуктов, получаемых из касторового масла. Они хорошо растворимы в воде, легко эмульгируют в воде растительные, животные и минер. масла, устойчивы к солям щел.-зем. металлов.

А. Марин  
2758. Характеристика отдельных фракций растительных жиров, подвергнутых молекулярной дистилляции. Сообщение 2. Козин Н. И., Златопольская Ю. Д., Сб. науч. работ Моск. ин-та нар. х-ва, 1956, №8, 32—46

Для изучения состава пищевые растительные масла (льняное, конопляное, подсолнечное, хлопковое, соевое, кукурузное, персиковое, арахидное и горчицное) подвергали молекулярной дистилляции при 120—280° и остаточном давл.  $10^{-3}$  мм рт. ст. В исходных маслах, недистиллируемых остатках и фракциях, собранных в интервале 20°, определяли кислотное и йодное числа, содержание неомыляемых в-в, число омыления, коэфф. рефракции; вычисляли содержание свободных жирных к-т, триглицеридов, их мол. вес и средний мол. вес жирных к-т триглицеридов (данные приведены в виде таблиц). Показано, что при 160—190° дистиллируются триглицериды, образованные низкомолекулярными жирными к-тами. Триглицериды олеиновой, линолевой, линоленовой и других высокомолекулярных жирных к-т дистиллируются в интервале 220—280°. Свободные жирные к-ты и неомыляемые в-ва дистиллируются при 120—200°, красящие в-ва при 150—220°. С помощью молекулярной дистилляции можно разделить жиры на твердые и жидкие фракции и при 200—220° удалить свободные жирные к-ты, ароматич. и, иногда, красящие в-ва. Сообщение 1 см. РЖХим, 1955, 8622.

О. Сладкова  
2759. Получение этиловых эфиров кислот из жира печени трески. Палестину, Гитьян (Obtención de morruato de etilo a partir de aceite de hígado de bacalao. Palestino Renato, Guitián Ram ón), Ion, 1955, 15, № 170, 478—479 (исп.; рез. англ.)

Описано получение смеси этиловых эфиров жирных к-т, входящих в состав печени свежей трески (*Godus morrhua* L. или *Morrhua vulgaris cloguet*) и других тресковых рыб. Смесь этих к-т применяют в виде Na-соли для инъекций. Смесь сложных эфиров этих

к-т также применяют в медицине, она более устойчива, чем смесь Na-солей и легче усваивается организмом. Для отделения триглицеридов насыщ. к-т, не имеющих терапевтич. применения, жир, выделенный из печени, охлаждают до т-ры  $<0^\circ$  и твердую часть отделяют центрифугированием. Оставшийся жир омыляют NaOH и мыло высаливают NaCl. Мыло разлагают небольшим избытком  $H_2SO_4$  промывают и сушат свободные к-ты, которые затем этерифицируют абс.  $C_2H_5OH$ , пропускают HCl-газ. Этот процесс аналогичен процессу получения этиловых эфиров хаульмугговой к-ты, описанному ранее (см. РЖХим, 1956, 62929). Другой способ получения сложных эфиров состоит в алколизе жира (в присутствии  $H_2SO_4$ . На 5 л жира берут 6 л р-ра, состоящего из 0,45 л  $H_2SO_4$ , уд. веса 1,84 и 4,55 л 96% спирта). Смесь кипятят 10 час. с обратным холодильником на водяной бане и оставляют на 12 час. Повторно промывают водой, до нейтр. р-ции промывных вод по лакмусу и сушат масло  $CaCl_2$ , после чего его перегоняют в вакууме. Дистиллат промывают 1%-ным р-ром  $Na_2CO_3$ , затем кипящей водой, сушат  $CaCl_2$  и фильтруют. Смесь сложных эфиров — прозрачная светло-желтая жидкость с запахом рыбы,  $d_{25}^{25}$  0,880;  $[a]_D^{25}$   $0^\circ$ ,  $n_D^{20}$  1,457, йодное число 144,4 (по Ганусу), коэфф. омыления 185—186.

И. Гонсалес-Фернандес

2760. Желтый и белый цвет жира крупного рогатого скота. Зикман (Gelbe und weiße Farbe von Rinderfetten. Siekmann), Fleischwirtschaft, 1956, 8, № 3, 126 (нем.; рез. англ., франц., исп.)

Отмечается, что цвет говяжьего жира зависит не только от кормов, но и от породы животных.

А. Емельянов

2761. Карбонильные соединения в прогорклом кукурузном масле. Бассе, Маккинни (Carbonyl compounds in rancid corn oil. Buss C. D., Mackinney Gordon), J. Amer. Oil. Chemists' Soc., 1955, 32, № 9, 487—489 (англ.)

Из прогорклого кукурузного масла (10 дней, 78—85°, ток воздуха 40—60 пузырьков в 1 мин.) перегонкой паром выделяют карбонильные соединения, которые улавливают насыщ. р-ром 2,4-динитрофенилгидразина в 2 н. HCl-к-те. Промытые и высушенные динитрофенилгидразоны (ДНФГ) растворяют в бэл. и полученный р-р обрабатывают петр. эфиром (т. кип.  $<42^\circ$ ), в результате чего ДНФГ разделяются на не растворимую в петр. эфире часть (40%) и растворимую в нем часть. Хроматографированием на  $MgSO_4$  выделяют 14 различных в-в из растворимой и 16 в-в из нерастворимой частей. Спектральная характеристика их и типы соединений, к которым они относятся, даны в спец. таблице. В числе выделенных в-в идентифицированы ДНФГ *n*-ундеканала (т. пл. 87°) и *n*-ундеканала (т. пл. 97—97,5°).

С. Кустова

2762. Летучие вещества, образующиеся при разложении окисленных метиловых эфиров высоконасыщенных кислот. Толяма, Судзуки (Volatile substances formed by decomposition of the peroxydes of methyl esters of highly unsaturated acids. Toyama Yoshiyuki, Suzuki Katsuhito), Mem. Fac. Engng Nagoya Univ., 1954, 6, № 2, 180—184 (англ.)

Два образца высоконасыщ. метиловых эфиров, полученных фракционированием масла сардин, окислялись молекулярным кислородом при 0—25°. Образовавшиеся оксифиры с высокими перекисными числами разлагались в токе азота при 90—100°. В летучих продуктах обнаружены: летучие к-ты (муравьиная, уксусная, пропионовая); ненасыщ. альдегиды (кротоновый, 2-пентеналь и 2-гексеналь); насыщ. альдегиды (*n*-гексеналь, *n*-бутаналь и некоторые низшие соединения этого ряда).

В. Мазюкевич

**2763.** Действие некоторых витаминов и антиоксидантов на самоокисление метиллинoleата, подвергнутого облучению. Полистер, Мид (Effect of certain vitamins and antioxidants on irradiation induced autoxidation of methyl linoleate. Polister Barbara Hinderr, Mead James F.), J. Agric. and Food Chem., 1954, 2, № 4, 199—202 (англ.)

Изучено действие антиоксидантов и витаминов на самоокисление метиллинoleата, подвергнутого действию рентгеновских лучей (1000 рентген). Облучали эмульсию типа «жир в воде», содержащую метиллинoleат, воду и эмульгатор твин-80, который не изменяется при облучении. Средний размер частиц в эмульсии 5 $\mu$ . Определяли конц-ии сопряженных диенов и перекисей до и после облучения в эмульсиях, содержащих различные добавки. Найдено, что витамин А, глутатион и цистеин при облучении сами сильно разлагаются. Кальциферол не разлагается, но антиокислительная активность его уменьшается.  $\alpha$ - $\gamma$ -токоферол и продажные антиоксиданты инол — эффективны уже при таких низких конц-иях, что степень их разрушения определить не удается. Каталаза не обладает антиокислительным свойством. И. Вольфензон

**2764.** О синергическом действии  $\alpha$ -аланина на задержку самоокисления жиров в присутствии фенольных антиоксидантов. Хейман, Мац, Грюневальд, Холланд (Über die synergistische Wirkung von  $\alpha$ -Alanin bei der Hemmung der Fettautoxydation durch phenolische Antioxydantien. Heimann W., Matz M., Grünewald B., Holland H.), Z. Lebensmittel-Untersuch. und-Forschung., 1955, 102, № 1, 1—6 (нем.)

Изучалось влияние  $\alpha$ - и  $\beta$ -аланина на скорость самоокисления этилового эфира линолевой к-ты и К-соли линолевой к-ты в присутствии фенольных антиоксидантов (А). Установлено, что синергическое действие на задержку самоокисления жиров в присутствии А оказывает лишь  $\alpha$ -аланин. Это действие основано на восстановлении продуктов окисления А, о чем свидетельствует получение  $\text{NH}_3$  и пировиноградной к-ты. Описана методика опытов, приведены кривые зависимости кол-ва поглощенного  $\text{O}_2$  и времени самоокисления этилового эфира и К-соли линолевой к-ты без А, с кверцетином, л-бензохиноном и их смесями с  $\alpha$ -аланином. С. Кустова

**2765.** Новые опыты с противоокислителями. Курли (Recenti esperienze con gli antiossidanti. Curli Giorgio), Olearia, 1954, 8, № 5-6, 101—104 (итал.; рез. франц., англ., нем.)

Описаны результаты опытов по изучению действия противоокислителей (этилгаллата, пропилгаллата и др.) на оливковое, арахисовое и льняное масла. Продолжительность опыта 15 дней, увеличение веса образцов определялось каждые два дня. Период, в течение которого масла устойчивы к окислению, в результате обработки противоокислителями, увеличивается вдвое. Все противоокислители задерживают увеличение кислотности. Н. Славина

**2766.** Антиоксиданты и ферменты. Действие  $\alpha$ -токоферола, пропилгаллата и нордигидроугаретовой кислоты на реакции ферментов. Таппел, Марр (Antioxidants and enzymes. Effect of alpha-tocopherol, propyl gallate, and nordihydroguaric acid on enzymatic reactions. Tappel A. L., Marr A. G.), J. Agric. and Food Chem., 1954, 2, № 11, 554—558 (англ.)

Изучено действие антиоксидантов ( $\alpha$ -токоферола, нордигидроугаретовой к-ты и пропилгаллата) на каталитич. р-ции ферментов (14 систем). Найдено, что на большинство изучавшихся ферментов антиоксиданты не оказывают влияния.  $\alpha$ -Токоферол при конц-ии 3.10 $\cdot$ 10 $^{-6}$  М

задерживает окисление спиртовой дегидрогеназы в присутствии ионов металлов. Перечисленные антиоксиданты при конц-ии 2.10 $\cdot$ 10 $^{-4}$  М задерживают окисление пероксидазы, каталазы и спиртовой дегидрогеназы, при конц-ии 2.10 $\cdot$ 10 $^{-3}$  М — аскорбиновой к-ты оксидазы, d-аминокислоты оксидазы, уреазы. И. Вольфензон

**2767.** Определение бутилоксанизола и пропилгаллата в пищевых антиоксидантах. Уэтсел, Робертсон, Джонсон (Determination of butylated hydroxy anisole and propyl gallate in food antioxidants. Whetsel Kermit B., Robertson William E., Johnson F. C.), J. Amer. Oil Chemists' Soc., 1955, 32, № 9, 493—496 (англ.)

Найдено, что УФ-поглощение препаратов с антиоксидантами может быть использовано для определения бутилоксанизола (I) и пропилгаллата (II) в пищевых антиоксидантах как каждого отдельно, так и в смеси. Для определения применяют спектрофотометр Бекмана (Модель DU), снабженный дополнительным комплектом и фотоумножителем. Подробно описан метод определения конц-ии I и II, приведены расчетные ф-лы. Найдено, что лимонная к-та и пропиленгликоль при тех конц-иях, которые применяют для определения I и II, не влияют на поглощение р-ров антиоксидантов в изопропиловом спирте. Нордигидроугаретовая к-та (III) мешает определению I, так как поглощение при 291 м $\mu$  в 2—3 раза больше поглощения I. Если конц-ия III известна из других источников, общая конц-ия III и I может быть определена при 287,5 м $\mu$ . И. Вольфензон

**2768.** Регистрирующий аппарат для измерения поглощения кислорода. Ланкастер, Битнер, Бил (Recording apparatus for measuring oxygen absorption. Lancaster E. B., Bitner E. D., Beal R. E.), J. Amer. Oil Chemists' Soc., 1956, 33, № 1, 36—38 (англ.)

Описана несложная электр. схема, позволяющая преобразовывать изменения уровня регистрирующего манометра, происходящие при поглощении  $\text{O}_2$  липидным материалом в ЭДС достаточной величины, чтобы ее можно было измерить с помощью потенциометра постоянного тока. Измеряют поглощение 1 г масла, помещенного в замкнутое и заполненное  $\text{O}_2$  пространство, соединенное с регистрирующим манометром. При изменении уровня ртути в манометре меняется напряжение на клеммах элемента, благодаря изменению сопротивления цепи; изменение напряжения регистрируется потенциометром. Другая электр. схема для измерения поглощения  $\text{O}_2$  основана на изменении самоиндукции соленоида в зависимости от выдвижения или выдвижения внутрь соленоида железной проволоки, служащей сердечником; в свою очередь, проволока плавают на поверхности ртути регистрирующего манометра. Переменный ток индукционной цепи выпрямляется германиевыми диодами и полученное напряжение постоянного тока регистрируется потенциометром. Изменения показаний потенциометра регистрируются на движущейся ленте самопишущего прибора. Описанное приспособление применяется для контроля качества пищевых жиров и масел. А. Вережанин

**2769.** О непрерывных процессах рафинации и гидрогенизации жиров. — (За непрерывными процессами рафинации и гидрогенизации на маслах. —), Лека промишленост, 1955, № 5, 20—22 (болг.) Перевод см. РЖХим, 1956, 17827.

**2770.** Фракционирование и стабилизация циклогексильных эфиров жирных кислот посредством тиомочевны. Шленк, Тиллотсон, Лами (Fractionation and stabilization of fatty acid cyclohexyl esters by means of thiourea. Schlenk H.,

Tillotson J. A., Lamp B. G.), J. Amer. Chem. Soc., 1955, 77, № 20, 5437 (англ.)

Фракционирование циклогексильных эфиров к-т кукурузного и хлопкового масел по степени ненасыщенности проводили путем осаждения в виде продуктов присоединения с тиомочевинной и мочевиной. Эфиры получали методом переэтерификации в присутствии цел. катализатора. Продукты присоединения с тиомочевинной устойчивы. И. Богданов

2771. Труды Германского Общества по исследованию жиров. Сообщение 31. О переработанных «Единых методах исследования жиров и восков». XXI. Качественный анализ органических моющих и текстильных вспомогательных средств. Хемпель, Хинтермайер (Gemeinschaftsarbeiten der DGF, 31. Mitteilung: Neubearbeitung der «Einheitlichen Untersuchungsmethoden für die Fett- und Wachsindustrie» XXI: Qualitative Analyse organischer Waschstoffe und Textilhilfsmittel. Hempel H., Hintermaier A.), Fette, Seifen, Anstrichmittel, 1955, 57, № 3, 185—190 (нем.)

Описаны методы качеств. анализа анионоактивных, катионоактивных и неионогенных моющих средств для определения органич. спирторастворимой части и неорганич. наполнителей. Часть XX см. РЖХим, 1955, 57069. Ф. Неволлин

2772. Приближенная формула для определения максимально достижимой полноты гидролиза жиров. Молчанов И. В., Тр. Краснодарск. ин-та пищ. пр-м-сти, 1955, № 12, 101—107

Принято, что гидролиз триглицеридов идет по ур-нию второго порядка и что константа равновесия определяется выражением  $K = x^2/(a-x)$  ( $a-x$ ). Введя в это выражение обозначения молярного ур-ния баланса р-ции гидролиза и выражая мол. вес триглицеридов через число омыления (ЧО), автор вывел ранее известную ф-лу Штурма и Фрея для определения коэфф. расщепления (КР):  $(КР) : (КР) = 3100 (\% \text{ воды}) : (31 (\% \text{ воды}) + ЧО)$ . Исходя из допущения, что равновесной конц-ей жирных к-т отвечает равновесная конц-ия глицерина, автор предлагает ф-лу, отражающую соотношение между теоретич. конц-ей глицериновой воды и полнотой гидролиза:  $(КР) = 1 - (0,587x - 0,242x^2 - 0,171x^3)$ , где  $x$  — соотношение кол-ва кг глицерина и р-рителя. Рассмотрев также случаи, когда ур-ние баланса содержит начальное кол-во свободных жирных к-т. Анализ гидролиза при многоступенчатом процессе показал, что с увеличением числа ступеней средняя равновесная конц-ия глицерина возрастает и, следовательно, полнота гидролиза по жирным к-там может быть значительно увеличена. А. Верещагин

2773. Хроматографическое определение масел из семян крестоцветных в смеси с растительными маслами. Приори (Riconoscimento cromatografico degli olii di crocifere in miscela con olii vegetali. Priori Osvaudo), Olii miner., grassi e saponi, colori e vernici, 1956, 33, № 2, 23—25 (итал.)

Описан хроматографич. метод определения наличия масел крестоцветных (до 5% и выше) в смеси с другими растительными маслами, основанный на том, что первые дают характерные 5 пятен, а вторые лишь 2 пятна под действием паров йода. Стекл. трубку, длиной 50 см, диам. 1 см наполняют до высоты 15 см окисью алюминия, приготовленной по Брокману, и затыкают гидрофильным тампоном. Из белой ватманской (№ 1) бумаги приготавливают полоски, длиной 40 см, шириной 10—15 см и погружают несколько раз в 5%-ный р-р вазелинового масла в бензоле и сушат на воздухе между листами фильтровальной бумаги. К 90 ч.  $\text{CH}_3\text{OH}$  добавляют 10 ч. бензола, затем смесь насыщают вазелиновым маслом. В колонну вносят 2 мл р-ра исследуемого масла в равном объеме бен-

зола. Затем добавляют 40 мл бензола, 40 мл  $\text{CH}_3\text{OH}$  и р-р, вышедший из колонки, упаривают на паровой бане. Отделенный таким образом продукт обрабатывают несколькими мл  $\text{CH}_3\text{OH}$  и хроматографируют на пропитанной бумаге. Хроматограмма получается в результате обработки в ванне для проявления в течение 8—9 час. при  $\sim 20^\circ$ , последующего высушивания теплым воздухом, и, наконец, действия паров йода (в подходящем стеклянном колпаке). Пятна имеют цвет темно-коричневый на желто-коричневом фоне и остаются видимыми после удаления паров йода, еще несколько минут. Л. Фрейдкин

2774. Спектрофотометрическое изучение в ультрафиолетовом свете оливкового и миндального масел. Вольф (Étude spectrophotométrique ultra-violette des huiles d'olives et des huiles d'amandes. Wolff J. P.), Rev. franc., corps gras, 1956, 3, № 1, 17—24 (франц.)

Описан метод, позволяющий определять качество свежего нерафинированного масла, а также примесь рафинированного по величине уд. поглощения при 270 мμ ( $K_{270}$ ) и соотношения уд. поглощения при 232 мμ и 270 мμ (R). Определение основано на более высокой степени поглощения при 270 мμ рафинированным маслом по сравнению с нерафинированным. Определение поглощения рекомендовано вести в 1%-ном р-ре циклогексана. На основе  $K_{270}$  и  $R^{270}$ , характеризующих масла, предложена их классификация.

А. Верещагин

2775. Скоростной метод определения жирных веществ в сульфированных маслах. Цямпе, Кирицеску (Metodă rapidă pentru determinarea materiilor grase totale în uleiurile sulfonate. Geamă M., Kiritescu Alexandra), Rev. chim., 1956, 7, № 1, 56—57 (рум.; рез. русс., нем.)

Предлагается новый способ определения содержания жирных в-в в сульфированных маслах. В делительную воронку на 500 мл вливают 50 мл  $\text{CCl}_4$  дистилл. воды, 50 мл  $\text{HCl}$  (1,19) и  $\sim 5$  г (точная навеска) исследуемого сульфированного масла. Затем с перерывами в 15 мин. энергично взбалтывают 5 раз по 2—3 мин., переводят нижний слой во взвешенную колбу. Верхний слой обрабатывают 3 раза по 20 мл  $\text{CCl}_4$  и вливают туда же, удаляют  $\text{CCl}_4$  и колбу доводят до постоянного веса (при  $100^\circ$ ). Процент жирных в-в =  $100 \cdot G_1/G$  ( $G_1$  — вес жирных в-в во взвешенной колбе,  $G$  — навеска).

А. Марин

2776. Бромирование жирных кислот, выкристаллизованных из рыбьего жира при низких температурах. Фролова Г. В., Рыб. х-во, 1956, № 1, 84—86

Для аналитич. оценки высоконенасыщ. к-т, выделенных из жира белорыбцы методом кристаллизации из р-рителей при минусовых т-рах, кроме обыкновенных аналитич. характеристик, применялось определение полибромных чисел и числа нейтр-ции фракций полибромидов с последующим расчетом среднего мол. веса жирных к-т, входящих в состав фракций полибромидов и среднего числа двойных связей в к-тах этих фракций. Содержание связанного брома определялось по методу Степанова. Кристаллизация к-т производилась из р-ра в ацетоне при т-рах  $-10$ ,  $-20$ ,  $-30$  и  $-40^\circ$ . Среднее число двойных связей во фракциях к-т, выделенных при указанных т-рах, соответственно 4,1; 4,4; 4,5 и 4,9 при среднем числе двойных связей у исходных к-т 3,0.

А. Бугоркова

2777. Метод быстрого определения йодного числа рыбьих жиров. Лазаревский А. А., Сергеева Т. В., Рыб. х-во, 1956, № 2, 82—83

Для определения йодного числа рыбьих жиров в сухую склянку емк. 200—300 мл с хорошо притертой пробкой добавляют точную навеску (0,08—0,12 г)



жира, 3 мл серного эфира и из бюретки 25 мл 0,2 н. солянокислого р-ра хлористого йода. После взбалтывания смесь оставляют стоять 5—15 мин., а затем вносят 10 мл 10%-ного р-ра КJ. 50 мл воды и выделившийся йод оттитровывают 0,1 н. р-ром  $\text{Na}_2\text{S}_2\text{O}_3$ . Одновременно проводят контрольный опыт. Для приготовления 1 л 0,2 н. солянокислого хлористого йода в склянку с притертой пробкой вносят 11,1 г КJ, 7,0 г  $\text{KIO}_3$ , 50 мл воды, 50 мл крепкой HCl ( $d$  1,19) и взбалтывают до полного растворения йода. Затем вносят 20 мл  $\text{CHCl}_3$ , обесцвечивая фиолетовую окраску хлороформенного слоя прибавлением по каплям 1% водн. р-ра  $\text{KIO}_3$  при энергичном взбалтывании. Анализ образца требует 30 мин. вместо 24 час. по методу Гюбля. Полученные данные полностью совпадают с определением по методу Гюбля.

**2778. Ограничения метода определения содержания моноглицеридов при помощи периодной кислоты. Мартин-Перес, Сантос-Молеро** (Limitaciones a la aplicación del método del ácido periódico para la determinación de monoglicéridos en aceites. Martin Pérez C. S., Santos Molero M. T.), Grasas y aceites, 1955, 6, № 3, 135—140 (исп.)

Указано, что ошибки, возникающие при определении содержания моноглицеридов в маслах с помощью периодной к-ты зависят от восстановления ее некоторыми в-вами, сопутствующими маслам, в частности витаминами А и Е, а также перекисями, возникающими в результате самоокисления масел. В. Машкин

**2779. Исследование смол, содержащихся в медицинских мылах и касторовом масле. Де-Чезаре** (La ricerca delle resine di sofisticazione nei saponi medicati e nell'olio di ricini. De Cesare Alfredo), Olii miner., grassi e saponi, colorati e vernici, 1956, 33, № 1, 5—6 (итал.)

Описано определение смол прибором проф. Пепе (дан рисунок прибора). 5 г мыла разлагают  $\text{H}_2\text{SO}_4$ , остаток обрабатывают 10 мл горячего  $\text{C}_2\text{H}_5\text{OH}$ , фильтруют горячим, фильтрат упаривают, охлаждают и масло экстрагируют. Полученные смолы обрабатывают 2 мл  $(\text{CH}_3\text{CO})_2\text{O}$  и каплей конц.  $\text{H}_2\text{SO}_4$  (р-ция Моравского), получая фиолетово-розовое окрашивание. Метод дал положительные результаты в исследованиях разных мыл и проб касторового масла.

**2780. Отбелка масел при помощи хлорита натрия. Ячини** (Bleichung von Ölen mit Natriumchlorit. Vorläufige Mitteilung. Jacini G.), Fette und Seifen, 1955, 57, № 11, 903—905 (нем.; рез. англ., франц., исп.)

Указано, что наиболее благоприятными условиями отбелки являются: pH 4,5, т-ра 90°, время 1—2 часа, 2%-ный р-р хлорита ( $\text{NaClO}_2$ ). Проверены различные варианты последовательности проведения основных операций обработки сырого оливкового масла, наилучшим из которых оказался: отделение слизи — этерификация с глицерином — обработка хлоритом — нейтр-ция. Основные трудности — реверсия окраски масел и образование хлорированных продуктов. Первая трудность возникает при омылении и даже при сильном нагревании; менее часто — при нейтр-ции. Применение различных хим. агентов не приводит к удалению хлора из масла. При проведении отбелки в присутствии буферного р-ра с pH 4,6, составленного из щавелевой к-ты и фосфорнокислого натрия, отбеленное масло не содержит хлора. В. Белобородов

**2781. Обзор восков. Сметана** (Consideraciones acerca de las ceras. Smetana Roberto.), Industria y química, 1955, 17, № 1, 41 (исп.)

Описано несколько природных и синтетич. восков. И. Гонсалес-Фернандес

**2782. Молекулярная структура восков. Хатт, Ламбертон** (Molecular structure of waxes. Hatt H. N., Lamberton J. N.), Research, 1956, 9, № 4, 138—146 (англ.)

Обсуждаются вопросы о зависимости физ. свойств от мол. структуры и хим. строения восков. Рассматривается взаимосвязь структуры с мол. весом, точкой плавления и твердостью и свойства искусств. твердых восков. Указано, что твердость и точка плавления таких восков увеличиваются при увеличении содержания в них  $\omega$ -оксикислот и двухосновных к-т, а также их эфиров с многоатомными спиртами.

А. Верещагин

**2783. Центрифуга в мыловаренной промышленности. Вебер** (Die Zentrifuge in der Seifenfabrik. Weber K. L.), Seifen-Öle-Fette-Wachse, 1956, 82, № 9, 211—213 (нем.; рез. англ., франц. исп.)

Рекомендуется широкое использование центрифуг в мыловарении, начиная от обработки жиров перед расщеплением до полной или частичной высолки и шлифовки мыла. Особо отмечается, что едва заметные загрязнения, частично в виде тончайшей суспензии, могут быть удалены из жиров только центрифугированием. Переходя в мыло, эти в-ва окрашивают его или сообщают ему неопределенный своеобразный запах, несмотря на парфюмирование мыла обычным кол-вом отдушки. Центрифугирование перед расщеплением может заменить хим. очистку. Центрифуга обеспечивает получение чистого жира, щелочи и мыла. Она экономит много времени и работы, т. к. при этом отпадает отстаивание подмыльного щелока и клея.

Г. Шураев

**2784. Различные возможности улучшения цвета белых ядровых мыл. Цильске** (Verschiedene Möglichkeiten zur farblichen Verbesserung weißer Kernseifen. Zilske Heinz), Seifen-Öle-Fette-Wachse, 1954, 80, № 22, 585 (нем.)

Для улучшения цвета мыла рекомендуется применять двуокись титана, если мыло было хорошо отшлифовано.  $\text{TiO}_2$  берется на расчетах 50 г на 100 кг мыла и вводится в него через сито в виде жидкой смеси с 10-кратным кол-вом 5%-ного р-ра тилозы. Для получения более тонкой смеси и лучшего распределения  $\text{TiO}_2$  в мыле рекомендуется добавить 10%-ный р-р поташа. После ввода в автоклав мыльно-холодильного пресса мыло тщательно и достаточно долго перемешивается. Шероховатость поверхности мыла при хранении указывает на неправильное соотношение между  $\text{TiO}_2$  и тилозой. Улучшение белого цвета мыла достигается также добавлением флуоресцирующих красящих в-в синего оттенка. Указано, что потемнение мыла при хранении предупреждается также в некоторых случаях добавлением тисульфата натрия, который одновременно предохраняет мыло от прогоркания. Начало см. РЖХим, 1955, 33406. Г. Шураев

**2785. Порча белого мыла, полученного при обесцвечивании мыльной пасты. Мускарин-Томайоли** (Sull'irrandimento di sapone bianco ottenuto decolorando la pasta saponosa. Muscari Tomajoli Francesco), Olii miner., grassi e saponi, colorati e vernici, 1956, 33, № 3, 57—61 (итал.)

Сформулированы требования, которым должны удовлетворять мыльная паста и ее обработка. Исследованы на продолжительность хранения 16 проб мыл, обработанных разными способами, из которых 4 не обесцвечивались, 8 обесцвечивались персульфатом и 4 гидросульфатом. Из каждой группы по одной пробе оставляли при солнечном свете и по одной в темном месте. Найдено, что мыла 1-ой группы портились через 14—120 дней, 2-ой группы через 7—30 дней и 3-ей через 330—360 и более дней.

А. Марин

2786. Изменения туалетного мыла, вызываемые тяжелыми металлами. Хайду (A. pírészarpanok nehézfém okozta elváltozásai. Hajdu Imre), *Flehm. ipar*, 1955, 9, №8, 245—247 (венг.; рез. русс., англ.)

Изучено влияние добавок металлов на прогоркание мыла. К стружке туалетного мыла, содержащего животный жир, 15% кокосового масла, 0,5% смолы, 0,20% свободной щелочи, 0,33% неомыленных и неомыляемых в-в, 0,18 NaCl, прибавляли 10% дистилл. воды с растворенными в ней добавками (железная стружка (0,1%), окись железа (0,1%), FeCl<sub>3</sub> (0,025%), Fe-мыло (0,025%), медная стружка (0,1%), CuCl<sub>2</sub> (0,025%), Cu-мыло). Каждая добавка применялась без других добавок, с отдушками (0,8%), с Na<sub>2</sub>S<sub>2</sub>O<sub>3</sub> (0,25%), с Na<sub>2</sub>S<sub>2</sub>O<sub>8</sub> (0,25%) и отдушкой (0,8%). Лабор. испытания показали, что на появление пятен при хранении (признак прогоркания) положительно влияют медь, железо и их соединения, а также некоторые душистые в-ва. При исследовании некоторых типов мыл перекисные числа (ПЧ) из-за присутствия добавок не дают представления о процессе прогоркания. При попытках определить ПЧ жирных к-т получены завышенные и плохо воспроизводимые результаты. При работе с бронзовыми формами рекомендуется в начале работы откладывать первые 30—50 кусков мыла. Желательно также испытать (хранением в течение хотя бы двух недель нескольких кусков мыла на свету) влияние добавок душистых в-в, могущих ускорить прогоркание.

Г. Юкович  
2787. Прогоркание мыла. Мидлтон (Rancidity in soaps. Myddleton W. W.), *J. Soc. Cosmetic Chemists*, 1954, 5, №4, 278—283; *Amer. Perfumer and Essent. Oil. Rev.*, 1955, 65, №4, 58, 60 (англ.)

Обсуждаются причины прогоркания жиров, обуславливающее появление темных пятен в мыле и изменение его запаха. Библ. 7 назв. Г. Мелешкина

2788. Производство мыл для специальных целей. Смит (Making special soaps for special purposes. Smith Arthur Q.), *Industr. Gas.*, 1956, 34, №8, 5—7 (англ.)

2789. Мыла и синтетические детергенты. Годовой обзор. Снелл (Soap and syndets. Annual review. Snell Foster Dee.), *Industr. and Engng Chem.*, 1956, 48, №1, 38A—39A (англ.)

2790. Синтетические моющие средства из животных жиров. IV. Натрий-9,10-дихлороктадецисульфаты. Уэйл, Стертон, Маурер. V. Сложные эфиры α-сульфированных жирных кислот и изетионата натрия. Уэйл, Байстли, Стертон (Synthetic detergents from animal fats. IV. Sodium 9, 10-dichlorooctadecyl sulfates. Weil J. K., Stirton A. J., Maurer E. W.; V. Esters from alpha-sulfonated fatty acids and sodium isethionate. Weil J. K., Bistline R. J., Jr, Stirton A. J.), *J. Amer. Oil Chemists' Soc.*, 1955, 32, №3, 148—151; №6, 370—372 (англ.)

Часть IV. Соли кислых эфиров H<sub>2</sub>SO<sub>4</sub>, приготовленных из насыщ. высокомолекулярных спиртов, обладают недостаточной растворимостью в воде, а сульфирование ненасыщ. алкогенов требует применения спец. мер и сульфореагентов, чтобы этиленовые связи остались свободными. Цель данной работы заключалась в выяснении свойств кислых эфиров H<sub>2</sub>SO<sub>4</sub> (и их солей), приготовленных из алкогенов, этиленовые связи которых насыщены хлором. В работе описаны условия хлорирования и свойства солей кислых эфиров H<sub>2</sub>SO<sub>4</sub>, полученных из хлорированных олеоидов и элаидиловых спиртов. Полученные продукты сульфировались хлорсульфоновой к-той и затем превращались в натриевые соли. Растворимость их в воде при 25° состав-

ляет 0,2%, а натриевых солей сульфированных спиртов, полученных каталитич. гидрогенизацией животных жиров, только ~0,02%. По своим поверхностно-активным свойствам и моющей способности натриевые соли из хлорированных спиртов сходны с натриевыми солями, полученными из сульфированного олеоидового спирта.

Часть V. α-Сульфопальмитиновую к-ту готовят прибавлением по каплям 1,25 моля стабилизированного жидкого серного ангидрида в течение 30 мин. к перемешиваемому р-ру 0,78 моля пальмитиновой к-ты в 500 мл CCl<sub>4</sub>. Смесь нагревают и перемешивают 1 час при 60—65°. Затем охлаждают до -15° и фильтруют. Дикислоту промывают CCl<sub>4</sub> и высушивают в вакуум-эксикаторе при ~20°. Выход 85%. α-Сульфостеариновую к-ту готовят таким же методом с выходом 88%. Для приготовления дианатрий-2-сульфоэтил-α-сульфостеарата C<sub>18</sub>H<sub>35</sub>CH(SO<sub>3</sub>Na)CO<sub>2</sub>C<sub>2</sub>H<sub>4</sub>SO<sub>3</sub>Na смесь 0,2 моля α-сульфостеариновой к-ты, 0,207 моля изотионата натрия (HOC<sub>2</sub>H<sub>4</sub>SO<sub>3</sub>Na) и 260 мл толуола перемешивают и нагревают при т-ре флегмы в течение 6 час. с удалением воды в виде азеотропа. Затем реакционную смесь охлаждают, разбавляют 200 мл 95%-ного этилового спирта и нейтрализуют 18 н. NaOH. Удаляют р-ритель и воду, остаток растворяют в горячей воде, р-р охлаждают и неэтерифицированную дикислоту удаляют в виде малорастворимой соли. Выход 56% после двукратной перекристаллизации из спиртового р-ра. Таким же образом готовят сходные препараты из других жирных к-т. Были исследованы поверхностно-активные свойства и устойчивость в р-рах в присутствии солей кальция и тяжелых металлов. Часть III см. РЖХим, 1956, 5521. Ф. Неволлин

2791. Современные распылительные башни для производства моющих средств. Маннек (Neuere Sprüh-türme für die Waschmittelherstellung. Manneck H.), *Seifen-Öle-Fette-Wachse*, 1956, 82, №9, 220—225 (нем.; рез. англ., франц., исп.)

Дан обзор современных конструкций (приведены схемы) распылительных устройств и особенностей каждой из них для двух принципиально различных методов: вращающейся шайбы и форсунки. Кратко описаны вспомогательное оборудование, подготовка моющего состава перед распылением, режим распыления для получения частиц поллой шаровидной формы и преимущество этой формы перед другими. Дано описание двух конструкций мельниц для тончайшего мокрого измельчения состава перед распылением. Отмечено, что получение шаровидных полых порошков достижимо посредством жестко установленной форсунки при подводе высушивающего воздуха, нагретого от 250 до 400°. Указано, что подвод горячего воздуха поточным и противоточным способами по отношению к высушиваемому в-ву дает порошки различного качества; поточный метод вследствие соприкосновения образующихся шариков с сильно нагретым воздухом вверх башни дает более легкий продукт с тонкими стенками, противоточный — более мелкие шарики с более прочными стенками. Г. Шураев

2792. Изотермы свойств мономолекулярных пленок, образованных арахидиновой и бегеновой кислотами на кислотных и щелочных растворках. Дагерр (Contribution à l'étude des isothermes superficielles des couches monomoléculaires des acides arachidique et béhénique sur divers supports acides et alcalins. Daguerr Albert), *Oléagineux*, 1955, 10, №6, 393—396 (франц.)

Изучены свойства мономолекулярных слоев арахидиновой и бегеновой к-т на HCl—кислоте разной конц-ии, на слабощел. р-рах и на дистилл. воде. Применены фосфатный и борнокислый буферы. Результаты отражены в таблицах и диаграммах. А. Марин

**2793. Исследование вязкости некоторых сульфомыл в присутствии сернистого калия.** Ковалёва (Дослідження в'язкості деяких сульфомилів в присутності сірчано-кислого калію. Ковалёва А. Г.), Бюл. наук. студ. конференції 1954 року. Част. 2. Львів, Вид-во ун-ту, 1955, 63—65 (укр.)

Объектами исследования служили: 1) Na-соль дибутилнафталенисульфокислоты (некал), которая очищалась от примесей путем двойной перекристаллизации и 2) продукт конденсации β-сульфокислоты с формалином (лейканол), который осаждался спиртом из его водн. р-ра. Нейтр. электролитом служил х.ч. сернистый калий. Вязкость исследованных продуктов при различных конц-ях определялась путем измерения продолжительности их вытекания в вискозиметре Оствальда при атмосферном давлении и 250° и вычислялась по ф-ле  $\eta_p = \eta_b \cdot t_p \cdot d_p / t_b \cdot d_b$ , где  $\eta_p$  и  $\eta_b$  — вязкость исследованного р-ра и воды при соответствующих т-рах  $t_p$  и  $t_b$  и плотности  $d_p$  и  $d_b$ . Установлено, что при одних и тех же конц-ях р-ров вязкость некала больше вязкости лейканола, вероятно, вследствие различной формы их мицелл в водн. р-рах. Присутствие незначительного кол-ва сернистого калия не влияет на вязкость р-ров указанных сульфомыл, но конц-ия электролита, близкие к тем, при которых происходит высаливание этих мыл, резко повышают вязкость р-ров. Г. Фрид

**2794. Растворимость синтетических моющих средств.** Карабинос (Detergent solubility. Karabinos J. V.), Soap and Chem. Specialties, 1955, 31, №6, 50—51 (англ.)

Изменение растворимости неионогенных моющих средств от прибавления фенола использовано для определения отношения гидрофобной части к гидрофильной в этих в-вах. Показано, что в случае однородной гидрофобной группы метод титрования неионогенных моющих средств р-ром фенола может быть использован, но не применим для определения длины полиоксипропиленовой цепи в неизвестных продуктах.

Ф. Неволлин

**2795. Измерение моющей способности методом стирки искусственно загрязненной ткани.** Дил Кроу (Detergency measurement using artificially-soiled cloths. Diehl F. L., Crowe J. B.), Amer. Dyestuff Reporter, 1955, 44, №20, 677—680 (англ.) См. РЖХим, 1956, 5520.

**2796. Оценка продажных алкилсульфатов.** Крокетт (The evaluation of commercial alkyl sulphates. Crockett R. H.), J. Soc. Cosmetic, 1955, 6, №2, 124—129 (англ.)

Алкилсульфаты в качестве примесей содержат свободные спирты, неорганич. сульфаты, неорганич. хлориды и воду. Дано подробное описание методов анализа детергентов, содержащих алкилсульфаты. Точность методов вполне удовлетворительна. Определение общего содержания жирных спиртов (С): навеску (25г) кипятят с 200 мл 2 н.  $\text{H}_2\text{SO}_4$  до тех пор, пока С не начнут отделяться быстро при взбалтывании в виде прозрачного слоя. После отделения от кислого слоя и 2-кратного промывания горячим 25%-ным соевым р-ром С взвешивают. Спирты, оставшиеся в колбе и в делительной воронке, извлекают эфиром, взвешивают отдельно и оба веса суммируют. Гидроксильные числа определяют, применяя ацетилирующую смесь, состоящую из 1 ч.  $(\text{CH}_3\text{CO})_2\text{O} + 3$  ч. пиридина (при нагревании на водяной бане в течение 1,5 час.). Титруют в присутствии *n*-бутилового спирта с индикатором крезольный красный-тимоловый синий (S. Siggia. Quantitative Organic Analysis via Functional Groups. N. Y., John Wiley and Sons, 1949, 3). Средний мол. вес С (а отсюда и алкилсульфата) подсчитывается по гид-

роксильному числу. Определение активного детергента проводится по ранее описанному методу (S. R. Epton, Nature, 1947, 160, №7, 95) титрованием анионного в-ва катионным поверхностноактивным реагентом с применением хлороформа и водн. фазы с индикатором метиленовая синь и принимая за конец титрования момент достижения одинаковой окраски слоев. Свободные С определяют 2-кратной экстракцией бензолом из смеси в-ва с безводн. Na-сульфатом. После удаления р-рителя — остаток свободные С. Для определения неорганич. сульфатов навеску 12 г нагревают с  $\text{C}_2\text{H}_5\text{OH}$  и отделяют неорганич. соли. Последние после промывания спиртом определяют в виде  $\text{BaSO}_4$ . Неорганич. хлориды определяют титрованием р-ром  $\text{AgNO}_3$ . Воду определяют по методу Дина-Старка с ксилолом в присутствии олеиновой к-ты, предварительно высушенной при 140°. Э. Симановская

**2797 Д. Изучение стойкости маргарина в процессе длительного хранения.** Проныкова В. М., Автореф. дисс. канд. техн. н., Моск. ин-т нар. х-ва, М., 1956

**2798 П. Производство жира.** Лидере (Rendering fat. Leaders William M.) [Swift & Co.]. Канад. пат. 509110, 11.01.55

Жировая животная ткань обрабатывается при 66—82° превращенными в жидкое состояние (при обычных условиях газоборазными) углеводородами (в случае пропана в течение 5 час. при соотношении 10 об. ч. пропана на 1 об. ч. ткани). При указанной обработке сопутствующие жиру в-ва, в частности окрашенные примеси, в жир не переходят и он получается чистым и бесцветным. В. Белобородов

**2799 П. Стабилизация жиров для мыла.** Блэк Джонсон (Stabilization of fats for soap. Black Howard C., Johnson John H.) [Swift & Co.]. Канад. пат. 515585, 9.08.55

Для получения стабильного мыла из низкосортного жирового материала уменьшают его окраску обработкой р-рителем, который затем должен отделиться в виде самостоятельной фазы. К жировой фазе прибавляют 2,5-ди-*m*-метилгидрохинон, 2, 4, 6-три-*m*-метилфенол или другой фенольный противокислитель для жиров, полученную смесь перерабатывают в мыло, к которому прибавляют противокислитель из класса аминов. Г. Молдованская

**2800 П. Полирующий восковой состав.** Траеслер (Polishing wax composition. Truesler Ralf B., [The Davis-Young Soap. Co.]. Пат. США 2715069, 9.08.55

Предлагается полирующий состав, состоящий из воска (карнаубского с кислотным числом 3—5 или китайского), растворенного и диспергированного в нефтяном р-рителе. 12,5—20% воска растворится, остальная часть удерживается в р-рителе в виде суспензии. Г. Марголина

**2801 П. Мыло для жесткой воды (Hard water soap)** [Unilever Ltd]. Австрал. пат. 162482, 28.04.55

Патентуется мыльный порошок, содержащий ~50 вес. % производных ненасыщ. мылообразующих к-т в смеси с  $\text{Na}_2\text{CO}_3$  или  $\text{K}_2\text{CO}_3$  и  $\text{Na}_2\text{HPO}_4$  или  $\text{K}_2\text{HPO}_4$ . При добавлении порошка к воде фосфат и карбонат должны раствориться раньше мыла. Г. Молдованская

**2802 П. Мыльные смеси (Soap compositions)** [Unilever Ltd]. Англ. пат. 725620, 9.03.55 [Soap, Perfum, and Cosmetics, 1955, 28, № 6, 673 (англ.)]

В целях устранения агломерации и ускорения растворимости в воде мыльных порошков, содержащих силикат, рекомендуется обдувать их углекислым газом так, чтобы на поверхности частичек мыла было ≥ 1% двуокиси кремния. Ф. Неволлин



**2803 П.** Способ стирки в жесткой воде мылом или другими моющими средствами. Мадсен (Förfringsätt vid tvättning med hårt vatten och tvål eller andra tvättmedel samt medel för utförande av sådan tvätt. Madsen T. S.). Швед. пат. 138715, 7.01. 53 [Svensk Tidskr. Industr. Rättsskydd., 1953, № 8, 357 (швед.)]

При применяемом в домашнем обиходе способе стирки мылом или жидким мылом в жесткой воде к р-ру мыла добавляют некоторое кол-во тонкоизмельченного кристаллич. или микрокристаллич. углекислого кальция и (или) углекислого магния, а также соду в кол-ве, препятствующем р-ции между мылом и  $\text{CaCO}_3$  и (или)  $\text{MgCO}_3$ .

И. Рез

**2804 П.** Улучшение состава мыла (Perfectionnements aux compositions de savon) [Unilever N. V.]. Франц. пат. 1081365, 20.12.54 [Teintex, 1955, 20, № 7, 589 (франц.)]

Новый детергент в брусках или кусках содержит мыло (в качестве главного компонента), неионный детергент (НД) (напр., производное окиси полиэтилена) анионный детергент (АД), не являющийся мылом (сульфаты жирных спиртов или алкиларилсульфонаты, напр. лаурилсульфат), поверхностноактивное в-во, не образующее ионов, не являющееся детергентом, слабо растворимое в воде, содержащее гидрофобный углеводородный радикал и группу ОН или  $-\text{CONH}_2$ . Это может быть простой эфир алкилфенола и многоатомного спирта (напр., *n*-октилфениловый эфир *трет*-триэтилглицерола), кислый эфир глицерина и жирной к-ты с 10—18 атомами С (напр., монолауринат глицерина), алканоламид жирной к-ты с 10—18 атомами С (напр., монопропанолстеариламид), или амид жирной к-ты с 10—18 атомами С (напр., амид лауриновой к-ты). Патентуемый детергент содержит 15—40% НД и 0% АД или 3% НД и 15—30% АД.

В. Красева

**2805 П.** Усовершенствование процессов приготовления поверхностноактивных агентов. Джексон, Лундстед (Perfectionnements apportés aux procédés pour la préparation d'agents tensio-actifs. Jackson Donald R., Lundsted Lester B.). [Wyandotte Chemicals Corp.]. Франц. пат. 1072304, 10.09.54 [Teintex, 1955, 20, № 4, 319 (франц.)]

Новые поверхностноактивные в-ва общей ф-лы  $\text{Y}[-\text{C}(\text{R}^1\text{R}^2)-\text{C}(\text{R}^2\text{R}^4)-\text{O}-]_n\text{X}$ , Y — радикал органич. соединения RH, R — составлен из нескольких алифатич. или ароматич. групп, возможно замещенных. В составе радикала имеется только один атом активного водорода, способного взаимодействовать с окисями  $\alpha$ - и  $\beta$ -алкиленов.  $\text{R}^1$ ,  $\text{R}^2$ ,  $\text{R}^3$  и  $\text{R}^4$  — атомы водорода, из которых, по крайней мере, один должен быть замещен на алифатич. или ароматич. радикал. X — гидрофильная группа, усиливающая растворимость в воде.

Е. Кабошина

**2806 П.** Приготовление неионогенных моющих средств из окисленного парафина и окиси олефинов. Невисон, Грисингер (Production of non-ionic detergents from oxidized wax and olefin oxide. Nevison John A., Griesinger William K.). [The Atlantic Refining Co.]. Канад. пат. 507326, 16.11.54

Окисленный (как обыкновенно, неполностью) парафин вводят в р-ции с 10—15 экв окиси этилена при 190—218°. По окончании р-ции массу обрабатывают достаточным кол-вом парафиновых углеводородов, кипящих между 38° и 205°, для растворения неокисленного парафина. Отделяют неокисленный парафин, растворенный в углеводородах. Окисленный, водорастворимый продукт растворяют в жидком ароматич. р-рителе, отделяют р-р от нерастворимых загрязнений и отгоняют ароматич. р-ритель из очищ. продукта.

Неокисленный парафин после освобождения его от растворителя снова вводят в процесс окисления.

Ф. Неволлин

**2807 П.** Смеси моющих веществ, содержащие добавки, предотвращающие слеживаемость. Льюис, Сери (Detergent composition containing caking preventive. Lewis Allen H., Searle Donald F.). [California Research Corp.]. Пат. США 2709684, 31.05.55

Слеживаемость (в условиях жаркого и влажного климата) сыпучих синтетич. моющих в-в, напр., Na-солей алкилбензолсульфокислот (А) в их смесях с неорганич. компонентами (Б), напр., с  $\text{Na}_2\text{SO}_4$ , значительно уменьшается при добавке к ним Na-соли монооксисбензолсульфокислоты (I) в кол-ве 1—10% от веса А + Б, при содержании А (в смеси А + Б) 10—95%. А содержит цепь из 9—18 атомов С, предпочтительно полипропиленбензол (12—15 атомов С). К смеси 297 г А и 3 г  $\text{C}_6\text{H}_5\text{OH}$  медленно добавляют в течение 45 мин. при 30° и перемешивании 307 г 20%-ного олеума, нагревая до 45° и продолжая перемешивание еще 3 часа. Реакционную массу вливают в р-р 212 г NaOH в 1000 г воды, перемешивая и поддерживая т-ру 37—49°. Добавляют 386 г  $\text{Na}_2\text{SO}_4$  для установления отношения Б : А = 60 : 40. Полученный шлам сушат на вальцово-й сушилке. При испытании во «влажной камере» слеживаемость полученного продукта 10%. В тех же условиях слеживаемость контрольной пробы без сульфенола 65%. В качестве компонента Б вместо  $\text{Na}_2\text{SO}_4$  могут быть также применены  $\text{Na}_3\text{PO}_4$ ,  $\text{Na}_4\text{P}_2\text{O}_7$ , Натриполифосфат,  $\text{Na}_2\text{CO}_3$ ,  $\text{NaHCO}_3$  и NaCl. I может быть введена в смесь А + Б и непосредственно механич. путем. Кроме полипропиленбензола, применяют полибутиленбензол и продукт конденсации хлорированного керосина с бензолом.

Б. Мерков

**2808 П.** Улучшение свойств сыпучих смесей моющих веществ. Льюис, Стейнер (Improved solid particulate detergent compositions. Lewis Allen H., Stayner Richard D.). [California Research Corp.]. Пат. США 2709687, 31.05.55

Слеживаемость в условиях жаркого и влажного климата сыпучих синтетич. в-в, напр., Na-солей алкилбензолсульфокислот (А) в их смесях с неорганич. компонентами (Б), напр., с  $\text{Na}_2\text{SO}_4$ , значительно уменьшается при добавке к смеси А + Б Na-солей насыщ.  $\text{C}_1-\text{C}_6$  алифатич. сульфокислот (предпочтительно соответствующих по мол. весу атансульфокислоте) или солей алициклич. сульфокислот (напр., циклогексансульфокислоты) в кол-ве 0,5—10% (лучше 1—5%) относительно суммы А + Б. В качестве А применяют На-алкилбензолсульфонаты  $\text{C}_9-\text{C}_{18}$  (предпочтительно полипропилен  $\text{C}_{12}-\text{C}_{15}$  или продукт алкилирования бензола хлорированным керосином), а в качестве Б, кроме  $\text{Na}_2\text{SO}_4$ , также  $\text{Na}_2\text{SiO}_3$ ,  $\text{Na}_3\text{PO}_4$ ,  $\text{Na}_4\text{P}_2\text{O}_7$ , Натриполифосфат.

Б. Мерков

**2809 П.** Состав моющих средств. Мак-Доналд (Detergent composition. McDonald Louis). Пат. США 2697695, 21.12.54

Патентуется непениющаяся моющая смесь для механич. мытья и стирки, состоящая (в %) из 70—90 мыла, приготовленного из высокомолекулярных жирных к-т, 2,5—5 неионогенного поверхностноактивного в-ва, 0,5 анионного синтетич. моющего средства и 0,1—1 эмульсии не растворимой в воде этилцеллюлозы, содержащей на каждый остаток глюкозы 2—4 этокси-группы.

Ф. Неролли

**2810 П.** Паста для мытья рук. Кнülle (Hand-waschpaste. Knülle Karl). Пат. ФРГ 927647, 12.05.55

Патентуется паста для мытья рук с включением в нее водорастворимых крупинки, которые состоят из солей щел. металлов, напр., соды, сульфата натрия и др.

Твердые крупинки этих солей возникают в пасте в процессе ее изготовления. Пример: смешивают 4% жирных к-т, 10% щел. карбоната, 36% щел. сульфата, который находится частично в виде р-ра, 5% детергента, напр., алкилсульфоната, 9% вазелинового или веретенного масла, 4% р-рителя и 32% воды. Основа пасты, кроме щелочей и жирных к-т, может содержать также в-ва, как сульфаты спиртов жирного ряда, в данном случае, при дальнейшей добавке эмульгаторов и (или) р-рителей. Аппарат для получения пасты имеет двойные стенки, а мешалка соскабливает со стенок возникающие при охлаждении кристаллы и перемешивает их с пастообразной массой.

Л. Фрейдкин  
2811 П. Пастообразное моющее средство. Шиммельшмидт, Линке (Pastenförmige Waschmittel. Schimmelschmidt Kurt, Linke Werner) [Farbwerke Hoechst A.-G. vormalis Meister Lucius und Brüning]. Пат. ФРГ 928062, 23.05.55

Способ получения пастообразных моющих средств однородной структуры состоит в том, что к конц. р-рам или пастам алкиларилсульфонатов, как таковых, или в смеси с другими моющими средствами прибавляют подиалкилированные ароматич. углеводороды, которые имеют, по меньшей мере, один алкильный остаток с 8—13 атомами С. Пример: 1000 вес. ч. 60%-ной пасты натриевой соли алкилбензолсульфокислоты, полученной сульфированием смеси алкилбензолов с т-рой кип. 110—180°, смешивают с 600 вес. ч. полиалкилбензола с вязкостью 1830 *ссуа* (кубовый остаток с т-рой кип. >210° при получении вышеназванной алкилбензольной смеси), при нагревании, причем испаряется до 80 ч. воды. Получают 1520 вес. ч. мягкой пасты, которую можно расфасовывать в тубы при ~20°. Л. Фрейдкин

2812 П. Приготовление универсальных моющих смесей (Preparing all-purpose detergent compositions) [Colgate-Palmolive-Peet Co.]. Англ. пат. 723925, 16.02.55 [Perfume. and Cosmetics, 1955, 28, № 6, 673 (англ.)]

Патентуется моющее средство, применение которого эффективно как в мягкой, так и жесткой воде. Жиры смешивают с анионоактивными или неионогенными моющими средствами. Эту смесь обрабатывают при перемешивании щелочью в присутствии воды для омыления жиров. Затем смесь охлаждают. Такие моющие средства могут выпускаться в виде кусков или порошков.

Ф. Неволин  
2813 П. Бактерицидные очищающие средства. Дейвис, Франсис, Кей, Роз, Суэйн (Detergent and/or bactericidal compositions. Davies G. E., Francis J., Kay E., Rose F. L., Swain G.) [Imperial Chemical Industries Ltd]. Англ. пат. 710105, 9.06.54 [Chem. Zbl., 1955, 126, № 7, 1639 (нем.)]

Патентуются бактерицидные очищающие средства, содержащие *бис*-бигуаниды общей ф-лы  $-A-NH-C(=NH)-NH-C(=NH)-NH-X-NH-C(=NH)-NH-C(=NH)-NH-B-$ , где А и В—ароматич. ядра, а Х—углеводород или диалкоксибензольный остаток, содержащий < 15 атомов С, напр. 1,6-*бис*-(N<sub>1</sub>, N<sub>1</sub>-n-хлорфенилбигуанидо N<sub>2</sub>, N<sub>2</sub>)-гексагидрохлорид. М. Лимоник

См. также: Исслед. оливкового масла 1485. Детергенты 1784, 1818, 1820, 1827. Парафины, церезин и озокерит, исслед. и очистка 1941—1943.

## УГЛЕВОДЫ И ИХ ПЕРЕРАБОТКА

Редактор М. С. Гарденин

2814. Химическая переработка сахарозы. Хасс (Sacrochemistry. Hass H. B.), Chem. in Canada, 1956, 8, № 4, 39—41 (англ.)  
Обзор

2815. Сахарная промышленность Чехословакии в 1945—1955 гг. Гойдем (Deset let cukrovarského průmyslu. Hojdem B.), Listy cukrovarn., 1955, 71, № 5, 105—107 (чеш.)

2816. Причины повышенного содержания сахара в кормовой патоке на Жердевском сахарном заводе. Флейшман Л. Е., Сахарная пром-сть, 1956, № 4, 23—27

Анализ результатов работы з-да показал, что при переработке подвяленной свеклы и при переработке хвостиков потери сахара в кормовой патоке, выраженные в процентах к весу свеклы, будут большими, чем при условии поступления свеклы нормального качества. Г. Бенин

2817. Образование двойных соединений сахарозы. Часть I. Келли (Sucrose double compound formation. Part I. Kelly F. H. C.), Internat. Sugar J., 1956, 58, № 689, 128, 129 (англ.)

Изучение образования соединений сахарозы с щел. и щел.-зем. металлами представляет интерес как с точки зрения теории патокообразования, так и при извлечении сахара из мелассы методом сепарации. Дан обзор литературы по получению соединений сахарозы с NaCl, NaBr, NaJ, CaO, SrO и BaO. Библ. 12 назв.

Г. Бенин  
2818. По поводу статьи А. Н. Шакина и Г. С. Бенина. Василевский К. И., Сахарная пром-сть, 1956, № 4, 12—13

Актуальность выдвинутых Шакиным и Бениным вопросов, касающихся реконструкции сахарной пром-сти (РЖХим., 1956, 66892), подтверждается примером, взятым из практики работы Больше-Грибановского сахарного завода. Г. Бенин

2819. Баланс азота при диффузии сахарной свеклы при низкой температуре с применением сернистого газа по сравнению с диффузией при высокой температуре. Берсма, Уотерман (Nitrogen balance in the diffusion of sugar beets at low temperature with sulphur dioxide, and at high temperature. Bersma R. N., Waterman H. I.), J. Sci. Food and Agric., 1956, 7, № 1, 28—31 (англ.)

Диффузионный сок, полученный при 40° с добавлением 0,3% SO<sub>2</sub>, содержал меньше белковых в-в, чем сок, полученный по обычному методу при 70—80°, содержание аминокислот и бетанина в обоих соках оказалось примерно одинаковым; жом при холодной диффузии имел большую питательную ценность. При применении диффузионного аппарата непрерывного действия колонного типа, в котором стружка претерпевала измельчение в диффузионном соке, обнаружено более высокое содержание белковых в-в при работе при низкой т-ре с SO<sub>2</sub> по сравнению с работой при высокой т-ре без применения SO<sub>2</sub>. Аминокислоты выделялись при помощи ионита, причем перед пропуском сока через колонку с ионитом диффузионный сок обрабатывался основным уксуснокислым свинцом; в элюате идентификация аминокислот производилась при помощи двухразмерной хроматографии на бумаге и нингидрина; для разделения глутаминовой к-ты, аспарагиновой к-ты, серина, глицина, аспарагина, глутамина, треонина, пролина, аланина, тирозина, γ-аминомасляной к-ты, валлина с фенилаланином и лейцином применяли р-р: 80%-ный фенол с *тор*-бутанол-муравьиная к-та-вода (75 : 15 : 10); для разделения валлина, фенилаланина, лейцина и изолейцина применяли р-р: четвертичный бутанолметилэтилкетон-вода (4 : 4 : 2) и четвертичный бутанол-метанол-вода (4 : 5 : 1); бетанин выделялся при помощи ионита марки «Zeosorb 215». Г. Бенин

2820. Глубокая очистка сока ионитами. Бенин Г. С. Сахарная пром-сть, 1956, № 4, 56—61

Из-за низкой кислотности анионита марки АН-1 (аспатит ТМ) подвергать очистке ионитами более 50%

сока 2-ой сатурации, получающегося на свеклосахарном з-де, не представляется возможным. Хорошие результаты были получены в лабор. условиях при применении схемы: катионит марки КУ-1—анионит марки ЭДС-10; еще лучшие результаты дает схема очистки сахарного р-ра: катионит марки КУ-2 — анионит марки ЭДС-10. Опыты показали, что анионит марки ЭДС-10 не может быть использован в реверсивной схеме: анионит — катионит, так как основность анионита ЭДС-10 недостаточна для полного расщепления солей. Преимуществом анионита ЭДС-10 является и то, что регенерация его осуществляется  $\text{NH}_4\text{OH}$ . Дается описание заводской схемы очистки патоками сока 2-ой сатурации. Г. Бенин

2821. Заводка кристаллов при помощи пасты. Микро-частицы в качестве центров кристаллизации при варке низкокачественного утфеля. Аппелбум (Fondant graining. A micro-grain for low-grade massecuite seeding. Appelboom A. F. J., Jr), Internat. Sugar J., 1956, 58, № 688, 99-101 (англ.)

Опыты показали, что, применяя пасту для заводки кристаллов при варке утфеля, можно получить несколько лучший кристалл, чем при обычном для з-дов Гвьяны способе варки. Для приготовления пасты р-р, содержащий 500 г белого сахара или высококачественного сахара-сырца, сгущают до 60% сухих в-в, фильтруют и кипятят в медном сосуде до тех пор, пока т-ра не достигнет  $116^\circ$ ; после чего добавляют 140 г инвертированного сиропа, содержащего 84% сухих в-в, и вновь кипятят 1—2 мин., пока т-ра не достигнет  $116^\circ$ . Затем содержимое сосуда переводят в эрленмейеровскую колбу 2000 мл, охлаждают на воздухе до  $75^\circ$  и переводят в чашку, помещенную в холодильник с проточной водой, и охлаждение ведут при перемешивании. Полученная паста, содержащая очень маленькие кристаллы, расфасовывается в герметически закрываемые банки, в которых она может храниться несколько недель. Г. Бенин

2822. Простой метод определения фентиазина в мелассе. Франсис (A simple method for the determination of phenothiazine in molasses. Clewiston chemist opens new field for molasses. Francis Philip S.), Sugar J., 1956, 18, № 10, 35—36 (англ.)

Меласса тростниковосахарных з-дов применяется для приготовления медикамента, в котором фентиазин (I) в виде тонкой пудры суспендирован в мелассе. Для быстрого колич. определения I в мелассе предложен метод, состоящий из отделения I из разб. медикамента при помощи медицинской центрифуги (2000 об/мин), растворения осадка в ацетоне, выпаривания части полученного р-ра до сухого осадка, растворения осадка в этиловом спирте, обработки р-ра бромной водой и определения степени окраски р-ра с помощью фотоэлектрич. колориметра. Г. Бенин

2823. О качестве тростника для сахарных заводов. Досс, Варма (Quality of cane what sugar factories want. Doss K. S. G., Varma N. C.), Indian Farming, 1955, Suppl. Sugarcane, 29, 31—33 (англ.)

Рассмотрено влияние физ. состояния и хим. состава сахарного тростника на проведение процессов произ-ва — извлечения сока, очистки и выпаривания сока, кристаллизации и качества сахара. Г. Бенин

2824. Предварительная дефекация тростниковосахарных соков. Байков (Predefecation of sugar cane juices. Baikov V. E.), Sugar, 1956, 54, № 4, 39—40 (англ.)

Отмечается необходимость тщательного контроля станции очистки тростниковосахарного сока и предварительного подбора оптимальных условий при обработке сока  $\text{CaO}$  (кол-во, т-ра, время контакта) и  $\text{P}_2\text{O}_5$ , в зависимости от качества несахаров. Г. Бенин

2825. Применение горячей дефекации на тростниковосахарном заводе обеспечивает получение чистого сока высокой доброкачественности. Паган-Карло, Моралес (Hot liming at Puerto Rican central yields clear juice of high purity. Pagan-Carlo C., Morales E. J.), Sugar, 1955, 50, № 2, 39—40, 59 (англ.)

См. РЖХим, 1956, 45304

2826. Нейтрализация щелочного сока при применении новой техники очистки тростниковосахарного сока. Шаха, Бхаттачария, Рао (Neutralisation of alkaline juice in the new technique of cane juice clarification. Saha J. M., Bhattacharya H. C., Rao K. H.), Indian Sugar, 1956, 5, № 12, 685—686 (англ.)

Новая схема очистки предусматривает, что щел. сок, полученный после одновременной обработки тростниковосахарного сока  $\text{CaO}$  и  $\text{SO}_2$  и затем только  $\text{CaO}$  с целью доведения pH до 10,5—11,0 и фильтрации, нейтрализуется суперфосфатом; при таком способе работы при выпаривании сока имеет место падение pH сока на 0,6—1,0. Опыты показали, что, если нейтрально сначала производить суперфосфатом, а затем  $\text{SO}_2$ , то падение pH сока при выпаривании можно довести до 0,2. Г. Бенин

2827. Аминокислоты в соке и мелассе тростниковосахарного производства. Ковкабань, Бинкли, Вулфром (Amino acids in cane juice and cane final molasses. Kowkabany G. N., Binkley W. W., Wolfrom M. L.), J. Agric. and Food Chem., 1953, 1, № 1, 84—87 (англ.)

2828. Технологическая схема сахарного завода с обеспечением патоки баритовым способом. Могилян Е. А., Сахарная пром-сть, 1956, № 4, 16—23. Описана технологич. схема з-да Джонстаун (США), на котором применяется баритовый способ извлечения сахара из патоки (мелассы) и обжиг  $\text{BaCO}_3$  производится во вращающихся печах. Г. Бенин

2829. Оценка бескамерных диффузоров непрерывного действия. III. Брюнихе-Ольсен (Evaluation of non-cell-divided continuous diffusers: III. Bruniche-Olsen H.), Sugar, 1954, 49, № 6, 40—44 (англ.)

Приведено описание и результаты работы в 1953 г. двух диффузоров непрерывного действия системы Брюнихе-Ольсена на сахарных з-дах Дании (I, II ч. см. Sugar, 1952, Febr., Nov.) Г. Бенин

2830. Критерияльные формулы теплоотдачи при кипении утфеля. Попов В. Д., Тр. Киевск. технол. ин-та пищ. пром-сти, 1955, № 15, 197—201

Обобщены опыты по теплоотдаче при кипении р-ров, содержащих твердую фазу. Для расчета коэфф. теплоотдачи от поверхности нагрева к кипящему утфелю 1-го продукта и рафинадному утфелю рекомендуется критерияльное ур-ние:  $Nu \cdot Pr^{0.3} \cdot e^{0.2(K_p(100 - K_p))^{1/2}} = 54 T^{0.6}$ , где  $Nu$  — критерий Нуссельта,  $Pr$  — критерий Прандтля маточного р-ра,  $e$  — основание натуральных логарифмов,  $K_p$  — процентное весовое содержание кристаллов в утфеле,  $T$  — критерий, введенный Тулубинским. Г. Бенин

2831. Коэффициент теплоотдачи при кипении сахарного раствора на горизонтальной поверхности. Попов В. Д., Тр. Киевск. технол. ин-та пищ. пром-сти, 1955, № 15, 191—196

Изложены результаты лабор. опытов по теплоотдаче при кипении сахарных р-ров конц-ии от 40—78% сухих в-в в условиях свободной конвекции и методика обобщения этих результатов. Г. Бенин

2832. Смачивание поверхностей нагрева сахарными растворами. Демчук Г. С. Тр. Киевск. технол. ин-та, пищ. пром-сти, 1955, № 15, 212—216



Количественное определение смачиваемости поверхности нагрева, представляющее интерес при исследовании процессов парообразования и теплоотдачи к кипящим р-рам, может быть выполнено путем вычисления работы адгезии (А<sub>ж</sub>) по ф-ле:  $A_{ж} = A_{н} \cos^2 \theta / 2$ , где А<sub>ж</sub> — работа когезии, определяемая через поверхностное натяжение на границе сахарного р-ра и пара по ф-ле Попова В. Д.;  $\theta$  — краевой угол смачивания сахарного р-ра с поверхностью нагрева. Предложена методика и экспериментально определены значения  $\theta$  для сахарных р-ров различной конц-ии и доброкачественности на нескольких поверхностях нагрева, а также вычислены значения работы адгезии, различных по конц-ии чистых сахарных р-ров к стальной поверхности нагрева. Г. Бенин

**2833. Режим работы на фильтрпрессах и его влияние на скорость фильтрации и потери сахара. Влияние с к и й И. Л.**, Сахарная пром-сть, 1956, № 4, 27—33

Установлено, что с увеличением давления сока 1-й сатурации Р при фильтрации его через фильтрпрессы скорость фильтрации возрастает на величину Р<sub>0,72</sub>, но повышать давление выше 2 атм не рекомендуется; в зависимости от времени работы з-да предлагается стирку фильтрпресных салфеток производить в сентябре — октябре через 15 суток, ноябре — через 10 суток и декабре — январе — через 7 суток; оптимальная т-ра сока 1-й сатурации при фильтрации принимается в 90°, а промойной воды 60°. Приведены также известные мероприятия по улучшению работы фильтрпресов. Г. Бенин

**2834. Температурное поле вакуум-аппарата с подвесной кольцевой камерой. Гарьяжа В. Т.**, Тр. Киевск. технол. ин-та пищ. пром-сти, 1955, № 15, 217—223

Измерение т-р с помощью термодпар, размещенных в различных точках кипящей массы утфели 2-го продукта внутри вертикального вакуум-аппарата с кольцевой подвесной камерой, показало, что в узких кольцевых щелях камеры имеет место значительный перегрев утфели, для устранения которого рекомендуется применять кипяточные трубы или кольцевые щели с размером  $\geq 100$  мм. Г. Бенин

**2835. Измерение и автоматический контроль плотности растворов. Линфорд (Measurement and automatic control of liquid density. Linford A.), Sugar, 1954, 49, № 7, 45—48, 50 (англ.)**

Описаны принципы устройства приборов для непрерывного определения плотности сахарных р-ров и известкового молока с учетом влияния т-ры; часть приборов для этой цели основана на гидростатич. принципе — определение разности давления при пропускании сжатого воздуха через трубки, погруженные в испытуемый и эталонный (вода) р-ры; другая часть приборов относится к поплавковому типу. Г. Бенин

**2836. Содержание левоглюкозана в гидролизатах кукурузного крахмала. Оу, Роуэр (Presence of levoglucosan in cornstarch hydrolyzates. Ough Lee D., Rohwer Robert G.), J. Agric. and Food Chem., 1956, 4, № 3, 267—271 (англ.)**

Опытами гидролиза кукурузного крахмала в лабор. и заводских условиях, в которых изменяли конц-ию крахмала (0,75—31,9%) и HCl (0,016 н.—0,046 н.) и определяли количественно хроматографией на бумаге изменения углеводного комплекса, установлено постоянное присутствие в гидролизатах левоглюкозана (1,6-ангидро- $\alpha$ -глюкоза) в кол-ве 2,3%, указывающее на то, что при кислотном гидролизе не происходит полного осахаривания крахмала до  $\alpha$ -глюкозы. Из других компонентов гидролизатов найдены: 5-гидрокси-метил-2-фуралидегид, глицерин, ксилоза, арабиноза, фруктоза, изомальтоза и гентиобиоза. Н. Баканов

**2837. Изучение метода определения редуцирующих сахаров. III. Критика метода Блома — Ростада, усовершенствованного методом Лейне — Эйнона 2. IV. Модифицированный метод Блома. Мацуо, Мацуи (還元素の定量. 第3報 Blom-Rested法の検討. 2. 特に饅油の直糖定量への応用. 還元糖の定量. 第4報. Blom 變法の提唱. 松 貞義之, 松 升治二郎), 醸酵工學雜誌, Хакко когаку дзасси, J. Ferment. Technol., 1953, 31, № 4, 135—139; № 7, 298—300 (япон.; реф. англ.)**

III. Изучено влияние различных в-в на определение редуцирующих сахаров методом Блома. Установлено, что NaCl не оказывает влияния на ход анализа; чистая является одним из положительно действующих в-в. В присутствии кислотных гидролизатов белков сои метод Блома дает завышенные, а микрометод Бертрапа — заниженные данные; метод Лейне в этом случае не пригоден, так как гидролизаты не дают возможности правильно определить конец титрования. Метод Блома рекомендован для определения редуцирующих сахаров в своем соусе, он дает возможность легко наблюдать конец титрования, результаты анализов хорошо согласуются между собой.

IV. Для усовершенствования метода Блома предложен специально сконструированный стеклянный прибор для титрования, позволяющий с большей точностью устанавливать конец титрования. Кол-во сахара вычисляется без применения таблиц для пересчета по ф-ле: конц-ия сахара (мг на 100 мл) = К/титр сахаров в мл. Коэфф. пересчета (К) для глюкозы 1541, К для других редуцирующих сахаров приведены в таблице. Ошибка метода при определении глюкозы  $\pm 1,6\%$ , применимость метода при конц-ии глюкозы 60—160 мг на 100 мл. Предлагаемый метод дает следующие значения редуцирующей способности моносахаридов сравнительно с глюкозой: глюкоза 100, манноза 92, галактоза 90, арабиноза 95, ксилоза 104, фруктоза 106. Часть II см. РЖХим, 1956, 60053. В. Гурин

**2838. Влияние следов меди и глицина на потемнение патоки при нагревании Дешрейдер (Influence de traces de cuivre et de glycine sur les colorations du sirop de glucose chauffé. Deschreider A. R.) Rev. ferment. et inds aliment, 1954, 9, № 1, 25—36 (франц.)**

Испытания проводились с 50%-ными р-рами чистой глюкозы при нагревании их с обратным холодильником 10 и 24 час. в отсутствие и присутствии SO<sub>2</sub>. Глицин вводился из расчета: 225—150 и 75 мг азота г/кг; медь добавлялась в виде водн. р-ра CuSO<sub>4</sub>·5H<sub>2</sub>O из расчета 10, 20 и 40 мг/кг. При отсутствии SO<sub>2</sub> чистый глюкозный сироп при нагревании желтеет, вследствие пиролиза и образования оксиметилфурфуrola (I), что связано с рН среды; аминный азот (AA) частично реагирует с глюкозой и образует темные продукты, сопровождающие I. Следы Cu также играют роль в потемнении глюкозного сиропа. При рН ~ 2,5 возрастающее кол-во Cu способствует потемнению, свойственному I. При рН 5—6, в присутствии AA, Cu задерживает потемнение. Неблагоприятное действие Cu начинается при 10 мг/кг и более. В присутствии SO<sub>2</sub> следы Cu вызывают потемнение и побурение глюкозных сиропов при нагревании. В отсутствие AA при рН 3 Cu ускоряет образование желтого комплекса I; при рН 5,25 и в присутствии AA потемнение тормозится. Cu может быть причиной образования красноватой или черновато-коричневой окраски от образования Cu<sub>2</sub>O, когда отсутствует SO<sub>2</sub> и присутствует AA. Сохранение рН 3 во время нагревания, присутствие SO<sub>2</sub>, отсутствие AA и Cu — условия, обеспечивающие бесцветность патоки. Б. Кафка

См. также: Рост кристаллов сахарозы 278. Деминерализация сахарных р-ров ионообменниками 52Бх.

Колич. колориметрич. опред. сахарозы 75Бх. Исслед. сточных вод сахарной пром-сти 1853. Известковые печи 1657, 1658, 1661. Пептины 978Бх. Химия альгиновых к-т 1175

## БРОДИЛЬНАЯ ПРОМЫШЛЕННОСТЬ

Редакторы М. С. Гарденин, А. М. Емельянов

2839. Улучшение условий труда на дрожжевых заводах. Томечек (Zlepšení pracovního prostředí v droždíárně. Tomeček Ladislav), Kvasný průmysl., 1956, 2, № 6, 129—131 (словац.; рез. русс., нем., англ., франц.)

Выдвинуто предложение, предусматривающее повышение выхода продукции на дрожжевых з-дах и включающее улавливание спирта из отходящих газов. Помимо своего экономич. значения, предлагаемое мероприятие способствует также улучшению условий труда, благодаря удалению из цехового помещения вредного для здоровья  $\text{CO}_2$ .

Г. Ошмян

2840. Рациональное использование дрожжевого чана. Кшижаняк (Racjonalne wykorzystanie kadzi drożdżowniczej. Krzyżniak Dionizy), Techn. przem. spożywc., 1956, 5, № 5, 163—164 (польск.)

Рассматривается влияние факторов интенсивности аэрации, кол-ва засевных дрожжей, степени разбавления патоки и продолжительности брожения на выход дрожжей. Указывается, что повышение выхода дрожжей с 1 м<sup>3</sup> производственной посуды может быть достигнуто либо путем сокращения продолжительности брожения, либо путем применения более конц. сусла. С повышением конц-ии сусла и снижением кол-ва засевных дрожжей следует увеличить кол-во подводящего к суслу воздуха.

Г. Ошмян

2841. Производство спирта в СССР. Урбан (Výroba lihu v SSSR. Urban Jaroslav), Kvasný průmysl., 1956, 2, № 5, 97—98 (чеш.; рез. русс., нем., англ., франц.)

2842. Некоторые технические вопросы производства спирта. Скибневский (Niektóre zagadnienia techniczne w gorzelnictwie przemysłowym. Skibniewski Czesław), Przem. spożywc., 1956, 10, № 5, 198—200 (польск.)

Перечень вопросов переработки мелассы на спиртовых з-дах Польши, обсужденных на технич. конференции в Рацибуже в октябре 1955 г.

Г. Ошмян

2843. Изучение несбраживающихся сахаров. V. Обращение сахаров при действии ферментов плесневых грибов на мальтозу. Сибасаки, Асо. VI. Образование изомальтозы из глюкозы при действии ферментов плесневых грибов. Сибасаки (非醱性糖に関する研究. 第5報. 各種糸狀菌酵素による maltose からの生成 成産物及び其の分解に就て. 柴崎 一雄, 藤生清. 第6報. glucose から isomaltose の生成に就て. 柴崎一雄), 醱酵工學雜誌, Хакко когаку даасси, J. Ferment. Technol., 1953, 31, № 8, 311—315; № 9, 354—356 (япон.; рез. англ.)

V. При действии на буферные р-ры мальтозы фильтратов культур плесневых грибов в течение 74 час. при 55° получен ряд несбраживающихся сахаров. Методом хроматографии на бумаге установлено присутствие сакцибозы, койбиозы, изомальтозы, панозы, декстрантриозы и 2—3 олигосахаридов. Те же сахара получены при действии на мальтозу ацетоновых препаратов из мицелия 8 различных грибов. При действии ацетоновых препаратов, а также на поверхности мицелия изомальтоза расщеплялась до глюкозы.

VI. При действии на буферные р-ры глюкозы фильтратов культур плесневых грибов (*Aspergillus niger* sp.) в течение 72 час. при 55° получено несколько сахаров. Методом хроматографии на бумаге установлено присут-

ствие изомальтозы (3%), сакцибозы и койбиозы (суммарно 0,79%). Получен октаацетат изомальтозы, выделенной из реакционной смеси, т. пл. 143—145° и фенилозазон с т. пл. 206—208°. Часть IV см. РЖХим, 1956, 73441.

В. Гурин

2844. Автоматизация процесса непрерывного разваривания сырья. Зворыкин В. В., Спирт. пром-сть, 1956, № 2, 19—21

Описана частично внедренная схема автоматич. контроля и управления непрерывным технологич. процессом подготовки, разваривания и осахаривания зернового и картофельного сырья в спиртовом произ-ве. Все приборы автоматич. контроля и регулирования процессов блокировки и сигнализации сосредоточены на центральном щите. Предусмотрена возможность перехода от автоматич. управления на ручное и обратно при помощи универсальных переключателей, расположенных на щите.

Г. Ошмян

2845. Производство спирта методом брожения. Герман (Fermentacyjne metody produkcji spirytusu. Herman A.), Techn. przem. spożywc., 1956, 5, № 6, 198—200 (польск.)

Краткое изложение основ спиртового брожения и уточнение размеров непроизводительных трат сахаров в зависимости от применяемого метода произ-ва.

Г. Ошмян

2846. Непрерывный способ приготовления паточного затора на заводах бродильной промышленности. Томишек (Kontinuální příprava melasové zápravy v kvasném průmyslu. Tomíšek Jiří), Kvasný průmysl., 1956, 2, № 2, 33—35 (чеш.; рез. русс., нем., англ., франц.)

Предварительное сообщение об устройстве для непрерывного приготовления паточного затора на дрожжевых з-дах и установках непрерывного брожения, способствующих полной автоматизации производственных процессов.

Г. Ошмян

2847. О кислотности бражек при непрерывном брожении. Яровенко В. Л., Спирт. пром-сть, 1956, № 2, 7—10

Изучалась стойкость к инфицированию отдельных полупродуктов переработки крахмалистого сырья в условиях спиртового произ-ва. Установлено, что нарастание кислотности зависит от природы каждого испытуемого полупродукта и продолжительности его выдержки и сбраживания. Наиболее устойчивым к нарастанию кислотности оказалось осахаренное сусло; что объясняется относительно высокой т-рой его выдержки (55—56°). Весьма ограниченной устойчивостью к нарастанию кислотности обладают солодовое молоко, а затем бражка. Основное развитие посторонней микрофлоры происходит в периоды взбраживания и главного брожения, когда в бродильном сусле содержится мало дрожжей и спирта. Для предупреждения развития инфекции рекомендуется систематически удалять промыкой оборудование и трубопроводов остатки солодового молока, осахаренного сусла и бражки и производить профилактич. стерилизацию аппаратуры паром.

Г. Ошмян

2848. Силиконовые пеногасители. Жижка, Бетка (Silikonové oděňovače. Žížka Jaroslav, Betka Jaroslav), Kvasný průmysl., 1956, 2, № 6, 131 (чеш.; рез. русс., нем., англ., франц.)

Рекомендуется использование силиконовых в качестве пеногасителей в бродильной пром-сти.

Г. Ошмян

2849. Автоматизация одноколодных брагоперегонных аппаратов. Аронович В. В., Тр. Всес. н.-и. ин-та спирт. пром-сти, 1955, № 5, 78—90

Разработана схема автоматизации одноколодного брагоперегонного аппарата. В качестве параметров регулирования приняты: 1. Крепость выходящего спирта по т-ре водноспиртовых паров при выходе из

дефлегматора, в зависимости от которой температурный регулятор воздействует на мембранный клапан (МК), регулирующий подачу острого пара к бражному насосу. 2. Производительность аппарата по давлению водноспиртовых паров в пространстве между бражной и спиртовой колонной, в зависимости от которого дифманометр воздействует на МК, регулирующий поступление пара на перегонку. 3. Давление пара в трубопроводе, идущем из котельной, изменения которого воздействуют на МК, регулирующий поступление пара из котельной. Установка регуляторов т-ры спирта перед контрольным сырядом и сигнализатора переполнения бражной колонны не является обязательной при данной схеме. Применение схемы не рекомендуется при наличии частых остановок аппарата и при отсутствии возможности непрерывной подачи пара, давлением не ниже 2,2—2,5 кг/см<sup>2</sup>, в случае использования паровых плавильных насосов. Судя по результатам работы 5 брагоперегонных аппаратов, перевод на автоматич. управление обеспечивает: заметное повышение производительности аппаратов, прекращение перебросов бражки в спиртовую колонну, повышенный и устойчивый отбор снизу масел, получение кондиционного спирта, миним. потери спирта в отходящей барде и облегчение труда аппаратчика. Наиболее целесообразно осуществление схемы на з-дах, перерабатывающих патоку. Г. Опшнян

**2850. О возможности применения насадочных колонн для перегонки и ректификации спирта. Стабников В. Н., Цыганков П. С., Спирт. пром-сть, 1956, № 2, 4—7.**

Опытными перегонками паточной бражки в эмульсионном режиме на насадочной колонне с внутренним диам. 225 мм установлено, что хорошее вываривание спирта из бражки, при незначительном перерасходе пара против расчетного его кол-ва, обеспечивается при использовании 500-мм слоя насадки из фарфоровых колец размером 25×25×3 мм и расположенного над ним 6500-мм слоя деревянной речной насадки. Давление греющего пара для насадочной колонны должно быть на 1500—2000 мм вод. ст. выше, чем для тарельчатой. Перегонкой зерно-картофельного спирта-сырца среднего качества на насадочной колонке диам. 50 мм установлено, что для вываривания головных примесей из 40%-ного спирта-сырца вполне достаточен 975-мм слой насадки из стеклянных колец размером 8×6, 3×0,9 мм, что соответствует 7,5 теоретич. тарелкам. На колонке диам. 60 мм и высоте слоя насадки в выварной части 750 мм и в концентрационной — 2250 мм был получен спирт-ректификат стандартного качества. Разработан проект насадочного брагоректификационного аппарата на 2000 *дкл/сутки* безводн. спирта из нержавеющей стали или из чугуна с эмалевым покрытием внутренних поверхностей. Металлоемкость насадочных колонн значительно меньше тарельчатых. Для изготовления стального насадочного брагоректификационного аппарата упомянутой мощности требуется 3,253 т металла против 11,707 т для тарельчатого аппарата. Г. Опшнян

**2851. Увеличение выхода спирта высшей очистки. Цыганков П. С., Спирт. пром-сть, 1956, № 2, 21—22**

Путем подбора оптимального режима работы брагоректификационного аппарата Липецкого з-да был повышен выход спирта высшей очистки с 97 до 98,3%, при сохранении прежней производительности аппарата и стандартных органолептич. и аналитич. показателей ректификата. Проводятся сопоставимые показатели работы аппарата до и после установления оптимального режима перегонки и ректификации. Г. Опшнян

**2852. Выделение головных примесей при периодической ректификации. Грязнов В. П., Спирт. пром-сть, 1956, № 2, 17—19**

Заводскими опытами переработки зерно-картофельного спирта-сырца на периодически действующем ректификационном аппарате с полезной емкостью куба 2500 *дкл* установлено, что оптимальная продолжительность первой задержки перед отбором эфиральдегидной фракции составляет 90 мин. при 1-й навалке, 70 мин. при 2-й навалке и 60 мин. при 3-й навалке. Дальнейшее увеличение продолжительности 1-й задержки практически не отражается на повышении конц-ии альдегидов. Оптимальная продолжительность 2-й задержки перед отбором спирта ректификата составляет 40 мин. Вновь подтверждена эффективность применения рассирокки спирта-сырца до 40—50%. Ввод воды в колонну можно производить периодически и непрерывно. Г. Опшнян

**2853. Об увеличении межрегенерационного периода при работе угольных колонок. Китмахер И. С., Ишутина М. А., Комарова Н. Н., Спирт. пром-сть, 1956, № 2, 30**

Опытами на Воронежском ликеро-водочном з-де была выявлена возможность продления межрегенерационного периода работы угольных колонок с 15 000 *дкл* водки, по действующей технологич. инструкции, до 120 000 *дкл* с сохранением стандартных органолептич. и аналитич. показателей водки, пропущенной через активированный уголь. Этим мероприятием достигнута значительное сокращение кол-ва оттонов, получаемых после каждой регенерации отработанного угля и экономия средств из-за относительного повышения кол-ва товарной водки, снижения расхода топлива на регенерацию угля и уменьшения затрат труда по обслуживанию угольных колонок. Г. Опшнян

**2854. Спектрофотометрические исследования качества спирта. I. Определение чистоты спирта электро-спектрофотометром. Ситидзи, Хаяси (光電分光光度計によるアルコール品質の分光分析的研究. 第報. 光電分光光度計によるアルコール品質の判定. 七字三郎, 林多紀), Япон. агрохим. общ., Япон. агрохим. общ., 1955, 29, № 8, 626—631 (япон.; рез. англ.)**

Определения производились измерением поглощения в УФ-зоне, с использованием воды в качестве стандарта (метод 1) или спирта высшей очистки (метод 2). Кривая поглощения стандартного спирта по методу 1, между 2550 А и 2100 А, напоминает параболу. При наличии примесей в спирте получаются различного типа кривые, расположенные выше кривой стандартного спирта. Выявлена возможность абсолютной или относительной оценки качества спирта по форме вершины кривой и числовому значению последней. Кривая спирта высшей очистки, полученная методом 1, расположена в зоне 2600 А — 2100 А, причем влияние примесей спирта на форму кривых сказывается в данном случае более отчетливо при пользовании методом 2. Установлено, что результаты спектрофотометрич. определения качества спирта равноценны или даже точнее результатов органолептич. определения. Г. Опшнян

**2855. Применение хлебного спирта специальной выработки для различных изделий из спирта. Хезлер (Verwendung von Kornfeindestillat zu verschiedenen Spirituosenherzeugnissen. Haeseler G e o r g), Branntweinwirtschaft, 1955, 77, № 11, 202—203; Alkohol-Ind., 1955, 68, № 12, 291—292 (нем.)**

Показано, что хлебный спирт у водок с ароматизацией тмином, можжевельником действовал смягчающим образом, придал окончательный вкус и усилил общий аромат. У приготовленных на хлебном спирте фруктовых ликеров в незначительной степени заменился чисто фруктовый вкус. Исключения составили: черносмородиновый и лимонный ликеры. Таким образом, хлебный спирт спец. выработки способствует окончательному установлению вкусовой гармонии, а также усиливает



и углубляет аромат и может даже, при известных условиях, экономить ароматич. в-ва. П. Гинесина

**2856. Обнаружение некоторых запрещенных примесей в хлебной водке. Деккенброк** (Der Nachweis einiger unzulässiger Zusätze zum Kornbranntwein Deckenbrock Walter), Dtsch. Lebensmitt.-Rundschau, 1956, 52, № 5, 116—119 (нем.)  
Рекомендуется применение метода хроматографии на бумаге для обнаружения наличия в хлебной водке и спирте ванилина, сахара, виноградных водок, сахарного колера, синтетич. красителей, а также в целях идентификации натуральных примесей, появляющихся в результате выдержки водок в новых дубовых бочках. Г. Ошмян

**2857. Удаление метилового спирта из фруктовых водок. Ранков, Попов, Новчев** (Abtrennung des Methanols vom Obstbranntwein. Rankoff G., Popow A., Jowtscheff A.), Докл. Болгар. АН, 1955, 8, № 4, 25—28 (нем.; рез. русс.)

Экспериментально установлено, что методом перегонки фруктовых водок на лабор. ректификационном аппарате можно полностью удалить из последних метиловый спирт (I), при условии полного возврата в колонну флегмы в течение 2,5—6,5 час. в зависимости от исходного содержания I в обрабатываемом напитке и последующего отбора головной фракции отгона в кол-ве 5% исходного объема напитка. Описанным способом удалось снизить содержание I в 40%-ном этаноле с 3,5 до 1,2 мл/л за 4 часа кипячения с полным возвратом флегмы, до 0,5 мл/л при 6-часовом кипячении и до нуля при 8-часовом кипячении. При более низком исходном содержании I в напитке соответственно сокращается продолжительность его обработки для полного удаления I. Г. Ошмян

**2858. Изучение роли фосфорсодержащих соединений в производстве сака. II. О фосфорсодержащих соединениях риса для производства сака и их изменениях в процессе шлифования риса. Мори, Ватанабэ, Такада** (清酒醸造に於ける磷成分の形態 に関する研究. 第2報. 酒造用米及び精白工程中の磷成分について. 森 太郎, 渡邊和夫, 高田小三郎). 醸造工學雜誌, Хакко когаку даисси, J. Ferment. Technol., 1953, 31, № 10, 421—423 (япон.; рез. англ.)

Содержание общего фосфора в необрушенном рисе составляет 270—300 мг на 100 г, в шлифованном 60—103 мг на 100 г. Рисовые отруби, особенно темного цвета, богаты фосфорными соединениями. Отношение фосфора фитина к общему фосфору в темных отрубях составляет 0,66, в белых — 0,69. С повышением степени шлифования общее содержание фосфора уменьшается, причем особенно быстро в начальной стадии шлифования (степень шлифования 20%), а затем замедляется. Отношение фосфора фитина к общему фосфору быстро снижается при степени шлифования > 20%. Часть 1 см. РЖХИМ, 1956, 60108. И. Бобрин

**2859. Естественное и искусственное старение спиртных напитков. Коштал** (Pírozoné a umélé stárnutí lihovín. Košťál Jan), Kvasný premysl., 1956, 2, № 6, 127—129 (чеш.; рез. русс., нем., англ., франц.)

Рассматриваются общие положения по старению спиртных напитков при их выдержке в дубовых бочках и влияние качества дуба на показатели старения с учетом новейших советских и немецких данных в этой области. Приводится перечень способов искусств. старения, на основании которого делается вывод о том, что эта задача пока еще окончательно не решена. Г. Ошмян

**2860. Влияние кислотности, аромата и экстракта на качество коньячного спирта. Лашхи А. Д.** (დებიონბასლის მჟავიანობის არომატისა და ექსტრაქტის გავლენა კონიაკის სპირტის ხარისხზე.

ა. ლაშხი), Тр. Ин-та виноградарства и виноделия. АН ГрузССР, 1956, 9, 177—185 (груз.; рез. русс.)

Сортовой аромат вина и букет старых вин распадаются при обычном способе нагревания на компоненты, часть которых переходит в дистиллат, тогда как при перегонке под вакуумом при 20—30° распада не наблюдается, но такой спирт не обладает характерными свойствами коньяка. Установлено, что коньячный спирт, полученный из вина, приготовленного брожением без выжимок, быстро созревает и дает нежный продукт. Коньячный спирт, полученный из виноматериала, сброженного кахетинским способом, сначала груб, но при старении образует сильный букет. Г. Ошмян

**2861. К расчету количества колера, добавляемого в купажи ликеро-наливных изделий. Четвериков Е. Ф., Шугалова В. И., Тр. Ленингр. технол. ин-та пищ. пром-сти, 1955, 12, 181—187**

Различным сочетанием р-ров солей Ni, Co и бихромата получены 66 р-ров, которые были подвергнуты исследованию в ступенчатом фотометре с 8 светофильтрами. На основании полученных данных были вычерчены кривые цветового тона для р-ров минер. красителей и колера в системе координат, где на оси абсцисс откладывались длины волн монохроматич. света, а на оси ординат — логарифмы оптич. плотности, и выведена ф-ла для расчета расхода колера. Приведены величины экстинкции E для принятых эталонов ликеро-водочных изделий при 4-м и 5-м светофильтрах, пользуясь которыми можно легко подсчитать расход колера на купажи по ф-ле  $K = E_2 K_0 / (E_1 - E_0)$ , где: K — расход колера в кг на 100 дкл купажа;  $E_0$  — экстинкция купажа до введения колера;  $E_1$  — экстинкция купажа после введения большей части колера, предусмотренного рецептурой, и  $E_2$  — экстинкция купажа готового изделия, в соответствии с действующими эталонами. Для проведения определения необходимо снабдить заводские лаборатории фотометрами или цветометрами. Г. Ошмян

**2862. Определение сухих веществ в эмульсионных ликерах инфракрасными лучами. Коттас** (Die Bestimmung der Trockenmasse in Emulsionslikören mit infraroten Strahlern. Kottás J.), Z. Lebensmittel-Untersuch. und-Forsch., 1956, 103, № 5, 386—387 (нем.)

В платиновой чашке диам. 8—10 см отсепивают 10 г анализируемого ликера и облучают инфракрасной лампой 250 см. Расстояние между лампой и чашкой (~18 см) регулируют с расчетом недопущения перегрева массы. Рекомендуется постепенно повышать т-ру сушки путем соответствующего сокращения расстояния между чашкой и облучателем. Продолжительность определения ~ 25 мин. Точность определения прогередна методом вакуум-сушки на двух образцах яичного ликера и шоколадного флипа. Г. Ошмян

**2863. Исследования сака-дрожжей. III. Оптимальная концентрация сахара в предварительной культуре (сусло для маточных дрожжей). Цукаха** (清酒酵母に関する研究. 第3報. 前培養(酵母)最適濃度に就て. 塚原寅次), 日本農藝化學會誌, Нихон ноуги кагаку кайси, J. Agric. Chem. Soc. Japan, 1954, 28, № 8, 649—654 (япон.; рез. англ.)

Установлено, что максим. выход дрожжей с повышенной бродильной энергией в предварительной культуре получается при конц-ии 13—14° Бэ, содержания сахара 23—25%, т-ре 25° и продолжительности брожения 3—5 дней. В соответствии с полученными результатами по предварительной дрожжевой культуре рекомендуется при разведении маточных дрожжей поддерживать в начальном периоде брожения конц-ию сахара ~ 23% и затем постепенно наращивать скорость притока воды. Г. Ошмян

**2864. Исследования органических кислот сакэ. I. Определение кетокислот методом распределительной хроматографии на бумаге.** Андо, Курияма, Акамидака (清酒中の有機酸の研究. 第1報. ケト酸の Paper Chromatography に就いて. 安藤智雄, 栗山一秀, 赤見坂聰), 醸造工学雑誌, Хакко когаку дааси, J. Ferment. Technol., 1955, 33, № 1, 21—25 (3) (япон.; рез. англ.)

Из конц. под разложением исследуемых образцов сакэ и одновременно из пивовиноградной к-ты были получены 2,4-динитрофенилгидразоны кетокислот, которые были затем подразделены методом хроматографии на бумаге. На полученной хроматограмме были обнаружены несколько неизвестных пятен, которые обладали незначительной флуоресценцией в УФ-свете. Установлено, что при загнивании содержание кетокислот в сакэ возрастает, однако ни кол-во, ни качество, состав кетокислот не может служить признаком порчи сакэ.

**2865. Исследования линейной взаимосвязи между общей кислотностью и содержанием янтарной и молочной кислот. Статистическая обработка данных по качеству сакэ.** Икэда (清酒の總酸, 琥珀酸及び乳酸の關係について. 清酒の品質に對する推計學的考察. 池田潤平), 醸造工学雑誌, Хакко когаку дааси, J. Ferment. Technol., 1953, 31, № 10, 408—411 (япон.; рез. англ.)

На основе данных анализа 50 проб сакэ выведено уравнение:  $z = 1,41 - 7,35x - 4,22y$ , где:  $z$  — общая кислотность в мл 0,1 н. NaOH на 10 мл сакэ;  $x$  — содержание янтарной к-ты в г/100 мл сакэ;  $y$  — содержание молочной к-ты в г/100 мл сакэ. Приведены также соответствующие коэфф. корреляции.

**2866. Химия когумуллона и его пивоваренное значение.** Говард (The chemistry and brewing behaviour of cohumulone: a review. Howard G. A.), J. Inst. Brew., 1954, 50, № 5, 410—413 (англ.)

Обзор. Рассмотрены современные данные о хим. строении и использовании в процессе пивоварения компонента  $\alpha$ -мягкой смолы хмеля — когумуллона.

**2867. Факторы, влияющие на аромат светлого пива.** Эрнст (Factoren die den Geschmack heller Biere beeinflussen. Ernst Josef), Brauwelt, 1954, B, № 52, 753—756 (нем.); Brewers, 1955, 112, № 3, 38, 40—42 (англ.)

Сообщается о влиянии на аромат и вкус светлого пива качества применяемой воды, солода, хмеля, способов затирания и кипячения сусла с хмелем. Признается, что светлое пиво с хорошим вкусом и ароматом получается в том случае, когда используется мягкая естественная вода или вода, смягченная известью, хорошо растворенный солод с малым содержанием цинки и с применением высокой т-ры отсушки, кипячение заторов высокой конц-ии и кипячение сусла с добавлением свежего хмеля в несколько приемов.

**2868. Факторы, влияющие на пену пива. I. Выделение углекислого газа.** Джексон (Factors affecting beer foam. I. Carbon dioxide evolution. Jackson S.), J. Inst. Brewing, 1953, 59, № 4, 317—322 (англ.)

**2869. Исследование устойчивости пены в пиве. Пирацкий. I. Методика исследования и изучение пенообразующих веществ солода. II. Сорта ячменя и соложения.** Пирацкий, Бейтнер, Яккер, Ниспель (Untersuchungen zur Schaumstabilität des Bieres. I. Me methodik und Studien über Schaumstoffe in Malz. Piratzky W. II. Gerstensorten und Mälzungsprozeß Piratzky W. in Gemeinschaft mit Beitner H., Jacker J., Nispel B.), Brauwissenschaft, 1955, № 3, 42—50; №5, 105—110 (нем.; рез. англ.)

**I. Исследовано влияние отдельных компонентов готового светлого пива, удаляемых адсорбентами, на пенообразование и устойчивость пены, определяемые специально разработанным методом.** Показано, что удаление горьких в-в не оказывает заметного влияния на пенообразующую способность (ПС) пива. Напротив, удаление высокомолекулярных продуктов распада белка, осаждаемых таннином, оказало решающее влияние на величину пенообразования. При снижении кол-ва этих в-в  $< 40$  мг в 1 л ПС была практически сведена на нет. В большинстве образцов пива установлено соответствие органолептич. оценок с величинами ПС, измеренными разработанным методом. Обнаружена прямая связь при исследовании 15 различных образцов солода, между высотой пены конгрессных сусел и приготовленного из них неохмеленного пива. Пеноноситель находится преимущественно в мелкой крупке солода. Часть солодового зерна, содержащая зародыш, способствует в незначительной степени пенообразованию сусла; носителем ПС следует считать острую часть зерна. Ферментативное расщепление белков вблизи зародыша в значительной степени снижает содержание пенообразующих в-в; последние легко растворимы и содержатся уже в большом кол-ве в начальном сусле. Повышение ПС во время брожения сусла основано не только на сдвиге pH и изменении величины диспергированных частиц, как то показано на модельных опытах, оно требует присутствия в сусле, поступающем на брожение, носителей пены, без чего после брожения не будет получено пиво с хорошей ПС.

**II. Проведены опыты с применением микрометода соложения и разработанного метода измерения пены по исследованию конгрессных сусел из различных образцов солода.** Установлено, что сорт ячменя играет роль в ПС полученного из него сусла, но большее значение имеют условия произрастания ячменя (почва, климат, удобрения). Из аналитич. характеристик сусла указано на связь кол-ва колл. растворенных продуктов распада белковых в-в с его ПС, а также на значение вязкости сусла, повышение которой увеличивает и пенообразование. Зависимости ПС сусла от т-ры и длительности соложения ячменя не установлено. В сушке солода большую роль играет т-ра, а не время сушки. Опыты с экстрагированием солода холодной водой показали, что пенообразующие в-ва в солоде находятся в готовом виде до его сушки.

**А. Емельянов**  
**2870. О вычислении величины экстрактивности ячменя по содержанию белка и весу тысячи зерен.** Гейдель (Einige Bemerkungen zur rechnerischen Ermittlung des Gerstenextraktes aus Eiweißgehalt und Tausendkorngewicht. Geidel Hans), Brauwissenschaft, 1954, № 11, 241—243 (нем.; рез. англ.)

Вычисление содержания экстракта в ячмене по ф-ле  $y = a + b_1x_1 + b_2x_2$ , где  $y$  — кол-во экстракта,  $x_1$  — кол-во белка и  $x_2$  — вес тысячи зерен, с применением метода наименьших квадратов Гаусса для определения величин  $a$ ,  $b_1$  и  $b_2$ , дало более близкие результаты, чем ф-ла Бишля. Однако константы  $a$ ,  $b_1$  и  $b_2$  показали столь большое колебание для отдельных партий ячменя, что вопрос о линейной связи величины экстрактивности ячменя с величинами содержания в нем белка и весом тысячи зерен остается открытым даже для отдельных сортов ячменя.

**А. Емельянов**  
**2871. О возможности применения ячменя сорта пиролли в производстве пива.** — (Rapport over de werkzaamheden van het piroline team.), Internat. tijdschr. brouw. en mout., 1954, 14, № 7-8, 109—113 (флам.; рез. англ., франц., нем.)

Сорт ячменя пиролли по сравнению с сортом бальдер не имеет преимуществ в части органолептич. свойств, стабильности и влияния охлаждения. Сорт пиролли

отлич  
и бол  
при с  
того,  
minth  
2872  
Го  
dur  
с б  
251  
2873.  
лев  
лит  
п а  
leu  
hou  
S a  
bra  
593  
Ис  
по со  
ном  
лен  
дени  
ным  
рч.  
таты  
рац  
держ  
как  
остат  
а та  
так  
и на  
2874  
K  
de  
В  
Р  
внх  
хмел  
ная  
чье  
2875  
А  
ре  
№  
П  
экст  
шак  
сан  
для  
ниен  
сов  
2876  
st  
g  
11  
ног  
щис  
ваб  
2877  
Б  
Х  
П  
тог  
ног  
бут  
гид

отличается более длительным периодом покоя ячменя и большей продолжительностью замочки; солод из него при сушке дает более интенсивную окраску. Кроме того, он более чувствителен к заражению болезнью *Helminthosporium sativum* Pain.

И. Скурихин  
2872. Образование смол во время созревания хмеля. Говард, Татчелл (Development of resins during the ripening of hops. Howard G. A., Tat-chell A. R.), J. Inst. Brew., 1956, 62, № 3, 251—256 (англ.)

2873. Исследование масла хмеля. I. Значение хмелевого масла для оценки хмеля. II, III. Новые аналитические возможности. Салац, Котрла-Ганалова (Etude sur l'huile de houblon. I. Le valeur de l'huile de houblon quant à l'appréciation du houblon. II, III. Nouvelles possibilités analytiques. Salac V., Kotrlá-Hapalová M.), Petit j. brasserie, 1954, 62, № 2508, 558—559, 562; № 2510, 593—594; № 2512, 626—630, 631—634 (франц.)

Исследовалась возможность оценки аромата хмеля по содержащемуся в нем эфирному маслу. В выделенном в кол-ве 0,20—0,47% хмелевом масле (I) установлены величины одного числа летучих к-т, числа омыления, кислотности. Летучие в-ва I, отогнанные с инертным газом в дистилл. воду, были окислены иодометрич. и манометрич. титрованием. Приведены результаты титрования летучих в-в, выделенных из 10 образцов хмеля. Установлено, что ~10% кол-ва I, содержащегося в свежем хмеле, переходит в пиво, тогда как из старого хмеля переходит в пиво до 20% I. Эти остатки I не оказывают влияния на аромат и вкус пива, а также на его стойкость при хранении. Не установлено также и влияние I на вкусовые различия образцов пива и на ход технологич. процесса.

А. Емельянов  
2874. Оценка хмеля по данным химического анализа. Кольбах (Die Beurteilung des Hopfens auf Grund der chemischen Analyse. Kolbach P.), Wiss. Beilage «Braueri», 1954, 7, № 3, 27—31 (нем.)

Рассмотрено значение содержания белков, дубильных в-в, хмелевого масла, а также горечи и аромата хмеля для оценки его качества. Предложена 100-балльная шкала оценки хмеля (горечь 60, аромат 30 и прочие свойства 10 баллов).

А. Емельянов  
2875. Опыты двойного экстрагирования хмеля. Арентофт, Арентофт (Das Hopfen-Doppel-extraktionsverfahren. Arntoft Hilde-gard, Arntoft Holger), Braueri, 1954, 8, № 23/24, 131—134 (нем.; рез. англ., итал.)

Применение ультразвука значительно ускоряет экстрагирование хмеля при 100°, но при этом разрушаются хмелевые масла, что ухудшает вкус пива. Описан опыт двойного экстрагирования хмеля: первый раз для выделения вкусовых в-в и вторично — с применением ультразвука. Подробно рассмотрен вопрос о вкусовых в-вах хмеля.

А. Емельянов  
2876. Пастеризация пива. Клазар, Калер (Pasteurisation piva. Klazar Gaston, Kahler Miroslav), Kvasný průmysl, 1956, 2, № 7, 150—152 (чеш.; рез. русс., нем. англ., франц.)

В обзоре отдельных вопросов пастеризации бутылочного пива отмечены неблагоприятные факторы, снижающие его качество, и изложены результаты собственных наблюдений.

А. Емельянов  
2877. Голландский аппарат для пастеризации. Зибольс-Фильсмейер (Ein niederländischer Pasteurisationsapparat. Siebols - Vilsmeier), Brauwelt, 1955, B95, № 10—11, 123—124 (нем.)

Установка для пастеризации пива представляет собой тоннель, по которому передвигаются металлич. вагонетки с установленными на них в несколько рядов бутылками. Передвижение вагонеток осуществляется гидравлич. устройством. Существуют две разновидности

этих аппаратов: в одних пастеризация осуществляется паром, в других — воздухом. Продолжительность пастеризации при 72°—20 мин. Производительность аппарата 12000 бутылок по 0,3 л в 1 час. Расход пара на пастеризацию 13—14 кг на 1 га пива. См. РЖХим, 1956, 27582.

Л. Грызлова  
2878. Пастеризация пива ионизирующим облучением. Ритчи (Pasteurizing of beer by ionizing radiation. Ritchey Neil F. U.), Brewers J. (Phila) 1955, 4, № 1, 34—35; Amer. Brewer, 1954, 87, № 10, 60, 62 (англ.)

Указывается на возможность пастеризации пива облучением от радиоактивных отходов, напр. Со<sup>60</sup>. Для получения биологически стабильного пива требуется доза 50000 фэр. Качество пива, подвергнутого облучению в дозе 1000—10 000 фэр, не изменяется. При увеличении дозы до 50 000 фэр наблюдается изменение цвета пива, его вкуса, снижается pH, появляется посторонний запах. Машин для пастеризации облучением пива пока еще нет. Предварительные расчеты указывают на экономичность этого метода. Производительность пастеризаторов этого типа будет велика и практически ограничена только скоростью механич. транспорта (до 3000 бутылок в 1 мин.).

Л. Грызлова  
2879. Влияние фураногенных и белковых веществ хмеля в производстве пива. Салац, Котрла-Ганалова, Ванчур (Einfluss der hopfen-furanogenen Stoffe und Eiweißstoffe auf die Bier-erzeugung. Salac V., Kotrlá-Hapalová M., Vančura M.), Brauwelt, 1956, B96, № 22-23, 361—366; Kvasný průmysl, 1956, 2, № 7, 146—150 (чеш.; рез. русс., нем., англ., франц.)

Проведены опытные варки сусла для выяснения влияния кол-ва в-в хмелевого экстракта, в особенности фураногенных (пектинов и пентозанов) и белковых в-в, на состав и качество пива. Установлено, что в сусло переходит только ~20% фураногенных в-в, однако их присутствие увеличивает осаждение в пиве белковой фракции среднего мол. веса. Отмечено незначительное влияние длительной варки охмеленного сусла и целесообразность применения хмелевых экстрактов.

А. Емельянов  
2880. Поглощение ионов кальция солодом в заторе. Бергер, Гленистер, Беккер (Absorption of calcium ions by the grains in the mash and its implications. Burger Martin, Glenister Paul R., Becker Kurt), Brewers' Digest, 1954, 29, № 3, 53—58 (англ.)

Приведены результаты лабор. опытов по изучению влияния различных факторов на уменьшение содержания ионов Са в сусле сравнительно с содержанием их в воде для затора: 1) конц-ии гипса в воде, 2) конц-ии карбонатов кальция, 3) соотношения между твердыми в-вами и водой в заторе, 4) включения в затор несоложенных материалов, 5) типа примененного солода, 6) способа внесения солей для исправления жесткости воды. Приведены также другие данные, показывающие влияние жесткости воды на состав сусла: содержание в нем экстракта, P<sub>2</sub>O<sub>5</sub>, СаО, MgO, SO<sub>4</sub>, «белков» (Nx 6,25); на его pH и кислотность.

С. Светов  
2881. Практические опыты фильтрации сусла с кизельгуром. II. Мюльбауэр (Praktische Erfahrungen bei der Filtration der Würze mit Kieselgur. II. Mühlbauer Josef), Brauwissenschaft, 1954, № 7, 153—156 (нем.; рез. англ.)

Продолжено исследование влияния фильтрации сусла с кизельгуром на качество пива. Проводился хим. анализ и дегустация готового пива, полученного из охлажд. сусла после 9-часовой выдержки в пластмассовом холодильнике и из горячего сусла, охлажд. в отстойном чане. В обоих случаях — часть сусла профильтровывалась с кизельгуром, часть оставалась нормальной.



Наилучшее пиво получилось при выдержке суслу в пластинчатом холодильнике. При этом нормальное пиво обладало полнотой вкуса, тогда как профильтрованное с кизельгуром при меньшей полноте вкуса было исключительно приятным и мягким и напоминало американское легкое пиво. Пиво из горячего суслу имело в обоих случаях грубую хмелевую горечь, но проба, профильтрованная с кизельгуром, отличалась более мягким вкусом. Уменьшение азотистых в-в при фильтрации через кизельгур не влияет на бродительную энергию дрожжей. При трехкратной задаче одних и тех же дрожжей получены чистые и белые дрожжи, без малейших признаков сбраживания. Степень сбраживания равнялась 60—71%, а конечная степень сбраживания колебалась в пределах 81—84%. Начало см. РЖХим, 1955, 33454.

Р. Залманзон

**2882. Розливной цех современного пивоваренного завода.**—(Border breweries' modern bottling stores.—), *Brewers' Guardian*, 1955, 84, № 4, 61—70 (англ.)

**2883. Усовершенствование операций разлива и упаковки пива.** Белл (Significant advances in beer filling and crowning operations. Bell Frank S.), *Brewers Digest*, 1953, 28, № 4, 102—104, 121 (англ.)

**2884. Значение мойки бутылок для сохранения качества пива.** Ресеганн (Bottle washing problems in relation to keeping quality of beer. Resuggan J. G. L.), *Brewers' Guardian*, 1954, 83, № 12, 17—22 (англ.)

Рассматриваются последовательные операции мойки бутылок на бутыломоечных машинах с точки зрения создания оптимальных условий их выполнения. Особое внимание уделяется поддержанию высокого санитарно-гигиенич. режима для предупреждения возможностей заражения пива в бутылках микроорганизмами.

С. Светов

**2885. Новый способ мойки и стерилизации разливных машин циркуляцией горячего детергента.** Френдшип (Cleaning and sterilising filling machines. New method by hot detergent circulation. Friendship K. F. M.), *Brewers' Guardian*, 1954, 83, № 7, 55—59 (англ.)

**2886. Колориметрическое определение следов металлов в пиве и продуктах пивоваренного производства. VI. Определение марганца.** Андрус, Гаррисон, Пирс (Colorimetric determination of trace metals in beer and in brewing materials. VI. Determination of manganese. Andrews J., Harrison G. A. F., Pierce J. S.), *J. Inst. Brewing*, 1953, 59, № 4, 293—295 (англ.)

Часть V см. РЖХим, 1955, 29172.

**2887. Об открытии липоидов.** Кнопп (Über den Nachweis von Lipoiden. Knorr Fritz), *Brau-wissenschaft*, 1956, № 5, 122—123 (нем.; рез. англ.)

Методом распределительной хроматографии на бумаге, с использованием в качестве р-рителя смеси хлороформа, метанола (4:1) и ацетона, а в целях элюирования — ацетона, хлороформа и пиридина, была получена хроматограмма липоидов низовых пивных дрожжей, солода и пива. Специфич. р-циями на отдельные липоиды было установлено что холино-, аминок- и ацеталевые липоиды содержатся только в дрожжах и солоде, тогда как эфиры фосфорной к-ты содержатся также в пиве.

Г. Ошмян

**2888. Определение меди в пиве.** Янсен (Koperbepaling in bier. Jansen H. E.), *Internat. tijdschr. brouw. et mout.*, 1955—1956, 15, № 9-10, 179 (голл.; рез. англ., франц., исп.)

Разработан метод определения меди в светлом пиве. К 50 мл пива добавляют 0,5 мл 0,2%-ного спиртового р-ра дитиооксамида и сравнивают с окраской необработанного пива или пива, в которое предвари-

тельно были внесены определенные кол-ва меди. Чувствительность метода — 0,05 мг/л меди. Г. Ошмян

**2889. Рефрактометрическое определение действительной плотности пива.** Эссери, Холл (Determination of original gravity of beer by means of the refractometer. Essery R. E., Hall R. D.), *J. Inst. Brew.*, 1956, 62, № 2, 153—155 (англ.)

Выведены ф-лы расчета действительной плотности стандартного пива по показателям рефракции и кажущейся плотности  $R = 1277,6 \mu + 0,52 S - 1702,7$  и  $S_p = 1261,9 \mu - (0,48 S + 1681,64)$ , где:  $R$  — градусы действительной плотности пива при 15,5°;  $\mu$  — показатель рефракции пива при 20°;  $S$  — градусы кажущейся плотности пива при 20°;  $S_p$  — содержание спирта в пиве при 15,5°. Рефрактометрич. метод определения действительной плотности пива дает менее точные результаты, чем метод перегонки, и рекомендуется для текущего производственного контроля пива однородного состава.

Г. Ошмян

**2890. О биологическом контроле производства с актидином и без него.** Фюссер, Флах (Zum Problem der biologischen Betriebskontrolle mit und ohne Actidin. Füsser Hans, Frach Egon), *Brauwelt*, 1955, B95, № 41/42, 653—656 (нем.; рез. англ., франц.)

Показана возможность применения порошка актидиона (антибиотика, продуцируемого *Streptomyces griseus*) в микробиол. заводском контроле бочкового и танкового пива. В опытах с дрожжами, в частности с хлебопекарными, отчетливо определены микроорганизмы (*Bacterium prodigiosum*), выдержавшие брожение. Фунгистатич. действие актидиона в дозе 3γ на 1 см<sup>3</sup> очень незначительно. Ниже этой концентрации он вообще не действует на дрожжи (верхового и низового брожения).

А. Емельянов

**2891. Вопросы химического контроля на пивоваренном заводе.** Зильберейзен (Tagesfragen der chemischen Betriebskontrolle. Silberreisen K.), *Brauerei*, 1954, 8, № 40/41, 236—238 (нем.; рез. франц., англ., исп.)

Рассмотрены наиболее существенные изменения в методах анализа ячменя и солода, анализа кизельгура, метод Хартонга, опыты Блома.

А. Емельянов

**2892. Пептиды и меланоидиновая реакция.** Льюэрс, Лампль (Peptide and Melanoidinreaktion. Lüers Heinrich, Lampf Paul), *Brau-wissenschaft*, 1955, № 10, 218—221 (нем.; рез. англ.)

Рассмотрен механизм образования меланоидинов и значение этой р-ции для пивоварения. Показано на опытах с глицином, глицил-глицином и глицил-глицил-глицином, что скорость р-ции, основанной на взаимодействии отрицательно заряженных карбоксильных групп сахара с группами  $\text{NH}_3^+$  аминокислот, зависит от положения в молекулах групп  $\text{COO}^-$  и  $\text{NH}_3^+$ . В пивоварении меланоидиновая р-ция имеет значение при сушке солода, при которой р-ция солода ~6. В этом случае глицил-глицин реагирует с сахарами в 2,8 раза, а глицил-глицил-глицин в 1,7 раза быстрее, чем глицин. При pH 5,2—5,5, при котором ведут варку суслу, р-ция ди- и трипептида с сахаром происходит быстрее в 5 раз, чем р-ция глицина. Этим путем при сушке солода и варке суслу из низших пептидов образуются меланоидины и редуктоны.

А. Емельянов

**2893. Микроскопическая проба на осахаривание.** Махер (Die mikroskopische Überprüfung der Ver-zuckerung. Macher L o r a n d), *Brauwelt*, 1955, B95, № 19, 273—277 (нем.)

Для более точной характеристики осахаривания затора и суслу, чем та, которую получают при обычной подной пробе, рекомендуется проводить микроскопич.

анализ. На препаративное стекло наносят каплю подлежащего исследованию материала и добавляют каплю 0,05 н. J, после чего рассматривают в микроскоп полученный препарат. По виду крахмальных зерен и окраске продуктов осахаривания крахмала судят о степени его осахаривания.

А. Емельянов  
2894. О микробиологическом происхождении диацитила и ацетонна в пиве. П. Кочкова-Кратохвилова, Ваврухова, Вонаткова-Новикова (Der mikrobielle Ursprung von Diacetyl und Acetoin im Bier. П. Kocková-Kratochvilová Anna, Vavruchová Alena, Vopátková-Nováková Dagmar), Brauwissenschaft, 1956, № 4, 98—104 (нем.; рез. англ.)

На основании изучения физиологии педиококков (П) (пивной сарцины) и значения их симбиоза с пивными дрожжами, результаты которого приведены в виде таблиц и диаграмм, сделаны следующие выводы: П, являющиеся вредителями пива, относятся к виду *Pediococcus cerevisiae* Balcke. Вред, наносимый качеству пива, не является характерным видовым свойством П, а результатом действия сообщества микроорганизмов (П, дрожжи, молочнокислые и уксуснокислые бактерии). Процесс диссимилиации, вызываемый П, протекает параллельно с главной формой спиртового брожения и происходит через ацетальдегид и ацетонин к диацитиллу (I). Образование I зависит от кол-ва несброженной мальтозы, содержания пентозанов, ацетонатов водородо и в-в, стимулирующих размножение П (нуклеиновой к-ты, аминокислот). I образуется преимущественно при дображивании суслу. I задерживает рост и размножение дрожжей и влияет на их физиологич. состояние. На этом построен новый метод изолирования П. Для П необходим симбиоз с дрожжами, т. к. П не способен синтезировать в-ва роста (тиамин, рибофлавин). Они используют некоторые продукты обмена спиртового (пировиноградная к-та, ацетальд., I) и других видов брожения: глицеринового уксуснокислого, молочнокислого и глутами. П несут на своей поверхности положительный заряд, что помогает им приближаться к дрожжевым клеткам, заряженным отрицательно, и прилипать к ним. Они снижают, таким образом, плотность отрицательного заряда поверхности дрожжевых клеток и вызывают их агглютинацию, ограничивая их физиологич. функцию, способствуя автолизу и определяя неблагоприятные условия роста и развития дрожжей при дображивании суслу. Сообщение I см. РЖХим, 1956, 73449.

А. Емельянов  
2895. О растворимости углекислого газа, кислорода и азота в пиве и воде. Эндере, Клебер, Паукнер (Über die Löslichkeit von Kohlendioxid, Sauerstoff und Stickstoff in Bier und Wasser. Enderes C., Kleber W., Paukner E.), Brauwissenschaft, 1956, 9, № 1, 2—8; № 2, 50—58 (нем.)

Результаты измерения растворимости CO<sub>2</sub> в пиве доказывают неправильность предположений о колл. связи CO<sub>2</sub>. Так как в пиве возможна только р-ция соединения CO<sub>2</sub> с водой, то при насыщении его CO<sub>2</sub> может быть еще лишь одна форма CO<sub>2</sub> — физ. р-р в воде. Скорость выделения CO<sub>2</sub> из пива в нормальном случае меньше, чем из воды, что обусловлено большей вязкостью и поверхностноактивными коллоидами пива, образующими устойчивые газовые пузырьки. Давление при насыщении в замкнутой системе пива (вода) и CO<sub>2</sub> устанавливается в спокойном состоянии через несколько недель. Ур-ние давления соответствует бимолекулярным р-циям. Увеличением фаз пограничных поверхностей можно быстро достичь состояния равновесия (напр., при выбалтывании пива в бутылках). На основании сравнения гравиметрич., титриметрич., газовометрич. и манометрич. методов определения CO<sub>2</sub> и «воздуха» в пиве признан наиболее удобным и быстрым

для практич. анализов манометрич. метод определения CO<sub>2</sub>, одновременно с определением в р-ре N<sub>2</sub> и O<sub>2</sub>. Описана аппаратура, с помощью которой проводят колич. анализ отдельных растворенных газов в зависимости от парциального давления и т-ры в интервалах 0—20° или 20—80° (для пастеризованного пива); растворимость CO<sub>2</sub> в пиве до 60° увеличивается в линейной зависимости от увеличения давления, приближаясь к закону Генри, но при более высокой т-ре (до 80°) и соответственно возросшем давлении растворимость увеличивается больше, чем по закону Генри. Растворимость CO<sub>2</sub>, N<sub>2</sub> и O<sub>2</sub> в пиве меньше, чем в воде, но в 4%-ном р-ре спирта они растворяются больше, чем в воде. Повышение содержания в пиве экстрактивных в-в снижает растворимость в нем этих газов. При нормальном брожении пива определенному содержанию экстракта соответствует определенное кол-во спирта, поэтому положительное и отрицательное влияние этих составных частей пива на растворимость в нем газов взаимно компенсируется. Давление паров, измеренное статич. методом при 8 и 30° (с точностью до 1,2%) в двух образцах пива, разнятся 5% от соответствующих величин для воды. Библ. 126 назв.

А. Емельянов  
2896. Быстрый анализ растворов для мойки бутылок. Купер (Rapid evaluation of bottle washing compounds. Cooper W. C.), Brewers Digest, 1954, 29, № 9, 77 (англ.)

Приводится пропуск колич. анализа каустич. соды, алюминатов, карбонатов и третич. фосфатов при их совместном присутствии в р-рах для мойки бутылок.

А. Емельянов  
2897. Пивоваренный завод «Голубой Нил» в Хартуме. — (Blue Nile brewery now in production in Khartoum. —), Brewers' Guardian, 1955, 84, № 12, 63—70 (англ.)

Климатические особенности Хартума потребовали установки более эффективных холодильных машин и кондиционирования воздуха; на складе хмеля поддерживается т-ра < 0°, в бродильном цехе 5°; пивная т-ра поддерживается в подвалах для выдержки и хранения пива, хранения дрожжей; в розливном цехе воздух не только охлаждается, но и проходит через спец. фильтры для отделения песка. Солод импортируется из Египта и Англии. Технологич. и энергетич. оборудование обычное. Воду дает артезианский колодезь глубиной 126 м.

И. Бобрин  
2898. Измерительные и контрольные приборы на пивоваренных заводах. Вальтер (Measurement and control instruments in the brewery. Walter Leo), Brewers' Digest, 1954, 29, № 8, 107—110 (англ.)

Указания по содержанию приборов и по обеспечению хорошего качества получаемых с них графиков.

С. Сметов  
2899. Исследование химического состава и пищевой ценности отходов пивоваренного производства. Ремон-Камачо (Estudio analítico-bromatológico de los subproductos de la fabrica de cerveza. Remon Camacho J. J.), An. bromatol., 1954, 6, № 4, 455—472 (исп.; рез. англ.)

Исследование пищевой ценности сырья и отходов пивоваренного произ-ва, а также продуктов их сухой перегонки установило возможность получения из них целлюлозы, угольного порошка, летучих в-в и корма для животных.

А. Емельянов  
2900. Составные части уксуса, полученного брожением, присоединяющие йод в щелочной среде. Мекка (I costituenti degli aceti di fermentazione atti a fissare iodio in soluzione alcalina. Mecca Franco), Chimica e industria, 1953, 35, № 2, 70—72 (итал.)

Уксус, полученный брожением, может быть отличен от синтетич. по наличию в нем ацетилметилкарбинола

(апетонна) в кол-вах  $\sim 200$  мг/л и способности присоединять йод.

Б. Афанасьев

**2901. Особенности венгерской винодельческой промышленности. Марек (Zvláštnosti maďarské vinařské velkovýroby. Marek V.), Kvasný průmysl, 1955, 1, № 7, 150—153 (чеш.; рез. русс., англ. франц.)**

Описаны некоторые особенности оборудования и организации произ-ва вин в Венгрии. Рекомендуется внести изменения в технологию произ-ва десертных и приторных вин (настоек) согласно венгерскому способу.

Е. Шнайдер

**2902. Яблочно-молочное брожение вина. Никова (Малолактичните ферментации във виното. Никова Зинаида С.), Лозарство и винарство, 1956, 5, № 1, 34—42 (болг.)**

При низком pH ( $\sim 3$ ) в яблочно-молочном брожении яблочная к-та под действием различных микроорганизмов разлагается до молочной к-ты. При среднем pH вина те же бактерии могут разлагать сахар и глицерин, а при более высоком pH ( $\sim 3,6$ )—винную к-ту. Яблочно-молочное брожение улучшает вкус молодого вина. Сульфитация задерживает или даже останавливает это брожение. Для нормального проведения яблочно-молочного брожения необходимо или совсем не сульфитировать вино, или сульфитировать малыми дозами. Контроль за яблочно-молочным брожением проводился с помощью хроматографии на бумаге. Параллельно проводились хим. анализы, которые дали сходные результаты.

Г. Валушко

**2903. Роль молочной кислоты в технологии виноделия. Гулач (Úloha kyseliny mléčné ve vinařské technologii. Hulač V.), Kvasný průmysl, 1955, 1, № 12, 275—276 (чеш.; рез. русс., нем.)**

При переработке винограда с большим содержанием к-т и небольшим содержанием сахара для уменьшения кислотности сусла целесообразно часть к-т (яблочную и др.) сбродить на молочную к-ту. При этом из 1 г яблочной к-ты получают 0,671 г молочной.

Е. Шнайдер

**2904. Применение селекционированных бактерий в яблочно-молочном брожении вина. Вьяна-Маркиш-Гомиш, Феррейра-да-Силва-Бабу, Фернандиш-Гимараш (L'emploi des bactéries sélectionnées dans la fermentation malolactique du vin. Viana Marques Gomes M. J., Ferreira da Silva Babo, Fernandes Guimaraes A., M-me), Bull. Office internat. vin, 1956, 29, № 299, VII Congr. internat. vigne et vin, 349—357 (франц.)**

Опыты, поставленные на белых винах «Verde», показывают, что внесение чистой культуры бактерий яблочно-молочного брожения (Vas. A.—Colec. C. V. R. V. V.—*Bacterium gracile*—Мюллер-Тургау и Остервальде) ускоряет процесс вторичного яблочно-молочного брожения, которое проходит в винах спонтанно и длится иногда несколько лет. Внесение чистой культуры бактерий производилось через 7 дней после окончания спиртового брожения. Через определенный срок (15—30 дней) производилось удаление осадка из вин с внесенной чистой культурой и без нее. Удаление осадка ускоряет процесс яблочно-молочного брожения, даже если оно проходит спонтанно. Биологич. кислотопонижение вина, являющееся следствием яблочно-молочного брожения, проходит более полно и в более короткий срок при внесении чистой культуры бактерий яблочно-молочного брожения и удаления осадка. Вина быстрее достигают биологич. стабильности и имеют лучшее качество.

Г. Валушко

**2905. Исследования винных дрожжей. Кастелли, Дель-Джудиче (Gli agenti della fermentazione vinaria nella regione Etna. Castelli Tommaso, Del Giudice Ernesto), Riv. viticolt. e enol., 1955, 8, № 5, 167—173 (итал.)**

При спонтанном брожении виноградных сусел выделено 335 культур, отнесенных к 18 видам родов *Saccharomyces*, *Hanseniaspora*, *Kloeckera*, *Torulaspora*, *Zygosaccharomyces*, *Candida*. В сицилианских суслах, взятых для сравнения, обнаружены *Sacch. elliploideus*, *Sacch. oviformis* и *Sacch. chevalieri*. В начале спонтанного брожения преобладают *Hanseniaspora* и *Kloeckera*. Спорогенные формы преобладают в жарких районах. Замечено влияние высоты местности над уровнем моря на состав дрожжевой микрофлоры. Проведенные исследования углубляют экологию микроорганизмов. Начало см. РЖХим, 1956, 49156.

Н. Простосердов

**2906. Динамика развития дрожжей во время брожения вина. I. Размножение диких дрожжей. Охара, Пономур (ブドウ酒醸酵中の酵母について. 第1報. 野生酵母の消長. 小原巖, 野々村英夫), 日本醸造協会雑誌, Нихон дайдзо кёкай дзасси, J. Soc. Brew., Japan., 1955, 50, № 10, 51—47 (япон.; рез. англ.)**

Авторы проследили развитие культурных и диких дрожжей при брожении виноградного сусла с идентификацией диких дрожжей на разб. виноградном сусле с агаром. Испытано действие  $SO_2$  на размножение культурных и диких дрожжей.

И. Скурихин

**2907. Действие некоторых пестицидов, применяемых в виноградарстве на спиртовое брожение. Рубер (Action de quelques pesticides viticoles récents sur la fermentation alcoolique. Robert J.), Rev. agric. Afrique Nord., 1956, 54, № 1904, 95—96 (франц.)**

Изучено спиртовое брожение виноградного сока, обработанного каптаном (I), цинебом (II), паратионом (III), альдрином (IV) и дильдрином (V). I применен в виде технич. продукта и коммерч. препарата в конц-ях 5,50 и 100 мг/л. При конц-ии 1—5 мг/л наблюдалась небольшая задержка брожения, которое заканчивалось нормально. Осадок вина приобретал слабый запах  $H_2S$ . Конц-ии I в 50 и 100 мг/л полностью останавливали брожение. После удаления выпавшего осадка брожение возобновлялось, однако было замедленным. Осадок в вине обладал заметным запахом  $H_2S$ . II, в виде коммерч. препарата в конц-ях 5,50 и 500 мг/л, не влиял на брожение. Осадок в вине имел запах  $H_2S$ , вкус вина был нормальным, только при конц-ии II 500 мг/л вкус был вязющим из-за присутствия Zn. III — коммерческий препарат в конц-ях 5,50 и 100 мг/л — не влиял на брожение. IV, примененный в виде коммерческого продукта, содержащего 23% действующего начала, растворенного в углеводородах в конц-ях 5,50 и 500 мг/л (считая на действующее начало), не влиял на брожение; препарат имеет запах нафталина, легко переходящий в вино, поэтому обработку нужно проводить задолго до сбора винограда. V применен в чистом виде и в форме коммерческого препарата в конц-ях 5,50 и 500 мг/л. Чистый V не действовал на брожение. Коммерческий препарат V, содержащий четвертичные аммониевые основания в качестве эмульгаторов, замедлял брожение при дозе 50 мг/л и полностью останавливал при дозе 50 мг/л.

С. Иванова

**2908. Марочные столовые вина Грузии и способы их улучшения. Беридзе Г. И. (გარეული სპირტის სუფრის ღვინოები და მათი გაუმჯობესების სპეციალური გ. ბერიძე), Тр. пи-та виноградарства и виноделия АН ГрузССР, 1956, 9, 131—150 (груз.; рез. русс.)**

Для улучшения качества грузинских столовых марочных вин необходимо: произвести микрорайонирование, организовать накопление резервных виноматериалов. Подчеркивается значение обработки вина теплом и холодом.

И. Скурихин



2909. Метод непрерывного брожения в первичном виноделии. Герасимов М. А., Гилдод М. Г., Виноделие и виноградарство СССР, 1953, № 3, 15—19

2910. Метод ускорения стадии созревания вина. Мачавариани (ლევან მამფორების სტაფის ღებვის მეთოდი. Б. მამფორების), Тр. ин-та виноградарства и виноделия. АН ГрузССР, 1956, 9, 151—162 (груз.; рез. русе).

Описана технологич. схема обработки виноматериалов, обеспечивающая ускорение созревания и сокращение продолжительности выдержки шампанских виноматериалов с 3 лет до 1 года, а сухих белых марочных вин — с 3—3,5 до 2 лет с сохранением высоких органолептических качеств готового продукта. Продолжительность операций (в днях): оклейка и таннизация 5; выдержка на осадках до осветления и фильтрации 15—20; отдых после снятия с осадков 20—25; обработка холодом 5; отдых после обработки холодом 10—15; пастеризация, фильтрация и отдых 25—30. При описанной схеме обработки виноматериалов заметно снижается себестоимость готовой продукции. Г. Опшмян

2911. Стадия созревания вина. Асташева В. А., Виноделие и виноградарство Молдавии, 1953, № 2, 23—27

Пред. сообщ. см. РЖХим, 1954, 17492

2912. Комбинированная термическая обработка вина непрерывным потоком. Герасимов, Кишковский, Бусиловский (Комбинирана термическа обработка на вина в непрекъснат поток. Герасимов М. А., Кишковски Э. Н., Бусиловски С. А.), Лозарство и винарство, 1955, 5, № 3, 186—188 (болг.)

2913. Определение pH вин и коньяков. Скурихин Н. М., Виноделие и виноградарство СССР, 1956, № 3, 18—20

Хингидроный метод определения pH дает в коньячных спиртах и крепких винах, по данным автора, ошибку, соответствующую —0,3 и —0,2 pH. Это объясняется большей растворимостью хинона в спирте и нарушением вследствие этого в спиртоводных р-рах равновесия между хиноном и гидрохиноном. В присутствии восстановителей (сульфатов, дубильных и, возможно, красящих в-в) происходит восстановление части хинона в гидрохинон, что также нарушает равновесие. Так как стеклянный электрод не имеет подобных нарушений, то его применение для измерения pH вин и коньячных спиртов приводит к более надежным результатам.

И. Скурихин

2914. Винодельческие индексы для оценки качества и характеристики вин. Синсиннату-да-Кошта, Коррея (De la valeur des indices oenologiques au point de vue de la qualité et de la caractéristique des vins ayant droit à appellation d'origine. Cincinnato da Costa L., Correia E. Margarido), Bull. Office Internat. vin, 1956, 29, № 299, VII Congr. internat. vigne et vin, 370—383 (франц.)

Если хим. анализ вин на содержание спирта, сахара, кислотности, экстракта позволяет в какой-то мере отличать природное вино от фальсификации, то для качества оценки вин единственным методом является дегустация. Автор предлагает проводить качеств. оценку португальских вин по ряду показателей (индексов), по процентному содержанию: сульфатов и хлоридов в растворимой золе; К и Na в растворимых щелочах, Са и Mg в нерастворимых щелочах; щелочность растворимая; щелочность нерастворимая. Автором установлены средние значения этих показателей для каждого типа португальского вина. Таким образом, могут быть установлены индексы для вин всех винодельческих районов и по ним можно производить качеств. оценку вина. Г. Валуик

2915. О полярографическом определении яблочной кислоты в суслах и винах. 2-е сообщение. Громан, Гильберт (Über die polarographische Bestimmung der Apfelsäure in Traubenmost and Wein. II. Mitteilung. Grohmann H., Gilbert E.), Z. Lebensmittel-Untersuch. und Forsch., 1956, 103, № 1, 32—41 (нем.)

Описан метод определения яблочной к-ты в виноградных суслах и винах, основанный на осаждении яблочной к-ты в спиртовом р-ре солями серебра. Образовавшееся яблочнокислосое серебро растворялось в азотной к-те, ионы серебра осаждались соляной к-той и яблочная к-та определялась полярографически. В винах, богатых дубильными в-вами, предварительно производилось удаление этих в-в ионообменниками. Сообщение I см. РЖХим, 1956, 2586.

О. Захарина

2916. Состав вин и их органолептические свойства. Простосердов Н. Н. (Алкэтуница винурилор ши ынсушириле лор органолептические. Простосердов Н. Н.), Градинэритур ынэритул ши ынэридул Молдовей, 1955, № 4, 45—47 (молд.); Садоводство, виноградарство и виноделие Молдавии, 1955, № 4, 46—48

Рассматриваются вопросы дегустации.

Н. Простосердов

2917. Аналитическое исследование виноградных вин и европейских спиртных напитков. Аклима, Куно, Ватаран, Симидзу, Харада, Адати, Кубоки (葡萄酒及び洋酒の分析調査. 秋山啓一, 久野耕作, 渡倉修正, 清水敦, 原田雅之, 安達錦吾, 久保 木幹郎), 日本醸造協会雑誌, Нихон дайдзо кёкай дзасси, J. Soc. Brew., Japan, 1954, 49, № 11, 60—58 (япон.)

Приведены результаты анализов белого и красного вина, виски, коньяка и ликеров по следующим показателям: уд. вес., процент спирта, процент экстракта, кол-во редуцирующих сахаров, сивушных масел, фурфурола и метилового спирта. С. Ким

2918. Химические анализы вин в фармацевтической лаборатории. Бергнер, Мейер (Die chemische Untersuchung von Wein im Apothekenlaboratorium. Bergner K. G., Meyer H.), Dtsch. Apoth.-Ztg., 1955, 95, № 42, 1009—1013 (чеш.)

Описана техника оклейки вин желатиной, бентонитом, желтой кровяной солью, обработка активированным углем. Перечислены болезни, пороки и недостатки вин, причины их возникновения, указаны меры по их предупреждению. Для обнаружения фальсификации вин рекомендуется определять: 1. Излишнее подсахаривание вин, превышающее установленные законом нормы, — по уменьшению величины приведенного экстракта, 2. Добавление в вино настоя из выжимок — по снижению величины приведенного экстракта и увеличению зольности вина, 3) Добавление плодоягодных вин — по более высокому содержанию сорбита, 4) Подкрашивание синтетич. красителями — пробой с шерстяной нитью. Начало см. РЖХим, 1956, 56805.

О. Захарина

2919. Открытие и определение дегидратированной кислоты в напитках. Готье, Рено, Хабиб Гадидшах (Recherche et dosage de l'acide déhydroacétique dans les boissons. Gautier Jean Albert, Renault Jean, Habib G. G. H.), Ann. falsific. et fraudes, 1956, 49, № 565, 7—21 (франц.)

Дана критич. оценка методов определения и идентификации дегидратированной к-ты (I), используемой для консервирования соков, вин и спиртных напитков. Уточнена методика определения I с применением салицилового альдегида (Woods L. A. A. et coll., Journ. Pharmacol. Exper. Thérap., 1950, 99, 84). Разработана методика экстрагирования I из исследуемых на-

питков с применением хлороформа. При содержании I в кол-ве 25—150  $\mu\text{г}/\text{мл}$  образца погрешность определения колеблется в пределах от  $-6$  до  $+4$   $\mu\text{г}$  и редко доходит до 9  $\mu\text{г}$ . Чувствительность метода 10  $\mu\text{г}/\text{мл}$ . Установлено, что ацетальдегид, фруктоза и диацетил в тех кол-вах, в которых они обычно содержатся в напитках, практически не оказывают влияния на результаты определения I. Описана методика идентификации I способами: микроскопич. исследования структуры медной соли I, кристаллов I, изолированных возгонкой; определения т-ры плавления I под микроскопом; применения р-ции образования динитрофенилгидразона I.

Г. Ошмян  
2920. Исследование пригодности итальянских и других видов бентонита к использованию в качестве осветлителей в виноделии. Де-Роза (Indagine comparativa sull'impiego di alcune bentoniti italiane ed estere come chiarificanti in enologia. De Rosa Tullio, Ann. sperim. agrar., 1956, 10, № 3, 819—840 (итал.; рез. англ.))

С помощью нефелометра Пульфриха была проверена степень осветления белого сухого вина под воздействием различных дозировок 18 образцов исследуемых бентонитов, используемых в сочетании с желатиной или с последующим добавлением желатин. Некоторые виды бентонита оказались очень эффективными по скорости образования осадка и результатам осветления.

Г. Ошмян  
2921. Определение с помощью вискозиметра необходимости в очистке яблочного сока при приготовлении сидра. Жаккен, Тавернье (Test viscosimétrique pour déterminer l'aptitude a la défécation des mouts de pommes à cidre. Jacquen P., Tavernier J., Inds aliment. et agric., 1956, 73, № 3, 161—169 (франц.))

Проводится пробная обработка яблочного сока ферментными осветлителями и на основании показаний вискозиметра до и после обработки определяется необходимость применения такого осветления для всей партии сока.

Г. Валушко  
2922. Танин виноградных косточек. Сравнительное изучение танина галловых орешков с точки зрения применения в виноделии. Вилар-Роза-да-Коста (Le tannin du pépin du raisin. Étude comparative sur le tannin de la noix de galle, au point de vue de son application aux vins. Vilar Rosa da Costa M. A.), Bull. Office internat. vin., 1956, 29, № 299, VII Congr. internat. vigne et vin, 337—344 (франц.))

Танинизация вина известна с древних времен, когда вино наливалось в новые бочки, из которых извлекался танин (I), и вкус вина улучшался. I обладает консервирующими, осветляющими и антисептич. свойствами. Вино, содержащее I, имеет меньшее опьяняющее действие, чем то же вино без I. I придает окраску вину, что особенно важно для вин из сусла-самотека. Автор нашел содержание I: в гребнях 0,7—3,5%; в кожине 0,3—4,3%; в косточках 2—8%. Максимум содержания I наблюдается в момент созревания винограда. Сравнивается I из виноградных косточек (ИК) и галлотанин (ИГ). ИК труднорастворим, окрашивает р-р и дает тяжелый осадок темно-красного цвета. ИГ растворяется легко, р-р имеет интенсивный лимонно-желтый цвет. ИК дает с  $\text{FeCl}_3$  рыхлый темно-зеленый осадок, а ИГ плотный голубоватый осадок. С бромной водой ИК дает молочный осадок, ИГ осадка не дает. На основании этих р-ций автор относит ИК к танинам пирокатехиновой группы, а ИГ к танинам пирогаллоловой группы. Рекомендуется применять галлотанин, который обладает лучшими окисляющими свойствами и удаляет больше кол-ва Fe и Cu, что особенно важно при оклейке вин перед розливом. Вводится понятие «осаждающая сила»

I — выражается в г желатины, которые могут быть осаждены 100 г I. Дается методика ее определения. Употребляемый в практике виноделия термин «этантин» обозначает не происхождение I, а область его применения; поэтому следует его именовать «танин винодельческий».

Г. Валушко  
2923. Пригодность гибких искусственных шлангов к использованию для перемещения напитков. Махер (Die Eignung von flexiblen Werkstoffschläuchen als Getränkeleitungsmaterial namentlich für den Bierausschank. Macher Logan d., Brauwelt, 1955, B95, № 36-37, 505—509 (нем.))

Некоторые пластификаторы, входящие в состав гибких искусств. шлангов (ГШ), обладают свойствами ядовитых в-в, что обуславливает пригодность ГШ к использованию для перемещения напитков. Описана методика исследования ГШ на предмет определения их пригодности к использованию в пищевой пром-сти. Установлено, что использование ГШ при произ-ве напитков противопоказано, если крепость спирта выше 30%, тогда как для пива оно, как правило, приемлемо.

Г. Ошмян  
2924. Об уходе за фильтр-прессами. Эмх (Unterlagen für die Pflege von Schichtenfiltern. Emch F., Schweiz. Z. Obst- und Weinbau, 1955, 64, № 7, 135—138 (нем.))

Описаны и иллюстрированы фотоснимками типичные случаи коррозии элементов фильтров, применяемых в виноделии. Как правило, коррозии подвергаются участки, малодоступные для систематич. чистки благодаря воздействию на металл продуктов распада скопленного шлама. Приведены конструкции современных фильтров с выносными, легко прочищаемыми каналами.

Н. Гарденин  
2925. Переработка первичных продуктов в промышленности безалкогольных напитков. Гантнер (Verarbeitung neuzüchtlicher Grundstoffe in der alkoholfreien Getränkeindustrie. Gantner Ferdinand, Internat. Fachzeitschrift Brau.-Gärungs- und Kältetechn., 1956, 9, № 5, 85—88 (нем.))

Приводятся современные данные по качеств. показателям и способам переработки сырья и полупродуктов, применяемых в произ-ве безалкогольных напитков.

Г. Ошмян  
2926. Опытное приготовление газированного и пенящегося слабоалкогольного напитка из концентрированного виноградного сусла. Бреммон, Ружье, Куртуаэ (Essai de préparation d'une boisson faiblement alcoolisée, mousseuse et gazeuse en partant du moût de raisin concentré. Bremond E., Rougier R., Courtoisier A. J.), Rev. agric. Afrique Nord, 1956, 54, № 1, 909, 223—225; Compt. rend. Acad. agric. France, 1955, 41, № 13, 569—571 (франц.))

Разработана принципиальная схема приготовления из виноградного сусла напитка, весьма близкого по своим органолептич. свойствам к пиву. К предварительно разб. конц. суслу, из расчета конечного содержания спирта в готовом напитке в пределах 4—7%, добавляли 15—30 г/л декстринов, 0,5—1 г/л азотистых в-в и 1,25—1,75 г/л хмеля, кипятят около 30 мин., фильтруют, засевают 1% низовых пивных дрожжей, сбраживают до плотности 1,012 при т-ре 8—9° (~7 дней), дображивают при 2° в 50-литровой посуде в течение 2 месяцев, фильтруют через кизельгур и разливают в бутылки. Приготовленный описанным способом напиток получил хорошую органолептич. оценку.

Г. Ошмян  
2927. Применение полярографа при анализе напитков. Сообщение 2. Количественное определение меди в соках и сброженных напитках полярографом. Таннер, Риччлер (Der Polarograph als Hilfsmittel für Getränkeanalysen. Mitteilung. 2. Die quantitative

polarographische Bestimmung von Kupfer in süßen und vergorenen Getränken. Tanner H., Rentschler H.), Mitt. Gebiete Lebensmitteluntersuch. und Hyg., 1955, 46, № 2, 209—219 (нем.; реза. англ., франц.)

10 мл несброженного плодового сока или 20 мл виноградного (плодового) вина озонуют обычным способом. Обработкой 3 мл конц. HCl минер. соли переводят в хлориды, высушивают 3 часа при 300° и растворяют в 1 мл  $n$ -HCl. Р-р водой переводят в мерную колбу на 10 мл, нейтрализуют  $n$ -NH<sub>4</sub>OH (по фенолфталеину), добавляют 2 мл р-ра электролитов (240 г этилендиамина и 107 г NH<sub>4</sub>Cl в 1 л воды) и полярографируют в специально сконструированном для определения Cu<sup>2+</sup> электролизере. Анализ большого кол-ва образцов соков и вин показал, что содержание в них меди (в среднем 3—6 мг/л) значительно ниже нормы, допускаемой пищевым законодательством. Сообщение I см. РЖХим, 1954, 28190. В. Гурни

2928. Определение следов никеля в солодовых напитках. Кенигсберг, Стоун (Determination of traces of nickel in malt beverages. Kenigsberg Morris, Stone Irwin), Analyt. Chem., 1955, 27, № 8, 1339—1340 (англ.)

Попадание в пивное сусло даже очень незначительных кол-в никеля оказывает токсическое действие на дрожжи и замедляет брожение, а в готовом пиве приводит к скоплению газа. Предлагается колориметрич. метод определения никеля в сусле и пиве. Производится сухое озоление жидкости, растворение остатка в разб. соляной к-те и экстрагирование р-ром дитизона в четыреххлористом углеводе (для определения меди или железа). Водн. слой обрабатывается диметилглиоксимом и бромной водой и подщелачивается. По интенсивности красно-коричневого окрашивания фотометром определяется содержание никеля. Метод очень точен. Результаты не зависят от присутствия меди или железа. Н. Простосердова

2929 К. Дистилляция и дистилляционные аппараты в винокурении. Каминский (Destylacja i aparaty destylacyjne w gorzelnictwie. Kaminski Stefan, Warszawa, Wydawn. Przem. Lekkiego i Srozywcz., 1956, 85, 3 нлб. s., il., 4,40 zł) (польск.)

2930 К. Технология ликеро-водочного производства. Грицюк И. Г., Ройтер И. Н., (Technologia fabricării lichiorurilor și a rachurilor industriale. Grițuc I. G., Roiter I. M., Trad. din limba rusă. București, Ed. tehn., 1955, 351 p., il., 16, 40 lei) (рум.)

Перевод. См. РЖХим, 1954, 15662

2931 К. Сырье и технология пивоваренного производства. Учебник для I курса технических школ (Sörpari anyag — és gyártásismertet. 1. Az élelmiszeripari iparitanulókiskolák sörpari szakának. 1. oszt. számára. Stráhl Antal. Budapest, Műszaki Kiado, 1955, 227 l., Iskára 7 Ft) (венг.)

2932 К. Вино, его приготовление, обработка и исследование. 3-е издание. Фогт (Der Wein. Seine Bereitung, Behandlg u. Unters. 3. Aufl. Vogt Ernst. Stuttgart, Ulmer, 1955, 260 S., 9.80 DM) (нем.)

2933 Д. Себестоимость продукции спиртовой промышленности Белорусской ССР и пути ее снижения. Лепета Д. Д. Автореф. дисс. канд. экон. н., Ин-т экон. АН БССР, Минск, 1956

2934 Д. О регулировании ускоренной обработки столовых вин по величине окислительно-восстановительного потенциала. Липис Б. В. Автореф. дисс. канд. техн. н., Краснодарск. ин-т пищ. пром-сти, Краснодар, 1956

2935 П. Спиртовые погоны. Хендри, Грин, Мензие (Alcoholic distillates. Hendry H., Green J., Menzies P. M. B.). Австрал. пат. 163340, 30.06.55

Для улучшения вкусового достоинства спиртовых погонов их обрабатывают синтетич. полимерным катионообменным материалом, содержащим свободные кислотные группы. В. Гурни

2936 П. Биохимический контроль прорастания зерна. Столлер (Biochemical control of cereal grain germination. Stoller Benjamin B.) [Pabst Brewing Co.]. Пат. США 2698275, 28.12.54

Предложен способ контроля прорастания зерна, состоящий в том, что зерно проращивают до появления ростков, пробу частично проросшего зерна заливают дистилл. водой, проращивают дополнительно 24 часа до снижения pH < 6 с выдержкой при этом pH не свыше 30 мин. Подкисленное зерно обрабатывают растительным гормоном из группы арил- и арилоксилифатич. карбоксилых к-т, их эфиров, амидов и солей при условии, что замещение происходит в арильном кольце и что во всяком случае один заместитель находится в пара-положении; при наличии незамен. арил- и арилоксилифатич. к-т предпочтительнее использовать α-, чем β-формы. После упомянутой обработки заканчивают проращивание зерна. Г. Ошмян

2937 П. Процесс изготовления пива. Клебер (Procédé de fabrication de bière. Kleber Willy) [Ultrakust-Geratebau Dr. Ing. Oswald Raudzus]. Франц. пат. 1063813, 7.05.54 [Chimie et industrie, 1954, 72, № 3, 493 (франц.)]

Хмель в виде измельченных шишек задается в сусло или в воду, р-ры (холодные, теплые или кипящие). Лучшее растворение и превращение основных горьких в-в хмеля достигалось при помощи звукогенератора. Охмеленное таким образом сусло используется обычным способом для изготовления пива. В. Платонова

2938 П. Улучшение в способе изготовления пива. Бинц, Шультхейс (Mejoras en el procedimiento para la fabricación de cerveza. Bienz Otto, Schultheis Wilhelm Eberhard). Мексик. пат. 55355, 6.04.55

Патентуются условия для приготовления пива: повышенная т-ра при варке и постоянная или периодич. обработка перерабатываемых продуктов ультразвуком. И. Залекер

2939 П. Способ осветления сусла и пива (Method of clarifying malt liquors or beer) [Aktiebolaget Separator]. Англ. пат. 715988, 22.09.54

Сусло сначала обрабатывают на сепараторе для осаждения твердых частиц дрожжей и белковых в-в, после чего его охлаждают и затем освобождают от более мелких частиц фильтрацией. Пиво при т-ре ~ 5° подается в сепаратор, герметически закрытый, для предупреждения утечки CO<sub>2</sub> и предохранения пива от соприкосновения с воздухом. Из сепаратора пиво поступает в охладитель противоточного типа, в котором холодагентом служит охладж. рассол; здесь пиво охлаждается до -2°. Далее пиво поступает на фильтрпресс, который во время работы должен предохраняться от сотрясений, чтобы не вызвать завихрений в охлаждающем рассоле и не допустить подема температуры. С. Светов

2940 П. Очистка оборудования пищевого производства. Крауч, Кей (Cleansing food handling equipment. Crouch Eric A. C., Kay Eric) (Imperial Chemical Industries Ltd). Канад. пат. 509966, 8.02.55

Предлагается средство для очистки и стерилизации оборудования пивоваренного произ-ва в виде водн. р-ра, содержащего галоиды додецил- и тетрадецил-пиридина, очищ. от пиридина, и его неорганич. солей



одновременной обработкой кипящей водн. щелочью при pH 8 и активированным углем. А. Емельянов

2941 П. Внутреннее покрытие из пластмассы (поливинилхлорида или его производных) для затворов винных бочек. Массаль (Revêtement intérieur en matière plastique, polychlorure de vinyle ou ses dérivés, des portes et trappes de cuves à vin. Massal G. J.). Франц. пат. 1055409, 18.02.54 [Chem. Zbl., 1955, 126, № 26, 6159 (нем.)]

Для предотвращения порчи вина на металлич. затворы винных бочек с внутренней стороны наносят покрытие из поливинилхлорида. М. Альбам

2942 П. Способ получения концентрата из напитка. Мутон (Method of making beverage concentrate. Mouton Robert F.). Пат. США 2728673, 27.12.55

Спиртной напиток, полученный из хлебного сырья методами брожения, расхоложивают до  $-50^{\circ}$ , создают разрежение в пределах 50—200 мм рт. ст. и поддерживают холод на заданном уровне почти до полного удаления из напитка воды, спирта и  $\text{CO}_2$ . Г. Ошмян

2943 П. Способ получения глицерина методами брожения (Verfahren zur Herstellung von Glycerin) [Bäckhefe G. m. b. H.]. Пат. ФРГ 927263, 2.05.55 [Chem. Zbl., 1955, 126, № 36, 8518 (нем.)] Сахара или сахаросодержащие материалы подвергают многоступенчатому сбраживанию дрожжами в присутствии сульфитов и при повторном использовании барды. Вначале брожение ведут при  $t$ -ре 23—25°, а затем ее повышают. Периодич. снижение  $t$ -ры брожения оказывает тормозящее действие на процессы брожения. Г. Ошмян

См. также: Морские водоросли для питания дрожжей 423Бх. Очистка сточных вод дрожжевых заводов 1856. Снабжение водой спиртовых задов 1810. Вода для сакэ 1772. Строение лупулонов 1086. Опред. лимонной к-ты 121.

## ПИЩЕВАЯ ПРОМЫШЛЕННОСТЬ

Редакторы М. С. Горденин, А. М. Емельянов,  
А. Л. Прогорович

2944. Главные направления автоматизации пищевой промышленности. Черковский (Hlavní směry automatizace v potravinářském průmyslu. Čerovský Jaroslav). Průmysl potravin, 1956, 7, № 3, 108—113 (чеш.; рез. русс., нем., англ.)

Даны краткое сравнение и оценка различных автоматич. способов измерения и регулирования технологич. процессов, указаны возможности применения автоматизации в отдельных отраслях пищевой пром-сти. А. Прогорович

2945. Возможности применения электроники в пищевой промышленности. Свѣтек, Познанский (Możliwości zastosowania elektroniki przemysłowej w technologii żywności. Świątek A., Poznański S.). Przem. spożywczy, 1955, 9, № 8, 319—321 (польск.; рез. русс., англ.)

Обзорная статья о применении ВЧ-токов в пищевой пром-сти. Библ. 26 назв. Я. Штейнберг

2946. Применение ультрафиолетовых лучей в пищевой промышленности. Галанни Н. Ф., Головкин Н. А., Тр. Ленингр. технол. ин-та холодильн. пром-сти, 1956, 10, 45—52

Рассмотрена теория бактерицидного действия УФ-лучей, а также результаты применения УФ-облучения для обеззараживания воздуха и тары на предприятиях пищевой пром-сти. Приведены данные по облучению мяса и мясных продуктов, сыров, цитрусовых плодов, молока. А. Емельянов

2947. Значение радиоизотопов для пищевой промышленности. Кветонь (Význam radioisotopů pro potravinářský průmysl. Květon Miroslav). Průmysl potravin, 1955, 6, № 12, 578—587 (чеш.; рез. русс., англ., нем.)

Обзор достижения в области ядерной физики. Рассмотрено значение изотопов для научного исследования и практич. применения в пром-сти. Особое внимание уделено применению изотопов в пищевой пром-сти для холодной стерилизации овощей, муки, мяса и для удлинения сроков хранения картофеля. Библ. 12 назв. Е. Шнайдер

2948. Применение понижающего излучения в пищевой промышленности. Шовен (L'utilisation des rayonnements ionisants dans l'industrie des denrées alimentaires. Chovin P.). Ann. falsific. et fraudes, 1956, 49, № 569, 203—206 (франц.) См. РЖХим, 1956, 73500

2949. Расчет режима термической обработки пищевых продуктов. I. Температуры ниже  $100^{\circ}$ . Баш, Прост (Hővel tartósított élelmiszerek hőkezelésének kiszámítása. I.  $100^{\circ}\text{C}^{\circ}$  alatti hőmérsékletek. Vas Károly, Proszt Gizella). Élelm. ipar, 1954, 8, № 8, 230—255 (венг.)

Рассмотрены теоретич. и эксперим. основы расчетов времени стерилизации. А. Емельянов

2950. Прогретаемость консервов. Чарлетт (Heat penetration into canned food. Charlett S. M.). Canning and Packing, 1956, 26, № 301, 9—11 (англ.) См. РЖХим, 1956, 14790.

2951. Поправка на показания термомпары при определении скорости прогревания. Экунд (Correction factors for heat penetration thermocouples. Ecklund O. F.). Food Technol., 1956, 10, № 1, 43—44 (англ.)

Изучены ошибки, происходящие при измерении скорости прогревания консервов в металлич. банках разного размера, зависящие от конструкции применяемой термомпары. Приведены соответствующие поправки. Т. Сабурова

2952. Изучение колебаний температуры при хранении мороженных пищевых продуктов. Николас, Шоу (Studies of temperature variations in stored frozen food. Nicholas John E., Shaw Mark D.). Frosted Food Field, 1955, 21, № 1, 30, 40—41 (англ.)

Проведены лабор. исследования колебаний  $t$ -ры замороженных продуктов при хранении их в специально устроенных камерах объемом  $0,85\text{ м}^3$ , расположенных в помещении с постоянной  $t$ -рой  $-4,4^{\circ}$ . Продукты хранились в трех камерах при  $t$ -рах, напр.:  $-12,2$ ,  $-17,7$  и  $-28,9^{\circ}$ . В каждой камере при помощи термомпар отмечалась  $t$ -ра в 12 симметрично расположенных упаковках продуктов. Наблюдения показали, что  $t$ -ра в различных точках камер колеблется в значительных пределах; так, для камеры с номинальной  $t$ -рой  $-12,2^{\circ}$  фактически средние  $t$ -ры, взятые за 5-часовой период непрерывного наблюдения для различных пунктов, колебались от  $-10,4$  до  $-12,5^{\circ}$  при средней  $t$ -ре для всех 12 пунктов  $-11,3^{\circ}$ . Это указывает на необходимость индивидуально учитывать  $t$ -ру отдельных точек камеры при проведении точных эксперим. работ. С. Светов

2953. О природе связи между скоростью отвода тепла и перемещением влаги при замораживании пищевых продуктов. Чижов Г. Б., Тр. Ленингр. технол. ин-та холодильн. пром-сти, 1956, 10, 33

Распределение кристаллов льда и их размеры в замороженных пищевых продуктах зависят от скорости замораживания и миграции влаги. В практич. условиях приемлемая средняя скорость замораживания  $\geq 5 \cdot 10^{-3}$  м/час, миним.  $\geq 3 \cdot 4 \cdot 10^{-3}$  м/час. При конструировании и эксплуатации морозильных устройств необходимо обеспечивать максим. скорость заморажи-

вания рациональной комбинацией толщины продукта, величины коэфф. теплоотдачи и обеспечением максим. температурных напоров.

А. Емельянов

2954. Изучение остаточной микрофлоры стерилизованных консервов. Пашев, Бешков, Ламбрев (Проучване остатъчната микрофлора на стерилизираните консерви. Пашев Ил. П., Бешков М. Н., Ламбрев Б. К.), Науч. тр. Висш. ин-т хранит. и вкус. пром-ст — Пловдив, 1955, 2, 163—182 (болг.; рез. русс.).

Изучена остаточная микрофлора 1169 банок различных плодовоовощных и мясных консервов. Установлено, что в 15,42% консервов содержатся различные виды бактерий. Наиболее высокий процент неспорообразующих консервов отмечен среди компотов (29,03%), самый низкий — у мясных консервов. Из числа изолированных бактерий 18,13% относились к спорообразующим (*B. mesentericus*, *B. subtilis*, *B. mycoides*, *B. megtherium*) и 41,87% к неспорообразующим (кокки 70,83% и палочки 10,43%). Первые чаще встречались в овощных консервах без масла, мажированных консервах, компотах, реже в мясных и овощных консервах с маслом. Остаточная микрофлора имеет эпифитное происхождение.

А. Прогорович

2955. О стерильности консервов. Роуан (Are canned foods sterile? Rowan M. K.), S. Afr. Shipp. News and Fishing Ind. Rev., 1956, 11, № 5, 63, 65, 67, 69, 71, 73, 75 (англ.).

На основании разбора опубликованных и неопубликованных работ делается вывод о том, что в доброкачественных консервах могут быть обнаружены жизнеспособные формы бактерий, выдержавшие стерилизацию, развитие которых в данных условиях подавлено. Присутствие их устанавливают только бактериологич. анализом при тщательном соблюдении условий, исключающих попадание микроорганизмов из воздуха. При отсутствии физических и органолептических данных о нестерильности консервов после термостатной выдержки обнаружение их нестерильности бактериологич. исследованием свидетельствует или о наличии в банках покоящихся форм, или об ошибках исследования. В этих случаях нет оснований считать консервы недоброкачественными. Библ. 25 назв. А. Емельянов

2956. Самозамораживание в вакууме. Рыжова Е. И., Тр. Ленингр. технол. ин-та холодильн. пром-сти, 1956, 10, 109—112

Исследование процесса замораживания влажных капиллярнопористых тел в вакууме установило, что коэфф. теплоотдачи в этом случае выше, чем при сублимации, что обеспечивает максим. скорость замораживания.

А. Емельянов

2957. Применение газа для сушки пищевых продуктов. Ан (L'emploi du gaz pour le séchage des produits alimentaires. E m b s M.), Inds. agric. et aliment., 1954, 71, № 4, 347—351 (франц.).

Описано применение ИК-лучей для термич. обработки продуктов. Источники излучения — металлич. трубы, нагреваемые проходящим внутри газом в смеси с воздухом до 300°, с эмиссией ИК-лучей с длиной волны 5 м или металлич. панно, обогреваемые горячей внутри их смесью воздуха с газом до 400° с эмиссией ИК-лучей с длиной волны 1,5—2 м. Приводятся данные о применении ИК-лучей для запекания и подсушивания сардин (производительность аппаратуры 120 кг/ч), а также для сушки кондитерских изделий и для выпечки хлеба.

А. Емельянов

2958. Сравнительная оценка качества продуктов физическими и органолептическими методами. Шварц (Which really point the way in tests of a product? Schwartz Noel), Food Engng, 1954, 26, № 7, 64—65, 162, 165—166 (англ.).

Проведены опыты определения качеств. изменений жареных зерен кукурузы физ. и органолептическими способами при хранении их до 11 дней при 32° и 85% относительной влажности воздуха и в тех же условиях, но с облучением УФ-лучами. Периодически определяли прогоркание образцов по перекисным числам и проводили дегустационную оценку по 9-балльной схеме. Сравнение полученных результатов установило, что органолептические оценки более чувствительны, чем физ. испытания.

А. Емельянов

2959. Амино-карбонильная реакция пищевых, в частности молочных, продуктов. Адати (食品のアミノカルボニル反応。特に乳製品について。足立達), 化学の領域, Кагаку-но рёйкы, J. Japan, Chem., 1955, 9, № 6, 23—34 (япон.).

Обзор. Библ. 171 назв.

2960. Открытие сахараина при помощи хроматографии. Марини (Ricerca cromatografica della saccarina. Marini Egidio), Boll. lab. chim. provinc., 1955, 6, № 3, 80—81 (итал.).

Для открытия сахараина в пищевых продуктах эфирную вытяжку из последних хроматографируют восходящим способом на бумаге ватман № 1, применяя в качестве р-рители смесь  $\text{C}_2\text{H}_5\text{OH}$  (30,8%),  $\text{C}_6\text{H}_{11}\text{OH}$  (15,2%),  $\text{C}_6\text{H}_6$  (46,0%) и воды до 100,0%. Проявляют 2%-ным спирт. р-ром дихлоргидрата N-1-нафтилэтилендиамина. Хроматограмму рассматривают в УФ-свете. Сахарин дает розово-фиолетовое пятно с R<sub>f</sub> 0,42.

Б. Афанасьев

2961. Микробиология пищевых предприятий. Дик (Microbiology for the food plant. Dick M. I. B.), Food Technol. Austral., 1956, 8, № 3, 141, 143, 147, 149; № 4, 191, 193, 195 (англ.).

2962. Пищевые продукты. Матчетт, Лёзекке (Food. Matchett John R., Loesekke Harry W., von), Analyst. Chem., 1955, 27, № 4, Part. II, 623—632 (англ.).

Обзор литературы по методам исследования пищевых продуктов (определение влаги, белков и аминокислот, жиров, углеводов, к-т, витаминов, ферментов, солей в-в, вкуса и цвета, остатка инсектицидов, бактериальной зараженности). Библ. 313 назв.

А. Прогорович

2963. Биологически активные продукты конденсации сахаров и аминокислот или белков в пищевых продуктах. Береш, Мацелла (Élettanilag hatékony, cukor- és aminosavak vagy fehérjék kondenzációjával keletkező vegyületek az élelmiszerekben. B é r e s T i b o r, Maczella László), Élelm. ipar., 1956, 10, № 3, 72—74 (венг.).

Из пищевых продуктов, содержащих много меланоидов и редуктонов, удалось выделить фракции фульвиновых и гуминовых к-т, первая показала сходство с фульвиной фульвиновой к-той (I). Меланоидин, полученный в шел. среде из глюкозы и гликоля, оказался также сходным с I. Редуктоны и меланоиды хроматографируются аналогично I, а также оказывают фунгистатическое действие на патогенный грибок *Epidermophyton Kaufman Wolf*. Предполагается, что некоторые фракции меланоидов относятся к той же хим. группе, что и фульвиновые кислоты.

Г. Юдкович

2964. О помольных качествах пшеницы как сортовым признаке. Лейн, Флекенг (Über die Mahlfähigkeit als Sorteneigenschaft. Lein A., Fleckensig J.), Getreide und Mehl., 1956, 6, № 1, 1—4 (нем); Milling, 1956, 126, № 24, 721—722, 726—727 (англ.).

Влияние сортности пшеницы на ее помольные качества изучалось в опытах выращивания 18 озимых сортов в двух различных по условиям произрастания районах в течение двух лет. Определялись объемный вес, вес 1000 зерен, содержание золы в зерне, выход муки и

крупных отрубей, выход драной крупы, вымол крупок, крупчатость, содержание крахмала в отрубях и в муке. На основании математически обработанных результатов установлено заметное влияние сорта на выход крупных отрубей, крупчатость и содержание золы в мелких отрубях. Менее выраженное влияние сорта отмечено на вес 1000 зерен, выход муки и драной крупы, вымол крупок и содержание крахмала в отрубях. Самое незначительное влияние сорта найдено в отношении объемного веса, содержания золы в зерне и муке и кол-ва оболочек в зерне. Приводятся результаты подсчетов коэфф. корреляции между различными показателями помольных качеств пшеницы, сортоистостью и условиями произрастания.

**А. Емельянов 2965.** Процесс скоростного кондиционирования пшеницы при подготовке зерна к помолу. **Тарутин П. П.**, Тр. Всес. н.-и. ин-та зерна и продуктов его переработки, 1956, № 31, 5—24

Рассмотрены теоретич. основы скоростного кондиционирования пшеницы (СКП), схема процесса и его технология, а также результаты исследований СКП на эксперим. мельнице Всес. н.-и. ин-та зерна и продуктов его переработки. СКП состоит из следующих операций: 1) подсушка зерна, 2) пропаривание, 3) краткое отволаживание зерна в нагретом состоянии, 3) отхлаждение — мойка зерна холодной водой, 4) удаление избыточной влаги с поверхности зерна, 5) отволаживание зерна ~ 3 часа. СКП входит в схему подготовки зерна к помолу и производится между «черной» и «белой» очисткой зерна. Проведенными опытами СКП установлено, что для пшениц второй группы стекловидности время кондиционирования уменьшается в 4—6 раз по сравнению с холодным кондиционированием, при этом улучшаются показатели качества муки по цвету на 3—4 ед. и более, по зольности на 0,02—0,03%; это позволяет увеличить выход муки высоких сортов примерно на 2%. Отмечено также улучшение хлебопекарных качеств муки (укрепление слабой клейковины) и улучшение мукомольных качеств зерна.

**А. Емельянов 2966.** Модернизация полумеханизированной мельницы для ржи и пшеницы. **Симонидес (Umstellung einer halbautomatischen Roggen Weizenmühle auf Durchgangsmüllerei. Simonides H. A. N. S.), Bäcker und Konditor, 1953, 9, № 4, 20 (нем.)**

Перевод малых с.-х. и средних полумеханизированных мельниц на полностью механизированные и выработку сортовой муки стал возможным благодаря наличию спец. станков-автоматов для дранья, возможности применять разделение вальцовой линии станков на несколько отделений, вертикального подразделения рассевов, применения деташеров и пневмотранспорта промежуточных продуктов. Приводится описание и схема сортового помола полумеханизированной мельницы, переведенной с 8 на 11—12 систем и на полную механизацию процесса помола. Первая система, в зависимости от вида перерабатываемого зерна, может быть использована для предварительного плющения (переработка ржи), либо в качестве первого дранья с установлением необходимой относительной скорости вращения вальцевых валков, в случае переработки пшеницы. С целью наиболее полного вымола дунстов предусматривается возможность дополнительного оборота дунстовых продуктов на последних системах.

**Б. Зибель 2967.** Лабораторные опытные помолы. Их значение и выполнение. **Феллер (Versuchsmüllerei — ihre Bedeutung und Durchführung. Feller Kurt), Bäcker und Konditor, 1955, 9, № 4, 21—22 (нем.)** Дается краткое описание лабор. опытной мельничной установки, работающей по схеме 5 драных, 3 шлифовочных и 10 размольных систем. На такой установке представляется возможным моделировать процесс

помола. В задачи лабор. опытных помолов входит определение мукомольных (а также хлебопекарных) свойств партий пшеницы, поступающих на переработку, установление наилучших режимов подготовки зерна к помолу (увлажнение, отлежка, кондиционирование), правильный подбор партий пшеницы для составления помольных смесей и др. Приводится описание опытной мельничной установки, состоящей из вальцевого станка с вальками диам. 220 мм, длиной 150 мм, двухрукавного рассева с 2×8 разъемных ситовых рамок. На драной половине можно получить 5 промежуточных продуктов, на размольной — 3. Имеются 4 пары валков с разной нарезкой, одна пара гладких валков и 20 ситовых рамок, при помощи которых можно осуществить необходимые режимы помола. Зерноочистка состоит из аспиратора, высокопроизводительного триера и комбинированной щеточно-обоочной машины. Дается фото установки и схема помола.

**В. Зибель 2968.** Загрязнение продуктов помола в процессе выработки частями животного происхождения. **Хампель (Verunreinigungen tierischer Herkunft (Filt) im Vermahlungdiagramm. H a m p e l G.), Getreide und Mehl., 1955, 5, № 7, 50—52; № 8, 58—61 (нем.)**

Рассмотрен вопрос о загрязнении продуктов помола зерна частями животного происхождения (волосками грызунов, частями насекомых) и методах их определения. Приводятся данные, показывающие, что с помощью зерноочистительных машин содержание загрязнений может быть значительно снижено и даже доведено до нуля. Содержание частиц насекомых колеблется в зависимости от степени заражения мельниц и систем в значительных пределах. Обычно наибольшее кол-во загрязнений наблюдается в продуктах последних драных, размольных и вымольных систем.

**Б. Зибель 2969.** Гигроскопическое равновесие продуктов из цельнозернового риса. **Хаустон, Кестер (Hugroscopic equilibria of whole-grain edible forms of rice. Houston D. F., Kester E. B.), Rice J., 1955, 58, № 8, 19—22, 43; Food Technol., 1954, 8, № 6, 302—304 (англ.)**

Результаты измерения равновесной влажности пропаренного и быстрорастворяющегося (вымоченного, сваренного до полуготовности и высушенного способами, обеспечивающими пористость и мягкость продукта) риса. При 25 и 37° и относительной влажности воздуха: 10, 20, 30, 40, 50, 60, 70, 80 и 90% равновесная влажность пропаренного риса соответственно равна: 5,9 и 4,9; 8,0 и 7,0; 9,5 и 8,4; 10,9 и 9,8; 12,2 и 11,1; 13,3 и 12,3; 14,1 и 13,3; 15,2 и 14,8; 19,1 и 19,1; быстрорастворяющегося риса: 5,5; 7,4; 8,9; 9,7; 10,5; 11,5; 13,1; 15,4 и 20,1.

**А. Емельянов 2970.** Быстрое определение влажности муки и клейковины в электрическом поле высокой частоты. **Питермат, Мас (Le dosage ultra-rapide de l'humidité dans les farines et le gluten essoré, dans un champ électrique à haute fréquence. P i e t e r m a a t F. P., M a e s E.), Fermentation, 1955, № 1, 30—39 (франц.)**

Проведены опыты определения влажности в пшеничной муке (с влажностью ~ 15% и содержанием золы 0,482—0,729% на сухое в-во) и в клейковине, отмытой из этой муки, в электрич. поле высокой частоты (ЭПВЧ) от генератора мощностью  $\pm 100$  вт с частотой  $10^6$  периодов в 1 сек. Установлено, что высущивание клейковины в течение 10—12 мин. в ЭПВЧ дает примерно такие же результаты, как и определение влажности в ней в течение 16 час. при 100—115°. Определение влажности в муке ЭПВЧ требует 15 мин. Точность 0,15%.

**А. Емельянов 2971.** Ускоренный метод определения хлебопекарной силы пшениц. **Леклер (Une méthode rapide d'ar-**



précision de la force boulangère des blés. L e c l e r q J a c q u e s), Meunerie franç., 1955, № 100, 26—28 (франц.)

Для ускоренного определения хлебопекарной силы пшениц, соответствующей W альвеографа, продолжительное время пользовались методом Пельсхенке. Однако во многих случаях, главным образом для пшениц со средними величинами W, наблюдаются несоответствия между величиной показателя Пельсхенке и W. Поиски другого экспрессного метода привели к использованию регистрационной тестомесилки, типа фаринографа Брабендера. 55 г чистого зерна последовательно размалывают на двух лабор. мельницах до получения продукта проходом через шелкотканное сито с отверстиями до 1 мм. 50 г полученной муки замешивают с 35 мл дистилл. воды в регистрационной тестомесилке в течение 15 мин. Характеристики кривой замеса подвержены колебаниям в зависимости от хлебопекарной силы пшеницы (определяемой по W). Установлена математич. зависимость между W альвеографа и величиной константы теста АО и тестообразования ОВ, в виде площади F заключенного между ними треугольника ОАВ. Эта зависимость выражается ур-нием  $W = 0,988 F + 7,618$ . Для сравнения с W была принята величина  $F^* = 0,988 F + 7,618$ .

В. Зибель  
2972. Анализ калорийности риса. Нагаха-  
(米のカロリーはどうして決めているか. 永原太郎),  
分析化学, Бунсэки кагаку, Japan Analyst, 1956, 5,  
№ 1, 54—57 (япон.)

Обзор. Библи. 10 назв.

2973. Об измеримом действии воды при проведении  
пробы Пекара с фотометрированием. Гальтер  
(Über meßbare Wassereinwirkung bei der photometrier-  
ten Pekarprobe. G a l t e r), Mühle, 1956, 93, № 31,  
436 (нем.)

Приводятся результаты измерений фотометрич.  
яркости муки в зависимости от длительности действия  
воды на исследуемый образец муки. А. Емельянов

2974. Еще раз о теории и практике выхода теста.  
Дозе (Nochmals: Theorie und Praxis der Teigausb-  
beute. D o s e O t t o), Bäcker und Konditor, 1956,  
10, № 7, 5—6 (нем.)

Дается определение термина «выход теста», под ко-  
торым понимают вес теста, полученного из 100 вес. ч.  
муки, включая дрожжи, соль и другие добавки (за ис-  
ключением двойного теста), примеры его подсчета для раз-  
ных случаев. Приводится перечень причин повышен-  
ного и пониженного выходов теста, а также теоретич.  
величины последнего для различных видов хлеба. См.  
РЖХим, 1956, 76712.

А. Емельянов  
2975. Теория и практика выходов теста. Виссинг  
(Theorie und Praxis der Teigaushenten. Diskussions-  
beitrag. W i s s i n g O.), Bäcker und Konditor, 1956,  
10, № 6, 25 (нем.)

Замечания к статье Гротелюшена (РЖХим, 1956,  
76712).

А. Емельянов  
2976. Использование в хлебопечении ржаной муки  
из проросшего зерна. Леммерцаль (Wie ver-  
arbeite ich auswuchsgeschädigtes Mehl? L e m m e r -  
c a l J.), Backer und Konditor, 1955, 9, № 11, 6—7  
(нем.)

Излагаются основные принципы использования муки  
из проросшего зерна и даются указания как получить  
из такой муки хлеб хорошего качества. Ковенная кис-  
лотность хлеба в пределах 7° сама по себе не всегда в  
состоянии предупредить появление порчков хлеба,  
связанных с особенностями муки из проросшего зерна.  
Самое главное в процессе приготовления теста из такой  
муки это своевременно доводить кислотность его до 7°,  
с тем чтобы предупреждать во время тестоведения из-  
лишний распад крахмала на декстрины и мальтозу, что  
и является основной причиной низкого качества мя-

киши и пористости хлеба. Приводятся графики тесто-  
ведения по отдельным этапам.

Б. Зибель  
2977. О влиянии дрожжей на хлебопекарные свойства  
муки. Свенсон (Neuere Erkenntnisse über den  
Einfluß der Bäckerhefe auf die Backfähigkeit des  
Mehles. S v e n s o n J.), Cetreide und Mehl., 1955,  
5, № 3, 17—21 (нем.)

Приводятся критич. замечания и эксперим. данные о  
влиянии свойств прессованных дрожжей на хлебопе-  
карные особенности муки, главным образом из пророс-  
шей пшеницы и ржи. Установлено, что для получения  
нормального хлеба из такой муки, не всегда необходимо  
применять высокую кислотность теста. Хорошее дей-  
ствие может оказать использование прессованных дрож-  
жей с малым содержанием ферментов. Для этой цели  
необходимо было бы селекционировать такие расы дрож-  
жей, ферментативный комплекс которых, при наличии  
необходимой подъемной силы, не оказывал бы разла-  
гающего действия на углеводный комплекс муки и тем  
самым не вызывал бы ухудшения хлебопекарных  
свойств муки из проросшего зерна, либо содержащего  
слабую клейковину. Рассматриваются особенности наи-  
более важных ферментов, содержащихся в дрожжах.  
Обсуждается вопрос об использовании дрожжевых  
вытяжек, применение которых обеспечивает равномерное  
разрыхление теста, высокое качество хлеба и уменьшает  
способность его к черствению. Библи. 15 назв. Б. Зибель

2978. Влияние добавок на питательные и органо-  
лептические свойства хлеба. Хишпанская,  
Плонская, Рутчикская-Сконечная,  
Шаховская, Заленский (Wpływ dodat-  
ków innych artykułów żywności na wartość higien-  
iczną chleba. H i s z p a n s k a C e c y l i a, P l o n -  
s k a H a l i n a, R u t c z y n s k a - S k o n e c z -  
n a E u g e n i a, S z a c h o w s k a M a r i a, Z a -  
l e s k i J a n), Roczn., Państw. zakł. hig., 1955, 6,  
№ 2, 141—148 (польск.; рез. русс., англ.)

Картофельные хлопья и мука, приготовленная из  
них, не повышают питательную ценность и вкусовые  
достоинства хлебных изделий. Хлопья пониженного  
качества со значительным кол-вом остатков кожуры  
увеличивают содержание клетчатки в хлебе. Приме-  
нение сыворотки улучшает хлебопекарные качества  
муки, повышает в 2—3 раза содержание кальция в хлебе,  
но вызывает увеличение кислотности последнего. При  
добавлении обезжиренной соевой муки к печению за-  
метно повышается содержание минер. в-в, содержание  
белковых в-в почти не изменяется; отмечается появление  
неприятного привкуса.

А. Прогорович  
2979. Витаминизирование хлеба. Шнейсс (Zur  
Vitaminierung des Brotes. S c h n e e w e i s s R e i n -  
h a r d t), Bäcker und Konditor, 1956, 10, № 7,  
9—10 (нем.)

Рассмотрены способы витаминизирования белого  
хлеба пивными дрожжами или зародышами пшеницы.  
См. РЖХим, 1956, 41766.

А. Емельянов  
2980. Обезжиренное сухое молоко для хлебопечения.  
Ли (Skim milk powder for use in bread. L e e J. W.),  
Food Manufacture, 1953, 28, № 10, 391—395 (англ.)

2981. Силиконы в хлебопекарном деле. Гюндель  
(Silikone im Bäckereibetrieb. G ü n d e l C u r t),  
Backer und Konditor, 1955, 9, № 1, 6—7 (нем.)

Рекомендуется применение силиконовых лаков для  
покрытия хлебопекарных форм и вафельниц.

А. Емельянов  
2982. Значение реакции Майара в мукомольной и  
хлебопекарной промышленности. Пти (La réaction  
de Maillard dans les céréales et leurs dérivés. P e t i t L.),  
Techn. meunière, 1956, № 56, 1—3 (франц.)

В результате многочисленных исследований р-ции  
Майара предложена следующая схема:  $R-CHO + H_2N-R_1 \rightarrow R_1-NH-CH=O + R_1-CHO$ , где  $R-$

—CHO — молекула сахара,  $H_2N - R_1$  — молекула аминокислоты. Полученное в результате р-ции соединение  $R - CN = N - R_1$  может быть разложено тремя способами: 1) на фулфурол и аминокислоты после потери 3 молекул  $H_2O$  и гидролиза в водн. среде с нейтр. или слабокислой р-цией; 2) на редуктоны, с потерей 2 молекул  $H_2O$  в сухой среде или в р-рителях (но не в воде); 3) на ацетон, альдегиды, пировиноградную к-ту, диацил. Большая часть азотистых в-в, полимеризуясь, образует пигменты. При хранении зерна, собранного в дождливую погоду, зародыши зерен приобретают коричневый цвет, что обусловлено р-цией Майара, которая происходит между растворимыми сахарами (сахароза, раффиноза) и белками и замедляется при обработке зерна бисульфитом. При созревании муки и теста также образуются соединения сахаров с белками. Водн. экстракты хлебных корок дают УФ-спектр, близкий к спектру в-в, образующихся при р-ции Майара.

А. Емельянов

**2983.** О применении сухого молока и сливок для приготовления деликатесных мучных кондитерских изделий. Дёрнер, Тесмер (Verarbeitungsmöglichkeiten von Milch- und Sahnepulvern bei der Herstellung von Feinbackwaren. Dörner H., Tesmer E.), Bäcker und Konditor, 1956, 10, № 5, 8—10 (нем.).  
См. РЖХим, 1956, 49230.

**2984.** Замораживание мучных кондитерских изделий и мороженого. Феттер (Kühlen von Backwaren und Speiseeis. Vetter Roland), Bäcker und Konditor, 1956, 10, № 6, 21—22 (нем.).

Краткие сведения по применению холода при хранении мороженого и мучных кондитерских изделий.

А. Емельянов

**2985.** Влияние влаги на окислительные прогоркание жиров в бисквите. Оттавей, Мортон, Аксфорд, Копнок (The influence of moisture on the development of oxidative rancidity in biscuits. Ottaway F. J. H., Morton J. E., Axford D. W. E., Coprock J. B. M.), Chemistry and Industry, 1955, № 50, 1633—1634 (англ.).

Приведены экспериментальные данные о влиянии содержания влаги на окислительное прогоркание жира в бисквите при различных сроках хранения, а также на прогоркаемость чистого жира. Бисквит испытывался с содержанием влаги 0,75; 2,7; 5,1 и 7,4%. Установлено, что и в бисквите и в чистом жире при меньшем содержании влаги увеличение перекисных чисел идет быстрее.

М. Антокольская

**2986.** Упруго-вязкие характеристики макаронного и кондитерского теста. Николаев Б. А., Беганская Л. С., Коллоид. ж., 1956, 18, № 1, 67—71

Упруго-вязкие свойства макаронного и кондитерского теста исследовались путем наблюдений за развитием деформации в плоскопараллельном зазоре при помощи прибора, описанного ранее (РЖХим, 1955, 25248). Наряду с модулем сдвига ( $E$ ), вязкостью ( $\eta$ ) и эластичностью ( $\lambda$ ) приведены характеристики пластичности ( $\Pi$ ), определяемой как доля остаточной деформации в полной деформации, достигнутой к моменту разгрузки и упрочнения, в виде отношения скоростей деформации за 2-ю и 3-ю минуту.  $E$  и  $\eta$  резко повышаются при снижении влажности теста. Добавление в кондитерское тесто сахара (5—50%) снижает  $E$ ,  $\eta$  и повышает  $\lambda$ . Введение маргарина (5—50%) снижает  $\lambda$  и повышает  $\Pi$ .

Б. Шахкельдян

**2987.** Изменение инверсии и окраски при варке карамели с прибавлением щелочных солей органических кислот. I. Картофельная патока. Боруд, Боруд, Нильсен (Änderung der Inversion und der Verfärbung beim Bonbonkochen durch Zusatz von Alka-

lialsalzen organischer Säuren. I. Kartoffelstärkeglukose. Borud Ole J., Borud Anne Marie, Nielsen Ib.), Stärke, 1956, 8, № 2, 24—27 (нем.; рез. англ.).

Проведены лабор. и заводские исследования инверсии и изменения цветности карамельной массы при варке ее с картофельной и кукурузной патоками и с добавками Na-солей уксусной, лимонной и винной к-т. При исследовании были применены методы Хейнса, Блума и Рустеда, которые и описаны. Были исследованы инверсионная способность и окраска нескольких сортов патоки и карамельной массы, при варьировании добавок ацетата, тартрата и цитрата Na в пределах от 0 до 840 мг на 100 г сухого в-ва патоки. Установлено, что прибавление Na-солей трех органич. к-т в картофельную патоку сильно снижает инверсию сахарозы и тем больше, чем выше была дозировка этих солей. Применение этого способа для кукурузных патоки не дало положительных и заметных результатов. Прибавление в производственных условиях ацетата Na к патоке и глюкозе, получаемой из смеси картофельного и кукурузного крахмалов, дало положительные результаты при выработке кондитерских изделий с применением такой патоки.

Н. Баканов

**2988.** Вкусовое изменение шоколадной массы в процессе конширования. Тауберт (Die geschmackliche Veränderung der Schokoladenmassen in den Conchen. Taubert A.), Rev. internat. chocolat., 1954, 9, № 9, 265—279 (нем.; рез. англ., франц.).

Изменение вкуса в процессе конширования происходит в результате следующих физ.-хим. изменений в шоколадной массе: уменьшения влаги, удаления летучих к-т, образования хорошей эмульсии массы, округления острых краев твердых частиц, уменьшения антоцианов с неприятным терпким вкусом, развития хорошего аромата. Рассматривается каждый из этих факторов. Приводятся результаты опытной обработки шоколадной массы в 4 разных коншировальных машинах: 1) продольной Лемана с гранитным дном и катком, 2) системы Петцольда, 3) системы Постранецкого, 4) «вихревой» системы Франке.

В. Реутов

**2989.** Производственные опыты по введению лецитина в шоколадные массы. Шульц (Arbeitstechnische Erfahrungen über Lecithin-Zusätze bei Schokoladenmassen. Schulz B.), Internat. Fachschr. Schokolade Ind., 1953, 8, № 2, 41—42 (нем.).

**2990.** Лецитин и его применение при производстве шоколада. Карпельер (Lecithin und seine Anwendung in der Schokoladen-Industrie. Kappeller K.), Internat. Fachschr. Schokolade Ind., 1953, 8, № 2, 39—40 (нем.).

**2991.** Определение консистенции мармелада. — (Determinarea consistenței marmeladei. —), Rev. ind. aliment. prod. vegetal., 1955, № 5, 16—17 (рум.).

Изложен советский метод определения консистенции мармелада (ОСТ/НКИП 599), а также его модификация, применяемая в ВНР.

А. Марин

**2992.** Полумикрометод количественного определения сахаров с помощью хроматографирования на бумаге. Гарднер (A semi-micro method of quantitative sugar chromatography. Gardner K. J.), Rev., Internat. chocolat., 1956, 11, № 1, 2, 3, 4, 6—7 (англ., нем.).

Рассмотрены недостатки колич. определения сахаров хроматографич. разделением на колонке из целлюлозы и на бумаге с восходящим и нисходящим потоком р-рителя. Описан новый способ микроопределения отдельных сахаров в смеси: исследуемый р-р, определенной концентрации (в 0,2 мл р-ра ~ 10—15 мг сахаров), освобождается от белков осаждением последних основным уксуснокислым свинцом, с дополнительной обработкой цинковой пылью или р-ром Карпена. 0,2 мл

отфильтрованного р-ра наносят микропипеткой в центр кружка фильтровальной бумаги (ватман № 3), diam. 15—25 см., прочно прикрепленной к вошеной бумаге, удаляемой после высыхания пятен при  $\sim 20^\circ$ . Центр кружка прокалывают стеклянным стержнем; через отверстие пропускают фитиль, погруженный в р-ритель. Хроматографич. камерой служит эксикатор. После хроматографирования из бумажного кружка полностью удаляют р-ритель высушиванием при  $80-100^\circ$ . Для проявления готовят р-р: 40 мг бромкрезола пурпурного и 100 мг борной к-ты растворяют в 100 мг метанола с добавлением 7,5 мл 1%-ного р-ра буры. Сахара образуют концентрич. темные пятна на голубом фоне. УФ-облучением хроматограмм можно идентифицировать отдельные сахара, флуоресцирующие различными цветами. Колич. определение сахаров производят с помощью комплексометрич. метода Поттерата. См. РЖХим, 1956, 70320. В. Никифорова

2993. Переработка плодов. Крусс (Utilization of fruits in food products. Cruess W. V.), Food Technol., 1955, 9, № 9, 419—426 (англ.)

Исчерпывающий обзор современных методов переработки плодов: сушка чернослива, засолка зрелых и зеленых маслин испанским способом, замораживание плодов, консервирование, использование в кондитерской пром-сти, плодоягодное виноделие, произ-во коктейлей и др. Библ. 58 назв. Т. Сабурова

2994. Ферментативная обработка плодоягодного сырья. Сукач А. И., Сб. работ студ. науч. о-ва, Ленингр. технол. ин-та пищ. пром-сти, 1956, № 1, 38—40

Изучалась возможность увеличения сокоотдачи плодоягодного сырья с помощью предварительной ферментативной обработки сырья ферментными препаратами *Asp. niger* и *Asp. oryzae*. Ферментации подвергались клюква и сливы в замороженном виде. Установлено, что повышение выхода сока и процента экстрактивных в-в в результате ферментации сырья, по сравнению с контрольным опытом, происходит вследствие нарушения колл. системы в растительной ткани из-за гидролитич. распада пектиновых в-в. Водорастворимые продукты распада пектиновых в-в в известной мере увеличивают экстрактивность сока и улучшают его вкусовые качества. Вследствие пектолиза повышается содержание редуцирующих в-в в соке. Процесс ферментативной обработки сырья характеризуется резким падением вязкости сока и увеличением скорости его фильтрации. А. Прогорович

2995. Пригодность рябины для переработки. Луцкая, Кропп (Jagzębina i jej przydatność dla przetworstwa. Łucka Maria, Kropp Karol), Przegl. ogrodn., 1956, 33, № 2, 9—11 (польск.)

Рассмотрен хим. состав плодов рябины, сбор, транспортирование и хранение которой не встречает трудностей, что делает ее ценным сырьем для плодоягодного произ-ва. З. Фабинский

2996. Изучение эпифитной бактериальной флоры овощей в Индии (значение бактерий в консервировании пищевых продуктов). Часть I. Босе, Айяндатт (Studies of bacterial flora (of significance in food preservation) associated with vegetables grown in India. Part I. Bose A. N., Ayan Dutt J. M.), J. Scient. and Industr. Res., 1955, (B—C) 14, № 2, C53—C55 (англ.)

Из картофеля, свеклы, моркови, тыквы, редиса и патала (*Trichosanthes dioica*), используемых в Индии для консервной пром-сти, выделены различные бактерии, в том числе спорообразующая *Bacillus cereus* var. *mycoides*, погибающая при нагревании  $>100^\circ$ . З. Каган

2997. Изменение содержания спирта и ацетальдегида в процессе хранения плодов и овощей. Колесник

А. А., Сб. науч. работ Моск. ин-та нар. х-ва, 1953, № 3, 98—118

Скорость накопления и колич. содержание спирта и ацетальдегида, являющихся промежуточными продуктами обмена в плодах и овощах, зависят от их вида, степени зрелости, состояния и условий хранения. Наибольшее кол-во спирта и ацетальдегида накапливается в плодах и овощах при достижении полной зрелости. Низкие т-ры хранения задерживают накопление ацетальдегида и спирта; при повышении т-ры ацетальдегид образуется более интенсивно, чем спирт. При повреждении плодов и овощей плесенью или механич. путем ацетальдегид и спирт накапливаются в здоровой части тканей плодов и овощей.

А. Прогорович  
2998. Кулинарные свойства и химический состав картофеля различных сортов из нескольких районов возделывания. Хейлз, Керкпатрик, Доктерман (Cooking quality and compositional factors of potatoes of different varieties from several commercial locations. Heinze Peter H., Kirkpatrick Mary E., Dochterman Elsie F.), Techn. Bull. U. S. Dept. Agric., 1955, № 1106, 69 (англ.)

Изложены результаты проведенного в 1947—49 гг. исследования физ. и хим. свойств и кулинарных качеств картофеля сортов *Chippewa*, *Green Mountain*, *Green Mountain I* и *II*, *Irish Cobbler*, *Ratchin*, *Russet Burbank* и *Triumph* из штатов Индиана, Мэн, Мичиган, Нью-Йорк, Северная Дакота, Висконсин, Колорадо, Пенсильвания, Айдахо и Вашингтон. Г. Новоселова

2999. Холодильное хранение картофеля. Хессе (Zur Kältelagerung von Kartoffeln. Hesse S.), Kältetechnik, 1953, 5, № 11, 311—312, 313—316, 317 (нем.)

3000. Использование ледяных складов для хранения продуктов сельского хозяйства. Чекотило А. М., Тр. Ленингр. технол. ин-та холодильн. пром-сти, 1956, 10, 103—107

Приведены данные из практики, свидетельствующие о большом снижении потерь при хранении плодов и овощей на ледяных складах, указания по эксплуатации и описание (с чертежами) четырехкамерного и тоннельного ледяных складов. А. Емельянов

3001. Дегидрозамораживание. — (Dehydrofreezing. —), Chemurgic Digest, 1955, 14, № 2, 10—11, 18 (англ.)

Изложен новый способ консервирования плодов и овощей, разработанный М-вом с. х. США, соединяющий преимущества сушки и замораживания. Уменьшение объема продукта, благодаря удалению 40—50% влаги из продукта при подсушивании, снижает расход упаковочных материалов и стоимость хранения и транспортирования. Продукты, подвергнутые дегидрозамораживанию, легко набухают и обладают свежестью, вкусом и питательностью быстрозамороженных. Сушку прекращают до достижения т-ры, при которой изменяется вкус и структура плодов или овощей, после чего их замораживают. Продукт подсушивают во вращающейся сушилке непрерывного действия, представляющей перфорированный барабан, через который продувают подогретый воздух. Получены хорошие результаты при дегидрозамораживании горошка, яблок, абрикосов и ямайского перца. Г. Новоселова

3002. Замечания по поводу холодильного хранения плодов сапота (*Achras Sapota*). Сингх, Матхур (A note on the cold storage of sapotas (*Achras Sapota*). Singh K. Kirpal, Mathur P. B.), Indian J. Agric. Sci., 1954, 24, № 2, 149—150 (англ.)

Изучены возможности и условия холодильного хранения плодов сапота. Опыты проводили с плодами, достигшими нормального размера, но еще твердыми, выращенными в Майсоре. Плоды хранили при 2—3, 6—7, 8—10, 11—13° при относительной влажности воз-



духа 85—90% и при 24—30° при относительной влажности воздуха 50—75°. Показано, что миним. физиологич. потеря в весе плодов отмечена при 2—3°. Содержание растворимых сухих в-в в плодах увеличивается при всех т-рах хранения. Общая кислотность плодов в начале падает, затем возрастает. Содержание аскорбиновой к-ты снижается. Оптим. т-ра хранения плодов установлена 2—3° при относительной влажности воздуха 85—90%. Возможная продолжительность хранения 8 недель, с последующим хранением при ~ 20° до 3—5 дней. Т. Сабурова

**3003.** Дальнейшее изучение методов холодильного хранения плодов манго. Сингх, Капур, Матхур (Further studies on the cold storage of mangoes. Singh K. Kirpal, Kapur N. S., Mathur P. B.), Indian J. Agric. Sci., 1954, 24, № 2, 137—148 (англ.)

Изучены наиболее благоприятные условия холодильного хранения плодов манго (*Mangifera indica*). Опыты проводили в сезон 1952 г. с сортом Тотанпури, выращенным в Майсоре, с плодами, достигшими нормального размера, но недозревшими. Плоды хранили при 2—3, 4—6, 8—10, 11—13° при относительной влажности воздуха 85—90%; при 20—21° и относительной влажности 70—85%; при 23—30° и относительной влажности 50—75%. Показано, что оптимальная т-ра хранения плодов 6—8° при относительной влажности воздуха 85—90%. Физиологич. потери в весе наименьшие при 2—3°, но плоды повреждаются вследствие воздействия пониженной т-ры. Содержание растворимых сухих в-в в плодах при хранении повышается (за исключением 2—3°), общая кислотность понижается. Интенсивность дыхания плодов при хранении возрастает, достигая максим. величины, затем падает. Показано, что при 6—8° плоды можно хранить в течение 7 недель с последующим созреванием при 20—21°. Т. Сабурова

**3004.** Влияние низких температур на качество клубники и зеленых бобов. Пирс, Шоу, Хек, Беннетт (How low temperatures affect strawberries and green beans. Pierce R. T., Shaw M. D., Heck J. G., Bennett G.), Refrig. Engng, 1955, 63, № 11, 52—57 (англ.)

Зеленые бобы бланшировали в течение 1,5 мин. при 93°, немедленно охлаждали в ледяной воде и герметически упаковывали в полиэтиленовые пакеты. Клубнику с добавлением 1 вес. ч. сахара к 6 вес. ч. клубники упаковывали в полиэтиленовые коробки. Упакованные продукты через 7 час. после сбора замораживали при —29°, доводя их т-ру до —18° за 2,5—4 часа, после чего хранили при различных т-рах. В процессе хранения определяли содержание аскорбиновой к-ты, кол-во бактерий и проводили органолептическую оценку. Качество клубники и зеленых бобов при хранении в течение 10 месяцев зависело от т-ры хранения в интервале от —11 до —19° и ухудшалось при повышении т-ры и увеличении продолжительности хранения. Содержание аскорбиновой к-ты было тем выше, чем ниже т-ра хранения. Колебания т-ры при хранении резко снижают качество продуктов. Г. Новоселова

**3005.** Определение галактуроновой кислоты в томатах и ее изменений при хранении. Боренштейн, Стив, Болл (Determination of galacturonic acid in tomatoes and its changes on storage. Borinstein Benjamin, Stier Elizabeth F., Ball C. Olin), J. Agric. and Food Chem., 1955, 3, № 12, 1041—1044 (англ.)

Модифицирован метод Кептеса для определения α-галактуроновой к-ты в томатах и изучены изменения ее содержания при хранении последних. 1 кг томатов, нарезанных ломтиками, помещают в 2750 мл кипящего 95%-ного спирта. Концентрация его снижается при этом до 70%. Смесь кипятят несколько минут и охлаждают

в течение ночи. После раздавливания ломтиков под спиртом отфильтровывают вытяжку и измеряют ее объем. К 2 мл фильтрата в мерной колбе на 25 мл прибавляют 2 мл нафторезорцинового реактива (0,1 г перекристаллизованного нафторезорцина растворяют в 50 мл воды и через 24 часа фильтруют) и 1,83 мл конц. HCl и помещают на 45 мин. на водяную баню при 91°, охлаждают 10 мин. в ледяной воде; добавляют 2 мл 95%-ного этилового спирта и 17 мл эфира и встряхивают 30—60 сек. для устранения фиолетовой окраски. Определяют поглощение эфирной вытяжки при 575 мμ при помощи DU-спектрофотометра Бекмана. Содержание галактуроновой к-ты рассчитывают по стандартной кривой. Метод допускает анализ р-ров, содержащих 0,000—0,0550 мг/мл галактуроновой к-ты, с точностью до 0,0004 мг/мл. Разработан метод отделения галактуроновой к-ты от мешающих определению углеводов и к-т с применением новообменной смолы IRA 400 (CO<sub>2</sub>). 50—100 мл спиртовой вытяжки разбавляют равным объемом воды, доводят pH до 8 добавлением 1 н. р-ра NaOH и пропускают через колонку со смолой со скоростью 3 мл в 1 мин. Галактуроновую к-ту отмывают 275 мл 1,0 н. Na<sub>2</sub>CO<sub>3</sub>. Содержание галактуроновой к-ты в томатах сорта Королевские заметно не изменялось при хранении, не наблюдалось нарастания ее кол-ва, свидетельствующего о распаде нектриновых в-в до галактуроновой кислоты. Г. Новоселова

**3006.** Способы переработки овоплодного ревеня. Мордкович М. С., Сад и огород, 1956, № 6, 32—33

**3007.** Влияние объективных показателей на субъективную оценку качества консервированной сахарной кукурузы. Гейс (Influence of objective quality factors on subjective evaluation of canned sweet corn. Geise Charles E.), Food Technol., 1953, 7, № 1, 15—20 (англ.)

**3008.** Факторы, влияющие на консистенцию размоченной картофельной крупы. Северсон, Кули, Саймон (Factors affecting the texture of rehydrated potato granules. Severson D. E., Cooley A. M., Simon Morris), Food Technol., 1955, 9, № 5, 223—227 (англ.)

Исследовалось влияние отдельных стадий производства картофельной крупы (вареного «гранулированного» картофеля) на ее консистенцию при размачивании для приготовления пюре. Показано влияние условий варки картофеля, приготовления пюре, смешивания пюре с готовой сухой картофельной крупой, отлежки смеси и сушки на сохранение структуры клеток картофельных клубней и на консистенцию восстанавливаемой крупы. Описаны различия в способе впитывания воды двумя различными образцами. Консистенция восстанавливаемой картофельной крупы может быть улучшена добавлением 0,25% (к весу сухих в-в картофеля) монолаурата глицерина в стадии смешивания картофельного пюре с крупой. А. Емельянов

**3009.** Летучие редуцирующие вещества в консервированных грушах сорта Бартлет. Лу, Леонард, Пател, Клейн (Volatile reducing substances in canned Bartlett pears. Luh B. S., Leonard S. J., Patel D. S., Claypool L. L.), Food Technol., 1955, 9, № 12, 639—642 (англ.)

Изучалось влияние степени зрелости груш на вкус и кол-во различных летучих редуцирующих в-в в консервированном продукте. Груши сорта Бартлет после сбора хранили 7 дней при 0°, затем они созревали 4—5 дней при 20° и относительной влажности 85%. Для анализа и консервирования периодически отбирали груши определенной степени зрелости. Очищ. половинки груш погружали на 3—5 мин. в водопроводную воду, затем 510 г груш, уложенных в консервные банки, заливали 312 г сахарного сиропа уд. в. 1,060, закатывали под вакуумом 381 мм и стерилизовали 30 мин.

при 100°. Консервы хранили при 23° в течение 3 месяцев. Общее содержание летучих редуцирующих в-в возрастало с уменьшением твердости свежих плодов. В процессе созревания повышалось содержание метанола, карбонильных соединений, ацетона, диацетила и сложных эфиров. Интенсивность образования летучих в-в особенно велика для груш, выдерживающих давление < 907 мм. Присутствие большого избытка летучих редуцирующих в-в, метанола и диацетила в консервированном продукте может служить показателем постороннего привкуса и перезрелости. Наиболее пригодны для консервирования груши, выдерживающие давление 907—1360 мм. Установлено присутствие в спелых грушах пектиновой эстеразы. Постепенное повышение содержания метанола может быть объяснено гидролизом пектина пектиновой эстеразой. См. также РЖХим, 1955, 25261.

Г. Новоселова  
3010. Изучение вопросов использования яблок. XI. Регенерация летучих ароматических веществ при производстве джема. Сибаками, Сато, Аео (リンゴの加工に関する研究. 第11報. リンゴパルプ製造の際のリンゴ香回収に就いて. 柴崎一雄, 佐藤昭雄, 藤生清), 醸酵工学雑誌. Хакко когаку дзасси, J. Ferment. Technol., 1953, 31, № 7, 279—282 (япон.; реф. англ.).

Описан аппарат для регенерации летучих ароматич. в-в, выделяющихся в атмосферу при варке джема. Приведен эскиз установки. Часть X см. РЖХим, 1956, 63661.

Г. Новоселова  
3011. Влияние технологии обработки перед замораживанием лимской фасоль на ее консистенцию и органолептические показатели. Стерлинг, Боге (Effects of processing on estimates of raw stock maturity and of textural quality in frozen lima beans. Sterling Clarence, Boggs Mildred M.), Food Technol., 1954, 8, № 5, 235—239 (англ.).

Показано, что консистенция и вкусовые качества лимской фасоли зависят от т-ры и продолжительности бланширования, содержания Са в бланшировочной воде, т-ры замораживания и продолжительности хранения фасоли перед переработкой. Фасоль получается тем нежнее, чем выше т-ра и продолжительность бланширования, чем быстрее фасоль переработана и чем ниже т-ра замораживания. Содержание не растворимых в спирте сухих в-в не оказывает влияния на органолептические показатели фасоли.

Т. Сабурова  
3012. О единых обязательных стандартах на замороженный зеленый горошек и спаржу. I. Задачи и программа работы. Шмитт, П. Разработка официальных методов исследования. Уайлдер, Самюэлс. II. Оценка полученных данных. Крамер (Mandatory standards program on quality factors for frozen asparagus and peas — an industry approach. I. Purpose and organisation of program. Schmitt H. P. II. Selection of official analytical procedures. Wilder Curtis J., Samuels Clifford E. III. Evaluation of results. Kramer Amihud), Food Technol., 1954, 8, № 10, 462—470 (англ.).

I. Обсуждается необходимость введения единых стандартов и требований, предъявляемых к продукту в отношении оценки его качества.

II. Приведено описание методики определения содержания в горошке ацетальдегида, активности ферментов каталазы и пероксидазы, волокнистости спаржи, степени зрелости горошка при помощи тензиометра, методом флотации и по содержанию не растворимых в спирте сухих в-в. Описан метод органолептической оценки спаржи и горошка.

III. Наиболее приемлемым объективным методом определения качества спаржи признается проба на каталазу. Волокнистость спаржи возможно определять

специальным прибором. Установлено, что для суждения о степени зрелости горошка наиболее удовлетворительные результаты дает определение не растворимых в спирте веществ.

Т. Сабурова  
3013. Влияние различных методов бланширования на качество шпината, замороженного в домашних условиях. Тинклин, Филингер (Effects of different methods of blanching on the quality of home frozen spinach. Tinklin Gwendolyn L., Filingher George A.), Food Technol., 1956, 10, № 4, 198—201 (англ.).

Проведены три способа бланширования шпината перед замораживанием в домашних условиях: в кипящей воде в открытом сосуде, в закрытом котле при атмосферном давлении, в котле, обогреваемом паром. Продолжительность бланширования 2—4 мин., продолжительность охлаждения 2 мин. Показано, что удлинение продолжительности бланширования уменьшает содержание аскорбиновой к-ты в шпинате, в остальном указанные режимы бланширования мало влияют на вкусовые качества и питательную ценность шпината. Рекомендуется режим 2 мин. в кипящей воде.

Т. Сабурова  
3014. Оценка качества замороженных апельсиновых концентратов на основе определения их мутности. МакКоллок, Райс (Properties of stored frozen orange concentrate observed by differential cloud determination. McCulloch B. I., Rice Randall G.), Food Technol., 1955, 9, № 2, 70—73 (англ.).

Изучено изменение мутности концентратов апельсинового сока при их хранении при минусовых т-рах. Мутность концентратов определяли немедленно после оттаивания и повторно спустя 24 часа. Показано, что при хранении замороженных концентратов мутность их со временем уменьшается. Пониженная мутность концентратов, определяемая непосредственно после оттаивания, указывает на то, что концентраты в процессе хранения подвергались оттаиванию. Пониженная мутность концентратов через 24 часа после оттаивания указывает на длительный срок хранения концентратов.

Т. Сабурова  
3015. Производство апельсинового концентрата, сохраняющего 95% ароматических эфирных эфиров. Райт (Now — orange concentrate with 95% flavor esters. Wright C. E.), Food Engng, 1955, 27, № 2, 70—71, 207—208 (англ.).

Описан способ производства концентрата апельсинового сока, устраняющий железобразование и обеспечивающий сохранение ~ 95% исходного содержания ароматич. сложных эфиров и сахаров. Свежий сок замораживают до загустения и центрифугируют, отделяя фракцию, содержащую сложные эфиры, от льда. Фракцию, содержащую лед и составляющую 85% поступившего в переработку сока, упаривают до уд. в. 1.2723. Затем добавляют к ней отделенную центрифугированием фракцию, содержащую 93—95% исходного кол-ва ароматич. сложных эфиров (уд. в. 1.1296), составляющую 15% поступившего в переработку сока. Готовый продукт имеет уд. в. 1.1898. Приведена схема технологич. процесса.

Г. Новоселова  
3016. Происхождение и роль фекальных бактерий в цитрусовых соках. Аплман (The origin and significance of faecal bacteria in citrus juices. Appleman M. D.), J. Appl. Bacteriol., 1955, 18, № 3, 503—509 (англ.).

Обзор. Библ. 65 назв.

Г. Новоселова  
3017. Сравнительное хроматографическое исследование нелетучих кислот в концентрате яблочного сока до и после хранения. Бак, Драйден, Хилс (Chromatographic comparison of nonvolatile acids of fresh and stored apple juice concentrate. Buch M. L., Dryden E. C., Hills Claude H.), J. Agric. and Food Chem., 1955, 3, № 11, 960—964 (англ.).

Выделены и идентифицированы летучие к-ты, содержащиеся в свежем яблочном соке и соке, потемневшем в процессе хранения. Свежий яблочный сок уд. в. 1,0770 концентрировали под вакуумом до уд. в. 1,3446 и хранили при 38°. В процессе хранения потемневший сок разбавляли до первоначальной концентрации и исследовали методом хроматографии на колонне с применением ионообменных смол и кремневой к-ты и на бумаге. Общая кислотность концентрата в процессе хранения практически не изменялась. Как из свежего, так и из потемневшего концентрата выделены галактуроновая, хинная, фосфорная, лимонная, яблочная, хлорогеновая, цитрамалевова, кофейная, янтарная и молочная к-ты. Галактуроновая к-та могла образоваться в процессе дегидратации сока. Кетокислота, дающая розовое или коричневое окрашивание с нафторезорцином и не реагирующая с нингидрином, содержалась в большем кол-ве в потемневшем концентрате, чем в свежем. Для выделенных к-т приведены  $R_f$  и окраска, полученная при обработке соответствующими реактивами.

Г. Новоселова

**3018. Фундаментальное изучение производства сока цитрусового плода на гусмакана. XII. Полярографическое определение флавоноидов. XIII. Механизм потемнения 3. Влияние органических кислот на потемнение сока и продукты реакции фруктоза + яблочная кислота. Номура** (夏蜜柑果汁製造に關する基礎的研究. 第12報. ポーログラフによるフラボノイドの定量. 第13報. 褐變機序について. 其の3 褐變反應に及ぼす有機物の影響と杯鹼液・果糖系反應の反應生成物・野村男次), 日本農藝化學雜誌, Нихон ноэй гакаку кайси, J. Agric. Chem. Soc. Japan, 1954, 28, № 4, 320—325; № 11, 923—929 (япон.; рез. англ.)

**XII.** Изучена возможность применения полярографии. метода качества, и колич. определения флавоноидов (гесперидина и нарингина). Исследованы изменение потенциалов полуовальны при различных значениях pH и линейная зависимость между высотой волны и конц ней при pH 6. Установлено, что полярографич. метод не пригоден для анализа смеси гесперидина + нарингина.

**XIII.** Установлено, что органич. к-ты ускоряют потемнение р-ров редуцирующих сахаров; яблочная к-та сообщает им более темный оттенок, чем лимонная и виннокаменная к-ты, самое слабое окрашивание вызывает янтарная к-та. Это явление особенно заметно в присутствии глицина. Р-ры фруктозы, сахарозы, оксиметилфурфурола и аскорбиновой к-ты темнеют в присутствии яблочной к-ты; р-ры глюкозы, фурфурола, пировиноградной и леулиновой к-т не изменяются. Методами хроматографии на бумаге, полярографич. и при помощи спектрального анализа изучены многочисленные промежуточные и конечные продукты р-ции фруктоза + + яблочная к-та. Часть XI см. РЖХим, 1956, 80059.

В. Гурни

**3019. Редуцирующие сахара в картофеле. Таунсенд** (Reducing sugars in potatoes. Townsend L. R.), Canad. Food Inds, 1955, 26, № 9, 20—21 (англ.)

Описан быстрый колориметрич. метод определения редуцирующих сахаров (РС) в картофеле и результаты его проверки. В качестве контроля был использован метод Мансен — Уокера; результаты определений РС этими методами в 12 образцах сопоставлены в таблице. Близкие или совпадающие результаты определений получаются в обоих случаях, когда содержание РС в картофеле  $> 2\%$  (по сухому в-ву). При содержании РС  $< 1\%$  определение их менее достоверно, однако данный метод достаточно точен и надежен при определении пригодности картофеля для изготовления жареных ломтиков.

Н. Баканов

**3020. Объективные методы оценки степени зрелости консервированной и замороженной сахарной кукурузы. Твигг, Креймер, Фейлен, Сатерленд** (Objective evaluation of the maturity factor in processed sweet corn. Twigg Bernard A., Kramer Amihud, Falen Hobart N., Sutherland F. L.), Food Technol., 1956, 10, № 4, 171—174 (англ.)

Разработан тройной метод объективной оценки степени зрелости замороженной и консервированной в цельных зернах сахарной кукурузы. Исследование проводили на опытных образцах, изготовленных из сахарной кукурузы разной стадии зрелости, снятой в четыре срока на протяжении 8—10 дней. Показано, что оценка, полученная на основе определения величины зерен, кол-ва перикария и кол-ва не растворимых в спирте сухих в-в для кукурузы молочной стадии зрелости дает вполне надежные, воспроизводимые результаты, хорошо согласующиеся с органолептическ. оценкой консервированной кукурузы. Оценка замороженной кукурузы дает менее совпадающие результаты.

Т. Сабурова

**3021. Спектрофотометрия желтой сахарной кукурузы. Льюкенс, Палмер** (Spectrophotometry of yellow sweet corn. Lukens H. C., Palmer K. J.), Food Technol., 1956, 10, № 4, 190—193 (англ.)

Исследована возможность применения фотоэлектрич. фотометра для автоматич. сортировки желтой сахарной кукурузы по интенсивности окраски. Приводится описание и схематич. чертеж эксперим. фотометра. Полученные данные сортировки зерен по окраске хорошо совпадают с влажностью, служащей меритом степени зрелости кукурузы.

Т. Сабурова

**3022. Качество картофеля. VIII. Влияние опрыскивания листьев изолирующими (железо) средствами на потемнение картофеля после варки. Смит, Мунета** (Potato quality VIII. Effect of foliar applications of sequestering and chelating agents on after-cooking darkening. Smith Ora, Muneta Paul), Amer. Potato J., 1954, 31, № 12, 404—409 (англ.)

Листья картофеля сорта Katahdin во время роста опрыскивали р-рами 16 в-в. Картофель после уборки хранили при 3—4°, периодически исследуя на потемнение после варки. Соли этилендиаминтетрауксусной к-ты эффективно предотвращали потемнение. Возможно, что в картофельном клубне эти соли связывают ионы  $Fe^{2+}$  с образованием комплексного соединения, что предотвращает образование темноокрашенного комплексного соединения  $Fe^{3+}$  с о-дифенолами. Часть IV см. Amer. Potato J., 1942, 19, 229—254.

Г. Новоселова

**3023. Достижения в области технологии консервирования пищевых продуктов холодом. Джослин** (Recent technological advances in freezing preservation of foods. Joslyn M. A.), World Refrig., 1954, 5, № 12, 656—658 (англ.)

Отмечается резкое увеличение выпуска замороженных продуктов в США в послевоенные годы, снижение себестоимости произ-ва за счет расширения ассортимента, ликвидации сезонности работы за-дов, увеличения производительности, усовершенствование аппаратуры. Отмечается систематич. повышение качества продукции за счет улучшения технологии и организации более строгого контроля. Бланширование в воде заменено бланшированием паром, улучшены методы охлаждения сырья после бланширования. Расширяются и вводятся объективные методы оценки структуры и окраски сырья посредством соответствующих приборов.

Т. Сабурова



3024. Влияние концентрирования на качество замороженного апельсинового сока, особенно при сгущении до содержания 58,5 и 42% сухих веществ. I. Химические и физиологические данные. Дю-Бойс, Мердок. II. Бактериологические данные.

Мердок, Дю-Бойс (The effect of concentration on quality of frozen orange juice with particular reference to 58.5° and 42° Brix products. I. Chemical and physiological aspects. DuBois C. W., Murdock D. I. II. Bacteriological aspects. Murdock D. I., DuBois C. W.), Food Technol., 1955, 9, № 2, 60—63, 64—67 (англ.)

I. Свежеприготовленные концентраты из соков апельсинов сорта Валенсия и Ананасный, содержащие 58,5 и 42% сухих в-в, хранили при 27, 16, 4°, контрольные образцы хранили при —28°. Показано, что концентраты, содержащие 58,5% сухих в-в, лучше сохраняют вкус, консистенцию и витамин С, чем концентраты, содержащие 42% сухих в-в.

II. Изучена выживаемость микроорганизмов *Leuconostoc*, *Lactobacillus* и дрожжей в концентратах апельсинового сока приготовленных из сорта Валенсия, содержащих 42, 58,5 и 70% сухих в-в и имеющих соответственно значение pH: 3,75; 3,75; 3,76 и общую титруемую кислотность: 2,74; 3,75; 4,75%. Концентраты хранили при 4, —9, —18°. Показано, что выживаемость дрожжей тем больше, чем выше т-ра хранения, т. е. при 4°. У микробов *Leuconostoc* и *Lactobacillus* наблюдается обратная зависимость — выживаемость увеличивается при понижении т-ры хранения. Т. Сабурова

3025. Быстрый метод определения активности дрожжевых клеток во фруктовых соках, хранящихся под давлением при низкой температуре. Уокли (Rapid demonstration of yeast-cell activity in pressure-stored refrigerated fruit juice. Walkley V. T.), J. Sci. Food and Agric., 1954, 5, № 2, 99—103 (англ.)

Изучена обсемененность дрожжевыми клетками доброкачественного яблочного сока, хранившегося в резервуарах при 0° под давлением углекислого газа в 8 атм. Показано, что определение содержания дрожжевых клеток методом высевания на чашки Петри неприемлем для производственного контроля, ввиду его длительности. Рекомендуется прямой дифференцированный подсчет под микроскопом числа дрожжевых клеток. Полученный результат выражается в относительном процентном содержании сферических эллипсоидных и почкующихся клеток. Для данных производственных условий установлено, что в доброкачественном яблочном соке относительное содержание почкующихся дрожжевых клеток не должно превышать 12% и эллипсоидных 46%. Т. Сабурова

3026. Опытное производство томатного порошка распылительной сушкой. Лазар, Браун, Смит, Ван, Линдквист (Experimental production of tomato powder by spray drying. Lazar M. E., Brown A. H., Smith G. S., Wong F. F., Lindquist F. E.), Food Technol., 1956, 10, № 3, 129—134 (англ.)

Из томат-пасты, тщательно очищенной от грубых частиц мякоти и кожицы, содержащей ~20% сухих в-в, к которой добавлено 2% поваренной соли и 0,02% SO<sub>2</sub>, получен на эксперим. распылительной сушилке, описание которой приводится, вспекающийся томатный порошок, лучшего качества и большего об. веса, чем получаемый в вакуум-сушилках, сохраняющий после сушки 90% начального содержания аскорбиновой кислоты. А. Емельянов

3027. О сульфитации сахарной кукурузы водным раствором сульфитов натрия до ее сушки. Хейс, Нелсон, Стейнберг (Considerations in sulfiting sweet corn with an aqueous salt solution prior to dehydration. Hayes R. E., Nelson A. I.,

Steinberg M. P.), Food Technol., 1956, 10, № 1, 18—22 (англ.)

Исследовалось поглощение сульфатов (I) бланшированными зернами сахарной кукурузы при их обработке до сушки р-рами смеси сульфита и бисульфита натрия. При сульфитации погружением в 0,5—1% р-р большая часть I впитывается за первые 10 сек. Нахождение кукурузы в ванне с I больше 1 мин. нежелательно. Разница в степени сульфитации цельных и нецельных зерен значительно возрастает после выдержки их в р-рах I > 1 мин. Употребление р-ров I с конц-ией > 1% также увеличивает это различие. Оптимум поглощения I кукурузой находится при pH 5. Замороженная и дефростированная кукуруза впитывает I больше, чем свежесушеная. А. Емельянов

3028. Техника и технология молочной промышленности Советского Союза. Градомский (Technika i technologia w przemyśle mleczarskim Związku Radzieckiego. G r a d o m s k i W a c l a w), Przegl. mleczarski, 1956, 4, № 5, 5—10 (польск.)

3029. Пути интенсификации сепарирования. Ляпатов Н., Молоч. пром-сть, 1955, № 2, 42—43  
Рассмотрено влияние различных факторов, влияющих на процесс сепарирования молока центробежными сепараторами. Факторы классифицированы на 4 группы: физ.-хим., гидравлич., конструктивные и механич. К первой группе отнесены т-ра молока, кислотность, степень дисперсности жировых шариков, ко 2-ой — гидравлич. условия движения молока в междутарелочных зазорах и в грязевом пространстве барабана, к 3-ей — расстояние между тарелками и размеры грязевого пространства, к 4-ой — скорость вращения барабана. Приведены рекомендации, позволяющие повысить интенсивность сепарирования молока. Н. Барановский

3030. Производство стерилизованного молока. Уэбстер (Sterilized milk processing. Webster Charles), Milk Ind., 1955, 36, № 3, 36—43 (англ.)

Описание способов, температурного режима, оборудования и технологич. схем стерилизации молока в бутылках с целью повышения его стойкости в хранении. Наилучшим способом автор считает двухступенчатое нагревание молока до 135—150° с предварительной гомогенизацией. Г. Титов

3031. Бактериологический контроль качества коровьего молока. Сторгордс, Турелль (Bakteriologisk kvalitetskontroll av k-mjolk. Storgårds Torsten, Thurell K. E.), Svenska mejeritidn., 1955, 47, № 25, 395—398 (швед.)

3032. Определение обсемененности молока после пастеризации. Галеслот (Het opsporen van nabesmetting bij de bereiding van gepasteuriseerde melk. Galesloot Th. E.), Nederl. melk- en zuivel-tijdschr., 1955, 9, № 4, 227—236 (голл.; рез. англ.)

Для установления повторного обсеменения молока после пастеризации чашечный метод непригоден. Определение бактерий группы кишечной палочки может служить показателем повторного загрязнения, но этот метод недостаточно чувствителен. Так как термостойкие бактерии, оставшиеся после пастеризации, не растут при выдержке посевов при 15° в течение 24 час., то все микроорганизмы, образовавшиеся при этих условиях колония на питательной среде, могут учитываться как попавшие в молоко после пастеризации психрофильные бактерии (*Achromobacter*, *Pseudomonas*, *Flavobacterium*). Обсеменение нетермостойкими молочнокислыми стрептококками можно определять путем выдержки пробы при 20° в течение 48 час. или при 27° в течение 24 час. Отмечается зависимость между степенью загрязнения беспоровыми грамотрицатель-

ными бактериями и нетермостойкими стрептококками.

В. Богданов

**3033. Холодная стерилизация жидких пищевых продуктов.** И. Молоко. Олбрехт, Ганнинг, Паркер (Studies in the cold sterilization of liquid foods using mercury resonance radiation. I. Milk. Albrecht James J., Gunning Harry E., Parker Milton E.), Food Res., 1955, 20, № 5, 424—442 (англ.)

Изучена возможность применения резонансных излучений для холодной стерилизации молока. Большинство в-в, проявляющих поддающееся оценке поглощение в далекой УФ-области (300—1900 Å), испытывают при этом фотохим. изменения. При длине волн > 2300 Å заметное поглощение проявляют, главным образом, органич. в-ва с ненасыщ. группами, в частности соединения, содержащие двойные связи. Насыщ. соединения показывают очень малое поглощение при длине волн > 2300 Å и относительно стабильны в большей части близкой и далекой УФ-областях. В опытах стерилизации молока использованы резонансные излучения с длиной волны < 3000 Å. В качестве источника резонансных излучений применена ртутная кварцевая лампа «Бюстеритрон», дающая при двух длинах волн излучение высокой бактерицидной активности. Такое излучение составляет ~90% общей мощности лампы с длиной волны 2537 Å и ~9% с длиной волны 1849 Å. Облучению подвергали обе поверхности слоя молока толщиной ~0,2 мм, проходящего через кварцевый сосуд. Для стерилизации сырого цельного молока при исходной т-ре 4,5° и подаче к лампе мощности 75 Вт достаточна экспозиция 10 сек. Цельное молоко в результате облучения приобретает легкий посторонний привкус. Резонансное излучение убивает *Streptococcus lactis* в сыворотке быстрее, чем в цельном молоке и почти без развития постороннего привкуса, что объясняется низким содержанием белка в сыворотке. Намечена возможность предупреждения появления постороннего привкуса путем заражения молока перед облучением спец. культурами *Streptococcus lactis*. Библ. 50 назв.

Г. Новоселова

**3034. Достижения в производстве питьевого молока.**

Беднарчик (Najnowsze osiągnięcia w zakresie produkcji mleka spożywczego. Bednarczyk Władysław), Przegl. mleczarski, 1955, 3, № 8, 19—20 (польск.)

Описаны достижения в организации заготовки и перевозки молока, а также способов его хранения.

Я. Штейнберг

**3035. Гидравлические закономерности процесса гомогенизации.** Барановский Н. В., Тр. Моск. технол. ин-та мяс. и молоч. пром-сти, 1955, № 5, 17—21

**3036. Основные положения при изготовлении частично гомогенизированного молока.** Келлер (Wichtige Gesichtspunkte bei der Herstellung der teilhomogenisierten Milch. Keller Karl), Dtsch. Molkerei-Ztg., 1956, 77, № 11, 354 (нем.)

Дано краткое описание процесса изготовления частично гомогенизированного молока: цельное молоко центрифугируют, сливки немедленно гомогенизируют и быстро снова смешивают с обезжиренным молоком. При гомогенизации необходимо применять проволоочную сетку, натянутую на головку гомогенизатора для разделения комочков жировых шариков, образующихся после прохождения сливок через гомогенизатор. Обращается внимание, что твердый жир требует применения большего давления в гомогенизаторе, чем мягкий жир. После нагревания молока следует быстро охладить. Готовый продукт разливают в бутылки из темного стекла. При разливе в бутылки из светлого стекла последние упаковывают в закрытые ящики из-за повы-

шенной чувствительности гомогенизированного молока к свету.

В. Фавстова

**3037. Фосфатная проба (Ошибки при отсчете единиц Ловибонда при длительной пастеризации).** Лакхерст (The phosphatase test. (Relationship of the number of Lovibond blue reading to processing errors in holder sterilization), Luckhurst E. R.), Dairy Inds, 1954, 19, № 7, 562—565 (англ.)

Десять различных образцов молока пастеризовали в течение 20, 25, 30, 35 и 40 мин. при 60; 60,6; 61,1; 61,7; 62,2; 62,8; 63,9; 65,6° по одной пробе в 10 мл от каждого исследуемого образца при каждой комбинации времени и т-ры. После пастеризации в образцах определяли фосфатазную пробу с применением титриметра Ловибонда. Отсчеты выражались в синих единицах Ловибонда (LBU). Обычно пастеризованное молоко дает отсчет 2,3 LBU или ниже; сырое молоко 60 или даже выше 100 LBU. Опытные образцы молока, пастеризованные при 62,8—65,6° в течение не менее 30 мин., показали отсчеты 2,3 LBU и ниже. Зона наименьших ошибок была в пределах от 2,3 до 6,0 LBU. Выше 6,0 LBU отмечены грубые ошибки. Л. Карунина

**3038. Закваски, высушенные замораживанием.** Чулак, Хоммонд (Freeze-dried starter cultures. Czulak J., Hammond L. A.), Austral. J. Dairy Technol., 1953, 8, № 3, 89—91 (англ.)

**3039. Контроль качества продукции на фабриках мороженого.** Дейвис (Quality control in the ice cream plant. Davis Garnet E.), South. Dairy Prod. J., 1955, 57, № 6, 76—77, 88 (англ.)

**3040. Контроль качества мороженого.** Ингленд (Controlling the composition of ice cream. England C. W.), Ice Cream Rev., 1955, 38, № 10, 61—62, 109—111 (англ.)

Рассматриваются требования стандарта на мороженое, вопросы контроля приготовления смеси, кислотности, гомогенизации и вязкости ее, а также бактериология. контроля.

Е. Жданова  
**3041. Масло.** Нери (Il burro. Neri Antonio), Latte, 1954, 28, № 5, 285—286; № 7, 421—422; № 9, 551—552; № 10, 607—608; № 11, 665—666; 1955, 29, № 1, 52—54; № 2, 103—106; № 3, 172—174 (итал.)

Дан краткий историч. обзор. произ-ва масла. Подробно изложен хим. состав молока, в частности состав молочного жира: Рассмотрены факторы, влияющие на содержание жира в молоке. Дана характеристика фосфатидов, в частности лецитина, кефалина и сфингомилинов, а также витаминов А, Д и Е. Особенно подробно изложены данные об образовании дианетил в молочном жире. Предыдущее сообщение см. РЖХим, 1956, 80076

Н. Славина

**3042. Определение содержания влаги в масле при сбивании на маслозготовителе «Фрити».** 2 часть. Добинский (Wassergehaltsbestimmung bei der Fritz-Butterung. 2. Teil. Dobinsky E.), Dtsch. Milchwirtsch., 1955, 2, № 4, 84—85 (нем.)

Предложены оптич. и электр. методы определения воды при сбивании масла. Принцип оптич. метода заключается в установлении границы перехода сливок в масляное зерно. Чем ближе граница к выходу продукта из цилиндра, тем ниже содержание воды в готовом масле. Определение производится в аппаратах, имеющих удлиненный стеклянный сбивальный цилиндр малого диаметра. На противоположных сторонах защитного кожуха, окружающего стеклянный цилиндр и служащего для охлаждения, имеются продольные щели, позволяющие следить за процессом сбивания сливок по всей длине цилиндра. У одной щели находится источник освещения, у другой — передвижной указатель со шкалой, отмечающей содержание воды

в масле в процентах. Электрич. метод определения содержания воды в масле основан на измерении емкостного сопротивления масла при прохождении переменного тока, изменяющегося в зависимости от содержания влаги. В наиболее простой конструкции внешним электродом служит выходной патрубок аппарата, другим — изолированный жестяной брусок, расположенный в центре патрубков. Применяют токи высокой частоты (200—500 кГц). Предложен спец. прибор для определения воды в масле электрич. методом, состоящий из высокочастотного генератора, измерительной шкалы и измерительного электрода, которые могут быть размещены вместе или раздельно. Оптич. метод проще и надежнее, но менее точен, чем электрический. Часть I см. РЖХИ, 1956, 24352. А. Титов

3043. Некоторые исследования вопроса образования штаффа и плесневения масла при хранении. Лагони, Петерс (Einige Versuche zum Problem der Kanten- und der Schimmelbildung bei gelagerter Butter. Lagoni H., Peters K. H.), Molk- und Käser-Ztg., 1956, 7, № 7, 196—197 (нем.).

Приведены результаты наблюдений над условиями плесневения масла и образования штаффа. Образование штаффа ускоряется при высокой воздухопроницаемости упаковочного материала (пергамент, фольга). Повышенная влажность окружающего воздуха ускоряет плесневение масла. В. Богданов

3044. Применение антибиотиков для повышения стойкости масла при хранении. Грищенко А. Д., Тр. Ленингр. технол. ин-та холодильн. пром-сти, 1956, 10, 75—76

Исследовалось действие ферментативной вытяжки из плодов шиповника (I), спиртоотщ. ферментативного концентрата (II) и кристаллич. аглюконовой фракции флавоновых гликозидов (III) с добавлением аскорбиновой к-ты на стойкость сливочного масла при добавлении этих препаратов в пласт масла во время обработки на вальцах. Т-ра хранения 14—20 и 4—10°. При хранении определяли органолептич. показатели, кислотность, появление плесени. Во всех случаях образцы масла с препаратами шиповника показали лучшие результаты при хранении, чем контрольные образцы. Установлена задержка в развитии кислотности: при одинаковой начальной кислотности масла кислотность контрольных образцов после 2-месячного хранения была в 1,5—2 раза выше, чем в образцах с препаратами. Оптимальные конц-ии I—2,5%, II—0,75% и III—0,25% плюс 0,097% аскорбиновой к-ты. Эти дозы обеспечивают наиболее длительное сохранение качества масла. А. Емельянов

3045. Содержание токоферола в канадском коровьем масле и его использование для обнаружения фальсификации. Англин, Махон, Чапман (Copherol content of canadian butterfat and its use in detecting adulteration. Anglin Constance, Mahon J. H., Chapman R. A.), J. Dairy Sci., 1955, 38, № 4, 333—339 (англ.).

Изучалось ежемесячно в течение года содержание токоферола в коровьем масле по способу авторов (см. РЖХИ, 1956, 49048). Установлено, что среднесуточное содержание токоферола в коровьем масле в июле — октябре, соответственно, составляет 40, 42, 42, 42 мг/кг с колебаниями в пределах 33—50 мг/кг, в январе — апреле — 21, 19, 19, 21 мг/кг с колебаниями 10—29 мг/кг. В остальные месяцы содержание токоферола в масле находится между летним и зимним уровнями. Ни в одном случае содержание токоферола не было > 50 и < 10 мг/кг. Более высокое содержание токоферола в растительных маслах, кроме кокосового, позволяет обнаруживать примесь их в коровьем масле в таких незначительных кол-вах, при которых числа Рейхерта—

Мейсля и Поленске не указывают на присутствие растительных масел.

А. Орлов  
3046. Обнаружение примеси дельфиньего жира в коровьем масле методом хроматографии на бумаге. Боттини, Кампанелло (L'olio idrogenato di delfinidi svelato nei burri per mezzo della cromatografia su carta. Bottini Ettore, Campanello Francesco), Ann. sperim. agrar., 1955, 9, № 1, 11—20 (итал.; рез. англ.).

Описан метод обнаружения гидрогенизированного дельфиньего жира в коровьем масле, основанный на определении в продукте изовалерьяновой к-ты при помощи хроматографии на бумаге. Метод позволяет обнаруживать присутствие 3% дельфиньего жира. В. Новикова

3047. Распознавание гидрогенизированного дельфиньего жира в коровьем масле с помощью хроматографии на бумаге. Парроццини, Манчинелли (Ricerca degli oli idrogenati di delfinidi nel burro mediante la cromatografia su carta. Parrozzani Raffaele, Mancinelli Francesco), Boll. lab. chim. provinc., 1954, 5, № 2—3, 43—50; Latte, 1954, 28, № 7, 397—401 (итал.).

Экспериментальная проверка метода хроматографии на бумаге полученных по способу Рейхерта — Мейсля омыленных водорастворимых летучих к-т с использованием в качестве р-рителя смеси равных объемов *n*-бутилового спирта и 1,5 н.  $\text{NH}_4\text{OH}$ . Этот р-р наносится на полоски бумаги, которые опускают в р-р индикатора и подвергают действию паров  $\text{NH}_3$  для проявления пятен, образованных изовалерьяновой к-той, входящей в состав гидрогенизированного дельфиньего жира. Рекомендуемый способ обнаруживает примесь 5% и более гидрогенизированного дельфиньего жира. А. Ясный

3048. О заквасках при производстве масла. Круковский (O zakwasach maslarskich. Kruckowski Kazimierz), Przegl. mleczarski, 1955, 3, № 12, 12—15 (польск.).

Обсуждается выполнение маслозаводами постановлений об обязательном применении заквасок из чистых культур и систематич. контроле последних.

Я. Штейнберг  
3049. Исследование действия формальдегида на молоко, предназначенное для сыроварения. Карбоне (Ricerche sull'azione della formaldeide sul latte destinato al caseificio. Carbone Ettore), Ann. sperim. agrar., 1955, 9, № 5, 1235—1246 (итал.; рез. англ.).

Прибавление  $\text{НСНО}$  к молоку в дозах 1:20000—1:40000 при последующем хранении его в течение 14 час. при 14—23° заметно подавляет деятельность ферментов.  $\text{НСНО}$  действует различно на разные виды бактерий и не благоприятствует накоплению микробов, способствующих созреванию сыра. Б. Афанасьев  
3050. Новое в вопросе созревания сыра. Стургорде (Uutta juuston kypsymisen alalta. Sturgård Torsten), Karjantuote, 1955, 38, № 1, 18—25 (фин.).

Данные центральной молочной лаборатории в Стокгольме об изменении состава казеина молока и параказеина в процессе созревания сыра под влиянием закваски. Вкусные различия отдельных сортов сыра приписываются не различиям аминокислотного состава, а в первую очередь различиям в кол-ве низших пептидов и их качества. М. Тойка

3051. Об органических кислотах сыров. Чеботарев А. И., Тр. Вологод. молоч. ин-та, 1955, № 13, 203—214

Исследовано накопление общего кол-ва летучих жирных к-т, по методу Инихова, в созревающих сырах — советском, московском, голландском, ярославском, лат-



вийском и дорогобужском и проведено разделение их на колонки из силикагеля по разработанной автором методике. Результаты исследований показали, что суммарное кол-во летучих жирных к-т в пересчете на уксусную к-ту для твердого сыра (советского, голландского и ярославского) составляло 0,15—0,19%, для латвийского до 0,14% и дорогобужского до 0,10%. В зрелых сырах хорошего качества (ярославском и советском) обнаружены уксусная, масляная и пропионовая к-ты, и в небольших кол-вах муравьиная и высокомолекулярные летучие к-ты. В советском сыре преобладает пропионовая, а в ярославском масляная к-ты. При помощи хроматографии на бумаге определены нелетучие жирные к-ты в сырах: советском, голландском, латвийском, дорогобужском, рокфор и зеленом терочном. Во всех сырах обнаружены молочная, янтарная и пировиноградная к-ты, во многих сырах содержится гликолевая, в дорогобужском и латвийском сырах найдена глюконовая, в зеленом сыре лимонная к-ты. Л. Карунина

**3052. Оценка качества молочных продуктов. Шепард (Judgments of quality with dairy products. Sheppard D.), Dairy Inds, 1955, 20, № 1, 38—40 (англ.)**

Приведены и критически рассмотрены по отдельным показателям системы балльной оценки сыра по Ван-Слайку и Паблоу, а также по Нелсону и Трауту. Библ. 15 назв. В. Новикова

**3053. Сушка сыворотки. Цесуль (Suszenie serwarki. Cesul Jan), Przegl. mleczarski, 1956, 4, № 3, 10—13 (польск.)**

Обсуждается целесообразность сушки сыворотки для применения ее в качестве корма, обогатителя хлеба кальцием, фосфором, некоторыми витаминами, белком и лактозой, а также сырья для произ-ва лактозы. Сухая сыворотка содержит (в %) воды 6,22, белка 11,44, жира 1,11, лактозы 64,07, золы 11,05. Растворимость — 84,15%. Описаны 4 метода сушки сыворотки: 1) упаривание до содержания 70% сухих в-в с последующей кристаллизацией сиропа и разливом в формы; 2) упаривание до содержания 40% сухих в-в с последующей барабанной или распылительной сушкой; 3) барабанная сушка и 4) упаривание до содержания 90% сухих в-в с подсушкой. Из приведенных техно-экономич. расчетов следует, что наиболее экономичным является 1-й способ. З. Фабинский

**3054. Новое усовершенствование в санитарии молочных заводов. Лазарус (A new development in dairy plant sanitation. Lazarus N. E.), South. Dairy Prod. J., 1955, 58, № 1, 32. 76—79, 83 (англ.)**

Описано применение соединений йода в комбинации с поверхностноактивными в-вами и водорастворимыми полимерами для дезинфекции молочных предприятий. А. Прогорович

**3055. Влияние *Str. lactis* и их фильтратов на развитие в молоке *Str. paracitrovorus*. Дерябина Е. П., Микробиология, 1956, 25, № 1, 72—76 (рез. англ.)**

Изучалось накопление к-ты, образование летучих к-т и  $\text{CO}_2$  различными культурами *Str. paracitrovorus* при совместном культивировании их с *Str. lactis* и при добавлении фильтратов последних. Установлено, что фильтраты *Str. lactis* содержат в-ва, способствующие развитию в молоке *Str. paracitrovorus*. При внесении в молоко 5—10% фильтрата кол-во клеток *Str. paracitrovorus* резко возрастает, значительно повышается способность к образованию летучих к-т,  $\text{CO}_2$ , а также энергия кислотообразования. Совместное развитие в молоке культур *Str. paracitrovorus* и *Str. lactis* активизирует размножение и биохимич. деятельность культур *Str. paracitrovorus*. Последние весьма чувствительны к сезонным изменениям состава молока. В зимнем молоке они

плохо развиваются и образуют мало летучих кислот.

А. Прогорович  
**3056. Состав молока индийских животных. В. Точа (замерзания, лактоза, хлориды и кислотность козье и овечьего молока. Дхармараджан, Венкатесвара-Рао, Дастур (Composition of milk of Indian animals. V. Freezing point, lactose, chloride and acidity in goat and sheep milk. Dharmarajan C. S., Venkateswara Rao R., Dastur Noshir N.), Indian J. Veterin. Sci. and Animal Husbandry, 1954, 24, part 1, 51—61 (англ.)**

Часть IV см. РЖХим, 1956, 63667.

**3057. Значение *Bact. coli* в производстве мороженого. Олсон (Significance of coliforms in ice cream. Olson H. C.), Canad. Dairy and Ice Cream J., 1953, 32, № 6, 38, 74, 76, 78, 85 (англ.)**

Контроль на содержание *Bact. coli* в мороженом основывается на тех же принципах, что и в молоке. При произ-ве мороженого, удовлетворительного в отношении содержания *Bact. coli* необходимо образцы мороженого для лабор. контроля брать систематически, употреблять только высококачественные ингредиенты, применять оборудование, рекомендованное для з-дов, выпускающих молоко категории А; пастеризовать смесь при 68,3°—30 мин., охлаждать смесь до 4—5° и хранить так до поступления в фризёр не более 4 час. и, наконец, употреблять только те красители, фрукты, орехи и т. п., которые имеют низкое бактериальное содержание, подвергая некоторые из них тепловой обработке. Н. Барановский

**3058. Определение детергентов в молоке. Шаронна (Sur la recherche des détergents dans le lait d'alimentation. Charonna Raymond), Bull. Acad. nat. med., 1955, 139, № 27—28, 450—452 (франц.)**

Изложен метод определения четырехзамещ. аммониевого основания в молоке, в которое оно попадает в результате дезинфекции оборудования. В склянку на 100—125 мл вносят последовательно 50 мл молока, 0,5 мл насыщ. (при 20°) водн. р-ра гелиантина, ~0,5—1 мл соды и 20 мл хлороформа. Смесь осторожно встряхивают ~ 5 мин. Соединяют ~ 45 мл эмульсии с 55 мл безводн. Na-сульфата. Вязкую массу перемешивают с 25 мг хлороформа, добавляемого небольшими порциями. Хлороформ декантируют, дают отстояться массе, отделившийся при этом хлороформ соединяют с первой порцией и добавляют 0,5 мл HCl (~ 2 н.). При положительной р-ции наблюдается розовое окрашивание верхнего водн. слоя. Л. Карунина

**3059. Проверенный метод исследования. Лоуэнштейн (Test confirmed. Loewenstein Morrison), Milk Plant Monthly, 1955, 44, № 3, 25, 26, 28 (англ.)**

Описан метод определения сухих в-в в молоке с помощью спец. весов «Сенко». Всушивание производят под лампой ИК-излучения, вмонтированной в штатив весов. На чашечку с образцом помещают бумажный фильтр с отверстием diam. 1 см в центре, поверх него хлопчатобумажный диск с таким же отверстием и чашечку ставят на подставку из весов. Взвешивание, высушивание и взвешивание после высушивания производят, не снимая чашечки с подставки, включая и включая механизм весов или ИК-лампу. По шкале находят процент сухих в-в. Продолжительность определения 12—13 мин. Сравнительные определения сухих в-в методом Можовых и на весах «Сенко», дают однозначные результаты. Н. Брю

**3060. Зависимость результатов определения жира в молоке по методу Розе—Готтлиба от способа экстрагирования. Зейс, Кирмейер, Ланг, Тейфель (Die Abhängigkeit des Ergebnisses der Rose-Gottlieb-Fettbestimmung in Milch von der Art**

der Extraktion. Seuß Alfred, Kiermeier Friedrich, Lang Georg, Teufel Hans), Milchwissenschaft, 1955, 10, № 3, 85—90 (нем.; рез. англ., франц., исп.)

В молоке цельном (сыром, пастеризованном, гомогенизированном) и обезжиренном проведены сравнительные определения жира двумя модификациями метода Розе — Готлиба: по стандартной методике, принятой в Германии, — 2-кратное экстрагирование с применением при повторных экстрагированиях отогнанной смеси р-рителей от предыдущих определений и по стандартной методике, принятой в США, Англии, Швейцарии, — 3-кратное экстрагирование и применение при повторных экстрагированиях свежих серного и петрэфиров. В последнем случае данные содержания жира на 0,02—0,07% больше, чем при 2-кратном экстрагировании. Повторное применение отогнанной смеси р-рителей, вместо новых порций, в большинстве случаев не давало разницы в кол-ве определяемого жира, в отдельных случаях разница не превышала  $\pm 0,02\%$ .

Н. Брио

3061. Контроль пастеризации молока и молочных продуктов при помощи фосфатазной пробы. Гернер, Яраз, Бачикова (Kontrola pasterizácie mlieka a mliečnych výrobkov fosfatázou. G ö r n e r F., Jaráz A., Bačíková Z.), Českosl. hyg., epidemiol., mikrobiol., imunol., 1955, 4, № 7, 348—353 (словац.; рез. русс., англ.)

Для контроля пастеризации молока применяют р-ция на присутствие ферментов пероксидазы и фосфатазы. Проба на пероксидазу по Шторку непригодна для контроля молочнокислых продуктов. Для этой цели модифицирована фосфатазная проба по Аппафенбергу и Муллину, дающая хорошие результаты и достаточно чувствительная.

А. Прогорович

3062. На мясокомбинатах Украины. Кирик С., Мясная индустрия СССР, 1956, № 2, 18—21

Изложены успехи, достигнутые мясными предприятиями за 1955 г. Указаны мероприятия, предусматривающие дальнейшее развитие мясной пром-сти Украины.

А. Прогорович

3063. Задачи химика в мясной промышленности. Грау (Kemistin tehtävät liha-teollisuudessa. Gra u R.), Suomen kem., 1956, 29, № 1, A28—A31 (фин.)

Сокращенное изложение доклада на совещании европейских специалистов мясной пром-сти 5 августа 1955 г. в Хименлине в Финляндии. Рассмотрены узловые вопросы хим. исследования мяса. В частности, недостаточно исследовано созревание мяса. Необходимо выяснять роль ферментов, белков соединительной ткани, хромопротеидов, нуклеопротеидов, мукопротеидов, эфиров фосфорной к-ты, органич. к-т, жира и катионов в созревании мяса. Тщательного и глубокого изучения требуют скорости посол и копчение. В плане неотложных работ указаны: изучение роли микроэлементов, хим. процессов при охлаждении и замораживании мяса, способов сушки мяса, хим. процессов при обработке мяса селитрой, вопросов методики исследования мяса, пригодности различного рода жиров для длительного хранения, воздушной варки мяса, а также разработка новых методов анализа.

М. Тойкка

3064. Современные методы охлаждения и замораживания мяса. Штейнбрух (Metode moderne pentru tratarea cărnii prin frig. Steinbruch T.), Rev. ind. aliment. prod. animale, 1955, № 3, 4—7 (рум.)

Рассмотрены современные методы и установки для охлаждения, замораживания и хранения замороженного говяжьего и свиного мяса.

А. Марин

3065. Вакуум-замораживание некоторых видов мясопродуктов. Спирин К. И., Сб. студ. работ Моск.

технол. ин-та мяс. и молоч. пром-сти, 1955, № 3, 85—87

Исследовалась эффективность замораживания мясопродуктов в обычной морозильной камере, в морозилке с интенсивной циркуляцией воздуха и в эксперим. установке для замораживания под вакуумом. Установлено, что замораживание при интенсивном движении воздуха происходит в 2 раза быстрее, чем при спокойном состоянии воздуха, а замораживание под вакуумом значительно быстрее, чем при интенсивном движении воздуха. Продолжительность вакуум-замораживания зависит от размера продукта и сокращается с увеличением отношения поверхности к объему. Разработана конструктивная схема аппарата для вакуум-замораживания эндокринного и ферментного сырья.

В. Долговский

3066. Интенсификация процессов охлаждения и замораживания мясопродуктов и изменение условий хранения. Христуло Д. А., Тр. Ленингр. технол. ин-та холодильн. пром-сти, 1956, 10, 5—9

Излагаются преимущества быстрого замораживания мяса (процесс замораживания сокращается в 4—5 раз, кубатура и площадь морозильных камер уменьшаются в 3,5—4 раза, потери от замораживания снижаются в 8—10 раз). Приведены сравнительные результаты двухфазного процесса замораживания субпродуктов с однофазным, более простым, экономичным и быстрым, а также описание способов быстрого охлаждения в спец. охладителях. Рассмотрен вопрос о целесообразности быстрого замораживания четвертин и полутиш в парном виде для колбасного произ-ва или длительного хранения. Отмечена нерациональность глубокого охлаждения мяса, предназначенного для местного потребления, и необходимость пересмотра стандартов на блочное мясо в сторону уменьшения толщины кусков и времени созревания. Приведены результаты опытов по замораживанию кулинарного мяса. Даются указания по увлажнению штабелей мороженого мяса для снижения усушки и о более полной загрузке вагонов-ледников при перевозках мороженой баранины.

А. Емельянов

3067. Вкусовые качества охлажденной и мороженой говядины. Ло (Palatability of chilled and frozen beef. Law N. H.), Food Manufacture, 1955, 30, № 5, 187—189 (англ.)

Проведено эксперим. сравнение вкусовых качеств охлажд., нормально и быстро замороженной говядины, доставленной в Англию из Новой Зеландии. Для каждой серии опытов отбирались туши хорошо упитанных животных одинакового возраста, пола, породы и весовой категории. Правая и левая половины каждой туши подвергались различной холодильной обработке (охлаждению, нормальному и быстрому замораживанию). При быстром замораживании отрубы упаковывались в марлевые мешки и т-ра мяса у кости снижалась с 13 до  $-17^\circ$  за 38 час. Охлажд. мясо перевозили при  $-2 \pm 0,25^\circ$  в атмосфере, содержащей 10%  $CO_2$ , быстро замороженное при  $-10,5 \pm 0,5^\circ$ , нормально замороженное при  $-10^\circ$ . При органолептич. оценке жареного мяса по бальной системе с учетом интенсивности и чистоты вкуса, сочности, нежности мяса существенной разницы во вкусе охлажд. и мороженого мяса не обнаружено. Подтверждены ранее опубликованные данные, что при высоком первоначальном качестве мяса ухудшение вкуса, вызываемое замораживанием, незначительно.

Г. Любовский

3068. Оттаивание быстро замороженного мяса перед употреблением. Алмаши (Gyorsfagyasztásos eljárással tartósított húsk kitárolás előtti visszamelegítésének módszerei. Almási Elemér), Élelm. ipar, 1956, 10, № 3, 89—96 (венг.; рез. русс., нем.)

Разработан способ расчета для определения т-ры поверхности мяса и термич. центра в зависимости от т-ры и скорости движения воздуха. Вычисленные (приближенно) результаты расходились с опытными данными на 3,5%. Даны номограммы для определения времени, подъема т-ры поверхности и средней точки куска мяса  $>0^\circ$  при данных т-ре воздуха и скорости потока воздуха. Для получения мяса хорошего качества целесообразно оттаивать мясо возможно быстрее.

Г. Юдкович

**3069. О естественных потерях мяса при длительном хранении.** Головкин Н. А., Чижов Г. Б., Арефьева М. М., Алямовский Н. Г., Шаган О. С., Тр. Ленингр. технол. ин-та холодильн. пром-сти, 1956, 10, 22—32

Изучалась динамика усушки баранины при длительном хранении на холодильнике в различных условиях. Установлена связь между поверхностью туши ( $S$ ) в  $m^2$  и ее весом ( $G$ ) в кг:  $S = 0,311 \sqrt{G}$ , а также связь между величинами абс. и относительной усушки, причем найдено, что относительная потеря влаги (абс. потери, отнесенная к весу туши) изменяется в зависимости от условий и продолжительности хранения и величины уд. поверхности туши. Результаты периодич. взвешиваний туш обрабатывали методами вариационной статистики. Проведено также вычисление усушки путем последнего определения влаги в мясе. В результате исследований сделаны выводы о возможности снижения существующих норм усушки мороженой баранины высокой упитанности при длительном хранении на холодильниках. Установлено, что усушка зависит от теплопритока, упитанности, поверхности туш. Так как скорость относительной усушки для крупных туш в начале хранения велика, а затем уменьшается, то при длительном хранении рекомендуется крупные туши располагать на периферийных частях штабелей. Большое влияние на усушку оказывает плотность укладки штабелей. Отмечается, что теоретич. вычисление усушки дает грубо приближенный результат, что более точные данные получают при последнем определении содержания влаги в мясе. Для производственных условий особое значение имеет точность взвешивания, так как порядок ошибки взвешивания на сотенных и тысячных весах приближается к порядку изменения величины веса в результате усушки.

А. Емельянов

**3070. Использование фитонцидов для сохранения пищевых продуктов.** Дуброва Г. Б., Тр. Ленингр. технол. ин-та холодильн. пром-сти, 1956, 10, 74

Комбинированное действие низких т-р и фитонцидов чеснока на *Aspergillus oryzae* показало усиление фунгицидных свойств чеснока. Так же отмечено и усиление бактерицидного эффекта «паров» горчицы (аллил-горчичных масел) при  $0^\circ$  в опытах хранения мяса, которое оставалось свежим через 50 дней хранения, в то время как контрольное мясо ослизло и покрылось плесенью через 21 день.

А. Емельянов

**3071. Указания по экспорту баранины с маркировкой по качеству.** Шёи (Leitsätze für den Hammelflexport mit Markenzeichen. Schön L.), Fleischwirtschaft, 1956, 8, № 3, 109—113 (нем.; рез. англ., франц., исп.)

**3072. Закономерности усушки мороженого мяса при хранении.** Рютон Д. Г., Тр. Ленингр. технол. ин-та холодильн. пром-сти, 1956, 10, 10—21

Исследован механизм основных процессов тепло-влажностного обмена, происходящих при хранении продуктов на холодильниках, и выведена общая ф-ла колич. зависимости величины испарения влаги из продуктов от условий хранения. Установленные математич. закономерности позволяют определить абс. уровень усушки

мороженого мяса и влияние различных факторов хранения на интенсивность усушки. На основании теоретич. анализа отмечено, что действующие холодильники располагают значительными резервами для сокращения усушки замороженных продуктов при хранении: 1) активное увлажнение воздуха камер, 2) укрытие штабелей паронепроницаемыми чехлами (в частности глазурирование льдом), 3) понижение т-ры хранения, 4) полная загрузка камер, 5) домораживание продуктов только в морозильных камерах, 6) правильное маневрирование грузами по камерам хранения. А. Емельянов

**3073. Осливление рассолов.** Заточил, Вондрка (Hlenovatění láků. Zatočil Oldřich, Vondrka Vratislav), Průmysl. potravin, 1955, 6, № 7, 339—341 (чеш., рез. рус., англ., нем.)

Выделена микрофлора, вызывающая слизееобразование в рассолах при посоле мяса. Исследованы ее физиологич. свойства. Установлено влияние т-ры, р-ции среды и конц-ии поваренной соли и нитратов на рост и размножение слизееобразующих микроорганизмов.

Е. Шнайдер

**3074. Определение пищевой ценности различных сортов мяса, используемого для производства колбас.**

Бовтута Е. П., Гридина М. М., Никитина А. И., Никульшина Л. Ф., Попова В. Т., Сб. студ. работ. Моск. технол. ин-та мяс. и молоч. пром-сти, 1956, № 4, 10—13

Изучен общий хим. состав и колич. соотношения полноценных и неполноценных белков в трех сортах жилованного мяса (ЖМ) для произ-ва колбас. Наименьшее кол-во влаги (75,09%) содержится в ЖМ 2-го сорта. Содержание белка во всех сортах, примерно, одинаковое. С понижением сортности мяса понижается кол-во полноценных белков (высший сорт 13, 27, 1-ый 11,64 и 2-ой 10,41%) и увеличивается содержание неполноценных — коллагена и эластина (соответственно 2,92, 5,03 и 5,40%). Величина соотношения полноценных и неполноценных белков (высший сорт 4,54, 1-ый 2,31 и 2-ой 1,91) является объективной характеристикой сортности жилованного мяса. В. Гурин

**3075. Физико-химические и морфологические изменения копченых колбас в процессе осадки.** Гурин Т. И., Гранаткин М. Ф., Сб. студ. работ. Моск. технол. ин-та мяс. и молоч. пром-сти, 1956, № 4, 13—16

Изучены весовые изменения, образование и накопление нитрита, а также морфологич. изменения структуры тканей московской, советской и польской колбас в процессе осадки. Потери в весе в зависимости от содержания жира в фарше составляют на 7-й день 5,7—10,9%. Кол-во свободного Na-нитрита в процессе осадки при нормах расхода селитры 0,03—0,05% колеблется от 0,0007 до 0,005%. Под влиянием аутолитич. процессов происходят морфологич. изменения в структуре мускульной ткани, как бы созревание мяса; наблюдается разрушение сарколеммы и слияние мускульных волокон. Одновременно происходит уплотнение фарша.

В. Гурин

**3076. Улучшение процесса копчения мясопродуктов путем применения сжиженного нефтяного газа.** Миллер (Meat smoking operation is improved with LP gas. Miller Harry J.), Food in Canada, 1956, 16, № 2, 16, 18 (англ.)

Описано переоборудование на газовый обогрев камеры копчения окороков и бекона, работавшей ранее на дровах или древесном угле и дававшей  $\sim 2$  м продукции в неделю. Установлен дымогенератор размером  $0,9 \times 0,9 \times 0,9$  м с автоматически регулируемой пропановой горелкой. Дым из дымогенератора центробежным вентилятором подается в верхнюю зону камеры, откуда по трубам диам. 75 мм поступает в нижнюю зо-



ну, а из нее снова направляется вверх, проходя между высящими в камере продуктами. В дымогенераторе 9 кг опилок достаточно на 12 час. работы. Окорочка и бекона солят шприцеванием с последующим втиранием соли с поверхности, выдерживают в подвешенном состоянии 10—14 дней, затем короткое время вымачивают в теплой воде. Варенные окорочка коптят при 71,1° до 60° в толще продукта; сырокопченые коптят до достижения более высокой т-ры. С переходом на газовый обогрев увеличилась производительность камеры, улучшилось качество копчения, прекратились случаи воспламенения жира, потери веса продукции при копчении, достигавшие 10—20%, сократились до 5%.

Г. Любовский

**3077. О применении жиров и жировых эмульгаторов в колбасах.** Дирке (Zur Verwendung von Fett und Fettemulgatoren in der Wurst. Dierks Hans), Arch. Lebensmittelhyg., 1955, 6, № 9/10, 96—100 (нем.)

Обсуждаются вопросы о допустимости повышенного содержания жиров в колбасах и применения жировых эмульгаторов из молочного белка для лучшего распределения в фарше излишнего говяжьего жира.

А. Емельянов

**3078. Молочнокислые бактерии в сырокопченой колбасе.** Лерхе (Laktobazillen in schnittfester Rohwurst. Lerche M.), Arch. Lebensmittelhyg., 1956, 7, № 1—2, 1—4 (нем.)

Бактериологическое исследование сырокопченых колбас обнаружило присутствие в них большого числа грамположительных палочек (коротких и длинных), главным образом лактобацилл (напр., *Lactobacillus plantarum* и *brevis*). Изучение биохимич. свойств выделенных штаммов установило их непостоянство. См. также РЖХим, 1956, 70399.

А. Емельянов

**3079. Влияние замораживания и последующего хранения при температуре выше 0° на бактериальную флору свиного фарша.** Миллер (Effect of freezing ground pork and subsequent storing above 32°F. upon the bacterial flora. Miller W. A.), Food Technol., 1955, 9, № 7, 332—334 (англ.)

Фарш из свинины инокулировали *Micrococcus pyogenes* var. *aureus*, заворачивали в фольгу и бумагу и замораживали в токе воздуха при -13°. При хранении при т-ре от -18 до -22° в фарше, содержавшем 50% жира, число бактерий на 1 г за 1 месяц снизилось с 325 000 до 150 000, за 10 месяцев до 50 000 и за 18 до 40 000. В фарше, содержавшем 30% жира, число бактерий уменьшалось медленнее; за 1 месяц оно снизилось с 425 000 до 335 000, за 5 до 75 000. Естественная флора фарша, содержащего 50% жира, представляющая собой не патогенные психрофильные грамположительные палочки, вызывающие порчу мяса при низкой т-ре, снизилась при т-ре от -18 до -22° за 1 неделю с 1,4 млн. на 1 г до 0,6 млн., за 5 месяцев до 150 000, за 10 до 40 000 и за 18 до 5 000. При хранении того же фарша при 9—12° в течение 3 дней не наблюдалось заметного размножения *M. pyogenes* var. *aureus*, тогда как число психрофильных бактерий возросло до 2 миллиардов на 1 г. При 20—22° через 25 час. фарш содержал микробов 2,4 млн. на 1 г и 200 млн. психрофильных бактерий.

Г. Новоселова

**3080. Охлаждение и замораживание битой птицы.** Брукс (Chilling and freezing of poultry. Brooks J.), Quik. Freezing, 1954, 7, № 10, 246, 248, 250 (англ.)

Описаны способы охлаждения битой птицы в охлажденном воздухе и в воде.

А. Емельянов

**3081. Холодильное хранение битой птицы.** Тевено (La conservation des volailles. Thévenot R.), Rev. gén. froid, 1954, 31, № 10, 1021—1025;

Ann. nutr. et aliment., 1954, 8, № 3—4, 531—540 (франц.)

Краткое изложение технологии обработки, охлаждения и замораживания битой птицы. Т. Сабурова

**3082. Сушка мяса токами высокой частоты.** Фельдман И. Е., Сб. студ. работ. Моск. тех. ин-т мяс. и молоч. пром-сти, 1956, № 4, 6—10

Изучался новый метод сушки мяса ВЧ-токами. Образцы охлажд. мяса весом 50—70 г цилиндрич. формы помещали в ВЧ-поле 39—40 Мгц мощностью 35 Вт, создаваемое генератором мощностью 150 Вт, под вакуумом 8—10 мм рт.ст. Сушку вели при 20—22° до влажности ≤ 10% (на сухое в-во). Установлено, что большая часть влаги испаряется за первые 30—40 мин. (~ 50%). Продолжительность сушки зависит от содержания жира в мясе — тощее мясо сушится быстрее. Мясо нагревается равномерно, сохраняет пористость; первоначальный объем изменяется незначительно. Сухое мясо сохраняет запах, вкус и цвет исходного продукта, хорошо оводняется при 20°. Высушенное мясо может храниться длительное время при 20° и относительной влажности воздуха ≤ 60%. На сушку 1 кг мяса расходуется ~ 5 кВт-ч энергии.

В. Гурин

**3083. О добавлении аскорбиновой кислоты к мясным и колбасным изделиям.** Меллер (Ascorbinsäure als Zusatz zu Fleisch- und Wurstwaren. Möhler Klemm E.), Dtsch. Lebensmitt.-Rundschau, 1956, 52, № 7, 179—182 (нем.)

Рассмотрен вопрос о допустимости добавления аскорбиновой к-ты (I) для улучшения цвета сырого мяса, мясного фарша, солонины и колбас. Проведенными опытами с рубленным мясом, к которому добавляли I в кол-ве 50 мг%, установлено окрашивание его поверхности в бледно-красный цвет, отличный от цвета свежего мяса. При добавлении I при посоле свинины в кол-ве 15—45 мг% с выдержкой в течение 60 дней отмечена устойчивая при нагревании розово-красная окраска мяса и снижение в рассоле и мясе содержания  $\text{NaNO}_2$ . Аналогичные результаты получены и при добавлении I в фарш вареных колбас. Исходя из этих данных, добавление I в мясные продукты признано вполне допустимым.

А. Емельянов

**3084. Применение ультрафиолетовых лучей на Ленинградском ордена Трудового Красного Знамени мясокомбинате им. С. М. Кирова.** Брандт В. Н., Тр. Ленингр. технол. ин-та холодильн. пром-сти, 1956, 10, 53—55

Сообщается о результатах производственных опытов по облучению УФ-лучами колбас и воздуха камеры хранения, проведенных для увеличения сроков хранения колбас. В камере площадью 668 м<sup>2</sup> объемом 2800 м<sup>3</sup> смонтировали под потолком в шахматном порядке 58 ламп БУВ-15 (мощностью 15 Вт, напряжением 127 В, сила тока 0,26—0,32 А). Колбасы в кол-ве 220 т развешивали в 4 яруса и хранили от 20 до 45 дней при 16—18° и относительной влажности воздуха 80—95%, при циркуляции последнего 2,5 объема в час. Каждую партию периодически осматривали и проводили органолептич., хим. и бактериологич. анализ образцов. Облучали колбасы вареные: любительскую, отдельную, ветчино-рубленную, сардельки, и полукопченые: краковскую, украинскую, польскую, семипалатинскую, полтавскую. В результате ежедневного 6-часового облучения установлена задержка в росте микроорганизмов на поверхности оболочек и в фарше колбас. Полукопченые колбасы сохранялись при облучении ~ 25 суток, вареные до 6 суток, в то время как контрольные образцы полукопченых колбас испортились через 6—8, а вареных через 2—3 суток. 12-часовое облучение увеличивает срок хранения соответственно до 30—45 и 16—18 суток с сохранением товарных качеств колбас.

А. Емельянов

**3085.** Новое в мясоконсервном производстве (По страницам иностранных журналов). Бабин Г., Мясная индустрия СССР, 1956, № 3, 60—62. Обзорная статья.

**3086.** О бойнях. Бартельс (Der Schlachthof — heute und morgen. Gedanken zur internationalen Schlacht- und Viehhof-Tagung in Essen. Bartels Helmuth), Fleischwirtschaft, 1956, 8, № 6, 305—306 (нем.; рез. англ., франц., исп.).

Соображения о современном положении и организации в будущем бойни и скотных дворов в связи с международным совещанием в Эссене. А. Емельянов

**3087.** Реконструкция скотобойни. Хорнунг (Modernisierung eines Schlachthofes. Hornung Hellmuth), Fleischwirtschaft, 1956, 8, № 4, 206—207 (нем.; рез. англ., франц., исп.).

Приводится план старой и реконструированной скотобойни в Людвигсхафене (ФРГ). А. Емельянов

**3088.** Сепарирование пищевой крови на средних и малых мясокомбинатах. Беленький Н., Кузенко Е., Пожариская Л., Рындина В., Мясная индустрия СССР, 1956, № 2, 10—11.

Кровяная сыворотка является полноценным заменителем яичного белка и может быть использована в производстве котлет, пирожков,пельменей и других продуктов. Для получения сыворотки из цельной стабилизированной или дефибринированной крови может быть применен сепаратор АС-1-Ж, предназначенный для выработки антитоксич. сывороток из крови лошадей. Разработаны изменения в его конструкции: расширен канал штулера для подачи крови из поплавковой камеры в барабан до 3,5 мм и вывинчен регулировочный винт на 3—3,5 оборота и припаян в таком положении. Приспособленный для переработки крови крупного рогатого скота сепаратор имеет производительность в смену до 400 л крови (часовая производительность 40—50 л вместо паспортной 28—35 л) и дает 230—250 л сыворотки (выход 57—62%), вполне удовлетворительного качества. Сепараторы АС-1-Ж рекомендуются для внедрения на средних и малых мясокомбинатах.

**3089.** Опасность порчи мясopодуlков от вспомогательных материалов. Мюггенбург (Verderbnisgefahren durch Zusatzstoffe. Muggenburger H.), Fleischwirtschaft, 1956, 8, № 4, 193—195 (нем.; рез. англ., франц., исп.).

Многочисленными анализами желатинны, пряностей, поваренной соли, воды и рассолов, применяемых на мясокомбинатах ФРГ, установлены случаи бактериального загрязнения этих продуктов, вследствие чего они могут быть причиной порчи вырабатываемых мясopодуlков. А. Емельянов

**3090.** Улучшенное моющее и дезинфекционное средство «Tego 51». Рейтер (Das verbesserte Reinigungs- und Desinfektionsmittel «Tego 51». Reuter H.), Fleischwirtschaft, 1956, 8, № 1, 17—19 (нем.; рез. англ., франц., исп.).

Приводятся результаты испытания препарата «Tego 51» (Т) амфолитного мыла, действующим в-вом которого является высокомолекулярная аминокислота. Т не имеет запаха, растворим в воде с нейтр. р-цией, не действует на кожу и неядовит. Исследовано подавляющее действие Т в конц-ях 0,5 и 1,0% (води. р-р) на культуры микробов, стрептококков, *Bac. coli*, *Proteus*, *Bac. mesentericus*, *Penicillium glaucum* по сравнению с формалином этих же конц-ий, а также очищающее и дезинфицирующее действие Т при его применении для очистки деревянных и металлич. столов, сильно загрязненных мясным соком и кровью. Установлено полное подавление роста указанных микроорганизмов в суспензиях при конц-ях Т 0,5—1%. При обработке Т алю-

миниевых столиков с гладкой поверхностью получены хорошие результаты, при обработке деревянных предметов, последние признаны только условно обезпеченными. Рекомендуется применение води. р-ров Т 0,5%-ной конц-ии в течение 15 мин. А. Емельянов

**3091.** Бульоноподобный запах метнонала. Паттон (The broth-like flavor of methional. Patton Stuart), Food Technol., 1956, 10, № 1, 60 (англ.).

Кратко описаны свойства метнонала — 3-метилмеркаптопропионового альдегида, имитирующего запах и вкус мясного бульона. Его получают из акролеина и метилмеркаптана (J. Amer. Chem. Soc., 1948, 70, 1450—1451). Г. Новоселова

**3092.** Определение качества крови, поступающей на сушку. Гольдман Е., Мясная индустрия СССР, 1956, № 2, 14—15.

Разработан упрощенный ареометрич. метод определения качества крови, поступающей из цеха первичной переработки в альбуминный цех: пробы отбирают из тщательно перемешанной дефибринированной крови 2—3 раза в смену; ареометром определяют ее уд. вес и по таблице находят содержание сухого остатка. Составлена рабочая таблица зависимости уд. веса крови от сухого остатка. При правильном сборе и обработке крови содержание сухого остатка должно составлять  $\geq 16\%$ .

**3093.** О лабораторном методе определения водоотдачи мясом крупного рогатого скота и свиней. Фидлер (Beitrag zur laboratoriumsmäßigen Feststellung der Wasserlässigkeit des Fleisches bei Schlachtrindern und Schlachtschweinen. Fiedler C.), Arch. Lebensmittelhyg., 1956, 7, № 7—8, 85—86 (нем.).

На большом кол-ве образцов свинины и говядины проверялась возможность объективного определения водоотдачи и степени обескровливания мяса. Применен метод прессования  $\sim 1$  г мяса на листике фильтровальной бумаги между двумя пластинками из плексигласа, зажимаемыми 2 шайбами, завинчиваемыми на винтах, прикрепленных к нижней пластинке. После 1 мин. прессования устанавливали кол-во вытекшего сока, впитанного фильтровальной бумагой, и по интенсивности окраски мокрого пятна судили о степени обескровливания животных. Установлено, что допустимой границей водоотдачи является 300 мг воды на 1 г мышечной ткани. А. Емельянов

**3094.** Быстрый метод определения концентрации студей. Клифтон (En hurtig metode til å bestemme limvannets konsentrasjon. Clifton J. M.), Norsk Hvalfangst-tidende, 1955, 44, № 4, 205—207 (норв., англ.).

Рефрактометром Аббе исследована зависимость показателя преломления от конц-ии студей в интервале 13—69% сухого в-ва мяса и костей. Найдено, что в области 18—80° т-ра не оказывает заметного влияния на показания так же, как и присутствие твердых частиц или следов жира. Можно определять конц-ию сухого в-ва с помощью показателя преломления с точностью до 1%. М. Маршак

**3095.** Изучение качества яиц, консервированных в известковом растворе. Мусил, Оре́л (Studie o jakosti musil vajec konservovanych ve vapennem roztoku. Musil František, Orel Vítězslav), Pol'nohospodárstvo, 1956, 3, № 1, 15—25 (чеш.; рез. русс., нем., англ.).

Яйца различного качества хранили в известковом р-ре при 8—12°. Добавление 0,1% NaCl к известковому р-ру, а также наличие слоя нерастворившейся известки на дне сосуда не оказало влияния на качество яиц. Повышение т-ры хранения до 16—18° значительно ухудшало качество яиц. Оплодотворение яиц не влияло на их качество, но зародышевые диски у оплодотворенных яиц на 1—2 мм больше, чем у неоплодотворенных.

Наибольшее влияние на качество яиц, хранившихся в известковом р-ре, имела продолжительность хранения их со дня снесения до известкования. После 7 дней хранения качество яиц значительно снижалось, а после 28 дней яйца были непригодны для последующего известкования. Качество яиц с грязной скорлупой быстро ухудшалось при хранении в известковом р-ре. Яйца с плесенью на скорлупе непригодны для известкования, плесень при хранении в р-ре известки проникает внутрь яйца. Лучшими для хранения в известковом р-ре являются яйца, снесенные в конце апреля; июньские яйца непригодны для известкования.

А. Прогорович  
3096. Использование естественного холода в рыбной промышленности. Конокотин Г. С., Тр. Ленингр. технол. ин-та холодильн. пром-сти, 1956, 10, 108

Разработаны эффективные способы зарядки ледяных складов и подземных холодильников, вследствие чего получен более устойчивый температурный режим. Намечены мероприятия по широкому использованию естественного холода в рыбной промышленности.

А. Емельянов  
3097. Замораживание и хранение тихоокеанской рыбы и ракообразных. Часть IV. Результаты хранения 4 видов лососевых рыб. Хирдт, Станеби (Freezing and cold storage of Pacific Northwest fish and shellfish. Part IV. Storage characteristics of four species of salmonidae. Heerdt M., Stanisby M. E.), Comm. Fish. Rev., 1955, 17, № 3, 13—17 (англ.)

Изучалось изменение качества при хранении замороженных рыб: форели (*Salmo gairdnerii*), горбуши (*Oncorhynchus gorbuscha*), кеты (*Onc. keta*) и кижуча (*Onc. kisutch*), на образцах разделанной, промытой и нарезанной кусками рыбы, упакованных в пароводонепроницаемый целлофан и алюминиевую фольгу (форель) и в картонные коробки с замороженных при  $-29^{\circ}$ . Хранение образцов производилось при  $t$ -ре от  $-8,9$  до  $-14,4^{\circ}$ . В начале хранения и через 90, 180 и 270 дней производилась дегустация приготовленной рыбы с оценкой по пятибалльной шкале. После 90 дней хранения слабое прогоркание было найдено в образцах форели в целлофане. Это прогоркание в дальнейшем не усилилось за весь период хранения. Слабое прогоркание обнаружили образцы горбуши через 180 дней и умеренное после 270 дней. Кета и кижуч показали слабое прогоркание через 180 дней и сохранили его до конца. Образцы форели, упакованные в алюминиевую фольгу, не обнаружили прогоркания даже после 270 дней хранения. Часть III см. РЖХим, 1956, 70415.

А. Емельянов  
3098. Улучшение качества рыбы при замораживании новыми методами. Праделла (Bessere Fischqualitäten durch fortschrittliche Gefriermethoden. Pradella L.), Dtsch. Fisch. Ztg., 1956, 3, № 1, 9—11 (нем.)

Рассмотрены методы замораживания рыбы и влияние их на качество продукции. Сравнены способы замораживания рыбы охлажденным воздухом и рассолом. Описан американский контактный метод с глаурировкой, позволяющий замораживать филе в крупных блоках и целую рыбу, а также норвежский способ замораживания жирных рыб и филе с применением солей альгиновой к-ты. Рыба, замороженная последним способом, сохраняется без прогоркания в течение 10 мес. Библ. 7 назв.

Л. Кондратьева  
3099. С какой скоростью и до какой температуры следует замораживать рыбу. Зайцев В. П., Рыб. х-во, 1953, № 11, 49—56

3100. Химические изменения белковых веществ рыбы при замораживании и хранении. Сигран (Che-

mical changes in fish protein during freezing and storage. Seagran Harry L.), Comm. Fish. Rev., 1954, 16, № 12, 13—14 (англ.)

Для установления причин нежелательных изменений в мясе рыб при их замораживании и хранении в холодильниках (появление жесткости, постороннего запаха и привкуса) разработана методика исследования степени денатурации актомиозина в мышечной ткани и в изолированном состоянии, а также изменения физ.-хим. свойств (вязкости) растворимых белков в зависимости от замораживания и хранения рыбы. Сопоставление этих определений с органолептической оценкой качества рыбы дает хорошее совпадение. А. Емельянов  
3101. Опыт приготовления презервов на мороженой кильке дефростацией в крепком тузлуке с одновременным посолом. Герш, Ниязова, Рыб. х-во, 1953, № 9, 58—59

3102. Консервирование рыбы ауреомицином. Нильсен (Konservering av fisk med aureomycin. Nilssen G. Ring), Norsk farm. tidsskr., 1955, 63, № 8, 189—194, 197—199 (норв.), См. РЖХим, 1955, 13068.

3103. Отравляющие свойства цинка. Сакович (Trujące własności cynku. Sakowicz Stanislaw), Gospod. rybna, 1955, 7, № 3, 8—9 (польск.)

Описано токсикол. действие соединений цинка на рыбу. Концентрация 4—6 мг/л убивает молодую канадскую форель. Рекомендуется тару из оцинкованной жести, предназначенную для транспорта живой рыбы, покрывать лаком или краской, стойкой к действию воды.

Я. Штейнберг  
3104. Предотвращение окисления жира рыб и рыбопродуктов. I. Влияние бутилксианизола на жир рыб. Отани, Такаянаги, Мацухаси (B. H. A. による魚油の酸化防止試験・I. 尾谷茂, 高柳健, 松橋鉄治郎), 日本水産学会誌, Нихон суйсан гаккайси, Bull. Japan Soc. Scient. Fisheries, 1954, 19, № 9, 947—951 (япон.)

Изучена эффективность бутилксианизола (I), являющегося хорошим антиокислителем не только для жиров и масел, но и для продуктов, содержащих их. Добавление 0,02% I к жиру сардин эффективно предотвращает окисление жира при различных условиях хранения. Перекисное число является показателем, выражающим антиокислительную эффективность бутилксианизола.

Г. Новоселова  
3105. Подготовка консервов «Сардины Балтийские» из салаки. — (Przygotowanie konserw sardynki bałtyckie ze sledzia bałtyckiego.), Gospod. rybna, 1956, 8, № 1, 20 (польск.)

Перевод. См. РЖХим, 1956, 8600. А. Прогорович

3106. Химический состав кильки Южной Балтики в 1949—1953 гг. Микинска (Skład chemiczny szprota poławianego na Południowym Bałtyku w latach 1949—1953. Mikińska Janina), Prace Morsk. inst. ryback. Gdyni, 1955, 8, 323—333 (польск.; рез. рус., англ.)

Химический состав кильки, добываемой в южной части Балтийского моря (%): вода 66,77—79,66; белки 14,57—16,57; жир 2,75—17,16; зола 1,08—2,16. Макс. содержание жира в кильке наблюдается осенью, миним. — летом. Наиболее низкое содержание сухих в-в отмечается с апреля по июнь и составляет 20,34—23,22%. Макс. кол-во сухих в-в (31,37—33,23%) наблюдается в октябре, причем содержание жира в сухой массе достигает 46,34%. Установлена обратная зависимость между содержанием жира и белков в кильке (на сухое в-во): при макс. содержании жира 46,34% кол-во белков 47,04%, а при миним. кол-ве жира 13,51% белки составляют 75,89%. Наиболее



ценной является килька осеннего и зимнего уловов.

**3107. Методика исследования и определение калорийности рыбных консервов.** Вешховский, Касинский (Metodyka badań i ocena wartości kalorycznej najpospolitszych krajowych konserw rybnych. Wierzchowski Józef, Kasiński Władysław), Roczn. Państw. zakł. hig., 1955, 6, № 1, 75—84 (польск.; рез. рус., англ.)

Определены калорийность и кол-во солей кальция и фосфора в 6 видах рыбных консервов. Установлено, что первое место по калорийности занимают консервы «угорь в масле» (в среднем 425 кал на 100 г консервов), второе — «шпроты в масле» затем «балтийские в масле», «маринованная сельдь», «макрель в томатном соусе», и «бычки в томатном соусе». Калорийность последних составляет в среднем 65 кал на 100 г продукта.

**3108. Правильное использование жира, мяса и кожи дельфина.** Кабанавски Ячо, Рыбное х-во, 1955, № 10, 50—54

Дельфиний жир (ДЖ) характеризуется наличием низкомолекулярных жирных к-т, высоким числом омыления (219—227) и невысоким йодным числом (94,5—113). Он богат витаминами А и D, причем осенние ДЖ содержат меньше витамина А, чем весенние. Содержание витамина D<sub>3</sub> в ДЖ более чем вдвое превышает его содержание в тресковом жире. ДЖ легко подвергается порче, приобретает неприятный запах. Рекомендуется использовать ДЖ как эмульгатор в кожевенной пром-сти и как витаминное кормовое средство. Мясо дельфина по хим. составу мало отличается от телятины, но содержит больше белка и солей, меньше воды и более калорийно, а по цвету — темнее мяса домашних животных. Свежее мясо пригодно для изготовления колбас и стерилизованных консервов. Приведена рецептура разных видов колбасных изделий, содержащих 30—75% дельфиньего мяса, и кратко изложена технологич. схема приготовления консервов.

**3109. Влияние добавления антиокислителя к рыбным отходам на содержание фенольной кислоты и сырого белка.** Хастинге (Effect of antioxidant addition to fish waste on folic acid and crude protein content. Hastings W. H.), Southern Fisherman, 1953, 13, № 10, 114 (англ.)

**3110. Изучение вопросов использования рыбных отходов.** I. Консервирование зернопродуктами и отходами зернопродуктов. II. Консервирование зернопродуктами и отходами переработки зернопродуктов. 2. Симидзу Хибики, Накагоси (水産廃棄物の利用に関する研究. I 穀類. 同副生物. おがくず添加による腐敗防止について. その2. 清水亘, 引重幸, 中越昭子), 日本水産学会誌, Нихон суйсан гаккайси, Bull. Japan. Soc. Scient. Fisheries, 1955, 21, № 2, 130—133; 134—137 (япон.; рез. англ.)

I. Изучена возможность консервирования отходов переработки рыбы для использования в качестве корма для скота и удобрения. Дробленные рис, пшеница и кукуруза и рисовые и пшеничные отруби обладают мощными антисептич. свойствами, тогда как оболочки риса и мушная пыль менее эффективны. Считают, что консервирующее действие последних сводится к простому понижению влажности смеси, тогда как первые содержат хим. в-ва, оказывающие антисептич. действие.

II. pH смеси рыбных отходов с зернопродуктами и отходами переработки зернопродуктов, обладающими высокой антисептич. активностью, понижается в процессе хранения смеси. Добавление сахара к смеси рыбных отходов с мушной пылью понижает pH смеси и повышает антисептич. эффект. Консервирующее действие

зернопродуктов и отходов их переработки объясняют превращением сахаров в к-ты. В смеси, содержащей сахар, содержание N летучих аминов не повышалось, несмотря на повышение pH на последней стадии хранения. Консервирующее действие сахара нельзя объяснить только понижением pH. Г. Новоселова

**3111. О факторах, влияющих на качество пищевых продуктов.** Каррик (Literature review of factors that may affect processed feeds quality. Karrick Neva L.), Commerce. Fisheries Rev., 1955, 17, № 6, 25—32 (англ.)

Обзор литературы о методах хим. анализа рыбной муки, определяющих ее качество: 1) методы, устанавливающие изменения в содержании витаминов (рибофлавина, витамина B<sub>12</sub>, фолиевой к-ты, инозита) в зависимости от pH, времени и т-ры термич. обработки продукта; 2) определение усвояемости рыбной муки in vivo и in vitro; 3) влияние качества сырья; 4) изменения белковых в-в рыбной муки при ее обработке и хранении; 5) значение жиров и жирных к-т в определении качества продукта; 6) влияние режима сушки рыбной муки на ее качество. А. Емельянов

**3112. Быстрое определение содержания жира в рыбной муке.** Дреости, Мерве (Rapid determination of oil in fish meal. Dreosti G. M., Merwe R. P., van der), S. Afric. Shipp. News and Fishing Ind. Rev., 1955, 10, № 2, 56—57, 59, 61, 63 (англ.)

Описан метод определения жира в рыбопродуктах, принятый в качестве стандарта и представляющий собой усовершенствованный рефрактометрич. метод. 5 г рыбной муки экстрагируют 5 мл монохлорнафталина одним из двух способов: а) смесь тщательно растирают в ступе или в металлич. цилиндре, емк. 50 мл, с двумя металлич. шариками diam. 2,54 см, углы которого в целях недопущения скопления перемешанного материала выгнуты; б) смесь нагревают при т-ре > 80° 10 мин. в герметич. цилиндре емк. 25 мл, полностью погруженным в кипящую воду, и охлаждают до ~ 20°. Экстракт после фильтрования рефрактометрируют и по коэфф. рефракции определяют процент жира. Продолжительность определения 10—15 мин. вместо 8—9 час. по методу Соколета. Метод применим в производственных условиях. Л. Кондратьева

**3113. Определение содержания связанной воды в мясе рыбы.** Обсуждение изменений содержания связанной воды в мясе рыбы при изготовлении рыбопродуктов. Акиба (魚肉内結合水に関する研究. 提括. 水産食品製造過程における魚肉内結合水量の變化. 秋場稔), 日本水産学会誌, Нихон суйсан гаккайси, Bull. Japan. Soc. Scient. Fisheries, 1955, 20, № 10, 937—940 (япон.; рез. англ.)

Изучали изменения содержания связанной воды в рыбопродуктах, в процессе произ-ва которых имеет место обезвоживание мяса рыбы (сушеная, соленая и мороженая рыба). Содержание связанной воды определяли кобальтохлоридным методом и измерением давления пара. Полученные результаты рассмотрены с практич. точки зрения. Г. Новоселова

**3114. Ответ на статью профессора Бере.** Хармсен (Erwiderung auf den Artikel von Prof. Behre in Heft I der Deutschen Lebensmittel-Rundschau. Harmsen), Dtsch. Lebensmitt.-Rundschau, 1956, 52, № 3, 66 (нем.)

В случае отравления маринованной сельдью (см. РЖХим, 1956, 60300) было установлено повышенное pH (4,8—6,0 вместо 4,5—4,7) в образцах маринадов, что свидетельствовало о нарушении рецептуры и технологич. процесса. Этим обстоятельством, по мнению Хармсена, возражения Бере (см. РЖХим, 1956, 49314) полностью опровергаются. А. Емельянов

3115. Новый принцип подачи воздуха в ферментационные камеры. Мюллер (Das neue Prinzip der Luftzuführung bei den Fermentationskammern. Müller O.), Dtsch. Genüßmitt.-Z., 1953, 5, № 9, 249—250 (нем.)

3116. Хроматографическое определение органических кислот в высушенном табаке. Резник, Ли, Пауэлла (Chromatography of organic acids in cured tobacco. Resnik Frank E., Lee Leonard A., Powell W. Allan), Analyt. Chem., 1955, 27, № 6, 928—931 (англ.)

Разработан хроматографич. метод определения многоосновных к-т в табаке. 0,5 г табака экстрагируют 10 мин. 500 мл воды, добавляют NaOH до pH 8, перемешивают 10 мин. 25 мл фильтрата разбавляют до 100 мл водой и пропускают через анионит. К-ты элюируют 100 мл 1,5 н.  $(\text{NH}_4)_2\text{CO}_3$ . 25 мл элюата концентрируют до 1 мл и хроматографируют на бумаге с одним из следующих смешанных р-рителей: 1)  $\text{C}_6\text{H}_5\text{CH}_2\text{OH}$ ;  $\text{трет.-C}_4\text{H}_9\text{OH}$ ;  $\text{и-о-C}_3\text{H}_7\text{OH}$ ;  $\text{H}_2\text{O}$ ;  $\text{HCOOH}$  в соотношении 30:10:10:10:3; 2) окись мезитила;  $\text{H}_2\text{O}$ ;  $\text{HCOOH}$  в соотношении 7:10:1; 3)  $\text{и-C}_5\text{H}_{11}\text{OH}$ ;  $\text{H}_2\text{O}$ ;  $\text{HCOOH}$  в соотношении 20:12:1; 4)  $\text{C}_6\text{H}_5\text{OH}$ ;  $\text{H}_2\text{O}$ ;  $\text{HCOOH}$  в соотношении 75:24:1 (р-рители 3 и 4 содержат 0,05% 8-хинолинола) и обрабатывают УФ-лучами. Описаны методы приготовления р-рителей. Хроматографией на бумаге установлено наличие неизвестной кислоты. Л. Шаховский

3117. Об изменении содержания никотина в сырье никотиновой и табачной промышленности. Эгри (A nikotintartalom változásának kérdése a nikotin- és dohánygyártási nyersanyagoknál. Egri László), Élelm. Ipar, 1956, 10, № 3, 82—89 (венг.; рез. русс., нем., англ.)

Исследованы изменения в содержании никотина (I) в различных сортах свежего табака и применении в-в, задерживающих этот процесс (пары толуола, HCN, CaO, формальдегид). Установлены условия культуры и уборки табака, способствующие сохранению I. Проводятся опыты по уменьшению потерь I при сушке. Уточнены условия, в которых сорта табака, содержащие менее токсичный нормикотин, могут быть планомерно улучшены. А. Емельянов

3118. Дикий чеснок в пищевой промышленности. Аугустин (Cesnak medvedí v potravinárskom priemysle. Augustin Viliam), Průmysl potrav., 1956, 7, № 5, 209—213 (словац.; рез. русс., англ., нем.)

Дикий чеснок (*Allium ursinum* L.) пригоден для суши, широко применяется в пищевой пром-сти, в частности в консервной и мясоперерабатывающей. Сильно выраженный вкус и аромат дикого чеснока позволяет уменьшить его дозу в пищевых продуктах до 35%. Отмечается большая бактерицидность дикого чеснока по сравнению с культурным. А. Прогорович

3119. Сорбиновая кислота как фунгистатическое средство для пищевых продуктов. I. Безвредность сорбиновой кислоты. Дьюэл, Алфин-Слейтер, Уэйл, Смит. II. Обмен  $\alpha$ ,  $\beta$ -ненасыщенных жирных кислот, и в частности сорбиновой кислоты. Дьюэл, Калберт, Анисфелд, Мак-Куан, Бланден (Sorbic acid as a fungistatic agent for foods. I. Harmlessness of sorbic acid as a dietary component. Deuel Harry J., Jr., Alfin-Slater Roslyn, Weil Carol S., Smyth Henry F., Jr. II. Metabolism of  $\alpha$ ,  $\beta$ -unsaturated fatty acids with emphasis on sorbic acid. Deuel Harry J., Jr., Calbert Clarence E., Anisfeld Lilla, McKeehan Harry, Blunden Harry D.), Food Res. (Chicago), 1954, 19, № 1, 1—12; 13—19 (англ.)

Исучена токсичность сорбиновой к-ты. При включении в диету до 5% (на сухое в-во) сорбиновая к-та безвредна для крыс и собак. Она значительно менее токсична, чем Na-соль бензойной кислоты. Г. Новоселова

3120. Разработка метода определения хлористого натрия в соевом соусе. I. Прямое аргентометрическое титрование с адсорбционным индикатором. Сато (醤油食鹽の定量に關する研究. 第1報. 銀液に依る直接滴定法. 佐藤謙二), 日本醸造協會雜誌, Нихон дайдзо кёкай дзасси, J. Soc. Brew., Japan, 1955, 50, № 7, 49—42 (япон.; рез. англ.)

Метод Мора неприменим для определения NaCl в соевом соусе из-за присутствия органич. в-в, маскирующих изменение окраски, а также потому, что окраска соевого соуса сходна с окраской  $\text{Ag}_2\text{CrO}_4$ . Для выяснения возможности прямого определения NaCl испытан ряд индикаторов. При титровании  $\text{Cl}^-$  в соевом соусе р-ром, содержащим  $\text{Ag}^+$ , удовлетворительные результаты получены в р-ре, подкисленном  $\text{CH}_3\text{COOH}$  до pH 2,7—3,4, с применением бромфенолового голубого в качестве адсорбционного индикатора. Присутствие различных органич. в-в: аминокислот, пептонов, пептидов, белков, аминов, ацеталей, кетонов, альдегидов, углеводов, спиртов, кислот (молочной, янтарной, уксусной), гетероциклич. соединений (фурфурола и др.), меланинов и их производных и полимеров не влияло на точность определения. При добавлении пептонов изменение окраски становится чрезвычайно резким. Применению метанилового желтого, тропеолина ОО, флуоресцина, дихлорофлуоресцина мешало присутствие белков и продуктов их разложения. Возможно применение в качестве индикатора тетрабромфенолтетрабромсульфонфталеина. Г. Новоселова

3121. Об определении сладких и консервирующих веществ методом хроматографии на бумаге. Клиффмюллер (Beitrag zum papierchromatographischen Nachweis von Süßstoffen und Konservierungsmitteln. Kliffmüller Richard), Dtsch. Lebensmitt.-Rundschau, 1956, 52, № 7, 182—184 (нем.)

Рассмотрены способы определения хроматографией на бумаге сахарина, дульцина «ультрасладкого» (н-пропокси-2-амино-4-нитробензола), р-метокси-о-бензолбензойнокислого натрия (I) и комбинированного определения искусств. сладких и консервирующих в-в. Сахарин предварительно переводит обратный конц. КОН при 210—220° в салицилат и идентифицируют последний; дульцин переводят в нитросоединение; «ультрасладкое» дает при соединении с азонифилизтилендиаминном сине-фиолетовую окраску. I определяют как к-ту с индикаторами, причем присутствие р-хлорбензойной к-ты мешает определению. Обработкой конц. КОН при 210—220° расщепляют молекулы I, при этом образуется оксibenзойная к-та, которую можно определить хроматографией на бумаге. При определении салициловой к-ты, образующейся из сахарина, можно одновременно определить и другие консерванты, в частности бензойную и р-хлорбензойную к-ты и эфир р-оксibenзойной к-ты. Указанные методы устанавливают содержание 1—50 γ перечисленных веществ. А. Емельянов

3122. Определение консервантов в пищевых продуктах. Кирмейер (Über die Prüfung von Konservierungsmitteln im Lebensmittel. Kiermeier Friedrich), Z. Lebensmittel-Untersuch. und Forsch., 1953, 97, № 3, 182—190 (нем.)

3123. Добавочные вещества к пищевым продуктам. Шулеман (Zusatzstoffe zu Lebensmitteln. Schulemann W.), Dtsch. Lebensmitt.-Rundschau, 1956, 52, № 7, 173—176 (нем.)

3124. Синтетические пищевые красители. Рейхель (Coloranti sintetici alimentari. Reichel L.), Rev. chim., 1955, 6, № 5, 234—237 (рум.; рез. русс.)

Рассмотрены хим. строение и свойства синтетич. красителей, применение которых допускается в пищевой пром-сти; указаны кол-ва, добавляемые в различные пищевые продукты. А. Прогорович

**3125. Химические вещества в пищевых продуктах.** Сова, Сорова (Chemikálie v potravinách. Sova Vladimír, Sovová Milada), Průmysl potravin, 1956, 7, № 3, 117—121 (чеш.; рез. рус., англ., нем.)

Рассматривается вопрос о необходимости введения искусств. красителей в пищевые продукты и о том, какие красители допустимы для применения. Подчеркивается стремление уменьшить использование синтетич. красителей и увеличить применение новых природных красителей. Описано определение санитарной и гигиенич. допустимости красителей. Дан список искусств. растворимых в воде красителей, разрешенных для применения в пищевой пром-сти. А. Прогорович

**3126. Упаковка для пищевой промышленности. I, II, III. Нелман (Packaging — a unit operation of food engineering. Part I, II, III. Knelman F. H.), Food in Canada, 1955, 15, № 11, 28, 30, 32; № 12, 34; 1956, 16, № 1, 16, 18 (англ.)**

Кратко рассмотрены отдельные виды тары, применяемые в пищевой пром-сти, и приведена характеристика алюминиевой фольги и пластмассовых пленок, употребляемых для упаковки пищевых продуктов.

М. Гарденин

**3127. Пластмассы в пищевой промышленности.** Шнейдер (Tworzywa sztuczne w przemyśle spożywczym. Schneider Edward), Przem. spożywczy, 1956, 10, № 2, 63—67 (польск.)

Кратко рассмотрены свойства польских пластмасс (полихлорвинила, бакелита и др.), применяемых в пищевой пром-сти. З. Фабинский

**3128. Пригодность мягких тюбиков из поливинилхлорида для хранения пищевых продуктов.** Сетгофер (Vhodnost u nás vyrobených měkkých folií (tub) z polyvinylchloridu (PVC) na uchovávání potravinářských výrobků (zkrácený výťah). Sethofer Vlad), Průmysl potravin, 1955, 6, № 4, 179—183 (чеш.)

Проведено исследование микрофлоры мягких тюбиков из поливинилхлорида, вырабатываемых в Чехословакии, а также их составных частей (умягчители и стабилизаторы). В результате исследования выявилась целесообразность микробиологич. контроля тюбиков, применяемых в пищевой промышленности.

Е. Шнайдер

**3129 К. Технология переработки плодов и овощей.** Учебник для отделений плодоводства и овощеводства сельскохозяйственных школ. Кац (Technológia ovocia a zeleniny. Učebný text pre PTŠ, odb. zahradnícky a ovocinársko-zeleninársky. Kac Václav, Bratislava, Slov. vyd. pôdohosp. lit., 1955, 305, (1) s) (словац.)

**3130 К. Транспортирование охлажденной и замороженной говядины.** Ло, Вир-Джонс (Shipment of chilled beef 1952. Law N. H., Vere-Jones N. W. N. Z. Dept. Scient. and Industr. Res. Bull., 1955, № 118, pp. 7—79) (англ.)

**3131 К. Консервирование холодом пищевых продуктов животного происхождения.** Дрегер (Die Kältekonserverierung unserer tierischen Lebensmittel. Dräger Hans. Leipzig, Fachbuchverl., 1955, 272 S., 25. D) (нем.)

**3132 К. Технология мяса и мясных продуктов.** Том II (Technologie masného průmyslu. 2. díl. Praha, Min. potravinářského prům., 1955, 521 6 s., il.) (чеш.)

**3133 К. Руководство по производству кисломолочного сыра.** Изд. 2-е перераб. Кречмер (Handbuch für die Sauermilchkäserei. 2. neubearb. Aufl. Kretschmer Kurt., Heidenreichstein, Kretschmer, 1956, VII, 279 S., 72.—Sch.) (нем.)

**3134 К. Ежегодник по молочной промышленности.** 1955. Том 2. Торговля (Annuaire de l'industrie laitière 1955, 30, T. 2, Négoce, Paris, Ed. Sully, 1955, 458, (16) p.) (франц.)

**3135 К. Справочник по предприятиям, выпускающим замороженные плоды, овощи, рыбу, мясо, птицу, концентраты и готовые блюда.**— (Directory of frozen food processors of fruits, vegetables, seafoods, meats, moultry, concentrates and prepared foods.— 1954. (V8), 768 pp., N. V. Quick frozen foods. E. W., Williams publications, inc., 1954, § 3) (англ.)

**3136 К. Переработка плодов, ягод и овощей в домашних условиях.** Мордкович М. С., Баннов Л. Ф. М., Сельхозгиз, 1956, 136 стр., илл., 1 р. 75 к.

**3137 К. Технология пищевых концентратов.** Рейхерч, Сверчинский (Technologia koncentratów spożywczych. Reinhercs Aleksander, Świerczynski Antoni. Warszawa, Wydawn. Prze m. Lekkiego i Spożywc., 1956, 307, 1 nrb. s., il., 24.90 zł.) (польск.)

**3138 К. Основные процессы химической и пищевой промышленности. Примеры расчетов. 1 том.** Хике (Základní operace chemického a potravinářského průmyslu. Příklady výpočtu. 1. díl. Hieke Vilibald. Praha, SNTL, 1955, 118 s., il., 7,30 Kčs) (чеш.)

**3139 К. Ультразвук и пути его применения в пищевой промышленности.** Гарлинекая Е. И., Беззубов А. Д. М., Пищепромиздат, 1955, 96 стр., илл., 2 р. 50 к.

**3140 К. Зерноведение [Учебник для вузов пищ. пром-сти]. Изд. 2-е, переработ. и доп.** Козьмина Н. П. М., Заготиздат, 1955, 282 стр., илл., 8 р. 60 к.

**3141 К. Макаaronная промышленность.** Бадалян Х. А. М., Пищепромиздат, 1955, 100 стр., илл., 2 р. 60 к.

**3142 Д. Методы определения свежести некоторых пищевых субпродуктов.** Корнилов Б. Е. Автореф. дисс. канд. вет. н., Моск. вет. акад., М., 1956

**3143 Д. Исследования по получению ферментных препаратов инвертина и применению их в кондитерской промышленности.** Бару А. З. Автореф. дисс. канд. техн. н., Моск. технол. ин-т пищ. пром-сти, М., 1956

**3144 Д. Применение полиграфического метода анализа к исследованию некоторых химических показателей качества консервной продукции.** Берх М. С. Автореф. дисс. канд. техн. н., Моск. ин-т нар. х-ва, М., 1956

**3145 П. Способ придания маслянистости пищевым продуктам (Oleaginous foodstuffs) [Anglo-Scottish Creameries Ltd].** Австрал. пат. 166320, 5.01.56

Процесс придания маслянистости пищевым продуктам включает введение в них незначительного кол-ва лактона алифатич. оксикарбоновой к-ты, имеющего лактонное кольцо из 4—6 атомов С. В. Гурин

**3146 П. Способ кондиционирования пшеницы перед помолом.** Рейфеншюль (Verfahren zum Vorbereiten von Weizen für die Vermahlung. Reifenshuel Gert). Пат. ФРГ 927428, 16.05.55 [Mühle, 1955, 92, № 25, 337 (нем.)]

Перед помолом пшеницу подогревают в воде с т-рой >80° 1—4 сек., затем сразу охлаждают в воде с т-рой ~10° 1—5 сек. и после соответствующей сушки разма-



дывают. Краткое пребывание зерна в горячей воде не вызывает повышения т-ры внутри зерна и не оказывает влияния на хлебопекарные свойства пшеницы, но улучшает отделимость оболочек от эндосперма. Продолжительность такого кондиционирования не должна превышать 20 мин. с начала обогрева до размола.

Б. Зибель

**3147 П. Метод и продукт для обработки муки или теста.** Йоргенсен (Method for the treatment of flour or doughs and agent for application thereby. Jorgensen Holger) [Aktieselskabet Dansk Gaerings-Industri]. Канад. пат. 514300, 5.07.55

Предлагается новый продукт, составленный из преарата мальтазы и дрожжей, с помощью которого можно временно понизить интенсивность брожения теста при изготовлении хлеба.

А. Емельянов

**3148 П. Отделение бактерий и микроскопических частиц от жидкостей и эмульсий.** Лембке (Separation of bacteria and microscopic particles from viscous liquids and emulsions. Lemcke A.). Англ. пат. 714065, 25.08.54

Для отделения бактерий и микроскопич. частиц от плодовых соков, пива и молока последние нагревают для понижения вязкости и центрифугируют в центрифуге, обеспечивающей ускорение силы тяжести ~2800 g. Для подогревания жидкости или эмульсии можно применить быстродействующий подогреватель или ИК-лампу.

Г. Новоселова

**3149 П. Способ регулирования кислотности пищевых продуктов.** Фир (Methods of standardizing the acidity of foods and food products. Fear Ernest D.). Канад. пат. 511948, 19.04.55

Для понижения кислотности пищевых продуктов из плодов к ним добавляют смесь минер. в-в молока, извлеченных из нейтрализованной сыворотки, и глюкозу. Состав смеси минер. в-в должен соответствовать их соотношению в молоке. Смесь добавляют к продукту в таком кол-ве, чтобы содержание минер. в-в в нем было выше, чем при введении в него молочных продуктов, и достаточно для снижения pH до 6,5.

Г. Новоселова

**3150 П. Витаминизированные плодовые консервы.** Уцуми, Юаса, Танака, Эндо, Масахара (強化果實罐詰製品の製法. 内海勇, 湯浅政治, 田中 信夫, 遠藤昭, 正原 勲) [田邊製菓株式会社. Табэ сэйяку кабусики кайся]. Япон. пат. 8129, 10.11.55

Для повышения питательности плодовых консервов без ухудшения вкусовых качеств тиамин (витамин B<sub>1</sub>) и (или) аминокислоты переводят в соли алкилсерной к-ты и добавляют в консервы. Могут быть использованы следующие соли, не имеющие вкуса и запаха: тиаминдилаурилсульфат, тиаминмонолаурилсульфат, тиаминдимиритилсульфат, тиаминдигетилсульфат, тиаминмоноцетилсульфат, тиаминдистеарилсульфат, глицилаурилсульфат, глициндигетилсульфат, метионинмиритилсульфат, метиониндигетилсульфат, лецитинстеарилсульфат. Одну или две соли, при необходимости вместе с витаминами C и B<sub>2</sub>, добавляют в р-р сахара и полученным сиропом заливают плоды. Пример: 1 ч. тиаминдилаурилсульфата растворяют в 7 ч. полиоксидитилсорбитанмоноолеата, разбавляют водой и, смешивая с заранее приготовленным 60%-ным р-ром сахара, готовят сироп. Хорошо промытые персики разрезают пополам, удаляют косточки и кожу, укладывают в банку срезом вниз, заливают сиропом, закатывают банки и пастеризуют. В. Гужавин

**3151 П. Обработанный пищевой продукт и способ его производства.** Берт (Processed food and method of preparation. Burt Leland H.) [Hercules Powder Co.]. Пат. США 2728676, 27.12.55

Ломтики яблок выдерживают в вакууме, бланшируют в водн. р-ре сахара, содержащем 0,2—1 вес.%

производного карбоксилалкилцеллюлозы, для сохранения плотности и натурального цвета ломтиков и хранения их в этом р-ре.

Г. Новоселова

**3152 П. Обработка молока.** Уингер (Processing of milk. Winger L. T.). Англ. пат. 716052, 29.09.54

В молоко вводят 0,1—0,2% 35%-ной H<sub>2</sub>O<sub>2</sub>, выдерживают его 15—45 мин. при 4—60° и добавляют 0,22—1,1 г продажной порошкообразной каталазы на 1 л молока для разрушения H<sub>2</sub>O<sub>2</sub>. Гомогенизируют молоко под давл. 105—210 ат при 38—66°, разливают в жестянки или другую тару, закатывают и стерилизуют при t-ре > 100°. После гомогенизации (перед стерилизацией) молоко может быть охлаждено до 0,5—15°. После стерилизации молоко желательно охладить до 0—10°.

Г. Новоселова

**3153 П. Способ гомогенизации сливок для кофе и для взбивания, сгущенных сливок, смеси для мороженого и других молочных продуктов с высоким содержанием жира** (Procédé pour l'homogénéisation de la crème pour le café crème du lait condensé des mélanges de crème glacée, de la crème destinée à la préparation de crème fouettée, et d'autres produits lactés riches en matières grasses) [Soc. Bergerdorfer Eisenwerk A.-G. Astra-Warke]. Франц. пат. 1069973, 15.07.54, [Lait, 1955, 35, № 347, 449 (Франц.)]

Во избежание слипания жировых шариков в комочки применяют 2-ступенчатую гомогенизацию с применением на первой ступени высокого давления, а на второй — пониженного на 10—20% по сравнению с первым этапом.

В. Новикова

**3154 П. Мягкий творожный концентрат.** Фир (Soft curd concentrates. Fear Ernest D.). Канад. пат. 511945, 19.04.55

Патентуется способ произ-ва концентрата, содержащего сгущенную смесь цельного молока, сыворотки и минер. в-в, которые дополнительно вводят в смесь в том составе и соотношении, в каком они естественно присутствуют в молоке. Дозировка минер. в-в обеспечивает нейтр. р-цию концентрата.

Г. Новоселова

**3155 П. Состав для повышения содержания сухого вещества нежной консистенции в смеси для мороженого и мороженое, вырабатываемое из него.** Фир (Composition for increasing the soft curd solids in ice cream mixes and ice cream produced thereby. Fear Ernest D.). Канад. пат. 511947, 19.04.55

Патентуется смесь, содержащая обезжиренную соевую муку; дополнительные минер. в-ва, соответствующие по составу и соотношению минер. составу натурального молока, в кол-ве, превышающем их содержание в молочном продукте; составные части сыворотки; декстрозу и закваску для повышения кислотности до желаемого предела.

Н. Брю

**3156 П. Метод изготовления солей, ускоряющих созревание сыров** (Procédé de préparation d'un sel de mûrissement de fromage) [Chemische Werke Albert]. Франц. пат. 1070910, 19.08.54 [Lait, 1955, 35, № 347, 449 (Франц.)]

К молоку до или во время свертывания добавляют смесь солей, обладающих олигодинамич. действием. Можно одновременно добавлять CaCl<sub>2</sub>, KNO<sub>3</sub> или закваски.

В. Новикова

**3157 П. Метод приготовления из молока пудинга, набухающего на холоду.** Эткер (Mittel zur Herstellung eines kaltquellenden Puddings aus Milch. Oetker August). Швейц. пат. 303263, 1.02.55 [Chem. Zbl., 1955, 126, № 37, 8761 (нем.)]

К молоку добавляют нейтр. и кислые пирофосфаты, затем сахар и ванилин. Охлажд. смесь перемешивают и выдерживают 2—3 часа. Добавляют многоосновные к-ты или соли этих к-т и желирующие в-ва, напр. муку из ядер стручков рожкового дерева, Na-альги-

нат, трагант, агар, растворимый крахмал, пектин, сычужный порошок. Е. Жданова

**3158 П.** Метод обработки замороженного мяса и рыбы. Рениш (Method of handling frozen meats and fish. Renish Gerald H.). Пат. США 2716608, 30.08.55

При подготовке предварительно замороженного мяса для жарения его в замороженном состоянии панируют на адсорбент для устранения потерь естественного сока при таянии и для уменьшения усушки. В. Гурни

**3159 П.** Способ изготовления оболочек для колбасы в форме колец из регенерированной целлюлозы. Парт (Verfahren zur Herstellung von Wursthüllen aus regenerierter Cellulose in Form von Kranzdärmen. Parth Bruno) [Kalle & Co. A.-G.]. Пат. ФРГ 932713, 8.09.55

Вискозный р-р выпрессовывают через кольцеобразное сопло в ванну для коагуляции; коагулированный шланг наматывают на три близко стоящих и расположенных в форме треугольника передаточных вальца и после прохождения через эти вальцы надуют до требуемого калибра воздухом или инертным газом. Затем шланг наматывают на барабан, осуществляющий бесконечную винтообразную намотку (так называемый канатный барабан), нижняя часть которого погружается в ванну с находящимися в ней регенерирующим составом. Сходящий с канатного барабана регенерированный и стойко отформованный шланг обрабатывают соответствующим для гидратцеллюлозы образом в десульфураторах, моечных и пластифицирующих ваннах. Короткая (внутренняя) сторона кольцеобразного шланга соответствует длине поверхности скольжения аппаратуры. В. Гурни

**3160 П.** Химическая обработка крови животных. Уотсон (Chemische treatment of animal blood. Watson G. H. R.) [Chemische Werke Albert]. Англ. пат. 716947, 20.10.54

Запатентован способ предотвращения коагуляции крови животных добавлением 0,2—1% соли Кигрол'а, представляющей метафосфат калия, получаемый нагреванием  $\text{KН}_2\text{PO}_4$ . Метафосфат калия может быть применен в комбинации с метафосфатом натрия и активаторами. В качестве активаторов соли Кигрол'а применяют  $\text{NaCl}$ ,  $\text{Na}$ -профосфат, полифосфаты натрия. Соль Кигрол'а можно употреблять в комбинации с обычно применяемыми для предотвращения коагуляции ортофосфатами, тартратами и цитратами. Обработанная таким способом кровь, а также плазма, получаемая после центрифугирования обработанной крови, применяется в произ-ве колбас для улучшения распределения жира. Г. Новоселова

**3161 П.** Заменители яиц. Хили (Egg substitutes. Healy M. M.). Англ. пат. 716685, 13.10.54

Патентуется состав заменителя яиц, содержащего тапиоковую муку, смешанную с обезжиренным сухим молоком, сухим яичным белком и газообразующим средством, напр. смесью кислого виннокислого калия и  $\text{NaHCO}_3$ . Пример: 100 кг рисовой муки, 25 кг тапиоковой муки смешивают с 25 кг обезжиренного сухого молока, 10 кг сухого яичного белка, 3 кг кислого виннокислого калия, 1 кг  $\text{NaHCO}_3$  и 0,5 кг желтого красителя. При приготовлении полуфабриката для кекса на каждый кг муки добавляют 9—18 г заменителя яиц. Г. Новоселова

**3162 П.** Сухой суррогат уксуса. Кмещак, Фаррелл (Dry imitation vinegar. Kmiecik Thaddeus C., Farrell Kenneth T.) [Diamond State Food Products, Inc.]. Канад. пат. 515473, 9.08.55

Патентуется состав сухой приправы, обладающей после регидратации характерным запахом уксуса. Приправа состоит из лед.  $\text{CH}_3\text{COOH}$  и яблочной эс-

сенции, адсорбированной на водорастворимом субстрате, содержащем  $dl$ -яблочную  $\alpha$ -ту и  $\alpha$ -х. ч. лактозу. Примерный состав суррогата: 150—300 г  $dl$ -яблочной  $\alpha$ -ты, 300—450 г  $\alpha$ -х. ч. лактозы, 0,05 г жженого сахара, 90—120 мл лед.  $\text{CH}_3\text{COOH}$  и 15 мл яблочной эссенции, разведенной в 350 раз. Г. Новоселова

**3163 П.** Способ производства приправы. Бете (Process for making condiment. Betts Arthur W.) [Smoked Foods Research Institute, Inc.]. Пат. США 2722482, 1.11.55

Требуемые компоненты продукта неполного стораения растительного в-ва осаждают при помощи тока высокого напряжения на холодную поверхность, смазанную маслом, лишенным запаха, а затем их удаляют с этой поверхности и смешивают с обычными приправами для приготовления соуса. Г. Новоселова

**3164 П.** Жевательная резина. Джонсон, Скиллинг (Chewing gum. Johnson E. V., Skilling G. T. W.). Англ. пат. 711187, 23.06.54

Для изготовления жевательной резины высушенный, тонко размолотый табак (2—6 вес.%) вместе с песком (1,5—2 вес.%) и наполнителем, напр. кола в порошок (10—20 вес.%), вводят в основу из резины (70—80 вес.%). К смеси можно добавить подслащающее в-во, напр. сахарин, а также покрыть ее твердым подслащающим в-вом. Табак сушат 5 мин. при 150°. Г. Диккерт

**3165 П.** Метод и аппарат для обработки табака. Хельвар (Method of treating tobacco and apparatus therefor. Helvar O y). Англ. пат. 706052, 24.03.54

Табак, помещенный в камеру или непрерывно движущийся на транспортере, шнеке или ином транспортирующем устройстве через трубу, подвергают в течение нескольких минут действию высокочастотного электрич. поля для повышения т-ры табака до 100° или несколько выше. Затем газообразные, парообразные или летучие продукты р-ции азотистых и других нежелательных в-в, входящих в состав табака, удаляются в процессе аэрации и охлаждения табака в конце обработки, напр. вместе с парами воды, содержащейся в табаке. Может быть сделана предварительная обработка табака паром и (или) приправами и (или) хим. реагентами. Исходная влажность табака 18—25%. Камера или труба должны быть изготовлены из непроводящих ток материалов, напр. фарфор, стекло или керамика. Камеру располагают между электродами одного генератора, при непрерывном движении табака можно использовать несколько высокочастотных генераторов. Г. Диккерт

**3166 П.** Процесс и аппарат для охлаждения пищевых продуктов и аналогичных веществ до заданной температуры. Барри (Process and apparatus for bringing foodstuff and like substances to a given temperature. Barris Pierre G. M.). Канад. пат. 509150, 18.01.55

Мелко распыленный рассол с т. зам. ~ -18° рассеивают быстро движущимся газом, имеющим очень низкую т-ру, и направляют на продукт, создавая на его поверхности слой, состоящий из микроскопич. шариков льда, адсорбированных газ. Подтаивая, этот слой смерзается со следующим слоем льда и с пищевым продуктом, образуя сплошную воздухо непроницаемую оболочку, после чего продукт направляют на хранение при т-ре < -18°, во время которого происходит охлаждение до требуемой конечной т-ры за счет теплообмена между продуктом и покрывающей его оболочкой. Г. Любовский

**3167 П.** Аппаратура и способ производства измельченных смесей и экстрактов, содержащих жизненно необходимые вещества. Шмидт (Apparatus and process for producing comminuted compositions and

extracts containing vital factors and the product thereof. Schmidt Walter L.). Канад. пат. 510287, 22.02.55

Сырье животного, рыбного или растительного происхождения, содержащее жизненные факторы (ЖФ), в том числе аминокислоты, в условиях, не допускающих окисления, поддают с быстрым током газообразного р-рителя в камеру, понижая при этом давление в камере до образования вакуума ~ 610—752 мм рт. ст. Из камеры жидкий р-ритель, смешанный с обрабатываемым сырьем, направляют через канал с постепенно уменьшающимся сечением, переходящим в постепенно возрастающее сечение. Миним. сечение канала значительно меньше, чем сечение камеры. При прохождении через канал смесь подвергают действию постепенно возрастающего и затем понижающегося давления. Растворимые ЖФ переходят в р-ритель, который отделяют от смеси. Процесс повторяют до полного извлечения из сырья всех ЖФ. Отгоняют р-ритель в условиях, не допускающих окисления, получая продукт, содержащий жизненные факторы. Г. Новоселова

См. также: Противоокислители 2765—2767. Молоко 169Бх, 952Бх. Влияние инсектицидов 1300, 1480, 1481. Болезни табака 521Бх. Прибор для отгона никотина 179Бх. Автоматич. опред. желатинирования 1341. Стойные воды 1854, 1855. Упаковочные материалы 2563, 2587.

## КОЖА. МЕХ. ЖЕЛАТИНА. ДУБИТЕЛИ. ТЕХНИЧЕСКИЕ БЕЛКИ

Редактор О. В. Матвеева

3168. Набухание коллагена и измененного коллагена. Кассел, МакКенна (Swelling of collagen and modified collagen. Cassel J. M., McKenna E.), J. Amer. Leather Chemists Assoc., 1954, 49, № 8, 553—574 (англ.)

Изучено набухание в воде. среде коллагена (гольевой порошок) и коллагена, подвергнутого ацетилированию, дезаминированию, этерификации и дублированию синтанами,  $\text{CH}_2\text{O}$ , хиноном, глиоксалем, метилглиоксалем,  $\text{Sr-}$  и  $\text{Zr-}$  солями и танидами квебрахо, каштана и гамбир. Степень набухания определялась весовым методом при pH от 1,8 до 12,0. Дублиние  $\text{CH}_2\text{O}$  снижает набухание коллагена как в кислой, так и в щел. области. Остальные дубители снижают набухание в кислой среде, а в щел. они менее эффективны, чем  $\text{CH}_2\text{O}$ . Набухание коллагена в воде. среде зависит от т-ры, причем эта зависимость менее заметна в кислой (pH ~ 2,0) и щел. (pH ~ 11,5) областях. На основе полученных данных обсуждаются некоторые теоретич. вопросы дублиния. О. Матвеева

3169. Туалукование шкур за рубежом (обзор). Анимов А., Мясная индустрия СССР, 1956, № 3, 63

3170. Проблемы подготовительных процессов в производстве кож растительного дублиния. Гнэмм (Problèmes du travail de rivière dans la fabrication du cuir de tannage végétal. Gnamm Hellmut), Rev. techn. inds cuir, 1955, 47, № 12, 263—272 (франц.)

Обсуждаются подготовительные процессы кожевенного произ-ва и причины, вызывающие дефекты лицевого слоя в голье и готовом товаре. В частности, обсуждаются причины появления отдушенности в онойке, а также условия получения такого лицевого слоя в голье, чтобы отделку кож можно было осуществлять лишь путем окраски их водн. р-рами красителей. И. Этингоф

3171. Подготовительные процессы при выделке хромового онойка. Циссель (Probleme der Was-

serwerkstatt bei der Herstellung von Boxcalf. Zissel A.), Leder, 1955, 6, № 12, 289—295 (нем.)

Доклад и дискуссия по подготовительным процессам в произ-ве хромового онойка. Обсуждаются преимущества и недостатки разных методов зольния: однованного, многованного и намазного с последующим зольнием.

И. Этингоф  
3172. Значение процесса отмоки в кожевенном производстве. Вентланд (La trempe est elle une opération importante? Wentland Stéphane Aug.), Rev. techn. inds cuir, 1955, 47, № 12, 272—274 (франц.)

При отмоке шкур имеется большая опасность их повреждения микроорганизмами. Для предохранения кож от разрушения в отмоке рекомендуется вводить в отмочную воду поверхностноактивные в-ва (для ускорения отмоки) и антисептики. Следует применять препараты, не оказывающие вредного влияния на шкуру. И. Этингоф

3173. Новые способы зольния. Виднер, Коллош (Újabb eljárások a meszés területén. Wiedner László, Kolos Ferenc), Bőr és cipőtechn., 1956, 6, № 1, 1—4 (венг.)

Разработан способ зольния с частичной регенерацией шерсти. После отмоки по обычной методике шкуры обрабатывают в течение часа при 28—33° 200% воды с добавкой 0,45—0,5%  $\text{Na}_2\text{S}$  (60%-ного); затем — 6% извести в течение 10 мин.; через 4 часа снимают шерсть, а шкуры подвергают дальнейшей обработке 130% воды, 0,8—1%  $\text{Na}_2\text{S}$  (60%-ного), 6% извести при 24—26° в течение 4 час.; после обтекания в течение ночи снимают остатки шерсти (не пригодные к дальнейшей обработке). Все обработки ведут при перемешивании. Полученная кожа имеет прочность на разрыв 2,5  $\text{кг/мм}^2$ , прочность лицевого слоя 2,4  $\text{кг/мм}^2$ , отмин 11 линий/см. Получается шерсть с длиной волокон 3,3 мм (при длине исходных волокон 3,8 мм) и прочностью на разрыв 42 г на волокно. В среднем из 1000 кг шкур получается 50 кг шерсти. Обработка по этому методу шкур молодняка (весом до 12 кг) не рекомендуется из-за трудности удаления шерсти. Г. Юдкович

3174. Избирательное поглощение лигносульфоновой кислоты и растительных танидов гольевым порошком. Сэндзю (植物タンニンとリグニンスルホン酸の皮粉による選擇吸着. 千手諒一), 日本農藝化學會誌, Нихон ногай кагаку кайси, J. Agric. Chem. Soc. Japan, 1955, 29, № 10, 749—754 (япон.; рез. англ.)

Методом колд. титрования исследовано избирательное поглощение лигносульфоновой к-ты (I) и растительных танидов (T). I препятствует поглощению растительных T, особенно в случае T ионного характера. Если T связываются гольевым порошком неионными силами (напр., T *Acacia mollissima*), то избирательное поглощения I и T не происходит. Это указывает на то, что характер взаимодействия T *A. mollissima* и I с гольевым порошком различен. Р. Колчина

3175. Получение эффективной кислотности при растительном дублинии. Хамфрис (How to obtain effective acidity in the vegetable tanning process. Humphreys G. H. W.), Leather and Shoes, 1954, 127, № 16, 24—25 (англ.)

Приведено сравнение американских и европейских методов дублиния и даны практич. указания по получению оптимальной кислотности дубильных соков. О. Матвеева

3176. Производство кож комбинированного дублиния. Боссе (Bemerkungen zur Herstellung kombiniert gegerbter Leder. Bosse R.), Leder, 1956, 7, № 3, 53—57 (нем.; рез. англ., франц., исп.)

При додубливании хромовой яловки растительными танидами в готовой коже получаются дефекты, являющиеся результатом повышенной адстригентности



растительных танидов к хромированной коже. На основе полупроизводственных опытов описываются мероприятия для устранения этих дефектов. Рекомендуется додубливание проводить синтанами (напр., танган экстра специаль Р1) или синтанами совместно с растительными танидами, или наполнять хромовые кожи дигидрандамидами смолами (напр., ретинган 6). Для каждого метода описываются необходимые изменения в других процессах производства. И. Этингоф

**3177. Применение мочевиноформальдегидных смол в кожевенной промышленности. Шамбар** (Note sur l'emploi des résines urée-formol dans l'industrie de la tannerie. Chambar d P.), Bull. Assoc. franc. chimistes inds cuir, 1955, 17, № 11, 199—205 (франц.)

Изложены кратко результаты работ по установлению оптимальных условий применения для дублиения кож диметиловых производных мочевины: их кол-ва, влияния катализатора, т-ры, pH, предварительного хромирования голя. Полученные по разработанной методике кожи удовлетворительны по своим свойствам, кроме водостойкости, которая во многих случаях недостаточна. Для выяснения возможности додубливания кож растительного дублиния мочевиноформальдегидными смолами изучены условия совместной конденсации различных растительных танидов с мочевиной и формальдегидом. Установлено, что получение тройных конденсатов мочевины — формальдегид — танид возможно как на холоду, так и при нагревании, если р-ция продолжается ~ 24 час. Кол-во необходимых реагентов зависит от вида растительных танидов. Студнеобразные конденсаты были получены с танидами сульфитированных экстрактов квебрахо и мимозы, а также с экстрактом эвкалипта. С танидами каштана, дуба, миробалам получались порошкообразные конденсаты. На основе проведенных работ были получены кожи растительного дублиния, в которых большая часть вымываемых переведена в нерастворимое состояние. Кожки получают более полными, а весовой выход повышается. И. Этингоф

**3178. О синтетических жирующих материалах. Пензе** (Über synthetische Lederfettungsmittel. Penze W.), Leder, 1956, 7, № 2, 29—33 (нем.)

Обзор новых синтетич. продуктов для жирования кожи. Обсуждаются преимущества применения в кожевенной про-сти хлорированных и сульфохлорированных углеводородов и продуктов конденсации последних с соединениями, содержащими сульфо- или карбоксильные группы. Библ. 8 назв. И. Этингоф

**3179. Импрегнирование кож. Мартинелли, Коллер** (Aktuelle Probleme der Lederimprägnierung. Martinelli B., Koller P.), Chem. Rundschau, 1956, 9, № 4, 65—67 (нем.)

Обзор методов импрегнирования кож. Описывается импрегнирование комплексными соединениями хрома с жирными к-тами (фоботекс CR и квилон), а также силиконами. Отмечается, что эти методы уже внедрены в произ-во легких верхних и одежных кож. Новым направлением в импрегнировании кож является применение производных янтарной к-ты. Библ. 10 назв. И. Этингоф

**3180. Придание коже водостойкости. Армстронг** (Imparting water resistance to side leather. Armstrong T. J.), Leather World, 1956, 48, № 6, 109, 111 (англ.)

Описываются свойства препарата квилон «Quilon» для импрегнирования кожи, представляющего собой комплексное соединение хрома. Пропитанная им кожа имеет значительно меньшую намокаемость, устойчива к действию пота и хим. соединений, обладает лучшей адгезией к отделочным материалам, причем расход последних при отделке уменьшается. Опытная носка обуви, пошитой с применением импрегнированной

кожи, показала, что обувь лучше сохраняет первоначальную форму и внешний вид, имеет в союзе меньше морщин и трещин, меньше промокает и более удобна. И. Этингоф

**3181. Отчет о заседании Международной комиссии по анализу кож. Таландер** (Report on the meeting of the International commission for leather analysis. Talandier Carl G.), J. Amer. Leather Chemists' Assoc., 1956, 51, № 2, 45—46 (англ.)

Были приняты решения по следующим вопросам. Метод определения хрома окислением хлорной к-той в золе принят в качестве официального. При определении влаги, жира, водовымываемых принята т-ра сушки  $101 \pm 1^\circ$ . Для определения влаги в коже 2 г измельченного образца взвешивают в бюксе с диам. 50 мм и сушат 3 часа. Повторные взвешивания производят каждый час пока разница между двумя взвешиваниями не будет меньше 2 мг. Для определения жира были выбраны р-рители двух типов: 1) петр. эфир, гексан, 2) хлороформ, метилхлорид. Высказаны возражения против применения хлорированных р-рителей, если в экстрагированной коже нужно затем определять pH. И. Этингоф

**3182. Диффузия водяных паров в кожу. Миттон** (The diffusion of water vapour in leather. Mitton R. G.), J. Soc. Leather Trades Chemists, 1955, 39, № 12, 385—400 (англ.)

Изучена диффузия водяных паров через кожу и в кожу в условиях установившегося потока, достигаемого созданием разности конц-ий паров по обе стороны образца, а также поддержанием по одну сторону образца постоянной конц-ии паров при отсутствии прохождения их через кожу. Чтобы устранить влияние неодинаковой плотности кожи по слоям, опыты проводились на спрессованных измельченных кожевых волокнах различной плотности упаковки. Показано, что практически почти все кол-во паров проходит не через плотный материал кожи, а через воздушные пространства между волокнами. Так, в подожженной коже через эти пространства проходит не менее 97% водяных паров, а в верхней коже — не менее 99%. Диффузия водяных паров через кожу определяется размерами образца, его пористостью, коэфф. диффузии через свободный воздух и известностью капилляров кожи. Фактор известности для кожи равен 0,47. И. Этингоф

**3183. Сравнительное испытание переплетных кож в газовой камере и при длительном выдерживании в обычных атмосферных условиях. Биб, Фрей, Ханниган** (A comparison of gas chamber tests of bookbinding leather with a long time atmospheric exposure. Beebe C. W., Frey R. W., Hannigan M. V.), J. Amer. Leather Chemists' Assoc., 1956, 51, № 1, 20—31 (англ.)

Из кож различных методов дублиния были изготовлены переплеты. Переплетенные книги хранились в течение 12—19 лет на воздухе. Часть переплетов была завернута в восковую бумагу и хранилась в лаборатории. Одновременно опытные кожи были обработаны  $\text{SO}_2$  в газовой камере в течение 12 недель. В начале опыта и после окончания наблюдения кожи были подвергнуты хим. и физ.-мех. испытаниям. Установлено, что содержание растворимых белковых в-в в кожах растительно-минер. дублиния не является достаточным критерием для суждения о степени разрушения их. Результаты испытаний кож, выдержанных в течение 12—19 лет в обычных атмосферных условиях, подтверждают выводы, сделанные на основе предварительных испытаний этих кож в газовой камере. Пероксидная проба непригодна для оценки долговечности растительно-алюминиевых и хром-растительных кож. И. Этингоф

3184. **Предохранение кожи от разрушения микроорганизмами.** Даль (Prevention of microbiological deterioration of leather. Dahl Sverre), J. Amer. Leather Chemists' Assoc., 1956, 51, № 3, 103—118 (англ.)

Обсуждается влияние микроорганизмов и меры предупреждения их развития в процессах кожаного производства (консервирование сырья, отмока, зеленение и обезволаживание, мягчение, пикелевание, дубление), а также в готовой коже и изделиях из нее. При отмоке вводят гипохлорит натрия или соли слабых оснований. Для предупреждения появления солевых пятен применяют кремнефтористый натрий. При хранении пикелеванных шкур, рекомендуется добавлять в пикель небольшие кол-ва органич. к-т или их солей. В дубильные соки добавляют *n*-нитрофенол (I). Для предупреждения плесневения кож в них вводят вместе с жирами I в кол-ве 0,3% от веса кожи. Кожаную обувь погружают на 10 мин. в жировую эмульсию, содержащую 0,8% I. Обработку повторяют в процессе эксплуатации обуви, так как I постепенно вымывается из кожи. Были испытаны другие фунгициды. Из них более эффективными, чем I, оказались *o*-хлор-*n*-нитрофенол и 4-тиоцианфенол. И. Этингоф

3185. **Изучение роста плесени на хромовых кожах и изменение их физико-механических свойств под действием плесени.** Миттон, Тернер (A study of mould growth on chrome-tanned leather and the associated changes in physical properties. Mitton R. G., Turner J. N.), J. Soc. Leather Trades' Chemists, 1955, 39, № 11, 343—353 (англ.)

Изучалось влияние на развитие плесеней на хромовых кожах добавок *n*-нитрофенола, кол-ва и вида вводимого жира, pH водн. вытяжки из кожи, т-ры, относительной влажности воздуха и продолжительности хранения. *n*-Нитрофенол вводился в кол-ве до 0,05%, жира вводили до 20% (рыбьего жира или смеси 90% рыбьего жира и 10% копытного масла). В другой серии опытов кожи обезжиривали экстрагированием, а затем в них вводили 10% минер. масла или вышеуказанной смеси; pH водн. вытяжки был 4,4 или 5,9. Хранение образцов проводили при относительной влажности 87 и 100% и т-ре 24 и 30°. Продолжительность хранения была в одной серии опытов 3, 6, 9 месяцев, а в другой — 12 месяцев. Изучали скорость роста плесеней, их виды, кол-во и размеры спор. Кроме того, определяли изменение механич. свойств кож (предела прочности при растяжении, удлинения при разрыве, сжатия и модуля упругости по изгибу). Рост плесени на хромовых кожах меньше, чем на кожах растительного дубления. Вид вводимого жира и pH водн. вытяжки не оказывают влияния на рост плесени. В первый период развивается плесень вида *Aspergillus niger*, но через 2 месяца начинают преобладать плесени вида *Penicillia*. Рост плесени при хранения в атмосфере с относительной влажностью воздуха 87% менее интенсивен, чем при 100% относительной влажности. На некоторых кожах появлялись желтые пятна, образовавшиеся в результате взаимодействия между *n*-нитрофенолом и щелочью, образуемой в результате жизнедеятельности плесеней. Чтобы избежать появления таких пятен *n*-нитрофенол следует вводить в кол-вах, гарантирующих полное прекращение жизнедеятельности плесеней. На кожах, жированных минер. маслом, была обнаружена плесень вида *Penicillium islandicum* Sopr., образующая красные пятна. Механич. свойства кож под действием плесени изменяются мало, причем эти изменения объясняют не изменением самих волокон кожи, а окислением жиров. И. Этингоф

3186. **Природа соединения танидов с гольевым порошком. Определение «числа поглощения гольевым порошком».** Барат (Nature of hide powder —

tan compound and determination of hide powder number (H. P. N.). Barat S. K.), J. Scient. and Industr. Res., 1954, 13, № 5, Sec. B., 362—367 (англ.)

Изучено влияние природы дубителя, pH и конц-ии дубильного р-ра, микроструктуры белка шкуры и агрегации молекул танидов (Т) на процесс взаимодействия Т с коллагеном. Для опытов были взяты гольевой порошок и Т мимозы. Микроструктура белка и агрегация молекул Т значительно влияют на процесс дубления. Показано, что кол-во Т, осажденных желатиной, больше, чем кол-во Т, поглощенных гольевым порошком при тех же условиях. Обсуждается важность «числа поглощения гольевым порошком» для определения дубящих свойств Т. О. Матвеева

3187. **Влияние условий снятия коры с лиственницы, можжевельника и черемухи американской на содержание в ней дубящих веществ.** Жураковский, Висневский (Wplyw okresu pozyskiwania kory modrzewiowej, daglezjowej i черемухи amerykańskiej na ilość garbników. Żurkowski Mieczysław, Wiśniewski Wojciech), Przegl. skórzan., 1955, 10, №2, Biul. Inst. przemysłu skórzanego, 1—3 (польск.)

Ввиду сокращения на территории Польши еловых лесов были исследованы условия, при которых кора, снятая с можжевельника (I), лиственницы (II) и черемухи американской (III), содержит наибольшее кол-во дубящих в-в. Показано, что кора I и II является ценным сырьем для произ-ва дубителей и мало отличается от коры ели. Кору I следует снимать с молодых деревьев (до 40 лет) в весенне-летний и зимний периоды; с деревьев старых — в любой период года. Кору II старше 40 лет надо снимать только весной и летом, а моложе 30 лет — в любое время года. Кора III представляет меньшую ценность по содержанию дубящих в-в; снимать ее надо только летом. К. Зарембо

3188. **Анализ дубильных материалов. Модификация метода определения танидов.** Бом, Кемп, Сальвесен (Tannin analysis method problems and modifications. Baum Martin, Camp R. C., Salvesen J. Richter), J. Amer. Leather Chem. Assoc., 1954, 49, № 4, 281—285 (англ.)

Метод А. Л. С. А. дает воспроизводимые результаты только для растительных танидов (Т), но не для лигносульфоновых дубителей (ЛСД). Предложена модификация метода, заключающаяся в замене операции взбалтывания перемешиванием в мешалке Уоринга в течение 5 мин. Этот метод дает лучшие результаты при анализе ЛСД и сульфитированных растительных дубителей. ЛСД, сульфитированные Т и, в меньшей степени, несulfитированные Т вытесняют сульфатные группы из хромовых комплексов хромированного гольевого порошка. Поэтому р-р после обездубливания (для определения нетанидов) содержит большее кол-во этих групп, чем исходный. Это приводит к пониженным показателям для содержания Т. О. Матвеева

3189. **Применение гидротропных веществ в произ-водстве клея и желатина.** Александреску, Зюссер (Aplicarea substanțelor hidrotropactive la fabricarea cleiului și a gelatinei. Alexandrescu G., Süszer A.), Rev. chim., 1956, 7, № 6, 360—367 (рум.; рез. русс., нем.)

Описано применение гидротропных в-в в произ-ве животного клея. Использование этих в-в дает возможность исключить процесс мацерации. Это значительно сокращает производственный цикл и дает высокий выход продукции хорошего качества. О. Матвеева

3190. **Производство казеина в Канаде.** (A Canadian chapter in the story of casein.—), Canad. Chem. Process, 1955, 39, № 2, 29—30, 32, 34, 36 (англ.)

Приведен обзор по вопросам произ-ва, метода изготовления и основных областей применения кислотного

казеина, вырабатываемого промышленностью Канады.

Л. Карунин

**3191. Проект норм DIN 53358, февраль 1956, на методы испытания искусственной кожи. Определение веса покрытия на единицу поверхности в тканевых искусственных кожах (Prüfung von Kunstleder. Bestimmung des Flächengewichtes der Beschichtung von Gewebekunstleder. Normen-Entwurf, Februar 1956, DIN 53358), Kunststoffe, 1956, 46, № 4, 159—160 (нем.)**

**3192 Д. Характеристика полуфабриката и кожи из свиных шкур на Кутаисском кожезаводе и мероприятия по улучшению их качества и сортности. Джаши и Г. И. Автореф. дисс. канд. техн. н., Моск. технол. ин-т легкой пром-сти, М., 1956**

**3193 П. Способ дубления и применяемая при этом дубильная ванна. Паке (Gerbverfahren und gerbbad zu dessen Durchführung. Paquet Maxime) [Soc. de Produits Chimiques des Terres Rares]. Пат. ФРГ 931125, 1.08.55**

Для дубления применяют водорастворимые циркониевые соли сильных к-т (сульфат, хлорид или нитрат), а также практически нерастворимый гель кремневой к-ты, адсорбирующий соли циркония. В дубильную ванну, содержащую цирконий в виде сульфатов или оксихлоридов, добавляют другую соль к-ты, образующей соль циркония, напр., NaCl или Na<sub>2</sub>SO<sub>4</sub>. Обработка производится 0,5—4 часа при pH 0,5—2, при конц-ии циркониевой соли 10—70 г/л (предпочтительно 25 г/л). Пример: для дубления 1 кг мягченного голца овчины с pH ~ 2 применяют ванну, содержащую: воды 2 л, NaCl 200 г, основного сульфата циркония (щелочность 40 и содержание ZrO<sub>2</sub> 30%) 166 г, геля кремневой к-ты 20 г. Голье обрабатывают 3 часа, затем нейтрализуют добавкой NaHCO<sub>3</sub> до pH 2,5—2,8, вращают еще 30 мин., снова нейтрализуют NaHCO<sub>3</sub> до pH 4—4,5 и промывают; при этом кремневая к-та легко удаляется. Остальную обработку ведут по обычной методике. Получают белую, плотную кожу с хорошим лицевым слоем. М. Л.

**3194 П. Метод дубления меховых шкурок и кож (Procédé de tannage de fourrures et de peaux) [Böhme Fettechemie G. m. b. H.]. Франц. пат. 1075712, 19.10.54 [Rev. techn. inds cuir, 1956, 48, № 2, 47 (франц.)]**

В меховые шкурки или голье вводят водн. р-ры синтетич. смол, содержащих солевые группы, образующиеся из основных групп и к-т, причем эти смолы в коже могут быть переведены в нерастворимое состояние. Указанные смолы можно применять до или после обработки кож обычными растительными, минер. или синтетич. дубителями, а также совместно с жирующими материалами, напр. водорастворимыми солями высокомолекулярных алкилсульфатов, алкилсульфонатов, алкилбензолсульфонатов, сульфированными жирами, высокомолекулярными алкил- или алкилбензолсульфохлоридами, а также продуктами присоединения окиси этилена и высокомолекулярных алкил- или алкилбензолсульфамидов. И. Этингоф

**3195 П. Метод получения дубителя (Procédé de production de matières tannantes) [Farbenfabriken Bayer A. G.]. Франц. пат. 1077983, 15.11.54 [Chimie et industrie, 1955, 74, № 5, 997 (франц.)]**

Получают продукт конденсации моно- или дисульфоновых к-т ароматич. углеводородов, имеющих не менее 2 конденсированных колец, алифатич. альдегидов, напр., формальдегида или продуктов, способных его выделять, и о-хлорфенолов. В сульфоновые к-ты при т-ре выше их точки плавления одновременно вводят о-хлорфенол и альдегид. И. Этингоф

См. также: Исслед. коллагенов 1104. Изучение механизма растительного дубления 578. Природные дубители 1088; 166Бх. Сточные воды мехового произ-ва 1788. Исследование желатинны 622, 623, 1172, 1303. Исследование неволоконистых белков и аминокислот 40Бх, 54Бх, 58Бх, 71Бх, 97Бх, 115Бх, 200Бх, 218Бх.

## ПРОЧИЕ ПРОИЗВОДСТВА

Редакторы В. И. Елинек, В. Д. Матвеев, Н. А. Ширяева

**3196 П. Способ получения электронизолирующего поверхностного слоя на электрическом проводнике. Бергве (Sätt att framställa elektriskt isolerande ytskikt på elektriskt ledande kropp. Bergve E.) [Allmänna Svenska Elektriska AB.]. Швед. пат. 150931, 2.08.55**

Проводник покрывают не менее чем одним слоем сульфитного шелока и термически обрабатывают этот проводник (с нанесенным слоем) при т-ре значительно более высокой, чем это необходимо для сушки слоя.

К. Герифельд

**3197 П. Способ обработки металла. Кристнер (Metal working method. Christner Robert M.). Пат. США 2717221, 6.09.55**

В процессе волочения нержавеющей стали на ней создают покрытие путем погружения ее в водн. суспензию продуктов р-ции FeSO<sub>4</sub> + CaO, взятых в стехиометрич. кол-вах. Суспензию высушивают, причем Fe, входящее в состав покрытия, окисляется в контакте с воздухом до 3-валентного. Л. Херсонская

**3198 П. Метод увеличения эмиссионной способности тантала. Дуайер (Method of increasing emissivity of tantalum. Dwyer Robert J.) [Lane-Wells Co.]. Пат. США 2720488, 11.10.55**

Термоэмиссионную способность Ta увеличивают путем анодной обработки поверхности в 2,5 н. NaOH. Разность потенциалов между поверхностью металла и р-ром поддерживают до образования первичного окрасочного покрытия, обладающего высоким сопротивлением. Затем ток увеличивают до возникновения на погруженной части металла непрерывного «получерного» электронного разряда. При увеличении или при уменьшении силы тока напряжение на электродах поддерживают постоянным. Таким образом обрабатывают всю погруженную часть поверхности. В результате ее термоэмиссионная способность значительно возрастает, а окраска изменяется до тусклого или лилово-серого цвета. Л. Херсонская

**3199 П. Изоляция и способ ее изготовления. Шёнлауб (Insulation and process of making. Schoenlaub Robert A.) [Basic Refractories, Inc.]. Канад. пат. 509652, 1.02.55**

Из суспензии обожженного материала типа доломита пропусканием CO<sub>2</sub> при комнатной т-ре осаждают Ca в виде карбоната. Т-ру суспензии снижают и вновь пропускают CO<sub>2</sub>. Образующийся при этом лансфордит отделяют от CaCO<sub>3</sub> и нагревают в присутствии влаги. При перемешивании кристаллич. структура разрушается и в-во превращается в схватывающуюся аморфную, желатинообразную массу, которую формуют и сушат. Может перерабатываться лансфордит, содержащий часть CaCO<sub>3</sub> или даже весь CaCO<sub>3</sub>. Получаемые таким путем образцы не обладают кристаллич. структурой. Л. Херсонская

**3200 П. Метод обработки германиевых точечных выпрямителей. Бартон, Шервуд (Method of treating a germanium junction rectifier. Barton E. Loy, Sherwood Ralph L.) [Radio Corp. of America]. Пат. США 2714566, 2.08.55**



Обработка пластинки полупроводникового Ge с одним типом проводимости с целью ввести слой с противоположным типом проводимости заключается в электролитич. травлении поверхности этой пластинки в водн. р-ре  $\leq 0,005\%$  электролита (не содержащего примесей типа N и P) с последующим промыванием этой

поверхности. После этого на нее помещают выбранную примесь, придающую Ge проводимость обратного типа, и нагревают до тех пор, пока эта примесь не продиффундирует в пластинку Ge через протравленную поверхность.

В. Шацкий

## КОРРОЗИЯ. ЗАЩИТА ОТ КОРРОЗИИ

Редактор И. Я. Клинов

3201. Об электрохимической коррозии.— (Aspects of galvanic corrosion.—), S. Afric. Mining and Engrg J., 1955, 66, № 3248, 417, 419, 421 (англ.)

Сообщается ряд фактов из истории электричества и учения об электрохим. коррозии (ЭК) металлов. Дается определение понятия ЭК. Приводится таблица технич. металлов и сплавов, аналогичная ряду напряжений, позволяющая предсказать направленность и интенсивность ЭК при контакте двух металлов. Рекомендуются ряд правил, соблюдение которых ведет к устранению или к уменьшению ЭК. Е. Мизгирева

3202. Коррозионные испытания и борьба с коррозией. Диринг (Pointers on basic corrosion control. Deering Robert G.), Oil and Gas J., 1956, 54, № 47, 159—161 (англ.)

Обзор прочитанного курса лекций по коррозионным испытаниям для борьбы с подземной коррозией. Рассмотрены вопросы подготовки труб под покрытие, нанесения грунтового и основного слоя покрытия, а также способы проведения измерений потенциалов, сопротивления почвы и пр. И. Левин

3203. Коррозия: воздействие на материалы и конструкции. Хенке (Corrosion: how it affects materials selection and design. Henke Russel W.), Mater. and Methods, 1955, 42, № 5, 119—134 (англ.)

Обзор. Отмечена недопустимость контактирования в металлич. конструкциях катодных участков, имеющих большую поверхность, с малыми металлич. поверхностями, являющимися анодами. Указывается на значительную роль при электрохим. коррозии состояния поверхности металла (наличие загрязнений, неровностей, нарушение окраски и т. п.), структуры и строения металла. Приведены данные о недостаточной стойкости железных сплавов в р-рах азотнокислых солей, в  $H_2S$ , HCN и др. В присутствии хлоридов ферритные сплавы меньше корродируют, чем аустенитные. Эрозия усиливается с увеличением в жидкой среде твердых нерастворимых частиц. Приводятся рекомендации по выбору наиболее рациональных конструкций узлов и деталей аппаратов, подверженных воздействию агрессивных сред. Даны таблицы коррозионной стойкости различных материалов. Я. Шварцштейн

3204. Гальваническая коррозия алюминия. Перлштейн (Galvanic corrosion of aluminum. Pearlstein Fred), Metal. Finish., 1956, 54, № 4, 52—57 (англ.)

Приводятся результаты коррозионных испытаний Al в контакте с различными металлами при обрызгивании соляным р-ром. Указывается, что контакт Al с Cu чрезвычайно ускоряет коррозию Al. В случае применения анодированного Al в месте соединения Al и Cu имеет место точечная коррозия. При олеоленном Al коррозия распространяется на большой поверхности и не имеет конц. характера. Олеоленный Al сильно корродирует при контакте со сталью, Ti и Ni. Sn при контакте не оказывает на Al корродирующего действия и само не корродирует. Cd является анодом по отношению к 24S Al и сильно корродирует. В. Лукинская

3205. Кинетика окисления кремнистого железа в атмосфере воздуха при высокой температуре. Ипатьев В. В., Орлова Г. М., Ж. прикл. химии, 1956, 29, № 6, 811—818

Изучено влияние малых добавок Si 1,43% к Fe на скорость окисления полученного сплава в атмосфере воздуха при 700, 800, 920 и 1000°. Установлено, что процесс окисления протекает по параболич. закону. Период установившегося процесса окисления отличается более низким значением константы скорости окисления по сравнению с начальным периодом. Продолжительность начального периода уменьшается с повышением т-ры. Температурная зависимость скорости окисления кремнистого Fe при установлении процесса выражается ур-нием  $\lg K = -50700/2,3 RT + 9,40$ . Добавка к Fe 1,43% Si приводит к сильному снижению скорости окисления. Уменьшению скорости окисления во время процесса соответствует уменьшение толщины вуститного и файалитового слоев в окалине. И. Левин

3206. Дискуссия по статье: Бризе «Сущка крупных металлических деталей без образования пятен». Арнольд (Erfahrungsaustausch um vorstehenden Aufsatz. Arnold Alfred), Metallwaren-Ind. und Galvanotechn., 1954, 45, № 1, 8—10 (нем.) См. РЖХим, 1954, 40706.

3207. Причины, вызывающие водородную коррозию. Кинг (What causes hydrogen attack? King Gordon R.), Petrol. Refiner, 1956, 35, № 3, 155—159 (англ.)

Атомарный водород, образующийся при взаимодействии стали с водяным паром и  $H_2S$ , а также при конверсии углеводородов и других процессах переработки нефти, диффундирует в сталь и накапливается в местах инородных включений, слоистости металла и др., превращаясь в  $H_2$  или другие газы, не способные к указанной диффузии, вызывает образование вздутий, а также трещин: при низких т-рах — трансхристаллитных, а при высоких — межкристаллитных. Кроме того, при этом происходит местное обезуглероживание и снижение прочности металла. Содержание в нефти некоторых в-в (в основном дианиды), снижающих защитные свойства пленки  $FeS$ , образующейся при взаимодействии стали с  $H_2S$ , ускоряет диффузию водорода в металл. Тормозящее действие оказывают соединения полисульфида аммония. Это в-во, а также  $Na_2CrO_4$ ,  $Na_2SO_4$ , различные фосфаты, ацетаты и др. связывают атомарный водород. Описаны различные виды водородной коррозии: нескрытые и треснувшие вздутия, «червеобразные» канавки, трещины и т. д. Перечислены методы ремонта пораженных данной коррозией конструкций. А. Мамет

3208. Коррозия при трении болтового соединения, находящегося длительное время в условиях работы на усталость. Филд (Fretting corrosion on a screwed joint under prolonged fatigue loading. Field J. E.), Engineer, 1955, 200, № 5196, 301—302 (англ.)

Трение боковой поверхности нарезки болта в условиях переменной нагрузки в связи с непостоянством контакта с нарезкой гайки не оказывает вредного влияния на усталостную прочность болта. Если точка максим. напряжения находится не на поверхности, подвергающейся трению, то трещина, образующаяся в болте при нагружении его за предел усталости, берет свое начало также не на этой поверхности. И. Левин 3209.

**Коррозия в системе горячего водоснабжения.** Щербаков К. М., Водоснабжение и сан. техника, 1956, № 6, 14—16

Описана интенсивная язвенная коррозия труб и водоподогревателей в системе горячего водоснабжения типографии «Красное Знамя». Через 1,5—2 года эксплуатации все трубопроводы системы потребовали замены вследствие их повреждения (сквозные отверстия) или заполнения внутреннего сечения труб буристой ржавчиной. Стенки емкостных водоподогревателей толщиной 11 мм пришли в полную негодность через 3 года эксплуатации. В отличие от указанных труб, смонтированных в 1950—1951 гг., трубопровод, эксплуатируемый с 1936—1937 гг., не подвергся коррозии. Аналогичные явления установлены на ряде других предприятий и жилых домов. Во всех случаях коррозия особенно интенсивно развивалась в новых системах, а в старых почти не проявлялась. Это объясняется образованием на поверхности старых труб плотной защитной пленки при длительной эксплуатации на слабоагрессивной воде. В открытых системах разрушение металла имеет сравнительно равномерный характер, а в закрытых — язвенный. Описанные явления объясняются тем, что со второй половины 1952 г. в некоторых районах Москвы состав водопроводной воды резко изменился в результате переключения на воду Северной станции (вместо Рублевской). Вода этой станции содержит большое кол-во свободной  $\text{CO}_2$  и имеет низкую щелочность (рН 6,4—6,8), а поэтому, в отличие от воды Рублевской станции, не может создавать на поверхности металла защитную окисно-меловую пленку. Автор предлагает ввести на водопроводных станциях известкование воды с целью снижения ее агрессивных свойств и создания в трубопроводах защитной карбонатной пленки. А. Мамет

**3210. Опыт работы с насосами для жидкого горячего и различных коррозионноагрессивных жидкостей.** Маршалл (Specialized experience in handling and control of fuels and corrosive liquids. Marshall John T.), Jet Propuls., 1955, 25, № 9, part 2, 17-S (англ.)

Применяемый в реактивных двигателях насос может перекачивать большое число агрессивных в коррозионном отношении жидкостей, а также жидкостей с очень низкой вязкостью. Если перекачивается коррозионноактивное в-во, то в качестве смазки можно применять полимеры трифторхлорвинила. В ряде коррозионных сред материалом для поршневых колец может служить тефлон. Насос был использован для углеводородных топлив, окиси этилена,  $\text{TiCl}_4$ ,  $\text{H}_2\text{O}_2$  (90%) и др. И. Левин

**3211. Изучение коррозии деталей турбин.** Пеннелл (Research tackles turbine corrosion. Pennell F. H.), Marine Engng and Log, 1956, 61, № 4, 108—109 (англ.)

Рассмотрены 3 вида повреждений металла турбинных деталей: коррозионные, эрозийные и разрушения в результате комбинационного действия коррозии и механич. износа. Указаны пути устранения этих повреждений: отвод конденсирующейся влаги из нижней части корпуса турбины, улучшение механич. свойств материала (спец. термообработка 12%-ой Cr-стали, повышающая ее твердость и динамич. вязкость), припайвание к лопаткам (серебряным припоем) пластинок

из высоколегированного твердого материала, применение высоколегированных сплавов на основе  $\text{Co} + \text{Cr}$  и  $\text{Ni} + \text{B}$ , в частности наплавление этих материалов в порошкообразном виде. А. Мамет

**3212. Коррозионные повреждения аппаратов для нагрева воды отходящими газами.** Шер (Korrosionsschäden an abgasbeheizten Warmwasserbereitern. Schaefer W.), Tech. Überwachung, 1956, 51, № 5, 110—111 (нем.)

При нагревании в подогревателях полностью умягченной натрий-катионированной воды наблюдается сильная язвенная коррозия металла, так как эта вода содержит кислород и свободную  $\text{CO}_2$  и не способна создавать на поверхности металла защитную карбонатную пленку. Для предотвращения этого явления рекомендуется очистить от ржавчины стенки водоподогревателя, а затем ~ 6 недель работать на жесткой, неумягченной воде для наращивания такой защитной пленки. В дальнейшем периодически (в зависимости от состава воды), напр. 1 раз в год, вновь питать водоподогреватель жесткой водой в течение 4—6 недель. На это время в паровой котел необходимо вводить тринатрийфосфат или другой антинакипин. При работе на неумягченной, но агрессивной воде с малой жесткостью рекомендуется дозировка полифосфатов. А. Мамет

**3213. Исследование коррозионного разрушения задних углов точки паровоза.** Веллер В. А., Техн. информация. Центр. науч.-испыт. лабор. трансп. машиностр., 1955, № 6 (31), 1—40

Широко распространенные местные коррозионные повреждения задних углов точки паровоза в зоне контакта с верхней кромкой топочной рамы, имеющие место в ряде ж.-д. депо, применяющих питательную воду, которая имеет повышенную агрессивность, являются, по мнению автора, результатом электрохим. коррозии. Испытания образцов при постоянном и переменном погружении показывают, что разность электродных потенциалов возникает вследствие разрушения защитной пленки на участке концентрации напряжений, которые возникают главным образом за счет тепловых деформаций точки. Большая поверхность катода (металл с неповрежденной пленкой) при малой поверхности анода (место повреждения пленки) обуславливает высокую интенсивность местной коррозии. Наличие остаточных напряжений (наклепа) усиливает коррозию топочной стали только при наличии участков с поврежденной защитной пленкой. Применение Cd-протекторов при надлежащем уходе за ними позволяет предотвратить коррозию металла в углах точки. Эффективность протекторов вследствие невысокой электропроводности котловой воды ограничена (7—8 мм). А. Мамет

**3214. Строгий контроль влажности предотвращает коррозию металла при хранении в процессе производства.** — (Smart control of humidity licks metal corrosion during in process storage.—), Power, 1955, 99, № 5, 110—111 (англ.)

Указывается, что во избежание коррозии стальных изделий при хранении влажность складского помещения не должна превышать 40%. Приводится описание осушительной установки, оборудованной фреоновыми компрессорами. Контроль влажности автоматич. избыточное давление, создаваемое указанной установкой, препятствует также проникновению в складское помещение паров к-т из производственных помещений. В. Лукнянская

**3215. Об усиленном действии цинка на железо в области температур, близких к 500°.** Хорстман (Der verstärkte Angriff des Zinks auf Eisen im Temperaturgebiet um 500°. Horstmann Dietrich), Arch. Eisenhüttenwesen, 1954, 25, № 5/6, 215—219 (нем.)

На основе коррозионных исследований и металлографии изучения строения переходного слоя на границе Fe/Zn рассмотрены причины интенсивной коррозии (K) Fe расплавами Zn в области т-р, близких к 500°. Кинетику и механизм этого процесса автор объясняет, исходя из возможностей р-ции  $\delta_1$ -кристаллы + расплав  $\rightleftharpoons$   $\zeta$ -кристаллы (1) с равновесной т-рой 530°. Процесс 1 при т-ре  $\leq 480^\circ$  вследствие большого различия в содержании Fe в  $\delta_1$ - и  $\zeta$ -фазах и сильного переохлаждения происходит быстро и притом возможен в самих  $\delta_1$ -кристаллах. Внешняя, обращенная к Zn часть переходного слоя состоит из плотно упакованных кристаллов  $\zeta$ -фазы. Механизм замедленной K Fe в этих условиях является диффузионным — ее скорость лимитируется переходом Fe-атомов через Г-слой, а кинетику характеризует параболич. закон (РЖХим, 1954, 42464). В области т-р 495—515°  $\zeta$ -кристаллы, как полагает автор, образуются только в жидкой фазе. Они не могут поэтому создать плотного защитного слоя, и K Fe вследствие неустойчивости  $\delta_1$ -кристаллов по отношению к жидкой фазе происходит с большой скоростью по линейному закону. В интеграле т-р 320—530° K быстро уменьшается одновременно с изменением кинетики у-риной. Последнее, как и в области т-р  $< 480^\circ$ , является параболич. Автор предполагает, что роль защитного слоя при этих т-рах играют уже  $\delta_1$ -кристаллы: скорость их растворения вследствие незначительной разницы в содержании Fe по сравнению с  $\zeta$ -кристаллами становится весьма малой, а при т-ре  $> 530^\circ$   $\delta_1$ -фаза вообще является термодинамически более устойчивой. K Fe в результате этого снова будет происходить по диффузионному механизму, несмотря на отсутствие  $\zeta$ -фазы, и ее скорость постепенно возрастает при увеличении т-ры. В выводах отмечено, что примеси Sb или Cd к Fe или Zn, затрудняющие образование  $\zeta$ -фазы, увеличивают опасность коррозионного воздействия на Fe расплавами Zn.

А. Шаталов  
3216. Электролитическое травление в малоактивных электролитах. Россонинский А. А., Зав. лаборатория, 1956, 22, № 5, 616

Для одновременного металлографии. исследования двух свариваемых металлов, имеющих резко различный хим. состав, рекомендуется электрохим. травление малоактивными электролитами (водн. р-ры уксуснокислых солей или хромовой к-ты). Анодом служит образец, катодом — пластина нержавеющей стали. При электрохим. травлении в первую очередь выявляется структура аустенитных и Cu-сплавов. См. также РЖХим, 1954, 27859.

В. Лукинская  
3217. Новые достижения в области вакуум-металлизации. Сейтер (Vacuum metalizing a new development. Seiter J. Gordon), Plating, 1956, 43, № 4, 484—489 (англ.)

Описан процесс металлизации под вакуумом и техника нанесения лаковых завершающих покрытий или покрытий из синтетич. смол. Указываются области применения металлизированных под вакуумом изделий и условия получения лакового покрытия, имитирующего по внешнему виду Cu, Au, бронзу, латунь и др.

В. Лукинская  
3218. Фосфатирование. Састри (Phosphating. Sastry D. S.), Chem. Age India, 1956, 7, № 2, 33—36 (англ.)

Указывается, что фосфатирование (Ф) поверхности металла перед окрашиванием улучшает адгезию, предотвращает доступ влаги к поверхности металла и препятствует электрохим. коррозии. Ф при процессах волочения и вытягивания (проволока, трубы) снижает трение, что сохраняет оборудование и ускоряет процесс, Ф не ухудшает основных свойств металла. В статье дается описание процесса Ф и последующего хромирования перед окрашиванием и контроль этих процессов,

а также разбирается механизм образования фосфатного слоя, состоящего из нерастворимых вторичных и третичных фосфатов, на поверхности металла в результате р-ции Fe с первичными фосфатами применяемого р-ра.

В. Лукинская  
3219. Применение эмалирования для защиты материалов в авиации. Мидоль (L'émaillage utilisé comme protection des matériaux pour l'aviation. Midol Paul), Corros. et anti-corros., 1956, 4, № 2, 60—66 (франц.)

Покрытие нержавеющей сталей огнестойкими эмалями представляет интерес для авиационной промышленности, так как оно увеличивает срок службы авиационных деталей. В связи с малой теплопроводностью эмалей т-ра эксплуатации защищаемых ими изделий может быть снижена на 50—80°. Эмали противостоят действию  $PbBr_2$ ,  $V_2O_5$ ,  $SO_2$ ,  $SO_3$ , а также смеси  $CO + CO_2$ . Приводится общее описание метода приготовления эмалей, подготовки поверхности металла под покрытие, способа нанесения эмали, сушки и обжига эмалированных деталей, а также основных методов контроля качества покрытия.

И. Левин  
3220. Футеровка чугунных кубов. Кузнецов Н. Д., Гидролизная и лесохим. пром-сть, 1956, № 4, 27

Описан опыт футеровки на Сивском лесохим. комбинате чугунных кубов кислотоупорными плитками и монолитным кислотоупорным бетоном. Отмечается надежность футеровки бетоном вследствие температурного растрескивания. Футеровка кубов силикатными плитками оказалась эффективной. Приводится расход материала на 1 м<sup>2</sup> при футеровке тем и другим способом.

В. Лукинская  
3221. Коррозия бетонных сооружений в пищевой промышленности и борьба с ней. Флирский (Koroza urządzeń betonowych w przemyśle spożywczym oraz środki jej zwalczania. Flirski Władysław), Przem. spożywczy, 1956, 10, № 6, 239—242 (польск.)

Обзор способов защиты от коррозии бетона в средах некоторых органич. к-т, углеводов, пива, жиров и масел. Библ. 21 назв.

В. Левинсон  
3222. Опыт гуммирования аппаратов сложной конфигурации. Иванов А. И., Мед. пром-сть СССР, 1956, № 1, 16—19

Предложен новый метод гуммирования деталей и аппаратов сложной конфигурации с плохо подготовленной поверхностью путем многослойного покрытия последней р-ром отходов сырой каландрированной резины в бензине. Поверхность металла протравливают и очищают до металлическ. блеска, промывают бензином «калоша» и сушат, после чего наносят 3 слоя резинового клея № 2572 с выдержкой при 20—25° до полного высыхания каждого слоя. Отходы сырой резины № 1751 или № 1976 измельчают и растворяют в бензине «калоша» (1 : 1,35 по весу), после чего наносят полученный р-р на подготовленную поверхность металла малярной кистью в 12—15 слоев, с промежуточной сушкой каждого слоя в течение 30—40 мин. При нанесении р-ра пульверизатором весовое отношение резины и бензина составляет 1 : 2; р-р фильтруют через металлическ. сетку. После гуммирования поверхность металла сушат при 25—30° в течение суток, а затем обрабатывают обычным способом в вулканизационном котле. Указанным способом гуммировано большое кол-во роторов вентиляторов, вентиляционных воздухопроводов и другой аппаратуры и деталей. Испытания этой аппаратуры дали положительные результаты. Способ позволяет экономить резину и повышает производительность труда.

А. Мамет  
3223. Подготовка металла и применение связующих веществ. Аббн (Preparation of metal and applica-



tion of adhesive. Abbey William F.), Rubber World, 1956, 134, № 1, 87—88 (англ.)

Соединение металла с резиной осуществляется при помощи галогидропроизводных в-в, различными полимеризованными смолами и в процессе вулканизации. Приведены методы хим., механич. и электрохим. подготовки различных металлов для соединения их с резиной, даны рецептуры травильных р-ров и методы нанесения на поверхность металла связующего. Применение цементных покрытий спец. состава в соединении со связующей грунтовой улучшает адгезию и препятствует окислению и загрязнению основного металла.

В. Лукинская

**3224. Защита металлических конструкций от коррозии. Колон** (Protection anticorrosive des constructions métalliques. Colomb P.), Chem. Rundschau, 1955, 8, № 9, 195—196 (франц.)

Подводные конструкции гидроэлектростанций защищают красками на основе полихлорвиниловых смол и хлорированного каучука, стойких в воде, в агрессивных средах и обладающих хорошей адгезией и термопластичностью. Наиболее пригодны полихлорвиниловые смолы с мол. в. 15—30 тыс., поливинилацетат (как 10—15% добавка к поливинилхлориду) и перхлорвиниловые смолы. Водостойкость и термостойкость у производных хлорированного каучука выше. В особо агрессивных условиях краски наносят на слой Zn, полученный методом распыления или горячим способом. Напорные трубопроводы на воздухе и в обычной воде покрывают 4 слоями битумной краски, в агрессивной среде битумные или полихлорвиниловые краски наносят на слой Zn. Забетонированные трубопроводы покрыты предварительно слоем цемента с  $K_2CrO_4$ , уложенные в земле покрывают слоем горячего битума, армированного стеклянкой сеткой. Шлюзы, щиты, перемычки, нижние части мостов защищают Zn-слоем и поверх битумными красками или красками на основе хлорированного каучука. Детали, подвергающиеся временным атмосферным воздействиям, покрывают масляными красками на грунтовке преимущественно из  $Pb_2O_4$ . Предыдущее сообщение см. РЖХим, 1956, 24455.

Т. Шалаева

**3225. Проблемы коррозии. Уотсон** (Solving the corrosion problem. Watson W. T.), Text. Bull., 1955, 81, № 1, 88—90 (англ.)

На текстильных ф-ках с применением кондиционированного воздуха рекомендуется покрытие оборудования черной краской Rubalt RA с целью защиты его от коррозии. Краска изготавливается на основе хлорированного натурального каучука (Parlon) и битумов. Краска дает неокисляемое кислотостойкое и щелочестойкое покрытие.

В. Лукинская

**3226. Новые данные в области защиты поверхности легких металлов. Фулон** (Neuere Erkenntnisse auf dem Gebiet des Oberflächenschutzes von Leichtmetallen. Foulon A.), Metall, 1956, 10, № 5-6, 262—227 (нем.)

Рассматриваются вопросы защиты легких металлов от коррозии покрытиями на органич. основе. Краски на основе виниловых смол стойки против р-рителей, кипящей воды, водяного пара, к-т; краски на основе хлоркаучука стойки в щелочах и к-тах. Покрытия на основе алкидных смол атмосферостойки, битуминозные краски обеспечивают хорошую защиту от к-т. Для жаростойких защитных покрытий (т-ра 200—260°) применяются краски на основе силиконовых алкидных смол. Покрытия на основе фурановых и эпоксидных смол обладают хорошей сцепляемостью. Эбонит чувствителен к ударам и к действию окислителей и р-рителей; полихлорвиниловые покрытия нестабильны в среде некоторых р-рителей, напр. хлоропроизводных и кетонов.

Я. Ланин

**3227. Изучение гексаметафосфата натрия как замедлителя коррозии при нагнетании воды в пласт. Негреев В. Ф., Ольшванг Д. Е., Балаян А. М., Каранетов К. А., Мигичка Н. З., Тр. Азерб. н.-и. ин-та по добыче нефти, 1955, № 2, 393—413**

Для предотвращения загрязнения воды нагнетательных скважин продуктами коррозии применен  $(NaPO_3)_6$  (I), испытание эффективности которого проведено на спец. циркуляционной установке, состоящей из стального змеевика, резервуара для воды и центробежного насоса с электродвигателем. Скорость движения воды составляла от 0,6 до 1,0 м/сек. Эффективность I оценивалась по степени загрязнения воды окислами железа за определенное время циркуляции ее в системе. В каспийской воде под действием этого замедлителя коррозии (ЗК) пассивация наступает постепенно, по мере насыщения стальной поверхности фосфатами; продолжительность этого насыщения зависит от концентрации I и скорости движения воды. При достаточном насыщении поверхности стали фосфатами коррозия ее в этой воде резко замедляется даже при содержании в ней всего 0,2—0,3 г/м<sup>3</sup> указанного ЗК. В начале обработки конца I в воде, прокачиваемой по стальному водоводу, должна составлять 10—15 мг/л, а потом ее следует уменьшить с таким расчетом, чтобы у фильтра скважины она была  $\leq 0,2$ —0,3 мг/л. Результаты лаборатор. испытаний проверены путем добавки этого ЗК в нагнетаемую воду на Сураханском и Карачухурском месторождениях (смесь морской и чел. пластовой вод и морская вода). Наблюдалось значительное снижение содержания Fe в нагнетаемой воде через 2—2,5 месяца со дня подачи I. На Сураханском месторождении за 4 месяца содержание Fe в воде на глубине 2660 м снизилось с 605 до 10 мг/л. На Карачухурском месторождении, где испытания продолжались 8 месяцев, содержание Fe в воде у устья скважин снизилось по трем скважинам с 2,8—17,5, 0,6—16,0 и 3,0—26,0 до 0,03—1,03, 0,01—0,46 и 0,23—0,62 мг/л соответственно.

А. Мамет

**3228. Влияние и механизм действия замедлителей травления. Адаги** (酸洗抑制劑の効果とその試験法. 足立彰), 金属. Киндзоку, Metals, 1953, 23, № 10, 785—787 (япон.)

**3229. Катодная защита подземных трубопроводов. Спенсер** (Cathodic protection of buried pipelines. Sprenger K. A.), Brit. Construct. Engr., 1956, 7, № 1, 18—19 (англ.)

См. РЖХим, 1954, 14025.

**3230. Измерительные приборы для коррозионных исследований. Мердисон** (Corrosion testing equipment. Murdison A. R.), Canad. Gas J., 1956, 49, № 4, 28—30 (англ.)

Рассматриваются приборы и методы, наиболее часто применяющиеся при исследовании подземной коррозии (измерение потенциала металла по отношению к земле, применение медносульфатного полуэлемента, высокоомного вольтметра, потенциометра и потенциометра-вольтметра, измерение силы тока и омич. сопротивления почвы).

И. Левин

**3231. Изучение коррозии металлов при помощи тяжелого изотопа кислорода. I. Влажная атмосферная коррозия железа. Бродский А. И., Фоменко А. С., Абрамова Т. М., Ж. физ. химии, 1956, 30, № 3, 676—684**

Изучен механизм влажной атмосферной коррозии железа при помощи тяжелого изотопа  $O_2$ . Результаты коррозионных испытаний в тяжелоокислородной воде (с 3%  $MgCl_2$ ) в атмосфере обыкновенного  $O_2$  и в обыкновенной воде (с 3%  $MgCl_2$ ) в присутствии тяжелого  $O_2$ . Изменения изотопного состава воды и окислов при коррозии железа в 3%-ном р-ре  $MgCl_2$  в присутствии

$O_2$  подтверждают электрохим. характер коррозии с кислородной деполаризацией. Приведена методика коррозионных испытаний и методы определения  $O_{18}$  в воде, газообразном  $O_2$  и продуктах коррозии.

В. Лукинская

**3232. Электрохимическое исследование коррозионной стойкости оловянных покрытий.** Шолти, Киши, Виг (Ónbevonatok korrózióállóságának elektrokémiai vizsgálata. Solti Mihály, Kiss László, Vigh Antal), Magyar kém. folyóirat, 1956, 62, № 4, 130—135 (венг.; рез. англ.)

Описан новый электрографич. метод определения пористости двух видов Sn-покрытий с применением фотобумаги, обработанной закрепителем. Опыты по поляризации показали, что в р-рах, содержащих NaCl и  $CH_3COOH$ , эти покрытия подвержены электрохим. коррозии. На основании поляризационных кривых и кривых потенциал — время были сделаны выводы о различии между исследованными типами покрытий в отношении скоростей коррозии и факторов, определяющих эти скорости (диффузия кислорода, замедляющее действие продуктов коррозии и действие 2-валентных ионов Sn в качестве замедлителей коррозии).

И. Левин

**3233. Метод химико-аналитического контроля дозировки гексаметафосфата натрия.** Балаян А. М., Пераелова Г. С., Тр. Азерб. н.-и. ин-та по добыче нефти, 1955, № 2, 432—436

Для точного контроля за правильностью дозировки  $(NaPO_3)_6$  в нефтяные скважины применено фотоколориметрич. определение его конц-ии в пробах пластовых вод, взятых на выкиде скважины. При этом пользовались колориметром «ФЭК-М» и градуировочной кривой, построенной с помощью р-ров  $KH_2PO_4$ , приготовленных на пластовой воде. Содержание  $(NaPO_3)_6$  в пробе воды определялось по разности конц-ии иона  $PO_4^{3-}$  до и после гидролиза соли по восстановленному (свинец) кремнемолибденовому комплексу. Способ успешно применен на практике.

А. Мамет

**3234 К. Защита кабелей междугородней связи от коррозии.** Михайлов, Акуленок, Марченко. Перев. с русс. (Ochrona międzymiejscowych kabli telekomunikacyjnych przed korozją. Michajłow M. I., Akulenok N. N., Marčenko A. F. Tłum. z ros. Warszawa, Wydawn. Komunik., 1956, 131, 1 nlb. s., il., 9.10 zł) (польск.)

**3235 Д. Исследование коррозионной агрессивности картерных масел и ее влияние на износ подшипников тракторных дизельных двигателей.** Шигина Р. К. Автореф. дисс. канд. техн. н. Моск. ин-та механ. и электриф. с. х., М. 1956

**3236 П. Состав защитного покрытия.** Шпильман-Цуппингер, Пьетробони (Coating composition. Spillmann-Zuppingner J., Pietrobboni S.). Австрал. пат. 166556, 2.02.56. Патентуется способ изготовления однородной смеси (состоящей из целлюлозы, эмульсии пластич. массы, портландцемента и извести), могущей служить в качестве защитного покрытия.

И. Левин

**3237 П. Защитные покрытия для железа или стали, главным образом оборудованию очистительных установок (Protective covering for iron or steel especially for use in gas purification plants) [Gelsenkirchener Bergwerks-A.-G.].** Англ. пат. 730193, 18.05.55

Способ предохранения поверхности железа и стали от коррозии газами или парами на очистительных установках коксовых газов состоит в нанесении тонкого слоя водно-цементной пасты или непосредственно на металл, или на металл с предварительно нанесенным

на него защитным слоем. После высушивания и затвердевания цемент образует прочно пристающее защитное покрытие в присутствии указанных газов или паров. Этот процесс применим, напр., для предохранения газоочистительных установок, подвергающихся воздействию  $H_2S$ , CN или паров  $C_6H_6$ ,  $CS_2$  или нефти. Очистка поверхности от ржавчины может быть осуществлена опескоструиванием, после чего на поверхность набрызгивается водн. цементная паста и мелкий песок до образования слоя толщиной 0,5—3 мм. Инструкция 301.440 (Class 55 (ii)).

В. Лукинская

**3238 П. Покрытие поверхности железных и стальных изделий.** Кайя (鉄および鋼の表面処理法. 海谷秀雄). Япон. пат. 711, 6.02.56

Патентуется способ наведения на стальные и железные изделия покрытий из сплавов Al-Ti и Al-Ti-Si с предварительной обработкой поверхности расплавленными флюсами. Изделие обрабатывается слабым р-ром NaOH и слабым р-ром  $H_2SO_4$  или HCl (к-та) и после этого погружается в расплавленный флюс, состоящий из  $ZnCl_2$ , NaCl, LiCl, в соотношении 2:1:0,5. После обработки флюсом изделие погружается в расплав Al-Ti или Al-Ti-Si, которые покрывают поверхность слоем определенной толщины. Для получения качеств. покрытия необходимо, чтобы наносимый слой флюса был тонким и ровным, а изделие перед погружением в Al-сплав было бы в флюсе нагрето до 600—650°. Благодаря флюсу предупреждается соприкосновение поверхности изделия с кислородом перед погружением его в Al-сплав. Длительность пребывания изделия в расплавленном флюсе ~ 1 мин. Ввиду высокой стоимости LiCl его кол-во во флюсе должно быть сведено до минимума, но он необходим для получения ровной и блестящей поверхности. Al-сплав нагревается до 680—750°, но при покрытии толстых изделий или изделий из высокоуглеродистой стали т-ра должна быть повышена до 850—900°. Длительность нахождения изделия в Al-сплаве — 30 сек., для получения толстого слоя покрытия она может быть доведена до 5 мин. Нанесенный слой сплава обладает высокой коррозионной стойкостью и жаростойкостью. Ввиду хрупкости покрытия наносить толстый слой не рекомендуется. Добавкой к Al 0,2—2,0% Ti регулируется толщина слоя сплава, образующегося на поверхности изделия в результате взаимной диффузии Fe и Al и обеспечивается равномерность покрытия. При покрытии железного или стального изделия только одним Al предел прочности покрытия на разрыв понижается на 10% и на растяжение на 17%. С добавлением к Al указанных кол-в Ti эта прочность не понижается. В случае добавления к Al-Ti-сплаву 2—4% Si толщина покрытия уменьшается еще больше, что позволяет получить тонкий слой, который имеет большое значение для тонкого железного листа. Толщина наносимого слоя сплава достигает 0,01—0,02 мм.

Н. Кристин

**3239 П. Состав для пайки, лужения и цинкования.** Ронер (Soldering, tinning or zinc coating agent. Rohner E.). Англ. пат. 733816, 20.07.55. Состав для пайки, лужения и цинкования состоит из металла, создающего покрытие (частицы металла должны проходить через сито с отверстиями 0,5—1 мм), и флюса, состоящего из хлоридов Sn,  $NH_4$ , Zn и Li. Состав может применяться в форме порошка, пасты или палочек. Он рекомендуется для нанесения на Al, хромистую сталь, серый чугун, а также на металл с Cr-покрытием. Примерный состав (в вес. ч.): металлич. гранул 34,  $NH_4Cl$  30,  $SnCl_2$  15,  $ZnCl_2$  15, LiCl 5 и стеарина в виде порошка (для состава в виде порошка или палочек) или петролатума (для состава в виде пасты) 6.

И. Левин

**3240 П. Основные соли фенола, замедляющие коррозию серебра в смазках, содержащих тиофосфаты.**

Loу (Basic phenates to inhibit silver corrosion thiophosphate-containing lubricating oils. Lowe Warren) [California Research Corp.]. Пат. США 2713557, 19.07.55

Патентуются смазки, стойкие к окислению и не вызывающие коррозии Ag. Такие смазки состоят из масла соответствующей вязкости, с добавками антиоксидантов (Ba- и Zn-солей смешанных эфиров дитиофосфор-

ной к-ты), которые могут вызвать коррозию, и основных Ca и Ba сернистых солей фенола и его производных, препятствующих коррозии Ag в этих условиях. Описаны способы получения указанных солей, а также приготовление смесей разного состава. Г. Райцман

См. также: Теоретич. вопр. 518, 531. Защита от коррозии 2642, 2645, 2651.

## ПРОЦЕССЫ И ОБОРУДОВАНИЕ ХИМИЧЕСКИХ ПРОИЗВОДСТВ

### ПРОЦЕССЫ И АППАРАТЫ ХИМИЧЕСКОЙ ТЕХНОЛОГИИ

Редакторы В. А. Жужиков, Б. Г. Лукьянов, Б. Г. Фастовский

3241. От периодических методов к непрерывным. Виттенбергер (Vom absatzweisen zum kontinuierlichen Verfahren. Wittenberger Walter), Chem. Labor und Betrieb, 1956, 7, № 5, 189—194 (нем.)

Обсуждаются преимущества непрерывных хим. процессов перед периодич. В качестве примера неорганич. произ-в рассматривается процесс обжига пирита, а органич. произ-в — процесс получения мыла. Рассматривается вопрос о зависимости продолжительности пребывания реагентов в соединенных каскадом реакторах от числа последних. В. Коган

3242. Исследования в области процессов и аппаратов. Осберг (Chemical engineering research. Osberg G. L.), Chem. in Canada, 1956, 8, № 4, 96, 98, 100 (англ.)

Кратко сообщается о процессах, связанных с использованием псевдооживленного слоя: 1) коксование тяжелых фракций нефти; 2) хлорирование кремния с целью получения гексахлорида и других высших хлоридов Si; 3) каталитич. окисление этилена в окись этилена в присутствии серебряного катализатора. Указывается также, что метод псевдооживления находит применение при сушке зерна, получении чистой серы из пирита и т. д. Б. Сумм

3243. Лабораторный стенд больших размеров. (Laboratory bench—giant size.), Industr. and Engng Chem., 1956, 48, № 2, 178—182 (англ.)

Описывается устройство крупной лаборатории, построенной в США и предназначенной для исследования в полупромышленных масштабах процессов хим. технологии. Лаборатория оснащена реакторами и вспомогательной аппаратурой, стеклянными абсорбционными и ректификационными колоннами различных конструкций diam. 150 мм, снабженными разнообразными регулируемыми и контрольно-измерительными приборами. Особенностью устройства лаборатории является то, что реакторы смонтированы на подвижных площадках. Это позволяет при помощи небольшого числа аппаратов изменять схемы технологич. процессов без переделки и демонтажа вспомогательных устройств. В. Коган

3244. Псевдооживление в химической технологии. (Hantering av pulver i kemiska processer.), Tekn. tidskr., 1956, 86, № 19, 437—444 (швед.)

Описаны схемы процессов с применением псевдооживленного слоя (гиперреформинг, гиперсорбция, коксование нефтяных остатков, сухая перегонка битуминозных сланцев), а также аппаратура и контрольно-измерительные приборы для проведения этих процессов. К. Герцифельд

3245. Псевдооживление и его применение. Шах (Fluidization and its applications. Shah V. D.), Bombay Technologist, 1955—1956, 6, March, 65—69 (англ.)

Обзорная статья с изложением основ и областей применения псевдооживления. Библи. 7 назв. С. Забродский

3246. О применении гипотезы подобия и теории размерностей при изучении равномерного турбулентного потока. Кудрявцев П. И., Тр. Новосибир. инж.-строит. ин-та, 1955, 5, 3—58

Произведен критич. анализ существующих методов применения гипотезы подобия (включая полуэмпирич. теории Прандтля и Кармана) к расчету равномерного потока и вскрыты противоречия, присущие этим методам. Путем сопоставления результатов, полученных с помощью рассмотренных методов, с опытами и выводами из теории размерностей показано, что лишь применение теории размерностей дает надежные данные, достаточные для приближенного решения задачи о распределении скоростей как с учетом, так и без учета влияния вязкости. В. Реутский

3247. Моделирование процесса аккумуляции газа в магистральном газопроводе. Темпель Ф. Г., Газ. пром-сть, 1956, № 7, 32—36

Условиями подобия являются  $St = idem$ ,  $M^2 \xi x/D = idem$ ,  $Re_M = Re(a_D/a_G) k_\mu$ , где  $St = D^2 g x P / (c^2 G t) = x/(wt)$  — критерий Струхала;  $M = w/c$  — критерий Маха — Маевского;  $D$  — диаметр трубопровода;  $x$  — координата по оси трубопровода;  $P$  — давление;  $c = V g R T$  — скорость звука в данном газе;  $G$  — весовой расход газа;  $t$  — время;  $w$  — скорость движения;  $Re_M$  — критерий Рейнольдса для модели,  $Re$  — то же для объекта;  $a_D$  — масштабный множитель для диаметров,  $a_G$  — масштабный множитель для расходов;  $k_\mu = \mu/\mu_M$  (здесь  $\mu_M$  — вязкость газа в модели,  $\mu$  — то же в объекте);  $\xi$  — коэф. гидравлич. сопротивления. З. Хайнский

3248. Уравнение движения вязко-пластичной жидкости в сферических координатах. Касимов А. Ф., Тр. Азерб. политехн. ин-та, 1956, № 2, 111—114 (рез. азерб.)

3249. Уравнение энергии для вязких жидкостей. Тур (The energy equation for viscous flow. Tur H. L.), Industr. and Engng Chem., 1956, 48, № 5, 922—926 (англ.)

Путем математич. анализа показано, что нельзя рассматривать реальные жидкости, протекающие по трубопроводам, как несжимаемые, если выделение тепла в них за счет трения достаточно велико. При этом необходимо учитывать коэфф. термич. расширения, так как для многих жидкостей он достаточно велик. В. Реутский

3250. Обобщение экспериментальных данных по барботажу пара через жидкость. Стерман Л. С., Ж. техн. физики, 1956, 26, № 7, 1519—1524



Путем критериальной обработки эксперим. данных различных авторов по барботажу пара через жидкость, охватывающих давл. 1,0—190 *атм*, широкий интервал нагрузок и диаметры колонн от 52 до 300 мм, получено ур-ние, позволяющее определять величину объемного паросодержания  $\varphi$  (часть сечения, занимаемого в парожидкостном потоке паром) как функцию трех определяющих критериев подобия. Ур-ние показывает удовлетворительное согласие с опытными данными.

В. Реутский

**3251. Течение жидкостей сквозь слои сферических частиц. Пек, Уоткинс** (The flow of fluids through beds of spherical particles. Peck G. C. A., Watkins S. B.), *Industr. Chemist*, 1956, 32, № 374, 122—127 (англ.)

Исследовался процесс течения воды сквозь слои стеклянных шариков (СП) диам. 7 и 3,4 мм при скоростях, близких к состоянию псевдооживления. Опыты проводились в стеклянной колонне диам. 75 мм, высотой 1,5 м со сменными латунными сетчатыми тарелками. Скорость подачи воды регулировалась иглообразным клапаном и изменялась в пределах  $(0,03—0,57) \cdot 10^{-3} \text{ м}^3/\text{сек}$ . Во время опытов измерялись расход, давление и т-ра воды, высота слоя и потеря давления в слое. Наблюдалось, что в момент начала псевдооживления весь слой СП или часть его (в зависимости от начальной высоты слоя) приходит во вращательное движение. Во время опыта ось вращения слоя непрерывно производило перемещалась по или против часовой стрелки. При малой высоте слоя его поверхность вследствие вращения наклонялась под некоторым углом к оси колонны. Уменьшение подачи воды приводило к возвращению слоя в исходное положение, при котором его поверхность была перпендикулярна к оси колонны. Во всех опытах измеренная потеря давления оказывалась меньше теоретич. При этом расхождение возрастало с увеличением диаметра СП и уменьшалось с увеличением начальной высоты слоя.

Б. Сумм

**3252. Процесс сепарации пыли в сепараторе жалюзнотипа. Смит, Голья** (The mechanism of separation in the louver-type dust separator. Smith J. L., Jr, Golia M. J.), *Trans ASME*, 1956, 78, № 2, 389—399 (англ.)

Изучался процесс сепарации пылевидных частиц в жалюзном сепараторе, в котором часть потока воздуха освобождается от пыли, проходя через жалюзи, наклоненные в направлении, противоположном направлению потока поступающего воздуха, а другая часть воздуха, не изменяющая направления движения, увлекает отсепарированные частицы. Оптимальным режимом работы сепаратора является такой, при котором скорость потока воздуха, не проходящего через жалюзи, в пределах сепаратора остается постоянной. Испытания жалюзи различных конструкций показали, что наилучшие результаты обеспечивают жалюзи из пластин с задними кройками шириной 11 мм, отогнутыми под углом 45°, при шаге между пластинными 51 мм и ширине щели, образованной соседними пластинами, 6 мм. Результаты опытов показывают, что с увеличением относительного кол-ва воздуха, не проходящего через жалюзи, до 6% доля отсепарированных частиц резко возрастает, достигая 96%, а при дальнейшем возрастании этого кол-ва увеличивается медленно. Степень сепарации мало изменяется с изменением конц-ии пыли в пределах 0,5—50 г/кг воздуха и практически не зависит от скорости воздуха в сепараторе при изменении последней в пределах 4,3—12,8 м/сек. При малых скоростях воздуха сопротивление сепаратора может быть < 12 мм вод. ст. Найдено, что сепаратор успешно работает при размере частиц < 10  $\mu$ .

В. Коган

**3253. Повышение производительности электрофильтров С-140. Кулешов П. Я.**, *Кокс и химия*, 1956, № 4, 45—49

Разработана новая конструкция распределительной решетки (РР), имеющая большое (32%) одинаковое живое сечение по всей поверхности с кольцевымзором по периферии. Сопротивление РР невелико. Установка РР в промышленном электрофильтре увеличивает вдвое производительность электрофильтра без снижения степени очистки газа. Такое увеличение производительности снижает капитальные затраты при сооружении новых установок на 40%. Указывается на необходимость удаления верхней РР, которая не влияет на распределение потока по сечению электрофильтра.

Г. Фонарева

**3254. Электрическая очистка газа. Юнсен** (Electrisk gassrensing. Johnsen Bjarne Karth), *Tekn. ukebl.*, 1956, 103, № 20, 455—462 (норв.)

Изложены физ. основы процесса и описано применение электрофильтров в целлюлозной, цементной, сернокислотной и металлургич. пром-стях.

К. Герифельд

**3255. Свободное осаждение твердых сферических частиц в жидкой среде. Еркова Л. Н., Смирнов Н. И.**, *Ж. прикл. химии*, 1956, 29, № 5, 733—738

Выведено критериальное ур-ние, описывающее свободное осаждение индивидуальных частиц, и доказана его тождественность с ур-ниями Стокса, Аллена и Ньютона — Риттингера. Установлена графич. зависимость между миним. отношением диаметра колонны к диаметру частицы и критерием Рейнольдса, при котором стенка колонны начинает оказывать влияние на скорость осаждения.

З. Ханский

**3256. Фильтрация. Миллер** (Filtration. Miller S. A.), *Industr. and Engng Chem.*, 1956, 48, part II, № 3, 520—526 (англ.)

Ежегодный обзор за 1955 г. Библ. 161 назв.

Ю. Дытнерский

**3257. Фильтрация, фильтры и фильтрующие среды. IV, V, VI, VII. Рефсон** (Filtration, filters and filter-media. IV, V, VI, VII. Refson B. H.), *Chem. Prod.*, 1956, 19, № 3, 416—418; № 4, 155—156; № 6, 237—240; № 8, 326—329, 334 (англ.)

IV. Даны сведения об изготовлении и некоторых свойствах фильтрующих сред из спекшихся порошков металлов, пластмасс и стекла.

V. Приведены краткие сведения о применении диатомида в качестве вспомогательного в-ва в процессе фильтрации.

VI. Дана общая характеристика и описаны некоторые виды фильтров, в частности патронный фильтр.

VII. Помещены краткие сведения об условиях и стоимости эксплуатации различных фильтров. Сообщение III см. РЖХим, 1956, 45680.

Ю. Дытнерский

**3258. Фильтрация пыли при высокой температуре. Ферст, Грехэм, Батлер, Уолуэрт, Уоррен** (High temperature dust filtration. First Melvin W., Graham J. Berrie, Butler Gurdon M., Walworth Claire B., Warren Roy P.), *Industr. and Engng Chem.*, 1956, 48, № 4, 696—702 (англ.)

Изучалась фильтрация газов, содержащих тонкодисперсную пыль радиоактивных в-в, при т-ре > 760°. В качестве фильтрующего материала применялась минер. вата, стойкая при длительном воздействии т-ры до 1100°. Большинство опытов проведено при скорости газового потока 1,8 м/сек с применением волокна со средним диам. 4,8 и 20  $\mu$ . Испытание проводилось в канале из нержавеющей стали размером 150×150 мм. Улавливалась также пыль полидисперсной технич.

$\text{CuO}$ , средний размер частиц которой был равен 8,5  $\mu$ . Установлено, что сопротивление фильтра возрастает с повышением т-ры, а эффективность пылеулавливания падает. Степень улавливания достигает 99%. Встряхивание фильтра не влечет за собой пылевыеделения.

Л. Хаазин

**3259. Эксплуатация фильтров для пыли. Кемпбелл** (How dust filters function. Campbell John M.), Oil and Gas J., 1956, 54, № 49, 92 (англ.)

Обзор.

Л. Хаазин

**3260. Применение кизельгура в качестве вспомогательного вещества при фильтрации. Зиббер** (Kieselgur als Filtrierhilfsmittel. Sieber Hans), Schweiz. Z. Obst- und Weinbau, 1956, 65, № 13, 295—298 (нем.)

Приведены краткие сведения о происхождении и свойствах кизельгура, а также о методах его предварительной обработки и областях применения.

Ю. Дитнерский

**3261. Новый аппарат для тонкой влажной сортировки. Фонтейн** («De Zeebocht», nieuw apparaat voor het nat afzeven op fijne zeefmaten. Fontein F. J.), Ingenieur (Nederl.), 1956, 68, № 5, Ch. 1—Ch. 5 (голл.; рез. англ.)

Аппарат имеет вогнутое сито с размером щелей  $4 \times 1$  мм. Обрабатываемый материал поступает из бункера тангенциально к поверхности верхней части сита. Аппарат прост по конструкции, отличается хорошей сортирующей способностью.

Б. Сумм

**3262. Машины высокого давления. Футтерер** (Hochdruckmaschinen. Futterer Carl Heinz), Chem.-Ingr-Techn., 1956, 28, № 5, 337—342 (нем.; рез. англ., франц.)

Изложены основные проблемы, возникающие в связи с возросшими требованиями к машинам высокого давления (компрессоры, газовые циркуляционные насосы, насосы для жидкостей и шламов) и рассмотрены пути к разрешению этих проблем. Приведены технич. характеристики некоторых машин высокого давления.

Н. Баскина

**3263. Новый метод определения незначительных утечек газов в неподвижных соединениях трубопроводов. Нивьер** (Procédé nouveau pour la recherche des fuites minimes dans les tuyauteries étanches. Niviere P.), Génie chim., 1956, 75, № 5, suppl., 122—123 (франц.; рез. англ., исп.)

Метод предназначен для контроля качества соединений трубопроводов. Для этой цели соединения обмазываются спец. белой пастой, состоящей из 485 г сульфата Ва, 480 г глицерина и 25  $\text{см}^3$  5%-ного водн. р-ра фенолфталеина. Затем в трубопровод нагнетается жидкий аммиак под давл. 12  $\text{кг}/\text{см}^2$ . После этого в трубопровод подается кислород или воздух под давл. 40  $\text{кг}/\text{см}^2$ . В месте утечки паста краснеет, причем интенсивность окрашивания характеризует величину утечки. Отмечаются преимущества указанного способа перед существующими.

Р. Торнер

**3264. Определение критериев подобия для электрических печей типа карбидных или ферросплавных. Микулинский А. С., Иванов В. К.** Тр. Уральск. н.-и. хим. ин-та, 1954, № 2, 84—90

С целью вывода критериев подобия для электрич. шахтных печей составлены дифференциальные ур-ния теплового баланса для элементарного слоя шихты, элементарных участков потоков газа и пара (стационарный процесс), в также для единицы поверхности куска шихты (нестационарный процесс). При этом учтен тепловой эффект вторичной р-ции, проходящей в паровой фазе в верхней зоне печи. При использовании метода акад. Кирпичева даются 10 критериев подобия, связывающих т-ру, теплоемкость шихты, мощность теп-

ловых источников, линейные размеры печи и другие физ., хим. и геометр. параметры процесса.

В. Гриншпун

**3265. Упрощенный расчет процессов теплопроводности в нестационарных условиях. Уиганд** (Simplified unsteady-state conduction calculations. Wigand James H.), Industr. and Engng Chem., 1956, 48, № 4, 817—820 (англ.)

Для расчета нестационарных процессов теплопроводности в однородном теле с постоянным значением  $m = \lambda(\alpha \cdot S)$ , когда применимо ур-ние  $(t_0 - t)/(t_0 - t_1) = A \cdot 10^{-b\theta}$ , предложена упрощенная методика и приведены графики для определения скорости изменения т-ры в сфере, цилиндре и пластине; здесь  $\lambda$  — коэфф. теплопроводности,  $\alpha$  — коэфф. теплоотдачи,  $S$  — расстояние от центра тела до внешней поверхности,  $\theta$  — время от начала процесса,  $t$  и  $t_1$  — т-ры (в данной точке) при  $\theta = 0$  и в данный момент,  $t_0$  — т-ра греющего источника,  $A$  — константа для данной точки тела и  $b$  — коэфф. экспоненты. Графики составлены для всех случаев нагревания или охлаждения ( $m = 0 \div \infty$ ). Порядок расчетов по предлагаемой методике иллюстрируется численным примером, результаты которого сравниваются с ранее опубликованными данными. См. также РЖХим, 1955, 28083.

А. Ровинский

**3266. Нагревание с помощью катализа. Кадьерг** (Le chauffage par catalyse. Cadiegues R.), Bâtir, 1954, № 37, 24—27 (франц.)

Описаны 2 типа печей для нагревания каталитич. сжиганием: 1) паров спец. легкокипящих смесей над платинированным волокнистым асбестом при 300—350°; 2) отходящих промышленных газов над катализатором «оксикат», описанным ранее (см. РЖХим, 1956, 10604).

Г. Рабинович

**3267. Распределение температуры в двух- и четырехходовых теплообменниках. Бейте** (Distribution of temperature in 1-2 and 1-4-pass heat exchangers. Bates Herbert T.), A. I. Ch. E. Journal, 1956, 2, № 1, 82—87 (англ.)

Теоретически исследовано распределение т-ры в вертикальных кожухотрубных теплообменниках, в межтрубном пространстве которых происходит конденсация пара или кипение жидкости, а в трубках протекает жидкость, проходящая последовательно 2 или 4 секции. Выведены ур-ния, показывающие распределение т-ры при поступлении в межтрубное пространство перегретого и насыщ. пара, переохлажденной и кипящей жидкостей.

Ю. Петровский

**3268. Упрощенный метод расчета контактных холодильников для газа. Брас** (Simplify gas cooling tower design. Bras G. H. P.), Petrol. Refiner, 1956, 35, № 3, 191—195 (англ.)

Энтальпийный метод расчета градирен, предложенный Меркелем (Merkel F., Forsch. Arb. Ing. Wes., 1925, Heft 275), может быть распространен на аппараты для охлаждения других газов и их смесей при непосредственном соприкосновении с водой. Применение этого метода ограничивается следующими обстоятельствами. 1. Предположение о пропорциональности интенсивности массопередачи разности влажосодержаний справедливо лишь в области малых содержаний пара ( $< 0,15$  молярной доли). 2. Отношению  $\text{Pr}/\text{Sc} \approx 1$ , что соблюдается для влажного воздуха в области малых конц-ий пара, но часто не соблюдается для других влажных газов. В последнем случае можно рекомендовать ступенчатый метод расчета (Mizushima T., Kotoku T., Chem. Engng (Japan), 1949, 13, 75). 3. Предполагается, что кол-во воды по высоте аппарата не меняется. 4. В тех случаях, когда т-ра воды приближается к т-ре влажного термометра для газо-паровой смеси, точность метода резко падает. По-

казано применение энтальпийного метода на примере расчета холодильника для смеси (в мол. %):  $N_2$  57,2,  $CO$  26,9,  $H_2$  9,3,  $CO_2$  5,0,  $O_2$  1,0,  $CH_4$  0,6, которая поступает при  $320^\circ$  с парц. давлением водяного пара 0,1 *атм* и охлаждается до  $26,6^\circ$ , оставляя холодильник в состоянии насыщения; вода поступает при  $18^\circ$  и нагревается до  $54,5^\circ$ . Интегрирование выполнено графически, и результаты решения сопоставлены с полученными наиболее точным методом (РЖХим, 1956, 27915). Решение выполнено также и аналитически в предположении, что линия насыщения прямая, при расчленении холодильника на три зоны (по высоте) и самостоятельном расчете каждой из этих зон; результаты хорошо согласуются с точным решением, которое чрезвычайно трудоемко.

Ю. Петровский  
3269. Исправление к статье: Хоблер «Охлаждение ненасыщенных смесей в скрубберах» (Errata. H obler, Prsem. Chem., 1956, 12, № 6, 356 (польск.)) РЖХим, 1956, 56928.

3270. Износостойчивость компрессоров фреоновых холодильных машин типа ФАК. Элькин И. Жученко В. (Verschleißbeständigkeit der Verdichter von Freon-Kältemaschinen FAK. Jelkin J., Shutschenko W.), Technik, 1956, 11, № 8, 604—606 (нем.)  
Перевод. См. РЖХим, 1955, 48043.

3271. Массообмен в колонне со смоченными стенками при турбулентном потоке. Шварц, Колшер (Mass transfer in a wetted-wall column: turbulent flow. Schwarz W. H., Hoelscher H. E.), A. I. Ch. E. Journal, 1956, 2, № 1, 101—106 (англ.)  
Исследован процесс массообмена при испарении влаги в турбулентный поток воздуха, протекающий снизу вверх в колонне (К) diam. 85 мм и высотой 1220 мм со смоченными стенками. Вода поступала из резервуара через верхний горизонтальный край К, а выводилась через расширенную нижнюю часть К в сборник, откуда вновь возвращалась в систему. Воздух подавался вентилятором мощностью 1 л. с. через несколько сеток - турбулизаторов, установленных в подводящем канале сечением  $250 \times 250$  мм, который затем сужался и переходил в канал с сечением в 10 раз меньшим; длина суженного канала  $\sim 2,4$  м, причем на участке в 2,1 м стенки его покрыты мелким песком, удерживаемым на клее: это содействует турбулизации потока и ускоряет развитие граничного слоя. Для отбора проб воздуха по сечению К и определения напора применено устройство, позволяющее одновременно производить измерения в 10 точках по радиусу и в любом сечении по высоте К. Поток воздуха характеризовался  $Re = 25000$ , стекающая пленка  $Re_L = 167$ , т. е. режим течения пленки ламинарный (крит. значение  $Re_L \approx 1200$ ). Получено следующее

эмпирич. ур-ние, характеризующее интенсивность массообмена:  $W = A (H_w - H_{in})$ , где  $W$  — локальная скорость массообмена, кг влаги/м<sup>2</sup>сек;  $H_w$  — влаготсодержание насыщ. воздуха при  $t$ -ре воды в данном сечении К, кг влаги/кг сухого воздуха;  $H_{in}$  — влаготсодержание поступающего воздуха, кг влаги/кг сухого воздуха;  $A$  — коэфф., значение которого равно: на расстоянии 5,6 диаметра от входа воздуха 0,0125; на расстоянии 12,39 диаметра 0,0120; на расстоянии 19,62 диаметра 0,0134; на расстоянии 25,5 диаметра 0,0128. Скорость массообмена становится практически постоянной на расстоянии от входа воздуха в К, превышающем 6 диаметров К.

Ю. Петровский  
3272. Контактное взаимодействие газа и жидкости на тарелках. Колдербанк (Gas-liquid contacting on plates. Calderbank P. H.), Trans. Instn Chem. Engrs, 1956, 34, № 1, 79—90 (англ.)

Изучен процесс взаимодействия газа и жидкости на колпачковых и ситчатых тарелках. Установлено, что при режимах работы, соответствующих обычным условиям эксплуатации промышленного оборудования, процесс образования и движения цепочек пузырьков сквозь жидкость на контактной тарелке идентичен. Для прорезей в колпачках или отверстий в ситчатой тарелке, ширина или диаметр которых лежат в пределах 1,6—6,4 мм, при расходе газа, превышающем 30 см<sup>3</sup>/сек, частота образования пузырьков составляет 15—20 шт. в 1 сек., причем она не зависит от расхода газа, размеров прорезей в колпачке или диаметра отверстий в тарелке, расстояния между прорезями или отверстиями, а также от физ. свойств жидкости и газа. Это обстоятельство очень упрощает задачу вычисления поверхности контакта и его продолжительности; приводимые ниже соотношения получены в предположении, что в каждую секунду образуются 20 пузырьков.

Объем пузырька  $V_p = 0,05 (F/m)^{1/2} m^3$ , где  $F$  — общий поток газа через контактную тарелку, м<sup>3</sup>/сек;  $m$  — суммарное число прорезей во всех колпачках на тарелке или общее число отверстий на тарелке. Скорость подъема пузырька:  $v = 9,14 (F/m)^{1/2} m/сек$ . Время, в течение которого пузырек поднимается на 1 м,  $t = 0,1 \cdot (F/m)^{-1/2} сек$ . Величина контактной поверхности, проходящей на 1 м высоты слоя пены:  $S = 1,45 (F/m)^{1/2} m^2/m$ . Если известна зависимость коэфф. массоотдачи от  $Re$  и  $Sc$ , то можно определить число единиц переноса и локальный к. п. д. Проведенные опыты по определению числа единиц переноса выявили сильное влияние неустановившихся процессов массообмена в период образования пузырьков; в то же время опытные данные хорошо совпали с выведенными ур-ниями. Выполнен теоретич. анализ условий, существующих в период образования пузырьков.

Ю. Петровский  
3273. Опытные данные по диффузии в твердых телах. Марбе (A diffuzió munka gyorsításával elért gyakorlati eredmények. Marbais Marcell), Cukoripar, 1954, 7, № 7, 123—126 (венг.)

3274. Характеристика нестационарного режима работы тарельчатых дистилляционных колонн. Дейвидсон (The transient behaviour of plate distillation columns. Davidson J. F.), Trans Instn Chem. Engrs, 1956, 34, № 1, 44—52. Discuss. 75—78 (англ.)  
Выполнен анализ рабочего режима отгонной тарельчатой колонны (К) при следующих исходных данных: перед началом ректификации в кубе К находится жидкость того же состава, что и поступающая жидкость, которая подается на верх К; кубовая жидкость не выводится, отбирается только дистиллят; кол-во кубовой жидкости остается неизменным на протяжении всего процесса разгонки. В случае ректификации бинарной смеси, для которой равновесные составы жидкости и пара выражаются линейным законом, разность между мгновенной и равновесной конц-иями на какой-либо тарелке приблизительно пропорциональна  $(e)^{-\beta t}$ , где  $T = Lt/H$ , а  $\beta$  зависит от относительной летучести  $\alpha$  и числа тарелок  $N$  и может быть определено решением трансцендентного ур-ния методом последовательных приближений ( $L$  — поток жидкости, моли в единицу времени;  $H$  — кол-во жидкости, удерживаемой на тарелке, моли;  $t$  — время). Для приближенного определения  $\beta$  можно воспользоваться модифицированным методом Релея (Rayleigh Lord. The theory of sound Macmillan and Co. Ltd, 1898), который дает зависимость  $\beta$  от  $\alpha$  и  $N$ . В решение введена новая константа  $\gamma$ , которая связана с  $\beta$  соотношением:  $\beta T = \gamma t$ , причем  $\gamma$  выражает кратность замены легколетучего компонента в жидкости, удерживаемой на тарелках, при заданной скорости подачи поступающей жидкости и за полный



период разгонки — с момента ее начала до достижения конечного равновесного состояния. Значения  $\gamma$  помещаются в узких пределах: при  $\alpha < 1$  значения  $\gamma = 1 \div 1,1$ , а при  $\alpha > 1$   $\gamma = 1 \div 2,3$  (приведены в таблицах). В табличной форме даны также значения коэфф.  $B$ , входящего в уравнение для вычисления мгновенной концентрации кубовой жидкости  $x_B$ , которое имеет следующий вид:  $(x_{BS} - x_B)/(x_{BS} - x_{BO}) = B(e)^{-\gamma t}$ , где  $x_{BS}$  — содержание легколетучего в кубовой жидкости в установившемся состоянии;  $x_{BO}$  — то же в поступающей жидкости. Последнее уравнение применимо для расчетного определения состава кубовой жидкости при нестационарном режиме ректификационной К.

Ю. Петровский

**3275. Исследование пленочной ректификации. Фастовский В. Г., Петровский Ю. В., Хим. пром-сть, 1956, № 4, 230—234**

Исследована пленочная ректификация смеси бензол- $n$ -гептан в области турбулентного течения паровой фазы при полном возврате орошения. Опыты проводились на 2 колонках с кольцевым зазором шириной 6 мм и 3,5 мм при наружном диаметре внутренней трубки, равном 25 мм, и рабочей высоте 2130 мм и 2080 мм в адиабатич. условиях, которые поддерживались электронагревателем. Вода для охлаждения конденсатора подавалась из напорного бака при заданной т-ре, которая автоматически поддерживалась постоянной. Опытами охвачены значения  $Re$  для пара 1630—23 500. На основании анализа опытных данных установлено, что основное сопротивление переносу в-ва сосредоточено в паровой фазе: сопротивлением со стороны жидкости практически можно пренебречь. Выводы гидродинамич. аналогии могут быть распространены на случай ректификации в пленочных колоннах и служить основой для расчета соответствующей аппаратуры.

Ю. Петровский

**3276. Применение радиоактивных изотопов для определения уноса в дистилляционных установках. Уагнер, Льюкенс, Хьюз (Tracers locate entrainment in distillation units. Wagner C. D., Lukens H. R., Jr, Hughes R. R.), Nucleonics, 1956, 14, № 4, 78—83, 128 (англ.)**

Описано применение  $r$ -ров работы вакуумной ректификационной колонны, в частности для определения уноса с тарелок. Рассмотрены техника получения радиоактивных  $r$ -ров, способы их ввода в различные места колонны и анализа содержания в потоках, вопросы безопасности при исследовании. Ю. Петровский

**3277. Расчет режима полного орошения сложной колонны. И. Багатуров С. А., Химия и техн. топлива, 1956, № 6, 67—72**

Предложена методика расчетного определения состава дистиллята и нижнего продукта для случая ректификации многокомпонентной смеси в колонне с полным орошением. Ю. Петровский

**3278. Ректификация в насадочных колоннах при атмосферном и пониженном давлении. Киршбаум, Буш, Биллет (Rektifikation in Füllkörpersäulen bei Atmosphärendruck und Unterdruck. Kirschbaum Emil, Busch Werner, Billet Reinhard), Chem.-Ingr-Techn., 1956, 28, № 7, 475—480 (нем.; рез. англ., франц.)**

Исследована ректификация смесей дихлорэтилен-толуол и этанол-вода в насадочных колоннах diam. 100 мм (насадка из фарфоровых колец Рашига размером 8 мм) и 400 мм (такая же насадка размером  $25 \times 25 \times 2$  мм) при абс. давл. 10—760 мм рт. ст. Описаны опытная установка и методика работы. Полученные данные о разделительном действии и сопротивлении насадок представлены в графич. форме. Ю. Петровский

**3279. Ректификация бинарных смесей. VII. Коэффициенты диффузии и поверхность контакта фаз. Окон, Тохо, Эспантосо (Rectificación de mezclas binarias. VII. Constantes de difusión y área efectiva de relleno. Ocon G. Joaquín, Tojo B. Gabriel, Espantoso S. José), An. Real. Soc. española fis. y quim., 1955, B51, № 11, 642—648 (исп.; рез. англ.)**

Найдено, что отношение между коэфф. диффузии в жидкости и паре  $K_L/K_G$  увеличивается с уменьшением весовой скорости пара. Для смеси  $CCl_4 + C_6H_6$  обнаружено, что коэфф. пропорциональности между коэфф. диффузии в паре и весовой скоростью пара в степени 0,8 не зависит от весовой скорости. Эффективная поверхность, отнесенная к полному объему колонны, увеличивается с увеличением весовых скоростей пара и жидкости и, следовательно, с интенсивностью орошения. Сообщение VI см. РЖХим, 1956, 42060.

Г. Фонарева

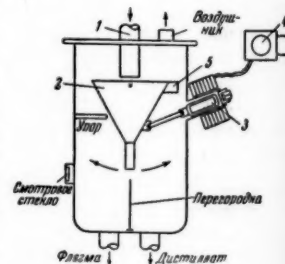
**3280. Новый метод определения оптимальной конструкции колпачковых тарелок. Болес (New process design methods for optimum bubble-cap tray design. Bolles William L.), Petrol. Process., 1956, 11, № 3, 82—95 (англ.)**

Даны указания по выбору типа колпачковых тарелок и размеров их отдельных конструктивных элементов, основанные на рассмотрении показателей работы промышленных ректификационных колонн. Рекомендуется применять: при малом отношении  $L/V$  ( $L$  — нагрузки колонны по жидкости и пару) тарелки с расположенной по диаметру направляющей перегородкой, обеспечивающей возвратное течение жидкости; при больших значениях  $L/V$  или в высоких колоннах — тарелки с двойным ходом жидкости (движение жидкости от стенок к середине и наоборот); при очень больших  $L/V$  или очень высоких колоннах — тарелки с двойным ходом жидкости и промежуточными перегородками, создающими каскад при движении жидкости по тарелке. Рекомендуется также применять для колонн diam. 0,75—1,5 м колпачки diam. 75 мм, для колонн diam. 1,2—1,5 м — diam. 100 мм и для колонн diam. 3—6 м — diam. 150 мм. Отмечается, что для колонн, работающих под вакуумом, глубина погружения колпачков должна составлять 12—38 мм; для колонн, работающих при атмосферном давлении, 25—50 мм; для колонн, работающих при давлении 3,5—7 атм, 38—75 мм; для колонн, работающих при давл. 13,5—34 атм, 50—100 мм. Прорези в колпачках рекомендуется делать трапециевидные или прямоугольные, а площадь прорезей выбирать в пределах 0,5—0,7 от площади колпачка.

В. Коган

**3281. Коррозионноустойчивый разделитель флегмы и дистиллята. Крауклис (Corrosion resistant diverter splits reflux and product flows. Krauklis J. J.), Chem. Engng, 1954, 61, № 7, 242 (англ.)**

Описана конструкция аппарата из нержавеющей стали для разделения потока жидкости, поступающей из дефлегматора дистилляционной установки, по трубе 1 на флегму и дистиллят. Воронка 2 в положении для отбора флегмы удерживается грузом 5 и тяжестью сердечника соленоида 3. Положение для отбора дистиллята достигается благодаря введению в дей-



стве соленоида. Регулировка осуществляется электр. счетчиком времени 4. Такое устройство исключает потребность в салнике, являющемся обычно причиной образования течи.

И. Левин  
3282. О непрерывной молекулярной дистилляции. Рукештейн Е., Докл. АН СССР, 1956, 108, № 3, 518—521

Дано решение задачи о соотношении между молярным потоком любого компонента сложной смеси, подвергающейся молекулярной вакуумной дистилляции при стационарном режиме, и расстоянием, измеренным в направлении течения жидкостной пленки.

Ю. Петровский  
3283. Новая барботажная аппаратура для процессов абсорбции и теплообмена. Кузьминых И. Н., Хим. пром-сть, 1956, № 4, 234—237

Описаны принцип действия и конструкция «пропальных» тарелок (ПТ), на которых переток жидкости и поступление пара осуществляются через один и те же отверстия. На ПТ отсутствует горизонтальное движение жидкости, благодаря чему исключается градиент высоты слоя жидкости по длине ПТ, и они приобретают гидродинамич. устойчивость, что позволяет конструировать аппараты весьма большой производительности. При надлежашем выборе размера отверстий и их шага можно создать на ПТ любой желаемый запас жидкости и тем самым любое сопротивление. Испытания ПТ показали, что они могут быть выполнены на любую нагрузку по газу (скорость газа 0,5—3 м/сек в полном сечении аппарата) и любую плотность орошения (0,2—100 м<sup>3</sup>/м<sup>2</sup>·час); ПТ способны пропускать жидкости со вяземью, не забиваясь осадками. Условия барботажки на ПТ наиболее благоприятны для абсорбции хорошо растворимых газов, когда сопротивление массоотдаче сосредоточено в газовой фазе; она должна осуществляться с предельно высокими нагрузками по газу. В случае массопередачи, лимитируемой сопротивлением со стороны жидкости, наиболее благоприятна область умеренных нагрузок по газу, когда на ПТ существует режим ячеистой пены. Приведены примеры промышленного использования аппаратов с ПТ. См. также РЖХим, 1956, 38400.

Ю. Петровский  
3284. Использование колонн с колпачковыми тарелками для абсорбции газов. Иллингворт (The use of bubble cap towers of the west plate type for gas absorption. Illingworth F. K.), Gas World, 1956, 143, № 3742, 89—95. Discuss. 95—96 (англ.)

Приведены характеристики скрубберов с колпачковыми тарелками, примененных для улавливания аммиака и бензола из коксового газа. Наибольший скруббер характеризуется диам. 2300 мм, производительностью по газу 12 600 м<sup>3</sup>/час при скорости газа, отнесенной к полному сечению, 0,85 м/сек. Ю. Петровский

3285. Выделение углекислоты из атмосферного воздуха путем промывки его раствором каустической соды в башне с насадкой. Гринвуд, Пирс (The removal of carbon dioxide from atmospheric air by scrubbing with caustic soda in packed towers. Greenwood K., Pearce M.), Trans. Instn Chem. Engrs, 1953, 31, № 3, 201—207 (англ.)

3286. Способность зернистых материалов удерживать жидкость при проведении технических процессов. Бателъ (Aufnahmevermögen körniger Stoffe für Flüssigkeiten, im Hinblick auf verfahrenstechnische Prozesse. Batel W.), Chem.-Ing.-Techn., 1956, 28, № 5, 343—349 (нем.; рез. англ., франц.)

Рассмотрены условия равновесия капиллярной влаги в пористом слое, находящемся под действием силового (гравитационного или центробежного) поля и капиллярных сил. Отмечено, что в соответствии с соотношением интенсивностей силового поля и капиллярных

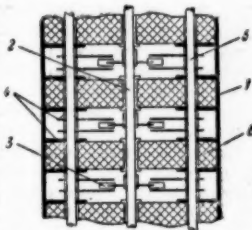
сил устанавливается соотношение между толщиной  $h_s$  (мм) той части слоя, пары которой целиком заполнены жидкостью, и толщиной той части, которая освобождена от капиллярной жидкости и содержит только внутреннюю и адсорбированную жидкость. Величина  $h_s = C_1 [O_k / (V_z d_m^2)]^b$ , где  $O_k$  — уд. поверхность шаровых частиц, равновеликих по объему действительным частицам в пористом слое (м<sup>2</sup>/г),  $V_z$  — уд. объем пор (м<sup>3</sup>/г),  $d_m$  — средний размер частиц (мм). Для системы известняк — вода  $C_1 = 19,3$  (мм<sup>2</sup>) и  $b = 0,39$ . Величина  $C_1$  зависит от поверхностного натяжения жидкости и формы твердых частиц, а величина  $b$  характеризует форму пор. При шарообразной форме пор  $b = 0,33$ . Так как при фильтрации высота осадка  $H$  (мм) обычно меньше  $h_s$ , то для удаления жидкости из его пор применяется продувание воздуха, причем давление воздуха должно превышать капиллярные силы. Содержание жидкости  $W$  (вес. %) в пористом слое в процессе продувания определяется ур-нием  $W = A_1 e^{-(\Delta p - h_s) t / h_s} + A_2$ , где  $\Delta p$  — разность давлений (мм вод. ст.),  $t$  — время (сек.). Величины  $A_1$  и  $A_2$  учитывают влияние  $H$ , а также начального значения  $W$ .

Ю. Дытерский  
3287. Математическое исследование процесса фракционирования в случае неполной диффузии. Медьешни, Реньи, Теттаманти, Вине (A kémiai frakcionáló megosztás matematikai tárgyalása nem-teljes diffúzió esetében. Medgyessy Pál, Rényi Alfréd, Tettamanti Károly, Vincze István), A magyar tud. akad. Alkalm. mat. int. közl., 1954 (1955), 3, № 1-2, 81—87 (венг; рез. русс., англ.)

Выполнено математич. исследование процесса экстракции для системы жидкость — жидкость, осуществляемого последовательно в каскаде экстракторов, в которых не достигается фазовое равновесие между взаимодействующими жидкостями.

Ю. Петровский  
3288. Применение отражательных перегородок в экстракционных колоннах. — (Baffles are key to larger extractor columns.), Chem. Engng, 1956, 63, № 3, 246, 248 (англ.)

Предлагается конструкция экстракционной колонны, аналогичной колонне Шайбеля, но с устройством дополнительных отражательных перегородок в секциях смешения. Аппарат состоит из кожуха 1, вращающегося вала 2 с насаженными на него лопастями 3, отражательных перегородок 4, стержней 5 и насадки 6. Применение отражательных перегородок позволяет при том же диаметре значительно уменьшить ВЭТТ; так для системы уксусная к-та — метилэтилкетон — вода на колонне диам. 30 см без отражателей было получено миним. ВЭТТ 23 см, с отражателями 7,6 см. К. Сакодинский



3289. Проектирование реактора для осуществления сложной реакции. Корриган, Янг (Reactor design problem: complex reaction. Corrigan T. E., Young E. F.), Chem. Engng, 1956, 63, № 3, 201—206 (англ.)

На примере проектирования заводской установки по получению из смеси *o*- и *n*-дигалондопроизводных бензола 1,2,3-тригалондопроизводного показаны возможности применения кинетич. анализа к выбору типа реактора для осуществления сложной хим. р-ции, для которой определяющее значение имеет не время, а со-

став полученной смеси продуктов и относительные количества реагентов в побочных р-циях. В. Реутский

**3290.** Транспортировка материалов в промышленности. Брейжер (The movement of materials in industry. Brazier C. C. H.), Chem. and Process Engng, 1956, 37, № 5, 149—152 (англ.)

Рассмотрены различные способы транспортировки материалов в хим. пром-сти. Приведены рекомендации по усовершенствованию существующих механич. транспортеров конвейерного и цепного типа. Даны экономич. анализ и обоснование целесообразности замены немеханизированной транспортировки механизированной в случаях мелкосерийного и разового производства. Р. Торнер

**3291 К.** Курс лекций «Процессы и аппараты химической технологии». Сост. Авербух Я. Д., Заостровский Ф. П., Матусевич Л. Н. Уральский политехн. ин-т. Свердловск, 1956, Ч. 1. Механические процессы. Вып. 2, 86 стр., илл.; Ч. 1. То же. Вып. 3, 96 стр., илл.

**3292 К.** Химическое машиноведение для промышленных техникумов. Т. З. Березина, Хаузенбасс, Надь (Vegyipari géptan az ipari technikumok számára. Z. Berézina Frigyes, Hausenblasz Endre, Nagy Iván. Budapest, Műszaki Kiadó, 1956, 264 l., Isk. ára 6 ft.) (венг.)

**3293 К.** Процессы массопереноса. Трейбал (Mass-transfer operations. Treybal Robert Ewald. New York — London, McGraw-Hill, 1955, ix, 666 pp., ill., 71 sh. 6d.) (англ.)

**3294 Д.** Исследование гидродинамики двухкомпонентного слоя при барботаже жидкости через жидкость. Москвичева В. Н. Автореф. дисс. канд. техн. н., Центр. котлотурб. ин-т, Л., 1956

**3295 Д.** Влияние формы поверхности труб на транспортирование мелкозернистого песка по трубам диаметром 12,5 мм. Чеймберлин (Effect of boundary form on fine sand transport in twelve-inch pipes. Chamberlain Adrian Ramond. Doct. diss. Colorado Agric. and Mech. College, 1955). Dissert. Abstrs, 1955, 15, № 12, 2499—2500 (англ.)

**3296 Д.** Интенсификация и механизация процесса фильтрации. Лесский Т. М. Автореф. дисс. канд. техн. н., Моск. технол. ин-т пищ. пром-сти, М., 1956

**3297 Д.** Определение сопротивления при фильтрации по данным о сжимаемости и проницаемости осадка. Коттунц (Prediction of filtration resistance by compression-permeability techniques. Kottwitz Frank Arthur. Abstr. doct. diss., Iowa State Coll., 1955). Iowa State Coll. J. Sci., 1956, 30, № 3, 398—399 (англ.)

По методу измерения сжимаемости и проницаемости на лабор. установке исследованы осадки, состоящие из частиц  $\text{CaCO}_3$ ,  $\text{BaSO}_4$  и  $\text{TiO}_2$ , в пределах давления  $P_m = 0,1 \div 50$  ат, причем уд. сопротивление  $\alpha_p$  осадков изменялось от  $3 \cdot 10^3$  до  $3 \cdot 10^{11}$  сек<sup>2</sup>/кг. Простого общего выражения для функции  $\alpha_p = f(P_m)$  не найдено, однако для каждого осадка установлены одна или более зависимости вида  $\alpha_p = cP_m^r$ , где  $c$  и  $r$  — эмпирич. постоянные. На другой лабор. установке определено  $\alpha_p$  для тех же осадков по методу фильтрации соответствующих суспензий при постоянном  $P_m = 0,5 \div 5$  ат. Установлено, что значения  $\alpha_p$ , полученные по общим методам, хорошо соответствуют один другому для всех осадков. Для вычисления среднего уд. сопротивления  $\alpha_{\text{сред}}$  осадков по данным измерения сжимаемости и проницаемости предложено ур-ние  $\alpha_{\text{сред}} = \frac{P}{\int_0^P \alpha_p dP_m / P}$ .

Результаты опытов по фильтрации, проведенные на заводском вращающемся барабанном фильтре, совпадали с результатами, полученными в лабор. условиях по общим методам. Ю. Дитнерский

**3298 Д.** К вопросу перемешивания вязко-пластичных сред. Ерофеев А. А. Автореф. дисс. канд. техн. н., Казанск. хим.-технол. ин-т, Казань, 1956

**3299 Д.** Исследование теплоотдачи при конденсации и кипении основных компонентов воздуха. Иванов М. Е. Автореф. дисс. канд. техн. н., Моск. ин-т хим. машиностр., М., 1956

**3300 Д.** Теплоотдача при кипении бинарных смесей. Григорьев Л. Н. Автореф. дисс. канд. техн. н., Казанск. хим.-технол. ин-т, Казань, 1956

**3301 Д.** Тепло- и массообмен при кипении растворов в выпарных установках. Сорокин А. Ф. Автореф. дисс. докт. техн. н., Моск. энерг. ин-т, М., 1956

**3302 Д.** Исследование массообмена в ротационном аппарате. Николаев А. М. Автореф. дисс. докт. техн. н., Моск. хим.-технол. ин-т, М., 1956

**3303 П.** Трубчатые осадительные электроды электрофильтра. Уинклер (Rörfilmiga utfallningselektroder vid elektrofilter. Winkler R. G.) [The Air Preheater Corp.]. Швед. пат. 152039, 25.10.55

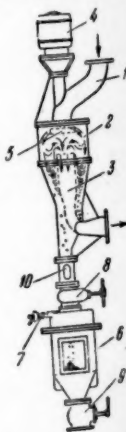
Электрофильтр с трубчатыми осадительными электродами (ТОЭ), установленными параллельно оси его кожуха, и с коронирующими электродами, натянутыми концентрически внутри каждого ТОЭ, отличается тем, что труба ТОЭ состоит из 2 частей, из которых одна плотно входит в другую и при движении действует как скребок. К. Герцфельд

**3304 П.** Аппарат для отделения газов, воздуха и воды от жидких веществ в производственных условиях. Нейрот (Wasser-Gas- und Luftabscheider für Flüssigkeiten, insbesondere Betriebsstoffe. Neuroth Fritz) [Mabag Maschinen- und Apparatebau A.-G.]. Пат. ФРГ 918027, 16.09.54. [Chem. Zbl., 1955, 126, № 22, 5147 (нем.)]

Газы и воздух отделяются от смеси различных материалов посредством двойной спиральной трубообразной оболочки; вода, а также частицы грязи отделяются с помощью губкообразной фильтровальной массы, поглощающей воду (напр., вискозной губки). Н. Баскина

**3305 П.** Устройство для непрерывного отделения загрязнений от волокнистых суспензий (Means for continuously separating heavy impurities from fibrous suspensions) [Voith Ges., J. M.]. Англ. пат. 725369, 2.03.55

Суспензия волокнистого материала (ВМ), содержащая загрязнения в виде частиц со значительным уд. весом, подается через трубопровод 1 в камеру 2, снабженную в нижней части центральной трубой 3 для выхода ВМ. Электродвигатель 4 приводит во вращение сепарационный диск 5, расположенный непосредственно около входа суспензии в камеру. Понадающие на диск частицы загрязнений отбрасываются центробежной силой к периферии камеры и опускаются через ее конич. часть, минуя выходную трубу для ВМ, в приемный сосуд 6. Через кран 7 в 6 поступает вода для отмывки остатков ВМ, увлеченного загрязнениями. С помощью 7, задвижки 8 и затвора 9 работа сепаратора регулируется так, чтобы отмытые ВМ поднимались вверх к верхнему концу трубы 3. Для





контроля движения ВМ служит смотровое стекло 10.

**3306 П. Способ и устройство для снятия осадка с вращающегося барабанного вакуум-фильтра.** Нетцель (Verfahren und Vorrichtung zur Abnahme des Filterkuchens von Drehfiltern. Netzel Gustav). Пат. ФРГ 920 009, 11.11.54 [Chem. Zbl., 1955, 126, № 30, 7052 (нем.)]

Устройство для снятия осадка представляет собой ролик или ленту, поверхность которых при помощи выступов разделена на ячейки. По мере вращения барабанного вакуум-фильтра осадок приводится в соприкосновение с поверхностью съемного устройства и вдавливается внутрь ячеек. При этом осадок разделяется на отдельные плитки, по форме соответствующие ячейкам, и отделяется от фильтрующей перегородки. Затем осадок удаляется из ячеек съемного устройства.

**3307 П. Центробежные сепараторы** (Centrifugal separators) [Standard Oil Development Co.]. Англ. пат. 733 275, 6.07.55

Циклонный сепаратор (ЦС) состоит из прямоугольного ввода 1, корпуса 2, выхлопной трубы 3 и бункера 4 для сбора уловленных твердых частей. Часть выхлопной трубы выполнена в виде усеченного конуса и снабжена по всей поверхности щелями круглой или прямоугольной формы. Сечение щелей составляет 10—50% от общей площади поверхности выхлопной трубы. Щели имеют направляющие для поворота газового потока и отбоя взвешенных в потоке частиц.

При прохождении запыленного газового потока по ЦС его скорость увеличивается за счет уменьшения сечения потока. ЦС может быть оборудован охлаждающим устройством 5, наружная поверхность которого для предотвращения образования на ней кокса либо термически изолируется, либо защищается пленкой масла.

**3308 П. Метод и аппаратура для разделения смесей твердых частиц на фракции по удельному весу** (Method and apparatus for the separation of mixtures of solid particles into fractions according to specific gravity) [Stamicarbon N. V., formerly Maatschappij voor Kolenscheiding Stamicarbon N. V.]. Англ. пат. 726616, 23.03.55

Патентуются две модификации гидростатона (Г), предназначенные для отделения угольной мелочи от густой породы из промывных вод углеобогащательных установок. В первой модификации (рис. А) Г имеет в нижней части корпусную внутреннюю вилку 1, которая предотвращает или уменьшает вынос легких фракций через нижнее отверстие. Воронка 1 укреплена на трубе 2, которая крепится на резьбе к выходной трубе 3

и позволяет Г сообщаться с атмосферой. Во второй модификации (рис. Б) труба 4 Г сообщается с закрытой переливной камерой 5, которая содержит герметически защищенный от воды конический поддонник 6, в который вставлена вертикальная труба воронки 7. В этом случае Г сообщается с атмосферой через трубы 8 и 9. Отвод жидкости, выходящей из Г легкой фракции, осуществляется через трубу 10. Ю. Скоренский

**3309 П. Метод и аппарат для непрерывной обработки гранулированных материалов газами** (Process and apparatus for the continuous treatment of granular materials with gases) [Ruhrchemie A.-G.]. Англ. пат. 730789, 1.06.55

Аппарат состоит из вертикального цилиндрич. корпуса с колосниковой решеткой, которая представляет собой перекрывающие одна другую пластины, зазоры между которыми увеличиваются по направлению к разгрузочному отверстию. Гранулированный материал подается в аппарат сверху, где установлены направляющие пластины, по которым материал сыпается вниз в виде непрерывно скользящего по наклонной поверхности слоя. Вход газа осуществляется через нижний штуцер, выход — через верхний. В. Реутский

**3310 П. Метод обработки гранулированных материалов газами** (Method for the treatment of granular material of gases) [Ruhrchemie A.-G.]. Англ. пат. 739372, 26.10.55

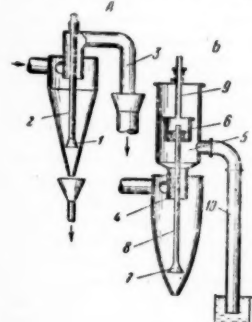
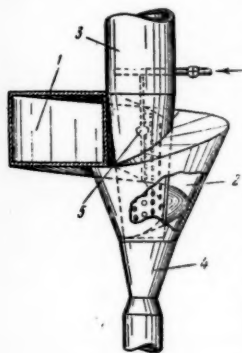
Предложен вертикальный цилиндрич. аппарат (А) для обработки гранулированных материалов газами. Газ поступает в А снизу под решетку, выполненную в виде перевернутого конуса, и выходит сверху А. Материал загружается через патрубков, находящихся в центре верхней крышки А, на наклонную колосниковую решетку, которая не доходит до боковой поверхности А, и уходит по центральной трубе, установленной в центре нижней крышки и одним концом соединенной с герметичной перевернутого конуса. Камера А может быть разделена несколькими наклонными колосниковыми решетками на ряд секций, каждая из которых может иметь самостоятельный вход газа для того, чтобы материал по мере спускания в камеру мог обрабатываться различными газами. При необходимости А может быть оборудован теплообменниками для подогрева или отвода тепла. Предложенный А может быть использован в таких процессах, как окисление руд, прескалание или спекание гипса и др. Кроме того, А может быть применен для осуществления хим. р-ций и процессов адсорбции. В. Реутский

**3311 П. Приспособление для предварительного смешения к устройству для эмульгирования с гидравлическим приводом.** Рэйшле (Vormischvorrichtung für durch das Betriebswasser angetriebenen Emulgier Vorrichtung. Reuschle Walter). Пат. ФРГ 933387, 22.09.55

Предлагается усовершенствование устройства для приготовления эмульсий (типа охлаждающих эмульсий вода — масло), в котором эмульгирование осуществляется с помощью мешалки, пригодной во вращении гидравлич. турбины, куда подаются эмульгируемые жидкости. Усовершенствование заключается в том, что перед поступлением в турбину вода и масло подвергаются предварительному смешению в эжекторе, снабженном приспособлениями для измерения и регулирования расхода компонентов. В. Коган

**3312 П. Газлифт для гранулированных материалов.** Бэрер (Pebble gas lift. Bearer Louis C.) [Phillips Petroleum Co.]. Пат. США 2727792, 20.12.55

Способ регулирования режима работы устройства для подъема гранулированного материала в установке для нагревания последнего заключается в том, что в подъемной трубе, по которой движется поток газа



и увлекаемого им твердого материала, устанавливается дроссельное устройство; с помощью этого устройства из трубы отводится часть движущегося по ней газа. Благодаря этому уменьшается скорость движения гранул и снижается их ударное действие при попадании в сепаратор.

**3313 П.** Нагреватель. Шаубле, Меклер, Пальчик, Богарт (Heater. Schauble Otto C., Mekler Valentine, Palchik Edward H., Bogart Marcel J. P.). Пат. США 2718216, 20.09.55

Нагреватель представляет систему трубок, расположенных в топочной камере, где производится сжигание газообразного топлива. Продукты сгорания выводятся через узкие щелевидные каналы в своде камеры, расположенные вдоль трубок, по которым протекает нагреваемая жидкость. Ширина этих каналов меньше диаметра трубок, вследствие чего трубки омываются газообразными продуктами сгорания. В огнеупорной кладке свода выполнены канавки параболич. профиля, идущие вдоль трубок, вследствие чего тепловое излучение направляется на поверхность трубок.

**3314 П.** Метод охлаждения псевдооживленных слоев (Method of cooling fluidized beds) [Dorr Co.]. Англ. пат. 728980, 27.04.55

Псевдооживленный слой материала, в котором происходит экзотермич. р-ция, охлаждается путем ввода холодных инертных газов в верхнюю часть слоя. Можно использовать частичную рециркуляцию охлажденных в котле-утилизаторе отходящих газов р-ция, напр.  $\text{SO}_2$  в случае обжига сернистых руд.

**3315 П.** Метод разделения многокомпонентных жидких смесей периодической фракционной дистилляцией. Шмаленбах, Пуммер (Verfahren zur Zerlegung von Mehrstoffflüssigkeitsgemischen durch fraktionierte Destillation in diskontinuierlichem Betrieb. Schmalenbach Adolf, Pummer Herbert). [Heinrich Koppers G. m. b. H.]. Пат. ФРГ 936682, 12.01.56

Описан способ разделения многокомпонентных смесей путем периодич. ректификации, обеспечивающий сокращение продолжительности операции. Метод отличается тем, что: 1) по мере отгонки каждой фракции (кроме последней) флегмовое число постепенно увеличивается до бесконечного к концу отгонки фракции; 2) перед отбором промежуточной фракции колонна некоторое время работает с полным возвратом флегмы, благодаря чему остающийся в смеси низкокипящий компонент накапливается на верхних тарелках колонны; 3) для отбора промежуточной фракции дефлегматор отключается и отбор этой фракции производится без возврата флегмы в колонну.

**3316 П.** Устройство для отделения жидкости от паров и газов в колоннах с расположенными друг над другом колпачковыми и туннельными тарелками. Киршбаум (Vorrichtung zur Abscheidung von Flüssigkeit aus Dämpfen und Gasen in Austauschsäulen mit übereinander angeordneten Glocken- und Tunnelböden. Kirschbaum Emil). Пат. ФРГ 933204, 22.09.55

Для уменьшения уноса жидкости в колоннах предлагается устанавливать в пространстве между тарелками параллельно их плоскости отражательные щиты с отогнутыми вниз краями.

**3317 П.** Вакуумная дистилляция. Кейвин, Аккер, Уоддилл (Vacuum distillation. Calvin Victor C., Acker Warren H., Waddill Paul M.). [Phillips Petroleum Co.]. Канад. пат. 518087, 1.11.55

Патентуется процесс вакуумной дистилляции тяжелых нефтяных погонов, который заключается в ис-

парении части жидкой смеси при абс. давл. 3—8 мм рт. ст. и т-ре 315—480° и последующей 3-кратной промывке образовавшихся паров, содержащих капельки увлеченной жидкости, при постепенно понижающихся т-рах. Непарившаяся жидкость подвергается дополнительному фракционированию.

**3318 П.** Диелектрическое нагревание материалов (Dielectric heating of materials) [Metropolitan — Vickers Electrical Co., Ltd.]. Англ. пат. 707799, 21.04.54

Сушка влажного материала (М) происходит при его прохождении сверху вниз по вертикальному каналу 1,

две стенки которого являются электродами 2 и 3, включенными в схему ВЧ-генератора 4. Влажный М подается транспортером 5, приводимым в движение мотором 6, а сухой М отводится транспортером 7, приводимым в движение мотором 8. Моторы 6 и 8 через регуляторы 9 и 10 связаны с 4 так, что в зависимости от интенсивности питания установки ВЧ-нагревания автоматически устанавливается необходимая скорость подачи М, который при этом всегда удаляется с установленной остаточной влажностью.

**3319 П.** Способ разжигания печей с псевдооживленным слоем. Флеш (Verfahren zum Anheizen von Wirbelschichtöfen. Flesch Wilhelm) [Badische Anilin- & Soda-Fabrik A.-G.]. Пат. ФРГ 940650, 22.03.56

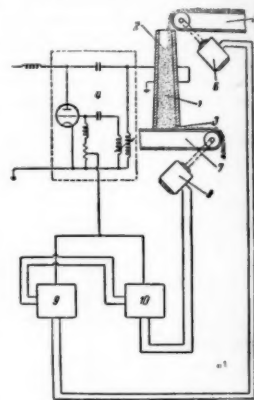
На поверхность покоящегося слоя зернистого материала (ЗМ) в печи (реактор) подается некоторое кол-во раскаленного ЗМ или твердого топлива и в течение нескольких минут сверху вниз продувается воздух. При этом верхняя часть слоя материала сильно разогревается. Затем на несколько секунд направление дутья меняется и воздух (или газы) продувается сквозь ЗМ снизу, вследствие чего он перемещивается и приходит в состояние псевдооживления. Затем воздух снова продувается сверху, пока верхняя часть слоя не раскалится. Подобное изменение направления дутья повторяется многократно. За полчаса удается довести ЗМ до требуемой рабочей т-ры даже в реакторе большого размера.

**3320 П.** Способ и аппаратура для проведения химических и физических процессов при высоких температурах. Вочке (Procédé et dispositif pour la mise en oeuvre de processus chimiques et physiques à hautes températures. Wotschke J.). Франц. пат. 1074022, 30.09.54 [Génie chim., 1955, 73, № 1, 22—23 (франц.)]

Перерабатываемый материал поступает по оси полого электрода и падает на дно вращающейся печи, образуя на дне конус, расширяющийся затем к краям при действии центробежной силы. Отсюда материал поднимается вдоль стенок печи и образует таким образом открытое сверху полое пространство, в котором находится источник лучистой энергии, обуславливающий протекание термич. процесса.

**3321 П.** Инжекционный агрегат для углеводородов (Hydrocarbon injection assembly) [Hercules Powder Co.]. Австрал. пат. 200832, 8.03.56

Агрегат для нагревания жидких реагентов, вводимых в реакционную зону, состоит из тонкостенного



А. Ровинский

эжектора с рубашкой, в которую вводится жидкость из экзотермич. зоны реактора. З. Хаймский.

3322 П. Проведение экзотермических химических реакций. Викаль (Procédé d'exécution de réactions chimiques exothermiques. Wikdahl L.). Франц. пат. 1052598, 26.01.54 [Chem. Zbl., 1955, 126, № 17, 3935 (нем.)]

Предлагается утилизировать выделяющееся тепло экзотермич. р-ций (синтез метанола, окисление натурального газа, пирита, серы и т. д.) путем использования кинетич. энергии образовавшихся газообразных, парообразных или жидких продуктов. Введение газовой турбины (или другого двигателя) с динамомашинной делает возможным преобразование выделяющейся тепловой энергии в электрическую.

В. Гриншпун

3323 П. Устройство для равномерного распределения газа. Невелинг, Шауб, Трам (Vorrichtung zur gleichmäßigen Gasverteilung. Neweling Hans, Schaub Franz, Tramm Heinrich) [Ruhchemie A.-G.]. Пат. ФРГ 898296, 20.10.55

Приспособление для равномерного распределения газа по отдельным контактным трубам печи представляет собой спец. насадок, устанавливаемый на входе газа в каждую контактную трубку и создающий дополнительное сопротивление потоку газа. Сопротивления насадков для труб должны быть равны между собой и превосходить по величине сопротивление потоку, создаваемое контактной массой, находящейся в трубах. Приводятся различные конструкции насадков и способы их крепления на торцах труб. М. Людмирский

См. также: Процессы: гидродинамич. 1891, 1914, 2029, 2783, 2833; тепловые 1622, 1644, 1737, 2830, 2831, 3199, 3336; механич. 1611, 1666; массоперенос 207, 560, 561, 564, 570, 586, 1610, 1612, 1647, 1803, 1804, 2369, 2755, 2850, 2852, 2929, 2957, 3082, 3334, 3348.

## КОНТРОЛЬНО-ИЗМЕРИТЕЛЬНЫЕ ПРИБОРЫ. АВТОМАТИЧЕСКОЕ РЕГУЛИРОВАНИЕ

Редакторы А. М. Дробиз, Н. Я. Феста

3324. Успехи автоматизации. Книг (Investing in automation. King Alexander). Instrum. Practice, 1956, 10, № 7, 606—615 (англ.)

3325. Регулирование процессовступает в новую эру. Ванна, Слейтер (Process control enters a new era. Vannah W. E., Slater L. E.). Industr. and Engng Chem., 1956, 48, № 6, 1000—1001 (англ.)

3326. Автоматические регуляторы в теплотехнике. Рюб (Automatische Regler in der Wärmetechnik. Rübe Friedm und), Progressus, 1956, 23, № D3, 73—77 (нем.)

Принципы построения и назначение отдельных элементов систем автоматич. регулирования. Приводится описание принципа действия и основных технич. характеристик регуляторов расхода и т-ры прямого действия и электрич., пневматич., гидравлич. и электропневматич. регуляторов теплотехнич. параметров непрямого действия, выпускаемых основными приборостроительными фирмами. Указываются области применения и приводятся основные соображения по выбору типа регуляторов с учетом особенностей процесса. М. Людмирский

3327. Производство манометров и водомеров в Чехословакии. Хриштел (Zaistujme hospodárnost výroby správným meraním. Chrástel Št.). Listy cukrovarn., 1956, 72, № 3, 59—60 (словац.)

В Чехословакии производится манометры с пределами измерения 0,6—1600 кг/см<sup>2</sup> и тремя ступенями точности  $\pm 1,5$ —4% и различные водомеры. Промышленные водомеры типа Вольмана рассчитаны на расход 20—3000 м<sup>3</sup>/час и малые на 3—20 м<sup>3</sup>/час при т-ре воды до 30°. Имеются водомеры для горячей воды с т-рой до 100° и давл. 25 атм, спец. котельные водомеры для расхода 10—150 м<sup>3</sup>/час и барабанные для измерения жидкостей без давления в кол-ве 150—7000 л/час, а также комбинированные для меняющихся условий.

Е. Стефановский

3328. К теории коэффициентов расхода дроссельных органов с закругленными входами и труб Вентури. Ривас, Шапиро (On the theory of discharge coefficients for rounded-entrance flowmeters and venturis. Rivas Miguel A., Shapiro Ascher H.). Trans. ASME, 1956, 78, № 3, 489—497, discuss. 497 (англ.)

Вопросы теории расходомерных дроссельных органов с закругленными входами. Выведенные зависимости коэфф. расхода от чисел Рейнольдса подтверждены эксперим. данными для малых величин Re (до 10<sup>6</sup>).

А. Леолов

3329. Коэффициент расхода диафрагмы для псевдопластических жидкостей. Хасэгава (擬塑性流体輸送におけるオリフィス流量計の流出係数. 長谷川猛虎). 化学工学, Kagaku kokaku, Chem. Engng (Japan), 1956, 20, № 2, 50—54 (япон.; рез. англ.)

Проведено эксперим. исследование движения заваренного крахмала через диафрагму, установленную в трубе диам. 1,25 мм. В результате исследования предлагаются ур-ния для расчета коэфф. расхода диафрагмы при движении псевдопластических жидкостей.

С. Крашенинников

3330. Анализ работы термосопротивлений в системе теплового контроля, основанный на использовании релейного эффекта. Павлова Г. Н., Шефтель Н. Т., Автоматика и телемеханика, 1956, 17, № 6, 549—558

На основе анализа условий работы термосопротивлений рассмотрены различные способы регулировки схем теплового контроля. Их сравнение показало, что наилучшим способом является регулировка т-ры срабатывания за счет изменения величины подгоночного сопротивления, шунтирующего термосопротивление. В этом случае для термосопротивлений с разбросом по величине сопротивления в  $\pm 25\%$  может быть сохранена одна и та же величина приложенного напряжения. Фактич. т-ра, при которой происходит срабатывание реле, отличается от расчетной в среднем на  $\pm 0,2^\circ$ . Т-ра срабатывания может быть изменена путем изменения величины напряжения. Описана методика определения величины подгоночных сопротивлений графич. и эксперим. путем.

М. Людмирский

3331. Контроль влажности газа. — (Closer check on gas dryness—), Chem. Engng, 1956, 63, № 5, 236, 238, 240 (англ.)

Описан новый прибор для контроля влажности газов. Датчик прибора состоит из двух камер с осушителями, в которые помещены слан термостолбика. Измеряемый газ входит в ячейку датчика двумя потоками, причем один из потоков предварительно осушается внешним осушительным устройством. За счет теплоты сорбции и десорбции получается разность т-р обеих камер, вызывающая э. д. с. термостолбика. По истечении 4 мин. камеры переключаются газовым переключателем. На выходе датчика получается переменное напряжение с частотой 0,25 пер/мин, выпрямленное и измеренное пиковым вольтметром. Шкала прибора 100 млн. долей. Чувствительность достигает 0,25 млн. долей. Точность прибора ограничивается уровнем помех и погрешностью калибровки до 1 млн. долей. На пока-



зания прибора влияют те компоненты газовой смеси, которые поглощаются осушителем датчика. И. Ихлов  
**3332.** Промышленное измерение и регулирование величины pH. — (Industrielle pH - Messung und Regelung. —), Chem. Rundschau, 1956, 9, № 13, 295—296 (нем.)

Указываются области промышленного измерения величины pH. Для удобства обслуживания и уменьшения погрешностей сравнительный и измерительный электроды pH-метров монтируются в одном погружном (при измерениях pH в реакторах или сточных водах) или проточном блоке-датчике. Для улучшения динамики процесса регулирования pH регуляторы имеют дифференцирующее звено. М. Людмирский

**3333.** Автоматическое регулирование непрерывной дистилляции. Вильямс, Харнетт, Роз (Automatic control in continuous distillation. Williams Theodore J., Harnett Robert T., Rose Arthur), Industr. and Engng Chem., 1956, 48, № 6, 1008—1019 (англ.)

Рассматривается влияние конструкции колонны и изменения расхода питания на возможность ее регулирования, указывается выбор оптимальной точки отбора и анализируется связь точки отбора импульса с динамикой регулирования колонны. Приведены структурная и технологич. схемы процесса дистилляции, диаграммы переходного режима для различных возмущений и кривые для выбора настроечных данных регуляторов. Даются рекомендации по выбору регулируемых параметров. И. Ихлов

**3334.** Скорость достижения стационарного состояния режима в дистилляционной колонне. Джексон, Пигфорд (Rate of approach to steady state by distillation column. Jackson Robert F., Pigford Robert L.), Industr. and Engng Chem., 1956, 48, № 6, 1020—1026 (англ.)

Приводится вывод у-ний динамики процесса и пример расчета времени достижения 90 и 99% от нормальной конц-ии продукта дистилляционной колонны после ее пуска. И. Ихлов

**3335.** Отбор пробы и характеристики регулирования колонны отделения пентана, регулируемой по анализу состава. Берджер, Шорт (Sampling and control characteristics of analysis-controlled pentane fractionator. Berger D. E., Short G. R.), Industr. and Engng Chem., 1956, 48, № 6, 1027—1030 (англ.)

Для автоматич. регулирования процесса отделения изопентана установлен дифференциальный автоматич. рефрактометр фирмы Consolidated — Phillips с диапазоном измерения 0,0012 N, что при 99%-ном изопентане в качестве сравнительной жидкости соответствует диапазону 77—100% изопентана в нормальном пентане. Отбор пробы для анализа производится с десятой тарелки колонны. Приведена технологич. схема процесса разделения с указанием точек контроля и автоматич. регулирования. Даны диаграммы переходного режима процесса при различных его возмущениях. И. Ихлов

**3336.** Расчет динамики концентрических трубчатых теплообменников. Мозли (Predicting dynamics of concentric pipe heat exchangers. Mozley J. M.), Industr. and Engng Chem., 1956, 48, № 6, 1035—1041 (англ.)

Приводится расчет динамики трубчатого концентрического теплообменника и электрич. схема соответствующего аналога. Для сравнения приводятся амплитудно-частотные и фазо-частотные характеристики этого аналога и эксперим. данные, полученные на модели теплообменника. Модель построена из труб диам. 25 и 38 мм, длиной 5 м. Для подачи на вход системы синусоидальных изменений t-ры был построен спец. гене-

ратор. Расчетные и эксперим. характеристики хорошо совпадают между собой и с характеристиками электрич. аналога. И. Ихлов

**3337.** Определение частотных характеристик пневматического регулятора. Хауген, Лиэ (Determination of pneumatic controller characteristics by frequency response. Høugen Joel O., Lees Sidney), Industr. and Engng Chem., 1956, 48, № 6, 1053—1063 (англ.)

Проведены исследования пневматич. регулятора фирмы Leeds & Northrup Speedomax модели S, серии 49. Даны принципиальные и структурные схемы этого регулятора и математич. анализ его динамики, а также амплитудно-частотные и фазо-частотные характеристики регулятора при разных его настройках. Определены чувствительности прямого тракта и тракта обратной связи. И. Ихлов

**3338.** Анализ динамики системы регулирования температуры воздухоподогревателя. Цосс, Голлин, Иделман (Dynamic response analysis of air heater temperature control system. Zoss Leslie M., Gollin Norman W., Edelman Robert I.), Industr. and Engng Chem., 1956, 48, № 6, 1069—1073 (англ.)

Приведена технологич. схема воздухоподогревателя с указанием точек контроля и регулирования. Даны у-ния для расчета постоянных времени системы регулирования. Сравняются логарифмич. частотные характеристики системы, полученные эксперим. и расчетным путем. И. Ихлов

**3339.** Терминология и стандартная классификация клапанов с приводом. — (Standard classification and terminology for power-actuated valves. —), Instrum. and Automat., 1956, 29, № 5, 898—900 (англ.)

**3340.** Терминология, относящаяся к регулирующим клапанам. Уошберн, Милем (Terminology of control valves. Washburn W. D., Milham Russell), Instrum. and Automat., 1956, 29, № 5, 901—903 (англ.)

**3341.** Автоматизация перестраивающегося процесса. Коллендер (Instrumentation for a "plug-in" process. Collender E. H.), ISA Journal, 1956, 3, № 6, 184—187 (англ.)

Разработана установка, состоящая из ряда стандартных аппаратов, которые могут посредством гибких шлангов переключаться для получения различных технологич. схем. Автоматизация этой установки осуществлена при помощи пневматич. регуляторов отдельных стандартных элементов (колонн ректификации, кипятильников и т. п.). Вторичные малогабаритные приборы этих регуляторов установлены на щите управления, где они сгруппированы на символич. изображениях соответствующих аппаратов. Изменение технологич. схемы процесса производится за одни сутки. Для пневматич. коммутации применен многоканальный «кабель» с трубками из пластмассы. Спец. фитинги позволяют присоединить 71 прибор, установленный на щите, за 2 чел.-дня. И. Ихлов

**3342.** Пневматическая телепередача. Менаже (Les transmetteurs pneumatiques. Ménager P.), Mesures et contrôle industr., 1956, 21, № 227, 255—257 (франц.)

Описаны два типа пневматич. телепередачи. Разработаны многоканальные системы с числом импульсных трубок от 2 до 100. Материал трубок — пластмасса. Они выпускаются в катушках наподобие кабеля. З. Хаимский

**3343.** Автоматическая учетно-печатающая система. Марморстон (Automatic logging and computation system. Marmorstone Robert J.), Chem. Engng Progr., 1956, 52, № 6, 221—227 (англ.)

Автоматическая учетно-печатающая система (АС) предназначена для ведения журнала значений параметров (П) процесса. Печать журнала цифровая. Чтобы обеспечить наилучший контроль процесса, П группируются соответствующим образом (напр., по агрегатам). Для большей наглядности П, не соответствующие нормальному режиму, печатаются красным цветом. В нормальных условиях печатается среднее значение П за час. Возможно получение данных по требованию. Для отдельных П (расход) печатается также среднее значение или суммарное значение за сутки. АС состоит из следующих основных программных устройств: 1) устройство, определяющее место печати сведений; 2) искатель, определяющий измеряемый П, а также производящий необходимые проверки, стандартизации и т. д.; 3) устройство, определяющее цвет печати, печать времени, возврат каретки и т. п. Значение измеряемого П преобразовывается измерительным преобразователем в электрич. или пневматич. величину, а затем измерительным устройством, в угол поворота оси или определенный отрезок времени, причем в случае необходимости производится линеаризация характеристики. Полученный сигнал превращается в десятичный и кодируется для управления печатающей машинкой. Одновременно сигналы, определяющие значение П, сравниваются в сигнальном устройстве со стандартными сигналами заданных значений, в результате чего получают импульсы, вызывающие при отклонениях от нормы запись нарушений режима. Приведены схемы спрямления характеристик измерительных устройств, а также произведения математич. операций: умножения, возведения в квадрат, извлечения квадратного корня и интегрирования значений П. Показан образец записанного АС листа журнала. Дальнейшее развитие АС предполагается в сторону подачи полученных кодированных сигналов на счетно-решающее устройство для управления процессом. И. Ихлов

**3344. Счетно-решающая машина для расчета трубопроводных сетей.** Бойер (The McIlroy pipeline network analyzer. Boyer H. M.), Instrum. and Automat., 1956, 29, № 5, 928—929 (англ.)

Для расчета распределенных трубопроводов разработана спец. счетно-решающая машина (СМ), основанная на методе электрич. аналогий. Так как в ур-нии гидравлич. систем сопротивление линий входит в степени, близкой к 1,85, то для построения электронных аналогов применены спец. нелинейные сопротивления, вводящие в закон Ома указанную степень. Для произведения расчетов схема трубопровода коммутируется на платах СМ, а нагрузка моделируется соответствующими величинами и направлениями электрич. тока. СМ позволяет одновременно оперировать с 500 секций трубопроводов, 225 нагрузками и 36 источниками.

И. Ихлов  
**3345. Автоматическое регулирование угольных мельниц.** Ланин В. С., Цемент, 1956, № 2, 17—21  
Приводится система автоматич. регулирования угольных паровых мельниц с применением электронных регуляторов системы ЭР, осваиваемая на Белгород-

ском цементном з-де. В качестве регулирующего импульса принимается соотношение перепадов на мельнице и на измерительной диафрагме, установленной после циклона. Установлены регуляторы загрузки, т-ры и расхода сушильного агента. Регулирование работы мельниц — автономное, не согласованное с работой печей. Такая система оправдывается при централизованном приготовлении угольной пыли. Для индивидуального выдеприготовления более целесообразна загрузка мельниц, согласованная с режимом потребления топлива вращающейся печью. Приводится схема и описание загрузки мельниц по уровню пыли в промежуточном бункере (между мельницей и вращающейся печью). Е. Штейн

**3346. Проблемы, разрешаемые электронной машинкой.** Шнейдер, Райт (Operating problems yield to electronic brain. Schneider J. C., Wright B. G.), Oil and Gas J., 1956, 54, № 50, 168—170 (англ.)

Для решения ряда технологич. задач нефтяной промышленности используется малая электронная счетно-решающая машина, в которой задание выполняется с помощью перфорированных карточек. Расчет процесса получения пропана из нефтяного газа требует 5 час. (через машину пропускается 5000 карточек) вместо 3—5 дней при использовании обычных счетных машин. Методом последовательного приближения этой же машинкой можно рассчитать т-ры вспышки паров, для чего необходимо пропустить через машину 1600 карточек. И. Ихлов

**3347 П. Пневматический регулятор расхода газа.** Конклинг (Pneumatically operated gas flow control apparatus. Conkling William C.) [Wallace & Tiernan Inc.]. Пат. США 2715417, 16. 08. 55

Регулятор расхода газа поплавкового типа отличается кинематикой, связывающей поплавок с регулирующим устройством. И. Ихлов

**3348 П. Система регулирования дистилляции.** Берджер (Distillation control system. Berger Donald E.) [Phillips Petroleum Co.]. Пат. США, 2709678, 31.05.55

Система регулирования процесса дистилляции по анализу выходящего продукта, причем отбор пробы для анализа производится в нескольких точках колонны. Для переключения точек отбора предусмотрено спец. переключающее устройство. И. Ихлов

**3349 П. Газоотборное устройство с водяным охлаждением.** Джонсон (Water-cooled gas sampling device. Johnson James A.) [The American Metal Co. Ltd.]. Пат. США 2731832, 24. 01. 56

Для охлаждения пробы газа, отбираемой для анализа из металлоплавильных печей и т. п., предлагается водяной холодильник, состоящий из трех концентрич. труб. Для компенсации тепловых расширений холодильник при помощи сальникового уплотнения крепится к нижнему концу центральной газовой трубы. И. Ихлов

См. также: Контроль состава 1554, 1627, 1828, 2768, 2835, 2849, 3039. Контроль общетехнич. параметров 1637, 1741, 2844, 2891, 2971.

## ТЕХНИКА БЕЗОПАСНОСТИ. САНИТАРНАЯ ТЕХНИКА

Редакторы Н. Ф. Кононов, И. В. Саноцкий

**3350. Химические вещества, вызывающие профессиональный рак.** Трюо (Les substances chimiques, agents de cancers professionnels. T r u o H a u t R e n é), Arch. malad. profess., 1954, 15, № 6, 431—470 (франц.)  
Обзор. Излагается история открытия канцероген-

ного действия хим. в-в. Приводится классификация соединений, вызывающих рак. Описана зависимость возникновения профессионального рака от путей поступления этих в-в в организм, суммарной дозы, режима питания и др. Библ. 274 назв. С. Яворовская

**3351. К вопросу о заболеваниях профессиональным раком.** Мозенже (A propos des cancers professionnels. Mosinger M.), Arch. malad. profess., 1954, 15, № 6, 471—475 (франц.)

Изложены взгляды на развитие профессионального рака в зависимости от дозы специфич. хим. раздражителей и др. факторов. Подчеркивается особенно сильное канцерогенное действие диметиламиноазобензола и 9,10-диметил-1,2-бензантрацена. С. Яворовская

**3352. Влияние малых количеств окиси углерода на некоторые функции человеческого организма в условиях хронического отравления.** Девятка Д. Г., Врачебное дело, 1955, № 4, 341—344

Установлено, что при открытом сжигании природного газа в воздухе производственных помещений накапливается СО (0,06—0,12 мг/л). У 69% из 303 обследованных работников этих помещений к концу рабочего дня было определено снижение максим. артериального давления, у 63% — повышение миним., у 77,9% — понижение пульсового давления (у женщин несколько чаще, чем у мужчин), у 67,7% — замедление пульса. Кол-во гемоглобина уменьшалось в среднем на 2,7%. В среднем 33% гемоглобина к концу работы оказывалось блокированным СО. Рабочие жаловались на головные боли, вялость, ослабление памяти и т. д. В то же время отмечены явления привыкания к СО. Рекомендовано запретить открытое сжигание природного газа при отсутствии местной вытяжной вентиляции. Г. Дикарева

**3353. Исследования хронических отравлений окисью углерода на газовых заводах г. Цюриха.** Борбелли (Untersuchungen im Gaswerk der Stadt Zürich in Schlieren über die chronische Kohlenoxydvergiftung. Borbély Franz), Monatsbull. Schweiz. Verein Gas-und Wasserfachmännern, 1955, 35, № 6, 139—144 (нем.)

Приводятся некоторые данные о заболеваемости, потере трудоспособности и смертности рабочих газовых заводов в Цюрихе в сравнении с Базелем (за 21 год в Базеле умерло 38% первоначального кол-ва рабочих, в Цюрихе 31%). Отмечено увеличение кол-ва заболеваний хронич. бронхитом, 10-кратное увеличение случаев рака дыхательных путей и цитовидной железы. Хронич. отравлений СО не отмечено. Считают, что при кол-ве карбокси-гемоглобина в крови < 10% заболевания не могут возникнуть. Предлагаются предварительные и периодич. медицинские осмотры, технич. мероприятия по уменьшению загрязнения производственной атмосферы. Предыдущее сообщение см. РЖХим, 1956, 45826.

И. Санопский

**3354. Профилактика хронической интоксикации окисью углерода на заводах искусственного жидкого топлива.** Григорьев З. Э., Врачебное дело, 1956, № 2, 175—178

Было установлено, что в воздухе рабочих помещений заводов искусств. жидкого топлива конц-ии СО нередко превышают предельно допустимые. Рабочие из этих помещений в 1,5 раза чаще обращаются за медицинской помощью, чем рабочие других цехов. При медицинском обследовании 232 человек отмечено увеличение кол-ва различных жалоб, обнаружен вегетоастенич. синдром (у 35,5% мужчин и 58,9% женщин), миокардиодистрофия, гипертонич. болезнь т. п. (у 25,3% мужчин и 22,1% женщин), изменения со стороны органов дыхания (у 22,9% мужчин и 7,4% женщин), отмечено некоторое снижение содержания гемоглобина и кол-ва эритроцитов в крови, повышение содержания карбокси-гемоглобина. Предложено установить периодич. медицинский осмотр, модернизировать оборудование, улучшить контроль за соблюдением режима технологии, а также принять меры по улучшению вентиляции. Г. Дикарева

**3355. Техника безопасности при электролитическом хромировании металлов.** Ганслиан (Nebezpečí při elektrolytickém chromování kovů. Hanslian Lubomir), Bezpečn. a hyg. práce, 1955, 5, № 5, 141—144 (чеш.)

При электролитич. хромировании металлов на электродах выделяются  $H_2$  и  $O_2$  (возможно образование взрывчатых смесей), увлекающие с собою в воздух мельчайшие капли электролита. При действии тумана электролита ( $CrO_3$  и  $H_2SO_4$ ) у рабочих наблюдались ожоги кожи (особенно между пальцами, на сгибах, вокруг ногтевого ложа), изъязвления слизистой оболочки полости носа (нередко с прободением носовой перегородки), конъюнктивит, заболевания дыхательных путей, реже — желудка и двенадцатиперстной кишки, кахексия. В качестве мер профилактики рекомендуется установка местных отсосов у ванн, хорошая организация общей приточно-вытяжной вентиляции, установка кранов с водой для обмывания кожи и глаз в случае попадания на них электролита. З. Бобырь

**3356. Пары органических веществ.** Колман (Organic vapors. Coleman Allan L.), Amer. Industr. Hyg. Assoc. Quart., 1955, 16, № 1, 28—30 (англ.)

Кратко рассмотрены возможные пути установлении предельно допустимых конц-ий (ПДК) вредных паров органич. в-в в воздухе производственных помещений. Дано обоснование необходимости ежегодного издания перечня предварительных («экспериментальных») ПДК наряду с основным списком ПДК, одобренным Американской конференцией правительственных промышлен-ных гигиенистов. Г. Дикарева

**3357. Техника безопасности при гигиене труда на нефтеперегонных заводах.** Джирелли (Sicurezza ed igiene nelle raffinerie di petrolio. Girelli Alberto), Securitas, 1955, 40, № 3, 131—139 (итал.; рез. англ., нем.)

Углеводороды различного характера, содержащиеся в нефти и ее продуктах, могут вызывать поражения нервной системы (головные боли, головокружения, коматозные или возбужденные состояния и др.), болезни кожи (дерматиты, злокачественные опухоли), слизистых оболочек (расстройства питания, конъюнктивит), крови. Описаны симптомы отравлений, меры первой помощи. В качестве мер профилактики рекомендуется ношение защитной одежды, респираторов, регулярное обмывание тела горячей водой с мылом, смазывание рук ланолиновыми мазями, периодические медицинские осмотры. В цехах необходимо установить достаточную вентиляцию, дежурство медицинских работников. З. Бобырь

**3358. Основные вопросы гигиены труда при каталитическом крекинге нефти.** Фонгауз М. И. (Probleme le fundamentele de igiena a muncii la cracarea catalitica a petrolului. Fongauz M. I.), An. Rom.-Sov Ser. igiena și organiz. sanit., 1954, 8, № 4, 14—18 (рум.). Перевод См. РЖХим, 1955, 30369.

**3359. Техника безопасности на нефтеперегонном заводе.** Романо (L'opera della sicurezza in una raffineria di petrolio. Romano Roberto), Securitas, 1955, 40, № 1, 22—30 (итал.; рез. англ., франц., нем.)

Рассмотрены мероприятия по технике безопасности на нефтеперегонном заводе фирмы Сокопи в Неаполе. З. Бобырь

**3360. Профессиональные дерматиты в арсеналах и на военных заводах.** Керагангаль-дез-Эссар (Les dermatoses professionnelles dans les arsenaux et établissements industriels des forces armées. Q. e. r. angal des Essarts M. J.), Arch. malad. profess., 1955, 16, № 4 bis, S 112—S 117 (франц.). Число профессиональных дерматитов на военных заводах возрастает, благодаря применению нитро- и хлор-



производных ароматич. углеводородов, ароматич. аминов и их нитропроизводных, нитрофенолов, гидроксила, хлорацетона, нитрогуанидина, гремучей ртути. Конгресс правительственных промышленных гигиенистов США в 1953 г. установил для паров некоторых из этих в-в следующие предельно допустимые концентрации в воздухе: (в  $\text{мг/м}^3$ ): динитротолуол 1,5, тринитротолуол 1,5, трихлорнафталин 5. К профилактич. мероприятиям отнесены меры индивидуальной защиты (ношение фартуков, обуви, рукавиц и очков), применение для мытья кожи высококачественных моющих средств. При работах с тетрилом рекомендуется применение мыл-индикаторов с розово-фиолетовыми окрашиваниями пены в присутствии тетрила. С. Яворовская

**3361. Определение содержания формальдегида в воздухе.** Мак-Дональд (Formaldehyde in air. A specific field test. MacDonald William E., Jr., Amer. Industr. Hyg. Assoc. Quart., 1954, 15, № 3, 217—219 (англ.))

**3362. Профессиональные вредности в производстве синтетического каучука и их профилактика.** П. Покровский В. А., Гигиена и санитария, 1954, № 7, 22—26

Приведены предельно допустимые концентрации ( $\text{мг/л}$ ) в воздухе производственных помещений наиболее токсичных в-в, употребляемых в произ-ве синтетич. каучуков (акрилонитрил, ацетальдегид, дивинил, дишлортан, псевдобутилен, стирол и пр.), и рекомендованы меры, предупреждающие хронич. отравления и острые интоксикации, вызываемые этими в-вами. Сообщение I см. РЖХим, 1955, 1575. И. Лекае

**3363. Контроль над загрязнением воздуха.** Маллетт (Air-pollution control. Mallett Frederick S., Instn Mech. Engrs, 1954, 168, № 22, 595—627 (англ.))

Помимо вопросов, изложенных в статье того же автора (РЖХим, 1955, 30877), освещаются также проблемы борьбы с загрязнением воздуха газами предприятий черной металлургии, хим. и резиновой пром-сти. Библи. 60 назв. Г. Рабинович

**3364. Промышленные пыли. Проблема свободного кремнезема.** Прюво (Les poussières industrielles. Le problème de la silice libre. Pruvot P.), Ingrs et techniciens, 1954, № 62, 25, 27, 29, 31; № 63, 45, 47 (франц.)

Рассмотрены распространение и свойства существующих форм кристаллич. и аморфной  $\text{SiO}_2$ , ее гидратной формы и минералогич. ее разновидности. Указывается, что болезнетворным агентом, вызывающим силикоз, является мелкодисперсный ( $>5\mu$ ) кварц. Гель  $\text{SiO}_2$  не вызывает силикоза. Кратко изложены пьезоэлектрич. и хим. теории патогенеза силикоза. Методы определения вредной разновидности и концентрации  $\text{SiO}_2$  должны позволять выявлять лишь частицы  $<5\mu$  и  $\text{SiO}_2$  в виде кварца отдельно от других ее модификаций. Описаны существующие хим. методы: Тростеля и Винна, Кюпфа, метод  $\text{BF}_3\text{H}$ ; физич. методы: петрографич., дифференциальный термич. и рентгеноструктурный анализы. Отмечается, что в стадии разработки находится два новых метода: пьезоэлектрич. и радиоактивный. См. также РЖХим, 1955, 39393. В. Злочевский

**3365. Оседание аэрозолей в атмосферном воздухе г. Баку и их санитарно-гигиеническое значение.** Эфенди-заде М. М., Штейнгарт Д. М. (Баки полхэрини атмосфер наваасында чокан аэрозоллар ва оларын санитария-кикеник эомиййети. Эфенди-заде М. М., Штейнгарт Д. М.), Азерб. тибб ж., 1955, № 1, 5—10 (азерб.), 67—71 (рус.). Загрязнение воздушного бассейна Баку обуславливается как выбросами промышленных предприятий, так и характером почвы и климатич. условиями. Максимум загрязненности наблюдается в летнее время. Оседание аэрозолей содержит в пересчете на окислы (в %):  $\text{SiO}_2$  39,6,  $\text{CaO}$  20,95,  $\text{Fe}_2\text{O}_3$  8,03,  $\text{Na}_2\text{O}$  4,84,  $\text{Al}_2\text{O}_3$  2,63 и др. Отмечена зависимость между степенью загрязнения воздуха и заболеваемостью населения ларинготрахеитом и бронхитом. Для борьбы с загрязненностью воздуха рекомендуется устроить лесопарковые защитные зоны вокруг города (особенно в наиболее загрязненных районах), увеличить зеленую площадь внутри городского кольца, замостить площади и улицы на окраине города и проводить систематич. уборку и поливку улиц. Б. Товбин

**3366. Обеспыливание в керамическом производстве.** III. Леву (Notion sur le dépoussiérage dans l'industrie céramique. III. Levy J. P.), Ind. céram., 1954, № 457, 262—269 (франц.)

Рассмотрена проблема пылеулавливания в произ-ве керамич. изделий. Приведено описание конструкций различных пылеуловителей (сухих и мокрых ударного действия, матерчатых фильтров, электрофильтров и пр.). Предложен выбор воздухопроводов системы вытяжной вентиляции и приведен пример подсчета сопротивлений воздухопроводов. Описана установка вентиляционного агрегата, обслуживающего дезинтеграторы и бегуны в цехе огнеупоров. Показано, что наиболее опасными в отношении заболевания рабочих силикозом являются произ-ва фаянса и фарфора. Сообщение II см. РЖХим, 1955, 33701. В. Злочевский

**3367. Количественные определения пыли на фарфоровых заводах при помощи кониметра.** Шмидт, Бек (Konimetrische Staubmengenbestimmungen in Porzellanfabriken. Schmidt Bernh., Beck H.-U.) Z. Hyg. und Infektionskrankh., 1955, 142, № 2, 163—176 (нем.)

Определение пыли в атмосфере цехов фарфорового з-да производилось при помощи кониметра. Оценка загрязненности устанавливалась путем подсчета числа частиц (Ч) пыли в 1 л воздуха. Подсчет Ч проводился посредством вмонтированного в кониметр микроскопа при 200-кратном увеличении и ярком равномерном освещении. Для определения среднего содержания Ч проводились многочисленные параллельные опыты. Среднее кол-во Ч в 1 л воздуха колебалось в пределах 33—145 в зависимости от размеров цеха. Рекомендованы мероприятия по борьбе с загрязненностью на фарфоровых з-дах. Б. Товбин

**3368. Очистка дымов электрофильтрами.** Миникато (Depurazione dei fumi con particolare riguardo alla precipitazione elettrostatica. Minicato Gianni), Quaderni studi e notizie, 1953, 9, № 161, 877—881 (итал.)

См. РЖХим, 1955, 8798.

**3369. Пожароопасность и взрывоопасность синтетических пылевидных красителей и грампластмасс в пылевидном состоянии и меры борьбы со взрывами.** Товбин Б. А., Сб. тр. кафедры техники безопасности 1953—1955. Моск. ин-т хим. машиностр. М., 1956, 70—93

Исследовались факторы, влияющие на взрывчатость пыли (II) (степень дисперсности, хим. активность между газом и в-вом, электризация II, характер источника воспламенения, влажность II, состав и влажность воздуха). Описана эксперим. установка и методика проведения опытов. Определены коэфф. распыления, нижние пределы взрыва аэрозвесей, т-ры их воспламенения и условия их самовозгорания. Дана классификация II по степени пожаро- и взрывоопасности. Перечислены мероприятия по борьбе со взрывами на предприятиях. М. Фишбейн

**3370. О возможности воспламенения нефтяных паров и газов от механических искр.** Зайченко В. Н., Гельфанд Е. А., Тр. Всес. н.-и. ин-та по техн. безопасности, 1956, № 9, 64—80

Исследовалось воспламенение паров нефтепродуктов и газов (бензина прямой перегонки, крекинг-бензина, бензола, газов прямой перегонки нефти, газов пиролиза нефтепродуктов, естественных нефтяных газов, пропана, пропилена и водорода) от искр, возникающих при ударе стали о сталь, стали о чугун и стали о кремнь, при прохождении смесей паров и газов с воздухом при исследуемом температурном режиме с миним. скоростью, необходимой для поддержания постоянной концентрации взрывчатой смеси. Приведены значения верхних и нижних пределов воспламенения и т-ры воспламенения смесей. М. Фишбейн

**3371. Огнеопасность и взрывоопасность веществ, применяемых в парфюмерной и химической промышленности. Товбин Б. А.**, Сб. тр. кафедры техники безопасности 1953—1955. Моск. ин-т хим. машиностр. М., 1956, 5—24

Исследовалась огне- и взрывоопасность в-в, применяемых в парфюмерной и хим. пром-сти. Описана аппаратура и методика проведения опытов. Определены т-ры вспышки и воспламенения, упругости паров, пределы взрываемости в-в с т-рой вспышки до 45°. Показана зависимость от т-ры упругости паров в-в с т-рой вспышки 28° и ниже при соотношении паровой и жидкой фаз 2:3 и даны нижние пределы их взрываемости (эксперим. и расчетные). Приведена классификация синтетич. душистых в-в по их пожароопасности. М. Фишбейн

**3372. Определение условий воспламенения смесей нефтяных паров и газов с воздухом. Зайченко В. Н., Али-Заде З. А., Маношко В. Н.**, Тр. Всес. н.-и. ин-та по техн. безопасности, 1956, № 9, 81—90

Определялись нижние и верхние пределы воспламенения смесей естественных и искусств. (газы крекинга и пиролиза) нефтяных газов с воздухом, а также т-ра воспламенения смесей при инициировании его раскаленными проволоками и определены также периоды задержек воспламенения при различных т-рах. М. Фишбейн

**3373. Предупреждение взрывов газа в производстве. Забетакис Д. Джонс** (The prevention of industrial gas explosion disasters. Zabetakis M. G., Jones G. W.), Chem. Engng. Progr., 1955, 51, № 9, 411—414 (англ.)

Пределы воспламенения горючих газов зависят от степени разбавления их  $O_2$ , воздухом,  $Cl_2$  и др., а также от т-ры и давления газовой смеси. Приведена ф-ла, при помощи которой можно определить нижние пределы воспламенения смесей газов, если известны пределы воспламенения каждого компонента при определенных т-ре и давлении. К числу мероприятий по устранению взрывов относится контроль содержания  $O_2$  в газовых смесях. Установлено, что смесь  $C_2H_4-CO_2$ -воздух, содержащая менее 14%  $O_2$ , не распространяет пламени. Б. Товбин

**3374. Технические мероприятия для повышения безопасности при переработке динамитных смесей. Казали** (Recenti applicazioni tecniche per una maggiore sicurezza nella lavorazione degli impasti per dinamite. Casali Din o), Securitas, 1955, 40, № 1, 7—9 (итал.; рез. англ., нем., франц.)

Описаны мероприятия по технике безопасности труда на динамитном з-де в Авельяне (Италия). Наиболее опасная операция — смешивание ингредиентов и желатинирование — происходит в железобетонном подвале без участия обслуживающего персонала. Управление и наблюдение ведутся дистанционно, с помощью приборов, в том числе телевизора, обеспечивающего постоянный эффективный и безопасный контроль. З. Бобырь

**3375. Последствия взрыва баллона с метаном, вызванного механическими причинами или коррозией металла. Тревиссо** (Effetti dello scoppio di bombole di metano per cause meccaniche o per corrosione del materiale: Tentativo di calcolo della distanza del vertice della traiettoria percorsa da una scheggia di bombola di dimensioni medie. Trevisso Carlo), Boll. scient. Fac. chim. industr. Bologna, 1953, 11, № 2, 27—32 (итал.)

Произведен расчет зоны действия осколков, образующихся при взрыве баллона с метаном под давл. 200 атм. Определена начальная скорость осколков средней величины, равная 175 м/сек, и высота траектории полета осколков в зависимости от угла их вылета при взрыве баллона. Ю. Малышев

**3376. Проектирование производств, перерабатывающих газы при высоких давлениях. Лонга** (Misura di sicurezza in sede di progettazione per un impianto ove si trattano gas ad elevatissima pressione. Longa Luigi), Securitas, 1955, 40, № 1, 20—21 (итал.; рез. англ., франц., нем.)

При проектировании з-да фирмы Монтекатини предупреждается возможность возникновения пожаров и взрывов, могущих произойти вследствие утечки сжатых горючих газов. С этой целью цехи з-да запроектированы достаточно обширными и снабжены усиленной вентиляцией; окна и световые фонари делаются больших размеров и выполняются из легких материалов. Прокладка магистральных газопроводов осуществлена вне зданий. Некоторые цехи разделены на отсеки железобетонными переборками и над аппаратурой сделана легкая выносная кровля. В наиболее опасных местах расположены автоматически действующие огнетушители. Предусмотрена также возможность разбавления горючих газов в газгольдерах азотом. З. Бобырь

**3377. Проект новых правил сооружения и эксплуатации кислородных установок. Шуберт-Магер** (Entwurf der neuen Vorschriften für den Bau und Betrieb von Sauerstoffwerken. Schubert-Mager Walter), Chem. Technik, 1955, 7, № 9, 509—510 (нем.)

Обсуждается проект новых правил сооружения и эксплуатации кислородных установок с точки зрения обеспечения безопасности процесса. В. Коган

**3378. Исследования в области подбора материалов, составления расчетов и разработки конструкций противовзрывных мембран. Кронов Н. А.**, Сб. тр. кафедры техники безопасности 1953—1955. Моск. ин-т хим. машиностр. М., 1956, 199—218

Описаны типы предохранительных пластин (П) и материалы, применяемые для изготовления разрывных дисков. Приведены расчеты предохранительных П. Разработана конструкция предохранительной П для полимеризатора з-да синтетич. каучука и найдена зависимость разрушающего действия давления предохранительных П от конструкции крепления П, ее формы, характера приложения нагрузки, толщины, диаметра и материала П. Даны расчетные ф-лы для определения разрушающих давлений на П при испытании их на разрыв. М. Фишбейн

**3379. Неправильное расположение трубопроводов и предохранительных устройств к ним на химических и энергетических предприятиях как причины производственных аварий. Кёлер** (Fehlerhafte Rohrleitungsführung und Sicherung in chemischen und energietechnischen Produktionsbetrieben als Ursache von Betriebsunfällen und Schäden verschiedener Art. Köhler Curt), Chem. Technik, 1956, 8, № 4, 224—231 (нем.)

Приведены описания различных видов защиты от коррозии и эрозии трубопроводов с целью увеличения срока их службы и снижения эксплуатационных рас-

ходов. Неправильный монтаж системы трубопроводов может повести к авариям и к несчастным случаям. Приведены схемы неправильно смонтированных систем и описаны последствия такого монтажа. Я. Дозорец

**3380. Воздушное отопление фабричных и складских помещений.** Мюрман (Luftheizungen für Fabrikations- und Lagerräume. Mürman H.), Sanit. Technik, 1956, 21, № 5, 194—197 (нем.)

Описываются системы воздушного отопления производственных помещений. Проведено сравнение эксплуатации центральных систем и индивидуальных воздухоподогревателей различных конструкций. Приводятся описания воздухоподогревателей, в которых применяются различные теплоносители. Я. Дозорец

**3381. Удаление пара из производственных помещений.** Томасия (Un nou sistem de îndepărtare a vaporilor din sălile de fabricație. Tomasiu E.), Rev. ind. aliment. prod. vegetale, 1955, № 5, 23 (рум.)

Описана установка, служащая для удаления пара с поверхности открытых выпарных аппаратов (А), применяемых на пищевых предприятиях. Над А устанавливается зонт, снабженный выступающей над крышей вытяжной трубой. Воздух, нагреваемый паровой рубашкой А, устремляется под зонт и увлекает с собой пары, образующиеся на открытой поверхности А.

Я. Матлис

**3382. Экспериментальное исследование низизационной предохранительной аппаратуры для газовых горелок.** Тезио (Esame sperimentale di una apparecchiatura di sicurezza a ionizzazione per bruciatori di gas. Tesio Manlio), Termotecnica, 1955, 9, № 3, 102—107 (итал.)

Дана схема электрич. устройства для контроля работы газовых горелок, в которой токовыпрямляющие свойства пламени использованы в системе реле, автоматически гасящей и зажигающей сигнальные лампы и отключающей подачу газа в случае угасания пламени. Одно из устройств снабжено электрич. свечой для автоматич. зажигания газа при угасании пламени. З. Бобырь

**3383. Аппаратура по технике безопасности на выставке Achema XI.** — (Unfallverhütung und Arbeitsschutz an der Achema XI. — Chem. Rundschau, 1955, 8, № 13, 274—276 (нем.)

Кратко описана аппаратура по технике безопасности, демонстрируемая на выставке во Франкфурте-на-Майне: предохранительный вентиль для цистерн с горючим; прибор для определения опасных конц-ий вредных газов и паров, построенный на принципе различной скорости диффузии газов через пористые стенки; предохранительная лампа Деви, укрепленная на поплавке (используется для установления опасных конц-ий газов

в тесных помещениях); аппарат для искусств. дыхания; полумаска, снабженная фильтрами, для защиты органов дыхания от тонкодисперсной пыли, а также паров некоторых органич. р-рителей; морозо- и огнестойкие перчатки из искусств. резины, препятствующие хим. и механич. повреждениям кожи; прибор для безопасного перемещения к-т и щелочей; защитная аппаратура, применяемая при работе с взрывоопасными в-вами. Б. Товбин

**3384 П. Прибор для обработки воздуха.** Ферго (Appareil pour le traitement de l'air. Fergot A.). Франц. пат. 1090314, 29. 03. 55 [Génie chim., 1955, 74, № 3, 92 (франц.)]

Прибор содержит фильтры из пластич. материалов, не поддающихся действию к-т. Фильтры пропитываются в-вами для освобождения воздуха от вредных примесей (нерастворимых и растворимых, жидких и газообразных). Прибор включает также рефрижератор, теплообменник и аспиратор, что обеспечивает нагревание, охлаждение и очистку воздуха. Н. Соловьева

**3385 П. Способ уменьшения осаждаемости пыли.** Пенни (Verfahren zur Verminderung des Niederschlagens von Staub. Penney Gaylord W.). [Westinghouse Electric Corp.]. Пат. ФРГ 904405, 18. 02. 54 [Chem. Zbl., 1955, 126, № 1, 180 (нем.)]

Для уменьшения осаждаемости электрически заряженных частиц (Ч) пыли на стенах и потолке помещения, куда подается воздух, очищаемый в электростатич. пылеосадителях, последний перед очисткой разделяется на 2 (или более) потока, очищаемых отдельно. Остающиеся после очистки Ч обладают в разных потоках зарядами противоположной полярности, которые при смешивании потоков (до или после ввода их в помещение) нейтрализуются, и Ч оседают под действием силы тяжести. Ю. Скорецкий

**3386 П. Усовершенствование очистителей.** (Perfectionnement aux épurateurs) [Aktiebolaget Svenska Flaktfabriken]. Франц. пат. 1077665, 10. 11. 54 [Génie chim., 1955, 73, № 6, 179 (франц.)]

Удаляемый из сушилки воздух при прохождении его через очиститель пропускается при помощи распределительных устройств или сифонов через змеевик, подогревая при этом циркулирующую в системе воду, тепло которой далее используется, напр., для подогрева воздуха в местной вентиляционной системе. Н. Соловьева

См. также: Отравления и др. травмы и борьба с ними 1322, 1324; 1068Бх, 1106Бх, 1108—1114Бх, 1116—1120Бх, 1123Бх; Борьба с запыленностью 3252, 3254, 3258, 3259.



## НОВЫЕ КНИГИ, ПОСТУПИВШИЕ В РЕДАКЦИЮ

**Справочник химика. Том I. Часть научная. Изд. 3-е.**  
Фед. Болль (Memento du chimiste I. — Partie scienti-  
fique. 3-e éd. Réd. Boll Marcel. Paris, Danod, 1957,  
762 p.) (Франц.)

Часть I. Математические таблицы. Измерения.

Таблицы логарифмов, таблица обратных величин, степеней, корней и т. п. для чисел 1—100; системы и единицы измерений, иностранные меры, ошибки измерения, универсальные константы, денсиметрия, барометрия, термометрия.

## Часть 2. Свойства элементов.

Классификация, атомные ядра, изотопы, ядерная химия, электронные орбиты, валентности, диаметры атомов и ионов.

Часть 3. Константы чистых веществ и минералов.

Структура кристаллов и молекул, различные состояния водорода, таблицы свойств неорганических соединений, органических соединений и минералов.

#### Часть 4. Молекулярные свойства.

Поверхностное натяжение и парахор, вязкость, фильтрование, теплопроводность, термическое расширение, теплоемкость, теплота плавления, теплота испарения, критические константы, давление пара.

Часть 5. Теплоты и свободные энергии реакций. Химические равновесия. Скорости реакций. Горение.

## Часть 6. Оптические данные.

Спектральный анализ, спектры комбинационного рассеяния, флуоресценция, рефракция, оптическая активность, сахариметрия.

Часть 7. Электрические и магнитные данные.

Дигольные моменты, электропроводность чистых металлов, термопары, электролиз, проводимость электролитов, электролитическая диссоциация, подвижности и чиста переноса, теплоты образования ионов, pH и  $\mu$ H, магнитная восприимчивость простых веществ и химических соединений, ферромагнетизм.

Часть 8. Сплавы. Растворы. Коллоиды.

Растворимость, плотность, поверхностное натяжение, вязкость растворов.

Часть 9. Аналитическая химия.

Качественный анализ, весовой анализ, электроанализ, объемный анализ, газометрия.

## Часть 10. Разные рецепты.

Карманные справочники Дюно. Химия. Изд. 66-е. Ред. Д. Тумаркия

Ж у с с е. Том I. Измерения. Физические константы химических соединений. Том II. Свойства и характеристики органических веществ. Том III. Неорганическая химия. Анализ неорганических и органических веществ. (Aide-mémoire Dunod. Chimie. 66-e éd. Joushet J. Paris, Dunod, 1957. T. I. Mesures. Constantes physiques des corps chimiques. LXXII, 208. LXIV p. T. II. Propriétés et caractéristiques des corps organiques. 255. LXIV p. T. III. Chimie minérale. Analyse minérale et analyse organique. XXXI, 209. LXIV p.) (Франц.)

Справочник предназначен для студентов, химиков, инженеров, работников промышленности, фармацевтов, учащихся технических учебных заведений.

Д. Тумаркин

# АВТОРСКИЙ УКАЗАТЕЛЬ

## А

Абдуллаев Х. М. 721  
Абрамова Л. А. 1498  
Абрамова Т. М. 3231  
Абрамович Ю. М. 716  
Абрамян А. В. 735  
Абс С. 1411 П  
Аванесова А. М. 620  
Авербух Я. Д. 3291 К  
Агладзе Р. И. 519  
Агранат А. Л. 2613  
Агрест Ф. Е. 1216  
Аласи 3228  
Алати 2917  
Алати 2959  
Анамилзана 2864  
Акиба 3113  
Акига 2485  
Акияма 2917  
Александров А. И. 707  
Александров Г. А. 613 Д  
Александров С. Н. 1238  
Аленианя Р. 423  
Алексеев Ю. И. 653  
Алексеевко В. И. 1122  
Алемайкин Ф. М. 283  
Алешин С. Н. 502  
Алиев Д. А. 1956  
Али-Заде З. А. 3372  
Алиатов М. С. 1264  
Алямовский И. Г. 3069  
Амано 1244  
Ангерт Л. Г. 2392  
Андо 2864  
Андреев Ю. Н. 554  
Андрянов К. А. 950  
Андрянова Т. И. 452  
Андреевский А. И. 262, 265, 275  
Апикеев А. В. 1667  
Апфимов А. 3169  
Ао 1638  
Аояма 838  
Аракана 1290  
Аракана 1339  
Арбузов Б. А. 956, 962  
Арбузова И. А. 845  
Арефьева М. М. 3069  
Аронович В. В. 2849  
Артасасова Н. П. 2731  
Архангельский Д. Н. 2728

Архаров В. И. 209, 210  
Архинов М. И. 511  
Асандей Н. 2689  
Асахара 1680  
Асо 2843, 3010  
Асташева В. А. 2911  
Атанасян Е. 423  
Атауа К. 1111  
Афанасьев А. Н. 1584  
Афанасьев Н. А. 1397

## Б

Бабин Г. 3085  
Бабин П. Н. 570  
Бабичев Ф. С. 942  
Багатуров С. А. 3277  
Багдасаров Х. С. 284  
Багдасарян С. С. 389  
Бадамян Х. А. 3141  
Балашева Н. А. 2661  
Банант В. 797, 798  
Баклагин А. И. 1941  
Балаян А. М. 3227, 3233  
Балезин С. А. 40  
Барабанова А. С. 1449  
Баранов В. И. 699  
Баранов К. А. 745  
Барановский Н. В. 3035  
Барочина Б. Я. 2731  
Бару А. З. 3143 Д  
Беганская Л. С. 2986  
Беззубов А. Д. 3139  
Беленький Н. 3088  
Белов Н. В. 183  
Белоглазов К. Ф. 580  
Бенин Г. С. 2820  
Беньковский В. Г. 1919  
Берг Л. Г. 351, 354  
Бергман А. Г. 371, 372  
Беридзе Г. И. 2908  
Берман Я. П. 756  
Берх М. С. 3144 Д  
Бешков М. Н. 2954  
Блязиков Г. 344  
Блинов Л. Ф. 3136  
Бобровник Д. П. 729  
Бовтуна Е. П. 3074  
Боденхеймер 1557  
Бокарев К. С. 898  
Болингадзе Л. С. 1728  
Болотин А. Е. 54  
Большанов К. А. 370

Большов В. Г. 268  
Бондаренко Н. И. 550 Д  
Борисов В. М. 1397  
Бородкин В. Ф. 2226  
Ботвинкин О. К. 1560 К  
Бразджюнас П. П. 237  
Брандт В. Н. 3084  
Браунфельд 1557  
Брольский А. И. 3231  
Броновицкая В. П. 938  
Броуде В. Л. 91  
Бурксер Е. С. 1193  
Бурксер Л. Е. 759  
Бусиловский С. А. 2912  
Буслаев Ю. А. 380  
Бутт Ю. М. 1698  
Бърлиев А. 2271

## В

Вада 579  
Вада 2480  
Вайншток П. 1699  
Вальшихина Е. П. 715  
Ван Бао-жюнь 1100  
Ван Нюй-синь 13  
Варакан В. 1665  
Василенский К. И. 2818  
Васильев Р. Ф. 411—413  
Васильева В. Н. 970  
Ватанабэ 1674  
Ватанабэ 2858  
Ватаран 2917  
Веллер В. А. 3213  
Вернер Д. А. 842  
Веск Н. И. 3367  
Вильдфлуш Р. Г. 1595 Д  
Вилянский И. Л. 2833  
Винник М. И. 489, 1545  
Виткина М. А. 1219  
Власова А. А. 1450  
Восеводский В. В. 390  
Вольнский Н. П. 1954  
Вольменау Н. А. 968  
Воробьев А. Л. 741  
Воскобойников М. Е. 732  
Воскресенский С. К. 1445  
Высоцкий З. З. 450  
Вон Чжон-янь 1962 Д

## Г

Гаврилов Н. И. 920  
Гагирова Э. 1458  
Гаев И. С. 362  
Галанин Н. Ф. 2946  
Галахов Ф. Я. 368  
Галонов П. П. 1264  
Гальская А. 339  
Гао Сю-ся 1198  
Гаркунов Д. Н. 1521  
Гарлинская Е. И. 3139  
Гаряжа В. Т. 2834  
Гельбштейн А. И. 485, 488  
Гельфанд Е. А. 3370  
Герасимов М. А. 2909, 2912  
Герин 3101  
Герович М. А. 526  
Гецева Р. В. 711  
Гилладов М. Г. 2909  
Гинзбург И. И. 743  
Гюоргадае Е. 15  
Глаголев А. А. 1635  
Гладковский В. А. 215  
Гладушенко В. А. 371  
Глебова Т. В. 1578  
Глиманенко Д. Л. 1763 К  
Глудина Н. И. 1276  
Глуховцев В. Г. 948  
Головкин Н. А. 2946, 3069  
Голубева М. С. 372  
Гольдман Е. 3092  
Гораздовский Т. Я. 307  
Горбачева В. О. 2738  
Горизонтова Т. Н. 2201  
Городецкая Л. А. 2727  
Городынский А. В. 518  
Горюнов Ю. В. 559  
Гото 878  
Гото 1169  
Гото 1230  
Гранаткина М. Ф. 3075  
Гречин Н. П. 956  
Григорьев З. Э. 3354  
Григорьев Л. Н. 3300 Д  
Гридина М. М. 3074  
Грищенко А. Д. 3044  
Груздев В. А. 2718  
Грунина Т. И. 3075

Грязнов В. П. 2852  
Гу И-дун 1188  
Гуль В. Е. 2395  
Гуляева Л. И. 1897  
Гуреев А. А. 1948  
Гурова М. И. 1636  
Гурьянова Е. Н. 970  
Густов В. Ф. 1760  
Гуськова В. Н. 1788  
Гуськова Л. В. 486

## Д

Давиденков Л. Р. 941  
Далин М. А. 455  
Данган М. Т. 823  
Данилова С. Г. 1698  
Деятка Д. Г. 3352  
Деттгаренко Я. А. 1245  
Демкина Л. И. 1565  
Демчук Г. С. 2832  
Деревенских Л. В. 393  
Дернак Ф. А. 366  
Дерев Н. К. 1578  
Дерябина Е. Н. 3055  
Динамбазова Т. 1407  
Джанашия Г. И. 3192 Д  
Джиния С. И. 1389  
Дибров Г. 1610  
Доброхотов Н. Н. 36  
Доброцветов Е. Н. 341  
Добрянский А. Ф. 1898  
Додакин В. А. 2395  
Дои 1287  
Дольберг Е. Е. 940  
Дубовицкий А. М. 1447  
Дуброво Г. Б. 3070  
Дуброво С. К. 1567  
Дуриница О. И. 923  
Дытнерский Ю. И. 1894

## Е

Евстрофьев К. С. 1564  
Евтушенко В. А. 1175 Д  
Елагин Г. Я. 1446  
Елисеева Г. Д. 1193  
Емельянов А. Г. 2215  
Енинев Э. Х. 526  
Ерафеев Б. В. 1034  
Еркова Л. Н. 315  
Ермакова В. А. 1678  
Ерофеев А. А. 3298 Д  
Ерофеева Е. А. 1748 Д  
Ерохин А. 1592

# Авторы указатель

Ефимов И. И. 2662  
Эфендизаде М. М. 3365

## Ж

Жарнова М. А. 2707  
Жердеева Л. Г. 1922  
Жечева Д. 2271  
Жигалович В. Ф.  
1749 Д  
Жузе Т. П. 504  
Жукова Е. Н. 2290  
Жучкова Н. Г. 2718

## З

Завьялов А. П. 1498  
Завьялова Н. Н. 2724  
Загайнова Л. С. 549 Д  
Заина И. 1613  
Зайковский Ф. В. 1229  
Зайцев В. П. 3099  
Зайченко В. Н. 3370,  
3372  
Заостровский Ф. П.  
3291 К  
Захаркин Л. И. 800  
Зашквара В. Г. 1893  
Зворыкин В. В. 2844  
Звягин Б. М. 1905  
Земборан К. 339  
Зильберман Е. Н. 655  
Златопольская Ю. Д.  
2758  
Зонова Е. А. 2211

## И

Иван 1674  
Иванура 808  
Иванов А. И. 3222  
Иванов А. Н. 502  
Иванов А. Ф. 1448  
Иванов В. К. 3264  
Иванов М. Е. 3209 Д  
Иванов П. А. 2621  
Иванова Т. А. 1393  
Ивашенко Л. И. 672  
Иверонова В. Н. 167  
Игнатъев Г. 24  
Инда 1203  
Инда 93  
Инда 2865  
Икено Р. 1440 П  
Икенов 1244  
Иман С. 1429 П  
Имаода 129  
Имото 1099  
Имото 2389  
Иноуэ 2398  
Ионасс А. А. 1444  
Ионатамишвили Т. В.  
519  
Иосима 2083 П  
Ипатьев В. В. 3205  
Исидзани 1255  
Исосима Т. 2084 П  
Исраелова Г. С. 3233 К  
Иссин 856-859  
Исемура 615  
Итиан 1556  
Ито 947  
Ито 1272  
Ито М. 1395 П

Иути 1289  
Ишутина М. А. 2853

## П

Поноко 1247  
Поридаан 338  
Посида 1030  
Посини 1686  
Посикава 1263  
Посимура 1290  
Посиона С. 1751 П  
Поцудзана 947

## К

Кабановский Я. 3108  
Кабачник М. И. 390, 958  
Кавагути 2415  
Кавана 361  
Каване М. 1536 П  
Кавасиро 1015  
Каверина Н. И. 1196  
Кавнатская Б. С. 1446  
Каганович Р. И. 526  
Каданер Л. И. 517  
Кадзи К. 1440 П  
Кадзикава 1742  
Кадои 2715  
Казарян П. Е. 1403  
Кайсер Л. 1699  
Кайя Х. 3238 П  
Какабадзе В. М. 1393  
Канихана 1213  
Каковский И. А. 581  
Канэми 2303  
Калайтан Е. Н. 1947  
Каламкова 2728  
Камай Г. 961  
Камбара 2397  
Камимори 1244  
Каминер Л. В. 34 К  
Канамото 946  
Канатомо 93  
Канугити Ц. 1392 П  
Капустин А. П. 284  
Капустинский А. Ф.  
195, 329, 330  
Каранетов К. А. 3227  
Каранетян Г. О. 1349  
Карелин Н. Н. 265  
Карпейский М. Я. 848  
Карумидзе З. А. 1389  
Касимов А. Ф. 3248  
Катаева Л. М. 143  
Катасе 1623  
Като 1262  
Кафаров В. В. 1894  
Кашельсон А. А. 167  
Кашперский В. Г. 1900  
Кидо 2715  
Кизуб И. А. 1121  
Кинуги 1262  
Кильман Я. И. 1447  
Киносита 1187  
Кипершлан З. Ф. 2731  
Кирик С. 3062  
Кириллин В. А. 331  
Киркова Е. 344  
Кирсанов А. В. 960  
Киселев А. В. 582  
Киселева В. Л. 1515  
Киселева В. П. 2722

Киселева К. Г. 1121  
Кисель И. И. 1689  
Китагава 2344  
Китмакер И. С. 2853  
Кишвинский З. Н. 2912  
Клименков В. С. 2718  
Климович Е. А. 1545  
Климов А. Н. 2290  
Кобаяси 338  
Кобаяси 1230  
Кобаяси Х. 1419 П  
Коваленко О. Д. 866  
Ковальова А. Г. 2793  
Кога 2415  
Когановский А. М. 1798  
Кода 867  
Кода 1357  
Козин Н. И. 2758  
Козинский Н. Ф. 1634  
Козлов М. П. 2191  
Козьмина Н. П. 3140  
Койдзуми 483  
Кокиэ 1187  
Колесник А. А. 2997  
Колесниченко Ю. М. 366  
Колмаков А. И. 14  
Колтунов В. С. 403  
Комарова Н. Н. 2853  
Коману 1262  
Коно 2403  
Конозено К. Д. 256  
Конокутин Г. С. 3096  
Конопкина З. И. 379  
Константинова О. И.  
2730  
Конькова З. С. 2730  
Копейкин А. А. 1626  
Копылова В. Д. 593  
Корейман И. М. 1224  
Корецкая А. И. 2709,  
2720  
Корниенко Т. П. 451  
Корнилов Б. Е. 3142 Д  
Корнилов И. И. 365  
Корнилович Ю. Е. 1730  
Косино 1155  
Котина В. Е. 2718  
Коттрелл Т. Л. 153  
Кочетков Н. К. 848  
Кочешков К. А. 953, 954  
Красильникова Е. А.  
992 Д  
Красновский А. А. 468  
Красноухова О. В. 34 К  
Красовицкий Б. М. 866  
Краус М. 797, 798  
Крешков А. П. 1276  
Кривоглаз М. А. 229  
Кривой М. И. 1636  
Крипьянович П. J. 213  
Кристал М. А. 205  
Кроль Б. Б. 1922  
Кронов Н. А. 3378  
Круглов Р. Н. 489  
Крылов Е. И. 653, 659  
Крылов О. В. 448  
Кубоня 2917  
Кувада Ц. 1441 П  
Кудра О. К. 518  
Кудрявцев Г. И. 2707  
Кудрявцев П. И. 3246  
Кузенов Е. 3088

Кузнецов В. И. 1186  
Кузнецов Н. Д. 3220  
Кузьмин П. П. 1400  
Кузьминский А. С. 2392  
Кузьминских И. Н. 3283  
Куколев Г. В. 432  
Кулев Л. П. 2201  
Кулешов П. Я. 3253  
Кулик И. И. 1894  
Кульберг Л. М. 1184  
Кульбин О. Г. 366  
Кульский Л. А. 1798,  
1800  
Кунитоми 1406  
Куно 2917  
Куприянов В. 1708  
Куприянов С. Е. 470  
Курияма 2725  
Курияма 2864  
Кухтенко И. И. 759

## Л

Лаблер Л. 1041  
Лаврентьев С. 1733  
Лазарев А. И. 1236  
Лазаревский А. А. 2777  
Ламбрев Б. К. 2954  
Ланин В. С. 3345  
Ланета Д. Д. 2933 Д  
Лашин Б. М. 485  
Ларионов Ю. А. 1215  
Лашхи А. Д. 2860  
Лебедев В. А. 381  
Лебедев И. И. 2212  
Лебедева В. К. 573  
Лев Е. М. 2728  
Левин Л. И. 54  
Левинсон И. Б. 54  
Лешенков И. Н. 351  
Лернер С. 1670  
Лесквич Т. М. 3296 Д  
Лещинский М. Ю. 1696  
Либберман А. 1737  
Лившиц М. С. 2626  
Лилли А. В. 1322  
Лиюкумович Л. 1610  
Липаева Г. А. 271  
Липатов Н. 3029  
Липилина И. И. 330  
Липис Б. В. 2934 Д  
Лифшиц И. М. 190  
Лобанов Н. 1608  
Лобачева Н. Б. 1900  
Лонкина Г. С. 1234  
Лосинов Б. В. 1196  
Лотман И. 1683  
Лу Цая-си 142  
Лю Ши-ань 1333  
Лю Ю-чон 760  
Ляхович И. 1670

## М

Магат Л. М. 367  
Магидсон О. Ю. 915  
Майер Л. М. 1890  
Майорова Т. П. 1678  
Манаров С. З. 381  
Манарова В. И. 34 К  
Мани 1197  
Маккей Х. А. Ц. 641  
Маклепова Н. В. 1110  
Малахова Г. П. 1238

Малинин В. М. 1466  
Малиновский М. С. 907  
Мальвинский А. 1324  
Мамедалиев Ю. Г. 455  
Мамедли М. Г. 1961 К  
Мамедов Т. И. 455  
Мамонтов К. А. 1802  
Мантани 1254  
Манюшко В. Н. 3372  
Мардешев С. 209, 210  
Маркина В. Ю. 642  
Маркузе К. М. 2194  
Мархлевич К. И. 2346  
Масахара К. 3150 П  
Масима 579  
Мастрюкова Т. А. 958  
Матвеев М. А. 1498  
Матвеева А. В. 1110  
Матусевич Л. Н. 3291 К  
Матюшкина А. П. 2662  
Мауер Ф. М. 1498  
Машевич Р. М. 2202  
Мацурава Ф. 1441 П  
Мацузани 2681  
Мацузана К. 1384 П  
Мацуи 2837  
Мацумото 1263  
Мацумото 1295  
Мацуо 2837  
Мацусиро 946  
Мапухаси 3104  
Мачавариани Н. Д. 2910  
Машнев В. С. 292 Д  
Маэнава 1262  
Медведев С. С. 1110  
Медведева Л. Н. 845  
Медников Ф. А. 2613  
Меженный Я. Ф. 383  
Мельвилленко Д. Т. 1585  
Мельников Н. И. 898  
Мигицкая Н. З. 3227  
Мидзузава 2343  
Минальевичус М. П. 237  
Миндлухия Г. П. 759  
Микуниский А. С. 3264  
Минасан М. А. 2754  
Минскер К. С. 769, 1148  
Мирнин И. А. 403  
Миронов В. Ф. 755, 948  
Митрофанов С. И. 580  
Михайлов Б. Г. 12  
Михайлов Б. М. 901, 938  
Михайлов И. Г. 482  
Михайлов М. 2684  
Михайлов Н. В. 2724,  
2735, 2738  
Михайлов Н. П. 1636  
Михайловичина А. А. 842  
Михальченко В. А.  
1668  
Михантьев В. И. 911  
Михара 2525  
Михеева В. И. 642  
Ми Хуай-Син 19  
Мишустин И. У. 1122  
Миюгава 1155  
Мияги 1289  
Миядзани 537, 538  
Миясана 75  
Михновский С. Д. 256  
Мидкевич Н. 1034  
Могилевский Е. М. 2741



# Авторский указатель

Могильный Е. А. 2828  
Могутон С. И. 2661  
Молот Л. А. 1184  
Молчанов И. В. 2772  
Монгайт И. Л. 1846  
Моргун Г. Е. 907  
Мордкивич М. С. 3006, 3136  
Мори 1098  
Мори 2858  
Морита 2401  
Москаленко В. А. 191  
Москвичева В. Н. 3294 Д  
Мотоба 1254  
Мотонаги 857  
Мочалов К. Н. 59  
Мураману 1187  
Мурасо 1213  
Муро 1177  
Муткало Л. К. 978 Д  
Муткина М. Г. 674

## Н

Наган 878  
Наган 1680  
Нагано 1255  
Нагасака 1591  
Нагахара 2972  
Назаренко Ю. П. 677  
Накагоси 3110  
Накамура 2336  
Накано 1199  
Накао Г. 1430 П  
Накасима С. 1419 П  
Наметкин С. С. 898  
Населенко Н. П. 1803  
Негреев В. Ф. 3227  
Неймарк И. Е. 584  
Неклюдова Г. 1727  
Несменнов А. Н. 800, 968  
Нинмура 658  
Нини 1177  
Никитин Е. К. 1258  
Никитина А. И. 3074  
Никова З. С. 2902  
Николаев А. М. 3302 Д  
Николаев Б. А. 2986  
Николаев В. А. 334  
Николаев Н. С. 380  
Николаева Н. С. 2714  
Николаева С. С. 2732  
Никольшина Л. Ф. 3074  
Нисимура 875  
Ничипоренко С. П. 1561 К  
Ниязова 3101  
Новоковский М. С. 674  
Новичкова Е. А. 1908  
Нозаки 1168  
Нома Х. 1536 П  
Номура 3018  
Номура 2906  
Носенко Б. М. 1325  
Носкова Н. П. 367

## О

Огилалов Т. 1658  
Ода 1168  
Ода К. 1395 П  
Однинец В. А. 950  
Ои 1237

Ока Х. 2085 П  
Окада Т. 1536 П  
Окамото 2189  
Окамура 1159  
Окамура 2716  
Оку 2190  
Ольшанова К. М. 592, 601  
Ольшванг Д. Е. 3227  
Оранский Н. И. 2225  
Орлов И. И. 2658  
Орлова А. В. 2735  
Орлова Г. М. 3205  
Островский И. А. 724  
Ота М. 2112 П  
Отани 3104  
Охара 2906  
Ощеповский В. В. 1245  
Ояма 1638

## П

Павлова Г. И. 3330  
Пальм В. А. 487  
Панов Е. М. 953, 954  
Панова В. Е. 665  
Панченко И. Д. 536  
Парфенов Г. С. 40  
Пасовская Г. Б. 1218  
Пашев И. П. 2954  
Певцов Г. А. 61  
Перельман А. И. 746  
Переяслова Д. Г. 866  
Петелина В. С. 1900  
Петров А. Д. 948, 963  
Петров П. Н. 1526 Д  
Петрова Р. Г. 920  
Петровский Ю. В. 3275  
Петрусенко П. 2684  
Пешков В. П. 301  
Пилипенко А. Т. 672  
Пильщикова П. В. 34 К  
Плоткина С. А. 845  
Плюшкина Е. З. 2754  
Поволоцкий Л. И. 1450  
Подногин А. К. 723  
Подчайнова В. Н. 659  
Пожарская Л. 3088  
Покровский В. А. 3362  
Поликарпова В. А. 710  
Полищук С. А. 1942  
Полонская Л. А. 756  
Поляков М. В. 450, 451, 4521  
Поминов И. С. 495  
Пономарева Е. Н. 1258  
Пономаренко Б. В. 1288  
Попов В. Д. 2830, 2831  
Попов В. И. 741  
Попова В. Т. 3074  
Попова Л. П. 1689  
Понпел Э. 2689  
Порай-Косиц Б. А. 941  
Постников Н. Н. 1444  
Потанина В. А. 1922  
Потапова М. А. 601  
Потемкина В. Г. 1224  
Потоцкая Г. В. 1584  
Приб О. А. 349  
Прилежасва Е. Н. 958  
Прихотко А. Ф. 91  
Прицен Л. Г. 1572  
Продайвода Н. Е. 1585

Пронякова В. М. 2797 Д  
Простосердов Н. А. 2916  
Прохоров А. В. 2662  
Прошкин А. А. 1928  
Пузанова Л. 1670  
Пулинье 1646  
Пумпянский И. М. 2388  
Пурцеладзе Х. Г. 1389  
Пылаева Е. Н. 365  
Пышкина Н. И. 1897

## Р

Рабинович Б. Я. 385  
Рабинович М. А. 1636  
Разуваев Г. А. 769, 1148  
Райнес М. М. 1215  
Рамина Е. А. 2626  
Рассонская И. С. 351  
Ратьковский Р. 1665  
Раукас Г. М. 1906  
Раутман Г. Н. 2233  
Рафф Е. Л. 59  
Рашкович Л. Н. 1698  
Ревзин Л. С. 1325  
Регирер С. А. 307  
Рендель Т. И. 841  
Ржанов А. В. 250  
Ривный Б. С. 1747 Д  
Ристин П. 726  
Ровинская Т. М. 1798  
Рогинский С. З. 562  
Роговин З. А. 2727  
Роде Т. В. 369  
Ролзаевская В. 1943  
Родионов К. П. 215  
Романд Н. А. 841  
Романцевич М. К. 990 Д  
Роскин Е. С. 1116  
Россошинский А. А. 3216  
Рубан Н. Н. 1965 Д  
Рукенштейн Е. 3282  
Руманова И. М. 183  
Рыбак Б. М. 1955  
Рыбинский М. И. 1798  
Рыкова Е. И. 2956  
Рябидина В. 3088  
Рюнда Л. Я. 1964 Д  
Рютон Д. Г. 3072  
Рябчиков Д. И. 659, 1236

## С

Саблина З. А. 1948  
Савинов Б. Г. 842  
Самойлова О. Д. 962  
Самедзима 2303  
Сандулова А. В. 265, 275  
Санни П. И. 959  
Сапонников Я. Ю. 1893  
Саркисан А. 423  
Сарона Т. 1034  
Сасаи 2343  
Сасаи 1213  
Сато 1263  
Сато 3010  
Сато 3120  
Саэгуа 1168  
Свентицкий Н. С. 1264  
Свердлин А. С. 156

Сен-Жам Р. 1376  
Сергеева Т. В. 2777  
Сергеевич В. И. 504  
Сергиенко С. Р. 1960  
Сибасани 2843  
Сибасани 3010  
Сидорова К. Е. 354  
Сийба 2411  
Симаноути 64  
Симидзу 2190  
Симидзу 2917  
Симидзу 3110  
Сяминеску К. 2689  
Симова В. 1407  
Симхович З. И. 432  
Синодана М. 1757 П  
Син Сан-Гун 155  
Син Ци-и 947  
Сирани 1623  
Ситидэн 2854  
Сканави Г. И. 271  
Скляров В. А. 911  
Скрамтаев Б. Г. 1681  
Скурхин И. М. 2913  
Слисаренко Ф. А. 574  
Сметанкина Н. П. 989 Д  
Смирнов Н. И. 3255  
Смирнов П. И. 1800  
Смирнова М. М. 655  
Смолина Л. Е. 1885  
Снарский В. В. 159  
Соболева Н. Г. 1110  
Собуэ 2681  
Соколова В. Н. 915  
Соколова М. А. 363  
Сокольская И. Л. 274  
Соловьева М. С. 940  
Солодкий Ф. Т. 2288  
Сомия 1639  
Сорокер В. 1699  
Сорокин А. Ф. 3301 Д  
Спектор Б. В. 1701  
Спирина К. И. 3065  
Спицян А. К. 1907  
Стабников В. Н. 2850  
Старик А. С. 1234  
Старик И. Е. 1234  
Староверова В. И. 548 Д  
Старосельская-Нинити-на О. А. 34 К  
Степанова Г. И. 190  
Степухович А. Д. 393  
Стерман Л. С. 3250  
Столяров К. П. 1216, 1349  
Стоцкая Л. Л. 621  
Стоянова И. Г. 1315  
Стренихеев А. А. 2714  
Ступень Л. В. 769  
Сугасавы С. 2166 П  
Судзуки 537, 538  
Судзуки 1549  
Судзуки 1556  
Судзуки 2715  
Судзуки С. 1750 П  
Суйто 1339  
Сунач А. И. 2994  
Супрун А. П. 1174 Д  
Сухенно К. А. 1264  
Сухов Г. В. 2659  
Су Ци-сюнь 77  
Сущинский В. Л. 963  
Сырников Ю. П. 494

Сюдзю 3174  
Сюдзэн 1273

## Т

Табо К. 1757 П  
Таганов К. И. 1264  
Тадзани М. 1442 П  
Такада 2858  
Такамия М. 2085 П  
Танасавы 859  
Танасу 1239  
Танахаси 537, 538  
Танахаси 1272  
Танахаси 1339  
Танахаси 1717  
Танама 1287  
Танаянаги 3104  
Тани 1406  
Танигава 1169  
Такимото 1404  
Танэи 1591  
Танэоути 856—859  
Талицкая Л. В. 1234  
Тамура Г. 1772  
Танака 1205  
Танака 1290  
Танака 1591  
Танака 2413  
Танака Н. 3150 П  
Танахав И. В. 380  
Танигачи 1099  
Танно 1680  
Тарасова А. Г. 2657  
Тарутин П. П. 2965  
Таубин Г. В. 1631  
Ташунава 2489  
Темкин М. И. 485, 488  
Темпель Ф. Г. 3247  
Теодорович Я. 1683  
Теренин А. Н. 412, 413  
Терещенко В. 1727  
Терпигосова Е. А. 1887  
Тер-Саркисян Г. С. 901  
Тиличенко М. Н. 849  
Тимофеева Е. М. 574  
Тимошин М. М. 260  
Тиранская С. М. 1513  
Титанин С. Г. 823  
Тихомиров М. В. 470  
Тихомирова Н. Я. 731  
Товбин Б. А. 3369, 3371  
Токуока К. 1536 П  
Тольский Г. А. 2690  
Томидзава 1556  
Томонари 1645  
Торопов Н. А. 368  
Третьяк И. Д. 262  
Третьяков И. И. 562  
Трофимов А. К. 683  
Тулунова Е. Д. 1937  
Туницкий Н. Н. 470  
Тюдо А. 1752 П

## У

Уварова Н. И. 958  
Укай 946, 947  
Умано 2336  
Уно 2303  
Уно 2489  
Урю 2480  
Усатинский Ю. И. 1219,  
1545

# Авторы указатель

Усольцева В. А. 373,  
374  
У Сун-цзяо 16  
Уус Э. Г. 1898  
Уцуми И. 3150 П  
У Чжэн-кай 120  
Уода 2415

## Ф

Файнберг Э. З. 1173 Д  
Фалькова О. Б. 1264  
Фастовский В. Г. 3275  
Фачини У. 1324  
Федоров П. И. 370  
Федорова И. П. 986 Д  
Федорова Л. С. 1224  
Федорова Т. Х. 1626  
Федянцева А. А. 1196  
Фельдман И. Е. 3082  
Фесенко Е. Г. 183  
Физалов Я. А. 677  
Финнелштейн Д. Н.  
1241  
Флпшбейн О. 1658  
Флейшман Л. Е. 2816  
Флис И. Е. 1409  
Флоренский К. П. 736  
Фоменко А. С. 3231  
Фоминных Л. Ф. 1963 Д  
Фонгауз М. И. 3358  
Фрейдлина Р. Х. 800  
Фролова Г. В. 2776  
Фронтасев В. П. 358,  
359  
Фунами 2725  
Фукумото Г. 1395 П

## Х

Хант Э. В. 2709  
Хамата 1255

## А

Aaland S. E. 826  
Abbey W. P. 3223  
Abel E. 410  
Abgrall C. 1321  
Achon M. A. 1141  
Ackers W. H. 3317 П  
Adam H. 1373  
Adams C. E. 1970 П,  
1982 П  
Adams G. B. 520  
Adams R. 1049, 1066  
Adams S. L. 1214  
Adamson A. W. 99  
Adda Y. 522  
Aeberli M. 2113 П  
Aelony D. 2648 П  
Agens M. C. 2542 П  
Aggarwal J. S. 1084  
Ahmann D. H. 364  
Ahrens R. H. 1467  
Aigrain P. 286  
Ainsworth C. 944  
Akerlind L. 83  
Akiyama R. 1282  
Akkawi S. 2257 П  
Akulenok V. N. 3234 R

Albert H. E. 2449 П  
Albrecht J. J. 3033  
Albrecht M. L. 1790  
Alder B. J. 299  
Alexander C. H. 2509 П  
Alexander K. F. 302  
Alexanderscu G. 3189  
Alfin-Slater R. 3119  
Alfonso C. 386  
Alhopuro M. 1618  
Ali Ali Arafat 267  
Alietti A. 353  
Allen P. E. M. 1147  
Allenson D. R. 532  
Allin E. J. 113  
Allinger K. 1119  
Allport N. L. 1209  
Almasi E. 3068  
Altshuller A. P. 323  
Alvarez-Tostado C. 681  
Amat G. 111  
Amberlang J. C. 2446 П  
Amerongen G. J. 2404  
Amis E. S. 510  
Ammon F. V. 1781  
Anderegg A. H. 2508 П  
Anderegg G. 676  
Anders H. 2491

Цукуи 10  
Цумура М. 1752 П  
Цутида 658  
Цутикура 2345  
Цуцухара Ю. 1441 П  
Цфасман С. Б. 1335  
Цыганков П. С. 2850,  
2851  
Цянь Гун-да 21

## Ч

Чеботарев А. И. 3051  
Чекотилло А. М. 3000  
Чернассина Э. И. 1893  
Чернашпи Е. Е. 349  
Чернина Г. Е. 2211  
Чернов А. А. 282  
Чесалин Г. А. 1497  
Четвериков Е. Ф. 2861  
Четвериков С. Д. 651  
Чжан Юй-пу 23  
Чжао Чжи-Чжун 988 Д  
Чжэнь Сянь-си 18  
Чижов Г. Б. 2953, 3069  
Чирков Н. М. 489  
Чистова Е. 1610  
Чкоия Т. К. 1389  
Чуйков В. Т. 357  
Чэнь Ван 13  
Чэнь Го-чжэнь 119

## Ш

Шаган О. С. 3069  
Шакина А. Н. 2818  
Шалков К. А. 1644  
Шаргородский С. Д.  
1449  
Шаркова И. И. 2730  
Шарова З. П. 2211  
Шаскольская М. П. 289

Шатохин И. С. 1584  
Швер Е. В. 1490  
Шебанова М. П. 963  
Шевелев Я. В. 1764 Д  
Шевляков А. С. 1148  
Шевченко В. И. 960  
Шейдлин А. Е. 331  
Шелюг М. Я. 1872  
Шемятенкова В. Т. 1276  
Шендерова Е. Г. 728  
Шепелев А. 2622  
Шер В. В. 959  
Шестов А. П. 869  
Шефтель И. Т. 3330  
Шешминцев А. Н. 1635  
Шигина Р. К. 3235 Д  
Шигорин Г. Г. 1786  
Шиченко Р. И. 620  
Шконде Э. И. 5  
Шмуляковский Я. Э. 1238  
Шнейдер А. Д. 241  
Шокол В. А. 942  
Шор О. И. 1449  
Шорм Ф. 1041  
Шостанковский М. Ф.  
958  
Штейнгардт Д. М. 3365  
Штильрайн Э. Э. 331  
Шубников В. Б. 157  
Шугалова В. И. 2861  
Шуйкин Н. И. 1937  
Шултин А. А. 154  
Шулятикова Н. В. 2727

## Щ

Щевелев М. И. 275  
Щеголова Г. Г. 485, 488  
Щербанов К. М. 3209  
Щербанова А. А. 207  
Щербанова Л. П. 866

## Э

Эйгес Е. Г. 2739  
Эмануэль Н. М. 411—413  
Энгелин Е. А. 1947  
Эндо А. 3150 П  
Эрлих Б. 1927

## Ю

Юаса М. 3150 П  
Юдин И. А. 723  
Юре Ж. 1376

## Я

Яворский И. В. 199  
Яковлев А. Г. 1676  
Яковлева А. Р. 1900  
Ямагиси 1247  
Ямагути С. 2085 П  
Ямада 2403  
Ямада 2412  
Ямамото 93  
Ямамото 946, 947  
Ямамура 2681  
Ямасани 1203  
Ямасита 856—859  
Ямасита 1159  
Ямасита 2716  
Ямаути 1549  
Ямаути 1639  
Ямаути Г. 1769 П  
Ямпольский Б. Я. 559  
Янаги 947  
Ян Дэ-жонь 17  
Яникелс Л. Ф. 1715  
Яроенко В. Л. 2847  
Ясколко В. Я. 1325  
Ясницкий В. Г. 940  
Яцимирский К. В. 196,  
678

Andersen E. 1853  
Andersen H. W. 1992 П  
Andersen I. 1729  
Andersen A. F. 2385 П  
Anderson K. 583  
Anderson N. G. 1320  
Anderson P. A. 269  
Anderson W. 473  
Andrews J. 2886  
Andrianov K. A. 1157  
Anglin C. 3045  
Angus J. C. 424  
Anisfeld L. 3119  
Antonello C. 1093  
App B. A. 1479  
Appel H. H. 863  
Appelboom A. F. J.  
2821  
Appleman M. D. 3016  
Arden T. V. 599, 1375  
Ardizio P. 2370  
Arentoft H. 2875  
Armstrong R. 1062  
Armstrong T. J. 3180  
Arnaud P. 810  
Arnold A. 3206  
Arnold C. 840  
Arnold H. 1029

Arnold H. W. 551 П  
Arnold L. K. 2755  
Arnold R. C. 1935  
Arters A. 2649 П  
Arth G. E. 2126 П  
Arthurs S. 2003 П  
Artz K. 1212  
Ashby J. 1017  
Asher D. R. 604  
Aspinall G. O. 1019  
Asselin G. F. 2009 П  
Asselineau C. 1032  
Asselineau J. 1010  
Astoin N. 85  
Astori C. 2619  
Asundi R. K. 88  
Atkeson F. V. 1599 П  
Augustin V. 3118  
Austin J. J. 2696  
Avens A. W. 1475  
Averbach B. L. 246  
Axe W. 2015 П  
Axford D. W. E. 2985  
Ayan Dutt J. M. 2996

## В

Babek M. 2416  
Babson R. D. 2111 П

Bachman G. B. 825  
Bačkova Z. 3061  
Backmeyer D. P. 1801  
Bacon G. E. 164  
Baczek Z. 1732  
Baczyńska K. 2669  
Badalucco A. 1541  
Baddar F. G. 873, 874  
Bader A. R. 2322 П  
Bader H. 809  
Badger G. M. 912  
Baenziger N. C. 168  
Baer C. A. 2583 П  
Baer D. R. 834  
Bagchi P. 1028  
Baghos V. B. 873  
Balkow V. E. 2824  
Bailey S. W. 730  
Baird R. 772  
Baker D. I. 1951  
Baker H. C. 2391  
Baker J. M. 42  
Baker M. S. 882  
Baker W. 846  
Balaceanu J. C. 2129 П  
Baldwin L. W. 1533  
Ball C. O. 3005  
Ballario C. 701

Алфавитный указатель

- Balle G. 2109 II  
Balogh A. 1182  
Baltes J. 535  
Bambynek W. 304  
Bamford C. H. 1078  
Bami H. L. 928  
Bandow F. 222  
Bányai E. 1257  
Baranov N. A. 2697 K  
Barat S. K. 3186  
Barber W. C. 48  
Bardi R. 160  
Barendsen G. W. 317  
Barnett G. 2598  
Barnwell J. L. 1000  
Baron T. 437  
Barr N. F. 474  
Barradas R. G. 1464  
Barrett D. G. 1256  
Barrett P. G. H. 3166 II  
Barrow R. F. 82, 335  
Barshad I. 586  
Bartell L. S. 558  
Bartels H. 3086  
Bartholomé E. 1149  
Bartlett M. F. 1062  
Barton L. E. 3200 II  
Bazarghi L. 1642  
Basu S. 201  
Batarunas J. 52  
Baudorf R. L. 134  
Batel W. 3286  
Bates H. 2535 II  
Báthory J. 1938  
Batten J. J. 398  
Batts H. J. 2433 II  
Bauer L. 918  
Bauer W. 2559 II  
Baum G. 1007  
Baum M. 3188  
Baumann F. 1192, 2183 II  
Baumhögger W. 1881 II  
Bausch H. 1931  
Bayer R. 1977 II  
Bayliss N. S. 784  
Baymiller J. W. 2425 II  
Beachell H. C. 568, 569  
Beakes H. L. 2627  
Beal R. E. 2768  
Beale P. T. 1202  
Bealer L. C. 3312 II  
Bebenburg W. 832  
Becker E. 897  
Becker K. 2880  
Becker R. 1767 II  
Bedell S. F. 862  
Bednář J. 2300  
Bednarczyk W. 3034  
Bednarkiewicz Z. 2366  
Beebe C. W. 3183  
Beer J. 2342  
Behnke E. 2486  
Belenkij L. I. 2234  
Bell D. J. 1011  
Bell E. R. 2122 II, 2124 II  
Bell F. S. 2883  
Bell J. W. 2237 K  
Bellon R. 2087 II  
Belter P. A. 2756  
Beltrán J. 666  
Benedict W. S. 118  
Beneventano M. 701  
Benkeser R. A. 840  
Bennett C. F. 2679  
Bennett G. 3004  
Benning A. F. 2507 II  
Benninghoff H. 1520  
Bensley B. 418  
Bent R. L. 2153 II  
Benz J. 2174 II  
Benzie R. J. 326  
Béres T. 2963  
Bereznay F. 3292 K  
Berg G. 936  
Berger D. E. 3335, 3348 II  
Berger K. 2501 II  
Berger W. 864  
Bergman E. 994 II  
Bergman J. G. 457 II  
Bergmann W. 1016  
Bergner K. G. 2918  
Berge E. 3196 II  
Bergwein K. 2375  
Berkhout H. W. 1227  
Berlinguet L. 1074  
Berman A. I. 48  
Bernard M. P. 219  
Bernstein H. J. 132  
Bernstein R. B. 424  
Bersma R. N. 2819  
Berson J. A. 839  
Berthet G. 130  
Berthier R. M. 1601 II  
Bertolina G. 2210  
Bertram F. 1251  
Bethge P. O. 1274  
Betka J. 2848  
Bettison L. S. 1637  
Betts A. W. 3163 II  
Betts J. L. 2426 II  
Bevilacqua E. M. 2440 II  
Beyer H. 935—937  
Beyerman H. C. 1053, 1054  
Bézanger-Beauquesne L. M. 1091  
Bhagwan H. 590  
Bhattacharya A. K. 626  
Bhattacharya A. K. 626, 627  
Bhattacharya H. C. 2826  
Bhattacharyya S. C. 1025, 2367  
Bhattacharyya S. K. 356  
Bickford W. G. 2068 II  
Bicknell A. K. 1776  
Bienert B. 2183 II  
Bienz O. 2938 II  
Billet R. 3278  
Billheimer J. S. 1341  
Bills J. L. 1976  
Binder M. 2214  
Binford T. A. 1878 II  
Binkley W. W. 2827  
Biondi M. A. 218  
Birch S. F. 2001 II  
Bischoff C. 935  
Bistline R. G. 2790  
Biswas A. 2349  
Biswas D. C. 228  
Bitner E. D. 2768  
Bizouard M. 505  
Bjerrum J. 99  
Black H. C. 2799 II  
Black J. F. 2026 II  
Blackall E. L. 431  
Blackwell A. T. 1240  
Blaedel W. J. 1192  
Blair J. 1090  
Blanchard H. S. 763  
Blanchard M. L. 272  
Blanchet R. 1252  
Blanding F. H. 2046 II  
Blank R. E. 2649 II  
Blatt J. M. 296  
Bleaney B. 42  
Blease R. A. 2254 II  
Blin J. 286  
Blinn R. C. 1460  
Blinoff V. 2071 II  
Bloch J. M. 713  
Bloch-Chaudé O. 74  
Blodinger J. 916  
Blom A. V. 2594  
Blunden H. D. 3119  
Bobalek E. G. 1282  
Bobrowicki W. 1443  
Bockris J. O. M. 524  
Bodamer G. W. 1806  
Bodenbenner K. 979 II  
Bodine J. H. 245  
Boehringer A. 2102 II  
Boehringer E. 2102 II  
Boelheide V. 906  
Boelhouwer C. 1301  
Bogan R. H. 1820  
Bogart M. J. P. 3313 II  
Boggs M. M. 3011  
Bohlmann F. 1057  
Böhme H. 806  
Böhni E. 903  
Bohun A. 230, 266  
Boitard J. 854  
Bolkowski J. 1694  
Bollen W. B. 2686  
Bollenback C. H. 1812  
Bolles W. L. 3280  
Bond R. L. 572  
Bond R. W. 2327 II  
Bond W. B. 765  
Bonet-Maury P. 475  
Bonner O. D. 492, 493  
Bonnetain L. 564  
Borbély F. 3353  
Borenstein B. 3005  
Borkiewicz J. 1568  
Börner H. 1693  
Bornstein J. 862  
Borud A. M. 2987  
Borud O. J. 2987  
Bory S. 1032  
Bose A. K. 671  
Bose A. N. 2996  
Bosse R. 3176  
Bostrup O. 99  
Bottini E. 3046  
Bottomley G. A. II  
Bottomley W. 1092  
Bouché R. 1046  
Boucher E. G. 1338  
Bouchez R. 44  
Boult E. H. 637  
Bowman R. E. 1089  
Boyer H. M. 3344  
Boyer-Kawenoki F. 1118  
Brackmann J. 1607  
Bradbury W. C. 587  
Bradford J. R. 1282  
Bradley R. S. 324  
Brăileanu C. 2289  
Brambilla G. 2374  
Brandner J. D. 2574 II  
Brandstätter M. 276  
Brandt W. 1129  
Braniste C. 2757  
Bras G. H. P. 3268  
Brasen W. R. 851  
Brauchitsch M. 955  
Braunstein R. 253  
Brazdziūnas P. 238  
Brazier C. C. H. 3290  
Breant M. 661  
Bredereck H. 821  
Breidenfeld J. 2607  
Breitenbach J. W. 577, 1119, 1140  
Bremer H. 1502 II  
Bremont E. 2926  
Bretschneider H. 2121 II  
Brice C. 1005  
Brindley T. A. 1476  
Briner E. 460  
Brink J. C. M. 1707  
Brinkmann F. 2551 II  
Brion H. 57  
Brocard J. 1554  
Brockmann H. 1070  
Brodde B. 1615  
Brody F. 2182 II  
Broich F. 2143 II  
Broida H. P. 216  
Bronstert K. 1307  
Brook A. G. 949  
Brooks J. 1017  
Brooks J. 3080  
Brossel J. 561  
Brotherton T. K. 785  
Brown A. H. 3026  
Brown K. L. 48  
Brown K. M. 1994 II  
Brown L. C. 131  
Brown R. 2414  
Brown R. F. C. 1059  
Browne F. L. 1704  
Brügel W. 105  
Bruggen B. 2620  
Bruniche-Olsen H. 2829  
Brunisholz G. 1222  
Bruns C. N. 2585 II  
Bruss D. B. 533  
Bryden J. H. 184  
Buch E. 31  
Buch M. L. 3017  
Büchi J. 600  
Buck W. H. 2002 II  
Buda A. 1394  
Buděšinský B. 1298  
Budnikow P. P. 1603  
Buehler A. 2179 II  
Buhlmann K. 1421 II  
Bulian W. 1918  
Bunnett J. P. 785  
Burda J. 1809  
Burek J. 705  
Burg A. B. 649  
Burger M. 2880  
Burgoa G. N. 1725  
Burke D. F. 1016  
Burke E. W. 53  
Burke H. J. 1024  
Burkin A. R. 675  
Buriel G. 2277  
Burnelle L. 87  
Burns G. R. 775  
Burt L. H. 3151 II  
Burton M. 464  
Busch W. 3278  
Buss C. D. 2761  
Butera G. 2462 II  
Butler G. B. 919  
Butler G. M. 3258  
Butler L. I. 1477  
Buu-Hoi N. P. 909  
Boyske D. A. 1302  
Buzagh A. 628  
Byrne R. E. 1279

C

- Cable D. E. 2065 II  
Cacace P. 1063  
Cadiergues R. 3266  
Cady G. H. 133, 654  
Cagnasso A. 2256 II  
Cagniant D. 1275  
Cagniant P. 1275  
Cahen R. 1222  
Caillon P. 1135  
Cairns R. E. 2502 II  
Calbert C. E. 3119  
Calderbank P. H. 3272  
Calise V. J. 1804  
Calkner J. 541  
Callear A. B. 463  
Callinan T. D. 1150  
Callitelli P. 353  
Calvin M. 466  
Cameron A. E. 706  
Cameron E. N. 730  
Camp R. C. 3188  
Campanello F. 3046  
Campbell C. 1550  
Campbell D. S. 1316  
Campbell J. M. 3259  
Campion J. E. 1048  
Capitani C. 1293  
Capitani C. 2475  
Carazzolo G. 160  
Carbone E. 3049  
Carboni R. A. 754  
Carlino A. J. 2196  
Carlton J. K. 587  
Carnac K. B. 1799  
Caro J. H. 571  
Carpenter J. E. 1555  
Carr K. 1633  
Carriek W. L. 793 II  
Carrière G. 1468  
Carroll M. F. 2056  
Carson C. M. 2427 II  
Carson W. N. 1332  
Carter D. E. 221  
Carter E. G. 2217  
Carter R. H. 1479  
Casali D. 3374  
Cassel J. M. 3168  
Cassidy H. G. 1167  
Castellari R. 2589 II



# Авторы указатель

- Castelli T. 2905  
Cathcart J. V. 446  
Caton J. A. 491  
Cauchois Y. 286  
Cauwenberg W. J. 2647 II  
Cavallaro L. 278  
Cavanagh K. J. 1710  
Caverly W. R. 2094 II  
Cavin V. C. 3317 II  
Ceamis M. 2775  
Centola G. 2713  
Cepelewicz S. 1260  
Cernia E. 2468  
Čeřovský J. 2944  
Cesul J. 3053  
Chabrand A. 2193  
Chakravarti K. K. 1025, 2367  
Chambard P. 3177  
Chamberlain A. R. 3295 II  
Chambers V. S. 2544 II  
Champagnat A. 2031 II  
Champetier G. 1102  
Champine G. 1761  
Chanmugam J. 464  
Chapiro A. 286  
Chapman R. A. 3045  
Charbonnelle J. 713  
Charlesby A. 1154  
Charlett S. M. 2950  
Charonnat R. 3058  
Charpentier-Morize M. 786  
Charuel R. 1328  
Chatterjee B. 603  
Chatterji A. C. 590  
Chaturvedi D. C. 1735  
Chaudhuri P. K. 2674  
Chauveller J. 92  
Chédin J. 1163  
Chérubin G. 1164  
Chierici L. 95  
Chilingar G. V. 722, 748  
Chiurdoglu G. 837  
Chi Yuh-Fong 917  
Choate W. L. 803  
Chopin J. 1039  
Chovin P. 2948  
Chrístel S. 3327  
Christner R. M. 3197 II  
Chromý R. 1361  
Chupp J. P. 825  
Chu Ting Li 137  
Ciampa G. 2471  
Ciapetta F. G. 1988 II  
Cichocki J. 1580  
Cillis M. J. 795  
Cincinnati da Costa L. 2914  
Cirilli V. 686  
Gizek P. 1870  
Clapp J. W. 2311 II, 2316 II  
Clapp L. B. 757  
Clark A. W. 1992 II  
Clark K. G. 1857  
Clark S. J. 1306  
Clark T. P. 1949  
Clarke E. W. 2002 II  
Clasen H. 1308  
Claypool L. L. 3009  
Clews F. H. 1558  
Clifton J. M. 3094  
Cochrane J. A. 2668  
Coenen A. 2143 II  
Coerdeler J. 943  
Cohen J. 1083  
Cola M. 353  
Colas M. 1801  
Coleman A. L. 3356  
Collender E. H. 3341  
Collet L. H. 516  
Collins K. H. 2145 II  
Collongues R. 522  
Colmez J. 49  
Colomb P. 3224  
Colombet R. 2603  
Combet S. 622  
Comoy P. 855  
Compston W. 700  
Conca N. 1223  
Conkling W. C. 3347 II  
Conrady E. 1796  
Cook C. D. 766  
Cook G. B. 1371  
Cooke A. H. 47, 326  
Cooley A. M. 3008  
Cooper J. A. D. 316  
Cooper W. C. 2896  
Čopič M. 1115  
Coplan M. 2238  
Coppock J. B. M. 2985  
Corcoran W. H. 375  
Cordier P. 1281  
Core R. T. 1517  
Corey E. J. 1024  
Corliss L. 163  
Cormack D. V. 1309  
Corneteau H. 272  
Corradini P. 1106  
Correia E. M. 2914  
Corrigan T. E. 3289  
Corrodi H. 896  
Corse J. W. 1292  
Cortesi C. 701  
Cosserat L. 1038  
Coulson C. A. 497  
Courtier A. J. 1508 II  
Courtoisier A. J. 2926  
Contras A. 2556 II  
Cox B. 667  
Cox H. C. 1476  
Cox W. L. 2409  
Craemer K. 2646 II  
Craig A. B. 2743 II  
Craig J. T. 1483  
Crandall J. R. 1590  
Craven R. L. 780  
Crawford R. A. 2455 II  
Cremer G. 1617  
Crepaz E. 440  
Crockett L. O. 1932  
Crockett R. H. 2796  
Crook A. 2254 II  
Crook E. H. 634  
Crosby H. L. 2702 II  
Crouch E. A. C. 2940 II  
Crouch W. W. 2441 II  
Crovetti A. J. 1052  
Crowe D. 1957  
Crowe J. B. 2795  
Crues W. V. 2993  
Cruickshank G. A. 1812  
Cruickshank I. A. M. 1494  
Crunden E. W. 420  
Cuatrecasas Arumi L. 1612  
Cullum T. V. 2001 II  
Culp R. L. 1784  
Cummings L. O. 2322 II  
Curien H. 286  
Curl R. F. 310  
Curli G. 2765  
Cuphey E. G. 2708  
Curry J. J. 1789  
Curti R. 409  
Curtis M. L. 315  
Cutkomp L. K. 1461  
Cvetanović R. J. 462, 463  
Czulak J. 3038  
Czyszewska S. 2368  
**D**  
Dąbrowski J. 43  
Daggett W. F. 2633  
Daguerre A. 2792  
Dahl S. 3184  
Dahlbeck S. W. 2138 II  
Dalbert R. 1248  
D'Alelio G. F. 2513 II, 2533 II  
Dalton R. H. 1575  
Danby C. J. 394  
Dandliker W. B. 1109  
Danforth J. D. 456  
Daniel A. M. 1240  
Daniels F. 233  
D'Ans J. 955  
Darmois E. 543  
Darmois E. 263, 544  
Darrall R. A. 2142 II  
Das D. B. 2674  
Das J. 670  
Dasgupta S. 1107  
Dasher P. J. 2460 II  
Dastur N. N. 3056  
Daudel R. 56, 57  
Daumiller G. 105  
Davidson J. F. 3274  
Davies B. L. 1437 II  
Davies G. E. 2813 II  
Davies R. O. 1566  
Davis G. E. 3039  
Davis H. S. 1704  
Davis J. B. 1916  
Davoll J. 1089  
Dawson L. R. 500  
Dean R. A. 2001 II  
DeBethune A. J. 509  
De Cesare A. 2779  
Deckenbrock W. 2856  
Deerue J. 447  
Deeg E. 1625  
Deering R. G. 3202  
Degens P. N. 1818, 1827  
Delaplaine J. W. 1401  
DeLaporte A. V. 1815, 1848  
Del Guidice E. 2905  
Delsal J. L. 1250  
De Marco A. 701  
DeMarco J. J. 163  
De Matteo D. E. 2561 II  
Dempster P. B. 434  
DeMytt L. 2387 II  
Denney D. B. 777  
Denning R. M. 281  
Denyer R. L. 2004 II  
De Rosa T. 2920  
Deschreider A. R. 2838  
Deshmukh M. B. 539  
DeSorbo W. 325  
Desseigne G. 2100 II  
Destouches J. L. 290  
Destriau M. 225  
Deul H. 605, 3119  
De Vries H. 317  
DeVries T. 533  
Dharmarajan C. S. 3056  
Diamond J. J. 1235  
Diassi P. A. 1050  
Dibb R. H. 2464  
Di Caro S. 1492  
Dick M. I. B. 2961  
Dickerman S. C. 770  
Diedrich P. 2312 II  
Diehl F. L. 2795  
Diels A. 2283 II  
Dierkes G. 2729  
Dierks H. 3077  
Dieu H. A. 617  
Dimma M. 2757  
Dimick K. P. 1292  
DiSanto C. C. 2162 II  
Ditman L. P. 1481  
Dixit G. K. 2285  
Dixmjer J. 591  
Dixon J. K. 2106  
Djerassi C. 2323 II  
Dmowska W. 1299  
Dobiaš L. 2416  
Dobinsky E. 3042  
Dobraczyński A. 2482  
Dobriner S. 1044  
Dobrovolskij D. S. 2697 K  
Dochterman E. F. 2998  
Dodd M. C. 2335 II  
Dodsorth P. G. 335  
Dohrn M. 2312 II  
Doja M. Q. 908  
Dolan J. E. 434  
Doldi S. 1813  
Dole M. 1128  
Doll W. 2069 II  
Dolmetsch H. 2675  
Donahue W. E. 2511 II  
Donaldson M. L. 2328 II  
Donaldson W. T. 1501 II  
Dönges E. 2151 II  
Doolling J. S. 392  
Doorn C. Z. 202  
Doorn J. 2019 II  
Doose O. 2974  
Dop M. 1779  
Dörband G. 2635  
Döring H. 575  
Dörner H. 2983  
Dornow A. 829  
Dorner E. 2062 II  
Dörries A. 806  
Dorschner O. 1997 II  
Dorsey J. J. 1413 II  
Dorst W. 467, 629  
Doss K. S. G. 2823  
Doub L. 94  
Doucet Y. 505  
Doukas H. M. 2318  
Douša K. 689  
Downer J. M. 1147  
Downie A. R. 335  
Downing J. 2699 II, 2701 II  
Draeger A. 1984 II  
Dräger H. 3131  
Drake W. W. 1811  
Drakeley K. D. 2508  
Drakeley T. J. 2418  
Dreosti G. M. 3112  
Drewitt J. G. N. 2699 II, 2701 II  
Droz A. 1364  
Drummond P. E. 862  
Dryden E. C. 3017  
Du Bois C. W. 3024  
Dubrowski A. 1586  
Dudding R. W. 1437 II  
Dudley E. A. 490  
Dudley F. B. 133, 654  
Dudley J. R. 2568 II  
Dudzik Z. 1284  
Duecker W. W. 1380  
Dufraisie C. 790  
Duhamel A. 804  
Duke J. 2399, 2400  
Dulou R. 1083  
Dunderdale J. 751  
Dungler J. 2239 II  
Dunitz J. D. 174  
Dunmire R. P. 2320  
Dunning H. N. 630  
Dupont G. 1083  
Dupuis P. 591  
Dupuy P. 656  
Durante M. 1172  
Duriez M. 1677  
Dutron R. 1716  
Dutt N. K. 663  
Duuren B. L. 1886  
Duval X. 564  
Dvořák J. 595, 1856  
Dwyer R. J. 3198 II  
Dyhrenfurth E. 2741  
**E**  
Eaborn C. 97  
Eagleton S. D. 2599  
Earl J. C. 933  
Eastham A. M. 431  
Ebel F. 2169 II  
Ebke K. 830  
Eckenfelder W. W. 1828  
Ecker G. 542  
Ecklund O. F. 2951  
Eckstein M. 884  
Ecsichof T. 1286  
Eddy E. W. 1380  
Edelman R. I. 3338  
Eden W. G. 1472  
Edwards F. G. 2640 II  
Edwards J. A. 1062  
Edwards J. O. 757  
Egan E. P. 1542  
Egbert R. B. 2131 II  
Ege S. N. 834

Авторский указатель

- Eggers D. F. 654  
Egri L. 3117  
Eich T. 2632  
Eichelberger J. F. 315  
Eichorn A. 2562 II  
Eicke J. 2545 II  
Eigen H. 1657, 1659  
Eigler J. H. 1511  
Eilbracht H. 2500 II  
Eirich F. R. 2476  
Eisenlohr H. 1997 II  
El-Assal L. S. 873  
Elder J. A. 2319 II  
Eliel E. L. 787  
Elkik E. 822  
Ellis G. C. 1291  
Elison T. 2205  
Elmore D. T. 1075  
Elöd E. 2726  
Elvidge J. A. 893  
Ely R. E. 1479  
Embree W. H. 2405  
Embs 2957  
Emch F. 2924  
Emde H. 2306  
Emelius H. J. 965  
Emerson H. 1495  
Emery G. A. 1486  
Emrich H. W. 1624  
Emschwiller G. 402  
Enders C. 2895  
Endler A. S. 597  
Endres H. 1088  
Engel H. 2051 II  
Engelhardt V. A. 827  
England C. W. 3040  
Engle W. P. 2007 II  
Englich A. 1057  
Englman R. 264  
Enthoven P. H. 1054  
Erchak M. 2067 II  
Ercoli R. 811  
Erdey L. 1257  
Erickson H. 1974 II  
Erickson J. G. 828  
Eriksson A. F. V. 1114  
Erlenmeyer H. 1212  
Ernst G. 435  
Ernst J. 2867  
Ernst J. L. 2426 II  
Escritt L. B. 1869  
Espantoso S. J. 3279  
Essery R. E. 2889  
Etienne A. 790  
Evans A. G. 499  
Evans H. D. 473  
Evans R. 964  
Eveleens W. 1053  
Evers E. C. 691 II  
Ewald A. W. 244  
Eymann K. 1356, 1745 R  
Eyraud L. 1605  
Eyster E. H. 2280 II  
Eyubi S. 376
- F  
Fahy J. E. 1476  
Fajkoš J. 1042  
Falen H. N. 3020  
Falius H. 645  
Fall H. H. 926  
Farina M. 1152  
Farr A. H. 1743  
Farrar W. V. 871  
Farrell K. T. 3162 II  
Farren A. 597  
Fassel V. A. 103  
Fathi Sultan Ahmed  
Sultan 267  
Fauris M. 86  
Fear E. D. 3149 II,  
3154 II, 3155 II  
Feigl F. 1243  
Feitelson B. N. 895  
Feitknecht W. 648  
Felix V. 2236 K  
Felkin H. 786  
Feller K. 2967  
Fergot A. 3384  
Ferguson R. 611  
Fergusson R. R. 405  
Fernandes Guimaraes A.  
2904  
Fernández Alonso J. I. 73  
Ferna J. F. 1841  
Ferrari F. 1682  
Ferreira da Silva Babo  
2904  
Ferrer Maluquer J. M.  
1685  
Ferris S. W. 791 K  
Ferry J. D. 1131  
Fianu P. 766  
Fiedler C. 3093  
Field J. E. 3208  
Fieldhouse G. E. 1834  
Fields E. K. 945  
Filling G. A. 3013  
Findlay J. R. 679  
First M. W. 3258  
Fischer A. J. 1879 II  
Fischer E. 288  
Fischer H. U. 1844  
Fischer J. W. 2535 II  
Fischer R. 1206  
Fisgel S. 668  
Fisher E. S. 521  
Fisher G. S. 1026  
Fisher J. W. 2712  
Fisk N. R. 2602  
Fitt J. S. 893  
Fitzgerald J. S. 844  
Flach E. 2890  
Flanagan W. E. 246  
Flechsag J. 2964  
Flechsag M. J. 2964  
Fleck R. N. 1976 II  
Flesch W. 3319 II  
Fletcher J. M. 1372  
Fletschinger J. 602  
Fleury J. P. 975 II  
Flirski W. 3221  
Flood H. 350  
Flory P. J. 1105  
Flower G. E. 1835  
Floyd D. E. 2521 II  
Flörge S. 39  
Folberth O. G. 255  
Folkers K. 1067, 1068  
Fong W. 1851  
Fongauz M. I. 3358  
Fontaine T. D. 2318 II  
Fontein F. J. 3261  
Ford J. H. 1495  
Forderwalt F. 2245 II  
Fordham J. W. L.  
2429 II, 2430 II  
Formaini R. L. 1291  
Fortney D. F. 1433 II  
Foster A. B. 1018  
Foster C. V. 1926  
Foulton A. 3226  
Fowler W. A. 693  
Fox A. L. 2385 II  
Frackowiak D. 76  
France W. L. 114  
Francis J. 2813 II  
Francis P. S. 2822  
Frank J. A. 1864  
Frankel S. P. 299  
Fraser J. 932  
Frederick E. R. 2580 II  
Frederickson A. F. 352  
Free G. 1978  
Freeman H. I. 882  
Frehden O. 1286  
Freise V. 304  
Freni M. 660  
Freud A. W. 1768 II  
Freund M. 1343, 1938  
Frey J. 1607  
Frey R. W. 3183  
Freyhold H. 1875 II  
Freyman R. 239  
Friedel J. 286  
Friedmann C. A. 1055  
Friendship K. F. M. 2885  
Fries H. 1917  
Friuli B. 1805  
Frison E. 2492  
Fritz-Brini M. 807  
Fritzsche H. 258  
Fruhwith O. 2063 II  
Frush H. L. 1001  
Fuchs O. 2506 II  
Fučík K. 2308  
Fuhrman R. E. 1860  
Fujimori E. 469  
Fujimura T. 2680  
Fujishiro R. 1111  
Fujita Y. 781  
Fukushima D. K. 1044  
Füner W. 1978  
Funt B. L. 477  
Furberg S. 173  
Furukawa G. T. 1127  
Fusco V. C. 2058 II  
Flüsser H. 2890  
Fust B. 903  
Futaki K. 2341  
Futterer C. H. 3262
- G  
Gaarder T. 749  
Gable C. M. 2023 II  
Gable R. W. 606  
Gábor V. 2330 II  
Gaddy V. L. 1857  
Gaines W. 1029  
Galesoot T. E. 3032  
Gallais F. 136  
Gallas N. G. 831  
Gallo A. 1363  
Gallo J. 4  
Galter 2973  
Gance M. 286  
Gantner F. 2025  
Gantz G. M. 2216  
Gapen C. C. 2327 II  
Garbo P. W. 1979  
García-Blanco S. 177  
Gardner K. J. 2992  
Gardner W. H. 2593  
Garner C. S. 773  
Garton C. G. 1137  
Garver J. C. 459 II  
Gáspár R. 55  
Gastinger E. 643  
Gatos H. C. 529  
Gaudemar M. 108  
Gaudemaris G. 810  
Gautier J. A. 2919  
Gee W. P. 2018 II  
Geffcken W. 1597 II  
Gehatia M. 1113  
Gehlhaar E. 2024 II  
Gehrand C. E. 1514  
Geldel H. 2870  
Geise C. E. 3007  
Gensel H. 2218  
Gensler W. J. 818  
George W. D. 48  
Gérard-Hirne J. 1547  
Gerhold M. 1946  
Gerischer H. 449  
Gerischer R. 449  
German C. B. 891  
Gerrens H. 1149  
Gershfeld N. L. 634  
Gerstel G. 1593  
Gerstner H. 2265 II  
Gheorghiu A. 2286  
Ghosh A. N. 1176  
Gianturco M. 1049, 1066  
Gidwani M. P. 623  
Gilbert E. 2915  
Giles F. H. 547 II  
Giletti B. J. 704  
Gillson J. L. 739  
Gilman H. 934, 949, 951  
Ginsberg H. 1269  
Gintz F. P. 795  
Giordano S. 1583  
Giovannini E. 1231  
Girelli A. 3357  
Gitschthaler K. 805  
Giulotto L. 297  
Givens M. P. 221  
Gladych J. M. Z. 1055  
Glasson W. A. 106  
Glenister P. R. 2880  
Glick R. E. 149  
Glicksman R. 1509  
Gnamn H. 3170  
Goates J. R. 583  
Goddard D. R. 795  
Goehring M. 966  
Goerg A. 2108 II  
Goggia M. J. 3252  
Göhre O. 2051 II  
Goldsmith M. 111  
Goldstein D. 1243  
Goldstein J. H. 115, 126  
Goldstein G. F. 2586 II  
Goldstein S. 1836  
Golightly J. S. 1599 II  
Gollin N. W. 3338  
Golub M. A. 1117  
Golumbic C. 1026  
Göncz I. 588  
Good C. D. 649  
Good I. J. 161  
Goodman E. I. 1377  
Goodman M. 1079  
Goody R. M. 694  
Gopalan M. R. 1139  
Goppel J. M. 2008 II,  
2452 II  
Gordon J. E. 1048  
Gordon L. 1220  
Gordon P. L. 2637  
Gordon R. 2637  
Gordon S. 1550  
Gorman A. 1840  
Görner F. 3061  
Gorsich R. D. 951  
Gorzelay W. 1208  
Goto K. 1061  
Gottardi V. 440  
Götte H. 1783  
Götze K. 2726  
Goudot A. 416  
Govindachart T. R. 910  
Gradomski W. 3028  
Gradwell W. T. 853  
Gráf L. 588  
Graf O. 1706  
Graf R. 170  
Graham J. B. 3258  
Graham W. D. 1120  
Grainger M. M. 1475  
Grammaticakis P. 92  
Granados Jarque R. 1021  
Grandjean P. 2176 II  
Grandvalet Y. 2484  
Graner F. 503  
Grant D. F. 1031  
Grantham W. G. 2652 II  
Graßmann W. 1088  
Graul R. 3063  
Gray K. R. 2702 II  
Gray P. 396  
Graydon W. F. 530  
Grayson J. M. 1463  
Green H. S. 295  
Green J. 2935 II  
Green J. H. S. 397  
Greenbaum M. A. 777  
Greene S. A. 332  
Greene-Kelly R. 180  
Greenfield H. 997 II  
Greenhalgh D. 700  
Greenstein J. L. 693  
Greenwood K. 3285  
Gregg S. J. 441  
Gregor H. P. 633  
Gregory A. F. 744  
Gregory J. N. 679  
Gremmelmaier R. 277  
Gresham W. P. 2066 II  
Greville G. D. 1011  
Griehl W. 2141 II, 2710  
Griesinger W. K. 2806 II  
Griessbach R. 2569 II  
Grim R. E. 1540  
Grimme W. 2306  
Grisson E. 2279  
Gritziuk I. G. 2930  
Grob A. 2108 II  
Grodzinsky J. 2274

Авторский указатель

- Groennings S. 1304  
Grohmann H. 2915  
Grosjean D. 128  
Gross H. H. 2018 II  
Grosz F. J. 2548 II  
Groth W. 1310  
Groubert E. 1135  
Grover P. K. 889  
Grubner O. 595  
Gruenke B. O. 1574  
Grunberg L. 309  
Grüne A. 2693  
Grünwald B. 2764  
Gruntová Z. 2302  
Grzymek J. 1656  
Guastalla L. 555  
Guermont J. P. 802  
Guerrin A. L. 1746 K  
Guillén C. 666  
Guinier A. 286  
Guinot H. M. 2070 II  
Guitián R. 2759  
Gulevič O. 1551, 1604  
Gulinsky E. 2614  
Gündel C. 2981  
Gunderson L. O. 2167 II  
Gunning H. E. 3033  
Gunther F. A. 1460  
Guntton R. C. 122, 123  
Gupta A. K. 663  
Gupta G. C. 1735  
Gusta S. L. 632  
Guss C. O. 779  
Gustafson M. B. 2751  
Gustavson P. 1388  
Gutmann V. 484, 652  
Gwathmey A. T. 446  
Gyurko J. 644
- H**  
Haase O. 445  
Habib G. 2919  
Hachibama Y. 1132  
Hachmann J. T. 2428 II  
Hackathorn J. 1847  
Hackerman N. 208  
Hackmann J. T. 2447 II  
Hadá ek J. 929  
Hadohá F. 1358  
Haendler H. M. 647  
Haeseler G. 2855  
Häfliger F. 1504 II  
Hagene B. 272  
Hager H. 1359  
Hähne H. 1488  
Hahofe E. 1233  
Hajdu I. 2786  
Hajós A. 2330  
Halánek F. 1814  
Halbig P. 2518 II  
Hall A. M. 2421 II, 2572 II  
Hall C. C. 1930  
Hall R. D. 2161 II  
Hall R. D. 2889  
Hall R. H. 2057  
Hallgrenn B. 814  
Halpern J. 400, 408  
Hamaide N. 807  
Hamann K. 2592  
Hamer W. J. 513  
Hamill W. H. 465
- Hamilton J. F. 635  
Hamm F. A. 635  
Hammarlund L. 1455  
Hammond H. K. III 1590  
Hammond L. A. 3038  
Hampel G. 2968  
Hamrick P. J. 776  
Hannigan M. M. 3183  
Hansen K. 2546 II  
Hanslian L. 3355  
Hanson G. A. 421  
Hansson J. 417  
Hanusch F. 2144 II  
Hanway J. J. 750 II  
Hara R. 1200  
Harada R. H. 240  
Harbard E. H. 619  
Hardegge E. 896  
Harden G. D. 397  
Hare W. F. J. 113  
Harfenist M. 860  
Harker R. I. 708  
Harmon G. W. 1806  
Harms A. F. 2307 II  
Harmsen 3114  
Harnett R. T. 3333  
Harper J. 1983 II  
Harrison F. W. 172  
Harrison G. A. F. 2886  
Hart E. P. 913  
Hartoulari M. R. 682  
Hartwich W. W. 1003  
Harvey M. P. 2065 II  
Haseltine T. R. 1826  
Hass H. B. 2814  
Hasselquist H. 850  
Hasselstrom T. 812  
Hastings G. W. 1147  
Hastings J. 163  
Hastings R. 2571 II  
Hastings W. H. 3109  
Hatt H. H. 2782  
Haupt W. E. 527  
Hauschild R. 1277  
Hausen J. 2740  
Hausenblasz E. 3292 K  
Hauser C. 1754 II  
Hauser C. R. 776, 851  
Hauser E. A. 2393  
Haven Y. 202  
Havina E. 467  
Hawkins E. G. E. 2128 II  
Hawkins E. R. 2050 II  
Hawkins T. H. 220  
Hawley D. W. 1225  
Hawthorne M. F. 967  
Hayakawa S. 232  
Hayashi I. 1132  
Hayes R. E. 3027  
Hdyer H. 2506 II  
Healy M. M. 3161 II  
Heater S. O. C. 3313 II  
Hebdon E. A. 795  
Hechelhammer W. 2116 II  
Hechler G. 2282 II  
Hecht F. 1233  
Hechtman J. F. 2459 II  
Heck J. G. 3004  
Heck R. 772  
Hedden K. 1661
- Hedwall J. A. 439  
Heerdt M. 3097  
Heffler M. S. 1044  
Hegedüs B. 903  
Heiling H. M. 1516  
Heilmann R. 810  
Heimann W. 2764  
Heinrich R. L. 2048 II  
Heinze P. H. 2998  
Heisenberg E. 2525 II  
Helberger J. H. 2110 II  
Heller W. 625  
Helm D. 969  
Helmers C. J. 1973 II  
Heming W. E. 1471  
Hempel H. 2771  
Henderson D. P. 863  
Hendricks J. G. 2432 II  
Hendry H. 2935 II  
Henglein A. 478, 479  
Henk B. 1705  
Henke R. W. 3203  
Henkin H. 2384 II  
Henrici G. 1142  
Henriet J. 1297  
Henry L. 108  
Henry M. C. 812  
Henschall T. 789  
Henson W. A. 2640 II  
Heppolette R. L. 784  
Herbeck R. 1149  
Herbert W. 1997 II  
Herling F. 1044  
Herman A. 2845  
Hermans J. J. 629  
Hermans P. H. 1162  
Herpin A. 286  
Herrmann C. 787  
Herrmann R. H. 1945  
Hershenson H. 2297  
Herz W. 894  
Herzberg G. 84  
Herzog A. 171  
Hesse S. 2999  
Hessen R. 2529 II  
Hetrick J. C. 1501 II  
Hettche H. O. 791  
Heuck C. 2499 II  
Heuer R. P. 1651 II  
Hewitt C. H. 1858  
Hey M. H. 181  
Heyd J. W. 315  
Heyl G. 2224  
Heyns K. 832  
Hieke V. 3138  
Hiemstra S. A. 703  
Hignet H. C. 2504 II  
Hilger J. 2173 II  
Hill F. B. 2507 II  
Hill G. R. 531  
Hill W. L. 571  
Hills C. H. 3017  
Hills O. A. 1462  
Hills S. 532  
Hills S. 2385 II  
Hime W. G. 1702  
Hinshelwood C. 394  
Hintermaier A. 2771  
Hirschberg J. G. 58  
Hirst E. L. 1019  
Hiskey C. F. 788  
Hiszpanska C. 2978
- Hitchens A. L. 1537 II  
Hitomi H. 2329 II  
Hladynink W. 1356  
Hoare W. E. 1522  
Hoback W. H. 2611  
Hobbs M. E. 1302  
Hoch D. 1013  
Hodges L. H. 2751  
Hoelscher F. 2646 II  
Hoelscher H. E. 3271  
Hoffman W. E. 977 II  
Hoffmeister R. 2710  
Hoffpauir C. L. 2753  
Hofmann K. 1082  
Hofmann U. 607  
Hofmeister R. 2223  
Hogle D. H. 792 II  
Hojdem B. 2815  
Hök-Bernström B. 1189  
Holcomb A. E. 1831  
Holland D. O. 2118 II  
Holland H. 2764  
Holland V. E. 492, 493  
Holler M. 1944  
Höller P. 188  
Holman J. L. 333  
Holmberg B. 1006  
Holmes J. C. 1285  
Holser W. T. 169, 194  
Honeyman J. 1004  
Hönig A. 1700  
Honnold V. R. 566  
Hoogsteen H. M. 2639 II  
Hopff H. 1166  
Hopff H. 2500 II, 2501 II  
Hoppe A. 2020 II  
Hoppe P. 2567 II  
Horiuti J. 523, 525  
Horn O. 2474  
Horn P. 1108  
Hörner L. 768  
Horning E. C. 1065  
Hornung H. 3087  
Horsch A. 1726  
Horstmann D. 3215  
Horwitz J. P. 930  
Hoshino Y. 782  
Hougen J. O. 3337  
Houghton G. U. 1782  
Houser T. J. 424  
Houston D. F. 2969  
Howard G. A. 2866, 2872  
Howe D. J. 2363 II  
Howe J. A. 110  
Howell G. A. 1842  
Howgate D. W. 122  
Hrivňák J. 1313  
Hrudka R. F. 2469  
Hsiao L. 630  
Huber E. 2173  
Huber G. 1005, 1012  
Hübner W. W. G. 1525  
Hucke T. 2514 II  
Hudak E. S. 1487  
Hudlicky M. 900  
Hudson R. F. 420  
Huggins C. M. 310  
Hughes G. K. 1059  
Hughes R. R. 3276  
Hughes T. G. 1925  
Huidovici M. 2757  
Hulač V. 2903
- Hulbert J. A. 1329  
Hulse G. E. 2523 II  
Hume C. 2673  
Humphreys G. H. W. 3175  
Hund F. 199  
Hunt A. L. 269  
Hunt J. M. 742  
Hunter G. J. 1256  
Hunter I. R. 1292  
Hunter J. B. 1988 II  
Huntington H. B. 198  
Hussung K. F. 927  
Hutchison A. W. 1929  
Hutschneker K. 605  
Hutta J. J. 708  
Hüttig E. 1903  
Hyde J. W. 1966 II
- I**  
Ibers J. A. 176  
Ibrahim Sayed Shafie 267  
Iglesias L. 63  
Iida C. 733  
Ilirski M. 2348  
Illingworth F. K. 3284  
Imperiale P. 1293  
Imre L. 589  
Incedjy J. 644  
Ingberman A. K. 770  
Ingham R. K. 934  
Ionescu V. 1394  
Ionescu-Matiu E. 2286  
Iovtscheff A. 817  
Irazazabal Nerpell A. 1021  
Irion W. 2157 II  
Irwin C. F. 2149 II  
Irwin J. T. 1532 II  
Isbăscescu C. 2289  
Isbell H. S. 1001  
Ishimori T. 662  
Ishihara A. 1151  
Isler D. A. 1456  
Isler O. 2127 II  
Isoire J. 2277  
Ito Y. 1144  
Ivanov C. 876
- J**  
Jacini G. 2780  
Jackson D. R. 2805 II  
Jackson H. 2072 II  
Jackson M. L. 719  
Jackson R. F. 3934  
Jackson S. 2868  
Jackson W. M. 305  
Jacob G. 1201  
Jacob H. 1888  
Jacobs M. B. 2371  
Jacobs T. L. 801  
Jacoby R. W. 2187 II, 2213  
Jacquin P. 2921  
Jain P. L. 134  
Jakuboff J. J. 2365  
Jakuvíček J. 454  
James W. J. 166  
Jamieson G. W. 742  
Jamroz Z. 1703  
Janiszewski K. 2195, 2229



# Алфавитный указатель

- Jankovits L. 1183  
Jansen H. E. 2888  
Janů Z. 900  
Janž G. J. 1353  
Jaraz A. 3061  
Jármay Z. 2417  
Jarvis F. S. 1463  
Jassawalla J. P. 1399  
Jatar D. P. 540  
Jaumot F. E. 206  
Jayme G. 2664, 2677  
Jeffery P. M. 700  
Jeffries E. A. N. S. 335  
Jelkin J. 3270  
Jellinek P. 2378  
Jenckel E. 1123  
Jenny F. J. 1765 II  
Jentzsch D. 1178, 1201  
Johns H. E. 1309  
Johnsen B. K. 3254  
Johnson A. L. 636  
Johnson B. A. 1043  
Johnson E. A. 1766 II  
Johnson E. V. 3164 II  
Johnson F. E. 2767  
Johnson H. L. 1998 II  
Johnson J. A. 3349 II  
Johnson J. B. 1279  
Johnson J. H. 2799 II  
Johnson R. E. 426  
Johnston W. H. 471  
Jones E. L. 1923  
Jones G. 2072 II  
Jones G. O. 1329  
Jones G. W. 3373  
Jones L. A. 1285  
Jones M. C. R. 1990  
Jones M. H. 1146  
Jones V. V. 481  
Jongh R. O. 467  
Jorgensen H. 3147 II  
Jorpes J. E. 2326 II  
Joshi B. D. 88  
Joslin M. A. 3023  
Jost W. 212  
Jowtscheff A. 2857  
Jucker O. 1082  
Jucys A. 52  
Junek H. 885  
Jung H. F. 1465  
Jursa A. S. 80  
Just J. 1648 R
- K**  
Kabler P. 1777  
Kác V. 3129  
Kaczmarek P. 2368  
Kahler M. 2876  
Kahr K. 1415 II  
Kaikaris V. 1334  
Kainz G. 1271  
Kaiser C. 987 II  
Kajfasz S. 1738  
Kalenda N. W. 983 II  
Kallauner O. 1744 R  
Kallmann H. 223  
Kalra A. N. 1470  
Kaminski S. 2929  
Kammel R. 528  
Kammerer A. A. 2490  
Kamphenkel L. 821  
Kandler D. 1201
- Kaneko S. 300  
Kantor S. W. 2120 II  
Kanzler K. H. 2543 II  
Kappeller K. 2990  
Kapur N. S. 3003  
Karabinos J. V. 2794  
Karabon B. 1736  
Karaim T. 1662  
Karamata S. 727  
Karas V. 401  
Karim M. A. 2294  
Karl A. 1913 II  
Karrer P. 778, 1013, 1014, 1087  
Karrick N. L. 3111  
Kasiński W. 3107  
Kassanskaja M. E. 2234  
Kastelejn P. W. 560  
Kastorff O. 1453  
Katchalski E. 1113  
Katz H. 1602 II  
Kaufmann H. P. 2614  
Kauko Y. 376  
Kaveckis V. 52  
Kay E. 2813 II, 2940 II  
Kaysner F. 713  
Keane J. J. 1134  
Keblich L. M. 2432 II  
Keefer C. E. 1817  
Keil A. 1519  
Keith H. D. 211  
Keith P. C. 1971 II  
Keller F. L. 117  
Keller K. 3036  
Kelly F. H. C. 2817  
Kempter C. P. 681  
Kenisberg M. 2928  
Kennedy R. 1830  
Kenneth J. 1743  
Kenyon W. C. 1338  
Kepiški J. 1367  
Kern W. 1141, 1160, 2514 II  
Kerr S. H. 1473  
Kessler P. 5051  
Kester E. B. 2069  
Keszler M. 684  
Khanna K. L. 1491  
Kharasch M. S. 764  
Kharasch M. S. 2091 II  
Kiermeier F. 3060, 3122  
Kietzmann U. 2612  
Kihara T. 300  
Kikuchi R. 348  
Kilb R. W. 146  
Kilgore H. D. 1838  
Kilitau M. K. 2556 II  
Kimberlin C. N. 1982 II  
Kinberg W. 2665  
King A. 3324  
King C. G. 474  
King G. R. 3207  
King T. 2373  
Kingdon F. 1185  
Kingston R. H. 248  
Kinney G. F. 387  
Kiritescu A. 2775  
Kirkpatrick M. E. 2998  
Kirmse W. 768  
Kirsch H. 1548  
Kirschbaum E. 3278  
Kirschning H. J. 343
- Kiser R. W. 471  
Kiss L. 3232  
Kistiakowsky G. B. 2280 II  
Kitchen L. J. 2450 II  
Kittrick J. A. 719  
Kivelson D. 144  
Kjaer A. 984  
Kjelberg A. 971  
Klaassens K. H. 887  
Klager K. 796  
Klazar G. 2876  
Kleber W. 2895  
Kleber W. 2937 II  
Klein M. J. 135  
Klein R. 391  
Kleinschmidt L. R. 1959  
Klementschtz W. 805  
Klemm W. 7  
Kleszczycki A. 27  
Klieman J. 1814  
Kliffmüller R. 3121  
Klimek R. 2366  
Kliuchnikov N. G. 687  
Klostermeyer E. C. 1477  
Klück A. 2029 II  
Kluz T. 1745 R  
Knielciak T. C. 3162 II  
Knappwost A. 342  
Knauff R. W. 1640  
Knedler O. A. 1926  
Knelman F. H. 3126  
Knight H. S. 1304  
Knippe R. E. 2751  
Knorr F. 2887  
Knowles J. W. 186  
Knülle K. 2810 II  
Kobayashi K. 203  
Kobylnski S. 1630  
Koch C. W. 1209  
Koch G. 607  
Koch P. A. 2706  
Koch W. 293 II  
Kochkin D. A. 952  
Kocik J. 1570  
Kocková-Kratochvilová A. 2894  
Kocwa A. 884  
Koencke D. F. 2641 II  
Koerner J. 2546 II  
Kofod H. 753  
Köhler C. 3379  
Köhler F. 2531 II  
Kohnke E. E. 244  
Kohnstam G. 418  
Kokkorus P. 175  
Kolarow N. 1355  
Kolb A. 1819  
Kolbach P. 2874  
Koljo B. 2660  
Kolmeier H. 1588  
Koller P. 3179  
Kolmayr F. 1206  
Kolnitsch J. 2330 II  
Kolos F. 3173  
Kolos W. 67  
Kolthoff I. M. 501  
Komiyama Y. 179  
Kommer J. D. 1818, 1827  
Komooka H. 306  
Kopecký A. 1294  
Koref A. 1119
- Korinek G. J. 400  
Kornblum N. 102  
Kornetzki M. 1607  
Korzybski R. 1260  
Kosbahn T. 2036 II  
Kosloski C. L. 862  
Košál J. 2859  
Kotrla-Hapalova M. 2873, 2879  
Kottász J. 2862  
Kottwitz F. A. 3297 II  
Koutler-Andersson E. 1559  
Kowkabany G. N. 2827  
Koyama K. 1332  
Kracker H. 2172 II  
Kráčmar J. 2295  
Kraege H. J. 1080  
Kramer A. 1481, 3012, 3020  
Kramer B. 223  
Kramer M. 2224  
Kratky O. 1125, 1126  
Krauklis J. J. 3281  
Kraut J. 1109  
Kredba M. 1780  
Krempl H. 1251  
Kretschmer K. 3133  
Kreuchunas A. 852  
Kreutzkamp N. 2305  
Krishna M. G. 2755  
Krishnamachari S. L. N. G. 107  
Krishnamurty C. R. 406  
Kritchevsky T. H. 1044  
Krjučkov A. P. 2420  
Kroepelin H. 2032 II  
Krogh-Moe J. 308  
Kropa E. L. 2742 II  
Kropp K. 2995  
Kross R. D. 103  
Krug R. C. 803  
Krukowski K. 3048  
Kryniska A. 1773  
Krzikalla R. 1211  
Krzyżaniak D. 2840  
Kubal J. 2338  
Kubicz J. 2292  
Kučera C. 689  
Kuehl F. A. 1067, 1085  
Kuhn A. 1326  
Kuhn D. A. 766  
Kuhn H. H. 2704  
Kuhn W. 321  
Kühnhans G. 1903  
Kulka M. 931  
Kulp J. L. 704  
Kumar S. 671  
Kunin R. 597, 611  
Kunin R. 1806  
Kunz A. 1754 II  
Kurdowski Z. 1687  
Kvasnicka E. A. 2685  
Kvetoň M. 2947  
Kwart H. 430
- L**  
Lacey R. N. 2082 II  
Ladd E. C. 2065 II  
Laeter J. 700  
Lafontaine A. 1478  
Lagerqvist A. 82
- Lagoni H. 3043  
Lahl W. 1660  
Laidler K. J. 399  
Laito R. W. 546 II  
Lakshmi K. 116  
Laland S. G. 999  
Lambert A. 2135 II  
Lambert M. 286  
Lambert R. F. 840  
Lamberton J. A. 2782  
Lamp B. G. 2770  
Lampl P. 2892  
Lancaster C. R. 2756  
Lancaster E. B. 2768  
Land E. H. 2358 II  
Landa S. 1850  
Landa S. 1895  
Landau R. 2131 II  
Landel R. F. 1131  
Landgraf A. 2081 II  
Landini U. 409  
Landis B. J. 1477  
Landis D. M. 1936  
Landler Y. 2437 II  
Landskroener P. A. 399  
Landucci J. M. 1172  
Lang F. M. 414  
Lang G. 3060  
Lang W. H. 1816  
Lange E. 515  
Lange K. R. 569  
Lanham A. F. 578  
Lanzi G. 297  
La Porte W. N. 2010 II  
Laporte S. 772  
Lark-Horovitz K. 258  
Lassandro Pepe T. 1485  
Lassen N. O. 640  
Latremouille G. A. 431  
Lauducis J. L. 2207  
Laurie V. W. 124  
Lauth H. 639 II, 2569 II  
Lautsh W. 1080  
Lautz G. 243  
Law N. H. 3067, 3130  
Lawson A. 1077  
Lawson R. D. 45  
Lazar M. E. 3026  
Lazard B. 427  
Lazare L. 633  
Lazarre F. 553  
Lazarus N. E. 3054  
Leaders W. M. 2798 II  
Leandri G. 870  
Lebel N. 1085  
Lebel P. 2437 II  
Le Blanc F. J. 80  
Le Chard J. H. 1834  
Leclercq J. 2971  
Lederer E. 1032  
Lee J. W. 2980  
Lee L. A. 3116  
Leedy R. C. 803  
Lees S. 3337  
Leffer F. A. W. 1981 II  
Leffler J. E. 765  
Lehmann H. 1588  
Lehmann W. 234  
Lehr J. R. 1542  
Lehrer E. 2036 II  
Leidenfrost W. 1330

# Асторский указатель

- Lein A. 2964  
Lembke A. 3148 II  
Lemieux R. U. 1005, 1012  
Lemieux R. U. 2088 II  
Lemmerz J. 2976  
Lempicki J. 1721  
Lenger V. J. 1345  
Lenhard H. 1712  
Lenhart W. B. 1741  
Leonard S. J. 3009  
Leonhard F. 1314  
Leray J. 1340  
Lerche M. 3078  
Lerner I. 758  
Lerner R. W. 779  
Le Roux A. 2270  
Letort M. 564  
Leutenegger O. 1014  
Leutner F. 1282  
Le-Van-Thoi 1027  
Leveque R. I. 1866  
Leverenz W. 2356  
Levin R. H. 2321 II  
Levitan M. 1463  
Levy B. 614 II  
Levy J. B. 395  
Levy J. P. 3366  
Lewak S. 2342  
Lewenstein M. J. 2334 II  
Lewinson V. A. 299  
Lewis A. H. 2807 II, 2808 II  
Leyland B. N. 2135 II  
Lézy R. 1677  
Lhoste J. 1459  
Lieber E. 930  
Lieberman J. A. 1839  
Liebrecht I. 2102  
Liebrecht J. 2102 II  
Lien A. P. 1935, 2027 II  
Lilischiz I. M. 187  
Lilysguist M. R. 995 II  
Lin Chao-Han 930  
Lin Chun-Chia 121, 146  
Lindberg B. 1076  
Lindenberg W. 382  
Lindquist F. E. 3026  
Linford A. 2835  
Ling Yuoh-Chern 917  
Linke W. 2811 II  
Linstead R. P. 893  
Lintner K. 242  
Linz A. 1374  
Llogier H. 1248  
Lipkin M. R. 2022 II  
Lippert M. 1087  
Lippmann D. Z. 310  
Lippmann F. 1553  
Lipták F. 1368  
Liquori A. M. 429  
Lister B. A. J. 322  
Little L. H. 784  
Littman F. E. 1253  
Litvan F. 2137 II  
Livingston R. 1095  
Locchi S. 409  
Lodzinski F. P. 2688  
Loesecke H. W. 2962  
Loewenstein M. 3059  
Loefgren C. S. 1461  
Logan R. P. 1879 II  
Lohman F. H. 545 II  
Lommatzsch A. 1675  
Longa L. 3376  
Longfield J. E. 2106 II  
Longwell J. P. 436  
Lontz J. F. 2505 II  
Lopp W. 2168 II  
Lorenz P. B. 630  
Loria A. 2353 II  
Löschner G. 214  
Losee H. A. 2154 II  
Lott W. A. 2154 II  
Lotz R. 2139 II  
Loup F. 2479  
Lovely W. G. 1476  
Low F. E. 192  
Lowde R. D. 185  
Lowe A. A. 2691  
Lowe W. 3240 II  
Lowenheim F. A. 1517  
Lowenstein-Lom W. 2050 II  
Lüben R. 1999 II  
LuBenjamin C. Y. 530  
Lucas J. 1622  
Lucchesi P. J. 106  
Luce S. B. 2511 II  
Lucka M. 2995  
Luckhurst E. R. 3037  
Ludwig R. A. 1493  
Lüders H. 2892  
Lutter C. H. 2402  
Luh B. S. 3009  
Lukas V. 1843  
Lukens H. C. 3021  
Lukens H. R. 3276  
Lukesh R. 900  
Lundgren H. P. 1851  
Lundsted L. 2805 II  
Lüssi H. 1166  
Lüst R. 692  
Lutes O. S. 216  
Luther M. W. 1983 II  
Lutour M. 2278  
Lynch C. 2030 II  
Lyr R. 2589 II
- M**
- McCarley J. E. 1338  
McCaulay D. A. 2027 II  
Maccoll A. 397  
McColloch R. J. 3014  
McCullough R. F. 1401  
MacDonald D. K. C. 261  
McDonald G. E. 1949  
McDonald L. 2809 II  
McDonald L. A. 322  
Macdonald P. 1930  
MacDonald R. N. 2117 II  
MacDonald W. E. 3161  
MacDougall D. P. 2280 II  
McEvan I. H. 499  
MacEwan D. M. C. 585  
McFarlane R. A. 2204  
MacFarlane R. B. 2405  
McGarvey F. X. 597  
McGookin A. 853  
McGrath T. F. 996 II  
Mach W. J. 610  
Machado E. F. 378  
Macher L. 2893, 2923  
Machwart G. M. 388  
McIver R. D. 1221  
Mack C. H. 2068 II  
Mack J. E. 53  
McKane R. H. 1911 II  
McKay J. F. 2641 II  
McKeag A. H. 1432 II  
McKeehan H. 3119  
Macken D. S. 2004 II  
McKenna E. 3168  
McKenna R. 1342  
Mackenzie C. A. 972 R  
McKinney C. O. 1991  
McKinney G. 2761  
McLachlan D. 158, 171  
McLaren J. V. 624  
McLaughlin R. R. 2685  
McLeod E. D. 2227  
MacNevin W. M. 1221  
Macnulty B. J. 1256  
McPherson J. F. 1068  
Maczelka L. 2963  
Maes E. 2970  
Magdalena T. 414  
Magée J. L. 472  
Magerlein B. J. 2321 II  
Magistrelli F. 701  
Magnien E. 860  
Magri R. J. 1652 II  
Maher J. L. 1968 II  
Mahon J. H. 3045  
Majumder S. K. 1480  
Makler V. 3313 II  
Malavielle L. H. L. 2584 II  
Malčić S. S. 360  
Malik J. G. 141  
Malínek M. 1226  
Mallinowski R. 1731  
Mallette F. S. 3363  
Mallison H. 1901  
Malmberg M. S. 513  
Manahan G. J. 1868  
Mancinelli F. 3047  
Mandarino J. A. 281  
Mandekern L. 1124  
Manecke G. 2110 II  
Mangham J. R. 1506 II  
Manhour H. 1250  
Mann H. J. 2064 II  
Mann J. 2678  
Manna L. 1214  
Manneck H. 2791  
Manning P. P. 68  
Manov G. G. 314  
Mansfield R. 259  
Mantovani G. 278  
Mantovani T. 701  
Manwielan M. G. 1589  
Maquestiau A. 837  
Maraghini M. 520  
Marbais M. 3273  
Marčenko A. F. 3234 R  
Marchand M. 1381  
Marek V. 2901  
Margoshes M. 103  
Margrave J. L. 78  
Marini E. 2960  
Mark H. 1171  
Markiewiczowa W. 2230  
Markley K. S. 2068 II  
Marmorstone R. J. 3343  
Maron S. H. 618  
Marr A. G. 2766  
Marrinan H. J. 2678  
Marsaudon A. 1163  
Marsh J. T. 2254 II  
Marshall A. 1832  
Marshall J. T. 3210  
Marszak I. 802  
Marti M. 1013  
Martin D. F. 456  
Martin R. G. 1867  
Martinelli B. 3179  
Martinenghi G. B. 2750  
Martinenghi G. B. 2750  
Martínez S. 177  
Martín Pérez C. S. 2778  
Maruška J. 32  
Marwitz H. O. 2157 II  
Marxová I. 1249  
Marynowski C. W. 1253  
Mashima M. 70  
Masiek M. 2292  
Mason B. J. 345  
Massal G. J. 2941 II  
Masse J. L. 74  
Massey P. J. 2564 II  
Massina R. P. 2384 II  
Masters B. J. 425  
Matchett J. R. 2962  
Mathieson A. R. 624  
Mathot V. 340  
Mathur P. B. 3002, 3003  
Matijevics E. 684  
Mattox W. J. 1989 II  
Matz M. 2764  
Maurer E. W. 2790  
Maurer R. E. 2362 II  
Mavrodineanu R. 1204  
May I. 702  
Mayer G. 286  
Mayer J. 2276  
Mayer J. E. 294  
Mayland B. J. 1387  
Mayneord W. V. 473  
Mayor Y. 1366  
Ma Yu-cheng 2291  
Mazur S. 1673, 1736  
Mead J. F. 2763  
Mecca F. 2900  
Mecco J. M. 2196, 2246  
Mechels O. 2737  
Médard L. 2273, 2278  
Meddings B. 675  
Medgyessy P. 3287  
Mehler A. 607  
Mehltretter C. L. 1008  
Mehta D. H. 886  
Mehta D. J. 1402  
Meier A. 1359  
Meier E. 1756 II  
Meier E. 2569 II  
Meier R. 602  
Meier-Grolman F. W. 1697  
Meinzel J. 273  
Meischer E. 81  
Melles R. L. 1008  
Mellon M. G. 1185  
Melstrom D. S. 2508 II  
Meluch W. C. 1022  
Melville H. W. 1145—  
1147, 1158  
Ménager P. 3342  
Meneret J. 1547  
Mentha J. 902  
Mentzer C. 883  
Menzius P. M. B. 2935 II  
Mercer B. D. 1487  
Merriam C. N. 608  
Merrill G. 1454  
Merritt C. 1223  
Merwe R. P. 3112  
Merz W. 2293  
Mesnard G. 1605  
Metcalf R. L. 1460  
Meunier P. L. 2207  
Meyer A. 2309 II  
Meyer H. 2918  
Michajlov M. I. 3234 R  
Michalowiec A. 44  
Michalski E. 1259  
Michaux P. 2457 II  
Micheel F. 1007  
Michel A. 657  
Michelson C. E. 1332  
Middleton J. 1776  
Midol P. 3219  
Midzuno Y. 300  
Miedbrodt C. 1912 II  
Mika A. 1692  
Mikalkevičius M. 238  
Mikiciriska J. 3106  
Milani V. 964  
Milazzo G. 96  
Miles D. 846  
Milham R. 3340  
Millinois J. P. 2103 II  
Milig M. 28  
Miller A. E. 1718  
Miller H. J. 3076  
Miller I. M. 1068  
Miller J. 596  
Miller J. 784  
Miller J. D. 1240  
Miller S. A. 3256  
Miller W. A. 3079  
Miller W. R. 1082  
Mills J. S. 1037  
Millson H. E. 2242 II  
Milutinović V. M. 360  
Mincato G. 3368  
Minden H. T. 240  
Minn J. 1036  
Misch R. D. 521  
Mislow K. 1022  
Mitchell J. M. 2405  
Mitchell T. 1762  
Mittal S. K. 1735  
Mittelsteiner E. 2656  
Mitton R. G. 3182, 3185  
Miyake S. 103  
Mizushima M. 121  
Mladenova-Orlinova L. 876  
Möckel P. 480  
Moffat J. 927  
Mogard H. 1378 II  
Mohler J. B. 1524  
Möhler K. 3083  
Mojsiž J. 1326  
Moldenhauer O. 2157 II  
Molnar-Ivanescio K. 55  
Molyneux P. 1147  
Moncrieff R. W. 2711  
Monet G. P. 551 II  
Monfils A. 128

# Авторский указатель

- Monnot G. 438  
Monod-Herzen G. 227  
Monroe A. G. 1768 II  
Montavon M. 2127 II  
Montgomery J. A. 922  
Montorsi E. 2591  
Mooney H. R. 2400  
Mooradian S. 2242 II  
Moore M. 1067  
Moore R. N. 1026  
Moores V. T. 79  
Moorhouse W. W. 717  
Mooser E. 249  
Morales E. J. 2825  
Moran G. L. 1433 II  
Morawietz W. 1538 II  
Moreau C. 656  
Morehouse C. K. 1509  
Morena C. M. 831  
Morey D. R. 2351 II  
Morgan H. W. 115  
Morgan J. M. 1863  
Morgan P. 2497  
Morgan P. F. 1859  
Morley H. V. 1077  
Morren H. 2310  
Morris R. C. 2122 II  
Morris T. H. 425  
Morrish A. H. 1318  
Morrissey R. T. 2455 II  
Morrow N. M. K. 2557 II  
Morton J. E. 2985  
Moses D. V. 1911 II  
Moshinsky M. 189  
Mosinger M. 3351  
Moss J. H. 965  
Moss T. S. 220  
Mosser J. L. 561  
Motojima K. 1217  
Motoyama T. 1170  
Mott N. F. 286  
Mott R. A. 1904  
Moudy L. 1232  
Mouton E. J. 2306  
Mouton R. F. 2942 II  
Moyer W. 1452  
Mozley J. M. 3336  
Muekka R. G. 424  
Müggenburg H. 3089  
Mühlbauer J. 2881  
Mukajyama T. 781, 782  
Müller A. 829  
Müller E. W. 567  
Müller H. 799  
Müller H. G. 247  
Müller O. 3115  
Müller P. 1505 II  
Muller Y. M. F. 1053  
Mulliken R. S. 69  
Muneta P. 3022  
Münzel K. 1359  
Münzhuber A. 460  
Murakami H. 1103  
Murdison A. R. 3230  
Murdock D. I. 3024  
Mürmann H. 3380  
Murphy J. F. 1533 II  
Murray M. F. 1043  
Murty C. R. 138  
Muscarei Tomajoli F. 2785  
Musil F. 3095  
Musso H. 1071
- Musso H. 2197  
Muszyński W. 1703  
Mutt V. 2326 II  
Myddeton W. W. 2787  
Myer Y. P. 565  
Myers M. L. 2647 II
- N  
Naegle E. W. 982 II  
Nagano H. 232  
Nagarajan K. 910  
Nagusa M. 232  
Nagy I. 3292 R.  
Nagy J. 589  
Nahum R. 2156 II  
Namysłowski W. 1666  
Narwani C. S. 623  
Nash H. A. 2636  
Nash J. R. 465  
Nath B. 1084  
Natta G. 1106, 1152  
Naumann H. 2296  
Nauta W. T. 2307 II  
Navias L. 1577  
Neal A. M. 2408  
Neale E. 79  
Negi N. S. 1491  
Negita H. 127  
Nehlett T. 1776  
Nehmiz W. 2487  
Nelson A. I. 3027  
Nelson J. B. 1902  
Nelson J. F. 2641 II  
Nelson P. F. 761  
Nelson R. E. 2557 II  
Nentwig K. 1606  
Neparko E. 477  
Neri A. 3041  
Netzel G. 3306 II  
Neumann H. M. 419  
Neuroth F. 3304 II  
Neuschäffer K. 2677  
Neustadter S. F. 248  
Nevison J. A. 2806 II  
New R. G. A. 2142 II  
Newbold G. T. 1090  
Neweling H. 3323 II  
Newman E. S. 1544  
Newton C. J. 1124  
Newton-Hearn P. A. 1018  
Nicholas J. E. 2952  
Nicholson J. 1740  
Nicholson K. C. 1422 II  
Niel J. 1086  
Nicolas L. 1112  
Nielsen A. H. 117  
Nielsen H. H. 111, 114, 116  
Nielsen I. 2987  
Nieswandt W. 2527 II  
Nigam S. S. 815  
Niki J. 1303  
Nilssen G. R. 3102  
Nilsson N. E. L. 82  
Nimeroff I. 1590  
Nirenberg L. 2037 II  
Nissen W. 1808  
Nitschke G. 2231  
Nivière P. 3263  
Niwa K. 444  
Nixon A. C. 1304  
Noble D. A. J. 2011 II
- Noble W. 1558  
Noland W. E. 882  
Nolden H. O. 2029 II  
Nörling J. 212  
Nordell E. 1794, 1797  
Northcott R. P. 1967 II  
Nortz M. 581  
Nouchy C. 2560 II  
Novák F. 1370  
Novák G. 1814  
Novák Z. 1793  
Nudenberg W. 764  
Numerof P. 318  
Nyholm R. S. 669
- O  
Oboloneczik W. A. 1619  
Obrecht M. F. 1410 II  
Ocón G. J. 3279  
Oda R. 2478  
Odier S. 57  
Oetker A. 3157 II  
Offer L. 2694  
Ogg R. A. 1391  
O'Halloran R. 2052  
Ohlberg S. 1317  
Ohm J. 943  
Ohme W. 2045 II  
Oh-Yama Y. 2341  
Okamoto H. 1151  
Okamura S. 1170  
Olered R. 422  
Olin A. 503  
Olin J. B. E. 612 II  
Olive S. 1142  
Oliver F. 1824  
Oliver G. L. 980 II  
Oliver H. 1633  
Oliverio V. T. 892  
Ollom J. F. 122, 123  
Olpin H. C. 2240 II  
Olsen R. T. 2079 II  
Olson H. C. 3057  
Olt R. G. 315  
Olteanu I. 1228  
O'Neill J. R. 2588 II  
Opfermann A. C. J. 2086 II  
Oppenheim R. D. 2645 II  
Ordon J. 1369  
Orel V. 3095  
Oriani R. A. 512  
O'Rourke C. E. 757  
Orth H. 2283 II  
Orzel M. 2188  
Osberg G. L. 3242  
Oshima K. 232  
Ossefort Z. T. 2406, 2407  
Ostermayer H. 2062 II  
Otsuka E. 254  
Ott A. C. 1043  
Ott D. J. 2220  
Ottaway F. J. H. 2985  
Otter I. 1300  
Ough L. D. 2836  
Ourisson G. 1038  
Ovnič V. 1267  
Owe Berg T. G. 496  
Owen E. C. 2142 II  
Owen J. H. 426  
Owen L. H. 1302  
Owen L. N. 819
- Owens R. G. 1537 II  
Oy H. 3165 II
- P  
Pacák O. 1571  
Pacsu E. 1002  
Padbury J. J. 2517 II, 2742 II  
Padmanabhan C. V. 2687  
Pagan-Carlo C. 2825  
Page W. R. 1377  
Palchik E. H. 3313 II  
Paldan M. 1351  
Palestino R. 2759  
Palleta B. 1126  
Palmer K. J. 3021  
Pande J. B. 1107  
Pánek K. 929  
Pankè H. 1434 II  
Pankhurst K. G. A. 578  
Panradl R. 1023  
Pao Yoh-Han 1129  
Paquet M. 3193 II  
Paraskevopoulos G. M. 740  
Parekh R. H. 1934  
Parham W. E. 872  
Parikh J. D. 2192  
Paris R. R. 1091  
Parish R. V. 669  
Park J. G. 47  
Parker C. D. 1854  
Parker F. D. 1923  
Parker M. E. 3033  
Parker P. M. 131  
Parkin B. A. 981 II  
Parrette R. 1341  
Parrozzani R. 3047  
Parsonage N. G. 340  
Parth B. 3159 II  
Pasedach H. 2169 II  
Pask J. A. 1562  
Passerini R. 95  
Passmann J. M. 316  
Pate K. 1558  
Patel D. S. 3009  
Paterson H. A. 2695  
Patnaik D. 670  
Patti F. 475  
Patton S. 3091  
Paukner E. 2895  
Pauling H. 2700, 2700 II  
Pavanaram S. K. 1094  
Pawloy H. 1073  
Payne H. F. 2604  
Peak R. 1360  
Pearce G. W. 1862  
Pearce M. 3285  
Pearlstein F. 3204  
Pech M. 1299  
Peck G. C. A. 3251  
Pederson R. L. 1043  
Peery L. C. 1911 II  
Pekar S. I. 187  
Pennell F. H. 3211  
Penney G. W. 3385 II  
Pense W. 3178  
Perakis N. 252  
Percival E. E. 1020  
Perilla O. 1194  
Perlo P. 286  
Perkins A. G. 1864
- Perlin A. S. 1009  
Perlmutter A. 223  
Petering H. G. 926  
Peterlin A. 1115  
Peters B. 698  
Peters E. 408  
Peters K. 1874 II  
Peters K. H. 3043  
Peters M. S. 333  
Petersen D. E. 310  
Petersen J. F. 1926  
Peterson L. C. 2433 II  
Petit J. 1277  
Petit L. 2982  
Peto A. G. 819  
Petránek J. 1280  
Petrú F. 689  
Petrzilká T. 2165 II  
Pettit G. A. 1842  
Petzelt B. 1363  
Petzold W. W. 1210  
Pezold E. 1896  
Pflanz H. 1047  
Pfeiffenschneider R. 646  
Pfertzel R. 2277  
Pfister K. 111, 1029  
Pfitzner H. 2200  
Pfleiderer W. 925  
Phillipsborn W. 778  
Phillips A. P. 902  
Phokas G. 1056  
Piaux L. 108  
Pichlmayr H. 2260 II, 2383  
Pickenhain L. 1348  
Pickering W. F. 596  
Pier M. 1978 II  
Pierce J. S. 2886  
Pierce P. E. 618  
Pierce R. T. 3004  
Pierer H. 2247 II  
Pietermaat F. P. 2970  
Pietroboni S. 3236 II  
Pigford R. L. 3334  
Pilo C. W. 2138 II  
Pilz I. 1125  
Pimentel G. C. 147  
Pincon A. 1891  
Pines D. 192  
Pingale S. V. 1480  
Pino P. 1152  
Pinter T. 401  
Piotrowski S. 1356  
Piratzky W. 2869  
Pirrone G. 2475  
Pitre D. 1058  
Pitzer K. S. 310  
Platou E. 2284  
Plešek J. 835, 836  
Pliech K. 343  
Plocek L. 1265  
Plyler E. K. 118  
Podgurski H. H. 443  
Pogossjan R. P. 1589  
Pohl F. 2016 II  
Pöhnm M. 2301  
Poisson R. 2597  
Polissar M. J. 690 II  
Pollster B. H. 2763  
Pollitt J. 1057  
Poljak A. 924  
Pomeroy R. 1775



- Pons W. A. 2753  
 Poos G. I. 2126 II  
 Popescu H. 1228  
 Popescu N. 1594  
 Popoff A. 816  
 Popovic 2203  
 Popovici S. 498  
 Popow A. 2857  
 Popper E. 1228  
 Popper P. 864  
 Porges N. 1855  
 Porod G. 1126  
 Port W. S. 1143  
 Porter F. W. B. 1966 II,  
 1967 II, 1995 II, 2006 II  
 Porter L. M. 2061 II  
 Posener D. W. 112  
 Poser G. 2357 II  
 Pospíšil Z. 1628  
 Potęslowá H. 2304  
 Potter E. B. V. 2050 II  
 Potter E. C. 524  
 Potts K. T. 1072  
 Pouradier J. 1172  
 Powell D. B. 104  
 Powell W. A. 3116  
 Poynter D. A. 1202  
 Poznański S. 2945  
 Pradella L. 3098  
 Pragst W. 2631  
 Prasad M. 1402  
 Prem D. 2399  
 Prescott G. C. 1495  
 Preuss H. 152  
 Price A. 499  
 Price C. C. 490  
 Price P. J. 251  
 Priese O. 2069 II  
 Priewe H. 924  
 Prins W. 629  
 Priori O. 2773  
 Pristoupil T. I. 1303  
 Prizer C. J. 1806  
 Procházka Z. 2308  
 Prod'homme M. M. 327  
 Profft E. 899, 1051  
 Proks I. 1331  
 Prosz G. 2949  
 Prouvost J. 178  
 Prue J. E. 491  
 Pruvot P. 3364  
 Przibram K. 231, 291  
 Psztyng E. 1581  
 Pták J. 734, 738  
 Ptonska H. 2978  
 Pugh A. C. P. 335  
 Pugh T. L. 625  
 Pugh W. L. 1719  
 Puig I. 2466  
 Pujari H. K. 939  
 Pummer H. 3315 II  
 Pungor E. 384  
 Puri B. R. 565
- Quadrant O. 285  
 Querangal des Essarts  
 M. J. 3360  
 Quilici R. E. 388  
 Quin L. D. 957  
 Quinchon J. 2279
- Quintin J. 2222  
 Quintin M. 507
- R**
- Rabaté J. L. 2624  
 Radermacher G. 1663  
 Radin N. S. 316  
 Radoni R. 1492  
 Radzitzky P. 2129 II  
 Rahman A. U. 783  
 Raichle L. 2000 II  
 Ralston R. H. 2524 II  
 Ram A. 671  
 Ramachandran V. S. 356  
 Ramaiah N. A. 1354  
 Ramakrishna Rao M. V.  
 1354  
 Ramakrishnan C. S. 1107  
 Ramakrishna Rao V. 89,  
 90  
 Ramamurty S. 90  
 Ramette R. W. 419  
 Rankoff G. 816, 817,  
 2857  
 Rao K. H. 2826  
 Rao K. N. 114, 116  
 Rao R. K. 2755  
 Rapoport H. 1048  
 Rapson W. H. 1431 II  
 Raseman C. J. 1377  
 Rattee I. D. 2199  
 Rauch H. 2726  
 Raun E. S. 1467  
 Rautenstrauch S. 26  
 Ray A. 603  
 Ray J. D. 1391  
 Read C. L. 2033 II  
 Reamer H. H. 375  
 Reber T. 685  
 Rech J. 1358  
 Redlich O. 2023 II  
 Reed R. E. 2387 II  
 Reeg S. F. 609  
 Refson B. H. 3257  
 Regan C. J. 1837  
 Řehák B. 1226  
 Rehberg H. 320  
 Reich A. 1620  
 Reich H. 1045  
 Reichel I. 3124  
 Reid R. J. 2548 II  
 Reid W. W. 1017  
 Reldel J. C. 1386  
 Reifensattel G. 3146 II  
 Reiff H. E. 872  
 Reilly M. L. 1127  
 Rein H. 2519 II  
 Reiner A. S. 41  
 Reinhercs A. 3137  
 Reinhold D. 1029  
 Reith J. F. 1489  
 Remers W. A. 1024  
 Remon Camacho J. J.  
 2899  
 Rempot Z. 384  
 Remy H. 645  
 Renault J. 2919  
 Renfrew M. M. 2522 II  
 Renish G. H. 3158 II  
 Renner O. 2618  
 Rentenberger A. 2752
- Rentschler H. 2927  
 Rényi A. 3287  
 Renzetti N. A. 695  
 Resnik F. E. 3116  
 Restle H. 342  
 Resuggan J. C. L. 2884  
 Reuschle W. 3311 II,  
 3316 II  
 Reuter H. 3090  
 Reuter M. 2109 II  
 Rexroad H. N. 122, 123  
 Rhodes M. S. 2593  
 Rice R. G. 3014  
 Richard C. 1787  
 Richardson W. L. 1079  
 Richmond H. H. 2147 II  
 Richmond J. C. 1590  
 Richter A. 1873  
 Richter G. A. 2671  
 Richter J. W. 1085  
 Richtmyer N. K. 998  
 Rickerling R. A. 1312  
 Rico F. R. 62  
 Rideal E. 346, 616  
 Ridge M. J. 398  
 Rieche A. 888  
 Riede P. M. 1771 II  
 Riedl W. 1086  
 Riemschneider R. 139,  
 833, 969  
 Rienäcker G. 7  
 Rijken 1616  
 Riou M. 44  
 Ripamonti A. 420  
 Risaliti A. 868  
 Ritchey N. F. 2878  
 Ritchie E. 1059  
 Ritter D. M. 1360  
 Ritzfeld W. 2354  
 Rius A. 386  
 Rivas M. A. 3328  
 Rivoir L. 177  
 Rizzi W. 1073  
 Robertson W. E. 2767  
 Roberts A. M. 1379 II  
 Roberts D. E. 1124  
 Roberts G. 1044  
 Roberts J. D. 754  
 Roberts S. J. 1821  
 Roberts V. F. 1876  
 Robertson W. G. P. 1146  
 Robins R. K. 921  
 Robinson A. E. 1338  
 Robinson D. W. 680  
 Robinson F. A. 1081  
 Robinson F. M. 1068  
 Roblin R. O. 2311 II,  
 2316 II  
 Roca d'Huyteza M. C.  
 de P. 974 II  
 Rodighiero C. 1093  
 Roe A. 957  
 Roe F. C. 1865  
 Roelen O. 2081 II,  
 2503 II  
 Roenneke H. 1918  
 Roessler F. C. 311  
 Rogers D. 1031  
 Rogers L. B. 1180  
 Rogers M. T. 141  
 Rohner E. 3239 II  
 Rohwer R. G. 2836
- Rolter I. M. 2930  
 Rolf G. 1753 II  
 Rolinski Z. 1337  
 Roman V. 2219  
 Romano R. 3359  
 Romer W. 2350  
 Rommel O. 105  
 Romo J. 2323  
 Rondestvedt C. S. 763  
 Ronssin S. 2272  
 Ropp G. A. 428  
 Rose A. 3333  
 Rose F. L. 2813 II  
 Rose J. B. 1153  
 Roselaar L. 396  
 Rosen D. 473  
 Rosenbluth A. W. 298  
 Rosenbluth M. N. 298  
 Rosenkranz G. 2323 II  
 Roser O. 1924  
 Roseveare W. E. 2683  
 Ross J. M. 906  
 Ross W. C. J. 865  
 Rosset A. J. 1977 II  
 Rossmann K. 114  
 Rost R. 1270  
 Roszak W. 1688  
 Roszyk E. 1268  
 Röhngen C. 2596  
 Rothstein R. 895  
 Roubert J. 2907  
 Rougieux R. 2926  
 Rout M. K. 939  
 Rovesti P. 2369, 2374  
 Row L. R. 1094  
 Rowan M. K. 2955  
 Rowe R. 2075 II  
 Rowland J. 2006 II  
 Rowley K. 1220  
 Roy J. C. 465  
 Rüb F. 3326  
 Rubin B. 513  
 Rubinstein M. 1523  
 Rüdiger O. 280  
 Rüegg R. 2127 II  
 Rumbold J. S. 2424 II  
 Rummelscheldt G. E.  
 2428 II  
 Rundie R. E. 168  
 Ruslecki A. 1669  
 Russell R. 1624  
 Rust F. F. 2061 II,  
 2124 II  
 Rutczynska-Sconieczna E.  
 2978  
 Rutle J. 1691  
 Ruysen R. 631  
 Ryan R. 905  
 Rybníkář F. 1347  
 Ryden L. L. 2423 II
- S**
- Saager J. 1903  
 Sacco A. 660  
 Sachsse H. 2036 II  
 Sack E. A. 1  
 Saffer A. 2131 II  
 Sage B. H. 375  
 Saha J. M. 2826  
 Sahner M. P. 2595  
 Saito E. 427  
 Sakowicz S. 3103
- Salac V. 2873, 2879  
 Salaria G. B. S. 1181  
 Salimath R. S. 886  
 Sallo J. S. 764  
 Salmon O. N. 364  
 Salt F. E. 2504 II  
 Salvesen J. R. 3188  
 Salvin V. S. 2547 II  
 Samdahl B. 971  
 Sampson R. E. 1493  
 Samson O. A. 1992 II  
 Samuels B. K. 1045  
 Samuels C. E. 3012  
 Samuely M. 2570 II  
 Sandall M. 1711  
 Sandell K. B. 150  
 Sander H. 1057  
 Sandermann W. 2615  
 Sanderson T. F. 1036  
 Sandford F. 1563  
 Sandhu J. S. 1470  
 Sandrock J. D. 1975 II  
 Sans M. 1531 II  
 Santangelo J. G. 347  
 Santhappa M. 1139  
 Santos Molero M. T. 2778  
 Sapre R. K. 1398  
 Saret L. H. 2126 II  
 Sarna H. R. 151  
 Sarolea L. 294  
 Sarrot-Reynaud de  
 Cresseneuil J. 718  
 Sasse W. H. F. 912  
 Sastri M. N. 406  
 Sastry D. S. 3218  
 Satoh S. 1405  
 Satou S. 127  
 Satta V. 2734  
 Saul G. A. 1507 II  
 Saunders W. A. 1000  
 Savatzky A. 206  
 Savelli E. 2600  
 Sawdye G. W. 2353 II,  
 2361 II  
 Sawicki E. 892  
 Sawicki J. 43  
 Sawires Z. 874  
 Sawyer C. N. 1820, 1838  
 Scaciatelli G. 1408  
 Scarlett C. H. 1377  
 Scartabelli A. 2623  
 Schaeffer B. B. 2132 II  
 Schaer W. 3212  
 Schaffer R. 1001  
 Schairer J. F. 1543  
 Schalla R. L. 1949  
 Schätzer L. 1734  
 Schaub F. 3323 II  
 Schaub F. 2495  
 Scheer M. D. 391  
 Scheibel E. G. 1765 II  
 Schell K. 1500 II  
 Schenck F. R. 2104  
 Schenk D. 25  
 Schenkel H. 2113 II  
 Scheppler E. 139  
 Scherhorn W. D. 2552 II  
 Scherwood P. W. 2054  
 Scheunert A. 8  
 Schild H. 2109 II  
 Schiller P. 1350, 1351  
 Schiltknecht A. 1525

# Алфавитный указатель

- Schlimmelschmidt K. 2811 II  
 Schinz H. 2379 II  
 Schirp A. 1914 II  
 Schlack P. 2115 II  
 Schlein H. N. 818  
 Schlenk H. 2770  
 Schlosser G. 2224  
 Schlumberger H. 2545 II  
 Schmalenbach A. 3315 II  
 Schmauf H. 2024 II  
 Schmid H. 778  
 Schmid H. E. 242  
 Schmid K. 778  
 Schmidt B. 3367  
 Schmidt F. 2438 II  
 Schmidt M. P. 2357 II  
 Schmidt W. L. 3167 II  
 Schmitt H. P. 3012  
 Schmitt J. 854, 855  
 Schmitz E. 847, 888  
 Schmitz H. 2306  
 Schmolka I. R. 985 II  
 Schmutzler A. F. 2655 II  
 Schneeweiss R. 2979  
 Schneider E. 3127  
 Schneider F. 1051  
 Schneider F. A. 1529 II  
 Schneider J. 880  
 Schneider J. C. 3346  
 Schneider R. 1421 II  
 Schneider R. 2514 II  
 Schneider W. G. 132  
 Schneider W. G. 2517 II  
 Schoen L. Y. 391  
 Schoene D. L. 2544 II  
 Schofield H. E. 2078 II  
 Schofield J. C. 747  
 Scholl E. C. 2605  
 Scholze H. 650  
 Schön L. 3071  
 Schoop R. 1477  
 Schot C. J. 887  
 Schoppmeyer W. 2563 II  
 Schotte L. 820  
 Schrader G. 1484  
 Schreiner P. 1627  
 Schröder E. 243  
 Schröder G. 1141  
 Schubert-Mager 3377  
 Schuhkencht W. 1889  
 Schulek E. 394  
 Schulemann W. 3123  
 Schultenbergh J. W. 1033  
 Schuler R. H. 476  
 Schulman J. H. 576  
 Schulte-Bockholt H. 2545 II  
 Schulteis W. E. 2938 II  
 Schultz O. E. 598  
 Schulz B. 2989  
 Schulz E. 1609  
 Schulz G. V. 1142  
 Schulz R. 1141  
 Schulz R. C. 1160  
 Schulze 1986 II  
 Schulze B. 2663  
 Schulze E. 1852  
 Schulze W. 1759 II  
 Schulze W. A. 1973 II, 2441 II  
 Schulze W. M. H. 1136  
 Schumb W. C. 680  
 Schuster K. 2144 II  
 Schwahn H. 762  
 Schwartz N. 415, 2958  
 Schwarz E. 2615  
 Schwarz H. F. 2566 II  
 Schwarz R. 7  
 Schwarz W. H. 3271  
 Schwarzenbach G. 676  
 Schweikert G. 2269  
 Schweisheimer W. 2372  
 Schwemmer M. 2736  
 Schwenk E. 2592  
 Schwerdtner H. 2235  
 Schwiering H. 1614  
 Schwiete H. E. 1654  
 Scripture E. E. 1719  
 Seagran H. L. 3100  
 Searle D. F. 2807 II  
 Searles S. 2442 II  
 Sears P. G. 500  
 Secor G. E. 1283  
 Sederholm C. H. 147  
 Sedlmayr R. 2155 II  
 Seefelder M. 2169 II  
 Seeger K. 270  
 Seibert H. 2546 II  
 Seiler H. 1212  
 Seiter J. G. 3217  
 Sekera A. 2295  
 Sekora A. 1126  
 Sela M. 1113  
 Seliger H. 1538 II  
 Seligman R. B. 1285  
 Sen S. N. 224  
 Senda H. 2478  
 Senio P. 165, 204  
 Serota L. 1510  
 Serres A. 252  
 Seruto J. 2184 II  
 Šešulka U. 1895  
 Sethofer V. 3128  
 Seuz J. A. 3060  
 Severson D. E. 3008  
 Shaffer G. E. 1811  
 Shah G. D. 889  
 Shah N. M. 886  
 Shah R. C. 889  
 Shah V. D. 3245  
 Shamgar A. 2274  
 Shapiro A. H. 3328  
 Shapiro H. 2123 II  
 Sharma L. R. 565  
 Sharp D. W. A. 667  
 Sharpe A. G. 667  
 Sharras M. L. 1926  
 Shaw F. R. 1474  
 Shaw M. D. 2952, 3004  
 Shaw R. F. 2407  
 Shea R. 1847  
 Sheehan J. C. 1079  
 Sheldahl D. B. 2043 II  
 Shelton J. R. 2409  
 Shelton R. S. 2114 II  
 Sheppard D. 3052  
 Sherwood P. W. 1933  
 Sherwood R. L. 3200 II  
 Shimazu Y. 712  
 Shipley D. E. 1902  
 Shiraiishi Y. 444  
 Shira G. A. 198  
 Shishikura R. 328  
 Shoenlaub R. 3199 II  
 Shoolery J. N. 133  
 Shoosmith J. 84  
 Short G. R. 3335  
 Short M. A. 235  
 Short W. F. 2328 II  
 Shostakovski M. F. 952  
 Shrinivasan V. R. 1060  
 Shunk C. H. 1067  
 Shutschenko W. 3270  
 Shyluk W. P. 1004, 1012  
 Sidman J. W. 145  
 Sieber H. 3260  
 Sieber R. 821  
 Siebels-Vilsmeyer 2877  
 Siekmann 2760  
 Sie Swan Tjong 1301  
 Siggel E. 2525 II  
 Sikora J. 1672  
 Silberelsen K. 2891  
 Silbermann W. E. 789  
 Sill R. C. 552  
 Sillen L. G. 503  
 Silver M. 566  
 Silverman L. 1225, 1232  
 Silverman S. 433  
 Simáček O. 1679  
 Simionovici R. 1296  
 Simões L. E. 2750  
 Simon A. 1381  
 Simon G. 1891  
 Simon M. 3008  
 Simon W. 2051 II  
 Simonelli A. 2575 II  
 Simonides H. 2966  
 Simpson C. J. S. M. 101  
 Simpson D. W. 604  
 Simpson N. H. 208  
 Simpson W. C. 1362 II  
 Simpson W. C. 2005 II  
 Singer K. 1277  
 Singh H. 1470  
 Singh K. K. 3002, 3003  
 Singh S. 151  
 Singleton H. M. 2555 II  
 Sinha A. K. 908  
 Sinisgalli A. A. 123  
 Sirkar S. C. 224  
 Skapski A. S. 552  
 Skei T. 1304  
 Skibniewski C. 2842  
 Skilling G. T. W. 3164 II  
 Skolnik S. 964  
 Sládek V. 1825  
 Slansky E. 725  
 Slater L. E. 3325  
 Slates H. L. 788  
 Slettinger M. 1029  
 Sliwa A. 1208  
 Sly G. 2382  
 Smetana R. 2781  
 Smiley R. A. 102  
 Smisloff W. 2018 II  
 Smith A. K. 2756  
 Smith A. O. 2788  
 Smith C. W. 1128  
 Smith D. F. 2297  
 Smith E. A. 197  
 Smith E. H. 1475  
 Smith F. J. 335  
 Smith J. M. 2145 II  
 Smith G. E. P. 2446 II, 2451 II  
 Smith G. S. 3026  
 Smith J. L. 3252  
 Smith O. 3022  
 Smith P. A. S. 834  
 Smith-Kielland I. 999  
 Smittenberg J. 38  
 Smook M. A. 2394  
 Smrick A. 1573  
 Smyth H. F. 3119  
 Snagis D. 2672  
 Snekvik E. 1518  
 Snell P. D. 2789  
 Snow A. I. 168  
 Snyder A. D. 2400  
 Snyder H. R. 2093 II  
 Sobeck E. 1807  
 Sokol P. 1311  
 Sokolow A. W. 236  
 Soltesz J. 1069  
 Solti N. 3232  
 Soltyz Z. 1367  
 Sommer S. 2347  
 Sommer S. 2506 II  
 Sommers A. H. 826  
 Sondheimer E. H. 264  
 Sonntag F. 1123  
 Sorensen D. P. 1940  
 Šorm F. 31  
 Sorrels J. H. 1823  
 Souny P. 564  
 Southerland F. L. 3020  
 Sova V. 3125  
 Sovova M. 3125  
 Spaeth E. C. 891  
 Spall B. C. 394  
 Spaulding D. W. 2683  
 Spedden H. R. 730  
 Speer W. 2526 II  
 Spencer A. T. 991 II  
 Spencer H. A. 1929  
 Spencer K. A. 3229  
 Spillmann-Zuppinger J. 3236 II  
 Spindt R. S. 1950  
 Spink J. A. 576  
 Splitter J. S. 466  
 Springs L. 2002 II  
 Sriramam K. 406  
 Staats P. A. 115  
 Stacey M. 1018  
 Stanbridge H. H. 1822  
 Stanciu N. 2289  
 Staňek J. 1096  
 Stanier H. 2034 II  
 Stankevič J. 1334  
 Stanley E. 2240 II  
 Stanley H. M. 2161 II, 2504 II  
 Stansby M. E. 3097  
 Stark K. H. 1137  
 Starkweather H. W. 2476  
 Starr D. F. 2162 II  
 Stas N. 2222  
 Staudinger H. 1097, 1161  
 Stauffer R. E. 2364 II  
 Staveley L. A. K. 340  
 Stayner R. D. 2808 II  
 Steel A. E. 1770 II  
 Stegmüller L. 1546  
 Steigmann A. 2337, 2340  
 Stein G. A. 1029  
 Stein R. S. 1134  
 Steinberg J. C. 2702 II  
 Steinberg M. P. 3027  
 Steinhilber H. 2032 II  
 Steinbruch T. 3064  
 Steinegger E. 1056  
 Sterescu M. 1296  
 Sterling C. 3011  
 Stern E. S. 2128 II  
 Stern K. H. 514  
 Stevens D. R. 1950  
 Stevens R. G. 1920  
 Stewart E. G. 235  
 Stewart A. T. 776  
 Šticha V. 1814  
 Stiefenhofer G. 1088  
 Stier E. F. 3005  
 Stirling D. J. 1316  
 Stirlan A. J. 2790  
 Stock J. T. 501  
 Stoenner R. W. 1220  
 Stoll A. 2165 II  
 Stoll W. 2137 II  
 Stoller B. B. 2936 II  
 Stoltzenberg H. A. 1784  
 Stone I. 2928  
 Stone P. E. 1542  
 Storace G. 1485  
 Storgårds T. 3031, 3050  
 Stork G. 1033  
 Stott J. B. 1327  
 Štrafeldt F. 1336  
 Strahl A. 2931  
 Straschill M. 1845  
 Straumanis M. E. 166  
 Strauss U. P. 634  
 Strazdins E. 2571 II  
 Strobel H. A. 606  
 Strobel W. B. 1923  
 Ströle U. 1165  
 Stromberg V. L. 1065  
 Strunk D. H. 1214  
 Stubbs F. J. 394  
 Stublez Z. 1346  
 Studer A. 903  
 Stuke B. 638  
 Stamm W. 1844  
 Stüpel H. 556  
 Subba Rao M. S. 1491  
 Subluskey L. A. 1036  
 Suchowski K. 1611  
 Suchu G. 1228  
 Sudhoff R. W. 2164 II  
 Sugawara H. 523  
 Sugihara J. M. 1940  
 Sullivan M. V. 1511  
 Sullivan S. A. 60  
 Sumiya T. 2465  
 Sun Chen-gee 2299  
 Sundaram S. 2687  
 Sundheim B. R. 633  
 Sunko D. E. 813  
 Sun Kuan-Han 1596 II  
 Suquet M. 855  
 Suryanarayana V. 89  
 Suseela B. 404  
 Susz B. 447  
 Süszer A. 3189  
 Suworow N. J. 1587

Авторский указатель

- Suzuki K. 2762  
 Svénson J. 2977  
 Swain G. 2813 II  
 Swamer P. W. 2149 II  
 Swartzentruber P. 872  
 Sweett F. 1930  
 Swenson H. A. 2682  
 Swentzel J. P. 1422 II  
 Swątek A. 2945  
 Swierczynski A. 3137  
 Swift A. M. 2103 II  
 Swinstead J. M. 335  
 Switzer G. 709  
 Sy M. 909  
 Sydnor A. R. 1987 II  
 Sykes P. 2  
 Szachowska M. 2978  
 Szádeczky-Kardoss E. 714  
 Szapiro S. 336, 337  
 Szayna A. 2065 II  
 Szikszay G. 1723  
 Szmit A. 1724
- T**  
 Tachikawa S. 2745 II  
 Taft W. K. 2400  
 Tai K. M. 949  
 Takahashi T. 1038  
 Takanaka J. 1207  
 Takebayashi M. 1144  
 Talen H. W. 2617  
 Talenti M. 3  
 Tallent W. H. 1065  
 Talukdar P. B. 1028  
 Tanaka Y. 80  
 Tang Teng-han 2299  
 Taniguchi H. 1353  
 Tann W. E. 2431 II  
 Tannenberger H. 652  
 Tanner H. 2927  
 Tappel A. L. 2766  
 Tatchell A. R. 2872  
 Taubert A. 2988  
 Täufel K. 9  
 Tausig F. 1082  
 Tavernier J. 2921  
 Taylor E. A. 1462  
 Taylor E. C. 1052  
 Taylor R. E. 993 II  
 Teach E. G. 801  
 Tegtmeyer O. 943  
 Tektmer E. 2983  
 Teillac J. 44  
 Telande C. G. 3181  
 Templeton D. H. 162  
 Tengquist E. 2723  
 Ter-Karapetjan S. A. 1589  
 Tesio M. 3382  
 Tessmar K. 2559 K  
 Tettamanti K. 3287  
 Teuber W. 2287  
 Teufel H. 3060  
 Theilacker W. 830, 864  
 Theile K. 2666  
 Theisen E. 749  
 Thévenot R. 3081  
 Thilo E. 688  
 Thirtle J. R. 2153 II  
 Thoenes H. W. 1632  
 Thomas E. A. 1640  
 Thomas G. 1478
- Thomas H. A. 1774, 1829  
 Thomas H. C. 608  
 Thomas I. D. 171  
 Thomas J. H. 499  
 Thomas O. H. 840  
 Thomas P. J. 397  
 Thomson H. F. 1713  
 Thomson J. F. 1863  
 Thornes L. S. 2028 II  
 Thrush B. A. 461  
 Thurber F. H. 2753  
 Thurell J. E. 3031  
 Tichomírova V. 1679  
 Tiedike K. H. 2664  
 Tien Chi Chen 66  
 Tilak B. D. 914  
 Till J. E. 1309  
 Tillotson J. A. 2770  
 Tillyer E. D. 2565 II  
 Timell T. E. 1004, 2679  
 Timmons N. J. 2606  
 Tinklin G. L. 3013  
 Tiroufflet J. 534  
 Tittensor E. 932  
 Tiwari S. S. 843  
 Tobias R. E. 2692  
 Tocker S. 894  
 Todd S. P. 2647 II  
 Todo N. 453  
 Toceg O. M. 452  
 Tojo B. G. 3279  
 Tomanová V. 1303  
 Tomasian E. 3381  
 Tomeček L. 2839  
 Tomisek J. 2846  
 Tomlin S. G. 1104  
 Tomlinson T. B. 235  
 Tompkins F. C. 200  
 Tomura M. 254  
 Toops E. E. 824  
 Toor H. L. 3249  
 Tordella J. P. 1138  
 Tosca L. 297  
 Toseland P. A. 1075  
 Tóth J. 588  
 Tough D. 2629  
 Touhey W. J. 2406, 2407  
 Tournarie M. 286  
 Towle J. L. 934  
 Townsend L. R. 3019  
 Toyama Y. 2762  
 Tramm H. 3323 II  
 Tranchant J. 1248, 2275  
 Trandaphilow T. 1355  
 Traxler J. T. 787  
 Traynard P. 1328  
 Trčka V. 1064  
 Treat L. G. 2423 II  
 Trehan P. N. 151  
 Trendelenburg F. 39  
 Trenkler H. 1892  
 Trevissoi C. 3375  
 Treybal R. E. 3293 K  
 Treylor T. G. 773, 774  
 Trick G. S. 346  
 Tripathi B. N. 843  
 Trompler J. 384  
 Trífek J. 29, 30  
 Truhaut R. 3350  
 Trujillo R. 378  
 Trusler R. B. 2800 II  
 Tschirky L. 1684
- Tsuda T. 2253  
 Tsutsui M. 1035  
 Tucker C. W. 165, 204  
 Tufegdžić V. 1690  
 Tully J. E. 1899  
 Tundo A. 870  
 Tunnichliffe M. E. 2390  
 Tuovinen A. 2667  
 Turba F. 1060  
 Turkdogan E. T. 506  
 Turner A. H. 767  
 Turner J. N. 3185  
 Turner M. D. 1562  
 Turner R. W. 1904  
 Turner T. E. 110  
 Turton C. N. 1002  
 Twigg B. A. 3020  
 Twomey J. J. 2436 II  
 Tyrrell H. J. V. 1075
- U**  
 Uchida H. 453  
 Uebersfeld J. 286  
 Uelzmann H. 2512 II  
 Uhler U. 83  
 Umberger J. Q. 2355 II  
 Ungnade H. E. 102  
 Updegraff D. M. 1916  
 Updegraff N. C. 1387, 2055  
 Uppenkamp B. 2228  
 Urban J. 2841  
 Urey H. C. 697  
 Urnes S. 350  
 Urushibara Y. 867  
 Urwin J. R. 1147  
 Uyeda R. 193
- V**  
 Vabcarce A. C. 1462  
 Váhala J. 454  
 Vajda G. 312  
 Valencia C. 1624  
 Valls J. 790  
 Vámos A. 1343  
 Vančura M. 2879  
 Vandenbelt J. M. 94  
 Vandenheuvel F. A. 1195  
 Van Dyke R. E. 691 II  
 Vaníčková E. 1298  
 Vannah W. E. 3325  
 Van Rysselberghe P. 520  
 Van Winkle J. L. 2122 II  
 Varma N. C. 2823  
 Varnerin R. E. 392  
 Varron P. A. 2634  
 Varsányi G. 2417  
 Vas K. 2949  
 Vascellari F. 1482  
 Vatcher D. R. 1195  
 Vaterrodt P. 2281 II  
 Vaughan J. R. 916  
 Vaughan W. R. 780  
 Vavřin F. 1655  
 Vavruchova A. 2894  
 Večeřa M. 1280  
 Vejdělek Z. J. 1064  
 Vélon P. 2376  
 Veloric H. S. 568  
 Venkateswara Rao R. 3056
- Venkiteswaran M. R. 914  
 Vere-Jones N. W. 3130  
 Verma J. P. 1084  
 Vermehren T. 2325  
 Verplanck V. 1167  
 Veselý K. 1101  
 Vetter H. 720  
 Vetter R. 2984  
 Vialard-Goudou A. 1787  
 Viana Marques Gomes J. 2904  
 Vickerstaff T. 2208  
 Vierling K. 2526 II  
 Vigh A. 3232  
 Vilagut Guitart F. 1720  
 Vilar Rosa da Costa A. 2922  
 Vince I. 3287  
 Viscontini M. 1013, 1014  
 Vitolo A. E. 3  
 Vogel H. A. 2322 II  
 Vogel J. E. 1569  
 Vögele P. 2520 II  
 Vogl K. 1810  
 Vogler C. E. 458 II  
 Vogt E. 2932  
 Vohwinkel K. 1070  
 Voigt D. 436  
 Voigt G. 966  
 Vokálek J. 32  
 Volf M. B. 1576  
 Volovick G. 553  
 Volsom E. 1716  
 Vondrka V. 3073  
 Voorthies A. 1987 II  
 Vopátkova-Nováková D. 2894  
 Vosburgh W. C. 532  
 Votava E. 279  
 Vries H. 1323  
 Vuillard G. 377  
 Vujanović N. 813  
 Vukanović V. M. 360  
 Vukčević-Kovačević V. 2298
- W**  
 Wada T. 444  
 Waddill P. M. 3317 II  
 Wadsworth P. T. 1352  
 Wagener S. 563  
 Wagner C. D. 3276  
 Wagner-Beecher S. 1888  
 Wahl H. 2175 II  
 Wahl H. 2703  
 Wahl O. 2173 II  
 Walda E. S. 198  
 Walbert J. T. 803  
 Waldie W. A. 2644 II  
 Walker G. N. 879  
 Walker G. T. 2377  
 Walkey G. J. 2483  
 Walkley V. T. 3025  
 Wall L. A. 1156  
 Walla H. 2063 II  
 Wallcave L. 890  
 Wallraf M. 1266  
 Walshaw C. D. 694  
 Walter L. 2898  
 Walter P. 2282 II  
 Walter R. I. 762  
 Walter W. 832
- Walther E. 2582 II  
 Walton E. H. 2572 II  
 Walworth C. B. 3258  
 Wannagat U. 646  
 Warburton M. 1019  
 Ward F. L. 596  
 Ward W. C. 2335 II  
 Wareham J. F. 2674  
 Wariyar N. S. 877  
 Warren R. P. 3258  
 Warwick G. P. 865  
 Wasgestianova M. 285  
 Washburn W. D. 3340  
 Wasserstein B. 703  
 Waterhouse R. B. 576  
 Waterman H. J. 1301, 1958, 2819  
 Waters W. A. 767  
 Watkins N. 1143  
 Watkins S. B. 3251  
 Watkins T. I. 751  
 Watson G. H. R. 3160 II  
 Watson R. W. 1000  
 Watson W. T. 3225  
 Watter O. 2360  
 Watters F. L. 1469  
 Watzl A. 2525 II  
 Wayman M. 1431 II  
 Weaver C. E. 737  
 Weaver W. I. 2534 II  
 Weber A. 1319  
 Weber K. 2704  
 Weber K. L. 2783  
 Weber W. 1952  
 Webster C. 3030  
 Webster J. G. 789  
 Weedon B. C. L. 815  
 Weege R. J. 730  
 Weeks J. R. 531  
 Weeks R. L. 2021 II, 2033 II  
 Wehrli W. 2174 II  
 Wehrung A. 2721  
 Weick A. C. 2261 II  
 Weidhaas J. A. 1474  
 Weidmann C. J. 2795  
 Weil C. S. 3119  
 Weil J. K. 2790  
 Weill-Marchand A. 217  
 Weinberger E. 2567 II  
 Weinmann A. 65  
 Weirich C. L. 2496  
 Weise W. 1057  
 Weisenborn P. L. 1050  
 Weisfeld L. B. 430  
 Weismann T. J. 137  
 Weiss A. 607  
 Weiss D. 801  
 Weiss H. 255, 257  
 Weiss K. 770  
 Weiss R. J. 163  
 Weissberger A. 2153 II  
 Weitz H. M. 1149  
 Welch G. B. 1714  
 Welch L. M. 2641 II  
 Weldrick G. 679  
 Welsh H. L. 113  
 Welte E. 1499  
 Weltman C. A. 2280 II  
 Weltner W. 71  
 Wendland R. T. 905  
 Wendlandt W. W. 664



Авторы указатель

- Wendland R. 1428 II  
Wendler N. L. 788  
Westland S. A. 3172  
Weyde T. 2284  
Weremchuk G. 163  
Wernecke M. 2231  
Werner A. E. A. 1037  
Wertheimer R. 125  
Wertz J. E. 134  
Wessely F. 1073  
West P. W. 1200  
Westheimer F. W. 407  
Westwater J. W. 347  
Wetterholm G. A. 2104 II  
Wexler A. S. 236  
Weymouth F. J. 1078  
Weyssenhoff H. 1310  
Whalley C. 2625  
Wheatley E. W. 2535 II  
Wheatley K. H. 441  
Wheeler K. W. 2114 II  
Wheeler O. H. 758  
Wheeler R. C. H. 387  
Wheeler R. N. 2601  
Whetsel K. B. 2767  
Whitaker L. R. 1671  
White E. G. 1833  
White G. K. 261  
White L. M. 1283  
White W. R. 2351 II  
Whiting M. C. 1095  
Whitley S. 326  
Whitmore G. F. 1309  
Whitted J. B. 2493  
Whitworth E. 2152 II  
Wiberg E. 2543 II  
Wickham W. T. 2409  
Wiebe A. K. 1338  
Wieden P. 355  
Wiedmann H. 2171 II  
Wiedner L. 3173  
Wieduwilt H. 1047  
Wiegand J. H. 3265  
Wieland T. 752  
Wiemann J. 2156 II  
Wierzchowski J. 3107  
Wiesner K. 1062  
Wiklander L. 1559  
Wikdahl L. 3322 II  
Wilcox M. H. 2699 II  
Wildner C. J. 3012  
Wildner P. 1302  
Wiley J. S. 1862  
Wiley R. H. 609, 927  
Wilhoit E. D. 500  
Wilke G. 799  
Williams G. E. 2410  
Williams H. L. 2429 II  
Williams L. T. 79  
Williams R. R. 465  
Williams T. J. 3333  
Willis R. A. 1702  
Wilmarth W. K. 415  
Wilson K. 2676  
Wilson S. A. 164  
Wilson S. L. 1789  
Wilt J. W. 771  
Wing H. J. 2550 II  
Winger A. G. 611, 1806  
Winger L. T. 3152 II  
Winklepleck R. G. 3303 II  
Winsberg L. 696  
Winstein S. 772-774  
Winter M. 561  
Winterhager H. 528  
Winterstein A. 903  
Wisniewski F. J. 46  
Wisniewski W. 3187  
Wisotzky R. 2488  
Wissing O. 2975  
Witcoff H. 2522 II  
Witnuuer L. P. 1143  
Wittenberger W. 3241  
Witter H. C. 1704  
Wittig G. 794  
Wizir W. A. 1619  
Wojciechowska J. 1208  
Woker H. 1844  
Wolf E. 577  
Wolfe C. L. 1950  
Wolff J. P. 2774  
Wolfm M. L. 2827  
Wollenberg O. 1484  
Wollentin R. W. 226  
Wöllner J. 2306  
Wolman A. 1840  
Wolter G. 935, 937  
Wömpner H. 2470  
Wong F. F. 3026  
Wonsowski S. W. 236  
Wood H. W. 594  
Woodruff J. A. 2198  
Woods S. B. 261  
Woodward L. A. 109  
Woolman M. K. 1437 II  
Workman W. R. 976 II  
Worthington C. R. 1104  
Wotiz J. H. 1487  
Wotschke J. 3320 II  
Wray J. L. 233  
Wright C. E. 1664, 1739, 3015  
Wright C. S. 2654 II  
Wright G. T. 100  
Wright R. G. 3346  
Wright W. B. 2145 II  
Wucherer J. 1767 II  
Wuhrer J. 1661, 1663  
Wunderlich H. 904  
Wurz O. 2670  
Wylezich A. 2232  
X  
Xuong N. D. 909  
Y  
Yalman R. G. 1242  
Yamamoto I. 1061  
Yamamoto M. 1130  
Yamamoto S. 1170  
Yamane K. 1405  
Yamasaki K. 673, 733  
Yankwich P. E. 319  
Yarsley V. E. 2463  
Yasuda M. 673  
Yasumi M. 306  
Yoffe A. D. 396  
Yokoi H. 733  
Yoneda H. 98  
Young A. C. 1082  
Young D. A. 200  
Young E. F. 3289  
Young F. W. 446  
Young J. A. 340  
Young T. C. 2472  
Yoxsimer O. H. 2481  
Yu S. P. 1318  
Yull J. S. 1456  
Yule J. A. C. 2362 II  
Yumoto H. 1133  
Z  
Zabetakis M. G. 3373  
Zagar L. 1629  
Zaheer S. H. 2755  
Zakheim M. 1503 II  
Zalan Z. 1647  
Zateski J. 2978  
Zatočil O. 3073  
Zechmeister L. 890  
Zee 1827  
Zee H. 1818  
Zeh W. 2360  
Zeisberger R. 2610  
Zeiss H. H. 1035  
Zeller E. J. 233  
Zeller P. 2127 II  
Zeller P. J. A. 1823  
Zenftman H. 2152 II  
Zickendraht C. 2179 II  
Ziegenberg R. 1528 II  
Ziegler E. 885  
Ziegler G. 1654  
Ziegler P. 1040  
Zifferero M. 1063  
Zilske H. 2784  
Zimmer H. 955  
Zimmerman C. L. 2196  
Zimmerman P. 1538 II  
Zirm K. L. 2381  
Zissel A. 3171  
Zissis E. 998  
Živanović D. 1261  
Žižka J. 2848  
Zollinger R. 1755 II  
Zollinger R. M. 1755 II  
Zorn H. 2016 II, 2017 II  
Zoss L. M. 3338  
Zotta V. 2286  
Zuk-Kunaszewska M. 1259  
Žurakowski M. 3187  
Zussman J. 182  
Zweep W. 1496  
Zweig C. 1191  
Zýka J. 1249  
Zymny E. 1246

Հանդես Մ. Տ. 823 Տիտանիա Մ. 2. 823

- ბერძენი 2908  
ბოლშევიკი 1728  
გიორგიძე 15  
ლაშვი 2860  
მავგირიანი 5. 2910  
七字三郎 2854  
三枝武夫 1168  
三原啓介 2725  
中村信哉 2336  
中尾智三郎 1430 II  
中島信介 1419 II  
中堂昭 4752 II  
中禁邦夫 1199  
中越昭子 3410  
丹野直和 1680  
久保木幹郎 2917  
久野耕作 2917  
井上良三 2308  
井内岩夫 1289  
井本益 1099, 2089  
今井示 1429 II  
今枝彬郎 129  
伊東保二 1272  
伊勢壽三 615  
伊藤正典 1395 II  
伊藤安夫 947  
佐藤武彦 1263  
佐藤昭雄 3010  
佐藤謙二 3120  
内海勇 3150 II  
劉世安 1333  
加藤清敏 1262  
北川卓四郎 2344  
眞島宏 579  
千手諒一 3174  
垣花秀武 1213  
塚原寅次 2863  
大井信一 1237  
大田正樹 2112 II  
天野明 1244  
奥正巳 2190  
孫振圻 2299  
安達錦吾 2917  
安藤智雄 2864  
宇野庄平 2489  
宇野豊三 2303  
吳征鎧 120  
吳松喬 16  
和田正義 579  
哈羅雅娃 E. C. 1305  
四塚勝 947  
國富益 1406  
土井桐子 1287  
土倉秀次 2345  
坪井正道 148  
垣花秀武 1213  
塚原寅次 2863  
大井信一 1237  
大田正樹 2112 II  
天野明 1244  
奥正巳 2190  
孫振圻 2299  
安達錦吾 2917  
安藤智雄 2864  
宇野庄平 2489  
宇野豊三 2303  
宗宮重行 1639  
宮川一郎 1155  
宮地隆興 1289  
宮坂龍吉 75  
宮崎正蔵 537, 538  
寺田章 1772  
小田良平 1168  
小池久 1187  
小池久義 1457  
小林純一 1230  
小林晴雄 1419 II  
小松文彦 1262  
小泉正夫 483  
小原誠 2906  
尾山竹藏 1638  
尾谷茂 3104  
山下雄也 856, 857, 858, 859  
山口進 2085 II  
山内武 1769 II  
山内俊吉 1549, 1639  
山本昭三 1170  
山本謙 93, 947  
山田太郎 2715  
山田昌男 2403  
山田哲三 2412  
山村喜三雄 2681  
山岸正治 1247  
山崎一雄 1203  
岩井正 1674  
岩倉義男 808  
岡本獎 2189  
岡田辰三 1536 II  
岡村誠三 1159, 1170, 2716  
岡秀明 2085 II  
島内武彦 64  
川口輝雄 2415  
川城敬 1015

平井西夫 37	栗山拾三 2725	湯淺政治 3150 II	笹井明 2343	鈴木弘茂 1549
平野康一 557	柳彰 947	湯騰漢 2299	筑井俊平 10	鈴木信一 1750 II
麻生清 2843	柴崎一雄 2843, 3010	渡會修正 2917	篠塚實 1757 II	鈴木桃太郎 537, 538
藤岡博 1273	桑田勉 1441 II	渡邊和夫 2858	米准典 17	鈴木算 1556
張玉環 23	植田賢一 2415	渡邊幸三郎 1674	紀育禮 917	錢公達 21
後藤泰弘 1230	梶川温彦 1742	龍川敏 1169	素木洋一 1623	鎌谷勤 1:92 II
後藤信行 878	梶野治 1440 II	龍本羊三 1404	織田健一 1395 II	劉有成 760
後藤健 1169	椎葉雲八 2411	龍貞男 1406	古乃榮 20	鎌田進 857
笹岡恒善 1536 II	掛見喜一郎 2303	漆能瑞 1179	蘇企洵 77	長谷川猛虎 3329
新村陽 658	森太郎 2858	浜田善樹 1255	荒川久一 1290	長谷純一 875
正原勳 3150 II	森田榮一 2401	浜村保次 2489	荒川正文 1339	阿部末吉 1411 II
日引重幸 3110	森昇 1098	瓜生敏三 2480	前川靜彌 1262	陳綱 13
甲田善生 1357	楊德壬 17	片瀬傳治 1623	菊地安藏 1262	陳且珍 119
早坂公郎 1535 II	樋田龍太郎 658	牧正文 1197	落合康男 1556	岡谷威雄 2465
月田潔 93	樋口芳朗 1742	王女馨 13	萬谷志郎 1254	青山壽雄 838
服部弘 1404	横尾亮 1247	王葆仁 1100	菅澤重彦 2166 II	青武雄 1638
木下登喜子 1187	武藤義 1177	田中治 1205	盧嘉錫 142	賴實正弘 338
木下彌兵衛 1187	水渡英二 1339	田中郁雄 2413	西村淑子 875	顧冀東 1188
木戸猪一郎 2715	水澤伸也 2343	田中信夫 3150 II	角矢晃一 2715	飯田忠三 1203
本山卓彦 1170	永井芳男 878	田中誠之 1290	谷垣順一 1099	馬野周二 2336
本柳忠義 857	永井彰一郎 1680	田村寛 1772	谷部誠次郎 857	馬譽激 2291
村松正美 1187	永原太郎 2072	田崎正浩 1442 II	赤見坂雄 2864	高小霞 1198
村瀬武男 1213	永納秀男 1255	田邊清 1757 II	越野雅夫 1155	高山雄二 1287
東峯基之 2494	池上卓穂 1214	的場幸雄 1254	足立達 2959	高山小三郎 2858
林多紀 2854	池田潤平 2865	石井義郎 856, 857, 858, 859	足立彰 3228	高槻健 3104
林孝一 2480	池田鐵太郎 93	石坂吉治 1255	辻和一郎 1098	高須邦彦 1239
林隆之 881	池野亮當 1440 II	礪島敏三 2083 II, 2084 II	達川正昭 2489	高橋サク 537, 538
松井治二郎 2837	河根誠 1536 II	祖父江 2681	遠藤昭 3150	高宮正 2085 II
松本和夫 1295	河野正隆 2403	神原周 2397	邢其毅 946	高橋久 1339
松本俊郎 1263	津村宗治 1752 II	神森大彦 1244	鄭成忠 18	高橋亂子 1272
松代公夫 947	海谷秀雄 3238 II	福元武雄 1395 II	野村男次 3018	高橋和雄 1717
松尾義之 2837	後育辰 917	和田正 2480	野崎正士 1168	高澤茂治 857, 859
松原文雄 1441 II	淺原眞一 1680	秋山等一 2917	野村英夫 2906	鮑羅本金 2226
松崎啓 2681	深見清 2725	秋田務 2485	野田博 1536	鮫島政義 2303
松塚清人 1384 II	清水亘 3110	秋場稔 3113	金友昭一 93, 947	鶴飼貞二 947
松橋鉄治郎 3104	清水周 2190	竹之内正男 856, 858, 859	鈴木公宏 2715	藤生清 3010
栗山一秀 2864	清水敦 2917			

УКАЗАТЕЛЬ ДЕРЖАТЕЛЕЙ ПАТЕНТОВ

A. B. Separator 2939	Armstrong Cork Co. 2425	1995, 2001, 2004, 2011, 2028,	Ciba Akt. Ges. 2089, 2108,
A. B. Svenska Flaktfabriken 3386	Arvey Corp. 2125	2031	2146, 2178, 2179, 2241, 2244,
Accumulatorenfabrik Varta N.V. 1529	Asahi Garasu Kabushiki Kaisha 1411	British Thomson-Houston Co. Ltd 1439, 2053, 2576	2250, 2263, 2314, 2556
Agfa Akt. Ges. für Photogabri- kation 2359	A/S Sadolin & Holmblad 2158	California Research Corp., 2807, 2808, 3240	Cie Française des Matières Co- lorantes 2175
Air Preheater Corp. 3303	Atlantic Refining Co. 1988,	Canadian International Paper Co. 1431	Cie Française Thomson-Houston 2557
Air Products Inc. 1770	2002, 2806	Canadian Kodak Co. Ltd 1596,	Cie Internationale de Procédés Electrolytiques pour le Re- vetement des M'aux 1534
Akt. Ges. Cilander 2259	Atlas Powder Co. 2574	2153, 2351, 2361	Colgate-Palmolive Co. 2384,
Aktieselskabet Dansk Gaerings- Industri 3147	Backhefe G. m. b. H. 2943	Cassella Farbwerke Mainkur Akt. Ges. 2519	2385, 2812
Allgemeine Elektrizitäts-Ges. 2513, 2533	Badische Anilin & Soda-Fabrik Akt. Ges. 1978, 2000, 2016,	Celanese Corp. of America 2547	Columbian Carbon Co. 2035
Allied Chemical & Dye Corp. 2067	2017, 2036, 2051, 2062, 2105,	Centre National de la Recherche Scientifique 2156	Corn Products Refining Co. 2327
Allmänna Svenska Elektriska A. B. 3196	2107, 2115, 2144, 2169, 2251,	Chemical Co. of Aust. Ltd 2422	Connecticut Hard Rubber Co. 2585
American Cyanamid Co. 2103,	2409-2501, 2512, 2526, 2527,	Chemical & Dye Corp. 2534	Continental Gummi-Werke Akt. Ges. 2461
2106, 2145, 2163, 2182, 2184,	2646, 3319	Chemische Verwertung Ges. Oberhausen m. b. H. 2081	Corhart Refractories Co. 1652
2242, 2245, 2246, 2311, 2316,	Basic Refractories, Inc. 3199	Chemische Werke Albert 2073,	Corn Products Refining Co. 2327
* 2332, 2442, 2517, 2568, 2571,	B. B. Chemical Co. of Canada, Ltd 2421, 2572	2638, 3156, 3160	Courtaulds Ltd. 2096, 2097
2647, 2655, 2742	Beecham Research Labs., Ltd 2118	Chemische Werke Hüls Akt. Ges. 2143	Davis-Young Soap Co. 2800
American Metal Co. Ltd. 3349	Boehringer Sohn, C. H. 2102	Chemistrand Corp. 2164	Dasher Rubber and Chemical Co. 2460
American Optical Co. 2565	Böhme Fettchemie G. m. b. H. 2110, 3194	Chempatents Inc. 2131	Dearborn Chemical Co. 2147
American Viscose Corp. 2652	Boots Pure Drug Co. Ltd 2328	Chicopee Manufacturing Corp. 2550	Deutsche Abwasser-Reinigungs G. m. b. H. 1881
Anglo-Iranian Oil Gny Ltd 1966,	Botany Mills, Inc. 2281	Chinoín Gyógyszer és Vegyészeti Termékek Gyára r. t. 2330	Deutsche Gold und Silber-Sch-
2006	Bradford Dyers' Assoc Ltd 2248		
Anglo-Scottish Creameries Ltd 3145	British Organic Products Ltd 1880		
Armour and Co. 2333	British Oxygen Co., Ltd 1768		
	British Petroleum Co., Ltd 1967,		

# Указатель держателей патентов

deanstalt vormals Roessler 2064, 2076, 2267	Geigy J. R., Akt. Ges. 1504, 2137, 2181	Lummus Co. 2037	Olin Mathieson Chemical Corp. 1537, 2154
Deutsche Hydrierwerke G. m. b. H. 2443	Gelsenkirchener Bergwerks Akt. Ges. 3237	Mabag Maschinen-und Apparatebau Akt. Ges. 3304	Onada Semento Kabushiki Kaisha 1751
Deutsche Magnesit Akt. Ges. 1756	General Aniline & Film Corp. 2078, 2079	Mainkur Cassella Farbwerke Akt. Ges. 2243	Osaka Yogyo Semento Kabushiki Kaisha 1752
Deutsche Solvay-Werke G. m. b. H. 1874	General Electric Co. 1417, 1432, 1437, 2120, 2542, 2575, 2577	Manufacture de Velours et Peluches J. B. Martin & Cie 2258	Pabst Brewing Co. 2936
Deutsche Vacuum Oil Akt. Ges. 2024	General Mills, Inc. 2521, 2522, 2648	Maschinen- und Apparatebau Staßfurt 1759	Pacific Mills 2261
Devoe & Reynolds Co. Inc. 2642	Gen. fuer Linde's Eismaschinen Akt. Ges. 1767	Mathieson Chemical Corp. 2058, 2132	Patent-Treuhand-Ges. für elektrische Glühlampen m. b. H. 1434
Diamalt Akt. Ges. 2264	Glass Fabrics Ltd. 1600	May & Baker Ltd. 2133	Paul P. Heinley 2570
Diamond Alkali Co. 1396, 2539	Goodrich B. F. Co. 2455, 2509	Merck & Co., Inc. 2093, 2111, 2126, 2319	Penick S. B. & Co. 2162, 2324
Diamond State Food Products, Inc. 3162	Goodyear Tire & Rubber Co. 2445	Merrell W. S. Co. 2114	Pennsalt International Corp. 1503
Distillers Co. Ltd 2077, 2082, 2128, 2134, 2161, 2504	Government of the U. S. the Secretary of War 2280	Metalgesellschaft Akt. Ges. 1383, 1421, 1882, 1987, 2121	P. F. W. of Amerika Inc. 2380
Dominion Rubber Co., Ltd 2147, 2544	Heinrich Koppers G. m. b. H. 1913, 3315	Metro-Cutanit Ltd 1423	Philips Electrical Industries, Ltd 2651
Donau-Chemie Akt. Ges. 2063	Henkel & Cie G. m. b. H. 1875	Metropolitan-Vickers Electrical Co., Ltd 3318	Phillips Petroleum Co. 1973, 1986, 2015, 2030, 2441, 3312, 3317, 3348
Dorr Co. 3314	Hercules Powder Co. 2523, 2524, 3151, 3321	Midland Silicones, Ltd 2119, 2537, 2538, 2540, 2541	Phrix-Werke Akt. Ges. 2157
Dorr-Oliver Inc. 1878, 1879	Hoffmann-La Roche & Co. Akt. Ges. 2127	Minhardt & Fischer Kommandit Ges. 1755 II	Pintsch Bamag Akt. Ges. 1390, 1912
Dortmunder Paraffinwerke G. m. b. H. 2045	Horizons Titanium Corp. 1425, 1427	Monsanto Chenucal Co. 1507, 2049, 2099, 2148, 2502, 2516, 2532, 2743	Pirelli S. p. A. 2462
Dow Chemical Co. 1527, 2423, 2639, 2640	Hydrocarbon Research Inc. 1766, 1979	Munising Paper Co. 2459	Pittsburgh Plate Glass Co. 1599, 2322
Dreyfus C. 2240, 2535, 2704	Ibigawa Denki Kogyo Kabushiki Kaisha 1429	Naamlooze Vennootschap de Bataafsche Petroleum Maatschappij 1382	Plessey Co. Ltd 1650
Dunlop Rubber Co. Ltd. 2453, 2553	Imperial Chemical Industries Ltd 1379, 1909, 2072, 2135, 2142, 2152, 2284, 2448, 2528, 2748, 2813, 2940	National Research Council 2088, 2650	Polaroid Corp. 2358
Du Pont de Nemours E. I. & Co. 551, 1414, 1911, 2025, 2066, 2094, 2117, 2149, 2505, 2507, 2268, 2355	Industrielackwerke G. m. b. H. 2549	National Research Development Corp. 2536	Polymer Corp. Ltd 2429, 2430
Durand & Huguenin Akt. Ges. 2113	Institut Français du Pétrole, des Carburants et Lubrifiants 2129	National Starch Products, Inc. 2266	Poudreries Réunies de Belgique, Soc. Anon. 2283
Dynamit Akt. Ges. vormals Alfred Nobel & Co. 2282, 2438, 2554	Interchemical Corp. 2586	National Tank Co. 1968	Pure Oil Co. 2654
Eastman Kodak Co. 2353, 2362, 2363	Inventa Akt. Ges. für Forschung und Patentverwertung 1415	Nenley's W. T. Telegraph Works Co. Ltd 2456	Quaker Oats Co. 2160
Edeleanu Ges. m. b. H. 2020	Janaer Glaswerk Schöff & Gen. 1597	New Winkle, Inc. 2644	Radio Corp Of America 3200
Eisenwerke Gelsenkirchen Akt. Ges. 2545	Joh A. Benckiser G. m. b. H. Co. 1982, 1984, 1987, 1990, 2009, 2012, 2013, 2033, 2046, 2048, 2059	New-York Hamburger Gummi-Waaren Co. 2439	Raymond Lab., Inc. 2387
Electric Storage Battery Co. 1530	Kabushiki Kaisha Edo Seikoshō 1769	New Zealand Textile Engineers, Ltd 1884	Rayonier Inc. 2702
Esso Research and Engineering Co. 1982, 1984, 1987, 1990, 2009, 2012, 2013, 2033, 2046, 2048, 2059	Kabushiki Kaisha Tamoku Seihisho 1440	Nicolaus H. G. m. b. H. 2563	Rheinpreussen Akt. Ges. fuer Bergbau und Chemie 2040, 2060, 2171
Esso Standard Soc. Anon. Française 1996	Kaiser Aluminum & Chemical Corp. 1533	Nihon Etanitto Paipu Kabushiki Kaisha 1757	Rinco Akt. Ges. 2573
Etat Français 2100	Kali-Chemie Akt. Ges. 1500	Nitroglycerin A. B. 2104	Röchling'sche Eisen- und Stahlwerke Ges. 1649
Ethyl Corp. 1501, 2123	Kaiya Hideo, Ukawa Wataru 3238	Nordmark-Werke G. m. b. H. 2168, 2313	Röhm & Haas G. m. b. H. 2514, 2531, 2559
Farbenfabriken Bayer Akt. Ges. 639, 2116, 2150, 2173, 2180, 2183, 2185, 2186, 2546, 2558, 2567, 3195	Kelllogg M. W. Co. 1971	North American Rayon Corp. 2747	Rubatex Products Inc. 2458
Farbwerke Hoechst Akt. Ges. vormals Meister Lucius & Brüning 2109, 2151, 2155, 2172, 2252, 2506, 2530, 2653, 2811	Kemisk Vaerk Kjøge A./S 2159	Novacel Soc. Anon. 1531	Ruhrchemie Akt. Ges. 1999, 2503, 3309, 3310, 3323
Fellows Medical Mfg. Co., Inc. 2309	Kodak, Ltd 1412, 2352, 2364	N. V. Amsterdamsche Chininefabriek 2317	Ruhrchemie Akt. Ges. and Lurgi Ges. für Warmetechnik m. b. H. 2041
Firestone Tire & Rubber Co. 2431, 2446, 2449—2451, 2548	Lab. Clevenot 2090	N. V. De Bataafsche Petroleum Maatschappij 1972, 2008, 2023, 2044, 2047, 2061, 2130, 2140	Sandoz Akt. Ges. 2165 II, 2174, 2176, 2177
Firmenich & Co. 2379	Lab. Scientifiques de Neuilly 2386	N. V. Drukkerij De Spaarnestad 2587	Scherer Akt. Ges. 2312
Fisons, Ltd. 1451	Laidan Hojin Noguchi Kenkyusho 1395	N. V. Koninklijke Pharmaceutische Fabriken v/h Brocades-Stheeman & Pharmacia 2307	Screen Engineering Co. 2562
Fond d'Equipement de l'Hygiène Publique 2098	Lane-Wells Co. 3198	N. V. Philips' Gloeilampenfabrieken 1435, 1436, 2136, 2552	Schell Development Co. 1992, 2005, 2007, 2019, 2122, 2124, 2428, 2447, 2452, 2508
Försvarets Forskningsanstalt 1378	Lewis Berger and Sons Ltd 2643	Okada Tatsuzo, Takuoka Kogyo Kabushiki Kaisha 1536	Shell Refining and Marketing Co. Ltd 2038, 2039
	Licentia Patent-Verwaltungs-G. m. b. H. 293		Sherwin-Williams Co. 2566, 2649
	Lorenz C. Akt. Ges. 2551		Siemens & Halske Akt. Ges. 1602, 2581
	L. T. S. Madsen, Holte 2803		Siemens-Schuckertwerke Akt. Ges. 2582



# Указатель держателей патентов

l'Exploitation des Procédés Georges Claude 2095	2021, 2026, 2050, 2052, 2426, 2444, 2555, 2641, 3307	Thompson Products, Inc. 2042	US Rubber Co. 2091, 2424, 2433, 2436, 2440
Soc. Anon. des Manufactures des Glaces et Produits Chimiques de St-Gobain, Chauny et Clerey 1508, 2101, 2170	Standard Telephones & Cables Ltd 2578, 2579	Thorn Electrical Industries Ltd 1438	Veitscher Magnesitwerke Akt. Ges. 1653
Soc. Anon. des Pneumatiques Dunlop 2434, 2453	Stevensons Ltd 1385	Thüringische Zellwolle Akt. Ges. 2092	Vereinigte Aluminium-Werke Akt. Ges. 1539
Soc. Anon. Les. Usines de Melle 2070	Süd-Chemie Akt. Ges. 2543	Titan Co. Inc 1426, 2432	Vente des Tissus Chotard 2262
Soc. Bergedorfer Eisenwerk Akt. Ges. Astra-Werke 3153	Suddeutsche Kalkstickstoff-Werke Akt. Ges. 1416	Tootal Broadhurst Lee Co. Ltd 2254	Verd-a-Ray Processing Co. 1598
Soc. d'Exploitation du Latex 2457	Süd-West-Chemie G. m. b. H. 2529	Trojan Powder Co. 2074	Vereinigte Glanzstoff-Fabriken Akt. Ges. 2139, 2525, 2744
Soc. Industrielle des Dérivés de l'atylène 2080	Sulzer Freres, Soc. Anon. 1877	Ultrakust-Geratebau Dr. Ing. Oswald Raudszus 2937	Virginia-Carolina Chemical Corp. 1506
Soc. Nouvelle Coudurier Fructus, Descher 2249	Sumitomo Denki Kogyo Kabushiki Kaisha 1430	Unilever Ltd 2563, 2801, 2802, 2804	Visking Corp. 2590
Soc. de Produits Chimiques des Terres Rares 3193	Sumitomo Kagaku Kogyo Kaibushiki Kaisha 1392	Union Carbide and Carbon Corp. 1771	Voith J. M. Ges. 3305
Soc. Rhodiace 2255, 2749	Sun Oil Co. 1983, 1998, 2010, 2022	Union Oil Co. of California 1976	Wacker Akt. Ges. für Elektrochemische Industrie G. m. b. H. 2510
Soc. des Usines Chimiques Rhone-Poulenc 2315, 2331, 2515	Swift and Co. 2511, 2798, 2799	Union Rheinische Braunkohlen Kraftstoff Akt. Ges. 1910, 2029	Wacker-Chemie G. m. b. H. 2435
South Eastern Gas. Board 2034	Sylvania Electric Products Inc. 1433	United States Rubber Co. 2065	Wallace & Tiernan Inc. 3347
Spraylat Corp. 2645	Syntex Soc. Anon. 2323	Universal Oil Products Co. 1977, 1981, 1985, 1989, 1994	Westinghouse Electric Corp. 3385
Stamicarbon N. V. formerly Maatschepij voor Kolenbewerking Stamicarbon N. V. 3308	Syowa Denko Kabushiki Kaisha 1419	Upjohn Co. 2321	Wheeler F., Ltd. 1969
Standard Oil Co. 1991, 1993, 2003, 2027	Taba Seiyaku Kabushiki Kaisha 3150	USA the Secretary of Agriculture 2068, 2318	Wingfoot Corp. 2427, 2454, 2498
Standard Oil Development Co. 1420, 1970, 1975, 1980, 2014,	Takeda Pharmaceutical Industries Co. 2329	USA Secretary of the Army 2580	Wolf V., Ltd 2075
	Tennants Consolidated Ltd 2698	USA U. S. Atomic Energy Commission 690, 691	Wyandotte Chemicals Corp. 2805
	Texaco Development Corp. 2018	Usines Chimiques des Français Uclaf, 1418	Yawata Seitetsu Kabushiki Kaisha 1384
	Thiex Plastics Corp. 2561		Zeller & Gmelin 1758
			Zellwolle- und Kunstseide-Ring G. m. b. H. 2520

Технический редактор Л. М. Хелемская

Подписано к печати 24/III-1957 г. Тираж 4500. Формат бумаги 84×108<sup>1</sup>/<sub>16</sub> Зак. 1145  
Печ. л. 50,84. Бум. л. 15<sup>1</sup>/<sub>2</sub>. Уч.-изд. 93,0.

0.  
t.  
t.  
03  
04  
ca  
44  
rp.

ro-  
H.  
H.  
347  
orp.

2400

p.

ki

Ring

Цена 28 р. 80 к.

Printed in the USSR



